

АКАДЕМИЯ НАУК СССР  
ИНСТИТУТ НАУЧНОЙ ИНФОРМАЦИИ

РЕФЕРАТИВНЫЙ  
ЖУРНАЛ

ХИМИЯ

РЕФЕРАТЫ

56313—59784

\*

✓

UNIVERSITY  
OF MICHIGAN

SEP 1958

CHEMISTRY  
LIBRARY

№ 17

1958

ИЗДАТЕЛЬСТВО АКАДЕМИИ НАУК СССР  
МОСКВА

Chem  
QD

R33

1958

56313-63324



# РЕФЕРАТИВНЫЙ ЖУРНАЛ ХИМИЯ

главный редактор **В. В. Серпинский**

члены редколлегии: **Д. А. Бочар, В. В. Кафаров, В. Л. Кротович,**

**Д. Н. Курсанов, Е. С. Топчиев, Н. А. Фукс**

ученый секретарь **Е. А. Терентьева**

## СОДЕРЖАНИЕ

ОБЩИЕ ВОПРОСЫ . . . . .	1	Элементы. Окислы. Минеральные кислоты, основания, соли . . . . .	294
ФИЗИЧЕСКАЯ ХИМИЯ . . . . .		Удобрения . . . . .	302
Общие вопросы . . . . .	3	Люминесцентные материалы . . . . .	304
Некоторые вопросы субатомного строения вещества . . . . .	4	Производство катализаторов и сорбентов . . . . .	304
Атом . . . . .	4	Электрохимические производства. Электроосаждение. Химические источники тока . . . . .	304
Молекула. Химическая связь . . . . .	6	Керамика. Стекло. Вяжущие вещества. Бетоны . . . . .	314
Кристаллы . . . . .	19	Получение и разделение газов . . . . .	338
Жидкости. Аморфные тела. Газы . . . . .	35	Промышленный органический синтез . . . . .	339
Радиохимия. Изотопы . . . . .	39	Промышленный синтез красителей . . . . .	359
Термодинамика. Термохимия. Равновесия. Физико-химический анализ. Фазовые переходы . . . . .	41	Лекарственные вещества. Витамины. Антибиотики . . . . .	364
Кинетика. Горение. Взрывы. Топохимия. Катализ . . . . .	55	Пестициды . . . . .	381
Радиационная химия. Фотохимия. Теория фотографического процесса . . . . .	65	Душистые вещества. Эфирные масла. Парфюмерия и косметика . . . . .	391
Растворы. Теория кислот и оснований . . . . .	67	Фотографические материалы . . . . .	394
Электрохимия . . . . .	71	Взрывчатые вещества. Пиротехнически составы. Средства химической защиты . . . . .	396
Поверхностные явления. Адсорбция. Хроматография. Ионный обмен . . . . .	77	Переработка твердых горючих ископаемых . . . . .	404
Химия коллоидов. Дисперсные системы . . . . .	84	Переработка природных газов и нефти. Моторное и ракетное топливо. Смазки . . . . .	404
НЕОРГАНИЧЕСКАЯ ХИМИЯ. КОМПЛЕКСНЫЕ СОЕДИНЕНИЯ . . . . .	88	Лесохимические производства. Гидролизная промышленность . . . . .	424
КОСМОХИМИЯ. ГЕОХИМИЯ. ГИДРОХИМИЯ . . . . .	95	Жиры и масла. Воски. Мыла. Моющие средства. Флотреагенты . . . . .	427
АНАЛИТИЧЕСКАЯ ХИМИЯ . . . . .		Углеводы и их переработка . . . . .	437
Общие вопросы . . . . .	108	Бродильная промышленность . . . . .	441
Анализ неорганических веществ . . . . .	111	Пищевая промышленность . . . . .	447
Анализ органических веществ . . . . .	130	Синтетические полимеры. Пластмассы . . . . .	468
ОБОРУДОВАНИЕ ЛАБОРАТОРИЙ. ПРИБОРЫ. ИХ ТЕОРИЯ, КОНСТРУКЦИЯ, ПРИМЕНЕНИЕ . . . . .	137	Лаки. Краски. Лакокрасочные покрытия . . . . .	485
ОРГАНИЧЕСКАЯ ХИМИЯ . . . . .		Каучук натуральный и синтетический. Резина . . . . .	491
Общие и теоретические вопросы органической химии . . . . .	143	Искусственные и синтетические волокна . . . . .	495
Синтетическая органическая химия . . . . .	153	Целлюлоза и ее производные. Бумага . . . . .	498
Природные вещества и их синтетические аналоги . . . . .	219	Крашение и химическая обработка текстильных материалов . . . . .	515
ХИМИЧЕСКАЯ ТЕХНОЛОГИЯ. ХИМИЧЕСКИЕ ПРОДУКТЫ И ИХ ПРИМЕНЕНИЕ . . . . .		Кожа. Мех. Желатина. Дубители. Технические белки . . . . .	525
Общие вопросы . . . . .	259	ХИМИЯ ВЫСОКОМОЛЕКУЛЯРНЫХ ВЕЩЕСТВ . . . . .	527
Процессы и аппараты химической технологии . . . . .	259	НОВЫЕ КНИГИ, ПОСТУПИВШИЕ В РЕДАКЦИЮ . . . . .	—
Контрольно-измерительные приборы. Автоматическое регулирование . . . . .	271	АВТОРСКИЙ УКАЗАТЕЛЬ . . . . .	541
Коррозия. Защита от коррозии . . . . .	275	УКАЗАТЕЛЬ ДЕРЖАТЕЛЕЙ ПАТЕНТОВ . . . . .	557
Подготовка воды. Сточные воды . . . . .	285		
Техника безопасности. Санитарная техника . . . . .	289		
Химико-технологические вопросы ядерной техники . . . . .	293		

GENERAL  
PHYSICAL C  
General  
Some S  
Atom  
Molecul  
Crystall  
Liquids  
Radioact  
Therm  
Ph  
Kinetic  
Ca  
Radiat  
Ph  
Solutio  
Electro  
Surfac  
Ion  
Colloid  
INORGANIC  
COSMOCHE  
ANALYTIC  
Gener  
Analy  
Analy  
LABORATO  
ORGANIC  
Theor  
Organ  
Natur  
CHEMICAL  
T  
Gener  
Chem  
Instr  
Corro  
Wate  
Safet

# REFERATIVNYI ZHURNAL KHIMIYA

EDITOR: *V. V. Serpinsky*

EDITORIAL BOARD: *D. A. Bochvar, V. V. Kafarov, W. L. Kretovich,  
D. N. Kursanov, K. S. Topchiev, N. A. Fuchs*

EXECUTIVE SECRETARY *E. A. Terentjeva*

*chem*  
*QD*  
*1*  
*R33*  
*1958*

## CONTENTS

*56313-63324*

### GENERAL PHYSICAL CHEMISTRY

General  
Some Subatomic Phenomena  
Atom  
Molecule Chemical Bond  
Crystals  
Liquids. Amorphous Substances. Gases  
Radiochemistry. Isotopes  
Thermodynamics. Thermochemistry. Equilibria  
Physico-Chemical Analysis. Phase Transitions  
Kinetics. Combustion. Explosions. Topochemistry.  
Catalysis  
Radiation Chemistry. Photochemistry. Theory of  
Photographic Process  
Solutions. Theory of Acids and Bases  
Electrochemistry  
Surface Phenomena. Adsorption. Chromatography.  
Ion Exchange  
Colloid Chemistry. Disperse Systems

### INORGANIC CHEMISTRY. COMPLEX COMPOUNDS COSMOCHEMISTRY. GEOCHEMISTRY. HYDROCHEMISTRY ANALYTICAL CHEMISTRY

General  
Analysis of Inorganic Substances  
Analysis of Organic Substances

### LABORATORY EQUIPMENT. INSTRUMENTATION

### ORGANIC CHEMISTRY

Theoretical Organic Chemistry  
Organic Synthesis  
Natural Compounds and Their Synthetic Analogues

### CHEMICAL TECHNOLOGY. CHEMICAL PRODUCTS AND THEIR APPLICATIONS

General  
Chemical Engineering  
Instruments and Automation  
Corrosion. Corrosion Control  
Water Treatment. Sewage  
Safety and Sanitation

Chemical and Technological Aspects of the  
Nuclear Industry  
Elements. Oxydes. Mineral Acids, Bases, Salts  
Fertilizers  
Luminescent Materials  
Catalysts and Sorbents  
Electrochemical Industries. Electroplating. Galvanic  
Cells  
Ceramics. Glass. Binding Materials. Concrete  
Production and Separation of Gases  
Industrial Organic Synthesis  
Industrial Synthesis of Dyes  
Pharmaceuticals. Vitamines. Antibiotics  
Pesticides  
Perfumes and Cosmetics. Essential Oils  
Photographic Materials  
Explosives. Pyrotechnical Compounds. Chemical  
Defence Agents  
Chemical Processing of Solid Fossil Fuels  
Chemical Processing of Natural Gases and Petroleum.  
Motor and Rocket Fuels. Lubricants  
Chemical Wood Products. Hydrolysis Industry  
Fats and Oils. Waxes. Soaps and Detergents.  
Flotation Agents  
Carbohydrates and Their Processing  
Fermentation Industry  
Food Industry  
Synthetic Polymers. Plastics  
Lacquers. Paints. Coatings  
Caoutchouc, Natural and Synthetic. Rubber  
Artificial and Synthetic Fibres  
Cellulose and Its Derivatives. Paper  
Dyeing and Chemical Treatment of Textile Materials  
Leather. Fur. Gelatine. Tanning Materials. Industrial  
Proteins

### HIGH POLYMER CHEMISTRY

### NEW BOOKS

### AUTHOR INDEX

### INDEX OF PATENTEEES

Editorial Office: Moscow, D-219, Baltiysky poselok, 42-B

56313. Ро.  
закономер  
Диалект.  
политизм

56314. Му  
XVI в. П  
мукомосль  
вып. 6, 4  
Приведен  
Мещанинов  
записано 2  
производит  
автора).

56315. Ос  
мшленн

истории,  
56316. Фл  
мх. Г л  
1917—195

Обзор на

Библ. 81 на

56317. 40

Левон  
Lewon  
(польск.)

56318. До  
СССР за  
заведени

56319. Мо

Иржич  
№ 11, 91

56320. Лу

Jakub Th

1958, 11,

R 100-ле

56321. Н.

нефтезав

1958, № 4

Из истор

нефти в Р

бойников —

1824—1842

ую нефте

в Балахан

риалы. Би



# РЕФЕРАТИВНЫЙ ЖУРНАЛ ХИМИЯ

Рефераты 56313—59784

№ 17

10 сентября 1958 г.

## I

(Рефераты 56313—57294)

### ОБЩИЕ ВОПРОСЫ

МЕТОДОЛОГИЯ. ИСТОРИЯ. НАУЧНЫЕ УЧРЕЖДЕНИЯ И КОНФЕРЕНЦИИ. ПРЕПОДАВАНИЕ.  
ВОПРОСЫ БИБЛИОГРАФИИ И НАУЧНОЙ ДОКУМЕНТАЦИИ

Редактор Д. И. Тумаркин

56313. Роль биохимических процессов в познании закономерностей жизни. Сисакян Н. М., В сб.: Диалект. материализм и соврем. естествозн. М., Госполитиздат, 1957, 251—289
56314. Мукомольная промышленность Пскова в XVI в. Пономарев Н. А., Тр. Научно-техн. о-во мукомольн. и круп. пром-сти и алеват. х-ва, 1958, вып. 6, 44—50  
Приведены сведения по писцовой книге писцов Мецанинова-Морозова и Дровина (1585—1587 гг.), где записано 25 действующих водяных мельниц общей производительностью 45 т зерна за 24 часа (оценка автора). Д. Т.
56315. Освоение Хибин и создание апатитовой промышленности в СССР. Соловьев П. В., Вопр. истории, 1958, № 2, 45—59
56316. Флотационное обогащение полезных ископаемых. Глембоцкий В. А., В сб.: Сов. горн. наука, 1917—1957, М., Углетехиздат, 1957, 543—580  
Обзор научных исследований в СССР за 40 лет. Библи. 81 назв. Д. Т.
56317. 40 лет сахарной промышленности в СССР. Левон (40 lat przemysłu cukrowniczego w ZSRR. Lewon Józef), Gaz. cukromn., 1958, 60, № 1, 6—7 (польск.)
56318. Достижения бродильной промышленности СССР за 40 лет. Мальцев П. М., Изв. высш. учебн. заведений. Пищ. технол., 1958, № 1, 5—13
56319. Молочная промышленность Сибири за 40 лет. Иржичко В. И., Тр. Омского с.-х. ин-та, 1957, 31, № 11, 91—101
56320. Лун-Жак Тенар. Романовский (Ludwik Jakub Thenard. Romanowski Henryk), Chemik, 1958, 11, № 2, 50—51 (польск.)  
К 100-летию со дня смерти (1857 г.). Д. Т.
56321. Н. И. Воскобойников и первый бакинский нефтезавод. Екимов А. А., Вестн. Ленингр. ун-та, 1958, № 4, 141—151 (рез. англ.)  
Из истории нефтепереработки и развития науки о нефти в России в 30-х годах XIX в. Ник. Ив. Воскобойников — горный инженер и геолог, служил в 1824—1842 гг. на Кавказе, предложил и построил первую нефтеперегонную установку, пущенную в 1837 г. в Бадаханах. В статье использованы архивные материалы. Библи. 15 назв. Д. Т.
56322. Д. Н. Абашев и его вклад в развитие учения о растворах. Кипинис А. Я., Ж. физ. химии, 1958, 32, № 3, 730—733  
К 100-летию исследований жидкостных р-ров. Библи. 31 назв. См. также РЖХим, 1957, 33390. Д. Т.
56323. Петер Грисс и его время. Вицингер-Ауст (Peter Griess und seine Zeit. Wizinger-Aust R.), Angew. Chem., 1958, 70, № 8, 199—204 (нем.)  
К 100-летию со времени получения И. П. Гриссом (1829—1888) первого диазосоединения. Д. Т.
56324. Петер Грисс и диазосоединения. Сто лет химии диазосоединений. Пфейль (Peter Griebel und die Diazoverbindungen. 100 Jahre Diazochemie. Pfeil E.), Chem. Labor. und Betrieb, 1958, 9, № 4, 133—143 (нем.)
56325. Сто лет диазосоединений. Уорд, Рандалл (A century of diazo compounds. Ward E. R., Randall J. L.), Discovery, 1958, 19, № 4, 155—161 (англ.)
56326. Связи Д. И. Менделеева с Горной академией во Фрейберге. Лисснер (Die Beziehungen D. J. Mendelejeffs zur Bergakademie in Freiberg. Lissner Anton), Bergakademie, 1957, 9, № 7, 380—382 (нем.)  
См. РЖХим, 1958, 38532. Д. Т.
56327. Памяти А. Е. Чичибабина. Делеции (Hommage de la Société Chimique de France à Alexis Tchitchibabine (1871—1945) Delépine M.), Bull. Soc. chim. France, 1958, № 4, 407 (франц.)  
Отмечаются, главным образом, выдающиеся исследования А. Е. Чичибабина (1871—1945) в области химии пиридина и его производных. См. также РЖХим, 1958, 31325; 1956, 8930. Д. Т.
56328. Жизнь и деятельность Д. Н. Приянишникова. Кедров-Зихман О. К., Удобрение и урожай, 1958, № 5, 32—36  
К 10-летию со дня смерти выдающегося агрохимика, академика Дмитрия Николаевича Приянишникова (1865—1948).
56329. Д. Н. Приянишников — классик советской агрохимии. Петербургский А. В., Удобрение и урожай, 1958, № 5, 37—43
56330. Вопросы биохимии растений в трудах Д. Н. Приянишникова. Дикусар Н. Г., Удобрение и урожай, 1958, № 5, 44—48

56331. Роль Д. Н. Приишников в строительстве советской туковой промышленности. Вольфович С. И., Удобрение и урожай, 1958, № 5, 55—59

56332. К. В. Георгиу. Будяну (C. V. Gheorghiu (1894—1956). Budeanu C. H.), An. stiint. Univ. Iași, 1956, Sec. 1, 2, № 1-2, I—IX (рум.)

Очерк жизни и деятельности проф. К. В. Георгиу (1894—1956), зав. кафедрой органич. химии хим. фак-та Ясского ун-та, чл.-корр. Академии РНР. Приведен список работ. Д. Т.

56333. Карл-Фридрих Бонхёффер. Шваб (Karl Friedrich Bonhoeffer. Schwab G.-M.), Z. Elektrochem., 1958, 62, № 3, 222—224 (нем.)

Очерк научной деятельности (вводная статья к номеру журнала, посвященному его памяти); портрет. См. также РЖХим, 1957, 70802; 1958, 6, 34338. Д. Т.

56334. Петр Андреевич Волков. Борнеман И., Ж. аналит. химии, 1958, 13, № 2, 259; Изв. АН СССР, Сер. геол., 1958, № 4, 103

Некролог П. А. Волкова (1889—1957), видного химика-аналитика и технолога в области переработки минерального сырья (Ин-т геол. наук АН СССР). Д. Т.

56335. Луис Пиллемер, иммунохимик. Эскер (Louis Pillemer, immunochemist. Ecker E. E.), Science, 1958, 127, № 3294, 328—329 (англ.)

Некролог Л. Пиллемера (1908—1957), проф. биохимии ун-та в Кливленде, шт. Огайо, США. Д. Т.

56336. Александр Федорович Соседко. Бельков И. В., Сидоренко А. В., Изв. АН СССР. Сер. геол., 1958, № 4, 102—103

Некролог А. Ф. Соседко (1901—1957), исследователя в области минералогии и геохимии (Якутский филиал АН СССР). Д. Т.

56337. Яков Иосифович Ольшанский. Лапин В. В., Цветков А. И., Изв. АН СССР, Сер. геол., 1958, № 4, 104

Некролог д-ра хим. наук Я. И. Ольшанского (1912—1958), исследователя в области физ. и геохимии (Ин-т геологии рудных месторождений, петрографии, минералогии и геохимии АН СССР). Д. Т.

56338. Клод Фромажо. Денюэль (Claude Fromageot. 1899—1958. Desnuelle P.), Biochim. et biophys. acta, 1958, 27, № 3, 437—438 (франц.)

Некролог К. Фромажо (1899—1958), видного исследователя в области биохимии, проф. биологической химии Сорбонны. Д. Т.

56339. Профессор Клод Фромажо. Блашко (Prof. Claude Fromageot. Blaschko H.), Nature, 1958, 181, № 4607, 454—455 (англ.)

Некролог. Д. Т.

56340. Клод Фромажо (Claude Fromageot (1899—1958). A.-R. P.), Ann. Inst. Pasteur, 1958, 94, № 4, 500—502 (франц.)

Некролог. Д. Т.

56341. Основатель биохимии молока в СССР. Давидов Р. В., Докл. Всес. конференции по молочн. делу. М., Сельхозгиз, 1958, 399—403

К 70-летию проф. Г. С. Инихова. См. также РЖХим, 1957, 33400. Д. Т.

56342. 65-летие профессора Артура Зимона. Лейбниц (Professor Dr. Arthur Simon zum fünfundssechzigsten Geburtstage. Leibnitz E.), J. prakt. Chem., 1958, 5, № 5-6, 209—211 (нем.)

А. Зимон (род. 1893)—исследователь в области неорганич. химии (Дрезденское высшее технич. уч-ще). Краткий очерк научной и пед. деятельности. Д. Т.

56343. Леонид Михайлович Миропольский.—Изв. Казанск. фил. АН СССР. Сер. геол. н., 1957, № 6, 5—16

К 60-летию со дня рождения проф. Л. М. Миропольского (род. 1896)—исследователя в области геохимии, минералогии и др. геологических наук, зав. кафедрой

минералогии и петрографии Казанского ун-та. Приведен список опубликованных трудов.

56344. 60-летие профессора Курта Тейфеля. Погоудек-Фабини (Professor Dr. Kurt Tüfel. 60 Jahre alt. Pohloudek-Fabini R.), Pharmazie, 1957, 12, № 12, 851 (нем.)

См. также РЖХим, 1958, 42197. Д. Т.

56345. К пятидесятилетию А. М. Голдовского.—Маслоб.-жир. пром-сть, 1958, № 3, 48

Профессор А. М. Голдовский (род. 1908)—специалист и исследователь в области химии и технологии растительных масел (Всес. н.-и. ин-т жиров). Д. Т.

56346. Изучение природных соединений в Чехословацкой Академии наук. Пигулевский Г. В., Вестн. АН СССР, 1958, № 3, 84—85

Краткий очерк на основе посещения лаборатории природных соединений Хим. ин-та Чехословацкой АН. Д. Т.

56347. Женщины-химики в Новой Зеландии. Кидсон (Women in chemistry in New Zealand. Kidson Elsa B.), J. N. Z. Inst. Chem., 1958, 22, № 1, 15—30 (англ.)

Полное изложение доклада (см. РЖХим, 1958, 38543). Д. Т.

56348. Специализация по керамике в Массачусетском технологическом институте. Кингери, Нортона (Ceramics at M. I. T. Kingery W. D., Norton F. H.), Amer. Ceram. Soc. Bull., 1958, 37, № 1, 34—36 (англ.)

Сведения об учебных планах, экзаменационных и диссертационных требованиях, составе дипломантов и их предшествующей подготовке, н.-и. работе в области керамики. Д. Т.

56349. Некоторые вопросы связи преподавания физики и химии. Габриэлян А., Советская физика, Сов. педагог, 1958, № 3, 32—36 (арм.)

56350. Пространственные модели диаграмм состояния. Крестовников А. Н., Вигдорович В. И., Вестн. высш. школы, 1958, № 4, 62—63

Приведены чертежи и описано изготовление моделей, рекомендуемых для учебных целей. Д. Т.

56351. Опыт производственной практики учащихся средней школы на химических заводах. Энштейн Д. А., Клещева Е. П., Докл. Акад. под. наук РСФСР, 1958, № 1, 5—8

56352 К. Общая химическая технология. Часть 2. Технология органических веществ. Драган, Скупинский (Technologia organiczna. Dragan Sleslaw, Skupinski Stefan. Warszawa, PWT, 1957, 468 s., il., 28 zl.) (польск.)

56353 К. Развитие физической химии на Украине за 40 лет Советской власти. Стражеско Д. Н., Турченко Я. И. (Розвиток фізичної хімії на Україні за 40 років Радянської влади. Стражеско Д. М., Турченко Я. І., Київ, АН УРСР, 1957, 48 стор., 60 коп.) (укр.)

См. также: Статистич. методи: аналитич. химии 57106—57109; технол. красок 59359; окраска 59394; целл.-бум. произ-во 59517, 59574, 59577, 59579. Организация н.-и. работ: угли 58606; краски 59359. Классификация, терминология, обозначения: физ. химия 56385; хладагенты 57704; коррозия 57778; глины 58102; угли 58598—58600; кожи 59679. История: консервирование 59038. Персоналии: Курнаков Н. С. 56695. Ассоциации: минералогия 57022. Институты: керамика 58152; бетон 58272; фармацевтич. химия 58401. Конференции: структура и реакц. способность 56406; радиоизотопы в научн. исслед. 56615, 56616; минералогия 57022; техн. безоп. 57875, 57889; аэрозоли 57889; аналитич. методы в сах. произ-ве 58943; обработка пищ. продуктов микробиол.



вир. налучением 59035; пиш. пром-сть 59021, 59052; пластмассы 59305; коррозии 59373; пигменты 59373; кож. произ-во 59678. Преподавание: прибор для получения  $H_2S$  57417. Учебная литература: органич. химия 57331, 57526; аналитич. химия 57133; фототехнология 58589; химия нефти 57526. Справочн. издания: произ-во хим. волокон 59496. Стандартизация: классиф. кож 59679

### НОВЫЕ ЖУРНАЛЫ

56354. *New Zealand Journal of Science* (Новозеландский научный журнал). Dept. Scient. and Industr. Res. Wellington, Wingfield Press (англ.)

Ежеквартальный журнал; выходит с 1958 г. Подписная плата 20 шилл. в год. (Сокращенное название в РЖ — *New Zealand J. Sci.*). Д. Т.

56355. *Инженерно-физический журнал*. Минск, АН БССР

Ежемесячный журнал; выходит с 1958 г. Подписная плата 72 р. в год (Сокращенное название в РЖ — *Инж.-физ. ж.*). Д. Т.

56356. *Известия высших учебных заведений Министрства высшего образования СССР. Геология и разведка*. М., Моск. геол.-развед. ин-т

Ежемесячный журнал; выходит с 1958 г. Подписная плата 60 р. в год. (Сокращенное название в РЖ — *Изв. высш. учебн. заведений. Геология и разведка*). Д. Т.

56357. *Известия высших учебных заведений Министрства высшего образования СССР. Цветная металлургия*. Орджоникидзе

Д. Т.  
Двухмесячный журнал; выходит с 1958 г. Подписная плата 60 р. в год. (Сокращенное название в РЖ — *Изв. высш. учебн. заведений. Цветн. металлургия*).

56358. *Известия высших учебных заведений Министрства высшего образования СССР. Лесной журнал*. Архангельск, Арханг. лесотехн. ин-т

Двухмесячный журнал; выходит с 1958 г. Подписная плата 60 р. в год. В журнале имеется отдел, посвященный хим. переработке древесины. (Сокращенное название в РЖ — *Изв. высш. учебн. заведений. Лесной журнал*).

Д. Т.  
56359. *Известия высших учебных заведений Министрства высшего образования СССР. Технология легкой промышленности*. Киев

Двухмесячный журнал; выходит с 1958 г. Подписная плата 60 р. в год. (Сокращенное название в РЖ — *Изв. высш. учебн. заведений. Технол. легкой пром-сти*). Д. Т.

56360. *La France et ses parfums*. (Парфюмерия Франции). *Revue bimestrielle de parfumerie et de cosmétologie*. Ed. soc. éd. parfum. et cosmétol., Lyon. Paris, Archat (франц.)

Д. Т.  
Двухмесячный журнал, посвященный вопросам парфюмерии и косметологии (технич. журнал французской пром-сти парфюмерного сырья). Выходит с 1957 г. (первый номер — октябрь). Подписная плата: для Франции 1750 фр., для заграницы 2500 фр. в год. (Сокращенное название в РЖ — *France et parfums*). Д. Т.

56361. *Revista gospodărilor agricole de stat* (Журнал государственных сельскохозяйственных предприятий). (Publicație lunară de îndrumare tehnică și informații. Min. agric. și silvicult. Departamentul gospod. București (рум.))

Ежемесячный журнал технич. инструктажа и информации, издаваемый отделом госхозов Мин-ва сельского и лесного х-ва РНР. Цена номера 3 леи. (Сокращенное название в РЖ — *Rev. gospod. agric. stat*). Д. Т.

56362. *Здравоохранение. Пэзиря сэнзетей*. М-во здравоохр. МолдССР. Кишинев (русс., молд.)

Медицинский научно-практический журнал на русском и молдавском языках. Двухмесячный; выходит с 1958 г. Подписная плата 18 р. в год. (Сокращенное название в РЖ — *Здравоохранение. Пэзиря сэнзетей*). Д. Т.

### ФИЗИЧЕСКАЯ ХИМИЯ

#### ОБЩИЕ ВОПРОСЫ

Редактор А. Б. Нейдинг

56363. Двухчастичные приближения задачи многих тел. I. Бренниг (Zweiteilchennäherungen des Mehrkörperproblems I. Brenig W.), *Nucl. Phys.*, 1957, 4, № 3, 363—374 (нем.; рез. англ.)

56364. К вопросу фотометрического определения молекулярного веса органических соединений. Банковский Ю. А., *Изв. АН Латв. ССР*, 1957, № 8, 137—142 (рез. лат.)

Автор распространил описанный ранее метод (Cuplingham K. и др., *J. Chem. Soc.*, 1951, 2305) на определение мол. веса органич. оснований, р-ры которых не подчиняются закону Бера. В основе метода лежит применение калибровочного графика (КГ), который строят на основании результатов фотометрирования серии р-ров стандартного препарата (СП). СП может относиться к тому же классу, что и исследуемые в-ва. Интенсивность и положение полосы поглощения группы, содержащейся в СП и исследуемых в-вах, не должны зависеть от их мол. веса. Вес присоединенной группы в навеске исследуемого в-ва находят фотометрич. методом с применением КГ. Зная ее мол. вес, рассчитывают мол. вес исследуемого в-ва. С применением в качестве СП пикриновой к-ты определе-

ны мол. веса ряда пиридиновых оснований, пикраты которых фотометрировались в щел. р-ре при 18°. Лучшие результаты дает применение в качестве СП солей висмутйодистоводородной к-ты (I), кислые р-ры которой дают кристаллич. яркоокрашенные соли со многими органич. основаниями. Для построения КГ в этом случае можно пользоваться ацетоновыми р-рами солей I с диметиламином, диэтиламином, пиридином или пиперазином.

Н. Полянский  
56365. «Депозиция» — предлагаемый антоним термина «сублимация». Мак-Доналд («Deposition» — a proposed antonym for «sublimation». McDonald James E.), *Amer. J. Phys.*, 1958, 26, № 2, 131—132; *J. Chem. Phys.*, 1958, 28, № 1, 170 (англ.)

Антонимами слов «плавление», «испарение» являются слова «затвердевание», «конденсация». Общеупотребительного термина, обозначающего процесс, обратный испарению кристаллов, нет. Автор предлагает для обозначения этого процесса в качестве антонима слова «сублимация» пользоваться термином «депозиция» (deposition).

М. Баранав

56366 К. *Успехи физики*. Том 20. Ред. Стикланд (Reports on progress in physics. Vol. 20. Ed. Stickland A. C. London, Phys. Soc., 1957, 568 pp., ill., 3 L, 3 sh.) (англ.)

Реймс (Raimes S.), Теория колебаний плазмы в металлах; Уилкс (Wilks J.), Теория жидкого He<sup>4</sup>; Тей-



лор (Taylor A. E.), Протоны с высокой энергией; Хар (Haar ter D.), Теории коллективных явлений; Далиц (Dalitz R. H.), К-мезоны и гипероны, их сильное и слабое взаимодействие; Баггюли, Оуэн (Bagguley D. M. S., Owen J.), Микроволновые свойства твердых тел; Кортни-Пратт (Courtney-Pratt J. S.), Обзор методов высокоскоростной фотографии; Митчелл (Mitchell J. W.), Фотографическая чувствительность; Добс, Джонс (Dobbs E. R., Jones G. O.), Теория и свойства твердого аргона. В. III.

56367 К. Применение ультразвуки к исследованию вещества. Вып. 6. Ред. Ноздрев В. Ф., Кудрявцев Б. Б. М., Моск. обл. пед. ин-т, 1958, 240 стр., илл., 5 р.

## НЕКОТОРЫЕ ВОПРОСЫ СУБАТОМНОГО СТРОЕНИЯ ВЕЩЕСТВА

Редактор Г. А. Соколик

56368. Угловое распределение ионов  $N^{13}$  реакции  $Mg^{26}(N^{14}, N^{13})Mg^{26}$ . Халберт, Зуккер (Angular distribution of  $N^{13}$  from  $N^{14}$  on  $Mg^{26}$ . Halbert M. L., Zucker A.), Phys. Rev., 1957, 108, № 2, 336—341 (англ.)

Измерено угловое распределение ионов  $N^{13}$  в р-ции  $Mg^{26}(N^{14}, N^{13})Mg^{26}$  при энергии бомбардирующих ионов  $N^{14}$  с  $E$  27,9 Мэв. После бомбардировки измерялась  $\beta$ -активность фольги. Захват  $N^{13}$  идентифицировался по 10 мин.  $T_{1/2}$ . Присутствие изотопов с близким  $T_{1/2}$ , 9,5 мин.  $Mg^{27}$ ; 6,6 мин.  $Al^{29}$  и 7,7 мин.  $K^{38}$  — маловероятно. Найдено, что остаточное ядро  $Mg^{26}$  образуется в возбужденных состояниях, причем чем больше угол испускания  $N^{13}$ , тем с большей вероятностью ядро  $Mg^{26}$  образуется в более высоких возбужденных состояниях. Таким образом, большая часть этих процессов происходит без касания ядер в обычном смысле. Резюме авторов

56369. Распад  $Ir^{192}$ . Мраз (Az  $Ir^{192}$  bomlása. Mráz József), Magyar tud. akad. Közép. fiz. kutató int. közl., 1957, 5, № 3, 338—343 (венг.)

56370. Анизотропия и поляризация  $\gamma$ -лучей, испускаемых ориентированными ядрами  $Mn^{52}$ . Хейскам, Диддене, Северинс, Мидама Стенланд (Anisotropy and polarization of gamma rays emitted by orientated  $^{52}Mn$  nuclei. Huiskamp W. J., Diddens A. N., Severiens J. C., Miedema A. R., Steenland M. J.), Physica, 1957, 23, № 7, 605—621 (англ.)

В результате измерений анизотропии распределения интенсивности  $\gamma$ -лучей, испускаемых поляризованными ядрами  $Mn^{52}$ , определено значение ядерного магнитного момента, найденное равным  $\mu = 2,8 (+0,8; -0,5) \mu_N$ . Показано, что на основании измерения круговой поляризации  $\gamma$ -лучей, магнитный момент положительный. Измерениями линейной поляризации  $\gamma$ -лучей установлено, что соответствующие  $\gamma$ -переходы принадлежат к типу  $E2$ . Резюме авторов

56371. Распад  $Y^{90}$ . Переход  $O+ \rightarrow O+$  в  $Zr^{90}$ . Член Фирца, И. Переход  $O+ \rightarrow O+$  в  $Zr^{90}$ . Юаса, Лаберриг-Фролова, Фёвре (Desintegration de  $^{90}Y$ . Transition  $O+ \rightarrow O+$  dans  $^{90}Zr$ . Terme de Fierz. I. Transition  $O+ \rightarrow O+$  dans  $^{90}Zr$ . Yuasa T., m-lle, Laberrigue-Frolow J., m-lle, Feuvrais L.), J. phys. et radium., 1957, 18, № 8-9, 498—504 (франц.)

При помощи  $\beta$ -спектрометра с толстой магнитной линзой и люминесцентного  $\gamma$ -спектрометра изучен распад  $Y^{90}$ . Показано, что интенсивность  $\gamma$ -квантов с  $E$  меньше 73 Мэв меньше, чем  $10^{-5}$  от полной интенсивности электронов. Обнаружены электроны конверсии,

соответствующие переходу с  $E$   $1,734 \pm 0,005$ . Показано, что первым возбужденным состоянием  $Zr^{90}$  является состояние  $0+$ . И. Лемберг

56372. Реакция  $(\gamma, \alpha)$  на  $Tl$ . Эль-Сиуфи, Эрдеши Штолль (Der  $(\gamma, \alpha)$ -Prozess an Thallium. El Sioufi A., Erdős P., Stoll P.), Helv. phys. acta, 1957, 30, № 4, 266 (нем.)

Р-ция  $Tl^{205}(\gamma, \alpha)Au^{201}$  и  $Tl^{205}(\gamma, \alpha)Au^{200}$  были исследованы на бетатроне на 32 Мэв. Кривые выходы были найдены по измерениям наведенной активности  $Au$ , выделенной химически. Обнаружено, что кривая сечения р-ции  $(\gamma, \alpha)$  имеет резонансный характер, достигающая в максимуме при 26 Мэв 100 мбэрн. Это является неожиданным, так как сечение поглощения  $\gamma$ -лучей имеет в этой области монотонный характер. Возможно, что спад в сечении  $(\gamma, \alpha)$  при 26 Мэв начинается из-за конкуренции со стороны р-ции  $(\gamma, n\alpha)$ . Б. Юрьев

56373. Рассеяние протонов 9,5 Мэв на  $N$ . Анвар, Хоссейн, Камал (Scattering of 9.5 Mev protons by nitrogen. Anwar, Hossain, Kamal A. N.), Indian J. Phys., 1957, 31, № 11, 553—559 (англ.)

Методом ядерных ампул изучено рассеяние протонов 9,5 Мэв на  $N$ . Обнаружены уровни ядер  $N^{14}$  с  $E$   $2,36 \pm 0,03$ ;  $3,93 \pm 0,05$ ;  $4,91 \pm 0,03$ ;  $5,15 \pm 0,02$ ;  $5,49 \pm 0,02$ ;  $5,77 \pm 0,03$ ;  $6,05 \pm 0,02$ ;  $6,20 \pm 0,03$ ;  $6,48 \pm 0,05$ ;  $6,75 \pm 0,03$  и  $7,01 \pm 0,05$  Мэв. Измерено угловое распределение протонов, упруго рассеянных на  $N^{14}$ . Для протонов, неупруго-рассеянных на  $N^{14}$  и отвечающих образованию ядра в состоянии с  $E$  3,9 Мэв, получено асимметричное угловое распределение. Г. Соколик

56374. Реакции  $(\gamma, np)$  на  $Mo^{92}$  и  $Zn^{66}$ . Эль-Сиуфи, Эрдеши, Штолль ( $(\gamma, np)$ -Prozesse am  $Mo^{92}$  und  $Zn^{66}$ . El Sioufi A., Erdős P., Stoll P.), Helv. phys. acta, 1957, 30, № 4, 264—265 (нем.)

Сечения р-ции  $Mo^{92}(\gamma, np)$  и  $Zn^{66}(\gamma, np)$  под действием тормозного излучения от бетатрона на 32 Мэв определялись путем измерения активности образующихся ядер. Кривая сечения р-ции  $Zn^{66}(\gamma, np)Cu^{64}$  имеет максимум при 27  $\pm 0,5$  Мэв с полушириной 3,7 Мэв. Интегральное сечение этой р-ции  $\sigma_{\text{ит}} = 0,02$  Мэв-барн. В случае р-ции  $Mo^{92}(\gamma, np)Nb^{90}$   $\sigma_{\text{ит}} = 0,02$  Мэв-барн. Полученные сечения меньше сечений соответствующих р-ций  $(\gamma, 2n)$  в согласии со статистич. теорией. Б. Юрьев

56375. Методы ориентации ядер. Шафрата (Métody orientace jader. Šafrata Stanislav), Českosl. časop. fys., 1958, 8, № 1, 112—138 (чешск.)

56376 Д. Схема распада  $Yb^{169}$ . Толбой (Decay scheme of  $Yb^{169}$ . Talboy James H. Ir-Abstr. doct. diss., Iowa State Coll., 1956) (англ.)

С помощью  $\beta$ -спектрометра с промежуточным изображением и люминесцентного спектрометра исследованы излучения, сопровождающие К-захват  $Yb^{169}$ . По электронам внутренней конверсии и фотоэлектронам наблюдаются  $\gamma$ -лучи с  $E$  10,3; 14,8; 21,1; 59,1; 65,0; 77,7; 81,0; 92,5; 110,0; 119,5; 132,8; 159,9; 176,8; 198,8; 217,8; 265,2 и 308,6 кэв. Изучена схема уровней  $Yb^{169}$ . Метастабильное состояние с  $E$  383,2 кэв имеет  $T_{1/2}$   $0,658 \pm 0,024$  мсек. И. Ваханский

См. также: раздел Изотопы

## АТОМ

Редактор Н. М. Яшин

56377. Теоретическое исследование мезоатома гелия. Демер, Лавалль (Étude théorique de l'atome mésique d'hélium. Demeur M., Lavalle R.), Bull.

cl. sci. Acad. roy. Belgique, 1957, 43, № 7, 458—470 (франц.; рез. англ.)

Движение электронов в мезоатоме гелия рассматривается в адиабатич. приближении, так как скорость мезона много меньше скорости электронов. Волновая функция электронов вычисляется вариационным методом, в качестве пробной функции используется волнофункция с двумя параметрами. Исследуются переходы электрона между различными состояниями, сопровождаемые переходами мезона вместо обычного электромагнитного излучения. Этот эффект существует, когда мезон находится близко к К-орбите электрона. Разложение матричного элемента по мультиполям показывает, что основную роль при этом играют электрич. переходы.

В. Чичерин

56378. Электронная структура атома Po. Гашпар, Молнар (Electronic structure of the Po atom. Gáspár R., Molnár K.) Acta phys. Acad. sci. hung., 1957, 7, № 4, 455—462 (англ.; рез. русск.)

Вычисляются одноэлектронные волновые функции и собственные значения энергии электронных орбит атома Po в универсальном потенциальном поле, полученном ранее одним из авторов (РЖХим, 1955, 20543). Вычислена также диамагнитная восприимчивость оболочек  $Po^{4+}$ , причем суммарная восприимчивость оказывается равной  $-45.683 \cdot 10^{-6}$  см/моль. А. Зимин

56379. О рассеянии нейтрона атомом водорода. Русселло (Sur la diffusion d'un neutron par un atome d'hydrogène. Roussopoulos Paul N.), C. r. Acad. sci., 1956, 242, № 4, 473—474 (франц.)

При столкновении нейтрона с атомом H отклонившийся при столкновении протон взаимодействует с электроном, что должно приводить к изменению вероятности рассеяния по сравнению с рассеянием на свободном протоне. Анализируя первое приближение Борна для амплитуды упругого рассеяния, автор показывает, что влияние связанного электрона существенно при больших энергиях и больших углах рассеяния. Физически эффект является следствием того, что радиус атома H намного больше радиуса действия ядерных сил.

А. Чичерин

56380. Захват электронов и ионизация при взаимодействии однозарядных положительных ионов с атомами газа. Федоренко Н. В., Афросимов В. В., Каминкер Д. М., Ж. техн. физики, 1956, 26, № 9, 1929—1940

См. РЖФиз, 1957, 12343.

56381. Ионизация газов ионами  $He^+$ ,  $Ne^+$  и  $Ar^+$  с образованием многозарядных ионов при однократном взаимодействии. Федоренко Н. В., Афросимов В. В., Ж. техн. физики, 1956, 26, № 9, 1941—1954

См. РЖФиз, 1957, 12344.

56382. Влияние ступенчатых процессов на интенсивности спектральных линий ртути, кадмия и цинка. Семенова О. П., Виленская Т. В., Тр. Сибирск. физ.-техн. ин-та при Томском ун-те, 1956, вып. 35, 213—225

56383. Влияние ступенчатых процессов на интенсивность некоторых спектральных линий цинка. Семенова О. П., Виленская Т. В., Тр. Сибирск. физ.-техн. ин-та при Томском ун-те, 1956, вып. 35, 95—100

56384. Тонкая структура однократно ионизованного гелия. Липуэрт, Новик (Fine structure of singly ionized helium. Lipworth Edgar, Novick Robert), Phys. Rev., 1957, 108, № 6, 1434—1448 (англ.)

Измерено расстояние (S) между энергетич. уровнями  $2^1S_{1/2}$  и  $2^3P_{1/2}$  для однократно ионизованного атома He. Атомы He в резонаторе возбуждались электронной бомбардировкой (энергия электронов 300 эв). Часть из них

ионизировалась и переходила на метастабильный уровень  $2^3S_{1/2}$ . Внешнее магнитное поле (от 12 400 до 18 800 гс) расщепляло уровни  $2^3S_{1/2}$  и  $2^3P_{1/2}$ . Приложенное радиочастотное поле (29 304 Мгц) возбуждало переходы между зеемановскими уровнями. При этом ионы переходили в основное состояние  $1^2S_{1/2}$  с испусканием 40,8 эв фотонов. Это излучение регистрировалось фотоумножителем. Для увеличения отношения сигнала к шуму применялось синхронное детектирование. Полученное значение величины S равно  $14040,2 \pm 4,5$  Мгц, что согласуется с результатами предыдущих измерений, но отличается от теоретич. величины. Показано, что это противоречие может быть устранено введением релятивистского члена  $\alpha(\alpha Z)^6 \ln(\alpha Z)$ .

Н. Померанцев

56385. Новые данные о функциях возбуждения линий гелия. Фриш С. Э., Яхонтова В. Е., Оптика и спектроскопия, 1958, 4, № 3, 402—404

С помощью установок, описанной ранее (РЖФиз, 1955, 17651), в которой заменено построение кривых по отдельным точкам автоматич. записью на самописце, измерены функции возбуждения 13 линий He I. Большая часть кривых функций возбуждения имеет добавочный максимум или излом кривой, расположенный вблизи крит. потенциала. Сделаны некоторые заключения относительно оптич. функций возбуждения отдельных энергетич. уровней He I.

Н. Яппин

56386. Спектрохимия актиния. Меггерс (The spectrochemistry of actinium. Meggers William F.), Spectrochim. acta, 1957, 10, № 2, 195—206 (англ.)

Изучен спектр As в дуге, искре и полом катоде в области 2558,08—7866,10 Å и приведены длины волн и относительные интенсивности 109 наиболее сильных линий (интенсивность более 100). Дана классификация наблюдаемых линий: 5 отнесено к AsO, 32 — к AsI, 63 — к AsII, 7 — к AsIII и 2, по-видимому, принадлежат AsIV. Приведены энергетич. уровни AsI, AsII и AsIII. Дана интерпретация самых сильных линий: AsI (интенсивность в дуге или полом катоде линии 4179,98 Å равна 1000) — переход  $6d7s^2D_{11/2} - 6d7s(^3D)7p^2F_{2,1/2}$ ; AsII (4088,44 Å, интенсивность в искре 3000) ( $6d7s^3D_3 - 7s(^2S)7p^3P_2$ ); AsIII (2626,44 Å, интенсивность в искре 5000) ( $7s^2P_{3/2} - 7p^2P_{1/2}$ ).

Д. Горбенко

56387. Спектры флуоресценции урана, нептуния и курия. Конвей, Уолман, Каннингем, Шалимов (Fluorescence spectra of uranium, neptunium, and curium. Conway John G., Wallmann James C., Cunningham B. B., Shalimoff George V.), J. Chem. Phys., 1957, 27, № 6, 1416—1417 (англ.)

Описана флуоресценция U, Ne и Cm в области 3000—8000 Å при внедрении  $U^{3+}$ ,  $Np^{3+}$  ( $Np^{237}$ ) и  $Cm^{3+}$  ( $Cm^{244}$ ) в решетку  $LaCl_3$ . Спектры флуоресценции возбуждались УФ-светом. В случае  $Cm^{3+}$  был получен также спектр поглощения в области 3776—3835 Å и спектр люминесценции под действием собственного  $\alpha$ -излучения, идентичный спектру флуоресценции. В соответствии с предложенной интерпретацией мультиплетное расщепление  $Cm^{3+}$  (основное состояние  $^6S_{7/2}$ ) обусловлено расщеплением возбужденных уровней в поле кристаллич. решетки. Группа из трех линий в области 4600 Å возникает при переходе с уровня с  $J = 5/2$  (по-видимому,  $^6P_{1/2}$ ), группа из четырех линий в области 4600 Å с  $J = 7/2$  ( $^6P_{1/2}$ ) и 2 дублета (3830 и 3780 Å) с  $J = 5/2$  ( $^6P$ ,  $^6D$ ,  $^6F$  или  $^6G$ ; возможно также  $^4S$ ,  $^4P$ ,  $^4D$ ,  $^4F$  или  $^2P$ ,  $^2D$ ). Основное состояние  $Np^{3+}$ ,  $^4I_5$ . Выше основного состояния предполагаются 2 уровня (60 и 110 см $^{-1}$ ). Уровень  $19870^{-1}$  см не расщепляется и имеет  $J = 0$  ( $^5D_0$ ; воз-



можно  $^3P_0$  или  $^1S_0$ ). Дублет  $16\,070\text{ см}^{-1}$  (расщепление  $25\text{ см}^{-1}$ ) имеет  $J=1$  ( $^3F$ ,  $^3D$ ,  $^3P$ ,  $^3D$ ,  $^3P$ ,  $^3S$  или  $^1P$ ).

Д. Горбенко

**56388. Эмиссионный К-спектр металлического лития.** Бидо, Томбулян (*K-emission spectrum of metallic lithium. Bido D. E., Tomboulia D. H.*), Phys. Rev., 1958, 109, № 1, 35—40 (англ.)

В области 60—600 Å исследован эмиссионный спектр нанесенной испарением фольги из металлич. Li. Фотометрически определено распределение интенсивности  $I(E)$  в К-полосе. Для зависимости  $I(E)/\nu^2$  получены следующие результаты: полоса имеет максимум при  $54,02\text{ эв}$  ( $229,50\text{ Å}$ ); при  $54,58\text{ эв}$  интенсивность равна половине интенсивности в максимуме; на расстоянии  $1,18\text{ эв}$  в сторону высоких энергий интенсивность полосы равна нулю. В соответствии с ранними исследованиями полоса не имеет резкой границы с коротковолновой стороны. В спектре обнаружена также вторая полоса, сходная по форме с первой и имеющая максимум при  $82,83\text{ эв}$ .

Резюме авторов

См. также: Расчет многоэлектронных систем 56389, 56390, 56393, 56395, 56426. Др. вопр.: завис. физ. св-в от атом. размеров и атом. номера 56673; диагр. сост. как выраж. межатом. взаимодей. 56696

## МОЛЕКУЛА. ХИМИЧЕСКАЯ СВЯЗЬ

Редакторы Д. А. Бочвар, А. А. Мальцев

**56389. Применение метода деформированных атомов в молекулах к молекуле лития.** Араи, Сакамото (*Application of the method of deformed atoms in molecules to the  $\text{Li}_2$  molecule. Arai Tadashi, Sakamoto Michiko*), J. Chem. Phys., 1958, 28, № 1, 32—48 (нем.)

Производится расчет уровней энергии в молекуле  $\text{Li}_2$  по методу деформированных атомов в молекулах, предложенному ранее одним из авторов (РЖХим, 1958, 50). В качестве гидродинамических («деформированных») АО используются функции Слейтера с одинаковыми орбитальными экспонентами для всех атомных состояний. Матричные элементы оператора энергии, соответствующие отдельным атомным состояниям, взяты из опыта. Энергия взаимодействия атомов, интегралы неортогональности и «дефекты» энергии, обусловленные деформацией АО, вычисляются с указанными слейтеровскими АО. Рассматриваются 3 различных (производных) набора орбитальных экспонент. Один из них приводит к энергии диссоциации молекулы  $\text{Li}_2$ , равной  $0,96\text{ эв}$  (опыт:  $1,05\text{ эв}$ ). Вычисленные значения энергии возбуждения электронных переходов (в эв):  $^3\Sigma_u^+ - ^1\Sigma_g^+ 1,63$  (1,35);  $^1\Sigma_u^+ - ^1\Sigma_g^+ 2,05$  (1,76);  $^1\Pi_u - ^1\Sigma_g^+ 2,59$  (2,54). В скобках — эксперим. значения. Результаты расчета сопоставляются с результатами обычного метода атомов в молекулах (Moffitt W., Proc. Roy. Soc., 1951, A210, 224, 245).

Т. Ребане

**56390. Квантовомеханическое изучение ординарной, двойной и тройной связей между атомами азота.** Нагахара, Гото (*Nagahara Sigeru, Goto Naouo*), Буссайрон канкю, 1957, 2, № 6, 801—816 (японск.; рез. англ.)

Методом МО рассчитаны энергии ординарной, двойной и тройной связей  $N-N'$  в зависимости от межъядерного расстояния. При этом предполагалось, что ординарная связь соответствует МО, построенной из двух  $p$ -орбит атомов N, двойная — МО из четырех  $p$ -орбит и тройная — МО из шести  $p$ -орбит двух атомов N. Экспоненциальные множители АО  $2s$ - и  $2p$ -орбиток выбирались в виде  $\exp(-1,95 r)$ . Разность энергий тройной — двойной и двойной — ординарной свя-

зей при равновесном межъядерном расстоянии равна 2,7 и 2,2 эв, соответствующая разность равновесных межъядерных расстояний 0,15 и 0,10 Å. Это следует сравнить с эксперим. величинами 2,3 и 3,9 эв, 0,16 и 0,15 Å. Обсуждается влияние четырех электронных перестановок, внутренних электронов и поправки к энергии, возникающая при гибридизации  $1s$ - и  $2s$ -орбит при их ортогонализации.

Е. Никитин

**56391. К вопросу о расчете молекул нитроанилина методом металлической модели.** Данилова В. И., Терпугова А. Ф., Изв. высш. учебн. заведений. Физика, 1958, № 1, 171—172

Сделана попытка теоретически рассчитать по методу металлич. модели положение длинноволновой полосы поглощения, сил осцилляторов и распределение электронного облака вдоль молекулы для трех изомеров нитроанилина. Предполагалось, что 1) в сопряжении участвовали 12  $\pi$ -электронов; 2) индукционное влияние групп  $\text{NO}_2$  и  $\text{NH}_2$  учитывалось введением барьеров в местах нахождения атомов азота и кислорода; 3) расчет производился в приближении Кронига и Пенни. Вычислены частоты наиболее длинноволновых переходов трех изомеров нитроанилина. Для  $o$ -нитроанилина (I) 23 960, для  $m$ -нитроанилина (II) 26 770, для  $p$ -нитроанилина (III) 44 740. Вычислены силы осцилляторов для указанных переходов: I 0,10960, II 0,08380 и III 0,07080. Вычислены кривые квадрата модуля волновой функции  $\Psi$ . Экспериментально исследовались спектры поглощения I, II и III в парах методом фотографии. Фотометрии при изменении  $t$ -ры от 30 до 80°. Приводятся данные ( $\nu(\text{макс.})$  в  $\text{см}^{-1}$ ): I 27 800, 37 000; II 32 000, 40 000; III 34 780.

Е. М.

**56392. Электронные спектры иона карбония.** Стюарт, Маккор (*Electronic spectra of carbonium ions. Stuart A. A., Verrijn, Maskor E. L.*), J. Chem. Phys., 1957, 27, № 3, 826—827 (англ.)

При сравнении положения ( $\lambda$ ) и относительной интенсивности  $f$  полос поглощения, рассчитанных методом самосогласованного поля Рутана, для 9-антрацена, 1,2-бензо-9- и 1,2-бензо-10-антрацена и 9-нафтацена (тетрацена), и наблюдаемых значений этих величин для  $p$ -ров антрацена, 10-метил- и 3-метил-1,2-бензантраценов и нафтацена (тетрацена) найдено вполне удовлетворительное согласие порядка величин  $\lambda$  и  $f$ .

А. Сергеев

**56393. Вычисление порядков связей и зарядов атомов пептидной связи.** Гудо (*Calcul des indices de liaison et des charges dans la liaison peptidique. Goudot Andrée*), C. r. Acad. sci., 1958, 246, № 1, 116—119 (франц.)

Методом МО вычислены порядки связей  $N$  и заряды атомов  $q$  пептидной связи.  $N=0,5720$  и  $0,6674$  для связей CN и CO соответственно;  $q_N=0,2218$ ,  $q_C=+0,4768$ ,  $q_O=-0,6984$ . По ф-ле Горди, связывающей порядок связи с ее длиной, найдены длины связей:  $R(\text{CN})=1,34$ ,  $R(\text{CO})=1,27\text{ Å}$ ; что следует сравнить с эксперим. величинами  $\sim 1,33$  и  $1,29\text{ Å}$ . Для поляризованной пептидной связи  $N(\text{CN})=1$ ,  $R(\text{CN})=1,47\text{ Å}$ ,  $R(\text{CO})=1,25\text{ Å}$ ,  $q_C=+0,581$ ,  $q_O=-0,59$ . Из расчетов сделан вывод, что в комплексе энзим-металл ион металла может быть связан с атомами N и O.

Е. Никитин

**56394. Спектры поглощения порфириновых и фталоцианиновых красителей.** Тикаяма (*Chikayama Asa*), Кобаяси ригаку канкюсё хококу, Bull. Kobayashi Inst. Phys. Res., 1957, 7, № 1, 15—24 (японск.; рез. англ.)

Простейшим методом ЛКАМО рассчитаны волновые функции и уровни энергии порфирина (22  $\pi$ -электрона) (I) и фталоцианина (38  $\pi$ -электронов). Для I вычислено второе приближение, в котором кулонов-



ские интегралы  $\alpha$ , в соответствии с полуэмпирич. теорией самосогласованного поля, определяются коэф. разложения МО по АО, потенциалами ионизации и энергией сродства к электрону. Соответствие между рассчитанными и эксперим. энергиями перехода неудовлетворительное, однако проведено возможное отнесение полос для I, моно-, ди- и тетраимидопорфирина. Обсуждается возможное изменение спектра замещ. порфирина. Е. Никитин

56395. О соотношении между электроотрицательностью  $\chi$  элементом и его атомной рефракцией  $R$ , которые могут применяться для выбора величины поляризуемости, когда эксперим. данные недостаточно точны. На основе квантового выражения для поляризуемости, получено соотношение  $(\chi - 0,5) R^{1/4} = 0,654 (n + 1) / n^{1/4}$ , где  $n$  — число валентных электронов атома. Используя предложенное ранее соотношение (РЖХим 1956, 21685) между электроотрицательностью и ковалентным радиусом атома, автор вывел еще два выражения:  $\chi R^{1/4} = 0,359 (n + 2,6) / n^{1/4}$  и  $\chi R^{1/2} = 0,384 (n + 2,6)$ . Н Яшин

56396. Стереохимия элементов подгруппы кислорода. Абрахамс С., Успехи химии, 1958, 27, № 1, 107—131

56397. Ионизация и диссоциация азотистоводородной кислоты и метилазида электронным ударом. Франклин, Дайблер, Рис, Краусс (Ionization and dissociation of hydrazoic acid and methyl azide by electron impact. Franklin J. L., Dibeler Vernon H., Reese Robert M., Krauss Morris), J. Amer. Chem. Soc., 1958, 80, № 2, 298—302 (англ.)

На 60°-ном масс-спектрометре изучались процессы ионизации электронным ударом масс-спектры  $N_3H$  (I) и  $N_3CH_3$  (II). Ниже указаны соответственно продукты диссоциативной ионизации I и II, относительные интенсивности ионов в масс-спектрах (при энергии ионизирующих электронов 70 эв), их потенциалы появления в эв и рассчитанные теплоты образования ионов в ккал/моль: I.  $NH_3 \rightarrow NH_3^+$  (100;  $10,3 \pm 0,2$ ; 308),  $N_3^+ + H$  (5,8;  $16,0 \pm 0,2$ ; 388),  $N_2H^+ + N$  (8,3;  $13,8 \pm 0,2$ ; 278),  $N_2^+ + NH$  (7,3;  $16,0 \pm 0,4$ ; —),  $N_3^{2+} + H$  (2,6; —; —),  $NH^+ + N_2^-$  (16,8;  $14,4 \pm 0,2$ ; 404),  $N^+ + N_2 + H$  (?) (4,9;  $19,7 \pm 0,3$ ; 474),  $N_3^- + H$  (2,5;  $1,1 \pm 0,2$ ; 45),  $NH^- + N_2$  (?) (2,5;  $0,8 \pm 0,3$ ; 90); II.  $CH_3N_3 \rightarrow CH_3N_3^+$  (48,3;  $9,5 \pm 0,1$ ; 276),  $CH_2N_3^+ + H$  (0,3; —; —),  $HCN_3^{2+} + 2H$  (?) (3,2; ~ 34; —),  $N_3^+ + CH_3$  (1,9;  $17,6 \pm 0,5$ ; 431),  $HCN_2^+ + \dots$  (0,2; —; —),  $CH_2N^+ + N_2 + H$  (100;  $10,5 \pm 0,1$ ; 247),  $HCN^+ + H_2 + N_2$  (32;  $13,6 \pm 0,5$ ; 371),  $CN^+ + \dots$  (2,7; —; —),  $NH_2^+ + \dots$  (4,0; —; —),  $CH_3^+ + N_2 + N$  (?) (28,4;  $14,1 \pm 0,1$ ; —),  $N^+ + H$  или  $CH_2^+ + (15,4; —; —)$ ,  $CH^+ + \dots$  (7,4; —; —),  $C^+ + \dots$  (3,5; —; —),  $N_3^- + CH_3$  (0,4;  $1,1 \pm 0,3$ ; 50). Вычислена энергия диссоциации  $D$  ( $NH-N_2$ ) = 9 ккал/моль. Однако правило адиабатич. корреляции запрещает диссоциацию  $NH_3$  по схеме:  $NH_3(A') \rightarrow N_2(1^2\Sigma^+) + NH(2^2\Sigma^-)$ ; диссоциация возможна лишь при образовании  $NH$  в состоянии  $\Delta$ , что требует дополнительной энергии активации ~ 28 ккал/моль. Этим объясняется стабильность молекулы  $NH_3$  при комнатной т-ре и их быстрый распад при  $t > 200^\circ$ . Вычислена теплота образования  $\Delta H_f(CH_3N_3) = 57$  ккал/моль. Е. Франкевич

56398. Предварительные расчеты средних амплитуд колебания в циклопропане. Бастиансен, Сувин (Preliminary calculations of mean amplitudes of vibra-

tion in cyclopropane. Bastiansen O., Cyvin S. J.), Acta chem. scand., 1957, 11, № 10, 1789—1790 (англ.)

Электроннографическим методом определены средние квадратичные амплитуды колебаний связей C—H и C—C в циклопропане и произведено сравнение полученных значений со значениями, вычисленными из спектроскопич. данных.

В. Спиридонов 56399. К вопросу об электроннографическом определении геометрических параметров и строения молекул галогенидов щелочных элементов. Акишин П. А., Рамбиди Н. Г., Кузнецов Г. Н., Матросов Е. И., Ж. неорганич. химии, 1957, 2, № 7, 1699—1701

Секторным методом проведено электроннографич. исследование строения галогенидов Na и K в газообразном состоянии. Наблюдаемое во всех исследованных молекулах различие в межатомных расстояниях  $r(M-Hal)$  в зависимости от экспозиции, авторы предположительно объясняют тем, что в начальный период испарения в-ва имеет место неустановившийся режим, когда в процессе испарения происходит изменение мол. состава пара. При достижении стационарного состояния электроннограммы дают практически постоянные значения  $r(M-Hal)$  (в А): NaF 2,02, NaCl 2,45, NaBr 2,57, NaI 2,80, KF 2,21, KCl 2,70, KBr 2,86, KI 3,09 в хорошем согласии с данными микроволновых спектров для мономерных молекул галогенидов. М. Полтева

56400. Структура газообразного хлорпикрина, определенная электроннографическим методом. Барс (Structure of gaseous chloropicrin as determined by electron diffraction. Barss W. M.), J. Chem. Phys., 1957, 27, № 6, 1260—1266 (англ.)

Электроннографически сектор-микрофотометрич. методом исследовано строение молекулы  $CCl_3NO_2$  (I). Из анализа кривой радиального распределения найдено, что атомы кислорода эквивалентны и симметрично расположены относительно связи C—N. При расшифровке по методу исследовательных приближений теоретич. кривые интенсивности строились для различных моделей со свободным и ограниченным вращением, а также для моделей с фиксированной ориентацией нитрогруппы (со значениями угла между плоскостью O—N—O и одной из плоскостей Cl—C—N, равными 0 и  $30^\circ$ ). С полученными электроннографич. данными наилучшим образом согласуется модель I со свободным вращением нитрогруппы вокруг оси симметрии молекулы и следующими значениями межатомных расстояний (в А) и углов: C—Cl  $1,75 \pm 0,01$ , C—N  $1,59 \pm 0,03$ , N—O  $1,21$ ,  $\angle Cl-C-Cl$   $110,8 \pm 3^\circ$ ,  $\angle O-N-O$   $127^\circ$ .

В. Спиридонов 56401. Закономерности в изменении длин связей углерод-галоген в молекулах органических соединений. Акишин П. А., Вилков Л. В., Татевский В. М., Вестн. Моск. ун-та, Сер. матем., механ., astron. физ., химии, 1957, № 1, 143—149

Для выяснения некоторых закономерностей в изменении длин связей C—Hal в зависимости от валентного состояния атома C и атомов ближайшего окружения проведено методом, описанным ранее (РЖХим, 1954, 27616), электроннографич. исследование строения молекул  $CBrCl_3$  (I),  $CH_3C_2H_4Br_2$  (II),  $C_2H_5Br_3$  (III),  $C_2Br_4$  (IV),  $C_2H_5J$  (V),  $CJ_4$  (VI),  $CH_3COCl$  (VII),  $CH_3COBr$  (VIII),  $CH_2=CH-CCl=CH_2$  (IX),  $CH_2=C \equiv C-CH_2Cl$  (X),  $CH_2=CH-CH_2Cl$  (XI),  $CH_2=CH-CH_2Br$  (XII) и  $CH_2=CH=CH_2J$  (XIII). Найдены следующие межатомные расстояния (в А): I C—Br  $1,93 \pm 0,02$ , II C—Br  $1,88 \pm 0,03$ , III C—Br  $1,88 \pm 0,03$ , IV C—Br  $1,88 \pm 0,02$ , V C—J  $2,18 \pm 0,02$ , VI C—J  $2,16 \pm 0,01$ , VII C—Cl  $1,82 \pm 0,02$ , VIII C—Br  $1,99 \pm 0,02$ , IX C—Cl  $1,70 \pm 0,02$ , X C—Cl  $1,81 \pm 0,03$ , XI C—Cl  $1,80 \pm 0,03$ , XII C—Br  $1,97 \pm 0,03$ , XIII C—J  $2,18 \pm 0,03$ . Характер

зависимости межатомного расстояния C—Hal от валентного состояния атома C позволяет сделать вывод о заметном влиянии атомов ближайшего окружения на изменение длины связи C—Hal данного типа. М. П. 56402. Строение молекул органических соединений фтора. I. 1,2-дифтор-1,1,2,2-тетрахлорэтан. Ивасаки, Нагаса, Кодзима (Iwasaki Maschio, Nagase Shunji, Kojima Rinpei), Nagoya kōgō gidaigaku siken sō hōkoku, Repts Govt Industr. Res. Inst., Nagoya, 1957, 6, № 7, 360—366, A-42 (японск.; рез. англ.)

Электроннографическим методом исследовано строение 1,2-дифтортетрахлорэтана (I). Установлено существование двух изомерных транс- и гом-форм. Кол-во гом-форм найдено равным  $55 \pm 10\%$ , что соответствует разнице энергий 0—500 кал/моль. Транс-форма I более стабильна. Найдены следующие межатомные расстояния (в Å) и углы: C—F  $1,38 \pm 0,02$ , C—Cl  $1,76 \pm 0,01$ , C—C  $1,54 \pm 0,06$ ,  $\angle \text{CCCl } 112^\circ \pm 2^\circ$ ,  $\angle \text{ClCCl } 110^\circ 30' \pm 1^\circ$ ,  $\angle \text{FCCl } 107^\circ 30' \pm 1^\circ 30'$  и азимутальный угол в гом-форме  $59^\circ \pm 4^\circ$ . Найденное расстояние C—F в I больше, чем в аналогичных соединениях, в которых с атомом углерода связано более одного атома фтора. С другой стороны, расстояние C—Cl несколько короче, чем в хлоралканах. Резюме авторов

56403. Исследование методом дифракции электронов строения молекулы 1,4-дихлорбутана. I. Определение длин связей и углов. II. Исследование внутреннего вращения с использованием ореолов в области малых углов. Кутицу (An electron diffraction investigation of the molecular structure of 1,4-dichlorobutane. I. Determination of bond distances and angles. II. A study of internal rotation by use of halos in small angle region. Kuchitsu Kozo), Bull. Chem. Soc. Japan, 1957, 30, № 4, 391—399; 399—402 (англ.)

I. Секторным методом проведено электроннографическое исследование строения молекулы 1,4-дихлорбутана (I). При анализе кривых интенсивности рассматривались различные возможные условия внутреннего вращения: свободное вращение, заторможенное вращение с косинусоидальным барьером в 1 ккал/моль и жесткая транс-конфигурация. Предположение о высоком барьере отвергается опытом. Кривые для свободного вращения и барьера в 1 ккал/моль отличаются мало. Получены межатомные расстояния (в Å): C—Cl  $1,79 \pm 0,01$ , C≡C  $1,21$ , C—C  $1,47 \pm 0,02$  и угол C—C—Cl  $111 \pm 2^\circ$ .

II. На основании исследования ореолов на электронограммах в области малых углов ( $q \leq 15$ ) авторы пришли к выводу, что в молекуле I осуществляется свободное вращение. М. Полтева

56404. Край поглощения мягких рентгеновских лучей ионами металлов в комплексах. III. Комплексы Zn(2+). Коттон, Хансон (Soft x-ray absorption edges of metal ions in complexes. III. Zinc (II) complexes. Cotton F. Albert, Hanson Harold P.), J. Chem. Phys., 1958, 28, № 1, 83—87 (англ.)

Изучена тонкая структура K-края поглощения в комплексах Zn(2+) с октаэдрич. симметрией Zn(Ep)<sub>3</sub>SO<sub>4</sub>, Zn(H<sub>2</sub>O)<sub>6</sub>(NO<sub>3</sub>)<sub>2</sub>, Zn(H<sub>2</sub>O)<sub>6</sub>(BrO<sub>3</sub>)<sub>2</sub>, Zn(H<sub>2</sub>O)<sub>6</sub>(ClO<sub>4</sub>)<sub>2</sub>, иона Zn<sup>2+</sup> в воде, в комплексах с пониженной симметрией Zn(пролин)<sub>2</sub>, Zn(глицин)<sub>2</sub>·H<sub>2</sub>O, Zn(8-оксихинолин)<sub>2</sub>, Zn(8-оксихинолин)<sub>2</sub>·2H<sub>2</sub>O, Zn(C<sub>2</sub>H<sub>3</sub>O<sub>2</sub>)<sub>2</sub>·2H<sub>2</sub>O, комплексах и кристаллах с тетраэдрич. симметрией ZnBr<sub>2</sub>, Zn(OH)<sub>2</sub>, ZnS, ZnO, Zn(ацетилacetон)<sub>2</sub>, (NH<sub>4</sub>)<sub>3</sub>ZnCl<sub>6</sub>, Zn(NH<sub>3</sub>)<sub>2</sub>Cl<sub>2</sub>, Zn(NH<sub>3</sub>)<sub>4</sub>J<sub>2</sub>, Zn(NH<sub>3</sub>)<sub>4</sub><sup>2+</sup> аq. У всех комплексов с октаэдрич. координацией наблюдается острый главный пик (1s—4p\*) и очень широкий пик при 20—25 эв, отнесен к неразрешенным переходам 1s—np (n ≥ 5). Такой же спектр имеет ион Zn<sup>2+</sup> в воде, так что здесь имеется Zn(H<sub>2</sub>O)<sub>6</sub><sup>2+</sup>. При понижении октаэдрич. симметрии в дигидрате ацетата глав-

ный пик менее четок, но не расщепляется, а второй пик исчезает, вероятно, из-за наложения s-, p-, и d-уровней. Нет расщепления главного пика и при координации Zn с 4 атомами O и 2 атомами N в оксихинолинате, а наблюдается только расширение главного пика и ослабление пика при ~ 23 эв. Авторы связывают это с тем, что в 8-оксихинолине вследствие сопряжения D<sub>q</sub> для атома N такое же, как для O. В комплексах с пропином и глицином 4p-уровень расщеплен полем лигандов и наблюдается 2 пика при ~ 9 и ~ 17 эв. В тетраэдрич. комплексах отмечено расщепление главного пика с расстояниями 10—11 эв, которое слишком велико для предположения о том, что комплексы являются плоскими, и может быть объяснено смещением уровней 4p и 5p с 4d и 5s вследствие отсутствия центра симметрии. Сообщение II см. РЖХим, 1958, 27604.

56405. Эмиссия C<sub>2</sub> и CN в ударной трубе. Харатис, Дохерти, Уилкерсон (C<sub>2</sub> and CN emission in the shock tube. Charatis G., Doherty L. R., Wilkerson T. D.), J. Chem. Phys., 1957, 27, № 6, 1415—1416 (англ.)

Ряд авторов объясняют свечение ударных волн, распространяемых в инертных газах, эмиссией C<sub>2</sub> и CN. Для изучения механизма этого свечения предпринято фотографич. и спектроскопич. исследование во времени потока в ударной трубе, наполненной неоном (~ 10 мм рт. ст.) с небольшими добавками (10<sup>-2</sup>—10<sup>-1</sup> мм рт. ст.) CH<sub>4</sub> и CH<sub>4</sub> + NH<sub>3</sub>. На основании полученных результатов делается предположение, что в процессе прохождения ударной волны в инертном газе молекулы CH<sub>4</sub> и NH<sub>3</sub>, попадая во фронт волны, диссоциируют, образуя большое кол-во возбужденных атомов C и N. Рекомбинация этих атомов приводит к образованию C<sub>2</sub> и CN в возбужденных состояниях, которые с испусканием света переходят в основное состояние и затем диссоциируют на атомы в таких состояниях, которые уже не образуют возбужденных молекул.

В. Юнгман  
56406. Симпозиум по структуре и реакционной способности электронновозбужденных молекул. — (Symposium on the structure and reactivity of electronically excited species (Univ. Ottawa, Ottawa Canada, Sept. 5th-6th, 1957.—), Canad. J. Chem., 1958, 36, № 1, 1—146 (англ.)

56407. Спектр Ридберга бензола. Лир, Моффитт (Rydberg spectrum of benzene. Liehr A. D., Moffitt W.), J. Chem. Phys., 1956, 25, № 5, 1074 (англ.)

Изложены результаты расчета спектра Ридберга для бензола. Интенсивная «побочная» серия nR—A отнесена к возбужденным орбитам симметрии a<sub>2u</sub> и может быть обозначена n'E<sub>1u</sub>—A<sub>1g</sub>. Три «главные» серии (nR<sup>1</sup>,<sup>11</sup>,<sup>111</sup>—A), чьи отдельные члены для данного n лежат близко друг к другу, отнесены к возбужденным орбитам e<sub>1u</sub> или e<sub>2u</sub>. Это приводит, в согласии с опытом, к одной интенсивной и двум слабым сериям, а также к независимости от дейтерирования разделений внутри триплетов «главных» серий. Механизм возбуждения слабых запрещенных полос полностью не выяснен и обсужден на основе модели, где водородный электрон движется в поле, образованном 1/6 протонного заряда в каждой вершине правильного шестиугольника с размерами бензольного кольца. Обсужден колебательный спектр возбужденных состояний бензола, который авторы считают в основном таким же, как спектр иона C<sub>6</sub>H<sub>6</sub><sup>+</sup>. Найдено, что для колебаний вида ν<sub>18</sub>(e<sub>2g</sub>) разрешено Δν = 1,3 ... в добавление к Δν = 0,2 ... Используя полуэмпирич. метод МО в форме Леннарда-Джонса, найдено почти колич. согласие для наблюдаемых интенсивностей прогрессии 670 см<sup>-1</sup> в предположении, что этот интервал относится к одному кванту ν<sub>18</sub>.

Е. Шусторович



56408. Спектр паров воды. Regula (Das Spektrum des Wasserdampf. Regula Walter. Ber. Dtsch. Wetterdienstes, 1958, 6, № 44, 19 S., ill.) (нем.)  
Обзор по вращательным, вращательно-колебательным и электронным спектрам паров воды. Библ. 13 назв. А. Мальцев

56409. Спектрохимическое изучение микроскопических кристаллов. XV. Структура и поглощение света дихлороурата (I) бис-диметилглиоксимата золота (3+). Ямада, Цутида (Spectrochemical study of microscopic crystals. XV. Structure and light absorption of bis-(dimethylglyoximate) gold (III) dichloroaurate. (I). Yamada Shoichiro, Tsuchida Ryutaro, Bull. Chem. Soc. Japan, 1957, 30, № 7, 715—717 (англ.).

Микроскопическим методом количественно измерен дихроизм кристаллов  $[\text{Au}(\text{DgH})_2][\text{AuCl}_2]$  (где  $\text{DgH}_2$  — диметилглиоксим) в видимой и УФ-областях. Максимум поглощения вдоль плоскости комплексных ионов (электрич. вектор света параллелен оси  $c$ ) лежит при частоте  $\nu = 64 \cdot 10^{13}$  сек. $^{-1}$ ,  $\lg \epsilon = 1,55$ ; для более узкого максимума в перпендикулярном направлении,  $\nu(\text{макс.}) = 69 \cdot 10^{13}$  сек. $^{-1}$ ,  $\lg \epsilon = 1,37$ . В области  $\nu = (60-70) \cdot 10^{13}$  коэф. поглощения отличаются  $\sim$  в 4,5 раза, при росте  $\nu$  различие  $\epsilon$  резко уменьшается. По мнению авторов, результаты указывают на отсутствие связей между  $\text{Au}(+)$  и  $\text{Au}(3+)$ . Часть XIV см. РЖХим, 1958, 49325. И. Рысс

56410. О строении и составе комплексов пирокатехин-борная кислота-пиридин. Кюммел, Меллон (Concerning the structure and composition of pyrocatechol-boric acid-pyridine complexes. Kummel Donald F., Mellon M. G.), J. Amer. Chem. Soc., 1956, 78, № 18, 4572—4575 (англ.).

Химическим анализом и сравнением УФ-спектров поглощения (СП), тройных комплексов (К) пирокатехина (I), борной к-ты (II) и пиридина (III) в безводном этиловом спирте (IV) со СП смесей р-ров индивидуальных соединений показано, что в К с т. пл. 122—123° I, II и III относятся как 3:1:1 и его СП совпадает со СП р-ра смеси I, II и III, взятых в этом же отношении, в то время как в К с т. пл. 179° имеется соотношение I, II и III, равное 2:1:1. Совпадение СП смесей р-ров соответствующего состава и К показывает, что в р-ре IV К полностью диссоциирует на составные части. Сравнение СП р-ра К с т. пл. 123° в хлороформе со СП смеси р-ров I и III в хлороформе в отношении 3:1 показало, что несмотря на их общее сходство, они различаются по интенсивности поглощения в области 270—290 м $\mu$ , причем прибавление небольших кол-в  $\text{H}_2\text{SO}_4$  в смесь р-ров I и III означает, что эти различия не связаны с образованием ионов пиридина.

Н. Спасокукоцкий

56411. Электропритягивающая сила азидогруппы по измерениям УФ-спектров поглощения. Рамачандра, Рао, Гофман (The electron withdrawing power of the azido group from ultraviolet absorption spectra. Ramachandra Rao C. N., Hoffman C. W. W.), Sci. and Culture, 1957, 22, № 8, 463—464 (англ.).

Азидогруппа часто рассматривается как псевдогалоген вследствие большой близости физ. свойств органич. азидов, бромидов и йодидов. Сопоставление смещения первичной полосы  $\Delta\lambda = \lambda - 203,5$  (где  $\lambda$  — первичная полоса поглощения исследуемого соединения) в 95%-ном этиловом спирте для анизола, толуола,  $n$ -азидоанизола (52) и  $n$ -азидотолуола (47,5), с константами Гаммета ( $\sigma$ ) по ур-нию  $\Delta\lambda = \rho' \cdot \sigma + c$ , где  $\rho'$  — наклон прямой, а  $c$  — точка пересечения с осью ординат при  $\sigma = 0$  дает для азидогруппы  $\sigma = 0,27$ , т. е. между  $\sigma_{\text{Br}} = 0,232$  и  $\sigma_{\text{I}} = 0,276$ . Определение значения

смещения полос  $\delta\lambda_0$  по Даубу и Вандебельту (Doub L., Vandenbelt J. M., J. Amer. Chem. Soc., 1947, 69, 2714) из спектров поглощения пара-замещенных бензолов в воде по ур-нию  $\delta\lambda_0' \cdot \delta\lambda_0'' = 24,05 (\Delta\lambda_0)$ , где  $\Delta\lambda_0 = \Delta\lambda + 23,5$ , на примере  $n$ -бромфенилазида ( $\Delta\lambda = 51$ ) и  $n$ -азидотолуола ( $\Delta\lambda = 46,5$ ), в которых известны  $\delta\lambda_0$  метильной группы (39,6) и атома брома (31,5), дает для азидогруппы значение  $\delta\lambda_0 = 56,9$ . Сопоставление этой величины с дифференциальной поляризуемостью  $\Delta\sigma = \sigma(\text{пара}) - \sigma(\text{мета})$ , с которой она связана линейной зависимостью  $\Delta\sigma = c \cdot (\delta\lambda_0 - 24,05)$ , дает для азидогруппы величину  $\Delta\sigma = 0,5$ . Если величину  $\Delta\sigma$  рассматривать как меру резонанса, то большую величину  $\Delta\sigma$  азидогруппы следует интерпретировать как указание на значительное участие этой группы в резонансе.

Н. Спасокукоцкий

56412. Спектры поглощения кетонов в области 200—220 м $\mu$ . Бёрд, Норымберский, Вуде (Absorption spectra of ketones in the 200—220 m $\mu$  region. Bird C. W., Norymberski J. K., Woods Gilbert F.), J. Chem. Soc., 1957, Sept., 4149—4151 (англ.).

Измерены УФ-спектры поглощения спирт. р-ров 50 соединений, в их числе холестерина, холестерилацетата, холестан-3 $\beta$ -ола, холестан-3 $\beta$ -ил-ацетата, холестан-3 $\beta$ -ил-бромида и мено-, ди-, три-,  $\alpha$ -галогено-,  $\alpha$ -гидрокси- и  $\alpha$ -ацетоксикетонов. Для всех соединений найдено, что в кюветках толщиной 0,2 см  $\lambda(\text{макс.}) = 201 \pm 2$  м $\mu$ , а при толщине 1 см  $\lambda(\text{макс.}) = 205 \pm 2$  м $\mu$ . Введение галогена в  $\alpha$ -положение по отношению к оксогруппе вызывает сильное увеличение поглощения. Такой же эффект дают  $\alpha$ -гидроксильная и в меньшей степени  $\alpha$ -ацетонильная группы, а также метоксикарбонильная группа. В целом изменение поглощения кетонов в зависимости от структурного окружения карбонильной группы меняется в широких пределах:  $\epsilon_{205} = 200-3500$  и  $\epsilon_{210} = 80-2400$ . 2 $\beta$ -бромхолестан-3-он был получен обработкой 98 мг 2 $\beta$ -бромхолестан-3-ола в 10 мл  $\text{CH}_3\text{COOH}$  р-ром 18 мг  $\text{CrO}_3$  в нескольких каплях воды при комнатной т-ре с последующим высаливанием водой и перекристаллизацией из спирта.

И. Коровина

56413. Циклические сульфиды. I. Ультрафиолетовые спектры этиленсульфидов. Дейвис (Cyclic sulfides. I. Ultraviolet spectra of ethylene sulfides. Davis Robert Earl), J. Organ. Chem., 1958, 23, № 2, 216—218 (англ.).

Исследованы спектры поглощения (СП) в области 2300—3000 А р-ров этиленсульфида (I), пропиленсульфида (II), циклогексенсульфида в изооктане, а также I и II в газовой фазе. Все СП имеют полосу у 2600 А, характерную для кольцевой структуры. СП I и II в газовой фазе обнаруживают второй переход 2450 А. Проведено сравнение с соответствующими кислородными соединениями и предпринята попытка интерпретировать происхождение полученных СП. В. Базов

56414. Электронный спектр органических диселенидов. Бергсон (The electronic spectra of organic diselenides. Bergson Göran), Arkiv. kemi, 1956, 9, № 2, 121—125 (англ.).

Изучался электронный спектр ди- $n$ -бутилдиселенида, ди- $tert$ -бутилдиселенида и диселенидглицероловой к-ты в области 220—400 м $\mu$ . Спектр сравнивался со спектром аналогичных сернистых соединений. Теоретически рассмотрен механизм поглощения света органич. диселенидами.

Резюме автора

56415. Ионизация цистеина. Горин (The ionization of cysteine. Gorin George), J. Amer. Chem. Soc., 1956, 78, № 4, 767—770 (англ.).

Исследованы УФ-спектры поглощения тиогликолевой к-ты и ее аниона  $-\text{SCH}_2\text{COO}^-$ ; ионизация группы SH сопровождается большим усилением поглощения в более длинноволновой области; хлоридат цистеина име-



от сходное поглощение при титровании второго протона ( $pK$  8,27 при 25°) в 0,10  $M$  р-ре  $KCl$ . Сделано заключение, что в этом процессе возникает ион  $-SCH_2CH(NH^+)COO^-$ . Этот ион может находиться в равновесии со своим таутомером  $HSCH_2CH(NH_2)COO^-$ , но наличие последнего может быть количественно оценено на основе лишь недостоверных допущений.

Резюме автора

**56416. Ультрафиолетовые спектры хлорсодержащих циклопентенов и циклопентадиенов.** Айдол, Робертс, Макби (The ultraviolet spectra of chlorine-containing cyclopentenones and cyclopentadienes. Idol J. D. Jr., Roberts C. W., McBee E. T., J. Organ. Chem., 1955, 20, № 12, 1743—1749 (англ.))

С целью изучения влияния местоположения хлора в циклопентеновых и циклопентадиеновых производных на спектры, получены и рассмотрены УФ-спектры следующих соединений: циклопентен (I); 1,2,3,3,5,5-гексахлор-I, октахлор-I, 1,2,3,4,5,6,7,7-октахлорбицикло-(2,2,1)-гептен-2; 5-бромметил-1,2,3,4-тетрахлорбицикло-2,2,1-гептен-2-он-7, 1,2,3,3а,4,5,6,7,7а,8-декалор-3а, 4,7,7а-тетрагидро-4,7-метаноинден, перхлор-3а, 4,7,7а-тетрагидро-4,7-метаноинден, циклопентадиен (II), 1,2,3,4-тетрахлор-(III), 1,2,3,4,5-пентахлор-, гексахлор-, 2,3,4,5,5-пентахлор-, 5,5-диметокситетрахлор-II. В УФ-спектрах циклопентадиенового ряда для атома хлора при винильном радикале наблюдается bathochromic сдвиг полос поглощения на 10 мμ (для II  $\lambda$  (макс.) 235 мμ, для III 276 мμ), в алифатич. ряду — 8 мμ (1,3-бутадиен имеет  $\lambda$  (макс.) при 217 мμ, 2-хлор-1,3-бутадиен при 223 мμ). Хлорзамещение в алильном положении для II в противоположность циклопентеновому ряду вызывает более сильное смещение полос поглощения (5 мμ для ряда I и 15—30 мμ для ряда II) и уменьшение их интенсивности. Смещение полос поглощения и уменьшение их интенсивности обусловлено электроотрицательностью алильного заместителя.

Е. Перселени

**56417. Ультрафиолетовые спектры поглощения некоторых (1)-оксидов 2-фенилбензотриазолов.** Даль-Монте, Манджини (Spettri di assorbimento u. v. di alcuni 2-fenil-bz-triazol-(1)-ossidi. Dal Monte Dea, Mangini Angelo), Ricerca scient., 1957, 27, № 1, 123—125 (итал.)

Сообщаются предварительные результаты исследования УФ-спектров поглощения (1)-оксидов 2-фенил-

бензотриазолов (I) ф-лы  $Y-C_6H_4-NH=C_6H_5(X)=NO$  (где Ia, X=Y=H; Ib X=CH<sub>3</sub>, Y=H; Ic X=H, Y=2'-CH<sub>3</sub>; Id X=H, Y=4'-CH<sub>3</sub>; Ie X=H, Y=2'-Cl; If X=H, Y=4'-OCH<sub>3</sub>) в спирте и 1 н. HCl. В спектрах большинства I наблюдаются 4 полосы поглощения (III), тогда как у соответствующих 2-фенилбензотриазолов (II) найдены лишь 3 III; наиболее длинноволновая III у I отнесена к группировке N=O; незначительное смещение остальных III I и II показывает, что влияние азотистой цепи на бензольную часть молекулы невелико. Вновь синтезированы (перечисляются в-во, т. пл.): If, 94°; Ig, 121°; Id, 92°; Ie, 145°.

А. Сергеев

**56418. Ультрафиолетовые спектры поглощения N-оксидов 4-хлор- и 4-бромпиридинов.** Хата (Ultraviolet absorption spectra of 4-chloro- and bromopyridine N-oxides. Hata Norisuke), Bull. Chem. Soc. Japan, 1956, 29, № 1, 82—84 (англ.)

Измерялись УФ-спектры N-оксидов 4-хлор- и 4-бромпиридинов в разных р-рителях, причем для каждого р-рителя наблюдались 2 области: одна слабого поглощения, другая сильного. Область слабого поглощения отнесена к переходу, зависящему от возбуждения несвязывающего электрона кислорода, а область силь-

ного — к переходу, зависящему от возбуждения л-электрона.

Резюме автора

**56419. Ультрафиолетовые спектры поглощения замещенных пиразола.** Нойс, Райдер, Уокер (The ultraviolet absorption spectra of substituted pyrazoles. Noyce Donald S., Ryder Elliott, Jr., Walker Bradford H.), J. Organ. Chem., 1955, 20, № 12, 1681—1686 (англ.)

Изучались УФ-спектры различных простых алкилзамещенных пиразолов. Установлено наличие ясно выраженного bathochromic сдвига, вызываемого введением алкильной группы в положение 4 пиразольного кольца, а также менее значительного сдвига при замещении в положение 3 или 5. Подобные же сдвиги наблюдаются и для кислых р-ров.

Резюме авторов

**56420. Ультрафиолетовые спектры поглощения 3-арилтионафенов.** Шюц, Чипорин (Ultraviolet absorption spectra of 3-arylthianaphthenes. Schuetz Robert D., Ciporin Leon), J. Organ. Chem., 1958, 23, № 2, 209—211 (англ.)

Изучены спектры поглощения 3,3'-дитионафтила (I), 3-фенилтионафена (II), 3-(1'-нафтил)-тионафена (III), 5-хлор-3-(2'-тиенил)-2-тионафеновой к-ты (IV), 5-хлор-3-фенил-2-тионафеновой к-ты (V), 5-хлор-3-(о-карбоксифенил)-2-тионафеновой к-ты (VI) и тионафена в области 220—340 мμ. Анализ полученных данных показывает наличие стерич. препятствия в строении III, IV, V. Предполагается, что VI и, возможно, I также имеют неплоскую структуру.

В. Базов

**56421. Ультрафиолетовый спектр витамина A<sub>2</sub>.** Ламбертсен, Бреккан (The ultraviolet spectrum of vitamin A<sub>2</sub>. Lambertsen Georg, Braekkan Olaf R.), Acta chem. scand., 1957, 11, № 3, 575—576 (англ.)

Изучен УФ-спектр (в спирт. р-ре) транс-формы витамина A<sub>2</sub>, выделенного из печени окуня. Обнаружены максимумы поглощения при 351, 296 и 277 мμ.

Н. Куплетская

**56422. Равновесие как причина различий в спектрах хлорофилла в различных растворителях.** Фрид (Equilibria as origin of differences in spectra of chlorophyll in different solvents. Freed Simon), Science, 1957, 125, № 3260, 1248—1249 (англ.)

Различия в спектрах поглощения хлорофилла при комнатной т-ре в различных р-рителях зависят от соотношения сольватов, находящихся в р-ре. С понижением т-ры или с увеличением концентрации полярного р-рителя при комнатной т-ре увеличивается доля сольвата с большим содержанием молекул р-рителя, что сказывается на спектре. Это показано на примере полосы в области 4500 Å для хлорофилла b, растворенного в смесях пропиловый эфир-гексан, пропиловый эфир-пропан-пропен или пропенол-метилциклопентан-метилциклогексан с различным содержанием полярного р-рителя и при различных т-рах.

Н. Куплетская

**56423. Стерический эффект и поглощение производных аценафтена. 5-ацетилаценафтен и их оксиды.** Мартынов (Effet stérique et absorption des dérivés acénaphthéniques. Les acyl-5-acénaphthènes et leurs oxides. Martynoff Modeste), C. r. Acad. sci., 1957, 244, № 9, 1220—1223 (франц.)

Сравнение УФ-спектров поглощения (СП) аценафтена (I) и его 5-формил-(II), 5-ацетил-(III) и 5-пivalилпроизводных (IV) показывает, что введение формильной группы приводит к bathochromic смещению обеих полос поглощения (III) I, уничтожению тонкой структуры III и появлению новой длинноволновой III. Введение в формильный остаток метильной группы (соединение III) почти не оказывает влияния, а введение третичнобутильной группы (соединение IV)

приводит к заметному гипсохромному смещению и появлению тонкой структуры, хотя новая длинноволновая III полностью не пропадает. Это является следствием появления пространственных затруднений соприкосновению карбонильной группы с ядром I, и подтверждается тем, что при оксимировании всех этих соединений также имеют место гипсохромные смещения III и появление тонкой структуры. СП оксима IV почти не отличается от СП самого I. В случае 5-производных I влияние пространственных препятствий сказывается на СП слабей, чем в случае аналогичных по конфигурации  $\alpha$ -нафтильных производных. Это говорит о том, что наличие диметиленового заместителя в положениях 2 и 9 нафталинового ядра I заметно влияет на электронное строение атома углерода в 5-положении. II — т. пл. 110°, оксим II — т. пл. 130,5°. 30-минутным кипячением оксима II с 4-кратным кол-вом уксусного ангидрида получен 5-циан-I — т. пл. 114°, выход 96%. Нагреванием I с уксусным ангидридом в присутствии BF<sub>3</sub> 45 мин. при 50° получен III — желтые кристаллы, т. пл. 70°; оксим III — бесцветн., т. пл. 165—166°; конденсацией хлорангидрида триметилуксусной к-ты с I в присутствии AlCl<sub>3</sub> в среде CS<sub>2</sub> получен IV — желтые кристаллы, т. пл. 85°; оксим IV — бесцветн., т. пл. 227°. Н. Спасокукоцкий 56424. Исследование спектров поглощения 2,4-динитрофенилгидразонов карбонильных соединений. Назаров И. Н., Казичина Л. А., Зарецкая И. И., Ж. общ. химии, 1957, 27, № 3, 606—623

Электронные спектры поглощения (СП) р-ров 2,4-динитрофенилгидразонов (Г) в предельных углеводородах имеют две полосы: малоинтенсивную в области 410 мμ, не зависящую от строения карбонильной части Г, и интенсивную в области 330—380 мμ, положение λ (макс.) которой зависит от строения карбонильной части. На основании исследования > 100 Г альдегидов (А) и кетонов (К) установили следующие закономерности: если принять за исходное соединение Г муравьиного альдегида (λ (макс.) 330 мμ), то введение двойной связи, сопряженной с карбонильной группой, вызывает bathохромное смещение λ (макс.) на 17 мμ (Г акролеина — λ (макс.) 347 мμ), а введение последующих сопряженных двойных связей дает смещение на 9 мμ. Введение насыщ. алкилов (почти независимо от их величины) вместо атомов водорода карбонильной группы и β-замещение по цепи винило-тов дает смещение λ (макс.) на 7 мμ (напр., Г ацет-А — 336 мμ, масляного А — 337 мμ, гексагидробензойного А — 338 мμ, Δ<sup>3</sup>-тетрагидробензойного А — 337 мμ, ацетона — 344 мμ, диэтил К — 344 мμ, кротонового А — 354 мμ и т. д.). Последующее введение заместителей в акролеин как алкильных, так и имеющих сопряженные двойные связи, приводит к появлению в СП слабой колебательной структуры. Найденные закономерности позволяют с достаточной точностью вычислить положение λ (макс.) коротковолновой полосы Г различных карбонильных соединений и, следовательно, делают более надежным применение спектроскопич. метода для характеристики строения А и К.

Н. Спасокукоцкий 56425. Исследование карбонильных производных бензола спектрографическим и другими физико-химическими методами. I. Исследование 1,3-диацетилбензола. II. Исследование 1-окси-2,4-диацетилбензола. III. Исследование 1,3-диокси-4,6-диацетилбензола и его моно- и диметилового эфиров. Чешко Ф. Ф., Дистанов Б. Г., Ж. общ. химии, 1957, 27, № 8, 2183—2193, 2193—2205; № 10, 2851—2861

I. Исследованы УФ-спектры поглощения (СП) 1,3-диацетилбензола (I) в изооктане, спирте, воде, р-ре C<sub>2</sub>H<sub>5</sub>ONa в спирте и водн. и спирт. р-рах H<sub>2</sub>SO<sub>4</sub>. I исследован также полярографич. и кондуктометрич. ме-

тодами; приведены значения потенциала восстановления (ПВ) I в щел. среде при различных молярных соотношениях I и NaOH, а также кривая электропроводности этой системы. Установлены: общее сходство СП I и ацетофенона, образование оксониевой соли I в H<sub>2</sub>SO<sub>4</sub> при конц.-ях H<sub>2</sub>SO<sub>4</sub> 50% и выше и образование продукта присоединения NaOH к группе CO.

II. 1-окси-2,4-диацетилбензол (II) и его метиловый эфир (III) исследованы спектроскопич. и полярографич. методами аналогично I; приведены СП, а также значения ПВ в щел. среде. Найденно, что СП II и III аддитивно складываются из СП 2- и 4-оксиацетофенонов и их МЭ соответственно. Графич. способом произведен расчет энергии водородной связи в орто-сопряженной системе II. Установлено образование оксониевых солей II и III с H<sub>2</sub>SO<sub>4</sub>. III получен метилированием II избытком (CH<sub>3</sub>)<sub>2</sub>SO<sub>4</sub> в щел. среде (80—90°), выход 35%, т. пл. 71° (из сп.).

III. 1,3-диокси-4,6-диацетилбензол (IV), его метиловый эфир (V) и диметиловый эфир (VI), исследованы спектроскопич., полярографич. и кондуктометрич. методами аналогично I; приведены СП IV—VI, а также значения ПВ IV—V в щел. среде. Показано, что IV образует оксониевую соль в H<sub>2</sub>SO<sub>4</sub> при конц.-ях H<sub>2</sub>SO<sub>4</sub> > 50%. Произведен расчет энергии обеих водородных связей, образующихся в молекуле IV. А. Сергеев 56426. Метод расчета частот колебаний систем с периодической структурой. Ковнер М. А., Богомолов А. М., Уч. зап. Саратовск. ун-та, 1957, 56, 100—112

Предлагается метод расчета частот и формы колебаний систем с периодич. структурой. В простейшем случае (цепочка без неоднородностей на концах) задача сводится к нахождению собственных значений и собственных векторов матрицы T с отличными от нуля матричными элементами  $T_{kk} = T_{k+1, k+1}$ ,  $T_{k+1, k} = T_{k, k+1} = T_{k+1, k+2}$ . Рассмотрены несимметричные матрицы аналогичной структуры, а также матрицы с неравными матричными элементами на концах. Метод распространен на блочные матрицы, элементами которых являются квадратные матрицы. Е. Никитин

56427. Энергетические уровни молекулы типа слегка асимметричного волчка. Поло (Energy levels of slightly asymmetric top molecules. Polo S. R.), Canad. J. Phys., 1957, 35, № 8, 880—885 (англ.)

Вычислены вращательные уровни слегка асимметричного волчка в виде ряда по параметру асимметрии  $\epsilon = (B - C)/2(A - B - C)$  до  $\epsilon^5$ . В отличие от имеющихся таблиц, приводится общая зависимость энергии от I и K, что особенно удобно при анализе полосатых спектров. Приблизительно вычислены также уровни энергии нежесткого слегка асимметричного волчка. Е. Никитин

56428. Контуры инфракрасных полос. I. Молекулы типа сферического волчка. Эджелл, Мойнихан (Infrared band contours. I. Spherical top molecules. Edgell Walter F., Moynihan Robert E.), J. Chem. Phys., 1957, 27, № 1, 155—159 (англ.)

Показано, что средние коэф. поглощения  $\langle \alpha \rangle$  для P- и R-ветвей пропорциональны суммам коэф. поглощения отдельных линий и обратно пропорциональны  $\alpha(1 - \zeta_i)$ , где  $\alpha = h/4\pi^2 c I$ ,  $\zeta_i$  — постоянная Кориолиса i-го колебания. Величины  $\langle \alpha \rangle$  являются функциями частот отдельных линий или вращательных квантовых чисел J. Вычисление максимумов этих функций приводит к ф-ле для расстояния  $\Delta \nu_i$  между максимумами P- и R-ветвей:  $\Delta \nu_i = 2\alpha \sigma^{-1/2}(1 - \zeta_i)$ , где  $\sigma = hca/kT$ . По этой ф-ле может быть вычислена величина  $\zeta_i$  и для ее определения не требуется разрешения вращательной структуры. По значению  $\zeta_i$  для одной полосы может быть предсказано расстояние между максима-



мами  $P$  и  $R$  в другой полосе. По известной величине  $\xi$  может быть вычислена производная дипольного момента по нормальной координате. Значения  $\xi$  могут использоваться, наряду с самими частотами, для вычисления силовых постоянных. На основании величины  $\xi$  возможны заключения о форме колебания. Рассмотрен пример валентного колебания CO в  $\text{Ni}(\text{CO})_4$ ,  $\lambda \sim 5 \mu$ ,  $\Delta\nu = 11,6 \text{ см}^{-1}$ ,  $2a\sigma^{-1/2} = 10,76 \text{ см}^{-1}$  и  $\xi = -0,08$ . Если в этом колебании атомы C и O движутся в противоположных направлениях, но происходит сокращение связей Ni—C, и по векторам смещений атомов можно найти, что  $\xi = 0$ . Если же растягиваются только связи C—O, а все остальные связи и углы остаются неизменными, то  $\xi = 0,27$ . Сравнение этих значений  $\xi$  с опытным приводит к выводу в пользу первой возможности.

**56429. Форма колебательных полос и их интенсивности.** Расселл, Томпсон (Vibrational band shapes and band intensities. Russell R. A., Thompson H. W.), Spectrochim. acta, 1957, 9, № 2, 133—147 (англ.)

Исследовано влияние ширины щели спектрометра на форму ИК-полос поглощения путем изменения их эффективной ширины, эффективного коэф. поглощения в максимуме полосы и интегральной интенсивности в различных условиях. Установлено, что измеренные коэф. поглощения применимы при колич. анализах лишь тогда, когда они получены со спектральной шириной щели  $S$ , в пять раз меньшей по сравнению с полушириной самой узкой полосы в спектре. Согласно оценке авторов необходимы значения  $S = 1 \text{ см}^{-1}$ , что исключает возможность пользования обычными призмными приборами для проведения надежных колич. измерений. Показано, что величины интегральных интенсивностей поглощения могут быть получены с любыми щелями при отсутствии наложения со стороны соседних полос. При измерениях интегральных интенсивностей рекомендуется пользоваться экстраполяционным методом Вильсона — Уэллса. Рассмотрен метод определения истинной интегральной интенсивности поглощения, предложенный ранее (Ramsey D. A., J. Amer. Chem. Soc., 1952, 74, 72). Рекомендуется пользоваться этим методом с осторожностью, так как предположение о лорентцовой форме контура полосы поглощения нельзя считать доказанным. Кроме того, в ряде случаев наложение соседних полос искажает контур в такой степени, что применение этого метода может оказаться незаконным.

**56430. Спектр комбинационного рассеяния кальцита и его интерпретация.** Кришнамурти (The Raman spectrum of calcite and its interpretation. Krishnamurti D.), Proc. Indian Acad. Sci., 1957, A46, № 3, 163—202 (англ.)

Изучен спектр комб. расс. кристалла кальцита (I) при возбуждении линией 2537 Å от охлаждаемой ртутной лампы. Обнаружены интенсивные линии 155, 282, 712, 1086, 1436  $\text{см}^{-1}$ . Линия 1086 сопровождается слабыми спутниками 1067, 1072, 1075  $\text{см}^{-1}$ , в области обертона обнаружена диффузная полоса 2173  $\text{см}^{-1}$ . Линия 1436 сопровождается спутниками 1399, 1412, 1418  $\text{см}^{-1}$ , ее обертона обнаружен в области 2878  $\text{см}^{-1}$ . При увеличении экспозиции линии несимметрично уширяются; это уширение объясняется сопровождающей радиацией, обусловленной, по мнению автора, наложением слабо возбужденных дополнительных частот колебаний сверхрешетки I. Слабо проявляется запрещенная частота 221  $\text{см}^{-1}$ . Частоты 155 и 282  $\text{см}^{-1}$  антисимметрично уширены. Низкочастотные крылья, возникающие от наложения целой группы частот колебания решетки, их обертонов и составных частот, простираются от  $-300$  до  $+600 \text{ см}^{-1}$ . Получены 16 со-

ставных частот (суммы 1086 и 875  $\text{см}^{-1}$  с другими частотами).

**56431. Спектры комбинационного рассеяния  $\text{H}_2\text{O}$  и  $\text{D}_2\text{O}$  при различных температурах.** Вальков В. Л., Масленкова Г. Л., Вестн. Ленингр. ун-та, 1956, № 22, 8—13 (рез. англ.)

Исследовались полосы колебаний O—H и O—D в спектрах комб. расс. монокристаллов  $\text{H}_2\text{O}$  (I) и  $\text{D}_2\text{O}$  (II) при  $t$ -рах 0—196°. Дано отнесение частот. Полученные результаты указывают на взаимодействие внутримолекулярных и межмолекулярных колебаний в спектрах твердых I и II.

**56432. Спектр комбинационного рассеяния этилена.** Фелдман, Романко, Уэлш (The Raman spectrum of ethylene. Feldman T., Romano J., Welsh H. L.), Canad. J. Phys., 1956, 34, № 8, 737—746 (англ.)

На двухпризмном спектрографе с линейной дисперсией 10,5  $\text{см}^{-1}/\text{мм}$  получен колебательный спектр этилена при давл. 1—3 атм. Была проанализирована вращательная структура полос полносимметрич. колебаний  $\nu_1$  и  $\nu_3$  в предположении, что молекула этилена представляет асимметрич. волчок. Начала полос отнесены соответственно к 3026,4  $\text{см}^{-1}$  и 1342,2  $\text{см}^{-1}$ . Для колебания  $\nu_2$  наблюдалась только Q-ветвь (1622,6  $\text{см}^{-1}$ ). Сложная структура  $o.s.Q_k$  ветвей полос асимметрич. колебания  $\nu_5$  расшифрована и установлено начало полосы 3102,5  $\text{см}^{-1}$ . Объяснения широкой полосы 1662  $\text{см}^{-1}$  не удается. Анализ полосы  $\nu_3$  дает вращательные постоянные  $A_1 = 4,51$  и  $B_1 = 1,004 \text{ см}^{-1}$ .

**56433. Исследование водных растворов уксусной кислоты методом комбинационного рассеяния света.** Глаголева А. А., Ферхмин А. А., Ж. общ. химии, 1958, 28, № 2, 289—299

Изучено изменение спектра комб. расс. водн. р-ров уксусной к-ты (I) в зависимости от конц-ии (1,3—99,5%). Появление максимума 1690  $\text{см}^{-1}$  в полосе карбонильной группы при разбавлении р-ра, начиная с 78,8%, объясняется образованием гидратов I. Изменение вида полосы 617  $\text{см}^{-1}$  при разбавлении р-ра идет одновременно с изменением водородных связей в I, поэтому полоса 617 может быть связана с мол. структурой I. Полосы 1430 и, возможно, 1360  $\text{см}^{-1}$  можно отнести к группе C—O или C—OH карбоксила. Полоса 1700  $\text{см}^{-1}$ , соответствующая карбонильной группе, не меняет своего положения при разбавлении, начиная с конц-ии 78,8%. Группа полос 2944, 2880, 2990, 3023  $\text{см}^{-1}$  при разбавлении до 1,3% не смещается и не меняет своего взаимного расположения. Эти полосы отнесены к радикалу I. Группу полос  $\sim 1020$  и  $\sim 1105 \text{ см}^{-1}$  авторы приписывают источнику света.

**56434. Интенсивность линий комбинационного рассеяния в спектрах растворов пиридина в уксусной кислоте.** Межецкий (The intensity of Raman lines in spectra of solutions of pyridine in acetic acid. Mierzecki Roman), Current Sci., 1956, 25, № 6, 200—201 (англ.)

Исследованы интенсивности линий спектра комб. расс. 13 р-ров различной конц-ии пиридина (I) в  $\text{CH}_3\text{COOH}$  (II). Обнаружена новая линия при 1003  $\text{см}^{-1}$ , интенсивность которой максимальна в эквимольном р-ре. Автор заключает, что в таком р-ре имеются как комплексы I с II (в соотношении 1:1), так и свободные молекулы I. На основании анализа кривой интенсивности — мол. % II автор делает вывод о постоянстве сечения рассеяния молекул I, образующих комплексы.

**56435. Инфракрасные спектры поглощения твердой закиси азота.** Жигер, Харви (Spectre d'absorption infra-rouge du protoxyde d'azote à l'état. solide.

Giguère Paul A., Harvey Kenneth B.), *Spectrochim. acta*, 1957, 9, № 3, 204—207 (франц.; рез. англ.)

Измерены ИК-спектры поглощения твердой закиси азота в области 2—25  $\mu$  при  $t_{\text{ре}} = -175^\circ$ . Получено 3 основных частоты, 4 обертона и 6 составных частот. 4 очень слабые частоты приписываются изотопич. молекулам  $N^{14}N^{15}O$  и  $N^{15}N^{14}O$ . Большинство полос в твердом состоянии смещено в сторону больших частот по сравнению со спектром газа.

Е. Москвитина

56436. Инфракрасные спектры сжатой смеси бромоводорода и различных газов. Изменение формы полос  $HBr$  и составная частота  $HBr + H_2$ . Кулон, Ву Хай (Spectres infrarouges des mélanges d'acide bromhydrique et de divers gaz comprimés: perturbation des bandes de  $BrH$  et fréquence de combinaison entre  $BrH$  et  $H_2$ . Coulon Roger, Vu Hai), *C. r. Acad. sci.*, 1957, 245, № 25, 2247—2250 (франц.)

Изучены ИК-спектры поглощения сжатых смесей  $HBr + N_2$  (I) (до 435  $\text{амг}$ ),  $HBr + Ar$  (II) (до 505  $\text{амг}$ ),  $HBr + H_2$  (III) (до 580  $\text{амг}$ ). В случае I сильно повышена интенсивность неактивной для чисто-го  $HBr$  Q-ветви. Спектр смесей II и III существенно не отличается от спектра  $HBr$ , исчезает лишь вращательная структура и уширяются ветви. Экстраполирование зависимости интегральной интенсивности смесей I, II и III от давления дает значение эффективного заряда  $d/d_r = 0,46 \cdot 10^{-10}$  CGS. Интенсивность суммарного перехода  $HBr + H_2$  6720  $\text{см}^{-1}$  (2559  $\text{см}^{-1}$  для  $HBr$  и 4155  $\text{см}^{-1}$  для  $H_2$ ) возрастает с общим давлением смеси, а интенсивность второго обертона  $HBr$  почти не зависит от давления. Это указывает на различные механизмы излучения составных частот и обертонов.

Е. Никитин

56437. Спектрофотометрическое изучение некоторых цианокмплесов железа (2+) и (3+), хрома (3+) и марганца (1+), (2+) и (3+) в ИК-области. Кальботи, Сартори, Скрокко (Ricerche di spettrofotometria I. R. su alcuni complessi cianidrici del ferro (II e III), del cromo (III) e del manganese (I, II e III). Caglioti Vincenzo, Sartori Guido, Scrocco Marisa), *Atti. Accad. naz. Lincei. Cl. sci. fis., mat. e natur.*, 1957, 22, № 3, 266—268 (итал.)

Измерены и сопоставлены ИК-спектры цианокмплесов Fe, Cr и Mn (приведены последовательно структура, частоты вал. кол. группы CN и металл — углерод в  $\text{см}^{-1}$ ):  $Fe(CN)_6^{4-d^6}$ , 2047, 584;  $Fe(CN)_6^{3-d^5}$ , 2125, 505;  $Cr(CN)_6^{3-d^3}$ , 2135, 462;  $Mn(CN)_6^{3-d^4}$ , 2125, 514;  $Mn(CN)_6^{4-d^5}$ , 2060, —;  $Mn(CN)_6^{5-d^6}$ , 2048, —.

Н. Туркевич

56438. Определение расстояния металл — кислород в гидратах окислов, основных солях, гидратах солей из ИК-спектров Хартерт, Глемзер (Ultrarotspektroskopische Bestimmung der Metall-Sauerstoff-Abstände in Hydroxyden, basischen Salzen und Salzhydraten. Harterk Erwin, Glemser Oskar), *Z. Elektrochem.*, 1956, 60, № 7, 746—751 (нем.)

Измерением ИК-спектров гидратов окислов и основных солей показано, что для определения межатомного расстояния  $M-O$  (группы OH) может быть привлечена частота деформационного колебания OH-группы (при котором атом H колеблется перпендикулярно к направлению связи  $O-H$ ). Эмпирически установлено соотношение  $r(K)_{OH} = 8,9 \cdot 10^{-4} (4720 - \delta - 0,7 \nu)$ , где  $r(K)_{OH}$  — радиус (в Å) OH-группы, связанной с ионом металла;  $\nu$  и  $\delta$  — соответственно частоты валентного и деформационного колебаний (в  $\text{см}^{-1}$ ) OH-группы. Для гидратов солей найдено обусловленное заторможенным вращением молекул  $H_2O$  поглощение с частотами, зависящее от тех же факторов,

что и в случае OH-группы, так что возможно спектроскопическое определение расстояния  $M-OH_2$ .

Резюме авторов

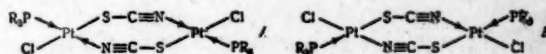
56439. О строении некоторых природных гидратов окислов типа  $XOON$ : диаспор, манганит, гетит, лепидокрокит. Кабанн-Отт (Sur la structure de quelques hydroxydes naturels du type  $XOON$ : diaspore, manganite, goethite, lépidocrocite. Cabannes-Ott Christiane), *C. r. Acad. sci.*, 1957, 244, № 20, 2491—2495 (франц.)

Изучены ИК-спектры порошков диаспора,  $AlOON$  (I), манганита,  $MnOON$  (II), гетита (III) и лепидокрокита  $FeOON$  (IV). Орторомбич. кристалл I состоит из кислородных октаэдров, в центрах которых находятся атомы Al. Дублетная полоса в области 1985—2115  $\text{см}^{-1}$  отнесена к вал. кол. сильно ассоциированных связей OH, расположенных на общих ребрах октаэдров. Раздвоение полосы объясняется взаимодействием в ячейке, содержащей 4 группы  $AlOON$ . Полоса 2925  $\text{см}^{-1}$  принадлежит группам OH, находящимся на линиях, соединяющих атомы кислорода, не являющиеся общими. На основании данных (РЖХим, 1956, 60828) частотам 2925, 1985, 2115 соответствуют расстояния  $O-O$ , равные 2,68, 2,48, 2,51 Å. Частотам 2625 и 2040  $\text{см}^{-1}$  II соответствуют расстояния  $O-O$  2,62 и 2,49 Å. В спектрах III и IV наблюдается лишь по одной полосе 3095 и 3125  $\text{см}^{-1}$ . Им соответствуют расстояния 2,71 и 2,72 Å между атомами кислорода, не являющимися общими атомами октаэдров. Автор приходит к выводу, что существуют 2 типа связи  $O-H-O$ , соответствующих различным расстояниям  $O-O$  в I и II.

М. Ковнер

56440. Изомерия двухядерных комплексов тиоцианатными мостиками. Чатт, Данкансон, Харт, Оустон (Isomerism among binuclear thiocyanato-bridged complexes. Chatt J., Duncanson L. A., Hart F. A., Owston P. G.), *Nature*, 1958, 181, № 4601, 43—44 (англ.)

На основании того, что в тиоцианате серебра, где имеются мостики между двумя атомами Ag за счет координации как через S, так и через N (...Ag-S-C≡N→Ag...) (РЖХим, 1957, 59994) частота вал. кол. SCN такая же, как в  $Pt(SCN)_2Cl_2(PR_3)_2$  (I, где  $R = n-C_3H_7$ ) 2149 и 2162 ( $\alpha$ -изомер) и 2169  $\text{см}^{-1}$  ( $\beta$ -изо-



мер)), авторы полагают, что в I группа SCN также образует мостики за счет координации через S и через N, и приписывают  $\alpha$ - и  $\beta$ -изомерам соответственно структуры А и Б. Структура А для  $\alpha$ -изомера подтверждена рентгеновским исследованием. М. Дяткина

56441. ИК-спектры поглощения некоторых внутрикомплексных соединений металлов с аминокислотами при температуре жидкого воздуха. Русенберг (The infra-red absorption spectra of some amino acid-metal chelates at liquid air temperature. Rosenberg Andreas), *Acta chem. scand.*, 1956, 10, № 5, 840—851 (англ.)

Исследование ИК-спектров некоторых внутрикомплексных соединений металлов с аминокислотами при низких  $t$ -рах подтверждает, что в ряде таких соединений карбоксильные группы и ионы металлов образуют связи более ковалентные по характеру, чем обычные связи металл — карбоксил.

Из резюме автора

56442. Связь молекулярной структуры фосфорорганических соединений с их инфракрасными спектрами. Харви, Мейхайд (Some correlations of the molecular structure of organic phosphorus compounds with their infrared spectra. Harvey R. B., May-



hood J. E.), *Canad. J. Chem.*, 1955, 33, № 10, 1552—1565 (англ.)

Получены в области 2—15  $\mu$  ИК-спектры 16 фосфорорганич. эфиров с группами  $(CH_3)_2N$  и  $(C_2H_5)_2N$ . Рассмотрены характерные частоты группы  $(CH_3)_2N$ . В области валентных СН колебаний для нее специфичны полосы в узком интервале 2780—2850  $cm^{-1}$ . Частота 1470  $cm^{-1}$  появляется в соединениях с группой  $(CH_3)_2N$  у атома Р непосредственно. Для группы  $CH_3-P=O$  характерна полоса 1308  $cm^{-1}$  с полушириной 16  $cm^{-1}$ . Эта полоса уширяется до 30  $cm^{-1}$ , если в молекуле имеется группа  $(CH_3)_2N$ , и до 33—40  $cm^{-1}$  при одновременном присутствии групп  $CH_3-PO$  и  $(CH_3)_2N$ . В спектрах всех соединений с диметиламиногруппой найдены частоты 1064 и 1190  $cm^{-1}$ , относящиеся к колебанию скелета. Одна из частот в области 670—710  $cm^{-1}$  может быть отнесена к колебанию  $P-N(CH_3)_2$ . Кратко обсуждены также частоты группы  $PO-O-PO$ . Наиболее характерны для нее полосы в области 910—950 и 670—710  $cm^{-1}$ , относящиеся к колебаниям группы  $P-O-P$ .

Ю. Егоров

**56443.** Изучение строения моноклорсилана с помощью инфракрасной спектроскопии при большой дисперсии. Монфилс (Contribution à l'étude de la structure du monochlorosilane par spectroscopie infrarouge à grande dispersion. Monfils André. *Mém. Acad. roy. Belgique Cl. sci.*, 1956, 29, № 5, 52 p.) (франц.; реф. англ.)

Исследован ИК-спектр  $H_3SiCl$  на спектрометре с дифракционной решеткой. Дана интерпретация основных частот (в  $cm^{-1}$ ): симметричные 2196,0  $\nu_1$  ( $\nu Si-H$ ), 1097,5  $\nu_2$  ( $\delta HSiH$ ), 551  $\nu_3$  ( $\nu Si-Cl$ ); дважды вырожденные 2147,4  $\nu_4$  ( $\nu Si-H$ ), 951,2  $\nu_5$  ( $\delta HSiH$ ), 666,2  $\nu_6$  ( $\delta HSiCl$ ). Детально изучена тонкая структура полос, причем их положение хорошо согласуется с расчетом на основе представления молекулы как симметричного волчка. Из тонкой структуры определена вращательная постоянная  $B = 0,225 \pm 0,005$   $cm^{-1}$ . Также вычислены константы кориолисова взаимодействия, равные:  $A = 2,83 \pm 0,04$   $cm^{-1}$ ,  $I_A = 9,89 \pm 0,15 \cdot 10^{-40}$   $g/cm^2$ ,  $\zeta_4 = 0,125$ ,  $\zeta_5 = 0,171$ ,  $\zeta_6 = 0,261$   $cm^{-1}$ . Моменты инерции позволили вычислить  $r$  ( $Si-H$ ) = 1,49 Å,  $r$  ( $Si-Cl$ ) = 2,048 Å и  $\angle HSiH = 110^\circ 34'$ , находящиеся в хорошем согласии с данными радиоспектроскопии. Исходя из квадратичной потенциальной функции, вычислены силовые постоянные (в  $дин/см \cdot 10^5$ )  $f_{Si-H} = 2,66$ ,  $f_{SiCl} = 5,13$ ,  $f_{HSiH} = 0,19$ . Так как обнаруженное на опыте  $r$  ( $SiCl$ ) меньше ожидаемого из суммы ковалентных радиусов (2,16 Å), автор объясняет это расхождение значительной двоевязностью связи  $Si-Cl$  с участием на ~50% структуры вида  $H_3Si=Cl+$ .

Ю. Егоров

**56444.** Об инфракрасном спектре мочевины и ее комплекса с цетаном. Стюарт (On the infrared spectrum of urea in the urea-cetane complex. Stuart A. A. Verrijn, *Recueil trav. chim.*, 1956, 75, № 6, 906—911 (англ.)

Автор изучает изменение частот вал. кол. групп NH мочевины в ИК-спектре, сопоставляя  $\nu$  ( $N-H$ ) в кристаллич. мочевины (I) и в ее комплексе с цетаном (II). Оказалось, что все 4 возможные частоты  $\nu$  ( $N-H$ ) смещаются с 3449, 3436, 3382, 3342  $cm^{-1}$  в I до 3420, 3360, 3225 и 3190  $cm^{-1}$  во II соответственно. Характер дихроизма при этом сохраняется. Представляя 4 связи  $N-H$  в группе  $H_2N-CO-NH_2$  как систему связанных осцилляторов, автор рассчитал их силовые коэф. в I и II. Оказалось, что если представить силовой коэф. связи  $N-H$  (для групп, участвующих в водородной связи) как  $K + \delta$ , то  $\delta$  возрастает при переходе от I к II, от 0,326 до 0,767  $\cdot 10^5$   $дин/см$ .

Ю. Егоров

**56445.** Инфракрасные спектры ацетоксистероидов в

области ниже 1350  $cm^{-1}$ . Джонс, Херлинг (The infrared spectra of acetoxysteroids below 1350  $cm^{-1}$ . Jones R. Norman, Herling F.), *J. Amer. Chem. Soc.*, 1956, 78, № 6, 1152—1161 (англ.)

В целях выявления аналитич. признаков у производных ацетоксистероидов рассмотрены ИК-спектры в области 650—1350  $cm^{-1}$  для 90 соединений этого типа. Анализ спектральных данных позволил найти характерные полосы. В спектрах 3 $\alpha$ -ацетокси-5 $\alpha$ -(I) и 3 $\beta$ -ацетокси-5 $\beta$ -(II) стероидов обнаружен интенсивный триплет между 1200—1250  $cm^{-1}$ . В спектрах 3 $\alpha$ -ацетокси-5 $\beta$ -(III) и 3 $\beta$ -ацетокси-5 $\alpha$ -(IV) стероидов наблюдается лишь одна интенсивная полоса ~1245  $cm^{-1}$ . У всех I—IV имеется полоса ~1025  $cm^{-1}$ , чувствительная к стереоформе цикла А. Области 1245 и 1030  $cm^{-1}$  также характерны для 17 $\beta$ -ацетокси-5 $\alpha$  и 17 $\alpha$ -ацетокси-5 $\beta$ -стероидов. Введение кетогруппы в положение C<sub>3</sub> вызывает появление интенсивной полосы в области 1040  $cm^{-1}$ . В спектрах сопряженных соединений ( $\Delta^1$ ,  $\Delta^{3,5(10)}$ -эстатриен-3-ол-ацетат,  $\Delta^2$ -холестер-3-ол-ацетат и др.) наблюдается смещение полосы C=O с 1250—1240 в область 1200—1220  $cm^{-1}$ . Снижение этой частоты происходит одновременно с повышением частоты C=O по линейному закону. В дицетатах наблюдается как бы наложение характерных полос отдельных изомеров. Характеристич. частоты могут подвергаться возмущению при замещении в циклах В и С.

Ю. Егоров

**56446.** Молекулярно-спектроскопический анализ неразветвленных и разветвленных углеводородных цепочек. III. Интенсивность полос деформационных колебаний СН в парафинах. Лутер, Червоны (Zur molekülspektroskopischen Analyse unverzweigter und verzweigter Kohlenwasserstoffketten. III. Die Intensität der C-H-Deformationsschwingungsbanden von Paraffinen. Luther Horst, Czerwony Günter), *Z. phys. Chem. (DFR)*, 1956, 6, № 5-6, 286—314 (нем.)

В целях определения строения парафиновых углеводородов измерены интегральные интенсивности ИК-полос в области 720, 1380 и 1460  $cm^{-1}$ , относящиеся к деф. кол.  $CH_2$  или  $CH_3$  групп, в спектрах нормальных алканов состава  $C_6-C_{32}$  и некоторых изоалканов  $C_{10}-C_{26}$ . Пользуясь методом Рамзая (Ramsay D. A., *J. Amer. chem. Soc.*, 1952, 74, 72) авторы вычислили интегральные коэф. экстинкции ( $B$  в  $см^2/CH_2$ ) на одну группу  $CH_2$ , оказавшуюся для полосы 720  $cm^{-1}$  равной  $3,78 \pm 0,18 \cdot 10^3$  для  $n$ -алканов, при этом полуширина полос ( $\Delta\nu$ ) была почти постоянной величиной в среднем  $13,4 \pm 0,6$   $cm^{-1}$ . В изоалканах  $B = 3,71 \cdot 10^3$ . В их спектрах наблюдалось уже 2 полосы, поэтому для расчета принималась более длинноволновая полоса; а число  $CH_2$  групп считалось от разветвления до конца цепочки. Знание  $B$  позволяет легко определить число групп  $CH_2$  в молекуле по соотношению  $X_{CH_2} = 0,265 \cdot 10^{-3} B$ . Измерение  $B$  для полосы 1380  $cm^{-1}$  (симм. частота групп  $CH_3$ ) в  $n$ -алканах привело к соотношению:  $B_{CH_3} = 1,45 \cdot 10^4 + 0,026 \cdot 10^4 N_{CH_2}$ , т. е. необходимости учитывать долю интенсивности поглощения групп  $CH_3$ , полосы которых, 1353 и 1370  $cm^{-1}$ , весьма интенсивны в алканах высокого мол. веса. Для изоалканов (с разветвлением не на конце цепи) указанная ф-ла преобразуется в следующую  $B_{CH_3} = 1,45 \cdot 10^4 + 0,026 \cdot 10^4 N_{CH_2} + 0,25 \cdot 10^4 N_{CH}$ . Для изоалканов с группой  $CH_3$  на конце цепочки измерения полосы 1380  $cm^{-1}$  удовлетворительных данных не дают. В области 1460—1470  $cm^{-1}$  наблюдаются 2 полосы 1470 ( $CH_2$ ) и 1465  $cm^{-1}$  ( $CH_3$ ). Ввиду перекрытия полос, измерение интегральной интенсивности выполнялось планетром. Для  $n$ -алканов в среднем  $B_{CH_2} = 1,35 \cdot 10^4 \pm$



$\pm 0,06 \cdot 10^4$ ,  $B_{CH_2} = 3,73 \cdot 10^4$ , для изоалканов  $B_{CH_2} = 1,37 \pm 0,09 \cdot 10^4$ . Таким образом, показано, что между циклом групп  $CH_2$  ( $CH_3$ ) и интегральной интенсивностью полос деформационных колебаний существует линейная зависимость. Спектры исследовались в р-рах  $CS_2$  при 720,  $CCl_4$  — при 1380 и  $C_2Cl_4$  — при 1465  $cm^{-1}$ . Часть II см. РЖХим, 1955, 48289. Ю. Егоров

**56447. Инфракрасные спектры поглощения некоторых одноосновных пиридин- и хинолинкарбоновых кислот.** Лумме (Infrared absorption spectra of some pyridine- and quinolinemonocarboxylic acids. Lumme P. O.), Suomen kem., 1957, 30, № 11, B204—B208 (англ.)

Методом прессования с KBr, получены ИК-спектры бензойной (I), 2-, 3- и 4-пиридинкарбоновых и 2-, 6- и 8-хинолинкарбоновых к-т в области 2,5—15  $\mu$ . В пиридин- и хинолинкарбоновых к-тах интенсивность полосы поглощения около 1700  $cm^{-1}$ , обусловленной колебанием карбоксильной группы в димеризованной к-те, значительно ослаблена, что связано с существованием к-т в форме биполярного иона. Понижение интенсивности полосы 1700  $cm^{-1}$  по сравнению с I определяет относительную к-т, существующих в виде биполярного иона. Обсуждено отнесение ряда других полос поглощения.

Б. Головнер

**56448. Полиморфные формы 2-метилтио-4-амино-5-оксиметилпиридина.** I. Окуда, Прайс (Polymorphic forms of 2-methylthio-4-amino-5-hydroxymethylpyrimidine. I. Okuda Takuo, Price Charles C.), J. Organ. Chem., 1957, 22, № 12, 1749—1720 (англ.)

Измерением ИК-спектров 2-метилтио-4-амино-5-оксиметилпиридина (I) в твердом состоянии показано, что это соединение существует в трех различных кристаллич. модификациях. ИК-спектры расплавов и р-ров и УФ-спектры р-ров всех образцов I идентичны.

Б. Головнер

**56449. Инфракрасные спектры природных продуктов. Часть V. Характеристика карбонильных групп в пентациклических тритерпеноидах.** Кол, Торнтон (Infrared spectra of natural products. Part V. The characterisation of carbonyl groups in pentacyclic triterpenoids. Cole A. R. H., Thornton D. W.), J. Chem. Soc., 1956, Apr., 1007—1015 (англ.)

Определены частоты валентных колебаний  $C=O$ -группы для 89 пентациклич. тритерпеноидов — производных олеанана, лупана и урсана в  $CCl_4$  и  $CHCl_3$ . Даны характеристики частоты для 18 типов соединений. Некоторые 6-членные циклы неразличимы по поглощению  $C=O$ -группы; вспомогательная характеристика может быть дана по полосам деформационных (нагибающих) колебаний соседних  $CH_2$ -групп. Часть IV см. РЖХим, 1956, 39676. Из резюме авторов

**56450. К вопросу приложения инфракрасной спектрографии для изучения структуры сложных органических соединений.** Леконт, Нав (Sur l'emploi de la spectrographie infrarouge pour l'étude structurale des substances organiques complexes. Lecomte Jean, Naves Yves-René). J. chim. phys. et phys.-chim. biol., 1956, 53, № 5, 462—468 (франц.)

Рассмотрены возможности идентификации отдельных структурных комплексов в производных иона и ирона по ИК-спектрам этих соединений. Исследовались ИК-спектры в области 300—1700  $cm^{-1}$   $\alpha$ -ионона (I), изо- $\alpha$ -ирона (II), транс-2,1,2-изо- $\alpha$ -ирона (III), 2,4-метил-I (IV), 2,2-метил-I (V), 2,2-метил-II (VI), 2,2-метил-изо- $\alpha$ -ирона (VII),  $\beta$ -ионона (VIII),  $\beta$ -ирона (IX), 2,2-метил-VIII (X), 2,2-метил-VIII (XI), 2,2-метил-IX (XII) и некоторых ди- и тетрагидроионов и иронов. Основное внимание уделено колебаниям кратных свя-

зей групп  $CH=C(CH_3)$  и  $CH=CH$ . В области 5,7—6,5  $\mu$  у I—III обнаружены 3 полосы; частота 1617  $cm^{-1}$  отнесена к группе  $CH=CH$  боковой цепи, 1675  $cm^{-1}$  — к  $C=O$ , так и кольца  $C=C$ , частота 1696  $cm^{-1}$  малоинтенсивна и не интерпретируется. У дегидропроизводных I—III наблюдаются только полосы  $C=O$  1712  $cm^{-1}$  и кольца  $C=C$  1667  $cm^{-1}$ , в тетрагидропроизводных — лишь  $C=O$  1710  $cm^{-1}$ . Метильная группа в положении 2 (V—VII) повышает частоту  $C=C$  цепи в среднем на 17  $cm^{-1}$ . В ИК-спектре VIII—IX частоты колеб.  $C=O$  и  $C=C$  сохраняют величину I—III, но полоса 1617  $cm^{-1}$  расщепляется на две. В области 10—13  $\mu$  неплоских колебаний  $\rho$ - ( $CH$ ) в спектрах I—III найдены полосы  $\sim 1000$ , 906 и 798—828  $cm^{-1}$ . Первая из полос характерна для группы  $CH=CH$ , вторая и третья — для  $CH=C(CH_3)$ . В 2,2-метилиронах и иронах наблюдается частота 984—994  $cm^{-1}$ , относящаяся к  $\delta$  ( $CH$ ) группы  $CH=C(CH_3)$  в транс-форме. В области 7—10  $\mu$  в спектре транс-I и III наблюдалась полоса 1250—1260  $cm^{-1}$ , исчезающая у дигидропроизводных. Рассмотрена возможность получения ИК-спектров ниже 13  $\mu$ . Предварительно отмечается почти полное несовпадение ИК-спектров и спектров комб. рас. I—XII в области 300—700  $cm^{-1}$ . В дальнейшем, вероятно, можно будет изучать стереоизомерию кольца по этому участку спектра.

Ю. Егоров

**56451. Приготовление и спектральные характеристики некоторых 2-замещенных *цис*- и *транс*-стильбенов.** Де-Тар, Карпино (The preparation of and the spectral characteristics of some 2-substituted *cis*- and *trans*-stilbenes. DeTar DeLos F., Carpino Louis A.), J. Amer. Chem. Soc., 1956, 78, № 2, 475—479 (англ.)

Приготовлены следующие *цис*- и *транс*-2-замещенные стильбены (указан заместитель в положении 2) и рассмотрены их ИК- и УФ-спектры:  $X = H, Cl, CN, NO_2, Br, COOH, NH_2, NH \cdot HCl, N_2BF_4$  и *цис*- $\alpha$ -фенил-2-нитрокориичная к-та. В ИК-спектрах всех *транс*-стильбенов наблюдается интенсивная полоса при 10,38  $\mu$ , *цис*-изомеры обладают полосами при 10,88 и 12,80  $\mu$ . Для *транс*-изомеров характерно также более сильное поглощение в области 7—9  $\mu$ , для *цис*-изомеров — в области 10,6—13,6  $\mu$ . В УФ-спектрах  $\lambda$  (макс.) для *транс*-стильбенов в сравнении с *цис*-стильбенами сдвинуты на 15—40  $m\mu$  в сторону длинных волн, величины экстинкции в 1,5—3 раза больше. *Цис*-2-бромстильбен (I) получался декарбоксилированием  $\alpha$ -фенил-2-бромкориичной к-ты (II) в присутствии хинолина и меднохромового окисного катализатора. II приготавливалась конденсацией 2-бромбензальдегида с фенилуксусной к-той. *Цис*-стильбенкарбоновая-2 к-та получалась с 60%-ным выходом из I по методу Гриньяра. Приведены синтезы и спектры всех рассмотренных соединений.

Е. Переслени

**56452. Инфракрасные спектры многоядерных ароматических соединений. I. 1,2-бензантрацен, монометил-1,2-бензантрацены и некоторые диметил-1,2-бензантрацены.** Фьюзон, Жозьен (Infrared spectra of polynuclear aromatic compounds. I. 1,2-benzanthracene, the monomethyl-1,2 benzanthracenes and some dimethyl-1,2-benzanthracenes. Fuson Nelson, Josien Marie-Louise), J. Amer. Chem. Soc., 1956, 78, № 13, 4039—3060 (англ.)

Исследованы ИК-спектры следующих полициклич. соединений: 1,2-бензантрацена (I), 2'-(II), 3'-(III), 6-(IV), 7-(V), 1'-(VI), 4'-(VII), 5-(VIII), 8-(IX), 3(X), 4-(XI), 9-(XII), 10-(XIII) метил-1,2-бензантраценов и 3',6-(XIV), 3,7-(XV), 3,10-(XVI), 9,10-(XVII)-диметил-1,2-бензантраценов. Спектры получены в области 665—3300  $cm^{-1}$  в р-рах  $CS_2$  и  $CCl_4$ . Сопоставление полученных данных показало, что в области 665—900  $cm^{-1}$  расположены 4 характерных полосы: полоса средней ин-

тенсивности  $682\text{ см}^{-1}$ , отсутствующая лишь в X, XI и XVI п, повидному, относящаяся к колебанию много-ядерного скелета в целом, подоса  $742\text{ см}^{-1}$ , характеризующая, как и в ароматич. производных орто-замещение, полосы  $790\text{—}830$  и  $870\text{—}900\text{ см}^{-1}$ , отсутствующие в XVII и относящиеся к неплоским колебаниям водородов колец при  $1,2,3,4$ - или  $1,2,4,5$ -замещении. Оказалось, что область  $1650\text{—}2000\text{ см}^{-1}$  неприменима для идентификации типа замещения, так как ИК-спектры разных изомеров совпадают. Вместе с этим I—XIII и XVI—XVII имеют в спектрах полосы  $1814$ ,  $1918$  и  $1945\text{ см}^{-1}$ . Эти частоты следует рассматривать как частоты вал. кол. C—H (ароматич.) в области  $3050\text{ см}^{-1}$  и распределением электронной плотности в ароматич. кольцах, а также канцерогенными свойствами I. Ю. Е.

**56453. Инфракрасные спектры поглощения  $\alpha$ -фенилалкиденбензиламинов  $\alpha$ -метильного ряда. Опыт интерпретации полученных данных.** Идальго (Espectros de absorcion infrarroja de  $\alpha$ -fenilalquidenbenzilas de la serie  $\alpha$ -metilica. Ensayo de interpretacion de los espectros registrados. Hidalgo Antonio), An. Real. soc. esp. fis. y quim., 1957, B53, № 7—8, 491—498 (исп.; реф. англ.)

Исследованы ИК-спектры поглощения  $\alpha$ -фенилалкиденбензиламинов общей ф-лы  $\text{C}_6\text{H}_5\text{C(R)-NCH}_2\text{C}_6\text{H}_5$ ; R—CH<sub>3</sub>, C<sub>2</sub>H<sub>5</sub>, CH(CH<sub>3</sub>)<sub>2</sub> и C(CH<sub>3</sub>)<sub>3</sub>. Наблюдаемые полосы поглощения отнесены к различным возможным колебаниям путем функционального анализа, сравнением с данными для производных дифенила и бензилиден- $\alpha$ -алкилбензиламина (РЖХим, 1956, 77301; 1957, 4238).

А. Сергеев

**56454. Определение квадрупольного момента ядра N<sup>14</sup>.** Бассомпьер (Détermination du moment quadrupolaire nucléaire de N<sup>14</sup>. Bassompierre André), Arch. sci., 1956, 9, fasc. spécial, 162—164 (франц.) См. РЖФиз, 1957, 8713.

**56455. Теория изотропных сверхтонких взаимодействий в радикалах, содержащих  $\pi$ -электроны.** Мак-Коннелл, Чеснат (Theory of isotropic hyperfine interactions in  $\pi$ -electron radicals. McConnell Harden M., Chesnut Donald B.), J. Chem. Phys., 1958, 28, № 1, 107—117 (англ.)

Развивается теория сверхтонкой структуры спектров электронного парамагнитного резонанса (ЭПР) в радикалах, содержащих  $\pi$ -электроны, основанная на применении метода контактного гамма-тоннаана Ферми. Из основных ф-л теории следует, что в случае систем с неспаренными  $\pi$ -электронами (в отличие от систем с неспаренными  $\sigma$ -электронами) сверхтонкое взаимодействие электронного спина со спином протона носит косвенный характер. В результате, в  $\pi$ -электронных радикалах протонное смещение спектра ЭПР может иметь оба знака. Теория применяется к мол. фрагменту CH, содержащему 1 неспаренный  $\pi$ -электрон и 2 спаренных  $\sigma$ -электрона связи C—H. Электронные волновые функции рассматриваемой системы строятся тремя методами: а) по методу валентных связей; б) по методу МО и в) по обобщенному методу Хартри-Фока (РЖХим, 1956, 97, 21651). Методы а) и б) приводят к почти совпадающим результатам для плотности неспаренного электронного спина у протона, находящегося в качеств. согласии также с результатами метода в). Неспаренный электронный спин вблизи протона направлен преимущественно антипараллельно к усредненному направлению неспаренного спина  $\pi$ -электрона. Это приводит к отрицательному значению константы протонной сверхтонкой связи в спектрах ЭПР, по порядку величины, согласующемуся с опытом. Дается также обобщение теории на случай многоатомных  $\pi$ -электронных радикалов. Вводится оператор плотности неспаренного спина  $\pi$ -электрона  $\rho_N$  у N-го

атома углерода (C<sub>N</sub>). Оказывается, что в обычной теории МО (без учета взаимодействия конфигураций) математич. ожидание этого оператора у всех атомов C<sub>N</sub> неотрицательно. Однако при учете взаимодействия конфигураций, может иметь место:  $\rho_N < 0$  (в частности, это имеет место для атомов второй, «непритонованной» подгруппы в нечетных альтернативных углеводородах). Показывается, что ранее предложенная линейная связь между сверхтонким расщеплением спектра ЭПР, обусловленным данным протоном, и плотностью неспаренного  $\pi$ -электронного спина у ближайшего атома C может быть получена при довольно общих предположениях. В качестве примера приводится сильно упрощенный расчет сверхтонкого расщепления спектра ЭПР для аллильного радикала, считая взаимодействие  $\pi$ -электронных конфигураций малым. В заключение показывается, что влиянием «псевдоконтактного» комбинационного взаимодействия спинного и орбитального магнитных моментов электронов с ядерным спином на спектры ЭПР  $\pi$ -электронных радикалов можно пренебречь.

Т. Ребане

**56456. Парамагнитный резонанс кремнийуглерода.** Сугиура, Хатояма (Paramagnetic resonance of silicocarbon. Sugiura Yoskikazu, Hatoyama George Mitio), J. Phys. Soc. Japan, 1957, 12, № 7, 837 (англ.)

Кремнийуглеродом назван полупроводник, полученный в результате нагревания в вакууме выше  $t_{\text{ры}}$  900° кремнистой смолы. При нагревании из смолы удаляется водород, оставляя разорванные связи, т. е. неспаренные электроны; при повышении  $t_{\text{ры}}$  волновые функции таких связей будут в большей степени перекрываться. Конц-ии разорванных связей в образцах, подвергавшихся нагреванию до различных  $t_{\text{ры}}$  определялись путем измерений площади линии парамагнитного резонанса. Поглощение наблюдалось при длине волны  $1,25\text{ см}$ . Конц-ия парамагнитных центров (разорванных связей) достигает максимума при  $t_{\text{ры}}$  нагревания  $1000^\circ$ ; вблизи этого максимума проводимость материала сильно возрастает. Около максимума конц-ии центров наблюдается внезапное сужение линии, вызванное, по-видимому, обменными взаимодействиями, отсутствовавшими при более низких конц-иях.  $g$ -Фактор линии не зависит от  $t_{\text{ры}}$  и равен  $2,0027 \pm 0,0005$ .

К. Валиев

**56457. Изучение методом парамагнитного резонанса комплексного дициклопентадиенилмарганца.** Фойтлендер, Шимичек (Paramagnetische Resonanzuntersuchungen an einem Mangan-di-cyclopentadienylkomplex. Voitländer J., Schimitschek E.), Z. Elektrochem., 1957, 61, № 8, 941—943 (нем.)

Характер связей атома Mn в  $\text{Mn}(\text{C}_5\text{H}_5)_2$  легко может быть выяснен методом парамагнитного резонанса: при чисто ионной связи спин иона равен  $5/2$ ,  $L=0$ ,  $g$ -фактор изотропен и близок к двум; при ковалентной связи спин равен  $1/2$ ,  $L=1$ ,  $g$ -фактор не равен двум и анизотропен. Измерения проделаны при  $100$  и  $270^\circ\text{K}$ . в монокристаллах обнаружена изотропная линия с  $g=1,99$ ; значение  $g$ -фактора в порошке и в р-рах (в пиридине и в тетрагидрофуране) также близко к двум. Все это указывает на ионный характер связей атома Mn. При  $100^\circ\text{K}$  (ниже точки антиферромагнитного перехода) интенсивность резонансной линии возрастает при нагревании кристалла, а при  $270^\circ\text{K}$  (выше точки перехода) — убывает. Ширина линии изменяется с ориентацией кристалла в магнитном поле; это объясняется тем, что в различных кристаллич. плоскостях число ближайших магнитных соседей иона  $\text{Mn}^{2+}$  различно.

К. Валиев

**56458. Спиновый обмен в бирадикале.** Рейц, Уэ-ман (Spin exchange in a biradical. Reitz D. C.,



Weissman S. I.), J. Chem. Phys., 1957, 27, № 4, 968 (англ.)

Изучен спектр электронного парамагнитного резонанса бирадикала 4,4'-оксидитрифенилметила, содержащего изотоп  $C^{13}$  в метиловом положении в следующих отношениях:  $C^{13}-C^{13}$ , 36%,  $C^{13}-C^{12}$ , 48%,  $C^{12}-C^{12}$ , 16%. Судя по наблюдаемому спектру, обмен неспаренными электронами (спинами) между половинами бирадикала происходит с частотой, меньшей частоты сверхтонного взаимодействия ( $10^8$  гц). В этом случае (медленный обмен) каждая половина бирадикала дает свой спектр:  $C^{13}-C^{12}$  — три линии с отношением интенсивностей 1:2:1, причем центральная линия принадлежит атому  $C^{12}$ , а крайние линии — атому  $C^{13}$ ;  $C^{13}-C^{13}$  — две линии,  $C^{12}-C^{12}$  — одну линию. В результате спектр должен состоять из трех линий с отношением интенсивностей 3:4:3, что и наблюдалось в опыте. К. Валиев

56459. Ядерная магнитная релаксация в политетрафторэтилене и полиэтилене. Вильсон III, Пейк (Nuclear magnetic relaxation in polytetrafluoroethylene and polyethylene. Wilson III, C. W., Pake G. E.), J. Chem. Phys., 1957, 27, № 4, 115—122 (англ.)

В развитии ранее опубликованной работы (РЖХим, 1954, 26879) авторы исследовали при т-рах от 90° К и выше магнитный резонанс ядер  $F^{19}$  с политетрафторэтиленом (тефлон, I)  $(CF_2CF_2)_x$  и ядер  $H^1$  в полиэтилене (II)  $(CH_2CH_2)_x$ . Форма наблюдаемой линии поглощения в I, температурная зависимость ее ширины и эффекта насыщения показывают наличие в I двух фаз с разными временами релаксации  $T_1$  и  $T_2$  для каждой фазы. Чтобы определить содержание ядер в этих фазах, авторы представляют кривую поглощения в виде суммы двух кривых. Таким образом найдено, что фаза, дающая широкую линию, содержит  $72 \pm 5\%$  ядер  $F$ ; эта величина не меняется с т-рой. Из рентгеноструктурного анализа известно, что коммерч. I при комнатной т-ре кристаллизован примерно на 70%, поэтому предполагается, что широкую линию дает кристаллич. фаза (К-фаза), а узкую — аморфная (А-фаза). В пользу этого предположения говорит температурная зависимость времен релаксации  $T_1$  и  $T_2$ , которые определялись для каждой из фаз в отдельности.  $T_1$  для К-фазы слабо зависит от т-ры. Кривая  $T_1$  ( $1/T_1$ ) для А-фазы имеет характерную V-образную форму, как для жидкостей.  $T_1$  имеет порядок  $10^{-2}$ — $10^{-3}$  сек.,  $T_2$   $10^{-5}$ — $10^{-4}$  сек. Применяя к А-фазе теорию Бломбергена и др. (Bloembergen, Phys. Rev., 1948, 73, 679), где характеристич. время движения ядер  $\tau = \tau_0 \exp(E/RT)$ , авторы получили  $E = -6,4$  ккал/моль и  $\tau_0 = 4,3 \cdot 10^{-14}$  сек. При т-ре перехода (293° К)  $T_2$  для обеих фаз резко увеличивается, что соответствует началу вращения молекул. Кол-во ядер в А- и К-фазах определено также из кривых насыщения: при 170 и 198° К авторы получили для К-фазы  $70 \pm 10\%$ . В II ширина кривых  $\sim 16$  гс. Кривые имеют сложную форму, что также объясняется существованием двух фаз. Однако из-за малой интенсивности поглощения числовые результаты для II менее точны, чем для I. Температурная зависимость времен релаксации в II качественно такая же, как в I.  $T_1$  имеет порядок  $1$ — $10^{-2}$  сек.,  $T_2$   $10^{-3}$ — $10^{-6}$  сек. Содержание К-фазы оценено в  $64 \pm 5\%$ . Другие методы дают 60—65%. Сравнение эксперим. вторых моментов кривых поглощения при 90° К с теорией показывает, что решетки I и II при этой т-ре являются жесткими. Л. Шекун

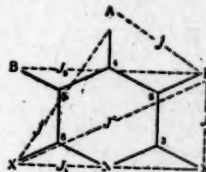
56460. Ядерные резонансные спектры вращательных изомеров, быстро превращающихся друг в друга. Грехэм, Уо (Nuclear resonance spectra of rapidly interconverting rotational isomers. Graham Do-

nald McLean, Waugh J. S.), J. Chem. Phys., 1957, 27, № 4, 968—969 (англ.)

Когда барьеры внутреннего вращения молекулы вокруг одной из связей достаточно высоки, возникают вращательные изомеры, обладающие различными спектрами ядерного резонанса. Рассматривается молекула типа этана, имеющая по 2 магнитных ядра на концах. Константа взаимодействия  $I_{ij}$  ядер  $i$  и  $j$  зависит от угла  $\phi$ , определяющего взаимную ориентацию двух концов молекулы. Тогда константа  $I_{ij}(\phi)$  должна быть усреднена по значениям угла  $\phi$ . Поскольку при наличии барьеров не все ориентации будут равновероятны, спектр будет описываться рядом констант, в данном случае двумя. Разность  $I_1 - I_2$  для наблюдавшегося на  $CH_3Br \cdot CH_3OH$  при частоте в 40 Мгц спектра равна 0,90 гц. При нагревании расщепление  $I_1 - I_2$  уменьшается, что ясно обнаруживает причину расщепления  $I_1 - I_2$  — вращательный изомеризм. К. В. 56461. Анализ спектров ядерного магнитного резонанса. 3. Пиридин и дейтерированные пиридины.

Шнейдер, Бернштейн, Попп (The analysis of nuclear magnetic resonance spectra. 3. Pyridine and deuterated pyridines. Schneider W. G., Bernstein H. J., Pople J. A.), Canad. J. Chem., 1957, 35, № 12, 1487—1495 (англ.)

Изучен спектр ядерного магнитного резонанса пиридина, имеющего группу из пяти взаимодействующих протонов вида  $AB_2X_2$  (см. схему), причем протоны  $AB_2$  имеют близкие значения хим. сдвига и близко расположенные линии, тогда как линии от протонов  $X_2$  отделены большим интервалом от линий протонов  $AB_2$ . Спин ядра N не вызывает расщепления протонных линий благодаря быстрой квадрупольной релак-



сация. В спектре можно выделить 2 группы линий:  $\sim 25$  линий от протонов  $AB_2$  и линии от протонов  $X_2$ . Чтобы облегчить анализ спектра пиридина, основные особенности его спектра предварительно выяснены путем анализа спектра более простых, дейтерированных, пиридинов: 2,6-пиридина- $d_2$ , 3-пиридина- $d_1$ , 4-пиридина- $d_1$ . Спектр самого пиридина интерпретирован при следующих значениях констант (в гц):  $\eta H_0(\sigma_A - \sigma_B) = 15,0$ ;  $\eta H_0(\sigma_X - \sigma) = 45,6$ ;  $j = 7,5$ ,  $j' = 1,9$ ;  $J' = 5,5$ ;  $J' = 0,9$ ;  $J_B = 1,6$ ;  $J_X = 0,4$ . Измерения были проведены на частоте 40 Мгц на чистом жидком пиридине. Проведены также измерения в р-рах пиридина в  $CCl_4$ , причем оказалось, что константы  $J'$  и  $j'$  не зависят от разбавления, а значение  $\eta H_0(\sigma_A - \sigma_B)$ , экстраполированное до бесконечного разбавления, не отличается от соответствующего значения в чистом пиридине. См. также РЖХим, 1957, 65520; Сообщение 2 см. РЖХим, 1958, 45685. К. Валиев

56462. Определение скорости реакций с электронным переносом с помощью ядерного магнитного резонанса. Мак-Коннелл, Берджер (Rates of paramagnetic pulse reactions by nuclear magnetic resonance. McConnell Harden M., Berger Stuart B.), J. Chem. Phys., 1957, 27, № 1, 230—234 (англ.)

Авторы теоретически обосновали применение ядерного магнитного резонанса (МР) для определения констант скоростей ( $k$ ) бимолекулярных р-ций с электронным переносом (р-ций с «парамагнитным импульсом») типа



$P + D \rightleftharpoons D + P$  ( $P$  и  $D$  — пара- и диамагнитная фазы соответственно). Ядра  $X$ , находясь в  $P$ , связаны с электронным магнитным моментом через сверхтонкое взаимодействие (СТВ). В молекулах  $D$  СТВ отсутствует. В результате форма кривой МР ядер  $X$  будет зависеть от средних времен жизни  $\tau_P$  и  $\tau_D$  молекул  $P$  и  $D$ , от времени релаксации  $\tau_r$  электронного момента молекулы  $P$  и от энергии СТВ  $\hbar\delta\omega$ . Рассматривая для простоты случай, когда спин  $P$  равен  $S = 1/2$ , и пренебрегая насыщением, авторы решают уравнения Блоха для ядер  $X$  в трех различных окружениях:  $D$ ,  $P$  с  $S_z = +1/2$  и  $P$  с  $S_z = -1/2$ . Окончательное выражение для средней намагниченности ядер  $X$  в смеси  $D$ ,  $P$  получается после привлечения кинетич. соображений. Расчеты авторов являются непосредственным обобщением вывода Гутовского и др. (РЖХим, 1953, 8092). Если выполняются условия  $\tau_D \gg \tau_P$ ,  $(T_2)_D \gg \tau_D$  и  $(\tau\delta\omega/2)^2 \gg 1$ , где  $1/\tau = 1/\tau_P + 1/\tau_r$ , а  $(T_2)_D$  — время поперечной релаксации ядер  $X$  в чистой  $D$ -фазе, то получается линия поглощения лоренцовой формы, причем  $(1/T_2)_{DP} = 1/\tau_D + (1/T_2)_D$ . Отсюда следует ф-ла  $k = 1/P \times [(1/T_2)_{DP} - (1/T_2)_D]$ , где  $(P)$  — конц-ия  $P$ -фазы. Эту ф-лу использовали раньше Мак — Коннелл и Уивер (РЖХим, 1957, 50469) при изучении р-ции  $\text{Cu}^{2+} + \text{Cu}^+ \rightleftharpoons \text{Cu}^+ + \text{Cu}^{2+}$  ( $X = \text{Cu}^{63}$ ) и Брус и др. (РЖХим, 1956, 53685) при изучении р-ции  $\text{I} + \text{I}^+ \rightleftharpoons \text{I}^+ + \text{I}$ , где  $\text{I} = \text{N}$ ,  $\text{N}^+$  — тетраметил- $\beta$ -фенилдиамин (ядра  $X$  — ароматич. протоны).

Л. Шекуп  
56463. Об интерпретации парамагнетизма, не зависящего от температуры. Ги, Тийё, Бодэ (Sur l'interprétation du paramagnétisme indépendant de la température. Guy Jean, Tillieu Jacques, Baudet Jean), C. r. Acad. sci., 1958, 246, № 4, 574—576 (франц.)

Вариационным методом показано, что парамагнитное слагаемое Ван-Флека в выражении для магнитной восприимчивости молекулы всегда меньше диамагнитной части. Следовательно, не зависящий от  $T$ -ры парамагнетизм не может объясняться действием поля, как предполагалось ранее. В рассуждениях не существенно, является ли электронная волновая функция одноэлектронной или многоэлектронной, однако она должна быть действительной (отсутствие собственного магнитного момента).

Е. Никитин

56464. Молекулярный объем и паракор. Эдуард (Molecular volumes and the parachor. Edward J. T.), Chemistry and Industry, 1956, № 30, 774—777 (англ.)

Обсуждая различные способы вычисления мол. объемов, автор приходит к выводу, что мол. объемы, вычисленные из кристаллографич. данных, имеют те же относительные значения, что и паракоры соединений.

Из резюме автора

56465. Вращательная способность  $D$ -(+)-винной кислоты и тартратов. Харгривс, Ричардсон (The rotatory power of  $D$ -(+)-tartaric acid and the tartrates. Hargreaves M. K., Richardson P. J.), J. Chem. Soc., 1957, May, 2260—2271 (англ.)

Привлекая взятые из литературы и собственные эксперим. данные о вращении винной к-ты ( $I$ ) и ее солей в зависимости от  $T$ -ры,  $p$ -рителя, длины волны, природы катиона, авторы детально рассматривают вопрос о причинах наблюдаемых различий. В основу истолкования кладется представление о двух конформациях молекул  $I$ , возникающих в результате образования внутримолекулярных водородных связей. Сходное объяснение дается и поведению тартратов, где разные конформации возникают в результате влияния катиона.

В. Потапов

56466. Оптическая изомерия и асимметричные агенты. Сообщение II. Разделение рацемических смесей путем диффузии в жидких молекулярно асимметричных средах. Карассити (Isomeria ottica o agenti asimmetrici. Nota II. Scissione di racemi per diffusione in mezzi liquidi molecularmente asimmetrici. Carassiti Vittorio), Ann. chimica, 1957, 47, № 12, 1337—1358 (итал.)

Статистическим анализом кривых распределения показателей преломления (Gralen N., Kolloid-Z., 1941, 95, 188) доказывается, что при диффузии рац-[Co(NH<sub>2</sub>C<sub>2</sub>H<sub>4</sub>NH<sub>2</sub>)<sub>3</sub>]·Cl<sub>3</sub> ( $I$ ) в 0,5843  $M$  водн.  $p$ -ре сахарозы происходит разделение рацемич. смеси за счет различных коэф. диффузии  $D$  обоих оптич. изомеров в оптически активной среде ( $D$  правовращающего  $I$  (0,290—0,305) · 10<sup>-5</sup>, а  $D$  левовращающего  $I$  (0,321—0,341) · 10<sup>-5</sup> см<sup>2</sup>/сек). Сообщение I см. РЖХим, 1957, 60332.

Б. Каплан

56467. Электронографическое исследование поворотной изомерии в  $n$ -пропилахлориде. Моринно, Кучицу (Electron diffraction study on the rotational isomerism in  $n$ -propyl chloride. Morino Yonezo, Kuchitsu Kôzo), J. Chem. Phys., 1958, 28, № 2, 175—184 (англ.)

Электронографически сектор-микрофотометрич. методом изучено строение и поворотная изомерия в  $\text{CH}_3\text{—CH}_2\text{—CH}_2\text{Cl}$  ( $I$ ). Найдено, что для  $I$  в газовой фазе существуют 2 поворотных изомера: *транс*- и *гош*- со следующими значениями межкатомных расстояний и углов:  $\text{C—Cl}$  1,775 ± 0,02 Å,  $\text{C—C}$  1,53 ± 0,02 Å,  $\text{C—H}$  1,09 Å, угол  $\text{C—C—Cl}$  111° ± 2°. Из дополнительного анализа распределения интенсивности при малых углах рассеяния найдено, что  $\text{C—C—C}$  109,5° ± 2,5° и азимутальный угол *гош*-формы равен 59° ± 5°. Доли *транс*-формы в смеси составляет 19 ± 5%. Расчет сумм по состояниям показал, что *гош*-форма на несколько сот кал/моль стабильнее *транс*-формы. Это находится в хорошем соответствии со спектроскопич. данными.

В. Спиридонов

56468. 2-метил-1-пропанэтиол. Химические термодинамические свойства и поворотная изомерия. Скотт, Мак-Каллох, Мессерли, Пеннингтон, Хоссенлопп, Финк, Уоддингтон (2-methyl-1-propanethiol: chemical thermodynamic properties and rotational isomerism. Scott D. W., McCullough J. P., Messerly J. F., Pennington R. E., Hossenlopp I. A., Finke H. L., Waddington Guy), J. Amer. Chem. Soc., 1958, 80, № 1, 55—59 (англ.)

Вычислены хим. термодинамич. свойства 2-метил-1-пропанэтиола ( $I$ ) в газообразном состоянии при  $T$ -рах 0—100° К. Вычисления производились обычными методами статистич. механики с использованием эксперим. значений энтропии, теплоемкости и теплоты образования. Расчет колебательного вклада в термодинамич. функции основан на отнесении колебательных частот  $I$  к поворотному изомеру с симметрией  $C_1$ . Для внутреннего вращения метильной и меркаптановой групп приняты косинусоидальные барьеры 3-кратной симметрии высоты соответственно 3620 и 1500 ккал/моль. Из энтропии и теплоемкости при низких  $T$ -рах определена высота барьера для скелетного вращения 5750 ккал/моль. Этот барьер также имеет косинусоидальную форму и 3-кратную симметрию, что согласуется со спектроскопич. данными, согласно которым разность энергий между поворотными изомерами  $I$  мала. Из теплоемкости при высоких  $T$ -рах определены параметры эмпирич. функции ангармоничности. Вычислены также стандартная теплота, стандартная свободная энергия и логарифмы константы равновесия образования  $I$ . Экспериментально определены значения теплоемкости в твердом (от

из К до тройной точки), жидком (от тройной точки до 350° К) и газообразном (от 350 до 500° К) состояниях, т-ра тройной точки, теплота плавления, термодинамич. функции в твердом и жидком состояниях (0—350° К), теплота испарения (321—362° К), второй виральный коэф., давление паров и стандартная теплота образования.

О. Птицын  
56469. Использование функции Гаусса в качестве межмолекулярного потенциала. Зингер (Use of Gaussian functions for intermolecular potentials. Singer K.), Nature, 1958, 181, № 4604, 262—263 (англ.) Суперпозиция двух гауссовых функций  $\phi(r) = -C_1 \exp(-c_1 r^2) + C_2 \exp(-c_2 r^2)$  (1) с четырьмя параметрами  $C_1, c_1, C_2, c_2 > 0$  может быть использована для аппроксимации межмолекулярного потенциала. Вблизи минимума  $\phi$  достаточно точно совпадает с потенциалом Леннарда-Джонса. Использование функции вида (1) особенно удобно потому, что в общем виде может быть вычислена потенциальная энергия ансамбля частиц, подчиненных случайному распределению. Обсуждается применение функции  $\phi$  к вычислению плотности кристаллич. решетки, деформированной бегущими плоскими волнами с гауссовым распределением амплитуд, и к вычислению энергии системы коррелированных атомов.

Е. Никитин  
56470. Природа водородной связи. Обзор опубликованных работ и обсуждение. Каннон (The nature of hydrogen bonding. A review of published work and discussion. Cannon C. G.), Spectrochim. Acta, 1958, 10, № 4, 341—368 (англ.)

56471. Длина связи О—Н как функция расстояния О...О в водородных связях. Фейльхенфельд (The O—H bond length as a function of the O...O distance in hydrogen bonds. Feilchenfeld H. a. s.), J. Phys. Chem., 1958, 62, № 1, 117—118 (англ.) Проверена пригодность ранее предложенного автором (РЖХим, 1958, 16760) ур-ния  $E = k/L^3$ , где  $E$  — энергии связи, а  $L$  — длина связи, для связей О—Н. Приняв для дополнительной энергии системы О—Н...О за счет образования водородной связи значение 6 ккал/моль, автор после некоторых преобразований получил ур-ние  $1/L_{ОН}^3 + 1/(L_{О...О} - L_{ОН})^3 =$

$= 1,20 \text{ Å}^{-3}$ , которое сопоставил с эксперим. данными. Найденно, что выведенное ур-ние согласуется с экспериментом в той же степени, что ранее предложенные ур-ния Уэлша (РЖХим, 1957, 73735) и Липпинкота и Шредера (РЖХим, 1956, 182), выгодно отличаясь от последних простотой, отсутствием параметров, значения которых определяются из измерений водородных связей и отсутствием точек разрыва. В. Александрия

56472. Внутримолекулярная водородная связь в о-нитроанилинах. Дайалл, Хамбли (Intramolecular hydrogen bonding in o-nitroanilines. Dyall E. K., Hamblly A. N.), Chemistry and Industry, 1958, № 9, 262—263 (англ.)

Исследованы ИК-спектры 4-нитро-, 3-нитро-, 2-нитроанилинов, а также ряда производных 2-нитроанилина, в том числе 2,6-динитроанилина и 2,3-динитроанилина в 0,01—0,04 М р-рах в  $\text{C}_2\text{Cl}_4$ . Только в случае 2,6-динитроанилина частота вал. кол. связи N—H существенно отклоняется от значения для анилина. Авторы заключают, что только в этом случае имеет место образование внутримолекулярных водородных связей.

Д. Б.

См. также: Структура молекул: органич. 56897; по рентген. данным 56496, 56499—56501, 56505, 56506, 56198. Теория твердого состояния 56533. Энергия связей 56753, 56755. Спектры 56388, 56525, 56527, 56528, 56532, 56547, 56614, 56737, 57033, 57295; 21533 Бх. Дипольные моменты и диэлектрич. с-ва 56515, 56594. Магнитные св-ва 56559—56565, 56570. Внутр. вращения

56497. Реакцион. способность 56764, 57300—57302, 57304, 58224. Межмол. взаимодействие и водородная связь 56473, 56591, 56995. Приборы для исслед. строения молекул 57267. Др. вопро.: молек. структ. стекла 56612, условия молек. видимости в атмосферах комет 57017

## КРИСТАЛЛЫ

Редакторы Э. А. Гилинская, А. Б. Нейдинг, А. Б. Шехтер

56473. Расположение молекул воды в кристаллической решетке милонова основания. Вебер (Die Anordnung der Wassermolekole im Kristallgitter der Millonschen Base. Weber Richard), Naturwissenschaften, 1957, 44, № 7, 231—232 (нем.)

На основании опубликованных ранее работ (РЖХим, 1955, 25988; 1956, 60878) показано, что в кристаллич. решетке милонова основания  $(\text{Hg}_2\text{N})\text{OH} \cdot 2\text{H}_2\text{O}$  наряду с  $(\text{Hg}_2\text{N})^+$ -решеткой существует подобная тридмититу решетка  $[\text{OH}^- \dots \text{H}_3\text{O}^+ \dots \text{OH}^-]_\infty$ , связи в которой осуществляются посредством водородных мостиков.

Л. Милькова

56474. Структура льда I, определенная рентгено- и нейтронографическими методами. Оустон (The structure of ice-I, as determined by X-ray and neutron diffraction analysis. Owston P. G.), Advances Phys., 1958, 7, № 26, 171—188 (англ.)

Обзор. Библ. 43 назв.

56475. Прямой векторный метод получения симметрически-независимого решения в кристаллографических проблемах в применении к операциям отражения и простого поворота в кристаллах. Дейвисон (A direct vector method for obtaining symmetry-independent solutions to crystallographic problems applied to reflections and single rotations in crystals. Davisson J. W.), Acta crystallogr., 1957, 10, № 9, 570—573 (англ.)

Указано, что вследствие неортогональности координатных осей решение целого ряда задач геометрич. кристаллографии традиционным векторным методом включает в себя сложные алгебраич. преобразования. Матричный метод, хотя иногда и упрощает решение, связан с последующим переходом к исходной системе координат; оба метода подвержены вычислительным ошибкам. Предложен прямой векторный метод получения симметрично-независимого кристаллографич. решения векторных ур-ний с помощью введения координатной системы из 6 осей прямой и обратной решетки. Рассматривается случай отражения в произвольной плоскости и поворот вокруг произвольной оси. Отмечается, что метод упрощает расчеты и сводит к минимуму возможные ошибки. Полученные соотношения применимы к целому ряду проблем: двойникованию, ориентации кристаллов и др.

Т. Тархова

56476. Алгебра структурных факторов. II. Берто, Уэйзер (Structure factor algebra. II. Bertaut E. F., Waser J.), Acta crystallogr., 1957, 10, № 9, 606—607 (англ.)

Уточнены ранее опубликованные (сообщение I, РЖХим, 1957, 56840) правила для нахождения соотношений симметрии между структурными факторами и для линеаризации структурных факторов. Так, как в общем случае  $A^{-1} \neq A$  ( $A$  — симметрич. преобразование, не содержащее трансляционного компонента), то вышеуказанные правила точны, если  $A$  — операция второго порядка ( $m, i, 2$ ).

Т. Тархова

56477. Об анализе кристалла с помощью гармонических рядов. Паники (Osservazioni di cristallografia armonica. Panichi Ugo. Atti. Accad. naz. Lin-



cei. Mem. Cl. sci. fis., mat. e natur., 1957, Sez. 2, 5, № 3, pp. 97—113) (итал.)

56478. Введение весовых множителей в рядах Фурье для улучшения эффективности сходимости в структурном анализе. Пространственная группа  $P1$ . Ванд, Пепинский (Weighting of Fourier series for improvement of efficiency of convergence in crystal analysis: space group  $P1$ . Vand V., Pepinsky R.), Acta crystallogr., 1957, 10, № 9, 563—567 (англ.)

Получена новая  $\Phi$ -ла для весовой функции  $W$ , зависящая не только от  $H$ , но и от степени уточнения структуры  $\sigma$  и  $|F|$ ; последнее не учитывалось ранее (РЖХим, 1954, 10183, 24921; 1957, 47132). Зависимость от этих переменных проиллюстрирована графически. Полученная  $\Phi$ -ла допускает упрощения и при определенной степени уточнения структуры сводится к  $W = 1$  и  $W = 0$ . В общем случае необходима оценка  $\sigma$ . Обсуждено определение степени ошибки в координатах атомов структуры и результаты сравнены с существующими методами. (Cruickshank D. W. J., Acta Crystallogr., 1949, 2, 65; Luzzati V., Acta Crystallogr., 1952, 5, 802). Предложена модификация метода Лудзати для случаев больших ошибок в координатах.

56479. Новый вид трансформации Фурье для анализа неупорядоченных структур. Дюа (Nouvelle transformation de Fourier pour les analyses de structures désordonnées. Doi K.), Bull. Soc. franç. minéral. et cristallogr., 1957, 80, № 79, 325—343 (франц.)

56480. Оптический дифрактометр для упрощения рентгенографических исследований высокомолекулярных соединений. Уайкофф, Бэр, Морган, Карлстром (Optical diffractometer for facilitation of X-ray diffraction studies of macromolecular structures. Wyckoff Harold W., Bear Richard S., Morgan Richard S., Carlstrom Diego), J. Opt. Soc. America, 1957, 47, № 12, 1061—1069 (англ.)

Описан прибор, моделирующий дифракцию рентгеновских лучей атомами дифракцией световых волн на специально приготовленной «маске» (прототипом такого прибора являлся предложенный Бреггом «мушинный глаз»). Двумерная картина расположения атомов в структуре, подлежащей проверке, изображается системой кружков, диаметр которых пропорционален рассеивающей способности атомов для рентгеновских лучей. Эта картина уменьшается фотографически и размножается на плоскости в соответствии с параметрами кристаллич. решетки. На полученной фотографич. путем маски масштаб изображения  $1\text{Å} = 0,14\text{ мм}$ . Маска помещается между оптич. стеклами в иммерсионной жидкости и с помощью простой оптич. системы освещается пучком параллельных лучей. Дифракционная картина регистрируется фотографически. Применение прибора для получения картины дифракции от высокомолекулярных структур ( $\alpha$ -спирали, характерной для волокнистых белков, спиральной структуры дезоксирибонуклеиновой к-ты, коллагена) дало результаты, хорошо согласующиеся с расчетом. Прибор может быть применен для определения фаз рассеяния на одномерных структурах, а также для фурье-преобразования рентгенографич. данных в картину функции межатомных векторов или (с некоторыми ограничениями) в картину структуры. Б. Вайнштейн

56481. Установка для рентгеновского изучения порошков при повышенных температурах и высоких давлениях газов. Гун, Мейсон, Гибб (X-ray powder diffraction assembly for studies at elevated temperatures and high gas pressures. Goon Edward J., Mason John T., Gibb Thomas R. P., Jr.), Rev. Scient. Instrum., 1957, 28, № 5, 342—344 (англ.)

Разработана конструкция установки для рентгенографич. изучения порошков при повышенных т-рах и высоких давлениях газов, которая использована с целью типа Страуманиса с видоизмененным механизмом качания. Установка состоит из печи сопротивления с охлаждающим экраном и держателя образца. Образец в печи может нагреваться до  $500^\circ$ , при этом т-ра контролируется с точностью  $\pm 1^\circ$ . Держатель образца из Be и монель-металла способен выдерживать давление газа  $> 40\text{ кг/см}^2$  при  $500^\circ$ . Аппаратура использовалась для структурного изучения системы U—гидрид U— $\text{H}_2$ . Определена температурная зависимость параметра решетки  $\text{UH}_3$  в области  $25\text{—}500^\circ$ . Параметр решетки определен с точностью  $\pm 0,001\text{ Å}$ .

56482. Параметры решетки и кристаллографические углы гексагонального кобальта. Анантараман (Lattice parameters and crystallographic angles of hexagonal cobalt. Anantharaman T. R.), Current Sci., 1958, 27, № 2, 51—53 (англ.)

Исследована гексагон. модификация Co, почти свободная от примеси куб. модификации и от обычных дефектов упаковки. Образцы получены расплавлением и медленным охлаждением крупнозернистого Co в вакууме, а затем отжигом в вакууме в течение нескольких недель при  $375^\circ$ . Параметры решетки (20, дебаевская камера диам. 19 см):  $a$  2,5071,  $c$  4,0686 Å,  $c/a$  1,6228. Приведена таблица рассчитанных значений углов между различными кристаллографич. плоскостями.

56483. Определение элементарной ячейки фазы выделения по одному снимку вращения монокристалла исходной фазы с частицами новой. Багарский Ю. А., Кристаллография, 1958, 3, № 1, 10—11

Описывается методика определения координат узлов обратной решетки фазы выделения ( $\omega$ -фазы в сплаве Ti—Cr), имеющей много ориентировок относительно исходного монокристалла, в пространстве обратной решетки куб. кристалла исходной фазы ( $\beta$ -Ti—Cr) с помощью лишь одной рентгенограммы вращения.

56484. Фазовый анализ сложнелегированных титановых сплавов. Блок Н. И., Глазова А. И., Кохова Р. М., Лашко Н. Ф., Заводск. лаборатории, 1958, 24, № 2, 141—145

Проведен рентгенографич. и хим. анализ Ti-сплавов BT-2, BT3 и BT3-1. Выплавка сплавов производилась в дуговых печах при 2—3-кратном переплаве. Сплавы не содержали С. Для разделения фаз в этих сплавах применялся метод анодного растворения. Хим. методами определялись Ti, Al, Cr и Mo. На рентгенограммах анодных осадков из сплава BT-2 в процессе последовательного старения наблюдается уширение линий. Это показывает, что осадки состоят из метастабильной фазы на основе  $\alpha_1$ -Ti. В осадках сплавов BT3 и BT3-1 до и после старения была обнаружена только  $\beta$ -фаза. Параметр решетки этой фазы при насыщении сплава  $\text{H}_2$  равен 3,25 кХ, без насыщения 3,20 кХ. В отсутствие  $\beta$ -фазы образуются в виде самостоятельной фазы гидриды Ti. Анализ сплавов, обработанных при высоких т-рах в токе  $\text{N}_2$ , показал, что они состоят из одной или двух фаз. Одна фаза — известный нитрид Ti с параметром решетки  $4,23\text{—}4,21\text{ кХ}$ . Другая фаза также, по-видимому, является нитридом Ti<sub>17</sub>N. Рентгенограммы показали, что Ti<sub>17</sub>N имеет тетрагон. решетку с параметрами:  $a$  4,92,  $c$  5,16 кХ,  $c/a = 1,05$ . Межплоскостные расстояния Ti<sub>17</sub>N соответствуют данным для  $\epsilon$ -фазы системы Ti—N. Е. Шугам

56485. Новые данные о структуре BiIn<sub>2</sub> и возможная структура TiBi<sub>1,27</sub>-1,59; NaHg<sub>2</sub>, UHg<sub>2</sub>, UZr<sub>2</sub>, TiU<sub>2</sub>. Макаров Е. С., Кристаллография, 1958, 3, № 1, 5—9

Рентгеновское исследование монокристалла  $\text{BiIn}_2$  показало, что это соединение имеет структуру типа  $\text{BiIn}$  с отношением осей  $c/a = 1,197$ . Предполагается, что аналогичную структуру имеют  $\text{TBi}_{1,27} \rightarrow 1,59$ ,  $\text{NaHg}_2$ ,  $\text{UZr}_2$  и  $\text{TiU}_2$ .

Резюме автора

56486. Рентгенографическое исследование боридов  $\text{YbB}$ ,  $\text{UB}_4$ ,  $\text{HoB}_4$  и  $\text{GdV}_4$ . Степанова А. А., Журавлев Н. Н., Кристаллография, 1958, 3, № 1, 84—95.

Рентгенографически (метод порошка, камера «Уникум» diam. 190 мм,  $\lambda\text{Cu}$ ) определен параметр куб. решетки  $\text{YbB}$  при  $t$ -рах 20, 500, 600, 700 и  $810^\circ$ . Рассчитан средний коэф. термич. расширения ( $5,85 \cdot 10^{-6}$  град $^{-1}$ ), оказавшийся значительно меньше, чем у боридов La. Для изоморфных  $\text{UB}_4$ ,  $\text{HoB}_4$  и  $\text{GdV}_4$  найдены (метод порошка, камера РКУ-114,  $\lambda\text{Cu}$  и Fe) при комнатной  $t$ -ре следующие параметры тетрагон. решетки:  $\text{UB}_4$  6,983,  $c$  3,930;  $\text{HoB}_4$  7,050, 3,992;  $\text{GdV}_4$  7,079, 4,030. Кроме основных фаз типа  $\text{MB}_4$ , образцы содержали некоторое кол-во примеси, дававшей на порошковых диаграммах несколько слабых дополнительных линий.

Э. Гилинская

56487. Кристаллографические данные для монофосфида олова. Кац, Кон, Бродер (Crystallographic data for tin monophosphide. Katz G., Kohn J. A., Broder J. D.), Acta crystallogr., 1957, 10, № 9, 607 (англ.).

Монофосфид Sn получен при попытке синтеза  $\text{SnP}_3$ . Смесь Sn и P в соотношении 1:3 нагревалась в вакууме при  $700^\circ$ , затем медленно охлаждалась до  $380^\circ$ , после чего охлаждалась до комнатной  $t$ -ры. Продукт в виде монокристалла напоминает графит по мягкости и спайности  $\parallel (001)$ , нерастворим в конц.  $\text{HNO}_3$  при  $300^\circ$ . Данные хим. анализа соответствуют ф-ле  $\text{SnP}$ . По рентгенограммам вращения и прецессии ( $\lambda = \text{Mo}$ ) определены параметры гексагон. решетки:  $a$  8,78,  $c$  5,98,  $\rho$  5,01,  $Z = 8$ , возможные ф. гр.  $P$  321,  $P3m1$  и  $P3m1$ . Приведены значения  $d$  и  $I$  линий порошковых диаграмм.

Э. Гилинская

56488. Кристаллическая структура  $\text{Mo}_5\text{SiB}_2$ . Аронсон (The crystal structure of  $\text{Mo}_5\text{SiB}_2$ . Aronson B.), Acta chem. scand., 1958, 12, № 1, 31—37 (англ.).

Рентгенографическим (метод порошка) исследованием сплавов  $\text{Mo-MoB-Mo}_5\text{Si}_3$  подтверждены данные по фазовой диаграмме системы  $\text{Mo-Si-B}$  (РЖХим, 1957, 68243). По рентгенограммам от монокристаллов  $\text{Mo}_5\text{SiB}_2$  (метод Вейсберга) определена их кристаллич. структура. Структура аналогична структуре  $\text{Cu}_5\text{B}_2$  (РЖХим, 1953, 4302) с упорядоченным распределением атомов Si и B (определено по проекции  $p(xz)$  и сечению  $xy0$  разностного ряда). Структура  $\text{Mo}_5\text{SiB}_2$  сравнена с аналогичными фазами  $\text{M}_5\text{Si}_3\text{X}$ , где X—B, C, N, O, со структурой типа  $D$  8 $_8$ .

Э. Гилинская

56489. Кристаллическая структура  $\text{NH}_4\text{Cu}_7\text{S}_4$ . Гаттов (Die Kristallstruktur von  $\text{NH}_4\text{Cu}_7\text{S}_4$ . Gattow G.), Acta crystallogr., 1957, 10, № 9, 549—553 (нем.). См. РЖХим, 1958, 3631.

56490. Кристаллы тетрагидрата калиевого тетрабората  $\text{K}_2\text{B}_4\text{O}_7 \cdot 4\text{H}_2\text{O}$ . Саука Я. Я., Кристаллография, 1958, 3, № 1, 93.

Кристаллы  $\text{K}_2\text{B}_4\text{O}_7 \cdot 4\text{H}_2\text{O}$ , полученные нейтр-цией с помощью  $\text{K}_2\text{CO}_3$  горячего  $p$ -ра  $\text{H}_3\text{BO}_3$ , на основании гониометрич. исследования отнесены к ромбическ. пинальному виду ромбич. сингонии. Простые формы:  $\{001\}$ ,  $\{101\}$ ,  $\{011\}$  и  $\{110\}$ . Параметры решетки (определены по рентгенограммам вращения,  $\lambda\text{Cu}$ ):  $a$  6,83,  $b$  11,77,  $c$  12,80 Å,  $Z = 4$ .

Э. Гилинская

56491. Кристаллическая структура  $\text{CuMn}_2\text{O}_4$ . Синха, Санджана, Бисвас (The crystal structure of copper manganite. Sinha A. P. B., Sanjana

N. R., Biswas A. B.), J. Phys. Chem., 1958, 62, № 2, 191—194 (англ.).

Соединение  $\text{CuMn}_2\text{O}_4$  получено из  $\text{CuO}$  и  $\text{Mn}_2\text{O}_3$  в результате  $p$ -ции в твердом состоянии. Рентгенографич. исследование проведено методом порошка. Параметры куб. решетки:  $a$  8,33 Å,  $\rho$  5,45,  $Z = 8$ , ф. гр.  $Fd3m$ , структура типа шпинели. Методом проб найдено, что атомы металлов занимают положения, соответствующие нормальным шпинелям. На основе кристаллографич. данных, природы связей катионов и квантовомеханич. рассмотрения найдено, что структура может быть описана следующей ф-лой:  $\text{Cu}^+[\text{тетр.}](\text{Mn}^{3+} + \text{Mn}^{4+})[\text{окт.}]\text{O}_4^{2-}$ . Процесс переноса электронов в  $p$ -ции  $\text{CuO} + \text{Mn}_2\text{O}_3$  представлен следующим образом:  $\text{Mn}^{3+}[\text{Cu}^{2+} + \text{Mn}^{3+}]\text{O}_4^{2-} \rightarrow \text{Mn}^{4+}[\text{Cu} + \text{Mn}^{3+}]\text{O}_4^{2-} \rightarrow \text{Cu} + [\text{Mn}^{3+} + \text{Mn}^{4+}]\text{O}_4^{2-}$ .

Э. Гилинская

56492. Кристаллографические данные для некоторых тиофосфатов натрия. Элиас (Crystallographic data on some sodium phosphorothioates. Elias D. P.), Acta crystallogr., 1957, 10, № 9, 600 (англ.).

Методами вращения и Вейсберга определены параметры решеток:  $\text{Na}_3\text{PSO}_3 \cdot 12\text{H}_2\text{O}$  ромбоэдрич.,  $a$  12,58 Å,  $\alpha$  42,3,  $\rho$  (эксп.) 1,58,  $\rho$  (рент.) 1,61,  $Z = 2$ , ф. гр.  $R3m$  или  $R$  32 или  $R3m$ ;  $\text{Na}_3\text{PS}_2\text{O}_2 \cdot 11\text{H}_2\text{O}$  ромбич.,  $a$  12,51,  $b$  13,94,  $c$  9,48,  $\rho$  (эксп.) 1,58,  $\rho$  (рент.) 1,58,  $Z = 4$  ф. гр.  $Pnma$  или  $Pn2_1a$ ;  $\text{Na}_3\text{PS}_3\text{O} \cdot 11\text{H}_2\text{O}$  ромбич.,  $a$  12,60,  $b$  14,02,  $c$  9,33,  $\rho$  (эксп.) 1,60,  $\rho$  (рент.) 1,65,  $Z = 4$ , ф. гр.  $Pnma$  или  $Pn2_1a$ ;  $\text{Na}_3\text{PS}_4 \cdot 8\text{H}_2\text{O}$  I монокл.,  $a$  14,7,  $b$  7,09,  $c$  14,15,  $\beta$  92°,  $\rho$  (эксп.) 1,67,  $\rho$  (рент.) 1,68,  $Z = 4$ , ф. гр.  $P2_1/c$ ;  $\text{Na}_3\text{PS}_4 \cdot 8\text{H}_2\text{O}$  II монокл.,  $a$  13,62,  $b$  12,83,  $c$  8,69,  $\beta$  104°,  $\rho$  (эксп.) 1,67,  $\rho$  (рент.) 1,68,  $Z = 4$ , ф. гр.  $P2_1/a$ .

О. Гайсинская

56493. Структура высокотемпературной модификации двойного сульфата натрия и лития. Ферланд, Крог-Му (The structure of the high-temperature modification of sodium lithium sulfate. Förländ T., Krogh-Moe J.), Acta crystallogr., 1958, 11, № 3, 224—225 (англ.).

При повышенных  $t$ -рах сняты порошковые диаграммы ( $\lambda\text{Cu-K}_\alpha$ ) смешанных кристаллов  $\text{Li}_2\text{SO}_4(\text{I})\text{-Na}_2\text{SO}_4(\text{II})$ , содержащих 30 мол. % II. Обнаружена гранецентр. куб. решетка при  $610^\circ$ , аналогичная высокотемпературной куб. модификация чистого I (РЖХим, 1958, 7008), параметр решетки увеличен по сравнению с I до 7,34 Å. Для твердых  $p$ -ров, содержащих 50 мол. % II, при  $558^\circ$  наблюдался переход в куб. объемноцентр. решетку с  $a$  5,77 Å,  $\rho$  (выч.) 2,18,  $Z = 2$ . Вращение сульфатных групп одновременно с трансляцией катионов имеет место, как и у I. Электропроводность куб. смешанных кристаллов I—II (так же как у I) совпадает по величине с электропроводностью расплава. Отсюда делается вывод, что атомам O и катионам нельзя приписать определенного положения в решетке, атомы же S фиксированы в положениях 0,0,0 и  $1/2, 1/2, 1/2$ . Средний объем  $\text{SO}_4^{2-}$ -иона возрастал на 10% при добавлении к I 30 мол. % II, но он примерно одинаков для твердых  $p$ -ров с содержанием 30 и 50 % II. Таким образом, при переходе от гранецентр. решетки к объемноцентр. увеличивается плотность упаковки анионов и катионов.

О. Гайсинская

56494. О двойном сульфате типа лангбейнита,  $\text{A}_2 + \text{B}_2^{2+}(\text{SO}_4)_3$ . Гаттов, Цеман (Über Doppelsulfate vom Langbeinit — Typ,  $\text{A}_2 + \text{B}_2^{2+}(\text{SO}_4)_3$ . Gattow G., Zemann J.), Z. anorgan. und allgem. Chem., 1958, 293, № 5-6, 233—240 (нем.).

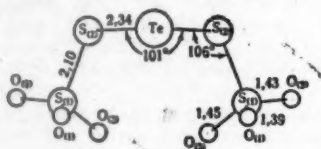
Изучена область устойчивости сульфатов типа лангбейнита в периодической системе. Синтезировано 26 соединений, имеющих куб. структуру. Параметры решеток определены асимметрич. методом. Результаты обсуждены с точки зрения кристаллохимии. Приведены доказательства, отвергающие существование безводн. каннита ( $\text{KCl} \cdot \text{MgSO}_4$ ).

Резюме авторов



56495. Кристаллическая структура моноклинной модификации дигидрата теллуропентатионата бария. Фоссе, Хьомелани (The crystal structure of monoclinic barium telluropentathionate dihydrate. Foss Olav, Tjomsland Olav), Acta chem. scand., 1958, 12, № 1, 52—62 (англ.)

Продолжено (РЖХим, 1957, 53759) рентгенографич. исследование монокл.  $\text{BaTe}(\text{S}_2\text{O}_3)_2 \cdot 2\text{H}_2\text{O}$  (I). Структура определена построением двумерных синтезов. Анион имеет симметрию  $m$  и  $cis$ -конфигурацию. Размеры его (см. рис.) аналогичны найденным в транс-форме



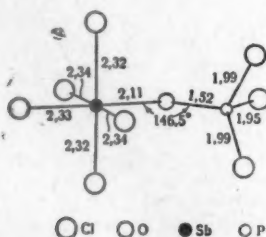
аммониевой соли (РЖХим, 1955, 33924). Дигидрич. угол  $\text{S}_{(1)}\text{S}_{(2)}\text{Te}/\text{S}_{(2)}\text{TeS}_{(2)'} 103^\circ$ . Кристаллы имеют слоистую структуру, отличающуюся от структуры трикл. и ромбич. дигидрата пентатионата Ва и сольватов с ацетоном и тетрагидрофураном только способом упаковки слоев. Исследованы кристаллы  $\text{BaSe}(\text{S}_2\text{O}_3)_2 \cdot \text{H}_2\text{O} \cdot \frac{1}{2}\text{C}_4\text{H}_8\text{O}_2$  ( $a$  5,02,  $b$  10,59,  $c$  22,72,  $\beta$  102°,  $Z$  = 4, ф. гр.  $A2/m$ ), оказавшиеся изоморфными I. Э. Гилинская

56496. Структура сольвата пентатионата бария с ацетоном. Фоссе, Хьомелани (Structure of a solvate of barium pentathionate with acetone. Foss Olav, Tjomsland Olav), Acta chem. scand., 1958, 12, № 1, 44—51 (англ.)

Продолжено (РЖХим, 1957, 70981) рентгенографич. исследование кристаллов  $\text{BaS}(\text{S}_2\text{O}_3)_2 \cdot (\text{CH}_3)_2\text{CO} \cdot \text{H}_2\text{O}$  (I). Параметры монокл. решетки:  $a$  5,04,  $b$  10,47,  $c$  13,61 Å,  $\beta$  104°,  $Z$  = 2, ф. гр.  $P2_1/m$ . Структура определена по проекциям Фурье вдоль осей  $a$  и  $b$ . Основу структуры составляют слои, аналогичные слоям в обеих формах  $\text{BaS}(\text{S}_2\text{O}_3)_2 \cdot 2\text{H}_2\text{O}$  (II). В плоскости  $m$  расположены атомы Ва, S (средний атом цепи аниона) и молекулы  $\text{H}_2\text{O}$  и  $(\text{CH}_3)_2\text{CO}$ . Размеры аниона в I такие же, как в II. Средние межатомные расстояния для I и II (в Å):  $\text{S}_{(1)} - \text{S}_{(2)} = \text{S}_{(4)} - \text{S}_{(5)} 2,12$ ;  $\text{S}_{(2)} - \text{S}_{(3)} = \text{S}_{(3)} - \text{S}_{(4)} 2,04$ ,  $\angle \text{S}_{(1)}\text{S}_{(2)}\text{S}_{(3)} = \angle \text{S}_{(3)}\text{S}_{(4)}\text{S}_{(5)} 105^\circ$ ,  $\angle \text{S}_{(2)}\text{S}_{(3)}\text{S}_{(4)} 106^\circ$ , дигидрич. угол  $\text{S}_{(1)}\text{S}_{(2)}\text{S}_{(3)}/\text{S}_{(2)}\text{S}_{(3)}\text{S}_{(4)} = \angle \text{S}_{(3)}\text{S}_{(4)}\text{S}_{(5)}/\text{S}_{(3)}\text{S}_{(4)}\text{S}_{(5)} 108^\circ$ . Э. Гилинская

56497. О кристаллической структуре  $\text{POCl}_3 \cdot \text{SbCl}_5$ . Линдквист, Бренден (On the crystal structure of  $\text{POCl}_3 \cdot \text{SbCl}_5$ . Lindqvist Ingvar, Brändén Carl Ivar), Acta chem. scand., 1958, 12, № 1, 134 (англ.)

Монокристаллы  $\text{POCl}_3 \cdot \text{SbCl}_5$  получены в капиллярных трубках по методу зонного плавления. Параметры



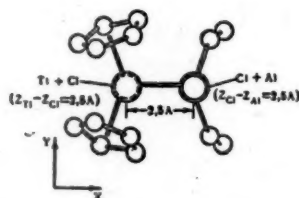
ромбич. решетки (по рентгенограммам вращения и Вейсберга вокруг  $c$ -оси,  $\lambda \text{Mo}$  и  $\text{Cu}$ ):  $a$  8,06,  $b$  16,42,  $c$  8,93 Å,  $Z$  = 4, ф. гр.  $Pmnb$ . Координаты атомов определены из трехмерных синтезов Паттерсона и Фурье. Межатомные расстояния представлены на рисунке. Э. Гилинская

56498. Рентгенометрическое исследование природных фосфатов меди. Шмид (Roentgenometrická identifikace přírodních fosforečnanů měď natých. Šmíd Bohumil), Rozpr. CSAV. Rada MPV, 1957, 67, № 5, 67—73 (чешск.; рез. русск., англ.)

В результате рентгенографич. (метод порошковой идентификации 17 образцов различных природных фосфатов (РЖХим, 1958, 49863) показана тождественность фосфорохальцита, луннита, элита, псевдомалахита, тагилита и дигидрита. Либетенит оказался отдельным видом минерала. Э. Г.

56499. Кристаллическая структура комплекса  $(\text{C}_5\text{H}_5)_2\text{TiCl}_2\text{Al}(\text{C}_2\text{H}_5)_2$ . Натта, Коррадини, Басси (Crystal structure of the complex  $(\text{C}_5\text{H}_5)_2\text{TiCl}_2\text{Al}(\text{C}_2\text{H}_5)_2$ . Natta Giulio, Corradini Paolo, Bassi Ivano W.), J. Amer. Chem. Soc., 1958, 80, № 3, 755—756 (англ.)

Проведено рентгеноструктурное исследование монокристаллов  $(\text{C}_5\text{H}_5)_2\text{TiCl}_2\text{Al}(\text{C}_2\text{H}_5)_2$  (РЖХим, 1956, 64306). Параметры решетки:  $a$  15,77,  $b$  14,24,  $c$  7,54 Å, ф. гр.  $Pnma$ ,  $Z$  = 4. Построены проекции Паттерсона и Фурье на плоскость  $ab$  и найдено, что молекула имеет вид, изображенный на рисунке. Атомы Ti и Al имеют тетраэдрич. координацию и соединены мостиками на атомах Cl, образующими квадратный цикл  $\text{Ti}(\text{Cl})_2\text{Al}$  с расстояниями  $\text{Ti} - \text{Cl}$  и  $\text{Al} - \text{Cl} \sim 2,5$  Å. Плоскости циклов

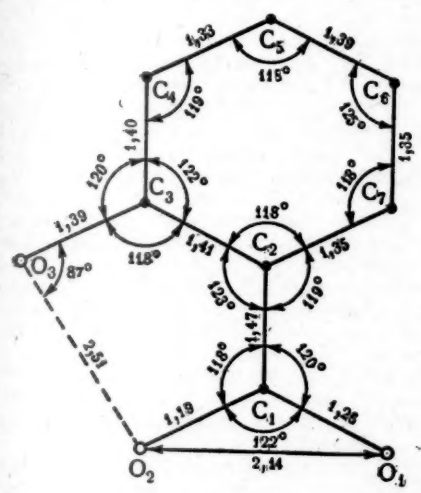


пентадиенильных колец перпендикулярны линиям, соединяющим центры колец с атомом Ti, но не параллельны друг другу. Расстояния  $\text{Ti} - \text{C}$  все одинаковы и равны 2,3 Å. Этильные группы связаны с атомом Al. М. Дяткина

56500. Кристаллическая структура дигидрата салицилата цинка. Кларк, Александер, Саммер (The crystal structure of zinc salicylate dihydrate. Klug Harold P., Alexander Leroy E., Summer G. Gardner), Acta crystallogr., 1958, 11, № 1, 41—46 (англ.)

Рентгенографически (методы Вейсберга и прецессионный,  $\lambda \text{Cu} = K_\alpha$ ) изучены кристаллы водн. салицилата Zn, полученные по ранее описанной методике (Clark G. L., Kao H., J. Amer. Chem. Soc., 1948, 70, 2151). Авторы считают, что кристаллы представляют собой дигидрат, а не тригидрат, как это сообщалось Кларком и Као, причем значение  $q$  (выч.), приводимое последними, по мнению авторов, неверно. Избыток воды сверх двух молекул на молекулу  $\text{Zn}(\text{C}_7\text{H}_5\text{O}_3)_2$  ( $\sim 3/4$  молекулы  $\text{H}_2\text{O}$ ) отнесен за счет адсорбции влаги или включений. Кристаллы обладают пьезоэффектом. Параметры монокл. решетки:  $a$  15,43,  $b$  5,35,  $c$  9,18 Å,  $\beta$  93,8°,  $q$  (выч.) 1,65,  $Z$  = 2, ф. гр.  $C2$ . Вводилась поправка на аномальное рассеяние атомами Zn. Учитывалась анизотропия температурных факторов (Hughes E. W., Lipscomb W. N., J. Amer. Chem. Soc., 1946, 68, 1970), индивидуальных для каждого сорта атомов. Структура определена построением проекций электронной плотности  $q(xoz)$  и  $q(xyo)$  и разностных синтезов. Без учета рефлексов, на интенсивность которых существенно влияла экстинкция,  $R$  равно 0,145. Для структуры в целом  $R$  0,163. Молекулы дигидрата обособлены и обладают симметрией 2. Координационный

многогранник Zn — тетраэдр. Молекулы воды входят в координационную сферу Zn и участвуют в образовании водородных связей, сдерживающих структуру в направлениях *a* и *b* (соответствующие расстояния O—O равны 2,77 и 2,55 Å). В направлении *c* между молекулами действуют лишь ван-дер-ваальсовы силы (наименьшие расстояния C—C в этом направлении 3,63 и 3,75). Расстояния Zn—O<sub>(4)</sub> (атомы O<sub>(4)</sub> принадлежат молекулам H<sub>2</sub>O) 2,06 Å, Zn—O<sub>(2)</sub> 2,03, Zn—O<sub>(1)</sub> 2,52. Отсутствие октаэдрич. координации Zn, соответствующей гибридизации 4*s* 4*p*<sup>3</sup>4*d*<sup>2</sup>, авторы объясняют неустойчивостью 4*d*-орбит и преимущественным образованием водородных связей. Отмечается, что именно карбонильный, а не гидроксильный O карбоксильной группы входит в координационную сферу Zn, это согласуется с результатами структурного исследования (NH<sub>4</sub>)H(C<sub>7</sub>H<sub>5</sub>O<sub>3</sub>)<sub>2</sub>·2H<sub>2</sub>O (РЖХим, 1953, 8112). За



желочением двух атомов O, салициловый радикал плоский. Атомы O<sub>(1)</sub> и O<sub>(3)</sub> отклоняются от плоскости на 0,17 и 0,12 Å в направлениях к атомам O<sub>(4)</sub>, с которыми они связаны водородной связью. Межатомные расстояния в салициловом радикале сравниваются с ранее опубликованными данными (РЖХим, 1955, 23149). Расстояние между плоскостями двух соседних салициловых радикалов 3,56 Å.

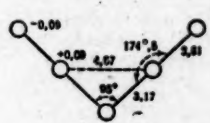
П. Зоркий  
56501. Кристаллическая и молекулярная структура тиоцианата этилена. Брингелани, Фосс (The crystal and molecular structure of ethylene thiocyanate. Bringeland Rasmus, Foss Olav), Acta chem. scand., 1958, 12, № 1, 79—88 (англ.)

Рентгенографически (метод Вейсберга, λCu) исследованы кристаллы NCS·H<sub>2</sub>C=CH<sub>2</sub>·SCN. Параметры ромбич. решетки: *a* 7,39, *b* 7,81, *c* 11,48 Å, *Z* = 4, ф. гр. *Pbca*. Координаты атомов (приблизительные для атомов H) найдены по проекциям *h*0*l* и *o*k*l* Паттерсона и Фурье и по соответствующим разностным синтетам. Молекула имеет *транс*-форму, группы CN выведены из плоскости атомов SC—CS. Межатомные расстояния (в Å) и валентные углы: C—C 1,51 ± 0,03, C—S 1,80 ± 0,01, S—C 1,63 ± 0,01, C—N 1,18 ± 0,02, ∠CCS 110,7° ± 0,9°, ∠CSC 99,4° ± 0,7°, ∠S—C—N 172,3 ± 1,3°. Характер связи в роданидной группе промежуточный между —S—C≡N и —S+=C=N—.

Э. Гилинская  
56502. Уточнение кристаллической структуры N(CH<sub>3</sub>)<sub>5</sub>. Брукема, Хавинга, Вибенга (Refinement of the crystal structure of N(CH<sub>3</sub>)<sub>5</sub>. Broekema J., Havinga E. E., Wiebenga E. H.), Acta crystallogr., 1957, 10, № 9, 596 (англ.)

Координаты атомов J в структуре N(CH<sub>3</sub>)<sub>5</sub> (Buckles

R. E., и др., J. Amer. Chem. Soc., 1952, 74, 4379) уточнены по ряду последовательных проекций электронной плотности на 3 координатные оси и по разностным синтетам. Произведена поправка на обрыв ряда; определены константы *B* температурного фактора для независимых атомов J. В результате уточнения фактор *R* снизился от 0,21 до 0,13. Обнаружена анизотропия



теплового колебания атома J<sub>(1)</sub>. Межатомные расстояния и валентные углы в ионе J<sub>5</sub><sup>+</sup>: Кратчайшее расстояние J—J между атомами различных ионов 3,63 Å (стандартное отклонение в длинах связи оценено 0,015 Å). В соответствии с определенной ф. гр. (*C* 2/*c*) не обнаружен пьезоэффект; исследование пьезоэлектрич. свойств показало наличие точки перехода при низких *t*-рах.

Э. Гилинская  
56503. Кристаллическая структура бромид тетра-*n*-пропиламмония. Залкин (The crystal structure of tetra-*n*-propyl ammonium bromide. Zalkin Allan), Acta crystallogr., 1957, 10, № 9, 557—560 (англ.)

Кристаллы (n-C<sub>3</sub>H<sub>7</sub>)<sub>4</sub>NBr — тетрагональные. Параметры решетки: *a* 9,24, *c* 10,92, *Z* = 2, ф. гр. *I* 4̄. Атомы N и Br находятся в частных положениях. Для определения структуры использована центросимметричная проекция Фурье (001). Координаты *Z* найдены на основании известных межатомных расстояний. Уточнение проведено с помощью метода наименьших квадратов. Структура (n-C<sub>3</sub>H<sub>7</sub>)<sub>4</sub>NBr<sup>+</sup> — ионная, по типу аналогична структуре ZnS. Каждый ион (n-C<sub>3</sub>H<sub>7</sub>)<sub>4</sub>N<sup>+</sup> окружен четырьмя ионами Br<sup>−</sup> и наоборот. Расстояния Br—C составляют 3,91—3,96 Å.

Е. Шугам  
56504. Сегнетоэлектричество в монохлорацетате аммония. Пеннискый, Окай, Мицун (Ferroelectricity in ammonium monochloroacetate. Peninsky R., Okaya Y., Mitsui T.), Acta crystallogr., 1957, 10, № 9, 600—601 (англ.)

Монохлорацетат аммония диморфен при комнатной *t*-ре. Форма I ромбич., *a* 5,71, *b* 7,31, *c* 12,08 Å, *ρ* 1,460, *Z* = 4, ф. гр. P2<sub>1</sub>2<sub>1</sub>2<sub>1</sub>. Форма II монокл., *a* 8,42, *b* 11,63, *c* 9,82 Å; β 110°, *ρ* 1,558, *Z* = 8, ф. гр. C2/*c*. Обе формы кристаллизуются при одних и тех же условиях (пропускание сухого NH<sub>3</sub> на холоду через безводн. ClCH<sub>2</sub>COOH). Форма II показывает аномалию в ходе диэлектрич. постоянной при −150°, достигающей при этой *t*-ре значения 15. Ниже −150° обнаружена спонтанная поляризация и гистерезис в сегнетоэлектрич. свойствах. Коэрцитивная сила при −170° ~ 10 э, поляризация 0,1 мк.см<sup>−2</sup>. Наблюдаемый переход, вероятно, 1-го порядка. Симметрия низкотемпературной фазы, по-видимому, C2 (плоскость скольжения отсутствует).

О. Гайсинская  
56505. Кристаллическая структура γ-глицина. Итика (The crystal structure of γ-glycine. Iitaka Yoichi), Acta crystallogr., 1958, 11, № 3, 225—226 (англ.)

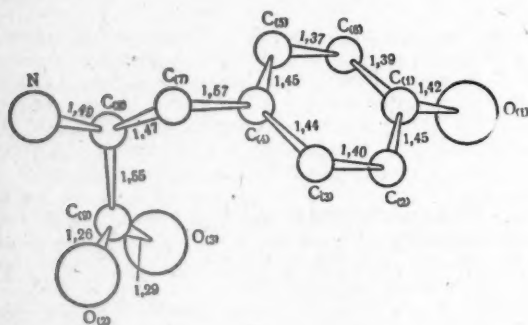
Рентгенографически (метод колебаний и Вейсберга) исследована описанная ранее (РЖХим, 1955, 39571) γ-форма глицина (I), обладающая пьезоэлектрич. свойствами, и сравнена с α-глицином (II). Параметры решетки: *a* 7,037, *c* 5,483 Å, *Z* = 3, ф. гр. P3<sub>1</sub> или P3<sub>2</sub>. Координаты атомов найдены с помощью геометрии. анализа и сечения Харкера *Z* = 1/4. Факторы *R* для отражений *o*k*l*, *h*k*o* и *h*k*l* равны соответственно 0,14, 0,12 и 0,15 (без учета атомов H). Форма молекулы в I и II почти одинакова. Межатомные расстояния (в Å) и валентные углы: N—C<sub>(2)</sub> 1,46, C<sub>(1)</sub>—C<sub>(2)</sub> 1,53,



$C_{(1)}-O_{(1)}$  1,29,  $C_{(1)}-O_{(2)}$  1,22;  $\angle C_{(1)}C_{(2)}N$  107°,  $\angle O_{(1)}C_{(1)}C_{(2)}$  122°,  $\angle O_{(2)}C_{(1)}C_{(2)}$  114°,  $\angle O_{(1)}C_{(1)}O_{(2)}$  122°. В отличие от II, где имеются два вида энантиоморфных асимметричных молекул, I кристаллизуется только в одном из этих видов.

О. Г. 56506. Кристаллическая структура бромидрата L-тирозина. Сринивасан (The crystal structure of L-tyrosine hydrobromide. Srinivasan R.), Current Sci., 1958, 27, № 2, 46—48 (англ.)

Продолжено рентгенографич. исследование (РЖХим, 1957, 33681) изоморфных кристаллов хлор- и бромидрата L-тирозина, кристаллизующихся в ф. гр.  $P2_1$ .



Структура определена с помощью разностных синтезов и методов наложения и минимализации и уточнена методами анализа Фурье и наименьших квадратов. Значения  $R$  равны для зоны  $hko$  11,69%, для  $hol$  12,0%. Молекулы расположены в слоях  $\parallel (010)$ , и соединены водородными связями  $NH...Br$ ,  $OH...Br$  и  $OH...D$ .

Э. Гиллинская 56507. Кристаллографические данные для трех триметилстероидов. Гафнер, Хербштейн, Вейбенга (Crystallographic data for three trimethylsteroids. Gafner G., Herbststein F. H., Wyben F. T.), Acta crystallogr., 1957, 10, № 9, 603 (англ.)

Определены рентгенографически (метод Вейсберга,  $\lambda$  Fe- $K_{\alpha}$ , Mn-фильтр) параметры решетки: дигидролаиностериллацетата  $a$  7,51,  $b$  11,32,  $c$  34,92,  $\rho$  (изм.) 1,044,  $\rho$  (выч.) 1,053,  $Z = 4$ , ф. гр.  $P2_12_12_1$ ; эуфилацетата 7,55; 13,78; 27,77; 1,071; 1,077;  $Z = 4$ , ф. гр.  $P2_12_12_1$ ; тирукаллилацетата  $a$  8,66,  $b$  7,47,  $c$  22,83,  $\beta$  99°,  $\rho$  (изм.) 1,075,  $\rho$  (выч.) 1,070,  $Z = 2$ , ф. гр.  $P2_1$ . Приведены значения  $d$  и  $I$  линий порошкограмм.

О. Гайсинская 56508. Кристаллографические данные для тетра-(дибензоилметан)-тория и изоморфных комплексов четырехвалентного церия и урана. Вольф, Бернигхаузен (Kristalldaten von Thorium-tetrakis(dibenzoilmethan) und den isomorphen Komplexen des vierwertigen Cers und Urans. Wolf Leopold, Barnighausen Hartmut), Acta crystallogr., 1957, 10, № 9, 605—606 (нем.)

Кристаллы изученных в-в принадлежат к ромбодипирамидальному классу, простые формы  $\{010\}$ ,  $\{110\}$  и  $\{012\}$ . Рентгенографически (метод вращения и качения) определены параметры решетки:  $Ce[CH(C_6H_5CO)_2]_4$ ,  $a$  10,320,  $b$  20,109,  $c$  23,514,  $Th[CH(C_6H_5CO)_2]_4$  10,398; 20,298, 23,334;  $U[CH(C_6H_5CO)_2]_4$  10,303; 20,136; 23,613 Å. Для всех соединений  $Z = 4$ , вероятная ф. гр.  $R\bar{3}m$ . Положения тяжелых атомов:  $1/4, 1/4, 1/2 + \Delta z$ ,  $\Delta z$  для  $Th$  0,015  $\pm$  0,002; для  $Ce$  и  $U$  0,018  $\pm$  0,002. О. Гайсинская

56509. Кристаллохимия водных кальциевых гидросиликатов. II. Характеристика межслоевой воды. Калоусек, Рой (Crystal chemistry of hydrous calcium silicates: II. Characterization of interlayer water. Kalousek George L., Roy Rustum), J. Amer. Ceram. Soc., 1957, 40, № 7, 236—239 (англ.)

Синтетический тоберморит  $4-5CaO \cdot 5SiO_2 \cdot 5H_2O$  (I) и природный и синтетич. образцы ксенолита  $5CaO \cdot 5SiO_2 \cdot H_2O$  (II) исследовались с помощью ИК-спектров поглощения. Соответствующие кривые имеют явное сходство в интервале 7—15  $\mu$ . Различия обусловлены характером связи молекул  $H_2O$  и ионов  $OH^-$ . I имеет полосу поглощения (ПП) при 6,5  $\mu$ , объясняющуюся присутствием свободной межслоевой воды (аналогичной цеолитной) и при 2,9  $\mu$  — наличием «связанных»  $OH^-$ . У II имеется лишь ПП при 2,75  $\mu$ , обусловленная присутствием свободных групп  $OH^-$ , и очень слабая — при 2,9  $\mu$ , объясняющаяся, возможно, адсорбированной свободной водой. В образце синтезированного при 300° II ПП 2,9  $\mu$  интенсивнее. Приведенные результаты позволяют объяснить, напр, различное отношение данных минералов к изменению  $t$ -ры: постоянство объема у II и значительная усушка у I (у II отсутствует межслоевая вода). Волокнистые формы I обнаруживают еще одну ПП при 6,5—7  $\mu$ , интенсивность которой возрастает с увеличением содержания  $CaO$ . Приводятся рентгенодифрактометрич. кривые для I до и после высушивания при 650°, позволяющие высказать предположение об удалении при этой  $t$ -ре не только межслоевой воды, но и связанных  $OH^-$ . Дается сравнение I с глинистыми минералами (вермикулитом и монтмориллонитом). Сообщение I см. РЖХим, 1958, 52738.

Г. Поном 56510. Преобразование кристаллов каолинита. Определение с помощью электронной микродифракции структуры продуктов изменения. Оберлен (Матье-Сико) (Altération des cristaux de kaolinite; détermination par microdiffraction électronique, de la structure des produits altérés. Oberlin (Mathieu-Sicaud) Agnès), C. r. Acad. sci., 1957, 244, № 12, 1658—1661 (франц.)

Ранее было установлено (РЖХим, 1958, 53307), что после мягкой обработки методом перколяции-сушки (в течение нескольких недель) кристаллы каолинита утоньшаются и сворачиваются в большей или меньшей степени. Это преобразование сопровождается уменьшением интенсивностей рефлексов картин микродифракции электронов от соответствующих монокристаллов, в частности, усиливаются рефлексы 330, 330, ранее значительно более слабые, чем рефлексы 060, 060. В результате сопоставления эксперим. интенсивностей с рассчитанными для рефлексов  $hko$ , отвечающих известным структурам каолиновых минералов, выяснено, что каолинит в результате указанной обработки превращается в метагаллуазит. Однако это заключение основано на неоправданном предположении, что в дифракционном поле представлены рефлексы  $hko$ , между тем как вследствие моноклинности в

плоскости отражения попадают рефлексы  $1k0$ ,  $2k1$ ,  $3k1$ ,  $4k2$ ,  $5k2$  и т. д.

Б. Звягин 56511. Электронографическое исследование продуктов поверхностного окисления кобальта, сплава Fe-Ni-Co. Оно (Ono Kazumasa), Оббури, J. Appl. Phys., Japan, 1956, 25, № 12, 500—506 (японск.; рез. англ.)

Для изучения адгезии кобальта (Fe 54, Ni 29, Co 17%,  $\gamma$ -фаза при комнатной  $t$ -ре) к стеклу проводились электронографич. и рентгенографич. исследования структуры и поверхностных продуктов окисления сплава. Найдено, что в холодно обработанном образце, состоящем из  $\gamma$ - и  $\alpha$ -фаз, при электролитич. полировке  $\alpha$ -фаза растворяется и электронографич. изучению подвергается образец только в  $\gamma$ -фазе. Таким путем готовились поверхности с переменным кол-вом  $\alpha$ - и  $\gamma$ -фаз. Окисление поверхности, состоящей из  $\gamma$ -фазы, дает окисл типа шпинели, состоящей из  $\alpha$ -фазы,

ОН<sub>2</sub>O (I) г-рах 5CaO. ИК-спек-  
тральному  
обуслов-  
ОН-1

ония типа гематита (ниже 500°). При более высоких температурах (~600°) оба типа поверхностей дают шпинель. Замечено, что окись типа шпинели благоприятствует адгезии металла к стеклу. Однако и окись типа гематита дает достаточно прочное соединение.

Резюме автора  
56512. Метод получения позитивных реплик и подготовка образцов стали для электронномикроскопического исследования. Ле-Поле, Вейк (A method for making positive replicas and the preparation of steel specimen for electron microscopy. Le Poole J. B., Wijk F. van), Proc. Amer. Soc. Test. Mater., 1958 (1957), 56, 409—414 (англ.)

56513. Несовершенство кристаллической решетки и окрашивание минералов. Изетти (Le imperfezioni dei reticoli cristallini e la colorazione dei minerali. Isotti Giovanni), Period. mineral., 1957, 26, № 2-3, 227—241 (итал.; рез. англ.)

Обзор. Библ. 28 назв.

В. Ш.  
56514. Классификация свойств ионных кристаллов и энергии решетки. Воробьев А. А., Изв. высш. учебн. заведений. Физика, 1958, № 1, 160—162

Показано, что свойства ионных кристаллов по отношению энергии решетки разделяются на 2 группы. С увеличением энергии решетки возрастает устойчивость структуры и увеличиваются соответствующие характеристики — т-ра и теплота плавления, механич. и диэлектрич. прочность и др. Соответственно с увеличением устойчивости структуры уменьшаются тепловое расширение, электропроводность, диэлектрич. потери и пр. Таким образом, величина энергии решетки позволяет производить комплексную оценку свойств ионного соединения данного гомологич. ряда.

Резюме автора  
56515. Теория диэлектрической релаксации для трехмерного полярного ротатора. Модели решеток, приводящие к кривой потерь с двумя временами релаксации. Гофман, Аксилрод (Theory of dielectric relaxation for the three-dimensional polar rotator: lattice models leading to bimodal loss curves. Hoffman John D., Axilrod Benjamin M.), J. Res. Nat. Bur. Standards, 1957, 58, № 2, 61—73 (англ.)

Теоретически исследуется частотная зависимость диэлектрич. релаксации простых трехмерных решеток, состоящих из полярных молекул. Рассмотрены молекулы спец. формы, для которых существует одно стабильное и четыре перпендикулярных к нему метастабильных положения равновесия с попарно одинаковой энергией. При определенных условиях для объемноцентрич. орторомбич. и тетрагон. решеток частотная кривая потерь может иметь 2 пика. Все модели с изотропным барьером, как в кубоцентрич. решетке, приводят к кривой с одним пиком. Обсуждается температурная зависимость кривой потерь, статич. диэлектрич. постоянная и конфигурационная энтропия. Рассматривается резкое изменение этих свойств, происходящее при фазовом переходе. Сравниваются с опытом качества предсказания, основанные на модели трехмерной решетки, в которой каждый диполь обладает единственной стабильной ориентацией. Точка зрения, что кривая с несколькими временами релаксации обуславливается анизотропией кристаллич. поля, подтверждается правильной температурной зависимостью формы кривой. Так, для широких кривых релаксации наблюдается сужение при повышении т-ры, что свидетельствует, что уширение не определяется флуктуациями структуры.

К. Толстого  
56516. Влияние распада аустенита на скорость диффузии водорода в стали. Рябов Р. А., Гельд П. В., Физ. металлов и металловедение, 1957, 4, № 1, 189—190

На кривых температурной зависимости логарифма скорости диффузии H<sub>2</sub> (p = 1 атм) в хромоникелевых сталях в интервале 600—1300° К наблюдаются аномалии в виде изломов при ~1000° К и в области 700—750° К, соответствующих 1-й и 2-й ступеням превращения аустенита.

А. Хейнман  
56517. Образование ионных пар в кремнии. Майта (Ion pairing in silicon. Maita J. P.), Phys. and Chem. Solids, 1958, 4, № 1-2, 68—70 (англ.)

Показано, что в Si могут возникать ионные пары. Результаты изучения процесса образования пар применены к определению диффузии Li в Si при низких т-рах и к расчету наименьшего расстояния между ионами, образующими пару.

Резюме автора  
56518. Исчезновение окисной пленки на поверхности циркония. Миш (Dissolution of the oxide film on zirconium. Misch R. D.), Acta metallurgica, 1957, 5, № 3, 179—180 (англ.)

См. РЖМет, 1957, 15247.

56519. Термическое расширение твердых тел при высоких температурах. Истабрук (Thermal expansion of solids at high temperatures. Eastabrook J. N.), Philos. Mag., 1957, 2, № 24, 1421—1426 (англ.)

56520. Кристаллография и термические превращения кронстедита. Стедман, Юэлл (Crystallography and thermal transformations of cronstedtite. Steadman R., Youell R. F.), Nature, 1957, 180, № 4594, 1066—1067 (англ.)

56521. Зависимость оптического поглощения от кристаллографической ориентации в гейколите. Сёда (Dependence of the optical absorption on the crystallographic orientation in heikolite. Shoda Tokugoro), Mineral. J., 1956, 2, № 1, 39—47 (англ.)

Установлены главные оси эллипсоида поглощения гейколита: X почти ⊥ (100), Y || [010] и Z почти || [001]. Ориентации осей X и Z не совпадают с главными осями оптич. индикатрисы кристалла.

Резюме автора  
56522. Поглощение света в кристаллах галогенидов ртути. Гросс Е. Ф., Каплянский А. А., Изв. АН СССР. Сер. физ., 1957, 21, № 2, 220—224

Исследовано влияние структуры решетки на уровни оптич. возбуждения кристаллов галогенидов Hg. Спектр поглощения красной (тетрагон). HgJ<sub>2</sub> при 77,3° К состоит из узких линий 5330 и 4932 Å вблизи края собственного поглощения, широких (~100—150 Å) полос при 3960 и 3725 Å в глубине области собственного поглощения и двух ступенек. Линии приписаны неполяризуемым, а полосы — поляризуемым экситонам. Стехиометрич. избыток Hg или J не влияет на спектр поглощения, а дефекты решетки искажают и размывают уровни возбуждения, но не дают новых линий. Поэтому авторы считают, что дискретная структура края поглощения связана с возбуждением экситонов в основной решетке. В спектре поглощения желтой (ромбич.) HgJ<sub>2</sub> и ромбич. HgBr<sub>2</sub> дискретная структура отсутствует. Высказано предположение, что уровни возбуждения зависят от геометрии решетки — симметрии и координационных сфер. В спектре тонких (~0,5 μ) поликристаллич. слоев тетрагон. HgJ при 77,3° К вблизи края основного поглощения обнаружена широкая (~100—150 Å) полоса при 4240 Å, приписанная поляризуемым экситонам. При переходе красной модификации HgJ<sub>2</sub> в желтую HgJ<sub>2</sub> одновременно с дискретной структурой спектра исчезает и фотопроводимость, что указывает на важную роль экситонов в явлении внутреннего фотоэффекта.

А. Хейнман  
56523. Приэлектродные явления в щелочно-галогидных кристаллах при высоких температурах. Косман М. С., Писаренко В. Ф., Докл. АН СССР, 1957, 115, № 4, 693—695



Исследован спектр поглощения монокристаллич. пластинок NaCl, KCl, KBr и KI, подвергнутых электролизу между плоскими электродами при 450–600° и напряженности поля 50–400 в/см. В начале электролиза в спектре прикатодного слоя (толщиной < 0,05 мм) появляются  $V_2$ ,  $V_3$ ,  $V_4$  и  $V_7$ -полосы поглощения. На более поздних стадиях окрашивается объем кристалла и появляются  $F$ -,  $M$ - и  $U$ -полосы при сохранении  $V$ -полос. Образование  $V$ -центров объяснено локализацией дырок, введенных из анода, на вакантных катионных узлах, образующихся в прикатодном слое в результате выделения металла на катоде. А. Хейнман 56524. Край основного поглощения алмаза. Ка-стере, Рал (Fundamental absorption edge of diamond. Custers J. F. H., Raal F. A.), Nature, 1957, 179, № 4553, 268–269 (англ.)

Согласно существующей классификации длинноволновых край основного поглощения алмазов типа I и II лежит соответственно при  $\sim 3000$  и  $2250$  А. Обнаружено, что положение края поглощения алмазов типа I зависит от толщины алмаза; так, у пластинок толщиной 0,457 и 0,058 мм край поглощения лежит соответственно при 2700 и 2220 А, хотя по люминесцентным свойствам этот алмаз принадлежит к типу I. Кривая зависимости коэф. поглощения (вычитленного с учетом отражения) от длины волны круто спадает при 2220 А и имеет ступеньку, простирающуюся до 3320 А. Край поглощения при 2220 А отождествлен с нормальным краем основного поглощения алмаза. Он обнаруживается в достаточно тонких образцах алмазов типа I. Поглощение в области ступеньки приписано примесям или дефектам решетки. Сделан вывод, что алмазы типа II содержат меньше нарушений разного типа, чем алмазы типа I. А. Хейнман 56525. Природа тонкой структуры в оптических спектрах кристаллов CdS. Броуде, Еременко. Рашба (Природа тонкой структуры в оптических спектрах кристаллов CdS. Броуде В. Л., Еременко В. В., Рашба Е. И.), Укр. физ. ж., 1957, 2, № 1, 96 (укр.)

Тонкая структура края поглощения кристаллов CdS исследована в поляризованном свете при 20° К. Из десяти узких полос поглощения в интервале 20 400–20 600  $\text{см}^{-1}$  лишь одна (20 585  $\text{см}^{-1}$ ) наблюдается в обеих компонентах спектра. Все остальные полосы сильно поляризованы в направлении, перпендикулярном оптич. оси. Исследование более чем 150 образцов показывает, что положение отдельных полос, а иногда и их поляризация слегка изменяются от образца к образцу, тогда как относительные интенсивности этих полос сильно различаются не только для различных образцов, но и для различных участков одного и того же образца. Некоторые полосы совсем отсутствуют в спектрах ряда образцов. Сделан вывод, что тонкая структура края поглощения обусловлена дефектами решетки, а не собственным поглощением (в том числе и экситонным). В спектрах люминесценции этих образцов при 20,4° К наблюдаются узкие полосы, смежные с полосами поглощения и приписанные не экситонам, а электронным переходам вблизи пространственно разделенных дефектов. В противном случае установление теплового равновесия в возбужденном состоянии (при  $T = 20^\circ \text{К}$   $kT = 14 \text{ см}^{-1}$ ) привело бы к люминесценции только с наименьшего возбужденного уровня. В области 20 600–21 100  $\text{см}^{-1}$  наблюдаются широкие полосы поглощения, одинаковые для всех образцов. А. Хейнман 56526. Поглощение мягких рентгеновских лучей вблизи  $K$ -края Mg в металлическом магнии. Баурман, Ульмер (Die Absorption weicher Röntgen-Strahlen in der Umgebung der Mg K-Kante in Magnesium. Baumann Erwin, Ulmer Kurt), Z. Naturforsch., 1957, 12a, № 8, 670–671 (нем.)

Массовый коэф. поглощения ( $\mu/\rho$ ) металлич. Mg (в виде фольг толщиной 2–16  $\mu$ ) измерялся в области  $\lambda$  7–24 А. В качестве монохроматич. излучения служили непрерывный спектр различных анодов, полученный с помощью вакуумного спектрометра с дифракционной решеткой, и флуоресцентное  $K$ -излучение Si, Al, Mg и Na. Из экспериментально найденных значений  $\mu/\rho$  определены постоянные в ф-ле  $\mu/\rho = c\lambda^m$ ;  $c = 9,2$  и  $m = 2,9$  для  $\lambda < \lambda_{\text{MgK}}$ ,  $c = 0,54$  и  $m = 3,0$  для  $\lambda > \lambda_{\text{MgK}}$ . Скачок поглощения в  $K$ -крае Mg составляет 13,5. Р. Баринский

56527. Исследование тонкой структуры рентгеновских спектров поглощения щелочно-галогидных соединений. Смирнова И. С., Нарбутт К. И., Изв. АН СССР. Сер. физ., 1957, 21, № 10, 1375–1380. Исследованы  $L_{III}$ -края поглощения Cs и J во всех галогенидах Cs и во всех йодидах щел. металлов  $L_{III}$ -спектры Cs характеризуются интенсивным 1-м максимумом и слабым 2-м максимумом; в  $L_{III}$ -спектрах J наблюдается обратное отношение интенсивностей. При переходе от одного соединения к другому изменяются в основном интенсивность и форма 2-го максимума  $L_{III}$ -спектров Cs и J, приписанного авторами переходом  $2p \rightarrow ns$ ; положение 1-го максимума в спектрах Cs не изменяется, а в спектрах J варьирует в пределах 1,4 м. Сделан вывод, что энергетич. положение линий селективного поглощения (основной и побочной  $d$ - и  $s$ -серий) не зависит от хим. связи и что последняя влияет лишь на отношение интенсивностей линий основной и побочной серий. А. Хейнман

56528. Спектроскопическое исследование поглощения и люминесценции хлористой меди, введенной в кристалл каменной соли. Гросс Е. Ф., Каплянский А. А., Оптика и спектроскопия, 1957, 2, № 2, 204–209. Кристаллы NaCl (I) — CuCl (II), выращенные из расплава, содержащего до 10% II, совершенно прозрачны, обнаруживают интенсивное голубое рассеяние света и, по-видимому, содержат колл. частицы II в гомог. твердом р-ре I—II. Спектр поглощения колл. частиц при 77,3° К состоит из узкой полосы 3846 А и широкой полосы при 3765 А. При 4,2° К они смещаются к 3868 и 3780 А, при 20° С — к 380 и 371 м. Наблюдается строгое постоянство положения полос для разных образцов I—II с высокой точностью II. При малых концентрациях II положение, ширина и число полос различны для различных образцов, что приписано влиянию поля решетки I на уровни мелких частиц II. Кристаллы I—II обладают интенсивной люминесценцией при возбуждении в области поглощения II при низких  $T$ -рах. При 77,3° К излучение кристаллов с большой точностью II состоит из дублета 3851–3841 А и двух широких полос 3775 и 3725 А. Спектры излучения и поглощения этих образцов полностью подобны и отличаются только тем, что каждой полосе поглощения соответствуют две полосы излучения, что приписано реабсорбции излучения. Наличие самоабсорбции указывает на полное совпадение положений полос поглощения и излучения, т. е. излучение обусловлено резонансными переходами между уровнями, обуславливающими поглощение. Резонансное линейчатое излучение наблюдается также у чистых кристаллов II, CuBr и CuJ. А. Хейнман

56529. Поглощение, флуоресценция и магнитные свойства хлорида гадолиния  $\text{GdCl}_3 \cdot 6\text{H}_2\text{O}$ . Дикс, Лиополд (Absorption, fluorescence, and magnetic properties of gadolinium chloride ( $\text{GdCl}_3 \cdot 6\text{H}_2\text{O}$ )). Dieke 1957, 47, 56530. Из-за три, опти-ка, Проведен- (Л) и по-того на-протекат-ситуация-ситуация-во, что п-конч-иях исследова- NaF + U-работаны-ный фото-в пороках-56531. Г-церием. halopho-бу Р. 612–613. Описан-группы ф-активиро-мальной со-имых ти-На треуг-нована с-которых-втор вхо-ный пол-ионами I-волновым-УФ-лучи-Mn<sup>2+</sup>. В-тия Се, мая поло-конч-ия-на Sr по-мальные-следован-Рb и Ag-56532. криста-спектр-Полук-газиче-воля кри-вается в-Майера-Вильямс-457). Из-+ 6Cl-ионов С-е + La-кофигу-расчета-Ag<sup>+</sup> в-станты-действи-Аг<sup>+</sup> + 6-Cl-и-стояний-— 0,0688-+ 3,353-основе-ского Р-найдени-ходов а-

urt), Z.  
пич. Мг  
области  
ния сул-  
пола-  
а с ди-  
-натуре  
иденны  
и  $\mu_0 =$   
 $= 0,54$   
и К-про-  
ринский  
иттено-  
ных со-  
К. И.  
75—130  
во всех  
ой I-III  
максиму-  
наблю-  
ри пере-  
ются в  
а I-III  
переходы  
сх на  
х 1,4 м.  
и селен-  
а-серий  
ет лишь  
и побоч-  
Хейнман  
ощения  
в кри-  
№ 2  
ные по  
про-  
рассея-  
ицы II  
и колл.  
3846 А  
смеща-  
м. На-  
ос для  
I. При  
полос  
списано  
стиц II  
есцен-  
II при  
лов с  
3841 А  
излуче-  
подобны  
погло-  
полю-  
при-  
браще-  
ий по-  
учение  
уров-  
анское  
иотых  
ийман  
итные  
Дикс,  
agnetic  
( $6H_2O$ ).

Dieke G. H., Leopold L.), J. Opt. Soc. America, 1957, 47, № 10, 944—954 (англ.)

56530. Исследование люминесценции фтористого натрия, активированного ураном. Свердлов З. М., Оптика и спектроскопия, 1957, 3, № 4, 356—360

Проведено исследование свойств люминесценции (Л) и поглощения урансодержащих сплавов фтористого натрия. Установлено, что затухание Л  $NaF + U$  протекает по сложному закону, отличному от закона затухания Л ураниловых солей, причем в процессе затухания изменяется спектр Л сплавов. Установлено, что причиной тушения Л  $NaF + U$  при высоких концентрациях U являются хим. факторы. На основании исследования зависимости интенсивности Л перлов  $NaF + U$  от концентрации U и посторонних примесей разработаны простой люминесцентный метод и визуальный фотометр для колич. определения содержания U в породах и рудах.

56531. Галофосфатные фосфоры, активированные церием. Гендерсон, Ранби (Cerium-activated halophosphate phosphors. Henderson S. T., Ranby R. W.), J. Electrochem. Soc., 1957, 104, № 10, 612—615 (англ.)

Описаны люминесцентные характеристики новой группы фосфоров на основе галофосфатов Ca и Sr, активированных Ce и Mn. Фосфоры получают прокаливанием смеси  $CaCO_3$ ,  $(NH_4)_2HPO_4$  и  $CaF_2(CaCl_2)$  в кварцевых тиглях при 1100—1200° в атмосфере  $H_2 + N_2$ . На треугольной диаграмме  $CaO - CaF_2 - P_2O_5$  установлена область составов исходных смесей, прокаливание которых дает фосфоры со структурой апатита. Активатор входит в решетку в виде ионов  $Ce^{3+}$ , избыточный положительный заряд которых компенсируется ионами  $F^-$ . Фосфоры сильно возбуждаются коротковолновыми УФ-лучами, тогда как длинноволновые УФ-лучи дают лишь слабую люминесценцию иона  $Mn^{2+}$ . В присутствии Mn, кроме УФ-полосы излучения Ce, при 3400 А наблюдается интенсивная видимая полоса излучения, положение которой зависит от концентрации Mn и отношения  $F:Cl$ . Частичная замена Ca на Sr повышает яркость свечения. Приведены оптимальные составы шихты для синтеза фосфоров и исследованы галофосфаты, активированные Sb, As, Sn, Pb и Ag.

56532. К вопросу о расчете спектров люминесценции кристаллофосфоров. Потехина Н. Д., Оптика и спектроскопия, 1957, 2, № 3, 388—392

Полуклассическим методом рассчитаны полосы поглощения и испускания фосфора  $NaCl-Ag$ . Влияние поля кристалла на уровни энергии иона  $Ag^+$  учитывается в рамках теории ионных кристаллов Борна — Майера с поправками на конечные размеры ионов по Уильямсу (Williams F. E., J. Chem. Phys., 1951, 19, 457). Из всех возможных колебаний комплекса  $Ag^+ + 6Cl^-$  выбраны лишь полносимметрич. колебания ионов  $Cl^-$  около иона  $Ag^+$ , так что расстояние  $Ag^+ - Cl^-$  оказывается единственной конфигурационной координатой в расчете. В ходе расчета определены поляризуемости и радиусы иона  $Ag^+$  в основном и возбужденном состояниях и константы отталкивания для этих состояний при взаимодействии  $Ag^+ - Cl^-$ . Вычислена энергия  $E$  комплекса  $Ag^+ + 6Cl^-$  как функция расстояния между  $Ag^+$  и  $Cl^-$  и получены конфигурационные кривые для состояний  $^1S_0$ ,  $^3D_1$  и  $^3P_1$  (в эв):  $E_{^1S_0} = 4,9974$  ( $\Delta a = -0,0689$ )<sup>2</sup> - 0,2787;  $E_{^3D_1} = 4,4777$  ( $\Delta a + 0,1069$ )<sup>2</sup> + 3,3533;  $E_{^3P_1} = 5,4004$  ( $\Delta a + 0,3531$ )<sup>2</sup> + 5,3898. На основе этих кривых и в предположении больцмановского распределения центров по конфигурациям  $\Delta a$  найдены полосы излучения и поглощения для переходов  $^3D_1 - ^1S_0$  и  $^3P_1 - ^1S_0$  в ионе  $Ag^+$ . Вычисленные

положения и полуширины полос для перехода  $^3D_1 - ^1S_0$  сильно отличаются от экспериментальных. Для перехода  $^3P_1 - ^1S_0$  результаты удовлетворительны: для поглощения расстояние между теоретич. и эксперим. максимумами равно 0,7 эв, для излучения ~ 0,2 эв. Указано, что пригодность метода Уильямса может быть оценена путем независимого выбора между запрещенным  $D - S$  или разрешенным  $P - S$  переходом.

А. Хейнман

56533. Исследование органических сцинтилляторов. Сангстер, Эрвин (Study of organic scintillators. Sangster Raymond C., Irvine John W., Jr.), J. Chem. Phys., 1956, 24, № 4, 670—715 (англ.)

Исследована эффективность сцинтилляций и спектры фотофлуоресценции 55 чистых органич. кристаллов. Установлена качеств., а в простейших случаях полуколпч. связь между сцинтилляционными свойствами и структурой молекул, а также подвижностью л-электронов внутри молекул. Наилучшими сцинтилляторами являются преимущественно бесцветные в-ва с высокой т-рой плавления, молекулы которых имеют простую структуру, не содержат тяжелых атомов, обладают интенсивным резонансным сопряжением колец и имеют двойные этиленовые связи и другие группы, создающие протяженные, жестко связанные системы.

Из резюме авторов

56534. Длительность люминесценции центров окраски в ионных кристаллах. Бонч-Бруевич А. М., Тищенко Г. А., Феофилов П. П., Оптика и спектроскопия, 1957, 2, № 1, 136—140

Исследована люминесценция сложных центров окраски монокристаллов  $LiF$ ,  $NaF$  и  $CaF_2$ , окрашенных рентгенизацией или  $\gamma$ -облучением. Все кристаллы обнаруживают достаточно яркое свечение при возбуждении в области полос поглощения соответствующих центров окраски. Спектры излучения центров окраски  $LiF$  состоят из двух широких полос при ~ 530 и 690 м $\mu$ . Центры, дающие полосу при 530 м $\mu$ , ориентированы по осям симметрии 3-го порядка, центры, дающие полосу при 690 м $\mu$ , — по осям 2-го порядка и отождествлены с  $F_2$ -центрами. Спектр излучения  $NaF$  представляет собой широкую полосу при 700 м $\mu$ . В кристаллах  $CaF_2$  обнаружены 2 типа центров окраски с различными спектрами излучения. Для всех кристаллов длительность люминесценции т-центров окраски равна ~  $10^{-8}$  сек. Она не зависит от способа окрашивания, интенсивности и длины волны возбуждающего света, концентрации центров окраски и т-ры вплоть до -196°. Свечение приписано разрешенным дипольным переходам. Выход свечения для  $CaF_2$  равен ~ 0,1. По значениям  $\tau$  и данным о выходе вычислено, что сила осциллятора для сложных центров окраски равна 0,01—0,03, т. е. значительно меньше ожидаемой.

А. Хейнман

56535. Система  $CdO - B_2O_3$ . II. Флуоресценция. Хаммел, Суббарао (The system cadmium oxide-boric oxide. II. Fluorescence. Hummel F. A., Subbargaо E. C.), J. Electrochem. Soc., 1957, 104, № 10, 616—618 (англ.)

Исследована флуоресценция соединений  $2CdO \cdot B_2O_3$  (I),  $3CdO \cdot 2B_2O_3$  (II) и  $2CdO \cdot 3B_2O_3$  (III), активированных 0,01—2 вес.%  $MnO$ . При возбуждении  $\lambda$  2537 А все фосфоры излучают в оранжевой или оранжево-красной областях спектра с максимумом при ~ 6200 А при комнатной т-ре. Для всех соединений интенсивность излучения максимальна в интервале 0,1—1 вес.%  $MnO$ . При эквивалентном содержании  $MnO$  II имеет максим. яркость свечения, I — немного меньшую и III — вдвое меньшую. При возбуждении катодными лучами I и II флуоресцируют оранжевым светом, а III — зеленым. Исследовано свечение I, II и III, активированных Sn, Sb, Ti, Hg, Sm, Bi, Ag, Tl



и Pb при возбуждении  $\lambda 2537$  и  $3650 \text{ \AA}$  и катодными лучами. Сообщение I см. РЖХим, 1957, 7483. А. Х. 56536. Влияние кристаллической структуры на люминесценцию  $\text{Li}_2\text{TiO}_3$ , активированного Mn. Лоренз, Пренер (Effect of crystal structure upon the luminescence of manganese-activated lithium titanate. Lorenz M. R., Prener J. S.), J. Chem. Phys., 1956, 25, № 5, 1013—1015 (англ.)

В согласии с литературными данными найдено, что отожженный при  $900^\circ \text{C}$   $\text{Li}_2\text{TiO}_3$  имеет гранецентр. куб. решетку с упорядоченным расположением катионов (I). В присутствии  $\text{MgO}$ , а также при быстром охлаждении  $\text{Li}_2\text{TiO}_3$  имеет решетку типа NaCl с беспорядочным распределением  $\text{Li}^+$  и  $\text{Ti}^{4+}$  по катионным узлам (II). Спектры излучения  $\text{Li}_2\text{TiO}_3$ , активированного  $\text{Mn}^{4+}$ , при  $-195^\circ$  при возбуждении  $\lambda 3690 \text{ \AA}$  состоят из девяти узких полос в области 675—697 мк для кристаллов I и из одной широкой полосы в той же области для кристаллов II. Фосфоресценция кристаллов I при  $-195^\circ$  затухает по экспоненте с  $\tau = 1,1$  мсек.; при повышении  $\tau$ -ры до  $-40^\circ \text{C}$  уменьшается. Для кристаллов II кривая затухания представляет сумму экспонент. Из рентгенографич. и спектральных измерений следует, что увеличение беспорядка в расположении катионов по мере введения  $\text{MgO}$  сопровождается постепенным исчезновением тонкой структуры в спектрах излучения и заменой ее широкой бесструктурной полосой. В кристаллах I ион  $\text{Mn}^{4+}$  окружен шестью ионами  $\text{O}^{2-}$  и эта конфигурация определяет спектр поглощения и свечения фосфора. Величина  $\tau$  зависит также от расположения более далеких соседей. При повышении  $\tau$ -ры появляются заметные отклонения от куб. симметрии вокруг  $\text{Mn}^{4+}$  и  $\tau$  падает. В кристаллах II различные ионы  $\text{Mn}^{4+}$  находятся в несколько различном окружении, что приводит к затуханию по сумме экспонент. Однако ближайшее окружение иона  $\text{Mn}^{4+}$  ионами  $\text{O}^{2-}$  изменяется мало, и поэтому изменения в энергии переходов также малы, что совместно с нарушением правил отбора по четности состояний приводит к замене тонкой структуры широкой полосой в той же области спектра. А. Хейнман

56537. О разрушении кристаллофосфоров под действием давления. Мейер (Über die Druckzerstörung der Kristallphosphore. Meier Hans), Z. Elektrochem., 1956, 60, № 9-10, 1007—1014 (нем.)

Исследовано влияние статич. давления  $P$  до 5000 ат на интенсивность  $I$  флуоресценции и фосфоресценции фосфоров  $\text{ZnS} = \text{Cu}$  и  $\text{ZnS} \cdot \text{CdS} = \text{Ag}$ , а также на их фотопроводимость  $\Delta\sigma$  и фотодиэлектрич. эффект  $\Delta\epsilon$  (возрастание диэлектрич. проницаемости при освещении). Оптич. рассеяние и реабсорбция исключались путем распределения фосфора на подложке в виде тонкого слоя толщиной в одно зерно ( $0,02 \text{ г}$  фосфора на  $12 \text{ см}^2$ ). При увеличении  $P$ ,  $I$ ,  $\Delta\sigma$  и  $\Delta\epsilon$  сначала резко падают, приближаясь к некоторым постоянным небольшим значениям при дальнейшем росте  $P$ . Кривые падения  $I$ ,  $\Delta\sigma$  и  $\Delta\epsilon$  имеют аналогичный ход, указывающий на тесную связь этих явлений. При 5000 ат  $I$  равна 10% начального значения, а  $\Delta\epsilon$  близко к нулю. По мнению автора, наблюдаемые эффекты обусловлены как увеличением доли безызлучательных переходов вследствие образования дефектов решетки под действием давления, так и, в основном, разрушением центров свечения в результате изменения окружения активатора, который при больших  $P$  вытесняется из междузлий решетки основания. Рассмотрены возможные механизмы процесса, но окончательные выводы не сделаны. А. Хейнман 56538. Люминесценция рентгенизованных щелочно-галогенидных кристаллов, вызванная механическим напряжением. Мец, Швейгер, Лейдер, Джирин-

фалко (Stress activated luminescence in X-irradiated alkali halide crystals. Metz F. I., Schweiger R. N., Leider H. R., Girifalco L. A.), J. Phys. Chem., 1957, 61, № 1, 86—89 (англ.)

Рентгенизованные монокристаллы KBr (I), LiF (II) и NaCl (III) подвергались 0—15%-ной пластич. деформации (Д) сжатием вдоль длинной оси при комнатной  $t$ -ре. Д сопровождается люминесценцией (Л), интенсивность  $I$  которой по различным побочным причинам возрастает в интервале Д 0—5%. Результаты относятся к Д > 5%. Для I и II в области 5—15%-ной Д  $I$  постоянна, а для III уменьшается по неизвестным причинам. При снятии нагрузки  $I$  падает до нуля за время < 1 сек. При повторном сжатии  $I$  увеличивается до исходного значения с той же скоростью. Для всех солей  $I$  пропорциональна скорости Д (для III — при условии, что  $I$  сравниваются при одинаковых Д). Зависимость  $I$  от времени рентгенизации обнаруживает насыщение для I и III через 20 мин. облучения, а для II  $I$  растет пропорционально времени вплоть до 120 мин.  $I$  слабо увеличивается с  $t$ -рой в интервалах 10—30°. Энергия активации, вычисленная из наклона  $\lg I = f(1/T)$ , равно 0,05 эв. Спектры Л всех солей состоят из двух полос при  $\sim 3500$  и  $\sim 4500 \text{ \AA}$ . Отношение  $I$  во 2-й полосе к  $I$  в 1-й возрастает на 80% в интервале Д 0—15% для I и III и уменьшается для II. Спектр поглощения не изменяется в результате Д. Результаты хорошо объясняются следующим механизмом Л. Тепловые вспышки, вызванные движением дислокаций при Д, возбуждают электроны  $F$ -центров в зону проводимости. Электроны проводимости рекомбинируют с атомами галогена или анионными вакансиями, обуславливая появление двух полос Л. А. Хейнман

56539. О возбуждении люминесценции цинкосульфидных люминофоров  $\alpha$ -частицами различной энергии. Ортман (Über die lumineszenzerregende Wirkung von Alpha-Teilchen verschiedener Energie auf Zinksulfid-Leuchtmassen. Ortman H.), Exptl. Techn. Phys., 1956, 4, № 6, 275—278 (нем.)

Яркость стандартного образца люминофора  $\text{ZnS} \cdot \text{Cu} (10^{-4})$ , полученного в присутствии  $\text{O}_2$ , пропорциональна концентрации радиоактивного в-ва и энергии возбуждающих  $\alpha$ -частиц. Для получения одной и той же яркости свечения требуется на 50% больше Ra, чем RaTh, эмитирующего  $\alpha$ -частицы соответственно большей энергии. Люминофор того же состава, но изготовленный прокаткой без доступа  $\text{O}_2$ , обнаруживает специфич. максимум возбуждения длиннопробежными  $\alpha$ -частицами RaTh: при энергетически равных дозах  $\alpha$ -частиц яркость образца с RaTh на 50% больше, чем образца с Ra. Кривые термовысвечивания обоих образцов также заметно отличаются одна от другой. Люминофоры постоянного действия только тогда имеют оптимальный световой выход, когда излучение радиоактивного в-ва соответствует специфич. максимуму возбуждения. А. Хейнман

56540. Характеристики старения электролюминофоров. Робертс (Aging characteristics of electroluminescent phosphors. Roberts S.), J. Appl. Phys., 1957, 28, № 2, 262—265 (англ.)

Установлено, что яркость  $B$  электролюминофора  $\text{ZnS} (80\%) \cdot \text{ZnSe} (20\%) \cdot \text{Cu}$  убывает со временем свечения  $t$  по эмпирич. ф-ле  $B = B_0 / (1 + t/t_c)$ , где  $B_0$  — начальная яркость, а  $t_c$  — время, за которое  $B$  падает до значения  $B/2$ . На частоте 60  $\text{гц}$   $t_c$  колеблется от сотен до тысячи часов, а при 5000  $\text{гц}$   $t_c < 100$  час. Результаты интерпретируются на основе теории Пайпера — Вильямса. Падение  $B$  приписано уменьшению концентрации доноров, вызванное их миграцией в электрич. поле и необратимой рекомбинацией с активаторами, расположенными в ближайших соседних узлах решетки. А. Хейнман

K-irradiation  
J. Phys.

LiF (II)

деформационной

интенсивности

относительной

Д / по

время

П — при

Д. За

уживает

я, а для

от до

термоста

наклад

олей со

попуще

термост

Спектр

ультра

Л. Тем

показат

ну про

ируют

и, обо

ейман

ульфид

энергии

Virkung

f Zink

Techn.

нофора

пропор

и во

той же

Na, чем

о боль

готов

ет сле

ными

доса

е, чем

образ

Люми

имеют

радио

имеют

полум

и, 1957,

нофора

и све

В<sub>0</sub> —

падает

от

0 час.

Пай

нения

струк

рами,

к ре

инмян

56541. Старение электролюминофоров. Торнтон (Electroluminescence deterioration. Thornton W. A.), J. Appl. Phys., 1957, 28, № 3, 313—316 (англ.)

Обнаружено, что в процессе падения яркости свечения электролюминофоров при комнатной т-ре яркость фотолуминесценции остается постоянной, фото- и темновой проводимости уменьшаются пропорционально падению свечения, а форма волн яркости непрерывно изменяется с течением времени. При 80° К падение яркости электролуминесценции происходит значительно медленнее. Автор объясняет полученные результаты, исходя из предположения о миграции центров захвата в электрич. поле, возбуждающем электролуминесценцию.

А. Хейнман  
56542. Обесцвечивание центров окраски в кристаллах KCl, содержащих U-центры. Уэта, Хираи (The bleaching of color centers in KCl crystals containing U-centers. Ueta Masayasu, Hirai Masamitsu), Phys. and Chem. Solids, 1957, 2, № 1, 83—84 (англ.)

Установлено, что F-центры, полученные из U-центров, могут быть полностью превращены в U-центры при освещении в F-полосе при 20°. Исследованы детали этого процесса. U-центры в конц-ии  $\sim 5 \cdot 10^{-17}$  см<sup>-3</sup> получили нагреванием в H<sub>2</sub> аддитивно окрашенных кристаллов KCl. При освещении УФ-лучами U-центры частично превращались в F-центры без образования M- и R-полос. При облучении в максимуме F-полосы при 20° она разрушается, при этом сначала образуется M-полоса, которая далее ослабляется и образуется R-полоса. При длительном облучении разрушаются F-, M- и R-полосы. В кристалле с F- и M-полосами обе полосы параллельно разрушаются в темноте при 20°. F-полоса неустойчива только в присутствии M-полосы. F- и M-полосы устойчивы в темноте при -18°. УФ-лучи, поглощаемые U-центрами, легко разрушают M-полосу при -18°, что приписано действию локальных тепловых всплесков, возникающих при возвращении возбужденных U-центров в основное состояние или рекомбинации двух ионизованных U-центров (атомов H) в молекулу H<sub>2</sub>. На основе моделей U- и M-центров предложен механизм обесцвечивания F- и M-полос при 20°:  $H_2 + M \rightarrow H_2^- + V^- + V^- + V^+ \rightarrow U + H + V^- + V^+$ ;  $H + F \rightarrow U$ . Здесь V<sup>-</sup> — анионная, а V<sup>+</sup> — катионная вакансия.

А. Хейнман  
56543. Центры окраски галогенидов щелочных металлов. Сен-Жам (Les centres colorés dans les halogénures alcalins. Saint-James Daniel), J. phys. et radium, 1957, 18, № 4, 260—279 (франц.)

Обзор. Вибл. 61 назв.

56544. Опыты по нагреванию амазонита. Офтедаль (Heating experiments on amazonite. Oftedal Ivar), Mineral. Mag., 1957, 31, № 236, 417—419 (англ.)

Измерена скорость термич. обесцвечивания норвежского амазонита (I) при 270—500°. При  $\sim 500^\circ$  I обесцвечивается почти мгновенно. При т-рах  $\leq 270^\circ$  обесцвечивания не наблюдается. В интервале  $\sim 450$ —300° зависимость логарифма скорости обесцвечивания от 1/T линейна. Энергия активации обесцвечивания равна  $\sim 30$  ккал/моль. Содержание примесей (Rb, Pb, Tl) при обесцвечивании не изменяется. По мнению автора, появление центров окраски в I может быть связано с частичным замещением ионов O<sup>2-</sup> ионами F<sup>-</sup> в кристаллах в естественных условиях.

А. Хейнман  
56545. Окрашивание монокристаллов BaTiO<sub>3</sub>. Коэман М. С., Буренин Э. В., Докл. АН СССР, 1957, 115, № 3, 483—485

В результате прокалывания при 1000° на воздухе или в O<sub>2</sub> монокристаллы BaTiO<sub>3</sub> приобретают коричнево-красную окраску, которая по аналогии с окраской щелочногалогенидных кристаллов названа аддитивной. Прокalывание в H<sub>2</sub> почти полностью обесцвечивает

кристалл. Электролиз кристалла при 300° и напряжении 500 в вызывает распространение от анода в кристалл красно-коричневой окраски с резким фронтом. Обращение полюсов вызывает обратное перемещение окрашенной зоны и частичный выход ее из кристалла. Сделан вывод, что окраска кислородом и электролизом обусловлена одними и теми же центрами окраски. Реже встречаются образцы, в которых от катода в кристалл движется синее окрашивание, задерживающее перемещение красно-коричневой окраски.

А. Хейнман  
56546. Экситонные спектры поглощения и излучения γ-AgJ при очень низких температурах. Перни, Никитин (Spectres de l'exciton, en absorption et en émission, dans γ-AgJ aux très basses températures. Perny Guy, Nikitine Serge), C. r. Acad. sci., 1957, 244, № 7, 878—881 (франц.)

При 4° К в спектре поглощения тонких ( $\sim 0,1 \mu$ ) слоев γ-AgJ (тексагон.), полученных сублимацией Ag в атмосфере J<sub>2</sub> при комнатной т-ре, имеется, кроме других полос, серия сходящихся тонких линий 4187, 4172, 4162, 4154 и 4151 Å. Четыре из этих линий укладываются в серийную ф-лу водородоподобного атома (с точностью  $\pm 10$  см<sup>-1</sup>):  $\nu_k = 24\,090 - 1790/k^2$ , где  $k = 3, 4, 5, \dots, \infty$ . Значение  $k = 3$  приписано линии 4187 Å, а  $k = \infty$  — линии 4151 Å. Линия 4154 определена плохо, так как представляет собой скопление линий с высокими квантовыми числами. Линия  $k = 1$  попадает в одну из полос поглощения и не видна. Эта серия приписана экситону. При 77° К она сливается в полосу при 4153 Å. Спектр люминесценции γ-AgJ при 20 и 4° К состоит из шести линий (полос), сходящихся в сторону коротких волн:  $4500 \pm 20$ ,  $4335 \pm 5$ ,  $4285 \pm 2$ ,  $4250 \pm 2$ ,  $4236 \pm 1$  и  $4219 \pm 1$  Å. Все полосы, кроме 2-й, описываются ф-лой  $\nu_k = 23\,702 - 1480/k^2$ , где  $k = 1, 2, 3, 4, \dots, \infty$ . При 77° К число полос уменьшается, а их интенсивность слабеет. Интенсивность полос падает с уменьшением длины волны. Эта серия приписана переходам с уровней поляризующего экситона. Смещение границы серии излучения относительно границы серии поглощения ( $\sim 388$  см<sup>-1</sup>) характеризует степень поляризации.

А. Хейнман  
56547. Экситонные полосы поглощения кристаллов галогенидов щелочных металлов. Мартинсон (Über die Excitonbanden der Alkalihalogenidkristalle. Martinsson Werner), Phys. and Chem. Solids, 1957, 2, № 4, 257—267 (нем.; рез. англ.)

Исследован спектр поглощения напыленных слоев NaJ, KJ, RbJ и CsJ в области экситонных полос (180—230 мμ) при т-рах от 20° К до 300° С. При 20° К все спектры содержат узкую ( $\sim 0,08$  эв) длинноволновую полосу между 210 и 225 мμ (полоса Ia) и более широкую коротковолновую полосу Ib между 180 и 195 мμ. У RbJ полоса Ib расщеплена на 2 компонента. Между полосами Ia и Ib имеется слабая ступенька поглощения. У CsJ, обладающего структурой CsCl, к полосе Ia примыкает более коротковолновая резкая дублетная полоса IIa с весьма узкими компонентами. В результате введения в CsJ около 45 мол.% KJ образуются смешанные кристаллы со структурой NaCl и дублет IIa исчезает. Замораживание дефектов при низких т-рах (9° К) и повышение т-ры (до 480° К) оказывают одинаковое влияние на спектр поглощения: экситонные полосы понижаются, расширяются и смещаются в сторону длинных волн. Длинноволновый спад поглощения полосы Ia является краем собственного поглощения кристалла. При т-рах 20—1000° К коэф. поглощения K в области этого края ( $10^{-2}$ — $10^5$  мм<sup>-1</sup>) экспоненциально возрастает с частотой света. С увеличением т-ры в указанном интервале край поглощения становится более пологим и смещается в сторону длинных волн по ф-ле  $K(\nu, T) = K_{\text{exp}}(-sh/\nu(\text{манс}) - \nu/kT)$ .



где  $K_0$  и  $\sigma$  — постоянные, характерные для данного в-ва. При  $T = 0$ , согласно этой ф-ле, полоса поглощения вырождается в линию. Дано объяснение расширения полос поглощения с  $T$ -рой. А. Хейнман

56548. Проводимость  $\alpha$ -Mn. Уайт, Вудс (Conductivity of  $\alpha$ -manganese. White G. K., Woods S. B.), Canad. J. Phys., 1957, 35, № 3, 346—348 (англ.)

В интервале 2—500° K измерены электро- и теплопроводность отожженных и неотожженных образцов  $\alpha$ -Mn высокой частоты. Обнаружены аномалии, отсутствующие у других переходных металлов.

А. Хейнман  
56549. Влияние примесей брома на электропроводность селена. Башпашлиев А. А., Абдуллаев Г. Б., АзербССР элмәр Акад. хәбәрләри, Изв. АН АзербССР, 1957, № 2, 3—13 (рез. азерб.)

С увеличением конц-ии Br (0,016—0,13%) в образцах гексагон. Se проводимость  $\sigma$  возрастает, оставаясь дырочной. Зависимость примесной  $\sigma$  от  $T$ -ры в интервале 20—100° описывается ф-лой  $\sigma = \sigma_0 \exp(-E/2kT)$ , где  $E = 0,36$  эв для чистого Se и 0,130 эв для Se с 0,13% Br. Коэф. термо-з. д. с.  $\alpha$  возрастает с конц-ией Br. Из данных по  $\sigma$  и  $\alpha$  найдено, что с ростом конц-ии Br уменьшается конц-ия  $n$  и увеличивается эффективная подвижность  $\mu$  носителей тока. До 40°  $\mu$  растет с  $T$ -рой скорее, чем  $n$ , и поэтому увеличение  $\sigma$  с  $T$ -рой обусловлено в основном ростом  $\mu$ . Выше 40° рост  $\sigma$  с  $T$ -рой обусловлен ростом  $n$ .

А. Хейнман  
56550. Воздействие ионов группы железа на диэлектрические свойства BaTiO<sub>3</sub>. Сакудо (Effect of iron group ions on the dielectric properties of BaTiO<sub>3</sub> ceramics. Sakudo Tunetaro), J. Phys. Soc. Japan, 1957, 12, № 9, 1050 (англ.)

56551. Фотопроводимость поликристаллического сернистого кадмия при облучении рентгеновскими лучами. Бразджюнас П. П., Ширвайтис А. И., Liet. TSR Mokslų akad. darbai, Tr. AN ЛитССР, 1957, Б, № 4, 57—66 (рез. лит.)

Представлены результаты исследования фотопроводимости поликристаллич. CdS при облучении рентгеновскими лучами. Образцы изготовлены из CdS, полученного при синтезе х. ч. Cd и S, и термически обработаны в атмосфере воздуха, N<sub>2</sub>, O<sub>2</sub>, в вакууме, в парах S и Cd. Установлены оптимальные условия фотопроводимости фотосопровитлений в рентгеновской и видимой спектральной областях. Исследованы вольтамперные, люксамперные, дозиметрич. характеристики, инерционность. Результаты исследований показали, что фоточувствительность поликристаллич. CrS примерно на 1 порядок больше, чем монокристаллич., при такой же инерционности, что представляет возможность использования фотосопровитлений из поликристаллич. CdS в качестве индикаторов в рентгеновской спектральной области. Резюме авторов

56552. Получение сурьмянистого индия высокой степени чистоты методом зонной плавки. Виноградова К. И., Галаванов В. В., Наследов Д. Н., Ж. техн. физики, 1957, 27, № 9, 1976—1984

Излагаются результаты работы по очистке InSb методом зонной плавки. Для контроля степени чистоты различных слитков производилось измерение распределения по длине слитка уд. электропроводности конц-ии примесей и подвижности носителей тока. Получена наименьшая конц-ия примесей  $2,5 \cdot 10^{13}$  см<sup>-3</sup>. Наибольшая подвижность носителей тока составляла 400 000 см<sup>2</sup>/в сек при 77° K и  $\sim 100$  000 см<sup>2</sup>/в сек при комнатной  $T$ -ре. Резюме авторов

56553. Действие радиоактивных лучей на неорганические и органические полупроводники. Суган Синтаро, Фурунги Дзю, Кагаку, Chemistry (Japan), 1958, 13, № 1, 54, 55 (японск.) Обзор. Библ. 24 назв.

56554. Превращение  $p$ -Si в  $n$ -Si в результате облучения  $\alpha$ -частицами. Трей, Оберхаузер (Über eine Umwandlung von  $p$ -Si in  $n$ -Si durch  $\alpha$ -Strahlen. Trey F., Oberhauser F.), Naturwissenschaften, 1957, 44, № 8, 256—257 (нем.)

В результате облучения монокристалла  $p$ -Si ( $1 \times 1 \times 30$  мм) интегральной дозой  $10^{13}$   $\alpha$ -частиц от препарата Po часть атомов Si превратилась в атомы P, и облученная сторона кристалла стала  $n$ -проводящей. На противоположной необлученной стороне кристалла дырочная проводимость сильно уменьшилась, что, учитывая малый эффективный пробег  $\alpha$ -частиц ( $\sim 7$  м), приписано диффузии атомов P и электронов. Расчет показывает, что указанная доза  $\alpha$ -частиц являлась образованием  $10^7$  атомов P на 1 см<sup>2</sup> или  $2 \cdot 10^8$  атомов на 1 см<sup>3</sup>. А. Хейнман

56555. Электросопротивление и постоянная Холла кристаллов PbTe. Сёгэндан, Утияма (On electrical resistivity and Hall coefficient of PbTe crystals. Shogenji Kisaburo, Uchiyama Susumu), J. Phys. Soc. Japan, 1957, 12, № 3, 252—258 (англ.)

Монокристаллы типа PbTe выращивали методом Лосола из расплава, содержащего стехиометрич. кол-ва Pb (очищенного зонной плавкой) и Te (перегнанного в вакууме). Сопротивление  $\rho$  и постоянная Холла  $R$  исходных образцов и образцов, прогретых в воздухе при 400—440° K измерены в интервале от 450° K до  $T$ -ры жидкого воздуха. Прогрев увеличивает  $\rho$  и  $R$ . Собственная ширина запрещенной зоны, определенная из данных по  $R$ , равна 0,3 эв, а отношение подвижности  $\mu_e/\mu_p$  равно  $\sim 2,5$  при 300—400° K. Энергия активации акцепторов весьма мала. Подвижность дырок приблизительно пропорциональна  $T^{-5/2}$ . А. Х.

56556. Термо-з. д. с. кристаллов с ионной проводимостью. Говард, Лидиард (Thermoelectric power of ionic conduction crystals. Howard R. E., Lidiard A. B.), Philos. Mag., 1957, 2, № 24, 1462—1467 (англ.); Disc. Faraday Soc., 1957, № 23, 113—121. Discuss., 155—170

56557. Диэлектрические потери в монокристаллах TiO<sub>2</sub>. Ван-Кеймёлен (Dielectric losses in TiO<sub>2</sub> single crystals. Van Keymeulen J.), Naturwissenschaften, 1958, 45, № 3, 56 (англ.)

56558. О термомангнитном поведении систем CoO—MgO и CoO—NiO. Перакис, Серр (Sur le comportement thermomagnétique des systèmes CoO—MgO et CoO—NiO. Perakis N., Serres A., m-ile), J. phys. et radium, 1957, 18, № 1, 47—50 (франц.)

Исследована температурная зависимость магнитных свойств твердых  $p$ -ров 3CoO·2MgO, 2CoO·MgO и 2CoO·NiO в интервале от  $T$ -ры жидкого азота до 981° K. Приведены графики и таблицы. Установлено, что CoO, растворенная в MgO или в NiO, при всех конц-иях и  $T$ -рах обладает неизменной постоянной Кюри, равной 3,26. Я. Дорфман

56559. О парамагнитной анизотропии монокристаллов хромовых квасцов. Сян Жэнь-шань (Hsiang Jen-sheng), Ули сюэбао, Acta physica, 1957, 13, № 3, 177—180 (кит.; рез. англ.)

Расчет, основанный на теории Вейсса, показывает, что в монокристаллах хромовых квасцов имеется парамагнитная анизотропия. Приведены для нескольких значений напряженности магнитного поля при комнатной  $T$ -ре разницы (в %) значений восприимчивости вдоль направлений [100] и [110]. Отмечено, что обычное представление о главных восприимчивостях, ориентированных по трем взаимно-перпендикулярным магнитным осям, неприменимо к описанию парамагнитной анизотропии куб. кристаллов хромовых квасцов. Из резюме автора

56560. Влияние добавок титана и алюминия на магнитные свойства окиси железа. Хей (The effect of

added titanium and aluminium on the magnetic behaviour of  $\alpha$  ferric oxide. Haigh G.), Philos. Mag., 1957, 2, № 16, 505—520 (англ.)

Исследовалось магнитное поведение гематита  $\alpha$ -Fe<sub>2</sub>O<sub>3</sub> при  $-15^\circ$  (т-ра антиферромагнитного перехода) при добавлении малых кол-в Ti и Al в качестве примесей. Переход наблюдался лишь при больших содержаниях примесей ( $\sim 10\%$ ). Сравнение магнитных свойств и поведения природных гематитов с синтетическими показывает, что у первых это поведение является структурно-чувствительным свойством. Отсюда делается вывод, что отсутствие антиферромагнитного перехода у природных гематитовых песчаников обусловлено, вероятно, некоторыми особенностями кристаллич. структуры.

Резюме автора  
56561. Анизотропия  $\gamma$ -излучения ядер Co<sup>60</sup>, поляризованных путем насыщения парамагнитного резонанса. Эйбрахам, Кедзи, Джеффрис ( $\gamma$  Ray anisotropy of Co<sup>60</sup> nuclei polarized by paramagnetic resonance saturation. Abraham M., Kedzie R. W., Jeffries C. D.), Phys. Rev., 1957, 106, № 4, 165—166 (англ.)

Наблюдалась анизотропия  $\gamma$ -излучения ядер Co<sup>60</sup> (линия ядра 5) в монокристаллах La<sub>2</sub>Mg<sub>3</sub>(NO<sub>3</sub>)<sub>12</sub>·24D<sub>2</sub>O (отношение кон-ций Mg:Co<sup>60</sup>:Co<sup>60</sup> = 10<sup>4</sup>:50:1). Параллельные между собой постоянное и переменное поля (9300 Маг) были ориентированы перпендикулярно к оси z кристалла. Опыты проводились при 1,6° К. При медленном прохождении магнитным полем возникало 2I = 10 запрещенных переходов; в соответствии с этим наблюдались 10 пиков анизотропии  $\gamma$ -излучения. Наиболее интенсивный пик соответствует анизотропии  $\sim 1\%$ , что составляет половину ожидаемой при условии полного насыщения переходов анизотропии. Считается, что в уменьшении поляризации (анизотропии) важную роль могут играть процессы ядерной спин-решеточной релаксации. Слабая анизотропия излучения наблюдалась и тогда, когда постоянное и переменное поля были ориентированы перпендикулярно друг к другу.

К. Валиев  
56562. Применение парамагнитного резонанса (ядерной индукции) для исследования структуры сегнетовой соли и эпоксидных смол. Лёше А., Изв. АН СССР. Сер. физ., 1957, 21, № 8, 1064—1071

Методом протонного резонанса исследовано положение протонов в кристаллах сегнетовой соли (I). Элементарная ячейка I содержит 16 молекул воды; протоны каждой молекулы воды дают в спектре дублетную линию. По наблюдавшимся дублетным расщеплениям определены углы, образуемые связями Н—Н относительно осей кристалла. В порошке I при т-ре выше точки Кюри (24°) 2-й момент линии внезапно уменьшается, что обусловлено, по-видимому, возбуждением колебаний протонов. Изучен процесс полимеризации эпоксидных смол. Здесь имеются 2 группы протонов: 2 протона бензольной и 3 протона метильной групп — с вычисленными 2-ми моментами 1,6 и 10 э<sup>2</sup> соответственно. В жидкой смоле линии очень узкие за счет сужения движением; при полимеризации движение молекул, с одной стороны, и движение протонов в молекулах — с другой, затрудняется, что ведет к уширению линий. Спустя 1 час после взятия жидкой пробы 2-й момент линии увеличивается до 1,3 э<sup>2</sup>; движение длинных цепочек бензольных колец прекращается из-за полимеризации. Еще через 20 час. возникает новое уширение до 10 э<sup>2</sup>: затормаживается движение метильных групп.

К. Валиев  
56563. Применение метода парамагнитного резонанса для исследования состояния активатора в фосфорах. Маненков А. А., Прохоров А. М., Трапезникова З. А., Фок М. В., Оптика и спектроскопия, 1957, 2, № 4, 470—474

Исследован парамагнитный резонанс в порошкообразных фосфорах SrS-Eu, SrS-Gd, SrS-Tb и в искусств. монокристалле CaF<sub>2</sub>, активированном европием. По полученным спектрам определялось валентное состояние активатора. В соединениях SrS-Eu и CaF<sub>2</sub>-Eu получен спектр, обусловленный Eu<sup>2+</sup>. Этот ион находится в состоянии  $^8S_{7/2}$ , поэтому возможно наблюдение семи электронных переходов, линии поглощения которых расщеплены на 12 компонент сверхтонкой структуры, что и было наблюдено в монокристалле CaF<sub>2</sub>-Eu. В SrS-Eu получены линии поглощения, соответствующие электронному переходу  $M = 1/2 \leftrightarrow -1/2$ . Других переходов не было обнаружено, поскольку исследования проводились в порошке, что привело к анизотропному уширению линий поглощения, соответствующих этим переходам. Из сравнения сверхтонких расщеплений в спектре SrS-Eu и CaF<sub>2</sub>-Eu определены абс. величины и знак отношения ядерных магнитных моментов двух изотопов Eu:  $\mu_{151}/\mu_{153} = +2,24 \pm 0,03$ . В порошкообразном фосфоре SrS-Gd наблюдалась линия поглощения, соответствующая электронному переходу  $M = 1/2 \leftrightarrow -1/2$  иона Gd<sup>3+</sup>, основное состояние которого также  $^8S_{7/2}$ . Другие переходы не наблюдаются по той же причине, что и в случае SrS-Eu. Оценена величина магнитных моментов ядер нечетных изотопов гадолиния  $|\mu(Gd^{155})| \approx |\mu(Gd^{157})| \approx 0,2 \mu$  (яд.). Произведена попытка обнаружить изменение валентного состояния активатора при возбуждении фосфоров SrS-Eu, Sm и SrS-Tb, Sm. В пределах точности опыта ( $\sim 5\%$  для SrS-Eu, Sm и  $1\%$  для SrS-Tb, Sm) ионизация активатора при возбуждении фосфоров не подтвердилась, хотя оптич. исследования указывают на ионизацию  $\sim 10\%$  ионов Eu<sup>2+</sup> при возбуждении фосфора. Обсуждаются возможные причины расхождения этих оптич. данных с данными по парамагнитному резонансу. Измерения производились при комнатной т-ре на частоте 9340 Мгц.

В. Чочалаев  
56564. Ядерная спиновая релаксация в водороде. III. Твердое состояние вблизи точки плавления. Блом (Nuclear spin relaxation in hydrogen. III. The solid near the melting point. Bloom Myer), Physica, 1957, 23, № 8, 767—780 (англ.)

При помощи импульсной техники измерено поперечное  $T_2$  и продольное  $T_1$  времена релаксации для магнитного резонанса протонов (30 Мгц) в твердых H<sub>2</sub> и HD вблизи точки плавления, где имеет место заметная самодиффузия. Наблюдалась линейная зависимость величины  $\ln T_2$  от величины, обратной абс. т-ре, в большом интервале т-р. Выражение для коэф. самодиффузии может быть записано в виде  $D_0 \exp(-E_a/RT)$ . Значение  $E_a$  для H<sub>2</sub> и HD равно соответственно  $380 \pm 20$  и  $600 \pm 40$  кал/моль. Приближенное значение  $D_0$  составляет  $10^{-3}$  и  $0,1$  см<sup>2</sup>/сек для H<sub>2</sub> и HD соответственно.  $T_1$  для H<sub>2</sub> найдено равным 0,22 и практически не зависящим от т-ры, в согласии с теорией.  $T_1$  для HD обусловлено небольшой примесью H<sub>2</sub>. Колич. расчет влияния примеси H<sub>2</sub> показывает, что энергия активации диффузии H<sub>2</sub> в HD примерно такая же, как в H<sub>2</sub>, и что  $D_0 \approx 10^{-4}$  см<sup>2</sup>/сек. Сообщение II, см. РЖХим, 1958, 35158.

Резюме автора  
56565. Метод определения механизма ядерной релаксации в кристаллах. Андрию, Суонсон (A method for determining the nuclear relaxation mechanism in crystals. Andrew E. R., Swanson K. M.), Proc. Phys. Soc., 1957, B70, № 4, 436—440 (англ.)

Показано, что путем изучения насыщения одной из линий магнитного резонанса на ядрах со спином  $>3/2$  в кристаллах можно выяснить, происходит ли релаксация через магнитные или квадрупольные взаимодействия ядер. Когда релаксация происходит через магнитные взаимодействия, релаксационные переходы



могут совершаться только на соседние уровни  $m \rightarrow m-1$ . При квадрупольной релаксации существуют также переходы  $m \rightarrow m-2$ . Эта разница может проявиться двояко: 1) насыщение одной из линий не влияет на интенсивность другой, если релаксация происходит через магнитные взаимодействия, что не имеет места, если релаксация квадрупольная; 2) насыщение каждой из линий  $3/2 \rightarrow 1/2$ ,  $1/2 \rightarrow -1/2$ ,  $-1/2 \rightarrow -3/2$  должно происходить различно, если релаксация квадрупольная, и одинаково, если релаксация магнитная. Опыты проведены при комнатной т-ре на кристаллах  $\text{NaNO}_3$ ; каждая из линий резонанса на ядрах  $\text{Na}^{23}$  насыщается различно, что показывает квадрупольный характер ядерной релаксации. Обнаружено, что время релаксации обладает некоторой анизотропией.

К. Валиев

**56566. Теория инфракрасного резонанса в ферритах.** Шлёман (Theory of infra-red resonances in ferrimagnetics. Schlömann Ernst), Phys. and Chem. Solids, 1957, 2, № 3, 214—220 (англ.). См. РЖФиз, 1958, 13409.

**56567. К вопросу о внедрении марганца в  $\alpha$ -олово.** Фишер, Мюллер (Zur Frage des Einbaus von Mangan in  $\alpha$ -Zinn. Fischer T., Müller K. A.), Helv. phys. acta, 1957, 30, № 4, 223—224 (нем.).

Исследована восприимчивость серого и белого Sn, легированного Mn в концентрации  $10^{19}$ — $10^{21}/\text{см}^3$ . Возникающий при этом парамагнетизм не зависел от модификации Sn и подчинялся как при высокой, так и при низкой т-ре закону Кюри — Вейсса. Эффективный момент зависел от термич. обработки образцов  $> 300^\circ \text{K}$ . Автор делает вывод, что в изученных препаратах Mn образует с Sn соединения в форме мелких кристаллитов. Измеренные электропроводность и холл-эффект  $\alpha$ -Sn показывают, что Mn не участвует в проводимости.

О. Гайсинская

**56568. Зависимость восприимчивости кобальта в сильном магнитном поле от температуры.** Пал, Тарноци (A kobalt differenciális szuszeptibilitásának hőmérséklettől való függése erős mágneses teremben. Pál Lénárd, Tarnóczi Tivadar), Magyar fiz. folyóirat, 1957, 5, № 1, 29—39 (венг.).

При изучении зависимости восприимчивости Co в сильном магнитном поле от т-ры получены кривые с характерным двойным максимумом. Определены т-ры, соответствующие минимумам этих кривых; данные для монокристаллов совпадают с эксперим. результатами для поликристаллов. Изучено также влияние на восприимчивость фазового превращения  $\alpha \rightleftharpoons \beta$ . С. Р. **56569. О состоянии атомов в ферромагнитных сплавах на основе железа, кобальта и никеля.** Дехтяр Н. Я., Изв. АН СССР. Сер. физ., 1957, 21, № 10, 1452—1458; Физ. металлов и металловедение, 1957, 5, № 1, 17—22.

Автор определяет состояние атомов компонентов в сплаве при помощи коэф. заполнения  $d$ -вакансий  $q_i = (d_{oi} - m_i)/d_{oi}$ , где  $d_{oi}$  — числа  $d$ -вакансий у изолированных атомов, известные из спектроскопич. данных,  $m_i$  определяются нейтронографически (РЖХим, 1956, 31831). Вычислена зависимость коэф. заполнения  $d$ -вакансий от состава для серий сплавов Fe-Ni и Fe-Cr. Показано, что в сплавах Fe-Cr при увеличении конц-ии Cr происходит заполнение  $d$ -вакансий атомов обоих сортов. В сплавах же Fe-Ni при увеличении конц-ии Fe до 50 ат. % коэф. заполнения для атомов Ni почти не изменяются, тогда как для атомов Fe они растут. Рассматривается также другой метод изучения состояния атомов различных компонентов в сплавах по коротковолновому смещению  $K$ -краев компонентов в рентгеновских спектрах поглощения. Оказывается, что смещение края тем больше, чем больше степень заполнения  $d$ -вакансий атомов компонентов.

Автор выводит выражения для атомных магнитных моментов компонентов бинарного сплава, зависящие от величин смещения  $K$ -краев компонентов сплава. Результаты вычислений атомных моментов по этим формулам для упорядоченного сплава  $\text{Ni}_3\text{Mn}$  сопоставляются с результатами нейтронографич. измерений и при этом обнаруживается хорошее совпадение данных обоих методов. Автор указывает на связь своих теоретич. расчетов величин атомных магнитных моментов бинарных сплавов с расчетами Вонсовского, сделанными на основе  $s-d$ -обменной модели (РЖХим, 1955, 9139).

А. Пахомов

**56570. Нейтронографическое исследование магнитных структур смешанных оксидов типа перовскита  $\text{La}(\text{Mn}, \text{Cr})\text{O}_3$ .** Бентс (Neutron diffraction study of the magnetic structures for the perovskite-type mixed oxides  $\text{La}(\text{Mn}, \text{Cr})\text{O}_3$ . Bents U. H.), Phys. Rev., 1957, 106, № 2, 225—230 (англ.).

Нейтронографическое исследование проводилось на серии образцов типа перовскита составов  $\text{La}[(1-x)\text{Mn}, x\text{Cr}]\text{O}_3$ . Антиферромагнитная структура чистого  $\text{LaMnO}_3$  существует при очень небольших конц-иях иона  $\text{Cr}^{3+}$ . Антиферромагнитная структура  $\text{LaCrO}_3$  существует в большой области составов. Образцы промежуточной области обладают ферро- и антиферромагнитными свойствами. Ферромагнитный момент достигает максимума при 20%  $\text{Cr}^{3+}$ . В противоположность смешанным оксидам  $[(1-x)\text{La}, x\text{Ca}]\text{MnO}_3$ , которые для определенных составов были абсолютно ферромагнитными, максим. магнитный момент в этом ряду значительно меньше, чем момент, в случае если все спины участвуют в его образовании. Нейтронограммы этих образцов показывают наличие линии при  $2\theta = 12^\circ$ , интенсивность которой зависит от т-ры. По этой линии, которая существует в большой области составов, проводилось изучение магнитных свойств. Такая же зависимость наблюдается для отражения (200) на некоторых нейтронограммах. Ферромагнитный момент объясняется тем, что больше спинов ориентировано в одном направлении, чем в противоположном (ферримagnetизм); число их меняется с составом.

Н. Равнин

**56571. Выращивание однородных кристаллов сетевой соли из сильно пересыщенных растворов.** Алявдин Н. В., Шефтал Н. Н., Фролов З. И., Кристаллография, 1957, 2, № 1, 193—195.

Исследовалась возможность скоростного получения кристаллов сетевой соли (I) из сильно пересыщ. р-ров большой конц-ии. Изучены причины разложения и условия метастабильного состояния р-ров I. Обнаружено, что причиной разложения I является не только повышение т-ры ( $> 41^\circ$ ), но и присутствие в р-ре необнаруживаемых зародышей отдельных тарtratов Na и K. При достаточно длительном нагревании при т-ре  $> 100^\circ$  зародыши уничтожаются и в интервале  $41$ — $56^\circ$  на затравках получаются кристаллы I. Таким образом, установлена возможность получения однородных кристаллов I на затравках в условиях ее термодинамич. неустойчивости при кристаллизации, причем опасность появления тарtratов исключается кипячением р-ра в кристаллизаторе. При этом за счет увеличения пересыщения и повышения т-ры кристаллизации за пределы термодинамич. устойчивости кристаллизующейся соли скорость выращивания однородных кристаллов I можно увеличить в несколько раз.

**56572. Процессы получения монокристаллов германия.** Ниими, Баба, Огава, Фурусэ, Тадата (Processes of preparation of germanium single crystals. Niimi Tatsuya, Baba Hideo, Ogawa Nikichi, Fuzusho Katsuhisa, Tadachi Chiyohito), Repts Electr. Commun. Lab., Nippon

Telegr. and Teleph. Public Corp., 1957, 5, № 5, 5—9 (англ.)

Описана лабор. методика получения монокристаллов Ge восстановлением  $\text{GeO}_2$  в атмосфере  $\text{H}_2$ . Очистка Ge производится методом зонной плавки. Монокристаллы Ge получают вытягиванием из расплава.

Я. Долженко

56573. О глицеро-глицеро-свойствах йодистого серебра. Монмори, Жафре (Sur les propriétés glicéro-iques de l'iodure d'argent. Montmory Robert, Jaffray Jean), C. r. Acad. sci., 1958, 246, № 9, 1391—1394 (франц.)

Приводятся результаты опытов по определению по глицеро-глицеро-действию диспергированного  $\text{AgI}$ . В ходе опытов изменялись условия: хим. состав атмосферы, в которой создавалось облако, хим. состав тигля, служащего для получения аэрозоля  $\text{AgI}$ , т-ра растворения тигля, способ введения аэрозоля в облако и др. Найдено, что порог действия аэрозоля  $\text{AgI}$  в различных условиях различен и меняется в пределах от  $-4$  до  $-12^\circ$ ; предполагается, что в этих случаях основную роль играет изменение структуры поверхности частиц, составляющих аэрозоль.

Н. Глики

56574. Относительно агрегации кристаллов льда в снежные хлопья. Хослер, Дженсен, Голдшлак (On the aggregation of ice crystals to form snow. Hosler Charles L., Jensen D. C., Goldshlak Leon), J. Meteorol., 1957, 14, № 5, 415—420 (англ.)

Экспериментально на примере взаимодействия двух ледяных шаров (диам.  $\sim 1$  мм) исследована роль  $t$  и давления водяного пара  $p$  для агрегации (А) кристаллов льда в снежные хлопья. Установлено, что интенсивность процесса агрегации увеличивается с  $t$  и  $p$ . В условиях пересыщения А имеет место при всех  $t$  и  $p$ ; в условиях недосыщения А наблюдается только при  $t > -4^\circ$ ; при  $p$ , соответствующем давлению насыщ. пара над льдом, А осуществляется при  $t \geq 25^\circ$  и сильно возрастает с приближением к  $0^\circ$ . Полученные результаты объясняются на основе представления о существовании жидкой пленки на поверхности льда при  $0^\circ$ ; предполагается, что толщина пленки является функцией  $t$  и  $p$ .

Н. Глики

56575. Влияние ультразвука на растворение и рост монокристаллов. Кавалюнайте В. Е. В сб.: Применение ультразвука к исслед. вещества. Вып. 6. М., 1958, 167—170

Экспериментально исследовано действие ультразвука (УЗ) малой интенсивности на частоте  $1,4 \text{ Мгц}$  на растворение и рост кристаллов алюмокалиевых квасцов. Установлено, что ВЧ-ультразвуковое поле малой интенсивности ускоряет растворение и рост монокристаллов и изменяет их форму. Наибольшее влияние УЗ оказывает на те грани октаэдрич. кристалла, которые расположены под углом к фронту ультразвуковой волны. Увеличение прироста массы кристалла под влиянием УЗ составляет 30—40%.

Б. Кудрявцев  
56576. Влияние ультразвука на растворение и развитие фигур травления. Каменева Н. П. В сб.: Применение ультразвука к исслед. вещества. Вып. 6. М., 1958, 155—165

Исследован процесс растворения кристаллов алюмокалиевых квасцов в спокойном состоянии и при воздействии ультразвука (УЗ) частотой  $2 \text{ Мгц}$  и интенсивностью  $0,017\text{—}0,25 \text{ вт/см}^2$ . УЗ ускоряет процесс растворения и влияет на развитие фигур травления в результате: 1) интенсивного перемешивания  $\pi$ -рителя, 2) создания на поверхности растворяющегося кристалла гидродинамич. условий, отличных от условий свободной диффузии, 3) возникновения местных перепадов  $\pi$ -р и давлений, 4) образования микротрещин

на поверхности кристалла, 5) своеобразного распределения энергии в ультразвуковом поле. С повышением интенсивности УЗ возрастает вызываемое им увеличение скорости растворения и изменяется вид фигур травления. Влияние УЗ уменьшается при повышении концентрации  $\pi$ -ра, в котором ведут озвучивание кристалла.

Б. Кудрявцев

56577. Действие колебаний звуковой и ультразвуковой частоты на процесс кристаллизации металлов. Полоцкий И. Г., Бенниева Т. Я., Сб. науч. работ Ин-та металлофиз. АН УССР, 1957, № 8, 163—169

Исследовалось влияние колебаний звуковой (200  $\text{гц}$ ) и ультразвуковой (500  $\text{кгц}$ ) частоты на процесс кристаллизации х. ч.  $\text{Cd}$ ,  $\text{Al}$ , цинкового антифрикционного сплава, а также салолла. Амплитуда низкочастотных колебаний равнялась 1,2 мм. Слитки весили 100 г. Во всех случаях облученные образцы имели более мелкую и равноосную структуру, чем необлученные, причем ВЧ-колебания дают больший эффект измельчения зерна, чем низкочастотные. Гидродинамич. перемешивание, имеющее место при воздействии колебаний низкой частоты, выравнивает  $\pi$ -ру расплавленного металла, что создает благоприятные условия для объемной кристаллизации и приводит к измельчению зерна. Эффект действия ультразвуковых колебаний на процесс кристаллизации определяется влиянием на образование центров кристаллизации в расплаве, диспергированием растущих кристаллов, примесей и переносом твердых частичек в объем расплава, а также появлением дополнительных центров кристаллизации у стенок изложницы за счет поперечных колебаний ее стенок. Кроме того, при облучении ультразвуком сплавов с дендритной структурой существенным является действие сил трения между расплавом и выпавшими игольчатыми кристаллами, которые вызывают их разламывание.

М. Усиков

56578. О зависимости коэффициента равновесной кристаллизации от размера кристаллов. Киргинцев А. Н., Ж. неорган. химии, 1958, 3, № 2, 533—538

Принято считать, что при соосаждении из водн.  $\pi$ -ра компонентов, из которых один является микрокомпонентом, в случае если имеет место сокристаллизация, а не адсорбция, поглощение последнего не зависит от степени дисперсности кристаллов в осадке. С целью проверки этого положения проведено термодинамич. исследование характера зависимости коэф. равновесной кристаллизации  $D$ , характеризующего процесс сокристаллизации, от величины кристалла. Рассмотрено для компонентов ионного характера равновесие одного кристалла с водн. фазой при условии его сферич. формы и независимости поверхностного натяжения от размера кристалла и от состава твердой фазы. Обнаружено, что если компоненты, образующие твердые  $\pi$ -ры, истинно изоморфны или изодиморфны, значение  $D$  мало зависит от размеров кристаллов. Оно отличается только для кристаллов субмикроскопич. размера. В случае же аномально-смешанных кристаллов и присутствия в  $\pi$ -ре избытка анионов или катионов  $D$  в большой степени зависит от размера кристаллов. Показано, таким образом, что методом перекристаллизации осадка не всегда можно отличить адсорбцию от сокристаллизации.

Е. Славнова

56579. Спиральные ямки травления на германии. Родс, Батсфорд, Дейн-Томас (Spiral etch-pits in germanium. Rhodes R. G., Batsford K. O., Dane-Thomas D. J.), J. Electron. and Control, 1957, 3, № 4, 403—408 (англ.)

Изучены срезы  $\{111\}$  и  $\{100\}$  кристаллов Ge, направлением которых было  $\langle 111 \rangle$  или  $\langle 100 \rangle$ . Травлением в  $\pi$ -ре, полученном из  $160 \text{ см}^3 \text{ HF}$ ,  $200 \text{ см}^3 \text{ HNO}_3$ ,  $80 \text{ см}^3$



$\text{CH}_3\text{COOH}$ , 0,32 г  $\text{J}_2$  и разбавленном дистил. водой в отношении 1:1,5, получены соответственно треугольные и квадратные спирально-ступенчатые ямки травления со сторонами, параллельными  $\langle 110 \rangle$ ; размер ямок 5—50 м, глубина  $\sim 2$  м. На плоскости, отклоненной от  $\{111\}$ , получают асимметричные удлиненные фигуры. Число витков спирали достигает 10 и более, высота ступени  $\sim 2000$  Å; плотность ямок  $10^6/\text{см}^2$ . Обнаружено соответствие между плотностью спиральных ямок на поверхности образца и сопротивлением кристалла.

Н. Глики  
56580. Фигуры травления на кристаллах хлористого натрия. Есенский (Etch figures on sodium chloride crystals. Jeszenszky B.), Nature, 1958, 181, № 4608, 559—560 (англ.)

Исследованы фигуры травления, образующиеся на кристаллах  $\text{NaCl}$ , выколотых по спайности и протравленных смесью спирта с формальдегидом. Обнаружены фигуры травления в виде спиральных (правых и левых) слоев. Образцы, деформированные изгибом, травилась ледяной  $\text{CH}_3\text{COOH}$ ; в течение 0,1 сек. на плоскости (001) получены правильные пирамидальные ямки. Метод рекомендуется для изучения границ зерен.

Н. Глики  
56581. Химическое травление монокристалла германия. Делла-Пергола, Sette (Sulle modalità di azione di attacchi chimici per monocristalli di germanio. Della Pergola G., Sette D.), Nuovo cimento, 1956, 4, Suppl. № 2, 1021—1033, 1033 (итал.)

56582. Относительно определения показателя преломления и толщины тонких непоглощающих слоев на металлах. Абелес (Sur la détermination de l'indice et de l'épaisseur des couches minces non absorbantes sur métaux. Abelès F.), J. chim. phys. et phys.-chim. biol., 1956, 53, № 7—8, 579—586. Discuss., 586, 605—606 (франц.)

Описаны теоретич. основы методов определения оптич. констант металлов и тонких слоев окислов, образующихся на них. Рекомендуется использовать металлич. слои, полученные осаждением в вакууме. Для определения показателя преломления  $n$  и толщины  $d$  слоя окисла предлагается новый фотометрич. метод, основанный на измерении угла Брюстера для поверхности раздела воздух — окисел. Обсуждается возможность определения  $d$  путем измерения оптич. плотности системы металл — окисел. Рассматривается интерференционный метод определения  $d$  по сдвигу фаз; приводятся выражения для определения  $d_1$  и  $d_2$  и  $n_1$  и  $n_2$  двух различных наложенных друг на друга слоев окислов.

Н. Глики  
56583. Отражение и преломление света в двуслойных кристаллах. Федоров Ф. И., Инж.-физ. ж., 1958, № 1, 41—52

Инвариантным методом найдены соотношения между амплитудами волн, отраженных и преломленных на поверхности двуслойного прозрачного кристалла.

Резюме автора  
56584. Об иризации андезин-лабрадоров. Пазюк Л. И., (Про іризацію андезин-лабрадорів. Пазюк Л. І.), Праці Одеськ. ун-ту, Тр. Одеськ. ун-та, 1957, 147, Сер. геол. та геогр. н., Сер. геол. и геогр. н., № 4, 149—158 (укр.; рез. русск.)

Приводятся результаты исследования 8 образцов иридирующих лабрадоров месторождений Украины, Канады, Норвегии и Финляндии. Предполагается, что иризационные окраски (ИО) являются цветами интерференции, сходными с теми, которые получают в тонких пластинках. Поверхностями, отражающими световой луч, являются плоскости срастания полисинтетич. двойников — для альбитового и альбит-эстерельского законов (010). Отмечено, что эффект иризации

не зависит от кол-ва включений. Исследована зависимость ИО от угла падения светового луча. Определенной ИО, т. е. окраске с определенной разностью хода, отвечает определенный и постоянный показатель преломления ( $n$ ) (определенный хим. состав плагиоклаза). С увеличением  $n$  отдельных зон и участков разность хода ИО растет. Изменение цвета ИО в пределах одного кристалла обусловлено неоднородностью хим. состава его в разных участках. Зависимость разности хода  $R$  от  $n$  более сложная, чем по формуле  $R = 2hncosr$ , где  $h$  — толщина пластинки,  $r$  — угол преломления.

По резюме автора  
56585. Срастание и взаимная ориентация кристаллов  $\text{ZrO}_2$  и корунда. Кюрбен, Римский, Гасперен (Macles et orientation mutuelle de la zircone et du corindon. Curien H., Rimsky A., Gasperin M., M-mé), Bull. Soc. franc. minéral. et cristallogr., 1958, 79, № 10—12, 523—535 (франц.)

При медленном охлаждении от 1900° синтетический полученный минерал, в составе которого имеется  $\text{Al}_2\text{O}_3$ ,  $\text{ZrO}_2$  и  $\text{SiO}_2$ , иногда среди твердой массы образуются жемчуги. Внутри жемчуг обнаружены кристаллы пластинки, состоящие из сросшихся кристаллов корунда и кристаллов  $\text{ZrO}_2$ . Кристаллы  $\text{ZrO}_2$ , сросшиеся в бесформенные, ориентированы по отношению к корунду. Дается интерпретация срастков и взаимной ориентации.

В. Красицкий  
56586. Необычная кольцевая структура напыленных в вакууме пленок селена, содержащего примесь таллия. Гортон (Unusual ring structure of vacuum-deposited, thallium-doped selenium. Gorton H. Clay), J. Appl. Phys., 1957, 28, № 2, 279—280 (англ.)

Исследовалась структура Se в тонких пленках, полученных путем испарения из расплава ( $\text{Se} + \text{TlSe}$ ) и осажденных на латунную пластинку. Кристаллизация от зародышевого центра распространялась радиально и соответственно трем температурным интервалам (75—90°; 90—100°; 100—107°) наблюдались 3 стадии роста. Сначала кристаллиты образовывали треугольные пирамиды, которые постепенно принимали форму конуса с диаметром основания 300 м. Во второй стадии вокруг пирамидального центра образовались концентрич. кольца, отстоящие друг от друга на 100—150 м; глубина впадины между кольцами 20 м. Диаметр первого кольца составляет 350—400 м. Число колец вокруг центра растет с 3-рой. В третьей стадии кристаллизуется пространство между группами колец, и появляются прямые линии, характеризующие гексагон. решетку. Между кристаллич. слоями обнаружены слои аморфного Se, а также небольшое кол-во аморфного в-ва, не являющегося Se.

В. М.  
56587. О выборе синтетических кристаллов для исследования в поляризационном микроскопе. Девевер (Sur un choix de cristaux artificiels faciles à étudier sous le microscope polarisant. Déverin Louis), Schweiz. mineral. und petrogr. Mitt., 1957, 37, № 2, 255—266 (франц.; рез. нем.)

Приведен ряд в-в (25), легко дающих хорошо образованные микрокристаллы, которые удобно исследовать с помощью поляризационного микроскопа. Описаны морфологич. и физ. свойства каждого сорта кристаллов, даются практич. указания для получения препаратов.

Резюме автора  
56588. О некоторых дефектах кристаллов флюорита. Монозон М. А., Тр. Всес. н.-и. ин-та пьезооптики минеральной сырьев, 1957, 1, № 1, 119—125

См. РЖХим, 1958, 31594.

56589 К. Метод порошка в рентгеновской кристаллографии. Азаров, Бургер (The powder method in X-ray crystallography. Azaroff Leonard V.

Buenger Martin Julian. New York — London, McGraw — Hill, 1958, XV, 342 pp., ill., 68 sh.) (англ.)

См. также: Рентгеногр. исслед. 56670, 56703, 56708, 56716; 21645Бх. Электроногр. исслед. 56399, 56401, 56402, 56457. Электронно-микроскопич. исслед. 21646Бх. Фазовые превращения, полиморфизм 56448, 56669, 56674, 56675, 56686, 56704, 58095; 21640Бх, 21641Бх. Магнитные св-ва 56457, 56459. Спектры и др. оптич. св-ва 56409, 56437, 56439. Рост 56688, 58226. Кристаллохимия 56672, 56709, 58120. Приборы и оборудование 57284

## ЖИДКОСТИ. АМОРФНЫЕ ТЕЛА. ГАЗЫ

Редактор А. Б. Алмазов

56590. О кинетической теории газов и явлениях переноса в газовой фазе. Андрусов (Über die kinetische Gastheorie und die Transportphänomene in der Gasphase. Andrussow Leonid), Naturwissenschaften, 1957, 44, № 23, 611 (нем.)

На основании предыдущих работ автора (РЖХим, 1957, 18394) показывается, что коэф. самодиффузии газа приближенно может быть выражен ф-лой  $D_{II} = A_0 \times \frac{1}{2} \times (1 + \sqrt{2M_1}) / PV^{1/2} M_1$ , где  $M_1$  — мол. вес,  $A_0$  — определенный ранее числовой множитель. В терминах опубликованных ранее работ могут быть выражены также теплопроводность при постоянном давлении и вязкость.

В. Цукерман

56591. Активность и межмолекулярные взаимодействия. Соргато (Attività ed interazioni molecolari. Sorgato Ippolito), Chimica e industria, 1956, 38, № 10, 844—850 (итал.; рез. англ., нем., франц.)

Понятие активности, рассмотренное в предыдущих работах автора (РЖХим, 1958, 45887, 45888), связывается с некоторыми видами межмолекулярных взаимодействий.

В. Цукерман

56592. Температурная зависимость колебательного времени релаксации в газах. Корран, Ламберт, Солтер, Уорбертон (Temperature dependence of vibrational relaxation times in gases. Corran P. G., Lambert J. D., Salter R., Warburton B.), Proc. Roy. Soc., 1958, A244, № 1237, 212—219 (англ.)

Интерферометрически измерены скорости ультразвука при частотах 200 и 1200 кГц в интервале давл. 0,05—1,0 атм и т-р 290—580° К в этилене, циклопропане, СФ<sub>4</sub>, метилхлориде и метилбромиде. Во всех случаях вычислены времена релаксации и числа соударений ( $Z_{10}$ ), необходимые для потери молекулой колебательного кванта, и сопоставлены с определенными ранее для SO<sub>2</sub> и фтористого метила. В полярных газах  $Z_{10}$  в качественном согласии с теорией — линейная функция  $1/T^{1/2}$ . Количественно угловой коэф. соответствующих прямых в несколько раз отличается от рассчитанного теоретически. Эффективность соударений в отношении обмена энергией зависит от характера изменения потенциала отталкивания с расстоянием между молекулами. В случае полярных молекул (хлористый метил и SO<sub>2</sub>) при высоких т-рах (373—473° К) зависимость  $Z_{10}$  от т-ры такая же, как и для неполярных газов. При низких т-рах  $Z_{10}$  уменьшается с уменьшением т-ры, что объясняется анизотропией силового поля молекул, вызывающей при понижении т-ры увеличение направленности соударений и вероятности обмена энергией при соударении. При высоких т-рах анизотропия силового поля сглаживается в результате вращения молекул и поведение полярных газов не отличается от поведения неполярных.

Б. Кудрявцев

56593. Поглощение и преломление в некоторых полярных газах как функция давления при микроволновых частотах. Батталья, Брэйи, Гоццини (Absorption and refraction of some polar gases as a function of pressure at microwave frequencies. Battaglia A., Bruin F., Gozzini A.), Nuovo cimento, 1958, 7, № 1, 87—94 (англ.; рез. итал.)

При длине волны 32 мм и 0° поглощение и преломление нескольких полярных газов измерены как функция давления. Для аммиака, триметиламина и смесей аммиак-аргон и аммиак-водород получена квадратичная зависимость. Для COS и некоторых аминов поглощение возрастает медленнее, чем по квадратичному закону. Поглощение смесей аммиак-аргон и аммиак-водород равно при одинаковых давлениях и конц-ях. Для поглощающих газов при низких давлениях показатель преломления непропорционален давлению.

Резюме авторов

56594. Теория диэлектрической проницаемости неидеальных газов и разбавленных растворов. Хилл (Theory of the dielectric constant of imperfect gases and dilute solutions. Hill Terrell L.), J. Chem. Phys., 1958, 28, № 1, 61—66 (англ.)

Для диэлектрич. свойств неидеальных газов и разб. р-ров без использования каких-либо модельных представлений выводятся разложения, аналогичные вириальным разложениям теории неидеальных газов. Рассмотрены поляризация, функция Клаузиуса — Моссо-ти, диэлектрич. проницаемость и электрострикция неидеального газа; коэф. разложения можно вычислить, исследуя свойства групповых и неприводимых интегралов при наличии внешнего поля. Бинарные р-ры рассмотрены на основе опубликованных ранее результатов (РЖХим, 1958, 24274); диэлектрич. проницаемость р-ра для слабых полей представлена рядом по степеням молярности.

В. Цукерман

56595. Изучение времени ядерной релаксации в инертных газах. Штауб (Etude sur le temps de relaxation nucléaire dans les gaz nobles. Staub H.-H.), Arch. sci., 1956, 9, fasc. spécial, 178—181 (франц.)

См. РЖФиз, 1957, 6889

56596. Протекание инертных газов при низких давлениях через пористые среды и капилляры. Лунд, Берман (Flow of noble gases at low pressures through porous media and capillaries. Lund L. M., Berman A. S.), J. Chem. Phys., 1958, 28, № 2, 363—364 (англ.)

Согласно теории, безразмерная величина  $w = (pV / \Delta p A) / (\bar{v} / 4)$ , где  $\Delta p$  — разность давлений, при которой газ протекает через пористую среду или капилляр в течение времени  $t$ ,  $A$  — площадь образца пористого материала,  $\bar{v}$  — средняя скорость молекул, в предельном случае низких давлений зависит только от геометрии образца, но не от вида газа или т-ры, при которой производятся измерения. С целью проверки этого вывода наблюдалась диффузия инертных газов масс-спектроскопич. чистоты через пористые металлы и стекло со средним радиусом пор  $r = 0,0001$  и  $0,003$  см соответственно, через капилляр  $r = 0,233$  см, образованный сверлением в Ni-пластинке, и через отверстия  $r = 0,0182$  см в Ni-фольге. Разность давлений измерялась микроманометром с точностью до  $0,1$  мрт. ст. Давление изменялось от 20 мрт. ст. до нескольких см рт. ст., т-ра — от 0° до 50°. Установлено, что в общем случае  $w$  зависит как от диффундирующего газа, так и от т-ры; исключение представляет собой протекание газов через отверстия в Ni-фольге. Для не зависимости от т-ры антибатна зависимости для других инертных газов. Этот эффект авторы связывают со взаимодействием газ — стенка.

В. Цукерман



56597. О теории жидкостей. Гольдштейн (On the theory of liquids. Goldstein Louis), Ann. Phys. (USA), 1957, 1, № 1, 33—57 (англ.)

Рассматривается используемая в теории рассеяния излучения функция корреляции (Zernike F., Prins J. A.,

Z. Phys., 1927, 41, 184)  $g(r, T) = (1/2 \pi^2) \int_0^\infty [F_L^2(k, T) - 1] (\sin kr / kr) k^2 dk$ , где  $k = 2k_0 \sin \theta / 2$  — изменение импульса при рассеянии в единицах  $\hbar$ ;  $k_0$  — волновой вектор падающей волны. Функция  $g(r, T)$  путем разложения в ряд подинтегрального выражения представляется в виде ряда по степеням  $r$ , при этом коэф. разложения пропорциональны величинам  $\langle k^{2n}(T) \rangle = \int_0^\infty [F_L^2(k, T) - 1] k^{2n+2} dk / \int_0^\infty [F_L^2(k, T) - 1] k^2 dk$ .

Обозначая через  $R$  радиус сходимости ряда разложения  $g(r, T)$  и вводя величину  $G(T) = \lim_{R \rightarrow \infty} 4\pi \int_0^R g(r, T) r^2 dr = \lim_{R \rightarrow \infty} G(R, T)$ , автор получает новое соотношение для изотермич. сжимаемости  $\chi_T(T)$  жидкости:  $\langle \Delta N^2 \rangle / N = \chi_T(T) / \chi_{T,0} = 1 + \lim_{R \rightarrow \infty} G(R, T)$ , где  $\langle \Delta N^2 \rangle$  — средний квадрат флуктуации числа частиц  $N$ ,  $\chi_{T,0} =$

$= (n_0(T) kT)^{-1}$ ,  $n_0(T) = g(0, T) = (1/2 \pi^2) \int_0^\infty [F_L^2(k, T) - 1] k^2 dk$  — средняя конция частиц при т-ре  $T$ . Получено также выражение  $n_0(T)$  в точке плавления через  $\langle k^{2n}(T) \rangle$ . Показано, что если  $V(r)$  — потенциальная энергия парного взаимодействия, и если большую часть потенциальной энергии жидкости составляет сумма парных потенциальных взаимодействий, то  $\lim_{r \rightarrow 0} r^5 V(r) = 0$  (1).

Поэтому потенциальные силы должны обладать свойством  $\lim_{r \rightarrow 0} r^6 (-dV/dr) = \lim_{r \rightarrow 0} r^6 F(r) = 0$ . Ввиду эксперим. и теоретич. трудностей, связанных с точным определением функции  $g(r, T)$ , рассматривается вопрос об эмпирич. ее определении. Рассмотрена функция прямой корреляции, связанная с функцией  $g(r, T)$  соотношением (в декартовых координатах):  $g(x_1, y_1, z_1, T) = \int_{-\infty}^\infty g(x_1 - x, y_1 - y, z_1 - z, T) f(x, y, z, T) dx dy dz + f(x_1, y_1, z_1, T)$ ; даны асимптотич. оценки для функции корреляции. Показано, что асимптотически, при больших  $k$ ,  $\lim (F_L^2(k, T) - 1) = -12\pi^2 n_0(T) (\exp - k / [ \langle k^2(T) \rangle / 6 ]^{1/2}) / k \langle k^2(T) \rangle$ . Полученные результаты, строго говоря, применимы лишь к одноатомным жидкостям и, в частности, по-видимому, к He. При некоторых оговорках можно, однако, пользоваться полученными соотношениями и в применении к многоатомным жидкостям. Выражение (1) остается справедливым для многоатомных молекул для потенциальной энергии, усредненной по направлениям. В. Цукерман

56598. Связь между плотностью жидкости и отношением ее веса к весу воды того же объема. Редер (Beziehungen zwischen der Dichte und dem Tauchgewichtsverhältnis von Flüssigkeiten. Roeder Georg), Chemiker-Ztg, 1958, 82, № 5, 140—142, 143 (нем.)

При пикнометрич. определении плотности жидкости предлагается пользоваться ф-лой:  $d = (p/p_0) \rho (1 + \lambda/d - \lambda/\sigma) / (1 + \lambda_0 - \lambda_0/\sigma)$ , где  $d$  — плотность исследуемой жидкости,  $p$  — вес жидкости, определенный в присутствии воздуха,  $p_0$  — вес воды, определенный в присутствии воздуха,  $\rho$  — плотность воды при данной т-ре,  $\lambda$  — плотность воздуха при взвешивании жидкости,  $\lambda_0$  — плотность воздуха при взвешивании воды,  $\sigma$  — плотность материала, из которого изготовлены гири. Приводятся таблицы плотности воздуха и воды. Описывается методика учета плотности воздуха при пикнометрич. определении плотности жидкости. В. Ц.

56599. Диффузия в жидкостях. Влияние температуры и давления, выявляемое методом истинных экспонентов; сравнение с вязкостью. Андрусов (Diffusion dans les liquides. Influence de la température et de la pression méthode des exposants vrais; comparaison avec la viscosité. Andrussow Leonide), J. chim. phys. et phys.-chim. biol., 1957, 54, № 11-12, 862—865. Discuss., 865 (франц.)

Для анализа влияния т-ры  $T$  и давления  $p$  на коэф. диффузии в жидкостях  $D$  предлагается метод истинных экспонентов (ИЭ), т. е. показателей степени в выражениях типа  $D(T + dT)/D(T) = (T + dT/T)^{n_D}$  или

$\phi(T + dT)/\phi(T) = (T + dT/T)^{n_\phi}$ , где  $\phi$  — текучесть. ИЭ выражают амплитуду изменения соответствующей функции  $T$  или  $p$  при изменении этих величин. Наряду с ИЭ возможен анализ средних экспонентов (СЭ), относящихся к фиксированным т-рам. После изложения специфики преимуществ методов ИЭ и СЭ рассмотрено применение метода ИЭ (т. е. анализа функций ИЭ в зависимости от  $T$  или  $p$ ) к проблеме диффузии в жидкой фазе. Для расчетов использованы литературные данные. Выявлен ряд особенностей и различий  $D$  и  $\phi$ ; продемонстрировано непостоянство функций т-ры  $D/T_\phi$  и  $D/\phi$ , причем разность ИЭ этих функций весьма характерным образом зависит от т-ры. Волны течек перехода кривые ИЭ проходят через резкие экстремумы. Удобство метода ИЭ или СЭ наглядно иллюстрируют следующие цифры:  $\phi$  глицерина в интервале от  $-90$  до  $+167^\circ$  меняется более чем в  $10^4$  раз, тогда как ИЭ в этом же интервале изменяются всего в 4, а СЭ — в 2 раза. С. Френкель

56600. Стехиометрическое исследование жидкого состояния. V. Явление испарения ассоциированных жидкостей. Тюдзэ (Stoichiometric investigations of the liquid state. V. Vaporization phenomenon of associated liquids. Tyuzyo, Kiyoshi), Bull. Chem. Soc. Japan, 1957, 30, № 8, 851—856 (англ.)

Показано, что для энергии испарения  $n$ -парафинов справедливо следующее соотношение:  $(E(\text{исп.}) = 16 \times \lg V - 28,4)$ , где  $V$  — мол. объем при комнатной т-ре в  $\text{см}^3/\text{моль}$ , а  $E(\text{исп.})$  — в  $\text{ккал/моль}$ . Кроме того, в интервале  $V$  от 60 до 370 выполняется ф-ла:  $E(\text{исп.})/E(\text{вязк.}) = 2,80 + 100/V$ . Поскольку вязкое течение жидкостей первого рода аналогично вязкому течению  $n$ -парафинов (часть IV, РЖХим, 1958, 38821), предлагается в обоих написанных выше ур-ниях заменить  $V$  на  $V_0 = nV$  ( $n$  — степень ассоциации,  $V > 250$ ) и рассматривать эти ур-ния совместно как систему ур-ний для определения степени ассоциации жидкостей первого рода. Результаты вычислений по этому методу близки к литературным данным. Рассматривая процесс испарения различных жидкостей, в различной степени ассоциированных, автор выводит соотношения, позволяющие при использовании указанной выше аналогии между жидкостями первого рода и  $n$ -парафинами оценивать энергию водородных связей жидкостей первого рода в хорошем согласии с другими, независимыми расчетами. Правильность полученных результатов рассматривается как дополнительное подтверждение аналогичности  $n$ -парафинов жидкостям первого рода. В. Цукерман

56601. О зависимости вязкости жидких углеводородов от давления. Мамедов А. М., Изв. высш. учеб. заведений. Нефть и газ, 1958, № 2, 89—94

Предлагается следующая ф-ла зависимости вязкости жидких углеводородов  $\eta = a + bp + cp$ . Зависимость только от т-ры коэф.  $a$  (первые числа),  $b$  (вторые числа) и  $c$  (третьи числа) равны (в скобках даны соответствующие т-ры в  $^\circ\text{C}$ ): пропан 845,2; 2,007;  $-0,00297$

(37,78), 673,5; 2,252;  $-0,00372$ ; (54,44), *n*-бутан 1462,5; 1,771;  $-0,00351$  (37,78), 1222,3; 1,954,  $-0,00492$  (54,44), 1,008,3; 1,947;  $-0,00450$  (71,11), 808,1; 2,115;  $-0,00468$  (37,78), изобутан 1311,2; 2,469;  $-0,00510$ ; (37,78), 1038,6; 2,438;  $-0,00396$  (54,44), 862,5; 2,539;  $-0,00547$  (71,11); 1,112, 2,721;  $-0,00706$  (87,78), метиловый спирт 514,7; 0,2510;  $-0,00000706$  (30), этиловый спирт 990,5; 0,5361;  $-0,00006346$  (30), пропиловый спирт 1,769,6; 1,3648;  $-0,00026780$  (30), бромистый этил 357,8; 0,2214; 0,00001801. Ф-ла очень хорошо согласуется с наблюдениями до давл.  $\sim 4000$  атм и  $t$ -р  $\sim 0,85$  Т(кр.).

В. Цукерман

**56602. Природа переходного состояния в явлениях вязкого течения и диффузии.** Колер (La nature de l'état de transition dans les phénomènes d'écoulement et de diffusion. Kohler F.), J. chim. phys. et phys.-chim. biol., 1957, 54, № 11-12, 902-905. Discuss., 905 (франц.)

На примере  $\text{CCl}_4$ , *n*-пентана и *n*-гептана показано, что свободная энергия активации  $\Delta G^*$  практически одинакова для процесса самодиффузии и вязкого течения. Сводка значений  $\Delta G^*$  и энтропии активации  $\Delta S^*$  для 26 органич. соединений показывает, что для неассоциированных жидкостей  $\Delta S^*$  отрицательно, для ассоциированных — положительно. В предлагаемой модели жидкости группы молекул (квазикристаллиты), содержащие  $10^3$ — $10^4$  молекул, движутся как единое целое. Переход молекул от одного квазикристаллита к другому определяет скорость течения в диффузии. Эта модель позволяет качественно объяснить отрицательное значение  $\Delta S^*$  для неассоциированных жидкостей. Из величин  $\Delta G^*$  для ромбической S и белого P найдено, что значение  $\Delta S^*$  для S почти равно нулю, а для P положительное значение  $\Delta S^*$  достигается вблизи плавления.  $\Delta G^*$  составляет  $\sim 3/4$  теплоты испарения, что соответствует потере энергии при образовании «дырок».

Б. Анвар

**56603. Связь между вязкостью и строением у алкилциклогексанов, алкилциклопентанов, алкилциклогептанов и алкилбензолов.** Крозье (Relations entre viscosité et structure pour les familles d'hydrocarbures suivantes: alcoylcyclohexanes, alcoylcyclopentanes, alcoylcycloheptanes et alcoylbenzenes. Crozier A.), Rev. Inst. franç. pétrole, 1955, 10, № 11, 1467-1481 (франц.; рез. англ.)

Анализ эксперим. данных позволяет сделать вывод, что вязкость серии исследованных углеводородов различных классов зависит от строения и положения боковых цепей, определяющих конфигурацию и гибкость молекулы и поле сил межмолекулярного взаимодействия.

В. Щекин

**56604. Влияние внешнего электрического поля на оптическую активность жидкостей.** Тиноко, Хаммерл (The influence of an external electric field on the optical activity of fluids. Tinoco Ignacio, Jr., Hammerle William G.), J. Phys. Chem., 1956, 60, № 12, 1619-1623 (англ.)

Оптическая активность молекулы, описываемая тензором второго ранга, связывается с оптич. активностью жидкости. При этом оптич. активность жидкости оказывается зависящей от того, находится ли жидкость в электрич. поле или в поле, поскольку в последнем случае не все положения молекулы равновероятны. Разработана методика усреднения тензора оптич. активности по всем ориентациям молекулы. Эффект влияния электрич. поля на оптич. активность жидкости должен быть особенно существенным в случае макромолекул (вирусы, нуклеиновые к-ты, белки) и может быть использован для исследования их строения.

В. Цукерман

**56605. Распространение ультразвуковых волн в жидкостях.** Датта, Самал (Propagation of ultrasonic

waves in liquids. Dutta A. K., Samal K.), Nature, 1958, 181, № 4608, 563 (англ.)

Термометрически (РЖХим, 1956, 12315; 1957, 65608) измерялась акустич. энергия, излучаемая кварцевой пластинкой, погруженной в сосуд с керосином или ксилолом. Излучаемая энергия на 25% больше в случае, когда кварц расположен у края сосуда, чем когда он находится вдали от стенок. Поглощенная жидкостью энергия, измеренная по подъему  $t$ -ры в калориметре, расположенном на пути ультразвукового луча и снабженном слюдяными окошками, прозрачными для ультразвука, оказалась очень большой для жидкостей, обладающих малым коэф. поглощения звука. Аномальное поглощение вблизи источника ультразвука объясняется ангармоничностью колебаний. При прохождении через слюдяное окошко между компонентами ангармоничной волны возникает сдвиг фаз, увеличивающийся по мере распространения волны и препятствующий полному прохождению ее через второе окошко. Сходные явления имеют место вблизи источника ультразвука в жидкостях и в отсутствие окошек. Подобным взаимодействием волн объясняется аномальное поглощение ультразвука, наблюдаемое в бензоле и сероуглероде.

Б. Кудрявцев

**56606. Вязкость жидкого гелия между  $0,78$  и  $1,1^\circ$  К.** Вудс, Холлис-Халлетт (The viscosity of liquid helium between  $0,78^\circ$  K. and  $1,1^\circ$  K. Woods A. D. B., Hollis Hallett A. C.), Canad. J. Phys., 1958, 36, № 2, 253-254 (англ.)

На вискозиметре, аналогичном описанному ранее (РЖХим, 1956, 35242), измерялась вязкость жидкого He. Эксперим. точки в пределах погрешностей измерений ложатся на кривую, построенную на основе теории (Ландау Л. Д., Халатников И. М., Ж. эксперим. и теор. физ., 1949, 19, 637, 709). Вязкость He при  $0,78^\circ$  К равна  $140 \pm 30$ , а при  $1,01^\circ$   $37 \pm 7$   $\mu$ пуаз. В. Цукерман

**56607. Коэффициент распределения смесей  $\text{He}^3$ - $\text{He}^4$  при малых концентрациях и температурах между  $1,2$  и  $2^\circ$  К.** Вансинк, Таконис, Стаас (The distribution coefficient of  $\text{He}^3$ - $\text{He}^4$  mixtures of low concentration at temperatures between  $1,2$  and  $2^\circ$  K. Wansink D. H. N., Taconis K. W., Staas F. A.), Physica, 1956, 22, № 5, 449-464 (англ.)

Измерено отношение конц-ий  $\text{He}^3$  в смеси с  $\text{He}^4$  в жидком и газообразном состояниях в хорошем согласии с измерениями Коммерса (Sommers H. S., Phys. Rev., 1952, 88, 113).

В. Цукерман

**56608. Вычисление интерференционных максимумов кривой рассеяния твердых аморфных элементов.** Рихтер (Berechnung der Interferenz-Lagen in den Streukurven fester amorpher Elemente. Richter H.), Z. Naturforsch., 1958, 13a, № 1, 32-36 (нем.)

В работе показано, что ход кривой интенсивности для твердых аморфных элементов воспроизводится путем наложения лишь небольшого числа интерференционных функций. Таким путем определены в основном первые максимумы кривой рассеяния от твердых Si, Ge, Se, As и Sb посредством функций  $\sin x_v/x_v$ , при  $x_v = ksr_v$  для значений  $r_1$  и  $r_2$  основной ячейки; наоборот, интерференционные максимумы при больших значениях  $\sin v/x$  определяются почти исключительно самыми короткими атомными расстояниями, что указывает на возрастающий с увеличением расстояний беспорядок в расположении атомов. Следовательно, у твердых аморфных элементов не существует какой-либо стабильной основной структурной единицы. Т. С.

**56609. Наблюдение рассеяния рентгеновских лучей на стекле под малыми углами.** Карц (Low-angle X-ray observations on glass. Cartz L.), Nature, 1957, 180, № 4595, 1115-1116 (англ.)

Повторены опыты (РЖХим, 1956, 28399) по рассея-



нию рентгеновских лучей кварцевым стеклом под малыми углами. Пластины стекла были подвергнуты такой же тепловой обработке. Применялось монохроматич. ( $\text{Cu-K}_\alpha$ , отражение от  $\text{LiF}$ ) излучение. Рассеяния под малыми углами не обнаружено. Результаты Гоффмана и Статтона объясняют тем, что они применяли  $\text{Cu-K}_\alpha$ -излучение с никелевым фильтром, в котором присутствовало очень коротковолновое белое излучение. Повторив опыты в указанных условиях, получили дифракционное кольцо под малыми углами. Положение кольца зависит от напряжения трубки. При высоких напряжениях получается полоса, которая выглядит как рассеяние под малыми углами. Это объясняет различное поведение закаленного и отожженного кварцевого стекла и натриево-магнезио-силикатного стекла. Результаты наблюдений на нитях стекла зависят от различных эффектов поглощения перпендикулярно и параллельно оси нити. Резкость полосы поглощения зависит также от многих других условий опыта.

Ю. Шмидт  
56610. Структура осажденного аморфного мышьяка при различных температурах. Рихтер, Гоммель (Struktur des gefällten amorphen Arsen bei verschiedenen Temperaturen. Richter H., Gommel G.), Z. Naturforsch., 1957, 12a, № 12, 996—1002 (нем.).

Авторами были произведены снимки осажденного аморфного As при помощи  $\text{Cu-K}_\alpha$ ,  $\text{Mo-K}_\alpha$  и отфильтрованного Ag-излучения. Собственное K-излучение As было устранено при помощи фильтра из Ag или Pd-фольги, толщиной 100—150  $\mu$ . Фурье-анализ кривых интенсивностей дал независимо от использованного излучения одинаковые кривые атомного распределения, которые показали более сильную разрешающую способность, чем получение от прежних снимков, произведенных посредством  $\text{Cu-K}_\alpha$  излучения. Обсуждение кривых атомного распределения приводит авторов к следующей структурной модели аморфного мышьяка: атомы As связаны между собой в цепочки из тетраэдров; последние, со своей стороны, накладываются друг на друга, образуя отдельные пакеты — слои, величиной  $\sim 15 \text{ \AA}$  и с  $r_{\text{As}} = 3,8 \text{ \AA}$  в качестве кратчайшего расстояния между слоями, соответствующего  $r_{\text{As}}$ , 3,15  $\text{ \AA}$  кристаллич. решетке. Отдельные пакеты-слои связаны между собой областями более или менее беспорядочного распределения атомов. После многочасового нагревания аморфного As при  $t \approx 250^\circ$  образуются нормальные кристаллиты As в малых (порядка 8  $\text{ \AA}$ ) по величине областях.

Т. Середь  
56611. Влияние обработки на свойства электрета. Уайлд, Странатан (Influence of external treatments on electret behavior. Wild Jack W., Stranathan J. D.), J. Chem. Phys., 1957, 27, № 5, 1055—1059 (англ.).

Изучено влияние срезания поверхностного слоя, изменения давления и влажности на поверхностный заряд электретов (Э) из карнубского воска и поливинилацетата. Исходный Э имеет гомозаряд, т. е. заряд того же знака, какой был у внешнего электрода, обращенного к данной поверхности Э в процессе застытия в электр. поле. При срезании слоя толщиной 1—1,6 мм образуется заряд противоположного знака — гетерозаряд. С течением времени гетерозаряд уменьшается, доходит до 0 и вновь возникает гомозаряд, но несколько меньший, чем исходный. Повторное снятие верхнего слоя Э приводит к таким же изменениям заряда. Во влажном воздухе заряд Э резко уменьшается, при уменьшении влажности происходит частичное восстановление заряда. Кривая зависимости поверхностного заряда Э от  $\lg$  давления воздуха аналогична кривой зависимости потенциала искрового пробоя воздуха от  $\lg$  давления. Авторы объясняют влияние внеш-

них воздействий на Э, исходя из представлений теории Гросса (Gross B., J. Chem. Phys., 1949, 17, 866) о механизме образования поверхностного заряда.

И. Слоним

56612. Царапание стекла и молекулярная структура. Бурдийон (The glass scratch effect and molecular structure. Bourdillon J.), Nature, 1957, 180, № 4600, 1475 (англ.).

Изучалась связь между царапанием стекла и природой присутствующей жидкости. Пробирки наполнялись жидкостью и царапались стеклянной палочкой. В зависимости от природы жидкости наблюдались следующие явления. 1. Палочка скользит (ароматич. соединения, кроме бензола, другие циклич. соединения, алфатич. соединения с длиной цепи более 10 С). 2. Палочка царапает, образуя стеклянную пыль, которая диспергируется в жидкости (неполярные соединения, главным образом кетоны и серная кислота). 3. Палочка царапает, образуя пыль, которая пристаёт к стенкам (вода и одноатомные спирты, двухатомные спирты, некоторые эфиры, альдегиды, кетоны и вторичные амины). Сорт стекла не имеет значения. Пыль состоит из частиц размером 1—2  $\mu$ . Действие воды сильно уменьшается в присутствии электролитов и не изменяется в присутствии неэлектролитов. По-видимому в случае 1 молекулы жидкости препятствуют контакту между поверхностями стекол. Действие р-рителя во 2-м и 3-м случае вызвано, по-видимому, сродством «активного» водорода к стеклу. Некоторые эффекты являются неожиданными. Так диэтил дает скольжение, несмотря на низкий мол. вес и открытую цепь. Некоторые данные указывают на наличие самопроизвольной энוליзации. Влияние смесей редко бывает аддитивным вследствие наличия взаимодействия между молекулами.

Ю. Шмидт

56613. Области стеклообразования в боратных системах с элементами А-групп. Имаока (Imaoka Minoru), Токё дайгаку сэйсан Гидзюцу кэнкёё хококу, Rept Inst. Industr. Sci., Univ. Tokyo, 1957, 6, № 4, pp. 127—183. ill. (японск.; рез. англ.).

Изучались области стеклообразования в 2- и 3-компонентных боратных системах с окислами  $\text{Li}_2\text{O}$ ,  $\text{Na}_2\text{O}$ ,  $\text{K}_2\text{O}$ ,  $\text{BeO}$ ,  $\text{MgO}$ ,  $\text{CaO}$ ,  $\text{SrO}$ ,  $\text{BaO}$ ,  $\text{Al}_2\text{O}_3$ ,  $\text{La}_2\text{O}_3$ ,  $\text{TiO}_2$ ,  $\text{ZrO}_2$ ,  $\text{ThO}_2$ ,  $\text{Ta}_2\text{O}_5$ ,  $\text{WO}_3$ , всего 105 систем. В 10 случаях (напр.,  $\text{B}_2\text{O}_3 - \text{Ta}_2\text{O}_5 - \text{WO}_3$ ) не было получено стекол. Стекла плавилась в платиновом тигле и медленно охлаждались. Об образовании стекла судили по виду расплава. Автор считает, что в боратных стеклах  $\text{B}_2\text{O}_3$  имеет координацию 3, Al и Mg 4, Ti, Zr и др. 6 и, следовательно, каждый из них входит частично в сетку.

Ю. Шмидт

56614. Инфракрасные спектры пропускания пористых и кварцовидных стекол. Севченко Н. А., Флоринская В. А., Оптика и спектроскопия, 1958, 4, № 2, 189—195

Исследовались спектры пропускания трех пористых стекол и трех кварцовидов, полученных из натрово-боросиликатных стекол различных составов, на приборе ИКС-11 и инфракрасном спектрометре Бекмана. Показано, что в этих спектрах, помимо полос кремнезема, обнаруживаются полосы, характерные для кремневой к-ты (10,8  $\mu$ ) и соединений бора (7,2  $\mu$ ). Результаты согласуются с опубликованными ранее наблюдениями. (Жданов С. П., Докл. АН СССР, 1952, 82, 281; РЖХим, 1956, 61209; 1957, 18749). В. Цукерман

См. также: Термодинамика и статистическая физика 56363, 56636—56642. Межмол. взаимодействие 56370—56381, 56464, 56469, 56471. Строение и физ. характеристики 56363

## РАДИОХИМИЯ. ИЗОТОПЫ

Редакторы Д. Л. Агеева, В. И. Левин, Г. А. Соколик

56615. На конференции по использованию радиоизотопов в научных исследованиях. Виноградов А. П., Вестн. АН СССР, 1958, № 1, 71—78

Отчет о конференции, состоявшейся в Париже с 9 по 20 сентября 1957 г. Обзор докладов физ. секции. Э. Чудинов

56616. Применение радиоактивных изотопов в научных исследованиях. Савицкий П., Финкель Э., Серенко В., Булатова Н., Атомная энергия, 1958, 4, № 1, 92—96

Отчет о Международной конференции по применению радиоактивных изотопов в научных исследованиях (Париж, 9—20 сентября 1957 г.) и краткий обзор докладов. Э. Чудинов

56617. Открытие марганца-54 в радиоактивных осадках. Шипман, Саймон, Уэйсс (Detection of manganese-54 in radioactive fallout. Shipman William H., Simon Philip, Weiss Herbert), Science, 1957, 126, № 3280, 971—972 (англ.)

Для идентификации долгоживущей  $\gamma$ -активности с энергией 0,84 Мэв, обнаруженной в радиоактивных осадках после ядерных взрывов на Эниветоке в 1956 г., растворенный осадок обрабатывался с носителями Mn, Ca и Zr. Mn выделяли в виде  $MnO_2$ , а затем  $NH_4MnPO_4$  и очищали. Обнаружено, что вся  $\gamma$ -активность 0,84 Мэв принадлежит  $Mn^{54}$  ( $T_{1/2}$  291 день), который ранее в продуктах деления обнаружен не был. Активность  $Mn^{54}$  составляет ~40% от общей  $\gamma$ -активности осадка. Предполагается, что имеют место р-ции:  $Mn^{55}$  ( $n, 2n$ )  $Mn^{54}$  и  $Fe^{54}$  ( $n, p$ )  $Mn^{54}$ . Э. Чудинов

56618. К вопросу о рядах изобаров 107 и 108. Баумгертнер, Плата-Бедмар, Кирдманн (Beitrag zu den Isobarenreihen 107 und 108. Baumgärtner F., Plata Bedmar A., Kindermann L.), Z. Naturforsch., 1958, 13a, № 1, 53 (нем.)

При помощи одноканального анализатора импульсов исследован  $\gamma$ -спектр короткоживущих изотопов Ru, находящихся в продуктах деления тяжелых ядер. Идентифицированы следующие линии спектра: 0,43 Мэв с  $T_{1/2}$  4,4 мин. у  $Ru^{108}$  и 0,22 Мэв с  $T_{1/2}$  4,8 мин. у  $Ru^{107}$ . Определены максим. энергии  $\beta$ -лучей  $Rh^{108}$  3,7 Мэв и  $Rh^{107}$  2,3—2,4 Мэв. Б. Каплан

56619. Наличие  $Mo^{99}$  в солях естественного и обедненного урана и период полураспада  $U^{238}$  при спонтанном делении. Паркер, Курода (The occurrence of molybdenum-99 in natural and in depleted uranium salts and the spontaneous fission half-life of uranium-238. Parker P. L., Kuroda P. K.), J. Inorg. and Nucl. Chem., 1958, 5, № 3, 153—158 (англ.)

Измерения равновесного отношения  $Mo^{99}/U^{238}$  в водн. р-рах солей необлученного U дали следующие результаты:  $(4,4 \pm 0,4) \cdot 10^{-4}$  и  $(4,4 \pm 0,3) \cdot 10^{-4}$  распадов в секунду  $Mo^{99}$  на 1 г  $U^{238}$  в естественном и в обедненном U соответственно. Для периода полураспада  $U^{238}$  при спонтанном делении получено значение  $(8,0 \pm 0,5) \cdot 10^{15}$  лет, при предположении, что выход  $Mo^{99}$  при делении равен 6,4% и единственным источником  $Mo^{99}$  является спонтанное деление  $U^{238}$ . Э. Чудинов

56620. Радиохимическое исследование реакции  $Si^{30}$  ( $p, \pi^+$ )  $Si^{31}$ . Секерский С., Лаврухина А. К., Докл. АН СССР, 1957, 117, № 1, 61—64

Исследована возможная р-ция  $Si^{30}(p, \pi^+)Si^{31}$ . Мишени Si облучали протонами разной энергии, затем растворяли в NaOH и выделяли  $SiO_2$  к-той. После нескольких пересадений в присутствии солей Be и Mg  $SiO_2$  прокачивали, взвешивали и измеряли активность осадка. Радиохим. чистоту проверяли по кривой

распада и по энергии излучения. Интенсивность потока протонов определяли по активности  $Na^{24}$  в Al-фольге. Рассмотрены возможные р-ции образования  $Si^{31}$ . По мнению авторов, при энергии протонов < 220 Мэв основной р-цией является  $Si^{30}(d, p)Si^{31}$ , идущая на вторичных дейтронах; сечение ее почти не зависит от энергии. Сильный рост выхода  $Si^{31}$  при энергиях протонов 220—680 Мэв авторы объясняют р-цией  $Si^{30}(p, \pi^+)Si^{31}$ . В. Левин

56621. Определение изотопного состава урана ( $U^{238}$ ,  $U^{234}$ ) по соотношению альфа- и бета-излучения. Чалов П. И., Тр. Ин-та геол. АН КиргССР, 1957, вып. 9, 227—230

Для определения изотопного состава U ( $U^{234}$ ,  $U^{238}$ ) по соотношению  $\alpha$ - и  $\beta$ -излучения предлагается ф-ла:  $U^{234}/U^{238} = 2,046[\alpha\beta_0[1 - \exp(-\lambda UX_1 t)]/\alpha_0\beta[1 - \exp(-\lambda UX = t_0)] - 1,046$ , где  $\alpha_0$  и  $\beta_0$  — излучение эталона с равновесным соотношением  $U^{234}/U^{238}$ ,  $t$  и  $t_0$  — время накопления  $UX_1$  в образце и в эталоне. Ф-ла применима при использовании толстостенных  $\beta$ -трубок. Э. Чудинов

56622. Состояние микроколлоидов примесей в водных растворах. Старик И. Е., Ламберг М. С., Ж. неорган. химии, 1958, 3, № 1, 136—138

Посредством адсорбции  $Pm^{147}$  на кварцевых дисках, ультрафильтрации через целлюлозные фильтры, электрофореза и центрифугирования определяли область pH, в которой Pm находится в колл. состоянии, оценили степень дисперсности и знак заряда коллоида Pm. Показано, что при  $pH > 6$  Pm находится в колл. состоянии с положительным зарядом частиц. Установлен четкий максимум адсорбции Pm на стекле при  $pH 6,2$ . Конц-ия Pm была порядка  $10^{-10}$  моль. Э. Чудинов

56623. Производство радиоизотопов без носителя.

Бьютмент (The production of carrier-free radioisotopes. Butement F. D. S.), J. Roy. Inst. Chem., 1957, 81, Dec., 785—788 (англ.)

Обзор.

56624. Выделение радиоактивных изотопов без носителей. Руденко Н. П., Ж. неорган. химии, 1958, 3, № 1, 167—174

Обзорная статья. Рассматриваются возможные пути загрязнений продажных радиоактивных изотопов посторонней активностью, определение их чистоты и выделение радиоактивных изотопов без носителя методом органич. соосадителей (метод В. И. Кузнецова), экстракции (получение  $Y^{90}$  и  $La^{140}$  экстракцией хлороформным р-ром 8-оксихинолина), хроматографии и др. Э. Чудинов

56625. Уравнение, выражающее процесс концентрирования тяжелой воды при непрерывном электролизе. Морита, Такахаси, Кагаку когаку, Chem. Engng (Japan), 1956, 20, № 9, 505—506 (японск.)

Графическим путем решено ур-ние, выражающее процесс концентрирования тяжелой воды (ТВ) путем непрерывного электролиза. Найдено, что из 74 молей воды с конц-ией ТВ 2 мол.% можно получить при расходе тока 0,66 кат-ч/г ТВ (напряжение 2,2 в) 1 моль 99,8 мол.%-ной ТВ. Л. Яновская

56626. Получение меченых соединений. Химическое действие ядерных превращений. Эванс, Куинлан, Уиллард (Making labeled compounds, Chemical effects of nuclear transformations. Evans J. B., Quinlan J. E., Willard J. E.), Industr. and Engng Chem., 1958, 50, № 2, 192—195 (англ.)

Описаны методы получения меченых соединений путем использования энергии ядерных превращений; рассмотрен механизм этих процессов. Произведено сопоставление с другими методами. Описано применение газовой хроматографии для разделения и идентификации продуктов хим. превращений. В. Левин

56627. Экстракционный метод выделения технеция из облученного молибдена. Фадеева М. С., Пав-



лов О. Н., Бакунина В. В., Ж. неорганич. химии, 1958, 3, № 1, 165—166

Описано выделение Тс из облученного нейтронами Мо экстракцией метилэтилкетомом. Коэф. распределения (КР) Тс при экстракции из воды равен 1,3. Добавление нитратов Na, NH<sub>4</sub> и Ca мало влияет на КР. В присутствии КОН, K<sub>2</sub>CO<sub>3</sub>, (NH<sub>4</sub>)<sub>2</sub>CO<sub>3</sub> КР возрастает до нескольких сотен. Высаливающим действием обладает и молибдат. В присутствии больших кол-в Мо добавление КОН снижает КР. Авторы объясняют это переходом КОН в органич. фазу. Аналогичное явление наблюдается для NH<sub>4</sub>OH. K<sub>2</sub>CO<sub>3</sub> всегда вызывает увеличение КР. Для Zn, Co, W, Sb, Zr и Fe КР равен 0,0005—0,0007, а для Мо (при конц-ях 10<sup>-6</sup>—2 М) 0,0002—0,0005. Экстракцией в присутствии K<sub>2</sub>CO<sub>3</sub> из Мо выделен радиохимически чистый Тс<sup>99m</sup>, а также ~1 мг долгоживущего Тс<sup>99</sup>. Последний с выходом 75—80%.

В. Левин

56628. Получение J<sup>131</sup> из теллура в реакторе Gleep. Кенни, Спрагг (Production of J<sup>131</sup> from tellurium in Gleep. Kenny A. W., Spragg W. T. Repts. Atomic Energy Res. Establ., 1957, № C/R 349, 14 pp., 2 pp. ill.) (англ.)

Облученный нейтронами Те растворяют в смеси K<sub>2</sub>Cr<sub>2</sub>O<sub>7</sub> и H<sub>2</sub>SO<sub>4</sub> при нагревании. По охлаждению йод в верхних степенях окисления восстанавливается H<sub>2</sub>C<sub>2</sub>O<sub>4</sub> до J<sub>2</sub> и отгоняется; дистилят собирается в 1 н. NaOH, содержащий Na<sub>2</sub>SO<sub>3</sub>. Выход J<sup>131</sup> 90%.

В. Левин

56629. Получение некоторых меченых углеводородов C<sub>6</sub> путем взаимодействия с тритием. Рис, Уилзбак (Labeling of some C<sub>6</sub> hydrocarbons by exposure to tritium. Riesz Peter, Wilzbach Kenneth E.), J. Phys. Chem., 1958, 62, № 1, 6—9 (англ.)

Изучены радиоактивные продукты, образующиеся при действии газообразного T<sub>2</sub> на бензол, циклогексан и гексан. Для анализа использована газо-жидкостная хроматография с регистрацией активности и теплопроводности выходящего из колонны газа. Для *n*-гексана определены выходы активных и неактивных продуктов и отношения этих выходов. Из результатов работы следует, что процесс образования меченых и немеченых продуктов идет в результате радиационного возникновения возбужденных и ионизованных состояний органич. молекул и их последующих р-ций между собой и с тритием.

В. Левин

56630. Синтез тетрагидромеркуроатов и роданидов стронция, меченых в различных частях молекулы. Блешинский С. В., Абрамова В. Ф., Нагаева А. Г., Тр. Ин-та химии АН КиргССР, 1957, вып. 8, 31—33

Zr<sup>90</sup>J<sub>2</sub> получали растворением Sr<sup>90</sup>CO<sub>3</sub> в HJ и кристаллизацией. Затем готовили Sr<sup>90</sup>HgJ<sub>4</sub> добавлением HgJ<sub>2</sub> к Sr<sup>90</sup>J<sub>2</sub>. Hg<sup>203</sup>Cl<sub>2</sub> очищали упариванием досуха и возгонкой хлорида. SrHg<sup>203</sup>J<sub>4</sub> получали растворением Hg<sup>203</sup>J<sub>2</sub> в р-ре NaCN и затем осаждением р-ром AgNO<sub>3</sub>. При пропускании H<sub>2</sub>S через суспензию AgCNS<sup>35</sup> в избытке р-ра Sr(OH)<sub>2</sub> образовывался Sr(CNS<sup>35</sup>)<sub>2</sub>. Избыток Sr удаляли пропусканием CO<sub>2</sub>. Для получения Sr<sup>90</sup>(CNS)<sub>2</sub> переводили Sr<sup>90</sup>CO<sub>3</sub> в оксалат и прокаливанием последнего в Sr<sup>90</sup>O, которую растворяли в воде, и действием на р-р NH<sub>4</sub>CNS получали Sr<sup>90</sup>(CNS)<sub>2</sub>. Избыток NH<sub>3</sub> удаляли кипячением, а избыток Sr — пропусканием CO<sub>2</sub>. Описана пипетка с резиновой грушей и краном для отбора радиоактивных жидкостей.

В. Левин

56631. Исследование эталонной установки для измерения γ-эквивалентов радиоактивных препаратов. Аглинцев К. К., Караваев Ф. М., Тр. Всес. н.-и. ин-та метрол., 1957, вып. 30 (90), 37—52

На описанной ранее (Аглинцев К. К., Тр. ВНИИМ, 1941, вып. 7 (52), 33) основной эталонной установке ВНИИМ компенсационного типа исследована методи-

ка относительных измерений γ-эквивалентов. Рассмотрены систематич. погрешности, возникающие в процессе компенсации, и даны рекомендации для проведения измерений. Изучено влияние геометрич. расположения препарата в ионизационной камере и размеров препарата. Найдено, что смещение препарата не должно превышать 5—6 мм, смещение на 15 мм вызывает погрешность > 1%. Для препаратов с диам. > 25 мм необходим поправочный множитель. Произведена оценка влияния самопоглощения. Содержание Ra в препаратах может быть определено со следующей точностью: при кол-ве 1—100 мг 0,7—1%, при 100—1000 мг 1,5—2%, > 1000 мг 3—4%.

Д. Агеева

56632. Выделение радона из люминесцентных красок. Бертейг, Корен (Radon yield from luminescent paints. Berteig Leiv, Koren Kristian), Brit. J. Radiol., 1958, 31, № 361, 53—55 (англ.)

Rn, выделяющийся из светящихся красок определяют с помощью ионизационной камеры из нержавеющей стали, объемом 5 л; при этом вводятся поправки на поглощение α-частиц, стенками, на образование активного осадка дочерних продуктов, на степень насыщения объема камеры Rn (16—42%), на величину фона и на утечку камеры. Найдено, что 1 г сухой краски может дать конц-ю Rn до 10<sup>-11</sup> кюри/см<sup>3</sup> в объеме воздуха 20 л, а будильник 3 · 10<sup>-13</sup> кюри/см<sup>3</sup>, что в расчете на 20 м<sup>3</sup> (объем комнаты) дает 2—3% максимальн. допустимой конц-ии.

Э. Чудинов

56633. Химическое состояние радиофосфора-32, получающегося в некоторых мишенях при облучении их нейтронами. Коршунов И. А., Шафиев А. И., Ж. неорганич. химии, 1958, 3, № 1, 95—99

Исследовано хим. состояние P<sup>32</sup>, образующегося в р-циях (n, p) и (n, α) при облучении нейтронами от Ra-Be-источника различных мишеней, содержащих S и Cl. В облученном CCl<sub>4</sub> хим. состояние P зависит от наличия примесей. Увеличение влажности мишени и уменьшение времени облучения и увеличение объема мишени повышают долю P<sup>3+</sup>. Воздействие γ-лучей повышает долю P<sup>5+</sup>. Часть P образует соединения, не извлекаемые водой. Приведены данные для ряда других мишеней. Хим. состояние P зависит от окислительно-восстановительных свойств мишени, от присутствия воды и от термообработки до и после облучения.

В. Левин

56634. Применение радиоактивных изотопов при изучении влияния комплексных цианидов тяжелых цветных металлов на скорость растворения золота и серебра в цианистых растворах. Ивановский М. Д., Сб. научн. тр. Моск. ин-т цветн. мет. и золота, 1957, № 27, 52—69

С помощью Cu<sup>64</sup>, Zn<sup>65</sup>, Fe<sup>59</sup> изучен механизм влияния комплексных цианидов тяжелых металлов на скорость растворения в цианистых р-рах Au, Ag и их сплавов, процесс сорбции Cu, Zn, Fe на поверхности Au, Ag и образование поверхностных пленок. Измерена скорость растворения металла в зависимости от толщины пленки и установлен эффект торможения. Прочность пленки убывает от Cu к Fe. Установлено сильное влияние конц-ии свободного CN<sup>-</sup> в р-ре на процесс образования пленки из соединений Cu, а в случае пленки из соединений Zn — конц-ии свободного цианида в растворе.

Э. Чудинов

56635 К. Изотопный анализ воды. Изд. 2-е. Шатерштейн А. И., Яковлева Е. А., Звягинцева Е. Н., Варшавский Я. М., Израилевич Е. А., Дыхно Н. М. М., АН СССР, 1957, 236 стр., илл., 14 р.

См. также: Получение 56607, 56829, 56885, 56928, 57004, 57923. Ядерные св-ва 56368—56372, 56374, 56376. Введение в молекулу 57525. Изотопные эффекты 56431,

Рассматриваются в процессе проведения исследований в области физ. хим. исследований 56657, 56786, 56800, 56948; в биохимии  $C^{14}$  21735Бх, 21915Бх, 22279Бх, 22321Бх, 22334Бх, 22358Бх, 22365Бх;  $P^{32}$  22051Бх, 22145Бх, 22146Бх, 22185Бх, 22250Бх, 22296Бх, 22319Бх, 22323Бх, 22362Бх, 22385Бх, 22578Бх;  $S^{35}$  21594Бх, 22376Бх;  $Cr^{51}$  22392Бх;  $Co^{58}$  21778Бх;  $Fe^{59}$  22374Бх;  $Co^{60}$  21776Бх, 22393Бх;  $Zn^{65}$  22362Бх,  $Sr^{90}$  22251Бх;  $J^{127}$  22420Бх;  $J^{131}$  21809Бх, 21810Бх, 22362Бх, 22419—22421Бх, 22458Бх, 22462Бх, 22503Бх, 22567Бх, 22746Бх, общие вопросы 22389Бх, 22559Бх; в пром-сти 57663—57666; в аналитич. химии 57140, 57146, 57164, 57180, 57215, 57225. Хим. технол. вопр. ядерной техники 57004. Изотопы в геохимии 57021, 57029, 57030, 57845. Защита от излучений 57880—57882; 21609Бх. Радиохимия. отходы 57863. Др. вопр.: исследования соединений Рн: спектрофотометрическое 57015; термогравиметрическое 56711; определения растворимости 56721

### ТЕРМОДИНАМИКА. ТЕРМОХИМИЯ. РАВНОВЕСИЯ. ФИЗИКО-ХИМИЧЕСКИЙ АНАЛИЗ. ФАЗОВЫЕ ПЕРЕХОДЫ

Редакторы Д. Л. Агеева, В. А. Соколов

56636. Ансамбли Гиббса для необратимых процессов. Лебовиц, Бергман (Irreversible Gibbsian ensembles. Lebowitz Joel L., Bergmann Peter G.), Ann. Phys. (USA), 1957, 1, № 1, 1—23 (англ.)  
Рассматривается система, совершающая необратимый процесс и находящаяся в термодинамич. контакте с термостатом, который не изменяет своих свойств со временем (РЖХим, 1956, 64423). Предполагается, что взаимодействие системы с термостатом осуществляется путем отдельных столкновений. Состояние системы описывается интегро-дифференциальным ур-нием, содержащим, кроме обычных членов ур-ния Лиувилля, интегральный член, описывающий эти столкновения. Показано при общих предположениях, что любые начальные распределения в течение времени приближаются друг к другу. Если существует стационарное решение интегро-дифференциального ур-ния, то оно должно быть единственным и должно асимптотически приближаться к некоторому не зависящему от времени решению. Ввиду того что стационарное состояние, вообще говоря, не является равновесным и что равновесное состояние достигается только тогда, когда весь термостат имеет одну и ту же т-ру, ядро интеграла, описывающего статистически столкновения, обладает некоторыми свойствами симметрии. При наличии нескольких термостатов с т-рами, мало отклоняющимися друг от друга, для стационарного распределения выполняются соотношения Онзагера. Таким образом, соотношения Онзагера могут быть получены без рассмотрения флуктуаций и без предположения о выполнении принципа детального равновесия при элементарных процессах. Рассмотрен случай, когда термостат имеет не только т-ру, отличную от т-ры системы, но и другие термодинамич. потенциалы, в частности хим. потенциал, и показано, что общие результаты справедливы и для этого случая.

А. Алмазов

56637. О связи между разделением фаз под действием силы тяжести и особыми точками функции распределения. Хирота Тору, Буссейрон кэнкю, 1957, 2, № 6, 797—800 (японск.)

Путем анализа функции распределения плотности показано, что в системе, находящейся в поле тяжести,

существует разделение на фазы, если производная функции распределения по хим. потенциалу в отсутствие поля имеет точку разрыва. По резюме автора

56638. Ансамбли при постоянном давлении в статистической механике. Браун (Constant pressure ensembles in statistical mechanics. Brown W. Byers), Molec. Phys., 1958, 1, № 1, 68—82 (англ.; реф. франц., нем.)

С целью вывода термодинамич. величин непосредственно как функций давления вводятся «собственно давление» (т. е. давление при данном собственном значении энергии)  $P_n = -dE_n(V)/dV$ , «собственно объем» как решение ур-ния  $P = -dE_n(V_n)/dV_n$  и «собственно энтальпия»  $H_n$  согласно Ф-ле  $H_n(P) = E_n[V_n(P)] + PV_n(P)$ . Поскольку  $V_n$ , вообще говоря, образуют дискретный набор, имеет смысл говорить о «квантовании объема». Связывая термодинамич. потенциал Гиббса  $G(T, P, N)$  с собственными величинами  $\exp(-G/kT) = \sum_n \exp\{-H_n(P)/kT\}$  (1), автор получает зависимость  $G$  непосредственно от  $P$ . Другие термодинамич. величины как функции  $P$  получаются из  $G$  согласно известным термодинамич. соотношениям. На примере системы не взаимодействующих частиц, заключенных в некотором объеме, показано, что (1) приводит к тому же выражению для  $G$ , что и обычное вычисление на основе свободной энергии. Предлагаемый подход к термодинамике особенно удобен при рассмотрении систем, находящихся при постоянном давлении. Аналогичные представления использованы в применении к классич. системам; в этом случае сумма в (1) заменяется соответствующим интегралом, а  $H_n$  — гамильтонианом системы, находящейся под постоянным давлением. В качестве примеров рассмотрены неидеальный газ (теория Майера), одномерная система (совокупность частиц, расположенных на полупрямой), а также виральное разложение и теория возмущений. Дан другой способ получения соотношения (1), более близкий методу Гуттенгейма (Guggenheim E. A., J. Chem. Phys., 1939, 7, 103). Из теории непосредственно следует, что сложимость всегда положительна.

А. Алмазов

56639. О каноническом распределении Гиббса. Курт (Über Gibbs' kanonische Wahrscheinlichkeitsverteilung. Kurth Rudolf), Z. Naturforsch., 1958, 13a, № 1, 30—32 (нем.)

Обсуждается вопрос, почему канонич. распределение Гиббса  $\omega(x) = \text{const.} \exp(-H(x)/\theta)$ , хотя и имеет особую точку  $H=0$ , не соответствующую физ. реальности, тем не менее приводит, по мнению автора, эмпирич. путем к правильным результатам. Автор находит объяснение в утверждении, что для произвольного распределения вероятности справедливо обобщенное больцмановское распределение, когда число степеней свободы достаточно велико.

А. Алмазов

56640. Заметка о проблеме, касающейся парадокса Гиббса. Клейн (Note on a problem concerning the Gibbs paradox. Klein Martin J.), Amer. J. Phys., 1958, 26, № 2, 80—81 (англ.)

Рассмотрен парадокс Гиббса для случая, когда идеальный газ смешивается с тем же идеальным газом, но с атомами, у которых ядра изомерны ядрам атомов первого газа, т. е. находятся в возбужденном метастабильном состоянии. Показано, что через промежуток времени, достаточно долгий по сравнению с временем жизни метастабильного состояния, происходит возрастание энтропии  $\Delta S$  (всей системы: смеси газов и среды), большее чем  $\Delta S$  смешения, которое «пропадает».

В. Алосов

56641. Гидродинамическое и коллективное описание. Хусими, Нисияма (Hydrodynamical and collective description. Husimi Kōdi, Nishiyama



Toshiyuki), Fortschr. Phys., 1958, 6, № 1-2, 16—29 (англ.)

Критический обзор. Содержание: теория Боголюбова для газа бозонов, оператор плотности и оператор скорости в квантовой механике, одномерная фермионная система, коллективное описание. Библ. 20 назв.

А. Алмазов

56642. Об одной существенной ошибке при определении вириальных коэффициентов паров при низких давлениях. Уитло-Грей, Боттомли (A significant error in the determination at low pressures of the virial coefficients of vapours. Whytlaw-Gray R., Bottomley G. A.), Nature, 1957, 180, № 4597, 1252 (англ.)

Указывается на необходимость учета адсорбции пара стеклом при определении вириальных коэф. паров.

В. Цукерман

56643. Методы статистического расчета равновесий изотопного обмена в газовой фазе. Татевский В. М., Пробл. кинетики и катализа, 1957, 9, 339—344. Дискус., 369—370

Метод расчета констант равновесия р-ций изотопного обмена, предложенный автором (Ж. физ. химии, 1951, 25, № 3, 261; Татевский В. М., Фрост А. В., Вестн. МГУ 1947, № 12, 113) и Бигеляйзенем и Майером (Big. eisen I., Mayer M., J. Chem. Phys., 1947, 15, № 5, 261), обобщается на случай учета ангармоничности колебаний, взаимодействия колебаний и вращений и других поправочных членов. Обобщение излагается на примере молекулы типа асимметрич. волчка. Константа равновесия  $K_p$  изотопной р-ции  $\bar{A}_1 + \bar{A}_2 + \dots \rightleftharpoons \bar{A}_1\bar{A}_2 + \dots$

$\dots \rightleftharpoons \bar{A}_1\bar{A}_2 + \bar{A}_2\bar{A}_1 + \dots$  (А и  $\bar{A}$ , В и  $\bar{B}$  — молекулы одинакового элементарного состава, содержащие различные изотопы) выражается в виде  $K_p = \varphi_{AA}^1 \times \varphi_{BB}^2 \times \dots$ , где функция  $\varphi_{AA}$  представляет отношение сумм состояний молекул  $\bar{A}$  и А с включением факторов нулевой энергии. При определении вида функции  $\varphi_{AA}$  учитываются

разные электронные состояния молекулы  $\bar{A}$  и А, ангармоничность колебаний и взаимодействие колебаний и вращений, причем используется выражение для вращательной суммы по состояниям, полученное ранее (Stripp K. E., Kirkwood I. G., J. Chem. Phys., 1951, 19, 1131; РЖХим, 1956, 15532). Полученное выражение для  $\varphi_{AA}$  упрощается применением правила произведения Редлиха и Теллера при допущении, что это правило применено с достаточной точностью к несправленным на ангармоничность наблюдаемым частотам и моментам инерции на нулевом колебательном уровне. В результате получаются выражения для  $\varphi_{AA}$  и  $K_p$ , позволяющие проанализировать влияние каждого колебания на величину функции  $\varphi_{AA}$  и  $K_p$ . Окончательное выражение для  $K_p$  дает возможность провести приближенный расчет  $K_p$  даже и в том случае, если из эксперимента известны только мол. постоянные одной пары изотопич. молекул (напр., А и В). Методы такой оценки кратко обобщаются в конце статьи.

И. Годиев

56644. Общая термодинамика ракетного топлива. Маго-Кюврю (Thermodynamique générale des propergols. Magot-Cuvry P.), Matér. et techn. engins-fusées. et aviat. Paris, A. E. R. A., 1956, 1—14 (франц.)

Рассмотрена общая методика расчета равновесных составов продуктов сгорания ракетных топлив; даны ф-лы для вычисления их энтальпии, энтропии и расчета сгорания. Приводятся принципы построения 3-мерных диаграмм состав—энтальпия—энтропия.

В. Анявер

56645. Изменения энтропии при реакциях изомеризации. Гаскойн (Entropy changes in isomerizations. Gascoigne R. M.), J. Chem. Soc., 1958, Feb., 876—881 (англ.)

Отмечается, что понятие «стабильный» изомер должно применяться в строгом термодинамич. смысле, т. е. определяться знаком  $\Delta G$  р-ции изомеризации, а так как  $\Delta G = \Delta H - T\Delta S$  и часто  $\Delta H > T\Delta S$ , то о  $\Delta G$  можно судить по  $\Delta H$ , однако в ряде случаев  $\Delta H < T\Delta S$ . На основании литературных данных приведены значения  $\Delta G$ ,  $\Delta H$  и  $T\Delta S$  при 25° для ряда р-ций изомеризации; со значительным  $\Delta S$  протекают р-ции изомеризации, связанные с 1) разрывом связи, 2) циклизацией, 3) сжатием или расширением цикла. Для высших парафинов при изомеризации типа 1 (напр., *n*-октан  $\rightarrow$  4 метилгептан) при 25° и для низших парафинов при *т-рах* выше 200°  $T\Delta S > \Delta H$ ; аналогичное соотношение имеет место для кетонольной изомеризации  $\beta$ -кетозифров. С небольшим  $\Delta S$  протекают р-ции *цис-транс*-изомеризации, мутаротации и эпимеризации, миграции двойной связи и 1:2 миграции  $\text{CH}_3$ -группы. Рассматривается термодинамич. аспект р-ции циклич. перегруппировки при биосинтезе терпенов.

Н. Пацуков

56646. О сопоставлении свойств вещества при двух значениях одного параметра в зависимости от значения другого параметра. Карапетьянц М. Х., Научн. докл. высш. школы. Химия и хим. технол., 1958, № 1, 12—16

Описан метод сравнительного расчета свойств газов и жидкостей, упомянутый ранее (РЖХим, 1956, 31897, 38947; 1957, 18444), для случаев, когда значение данного свойства  $G$  изучаемого в-ва зависит от двух параметров и условий  $P'$  и  $P''$ , т. е. когда существует функциональная зависимость  $f(G, P', P'') = 0$ . Метод применим для приближенного расчета  $P - V - T$ -данных, теплоемкости, энтальпии, дроссель-эффекта, теплопроводности и других свойств, а также для вычисления свойств  $p$ -ров (растворимость, плотность, вязкость и др.). Приведен пример, иллюстрирующий применение метода для расчета теплоемкости сжатого водяного пара вплоть до кривой насыщения. Метод сравнительного расчета позволяет оценить величину теплоемкости сжатого водяного пара в области, не охваченной эксперим. данными.

А. Золотаревский

56647. Теплоемкость натриево-вольфрамовых бронз в интервале 1,8—4,2° К. Вест, Гриффел, Смит (Heat capacity of sodium tungsten bronzes from 1.8 to 4.2° K. Vest R. W., Griffel M., Smith J. F.), J. Chem. Phys., 1958, 28, № 2, 293—296 (англ.)

В калориметре, описанном ранее (РЖХим, 1958, 38851), определена теплоемкость  $C$  ( $\pm 0,3\%$ ) вольфрамовых бронз натрия в интервале 1,8—2° К (метавольфрамов натрия состава  $\text{Na}_x\text{WO}_3$ ), обладающих электроступностью металлов, при  $x > 0,3$ . Изучены соединения с  $x$ , равным 0,56; 0,65; 0,81; 0,89. Результаты обработаны методом наименьших квадратов и представлены в виде кривых  $C/T - T^2$ . Рассчитаны константа ур-ния электронной теплоемкости  $\gamma$  и дебаевская температура  $\theta_D$  (°К). По ур-нию  $\gamma = \pi^2 k^2 V_m N(\varepsilon_F)/3$  (где  $k$  — константа Больцмана,  $V_m$  — мол. объем,  $N(\varepsilon_F)$  — плотность энергетич. состояний на единицу объема на уровне Ферми) вычислена  $N(\varepsilon_F)$ . Полученная кривая зависимости  $N(\varepsilon_F)$  от конц-ии натрия в бронзах сопоставлена с ранее описанным (РЖХим, 1954, 49449 (Brown B. W., Banks E., Phys. Rev., 1951, 84, 609) максимумом электропроводности для бронз, у которых  $x \approx 0,75$ . Найдено, что термич. история образца не оказывает влияния на электронную часть теплоемкости, но в значительной степени определяет решеточную ее часть. И. Соколов

56648. Определение теплоемкости бутилацетата в критической точке. Максимов Я. С. В сб.: Применение ультразвука к исслед. вещества. Вып. 6. М., 1958, 193—197

Экспериментально определена зависимость давления ( $p$ ) насыщ. пара бутилацетата от  $t$ -ры ( $T$ ) и вычислена величина  $dp/dT$  для крит. точки. Используя эксперим. данные, полученные для этилацетата, автор рассчитал на основании закона соответственных состояний скорости звука и плотности для бутилацетата в крит. точке. На основании найденных величин рассчитана теплоемкость бутилацетата при постоянном объеме в крит. точке, равная 64,5 ккал/моль.град, близкая по порядку величины к теплоемкостям других ацетатов. Б. Кудрявцев

56649. Состояние равновесия системы ильменит —  $\text{HCl(aq)} - \text{TiCl}_4 - \text{FeCl}_2 - \text{TiO}_2$  (аморф.). Вильска (The equilibrium state of the system ilmenite —  $\text{HCl(aq)} - \text{TiCl}_4 - \text{FeCl}_2 - \text{TiO}_2$  (amorph). Wilska S. *Proc. Acad. sci.*, 1957, 244, № 1, 73—74 (франц.)

Изучена растворимость ильменита (44,5%  $\text{TiO}_2$ , 34,4%  $\text{Fe}^{2+}$ , 8,84%  $\text{Fe}^{3+}$ ) в соляной к-те различных концентраций (10—36%) при 105—110°. Построены кривые в координатах: время воздействия к-ты — % растворенного в-ва. По литературным данным (Perry J. H., Chemical engineer's handbook. 3rd. Ed., McGraw-Hill, 1950, 236; Selected values of chemical thermodynamic properties, National Bureau of Standards, Washington D. C., 1952, 22, 305) рассчитаны теплоты р-ции ( $\Delta H_{298}^\circ$ ):  $\text{TiO}_2 \cdot \text{FeO} \rightleftharpoons \text{FeO} + \text{TiO}_2$  (1);  $\text{FeO} + 2\text{HCl(aq)} \rightleftharpoons \text{FeCl}_2(\text{HCl(aq)}) + \text{H}_2\text{O}$  (2);  $\text{TiO}_2 + 4\text{HCl(aq)} \rightleftharpoons \text{TiCl}_4(\text{HCl(aq)}) + 2\text{H}_2\text{O}$  (3);  $\text{FeO} \cdot \text{TiO}_2 + 6\text{HCl(aq)} \rightleftharpoons \text{FeCl}_2(\text{HCl(aq)}) + \text{TiCl}_4(\text{HCl(aq)}) + 3\text{H}_2\text{O}$  (4); равные соответственно (в ккал): 1/5,9; 2/—27,7; 3/8,4; 4/—19,3. В предположении, что для гетерог. р-ции активности твердого в-ва и р-ра постоянны и что  $\Delta H^\circ$  не зависит от  $t$ -ры в малом температурном интервале, рассчитана константа равновесия р-ции (4)  $\lg K_{c,298} = -2,413$ . Приближенные значения изменения стандартной свободной энергии р-ции (4) и стандартной свободной энергии образования  $\text{TiCl}_4(\text{HCl(aq)})$  равны соответственно  $\Delta G_{298}^\circ = 3,28$  ккал и  $\Delta G_f^\circ = -195$  ккал/моль. Величины  $\Delta C_{298}^\circ$  р-ций (2) и (3), равные соответственно — 20 ккал и 23 ккал, объясняют большую растворимость окиси железа в соляной к-те по сравнению с растворимостью двуокиси титана. Значительная начальная скорость растворения двуокиси титана в конц.  $\text{HCl}$ , по мнению автора, обусловлена образованием комплексного соединения  $\text{H}_2\text{TiCl}_6$ . И. Соколова

56650. Реакции между гидразином, тиоциановой кислотой и оксосоединениями. IV. Теплоты сгорания и образования для некоторых соединений, родственных тиосемикарбазиду. Суннер (Reactions between hydrazine, thiocyanic acid and oxo-compounds. IV. Heats of combustion and derived data for some compounds related to thiosemicarbazide. Sunner S., Acta chem. scand., 1957, 11, № 10, 1766—1770 (англ.))

В калориметре, описанном ранее (Sunner S., Svensk Kem., Tidskr., 1946, 58, 71), измерены теплоты сгорания и теплоты растворения в  $\text{H}_2\text{O}$  и вычислены теплоты образования (ккал/моль) при 20° из  $\text{C}$  (графит),  $\text{H}_2$  (газ),  $\text{N}_2$  (газ) и  $\text{S}$  (ромбич.) следующих соединений (изолированных и в водных р-рах):  $\text{N}_2\text{H}_5\text{SCN}$  (I),  $\Delta H(\text{тв.}) = 9,2 \pm 0,7$ ,  $\Delta H(\text{aq}) = 17,1 \pm 0,8$ ;  $\text{NH}_2\text{NHCN}(\text{NH}_2)$  (II),  $\Delta H(\text{тв.}) = 5,7 \pm 0,5$ ;  $\Delta H(\text{aq}) = 13,5 \pm 0,7$ ;  $\text{CH}_3\text{CH}=\text{NNHCN}(\text{NH}_2)$  (III),  $\Delta H(\text{тв.}) = 15,0 \pm 0,2$ ;  $(\text{CH}_3)_2\text{C}=\text{NNHCN}(\text{NH}_2)$  (IV),  $\Delta H(\text{тв.}) = 4,6 \pm 0,8$ ;  $\text{C}_6\text{H}_{10}\text{N}_4\text{S}_2$  (V),  $\Delta H(\text{тв.}) = 32,7 \pm 1,7$ . На основе полученных данных рассмотрено равновесие I  $\rightleftharpoons$  II и вычислены энергии резонанса тиосемикарбазонов III и IV. Вычислены

теплоты р-ций I с  $(\text{CH}_3)_2\text{CO}$  и I с  $\text{CH}_3\text{CHO}$  с образованием V. Сообщение III см. РЖХим, 1957, 60486.

А. Золотаревский

56651. Калориметрическое изучение термического разложения тригидратов окиси алюминия. Мишель (Etude calorimétrique de la décomposition thermique des trihydrates d'alumine. Michel Max), C. r. Acad. sci., 1957, 244, № 1, 73—74 (франц.)

С помощью микрокалориметра Кальве измерена теплота дегидратации образцов гидраргиллита, — 16 ккал на моль  $\text{H}_2\text{O}$  и байерита — 15,5 ккал на моль  $\text{H}_2\text{O}$  в вакууме  $\sim 10^{-2}$  мм рт. ст. при 230 и 240° соответственно. Конечное состояние характеризуется преимущественным содержанием  $\gamma$ - $\text{Al}_2\text{O}_3$  с небольшими примесями  $\chi$ - и  $\eta$ -форм при полном отсутствии бёмита. Результаты проверены сравнением с теплотой гидратации в байерит при 35°, оказавшейся равной + 15 ккал/моль байерита, в хорошем согласии с пересчетом результатов при 240° на 35° Б. Аппаер

56652. Теплоты образования твердых растворов галогенидов щелочных металлов. Листер, Мейерс (Heats of formation of some solid solutions of alkali halides. Lister M. W., Meyers N. F.), J. Phys. Chem., 1958, 62, № 2, 145—150 (англ.)

Определение теплот образования ( $\Delta H$ ) твердых р-ров галогенидов щел. металлов производилось с целью выяснения характера взаимодействия ионов в кристаллич. решетке твердого р-ра.  $\Delta H$  измерены для систем  $\text{NaBr}$  (I) —  $\text{KBr}$  (II),  $\text{NaI}$  (III) —  $\text{KI}$  (IV), I — III, II — IV,  $\text{NaCl}$  (V) —  $\text{KCl}$  (VI) и V — I по разности теплоты растворения в воде твердых р-ров, полученных при совместном плавлении компонентов с последующим отжигом при 550—600° и закалкой, и теплоты растворения механич. смесей солей. Р-ция образования твердых р-ров эндотермична,  $\Delta H$  (макс.) приходится на  $\sim 50$  мол.% каждой соли. Полученные эксперим. данные сравниваются с рассчитанными по теориям Вазаштерна и Хови (1) (Wasastjerna J. A., Soc. Scient. Fenn., Comment. Phys.-Math., 1949, XV, № 3; Hovi V., Ann. Acad. Scient. Fenn., Comment. Phys.-Math., 1950, XV, № 12) и Дархэма и Гаукинса (2) (Durham G. S., Hawkins J. A., J. Chem. Phys., 1951, 19, 149). При расчете  $\Delta H$  по теории (1) авторы получили для систем I — II и V — VI впадины на кривых  $\Delta H - x$  в области  $\sim 50$  мол.%, тогда как эксперим. кривая куполообразна. Полученный результат указывает на то, что степень упорядоченности в твердых р-рах ниже, чем следует из теории (1). Расчет  $\Delta H$  по теории (2) для систем I — III и II — IV дает удовлетворительное совпадение с эксперим. данными до  $\leq 50$  мол.% йодида. В других системах с общим анионом вычисленные по теории (2) значения  $\Delta H$  лежат ниже экспериментальных. Л. Резницкий

56653. Теплоты гидрирования. Часть 2. Производные ацетилена. Флиткрофт, Скиннер (Heats of hydrogenation. Part 2. Acetylene derivatives. Flitcroft T. L., Skinner H. A.), Trans. Faraday Soc., 1958, 54, № 1, 47—53 (англ.)

В калориметре, описанном ранее (часть 1, РЖХим, 1958, 3756) измерены при 25° теплоты гидрирования ацетиленовых производных в растворенных в этаноле или лед. уксусной к-те в присутствии восстановленной  $\text{PdO}$  в качестве катализатора. Измерены теплоты р-ций ( $-\Delta H$ , ккал/моль):  $\text{HOOC} \cdot \text{C} \equiv \text{C} \cdot \text{COOH} \cdot 2\text{H}_2\text{O}$  (тв.) +  $2\text{H}_2$  (газ)  $\rightarrow \text{C}_4\text{H}_6\text{O}_4$  (тв.) +  $2\text{H}_2\text{O}$  (жидк.) ( $83,1 \pm 1,2$ );  $\text{HOOC} \cdot \text{C} \equiv \text{C} \cdot \text{COOH}$  (тв.) +  $2\text{H}_2$  (газ)  $\rightarrow \text{C}_4\text{H}_6\text{O}_4$  (тв.) ( $86,8 \pm 1,1$ );  $\text{HC} \equiv \text{C} \cdot \text{COOCH}_3$  (жидк.) +  $2\text{H}_2$  (газ)  $\rightarrow \text{CH}_3\text{CH}_2\text{COOCH}_3$  (жидк.) ( $79,1 \pm 1,1$ );  $n\text{-C}_4\text{H}_9 \cdot \text{C} \equiv \text{C} \cdot \text{CONH}_2$  (тв.) +  $2\text{H}_2$  (газ)  $\rightarrow n\text{-C}_5\text{H}_{11}\text{CONH}_2$  (тв.) ( $72,9 \pm 0,8$ );  $n\text{-C}_4\text{H}_9 \cdot \text{C} \equiv \text{C} \cdot \text{C}_2\text{H}_5$  (жидк.) +  $3\text{H}_2$  (газ)  $\rightarrow n\text{-C}_6\text{H}_{14}$  (жидк.) ( $93,4 \pm 1,5$ );  $\text{C}_6\text{H}_5 \cdot \text{C} \equiv \text{C} \cdot \text{C}_6\text{H}_5$  (тв.) +  $2\text{H}_2$  (газ)  $\rightarrow \text{C}_6\text{H}_5\text{CH}_2\text{CH}_2\text{C}_6\text{H}_5$  (тв.) ( $64,1 \pm 1,1$ );  $\text{C}_6\text{H}_5 \cdot \text{C} \equiv \text{C} \cdot \text{CH}_3$  (жидк.) +



$+ 2\text{H}_2(\text{газ}) \rightarrow \text{C}_6\text{H}_5\text{CH}_2\text{CH}_3(\text{жидк.})$  ( $70,7 \pm 1,0$ );  $\text{C}_6\text{H}_5 \cdot \text{C} \equiv \text{C} \cdot \text{COOH}(\text{тв.}) + 2\text{H}_2(\text{газ}) \rightarrow \text{C}_6\text{H}_5\text{CH}_2\text{CH}_2\text{COOH}(\text{тв.})$  ( $72,6 \pm 1,1$ );  $\text{HC} \equiv \text{C} \cdot \text{CH}_2\text{COOH}(\text{тв.}) + 2\text{H}_2(\text{газ}) \rightarrow \text{n-C}_3\text{H}_7\text{COOH}(\text{тв.})$  ( $72,4 \pm 1,1$ );  $\text{CH}_3 \cdot \text{C} \equiv \text{C} \cdot \text{CH}_2\text{COOH}(\text{тв.}) + 2\text{H}_2(\text{газ}) \rightarrow \text{n-C}_4\text{H}_9\text{COOH}(\text{тв.})$  ( $65,8 \pm 1,2$ );  $\text{n-C}_3\text{H}_7 \cdot \text{C} \equiv \text{C} \cdot \text{COOCH}_3(\text{жидк.}) + 2\text{H}_2(\text{газ}) \rightarrow \text{n-C}_5\text{H}_{11} \cdot \text{COOCH}_3(\text{жидк.})$  ( $71,1 \pm 1,2$ ).

А. Золотаревский  
56654. Теплоты плавления некоторых галогенидов (бромидов щелочных металлов). Блан (Chaleurs de fusion de quelques halogénures (bromures alcalins). Blanc Madeleine), C. r. Acad. sci., 1958, 246, № 4, 570—571 (франц.)

Методом высокотемпературной криоскопии определены теплоты плавления  $\text{LiBr}$  (I),  $\text{NaBr}$  (II) и  $\text{KBr}$  (III). Для I  $T(\text{пл.}) = 819^\circ \text{K}$ ,  $\Delta H(\text{пл.}) = 3095 \text{ кал/моль}$ ,  $S(\text{пл.}) = 3,77 \text{ энтр. ед.}$  Для II  $T(\text{пл.}) = 1014^\circ \text{K}$ ,  $\Delta H(\text{пл.}) = 5520 \text{ кал/моль}$ ,  $S(\text{пл.}) = 5,44 \text{ энтр. ед.}$  Для III  $T(\text{пл.}) = 1005^\circ \text{K}$ ,  $\Delta H(\text{пл.}) = 5930 \text{ кал/моль}$ ,  $S(\text{пл.}) = 5,90 \text{ энтр. ед.}$  Энтропийный критерий для I (Darmois-Sutra, C. r. Acad. sci., 1951, 233, 1027) близок к таковому для солей щелочно-земельных металлов.

Л. Резницкий  
56655. Термодинамическое исследование раствора азотнокислого свинца в расплавленном азотнокислом калии. Дусе, Жано (Etude thermodynamique d'une solution de nitrate de plomb dans le nitrate de potassium fondu. Doucet Yves, Janot Christian), C. r. Acad. sci., 1957, 244, № 9, 1166—1169 (франц.)

Р-ры  $\text{Pb}(\text{NO}_3)_2$  (I) в  $\text{KNO}_3$  (II) исследованы криометрически (определение т-ры начала затвердевания). Теплота плавления II, полученная экстраполированием кривых понижения т-ры плавления к нулевой конц-ии I, равна  $2,69 \text{ кал/моль}$ . Результаты измерения для мол. дроби I от 0,005 до эктектич. конц-ии (0,216) показывают, что эксперим. кривая лежит выше идеальной. Рассчитаны коэф. активности I и II; приведены выражения для избыточной свободной энергии и для энтальпии. Отрицательные отклонения от закона Рауля (коэф. активности  $< 1$ ) при очень малой теплоте смешения объясняются изменением энтропии, связанной со значительным различием в объемах ионов  $\text{Pb}^{2+}$  ( $2,5 \text{ Å}^3$ ) и  $\text{K}^+$  ( $10 \text{ Å}^3$ ). Б. А.

56656. Изобарное равновесие между жидкостью и паром в многокомпонентных системах. Шапиро (Równowaga izobaryczna między cieczą a parą w układach wieloskładnikowych. Szapiro Salomon), Zesz. nauk. Politechn. łódzkiej, 1957, № 18, 3—22 (польск.; рез. русск., англ.)

Выведена система ур-ний, связывающих давление с составами жидкости и пара, находящимися в состоянии равновесия для многокомпонентных систем. Разработан аналитич. метод решения выведенной системы ур-ний относительно состава пара. Выведенные ур-ния проверены для следующих систем: 1) метил — этил — кетон — *n*-гептан — толуол, 2) ацетон — метанол — вода, 3) ацетон — хлороформ — метилизобутилкетон, 4) бензол — циклогексан — изопропанол.

Резюме автора  
56657. Измерение очень низких давлений паров с применением радиоактивных изотопов. Скрытая теплота сублимации дифенилртути. Карсон, Странкс, Уилмшерст (The measurement of very low vapour pressures using radioactive isotopes. The latent heat of sublimation of mercury diphenyl. Carson A. S., Stranks D. R., Wilmschurst B. R.), Proc. Roy. Soc., 1958, A244, № 1236, 72—84 (англ.)

Эффузионным методом Кнудсена, видоизмененным для измерения кол-ва испарившегося радиоактивного в-ва по интенсивности излучения, измерено давление паров дифенилртути (I), меченой  $\text{Hg}^{203}$ , в интервале  $15,80—30,02^\circ$ . При  $20,62^\circ$   $p = 1,1 \cdot 10^{-6} \text{ мм рт. ст.}$  (точ-

ность  $\pm 10\%$ ). Теплота сублимации равна  $26,95 \pm 0,2 \text{ ккал/моль}$  при  $25^\circ$ . Подробно описано приготовление меченой I, установка и методика работы. Для радиоактивных изотопов ряда элементов с различными периодами полураспада рассчитан нижний предел  $p$ , который может быть определен этим методом (от  $10^{-3} \text{ мм рт. ст.}$  для  $\text{Mg}^{28}$  до  $10^{-11} \text{ мм}$  для  $\text{Au}^{198}$ ). Показано, что применение статич. метода измерения  $p$  затруднено адсорбцией молекул на стенках камеры счетчика. Ю. Кесслер

56658. Давление паров двуокиси германия. Симма-дзак, Мацумото, Нива (The vapor pressure of germanium dioxide. Shimazaki Eiichi, Matsumoto Noboru, Niwa Kichizo), Bull. Chem. Soc. Japan, 1957, 30, № 9, 969—971 (англ.)

На установке, описанной ранее (РЖХим, 1957, 22267), методом Кнудсена в интервале т-р  $1040—1400^\circ \text{C}$  определялось давление паров  $P$  двуокиси германия, диссоциирующей согласно ур-нию:  $\text{GeO}_2(\text{к.}) = \text{GeO}(\text{газ}) + \frac{1}{2}\text{O}_2(\text{газ})$  (1), где  $\text{GeO}_2(\text{к.})$  — кристаллич. двуокись германия гексагон.  $\alpha$ -кварцевой структуры. Полученные данные представлены в виде ур-ния:  $\lg P_{\text{мм}} = -25517/T + 16,245$  (2). По литературным данным (Kelley K. K., Bur. Mines Bulletin, 1949, 476) и на основании ур-ния (2) вычислено изменение энтальпии, свободной энергии и энтропии р-ции (1) для средней т-ры эксперимента  $T$  и для  $298^\circ \text{K}$ :  $\Delta H_T = 116,7 \pm 0,2 \text{ ккал/моль}$ ;  $\Delta G_T = 34,0 \text{ ккал/моль}$ ;  $\Delta S_T = 61,1 \text{ энтр. ед.}$ ,  $\Delta H_{298} = 121,7 \pm 0,3 \text{ ккал/моль}$ ;  $\Delta G_{298} = 101,7 \text{ ккал/моль}$ ;  $\Delta S_{298} = 67,3 \text{ энтр. ед.}$  Полученная авторами теплота р-ции (1) весьма близка к рассчитанной на основании литературных данных:  $121,7 \pm 0,3$  и  $122,0 \text{ ккал}$  соответственно (РЖХим, 1956, 71116). Вычисленная стандартная энтропия твердой двуокиси германия  $S_{298} = 10,8 \pm 1,0 \text{ энтр. ед.}$  хорошо согласуется с величиной, рассчитанной другими авторами посредством интерполяции стандартных энтропий двуокисей кремния и олова (Bues W., von Wartenberg H., Z. anorgan. und allgem. Chem., 1951, 266, 281). И. Соколов

56659. Конденсация и испарение  $\text{ZnS}$  и  $\text{CdS}$  в высоком вакууме. Нейхаус, Реттинг (Zur Kondensation und Verdampfung von Zinksulfid und Cadmiumsulfid im Hochvakuum. Neuhaus A., Retting W.), Z. Elektrochem., 1958, 62, № 1, 33—40 (нем.)

Измерены давления паров и коэф. конденсации  $\text{NaCl}$ ,  $\text{KCl}$ ,  $\text{ZnS}$  и  $\text{CdS}$  с помощью чувствительных весов, на чашку которых направлялись из печи пары в-ва при диаметре отверстия в печи  $0,03$  и  $3,33 \text{ мм}$ . В системе поддерживалось давление  $\sim 10^{-5} \text{ мм рт. ст.}$  Данные для  $\text{NaCl}$  и  $\text{KCl}$  совпадают с литературными. Результаты, полученные для  $\text{ZnS}$  ( $775—1080^\circ$ ) и  $\text{CdS}$  ( $690—830$ ) и приведенные в таблице и на графике  $\lg P = 1/T$ , отличаются от приведенных в литературе (Погорелый, Ж. физ. химии, 1948, 12, 731), особенно в области высоких т-р. Отмечено наличие термич. диссоциации  $\text{ZnS}$  и  $\text{CdS}$ . А. Золотаревский

56660. Физические свойства низших диалкилфосфитов. Пейдж, Пернелл (Physical properties of the lower dialkyl hydrogen phosphites. Page F. M., Purnell J. H.), J. Chem. Soc., 1958, Febr., 621—623 (англ.)

Измерено давление паров диметил- (I), диэтил- (II), ди-*n*-пропил- (III) и ди-*n*-бутилфосфита (IV). Результаты выражены ур-нием  $\lg p(\text{мм}) = A - B/T$ , где  $A$  и  $B$  — константы, соответственно равные для I  $7,438$ ;  $2,0226$ , II  $7,174$ ;  $1,9885$ , III  $7,062$ ;  $1,9911$ , IV  $6,800$ ;  $1,9732$ . Вычислены скрытые теплоты и т-ры кипения при  $1 \text{ атм.}$  Проведены криоскопич. измерения р-ров I, II и III в бензоле. Отклонение от прямой понижения

точки замерзания  $\Delta T$  в зависимости от мол. доли фосфата  $x$  найдено лишь для I и в меньшей мере у II, для которых предполагается в жидкой фазе ассоциация в димеры; высшие диалкилфосфиты в этих условиях мономерны. Данные  $\Delta T - x$  для  $p$ -ров в камфоре для I, II и III укладываются на одну прямую. Сделан вывод, что при  $t$ -ре  $> 150^\circ$ , а также в паровой фазе I и II также не ассоциированы. А. Золотаревский 56661. Упругость паров моноэтаноламина и его углекислой соли. Бесков С. Д., Кочеткова Л. И., Голаубева Р. М., Уч. зап. Моск. пед. ин-та, 1957, 90, 147—149

Давление пара моноэтаноламина (I) определено при  $0-25^\circ$ . Измерения проводились динамич. методом с использованием азота в качестве газа-носителя. Приведены схемы лабораторной установки и методика расчета. На основании литературных данных по давлению пара I в интервале  $64-170^\circ$  вычислена скрытая теплота испарения I, равная  $11950 \text{ кал/моль}$  ( $\pm 3\%$ ). Предложено ур-ние, описывающее давление пара I в интервале  $0-171^\circ$ :  $\lg p \text{ (мм рт. ст.)} = 8,747 - 3,61 \cdot 10^3/T$ . Построен график зависимости  $\lg p$  от  $1/T$ . Измерено давление пара карбоната I при  $23,5^\circ$ :  $p = 0,78 \text{ мм рт. ст.}$ , оказавшееся меньшим, чем давление пара I ( $0,90 \text{ мм рт. ст.}$ ) С. Бык 56662. Вычисление нормальных точек кипения, давлений паров и критических величин монохлорпарафинов. Томишка, Гануш (Výpočet normálních bodů varu, tensí par a kritických veličin monochlorparafinů. Tomiška Josef, Hanuš Zdeněk), Chem. listy, 1957, 51, № 6, 1014—1024 (чешск.) Collect. Czechosl. chem. commun., 1958, 23, № 2, 179—190 (нем., реэ. русск.)

Авторы предложили эмпирич. соотношения. 1. Разности  $T_2 - T_1$  нормальных точек кипения парафинов  $T_1$  (°K), их первичных монохлорпроизводных  $T_2$  (°K) для  $n$ -в с одинаковым числом атомов C практически одинаковы (отклонение  $< 1^\circ$ ). При этом, если  $n$  — число атомов углерода в молекуле, то (для давления  $760 \text{ мм рт. ст.}$ )  $T_1 = 139,1 + 92,7 \lg x + 234 \lg^2 x - 1,86x$  ( $\pm 0,3^\circ$ );  $T_2 = 120,5 - 67,2 \lg x - 12,6 \lg^2 x + 0,92x + T_1 - a$ , причем для первичных хлорпарафинов  $a = 0$ , для вторичных  $a = 10,6$  и для третичных  $a = 14,3$ . 2. Изомерные монохлорпроизводные данного парафина того же типа обладают приблизительно одинаковой точкой кипения (наибольшее отклонение  $1,6^\circ$ ). 3. Точки кипения вторичных хлорпарафинов лежат приблизительно на  $10,6^\circ$  ниже, а третичных на  $14,3^\circ$  ниже, чем точки кипения первичных монохлорпроизводных того же парафина (отклонения вторичных хлорпарафинов не более  $2^\circ$ , у третичных  $3^\circ$ ). 4. Отношение точек кипения первичного хлорпроизводного ( $T_2$ ) и нормального парафина ( $T_1$ ) в пределах  $C_5 - C_{20}$  линейно зависит от отношения весов обоих в-в:  $T_2/T_1 = 0,4647 + 0,5206 M_2/M_1$ . Для зависимости давления паров хлорпарафинов  $p$  от  $t$ -ры  $T_2(p)$  (°K) предложены ф-лы вида  $\lg p = T_2 A + B/(C - \lg p)$  и  $\lg p = C - BT_2/(T_2(p) - AT_2)$ ; ( $T_2^\circ$  — норм.  $t$ -ра кипения, °K). Приведены значения констант A, B, C. Предложена ф-ла для вычисления крит. давления. Данные, собранные в 8 таблицах и представленные на двух графиках, показывают применимость предложенных ф-л. Otto Knessl 56663. Давление паров и термодинамические свойства системы  $\text{RbF} - \text{ZrF}_4$ . Кантор, Ньютон, Греймс, Бланкеншип (Vapor pressures and derived thermodynamic information for the system  $\text{RbF} - \text{ZrF}_4$ . Cantor S., Newton R. F., Grimes W. R., Blankenship F. F.), J. Phys. Chem., 1958, 62, № 1, 96—99 (англ.)

Измерено давление паров чистого  $\text{ZrF}_4$  (I) и над смесями I с  $\text{RbF}$  (II) различного состава с исполь-

зованием квазистатич. метода, описанного ранее (Rodebush W. H., Dixon A. L., Phys. Revs., 1925, 26, 85). Исследовано 11 составов в области 35—100 мол. % I. В этой области II не летуч по сравнению с I, поэтому парц. давление I принято равным общему давлению системы. Измерения проведены в области давл.  $10-250 \text{ мм рт. ст.}$  ( $710-1265^\circ$ ). Пар I был принят за мономерный. Найдено отрицательное отклонение от идеального закона, что обуславливается взаимодействием одновалентного и 4-валентного катионов и общим анионом в расплаве электролита. При  $912^\circ$  ( $t$ -ра плавления I) коэф. активности  $\gamma$  I как функция состава представлена в виде  $\lg \gamma_I = -N_{II}^2(2,05 + 6,40N_{II})$ , где  $N$  — мольная доля; применение ур-ния Гиббса—Дюгема дает  $\gamma_{II} = -N_I^2(11,65 - 6,40N_I)$ . Значительное отрицательное отклонение от идеальности объясняется большой величиной избыточной парц. молярной энтропии растворения I. Использована качествен. модель для интерпретации результатов расчета значений энтропии и парц. мол. теплоты смешения. И. Васильева 56664. Термодинамическое исследование системы ацетон- $n$ -гептан и ацетон- $n$ -нонан. Шефер, Ралль, Вирт-Линдеман (Thermodynamische Untersuchungen an dem System Aceton- $n$ -Heptan und Aceton- $n$ -Nonan. Schäfer K., Rall W., Wirth-Lindemann F. C.), Z. phys. Chem. (BRD), 1958, 14, № 3-4, 197—207 (нем.)

Равновесие жидкость — пар бинарных систем ацетон (I) —  $n$ -гептан (II) и I —  $n$ -нонан исследовано в интервале  $0-50^\circ$ . Измерения производились динамич. методом в приборе циркуляционного типа. Приведены схема и описание прибора; излагается методика проведения опытов. Вычислены значения коэф. активности ( $\gamma$ ) и проведена их корректировка при помощи вириальных коэф. Термодинамич. соответствие полученных данных проверено по Редлиху и Кистеру. Вычислена интегральная теплота растворения I в II; полученные значения сопоставлены с опубликованными эксперим. калориметрич. данными. Для обеих исследованных систем путем экстраполяции значений ( $\gamma$ ) в область низких  $t$ -р построены кривые зависимости свободной мол. энтальпии смешения от состава, при соответствующих  $t$ -рах смешения. С. Бык 56665. Вычисление равновесия жидкость — пар на основании вязкости жидкой фазы. Ванечен (Výpočet rovnováhy kapalina — pára viskozity kapalné fáze. Vaněček Vojtěch), Chem. listy, 1957, 51, № 5, 799—802 (чешск.); Сб. чехосл. хим. работ, 1957, 22, № 5, 1569—1573 (нем.; реэ. русск.)

Исследована возможность вычисления констант ур-ния Ван-Лаара 3-го порядка для двойных жидких смесей из вязкости жидкой фазы, пользуясь соотношениями, полученными Эйрингом и др. (Roseveare W. E., Powell R. E., Eyring H. J. Appl. Phys., 1941, 12, 669) для текучести и Рейком (РЖХим, 1956, 71109) для вязкости, на примере системы ацетон — хлороформ при  $39^\circ$  (а также на примере систем эфир — ацетон,  $\text{CCl}_4 - \text{C}_6\text{H}_6$ ,  $\text{C}_2\text{H}_5\text{OH} - \text{C}_6\text{H}_6$ ,  $\text{C}_2\text{H}_5\text{OH} - \text{H}_2\text{O}$ ,  $\text{CS}_2 - \text{ацетон}$ ). Для систем, содержащих по крайней мере один компонент 1-го или 2-го класса по классификации Эвели (Ewell R. H., Hatrison J. M., Berg L., Industr. and Engng Chem., 1944, 36, 871), ни один из указанных выше методов расчета не применим. Даже обратное вычисление вязкости на основании известных коэф. активности оказывается невозможным. Для остальных систем выведенные ф-лы для констант A и B ур-ния Ван-Лаара дают лишь приближенные значения, независимо от того, насколько данная система отклоняется от идеального состояния. Даже в слу-



чаях, когда результаты вычисления вязкости удовлетворительны, обратное вычисление свободной энтальпии является неточным. Для определения коэф. активности на основании вязкости необходимо найти исходные соотношения, более точные, чем опубликованные.

Karel Mayer

56666. К теории фазового перехода жидкого  $\text{He}^4$ . Гольдштейн (On the theory of the liquid  $\text{He}^4$  phase transformation. Goldstein Louis), Ann. Phys. (USA), 1957, 2, № 3, 177—198 (англ.)

Показывается, что функция распределения идеального бозе-газа  $f(\epsilon, T, V) d\epsilon = (V/\Gamma(3/2)) (2\pi m/h^2)^{3/2} [\exp(\alpha + \epsilon/kT) - 1]^{-1} d\epsilon$  обладает следующими свойствами:  $\lim_{T \rightarrow T_0} \Delta(\partial f/\partial T)_V = \lim_{T \rightarrow T_0} [(\partial f_+/ \partial T)_V - (df_-/dT)_V] = 0$  (индекс — относится к двухфазной системе, индекс + к однофазной,  $T_0$  означает т-ру бозе-конденсации),  $[\Delta(\partial f/\partial V)_T]_{V=V_0} = 0$  и некоторыми другими. Вычислены также некоторые вторые производные. На основе этих результатов, данных о средней кинетич. энергии атомов  $\text{He}^4$  и теплоемкости, связанной с кинетич. энергией, выводятся качественно некоторые свойства функции распределения атомов в пространстве импульсов. В частности, аномалии в поведении этой функции вблизи т-ры перехода связываются с фазовым переходом жидкого  $\text{He}^4$ . Получена также зависимость вязкости от т-ры вблизи точки перехода. Рассмотрено предположение о том, что фазовый переход в жидком  $\text{He}^4$  — переход 3-го рода.

В. Цукерман

56667. Температура превращения серого олова в белое. Рейнор, Смит (The transition temperature of the transition between grey and white tin. Raynor G. V., Smith R. W.), Proc. Roy. Soc., 1958, A244, № 1236, 101—109 (англ.)

Дилатометрическим методом исследовано превращение серого олова ( $\alpha$ ) в белое ( $\beta$ ) на двух образцах, содержащих Sn 99,997% и примеси в образцах I и II соответственно: Pb 0,0005, 0,0012; Sb 0,0002, 0,0010; Fe 0,0020, 0,0002; As 0,0001, 0,0002; Cu —, 0,0002; Bi —, 0,0001%. Переход  $\alpha \rightarrow \beta$  происходит у образца I в интервале 9,9—10,8°, у образца II — в интервале 13,0—13,6°. Активность образцов характеризовалась временем, необходимым для превращения  $\alpha \rightarrow \beta$  на 40% при 30°. Для данного образца т-ра перехода ( $t_n$ ) увеличивается с повышением его активности. Это указывает на то, что  $t_n$  зависит от энергии напряжения образующегося белого Sn. Добавки к образцу I Pb, Bi, Sb и Te в кол-ве 0,001—0,005 ат. % повышают его  $t_n$ ; Zn и Al в этих же кол-вах оказывают мало влияния. Значительные добавки Zn, Al, Te и Ge снижают  $t_n$  образца I. Для объяснения полученных результатов рассмотрено изменение внутренних напряжений в различных условиях образования белого Sn.

А. Золотаревский

56668. Поллиморфизм  $\text{CaCO}_3$ . Китано (Kitano Yasushi), Korô kagaku dzasshi, J. Chem. Soc. Japan. Industr. Chem. Sec., 1956, 59, № 11, 1346—1350 (японск.)

56669. Сравнительное изучение полиморфных превращений кристаллических йодмеркуратов серебра и меди. Жафре (Etude comparée des transformations polymorphiques des cristaux d'iodomercurate d'argent et d'iodomercurate cuivreux. Jaffray Jean), J. rech. Centre nat. rech. scient., 1957, № 39, 125—130 (франц.)

Обобщение работ о фазовых превращениях  $\text{Hg}_2\text{I}_2\text{Ag}_2$  и  $\text{Hg}_2\text{I}_2\text{Cu}_2$ , выполненных в Лаборатории термодинамики в Клермон-Ферране. Библ. 16 назв. Д. А. 56670.  $\alpha$ — $\beta$  превращение в кератине. Скертчли (The  $\alpha$ — $\beta$  transformation in keratin. Skertchly A. R. B.), Nature, 1958, 181, № 4609, 639—640 (англ.)

Рентгенографическим методом исследовано  $\alpha$ — $\beta$  превращение в кератине. Р-ция протекает через образование промежуточной фазы  $\beta^*$ , менее упорядоченной, чем  $\alpha$ - и  $\beta$ -фазы, по схеме  $\alpha \neq \beta^* \neq \beta$ . Группы —CONH— гидратируются с образованием водородных связей с молекулами воды. Различие в энтропии между  $\alpha$ - и  $\beta$ -фазами невелико, различие в энергии составляет 1,45 ккал/моль. Дана оценка потенциальных барьеров превращения.

А. Золотаревский  
56671. Энтропия превращения гаусманита в маннител. Ирани, Синха, Бисвас (Entropy of haimannite to spinel transformation. Irani K. S., Sinha A. P. B., Biswas A. B.), Proc. Phys. Soc., 1958, 71, № 2, 270—271 (англ.)

Рассчитана энтропия перехода гаусманита из тетрагональной формы в кубическую типа шпиннели при 1170° на основе представления (РЖФиз, 1958, 13144) о разупорядочении ориентации искаженных октаэдров, окружающих ионы  $\text{Mn}^{3+}$ . Учет этого процесса приводит к умножению обычной функции распределения для ионов  $\text{Mn}^{3+}$  на множитель  $\gamma \exp(-2x_a W/kT)$ , где  $\gamma = x_l/x_a!x_b!x_c!$  ( $x_a, x_b$  и  $x_c$  — числа ионов  $\text{Mn}^{3+}$ , продольная связь которых параллельна соответственно осям  $a, b$  и  $c$  кристалла,  $x = x_a + x_b + x_c$ ), а  $W$  — возрастание энергии иона при повороте его продольной связи от направления  $c$  к направлению  $a$  или  $b$  (принято, что при частичном разупорядочении  $x_a = x_b \neq x_c$ ). Это дает (с использованием ф-лы Стирлинга) для возрастания энтропии при полном разупорядочении  $\Delta S = k(x_l \ln x - 2x_a \ln a - x_b \ln b - x_c \ln c)$ . При сделанных предположениях  $\Delta S$  должно быть несколько ниже 4,32 энтр. ед.; эксперим. значение равно  $3,47 \pm 0,20$  энтр. ед.

56672. Переход  $\text{SiO}_2$  в кристобалит в диатомовой земле. Накатани, Нисибата (Transition of  $\text{SiO}_2$  in diatomaceous earth to cristobalite. Nakatani Tadashi, Nishibata Ken), Sci. Repts. Kanazawa Univ., 1957, 5, № 2, 45—48 (англ.)

Обсуждены эксперим. данные о переходе  $\text{SiO}_2$  в кристобалит, ранее полученные (РЖХим, 1958, 42414) при измерении электропроводности диатомовой земли. Зависимость между электропроводностью и пористостью диатомовой земли, нагретой при т-рах  $< 1100^\circ$ , выражена простым ур-нием, выведенным из ур-ния Ландауэра (Landauer R., J. Appl. Phys., 1952, 23, 779). Образцы, прокаленные выше  $1100^\circ$ , этому ур-нию не подчиняются вследствие перехода  $\text{SiO}_2$  в кристобалит. Эксперим. данные по термич. расширению образцов диатомовой земли, полученные на дифференциальном дилатометре, показывают, что для образцов, нагретых выше  $1100^\circ$ , коэф. термич. расширения резко меняется при 140—190°, что соответствует переходу  $\alpha$ — $\beta$  кристобалита. Понижение т-ры перехода относительно чистого кристобалита (180—270°) объясняется примесями, содержащимися в диатомовой земле.

Т. Шашин

56673. Зависимость физических свойств от атомных размеров и атомного номера. Часть V. Точки кипения галогенидов. Сомаяджулу, Палит (Dependence of physical properties on atomic size and atomic number. Part V. Boiling points of halides. Somayajulu G. R., Palit Santi R.), J. Chem. Soc., 1957, Dec., 4837—4844 (англ.)

Показана применимость ранее предложенных соотношений (РЖХим, 1957, 29869), связывающих величину внешней поверхности атомов галогенов (свободных или в молекуле) с т-рой кипения, для свободных галогенов и галогенидов типа  $\text{RX}$ ,  $\text{RX}_2$ ,  $\text{RX}_3$  и  $\text{RX}_4$ , где R — атом или сложная атомная группа. Т-ры кипения в подобных рядах также линейно связаны между собой. Часть IV см. РЖХим, 1957, 71031. Н. Афонин

56674. Фазовые переходы в твердых растворах гафната кальция в гафните свинца. Крайник Н. Н., Ж. техн. физ., 1958, 28, № 3, 536—538

Синтезированы образцы ряда твердых р-ров (Pb, Ca)- $\text{HfO}_2$  и изучен температурный ход диэлектрич. проницаемости и тангенса угла диэлектрич. потерь этих образцов. Кроме двух фазовых переходов, имеющих у чистого  $\text{PbHfO}_3$ , обнаружено два дополнительных превращения, природа которых может объясняться возникновением либо новых антисегнетоэлектрич. фаз, либо параэлектрич. фаз с искаженной за счет малых размеров ионов кальция структурой типа перовскита.

56675. Фазовые переходы в некоторых твердых растворах, содержащих цирконат свинца. Крайник Н. Н., Ж. техн. физ., 1958, 28, № 3, 525—535

Синтезированы образцы в-в, образующихся в системах на основе  $\text{PbZrO}_3$  (I): I —  $\text{PbNb}_2\text{O}_6$  (II), I —  $\text{PbTa}_2\text{O}_6$  (III), I —  $\text{SrZrO}_3$  (IV), I — « $\text{PbSnO}_3$ » (V). Исследованы температурный ход диэлектрич. проницаемости, тангенса угла потерь, относительного удлинения и зависимости поляризации от напряженности электрич. поля образцов нескольких составов. В твердых р-рах систем I — II и I — III возникает промежуточная сегнетоэлектрич. фаза. В твердых р-рах систем I — IV и I — V обнаружены соответственно 4 и 3 фазовых перехода между различными неполярными состояниями. Обсуждаются причины возникновения и природа различных фаз в твердых р-рах, образующихся на основе I.

Резюме автора

56676. Очистка зонной плавкой. Парр (Zone refining. Parr N. L. Lect., Monogr. and Repts. Roy. Inst. Chem., 1957, № 3, 28 pp., ill.) (англ.)

Монография составлена по материалам лекции, прочитанной в Институте Iron and Steel в Лондоне 13 марта 1957 г. Представляет собой обзор эксперим. работ по получению некоторых в-в в сверхчистом состоянии методом зонной плавки. Приведены схемы установок и данные о достигнутой степени чистоты для 11 в-в. Библ. 13 назв.

Е. Банахек

56677. Математическое рассмотрение типового процесса зонной плавки. Браун (Mathematical treatment of a typical zone-melting process Braun G.), Philips Res. Repts., 1957, 12, № 5, 385—414 (англ.; рез. нем., франц.)

Выводятся ур-ния, описывающие процесс зонной плавки с целью однородного распределения растворенного в-ва, которое может быть летучим, в слитке. Описание процесса см. РЖМет, 1956, 11735; см. также РЖМет, 1956, 13459

В. Коган

56678. Основы теории кристаллизации. Буша (Základné vzťahy teórie kryštalizácie. Buša Jura J), Strojoelektrotechn. časop., 1955, 6, № 3, 143—149 (словацк.)

См. РЖХим, 1957, 11161.

56679. Роль естественной конвекции при зонном плавлении. Абэ (Abe Toshio), Нихон киндзюку гаккайси, Nippon kinzoku gakkai-si, J. Japan Inst. Metals, 1957, 21, № 10, 611—614 (японск.; рез. англ.)

На распределение мельчайших примесей в расплавленном металле вблизи поверхности раздела твердой фазы и расплава, определяющее конц-ию примесей в затвердевшем металле, могут значительно влиять конвекционные токи в расплаве. Вагнер (РЖМет, 1956, 7824) объясняет появление последних разностью локальных конц-ий в расплаве. Однако в случае обычного зонного плавления следует ожидать, что естественная конвекция, вызванная локальной разностью т-р, будет преобладать. Основываясь на модели естественных конвекционных токов, обусловленных температурн. градиентом, автор определяет эффектив. коэф. распределения, как функцию скорости затвердевания и

расстояния от свободной поверхности. Результаты расчетов хорошо согласуются с эксперим. данными.

Из резюме автора

56680. О структуре некоторых термодинамических функций и критической скорости влажного пара при криволинейных поверхностях раздела между фазами. Вайсман М. Д., Ж. техн. физ., 1958, 28, № 2, 333—344

Рассматривается влияние капиллярных явлений на структуру и значения термодинамич. функций системы жидкость — пар. Выводятся также выражения крит. скорости парового потока, несущего взвешенные в нем капли жидкости. Влияние поверхностных явлений начинает сказываться на величине крит. скорости паров жидкости при измельчении жидкой фазы до капель радиуса  $\sim 10^{-2}$  м.

Л. Громов

56681. Определение линейной скорости роста и растворения дисперсных фаз. Спектор А. Г., Завод. лаборатория, 1956, 22, № 12, 1455—1458

Предложен метод вычисления линейной скорости роста частиц  $\lambda(x)$  в полидисперсной системе из результатов определений распределения частиц по размерам в начале процесса и по истечении некоторого времени  $\Delta t$ :  $\lambda(x) = \delta/2n(\Delta N_x/\Delta t)$ , где  $\delta$  — интервал распределения,  $n$  — среднее число частиц данной фракции,  $\Delta N_x$  — увеличение общего числа частиц, имеющих линейный размер, превышающий  $x$ , за время  $\Delta t$ . Метод применен для определения скорости роста (или растворения) цементитных частиц при отпуске углеродистой стали.

М. Баранаев

56682. О скорости зарождения центров новой фазы в однокомпонентных системах. Любов Б. Я., Ройтбурд А. Д., Сб. тр. Ин-та металловед. и физ. металлов Центр. н.-и. ин-та черной металлургии, 1958, 5, 91—123

Теоретически рассмотрен нестационарный процесс зарождения (З). При постоянной т-ре скорость З можно считать не зависящей от времени и вычислять по ф-ле  $J_{cr} = K_{ie} - \Delta F K/RT - u/RT$  только по истечении некоторого времени с начала изотермич. выдержки, времени нестационарности (ВН). На основании решения кинетич. ур-ния, описывающего нестационарный процесс З, дается оценка ВН при фазовых превращениях в однокомпонентных системах. Выводы общей теории применимы к исследованию превращений в твердом состоянии, происходящих без изменения хим. состава фаз.  $VH < 10^{-7} - 10^{-10}$  сек. для процессов с малой энергией активации (ЭА) (мартенситное превращение), но может быть значительно (соизмеримо со временем полного превращения) для процессов с ЭА, близким к ЭА самодиффузии (нормальные полиморфные превращения). Поэтому процесс З при мартенситном превращении может рассматриваться как стационарный. Применение стационарного выражения для скорости З в случае нормального полиморфного превращения может привести к существенным ошибкам и требует предварительной оценки ВН.

Л. Вульф

56683. Механизм зародышеобразования при кристаллизации воды. Зенгер (The mechanism of ice-forming nucleability. Sängner R.), Bull. Observ. Puy-de-Dôme, 1957, № 3, 75—82 (англ.; рез. франц.)

Обзорная статья по механизму зародышеобразования (З) при кристаллизации воды. Несмотря на противоречивость указаний отдельных работ, автор приходит к следующим выводам. 1. Необходимо полагать, что атомы на поверхности активного зародышеобразователя располагаются геометрически подобно по отношению к атомам О кристаллич. льда. 2. Если нижний температурный предел, при котором вода кристаллизуется самопроизвольно (без добавок инородных



в-в), является высоким, то природа удерживающих сил должна по возможности соответствовать силам кристаллич. решетки льда. 3. Следует ожидать, что активные зародышеобразователи должны обладать очень низкой степенью растворимости, а гигроскопич. природа в-ва должна препятствовать проявлению его способности к зародышеобразованию. 4. Двойные хим. соединения, являющиеся активными зародышеобразователями с относит. высоким температурным пределом, обладают заметной полярностью. 5. Способность к З является, в основном, свойством поверхности, поэтому хемосорбционные и адсорбционные процессы играют доминирующую роль; З может быть снижено или вызвано хемосорбцией.

М. Подоба

**56684.** Данные исследований некоторых физико-химических свойств частиц йодидов, являющихся льдообразующими ядрами. Малкина А. Д., Тр. Центр. аэрол. обсерв., 1957, вып. 22, 117—124

Электронно-микроскопическое исследование частиц аэрозолей йодидов Ag, Pb и Cd подтвердило важность сходства кристаллографич. структуры льдообразующих реагентов и льда, а также показало, что частицы аэрозолей йодистого Pb и других не менее растворимых в воде в-в при действии капельной влаги могут изменять свою форму и отчасти терять свои льдообразующие свойства. Хим. и электронографич. исследования указанных аэрозолей, полученных возгонкой порошкообразных йодидов при 500—900°, а также при сгорании угольных брикетов, содержащих эти йодиды, дали некоторые новые сведения о составе частиц аэрозолей. При возгонке йодистого серебра часть образующегося аэрозоля не совпадает по составу с исходным йодидом и не активна в отношении льдообразования. Потери составляют 10—15%. М. Баранаев

**56685.** Исследование физико-химических свойств частиц йодидов, являющихся льдообразующими ядрами. Малкина А. Д., Метеорол. и гидрология, 1958, № 1, 32—33

См. пред. реф.

**56686.** Мартенситные превращения. Билби, Кристалин (Martensitic transformations. Bilby B., Christian J. W.), Sympos. mechanism phase transform. metals, 1955, London, (1955), 121—172 (англ.)

Обзор работ по кинетике и кристаллографии превращений мартенситного типа в различных сплавах. Предложено определение мартенситного превращения (МП), общее для всех наблюдаемых случаев. Критически рассмотрены различные кристаллографич. теории МП. Обсуждаются процессы образования зародышей с учетом напряжений и возможная роль дислокаций в этих процессах. Библ. 166 назв.

А. Ройтбурд

**56687.** О соосаждении микроколичеств вещества с кристаллическими осадками. Гребенчикова В. И., Ж. неорганич. химии, 1958, 3, № 1, 20—24

Краткий обзор состояния изучения явления соосаждения микроколичеств в-ва с кристаллич. осадками. Указывается на необходимость комплексного изучения явления соосаждения физ. и хим. методами с целью создания колич. теории построения решетки смешанных кристаллов.

Л. Громов

**56688.** Характер роста кристаллов гидраргиллита в процессе декомпозиции алюминатных растворов. Кузнецов С. И., Цветн. металлы, 1956, № 11, 59—63

Электронно-микроскопич. исследование роста кристаллов гидраргиллита показало, что при небольших кол-вах затравки кристаллы растут в виде дендритов, обломки которых представляют собой мелкие неоседающие частицы, остающиеся в маточном р-ре, который затем может служить затравкой кристаллиза-

ции. Предложено объяснение причин и условий образования дендритов.

М. Баранаев

**56689.** Одномерные многокомпонентные смеси. Лонге-Хиггинс (One-dimensional multicomponent mixtures. Longuet-Higgins H. C.), Molec. Phys., 1958, 1, № 1, 83—90 (англ.; рез. франц., нем.)

Рассматривается многокомпонентная система (жидкость), в которой потенциал взаимодействия есть сумма парных потенциалов и расстояния между частицами произвольно. Если  $u_{ij}(r)$  — потенциал парного взаимодействия,  $\eta_{ij}(T, P) = \int_0^\infty \exp\{-[u_{ij}(r) + Pr]/kT\}$ , то в приближении ближайших соседей у-ние состояния имеет вид  $\text{Det}[\lambda_i \eta_{ij} - \delta_{ij}] = 0$ , где  $\lambda_i$  связано с хим. потенциалом  $i$ -го в-ва соотношением  $\mu_i = kT \ln \lambda_i$ . Одномерный р-р является идеальным тогда и только тогда, когда ранг матрицы  $(\eta_{ij})$  равен единице. Найдено выражение для избыточной (по сравнению с соответствующей величиной для идеального р-ра) свободной энергии приблизительно идеального р-ра. А. Алмазов

**56690.** Параметр растворимости и их приложения. Колон (Le paramètre de solubilité et ses applications. Colomb Pierre), Chem. Rundschau, 1958, 11, № 5, 103—104 (франц.)

Популярная статья.

**56691.** Растворимость и изменение объемов при смешении в системе перфтор-*n*-гексан — *n*-гексан. Бедфорд, Данлап (Solubilities and volume changes attending mixing for the system: perfluoro-*n*-hexane — *n*-hexane. Bedford Ray G., Dunlap Robert D.), J. Amer. Chem. Soc., 1958, 80, № 2, 282—285 (англ.)

В бинарной системе перфтор-*n*-гексан — *n*-гексан исследована взаимная растворимость и определены изменения объемов при смешении при 25—55°. Плотность обезгаженных жидких смесей определялась по описанной ранее (РЖХим, 1958, 42528) методике в герметизированном dilatометре. Т-ра появления двух фаз в смесях различного состава определялась с воспроизводимостью 0,02°. Изменение объема при смешении ( $\Delta v$ ) вычислялось по у-нию, детально рассмотренному ранее (Scatchard G., Chem. Revs., 1949, 44, 7):  $\Delta v = x_1 \cdot x_2 [A_0 + A_1(x_1 - x_2) + A_2(x_1 - x_2)^2]$ , где  $A_0$ ,  $A_1$  и  $A_2$  — константы. Вычисленные и опытные значения  $\Delta v$  удовлетворительно совпадают. Крит. т-ра р-ра равна 22,65° при мол. доле *n*-C<sub>6</sub>F<sub>14</sub>, равной 0,370. Разница параметров растворимости, вычисленная из у-ния Гильдебранда,  $(\delta_2 - \delta_1) = 2,64$ . При т-рах, на 4—5° выше крит. т-р растворения смесей, продолжает существовать сильная опалесценция р-ра. Величина  $\Delta v$  изменяется от 2,9% при 25° до 3,7% при 55°. С. Бил

**56692.** Растворимость электролитов. I. Представление и корреляция данных растворимости в многокомпонентных системах. Эрдёш (Rozpustnost elektrolytu. I. Presentace a korelace rozpustnostnich dat v polykomponentnich systémech. Erdős Emerich), Chem. listy, 1957, 51, № 9, 1632—1640 (чешск.)

Выработан метод для простого алгебраич. выражения растворимости сильных электролитов в многокомпонентных системах. На примере тройных систем NaCl — KCl — H<sub>2</sub>O, NaCl — MgCl<sub>2</sub> — H<sub>2</sub>O и KCl — MgCl<sub>2</sub> — H<sub>2</sub>O показывается применение метода для представления эксперим. данных, а на 4-компонентной системе NaCl — KCl — MgCl<sub>2</sub> — H<sub>2</sub>O — его применение для предвидения растворимости в системах с большим числом компонентов на основании данных о системах с меньшим числом компонентов. Метод является общим и не предполагает каких-либо эмпирич. правил или спец. теории электролитов. М. Рыба

**56693.** Диаграммы растворимости в двухкомпонентных системах, образующих пересыщенные растворы. Ахумов Е. И., Ж. неорганич. химии, 1958, 3, № 2, 456—463

увий обра-  
Баранов  
есм. Лос-  
сотрени  
лес. Phys.  
(м.)  
м (жид-  
есть сум-  
частича-  
ного взаи-  
кт), то в  
состояни  
е хим. по-  
ли. Одно-  
ко тогда,  
идено на-  
соответ-  
свободной  
Алмазо-  
сложения.  
applica-  
au, 1958,

при сме-  
н-гексан  
the char-  
perfluoro-  
Dunlap  
80, № 2

н-гексан  
лены на-  
5°. Плот-  
ялась по  
одике в  
ния двух  
с с вос-  
смеше-  
рассмот-  
9, 44, 7);  
е А, А<sub>1</sub>  
начения  
р-ра рав-  
Разница  
ур-ния  
на 4—5°  
кает су-  
чина до  
С. Был  
авление  
окомпо-  
elektro-  
nich dat  
erich),  
(.)

выраже-  
мно-  
систем  
КСI—  
да для  
понец-  
имене-  
емах с  
данных  
Метод  
о эмпи-  
I. Ryba  
ионет-  
расто-  
3, № 2

Рассмотрены общие теоретич. закономерности в пересыщ. р-ры. В предположении, что равновесные растворимости  $A$  и  $B$  компонентов  $A$  и  $B$  и растворимости второй растворимости (Ахумов Е. И., Розен Е. И., Докл. АН СССР, 1952, 85, 363)  $a$  и  $b$  описываются ур-нием Шредера — Ле-Шателье, выведены ур-ния расчета эвтектич. состава и т-ры для эвтектик  $AB$ ,  $Ab$ ,  $aB$  и  $ab$ . Получены выражения для переохлаждения  $p$ -ра в функции конц-ии и пересыщения  $p$ -ра в функции т-ры. Установлено наличие линейных зависимостей между обратными значениями абс. т-р на-сращения и кристаллизации при переохлаждении (при данной конц-ии) и между логарифмами конц-ий на-сщ. и пересыщ.  $p$ -ра (при данной т-ре). Выведена зависимость координат точек пересечения кривых  $A$  и  $B$  и  $b$  (предел существования пересыщ.  $p$ -ров) от т-р и теплол плавления компонентов. Ю. Кесслер 56694. Кинетика расслаивания жидкостей в систе-мах с верхними критическими точками. Крупат-кин И. Л., Тодоров И. А., Изв. высш. учебн. за-ведений. Химия и хим. технол., 1958, № 1, 20—27

Изучена кинетика расслаивания жидкостей в систе-ме н-нитрофенол — вода со стабильным расслаивани-ем. Показано, что закономерности кинетики подтверж-дают ранее выдвинутую теорию механизма расслаи-вания жидкостей. Изучена кинетика расслаивания жидкостей в системе салициловая к-та — вода с ме-тастабильным расслаиванием. Показано, что кинетика метастабильного расслаивания имеет те же законо-мерности, что и стабильное расслаивание. Последнее свидетельствует об аналогичном механизме стабиль-ного и метастабильного расслаивания, а следовательно, о полной применимости теории механизма рас-слаивания жидкостей к метастабильному равновесию между жидкими фазами.

Резюме авторов 56695. Работы Н. С. Курнакова и его учеников по теории диаграмм состояния и значение их для не-органической химии. Михеева В. И., Ж. неорган. химии, 1958, 3, № 3, 562—570. Дискус., 601—606

Обзор. Библ. 45 назв. 56696. Диаграмма состояния как выражение меж-атомного взаимодействия. Агеев Н. В., Ж. неорган. химии, 1958, 3, № 3, 557—561. Дискус., 601—606

Межатомное взаимодействие, зависящее от положе-ния атомов в периодической системе Д. И. Менде-леева, определяющее образование определенных хим. соединений, фаз переменного состава (далтонидных и бертолидных) и твердых  $p$ -ров, влияет на общий строй диаграмм состояния системы и на колич. соотношения фаз.

Резюме автора 56697. Достижения и перспективы в области изуче-ния диаграмм состояния металлических систем. И ва-нов О. С., Ж. неорган. химии, 1958, 3, № 3, 585—600. Дискус., 601—606

Задачами исследователей по изучению диаграмм состояния (ДС) металлич. систем являются: 1) усо-вершенствование термодинамич. расчета ДС, 2) уста-новление зависимости ДС от хим. природы компонен-тов, 3) расширение исследований по построению ДС с Ti, Cr, Ge, Zr, Nb, Mo, Ta, W, Th, U, Pu, 4) развитие методики исследований при 2000—3000° и высоких давлениях.

Д. Агеева 56698. О диаграмме состояния системы  $Sb-Zn$  в неравновесных условиях. Угай Я. А., Ж. неорган. химии, 1958, 3, № 3, 678—682. Дискус., 683—684

Получены кривые нагревания спрессованных сме-сей порошков (30—50  $\mu$ ) цинка и сурьмы. На всех термограммах наблюдался пик при 365—367°, относя-щийся к соединению  $ZnSb$ . Построен ликвидус нерав-новесной диаграммы состояния  $Zn-Sb$ , где  $ZnSb$  ха-рактеризуется открытым максимумом при 567°, тогда

как на равновесной диаграмме это соединение инконт-руэтно плавится при 546° (Takei T., Sci., Rep. Tôhoku Univ., 1927, 16, 1031). В неравновесных условиях от-сутствует эвтектика  $Zn_3Sb_2 + Zn$ . Вторая серия опы-тов, проводившихся на литых образцах, дала совпа-дающие результаты.

Д. Агеева 56699. Исследование диаграммы состояния системы  $Bi-Te$ . Абрикосов Н. Х., Банкина В. Ф., Ж. неорган. химии, 1958, 3, № 3, 659—667. Дискус., 683—684

Образцы, приготовленные сплавлением  $Bi$  с  $Te$  в эвакуированных кварцевых ампулах, отжигались от 2 до 7 месяцев. Проводились дифференциальный тер-мич. и рентгеновский анализы и измерения электро-проводности и термо-э.д.с. В системе  $Bi-Te$  найдены, кроме соединения  $Bi_2Te_3$ , следующие фазы:  $Bi_4Te_5$  (хеллеит).  $Bi_2Te$  с протяженностью твердых  $p$ -ров 22,5—26%  $Te$ , твердые  $p$ -ры 34—42,5%  $Te$ . Все эти фазы образуются по перетектич. р-циям при т-рах 312, 420 и 540° соответственно.  $Bi_2Te$  растворяет ~1%  $Te$ .

Д. Агеева 56700. Диаграммы состояния сплавов лантана с це-рием и лантана с кальцием. Савицкий Е. М., Те-рехова В. Ф., Ж. неорган. химии, 1958, 3, № 3, 756—762. Дискус., 776

Методами термич. анализа, микроструктуры, твер-дости и электросопротивления построены диаграммы состояния  $La$  с  $Ce$  и  $La$  с  $Ca$ .  $La$  и  $Ce$  взаимно раство-ряются как в жидком, так и в твердом состояниях и образуют диаграмму с неограниченной растворимо-стью. В системе  $La-Ca$  наблюдается большая об-ласть расслоения в жидком состоянии, простирающая-ся при монотектич. т-ре 760—765° от 12—15 до 90%  $Ca$ . Растворимость  $La$  в  $Ca$  и  $Ca$  в  $La$  при эвтектич. т-ре 705° не превышает 3—5%.

Резюме авторов 56701. Диаграммы состояния и свойства сплавов га-ллия и таллия. Савицкий Е. М., Барон В. В., Тылкина М. А., Ж. неорган. химии, 1958, 3, № 3, 763—775. Дискус., 776

Термическим анализом и изучением микрострукту-ры, электропроводности и твердости сплавов иссле-дованы системы  $Ga-Si$ ,  $Ga-Ge$ ,  $Ga-Sb$ ,  $Mg-Ga$ ,  $Ga-Cu$  от 15 до 85 вес. %  $Ga$ ,  $Tl-Ge$  и  $La-Tl$  от 41,8 до 90%  $Tl$ . Исследована пластичность и прочность сплавов  $Ga-Sb$ ,  $Mg-Ga$ ,  $Ga-Cu$ .  $Tl$  с  $Si$  не образу-ют жидких  $p$ -ров.

56702. Квазибинарный разрез  $GaSb-InSb$  системы галлий — индий — сурьма. Горшков И. Е., Горю-нова Н. А., Ж. неорган. химии, 1958, 3, № 3, 668—672. Дискус., 683—684

Проведены термич., рентгеновский и микроструктур-ный анализы сплавов разреза  $GaSb-InSb$ . Линия со-лидуса уточнялась снятием кривых нагревания с го-могенизированных образцов. Обнаружен непрерывный ряд твердых  $p$ -ров.

Д. Агеева 56703. Исследования систем  $V-B$ ,  $Nb-B$ ,  $V-B-V-Si$  и  $Ta-B-Si$ . Куделька, Новотный, Фин-дейзен (Untersuchungen in den Systemen:  $V-B$ ,  $Nb-B$ ,  $V-B-V-Si$  und  $Ta-B-Si$ . Kudielka H., Nowotny H., Findeisen G.), Monatsh. Chem., 1957, 88, № 6, 1048—1055 (нем.)

Рентгенографически исследованы структуры боридов  $V$  и  $Nb$ . Образцы изготавливались горячим прес-сованием с последующим отжигом в  $Ar$  12 час. при 1600° в случае системы  $V-B$  и 12 час. при 2000° в случае системы  $Nb-B$ . Образцы для сечения  $V_{(5)}B_{(3)} + V_5Si_3$ , а также сплав  $Ta_{(5)}B_{(3)}$  готовились холодным прессованием и спеканием в  $Ar$  в течение 24 час. при 1450°. Образцы для сечения  $Ta_2Si-Ta_2B$  спекались в водороде в течение 12 час. при 1900°. Для всех спла-вов снимались дебаграммы в излучении  $CrK\alpha$ . Идентифицирована новая фаза примерного состава



V<sub>2</sub>B, изоморфная Nb<sub>2</sub>B и Ta<sub>2</sub>B. Обнаруженная ранее (Andersson L. H., Kiessling R., Acta chem. scand., 1950, 4, 160) в системе Nb — В фаза β' оказалась соединением NbO. В тройной системе V — B — Si, аналогично системе Mo — B — Si, обнаружена фаза V<sub>5</sub>(Si<sub>1/2</sub>, B<sub>1/2</sub>)<sub>3</sub> типа T2 с постоянными решеткой *a* 5,80 и *c* 10,77 кХ (*c*: *a* = 1,858). Та же структура появляется при добавке 20 мол. % Ta<sub>2</sub>Si к Ta<sub>2</sub>B. В сечении Ta<sub>2</sub>Si — Ta<sub>2</sub>B имеет место небольшая взаимная растворимость обеих фаз. Проведено сравнение областей стабильности T1-, T2- и D8<sub>5</sub>-фаз, образованных В и Si с металлами IVA-, V-а и VIA-групп.

Д. Белащенко  
56704. Метастабильные фазы в сплавах титана с переходными элементами. Багаряцкий Ю. А., Тагунова Т. В., Носова Г. И., Сб. тр. Ин-та металлургии, 1958, 5, 210—234

Показано, что в сплавах Ti с переходными металлами, Cr, Mn, Fe, Co, V, Mo, W при обычной т-ре возможно существование нескольких метастабильных фаз (МФ). МФ α' отличается от стабильной фазы (СФ) α лишь пересыщением вторым элементом; она образуется из высокотемпературной β-фазы путем превращения мартенситного типа. Наблюдаются МФ с кристаллич. структурой, отличной от структуры СФ: α'-фаза с ромбич. решеткой и ω-фаза, низкотемпературная модификация β-фазы, возникающая как бездиффузионным путем, так и в процессе отпуска β-фазы. Все три МФ образуются из β-фазы при закалке, α', α'' и ω — не требуют для своего образования перемещений атомов, превышающих межатомные расстояния, и являются мартенситными фазами.

Л. Вульф  
56705. Исследование системы золото — серебро — платина. Новикова О. А., Рудницкий А. А., Ж. неорган. химии, 1958, 3, № 3, 729—749. Дискус., 776

Методами термич. анализа и микроструктурным исследована система Au — Ag — Pt, изучены электропроводность, термо-э.д.с., прочность и пластичность сплавов, отожженных и закаленных с 900 и 600°. Промежуточные фазы в системе отсутствуют. По моновариантной перитектич. р-ции образуется тройной α-твердый р-р, при повышении конц-ии Pt > 10% появляется вторая фаза β-твердый р-р. О. Г.

56706. Исследование сплавов тройной системы никель — алюминий — вольфрам. Будберг П. Б., Ж. неорган. химии, 1958, 3, № 3, 694—698. Дискус., 722—728

Исследованы сплавы тройной системы никель — алюминий — вольфрам с содержанием алюминия до 30% и вольфрама до 60%. Показана возможность триангуляции системы Ni — Al — W по разрезу NiAl — W с выделением вторичной тройной системы Ni — NiAl — W. Методом термич. анализа построена часть диаграммы плавкости двойной системы NiAl — W и показан эвтектич. характер их взаимодействия с образованием ограниченного твердого р-ра W в NiAl. Микроструктурным методом определены границы фазовых областей в исследованной части системы в зависимости от т-ры. Построены изотермич. разрезы системы при 1200; 1000 и 800°. Резюме автора  
56707. Система алюминий — магний — железо — кремний. Гульдиг И. Т., Докукина Н. В., Ж. неорган. химии, 1958, 3, № 3, 799—814. Дискус., 815—839

Изучено сечение Al<sub>3</sub>Mg<sub>2</sub> — Al<sub>3</sub>Fe — Mg<sub>2</sub>Si четверной системы Al — Mg — Si — Fe. Проведен термич. анализ, простой и дифференциальный, 20 сплавов этого разреза, изучена их микроструктура. Сделаны выводы применительно к процессу рафинирования алюминия магнием в присутствии Zn и Mn. Д. Агеева

56708. Исследование диаграммы фазового равновесия системы Co — Cr — Ti. Лившиц Б. Г., Хорин Я. Д., Ж. неорган. химии, 1958, 3, № 3, 685—694. Дискус., 722—728

Методами микроскопич., рентгеноструктурным и микротвердостью исследован кобальтовый угол системы Co — Cr — Ti до 55% Cr и 45% Ti. Построены диаграммы фазового равновесия при т-рах 750, 900 и 1050°. Найдено тройное соединение приблизительно состава Co<sub>2</sub>Cr<sub>2</sub>Ti. Установлено, что Co<sub>2</sub>Ti может растворять 30—35% Cr, образуя фазу Лавеса (Co, Cr)<sub>2</sub>Ti.

Д. Агеева  
56709. Тройная система железо — фосфор — цирконий. Фогель, Доббенер (Über das Dreistoffsystem Eisen — Phosphor — Zirkon. Vogel Rudolf, Dobbenier Raimond), Arch. Eisenhüttenwesen, 1958, 29, № 2, 129—138 (нем.)

Исследование проводилось методами термич. и металлогр. анализ. Изучались сплавы области Fe-FeP-ZrP<sub>2</sub>-Zr. Найдены новые соединения: FeZrP и Fe<sub>2</sub>ZrP<sub>2</sub>, образующиеся с большим выделением тепла, с твердостью 1150 и 1080 кг/мм<sup>2</sup> соответственно. В исследованной области имеется 5 тройных перитектич. и 7 тройных эвтектич. р-ций. Твердые р-ры образуются только на основе Fe и Zr. Л. Вульф

56710. Исследование двойных систем Ni<sub>3</sub>Ti — Ni<sub>3</sub>Nb, Ni<sub>3</sub>Ti — Ni<sub>3</sub>Nb. Корнилов И. И., Пылаева Е. И., Ж. неорган. химии, 1958, 3, № 3, 673—677. Дискус., 683—684

Сплавы двух металлич. соединений исследованы методами термич. анализа, микроструктуры и определения электропроводности, твердости и уд. веса. Сплавы соединений Ni<sub>3</sub>Ti с Ni<sub>3</sub>Ta и Ni<sub>3</sub>Nb с Ni<sub>3</sub>Ti представляют собой непрерывные ряды твердых р-ров. О. Г.

56711. Термогравиметрическое исследование некоторых соединений плутония. Досон, Элланоти (The thermogravimetry of some plutonium compounds. Dawson J. K., Elliott R. M., Miss. Rept. Atomic Energy Res. Establ., 1957, № C/R1207, 8 pp. ill.) (англ.)

Термогравиметрическим методом исследованы PuF<sub>3</sub> (I), PuF<sub>4</sub> (II), Pu(SO<sub>4</sub>)<sub>2</sub> (III), Pu(JO<sub>3</sub>)<sub>4</sub> (IV), Pu(C<sub>2</sub>O<sub>4</sub>)<sub>2</sub> · 6H<sub>2</sub>O (V) и Pu<sub>2</sub>(C<sub>2</sub>O<sub>4</sub>)<sub>3</sub> · 10H<sub>2</sub>O (VI). Описана конструкция весов с кварцевой пружиной, приведенные термогравиметрич. кривые. Результаты исследования I, приготовленный действием HF на PuO<sub>2</sub>, в атмосфере влажного воздуха устойчив до 300°; из вод. р-ров осаждается в виде 4PuF<sub>3</sub> · 3H<sub>2</sub>O. Процесс обезвоживания этой соли идет необратимо; I, полученный при прокаливании, воды не поглощает. II устойчив в атмосфере влажного воздуха, выше 300° быстро переходит в PuO<sub>2</sub>. III получается при выпаривании нитрата Pu с конц. H<sub>2</sub>SO<sub>4</sub>. Р-ция может быть использована для весового определения Pu. При нагревании выше 650° III быстро переходит в PuO<sub>2</sub>. IV из вод. р-ров в виде индивидуального соединения не осаждается. V осаждается из вод. р-ров; при нагревании неустойчив. Конечный продукт разложения V, обладающий постоянным весом, получен при т-рах более низких, чем та, при которой образуется PuO<sub>2</sub>. VI получен из вод. р-ров, при нагревании переходит в гидрат и безвод. соль; окислы, в которых валентность Pu была бы ниже, чем в PuO<sub>2</sub>, не получены.

Е. Банашин  
56712. Диаграмма плавкости трех разрезов четверной системы NaF — AlF<sub>3</sub> — CaF<sub>2</sub> — BaF<sub>2</sub>. Гуськов В. М., Иванов А. И., Пашкевич Л. А., Тр. Всес. алюмин.-магн. ин-та, 1957, № 39, 251—273

Методами записи кривых охлаждения с визуальными отсчетами и частично кристаллооптическим изучены 3 разреза системы NaF — AlF<sub>3</sub> — CaF<sub>2</sub> — BaF<sub>2</sub> при постоянном содержании 22, 27 и 32 вес. %. BaF<sub>2</sub>. И.

исследование проводилось в интервале 450—1000°. Скорость охлаждения при 450° 5 град/мин и при 1000° 20 град/мин. Построены 3 диаграммы плавкости, включающие каждая 5 полей первичной кристаллизации. В поле I кристаллизуется криолит, во II — фаза X (по-видимому,  $\text{AlF}_3 \cdot \text{BaF}_2$ ) со светопреломлением  $n_D^{20} 1,410$ —1,415, в III кристаллизуются несколько фаз с различным светопреломлением. В поле IV найдена фаза со светопреломлением  $> 1,360$  и  $< 1,405$ . Поле V из-за сильной летучести  $\text{AlF}_3$  полностью не исследовано. Найдены 6 тройных эвтектич. точек: 1) 22  $\text{BaF}_2$ , 43,2  $\text{AlF}_3$ , 20,6  $\text{NaF}$ , 14,2  $\text{CaF}_2$ , 652°; 2) 22  $\text{BaF}_2$ , 46,3  $\text{AlF}_3$ , 10,5  $\text{NaF}$ , 21,2  $\text{CaF}_2$ , 660°; 3) 27,0  $\text{BaF}_2$ , 38,2  $\text{AlF}_3$ , 19,0  $\text{NaF}$ , 15,8  $\text{CaF}_2$ , 620°; 4) 27,0  $\text{BaF}_2$ , 42,0  $\text{AlF}_3$ , 4,9  $\text{NaF}$ , 16,1  $\text{CaF}_2$ , 685°; 5) 32,0  $\text{BaF}_2$ , 32,0  $\text{AlF}_3$ , 17,0  $\text{NaF}$ , 19,0  $\text{CaF}_2$ , 660°; 6) 32,0  $\text{BaF}_2$ , 39,7  $\text{AlF}_3$ , 7,6  $\text{NaF}$ , 20,7  $\text{CaF}_2$ , 678°.

И. Верещетина

56713. Дифференциальная термограмма обжига пирита Орри (Sur la courbe thermodifférentielle du grillage de la pyrite. Orri Jean), C. r. Acad. sci., 1958, 246, № 9, 1431—1434 (франц.)

Был проведен дифференциальный термич. анализ образцов пирита (60—70 мг) при скорости нагрева 10 град/мин с пропусканием воздуха в кол-ве 2—3 мл/сек через образец. Обнаружен эндотермич. эффект при 450°, отвечающий образованию защитного слоя оксидов на поверхности зерен. Пирротит образуется при более высоких т-рах и тут же окисляется, но некоторое его кол-во сохраняется до 530°.

Д. Агеева

56714. Растворимость оксидов металлов в расплавленном метафосфате и пирофосфате натрия. Андреева В. Н., Укр. хим. ж., 1958, 24, № 1, 23—28. По методике, описанной ранее (РЖХим, 1955, 36865; 1957, 29940), изучена растворимость  $\text{Sb}_2\text{O}_3$ ,  $\text{MoO}_3$ ,  $\text{PbO}$ ,  $\text{Bi}_2\text{O}_3$ ,  $\text{CuO}$ ,  $\text{ZnO}$ ,  $\text{NiO}$ ,  $\text{WO}_3$ ,  $\text{CdO}$ ,  $\text{Fe}_2\text{O}_3$ ,  $\text{TiO}_2$  в расплавленных мета- и пирофосфатах натрия при 720 и 1000°. Растворимость оксидов в  $\text{NaPO}_3$  тем больше, чем меньше разность т-р плавления оксида и  $\text{NaPO}_3$ . Отклонение от ур-ния Шредера в этом случае, очевидно, связано с сильным хим. взаимодействием. Высказано предположение, что образуются соединения типа  $(\text{RO})_m(\text{Na}_2\text{P}_2\text{O}_7)_n$ . Растворимость оксидов в  $\text{Na}_2\text{P}_2\text{O}_7$  исследована (за исключением  $\text{TiO}_2$  и  $\text{ZnO}$ ) только качественно из-за большой вязкости расплавов.

С. Рубинчик

56715. Исследование системы закис железа — сульфид железа — закис марганца — сульфид марганца. Гейслер, Кольмeyer (Ein Beitrag zum System Eisen(II)-oxyd — Eisen(II)-sulfid — Mangan(II)-oxyd — Mangan(II)-sulfid. Geißler Klaus Kohlmeier Ernst Justus), Arch. Eisenhüttenwesen, 1958, 29, № 1, 57—63 (нем.)

Исследовалась диаграмма состояния четверной системы  $\text{FeO} - \text{FeS} - \text{MnO} - \text{MnS}$ . В основу положена типич. качеств. диаграмма плавкости Вентрупа (Wentrup H., Techn. Mitt. Krupp, 1937, 5, 131—152). Исследованы системы  $\text{FeO} - \text{MnS}$ ,  $\text{MnO} - \text{FeS}$ ,  $\text{FeO} - \text{FeS} - \text{MnS}$  (область эвтектик  $\text{FeO} - \text{FeS} - \text{MnS}$ ),  $\text{MnS} - \text{MnO} - \text{FeO}$ . На основе этого была построена диаграмма плавкости системы  $\text{FeO} - \text{FeS} - \text{MnO} - \text{MnS}$ .

Н. К.

56716. О термическом разложении в атмосфере азота нестехиометрической орторомбической разновидности двуокиси свинца. Вейсс, Февр (Sur la décomposition thermique, en atmosphère d'azote, de la variété orthorhombique non stœchiométrique du bioxyde de plomb. Weiss Raymond, Faivre René), C. r. Acad. sci., 1957, 245, № 26, 2513—2515 (франц.)

Исследовано термич. разложение новой нестехиометрич. разновидности  $\text{PbO}_2$  орторомбич. симметрии,

описанной ранее (РЖХим, 1958, 42809). Термич. разложение орторомбич.  $\text{PbO}_2$  при т-ре  $< 600^\circ$  в атмосфере  $\text{N}_2$  протекает полностью и дает в результате  $\text{PbO}$ , при термич. разложении обычной  $\text{PbO}_2$  образуется  $\text{Pb}_2\text{O}_3$ . Рентгеновским анализом установлено, что псевдокубич. окиси, образующиеся при частичном разложении орторомбич.  $\text{PbO}_2$ , характеризуются двумя гомог. областями с постоянными значениями кристаллич. параметров. Изменение параметров совершается скачком. Псевдокубич. окиси, полученные в результате разложения обычной  $\text{PbO}_2$ , образуют 2 гомог. области, где параметры плавно изменяются с составом, разделенные двухфазной областью.

Т. Шашкина

56717. Термографическое исследование платинобромистоводородной кислоты. Берг Л. Г., Мочалов К. Н., Куренкова П. А., Аношина Н. П., Изв. Казанск. фил. АН СССР. Сер. хим. н., 1957, № 4, 127—132

Процесс обезвоживания  $\text{H}_2[\text{PtBr}_6] \cdot 9\text{H}_2\text{O}$  (I) при достаточно быстром нагревании проходит в две стадии без явного разложения комплекса. Термич. эффект разложения комплекса с выделением  $\text{Br}_2$  не отвечает строго определенной т-ре. Вследствие этого I отнесен к категории непрочных соединений, разлагающихся при различных т-рах в зависимости от скорости нагревания. Эндотермич. эффекты (при 45 и 100°) отвечают инконгруэнтному плавлению в-ва. Литературные данные о выделении при плавлении  $\text{H}_2\text{O}$ ,  $\text{Br}_2$  и  $\text{HBr}$  не подтверждены. Зависимость давления диссоциации I от т-ры, представленная в координатах  $\lg P - 1/T$ , линейна. Из этих данных с помощью приближенного ур-ния Нернста авторы вычислили теплоты дегидратации при 760 мм рт. ст. Для 1-й и 2-й стадий обезвоживания эти значения составляют 14,4 и 16,0 ккал/моль соответственно.

Е. Банашек

56718. О термографических исследованиях процессов дегидратации. Берг Л. Г., Изв. Казанск. фил. АН СССР. Сер. хим. н., 1957, № 4, 133—139

Изложены результаты термографич. исследования процессов дегидратации некоторых соединений. Учитывая фиксируемое на термограммах различие в поведении в-в при нагревании, автор разбивает р-ции дегидратации на отдельные группы: 1) удаление конституционной воды, протекающее с перестройкой или без перестройки кристаллич. решетки; 2) обезвоживание кристаллогидратов: а) сопровождающееся конгруэнтным или инконгруэнтным плавлением, б) наступающее лишь после разложения кристаллогидратов на соль и воду и в) сопровождающееся гидролизом и выделением газообразных продуктов разложения; 3) обезвоживание твердых р-ров внедрения, протекающее в интервале т-ры. Обсуждаются методика термографич. записи и характерные особенности термич. эффектов, отвечающих различным стадиям процесса дегидратации. Исследованиями кристаллогидратов автор не считает законченными.

Е. Банашек

56719. Обезвоживание и термическое разложение сульфатов железа из сложных сульфатных растворов. Паздников П. А., Павлов Ф. Н., Изв. Сибирск. отд. АН СССР, 1958, № 2, 51—56

56720. Зависимость между порядковым номером и растворимостью селенитов редкоземельных элементов цериевой группы. Серебренников В. В., Попова В. Т., Изв. высш. учебн. заведений. Физика, 1958, № 1, 173—174

Определена растворимость селенитов  $\text{La}$ ,  $\text{Ce}$ ,  $\text{Pr}$ ,  $\text{Nd}$  и  $\text{Sm}$  в воде при 20°. Установлена зависимость между растворимостью селенита редкоземельного элемента и его порядковым номером, которая имеет вид  $\lg L = -[2,5229 + 0,1075(Z - 57)]$ .

Резюме авторов

56721. Растворимость некоторых соединений плутония. Досон (Solubilities of some plutonium com-



unds. Dawson J. K. Repts. Atomic Energy Res. Establ., 1957, NC/M92, 2 pp.) (англ.)

Определена растворимость нитратов  $Pu^{4+}$  (I) и  $Pu^{6+}$  (II) в органич. р-рителе «букс» и оксалата  $Pu^{4+}$  (III) в водн. р-рах  $(NH_4)_2C_2O_4$  (IV). Растворимость I в указанном р-рителе с кислотностью (по  $HNO_3$ ), равной 0,1 и 1,5 н., составляет при 25° 0,71 и 5,6 г  $Pu/l$  соответственно, а растворимость II (при кислотности р-рителя 0,1 н.) 0,67 г  $Pu/l$ . Растворимость III в 0,02, 0,073 и 0,13 M р-рах IV при 25° составляет 1,38; 2,0 и 2,62 г  $Pu/l$ , а в р-ре 0,75 M  $HNO_3$  0,13 г  $Pu/l$ . Растворимость III в присутствии  $HNO_3$  заметно снижается, избыток ионов  $C_2O_4^{2-}$  повышает кол-во III, переходящего в р-р. Растворимость III недостаточна, чтобы можно было вести очистку этой соли, растворяя ее в р-ре IV, а затем осаждая в виде гидроокиси.

Е. Банашек

**56722.** Производство растворимости окисей и гидроксидов металлов. Сообщение 2. Производство растворимости  $Tl_2O_3$ . Шиндлер (Löslichkeitsprodukte von Metalloxyden und -hydroxyden. 2. Mitt. Das Löslichkeitsprodukt des Thallium (III)-oxydes. Schindler P.), Helv. chim. acta, 1958, 41, № 2, 527—535 (нем.; рез. англ.)

Методом измерения э.д.с. определено производство растворимости  $Tl_2O_3$ . Методика и аппаратура описаны ранее (сообщение 1, РЖХим, 1958, 10685). Равновесие растворения  $Tl_2O_3$  исследовалось при 25° путем определения  $[Tl^{3+}]$  и  $[H^+]$  в р-рах, содержащих твердую фазу, при постоянной ионной силе р-ра 3 M. При осаждении равновесие достигается после ~ 200 час., для растворения требуется лишь несколько часов. Равновесие выражается р-цией  $Tl^{3+} + \frac{3}{2}H_2O = \frac{1}{2}Tl_2O_3 + 3H^+$ ;  $lg K = 2,34 \pm 0,1$ , где  $K = [H^+]/[Tl^{3+}]$ . Для р-ции  $\frac{1}{2}Tl_2O_3 + \frac{3}{2}H_2O = Tl^{3+} + 3OH^-$ ;  $lg K_c = -45,0 \pm 0,2$ , где  $K_c = [Tl^{3+}] \cdot [OH^-]^3$ . А. 3.

**56723.** Растворимость кварца в воде при высоких давлениях и температурах. Вуд (The solubility of quartz in water at high temperatures and pressures. Wood John A., Jr), Amer. J. Sci., 1958, 256, № 1, 40—47 (англ.)

Предложено теоретич. ур-ние растворимости  $SiO_2$  (кварц) (I) в перегретом водяном паре (II) при высоких давлениях  $C = aT^j \exp(b/T)/(v - 0,665)^h$  (1), где  $C$  — весовой процент I в р-ре;  $v$  — уд. объем II;  $j$  определяется при подсчете степеней свободы молекулы I при растворении его в II, величина  $j$  зависит от того, в каком виде I находится в р-ре, при 610 атм,  $j$  принимается равным 4;  $h$  определяется из стехиометрич. коэф. ур-ния (2) (см. ниже), для принятого механизма р-ции  $h = \frac{4}{3}$ ;  $a$  и  $b$  — неопределенные константы, определяемые при сопоставлении теоретич. кривой растворения с эксперим. данными,  $a = 1,13 \cdot 10^{-11}$ ,  $b = -1,942 \cdot 10^3$ . Ур-ние выведено в предположении, что: 1) I — абсолютно твердое тело, 2) р-р I в II — реальный газ, описываемый ур-нием Ван-дер-Ваальса, 3) механизм р-ции растворения следующий:  $7I + 14II \rightleftharpoons H_4SiO_4 \cdot 2 + 5H_4SiO_4$  (III) (2), причем растворенный I находится в р-ре в виде: при давл.  $\leq 700$  атм мономер III или более простые молекулы или ионы, при давл. 700—1750 атм — димеры и тримеры III, при давл.  $> 1750$  атм — тримеры и полимеры III. Ур-ние (1) хорошо подтверждается эксперим. данными (Kennedy G. C., Econ. Geol., 1950, 45, 629; Amer. J. Sci., 1950a, 248, 540). Кривые растворимости экстраполировались к 800° и 2550 атм, где растворимость I достигает 1,7 вес. %. Ур-ние неприменимо при высоких давлениях и низких т-рах и при низких давлениях и высоких т-рах.

Л. Антипин

**56724.** Растворимость ферроцианида кадмия в воде. Басинский, Ледзинская (Rozpuszczalność żelazocyjanku kadmowego w wodzie. Basiński An-

toni, Ledzińska Urszula), Roczn. chem., 1957, 31, № 2, 457—461 (польск., рез. англ.)

Описываются результаты определений растворимости ферроцианида кадмия (I) колориметрич. методом с дитизоном и полярографич. методом. Колориметрич. измерения проводились при применении фильтров S-53 и S-42, соответствующих 533 и 428 мμ. Установлено, что конц-ия насыщ. р-ра I, хранимого на свету, равна  $1,09 \cdot 10^{-5}$  моль/л, а хранимого в темноте,  $6,98 \cdot 10^{-6}$  моль/л. Для произведения растворимости найдено приближенное значение  $L = 1,36 \cdot 10^{-15}$ . Произведены полярографич. измерения, среднее значение  $L = 1,00 \cdot 10^{-15}$ .

А. Фулински

**56725.** Исследование реакций образования хлорида и бромидов серебра методом светопогашения. Танаев И. В., Коган Я. Л., Ж. аналит. химии, 1958, 13, № 1, 11—17 (рез. англ.)

Методом светопогашения, описанным ранее (РЖХим, 1958, 17037), изучены системы  $AgNO_3$  (I) —  $KX$  (II) —  $H_2O$ , где  $X = Br, Cl$ . Погашение изучалось при  $\Sigma(I + II) = 8 \cdot 10^{-3}$  моль/л. Для стабилизации осадков  $AgX$  добавлялась желатина в кол-ве 0,02%. Получены острые максимумы светопогашения суспензий, отвечающие отношению I : II = 1. Исследовано растворяющее действие  $NH_3$  и ионов  $X^-$  по отношению к  $AgX$ . Полученные результаты использованы для увеличения чувствительности фототурбидиметрич. определения  $Ag^+$ .

А. Золотаревский

**56726.** Определение состава тонкодисперсных боратов никеля и кобальта по методу индифферентного компонента. Бойко В. Ф., Ж. физ. химии, 1958, 32, № 2, 270—273 (рез. англ.)

Исследованы продукты взаимодействия р-ров солей Ni и Co с боратами щел. металлов по методу индифферентного компонента. Установлено, что указанные продукты являются индивидуальными хим. соединениями — боратами Ni и Co. Состав найденных боратов выражается ф-лами:  $NiO \cdot B_2O_3 \cdot nH_2O$  и  $CoO \cdot B_2O_3 \cdot nH_2O$ . Содержание воды изменяется в процессе старения препарата с 3 до 2 молей на 1 моль  $B_2O_3$ . На примере исследования боратов Ni и Co показаны преимущества применения метода индифферентного компонента для исследования твердых фаз в тонкодисперсных многокомпонентных системах. Резюме авторов.

**56727.** О щелочных арсенатах. III. Исследование системы  $K_2O - As_2O_5 - H_2O$  при 40 и 60°. Дюк-Маже (Sur les arsénates alcalins. III. Etude du système  $K_2O - As_2O_5 - H_2O$  à 40 et 60°. Duc-Maugé Cyrille), Bull. Soc. chim. France, 1958, № 2, 227—228 (франц.)

Работа является продолжением исследования системы  $K_2O - As_2O_5 - H_2O$  при 20° (РЖХим, 1956, 53911). При 40° обнаружены следующие фазы:  $K_2O \cdot 3H_2O$  (I),  $5K_2O \cdot As_2O_5 \cdot 18H_2O$  (II),  $3K_2O \cdot As_2O_5 \cdot 14H_2O$  (III),  $2K_2O \cdot As_2O_5 \cdot 7H_2O$  (IV),  $K_2O \cdot As_2O_5 \cdot 2H_2O$  (V),  $K_2O \cdot 2As_2O_5 \cdot 5H_2O$  (VI),  $K_2O \cdot 3As_2O_5 \cdot 4H_2O$  (VII),  $3K_2O \cdot As_2O_5 \cdot 6H_2O$  (VIII),  $3As_2O_5 \cdot 5H_2O$  (IX). Кроме того, найдены метастабильные фазы:  $2K_2O \cdot As_2O_5 \cdot 3H_2O$  и  $2K_2O \cdot As_2O_5 \cdot H_2O$  (X). Фазы II, III, IV, V, VI и VII наблюдались и на изотерме 20°, по сравнению с которой новыми фазами на изотерме 40° являются фазы I, VIII и IX. При 60° II и III фазы исчезают, в качестве стабильной фазы появляется  $2K_2O \cdot As_2O_5 \cdot 3H_2O$ , а фаза X присутствует по-прежнему как метастабильная.

Н. Домбровская

**56728.** Политерма четверной системы хлористый натрий — сульфат натрия — карбонат натрия — вода. Сешадри, Лобо (Polytherm of the quaternary system sodium chloride — sodium sulphate — sodium carbonate — water. Seshadri K., Lobo J.), J. Scient. and Industr. Res., 1957, BC16, № 12, B531—B538 (англ.)

Методом изотермич. растворимости исследована четверная система  $\text{NaCl} - \text{Na}_2\text{SO}_4 - \text{Na}_2\text{CO}_3 - \text{H}_2\text{O}$  при 10, 5, 0 и —5°. Равновесие в трояких системах определялось по Шрейнемакеру. Излагается методика исследования равновесия в четверной системе. Полученные результаты представлены в таблицах и в виде фазовых диаграмм. Сделан вывод о возможности разделения всех компонентов системы путем охлаждения и фракционированной кристаллизации. С. Бык 56729. Растворимость водяного пара в расплавленных смесях щелочных нитратов и перхлорате лития. Дюк, Дон (The solubility of water vapor in fused alkali nitrate mixtures and in lithium perchlorate. Duke Frederick R., Doan Arthur S., Jr., Iowa State Coll. J. Sci. 1958, 32, № 3, 451—453 (англ.)). Насыщенный водяным паром выдержанных в вакууме расплавленных  $\text{LiNO}_3 - \text{NaNO}_3 - \text{KNO}_3$  и  $\text{LiClO}_4$  изучалась растворимость  $\text{H}_2\text{O}$  в этих расплавах при  $t$ -х 145—240° и 240—290° соответственно. Независимо от  $t$ -ры растворимость  $\text{H}_2\text{O}$  является линейной функцией его давления. Растворимость  $\text{H}_2\text{O}$  изменяется пропорционально квадрату конц-ии  $\text{Li}^+$ . В расплавах, не содержащих  $\text{Li}$ , растворимость  $\text{H}_2\text{O}$  ничтожно мала. М растворения  $\text{H}_2\text{O}$  в смеси  $\text{LiNO}_3$  30,  $\text{NaNO}_3$  23,  $\text{KNO}_3$  47 мол. % равна  $-13 \pm 4$  ккал, в  $\text{LiClO}_4$  равна  $-0 \pm 3,5$  ккал.

Л. Антипин 56730. Система  $\text{Na, Mg} \parallel \text{SO}_4, \text{HCO}_3 - \text{H}_2\text{O}$  при 25° и  $p_{\text{CO}_2} = 1$  атм. Никольская Ю. П., Мошкина И. А., Ж. неорганич. химии, 1958, 3, № 2, 501—503. Методом растворимости в изотермич. условиях изучена система  $\text{Na, Mg} \parallel \text{SO}_4, \text{HCO}_3 - \text{H}_2\text{O}$  при 25° и  $p_{\text{CO}_2} = 1$  атм. Диаграмма взаимной системы состоит из пяти полей: несквегонита,  $\text{NaHCO}_3$ , мирабилита, астраханита и эпсомита.

Д. Агеева 56731. Изоморфное замещение в двойных солях системы  $\text{K} - \text{Mg} - \text{Cl} - \text{SO}_4 - \text{H}_2\text{O}$ . Клозе (Isomorpher Ersatz in den Doppelsalzen des Systems  $\text{K} - \text{Mg} - \text{Cl} - \text{SO}_4 - \text{H}_2\text{O}$ . Klose Elisabeth), Naturwissenschaften, 1957, 44, № 12, 350 (нем.).

Проведено исследование двойных солей в системах  $\text{K} - \text{Me} - \text{Cl} - \text{SO}_4 - \text{H}_2\text{O}$  ( $\text{Me} = \text{Mg, Ni, Zn}$ ) и  $\text{NH}_4 - \text{Mg} - \text{Cl} - \text{SO}_4 - \text{H}_2\text{O}$ . Соль  $\text{K}_2\text{SO}_4 \cdot \text{MgSO}_4$  (I), существование которой дискутируется в литературе, приготовлена осторожным обезвоживанием  $\text{K}_2\text{SO}_4 \cdot \text{MgSO}_4 \cdot 6\text{H}_2\text{O}$ . При  $\sim 200^\circ$  I разлагается на  $\text{K}_2\text{SO}_4$  и  $\text{K}_2\text{SO}_4 \cdot 2\text{MgSO}_4$ . Получит I из компонентов не удается. При замене  $\text{Mg}$  на  $\text{Ni}$  получаются аналогичные соединения. Рентгенограмма  $\text{K}_2\text{SO}_4 \cdot \text{NiSO}_4$  (II) подобна I. При  $\sim 350^\circ$  II разлагается с образованием  $\text{K}_2\text{SO}_4 \cdot 2\text{NiSO}_4$ . Обезвоживание  $(\text{NH}_4)_2\text{SO}_4 \cdot \text{MgSO}_4 \cdot 6\text{H}_2\text{O}$  не дает соединения, аналогичного I, но приводит к ранее неизвестному  $(\text{NH}_4)_2\text{SO}_4 \cdot 2\text{MgSO}_4$ . Последнее распадается при  $\sim 350^\circ$  с улетучиванием  $(\text{NH}_4)_2\text{SO}_4$ . Остаточный  $\text{MgSO}_4$  обладает структурой, отличной от известной до сих пор, но переходит в последнюю при нагреве до  $450^\circ$ . Новая модификация может быть получена также осторожным обезвоживанием  $\text{MgSO}_4 \cdot 7\text{H}_2\text{O}$ . Из  $\text{K}_2\text{SO}_4$  и  $\text{ZnSO}_4$  в соотношении 1:1 получается  $\text{K}_2\text{SO}_4 \cdot \text{ZnSO}_4$ . До сих пор получаемый кристаллизацией из р-ра  $\text{NH}_4\text{Cl} \cdot \text{MgCl}_2 \cdot 6\text{H}_2\text{O}$  может быть также приготовлен методом, описанным ранее (Leonhardt J., Naturwissenschaften, 1951, 38, 477), при  $20^\circ$  в течение 1—8 дней, соединение  $\text{KCl} \cdot \text{NiCl}_2 \cdot 2\text{H}_2\text{O}$  — путем кристаллизации из водн. р-ра при  $55^\circ$ .  $\text{KCl} \cdot \text{ZnSO}_4$  получается сплавлением компонентов или кристаллизацией из водн. р-ра. Существование  $\text{KCl} \cdot \text{MgSO}_4$  не подтверждено. В  $\text{KCl} \cdot \text{MgSO}_4 \cdot 3\text{H}_2\text{O}$  1/4 часть  $\text{Mg}$  удалось заместить  $\text{Ni}$ , соответствующих изменений параметров решетки установить не удалось.

Ю. Заверьяев 56732. Термическое разложение оксалатов скандия, иттрия и редкоземельных металлов. Уэндландт (Thermal decomposition of scandium, yttrium, and

rare earth metal oxalates. Wendlandt Wesley W.), Analyt. Chem., 1958, 30, № 1, 58—61 (англ.).

Проведено термогравиметрич. исследование оксалатов  $\text{Sc, Y}$  и редкоземельных элементов. Оксалаты при  $40-60^\circ$  теряют кристаллизационную воду, давая промежуточные гидраты (оксалаты  $\text{Sc, Y, Sm, Eu, Gd, Ho, Er}$ ) или непрерывно теряя  $\text{H}_2\text{O}$ , превращаются в безводн. соли. Разложение до оксидов происходит при  $630-800^\circ$ , причем для  $\text{Se}$  и  $\text{Ce}$  образование безводн. солей не установлено.  $\text{CeO}_2$  образуется при  $360^\circ$ .  $\text{La}_2(\text{C}_2\text{O}_4)_3$  при разложении образует  $\text{La}_2\text{O}_3 \cdot \text{CO}_2$  ( $550-735^\circ$ ) и выше  $800^\circ - \text{La}_2\text{O}_3$ . Н. Афонский 56733. Дифференциальный термический анализ твердых органических веществ. Варма (Differential thermal analysis of organic solids. Varma M. C. P.), J. Appl. Chem., 1958, 8, № 2, 117—121 (англ.).

Методом дифференциального термич. анализа (описание аппаратуры см. Grimshaw R. W. и др., Trans. Brit. ceram. Soc., 1945, 44, 69) при нагревании со скоростью  $20^\circ/\text{мин.}$  определены  $t$ -ры плавления, кипения, разложения и потери кристаллизационной воды ряда твердых органич. в-в. Данные хорошо согласуются с литературными. Впервые определены  $t$ -ры разложения тиомочевины ( $260^\circ$ ), сахарозы ( $212^\circ$ ),  $d$ -глюкозы ( $212^\circ$ ), возгонки салициловой к-ты ( $247^\circ$ ), кипения  $n$ -нитрофенола ( $305^\circ$ ), потери кристаллизационной воды павелевой к-ты ( $130^\circ$ ), крахмала ( $115^\circ$ ). Путем сравнения площадей эндотермич. пика исследуемого в-ва и в-ва с известной теплотой плавления получены данные о величине скрытой теплоты плавления (дж/г), азобензола ( $132$ ),  $\alpha$ -нафтиламина ( $98$ ), фенантрена ( $98$ ), нафталина ( $151$ ),  $n$ -нитрофенола ( $154$ ), сахарозы ( $143$ ).

Л. Витинг 56734. Изодиморфизм 3-метилкамфоры. Авела (Isodimorphie der 3-Methylcampher. Avela Eero), Suomen kem., 1958, 31, № 1, B139—B144 (нем.).

Изучена диаграмма плавления бинарной системы, состоящей из изотропной экзо-формы (I) и анизотропной эндо-формы (II) 3-метилкамфоры с исследованием образцов с помощью поляризационного микроскопа. Полученные кривые соответствуют изодиморфному V типу по Розебому. Кристаллизация в решетке формы I сохраняется в области до  $\sim 90\%$  II, кристаллизация в решетке формы II — в области до  $\sim 60\%$  I. А. З. 56735. К образованию смешанных кристаллов в изоморфной группе: антрацен, фенантрен, карбазол и флуорен. Брандштеттер-Кунерт, Вейс (Zur Mischkristallbildung in der isomorphen Gruppe: Anthracen, Phenanthren, Carbazol und Fluoren. Brandstätter-Kuhnert M., Weiß H.), Monatsh. Chem., 1957, 88, № 6, 1007—1016 (нем.).

В отличие от макротермоанализа, термомикроскопич. исследование бинарных систем из антрацена (I), фенантрена (II) и карбазола (III) не обнаруживает в этих системах простого изоморфизма. В системах I—III и II—III найдена перитектика соответственно при 66 вес. % III,  $224^\circ$  и 7% III,  $122^\circ$ . На кривой ликвидуса системы I—III найден, кроме того, минимум при 5% III и  $214^\circ$ . В системе I—флуорен (IV) имеются 3 кристаллич. фазы, перитектич. точки  $P_1$  при 8% I,  $118^\circ$  и  $P_2$  при 58% I,  $188^\circ$ . III—IV является системой 1-го типа по Розебому. Системы с акридином (V) дают эвтектику: I—V: 4% I,  $107^\circ$ ; II—V: 44% V,  $62^\circ$ ; III—V: 13% III,  $105,5^\circ$ . В системе V—дифенил имеется перитектика при 49% V и  $79^\circ$ ; на кривой ликвидуса имеется минимум при  $\sim 10\%$  V и  $68,5^\circ$ .

А. Золотаревский 56736. Растворимость сероуглерода в водных растворах электролитов. Хшонщевский, Вронский, Лещинская (Rozpuszczalność dwusiarczku węgla w wodnych roztworach elektrolitów. Chrzęszc-



zewski Józef, Wroński Mieczysław, Le-szczyńska Alicja), Zesz. nauk. Uniw. łódzk., 1957, Ser. 2, № 3, 133—137 (польск.; рез. русск., англ.)

Исследована растворимость  $\text{CS}_2$  в водн. р-рах  $\text{NaCl}$  и  $\text{Na}_2\text{SO}_4$  при 15 и 25° и определены константы скорости гидролиза  $\text{CS}_2$  в р-рах  $\text{NaOH}$ . Данные о зависимости растворимости  $\text{CS}_2$  (S) от т-ры (Θ) и ионной силы р-ров электролитов (μ), выражаемые уравнением  $\lg 1/S = -1,619 + 5,87 \cdot 10^{-7} \Theta^2 + 0,163 \mu$ , могут быть полезны при разработке технологии вискозного волокна.

Е. Банашек

**56737. Взаимодействие между двуокисью серы и полярными молекулами. III. Системы вода — этанол — двуокись серы и вода — двуокись серы. Мейн (Interaction between sulfur dioxide and polar molecules. III. Water-ethanol-sulfur dioxide and water-sulfur dioxide systems. Maine P. A. D. de), J. Chem. Phys., 1957, 26, № 5, 1049—1056 (англ.)**

Исследованы спектры поглощения (СП) р-ров  $\text{H}_2\text{O} - \text{SO}_2$  и  $\text{H}_2\text{O} - \text{C}_2\text{H}_5\text{OH} - \text{SO}_2$  в области 3500—2100 Å. Полученные данные не подтверждают прежних представлений (Ley H., König E., Z. Chem., 1938, B41, 365; Campbell W. B., Maass O. Can. J. Research, 1930, 2, 42) о состоянии  $\text{SO}_2$  в разб. р-ре и доказывают механизм  $\text{SO}_2$  (газ)  $\rightleftharpoons \text{SO}_2 + \text{H}_2\text{O} \rightleftharpoons \text{комплекс} \rightleftharpoons \text{H}_2\text{SO}_3 \rightleftharpoons \text{H}^+ + \text{HSO}_3^- \rightleftharpoons 2\text{H}^+ + \text{SO}_3^{2-}$ . Установлена линейная зависимость между теплотой растворения некоторых газов, рассчитанной из данных по давлению пара, и наименьшим эффективным диаметром или поляризуемостью их молекул. СП системы  $\text{H}_2\text{O} - \text{C}_2\text{H}_5\text{OH} - \text{SO}_2$  анализировались на основе соответствующих данных для двойных систем. Полученные результаты объяснены с точки зрения квазикристаллич. строения жидкости. Часть II см. РЖХим, 1958, 20377. Н. Афонский

**56738. Физико-химическое исследование системы  $\text{LiCl} \cdot \text{Al}_2\text{Br}_6 - \text{C}_6\text{H}_5\text{NO}_2$ . (Электропроводность, вязкость и удельный вес). Бигич И. С., Изв. высш. учебн. заведений. Химия и хим. технол., 1958, № 1, 28—36**

Исследованы электропроводность  $\chi$  комплекса  $\text{LiCl} \cdot \text{Al}_2\text{Br}_6$  и нитробензола в пределах концентраций 4,49—39,58, а вязкость  $\eta$  и уд. вес  $d$  — до 45,32 вес. % комплекса при 20, 30, 40 и 50°. Кривые уд.  $\chi$  проходят через максимум, а значение мол.  $\chi$  с разведением увеличивается. При учете  $\eta$  максимум на кривых уд.  $\chi$  исчезает, а мол.  $\chi$  выявляет аномальный характер. Такой ход кривых подтверждает высказанное Горенбейном положение о природе конц. р-ров. Аналогия в ходе кривых для  $\chi$ ,  $\eta$  и  $d$  исследованных комплексов  $\text{LiCl} \cdot \text{Al}_2\text{Br}_6$ ,  $\text{NaCl} \cdot \text{Al}_2\text{Br}_6$  и  $\text{NaBr} \cdot \text{Al}_2\text{Br}_6$  в нитробензоле указывает на то, что природа этих систем, по-видимому, тождественна, а образованные ассоциаты подобны. Уд. и мол.  $\chi$  с увеличением т-ры увеличивается, а  $\eta$  падает. Резюме автора

**56739. Исследование вязкости и критических температур некоторых дейтеросоединений и их растворов. Равикович С. Д., Соломко В. П., Укр. хим. ж., 1958, 24, № 1, 7—12**

Методикой, описанной ранее (Голик А. З. и др., Укр. хим. ж., 1951, 17, 627), исследованы вязкость и крит. т-ры воды, *n*-бутилового спирта,  $\text{CH}_3\text{COOH}$ , изопропилового спирта и их дейтероаналогов. Замена водорода дейтерием приводит к понижению крит. т-ры и вязкости. Построены изотермы вязкости для 30, 50 и 70° в системах  $\text{C}_4\text{H}_9\text{OH} - \text{C}_4\text{H}_9\text{OD}$  и  $\text{H}_2\text{O} - \text{D}_2\text{O}$ . Изотермы вязкости линейны в случае сходной мол. структуры и дают отклонение от аддитивности для компонентов с различной мол. структурой. Д. Агеева

**56740. Вязкость двойных систем с обменным взаимодействием. Удовенко В. В., Филалков Ю. Я., Ж. общ. химии, 1958, 28, № 3, 814—818**

Изучены методом вязкости и плотности двойные системы:  $\text{SiCl}_4$  — метилаль при 20 и 30°,  $\text{SiCl}_4$  — ацеталь при 20, 30 и 40°, а также система  $\text{SiCl}_4$  — искусственный ангидрид в бензоле как индифферентном р-рителе при 20°. Максимум на изотермах вязкости систем, у которых р-ция обменного взаимодействия значительно сдвинута в сторону образования конечных продуктов, приходится на стехиометрич. соотношение вступающих в р-цию в-в. При взаимодействии  $\text{SiCl}_4$  с метилалем образуется дихлордиметоксисилан и хлордиметилловый эфир, а с ацеталем — дихлордиэтоксисилан и  $\alpha$ -хлордиэтиловый эфир. Эти р-ции являются новым методом получения дихлордиалкоксисиланов, отличающимся от существующих хорошим выходом и чистой продукцией. Резюме авторов

**56741. Исследование систем нормальных парафиновых углеводородов  $\text{C}_{30} - \text{C}_{34}$  и  $\text{C}_{30} - \text{C}_{36}$ . Топчиев А. В., Нечитайло Н. А., Розенберг Л. М., Терентьева Е. М., Докл. АН СССР, 1957, 117, № 4, 629—634**

Термографическим и микроструктурным методами исследованы системы триакоктан — тетраэтракоктан ( $\text{C}_{30}\text{H}_{62} - \text{C}_{34}\text{H}_{70}$ ) и триакоктан — гексатриакоктан ( $\text{C}_{30}\text{H}_{62} - \text{C}_{36}\text{H}_{74}$ ), образующие непрерывный ряд твердых р-ров I типа по Розебому. С. Рубинич

**56742. Система нафталин — тианафтен. Мастранджело, Дорнт (The system naphthalene-thianaphthene. Mastrangelo S. V. R., Dornit R. W.), Analyt. Chem., 1957, 29, № 5, 794—797 (англ.)**

Диаграмма состояния системы нафталин — тианафтен построена на основании данных термич. анализа и калориметрич. измерений с обработкой результатов последних по методу (РЖХим, 1958, 383), где учитывается образование твердых р-ров. Полученные данные позволяют оценивать чистоту нафталина. Д. А.

**56743. Изоморфизм органических соединений серы и селена. I. Термический анализ систем дибензилсульфид — дибензилселенид и *o*-нитродифенилсульфид — *o*-нитродифенилселенид. Чеккинн, Гисбрехт (Isomorphous relations between organic compounds of sulfur and selenium. I. Thermal analysis of the systems: dibenzyl sulfide — dibenzyl selenide and *o*-nitrodiphenyl sulfide — *o*-nitrodiphenyl selenide. Cecchini Marco A., Giesbrecht Ernesto), J. Organ. Chem., 1956, 21, № 11, 1217—1220 (англ.)**

Исследованы диаграммы состояния двойных систем дибензилсульфид — дибензилселенид и *o*-нитродифенилсульфид — *o*-нитродифенилселенид. Применены методы: микротермич., где образцы получались последовательным сплавлением компонентов между предметным и покровным стеклами микроскопа, микроструктурный и определения точек плавления, описанный ранее (Rheinholdt. Die Methoden der Organischen Chemie. Vol. II. Stuttgart, 1953, p. 827). Установлено, что все компоненты вышеуказанных систем диморфны. Диаграммы состояния обеих систем характеризуются наличием двух рядов непрерывных твердых р-ров; соответствующие им 2 ветви ликвидуса пересекаются примерно в середине диаграммы (конц-ии выражены в вес. %). Пересечение ветвей ликвидуса и солидуса обусловлено тем, что 1-й ряд р-ров образован метастабильной формой 1-го компонента и стабильной формой 2-го; 2-й ряд р-ров образован стабильной формой 1-го компонента и метастабильной формой 2-го. Полученные данные свидетельствуют о возможности изоморфного замещения органич. соединений серы аналогичными соединениями селена. Е. Банашек

**56744. Тройная взаимная система из формиатов и нитратов лития и натрия. Циндрих Н. М., Ж. общ. химии, 1958, 28, № 3, 830—834**

Визуально-политермическим методом исследована тройная взаимная система из формиатов и нитратов Li и Na, относящаяся к необратимо-взаимным системам. Равновесие хим. обмена в системе сдвинуто в сторону формиата Li и  $\text{NaNO}_3$ , которые являются более тугоплавкими компонентами системы.

Из резюме автора

56745. Распространение ультразвука и сжимаемость системы сернокислый цинк — метиловый спирт — вода и сернокислый цинк — глицерин — вода. Папоушек (Sifení ultrazvuku a kompresibilita systémi síran zinečnatý — methylalkohol — voda a síran zinečnatý — glycerin — voda. Papoušek Dušan), Chem. listy, 1957, 51, № 11, 1994—1997 (чешск.)

Автор исследовал ход кривых сжимаемости р-ра  $\text{ZnSO}_4$  в смесях вода- $\text{CH}_3\text{OH}$  и вода-глицерин, применив метод Дебая — Сирса, при частоте ультразвука 750 Мгц. Значение адиабатич. сжимаемости выражается в форме  $\Phi_A = \partial\beta/\partial c$ , где  $c$  — конц-ия  $\text{Zn}^{2+}$ . Значения адиабатич. сжимаемости в смесях вода- $\text{CH}_3\text{OH}$  и вода-глицерин повышаются с увеличением конц-ии спирта почти одинаково. В системе  $\text{CH}_3\text{OH}$  — вода с ростом конц-ии  $\text{Zn}^{2+}$  смещаются максимум скорости распространения звука и минимум сжимаемости. Изменения  $\Phi_A$  можно выразить приблизительно в форме  $\Phi_A = -\beta_0 V_h + K$ , где  $\beta_0$  — коэф. адиабатич. сжимаемости смеси р-рителей,  $V_h$  — объем сольватационной сферы  $\text{Zn}^{2+}$  (на 1 моль) и  $K$  — фактор, выражающий изменения сжимаемости системы, вызванные нарушением первоначальной структуры р-рителя электролитом. Так как конц-ии спирта с ростом значения  $V_h$  понижаются, предполагают десольватацию катиона.

O. Knessl

56746. Фазовые равновесия в системе 2-метоксиэтиловый спирт — этилбензол — стирол и 2-метоксиэтиловый спирт — вода. Якубичек, Фрид, Вагала (Váhalo rovnováhy v systému 2-methoxyethanol-ethylbenzen — styren a 2-methoxyethanol — voda. Jakubíček Josef, Fried Vojtěch, Váhala Josef), Chem. listy, 1957, 51, № 8, 1422—1428 (чешск.)

Имея ввиду разделение стирола и этилбензола, находящихся в жидком продукте дегидрогенизации с применением в качестве третьего компонента 2-метоксиэтилового спирта, (метилцеллозоль, I), авторы исследовали равновесие жидкость — пар при давл. 62 мм рт. ст. Приведены данные для систем этилбензол — стирол, I — этилбензол и I — стирол. Для всех этих систем вычислили константы в уравнениях Ван-Лаара. Поведение системы этилбензол — стирол практически идеальное. Постоянная для тройной системы  $C$  вычислена из констант для двойных систем с применением правила Вола:  $C = 0,5(0,591 - 0,755 + 0,475 - 0,685) = -0,187$ . Из коэф. активности вычислены значения относительной летучести и из последних — равновесный состав жидкой и паровой фаз тройной системы. Вычисления проверены измерением. Эксперим. и вычисленные данные плохо совпадают вследствие неточного метода анализа. Равновесие жидкость — пар в системе  $\text{H}_2\text{O}(4) - \text{I}(1)$  при давл. 100 и 752 мм рт. ст., которое было измерено с целью регенерирования I, описывается уравнением Ван-Лаара третьей степени; значения константы для 752 мм рт. ст.:  $A(1-4) = 0,5920$ ,  $A(4-1) = 0,3021$ ; при 100 мм рт. ст.  $A(1'-4') = 0,264$ ,  $A(4'-1') = 0,054$ . Из результатов вытекает, что система I — этилбензол обладает азеотропной точкой; при 62 мм рт. ст. состав азеотропной смеси 42,1 мол. % I и т. кип. 51,9°. Система I — стирол образует азеотроп с составом 57,9 мол. % I и т. кип. 56,8° при том же самом давлении. Тройной азеотроп не наблюдался. Проточной вакуумной ректификацией на лабор. колонке (25 теоретич. тарелок) получили в

качестве продукта азеотропную смесь I-этилбензол; двойную смесь I-стирол отбирали из кипятыльника. Система  $\text{H}_2\text{O} - \text{I}$  образует азеотропную смесь с 94,5 мол. %  $\text{H}_2\text{O}$ , т. кип. 99,2° при 752 мм рт. ст., 98,7 мол. %  $\text{H}_2\text{O}$  и т. кип. 51,5° при 100 мм рт. ст. Применение I в качестве третьего компонента позволяет понизить число тарелок, необходимое для отделения стирола, с 36 до 20, но процесс изолирования несколько осложняется.

Otto Knessl

См. также: Фазовые переходы 56448, 56483, 56484, 56493, 56504, 56505, 56536, 56571, 56575, 56577, 56973. Термохимия 56397, 56845, 56899, 56204; 58014, 59728. Термодинамика: кристаллов 56469, 56514, 56519, 56520, 56548, 56578; жидкостей, газов 56468; растворов 56842, 56844, 56846, 56854. Равновесия 56760, 56843, 56853, 56922, 57004, 57009, 57014, 57295, 57298, 58013. Физ.-хим. анализ систем: металлч. 56511, 56516, 56569, 56871, 57783, 57785, 57786, 57797, 57798; неорганич. 56558, 56613, 56857, 56863, 56898, 56912, 56944, 58094, 58095, 58126; органич. 56839. Термодинамика катионного обмена 56927. Система глина — вода 58164. Теплота полимеризации 59743

## КИНЕТИКА.

### ГОРЕНИЕ. ВЗРЫВЫ. ТОПОХИМИЯ. КАТАЛИЗ

Редакторы X. С. Богдасарьян, А. С. Соколик, А. Б. Шехтер

56747. Современные проблемы химической кинетики. Тоёма Нагаси, Сайсин-но кагаку то соно оё, 1957, № 9, 64—81 (японск.)

Обзор. Библ. 57 назв.

56748. Быстрые химические реакции. Сасаки Синдзи, Сайсин-но кагаку то соно оё, 1957, № 9, 82—102 (японск.)

Обзор. Библ. 102 назв.

56749. Метод предварительного определения скорости органических реакций. 2. Способ, основанный на применении сведений о молекулярном строении. Имото, Оцудзи, Chemistry (Japan) Кагаку, 1957, 12, № 8, 593—601 (японск.)

Сообщение 1 см. РЖХим, 1958, 24190.

56750. О принципиальной возможности жидкофазного окисления бензола в фенол. Эмануэль Н. М., Денисов Е. Т., Докл. АН СССР, 1957, 117, № 3, 458—461

Продуктами окисления бензола в жидкой фазе при 230—270° являются фенол (0,16 мол. %) и смолы. Стеарат Со уменьшает конц-ию фенола до 0,11 мол. %, а добавки легко окисляющихся в-в (циклогексанон, циклогексанол) увеличивают ее до 0,5%. В опытах с газовым иницированием  $\text{NO}_2$  максим. конц-ия фенола достигала 1,1 мол. %. Авторы считают, что в дальнейшем могут быть найдены пути снятия эффекта самоторможения процесса.

З. Майзус

56751. Масс-спектрометрия свободных радикалов. XIII. Сенсibilизированное ртутью фоторазложение аллена и бутадиенов; радикал  $\text{C}_3\text{H}_3$ . Коллин, Лоссинг (Free radicals by mass spectrometry. XIII. The mercury photosensitized decomposition of allene and butadiene: the  $\text{C}_3\text{H}_3$  radical. Collin J., Lossing F. P.), Canad. J. Chem., 1957, 35, № 8, 778—787 (англ.)

Сенсibilизированное  $\text{Hg}(^3\text{P}_1)$  фоторазложение аллена и бутадиенов (давл. 1  $\mu$  рт. ст.) проводилось в струе  $\text{He}$  (10 мм рт. ст.) в реакторе, соединенном с ионным источником масс-спектрометра посредством кварцевой



диафрагмы (см. часть XII, РЖХим, 1958, 20659). При разложении аллена обнаружены:  $H_2$ ,  $C_6H_6$  и радикалы  $C_3H_3$  и также полимер. С помощью р-ции радикалов  $C_3H_3$  с добавленными радикалами  $CH_3$ , образующимися при распаде  $Hg(CH_3)_2$ , показано, что в основном образуется 1-бутан и следовательно, радикал  $C_3H_3$  реагирует как пропаргил. При разложении 1,2- $C_4H_6$  (I) и 1,3- $C_4H_6$  (II) обнаружены  $H_2$ ,  $C_4H_4$ ,  $C_2H_6$ ,  $C_6H_6$ , радикалы  $CH_3$  и  $C_3H_3$  и полимер. Получены зависимости выходов продуктов от длины освещенной зоны. Предполагается, что диссоциация I и II идет по двум путям: распад на  $H_2$  и  $C_4H_4$ , а также разрыв связи C—C с образованием радикалов  $CH_3$  и  $C_3H_3$ ; II сначала изомеризуется в I. Не найдены указания на образование радикалов  $C_2H_3$  и  $C_4H_5$ .

Т. Лавровская  
56752. Присоединение атомов водорода к твердым олефинам при  $-195^\circ$ . Клейн, Шир (The addition of hydrogen atoms to solid olefins at  $-195^\circ$ . Klein Ralph, Scheer Milton D.), J. Amer. Chem. Soc., 1958, 80, № 4, 1007 (англ.)

Манометрически измерена скорость р-ции атомов H, образующихся при диссоциации  $H_2$  на W-ленте ( $1800^\circ$ ), помещенной в центре сферич. реакционного сосуда (PC) объемом  $1000\text{ см}^3$ , погруженного в жидкий  $N_2$ , с твердыми олефинами, нанесенными на внутреннюю поверхность PC. Рекомбинация атомов H в объеме PC при этих условиях не происходит. При  $0,03\text{ мм рт. ст.}$   $H_2$  реагирует нацело с  $C_3H_6$  за 8 сек., с бутеном-1 в 3 раза, а с изобутиеном в 20 раз медленнее, с бутадиеном-1,3 и пентеном очень медленно и не полностью; с гексеном р-ция практически совсем не идет. Продуктами р-ции H + бутен-1 являются  $n$ - $C_4H_{10}$ , бутен-2 и 3,4-диметилгексан, что, по мнению авторов, указывает на присоединение атомов H к концевым атомам C молекул бутена-1 с образованием втор-бутил-радикалов, которые затем либо димеризуются, либо диспропорционируют. Поскольку превращению подвергалось в некоторых случаях  $> 80\%$  твердого слоя олефина, авторы полагают, что атомы H обладают способностью легко проникать в замороженный при  $-195^\circ$  олефин на достаточно большую глубину.

Г. Королев  
56753. Пиролиз диметилкадмия и энергии диссоциации связей углерод—кадмий. Лорн, Лонг (The pyrolysis of cadmium dimethyl and dissociation energies of the cadmium-carbon bonds. Laurie Catherine M., Long L. H.), Trans. Faraday Soc., 1957, 53, № 11, 1431—1436 (англ.)

Продуктами пиролиза  $Cd(CH_3)_2$  в статич. системе являются  $Cd$ ,  $CH_4$ ,  $C_2H_6$ ,  $C_2H_4$  и твердый полиметилевый полимер. Константа скорости линейно связана с отношением  $s/v$ . Экстраполяция этой зависимости к 0 дает константу скорости гомог. р-ции при  $258^\circ$   $k = 1,43 \cdot 10^{-5}\text{ сек}^{-1}$ . Полагая фактор частоты равным  $1,2 \cdot 10^5$ , авторы определяют энергию активации р-ции, равную  $43,5\text{ ккал/моль}$ . Предполагается радикальный механизм р-ции, включающий р-ции  $Cd(CH_3)_2 \rightarrow CH_3 \cdot + \cdot CdCH_3$  (1) и  $CdCH_3 \rightarrow Cd \cdot + CH_3 \cdot$ . При условии, что (1) определяет скорость р-ции, величина  $43,5\text{ ккал/моль}$  равна энергии связи C—Cd в  $Cd(CH_3)_2$ . Отсюда энергия разрыва связи Cd—C в  $CH_3Cd$  равна  $21,4\text{ ккал}$ .

А. Шялов  
56754. Пиролиз  $n$ -бутилового спирта. Барнард (The pyrolysis of  $n$ -butanol. Barnard J. A.), Trans. Faraday Soc., 1957, 53, № 11, 1423—1430 (англ.)

Продуктами пиролиза  $n$ -бутилового спирта в статич. системе при  $573$ — $629^\circ$  являются  $H_2CO$ ,  $CO$ ,  $CH_4$  и  $H_2$ , а также небольшие кол-ва  $C_2H_6$ ,  $C_2H_4$ ,  $C_3H_8$  и  $C_3H_6$ . Р-ция гомогенна и в интервале  $20$ — $500\text{ мм рт. ст.}$  следует 1-му порядку. Константы скорости  $k = 10^{12,2} \exp(-56700/RT)\text{ сек}^{-1}$ . Р-цию ингибируют NO и, в

меньшей степени, толуол. Предполагается радикально — цепной механизм р-ции:  $C_4H_9OH \rightarrow \cdot C_3H_7 + \cdot CH_2OH$ ,  $\cdot C_3H_7 \rightarrow C_2H_4 + CH_3 \cdot$ ,  $\cdot CH_2OH \rightarrow CH_2 + \cdot OH$ ,  $\cdot CH_2 + C_4H_9OH \rightarrow CH_3 + CH_2 \cdot$ ,  $\cdot CH_2 + C_4H_9OH \rightarrow CH_3 + \cdot C_3H_7CHOH$ ,  $C_3H_7CHOH \rightarrow C_3H_7 \cdot + H_2CO$ ,  $H_2CO \rightarrow H_2 + CO$ .

А. Шялов  
56755. Кинетика газозофазных реакций галогенизации. Бенсон, Басс (Kinetics of gas phase halogenation reactions. Benson Sidney W., Buss Jerry H.), J. Chem. Phys., 1958, 28, № 2, 301—309 (англ.)

По известным из литературных данных величинам констант скоростей р-ций типа  $X + X + M \rightleftharpoons X_2 + M$  рассчитаны времена  $t$ , необходимые для достижения стационарной конц-ии атомов X в ходе процессов  $H + X_2 \rightarrow X + HX$  (1) при различных  $t$ -рах. При  $t$ -рах, обычных для термич. галогенизации ( $480^\circ K$ ), для  $X = F$  и  $J t < 1\text{ сек.}$ , для  $X = Br$   $t \approx 100\text{ сек.}$ , для  $t > 1000\text{ сек.}$ ; для молекул с более прочными связями, чем у галоидов ( $X = H$  или  $O$ ),  $t = 100\text{ сек.}$  даже при  $1300$ — $1500^\circ K$ . В условиях фотохим. галогенизации при поглощаемых системой иницирующих радиаций обычной ( $10^{12}\text{ квант/см}^2\text{ сек}$ ) интенсивности  $t = 0,1$ — $1,0$ . Вычислены энтропии  $\Delta S$  ряда свободных радикалов и молекул; для трет-бутилбромида  $\Delta S = 86,6$  при  $400^\circ K$  для неопентила  $105,3$  энтр. ед. при  $470^\circ K$ . Кинетич. данные для систем типа (1) при  $t$ -рах  $< 500^\circ K$  для  $R = H$ ,  $CH_3$ ,  $CH_2Br$ ,  $C_2H_5$ ,  $CCl_3$ ,  $(CH_3)_3C$  (I),  $(CH_3)_3CCN$  (II),  $C_6H_5CH_2$  (III) и при  $X = Br$  рассмотрены с точки зрения величин  $t$  и  $\Delta S$ ; расхождение теоретич. и опытных значений в случае I—III авторы объясняют тем, что при данных условиях для I—III происходит гетерог. зарождение и гетерог. обрыв цепей. Приведен ряд соображений, подтверждающих, что предэкспонент в случае бимолекулярных р-ций не может превосходить числа столкновений.

Г. Королев  
56756. Изучение механизма реакции окисления метана при помощи меченых атомов. Антонова И. Н., Мошкина Р. И., Налбандян А. Б., Нейман М. Б., Феклисов Г. И., Пробл. кинетики и катал., 1957, 9, 97—103. Дискус., 134—142 См. РЖХим, 1956, 77583.

56757. Механизм реакции медленного окисления углеводородов в тихом электрическом разряде. Часть 8. Связь между медленным окислением углеводородов и реакцией образования озона. Иноуэ, Сугино, Дэнки кагаку, J. Electrochem. Soc. Japan, 1956, 24, № 1, 33—36 (японск.; рез. англ.)

На основании механизма окисления углеводородов в тихом электрич. разряде, предложенного ранее (РЖХим, 1956, 64491), авторы высказывают мнение, что р-ция образования  $O_3$  в тихом электрич. разряде подавляется вследствие поглощения атомов O молекулами углеводородов. Для проверки этого предположения к воздуху, поступающему в озонатор, добавлялись различные кол-ва  $n$ -гексана, циклогексана и  $n$ -гептана. Кол-во  $O_3$ , образующегося в озонаторе за 1 час, линейно уменьшается по мере увеличения объемного процента паров углеводородов; действие исследованных углеводородов одинаково. Часть 6 см. РЖХим, 1957, 11222.

Ю. Филиппов  
56758. Кинетика окисления углеводородов. V. Негативизированное окисление этилена. VI. Действие гомогенных катализаторов на окисление этилена. VII. Окисление ацетилена и действие гомогенных катализаторов. Сабо, Гал (Vizsgálatok a szénhidrogének oxidációjának kinetikájáról. V. Etilén nem-katalitikus oxidációja. VI. Homogén katalizátorok hatása az etilén oxidációjára. VII. Acetilén oxidációja és homogén katalizátorok hatása az oxidációra. Szabó Zoltán, Gál Dezső), Magyar tud. akad. Kem. tud. oszt. közl., 1956, 7, № 3—4, 435—445; 447—458; 459—465 (венг.); Acta chim. Acad. sci. hung., 1957, 11,

№ 3-4, 239-250; 251-262; 263-270 (англ.; рез. русск., нем.)

В отличие от окисления  $C_2H_6$  (РЖХим, 1958, 49614) при окислении  $C_2H_4$  при 410-420° не наблюдалось различия в кинетике р-ции при изменении конц-ии  $O_2$  в исходной смеси. При давлениях  $P_0$  154-267 мм рт. ст. наблюдаются зависимости  $t_{10} = kP_0^{-x}$  и  $\phi = kP_0^y$  (где  $t_{10}$  — изменение давления, через 10 мин. после начала р-ции,  $\phi$  — фактор разветвления;  $x = 3,3$ ,  $y = 3,7$ ). Энергия активации, вычисленная из температурной зависимости  $t_{10}$  (31,2 ккал/моль), близка к величине, полученной из  $\phi$  (27,9 ккал/моль).

VI. Добавление  $H_2O$  (20,5 мм рт. ст.) не влияет на кинетику окисления  $C_2H_4$  при 416° и  $P_0 = 265$  мм рт. ст. Результаты опытов с добавками  $J_2$  описываются ф-лой, вычисленной в предположении действия  $J_2$  только на  $\phi$ , а не на скорость зарождения активных центров. Метиламин оказывает ингибирующее действие при давл. < 0,47 мм рт. ст. и катализирующее при 0,5-14,5 мм рт. ст. Такое же двойное действие наблюдается при разных конц-иях  $NO_2$ . Авторы приходят к выводу, что так же как и в случае  $C_2H_6$  фактически действует не сам  $CH_3NH_2$ , а образующаяся при его окислении  $NO$ .

VII. Изменение общего давления смеси  $C_2H_2-O_2$  от 173 до 215 мм рт. ст. приводит к значительному возрастанию скорости и глубины р-ции при 377° в сосуде, накрытом  $Na_2PO_4$ . Скорость р-ции зависит также от скорости впуска смеси в реакционный сосуд. Вода ингибирует р-цию. Добавки  $NO_2$  < 0,02 мм рт. ст. катализируют, а большие кол-ва  $NO_2$  тормозят окисление  $C_2H_2$ . Часть IV см. РЖХим, 1958, 52980.

Э. Майзус

56759. Кинетика реакции между раствором йода и газообразной двуокисью серы на границе фаз жидкость — газ. Витекова (Kinetyka reakcji między roztworem jodu a gazowym dwutlenkiem siarki na granicy faz ciecz-gaz. Witekowa Stanisława), Roczn. chem., 1957, 31, № 2, 395-412 (польск.; рез. англ.)

Исследована кинетика р-ций йода в р-ре с газообразной  $SO_2$  на границе фаз. Рассмотрена 1-я р-ция, определенной ур-нием:  $SO_2 + J_2 + 2H_2O = H_2SO_4 + 2HJ$  (1). Исследовалось влияние на р-цию (1) различных факторов. Установлено, что порядок исследования р-ции  $\sim 0,5$ . Р-ция протекает до конца тем скорее, чем меньше первоначальная конц-ия  $J_2$ . Изменение константы скорости р-ции с т-рой незначительно. Возрастание скорости перемешивания жидкой фазы ускоряет процесс. Чем меньше вязкость р-рителя, тем больше скорость р-ции. Исследовались р-ры  $J_2$  в этиловом, метиловом и изопропиловом спирте с различным содержанием воды, а также в чистой воде. Скорость р-ции понижается с уменьшением граничной поверхности. Прибавление солей легких металлов ускоряет исследуемое превращение. Проводились исследования в 0,5 M KJ, KBr, KCl и NaCl. Наиболее сильное влияние имеет KJ, самое слабое NaCl. Прибавление  $HJ$  ускоряет, а прибавление  $H_2SO_4$  замедляет исследуемое превращение в пределах определенных конц-ий. Скорость р-ции растет пропорционально первой степени давления газообразной  $SO_2$ . Предполагается, что йод принимает участие в р-ции в атомном виде, образуя «крит. комплекс»  $SO_2J$ . Вероятный механизм р-ции:  $J_2 \rightleftharpoons 2J$ ;  $J + SO_2 \rightleftharpoons SO_2J$ ;  $SO_2J + J \rightleftharpoons SO_2J_2$ ;  $SO_2J_2 + 2H_2O \rightleftharpoons 2HJ + H_2SO_4$ .

A. Fuliński

56760. Кинетика реакции между йодистым водородом и двуокисью серы на границе фаз жидкость — газ. Витекова, Витек (Kinetyka reakcji między jodowodorem a dwutlenkiem siarki na granicy faz ciecz-gaz. Witekowa Stanisława, Witek

Tadeusz), Roczn. chem., 1957, 31, № 2, 437-447 (польск.; рез. англ.)

Исследована кинетика р-ции на границе фаз между р-ром  $HJ$  и газообразным  $SO_2$  согласно ур-нию  $HJ + SO_2 \rightleftharpoons HJ \cdot SO_2$  (1). Комплекс  $HJ \cdot SO_2$  желтого цвета; его конц-ия определялась спектрофотометрически. При давл.  $\sim 760$  мм рт. ст. и т-ре 0°-35° прямая и обратная р-ции 1-го порядка; константа равновесия  $K$  равна 0,319. Скорость р-ции незначительно возрастает при увеличении т-ры.  $K$  не зависит от давления  $SO_2$ , но равновесие устанавливается тем скорее, чем больше давление  $SO_2$ . Р-ция (1) экзотермична; комплекс  $HJ \cdot SO_2$  при повышении т-ры полностью разлагается.

A. Fuliński

56761. Об одном замечательном случае химической индукции. Абель (Über einen bemerkenswerten Fall chemischer Induktion. A b e l E.), Monatsh. Chem., 1957, 88, № 6, 1107-1109 (нем.)

Р-ция окисления гидросилилином  $Ti^{3+}$  в  $Ti^{4+}$  индуцирует окисление гидросилилином  $J^-$  в  $J_2$  (Yost Don M., Zabaro Sydney, J. Amer. Chem. Soc., 1926, 48, 1181). Автор предлагает механизм р-ции с участием  $NH_2^-$ ,  $NH_2$ ,  $OH^-$  и  $OH$  в соответствии со своими взглядами на химию радикалов  $NH_2$  (РЖХим, 1955, 25806).

A. Ревзин

56762. Кинетика реакции окисления тиосульфата перекисью водорода в присутствии вольфрамовой кислоты. Яцимирский К. Б., Нарышкина Е. Ф., Ж. неорган. химии, 1958, 3, № 2, 346-351

Кинетика окисления  $Na_2S_2O_3$  с помощью  $H_2O_2$  в присутствии  $Na_2WO_4$  и  $CH_3CO_2H$  изучалась при 21° фототурбидиметрич. методом с добавкой  $BaCl_2$  по поглощению света образующимся  $BaSO_4$ . Скорость р-ции описывается ур-нием  $d(SO_4^{2-})/dt = \chi(H_2WO_4)(H_2O_2)(S_2O_3^{2-})^{0,736}$ , где  $\chi = 1,35 \cdot 10^5$  моль/л мин, увеличивается с ростом  $(H^+)$  и уменьшением ионной силы р-ра. Р-ция имеет индукционный период, продолжительность которого обратно пропорциональна конц-ии реагирующих в-в. Из 13 катионов только  $Cd^{2+}$ ,  $Fe^{3+}$  и  $Cu^{2+}$  существенно влияют на скорость р-ции. Органич. анионы сильно замедляют р-цию.

A. Ревзин

56763. Повышенная химическая активность поверхности по сравнению с активностью в объеме в универсальных буферных растворах Бриттона — Робинсона. Пайк, Хаббард (Increased chemical reactivity of the surface compared with that in the bulk volume of Britton-Robinson universal buffers. Pike Robert G., Hubbard Donald), J. Res. Nat. Bur. Standards, 1957, 59, № 6, 411-414 (англ.)

Разница в хим. активности на поверхности и в объеме универсальных буферных р-ров Бриттона — Робинсона определялась в интервале рН 7-11,8 по изменению интерференционной картины на поверхности полированного стекла Корнинг 015 при частичном погружении его в р-р на 6 час. при 80°. При рН < 6,5 стекло не может служить индикатором. Разница в активности эквивалентна увеличению эффективной рН на поверхности буферного р-ра и составляет 2,4 рН при рН 7 и 0,2 рН при рН 11,0. Полученные результаты применимы не ко всем р-рам в изученной области рН, а только к данной серии буферных р-ров.

A. Ревзин

56764. О реакционной способности олефинов. Чирков Н. М., Рустамов Х. Р., Тр. Среднеаз. политехн. ин-та, 1957, вып. 4, 335-338

На вакуумно-статич. установке изучены термодинамика и кинетика поглощения пропилена и н-бутиленов (смесь 75-80% бутилена-1 и 20-25% бутилена-2)  $H_2SO_4$  (I), а также кинетика алкилирования  $C_2H_6$  этими же олефинами в присутствии I. Установлено, что при 75°, конц-ии I 60-85%, начальном давлении олефина 10-300 мм рт. ст. реакционная способность  $C_2H_6$



больше, чем  $C_4H_8$ . Приведена графич. зависимость логарифма константы скорости от функции кислотности Гамметта. Истинная энергия активации равна  $E = E_0 + \lambda_0 + \lambda_{H^+}$  (для образования кислых эфиров) и  $E = E_0 + \lambda_0 + \lambda_q$  (для образования алкилата), где  $\lambda_0$ ,  $\lambda_q$  — теплоты испарения олефина и бензола,  $\lambda_{H^+}$  — теплота, в экспоненциальной степени которой изменяется конц-ия протона с изменением т-ры,  $\lambda_q$  — теплота образования кислых эфиров из к-ты и растворенного олефина,  $E$  и  $E_0$  — истинная и эффективная энергии активации.

Н. Дабагов

**56765.** Влияние кислотной функции на скорость конденсации олефин-формальдегид. Эллен, Кусман (Influence de la fonction d'acidité sur la vitesse de condensation oléfine-formol. Hellin Michel, Coussemant Fernand), C. r. Acad. sci., 1957, 245, № 26, 2504—2507 (франц.)

Скорость конденсации  $HCNO$  с  $C_3H_6$ , бутеном-1 и бутеном-2 с образованием соответствующих м-диоксанов в водн. р-ре в присутствии 5—45%  $H_2SO_4$  при 60° пропорциональна кислотной функции Гамметта, а не конц-ии к-ты.

А. Ревзин

**56766.** Влияние кислотных добавок на кинетику реакции ацилирования ароматического амина в инертном растворителе. Литвиненко Л. М., Александрова Д. М., Докл. АН СССР, 1958, 118, № 2, 321—324

Малые добавки бензойной к-ты (I) ускоряют р-цию ацилирования анилина бензоилхлоридом (II) и бензойным ангидридом (III) в р-ре  $C_6H_6$ . Скорость р-ции пропорциональна конц-ии мономера I. При 25° константы скорости некаталитич. р-ций для II 0,0700, для III 0,000816 л/моль·сек, каталитич. константы 22,3 и 9,86 л<sup>2</sup>/моль<sup>2</sup>·сек соответственно. Энергия активации каталитич. р-ции для III ~ 4000 кал/моль. Различие в действии  $HCl$  и I на р-цию авторы объясняют тем, что эти к-ты дают с аминами соединения различного типа: I не дает с амином ионного соединения.

А. Ревзин

**56767.** К вопросу о гидролизе эфиров под действием кислот. Влияние нейтральных солей. Гофман (Über die Säure-Hydrolyse von Estern. Neutrale Salzwirkung. Hoffmann Paul), Acta phys. et chem., 1955, 1, № 1—4, 15—23 (нем.)

При 15—65° титриметрически измерены скорости  $w$  катализированного  $HClO_4$  или  $H_2SO_4$  гидролиза этилацетата (I) в присутствии  $NaClO_4$  или  $Na_2SO_4$ . Получено ур-ние  $w = k[HA]$ , где  $[HA]$  — конц-ия к-ты,  $k$  — константа скорости;  $k = k_0f$ , где  $k_0$  зависит только от т-ры,  $f$  — средний коэф. активности соли. При 25°  $f$  для  $Na_2SO_4$  с увеличением конц-ии от 0,1 до 3,0 моль/л уменьшается от 0,529 до 0,171, а  $f$  для  $NaClO_4$  — от 0,775 до 0,611. При 25°  $k_0$  равна в случае  $Na_2SO_4$  ~ 0,007, а в случае  $NaClO_4$  ~ 0,0106. Из температурной зависимости  $k$  определены энтропия  $\Delta S$ , теплота  $\Delta H$  и свободная энергия активации  $\Delta G$ . Величина  $\Delta G$  (22,8 ккал/моль) совпадает в случае  $Na_2SO_4$  и  $NaClO_4$  и не зависит от конц-ии соли  $C$ ;  $\Delta H$  при увеличении  $C$  от 0 до 3 M в случае  $NaClO_4$  возрастает от 16,42 до 16,79, а в случае  $Na_2SO_4$  падает от 15,41 до 10,16 ккал/моль;  $-\Delta S$  при этом в случае  $NaClO_4$  падает от 18,03 до 16,63, а в случае  $Na_2SO_4$  возрастает от 22,19 до 41,22 энтр. ед.

Г. Королев

**56768.** Органические реакции при высоком давлении. III. Распад перекиси бензоила. Уоллинг, Пеллон (Organic reactions under high pressure III. The decomposition of benzoyl peroxide. Walling Cheves, Pellon Joseph), J. Amer. Chem. Soc., 1957, 79, № 17, 4786—4788 (англ.)

Р-ция распада перекиси бензоила (I) в р-ре ацето-

фенона (конц-ия 0,01—0,1 M) при 80° и дав. 1—1500 атм имеет 1-й порядок. Константа скорости при 1 атм на 22% больше, чем при 1500 атм. При дав. > 3500 атм скорость р-ции быстро растет с давлением и не ингибируется метилметакрилатом (0,3 M); порядок р-ции > 1. Авторы полагают, что при давлении 3500 атм I разлагается по нерадикальному механизму. Начальная скорость распада I в р-ре кумола, содержащем в качестве ингибитора цепного распада 0,2 M стирола (без воздуха) в присутствии Hg при конц-ии I, равной 0,1 M, на 17% выше, чем в отсутствие Hg; р-ция ускоряется автокаталитически. Наблюдается образование тяжелого белого осадка, являющегося, по предположению авторов, органич. Hg-соединением. В тех же условиях при конц-ии I, равной 0,01 M, Hg не влияет на скорость распада I. Часть II см. РЖХим, 1958, 34962.

Р. Милотинская

**56769.** Дейтерный обмен декаборана с окисью дейтерия и хлористым дейтерием. Хоторн, Миллер (Deuterium exchange of decaborane with deuterium oxide and deuterium chloride. Hawthorne M. Frederick, Miller John J.), J. Amer. Chem. Soc., 1958, 80, № 3, 754 (англ.)

При дейтерообмене  $B_{10}H_{14}$  с  $D_2O$  или  $DCl$  при комнатной т-ре в р-ре диоксида сначала замещаются на D мостиковые H до  $B_{10}H_{10}D_4$ , а затем внешние H. В р-ре  $CH_2Cl_2$  обмена не происходит. Авторы считают, что наличие заметного обмена внешних H только в присутствии основных р-рителей указывает на основной катализ внутренней перегруппировки мостиковых H во внешнее положение.

А. Ревзин

**56770.** Водородный изотопный эффект при ароматическом сульфировании. II. Температурная зависимость. Бергlund-Ларссон (Isotope effect of hydrogen in aromatic sulphonation. II. Temperature dependence. Berglund-Larsson Ulla), Arkiv kemi, 1957, 10, № 6, 549—560 (англ.)

Измерены скорости сульфирования  $C_6H_5Br$  (I), 4- $C_6H_4Br$  (II), меченного D и 4- $C_6H_5Br$  (III), меченного T, олеумом в р-ре  $C_6H_5NO_2$  при 0, 25 и 50°. Отношения  $k_D/k_H$  ( $k_D$  и  $k_H$  — уд. скорости сульфирования II и I) при указанных т-рах соответственно равны 0,67, 0,70 и 0,73.  $k_T/k_H$  ( $k_T$  — уд. скорость сульфирования III) во всех случаях ~ 0,5. Авторы считают, что установленная очень слабая зависимость  $k_T/k_H$  и  $k_D/k_H$  от т-ры подтверждает реакционную схему, предложенную ранее. Часть I см. РЖХим, 1954, 46130.

Р. Милотинская

**56771.** О дейтерообмене с полициклическими ароматическими соединениями. Даллинга, Веррей-Стюарт, Смит, Маккор (Über den Wasserstoff-Deuterium-Austausch von mehrkernigen Aromaten. Dallinga G., Verrijn Stuart A. A., Smit P. J., Mackor E. L.), Z. Elektrochem., 1957, 61, № 1019—1027. Diskuss., 1027 (нем.)

Исследован дейтерообмен между полициклич. ароматич. углеводородами (нафталин, антрацен, дифенил, пирен, 1,2-бензантрацен, перилен, трифенилен, хризен) и к-тами в р-рах. В качестве р-рителя использовались тройные смеси  $CF_3COOD-D_2SO_4-CCl_4$ . Последний компонент вводился для получения гомог. р-ров. Изотопный анализ углеводородов после обмена проводился с помощью масс-спектрометра, что позволило получить данные по относительному содержанию моно-, ди-, три- и т. д. дейтерозамещ. углеводородов, а также определить не только суммарную, но и раздельные скорости обмена неравноценных атомов H в молекулах каждого из углеводородов. Константы скорости изотопного обмена (вычисленные по ур-нию 1-го порядка) линейно зависят от кислотной функции  $H_0$  р-ра. Величины  $H_0$  мало зависят от содержания  $CCl_4$ . Рассмотрен вопрос о механизме обменных р-ций между поли-

диналич. ароматич. углеводородами и к-тами с промежуточным образованием карбонильных ионов. Достаточно хорошее совпадение расчетных и опытных данных получается при использовании метода Хьюккеля в сочетании с методом самосогласованного поля.

Я. Варшавский

56772. Реакция между спиртами и хлорангидридами в малополярных растворителях. Хадсон, Стеллер (The reaction between alcohols and acid chlorides in solvents of low polarity. Hudson R. F., Steller I., Trans. Faraday Soc., 1958, 54, № 2, 213—221 (англ.))

Изучена кинетика р-ции ацетилхлорида с  $C_2H_5OH$ ,  $C_2H_5CH_2OH$ ,  $изо-C_3H_7OH$ ,  $втор-C_4H_9OH$  и  $n-C_6H_{11}OH$  в циклогексане,  $CCl_4$  и  $C_6H_6$ , а также р-ции  $n$ -нитробензоилхлорида с  $H_2O$ ,  $CH_3OH$  и  $C_2H_5OH$  в диоксане. Скорость р-ции и степень ассоциации спирта определялись спектрофотометрически. Во всех случаях скорость р-ции пропорциональна концентрации ассоциированных друг с другом молекул спирта. В неполярных р-рителях р-ция происходит с молекулой, ассоциированной из трех молекул спирта, в то время как в  $C_6H_6$  в кинетике р-ции значительную роль играют димеризованные молекулы спирта.

А. Ревзин

56773. Кинетика, продукты и солевые эффекты в реакциях 2,4-динитрохлорбензола с аминами в хлороформе и этаноле. Росс, Финкельштейн (Rates, products and salt effects in the reactions of 2,4-dinitrochlorobenzene with amines in chloroform and in ethanol. Ross Sidney D., Finkelstein Manuel I., J. Amer. Chem. Soc., 1957, 79, № 24, 6547—6554 (англ.))

Изучена кинетика р-ции 2,4-динитрохлорбензола (I) в  $CHCl_3$  и  $C_2H_5OH$  с  $n$ -бутиламинном (II) с образованием  $N$ - $n$ -бутил-2,4-динитроанилина, с ди- $n$ -бутиламинном (III) с образованием  $N,N$ -ди- $n$ -бутил-2,4-динитроанилина, в  $CHCl_3$  с 2-фенилэтиламинном (IV) с образованием  $N$ -2-фенилэтил-2,4-динитроанилина, в  $C_2H_5OH$  с пиперидином (V) с образованием  $N$ -2,4-динитрофенилпиперидина и с пиридином (VI) с образованием 2,4-динитрофенола. Выход продуктов (кроме р-ции с VI) составляет 80—96% от теоретического. Добавление  $NH_4NO_3$ ,  $[(C_2H_5)_4N]NO_3$ ,  $[C_6H_5CH_2N(C_2H_5)_3]NO_3$ ,  $[C_6H_5CH_2N(C_2H_5)_3]Cl$ , а также  $[C_6H_5N]NO_3$  (в случае р-ции с VI) вызывает заметный солевой эффект, в то время как добавление  $LiCl$ ,  $LiNO_3$ ,  $[n-C_4H_9NH_3]Cl$  (VII) и  $[n-C_4H_9NH_3]NO_3$  (VIII) почти не влияет на скорость р-ции, что для VII и VIII связано с ассоциацией их в ионные пары. Для II—V скорость р-ции подчиняется уравнению  $d[продукт]/dt = k_1[амин] + k_2[амин]^2$  (с — ион-ция I); предполагается хионидный тип промежуточного комплекса; для VI р-ция бимолекулярна.

А. Ревзин

56774. О механизме каталитической *цис* — *транс*-перегруппировки азобензола. Шульте-Фролинде (Über den Mechanismus der katalytischen *cis* → *trans*-Umlagerung von Azobenzol. Schulte-Frohlinde Dietrich), Liebigs Ann. Chem., 1958, 612, № 1—3, 131—138 (нем.)

Изучалось каталитич. влияние 74 неорганич. и органич. в-в и разных р-рителей на скорость *цис* — *транс*-перегруппировки азобензола (I) ~ 25°. В-ва, не обладающие сильноокисными или окислительно-восстановительными свойствами, не оказывают каталитич. действия. Автор считает, что при катализе акцепторами электронов с переносом одного электрона переходный комплекс образуется в виде иона-радикала, при переносе двух электронов р-ция идет по ионному механизму. В полярных р-рителях некатализир. р-ция замедляется, каталитич. р-ция ускоряется, т. е. переходные состояния соответственно менее или более полярны, чем исходное состояние. Показано, что при катализе

гидразобензолом не происходит переноса H. В отличие от других доноров электронов, при катализе ионами  $H^+$  стадией, лимитирующей скорость р-ции, является образование переходного комплекса из продукта присоединения катализатора к I. Каталитич. действие  $\mu$ -S приписывается радикалоподобным концам цепей полимерной S; в золях S действуют группы SH.

А. Ревзин

56775. О термической и каталитической *цис* — *транс*-перегруппировке замещенных азобензолов. Шульте-Фролинде (Über die thermische und katalytische *cis* → *trans*-Umlagerung substituierter Azobenzole. Schulte-Frohlinde Dietrich), Liebigs Ann. Chem., 1958, 612, № 1—3, 138—152 (нем.)

Изучена кинетика *цис* — *транс*-перегруппировки  $n$ -йод-,  $n,n'$ -дихлор-,  $n$ -хлор-,  $n$ - и  $m$ -нитро-,  $n,n'$ -динитро-,  $n$ -метокс-,  $n,n'$ -диметил-,  $n,n'$ -диметокс-,  $n$ -диметиламино- и  $n$ -нитро- $n'$ -метоксiazобензола при разных т-рах. Р-ции следуют 1-му порядку; энергия активации  $E$  (ккал/моль) 20,4—23,0,  $lg A$  (A — предэкспонент в сек.<sup>-1</sup>) 10,2—12. Для перегруппировки азобензола в присутствии катализаторов (тиофенола, тиомочевины и гидразобензола)  $E$  5,5—12,0,  $lg A$  0,28—7,8. При р-ции  $n$ -гидроксиазобензола происходит автокатализ с  $E$  5,35,  $lg A$  0,75. Автор считает, что малые значения A, найденные для некоторых р-ций *цис* — *транс*-перегруппировок, объясняются каталитич. механизмом протекания этих р-ций; неадиабатич. механизм перехода в триплетное состояние (Magee J. L. и др., J. Amer. Chem. Soc., 1941, 63, 677) автор отвергает.

А. Ревзин  
56776. Механизм реакции арилизоцианатов со спиртами и аминами. Часть VI. Предварительное исследование реакции с аминами: комплексобразование с аминами и мочевиной в растворе бензола. Часть VII. Самопроизвольная реакция с аминами. Часть VIII. Катализируемая основаниями реакция с аминами. Бейкер, Бейли (The mechanism of the reaction of aryl isocyanates with alcohols and amines. Part VI. Preliminary investigations with amines: complex-formation by amines and ureas in benzene solution. Part VII. The «spontaneous» reaction with amines. Part VIII. The base-catalysed reaction with amines. Baker John W., Bailey D. N., J. Chem. Soc., 1957, Nov., 4649—4651; 4652—4662; 4663—4668 (англ.))

VI. Каталитическое воздействие продуктов р-ции  $ArNCO + NH_2R \rightarrow ArNHCONHR$  (I) (1) в бензольном р-ре при 20° осложняется влиянием на растворимость I присутствующих в р-ре  $ArNCO$ ,  $RNH_2$  и третичного амина (B), применяемого в качестве катализатора. Увеличение растворимости I приписывается комплексобразованию между присутствующими в р-ре соединениями, по-видимому, за счет образования водородных связей.

VII. Измерялась кинетика р-ции (1) в сухом бензоле при 20° для четырех систем: 1)  $Ar = C_6H_5$ ;  $R = n-C_6H_4-CO_2C_2H_5$ ; 2)  $Ar = цикло-C_6H_{11}$ ;  $R = C_6H_5$ ; 3)  $Ar = C_6H_5$ ;  $R = C_6H_5$ ; 4)  $Ar = CH_3OC_6H_4$ ;  $R = C_6H_5$ . Зависимость  $1/(a-b) \ln\{(a-x)/a(b-x)\}$  от времени ( $a$  и  $b$  — начальные конц-ии реагентов,  $x$  — конц-ия продукта) имеет сложный в общем случае S-образный вид. Авторы объясняют кинетику р-ции механизмом  $ArNCO + A \rightleftharpoons комплекс$ ; комплекс +  $RNH_2 \rightarrow продукты$ , где A — I или  $RNH_2$ . Кинетика усложняется гетерог. факторами. В 1-й стадии р-ция гомогенна. Далее продукт начинает выпадать в осадок, скорость образования которого ( $r_f$ ) больше скорости осаждения ( $rd$ ) (имеет место перенасыщение). В следующих стадиях  $rd > r_f$  и, наконец,  $rd = r_f$ . В последнем случае р-ция начинает следовать 2-му порядку. Каталитич. действие продукта связывается с его кислотным (а не основным) действием, так как более сильные основания оказыва-



ются менее активными катализаторами, чем продукты.

VIII. Исследование кинетики р-ции в присутствии В в бензоле при 20° показывает, что р-ция развивается по параллельным путям: 1) самопроизвольная р-ция; 2) р-ция, катализируемая продуктом; 3) р-ция, катализируемая В:  $\text{AgNCO} + \text{B} \rightleftharpoons \text{комплекс}$ ; комплекс +  $\text{RNH}_2 \rightarrow \text{I} + \text{B}$ ; 4) р-ция, катализируемая одновременно В и продуктом:  $\text{AgNCO} + \text{B} + \text{I} \rightleftharpoons \text{тройной комплекс}$ ; тройной комплекс +  $\text{RNH}_2 \rightarrow 2\text{I} + \text{B}$ . При  $\text{B} = \text{N}(\text{C}_2\text{H}_5)_3$  скорость возрастает в порядке  $\text{Ag} = \text{C}_6\text{H}_5 \ll \text{n} = \text{CH}_3\text{OC}_6\text{H}_4 < \text{C}_6\text{H}_5$ . При  $\text{Ag} = \text{C}_6\text{H}_5$  каталитич. эффект В возрастает с увеличением его основности:  $\text{B} = \text{N}(\text{C}_2\text{H}_5)_3 > \text{C}_6\text{H}_5\text{N}$ . Диметиланилин оказывает очень слабый каталитич. эффект, что объясняется стерич. затруднениями. Часть V см. Baker J., J. Chem. Soc., 1949, 27.

56777. Исследование горения методом кинетической спектроскопии. Норриш (The study of combustion by kinetic spectroscopy. Norrish R. G. W.), Experimentia, 1957, Suppl., № 7, 87—112 (англ.)

Обзор работ автора по применению метода импульсного фотолиза в кинетич. спектроскопии процессов воспламенения смесей  $\text{H}_2 - \text{O}_2$  при изучении образования С в пламенах  $\text{C}_2\text{H}_2$ , окисления  $\text{H}_2\text{S}$ , детонационного воспламенения углеводородов и подавления детонации тетраэтилсвинцом. Библ. 23 назв.

56778. Спектроскопическое исследование электронных температур и распределения энергии в пламени. Бройда, Шулер (Spectroscopic study of electronic flame temperature and energy distributions. Broida Herbert P., Shuler Kurt E.), J. Chem. Phys., 1957, 27, № 4, 933—939 (англ.)

Ввиду трудности измерения распределения энергии по электронным уровням для  $\text{OH}$  и  $\text{O}_2$  в пламенах эти измерения проведены для электронного спектра Fe, выводимого в виде ферроцена (дициклопентадиенжелезо). В пламенных газах вне реакционной зоны пламен  $\text{H}_2/\text{O}_2$  и  $\text{C}_2\text{H}_2/\text{O}_2$  при давл.  $< 1 \text{ атм}$  и атомарном пламени  $\text{N}/\text{CO}$  при 3,7 мм рт. ст. измеренные таким способом электронные т-ры несколько ниже адиабатич. и на 200° выше ротационных т-р  $\text{OH}$ , что оправдывает использование спектра Fe в качестве «электронного термометра» для пламенных газов. В зоне р-ции углеводородных пламен в спектре Fe появляются линии в пределах длин волн 50 000—60 000  $\text{см}^{-1}$ , соответствующие электронной т-ре до 10 000° K. В качестве источника энергии этого возбуждения предполагается специфич. для высокотемпературного окисления углеводородов р-ция типа окисления осколков, образовавшихся при распаде углеводородной молекулы:  $\text{CH} + \text{O} + \text{M} \rightarrow \text{CO} + \text{M} + \text{H}$ . В водородных пламенах, где теплота экзотермич. р-ций  $\leq 116 \text{ ккал}$  (рекомбинация атомов O), обеспечивается возбуждение в спектре Fe только до 38 000  $\text{см}^{-1}$  и повышение т-ры в реакционной зоне до 3325° K (вместо адиабатич. 3400° K).

56779. Спектроскопическое исследование предпламенных реакций n-гептана в двигателе на режиме прокрутки. Пайпенберг, Панке (Spectrometric investigations of n-heptane preflame reactions in a motored engine. Pipenberg K. J., Pahnke A. J.), Industr. and Engng Chem., 1957, 49, № 12, 2067—2072 (англ.)

Спектроскопическое исследование предпламенных р-ций при сжатии воздушных смесей n-гептана в цилиндре двигателя (ASTM) производилось с помощью спец. спектрографа и системы затворов, допускающих определение спектров испускания и поглощения в данной фазе цикла или изменение по времени интенсивности в данной части спектра. На основании ана-

лиза спектров в УФ-области, близкой к ИК- (1—3,5  $\mu$ ) (ИК-1) и ИК-частям спектра (1,5—10  $\mu$ ) (ИК-2) приводятся характеристики продуктов для последовательных стадий многостадийного самовоспламенения — холодного пламени (ХП), следующего за ним голубого пламени (ГП) и предшествующего горячему воспламенению интенсивного голубого пламени (ИГП). В ХП спектр испускания в УФ тождественен со спектром возбужденного  $\text{CH}_2\text{O}$ ; в ИК-1 имеются полосы  $\text{H}_2\text{O}$ ,  $\text{CO}_2$ ,  $\text{CH}$  и отсутствуют полосы при 2,92  $\mu$ , соответствующие колебаниям перекисной связи  $\text{O}-\text{H}$  (даже при введении добавки трет-бутилгидроперекиси); в ИК-2 обнаружены полосы  $\text{H}_2\text{O}$ ,  $\text{CO}_2$ ,  $\text{CO}$ , углеводородов и карбонильных групп. В ГП интенсивность полос  $\text{CH}_2\text{O}^*$  снижается в  $\sim 3$  раза, но усиливается интенсивность ИК-1 и ИК-2 спектров. В ИГП в УФ имеются полосы  $\text{CO}_2$ ,  $\text{CH}_2\text{O}$  и  $\text{HCO}$ , наложенные на континуум  $\text{CO}$ . ИК-спектр аналогичен горячему пламени, но без полос  $\text{CH}$  (2,3—2,4  $\mu$ ) и полос  $\text{OH}$ , что указывает на переходной характер ИГП между ХП и горячим пламенем. Интенсивность излучения 5,8  $\mu$ , соответствующая карбонильным соединениям, снижается при переходе от ХП к ИГП; при добавке ТЭС остается неизменной в ХП и возрастает в ИГП.

56780. Термическая реакция между водородом и диоксидом азота. Часть 4. Тепловое воспламенение  $\text{H}_2$  и  $\text{NO}_2$ . Ашмор, Левитт (The thermal reaction between hydrogen and nitrogen dioxide. Part 4. Thermal ignitions of hydrogen and nitrogen dioxide. Ashmore P. G., Levitt B. P.), Trans. Faraday Soc., 1958, 54, № 3, 390—393 (англ.)

Методом, описанным ранее (РЖХим, 1957, 3776), определены границы воспламенения смесей  $\text{H}_2$  и  $\text{NO}_2$  в зависимости от состава при т-рах 516—570°. Анализ результатов при помощи у-рия Франк-Каменецкого (Диффузия и теплопередача в химической кинетике. АН СССР, 1947) показывает, что воспламенение является по характеру тепловым и подчиняется такому же закону скорости, что и найденный для более низких т-р.  $\text{NO}$  оказывает ингибирующее действие на р-цию, повышая предел воспламенения. Часть 3 см. РЖХим, 1957, 73938.

56781. Исследование кинетики реакции  $\text{N}_2 + \text{O}_2 \rightleftharpoons 2\text{NO}$  в интервале температур 2000—3000° K в ударной трубе с одиночным импульсом. Глик, Клейн, Скуайр (Single-pulse shock tube studies of the kinetics of the reactions  $\text{N}_2 + \text{O}_2 \rightleftharpoons 2\text{NO}$  between 2000—3000° K. Glick H. S., Klein J. J., Squire W.), J. Chem. Phys., 1957, 27, № 4, 850—857 (англ.)

Для исследования кинетики р-ции  $\text{N}_2 + \text{O}_2 \rightleftharpoons 2\text{NO}$  при высоких т-рах применена методика ударной трубы с одиночным температурным импульсом — нагревом реагирующего газа в ударной волне (УВ), отраженной от закрытого конца, с последующим быстрым охлаждением продуктов в волне разрежения. Спец. подбором состава сжатого газа исключается вторичное отражение УВ от сжатого газа ( $\text{Ar}$ ,  $\text{Kr}$ ,  $\text{Ar} + \text{He}$ ) и обеспечиваются неизменные энтальпия и давление реагирующего газа до начала разрежения. При расчете т-ры в УВ авторы принимают, что времена релаксации для всех степеней свободы малы, а время р-ции велико, по сравнению с длительностью пребывания газа в отраженной УВ, т. е. пренебрегают нагревом газа в процессе р-ции. Величина  $k_2$ , определенная по анализу продуктов р-ции, уменьшается с увеличением концентрации воздуха в  $\text{Ar}$  или в  $\text{Kr} \sim [\text{O}_2]^{-1/2}$ . С учетом этой зависимости получены значения энергии активации для  $k_2$  92 и  $k_1$  135  $\text{ккал/моль}$  при  $\Delta H_{2980}^\circ = 75,8 \text{ ккал/моль}$ , что близко к величинам, полученным Зельдовичем (Acta physicochim. URSS, 1946, 21, 577),

и подтверждает предложенную им ценную схему окисления через атомы О.

А. Соколик  
56782. О критических условиях поджигания горючих газовых смесей нагретыми твердыми телами. Розловский А. И., Докл. АН СССР, 1957, 117, № 4, 651—654

Критические условия поджигания газовых смесей нагретыми поверхностями, формулированные Зельдовичем с пренебрежением зависимостью скорости р-ции от концентрации смеси, уточняются, принимая 1-й порядок относительно недостающего компонента. При расчете условий поджигания вместо скорости р-ции используется нормальная скорость пламени у пределов распространения. Проведенные таким способом расчеты проверены на эксперим. данных (Silver R. S., Philos. Mag., 1937, 23, № 156; Paterson S., Philos. Mag., 1939, 28, № 186, 1; 1940, 30, № 203, 437) по воспламенению газов от нагретых шариков.

А. Соколик  
56783. Химическая кинетика в воздухе при высоких температурах. Проблема сверхзвуковой аэродинамики. Фельдман (The chemical kinetics of air at high temperatures: a problem in hypersonic aerodynamics. Feldman Saul), 1957 Heat Transfer and Fluid Mech. Inst. Stanford, Calif., s. a., 173—192 (англ.)

В ударной трубе с плоской пластиной с острым краем и телом клинообразной формы, помещенными в поток, исследовалась степень установления термодинамич. равновесий диссоциации в воздухе, нагреваемом при движении в нем тел со сверхзвуковыми скоростями. Характеристика течения осуществлялась с помощью шпирен-фотографий воли Маха. Сопоставление опытов с расчетом показывает, что скорость диссоциации достаточно велика для установления термодинамич. равновесий в ударной волне, набегающей на препятствие.

А. Соколик  
56784. Горение и детонация в газах. Грейфер, Купер, Гибсон, Мейсон (Combustion and detonation in gases. Greifer B., Cooper J. C., Gibson F. C., Mason C. M.), J. Appl. Phys., 1957, 28, № 3, 289—294 (англ.)

Методом высокоскоростной непрерывной развертки (до 0,7 мм/мксек) в комбинации со шпирен-методом исследовались переход дефлаграционного горения в детонацию и распространение стационарной детонационной волны (ДВ) в кислородных смесях CO и H<sub>2</sub>. В индукционном периоде, предшествующем возникновению стационарной ДВ, зарегистрированы аккумуляция последовательных волн сжатия в ударную волну, раздельное распространение ударной волны и следующего за ней фронта пламени, последовательные самовоспламенения газа, непосредственно предшествующие возникновению ДВ. Полосатая структура за фронтом ДВ обнаружена не только для спиновой (в смесях CO), но и для спиновой детонации (в стехиометрич. смеси H<sub>2</sub>/O<sub>2</sub>), в последнем случае с частотой ~ 1 Мгц. Авторы предполагают, что прерывный механизм распространения ДВ с образованием последовательных ДВ является общим для любой стационарной ДВ.

А. Соколик  
56785. Элементарный вывод законов течения при детонации. Рот (Die elementare Ableitung der Strömungsgesetze der Detonation. Roth J. F.), Explosivstoffe, 1958, 6, № 2, 23—31; № 3, 45—54 (нем.)

56786. Применение радиоактивных индикаторов для изучения явления формы порохового заряда. Брайан, Эйкльбергер, Мак-Доналд, Зигман (Application of radioactive tracers to the study of shaped charge phenomena. Bryan G. M., Eichelberger R. J., MacDonald D., Zigman P. E.), J. Appl. Phys., 1957, 28, № 10, 1152—1155 (англ.)

С помощью изотопа Fe<sup>59</sup> изучена скорость струи пороховых газов при выстреле в зависимости от формы

порохового заряда и положения данного элемента струи относительно оси струи.

Э. Чудинов  
56787. Температура пламени одиночной капли жидкого топлива. Гуревич М. А., Штейнберг В. Б., Ж. техн. физ., 1958, 28, № 2, 394—401

Т-ра (Т) горящей капли жидкого топлива, падающей в вертикальной трубчатой печи, измерялась с помощью оптич. цветового пирометра, основанного на применении двух фотоэлементов с резко различными кривыми спектральной чувствительности и спец. схемы, позволяющей производить измерения при малой силе света пламени. Наблюдалось понижение Т с возрастанием диаметра капель; увеличение Т с возрастанием концентрации O<sub>2</sub> в атмосфере, слабое повышение Т с пройденным каплей расстоянием. Измеренные т-ры более чем на 500° ниже вычисленных по диффузионной теории.

А. Соколик  
56788. О значении диффузии через поры при восстановлении железной руды. Богданди, Янке (Über die Bedeutung der Pordiffusion bei der Reduktion von Eisenerzen. Bogdandy Ludwig von, Janke Wolfgang), Z. Elektrochem., 1957, 61, № 9, 1146—1153; исправление, 1958, 62, № 1, 105 (нем.)

Весовым методом измерена скорость восстановления шведской железной руды с относительным объемом пор 19%, в зависимости от т-ры (400—900°), скорости потока (4—28 см/сек), состава газа-восстановителя, степени восстановления руды и от размеров кусков (3—31 мм). Микроскопич. исследования показали наличие резко выраженного фронта р-ции FeO + H<sub>2</sub> = Fe + H<sub>2</sub>O. При 600—900° скорость восстановления определяется скоростью диффузии газа через поры от фронта р-ции наружу. Температурный коэф. процесса равен температурному коэф. диффузии. При т-ре < 600° скорость процесса определяется скоростью хим. р-ции на границе фаз. При малых размерах кусков руды (диам. < 5 мм) процесс протекает в кинетич. области при т-рах ≤ 800°. Исходя из диффузионного механизма процесса при 600—900°, авторы выводят выражение для скорости восстановления.

Е. Валов  
56789. Зависимость порядка реакции от исходных условий в гетерогенных системах. Случай термического разложения бромной меди. Барре, Перре (L'ordre en fonction des données initiales en cinétique des systèmes hétérogènes. Cas de la décomposition thermique du bromure cuivrique. Barret Pierre, Perret René), C. r. Acad. sci., 1957, 245, № 9, 903—905 (франц.)

Исследована кинетика термич. разложения при 140° навески CuBr<sub>2</sub> (80 мг), помещенной в вакууме (~ 10<sup>-4</sup> мм рт. ст.) в чашечку кварцевых пружинных микровесов с зеркальным отсчетом. Показано, что порядок р-ции n можно найти из ур-ния lg V = n lg C/C<sub>0</sub> (V — угол наклона касательной к кривой разложения, C/C<sub>0</sub> — степень разложения); n равно 1/3—1 в зависимости от условий опыта. При постоянной внешней поверхности образца истинный порядок р-ции равен нулю, т. е. начальная скорость не зависит от кол-ва в-ва, а первичный механизм р-ции обусловлен явлениями на поверхности.

В. Вассерберг  
56790. Образование δ-фазы при окислении α-Ti. Конч, Конч-Дери (Formation of the delta-phase by oxidation of α-titanium. Koncz I., Koncz-Déri M.), Period. polytechn., 1957, 1, № 1, 67—87 (англ.)

Окисление йодида титана исследовано при 570—820° и давл. 2—5 мм рт. ст. в чистом O<sub>2</sub> в течение 240 мин. Плотные, прочно связанные с поверхностью слои окисла обладают выпрямительными свойствами. Рентгенографически установлено в этих слоях при-



существование  $\delta$ -фазы Ti с тетрагон. кристаллич. ячейкой,  $a$  3,20 и  $c$  5,12 Å. Определены коэф. диффузии  $O_2$  в  $\alpha$ -Ti при 790–840°, равные соответственно  $10^{-11}$  и  $5 \cdot 10^{-11}$  см<sup>2</sup> сек<sup>-1</sup>. Предложено возможное объяснение механизма окисления.

**Резюме авторов**  
56791. К вопросу о связи между подвижностью ионов в решетке окислов и скоростью изотопного обмена. Елович С. Ю., Марголис Л. Я., Пробл. кинетики и катализа, 1957, 9, 129–132. Дискус., 134–142

Изучены кинетика взаимодействия CO с образцами  $MnO_2$  (I) с различной степенью отклонения от стехиометрич. состава при 20° и изотопный обмен (ИО) между  $CO_2$  и I в условиях протекания р-ции между CO и  $O^{18}O^{16}$ . Установлена повышенная подвижность атомов O в образцах I с недостатком O в решетке. В связи с этим обнаружено отсутствие заметного влияния содержания O в решетке I на скорость хемосорбции CO свидетельствует, по мнению авторов, что диффузия O в решетке I не является лимитирующей стадией хемосорбции CO. Установлено также, что чем больше O в решетке, тем больше скорость ИО. Авторы обращают внимание на важность учета стехиометричности твердых окислов как при изучении процессов ИО, так и при изучении механизма катализа р-ций изотопными методами.

**М. Сахаров**  
56792. Полупроводимость и катализ. Феншем (Semiconductivity and catalysis. Fensham Peter J.), Quart. Revs. London. Chem. Soc., 1957, 11, № 3, 227–245 (англ.)

Обзор. Библ. 85 назв.

**А. Ш.**

56793. Электропроводность и каталитическая активность смешанных катализаторов  $MgO$ — $CdO$ . Белянский, Дерень, Хабер, Вилькова (The electric conductivity and catalytic activity of  $MgO$ — $CdO$  mixed catalysts. Bielański A., Dereń J., Haber J., Wilkowska T.), Bull. Acad. polon. sci., 1957, Cl. 3, 5, № 6, 673–678 (англ.; рез. русск.)

Изучено дегидрирование этилового спирта на смешанном катализаторе  $CdO$ — $MgO$  (в соотношении 1:1,7). Одновременно проведены измерения электропроводности. После предварительного прогрева на воздухе до 500° катализатор в интервале 100–500° не обнаруживает изменения электропроводности с т-рой. Выход р-ции и изменение логарифма проводимости ( $|\Delta \lg \sigma|$ ) под действием смеси паров этилового спирта и  $H_2O$  постоянного состава также не зависят от т-ры в интервале 200–300°. Эти факты, по мнению авторов, находятся в полном согласии с точкой зрения, что кол-во носителей тока в катализаторе до начала р-ции влияет на адсорбционные равновесия, устанавливающиеся на его поверхности и, тем самым, на выход р-ции. При 450° происходит восстановление  $CdO$  с последующим испарением металлич. Cd. Восстановленный катализатор проявляет очень слабую каталитич. активность и имеет высокое электрич. сопротивление. Показано, что найденная ранее (РЖХим, 1957, 53997) связь между выходом р-ции и  $|\Delta \lg \sigma|$  остается линейной не только при изменении т-ры, но и при изменении состава смеси паров спирта и воды.

**В. Фролов**

56794. Металлические катализаторы в промышленности. III. Мадьяр (Fémkatalízis a műszaki gyakorlatban. III. Kontakt reakciók mechanizmusa. Magyar Miklós), Magyar kém. folyóirat, 1958, 64, № 1, 1–5 (польск.)

Для выяснения механизма гетерог. каталитич. р-ций на металлах следует рассматривать адсорбцию, поверхностную р-цию и десорбцию как единый элементарный процесс. Пользуясь методом Боденштейна, можно вывести ур-ния для скорости р-ций, подобно тому как это делается для стационарных р-ций. Правильность

предложенного метода показана на примере разложения  $NH_3$  и окисления  $C_2H_4$ . Сообщение II см. РЖХим, 1958, 46026.

**Резюме авторов**  
56795. Приготовление и свойства некоторых катализаторов дейтеробмена между водородом и водяным паром. Бриголи, Черран, Ренцони, Силвестри (Preparazione e comportamento di alcuni catalizzatori per la reazione di scambio isotopico del deuterio fra idrogeno e vapor d'acqua. Brigoli B., Cerrai E., Renzoni R., Silvestri M.), Nuovo cimento, 1957, 5, Suppl., № 3, 479–539 (итал.)

Приведены результаты испытания 65 различных катализаторов для р-ции  $HDO + H_2 \rightleftharpoons HD + H_2O$ , приготовленных путем смешивания формиата Ni с бетоном, пропиткой силикагеля р-рами формиата и нитрата Ni с последующим восстановлением в  $H_2$  при 300–400°, нанесением Pd на силикагель, Pt на силикагель и активный уголь, Fe и Fe +  $Cr_2O_3$  на пемзу. При 60–400° наиболее активными оказались катализаторы, содержащие Pt, активность которых на ~2 порядка выше, чем у катализаторов, содержащих Ni; Pd-катализатор малоактивен. Катализаторы, содержащие ~26% Fe или ~24% Fe + 2,4%  $Cr_2O_3$ , активны при 400–500°.

**В. Шенни**

56796. Исследование синтеза Фишера—Тропша. XVII. Изменения железных катализаторов во время предварительной обработки и синтеза. Стейн, Томпсон, Андерсон (Studies of the Fischer-Tropsch synthesis. XVII. Changes of iron catalysts during pretreatment and synthesis. Stein Karl C., Thompson Gordon P., Anderson Robert B.), J. Phys. Chem., 1957, 61, № 7, 928–932 (англ.)

Изучены изменения уд. поверхности (S), объема пор ( $V_1$ ), истинного объема ( $V_2$ ) и хим. состава Fe-катализаторов (K), происходящие в результате предварительной обработки K и проведения на них синтеза углеводородов под давлением. S и  $V_1$  осажденного  $Fe_2O_3$  с добавками  $CuO$  и  $K_2CO_3$  ( $K_1$ ) и плавного  $Fe_3O_4$  с добавками  $MgO$  и  $K_2O$  ( $K_2$ ) после проведения синтеза сокращаются до очень малых величин, по-видимому, вследствие почти полной закупорки пор высокомолекулярными продуктами синтеза. После экстракции этих продуктов использованных в синтезе  $K_1$  снова приобретает исходные хим. состав и структуру. После проведения синтеза на  $K_2$  содержащемся в нем металлич. Fe в значительной степени окисляется, и частично превращается в карбид. Повышенные значения  $V_2$  обнаруженные у  $K_2$ , восстановленные после проведения синтеза, авторы приписывают действию следов C и O, оставшихся после восстановления и стабилизирующих расширение решетки, происходящее во время синтеза. Авторы приходят к выводу, что активная зона K ограничивается лишь тонким поверхностным слоем его зерен. Часть XV см. РЖХим, 1958, 49650.

**М. Сахаров**

56797. К вопросу о механизме процесса конверсии окиси углерода водяным паром. Сигов С. А., Ибрагимов Ю. И., УзССР Фанлар Акад. ахбороти. Химия Фанлари сер., Изв. АН УзССР. Сер. хим. н., 1957, № 3, 21–27 (рез. узб.)

Р-ция  $CO + H_2O = CO_2 + H_2$  изучена в проточной системе при 300–500°, объемных скоростях V 600–1500 час.<sup>-1</sup>, в присутствии  $\alpha$ - $Fe_2O_3$ , промотированной окислами хрома и алюминия. На свежем катализаторе кол-во образующегося  $CO_2$  вначале превышает кол-во образующегося  $H_2$ , и лишь через определенный период времени (напр., 7 час. при 350° и V = 600 час.<sup>-1</sup>) катализатор начинает работать устойчиво. Катализатор, обработанный вначале при т-рах > 400°, значительно менее активен, чем обработанный при более низких т-рах, и активность его быстро

падает. Регенерация такого катализатора воздухом при 400° в течение 2 час. (с последующей обработкой исходной смесью при низких  $t$ -рах) приводит к той же активности, что и обработка при низких  $t$ -рах. Рентгеновский анализ катализатора после его работы указывает на присутствие в основном  $Fe_2O_3$ . Авторы считают, что первой стадией процесса является взаимодействие  $CO$  с  $Fe_2O_3$  с образованием  $Fe_3O_4$ , представляющей собой активную форму катализатора. Низкую активность катализатора, обработанного при высоких  $t$ -рах, авторы связывают с образованием углерода за счет  $r$ -ции Будуара и рекомендуют для получения катализатора с устойчивой высокой активностью вести восстановление катализатора при 300—350°.

С. Киперман  
56798. Исследование влияния условий катализа на содержание серы в барий-алюмо-ванадиевом серно-кислотном катализаторе. Корнейчук Г. П., Ройтер В. А., Стукановская Н. А., Рзаев П. Б., Жигайло Я. В., Пробл. кинетики и катализа, 1957, 9, 329—336

Изменение содержания  $S$  в барий-алюмо-ванадиевом сернокислотном катализаторе ( $K$ ) в зависимости от условий его контакта со смесями  $SO_2$  ( $I$ ) + воздух изучено методом радиоактивных индикаторов с использованием  $I$ , меченной  $S^{35}$ . Установлено, что изменение конц-ии  $I$  в смесях  $I$  с воздухом, использованных для обработки  $K$  при 500°, не оказывает заметного влияния на кол-во  $S$ , связываемой  $K$ . При обработке  $K$  смесями  $I$  + воздух одинакового состава кол-во  $S$ , связываемой  $K$ , при изменении  $t$ -ры от 460 до 550 проходит через минимум при 510°. Изменение содержания  $S$  в  $K$  не оказывает заметного влияния на каталит. активность  $K$ .

М. Сахаров  
56799. О каталитических реакциях на поверхности твердых амидов кальция и калия. Шатенштейн А. И., Дубинский Ю. Г., Яковлева Е. А., Гостунская И. В., Казанский Б. А., Изв. АН СССР. Отд. хим. н., 1958, № 1, 104—106

В статич. условиях при 70° изучен  $H-D$  обмен ( $O$ ) между 2-метилбутеном-1 ( $I$ ) и  $C_6H_6$  ( $II$ ) и твердыми  $Ca(ND_2)_2$  ( $III$ ) и  $KND_2$  ( $IV$ ). На 1 моль углеводорода брали 5—12 моль  $III$  и 4—8 моль  $IV$ . О между  $I$  и  $III$  и  $I$  и  $IV$  протекает с заметной скоростью (при 9 час. контакта с  $III$  конц-ия  $D$  в  $H_2O$ , полученной при окислении  $I$ , достигает 11,3 ат. %), но равновесие  $r$ -ции изомеризации  $I$  с перемещением двойной связи достигается при этом значительно быстрее, чем равновесие  $O$ . О между  $II$  и  $IV$  происходит легче, чем между  $I$  и  $IV$ . Авторы считают, что эти результаты, в сопоставлении с ранее полученными (РЖХим, 1957, 11593; 30768), свидетельствуют о принадлежности  $O$  и изомеризации алкенов с перемещением двойной связи к классу кислотно-основных  $r$ -ций и о протекании этих  $r$ -ций по одному и тому же механизму в гомог. и гетерог. условиях.

М. Сахаров  
56800. Исследование алюмосиликатных катализаторов методом радиоактивных индикаторов и рентгенографического анализа. Мелик-Заде М. М., Исмаилов И. М., Ханларова А. Г., Бузова П. Г., Сафаралиева И. Г. В сб.: Вопр. исслед. нефтей и нефтепродуктов, разработки процессов переработки нефти и обсл. заводск. установок. Вып. I. Баку, 1957, 95—96

56801. Ионный обмен на алюмосиликатных катализаторах в потоке щелочи при малых временах контакта. Панченков Г. М., Грязнова З. В., Кувшинников И. М., Докл. АН СССР, 1957, 114, № 6, 1276—1279

В динамич. условиях исследована кинетика ионного обмена между  $r$ -рами  $LiOH$ ,  $NaOH$  и  $KOH$  и алюмосиликатными катализаторами: промышленным, соста-

ва (в %)  $14Al_2O_3 + 86SiO_2$  ( $K-1$ ) и состава  $37Al_2O_3 + 63SiO_2$ , приготовленным смешением гидрогелей и последующей сушкой при 100° ( $K-2$ ). Некоторые порции  $K-1$  и  $K-2$  прокачивали при 500, 750, 1100 и 1300°. Кривая насыщения в начальном участке в большинстве случаев имеет вид ломаной прямой, первый участок которой соответствует нейтр-ции легкодоступных поверхностных обменнспособных центров, а второй участок — нейтр-ции центров, находящихся в глубине пор катализатора. По положению точки излома можно определять кол-во поверхностных ионов водорода. Авторы считают, что путем нейтр-ции алюмосиликатного катализатора  $r$ -ром щелочи можно легко и быстро определять конц-ию активных центров на его поверхности, но указывают, что этот метод пригоден лишь при больших различиях в скоростях ионного обмена на поверхности катализатора и в глубине пор.

В. Вассерберг  
56802. Влияние состава алюмосиликатных катализаторов на реакции гидратации диэтилового эфира и дегидратации этилового спирта. Антипина Т. В., Исаев О. В., Ж. физ. химии, 1957, 31, № 10, 2245—2252 (рез. англ.)

Изучена кинетика гидратации эфира и дегидратации  $C_2H_5OH$  на алюмосиликатах разного состава и на образцах, обработанных щелочью, при  $t$ -ре 400°. Показано, что степень превращения эфира в  $C_2H_4$  при гидратации эфира ниже на  $1/3$ , чем степень превращения спирта в  $C_2H_4$  при дегидратации спирта  $C_2H_5OH$ . Установлено, что с уменьшением процента окиси алюминия выход  $C_2H_4$  при гидратации эфира незначительно возрастает, а при дегидратации спирта — линейно уменьшается.

Резюме автора  
56803. Каталитическая гидрогенизация этилена на испаренном никеле. Фосс, Эйринг (Catalytic hydrogenation of ethylene over evaporated nickel. Foss John G., Eyring Henry), J. Phys. Chem., 1958, 62, № 1, 103—105. Discuss., 105—106 (англ.)

Скорость гидрирования  $C_2H_4$  на напыленных пленках  $Ni$  в статич. системе при  $t$ -рах 0°—96° и давл. 0,03—300 мм рт. ст. пропорциональна давлению  $H_2$  и не зависит от давления  $C_2H_4$ . Каталитич. активность пленок стабильна, если исходные газы подвергнуты тщательной очистке с помощью жидкой смеси  $Na$  и  $K$ . Стабильность в течение длительного времени достигается обработкой  $Ni$ -пленок в промежутках между опытами в атмосфере  $H_2$  (при 50 мм рт. ст.) при 250—300° в течение 30 мин. На  $Ni$ -пленках, предварительно прогретых при 190° в  $C_2H_4$  при давл. 10 мм рт. ст., получают хорошо воспроизводимые результаты. Энергия активации  $E$  как на свежих пленках, так и на работавших  $> 4$  дней равна  $\sim 8$  ккал/моль. Отличие полученного значения  $E$  от найденных ранее значений 10,2—10,7 (РЖХим, 1956, 9400; 9401; Beeck O., Disc. Faraday Soc., 1950, 8, 118), по мнению авторов, обусловлено или науглероживанием пленок при обработке их в  $C_2H_4$ , или отравлением примесями, покрывающими преимущественно места поверхности, характеризующиеся высокими теплотами адсорбции.

С. Киперман  
56804. Каталитическое гидрирование ацетальдегида. Су Цзы-хэн, Чжан Хуа, Хе Чжень-юй, Ван Хуэй-цзюнь, Янь Чжи-гуан, Кэсюэ тунбао, Научн. вестн., Scientia, 1957, № 13, 404—405 (кит.)

56805. Изучение действия промоторов при получении нитрилов путем каталитической дегидратации. Земплен, Дёри (Katalizátor — promótorok hatásának tanulmányozása nitrilek dehidratálás előállításánál. Zemplén Géza, Döry István), Magyar tud. akad. Kém. tud. oszt. közl., 1956, 8, № 1, 127—130 (венг.)



При 450° изучено получение ацето- и пропионитрилов из карбоновых к-т и  $\text{NH}_3$  на образцах силикагеля, содержащих 0,1—3% различных добавок:  $(\text{CH}_3\text{O})_3\text{B}$ ;  $(\text{C}_2\text{H}_5)_2\text{SiOCOSCH}_3$ ;  $(\text{CH}_3)_2\text{SO}_4$ ;  $\text{POCl}_3$ ;  $\text{CO}_2\text{O}_3$ ;  $\text{Fe}_2\text{O}_3$ ;  $\text{CaO}$ ;  $\text{TiO}_2$ . Установлено, что первые 3 добавки действуют как ингибиторы,  $\text{POCl}_3$  не влияет на каталитич. активность силикагеля, а остальные добавки являются промоторами.

С. Розенфельд

**56806.** Кинетика гидрирования бутилена на хромово-алюминиевом катализаторе. Любарский Г. Д., Ермакова С. К., Пшежецкий С. Я., Ж. физ. химии, 1957, 31, № 7, 1492—1500 (рез. англ.)

Скорость р-ции  $w$  гидрирования  $\text{C}_4\text{H}_8$  в проточной системе при 220—400° в присутствии окисного  $\text{Cr-Al}$ -катализатора следует ур-нию  $w = kc_6^{0.5}c_B$ , где  $c_6$  и  $c_B$  — соответственно конц-ии  $\text{C}_4\text{H}_8$  и  $\text{H}_2$ ,  $k$  — константа. Энергия активации при  $t$ -рах  $\leq 340^\circ$  равна  $10\,000 \pm \pm 1000$  кал/моль и при высоких  $t$ -рах 2500 кал/моль, что, по мнению авторов, обусловлено уменьшением активности катализатора при его прогрессирующем осмолении. Отношение констант скоростей прямой и обратной р-ций по порядку величины соответствует значениям констант равновесия системы  $\text{C}_4\text{H}_{10}$ — $\text{C}_4\text{H}_8$ — $\text{H}_2$ .

С. Киперман

**56807.** Каталитическое дегидрирование изопентенов в изопрен. I. Усов Ю. Н., Скворцова Е. В., Кувшинова Н. И., Еловатская Л. А., Ж. общ. химии, 1957, 27, № 10, 2721—2725

Изучена активность катализаторов, содержащих (в %)  $\text{Cr}_2\text{O}_3$  0—63,  $\text{Al}_2\text{O}_3$  28—94,  $\text{MoO}_3$  0—10,  $\text{MgO}$  0—10,  $\text{K}_2\text{CO}_3$  3—4,7, по отношению к дегидрированию изопентенов в изопрен (I) в проточной системе при 600°, объемной скорости 500 час.<sup>-1</sup> и 7-кратном разбавлении реакционной смеси азотом. Увеличение содержания  $\text{Cr}_2\text{O}_3$  или введение  $\text{K}_2\text{CO}_3$ ,  $\text{MoO}_3$  или  $\text{MgO}$  повышает выход I. Оптимальным оказался катализатор, содержащий (в %) 8,1  $\text{Cr}_2\text{O}_3$ , 87,2  $\text{Al}_2\text{O}_3$  и 4,7  $\text{K}_2\text{CO}_3$ , дающий устойчивый выход I 30—35%.

С. Киперман

**56808.** Механизм каталитического действия катализатора закись никеля на силикатах по отношению к полимеризации этилена. Одзак (Ozaki Atsumu), Сёкубай, Catalyst, 1957, № 14, 65—68 (японск.; рез. англ.)

При нагревании в вакууме  $\text{NiO}$ , нанесенной на глину, повышается активность этого катализатора по отношению к полимеризации  $\text{C}_2\text{H}_4$ . Сорбция эфира,  $\text{H}_2\text{O}$  или  $\text{CO}$  дезактивирует катализатор. Р-ция на катализаторе, предварительно обработанном дейтерием, приводит к появлению дейтерия в продуктах полимеризации за счет изотопного обмена поверхности катализатора с  $\text{C}_2\text{H}_4$  или полимером. Как указывают авторы, активация катализатора обусловлена его дегидратацией, а дезактивация — изменением относительной адсорбционной емкости его компонентов. Предполагается, что адсорбированный  $\text{C}_2\text{H}_4$  частично взаимодействует с атомами Н поверхности катализатора.

По резюме автора

**56809.** Смешанный катализатор, состоящий из закиси никеля и кремнезема. V. Соотношение между составом катализатора и активностью катализатора закись никеля на кремнеземе по отношению к полимеризации этилена. Одзак, Нихон кагаку дзасси, J. Chem. Soc. Japan. Pure Chem. Sec., 1956, 77, № 6, 888—892 (японск.)

Часть IV см. РЖХим, 1956, 39093.

**56810.** О реакции полимеризации и циклизации изобутилена. Рапорт И. Б., Флид Р. М., Лис К., Докл. АН СССР, 1957, 116, № 2, 244—247

Пропускание струи изобутилена (I) над  $\text{MoO}_3$ , нанесенной на  $\text{Al}_2\text{O}_3$ , приводит при 125—450° к частично му образованию жидких продуктов полимеризации и

ароматизации I. При  $t$ -рах  $\leq 200^\circ$  образуются димеры, тримеры и другие полимеры с т. кип.  $\geq 72$ —170°, при более высоких  $t$ -рах наблюдается также и ароматизация с образованием ксилолов. При 400° во фракции с т. кип. 132—148° содержится  $\sim 90\%$  ароматич. углеводородов (25%  $n$ -ксилола, 35%  $m$ -ксилола и 30%  $o$ -ксилола), выход  $n$ - и  $m$ -ксилолов  $\sim 6$  г на 1 м<sup>3</sup> газа. При высоких  $t$ -рах активность катализатора постепенно снижается. Активность катализатора восстанавливается при прокаливании на воздухе или в инертном газе с примесью 5%  $\text{O}_2$  при 450—500°.

С. Киперман

**56811.** Каталитические превращения пентена-1. Шуйкин Н. И., Тулупов В. А., Ж. общ. химии, 1957, 27, № 6, 1448—1454

Исследованы превращения пентена-1 в контакте с ацеталдузитом, силикатами  $\text{Zn}$  и  $\text{Mg}$ , закисью марганца, силикагелем и  $\text{Pt}$ , нанесенной на силикагель, при  $t$ -рах 300—500°. Показано, что в этих условиях главным образом имеет место изомеризация пентена-1 в пентен-2; при этом одновременно происходит изомеризация скелета и перераспределение водорода с образованием небольших кол-в диенов и пентанов.

Резюме авторов

**56812.** Каталитический гидрогенолиз силъвана на различных катализаторах. Шуйкин Н. И., Бельский И. Ф., Докл. АН СССР, 1957, 115, № 2, 330—332

Исследован парофазный гидрогенолиз силъвана в проточной установке над катализаторами 15%  $\text{Pt}$  на угле (I), 10%  $\text{Pd}$  на угле (II), хромит меди (III), 30%  $\text{Ni}$  на  $\text{Al}_2\text{O}_3$  (IV) и скелетный  $\text{Ni}$ -катализатор (V). На I р-ция проходит селективно: разрывается эфирная связь 1—5 в ядре силъвана и образуется пентанол-2. На II проходит в основном гидрирование двойных связей и лишь в малой степени гидрогенолиз связи 1—5. III малоактивен и также проводит гидрогенолиз связи 1—5. На IV легче протекают процессы глубокого распада фуранового кольца с образованием продуктов сложного состава (15% кетонов, остальное — превращенный силъван,  $n$ -пентан и высококипящие соединения). На V проходит как гидрогенолиз связи 1—5, так и сопряженный разрыв связей 1—5 и 4—5 (с образованием метилэтилкетона) и связей 1—5 и 3—4 (с образованием ацетона).

В. Вассерберг

**56813.** Кинетика парофазного синтеза винилацетата.

Ямада (Yamada Noboru), Нихон кагаку дзасси, J. Chem. Soc. Japan. Pure Chem. Sec., 1957, 78, № 2, 252—255 (японск.)

Синтез винилацетата из ацетилен и  $\text{CH}_3\text{COOH}$  в присутствии катализатора  $(\text{CH}_3\text{COO})_2\text{Zn}$ , нанесенного на активный уголь, исследован при 160° статич. методом. Скорость р-ции определяется стадией, протекающей на поверхности катализатора.

Chem. Abstrs, 1957, 51, № 19, 14395.

T. Katsura

**56814 Д.** Гидрогенизация тройных смесей непредельных соединений. Рахимова Б. В. Автореф. дисс. канд. хим. н., Среднеаз. политехн. ин-т, Ташкент, 1958

См. также: раздел Производство катализаторов и сорбентов и рефераты: Реакционная способность и строение 56405, 56406, 57300, 57301, 59756. Кинетика и механизмы р-ций 56462, 56544, 56682, 56686, 56815, 56821, 56848, 56892, 56893, 56923, 56946, 56998, 57302—57329, 57334, 57783, 57784, 59742, 59743, 59745, 59758, 59761, 59781. Гетерогенный катализ: органич. 57335, 57338, 57341. Произ-во и св-ва катализаторов 57250, 57316, 58373, 58383, 58680—58682, 58709, 58756, 58762. Каталитические процессы 58719, 58750, 58752, 58753. Др. вопр.: установки для конверсии 58747, 58748; адсорбция 56906, 56914

РАДИАЦИОННАЯ ХИМИЯ. ФОТОХИМИЯ.  
ТЕОРИЯ ФОТОГРАФИЧЕСКОГО ПРОЦЕССА

Редактор Х. С. Багдасарьян

36815. Изучение переноса энергии с помощью кинетической спектроскопии. Некоторые соображения по поводу статьи Липсcombe, Норриша и Траша (P.R.S. 1956, 233 A, 455), касающиеся колебательно-возбужденного кислорода. Норриш (The study of energy transfer by kinetic spectroscopy. Some reflections of the paper by Lipscomb, Norrish and Thrush (P.R.S. A. 233, 455, 1956) relating to vibrationally excited oxygen. Norrish R. G. W.), Mém. Soc. roy. sci. roy. sci. Liège, 1957, 18 Fasc. univ., 419 (англ.)

В связи с фотолизом  $\text{NO}_2$  и  $\text{ClO}_2$ , при котором происходят р-ции типа  $\text{O} + \text{NO}_2 = \text{NO} + \text{O}_2^*$ , исследована эффективность дезактивации  $\text{O}_2$  различными молекулами. Переход энергии осуществляется легче всего при резонансе между колебательными уровнями этих молекул и кислорода или при наличии свободных радикалов.

36816. Оптимальные условия образования озона при действии резонансного излучения ртути и квантовый выход этой р-ции. Чэнь Ши-вэй (Chen Shih-wei), Хуасюэ сюэбао, Acta chim. sinica, 1957, 23, № 3, 179—187 (кит.; рез. англ.)

При атмосферном давлении образование  $\text{O}_3$  из  $\text{O}_2$  вызвано линией 1849,6 Å, но не линиями 2537,5 или 2530 Å, как предполагалось ранее. Присутствие молекул  $\text{O}_4$  или  $(\text{O}_2)_2$  не влияет на образование  $\text{O}_3$ . Предложен механизм р-ции:  $\text{O}_2(^3\Sigma_g^-) + 1848,6\text{Å} \rightarrow 2\text{O}(^3P)$ ;  $\text{O}_2(^3\Sigma_g^-) + \text{O}(^3P) + \text{M} \rightarrow \text{O}_3 + \text{M}$ . Квантовый выход равен 1,87, значительно уменьшается с уменьшением скорости потока  $\text{O}_2$  и слабо уменьшается с увеличением т-ры. Примесь  $\text{N}_2$  слабо влияет на квантовый выход. Для промышленного получения  $\text{O}_3$  можно пользоваться сухим воздухом как источником  $\text{O}_2$  и облучение (1849,6 Å) вести при комнатной т-ре и атмосферном давлении при умеренной скорости газового потока.

Резюме авторов  
36817. Импульсный фотолиз окиси хлора. Эджком, Норриш, Траш (The flash photolysis of chlorine monoxide. Edgescombe F. H. C., Norrish R. G. W., Thrush B. A.), Proc. Roy. Soc., 1957, A243, № 1232, 24—32 (англ.)

При импульсном фотолизе окиси хлора  $\text{ClO}_2$  в присутствии большого избытка инертного газа образуются  $\text{Cl}_2$ ,  $\text{O}_2$  и промежуточный продукт — радикал  $\text{ClO}$ . Предложен механизм процесса фотолиза, включающий радикал с короткими цепями, носителями которых являются  $\text{ClO}$  и  $\text{Cl}$ . Вычислены константы (1/моль сек) скоростей р-ций  $\text{ClO} + \text{ClO} = \text{Cl}_2 + \text{O}_2$   $2,4 \cdot 10^5$ ;  $\text{ClO} + \text{Cl}_2\text{O} = \text{ClO}_2 + \text{O}_2$   $10^5$  и  $\text{ClO} + \text{Cl}_2\text{O} = \text{Cl} + \text{O}_2 + \text{Cl}_2$   $5,3 \cdot 10^4$ .

И. Верещинский  
36818. Фотолиз метилцианида при 1849 Å. Мак-Элчеран, Вейнен, Стис (The photolysis of methyl cyanide at 1849 Å. McElcheran D. E., Wijnen M. H. J., Steacie E. W. R.), Canad. J. Chem., 1958, 36, № 2, 321—329 (англ.)

Фотолиз  $\text{CH}_3\text{CN}$  проводился в реакторе из плавящего кварца при облучении светом Hg-дуговой лампы. Газообразные продукты фотолиза разделялись низкотемпературной разгонкой на 3 фракции, которые анализировались с помощью масс-спектрометра. Обнаружены  $\text{HCN}$ ,  $\text{C}_2\text{H}_5\text{CN}$ ,  $\text{H}_2$ ,  $\text{C}_2\text{N}_2$ ,  $\text{CH}_4$  и  $\text{C}_2\text{H}_6$ , следы  $\text{C}_2\text{H}_2$ ,  $\text{C}_2\text{H}_4$  и  $\text{C}_2\text{H}_6$ . Не найдены  $\text{N}_2$  и  $\text{NH}_3$ . На основании состава продуктов авторы делают вывод, что первичный распад  $\text{CH}_3\text{CN}$  идет по двум путям:  $\text{CH}_3\text{CN} \rightarrow \text{CH}_3 + \text{CN}$  или  $\text{H} + \text{CH}_2\text{CN}$ . Предлагается механизм образования продуктов. Авторы считают, что  $\text{HCN}$  образуется при распаде промежуточного радика-

ла по р-ции  $\text{H} + \text{CH}_2\text{CN} \rightarrow \text{H}_2\text{C}-\text{HC}=\text{N} \rightarrow \text{CH}_3 + \text{HCN}$ . Приведено описание опытов по фотолизу  $\text{CNCOCN}$ .

В. Скурат  
56819. Кинетическая спектроскопия в дальней ультрафиолетовой области; импульсный фотолиз этильных соединений. Траш (Kinetic spectroscopy in the far ultraviolet: the flash photolysis of ethyl compounds. Thrush B. A.), Proc. Roy. Soc., 1958, A243, № 1235, 555—560 (англ.)

Аппаратура отличается от описанной ранее (РЖХим, 1957, 7606) использованием окошка из LiF (пропускание до  $\lambda$  1250 Å) вакуумного спектрографа и разряда Лаймана вместо обычной спектроскопич. импульсной лампы. Проводился фотолиз  $\text{C}_2\text{H}_5\text{J}$ ,  $\text{Hg}(\text{C}_2\text{H}_5)_2$ ,  $\text{Pb}(\text{C}_2\text{H}_5)_4$ ,  $n\text{-C}_3\text{H}_7\text{I}$ ,  $\text{изо-C}_3\text{H}_7\text{I}$  при давл. 0,02—0,1 мм рт. ст. с добавками Ag (20—50 мм рт. ст.). При фотолизе алкилиодидов обнаружены только полосы HJ 56 750 и 62 320  $\text{cm}^{-1}$ . При фотолизе металлэтилов обнаружены интенсивные резонансные линии соответствующих металлов и полосы радикала  $\text{CH}_3$ , 66 535, 66 717 и 66 811  $\text{cm}^{-1}$ . Предполагается, что радикалы  $\text{CH}_3$  образуются в результате р-ции возбужденных радикалов  $\text{C}_2\text{H}_5^*$ . Проводился хроматографич. анализ продуктов, образующихся при фотолизе  $\text{Hg}(\text{C}_2\text{H}_5)_2$  (в %): ( $\text{CH}_4$  15,  $\text{C}_2\text{H}_4$  50,  $\text{C}_2\text{H}_6$  10,  $\text{C}_3\text{H}_6$  ~ 7,  $\text{C}_3\text{H}_8$  10,  $\text{C}_4\text{H}_{10}$  ~ 2).

Т. Лавровская  
56820. Фотолиз насыщенных альдегидов и кетонов. Маннинг (The photolysis of saturated aldehydes and ketones. Manning P. P.), J. Amer. Chem. Soc., 1957, 79, № 19, 5151—5153 (англ.)

На основе данных по электронному строению карбонильной группы обсуждены первичные процессы фотолиза насыщ. альдегидов и кетонов. Отмечено близкое сходство продуктов фотолиза кетонов с продуктами, образующимися при электронном ударе.

И. Верещинский  
56821. Механизм разложения перекиси водорода в водном растворе, облученном ультрафиолетовым светом. Смит (Mechanism of the decomposition of hydrogen peroxide in aqueous solution initiated by ultraviolet light. Smith P.), J. Phys. Chem., 1958, 62, № 1, 120—122 (англ.)

Обсуждены следствия из механизма разложения  $\text{H}_2\text{O}_2$  под действием УФ-света. Предполагается, что цепь ведут радикалы  $\text{HO}_2$ , в обрыве цепи участвует комплекс, образующийся из радикала  $\text{HO}_2$  и молекулы  $\text{H}_2\text{O}_2$ , а зарождение цепи вызывают радикалы  $\text{OH}$ , возникающие при фотолизе  $\text{H}_2\text{O}_2$ . В развитие цепи включены также р-ции комплекса  $\text{HO}_2 \cdot \text{H}_2\text{O}_2$  с молекулами  $\text{H}_2\text{O}_2$ , в результате которых образуются радикалы  $\text{OH}$  и  $\text{HO}_2$ . На основании этого механизма выведены общие кинетич. ур-ние разложения  $\text{H}_2\text{O}_2$  и 2 частных случая: 1) при малой интенсивности света и конц-ии  $\text{H}_2\text{O}_2 < 1 \text{ M}$  и 2) при конц-ии  $\text{H}_2\text{O}_2 > 1 \text{ M}$ . Относительная устойчивость комплекса  $\text{HO}_2 \cdot \text{H}_2\text{O}_2$  объяснена образованием водородной связи. Обсуждены возможности образования комплексов  $\text{H}_2\text{O}_2$  с  $\text{OH}$  и  $\text{O}$  и водородной связью между молекулами  $\text{H}_2\text{O}_2$  и  $\text{H}_2\text{O}$ .

П. Долин  
56822. Совместное действие ультразвука и ультрафиолетовой радиации на воду и водные растворы йодистого калия. Геген (Action conjuguée des ultrasons et des ultraviolets sur l'eau et les solutions d'iodure de potassium. Guéguen Henri), C. r. Acad. sci., 1958, 246, № 8, 1195—1198 (франц.)

Исследовано влияние УФ-радиации (Hg-дуга) на хим. превращения, вызываемые озвучиванием (частота 960 Мгц), воды и 5%-ных р-ров KJ, насыщенных  $\text{O}_2$  или Ag. Отношение кол-ва  $\text{H}_2\text{O}_2$ , образующейся при озвучивании воды, к ее кол-ву, образующемуся при совместном действии ультразвука и УФ-радиации, составляло 0,62 при насыщении воды  $\text{O}_2$  и 3,8 при насыщении ее Ag. Аналогичное отношение для кол-в J,



выделившихся из 5%-ных р-ров KJ, в обоих случаях составляло 0,87. УФ-радиация не изменяют существенно выход J при озвучивании р-ров KJ, насыщенных как O<sub>2</sub>, так и Ag, но разрушает H<sub>2</sub>O<sub>2</sub>, возникшую при озвучивании воды, насыщенной Ag. Б. Кудрявцев

**56823. Эффекты фототропии в окислах. II. Белые окислы. Бэр, Мак-Таггарт** (Phototropic effects in oxides. II. White oxides in general. Bear Joy, McTaggart F. K.), J. Appl. Chem., 1958, 8, № 1, 72—76 (англ.)

Методами, описанными ранее (часть I, РЖХим, 1956, 64345), исследовано влияние примесей Fe, Cr, Cu, Ni, V и Mn на фототропию TiO<sub>2</sub> (рутил), Nb<sub>2</sub>O<sub>5</sub>, γ-Al<sub>2</sub>O<sub>3</sub>, ZnO, HfO<sub>2</sub>, ThO<sub>2</sub>, SnO<sub>2</sub>, Ta<sub>2</sub>O<sub>5</sub>, ZrO<sub>2</sub> и BeO. Анатаз (TiO<sub>2</sub>), GeO<sub>2</sub>, SiO<sub>2</sub> и MgO не фототропны. В отсутствие примесей все окислы, кроме SnO<sub>2</sub> и Ta<sub>2</sub>O<sub>5</sub>, не светочувствительны в области 2800—20 000 Å. Наблюдается избирательное влияние примесей на окрашивание окислов при освещении. В темноте восстанавливается исходная окраска, нагревание до 100—200° сильно ускоряет обесцвечивание. ИК-лучи при —186° окраску не восстанавливают. После удаления H<sub>2</sub>O прогретым в вакууме при 400° светочувствительность исчезает; она восстанавливается после нагревания в парах H<sub>2</sub>O при 300°. Граница светочувствительности для всех примесей, кроме Cr, лежит между 3500 и 4100 Å, а для Cr — между 6100 и 7500 Å. Иногда окрашивание вызывается светом, поглощаемым основным окислом, а иногда примесью, связанной с окислом. Отсутствует корреляция между светочувствительностью окисла и способностью к фотохим. обесцвечиванию адсорбированного на нем красителя. Авторы приходят к выводу, что при освещении примесные ионы, адсорбированные на поверхности окисла, окисляются атмосферным O<sub>2</sub>. В темноте при нагревании исходная валентность ионов восстанавливается. А. Хейнман

**56824. О нескольких основных проблемах действия ионизирующих излучений. Ито (Itoh Reikiti), Кобаяси** ригаку кэнкюсё хококу, Bull. Kobayashi Inst. Phys. Res., 1957, 7, № 2, 144—152 (японск.) Обзор. Библ. 42 назв.

**56825. Дискуссия по статье: Спурный «Радиационная химия». Теплый, Беднарж** (Příspěvek k referátu Z. Spurného: Radiační chemie. Teplý Jiří, Bednář Jaroslav), Chem. listy, 1957, 51, № 9, 1776—1778 (чешск.) К РЖХим, 1958, 7266. L. Matoušek

**56826. Изучение влияния радиоактивного облучения на углеводороды. Ромусси** (Recenti ricerche sugli effetti chimici delle radiazioni sugli idrocarburi. Romussi M.), Riv. combust., 1958, 12, № 2, 131—153 (итал.) Обзор. Библ. 26 назв.

**56827. Теория диффузии радикалов в радиационной химии растворов. Ямадзак, Сидо** (Yamada ki Hideo, Shida Shoji), Kōgō kagaku zasshi, J. Chem. Soc. Japan. Industr. Chem. Sec., 1957, 60, № 7, 837—840 (японск.)

**56828. Молекулярные и радикальные выходы при радиолизе водных растворов под действием α-лучей. Пюшо** (Rendements «moléculaires» et «radicalaires» lors de la radiolyse des solutions aqueuses par les rayons α. Pucheault Jacques), C. r. Acad. sci., 1958, 246, № 3, 409—412 (франц.)

Для объяснения зависимости выходов G продуктов радиолиза воды от природы растворенных в-в автор вводит понятие второй области гетерогенности. Этот термин обозначает пространство, окружающее след α-частицы, в котором протекают р-ции радикалов с мол. продуктами радиолиза и с растворенным в-вом. Используя свои результаты по радиационному восста-

новлению и окислению солей V, а также литературные данные по радиационному восстановлению Ce и окислению Fe, автор находит, что мол. и радикальные выходы и общий выход разложения воды G(—H<sub>2</sub>O) различны в р-рах в-в, являющихся акцепторами радикалов OH, атомов H или акцепторами и OH и H одновременно. В 1-м случае G(—H<sub>2</sub>O) = 3,65, во 2-м 3,60 и в 3-м 4,10. С. Брусенцев

**56829. Начальные выходы радиолиза при действии γ-лучей Co<sup>60</sup> на тяжелую воду. Малман, Бойл** (Primary cobalt-60 radiolysis yields in heavy water. Mahlman H. A., Boyle J. W.), J. Amer. Chem. Soc., 1958, 80, № 4, 773—774 (англ.)

Определены начальные выходы (G) продуктов радиолиза тяжелой воды в 0,4 M р-рах D<sub>2</sub>SO<sub>4</sub>. Выход D<sub>2</sub> в 10<sup>−4</sup> M р-ре KBr составляет 0,38. Выход D<sub>2</sub>O<sub>2</sub> в р-ради насыщенных воздухом, 1,24. Выход ферросульфатного дозиметра 16,72. Вычисленный из этих данных выход разложения тяжелой воды равен 4,75. Более высокий по сравнению с легкой водой выход разложения объяснен большей трудностью рекомбинации D + OD. В. Шубин

**56830. Явления восстановления, вызываемые действием ядерных излучений на водные растворы неорганических соединений. Лефор** (Phénomènes de réductions provoqués par les rayonnements nucléaires sur les solutions aqueuses de composés minéraux. Lefort Marc), J. chim. phys. et phys.-chim. biol., 1957, 54, № 10, 782—788 (франц.)

Изложение доклада на Международном химическом конгрессе в Париже в 1957 г. Приведены результаты по радиационному восстановлению ионов Ce<sup>4+</sup>, Ce<sup>3+</sup>, Ti<sup>3+</sup>, Co<sup>3+</sup>. При действии γ-лучей Co<sup>60</sup> на 10<sup>−3</sup> и 10<sup>−4</sup> M р-ры выходы восстановления (G) исследованных ионов равны ~2,3, а выход разложения воды ~4,5. В 10<sup>−3</sup> M кислом р-ре Ce(SO<sub>4</sub>)<sub>2</sub> для рентгеновских лучей 8—10 кэв G = 2,7. Добавки C<sub>6</sub>H<sub>6</sub> повышают выходы восстановления до 8,2. С. Брусенцев

**56831. Образование нитрита из концентрированных растворов нитратов под действием излучения. Малман, Швейцер** (Radiation-induced nitrite formation from concentrated nitrate solutions. Mahlman H. A., Schweitzer G. K.), J. Inorg. and Nucl. Chem., 1958, 5, № 3, 213—218 (англ.)

Исследовано образование нитрита из р-ров различных солей нитратов под действием γ-лучей Co<sup>60</sup>. Исходные р-ры содержали 0,001—5 M NO<sub>3</sub><sup>−</sup>, 0,4 M H<sub>2</sub>SO<sub>4</sub>, 0,0002 M Ce (4+). Конц-ия нитрита определялась в восстановленную Ce (4+). Повышенный выход Ce (3+) в этих р-рах по сравнению с его выходом в отсутствие NO<sub>3</sub><sup>−</sup> объяснен образованием NO<sub>2</sub><sup>−</sup> за счет восстановления NO<sub>3</sub><sup>−</sup> атомами H в разб. р-рах, а при [NO<sub>3</sub><sup>−</sup>] > 0,04 M прямым действием излучения на ион NO<sub>3</sub><sup>−</sup>. G(NO<sub>2</sub><sup>−</sup>) не зависит от катиона, зависит от конц-ии нитрата и от общей энергии, поглощенной р-ром. Зависимость выхода от конц-ии подчиняется уравн. G(NO<sub>2</sub><sup>−</sup>) = 1,22 lg[NO<sub>3</sub><sup>−</sup>] + 1,70; (G(NO<sub>2</sub><sup>−</sup>) — выход и счет прямого действия, [NO<sub>3</sub><sup>−</sup>] выражена в молях/л). Ревин

**56832. Образование тирозина при действии γ-лучей на водные растворы фенилаланина. Вермей, Лефор** (Production de tyrosine par action des rayons γ sur les solutions aqueuses de phénylalanine. Vermeil Catherine, Lefort Marc), C. r. Acad. sci., 1957, 244, № 7, 889—891 (франц.)

Исследовалось действие γ-лучей Co<sup>60</sup> на 0,1%-ный нейтр. водн. р-ры фенилаланина. Наблюдалось выделение NH<sub>3</sub> с начальным выходом ~0,3. Тирамина, фенилсерина, гидроксилаланина и альдегидов не обнаружено. Найдены, но не идентифицированы кетон-к-та. Кроме продуктов деструкции фенилаланина, пре-

е литерату-  
валению Се и  
радикальные  
ты G(-H<sub>2</sub>O)  
горам ради-  
Н и Н одно-  
во 2-м 3,60 и  
Брусенцев

ри действи-  
а, Бойа  
heavy water.  
Amer. Chem.

уков радио-  
Выход D<sub>2</sub> в  
O<sub>2</sub> в р-ра-  
сульфатно-  
ных вых  
нее вых  
ния облас-  
D + OD.

В. Шуби  
емые дей-  
ствости  
omènes de  
s nucléai-  
s minéraux  
-chim. biol.

химическим  
результат  
Ce<sup>4+</sup>, Ce<sup>3+</sup>,  
10-<sup>3</sup> н. в  
исследовани  
воды ~ 4,5  
ловских  
пают вых  
Брусенцев  
ированных  
ения. Ма-  
rite forma-  
Mahima  
and Nuel

ов разл-  
Co<sup>60</sup>. Исход  
M H<sub>2</sub>SO<sub>4</sub>,  
елялась ш  
од Се (34)  
отсутстви  
восстанов-

при [NO<sub>2</sub>]  
ион NO<sub>2</sub>;  
от конц-  
р-ром. Э  
и ур-ния  
и выход  
в молях

Рейнх  
и у-луч  
мей, Ле  
des rayons  
Vet  
Acad. sci.

0,1%-ны  
ось вых  
мина, ф  
не об  
и кетон  
ина, ф

матографически выделены продукты гидроксильрова-  
ния — *o*-, *m*- и *p*-тирозин. Л. Бугаенко

56833. Обзор радиационной химии некоторых алифа-  
тических эфиров. Ньютон (A survey of the radia-  
tion chemistry of some aliphatic ethers. Newton  
Amos S.), J. Phys. Chem., 1957, 61, № 14, 1485—  
1490 (англ.)

Исследовано действие ускоренных ионов гелия на  
вид вакуированных жидких алифатич. эфиров. Облу-  
чение 28 Мэв He<sup>2+</sup> при ионном токе 1—2  $\mu$ а и т-рах  
16—20° проводилось в металлич. ячейках, облучение  
42 Мэв He<sup>2+</sup> при ионном токе 0,1—0,2  $\mu$ а и т-ре 25—  
30° — в стеклянных ячейках. Интегральная доза  
варьировалась от 0,025 до 0,44—10<sup>22</sup> эв/мл. Радиацион-  
но-химич. выход G равен при облучении этилового  
эфира: для H<sub>2</sub> 3,62; CO 0,127; CH<sub>4</sub> 0,24; C<sub>2</sub>H<sub>2</sub> 0,091;  
C<sub>2</sub>H<sub>4</sub> 1,07; C<sub>2</sub>H<sub>6</sub> 0,62; C<sub>3</sub>H<sub>6</sub> ~ 0,01; C<sub>3</sub>H<sub>8</sub> 0,12; C<sub>4</sub>H<sub>8</sub> 0,007;  
C<sub>4</sub>H<sub>10</sub> 0,15; восстановления 9,50; при облучении этил-*n*-  
бутилового эфира: H<sub>2</sub> 3,25; CO 0,070; CH<sub>4</sub> 0,095; C<sub>2</sub>H<sub>2</sub>  
0,087; C<sub>2</sub>H<sub>4</sub> 0,52; C<sub>2</sub>H<sub>6</sub> 0,31; C<sub>3</sub>H<sub>6</sub> 0,12; C<sub>3</sub>H<sub>8</sub> 0,10; C<sub>4</sub>H<sub>8</sub>  
и C<sub>4</sub>H<sub>10</sub> 0,29; восстановления 8,09; при облучении *n*-про-  
пилового эфира H<sub>2</sub> 2,74; CO 0,104; CH<sub>4</sub> 0,071; C<sub>2</sub>H<sub>2</sub> 0,040;  
C<sub>2</sub>H<sub>4</sub> 0,24; C<sub>2</sub>H<sub>6</sub> 0,22; C<sub>3</sub>H<sub>6</sub> 0,016; C<sub>3</sub>H<sub>8</sub> 0,49; C<sub>4</sub>H<sub>8</sub> 0,43;  
C<sub>4</sub>H<sub>10</sub> ~ 0,005; C<sub>4</sub>H<sub>10</sub> ~ 0,03; восстановления 6,98; при  
облучении *n*-бутилового эфира: H<sub>2</sub> 2,71; CO 0,055; CH<sub>4</sub>  
0,061; C<sub>2</sub>H<sub>2</sub> 0,026; C<sub>2</sub>H<sub>4</sub> 0,14; C<sub>2</sub>H<sub>6</sub> 0,036; C<sub>3</sub>H<sub>6</sub> ~ 0,004;  
C<sub>3</sub>H<sub>8</sub> 0,125; C<sub>4</sub>H<sub>8</sub> 0,123; C<sub>4</sub>H<sub>10</sub> 0,38; C<sub>4</sub>H<sub>10</sub> 0,39; восстанов-  
ления 6,64; при облучении изопропилового эфира: H<sub>2</sub>  
2,50; CO 0,071; CH<sub>4</sub> 0,88; C<sub>2</sub>H<sub>2</sub> 0,015; C<sub>2</sub>H<sub>4</sub> 0,064; C<sub>2</sub>H<sub>6</sub>  
0,142; C<sub>3</sub>H<sub>6</sub> ~ 0,011; C<sub>3</sub>H<sub>8</sub> 1,56; C<sub>4</sub>H<sub>8</sub> 0,61; C<sub>4</sub>H<sub>10</sub> 0,02;  
C<sub>4</sub>H<sub>10</sub> 0,32; восстановления 8,90; при облучении метил-  
трет-бутилового эфира: H<sub>2</sub> 1,55; CO 0,144; CH<sub>4</sub> 1,03;  
C<sub>2</sub>H<sub>2</sub> 0,018; C<sub>2</sub>H<sub>4</sub> 0,002; C<sub>2</sub>H<sub>6</sub> 0,66; C<sub>3</sub>H<sub>6</sub> ~ 0,03; C<sub>3</sub>H<sub>8</sub> 0,037;  
C<sub>4</sub>H<sub>8</sub> 0,024; C<sub>4</sub>H<sub>10</sub> 0,55; C<sub>4</sub>H<sub>10</sub> 0,15; восстановления 6,93;  
при облучении этил-трет-бутилового эфира H<sub>2</sub> 1,96;  
CO 0,099; CH<sub>4</sub> 0,77; C<sub>2</sub>H<sub>2</sub> 0,034; C<sub>2</sub>H<sub>4</sub> 0,32; C<sub>2</sub>H<sub>6</sub> 0,45;  
C<sub>3</sub>H<sub>6</sub> ~ 0,02; C<sub>3</sub>H<sub>8</sub> 0,050; C<sub>4</sub>H<sub>8</sub> 0,28; C<sub>4</sub>H<sub>10</sub> 0,71; C<sub>4</sub>H<sub>10</sub> 0,22;  
восстановления 7,33. Полученные результаты и их  
сравнение с ранее полученными данными по радиоли-  
зу алифатич. спиртов (РЖХим, 1956, 35439) свиде-  
тельствуют о преимущественном разрыве C—O-связи  
при радиолизе. И. Верещинский

56834. Успехи фотографии в 1956 г. Фудзисава  
(Fujisawa Shin), Нихон сясин гаккай кайси.  
J. Soc. Scient. Photogr. Japan, 1957, 20, № 3, 86—92  
(японск.; рез. англ.)

56835. Устойчивость скрытого изображения и фото-  
литического серебра. Эггерт (Die Stabilität des  
latenten Bildes und des photolytischen Silbers. Eg-  
gert J.), Z. Elektrochem., 1958, 62, № 1, 48—49  
(нем.)

Отмечается, что скрытое изображение и фотолитич.  
серебро имеют относительно высокую устойчивость к  
некоторым хим. воздействиям. Резюме автора

56836. Исправление к статье: Шеберстов В. И.,  
Донатова В. П. «Исследование температурных  
зависимостей фотографического проявления. II. За-  
висимость энергии активации проявления от степени  
сооразования и состава фотографической эмульсии».  
Ж. научн. и прикл. фотогр. и кинематогр., 1958, 3,  
№ 1, 3  
К РЖХим, 1958, 28009.

56837. Окисление с помощью ультразвука эмульсии  
йодистого этила в воде. Геген (Oxydation par les  
ultrasons de l'iodure d'éthyle émulsionné dans l'eau.  
Gueguen Henri), C. r. Acad. sci., 1958, 246, № 6,  
942—944 (франц.)

Исследовано ультразвуковое (960 кгц, мощность  
25 эрг) окисление C<sub>2</sub>H<sub>5</sub>I (I) и водн. эмульсии I при  
17° и насыщении жидкости Ar, O<sub>2</sub>, N<sub>2</sub> и воздухом с  
одновременным наложением и без наложения элект-  
рич. поля. При озвучивании I остается без измене-

ния как при наложении электрич. поля, так и без него.  
Озвучивание водн. эмульсии I приводит к выделению  
свободного I, кол-во которого зависит от природы  
растворенного газа, возраста в следующем порядке:  
N<sub>2</sub> < Ar < воздух < O<sub>2</sub>, в то время как кол-во образо-  
вавшейся к-ты возрастает при замене растворенного  
газа в последовательности: N<sub>2</sub> < воздух < O<sub>2</sub> < Ar.  
Указывается на сходство ультразвукового окисления  
и фотолитиза. Б. Кудрявцев

См. также: Фотохимия 56405, 56528, 56530—56533,  
56535, 56536, 56544, 56999, 58010. Радиационная химия 56534,  
56538, 56539, 56551, 56553, 56554, 56561, 57785,  
59743, 59745. Приборы и методы 57283, 57832

## РАСТВОРЫ. ТЕОРИЯ КИСЛОТ И ОСНОВАНИЙ

Редактор М. Д. Сурова

56838. Кинетические уравнения в теории электро-  
литов. Стрельцова Е. А., Докл. АН СССР, 1957,  
116, № 5, 820—822

Рассмотрена общая задача отыскания кинетич.  
ур-ний для функций распределения вероятности по-  
ложения частиц в жидкости при взаимодействии их  
между собой вследствие наложения потенциала. Взаим-  
одействие частиц с жидкостью представляют как  
стохастич. процесс диффузионного типа. Задача ре-  
шена статистич. методом Н. Н. Боголюбова. Разрабо-  
танная общая схема применена к случаю сильного  
электролита. В качестве 1-го приближения получают  
известные ур-ния Онзагера. Предложенный способ  
может быть обобщен на случай получения ур-ний  
более высоких приближений. Э. Казбеков

56839. Изучение взаимодействующих потоков при  
диффузии в системе рафиноза — KCl — H<sub>2</sub>O при 25°.  
Данлон (A study of interacting flows in diffusion  
of the system raffinose — KCl — H<sub>2</sub>O at 25°. Dunlop  
Peter J.), J. Phys. Chem., 1957, 61, № 7, 994—1000  
(англ.)

С помощью диффузиометра Гуи (РЖХим, 1955, 1849)  
и обобщенных ур-ний потоков (РЖХим, 1956, 67958;  
71254) для жидких систем оценены коэф. диффузии  
в 3-компонентной системе рафиноза — KCl — H<sub>2</sub>O.  
Отмечено хорошее совпадение вычисленных и опре-  
деленных экспериментально средних коэф. диффузии.  
Показано, что в водн. системах, состоящих из элект-  
ролита и неэлектролита, существует измеримое взаи-  
модействие потоков. При исследовании белков мето-  
дом свободной диффузии автор предлагает вместо  
предварительного диализа точно измерять начальные  
конц-ии буфера по обе стороны границы и учитывать  
взаимодействие потоков при определении коэф. диф-  
фузии. Для вычисления мол. весов неэлектролитов в  
присутствии сильного электролита (соли) в воде по  
ур-нию Сведберга экстраполируют средние коэф. диф-  
фузии к нулевой конц-ии соли, а затем полученные  
величины — к нулевой конц-ии неэлектролита.

А. Попов  
56840. Коэффициенты диффузии фенола в воде.  
Эрдеш, Ньвлт (Difusní koeficienty fenolu ve  
vodě. Erdős Emerich, Nývlt Jaroslav),  
Chem. listy, 1957, 51, № 9, 1618—1624 (чешск.)

В интервале конц-ий 1—45 г/л и при 20—50° иссле-  
дованы на приборе Стокса с диафрагмой коэф. диф-  
фузии фенола в воде. Конц-ии фенола определена  
перманганатным методом. Методом наименьших квад-  
ратов рассчитаны значения интегрального коэф. диф-  
фузии  $\bar{D}$ , зависимости  $D$  от конц-ии ( $c$ ),  $D_0$  и  $\alpha$  от т-ры.  
Предложены ур-ния  $\bar{D}(c, T)$ .  $10^5 = D_0(T) + \alpha(T)c$ , где  
 $D_0(T) = \lg(3,0981 - 923,5/T)$ ,  $\alpha(T) = 0,0433 - 0,0001586 \cdot T$ ;  
точность расчета ~ ±0,4%. В исследуемом интервале



конц-ий мало влияет на диффузию. Зависимость  $D_0$  от  $T$ -ры хорошо согласуется как с теорией Эйринга, так и с ур-нием Стокса — Эйнштейна.

О. Кнессль

56841. Коэффициенты диффузии крезолов в воде. Нывалт, Эрдеши (Diffusí koefficienty kresolu ve vodě. Nývlt Jaroslav, Erdős Emerich), Chem. listy, 1957, 51, № 9, 1625—1631 (чешск.)

С применением диафрагмового метода Стокса определены коэф. диффузии  $o$ -,  $m$ - и  $p$ -крезолов в воде при 20—50° и в пределах конц-ий 1—15 г/л. Вычислены параметры ур-ний по зависимости  $\bar{D}$  от конц-ий и  $T$ -ры. Зависимость  $\bar{D}$  от конц-ий является в исследованных пределах конц-ий очень малой. Показано, что влияние изомерии сказывается при более низких  $T$ -рах, при которых величина коэф. диффузии для  $p$ -крезола больше, чем для  $o$ - и  $m$ -крезолов. Аналогично энергия активации диффузии  $p$ -крезола на  $\sim 10\%$  меньше, чем для других изомеров.

О. Кнессль

56842. Структура и свойства водных растворов сильных электролитов. Лагунов М. Д., Ж. физ. химии, 1958, 32, № 1, 3—11 (рез. англ.)

Предложен новый метод расчета энергии гидратации ионов  $Li^+$ ,  $Na^+$ ,  $K^+$ ,  $Pb^{2+}$ ,  $Cs^+$ ,  $F^-$ ,  $Cl^-$ ,  $Br^-$  и  $J^-$ , основанный на представлениях Бернали и Фаулера о структуре воды. Принимают, что приведенные ионы охватывают молекулу  $H_2O$  в квазикристаллич. решетке жидкой воды. Энергию взаимодействия иона с зарядами, образующими диполь  $H_2O$ , определяют из соотношения  $E_1 = e^2 d(1/r_2 + 1/r_3 - 2/r_1)$ , где  $e$  — заряд электрона,  $r_2$  и  $r_3$  — расстояния от центра иона до протонов  $H_2O$ ,  $r_1$  — расстояние от центра иона до центра молекулы  $H_2O$ ,  $d$  — вероятность существования диполя (доля ионной связи по Полингу). Присутствие иона в водн. среде вызывает поляризацию водородных связей, в результате возникают наведенные заряды, энергия взаимодействия иона с ними  $E_2 = -e^2(1-D)[d/r_2 + (1-d)/r_3]/2$ , где  $D$  — диэлектрич. проницаемость. Энергию гидратации рассчитывают как сумму  $E_1$ ,  $E_2$ , энергии взаимодействия иона с индуцированными диполями  $E_3 = \alpha e^2/2\pi r^4$  ( $\alpha$  — электронная поляризуемость молекулы  $H_2O$ ,  $r$  — расстояние между центрами иона и соседней молекулой воды), энергии отталкивания между ионами и молекулами воды, равной  $1/9$  энергии притяжения и энергии обрыва водородных связей при замене молекулы воды ионом  $E_5 = -9$  ккал/моль. Вычисленные энергии гидратации вышеприведенных ионов соответственно равны (ккал/моль): 113,2; 95,8; 74,6; 67,4; 61,3; 113,4; 81,5; 74,5 и 65,3, что хорошо согласуется с эксперим. данными. Рассмотрение поляризации водородных связей в структуре льда приводит к ур-нию  $D = 1 + 4\pi e^2 f^2 / 3v_b kT$  ( $f$  — дипольный момент связи  $O-H$  в  $H_2O$ ,  $v_b$  — объем, приходящий на одну молекулу), на основании которого вычисляют  $D$  льда в интервале 210—273° K.

С. И. Дракин

56843. Ассоциация ионов. I. Определение констант ассоциации по данным электропроводности. Фуосс.

II. Некоторые соли в смесях диоксан-вода. Фуосс, Краус (Ionic association. I. Derivation of constants from conductance data. Fuoss Raymond M. II. Several salts in dioxane-water mixtures. Fuoss Raymond M., Kraus Charles A.), J. Amer. Chem. Soc., 1957, 79, № 13, 3301—3303; 3304—3310 (англ.)

I. Введено понятие константы ассоциации ( $A$ ) — константы равновесия  $p$ -ции  $A^+ + B^- \rightleftharpoons A^+ \cdot B^-$ . Из ур-ния Фуосса и Онзагера (РЖХим, 1957, 17183) получено соотношение для разб.  $p$ -ров  $y \approx I_1 - Ax$ , где  $y = \Delta\Lambda/C\sqrt{1 - \alpha C^{1/2}/\gamma^{1/2}}$ ,  $x = \Lambda^2(1 - \alpha C^{1/2}/\gamma^{1/2})$ ;  $I_1$  — функция ионного диаметра ( $a$ ). Предложен графич. метод решения этого ур-ния, дающий возмож-

ность определить  $a$ ,  $\Delta_0$  и  $A$ . Для больших ионов с учетом вызванного ими изменения вязкости получено ур-ние  $y = I_1 - 5\Delta_0/2 - Ax$ ,  $\delta$  определяется соотношением  $\delta c = (4\pi R^2/3)(Nc/100)$ , где  $R$  — гидродинамич. радиус. Обсужден физ. смысл величины  $A$ .

II. Предложенный метод вычисления  $A$  применен к  $p$ -рам  $NaBrO_3$  (I), йодида тетрабутиламмония (II), нитрата тетраизоамиламмония (III), пикрата тетраметиламмония (IV) и бромиды тетрабутиламмония (V). В смесях, содержащих 0, 20 и 30% диоксана,  $A$  равно для I 0,50, 0,90 и 1,33, для V 0,62, 1,00 и 1,38; при содержании диоксана 50%  $A$  равны для I 6,87, для II 13,0 и для III 5,2. Для  $p$ -ров I—V наблюдается прямо пропорциональная зависимость между  $A$  и  $\exp(-a/\lambda DkT)$ , где  $a$  — расстояние между центрами зарядов, образующих ионную пару; при вычислении  $a$  необходимо учитывать нецентральное расположение зарядов в таких ионах, как  $BrO_3^-$ . Разработанные методы расчета  $A$  могут заменить теорию ионной ассоциации Бьеррума и экстраполяцию по Фуоссу — Шидловскому.

С. Дрекин

56844. Растворимость и энтропия раствора йода в октаметилциклотетрасилоксане и тетраэтоксисилане. Синода, Гильдебранд (The solubility and entropy of solution of iodine in octamethylcyclotetrasiloxane and tetraethoxysilane. Shinoda Kozo, Hildebrand J. H.), J. Phys. Chem., 1957, 61, № 6, 789—791 (англ.)

Установлено, что йод растворяется в октаметилциклотетрасилоксане (I) с образованием фиолетовых «гидратных»  $p$ -ров, в то время как с тетраэтоксисилоном (II)  $J_2$  дает сольватированные коричневые  $p$ -ры. Растворимость  $J_2$  (в мол. доле) в I и в II точно описывается соответствующими ур-ниями:  $\lg X_2 = 2,830 - 1464,3/T$  и  $\lg X_2 = 1,499 - 816,9/T$ , где  $X_2$  — мол. доля  $J_2$ . Вычисленные мол. % и молярная энтропия полученных  $p$ -ров в I и в II при 25° соответственно равны: 0,8104, 22,5 и 5,747; 12,5. Для энергии растворения в I не наблюдается отклонений, в то время как большое различие между молярными объемами  $p$ -рител и растворенного в-ва указывает на то, что энтропия растворения для квазисферич. молекул разного размера является функцией мол. доли, а не мол. объема (РЖХим, 1957, 43967). Растворимость соответствует параметру растворимости 8,2 вместо 6,4, полученной из работы испарения. Для парц. мол. объема, подобно энтропии  $J_2$ , в фиолетовых  $p$ -рах I не наблюдается отклонений от значений для сходных  $p$ -рител, что приписывают различию в молярных объемах  $p$ -рител. Однако в II оба свойства, т. е. энтропия растворения и мол. объем, значительно меньше, очевидно, из-за образования комплексов.

А. Попов

56845. Теплота переноса соляной кислоты, хлорида натрия и хлорида калия в водных растворах. Барановский, Баранский, Фулинский (Ciepłota przenoszenia kwasu solnego, chlorku sodowego i chlorku potasowego w roztworach wodnych. Baranowski Bogdan, Baranski A., Fuliński Andrzej), Roczn. Chem., 1957, 31, № 1, 229—240 (польск.; рез. англ.)

Электротермодиффузионным методом определены коэф. Соре (KC) в водн.  $p$ -рах  $HCl$ ,  $KCl$  и  $NaCl$  в интервале конц-ий 1—0,05 н. с точностью  $\leq 10\%$ . На графиках представлены зависимости KC от исходной конц-ий  $p$ -ров. При конц-иях 1—0,3 н. значения KC практически постоянны, а в интервале 0,3—0,05 н. они быстро возрастают. Зависимость теплоты переноса от конц-ий аналогична. Полученные значения KC согласуются с результатами Александра (РЖХим, 1956, 57608; 1957, 302) (для 0,05 н.  $p$ -ров  $KCl$  и  $NaCl$ ) и сходны с результатами Таннера (РЖХим, 1954, 42768) и Тёмкина — Хорошина (Ж. физ. химии, 1952, 26, 773).

Проведено термодиффузионное разделение в 3-компонентных р-рах ( $\text{HCl-NaCl-H}_2\text{O}$  и  $\text{HCl-KCl-H}_2\text{O}$ ), при этом установлено наличие электролитич. инверсии.

Н. Wróblowa

56846. Спектрофотометрическое определение некоторых термодинамических констант диссоциации изомерных ксиленолов и триметилфенолов. Риккарди, Францозини (Determinazione spettrofotometrica delle costanti termodinamiche di dissociazione degli xilenoli isomeri e di taluni trimetilfenoli. Riccardi Riccardo, Franzosini Paolo), Ann. chimica, 1957, 47, № 9, 977—984 (итал.).

Спектрофотометрическим методом определены константы кислотной диссоциации ( $K$ ) 2,3- (I), 2,4- (II), 2,5- (III), 2,6- (IV), 3,4- (V) и 3,5- (VI) — диметилфенолов и 2,4,6- (VII) и 2,3,5- (VIII) — триметилфенолов. Измерены коэф. поглощения указанных в-в в 0,1 и 0,2 н.  $\text{HCl}$  ( $\epsilon_{\text{HCl}}$ ), в 0,1 и 0,2 н.  $\text{NaOH}$  ( $\epsilon_{\text{Na}}$ ) и в буферных смесях  $\text{Na}_2\text{CO}_3\text{-NaHCO}_3$  ( $\epsilon$ ). Рассчитаны  $\text{pK} = \text{pH} - \lg U$ , где  $U = [\text{B}][\text{HNB}] = (\epsilon - \epsilon_{\text{HCl}})/(\epsilon_{\text{Na}} - \epsilon)$ ,  $[\text{HNB}]$  — конц-ия недиссоциированной формы,  $[\text{B}]$  — конц-ия диссоциированной формы. Найденные для I; II; III; IV; V; VI; VII и VIII  $\text{pK}$  экстраполированы к  $\mu = 0$  и соответствуют равны 10,57; 10,63; 10,46; 10,66; 10,23; 10,99; 10,69. На основании сопоставления величин  $\text{pK}$  оценены теплоты диссоциации ксиленолов, составляющие  $\sim 3$  ккал/моль. Показано, что правильно аддитивности для  $\text{pK}$  выполняется для всех изученных в-в, кроме I и VIII. Подтверждено ранее высказанное предположение (РЖХим, 1958, 45655) о неприемлемости правила аддитивности к в-вам этого структурного типа.

А. Шейнин

56847. Спектрофотометрическое исследование ионизации трифенилметановых красителей. Жиллуа (Recherches spectrophotométriques sur l'ionisation de colorants du groupe du triphénylméthane. Gillois Michel), Cahiers phys., 1956, № 71-72, 1—22 (франц.).

Измерены спектры поглощения трифенилметановых красителей (ТК), получающихся из 4,4'-бис-(диметиламино)-трифенилкарбинола (I) и его 2'', 3''- и 4''-нитро-, 2'', 3''- и 4''-бром-, 2'', 3''- и 4''-дихлор-, 2'', 3''- и 4''-метокси-, 2'', 3''- и 4''-метил и 4''-диметиламинопроизводных, в водн. буферных р-рах с различными pH. В сильнокисл. р-рах все эти ТК находятся в форме бесцветных карбинолов (БК). С уменьшением pH среды появляется полоса поглощения (ПП) в видимой области, принадлежащая карбониевому иону ( $\text{C}^+$ ) ТК, образующемуся в результате диссоциации БК по одной из связей центрального атома С. В случае I эта ПП появляется при pH 8. С понижением pH ее интенсивность  $E$  увеличивается, достигает максимума (в случае I при pH 4,6) и затем падает вследствие начинающейся ионизации по аминогруппам с образованием четвертичной соли ( $\text{A}^+\text{A}^+$ ), имеющей строение БК. Экстраполяцией правой и левой ветви колоколообразных кривых зависимости  $E$  от pH определены для всех ТК  $\text{pK}$  кислотного и щел. обесцвечивания ( $\text{pK}_1$  и  $\text{pK}_2$ ). Низкие значения  $E(\text{макс})$  по сравнению с полученными в безводн. средах, исключаяющих образование БК, указывают, что в водн. р-рах наряду с формой  $\text{C}^+$  образуется бесцветная однократертичная соль БК. Выведена система ур-ний, позволяющая определить  $\text{pK}$  перехода БК в  $\text{C}^+$  ( $\text{pK}_{\text{C}^+}$ ) по эксперим. данным  $\text{pK}_1$  и  $\text{pK}_2$ , и определены  $\text{pK}_{\text{C}^+}$  всех исследованных БК. Заместители, введенные в 3''- и 4''-положения I, влияют на основность БК соответственно их характеру: электронодонорные — усиливают ее, а электроноакцепторные — понижают, тогда как в 2''-положении все заместители усиливают основность, причем электроноакцепторные усиливают основность

гораздо сильнее, чем электронодонорные, влияние которых в положениях 2'' и 4'' примерно одинаково. Показано, что влияние заместителей в положении 2'' определяется не только стерич. препятствиями. На основании измерения зависимости  $E$  от pH при разных т-рах определены энтальпия и энтропия р-ции диссоциации БК исследованных ТК.

Н. Спасокукоцкий

56848. Спектрофотометрическое исследование ионизации трифенилметановых красителей. Жиллуа (Recherches spectrophotométriques sur l'ionisation de colorants du groupe du triphénylméthane. Gillois Michel), Cahiers phys., 1956, № 75-76, 49—59 (франц.).

Исследована кинетика р-ции образования БК (см. пред. реф.), ТК в щел. среде при 10—40° и показано, что с уменьшением pH до 9 скорость образования БК заметно падает; дальнейшее снижение pH оказывает небольшое влияние. Последнее объясняется протеканием наряду с р-цией  $\text{C}^+ + \text{OH}^- \rightarrow \text{BK}$ , зависящей от pH, также р-ции гидролиза  $\text{C}^+ + \text{H}_2\text{O} \rightarrow \text{BK} + \text{H}^+$ , скорость которой в водн. р-ре в общем постоянна. Из полученных данных рассчитаны константы скорости этих псевдомомолекулярных р-ций для всех исследованных ТК, а также энергии активации и энтропии активации образования активных комплексов как в случае  $\text{C}^+$ , так и в случае БК. Энергия активации заметно возрастает при переходе от 4-диметиламино-трифенил-БК к I и лишь незначительно меняется при переходе от I к 4,4',4''-трис-(диметиламино)-трифенил-БК. Это показывает, что в переходном состоянии сопряжение сохраняется. Введение заместителей в фенильное ядро I, не несущее аминогрупп, увеличивает энергию активации. Вероятность образования активного комплекса с БК увеличивается по мере накопления отрицательных зарядов вблизи центрального атома С. Это свидетельствует, что активный комплекс образуется в результате атаки центра молекулы БК ионом  $\text{H}^+$  или атомом водорода, являющегося положительным центром молекулы воды. БК получались путем конденсации  $\text{N,N}$ -диметиламиниллина с соответствующими замещ. бензальдегидами и последующего окисления образующихся производных трифенилметана перекисью свинца.

Н. Спасокукоцкий

56849. Измерение констант диссоциации слабых неустойчивых кислот. Сообщение I. Хлорноватистая кислота. Караматца (Misura della costante di dissociazione di acidi deboli instabili. Nota I. Acido ipocloroso. Caramazza Raffaele), Gazz. chim. ital., 1957, 87, № 12, 1507—1521 (итал.).

Рассмотрена возможность электрометрич. определения констант диссоциации ( $K$ ) слабых к-т в случае, если конц-ия анионов (или недиссоциированных молекул) к-ты изменяется со временем ( $\tau$ ) вследствие р-ции разложения. Зависимость pH от  $\tau$  линейна, если р-ция разложения подчиняется кинетич. ур-нию 1-го порядка. Разработан способ расчета  $\text{pK}$  по эксперим. значениям pH, если известен коэф. активности аниона. Для хлорноватистой к-ты коэф. активности иона  $\text{ClO}^-$  вычислялся по ур-ниям Дебая и Гюккеля. Величины  $\text{pK}$  при 0°, 10, 15, 25, 35 и 45° соответственно равны 7,82; 7,72; 7,65; 7,53; 7,49 и 7,46. Предложено ур-ние, описывающее зависимость  $\text{pK}$  от абс. т-ры:  $\text{pK} = 3681 T^{-1} - 14,912 + 0,0339 T$ . На основании полученных данных оценены стандартные изменения теплоты, энтропии, энтальпии и свободной энергии для р-ции  $\text{HClO} \rightleftharpoons \text{H}^+ + \text{ClO}^-$  при 0°, 18, 25 и 50°.

А. Шейнин

56850. Влияние маннита и мочевины на разбавленные водные растворы  $\text{HCl}$ . Абу Эламаем, Абдель Халим, Хуссейн Садек. (The effect of mannitol or urea on dilute aqueous  $\text{HCl}$  solutions.



Abu Elamayem M. S., Abdel Halim F. M., Hussein Sadek, Z. phys. Chem. (BRD), 1958, 14, № 3-4, 156—163 (англ.)

Исследовано при  $22 \pm 2^\circ$  влияние добавок маннита (I) и мочевины (II) на pH и оптич. плотность  $d$  разб. водн. р-ров HCl (0,005—0,05 M), окрашенных тимоловым синим. С ростом конц-ии I pH р-ров уменьшается, а  $d$  линейно возрастает. Введение в р-р II приводит к обратному эффекту, при этом линейный ход изменения  $d$  наблюдается только при малых конц-иях II. Эти явления авторы объясняют перераспределением протонов в р-ре согласно р-циям:  $\text{H}_3\text{O}^+ + \text{ROH} \rightleftharpoons \text{ROH}_2^+ + \text{H}_2\text{O}$  (1) и  $\text{H}_3\text{O}^+ + \text{RNH}_2 \rightleftharpoons \text{RNH}_3^+ + \text{H}_2\text{O}$  (2). Выведены ур-ния, описывающие зависимость  $d$  от pH и от конц-ии I и II в р-ре, и вычислены константы равновесия р-ций (1) и (2), равные 0,036 и 0,032.

В. Рабинович

56851. Исследования в неводных растворителях. Часть III. Растворимость и электропроводность некоторых нитритов металлов в этилендиаминах и моноэтаноламине. Муниаппан, Анджанеялу (Investigations in non-aqueous solvents. Part III. Solubility and conductances of some metal nitrites in ethylenediamine and monoethanolamine. Muniyappan T., Anjaneyalu B.), Proc. Indian Acad. Sci., 1957, A46, № 6, 454—461 (англ.)

Определена при 30 растворимость (1 г соли на 100 г р-рителя) Na-, K- и Ag-нитритов в безводн. этилендиаминах (I) и моноэтаноламине (II), соответственно равная 12,60; 3,86; 52,36 и 8,74; 4,52; 70,53. Меньшая растворимость  $\text{KNO}_2$  по сравнению с  $\text{NaNO}_2$  обязана меньшей способности иона  $\text{K}^+$  ассоциировать с основными р-рителями. Повышенная растворимость Ag-солей в обоих р-рителях, по мнению авторов, связана со структурными различиями между цел. нитритами и  $\text{AgNO}_2$ . Результаты по эквивалентной электропроводности  $\lambda$  указывают, что для вышеуказанных солей в I  $\lambda$  больше, чем в II. Наименьшей  $\lambda$  в I и II обладает  $\text{KNO}_2$ , наибольшей —  $\text{AgNO}_2$ . Минимум электропроводности в зависимости от конц-ии, наблюдаемый в I для  $\text{NaNO}_2$ , авторы объясняют тем, что диэлектрич. проницаемость I меньше (12,9 вместо 37,72) и возможно образование ионных пар. Нитрит серебра образует с I соединение кристаллич. формы  $\text{AgNO}_2 \cdot 2[\text{C}_2\text{H}_4(\text{NH}_2)_2]$ . Часть II см. РЖХим, 1958, 42670.

М. Сурова

56852. Аномальные свойства растворов фтороуглеродов. Скотт (The anomalous behavior of fluorocarbon solutions. Scott Robert L.), J. Phys. Chem., 1958, 62, № 2, 136—145 (англ.)

Суммированы данные по давлению пара, растворимости, теплоемкостям смешения и изменению объемов в 64 системах, включающих фторозамещенные углеводороды, эфиры и амины. Полученные результаты сопоставлены с выводами теории растворимости Гильдебранда; некоторые р-ры, напр.  $\text{C}_7\text{F}_{16}$  в  $\text{CCl}_4$  и в  $\text{J}_2$ , нормальны; другие, в особенности смеси фтороуглеродов и углеводородов, проявляют значительно большие положительные отклонения от идеального состояния, чем следует из разности «термодинамич.» параметров растворимости. Обсуждены возможные причины отклонений. По мнению автора, наибольшую роль играет разность ионизационных потенциалов и наличие нецентрального силового поля. Отмечена необходимость дополнительных опытных данных и теоретич. исследований.

И. Рысс

56853. Основность ароматических углеводородов.

Часть 1. Незамещенные многоядерные соединения. Часть 2. Метилзамещенные соединения. Маккор, Хофстра, Вале (The basicity of aromatic hydrocarbons. Part 1. Unsubstituted polynuclear compounds. Part 2. Methyl-substituted compounds. Mackor E. L.,

Hofstra A., Waals J. H. van der), Trans. Faraday Soc., 1958, 54, № 1, 66—83; № 2, 186—194 (англ.)

1. Растворимость  $\text{BF}_3$  в безводн. HF при  $0^\circ$  подчиняется закону Генри; константа ур-ния Генри равна 2500 мм рт. ст. (моль  $\text{BF}_3/1000 \text{ г HF}$ ). Константа равновесия р-ции  $\text{BF}_3 + \text{F}^- \rightleftharpoons \text{BF}_4^-$  равна  $C = 10^4$ , что значительно выше найденной ранее (РЖХим, 1954, 12520; 1955, 54581) из измерения электропроводности р-ров. Основные свойства многоядерных ароматич. углеводородов (АУ) при  $0^\circ$  рассчитаны на основании измерения их распределения между р-ром цел. фторида в HF и *n*-гептаном; в случае более слабых основных АУ определялось распределение их между  $\text{CCl}_4$  и р-ром  $\text{NaBF}_4$  и  $\text{BF}_3$  в HF; использованы также измерения давления пара над р-рами углеводородов и  $\text{BF}_3$  в HF. Средние коэф. активности для ионов сопряженных к-т  $\text{AH}^+$  и  $\text{F}^-$  выражены простым ур-нием, выведенным из предельного закона Дебая. Вычислены значения логарифмов констант основности  $\lg K = -\lg(m_{\text{AH}^+} \cdot m_{\text{F}^-} \cdot f_{\pm}^2 / m_{\text{A}} \cdot f_{\text{A}})$  ( $m$  — моляльность): антрацен 3,76; нафтацен 5,4—6,3; 1,2-бензантрацен 2,3; пирен 2,8; 3,4-бензопирен 6,4—6,7; перилен 4,4—4,5; дифенил 5,5; трифенил 4,6; кризен 1,7; 1,2—5,6-дибензантрацен 2,2; нафталин-3,9—4,0, фенантрен-3,5. Величины  $\lg K$  пропорциональны разностям энергий  $\pi$ -электронов АУ и  $\text{AH}^+$ , вычисленных по теории MO методом Гюккеля, а также пропорциональны логарифмам констант скорости присоединения радикалов  $\text{CCl}_3$  к АУ.

2. С применением вышеописанного метода найдены при  $0^\circ$  значения  $\lg K$ : 2-метилантрацена, 9-метилантрацена, 9—10-диметилантрацена, 9-этилантрацена, антрацена, гексаметилбензола, гексаэтилбензола, метиллина, *m*-ксилола, 2-метилнафталина, 1-метилнафталина, флуорена, соответственно: 4,74; 5,62—5,82; 6,45; 5,39; 1,62; 1,43; 1,97; 0,37—0,42; 3,18; 1,50—1,32; 1,67; 2,40. Результаты обсуждены на основе теории  $\pi$ -электронов сопряженных молекул, полагая, что влияние метильной группы в основном индуктивное. На основании зависимости коэф. распределения между HF и *n*-гептаном вычислены величины  $\Delta H$  (в ккал/моль $^{-1}$ ) перевода АУ из *n*-гептана в фазу HF:  $\text{C}_6\text{H}_6$   $4,0 \pm 0,5$ ; толуол  $4,35 \pm 0,5$ ; *n*-ксилол  $4,3 \pm 0,5$ ; *m*-ксилол  $3,8 \pm 0,5$ . Энтропия образования  $\text{HA}^+$  мало зависит от структуры молекул; величина TS при  $0^\circ \sim -3,6 \pm 0,5$  ккал/моль $^{-1}$ .  $\lg C$  равен  $6,6 \pm 0,2$ . И. Рысс

56854. Растворимость воды в расплавленных смесях LiCl и KCl. Беркхард, Корбетт (The solubility of water in molten mixtures of LiCl and KCl. Burkhard William J., Corbett John D.), J. Amer. Chem. Soc., 1957, 79, № 24, 6361—6363 (англ.)

Исследовалась растворимость (Р) при давлениях паров воды ( $p$ ) от 3 до 26 мм рт. ст. при  $390^\circ$  в смесях LiCl-KCl с конц-ией 50,0 и 60,0 мол. % LiCl и при  $480^\circ$  в смесях, содержащих 50,0, 53,0, 60,0 и 68,6 мол. % LiCl. Прибор состоял из шара известного объема, резервуара с водой, Hg-манометра и адсорбционного сосуда, в котором помещался тигель с солевой смесью. Для предотвращения конденсации т-ра окружающей среды поддерживалась  $\sim 34^\circ$ . Точность измерения Р в области низких давлений  $\sim 3\%$ . Р воды в этих смесях при  $480^\circ$ ,  $p \leq 18$  мм рт. ст. и при  $390^\circ$ ,  $p = 14$  мм рт. ст. подчиняется закону Генри. При  $480^\circ$  и  $p > 18$  мм рт. ст. Р резко возрастает вследствие гидролиза LiCl; при  $390^\circ$  и  $p > 14$  мм рт. ст. наблюдалось небольшое увеличение Р. Отмечена необычная прочность, с которой вода удерживается расплавом. Определены обратные значения констант ур-ния Генри, равные соответственно: при  $480^\circ$  14, 11,8, 11,3 и 10,8  $\mu\text{моль}$  воды на 1 моль LiCl мм рт. ст. и при  $390^\circ$  30,0 и 30,5.

Trans. Fa-  
2, 186—194

0° подчи-  
сти раша  
Константа  
 $C = 10^{-4}$   
(РЖХим,  
электропр-  
ных аром-  
на осно-  
р-ром пел-  
ее слабо-  
ны между  
ны тенью  
неводород  
ионов со-  
м ур-нием.  
вычислен-  
ти  $1gK =$   
сть): а-  
рацен 2,3;  
4,4—4,5;  
6,6-дибен-  
3,5. Вели-  
энергии  
теории МО  
логариф-  
радикалов

найден-  
пильантра-  
ена, аце-  
бензола,  
1-метил-  
6,2—5,82;  
.50—1,32;  
теории  
ган, что  
уктывное.  
ия меж-  
ны  $\Delta H$   
разу НР:  
4,3  $\pm$  0,5;  
А+ мало  
5 при 0°  
И. Рюс  
с смеси  
solubi-  
and KCl  
hn D),  
61—6363

влияния  
в смеси  
при 400°  
% LiCl  
эзерву-  
сосуда,  
ую. Для  
ия  $P_{\text{в}}$   
смеси  
и рт. ст.  
18 мм  
ра LiCl;  
ольное  
с ато-  
ны об-  
е со-  
е вод-  
и 30,5

Теплоты растворения для смесей, содержащих 50 и 60 мол.% LiCl, равны соответственно —8 и —11,0 ккал/моль.

Н. Рябов  
56855. Расплавленный бромид сурьмы (3+) как ионизирующий растворитель и поведение растворенных в нем веществ. I. Яндер, Вейс (Geschmolzenes Antimon (III)-bromid als ionisierendes Lösungsmittel und das Verhalten darin gelöster Substanzen. I. Jander Gerhart, Weis Josef), Z. Elektrochem., 1957, 61, № 10, 1275—1283 (нем.).

Приведены результаты наблюдений растворимости большого числа различных соединений в расплавленном  $SbBr_3$ , данные состава кристаллич. солей, фазы зависимости от конц-ии р-ров в  $SbBr_3$  для криоскопич. коэф.  $([(CH_3)_4N]Br$  (I),  $NH_4Br$  (II),  $KBr$  (III),  $YBr$  (IV),  $Sb(CH_3C_6H_4SO_3)_3$  (V) и  $AlBr_3$ ) и эквивалентной электропроводности (для тех же в-в и для  $GaBr_3$  и  $TeBr_4$ ). Расплавленный  $SbBr_3$  подобно воде является ионизирующим р-рителем: электропроводность  $SbBr_3$  при 100° равна  $1 \cdot 10^{-5}$  ом<sup>-1</sup>см, р-ры многих в-в в нем хорошо проводят ток. Собственная электропроводность  $SbBr_3$  обусловлена диссоциацией:  $SbBr_3 \rightleftharpoons SbBr_2^+ + Br^-$ ; при этом наблюдается сольватация  $Br^-$ . I, II, III и IV в расплавленном  $SbBr_3$  ведут себя как основания (раствор кол-во сольватированных  $Br^-$ ), V и соли трехвалентной Sb, как к-ты (увеличивается кол-во  $SbBr_2^+$ ), бромиды многовалентных металлов образуют сольваты кислотного характера по схеме:  $AlBr_3 + SbBr_3 = -SbBr_2[AlBr_4]$ . При конц-иях  $r < 0,01$  M I, II и III полностью диссоциированы на ионы.

С. Дракин

См. также: Растворимость 56691—56693, 56714, 56721—56724, 56729. Термодинамика р-ров 56591, 56655. Диффузия 56599, 56602. Структура и исслед. св-в в р-рах 56433, 56470, 56594. Р-ры электролитов 56322. Кислотно-основные равновесия 56764, 56765. Твердые р-ры 56652, 56675. Расплавы 56863

## ЭЛЕКТРОХИМИЯ

Редакторы О. А. Есин, В. В. Лосев

56856. Диссоциация нитрата серебра в абсолютном этиловом спирте. Кикиндаи (Sur la dissociation du nitrate d'argent dans l'éthanol absolu. Kikindai Marthe), C. r. Acad. sci., 1958, 246, № 3, 412—415 (франц.).

При низких конц-иях с  $AgNO_3$  ( $2 \cdot 10^{-4}$ —0,13 н.) в абс. этиловом спирте эквивалентная электропроводность  $\Lambda$  р-ра пропорциональна  $V$ ; экстраполяцией найдена  $\Lambda_0 = 42,5$  ом<sup>-1</sup>см<sup>2</sup> при 25°. Константа диссоциации  $K$   $AgNO_3$  рассчитана из эксперим. данных различными методами. Наиболее точное значение получено методом Шидловского.

А. Городецкая  
56857. Электропроводность солей в расплавленном состоянии. Кочинашвили В. А., Барзаковский В. П., Ж. прикл. химии, 1957, 30, № 12, 1755—1759

Описана мостовая схема для определения уд. электропроводности ( $\kappa$ ) с электронным осциллографом в качестве нуль-инструмента. Для системы  $BaCl_2$ — $CaCl_2$  в интервале 700—1100° измерена  $\kappa$ , которая закономерно уменьшается с ростом конц-ии  $BaCl_2$  и растет с повышением т-ры. Для расплава чистого  $BaCl_2$   $\kappa$  равна  $2,042$  ом<sup>-1</sup>см<sup>-1</sup> при 1000° и  $2,752$  ом<sup>-1</sup>см<sup>-1</sup> при 1300°.

Б. Леппинский  
56858. Сравнение методов пузырька и подвижного электрода, применяемых для измерения числа переноса в расплавленных солях. Лоренз, Джанз (Evaluation of the indicator bubble and electrode displacement methods for transport number measure-

ments in molten salts. Lorenz M. R., Janz G. J.), J. Phys. Chem., 1957, 61, № 12, 1683—1684 (англ.)

Измерены числа переноса в расплавах  $PbCl_2$  и  $AgCl$  с помощью движущегося пузырька в капилляре. Для расчета чисел переноса использована ф-ла Пуазейля. Полученные результаты сравниваются с литературными данными, полученными тем же методом, а также методом подвижного электрода, и сделан вывод, что последний метод может давать в некоторых условиях ошибочные результаты.

Б. Леппинский  
56859. Электрохимические свойства водорода в сплавах на железной основе. Клячко Ю. А., Изманова Т. А., Кунин Л. Л., Хим. наука и пром-сть, 1958, 3, № 1, 127

Показано, что при длительном (до 100 час.) пропускании постоянного тока через образцы сплавов на основе Fe (падение напряжения на образцах составляло 0,12 мВ/мм) большая часть растворенного в сплаве водорода перемещается к аноду (анализ на водород осуществлялся методом вакуум-плавления). Полученный результат указывает, по мнению авторов, на существование в сплавах отрицательно заряженного водорода, причем его относительная доля повышается в присутствии гидридообразующих элементов и элементов, способствующих образованию аустенитной структуры.

А. Чемоданов

56860. О закономерностях величин электродных потенциалов металлов. Бирюков Н. Д., Ж. неорг. химии, 1957, 2, № 9, 2240—2258

Автор предполагает, что возникновение скачка потенциала на границе металла М и р-ра является результатом р-ций следующего типа  $M + H_2O = MO + H_2$ ;  $MO + H_2O = M(OH)_2$  и  $M(OH)_2 = M^{2+} + 2OH^-$ . Рассмотрена зависимость стандартных электродных потенциалов  $E^0$  металлов от их атомных весов  $A$  и от свободных энергий  $\Delta F$  р-ций восстановления атомарным водородом гидроокисей и окислов металлов. Сделан вывод о наличии периодичности  $E^0$  как функции  $A$ , соответствующей периодическому закону Д. И. Менделеева, а также о существовании линейной связи между  $E^0$  и  $\Delta F$ . При рассмотрении зависимости  $E^0$  от  $A$  для 19 металлов, в том числе для лантанидов, использованы величины  $E^0$ , вычисленные автором при помощи линейной зависимости ( $E^0$ ,  $\Delta F$ ). Обсуждены зависимости работ выхода электронов и величин  $E^0$  металлов от величин  $\Delta F$ .

Н. Хомутов  
56861. Производство активности ферроцианида кадмия. Басинский, Почопко (O iloczynie aktywności żelazocyjanku kadmowego. Basiński Antoni, Poczojko Stanisław), Roczn. chem., 1957, 31, № 2, 449—455 (польск.; рез. англ.)

Э.д.с. элемента  $Cd(Hg)|насыщ. Cd_2[Fe(CN)_6]|(I), Li_4[Fe(CN)_6]|(II), насыщ. Ag_4[Fe(CN)_6]|Ag$  при конц-иях II 0,001; 0,01 и 0,05 M постоянна и составляет 0,7683 в при 25°. Нормальный потенциал электрода  $Cr(Hg)|насыщ. I, Li_4[Fe(CN)_6]$  равен 0,5740 в при 25°. Отсюда следует, что для I произведение активности  $9,62 \cdot 10^{-16}$ , а растворимость  $6,22 \cdot 10^{-6}$  моль/л.

А. Фулиński  
56862. Термодиффузионные потенциалы в неизотермических системах. Часть 5. Измерения при наличии градиента концентрации. Чапман, Террелл (Thermal diffusion potentials in non-isothermal systems. Part 5. Measurements in the presence of a concentration gradient. Chapman J., Tyrrell H. J. V.), Trans. Faraday Soc., 1956, 52, № 9, 1218—1225 (англ.)

С целью проверки применимости дифференциальных ф-л, выведенных из термодинамики необратимых процессов, к случаю конечных интервалов т-р и конц-ий, измерены э.д.с. термоцепей типа:  $Ag|AgBr|MBr_n(m_1, T_1)^0$ ;  $MBr_n(m_2, T_2)^0|AgBr|Ag$  при  $T_2 - T_1 = \Delta T \approx 10^\circ$  и  $m_1 = m_2$  и при  $m_2 - m_1 = \Delta m \neq 0$ , где



M — K, Mg и La и средние  $m \leq 1,04$ ; 0,43 или 0,04  $M\lambda$  соответственно. Эксперим. значения э.д.с. соответствующих цепей удовлетворительно согласуются с вычисленными по предложенной ранее теоретич. ф-ле (РЖХим, 1955, 273). Часть 4 см. РЖХим, 1956, 25260.

И. Зайденман

56863. Измерение электродвижущих сил расплавов системы  $\text{Na}_2\text{O} - \text{SiO}_2$ . Борисов А. Ф., Дергев Н. К., Тр. Горьковск. политехн. ин-та, 1957, 13, № 5, 16—20

Измерялась э.д.с. в концентрационной цепи  $\text{Pt} - \text{PtRh} | \text{Na}_2\text{O} \cdot \text{SiO}_2 (c_1) | \text{Na}_2\text{O} \cdot \text{SiO}_2 (c_2) | \text{Pt} - \text{PtRh}$  при  $1000 - 1200^\circ$  для расплавов, содержащих 57,1—77,6%  $\text{SiO}_2$ . На изотермах э.д.с. наблюдаются перегибы вблизи состава  $\text{Na}_2\text{O} \cdot \text{SiO}_2$ , свидетельствующие о взаимосвязи свойств изучаемых расплавов с диаграммой состояния системы  $\text{Na}_2\text{O} - \text{SiO}_2$  (РЖХим, 1954, 43739).

Б. Леппинских

56864. Метод утечки и разновидность метода Зисмана для измерения контактной разности потенциалов между двумя металлами, погруженными в плохо проводящие жидкости. Tanaka (The leakage method and the sandwich type Zisman method for measurements of contact potential differences between two metals immersed in poorly conductive dielectric liquids. Tanaka Akira, Bull. Chem. Soc. Japan, 1957, 30, № 8, 829—833 (англ.))

Предложен и описан новый метод измерения контактной разности потенциалов (КРП) двумя металлами, между которыми заключен тонкий слой диэлектрич. жидкости (Ж), обладающей ограниченной проводимостью, названный методом утечки. Принцип этого метода основан на том, что возникающая между двумя металлами КРП обуславливает прохождение через Ж тока, преобразуемого в сигнал переменного тока, который усиливается и регистрируется индикатором переменного тока (катодный осциллограф). Для подобного рода измерений КРП в Ж применен также несколько видоизмененный метод Зисмана (применявшийся ранее главным образом для измерений КРП в вакууме или газе), который заключается в том, что измерение КРП между двумя металлич. электродами, между которыми находится слой диэлектрич. Ж, производится при вибрации одного из них. Сравнение данных измерений КРП между Al, Cu, Ni и Pt в нитро- и дихлорбензоле, выполненных двумя указанными методами, дает удовлетворительное согласие. Оба метода могут быть успешно применены для измерения КРП в Ж с сопротивлением между электродами порядка  $10^7 - 10^{12}$  ом.

М. Герович

56865. Изучение электрокапиллярного поведения ртути в растворах серной кислоты методом вислей капил. Смита, Старк (Electrocapillary behavior of mercury in sulfuric acid solutions by the pendent drop method. Smith Grant W., Stark Vivian, J. Phys. Chem., 1958, 62, № 2, 195—199 (англ.))

Исследована зависимость тока  $i$  и пограничного натяжения  $\gamma$  Hg от потенциала  $E$  на стационарной Hg-капле в  $10^{-4} - 10^{-2}$  н.  $\text{H}_2\text{SO}_4$ . Величина  $\gamma$  вычислялась по ф-ле, в которой учитывались размеры и форма Hg-капли и разность плотностей обеих сред. Показано, что растворенный  $\text{O}_2$  снижает величины  $i$  и  $\gamma$ , поэтому измерения проводились в атмосфере  $\text{N}_2$ . Полученные кривые ( $\gamma, E$ ) отклоняются от параболич. формы электрокапиллярной кривой Гуи, обнаруживая более низкую область максимума. Установлено, что изучение электрокапиллярных свойств Hg методом отрыва капли приводит к ошибкам в измерениях  $\gamma$ , связанным, по мнению авторов, с тем, что время существования капли до ее отрыва недостаточно для достижения равновесного состояния. Сделан вывод, что метод вислей капил. сменяемой для каждого

значения  $E$ , является надежным и точным методом измерения электрокапиллярных свойств Hg.

М. Герович

56866. Электрокапиллярное поведение непредельных алициклических и алифатических углеводородов. Герович М. А., Рыбальченко Г. Ф., Ж. физ. химии, 1958, 32, № 1, 109—115 (рез. англ.)

В продолжение работ (РЖХим, 1955, 9268; 1956, 61161) исследована адсорбция на границе Hg — р-р непредельных 5- и 6-членных циклич. и ненасыщ. алифатич. углеводородов (УВ) методом снятия электрокапиллярных кривых. Непредельные циклич. УВ (циклопентен, циклогексен, циклогексадиен и др.) подобно ароматич. УВ, однако в меньшей степени, адсорбируются на положительно заряженной поверхности Hg. Зависимость адсорбционных эффектов этих соединений (при  $\phi = +0,1$  в, по насыщ. к. э.) от числа двойных связей или  $\pi$ -электронов в молекуле близка к линейной. Адсорбционная активность убывает в ряду антрацен > дигидро- > тетрагидро- > октагидроантрацен. Качественно подобный адсорбционный эффект на положительно заряженной поверхности Hg наблюдается также в р-рах ненасыщ. алифатич. УВ. Адсорбционная активность циклич. УВ выше, чем диеновых алифатич. УВ. В соответствии с выдвинутыми ранее представлениями об особенностях электрокапиллярного поведения ароматич. УВ сделан вывод, что наблюдаемые в р-рах ненасыщ. циклич. и алифатич. УВ адсорбционные эффекты имеют аналогичную природу, а именно, обусловлены взаимодействием между  $\pi$ -электронами молекул этих соединений и положительными зарядами поверхности металла. С точки зрения этих представлений авторы объясняют повышение адсорбируемости при переходе от УВ с изолированной к УВ с сопряженной системой двойных связей усилением подвижности  $\pi$ -электронов в молекуле исследуемых.

М. Герович

56867. Электрокапиллярные свойства некоторых производных нафталина, тетрагидронафталина и антрахинона. Запюр (Własności elektrokapilarne niektórych pochodnych naftalenu, tetrahydronaftalenu i antrachionu. Zapiór Bronisław, Zesz. nauk. Univ. Jagiell., 1957, № 14, 71—87 (польск.; рез. русск. англ.))

Измерены поверхностное натяжение  $\sigma$  и скачки потенциала  $\Delta V$  на границе р-р — воздух для водн. р-ров (содержащих 0,1 моль/л KCl) следующих соединений:  $\beta$ -нафталинсульфокислоты (I), Na-соли  $\alpha$ -нафталинсульфокислоты (II), Na-соли 2-нафтамина-1-сульфокислоты (III), 2-амино-8-нафтол-6-сульфокислоты (IV), Na-соли антрахинон-1-сульфокислоты,  $\alpha$ -тетрагидро- $\beta$ -нафтиламина (V),  $\alpha$ -тетрагидро- $\alpha$ -нафтиламина (VI) и  $\alpha$ -тетрагидро- $\beta$ -нафтола (VII). Показано, что 0,01 М р-ры I—V, представляющих собой довольно сильные электролиты, не обладают заметной поверхностной активностью и не вызывают существенных изменений  $\Delta V$ . Введение в молекулу нафталина гидрофильных групп —OH и —NH<sub>2</sub> приводит к резкому повышению адсорбционного и электрич. эффектов. Р-ры VI и VII, являющиеся слабыми основаниями, обладают сильной электрокапиллярной активностью, что выражается в резком понижении  $\sigma$  и росте  $\Delta V$ . Для 0,005 М VI  $\Delta V$  достигает 0,4 в при pH ~ 5. Анализа кривых [(1— $\sigma$ ), pH] и ( $\Delta V$ , pH) обнаруживает параллелизм между адсорбционным и электрич. эффектами в р-рах VI и VII. На основании полученных данных при помощи Краменского, а также на основании графич. анализа зависимости [ $\Delta V/100(1-\sigma)$ , pH] определены константы диссоциации обоих оснований.

М. Герович

56868. U-эффект-III; эффект движения жидких капель ртути в ртутноэлектродной капиллярной тру-

но. Подольский, Кушевич, Риверс (U-effect-III; effect of liquid drop motion in mercury-electrolyte capillary tubes. Podolsky B., Kushevics G., Rivers J. L.), J. Appl. Phys., 1957, 28, № 3, 357—362 (англ.).

При механич. низкочастотных ( $\omega$  до 600 гц) колебаниях открытой (I) или запаянной с обоих концов (II) капиллярной трубки, заполненной отдельными Hg-каплями и р-ром электролита (разб.  $H_2SO_4$ ,  $CuSO_4$ , или NaOH; конц.  $H_2SO_4$ ) на концевых Pt-, Cu- или Fe-электродах трубки возникает периодич. напряжение U той же частоты  $\omega$ . Это явление, названное авторами «U-эффектом-III» в отличие от ранее описанных «U-эффектов-I и -II» (РЖХим, 1955, 48568), возникает в результате продольных механич. колебаний капиллярной трубки, вызывающих периодич. перераспределение поверхностной плотности зарядов в двойном электрич. слое на границе Hg/электролит. Эффект значительно больше выражен в I, чем в II, что объясняется большей амплитудой (A) смещения капиллярной трубки относительно I. Развита приближенная теория эффекта, качественно согласующаяся с эксперим. данными по зависимости амплитуды U от  $\omega$  при A = const, U от A при  $\omega$  = const и по зависимости силы тока короткого замыкания от A при постоянном радиусе капилляра. С теорией согласуется также ясно выраженная зависимость эффекта от общей длины Hg-капель и малая зависимость от их числа.

И. Зайденман

56869. К экспериментальной проверке уравнения электрокапиллярной кривой при высоких температурах. Никитин Ю. П., Есин О. А., Тр. Уральского политехн. ин-та, 1957, Сб. 67, 37—41

В продолжение работ авторов (Докл. АН СССР, 1952, 83, 431; 87, 813) измерены токи заряжения поверхности металла, находящегося в контакте с жидким сплавом, при 1500° в тиглях из плавленной  $MgO$ . Исследовались сплавы Fe-C и Mn-C, насыщенные углеродом. Шлаки готовились из х. ч.  $CaO$ ,  $SiO_2$ ,  $Al_2O_3$ . Снята катодная ветвь электрокапиллярной кривой на Mn-C. Значения плотности заряда поверхности металлич. сплавов, найденные из электрокапиллярных кривых и из токов заряжения, для Fe-C равны соответственно  $10 \cdot 10^{-6}$  и  $3 \cdot 10^{-6}$  к/см<sup>2</sup>, а для Mn-C  $9 \cdot 10^{-6}$  и  $6 \cdot 10^{-6}$  к/см<sup>2</sup>. Методом сидячей капли изучено влияние добавок Fe и C к Mn на межфазное натяжение его ( $\sigma$ ) со шлаком (25%  $CaO$ , 63%  $SiO_2$  и 12%  $Al_2O_3$ ). Добавка 25 ат. % C снижает  $\sigma$  от 1050 до 540 э/см<sup>2</sup>, а добавка 75 ат. % Fe — повышает до 1160 э/см<sup>2</sup>. Экспериментально доказана справедливость дифференциального ур-ния электрокапиллярной кривой при высоких т-рах.

Ю. Никитин

56870. Распределение тока на плоских параллельных электродах в прямоугольном электролизере. Кадавер Л. И., Цукерник В. М., Ж. физ. химии, 1957, 31, № 10, 2253—2259 (рез. англ.).

В продолжение работ, опубликованных ранее (РЖХим, 1957, 18700, 18701), рассмотрен очень практически важный случай плоскопараллельных электродов одинаковой ширины в прямоугольной ванне. Для определения первичного распределения тока на катоде использован метод конформных отображений и дано расчетное ур-ние. Справедливость его доказана экспериментально на примере мало поляризующихся электродов (Cu в р-ре  $CuSO_4$ ) при нескольких соотношениях размеров катода и анода. Для приближенного учета влияния катодной поляризации каждой точке катода приписывается поляризация, соответствующая плотности тока первичного поля в данной точке. Дано расчетное ур-ние, из которого графически можно определить плотность тока вторичного поля (с учетом поляризации).

В. Машовец

56871. Некоторые вопросы теории электроосаждения сплавов. III. Об условиях сближения потенциалов выделения металлов за счет энергии, выделяющейся при образовании сплава. IV. Осциллографическое исследование потенциала катода в процессе осаждения сплавов. V. Осциллографическое исследование потенциала катода в процессе осаждения сплава (система медь — цинк, медь — свинец и никель — кобальт). Полукаров Ю. М., Горбунова К. М., Ж. физ. химии, 1956, 30, № 4, 878—881; 1957, 31, № 10, 2281—2287; № 12, 2682—2689 (рез. англ.).

III. Рассматривается вопрос о том, в какой мере сдвиг потенциала  $\phi$  разряда ионов, возникающий в результате изменения парц. молярной энергии компонента при его вхождении в сплав, способствует сближению  $\phi$  их выделения. Анализируется соотношение между величинами смещения  $\phi$  разряда ионов (за счет энергии взаимодействия при образовании сплава) и сближения  $\phi$  осаждения металлов. Отмечается, что при наличии значительной энергии взаимодействия и смещения  $\phi$  выделения металлов в положительную сторону, сближение  $\phi$  может не наблюдаться, если величины смещения для обоих компонентов будут одного порядка. Исходя из зависимости изменения свободной энергии системы при образовании сплава от его состава, показано, что энергия взаимодействия может приводить к сближению  $\phi$  выделения металлов только до определенной конц-ии.

Ф. Л.

IV. Осциллографич. методом изучены процессы осаждения (O) Ag на стационарном Hg-катоде ( $1,5 \text{ см}^2$ ), Hg на Hg и совместного O Ag и Hg на Hg. При O Hg на Hg в интервале  $i$  0,5—6 ма/см<sup>2</sup> изменения потенциала  $\phi$  катода во времени не обнаружено. В случае совместного O Ag и Hg на Hg (из р-ра 0,01 н.  $AgNO_3$  + 0,002 н.  $Hg_2(NO_3)_2$ ) при  $i < 25 \text{ ма/см}^2$  также не наблюдается изменения  $\phi$ ; при  $i > 37 \text{ ма/см}^2$  наблюдаются скачки  $\phi$ , достигающие до 60 мВ. Показано, что скачки  $\phi$  связаны с периодич. растворением твердой  $\alpha$ -фазы сплава Ag-Hg в Hg. Совместное O Ag и Cd из цианистого электролита не сопровождается изменениями  $\phi$ . Сделан вывод, что разряд ионов при образовании сплавов Ag-Hg и Ag-Cd, протекающий при  $\phi$  катода, превышающих  $\phi$  разряда ионов наиболее электроотрицательного в данном р-ре металла, происходит одновременно, а не путем последовательного чередования процессов разряда различных ионов.

Г. Тедорадае

V. Приводятся данные по осциллографич. исследованию потенциала  $\phi$  катода в процессе электроосаждения сплавов: Cu-Zn из цианистого и павелевокислого р-ров, Cu-Pb из цианистого и Ni-Co из сернокислого электролитов. Наряду с этим проводился контроль  $\phi$  катода в процессе выделения чистой Cu и H<sub>2</sub>. При осаждении сплавов Cu-Pb и Ni-Co изменения  $\phi$  имеют большой период колебаний, внутри которых происходят колебания с меньшим периодом; установлено, что большие периоды колебаний соответствуют времени образования одного слоя в осадках. Показано, что наблюдавшиеся колебания  $\phi$  связаны главным образом с процессом выделения H<sub>2</sub>. Не было найдено существенного отличия в характере изменения  $\phi$  катода при осаждении сплавов с различным типом взаимодействия компонентов (твердые р-ры Cu-Zn, Ni-Co и эвтектичная смесь Cu-Pb). Сообщение II см. РЖХим, 1957, 18706.

Ю. Полукаров

56872. Об обмене между фазами в системе металлический Cu/раствор Ag. Бремер (Om utbytet mellan faserna i systemet Cu-metall/Ag-lösning. Bremer T. E.), Suomen kemistiseuran tiedonantoja, 1956, 65, № 2, 55—58 (швед.; рез. англ.).

В продолжение работы, опубликованной ранее (РЖХим, 1956, 25269), исследована скорость осаждения



в Ag на металлич. Cu из р-ров Ag-[8-оксихинолин-5-сульфоната] (I) и AgNO<sub>3</sub>. С ростом конц-ии I от 0,0012 до 0,006 M  $\nu$  возрастает от 2,7 до 71 ма/см<sup>2</sup>; для 0,003 M AgNO<sub>3</sub>  $\nu$  = 21 ма/см<sup>2</sup>. Сделан вывод, что Ag может осаждаться не только из гидратированных ионов Ag<sup>+</sup>, но и непосредственно из комплексных частиц.

М. Тойкка

**56873.** Влияние концентрации камфоры на электрокапиллярные кривые на ртути и на электродные процессы на кадмиевом амальгамном капальном электроде. Стромберг А. Г., Загайнова Л. С., Ж. физ. химии, 1957, 31, № 5, 1042—1055 (рез. англ.)

Из электрокапиллярных кривых, снятых на Hg в р-ре 1,0 M NH<sub>4</sub>OH + 1 M Na<sub>2</sub>SO<sub>4</sub> + 0,01% желатин +  $\alpha$  камфоры (I) (при 18 значениях  $\alpha$  от 0 до 1,0 доли насыщения), графически рассчитаны поверхностные конц-ии I ( $\Gamma$ ) и найдено, что адсорбционный  $\Psi_1$ -потенциал пропорционален  $\Gamma^2$ . С учетом зависимости  $\Psi_1$  от потенциала электрода на основании теории замедленного разряда — ионизации получены ур-ния для поляризационных кривых (ПК) для амальгамного электрода. В тех же р-рах с добавкой  $5 \cdot 10^{-3}$  моль/л CdSO<sub>4</sub> на капальном амальгамном Cd-электроде сняты анодные и катодные ПК и показано, что в соответствии с теоретич. ур-ниями эксперим. графики зависимости анодного и катодного потенциалов полувольт от  $\Psi_1$  при разных конц-иях I прямолинейны; из их угловых коэф. найдены коэф. переноса  $\alpha$  = 0,77;  $\beta$  = 0,23. Показано, что другие результаты поляризационных измерений также согласуются с теорией замедленного разряда ионизации. Сделан вывод, что влияние органич. в-в мол. типа на электродные процессы может быть связано, наряду с другими факторами, с изменением адсорбционного  $\Psi_1$ -потенциала. См. также РЖХим, 1955, 9271; 1956, 42818.

И. Зайденман

**56874.** К теории катодной защиты. II. Вагнер (Contribution to the theory of cathodic protection. II. Wagner Carl), J. Electrochem. Soc., 1957, 104, № 10, 631—637 (англ.)

Рассчитано распределение потенциала  $E$  на пластине металла в р-ре электролита при его катодной защите от коррозии для 3 случаев: 1) аноды в виде проводов расположены параллельно катоду; 2) анодные и катодные участки в виде изолированных чередующихся полос лежат в одной плоскости; 3) аноды — изолированные проволоки, лежащие в одной плоскости с катодными участками. В точках катода, наиболее удаленных от анода,  $E$  должен быть достаточен для восстановления всего поступающего из р-ра O<sub>2</sub>; в ближайших к аноду точках  $E$  катода не должен значительно превышать  $E$  разряда водорода, так как газовыделение нежелательно. Этим определяется необходимая и достаточная для полной защиты разность  $E$  в разных точках катода. Сообщение I см. J. Electrochem. Soc., 1952, 99, 1.

В. Машовец

**56875.** Влияние ультразвукового поля на анодное растворение меди. Трофимов А. Н. В сб.: Применение ультразвука к исслед. вещества. Вып. 6. М., 1958, 171—174

Экспериментально изучено влияние ультразвукового поля (частота 710 кГц) интенсивностью до 2 вт/см<sup>2</sup> на электрохим. растворение Cu при 20°. Вдоль электрода создавалась стоячая ультразвуковая волна и визуально наблюдалось появление полосатости на электродах, вызванное колебаниями в интенсивности процессов растворения (анод) и осаждения (катод) металла. Области максим. осаждения Cu на катоде соответствуют тем областям акустич. поля, в которых на аноде наблюдается миним. растворение; таким образом, максим. усиление анодного и катодного процессов наблюдается в различных участках стоячей ультразвуковой волны. Озвучивание вызывает деполяризацию элект-

рода. Качественно определен характер электрорастворения Cu, наблюдаемый при изменении условий электролиза.

Б. Кудрявцев

**56876.** Исследования анодов для электролиза. Часть 3. Рентгеноскопическое исследование поверхности платинового анода для электролитического производства пересульфата. Иноуэ (Inoue Toshio), Докл. кагаку, J. Electrochem. Soc. Japan, 1957, 25, № 11, 576—583, E-123 — E-124 (японск.; рез. англ.)

Методом дифракции рентгеновских лучей исследована поверхность (П) полированных Pt-анодов, используемых в произ-ве пересульфата. Изучались прокатанные Pt-ленты как свежие, так и применявшиеся в производственных условиях в течение 0,5—3 лет, а также термически чистые и х. ч. образцы Pt. В результате электролиза П образцов перестает быть гладкой. На П обнаружены Pt<sub>2</sub>O<sub>4</sub> и PtO<sub>2</sub> · nH<sub>2</sub>O ( $0 \leq n \leq 2$ ). Появляющийся на П некоторых образцов желтовато-коричневый слой представляет собой, по-видимому, комплексную соль Pt, образующуюся при действии свободных радикалов SO<sub>4</sub> и OH на П Pt-анода. Часть 2, см. РЖХим, 1958, 42695.

А. Чемоданов

**56877.** Спектры электро- и фотолуминесценции окисных пленок, возникающие при анодном окислении алюминия в растворах щавелевой кислоты. Рузевич (Widma elektro- i fotoluminescencji warstw tlenkowych powstajacych podczas anodowego utleniania glinu w roztworach kwasu szczawowego. Ruziewicz Zdzisław), Roczn. chem., 1957, 31, № 2, 731—734 (польск.; рез. англ.)

В продолжение работ (РЖХим, 1957, 47211, 54040) показано, что спектр излучения Al-анода в р-рах щавелевой к-ты во время электролиза идентичен спектру фотолуминесценции окисной пленки, образующейся на Al-аноде.

А. Фулифски

**56878.** Электрохимическое окисление и восстановление органических веществ. Мидзугути (Mizuguchi Iun), Юки госэй кагаку кекайси, J. Soc. Organ. Synth. Chem. Japan, 1957, 15, № 3, 129—130 (японск.)

Обзор. Библ. 23 наз.

**56879.** О некоторых свойствах амальгамных электродов и о перенапряжении водорода на амальгаме натрия. Юрьев Б. П., Евлаников Л. М., Тр. Ленингр. политехн. ин-та, 1957, № 188, 249—256

Рассмотрен вопрос о природе потенциала амальгамного электрода с точки зрения теории стационарных потенциалов. Путем измерения скорости выделения H<sub>2</sub> при анодной поляризации (0,01—0,05 а/см<sup>2</sup>) амальгамы (А) Na (0,267%) в 9,1 н. NaOH при 20° определена частная катодная плотность тока и рассчитана частная анодная плотность тока. Стационарный потенциал А Na практически совпадает с равновесным. Нормальный потенциал изученной А при 25° равен —1,8715 в. Константа «а» ур-ния Тафеля для перенапряжения водорода составляет 1,410 в.

Ельцов

**56880.** Электрохимическое поведение металлокерамического железного электрода в растворах щелоч. Турапов М. К., Муртазаев А. М., Изв. АН УзССР. Сер. хим. н., 1957, № 2, 53—59 (рез. узб.)

Более подробное изложение опубликованной ранее работы (РЖХим, 1958, 31885).

Ельцов

**56881.** Влияние катионов на поляризационный потенциал платиновых анодов и на перенапряжение кислорода. Эрдей-Груз, Шафарик (Über die Wirkung der Kationen auf das Polarisationspotential der Platinanoden bzw. auf die Sauerstoffüberspannung. Erdey-Grúz T., Safarik I.), Acta chim. Acad. sci. hung., 1957, 13, № 1—2, 159—180 (нем.; рез. русск., англ.)

Сняты анодные поляризационные кривые на Pt-электроде в р-рах чистой H<sub>2</sub>SO<sub>4</sub> (I), а также в р-рах

содержащих сульфаты различных катионов. В широком интервале  $i$  ( $10^{-6}$ — $10^{-2}$  а/см<sup>2</sup>) зависимость ( $\varphi$ , lg  $i$ ) линейна. При более высоких значениях  $i$  наблюдается резкий подъем  $\varphi$ , сопровождающийся появлением персульфатов в продуктах электролиза. В р-рах чистой  $I$  при постоянном и небольшом значении  $i$  величина  $\varphi$  растет линейно с конц-ией  $I$ , а также увеличивается коэф.  $b$  в ур-нии Тафеля. Введение в 2 и 9 н. р-ры  $I$  катионов металлов вызывает повышение  $\varphi$  как при постоянной конц-ии  $I$ , так и в случае сохранения неизменной ионной силы р-ра. По величине повышения  $\varphi$  катионы располагаются в ряд:  $Li^+ < Mg^{2+} < Na^+ < Zn^{2+} < NH_4^+ < Al^{3+} < K^+$ . В 2 н.  $I$  коэф.  $b$  возрастает от 0,106 для  $Li^+$  до 0,135 для  $K^+$ . На примере иона  $K^+$  показано, что аналогичный эффект повышения  $\varphi$  под влиянием катионов происходит на платинированном Pt- и Ni-электродах. При  $i = const$  ( $\leq 1 \cdot 10^{-3}$  а/см<sup>2</sup>) наблюдается линейная зависимость  $\varphi$  от lg  $C_{K^+}$ . Сделан вывод, что эффект повышения  $\varphi$  под влиянием катионов обусловлен их адсорбцией в диффузионной части двойного слоя, в результате которой происходит повышение энергии активации процесса разряда молекул воды, приводящее к росту перенапряжения кислорода.

М. Герович  
56882. Влияние переменного тока на перенапряжение кислорода на платиновом аноде в растворах серной кислоты. I. Эрден-Груз, Шафарик (Über die Wirkung des Wechselstromes auf die Sauerstoffüberspannung an Platinelektrode in Schwefelsäurelösungen. I. Erdey-Grúz T., Safarik I.), Acta chim. Acad. sci. hung., 1957, 13, № 1—2, 201—215 (нем.; рез. русск., англ.)

Изучено влияние переменного тока различной частоты  $\nu$  на потенциал  $\varphi$  Pt-электрода в 2 и 9 н.  $H_2SO_4$  (I). Наложение переменного тока приводит к снижению кислородного перенапряжения, величина которого зависит от  $\nu$ , плотности постоянного поляризующего тока ( $i$ ), а также от конц-ии  $I$ . На кривой ( $\varphi$ ,  $\nu$ ) имеется минимум при  $\nu$  500—1000 гц. В 2 н.  $I$  максим. снижение  $\varphi$  равно 0,06 в, в 9 н.  $I$  0,35 в. Деполяризационный эффект уменьшается с ростом  $i$ . Так как при высоких  $i$  основным электродным процессом является образование надсерной к-ты, сделан вывод, что переменный ток вызывает только ускорение выделения  $O_2$ , не оказывая заметного влияния на процесс образования надсерной к-ты. По мнению авторов, деполяризующее действие переменного тока обусловлено периодич. восстановлением и окислением поверхностных окислов на Pt-электроде, участвующих в электролитич. образовании  $O_2$ .

М. Герович  
56883. Об электролизе нитратов в ацетонитриле. Шмидт, Штанге (Über Elektrolysen von Nitraten in Acetonitril. Schmidt Hans, Stange Hardi), Z. anorgan. und allgem. Chem., 1958, 293, № 5—6, 274—285 (нем.)

В продолжение работы, опубликованной ранее (РЖХим, 1954, 16087), изучено окисление р-ров  $AgNO_3$  и  $Cd(NO_3)_2$  в ацетонитриле на Pt-аноде. При электролизе  $AgNO_3$  р-р в анодном пространстве окрашивается в коричневый цвет, что авторы объясняют взаимодействием образующихся на аноде  $N_2O_5$  и ионов  $Ag(2+)$ , присутствие которых доказано аналитически. Показано, что в качестве промежуточного продукта на аноде образуются радикалы  $NO_3$  (или их димер  $N_2O_6$ ). Расщепление  $Ag$ -анода в р-ре нитратов авторы объясняют взаимодействием металлич.  $Ag$  с  $NO_3$  (или  $N_2O_6$ ). Обсуждается возможный механизм анодного процесса при электролизе  $Cd(NO_3)_2$ .

Ю. Плесков  
56884. Изучение потерь тока при электрическом получении хлора на ртутном катоде. Часть 4. Поляризационная кривая при электролизе раствора хлорида натрия. Окада, Посидзава, Сирагами

(Okada Shinzo, Yoshizawa Shiro, Shiragami Osamu), Дэнки кагаку, J. Electrochem. Soc. Japan, 1956, 24, № 7, 306—309 (японск.; рез. англ.)

Изучался электролиз насыщ. р-ра  $NaCl$  на Hg-катоде с помощью капельного Hg-электрода. Основной причиной потерь тока без выделения  $H_2$  является восстановление на катоде  $Cl_2$  и  $ClO^-$ . На полярографич. кривой на фоне насыщ.  $NaCl$   $E_{1/2}$  разряда  $H^+$  составляет —1,45 в (насыщ. к.э.). При добавлении ионов  $ClO_4^-$  (I) и  $Cl_2$  несколько растет, следовательно,  $I$  способствует восстановлению  $Cl_2$ . Ионы  $I$  дают 4 волны, которые снижаются с увеличением конц-ии  $NaCl$  (за исключением 4-й волны). Это снижение усиливается при уменьшении pH и добавлении  $Cl_2$ . Предполагается, что  $I$  восстанавливается на Hg-катоде до  $Cr$ , а конц-ия  $Cl_2$  и  $ClO^-$  в катодной пленке растет с увеличением в ней конц-ии  $OH^-$ .  $ClO^-$  и  $Cl_2$  окисляют  $Cr^{3+}$ ,  $Cr^{2+}$  и  $Cr$  до  $I$ , и благодаря этому циклич. процессу небольшие кол-ва  $I$  уменьшают выход по току без выделения  $H_2$ . Ионы  $CrO_3$  (II) не влияют на выход по току. В 0,1  $M$   $II$  на фоне насыщ.  $NaCl$  наблюдается волна с  $E_{1/2} = -1,5$  в; она отвечает р-ции  $II + 6e + 6H^+ = Cl^- + 3H_2O$ , скорость которой определяется диффузией ионов  $H^+$ . Часть 3 см. РЖХим, 1958, 54548.

В. Левинсон  
56885. Электролитическое восстановление тетрахлорида тория в солевых расплавах. Юшина Л. Д., Ж. общ. химии, 1958, 28, № 1, 272—276

Изучались условия электрохим. восстановления  $Th$  в расплавах хлоридов щел. металлов, содержащих 16,1 вес. %  $ThCl_4$ , при 700° в Мо-тигле, который служил катодом, в атмосфере  $Ar$ . Кривые измерения окислительно-восстановительного потенциала системы  $Th^{4+} - Th^{2+}$  во времени (при  $i = 0,01$ ; 0,05 и 0,1 а) имеют 3 характерных участка, которые указывают на стабильность процесса восстановления  $Th^{4+}$  (РЖХим, 1957, 47547). Установлено, что ионы  $Th^{2+}$  и  $Th^{3+}$  энергично взаимодействуют с силикатными материалами, а также с Pt и Ta.

Б. Лепинских  
56886. О катодном процессе при электролитическом получении алюминия. Машовец В. П., Тр. Всес. алюмин.-магн. ин-та, 1957, 39, 274—287

Показано, что применявшиеся различными авторами ф-лы для определения выхода по току  $\eta = 1 - (k/l^n)$  и  $\eta = c^{1/n}$  ( $k$  — потери,  $l$  — плотность тока,  $c$  — константа,  $l$  — расстояние между электродами) не учитывают электродных потенциалов и хода поляризационных кривых всех процессов, протекающих на катоде: неполного разряда с образованием ионов  $Al^+$ ; разряда ионов  $Al^+(Al^+ + e \rightarrow Al)$ , а также р-ции  $Al^{3+} + 3e \rightarrow Al$  и  $Na^+ + e \rightarrow Na$ .

Б. Лепинских  
56887. Зависимость разрядных характеристик двухокиси марганца от условий ее электролитического осаждения. Кодзава, Восберг (The relation of the conditions of electrodeposition of manganese dioxide to the discharge characteristics. Kozawa Akiya, Vosburgh W. C.), J. Electrochem. Soc., 1958, 105, № 2, 59—63 (англ.)

Исследовалось влияние т-ры, плотности тока  $D$ , состава ванны и нагрева  $MnO_2$  (I) на характеристики  $MnO_2$ -электрода, полученного электролитич. путем. Найдено, что перенапряжение (II) электродов в р-ре 0,1  $M$   $H_2SO_4$  + 0,1  $M$   $MnSO_4$  растет линейно с т-рой, при которой осаждалась  $I$ . С ростом  $D$ , при которой осаждалась  $I$ ,  $II$  падает. Установлено, что причиной изменения  $II$  является не изменение состава  $I$ , а изменение истинной поверхности электрода, которое легко определить измерением кол-ва  $Zn^{2+}$ , адсорбированного  $I$ . Адсорбция  $Zn^{2+}$  возрастает с толщиной электрода примерно таким же образом, как и с ростом



*D.* Однако влияние толщины электрода на форму разрядной кривой (РК) и на кол-во образующегося  $Mn^{2+}$  гораздо сильнее, чем влияние *D*. Присутствие  $NH_4^+$  и  $K^+$  в электролите для осаждения *I* вызывает значительное изменение формы РК;  $MnO_2$ -электрод содержится в этом случае примеси указанных ионов в кол-ве тем большем, чем выше была их конц-ия в электролите. Наличие  $Zn^{2+}$ ,  $Mg^{2+}$  и  $Al^{3+}$  в том же электролите почти не влияет на форму РК. Нагрев  $Mn_2O$ -электрода в печи или в горячей воде от 90 до 140° вызывает изменения формы РК, усиливающиеся с ростом т-ры нагрева. РК для электрода, нагретого до 140°, аналогична по форме РК, получаемым при наличии  $NH_4^+$  в электролите.

В. Левинсон

**56888.** Полярография комплексных соединений и ее аналитические применения. Короты (Polarographie der Komplexverbindungen und ihre analytischen Anwendungen. Koryta J.), Acta chim. Acad. sci. hung., 1956, 9, № 1—4, 363—373 (нем.; рез. англ.)

Обзор. Описано влияние комплексообразования на полярографич. волны металлов, обсуждены возможные механизмы разряда комплексов, разобраны полярографич. способы определения констант нестойкости комплексов и скорости их диссоциации. Библ. 29 назв.

С. Майрановский

**56889.** Зависимость между потенциалом восстановления замещенных производных дифенила и углом между ядрами. Пуэнто, Вильшен (Relation entre le potentiel de réduction des dérivés substitués du biphenyle et l'angle des noyaux. Pointeau Robert, Villepin Jacqueline), C. r. Acad. sci., 1957, 245, № 20, 1725—1727 (франц.)

На основании расчета в случае дифенила и его замещенных связь между  $E_{1/2}$  и углом  $\theta$  между фенильными ядрами выражается ур-нием  $E_{1/2} = 2,20 m - 1,05 (m = f(\theta); \text{ при } \theta < 20^\circ \text{ значения } \Delta E_{1/2} \text{ меньше } 0,04 \text{ в.})$ . Этот вывод подтвержден результатами измерений  $E_{1/2}$  для ряда производных (даны в-во,  $E_{1/2}$  в в относительно насыщ. к. в.): дифенил — 2,60; 4',6'-динитродифенил — 2,62; 4,4'-дифтор-5',6'-динитродифенил — 2,63; 4,4'-дихлор-6,6'-динитродифенил — 2,58; 4,4'-дихлор-5,6'-динитродифенил — 2,52; 6,6'-дибромметилдифенил — 2,65. Следовательно, полярографич. метод не позволяет судить о непланарности молекулы.

Л. Яновская

**56890.** Полярографическое восстановление некоторых ароматических альдегидов. Пауэрс, Дей (Polarographic reduction of some aromatic aldehydes. Powers Robert M., Day R. A., Jr.), J. Amer. Chem. Soc., 1958, 80, № 4, 808—811 (англ.)

В буферных р-рах с рН 1—13, содержащих 25% спирта, исследовано полярографич. поведение бензальдегида (I), *n*-гидрокси-I, *n*-метокси-I, *o*-метокси-I, салицилового альдегида, пипероналя, ванилина, *n*-диметиламина-I, 1-нафталальдегида (II), 2-нафталальдегида и 9-фенантральдегида (III). Проведен макроэлектролиз с выделением полученных в-в, а также кулонометрически определено *n* — число электронов, отвечающих различным волнам. Приведена таблица  $E_{1/2}$  и *n* для всех волн. На основании полученных в работе и литературных данных обсуждено влияние строения в-ва на способность его волны с *n* = 2 расщепляться в цел. р-ре на 2 ступени с *n* = 1. В соответствии с предполагаемым механизмом восстановления (согласно которому в первой стадии с *n* = 1 образуется свободный радикал карбинола (СРК)) показано, что у в-в, СРК которых более стабилизирован, волна или не расщепляется вовсе, или образующиеся 2 волны (с *n* = 1) имеют близкие  $E$ . При малой стабильности СРК они быстро димеризуются, образуя пина-

коны; при этом волна расщепляется на 2 удаленные друг от друга ступеньки (каждая с *n* = 1).

С. Майрановский

**56891.** Применение теории необратимых полярографических волн к восстановлению нитроалканов в неводных растворителях. Финдейс, Де-Врие (Application of a theory of irreversible polarographic waves to the reduction of nitroalkanes in non-aqueous solvents. Findeis Arthur F., Jr. De Vries Thos), J. Amer. Chem. Soc., 1958, 80, № 4, 797—798 (англ.)

С целью выяснения влияния природы р-рителя и строения деполаризатора на необратимое электрохим. восстановление (В) исследовано полярографич. В нитрометана (I) и 2-метил-2-нитропропана (II) в безводном метаноле (III), этаноле, изопропиловом и трет-бутиловом спиртах. На регистрирующем приборе снималась зависимость максим. (за период жизни капли) тока *I* (макс) от потенциала электрода *E*. Найденная зависимость *I* (макс) от *E* использовалась для расчета гетерог. констант скорости ( $K_f, h$ ) и значений  $\alpha n_\alpha$  ( $\alpha$  — коэфф. переноса,  $n_\alpha$  — число электронов, участвующих в замедленной стадии) по ур-ниям Коутежко (РЖХим. 1957, 3497). Зависимость ( $\lg k_f, h$ ) для всех случаев линейна.  $\alpha n_\alpha$  для I во всех р-рителях несколько выше, чем для II. Приведена таблица значений *I* пр.  $E_{1/2}$ ,  $\alpha n_\alpha$  и  $K_f, h$ . В соответствии с теорией во всех р-рителях (кроме III) *I* (макс) в верхней части волн пропорционален  $\sqrt{h}$  (*h* — высота столба Hg), в нижней — почти не зависит от *h*.

С. Майрановский

**56892.** Изучение химического действия высокочастотного электрического разряда. II. Миядзак, Такахаши (Miyazaki Shozo, Takahashi Saku), Нихон кагаку дзасси, J. Chem. Soc. Japan. Pure Chem. Sec., 1956, 77, № 12, 1781—1785 (японск.) В продолжение работы, опубликованной ранее (сообщение I, РЖХим. 1958, 31896), изучалось образование HCN из смесей паров ацетона (I) с  $N_2$  и  $H_2$ , а также с  $N_2$  и  $NH_3$  в электрич. разряде с частотой 40 Мгц при напряжении 2,0 кВ и  $i = 150$  мА. Конц-ия паров I изменялась от долей % до 6%, конц-ия  $H_2$  и соответственно  $NH_3$  — от 0,0 до 30,0%. Общее давление газа 1,0 атм. При изменении конц-ии паров I выход HCN проходит через максимум. Разбавление смеси водородом сильно снижает выход HCN; при разбавлении смеси аммиаком выход HCN сначала увеличивается (до конц-ии  $NH_3$  10%), затем падает. Обсуждаются возможные схемы механизма образования HCN.

Ю. Емельянов

**56893.** Изучение образования цианистого водорода в электрическом разряде. VI. Миядзак, Такахаши (Miyazaki Shozo, Takahashi Saku), Нихон кагаку дзасси, J. Chem. Soc. Japan. Pure Chem. Sec., 1956, 77, № 11, 1642—1647 (японск.)

Изучалось образование HCN из смесей диэтилового эфира (I) +  $N_2$ ; I +  $N_2$  +  $NH_3$ ; I +  $H_2$  +  $NH_3$  в электрич. разряде частотой 40 Мгц в проточной системе при расходе газовой смеси 500, 1000 и 1500 см<sup>3</sup>/мин при общем давлении газовой смеси 1 атм. Конц-ия I менялась от долей процента до 30%; при этом конц-ия получающегося HCN проходит через максимум. При уменьшении расхода газа конц-ия HCN увеличивается. Обсуждаются возможные схемы механизма р-ции образования HCN и проводится кинетич. анализ полученных результатов. Сообщение V см. РЖХим. 1957, 44208.

Ю. Емельянов

См. также: Электроосаждение металлов 58046, 58053, 58058, 58059. Коррозия 57775—57777, 57780, 57784, 57793. Полярография 57125, 57166, 57179, 57181, 57185,

57187. Хим. источники тока 57998, 58000. Электропроводность 56793. Газовая электрохимия 56757, 56983. Электрохимия расплавов 58069

# ПОВЕРХНОСТНЫЕ ЯВЛЕНИЯ. АДсорбция. ХРОМАТОГРАФИЯ. ИОННЫЙ ОБМЕН

Редактор Н. А. Фукс

56894. Увеличение поверхностной проводимости стекла при соприкосновении с плазмой. Фаулер, Сакунта (Plasma augmentation of the surface conductivity of glasses. Fowler R. G., Sakuntala M.), J. Chem. Phys., 1957, 27, № 3, 824—825 (англ.). Соприкосновение сильно ионизированных газов с поверхностями непроводников (стекло) приводит к появлению поверхностной проводимости (ПП), величина которой, по-видимому, зависит от концентрации ионов (аэтронов) в плазме. Этот эффект, вероятно, обусловлен ударами электронов, содержащихся в плазме, и скоростью размещения мигрирующих по поверхности зарядов обоих знаков. ПП может быть обусловлена электронной подвижностью в адсорбированном слое или заполнением зон проводимости поверхностных слоев стекла электронами плазмы. Наиболее вероятной в данном случае является последняя точка зрения, согласующаяся с найденной сильной зависимостью от природы стенок; для пирекса этот эффект больше, чем для стекла Викор. Ю. Эльтеков

56895. Молекулярная структура поверхностных пленок насыщенных моноглицеридов на воде и связь ее с трехмерными структурами. Меркер, Дюберт (The molecular structure in surface films of saturated monoglycerides on water as related to three-dimensional states. Merker D. R., Daubert B. F.), J. Amer. Chem. Soc., 1958, 80, № 3, 516—519 (англ.). На основании исследования л, А-диаграмм сопоставлены величины мол. площадей ( $A_1$ ) в жидко-конденсированных монослоях (МС) 1- и 2-моноглицеридов чистых насыщ. жирных к-т от  $C_{10}$  до  $C_{18}$  с результатами расчета сечений молекул по данным рентгеновского анализа для кристаллов в твердом ( $A_2$ ) и глицерин. жидком (выше т-ры плавления ( $A_3$ )) состояниях тех же гомологов обоих рядов. При этом установлено хорошее совпадение величин  $A_1$  и  $A_2$  и небольшие различия в величинах  $A_1$  и  $A_3$ . Сходство поверхностных и объемных структур и характера мол. сил, действующих в них, подтверждается также тем, что вследствие большей легкости перехода МС 1-изомеров в жидко-конденсированное состояние их л, А-диаграммы практически совпадают с диаграммами гомологов 2-изомеров с двумя лишними  $CH_2$ -звеньями. С другой стороны, такая же закономерность соблюдается для т-ры плавления кристаллов указанных изомеров. Полученные результаты позволяют истолковать различия в строении и свойствах МС моноглицеридов.

А. Таубман  
56896. Изучение монослоев. Часть VII. Реакции казеина с красителями и другими ароматическими соединениями в растворе и их связь с адсорбцией на белковых волокнах. Камерон, Джайлс, Мак-Юан (Researches on monolayers. Part VII. Reactions of casein with dyes and other aromatic solutes and their relation to adsorption by protein fibres. Cameron A., Giles C. H., MacEwan T. H.), J. Chem. Soc., 1958, March, 1224—1230 (англ.).

Сняты изотермы поверхностного давления для монослоев (МС) казеина (I) на водн. р-рах танина (II), глюкозы, инозита и ряда ароматич. сульфонов в кислом р-ре и вблизи изоэлектрич. точки I. II увеличивает жесткость МС вследствие образования Н-связей его ОН-групп с несколькими цепями I. Сравнительно меньшие молекулы глюкозы и инозита не влияют на свойства МС I. Действие больших молекул красителей, в которых имеется 2 или несколько полярных групп, сходно с действием II. Анионы ароматич. сульфонов, в зависимости от их размеров и наличия полярных групп, способных к образованию Н-связей, могут адсорбироваться под МС I либо проникать в МС. При больших поверхностных давлениях возможно образование двойного слоя анионов сульфонов под МС I. Авторы считают, что в тех случаях, когда не могут образоваться Н-связи, средство поверхностноактивных анионов  $RSO_3^-$  к белковому волокну объясняется главным образом ван-дер-ваальсовским взаимодействием между углеводородными радикалами соседних молекул красителя. Вследствие притяжения между молекулами красителя на волокне образуется МС или слой мицелл. Часть VI см. РЖХим, 1958, 35576. И. Слоним

56897. Исследование молекулярной структуры келлина и этилтиокеллина. Габриэлли, Фикальби (Indagine sulla struttura molecolare della «Khellina» e della «Etiltiokhellina». Gabrielli Gabriella, Ficalbi Augusta), Ann. chimica, 1957, 47, № 9, 1013—1016 (итал.). При исследовании образованных на поверхности  $H_2O$  монослоев келлина (I) и этилтиокеллина (II) найдены следующие значения площади на 1 молекулу: для I 48,3  $\text{\AA}^2$ , для II 49 и 78,9  $\text{\AA}^2$ . Последнее значение соответствует горизонтальной, остальные — вертикальной ориентации молекул I и II. Полученные данные подтверждают строение I и II. С. Завьялов

56898. Адсорбция газа на границе жидкость — газовая смесь при высоких давлениях. Сообщение 6. Левченко Г. Т., Большаков П. Е., Тр. Гос. н.-и. и проект. ин-та азот. пром.-сти, 1957, вып. 8, 31—37. Вычислены значения поверхностного натяжения  $\sigma$  на границе вода — азото-водородная смесь трех составов при 25° и давления до 800 атм по значениям  $\sigma$  для систем вода — азот и вода — водород. Хорошее совпадение вычисленных значений  $\sigma$  с эксперим. данными подтвердило правильность предложенного авторами метода выражения зависимости адсорбции от давления (РЖХим, 1955, 25905). Проверена возможность применения правила аддитивности для приближенных расчетов  $\sigma$  на границе жидкость — газовая смесь. Сообщение 5 см. РЖХим, 1958, 42719.

Резюме авторов  
56899. Адсорбция каприловой кислоты и ее натриевой соли на поверхности раздела воздух — раствор. Матиевич, Петхина (The adsorption of sodium octanoate and octanoic acid at the air/solution interface. Matijević E., Pethica B. A.), Croat. chem. acta, 1957, 29, № 3-4, 431—443 (англ.; рез. сербохорв.). Для сопоставления теплоты образования двойного электрич. слоя с теоретич. данными измерено поверхностное натяжение ( $\sigma$ ) водн. р-ров каприловой к-ты (I) при 20°. Приведены данные о зависимости  $\sigma$  от pH. Зависимость между  $\sigma$  и конц-ией I аналогична описанной А. Н. Фрумкин (Z. phys. Chem., 1925, 116, 466). Значения  $\sigma$  при различных конц-иях использованы для расчета теплот адсорбции, подтвердившего теорию двойного слоя. Влияние т-ры на ур-ние состояния монослоя сопоставлено с теорией Дейвиса (РЖХим, 1957, 54068). Я. Сатуновский

56900. Исследования в области физической адсорбции. Шай, Халас, Надь, Секей, Сёньи (Untersuchungen auf dem Gebiet der physikalischen Adsorption. Schay G., Halász I., Nagy F., Székely Gy., Szönyi S.), Acta chim. Acad. sci. hung.,



1957, 13, № 1—2, 181—200 (нем.; рез. русск., англ.)  
Обзор проведенных в 1949—1957 гг. в Будапештском Техническом Университете и Венгерской Академии наук работ Шан с сотрудниками в области физ. адсорбции газов и паров на твердых адсорбентах (РЖХим, 1955, 51625; 1956, 50407; 1958, 56903).

3. Высоцкий  
56901. Значения дисперсионной энергии в пористых сорбентах. Баргер (Dispersion energies in porous sorbents. Barger R. M.), Nature, 1958, 181, № 4603, 176—177 (англ.)

Исходя из того, что энергия  $E$  дисперсионного взаимодействия молекулы газа с твердой поверхностью пропорциональна числу  $N$  атомов компактного сорбента в единице объема, высказано предположение, что в случае высокопористых сорбентов значительное уменьшение  $N$  должно сказаться на величине  $E$ . Сопоставлены опубликованные в литературе изотермы теплоты  $q$  сорбции в случае клатратных комплексов Ag с гидрохиноном и Ag, Kг и Хе с водой, а также при адсорбции Ag (главным образом), He, Ne,  $H_2$  и  $O_2$  на шабазите (I), фюзите (II), непористом рутиле (III), угле «саран», непористых сажах «сферон» и «графон». Показано, что, несмотря на предсказываемое теорией увеличение  $E$  при переходе от адсорбции молекулы на плоской поверхности ( $E = E_1$ ) к адсорбции между двумя параллельными поверхностями, в полусферич. поре, в длинном цилиндрич. капилляре и в изолированной сферич. полости соответственно в 2, 4, 6,36 и 8 раз в случае высокопористых богатых углеродом сорбентов максим. значение  $E$  благодаря уменьшению  $N$  никогда не достигает  $8 E_1$  и равно лишь  $\sim 1,5-2 E_1$ . В случае богатых кислородом I, II и III  $q$  для Ag при больших  $\theta$  примерно одинаковы, что объясняется почти полной в данном случае компенсацией противоположных влияний: уменьшения  $N$  и наложения потенциалов противоположных стенок пор у I и II.

3. Высоцкий  
56902. Адсорбция паров при образовании на поверхности комплексов из молекул адсорбента. Киселев А. В., Докл. СССР, 1957, 117, № 6, 1023—1026

Теоретически рассмотрена адсорбция паров с учетом взаимодействия адсорбированных молекул в 1-м слое. Рассмотрено образование комплексов молекул вдоль поверхности адсорбента и перпендикулярно к ней. Применением метода квазихим. равновесий выведены ур-ния изотермы адсорбции. Для 1-го случая ур-ние (в линейной форме)  $\theta'/h(1-\theta') = k'_1 + k_n k'_1 \theta'$ , для 2-го случая  $\theta(1-h)/h[1-\theta(1-h)] = k'_1 + k_n k'_1 \theta(1-h)$ ; здесь  $\theta'$  — степень заполнения поверхности в 1-м слое,  $\theta = a/a_m$  — общая степень заполнения,  $a$  — величина адсорбции,  $a_m$  — величина адсорбции в плотном монослое,  $h$  — относительное давление паров,  $k'_1$  — константа равновесия при образовании единичного комплекса,  $k_n$  — константа равновесия при образовании всех других комплексов 1-го слоя. Показано, что ур-ния Ленгмюра и Брунауэра — Эммета — Теллера получаются из этих ур-ний при определенных условиях как частные случаи. В силу принятых допущений ур-ния являются приближенными. Выведенные ур-ния могут быть особенно полезными при малых энергиях адсорбции, когда взаимодействием между адсорбированными молекулами пренебречь нельзя и изотермы адсорбции вначале вогнуты, а затем проходят через точки перегиба. А. К.

56903. Адсорбция газовых смесей. I. Статистическая теория физической адсорбции ленгмюровского типа в многокомпонентных системах. Шан, Фейеш, Сатмари. II. Новый хроматографический метод определения смешанной адсорбции; адсорбция смесей  $CO_2 = C_2H_2$  на древесном угле. Шан, Секей,

Сигетвари (Studies on the adsorption of gas mixtures. I. Statistical theory of physical adsorption of the langmuir-type in multicomponent systems. Schay G., Fejes P., Szathmáry J. II. A new chromatographic method for determination of mixed adsorption; adsorption of  $CO_2 = C_2H_2$  mixtures on charcoal. Schay G., Székely Gy., Szigetváry G.), Acta chim. Acad. sci. hung., 1957, 12, № 3-4, 299—307; 309—324 (англ.; рез. русск., нем.)

I. Развита ранее (РЖХим, 1954, 39319) для индивидуальных газов статистич. теория физ. адсорбции ленгмюровского типа, согласно которой ур-ние изотермы Ленгмюра может быть выведено из предположения об идеальном (но с молекулами конечных размеров) полностью подвижном двумерном адсорбционном монослое, обобщена на случай многокомпонентных систем. Из теории следует согласующийся с опытными данными вывод о различной величине  $a_m$  предельной адсорбции для разных газов, но если принять  $a_m$  одинаковой для всех газов, то выведенное ур-ние изотермы для каждого компонента превращается в известное ур-ние Маркгема — Бентона. Рассмотрен частный случай двухкомпонентных систем; сделан вывод, что мерой адсорбируемости (степени взаимодействия газа с адсорбентом) является произведение  $amb$  ( $b$  — константа ур-ния Ленгмюра), а не просто  $a_m$ . Эмпирич. правило Льюиса — Джилленда, утверждающее, что при данном суммарном давлении сумма относительных величин адсорбции обоих компонентов независимо от их парц. давлений всегда равна единице, является приближенным следствием из предлагаемой теории.

II. Для определения изотерм адсорбции индивидуальных компонентов или их смесей предложен метод фронтальной газовой хроматографии, основанный на различии скоростей газового потока на входе и выходе из колонки в результате адсорбции в слое. Теоретически рассмотрены случаи адсорбции одного газа из смеси с инертным газом-носителем и двух газов без носителя. В первом случае, когда смесью вытесняется чистый носитель, объем газа, вышедшего из колонки до проскаки, непосредственно равен мертвому объему колонки и его не надо определять в отдельном опыте. Предложенным методом при 0° и 20° и 0,1—1 атм определены (методику см. РЖХим, 1958, 10728) изотермы адсорбции чистых  $CO_2$  и  $C_2H_2$  (на инертного  $H_2$ ) и их смесей на древесном угле хлорциклового активации. Из ленгмюровских изотерм чистых газов вычислены хорошо согласующиеся с опытными изотермы смешанной адсорбции. Сопоставление результатов с изложенной в части I теорией показывает, что она в общем несколько лучше согласуется с опытом, чем теория Маркгема — Бентона, хотя и не дает существенных преимуществ при вычислении изотерм.

3. Высоцкий  
56904. Теплота адсорбции насыщенного пара этилового спирта из воздуха на активированном угле. Сугер (Ciepłota adsorpcji nasyconej pary alkoholu etylowego z powietrza na węglu aktywnym. Sugier Henryk), Zesz. nauk. Politechn. łódzkiej, 1957, № 18, 39—43 (польск.; рез. русск., англ.)

Измерены теплоты адсорбции насыщенного пара этилового спирта на двух сортах активированного угля:  $Q_1 = 13,03$  ккал/моль и  $Q_2 = 16,45$  ккал/моль. Различия между теплотами и величинами адсорбции приписаны различиям в структуре поверхностей: отношение уд. поверхностей обоих сортов угля составляет 0,95, отношение средних радиусов капилляров 2,44, а отношение суммарных объемов капилляров 2,32.

Резюме автора  
56905. Аномальные кажущиеся диэлектрические постоянные газов на некоторых пористых адсорбентах. Петри, Мак-Интош (Anomalous apparent

gas mix-  
ture of  
Schay  
chromato-  
desorption;  
Schay  
chim.  
309—324

и адсорб-  
ции депи-  
зации  
жения об-  
ров) по-  
моном  
х систем  
и дан-  
ой адсорб-  
циановой  
ермы для  
ое ур-  
учай двух-  
ой адсорб-  
адсорбен-  
константа  
и. правило  
при дан-  
ных вели-  
чине от  
ется при-  
орин.

индиви-  
дуаль-  
но-  
соединен-  
и вы-  
ное. Тео-  
ре-  
ного га-  
вух га-  
ю вытес-  
дшего  
и мерт-  
вать в  
и 0° и 20°  
Хим, 1958,  
C<sub>2</sub>H<sub>2</sub> (из-  
тле хлор-  
отери че-  
с опы-  
оставлен-  
й показ-  
огласуе-  
хотя и  
ычисления  
Высоцкий  
пара эт-  
ном угле.  
alkohol  
Sugie  
kiej, 1957,

dielectric constants of gases on several porous adsorbents. Petrie S. E., McIntosh R.), Canad. J. Chem., 1957, 35, № 3, 183—190 (англ.)

Описанным ранее методом (РЖХим, 1956, 57689) при частоте 3,70 Мгц определена зависимость кажущейся диэлектрич. проницаемости  $\epsilon$  ячейки, заполненной пористым стеклом «Викор» (фракция 40—60 меш, пористость 37,0%), от кол-ва  $\alpha$  адсорбированного на нем бутана (I) или хлористого этила. В отличие от адсорбции на непористых адсорбентах при некотором вполне определенном крит. значении  $\alpha$  наблюдается резкое уменьшение  $\epsilon$  (РЖХим, 1953, 202). Объяснить это явление, как это было сделано ранее (McIntosh R. и др., Proc. Roy. Soc., 1951, A208, 292), в случае системы I—силикагель, предположением о резком уменьшении плотности I в адсорбционном слое при крит.  $\alpha$  в данном случае невозможно, так как извлеченный из опыта объем пор пористого стекла не смог бы вместить весь адсорбированный I. Предполагается, что главной причиной указанного эффекта является различие электрич. полей между зернами адсорбента и внутри его пор. Применение описанного ранее (РЖХим, 1956, 3568) метода вычисления  $\epsilon$  гетерог. систем с целью проверки этого предположения не дало однозначных результатов (см. также РЖХим, 1957, 54073).

### 3. Высоцкий

56906. Адсорбция газов на порошкообразном германии. Делл (The adsorption of gases on germanium powder. Dell R. M.), J. Phys. Chem., 1957, 61, № 12, 1584—1586 (англ.)

На четырех образцах порошкообразного Ge (I), полученного восстановлением спектроскопич. чистой GeO<sub>2</sub> при 600—650° (уд. поверхность S по адсорбции K<sub>2</sub> при —195° 0,45—1,37 м<sup>2</sup>/г; посадочная площадка для молекулы K<sub>2</sub> принята в 19,4 Å<sup>2</sup>), в объемной вакуумной установке (при постоянном объеме) измерена адсорбция H<sub>2</sub> (5·10<sup>-4</sup>—1,0 мм рт. ст.), CO (4·10<sup>-3</sup>—0,3 мм рт. ст.) и O<sub>2</sub>. При 25 и 100° не обнаружено заметной хемосорбции H<sub>2</sub> и CO на восстановленной и окисленной поверхности I; при —195° наблюдается незначительная, зависящая от давления, по-видимому, физ. адсорбция H<sub>2</sub> и CO I. После быстрой хемосорбции O<sub>2</sub> на восстановленном I при 25° и 0,1—0,6 мм рт. ст., протекающей по закону  $N = k \cdot \lg t + \text{const}$ , где N — кол-во адсорбированных атомов O и t — время, наблюдается медленная (до 5 час. и более) сорбция O<sub>2</sub>. При спускании I в H<sub>2</sub> при 650—850° адсорбция O<sub>2</sub> на I уменьшается как за счет уменьшения S, так и вследствие необратимого изменения физ. строения поверхности I; окисление I в воздухе при 600° с последующим восстановлением также изменяет адсорбцию O<sub>2</sub>. Однако адсорбция O<sub>2</sub> на электронном (получен восстановлением в H<sub>2</sub> и прогревом в вакууме при 650—700°) и дырочном (восстановление и откачка при 800—850°) I одинакова. Все результаты объяснены на основе зонной теории строения полупроводников (РЖХим, 1955, 23388, 48622; 1957, 14936; 1958, 13928).

### 3. Высоцкий

56907. Исследование адсорбции никеля на молибдене с помощью эмиссионного микроскопа. Мак-Эрвин, Брэдли (Adsorption of nickel on molybdenum in the field emission microscope. McErvin E. C., Bradley R. C.), J. Chem. Phys., 1957, 27, № 3, 646—652 (англ.)

С помощью эмиссионного микроскопа исследована адсорбция и поверхностная диффузия (ПД) Ni (чистота 99,9%) на Mo. Опыты проводились, как правило, при степени покрытия  $\theta \approx 0,2$ ; исследовалась также область больших  $\theta$ . Прямых наблюдением показано, что Ni вначале адсорбируется на участках поверхности Mo, отвечающих грани (111), и лишь затем происходит ПД на участки граней с другими ин-

дексами; этот факт согласуется с теоретич. выводом о преимущественной когерентной адсорбции на грани (111) Mo, сделанным на основании сравнения параметров кристаллографии, решеток и атомных радиусов Ni и Mo. По температурной зависимости скоростей десорбции и ПД (при  $\theta \approx 0,2$ ) определены энергии активации процессов десорбции ( $Q_d$ ) и ПД ( $Q_{пд}$ ). Найдено, что  $Q_d = 2 \cdot 10 \pm 0,05$  эв и не зависит от степени  $\alpha$  завершения ПД после первичной адсорбции (в качестве меры  $\alpha$  принято изменение эмиссионного тока в каждом отдельном опыте);  $Q_{пд} = 1,31 \pm 0,08$ ;  $1,42 \pm 0,05$  и  $1,48 \pm 0,06$  эв при  $\alpha$  0,25; 0,5 и 0,75 соответственно. В случае больших  $\theta$  равновесное распределение Ni на Mo зависит не только от т-ры острия, но и от напряженности приложенного электр. поля.

### 3. Высоцкий

56908. Восстановление загрязненной поверхности рутила при обезгаживании. Гехардт, Херрингтон (Reduction of contaminated rutile surfaces by degassing. Gebhardt J., Herrington K.), J. Phys. Chem., 1958, 62, № 1, 120 (англ.)

С целью проверки результатов работ (РЖХим, 1954, 44484; 1955, 92999), в которых изменение цвета порошков TiO<sub>2</sub> при нагревании в вакууме при 300 и 550° приписывалось небольшой потере кислорода, изучено поведение порошка TiO<sub>2</sub> при обезгаживании в вакууме при 400—600° в «обычных» (установка с масляным диффузионным насосом и смазываемыми кранами) и «чистых» (установка с ртутным диффузионным насосом и ртутными затворами и предварительный прогрев при 600° в токе H<sub>2</sub> в течение 30 мин.) условиях. Изучена кинетика поглощения O<sub>2</sub> образцами, обезгаженными «обычным» (I) и «чистым» (II) методами. Кол-во поглощенного образцом II O<sub>2</sub> составляет ~1% от кол-ва, поглощенного образцом I. Изменение цвета порошков при обезгаживании обусловлено органич. загрязнениями и не характеризует TiO<sub>2</sub>. По ур-нию Больцмана из величин сорбции O<sub>2</sub> при различных т-рах и при одинаковом времени обезгаживания вычислена энергия активации сорбции ~12 ккал/моль.

### Ю. Эльтеков

56909. Адсорбция на неорганических поверхностях.

II. Адсорбция красителей и родственных им соединений на кремнеземе. Аллингем, Каллен, Джайлс, Джейн, Вуде (Adsorption of dyes and related compounds by silica. Allingham Margaret M., Cullen J. M., Giles C. H., Jain S. K., Woods J. S.), J. Appl. Chem., 1958, 8, № 2, 108—116 (англ.)

В развитие предыдущей работы (сообщение I, РЖХим, 1955, 39850) исследована адсорбция ряда ароматич. соединений (преимущественно красителей), на образцах измельченного кремнезема различного происхождения, из водн. р-ров. Основные красители адсорбируются на отрицательно заряженной внешней поверхности SiO<sub>2</sub> по механизму ионного обмена, образуя монослой мицелл. В случаях метиленовой синей и хлорида псевдоцианина такое представление подтверждается спектральными наблюдениями. Адсорбция не зависит от т-ры и протекает быстро — за несколько минут. Типичные анионные красители (оранжевый I и II) также адсорбируются, но значительно медленнее и в меньшем кол-ве. Оранжевый I, по-видимому, образует моновалентный слой, ориентированный перпендикулярно поверхности и связанный с последней Н-связями. Оранжевый II связывается через посредств азогруппы. *n*-Нитрофенол адсорбируется за счет Н-связей. В образовании адсорбционных связей едва ли участвуют какие-либо иные механизмы помимо ионного обмена и образования Н-связей, в отличие



от того, что наблюдалось на  $\text{TiO}_2$  и некоторых других сорбентах (см. РЖХим, 1957, 63215). В. Анохин

56910. Влияние ассоциации органических кислот на адсорбцию из неполярных растворителей. Грязев Н. Н., Докл. АН СССР, 1958, 118, № 1, 121—124

Установлена ассоциация  $\text{HCOOH}$  (I) и  $\text{CH}_3\text{COOH}$  (II) при адсорбции из цетана (III) и  $\alpha$ -метилнафталина (IV) на волюкской опоке № 120 (V) и на силикагеле КСК (VI) и влияние ассоциации на характер изотерм адсорбции. Ассоциация при адсорбции возможна, вероятно, и для ряда других соединений, способных за счет водородных связей давать димеры и более сложные ассоциаты. Определены величины уд. поверхности адсорбентов: для V  $S = 150 \text{ м}^2/\text{г}$  и для VI  $S = 285 \text{ м}^2/\text{г}$ . Изотерма адсорбции I из III на V имеет S-образный вид. Изотермы адсорбции системы II—III на V и VI имеют волнообразный характер с двумя изгибами: первый изгиб соответствует покрытию поверхности V и VI мономерными молекулами II, ориентированными, вероятно, параллельно поверхности; второй, горизонтальный, участок изотермы соответствует покрытию поверхности V и VI димерными молекулами II. М. Грудникова

56911. Определение структурной характеристики и удельной поверхности пористого тела по изотерме десорбции. Дерягин Б. В., Ж., физ. химии, 1957, 31, № 2, 516—518

См. РЖХим, 1958, 606.

56912. Физические и химические свойства системы силикагель — вода. I. Определение поверхностных свойств силикагелей по измерениям адсорбции и десорбции. Кольтшюттер, Кемпф (Physikalische und chemische Eigenschaften des Systems Silica-gel/Wasser. I. Bestimmung von Oberflächeneigenschaften des Silicagels aus Adsorptions- und Desorptionsmessungen. Kohlschütter H. W., Kämpf G.), Z. anorgan. und allgem. Chem., 1957, 292, № 5-6, 298—310 (нем.)

Продажный образец силикагеля (I) кипятили с конц.  $\text{HCl}$ , промывали водой и сушили при  $100^\circ$ . Отдельные порции I нагревали в течение 1 часа при высоком вакууме при  $t$ -рах  $t$  100, 400, 700 и  $1000^\circ$ . Содержание воды в образцах определяли путем прокаливания при  $1100^\circ$ . Перед адсорбционными опытами образцы I откачивали при комнатной  $t$ -ре и высоком вакууме в течение 24 час. Величина уд. поверхности образцов вычислялась методом БЭТ по низкотемпературной адсорбции  $\text{N}_2$ . Сорбция паров  $\text{H}_2\text{O}$  изучалась с помощью вакуумной микробюретки. Давление измерялось дифференциальным масляным манометром. Все полученные изотермы сорбции характеризуются необратимым гистерезисом во всей области  $p/p_s$ . Величина необратимости при  $p/p_s \rightarrow 0$  характеризует кол-во  $\text{H}_2\text{O}$   $m$ , прочно связываемой с поверхностью I.  $m$  растет с возрастанием  $t$  и при указанных выше значениях  $t$  равно соответственно 0,004; 0,035; 0,044 и 0,056  $\text{мм}^3/\text{мм}^2$ . Таким образом, несмотря на жесткую термич. обработку, на оставшейся после спекания поверхности возникает большое число центров, способных при  $18^\circ$  к необратимому образованию групп  $\text{Si}-\text{OH}$ . Преимущественные радиусы пор, рассчитанные по ур-нию Кельвина с учетом толщины адсорбированной пленки (2,78 Å), равны 14 Å независимо от  $t$ -ры прокаливания образцов I. Из величин сорбции при 2 и  $18^\circ$  определены изотермич. теплоты сорбции, монотонно убывающие с ростом кол-ва сорбированных водяных паров и приближающиеся к теплоте конденсации  $\text{H}_2\text{O}$ . Ю. Эльтеков

56913. Исследование адсорбционной способности и структуры активированного силиката магния. Муротани, Сирасаки, Кодaira (Murotani Hiroshi, Shirasaki Takayasu, Kodaira

Hirokyi), Нихон сию-гаккайси, Bull. Soc. Sci., Japan, 1957, 11, № 4, 204-208 (японск.; реф. англ.)

Силикат Mg состава  $\text{MgO}:\text{SiO}_2:\text{H}_2\text{O} = 2:3:n$  (I) приготовлен по новому методу — разложением основного силиката Mg к-той. Адсорбционная способность (AC) I сравнивалась с AC обычного силиката Mg (II), полученного взаимодействием  $\text{MgCl}_2$  с  $\text{Na}_2\text{SiO}_3$ . Адсорбция метиленовой сини на I больше, чем на II. При малых конц-ях адсорбция подчиняется ур-нию Ленгмюра. По рентгеноструктурным данным I аморфен, но уже при высушивании начинает кристаллизоваться, что свидетельствует о присутствии в I свободной  $\text{SiO}_2$ . Причина, по которой I обладает большей AC, чем II, несмотря на присутствие  $\text{SiO}_2$  с малой AC, заключается в дополнительном развитии пористой структуры, явившейся результатом нового процесса изготовления I и обнаруженной электронномикроскопически и методом БЭТ. Я. Сатуновский

56914. Опыт определения поверхности окиси магния, образующейся при термическом разложении карбоната, по хемосорбции радиоактивной углекислоты  $\text{C}^{14}\text{O}_2$ . Протачик В. А., Пробл. кинетики и катализа, 1957, 9, 315—320

По измерению радиоактивности адсорбционной  $\text{CMO}$ , определена уд. поверхность  $S$  порошков  $\text{MgO}$ , полученных разложением при  $400^\circ$   $\text{MgCO}_3 \cdot 3\text{H}_2\text{O}$  и  $\text{MgCO}_3 \cdot 4\text{H}_2\text{O}$ . Показано, что адсорбция не зависит от времени и  $t$ -ры (до  $218^\circ$ ) и пропорциональна степени разложения образца. Предполагается, что  $\text{CO}_2$  покрывает поверхность  $\text{MgO}$  монослоем.  $S = 157$  или  $124 \text{ м}^2/\text{г}$  в зависимости от того, является ли упаковка молекул  $\text{CO}_2$  на поверхности подобной жидкой или кристаллич.  $\text{CO}_2$ . А. Клячко

56915. Сравнение методов определения удельной поверхности порошков по адсорбции газов и по адсорбции из растворов. Тамаки (Tamaki Ken-ichi), Нихон какаку дзасси., J. Chem. Soc. Japan. Pure Chem. Sec., 1957, 78, № 8, 1151—1154 (японск.)

Удельная поверхность  $S$  активированной окиси Al (I) и нескольких образцов сажи (II) определялась по БЭТ ( $\text{N}_2$  при  $-195^\circ$ ,  $S_1$ ) и по адсорбции на  $p$ -стеариновой к-ты в бензоле ( $S_2$ ), в гексане ( $S_3$ ) и в воде.  $p$ -ре  $\text{KJ}(S_4)$ . Для I  $S_1$ ,  $S_2$ ,  $S_3$  и  $S_4$  равны соответственно 79, 55, 45 и  $7,9 \text{ м}^2/\text{г}$ ; для трех образцов II соответствующие значения 14,6, 39 и  $79,2$ ;  $2,9$ ,  $4,1$ ,  $11,3$ ,  $32,5$  и  $46,8$ ;  $16,9$ ,  $40,8$  и  $75,8 \text{ м}^2/\text{г}$ . Автор объясняет эти результаты наличием пор на поверхности I и отсутствием их на поверхности II, а также эффектом полярности сорбента и  $p$ -рителя.

56916. Активированный уголь из стеблей джута. Часть IV. Датта (Active carbon from jute-stick. Part IV. Dutta A. B.), J. and Proc. Instn Chemists (India), 1957, 29, № 5, 263—264 (англ.)

Химическим анализом и определением адсорбционной емкости показано, что активированный уголь из стеблей джута удовлетворяет требованиям, предъявляемым в Англии и в Индии к медицинскому активированному углю. Часть III см. РЖХим. 1958, 611.

56917. Разделительная способность в газожидкостной хроматографии. Бреннан, Кембэлл (Resolution in gas-liquid chromatography. Brennan D., Kemball C.), J. Inst. Petrol., 1958, 44, № 400, 14—17 (англ.)

Результаты опытов по разделению смесей пропана и этилового эфира на колонках, заполненных илитом и динонифталатом, удовлетворительно согласуются с теоретич. ур-ниями. Для опытов применялись колонки, состоящие из ряда U-образных трубок, соединенных между собой короткими отрезками резиновой трубки. Изучена зависимость разделительной способности от скорости потока газа и от давления

Сое. Salt  
res. angl.  
2:3:1 (I)  
нем осно-  
способность  
та Mg (II),  
а<sub>2</sub>SiO<sub>3</sub>. Аг-  
тем на П.  
ся ур-ние  
I амор-  
и-стативно-  
I способ-  
г больш-  
малой АС,  
пористой  
процесса  
омикроско-  
патуновски  
си магния,  
ни карбо-  
глекислоты  
ки и кате-  
онной С<sub>2</sub>O<sub>4</sub>,  
MgO, полу-  
3H<sub>2</sub>O и  
зависит от  
на стени  
СО<sub>2</sub> покры-  
ли 124 м<sup>2</sup>/  
овка моле-  
или кра-  
А. Клячи-  
ельной по-  
и по ак-  
aki K.  
Сое. Japa-  
(японск.)  
окиси Al  
ределялся  
из р-ра  
е (S<sub>2</sub>) и  
ты соотно-  
щавов II со-  
0, 4, 1,  
объясняет  
сти I и от-  
эффект  
ей джу-  
jute-stick  
n Chemist  
дсорбцион-  
у угол и  
предъяв-  
му актив-  
3, 611.  
А. Клячи-  
оизидост-  
ал (Res-  
ппан D,  
400, 44-  
ей напе-  
енных ре-  
льно со-  
именяли-  
бок, соед-  
ревинной  
ой способ-  
ления при

постоянной длине колонки ( $L$ ), а также от  $L$  при по-  
стоянной  $n$ . В качестве характеристики разделения  
можно применять величину  $R = d - (\delta_1 + \delta_2)$ , где  
 $d$  — расстояние между максимумами пиков,  $\delta_1$  и  
 $\delta_2$  — ширина полос на высоте, равной половине макси-  
мальной. Установлена линейная зависимость  $R$  от  $L$ .

Б. Анвар

56918. Преимущества совместного применения высо-  
коэффективных растворителей при двумерной хро-  
матографии. Крестфилд, Аллен (The advan-  
tages of matched high capacity solvents in two dimen-  
sional chromatography. Crestfield Arthur M.,  
Allen Frank Worthington), Chromatogr.  
Methods, 1957, 2, № 1, 9—11 (англ.)

Для определения с помощью двумерной хромото-  
графии на бумаге компонентов, содержащихся в нч-  
товых кол-вах в гидролизатах рибонуклеиновых к-т,  
необходимо наносить на бумагу большие кол-ва сме-  
си. Для того, чтобы пятна при этом не растягивались  
авторы предлагают пользоваться для первого прояв-  
ления смесью изомасляной к-ты с 0,5 M NH<sub>3</sub> (10:6  
по объему), для проявления в поперечном направле-  
нии — смесью трет-амилового спирта, воды и му-  
равьиной к-ты (6:3:1 по объему). Подробно описана  
методика работы и предварительной обработки бума-  
ги для удаления мешающих примесей. Приведенные  
двумерные хроматограммы показывают, что даже при  
нанесении 652  $\mu$  искусств. смеси нуклеотидов пятна  
получаются относительно круглыми, без хвостов и не  
прекращаются; при этом появляется несколько сла-  
бых пятен от примесей, содержащихся в фирменных  
препаратах нуклеотидов.

Л. Дмитренко

56919. Адсорбционная хроматография на бумаге, про-  
питанной кремниескислотой. Роберте (Adsorption  
chromatography on silicate-treated paper. Roberts  
J. B.), Nature, 1958, 181, № 4605, 338 (англ.)

Для в-в, малорастворимых в воде (терпены, пигмен-  
ты, листья, простые и сложные эфиры фенолов, сте-  
роиды и др.) и движущихся на обычной бумаге с  
фронтон проявителя, предложена адсорбционная хро-  
матография на бумаге, содержащей по весу ~20%  
SiO<sub>2</sub>. Полоса бумаги медленно протягивается через  
2%-ный р-р силиката Na, сушится на воздухе 30 мин.  
(по досуха), медленно протягивается через 3 н. HCl,  
снова сушится 30 мин., отмывается в проточной водо-  
проводной воде 2 часа и затем сушится досуха. Пе-  
ред употреблением бумага активизируется 15—30 мин.  
при 100°. Проявление производится петр. эфиром, бен-  
золом и хлороформом, окрашивание пятен — 1,5%-ным  
р-ром J в CCl<sub>4</sub>.

Л. Дмитренко

56920. Разделение гидрофобных веществ хромото-  
графией на бумаге из эфиров целлюлозы. Михель  
(Papierchromatographische Trennung hydrophober  
Substanzen mit Celluloseester-Papieren. Michael  
F.), Acta chim. Acad. sci. hung., 1957, 12, № 3-4,  
331—345 (нем.; рез. русск., англ.)

При хроматографии гидрофобных в-в, не разделяю-  
щихся на обычной бумаге (Б), предложено примене-  
ние Б из эфиров целлюлозы, получаемой этерифика-  
цией обыкновенной Б карбоновыми к-тами: уксусной,  
масляной, бензойной и пальмитиновой; структура Б  
при этерификации не меняется. Подробно описан ме-  
тод получения ацетилованной Б. Хроматография  
проводилась на Б, ацетилованной на 20—25%. При-  
ведены примеры разделения на Б из эфиров целлюло-  
зы ацетатов сахаров, фенолов, ароматич. и алифатич.  
аминов, гидрофобных красителей, желчных к-т, поло-  
вых гормонов, жиров и жирных к-т. В случае основ-  
ных аминокислот с успехом применялись изготовлен-  
ные автором катионообменная и анионообменная Б.

Л. Дмитренко

56921. Размер, форма и подвижность ионных зон  
при электрофорезе на бумаге. Теоретический ана-  
лиз. Эдвард (The size, shape and mobility of ionic  
zones in paper electrophoresis: a theoretical analysis.  
Edward John T.), Chemistry and Industry, 1958,  
№ 10, 276—278 (англ.)

Рассматривается влияние различных факторов на  
движение пятна при электрофорезе на бумаге. Скор-  
ость движения пятна и изменение его размеров в  
случае, когда не происходит испарения, определяется  
в основном соотношением между подвижностями ио-  
нов, а также отношением между конц-иями нанесен-  
ного и пропитывающего электролита. И. Слоним

56922. Теория изомеризационного равновесия при  
электрофорезе. Канн, Керквуд, Браун  
(Theory of isomerization equilibrium in electrophore-  
sis. I. Cann John R., Kirkwood John G.,  
Brown Raymond A.), Arch. Biochem. and Bio-  
phys., 1957, 72, № 1, 37—41 (англ.)

Предложена общая теория электрофореза и седи-  
ментации в двухкомпонентной равновесной системе  
 $A \rightleftharpoons B$ , в которой изменяется лишь конфигурация или  
заряд, но не мол. вес молекул. Дается приближенное  
аналитич. решение для градиента конц-ии. Численный  
расчет произведен для случая, когда скорости р-ции  
 $A \rightleftharpoons B$  в обоих направлениях одинаковы. Показано,  
что разрешение кривой градиента на два самостоя-  
тельно движущихся пика имеет место, если полупе-  
риод р-ции достаточно велик по сравнению с длитель-  
ностью электрофореза.

С. Френкель

56923. Электрофорез на бумаге и электроосмос.  
Легу, Манд (Electrophorèse sur papier et électro-  
osmose. Legoux Yvette, Mende Serge de),  
C. r. Acad. sci., 1957, 245, № 23, 2048—2051 (франц.)

Для нахождения истинной скорости электрофореза  
на бумаге необходимо учитывать скорость электро-  
осмоса р-рителя и. Определение и проводилось по  
скорости смещения декстрина с внесением поправки  
на скорость потока, обусловленного испарением. Изу-  
чено влияние pH на  $u$  для буферных р-ров Михаэлиса  
с ионной силой  $\mu = 0,1$ . Максим. значение  $u \approx 1,2 \cdot 10^{-5}$   
 $\text{см}^2/\text{в} \cdot \text{сек}^{-1}$  наблюдалось при pH 7. Исследова-  
на зависимость  $u$  от конц-ии электролита для буфер-  
ных р-ров: веронал-натрийверонал с pH 8,6 и натрий-  
вероналацетат Na-HCl с pH 8,55. Полученные резуль-  
таты согласуются с теорией: при малых конц-иях  $u$  —  
убывающая линейная функция  $V \mu$ .

Г. Васильев

56924. Электрофоретическое разделение амфолитов  
в среде с градиентом pH. Кауман (On the electro-  
phoretic separation of ampholytes in a medium of  
non-uniform pH. Kauman W. G.), Bull. cl. sci. Acad.  
roy. Belgique, 1957, 43, № 11, 854—868 (англ.)

Исходя из ряда упрощающих предпосылок, теорети-  
чески рассматривается поведение диполярных ионов  
(амфолитов) при одновременном наложении электр-  
ич. поля и градиента pH. Выведенные ур-ния показывают,  
что если положительный электрод находится в кислой  
области градиента pH, то смесь диполярных ионов  
разделяется на компоненты с максимумом конц-ии  
каждого компонента в его изоэлектрич. точке. Ши-  
рина зоны компоненты и время установления стац-  
онарного состояния обратно пропорциональны градиен-  
ту pH и напряженности электр-ич. поля. Стац-  
онарное состояние устанавливается за несколько минут.  
Эти теоретич. выводы качественно совпадают с данными  
по разделению белков с помощью электрофореза при  
наличии градиента pH (РЖХим, 1955, 16077; 1956, 557),  
где время полного разделения равнялось нескольким  
минутам.

Л. Дмитренко

56925. Теория ионообменных процессов. Туниц-  
кий Н. Н. В сб.: Материалы Совещания по приме-  
не-



цию ионного обмена в цветн. металлургии. М., 1957, 4—16

Доклад о современном состоянии теорий ионообменного равновесия, кинетики ионного обмена, движения фронтов в ионообменных колонках, вытеснения сильно сорбируемого иона слабо сорбируемым, хроматографич. разделения ионов и применения метода послойного расчета работы колонок. Библ. 28 назв. В. Анохин 56926. О некоторых закономерностях обмена катионов на катионитах. Салдадзе К. М. В сб.: Материалы Совещания по применению ионного обмена в цветн. металлургии. М., 1957, 17—24

При постоянной ионной силе (0,085) смешанных р-ров хлоридов  $Mg^{2+}$  и  $Ba^{2+}$ ,  $Cd^{2+}$  и  $Mg^{2+}$  и  $Zn^{2+}$  и  $Cd^{2+}$ , подкисленных HCl, определялись равновесные распределения катионов между р-ром и сульфокатионитом П при варьировании относительного содержания компонентов. Показано, что постоянство константы равновесия, вычисляемой по ур-нию Б. П. Никольского, наблюдается только при учете сорбции ионитом катиона  $H^+$ . При этом наблюдаются полная эквивалентность и обратимость обмена и делается вывод, что равновесие любых пар ионов не зависит от присутствия третьего иона; это подтверждено исследованием обмена трех катионов —  $K^+$ ,  $Ba^{2+}$  и  $Cd^{2+}$ . Изучено также распределение  $Sr^{2+}$ ,  $Co^{2+}$ ,  $Pb^{2+}$  и  $Zn^{2+}$ , присутствующих в микроколичествах (0,02—0,001 ммоль/л), в 0,1—1,0 н. р-рах  $NH_4Cl$ ,  $LiCl$ ,  $SrCl_2$  или  $BaCl_2$  между р-ром и катионитом. При изменении конц-ий основной соли константы обмена остаются постоянными и, следовательно, закон действия масс соблюдается и при обмене микрокомпонентов. В. Анохин

56927. Термодинамика катионного обмена. Часть 3. Термодинамические свойства смол, содержащих смесь катионов. Крукшанк, Мирс (The thermodynamics of cation exchange. Part 3. Thermodynamic properties of resins containing a mixture of cations. Cruickshank E. H., Meares P.), Trans. Faraday Soc., 1958, 54, № 2, 174—185 (англ.)

Методом, описанным ранее (часть 2, РЖХим, 1958, 28115), определены коэф. избирательности и теплоты обмена в функции относительного состава сорбированных катионов в фазе катионита пекарб-225 для пар  $H^+—K^+$ ,  $K^+—Cs^+$  и  $H^+—Sr^{2+}$ . Вычислены соответствующие значения парц. свободных энергий, энтальпий и энтропий. Результаты обсуждены с точки зрения различных представлений о строении фазы катионита. Делается вывод о наличии энергетически различных обменных центров и подтверждается предположение Рейхенберга и Мак-Колена (РЖХим, 1956, 28689) о роли флуктуаций поперечной связанности полимерных цепей катионита в усилении этой энергетич. неоднородности. Различия в величине кристаллографич. и гидратированного радиусов ионов имеет существенное значение в механизме сорбции: катион  $K^+$ , обладающий меньшим кристаллографич. радиусом, чем  $Cs^+$ , легче последнего мигрирует в сетке полимера, но имеет меньшее сорбционное сродство. Простые соотношения осложняются влиянием различной набухаемости катионита при обмене катионов металлов на  $H^+$ , что отражается на величине энтропии. Связь  $H^+$  с обменными группами катионита является, возможно, ковалентной. Свойства смешанной  $H^+—Sr^{2+}$ -формы катионита близки к свойствам идеальных смесей, но, вероятно, это лишь кажущаяся идеальность, обусловленная случайной компенсацией противоположно действующих факторов. В. Анохин

56928. Ионообменная сорбция радиоэлементов. Никольский Б. П., Ж. неорган. химии, 1958, 3, № 1, 59—65

Обзорная статья, содержащая оригинальные данные школы автора, выясняющие ионообменную природу

сорбции микроколичеств  $Fe^{3+}$ ,  $Cr^{3+}$  и некоторых других катионов на карбоксильной смоле СГ-2 и радиоизотопов  $Zr^{95}$  и  $Nb^{95}$  из оксалатных р-ров на анионитах. Для сорбционного равновесия микроколичество 1-го радиоизотопа из р-ра с постоянным солевым фонном справедливо ур-ние  $\Gamma_1/C_1 = K_{21}(\Gamma_2/C_2)z_1/z_2f(y) = a_1 = const$ , где  $\Gamma_1$  и  $\Gamma_2$  — кол-ва сорбированных ионов на 1 г смолы,  $z$  — заряды обменивающихся ионов,  $f(y)$  — множитель, содержащий коэф. активности ионов в смоле и в р-ре,  $a_1$  — коэф. распределения 1-го иона, не зависящий от его конц-ии, но зависящий от природы 2-го иона, создающего «фон», и от наличия в р-ре других ионов в значительных конц-иях, а также от т-ры. Для получения индикаторных кол-в  $Y^{90}$  рекомендуется промывать колонку с катионитом КУ-2 раствором  $Sr^{90}$  р-ром лимонной к-ты после 3—6-дневной выдержки для накопления достаточного кол-ва дочернего продукта  $Y^{90}$ . Библ. 68 назв. В. Анохин

56929. Адсорбция неэлектролитов на органических ионитах. Самуэльсон (Adsorption von Nicht-Elektrolyten an organische Ionenaustauscher. Samuelson O.), Dechema Monogr., 1956, 26, № 814—331, 219—237 (нем.)

Краткий очерк теории процессов: 1) адсорбции алдегидов в форме их бисульфитных соединений и разделения кетонов на анионитовых колонках, насыщенных бисульфитом, 2) разделения сахаров в форме обратных комплексов на анионитах, 3) извлечения  $\beta$ -дикетонов на колонках с  $Fe^{3+}$ -формой катионита, 4) сорбции органич. к-т  $H^+$ -формами катионита, 5) сорбции глюкозы, сахарозы и глицерина катионитами и анионитами из р-ров в 88%-ном спирте, 6) разделения неэлектролитов и электролитов с использованием различия в их распределении между водн. фазой и ионитом в солевой форме (метод «исключения ионов») и применения аналогичного принципа к разделению смесей некоторых неэлектролитов. В. Анохин

56930. Некоторые катионообменные равновесия на дауэкс-50 при 25°. Боннер, Джампер, Роджерс (Some cation-exchange equilibria on Dowex 50 at 25°. Bonner O. D., Jumper C. F., Rogers O. C.), J. Phys. Chem., 1958, 62, № 2, 250—253 (англ.)

В развитие предыдущих работ (РЖХим, 1956, 25326; 1957, 68530) тем же методом исследовано равновесие обмена катионов:  $NH_4OH^+—H^+$ ,  $Ca^{2+}—Ni^{2+}$ ,  $Mn^{2+}—Ni^{2+}$ ,  $Ba^{2+}—Be^{2+}$ ,  $Ce^{3+}—Ag^+$ ,  $La^{3+}—Ce^{3+}$  и  $Ce^{3+}—Cr^{3+}$  на катионите дауэкс-50 с 4, 8 и 16% дивинилбензола. Результаты приведены в форме кривых зависимости коэф. избирательности от относительного мол. содержания обменивающихся ионов в фазе ионита. В порядке возрастания сорбционного сродства изученные катионы располагаются в последовательности:  $NH_4OH^+ < Mn^{2+} < Be^{2+} < Cr^{3+} < Ce^{3+} < La^{3+}$ . В том же порядке убывают величины максим. набухания соответствующих солевых форм катионита. Обсуждается возможность сорбции катионов  $BeCl^+$ ,  $CrCl^{2+}$  и зависимость относительной сорбируемости от набухания от ионных радиусов и гидратации при различных степенях поперечной связанности катионита. В. Анохин

56931. Динамика катионного обмена и распределение катионов в слое катионита. Прохоров Ф. Г. В сб.: Внутримольтовые физ.-хим. процессы, водоподготовка и водн. режимы котлов на электрост. выскозах и сверхвысоких параметрах. М., АН СССР, 1957, 494—506

При  $H^+$ -катионировании р-ров, содержащих несколько различных катионов, наблюдается неодновременность проскока их в фильтрат и вытеснение одними катионами других, сорбированных ранее. Относительная сорбируемость катионов коррелирует с их элек-

протитич. подвижностью и: первыми проскакивают катионы, характеризующиеся меньшей  $\mu$ , а вытеснение сорбированных катионов совершается в обратном порядке, что иллюстрировано результатами опытов со смешанными р-рами хлоридов  $\text{Ca}^{2+}$  и  $\text{Na}^+$ ,  $\text{Ba}^{2+}$  и  $\text{NH}_4^+$ . Вытеснение из катионита одних катионов другими происходит тем полнее, чем больше разница в  $\mu$  и, и поэтому оказывается возможным разделять их простым фильтрованием при достаточном различии  $\mu$ . При малом различии зоны отдельных катионов частично перекрывают друг друга. Относительное распределение зон зависит от режима фильтрования.

В. Анохин  
56932. Катиониты с повышенной скоростью ионного обмена. Уайли, Шмитт (Cation exchange resins with increased rate of exchange. Wiley Richard H., Schmitt J. M.), J. Polymer Sci., 1957, 27, № 115, 587—589 (англ.)

Синтезирован высокопористый сульфополистирольный катионит, на котором обмен катионов  $\text{H}^+$  на  $\text{Na}^+$  протекает в 2—4 раза быстрее, чем на обычных катионитах. В трехгорлой круглодонной колбе на 200 мл с мешалкой при 60° смешивают 100 мл петролитума, 0,022 г Na-алкилсульфата и 0,012 г талька. Вводят р-р 2,0 г спиротсульфамида, 0,16 г ди-(*n*-винилфенил)-сульфона и 0,0022 г перекиси бензоила в смеси 2,16 мл метилсульфамида, 6,48 г диоксиана и 6,48 мл метанола. Полимеризация проводится при пропускании чистого азота, при 100° в течение 25 час. Полученный молочно-белый полимер подвергается гидролизу под действием  $\text{HNO}_3$  по ранее описанному способу (пат. США 2597438), для получения H-формы сульфокатионита.

В. Анохин  
56933. Сульфирование угля. (Часть III. Влияние предварительного окисления на ионообменную активность). Датта, Мукхерджи (Sulphonation of coal (Part 3. Influence of prior oxidation of coal on ion exchange activity). Dutta Digbijoy, Mukherji B. K.), Sci. and Culture, 1957, 23, № 4, 205—206 (англ.)

Измельченные образцы каменного угля из Ассамы и Пенджа и лигнита подвергались окислению при нагревании на воздухе до 140°, после чего исследовались их растворимость в щелочах и, после сульфирования конц.  $\text{H}_2\text{SO}_4$ , содержание в них обменных сульфонов и карбоксильных групп (РЖХим, 1954, 34999). Волнистая зависимость растворимости в щелочах приблизительно соответствует изменению обменной емкости, что подтверждает предположение об образовании при окислении поверхностного слоя гуминовых к-т, разлагающихся при более продолжительном нагревании. Однако полного колич. соответствия между содержанием гуминовых к-т и обменной емкостью не наблюдается. Часть II см. РЖХим, 1958, 17261.

В. Анохин  
56934. Применение нонитов для извлечения никеля и кобальта из аммиачных растворов. Чернобров С. М., Горелик Е. М. В сб.: Материалы Совещания по применению ионного обмена в цветн. металлургии. М., 1957, 64—72

Изучались динамич. обменная емкость (ДОЕ) и полная ДОЕ (ПДОЕ), а также избирательность сорбции  $\text{Ni}$  (1 г/л) и  $\text{Co}$  (0,95 г/л) при совместной сорбции с  $\text{Ni}$  0,2 г/л на сульфогутле (I) в присутствии конкурирующего иона аммония в больших конц-ях: 100 г/л карбоната аммония + 50 г/л свободного аммиака (рН 11). I поглощает  $\text{Ni}$  и  $\text{Co}$  с относительно большой ДОЕ, соответственно 0,5 и 1,2 мг-экв/г при полной емкости I 1,8 мг-экв/г. При этом ДОЕ не отличается от ПДОЕ и не зависит от первоначальной формы I — водородной или аммиачной. Большая ДОЕ по  $\text{Co}$  объясняется тем, что  $\text{Ni}$  в р-ре находится в виде 2-зарядного комплекса  $[\text{Ni}(\text{NH}_3)_6]^{2+}$ , а  $\text{Co}$  — в

виде 3-зарядного  $[\text{Co}(\text{NH}_3)_6]^{3+}$ . Элюирование производилось серной к-той с хорошим выходом; конц-ия в элюате в 10 раз выше, чем в исходном р-ре.

Л. Дмитренко

56935. Ионообменные мембраны. Йосикава (Yoshikawa Sadao), Юки госэй какаку кёкай-си, J. Soc. Organ. Synth. Chem., Japan, 1957, 15, № 12, 603—612 (японск.)

Обзор. Библ. 47 назв.

56936. Исследования ионообменных мембран. Часть 3. О свойствах двойных мембран при ионообменных процессах. Ода, Мураками, Сайто (Oda Kenichi, Murakoshi Masahiko, Saito Takeo), Дэнки какаку, J. Electrochem. Soc. Japan, 1957, 25, № 10, 531—534, E-112—E-113 (японск.; рез. англ.)

Исследованы приготовленные авторами мембраны (Мб), одна сторона которых функционирует как катионит, другая — как анионит, при наличии хорошей электропроводности. Определялась разность потенциалов  $E$  между ячейками, разделенными такой Мб, в процессе электролиза 0,5 н.  $\text{NaCl}$  с помощью  $\text{Ag-AgCl}$ -электродов.  $E$  приблизительно выражается ур-нием  $E = (RT/nF) \times \ln(a'_\text{H}/a_\text{H}) + Ir$ , где  $r$  — электросопротивление Мб,  $I$  — сила тока,  $t_\text{H}$  — число переноса  $\text{H}^+$ ,  $a'_\text{H}$  и  $a_\text{H}$  — активности  $\text{H}^+$  в катодном и анодном пространствах. При низких плотностях тока наблюдаются значительные отклонения  $E$  от указанной закономерности, что объясняется частичным участием  $\text{Na}^+$  и  $\text{Cl}^-$  в механизме переноса тока через Мб. Измерялось повышение кислотности по одну и щелочности по другую сторону Мб и найдено, что выход по току мало зависит от т-ры и плотности тока, значительно снижается при повышении конц-ии р-ра. Часть 2 см. РЖХим, 1958, 42765.

В. Анохин

56937. Ионообменные мембраны в препаративной и аналитической химии. Блазиус, Ланге (Ionenaustauschermembranen in der präparativen und analytischen Chemie. Blasius E., Lange G.), Z. analyt. Chem., 1958, 160, № 3, 169—188 (нем.)

Описана эксперим. методика разделения ряда неорганич. в-в посредством электродиализа в аппарате, состоящем из нескольких отсеков с чередующимися катионитовыми (КМ) и анионитовыми (АМ) мембранами. В цитратном р-ре при рН 7,5,  $\text{Mg}^{2+}$  легко отделяется от  $\text{Al}^{3+}$ , свободно проникая сквозь АМ. Проницаемость слабословных АМ для молибдатов и вольфраматов в боратном буфере зависит от рН, варьируя который в пределах 8—9 можно добиться из разделения. Агрегация вольфраматов и молибдатов в кислых р-рах (рН 0,9—1,5) может быть использована для их очистки от посторонних электролитов с помощью сильноосновных АМ. Большое различие в проницаемости КМ для  $\text{H}^+$  и  $\text{Cu}^{2+}$  использовано для отделения  $\text{HCl}$  от  $\text{CuCl}_2$ . Путем электродиализа р-ров  $\text{NaCl}$  и  $(\text{NH}_4)_2\text{CO}_3$  с применением слабоосновных АМ получена  $\text{Na}_2\text{CO}_3$ , причем в качестве источника пополнения анионов  $\text{CO}_3^{2-}$  может быть использована суспензия  $\text{CaCO}_3$ . Аналогичным способом может быть достигнут перевод нерастворимых солей в растворимые, что показано на примере образования  $\text{TiNO}_3$  из  $\text{TiCl}_3$ . Такой метод применим для солей, насыщ. р-ры которых имеют конц-ии  $> 10^{-5}$  н. С помощью электродиализа могут быть получены препараты различных Со-аминных комплексов аналитич. степени чистоты, без перекристаллизации; могут быть получены комплексные соли, свободные основания которых неустойчивы.

В. Анохин

56938. Диффузия через ионообменные мембраны. Чернева Е. П., Туницкий Н. Н. В сб.: Мате-



риаты Совещания по применению ионного обмена в цветн. металлургии, М., 1957, 43—47

Определены эффективные коэф. диффузии HCl в воду и в р-ры NaCl и CaCl<sub>2</sub> через мембрану из катионита КУ-2 толщиной 0,19 мм. Диффузия в воду протекает медленнее, чем в р-ры солей, и в случае 2-валентного катиона медленнее, чем в случае 1-валентного.

В. Анохин

**56939.** Поверхностная обменная адсорбция между осадками BaSO<sub>4</sub> и растворами BaCl<sub>2</sub>, Pb(NO<sub>3</sub>)<sub>2</sub>, CaCl<sub>2</sub>, CsCl, NaCl и Na<sub>2</sub>CrO<sub>4</sub>. Рютгерс, Хёвел (Surface exchange adsorption between precipitates of BaSO<sub>4</sub> and solutions of BaCl<sub>2</sub>, Pb(NO<sub>3</sub>)<sub>2</sub>, CaCl<sub>2</sub>, CsCl, NaCl, and Na<sub>2</sub>CrO<sub>4</sub>. Rutgers A. J., Heuvel W. van den), Experientia, 1958, 14, № 2, 55—56 (англ.; рез. франц.)

Адсорбция катионов указанных солей и аниона CrO<sub>4</sub><sup>2-</sup> из разб. р-ров (порядка 10<sup>-2</sup>—10<sup>-7</sup> н.) определялась с помощью радиоактивных индикаторов. Адсорбция следует уравнению обменной адсорбции  $g/x = -f + f/x$ , где  $g$  — навеска BaSO<sub>4</sub>,  $x$  — число эквивалентов иона, сорбированного 1 г BaSO<sub>4</sub>,  $t$  — полное число эквивалентов данного иона,  $v$  — объем р-ра,  $f$  — константа, характерная для каждого иона. Сорбционная емкость BaSO<sub>4</sub> равна 1,4 · 10<sup>-5</sup> экв/г;  $f(\text{Ba}) = 1$ ,  $f(\text{Pb}) = 0,44$ ,  $f(\text{Ca}) = 0,00137$ . Не обнаружена адсорбция Cs<sup>+</sup>, Na<sup>+</sup> и CrO<sub>4</sub><sup>2-</sup>.

В. Анохин

**56940 К.** Хроматография на бумаге. Изд. 4-е, доп. Крамер (Papierchromatographie. 4. stark erw. Aufl. Cramer Friedrich. Weinheim, Verl. Chemie, GmbH, 1958, 215 S., ill.) (нем.)

**56941 Д.** Энергия адсорбции углеводородов на графитированной саже. Лыгина И. А. Автореф. дисс. канд. хим. н., Ин-т физ. химии АН СССР, М., 1958

**56942 Д.** Исследование пористой структуры и поверхности адсорбентов физическими методами. Лыгин В. И. Автореф. дисс. канд. хим. н. МГУ, М., 1958

См. также: Адсорбция 58524, 58604, 58911. Поверхн. натяжение, смачивание 58611, 58612, 58616, 59251, 59551. Исслед. поверхностей 58904, 58905, 58907, 58909, 58913, 58927, 58930. Хроматография 57241; 21544Бх, 21568Бх, 21569Бх, 22212Бх. Ионный обмен 58566. Электрофорез 21526—21528Бх, 21545Бх—21547Бх, 21549Бх, 21550—21560Бх, 22213Бх, 22216Бх, 22276Бх, 22395Бх, 22404Бх

## ХИМИЯ КОЛЛОИДОВ. ДИСПЕРСНЫЕ СИСТЕМЫ

Редактор Н. А. Фукс

**56943.** Физико-химические свойства гидрозолей золота, защищенных протальбином натрия. Вуйцяк (O fizykochemicznych własnościach hydroholi złota chronionych protalbinianem sodu. Wójciak Wacław), Roczn. chem., 1957, 31, № 2, 601—620 (польск.; рез. англ.)

Изучены гидролизом Au (I) с протальбином Na в качестве защитного коллоида. Цвет I пурпуровый в проходящем свете, пурпурно-черный в отраженном свете. Цвет не изменяется во времени и при облучении УФ-светом. Вязкость I с возрастом сначала падает, затем растет. Наблюдаемые изменения в молодых системах (MC) больше, чем в старых (CC). Электролитич. проводимость I растет с возрастом; под влиянием УФ-света проводимость MC растет, а CC убывает. Электрокинетич. потенциал  $\xi$  изменяется во времени; для MC изменения по большей части отрицательные, для CC положительные. Под действием

УФ-света  $\xi$  всех I изменяется. На основании полученных данных сделан ряд предположений о строении I и происходящих в них изменениях при старении.

А. Фулinski

**56944.** Свойства системы желатина — хлорное железо — нейтральный электролит — соляная кислота (или гидроокись натрия) в водной среде. I. Феноменологическое описание и метод изучения путем деления на более простые системы. Вольф, Тежак (The behaviour of the system gelatin — ferric chloride — neutral electrolyte — hydrochloric acid or sodium hydroxide in an aqueous medium. I. Phenomenology and the method of investigation by division into simpler systems. Wolf R., Težak B.), Croat. chem. acta, 1957, 29, № 3—4, 461—476 (англ.; рез. сербо-хорв.)

Изучена 4-компонентная система: желатин (I) — FeCl<sub>3</sub> — NaCl — pH (HCl или NaOH) при конц-ях I 0,425% и т-ре 20° и переменных конц-ях остальных компонентов. Измерены мутность и электрофоретич. подвижность частиц. Построена объемная диаграмма состояния в координатах: lg конц-и FeCl<sub>3</sub> — lg конц-и NaCl — pH, и ограничены области прозрачного р-ра, геля и области образования хлопьев и осадка гидроокиси железа. Для систематич. изучения 4-компонентной системы авторы считают необходимым предварительное изучение более простых систем: FeCl<sub>3</sub> — pH; FeCl<sub>3</sub> — NaCl — pH; I — pH, I — NaCl — pH; I — FeCl<sub>3</sub> — pH.

И. Слюни

**56945.** Исследования в ультрацентрифуге с искусственной границей. III. Седиментация медленного компонента в присутствии быстрого. Херш, Шахман (Ultracentrifuge studies with a synthetic boundary cell. III. Sedimentation of a slow component in the presence of a faster species. Herish R. T., Schachman H. K.), J. Phys. Chem., 1958, 62, № 2, 170—178 (англ.)

Р-р быстрого компонента, в данном случае — вязкокустистый карликовости (BSV), наслаивался поверх такого же р-ра, дополнительно содержащего другой медленно седиментирующий компонент («индикатор»), (относительно эксперим. техники см. часть II, РЖХим, 1956, 50447). При такой постановке опыта между BSV и индикатором образуется искусственная граница, и движением которой можно следить обычным путем. В модельных опытах с ДНК в качестве индикатора показано, что на этой границе происходит накопление BSV, так как в слое р-ра с ДНК он движется медленнее, чем над границей. Происходящие в результате конвекционные искажения делают невозможными измерения седиментационного коэф. индикатора. С другой стороны, на основе простых предположений о конвекционном перемешивании удается рассчитать коэф. накопленияющегося у границы BSV в хорошем согласии с опытом. Результаты опытов очень хорошо согласуются с вычислениями, основанными на законе сохранения массы и позволяющими предсказать движение медленно седиментирующего компонента на быстрый и наоборот. Описано также приспособление для правильной установки кюветы в роторе. Эта установка играет большую роль, так как в опытах описанного типа даже ничтожный перекокс секторальной полости кюветы относительно соответствующих радиусов ротора может привести к опромынным конвекционным возмущениям.

С. Френкель

**56946.** Исследование кинетики развития деформации сдвига в водных растворах глицерина, сахарозы и ксилита. Хайленко Л. В., Докл. АН СССР, 1957, 115, № 6, 1135—1137

Прибором Шведова (РЖХим, 1955, 28418) сняты реограммы для безводного и водного глицерина (I), р-ров сахарозы (II) и ксилита (III) в области напряжений  $2 \cdot 10^{-4}$ — $2 \cdot 10^{-5}$  дн/см<sup>2</sup>. Сухой I ведет себя как

жидкости. При разбавлении жидкости появляются упруго-вязкие свойства, достигающие максимума в 70%-ном р-ре I. Равновесный модуль для 80, 70 и 60%-ного водн. I равен соответственно 0,08; 300,0; 80 дн/см<sup>2</sup>. Упругость обнаружена также у 50%-ных р-ров II и III при 20°. При нагревании р-ра II до 100° структурная сетка в нем разрушается, при охлаждении до 20° восстанавливается. Автор объясняет появление в водн. р-рах I, II и III механически жестких упруго-вязких текстообразных структур действием водородных связей.

И. Слоим

56947. Адсорбционное пластифицирование поверхностного слоя под влиянием смазок при обработке металлов давлением. Вейлер С. Я., Лихтман В. И., Ребиндер П. А., Докл. АН СССР, 1957, 116, № 3, 415—418

В развитии предыдущих работ по исследованию эффективности жидких смазок при обработке металлов давлением установлено, что действие адсорбционно-активных жидкостей определяется не понижением трения адсорбционными слоями, образующимися на внешних поверхностях, а пластифицированием жестких поверхностных слоев (ПС) металла в соответствии с эффектом адсорбционного понижения прочности. Показано, что жидкие неактивные смазки (вазелиновое масло) с увеличением деформации металла уменьшают сопротивление срезу ПС, а твердые (парафин) снижают его только при относительно небольших усилиях волочения. С повышением же давления они выдавливаются и их действие падает. Активные смазки (жирные к-ты, спирты, водн. р-ры мыл), наоборот, независимо от своей малой вязкости и при больших усилиях сохраняют высокую эффективность. Эффекту пластифицированных ПС можно оценить примерно в десятки долей  $\mu$ .

А. Таубман

56948. Исследование коагуляции каучуковых латексов при помощи радиоактивных изотопов. Сандомирский Д. М., Вдовченкова М. К., Коллоид. ж., 1958, 20, № 1, 80—83 (рез. англ.)

С применением в качестве радиоактивного индикатора  $\text{Ca}^{45}$  измерено кол-во катиона, необратимо связанного при коагуляции латекса (Л) р-ром  $\text{CaCl}_2$ . Для Л Л-4, Л-3, ВХ-2, СКС-30н, СКС-50н, натуральной Л, калатекса, ревултекса, ревертекса определено число КЧ — кол-во  $\text{Ca}^{2+}$  в мг-экв, связанного с 1 г коагулята. Показано, что КЧ не зависит от мод-ти коагулирующего р-ра и Л. КЧ уменьшается при хранении и дилузии Л, при старении Л при 70° и при центрифугировании, повышается при введении диссоциативных защитных в-в и может служить для характеристики технологич. свойств Л, определяемых устойчивостью к действию электролитов. Опытами с коагуляцией Л ВХ-2, защищенного Na-солью парафина и тридециловой к-т, меченных  $\text{C}^{14}$ , показано, что в форму нерастворимой Ca-соли переходит лишь ~ 24% защитного в-ва. При коагуляции Л с помощью  $\text{H}_2\text{S}^{35}\text{O}_4$  не происходит адсорбции аниона на коагуляте.

И. Слоим

56949. О природе дисперсности пластичных глин. Азбирович Н. А., Будников П. П., Докл. АН СССР, 1957, 116, № 3, 463—465

Предложен метод изучения чисто флокуляционной агрегации глин с помощью дезаэрирования и седиментометрич. анализа при предварительном растирании массы. Изучен флокуляционный распад монтмориллонитовых глин Бескудниковского и Кучинского месторождений. В пастах пластичных глин микроразрывы воздуха (МВ), прилипающая к гидробобным участкам поверхности минер. частиц, способствуют флокуляции. Дезаэрирование приводит к разрушению флоккул, не затрагивая коагуляционных агрегатов.

При насыщении глин ионами  $\text{Na}^+$  наряду с этими агрегатами распадаются и флоккулы. Агрегация первичных частиц в пластичных почвенно-коллоидных системах происходит не только за счет электролитич. коагуляции, но и за счет флокуляции, связанной с наличием МВ. В этих системах имеется равновесие между коагуляционными и флокуляционными агрегатами.

И. Усков

56950. Применение микроэлектрофореза для изучения поверхностных свойств нерастворимых оксидов. Джохансен, Бьюкенен (An application of the microelectrophoresis method to the surface properties of insoluble oxides. Johansen P. G., Buchanan A. S.), Austral. J. Chem., 1957, 10, № 4, 398—403 (англ.)

Описанным ранее (РЖХим, 1957, 50938) методом сняты кривые зависимости электрофоретич. подвижности ( $u$ ) от pH для суспензий осадков  $\text{SnO}_2$ ,  $\text{TiO}_2$ ,  $\text{Fe}_2\text{O}_3$ ,  $\text{SiO}_2$ ,  $\text{Al}_2\text{O}_3$  и синтетич. алумосиликатов. С увеличением pH  $u$  уменьшается, проходит через нулевое значение и делается отрицательной. Авторы объясняют ход кривых ( $u$ , pH) ионообменными процессами на поверхности частиц: в присутствии HCl диффузный слой образован ионами  $\text{Cl}^-$ , а в щел. среде — ионами  $\text{Na}^+$ . При прокаливании оксидов при 850—1000° происходит дегидратация и рекристаллизация. Поверхность частиц  $\text{Fe}_2\text{O}_3$  и  $\text{TiO}_2$  делается более кислой, а частиц  $\text{SnO}_2$  — более основной; во всех случаях свойства осадков после прокалывания приближаются к свойствам природных кристаллов. В ряду синтетич. алумосиликатов, полученных осаждением  $\text{NH}_3$  смесей  $\text{Na}_2\text{SiO}_3$  и  $\text{Al}(\text{NO}_3)_3$ , основной характер убывает с уменьшением кол-ва  $\text{Al}_2\text{O}_3$ . При содержании 100, 57, 48, 34%  $\text{Al}_2\text{O}_3$  изоэлектрич. точка лезант соответственно при pH, 8,4; 7,0; 6,4; 5,0. Поверхность частиц  $\text{SiO}_2$  сохраняет кислый характер вплоть до pH 3.

И. Слоим

56951. Электрофорез золь окиси меди. Часть 3. Адсорбция ионов частицами золя. Пейн (Electrophoresis in copper oxide sols. Part 3. Adsorption of ions by the particles. Paine H. N.), Trans. Faraday Soc., 1958, 54, № 2, 241—249 (англ.)

В продолжение исследований (часть 2, РЖХим, 1956, 9538) для изучения обменной адсорбции (А) анионов на положительно заряженных частицах золя  $\text{CuO}$  измерены уд. электропроводность ( $\kappa$ ) и электрофоретич. подвижность ( $u$ ) золя при различных конц-ях электролитов:  $\text{KHCO}_3$  (I),  $\text{K}_2\text{SO}_4$  (II),  $\text{CuCl}_2$  (III), в интервале  $10^{-6}$ — $10^{-4}$  г-экв/л. Начальная  $\kappa \leq 0,7 \cdot 10^{-6}$  ом<sup>-1</sup> см<sup>-1</sup>. Измерения  $\kappa$  и  $u$  для золь с различным содержанием I указывают на значительную А  $\text{HCO}_3^-$  частицами золя, близкую к А  $\text{SO}_4^{2-}$ , что можно объяснить переходом  $\text{HCO}_3^-$  в  $\text{CO}_3^{2-}$  под действием противоионов  $\text{OH}^-$ . Повышенные значения  $\kappa$  для более конц. золь (до 0,64 г/л Cu) автор объясняет появлением в р-ре свободных  $\text{OH}^-$  в результате анионного обмена. При добавлении II к золю обнаружена А  $\text{SO}_4^{2-}$ , заменяемых в р-ре ионами  $\text{HCO}_3^-$ . По смещению кривой ( $\kappa$ , с) для золя с различным содержанием III по отношению к кривой для р-ра III вычислена А  $\text{Cl}^-$  при разных с. Сопоставление изотерм А для  $\text{Cl}^-$  и  $\text{SO}_4^{2-}$  показывает, что А  $\text{Cl}^-$  (выраженная в г-экв) в 15 раз меньше, чем  $\text{SO}_4^{2-}$ . Г. Васильев

56952. Энергетическое взаимодействие между текстильными волокнами и пигментными загрязнениями в процессе мытья. Часть II. Ланге (Über die energetische Wechselwirkung zwischen Textilfasern und Pigmentschmutz beim Waschprozeß. Teil II. Lange H.), Kolloid-Z., 1958, 156, № 2, 108—113 (нем.)

Рассмотрено влияние на процесс мытья установленной ранее (часть I, РЖХим, 1958, 24383) зависимости



между энергией взаимодействия текстильного волокна с частицей пигмента и значениями граничного потенциала и концентрации электролита в моющем р-ре. Процесс мытья может быть разбит на две стадии: проникновение жидкости между частицей пигмента и волокном и последующее удаление частицы. По мнению автора, условиям мытья ближе всего соответствует модель плоскость — шар. Показано, что для этой модели увеличение концентрации электролита при постоянном потенциале уменьшает энергию, необходимую для удаления частицы пигмента с волокна, однако при этом увеличивается также и вероятность обратного осаждения частицы из р-ра на волокно. В р-рах ионных моющих средств с ростом концентрации электролита, как правило, увеличивается и граничный потенциал, что также облегчает удаление загрязнений. При весьма малых расстояниях между волокном и частицей расчет энергии взаимодействия усложняется вследствие влияния адсорбционных слоев на поверхности частицы и волокна.

**И. Слоним 56953.** К рассеянию рентгеновских лучей под малыми углами и светорассеянию коллоидных систем. Кривые рассеяния тел правильной формы. Бейдль, Бишоф, Глад, Пород, Заккен, Вавра (Zur Röntgenkleinwinkelstreuung und Lichtstreuung verdünnter kolloider Systeme. Streukurven regelmäßiger Körper. Beidl G., Bischof M., Glatz G., Porod G., Sacken J. Ch. v., Wawra H.), Z. Elektrochem., 1957, 61, № 10, 1311—1318 (нем.)

Построение теоретич. кривых рассеяния рентгеновских лучей под малыми углами системами частиц различной формы и сравнение с ними эксперим. кривых дает возможность однозначно определять форму рассеивающих частиц. Кривые рассеяния построены для частиц, имеющих форму эллипсоидов, круговых и эллиптических цилиндров, прямоугольников и эллипсов с различными соотношениями параметров (осей, высот, радиусов, сторон). В основе расчетов лежит ф-ла Дебая для рассеяния рентгеновских лучей газами. Для практич. построения кривых рассеяния функция Дебая разложена в степенной ряд. Предполагается, что рассеивающая система монодисперсна, имеет достаточно слабую концентрацию и обладает практически однородной электронной плотностью. Построенные кривые применимы и для светорассеяния при условии, что разницы показателей преломления р-рителя и диспергированного в-ва не слишком велика и что в-во не металл.

Э. Казбеков

**56954.** Синтез новых поверхностно-активных веществ и их применение. Комори, Сабуро, Сайсин-но кагаку то соно об, 1957, № 9, 149—162 (японск.)

Обзор. Библ. 34 назв.

**56955.** Исследование некоторых безводных натриевых мыл с помощью инфракрасной спектроскопии. Чапман (An infrared spectroscopic examinations of some anhydrous sodium soaps. Chapman D.), J. Chem. Soc., 1958, Febr., 784—789 (англ.)

На основании полученной детальной картины спектров Na-мыл жирных к-т от  $C_2$  до  $C_{18}$  в области  $1800—600\text{ см}^{-1}$  обсуждены некоторые их особенности, а также изменения в них, вызванные переходом мыл при повышенных т-рах в жидко-кристаллич. состояние.

А. Таубман

**56956.** Об изменениях мыльных частиц под действием ультразвука. Маль (Über Veränderungen von Seifenpartikeln bei Ultraschallung. Mahl H.), Kolloid-Z., 1958, 156, № 2, 113—116 (нем.)

При обработке ультразвуком колл. мыльных р-ров наряду с обычно происходящим разрывом агрегатов наблюдается также возникновение волокнистой структуры внутри пластичатых частиц при сохранении их

внешних границ. Образующиеся волокна ориентируются по определенным кристаллографич. направлениям.

С. Ликонский

**56957.** Взаимодействие анионных детергентов и не-  
которых полярных алифатических соединений и мицеллах. Соьер, Фауке (Interaction of anionic detergents and certain polar aliphatic compounds in foams and micelles. Sawyer W. M., Fowkes F. M.), J. Phys. Chem., 1958, 62, № 2, 150—166 (англ.)

Исследовано влияние добавок недиссоциированных соединений: спиртов, амидов, эфиров глицерина и др. на устойчивость пен (УП) в р-рах додецилсульфата Na (I), вторичного алкилсульфата Na (II), тетрапропиленбензолсульфоната Na (III) и *n*-алкилбензолсульфонатов (IV), с одновременным определением состава смешанных монослоев по данным измерений поверхностной активности р-ров. Все указанные добавки повышают УП, причем наиболее сильно их влияние проявляется в р-рах I и очень слабо — в р-рах III; II и IV занимают промежуточное положение. Соответствующий ряд по эффективности действия добавок: первичные спирты < эфиры глицерина < амиды. Термодинамич. истолкование полученных результатов позволило объяснить связь между эффективностью добавок, их поверхностной активностью и способностью снижать  $C$  (кр.) мицеллообразования в р-рах I-IV. Показано, что в смешанных монослоях между детергентами и добавками отсутствуют специфич. мол. взаимодействия и повышение УП определяется только увеличением поверхностной мол. доли добавки.

А. Таубман

**56958.** Желатинизация монтмориллонита. Олфен (The gelation of montmorillonite. Olphen H. van), Trans. Faraday Soc., 1958, 54, № 1, 144 (англ.)

Мак-Юэн и Пратт (РЖХим, 1957, 57235) обнаружили в золях бентонита (I) из Уайоминга наличие длинных плоских лент из частиц, соединенных краями, а в статьях автора (Faraday soc. Discussion., 1951, 11, 83) был сделан вывод о присутствии в золях вознистых лент, в которых край одной из частиц I соединен с плоскостью следующей и т. д. Автор объясняет это расхождение тем, что он изучал суспензии Na-I, а в работах Мак-Юэна и Пратта применялся природный Na-I, содержащий  $Na^+$  и  $Ca^{2+}$ . В связи с различием в структуре реологич. свойства золей Na-I и природного Na-Ca-I также совершенно различны.

И. Слоним

**56959.** Желатинизация монтмориллонита. Мак-Юэн, Пратт (The gelation of montmorillonite. M'Ewen Marjorie B., Pratt Margaret I.), Trans. Faraday Soc., 1958, 54, № 1, 145 (англ.)

Различия в структурах между золями бентонита из Уайоминга, изученными авторами, и золями, описанными Олфеном (см. пред. реф.), может быть связано с разницей в толщине частиц. В 1-м случае она не превышала одного кристаллич. слоя, а во 2-м была значительно больше.

И. Слоним

**56960.** Влияние pH на желатинизацию растворов поливинилового спирта под действием борной кислоты. Мразек (Vliv pH na gelovatění roztoků polyvinylalkoholu s kyselinou boritou. Mrazek Jaroslav), Chem. průmysl, 1957, 7, № 10, 567—569 (чешск.; рез. русск., англ.)

Исследованы при различных pH водн. р-ры поливинилового спирта (I) (2—10%) с добавлением борной к-ты (II) (0,1—2%). Желатинизация не наступает при pH < 8 и происходит мгновенно при pH > 8, что опровергает выводы других авторов (Itany E. P., Industr. and Engng Chem., 1943, 35, 1, 290), согласно которым желатинизация протекает в течение нескольких минут после прибавления II к р-ру I. Отмечен

ные явления объяснены тем, что в кислой среде в р-рах I этерификация II практически не происходит, так как ионы  $H^+$  в известной мере блокируют электрофильные пары кислорода гидроксильной группы. К вопросу о построении кинетической теории агрегатирования. Ефремов И. Ф., Нернин С. В., Коллоидн. ж., 1957, 19, № 6, 757—758 (рез. англ.).

См. РЖХим., 1957, 74130.

56962. О влиянии электролитов на образование ритмических осадков. Шемякин Ф. М., Карпов А. Н., Сб. научн. работ Моск. фармацевт. ин-т, 1957, 1, 39—43.

Изучено влияние электролитов на образование ритмических осадков  $CaHPO_4$  при диффузии р-ра  $Na_2HPO_4$  в р-р агар-а, содержащие  $CaCl_2$ . Отмечено, что  $KNO_3$ ,  $CH_3COOK$ ,  $KCl$ ,  $K_2CrO_4$  и  $KJ$  не оказывают заметного влияния на ритмич. осаждение; прибавление к внешнему р-ру сульфата, йодата, тартрата и цитрата  $K$  уменьшает толщину наслоений, расстояние между ними и число наслоений. Авторы объясняют действие 2- и 3-валентных анионов увеличением проницаемости и уменьшением толщины мембран осадка  $CaHPO_4$ , а также ионообменной адсорбцией на поверхности осадка.

И. Слоним  
56963. Устойчивость пен. Часть 1. Структура и устойчивость пен. Врис (Foam stability. Part 1. Structure and stability of foams. Vries A. J. de), Recueil trav. chim., 1958, 77, № 2, 81—91 (англ.).

Теоретическое введение к серии статей. Отмечено значение поверхностного натяжения  $\gamma$  для устойчивости пен. На основе уравнения Гиббса показано, что при деформации пленки пены, образованной р-ром поверхностноактивного в-ва, увеличение свободной энергии, вызываемое увеличением  $\gamma$ , во всех практически важных случаях имеет тот же порядок величины, что и прирост энергии за счет увеличения площади пленки. Рассмотрен характер процесса дренажа жидкости из пены, образованной сферич. пузырьками газа, и пены, ячейки которой образуют многогранники. В последнем случае уменьшение толщины пленки происходит не только под влиянием силы тяжести, но и вследствие эффекта капиллярного втягивания.

И. Слоним  
56964. О движении аэрозольных частиц в поле молекулярной диффузии. Фаси (Sur le déplacement des particules d'aérosols au cours des processus de diffusion moléculaire. Fasy Léopold), C. r. Acad. sci., 1958, 246, № 1, 102—104 (франц.).

Изложена полуколич. теория впервые обнаруженного автором явления диффузиофореза (РЖХим., 1956, 2721). Показано, что скорость диффузиофореза в случаях  $d/\lambda \ll 1$  и  $d/\lambda \gg 1$  ( $d$  — диаметр частицы,  $\lambda$  — средняя длина свободного пути газовых молекул) не зависит от  $d$ .

Н. Фукс  
56965. Теория движения малых аэрозолей частиц в поле диффузии. Дерягин Б. В., Баканов С. П., Докл. АН СССР, 1957, 117, № 6, 959—962.

Рассмотрено движение аэрозольных частиц, размер которых значительно меньше средней длины свободного пути газовых молекул, в поле диффузии. Функции распределения скоростей молекул бинарной газовой смеси найдены в первом приближении теории Чепмена-Энскога. Получены выражения для упорядоченной скорости частицы в системе координат, связанной со stefановским потоком ( $U$ ), а также для локаторной системы координат ( $U'$ ). Для случая смеси воздух-водяной пар при 1 атм и  $20^\circ U' = 1,47 \times 10^{-2}$  см/сек, где  $l$  — расстояние, на котором влаж-

ность убывает от 100% до 0. Качественно рассмотрены явления, возникающие в системе, состоящей из разделенных высокопористой перегородкой (II) сосудов, наполненных газовыми смесями с различной концентрацией. В квазистационарном состоянии в системе должен возникнуть перепад  $\Delta p$  полного давления, вызывающий течение газовой смеси через II, компенсирующее эффект диффузии.  $\Delta p$  не зависит от толщины II и обратно пропорционален среднему диаметру пор II.

Н. Фукс  
56966. Доказательство наличия разрывов в слоях капелек на поверхности нагретой жидкости. Левенгуд (Evidence of rupture in droplet layers on heated liquid surfaces. Levengood W. C.), Amer. J. Phys., 1958, 26, № 1, 35—37 (англ.).

На поверхности воды, нагретой до  $70-80^\circ$ , образуются углубления и трещины, хорошо заметные при косом освещении, особенно на подкрашенной чернилами воде. Микроскопич. наблюдение показывает, что на высоте  $\sim 0,8$  мм над поверхностью нагретой жидкости образуется слой капелек диам.  $0,05-0,1$  мм. Этот слой находится в непрерывном движении и пополняется за счет новых капелек, образующихся при конденсации паров в воздухе на высоте  $\sim 1$  см от поверхности, где т-ра падает до комнатной. Слиянию капелек с массой жидкости препятствует восходящий от поверхности ток пара. Пленка масла толщиной в несколько мол. слоев на воде уменьшает неоднородность поверхности.

И. Слоним  
56967. Влияние электростатического поля на скорость истечения струи раствора лака из сопла и на распад струи. Эстерле (Zum Einfluß des elektrostatischen Feldes auf Düsenaustrittsgeschwindigkeit und Zerfall von Lackstrahlen. Oesterle K. M.), Schweiz. Arch. angew. Wiss. and Techn., 1957, 23, № 12, 404—413 (нем.).

Произведены наблюдения за истечением жидкостей (изопропанола, метилизобутилкетона, р-ра лака в смеси органич. жидкостей) из металлич. сопла с диам.  $1-2$  мм при наличии электрич. поля. При скорости истечения  $0,45-1,9$  м/сек постоянное поле (разность потенциалов  $V$  между соплом и землей  $70$  кВ) не вызывало изменения скорости. При увеличении  $V$  уменьшалось поверхностное натяжение жидкости  $\sigma$ ; при  $V = \text{const}$   $\sigma$  убывает с ростом диэлектрич. проницаемости жидкости. Длина нераспавшейся части струи и угол распыла зависят (при прочих равных условиях) от хим. состава р-рителя и лака.

В. Дунский

56968 К. Органические коллоиды. Йиргенсонс. (Organic colloids. Jirgensons Bruno. Amsterdam, Elsevier; London, Cleaver-Hume Press., 1958, xiv, 655 pp., ill., 85 sh.) (англ.).

56969 К. За гранью видимого. О коллоидах, их свойствах, получении и использовании. Суслев Б. Н. Перев. с русск. (Зад гранита на видимото. За коллоидите, техните свойства, получаване и използване. Суслев Б. Н. Прев. от рус. София, Държ. воен. изд., 1957, 136 с., ил., 2 лв.) (болг.).

56970 Д. Органозоли сплавов. Козачек Н. Н. Автореф. дисс. канд. хим. н., Ин-т общ. неорганич. химии АН УССР, Киев, 1958

См. также: раздел Химия высокомолекулярных веществ в рефераты: аэрозоли 51676. Суспензии 58484. Эмульсии 58703, 58803, 58894



## НЕОРГАНИЧЕСКАЯ ХИМИЯ. КОМПЛЕКСНЫЕ СОЕДИНЕНИЯ

Редактор А. Б. Нейдин

56971. О разделении редкоземельных элементов. IV. Дальнейшие исследования разделения редкоземельных элементов путем комплексного элюирования из катионообменника  $\beta$ -оксиптиллиминодиуксусной кислотой. V. Дальнейшие исследования разделения редкоземельных элементов путем комплексного элюирования из катионообменника (элюирование 4%-ным раствором  $\beta$ -оксиптиллиминодиуксусной кислоты при 70°). Вольф, Массонне (Beiträge zur Trennung der Seltener Erden. IV. Weitere Untersuchungen über die Trennung Seltener Erden durch Komplexelution vom Kationenaustauscher mittels  $\beta$ -Oxyäthyliminodiessigsäure. V. Weitere Untersuchungen über die Trennung Seltener Erden durch Komplexelution vom Kationenaustauscher. (Die Elution mittels 4proz.  $\beta$ -Oxyäthyliminodiessigsäurelösung bei 70°C). Wolf Leopold, Massonne Joachim), J. prakt. Chem., 1957, 5, № 1-2, 14-20; 21-33 (нем.).

IV. Разделение редкоземельных элементов (РЗЭ) осуществляется в двух последовательных колонках, одна из которых наполнена РЗЭ-формой, вторая и-формой смолы KPS-200. Для элюирования (Э) цериевых РЗЭ и разделения смесей  $\text{Pr} + \text{Nd} + \text{Sm} + \text{La}$  с большим содержанием  $\text{La}$  использованы 2%-ные р-ры  $\beta$ -оксиптиллиминодиуксусной к-ты (I) с pH 7,0-8,55. Наилучшие результаты дает Э 2%-ным р-ром I в 2%-ном  $\text{NH}_4\text{Cl}$  с pH 8,0. В этих условиях, как правило, не наблюдается образования осадков во время Э. Самым последним извлекается  $\text{La}$ , который можно элюировать р-ром I более высокой конц-ции. При Э смесей РЗЭ с малым содержанием  $\text{La}$  2%-ным р-ром I в колонке с Н-катионитом всегда осаждается I. Присутствие загрязнений благоприятствует кристаллизации I. При Э смесей 1,5%-ным р-ром I свободная I в колонке с Н-катионитом не выделяется, но отделение  $\text{Pr}$  от  $\text{La}$  идет плохо. Повышение эффективности разделения смесей с высоким содержанием  $\text{Nd} + \text{Pr}$  достигается заменой Н-катионита на итриевые РЗЭ, которые образуют с I более устойчивые комплексы, чем цериевые РЗЭ. В эту колонку вводят смесь Y с Gd, Dy, Ho, Er и Yb; Э производится 2%-ным р-ром I с pH 8. В этих условиях достигается разделение компонентов дидима и фракционирование итриевых РЗЭ. С применением колонки диам. 2,2 см и длиной 130 см удается разделить ~ 20 г оксидов РЗЭ в течение 4-5 дней. Повторением процесса можно получить отдельные РЗЭ в чистом виде.

V. Разделение РЗЭ выполняется на колонке, заполненной вогатитом KPS-200, в нижней части которой находится катионит в Н- или Cu-форме, в верхней — в РЗЭ-форме. Э производится 4%-ным р-ром I при 70°. В этих условиях не происходит кристаллизации I при проходе р-ра через слой Н-катионита и достигается более четкое разделение компонентов смеси. Смесь  $\text{Sm} + \text{Nd} + \text{Pr} + \text{La}$  с содержанием тяжелых РЗЭ от 0,2 до 1%, разделяется путем Э р-ром I с pH 5 или 7. Эффективность разделения повышается с уменьшением отношения длин верхней части колонки к нижней от 1:1 до 1:1,5. Смесь всех РЗЭ элюируют р-ром I с pH 5, заполняя нижнюю часть колонки Н-катионитом. При Э смеси РЗЭ холодным р-ром I с pH 5 нижнюю часть колонки заполняют Cu-катионитом. В этом случае во фракциях элюата последовательно обнаруживаются Cu, I и комплексы РЗЭ; кристаллизующуюся I приходится удалять действием  $\text{NH}_3$ . С повышением т-ры до 70° I не выпадает, что, однако, не влияет на вышеуказанную последователь-

ность расположения полос Э, типичную только для I и не характерную для других комплексов. Последовательность компонентов в элюате при Э р-ром I авторы объясняют образованием катионных комплексов  $(\text{MY})^+$  и анионных комплексов  $(\text{MY}_2)^-$ , где Y — двухзарядный анион I, M — катионы РЗЭ. Белый трудно фильтрующийся осадок  $(\text{LaY})\text{Cl} \cdot 4\text{H}_2\text{O}$  получен по р-ции  $\text{LaCl}_3 + \text{H}_2\text{Y} + 2\text{NH}_3 = (\text{LaY})\text{Cl} + 2\text{NH}_4\text{Cl}$ . Аналогичным способом, но с использованием  $\text{La}(\text{NO}_3)_3$  получен  $(\text{LaY})\text{NO}_3 \cdot 3\text{H}_2\text{O}$ . Э р-ром I обеспечивает достаточно хорошее отделение РЗЭ от  $\text{La}$  до  $\text{Sm}$ . РЗЭ от  $\text{Sm}$  до  $\text{Tb}$  почти не разделяются. Элементы от Dy до Lu с помощью I разделяются лучше. Часть III см. РЖХим, 1958, 13974.

Н. Полянский  
56972. Исследование экстракции рутения органическими растворителями из азотнокислых растворов. Сообщение I. Никольский В. Д., Шмидт В. С., Ж. неорг. химии, 1957, 2, № 12, 2746-2751

Азотнокислые р-ры  $\text{RuO}_4$  (I) готовились растворением в  $\text{HNO}_3$  (II) I, выделяющийся при окислении содержащих  $\text{Ru}^{100}$  сервокислых р-ров перманганатом калия. Аналогичным способом получался нитрат  $\text{Ru}(4+)$ , но в приемники с II вводилось 50%  $\text{H}_2\text{O}$ . При получении нитрозонитратов (NH) во время отгонки I через систему поглотителей вместе с воздухом пропускали окислы азота. Нитрат  $\text{Ru}(4+)$  из 0,1-8 г р-ров II эфиром (III) и трибутилфосфатом (IV) практически не экстрагируется, что авторы связывают с высокой степенью гидролиза и диссоциации этого соединения. I в течение первых секунд перемешивания фаз экстрагируется IV и керосином, но быстро восстанавливается в органич. слое до неэкстрагируемого в-ва, которое переходит обратно в водн. фазу. III восстанавливает I еще быстрее, и поэтому активность вообще не переходит в органич. слой. Р-ры NH содержат экстрагируемые и неэкстрагируемые соединения, способные к взаимопревращению; последние авторы считают продуктами гидролиза первых. По предположению авторов, р-ры NH содержат  $\text{RuNO}(\text{NO}_3)_2$ , продукты его гидролиза (в том числе  $\text{RuNO}(\text{NO}_3)_2\text{OH}$ ) и диссоциации. С увеличением конц-ии II в водн. фазе, из которой производится эфирная экстракция, коэф. распределения  $K$   $\text{Ru}^{100}$  между водн. и органич. слоем возрастает, что объясняется увеличением доли негидролизованной формы.  $K$   $\text{RuNO}(\text{NO}_3)_2$  между 6 н. р-ром II и III составляет 11,5. Добавки  $\text{Ca}(\text{NO}_3)_2$ ,  $\text{UO}_2(\text{NO}_3)_2$  повышают  $K$   $\text{Ru}^{100}$ , а  $\text{NH}_4\text{NO}_3$  оказывает противоположное действие. При экстракции с помощью 30%-ного р-ра IV в керосине  $K$   $\text{Ru}^{100}$  повышается с увеличением кислотности водн. фазы и с введением добавок  $\text{NO}_2(\text{NO}_3)_2$ . Аналогично ведет себя радиорутений в азотнокислых р-рах облученного U. Образование NH авторы считают неизбежным при растворении металл. U в II в связи с выделением окислов азота в этом процессе. Н. Полянский

56973. Взаимное превращение низко- и высокотемпературной форм триполифосфата натрия. Мори (The transition between the low- and the high-temperature form of sodium tripolyphosphate. Morey George W.), J. Amer. Chem. Soc., 1958, 80, № 4, 775 (англ.).

Ранее (РЖХим, 1956, 74377) было установлено, что  $\text{Na}_3\text{P}_3\text{O}_{10}$  имеет высокотемпературную (I) и низкотемпературную (II) модификации, но не были найдены условия их взаимного перехода. Для ускорения превращения  $\text{I} \rightleftharpoons \text{II}$  к  $\text{Na}_3\text{P}_3\text{O}_{10}$  добавляли 0,1%  $\text{Na}_3\text{P}_3\text{O}_{10} \cdot 6\text{H}_2\text{O}$ , так что в полученной смеси содержалось 0,023%  $\text{H}_2\text{O}$ . 1,5 г образца I или II длительное время

нагревали в запаянной трубке при нагревании. При  $t$ -рах 409° и ниже I в течение 30—60 дней превращается во II; при 425° I не изменяется. II при 425° превращается в I, а при  $t$ -рах 409° и ниже не изменяется. Модификация I и II энантиотропны,  $t$ -ра перехода  $417 \pm 8^\circ$ . В. Росоловский

56974. Метод получения CuBr. Галинос, Контойяннакос (Eine Darstellungsmethode für CuBr. Galinos A. G., Kontoyiannakos I. K.), *Angew. Chem.*, 1958, 70, № 2, 51 (нем.)

При пропускании сухого HBr через абс. эфир, находящийся в контакте с Cu, образуется  $H_2$  и желтое масло  $HCuBr \cdot 2$  эфир соединения разлагается водой с выделением белого кристаллич. CuBr, который отфильтровывают и промывают водой. И. Рысс

56975. Получение фторида бериллия из окиси бериллия. Хайд, О'Коннор, Уэйт (Preparation of beryllium fluoride from beryllia. Hyde K. R., O'Connor D. J., Wait E.), *J. Inorg. and Nucl. Chem.*, 1958, 6, № 1, 14—18 (англ.)

При нагревании Be в токе  $F_2$  или BeO в токе  $F_2$  или  $ClF_3$  происходит только частичное образование  $BeF_2$  (I). При нагревании образцов BeO с уд. поверхностью 273 и 8,7 м<sup>2</sup>/г в токе HF при 225° в течение 3 час. образуются продукты, содержащие 98,4 и соответственно 85% I; уменьшение длительности нагревания до 1 часа незначительно снижает содержание I. Образец I с высоким содержанием F получен после обработки BeO 40%-ной HF и выпариванием избытка HF. Дебаграммы продуктов не дают указаний на образование твердых  $r$ -ров I и BeO. И. Рысс

56976. Новые методы получения  $SiS_2$ . Шмейссер, Мюллер, Бургмейстер (Neue Wege zur Darstellung von  $SiS_2$ . Schmeisser M., Müller Hans, Burgmeister W.), *Angew. Chem.*, 1957, 69, № 24, 781 (нем.)

Чистый  $SiS_2$  получается различными методами: 1)  $r$ -цвей Si с  $H_2S$  при 1500°; 2) пропусканием пара S или  $H_2$  над  $Mg_2Si$  или  $CaSi_2$  при 1100—1200°; 3) бурной  $r$ -цвей силицидов (напр.,  $MgSi$ ) с хлоридами серы (напр.,  $S_2Cl_2$ ) — эта  $r$ -ция может быть использована как индигирующая для  $r$ -ции Si с S; 4) термич. разложением тиоэфиров кремневой к-ты при 250—300°.  $Si(SC_2H_5)_4$  (I) растворяет при  $\sim 150^\circ$  значительные кол-ва S; между 150—200° образуются  $+Si-(S)_n-R$ , разлагающиеся при 200° на  $SiS_2$  и  $R-(S)_n-R$ . Из 136 г I и 96 г S нагреванием при 200° в течение 10 мин. получен колич. выход  $SiS_2$  и этилсульфинов  $C_2H_5-S_2-C_2H_5$  и  $C_2H_5-S_3-C_2H_5$ , растворимых в  $C_6H_6$ . И. Рысс

56977. Простой метод получения абсолютного гидразина. Фехер, Кремер (Eine einfache Methode zur Darstellung von absolutem Hydrazin. Feher F., Cremer J.), *Z. anorgan. und allgem. Chem.*, 1957, 293, № 5-6, 243—244 (нем.)

Упрощен описанный ранее (РЖХим, 1957, 40854) метод получения безводн.  $N_2H_4$  из  $N_2H_4 \cdot 2HCl$ , основанный на переносе последнего в  $N_2H_4 \cdot HCl$  нагреванием в вакууме при 100° и последующем взаимодействии  $N_2H_4 \cdot HCl$  с  $NH_3$  при 150—190°. Выход  $N_2H_4$  30%. И. Слоним

56978. О простом методе получения безводного гидразина. Бок (Über eine einfache Methode zur Darstellung wasserfreien Hydrazins. Bock H.), *Z. anorgan. und allgem. Chem.*, 1958, 293, № 5-6, 264—273 (нем.)

Предложен метод получения безводн.  $N_2H_4$  из  $N_2H_4 \cdot H_2O$  в укрупненном лабор. масштабе, основанный на выделении богатой  $N_2H_4$  фазы из смеси  $N_2H_4 \cdot H_2O$ -NaOH и последующей перегонке. Смесь 100 г 75,5%-ного технич.  $N_2H_4 \cdot H_2O$  нагревают с 140 г NaOH до 100° и отделяют верхний слой. Для перегонки

нужна колонна с 12—15 теоретич. тарелками; при 108,5—109° отгоняется  $\sim 99,5\%$ -ный  $N_2H_4$ , содержащий лишь примесь  $NH_3$ . Выход для одной перегонки 56,7%, а при использовании следующих фракций суммарный выход  $N_2H_4$  91%. И. Слоним

56979. О восстанавливаемости нитрат-иона. Сабо, Барта (A nitrát ion redukálhatóságáról. Szabó Zoltán, Bartha Lajos), *Magyar tud. akad. Kém. tud. oszt. közl.*, 1957, 9, № 3, 305—312 (венг.)

Изучено восстановление иона  $NO_3^-$  действием  $Fe(OH)_2$  при различных условиях, в частности в присутствии ионов  $Ag^+$  или  $Cu^+$  в качестве катализаторов. Непосредственное восстановление до  $NH_3$  идет успешно только при осаждении последнего в колл. форме при pH 6—8 (NaOH) или осаждением в гетерог. среде ( $MgO$ ). Обсуждены на основе эксперим. данных факторы, необходимые для полного восстановления. С. Розенфельд

56980. К химии трехокиси серы. IX. О реакциях азидов щелочных металлов с трехокисью серы и о получении дисульфурлазида  $S_2O_5(N_3)_2$ . Леман Хольцнагель (Zur Chemie des Schwefeltrioxyds. IX. Über die Reaktion von Alkaliazid mit Schwefeltrioxyd und die Darstellung von Disulfurylazid,  $S_2O_5(N_3)_2$ . Lehmann Hans-Albert, Holznaegel Wilhelm), *Z. anorgan. und allgem. Chem.*, 1958, 293, № 5-6, 314—321 (нем.)

При действии  $SO_3$  на  $KN_3$  образуются азидополисульфаты калия (I) состава  $KN_3 \cdot xSO_3$  ( $x \geq 4$ ) в виде прозрачных плоских призматич. кристаллов. Во избежание взрыва следует применять сухой крупнокристаллич.  $KN_3$  и вначале вести  $r$ -цию с небольшими кол-вами паров  $SO_3$ ; после того как образуется гранулированный продукт, конденсируют на нем жидкий  $SO_3$ . I устойчив лишь в атмосфере  $SO_3$ ; в вакууме теряет  $SO_3$ , превращаясь в азидодисульфат калия  $KN_3 \cdot 2SO_3$ .  $NaN_3$  реагирует с  $SO_3$  так же, как и  $KN_3$ , но медленнее. При нагревании I с избытком  $SO_3$  происходит дисмутация и образуются полисульфат и дисульфурлазид  $S_2O_5(N_3)_2$  (II). Для получения II нагревают I с избытком  $SO_3$  при 40° 2 часа, отделяют осадок и из фильтрата отгоняют  $SO_3$ . II детонирует при нагревании, т. пл. кристаллов II 17°. При действии разб.  $r$ -ра щелочи II гидролизуются. Полный гидролиз по ур-нию  $S_2O_5(N_3)_2 + 6OH^- \rightarrow 2SO_4^{2-} + 2N_3^- + 3H_2O$  идет лишь на 15%; гидролиз остального II доходит до образования азидосульфата:  $S_2O_5(N_3)_2 + 2OH^- \rightarrow 2SO_3N_3^- + H_2O$ . Из продуктов гидролиза I выделен  $KSO_3N_3$  в виде блестящих двулучепреломляющих кристаллич. листов с  $d = 2,265$ . Для II авторы предлагают симметричную структуру  $N_3S(O)(O)OS(O)(O)N_3$ . Приведены данные порошковых рентгенограмм  $KSO_3N_3$  и  $KN_3 \cdot 2SO_3$ . Сообщение VIII см. РЖХим, 1957, 15025. И. Слоним

56981. Оксиселенид урана  $UOSe$ . Парвиз Ходад (Sur l'oxysélénure d'uranium. OSeU. Parviz Khodadad), *C. r. Acad. sci.*, 1957, 245, № 25, 2286—2288 (франц.)

Описан ряд способов получения  $UOSe$  (I): нагреванием окислов U в графитовой лодочке в соке  $H_2Se$  (II) при 1050—1080°, нагреванием оксалата U в токе II при 1050—1080°, нагреванием  $USe_3$  или  $USe_2$  при 600° в токе влажного II. Магнитная восприимчивость I равна  $2560 \cdot 10^{-6}$  при 18°; I — черный порошок, кристаллизующийся в тетрагон. сингонии,  $a$  3,908,  $c$  6,996 Å,  $Z = 2$ ,  $\rho$  (рент.) 10,38,  $\rho$  10,40. I реагирует с  $H_2O$  лишь при  $t$ -ре  $> 350^\circ$ , образуя II и  $UO_2$  не реагирует даже при кипячении с  $CH_3COOH$  или конц. HCl, не реагирует с  $r$ -рами KOH или NaOH; при сплавлении I с щелочами образуется полиселенид и  $UO_2$ . При выпаривании I с  $HNO_3$  образуется селенид уранила. При прокаливании смеси I с Al в вакууме



при 1100° образуется сплав Al с U, а также  $U_2Se_3$  (III) (ромбич. решетка типа  $Sb_2S_3$ ;  $a$  11,2,  $b$  10,9,  $c$  4,04 Å); III изоморфен  $U_2S_3$ . И. Рысс

**56982. Хлорродан. Часть I. Химические доказательства существования мономерного соединения в растворах в органических растворителях. Ангус, Бейкон. Часть II. Некоторые физические свойства растворов хлорродана. Бейкон, Эруин (Thiocyanogen chloride. Part I. Chemical evidence for the existence of the monomeric compound in solutions in organic solvents. Angus A. B., Bacon R. G. R. Part II. Some physical properties of its solutions. Bacon R. G. R., Irwin R. S.), J. Chem. Soc., 1958, Febr., 774—778, 778—784 (англ.)**

I. 0,1—2 н. р-ры  $(SCN)_2$  (I) в  $CHCl_3$ ,  $C_6H_6$ ,  $C_6H_5CH_3$  или  $CH_2ClCH_2Cl$  получаются с 95—100%-ным выходом действием  $Br_2$  на избыток  $Pb(SCN)_2$  при 0°. При попытках получения 1 н. р-ров I в  $CCl_4$  (II) или петр. эфире наблюдаются низкие выходы; полученные р-ры крайне нестойки. Р-ры I в углеводородах или галогенированных углеводородах могут быть получены действием  $Cl_2$  или  $Br_2$  на азвачительный избыток мелкоизмельченных  $MCNS$  ( $M = NH_4$ , K или Na). Действием эквимолярного кол-ва сухого  $Cl_2$  на р-ры I получают золотисто-желтые р-ры мономерного  $CISCN$  (III), постепенно выделяющие аморфный желтый осадок. Растворенный III экзотермически присоединяется к олефинам; из  $C_2H_4$  и циклогексена образуются с высокими выходами 1-тиоциан-2-хлоралканы. С ароматич. соединениями в р-ре в II легко протекают р-ции  $RH + III \rightarrow RSCN + HCl$ , где  $RH$  — фенол или  $NN$ -диметиланилин; аниол реагирует очень медленно. Свойства III соответствуют полярной структуре  $Cl^{\delta-} \cdot SC^{\delta+}N$ ; по реакционной способности III близок к  $JCl$  (IV) и стоит между  $Cl_2$  и I.

II. Криоскопически показано, что в свежеприготовленных р-рах III, в основном, мономерен. Р-р III непосредственно осаждается р-ром  $AgClO_4$  в органич. р-рителях. Р-ция III с р-рами  $OO$ -ди- $n$ -бутилтиофосфата в II протекает по ур-нию  $2(BuO)_2PO \cdot SNa$  (V) + 2 III  $\rightarrow 2NaCl + I + [(BuO)_2(PO \cdot Sl_2)]$  (VI); доказано и протекающие р-ции:  $2 V + I \rightarrow 2NaSCN + VI$  и  $2 V + 2 IV \rightarrow 2NaCl + J_2 + VI$ . Мол. электропроводность I, III и IV (в  $om^{-1}cm^2$ ) при 25° равна соответственно: в уксусном ангидриде в 0,08 M р-ре 0,014; 0,009 и 0,12; в 0,008 M р-ре 0,021, 0,031, 0,35; в  $CH_3NO_2$  в 0,08 M р-ре 0,037; 0,005 и 1,5, в 0,008 M р-ре 0,07; — и 2,5. В спектре поглощения р-ра III в II наблюдается максимум при 372 мк ( $\epsilon \sim 15$ ) и минимум при 338 мк ( $\epsilon \sim 10$ ); спектр в  $n$ -гексане идентичен, а в  $(CH_3CO)_2O$  — близок к найденному в II. Спектры существенно отличны от спектров I или  $Cl_2$  в тех же р-рителях. Однако спектр смеси III и  $Br_2$  в II близок к аддитивному. Хим. свойства III указывают на строение  $Cl^{\delta-} - S^{\delta+} - C \equiv N$ , но предварительные данные об ИК-спектрах III указывают на то, что эта трактовка не является единственно возможной. И. Рысс

**56983. Суббромиды бора. Пфлугмахер, Динер (Über Borsubbromide. Pflugmacher Annelore, Diener W.), Angew. Chem., 1957, 69, № 24, 777 (нем.)**

В тихом электрич. разряде при 15—25° и 5—15 мм рт. ст.  $BBr_3$  (I) разлагается до высокомолекулярного красного или красно-коричневого  $(BBr)_x$  (II), не растворимого в  $C_6H_6$ ,  $C_6H_5CH_3$  и диоксане; при аммонолизе II образуется бесцветный  $(B_2NH)_x$ . В тлеющем разряде между Ni- или Hg-электродами в атмосфере  $Ag$  из I образуется коричнево-черный  $BBr_x$  с  $x = 0,2—0,4$ , а также малые кол-ва II и  $B_2Br_4$ , т. кип. 0,5—1,5°. И. Рысс

**56984. О хроматографическом разделении конденсированных фосфатов на анионообменных смолах. Мацухаси (Über die Chromatographische trennung von kondensierten Phosphaten an Anionenaustauscherharzen. Matsuhashi Michio), J. Biochem., 1957, 44, № 1, 65—67 (нем.)**

Продажную соль Грама освобождали от три- и тетраметафосфатов осаждением солями Ba, от катионов — пропусканием через амберлит IR-120, а затем нейтрализовали р-ром  $NH_3$ . Р-р, содержащий  $\sim 1$  м каждого компонента, наносили на дауэкс 1-4X в  $Cl^-$  форме, колонку элюировали р-рами  $KCl$ , увеличивающейся от 0,2 до 0,5 M конц-ии, забуференными 0,005 M  $Na_2B_4O_7 + H_3BO_3$ , pH 8,0, и 0,01 M  $NH_4OH + NH_4Cl$ , pH 9,3. Собранные по 9,0 мл фракция обрабатывали 2 н.  $H_2SO_4$  10 мин. при 100°. Полифосфаты, включая и высшие (додекамеры), полностью разделялись. М. Щербачева

**56985. Двойные окислы четырехвалентного молибдена. Вилладсен (Ternary oxides of tetravalent molybdenum. Villadsen Jørgen), J. Amer. Chem. Soc., 1958, 80, № 3, 757 (англ.)**

Автор опровергает утверждение Мак-Карролла и др. (РЖХим., 1957, 15027; 1958, 27688), что двойные окислы  $Mo(4+)$  были неизвестны до 1954 г., и указывает, что эти окислы были описаны ранее (Muthmann W., *Ann. Chem. Liebigs*, 1887, 238, 108). В. Штерн

**56986. Тетрахлоробораты щелочных металлов. Мьюттертис (Alkali metal tetrachloroborates. Muetttertites Earl L.), J. Amer. Chem. Soc., 1957, 79, № 24, 6563—6564 (англ.)**

$MBCl_4$ , где  $M = Cs$  (I),  $Rb$  (II) или  $K$  (III), получены в не вполне чистом виде нагреванием  $MCl$  с избытком  $BCl_3$  (IV) в автоклаве при 500°; при 400° р-ция протекает частично. Способность  $MCl$  к р-ции падает в ряду  $Cs > Rb > K$ ;  $NaCl$  не реагирует с IV. При р-ции  $KBF_4$  (V) с 250%-ным избытком IV при 400° и  $\sim 100$  атм V на 30% превращается в III и  $BF_3$ . Давление диссоциации I, II и III достигает 3 атм соответственно при 370, 275 и 225° и соответствует теплотам диссоциации  $\sim 15-8$  ккал. При 150° III частично реагирует с  $N(CH_3)_3$ , образуя  $(CH_3)_3N \cdot BCl_3$ . I—III экзотермически реагируют с водой; гидролиз их не мгновенен, но при попытке перекристаллизации их из воды получается смесь  $MCl$ ,  $H_3BO_3$  и, возможно, бората. I кристаллизуется в ромбоэдрич. сингонии,  $a$   $10,0 \pm 0,5$  Å,  $\alpha$   $24^\circ \pm 30'$ . И. Рысс

**56987. Изучение комплексобразования между ионом серебра и тиосульфатом методом растворимости. Расчет состава комплексов в системе  $AgBr - Na_2S_2O_3 - H_2O$ . Дей (Study of the complex formation between silver ion and thiosulphate by the solubility method: calculation of the composition of complexes in the system:  $AgBr - Na_2S_2O_3 - H_2O$ . Дей Агун К.), J. Inorg. and Nucl. Chem., 1958, 6 № 1, 71—73 (англ.)**

Для установления состава растворимых тиосульфатных комплексов  $Ag$ , образующихся в процессе фиксации фотографий, негативов, применен метод растворимости, предложенный автором (Докл. АН СССР, 1947, 58, 1047). Промытый осадок  $AgBr$  обрабатывали 0,01—0,08 M р-ром  $Na_2S_2O_3$  при постоянной т-ре. При 30° комплекс в р-ре имеет состав  $[Ag(S_2O_3)_2]^{2-}$ , при 75°  $[Ag(S_2O_3)]^-$ , при 50° в р-ре присутствуют оба комплекса. В. Росоловский

**56988. Гексафтороплумбеаты щелочноземельных металлов. Хоппе, Блинне (Erdalkalihexafluoroplumbate (IV), Hoppe Rudolf, Blinne Klaus), Z. anorgan. und allgem. Chem., 1958, 293, № 5—6, 251—263 (нем.)**

$MPbF_6$ , где  $M = Ba$  (I),  $Sr$  (II) или  $Ca$  (III), получены действием  $F_2$  на  $MPbO_3$  (I при 400—500°, II при

400° или на смесь  $\text{Sr}(\text{NO}_3)_2$ ,  $\text{PbO}$  и  $\text{SiO}_2$  (1:1:6) при 300°, или на смесь  $\text{CaCO}_3$  и  $\text{PbO}$  при 420°. I—III бесцветны, чувствительны к влаге воздуха, окисляют разб.  $\text{HCl}$  до  $\text{Cl}_2$ . I кристаллизуется в типе  $\text{BaGeF}_6$  (ф. гр.  $\text{P6}_3/\text{mmc} - D_{3h}^{2-}$ ),  $a$  7,45,  $c$  7,52 Å,  $\rho$  (рент.) 6,39;  $\rho$  5,7. I содержит октаэдры  $\text{PbF}_6^{2-}$  с расстоянием  $\text{Pb}-\text{F}$  2,04 Å. II кристаллизуется в тетрагон. сингонии,  $a$  5,21,  $c$  4,48 Å,  $Z=1$ ,  $\rho$  (рент.) 5,59,  $\rho$  5,52; вероятно, II обладает новым структурным типом, в котором октаэдры  $\text{PbF}_6^{2-}$  объединены в линейную цепь общими атомами F; расстояния  $\text{Pb}-\text{F}$  2,24  $\text{Sr}-\text{F}$  2,60 и 2,66 Å, ф. гр.  $\text{P6}_3/\text{mmc} - D_{3h}^{2-}$ . III кристаллизуется в куб. сингонии  $a$  8,48,  $Z=4$ ,  $\rho$  (рент.) 3,93,  $\rho$  4,01; вероятная ф. гр.  $\text{Pm3m} - O_h^h$ , сверхструктура типа  $\text{ReO}_3$  с закономерным распределением ионов  $\text{Ca}^{2+}$  и  $\text{Pb}^{4+}$ .  $\text{BaPbO}_3$  кристаллизуется в типе перовскита,  $a$  4,27,  $\rho$  (рент.) 8,14,  $\rho$  7,62.

56989. О соединении  $[\text{PbCl}_4][\text{PbCl}_5\text{Br}]$ . Кольдич, Фельц (Über die Verbindung  $(\text{PbCl}_4)(\text{PbCl}_5\text{Br})$ . Kolditz Lothar, Feltz Adalbert, Z. anorgan. und allgem. Chem., 1958, 293, № 5—6, 286—293 (нем.). При введении по каплям  $\text{Br}_2$  в р-р  $\text{PbCl}_2$  в  $\text{AsCl}_3$  (I) протекает экзотермич. р-ция образования  $[\text{PbCl}_4][\text{PbCl}_5\text{Br}]$  (II); осадок II отфильтровывают от охлажденного водного р-ра, промывают I и  $\text{C}_6\text{H}_6$  и сушат в вакууме. II является чрезвычайно гигроскопичным светло-желтым порошком, бурно реагирующим с водой, обладает высокой электропроводностью в  $\text{CH}_3\text{CN}$ , из I кристаллизуется в виде кристаллосольвата, полностью отдающего I в вакууме. II плохо растворим в  $\text{CCl}_4$  и разлагается в р-ре на  $\text{PbCl}_2$  и  $\text{PbBr}_2$  (или  $\text{PbBr}_2 + \text{Br}_2$ ). При действии избытка  $\text{AsF}_3$  протекает р-ция  $3\text{II} + 10\text{AsF}_3 \rightarrow 6\text{PF}_6 + 9\text{I} + \text{AsBr}_3$ . При нагревании II в открытой трубке при 120° начинает испаряться красная жидкость; остатком является  $\text{PbCl}_2$  (т. subl. 164°). Т. разл. II в запаянной трубке равна 142°. Обсуждены строение II и возможные конфигурации ионов. Приведены данные дебаеграммы II. И. Рысс 56990. Изучение обмена между гексатанталатом натрия и некоторыми ниобатами. Нишанов Д., Лалицкий А. В., Научн. докл. высш. школы. Химия и хим. технол., 1958, № 1, 51—53.

Исследован обмен между гексатанталатом Na и водн. ниобатомом K, гексаниобатом Na или гексаниобатом K. Увеличение активности р-ра соответственно какующейся величине обмена авторы объясняют, исходя из предположения о хим. взаимодействии между ниобатами и танталатом в р-ре с образованием комплексных ионов. В. Штерн

56991. Получение комплексных цианидов  $\text{K}_2\text{Mo}(\text{CN})_4(\text{OH})_2$ ,  $\text{K}_4[\text{Mo}(\text{CN})_4(\text{OH})_4] \cdot 6\text{H}_2\text{O}$ ,  $\text{K}_4[\text{Mo}(\text{CN})_8] \cdot 2\text{H}_2\text{O}$ . Якуб (Otrzymywanie spężonych cyjanoków  $\text{K}_2\text{Mo}^{\text{IV}}(\text{CN})_4(\text{OH})_2$ ,  $\text{K}_4[\text{Mo}^{\text{IV}}(\text{CN})_4(\text{OH})_4] \cdot 6\text{H}_2\text{O}$ ,  $\text{K}_4[\text{Mo}^{\text{IV}}(\text{CN})_8] \cdot 2\text{H}_2\text{O}$ . Jakób Zbigniew, Roczn. chem., 1957, 31, 681—683 (польск.; рез. англ.). Приведена методика получения  $\text{K}_4[\text{Mo}(\text{CN})_8] \cdot 2\text{H}_2\text{O}$  (I). Исходным в-вом является молибдат аммония, восстанавливаемый гидразином до степени окисления Mo, равной 5. Затем осуществляется р-ция диспропорционирования при помощи KCN. Первым продуктом р-ции является  $\text{K}_2[\text{Mo}(\text{CN})_4(\text{OH})_2]$ . При помощи KOH его переводят в  $\text{K}_4[\text{Mo}(\text{CN})_4(\text{OH})_4] \cdot 6\text{H}_2\text{O}$ , а последний действием KCN и газообразного  $\text{CO}_2$  — в I. Выход I ~ 90%. J. Majchrowa

56992. Новый комплексный цианид молибдена. Стилл (A new complex cyanide of molybdenum. Steele H. C.), Austral. J. Chem., 1957, 10, № 4, 404—408 (англ.). Найдено, что описанные ранее (Bucknall W. P., Wardlaw W., J. Chem. Soc., 1927, 2981) методы синтеза  $\text{K}_2\text{Mo}(\text{OH})_4(\text{CN})_4 \cdot 4\text{H}_2\text{O}$  и  $\text{K}_3\text{Mo}(\text{OH})_3(\text{CN})_4 \cdot 3\text{H}_2\text{O}$  при-

водят к получению не указанных выше в-в, а коричневого диамагнитного  $\text{K}_4\text{MoO}_2(\text{CN})_4$  (I). Белый диамагнитный  $\text{K}[\text{Mn}(\text{CN})_5]$  (II) получен тремя методами: 1) растворением  $\text{MoO}_3$  в водн. р-ре равного кол-ва KCN, концентрированием отфильтрованного р-ра при кипячении и медленной кристаллизацией его в течение трех недель; продукт очищен перекристаллизацией из горячей воды; 2) окислением I при 600° по р-ции  $2\text{I} + 0,5\text{O}_2 \rightarrow \text{II} + 3\text{KCN} + \text{K}_2\text{O} + \text{K}_2\text{MoO}_4$ ; II отделяется от примесей выщелачиванием их холодной водой; 3) окислением  $\text{K}_4\text{Mo}(\text{CN})_7 \cdot 2\text{H}_2\text{O}$  (III) на воздухе в течение 2 час.:  $3\text{III} + 0,75\text{O}_2 \rightarrow \text{II} + 2\text{K}_4\text{Mo}(\text{CN})_8 + 3\text{KOH} + 4,5\text{H}_2\text{O}$ ; дальнейшая обработка, как во 2-м случае. Комплекс II малорастворим в воде, мол. электропроводность 0,002 M р-ра I при 25° равна 157 ом<sup>-1</sup>; II не растворим в органич. р-рителях, растворим в р-ре KCN. Предположено, что II имеет форму тетрагон. пирамиды (связывающие орбиты  $4d^4 5s$ ), а I — форму додекаэдра ( $4d^4 5s 5p^3$ ). И. Рысс 56993. Новые соединения трехвалентного молибдена с бидентатными лигандами. Стилл (New compounds of molybdenum (III) with bidentate ligands. Steele M. C.), Austral. J. Chem., 1957, 10, № 4, 489—490 (англ.).

Октаэдрические комплексы  $\text{Mo}(\text{Phen})_3\text{X}_3$  и  $\text{Mo}(\text{Dipy})_3\text{X}_3$ , где Phen — о-фенантролин, Dipy — 2,2'-дипиридил, а X—Cl, Br или I, получены введением спирт. р-ра лиганда в подкисленный р-р  $(\text{NH}_4)_3\text{MoX}_6$  в водн. спирте и концентрированием р-ра в вакууме при 60°; осадки промывались водой и спиртом и высушивались. Все комплексы весьма устойчивы и не растворимы в воде; хлориды и йодиды малорастворимы в ацетоне и спирте, бромиды растворимы в нитробензоле. Эффективные магнитные моменты комплексов, равные ~3,8 μ, соответствуют трем непарным электронам (гибридизация  $4d^2 5s 5p^3$ ). Попытки получения перхлоратов из бромидов не привели к успеху. И. Рысс 56994. Комплексные хлориды трехвалентного молибдена. Эрвинг, Стилл (The complex chlorides of molybdenum (III). Irving R. J., Steele M. C.), Austral. J. Chem., 1957, 10, № 4, 490—493 (англ.).

Электролитическим восстановлением р-ров  $\text{MoO}_3$  и  $\text{MCl}$  (M — однозарядный катион) в  $\text{HCl}$  до  $\text{Mo}(3+)$  и насыщением полученного р-ра  $\text{HCl}$ -газом выделены красные кристаллы  $\text{Li}_3\text{MoCl}_6 \cdot 9\text{H}_2\text{O}$  (I),  $(\text{NH}_4)_3\text{MoCl}_6$  (II),  $\text{K}_3\text{MoCl}_6$  (III) и  $(\text{NH}_4)_3\text{MoCl}_6 \cdot \text{NH}_4\text{Cl} \cdot \text{H}_2\text{O}$  (IV); испарением в вакууме р-ра  $\text{MoCl}_3$  и  $\text{NH}_4\text{Cl}$  и последующим охлаждением получен  $(\text{NH}_4)_2\text{MoCl}_5 \cdot \text{H}_2\text{O}$  (V), осаждением водн. р-ра нечистого III введением спирта получен коричневый  $\text{K}_3\text{MoCl}_6 \cdot 4\text{KCl} \cdot 6\text{H}_2\text{O}$  (VI). Эффективные магнитные моменты I—VI равны соответственно 3,83, 3,70, 3,82, 3,78, 3,70 и 3,2 μ. УФ-спектры поглощения II и IV идентичны; наблюдаются пики при 215, 260 и 295 Å. Идентичны также спектры поглощения III и VI. Комплекс I более гигроскопичен, чем другие комплексы и не может быть обезвожен. И. Рысс 56995. Изучение химии галогенов и полигалогенидов. X. Реакции монохлорида йода с пиридином и 2,2'-дипиридилом. Попов, Пфлаум. XI. Молекулярные соединения пиридина, 2-пиколлина и 2,6-лутидина с йодом и галогенидами йода. Попов, Риггс (Studies on the chemistry of halogens and of polyhalides. X. The reactions of iodine monochloride with pyridine and with 2,2'-bipyridine. Попов Alexander I., Pflaum Renald T. XI. Molecular complexes of pyridine, 2-picoline and 2,6-lutidine with iodine and iodine halides. Попов Alexander I., Rugg Ralph H.), J. Amer. Chem. Soc., 1957, 79 № 3, 570—572; № 17, 4622—4625 (англ.).

X. Р-цией эквимольных кол-в 0,1 M р-ров 2,2'-дипиридила (Dipy) и  $\text{JCl}$  (I) в  $\text{CCl}_4$  получено мол. соединение состава  $\text{Dipy} \cdot 2\text{JCl}$  (II), выход 98%, желтый по-



рошок, т. разл.  $\sim 95^\circ$ ; II получен также р-цией твердых  $\text{Dipy I}$  в вакууме (несколько суток). При перекристаллизации II из  $\text{CHCl}_3$ , содержащего  $\text{HCl}$ , выделен комплекс  $\text{Dipy} \cdot \text{HJCl}_2$  (III), желтые кристаллы, т. пл.  $139^\circ$ . При р-ции пиридина (Py) и I аналогично II получен  $\text{PyJCl}$  (IV), желтый микрокристаллич. порошок, который при перекристаллизации из  $\text{CHCl}_3 + \text{HCl}$  превращен в  $\text{Py} \cdot \text{HJCl}_2$  (V).  $\text{Py}_2 \cdot \text{JClO}_4$  (VI) синтезирован р-цией  $\text{Py}_2 \cdot \text{AgClO}_4$  с р-ром  $\text{J}_2$  в  $\text{CHCl}_3$ . Перхлорат пиридина (VII) получен р-цией 70%-ной  $\text{HClO}_4$  с р-ром  $\text{Py}$  в  $\text{CH}_3\text{COOH}$ , т. пл.  $287^\circ$ . Исследованы УФ-спектры поглощения  $\text{Dipy}$ , II—VII и хлоргидратов  $\text{Dipy}$  и  $\text{Py}$  в ацетонитриле; приведены кривые. Обсуждение спектров привело авторов к выводу, что II и IV диссоциируют в р-ре по следующим суммарным ур-ниям:  $\text{Dipy} \cdot 2\text{JCl} \rightleftharpoons \text{DipyJ}^+ + \text{JCl}_2^-$  и  $2\text{Py} \cdot \text{JCl} \rightleftharpoons \text{Py}_2\text{J}^+ + \text{JCl}_2^-$ .

А. Сергеев

XI.  $\text{Pic} \cdot \text{JCl}$  (VIII), т. пл.  $77.5^\circ$ ,  $\text{Pic} \cdot \text{JBr}$  (IX), т. пл.  $67-68^\circ$ ,  $\text{Lut} \cdot \text{JCl}$  (X), т. пл.  $112-113^\circ$ ,  $\text{Lut} \cdot \text{JBr}$  (XI), т. пл.  $106-108^\circ$ , где  $\text{Pic}$  — 2-пиридин, а  $\text{Lut}$  — 2,6-лутидин, получены с выходами  $\sim 70\%$  прибавлением по каплям теоретич. кол-ва р-ра галогенида в  $\text{CCl}_4$  к р-ру основания в  $\text{CCl}_4$  (1:5 по объему). Комплексы являются желтыми или оранжевыми микрокристаллич. порошками, устойчивыми к действию атмосферной влаги. Спектрофотометрически определены следующие значения констант диссоциации комплексов в р-ре в  $\text{CCl}_4$  при  $25^\circ$ : VIII  $1,12 \cdot 10^{-6}$ , IX  $4,25 \cdot 10^{-5}$ , X  $1,12 \cdot 10^{-5}$ , XI  $2,67 \cdot 10^{-4}$ ,  $\text{Py} \cdot \text{JCl}$   $2,07 \cdot 10^{-6}$ ,  $\text{Py} \cdot \text{JBr}$   $7,73 \cdot 10^{-5}$ ,  $\text{Py} \cdot \text{J}_2$   $9,88 \cdot 10^{-3}$ ,  $\text{Pic} \cdot \text{J}_2$   $6,68 \cdot 10^{-3}$ ,  $\text{Lut} \cdot \text{J}_2$   $1,97 \cdot 10^{-2}$  ( $\text{Py}$  — пиридин). Устойчивость комплексов уменьшается с уменьшением кислотных свойств галогенидов ( $\text{JCl} > \text{JBr} > \text{J}_2$ ) и в ряду  $\text{Pic} > \text{Py} > \text{Lut}$ ; отклонение последнего ряда от порядка уменьшения основных свойств аминов объяснено стерич. препятствиями. VIII—XI хорошо растворимы в ацетонитриле; УФ-спектры комплексов  $\text{JCl}$  и  $\text{JBr}$  содержат максимумы, характерные для ионов  $\text{JCl}_2^-$  и  $\text{JBr}_2^-$ , в связи с электролитич. диссоциацией  $2\text{B} \cdot \text{JX} = \text{B}_2\text{J}^+ + \text{JX}_2^-$ , где  $\text{B}$  — основание, а  $\text{X}$  — галоген; в  $\text{CCl}_4$  комплексы диссоциируют на  $\text{B}$  и  $\text{JX}$ . Часть IX см. РЖХим, 1958, 35524.

И. Рысс

56996. Алкильные соединения переходных металлов. XI. Гидроацетилены и цианиды двухвалентного марганца. Наст, Грисхаммер (Alkinyloverbindungen von Übergangsmetallen. XI. Hydrogenacetylide und Cyanide von Mangan II. Nast R., Grieshammer H.), Z. anorgan. und allgem. Chem., 1958, 293, № 5-6, 322—326 (нем.).

Р-цией двойного обмена теоретич. кол-ва  $\text{Mn}(\text{SCN})_2$  (I) и  $\text{KC}_2\text{H}_2$  (II) в жидком  $\text{NH}_3$  при исключении действия воздуха и влаги получен осадок розового  $\text{Mn}(\text{C}_2\text{H})_2 \cdot 4\text{NH}_3$  (III), растворяющийся в избытке II вследствие образования  $\text{K}_2[\text{Mn}(\text{C}_2\text{H})_4]$ . Комплекс III вполне устойчив к удару, мгновенно разлагается водой до  $\text{Mn}(\text{OH})_2$ ,  $\text{C}_2\text{H}_2$  и  $\text{NH}_3$ , мгновенно окисляется и гидролизуется влажным воздухом. III быстро теряет  $\text{NH}_3$  в высоком вакууме при комнатной т-ре; при  $60-70^\circ$  образуется коричнево-черный детонирующий продукт, вероятно,  $\text{Mn}(\text{C}_2\text{H})_2$ . При р-ции I и  $\text{KCN}$  (IV) в жидком  $\text{NH}_3$  образуется розовый осадок  $\text{Mn}(\text{CN})_2 \cdot 6\text{NH}_3$  V, не растворимый в избытке IV. Давление диссоциации V при комнатной т-ре составляет  $\sim 100$  мм рт. ст. В высоком вакууме V превращается в желто-зеленый  $\text{Mn}(\text{CN})_2 \cdot 2\text{NH}_3$ , вероятного строения  $[\text{Mn}(\text{NH}_3)_4][\text{Mn}(\text{CN})_4]$  (VI); магнитный момент VI ( $8,90-9,03 \mu_B$ ) соответствует  $dsp^2$ -гибридизации в анионе. V быстро разлагается водой и к-тами; VI превращается водой без доступа воздуха в темно-зеленый хлопьевидный  $\text{Mn}(\text{CN})_2$ . Часть X см. РЖХим, 1958, 42842.

И. Рысс

56997. Исследование некоторых комплексов металлов. I. Гексаминкобальтигидроокиси. II. Получение

новых комплексов. III. Изучение сравнительной устойчивости кобальтгексаминов. Бригандо (Recherches sur quelques complexes métalliques. I. Etude de quelques hydroxydes de  $\text{Co}^{\text{III}}$  hexammines. II. Préparation de nouveaux complexes. III. Etude de la stabilité relative des cobaltihexammines. Brigande Jeanne), Bull. Soc. chim. France, 1957, № 2, 211—218; 219—221; 221—224 (франц.).

I. Получены кривые (потенциометрич. и кондуктометрич.) титрования 1 н.  $\text{HCl}$  гидроокисей следующих кобальтгексаминов:  $[\text{Co}(\text{NH}_3)_6]^{3+}$  (I),  $[\text{Co}(\text{NH}_2\text{OH})_6]^{3+}$  (II),  $[\text{CoEn}_3]^{3+}$  (III),  $[\text{CoPn}_3]^{3+}$  (IV) и  $[\text{CoDien}_2]^{3+}$  (V), где  $\text{Pn}$  — пропилендиамин,  $\text{Dien}$  — диэтилендиамин. Гидроокиси I и III—V получали добавлением  $\text{Ag}_2\text{O}$  к р-рам соответствующих хлоридов, а гидроокись II — добавлением 1%-ного р-ра хлорида II при  $0^\circ$  к известковой воде ( $\text{pH} < 7$ ).  $[\text{Co}(\text{NH}_2\text{OH})_6](\text{OH})_3$  труднорастворим в воде, на свету изменяется. Все изученные гидроокиси являются сильными основаниями, по основным свойствам очень мало различающимися между собой и от р-ра  $\text{NaOH}$ , приготовленного в тех же условиях. Три гидроксильные группы имеют одинаковую силу. Сила изученных гидроокисей не зависит от природы координированных центральных ионов оснований. Спектры поглощения гидроокисей несколько отличаются от спектров хлоридов тех же катионов (по интенсивности минимумов). Найдено, что хлориды кобальтгексаминов не подчиняются закону Бера в УФ-области, что противоречит прежним данным (Linhard M., Z. Elektrochem., 1944, 50, 235).

II. Изучено действие первичных аминов жирного ряда: метиламина (VI), этиламина (VII) и бутиламина (VIII) — на  $[\text{Co}(\text{NH}_3)_5\text{Cl}]\text{Cl}_2$  (IX). Только в присутствии большого избытка амина и его соли происходит замещение  $\text{Cl}$  и  $\text{NH}_3$  в IX. Изолированы в кристаллич. состоянии гексаминные смешанные составы:  $[\text{Co}(\text{NH}_3)_5(\text{CH}_3\text{NH}_2)_2]\text{Cl}_2$  (X) и  $[\text{Co}(\text{NH}_3)_4\text{H}_2\text{O}(\text{C}_2\text{H}_5\text{NH}_2)_2(\text{SO}_4)_2]$  (XI). Комплекс X получен нагреванием на водяной бане смеси IX,  $[\text{CH}_3\text{NH}_2]\text{Cl}$  и 27,8%-ного VI в течение 40 час., с последующим осаждением спиртом. XI осажден спиртом из жидкости, полученной нагреванием смеси IX,  $(\text{C}_2\text{H}_5\text{NH}_2)_2\text{SO}_4$  и 33%-ного VII. Не удалось внедрить в IX молекулы VIII и заместить более одной молекулы  $\text{NH}_3$  и  $\text{Cl}$  на VI или VII.

III. Сравнительное исследование X,  $[\text{Co}(\text{NH}_3)_5\text{Cl}_2]$  (XII),  $[\text{CoEn}_3]\text{Cl}_2$  (XIII),  $[\text{CoPn}_3]\text{Cl}_2$  (XIV) и  $[\text{CoDien}_2]\text{Cl}_2$  (XV) в водн. р-ре тремя независимыми методами (определение скорости гидролиза при нагревании с  $\text{NaOH}$ , полярографич. и спектрофотометрич. методы) позволяет расположить комплексы в следующий ряд по устойчивости:  $\text{X} < \text{XII} < \text{XIII} < \text{XIV} < \text{XV}$ . Комплексы тем устойчивее, чем легче получаются. Устойчивость комплексов возрастает с повышением координационной емкости амина. Подтверждено высказанное ранее мнение, что чем устойчивее комплекс, тем более смещен максимум поглощения в видимой области в коротковолновую область. Автор считает, что нельзя приписывать стабильность комплексов электроотрицательности присоединенных групп, как это делает Паулинг, так как в изученных комплексах атомы N координированных групп обладают отрицательным зарядом и того же порядка. Устойчивость комплексов растет при образовании циклов. Образование XIII и XIV сопровождается появлением трех 5-членных циклов, а XV — двух двойных 5-членных циклов. Различием в способе связи лигандов можно объяснить различную устойчивость комплексов.

A. Абдо  
56998. Обмен радиоактивного кобальта между гексаминами двухвалентного и трехвалентного кобальта в жидком аммиаке. Гросман, Гарнер (Exchange of radiocobalt between the hexammines of cobalt (II) and cobalt (III) in liquid ammonia. Gros-

stan Jack J., Garner Clifford S.), J. Chem. Phys., 1958, 28, № 2, 268—270 (англ.)

Изучена скорость обмена  $\text{Co}^{60}$  между нитратами  $[\text{Co}(\text{NH}_3)_6]^{3+}$  и  $[\text{Co}(\text{NH}_3)_5\text{P}^{+}]$ , растворенными в жидком  $\text{NH}_3$ , при 25 и 45°. Данные не вполне воспроизводимы вследствие каталитич. действия следов  $\text{O}_2$ . Вычисленные в предположении бимолекулярности р-ции константы скорости при 25 и 45° соответственно равны  $6 \cdot 10^{-6}$  и  $7 \cdot 10^{-4}$  л моль<sup>-1</sup> сек<sup>-1</sup>. Энергия активации р-ции электронного переноса. Скорость обмена в жидком  $\text{NH}_3$  больше, чем в водн. р-рах; близость скоростей обмена  $\text{Co}^{60}$  и  $\text{NH}_3$  позволяет предположить возможность обмена  $\text{Co}^{60}$  по диссоциативному механизму. И. Рысс

56999. Фотохимическое разложение трис-(этилендиамин)-кобальтгалиенидов в твердом состоянии. Клейн, Моллер, Уорд (The photochemical decomposition of the halides of tris-(ethylenediamine)-cobalt (III) in the solid state. Klein Donald, Moeller Carl W., Ward Roland), J. Amer. Chem. Soc., 1958, 80, № 2, 265—269 (англ.)

Исследовано фотохим. разложение кристаллич.  $[\text{CoEt}_3\text{F}_3 \cdot 6\text{H}_2\text{O}]$  (I),  $[\text{CoEt}_3\text{X}_3]$ , где X—Cl (II), Br (III) или J (IV),  $[\text{Co}(\text{NH}_3)_6\text{Cl}_3]$  (V),  $[\text{CoPn}_3\text{Cl}_3]$  (VI),  $[\text{Co}(\text{tri}en)_3\text{Cl}_3]$  (VII) и *cis*- $[\text{Co}(\text{tri}en)_2\text{Cl}_2\text{Cl}]$  (VIII), где Pn—пропилендиамин, а trien—триэтиленетрамин. П устойчив к излучению с  $\lambda \geq 3650$  Å. Продукты фотолиза при действии излучения  $\lambda = 2537$  Å исследованы спектрофотометрически, измерением ИК-спектров и магнитной восприимчивости, полярографии, и хим. анализами, а также методом хроматографии на бумаге. Светоустойчивость соединений падает в порядке I > II > III > IV, а также в ряду V > I > VI. При фотолизе II отщепляется  $2\text{NH}_3$  на 1 Co и образуется соединение *trans*-VIII с эквивалентным кол-вом комплексов  $\text{Co}(2+)$ ; то же в-во образуется при фотолизе *cis*-VIII. Р-ции фотолиза растворенных в воде и кристаллич. II или *cis*-VII различны. И. Рысс

57000. Тетраэдрические комплексы двухвалентного никеля и факторы, определяющие их образование. Часть I. Бис-трифенилфосфиновые соединения двухвалентного никеля. Венанци (Tetrahedral nickel (II) complexes and the factors determining their formation. Part I. Bistriphenylphosphine nickel (II) compounds. Venanzi L. M.), J. Chem. Soc., 1958, Febr., 719—724 (англ.)

Синтезированы комплексы  $(\text{Ph}_3\text{P})_2\text{NiX}_2$ , где Ph—фенил, а X—Cl (I), Br (II), J (III),  $\text{NO}_3$  (IV) или  $\text{SCN}$  (V); I и III получены смешением р-ров  $\text{NiCl}_2$  или  $\text{Ni}(\text{NO}_3)_2$  и  $\text{Ph}_3\text{P}$  в лед.  $\text{CH}_3\text{COOH}$ ; II, IV и V выделены охлаждением предварительно нагретых р-ров  $\text{Ph}_3\text{P}$  и соответствующих солей Ni в бутаноле. Окраска комплексов: I—синяя, II—темно-зеленая, III—коричневая, IV—зеленая, V—красная; т. разл.: I 247—250°, II 222—225°, III 218—220°, IV 224—227°, V 217—218°; дипольные моменты (в D): II 5,9, III 8,5, V < 3; эффективные магнитные моменты (в  $\mu_B$ ): I 3,07, II 2,97, III 2,92, IV 3,04, V диамагнитен. Все комплексы являются неэлектролитами в  $\text{C}_6\text{H}_5\text{NO}_2$ ; они разлагаются кипящими спиртами и р-рителями донорами. Свойства V доказывают, что он, в отличие от тетраэдрич. I—IV, является плоским квадратным *trans*-комплексом. Не удалось получить комплексов Ni с X—F,  $\text{NO}_2$  и CN, а также комплексов  $\text{Ph}_3\text{As}$ ,  $\text{Ph}_3\text{Sb}$  и  $\text{R}_3\text{P}$ , где R—*n*-толил, *n*-анизил или *n*- $\text{ClC}_6\text{H}_4$ . Условия образования тетраэдрич. комплексов  $\text{Ni}(2+)$  обсуждены с точки зрения теории кристаллич. поля. И. Рысс

57001. Исследования по химии координационных соединений. II. Спектрофотометрическое исследование некоторых тетраковалентных комплексов двухвалентного никеля с гидразонами. Саккони, Пао-

летти, Маджо (Studies in coordination chemistry. II. Spectrophotometric investigation of some hydrazidic tetravalent nickel (II) complexes. Sacconi Luigi, Paoletti Piero, Maggio Francesco), J. Amer. Chem. Soc., 1957, 79, № 15, 4067—4069 (англ.)

Изучены спектры поглощения в УФ-области гидразонных комплексов  $\text{Ni}(2+)$ , в которых возможно образование обратной донорной  $\pi$ -связи между металлом и лигандом. Исследованы комплексы двух типов: 1) с ацилгидразонами *o*-оксиальдегидов и кетонов, в которых 6-членные циклы, ароматич. и внутрикомплексный, являются конденсированными, 2) с ацилгидразонами бензоилацетона, в которых эти циклы соединены через связь C—C. Получение салицилиденбензоилгидразонаоамминникеля, салицилиден-*n*-хлорбензоилгидразонаоамминникеля, *o*-оксиацетофенобензоилгидразонаоамминникеля, бензоилацетобензоилгидразонаоамминникеля и бензоилацетон-*n*-хлорбензоилгидразонаоамминникеля было описано ранее (РЖХим, 1954, 42962; 1956, 35615, 35616). Взаимодействием спирт. р-ров  $\text{Ni}(\text{CH}_3\text{COO})_2$  и соответствующих лигандов при нагревании получены *o*-оксиацетофено-*n*-хлорбензоилгидразонаоамминникель, т. пл. > 270°, салицилиденбензоилгидразонаоамминникель, т. пл. 132° (разл.), салицилиденбензоилгидразонотриэтилфосфинникель, т. пл. 105—106° (разл.), *o*-оксиацетофенобензоилгидразонотриэтилфосфинникель, т. пл. 141—142° (разл.), *o*-оксиацетофенобензоилгидразонотриэтилфосфинникель, т. пл. 98—99° (разл.), бензоилацетонбензоилгидразонотриэтилфосфинникель, т. пл. 130—131° (разл.) и бензоилацетонбензоилгидразонотриэтилфосфинникель, т. пл. 101—102° (разл.). Приведены положения  $\lambda$  (макс.) и  $\epsilon$  (макс.) у комплексов и соответствующих свободных гидразонов и кривые поглощения. У лигандов типа (1) наблюдается 2 полосы в областях 280—290 и 326 м $\mu$ , а у лигандов типа (2) — при ~250 и 336 м $\mu$ . В обоих случаях полосы 336 м $\mu$  являются смещенными полосами соответствующих кетонов и связаны с наличием внутримолекулярной водородной связи в енолах. В спектрах комплексов типа (1) обнаружены полосы при ~260, ~280, 360 и 400—410 м $\mu$ . Полоса при ~410 м $\mu$  с интенсивностью, соответствующей разрешенному переходу, отнесена к характеристич. поглощению внутрикомплексного цикла с атомом Ni. У комплексов типа (2) имеются полосы при 340 и 406—410 м $\mu$ , причем последняя более чем в 2 раза интенсивнее, чем у типа (1), так что сопряженное бензольное кольцо сильнее влияет на хромофорные свойства цикла с атомом Ni, чем конденсированное бензольное кольцо. Авторы объясняют это тем, что при конденсированных бензольном и внутрикомплексном циклах имеются взаимные помехи сопряжению в каждом из колец, а при сопряженной системе этих помех нет. В спектрах лигандов этого гиперхромного эффекта нет, так как атом Н не может образовывать, в отличие от атома металла, двойные связи, и полного сопряжения по всему циклу нет. Это подтверждает предположение об обратной донорной связи Ni. Атом Cl в лигандах вызывает гипер- и батохромные сдвиги, а замена  $\text{NH}_2$  на  $\text{NH}_2\text{C}_2\text{H}_5$  и фосфин вызывает лишь небольшой гипсохромный сдвиг полосы при 400 м $\mu$ , что подтверждает правильность ее отнесения. Сообщение I см. РЖХим, 1958, 28206. М. Даткина

57002. Доказательства существования комплекса родия с этилендиаминтетрауксусной кислотой. Мак-Невин, Мак-Брайд, Хаккила (Evidence for the existence of a rhodium complex with EDTA. MacNevin W., McBride H. D., Hakila F. A.), Chemistry and Industry, 1958, № 4, 101 (англ.)

Спектрофотометрически доказано образование ком-



плекса  $Rh(3+)$  с этилендиаминтетрауксусной к-той (I) при нагревании свежеприготовленного р-ра  $RhCl_3$  с I или при смешении р-ров  $RhCl_3^{3-}$  и I. Образование комплекса происходит в хлоридных или сульфатных р-рах при pH 3,0; максимум поглощения комплекса лежит при 350 мμ. Наличие комплекса доказано опытами по электродиализу, а также отсутствием осаждения  $Rh_2O_3$  при введении щелочи в р-р, содержащий I.

И. Рысс  
57003. Металлорганические соединения двухвалентного палладия. Калвин, Котс (Organometallic compounds of palladium (II). Calvin G., Coates G. E.), Chemistry and Industry, 1958, № 6, 160—161 (англ.)

Р-ции (I)  $(PEt_3)_2PdX_2$ , где X—Cl или Br, а Et— $C_2H_5$ , с литийорганич. соединениями или гриньяровскими реагентами синтезированы  $(PEt_3)_2PdBrY$ , где Y— $CH_3$  (т. пл. 73—74°),  $C_6H_5$  (т. пл. 89°, разл.), и  $(PEt_3)_2PdZ_2$ , где Z— $CH_3$  (I),  $C_6H_5$  (II, т. пл. 95°, разл.),  $CCC_6H_5$  (т. пл. 164—166°, разл.),  $C_6H_4N(CH_3)_2$  (III, т. пл. 99—100°, разл.). III малоустойчив, но  $(PEt_3)_2Pd(C_6H_4N(CH_3)_2)_2$ , т. пл. 140°, устойчив на воздухе в течение недель. Р-р II в ксилоле быстро чернеет на воздухе при 95°, причем образуется дифенил; в отсутствие воздуха р-р не изменяется в течение 4 час. при 90—100°. Результаты измерений дипольного момента в  $C_6H_6$  указывают на транс-конфигурацию I и II. При р-ции  $(EtSCH_2CH_2SEt)_2PdCl_2$  с  $C_6H_5Li$  происходит полное восстановление до Pd и образование дифенила; однако р-циями с соответствующими хлоридами удалось получить устойчивые цис- и транс-формы  $(PEt_3)_2PtPh_2$ , т-ры плавления которых равны соответственно 154 и 180°.

И. Рысс  
57004. Определение состава и констант нестойкости оксалатных комплексных соединений  $Pu^{3+}$  методом ионного обмена. Гельман А. Д., Маторина Н. М., Москвин А. И., Атомная энергия, 1958, 4, № 1, 52—56

Методом ионного обмена на катионите КУ-2 при  $20 \pm 1^\circ$  в атмосфере  $N_2$  между 1 M  $NH_4Cl$  (I) оксалатным р-ром  $Pu^{3+}$  установлено, что в интервале pH 1,4—1,9 образуется преимущественно  $[Pu(HC_2O_4)_4]^-$  (II) (константа нестойкости  $K_{II} = 7,1 \cdot 10^{-10}$ ), а в интервале pH 1,7—3,0 — смесь II и  $[Pu(C_2O_4)_2]^-$  (III) ( $K_{III} = 1,14 \cdot 10^{-11}$ ). Значение  $K_{III}$  удовлетворительно совпадает с найденным методом растворимости. При pH < 1,4 оксалатные комплексные ионы  $Pu^{3+}$  практически полностью диссоциированы, а при pH > 3,0 почти весь  $Pu^{3+}$  связан в комплекс. Комплексные ионы с большим числом оксалатных групп в интервале pH 1,4—3,0 не обнаружены. Приведены таблицы коэф. распределения  $Pu^{3+}$  в I и  $K_{II}$  оксалатных комплексов  $Pu^{3+}$ , а также кривые распределения  $Pu^{3+}$  между I в присутствии  $H_2C_2O_4$  и КУ-2 в зависимости от pH для ионов  $HC_2O_4^-$  и  $C_2O_4^{2-}$ . Потенциометрич. титрованием определены константы диссоциации  $H_2C_2O_4$ , равные  $1,4 \cdot 10^{-2}$  и  $1,5 \cdot 10^{-4}$ .

А. Москвин  
57005. Ионнообменное поведение и константы диссоциации комплексов америция, юрия и калифорния с этилендиаминтетрауксусной кислотой. Фюже (Ion exchange behaviour and dissociation constants of americium, curium, and colifornium complexes with ethylenediaminetetra-acetic acid. Fuger J.), J. Inorg. and Nucl. Chem., 1958, 5, № 4, 332—338 (англ.)

Для определения коэф. распределения (K) готовят  $10^{-3}$  M р-р этилендиаминтетрауксусной к-ты (I) в таком кол-ве титрованного р-ра  $NH_3$ , чтобы pH полученного р-ра составлял 4,50; добавлением  $NH_4ClO_4$  доводят конц-ию  $NH_4^+$  до 0,1 г-ион/л. Затем к р-ру приливают несколько капель р-ра  $Am^{241}$ ,  $Cm^{244}$  или  $Cf^{252}$  в 0,05 M  $HClO_4$  и добавлением  $HClO_4$  устанавливают определенное значение pH. Полученный р-р добавляют

к смоле дауэкс-50 в  $NH_4$ -форме, перемешивают при  $25 \pm 0,02^\circ$  и после установления равновесия производят радиометрич. анализ р-ра. В интервале pH 2,0—3,0 K исследованных трансплутониевых элементов показаются с увеличением pH по линейному закону. Коэф. отделения Am от Cm и Cm от Cf, найденные по графикам зависимости K от pH, составляют соответственно  $2,04 \pm 0,05$  и  $5,5 \pm 0,1$ . В опытах по колонотной хроматографии Am, Cm и Cf ведут себя подобно наиболее тяжелым редкоземельным элементам; по мнению авторов, Am, Cm и Cf можно разделить этим методом с применением I в качестве комплексообразователя. В указанных условиях Am, Cm и Cf образуют комплекс состава 1:1. Средние значения показателей констант диссоциации комплексов составляют соответственно 18,16; 18,45 и 19,09.

Н. Полянский  
57006. Соединения переходных металлов с аминами. Часть III. Реакции хлоридов некоторых переходных металлов с безводными этилендиамином и пропиленамином. Фаулс, Мак-Грегор (Amine compounds of the transition metals. Part III. The reaction of some transition-metal chlorides with anhydrous ethylene-diamine and propylenediamine. Fowles G. W. A., McGregor W. R.), J. Chem. Soc., 1958, Jan., 136—140 (англ.)

Исследованы р-ции безвод. хлоридов ряда переходных металлов с безвод. этилендиамином (En) и пропиленамином (Pn). Имеющие более ионный характер  $VCl_3$  и  $CrCl_3$  экзотермически присоединяют амины; после откачивания избытка амина остаются  $[VEn_2]Cl_2$  (I),  $[VPn_2]Cl_2$  (II) и  $[CrEn_2]Cl_3$  (III). Магнитный момент III  $\mu = 3,83 \mu_B$ . I и II устойчивы в вакууме до 100°. Тензиметрически показано, что I не присоединяет En, а III при 45° превращается в  $CrCl_3 \cdot 6En$  (IV); вычисленная из давления диссоциации при 45 и 50° величина  $\Delta H$  р-ции IV  $\approx$  III + 3En равна 18,1 ккал/моль.  $FeCl_3$  восстанавливается En до  $[FeEn_2]Cl_2$ ,  $\mu = 5,45 \mu_B$ ; аналогично, но медленнее, протекает р-ция  $FeCl_3$  с Pn. Ковалентные  $TiCl_4$ ,  $VCl_4$  и  $MoCl_5$  сольволизуются безводным En; из  $TiCl_4$ , по-видимому, образуется диаминный октаэдр.  $TiCl_4(NHCH_2CH_2NH_2)_2 \cdot 2En$ . Часть II см. РЖХим, 1958, 13995.

И. Рысс  
57007. Комплексоны. XXIX. Большой своеобразный эффект внутреннего комплексообразования. Шварценбах, Зенн, Андерегг (Komplexe XXIX. Ein grosser Chelateffekt besonderer Art. Schwarzenbach G., Senn H., Anderegg G.), Helv. chim. acta, 1957, 40, № 6, 1886—1900 (нем.; реф. англ.)

Определены константы устойчивости комплексов типа 1:1, образованных Ca, Cd,  $Hg^{2+}$ , Mg, Sr, Ba и  $Co^{2+}$  с полиметиленидиаминтетрауксусными к-тами ( $HOOC-CH_2)_nN-(CH_2)_n-N(CH_2COOH)_2$  (I) с n от 2 до 8, с  $(HOOCCH_2)_nN-(CH_2)_n-X-(CH_2)_n-N(CH_2COOH)_2$  (II), где X—O (при n = 2, 3 и 4) или S, S—S,  $NCH_3$  (при n = 2), а также с  $(HOOCCH_2)_2N-(CH_2)_2-X-(CH_2)_2-X-(CH_2)_2-N(CH_2COOH)_2$  (III), где X—O, S или  $NCH_3$ . Прочность комплексов с лигандами типа I резко падает при увеличении n от 2 до 4, т. е. при увеличении числа членов в циклах выше 5, а затем мало изменяется с ростом n; исключением являются комплексы  $Hg^{2+}$ , имеющие минимум устойчивости при n = 3, связанный с уменьшением напряжений в циклах, вызываемых стремлением ртути образовывать линейные связи. Своеобразный эффект внутреннего комплексообразования наблюдается при сравнении комплексов I с комплексами II и III; введение гетероатомов X сильно повышает устойчивость комплексов вследствие образования новых циклов с участием X; в комплексах Ca влияние X растет в ряду  $S < N < O$ , в комплексах Cd — в ряду  $S < O < N$ , в комплексах  $Hg$  — в ряду  $O < S < N$ . Стабилизирующее влияние X

особо возрастает, если X образует 5-членный цикл. Сообщение XVII см. РЖХим, 1956, 67965. И. Рысс  
57008. Соединения металлов переходных групп и алкилсиликоновой кислоты. Путида Рютаро, Яма-  
та Сейтиро, Кагачу, Chemistry (Japan), 1958, 13,  
№ 1, 63—65 (японск.)

Обзор за 1956 г. В. Ш.

57009. Потенциометрическое исследование комплекс-  
ных солей койевой кислоты в водных растворах.  
Окач, Коларжик (Potenciometrické sledování  
komplexních solí kyseliny kojové ve vodných roztocích.  
Okač Arnošt, Kolařík Zdeněk), Chem. li-  
sty, 1957, 51, № 11, 2017—2022 (чешск.)

Методом Шварценбаха (Schwarzenbach G., Helv. chim.  
acta, 1950, 33, 947) при помощи потенциометрич. кри-  
сталлической нейтр-ции водн. р-ров койевой к-ты (I) р-ром KOH  
в присутствии различных кол-в  $Fe^{3+}$ ,  $Al^{3+}$ ,  $Cu^{2+}$ ,  $Ni^{2+}$ ,  
 $Zn^{2+}$ ,  $Cd^{2+}$ ,  $Mg^{2+}$  и  $Ca^{2+}$  определены ступенчатые кон-  
станты образования K комплексов. Значения  $K$  и  $с Fe^{3+}$   
и  $Al^{3+}$  определяли при мол. отношениях  $Fe(Al) : I =$   
 $1:1; 1:2; 1:3$ , а для остальных металлов при отно-  
шении  $1:1$  и  $1:2$ . Найдены следующие величины  $lg K$   
комплексов:  $Fe^{3+}$  9,2; 8,0; 7,2;  $Al^{3+}$  7,7; 6,5; 5,3;  $Cu^{2+}$  6,6;  
6,2;  $Ni^{2+}$  4,9; 3,8;  $Zn^{2+}$  4,9; 4,2;  $Cd^{2+}$  4,6;  $Mg^{2+}$  3,0;  $Ca^{2+}$   
2,5. K. Kámen

57010. Действие бромиды йода на графит. Колен,  
Эро (Action du bromure d'iode sur le graphite. Co-  
lin Gérard, Hérol Albert), C. r. Acad. sci.,  
1957, 245, № 25, 2294—2295 (франц.)

Исследовано действие насыщ. при 50° пара  $JB_r$  на  
графит при разных т-рах. При 50° образуется  $C_nJ_xBr_y$ ,  
где  $x + y = 1$ , а  $n = 8$ . При повышении т-ры  $n$  растет;  
обнаружены ступени, соответствующие образованию  
соединений с  $n = 9$  и 12; при т-ре  $> 105—115^\circ$  соедине-  
ния почти полностью разлагаются. При всех т-рах отно-  
шение  $x : (x + y) \approx 0,45$ . Искусств. графит связывает  
меньшие кол-ва J и Br, чем природный. И. Рысс

57011. Частичное разделение изомеров некоторых  
интратомных соединений с помощью хрома-  
тографии. Мёллер, Гуайаш (The partial resolu-  
tion of certain inner complexes by means of a chroma-  
tographic technique. Moeller Therald, Gulyas  
Eisie), J. Inorg. and Nucl. Chem., 1958, 5, № 3,  
245—248 (англ.)

Исследована возможность разделения ацетилацето-  
натов  $M(C_5H_7O_2)_3$ , где  $M = Cr(II), Co(II), Fe(III),$   
 $Ca(IV)$  и  $In(V)$ , на оптически активные изомеры пу-  
тем адсорбции их в колонке для хроматографирования  
на гидрате D-лактозы (VI) и элюирования смесью  
(1:4) бензола и *n*-гексана или петр. эфира. I и II под-  
даются частичному разделению; на VI сильнее адсор-  
бируется *l*-форма I и *d*-форма II. Рацемизация I в  
бензольно-гексановом р-ре протекает на 50% за 8 дней  
при 25°; рацемизация II в р-ре бензол + петр. эфир не  
происходит заметно в течение 2 дней при 25°. III—V  
не разделяются на оптич. изомеры. И. Рысс

57012. Обработка экспериментальных данных при  
исследовании внутреннего комплексообразования.  
Аткинсон, Мак-Брайд (Treatment of experi-

mental data in the study of chelation. Atkinson  
G. F., McBryde W. A. E.), Canad. J. Chem., 1958,  
36, № 2, 393—399 (англ.)

Вычисление из эксперим. данных констант образова-  
ния внутрикомплексных соединений облегчается при  
использовании электронных счетных машин. Предло-  
жено удобное графич. выражение получаемых этим  
способом результатов. Из резюме авторов

57013. Сильная группа как акцептор электронов. II.  
Реакция йодистого силила с тетраметилгидразином.  
Эйлетт (The silyl group as an electron acceptor —  
II. The reaction of silyl iodide with tetramethyl-  
hydrazine. Aylett B. J.), J. Inorg. and Nucl. Chem.,  
1958, 5, № 4, 292—294 (англ.)

Тетраметилгидразин (I) реагирует с  $SiH_3J$  (II) в  
газовой фазе, а также в разб. р-рах в  $(CH_3)_2O$ ,  
(*n*- $C_4H_{10}$ ) $_2O$  или *n*-гексане, образуя белый  $SiH_3J \cdot N_2(CH_3)_4$   
(III); в жидкой фазе при избытке II образуется  
 $H_3Si \leftarrow (CH_3)_2NN(CH_3)_2 \rightarrow SiH_3$ , а при недостатке II  
образуется III. Обсуждены основные свойства I. Со-  
общение I см. РЖХим, 1957, 22031. И. Рысс

57014. Константы равновесия реакции между бро-  
мом и бромид-ионами при 5,25 и 35° в водной среде  
при постоянной ионной силе и кислотности. Скейф,  
Террелл (Equilibrium constants for the reaction  
between bromine and bromide ions at 5°, 25°, and 35°  
in aqueous medium of constant ionic strength and ac-  
idity. Scaife D. B., Tyrrell H. J. V.), J. Chem.  
Soc., 1958, Jan., 386—392 (англ.)

Константы равновесия  $K$  р-ции  $Br_2 + Br^- \rightleftharpoons Br_3^-$   
тщательно определены аналитич. методом при ион-  
ной силе 0,5 и постоянной кислотности 0,01 *М*. При  
5, 25 и 35°  $K$  соответственно равны 19,85, 16,53 и  
15,28  $кг\ моль^{-1}$ ;  $-\Delta F^\circ$  при тех же т-рах равны 1650,  
1670 и 1670  $кал\ моль^{-1}$ ;  $\Delta S^\circ \approx 0$ . Константы равновесия  
р-ции  $Br_2 + Br_3^- \rightleftharpoons Br_5^-$  при тех же т-рах равны 1,94,  
1,45 и 1,30  $кг\ моль^{-1}$ . И. Рысс

57015. Спектрофотометрическое исследование плуто-  
ния в азотнокислом растворе. Часть I. Холл,  
Херниман, Уолтер (Spectrophotometric stu-  
dies of plutonium in nitric acid solution. Part 1. Hall  
G. R., Herniman P. D., Walter A. J. Repts.  
Atomic Energy Res. Establ., 1957, № C/R712, 22 pp.,  
ill.) (англ.)

Исследованы получение и устойчивость р-ров  
 $Pu(3+)$ ,  $Pu(4+)$  и  $Pu(6+)$  в  $HNO_3$  и приведены спек-  
тры поглощения этих р-ров. Указано на важность гра-  
фиков зависимости оптич. плотности от конц-ии  $Pu$   
при определении  $Pu(6+)$  с использованием пика при  
8320 Å. Резюме авторов

См. также: Элементы и простые в-ва 56482, 56667,  
57921. Строение и св-ва молекул и кристаллов 56399,  
56438, 56439, 56440, 56485—56493, 56497, 56500, 56668,  
56711, 56726, 56732, 56818. Кинетика и механизм неорга-  
нич. р-ций 56759, 56760, 56762. Комплексные соед. 56404,  
56409, 56437, 56441, 56457, 56499, 56508, 56717, 57134,  
58341. Системы: метал. 56708, 56709. Синтез неорг. соед.  
57968, 57969, 57971

## КОСМОХИМИЯ. ГЕОХИМИЯ. ГИДРОХИМИЯ

Редакторы Г. Г. Воробьев, М. С. Яншина

57016. Химические процессы нагревания в астрономи-  
ческих объектах. Дани, Юри (Chemical heating  
processes in astronomical objects. Donn Bertram,  
Urey Harold C.), Mém. Soc. roy. sci. Liège, 1957,  
18, Fasc. univ., 124—132 (англ.)

Развиваются представления, выдвинутые в прежних

работах (РЖХим, 1957, 22665; 76892), согласно которым  
вспышки яркости комет и плавление в-ва метеоритов  
обусловлены рекомбинацией атомов, свободных радика-  
лов и реакционноспособных молекул. Автор считает,  
что 25% массы ядра кометы составляют силикаты, же-  
лезо и тяжелые элементы, а 75% — стабильные молекулы,



богатые водородом, и активные группы ( $\text{H}_2\text{O}_2$ ,  $\text{C}_2\text{H}_2$ ,  $\text{C}_2\text{H}_4$ ,  $(\text{NH}_3)_{n-1}$ ,  $\text{NH}$ ,  $\text{OH}$ ,  $\text{CH}$ ,  $\text{NH}_2$ ,  $\text{CH}_2$ ,  $\text{H}_2\text{O}$ ... и  $\text{H}$ ,  $\text{O}$ ,  $\text{N}$  и  $\text{C}$ ) при плотности, возможно,  $0,1 \text{ г/см}^3$ . Библ. 20 назв.

А. Чемаданов

**57017. Условия молекулярной видимости (возможности наблюдения) в атмосферах комет. Полосков С. М.** (Conditions of molecule visibility (possibility of observation) in cometary atmospheres. Poloskov S. M.), *Mém. Soc. roy. sci. Liège*, 1957, 18, Fasc. univ., 112—117 (англ.)

Показано, что кажущееся однообразие хим. состава комет ( $\text{C}_2$ ,  $\text{CN}$ ,  $\text{CH}$ ,  $\text{OH}$ ,  $\text{NH}$ ,  $\text{NH}_2$ ,  $\text{C}_3$  — в головах;  $\text{CO}$ ,  $\text{N}_2^+$ ,  $\text{CH}^+$  — в хвостах) связано с тем, что наблюдается эмиссия только тех молекул, которые имеют резонансные электронные полосы в оптич. или близкой ИК- (частично также УФ-) областях частот. Отсутствие атомных линий  $\text{C}$ ,  $\text{N}$ ,  $\text{H}$ ,  $\text{O}$  в спектрах комет, находящихся вблизи Солнца, также связано с тем, что эти атомы не дают интенсивных резонансных линий в видимой части спектра. Построенный теоретич. спектр кометы хорошо согласуется с наблюдаемым (РЖАстр, 1957, 616). А. Ч.

**57018. Соотношение гелия и водорода в туманности Ориона. Матисе** (The ratio of helium to hydrogen in the Orion Nebula. Mathic John S.), *Astrophys. J.*, 1957, 125, № 2, 328—335 (англ.)

В соответствии с предположенной автором теорией статистич. равновесия  $\text{He}$  (РЖАстр, 1957, 8881) с помощью фотографич. фотометрии проведено сравнение интенсивностей триплетов нейтр.  $\text{He}$   $\lambda\lambda$  4027, 4471 и 5876 и ближайших линий серии Бальмера (при двух положениях щели спектрографа) в наиболее яркой области NGC 1976 (туманность Ориона). Показано, что отношение  $N_{\text{He}}/N_{\text{H}} = 0,13$ , доля  $\text{He}$  в общей массе 0,34 (отклонения в пределах 20%). Электронная т-ра равна  $10\,000^\circ$  (по отношению интенсивностей линий  $\text{O III } \lambda$  4959 и  $\lambda$  4363), а плотность  $3700 \text{ электрон/см}^3$  (линии  $\text{O } \lambda$  3726 и  $\lambda$  3729). Библ. 27 назв.

А. Чемаданов

**57019. Скорость выпадения космической пыли на Землю. Петтерссон** (Rate of accretion of cosmic dust on the Earth. Pettersson Hans), *Nature*, 1958, 181, № 4605, 330 (англ.)

Измерение содержания космич. пыли в атмосфере на высоте 3 км показало наличие в ней  $\text{Fe}$ ,  $\text{Ni}$  и  $\text{Co}$  внеземного происхождения. Общее ее кол-во составляет 572 г на  $1000 \text{ м}^3$  воздуха. Соответственно кол-во космич. пыли, выпадающей ежегодно на Землю, оценивается в 14,3 млн. т, что значительно выше оценок других авторов (0,62—3,6 млн. т).

И. Задорожный

**57020. Химия ионосферы. Фотохимические реакции в верхних слоях атмосферы. Танака Икудзо**, *Сидзэн*, 1958, 13, № 2, 16—21 (японск.)

**57021. Доказательство разбавления атмосферного и морского углерода углеродом ископаемого топлива при помощи радиоуглерода. Браннон, Дотри, Перри, Унтaker, Вильямс** (Radiocarbon evidence on the dilution of atmospheric and oceanic carbon by carbon from fossil fuels. Brannen H. R., Jr., Daughtry A. C., Perry D., Whitaker W. W., Williams M.), *Trans. Amer. Geophys. Union*, 1957, 38, № 5, 643—650 (англ.)

Оценка степени разбавления проведена по измерениям радиоактивности в срезах стволов деревьев различных пород и различного возраста. Установлено, что разбавление составляет примерно 3,5%. Общее кол-во  $\text{CO}_2$ , попавшего в атмосферу за счет сгорания топлива, в настоящее время равно  $3,3 \cdot 10^{17} \text{ г}$ , что составляет 14% от содержания  $\text{CO}_2$  в атмосфере. Сопоставление радиоактивности древних и современных морских раковин указывает на заметное разведение карбонатов, содержащихся в морской воде, углеродом сжигаемого топлива. Найдено, что это разведение составляет ~1—2%. На основе полученных данных установлено,

что время кругооборота углерода составляет несколько тысяч лет; в течение года в океан из атмосферы переходит ~1/16 атмосферного  $\text{CO}_2$ . Кажущийся возраст углерода в верхних слоях океана составляет ~600 лет.

Л. Солодихина

**57022. XIII Конгресс Итальянского минералогического общества (XIII Congresso della Societa mineralogica italiano. Trento — Gruppo dell'Ortles 2—8 settembre 1956. Rend. Soc. mineral. ital., 1957, 13, p. 43—413) (итал.)**

**57023. Электронная микрорадиография как средство полного исследования минеральных месторождений. Фьорентини** (La microradiografia elettronica come mezzo complementare di indagine nello studio dei giacimenti minerali. Fiorentini Maria C.), *Rend. Soc. mineral. ital.*, 1957, 13, 251—267 (итал.)

**57024. Люминесцентный анализ в геологии. Меков П. Г.** В сб.: Геохим. поиски руд. месторождений в СССР. М., Госгеолтехиздат, 1957, 362—377

Кратко изложены основные принципы люминесцентного анализа и области его применения. Рассмотрены 3 класса минер. в-в: 1) непосредственно люминесцирующие, 2) люминесцирующие после хим. обработки и 3) нелюминесцирующие. В частности, описаны фоллюминесцирующие минералы  $\text{U}$ ,  $\text{TR}$ ,  $\text{W}$  и  $\text{Mo}$ , рубин и другие минералы с изоморфной примесью  $\text{Cr}$ , алмаз, флюорит и полевые шпаты.

Р. Хмельницкий

**57025. Проблемы геологии Сибири и Дальнего Востока. Трофимук А. А.**, *Вестн. АН СССР*, 1958, № 2, 31—32

**57026. Почвенный анализ как метод геохимических поисков свинцово-серебряных месторождений. Бойл** (Soil analysis as a method of geochemical prospecting for lead-silver deposits. Boyle R. W.), *Canad. Mining J.*, 1957, 1, № 78, 49—55 (англ.)

**57027. Почвы в геохимических поисках. Уоррен, Делаво** (Soils in geochemical prospecting. Warren Harry V., Delavault R. E.), *West. Miner. and Oil Rev.*, 1956, 29, № 12, 36—42 (англ.)

**57028. Биогеохимические исследования в районе медно-оловянного рудного пояса юго-западной Англии. Милман** (Biogeochemical investigations in areas of copper-tin mineralization in south-west England. Millman Anthony P.), *Geochim. et cosmochim. acta*, 1957, 12, № 1-2, 85—93 (англ.)

Описаны результаты определения  $\text{Pb}$ ,  $\text{Ag}$ ,  $\text{Sn}$  и  $\text{Cu}$  в различных частях древесной растительности, произрастающей в районе медно-оловянных месторождений Корнуолла. Показано, что  $\text{Ag}$ ,  $\text{Zn}$  и  $\text{Sn}$  больше накапливаются в листьях березы, чем в ее ветвях, а  $\text{Cu}$  — в листьях дуба. Ветви березы более обогащены  $\text{Pb}$ , чем ее листья. Концентрация  $\text{Pb}$  в ветвях и листьях дуба ниже, чем у березы. Тенденция накопления металлов в растительности по сравнению с почвой убывает от  $\text{Pb}$  через  $\text{Zn}$ ,  $\text{Cu}$  к  $\text{Ag}$  и  $\text{Sn}$ . Содержания этих элементов в почвенном горизонте  $B$ , развитых на безрудных гранитах и сланцах района Ганнислейк, следующее (в %):  $\text{Pb} < 10$ —30,  $\text{Cu}$  10—100,  $\text{Sn} < 10$ —100. В горизонте  $A$  по сравнению с горизонтом  $B$   $\text{Sn}$  в 2—7 раз меньше и  $\text{Cu}$  в 2—5 раз меньше. Кол-во  $\text{Pb}$  в обоих горизонтах одинаково. Над рудными зонами содержание  $\text{Sn}$  в почвах возрастает до 0,5% и  $\text{Cu}$  до 0,1%.

Г. Волков

**57029. Геохимия урана и свинцовый метод определения возраста. Пост** (The geochemistry of uranium and lead — age-dating. Yost W. Jacques), *Calif. Oil World*, 1957, 50, № 21, 4, 6, 10 (англ.)

В докладе, представленном на 37 ежегодной конференции Американского нефтяного института, автор сообщил о работах по проекту 53 (определение возраста осадочных пород). Изучалось распределение изотопов  $\text{U}$ ,  $\text{Th}$  и  $\text{Pb}$  в воде океанов. Установлено, что

пределах одного океана эти элементы распределены равномерно. Напротив, концентрации их в воде Тихого и Атлантического океанов существенно различаются. Марганцевые стяжения на дне океана, образовавшиеся путем осаждения из воды, концентрируют U, Th и Pb в кол-вах, пропорциональных их содержанию в воде. Исследовалось содержание U, Th и Pb в прибрежных песках. Часть образцов содержит эти элементы в кол-вах, доступных для измерения. Определено содержание U, Th и Pb в известняках из Лид-вилла (Колорадо). Наблюдаются значительные колебания для различных образцов. Кол-во Pb в известняках, удаленных от интрузий, примерно на порядок меньше того, которое обычно используется для масс-спектрального анализа, однако оно может быть определено при условии миним. зараженности лабораторным свинцом. Аналитич. данные автор не приводит. Л. Афанасьева

**57030. Определение аргона в калиевых минералах.** IV. К вопросу о потерях аргона в калиевых полевых минералах и слюдах. Гентнер, Клей (Argonbestimmungen an Kaliummineralien. IV. Die Frage der Argonverluste in Kalifeldspäten und Glimmermineralien. Gentner W., Klei W.), Geochim. et cosmochim. acta, 1957, 12, № 4, 323—329 (нем.; рез. англ.)

Исследованы из пегматитов биотиты (I) и полевые шпаты (II) р-на Хехтсберг (Германия), ортоклазы (III) и мусковиты (IV) р-на Хуобол (Южная Норвегия), микроклины (V) и анортотлазы (VI) р-на Варутреск (Норвегия). Содержание  $Ar^{40}$  (в  $mm^3/g$  материала) и K (в %) соответственно: I (2 образца) 0,050—0,069; 5,59—6,51; II (3 образца) 0,0119—0,0662; 1,16—6,57; III 0,465—0,48 (4 образца); 10,5 (1 образец); IV 0,433—0,428 (2 образца); 8,8 (1 образец). Возраст по Ar-методу (в млн. лет): I 255, II 243, III 895, IV 965. В ряде образцов исследовано содержание  $Ar^{40}$  в зависимости от величины зерен. Проанализировано 15 образцов V с величиной зерен от 3—1,6 мм до 20—5 м; содержание  $Ar^{40}$  непрерывно уменьшается от 0,885 до 0,68  $mm^3/g$  материала. Для VI соответственно (12 образцов): величина от 200—150 м до 5—1 м; содержание 0,474—0,334  $mm^3/g$ ; для III (9 образцов) от 1—1 мм до 20—5 м и 0,471—0,195. Исследование образцов II с помощью поляризационного микроскопа приводит к выводу, что на величину потери  $Ar^{40}$  влияют также метаморфич. изменения кристаллов. Сообщение III см. РЖХим, 1956, 6472. Р. Хмельницкий

**57031. Сравнительное изучение содержания аргона и диффузии его в слюде и полевоом шпате. Рейнольдс** (Comparative study of argon content and argon diffusion in mica and feldspar. Reynolds John H.), Geochim. et cosmochim. acta, 1957, 12, № 3, 177—184 (англ.)

С помощью описанной методики определено отношение  $Ar^{40}:K^{40}$  для грубо- и тонкоизмельченных 6 образцов пертитизованного полевого шпата и лепидолита из пегматита р-на Пала, Калифорния. Пределы содержания: K 8,50—10,76% и Na 0,33—2,95%,  $Ar^{40}$  20,8—37,5  $cm^3/g \cdot 10^6$ . Найденные значения  $Ar^{40}:K^{40}$  в пределах ошибок опыта сходятся друг с другом, хотя имеются некоторые доказательства миграции радиогенного Ar из калиевой в натриевую фазу пертита. Среднее значение  $Ar^{40}:K^{40} = 0,00525 \pm 0,00016$  соответствует возрасту  $92,0 \pm 2,5$  млн. лет. Изучено выделение Ar из тонкоизмельченных проб полевого шпата и лепидолита в зависимости от т-ры. Полученные кривые нагревания указывают на то, что в слюде лишь небольшая часть Ar связана слабо. В полевоом шпате весь Ar ведет себя одинаково. Путем экстраполирования кривой нагревания до комнатной т-ры найден нижний предел коэф. диффузии Ar в полевоом

шпате, равный  $10^{-19} cm^2/sec$ . Отсюда при возрасте 2 млрд. лет диффузионные потери Ar в полевоом шпате могут достигать 35%.

Л. Афанасьева  
**57032. Пароксизмы африканских минерализаций.** Кайе (Les paroxysmes des minéralisations africaines. Cailleux André), C. r. Acad. sci., 1957, 245, № 23, 2070—2071 (франц.)

Сопоставлены литературные данные по возрасту для африканского континента, полученные изотопным Pb-, Pb-α- и Ag-методами, а также по валовому Pb. На основании статистич. рассмотрения этих данных автор делает вывод о существовании в Африке трех пароксизмов минерализации, возраст которых составляет 500, 2150 и 2850? млн. лет. Л. Афанасьева

**57033. Исследование спектра рассеянного гамма-излучения в горных породах различного минералогического состава и различной плотности.** Филиппов Е. М., Прикл. геофизика, вып. 19, 1958, 230—244

На основании проведенного расчета, литературных данных и данных ранних работ автора сделан вывод, что в энергетич. спектре рассеянного γ-излучения происходит накопление мягкого излучения. Уменьшение атомного эффективного номера и плотности в-ва приводит к смещению спектра в сторону меньших энергий и наоборот. Увеличение плотности в-ва и его эффективного атомного номера приводит к уменьшению интенсивности рассеянного излучения. Наряду с мягким γ-излучением значительную часть спектра занимает однократно рассеянное излучение с энергиями от 1,25 до 0,212 Мэв. Сделан ряд практич. выводов относительно конструкции аппаратуры гамма-гамма-каротажа и его возможностях при исследовании буровых скважин. Р. Хмельницкий

**57034. Использование подвижного урана в геохимических поисках на плато Колорадо. I. Распределение подвижного урана в кернах скважин около рудного тела Хомстейк, Биг-Индиан-Уош, графство Сан Хуан, Юта. Холланд, Кертисс, МакГилл, Питерсен** (The use of leachable uranium in geochemical prospecting on the Colorado Plateau. I. The distribution of leachable uranium in core samples adjacent to the homestake ore body, Big Indian Wash, San Juan County, Utah. Holland Heinrich D., Curtiss Betty Ruth, McGill George E., Petersen John A.), Econ. Geol., 1957, 52, № 5, 546—569 (англ.)

Приведены данные по литологич. составу, кол-ву подвижного и общего U, α- и γ-активности 250 образцов пород из кернов скважин, расположенных вокруг рудного тела Хомстейк. У-руды приурочены к нижним горизонтам формации Чинли. Вмещающие породы — серые известковистые мелкозернистые, состоящие из кварца, плагиоклаза и микроклина. В них встречаются карбонатизированное дерево, сульфиды, барит, кальцит и слюда. Урановая минерализация представлена темными мелкими скоплениями или тонкими пленками. Рентгенографич. анализ показывает, что это коффинит или смесь коффинита с уранинитом. Максим. кол-ва подвижного U обнаружены в рудосных песчаниках, минимальные — в безрудных. Само рудное тело хорошо оконтуривается по максим. значениям. Повышенные кол-ва U юго-западнее рудного тела указывают на наличие еще неизвестного оруденения. Г. Волков

**57035. Восточная и центральная Монтана — предполагаемый ураноносный район. Армстронг** (Eastern and central Montana as a possible source area of uranium. Armstrong Frank C.), Econ. Geol., 1957, 52, № 3, 211—224 (англ.)

Геологические образования в центральной и восточной Монтане по литологии и структуре аналогичны



породам, с которыми связаны U-месторождения. Щел. интрузивные породы центральной Монтаны, близкие к породам плато Колорадо, очевидно, перспективны на U. Se-содержащие растения могут служить индикаторами U в Se-содержащих сланцах. Месторождения U могут быть найдены в меловых и третичных песчаниках, лигнитах, низкосортных углях восточной Монтаны, а также в базальных породах. Радиоактивные аномалии, обнаруженные с воздуха, связаны с песчаниками, докембрийскими базальными породами, верхнемеловыми и нижнетретичными интрузивными породами или осадочными породами юрского и мелового возраста. И. Липова

**57036. Теплота и температура рудообразования.** Нисихара (Heat and temperature in ore deposition. Nishihara Hiroao), Econ. Geol., 1957, 52, № 6, 715—716 (англ.)

Критические замечания к статье, опубликованной ранее (РЖХим, 1958, 39219). И. Задорожний

**57037. Дискредитированные минералы.** Гиймен, Перменжа (Especies discreditées. Guillemín C., Permingeat F.), Bull. Soc. franc. minéral. et cristallogr., 1957, 80, № 7, 390—391 (франц.)

Обзор минералов, утративших значение, по литературе 1956—1957 гг.: «авалит» — хромсодержащий иллит (РЖГео, 1956, 10715); сульфаты железа — «карфосидерит» — ярозит, «боргстрёмит» — ярозит + лимонит, «ютагит» — натрий — ярозит, «ципузит» — натрий — ярозит, «настрейт» — ярозит, «раймондит» — ярозит или натрий — ярозит (РЖХим, 1958, 24593); «крифиолит» — псевдоморфозы вагнерита по апатиту (РЖХим, 1957, 56874); «лаубанит» — натролит (РЖХим, 1958, 730); «ноперит» — флюоборит (РЖХим, 1958, 4140); «оффрейт» — филлипсит (РЖХим, 1957, 36945). Г. Воробьев

**57038. Переход высокотемпературных форм кордиерита в низкотемпературные формы.** Иияма (Transformation des formes haute température, basse température de la cordiérite. Iiyama Toshimichi), C. r. Acad. sci., 1958, 246, № 5, 795—798 (франц.)

Низкотемпературный кордиерит переходит в высокотемпературный при нагревании до 1000° в течение 10 мин. или при 850° в течение 1 часа. Переход сопровождается потерей воды. Были изучены образцы низкотемпературного кордиерита из штата Вайоминг. 300—500 мг образца, превращенного в порошок, нагревались в автоклаве от 400 до 800° в течение 48 час. при различных давлениях. В начале нагревания Ng сохраняет первоначальное значение. При дальнейшем нагревания выделяется область, где Ng понижается, не достигая значений, соответствующих высокотемпературной форме. В конце нагревания Ng достигает значения высокотемпературных форм. Угол 2V возрастает к области низких давлений и высоких т-р. В обезвоженных образцах при нагревании в течение 48 час. (давл. 1000 бар, т-ра 600°) получают показатель преломления, характерный для водн. (гидратных) форм. М. Кофман

**57039. Стадии окисления магнетита.** Лепп (Stages in the oxidation of magnetite. Lepp Henry), Amer. Mineralogist, 1957, 42, № 9—10, 679—681 (англ.)

На основании эксперим. работы по выяснению стабильности процесса окисления магнетита (при нагревании в условиях свободного доступа воздуха) автором предлагается следующая схема: 1)  $4\text{Fe}_3\text{O}_4 + \text{O}_2 \rightarrow 6\gamma\text{-Fe}_2\text{O}_3$  (начало процесса при 200°, кульминационный пункт при 375—400°); 2)  $\gamma\text{-Fe}_2\text{O}_3 \rightarrow \alpha\text{-Fe}_2\text{O}_3$  (начало процесса при ~375°, конец при 525—550°); 3)  $4\text{Fe}_3\text{O}_4 + \text{O}_2 \rightarrow 6\alpha\text{-Fe}_2\text{O}_3$  (начало процесса при 550—575°). Р-ция (1) происходит на поверхности зерен магнетита, по мере повышения т-ры процесс захватывает и глубже

расположенные слои. Образование  $\gamma\text{-Fe}_2\text{O}_3$  зависит от скорости окисления. В. Заньков

**57040. Всегда ли лейкоксен является мелкокристаллическим рутилом?** Ответ. Бейли, Камерон (Is leucokhene always finely crystalline rutile? A reply. Bailey Sturges W., Cameron Eugene N.), Econ. Geol., 1957, 52, № 6, 716—720 (англ.)

К РЖХим, 1957, 730. И. Задорожний

**57041. Термoeлектрические свойства пирита и галенита и возможная их связь с температурой минералообразования.** Горбатов Г. А. В сб.: Методы исслед. минеральн. сырья. М., Госгеолтехиздат, 1957, 106—121

С помощью метода измерения термо-э. д. с. электропроводящих минералов (РЖЭ, 1957, 15216) исследовано 10 образцов пирита и 16 образцов галенита различного генезиса из месторождений СССР (1 образец галенита из Западной Германии). Полученные данные приводят к выводу о возможности использования термо-э. д. с. кристаллов галенита для суждения о т-рах их образования; можно применять также методы определения микротвердости, отражательной способности и растворимости кристаллов в процессе электродиагноза. Использовать термо-э. д. с. кристаллов пирита для суждения о т-ре их образования можно лишь в редких случаях. Р. Хмельницкий

**57042. Синтез и характеристика коэзита — устойчивой модификации кремнезема при высоких давлениях.** Хитаров Н. И., Слуцкий А. П., Арсеньева Р. В., Геохимия, 1957, № 8, 666—672 (рез. англ.)

Описана аппаратура и методика получения новой модификации  $\text{SiO}_2$  — коэзита (РЖХим, 1955, 13763). Коэзит синтезирован при давл. > 30 000 атм и т-ре 550°; он метастабилен при комнатной т-ре и атмосферном давлении и пока не обнаружен в природных образованиях. Результаты кристаллооптич. и рентгеновского анализов сравнены с данными для других модификаций. И. Задорожний

**57043. Новые исследования термических реакций гиббсита.** Чжан Юань-лун (New investigations on the thermal reactions of gibbsite. Chang Yuan-lung), Чжунго кэсюэ, Scientia sinica, 1957, 6, № 3, 501—542 (англ.)

Описаны методы рентгеноструктурного и дифференциального термич. анализа природного и искусст. глинозема. Установлено, что гиббит (I) при нагревании на воздухе дегидратируется, переходя сначала в аморфное состояние, а затем медленно в  $\gamma\text{-Al}_2\text{O}_3$  (нагревание и дегидратация в вакууме при 800° способствуют его быстрому превращению в  $\gamma\text{-Al}_2\text{O}_3$ ). Многие образцы I содержат в постоянных отношениях бегемит (II). В противоположность мнению, что байерит (III), будучи метастабильным, не существует в природе, доказано его присутствие в I в кол-ве меньше 1:4. II и I, с III, легко вновь гидратируют после вакуума, причем степень регидратации I и III различны в зависимости от т-ры. Высказано предположение о структурных изменениях I в связи с обнаруженными новыми экзотермич. р-циями при нагревании и его регидратацией при охлаждении. И. Задорожний

**57044. К вопросу о природе диффузионно-адсорбционных потенциалов горных пород.** Венделштейн Б. Ю., Изв. высш. учебн. заведений. Нефть и газ, 1958, № 1, 31—40

Исследовалась природа собственных потенциалов горных пород диффузионного происхождения. Выявлено ур-ние для э. д. с. на контакте породы и внешнего р-ра; приведены расчетные кривые зависимости потенциала от конц-ии р-ра, насыщающего породу, и внешнего р-ра. Рассмотрен вопрос учета активности р-ров. И. Задорожний

Соотношение между числом и пространственным объемом атомов в магматических породах. Шубер (Corrélation entre le nombre et l'encombrement spatial des atomes dans une venue magmatique. Choubert Boris. Mém. Soc. géol. France, 1957, 30, № 2, 86 p., ill., 7 pl.) (франц.)

Автором предлагается новый метод классификации магматич. пород, основанный на подсчете валентностей различных хим. элементов, входящих в состав исходной магмы, по следующей схеме. 1. Цифры хим. анализа породы (в %) переводятся в цифры миллимолекул. 2. Миллимолекулы переводятся в число валентностей путем умножения. 3. Числа валентностей переводятся в проценты, исходя из общей суммы. 4. Полученные цифры делятся на число валентностей каждого металла, находящегося в данном соединении. Получается общее число атомов, выраженное в числе валентностей смеси. Затем подсчитывается число связей, заключающих каждый данный металл. На основании полученных результатов строятся графики зависимости. Автор обобщил многочисленные (4300) анализы магматич. пород от ультраосновных до кислых из различных районов земного шара и выделены глубины залегания поясов пегматитов, гранитов, габбро-базальтов, перидотитов, ожелезненных пород, равные соответственно (в км): 1,0; 2,989; 8,9; 14,8; 79,8.

В. Завьялов  
57046. Опыт применения оптических подсчетов для петрохимических построений. Баласания С. И., Айвакан СРР Гитутюннери Академия текеагир. Геологикан ев ашхархагикан гитутюннери серия. Изв. АН АрмССР. Сер. геол. и геогр. н., 1957, 10, № 5-6, 59-74 (рез. арм.)

По методу Е. А. Кузнецова проверена возможность применения количественно-минералогич. (оптич.) подсчетов для петрохим. построений. Основой послужили петрографич. и хим. материалы по интрузивным породам Центральной Армении (20 хим. и 150 кристаллооптич. анализов). Полученные результаты являются вполне сопоставимыми и находятся в причинной зависимости от точности оптич. подсчетов, текстурных и структурных особенностей породы и химизма минералов переменного состава. Менее благоприятными для применения этого метода являются породы слишком мелкозернистые или крупнозернистые и породы с такситовой, пегматитовой, шаровой, пертитовой и лейкилитовой структурами. Автор считает целесообразным применение массовых оптич. подсчетов, которые в сочетании с хим. анализами позволяют на диаграммах отразить многие петрохим. особенности пород, имеющие важное значение для петрогенеза.

В. Кудряшова  
57047. Петрографическое изучение филлит-диабазовой серии гемерид. Каменický, Маркова (Petrografické štúdie fylit-diabázovej série gemerid. Kamenický Ladislav, Marková Magda), Geol. práce. SAV, 1957, № 45, 109-185 (чешск.; рез. русск., нем.)

Филлит-диабазовая серия развита в северной части гемерид Центральных Западных Карпат (девон). По петрографич. составу выделяются амфиболовый эпигаббро-диорит (подводящие каналы и жерла), слабо метаморфизованное амфиболовое габбро (небольшие интрузии и жилы) и амфиболо-биотитовый диорит (крупные интрузивные тела). Эффективные породы всегда затронуты эпиметаморфизмом. В верхних частях лавовых покровов отмечаются миндалекаменные разности метадиабазов с заполнением миндалитом, гематитом, хлоритом и эпидотом. По степени метаморфизма эти породы соответствуют фации зеленых сланцев Эсколы. Крупные интрузивные тела затронуты метаморфизмом в меньшей степени.

В петрохим. отношении общая дифференциация магматич. пород серии считается слабой. Сопоставление хим. анализов и числовых характеристик по Ниггли и Заварицкому показывает соответствие их химизма с химизмом оболочки сима и плато-базальтов. Такого рода магматизм типичен для офиолитовой (инициальной) стадии магматизма ортогеосинклинали.

В. Кудряшова

57048. Серпентиниты, диабазы и глаукофанитовые породы триаса Спишко-Гемерских рудных гор. Каменický (Serpentinity, diabázy a glaukofanické horniny triasu Spišsko-gemerskeho rudohoria. Kamenický Jakub), Geol. práce. SAV, 1957, № 45, 3-108 (чешск.; рез. русск., нем.)

Названные породы связаны с офиолитовым вулканизмом альпийско-карпатского цикла. Преобладают среди них субвулканич. межпластовые интрузии, реже — эффузии. По составу серпентиниты однородны и являются продуктами изменения породы, близкой перидотиту, причем серпентинизация здесь рассматривается как результат адсорбции воды из водоносной толщи, в которую внедрялась перидотитовая магма. Диабазы образуют межпластовые интрузии в толще нижнетриасовых сланцев. В отличие от более древних диабазов они не подвергнуты воздействию регионального динамометаморфизма. Спилитизация в них развита слабо и локально. В хим. отношении диабазы характеризуются отношением  $\text{Na}_2\text{O} > \text{K}_2\text{O}$  и занимают место между щелочно-известковыми и Na-рядами магмы. Глаукофаниты залегают среди каменноугольных, пермских и триасовых пород. Петрографич. и петрохим. изучение устанавливает приуроченность их к одной магматич. фазе триасового магматизма. Они образовались за счет диабазов в результате метасоматоза с привнесом главным образом Na, и петрографич. состав их зависит от разнообразия состава исходных диабазов, а также состава и т-ры метасоматич. р-ров, которые менялись во времени и пространстве. В статье приведен 41 хим. анализ скорцалитов, серпентинитов, диабазов и глаукофанитов.

В. Кудряшова

57049. Взаимосвязь структуры, магматизма и металлогении на примере Малого Кавказа. Магакян Н. Г., Мкртчян С. С., Изв. АН АрмССР. Сер. геол. и геогр. н., 1957, 10, № 4, 67-76

На территории Малого Кавказа выделяется 3 тектоно-магматич. комплекса: Алаверди-Кафанский, Памбак-Зангезурский и Севано-Амасийский, которые образуют поясовые зоны. Первая зона характеризуется господством мощных вулканогенных толщ от юрского до третичного возраста, прорванные гипабиссальными гранитоидными интрузиями умереннокислого состава и небольшими телами альбитофиоров и кварцевых порфиров. С последними связана богатая Cu- и полиметаллич. колчеданная минерализация, руды которой содержат примеси Ag, Au, Cd, In, Ga, Ge, Tl. Памбак-Зангезурская зона представляет антиклинарий, сложенный палеозойскими породами и интрузиями гранитоидов миоценового возраста; кроме того, отмечаются небольшие экстрезии андезито-дацитов плиоценового возраста. Ведущее значение имеют Cu-Mo-руды, связанные с гранитоидами. Руды содержат примеси Re, Bi, Te, Se, Au и Ag. Здесь же отмечается наложенное полиметаллич. оруденение (антимонит и Pb-Sb-сульфосоли с примесью Hg и Bi). Севано-Амасийская зона характеризуется мощным развитием верхнемеловых и эоценовых отложений с интрузиями гипербазитов и габбро. С гипербазитами связаны месторождения магнетитовых руд и проявление Pt. Более поздними здесь являются штоки лейкократовых гранитоидов и дацитов с проявлением низкотемпературного оруденения Au, Sb, Hg, As и Te, Bi. Таким образом,



в каждой зоне обособляются свои магматич. комплексы со специфичной для нее металлогенной.

В. Кудряшова

**57050. Петрография и нерудные ископаемые южной части Срединного Камчатского хребта.** Еремеев В. П., Тр. Ин-та геол. рудн. месторожд., петрогр., минералогии и геохимии. АН СССР, 1957, вып. 17, 107—142

В строении южной части Срединного Камчатского хребта принимают широкое участие различные интрузивные породы. Наиболее древними из них являются ультраосновные породы — амфиболитизированные пироксениты и габбро. К более молодым образованиям относятся хангарские двуслюдистые граниты с сильно пелитизированным ортоклазом. Интрузивная деятельность завершалась внедрением в третичное время кварцевых и роговообманковых диоритов. Петрографич. состав этой группы характеризуется присутствием зонального плагиоклаза (битовинит в ядре, андезин по краям), анортитового К-Na-полевого шпата и кварца. Темноцветные представлены биотитом и роговой обманкой; акцессорные — апатитом, магнетитом и цирконом. По характеру полевых шпатов эти породы аналогичны кавказским неинтрузиям. Молодые интрузии оказывают сильное контактное воздействие на вмещающие породы. В работе приведено 5 хим. анализов гранитов и кварцевых диоритов, а также значительное число количественно-минералогич. подсчетов всех развитых в районе горных пород. Из нерудных полезных ископаемых автор указывает на туфы и пемзы, как перспективный строительный материал, и обсидиан, как сырье для получения «вспученного перлита».

В. Кудряшова

**57051. Граниты и минерализация в Новой Зеландии.** Рид (Granites and mineralization in New Zealand. Reed J. J.), N. Z. J. Geol. and Geophys., 1958, 1, № 1, 47—64 (англ.)

**57052. Возрастное отношение и происхождение обычных брекчий Садбери.** [Канада]. Спире (The age relation and origin of common Sudbury breccia. Speers E. C.), J. Geol., 1957, 65, № 5, 497—514 (англ.)

В районе Садбери развиты брекчии двух типов: 1) обычные брекчии, в которых преобладают обломки вмещающих пород, и 2) инъецированные — преобладают обломки чужеродных пород. Первые имеют посттуронский, а домикелеминерализационный возраст. Приводятся 9 новых хим. анализов пород, вмещающих брекчии (граниты, гнейсы, основные тела из гнейсов), и основной массы брекчий. Сравнивая с псевдоахилитовыми брекчиями Вредефортского купола (Южн. Африка), автор связывает обычные брекчии Садбери с вулканизмом Онапинг. История Садбери рисуется им в следующем виде. В посттуронское время внедрялись ядра огромных куполообразных структур, которые, достигая поверхности, давали начало вулканич. образованиям. В результате извержения произошло оседание вулканич. центра и образование огромной кальдеры, ныне известной как Садберский бассейн. Брекчии образовались при дроблении вмещающих пород в тектонически напряженных зонах. Ni-оруденение позже деформировало брекчии в связи с натриевым метасоматозом.

В. Кудряшова

**57053. Хризолиты кимберлитовых трубок Якутии как драгоценные камни для ювелирной промышленности.** Ильин И. В., Курылева Н. А., Полушаева Л. А., Сигал Я. Б., Разведка и охрана недр, 1958, № 2, 8—9

Слабо измененные базальтоидные кимберлиты трубок «Удачная» и «Дальняя» (Якутия) содержат 25—30% оливины в виде вкрапленников. Размеры их ко-

леблются от 0,5 до 7—8 мм, реже — до 10—15 мм. Кристаллы оливины в большей своей части прозрачные: оливково-зеленого, фиштакково-зеленого и вишне-желтого цвета (хризолит); оптич. константы (среднее из 10 замеров):  $N_g$  1,682,  $N_m$  1,663,  $N_p$  1,642;  $2V + (80—83^\circ)$ . Хим. состав двух образцов, отличающихся по густоте окраски (в %):  $SiO_2$  41,62; 41,62;  $Cr_2O_3$  0,01; 0,01;  $FeO$  7,64; 9,60;  $MnO$  0,01; 0,01;  $MgO$  50,22; 49,02. Эти хризолиты имеют промышленную ценность как прекрасный ювелирный материал. Среднее содержание их в породе трубки «Удачная» составляет 10 г на 1 м<sup>3</sup> породы.

**57054. Новые данные о проявлении ультраосновного магматизма на Сибирской платформе.** Сараских Н. Н., Полушаева Л. А., Разведка и охрана недр, 1955, № 5, 11—20

На окраинной части Тунгусской синеклизы описаны выходы ультраосновных пород серпентинитовых эруптивных брекчий. Вмещающие — карбонатные породы нижнего ордовика (известняки, мергели и доломиты). Минералогич. состав: плагиоклаз, серпентин, карбонат, а также скаполит, биотит лимонит, ильменит (до 53,5% в оливины), корунд, рутил, кварц, лейкоксен, шпинель, хромит, магнетит, кианит, циркон, пироксен, хром-диоксид, амфиболы, оливин, никел (до 35,3% в протолочке), альмандин, перовскит, апатит, сфен, графит. Результаты хим. анализов (в %): магниезильный ильменит —  $FeO$  28,64,  $Fe_2O_3$  13,91,  $TiO_2$  39,90,  $MgO$  16,90, нерастворимый остаток 0,21, сумма 99,15; пирокс. оранжевый, лиловый, кроваво-красный и бесцветно-бледнорозовый) соответственно —  $SiO_2$  39,90; 38,70; 41,16; 28,80;  $TiO_2$  0,60; 0,25; 0,48; 0,53;  $Al_2O_3$  28,40; 20,50; 26,05; 27,15;  $Fe_2O_3$  6,51; 0,77; 4,77; 16,45;  $Cr_2O_3$  0,42; 4,20; 2,33; 0,60;  $FeO$  7,04; 7,97; 2,80; —;  $MnO$  0,08; 0,11; 0,13; —;  $CaO$  5,06; 5,80; 5,14; 9,50;  $MgO$  12,25; 21,36; 16,35; 15,32;  $K_2O + Na_2O$  0,20; 0,25; 0,12; —;  $H_2O$  сл.; сл.; 0,32; 3; п. п. п.; 0,24; 0,48; —; сумма 100,46; 100,15; 100,15; 98,35; приведены также 3 хим. анализа породы в целом. Измерены оптич. константы отдельных минералов. Авторы считают, что исследованные породы не находят себе аналогов в Советском Союзе и более всего близки к кимберлитам Южной Африки.

Г. Воробьев

**57055. Пегматиты Одара.** Паулос (The Odra pegmatite. Paulose C. V.), Econ. Geol., 1957, 52, № 6, 702—708 (англ.)

Пегматитовые жилы Одара в Центральном Траванкоре (Южная Индия) залегают в латеритизированных гнейсах. Они имеют зональное строение: 1) центральная зона сложена массивным кварцем с включениями кристаллов аквамарина; 2) промежуточная зона — кварцево-полевошпатовым агрегатом с небольшими кристаллами желтого берилла, колумбита, мусковита и магнетита (колумбит приурочен к контакту 1 и 2); 3) внешняя зона содержит раздробленные зерна кварца, полностью каолинизированного полевого шпата и скопления мусковита и магнетита. Аквамарин и желтый берилл характеризуются составом (в % соответственно):  $SiO_2$  65,17; 65,59;  $Al_2O_3$  18,46; 18,73;  $Fe_2O_3$  1,73; 0,61;  $FeO$  0,41; 1,53;  $BeO$  12,53; 11,94;  $CaO$  0,07; 0,05;  $Na_2O$  0,23; 0,07;  $K_2O$  0,00; 0,03;  $P_2O_5$  0,04; 0,05;  $H_2O +$  1,55; 1,34;  $H_2O -$  0,02; 0,04; сумма 100,21; 99,98. Хим. состав колумбита (в %):  $Nb_2O_5$  62,21;  $Ta_2O_5$  9,83;  $SiO_2$  следы;  $Fe_2O_3$  3,57;  $FeO$  13,50;  $MnO$  10,77;  $U_3O_8$  0,29;  $H_2 +$  0,00;  $H_2O -$  0,02; сумма 100,18. Структурные особенности пегматитов указывают на образование их путем кристаллизации из остаточных магматич. расплавов, а не путем замещения.

В. Кудряшова

**57056. Висмут и бисмутит из пегматитов около Маршикова в Северной Моравии.** Станек (Vismut a bismutit z pegmatitu u Maršikova na severní Moravě).

Staněk J.), Časop. Moravského musea Brně. Vědy přírod., 1957, 42, 33—38 (чешск.; рез. русск., англ.)  
 Блокные (кварцевые) и метасоматич. (альбитовые) пегматиты характеризуются следующей ассоциацией минералов: апатит, бавенит, берилл, бертрандит, висмутит, самородный висмут, гематит, гранат, ильменит, микроклин, мусковит, топаз, турмалин (шерлит), циркон, шпинель и энклаз. Результаты спектральных анализов (в %): самородный висмут —  $\text{Bi}$ ,  $n \cdot 10^{-2}$   $\text{Ca}$  и  $\text{Si}$ ,  $\leq 0,01$   $\text{Ag}$ ,  $\text{Al}$ ,  $\text{Cr}$ ,  $\text{Cu}$ ,  $\text{Fe}$ ,  $\text{Mg}$ ,  $\text{Mn}$ ,  $\text{Pb}$  и  $\text{Sb}$ ; висмутит —  $\text{Bi}$ ,  $n \cdot 10^{-2}$   $\text{Bi}$ ,  $\text{Fe}$ ,  $\text{Ca}$ ,  $\text{Cu}$ ,  $\text{Fe}$ ,  $\text{Mg}$  и  $\text{Si}$ ; топаз —  $\text{Al}$  и  $\text{Si}$ ,  $n \cdot 10^{-2}$   $\text{Bi}$ ,  $\text{Fe}$ ,  $\text{Ca}$  и  $\text{Zr}$ ;  $\leq 0,01$   $\text{Ag}$ ,  $\text{B}$ ,  $\text{Be}$ ,  $\text{Ca}$ ,  $\text{Cr}$ ,  $\text{Cu}$ ,  $\text{Ga}$ ,  $\text{Mg}$ ,  $\text{Mn}$ ,  $\text{Ni}$ ,  $\text{Pb}$ ,  $\text{Ti}$  и  $\text{Zr}$ ; циркон —  $\text{Si}$  и  $\text{Zr}$ ,  $n \cdot 10^{-1}$   $\text{Al}$ ,  $\text{Ca}$  и  $\text{Yb}$ ,  $n \cdot 10^{-2}$   $\text{B}$ ,  $\text{Fe}$ ,  $\text{Hf}$ ,  $\text{U}$  и  $\text{Y}$ ,  $\leq 0,01$   $\text{Ba}$ ,  $\text{Cr}$ ,  $\text{Cu}$ ,  $\text{Ge}$ ,  $\text{Mg}$ ,  $\text{Mn}$ ,  $\text{Ni}$ ,  $\text{Pb}$  и  $\text{Sb}$ ; бавенит —  $\text{Al}$ ,  $\text{Be}$ ,  $\text{Ca}$  и  $\text{Si}$ ,  $\leq 0,01$   $\text{Cu}$ ,  $\text{Fe}$ ,  $\text{Mg}$  и  $\text{Ti}$ .  
 Описаны физ. свойства, определены кристаллооптич. константы и произведены простейшие микрохим. анализы.  
 Г. Воробьев

57057. Признаки хрусталености кварцевых жил и пегматитовых тел. Хотенок М. М., Тр. Всес. н.-и. ин-та пьезооптич. минеральн. сырья, 1957, 1, № 1, 93—100

57058. Месторождения пьезокварца Америки и Австралии. Лисенцы А. Е., Тр. Всес. н.-и. ин-та пьезооптич. минеральн. сырья, 1957, 1, № 1, 177—195

57059. О месте хрусталености кварцевых жил в истории формирования гранитоидных интрузивов Ванча и Язгулама (Памир). Хамидов М. Х., Тр. Всес. н.-и. ин-та пьезооптич. минеральн. сырья, 1957, 1, № 1, 59—65

57060. Геологические предпосылки поисков месторождений пьезооптического кварца. Хотенок М. М., Тр. Всес. н.-и. ин-та пьезооптич. минеральн. сырья, 1957, 1, № 1, 73—80

57061. О некоторых геологических предпосылках хрусталености. Хамидов М. Х., Тр. Всес. н.-и. ин-та пьезооптич. минеральн. сырья, 1957, 1, № 1, 89—92

57062. Некоторые геохимические особенности условий образования месторождений гипогенных боратов. Барсуков В. Л., Егоров А. П., Геохимия, 1957, № 8, 673—683 (рез. англ.)

Гипогенные месторождения В связаны с магнетитовыми скарнами (при возможном наличии известняков). Осадителями В являются Fe и при его недостатке — Mg, но не Ca. Высказывается предположение о возможности образования доломита при замещении В-содержащих гранатов эпидотом. На месторождении Таежное в Якутии выделены 8 метасоматич. зон магматич. скарнообразования: 1) перекристаллизованные гнейсы, 2) плагиоклаз-гиперстеновая, 3) плагиоклаз-диопсидовая, 4) роговообманковая, 5) гиперстен-диопсидовая, 6) диопсид-шпинелевая, 7) форстерит-шпинелевая, 8) кальцифил. По ним развивается гидротермальный процесс; скаполитизация (по 1), образование флогопитовых слюдитов (по 2—7), выделения магнетита и в отдельных участках лювита (по 7—8), в пострудную стадию — серпентинизация и аспиритизация. Перенос В вероятно осуществился щел. фторсодержащими р-рами, взаимодействием которых с доломитами приводило к требуемому для выпадения боратов понижению щелочности, чего не достигается, по-видимому, с известняками. Влияние растворимости доломита и кальцита на понижение pH р-ров проверялось экспериментально при t-ре 100—200°. Связывание F происходило одновременно с выделением боратов, о чем говорит парагенезис их с киногумитом, флюоборитом, фторапатитом и иногда флюоритом; кроме того, на месторождении Таежное сингенетичные с рудообразованием роговые обманки

и флогопиты содержат до 0,92 и 1,95% F соответственно. Ю. Балашев

57063. Бруситовый мрамор Сатки (К вопросу о метаморфизме на контакте диабазов и саткинских доломитов). Смолин П. П., Тр. Ин-та геол. рудн. месторожд., петрогр., минералогии и геохимии АН СССР, 1957, вып. 17, 34—45

Бруситовый мрамор в районе г. Сатки (Челябинская обл.) обнаружен в всiachем контакте крутопадающей дайки диабазов, секущей тонкозернистые темные доломиты. Переход мрамора в доломиты крайне неровный. У самого контакта с дайкой (0,3—0,4 м) отмечается мелкозернистый доломито-кальцитовый мрамор, а в эндоконтакте диабазов — зона зеленовато-черного серпентинита. Сам диабаз подвергнут гранитизации, эпидотизации и пренинизации. Бруситовый мрамор без видимых включений серпентина имеет состав (в %):  $\text{SiO}_2$  0,61,  $\text{Al}_2\text{O}_3$  0,59,  $\text{Fe}_2\text{O}_3$  0,23,  $\text{FeO}$  0,00,  $\text{CaO}$  32,02,  $\text{MgO}$  25,83,  $\text{H}_2\text{O}$  0,15,  $\text{H}_2\text{O}^+$  9,20,  $\text{CO}_2$  31,27, сумма 99,90, что в пересчете на минер. состав дает (в %) брусит 29,70, доломит 23,93, кальцит 44,18, карбонаты Fe и Mn и серпентин 1,43. Приведены кривые нагревания и потери веса бруситового мрамора. Все геологич. и петрографич. особенности свидетельствуют, что мрамор образовался в результате прямого замещения доломита агрегатом брусита и кальцита в низкотемпературных условиях, в области термич. устойчивости доломита. По происхождению он противопоставляется «апопериклазовым бруситовым мраморам», содержащим реликты периклаза, образование которых шло при частичной диссоциации доломита.

В. Кудряшова

57064. Об околорудных изменениях пород на месторождении юго-западной части Заилийского Алатау. Мирходжиев И. М., УзССР Фанлар Акад. ахбороти. Геол. фанлари сер., Иав. АН УзССР. Сер. геол., 1957, № 4, 11—22 (рез. узб.)

Район сложен допалеозойской метаморфич. толщей, представленной парагнейсами, слюдистыми сланцами, ортогнейсами, кварцитами, амфиболитами; амфиболитовыми сланцами с прослоями мраморов нижнего палеозоя. На площади месторождения развиты амфиболитовые сланцы, интродуцированные потоком гранофира. Сланцы на контакте превращены в роговики. Наблюдается распространение гипабиссальных образований аплитового, альбитофирового, диоритового и диабазового состава. Вторичные изменения в гранофирах выражены образованием серицита, хлорита, К-полевого шпата (второй генерации), альбита, кварца, пирита, флюорита, магнетита, ксенотима, монацита и др. Приведены хим. анализы гранофира и зеленого амфиболового сланца. Построенные фигуративно-вариационные и вариационные диаграммы позволяют подсчитать величины привноса и выноса различных компонентов, в соответствии с типом изменения. Колебания привноса равны (в кг на  $0,01 \text{ м}^3$  породы):  $\text{SiO}_2$  21,6—25,08,  $\text{Fe}_2\text{O}_3$  0,08—0,19,  $\text{CaO}$  0,13—0,38,  $\text{CO}_2$  0,12—0,26; привнос соответственно для сильно измененной разности 3,48; 0,11; 0,07; 0,14. Колебания для выноса равны:  $\text{Al}_2\text{O}_3$  1,95—0,48;  $\text{FeO}$  1,12—0,78;  $\text{MgO}$  0,3—0,24;  $\text{K}_2\text{O}$  1,04—0,07 и 1,47; 0,18; 0,06; 0,97. Делается вывод о том, что изменение гранофирового потока в целом сопровождалось выносом  $\text{Al}_2\text{O}_3$ ,  $\text{Na}_2\text{O}$ ,  $\text{FeO}$ ,  $\text{MnO}$  и привносом  $\text{K}_2\text{O}$ ,  $\text{MgO}$ ,  $\text{SiO}_2$ ,  $\text{CaO}$ ,  $\text{H}_2\text{O}$ ,  $\text{Fe}_2\text{O}_3$ , F и редких рассеянных элементов в серицито-хлоритовой части, а также выносом  $\text{Al}_2\text{O}_3$ ,  $\text{K}_2\text{O}$ ,  $\text{Na}_2\text{O}$ ,  $\text{FeO}$ ,  $\text{Fe}_2\text{O}_3$ ,  $\text{MgO}$  и привносом  $\text{MnO}$ ,  $\text{SiO}_2$ ,  $\text{CaO}$ ,  $\text{H}_2\text{O}$  и F в кварцованной части пород. Появление альбита и оруденения сопровождалось частичным привносом  $\text{Na}_2\text{O}$ ,  $\text{K}_2\text{O}$ , Fe, F и Ca.

В. Завьялов

57065. Петротектоника и образование месторождений силикатных никелевых руд на южной окраине Сак-



сонских Гранулитовых гор. Юбельт (Petrotektonik und Lagerstättenbildungen silikatischer Nickelerze am Südrand des Sächsischen Granulitgebirges. Jubelt Rudolf), Ber. Geol. Ges., 1957, 2, № 2, 71—92 (нем.)

Источником силикатных Ni-руд явились древние метасаксониты, превращенные в гранатомы и бронзитомы серпентиниты. Ni содержался в оливин, перешедшем затем в серпентин. Изменение происходило при выветривании в жарком климате карбона — нижней перми, с последующим участием токонич. и магматич. процессов. Выделяются 4 фации в порядке последовательного изменения первоначальных пород: 1) «серая порода» — осветленные серпентиниты; 2) «зеленая порода» — мягкие и твердые Ni-хлориты; 3) «красная порода» — землистый, богатый Fe остаток; 4) «силикофиты» — окварцованные серпентиниты. Приведено 9 хим. анализов всех названных пород.

В. Юдича  
57066. К вопросу о минералогическом составе хромитовых руд Кемпирсайского месторождения. Зубаков С. М., Бабин П. Н., Кока П. А., Карлышев Б. Н., Полякова Т. П., Тр. Ин-та стро-ва и стройматериалов АН КазССР, 1958, 1, 114—130

Для изучения фазового состава хромитовых руд применялись хим., минералогич. термографич. и рентгенографич. методы исследования. Установлено, что хромитиниды имеют переменный состав от центра к периферии:  $(\text{Mg}, \text{Fe}^{2+})(\text{Cr}^{3+})_2\text{O}_4 \rightarrow (\text{Mg}, \text{Fe}^{2+})(\text{Cr}, \text{Al}^{3+})_2\text{O}_4 \rightarrow (\text{Mg}, \text{Fe}^{2+})(\text{Cr}, \text{Al}, \text{Fe}^{3+})_2\text{O}_4 \rightarrow \text{Fe}_2\text{O}_3$ . Установлено присутствие таких минералов, как серпентин (хризотил), магнезит, кальцит, плагиоклаз, гидротематит, гематит, оливин, кварц, халцедон, нонтронит, лимонит и гётит (в порядке убывания кол-ва). Гетерогенность состава хромитовых руд и неоднородность распределения примесей может существенно влиять на их технологич. свойства, что требует детального их изучения.

В. Кудряшова  
57067. К вопросу о парагенезисе и петрографии рудных жил в Годруше. Зрустек (Příspěvek k paragenesi a petrografii rudních žil v Hodruši. Zrústek Václav), Geol. práce. SAV, 1957, № 47, 157—194 (чешск.; рез. русск., нем.)

В районе старых серебряных рудников у села Годруш (Штиавницкие рудные горы) изучено 5 рудных жил, секущих преимущественно верхнетретичные вулканич. породы (гранодиориты, андезиты, дациты). Жилы образовались при пульсирующей деятельности гидротермальных р-вов. Порядок выделения минералов: кальцит — шпирит — кварц I (начало кристаллизации) — сфалерит — халькопирит — галенит — бурнонит — кварц II (конец кристаллизации) — родохрозит. Другие рудные минералы: ковеллин, аргентит, пираргирит, прустит, стефанит, полибазит и пирсент. Вторичные минералы: лимонит, гипс, эпсомит, кальцит, халцедон и малахит. Произведены полуконеч. спектральные анализы руд и отдельных минералов — лимонита, родохрозита, шпирита и стефанита, показавшие следующий комплекс элементов: Ag, Ca, Cu, Mn, Si, Zn, Al, Mg, Pb, Sb, As, Au, Ga, Cd, Ni, Sn, Sr, V, Be, Na, Ge, Bi, Ba, Ti и Hg. Приведены микрофотографии шпифов и аншлифов.

Г. Воробьев  
57068. Генезис стеатита в районе Мачакота, область Анантапурам, штат Андхра. Рао (Genesis of steatite in Mutchukota area, Anantapur district, Andhra state. Rao C. Borreswara), Quart. J. Geol., Mining and Metallurg. Soc. India, 1957, 29, № 1, 45—49 (англ.)

Приведены стратиграфия и петрография месторождения стеатита в алгонских известняках. Генезис месторождения включает следующие этапы: 1) интрузию долеритов в известняки с последующим увеличением т-ры и давления; 2) выделение из магмы лету-

чих компонентов, содержащих  $\text{SiO}_2$ ,  $\text{MgO}$  и пары  $\text{H}_2\text{O}$ ; 3) образование тремолита, волластонита и кальцита в результате хим. взаимодействия летучих компонентов с известняками; 4) превращение тремолита в серпентин; 5) превращение серпентина в стеатит в результате добавления  $\text{SiO}_2$  и  $\text{H}_2\text{O}$ . Приведено 7 полных и частных хим. анализов долеритов, известняков и протекторных разностей.

Р. Хмельницкий  
57069. Находка геокронита в рудах Екатеринбургского месторождения. Кузнецов К. Ф., Вольфсон Ф. И., Сб. научн. тр. Моск. ин-та цветн. мет. и золота, 1957, № 27, 397—405

Среди руд названного полиметаллич. месторождения в Восточном Забайкалье установлено широкое распространение минерала геокронита. По оптич. и кристаллографич. свойствам этот минерал почти не отличим от морданита и гитерманита. Приведены результаты рентгеноструктурного исследования трех образцов. Два хим. анализа дают следующие цифры (в %): Pb 73,61; 74,30; Sb 7,04; 8,13; As 3,71; 3,63; S 15,08; 13,24; Ag 0,5; 0,5; Tl 0,3; 0,5; Sn 0,08; 0,03; Cu 0,01; 0,05; Fe 0,018; 0,028. Спектральные анализы в 14 образцах обнаружили (в %): Ag 0,4—1,5; Tl 0,03—0,5; Sn 0,01—0,3; Cu 0,001—0,05. Геокронит выделяется в двух генерациях, отвечающих двум стадиям минералообразования: геокронито-галенитовой и кварцево-доломитосульфатантимонитовой. В обоих случаях геокронит сходен с галенитом и предшествует буланжериту. Образование его, вероятно, протекало в условиях повышенной конц-ии Pb и пониженной — Sb.

В. Кудряшова  
57070. Марганцовистый лейтенбергит из Мураму, префектура Нагасаки, Япония. Окамото, Широцу (Okamoto Yohachiro, Shirozu Hachiro), Кюсю дайгаку ригакубу кёё, Mem. Fac. Sci. Kyushu Univ., 1957, D5, № 4, 185—189 (англ.)

Небольшие марганцеворудные выделения находятся в кристаллич. сланцах п-ва Нисисоноги (префектура Нагасаки). Сланцы — кварцево-серпентитовые с хлоритом, браунитом, пьомонитом. Хим. состав светлокоричневого с розоватым оттенком хлорита (марганцовистого лейтенбергита) в %:  $\text{SiO}_2$  29,26;  $\text{Al}_2\text{O}_3$  22,06;  $\text{Fe}_2\text{O}_3$  1,05;  $\text{MnO}$  0,69;  $\text{MgO}$  34,08;  $\text{H}_2\text{O}^+$  13,11;  $\text{H}_2\text{O}^-$  0,08; сумма 100,33;  $\text{K}_2\text{O}$ ,  $\text{Na}_2\text{O}$  и  $\text{TiO}_2$  не определялись,  $\text{CaO}$  и  $\text{FeO}$  не обнаружены. Кристаллохим. ф-ла:  $(\text{Mg}_{0,05}\text{Mn}_{0,05}\text{Fe}^{3+}_{0,07}\text{Al}_{1,14})(\text{Si}_{2,72}\text{Al}_{1,28})\text{O}_{9,88}\text{OH}_{0,12}$ . Размеры элементарной ячейки по данным рентгеноструктурного анализа:  $b_0 = 9,21$ ,  $c_0 = 14,18$  Å,  $\beta = 97,1^\circ$ . Получены дифференциальная термич. кривая и определены оптич. константы.

Г. Воробьев  
57071. К вопросу о происхождении гнейсов Атасуйского района (Центральный Казахстан). Вишняковская И. И., Тр. Моск. геол.-развед. ин-та, 1957, 31, 142—150

Детальные петрографич. исследования показали, что массивы гнейсов Атасуйского р-на представляют результат фельдшпатизации первично-осадочных хлоритомусковитовых сланцев. Последние являются продуктом регионального метаморфизма. Процесс образования из них гнейсов носит вторичный метасоматич. характер и может быть рассмотрен как гранитизация. Хим. анализы фельдшпатизированного альбитового сланца, очкового гнейса и линзовидного позолоченого гнейса (в %) соответственно:  $\text{SiO}_2$  72,36; 74,52; 74,42;  $\text{TiO}_2$  0,19; 0,20; 0,19;  $\text{Al}_2\text{O}_3$  13,57; 14,09; 13,76;  $\text{Fe}_2\text{O}_3$  2,13; 0,85; 0,94;  $\text{FeO}$  1,04; 0,70; 0,70;  $\text{MnO}$  0,01; 0,02;  $\text{MgO}$  0,38; 0,36; 0,18;  $\text{CaO}$  0,33; 0,89; 0,42;  $\text{Na}_2\text{O}$  1,86; 2,75; 2,20;  $\text{K}_2\text{O}$  6,27; 4,02; 5,57;  $\text{H}_2\text{O}^+$  1,02; 0,59;  $\text{H}_2\text{O}^-$  —; 0,008; 0,14; п. п. п. 0,47, 0,41; 0,71. Установлена пересыщенность гнейсов глизиномом и преобладание  $\text{K}_2\text{O} > \text{Na}_2\text{O}$ . Первое подтверждает первично-осадочное происхождение исходных сланцев.

В. Кудряшова

57072. О присутствии фосфата уранила в гранулите Бретани. Каплан (Sur la présence d'un phosphate d'uranyle dans une granulite de Bretagne. Kaplan Grégoire), C. r. Acad. sci., 1958, 246, № 7, 1066—1068 (франц.).

По данным хим., петрографич., гранулометрич., флуоресцентного и радиометрич. методов установлено, что повышенная радиоактивность гранулитов обусловлена поверхностными выделениями неизвестного фосфата уранила. Общее содержание U составляет  $2,3 \cdot 10^{-3}\%$ . В. Лебедев

57073. Биоморфозы из киммерийских слоев. Литвиненко А. У., Научн. зап. Днепропетр. ун-т, 1956, 53, 63—107  
См. РЖХим, 1956, 77905.

57074. Гластуффит из Линенберга близ Цистерсдорфа (Нижняя Австрия). Визенедер, Циркль (Glastuffit von Linenberg bei Zistersdorf (Niederösterreich). Wieseneder H., Zirkel E. J.), Verhandl. Geol. Bundesanst., 1957, № 1—3, 136—145 (нем.).

Описано месторождение гластуффита — белой плотной пористой породы, состоящей на 2/3 из глинистых минералов, стекла, кварца, полевого шпата и мусковита. В шлифах обнаружено большое кол-во остатков морских диатомей. С помощью дифференциального термич. анализа установлено, что на породу приходится 10—15% монтмориллонита. Хим. состав (в %):  $\text{SiO}_2$  67,50,  $\text{TiO}_2$  0,07,  $\text{Al}_2\text{O}_3$  16,43,  $\text{Fe}_2\text{O}_3$  1,76,  $\text{FeO}$  0,38,  $\text{MnO}$  0,03,  $\text{MgO}$  1,83,  $\text{CaO}$  1,57,  $\text{Na}_2\text{O}$  1,21,  $\text{K}_2\text{O}$  2,48,  $\text{H}_2\text{O}^+$  (105—1000°) 6,72, сумма 99,98. Обсуждены вопросы генезиса туффитов. Р. Хмельницкий

57075. Текстуры подсолоненного ангидрита в предгорьях Гарца и их стратиграфическое и фациальное значение. Хойнингген-Хюне (Die Texturen der subsalinaren Anhydrite im Harzvorland und ihre stratigraphische und fazielle Bedeutung. Hoyningen-Huene Ewald v. Geologie, 1957, 6, Beih. № 18, 47 S., ill.) (нем.).

Автор дает детальную схему стратиграфии подсолоненных ангидритов нижнего пещштейна, охватывающую различные фациальные разновидности. На основании этой схемы и анализа текстур пород стало возможным объяснение генезиса и палеогеографич. условий образования ангидрита. Пещштейновое море являлось мелкой шельфовой областью (глубины  $\leq 20$  м), условия седиментации в которой отвечали аридной соленой лагуне, хотя связь с открытым морем еще не была потеряна. В. Юдина

57076. О характере и минералогическом составе терригенной части нижнеакчагыльских отложений Вятско-Камского края. Дистанов У. Г., Кирсанов Н. В., Изв. Казанск. фил. АН СССР. Сер. геол. н., 1957, № 6, 141—149

57077. Ангидрит-гипсовые месторождения в районе Спшской Новой Вси. Огурчак (Anhydrit-sadrovcové ložiská pri Spišskej Novej Vsi. Ogurčák Stefan), Geol. práce. SAV. Zprávy, 1957, № 11, 109—115 (словацк.).

57078. Отложение и метаморфизм месторождения железа Диолетта (Манн). Кайер, Краут (Sédimentation et métamorphisme dans le gisement de fer de Diélette. (Manche). Caillière Simonne, Kraut François), C. r. Acad. sci., 1957, 245, № 25, 2349—2351 (франц.).

Месторождение имеет осадочное происхождение и образовалось в результате отложения  $\text{SiO}_2$ ,  $\text{CaCO}_3$  и окислов Fe в виде магнетита и гематита. При процессе метаморфизма магма воздействовала на карбонатные породы с образованием ряда контактовых минералов, но образовавшиеся минералы содержат лишь незначительное кол-во Fe, следовательно, окислы Fe

не подвергались воздействию метаморфизма, а были отложены непосредственно в виде магнетита и гематита. М. Красинцева

57079. Образование марганцевых руд в юрских аммонитовых морях. Ковач (Manganerzausscheidung in den jurassischen Ammonitenmeeren. Kovács L.), Bányamérn. és földmérómérn. karok közl. Műsz. egyet. karok, Sopron, 1956, 19, 249—256 (нем.; рез. русск., англ.).

Обсуждается способ образования скоплений пиролюзита в пестрых цефалоподовых известняках среднего лейаса в горах Северного Бакони (Венгрия). Пиролюзит приурочен исключительно к остаткам аммонитов, он пропитывает их внутренние ядра или образует корочки на поверхности сохранившихся раковин. Автор считает, что между образованием пиролюзита и разложением животного тела существовала тесная связь. При разложении органич. в-ва выделялся  $\text{NH}_3$ , переходивший в  $\text{NH}_4\text{OH}$ , который осаждал из р-ра  $\text{Mn}(\text{OH})_2$  по р-ции  $2\text{NH}_4\text{OH} + \text{MnR}^{2-} = \text{Mn}(\text{OH})_2 + (\text{NH}_4)_2\text{R}^{2-}$ , с дальнейшим окислением в  $\text{Mn}(\text{OH})_4$ . Определяющим для этой р-ции является рН морской воды, так как ионы Mn в гидроксильной форме остаются в р-ре до рН 8,3, и их осаждение происходит в основной среде.  $\text{NH}_4\text{OH}$  повышает рН до величины, достаточной для осаждения Mn. Степень диссоциации  $\text{NH}_4\text{OH}$  низка, но равновесие нарушается благодаря связыванию ионов  $(\text{OH})^-$ ; это влечет за собой диссоциацию новых молекул и обуславливает продолжительность осаждения Mn. Одновременно осаждение Mn нарушает равновесие растворенных соединений. В месте осаждения конц-я убывает, что влечет за собой диффузию из более обогащенных районов. При дальнейшем диагенезе  $\text{Mn}(\text{OH})_4$  дегидратируется, переходит в  $\text{MnO}_2$ . В. Юдина

57689. Марганцевые руды Малых Карпат. Полак (Mangánové rudy Malých Karpát. Polák Stanislav), Geol. práce. SAV, 1957, № 47, 37—84 (словацк.; рез. русск., нем.).

Произведено геологич. и хим. изучение Mn-руд в двух районах: Боринка и Червёный Домчек. Вмещающие породы — лейасовые тонкослоистые мергелистые сланцы. Сингенетичное оруденение имеет форму пластов и вытянутых линз неизвестного минералогич. состава. Представлены 9 геологич. карт и разрезов и результаты 35 неполных хим., 2 полных хим. и 13 полуколич. спектральных анализов. Всего обнаружено 37 хим. элементов: Si, Al, Ca, Mg, Fe, Mn, Cr, S, K, H, O, Ag, As, Co, Cu, Na, Ni, Zn, B, Pb, Ba, Sr, Ga, Mo, Sn, Sr, Ti, V, Cd, Au, P, Ge, Sb, Zr, Hg, Li и Rb. Руды возникли путем биологич. концентрирования Mn и Fe из р-ров, поступавших с суши в прибрежную зону лейасового моря. Конечный минералогич. состав (предположительно манганитовый, с переходом в пиролюзитовый и карбонатный) обусловлен действием диагенетич. процессов. Г. Воробьев

57081. К геохимии вторичных сульфатов. III. Сульфаты из Дубника близ Прешова [Чехословакия]. Дубанский (Beitrag zur Kenntnis der Geochemie der sekundären Sulfate. III. Sulfate aus Dubník bei Prešov. Dabanský A.), Сб. чехосл. хим. работ, 1957, 22, № 2, 515—531 (нем.; рез. русск.).

См. РЖХим, 1957, 74233.

57082. Современные методы исследования глин. Маккензи (Modern methods for studying clays. Mackenzie Robert C.), Agrochimica, 1957, 1, № 4, 305—307 (англ.; рез. франц., нем., исп., итал.). Обзор. Библ. 51 назв. Г. Воробьев

57083. Литолого-химическая характеристика глин и цикличность майкопской свиты района Тертер (Мир-Башир). Сеидов А. Г., Докл. АН АзербССР, 1955, 11, № 11, 783—786 (рез. азерб.).



На основании литолого-хим. данных глины майкопской свиты расчленены на 2 горизонта мощностью 800 м каждый. Хим. состав верхнего и нижнего горизонтов соответственно (в %):  $\text{TiO}_2$  до 0,14; —;  $\text{Al}_2\text{O}_3$  7,0—16,0; 5,0—11,0;  $\text{Fe}_2\text{O}_3$  3,0—7,0; 3,0—6,5;  $\text{MgCO}_3$  2,0—6,0; 2,0—12,0;  $\text{CaCO}_3$  —; 1,0—33,8;  $\text{CaSO}_4 \cdot 2\text{H}_2\text{O}$  до 5,0; до 0,96; pH суспензии глины 6,2—7,8 при больших положительных значениях Eh и 6,1—8,7 при небольших положительных значениях Eh. Изменение геохим. условий седиментации заметно в хим. составе глины, что дает возможность расчленить разрез на 6 циклов (по 3 в каждом горизонте). В целом условия седиментации нижнего горизонта носили слабощел. и щелочно-восстановительный характер: накапливались гомог. карбонатные осадки с органич. пигментом в мелководной зоне бассейна. Геохим. режим верхнего горизонта слабощел., местами кислый, причем значение Eh сильно увеличивается.

Т. Ионас  
57084. Генезис горючих ископаемых и их основные свойства. Панов Н. И., Тр. Моск. ин-та инж. ж.-д. трансп., 1958, вып. 89, 155—217

В свете предложенной теории неавтономного преобразования органич. массы исследованы основные характеристики горючих в-в. Обобщение этих характеристик приводит к выводу, что данная теория дает возможность установить общее направление процесса преобразования и позволяет судить о вероятности того или иного генетич. перехода. Все твердые в-ва являются результатом преобразования массы растительного материала; их свойства определяются в основном направлением и глубиной процесса. Различия в хим. составе и физ.-хим. свойствах сланцев, нефтей и углей обусловлено лишь различием в процессе преобразования исходной растительной массы: после фазы остудевания исходного растительного материала, в зависимости от конкретных биохим. и геологич. условий, студень подвергался либо процессу пептизации, давая жидкие в-ва (кероген сланцев, нефти), либо процессу коагуляции, давая твердые в-ва. Преобразование исходного растительного материала сопровождалось, в зависимости от направленности и глубины колл.-хим. и биохим. процессов, изменением тонкой структуры в-ва.

Р. Хмельницкий  
57085. Фации и типы угленакопления в угленосных отложениях Донбасса. Коперина В. В., Изв. АН СССР. Сер. геол., 1958, № 1, 12—25

На основании литературных данных рассмотрен фациальный состав пород, слагающих угленосную толщу Донбасса. Сделан вывод, что смена фаций в разрезе может быть объяснена не колебательными движениями, а изменением соотношения между скоростями погружения и накопления осадков. Установлены 2 типа угленакопления: 1) угленакопление на плоском морском побережье, защищенном барами и 2) угленакопление в дельтовой области с мигрирующим речным устьем.

Р. Хмельницкий  
57086. Оценка перспектив нефтегазонасыщенности Русской платформы по гидрохимическим показателям. Гатальский М. А., Тр. Всес. нефт. н.-н. геологоразвед. ин-та, 1957, вып. 111, 120—147

Приведены многочисленные гидрохим. данные, полученные при испытании опорных скважин на Русской платформе и в смежных районах, а также ряд гидрохим. профилей, позволяющих рассмотреть перспективность отдельных регионов и дать сводную оценку перспектив газонефтеобеспеченности по всей территории платформы. Основными гидрохим. показателями вод являются: минерализация; отношение  $r\text{Na}/r\text{Cl}$ ; сульфатность  $r\text{SO}_4 \cdot 100/r\text{Cl}$ ; кол-во  $\text{SO}_4$ , J, Br и хлоридов щел. земель, а также кол-во углеводородов (метана) в растворенных газах. Автор выделяет четыре основных района: 1) Центральная часть Татарского

свода (Котельнич, Голышурма, Казань, Глазов, Ижевск), где перспективны левонские отложения; 2) вост. и ю.-в. краевые зоны Русской платформы, ю.-в. часть Татарского свода вплоть до вост. склона Токмовского свода; перспективны отложения девона и карбона; 3) территории бесперспективные, куда входят центральная и с.-з. части Русской платформы, а также Токмовский свод; 4) малоизученные регионы — Мезенская и ю.-з. части Польско-Литовской впадины.

Л. Флерова  
57087. Некоторые вопросы геохимии ферганских нефтей. Нугманов А. Х., УзССР Фанлар Академияси. Геол. фанлари сер., Изв. АН УзССР. Сер. геол., 1957, № 4, 57—64 (рез. узб.)

Приведены результаты определения уд. веса, содержания серы, акцизных смол, асфальтенов и микроэлементов в 36 образцах нефти. Спектральный анализ обнаружил 26 элементов, из них постоянно присутствуют: Al, Si, Mg, Ca, Sr, Ba, Na, Fe, V, Ni, Cr, Mn, Ti, Cu, Zn, Sn, Pb, Ag; спорадически встречаются Mo, Co, Ga, La, Be, Th, K и Sb. Содержание микроэлементов, генетически связанных с нефтью (в % к нефти): V  $0,1-6,1 \cdot 10^{-4}$ ; Ni  $0,5-20,4 \cdot 10^{-4}$ ; Co до  $9,2 \cdot 10^{-6}$ ; Cu  $0,01-5,1 \cdot 10^{-5}$ ; Mo до  $4,27 \cdot 10^{-6}$ ; Cr  $0,1-20,4 \cdot 10^{-6}$ ; Zn  $0,05-2,85 \cdot 10^{-4}$ ; Pb  $0,13-4,75 \cdot 10^{-4}$ . По этим вариациям нефти ряда пластов ферганской депрессии делятся на 3 группы: 1) юго-западную, 2) юго-восточную, 3) северную. Во всех месторождениях нефти разных пластов палеогена и мела довольно четко различаются по содержанию микроэлементов, причем первые обладают повышенным, а вторые пониженным их содержанием. Аналогичные различия проводятся по составу исходной органики и процессам ее преобразования.

Р. Хмельницкий  
57088. К вопросу о происхождении нефти и формировании нефтяных залежей [Фергана]. Симакон С. Н., Клейнберг В. Г., Тр. Всес. нефт. н.-н. геологоразвед. ин-та, 1957, вып. 110, 556—574

57089. Перспективы поисков нефти и газа в третичных и меловых отложениях [в Фергане]. Клейнберг В. Г., Симакон С. Н., Тр. Всес. нефт. н.-н. геологоразвед. ин-та, 1957, вып. 110, 575—582

57090. Изменение свойств ферганских нефтей в зависимости от условий их залегания. Воробьев А. А., Тр. Всес. нефт. н.-н. геологоразвед. ин-та, 1957, вып. 110, 414—463

57091. К вопросу о стабильности карбонатной системы в природных водах. Алексин О. А., Моричев Н. П., Докл. АН СССР, 1957, 117, № 6, 1030—1033  
В природных водах часто наблюдается значительное пересыщение по отношению к  $\text{CaCO}_3$  и замедленность выпадения последнего. Причиной этого является, по-видимому, очень малая конц-ия ионов  $\text{CO}_3^{2-}$ , а также присутствие в-в, способных адсорбироваться на мельчайших кристаллах  $\text{CaCO}_3$  в момент их образования, чем затрудняется их дальнейший рост. К в-вам, замедляющим выпадение  $\text{CaCO}_3$ , относятся органич. в-ва, напр., гумусовые в-ва растительного перегноя и пептон, при наличии которых скорость появления осадка обратно пропорциональна их конц-ии в р-ре. При добавлении небольшого кол-ва ионов  $\text{Si}^{2+}$  стабилизирующая роль органич. в-в резко падает и может быть совсем устранена. Ортофосфорная и ортокремневая к-ты стабилизирующего влияния на пересыщ. р-ры  $\text{CaCO}_3$  в природных водах не оказывают: первая — вследствие очень малой конц-ии, вторая — из-за ничтожной диссоциированности при обычных pH.

В. Коншин  
57092. К вопросу о химическом составе пластовых вод верхов сабунчинской свиты продуктивной толщи Ашперонского полуострова. Тамразян Г. П.,

Ма'рузалар. АзәрбәсҹР Элмлар Акад., Докл. АН АзәрбәсҹР, 1958, 14, № 1, 45—49 (рез. азерб.).

Рассматривается изменение хим. состава верхних (II и III) горизонтов сабунчинской свиты продуктивной толщи Апшерона. В водах II горизонта содержание (мг-экв) Cl (195—260), Na + K (150—220), Mg (9—33) и минерализация слабо изменяются по площади Апшеронского п-ва, причем наибольшее кол-во этих компонентов приурочивается к полосе Балаханы — Сабунчи — Романы — Кала. Содержание ионов  $\text{HCO}_3$  (от 0,1 до 1,8) уменьшается в юго-восточном направлении, содержание Ca (от 2 до 43), наоборот, увеличивается в этом направлении. В общем в восточном направлении возрастает и кол-во  $\text{SO}_4$  (0,1—0,5). В водах III горизонта содержание Cl (176—235) слабо возрастает в восточном направлении, содержание  $\text{HCO}_3$  (0—1,8) уменьшается в том же направлении. Кол-во Ca (7,24—30) и Mg (10—28) увеличивается к юго-востоку и юго-западу от Балаханы — Сабунчи — Романского р-на. Наибольшим содержанием  $\text{CO}_4$  (0,2—1,6) отличаются воды Бибизьбата. Содержание Na + K (154—191) меняется значительно, наименьшие значения приурочиваются к южным р-нам п-ва.

Л. Матвеева

57093. Петрографическое изучение некоторых илов, дригированных в открытом море около Тигзирта (1954) и около Кастильоне (1955) [Алжир]. Дюран (Etude pétrographique de quelques vases dragués au large de Tighzirt (1954) et au large de Castiglione (1955). Durand J. H., Bull. trav. Stat. aquic et pêche Castiglione, 1956 (1957), № 8, 41—56 (франц.).

Петрографическое изучение показало, что содержание в них глинистых частиц увеличивается вместе с глубиной. Кол-во растворимых солей также увеличивается по мере углубления, а содержание карбонатов в илах уменьшается с глубиной, что по-видимому, связано с диссоциацией карбонатов вследствие увеличивающегося давления (на глубине 100 м 70 кг/см<sup>2</sup>). По характеру глинистых минералов наиболее часто встречаются каолино-иллистые смеси.

В. Красинцева

57094. Химическое изучение океана. LI, LII, LIII. Химическое изучение осадков шельфа. 7. О химическом составе осадков шельфа вдоль морского побережья префектур Ишикава и Тоёма. 8. О химическом составе осадков шельфа вдоль морского побережья префектуры Анти. 9. О химическом составе осадков шельфа вдоль морского побережья префектур Ниигата, Ямагата и Акита. Ишибаси, Уэда (Chemical studies on the ocean. LI, LII, LIII. Chemical studies of the shallow-water deposits. 7. On the chemical constituents of the shallow-water deposits along the sea-coasts of Ishikawa and Toyama Prefectures. 8. On the chemical constituents of the shallow-water deposits along the sea-coast of Aichi Prefecture. 9. On the chemical constituents of the shallow-water deposits along the sea-coasts of Niigata, Yamagata and Akita Prefectures. Ishibashi Masayoshi, Ueda Shunzō, Bull. Inst. Chem. Res. Kyoto Univ., 1956, 34, № 3, 117—121, 122—126; 127—131 (англ.).

57095. Суточные колебания содержания кислорода и величины окисляемости воды Азовского моря по летним наблюдениям 1955 года. Дацко В. Г., Семенов А. Д., Гидрохим. материалы, 1957, 27, 3—9. Летом 1955 г. приращение содержания  $\text{O}_2$  в воде. толще Азовского моря от утреннего минимума до послеполуденного максимума значительно ниже, чем в июле 1954 г. При этом в августе по сравнению с июлем 1955 г. это приращение значительно более высокое. При сравнении с величинами, найденными

в период до зарегулирования р. Дона, величины приращения содержания  $\text{O}_2$ , полученные в 1955 г., являются более низкими и распределены более равномерно по вертикали. Перманганатная окисляемость в нейтр. среде по сравнению с 1937 г. несколько уменьшилась, однако близка к наблюдавшейся в 1950 и 1951 гг.

В. Коншин

57096. Изучение минеральных озер Прикаспийской низменности. Руденко Е. И., Тр. Астраханск. мед. ин-та 1957, 13, 61—85

Краткий историч. очерк исследований Астраханских соляных озер, в особенности проведенных кафедрой химии Астраханского мединститута и посвященных изучению равновесий в озерных рассолах, путей переработки озерных солей на промышленно важные соединения, физ.-хим. свойств иловых отложений и процесса метаморфизации рапы в результате адсорбционных явлений, накопления в илах соляных озер тяжелой воды, возможности использования илов в целях грязелечения, окраски грязей, образования двух типов полигональной отдельности и происхождения Бэровских бугров.

В. Коншин

57097. Об ожидаемой минерализации воды Пролетарского водохранилища. Кривенцов М. И., Гидрохим. материалы, 1957, 27, 82—95

При существующих условиях оводнения Пролетарского водохранилища (ПВ) минерализация его зап. части будет оставаться такой же, как в настоящее время (0,4—0,9, иногда 1,5 г/л), минерализация же вост. части будет возрастать примерно на 0,6 г/л ежегодно. При подаче в ПВ из Цимлянского водохранилища 748—1123 млн. м<sup>3</sup> воды в год и сбросе из него 368 млн. м<sup>3</sup> воды в Веселовское водохранилище (ВВ) засоления и опреснения ПВ происходить не будет. При подаче воды из Цимлянского водохранилища 791—1166 млн. м<sup>3</sup> в год и с востока (Чотрайское водохранилище, р. Калаус) 323 млн. м<sup>3</sup> и сбросе в ВВ 921 млн. м<sup>3</sup> будет происходить постепенное опреснение воды вост. части ПВ (за 6 лет. с 15,1 до 4,4 г/л). При применении 2-го и 3-го вариантов оводнения ПВ увеличится минерализация воды ВВ до 4—6 г/л, что делает эту воду непригодной для орошения. Повышение минерализации воды ВВ может произойти и в результате ввода Пролетарской оросительной системы.

В. Коншин

57098. Определение интенсивности бактериального восстановления сульфатов в грунтах Горьковского водохранилища с применением  $\text{S}^{35}$ . Соколова Г. А., Сорокин Ю. И., Докл. АН СССР, 1958, 118, № 2, 404—406

Изучалась интенсивность процесса сульфатредукции в свежесаждаемых илах Горьковского водохранилища по изотопному методу, заключающемуся в прибавлении в ил сульфатов, меченных по сере, отгонке образовавшегося  $\text{H}_2\text{S}$  и определении в нем радиоактивности  $\text{S}^{35}$ . Результаты анализов показывают, что за счет сульфатредукции в свежесаждаемых илах образуется за сутки 1,4—0,8 мг/л  $\text{H}_2\text{S}$ , т. е. в десятки раз больше, чем в водоемах с большим содержанием сульфатов. Кол-во десульфированных бактерий непостоянно и иногда доходит до 1800 тыс. в 1 г ила. Илы Горьковского водохранилища содержат 50—80 мг/л  $\text{H}_2\text{S}$  и 32—135 мг/л  $\text{SO}_4^{2-}$ . При высеве из грунтов на питательную среду во всех случаях наблюдалось развитие тионовых бактерий, указывающее на постоянную регенерацию сульфатов за счет их деятельности.

В. Коншин

57099. Гидрохимическая характеристика р. Немана в районе строительства Каунасской ГЭС. Лунецкас А. М., Гидрохим. материалы, 1957, 27, 73—81. Минерализация р. Немана в районе строительства Каунасской ГЭС 200—300 мг/л. Содержание (в мг/л):



$\text{Ca}^{2+}$  30,5—67,2,  $\text{Mg}^{2+}$  7,2—14,9,  $\text{Na}^+$  2,9—19,7  $\text{K}^+$  2,4—9,7,  $\text{HCO}_3^-$  122—292,8,  $\text{SO}_4^{2-}$  6,8—27,8,  $\text{Cl}^-$  7,1—14,2.  $\text{CO}_3^{2-}$  обнаружен только в мае—октябре в кол-вах, не превышающих 12 мг/л. По классификации Аликана вода относится к гидрокарбонатному классу, подгруппе кальция, II и III типам. Биогенных элементов мало,  $\text{NH}_3$  — следы,  $\text{NO}_2^-$  0—0,2,  $\text{NO}_3^-$  0—0,3 мг/л; летом и осенью эти соединения отсутствуют;  $\text{Fe}$  0—0,9,  $\text{SiO}_2$  до 19,2,  $\text{CO}_2$  — 22 мг/л, окисляемость 4—15 мг  $\text{O}_2$  на 1 л, pH 7,2—8,4, общая жесткость 2,11—4,58 мг-экв, цветность воды 10—70°. Данные по гидрохим. стоку Немана показывают, что в марте—декабре 1953 г. он составлял ~ 2 млн. т. По отношению к бетону вода Немана в общем неагрессивна, но в период паводка слабо агрессивна к портландцементному бетону. Вследствие большей проточности будущего Каунасского водохранилища его гидрохим. режим не будет существенно отличаться от режима реки.

В. Коншин

**57100.** Исследования содержания кислорода подо льдом. Мюллер (Untersuchungen der Sauerstoffverhältnisse unter Eis: Müller Horst), Z. Fischerei, 1957, 6, № 1—7, 315—322 (нем.)

Определения растворенного  $\text{O}_2$  в озерах подо льдом, покрытым снегом, с одной стороны, и свободным от снега, с другой, показали, что содержание  $\text{O}_2$  во втором случае больше вследствие фотосинтеза, вызываемого проникающими через лед лучами. Так, в оз. Шторковер-Зе 1 марта 1955 г. на горизонтах 1, 2 и 3 м подо льдом со снегом  $\text{O}_2$  было соответственно 13,1; 11,4 и 8,2 мг/л, а там где лед был очищен от снега, 14,5; 12,8 и 11,2 мг/л. В оз. Хоссевицер-Зе с 25 февраля по 7 марта 1955 г. в месте, где лед был очищен от снега, содержание  $\text{O}_2$  поднялось с 3,7 до 5,9 мг/л, а подо льдом со снегом оно за тот же срок несколько понизилось. Аналогичное явление в это же время наблюдалось и в оз. Кюхензе. За период 15—26 февраля 1956 г. в оз. Кюхензе подо льдом без снега кол-во  $\text{O}_2$  уменьшилось с 10,8 только до 8,7 мг/л, а подо льдом со снегом с 10,5 до 1,1 мг/л. Очистку некоторой площади льда на озере от снега автор предлагает как эффективную меру борьбы с заморами.

В. Коншин

**57101.** К вопросу изучения ирригационных вод. II. Влияние ирригационных вод на характер культивированных почв. Джованнини, Боттаро (Contributo alla conoscenza delle acque di irrigazione. Nota II. L' influenza delle acque d'irrigazione sulle caratteristiche del suolo sotto coltura. Giovanni E., Bottaro H.), Agric. ital., 1957, 57, № 10, 428—450 (итал., рез. франц.)

Авторы, изучая влияние ирригационных вод, приводят детальные характеристики некоторых культивированных почв. Статистич. обработка эксперим. данных, полученных в течение 1-го года наблюдений относительно содержания в почвах  $\text{CaCO}_3$ , растворимых солей, «процента растворимого Na», «степени насыщенности водой», показывает, что ирригационные

воды воздействуют различным образом на почвы различного характера. Сообщение I см. РЖХим, 1958, 46332.

**57102.** Анализ лечебных грязей в Санта-Венера (Ачиреале, Сицилия). Андризано, Аморецци, Артузи (Analisi del fango termale di S. Venera (Acireale). Andrisano R., Amorette L., Artusi G. C.), Chimica, 1957, 33, № 11, 433—436 (итал.)

Грязь (I) имеет вид однородной, илстой, вязкой пасты свинцово-серого цвета, изменяющегося на воздухе в цвет ржавчины, с слабым запахом  $\text{H}_2\text{S}$ ; pH 7,98; уд. в. 2,4750; уд. теплота 0,65. После высушивания на воздухе I поглощает воду в кол-ве 56,43% от собственного веса. Способность поглощения связана с гидратацией колл. фракции. После нагревания I охлаждается медленно: для снижения т-ры от 48 до 38° требуется 2 часа. Для анализа I высушивали на воздухе и превращали в мелкий порошок (900 мг в 1 см<sup>2</sup>). Анализ I (%):  $\text{Na}_2\text{O}$  1,9100;  $\text{K}_2\text{O}$  1,0700;  $\text{Li}_2\text{O}$  0,00019;  $\text{CaO}$  7,1100;  $\text{SrO}$  0,00036;  $\text{MgO}$  2,8500;  $\text{MnO}$  следы;  $\text{Fe}_2\text{O}_3$  7,0500;  $\text{Al}_2\text{O}_3$  13,4500;  $\text{Cl}$ ,  $\text{Br}$ ,  $\text{J}$  0,2827;  $\text{S}(\text{H}_2\text{S})$  0,0035;  $\text{S}$  свободная 0,0200;  $\text{SO}_3$  0,6500;  $\text{CO}_2$  5,6000;  $\text{SiO}_2$  50,2200;  $\text{H}_3\text{BO}_3$  0,00172; влажность 4,0300; органич. в-во и связанная  $\text{H}_2\text{O}$  5,7460. I содержит 76,46% глинистых в-в, растворимых в  $\text{CH}_3\text{COOH}$  и  $\text{HCl}$ . Для определения ионов, адсорбированных I из воды, высушенный на воздухе образец взвешивали и при нагревании подвергали экстракции водой, которую анализировали на содержание ионов. Анализ воды (%):  $\text{Na}^+$  0,44800;  $\text{K}^+$  0,05105;  $\text{Li}^+$  0,00019;  $\text{Ca}^{2+}$  0,03693;  $\text{Sr}^{2+}$  0,00036;  $\text{Mg}^{2+}$  0,00691;  $\text{Fe}^{3+}$  0,01968;  $\text{Al}^{3+}$  0,00911;  $\text{Cl}^-$  0,24122;  $\text{Br}^-$  0,0032;  $\text{J}^-$  0,00009;  $\text{SO}_4^{2-}$  0,36430. Ионы,  $\text{H}_2\text{S}$  и свободная  $\text{S}$  придают I цемента свойства. Практически постоянный термич. градиент обеспечивает ассимиляцию адсорбированных элементов. Эти свойства и состав делают I пригодной для терапевтич. применения.

Н. Халатова

**57103 К.** Гидротермальный рудный комплекс северо-восточной части Малого Кавказа. Минералогия и геохимия. Эфендиев Г. Х. Баку, АН АзербСССР, 1957, 344 стр., илл., 18 р. 60 к.

**57104 К.** Вопросы геологии урана. [Атомная энергия, 1957, Прилож. № 6]. М., Атомиздат, 1957, 160 стр., илл., 9 руб.

**57105 Д.** Геолого-петрографическая характеристика и генезис огнеупорных глин Зейско-Буреинской депрессии. Финько В. И. Автореф. дисс. канд. геол.-минералог. н., Ин-т геол. руд. месторожд., петрол. минералогии и геохимии, АН СССР, М., 1958

См. также: Физ.-хим. методы анализа минералов 56509, 56510. Структура, состав и св-ва минералов 56513, 56520, 56521, 57145, 57146. Состав и св-ва руд и пород 57159, 57167, 57171, 57182, 57187, 57215, 57216, 57945. Распределение элементов в природных объектах 58178

## АНАЛИТИЧЕСКАЯ ХИМИЯ

### ОБЩИЕ ВОПРОСЫ

Редактор А. И. Бусев

**57106.** Статистика в химическом анализе I. Обнаружение систематических и грубых ошибок и интерпретация случайных ошибок для весового и титриметрических методов. Готшалк, Демель

(Statistik in der chemischen Analyse. I. Die Aufdeckung systematischer und grober Fehler und die Bedeutung zufälliger Fehler im Rahmen gravimetrischer und titrimetrischer Analysenverfahren. Gottschalk G., Dehmel P.), Z. analyt. Chem., 1957, 159, № 2, 81—94 (нем.)

Дается классификация аналитич. ошибок. Рассматриваются возможные причины появления систематич.

ошибок в весовом и титриметрич. методах. Для исключения систематич. ошибок находят линейную связь между надежно установленными содержаниями в-ва в пробе и результатами определений, полученными с помощью изучаемого метода. Параметры этого уравнения, определенные методом наименьших квадратов, дают возможность ввести 2 поправки: 1) исключают постоянную ошибку, не зависящую от концентрации анализируемого вещества; 2) исключают ошибку, изменяющуюся пропорционально определяемой конц-ии. Статистич. значимость поправок оценивается с помощью  $t$ -критерия. Случайная ошибка определяется как величина, характеризующаяся отклонением исправленных значений от надежно установленных значений содержания в-ва в пробе.

В. Налимов  
57107. Расчет ошибок в аналитической химии. II. Систематические ошибки Дёрффель (Fehlerrechnung in der analytischen Chemie. II. Die systematischen Fehler Doerffel Klaus), Z. analyt. Chem., 1957, 157, № 4, 241—248 (нем.).

Систематические ошибки могут быть разделены на 2 категории: постоянные ошибки (I), величина которых не зависит от конц-ии определяемого в-ва, и переменные ошибки (II), величина которых изменяется с изменением конц-ии в-ва. Показано, что обе категории ошибок могут быть определены без применения стандартных образцов, или каких-нибудь других проб с известным содержанием. Из простых алгебраич. соображений следует, что I может быть определена, если проба неизвестного состава анализируется из двух параллельных определений и навески берутся различной величины (обычно 1:2). Для оценки II делают 2 параллельных определения, причем в одному из них добавляют определенное кол-во анализируемого в-ва. Для подсчета указанных ошибок можно использовать текущие анализы. В этом случае одну половину проб используют для определения I, другую — для определения II. Для оценки статистич. значимости полученных результатов применяется  $F$ -критерий. Сообщение I см. РЖХим, 1958, 10946.

В. Налимов

57108. Использование прежних результатов количественного химического анализа для оценки неизвестной дисперсии  $\sigma^2$ . Котляровский (Wykorzystanie dawnych wyników analizy chemicznej ilościowej przy szacowaniu nieznanej wariancji  $\sigma^2$  w populacji tych wyników. Kotlarski I.), Normalizacja, 1957, 25, № 7—8, 342—343 (польск.).

Показано, что при определении дисперсии  $\sigma^2$ , характеризующей воспроизводимость анализа, вместо того чтобы производить повторный многократный анализ одной и той же пробы, можно воспользоваться результатами предыдущих определений различных по составу проб, если только они были выполнены не менее чем из двух параллельных навесок (число параллельных определений, по которым сдавались анализы, может быть неодинаковым). Для оценки доверительных пределов при определении  $\sigma^2$  применен  $\chi^2$ -критерий. Сравнение двух значений  $\sigma^2$  производится при помощи  $F$ -критерия.

В. Налимов

57109. Пример применения статистических методов для приемки вещества с определенной степенью чистоты. Филипп (Exemple d'application des méthodes statistiques à la réception d'une substance de pureté déterminée. Philippe J.), J. Soc. statist. Paris, 1957, 98, № 4—6, 147—151 (франц.).

На примере приемки контрольной лабораторией сульфата дигидрострентомидина (I) на одном из фармацевтич. заводов показана значимость статистич. методов при оценке активности I. Для определения средней погрешности достаточно выполнить по 2 анализа

для каждой партии и вычислить  $d$  — разность между полученными результатами; для  $n$ -партий  $S = V \cdot d^2 / 2n$ . Показано, что, пользуясь методами математич. статистики, можно установить нижний предел для маркировочного анализа и необходимое число параллельных определений; исходя из заранее заданных вероятностей, можно пропустить некондиционный и забраковать кондиционный продукты.

Т. Леви

57110. Забуференные окислительно-восстановительные системы. Количественная оценка окислительно-восстановительной буферной емкости и ее связь с выполнимостью окислительно-восстановительного титрования. Найтингейл (Poised oxidation-reduction systems. A quantitative evaluation of redox poisoning capacity and its relation to the feasibility of redox titrations. Nightingale E. R., Jr), Analyt. Chem., 1958, 30, № 2, 267—272 (англ.).

В работе дается метаматич. трактовка эффективно-сти буферного действия окислительно-восстановительных пар по отношению к добавкам восстановителя ( $R$ ). Определяемая величиной коэф.  $q = dC_R / dE$  ( $C_R$  — конц-ия  $R$ , необходимая для изменения потенциала  $E$  на 1) окислительно-восстановительная буферная емкость зависит от стехиометрич. конц-ии компонентов окислительно-восстановительной пары, числа участвующих в окислении-восстановлении электронов и разности  $E$  между  $p$ -ром формальных электродным потенциалом пары. Выводится метаматич. уравнение для коэф.  $q$ , дифференцированием которого получено условие для определения максимума или минимума кривой  $q = f(E)$ . Для пар, реагирующих с переносом 1 или 2 электронов, определяется наименьшая разность между формальным потенциалом пары и  $R$ , при которой удается установить конечную точку титрования. Для характеристики четкости определения конца титрования вычисляется коэф.  $\eta = C_S / p$ , где  $C_S$  — стехиометрич. конц-ия  $R$ , необходимая для достижения точки эквивалентности. Особо рассматривается случай восстановления  $p$ -рителя сильными восстановителями и влияние конц-ии водородных ионов на буферную емкость окислительно-восстановительных систем.

Н. Полянский

57111. Значение температуры в титриметрическом анализе. Лю Гын Дон, Чосон яхак, 1957, № 3, 11—13 (кор.).

57112. Дифференциальное термометрическое титрование. Зенчельский, Сегатто (Derivative thermometric titrations. Zenchelsky S. T., Segatto P. R.), Analyt. Chem., 1957, 29, № 12, 1856—1858 (англ.).

Кривые простого термометрич. титрования (ТТ), напоминающие кривые кондуктометрич. титрования, зачастую не имеют четких изломов, что затрудняет точное определение точки эквивалентности (ТЭ). Применение дифференциального ТТ повышает точность определения ТЭ. В предлагаемом дифференциальном методе ТТ изменения  $t$ -ры в титруемой системе с помощью мостика термосопротивлений преобразуются в изменения напряжения. С целью усиления импульсы тока поступают на самобалансирующий потенциометр, соединенный с механ. усилителем. Последний соединяется с емкостно-омич. фильтром, который понижает статистич. флуктуации импульсов. С применением спец. фильтра, схема которого приводится, самописец регистрирует дифференциальные кривые ТТ едкого натра 0,25—0,50 н.  $p$ -ром HCl. Средняя относительная погрешность определения составляет соответственно 0,4 и 0,2%.

Н. Полянский

57113. Применение органических производных в титриметрическом анализе. III. Титрование при по-



мощи меркаптобензтиазола. Чигалик, Кудрновская-Павликова (Verwendung von organischen Schwefelderivaten in der Massanalyse. III. Titrationen mit Mercaptobenzthiazol. Čiĥalík J., Kudrnovská-Pavliková E.), Collect. czechosl. chem. commun., 1958, 23, № 2, 265—271 (нем.; рез. русск.) См. РЖХим, 1958, 10952.

**57114.** Титрование этилендиаминтетрауксусной кислотой. Природа и методы определения конечной точки. III. Барнард, Брод, Флашка (The EDTA titration: nature and methods of end point detection. III. Barnard A. J., Jr, Broad W. C., Flaschka H.), Chemist Analyst, 1957, 46, № 2, 46—56 (англ.)

Продолжение обзора визуальных методов определения конечной точки при титровании этилендиаминтетрауксусной к-той и используемых индикаторов. Библ. 109 назв. Часть II см. РЖХим, 1957, 71898.

Н. Чудинова

**57115.** Комплексометрическое титрование (хелатометрия). XXXIII. Основные вещества в комплексонометрии. Вржештял, Гавирж, Брандштетр, Котрлы (Komplexometrické titrace (chelatometrie) XXXIII. Základní látky v chelatometrii. Vřešťál Jan, Havíř Josef, Brandštetr Jiří, Kotrlý Stanislav), Chem. listy, 1957, 51, № 11, 2023—2031 (чешск.)

Изучен ряд неорганич. и органич. соединений как основные в-ва для определения титра р-ров этилендиаминтетрауксусной к-ты (I). Титрование исследуемых в-в р-рами I проводили обычными методами. Каждое из в-в титровали 5—7 раз и результаты подвергли статистич. обработке. Исследованные препараты разделяются на следующие группы: 1) металлы и их окислы, 2) безводн. неорганич. соли, 3) неорганич. соли с кристаллизационной водой, 4) органич. комплексные соединения металлов, 5) динатриевая соль I. Из в-в первой группы Cu, Ni, Zn и также ZnO имеют низкий эквивалентный вес; более пригодны металлич. Cd, Bi, а также PbO. Вся первая группа исходных в-в трудно поддается контролю чистоты. Из 2-й группы в-в вполне пригодны Pb(NO<sub>3</sub>)<sub>2</sub> и PbCl<sub>2</sub>. Соединения 3-й группы (ZnSO<sub>4</sub>·7H<sub>2</sub>O, (NH<sub>4</sub>)<sub>2</sub>Mg(SO<sub>4</sub>)<sub>2</sub>·6H<sub>2</sub>O, (NH<sub>4</sub>)<sub>2</sub>Cd(SO<sub>4</sub>)<sub>2</sub>·6H<sub>2</sub>O, Cd(IO<sub>3</sub>)<sub>2</sub>·H<sub>2</sub>O) не пригодны как исходные в-ва несмотря на их высокий эквивалентный вес, так как содержание кристаллизационной воды у них не постоянно. Более пригодны в-ва 4-й группы (Cd- и Zn-дипиридилроданиды, Cd-антранилат), но контроль их состава затруднен; комплексы с пиридином могут терять часть пиридина при повышенных т-рах. Применение Na<sub>2</sub>-соли I также осложняется ввиду трудностей очистки продажных препаратов и также гигроскопичности безводн. соединения; получение дигидрата I требует много времени. Чистоту Na<sub>2</sub>-соли I контролируют только титрованием. Из всех исследованных в-в в качестве комплексометрич. эталона наиболее пригоден PbCl<sub>2</sub>, малая растворимость которого на холоду и высокая при нагревании позволяет его очистить перекристаллизацией. Безводн. PbCl<sub>2</sub> устойчив и не гигроскопичен; его получение и контроль чистоты просты. Для определения титра р-ров I на PbCl<sub>2</sub> применяют в качестве индикаторов эриохром черный Т, пирокатехиновый фиолетовый или кислородный оранжевый; изменения цвета в точке эквивалентности во всех случаях очень четки. Высокий мол. вес PbCl<sub>2</sub> позволяет точно определять титр по навеске даже в случае 0,005 M р-ров I; в этом случае наиболее пригоден последний из названных индикаторов. Сообщение XXXII см. РЖХим, 1958, 57200.

К. Камен

**57116.** Взаимодействие органических соединений с ионами металлов. Гершунс А. Л., Уч. зап. Харь-

ковск. ун-т, 1957, 95, Тр. Хим. фак. и Н.-и. ин-та химии ХГУ, 18, 167—177

Изучено влияние пространственных факторов в молекуле производных 2,2-дипиридила (I), величин их K(дисс.) как слабых оснований и величин  $\log K$ , образующихся при взаимодействии их с ионами металлов, на устойчивость внутримолекулярных соединений производных I с ионами Cu<sup>2+</sup> и Fe<sup>2+</sup>, а также пути синтеза новых реактивов для анализа Nb, Ta и Ti. Выяснено, что несмотря на близость K(дисс.) I и 1,10-фенантролина (II) устойчивость их комплексов различается на 4 порядка, причем большая прочность комплексов II объяснена наличием фиксированной копланарности ядер в молекуле II. Проведено сравнение K(дисс.) оснований и K(неуст.) комплексов Cu<sup>2+</sup> с I, 2,2-дихинолилом (III) и 5,5-дихлор-2,2-дипиридил-ом (IV) в присутствии и в отсутствие NH<sub>4</sub>OH и показано, что устойчивость комплексов уменьшается с падением основности реактивов (от I к III), причем уменьшение K(дисс.) оснований на один порядок вызывает уменьшение K(неуст.) комплексов на 6—10 порядков. Обнаружено, что введение мол. моста (—CH<sub>2</sub>—, —NH—, —S—S—, —SO<sub>2</sub>—) между пиридиновыми ядрами полностью устраняет способность I к образованию окрашенных комплексов с Cu<sup>2+</sup> и Fe<sup>2+</sup> и обуславливает возникновение комплексов состава 1:1 с Cu<sup>2+</sup>, окрашенных в зеленый цвет. Изучена возможность применения ряда паразамещенных производных пирокатехина и некоторых анилов протокатехинового альдегида (впервые синтезированных) в качестве реактивов для определения Ta, Nb, Ti и установлено, что интенсивность и глубина окраски комплексов зависят от природы заместителя и предполагаются в следующий ряд: HOOC > OH > NH<sub>2</sub> < <N(CH<sub>3</sub>)<sub>2</sub> < NH—C<sub>6</sub>H<sub>5</sub>. Дополнительное изучение необходимо для выяснения возможностей применения для этой цели ряда продуктов взаимодействия красителей с оксикислотами.

Р. Моторкина

**57117.** Применение сероводорода в качественном анализе. Зиверт (Anwendung von Schwefelwasserstoff in der qualitativen Analyse. Siewert Gerhard), Chem. Technik, 1958, 10, № 1, 42—43 (нем.)

Для получения H<sub>2</sub>S предложен простой прибор, удобный для применения в лабораториях качества. полумикроанализа. Показано, что равномерное выделение H<sub>2</sub>S происходит только при использовании FeS высокой чистоты, кусочки которого диам. 4—6 мм растворяются в к-те, не рассыпаясь в мелкий порошок.

А. Немодрук

**57118.** Применение этиловых простых эфиров резазурина и резорфурина в качестве станоиметрических редокс-индикаторов. Ружичка (Resazurinethylether a resorufinethylether jako stannometrické redox indikátory. Ružička Eduard), Chem. listy, 1957, 51, № 10, 1814—1818 (чешск.)

В качестве редокс-индикаторов при редуктометрич. титровании р-рами SnCl<sub>2</sub> применимы резазуриноэтиловый эфир (I; 7-этоксифеноксазон(2)-10-оксид) и резорфуиноэтиловый эфир (II; 7-этоксифеноксазон(2)). Потенциометрич. титрованием их 0,001 M р-ров SnCl<sub>2</sub> в 4 н. HCl при 20° найдены следующие величины нормальных восстановительно-окислительных потенциалов: для I 0,59 в (при pH 1,36), для II 0,57 в (при pH 1,7). Все титрование проводили в атмосфере CO<sub>2</sub> и в среде HCl. Станоиметрич. методом можно пользоваться для прямого определения Cr<sub>2</sub>O<sub>7</sub><sup>2-</sup>, [Fe(CN)<sub>6</sub>]<sup>3-</sup>, VO<sub>3</sub><sup>-</sup>, Fe<sup>3+</sup>, [PtCl<sub>6</sub>]<sup>-</sup>, Ir(4+) и OsO<sub>4</sub>; титрование Fe<sup>3+</sup> протекает колич. только при 60—80°. К титрованным р-рам прибавляют 3—5 капель 0,001 M р-ра I или II в 4 н. HCl; оба индикатора в точке эквивалентности изменяют окраску от красной или бурно-красной на зелено-синюю или зеленую. В большинстве слу-

чаев получаются повышенные результаты ввиду избытка реагента для восстановления индикатора; при определении  $\text{Fe}^{3+}$  результаты лежат ниже, так как индикатор восстанавливается ионами  $\text{Fe}^{2+}$ , образующимися в ходе титрования. Поэтому II при титровании  $\text{Fe}^{3+}$  не пользуются. Всем определениям мешают  $\text{Sb}^{3+}$ ,  $\text{Cu}^{2+}$ , восстановители, окислители, свободные галогены.

K. Kamen

57119. Определение производных оксиксаниолина и некоторых оксиксаниолинов в ледяной уксусной кислоте. Сerrano-Берхес, Эрреро-Лансина (Valoración de derivados de la oxina y de algunos oxinatos en acetico glacial: Serrano Berges L., Herrera Lancina M.), An. Real soc. esp. fis. y quim., 1957, B53, № 12, 763—766 (исп.; рез. англ.)

С. удовлетворительными результатами выполнено потенциометрич. полумикротитрование оксиксаниолина и 5-нитро-2-метилоксиксаниолина в лед.  $\text{CH}_3\text{COOH}$  с применением  $\text{HClO}_4$  в качестве титрующего реагента из стандартного индикаторного электрода. Оттитровать 5,7-дибромоксиксаниолин указанным методом не удается. Предложен метод титриметрич. определения ряда не растворимых в  $\text{CHCl}_3$  оксиксаниолинов. Выделившийся при этом оксиксаниолин экстрагируют хлороформом и титруют вышеописанным способом. Метод применен к оксиксаниолинам Mg, Zn и Cd; получены хорошие результаты.

Н. Полянский

57120. Аналитическое применение некоторых новых оксимов. Даве, Талати (Analytical applications of some new oximes. Dave J. S., Talati A. M.), Current Sci., 1957, 26, № 10, 326 (англ.)

Установлено, что  $\alpha$ -изонитрозо- $\beta$ -оксиминоацетоацетонил (I),  $\alpha$ -изонитрозо- $\beta$ -оксиминоацетоацетон-хлорид (II),  $\alpha$ -изонитрозо- $\beta$ -оксиминоацетоацетон-хлорид (III) образуют осадки  $\text{M}(\text{DH})_2$  с Pd, Ni, Co и Cu ( $\text{DH}$  — диоксим). Pd количественно осаждается при pH 0,1—0,2; Cu с I при pH > 4,9, с II при pH > 3,0, с III при pH > 2,4; Ni с I при pH > 6,2, с II при pH > 5,1, с III при pH > 4,4.

Н. Чудинова

57121. Об окислительном действии N-бромсукцинимидов. Берка, Зыка (O oxydačním působení n-bromsukcinimidu. Berka Antonín, Zýka Jaroslav), Chem. listy, 1957, 51, № 10, 1823—1827 (чешск.); Collect. Czechosl. chem. commun., 1958, 23, № 3, 402—407 (нем.; рез. русск.)

Водный 0,01 M p-p N-бромсукцинимид (I), титр которого можно установить по p-ру арсенита натрия в среде 0,05 н. NaOH, в присутствии метилового красителя, применим для оксидиметрич. определения солей  $\text{As}(3+)$ ,  $\text{Sb}(3+)$ ,  $\text{Sn}(2+)$ ,  $\text{Ti}(3+)$ ,  $\text{Ti}$ , далее — для определения  $\text{J}_2$ ,  $\text{J}^-$ ,  $\text{SCN}^-$ ,  $\text{S}^-$ , гидрохинона, хингидрона, гидразина и тиомочевины. Однако применение I ограничено малой устойчивостью его водн. p-ра, который при нормальной t-ре разлагается уже через несколько часов, при 4° — через 2—3 дня. Обсуждают возможный механизм p-ции окислительного действия I.

Antonin Emr

57122. Термическое разложение осадков тория. III. Соли органических кислот. Уэндландт (Thermal decomposition of thorium precipitates. III. Salts of organic acids. Wendlandt Wesley W.), Analyt. chim. acta, 1958, 18, № 4, 316—320 (англ.)

С помощью весов непрерывного взвешивания изучалось термич. разложение ториевых солей дубильной (дубаловой), 5-бромсалициловой, 5-нитросалициловой, 1-окси-2-нафтойной, фенилглицин- $\alpha$ -карбоновой, фенилпропионовой, ацетил- $\alpha$ -салициловой, феноксиуксусной, 2,4,5-трихлорфеноксиуксусной и 2,2'-дифенил к-т. Сообщение II см. РЖХим, 1958, 21087.

М. Грачев

57123. Флуориметрическое изучение системы торий — морин. Милки, Флетчер (A fluorimetric

study of the thorium-morin system. Milkey Robert G., Fletcher Mary H.), J. Amer. Chem. Soc., 1957, 79, № 20, 5425—5435 (англ.)

Изучено влияние концентрации к-т,  $\text{C}_2\text{H}_5\text{OH}$ ,  $\text{Th}(4+)$ , морина, а также времени, t-ры и  $\lambda$  волны облучения на интенсивность флуоресценции комплексных соединений Th с моринем. Обсуждается влияние  $\text{Zr}(4+)$ ,  $\text{Al}^{3+}$ ,  $\text{Fe}^{3+}$ ,  $\text{Ca}^{2+}$  и  $\text{La}^{3+}$  на флуоресценцию. Определена максим. чувствительность реактива.

Н. Канаев

57124. Применение вращающегося каплевого ртутного электрода к анализу смесей электроактивных веществ. Кольтгофф, Окинака, Фудзинага (Application of the rotated dropping mercury electrode to the analysis of mixtures of electroactive substances. Kolthoff I. M., Okinaka Y., Fujinaga T.), Analyt. chim. acta, 1958, 18, № 4, 295—309 (англ.)

Рекомендуется употребление полиакриламида вместо желатины для подавления максимумов при работе с вращающимся каплевым Hg- и обычным каплевым Hg-электродами, так как он сильно адсорбируется на ртути при всех значениях потенциала и не соединяется с тяжелыми металлами в любой среде. Исследование воспроизводимости результатов вращающегося Hg-электрода показало его пригодность для определения концентрации отдельного компонента до  $1\text{--}2 \cdot 10^{-5} \text{ M}$  ( $\pm 2\%$ ). Изменение предельного тока с ростом потенциала значительно больше у вращающегося электрода, чем у обычного, что должно учитываться при анализе смеси электроактивных в-в. Приведены методы расчета этого изменения. Показаны преимущества вращающегося электрода при определении малых кол-в в-в.

М. Грачев

57125. Полярграфия с прямоугольными импульсами. Часть 3. Простая каплевая полярграфия. Баркер (Square wave polarography. Part 3. Single drop polarography. Barker G. C., Repts. Atomic Energy Res. Establish., 1957, № C/R1563, 18 pp., ill.) (англ.)

Полярграфия с прямоугольными волнами (РЖХим, 1958, 36017) использована для определения  $\sim 10^{-7} \text{ м/л}$  ионов металлов, растворимых в Hg ( $\text{Zn}$ ,  $\text{Cd}$ ,  $\text{Cu}$  и т. п.). Катодом служит капля Hg на кончике капилляра, опущенного в p-р фона (1 M KCl), тщательно очищенного от электровосстанавливающихся в-в. Перед добавлением анализируемого в-ва катод отрицательно поляризуется для восстановления электроположительных примесей, присутствующих в p-ре фона, после чего снимают прямоугольную волну фона. Затем добавляют в электролизер анализируемый образец и снимают его прямоугольную волну. Ошибка определения  $> 10^{-3} \text{ м/л Pb}$ ,  $\text{Cu}$ ,  $\text{Cd} < \pm 10\%$ . Часть 2 см. РЖХим, 1958, 36017.

Н. Чудинова

57126. Спектрохимический анализ методом испарения. Мандельштам (Spectrochemical analysis by the evaporation method. Mandelstam S.), Appl. Spectroscopy, 1957, 11, № 4, 157—158 (англ.)

См. РЖХим, 1956, 51148.

57127. Спектральное исследование процесса испарения бинарных сплавов. Заур, Унгер (Spektralanalytische Untersuchung des Verdampfungsvorganges binärer Legierungen. Saur E., Unger E.), Z. Naturforsch., 1958, 13a, № 2, 72—79 (нем.)

Для исследования состава и свойств тонких слоев бинарных сплавов применен метод испарения при постоянной t-ре с разделением и конденсацией отдельных фракций. Металл расплавляют в ванне из вольфрама, обогреваемой электрич. током. Диаметр ванны  $\sim 7 \text{ мм}$ . Конденсат собирают на шести часовых стеклах, вставленных в отверстия тарелки, медленно вращающейся над ванной и последовательно подводящей к ней стекла. Вращение осуществляется действием внешнего постоянного магнита и так отрегулировано, что остаточный конденсат полностью собирается на



последнем стекле. Установка покрыта стеклянным колпаком и откачивается ртутно-диффузионным насосом. Конденсаты взвешивают, растворяют в  $\text{HNO}_3$  или дарской водке и состав их исследуют спектрально по методу (Rivas A., Scheibe G., Z. angew. Chem., 1936, 49, 443). Угольные электроды пропитывают р-ром конденсата и сушат. Спектры возбуждают обрывной дугой Пфайльштикера и фотографируют на спектрографе Q-24 с 3-ступенчатым ослабителем. Эталонные р-ры готовят синтетически. Градуировочные графики строят в координатах  $\Delta S, \lg C$ . Метод дает возможность определять отношение упругости пара компонентов сплава. Упрощается также изучение тонких металлич. слоев, испаренных на кусочки фольги из другого металла. Приведены кривые испарения сплавов, отношения упругостей пара компонентов при  $1600^\circ$  для  $\text{Ag}-\text{Cu}$ ,  $\text{Cu}-\text{Ag}$ ,  $\text{Sn}-\text{Cu}$ ,  $\text{Sn}-\text{Pb}$ ,  $\text{Sn}-\text{Ag}$  и  $\text{Ag}-\text{Al}$ , а также аналитич. пары линий. Т. Гуревич

**57128. Метод равных почернений в серийном полном приближенном спектральном анализе.** Зейдель, Эйххофф (Das isomelanverfahren eine Routine-methode zur spektroskopischen Übersichtsanalyse. Seidel W., Eichhoff H. J.), Proc. Colloquium Spectroscopicum Internat. VI, London, Pergamon Press, 1957, 409—419. Diskuss., 419 (нем.)

Описанный способ анализа, являющийся комбинацией методов де Грамонта, Шейбе — Шнетлера и Аддинка, проверен на тысячах анализов химикатов, керамич. продуктов, металлов и сплавов, руд и минералов. Метод основан на визуальном сравнении плотности почернений нескольких линий определяемого элемента с одной линией сравнения  $\text{Ag } 3280,66 \text{ \AA}$ . Оценку производят на спектропроекторе по спектрограмме, сфотографированной при стандартных условиях. Установление конц-ий элемента, при которых та или иная из выбранных его линий становится одинаковой интенсивности с линией  $\text{Ag } 3280 \text{ \AA}$ , производят заранее по спектрам эталонов, измеренным на микрофотометре. Данные фотометрирования оформляют в виде градуировочных графиков. На абсциссе откладывают  $\lg C$ , а на ординате — приведенные почернения. На координатной сетке проводят для каждой выбранной линии элемента вертикаль, пересекающую ось абсцисс в точке, соответствующей конц-ии, при которой имеет место равенство почернений пары линий. Если на каждой вертикали отметить точки равных почернений, то соединяющая их наклонная прямая образует градуировочный график. Так как в общем случае в спектрах проб ни одна из выбранных линий элемента может не быть равной линии  $\text{Ag}$ , то визуальное производят интерполяцию и, отыскивая из графика величину приведенного ( $W$ ) почернения, по графику находят искомую конц-ию. Кроме градуировочных графиков, также заранее, для быстрого нахождения линий в спектрах, готовят репродукции спектра  $\text{Fe}$  в масштабе его изображения на спектропроекторе и отмечают на нем положения аналитич. линий. При анализе размельченную пробу смешивают с графитовым порошком в отношении 1:10, содержащим в качестве элемента сравнения  $\text{Ag}$  ( $107 \text{ г}$  порошка +  $1 \text{ мл}$   $0,1 \text{ н. р-ра}$   $\text{AgNO}_3$ ). Навеску смеси  $200 \text{ мг}$  прессуют на ручном прессе в стержень размером  $2 \times 2 \times 20 \text{ мм}$  под давл.  $5-6 \text{ т/см}^2$ . Между стержнем и электродом из угля диам.  $5 \text{ мм}$ , заточенным на конус, зажигают дугу переменного тока при  $4 \text{ а}$  и межэлектродном промежутке  $2-3 \text{ мм}$ . Спектр фотографируют на спектрографе O-492 Хильгера при экспозиции  $30 \text{ сек}$ . Метод позволяет производить определение элементов в пробах с ошибкой около  $\pm 30\%$ . Требуется сохранять постоянство условий возбуждения спектра, фотографирования, постоянство фотоматериалов и способа их обработки. Приводятся аналитич. линии

для 24 элементов с указанием конц-ий, при которых эти линии равноинтенсивны с линией сравнения  $\text{Ag}$ . В. Борзов

**57129. Химический анализ с использованием нейтронных реакций.** Шиндевольф (Chemische Analyse durch Neutronenreaktionen. Schindewolf U.), Angew. Chem., 1958, 70, № 7, 181—187 (нем.; реангл., франц.)

Обзор. Библ. 134 назв.

**57130. Определение концентраций при помощи обратного рассеивания  $\beta$ -лучей.** Данги (Détermination de concentrations par rétrodiffusion  $\beta$ . Danguy Louis), Internat. J. Appl. Radiat. and Isotopes, 1957, 2, № 1, 90—91 (франц.)

Исследовались оптимальные условия определения конц-ий водн. р-ров  $\text{KJ}$  при помощи обратного рассеивания  $\beta$ -излучения  $\text{P}^{32}$  ( $1,701 \text{ Мэв}$ ). Показано, что максим. чувствительность метода достигается при толщине  $\text{Al}$ -фильтра, равно  $0,2$  максим. пробега  $\beta$ -излучения источника. Э. Чудинов

**57131. Фазовый анализ как быстрый метод анализа солей.** Герман (Die Phasenanalyse als Schnellverfahren zur Analysierung von Salzgesteinen. Herrmann Albert Günter), Bergakademie, 1956, 8, № 5, 201—207 (нем.)

Исследована применимость метода разделения в тяжелых жидкостях для быстрого анализа смеси минер. солей. В качестве тяжелой жидкости взят тетрабромэтан (уд. в.  $2,9$ ); разбавлением тетрабромэтана толстым получали жидкости с уд. весом от  $1,89$  до  $2,45$ . Разделению подвергали смеси, содержащие 6 солей: карналит  $\text{KCl} \cdot \text{MgCl}_2 \cdot 6\text{H}_2\text{O}$ , сильвин  $\text{KCl}$ , хлорид натрия  $\text{NaCl}$ , кизерит  $\text{MgSO}_4 \cdot \text{H}_2\text{O}$ , полигалит  $2\text{CaSO}_4 \cdot \text{K}_2\text{Mg}(\text{SO}_4)_2 + 2\text{H}_2\text{O}$  и ангидрит  $\text{CaSO}_4$ . При малых кол-вах карналит определяют совместно с сильвином. Перед разделением пробу соли высушивали при  $80-85^\circ$  и измельчали до среднего диаметра зерна  $\sim 0,2 \text{ мм}$ . Разделение в тяжелой жидкости проводили при центрифугировании в течение  $15 \text{ мин.}$  при  $4000-5000 \text{ об/мин}$  в спец. пробирках емк.  $25-30 \text{ мл}$ . Каждую солевую фракцию получали из отдельной навески при разделении ее в жидкости определенного уд. веса. Таким образом, чистые фракции получали только для карналита и ангидрита. Кол-ва остальных четырех солей находили по разности. Такой метод разделения позволил, по мнению авторов, исключить потери, неизбежные при многократной последовательной обработке одной навески жидкостями разного уд. веса. Авторы проверили два варианта метода: весовой и колуметрический. Объем фазы определялся в градуированных пробирках с ценой деления  $0,1 \text{ мл}$ . Вес фазы находили умножением объема на уд. вес. Указаны трудности, возникающие (из-за гигроскопичности) при относительно высоком содержании карналита в пробе. Сравнивая результаты анализа для ряда проб, полученные хим. и разработанным методом (2 варианта), авторы делают вывод об удовлетворительной точности предложенного метода и рекомендуют его как быстрый метод анализа для оценки солевых месторождений и при проведении некоторых исследований.

Н. Солянец

**57132. Исследование аналитических высокотемпературных реакций методом дифференциальной термogrавиметрии.** Эрден (Derivativ-thermogravimetrische Untersuchung analytischer Hochtemperatur-Reaktionen. Erdey L.), Period. polytechn., 1957, 1, № 2, 91—104 (нем.)

Методом дифференциальной термogrавиметрии (ДТГ) изучены высокотемпературные р-ции различных протонных и апротонных систем и показано, что для интерпретации этих систем применима электронная теория Льюиса. Установлено, что разложение

$\text{NH}_4\text{F}$  и  $(\text{NH}_4)_2\text{SO}_4$  идет в 2 стадии с образованием кислых солей;  $\text{J}^-$  представляет собой более сильное основание, чем  $\text{Br}^-$ , что объясняется его большей деформируемостью. При применении аммониевых солей в качестве агентов разложения окисей металлов эффективность солей снижается в последовательности  $(\text{NH}_4)_2\text{SO}_4 > \text{NH}_4\text{Br} > \text{NH}_4\text{J} > \text{NH}_4\text{Cb} > \text{NH}_4\text{F}$ . При помощи  $(\text{NH}_4)_2\text{SO}_4$  можно осуществить разложение  $\text{Al}_2\text{O}_3$ , а также  $\text{Fe}_2\text{O}_3$ . Получены ДТГ-кривые смеси гидратгиллита  $(\text{NH}_4\text{Al}(\text{SO}_4)_2)$  с  $(\text{NH}_4)_2\text{SO}_4$ ; в интервале  $330-450^\circ$  начинается разложение гидратгиллита и излучения  $(\text{NH}_4)_2\text{SO}_4$ . Установлено, что анион  $\text{Al}(\text{SO}_4)_2^-$ , связанный с  $\text{NH}_4^+$ , является более слабым основанием, чем  $\text{SO}_4^{2-}$ .  $(\text{NH}_4)_2\text{SO}_4$ , связанный в форме аммониевых катионов, разлагается при более высокой т-ре ( $520^\circ$ ), чем чистый  $(\text{NH}_4)_2\text{SO}_4$  ( $390^\circ$ ). На примере р-ции разложения осажденного  $\text{Fe}(\text{OH})_3$  и прокаленной  $\text{Fe}_2\text{O}_3$ , а также  $\text{Al}(\text{OH})_3$  и  $\text{Al}_2\text{O}_3$  в присутствии  $(\text{NH}_4)_2\text{SO}_4$  показано, что катионная к-та  $\text{Fe}(3+)$  слабее, чем катионная к-та  $\text{Al}(3+)$ . На основании результатов определения потерь  $\text{NH}_3$  из осадков  $\text{ZnNH}_4\text{PO}_4$ ,  $\text{MnNH}_4\text{PO}_4 \cdot \text{H}_2\text{O}$ ,  $\text{MgNH}_4\text{PO}_4 \cdot \text{H}_2\text{O}$  и  $\text{CdNH}_4\text{PO}_4 \cdot \text{H}_2\text{O}$  установлено, что сила катионных к-т снижается в последовательности  $\text{Zn} > \text{Mg} > \text{Cd} > \text{Mn}$ . При изучении апроновых систем высказано предположение, что сильные к-ты разлагаются с образованием молекул или ионов с максим. координационным числом; координационное число к-т средней силы не изменяется в процессе присоединения  $\text{O}^{2-}$ , при образовании сильнополярных ковалентных связей происходит деполимеризация. Слабые к-ты превращаются, как правило, в твердую окисную фазу. Процесс термич. разложения доломита, происходящий ступенчатым образом, интерпретирован на основе происходящего при повышении т-ры повышения силы катионных к-т. Получены ДТГ-кривые  $\text{Na}_2\text{CO}_3$  и смесей  $\text{SiO}_2$  с  $\text{Na}_2\text{CO}_3$  и с помощью этих кривых подтверждена высокая активность  $\text{O}^{2-}$  в  $\text{Na}_2\text{CO}_3$ , применяющемся в качестве агента разложения силикатов. Т. Леви

57133 К. Практикум по аналитической химии для студентов сельскохозяйственного факультета. Рикковский (Praktikum iz analitičke hemije, za studente poljoprivrednog fakulteta. Rikovski Ilija. Beograd, «Građevinska knjiga», 1957, 291 s., il.) (серб.-хорв.)

См. также: раздел Общие вопросы. Методы биохимических исследований (выпуск Биологическая химия) и рефераты: Общие вопросы: люминесцентный анализ биологии 57024.

## АНАЛИЗ НЕОРГАНИЧЕСКИХ ВЕЩЕСТВ

Редактор Ф. П. Судакос

57134. Применение селеномочевин в аналитической химии. I. Отношение селеномочевин к катионам тяжелых металлов, состав и устойчивость селеномочевинных комплексов висмута. Пилипенко А. Т., Середа И. П., Ж. аналит. химии, 1958, 13, № 1, 3—10 (рез. англ.).

Изучены качеств. р-ции катионов тяжелых металлов с селеномочевинной (I). Установлено, что цветные р-ции I дают ионы  $\text{Bi}^{3+}$ ,  $\text{Sb}^{3+}$ ,  $\text{Sb}^{5+}$ ,  $\text{Sn}^{2+}$ ,  $\text{Sn}^{4+}$ ,  $\text{As}^{3+}$ ,  $\text{As}^{5+}$ ,  $\text{Al}^{3+}$  и  $\text{Pd}^{2+}$ . Характерные нерастворимые соединения образуют ионы  $\text{Pb}^{2+}$ , а также  $\text{Fe}^{3+}$  (при большой конц-ии). Ионы  $\text{Cu}^{2+}$ ,  $\text{Hg}^{2+}$  и  $\text{Ag}^{+}$  образуют бесцветные комплексы, которые хорошо растворимы в воде и характеризуются большой прочностью. Изучен

состав и прочность комплексов  $\text{Bi}$  с I в р-ре. Установлено, что  $\text{Bi}$  образует в р-ре 2 окрашенных комплекса: желтый при соотношении  $\text{Bi} : \text{I} = 1 : 9$  и красный при соотношении  $\text{Bi} : \text{I} = 1 : 12$ . Прочность комплексов  $\text{Bi}$  с I характеризуется приближенными значениями констант нестойкости, равными  $10^{-2}$  (для желтого комплекса) и  $10^{-2.5}$  (для красного комплекса). Чувствительность р-ции на  $\text{Bi}$  с I по образованию красного комплекса 2,5  $\mu\text{г}/\text{мл}$ , а по образованию желтого комплекса 1  $\mu\text{г}/\text{мл}$ . Резюме авторов

57135. о-Дитиолы в анализе. Часть VI. Диацетилтолуол-3,4-дитиол как коагулятор, катализатор и осадитель серы и сульфидов металлов. Кларк (o-Dithiols in analysis. Part VI. Diacetyltoluene—3:4—dithiol as a coagulant, catalyst and precipitant for sulphur and metallic sulphides. Clark Robert E. D., Analyst, 1958, 83, № 983, 103—106 (англ.))

Установлено, что в присутствии следовых кол-в толуол-3,4-дитиола (I) или диацетилтолуол-3,4-дитиола (II) ускоряется коагуляция кислых сульфидов и элементарной S (I и II как коагуляторы), разложение сложных анионов молибдата и арсената (I и II как катализаторы) и осаждение сульфидов  $\text{Mo}$  и  $\text{As}$  (I и II как осадители). В присутствии значительных кол-в II осаждается также W в течение 5—6 мин. в форме комплексного соединения кирпично-красного цвета, растворимого в  $\text{NaOH}$  (в присутствии  $\text{SiO}_2$  осаждение W неполно). Для осаждения сульфидов анализируемый р-р, 0,3—0,4 н. по  $\text{HCl}$ , нагревают до кипения, прибавляют 1 каплю р-ра II (1—5 мг II растворяют в 0,5 мл 95%-ного  $\text{C}_2\text{H}_5\text{OH}$ ), пропускают  $\text{H}_2\text{S}$  или вводят тиаоацетамид, добавляют еще 1 каплю р-ра II и кипятят для удаления  $\text{C}_2\text{H}_5\text{OH}$ . Коагуляция элементарной S в аналогичных условиях происходит также достаточно быстро (6 мин.). Ускорение осаждения сульфидов, по мнению автора, обусловлено тем, что в присутствии II поверхность частиц сульфидов становится гидрофобной. Часть V см. РЖХим, 1958, 32157.

Р. Моторкина

57136. Гематин в качестве реактива для тория, циркония и урана. Сринивасулу, Пурушоттам, Рагхава-Рао (Haematein as a reagent for thorium, zirconium and uranium. Srinivasulu K., Purushottam D., Raghava Rao B. S. V., Z. analyt. Chem., 1958, 159, № 6, 406—409 (англ.))

Изучена возможность применения гематеина (I) для фотометрич. определения  $\text{Th}^{4+}$ ,  $\text{UO}_2^{2+}$  и  $\text{Zr}^{4+}$ . Установлено, что р-ры I обнаруживают сильное светопоглощение в области 380—480 м $\mu$  с максимумом при 440 м $\mu$ . В присутствии  $\text{Th}^{4+}$  или  $\text{UO}_2^{2+}$  максимум светопоглощения сдвигается в область 520—540 м $\mu$ , а в присутствии  $\text{Zr}^{4+}$  — в область 500—520 м $\mu$ . Методом изомольярных серий установлено, что  $\text{Th}^{4+}$ ,  $\text{UO}_2^{2+}$  и  $\text{Zr}^{4+}$  с I образуют комплексы, состав которых характеризуется соотношением  $\text{M} : \text{I}$ , равным 1:6, 1:3 и 1:1 соответственно. При определении  $\text{Th}^{4+}$ ,  $\text{UO}_2^{2+}$  или  $\text{Zr}^{4+}$  к аликвотной порции анализируемого р-ра, содержащего один из перечисленных ионов, прибавляют 10 мл ацетонового р-ра I (содержащего 0,62 мг I), разбавляют ацетоном до 25 мл и фотометрируют в 10-мм кюветах при 540 м $\mu$  (в случае определения  $\text{Th}^{4+}$  и  $\text{UO}_2^{2+}$ ) или при 520 м $\mu$  (в случае определения  $\text{Zr}^{4+}$ ). Описанным методом определяют до 0,05 мг Th (при отсутствии 12-кратного кол-ва редкоземельных элементов Се-группы определению не мешает), 0,029 мг  $\text{U}_3\text{O}_8$  и 0,025 мг Zr. А. Немодрук

57137. Комплексометрическое титрование (хелатометрия). XXXIV. Хромазурил S в качестве индикатора для определения тория, никеля, церия и лантана. Малат, Тенорова (Komplexometrické titrace (chelatometrie). XXXIV. Chromazurol s jako indikátor pro stanovení thoria, niklu, ceru a lanthanu. Malát



Miroslav, Tenorová Marta), Chem. listy, 1957, 51, № 11, 2135—2137 (чешск.)

Изучена возможность применения хромазуrola S (I), известного комплексометрич. индикатора для определения Cu, Al, Fe, Mg, Ca и Ba, для титрования Th, Ni, Ce, La и других редкоземельных элементов. При определении Th 100 мл р-ра, содержащего 2—220 мг Th, подкисляют азотной к-той, прибавляют 8 капель 0,1%-ного водн. р-ра I, добавлением разб.  $\text{HNO}_3$  pH р-ра устанавливают на уровне 1—2 (появляется красно-фиолетовая окраска) и титруют 0,1—0,01 M р-ром комплексона III до желто-луковичной окраски; перед концом титрования р-р временно приобретает красную окраску. Определению Th не мешают щел. и щел.-зем. металлы, Ag, Tl (1+), Zn, Cd и Cl<sup>-</sup> (до конц-ии 1:250). Co, Cr и U в больших кол-вах мешают своей собственной окраской; Fe (3+) и Zr дают цветные р-ции с I. Ni, Ga, In и Hg (2+) отчасти титруются вместе с Th. Мешают также  $\text{SO}_4^{2-}$  и большие кол-ва  $\text{NO}_3^-$  или  $\text{ClO}_4^-$ . В присутствии Pb, Al и Cu I приобретает только розовую или красную окраску. Мешающее влияние Fe (3+) и Hg (2+) устраняют восстановлением аскорбиновой к-той. Преимуществом описанного метода является большой диапазон определяемых конц-ий, но избирательность определения с использованием I меньше, чем при применении других индикаторов. При определении Ni к 100 мл р-ра, содержащего 3—24 мг Ni, прибавляют 6—8 капель р-ра I, разб.  $\text{NH}_4\text{OH}$  до появления фиолетовой окраски и 1—2 мл пиридина и титруют р-ром комплексона III до желтой окраски. Щел.-зем. металлы и Mg титруются вместе с Ni. Определение Ce и La проводят аналогично; верхний предел определяемых конц-ий 75 мг Ce и 85 мг La в 100 мл. Избирательность определения повышается сходными цветными р-циями I с Y, Nd, Pr и другими редкоземельными элементами. Сообщение XXXIII см. РЖХим, 1958, 57115. Karel Kámen

57138. Обратное титрование с помощью нитрата ртути в щелочной среде. Анализ бинарных смесей бария, стронция или магния со свинцом, кобальтом, никелем или медью. Халифа (Back titration with mercuric nitrate in alkaline medium; analysis of binary mixtures of barium, strontium or magnesium together with lead, cobalt, nickel or copper. Khalifa H.), Z. analyt. Chem., 1958, 159, № 6, 410—414 (англ.)

Установлено, что  $\text{Hg}(\text{NO}_3)_2$  при pH 8—9 легко вступает в обменную р-цию с комплексонатами Ba, Sr и Mg. Комплексонаты Pb, Cu, Co и Ni в этих условиях с  $\text{Hg}(\text{NO}_3)_2$  не взаимодействуют. При повышении pH до 11  $\text{Hg}(\text{NO}_3)_2$  не реагирует ни с одним из перечисленных комплексонатов. На этом основании разработан метод обратного титрования бинарных смесей (БС) Ba, Sr или Mg с Pb, Cu, Co или Ni. К 5—10 мл БС прибавляют 15 мл 0,01 M р-ра комплексона III (I), 40 мл буферного р-ра с pH 8 (смесь 1 M  $\text{NH}_4\text{NO}_3$  и 1 M  $\text{NH}_4\text{OH}$ ) и титруют потенциметрически ~0,05 M р-ром  $\text{Hg}(\text{NO}_3)_2$ . Разность между введенным кол-вом I и оттитрованным обратно соответствует содержанию Pb, Cu, Co или Ni в БС. Затем проводят такое же титрование при pH 11. Расход р-ра I в этом случае соответствует суммарному содержанию двух элементов в БС. По разности результатов 1-го и 2-го титрований определяют содержание 2-го элемента в БС. Титрование БС, содержащих Mg, рекомендуется проводить при pH 8 и 11; смеси, содержащие Ba и Sr, титруют соответственно при pH 8,5—9 и 11 и при 8,1 и 11. Ошибка определения Ba, Sr и Mg  $\leq 1,3\%$ ; для Pb, Cu, Co и Ni ошибка не превышает соответственно 1,5, 0,1, 0,6 и 0,3%.

А. Немодрух  
57139. Титриметрическое определение фосфатов и металлов в присутствии фосфатов. Часть IV. Комплексометрическое определение некоторых металлов

в присутствии фосфатов. Даниэл, Редферн, Салмон, Уолл (The volumetric determination of phosphates and of metals in the presence of phosphates. Part IV.—The complexometric determination of several metals in the presence of phosphates. Daniel S. S., Redfern J. P., Salmon J. E., Wall J. G.), Lab. Practice, 1958, 7, № 1, 15—16 (англ.)

Описан метод определения  $\text{Zn}^{2+}$ ,  $\text{Co}^{2+}$ ,  $\text{Ni}^{2+}$ ,  $\text{Ca}^{2+}$ ,  $\text{Hg}^{2+}$ ,  $\text{Mg}^{2+}$ ,  $\text{In}^{3+}$  и  $\text{Ca}^{2+}$  в присутствии  $\text{PO}_4^{3-}$ , основанный на титровании избытка комплексона III (I) р-ром  $\text{ZnSO}_4$  в щел. среде (pH 10). К анализуемым р-рам, содержащим по 0,1—0,2 ммоль каждого из указанных катионов, добавляют определенный избыток 0,3 M  $\text{H}_3\text{PO}_4$ , 2- или 3-кратный избыток 0,01 M р-ра I, нейтрализуют разб. р-ром  $\text{NH}_4\text{OH}$  по метиловому красному, кипятят 10 мин., охлаждают, добавляют  $\text{NH}_4\text{OH}$  устанавливая pH р-ра на уровне 10, прибавляют индикатор эриохромовый черный Т (0,2 г индикатора растворяют в 100 мл воды и добавляют несколько капель  $\text{NH}_4\text{OH}$ ) и титруют 0,01 M водн. р-ром  $\text{ZnSO}_4$  (титр р-ра  $\text{ZnSO}_4$  устанавливают комплексометрически).  $\text{Ca}^{2+}$  и  $\text{Mg}^{2+}$  можно определять лишь в присутствии ограниченных кол-в  $\text{PO}_4^{3-}$  (<1 ммоль). При определении  $\text{Mg}^{2+}$  в качестве стандартного р-ра для титрования I применяют р-р  $\text{MgSO}_4$ . Описанный метод применен для определения Co в различных фосфатах Co. При определении щел.-зем. металлов пригоден хроматографич. метод отделения  $\text{PO}_4^{3-}$  (р-р пропускают через колонку с соответствующей ионообменной смолой, промывают до отрицательной р-ции вытекающего р-ра на  $\text{PO}_4^{3-}$ , элюируют определяемые катионы разб. р-ром  $\text{HCl}$  или  $\text{HNO}_3$ , выпаривают элюент, добавляют избыток р-ра I и титруют р-ром  $\text{MgSO}_4$ . Часть III см. РЖХим, 1958, 35881. Р. Моторкин

57140. Оценка методов радиохимических разделений. Сандерман, Мейнк (Evaluation of radiochemical separation procedures. Sunderman Duane N., Meinke W. Wayne), Analyt. Chem., 1957, 29, № 11, 1578—1589 (англ.)

С целью выработки наилучших методик, обеспечивающих максим. хим. и радиохим. выходы, проведено сравнение пяти радиохим. (хроматного, ионного, хлоридного, оксалатного и сульфатного) методов выделения и разделения Ba, Sr и Ca и четырех (хлоридного, бензотриазольного, электролитич. и ионного обмена) методов выделения Ag из р-ров, содержащих 13 типичных радиоактивных индикаторов ( $\text{Pb}^{214}$ ,  $\text{Ce}^{144}$ ,  $\text{Pr}^{144}$ ,  $\text{Cs}^{134}$ ,  $\text{J}^{131}$ ,  $\text{Ir}^{192}$ ,  $\text{Ru}^{106}$ ,  $\text{Rh}^{106}$ ,  $\text{Sb}^{124}$ ,  $\text{Sn}^{113}$ ,  $\text{In}^{113}$ ,  $\text{Ta}^{182}$  и  $\text{Zr}^{95}$ ,  $\text{Nb}^{95}$ ). Установлено, что наилучшей 1-й операцией (ОП) для отделения Ba и Sr от других РИ является их совместное осаждение в форме нитратов 60%-ной  $\text{HNO}_3$  (выход 80% за ОП). Во 2-й операции Ba можно отделить от Sr осаждением в форме хромата при pH 4 (выход 70% за ОП) или в форме хлорида с помощью смеси  $\text{HCl}-(\text{C}_2\text{H}_5)_2\text{O}$  (выход 82% за ОП); для отделения Sr от Ba пригодны только осаждение Ba смесью  $\text{HCl}-(\text{C}_2\text{H}_5)_2\text{O}$  (90% Sr в р-ре за ОП). Окончательное выделение Ba производят в форме хромата (выход 70% за ОП) или в форме сульфата (выход 99% за ОП), а Sr — в форме оксалата (выход 99% за ОП). Для отделения Ca от других РИ наилучшим является осаждение его с нитратами Ba и Sr 80%-ной  $\text{HNO}_3$  (выход 70% за ОП), а для отделения от Ba и Sr — осаждение последних в форме сульфатов (99% Ba, 60% Sr и <10% Ca в осадке за ОП). Осаждение Ag в форме  $\text{AgCl}$  из кислого р-ра является хорошим методом отделения Ag от многих РИ, за исключением Sb, Ir и гадолидов. Осаждение Ag бензотриазолом из аммиачного р-ра  $\text{AgCl}$  дает удовлетворительные результаты лишь в присутствии маскирующих комплексообразующих реактивов, вроде комплексона III и позволяет отделить Ag от Cl, но не от J. Электро-

осаждение Ag на Pt-катоде из цианистого р-ра позволяет отделить его от Cl и J. Наиболее специфич. методом для отделения Ag от всех других РИ является метод изотопного обмена. Процесс проводят с помощью Pt-сетки, покрытой электролитически слоем AgCl. За 15 мин. контакта сетки с р-ром может быть осаждено > 99% индикаторных кол-в Ag, свободного от всех других РИ, на кол-ве неактивного Ag, превышающем в 100 или более раз вес радиоактивного Ag. В заключение авторы произвели колич. оценку осадков Fe(OH)<sub>3</sub> и La(OH)<sub>3</sub> как соосаждителей для ряда РИ. Почти в одинаковой мере оба эти осадка являются эффективными для удаления из р-ра 98—99% Ce, Sr, Ba, Ir, Ta, Sn и Zr<sup>95</sup>. Nb<sup>95</sup>. La(OH)<sub>3</sub> полное удаляет Sb (> 90%), Ru (> 97%) и Se (> 80%), а Fe(OH)<sub>3</sub> (в отсутствие изотопного носителя) — Sr (89%) и Co (~ 77%) за одну ОП.

А. Горюнов

57141. О разделении цинка и кобальта. Морачевский Ю. В., Башун З. С., Заводск. лаборатория, 1958, 24, № 1, 20—21

Описан простой метод разделения Zn<sup>2+</sup> и Co<sup>2+</sup>, заключающийся в осаждении Co избытком NaOH в присутствии H<sub>2</sub>O<sub>2</sub> в качестве окислителя Co<sup>2+</sup> до Co<sup>3+</sup>; Zn<sup>2+</sup> при этом остается в р-ре. Для колич. выделения Co в осадок вводят коллектор (напр., FeCl<sub>3</sub>). 100 мл анализируемого р-ра нейтрализуют (без подогрева), добавляют при непрерывном перемешивании в 50 мл 2%-ного р-ра NaOH (р-р после этого должен быть прозрачным и иметь окраску от синевато-фиолетовой до вишнево-красной; появление муты указывает на недостаточный избыток NaOH), прибавляют сначала на каплям 10%-ную H<sub>2</sub>O<sub>2</sub> до окончания видимой р-ции осаждения Co, а затем р-р FeCl<sub>3</sub>, перемешивают и выдерживают до полного осаждения гидроокисей Fe<sup>3+</sup> и Co<sup>3+</sup>. Если получается объемистый осадок, то проводят переосаждение (осадок отфильтровывают, растворяют в разб. HCl, р-р нейтрализуют и далее продолжают анализ, как описано выше). Описанный метод применен также для разделения миллиграммовых кол-в Zn и Co в присутствии 9,3 мг Pb, 60 мг Cu и 2 мг Fe (Pb и Cu удаляли осаждением сероводородом из солянокислого р-ра); получены удовлетворительные результаты.

Ф. Судаков

57142. Отделение фосфатов от фторидов осаждением в форме солей серебра. Вржешти Я, Гавирж, Брандштетр, Котрлы (Dělení fosforečnanu a fluoridu stříbrnými solemi. Vřešál Jan, Havíř Josef, Brandštetr Jiří, Kotrly Stanislav), Chem. listy, 1957, 51, № 9, 1762—1764 (чешск.)

Изучены условия колич. отделения больших кол-в PO<sub>4</sub><sup>3-</sup> от F<sup>-</sup> осаждением PO<sub>4</sub><sup>3-</sup> в форме Ag<sub>3</sub>PO<sub>4</sub>. Для уменьшения растворимости Ag<sub>3</sub>PO<sub>4</sub> необходимо для осаждения применить достаточно большой избыток Ag<sup>+</sup>; оптимальный pH р-ра 4,5. Подщелачивание р-ра после выделения Ag<sub>3</sub>PO<sub>4</sub>, рекомендуемое Феннеллем (РЖХим, 1956, 43545), не дает положительного эффекта. При анализе р-р пробы нейтрализуют по фенолфталеину, обрабатывают 1 н. р-ром AgNO<sub>3</sub>, после выделения всего Ag<sub>3</sub>PO<sub>4</sub> прибавляют еще 1—2 мл р-ра AgNO<sub>3</sub>; к-ту, освобождающуюся при осаждении, нейтрализуют 0,3 н. р-ром NaOH вплоть до образования коричневого осадка, разбавляют водой до 100 мл и фильтруют. 50—75 мл полученного фильтрата для удаления избытка Ag<sup>+</sup> обрабатывают 0,5 М р-ром NaCl в присутствии флуоресцина в качестве индикатора, прибавляют сверх того еще 0,5—1,0 мл р-ра NaCl, после чего осаждают F<sup>-</sup> в форме PbFCl прибавлением избытка р-ра PbCl<sub>2</sub>. Определение F<sup>-</sup> заканчивают комплексометрич. титрованием избытка Pb<sup>2+</sup> в аликвотной порции фильтрата (РЖХим, 1958, 57209). Миллиграммовые кол-ва PO<sub>4</sub><sup>3-</sup> и F<sup>-</sup> можно разделить в нейтр. среде хроматографически на свежеприготов-

ленной колонке Ag<sub>2</sub>CO<sub>3</sub> шириной ~ 6 мм и длиной 2—2,5 см. Необходимый Ag<sub>2</sub>CO<sub>3</sub> получают обработкой р-ра AgNO<sub>3</sub> содой и последующей тщательной промывкой осадка. PO<sub>4</sub><sup>3-</sup> задерживается в форме Ag<sub>3</sub>PO<sub>4</sub> в верхней части колонки. После многократной промывки колонки водой порциями по 3—5 мл в элюате определяют F<sup>-</sup>, напр., титрованием 0,01 н. р-ром Th(NO<sub>3</sub>)<sub>4</sub> с ализаринсульфонатом Na в качестве индикатора (Armstrong W. D., Industr. and Engng. Chem., Analyt. Ed., 1936, 8, 384). Ввиду присутствия следов Ag<sup>+</sup> (из Ag<sub>2</sub>CO<sub>3</sub>) для подкисления титруемого р-ра необходимо применять HNO<sub>3</sub>.

Karel Kámen

57143. Быстрое определение щелочных бикарбонатов в присутствии щелочных карбонатов методом осаждения. Секереш, Бакач-Полгар (Schnellbestimmung von Alkalihydrogencarbonaten in Gegenwart von Alkalicarbonaten mit einem Fällungsverfahren. Szekeres L., Bakács-Polgár E.), Z. analyt. Chem., 1958, 159, № 6, 414—418 (нем.)

Щелочные бикарбонаты (ЩБК) в присутствии щел. карбонатов (ЩК) определяют титрованием р-ром NaOH с применением BaCl<sub>2</sub> для осаждения ЩК. К 3—5 мл анализируемого р-ра (содержащего ~ 0,04 г HCO<sub>3</sub><sup>-</sup>) прибавляют ~ 1 г KCl (или NaCl), 0,1 М BaCl<sub>2</sub> в избытке (~ 0,3 г BaCl<sub>2</sub>) и немедленно титруют 0,1 н. р-ром NaOH с применением фенолфталеина (I) в качестве индикатора. На 1 г-моль ЩБК расходуется 1 г-моль NaOH. Если кол-во ЩК составляет ≤ 40% кол-ва ЩБК, то ошибка определения ЩБК ≤ 0,44%. При другом варианте определения ЩБК к анализируемому р-ру прибавляют C<sub>2</sub>H<sub>5</sub>OH и титруют 0,1 М р-ром BaCl<sub>2</sub> до исчезновения красной окраски I; расход BaCl<sub>2</sub> соответствует содержанию ЩК. Затем к оттитрованному р-ру прибавляют избыток 0,1 М BaCl<sub>2</sub>, кипятят 2—3 мин. и титруют р-ром Na<sub>2</sub>CO<sub>3</sub> до появления красной окраски I; кол-во ЩБК находят по разности между введенным и оттитрованным кол-вами BaCl<sub>2</sub>. 2-й вариант обладает несколько большей точностью.

А. Немодрук

57144. Комплексометрическое определение натрия и калия и их суммы с использованием ионообменных смол. Гальярди, Реймере (Komplexometrische Bestimmung von Natrium, Kalium und von deren Summe durch Ionenaustausch. Gagliardi E., Reimers H.), Z. analyt. Chem., 1958, 160, № 1, 1—6 (нем.)

Разработан комплексометрич. метод определения Na и K с применением ионообменной смолы леватиг S100. Колонку высотой 250 мм и диам. 20 мм заполняют указанной смолой, пропускают 5%-ный р-р MgCl<sub>2</sub> (до совпадения значений pH промывного р-ра и фильтрата) для перевода смолы в Mg-форму и промывают водой, не содержащей CO<sub>2</sub>, до отрицательной р-ции на Mg<sup>2+</sup> в фильтрате (проба с эриохромовым черным Т). Затем через колонку пропускают анализируемый р-р со скоростью ~ 5 мл/мин и промывают водой. Фильтрат (содержащий Mg<sup>2+</sup> в кол-ве, эквивалентном суммарному содержанию Na<sup>+</sup> и K<sup>+</sup> в анализируемом р-ре) нагревают до 80°, прибавляют 10 мл буферного р-ра с pH 9 (54 г NH<sub>4</sub>Cl и 350 мл конц. NH<sub>4</sub>OH в 500 мл р-ра), немного эриохромового черного Т и титруют 0,1 н. р-ром комплексона III до перехода фиолетовой окраски р-ра в голубую. При определении малых кол-в Na и K применяют колонку диам. 10 мм и титруют 0,01—0,002 н. р-ром комплексона III. Содержание K определяют в отдельной аликвотной порции анализируемого р-ра весовым методом в форме тетрафенилборкала. Кол-во Na находят по разности. Описанным методом определяют 0,2—50 мг Na с ошибкой ≤ 2,0% и 0,12—50 мг K с ошибкой ≤ 1,0%. Продолжительность определения ~ 30 мин.

А. Немодрук



**57145.** Определение натрия и калия в минералах по методу спектрофотометрии пламени. Полуэктв Н. С., Никонова М. П., Виткун Р. А., Ж. аналит. химии, 1958, 13, № 1, 48—55 (рез. англ.)

Выявлены условия для пламеннофотометрич. определения Na и K в минералах при помощи аппаратуры, сконструированной на основе универсального монохроматора УМ-2. Установлено, что аппаратура этого типа обеспечивает высокую чувствительность и специфичность определения Na и K. На основании изучения влияния сопутствующих элементов на интенсивность излучения Na и K в двух пламенах — светлого газа и ацетилена — подобраны условия для наиболее точного определения этих металлов в каждом случае. При анализе искусств. смесей установлено, что ошибка определения 0,4—8,0% шел. металлов составляет  $\pm 3\%$ . Форма кривой зависимости интенсивности излучения Na и K от концентрации этих элементов и характер усиления излучения K от присутствия Na объяснены на основе ионизации элементов в газах пламени.

Резюме авторов

**57146.** Определение натрия и калия в образце дунита радиоактивным методом. Салмон (The determination of sodium and potassium in a sample of dunite by radioactivation analysis. Salmon L. Repts. Atomic Energy Res. Establ., 1957, № C/M 323, 6 pp., ill.) (англ.)

Описан радиоактивационный метод определения Na и K в природном дуните (Д), характеризующемся малым содержанием указанных элементов. Для выделения Na из образца Д, облученного нейтронами одновременно со стандартом, использован цинкуранилационный метод, разработанный Смейлсом и Ловериджем для определения Na в металл. Li (РЖХим, 1956, 65257), а для выделения K — комбинированный перхлоратно-кобальтинитритный метод, разработанный Смейлсом и Самонем для определения Rb (РЖХим, 1956, 39391). Разложение облученного образца Д производят обработкой смесью  $H_2SO_4$  с HF, а хим. и радиохим. очистку полученного р-ра от посторонних элементов (после введения изотопных носителей) — пересадкой Na в форму  $NaZn(UO_2)_2(CH_3COO)_6$  и NaCl, а K — в форму  $KClO_4$ ,  $K_3Co(NO_2)_6$  и  $K_2PcCl_6$ , а также соосаждением посторонних загрязнений с осадком  $Fe(OH)_3$ . Окончательно (для определения хим. и радиохим. выходов) Na выделяют в форму NaCl, а K — в форму  $K_2PcCl_6$ . Проверку радиохим. чистоты окончательных препаратов производят определением периода полураспада содержащейся в них радиоактивности  $Na^{24}$  с  $T_{1/2}$  15,0 и  $K^{42}$  с  $T_{1/2}$  12,8, измеряя последнюю с помощью торцевого Г.—М.-счетчика. Анализ одного из образцов Д по данному методу показал, что содержание Na и K в Д составляет 0,011% и 0,0032% соответственно. Результат для Na проверен дополнительно прямым измерением с помощью  $\gamma$ -спектрометра.

А. Горюнов

**57147.** Химический анализ с помощью этилендиаминтетраацетатных комплексов. IV. Косвенное определение калия. Такэтацу (Taketatsu Tomitsugu), Нихон какаку дзасси, J. Chem. Soc. Japan. Pure Chem. Sec., 1957, 78, № 5, 640—642 (японск.)

Описан метод, основанный на осаждении K в форму  $K_2NaCo(NO_2)_6$ , растворении осадка в к-те и титровании Со р-ром комплексона III (I). Предварительно K отделяют от всех мешающих элементов, и р-р упаривают до небольшого объема. K полученному р-ру после охлаждения прибавляют 10 мл осадителя (25%-ный водн. р-р  $Co(NO_2)_2$ ), смешивают с 55 г  $NaNO_2$ , растворенного в 75 мл воды, приливают 20 мл 5%-ного р-ра  $CH_3COOH$ , удаляют окислы N пропусканием воздуха и выдерживают 10—12 час., нагревают и выдерживают 10—12 час. Осадок отфильтровывают через стек-

лянный фильтр № 4, промывают несколько раз 3%-ным р-ром  $CH_3COOH$ , растворяют в горячем р-ре HCl (1:20), кипятят для удаления окислов N, охлаждают, нейтрализуют аммиаком и титруют 0,01 M р-ром I (титр I устанавливают титрованием р-ром  $Ba^{2+}$  в присутствии фталейнкомплексона в качестве индикатора) в присутствии мурексида до желтой окраски р-ра и фиолетовую. 1 мл 0,01 M р-ра I соответствует 0,7819 мг K. Изучено влияние Na (в пределах Na:K = 1,6—25,7) на точность определения 0,3—30 мг K; при Na:K  $\geq 10$  ошибка увеличивается; 5-кратное кол-во Na не влияет на результаты определения K. Сообщение III см. РЖХим, 1958, 24706.

А. Петренко

**57148.** Применение 5-окси-4-азафенантрена для определения меди. Якубке (Über die Verwendung des 5-Oxy-4-aza-phenanthrens zur quantitativen Kupferbestimmung. Jakubke Dieter), Z. analyt. Chem., 1958, 160, № 1, 6—10 (нем.)

Установлено, что 5-окси-4-азафенантрен (I) осаждает  $Cu^{2+}$  из водн. р-ров в форме нерастворимого комплексного соединения, в состав которого Cu и I входят в соотношении 1:2. Благодаря чрезвычайно малой растворимости образующегося комплекса и благоприятному фактору пересчета (0,1407) I рекомендуется для весового определения Cu. K анализируемому р-ру прибавляют  $\sim 4$  г винной к-ты, 20%-ный р-р NaOH до щел. р-ции и при перемешивании по каплям 2—4%-ный спирт. р-р I до желтой окраски р-ра, выдерживают 2 часа и нагревают до 60°. Образующийся желтый объемистый осадок отфильтровывают, промывают горячей водой, высушивают при 110° и взвешивают. Ошибка определения  $< 1,5\%$ . Описанный метод дает несколько более точные результаты, чем оксахинолиновый. Присутствие  $Al^{3+}$ ,  $Fe^{3+}$ ,  $Cr^{3+}$ ,  $Bi^{3+}$ ,  $Zn^{2+}$  и  $Pb^{2+}$  определению Cu не мешает. Установлено, что ИК-спектр комплексного соединения Cu с I имеет ряд полос (в области 700—1000  $cm^{-1}$ ), характерный для внутрикомплексных соединений Cu и отсутствующих в ИК-спектре самого I. Показано, что в качестве реактива для фотометрич. определения Cu может быть использована 5-окси-4-азафенантренидисульфокислота (II), образующая с Cu растворимое комплексное соединение красно-фиолетового цвета. Описаны методы получения I и II.

А. Немодух

**57149.** Определение меди с помощью диэтилдитиокарбамината свинца. Креймер С. Е., Бутман Л. П., Заводск. лаборатория, 1958, 24, № 2, 431—433

Изучена возможность применения диэтилдитиокарбамината Pb (I) (в виде р-ра в  $CHCl_3$ ) в качестве специфич. реактива для Cu, которая, вытесняя Pb из I, переходит в форме диэтилдитиокарбамината Cu (II) в  $CHCl_3$ -слой и окрашивает его в желтый цвет. Переход Cu в  $CHCl_3$ -слой происходит количественно при  $pH \leq 4$ . На полноту извлечения Cu не влияют Co и Ni. В присутствии царской водки и при разбавлении воды менее чем в 10—15 раз водной окраска II не появляется или исчезает вскоре после ее появления. Окраска II не изменяется в течение 2 мес. При анализе различных материалов методом, основанным на использовании I, получены результаты, хорошо совпадающие с данными других методов. При определении Cu в матодном никеле, 2,5 г образца растворяют в  $HNO_3$  (3:2), упаривают для удаления окислов и разбавляют водой до определенного объема. 10 мл полученного р-ра переносят в делительную воронку, прибавляют 5 мл р-ра I (0,1 г  $(CH_3COO)_2Pb$  растворяют в воде, прибавляют 5 мл 10%-ного р-ра  $KNO_3$ , 5 мл 1 н. KCN и р-р I г диэтилдитиокарбамината Na в воде, образующийся осадок растворяют в делительной воронке в 250 мл  $CHCl_3$ , водн. слой отбрасывают,  $CHCl_3$ -слой фильтруют через сухой фильтр и разбавляют хлороформом до

300 мл), встряхивают 1—2 мин., сливают  $\text{CHCl}_3$ -слой, прибавляют в делительную воронку 5 мл р-ра I, встряхивают 1 мин., сливают и присоединяют  $\text{CHCl}_3$ -слой к 1-му экстракту (эту операцию повторяют до тех пор, пока при последующем встряхивании с I последний не останется бесцветным), прибавляют в делительную воронку 5 мл  $\text{CHCl}_3$ , встряхивают, сливают и присоединяют  $\text{CHCl}_3$  к первым двум экстрактам, разбавляют хлороформом до 25 мл и фотометрируют в 1-см кюветах с синим светофильтром, используя в качестве р-ра сравнения р-р I в  $\text{CHCl}_3$ . Ф. Судаков

57150. Весовое определение серебра в форме хромата серебра. Пендсе, Бхаргава, Сант (Gravimetric determination of silver as silver chromate. Pendse G. P., Bhargava H. D., Sant B. R.), Z. analyt. Chem., 1958, 160, № 3, 188—189 (англ.).

Установлена возможность весового определения Ag в форме  $\text{Ag}_2\text{CrO}_4$ . К избытку р-ра  $\text{K}_2\text{CrO}_4$ , разбавленного водой (~100 мл), медленно при непрерывном перемешивании прибавляли р-р  $\text{AgNO}_3$ . Образующийся коричнево-красный осадок отфильтровывали через зажатый стеклянный фильтр, промывали 3—4 раза холодной водой, растворяли в  $\text{NH}_4\text{OH}$  и полученный р-р кипятили для удаления  $\text{NH}_3$ . Образующийся зелено-черный осадок  $\text{Ag}_2\text{CrO}_4$  отфильтровывали через тот же фильтр, промывали последовательно холодной водой, этил. спиртом, абс. спиртом и эфиром, высушивали при 50—60° и взвешивали. Вес высушенного осадка соответствует рассчитанному по ф-ле  $\text{Ag}_2\text{CrO}_4$ . Аналогичные результаты получены при высушивании осадка, промытого только водой, при 110—120°. Избыток осадителя не влияет на состав осадка. При непосредственном взвешивании первоначально образующегося коричнево-красного осадка получаются завышенные результаты. По предположению авторов это коричнево-красное соединение представляет собой смесь  $\text{Ag}_2\text{CrO}_4$  и твердого р-ра  $\text{Ag}_2\text{CrO}_4$  с нитратами. Ф. Судаков

57151. Новая цветная реакция для открытия и определения бериллия с хромснимом К. Калинин К. П., Страхов Н. П., Калинин И. И., Заводск. лаборатория, 1958, 24, № 1, 22—23

Установлено, что  $\text{Be}^{2+}$  в аммиачной среде при pH 9—10 с кислотным хромовым сием К (I) образует хорошо растворимое, ярко окрашенное в синий цвет комплексное соединение, пригодное для открытия и фотометрич. определения  $\text{Be}^{2+}$ . Максимум светопоглощения р-ра чистого I находится в области 580—590 мμ, а р-ра комплекса  $\text{Be}^{2+}$  с I — в области 600—610 мμ. Закон Бера соблюдается до 2—10<sup>-6</sup> г/мл Be. Окраска комплекса возникает моментально и достигает максимума в течение 20—30 сек. при прибавлении аммиачного буферного р-ра после введения всех реактивов и в течение 1—2 мин. при колориметрич. титровании р-ром  $\text{BeSO}_4$ . Описаны методики капельного и дробного открытия  $\text{Be}^{2+}$  (чувствительность капельного открытия  $\text{Be}^{2+}$  на бумаге 5—10<sup>-7</sup> г/мл), а также методика определения Be в Be-бронзе методом стандартных серий. Мешающее влияние других элементов (Cu, Ni, Al, Co, Ba, Mg, Ca, Cd, Zn и др.), дающих с I окрашенные комплексы, устраняют маскированием комплексом III. Ф. Судаков

57152. Микроопределение магния в присутствии известных количеств кальция. Хантер (The micro-determination of magnesium in presence of known amounts of calcium. Hunter G.), Analyst, 1958, 83, № 983, 93—98 (англ.).

Описано определение Mg и Ca в сыворотке спинномозговой жидкости и неорганич. в-вах, не содержащих посторонних ионов, методом фотометрич. титрования с мурексидом (I) и эриохромовым черным T (II) в качестве индикаторов. Детально изучено влияние pH,

конц-ии индикатора, метанола, определяемых ионов и т-ры. Для определения Ca в кюветы компаратора наливают по 2,5 мл р-ра I (5 мг I растворяют в 250 мл воды) и 0,3 мл 1 н. NaOH, перемешивают и устанавливают амперметр на нулевое деление при светофильтре № 110. В правую кювету компаратора вводят анализируемый р-р, а в левую из бюретки прибавляют рабочий р-р  $\text{CaCl}_2$ , содержащий 10 γ/мл Ca и приготовленный разбавлением стандартного р-ра  $\text{CaCl}_2$  (250 мг  $\text{CaCO}_3$  растворяют в 5 мл 1 н. HCl, добавляют 1 мл 0,1%-ного р-ра этилмеркуритиосалицилата Na и разбавляют водой до 100 мл; в 1 мл этого р-ра содержится 1 мг Ca) до возвращения стрелки амперметра в нулевое положение. Объемы р-ров в обеих кюветах поддерживают постоянными. Содержание Ca определяют по кол-ву рабочего р-ра  $\text{CaCl}_2$ , затраченного на титрование. Для определения суммы Ca + Mg в кюветы компаратора наливают по 2,5 мл буферно-индикаторной смеси (к 10 мл р-ра II, содержащего 10 мг II в 100 мл метанола, добавляют 20 мл воды и 20 мл буферного р-ра, содержащего 85 объемн. ч. 1,5 M  $\text{NH}_4\text{OH}$  и 15 объемн. ч. 1,5 M  $\text{NH}_4\text{Cl}$ ), устанавливают стрелку амперметра на нулевое деление при светофильтре № 204, в правую кювету вводят анализируемый р-р, а в левую из бюретки прибавляют рабочий р-р  $\text{MgCl}_2$ , содержащий 1 γ/мл Mg и приготовленный разбавлением стандартного р-ра  $\text{MgCl}_2$  (100 мг Mg-ленты растворяют в 9 мл 1 н. HCl, добавляют 0,1%-ного р-ра этилмеркуритиосалицилата Na и разбавляют водой до 100 мл; в 1 мл этого р-ра содержится 1 мг Mg) до возвращения стрелки амперметра в нулевое положение. Кол-во Mg определяют по калибровочному графику, построенному по результатам титрования смесей с известным содержанием Ca и Mg. Средняя ошибка определения Ca 1,6, Mg 2,3%. Р. Моторкина

57153. Определение магния в присутствии алюминия. Либерман М. В., Заводск. лаборатория, 1958, 24, № 2, 147

Установлено, что для определения Mg в Al-Mg-сплавах, содержащих 10—70% Al, наиболее пригоден метод, основанный на титровании  $\text{Mg}^{2+}$  р-ром комплексона III после предварительного маскирования  $\text{Al}^{3+}$  триэтаноломином (I) (РЖХим, 1955, 5762; 1956, 10079). Для получения хороших результатов при анализе следует применять только бледноокрашенные образцы I; образцы, имеющие темную окраску, необходимо очистить перегонкой при остаточном давл. 20 мм рт. ст., отбирая фракцию, кипящую в пределах 170—225°. Охлаждение титруемого р-ра до 4—5° повышает резкость перехода окраски индикатора в конце титрования. При определении Mg к 10 мл анализируемого р-ра добавляют 250 мл воды, 0,5 г  $\text{NH}_4\text{Cl}$  и 5 мл I, вбалтывают, вводят 5 мл аммиачного буферного р-ра (54 г  $\text{NH}_4\text{Cl}$  + 350 мл 25%-ного  $\text{NH}_4\text{OH}$  + вода до 1 л) и 5 капель (~0,1 мл) р-ра эриохромового черного T, охлаждают и титруют 0,1 н. р-ром комплексона III до перехода красно-фиолетовой окраски в зеленоватосинюю. Ф. Судаков

57154. Быстрый метод определения магния в основных шлаках. Эндо, Хаттори (Endo Yoshhide, Hattori Kunihiro), Бунсэки какаку, Japan Analyst, 1957, 6, № 4, 243—245 (японск.).

Описан метод определения Mg в основных шлаках в присутствии Fe, Mn и Al. Анализируемую пробу 0,1 г растворяют в 10 мл  $\text{HNO}_3$  (1:1), прибавляют 100 мл горячей воды, 20 мл 50%-ного р-ра  $\text{CH}_3\text{COONH}_4$ , 30 мл 5%-ного р-ра  $(\text{NH}_4)_2\text{C}_2\text{O}_4$ , кипятят 2 мин., фильтруют, промывают горячей водой, прибавляют к фильтрату 10 мл 50%-ного р-ра винной к-ты (для маскирования Al), 10 мл 20%-ного р-ра  $\text{Na}_2\text{SO}_4$ ,  $\text{NH}_4\text{OH}$  до щел. р-ции, 15 мл 20%-ного р-ра KCN и нагревают (для восстановления Fe и Mn и устранения их мешающе-



го действия). Бесцветный р-р охлаждают, устанавливают рН на уровне 10 с помощью  $\text{NH}_4\text{OH}$  и быстро титруют 0,01 M р-ром комплексона III в присутствии эриохромового черного Т в качестве индикатора. Этим методом успешно определяют 8,44—10,61%  $\text{MgO}$  в присутствии до 21%  $\text{Fe}$ , 2,41%  $\text{Al}_2\text{O}_3$ , 15,96%  $\text{MnO}$  и 43,6%  $\text{CaO}$ . А. Петренко

**57155. Быстрый метод определения магния в лигатуре  $\text{Mg} + \text{FeSi}$ . Евко А. В., Заводск. лаборатория, 1958, 24, № 2, 147—148**

Установлено, что из достаточно тонко измельченной лигатуры  $\text{Mg} + \text{FeSi}$  (просев через сито № 270)  $\text{Mg}$  количественно экстрагируется разб. р-ром  $\text{HCl}$  (1:10) при непродолжительном кипячении (~10 мин.). На этой основе разработан метод определения  $\text{Mg}$  в лигатуре. К 0,2—0,5 г пробы прибавляют 60 мл воды и при взбалтывании 12 мл конц.  $\text{HCl}$ , кипятят 15 мин., обрабатывают аммиаком и бромной водой и вновь кипятят 1—2 мин. Выделившиеся гидраты полутвердых окислов вместе с нерастворившимся остатком лигатуры ( $\text{FeSi}$ ) отфильтровывают через фильтр, промывают горячей водой и отбрасывают. Фильтрат ( $\leq 200$  мл) нагревают до 70—80°, прибавляют избыток р-ра оксихинолина и  $\text{NH}_4\text{OH}$  до отчетливого запаха, взбалтывают 1—2 мин., отстаивают 5—6 мин. и фильтруют через ватный фильтр, плотно вставленный в бумажный фильтр диам. 11—12 см, кончик которого срезают. Колбу и фильтр промывают теплой водой, содержащей  $\text{NH}_4\text{OH}$ . Носик воронки закрывают куском ваты, воронку вставляют в колбу, в которой производилось осаждение, и осадок оксихинолината  $\text{Mg}$  растворяют в  $\text{HCl}$  (1:10), промывая фильтр холодной водой. Определение  $\text{Mg}$  заканчивают броматометрич. или комплексометрич. методами. Продолжительность анализа 35—40 мин. Ф. Судakov

**57156. Кислотный хромтемоносиний и кислотный хромсиний К как индикаторы при трилонометрическом определении кальция. Стюнкель Т. Б., Якимец Е. М., Заводск. лаборатория, 1958, 24, № 1, 23—25**

Установлена возможность использования кислотного хромового темно-синего и кислотного хромового синего в качестве индикаторов при комплексометрич. титровании  $\text{Ca}^{2+}$  и  $\text{Mg}^{2+}$  в одной пробе при различных рН. Адсорбцию  $\text{Ca}^{2+}$  на  $\text{Mg}(\text{OH})_2$ , наблюдающуюся при высоком содержании  $\text{Mg}^{2+}$  в пробе, уменьшают введением в титруемый р-р сахара, связывающего  $\text{Ca}^{2+}$  в растворимый сахарат. При определении  $\text{Ca}$  и  $\text{Mg}$  в карбонатных породах 0,1 г анализируемой пробы растворяют при нагревании в возможно меньшем объеме  $\text{HCl}$  (1:1), прозрачный р-р (если р-р мутный, то его фильтруют) нейтрализуют щелочью по конго красному, вводят 5 мл 2 н. р-ра щелочи, разбавляют водой до ~100 мл, через 1—2 мин. прибавляют несколько капель р-ра одного из индикаторов и титруют 0,1 или 0,001 н. р-ром комплексона III до перехода красной окраски р-ра в сине-сиреневую (определяют  $\text{Ca}$ ). При большом кол-ве  $\text{Mg}$  и растянутости точки перехода в титруемый р-р перед добавлением щелочи вводят 2 мл 2%-ного р-ра сахара. Затем с оттитрованного р-ру прибавляют 5 мл 2 н.  $\text{HCl}$ , перемешивают до полного растворения  $\text{Mg}(\text{OH})_2$  (окраска р-ра при этом становится розовой), прибавляют 5—6 мл аммиачного буферного р-ра (рН ~ 10) и продолжают титрование р-ром комплексона III до перехода розовой окраски р-ра в синюю (определяют  $\text{Mg}$ ). При определении  $\text{Ca}$  и  $\text{Mg}$  в стандартных образцах известняка, магнезита и доломита получены удовлетворительные результаты. Ф. Судakov

**57157. Пламеннофотометрическое определение кальция, стронция и бария при их одновременном присутствии. Шукнехт, Шинкель (Die flammen-**

photometrische Bestimmung von Calcium, Strontium und Barium nebeneinander. Schuhknecht W., Schinkel H.), Z. analyt. Chem., 1958, 160, № 1, 23—33 (нем.)

Анализ производят на фотометре Шукнехта при возбуждении спектров в ацетилено-воздушном пламени. Возможно применение монохроматора с фотомножителем и пламени из смеси  $\text{H}_2$  и  $\text{O}_2$ . Градуировочные графики для чистых р-ров каждого элемента прямолинейны в пределах 0—50 мг на 100 мл. Проварительно находят поправочные коэф. (ПК) для учета мешающего взаимного влияния  $\text{Ca}$ ,  $\text{Sr}$  и  $\text{Ba}$ , исходя из аддитивности излучения. При проведении анализа сначала находят по градуировочным графикам «эталонную» конц-ию каждого элемента и по ПК вычисляют приближенные конц-ии. Последние уточняют созданием «вилки», т. е. измерением двух р-ров, в одном из которых большая, а в другом меньшая конц-ия, по сравнению с приближенной. Оба р-ра содержат мешающие элементы в конц-иях, равных приближенным значениям. Определение  $\text{Ca}$  в присутствии больших кол-в  $\text{Ba}$  производят по линии 622 мμ, а если в анализируемом р-ре содержится много  $\text{Sr}$ , то — по 533 мμ. Для  $\text{Sr}$  при высоких содержаниях  $\text{Ba}$  применяют полосу 671 мμ, при значительных кол-вах  $\text{Ca}$  — линию 460,7 мμ.  $\text{Ba}$  определяют по линии 873 мμ. Анализируемый р-р должен быть освобожден от тяжёлых металлов,  $\text{SiO}_2$ ,  $\text{PO}_4$ ,  $\text{Li}$  и  $\text{K}$ . Приведены примеры анализа р-ров. Ошибка анализа 3—10%. Т. Гуревич

**57158. Производные 1-амино-2-нафтол-4-сульфонаты как реактивы для фотометрического определения цинка. Лидделл, Вильямс (Derivatives of 1-amino-2-naphthol-4-sulphonic acid as reagents for the colorimetric determination of zinc. Liddell H. F., Williams Sylvia M.), Analyst, 1958, 83, № 983, 111—113 (англ.)**

Установлена возможность применения некоторых красителей (производных 1-амино-2-нафтол-4-сульфонатов) в качестве чувствительных реактивов для фотометрич. определения  $\text{Zn}$ . Показано, что наиболее чувствительными реактивами на  $\text{Zn}$  являются красители: солюхромовый красный ERS 1-(5-окси-3-метил-1-фенилпиразол-4-ил)-2-нафтол-4-сульфокислота (определяемый минимум 0,0025—1 μ/мл  $\text{Zn}$ ) и устойчивый хромцианиновый В (1-(2-окси-1-нафтил)-2-нафтол-4-сульфокислота) (определяемый минимум 0,5—4 μ/мл  $\text{Zn}$ ). Проверено влияние ряда катионов и установлены предельно допустимые их конц-ии.

Р. Моторина

**57159. Определение цинка в железных рудах в присутствии кобальта. Умэдзак (Umezaki Yoshimi), Бунсэки кагаку, Japan Analyst, 1958, 7, № 1, 37—42 (японск.; рез. англ.)**

Установлено, что для определения  $\text{Zn}$  в  $\text{Fe}$ -рудах в присутствии  $\text{Co}$  в большинстве случаев пригоден полирографич. метод. Однако этот метод имеет недостатки, заключающиеся в том, что при осаждении  $\text{Fe}$  аммиаком вместе с  $\text{Fe}(\text{OH})_3$  соосаждается некоторое кол-во  $\text{Zn}$ , и в том, что вследствие близости значений  $E_{\text{Fe}}$ ,  $\text{Co}$  и  $\text{Zn}$  полирографич. волна  $\text{Zn}$  частично перекрывается волной  $\text{Co}$ . Для получения хороших результатов рекомендована следующая методика. Анализируемую пробу растворяют в  $\text{HCl}$ , из р-ра удаляют  $\text{SiO}_2$ , фильтр выпаривают досуха на водяной бане и остаток растворяют в 5 мл 2 н.  $\text{HCl}$ . Полученный р-р пропускают через колонку с анионитом дауэкс-1X8 и элюируют сначала 2 н. р-ром  $\text{HCl}$  до получения 80 мл элюата, а затем 0,5 н. р-ром  $\text{HNO}_3$  снова до получения 80 мл элюата. 1-й элюат содержит  $\text{Co}$  и почти все  $\text{Fe}$ , а 2-й —  $\text{Zn}$  и следовые кол-ва  $\text{Fe}$ . 2-й элюат нейтрализуют р-ром  $\text{NaOH}$ , прибавляют 6 мл 4 н.  $\text{HCl}$  и 10 мл пиридина (1:1) (осаждаются оставшиеся

соды Fe), разбавляют водой до 100 мл и р-р над осадком используют для полярографич. определения Zn. Соосаждение Zn с Fe(OH)<sub>3</sub> при этой методике незначительно мало. Описанный метод особенно пригоден для определения < 1% Zn.

**Резюме автора**  
57160. О новом реактиве для фотометрического определения галлия — галлионе. Сообщение I. К вопросу о влиянии заместителей на свойства органических реактивов. Лукин А. М., Заварихина Г. Б., Ж. аналит. химии, 1958, 13, № 1, 66—71 (рез. англ.). Изучено влияние заместителей на аналитич. свойства ряда азокрасителей. Установлено, что в отличие от не имеющего какого-либо аналитич. значения продукта сочетания (в щел. среде) аш-к-ты с диазосоединением из о-аминофенола, некоторые его замещенные производные (по чувствительности, контрастности и устойчивости окраски и другим свойствам) для фотометрич. определения Ga. Из этих замещенных продуктов сочетания аш-к-ты с диазосоединением из 2-амино-4-нитро-6-хлорфенола, названный галлион (2-окси-3-хлор-5-нитробензол-(1-азо-2'-1'-окси-8'-амино-нафталин-3',6'-дисульфокислота), является наиболее ценным реактивом на Ga. Сделали вывод, что введение заместителей в молекулы изученных азокрасителей приводит к такому изменению аналитич. свойств получаемых соединений по сравнению со свойствами исходных незамещенных соединений, не имеющих какого-либо практич. значения, в результате которого эти исходные соединения даже при наличии мало специфичной реагирующей группировки превращаются в ценные реактивы.

**Резюме авторов**  
57161. Определение редкоземельных элементов в очищенных соединениях тория и урана. Химическое отделение и спектральное определение. Фелдман, Эллиенберг (Certain rare earths in purified thorium and uranium preparations. Chemical isolation and spectrographic determination. Feldman Cyrus, Ellenberg Janus Y.), *Analyt. Chem.*, 1958, 30, № 3, 418—422 (англ.).

Разработан спектральный метод определения 1,40—1,10—2% редкоземельных элементов (РЗЭ): Ce, Dy, Eu, Gd, La, Nd и Sm — с предварительным хим. отделением РЗЭ. При выделении РЗЭ из ThO<sub>2</sub> анализируемую пробу, содержащую 20 г Th, растворяют в 14-чашке в 200 мл HNO<sub>3</sub> (1:1) с добавкой 3 капель 3%-ой HF при нагревании на паровой бане в течение ~90 мин. и р-р упаривают до выделения кристаллич. Th(NO<sub>3</sub>)<sub>4</sub> · 12H<sub>2</sub>O, который растворяют в миним. кол-ве HNO<sub>3</sub> (~45 мл). Полученный р-р медленно и при энергичном перемешивании вливают в абс. диэтиловый эфир (I), взятый в таком кол-ве, чтобы в конечном р-ре соотношение I : HNO<sub>3</sub> = 100 : 12,5, к р-ру прибавляют 2 г целлюлозной пульпы (пульпу готовят из фильтровальной бумаги и обрабатывают 11,5%-ным р-ром HNO<sub>3</sub> в I) и перемешивают в течение 10 мин. Целлюлозную пульпу отфильтровывают и промывают 3 раз порциями по 100 мл р-ра HNO<sub>3</sub> в I. РЗЭ из целлюлозы выделяют добавлением 100 мл HNO<sub>3</sub> (рН 2). Р-р разбавляют конц. HNO<sub>3</sub> до рН 1 (во избежание образования колл. осадка Th). Остаток Th вместе с Ce, Zr и Sc экстрагируют в течение 5 мин. р-ром тено-трифторацетона (II) в керосине при 60°, рН р-ра увеличивают до 4,5, экстрагируют РЗЭ (совместно с Y) порцией р-ра II и реэкстрагируют из органич. фаз добавлением 15 мл 1 M HCl. Полученный р-р упаривают досуха, растворяют в небольшом кол-ве HNO<sub>3</sub>, прибавляют 75 мл р-ра 10 γ/мл Zn (для предотвращения смещения градуировочных графиков при наложении взаимных соотношений РЗЭ) и 100 мл р-ра 100 γ/мл Pd (внутренний стандарт), объем р-ра доводят до 1 мл и р-р подвергают спектральному анализу. При выделении РЗЭ из UO<sub>2</sub>(NO<sub>3</sub>)<sub>2</sub> · 6H<sub>2</sub>O конц-ия HNO<sub>3</sub>

в I должна быть 4,76% вместо 11,5%. Графитовые электроды обтачивают до диам. 0,3 мм и обрабатывают в 2%-ном бензиновом р-ре «плицена». На торцы этих электродов наносят по 20 мл анализируемого р-ра. Подсущенные электроды устанавливают в спец. камере (РЖХИМ, 1957, 31014). Спектры возбуждают в атмосфере Ar (20%) и O<sub>2</sub> (80%) в высоковольтной искре (0,005 мф, 60 мкн, 5,5 а), настроенной на 20—23 пробоя за полупериод. Спектры фотографируют на дифракционном спектрографе в области 3100—4500 Å с обратной дисперсией 2,5 Å/мм. Приведены аналитич. пары линий и определяемые конц-ии для всех элементов. Средняя величина ошибки, характеризующая воспроизводимость, составляет 1,3%.

**Б. Львов**  
57162. Анализ редкоземельных элементов. I. Спектрофотометрическое определение празеодима, неодима и самария в оксалате лантана. Муго, Мамия (Muto Giichi, Mamiya Masato), *Бунсэки кагаку, Japan Analyst*, 1958, 7, № 1, 21—24 (японск.; рез. англ.).

Спектрофотометрическое определение Pr, Nd и Sm в оксалате La, используемом в оптич. промышленности, при простом растворении анализируемой пробы в минер. к-те невозможно, так как определяемые кол-ва этих элементов слишком малы. Авторами установлено, что Pr, La, Sm и Nd реагируют с оксигинолином с образованием осадков при рН 3,98; 4,20; 4,38 и 4,58 соответственно. На основании этого La легко можно удалить фракционным осаждением оксигинолином, после чего Pr, Nd и Sm можно определить спектрофотометрич. методом. Этот метод пригоден для технич. анализа.

**Резюме авторов**  
57163. Титрование гидрохиноном и подобными восстановителями. V. Определение церия в фармацевтических препаратах. Крейцова, Симон, Зыка. VI. Использование реакции взаимодействия четырехвалентного церия с солями двухвалентного марганца. Мраз, Симон, Зыка (Titration hydrochinonem a podobnými redukcími činidly. V. Stanovení ceru ve farmaceutických přípravcích. Krejzová Emilie, Simon Vladimír, Zýka Jaroslav. VI. Využití reakce čtyřmocného ceru s manganatými solemi. Mrás Ladislav, Simon Vladimír, Zýka Jaroslav), *Českosl. farmac.*, 1957, 6, № 8, 438—440 (чешск.; рез. русск., англ., нем.); *Chem. listy*, 1957, 51, № 10, 1828—1831 (чешск.).

V. Разработан новый метод определения Ce в таблетках Хомитин СПОФА, содержащих оксалат Ce, и в р-ре Хемоцер БОТИКА, содержащем нитрат Ce в смеси с какодилатом Na и никетамидом. Принцип метода состоит в окислении Ce(3+) до Ce(4+) персульфатом в кислой среде при каталитич. действии Ag<sup>+</sup>. Образующийся Ce(4+) титруют р-ром гидрохинона (I) визуально с применением ферроина в качестве индикатора. При определении Ce в препарате Хемоцер необходимо или разрушить предварительно органич. соединение (сжигание) и удалить As, или произвести минерализацию, или выделить Ce(3+) в форме оксалата; последний способ выделения Ce наиболее удобен. Титрованием определяется истинное содержание Ce в пробе, тогда как весовым методом определяют также содержание остальных лантанидов. Спектральным анализом установлено присутствие La и Y в некоторых препаратах Хемоцера. Описанные методы пригодны для контрольных целей.

**Резюме авторов**  
VI. Разработан метод избирательного определения Ce<sup>4+</sup> в присутствии сильных окислителей, в частности Cr<sub>2</sub>O<sub>7</sub><sup>2-</sup>, основанный на р-ции 2Ce<sup>4+</sup> + Mn<sup>2+</sup> + 2H<sub>2</sub>O = 2Ce<sup>3+</sup> + MnO<sub>2</sub> + 4H<sup>+</sup>. Анализируемый р-р, содержащий наряду со свободной H<sub>2</sub>SO<sub>4</sub> 50—200 мг Ce(SO<sub>4</sub>)<sub>2</sub>, нейтрализуют до кислотности 0,2—0,4 н., при-



бавляют 20 мл насыщ. р-ра  $K_2SO_4$  (общий объем р-ра должен быть  $\leq 30-40$  мл), нагревают до кипения, прибавляют 20 мл 0,1 н.  $MnSO_4$ , кипятят непродолжительное время, охлаждают и выделившуюся  $Mn(OH)_2$  отфильтровывают. При описанных условиях р-ция между  $Ce^{4+}$  и  $Mn^{2+}$  протекает количественно и весьма избирательно для  $Ce^{4+}$ , причем  $MnO(OH)_2$  выделяется в хорошо фильтруемой форме. Определение  $Mn(4+)$  (кол-во которого эквивалентно кол-ву присутствующего  $Ce^{4+}$ ) в осадке производят косвенным или прямым редуктометрич. титрованием р-ром I или комплексометрич. титрованием. В 1-м случае осадок растворяют в 4 н.  $H_2SO_4$ , содержащей избыток 0,1 н. р-ра I, конц-ию  $H_2SO_4$  доводят до  $\sim 2$  н. и избыток I оттитровывают 0,1 н. р-ром  $Ce(SO_4)_2$  потенциометрически или визуально с ферроином в качестве индикатора. Прямое потенциометрич. титрование  $Mn(4+)$  р-ром I в среде 2 н.  $H_2SO_4$  является менее подходящим. Во 2-м случае  $Mn(4+)$  предварительно восстанавливают до  $Mn(2+)$  прибавлением р-ра  $(NH_4OH)_2H_2SO_4$ , затем к р-ру прибавляют избыток 0,1 М р-ра комплексона III и буферный аммиачный р-р с pH 10 и избыток комплексона III оттитровывают 0,1 М р-ром  $MgSO_4$  в присутствии эриохромового черного Т в качестве индикатора. Мешают некоторые катионы, адсорбированные на осадке  $MnO(OH)_2$ , а также сильногидролизующие ионы  $Cr_2O_7^{2-}$ ,  $VO_3^-$  и  $NO_3^-$  не мешают. Сообщение IV см. РЖХим, 1958, 57214. Karel Kámen

**57164. Отделение и определение плутония методом жидкостной экстракции.** Мур, Хадженс (Separation and determination of plutonium by liquid-liquid extraction. Moore F. L., Hudgens J. E., Jr), Analyst. Chem., 1957, 29, № 12, 1767—1770 (англ.)

Разработан радиохим. метод определения Pu с предварительным экстракционным отделением Pu от других элементов с помощью 0,5 М р-ра 2-теноилтрифтороацетона (I) в ксилоле. Для перевода Pu в мономерную форму, экстрагирующуюся р-ром I, аликвотную порцию анализируемого р-ра обрабатывают конц.  $HNO_3$  при нагревании или осаждают Pu с помощью HF и  $LaF_3$  (носитель), растворяя полученный осадок в 2 М  $HNO_3$  в присутствии  $Al(NO_3)_3$  (для связывания F<sup>-</sup>). В последнем случае Pu одновременно отделяется также от мешающих анионов ( $SO_4^{2-}$ ,  $PO_4^{3-}$ ). 1 мл р-ра, содержащего Pu в мономерной форме, помещают в колбу емк. 10 мл, прибавляют 3 мл 2 М  $HNO_3$  и 1 мл 1 М  $NH_4OH \cdot HCl$ , нагревают 5 мин. при  $\sim 80^\circ$  и прибавляют 1 М  $HNO_3$  до общего объема р-ра  $\sim 5$  мл. Р-р переносят в делительную воронку емк.  $\sim 30$  мл (колбу споласкивают 2 мл 1 М  $NaNO_2$ ), выдерживают до прекращения выделения окислов N, прибавляют равный объем 0,5 М р-ра I в ксилоле, встряхивают 10 мин. и отделяют водн. слой. К органич. слою (ОС) прибавляют 7 мл 1 М  $HNO_3$  и встряхивают 3 мин. для извлечения из ОС частично экстрагировавшихся редкоземельных элементов и Th; водн. слой отбрасывают. Для отделения Pu от перешедших вместе с ним в ОС радиоактивных Zr, Pa и Fe его рекстрагируют встряхиванием ОС с равным объемом 10 М  $HNO_3$  в течение 2 мин. Если водн. р-р имеет слишком высокую  $\gamma$ -активность, затрудняющую измерение кол-ва Pu, то к полученному рекстракту прибавляют равный объем 0,5 М р-ра I в ксилоле и встряхивают в течение 5 мин. При этом последние следы радиоактивных Zr и Pa переходят обратно в ОС. Аликвотную порцию водн. слоя выпаривают досуха на мишени из платины или нержавеющей стали, прокалывают и содержание Pu определяют с помощью  $\gamma$ -счетчика. Описанным методом выделяется  $\sim 99\%$  Pu при одновременном отделении Pu от всех элементов, за исключением  $Np^{239}$ , не являющегося  $\gamma$ -излучателем и не мешающего поэтому определению Pu. А. Немодрук

**57165. Точное определение плутония методом дифференциальной спектрофотометрии.** Филлипс (Precise determination of plutonium by differential spectrophotometry. Phillips G.), Analyst, 1958, 83, № 983, 75—79 (англ.)

Описано определение миллиграммовых кол-в Pu в металлич. Pu и в Pu-Th-сплавах по светопоглощению  $Pu^{3+}$ , восстановленного гидроксиламином, при 565 м $\mu$ . Для построения калибровочного графика несколько образцов свежеобрезанного металлич. Pu (8—14 мг) растворяют в HCl, добавляя по каплям такое кол-во HCl, чтобы конечная конц-ия HCl в р-ре была 1 М. Полученный р-р нагревают в течение нескольких минут, охлаждают, прибавляют твердый  $NH_4OH \cdot HCl$  до конц-ии 5% по весу, выдерживают в течение 1 часа при  $25 \pm 0,02^\circ$ , разбавляют до определенного объема 5%-ным р-ром  $NH_4OH \cdot HCl$  (50 г  $NH_4OH \cdot HCl$  растворяют в воде, добавляют 90 мл HCl и разбавляют водой до 1 л) и спектрофотометрируют при 565 м $\mu$ , используя в качестве р-ра сравнения самый разбавленный из полученных анализируемых р-ров. Анализируемый образец сплава растворяют аналогичным способом (конц-ия Pu в р-ре должна быть такой, чтобы оптическая плотность была  $< 1$ ) и спектрофотометрируют, используя в качестве р-ра сравнения р-р, оптическая плотность которого наиболее близка к оптич. плотности анализируемого р-ра. Присутствие Th, U, Ca и  $Ce(3+)$  не мешает определению;  $Fe^{3+}$  восстанавливают до  $Fe^{2+}$  с помощью  $SnCl_2$ . Ошибка определения 10,05%. Р. Моторкина

**57166. Быстрые методы анализа металлов и минерального сырья. IV. Полярографическое определение германия.** Шульцек, Готфрид (Rychlé metody v analyse kovů a nerostných surovin. I. Polarografické stanovení germania. Sulcek Zdeněk, Gottfried Jaroslav), Chem. listy, 1957, 51, № 11, 2010—2016 (чешск.)

$Ge^{4+}$  дает волну восстановления в р-рах с pH  $> 5$ . Наиболее хорошо выраженные волны при  $-1,55$  в (по отношению к насыщ.  $Hg_2Cl_2$ -электроду) получаются на фоне  $Na_2CO_3$ ,  $Na_2CO_3$  и комплексона III (или  $K_2CO_3$  и KCN). Высота волны Ge увеличивается с возрастанием конц-ии  $Na_2CO_3$ . Присутствие небольших кол-в  $SiO_2$  определению Ge не мешает, но в присутствии больших кол-в  $SiO_2$  волна Ge совершенно подавляется; поэтому  $SiO_2$  необходимо предварительно удалить щел. осаждением. Ионы  $NO_3^-$  в отличие от  $SO_4^{2-}$  вызывают искажение волн Ge. При высоких конц-иях Cl<sup>-</sup> потенциал полуволны волны Ge сдвигается в сторону более положительных значений. С возрастанием конц-ии Cl<sup>-</sup> высота волны Ge увеличивается вплоть до предельного значения и затем уже не изменяется. Поэтому полярографирование необходимо вести с р-ром с приблизительно одной и той же конц-ией Cl<sup>-</sup>. Полярографич. определению Ge мешает присутствие V и As ( $3+$ ); As ( $5+$ ) не мешает. При осаждении гидроксидов Fe и Al германий адсорбируется на осадке. При фильтровании р-ра через бумажные фильтры наблюдается искажение и понижение полярографич. волн Ge. Для минералов, содержащих мало Fe, хорошие результаты получаются при щел. сплавлении; особенно предпочтительно сплавление с NaOH в присутствии небольшого кол-ва  $Na_2O_2$  в Ni-тигле. Плаз нейтрализуют серной и соляной к-тами и отгоняют  $GeCl_4$ . При более низких содержаниях Ge оказывается выгодным экстрагирование Ge при помощи  $CCl_4$ . Приведены подробные методики полярографич. определения Ge (при  $-0,1$  в) в золе газовых заводов, минералах (сфалерит и тетраэдрит) и промышленных дистиллятах. Сообщ. III, РЖХим, 1958, 28439. Petr Zupal

**57167. Метод определения германия в рудах, углях и промышленных отходах.** Назаренко В. А., Ле

Бедова Н. В., Равицкая Р. В., Заводск. лаборатория, 1958, 24, № 1, 9—13

На основании литературных сведений и результатов собственного исследования разработан общий метод определения Ge, пригодный для анализа всех Ge-содержащих материалов. Метод заключается в экстрагировании Ge четыреххлористым углеродом из р-ра, 9 н. по HCl, реактацией водой и фотометрировании с фенилфлуороном при 530 мμ (зеленый светофильтр). По мнению авторов, общим способом озоления угля и продуктов его переработки, применимым к самым разнообразным органич. материалам и не приводящим к потере Ge, является сжигание анализируемого в-ва со смесью CaO и Ca(NO<sub>3</sub>)<sub>2</sub>. При уменьшении кол-ва CCl<sub>4</sub> (соотношение 9 н. HCl:CCl<sub>4</sub> = 5:1 вместо прежнего 1:1) в результате однократного экстрагирования в CCl<sub>4</sub> переходит 99,5—100% Ge. Реактация Ge из CCl<sub>4</sub> в воду проходит также легко: при 2-кратной обработке порциями воды по 6 мл из 20 мл CCl<sub>4</sub> Ge количественно переходит в водн. фазу. Указанным методом можно определять 0,5 γ Ge в 1 г пробы (т. е. 5—10<sup>-5</sup>% Ge). Приведены подробные методики разложения проб угля и кокса, смол, окисных и силикатных руд, сульфидных руд, золь хлоридсодержащих углей и металлургич. шлагов, промышленных полупродуктов и отходов, содержащих металл. частицы, а также методики экстракционно-го отделения и фотометрич. определения Ge.

Ф. Судаков

57168. Потенциометрическое определение свинца. Саксена (Potentiometric determination of lead. Saxena Ram Sahai), Z. analyt. Chem., 1958, 160, № 3, 194—197 (англ.)

Потенциометрически изучена р-ция между Pb(NO<sub>3</sub>)<sub>2</sub> и K<sub>4</sub>Fe(CN)<sub>6</sub>. Титрование производили при различных концентрациях Pb(NO<sub>3</sub>)<sub>2</sub> и K<sub>4</sub>Fe(CN)<sub>6</sub>, используя в качестве титрующего реактива как Pb(NO<sub>3</sub>)<sub>2</sub>, так и K<sub>4</sub>Fe(CN)<sub>6</sub>. Для создания феррицианид-ферроцианидного электрода при титровании использовали р-р K<sub>4</sub>Fe(CN)<sub>6</sub>, содержащий 1% K<sub>3</sub>Fe(CN)<sub>6</sub>. В качестве индикаторного электрода применяли блестящую Pt-фольгу, которую посредством солевого (насыщ. р-р NH<sub>4</sub>NO<sub>3</sub>) мостика соединяли с насыщ. Hg<sub>2</sub>Cl<sub>2</sub>-электродом. Объем титруемого р-ра составлял 20 мл. Установлено, что в конечной точке титрования, определяемой по максим. значению  $dE/dc$ , мол. соотношение K<sub>4</sub>Fe(CN)<sub>6</sub>:Pb(NH<sub>3</sub>)<sub>2</sub> = 1:2, что соответствует образованию Pb<sub>2</sub>Fe(CN)<sub>6</sub>. Кривые потенциометрич. титрования имеют правильную форму. Присутствие 10—20% C<sub>2</sub>H<sub>5</sub>OH в титруемом р-ре не оказывает заметного влияния как на форму кривых титрования, так и на величину скачка потенциала в конечной точке титрования. При титровании в спирт. среде наблюдается более полное совпадение конечной точки с теоретич. точкой эквивалентности, это, по-видимому, связано с тем, что в присутствии в титруемом р-ре значительных кол-в C<sub>2</sub>H<sub>5</sub>OH уменьшается растворимость Pb<sub>2</sub>Fe(CN)<sub>6</sub> и подавляется абсорбция реагируемых ионов осадком Pb<sub>2</sub>Fe(CN)<sub>6</sub>. В присутствии электролитов (напр., KNO<sub>3</sub> и NH<sub>4</sub>NO<sub>3</sub>) величина скачка потенциала сильно уменьшается и при титровании в разб. р-рах скачка не наблюдается совсем; это, по мнению автора, обусловлено образованием комплексов Pb(NO<sub>3</sub>)<sub>2</sub> с KNO<sub>3</sub> и NH<sub>4</sub>NO<sub>3</sub>. Описанный метод потенциометрич. титрования прост, быстр, дает точные, воспроизводимые результаты и пригоден для определения Pb в умеренно конц. р-рах; ошибка при титровании в водн. р-рах ~ 1%, а при титровании в присутствии C<sub>2</sub>H<sub>5</sub>OH еще меньше.

Ф. Судаков

57169. Спектральный анализ с помощью универсального генератора. V. Определение свинца в цинке высокой чистоты. Ясуда (Yasuda Kazuo), Бун-

сэки кагаку, Japan Analyst, 1957, 6, № 12, 768—774 (японск.; рез. англ.)

Спектры возбуждают между верхним подставным электродом и металл. образцом при емкости в колебательном контуре 60 мф и индуктивности 400 мкГ. Исследованы процессы, происходящие на электродах во время возбуждения спектров в дуговом разряде. Спектры фотографируют на кварцевом спектрографе 0—24. Наиболее чувствительной оказалась линия Pb 4057,8 Å, по которой определяют до 0,0001% Pb с достаточной точностью. Градуировочные графики, построенные в логарифмич. масштабе с учетом фона, прямолинейны. Сообщение IV см. РЖХим, 1958, 14216. Б. Л. 57170. Микрометод электролитического определения свинца в медных сплавах. Сейнт (A micro procedure for the electrolytic determination of lead in copper-base alloys. Saint H. C. J.), Analyst, 1958, 83, № 983, 88—92 (англ.)

Для электролитич. выделения Pb использован несколько видоизмененный электролизер Бенедетти — Пихлера с цилиндр. сетчатым Pt-катодом, отделенным от Pt-анода стеклянной диафрагмой. Анод в виде спирали наматывается на тонкую стеклянную трубку, через которую во время электролиза для перемешивания р-ра пропускают воздух. PbO<sub>2</sub> выделяют из азотнокислого р-ра при t-ре 80°, напряжении 2 в и плотности тока 8 ма/см<sup>2</sup>. Анализируемый сплав растворяют в р-ре, содержащем 25 об.% конц. HNO<sub>3</sub>. Полученный р-р выпаривают досуха на глицириновой бане при 105° и остаток растворяют в р-ре, содержащем 1 об.% конц. HNO<sub>3</sub>. После 20-минутного электролиза анод с осадком PbO<sub>2</sub> промывают холодной водой, высушивают при 180° в течение 15 мин., охлаждают в эксикаторе и взвешивают. Метод пригоден для анализа сплавов, особенно латуней, содержащих ~ 3% Pb; ошибка определений ~ 2%. Если анализируемый сплав содержит Mn, то электролиз проводят на холоду, используя в качестве электролита р-р, содержащий 3 об.% HNO<sub>3</sub>. В присутствии As получают завышенные результаты. Присутствие 1% Si и 0,1% P (в форме фосфата) не мешает; в присутствии 3% Sn и 0,1% Bi получают несколько завышенные, а в присутствии 0,1% Sb — несколько заниженные результаты. Н. Полянский

57171. Быстрый метод определения титана в руде.

Ху Чжи-фан, Хуасюэ шицзе, 1957, № 12, 555 (кит.)

Описан простой и быстрый метод определения Ti в руде, основанный на восстановлении Ti<sup>4+</sup> с помощью гранулированного Zn без применения редуктора и титровании образующегося Ti<sup>3+</sup> с помощью Fe<sup>3+</sup> в присутствии NH<sub>4</sub>SCN в качестве индикатора. Анализируемую пробу разлагают сплавлением с Na<sub>2</sub>CO<sub>3</sub> и KNO<sub>3</sub> в Pt-тигле или с Na<sub>2</sub>O<sub>2</sub> в Ag-тигле или с Na<sub>2</sub>BO<sub>3</sub> и Na<sub>2</sub>O<sub>2</sub> в Ni-тигле. Плав выплавляют водой, фильтруют, гидроокиси Fe и Ti растворяют в HCl и р-р разбавляют соляной к-той (1:1) до 100 мл. К 20—25 мл этого р-ра прибавляют 6—8 г гранулированного Zn и колбу закрывают пробкой, снабженной узкой стеклянной трубкой. Через 10 мин. к р-ру добавляют 15 мл конц. HCl и по окончании видимой р-ции 5 мл бензола (для предохранения р-ра от окисления кислородом воздуха), колбу закрывают пробкой, охлаждают до 20—25°, приливают 1 мл насыщ. р-ра NH<sub>4</sub>SCN и титруют 0,05 н. р-ром FeCl<sub>3</sub>. 1 мл 0,05 н. FeCl<sub>3</sub> соответствует 0,003995 г TiO<sub>2</sub>. Наиболее точные результаты получаются при содержании в анализируемом р-ре ≥ 10 мг TiO<sub>2</sub> (абс. ошибка ± 0,05%). При содержании в р-ре > 2% TiO<sub>2</sub> относительная ошибка составляет 1,15—2,50%. А. Петренко

57172. Колориметрическое определение титана в легированных сталях методом добавок. Лазарев



А. И. Лазарева В. И., Заводск. лаборатория, 1958, 24, № 2, 145—146

Метод добавок, используемый обычно при полярографич. определениях, применен для фотометрич. определения Ti в сталях. Анализируемый образец стали 0,25 г растворяют при нагревании в 50 мл  $H_2SO_4$  (1:4), прибавляют по каплям  $HNO_3$  (уд. в. 1,4) до прекращения вспенивания, кипятят для удаления окислов N, охлаждают и разбавляют водой до 100 мл. Отбирают 3 аликвотные порции полученного р-ра по 25 мл в колбы емк. 50 мл; в 1-ю и 2-ю колбы прибавляют по 2 мл 3%-ной  $H_2O_2$ , во 2-ю колбу прибавляют кроме того 0,05—1 мг Ti в виде р-ра сульфата Ti; во все 3 колбы приливают по 3 мл  $H_3PO_4$  (уд. в. 1,7) для маскирования  $Fe^{3+}$ , разбавляют водой до 50 мл и фотометрируют в 3-см кювете со светофильтром с максим. пропусканием при 400 мμ (РЖХим, 1955, 29123). Оптич. плотности р-ров 1-й и 2-й колб (соответственно  $D_1$  и  $D_2$ ) измеряют, используя в качестве р-ра сравнения р-р 3-й колбы. Кол-во Ti (в г) X вычисляют по ф-ле  $X = aD_1(D_2 - D_1)$ , где  $a$  — кол-во Ti в г, добавленное во 2-ю колбу. Метод добавок может быть использован и для определения других элементов в сложных смесях.

Ф. Судаков  
57173. Комплексометрическое определение титрия с 1-(2-пиридилазо)-2-нафтолом в качестве индикатора. Бусев А. И., Киселева Л. В., Черкесов А. И., Заводск. лаборатория, 1958, 24, № 1, 13—16

Анализируемый р-р, содержащий 2—10 мг Th, разбавляют водой до конц-ии Th 1—2 мг/мл, прибавляют 3—5 капель 0,1%-ного метанольного р-ра 1-(2-пиридилазо)-2-нафтола (I) и несколько капель 1 M  $NH_4OH$  до появления оранжево-красной окраски и титруют 0,01 или 0,1 M р-ром комплексона III до зеленовато-желтой окраски р-ра. В присутствии посторонних ионов к анализируемому р-ру прибавляют 3—5 капель I и, если при этом появляется розовая или красная окраска, свидетельствующая об образовании комплексов посторонних металлов с I, прибавляют 1—2 капли 1 н. HCl до появления желто-оранжевой окраски и затем титруют 0,01 M р-ром комплексона III до зеленовато-желтой окраски р-ра. Титрованию  $Th^{4+}$  не мешают щел. и щел.-зем. элементы, Zn, Cd, Mn, Cr (при  $\leq 2,5$  мг/мл  $Cr^{3+}$  и  $\leq 0,6$  мг/мл Cr (6+)), Al (при pH 2,5), U, La, Ce (3+), Fe (в присутствии аскорбиновой к-ты),  $SO_4^{2-}$ , следовые кол-ва Ce (4+), Sn (2+) и Pb. Мешают Ti, Zr, Ni, Bi, In, V и анионы, образующие с  $Th^{4+}$  осадки или комплексные соединения ( $PO_4^{3-}$ ,  $F^-$ ,  $CO_3^{2-}$ ). При определении Th в синтетич. смеси, соответствующей по составу монацитовому песку, но без  $PO_4^{3-}$ , получены удовлетворительные результаты.

Ф. Судаков  
57174. Определение ванадия в чистом алюминии. Эрдей, Сабадвари (Bestimmung von Vanadium in Reinaluminium. Erdey L., Szabadváry F.), Z. analyt. Chem., 1958, 159, № 6, 429—434 (нем.)

Разработан простой и быстрый метод фотометрич. определения V в чистом Al с помощью ванамина синего (I). 1 г Al (содержащего 0,004—0,05% V) растворяют в 25 мл HCl (1:1) и р-р упаривают на водяной бане почти досуха. Если р-р был мутным (в случае большого содержания Si), то к остатку после упаривания снова прибавляют HCl (1:1), фильтруют, промывают разб. р-ром HCl (1:1) и фильтрат упаривают почти досуха. К остатку прибавляют 20 мл буферного р-ра с pH 3 (925 мл 0,1 н.  $CH_3COOH$  и 75 мл 0,1 н.  $CH_3COONa$ ), 0,1 н.  $KMnO_4$  до розовой окраски р-ра (для окисления всего V до  $V^{5+}$ ), 1—2 мл 0,1 н.  $H_2C_2O_4$ , нагревают (для разрушения избытка  $KMnO_4$ ), прибавляют 6 мл комплексона III (50 мг/мл) для маскирования  $Fe^{3+}$  и 4 мл 0,5%-ного р-ра хлоргидрата I, разбавляют буферным р-ром до 50 или 100 мл и через

5 мин. синий р-р фотометрируют со светофильтром S 57. Ошибка определения  $< 25\%$ .

А. Немодрун  
57175. Фотометрическое определение тантала в тантане и его сплавах при помощи реагента арсенана. Никитина Е. И., Ж. аналит. химии, 1958, 13, № 1, 72—78 (рез. англ.)

Разработан фотометрич. метод определения Ta с реактивом арсенано (I) в тартратных р-рах. Установлено, что I образует растворимое, окрашенное в фиолетовый цвет соединение с Ta в сильноокислых, преимущественно солянокислых р-рах. Комплекс Ta с I образуется также в тартратных и цитратных р-рах и устойчив при нагревании до 100°. Комплекс Ti с I полностью разрушается в сильноокислых (HCl) р-рах и не мешает фотометрич. определению Ta с I в тартратном р-ре. Метод применен для простого и быстрого определения 1—15% Ta в Ti-сплавах без предварительного отделения Ti.

Резюме автора

57176. Амперометрическое определение молибдена и вольфрама в присутствии никеля. Бабко А. К., Волкова А. И., Заводск. лаборатория, 1958, 24, № 2, 135—137

Метод амперометрич. титрования Mo и W нитратом Pb в уксуснокислой среде (РЖХим, 1955, 23954; Мухина З. С., Заводск. лаборатория, 1948, 14, 10, 1194) применен для определения Mo и W в жаростойких сплавах Mo-Ni и W-Ni и смешанных электротехн. K 1—5 мл анализируемого электролита, содержащего 0,015—0,05 г Mo и 0,03—0,20 г W, прибавляют 2 мл 20%-ного р-ра гликоля (для маскирования Ni), 2—4 мл насыщ. р-ра  $CH_3COONa$  (для устранения влияния  $SO_4^{2-}$  и  $Cl^-$ ) и  $CH_3COOH$  до pH 6,5—7 (по универсальной индикаторной бумажке), разбавляют водой до 15 мл, нагревают до 80° и титруют 0,5 н. р-ром  $Pb(NO_3)_2$  при 1 в, используя Pt-микроэлектрод длиной 80—100 мм и диам. 0,5 мм в качестве катода и насыщ.  $Hg_2Cl_2$ -электрод в качестве анода. Продолжительность анализа 20 мин. Установлена возможность амперометрич. определения Mo и W на упрощенной установке (без полярографа) с гальванич. элементом Якоби—Даниэля, который в сочетании с  $Hg_2Cl_2$ -полуправом обеспечивает необходимое напряжение для восстановления избыточных ионов Pb. Описан способ приготовления комбинированного электрода (из Pt-микроэлектрода и элемента Якоби—Даниэля), являющегося одновременно микроэлектродом и источником внешней э. д. с.

Ф. Судаков

57177. Весовой метод определения урана с применением купферона для его отделения. Елисон С. В., Олезник В. А., Ж. аналит. химии, 1958, 13, № 1, 95—99 (рез. англ.)

Разработан весовой метод определения U в рудах и концентратах (содержащих  $> 5\%$  U), основанный на отделении примесей купфероном и осаждении  $U(4+)$  этим же реактивом после восстановления гидросульфитом Na. Метод проверен при анализе чистого урана, искусств. смесей с сопутствующими U примесями, а также при анализе руд и концентратов с различным содержанием U. Во всех случаях получены удовлетворительные результаты. Метод пригоден для прецизионных анализов руд и концентратов, содержащих  $> 5\%$  U, в условиях заводских лабораторий. Продолжительность одного определения 4—5 час. Одновременно можно вести анализ четырех навесок. Точность метода характеризуется средней квадратической ошибкой  $\pm 0,3\%$  (относительных) для образцов, содержащих 50% U, и  $\pm 1,2\%$  (относительных) для образцов, содержащих 5—10% U.

Резюме авторов

57178. Новый метод титриметрического определения шестивалентного урана. Фотохимическое восстановление в присутствии эфира. Рао, Рао (A new volumetric method for the determination of uranium (VI).

Photochemical reduction with ether. Rao V. Panduranga, Rao G. Gopala, Z. analyt. Chem., 1958, 160, № 3, 190—193 (англ.)

Разработан метод, основанный на фотохим. восстановлении  $U(6+)$  в среде  $H_2SO_4$  в присутствии диэтилового эфира (I) и последующем титровании образующегося  $U(4+)$  р-ром  $NaVO_3$ . К анализируемому р-ру прибавляют 10 мл насыщ. водн. р-ра I, подкисляют серной к-той до конц-ии  $\sim 1$  н., разбавляют водой до 25 мл и выдерживают 1 час при свете лампы Филлипс или на солнечном свете и титруют р-ром  $NaVO_3$  в присутствии дифенилбензидина или N-фенилантрапиновой к-ты в качестве индикатора. В указанных условиях кислотности и экспозиции  $U(6+)$  восстанавливается только до  $U(4+)$ ; восстановления  $U(6+)$  до  $U(3+)$  или  $U(5+)$  не происходит. Скорость фотохим. восстановления  $U(6+)$  повышается при увеличении конц-ии  $H_2SO_4$  до  $\sim 0,5$  н. и остается постоянной при дальнейшем увеличении конц-ии  $H_2SO_4$  ( $> 0,5$  н.). При фотохим. восстановлении  $U(6+)$  в отсутствие  $H_2SO_4$  образуется фиолетовый осадок  $U_3O_8$ . Монохроматич. свет с длиной волны  $> 4300$  Å не пригоден для фотохим. восстановления  $U(6+)$ . Присутствие  $F^-$ ,  $PO_4^{3-}$ ,  $AsO_4^{3-}$  и  $ClO_4^-$  не мешает как фотохим. восстановлению  $U(6+)$ , так и последующему оксидиметрич. титрованию  $U(4+)$ :  $Cl^-$  и  $Br^-$  препятствуют фотохим. восстановлению  $U(6+)$ . Метод дает хорошие результаты. Ф. Судakov

57179. Полярографическое определение урана в присутствии ванадия и железа. Морачевский Ю. В., Сахаров А. А., Ж. аналит. химии, 1958, 13, № 1, 83—87 (рез. англ.)

Разработан метод полярографич. определения  $0,1—1$  мкг  $U$  в присутствии  $V$  и  $Fe$ , основанный на применении в качестве полярографич. фона р-ра, содержащего постоянное кол-во ( $0,01$  моль/л)  $V(4+)$ . Установлено, что в сернокислых р-рах анодно-катодная волна  $U(3+)/U(4+)$  пригодна для полярографич. определения  $U$  независимо от соотношения конц-ий  $U(4+)$  и  $U(3+)$ . Разработана методика полярографич. определения  $U$  в р-рах в присутствии  $V$  и  $Fe$  после предварительного электролиза р-ра с  $Hg$ -катодом. Метод применим при абс. содержаниях  $U > 0,4$  мкг.

Резюме авторов

57180. Определение урана методом изотопного разбавления. Горис, Даффи, Тинги (Uranium determination by the isotope dilution technique. Goris Paul, Duffy Wayne E., Tingey Fred H.), Analyt. Chem., 1957, 29, № 11, 1590—1592 (англ.)

Описан метод изотопного разбавления с масс-спектрометрич. окончанием для одновременного определения общего кол-ва и соотношения между изотопами  $U^{235}$  и  $U^{238}$  в р-рах, образующихся в процессе переработки отработанных урановых блоков, обогащенных  $U^{235}$ . Принцип метода заключается в добавлении к отобранному с соответствующими предосторожностями образцу сильно радиоактивного исследуемого р-ра (ИР) определенного объема р-ра разбавителя (РР), содержащего в качестве носителя известное кол-во  $U^{235}$ , с последующим полуколич. отделением  $U$  от продуктов деления и других посторонних элементов экстрагированием в 3%-ный р-р трибутилфосфата в этансене, выделением  $U$  из органич. фазы в форме  $UO_2 \cdot 2H_2O$  с помощью  $H_2O_2$ , растворением осадка в 12 н.  $HNO_3$ , выпариванием полученного р-ра на металлич. нити и, наконец, определением относительно содержания изотопов с помощью масс-спектрометра. Наименьшая ошибка в результатах определения наблюдается при отношении веса  $U$  в образце ИР к весу  $U$  в добавленном объеме РР, равном  $\sim 1$ . Большая часть определений при изучении данного метода авторами выполнена при величине этого отношения,

равной 20; в этом случае ошибка определения общего  $U$  составляла  $\pm 3,7\%$ , а ошибка определения главного изотопа  $U$  составляла  $\pm 0,13\%$ . Метод применим при конц-ях  $U$   $0,001—350$  мкг/мл, продолжительность одного определения ( $\sim 50$  ч  $U^{235}$ ) 2 часа. А. Горюнов

57181. Быстрое полярографическое определение марганца в ферромарганце и марганецсодержащих шлаках. Дано, Моринага, Номура, Накагава (Dano Tsunumatsu, Morinaga Ken-ichi, Nomura Tsuyoshi, Nakagawa Genkichi), Бунсэки кагаку, Japan Analyst, 1958, 7, № 1, 25—28 (японск.; рез. англ.)

При полярографич. определении  $Mn$  в ферромарганце и  $Mn$ -содержащих шлаках в качестве фона использован пирофосфатный электролит, предложенный Колтгофом и Уатерсом (Kolthoff I. M., Watters J. I., Industr. and Engng Chem., Analyt. Ed., 1943, 15, 8). Изучено влияние различных факторов (рН, посторонние ионы, в-ва, используемые для подавления максимумов, и др.) на полярографич. определение  $Mn(3+)$  на указанном фоне. Установлено, что  $Ni$ ,  $Co$ ,  $Cu$ ,  $Zn$ ,  $Pb$  и другие элементы полярографированию  $Mn$  на фоне  $0,3$  М пирофосфата не мешают. Прямо пропорциональная зависимость между высотой полярографич. волны и конц-ией  $Mn$  наблюдается при рН 2,5—3,4 и до конц-ий  $Mn \sim 50$  мкг на 100 мл. Мешающее влияние  $Fe$  при высоких рН незначительно;  $Cr$ ,  $V$ ,  $Cl^-$  и некоторые другие ионы мешают. Резюме авторов

57182. О трилонометрическом определении железа в рудах и агломерате. Фесенко Н. Г., Заводск. лаборатория, 1958, 24, № 1, 25—26

При определении  $Fe$  в стандартных образцах кировской руды и других образцах ранее описанным методом (РЖХим, 1956, 16413), основанным на прямом титровании  $Fe^{2+}$  р-ром комплексона III в присутствии сульфосалициловой к-ты в качестве индикатора, установлено, что указанный метод дает систематически завышенные (на  $\sim 5\%$ ) результаты. Эту ошибку метода автор устранил предварительным нагреванием титруемых р-ров до  $\sim 60^\circ$ . Для получения устойчивых результатов и исключения мешающего влияния других ионов автор рекомендует строго поддерживать рН титруемого р-ра на уровне 1—3, так как только в этой области рН  $Fe^{3+}$  образует устойчивый комплекс с комплексонам III; кроме того, сульфосалициловая к-та при рН  $> 4,0—4,5$  образует окрашенные комплексы и с другими ионами (Кузнецов В. И., Заводск. лаборатория, 1946, 12, № 3, 278). Улучшенный метод позволяет наряду с  $Fe^{3+}$  определять также  $Fe^{2+}$  (после окисления до  $Fe^{3+}$  персульфатом аммония), что имеет практ. значение при анализе руд, содержащих  $Fe(2+)$ . Ф. Судakov

57183. Быстрое фотометрическое микроопределение железа в хроме, марганце и никеле оксихинолиновым экстракционным методом. Мотодзима, Хаситани (Motojima Kenji, Hashitani Hiroshi), Бунсэки кагаку, Japan Analyst, 1958, 7, № 1, 28—33 (японск.; рез. англ.)

Установлено, что оксихинолиновый комплекс  $Fe(3+)$  количественно экстрагируется хлороформом из кислого р-ра с рН  $\geq 2,4$ . Хлороформный экстракт оксихинолинового комплекса  $Fe(3+)$  имеет 2 максимума светопоглощения при 470 и 580 мμ; светопоглощение оксихинолиновых комплексов большинства других металлов в этой области спектра незначительно. На основании этих наблюдений разработан быстрый и точный метод определения малых кол-в  $Fe$  ( $> 0,01\%$ ) в хроме, марганце и никеле. К  $\sim 35$  мл анализируемого кислого р-ра, содержащего  $\leq 100$  γ  $Fe^{3+}$  и  $\sim 0,1$  г  $Cr$ ,  $Mn$  или  $Ni$ , прибавляют сначала р-р оксихинолина, а затем  $CH_3COONH_4$  и  $NH_4OH$  до рН 2,5—3,3, разбавляют водой до  $\sim 50$  мл и экстрагируют



хлороформом (10 мл). Хлороформный слой высушивают с помощью безводн.  $\text{Na}_2\text{SO}_4$  и фотометрируют при 470 или 580 м $\mu$ . Резюме авторов

**57184.** Фотометрическое определение следовых количеств железа в висмуте. Бут, Эвэтт (The absorptiometric determination of traces of iron in bismuth. Booth E., Evett T. W.), Analyst, 1958, 83, № 983, 80—82 (англ.)

Для фотометрич. определения Fe в висмуте применен 4,7-дифенил-1,1-фенантролин (батифенантролин) (I), впервые описанный Смитом (Smith G. F. и др., Analyst, 1952, 77, 418). Анализируемый образец растворяют в смеси 6 M HCl и 16 M  $\text{HNO}_3$  (10 мл HCl и 0,5 мл  $\text{HNO}_3$  на каждый г Bi), р-р выпаривают почти досуха при нагревании с помощью ИК-лампы, остаток снова обрабатывают конц. HCl и повторяют выпаривание. Конечный остаток растворяют в конц. HCl, разбавляют водой так, чтобы получаемый р-р содержал 0,2 г/мл Bi и был  $\sim 2$  M по HCl. 5 мл этого р-ра помещают в стакан емк. 10 мл, прибавляют 0,2 мл 10%-ного р-ра  $\text{SnCl}_2$ , кипятят, охлаждают до комнатной т-ры, переносят в делительную воронку емк. 100 мл, смывают стакан спиртом (5 мл) и 2 M HCl (2 мл), прибавляют 4 мл 0,2%-ного водно-спирт. р-ра I (0,5 г I растворяют в  $\text{C}_2\text{H}_5\text{OH}$  и разбавляют водой до 250 мл) и перемешивают. Отдельно готовят смесь 20 мл 4%-ного р-ра комплексона III и 10 мл 50%-ного р-ра цитрата Na, которую добавляют в делительную воронку, перемешивают до растворения образующегося вначале осадка и через 5 мин. экстрагируют комплекс  $\text{Fe}^{2+}$  с I н-гексиловым спиртом (10 мл). Спирт. слой отделяют, разбавляют этанолом, добавляют 0,2 мл 2 M HCl, перемешивают и фотометрируют при 533 м $\mu$ . Чувствительность описанной р-ции  $\text{Fe}^{2+}$  с I в 2 раза превышает чувствительность р-ции  $\text{Fe}^{2+}$  с 1,10-фенантролином (хорошие результаты получаются при 1  $\mu$  Fe). I регенерируют выпариванием спирт. экстракта досуха, нагреванием остатка с 10 M NaOH и экстрагированием горячим бензолом. Р. Моторкина

**57185.** Полярографическое определение следовых количеств железа в реактивах: хлориде натрия и щелочах. Сугихара, Сайто (Sugihara Kishiro, Saito Toshihide), Бунсэки какаку, Japan Analyst, 1958, 7, № 1, 1—4 (японск.; рез. англ.)

При определении следовых кол-в Fe в NaCl, NaOH, KOH и  $\text{Na}_2\text{CO}_3$  Fe соосаждали с  $\text{Al}(\text{OH})_3$  и определяли полярографически. Изучено полярографич. определение Fe на фоне KOH — маннит; оптимальными условиями являются: период капания  $\geq 7$  сек., конц-ия KOH 2 M и конц-ия маннита 0,1 M. Для изучения соосаждения Fe с  $\text{Al}(\text{OH})_3$  25—125  $\mu$  Fe соосаждали из  $\sim 200$  мл 30%-ного водн. р-ра NaCl с 8 мг Al, осадок растворяли в  $\text{HNO}_3$ , р-р концентрировали, смешивали с фоновым электролитом и полярографировали. Установлено, что при этом соосаждается  $\sim 97\%$  Fe. Определены  $E_{1/2}$  ионов  $\text{As}^{3+}$ ,  $\text{Mn}^{2+}$ ,  $\text{Cu}^{2+}$ ,  $\text{Bi}^{3+}$ , Cr (6+),  $\text{Pb}^{2+}$ ,  $\text{Cd}^{2+}$ ,  $\text{Sn}^{2+}$ ,  $\text{Sb}^{3+}$ ,  $\text{Co}^{2+}$ ,  $\text{Zn}^{2+}$ ,  $\text{Ni}^{2+}$ ,  $\text{Ti}^{4+}$ ,  $\text{Al}^{3+}$  и др. на указанном фоне и установлено, что эти ионы не мешают определению Fe по волне с  $E_{1/2} = 1,09$  в. Из резюме авторов

**57186.** Соосадители в аналитической химии. I. Фотометрическое определение следовых количеств кобальта с использованием гидроокиси алюминия в качестве соосадителя. Иман, Сэто (Imai Tetsuo, Seto Kunio), Бунсэки какаку, Japan Analyst, 1958, 7, № 1, 4—8 (японск.; рез. англ.)

Установлена пригодность  $\text{Al}(\text{OH})_3$  как соосадителя при выделении следовых кол-в Co. Изучено влияние pH р-ра, т-ры и продолжительности стояния осадка на соосаждение Co. Хорошие результаты получены при осаждении  $\text{Al}(\text{OH})_3$  р-ром NaOH в области pH 7,4—9,0

с последующей выдержкой осадка при 30° в течение 15 мин. Использование  $\text{NH}_4\text{OH}$  в качестве осадителя нежелательно, так как  $\text{NH}_4^+$  мешает последующему фотометрич. определению Co с нитрозо-R-солью и затрудняет регулирование pH среды. Резюме авторов

**57187.** Применение аминсоединений в полярографии неорганических веществ. VI. Определение кобальта в сталях и рудах. Долежал, Новак (Užití aminosloučenin v polarografii anorganických látek. VI Stanovení kobaltu v ocelích a rudách. Doležal Jan, Novák Josef), Chem. listy, 1957, 51, № 10, 1798—1803 (чешск.)

На основании результатов изучения полярографич. поведения Co в щел. р-рах этилендиамина разработан метод определения Co в присутствии значительных кол-в Fe, Al, Cr, Mn, Ni, Zn, V, Mo и W. Определению мешают большие кол-ва Ag, Tl и Cu, восстановление которых протекает при более положительных потенциалах, чем восстановление Co ( $-0,7$  в в р-ре, 1 M по этилендиамину и 1 M по KOH;  $-56$  в в р-ре, 1 M по этилендиамину и 1 M по  $\text{NH}_4\text{OH}$ ). Присутствие Pb также мешает, так как его волна сливается с волной Co. В указанной среде при высоких конц-иях Fe, Cr, Mn, Al, Zn и V образуют осадки, на которых адсорбируется комплекс Co (3+). С уменьшением конц-ии этилендиамина адсорбция возрастает, а с повышением конц-ии Co при одинаковой конц-ии Fe уменьшается. Применением метода стандартных добавок можно определить Co в присутствии Fe при соотношениях Co: (Fe, Mn, Zn) = 1:1000, Co:Ni = 1:100, Co:V = 1:10. При определении Co в сталях 0,1 г образца растворяют в 7 мл 20%-ной  $\text{H}_2\text{SO}_4$  или в другой подходящей к-те. Полученный р-р упаривают и 2 раза выпаривают с 4 мл конц.  $\text{H}_2\text{SO}_4$ . После остывания к сухому остатку прибавляют 3 мл 20%-ной  $\text{H}_2\text{SO}_4$  и р-р, pH которого добавлением р-ра KOH устанавливают на уровне  $\sim 1$ , разбавляют водой до 100 мл. К 10 мл полученного р-ра прибавляют 12,5 мл свежеприготовленной смеси, 2 M по этилендиамину и 2 M по KOH, тщательно взбалтывают, доводят до необходимой т-ры, разбавляют водой до 25 мл, центрифугируют или выдерживают до оседания осадка и прозрачный р-р полярографируют после удаления кислорода пропусканием  $\text{N}_2$ . При определении Co в минер. сырье 1 г пробы растворяют в 10 мл царской водки, упаривают досуха и 2 раза выпаривают с 10 мл конц. HCl. К сухому остатку прибавляют 10 мл конц. HCl, р-р с нерастворимым остатком после установления необходимого pH разбавляют водой до 100 мл и далее продолжают анализ, как описано выше. Если в анализируемой пробе содержится большие кол-ва Pb и Cu, то эти элементы следует предварительно удалить. Сообщение V см. РЖХим, 1958, 32166. Petr Zuman

**57188.** Амперометрическое определение кобальта в магнитных сплавах. Торопова В. Ф., Стрелова О. С., Заводск. лаборатория, 1958, 24, 140—141

Описан метод, основанный на р-ции окисления  $\text{Co}^{2+}$  феррицианидом K в аммиачной среде. 0,1—0,2 г сплава растворяют в  $\text{HNO}_3$  (1:1), упаривают для удаления окислов N, прибавляют 3—5 мл  $\text{H}_2\text{SO}_4$  (1:4) и 10%-ный р-р  $\text{Na}_2\text{S}_2\text{O}_3$  до полного осаждения CuS (при нагревании). Осадок отфильтровывают и промывают. Фильтрат нейтрализуют аммиаком, прибавляют 1—2 г  $(\text{NH}_4)_2\text{SO}_4$ , 1—2 г тартрата Na, 10—15 мл 25%-ного  $\text{NH}_4\text{OH}$  и 10—15 мл 0,1 M  $\text{K}_3\text{Fe}(\text{CN})_6$  и амперометрически оттитровывают избыток  $\text{K}_3\text{Fe}(\text{CN})_6$  0,1 M р-ром  $\text{CoSO}_4$  при  $-0,2$  в с использованием вращающегося Pt-электрода (скорость вращения 600 об/мин) в качестве катода и насыщ.  $\text{Hg}_2\text{Cl}_2$ -электрода в качестве анода. При прямом титровании  $\text{Co}^{2+}$  р-ром  $\text{K}_3\text{Fe}(\text{CN})_6$  получаются несколько заниженные результаты, по-видимому, вследствие частичного окисления  $\text{Co}^{2+}$

кислородом воздуха. Описанным методом Co можно определять в присутствии Ni, Fe и Al, входящих в состав магнитных сплавов.  $Ni^{2+}$  не реагирует с  $K_3Fe(CN)_6$ ; восстановление аммиака Ni на Pt-электроде происходит при более отрицательном потенциале. Fe и Al окисляются тартратами или цитратами. Мешающие ионы Cu удаляют электролитически или осаждением с помощью  $H_2S$  или  $Na_2S_2O_3$ . Продолжительность определения Co 20—30 мин.; точность удовлетворительная.

Ф. Судаков

57189. Амперометрическое титрование кобальта феррицианидом калия на установке с вращающимся платиновым микроэлектродом. Жданов А. К., Хадеев В. А., Моисеева Г. П., Заводск. лаборатория, 1958, 24, № 2, 137—140

Описан метод, основанный на р-ции окисления  $Co^{2+}$  феррицианидом K в аммиачной среде. K анализируемому р-ру прибавляют 3 г соли аммония (сульфат, хлорид или нитрат), кипятят для удаления  $O_2$ , быстро охлаждают, прибавляют 10 мл 25%-ного  $NH_4OH$  и титруют р-ром  $K_3Fe(CN)_6$ , используя вращающийся Pt-микроэлектрод в качестве катода и насыщ.  $Hg_2Cl_2$ -электрод в качестве анода. Этим методом определяют 0,1—0,065 мг Co с удовлетворительной точностью. Определению Co не мешает присутствие 50—100-кратных кол-в  $SO_4^{2-}$ ,  $NO_3^-$ ,  $Cl^-$ ,  $CrO_4^{2-}$ ,  $CH_3COO^-$ , тартрата и цитрата, 50-кратных кол-в  $Zn^{2+}$ ,  $Cd^{2+}$  и  $Ni^{2+}$ . При введении в титруемый р-р 3—5 г цитрата аммония возможно определение Co в присутствии 160-кратного кол-ва  $Pb^{2+}$  и 80-кратного кол-ва Bi, а при введении 3—5 г винной к-ты — в присутствии 20-кратных кол-в  $Pb^{2+}$  и  $Cr^{3+}$  и 10-кратного кол-ва  $Cu^{2+}$ . Мешающее влияние  $Cr^{3+}$  можно устранить также окислением его персульфатом аммония в кислой среде до  $Cr_2O_7^{2-}$ . Для маскирования  $Fe^{3+}$  и других катионов пригоден также сульфосалицилат Na.

Ф. Судаков

57190. Определение металлического никеля в присутствии окиси никеля. Крейцар (Stanovení kovového niklu vedle kysličníku nikelnatého. Krejcar Emil), Chem. listy, 1957, 51, № 11, 2137 (чешск.)  
При определении металлич. Ni в присутствии NiO в анализируемом образце прибавляют отмеренный объем 6%-ного р-ра железосаммиачных квасцов в 0,001 н.  $H_2SO_4$ , нагревают до 60—70° при перемешивании током  $N_2$  (1 л/мин) до полного растворения (60—120 мин.) и образующееся в эквивалентном металлич. Ni кол-ве  $Fe^{2+}$  октитривывают 0,1 н. р-ром  $K_2Cr_2O_7$  в присутствии дифениламина в качестве индикатора (1 мл 0,1 н.  $K_2Cr_2O_7$  соответствует 2,93 мг металлич. Ni). Описанным методом в образцах, полученных восстановлением из  $NiCO_3$  (3 часа,  $470 \pm 10^\circ$ ), определяют  $100,22 \pm 0,84\%$  Ni (при выделении Ni без носителя) и  $97,54 \pm 0,45\%$  Ni (при выделении Ni на кизельгуровом носителе; металл: кизельгур = 1:2). Гидрогенизационный Ni-катализатор, применяемый в жировой пром-сти, по данным, полученным описанным методом, содержит 40—60% металлич. Ni, механич. влияние присутствующего жира устраняют прибавлением спирта в анализируемую смесь. Ошибка определения  $\pm 0,5$  до  $\pm 1,0\%$ .

Jiří Vaněček

57191. К аналитической химии платиновых металлов. VII. Микрохимическое открытие иридия, палладия и платины с помощью солей фосфония и арсения. Heß (Der mikrochemische Nachweis des Iridiums, Palladiums und Platins mit Phosphonium- und Arsoniumsalzen. Beiträge zur analytischen Chemie der Platinmetalle. VII. Neeb Rolf), Z. analyt. Chem., 1958, 159, № 6, 401—405 (нем.)

Разработан метод открытия  $Pt^{4+}$ ,  $Pd^{2+}$  и  $Ir^{4+}$  с помощью хлоридов тетрафенилфосфония (I), трифенилметиларсения (II) и (для  $Pd^{2+}$ ) тетрафениларсения (III), основанный на взаимодействии I, II, III с хлоро-

комплексами  $Pt^{4+}$ ,  $Ir^{4+}$  и  $Pd^{2+}$  с образованием характерных осадков, пригодных для идентификации перечисленных элементов микрокристаллическим методом. Отрываемый минимум составляет 1 у для  $Ir^{4+}$  с I (слабо солянокислая среда, твердый I, нагревание) и II (0,5 н.  $HCl$ , р-р II, на холоду); 0,5 у для  $Pd^{2+}$  с I (0,5 н.  $HCl$ , твердый I или р-р I, на холоду); 0,2 у для  $Pd^{2+}$  с II (слабо солянокислая среда, р-р II, на холоду); 1 у для  $Pd^{4+}$  с III (в тех же условиях, что и с II); 0,1 у для  $Pt^{4+}$  с I; 0,05 у для  $Pt^{4+}$  с II. Rh и Ru открытию  $Pt^{4+}$ ,  $Pd^{2+}$  и  $Ir^{4+}$  не мешают. Применением  $NH_2OH \cdot HCl$  для восстановления  $Ir^{4+}$  до  $Ir^{3+}$  можно открывать Pd, Pt и Os в присутствии большого избытка Ir. Сообщение VI см. РЖХим, 1958, 914. А. Немодрук

57192. Диалкил- и диарилдитиофосфорные кислоты как аналитические реактивы. Сообщение 3. Определение палладия при помощи диалкил- и диарилфосфатов никеля или калия. Бусев А. И., Иванютин М. И., Ж. аналит. химии, 1958, 13, № 1, 18—30 (рез. англ.)

Установлено, что Pd количественно осаждается диалкил- и диарилфосфатами из кислых, нейтр. и щел. р-ров, содержащих комплексобразующие реактивы. Диалкилдитиофосфат Pd, состав которого выражается ф-лой  $[(C_2H_5O)_2PSS]_2Pd$ , растворим в  $CCl_4$ ,  $CHCl_3$  и других органич. р-рителях. С использованием диалкил- и диарилдитиофосфатов разработаны микровесовой, микротитриметрич. и фотометрич. методы определения Pd в присутствии Pt, Ni, Fe, Cu и других элементов. Сообщение 2 см. РЖХим, 1958, 4261.

Резюме авторов

57193. Спектрохимическое определение платины и палладия в уране. Буфатин О. И., Зайдель А. Н., Калитеевский Н. И., Ж. аналит. химии, 1958, 13, № 1, 116—118 (рез. англ.)

1 г анализируемого урана растворяют в 2 н.  $H_2SO_4$ , вводят р-р  $CuSO_4$  (0,1 мг Cu на 1 г U) и через горячий р-р пропускают  $H_2S$ . Сульфиды Pt и Pd растворяют в царской водке и р-р наносят на плоский конец угольного электрода, пропитанного 3%-ным р-ром полистирола в бензоле. Полноту отделения U контролируют по отсутствию его чувствительных линий. Спектры возбуждают в разряде конденсированной искры при емкости 0,012 мкф и индуктивности 0,15 мкн с искровым промежуток 2 мм и фотографируют на среднем спектрографе. Cu в анализируемый р-р вводят как коллектор. Для создания внутреннего стандарта в пробу и эталоны вносят р-р  $AuCl_3$  в таком кол-ве, чтобы на электроде находилось 2 у Au. Применяют эталоны, изготовленные из чистых солей Pt, Pd и Cu. Градуировочные графики строят в координатах  $\Delta S$ ,  $lg C$  по линиям (в А): Pt 2659,4 — Au 2675,9 ( $1 \cdot 10^{-4}$  —  $3 \cdot 10^{-3}\%$ ) и Pt 3421,2 — Au 3122,7 ( $3 \cdot 10^{-5}$  —  $1 \cdot 10^{-3}\%$ ) (в скобках указаны определяемые концентрации Pt и Pd). Вероятная ошибка определения Pt < 20%. Г. Кибисов

57194. Спектрофотометрическое определение малых количеств бора с помощью куркумина. Часть 1. Условия развития окраски при реакции бора с куркумином. Часть 2. Разложение графита и отделение бора методом дистилляции. Мураки, Хи и ро (Muraki Isao, Hiro Kazuo), Osaka kōgō gijyūgō sikkansō kiko, Bull. Osaka Industr. Res. Inst., 1957, 8, № 4, 247—252; 253—257 (японск.; рез. англ.); Нихон какаку дзасси, J. Chem. Soc. Japan. Pure Chem. Sec., 1957, 78, № 6, 845—854 (японск.)

I. Изучен фотометрич. метод определения малых кол-в B (0,1—2,0 у) в графите высокой чистоты. Установлено, что на развитие окраски при р-ции B с куркумином влияют  $HCl$ ,  $H_2C_2O_4$  и другие мешающие соединения, такие, как хлориды и гидроокиси щел. и щел.-зем. элементов. Для получения хороших результатов р-р куркумина перед употреблением необходи-



мо выдерживать в течение нескольких дней (7—10 дней с момента его приготовления).

2. Куркуминовый фотометрич. метод применен для определения В в графите, используемом в ядерной технике. С целью разработки оптимальных условий отделения В от мешающих в-в испытаны дистилляционные аппараты различного типа и выяснено значение объемов используемого  $\text{CH}_3\text{OH}$  и собираемого дистиллята. Установлено, что при соблюдении разработанных оптимальных условий дистилляции и фотометрирования наблюдается прямо пропорциональная зависимость между оптич. плотностью окрашенного р-ра и конц-ией В.

Ким Су Ен  
57195. Определение малых количеств бора кулонометрическим титрованием. I. Иинума, Йосимура, Такэути (Iinuma Hiroshi, Yoshimori Takayoshi, Takeuchi Hironori), Бунсэки кагаку, Japan Analyst, 1958, 7, № 1, 8—11 (японск.; рез. англ.)

При определении В к 50 мл электролитич. (0,2 М NaBr) прибавляют 3,5 г маннитола, устанавливают рН на строго определенном уровне, прибавляют анализируемый р-р борной к-ты и электролизом при постоянной силе тока рН р-ра доводят до первоначальной величины. По времени, затраченному на этот электролиз, рассчитывают кол-во В. Удовлетворительные результаты получены при первоначальном и конечном рН в пределах 6,3—6,8. Описанным методом определяют 1—50 мкг борной к-ты с ошибкой несколько процентов; 10—540 γ В в буре определяют также с ошибкой несколько процентов.

Из резюме авторов  
57196. Открытие и фотометрическое определение борной кислоты. Зоммер (Dukaz a fluorometrické stanovení kyseliny borité. Sommer Lumir), Chem. listy, 1957, 51, № 11, 2032—2036 (чешск.)

Изучены флуоресцентные р-ции  $\text{H}_3\text{BO}_3$  с некоторыми оксикетонами: куркумином (I), резацетофеноном (II) и бензоином (III). Разработаны оптимальные условия для чувствительного и избирательного флуоресцентного открытия следовых кол-в  $\text{H}_3\text{BO}_3$  в присутствии различных анионов и катионов, а также для флуориметрич. определения В. Р-ры I после прибавления  $\text{H}_3\text{BO}_3$  практически не изменяют флуоресценции (Ф), и поэтому I не пригоден для флуоресцентного открытия  $\text{H}_3\text{BO}_3$ . II дает с  $\text{H}_3\text{BO}_3$  в среде безводн. к-т характеристич. сине-белую Ф, не обнаруживаемую, однако, в щел. среде: в 1 капле анализируемого р-ра после прибавления 2 капель свежеприготовленного 0,5—0,8%-ного спирт. р-ра II в  $(\text{CH}_3\text{CO})_2\text{O}$  и 2 капель сиропообразной  $\text{H}_3\text{PO}_4$  и 30-секундного облучения УФ-лучами можно легко открыть еще 0,04 γ В. Самая чувствительная р-ция наблюдается с III в слабощел. спирт. среде (возникает зеленовато-белая Ф). В среде конц.  $\text{H}_2\text{SO}_4$  III разлагается и его зеленая Ф не изменяется в присутствии  $\text{H}_3\text{BO}_3$ . С III дают более слабую Ф в среде 0,1 н.  $\text{CH}_3\text{COONa}$  (синевадая Ф) или в щел. р-ре с рН 10—11 (зеленая—желто-зеленая Ф), кроме  $\text{H}_3\text{BO}_3$ , следующие ионы:  $\text{Ge}^{4+}$ ,  $\text{Sb}^{3+}$ ,  $\text{Al}^{3+}$ ,  $\text{Mn}^{2+}$ ,  $\text{Zn}^{2+}$ ,  $\text{Be}^{2+}$ . Сравнением Ф 1 капли анализируемого р-ра после упаривания с 1 каплей 0,6 н. NaOH, увлажнения 1 каплей воды и прибавления 1 капли  $\text{C}_2\text{H}_5\text{OH}$  и 2 капель 0,5%-ного спирт. р-ра III с Ф стандартных р-ров после 30—60-секундного облучения УФ-лучами можно открыть еще 0,04 γ В. Этим способом можно открыть 2 γ В в присутствии избытка  $\text{CH}_3\text{COO}^-$ ,  $\text{Cl}^-$ ,  $\text{Br}^-$ ,  $\text{I}^-$ ,  $\text{SCN}^-$ ,  $\text{CN}^-$ ,  $\text{Fe}(\text{CN})_6^{4-}$ ,  $\text{JO}_3^-$ ,  $\text{BrO}_3^-$ ,  $\text{ClO}_3^-$ ,  $\text{NO}_3^-$ ,  $\text{NO}_2^-$ ,  $\text{PO}_4^{3-}$ ,  $\text{CO}_3^{2-}$ ,  $\text{SO}_4^{2-}$ ,  $\text{SO}_3^{2-}$ ,  $\text{S}_2\text{O}_3^{2-}$  и  $\text{S}^{2-}$ . Ионы  $\text{CrO}_4^{2-}$ ,  $\text{JO}_4^-$ ,  $\text{S}_2\text{O}_8^{2-}$  и  $\text{Fe}(\text{CN})_6^{3-}$  необходимо предварительно восстановить при нагревании с помощью  $\text{Na}_2\text{SO}_3$ . Ф ослабляется в присутствии щавелевой, винной и аскорбиновой к-т, а также оксикислот. Многовалентные и гидролизующие катионы необходи-

мо предварительно соосадить с  $\text{ZnO}$  или же адсорбировать на катионообменной смоле (напр., иофатит KPS 200). Щел. металлы не мешают. Влияние щел.-зем. металлов,  $\text{Mg}^{2+}$  и  $\text{Pb}^{2+}$  устраняют добавлением 0,1 М р-ра комплексона III. Ионы  $\text{Zn}^{2+}$ ,  $\text{Co}^{2+}$ ,  $\text{Ni}^{2+}$ ,  $\text{Mn}^{2+}$ ,  $\text{Cd}^{2+}$ ,  $\text{Hg}^{2+}$  и  $\text{Ag}^+$  можно маскировать с помощью KCN;  $\text{Cu}^{2+}$  и после этого дает яркую сине-белую Ф.  $\text{Be}^{2+}$  и  $\text{UO}_2^{2+}$  маскируют добавленным насыщ. р-ра  $\text{Na}_2\text{CO}_3$ . На основании изучения различных факторов, оказывающих влияние на интенсивность Ф, разработаны оптимальные условия флуориметрич. определения В. К нейтр. анализируемому р-ру ( $\leq 1$  мл) прибавляют 0,3 мл 0,6 н. NaOH и 5 мл 0,5%-ного спирт. р-ра III, разбавляют 99%-ным спиртом до 50 мл и через 6 мин. измеряют интенсивность Ф. Кол-во В находится по калибровочному графику, который имеет прямолинейный характер в интервале конц-ий 0,02—0,6 γ В. Методом изомольных серий изучен состав флуоресцирующего внутрикомплексного соединения III с В. Максимум спектра Ф находится при 466—469 мμ.

Jiji Vanček  
57197. Термоэлектрический метод определения углерода в стали по ходу плавки. Корж П. Д., Ершова А. П., Заводск. лаборатория, 1958, 24, № 1, 41—43  
Описан метод определения С в кипящей стали по ходу плавки в мартеновской печи, основанный на линейной зависимости т. э. д. с. от процентного содержания С при закалке анализируемых образцов стали на мартенситную структуру. В качестве наиболее приемлемого способа закали анализированных образцов стали использован способ отбора пробы на усеченный конус. Конус погружают в ложку с расплавленной сталью и быстрым вращением за ручку поворачивают на 360°. Затем конус с налипшим к нему тонким слоем стали быстро переносят в холодную воду и охлаждают, слегка помешивая. Охлажденная проба легко снимается и в большинстве случаев сама сползает со стального конуса. Полученные таким образом образцы стали исследуют на спец. приборе для измерения т. э. д. с. (приведена схема). Измерения т. э. д. с. при разных т-рах горячего спая и разных элементах сравнения (железо, медь и никром) показали, что лучшая воспроизводимость результатов и более высокая точность определения С наблюдается при т-ре горячего спая до 200°; в этом температурном интервале зависимость т. э. д. с. от конц-ии С линейная. При измерении т. э. д. с. с ошибкой до 0,01 мв погрешность определения С не превышает  $\pm 0,01\%$ . Расхождение с результатами хим. метода определения также не превышает  $\pm 0,01\%$ . Продолжительность определения, включая взятие пробы,  $\leq 2-3$  мин. Описанный метод рекомендован в качестве экспресс-метода для лабораторий мартеновских цехов.

Ф. Судаков  
57198. Непрерывный отбор проб и ультрамикродетекция двуокиси азота в воздухе. Джейкобс, Хоххейзер (Continuous sampling and ultramicrodetermination of nitrogen dioxide in air. Jacobs Morris B., Hochheiser Seymour), Analyst. Chem., 1958, 30, № 3, 426—428 (англ.)  
Для отбора проб применяют 24-часовой пробоотборник, который снабжают барботером с пористой стеклянной пластинкой. Анализируемый воздух пропускают со скоростью 1,3 л/мин через 30—35 мл 0,1 н. р-ра NaOH, содержащего 2 мл/л бутилового спирта (при этом поглощаются  $\text{NO}_2$  и  $\text{SO}_2$ ). К полученному р-ру прибавляют 1 каплю 1%-ной  $\text{H}_2\text{O}_2$  (для окисления мешающих определению  $\text{NO}_2$  сульфитов), 10 мл р-ра диазотирующего реактива (20 г сульфаниламида растворяют в 1 л воды, содержащей 50 мл  $\text{H}_3\text{PO}_4$ ) и 1 мл 0,1%-ного N-(1-нафтил)-этилендиаминдигидрохлорида, и спектрофотометрируют при 550 мμ. Оптимальное значение рН для развития окраски  $< 2$ . Описан-

Этим методом определяют несколько частей  $\text{NO}_2$  на 100 млн. частей воздуха. По мнению авторов, метод дает несколько заниженные результаты, так как не учитывается превращение смеси  $\text{NO}_2 - \text{N}_2\text{O}_4$  в нитрит не достигается.

Н. Полянский  
57199. Ускоренный серийный анализ железосодержащих веществ. IV. Быстрое определение нитрата и нитрита во фтористоводородно-азотнокислых растворах. Мукаэваки (Mukaewaki Kimio), Бунсэки кагаку, Japan Analyst, 1957, 6, № 12, 775—779 (японск.; рез. англ.)

При определении  $\text{NO}_3^-$  в присутствии Fe, Cr и HF нитрат восстанавливают с помощью  $\text{FeSO}_4$  в сильно сернистой среде в атмосфере  $\text{CO}_2$  и избыток  $\text{FeSO}_4$  оттитровывают р-ром  $\text{KMnO}_4$ . Разбавляющее действие HF на стеклянную посуду предотвращают добавлением борной к-ты. Метод применен для определения  $\text{NO}_3^-$  в р-рах, содержащих 3—12%  $\text{NO}_3^-$ ; продолжительность определения ~ 15 мин., относительная ошибка  $\pm 2\%$ . Содержание  $\text{NO}_2^-$  определяют прямым титрованием анализируемой пробы р-ром  $\text{KMnO}_4$  в слабо сернистой среде при нагревании до  $40^\circ$  в кончике титрования. Продолжительность определения 0,2—0,3%  $\text{NO}_2^-$  составляет ~ 3 мин. Сообщение III см. РЖХим, 1958, 24885.

Из резюме автора

57200. Броматометрия. I. Броматометрическое определение соединений трехвалентных мышьяка и сурьмы. Секереш, Шугар, Пап (Bemerkungen zu bromatometrischen Messungen. I. Über die bromatometrische Bestimmung von Verbindungen des Arsens (III) und des Antimons (III). Szekeres L., Sugár E., Pap E.), Z. analyt. Chem., 1958, 159, № 6, 418—422 (нем.)

Разработан метод броматометрич. определения  $\text{As}(3+)$  и  $\text{Sb}(3+)$  с применением йода с крахмалом в качестве обратимого индикатора. К анализируемому р-ру прибавляют 10 мл 10 н.  $\text{HCl}$ , разбавляют водой до ~ 100 мл, прибавляют 1 мл 0,5%-ного р-ра крахмала, 1 каплю 0,1 н. щел. р-ра йода (1,3 г йода в 100 мл 0,5 н.  $\text{NaOH}$ ) и титруют 0,01—0,1 н. р-ром  $\text{KBrO}_3$  до исчезновения голубой окраски р-ра. В случае применения 0,01 н.  $\text{KBrO}_3$  проводят холостое титрование. Исчезновение голубой окраски р-ра наступает вследствие появления в р-ре свободного Br, образующего с йодом  $\text{JBr}$ . Ошибка определения зависит от концентрации  $\text{HCl}$  и не превышает 0,20% при определении As (при конц-ии  $\text{HCl}$  3,1—9,5%) и 0,30% при определении Sb (при конц-ии  $\text{HCl}$  3,8—9,5%). См. также РЖХим, 1958, 39297.

А. Немодрук

57201. Определение сурьмы в свинце повышенной чистоты. Лурье Ю. Ю., Заглодина Т. В., Заводск. лаборатория, 1958, 24, № 2, 133—134

Ранее описанный метод (Лурье Ю. Ю., Филиппова Н. А., Заводск. лаборатория, 1952, 18, 30; РЖХим, 1955, 21454) модифицирован и применен для определения малых кол-в Sb (0,5—1  $\mu$  из навески 1 г) в свинце повышенной чистоты. Установлено, что после растворения пробы свинца в  $\text{HNO}_3$  для удаления избытка  $\text{HNO}_3$  и превращения нитратов в хлориды р-р необходимо 2 раза выпарить досуха с  $\text{HCl}$ . Восстановление Sb до 3-валентного состояния и последующее окисление до  $\text{SbCl}_4^-$  следует производить при конц-ии  $\text{HCl}$ , равной 3:1, а не 1:1. Кол-во толуола, вводимого при фототитровании Sb, необходимо уменьшить с 30 до 7 мл. Для конечного определения Sb фотоколориметр ФЭК-М не пригоден; хорошие результаты можно получить с фотоколориметром ФЭК-Н54 или визуальным сравнением окраски анализируемого р-ра со шкалой стандартных р-ров, приготовленных в тот же день.

Ф. Судаков

57202. Фотоколориметрический метод определения мышьяка в олове. Швайгер М. И., Паклина

В. П., Медведева А. С., Заводск. лаборатория, 1958, 24, № 1, 16—17

Разработан метод, основанный на р-ции комплексообразования  $\text{Bi}^{3+}$  с тиомочевинной (I) в кислой среде. 1 г анализируемого олова растворяют в 5 мл царской водки при слабом нагревании, р-р охлаждают, прибавляют 15 мл  $\text{HNO}_3$  (2:13) и 10 мл 10%-ного р-ра I, разбавляют водой до 50 мл и через 15 мин. фотометрируют с синим светофильтром в 50-мм кювете, используя в качестве р-ра сравнения воду. При определении Bi в черном олове, содержащем до 0,02% Fe, в качестве р-ра сравнения используют р-р этого олова без I. Небольшие кол-ва Cu, Sb и Fe не мешают определению Bi. При анализе различных проб олова получены результаты, хорошо совпадающие с данными спектрального и йодидного (фотометрич.) методов.

Ф. Судаков

57203. Непрерывное кулонометрическое определение кислорода в газах. Сакамаки, Юки (Sakamaki Isamu, Yuki Shinzo), Бунсэки кагаку, Japan Analyst, 1958, 7, № 1, 33—37 (японск.; рез. англ.)

Определенный объем анализируемого газа пропускают с постоянной скоростью в электролитич. ячейку, где  $\text{O}_2$  взаимодействует с электролитически генерируемыми ионами  $\text{Cr}^{3+}$ . Скорость образования  $\text{Cr}^{3+}$  регулируется с помощью реле, так что в р-ре всегда присутствует очень небольшой избыток  $\text{Cr}^{3+}$ . Установлено, что в условиях эксперимента сила генерирующего тока в любой момент времени пропорциональна конц-ии определяемого  $\text{O}_2$ .

Резюме авторов

57204. Определение несвязанного кислорода в металлическом цирконии. Силверман, Брадшоу (Detection of uncombine oxygen in zirconium metal. Silverman Louis, Bradshaw Wanda), Analyst. chim. acta, 1958, 18, № 3, 253—258 (англ.)

Описан метод, основанный на выделении несвязанного  $\text{O}_2$  при растворении металлич. Zr в 10%-ной HF. Выделяющийся  $\text{O}_2$  поглощают щел. р-ром  $\text{MnCl}_2$  и определяют косвенным спектрофотометрич. методом (РЖХим, 1956, 1163). Метод применен для определения 50—170  $\mu$   $\text{O}_2$  в образцах металлич. Zr. Для одноводных образцов полученные результаты согласуются между собой в пределах 0,01 вес. %  $\text{O}_2$ . Кислород, связанный в форме  $\text{ZrO}_2$ , не мешает определению.

Н. Полянский

57205. Разделение неорганических анионов, содержащих серу, методом хроматографии на бумаге. Сервинь, Дюваль (Séparation chromatographique sur papier des anions minéraux contenant du soufre. Servigne Yvette, Duval Clément), C. r. Acad. sci., 1957, 245, № 21, 1803—1804 (франц.)

Методом восходящей хроматографии на бумаге Арп 302 в двух смешанных р-рителях:  $n\text{-C}_4\text{H}_9\text{OH}-\text{H}_2\text{O}$  (75:25) и  $\text{изо-C}_3\text{H}_7\text{OH}-\text{H}_2\text{O}$  (75:25), исследовано разделение микрограммовых кол-в S-содержащих комплексных анионов:  $\text{S}^{2-}$ ,  $\text{SO}_3^{2-}$ ,  $\text{S}_2\text{O}_3^{2-}$ ,  $\text{SO}_4^{2-}$ ,  $\text{HSO}_4^{2-}$ ,  $\text{S}_2\text{O}_7^{2-}$ ,  $\text{S}_2\text{O}_8^{2-}$ ,  $\text{S}_2\text{O}_6^{2-}$ ,  $\text{S}_4\text{O}_6^{2-}$  и  $\text{S}_2\text{O}_8^{2-}$ . Открытие пятен на хроматограммах производили опрыскиванием: для  $\text{S}^{2-}$  — 1%-ным водн. р-ром  $\text{AgNO}_3$ ; для  $\text{SO}_3^{2-}$  — 0,02%-ным водн. р-ром кислого фуксина; для ионов  $\text{S}_2\text{O}_3^{2-}$ ,  $\text{SO}_4^{2-}$ ,  $\text{HSO}_4^{2-}$ ,  $\text{S}_2\text{O}_7^{2-}$  и  $\text{S}_4\text{O}_6^{2-}$  — по новому методу: сначала насыщ. спирт. р-ром бензидина, а затем 0,01 н. водн. р-ром  $\text{KMnO}_4$  (сине-пятно на коричневом фоне: открываемый минимум 5  $\mu$  в 0,01 мл); для ионов  $\text{S}_2\text{O}_8^{2-}$  — сначала 1%-ным водн. р-ром  $\text{FeCl}_3$ , а затем 1%-ным водн. р-ром  $\text{K}_3\text{Fe}(\text{CN})_6$  (сине-зеленое пятно) и для ионов  $\text{S}_2\text{O}_8^{2-}$  — 0,05%-ным уксуснокислым р-ром бензидина. Найдены следующие величины  $R_f$  в 1-м и 2-м р-рителях соответственно:  $\text{SO}_4^{2-}$  (0; 0,38),  $\text{SO}_3^{2-}$  (0,03; 0,11),  $\text{S}^{2-}$  (0; 0,32),  $\text{S}_2\text{O}_3^{2-}$  (0; 0,38),  $\text{SO}_3^{2-}$  (0,03; 0,11),  $\text{S}^{2-}$  (0; 0,32),  $\text{S}_2\text{O}_8^{2-}$



(0; 0,34),  $\text{HSO}_4^-$  (0; 0,33),  $\text{S}_2\text{O}_8^{2-}$  (0,02; 0,39) и  $\text{S}_2\text{O}_7^{2-}$  (0,57; 0,51).

**57206.** Титриметрическое определение сульфат-ионов с использованием этилендиаминтетраацетатного комплекса бария. Иритани, Танака (Iritani Nobuhiko, Tanaka Tomoo), Бунсэки кагаку, Japan Analyst, 1958, 7, № 1, 42—46 (японск.; рез. англ.)

К анализируемому р-ру прибавляют разб.  $\text{NH}_4\text{OH}$  до pH 9—10 и избыток р-ра этилендиаминтетраацетатного комплекса Ba, нагревают на водяной бане, прибавляют по каплям разб.  $\text{HCl}$  до полного осаждения  $\text{BaSO}_4$ , фильтрат титруют р-ром  $\text{BaCl}_2$  с индикатором фталевинкомплексом или р-ром  $\text{MgCl}_2$  с индикатором эриохромовым черным Т. Присутствие  $\text{K}^+$  и  $\text{Na}^+$  не мешает. Описанным методом определяют  $\sim 10$  мг  $\text{SO}_4^{2-}$  с ошибкой —0,1 мг. Колич. осаждение  $\text{BaSO}_4$  при этой методике происходит при pH 2,5—3,0; общий объем р-ра должен быть  $\leq 100$  мл. Резюме авторов

**57207.** Методы определения примеси сульфатов в растворимых фосфатах. Заваров Г. В., Заводск. лаборатория, 1958, 24, № 2, 153—156

Изучено влияние конц-ии фосфатов и кислотности среды на осаждение  $\text{SO}_4^{2-}$  в форме  $\text{BaSO}_4$ . Установлено, что методики определения  $\text{SO}_4^{2-}$ , рекомендуемые рядом ГОСТ (451—41; 201—41; ОСТ 10178-39; 4172-48), приводят к ошибочным результатам. Высокие конц-ии фосфатов в анализируемом р-ре влияют на результаты определения  $\text{SO}_4^{2-}$  в двух направлениях. При низкой кислотности (0,05—0,1 н.) среды получаются сильно завышенные результаты вследствие соосаждения фосфата Ba. При высокой кислотности ( $\sim 0,5$  н.) осадки  $\text{BaSO}_4$  выделяются менее загрязненными, но чрезвычайно замедляется кристаллизация, что приводит в ряде случаев к заниженным результатам. Установлена возможность достаточно точного определения 0,05—20%  $\text{SO}_4^{2-}$  без отделения и после отделения  $\text{PO}_4^{3-}$  в форме  $\text{MgNH}_4\text{PO}_4 \cdot 6\text{H}_2\text{O}$ . В 1-м случае осаждение  $\text{BaSO}_4$  можно производить при высокой кислотности. Во 2-м случае наилучшие результаты получаются при осаждении  $\text{MgNH}_4\text{PO}_4 \cdot 6\text{H}_2\text{O}$  смесью  $\text{MgCl}_2$  и  $\text{NH}_4\text{Cl}$  на горячего р-ра при сильном перемешивании; потери  $\text{SO}_4^{2-}$  за счет соосаждения невелики и при осаждении  $\text{PO}_4^{3-}$  на холоду и прибавлении р-ра  $\text{MgCl}_2$  по каплям при сильном перемешивании. Приведена подробная методика определения  $\text{SO}_4^{2-}$  в фосфатах в трех вариантах, проверенная при анализе искусств. смесей. Ф. Судяков

**57208.** Новый метод определения теллура. Онуфриенко И. П., Аксененко В. М., Ж. аналит. химии, 1958, 13, № 1, 119—122 (рез. англ.)

Описан быстрый способ колич. восстановления  $\text{TeO}_3^{2-}$  до элементарного Te молочным сахаром в слабощел. среде, обеспечивающий быстрое и точное определение Te весовым и титриметрич. методами. Разработан титриметрич. метод определения Te в сурьмяно-теллуrowых сплавах. Определению не мешают небольшие кол-ва As, Sn, Bi, Fe, Pb, Cd, Cu и Se. Установлено, что ферроцианид K в слабощел. среде предотвращает восстановление Cu и Se молочным сахаром до элементарного состояния. Резюме авторов

**57209.** Комплексометрическое титрование (хелатометрия). XXXII. Косвенное комплексометрическое определение фторидов при помощи солей двухвалентного свинца. Вржештял, Гавирж, Брандштетр, Котрлы (Komplexometrické titrace (chelatometrie). XXXII. Nepřímé komplexometrické stanovení fluoridů olovnatými solemi. Vřešťál Jan, Havíř Josef, Brandštetr Jiří, Kotrlý Stanislav), Chem. listy, 1957, 51, № 9, 1677—1679 (чешск.)

Описан метод, основанный на осаждении F<sup>-</sup> избыт-

ком  $\text{PbCl}_2$  в форме  $\text{PbClF}$  и последующем комплексо-метрич. определении избытка  $\text{Pb}^{2+}$ . Для колич. протекания р-ции осаждения необходим избыток как  $\text{Pb}^{2+}$ , так и  $\text{Cl}^-$ . Во избежание гидролиза  $\text{PbCl}_2$  анализируемый р-р перед прибавлением  $\text{Pb}^{2+}$  подкисляют. Ионы  $\text{H}^+$ , выделяющиеся при образовании  $\text{PbClF}$ , нейтрализуют гексаметилентетраминном (I). Т-ра при осаждении  $\text{PbClF}$  практически не влияет на результаты определения F<sup>-</sup>. Колич. выделение осадка  $\text{PbClF}$  заканчивается в течение 1 часа. В качестве индикатора пригодны пирокатехиновый фиолетовый или нафтоловый оранжевый. При определении F<sup>-</sup> анализируемый р-р, содержащий 4—60 мг F<sup>-</sup> в 40—60 мл, нейтрализуют разб. р-ром  $\text{HNO}_3$  в присутствии метлового оранжевого, прибавляют 0,5 мл 0,5 М  $\text{NaCl}$  и точно 150 мл р-ра  $\text{PbCl}_2$  с известным титром (насыщ. р-р  $\text{PbCl}_2$  разбавляют прибавлением 10% воды), в случае необходимости нейтрализуют 1%-ным р-ром I по метиловому оранжевому, выдерживают 1 час, разбавляют водой до 250 мл и фильтруют. К 100—150 мл фильтрата прибавляют 10 капель 0,1%-ного водн. р-ра пирокатехинового фиолетового и буферный р-р I (100 мл 10%-ного р-ра I + 15 мл 1 н.  $\text{HNO}_3$ ) до отчетливой синей окраски р-ра и титруют 0,05 М аммиачным р-ром этилендиаминтетрауксусной к-ты. В качестве индикатора можно применить также киселево-вый оранжевый (5—6 капель 0,1%-ного водн. р-ра), причем в этом случае в конце титрования целесообразно прибавить  $\sim 1$  мл указанного буферного р-ра I. Сульфаты до конц-ии 2% не мешают. Сообщения XXXI см. РЖХим, 1958, 32161. Karel Kamen

**57210.** Микроопределение фтора. Самаксон, Словик, Зобель (Microdetermination of fluorine. Samachson Joseph, Slovik Norman, Schel Albert E.), Analyt. Chem., 1957, 29, № 12, 1888—1891 (англ.)

Предложен метод фотометрич. определения микроколичеств F в различных биологич. материалах по обесцвечиванию приготовленного новым способом ализарин-торневого лака после дистилляции F с водным паром в несколько упрощенном приборе, описанном ранее (Huckabay W. B. и др., Analyt. Chem., 1947, 19, 154).  $\leq 50$  мг анализируемого образца помещают в прибор для дистилляции, предварительно промытый сначала пропусканьем водяного пара в течение 50 мин., а затем ацетоном и высушенный отсаживанием паров при помощи водоструйного насоса. К образцу прибавляют 1 мл  $\text{H}_2\text{SO}_4$  (1:1) или 0,5 мл конц.  $\text{H}_2\text{SO}_4$  (в случае твердых или жидких образцов соответственно), 100 мг  $\text{Ag}_2\text{O}$  (в случае присутствия больших кол-в Cl) и нагревают реакционную трубку, помещенную в баню из сим-тетрахлорэтана до т-ры кипения (+146°), пропуская одновременно через реакционную смесь водяной пар. Дистиллят собирают в мерную колбу емк. 10—25 мл (в присутствии  $\sim 10$  у. л. достаточно 8,5 мл дистиллята; продолжительность дистилляции в этом случае 10—20 мин.), прибавляют 1—3 мл ализарин-торневого лака (24 мл монохлоратного буферного р-ра, содержащего 18,9 г  $\text{CH}_2\text{ClCOOH}$  и 4 г  $\text{NaOH}$  в 100 мл воды смешивают с 15 мл 0,2%-ного водн. р-ра ализарина S, прибавляют 6 мл 0,25%-ного р-ра  $\text{Th}(\text{NO}_3)_4$  и 5 мл воды), разбавляют водой до метки и фотометрируют при 525 мμ. Кол-во F определяют по калибровочному графику, построенному с использованием водн. р-ра  $\text{NaF}$ , содержащего 10 у. л. F. Получены удовлетворительные результаты. Р. Моторкин

**57211.** Фотометрическое определение фторидов. Челеховский, Голер (Fotometrické stanovení fluoridů. Čelechovský Jaroslav, Holer Jaroslav), Chem. listy, 1957, 51, № 11, 2129—2131

(чешск.); Collect. Czechosl. chem. commun., 1958, 23, № 3, 542—545 (нем.; рез. русск.)

Изучена степень обесцвечивания красного р-ра комплекса антипирина (Ant) с  $\text{Fe}^{3+}$  ионами  $\text{F}^-$  в зависимости от конц-ии  $\text{F}^-$  и в-в, принимающих участие в р-ции. Наибольшее понижение оптич. плотности окрашенного р-ра вследствие взаимодействия ионов  $\text{FeAnt}^{2+}$  с  $\text{F}^-$  с образованием бесцветного комплекса  $\text{FeF}^{2+}$  наступает при pH 2,00 и конц-ии Ant  $4 \cdot 10^{-2}$  M. При этих условиях, основываясь на эффекте обесцвечивания, можно фотометрически определить  $\text{F}^-$  (при 465 мμ) при конц-ии 35—300 γ F в 25 мл конечного р-ра с наимышей относительной ошибкой, колеблющейся от —3,1 до +4,6%. Оптимальная конц-ия  $\text{Fe}^{3+}$  при применении 1-, 2- и 5-см кювет составляет  $10,75 \cdot 10^{-6}$ ,  $5,70 \cdot 10^{-6}$  и  $3,15 \cdot 10^{-6}$  M. Соответственно сильные восстановители и соединения, образующие с  $\text{Fe}^{3+}$  или же с  $\text{F}^-$  прочные комплексы, мешают. Присутствие 100-кратного кол-ва  $\text{Cl}^-$  и 200-кратного кол-ва  $\text{SO}_4^{2-}$  не мешает.

Jiří Vaněček

57212. Титриметрическое определение ионов брома. Сечереш (Über die titrimetrische Bestimmung der Bromid-Ionen. Szekeres Ladislaus), Z. analyt. Chem., 1958, 160, № 3, 198—201 (нем.)

Описан метод, основанный на окислении  $\text{Br}^-$  избытком  $\text{KBrO}_3$  до  $\text{Br}_2$  (р-ция протекает до конца в течение 15 мин. в среде  $\sim 1,0$  н.  $\text{H}_2\text{SO}_4$ ), восстановлении выделившегося  $\text{Br}_2$  в форме  $\text{OBr}^-$  с помощью  $\text{H}_2\text{O}_2$  или  $\text{HCOONa}$  и на йодометрич. оттитровании избытка  $\text{KBrO}_3$ . Присутствие 30-кратного кол-ва  $\text{Cl}^-$  при общей конц-ии галогенидов  $\leq 0,05$  н. не мешает определению  $\text{Br}^-$ ;  $\text{I}^-$  мешает. При определении  $\text{Br}^-$  в 10 мл анализируемого р-ра, 0,02—0,1 н. по галогенидам ( $\text{Cl}^-$  и  $\text{Br}^-$ ), прибавляют 15 мл 0,1 н.  $\text{KBrO}_3$  и 25 мл 2 н.  $\text{H}_2\text{SO}_4$ , выдерживают 15 мин., нейтрализуют 5 н. р-ром  $\text{NaOH}$  (10 мл), прибавляют 3 г твердого  $\text{NaHCO}_3$  и 15 мл 3%-ной  $\text{H}_2\text{O}_2$ , нагревают на водяной бане до прекращения выделения пузырьков газа ( $\sim 15$  мин.), охлаждают, разбавляют водой, прибавляют 20 мл 2%-ного р-ра  $\text{KJ}$ , 15 мл  $\text{HCl}$  (уд. в. 1,19) и титруют 0,05—0,1 н. р-ром  $\text{Na}_2\text{S}_2\text{O}_3$ . Одновременно проводят контрольное титрование. 1 мм 0,1 н.  $\text{KBr}$  восстанавливает 1,2 мл 0,1 н.  $\text{KBrO}_3$ .

C. Гедова

57213. Косвенный фотометрический метод определения цианида. Ольвейлер, Медич (Indirect absorptiometric determination of cyanide. Ohlweiler Otto A., Meditsch Jorge O.), Analyt. Chem., 1958, 30, № 3, 450—451 (англ.)

Модифицирован и усовершенствован ранее описанный метод определения  $\text{CN}^-$  по обесцвечивающему влиянию  $\text{CN}^-$  на комплекс  $\text{Hg}$  с *n*-диметиламинобензилденроданином (I) (РЖХим, 1956, 29348) применением техники дифференциальной спектрофотометрии при определении больших кол-в  $\text{CN}^-$  и изучением влияния  $\text{SCN}^-$  и  $\text{S}^{2-}$ . 3 мл анализируемого р-ра, содержащего 0,3 γ/мл  $\text{CN}^-$ , и 1 мл насыщ. р-ра винной к-ты, помещают во внешнее отделение чашки Конвэя, а во внутреннее отделение этой чашки наливают 3 мл р-ра  $\text{Hg}(\text{NO}_3)_2$ , содержащего 18,7 γ/мл  $\text{Hg}^{2+}$ . Диффузия  $\text{CN}^-$  продолжается 2 часа при комнатной т-ре (или 1 час при 38°). 2 мл р-ра из внутреннего отделения чашки переносят в конич. колбу емк. 200 мл, добавляют 41 мл воды, 5 мл 0,8 н.  $\text{HNO}_3$  и 2 мл 0,015%-ного спирт. р-ра I (при помешивании), выдерживают 20 мин. в темном месте и фотометрируют при 470 мμ. Кол-во  $\text{CN}^-$  определяют по калибровочному графику, построенному по результатам фотометрирования р-ров, содержащих 0, 1, 2, 3, 4, 5, 6 γ  $\text{CN}^-$ , 2 мл р-ра  $\text{Hg}(\text{NO}_3)_2$ , 36 мл воды и 5 мл 0,8 н.  $\text{HNO}_3$ . При содержании  $> 1,5$  γ  $\text{CN}^-$  в 3 мл р-ра используют метод дифференциальной спектрофотометрии (р-р сравнения содер-

жит 1 γ  $\text{CS}^-$ ).  $\text{S}^{2-}$  (при  $\leq 150$  γ/мл) предварительно осаждают добавлением 0,2 мл 20%-ного р-ра  $\text{Cd}(\text{NO}_3)_2$  и отфильтровывают  $\text{CdS}$ .

Р. Моторкина

57214. Титрование гидрохиноном и подобными восстановителями. IV. Определение азидов на основе обменной реакции осаждения. Крейцова, Симон, Зыка (Titration hydrochinonem a podobnými redukcujícími činidly. IV. Stanovení azidu výměnnou srážecí reakcí. Krejzová Emilie, Simon Vladimír, Zýka Jaroslav), Chem. listy, 1957, 51, № 9, 1764—1766 (чешск.)

Описан метод определения небольших кол-в азидов (A), основанный на обменной р-ции между A и  $\text{Ag}_2\text{CrO}_4$ . Так как  $\text{AgN}_3$  менее растворим, чем  $\text{Ag}_2\text{CrO}_4$ , то после прибавления суспензии  $\text{Ag}_2\text{CrO}_4$  к р-ру A протекает р-ция:  $2\text{NaN}_3 + \text{Ag}_2\text{CrO}_4 = 2\text{AgN}_3 + \text{Na}_2\text{CrO}_4$ ; в фильтрате определяют эквивалентное A кол-во  $\text{CrO}_4^{2-}$  титрованием р-ром гидрохинона (I). Благодаря более низкому эквиваленту  $\text{NaN}_3$  (1 мл 0,1 н. I соответствует 4,33 мг  $\text{NaN}_3$ ) этот метод является более чувствительным, чем метод прямого титрования A р-ром  $\text{AgNO}_3$  (1 мл 0,1 н.  $\text{AgNO}_3$  соответствует 6,50 мг  $\text{NaN}_3$ ). При определении A анализируемую пробу, содержащую  $\sim 3$ —60 мг  $\text{NaN}_3$ , растворяют в небольшом кол-ве воды, прибавляют суспензию  $\sim 12$  г чистого  $\text{Ag}_2\text{CrO}_4$  и 1 каплю 2%-ного р-ра  $\text{KNO}_3$ , разбавляют водой до 50 мл и фильтруют. 25 мл полученного фильтрата подкисляют 20%-ной  $\text{H}_2\text{SO}_4$  (20 мл) и титруют потенциометрически или визуалью (с применением дифениламина в качестве индикатора) 0,1 н. р-ром I. Этим методом можно определить также  $\text{Cl}^-$ ,  $\text{Br}^-$  и  $\text{I}^-$ . Принцип метода пригоден также для определения  $\text{SO}_4^{2-}$ , причем в этом случае применяют суспензию  $\text{BaCrO}_4$  (РЖХим, 1957, 8534). Для достижения колич. протекания соответствующей обменной р-ции, реакционную смесь, подкисленную соляной к-той до конц-ии  $\sim 0,1$  M, нагревают  $\sim 10$  мин. на водяной бане, в горячем состоянии нейтрализуют аммиаком, выдерживают 8—10 час. и далее продолжают анализ, как при определении A. Сообщение III см. РЖХим, 1957, 19600.

Karel Kámen

57215. Применение радиометрических методов для одновременного раздельного определения содержания урана, тория, радия и калия в кислых изверженных породах. Сердюкова А. С., Капитанов Ю. Т., Ж. аналит. химии, 1958, 13, № 1, 88—94 (рез. англ.)

Разработана методика одновременного раздельного определения U, Th, Ra и K в кислых изверженных породах. При анализе искусств. смесей (140 г), содержащих 6·10<sup>-4</sup>% U, 18·10<sup>-4</sup>% Th, 2·10<sup>-10</sup>% Ra и 9% K (содержание U в этих смесях почти на порядок ниже, чем содержание его в эльджуртинских гранитах), получены удовлетворительные результаты. Установлено, что для успешного применения методики раздельного определения U, Th, Ra и K в горных породах основное значение имеет правильный выбор эталонов и учет всех факторов, оказывающих влияние на результаты измерения. Определения малых кол-в U, Th, Ra и K можно производить на любой аппаратуре, удовлетворяющей следующим основным требованиям: высокая чувствительность (должен чувствоваться эталон с содержанием радиоактивных элементов на порядок ниже содержания этих элементов в исследуемых пробах) и достаточная стабильность в работе, обеспечивающая постоянство коэф. в течение длительного времени измерения.

Резюме авторов

57216. Скорый метод определения меди, свинца и цинка в полиметаллических рудах и продуктах их обогащения. Файнберг С. Ю., Бляхман А. А., Филатова Л. Н., Заводск. лаборатория, 1958, 24, № 1, 18—20



Согласно разработанной авторами методике в анализируемом р-ре после разложения проб сначала определяют Cu йодидным методом в присутствии  $\text{NH}_4\text{HF}_2$ , а затем Pb и Zn — комплексометрич. титрованием. Перед титрованием свинца Fe, Cu, Zn и Cd переводят в комплексные цианиды, предварительно восстановив Fe аскорбиновой к-той или гидразином. Для последующего титрования Zn комплексоном III предварительно цианидный комплекс Zn разрушают формалином. В качестве комплексометрич. индикаторов применяют эриохромовый черный Т или смесь 2 вес. ч. эриохромового черного Т и 1 вес. ч. тропеолина ОО, растертую со 100 вес. ч. NaCl. Для маскирования Ca, Mg и Al используют  $\text{NH}_4\text{F}$ . Марганец не маскируется ни фторидом, ни цианидом и титруется комплексоном III вместе с Pb; поэтому определение Pb в присутствии Mn невозможно. При анализе промежуточных продуктов обогащения полиметаллич. руд описанной методикой получены воспроизводимые результаты.

Ф. Судаков

#### 57217. Анализ металлического никеля. XII, XIII.

Определение чистоты. Йокосука (Yokosuka Shigeru), Бунсэки кагаку, Japan Analyst, 1957, 6, № 12, 753—756; 756—761 (японск.; рез. англ.)

XII. Для выяснения причины ненормального осаждения Ni в процессе электролиза из аммиачного р-ра (сообщение XI, РЖХим, 1958, 43069) проведено изучение электролиза при различных условиях (изменяли продолжительность и т-ру электролиза, плотность тока). Установлено, что электролиз при повышенной т-ре приводит к завышенным результатам, обусловленным соосаждением Pt, причем на соосаждение Pt оказывают некоторые влияние плотность тока и величина навески. Существует также зависимость между кол-вом соосажденной Pt и кол-вом Ni, остающегося в электролите. Электролиз при низких т-рах также приводит к завышенным результатам, но в этом случае завышение результатов связано с адсорбцией  $\text{H}_2$  (за исключением случая электролиза при плотности тока  $0,1 \text{ а/дм}^2$ ); величина завышения результатов зависит от плотности тока и величины навески. На основании полученных результатов разработаны оптимальные условия электролитич. определения Ni.

XIII. Изучено поведение сопутствующих никелю элементов (Cu, Pb, Bi, Sb, As, Sn, Cd, Fe, Al, Cr, Mn, Zn и Mg) при электролитич. определении Ni в разработанных выше условиях. Испытаны методы удаления элементов, мешающих электролитич. определению Ni, в частности методы удаления элементов II аналитич. группы, Fe, Mn и др.; рассмотрены потери Ni при удалении этих элементов. На основании полученных результатов и результатов предыдущих сообщений разработан метод, с помощью которого проанализировано 20 образцов никеля высокой чистоты; при анализе образцов, содержащих  $> 99,95\%$  Ni + Co и  $< 99,94\%$  Ni + Co, стандартное отклонение результатов составило 0,005 и 0,01% соответственно. Резюме автора

#### 57218. Спектральный метод определения малых количеств свинца, олова, кадмия и висмута в металлическом рении. Куценко Ю. И., Ж. аналит. химии, 1958, 13, № 1, 107—111 (рез. англ.)

Для отделения Re от примесей 1 г анализируемого металла растворяют в 10 мл  $\text{HNO}_3$  (1:1), к полученному р-ру прибавляют  $\text{CH}_3\text{COOH}$  и р-р  $\text{CH}_3\text{COOTl}$  (или  $\text{TiNO}_3$ ), осадок переносит Tl отфильтровывают и промывают лед.  $\text{CH}_3\text{COOH}$  и  $\text{C}_2\text{H}_5\text{OH}$ ; фильтрат, содержащий определяемые элементы-примеси, упаривают в кварцевой чашке до 10 мл, прибавляют р-р  $\text{Be}(\text{NO}_3)_2$  и 3—6 мл  $\text{NH}_4\text{OH}$ . Белый осадок подсушивают, прокалывают при  $500^\circ$  и растирают. Эталоны готовят внесением р-ров нитратов определяемых элементов в чистую окись Be и обрабатывают так же, как и кон-

центраты. Спектры возбуждают в дуге постоянного тока при 10 а при дуговом промежутке 3 мм и фотографируют на среднем спектрографе. Пробу 20 мг помещают в угольный электрод (анод) с отверстием diam. 3,5 мм и глубиной 5 мм. Аналитич. линии: Sb 2598,0, Bi 3067,7, Cd 2288,0 А; линией сравнения служит фон. Градуировочный график строят в координатах  $\Delta S$ , Ig C. Для определения величины потерь в процессе отделения Re применяют радиоактивные индикаторы. Bi, Cd и Sb полностью переходят в р-р, потери Sn с осадком до 30%. Чувствительность анализа  $1 \cdot 10^{-4}\%$  при обогащении в 20 раз. Ошибка в воспроизводимости анализа 15—20%. Описан также метод обогащения с отгонкой  $\text{Re}_2\text{O}_7$  при 200—300°; примеси после отгонки остаются на угольном порошке. Точность и чувствительность анализа такие же, как указано выше.

Г. Кибисов

#### 57219. Определение примесей металлов в сверхчистой сурьме дитизоновым методом. Хеберан (Die Bestimmung von metallischen Verunreinigungen in ultrareinem Antimon mit Hilfe der Dithizomethode. Häberli Erich), Z. analyt. Chem., 1958, 160, № 1, 15—20 (нем.)

Разработан простой и быстрый метод определения примесей металлов (ПМ) в сверхчистой сурьме; применяемой в качестве полупроводникового материала. 1 г сурьмы растворяют в смеси конц.  $\text{HCl}$  и  $\text{H}_2\text{O}_2$ , а образующуюся при этом  $\text{SbBr}_3$  — в 30 мл насыщ. слабощел. р-ра тартрата K—Na. При pH ~ 7,5 ПМ экстрагируют сначала порцией 0,5 мл 0,002% ноео хлороформного р-ра дитизона, а затем последовательно порциями по 0,2 мл того же р-ра до неизменяющейся окраски слоя  $\text{CHCl}_3$ . После этого к р-ру прибавляют 0,3 γ Zn (в форме  $\text{ZnCl}_2$ ) и повторяют экстрагирование. Одновременно проводят контрольное экстрагирование без Sb с теми же кол-вами реактивов. Содержание ПМ (в пересчете на Zn) вычисляют по ф-ле:  $0,3(a - c)/b \cdot 10000$ , где a, b и c — кол-ва (в мл) хлороформного р-ра дитизона, израсходованные при экстрагировании ПМ, добавленного Zn и при контрольном экстрагировании соответственно. Описанным методом определяют  $1 \cdot 10^{-5}$ — $1 \cdot 10^{-6}\%$  суммо ПМ (Mn, Fe, Co, Ni, Cu, Zn, Ag, Cd, In, Pt, Au, Hg и Pb) с ошибкой  $< 30\%$ . Pd, Sn, Tl и Bi из тартратных р-ров дитизоном не экстрагируются. А. Немодрун

#### 57220. Определение азота в металлах методом сожжения. I. Определение азота и углерода в стали и титане. II. Определение азота и углерода в ферросплавах. Цутия (Tsuchiya Masahiko), Бунсэки кагаку, Japan Analyst, 1958, 7, № 1, 12—17; 17—21 (японск.; рез. англ.)

I. Из известных методов определения N в металлах метод Кьельдаля дает наиболее удовлетворительные результаты. Однако этот метод требует много времени и умения при обработке остатка, остающегося при растворении нитрида содержащих металлов в к-тал. В том случае, когда окислением достигается полное разложение образца, все нитриды можно определить методом сожжения. Малые кол-ва  $\text{N}_2$ , образующегося в результате сожжения, весьма точно определяются масс-спектрометрически. В этом случае одновременно можно определять и другие газообразные компоненты анализируемых образцов. Комбинированным методом сожжения и масс-спектрометрии осуществлено определение N и C в стали, губчатом титане и N в нитридах Fe, Al и Cr. Во всех случаях, за исключением нитрида Cr, получены удовлетворительные результаты.

II. Изучено определение N в ферросплавах (аналитических образцов Кьельдаля весьма затруднительно) при различных условиях сожжения. В качестве флюса при сожжении вместо окиси Pb использованы газообразный  $\text{O}_2$  или смешанный флюс. Осуществлено

определение N и C в ферросилиции сжиганием образцов в атмосфере  $O_2$  при низком давлении и с окисью Pb в качестве флюса. При определении N и C в ферропробу удовлетворительные результаты получены в случае сжигания образцов, измельченных до 100 меш, в присутствии смеси  $Pb_3O_4 + B_2O_3$  в качестве флюса. Подтверждено, что определение N в легко-сплавляемых материалах, таких как сталь или титан, можно производить с использованием одной окиси Pb, как описано в сообщении I.

Резюме автора

57221. Колориметрическое определение содержания карбида железа в сталях. Попова Н. М., Заславская Л. В., Заводск. лаборатория, 1958, 24, № 1, 26—29

Описан метод, основанный на фотометрировании р-ра окрашенного продукта, который образуется в результате восстановления  $NO_2$ -групп пикрата Na (I) при нагревании дисперсного карбида железа (КЖ) с разб. щел. р-ром I. Тонкодисперсный порошок карбида Fe не вызывает в этих условиях окрашивания р-ра I, анодные осадки, обогащенные остаточным чугуном, слабо окрашивают р-р I, по-видимому, вследствие присутствия в осадке некоторых кодов КЖ. Осадки КЖ, выделенные из стали У8 (отпущенной при различных t-рах от 160 до 600°) анодным растворением стали в охлажд. р-ре KCl (содержащем известную t-ту) при плотности тока  $0,002 \text{ а/см}^2$  и промытые декантацией холодной водой и спиртом, быстро отфильтровывали через тигель Гуча с бумажной подкладкой и высушивали в эксикаторе над  $P_2O_5$  в течение 20 час. Навески полученного таким образом КЖ, соответствующие 2—20 мг Fe, смачивали пятью каплями 20%-ного р-ра NaOH, прибавляли 25 мл 0,1%-ного р-ра пикриновой к-ты, кипятили 30 мин. с обратным холодильником, охлаждали, фильтровали через плотный бумажный фильтр (в осадках определяли Fe) и полученные фильтраты фотометрировали с зеленым светофильтром. На результаты определения КЖ влияет степень дисперсности частиц КЖ: интенсивность окраски р-ров в случае образцов КЖ, отпущенных при 600°, значительно ниже, чем в случае высокодисперсных КЖ, полученных при отпуске стали при 200, 300 и 400°. Поэтому калибровочные графики необходимо строить с учетом дисперсности анализируемых осадков КЖ.

Ф. Судаков

5722. Определение меди, висмута, олова, сурьмы, мышьяка и свинца в ферровольфраме. Костяновская Н. М., Бабаев М. В., Заводск. лаборатория, 1958, 24, № 2, 254—255

Описаны ускоренные методики определения Cu, Bi, Sn, Sb, As и Pb, применяемые в лаборатории Челябинского завода ферросплавов для контроля произ-ва. В основу этих методик положены методы определения указанных элементов в W-конcentратах, описанные С. Ю. Файнбергом (Анализ руд цветных металлов, Металлургиздат, 1953). Один аналитик за 1 смену полностью заканчивает определение W, Fe, Si, Mn, P, Cu, Sn и As более чем в двух пробах ферровольфрама и одновременно другой аналитик за 1 смену определяет Bi, Sb и Pb в шести параллельных пробах.

Ф. Судаков

57223. К выделению ниобия, тантала и титана из ферротанталонобия. Ласнер, Шарф (Zur Abtrennung von Niob, Tantal und Titan in Ferrotantalniob. Lassner E., Scharf R.), Z. analyt. Chem., 1958, 160, № 1, 21—22 (нем.)

Метод выделения Nb, Ta и Ti из твердых сплавов (РЖХим, 1958, 28502) модифицирован для отделения этих металлов от Fe при анализе ферротанталонобия. И с анализируемого образца растворяют при нагревании в смеси 5 мл  $HNO_3$  и 5 мл HF, р-р разбавляют водой (20 мл), прибавляют 15 мл глицерина и 50 мл

4%-ного р-ра  $H_3BO_3$  (для маскирования F-), вливают в смесь, содержащую 150 мл 25%-ного  $NH_4OH$ , 150 мл воды и 2 г комплексона III (последний прибавляют для предотвращения осаждения  $Fe^{3+}$ ), нагревают до кипения и кипятят 2—3 мин. После отстаивания осадок отфильтровывают и промывают горячим разб. р-ром  $NH_4OH$ . Фильтр с осадком высушивают, сжигают, прокалывают при 1000° и взвешивают. Прокаленный остаток состоит из окислов Nb, Ta и Ti. Полученные результаты хорошо согласуются с данными купферового метода (расхождение  $\leq 0,6\%$ ).

А. Немодрук  
57224. Точность пирогидролитического определения фтора и урана во фториде уранила и тетрафториде урана. Хиббитс (Precision of the pyrohydrolytic determination of fluoride and uranium in uranyl fluoride and uranium tetrafluoride. Hibbits J. A. et al., Analyt. Chem., 1957, 29, № 12, 1760—1762 (англ.))

Статистически изучена точность определения F и U в  $UO_2F_2$  и  $UF_4$  пирогидролитич. методом, заключающимся в пропускании перегретого водяного пара при 400—1000° над указанными солями с последующей конденсацией и титрованием образующейся HF. Пробу 0,3—0,4 г  $UF_4$ , отвешенную с точностью 0,1 мг в Pt-лодочке, помещают в реакционную трубку, через которую пропускают равномерный ток водяного пара при нагревании до 850—900°, собирая дистиллят в течение 15 мин. в полиэтиленовый приемник. Полученный р-р HF титруют 0,1 н. р-ром NaOH с фенолфталеином в качестве индикатора. Затем собирают еще 1—2 порции дистиллята, которые приливают к розовому протитрованному р-ру; если при этом не происходит обесцвечивания р-ра, то отгонку считают законченной. Взвешиванием Pt-лодочки с остатком  $U_3O_8$  определяют кол-во U. При анализе  $UF_4$  фтор определяют аналогичным образом, а для определения U остаток, состоящий из смеси  $UO_2$  и  $U_3O_8$ , переводят в  $U_3O_8$  прокаливанием на воздухе в течение 15 мин. Максим. статистич. ошибка, находимая по ф-ле  $\Sigma N^1 y^2 - \Sigma m^1 \{ \Sigma N^1 (Y) \}^2 / N_k$  (где Y — ошибка одного определения,  $N^1$  — общее число определений,  $N_k$  — число анализов данного образца,  $m^1$  — общее число образцов), составляет при определении  $F \leq \pm 0,44\%$ , а при определении  $U \leq \pm 0,17\%$ .

Р. Моторкина

57225. Определение некоторых следовых примесей в графите радиоактивным анализом. Часть 1. Ванадий. Смейлс, Мэппер (The determination of certain trace impurities in graphite by radioactivation. Part 1. Vanadium. Smales A. A., Mapper D. Repts. Atomic Energy Res. Establ., 1957, N C/R 2392, 19 pp., ill.) (англ.)

Из числа элементов, присутствующих в очень чистом графите (Г) и обладающих короткоживущими радиоизотопами, только V дает после 4-минутного облучения образца Г в котле медленными нейтронами заметную наведенную активность, принадлежащую  $V^{52}$  с  $T_{1/2}$  3,7 мин. Простое сравнение  $\beta$ -активностей, измеренных с помощью Г.—М.-счетчика, в один и тот же момент времени после окончания облучения образца и стандарта, приготовленного прокаливанием до образования  $V_2O_5$  смеси  $NH_4VO_3$  с сукрозой в качестве разбавителя, позволяет просто и быстро определить содержание V в Г без проведения каких-либо дополнительных хим. операций. Большая энергия  $\beta$ -излучения  $V^{52}$  устраняет необходимость введения поправок на самопоглощение при условии приготовления равномерно распределенных по площади измерительной тарелочки образцов и стандарта. Чувствительность метода, обычно составляющая  $< 1 \cdot 10^{-6}$  г V в Г, из-за трудностей, связанных с приготовлением образцов для счета весом  $> 200$  мг,



ограничивается величиной  $10 \cdot 10^{-6}$ . При наличии однородных образцов Г получаются весьма хорошо воспроизводимые результаты, и это обстоятельство может быть использовано в свою очередь для суждения об однородности партии мелких образцов Г. Метод, однако, требует устройства спец. быстродействующего пневматич. механизма, позволяющего в течение нескольких секунд вводить в зону облучения и выводить из нее облучаемые образцы, так как он применим только при коротких периодах облучения образцов Г.

А. Горюнов  
57226. Спектральное определение следовых количеств металлов в нефтяных фракциях с применением метода мокрого озонения. Хансен, Ходжкинс (Wet ash spectrochemical method for determination of trace metals in petroleum fractions. Hansen John, Hodgkins C. R.), *Analyt. Chem.*, 1958, 30, № 3, 368—372 (англ.)

Для исследования отравления катализатора при крекинге нефти разработан спектральный метод определения Fe, Ni и V в нефтяных продуктах. Во избежание потерь определяемых примесей применяют мокрое озонение пробы с помощью конц.  $H_2SO_4$ . Озоленные остатки собирают на порошок металлич. Cu. Во избежание образования  $CuSO_4$  при недостатке органич. в-в, к образцу добавляют глицерин. К 40 мг порошка Cu прибавляют анализируемую пробу, 2 г глицерина и 4 мл конц.  $H_2SO_4$  и выдерживают при  $\sim 450^\circ$  до полного обугливания органич. в-ва. Остатки С сжигают при  $550^\circ$ , охлаждают и смешивают золу с 40 мг порошка графита. Полученной смесью наполняют отверстие графитового электрода диам. 3 мм и глубиной 1,5 мм, заточенного на конус  $90^\circ$ . Эта форма электрода локализирует положение дугового разряда на краях отверстия. Спектры возбуждают в высоковольтной дуге переменного тока (5 кВ, 2 А) при дуговом промежутке 6 мм и фотографируют в течение 50 сек. на дифракционном спектрографе. Этим способом можно определить  $5 \cdot 10^{-6}\%$  Ni и V в 10 г пробы с ошибкой 8—12%. Более значительную ошибку определения Fe (в 3—4 раза большую) авторы объясняют неоднородностью распределения Fe в золе и возможными загрязнениями в процессе озонения проб. Помимо фотографич. варианта методики описан также спектрометрич. вариант анализа на квантометре при возбуждении спектров в низковольтном искровом разряде. Продолжительность полного анализа одного образца при фотографич. варианте 75—90 мин.

Б. Львов

См. также: Анализ неорганич. в-в: определение неорганического фосфора 21520Бх. Спектральное определение Si и Mn в крови 21602Бх. Определение азота в растениях 22614Бх. Открытие Mn-54 в радиоактивных осадках 56617. Почвенный анализ для геохимических поисков свинцово-серебряных месторождений 57026. Анализ воды 57092, 57843, 58830

## АНАЛИЗ ОРГАНИЧЕСКИХ ВЕЩЕСТВ

Редактор А. А. Черкасский

57227. Определение чистоты с помощью точки плавления. Ограничения, выявившиеся при calorimetric исследованиях в области плавления. МакКуллох, Уоддингтон (Melting-point purity determinations: limitations as evidenced by calorimetric studies in the melting region. McCullough John P., Waddington Guy), *Analyt. chim. acta*, 1957, 17, № 1, 80—96 (англ.; рез. нем., франц.) Для подготовки пробы к определению т-ры плавления

калориметрич. методом ее сначала быстро охлаждали (1—2 град/мин.) до начала кристаллизации. После ее окончания охлаждали до  $90^\circ K$  в течение 12 час. Затем нагревали до т-ры плавления и расплавливали 5—10% в-ва, выдерживали при т-ре плавления 8 час., перекристаллизовывали и охлаждали на  $30^\circ$  ниже т-ры плавления (12 час.). После кристаллизации к калориметру подводили известное количество энергии, достаточное для расплавления 10% пробы. Т-ру периодически наблюдали и отмечали, когда она становилась постоянной. Так же поступали, расплавляя 25, 50, 70% пробы. Затем ее расплавливали полностью и нагревали на  $5\text{—}10^\circ$  выше т-ры плавления. Мол. содержания примесей (N) рассчитывали по уравнению  $N = AF(T - T')$ , где A — криоскопич. константа;  $T'$  — т-ра в момент расплавления части пробы F;  $T$  — т-ра тройной точки, найденная экстраполяцией кривой плавления, построенной в координатах  $T$  и  $1/F$ , до  $1/F = 0$ . На основании исследования более 125 органич. в-в установлено, что часто полученные кривые плавления представляют собой кривые псевдоравновесия в результате неравномерного распределения примесей в жидкой фазе или в жидкой и твердой фазах и образования твердых р-ров. Вследствие этого ошибка определения содержания примеси может достигнуть 200%, что соответствует ошибке определения чистоты продукта. Предложен режим определения, обеспечивающий миним. ошибку.

М. Пасманни  
57228. Идентификация органических соединений. Сообщение XXI. О выборе системы растворителей при разделении органических соединений методом хроматографии на бумаге. Гаспарич, Вечержа (Über die Wahl der Lösungsmittelsysteme bei der papierchromatographischen Trennung organischer Verbindungen. XXI. Mitt. über die Identifizierung organischer Verbindungen. Gaspáric J., Večeřa M.), *Mikrochim. acta*, 1958, № 1, 68—91 (нем.; рус. англ., франц.)

На примерах изменений величин  $R_f$  при хроматографич. разделении продуктов бензидиновой перегруппировки, солей этиламинов, хлоргидратов алкаламинов, фенолов, 3,5-динитробензойных эфиров, 2,4-динитрофенилгидразонов, алифатич. альдегидов, нафтамин- и нафтолсульфокислот,  $n$ - и изопропиловых спиртов и ряда других органич. соединений при использовании различных систем р-рителей, показано, что, изменяя характер неподвижной фазы (водн. неводн., полярный, неполярный р-ритель) или полярности и состав подвижной фазы, можно изменить порядок перемещения зон на хроматограмме и получить заданные значения  $R_f$ . Главным условием успешного разделения является малая растворимость продукта в подвижной фазе и хорошая его растворимость в неподвижной фазе. Для выполнения этого условия можно употреблять реакционноспособные р-рители или превращать анализируемые в-ва в растворимые в воде соли. Эффективность разделения органич. в-в зависит от различий между функциональными группами, их числа, полярности, относительного расположения, их основности или кислотности, числа C-атомов в гомологах, внутри- и межмолекулярных водородных связей и пространственных факторов. При незначительной разнице растворимости разделяемых в-в рекомендуется превращать их в производные с более отчетливо выраженными структурными различиями. Сообщение XIX см. РЖХим, 1958, 46452.

Т. Лип

57229. Органическая химическая микроскопия. Часть I. Пикраты аминов в качественном органическом анализе. Данбар, Кнутсон (Organic chemical microscopy. Part I. Amine picrates in qualitative organic analyses. Dunbar Ralph E.

Kauteson John), *Microchem. J.*, 1957, 1, № 1, 17—37 (англ.)

В дополнение к обычному методу идентификации органич. соединений по т-рам плавления их производных автор считает полезным использование микроскопии.

Проведено микроскопич. исследование в сняты микрофотографии (с увеличением  $\times 40$  и  $\times 100$ ) твердых пикратов (П) 50 аминов (А), 36 из которых являются жидкостями (микрофотографии приведены). П получали в результате р-ции между кинилин насыщ. спирт. или бензольным р-ром пикриновой к-ты и жидким А или насыщ. р-ром твердого А в кипящем спирте или бензоле и очищали 2-кратной перекристаллизацией из 95%-ного спирта. Установлено, что все 50 изученных А превращаются в П, которые выделяются в виде окрашенных кристаллов. П 2-диэтиламиноэтанола образуют 2 отчетливые модификации. П некоторых тяжелых орто-замещенных аминов, напр. 2,4,6-коллидина, выделяются из реакционной смеси очень медленно, хотя обычно с хорошим выходом. Попытки сопоставить форму кристаллов со строением молекул А оказались большей частью безрезультатными; форма кристаллов не зависит от принадлежности А к типу первичных, вторичных или третичных А. Однако 6 циклич. А с конденсированными ядрами, за исключением  $\alpha$ -нафтиламина, образуют П, кристаллизующиеся в виде игл. П 4 насыщ. циклич. А кристаллизуются в виде призм. Из 12 алифатич. А только одна мочевина образует П, кристаллизующийся в форме игл. П анилина и пиридина образуют призмы. Тенденция к образованию иглообразных П, по-видимому, увеличивается с увеличением числа заместителей в ядре. N-метиланилил, N-этиланилил и N,N-диметиланилил кристаллизуются в форме прямоугольных пластинок, а N,N-диэтиланилил — в форме гексагон. пластинок или призм. Библ. 50 назв. А. Горюнов

57230. Получение производных продуктов при малых количествах органических соединений и пределы чувствительности органических реакций. Херонис, Стейн, Левин (Derivatization of small quantities of organic compounds and lower limits of organic reactions. Cheronis Nicholas D., Stein Herman, Levey Victor M.), *Microchem. J.*, 1957, 1, № 1, 39—53 (англ.)

Получение производных продуктов (ПП) является заключительной стадией в систематич. качеств. анализе органич. соединений. Открываемое в-во идентифицируется в виде одного или двух его ПП путем сравнения свойств последних со свойствами известных в-в. Открываемый минимум (ОМ) определяется автором как миним. конц-ия реагирующего в-ва, обеспечивающая при определенных условиях образование такого кол-ва ПП, при котором он еще может быть идентифицирован. Для идентификации ПП по т-рам плавления и величинам  $R_f$  на бумажных хроматограммах требуется 1—2  $\mu$  ПП, при рентгеновском анализе 5—10  $\mu$ , а при анализе по ИК-спектрам 20  $\mu$ . В качестве ПП для качеств. анализа карбонильных соединений (КС) автор выбрал 2,4-динитрофенилгидразоны (ДГ), получаемые в результате р-ции КС с хлоргидратом 2,4-динитрофенилгидразина, и определял ОМ 25 КС при их исходных конц-иях в реакционной смеси  $5 \cdot 10^{-2}$ — $5 \cdot 10^{-4}$  М. ДГ идентифицировали по т-рам плавления. Установлено, что для циклич. кетонов и некоторых ароматич. альдегидов и кетонов ОМ в реагирующей смеси 5  $\mu$  на 100  $\mu$ л, тогда как для большинства других КС ОМ составляет 50  $\mu$  на 100  $\mu$ л. Следовательно, при анализе микрограммовых кол-в КС необходимо поддерживать возможно меньший объем реакционной смеси и придерживаться конц-ий  $10^{-1}$ — $10^{-2}$  М. А. Горюнов

57231. К качественному анализу органических соединений. Розенталер (Beiträge zum Nachweis organischer Verbindungen. Rosenthaler L.), *Pharmaz. acta helv.*, 1957, 32, № 11, 433—441 (нем.; рец. англ., франц., итал.)

Окрашивание, наблюдающееся при обработке продажных препаратов диэтилового эфира (I) смесью 1% р-ра фурфурола (II) в лед.  $\text{CH}_3\text{COOH}$  и конц.  $\text{H}_2\text{SO}_4$ , вызывается продуктами окисления I. Совершенно чистый I, напр. получаемый путем многодневного настаивания с металлич. Fe, не дает никакой цветной р-ции (ЦР). Изопропиловый эфир (продажный и чистый) дает ЦР с II и многими ароматич. альдегидами; некоторые из этих ЦР сопровождаются флуоресценцией (обычно розовой) в дневном свете. Многие ароматич., гидроароматич. и некоторые гетероциклич. соединения образуют красно-коричневые, часто почти черные, продукты р-ции с  $\text{H}_2\text{O}_2$  + конц.  $\text{H}_2\text{SO}_4$ ; подавляющее большинство алифатич. в-в не дает этой ЦР. Сильные органич. восстановители, такие как фруктоза, диоксиацетон, гидрохинон и др., в присутствии HCl, а аскорбиновая к-та и хлоргидрат фенилгидразина даже в отсутствие HCl восстанавливают  $\text{H}_2\text{SeO}_3$ , причем образуется розовый колл. осадок Se. Спирты, фенолальдегиды и кетоны дают ЦР с р-ром II в лед.  $\text{CH}_3\text{COOH}$  в присутствии этилуретана и HCl. Фенолы дают довольно чувствительные ЦР с оксиметилфурфуролом, камфора — с ванилином, высшие спирты в присутствии конц.  $\text{H}_2\text{SO}_4$  — с некоторыми ароматич. альдегидами, такими как салицилальдегид, пиперонал, м-нитробензальдегид и др. Приведено подробное описание перечисленных ЦР с отдельными в-вами и техника их выполнения.

А. Горюнов

57232. Количественный анализ органических соединений. XIII. Быстрый микрометод для определения С и Н в органических веществах. Вечержа, Шнобл, Сынек. XIV. Микроопределение серы. Вечержа, Шнобл. XV. Микроопределение хлора и брома в органических веществах. Вечержа, Булушек (Ein Schnellverfahren zur C-H-Mikrobestimmung in organischen Substanzen. XIII. Mitt. über die quantitative organische Analyse. Večeřa M., Šnobl D., Synek L. XVI. Mitt. über die quantitative organische Analyse. Večeřa M., Šnobl D. XV. Mitt. über die quantitative organische Analyse. Večeřa M., Bulušek J.), *Mikrochim. acta*, 1958, № 1, 9—27; 28—40; 41—51 (нем.; рец. англ., франц.)

XIII. Для определения С и Н в-во сжигают в медленном токе  $\text{O}_2$  (12 мл/мин) в короткой кварцевой трубке, в которой помещен слой Ag-ваты (3 см) для улавливания галоидов и окислов S и слой наиболее эффективного из известных катализаторов —  $\text{Co}_2\text{O}_3$  на асбесте (3 см), нагреваемый до 650—700°. Для приготовления катализатора смешивают 15 г асбеста и 10 г  $\text{Co}(\text{NO}_3)_2 \cdot 6\text{H}_2\text{O}$  с 50 мл  $\text{H}_2\text{O}$ , прибавляют несколько капель аммиака, упаривают досуха и высушивают в токе воздуха при 500—600°.  $\text{H}_2\text{O}$  поглощают ангидроном,  $\text{CO}_2$  — аскаритом, окислы азота —  $\text{MnO}_2$ . Продолжительность одного анализа 30 мин. Ошибка для С  $\pm 0.2$ —0.3%, для Н  $< 0.1\%$ .

XIV. Для определения S в-во сжигают при 700—750° в токе  $\text{O}_2$  (10—20 мл/мин) в кварцевой трубке с двумя поперечными пористыми кварцевыми перегородками. Окислы S поглощают при 450° Ag-ватой (толщина слоя 70 мм), помещенной в отдельную трубку. По окончании сжигания образовавшийся  $\text{Ag}_2\text{SO}_4$  растворяют в ~40 мл теплой воды и титруют  $\text{Ag}^+$  р-ром  $\text{NH}_4\text{SCN}$  в присутствии  $\text{Fe}^{3+}$ . Метод универсален. Продолжительность анализа 60 мин. Ошибка  $\pm 0.3\%$  при содержании S ~ 20%. В-ва, содержащие Pb, Mg и Ag, сжигают при 1200—1300°, содержащие Ba — при 9°



той же т-ре в присутствии  $V_2O_5$ . В-ва, содержащие 0,005—8% S, сплавляют с металлич. K и образующийся  $H_2S$  определяют колориметрически с помощью N,N-диметил-л-фенилендиамина. Обсужден механизм р-ции окислов S с Ag.

XV. При определении Cl и Br в-во сжигают так же, как при определении S, в токе  $O_2$  (30 мл/мин), образующиеся Cl<sup>-</sup> или Br<sup>-</sup> поглощают 5%-ным р-ром  $H_2O_2$ . Для определения Cl<sup>-</sup> к полученному р-ру прибавляют 10 мл свеженейтрализованного насыщ. р-ра  $HgO \cdot Hg(CN)_2$  и через 1 мин. титруют 0,01 н. р-ром  $H_2SO_4$ ; Br<sup>-</sup> титруют 0,01 н. р-ром  $AgNO_3$  в присутствии бриллиантового желтого. При анализе в-в, содержащих 0,05—2% Cl или Br, к р-ру, полученному после сжигания, прибавляют р-р 2 мл 0,3%-ного  $Hg(SCN)_2$  в метаволе и 4 мл 6%-ного р-ра железомонийных квасцов в 6 н.  $HNO_3$  и фотометрируют. Приведены схемы приборов для всех описанных анализов. Сообщение XII см. РЖХим, 1958, 46438.

Н. Безингер  
57233. Микроопределение кислорода. VI. Результаты длительного испытания метода. Коно, Сато, Судзуки (Kono Tetsuro, Sato Keiko, Suzuki Mizue), Нихон ногай кагаку кайси, J. Agric. Chem. Soc. Japan, 1957, 31, № 8, 587—592 (японск.).

При микроопределении кислорода авторами сделаны следующие улучшения. Применен таблетированный уголь, полученный из бензола. Влияние старения серебряной сетки, ухудшающего результаты определения, устранено покрытием сетки платиновой проволокой. Полная очистка азота от кислорода обеспечена пропусканием через него электролитически полученного водорода. Описаны аппаратура и методика анализа. Точность определения по этому методу 0,25%. Сообщение V см. РЖХим, 1957, 12137. Ким Су Ен

57234. Экспериментальное сопоставление методов микроаналитического определения йода в органических соединениях. Коновалов (Critique expérimentale des différentes méthodes de microdosage de l'iode organique. Konovalov Alexis), Ind. chim. belge, 1958, 23, № 1, 19—34 (франц.; рез. англ., нем., флам.).

Проведены микроаналитич. определения J в 15 ациклич. и циклич. соединениях с содержанием J от ~29 до 96,7% по методам Гроте — Крекелера, Вурцшмита, Шёнигера, Зандберга — Райера, Лейперта и Элека — Гарта. Детально описаны приготовление реактивов, техника сжигания, методы титрования и т. д. На основании сопоставления полученных результатов автор считает лучшими методы Гроте — Крекелера (при условии сжигания в кислороде с Pt-катализатором в спец. сосуде и объемного определения йода, основанного на окислении его бромом до  $JO_3^-$  и йодометрич. титрования последнего) и Шёнигера (при условии окисления J — бромом не в ацетатном буферном р-ре, а в сильнокислой среде). С. Розенфельд

57235. Спектрофотометрическое определение неорганического фторида и фтора в органических соединениях. Керри, Меллон (Spectrophotometric determination of inorganic fluoride and of fluorine in organic compounds. Curry Robert P., Mellon M. G.), Analyt. Chem., 1957, 29, № 11, 1632—1637 (англ.).

Для определения F<sup>-</sup> и F в органич. в-вах рекомендуется пользоваться методом, основанным на гидролизе получаемого  $SiF_4$  в боратно-борнокислотном р-ре (рН 8,5), получении кремнемолибденовой к-ты и оценке кол-ва последней в форме синей гетерополиокислоты, путем дифференциальной спектрофотометрии. При определении F<sup>-</sup> пользовались ранее описанным прибором для отгонки  $SiF_4$  (РЖХим, 1957, 31031). Навеску (5—40 мг) вводили в дистилляционную колбу,

в приемник помещали ~20 мл буферного р-ра (10 г  $H_3BO_3$  и 1 г NaOH растворяли в 500 мл воды, фильтровали и устанавливали требуемое значение рН при помощи 10 н. NaOH).  $SiF_4$  отгоняли в токе  $K_2$  (~150 пузырьков/мин.), отгонку вели 30 мин. после начала отгонки  $SO_3$ . Дистиллят разбавляли до определенного объема, отбирали аликвотную порцию <75 мл (1,5—40 мг F<sup>-</sup>), добавляли 5 мл р-ра молибдата (Faber H. A. «Standard methods for the examination of water, sewage and industrial wastes», Amer. Publ. Health Assoc. N. Y., 1955), 10 мл 6 н. HCl, через 5 мин. вводили 1,5 мл 10%-ного р-ра  $H_2C_2O_4$ , через 3 мин. р-р восстанавливали, состоящего из  $NaHSO_3$ ,  $Na_2SO_3$ , 1-амино-2-нафтол-4-сульфокислоты и 1-амино-2-нафтол-4-сульфата, и разбавляли до 100 мл. Фотометрировали через 15 мин. при 700 мкм в 1-см кювете. В качестве р-ра сравнения употребляли стандартные р-ры силиката, проведенные через все стадии получения синей гетерополиокислоты; при 5—40 мг F<sup>-</sup> относительная погрешность составляет 2%. Мешает Br. Сжигание органич. в-в вели в кварцевой трубке при 1100—1200° в токе влажного  $O_2$  в присутствии кварцевых осколков и Pt-катализатора в описанном ранее приборе (Clark H. S., Analyt. Chem., 1951, 23, 650). Употребляли пробы 15—50 мг, поглощая пары  $SiF_4$  в приемнике с боратым буферным р-ром в смеси с 10 мл 1,2-дихлорбензола. Сжигание вели 15—20 мин., промывали систему влажным  $O_2$  еще 10 мин., затем органич. слой отделяли, промывали буферным р-ром и определяли содержание синей гетерополиокислоты, как описано выше. Среднеквадратичная погрешность при 35 определениях 15—65% F составляла 0,3%. Наличие в пробе C, H, O, Br, Cl, S и N не мешает. М. Ланг

57236. Комплексометрическое определение ртути в ртутных соединениях. III. Определение ртути в органических соединениях. Пршибил, Кёрёш, Барца (Higany-vegylétek higany-tartalmának komplexometriás meghatározása. III. Szerves vegylékek higany-tartalmának meghatározása. Pribil Rudolf, Kőrös Endre, Barcza Lajos), Acta pharm. hung., 1957, 27, № 6, 243—245 (венг.; рез. нем.).

Комплексометрич. метод определения Hg применим к анализу органич. соединений. 0,20 г в-ва разрушают нагреванием с 2 мл конц.  $H_2SO_4$  и  $2 \times 2$  мл  $H_2O_2$ ; при этом Hg полностью окисляется до  $Hg^{2+}$ . Р-р разбавляют, устанавливают рН 4,5—6, прибавляют 1—2 мл 20%-ного р-ра гексаметилентетрамина и титруют 0,005 M р-ром комплексона III в присутствии йсконного оранжевого. Hg-соединения, содержащие K, во избежание образования труднорастворимого амфисульфата  $Hg(2+)$  разрушают с помощью  $HNO_3$  и  $H_2O_2$ . Сообщение II см. РЖХим, 1958, 39356. И. Криштоф

57237. Количественное определение ртути в органических препаратах. Сообщение 3. Дружинин И. Г., Киселин П. С., Тр. Ин-та химии. АН КиргССР, 1957, вып. 8, 21—29

Исследован процесс электролитич. выделения Hg из разб. р-ров и предложен пригодный для судебно-хим. и санитарно-гигиенич. исследований метод определения очень малых кол-в Hg, основанный на выделении Hg внутренним электролизом, растворения осадка Hg и роданометрич. титрования полученного относительно конц. р-ра. 5 мл жидкости, полученной при разрушении животной ткани нагреванием со смесью  $HNO_3$  и  $H_2SO_4$ , разбавляют  $H_2O$  до 100 мл, прибавляют 10 мл насыщ. р-ра  $CH_3COONa$  и 2 мл формалина. Р-р переносят в электролизер, погружают электроды (анод — цинк, катод — графит или медь) и ведут электролиз при 80° в течение 45—60 мин. при перемешивании  $CO_2$  или  $H_2$ . Выделившуюся на катоде Hg растворяют в 5 мл нагретой  $HNO_3$  (1:1),

р-р разбавляют  $\text{H}_2\text{O}$  до 10 мл, прибавляют по каплям 5%-ный р-р  $\text{KMnO}_4$  до розового окрашивания и разбавляют избыток  $\text{KMnO}_4$ , прибавляя  $\text{FeSO}_4$  или  $\text{H}_2\text{O}_2$ . К р-ру прибавляют насыщ. р-р железо-аммонийных квасцов (2 мл на 100 мл титруемого р-ра) и титруют 0,1 н. или 0,01 н. р-ром  $\text{NH}_4\text{SCN}$ . Метод позволяет определять 0,92—5,68 мг  $\text{Hg}$  в 100 мл р-ра с ошибкой до  $\pm 3,4\%$ . Сообщение 2 см. РЖХим, 1957, 15883.

В. Лукьянича

5723. Об йодометрическом определении перекисного числа. Пако, Мерсье (Sur la détermination iodo-métrique de l'indice de peroxydes. Paquet C., Mercier J., m-lle), Inds parfum. et cosmét., 1957, 12, m 10. 330—333 (франц.).

Для выяснения возможности взаимодействия между выделенными  $J_2$  и ненасыщ. соединениями при йодометрич. определении перекисного числа (ПЧ) растительных масел систематически исследована фиксация утиловыми эфирами оливкового и льняного масел (М) в присутствии и в отсутствие перекиси (П) и КJ в условиях определения ПЧ. В отсутствие КJ и П  $J_2$  взаимодействует с ненасыщ. связями в молекуле М; кол-во связанного J увеличивается с увеличением исходного кол-ва  $J_2$ , со временем и со степенью ненасыщенности М. В присутствии КJ  $J_2$  не взаимодействует с М; небольшое кол-во П, содержащихся в М, вызывает выделение  $J_2$  из КJ, но вследствие мол. ассоциации  $J_2$  и КJ этот  $J_2$  не взаимодействует с М в отсутствие П. При относительно большом содержании П сильно катализируют фиксацию  $J_2$  по месту двойных связей М. В обычных условиях определения ПЧ зависит от величины навески,  $J_2$  фиксируется по месту двойных связей и кол-во связанного  $J_2$  примерно пропорционально ПЧ, вследствие чего ПЧ всегда определяется с отрицательной погрешностью до 8% (относительных). Т. Леви

Т. Леви

5729. Определение насыщенных соединений с 5-7 атомами углерода методом хроматографии в газовой фазе. Эггертсен, Гроенингс (Determination of five- to seven-carbon saturates by gas chromatography. Eggertsen F. T., Groenings S. J., Pharmazie, 1968, 23, № 1, 20-25 (англ.).

Для анализа смесей насыщ. углеводородов, содержащих в основном углеводороды  $C_5 - C_7$ , предложен метод хроматографии. анализа в газовой фазе с применением трех колонок (К). Опыты проводили в ранее описанной аппаратуре (РЖХим, 1957, 19683), в качестве газа носителя употребляли  $Ne$ , выходящие углеводороды окисляли над нагретой до  $650^\circ C$   $CaO$ , который охлаждали, сушили в колонке с  $CaSO_4$  и определяли методом измерения теплопроводности. Адсорбент в первой К — огнеупорный кирпич С-22 (14—48 меш) с нанесенным на него скваланом (3%); избыточное давление на входе 400 мм рт. ст., скорость подачи  $Ne$  65 мл/мин, т-ра  $25^\circ$ . Адсорбент во второй К — огнеупорный кирпич С-22 (30—60 меш) с нанесенным на него 2,2'-оксидипропионитрилом (40%) избыточное давление на входе 600 мм рт. ст., скорость подачи  $Ne$  30 мл/мин, т-ра  $25^\circ$ . Адсорбент в третьей К — перлитекс (печная сажа) (14—48 меш) с нанесенным на него скваланом (1,5%); избыточное давление на входе 400 мм рт. ст., скорость подачи  $Ne$  32 мл/мин, т-ра  $75^\circ$ . Длина К 15 м, диам.  $\sim 6$  мм. В первой К происходит разделение пробы на большое число компонентов (смесь из 26 компонентов, включающая насыщ. углеводороды  $C_5 - C_7$  и изооктан, разделяется на 19 компонентов); не разделившиеся компоненты разделялись в двух остальных К (за исключением 3-гептана). Оптимальная навеска 10—15 мг. Точность метода 0,1%. Поправку на помехи за счет углеводородов  $C_8$  включляют, пользуясь масс-спектрометрич. методом. Продолжительность анализа 12—16 час.

Результаты хорошо согласуются с результатами, полученными масс-спектрометрич., ИК-спектрометрич., рефрактометрич. методами и путем каталитич. дегидрирования. Т. Левин

Т. Левин

57240. Определение фитола и фитадиена и получение чистых веществ. Knobloch, Янчик, Яната, Краус, Немцова, Бацик (Stanovení fytylu a fytydienu a příprava čistých látek. Knobloch Eduard, Jančík Fedir, Janata Václav, Kraus Eduard, Němcová Dagmar, Bacík Zdeněk), Chem. listy, 1957, 51, № 7, 1379—1381 (чешск.)

Для колич. определения фитола (I) по ИК-спектрам измеряют поглощение при  $3360\text{ см}^{-1}$  (в  $\text{CCl}_4$ ) и  $990\text{ см}^{-1}$  (в хлф.), для определения фитадена (II) — при  $890\text{ см}^{-1}$  (в циклогексаноне или  $\text{CS}_2$ ). Для получения стандартного препарата неочищ. I (из порошка крапивы) подвергают мол. перегонке при давл.  $\sim 10^{-3}$  мм рт. ст.; I перегоняется при  $64-77^\circ$ . При хроматографировании на колонке с нейтр.  $\text{Al}_2\text{O}_3$  фракция, перегоняющейся при  $75-77^\circ$ , получен чистый I. Термич. разложением фитилового эфира шавелевой к-ты при  $130-140^\circ$  и давл.  $40\text{ мм}$  рт. ст. синтезируют II и после перегонки очищают на колонке с нейтр.  $\text{Al}_2\text{O}_3$  (элюирование петр. эфиром). Для определения I разработан видоизмененный метод колич. ацетилирования в среде пиридина;  $\sim 0,3\text{ г}$  I обрабатывают  $1,5\text{ г}$  12%-ного р-ра уксусного ангидрида в сухом пиридине на кипящей водяной бане в течение  $10\text{ мин.}$  Охлажд. р-р разбавляют  $10\text{ мл}$  воды и титруют  $0,5\text{ н.}$  р-ром  $\text{NaOH}$  до устойчивого розового окрашивания по фенолфталеину. Результаты обоих определений совпадают в пределах погрешности спектрография. метода ( $\pm 3\%$ ). B. Meloun

B. Melour

57241. Хроматография неионных поверхностноактивных веществ на бумаге. I. Значение  $R_f$  и HLB для неионных поверхностноактивных веществ полиоксипропиленового ряда. Накагава, Наката (Nakagawa Toshio, Nakata Isami), Korô karaku дзасси, J. Chem. Soc. Japan. Industr. Chem. Sec., 1956, 59, № 10, 1154-1156 (японск.)

Определены  $R_f$  при хроматографии на бумаге нескольких десятков фирменных неионных детергентов. Значения  $R_f$  сопоставлены с значениями предположенной авторами для характеристики поверхностной активности детергентов величины HLB, деленной на 5-процентное содержание гидрофильных частей в молекуле детергента. Н. Фукс

Н. ФУК

57242. Исследования производных капролактама. I. Цветные реакции капролактама. Черенко, Сикорская-Томицкая (Badania nad pochodnymi kaprolaktamu. I. Barwne reakcje kaprolaktamu. Czerepko Kazimierz, Sikorska-Tomiczka Halina), Chem. anal., 1957, 2, № 1, 44—51 (польск.; рез. русск., англ.)

Капролактam (I) образует характерные кристаллич. осадки (приведены описание и фотографии кристаллов) с висмутйодидом калия (II), ртутириодидом калия (III) и р-ром йода в р-ре KJ (IV). II в среде разб.  $\text{H}_2\text{SO}_4$  или  $\text{HNO}_3$  дает темно-красный кристаллич. осадок; чувствительность р-ции 14 мг I на 5 мл р-ра. III осаждает из р-ра I, подкисленного  $\text{H}_2\text{SO}_4$  или  $\text{HCl}$ , светло-желтое масло, превращающееся через несколько часов в кристаллич. лимонно-желтый осадок; чувствительность р-ции 56 мг I на 5 мл р-ра. IV осаждает из нейтр. р-ра I бурокрасное масло, превращающееся при встряхивании в кристаллич. осадок того же цвета; чувствительность меньше, чем при р-ции с II. J. Młodecka

57243. Изучение процесса каталитического окисления пропилена. Сообщение 2. Анализ смесей карбо-



нильных соединений спектрофотометрическим методом. Попова Н. И., Вермель Е. Е., Изв. вост. фил. АН СССР, 1957, № 9, 74—85.

Предложен метод спектрофотометрич. анализа смеси карбонильных соединений: формальдегида (I), ацетальдегида (II), пропионового альдегида (III), ацетона (IV) и акролеина (V), получающейся в результате контактного окисления пропилена. Все в-ва, кроме I, поглощают свет в УФ-части спектра в области 220—400 мμ. Максимумы поглощений II и III при 278, IV 265, V 316 мμ. Р-ры II и III подчиняются закону Бера при конц-ях 0,1—1,0; IV 0,1—0,6; V 0,1—0,35 г/л. Для анализа измеряют поглощение при 265, 278 и 316 мμ и на основании аддитивности величин оптич. плотности в монохроматич. свете вычисляют конц-ию компонент (II и III определяют суммарно, в расчете на III). Смесь I и II отгоняют, определяют поглощение II при 278 мμ и поглощение соединения I с фуксинсернистым реактивом при 564 мμ. Последний р-р подчиняется закону Бера при конц-ях 0,004—0,01 г/л. Этим способом можно определять I и в общей смеси. Относительная погрешность определения (в %): I 3; II 2; III и IV 10; V 3,5. Сообщение I см. РЖХим, 1958, 57335.

Ю. Лянде  
57244. Данные по дифракции рентгеновских лучей порошками некоторых нормальных алкилдитиоловых эфиров себаценовой кислоты. Луц, Уитнауэр, Сасин, Сасин (X-ray diffraction powder data of some normal alkyd dithiol esters of sebacic acid. Lutz D. A., Witnauer L. P., Sasin Richard, Sasin George S.), *Analyt. Chem.*, 1957, 29, № 12, 1780—1782 (англ.).

Приведены данные по дифракции монохроматич. рентгеновских лучей ( $\lambda$  1,5405 Å) порошками девяти алкилдитиоловых эфиров себаценовой к-ты (I), полученных описанным ранее методом (РЖХим, 1957, 77019) из метил-, n-амил-, n-гексил-, n-гептил-, n-октил-, n-нонил-, n-децил-, n-ундецил- и n-додecilмеркаптанов. Для исследованных I наблюдается линейная зависимость длины цепи (ДЦ) от числа атомов С в радикале I, причем линия для соединений с четным числом атомов С (ЧЧ) параллельна линии для соединений с нечетным числом. С возвращением числа С-атомов на 1 ДЦ увеличивается на 1,42 Å (для проекции С—С-связи принята величина 1,27 Å), что указывает на кристаллизацию I в виде наклонно расположенных мономолекулярных слоев, аналогично диэтиловым эфирам дикарбоновых к-т с ЧЧ (Francis F., *Proc. Roy. Soc.* 1937, A158, 691) и алкилдитиоловым эфиром монокарбоновых к-т (РЖХим, 1957, 56878) ДЦ у I с ЧЧ несколько больше, чем у соединений с нечетным числом. По данным рентгеноструктурного анализа можно идентифицировать I и устанавливать присутствие нескольких меркаптанов в смеси. В последнем случае возможно наложение линий.

В. Лукьяница  
57245. Открытие небольших количеств аминов. Молодецкая, Хойнацкая (Oznaczenie małych Zawartości amin. Młodecka Jadwiga, Hojnascka Alicja), *Chem. anal.*, 1957, 2, 193—194 (польск.).

Предложен простой прибор для открытия небольших кол-в аминов по методу Файгля (нагревание соли аммиака с CaO, сопровождающееся выделением NH<sub>3</sub>, и открытие последнего с помощью бумаги, пропитанной р-рами Mn(NO<sub>3</sub>)<sub>2</sub> и AgNO<sub>3</sub>, и последующей обработки ее р-ром бензидина). Прибор состоит из длинной тонкой пробирки с головкой, обеспечивающей плотное прилегание бумаги с реактивом к отверстию пробирки. При применении этого прибора метиламин обнаруживается в метаноле при конц-ии 0,5—1 γ/мл. I. Vaedtke

57246. Изучение методов определения солей эфедрина. Божон (Contribución al estudio de los métodos de valoración de las sales de efedrina. Beaujon

Felix M.), *Rev. sanidad y asist. social*, 1956, 24, № 3—4, 239—248 (исп.).

Изучены различные методы определения эфедрина (Э) в форме его солей, в частности сульфата и хлоргидрата. Метод XIII Фармакопей США (осаждение щелочью основания из р-ра соли, экстрагирование основания и ацидиметрич. титрование его) неприменим для анализа фармацевтич. продуктов, в которых присутствуют другие алкалоиды или органич. соединения, осаждаемые щелочами. Метод Кьельдаля и его модификации Гуннинга, Ариольда и Белла неприменимы для анализа препаратов, в которых присутствуют другие азотсодержащие соединения, превращающиеся в NH<sub>4</sub>-соли. Метод Шёна (перегонка с водяным паром из щел. р-ра и титрование дистиллата к-той в присутствии метилового красного) более чувствителен, и определение проводится быстрее, но точность результатов зависит от объема перегоняемого р-ра и условий титрования. Наиболее точные результаты дает метод Хилли (J. Amer. Pharmac. Assoc. *Scient. Ed.*, 1944, 33, 96, 28; 1948, 37, 227) — кипячение соли Э с HCl-к-той, последующая перегонка из щел. р-ра в приемник, содержащий известное кол-во к-ты, и титрование избытка к-ты р-ром NaOH; оба последних метода применимы для анализа препаратов, содержащих, кроме Э, алкалоиды и азотсодержащие нещелочные в-ва.

Т. Левин  
57247. Анализ системы циклогексанон — циклогексанол с помощью диэлектрической постоянной. Шнобл, Легар (Analýsa saustavy cyklohexanon — cyklohexanol pomocí dielektrické konstanty. Snobl Dobroslav, Lehar Ladislav), *Chem. průmysl*, 1957, 7, № 8, 402—404 (чешск.; рез. русск., англ., нем., франц.).

Разработан простой метод анализа технич. бинарной смеси циклогексанон — циклогексанол (I) в пределах конц-ий 0—100%, основанный на значительном различии диэлектрич. постоянных компонентов. Измеряют увеличение емкости конденсатора, наполненного сухим бензолом (II), при растворении навески I в II. Использован конденсатор емк. 72 пф (с воздухом). Калибровочная кривая при конц-ии 6,25% I в II очень близка к прямой во всем диапазоне составов I. Результаты анализа искажаются в присутствии H<sub>2</sub>O; если содержание H<sub>2</sub>O в I ≤ 0,1%, точность определения состава I ± 0,2%.

Т. Зварова  
57248. Новые направления в газовом анализе. IV. Микрохимическое определение фенола тензиметрическим методом. Шулек, Пунгор, Тромплер (Neue Wege in der Gasanalyse. IV. Tensionsmessung von Phenol auf mikrochemischem Wege. Schulek E., Pungor E., Trompler J.), *Mikrochim. acta*, 1958, № 1, 52—59 (нем.; рез. англ., франц.).

Ранее описанные метод и прибор (РЖХим, 1957, 30958; 1958, 826) использованы для определения чистого C<sub>6</sub>H<sub>5</sub>OH и для анализа смесей C<sub>6</sub>H<sub>5</sub>OH = H<sub>2</sub>O в интервале т-р 50—70°. Пары C<sub>6</sub>H<sub>5</sub>OH поглощали 0,1 н. р-ром NaOH в трубке, заполненной стеклянными бусами и снабженной перегородкой из пористого стекла. Содержание C<sub>6</sub>H<sub>5</sub>OH определяли бромированием по методу Коппешаара. Для промывания капилляра, вводимого в р-р щелочи, пользовались капилляром меньшего диаметра с припаянной к нему небольшой воронкой, снабженной стеклянным краном (приведена схема). Перед отбором пробы верхнюю часть внутреннего капилляра и воронку заполняли водой. Всю систему стеклянных трубок обогревали с помощью электронагревателей, что устраняло возможность выделения C<sub>6</sub>H<sub>5</sub>OH на стенках стеклянных трубок и повышало скорость выделения паров сконцентрированного C<sub>6</sub>H<sub>5</sub>OH. Для промывания системы стеклянных трубок употребляли ~ 1 л чистого воздуха, промытого

— 135 —



бавляют по 100 мг KCN и хлоргидрата гидроксилами-  
на, 5 мл 0,02 н. р-ра  $MgCl_2$ , 100 мг индикатора (1 г  
эриохромового черного Т тщательно растирают с 50 г  
безводн.  $Na_2SO_4$ ) и титруют 0,02 н. р-ром комплексона  
III до устойчивого синего окрашивания. Точность  
определения  $\pm 8,8 \cdot 10^{-5}$  об. % при содержании I  
 $3,74 \cdot 10^{-2} - 6,6 \cdot 10^{-2}$  об. %. В. Лукьяница

**57255.** Простой метод идентификации хроматографи-  
чески выделенной фруктозы с помощью рентгенов-  
ских лучей. Михельсен, Алвсакер (A simple  
X-ray method for identification of chromatographically  
separated fructose. Michelsen K., Alvsaker  
E.), Acta chem. scand., 1957, 11, № 10, 1795—1796  
(англ.)

Фруктозу (I) идентифицируют в форме озона.  
~ 50 γ I, растворенной в 15 мл воды, помещают на  
часовое стекло диам. 4 см и прибавляют 4 мл реак-  
тива (фенилгидразин:  $CH_3COOH:H_2O = 3:3:40$  по  
объему) и 2 капли  $CH_3COOH$ . Стекло помещают  
между двумя стеклами большего диам. и нагревают  
3—5 мин. на кипящей водяной бане. Полученную мас-  
су наносят на стеклянное волокно и получают рентге-  
нограмму методом порошка, применяя медное излу-  
чение и Ni-фильтр. Интенсивность определяют ви-  
зуально. Аналогичные результаты получают при при-  
готовлении фруктозозона макрометодом. Озоны I,  
глюкозы и маннозы идентичны и для их identifica-  
ции необходимы дополнительные данные (хромато-  
графич. разделение, цветные р-ции). Открываемый  
минимум < 48 γ I. Чувствительность метода достаточ-  
на для идентификации I, элюированной из хромато-  
граммы на бумаге. М. Пасманик

**57256.** Колориметрический метод определения содер-  
жания диальдегида в окисленном периодатом крах-  
мале. Уайз, Мелттерер (Colorimetric method  
for determining dialdehyde content of periodate-oxi-  
dized starch. Wise C. S., Melterer C. L.),  
Anal. Chem., 1958, 30, № 2, 174—175 (англ.)

Микроколичества диальдегида в окисленном перио-  
датом крахмале (I) определяют спектрофотометриро-  
ванием спирт. р-ров соответствующего *n*-нитрофенил-  
гидразона (II) при 445 мμ. Окраска интенсивна и  
устойчива > 3 дней. Пробу I, эквивалентную ~ 0,25 мг  
100%-ного оксикрахмала (III), нагревают 30 мин. на  
паровой бане с 20 мл воды, прибавляют 1,5 мл р-ра  
0,25 г *n*-нитрофенилгидразина (IV) в 15 мл лед.  
 $CH_3COOH$ , нагревают при встряхивании 1 час., охлаж-  
дают, прибавляют 0,4 г вспомогательного фильтрую-  
щего порошка, отфильтровывают осадок II, промыва-  
ют его 7%-ным р-ром  $CH_3COOH$  ( $2 \times 5$  мл), водой  
( $2 \times 5$  мл) и растворяют в горячем 95%-ном спирте.  
Р-р разбавляют до 25 мл и спектрофотометрируют,  
сравнивая с аналогично обработанным р-ром крахма-  
ла. При содержании более 1 диальдегидной группы  
(ДГ) на 100 структурных элементов брали пробу I,  
эквивалентную ~ 5 мг 100%-ного III, применяли р-р  
IV удвоенной конц-ии и перед измерением поглоще-  
ния р-р II дополнительно разбавляли в 20 раз. Ошиб-  
ки определений 0,02—2% в зависимости от содержа-  
ния ДГ. Стандартная ошибка 0,0019% при содержа-  
нии IV 0,1%, 0,03% при 1% IV и 0,089% при 3% IV.  
Присутствие в-в, образующих нерастворимые II, ме-  
шает определению. Б. Колоколов

**57257.** Потенциометрическое титрование бис-феноль-  
ных эстрогенов, относящихся к ряду стиблена.  
Бакке-Хансен, Викстрем (Potentiometric  
titration of bisphenolic estrogens belonging to the  
stilbene series. Backe-Hansen Kjell, Wisk-  
ström Alf), Medd. Norsk farmaselskap., 1957, 19,  
№ 12, 193—198 (англ.)

Три бис-фенольных эстрогена: диеноэстрол-3,4-бис-

(4-оксифенил)-гексадиен-(2,4); диэтилстильбоэстро-  
транс-3,4-бис-(4-оксифенил)-гексен-3; гексоэстро-  
мезо-3,4-бис-(4-оксифенил)-гексан, определяли мето-  
дами визуального (индикатор — аофиолетовый, виссин,  
р-р в  $C_6H_6$ ) и потенциометрич. (со стеклянным элект-  
родом) титрования в различных неводн. р-рителях и  
в токе  $N_2$  0,1 н. р-рами  $CH_3OK$  (I) и  $(C_4H_9)_4NOH$  (II)  
в смеси бензол-метанол. Для каждого определения  
0,1 г в-ва растворяли в 80 (потенциометрич. титрова-  
ние) или 30 (визуальное титрование) мл пиридина  
или ацетона. Показано, что в этих условиях иссле-  
дованные эстрогены реагируют с I как двусосновые  
к-ты, а с II — как одноосновные к-ты. Потенциомет-  
рич. титрование дает хорошие результаты для всех  
трех в-в, визуальное — только для диеноэстрола.

Н. Безингер

**57258.** Экстинкциометрическое определение алкалои-  
дов, содержащих формильную группу. Лангеян  
(Een extinciometrische bepaling van alkaloiden, die  
een formyleengroep bezitten. Langejan M.), Phar-  
mac. weekbl., 1957, 92, № 20, 693—698 (гол.; рез.  
англ.)

Для определения алкалоидов, в молекулах которых  
содержится метиленоксидная группа, предложен ме-  
тод, основанный на их гидролизе в 96%-ной  $H_2SO_4$  (I),  
сопровождающемся отщеплением  $CH_2O$ , и измерении  
интенсивности фиолетового окрашивания, появляюще-  
гося при взаимодействии  $CH_2O$  с хромотроповой к-той  
(II). В р-р в-ва в спирте или в воде, соответствующий  
содержанию 10—30 γ  $CH_2O$ , приливают воду до 1,0 мл  
и смешивают с 1 мл р-ра II (1 г II в 100 мл I), а за-  
тем с 8 мл I. Смесь нагревают на водяной бане до 75°  
охлаждают в течение 10 мин. до 20°, приливают воду  
до 25 мл, фотометрируют при 550 мμ и рассчитывают  
содержание алкалоидов по калибровочной кривой,  
построенной для  $CH_2O$ . Метод дает удовлетворитель-  
ные результаты для хлоргидратов нарцеина (IV) и  
наркотина (V), хлорида котарнина (VI) и натрий-  
формальдегидсульфоксидата. Пониженные резуль-  
таты (< 80%) получены для эйпаверина, в молекуле  
которого содержится 2 метиленоксидные группы. Ме-  
тод проверен на смесях V с хлоргидратами папаве-  
рина и кодеина, а также с VI и на смеси IV с хлор-  
гидратом морфина.

Н. Туркевич

**57259.** Спектрофотометрическое определение хлор-  
гидрата папаверина в ультрафиолетовой области.  
Валенсуэла-Эррера (Determinación espectro-  
fotométrica al ultravioleta del clorhidrato de papave-  
rina. Valenzuela Herrera Marta), Colegio  
farmac., 1957, 14, № 170—172, 23—25 (исп.)

Описан спектрофотометрич. метод определения хлор-  
гидрата папаверина (I) при помощи измерения оптич.  
плотности р-ров I при 252 мμ. Закон Бера соблюдает-  
ся в пределах 0,20—1,25 мг %, I, причем средняя ве-  
личина коэф. экстинкции  $E_{1\text{см}}^{1\%} = 1,500$ . При анализе  
ампульных 4%-ных р-ров I в изотонич. (8,5-ном) р-ре  
NaCl найдено в исследуемых пробах 101,7% I.

Н. Туркевич

**57260.** Замечания по поводу хроматографического  
метода определения резерпина. Кьярло, Баль-  
дини (Osservazioni su un metodo di dosaggio crom-  
atografico della reserpina. Chiarlo B., Baldini  
L.), Farmaco, Ed. prat., 1957, 12, № 8, 379—381  
(итал.; рез. англ.)

Описанный ранее хроматографич. метод опреде-  
ления резерпина (I) (РЖХим, 1957, 28367) неприме-  
ним при употреблении любой порошкообразной цел-  
люлозы, в частности порошка ватман В. В этом слу-  
чае, при точном выполнении предложенной процеду-  
ры (колонка диам. 2 см, высота слоя целлюлозы 8—  
10 см, промывание колонки 5 н.  $CH_3COOH$  и бидистил-

ной, введение 10 мл 0,005%-ного р-ра I в смеси  $\text{CH}_3\text{OH}$  и 3%-ной  $\text{CH}_3\text{COOH}$  (1:9), промывание 10 мл  $\times 2$  бидистил. воды и элюирование 50 мл 5 н.  $\text{CH}_3\text{COOH}$  жол-во элюированного I, определявшееся спектрофотометрич. методом при 267 м $\mu$   $\leq 34\%$ .

Т. Леви

57261. Фотометрическое определение фолевой кислоты в присутствии азокрасителей. Гангули, Бхаттачария (Colorimetric determination of folic acid in presence of azo dyes. Ganguly S. K., Bhattacharya Hrishikesh), Indian J. Pharmacy, 1957, 19, № 7, 170—173 (англ.)

Метод определения фолевой к-ты (I) в присутствии некоторых азокрасителей (АК) (F. D. и С. красный № 2, F. D. и С. желтый № 6, жидкий оранжевый № 6480) основан на том, что Zn и HCl количественно восстанавливают I и АК до соответствующих аминов, в то время как  $\text{H}_2\text{S}$  в аммиачной среде вызывает колич. восстановление АК, но не I. Из аминов, образующихся при восстановлении I и АК, при помощи р-ции Браттона и Маршалла, включающей сочетание с хлоргидратом N-(1-нафтил)-этилендиамина, получают красящие в-ва, поглощающие в области 550 м $\mu$ . Для определения I в присутствии АК оценивают различие в оптич. плотности р-ров красящих в-в, полученных при восстановлении испытуемых в-в при помощи Zn и HCl и при помощи  $\text{H}_2\text{S}$  в среде  $\text{NH}_4\text{OH}$ .

Т. Леви

57262. Определение новоблоцина методом дифференциальной спектрофотометрии. Сенси, Галло, Кьеза (Differential spectrophotometric determination of novoblocin. Sensi Piero, Gallo Gian Gualberto, Chiesa Luigi), Analyt. Chem., 1957, 29, № 11, 1611—1613 (англ.)

Для определения нового антибиотика новоблоцина (I) и продукта его гидролиза диэтиленовоблоцина (II) предложено превращать их в продукты кислотного гидролиза — изоагликон I и агликон II, УФ-спектры р-ров которых в 0,1 н. р-ре NaOH в достаточной мере различаются между собой. Для определе-

ния суммы I + II,  $\sim 0,05$  г в-ва растворяют в 50 мл  $\text{C}_2\text{H}_5\text{OH}$ , 1 мл р-ра разбавляют до 100 мл 0,1 н. р-ром NaOH и измеряют оптич. плотность при 307 м $\mu$ , употребляя в качестве р-ра сравнения 0,1 н. р-р NaOH. Суммарное содержание I и II:  $I + II (\%) = A_{307} \cdot 100 \cdot 100/600 \cdot 2$  р, где  $A_{307}$  — оптич. плотность при 307 м $\mu$ , 600 — уд. поглощение I + II при 307 м $\mu$ , р — навеска, г. Для определения I и II по отдельности к 25 мл спирт. р-ра в-ва прибавляют 10 мл 6 н. HCl, р-р кипятят 2 часа с обратным холодильником на водяной бане и охлажд. р-р разбавляют  $\text{C}_2\text{H}_5\text{OH}$  до 100 мл. 1 мл р-ра разбавляют до 25 мл 0,1 н. р-ром NaOH и фотометрируют при 250 и 330 м $\mu$ . Соотношение между уд. поглощениями при 250 и 300 м $\mu$  для I составляет 1,191, а для II 0,611. По результатам измерений можно установить, является ли исследуемый продукт I, II или их смесью. Конц-ию I и II в смеси вычисляют путем решения системы ур-ний:  $A_{250} = C_1 \cdot 524 + C_2 \cdot 336$  и  $A_{330} = C_1 \cdot 440 + C_2 \cdot 550$ , где  $C_1$  и  $C_2$  — конц-ии (г/100 мл) I и II в конечном р-ре, а 524, 440, 336 и 550 — уд. поглощения. Отсюда  $I (\%) = (0,0039185 \cdot A_{250} - 0,0023938 \cdot A_{330}) \cdot 100 \cdot 100/2$  р,  $II (\%) = (0,0037332 \cdot A_{330} - 0,0031348 \cdot A_{250}) \cdot 100 \cdot 100/2$  р. Закон Бера соблюдается при конц-ии I и II 2—12 г/мл. Точность метода удовлетворительная.

Т. Леви

См. также: Определение: мочевого к-ты 22189Бх; аминокислот в кормах 21565Бх; производных индола 21566Бх; витамина А 21576Бх, 21583Бх; витамина В<sub>1</sub> 21577Бх; витамина Е 21581Бх, 21582Бх; морфина в моче человека 21610Бх; витаминов А, Е, В<sub>1</sub>, В<sub>2</sub>, В<sub>6</sub>, РР и С при совместном присутствии 21757Бх; морфина в окуме 58436; алкалоидов спорыньи 58437; дифенила и тиомочевины в апельсинах 58528. Анализ нефти 58677, 58678. Хроматогр. разделение алифатических дикарбоновых к-т 58885. Унификация аналитич. методов в сахарной пром-сти 58943. Определение: сахаров 58948; дикарбоновых к-т многоатомных спиртов беззонной к-ты 59402; альдегидной группы окисленной целлюлозы 59548; полиэтиловых эфиров 59762

## ОБОРУДОВАНИЕ ЛАБОРАТОРИЙ.

### ПРИБОРЫ, ИХ ТЕОРИЯ, КОНСТРУКЦИЯ, ПРИМЕНЕНИЕ

Редактор А. И. Саразов

57263. Спектрограф для шумановской области спектра. Миладзо (Ein spektrograph für das Schumann-Gebiet. Milazzo Giulio), Proc. Colloquium Spectroscopicum Internat. VI, London, Pergamon Press, 1957, 474—478 (нем.)

Спектрограф снабжен вогнутой решеткой (1 м) с 1200 штрихами на 1 мм. Линейная дисперсия 8 А/мм. Кассетная часть спектрографа отделена от кожуха вакуумным уплотнением, что позволяет производить смену и откачку пластинок без нарушения вакуума в кожухе. Юстировка оптич. деталей производится с помощью вакуумных вводов. Спектрограммы полос испускания СО в области 1700 А, полученные на описываемом приборе, дают хорошее разрешение ротационных линий. Спектрограф может применяться в других областях спектра и после некоторых конструктивных изменений может быть приспособлен для фотоэлектрич. измерений.

В. Лыгин

57264. Изучение поляризаторов для ультрафиолетовой области спектра, Бурьо, Ленобль (Etude des polariseurs pour l'ultraviolet. Bouriau Yolan-

de, Lenoble Jacqueline), Rev. optique, 1957, 36, № 11, 531—543 (франц., рез. англ.)

Приведен краткий обзор различных методов получения поляризованного света в УФ-области спектра. Подробно рассмотрены свойства поляризационных пленок, исландского шпата, нитрата натрия, а также различных склеивающих в-в, прозрачных в УФ-области. Описан способ измерения показателя преломления склеивающего в-ва, дан расчет поляризаторов типа Николя и Глазбрука и приведены результаты испытания поляризаторов в области спектра 2500—4000 А.

Г. Коссов

57265. Лампа накаливания со слюдяным окном для инфракрасной области спектра. Малеев Е. Н., Оптика и спектроскопия, 1958, 4, № 1, 121—122

Баллон лампы изготовлен из стекла С-23 с вводами из Pt, нить накала из W-спирали. Окно лампы диам. 20 мм изготовлено из слюды мусковит, приваренной к баллону флюсом, № 6. Окно пропускает ИК-радиацию до 8 м. Лампа может применяться в ИК-газоанализаторах и спектральных установках.

В. Лыгин



**57266.** Дуговая лампа для эмиссионного спектрального анализа порошков. Семенов Н. Н., Ж. анал. химии, 1958, 13, № 1, 56—62 (рез. англ.)

Описана конструкция угольной дуги постоянного тока, горящей в защитной атмосфере инертных газов. Проба готовится в виде штабика или вводится в канал угольной трубки, служащей нижним электродом, скорость подачи 0,01—0,10 мм/сек. Верхним электродом служит угольный стержень диам. 1 мм, длиной 15 см, равномерно опускающийся вниз по мере сгорания. Излучение из камеры горения выходит через окно, закрываемое пластинкой из кристаллич. кварца. В системе предусмотрена принудительная циркуляция инертного газа через фильтр, значительно уменьшающая расход газа (расход азота составляет 100 мл/сек). При применении дуги для анализа Na, Li, Ca, Sn, Mn в стекле ошибка определения  $\leq 2\%$ .

В. Лыгин

**57267.** Конструкция ртутной дуги для возбуждения спектров комбинационного рассеяния. Плива, Шнейдер, Штокер, Ульберт (Construction of mercury arcs for Raman spectroscopy. Pliva J., Schneider B., Stokkr J., Ulbert K.), Proc. Colloquium Spectroscopicum Internat. VI, London, Pergamon Press, 1957, 499—502. Discuss., 502 (англ.)

Описаны конструкции Hg-ламп низкого давления двух типов. В 1-й анодом служит W-цилиндр, диаметр которого равен диаметру разрядной трубки, а катодом — Hg. Для увеличения времени жизни все части лампы тщательно обезгажены в вакууме при 400°. Во 2-й — разряд происходит между Hg-электродами в полой цилиндрич. трубке. Кювета с в-вом вставляется внутрь разрядной трубки, внешние стенки которой посеребрены. В обоих случаях разрядные трубки помещены в охлаждаемые водой рубашки. Рабочий режим 1-й лампы 40—70 в, 10—25 а, 2-й 50—80 в, 20—50 а. Большая интенсивность излучения лампы позволяет визуально наблюдать линии спектров комб. расс.  $\text{CCl}_4$  в 3-призмленном спектрографе и фотографировать его с экспозицией 30 сек.

В. Лыгин

**57268.** Новый фотоэлектрический колориметр ФЭК-56. Лукин И. И., Заводск. лаборатория, 1958, 24, № 2, 214—215

Новый колориметр является усовершенствованной моделью фотоэлектрокolorиметра ФЭК-М. Спектральный диапазон прибора (313—630 мμ) разбивается на отдельные участки стеклянными светофильтрами с максимумами пропускания 313, 360, 400, 440, 490, 540, 582, 607, 630 мμ с полупрозрачной полосой пропускания 20—30 мμ. Применение в приборе оптики из стекла БС-3 и Hg-ламп СВД-120а позволяет проводить анализ в УФ-области. Помимо колориметрич. измерений, прибор позволяет проводить анализ взвесей, эмульсий и колл. р-ров по их светорассеянию. Воспроизводимость результатов 0,1—0,2%.

В. Лыгин

**57269.** К методике измерения спектрального коэффициента отражения зеркал. Тагиров Р. Б., Оптика и спектроскопия, 1958, 4, № 2, 278—279

Для измерения коэф. отражения зеркал в области 1—25 м на ИК-спектрометре ИКС-11 без применения эталона изготавливают спец. зеркала, в которых исследуемое металлич. покрытие наносят на поверхность вогнутой стеклянной линзы с радиусом кривизны 8—10 см. Отношение отсчетов сигнала от изображения источника в зеркале и от источника дает спектральный коэф. отражения.

В. Лыгин

**57270.** Стенд для электронного проектора. Третьяков И. И., Тр. Ин-та физ. химии. АН СССР, 1957, вып. 6, 181—188

Приведено описание конструкции стенда, обеспечивающего электр. питание проектора и получение вакуума  $10^{-10}$  мм рт. ст. Давление в колбе измеряется

ионизационным манометром типа Альфрета. Препарительная дегазация стенок и металлич. частей манометра путем прогрева и интенсивной электронной бомбардировки позволяет использовать его как для измерения давления, так и для откачки колбы после отключения диффузионного насоса. Ионный ток манометра измеряется гальванометром М2 /1. Применение высоковакуумный Sn-затвор для отключения колбы проектора от откачной системы. Приведена электрич. схема выпрямителя для получения стабильного напряжения до 12 кВ.

В. Лыгин

**57271.** Упрощенный электростатический электронный микроскоп. Милютин В. И., Фетисов Д. В., Расплетин К. К., Снектор Ф. У., Почтарев В. И., Заводск. лаборатория, 1958, 24, № 1, 92—96

Описана промышленная модель упрощенного малогабаритного электростатич. микроскопа на 45 кВ (МЭСМ-45) с разрешающей способностью  $\sim 50$ —70 А. Конструкция микроскопа позволяет без нарушения вакуума последовательно просматривать 5 объектов и делать 10 снимков, в том числе стереоснимки. Микроскоп позволяет производить электронографии, исследования и получать эмиссионные изображения малых объектов. Вакуумная установка для откачки микроскопа может использоваться для вакуумного распыления и снабжена приспособлением для точной сварки. Прибор предназначен для металлографич. исследований, связанных с изучением сравнительно грубых структур травления, и обнаружения включений.

В. Лыгин

**57272.** Электронномикроскопическое исследование объектов в газовой среде. Стоянова Н. Г., Докл. АН СССР, 1958, 118, № 2, 325—327

Исследуемые в электронном микроскопе объекты помещаются в микрокамеру с газом. Герметичность камеры обеспечивается уплотнениями и защитными пленками, нанесенными на диафрагмы, ограничивающие камеру с двух сторон. Защитными пленками служат коллодиевые пленки, покрытые тонким слоем С. Давление в камере измеряется Hg-манометром. Изменение давления в камере до 600—700 мм рт. ст. снижает вакуум в колонне микроскопа на  $< 5$ —10%. Защитные пленки рассеивают до 30% электронов. При давлении в микрокамере 120—170 мм рт. ст. разрешающая способность прибора 80—100 А, а при 520 мм рт. ст.  $\sim 120$  А. Произведено электронномикроскопич. исследование процесса р-ции между Ag и  $\text{H}_2\text{S}$  в присутствии кислорода. Найдено, что электронный пучок оказывает термич. действие на объект, ускоряя р-цию.

В. Лыгин

**57273.** Новые усовершенствования в методике приготовления образцов для электронной микроскопии. Кослетт, Хорн (Recent developments in specimen preparation techniques for electron microscopy. Cosslett V. E., Horne R. W.), Vacuum, 1955(1957), 5, 109—130 (англ.; рез. франц.)

Обзор. Библ. 97 назв.

В. Лыгин

**57274.** Поворотное приспособление к металлографическому микроскопу типа МИМ-7. Ермаков В. С., Заводск. лаборатория, 1958, 24, № 1, 112

Приспособление в виде шестеренчатой передачи, смонтированной на столике микроскопа, предназначено для исследования металлографич. шлифов в поляризованном свете.

В. Лыгин

**57275.** Измерение капиллярной кривой. Демпси (Measurement of the capillary curve. Dempsey Daniel F.), Amer. J. Phys., 1958, 26, № 2, 89—90 (англ.)

Разработан оптич. метод изучения формы капиллярной кривой, определяющей форму мениска жидкости. К свободной поверхности жидкости подводят до

Предлагается горизонтальную прямоугольную пластинку, а затем поднимают ее на различную высоту  $y$ . Сверху пластинку освещают вертикальным параллельным пучком света. Вследствие кривизны поверхности жидкости вблизи края пластинки граница тени пластинки смещается; величина смещения позволяет рассчитать угол наклона капиллярной кривой  $\theta$  в функции от  $y$ . Опыт подтверждает линейную зависимость  $\sin(\theta/2)$  от  $y$ , требуемую теоретич. ур-нием капиллярной кривой  $y = (4\gamma/\rho g)^{1/2} \cdot \sin(\theta/2)$ , где  $\gamma$  и  $\rho$  — поверхностное натяжение и плотность жидкости,  $g$  — ускорение силы тяжести. И. Слоним

57276. Измерения времен распространения разряда в счетной трубке Гейгера-Мюллера и применение этих измерений для получения отображений полей радиоактивных излучений. Кинле (Messungen über die zeitliche Entladungsausbreitung im Geiger-Müller-Zählrohr und ihre Verwendung zur Abbildung radioaktiver Strahlungsfelder. Kienle Paul), Z. Naturforsch., 1958, 13a, № 1, 37—47 (нем.)

Для измерения времени распространения разряда в самосвещающихся счетных трубках (СТ) Гейгера-Мюллера использованы метод синхроскопич. измерения промежутка времени между началом разряда в испытываемой СТ и началом разряда в другой короткой СТ, объединенной с испытываемой СТ общим анодом или катодом и расположенной у ее края, и метод синхроскопич. определения зависимости тока разряда в СТ от времени. При распространении разряда до одного из краев СТ ток разряда уменьшается по экспоненте, распространение разряда до второго края СТ отмечается полным прекращением тока разряда. Исследована зависимость скорости распространения разряда от наполнения, от материала катода и от размеров СТ, а также от других факторов. В большинстве изученных СТ (кроме СТ с наполнением: 90 мм рт. ст.  $\text{Ar} + 10$  мм рт. ст.  $\text{CH}_2\text{O}$ ) установлено отсутствие линейной связи между временем и путем распространения разряда. Полученные данные подтверждают теорию о коротких пробегах фотонов во время разряда в СТ (Wilkinson D. H., Phys. Rev., 1948, 74, 1917). Незначительная величина колебаний скорости распространения разряда в СТ позволила сконструировать установку для локализации точек вхождения в СТ  $\beta$ - или  $\gamma$ -лучей с точностью  $\pm 5$  мм при общей длине СТ 50 см. Показания синхроскопа передаются на осциллограф. Распределение активности можно найти путем фотометрирования осциллограмм, заснятых на фотопленку. Б. Раппан

57277. О применении пластмассовых сцинтилляторов для дозиметрических измерений. Розман И. М., Циммер К. Г. (On the use of plastic scintillators for dose measurements. Rozman I. M., Zimmer K. G.), Internat. J. Appl. Radiat. and Isotopes, 1958, 3, № 1, 43 (англ.)  
Перевод. См. РЖХим, 1957, 51684.

57278. Оборудование и техника для анализа высокоактивных образцов. Шанк, Рейн, Хафф, Дайке (Facilities and techniques for analysis of highly radioactive samples. Shank Ralph C., Rein James E., Huff George A., Dykes Fred W.), Analyt. Chem., 1957, 29, № 12, 1730—1739 (англ.)

Разбирается устройство и оборудование радиохим. лабораторий, приспособленных как для однотипных массовых анализов, так и для разнообразных исследовательских целей. Обсуждаются методы работы с высокоактивными образцами. Описаны приборы для автоматич. анализа жидкостей на расстоянии: титрования, колориметрирования, определения уд. веса и экстракционного разделения радиоактивных элементов. В. Громов

57279. Ионнообменный метод для измерения малой  $\beta$ -активности дождевой воды. Хинцпетер (Ionen-austauscher-Verfahren zur Messung kleiner  $\beta$ -Aktivitäten von Regen. Hinzpeter A.), Naturwissenschaften, 1957, 44, № 23, 614—612 (нем.)

Предложено, при малом содержании солей, вместо обычного способа упаривания, концентрировать радиоактивные ионы, содержащиеся в дождевой воде в кол-вах  $10^{-7}$   $\mu\text{кюри/мл}$ , с помощью ионнообменных смол. Извлечение всей радиоактивности из 1 л дождевой воды производится при данной методике за 20 мин. В. Громов

57280. Дериватограф. Сообщение I. Прибор с автоматической записью для одновременного проведения дифференциального термического анализа, термogravиметрических и дифференциальных термogravиметрических исследований. Сообщение II. Микродистилляционный метод анализа для исследования жидкостей. Паулик, Паулик, Эрдеи (Der Derivatograph. I. Mitteilung. Ein automatisch registrierender Apparat zur gleichzeitigen Ausführung der Differentialthermoanalyse, der thermogravimetrischen und der derivativ-thermogravimetrischen Untersuchungen. II. Mitteilung. Gewichtsanalytische Mikrodestillationsmethode zur Untersuchung von Flüssigkeiten. Paulik F., Paulik J., Erdey L.), Z. analyt. Chem., 1958, 160, № 4, 241—252; № 5, 321—324 (нем.)

I. Сконструирован прибор, позволяющий одновременно проводить дифференциальный термич. анализ (ДТА), термogravиметрич. и дифференциальное термogravиметрич. исследования (ДТГ) над одним и тем же образцом с автоматич. записью результатов измерений. Подробно описана конструкция прибора на основе видоизмененных автоматич. аналитич. весов, обсуждены источники расхождения результатов ДТА и ДТГ и способы их устранения. Указывается на возможность регистрировать т-ры превращения с точностью 0,2% в интервале 20—1200° и изменения веса 20—2000 мг. Описаны области применения дериватографа: колич. анализ сложных минералов (бокситы), исследование процессов разложения углей, изучение расплавов и спекающихся в-в.

II. Дериватограф применен для анализа многокомпонентных жидких смесей методом микродистилляции. Обсуждаются устройство дистилляционного сосуда и способы нагрева в нем жидкости, обеспечивающие достижение и автоматич. запись равновесных т-р нагрева. На примере жидкой смеси бензол-эфир-вода рассмотрен предложенный авторами метод расчета для определения колич. состава многокомпонентных жидких смесей. Дериватограф особенно полезен при исследовании редких и дорогостоящих жидких в-в, так как требует навесок в несколько десятых грамма.

Ю. Третьяков

57281. Интегрирование тока в кулонометрическом анализе при контролируемом потенциале с помощью мотора постоянного тока с постоянным магнитом. Лингейн (Current integration with permanent magnet d. c. motors in controlled potential coulometric analysis. Lingane James J.), Analyt. chim. acta, 1958, 18, № 4, 349—352 (англ.)

В качестве кулометра используется мотор постоянного тока (с постоянным магнитом), скорость вращения которого прямо пропорциональна приложенному напряжению  $V$ . Величина отрицательных отклонений от пропорциональности, наблюдающихся при малых  $V$ , обратно пропорциональна  $V$ . После введения поправки на это отклонение точность измерений достигает 0,3% при колебаниях силы тока в 100 раз.

Ю. Плесков

57282. Аппарат для давления 27 000 атм и температуры 1400°. Берч, Робертсон, Кларк (Appa-



ratus for pressures of 27,000 bars and temperatures of 1400°C. Birch Francis, Robertson Eugene C., Clark Sydney P., Jr., Industr. and Engng Chem., 1957, 49, № 12, 1965—1966 (англ.)

Главной частью аппарата является цилиндр, в котором создается давление. Цилиндр, изготовленный из высокопрочной стали, имеет снаружи конич. поверхность, на которую напрессованы упрочняющие кольца. Давление в аппарате создается поршнем, передающей давление средой служит жидкий  $N_2$ . Давление измеряли манганиновым манометром с точностью  $\sim 100$  атм. Максим. рабочее давл. 27 000 атм, хотя при 20° можно достигать давл. 28 000—29 000 атм (точка замерзания  $N_2$ ). Внутри цилиндра помещена печь с обмоткой из тантала или  $Pt + 10\% Rb$ , позволяющая доводить т-ру внутри аппарата до 1400°. Т-ра измерялась  $Pt/Pt + 10\% Rb$ -термопарой. И. Ихлов

**57283.** Импульсная лампа для фотолитиза с короткой вспышкой и с очень высокой интенсивностью излучения. Клеесон, Линдквист (A fast photolysis flash lamp for very high light intensities. Claesson Stig, Lindqvist Lars), Arkiv kemi, 1958, 12, № 1, 1—8 (англ.)

Описана конструкция источника излучения для жесткого искрового фотолитиза. Короткое время облучения (25 мсек.) достигнуто уменьшением индуктивности источника питания лампы. Длительность разряда может быть увеличена до 150 мсек. при увеличении емкости в схеме питающего устройства от 200 до 1370 мф. Разряд происходит между кольцеобразными электродами, заключенными между внутренней прозрачной кварцевой трубкой и внешней трубкой из плавленого кварца с толщ. стенок 7,5 мм. Облучаемое в-во вводится во внутреннюю трубку. Число квантов излучения разряда (275 мф, 5 кВ) для концентрации актинометра  $UO_2C_2O_4 \cdot 0,005$  и  $0,010 M$  и  $H_2C_2O_4 \cdot 0,020$  и  $0,040 M$  составляет соответственно  $2,8 \cdot 10^{19}$  и  $6,8 \cdot 10^{19}$ .

В. Лыгин

**57284.** Программноуправляемый газовый хроматограф для препаративного разделения смесей органических соединений. Часть II. Ковач, Зимон, Хейльброннер (Programmgesteuerter Gas-Chromatograph zur präparativen Trennung von Gemischen organischer Verbindungen. Teil II. Kovács E., Simon W., Heilbronner E.), Helv. chim. acta, 1958, 41, № 1, 275—288 (нем.; рез. англ.)

Изучены факторы, влияющие на эффективность разделения смеси газовым автоматич. хроматографом, и рассмотрены вопросы выбора оптимальной программы, задаваемой хроматографу с целью получения наилучшего разделения. В частности, изучались зависимости между высотой эквивалентной теоретич. тарелки и т-рой, типом стационарной фазы, объемом задержки, скоростью потока газа-носителя, величиной образца и другими условиями, которые, однако, мало меняются в процессе газовой хроматографии. Изучены также условия разделения двух компонентов смеси, когда пики не перекрываются и перекрываются, и приведены примеры такого разделения двух смесей соответственно  $n$ -октан +  $n$ -декан и  $trans$ - +  $cis$ -декалин. Часть I см. РЖХим, 1958, 46545. Л. Дмитриенко

**57285.** Хроматография и непрерывный электрофорез на бумаге, ускоренные с помощью центрифуги. Мак-Доналд, Бермес, Шеперд (Centrifugally accelerated paper chromatography and continuous electrophoresis. McDonald Hugh, Bermes Edward W., Jr, Shepherd Herndon G., Jr), Chromatogr. Methods, 1957, 2, № 1, 1—5 (англ.)

Описаны аппарат для хроматографии, сходный с аппаратом Карона (РЖХим, 1956, 9523), и аппарат для непрерывного электрофореза, состоящий из прямоугольной пластины из изолирующего материала,

укрепленной в центре на ось мотора. Полоса бумаги ( $56 \times 22$  см), смоченная буферным р-ром, накладывается на пластину и закрепляется в центре. Платиновые электроды, расположенные по длинным сторонам и соединенные через коллектор с источником постоянного тока, приводятся в контакт с бумагой. На концах бумаги сделаны зубчики по кол-ву погруженных в пластину маленьких сборников. В центре бумаги крепится спец. кольцо с бортиками, куда во время опыта из микрошпигетки подается разделяемая смесь, далее попадающая через два отверстия на бумагу. Внутри кольца из другой микрошпигетки подается буферный р-р. Напряжение на бумаге может меняться от 8 до 40 в/см, мотор дает несколько сот об/мин. В случае прерывного электрофореза образец наносится в виде точки непосредственно на бумагу, разделение занимает только 10—20 мин. Л. Дмитриенко

**57286.** Термисторные детекторы в газовой хроматографии. Дейвис, Говард (Thermistor detectors in gas chromatography. Davis A. D., Howard G. A.), J. Appl. Chem., 1958, 8, № 3, 183—186 (англ.)

Аппарат состоит из термостатируемой рубашки, внутри которой располагается хроматографич. колонка, газ из которой выходит через маленькое сопло. Термистор в спец. оправе вставляется в рубашку так, чтобы бусинка его находилась у самого сопла в струе выходящего газа. Термистор включается в одно из плеч моста (как и в случае термосопротивления в обычном детекторе). Такой детектор работает стабильно при токе 10 ма в области 20—200° и обладает примерно такой же чувствительностью, как обычные хроматографы, но имеет следующие преимущества: он прост в изготовлении, чувствительность слабо зависит от т-ры и по желанию может быть изменена простым изменением тока через термистор, дрейф нуля  $\leq 1\%$ . Время работы термистора практически неограничено. Л. Дмитриенко

**57287.** Дисперсионный анализ высокодисперсных порошков с помощью суперцентрифуги. Цюрих Н. Н., Шутова А. И., Заводск. лаборатории, 1958, 24, № 2, 185—187

Экспериментальное определение кривых распределения высокодисперсных порошков проводилось путем измерения концентрации суспензии до и после пропускания через суперцентрифугу при различных скоростях подачи (РЖХим, 1957, 45738). Этим способом исследованы дисперсионный состав двух органич. пигментов. Одновременно произведен седиментационный анализ одного из них при помощи пробирочной центрифуги. Результаты, полученные обоими методами, совпали. В. Дуковский

**57288.** Приспособление для спектрофотометрического титрования субмиллиграммовых образцов. Боэ, Форбе (Apparatus for spectrotitration of submilligram samples. Boaz H. E., Forbes J. W.), Analyst Chem., 1958, 30, № 3, 456 (англ.)

Для изучения УФ-спектра анализируемого в-ва в его нескольких формах в спектрофотометре моделей Кари 11 и Кари 14 сделано приспособление, которое позволяет изучать спектры в р-рах при изменении pH 0,5—13,5, не вынимая кювету из спектрофотометра. В кварцевую кювету ( $1 \times 1 \times 5$  см) вертикально через направляющие отверстия в пластмассовой крышке по одной диагонали вставлены стеклянный и каломельный электроды; по другой диагонали вставлены кончики двух бюреток, сделанных двумя прямоугольными уступами с 2 M р-ром HCl или HClO<sub>4</sub> и с 2 M р-ром КОН. В момент снятия спектра бюретка выдвигается из р-ра. Перемешивание производится магнитной мешалкой. Трубка из нержавеющей стали подводит азот, насыщенный р-рителем, к поверхности р-ра, что обеспечивает инертную атмосферу при титровании. Вел

система находится в кожухе, предохраняющем от проникновения света. Титрование можно проводить в присутствии непоглощающего буфера. Д. Кузнецов

**57289.** Быстрое и точное определение углерода и водорода. Автоматическая аппаратура для макросжигания. Уайт, Кампанили, Агацци, Те-Селле, Тейт, Брукс, Питерс (Rapid and precise carbon-hydrogen determination. Automatic macro-combustion apparatus. White T. T., Campanile V. A., Agazzi E. J., TeSelle L. D., Tait P. C., Brooks F. R., Peters E. D.), *Analyt. Chem.*, 1958, 30, № 3, 409—414 (англ.)

Описана автоматич. аппаратура для макросжигания, позволяющая производить быстрое и точное определение Н и С. Образец попеременно нагревался электро-нагревателем и охлаждался струей воздуха, чтобы обеспечить необходимую скорость испарения исследуемых в-в. Величина тока в нагревателе и скорость струи воздуха контролировались Hg-манометром. Процесс испарения производился очень быстро и весь цикл сжигания длился 20 мин. Точность определения 0,08% для С и 0,02% для Н. Подробно описаны типы жарцевых лодочек для сжигания жидких образцов с различными т-рами кипения. Для азотсодержащих в-в поглощение  $\text{NO}_2$  производилось  $\text{MnO}_2$ . Описан способ приготовления активированной формы  $\text{MnO}_2$ .

Ю. Третьяков

**57290.** Активизированная искра переменного тока на 220 в для высокоточных анализов металлов. Карльссон (A triggered 220-V a. c. spark for high precision in metal analysis. Carlsson C. G.), *Proc. Colloquium Spectroscopicum Internat. VI*, London, Pergamon Press, 1957, 370—376. Discuss., 376 (англ.)

Простейший искровой источник типа Пфейльстижера пригоден для точных анализов металлич. сплавов (ошибка определения  $\sim 1,5\text{--}2\%$ ). Разрядная цепь источника с искровым промежутком содержит конденсатор (2 мкФ) и индуктивность (3 мкГ). Разряд дуги активизируется искрой малой мощности, в цепи которой имеется трансформатор 220/15 000 в, конденсатор (700 нФ) и вращающийся прерыватель, приводимый в движение синхронным мотором. Приведены осциллограммы тока разряда искры при различных значениях параметров цепи питания искры. В. Лыгин

**57291.** Электрополировка и электрогравление металлографических шлифов из металлокерамических материалов на основе железа и меди. Теодорович О. К., Качковская Э. Т., Заводск. лаборатория, 1958, 24, № 1, 57—60

Описаны установка и режим электрополировки и травления шлифов как из пористых, так и из беспористых металлокерамич. композиций на основе Fe и Cu. Для электрополировки шлифов применялся электролит, содержащий 88  $\text{H}_3\text{PO}_4$  и 12 вес. %  $\text{CrO}_3$ . Содержание  $\text{H}_2\text{O}$  в электролите даже в небольших количествах приводит к значительному окислению поверхности шлифов. В качестве катода использовалась нержавеющая сталь с площадью в 10 раз больше площади анода. Электрополировка беспористых металлокерамич. материалов производилась при т-ре 50—70° и анодной плотности тока 1,25 а/см<sup>2</sup> в течение 2 мин. В случае пористых материалов электрополировка возможна лишь после предварительного удаления механич. способом рисок на поверхности шлифа. Плотность тока при этом увеличивают до 1,51 а/см<sup>2</sup>, а время полировки до 1 мин. Выявление границ зерен производилось посредством анодного травления образца в том же электролите при плотности 0,05 а/см<sup>2</sup>. Приведен ряд микрофотографий, позволяющих судить о микроструктуре Fe-Cu-металлокерамич. материалов различного состава. П. Циголев

**57292.** Ультрацентрифуга как прибор для испытания на прилипание. Патрик, Воган, Дод (The ultracentrifuge as an instrument for testing adhesion. Patrick R. L., Vaughan W. A., Doede C. M.), *J. Polymer Sci.*, 1958, 28, № 116, 41—46 (англ.; реф. франц., нем.)

Для определения разрывного напряжения склеенных образцов использована лабор. центрифуга. На роторе ее диаметрально противоположно помещены 2 ячейки, в которые консольно зажимаются образцы. В ячейках над склеенной частью образца имеются сквозные окошки, через которые посредством системы зеркал пропускается луч света от импульсного источника. При неповрежденном образце свет не проходит. Разрыв образца открывает путь для светового луча, а стробоскопич. эффект позволяет определить скорость вращения в момент разрыва. Воспроизводимость и разброс результатов не превышают значений, обычных для измерений на растяжение.

Э. Финкель

**57293.** Конструкция эффективной универсальной лабораторной установки для аналитической перегонки. Кинканнон, Бейкер (Analytical distillation laboratory design for efficiency and versatility. Kincannon C. B., Baker Maurice O.), *Analyt. Chem.*, 1957, 29, № 8, 1489—1493 (англ.)

Подробно описана аппаратура для автоматич. дистилляционной лаборатории, в которой легко сменяются фракционирующие колонки различных систем, может производиться работа под атмосферным давлением и под вакуумом, с отбором фракций во время перегонки, при различных значениях коэф. орошения и при скоростях перегонки от 100 мл до 15 л в час. Аппаратура монтируется на Al-стержнях. Описаны расположение аппаратуры в лаборатории, панель управления, система измерения и автоматич. сигнализации т-ры, система полуавтоматич. регулировки давления, регулировки скорости перегонки, система вентиляции и противопожарные средства. Воспроизводимость результатов на 25% лучше, чем при работе без автоматизации. Число неудачных перегонки снижается до 1% вместо 5%. Затраты времени на перегонку снижаются на 25% в человеко-часах и на 35% в часах работы колонок.

Б. Альбаер

**57294 П.** Усовершенствование приборов, применяемых для анализа смесей жидкостей на основе светопоглощения. Луфт (Perfectionnements apportés aux moyens pour analyser des mélanges de fluides par l'absorption d'un rayonnement. Luft Karl) [Office National d'Etudes et de Recherches Aéronautiques, dit O. N. E. R. A.], Франц. пат. № 1432413, 14.03.57

Для анализа смесей жидкостей (или газов) предложено пропускать луч света, прошедший через анализируемую смесь в испытательной кювете, через 2 последовательно расположенные камеры, содержащие определяемую в смеси жидкость или (газ), полосы поглощения которой совпадают с полосами поглощения определяемой жидкости (или газа). Так, напр., при определении в газовой смеси CO камеры заполняют либо чистой CO, либо смесью CO с  $\text{N}_2$  или Ar. При источнике света с постоянной и известной интенсивностью излучения измерение разности или соотношения энергий излучения, поглощаемых, соответственно, в двух последовательно расположенных камерах, дает возможность оценить парц. поглощение излучения в анализируемой смеси, находящейся в испытательной кювете. Прибор можно автоматизировать. Т. Леви

См. также: Оптический дифрактометр 56480. Установка для рентгеновского изучения порошка 56481. Кинетическая спектроскопия 56819. Автоматическая обогатяющая установка для управления процессом



57748. Электронный потенциометр 57750. Новый микро-  
манометр с усиленным давлением 57753. Термопары,  
поверхностные и радиационные пирометры 57755. Но-  
вый прибор для определения влажности 57757. Термо-  
чувствительный элемент 57767. Оригинальный прибор

для электрофореза 21620Бх. Прибор для определ. ал-  
бумина в сыворотке крови 21621Бх. Прибор для испы-  
тания резины на старение 59453. Пластиграф и его  
применение 59494. Аппарат для контроля сушки дре-  
весины 59545

57295.  
биакр  
Хим.  
Из ИИ  
нов (ОА  
(ДОБ т  
4,4-диок  
или суп  
водород  
кристал  
ного но  
МА, ДО  
к вывод  
апридин  
ды (V  
2-оксина  
ам окси  
окси-9,9  
таугоме  
связью  
дер в  
личие с  
ствующ  
получаю  
дов бан  
CH<sub>3</sub>O-гр  
170—180  
168—170  
в этил  
42%-ной  
I (сплат  
76,7; VI  
дем ап  
CH<sub>3</sub>O-гр  
42,8, 280  
50,8, 290  
374 (воз  
HBr (к  
в %, т. л  
до 485°;  
410—414  
57296.  
оптиче  
мичес  
gurati  
nyls b  
low  
476 (a  
Осупд

РЕФЕРАТИВНЫЙ ЖУРНАЛ  
ХИМИЯ

Рефераты 57295—57658

№ 17

10 сентября 1958 г.

## II

## ОРГАНИЧЕСКАЯ ХИМИЯ

ОБЩИЕ И ТЕОРЕТИЧЕСКИЕ ВОПРОСЫ  
ОРГАНИЧЕСКОЙ ХИМИИ

Редактор М. Е. Вольпин

57295. Таутомерия в ряду оксиакридинов и диокси-биакридилов. Гуревич А. И., Шейнкер Ю. Н., Хим. наука и пром-сть, 1958, 3, № 1, 129—130

Из ИК-спектров изомерных окси- и метоксиакридинов (ОА и МА) и диокси- и диметоксибиакридилов (ДОБ и ДМБ) следует, что 4-оксиакридин (I) и 6,8'-диокси-9,9'-биакридил (II) в кристаллич. состоянии существуют в окси-форме с внутримолекулярной водородной связью  $\text{OH} \cdots \text{N}$ ; остальные ОА и ДОБ в кристаллич. состоянии существуют в форме биполярного иона. Сравнение УФ-спектров изомерных ОА и МА, ДОБ и ДМБ в различных растворителях приводит к выводу, что I не способен к таутомерии, 1- и 3-оксиакридины (III и IV) и 1,1'- и 3,3'-диокси-9,9'-биакридилы (V и VI) обнаруживают окси-оксо-таутомерию, а 2-оксиакридин (VII) способен к таутомерии с участием окси- и биполярной ионной форм. У II и 2,2'-диокси-9,9'-биакридила (VIII), вероятно, существует таутомерия диокси- и окси-оксо-формы с двойной связью 9—9', что предполагает копланарность обоих ядер в производных 9,9'-биакридила, несмотря на наличие стерич. препятствий. Взаимодействием соответствующих 9-хлор-МА (IX) с  $\text{C}_6\text{H}_5\text{SO}_2\text{NHNH}_2$  в  $\text{CHCl}_3$  получают хлоргидраты 2-(метоксиакридил-9')-гидразидов бензолсульфонислоты (X) [указаны положения  $\text{CH}_3\text{O}$ -группы, выход в %, т. пл. в °C (разл.)]: 1', 76,2, 170—180; 2', 73,8, 184—185; 3', 62,5, 176—178; 4', 99,3, 168—170 (содержит 1 моль  $\text{CHCl}_3$ ). Обработкой X NaOH в этиленгликоле получают МА. МА кипятят с 42%-ной HBr, получают ОА (указаны ОА, выход в %): I (сплавлением МА с  $\text{C}_6\text{H}_5\text{N} \cdot \text{HCl}$ ), 42,9; III, 59,5; IV, 76,7; VII, 88,3. IX восстанавливают Zn-пылью в кипящем ацетоне, получают ДМБ (указано положение  $\text{CH}_3\text{O}$ -группы в ДМБ, выход в %, т. пл. в °C): 1 и 1', 42,8, 280—282; 2 и 2', 83,2, 263—264 (из  $\text{C}_6\text{H}_5\text{N}$ ); 3 и 3', 50,8, 290—292 (возожен в вакууме); 4 и 4', 58,5, 372—374 (возожен в вакууме). ДМБ кипятят с 42%-ной HBr (к-той), получают ДОБ (указаны в-во, выход в %, т. пл. в °C): II, 70,1, 362—364; V, 64,1, не плавится до 485°; VI, 98,2, не плавится до 485°; VIII, 83,3, 410—414.

А. Гуревич  
57296. Установление конфигурационной связи между оптически активными бифенилами с помощью термического анализа. Сигел, Мислов (The configurational intercorrelation of optically active biphenyls by thermal analysis. Siegel Maurice, Mislow Kurt), J. Amer. Chem. Soc., 1958, 80, № 2, 473—476 (англ.)

Осуществлен термич. анализ эквимольных смесей

(+)-6,6'-диметилдифеновой-2,2'-к-ты [(+)-I] последовательно с (+)- и (—)-6,6'-дихлордифеновыми-2,2'-к-тами [(+)-II, (—)-III], (+)-I с (+)- и (—)-6,6'-динитродифеновыми-2,2'-к-тами [(+)-III, (—)-III] (приведены диаграммы т-ра плавления—состав). Полученные результаты показали, что (+)-I и (+)-II, (+)-I и (+)-III и (+)-II и (—)-III образуют квазирацематы, т. е. структурно родственны, но обладают противоположными абс. конфигурациями. Так как ранее (см. РЖХим, 1958, 53674) хим. методом была установлена S-конфигурация (—)-III, сделан вывод, что (+)-I и (—)-II тоже обладают S-конфигурациями. Тем самым доказаны конфигурации всех родственных в-в. Показано, что (+)-6,6'-дихлор-2,2'-ди-(оксиметил)-бифенил [(+)-IV] и (—)-6,6'-диметил-2,2'-ди-(оксиметил)-бифенил [(—)-V] тоже образуют квазирацемат (менее отчетливая диаграмма, чем в случае к-т). Получать квазирацемат V с 2,2'-ди-(оксиметил)-1,1'-бинафтилом (VI) и, следовательно, распространить косвенный метод доказательства конфигураций на ряд бинафтила не удалось. (±)-III, т. пл. 265,5—267°, разделена на оптич. антиподы (ОА) с помощью (—)-α-фенеталамина: (—)-III, т. пл. 230—231,5°,  $[\alpha]_D^{20} -127^\circ$  (с 1,6;  $\text{CH}_3\text{OH}$ , как и в большинстве остальных случаев); (+)-III, т. пл. 229—230,5°,  $[\alpha]_D^{20} +127^\circ$  (с 2,4). (+)-II, т. пл. 289,5—291°, разделена на ОА с помощью бринуна: (+)-II, т. пл. 263—264,5°,  $[\alpha]_D^{20} +7,3^\circ$  (с 4,3); (—)-II, т. пл. 261—263°,  $[\alpha]_D^{20} -7,2^\circ$  (с 4,1). (±)-I, т. пл. 236—237,5°, разделена на ОА с помощью морфина: (+)-I, т. пл. 211,5—213,5°,  $[\alpha]_D^{20} +25^\circ$  (с 1,2),  $[\alpha]_D^{20} +27,5^\circ$  (с 1,2); (—)-I, т. пл. 207—211°,  $[\alpha]_D^{20} -22^\circ$  (с 1). (±)-1,1'-бинафтилдифкарбоновая-2,2'-к-та [(+)-VII], т. пл. 269,5—273°, разделена на ОА с помощью хинина: (—)-VII, т. пл. ~135° (разл.),  $[\alpha]_D^{20} -84^\circ$  (с 0,46; 0,1 н. NaOH),  $[\alpha]_D^{20} -123^\circ$  (с 1,4; 0,1 н. NaOH). Восстановлением с помощью  $\text{LiAlH}_4$  получены из (±)-I, (—)-I и (+)-I соответственно (±)-V, т. пл. 122—123,5°; (—)-V, т. пл. та же,  $[\alpha]_D^{20} -30^\circ$  (с 2,3); (+)-V, т. пл. та же,  $[\alpha]_D^{20} +31^\circ$  (с 3,1); из (±)- и (—)-VII соответственно (±)-VI, т. пл. 190,5—191,5°; (—)-VI, т. пл. 163,5—165,5°,  $[\alpha]_D^{20} -84^\circ$  (с 1,6; ацетон); из (±)-II и (+)-II соответственно (±)-IV, т. пл. 119—120°; (+)-IV, т. пл. 106—107°,  $[\alpha]_D^{20} +75^\circ$  (с 0,63),  $[\alpha]_D^{20} +141^\circ$  (с 0,91; бал.).

Н. Вольпинау  
57297. Аминоспирты. V. Стереохимическая классификация аминокциклопентанолов с помощью комплексобразования. Дрефаль, Циммерман (Aminoalkohole. V. Stereochemische Zuordnung von Aminocyclopentanolen durch Komplexbildung. Drefahl Günther, Zimmermann Heinz), Chem. Ber., 1958, 91, № 2, 283—286 (нем.)

Конфигурацию 2-аминоциклопентанола (I) можно определить р-цией с  $\text{CoCl}_2$  в 98—99%-ном  $\text{CH}_3\text{OH}$ : *цис*-I дает красно-фиолетовый комплекс состава 6 I:



: 2 Co : 3 Cl, не разрушающийся действием разб. NaOH, транс-1 комплекса не дает. Аналогично ведут себя *цис-1-амино-2-оксидипридинаны* (II). Состав комплекса *цис-формы* 6 II : 3 Co : 2 Cl : 3 H<sub>2</sub>O. Сообщение IV см. РЖХим, 1958, 57577. В. Потапов

57298. Новый стабилизированный мезомерией кислородный радикал. I. Димрот, Кальк, Нейбауэр (Neue, durch Mesomerie stabilisierte Sauerstoffradikale, I. Dimroth Karl, Kalk Fritz, Neubaue Gerald), Chem. Ber., 1957, 90, № 9, 2058—2071 (нем.)

2,4,6-трифенилфенол (I) дает при окислении щел. р-ром  $K_2[Fe(CN)_6]$  в органич. р-рителях ( $C_6H_6$ ,  $CCl_4$ ,  $CS_2$ ) радикал 2,4,6-трифенилфеноксил 2,4,6-( $C_6H_5$ )<sub>3</sub>- $C_6H_2O\cdot$  (II). II находится в быстро устанавливаемом равновесии с 2,4,6-трифенилфенилперекисью (III) ( $K_{равн} = 2,4 \cdot 10^{-5}$  в  $CS_2$  при 20°). Описаны физ. и хим. свойства II. С разбавлением и повышением т-ры равновесие  $2II \rightleftharpoons III$  сдвигается в сторону II. Сделан вывод, что устойчивость кислородных радикалов зависит: а) от наличия заместителей в положениях 2,4 и 6, не обладающих α-водородом, б) от объема заместителей. Твердый III в зависимости от величины кристаллов, скорости нагревания, р-рителя кристаллизации плавится при 142—160° с появлением оранжево-красного окрашивания. III на воздухе в течение месяца не изменяется, р-ры III в  $CS_2$ ,  $CCl_4$ , ацетоне,  $CH_3CN$ ,  $CH_3NO_2$  (~ 20°) также сравнительно устойчивы. Р-р III в  $C_6H_6$  (~ 20°) разлагается с образованием II со скоростью 3% за 1 час. При нагревании до 40° стабильность III заметно падает, в  $CS_2$  за 16 час. 10% III разлагается с образованием иных, чем II, радикалов. В разб. р-рах III в  $CS_2$  ( $1,3 \cdot 10^{-5}$  моль/л) димер диссоциирует практически на 100%. Энергия диссоциации III на радикалы II составляет 15,5 ккал. Устойчивость р-ров II в  $CS_2$  по отношению к O<sub>2</sub> свидетельствует о том, что II в противоположность три-*трет*-бутилфеноксилу (IV) является кислородным радикалом. II самый сильный окислитель в ряду: II > фенил-*бис*-(*n*-метоксифенил)-феноксил > IV > > 2-метил-4,6-дифенилфеноксил. Трифенилметил с II дает трифенилметилловый эфир трифенилфенола; из II и IV образуется хиноловый эфир. Р-р II в  $CCl_4$  с HCl дает I и трифенилметилловый эфир хлорноватистой к-ты, при добавлении разб. р-ра NaOH вновь образуется II. Щел. р-р гипохлорита, а также брома и йода в KOH окисляет I в II. II в  $CS_2$  с сильными к-тами HA (А-анион) дает голубой радикал-катион  $[2,4,6-(C_6H_5)_3O^+ \cdot (H)]$  А. Р-р II в  $CS_2$  парамагнитен. УФ-поглощение II сильно зависит от р-рителя, в следующем ряду наблюдается bathochromный сдвиг:  $C_6H_6 < CCl_4 < CS_2 < CH_3OH < CH_3NO_2$ . Радикальный характер II подтверждает полоса поглощения при 6 μ в ИК-спектрах. I получают или из 2,4,6-трифенилгидроксилиновой соли и нитрометана, или из 2,4,6-трифенилбензола и HNO<sub>3</sub> через 2,4,6-трифенилнитробензол с последующим восстановлением и диазотированием. Ср. РЖХим, 1957, 63374. В. Якерсон

57299. Изучение некоторых нитрозамещенных бензгидрилкарбониевых ионов. Стюарт, Смит (Studies of some nitro-substituted benzhydrylcarbonium ions. Stewart Burch B., Smith Hilton A.), J. Amer. Chem. Soc., 1957, 79, № 20, 5457—5460 (англ.)

С целью выяснения влияния нитрогруппы на стабильность ионов карбония (ИК) было изучено поведение 4-нитробензгидрола (I), *бис*-3-нитробензгидрилового эфира (II) и 3,3'-динитробензгидрола (III) в 100%-ной H<sub>2</sub>SO<sub>4</sub>. При титровании крепкой H<sub>2</sub>SO<sub>4</sub> разб. р-ров I, II, III до появления окраски, характерной для ИК, было определено, что I образует ИК в 84,3%-ной

H<sub>2</sub>SO<sub>4</sub>, II в 82,8%-ной H<sub>2</sub>SO<sub>4</sub>, III в 89,8%-ной H<sub>2</sub>SO<sub>4</sub>. Однако исследования показали, что эти ИК очень устойчивы и легко переходят в димерные ИК, что установлено по значениям *i*-факторов (для I 2,9—3,0; II 3,9—4,1; III 3,03) и подтверждается также хим. данными. Так, эти р-ры с CH<sub>3</sub>OH не дают метиловых эфиров, а при разбавлении этих р-ров водой не удается выделить *бис*-эфиров, которые должны были бы получаться, если бы в р-рах присутствовал мономерный ИК; были выделены только полимеры (димеры). В том случае, когда взаимодействие III с H<sub>2</sub>SO<sub>4</sub> очень мало (1 мин.), был получен исходный продукт (80% при действии CH<sub>3</sub>OH и 54% для H<sub>2</sub>O). Изучение спектров в УФ- и видимой области I, II, III в соотношении со спектрами 3-метилбензгидрола и бензгидрола привело авторов к выводу, что нитрозаместители препятствуют расположению бензольных колец в одной плоскости с ИК и вследствие этого уменьшается их стабильность. По стабильности ИК можно расположить в ряд: 3-метилбензгидрил > бензгидрил- > 3-нитробензгидрил- > 4-нитробензгидрил- > 3,3-динитробензгидрилкарбониевый ион. Е. Быкова

57300. Реакции алкинов-1 с металлоорганическими соединениями. VII. Скорость реакции гексин-1 с метил- и этилмагнийгалогенидами в присутствии триэтилмина. Уотиз, Холлингсворт, Дессе, Линь Лун-цин (Reaction of 1-alkynes with organometallic compounds. VII. Rate of reaction of hexyn-1 with methyl- and ethylmagnesium halides in the presence of triethylamine. Wotiz John H., Hollingsworth C. A., Dessy R. E., Lin Lung Ching), J. Organ. Chem., 1958, 23, № 2, 228—229 (англ.)

Применяя описанный ранее (РЖХим, 1956, 74788) метод определения относительной реакционной способности (ОРС)  $RMgX$  (I R = CH<sub>3</sub>, C<sub>2</sub>H<sub>5</sub>; X = Cl, Br, I) в р-ции с гексином-1 (II), авторы показали, что ОРС I возрастает с увеличением конц-ии добавок N(CH<sub>3</sub>)<sub>3</sub> к реакционной смеси. При прочих равных условиях  $RMgI$  и  $CH_3MgX$  обнаруживают наивысшую реакционную способность. ОРС (C<sub>2</sub>H<sub>5</sub>)<sub>2</sub>Mg при р-ции с II не зависит от конц-ии N(CH<sub>3</sub>)<sub>3</sub>. Сообщение VI см. РЖХим, 1957, 65997. А. Грив

57301. Изучение реакции образования фенольных смол. Отношение реакционной способности орто- и пара-положений в ядре фенола при использовании основных катализаторов. Сэто, Хориути (Seto Shoji, Horiuchi Hikaru), Kōgei Kagaku Zasshi, J. Chem. Soc. Japan. Industr. Chem. Sec., 1957, 60, № 5, 653—656 (японск.)

С целью определения реакционной способности орто- и пара-положений в феноле (I) при конденсации с CH<sub>2</sub>O (II) в присутствии основных катализаторов [LiOH, NaOH, KOH, (CH<sub>3</sub>)<sub>2</sub>NOH, Mg(OH)<sub>2</sub>, Ca(OH)<sub>2</sub>, Sr(OH)<sub>2</sub>, Ba(OH)<sub>2</sub>] проведена конденсация 1 моль 37%-ного р-ра II с большим избытком (100 моль) I. Хроматографией на бумаге (РЖХим, 1955, 11321) определено кол-во образующихся *о*-(III) и *п*-метилфенолов (IV). Приведены примененный катализатор и отношение III/IV: Mg(OH)<sub>2</sub>, 4,39; Ca(OH)<sub>2</sub>, 3,68; Sr(OH)<sub>2</sub>, 2,68; Ba(OH)<sub>2</sub>, 2,52; LiOH, 1,75; NaOH, 1,56; KOH, 1,33; (CH<sub>3</sub>)<sub>2</sub>NOH, 0,88. Таким образом с повышением щелочности катализатора увеличивается реакционная способность пара-положения I. Л. Яновская

57302. Конфигурация и свойства непредельных кислот и их производных. VIII. О реакционной способности эруквой и брассидиновой кислот и их эфиров. Плисов А. К., Булатова Н. В., Ж. общ. химии, 1958, 28, № 2, 498—503

Изучение скорости р-ций гидрирования

ой  $\text{H}_2\text{SO}_4$ , окисления  $\text{K}_2\text{Cr}_2\text{O}_7$  в лед.  $\text{CH}_3\text{COOH}$  и омы-  
 ления спирт. КОН эруктовой (I) и брассидиновой к-т  
 (II) и их эфиров подтвердили *цис*-конфигурацию I и  
 транс-форму II. I и ее эфиры гидрируются и окисля-  
 ются быстрее II и эфиров II, но эфиры I омыляются  
 медленнее эфиров II. К нагретой до 100° смеси жир-  
 ных к-т (на 200 г рапсового масла) в 200 мл спирта  
 прибавляют кипящий р-р 80 г  $(\text{CH}_3\text{COO})_2\text{Pb}$  в 100 мл  
 спирта, из спирт. р-ра выпадает эрукат Pb, который  
 при обработке HCl (1:5) дает I, т. пл. 34° (из сп.). II  
 (т. пл. 61°) получена действием окислов азота на I.  
 Метилэрукат (III) (т. кип. 220–221°/5 мм,  $n_D^{20}$  1,4558),  
 метилбрассидат (IV) (т. пл. 34–35°), бутилэрукат (V)  
 (т. кип. 244°/7 мм,  $n_D^{20}$  1,4555), бутилбрассидат (VI,  
 т. пл. 33–35°, т. кип. 246°/7 мм,  $n_D^{20}$  1,4549) получены  
 прямой этерификацией I и II  $\text{CH}_3\text{OH}$  и  $n\text{-C}_4\text{H}_9\text{OH}$   
 в присутствии  $\text{H}_2\text{SO}_4$ . I и II при окислении расщепляют-  
 ся по C=C-связи с образованием пеларгоновой к-ты.  
 При нагревании I и II с  $\text{H}_2$  II остается без изменения,  
 а I восстанавливается в бегеновую к-ту. Приведены в-во,  
 константы скорости окисления при 55° и при 40°, энер-  
 гии активации р-ции окисления, константы скорости  
 гидрирования и омыления: I, 0,036, 0,019, 8363, 0,0014,  
 —, II, 0,018, 0,011, 8183, 0,0009, —, III, 0,021, 0,012, 8297,  
 0,0011, 0,00015; IV, 0,013, 0,008, 7660, 0,0007, 0,0004; V,  
 0,019, 0,0094, 8986, 0,009, 0,0001; VI, 0,011, 0,007, 7386,  
 0,0005, 0,0003. Предыдущее сообщение см. РЖХим, 1957,  
 00444.

В. Райгородская  
 57303. Конфигурация и свойства непредельных кис-  
 лот и их производных. IX. О свойствах  $\alpha$ -метилпро-  
 тоновых кислот и их эфиров. Плисов А. К., Па-  
 ладненко Н. П., Ж. общ. химии, 1958, 28, № 2,  
 503–507

На примере гидрирования стереоизомерных  $\alpha$ -метил-  
 протоновых к-т и их этиловых, бутиловых, изобутило-  
 вых и бензиловых эфиров были установлены следую-  
 щие закономерности. Этот процесс протекает у  $\alpha$ -ме-  
 тилпроотоновых к-т медленнее, чем у кротоновых к-т  
 вследствие экранирования двойной связи  $\text{CH}_3$ -радика-  
 лем в  $\alpha$ -положении. *Цис*-формы гидрируются легче  
*транс*-форм. Эфиры гидрируются труднее, чем к-ты.  
 Различия в скоростях гидрирования различных эфиро-  
 в тиглиновой к-ты (I) выражены более резко, чем  
 у эфиров антеликовой к-ты (II). С увеличением объема  
 спиртового радикала скорость гидрирования умень-  
 шается. Понижение т-ры гидрирования на 10° замет-  
 но снижает скорость гидрирования. Замена Pd-ката-  
 лизатора на Pt не влияет на скорость гидрирования.  
 На основании этих данных авторы относят I к *транс*-  
 ряду, а II к *цис*-ряду. Даны кривые скорости гидри-  
 рования I и II и их эфиров в спирте на Pt и Pd при  
 15 и 25°. Получены не описанные в литературе эфи-  
 ры: бутилангелат, синтезирован из ангелата K и  $\text{C}_4\text{H}_9\text{I}$   
 (J. Organ. Chem., 1950, 15, 683), выход 40%, т. кип.  
 73–74°/9 мм,  $n_D^{20}$  1,4350,  $d_4^{12}$  0,9089; бензилангелат  
 (получен аналогично), выход 47%, т. кип. 125–126°/  
 6–7 мм,  $n_D^{12}$  1,4510,  $d_4^{12}$  1,0366,  $d_4^{12}$  1,0361; бутилтиглат  
 получен этерификацией I, выход 72,5%, т. кип. 189–  
 191°,  $n_D^{12}$  1,442,  $n_D^{15}$  1,440,  $d_4^{12}$  0,9141; изобутилтиглат  
 получен этерификацией I, выход 60%, т. кип. 182–184°,  
 $n_D^{12}$  1,430,  $n_D^{15}$  1,437,  $d_4^{12}$  0,9047; бензилтиглат синте-  
 зирован из тиглата K и  $\text{C}_6\text{H}_5\text{CH}_2\text{Cl}$  в безвод.  $\text{CH}_3\text{OH}$   
 (31 часа, 100°), выход 56,5%, т. кип. 139°/9 мм,  $n_D^{20}$   
 1,518,  $d_4^{12}$  1,0431. При восстановлении I и II (0,3 г)  
 H<sub>2</sub> (24 часа, 110–115°) прореагировало 6% II и толь-  
 ко 1% I.

В. Райгородская  
 57304. Исследования в области стереохимии. XXVIII.  
 Различия в реакционной способности диастереоизо-  
 меров при перегруппировке Вагнера — Меервейна.  
 Крам, Найкунст, Фатхи Ахмед Абд-эль-  
 Хафез (Studies in stereochemistry. XXVIII. Reacti-  
 vity differences between diastereomers in the Wag-

ner-Meerwein rearrangement. Cram Donald J.,  
 Nyquist H. Leroy, Fathy Ahmed Abd El-  
 hafez), J. Amer. Chem. Soc., 1957, 79, № 11, 2876–  
 2888 (англ.)

Титриметрическим (ТМ) и полиметрическим (ПМ)  
 методами найдены константы скоростей ацетонлиза  
 (АЦ) и формолиза (Ф) следующих эфиров сульфо-  
 кислот (указаны исходное соединение, тип р-ции, до-  
 бавки, т-ра в °C,  $k_1$  в сек<sup>-1</sup>): *трео*-3-фенилбутил-2-п-то-  
 луолсульфонат (Ia), АЦ, —, 74,71, 4,95 · 10<sup>-5</sup>; Ia, АЦ,  
 $\text{CH}_3\text{COONa}$ , 74,91, 6,72 · 10<sup>-5</sup>; Ia, Ф, —, 25, 2,28 · 10<sup>-4</sup>  
 (ТМ), 2,65 · 10<sup>-4</sup> (ПМ); *эритро*-изомер Ia (Ib), АЦ, —,  
 74,72, 2,5, 5,77 · 10<sup>-5</sup>; Ib, Ф,  $\text{HCOONa}$ , 25, 2,8 · 10<sup>-4</sup> (ТМ),  
 2,49 · 10<sup>-4</sup> (ПМ); *трео*-4-фенилгексил-3-п-толуолсульфо-  
 нат (IIa), АЦ,  $\text{CH}_3\text{COOK}$  74,64, 1,88 · 10<sup>-4</sup> (ТМ),  
 5,48 · 10<sup>-4</sup> (ПМ); IIa, АЦ,  $\text{CH}_3\text{COOK}$ , 50,08, 1,01 · 10<sup>-5</sup>  
 (ТМ); IIa, Ф,  $\text{HCOONa}$ , 25, 2,9 · 10<sup>-4</sup> (ТМ), 3,9 · 10<sup>-4</sup>  
 (ПМ); *эритро*-изомер IIa (IIb), АЦ,  $\text{CH}_3\text{COOK}$ , 50,  
 1,8 · 10<sup>-5</sup>; IIb, Ф,  $\text{HCOONa}$ , 25, 7,65 · 10<sup>-4</sup>; *трео*-2,5-ди-  
 метил-4-фенилгексил-п-бромбензолсульфонат (IIIa),  
 АЦ,  $\text{CH}_3\text{COOK}$ , 49,74, 4,97 · 10<sup>-5</sup> (ТМ), 6,05 · 10<sup>-1</sup> (ПМ);  
 IIIa, Ф,  $\text{HCOONa}$ , 25, 3,1 · 10<sup>-1</sup>; *эритро*-изомер IIIa  
 (IIIb), АЦ,  $\text{CH}_3\text{COOK}$ , 49,74, 3,18 · 10<sup>-4</sup> (ТМ), 3,28 · 10<sup>-4</sup>  
 (ПМ); IIIb, Ф, —, 25, 2,53 · 10<sup>-4</sup>. Добавление солей ма-  
 ло влияет на значения  $k_1$ . В случае II и III сольволиз  
 проводился в присутствии 20 об. %  $\text{CHCl}_3$  (для полу-  
 чения гомог. р-ра). Титриметрич. и полиметрич. дан-  
 ные совпадают лишь в случае Ф, но не при АЦ, так  
 как в последнем случае наблюдаются быстро проте-  
 кающие вторичные р-ции. При АЦ сульфатов и  
 обработке  $\text{LiAlH}_4$  из (+)-IIIa получено 28% 2,5-ди-  
 метил-4-фенилгексанола-3 (IV) (97% рацемич. *трео*-IV  
 и 3% *эритро*-IV), 12% смеси частично рацемизованного  
 2,5-диметил-4-фенилгексанола-2 (V) и 2,5-диметил-  
 3-фенилгексанола-2 (VI), наряду с 53% смеси олефи-  
 нов, состоящей из 2,5-диметил-4-фенилгексана-1 (VII),  
 2,5-диметил-4-фенилгексана-2 (VIII), *цис*- и *транс*-  
 2,5-диметил-4-фенилгексана-3 (IX), *цис*- и *транс*-  
 2,5-диметил-4-фенилгексана-4 (X); из (+)-IIIb полу-  
 чено 3,8% IV [95% (+)-*эритро*-IV + 5% *трео*-IV], 19%  
 оптич. чистого V, следы VI и 70% олефинов. Анало-  
 гично при Ф из (–)-IIIa получено 15,3% IV (95–100%  
 рацемич. *трео*-IV и 0–5% *эритро*-IV), 32% частично  
 рацемизованной смеси V и VI наряду с 43% олефи-  
 нов; из (–)-IIIb образуется 6,9% IV [95–100%  
 (–)-*эритро*-IV и 0–5% *трео*-IV], 60% смеси оптически  
 чистых V и VI наряду с 19% олефинов. Обнаружить  
 1,5-диметилгексанола-3 (XI) не удалось. По-видимому,  
 VII и VIII находятся в равновесии с формиадом V,  
 а *цис*-IX, *транс*-IV и XI в равновесии с формиадом VI  
 (возможно, также и с формиадом XI), тогда как обра-  
 зующиеся олефины не переходят друг в друга. Авто-  
 ры считают, что образование вторичных ацетатов и  
 формиадов из IIIa и IIIb проходит через промежуточ-  
 ные мостиковые фенольные ионы (А) и (Б). По сво-



ему составу образующаяся при этом смесь в-в близка  
 к продуктам сольволиза Ia и Ib, но резко отличается от  
 продуктов сольволиза IIa и IIb. Значение  $k_{\text{эритро}}/k_{\text{трео}}$   
 для каждой пары диастереоизомеров I, II и III состав-  
 ляет при АЦ 1,2, 1,8 и 6,4, а при Ф 1,2, 2,6 и 8,2; по-  
 этому оба возможных превращения А и Б (соедине-  
 ние ионов друг с другом с образованием тозилата или  
 обмен с р-рителем) проходят как в  $\text{HCOONa}$ , так и в  
 $\text{CH}_3\text{COOH}$ , примерно с одинаковыми относительными  
 скоростями. Преимущественное сохранение конфигу-  
 рации при простом сольволизе Ia и Ib объясняется



стерич. андуцией заместителей при бензильном карбониевом центре. Перегруппировка IIIa и IIIб в производные третичных спиртов и образование олефинов проходят через общие промежуточные карбониевые ионы: в случае образования оптически недеятельных олефинов и эфиров VI и XI через ион (B), а в случае оптически активных олефинов и эфиров V через ион (Г). Полученные результаты показывают, что при АЦ IIIб ион Г образуется значительно быстрее В, тогда как при АЦ IIIa оба иона возникают с примерно одинаковой скоростью. При Ф получены менее четкие результаты, так как образующиеся форматы трет-спиртов и олефины в условиях р-ции переходят друг в друга. Предполагается, что различия в скоростях сольволиза IIIa и IIIб обусловлены в основном различной энергией исходных в-в и лишь в небольшой степени различными силами отталкивания цисоидных заместителей в переходном состоянии *трео*- и *эритро*-изомеров. Приведены константы следующих вновь синтезированных в-в: ацетат (+)-*трео*-2,5-диметил-4-фенилгексанола-3 [(+)-*трео*-XII],  $n_D^{25} 1,4868$ ,  $[\alpha]_D^{25} +104,3^\circ$ ; (—)-*трео*-XII,  $n_D^{25} 1,4868$ ,  $[\alpha]_D^{25} -104,4^\circ$ ; (+)-*эритро*-XII, т. пл. 45–46°,  $[\alpha]_D^{25} +85,7^\circ$ ; (—)-*эритро*-XII, т. пл. 45–46°,  $[\alpha]_D^{25} -85,7^\circ$ . Гидролизом 3-метил-2-фенилбутировитрила (KOH, 105°, 72 часа) получают 3-метил-2-фенилмасляную к-ту (XIII), выход 81%, т. пл. 60,5–62,5° (из пентана); хлорангидрид XIII (XIV) (SOCl<sub>2</sub>, 20°, 10 час.), т. кип. 125°/13 мм,  $n_D^{25} 1,5050$ . Из XIV по Ариду-Эйстерту (CH<sub>3</sub>N<sub>2</sub> в среде CH<sub>2</sub>Cl<sub>2</sub>, 0°, 1 час 15 мин., упаривают, продукт кипятят 1 час с Ag<sub>2</sub>O в CH<sub>3</sub>OH) синтезируют метиловый эфир 4-метил-3-фенилпентаановой к-ты (XV, к-та), выход 69%, т. кип. 105–110° (т-ра бани)/2 мм, переходящий при омылении [KOH в (CH<sub>3</sub>OH)<sub>2</sub>, 130°, 38 час.] в XV, выход 63%, т. пл. 48,5–49,5° (из пентана); ангидрид XV, т. пл. 114,5–116° (из этилацетата). XV синтезируют также действием KCN на 3-метил-2-фенилбутил-1-н-бромбензолсульфонат. Из рац-XV через соль с хинином получают (+)-XV, т. пл. 44–45° (из пентана),  $[\alpha]_D^{25} +34,4^\circ$  (с 3,3, хлф.). Действием CH<sub>3</sub>MgI на метиловый эфир XV (эфир, 20°, 10 час.; кипячение 1 час) синтезируют рац-V выход 93%, т. кип. 100° (т-ра бани)/1,4 мм,  $n_D^{25} 1,5021$ ; 3,5-динитробензоат, т. пл. 89,5–90,5° (из эф. пентана). В тех же условиях оптически активный метиловый эфир XV ( $[\alpha]_D^{25} +33,47^\circ$ ) дает (+)-V,  $n_D^{25} 1,5022$ ,  $[\alpha]_D^{25} +2,68^\circ$ ; 3,5-динитробензоат, т. пл. 89,5–90,5°,  $[\alpha]_D^{25} +15,01^\circ$  (с 3,3; хлф.). Изовалерофенон добавляют к *изо*-(CH<sub>3</sub>)<sub>2</sub>CHLi в пентане, перемешивают 10 час., неочищ. продукт р-ции обрабатывают LiAlH<sub>4</sub> и получают XI, выход 32%, т. кип. 115–117° (т-ра бани)/4 мм,  $n_D^{25} 1,5018$ ; получить кристаллич. динитробензоат XI не удалось. К р-ру Na-фенилмалонатового эфира в спирте добавляют (1,5 часа) *изо*-C<sub>4</sub>H<sub>9</sub>Br, кипятят 19 час., фракцию с т. кип. 165–167°/10 мм омыляют 40%-ным р-ром KOH (20 час.) и выделяют 4-метил-2-фенилпентаановую к-ту (XVI), т. пл. 75,5–76,5° (из эф. пентана). Р-цией метилового эфира XVI (т. кип. 110–115°/2,5 мм,  $n_D^{25} 1,4882$ ) с CH<sub>3</sub>MgI синтезируют VI, т. кип. 122–126° (т-ра бани)/13 мм,  $n_D^{25} 1,5009$ ; 3,5-динитробензоат VI, т. пл. 133,5–134,5°; ацетат VI, т. кип. 110–115° (т-ра бани)/12 мм,  $n_D^{25} 1,4850$ . Сообщение XXVII см. РЖХим, 1958, 28624.

Л. Бергельсон

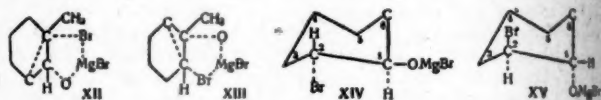
57305. Многочленные углеродные циклы. XVI. Ацетоллиз 5,5-диметилциклононилового эфира *n*-толуолсульфонилэтом. Бломквист, Мейнуолд (Many-membered carbon rings. XVI. Acetolysis of 5,5-dimethylcyclononanol tosylate. Blomquist A. T., Meinwald Yvonne C.), J. Amer. Chem. Soc., 1958, 80, № 3, 630–632 (англ.).

Измерена скорость ацетоллиза циклононилового (I) и 5,5-диметилциклононилового (II) эфиров *n*-толуол-

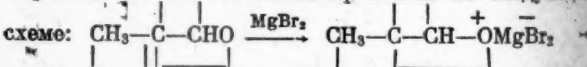
сульфокислоты в безводн. CH<sub>3</sub>COOH + избыток (CH<sub>3</sub>CO)<sub>2</sub>O при 35°. I реагирует вдвое быстрее II. На основании сравнения продуктов р-ции с заводскими образцами и анализа ИК-спектров олефиновой и ацетатной фракций установлено, что трансанулярная миграция CH<sub>3</sub>-групп при ацетоллизе, если она вообще имеет место, осуществляется менее чем на 5% (точность спектрального метода). Образующиеся олефины имеют преимущественно *цис*-строение. Для сравнения с продуктами ацетоллиза синтезированы возможные продукты перегруппировки — 1,5-диметилциклононан (III) и 1,5-диметилциклононилацетат (IV). Циклизацией диметилового эфира 6-метилгексанола к-ты с последующим восстановлением полученного 5-метил-9-оксидициклононона (V) (выход 60%, т. кип. 75–76°/0,5 мм) действием Zn + HCl + CH<sub>3</sub>COOH получен 5-метилциклонононан, выход 81%, т. кип. 99°/10 мм; семикарбазон, т. пл. 167–168°. Последний с CH<sub>3</sub>MgI дает 1,5-диметилциклонононан (VI), выход 90%, т. кип. 78–80°/1,2–1,3 мм, т. пл. 35–48°,  $n_D^{25} 1,4763$ . VI ацилированием кетеном превращен в IV, выход 94%, т. кип. 62°/0,2 мм,  $n_D^{25} 1,4607$ . 8 г IV при пиролизе (450°) и последующем гидрировании образовавшейся смеси олефинов (2,0077 г) над Pt (из PtO<sub>2</sub>) дают 1,8 г III, т. кип. 118°/50 мм,  $n_D^{25} 1,4586$ . Приведены ИК-спектры III, IV, продуктов пиролиза IV. Сообщение XV см. РЖХим, 1958, 57473.

А. Дулов  
57306. Перегруппировка оксидов циклогексена в присутствии эфира бромистого магния. Накви, Хорунц, Филлер (The rearrangement of cyclohexene oxides with magnesium bromide etherate. Naqvi Saiyid M., Horwitz Jerome P., Filler Robert), J. Amer. Chem. Soc., 1957, 79, № 23, 6283–6286 (англ.).

В присутствии эфира MgBr<sub>2</sub> (I) при 0° оксид циклогексена (II) превращается в *транс*-2-бромциклогексанол (III), оксид 1-метилциклогексена (IV) — в 1-метилциклопентилальдегид (V), оксид 1-этилциклогексена (VI) — в 1-этилциклопентилальдегид (VII). При 60°



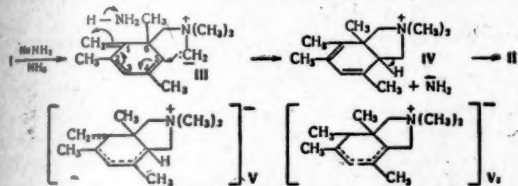
в результате перегруппировки образуются: из II смесь III и циклопентилальдегида (VIII); из IV смесь ацилциклопентана (IX) и 2-метилциклогексанона (X); из VI 2-этилциклогексанон (XI). Во всех случаях, вероятно, образуется некоторое кол-во соответствующего производного III (потемнение продуктов р-ции, перемешивание немедленно после р-ции; отсутствие потемнения при перегонке через несколько недель). Обсуждаются возможные схемы механизма р-ций. Образование V, VII, VIII и IX можно объяснить течением р-ции через переходные состояния типа (XII) и (XIII). Образование X и XI может протекать по следующей



соединение с I, т-ра р-ции в °C, продукт р-ции, выход в %, т. кип. в °C/мм,  $n_D^{25}$ : II, 1:1,1, 0, III, 63,8, 88—90/13, 1,5182; II, 1:2, 0, III, 73, —, —; II, 1:1,1, 60, III (VIII), 49,6 (40), —(41—42/18), —(1,4470); II, 1:2, 60, III (VIII), 39 (27), —, —; IV, 1:1,1, 0, V, 39, 31—33,5/10, 1,4560, 2,4-динитрофенилгидразон (ДНФГ), т. пл. 153—154°; IV, 1:1,1, 60, IX (X), 10 (36), —, —; VI, 1:1,1, 0, VII, 20, 43,4—44/10 мм, 1,4664, ДНФГ, т. пл. 144—146°; VI, 1:1,1, 60, XI, 34,7, 65—66/15, 1,4534, ДНФГ, т. пл. 158—159°. Приведены  $\lambda_{\text{макс}}$  ИК-спектров V, VII, VIII и XI.

А. Гуревич  
57307. Реакции йодметилатов некоторых экзо-метилциклогексанаминов с амидом натрия. О перегруппировке с орто-замещением. Хаусер, Ван-Инам (Reactions of methiodides of certain *exo*-methylenecyclohexadiamines with sodium amide. Relation to ortho substitution rearrangement. Hauser Charles R., Van Eenam Donald N., J. Amer. Chem. Soc., 1957, 79, № 23, 6280—6283 (англ.))

Йодметилат (ИМ) экз-1-метилен-2,4,6-триметил-6-диметиламинометилциклогексана-2,4 (I основание) при обработке  $\text{NaNH}_2$  в жидком  $\text{NH}_3$  претерпевает перегруппировку, аналогичную описанной ранее (РЖХим, 1958, 43302), с образованием экз-1,2,4,6-тетраметил-5-метилен-6-диметиламинометилциклогексана-1,3 (II). Предложен механизм р-ции (см. схему) через

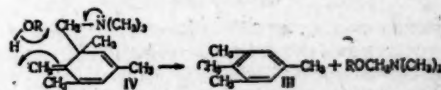


переходные состояния (III) и (IV). Глубокая фиолетовая окраска, возникающая при р-ции, может быть обусловлена образованием наряду с IV ионов (V) или (VI). При действии  $\text{NaNH}_2$  на ИМ II образуется, очевидно, 1,2,4,5,6-пентаметил-3-метилен-6-диметиламинометилциклогексана-1,4 (VII), хотя строение VII и продуктов его превращения точно не доказано. Взаимодействием I и  $\text{CH}_3\text{J}$  в  $\text{CH}_3\text{CN}$  получен ИМ I, выход 99%, т. пл. 153—154° (разл.; из  $\text{CH}_3\text{CN}$ -эф.). К суспензии 0,33 моля  $\text{NaNH}_2$  в 500 мл жидкого  $\text{NH}_3$  за 5 мин. прибавляют 0,11 моля ИМ I, через 30 мин. прибавляют 0,25 моля  $\text{NH}_4\text{Cl}$ , затем 600 мл эфира, испаряя  $\text{NH}_3$ , нагревают до кипения, выход II 79%, т. кип. 61—61,5°/0,4 мм,  $n_D^{25}$  1,5232, и продукт термич. изомеризации (ТИ) II —  $\beta$ -изодурилетиддиметиламин (VIII), выход 9%, т. кип. 88,5—89°/0,45 мм,  $n_D^{25}$  1,5162. 0,082 моля II нагревают в течение 1 часа при т-ре  $\sim 150^\circ$ , выход VIII 55%, пикрат, т. пл. 179,5—180° (из сп.); строение VIII подтверждено встречным синтезом. Из 2-бромизодурола получают  $\beta$ -изодурилетанол (выход 62%, т. кип. 132—133°/3 мм, т. пл. 41—42°), затем  $\beta$ -изодурилетилбромид (выход 52%, неочищ.) и, наконец, VIII (выход 67%, идентичен полученному при ТИ II). Неочищ. II (из 0,05 моля ИМ I) прибавляют к 125 мл 6 н.  $\text{HCl}$ , через 5 мин. извлекают эфиром  $(\text{CH}_3)_2\text{C}_6\text{H}_4$ , выход 71%, считая на ИМ I (или 91%, считая на II). К суспензии 0,31 моля  $\text{NaNH}_2$  в 800 мл жидкого  $\text{NH}_3$  прибавляют 0,154 моля ИМ II (т. пл. 188—189°), через 1 час обрабатывают  $\text{NH}_4\text{Cl}$  и после обычной обработки получают VII, выход 73%, т. кип. 70—71°/0,4 мм,  $n_D^{25}$  1,5103; ИМ, т. пл. 220—225° (разл.; из  $\text{CH}_3\text{CN}$ -эф.). Р-р VII в  $\text{CCl}_4$  обрабатывают при 0°  $\text{Br}_2$  получают  $[(\text{CH}_3)_2\text{N}^+=\text{CH}_2]\text{Br}^-$  (IX); после гидролиза IX и обработки р-ра  $\text{C}_6\text{H}_5\text{NCS}$  получают  $\text{C}_6\text{H}_5\text{NCSN}(\text{CH}_3)_2$ , выход 74%. К р-ру  $n\text{-C}_4\text{H}_9\text{Li}$  (из 0,23 моля Li и 0,1 моля  $n\text{-C}_4\text{H}_9\text{Br}$  в 150 мл эфира, при 0° прибавляют 0,075 моля VII в 100 мл эфира,

через 15 мин. обрабатывают водой и получают  $\text{C}_{19}\text{H}_{35}\text{N}$  (очевидно 1,2,4,5,6-пентаметил-3-н-амил-6-диметиламинометилциклогексана-1,4), выход 91%, т. кип. 89—90°/0,15 мм,  $n_D^{25}$  1,4915; ИМ, т. пл. 237—239° (из  $\text{CH}_3\text{CN}$ -эф.).

А. Гуревич  
57308. Термическая и индуцируемая кислотой ароматизация экзометиленициклогексанамина в присутствии спиртов. О перегруппировке с ортозамещением. Хаусер, Ван-Инам (Thermal and acid induced aromatizations of an *exo*-methylenecyclohexadieneamine with alcohols. Relation to ortho substitution rearrangement. Hauser Charles R., Van Eenam Donald N., J. Amer. Chem. Soc., 1957, 79, № 23, 6277—6279 (англ.))

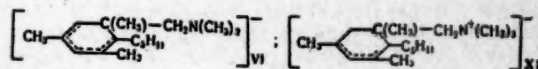
Обнаруженная ранее (см. РЖХим, 1958, 43302) термич. изомеризация 1-метилен-2,4,6-триметил-6-диметиламинометилциклогексана-2,4 (I) в  $\beta$ -мезитилатиддиметиламин (II), а также индуцируемое к-той превращение I в изодуриол (III) в присутствии спиртов и аминов протекают одновременно. Образование II увеличивается с уменьшением кислотности реагента и с повышением т-ры. Ароматизация с образованием III протекает, вероятно, через переходное состояние типа (IV), так как были обнаружены продукты гидролиза  $\text{ROCH}_2\text{N}(\text{CH}_3)_2$ , которые должны образоваться в этой р-ции. Механизм превращения I в III, очевидно, включает 1,3-сдвиг  $(\text{CH}_3)_2\text{NCH}_2$ -группы. 0,1 моля I в 250 мл р-рителя нагревают 24 часа, по охлаждению разбавляют водой, подкисляют 6 н.  $\text{HCl}$  и извлекают эфиром. После обычной обработки выделяют II и III (указаны



р-ритель, т-ра р-ции в °C, выход II и III в %):  $\text{C}_2\text{H}_5\text{OH}$ , 78—80, 25, 71;  $n\text{-C}_5\text{H}_{11}\text{OH}$ , 78—80, 27, 66;  $n\text{-C}_6\text{H}_{13}\text{OH}$ , 136—137, 40, 54;  $(\text{CH}_3)_2\text{COH}$ , 78—80, 45, 51;  $(\text{C}_2\text{H}_5)_2\text{COH}$ , 78—80, 62, 31;  $(\text{C}_2\text{H}_5)_3\text{COH}$ , 136—137, 90, 5;  $[(\text{CH}_3)_2\text{CH}]_2\text{NH}$ , 78—80, 84, 11;  $\text{C}_6\text{H}_6$ , 78—80, 91, 0;  $\text{C}_6\text{H}_5\text{OH}$ , 180 (5 час.), 0, 93;  $\text{CH}_3\text{COOH}$ , 117 (5 час.), 0, 94; 1 моль/моль  $\text{C}_6\text{H}_5\text{OH}$  в  $\text{C}_6\text{H}_6$ , 78—80, 73, 22. К р-ру  $\text{C}_2\text{H}_5\text{ONa}$  (из 250 мл спирта и 0,1 моля Na) прибавляют 0,1 моля хлористого изодурилдиметиламина, кипятят 12 час., после обычной обработки получают изодурилетилловый эфир (V), выход 94%. V идентичен полученному из изодурилхлорида и  $\text{C}_2\text{H}_5\text{ONa}$ .

А. Гуревич  
57309. Катализируемое основаниями элиминирование и ароматизация циклогексанамина и его йодметилата. Хаусер, Ван-Инам (Base-catalyzed elimination and aromatization of a cyclohexadieneamine and its methiodide. Hauser Charles R., Van Eenam Donald N., J. Amer. Chem. Soc., 1957, 79, № 23, 6274—6277 (англ.))

Структурно-изомерные 1-н-амил-2,4,6-триметил-6-диметиламинометилциклогексаны-2,4 и -1,3 (I и II) в присутствии каталитич. кол-в  $\text{KNH}_2$  (III) или  $n\text{-C}_4\text{H}_9\text{OK}$  (IV) при высокой т-ре (140°) превращаются в н-амилмезитил (V). Ароматизация осуществляется очевидно через образование карбаниона (VI) (желтая окраска) с последующим отщеплением  $\text{CH}_2\text{-N}(\text{CH}_3)_2$  (VII). Образование V происходит достаточно полно



при низких т-рах в присутствии  $\text{C}_4\text{H}_9\text{Li}$  (РЖХим, 1958, 43302) и идет медленно в присутствии III и IV. Выделяющийся при р-ции VII является более сильным



основанием, чем III и IV и очевидно понижает I и II в VI и  $\text{NH}_3$  в  $\text{NH}_2^-$ ; конечным продуктом р-ции является  $(\text{CH}_3)_3\text{N}$ . Аналогичная ароматизация смеси йодметилатов I и II (IX и X), т. пл. 205–206° (из абс. сп.), протекает значительно легче (в присутствии  $\text{KNH}_2$  даже в жидком  $\text{NH}_3$ ) и очевидно осуществляется через образование карбаниона (XI). К р-ру 0,008 моля III в жидком  $\text{NH}_3$  прибавляют 0,04 моля смеси I и II (см. ссылку выше) в 25 мл абс. эфира, через 10 мин. прибавляют постепенно 250 мл абс. ксилола, испаряя  $\text{NH}_3$  и эфир, нагревают 6 час. при кипении (140°) в токе  $\text{N}_2$ , после обычной обработки выделяют V, выход 93%, и VIII (в виде йодметилата), выход 91%. К р-ру 0,12 моля III в 200 мл жидкого  $\text{NH}_3$  прибавляют по каплям 250 мл абс.  $\text{C}_6\text{H}_{11}\text{OH}$ , нагревают до кипения, прибавляют по каплям 0,04 моля смеси I и II, кипятят 12 час., выход V 93%. Аналогично с  $\text{C}_2\text{H}_5\text{ONa}$  в кипящем спирте получают через 24 часа V, выход 5%. К р-ру 0,25 моля III в 600 мл жидкого  $\text{NH}_3$  за 2 мин. прибавляют 0,125 моля смеси IX и X, через 8 мин. замещают  $\text{NH}_3$  эфиром, получают V, выход 89%, и шикрат тетраметиламмония, выход 88%. А. Гуревич

**57310. Изучение ионного обмена при реакциях перегуанилирования. I. Перегруппировка S, 2-аминоэтил-изотиомочевин в 2-меркаптогуанидин и 2-амино-тиазолин. Хим, Шапиро, Дюэрти (Ion exchange studies of transguanylation reactions. I. Rearrangement of S, 2-aminoethylisothiourea to 2-mercaptoethylguanine and 2-aminothiazoline. K. Hym Joseph X., Shapiro Raymond, Doherty David G.), J. Amer. Chem. Soc., 1957, 79, № 21, 5663–5666 (англ.)**

С помощью колич. и ионообменной хроматографии изучен механизм перегруппировки S-(2-аминоэтил)-изотиомочевин  $\text{NH}_2\text{CH}_2\text{CH}_2\text{SC}(=\text{NH})\text{NH}_2$  (I) при различных значениях рН. Важность изучения солей аминоалкилизотиомочевин объясняется их защитными свойствами при высоких дозах радиоактивного облучения теплокровных. Как алкиламины, так и гуаниламиногруппы I в сильно кислой среде имеют положительный заряд, что исключает их внутримолекулярное взаимодействие. При увеличении рН протон алкиламиногруппы переходит к гуаниламинокарбониевому иону с образованием нестойкого циклич. продукта  $(\text{NH}_2)_2\text{CNHCH}_2\text{CH}_2\text{S}$  (II), который при рН 2,5–3,5 отщепляет  $\text{NH}_3$  с образованием 2-аминотиазолина  $\text{NH}_2\text{C}=\text{NCH}_2\text{CH}_2\text{S}$  (III). Этот процесс заканчивается

через 5 дней. При рН 4,5, наряду с образованием  $\text{NH}_3$  и III, происходит разрыв цикла II с получением большого кол-ва 2-меркаптоэтилгуанидина  $\text{NH}_2\text{C}(=\text{NH})\text{NHCH}_2\text{CH}_2\text{SH}$  (IV), являющегося сильным основанием. При повышении рН до 7 уже через 10 мин. получен с высоким выходом IV в качестве единственного продукта; к концу 12 дней, наряду с IV, образуется небольшое кол-во гуанидинэтилдисульфида  $\text{NH}_2\text{C}(=\text{NH})\text{NHCH}_2\text{CH}_2\text{SSCH}_2\text{CH}_2\text{NHC}(=\text{NH})\text{NH}_2$  (V) в результате частичного окисления IV. Те же результаты получены при прибавлении 1 экв  $\text{NaOH}$  к свежеприготовленному р-ру дибромгидрата I в воде. IV был также получен совместно с дигуанидином  $\text{NH}_2\text{C}(=\text{NH})\text{NHCN}$  (VI) щел. гидролизом гуанидиноэтил-изотиомочевин. При рН 12, наряду с IV, образуется 2-меркаптоэтил-амин  $\text{NH}_2\text{CH}_2\text{CH}_2\text{SH}$  (VII), но даже в избытке 2 н.  $\text{NaOH}$  р-ция внутримолекулярного трансгуанилирования конкурирует с нормальным гидролизом: IV и VII получают почти в равных кол-вах. Приведены кривые соотношений продуктов превращения I при различных рН в зависимости от длительности р-ции. Из продуктов превращения I в р-рах соответствующим рН выделен флаванат IV, выход 80%, т. пл. 170–173° (из

воды или сп.), и флаванат III, выход 87%, т. пл. 248–250° (из воды).

**57311. Исследования в области четвертичных аммониевых соединений. Сообщение IX. К вопросу о стивенсовской перегруппировке аммониевых соединений. Инджигян М. Г., Бабаян А. Т., Айкнан ССР Гитутюннери Академиян телекагир. Кимияан гитутюннери серия, Изв. АН АрмССР. Сер. хим. н., 1957, 10, № 6, 411–419 (рез. арм.)**

При упаривании спирт. р-ра гидроокиси диметилдибензиламмония (I) при 100° I претерпевает перегруппировку Стивенсона (ПС) с образованием диметил- $\alpha$ , $\beta$ -дифенилдиэтиламина (II). II получен также из хлористого диметилдибензиламмония (III), избытка порошка  $\text{KOH}$  и небольшого кол-ва  $\text{CH}_3\text{OH}$  при ~20°, выход II 84,4%. Порядок ПС зависит от строения четвертичной соли и среды. ПС протекает в две стадии: сначала под действием  $\text{OH}^-$  из III образуется ион  $(\text{CH}_3)_2\text{N}^+(\text{CHC}_6\text{H}_5)_2\text{CH}_2\text{C}_6\text{H}_5$ , который затем перегруппировывается в II. Первая стадия р-ции протекает по второму порядку, вторая — по первому порядку. У III, обладающего сравнительно мало подвижными  $\alpha$ -водородными атомами, первая более медленно протекающая стадия определяет суммарный порядок р-ции. У бромистого диметилфенилдибензиламмония с его подвижными  $\alpha$ -водородными атомами ПС протекает по первому порядку. В результате ПС в присутствии анилина получен II и аддукт  $\text{C}_{22}\text{H}_{27}\text{N}_2\text{Cl}$ , т. пл. 124°. Фенолят и ацетилацетонат диметилдибензиламмония не подвергаются ПС в условиях, описанных для I. Сообщение VIII см. РЖХим, 1958, 46590. В. Райгородская

**57312. Реакции фенилирования посредством солей дифенилбромония и дифенилхлорония. Несмеянов А. Н., Толстая Т. П., Исаева Л. С., Докл. АН СССР, 1957, 117, № 6, 996–999**

Усовершенствован метод получения солей  $(\text{C}_6\text{H}_5)_2\text{Cl}^+$  (I) и  $(\text{C}_6\text{H}_5)_2\text{Br}^+$  (II) и исследованы некоторые р-ции фенилирования при помощи солей I, II и  $(\text{C}_6\text{H}_5)_3\text{N}^+$  (III). Фенилирование может протекать как по гомолитич., так и по гетеролитич. механизму. Гомолитически фенилируются  $\text{Hg}$  и  $\text{Ti}$ , однако  $\text{Hg}$  фенилируется (образуя  $\text{C}_6\text{H}_5\text{HgCl}$ ) только галогенидами I, II и III, но не их борофторидами, соль же  $(\text{C}_6\text{H}_5)_2\text{Ti}^+$  образуется только с борофторидами. Такое поведение  $\text{Hg}$  и  $\text{Ti}$  аналогично их поведению в р-циях с солями диазониев (РЖХим, 1957, 71473). Авторы не исключают, однако, возможности объяснения изложенных фактов гетеролитич. распадом оиевых соединений с последующим восстановлением  $\text{C}_6\text{H}_5^+$  в  $\text{C}_6\text{H}_5$ ; по гетеролитич. механизму галогениды I, II и III реагируют с содержащими воду р-рами  $\text{NaNO}_2$  (с образованием  $\text{C}_6\text{H}_5\text{NO}_2$ ),  $\text{KCN}$  (с образованием  $\text{C}_6\text{H}_5\text{CN}$ ),  $\text{NaN}_3$  (с образованием  $\text{C}_6\text{H}_5\text{N}_3$ ) и  $(\text{C}_2\text{H}_5)_2\text{NH}$  [с образованием  $\text{C}_6\text{H}_5\text{N}(\text{C}_2\text{H}_5)_2$ ]. Борофториды, особенно склонные к гетеролитич. распаду, уже не требуют воды в качестве среды р-ции и дают, напр. с пиридином, с выходом 85% борофторид N-фенилпиридиния. К 100 мл  $\text{C}_6\text{H}_5\text{Br}$  при 80–90° за 1 час прибавляют р-р 10,8 г  $\text{C}_6\text{H}_5\text{N}_2\text{BF}_4$  в 300 мл ацетона, который во время опыта отгоняется, нагревают еще 30 мин. и извлекают водой. Из водн. вытяжки выделяют 1,7 г борофторида II [т. разл. 120–121° (из абс. сп.)] и 0,2 г йодида II. Общий выход солей II 6,6%. Аналогично получают соли I, общий выход 3,3%; выделены в виде борофторида I, выход 1%, т. разл. 109,5–110°, и в виде  $[(\text{C}_6\text{H}_5)_2\text{Cl}][\text{HgJ}_2]$ . Йодид I имеет т. разл. 56–57,5° (из  $\text{CH}_3\text{OH}$  при низких т-рах).

**57313. Исследование механизма алкилирования спиртов йодистым N-триметил- $\alpha$ -фенэтиламмониом. Курсанов Д. Н., Витт С. В., Докл. АН СССР, 1957, 113, № 3, 607–609**

Изучено алкилирование метилового (I), этилового

(III) и *n*-бутилового спирта (III) оптически активным хиральным N-триметил- $\alpha$ -фенэтиламмонием (IV). Показано, что образующиеся при этом  $\alpha$ -фенэтилалкильные эфиры оптич. активностью не обладают. Высказано предположение, что алкилирование IV спиртов идет по асинхронному механизму, включающему промежуточное образование иона  $C_6H_5C^+HCH_3$  (V):  $[C_6H_5C^+H(CH_3)N^+(CH_3)_3]J^-$  IV  $\xrightarrow{HOR}$  V  $\xrightarrow{-H^+}$   $C_6H_5C^+H(OR)CH_3$ . 156 з

1-обочнокислого *d*- $\alpha$ -фенэтиламина, 180 мл 85%-ной HCOOH и 175 мл 30%-ного  $CH_2O$  нагревают 10 час. при 85°, добавляют 75 мл конц. HCl, отгоняют р-ритель в вакууме, остаток растворяют в воде, подщелачивают, перегоняют с паром. Дистиллят обрабатывают  $(CH_3CO)_2O$  и щелочью, *d*-N-диметил- $\alpha$ -фенэтиламин (*d*-VI) экстрагируют бензолом и перегоняют. Выход 81%,  $n_D^{20}$  1,5022—1,5024,  $d_4^{20}$  0,9027—0,9030;  $[\alpha]_D^{25} +70,8$ — $-71,6^\circ$  (без р-рителя). *d*-VI получают из *d*-VI и  $CH_3J$ , т. кип. 157—157,5°,  $[\alpha]_D^{20} +12,3^\circ$  (с 8,8; вода), *d*-IV при нагревании с I (136° 5 час.) дает *dl*- $C_6H_5CH(OR)CH_3$ , т. кип. 68,5—69,5°/20 мм,  $n_D^{20}$  1,4951. *d*-IV при нагревании с II (11 час. при 136°) образует *dl*- $C_6H_5CH(OR)CH_3$  (т. кип. 60,5—61,0°/8 мм). При взаимодействии I-IV и III (5,5 час., 125°) образуется *dl*- $C_6H_5CH(OR)CH_3$ , т. кип. 90,5—91,0°/8 мм,  $n_D^{20}$  1,4842,  $d_4^{20}$  0,902.

С. Витт  
57314. Изучение механизма некоторых реакций методом водородного обмена. Курсанов Д. Н., Сеткина В. Н., Витт С. В., Парнес З. Н., Пробл. кинетики и катализа, 1957, 9, 242—244. Дискус., 274—280

См. РЖХим, 1957, 11574, 63390; 1958, 14311, 14312. Показано также, что димеризация 1-метилциклогексена-1 под влиянием дейтерофосфорной к-ты протекает через стадию образования иона карбония. М. Вольпин

57315. Изучение механизма реакций замещения у углеродного атома на ртутноорганических объектах. Реутов О. А., Вестн. Моск. ун-та. Сер. матем., механ., астроном., физ., химии, 1957, № 4, 223—236. Обзор. Библ. 18 назв.

57316. Каталитическое действие некоторых солей металлов на переэтерификацию. Бернер, Оберг (The catalytic effect of certain metal salts on transesterifications. Berner Endre, Aaberg Erik), Suomen kem., 1958, 31, № 1, B53—B55 (англ.)

Изучено каталитич. действие металлич. солей орг. к-т (0,01 экв) на переэтерификацию борнилацетата (I) (1 моль I в 100 молях безводн.  $CH_3OH$ , 96 час., 100°). Соли сильных минер. к-т каталитич. действия не оказывают. Приведены соль и процент переэтерификации I: ацетат Cd (II), 97,3; бензоат Cd (III), 95; цианид Cd, 51,2; нитрат Cd, 5,1; ацетат Pb, 96,3; бензоат Pb (IV), 95,8; ацетилацетонат Pb, 92,8; нитрат Pb, 10; ацетат Tl, 81; нитрат Tl, 1,8; бензоат Zn, 76; ацетат Zn, 52,8; нитрат Zn, 10; ацетат Ca, 46,3; нитрат Ca, 1,8. При р-ции с II образуется кристаллич.  $CH_3COOCdOCH_3$  (V) по схеме: II +  $CH_3OH \rightleftharpoons V + CH_3COOH$  (VI). V как алкогولات является типичным катализатором р-ции переэтерификации. Вероятно соли сильных к-т в р-ре  $CH_3OH$  находятся в виде сольватированных ионов, мало способных к образованию соединений типа V, а образование свободной к-ты сдвигает равновесие влево. При нагревании нескольких граммов II с 50 мл  $CH_3OH$  (100°) получены кристаллы V и VI. Предложена схема р-ции переэтерификации I ( $CH_3COOR$ ): I + V  $\rightleftharpoons CH_3C(OR)(CH_3)(OR)COOCH_3 \rightleftharpoons CH_3COOCH_3 + CH_3COOR$  (VII); VII + VI  $\rightleftharpoons$  II + ROH. В присутствии чистого V процент переэтерификации выше (78,8), чем в присутствии V + 1 моль VI (61,8). Аналогично V из III получен кристаллич.  $C_6H_5COOCdOCH_3$ ; IV в этих условиях дает  $C_6H_5COORbOH + C_6H_5COOCH_3$ . Промежуточное положение занимают соли Ca, кото-

рые образуют как метокси-, так и основные соли. См. Berner E., Ber., 1938, 71, 2015, 2052. В. Райгородская 57317. Этерификация, катализируемая ионитами.

П. Фодор, Хайош (Ioncsereklökkel katalizált észterezés. P. Fodor József, Hajós Zoltán), Magyar tud. akad. Kém. tud. oszt. közl., 1956, 7, № 3—4, 299—312 (венг.)

Изучалась скорость р-ции образования дибутилфталата из фталевого ангидрида и *n*-бутанола в зависимости от конц-ии и кол-ва ионообменной смолы и  $H_2SO_4$  как катализаторов. Образование моноэфира завершается через 5—10 мин. Образованию диэфира при малых кол-вах катализатора предшествует «индукционный период». Авторы связывают это явление с изменением степени ассоциации (CA) спирта во время р-ции. Обсуждаются работы Бермана и сотр. (Berman S. и др., Industr. and Engng Chem., 1948, 40, 1312) и отвергается предложенный ими механизм процесса. Показано, что скорость р-ции получения диметилфталата сильно растет с повышением т-ры, что, по-видимому, вызвано уменьшением CA спирта. При относительно низкой т-ре (60°) диэфир почти не образуется. Для выяснения зависимости скорости этерификации от CA опыты велись с метиловым, этиловым, *n*-пропиловым и *n*-бутиловым спиртами при постоянной т-ре, не зависящей от т-ры кипения последних. Найдено, что для спиртов с четным числом атомов углерода скорость этерификации  $C_2 < C_4$ , с нечетным  $C_3 < C_1$ . Предыдущее сообщение см. Csüros Z и др., Acta Chim. Hung., 1952, 2, 45.

С. Розенфельд

57318. Применение фотометрического метода для изучения и производственного контроля реакции конденсации *n*-нитрозофенола с *o*-толуидином с целью получения *o*-метилиндиоанилина. Сунь Лиянь, Сунь Люй-хоу, Цзоу Жэнь-цзюнь, Хуагун сюэбао, Chem. Ind. and Engng, 1957, № 1, 73—82; 89—90 (кит.; рез. англ.)

Фотометрически изучена кинетика р-ции конденсации *o*-толуидина и *n*-нитрозофенола (I) в *o*-метилиндиоанилин (II). В 82%-ной  $H_2SO_4$  получены характеристич. абсорбционные кривые для I и II. Для II  $\lambda_{max}$  574 мμ и  $\epsilon_{574}^{II}$   $2,44 \cdot 10^4$ , I в этой области не поглощает;  $\lambda_{max}$  428 мμ,  $\epsilon_{428}^{II}$   $2,27 \cdot 10^3$ , а  $\epsilon_{428}^I$   $5,4 \cdot 10^3$ . Определены константа скорости *k* и энергия активации *E* р-ции, а также изучено изменение *k* с конц-ией  $H_2SO_4$ . Найденные значения *E* и *k* хорошо совпадают с литературными данными. Установлено, что кол-во II в течение р-ции проходит через максимум, а затем начинает снижаться, что может быть использовано в производстве.

А. Слинкин

57319. Механизм образования и спектрографическое изучение изоксилитонов. Виман, Ти-Туань Са-лэ, Конья (Mécanisme de formation et étude spectrographique des isoxylitones. Wiemann Joseph, Thi Thuan Sa-Le, Conia Jean-Marie), Bull. Soc. chim., France, 1957, № 7, 908—912 (франц.)

Предложен механизм образования изоксилитонов при конденсации ацетона. Образовавшаяся в первой стадии конденсации молекула окиси мезитила (I) под влиянием иона *трет*-амилата понижается в  $[CH_3)_3C^+ = CHC(=O) = CH_2]$  и в таком виде атакует карбонил второй молекулы I. Происходит кетонизация с образованием  $(CH_3)_2C = CHC(O^-)(CH_3)CH_2COCH_3 = C(CH_3)_2$ , который в кислой среде дегидратируется в  $CH_2 = C(CH_3)_2$  —  $CH = C(CH_3)CH = C(OH)CH = C(CH_3)_2$ . Последнее соединение в результате внутримолекулярного диевого синтеза дает изоксилитон II  $(CH_3)_2C = CC(CH_3) = CHCOCH_2C(CH_3)_2$  (II). Для р-ции конденсации в при-



сутствии безводн. окисей представлена следующая схема:  $\text{BaO}$ ,  $\text{CaO}$  и другие окиси с гетерополярным строением поляризуют карбонил I, экранируют соседнюю с ним группу  $\text{CH}_3$ ; р-ция кетонизации происходит за счет наиболее удаленной  $\text{CH}_3$ -группы, активированной эффектом винилоггии:  $\text{CH}_3\text{C}(=\text{O})\text{CH}=\text{C}(\text{CH}_3)_2 + -\text{CH}_2\text{C}(\text{CH}_3)=\text{CHCOCH}_3 \xrightarrow{\text{H}^+} (\text{CH}_3)_2\text{C}=\text{CHC}(\text{O}^-)(\text{CH}_3)-$

$\text{CH}_2\text{C}(\text{CH}_3)=\text{CHCOCH}_3 \xrightarrow{\text{H}^+} (\text{CH}_3)_2\text{C}=\text{CHC}(\text{CH}_3)=\text{CHC}(\text{CH}_3)=\text{CHCOCH}_3$ , последний в результате внутримолекулярного диевенового синтеза, сопровождающегося изомеризацией, превращается в изоксилитон I  $\text{CH}_3\text{C}=\text{CHC}(\text{CH}_3)=\text{CHC}(\text{CH}_3)=\text{C}(\text{COCH}_3)\text{C}(\text{CH}_3)_2\text{CH}_2$  (III). Изоксилитон

III  $(\text{CH}_3)_2\text{C}=\text{CHC}=\text{CHCOCH}_2\text{C}(\text{CH}_3)_2\text{CH}_2$  (IV) полу-

чается при р-ции Михаэля между фороном и  $\text{CH}_2\text{C}(\text{CH}_3)\text{COCH}_2\text{CH}_3$  с последующей дегидратацией, декарбоксилированием и циклизацией  $\delta$ -дикетона. Образующийся в этих р-циях ацетон получается в результате атаки  $\beta$ -углеродного атома  $\alpha$ ,  $\beta$ -непредельного кетона нуклеофильным реагентом. Если последним является  $\text{OH}$ -группа, то образуется  $\beta$ -кетол (в данном случае диациетоновый спирт), который распадается на 2 молекулы ацетона. Ионы трет-амил-О<sup>-</sup> вследствие большого объема в этом отношении менее эффективны и поэтому при р-ции с ними выход ацетона меньше. Изучение ИК-спектров и спектров комб. рас. II — IV показывает, что они все обладают конъюгированной системой  $-\text{C}=\text{C}-\text{C}=\text{C}-\text{C}=\text{O}$  и  $\text{OH}$ -группой. Рассмотрены УФ-спектры II — IV. В III плоскостное расположение конъюгированной системы затруднено вследствие взаимодействия метильного радикала ацетиловой группы с гемдиметильной группой (в *S*-цис-форме) или с изолированной  $\text{CH}_3$ -группой (в *S*-транс-форме). У II пространственные препятствия вызывают трансoidность расположения изопропилиденового радикала. Малая интенсивность поглощения диеновой системы в IV говорит в пользу *S*-цис-конфигурации.

В. Райгородская

**57320.** Катализируемая кислотами диссоциация бис-9-антральдегида. Грин, Окампо, Каминский (The acid-catalyzed dissociation of bis-9-anthraldehyde. Greene Frederick D., Ocampo Santiago Robledo, Kaminski Louis A., J. Amer. Chem. Soc., 1957, 79, № 22, 5957—5962 (англ.))

Фотодимер 9-антральдегида (I) — бис-9-антральдегид (II) в р-ре  $\text{C}_6\text{H}_6$  в присутствии к-т диссоциирует на исходный I. Скорость диссоциации зависит от силы к-ты и уменьшается в ряду (приводятся относительная скорость при 25° и фиксированной конц-ии к-ты):  $\text{CF}_3\text{COOH}$  (III), 10%;  $\text{CCl}_3\text{COOH}$  (IV), 10%;  $\text{CHCl}_2\text{COOH}$  (V), 10%;  $\text{CH}_2\text{ClCOOH}$  (VI), 0,45. Изучено также влияние фенилпропиоловой и  $\alpha$ -хлораллокоричной к-т (при 45°). Р-ция II  $\rightarrow$  I имеет первый порядок по отношению к конц-ии II. Порядок р-ции по отношению к конц-ии к-ты зависит от силы к-ты и изменяется в последовательности: III, 2,44; IV, 2,06; V, 1,96; VI, 1,47. Введение в реакционную смесь небольших кол-в воды уменьшает скорость диссоциации. Изотопный эффект, установленный сравнением V с  $\text{CHCl}_2\text{COOD}$  ( $k_{\text{CH}}/k_{\text{CD}}$  равен 1,1. Предположено, что процесс диссоциации включает следующие стадии (A — анион к-ты): II +  $\text{H}^+ \rightleftharpoons \text{II} \cdot \text{H}^+$ ; II  $\cdot \text{H}^+ + \text{H}_2\text{O} \rightleftharpoons \text{AH} \cdots \text{O}=\text{CHRCH}=\text{O} \cdots \text{H}_2\text{O}$  (VII), где  $\text{O}=\text{CHRCH}=\text{O}$  есть II; VII  $\rightarrow$  2 I  $\cdot \text{H}^+$  (медленная стадия). Распад комплекса VII, образующегося на второй стадии р-ции, сопровождается последовательным или одновременным разрывом 9,9'- и 10,10'-связей.

Ю. Сорокин

**57321.** Реакция ароматических соединений с про-водными третичных кислот. Часть X. Отщепление окиси углерода от некоторых высокоалкилированных ацетилхлоридов. Гранди, Сюй Вэй-хуа, Ротштейн (The reaction between aromatic compounds and derivatives of tertiary acids. Part X. Elimination of carbon monoxide from some highly alkylated acetyl chlorides. Grundy Michael E., Hsu Wei-Hwa, Rothstein Eugene), J. Chem. Soc., 1958, Febr., 581—586 (англ.)

Относительные скорости разложения различных алкилированных ацетилхлоридов  $\text{RR}'\text{R}''\text{COCl}$  при действии  $\text{AlCl}_3$  в  $\text{C}_6\text{H}_6$  возрастают в соответствии с силой индуктивного эффекта замещающих алкильных групп (указаны R, R', R'', относительные скорости):  $(\text{CH}_3)_3\text{C}$ , 1;  $\text{C}_2\text{H}_5$ ,  $(\text{CH}_3)_2$ , 3,8;  $(\text{C}_2\text{H}_5)_2$ ,  $\text{CH}_3$ , 19,3;  $(\text{C}_2\text{H}_5)_3$ , 73,3;  $\text{C}_4\text{H}_9$ ,  $(\text{CH}_3)_2\text{CCH}_2$ ,  $\text{CH}_3$ , 322. Стадией, определяющей скорость р-ции, является отщепление Cl, и главным влияющим здесь фактором, вероятно, является индуктивный эффект. Во 2-й стадии р-ции в среде бензола происходит быстрое отщепление CO и образование углеводорода, в среде более реакционноспособного анизола образуется кетон:  $\text{RCOCl} + \text{AlCl}_3 \rightarrow \text{RC}(=\text{O})\cdots\text{Cl}\cdots\text{AlCl}_3$

$\text{A} \rightarrow \text{R}\cdots\text{C}^+(\text{O})\cdots\text{AlCl}_3 \rightarrow \text{CO} + \text{R}^+ + \text{AlCl}_4^-$ ; или  $\text{A} \rightarrow \text{CH}_3\text{OC}_6\text{H}_4\cdots\text{C}^+(\text{O})\cdots\text{AlCl}_3 \rightarrow \text{RCOC}_6\text{H}_4\text{OCH}_3 + \text{AlCl}_3 + \text{Cl}^-$ . Показано, что анизол не влияет на скорость элиминирования CO и, возможно, что отношения получающихся кол-в кетона и углеводорода зависят от стерич. факторов. Р-цией 3-окси-3-метилпентана с HCl получен 3-хлор-3-метилпентан, выход 83%, т. кип. 37°/140 мм, который через Mg-органич. соединения действием  $\text{CO}_2$  превращен в 3-метилпентанкарбовую к-ту, выход 40%, т. кип. 108°/13 мм. Восстановлением диэтилацетоксиуксусного эфира на скелетном Ni получен этиловый эфир  $\alpha,\alpha$ -диэтил- $\beta$ -оксимасляной к-ты, выход 66%, т. кип. 97°/9 мм, который обработкой  $\text{P}_2\text{O}_5$  в  $\text{C}_6\text{H}_6$  превращен в этиловый эфир диэтилвинилуксусной к-ты, выход 71%, т. кип. 76°/16 мм. Гидрированием последнего на скелетном Ni получен этиловый эфир триэтилуксусной к-ты, выход 89%, т. кип. 119°/14 мм. Хлорангидрид, выход 87%, т. кип. 62°/12 мм. Часть IX см. РЖХим, 1957, 47809.

А. Курсанова

**57322.** О механизме дегидратации  $\gamma$ -гликолей. V. Изучение свойств и превращений ацетиленового  $\gamma$ -гликоля-3-метилгексин-1-диола-3,6. Фаворская Т. А., Сергиевская О. В., Ж. общ. химии, 1958, 28, № 1, 87—94

Синтезированы 3-метилгексин-1-диол-3,6 (I) и 3-метил-6-метоксигексин-1-ол-3 (II). I и II в обычных условиях не реагируют с аммиачным р-ром  $\text{Ag}_2\text{O}$ , а при кипячении дают Ag-производные, не растворимые в  $\text{HNO}_3$ ; в сухом состоянии взрывают. I при нагревании с р-ром KOH разлагается на исходный  $\text{CH}_3\text{CO}(\text{CH}_2)_3\text{OH}$  (III) и  $\text{C}_2\text{H}_2$ ; I при гидрировании над Pt дает 3-метилгександиол-3,6. Гидрированием, озонированием, окислением и спектрами комб. рас. доказано наличие в I и II тройной связи. I и II при гидратации дают карбонильные соединения, которые не реагируют ни с семикарбазидом, ни с 2,4-динитрофенилгидразинном. Наличие CO-группы в них установлено с помощью УФ-спектров. Конденсацией III с  $\text{C}_2\text{H}_2$  (Фаворская А. Е., Ж. общ. химии, 1941, 11, 1111) получен I, выход 30—40%, т. кип. 136,5°/17 мм,  $n_D^{20}$  1,4718,  $d_4^{20}$  1,0220. К р-ру 1 г  $\text{HgO}$  в 3,3 мл конц.  $\text{H}_2\text{SO}_4$  и 100 мл воды приливают по каплям 23 г I в 25 мл воды, нагревают 1 час при 80°, с паром отгоняют 1 г кетоспирта вероятного строения  $\text{HOCH}_2\text{CH}_2\text{CH}=\text{C}(\text{CH}_3)\text{COCH}_3$  или  $\text{HO}(\text{CH}_2)_3\text{C}(=\text{CH}_2)\text{COCH}_3$ ; 2,4-динитрофенилгидразон (ДНФГ) состава  $\text{C}_{13}\text{H}_{16}\text{O}_5\text{N}_4$ , т. пл. 128—130°. Из остатка эфирам извлекают 18 г  $\text{HO}(\text{CH}_2)_3\text{C}(\text{OH})(\text{CH}_3)\text{COCH}_3$ , т. пл. 84—85°; при стоянии с 2,4-динитрофенилгид-

е произ-  
тцелени  
клизиро-  
Зэй-хуа  
tic compo-  
X. Elimi-  
alkylated  
Isu Wei  
Soc., 1958.

ично алк-  
действи  
ной индуг-  
груп Н  
( $(\text{CH}_3)_2$   
 $\text{H}_5$ ), 73,3,  
ощей стон-  
ным влак-  
индуктив-  
изола пре-  
ние угле-  
о анизом  
-Cl-AlCl<sub>3</sub>

или  
OCH<sub>3</sub>, а  
на со  
гношении  
зависит  
ента о  
%, т. кип.  
ения дей-  
рбовову  
овленном  
м Ni  
ной к-ты,  
кой Р<sub>2</sub>O<sub>5</sub>  
илуксу-  
рованием  
ый эфир  
9°/14 мм;  
Часть IX  
урсанова  
лей. V.  
лсового  
рская  
ии, 1958.

и 3-ме-  
усло-  
а при  
имые в  
ревании  
(CH<sub>3</sub>)<sub>2</sub>OH  
3-метил-  
м, окис-  
ичие в I  
ют кар-  
ют на  
азинном  
омощью  
ворская  
выход  
1,0220.  
м. водн  
гревают  
вероят-  
или  
гидразон  
остатка  
СОСН<sub>3</sub>  
илгидр-

анном 12 час. дает ДНФГ состава  $\text{C}_{13}\text{H}_{16}\text{O}_5\text{N}_4$ , т. пл. 108—109°, 34 г III в 40 мл 40%-ного КОН перемешивают с 46 г  $(\text{CH}_3)_2\text{SO}_4$  при 70—90°, смесь нагревают 1—2 часа при 40—50°, выход  $\text{CH}_3\text{CO}(\text{CH}_2)_3\text{OCH}_3$  (IV) 40%, т. кип. 152—155°,  $n_D^{20}$  1,4147,  $d_4^{20}$  0,9228, ДНФГ, т. пл. 64° (из сп.); семикарбазон, т. пл. 124° (из сп.). Аналогично I из IV получен II, выход 85%, т. кип. 102—102,5°/19 мм, 192—194°/760 мм,  $n_D^{20}$  1,4494,  $d_4^{20}$  0,9474. При гидратации II получен 3-метил-6-метоксигексанон-2-ол-3, т. кип. 107—109°/18 мм,  $n_D^{20}$  1,4360,  $d_4^{20}$  0,9913. Сообщение IV см. РЖХим, 1957, 76980.

И. Цветкова

57323. Реакции этильных радикалов. II. Присоединение к непредельным углеводородам. Джеймс, Стивенс (Reactions of the ethyl radical. II. Addition to unsaturated hydrocarbons. J. James D. G. L., Steacie E. W. R.), Proc. Roy. Soc., 1958, A244, № 1238, 297—311 (англ.)

Изучена кинетика р-ции присоединения  $\text{C}_2\text{H}_5\cdot$  к олефинам в газовой фазе.  $\text{C}_2\text{H}_5\cdot$ -радикалы получались фотолизом диэтилкетона (I). Константа скорости р-ции  $\text{C}_2\text{H}_5\cdot + \text{олефин} \rightarrow \text{C}_2\text{H}_5\cdot\text{-олефин}$  (1)  $k_1$  определялась из уравнения  $k_1/k_2^{1/2} = (1 - M \cdot R_{\text{CO}}) / [I \cdot R_{\text{C}_2\text{H}_5}^{1/2}]$ , где  $R_{\text{CO}}$  и  $R_{\text{C}_2\text{H}_5}$  — скорости образования CO и  $\text{C}_2\text{H}_5\cdot$  соответственно,  $k_2$  — константа скорости рекомбинации этильных радикалов и  $M = (R_{\text{C}_2\text{H}_5} + R_{\text{C}_2\text{H}_5}) / R_{\text{CO}}$  определяется при фотолизе одного I в тех же условиях, при которых производится определение отношения  $k_1/k_2^{1/2}$ . Найдено, что  $M = 0,997 \pm 0,03$  в изученном интервале т-р и интенсивностей света. Р-ция  $\text{C}_2\text{H}_5\cdot + \text{RCH=CH}_2 \rightarrow \text{C}_2\text{H}_5\text{-CH}_2\text{-CH=CH}_2$  (или  $\rightarrow \text{C}_2\text{H}_4 + \text{RCH}_2\text{CH=CH}_2$ ) практически не идет в условиях опытов, так как в опытах при 150° с *n*-гептаном  $M = 1,00 \pm 0,03$  и в опытах с циклогексаном и *trans*-октен-4, у которых скорость присоединения  $\text{C}_2\text{H}_5\cdot$  очень мала по сравнению со скоростью отрыва H при разных глубинах и т-рах значении  $M$  оставалось в пределах 0,987—1,055. Определено  $k_1/k_2^{1/2}$  (в скобках приводятся значения  $13 + [E \cdot A_1/A_2]^{1/2}$ , где  $A$  в см<sup>3</sup> моль<sup>-1</sup> сек<sup>-1</sup>, и  $E$  в ккал/моль) для гептина-1,  $6,0 \pm 0,2$ ,  $8,8 \pm 0,4$ ; гептена-1,  $5,2 \pm 0,1$ ,  $7,0 \pm 0,4$ ; октена-1,  $5,0 \pm 0,2$ ,  $6,7 \pm 0,3$ ; гексена-1,  $5,0 \pm 0,3$ ,  $6,8 \pm 0,5$ ; 2,4,4-триметилпентена-1,  $4,7 \pm 0,6$ ,  $5,7 \pm 0,9$ ; 2,3,3-триметилбутена-1,  $4,3 \pm 0,5$ ,  $5,6 \pm 0,8$ . Для этих соединений вычислены стерич. факторы  $P_1$  р-ции (1),  $P_1 \cdot 10^4$  равен (в том же порядке) 4,3; 5,7; 3,9; 4,2; 2,0; 0,7. Дается колич. объяснение катализа радикалами полимеризации гептена-1 и гептина-1. Сопоставлены литературные данные о влиянии олефинов на скорость присоединения радикалов. Сообщение I см. РЖХим, 1958, 53704.

В. Антоновский

57324. Радикальное и ионное алкилирование ароматического ядра. VI. Реакции дифенилхлорметана с толуолом и бензолом. Мелькановицкая С. Г., Цукерваник И. П., Ж. общ. химии, 1958, 28, № 1, 11—15

При р-ции дифенилхлорметана (I) с толуолом (II) в присутствии 0,1 экв Cu (115—140°) получен *n*-бензгидрилтолуол (III) (54%) и примесь орто-изомера тетрафенилэтана (IV) и дифенилметана (V). Ввести бензгидрильный остаток в молекулу  $\text{C}_6\text{H}_5$  при аналогичных условиях не удалось; при повышении т-ры до 200° образуется с ничтожным выходом трифенилметан. Нагреванием I с 1 экв Cu в  $\text{C}_6\text{H}_6$  получено 67,5% IV. Установлено, что CuCl и HCl в этих р-циях катализаторами не являются. Сделан вывод, что в р-ции разложения в присутствии Cu свободные радикалы не участвуют: при этом происходит гомолитич. перераспределение связей внутри реакционного комплекса, в образовании которого участвует катализатор. Термич. распад I без р-рителя или в  $\text{C}_6\text{H}_6$  при 300—305° приво-

дит к образованию 89—92% тетрафенилэтана (VI) и HCl. В II и циклогексане выход VI 47 и 56%; выход V 40 и 38,5% соответственно. При 250° распад I в *p*-ре II приводит к образованию VI и IV. Термич. распад I протекает по радикальному механизму:  $\text{I} \rightarrow (\text{C}_6\text{H}_5)_2\text{CH}\cdot$  (VII) + Cl;  $2\text{VII} \rightarrow (\text{C}_6\text{H}_5)_2\text{CHCH}(\text{C}_6\text{H}_5)_2$ ;  $4\text{VII} \rightarrow 2(\text{C}_6\text{H}_5)_2\text{CH}_2$  V +  $(\text{C}_6\text{H}_5)_2\text{CH}=\text{CH}(\text{C}_6\text{H}_5)_2$  VI. В отсутствие р-рителя и в  $\text{C}_6\text{H}_6$  атом Cl дегадрирует V до VII, который далее превращается в VI. В р-рителях с более подвижными атомами H дегадрированию подвергается р-ритель. Присутствие V при распаде I на выход VI (86,4%) не влияет. Сообщение V см. РЖХим, 1958, 21335.

В. Райгородская

57325. Образование свободных радикалов при приготовлении магнийорганических соединений в углеводородных растворителях. Брейс-Смит, Кокс (Formation of free radicals during the preparation of organomagnesium compounds in a hydrocarbon solvent Bryce-Smith D., Cox G. F.), J. Chem. Soc., 1958, March, 1050—1053 (англ.)

Показано, что при нагревании *n*-бутилхлорида и *n*-бутильдида (I) с Mg в изопропилбензоле (II) образуются свободные *n*-бутильные радикалы (БР) по р-ции  $\text{R}_2\text{Mg} + 2\text{RHal} \rightarrow 4\text{R}\cdot + \text{MgHal}_2$ , аналогичной р-ции со щел. металлами (РЖХим, 1957, 11597). При этом выделяются бутан, бутен и образуется  $\text{C}_6\text{H}_5\text{C}(\text{CH}_3)_2\text{C}(\text{CH}_3)_2\text{C}_6\text{H}_5$ . I образует с Mg такое же кол-во БР, как и с Li. При проведении р-ции I с 3,5 экв Mg после нагревания (2 часа) образуется 85,5% (*n*- $\text{C}_4\text{H}_9$ )<sub>2</sub>Mg (III). II как р-ритель способствует образованию магнийорганич. соединений. III в II с CO<sub>2</sub> дает *n*-валериановую к-ту (выход 29%) и с хлортрифенилсиланом образует после 95 мин. кипячения и последующего разложения *n*-бутилтрифенилсилан, выход 85,5%, т. пл. 86°.

В. Антоновский

57326. Механизм реакций Зандмейера и Меервейна. Котти (The mechanism of the Sandmeyer and Meerwein reactions. Kochi J. K.), J. Amer. Chem. Soc., 1957, 79, № 11, 2942—2948 (англ.)

Целью работы является доказательство того, что диазониновые соли как в р-ции Зандмейера (PЗ), так и в р-ции Меервейна (PM), распадаются с образованием арильных радикалов, которые либо реагируют с галогенидами металлов, напр.,  $\text{Ag}\cdot + \text{CuCl}_2 \rightarrow \text{AgCl} + \text{CuCl}$  (PЗ), либо с олефинами  $\text{Ag}\cdot + >\text{C}=\text{C}< \rightarrow \text{Ag}-$

—C—C—. Образование арильных радикалов при ката-

лизированном CuCl разложении солей диазония подтверждается образованием *n*-нитроидбензола при разложении хлористого *n*-нитробензолдиазония (I) в присутствии йода, образованием *n*-нитрофенола при обработке бисульфата *n*-нитробензолдиазония (II) CuCl в присутствии кислорода и ограниченного кол-ва Cl<sup>+</sup>

(по р-ции  $\text{Ag}\cdot + \text{O}_2 \rightarrow \text{AgO}_2\cdot \rightarrow \text{AgOH}$ ). Показано, что галогенные металлы обрывают реакционные цепи, так при разложении *N*-нитрозо-*n*-нитроацетианида в ацетоне в присутствии FeCl<sub>3</sub> образуется *n*-нитрохлорбензол (выход 84%). В присутствии олефина ароматич. радикалы, образующиеся при разложении ароматич. диазониновых солей под действием CuCl, присоединяются к двойной связи, затем следует присоединение атома хлора к вновь образовавшемуся радикалу или окисление последнего до карбоний-иона. Наличие обоих этих конкурирующих процессов подтверждается образованием смеси α-хлор-*n*-нитродибензила и *n*-нитростильбена при р-ции *n*-нитрофенильных радикалов со стиролом (III), хотя р-ция  $\text{C}_6\text{H}_5\cdot$  с III дает исключительно α-хлордибензил (IV). Из того, что при разложении бисульфата II в водно-ацетоновом р-ре, содержащем III и CuCl, т. е. при ограниченном кол-ве Cl<sup>+</sup>,



образуется 24% *n*-нитросилбена, а в присутствии избытка  $\text{Cl}^-$  только 9%, делается вывод, что прямой перенос галогена происходит с участием иона металла, содержащего высший хлор-комплекс, чем у иона, участвующего в *p*-ции с переносом электрона. Образование ариалалкильных радикалов в *p*-ции РМ подтверждено фиксацией этих радикалов йодом и кислородом. При разложении I, катализируемом  $\text{Cu}^+$  в присутствии акрилонитрила  $n\text{-NO}_2\text{C}_6\text{H}_4\text{CH}_2\text{CHCN}$ , радикал фиксировался йодом в виде  $n\text{-NO}_2\text{C}_6\text{H}_4\text{CH}_2\text{CHJCN}$ . Разложение II в присутствии III с  $\text{CuCl}_2$  и  $\text{O}_2$  при  $25^\circ$  давало перекись  $n\text{-NO}_2\text{C}_6\text{H}_4\text{CH}_2\text{CH}(\text{O}_2)\text{C}_6\text{H}_5$ , которая затем реагировала с  $\text{Cu}^+$  с образованием  $n\text{-NO}_2\text{C}_6\text{H}_4\text{CH}_2\text{COC}_6\text{H}_5$ . Протекание *p*-ции между ариалалкильными радикалами, образующимися в качестве промежуточных продуктов, и галогидными солями с образованием продукта Меервейна показано на примере других (кроме диазо-) соединений, дающих радикалы. *N*-нитрофенильные радикалы, полученные при разложении *N*-нитрозо-*n*-нитроацетанилида (V) в ацетоне в присутствии  $\text{FeCl}_3$  и III образуют  $\alpha$ -хлор-*n*-нитродибензил, выход 43%, с акрилонитрилом V образует  $n\text{-C}_6\text{H}_4\text{CH}_2\text{CHClCN}$ , выход 15%. Фенилазотрифенилметан в этих же условиях образует IV, выход 46%. Радикалы, полученные из перекиси бензоила, образуют IV (54%),  $\text{C}_6\text{H}_5\text{COOH}$  (24%) и  $\text{C}_6\text{H}_5\text{COC}_6\text{H}_4\text{CHClC}_6\text{H}_5$  (24%), последний продукт соответствует присоединению бензоилокислорадикала к III с последующим обрывом цепи  $\text{FCl}_3$ . В. Антоновский

**57327. Механизм фторирования. III. Реакции атомов фтора. Реакция димеризации олефинов. Миллер, Кох (The mechanism of fluorination. III. Fluorine atom reactions. The olefin dimerization reaction. Miller William T., Jr, Koch Stanley D., Jr), J. Amer. Chem. Soc., 1957, 79, № 12, 3084—3089 (англ.)**

На основании изучения состава продуктов фторирования  $\text{CClF} = \text{CClF}$  (I),  $\text{CF}_2\text{CCl} = \text{CClCF}_2$  (II),  $\text{CF}_2\text{CF}_2$ —

$\text{CF} = \text{CF}$  (III) и  $\text{CF}_2\text{CCl} = \text{CClF}$  (IV) и смесей I с II—IV и с  $\text{CHCl}_3$  предложен общий механизм *p*-ции  $\text{F}_2$  с полностью галогидрованными олефинами. *p*-ция  $\text{C} = \text{C} < + \text{F}_2 \rightarrow > \text{CF} - \dot{\text{C}} < + \text{F} \cdot$  является первой стадией, зарождающей радикалы и определяющей общую скорость. Затем радикалы  $> \text{CF} - \dot{\text{C}} <$  рекомбинируют с образованием димерных продуктов присоединения  $> \text{CFC} - \text{C} - \text{C}(\text{F}) <$  (A) или реагируют с

$\text{F}_2$ , образуя  $> \text{CFC}(\text{F}) <$  и новые радикалы  $\text{F} \cdot$ . Присоединяясь к олефинам,  $\text{F} \cdot$  снова образует радикалы  $\text{C} = \text{C} < + \text{F} \cdot \rightarrow > \text{CF} - \dot{\text{C}} <$ . Низкие *t*-ры способствуют повышению выхода A и уменьшают выход других продуктов, так как *p*-ция рекомбинации имеет очень низкую энергию активации. На основании сравнения выходов димерных продуктов и общей величины превращения при стандартных условиях установлено, что реакционная способность олефинов в *p*-ции с фтором растёт в ряду:  $(\text{CF}_3)_2\text{C} = \text{C}(\text{CF}_3)_2 < \text{II} < \text{III} < \text{IV} < \text{I}$ . *p*-ция проводилась в  $\text{CCl}_2\text{F}_2$  при *t*-ре около  $-70^\circ$  продуванием смеси  $\text{F}_2$  и  $\text{N}_2$  [приведены кол-во исходного в-ва, продукты *p*-ции (II), выход в г, т. кип. в  $^\circ\text{C}/722$ — $744$  мм]: 107 г I, *pp*  $\text{CClF}_2\text{CClF}_2$  (V), 14,2, 2—10,3,  $\text{CCl}_2\text{FCClF}_2$  (VI), 5,3, 46—47,  $\text{CClF}_2\text{CClFCClFCClF}_2$  (VII), 22,4, фракции, т. кип. 70,8—71,5°/100 мм и 71—71,6°/100 мм,  $n^{20}_D$  1,3849; 188 г II, *pp*  $\text{CF}_2\text{CClFCClFCClF}_2$  (VIII), 4,7, 50—57 (и 47,4 г, т. кип. 56,8—60,5°), II, 81,2, —,  $\text{CF}_2\text{CCl}_2\text{CClFCCl}_2$  (IX), 1,2, 102—106,  $n^{20}_D$  1,3529; 188 г II (0—2,3°), *pp* VII, 62,5, —, II, 66,2, —, VIII, 10,2, —; 107 г I и 187 г II, *pp* V, 20,7,

3—11, I, 25,4, —, VI, 5, 49—51, VIII, 3, 56—56,5, II, 119, —, IX, 1,6, 96—100, VII, 18,4, 132—136,  $\text{CF}_2\text{CCl}_2$ ,  $\text{CCl}(\text{CF}_3)\text{CClFCClF}_2$  (X), 51,1, 171,2—177, фракция, т. кип. 177,7—108,4°/100 мм,  $n^{20}_D$  1,3861,  $d^{20}_4$  1,9016, т. стекл. —75 (—100°); 13,3 г I и 186 г II, *pp* II, 4,1,5—6,5, VIII, 44,7, 59—63, II, 100, 2, IX, 2,7, 94—

107, X, 18,8, 102—110,5/100 мм; 125 г III, *pp*  $\text{CF}_2\text{CF}_2$ —

$\text{CF}_2\text{CF}_2$  (XI), 26,6, —1—0°, X, 37,5, —,  $(\text{CF}_2\text{CF}_2\text{CF}_2$ —

$\text{CF}-)_2$  (XII), 0,8, 85—93, т. замерз.  $\sim 0^\circ$ ; 107 г I и 130 г III, *pp* XI, —, —, V, 3,6, —5,9—(—1), V, 2,5, —6,2—(—5,9), V, 72, —1—(—5,3), III, 53,5, —, I, 11,3, —, VII, 21,2, 67—68,3°/100 мм, XII, 8,9, 83,4—92,7, фракция, т. кип. 85,2—86,3°/737 мм, т. замерз. —6,8°,  $n^{20}_D$  1,295,

$d^{20}_4$  1,7511,  $\text{CF}_2\text{CF}_2\text{CF}_2\text{CFCClFCClF}_2$ , 6,9, 100—103,9, 18,1 г, т. кип. 103,7—104,1°/738 мм, т. стекл. —94—(—100),  $n^{20}_D$  1,3294,  $d^{20}_4$  1,7410; 146,4 г IV, *pp*  $\text{CF}_2\text{CFCClF}_2$ , 23, 32,7—35,2, III, 37,7, 43,4, —,  $\text{C}_6\text{Cl}_4\text{F}_{10}$ , 34,5, 107,5—110/100 мм, фракция, т. кип. 108—109,1°/100 мм,  $n^{20}_D$  1,3883; 106,3 г I, 146 г III, *pp* V, 19,8, 1,5 —3,7, I, 21,3, —, III, 77, —, VII, 18,8, 130,1—146,1,  $\text{C}_6\text{Cl}_4\text{F}_8$ , 9,7, 146—153 [и 5,5 г, т. кип. 152,4—153°/738 мм, т. стекл. —111—(—126°),  $n^{20}_D$  1,3885,  $d^{20}_4$  1,8335, и 10,1 г, т. кип. 153,1—154,7°, 83 г I и 195 г  $\text{CHCl}_3$ , *pp*  $\text{CF}_2\text{CClF}_2$ , 3,2, —40,2—(—38,8), V, 47,1, —1,1—(3,7), I, 20,7, 19,2—23,7, VI, 19,6, 37,9—50,1, VII, 52,7, 69,5—72,2/100 мм,  $\text{CCl}_2\text{CClFCClF}_2$ , 15,1, 87,2—94/100, фракция, 3,7 г т. кип. 87,5—88°/100 мм, 153°/760 мм, т. стекл. —100—(—117°),  $n^{20}_D$  1,4384,  $d^{20}_4$  1,7603. Сообщение II см. РЖХим, 1957, 30476. В. Антоновский

**57328. Окисление органических сульфидов. Часть VIII. Аутоокисление тиациклогексана, 2-этил-2-метил-5-изопропилтиациклопентана и тиациклогексана-3. Бейтман, Каннин, Форд (Oxidation of organic sulphides. Part VIII. Autooxidation of thiacyclohexane, 2-ethyl-2-methyl-5-isopropylthiacyclopentane, and thiacyclohex-3-ene. Bateman L., Cunnien J. I., Ford J.), J. Chem. Soc., 1957, April, 1539—1544 (англ.)**

Для выяснения характера окисления циклических сульфидных структур, имеющих в вулканизированной резине, изучено аутоокисление тиациклогексана (I) и 2-этил-2-метил-5-изопропилтиациклопентана (II) при  $75^\circ$  в присутствии  $\alpha\alpha'$ -азоизобутиронитрила (1%) и тиациклогексана-3 (III) при  $55^\circ$ . I образует в основном окись тиациклогексана  $(\text{CH}_2)_6\text{SO}$  (IV) и диальдегид  $\text{OCH}(\text{CH}_2)_4\text{S}_2(\text{CH}_2)_4\text{CHO}$  (V) (бис-2,4-динитрофенилгидразон, т. пл. 122,5—124°) восстановлен  $\text{LiAlH}_4$  в 5-меркаптопентанол-1 (VI). IV и V образуются при распаде гидроперекиси по схеме: а)  $\text{RO}_2\text{H} \xrightarrow{+\text{RN}}$   $\text{ROH} + \text{IV}$ , б)  $\text{RO}_2\text{H} \rightarrow \text{HO} \cdot + \text{RO} \cdot \rightarrow \cdot \text{S} [\text{CH}_2]_4 \text{CHO} \rightarrow 0,5 \text{ V}$ . Главными продуктами окисления II является циклический сульфоксид — 1-окись 2-этил-2-метил-5-изопропил-1-тиациклопентана, т. кип. 73—75°/0,01 мм,  $n^{20}_D$  1,4400; дисульфид  $[(\text{CH}_3)_2\text{CHCOCH}_2\text{CH}_2\text{C}(\text{CH}_3)(\text{C}_2\text{H}_5)\text{S}]_2$  и

сульфид  $(\text{CH}_3)_2\text{CHCOCH}_2\text{CH}_2\text{C}(\text{CH}_3)(\text{C}_2\text{H}_5)\text{SC}(\text{C}_2\text{H}_5)_2\text{CHCOCH}_2\text{CH}_2\text{C}(\text{CH}_3)(\text{C}_2\text{H}_5)\text{S}$  (VII) (т. кип. 144—145°/0,001 мм,  $n^{20}_D$  1,5010), образующийся при перекрестной рекомбинации радикалов  $(\text{CH}_3)_2\text{CHCOCH}_2\text{CH}_2\text{C}(\text{CH}_3)(\text{C}_2\text{H}_5)\dot{\text{S}}$  и  $(\text{CH}_3)_2\text{CH}\dot{\text{C}}\text{CH}_2\text{CH}_2\text{C}(\text{CH}_3)(\text{C}_2\text{H}_5)\text{S}$ . Строение VII под-

тверждено восстановлением его  $\text{LiAlH}_4$  до 2,6-диметилоктантиола-6, т. кип. 85—88°/11 мм,  $n^{20}_D$  1,4760, и 6-меркапто-2,6-диметилоктантиола-3, т. кип. 63—64°/0,002 мм,  $n^{20}_D$  1,4790. III при окислении обра-

ует 1-окис тиациклогексена-3 (т. кип. 71—73°/0,002 мм,  $n_D^{20}$  1,5480), доля которого в продуктах окисления (начало ~50%) падает с течением р-ции, и смесь,

состоящую из  $\text{OSCHN} = \text{CHCH}_2\text{CH}_2\text{SCHN} = \text{CHCH}_2-$

$-\text{CH}_2\text{S}$  (т. кип. 50°/0,001 мм,  $n_D^{20}$  1,5954; 2,4-динитрофенилгидразон, т. пл. 122°) и  $(\text{OSCHN} = \text{CHCH}_2\text{CH}_2\text{S})_2$ . Предлагается цепной механизм, включающий разрыв C—S-связи и рекомбинацию, получающихся при этом R—S-радикалов в соответствующие димеры. Для синтеза III восстановлением тиациклогексанона-4  $\text{LiAlH}_4$  получен тиациклогексан-4-ол (т. пл. 52—53°), который дегидратацией над  $\text{H}_3\text{BO}_3$  при 190—300° превращен в III, т. кип. 71—72°/60 мм,  $n_D^{20}$  1,5346; сульфид, т. пл. 72; сульфоксид, т. кип. 71,5°/0,002 мм,  $n_D^{20}$  1,5483. VI синтезирован следующим образом: бутен-3-овая к-та восстановлена  $\text{LiAlH}_4$  до пентен-4-ола-1 (т. кип. 140—142°/760 мм,  $n_D^{20}$  1,4295), который с тиоуксусной к-той дает 5-ацетилтиопентанол-1 ( $n_D^{20}$  1,4889), щел. гидролизом которого получен VI, т. кип. 104°/11 мм,  $n_D^{20}$  1,4865; 2,4-динитрофенилсульфид, т. пл. 95° (из см.). Часть VII см. РЖХим, 1957, 26726.

В. Антоновский

57329. Разложение перекиси бензоила в этилацетате и изопропилацетате. Като, Масио (Kato Shin'ichi, Mashio Fujio), Korē какаку хакоси, J. Chem. Soc. Japan. Industr. Chem. Sec., 1957, 60, № 12, 1515—1518 (японск.).

При разложении  $(\text{C}_6\text{H}_5\text{COO})_2$  (I) в этилацетате (II), изопропилацетате (III) и  $\text{CH}_3\text{COOH}$  при 60° к сек<sup>-1</sup> составляют 1,45, 1,73 и  $0,94 \times 10^{-5}$ ; при 75°, соответственно, 9,1, 10,5 и  $6,3 \cdot 10^{-5}$ ;  $E = 28,1, 27,5$  и  $20,1$  ккал/моль. В результате разложения I при 75° под  $\text{H}_2$  получены следующие в-ва: указаны моли на 1 моль I (первая цифра из 24,2 г I в 200 мл II и вторая цифра из 24,8 г I в 180 мл III):  $\text{CO}_2$ , 1,2, 1,44;  $\text{C}_6\text{H}_6$ , 0,31, 0,28;  $(\text{C}_6\text{H}_5)_2$ , 0,068, 0,054;  $\text{C}_6\text{H}_5\text{COOH}$ , 0,14, 0,16;  $\text{C}_6\text{H}_5\text{COOC}_2\text{H}_5$ , следы, следы;  $n\text{-HOOCSC}_6\text{H}_4\text{CH}_2\text{COOR}$ , 0,31, 0,22;  $n\text{-HOOCSC}_6\text{H}_4\text{CH}_2\text{COOR}$ , 0,15, 0,12;  $n\text{-C}_6\text{H}_5\text{C}_6\text{H}_4\text{COOH}$ , 0,13, 0,15;  $\text{C}_6\text{H}_5\text{CH}_2\text{COOR}$ , 0,045, 0,054;  $\text{CH}_3\text{CHO}$ , 0,12, ацетон 0,31;  $\text{CO}$ , 0,004, 0,01. Приведенные данные сравнивают с результатами разложения I в  $\text{CH}_3\text{COOH}$  (РЖХим, 1965, 11541). Приведен график разложения I в II, III и  $\text{CH}_3\text{COOH}$  при 60 и 75° и схема разделения продуктов р-ции. Обсуждается механизм разложения I.

Н. Швецов

57330 К. Успехи органической химии. Сборник № 9. Мураками. Кёрицу сюшан, 1954, 275 стр., 600 иен (японск.).

57331 К. Органическая химия. Том. I. Умедзава. Марудзен, 1954, 451 стр., 650 иен (японск.).

57332 К. Исследование стереоизомерии  $\alpha,\beta$ -этиленитонов. Арно (Recherches sur la stéréoisomérisation des cétones  $\alpha,\beta$ -éthyléniques. Arnaud Paul. Grenoble, impr. Allier, 1957, 92 p., ill.) (франц.).

57333 К. Применение меченых атомов для изучения органических реакций. Берр (Tracer applications for the study of organic reactions. Burr John Green. New York-London, Interscience, s. a., x, 291 pp., ill., 58 sh.) (англ.).

57334 Д. Изучение некоторых вопросов механизма синтеза из  $\text{CO}$  и  $\text{H}_2$  с применением радиоактивного углерода. Бутюгин В. К. Автореф. дисс. канд. хим. н., Моск. ин-т тонкой хим. технол., М., 1958

См. также: Строение органич. соед. 56400, 56401—56403, 56406, 56415—56417, 56420, 56423, 56425, 56447, 56465, 56466, 56467, 56472, 56501, 56503, 56603, 57370;

21534Бх. Реакционная способность 56764. Механизм и кинетика р-ций. См. раздел Кинетика и рефераты: 56645, 56806, 56813, 56847, 56848, 58295, 58300, 58334

## СИНТЕТИЧЕСКАЯ ОРГАНИЧЕСКАЯ ХИМИЯ

Редакторы М. А. Атабекова, Н. С. Вульфсон, Б. М. Дубинин, В. А. Загоревский, Я. Ф. Комиссаров, Г. Я. Кондратьева, Л. А. Хейфиц

57335. Изучение процесса каталитического окисления пропилена. Сообщение 1. О влиянии природы различных носителей на процесс окисления пропилен-а в акролеин над окисномедными катализаторами. Попова Н. И., Беляев В. И., Стукова Р. Н., Изв. вост. фил. АН СССР, 1957, № 7, 40—50

Изучалось окисление пропилен-а (I) в акролеин (II). Все исследовавшиеся катализаторы получены пропиткой носителей р-ром  $\text{Cu}(\text{NO}_3)_2$  с последующим прокаливанием при 800°. Перечислены катализаторы, содержание  $\text{CuO}$  в процентах, т-ра отбора пробы в °С, выход карбонильных соединений (КС) в % от теории, степень превращения I в % от теории, кол-во I в %, израсходованное на получение КС:  $\text{CuO}/\text{SiC}_4$ , 1, 396, 8,6, 25,3, 34;  $\text{CuO}/\text{SiC}_4$ , 1,5, —, 12, 18,5, 73 (катализатор предварительно восстанавливался пропиленом);  $\text{CuO}$  на пемзе, 1,5, 369, 10,3, 14,8, 69,2;  $\text{CuO}$  на силикагеле МСМ, 5, 422, 8,8, 18,2, 55;  $\text{CuO}$  на силикагеле КСК, 1,5, 414, 3,8, 96,6, 9,3. Окисление I проводилось в проточной установке и начиналось при т-ре 350°. I и кислород подавались в соотношении 5:1 при объемной скорости 2000 (время контакта 2 сек.). КС улавливались в виде 2,4-динитрофенилгидразонов (ДНФГ). Выделен ДНФГ II, т. пл. 165—166°, и описан его УФ-спектр. Методом УФ-спектроскопии показано, что выход II составляет 30—50% от общей суммы КС, образующихся в процессе р-ции. Предложен механизм реакции.

А. Занина

57336. Гидрирование в присутствии коллоидального палладия. IX. Гидрирование винилпропил- и винилбутилацетиленов. Бальян Х. В., Лерман З. А., Меркурьева Л. А., Ж. общ. химии, 1958, 28, № 1, 110—116

Винилпропилацетилен (I) и винилбутилацетилен (II) при гидрировании в присутствии коллоидального Pd образуют подобно исследованным ранее винилметил- и винилэтилацетилену (РЖХим, 1957, 30487) соответствующие диены и алкены. I (т. кип. 108—109°,  $n_D^{20}$  1,4513,  $d_4^{20}$  0,7654) дает смесь гептадиена-1,3 (III), т. кип. 102—104°,  $n_D^{20}$  1,4404—1,4412,  $d_4^{20}$  0,7374—0,7387, гептена-1 и гептена-2. Отношение III: алкены-1:1,6 изменяется в присутствии  $n$ -роданхлорбензола (IV) до 1:0,94. II (т. кип. 134—135°/760 мм, 49—50°/41—42 мм,  $n_D^{20}$  1,4551,  $d_4^{20}$  0,7749) превращается в смесь октадиена-1,3 (V) (т. кип. 130—131°,  $n_D^{20}$  1,4500,  $n_D^{20}$  0,7566—0,7578) с октенами (отношение 1:1). В присутствии IV отношение V: алкены = 1:0,94. Для разделения и очистки продукты гидрирования превращались в бромиды, из которых затем регенерировались непредельные углеводороды. Описаны 1,2,3,4-тетрабромгептан, т. кип. 130—131°/2 мм,  $n_D^{20}$  1,5784,  $d_4^{20}$  2,0952;  $\text{C}_8\text{H}_{14}\text{Br}_4$ , т. кип. 157—161°/6 мм,  $n_D^{20}$  1,5722,  $d_4^{20}$  1,9766;  $\text{C}_8\text{H}_{14}\text{Br}_4$ , т. пл. 66°. Предыдущие сообщения см. РЖХим, 1958, 32365.

Г. Кондратьева

57337. Хлорирование диацетилен-а. Синтез гексахлорбутидиена-1,3. Шостаковский М. Ф., Шапиро Э. С., Шмонина Л. И., Докл. АН СССР, 1958, 118, № 1, 114—116

Исследовали хлорирование  $\text{CH}\equiv\text{CC}\equiv\text{CH}$  (I) в  $\text{CCl}_4$ ; образующиеся при этом жидкий и кристаллич. 1,1,2,3,4,4-гексахлорбутены-2 (II) хлорировали жидким



$\text{Cl}_2$  под давлением, при ультрафиолетовом освещении. В условиях избытка  $\text{Cl}_2$  ( $> 4$  молей) получен окта-хлорбутан (III). Дегидрохлорированием III водно-спирт. щелочью при  $t$ -ре не  $> 30^\circ$  синтезирован гексахлорбутадие-1,3 (IV). При кипячении III со спирт. NaOH происходит замещение Cl на алкоксигруппу с образованием перхлорированных эфиров. В 100 мл  $\text{CCl}_4$  при  $-50^\circ$  пропускали сухой  $\text{Cl}_2$  (2–3-кратный избыток). В реакционную смесь током  $\text{N}_2$  вдували 5,6–6,8 г I при энергичном перемешивании 5–6 час. при  $t$ -ре от  $-30$  до  $-25^\circ$ , через 12 час. (охлаждение) удаляли  $\text{Cl}_2$  и  $p$ -ритель, выделяли II, выход 73–82%, который разделяли на жидкий, т. кип.  $82$ – $90^\circ/4$  мм, и кристаллич., выход 15–25%, т. пл.  $78^\circ$  (из кипящего сп.). 14,25 г кристаллич. II в 100 мл  $\text{CCl}_4$  и 65 г жидкого  $\text{Cl}_2$  в ампуле освещали 20–25 час. кварцевой лампой, через 3–4 суток ампулу в замороженном состоянии вскрывали, удаляли  $p$ -ритель и  $\text{Cl}_2$ , выделяли III, выход 91%, т. пл.  $79,5^\circ$  (из кипящего сп.). Аналогично из 15 г жидкого II в 50 мл  $\text{CCl}_4$  и 31 г  $\text{Cl}_2$  выделено 76% III. К 20 г III в 200 мл спирта добавляли при энергичном перемешивании водно-спирт. 1 н.  $p$ -р NaOH до щел.  $p$ -ции, при этом  $t$ -ра поднялась до  $32$ – $34^\circ$ , через 1–1,5 часа ( $30^\circ$ ) фильтрат упаривали, остаток разбавляли водой, обрабатывали эфиром, разгонкой в вакууме получен IV, выход 67%, т. кип.  $214^\circ/755$  мм,  $57,5$ – $58^\circ/2$  мм,  $58$ – $60^\circ/2,5$  мм,  $n_D^{20}$  1,5540, 1,5542.

В. Тынянкина

**57338. Каталитическое хлорирование  $n$ -гексана.** Некрасова В. А., Румянцев Н. А., Хим. наука и пром-сть, 1957, 2, № 6, 807–808

Исследовалось хлорирование  $n$ -гексана (I) с целью выявления наиболее эффективных гетерог. смешанных катализаторов (K) и оптимальных условий. Изучалось действие хлоридов Mg, Sr, Ca, Fe, Ba, Zn, Cu, Cr, Mn, Sn, Pb, Ni, Al, нанесенных в кол-ве 10% (+ 5%  $\text{CoCl}_2$ ) на зернистую пемзу. Наибольший выход дихлоридов (42,6%) получен при  $330^\circ$  с  $\text{MgCl}_2$  +  $\text{CoCl}_2$ . Установлено, что с уменьшением  $\text{CoCl}_2$  в K с 5 до 1% снижается выход дихлоридов. 10,8 г I (т. кип.  $68,7^\circ/754$  мм,  $n_D^{20}$  1,3749,  $d_4^{20}$  0,6594) хлорируют в паровой фазе по проточному методу при  $310$ – $340^\circ$ , мол. соотношения I:  $\text{Cl}_2 = 1:2$ , объемной скорости пропускания  $\text{Cl}_2$  0,55 л/час, объеме K 100 мл, катализат подвергают фракционированной перегонке на вакуум-колонке в 40 теоретич. тарелок, получают фракцию с т. кип.  $122$ – $124^\circ/758$  мм (которую принимают за смесь вторичных хлоргексанов),  $n_D^{20}$  1,4140,  $d_4^{20}$  0,8760; фракцию с т. кип.  $135$ – $136^\circ/745$  мм (которую принимают за 1-хлоргексан),  $n_D^{20}$  1,4236,  $d_4^{20}$  0,8760, и фракцию с т. кип.  $203$ – $205^\circ/755$  мм (которую принимают за дихлориды гексана),  $n_D^{20}$  1,4569–1,4570,  $d_4^{20}$  1,085–1,086.

В. Тынянкина

**57339. Пространственные препятствия мезомерии в полихлорполиенах.** III. О тетра- и пентахлорбутадие-1,3. Рёдиг, Клосс (Sterische Mesomerie-hinderung bei Polychlor-polyenen. III. Über Tetra- und Penta-chlor-butadiene-(1.3). Roedig Alfred, Kloss Rudolf), Liebigs Ann. Chem., 1958, 612, № 1–3, 1–10 (нем.)

Синтезированы 1,4-, 1,3-, 1,2- и 2,3-ди-Н-тетрахлорбутадие-1,3 (соответственно I, II, III и IV) и 1- и 2-Н-пентахлорбутадие-1,3 (V и VI) и изучено влияние местоположения Н-атомов на степень сопряжения кратных связей. К эфирному  $p$ -ру  $\sim 0,66$  моля  $\text{CH}_2\text{N}_2$  приливают 0,2 моля  $\text{CHCl}=\text{CClCOCl}$  в 50 мл абс. эфира ( $t$ -ра от  $-55$  до  $-50^\circ$ , 30–45 мин.), перемешивают  $\sim 12$  час. при  $\sim 20^\circ$ , при упаривании в вакууме выпадает  $\text{CHCl}=\text{CClCOCHN}_2$ , выход 81,5%, т. пл.  $53^\circ$  (из петр. эф. и возгонка при 0,05 мм). Последний с эквимоллярным кол-вом  $\text{C}_6\text{H}_5\text{Cl}$  в сухом  $\text{CCl}_4$  ( $\sim 60^\circ$ ) образует 1,4-ди-Н-тетрахлорбутен-1-он-3 (VII), выход

59%, т. кип.  $90$ – $92^\circ/11$  мм,  $n_D^{20}$  1,5385, 0,32 моля VII нагревают с 0,48 моля  $\text{PCl}_5$  ( $130$ – $140^\circ$ , 14 час.), разлагают льдом и разб.  $\text{H}_2\text{SO}_4$ , эфиром извлекают 1,4-ди-Н-гексахлорбутен-1 (VIII), выход 72%, т. пл.  $78,5$ – $79^\circ$  (из разб.  $\text{CH}_3\text{OH}$  и возгонка в высоком вакууме). Р-цией 35,5 г VIII с 6 г Al-стружки и 0,5 г безводн.  $\text{AlCl}_3$  в 200 мл абс. эфира ( $\sim 35^\circ$ ) получают 85% I, т. пл.  $52^\circ$  (возгонка в высоком вакууме). Р-р 0,4 моля 1-Н-пентахлорбутен-3-она-2 (IX) в 500 мл абс. эфира смешивают при  $\leq 5^\circ$  с 0,133 моля  $\text{LiAlH}_4$  в 200 мл абс. эфира (1 час), через  $\sim 12$  час. обрабатывают льдом и разб.  $\text{H}_2\text{SO}_4$ , выход 1-Н-пентахлорбутен-3-ола-2 (X) 91%, т. кип.  $117$ – $119^\circ/13$  мм,  $n_D^{20}$  1,5433. Р-цией 61,1 г X с 78 г  $\text{PCl}_5$  ( $\sim 160^\circ$ ) синтезируют 1,2-ди-Н-гексахлорбутен-3, выход 84%, т. кип.  $99,5$ – $101^\circ/11$  мм,  $n_D^{20}$  1,5418,  $d_4^{20}$  1,6810. Последний при действии Al-стружки и  $\text{AlCl}_3$  в эфире ( $\sim 35^\circ$ ) превращается в III, выход 80%, т. кип.  $70,5$ – $71^\circ/11$  мм,  $n_D^{20}$  1,5722,  $d_4^{20}$  1,5316. Из 22 г IX и 28,4 г  $\text{PCl}_5$  ( $180$ – $185^\circ$ , 18 час.) получают 1-Н-гептахлорбутен-3, выход 82,5%, т. кип.  $124,5$ – $125,5^\circ/12$  мм,  $n_D^{20}$  1,5608,  $d_4^{20}$  1,7783, который обработкой Al-стружками в присутствии  $\text{AlCl}_3$  в эфире ( $\sim 35^\circ$ , 7 час.) превращают в V, выход 66%, т. кип.  $78,5$ – $79^\circ/12$  мм,  $n_D^{20}$  1,5516,  $d_4^{20}$  1,6121. Аналогично проводят дехлорирование 1,3-ди-Н-гексахлорбутена-3, выход II 89%, т. кип.  $68$ – $68,5^\circ/12$  мм,  $n_D^{20}$  1,5604,  $d_4^{20}$  1,5210. Дегидрохлорированием 105,2 г 1,2,3,4-тетра-Н-гексахлорбутана (т. пл.  $107^\circ$ ) в 750 мл спирта  $p$ -ром 53 г 89%-ного KOH в 250 мл спирта и 250 мл воды ( $\sim 12$  час.) получают с 87%-ным выходом IV, т. кип.  $69,5$ – $70^\circ/12$  мм,  $n_D^{20}$  1,5669,  $d_4^{20}$  1,5094. При восстановлении 312,2 г перхлорбутана-2 суспензией 11,4 г  $\text{LiAlH}_4$  в абс. эфире ( $\leq -8^\circ$ ,  $\sim 6$  час.) образуется перхлорбутанол-2, выход 68%, т. кип.  $115$ – $130^\circ/0,3$  мм, т. пл.  $44^\circ$  (из петр. эф.), 0,4 моля которого действием 0,6 моля  $\text{PCl}_5$  ( $195^\circ$ ,  $\sim 12$  час.) превращают в 2-Н-нонхлорбутан (XI), выход 78 г, т. кип.  $115^\circ/0,01$  мм,  $n_D^{20}$  1,5700,  $d_4^{20}$  1,8914. Хлорированием IV ( $\sim 20^\circ$ , 4 часа) готовят 2,3-ди-Н-гексахлорбутен-1, выход 69%, т. кип.  $100$ – $101^\circ/11$  мм,  $n_D^{20}$  1,5372. Из 13,2 г последнего действием спирт. KOH (из 2,8 г KOH) получают 9 г VI. VI синтезируют также дехлорированием XI ( $\sim 35^\circ$ , 19 час.), выход 64,5%, т. кип.  $80^\circ/13$  мм,  $n_D^{20}$  1,5627,  $d_4^{20}$  1,6159, или дегидрохлорированием 1,2,4-три-Н-гептахлорбутана (т. кип.  $132,5$ – $133^\circ/11$  мм,  $n_D^{20}$  1,5423) действием спирт. KOH, выход VI 87%. Строение полученных полихлорсоединений подтверждено восстановлением Zn-пылью в спирте в  $\text{CH}_2=\text{CHC}\equiv\text{CH}$  и  $\text{CH}\equiv\text{CC}\equiv\text{CH}$  и данными анализа Су-соей. Для I–VI и перхлорбутадие-1,3 приведены кривые УФ-спектров (в  $n$ -гептане) и значения экзальтации мол. рефракций (ЭМ). Среди изомерных тетрахлорбутадие-1,3 наблюдается увеличение значений ЭМ (от 1,27 до 2,31) и смещение максимумов поглощения  $\lambda_{\text{max}}$  от 248 до 264,5 м $\mu$  в ряду от I к IV, что объясняется авторами увеличением эффекта сопряжения двойных связей по мере перемещения Н-атомов из концевого положения в среднее. Подобным образом переход от V к VI также связан с увеличением эффекта сопряжения кратных связей. Сообщения II см. РЖХим, 1957, 22773.

О. Нефедов

**57340. Моноенолы, диенолы, псевдоредуктоны и производные редуктона.** Эйлер, Хассельквист (Monoenole, Dienole, Pseudoreduktone und Reduktion-Derivate. Euler Hans von, Hasselquist Hans), Suomen kem., 1958, 31, № 1, 878–883 (нем.)

Изучена способность псевдоредуктонов восстанавливать реагент Тильмана (РТ). Этиловый эфир 3-хлор-ацетоншавелевой к-ты (I), т. кип.  $120$ – $124^\circ/30$  мм, пол-

чают по ранее известной методике (Favrel G., Chrz J., Bull. Soc. chim. France, 1927, 41, 1605). 1 моль I восстанавливается в щел. р-ре 0,8 моля РТ. Р-р 8,8 мг о-аминофенола (II) в 10 мл воды титруют в атмосфере N<sub>2</sub> 0,01 н. р-ром РТ, на 1 моль II идет 0,03 моля РТ. При добавлении к р-ру II, оттитрованному при рН 7, 1 мл 2 н. NaOH расходуется еще 0,09 моля РТ. о-Хлорфенол, т. кип. 95°/18 мм, не реагирует с РТ ни в кислом, ни в щел. р-рах. Аналогично ведут себя ацетофенон, оксалиацетон, оксипропиофенон, ацетоуксусный эфир, этиловый эфир β-хлоркротоновой к-ты, бензоилипро-инноградная к-та, о-динитро- и 2,4,6-тринитрофенол. 8 г о-хлорнитробензола восстанавливают смесью SnCl<sub>2</sub> и HCl-к-ты, выход хлоргидрата о-хлоранилина (III) 6 г; о-хлорацетанилид, т. пл. 86°. К р-ру 800 мг III в 10 мл воды добавляют 1 г CH<sub>3</sub>COOK и 5 мл лед. CH<sub>3</sub>COOH и 500 мг CHOC(OH)=CH(OH) (IV), выход сырого продукта конденсации 850 мг, т. пл. 140–170°. Фракция кристаллов, растворимая в этилацетате, представляет собой шиффово основание III и IV, т. пл. 152–153° (из этилацетата); на 3,3 мг расходуется 2,1 мл 0,01 н. р-ра РТ. Кристаллы, нерастворимые в этилацетате, представляют собой о-ClC<sub>6</sub>H<sub>4</sub>N=CHC(OH)=CHNHC<sub>6</sub>H<sub>4</sub>Cl·HCl, т. пл. 231–232° (разл.; из лед. CH<sub>3</sub>COOH); на 2,2 мг расходуется 1,54 мл 0,01 н. р-ра РТ. 1 моль редуктивных к-ты в кислом р-ре потребляет 1 моль РТ, после подщелачивания титрованного р-ра в атмосфере N<sub>2</sub> расходуется еще 0,93 моля РТ. И. Мильштейн

57341. О продуктах, образующихся при конденсации н-бутанола в присутствии бутилата натрия и медно-го катализатора. Любимов В. И., Белянина Е. Т., Ж. общ. химии, 1958, 28, № 2, 326–327

Конденсацией н-C<sub>4</sub>H<sub>9</sub>ОН в присутствии C<sub>4</sub>H<sub>9</sub>ONa и катализатора Cu<sub>2</sub>(OH)<sub>2</sub>CO<sub>3</sub> (I) получены 2-этилгексано-1 (II), 2-этилгексенол-1 (III), соли масляной (IV) и 2-этилпропановой (V) к-т и лактон C<sub>12</sub>H<sub>22</sub>O<sub>2</sub>. 32 г Na растворяют в 300 мл н-C<sub>4</sub>H<sub>9</sub>ОН, реакционную смесь нагревают до 125–130°, добавляют 0,6 г I, через 40–42 час. после полного прекращения выделения H<sub>2</sub> продукт р-ции перегоняют с водяным паром с последующим отделением от воды и ректификацией на колонке в 20 теоретич. тарелок, получают фракцию с т. кип. 180–185°, из которой выделяют III, т. кип. 177,5–178,5°/760 мм, 60°/9 мм, n<sub>D</sub><sup>20</sup> 1,4428, d<sub>4</sub><sup>20</sup> 0,8427. При гидрировании фракции 180–185° или обработке ее водн. р-ром KMnO<sub>4</sub>, перегонкой выделяют II, т. кип. 183–184°, n<sub>D</sub><sup>20</sup> 1,4325, d<sub>4</sub><sup>20</sup> 0,8325. Из остатка после отгонки с водяным паром отфильтровывают I, фильтрат упаривают, подкисляют 42 мл 90%-ной H<sub>2</sub>SO<sub>4</sub>, ректификацией в вакууме выделяют (приведены в-во, т. кип. в °C/мм, n<sub>D</sub><sup>20</sup>, d<sub>4</sub><sup>20</sup>): IV, 161–162°/737, 1,3992, 0,9585; V, 113–114°/7,5, 1,4274, 0,9118; C<sub>12</sub>H<sub>22</sub>O<sub>2</sub>, 132–134°/7,5, 1,4622, 0,9642. При пропускании выделившегося H<sub>2</sub> через склянку с насыщ. спирт. р-ром 2,4-динитрофенилгидразина получено соответствующее производное масляного альдегида, т. пл. 121,5–122° (из сп.). В. Тынянкин

57342. Взаимодействие масляного альдегида с раствором бутилата натрия в н-бутаноле. Любимов В. И., Ж. общ. химии, 1958, 28, № 2, 328–329

Взаимодействием C<sub>5</sub>H<sub>7</sub>CHO с C<sub>4</sub>H<sub>9</sub>ONa в р-ре н-C<sub>4</sub>H<sub>9</sub>ОН приводит к образованию смеси 2-этилгексанола-1 (I) и 2 изомеров 2-этилгексенола-1 (II), один из которых выделен в чистом виде и при пропускании над накаленной Ag-проволокой изомеризован в 2-этилгексанола-1 (III). В 80 г н-C<sub>4</sub>H<sub>9</sub>ОН растворяют 8 г Na, нагревают до 130° и при этой т-ре за 0,5–5 часа приливают 26 г C<sub>5</sub>H<sub>7</sub>CHO, продукт р-ции перегоняют с водяным паром, отогнанные спирты перегоняют с дефлегматором, выделяют 14,15–14,5 г фракции с т. кип. 175–182° (А). Ректификацией А в вакууме на колонке

в 20 теоретич. тарелок получен первый изомер II (IV), т. кип. 177–178°/755 мм, 70–71°/12 мм, n<sub>D</sub><sup>20</sup> 1,4438, d<sub>4</sub><sup>20</sup> 0,8418. Над накаленной Ag-проволокой пропускают пары IV с воздухом, получают конденсат с 42% III; 2,4-динитрофенилгидразон, т. пл. 120,5–121,5° (из сп.); димедоное производное, т. пл. 191–191,5° (из 50%-ного сп.). При фракционировании А при небольшом повышении т-ры выделяют второй изомер II (V), т. кип. 183–185°/752 мм, n<sub>D</sub><sup>20</sup> 1,4440, 2,2 г V гидрируют над скелетным Ni в спирте, перегонкой выделяют I, т. кип. 182–184°, n<sub>D</sub><sup>20</sup> 1,4322, d<sub>4</sub><sup>20</sup> 0,8320. I получают также обработкой А водн. р-ром KMnO<sub>4</sub> с последующей перегонкой с водяным паром.

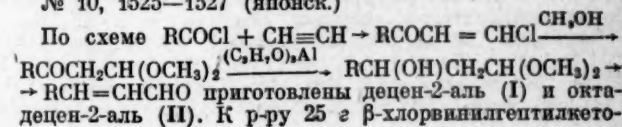
В. Тынянкин  
57343. Реакция N-бромсукцинимидом со вторичными спиртами. Стаккуиш, Хаммер, Блау (Reaction of N-bromosuccinimide with secondary alcohols. Stuckwisch C. G., Hammer Gary G., Blau N. F.), J. Organ. Chem., 1957, 22, № 12, 1678–1680 (англ.)

При окислении вторичных алифатич. спиртов N-бромсукцинимидом (I) в безводн. среде полученные кетоны бромруются в α-положение Br, выделяющимся при взаимодействии I с HBr, образующимся в первой стадии р-ции. Этот механизм доказан подавлением бромирования добавкой к реакционной смеси акцепторов протонов, таких как пиридин (II) и CaCO<sub>3</sub>, а также бромированием этилированной (III) I в присутствии HBr, которое в отсутствие HBr не идет. Р-р по 0,05 моля циклогексанола, I и II в 50 мл CCl<sub>4</sub> выдерживают 4 часа при 60–70° и 12 час. при 20°, фильтрат при перегонке дает 61% циклогексанола, т. кип. 148–150°; 2,4-динитрофенилгидразон, т. пл. 162°. Также из этил-лактата получают 42% III, без II выход III 10% и 55% этилбромпирувата, т. кип. 71–73°/мм. Аналогично из пропанола-2 получают 60% ацетона, из фенилметилкарбинола (IV) 65% ацетофенона, из этилового эфира 2-оксимасляной к-ты 50% этилового эфира 2-кетомасляной к-ты (т. кип. 66–67°/16 мм; фенилгидразон, т. пл. 191°). При 3-часовом кипячении по 0,05 моля этилового эфира 3-хлормолочной к-ты и I в 75 мл CCl<sub>4</sub> выход этилового эфира хлорпирувиновой к-ты 72%, т. кип. 74–75°/8 мм; так же из IV получают фенилбромид с выходом 45%. И. Котляревский

57344. Уплотнение этилового эфира диметилацетиленилкарбинола. Чигогидзе Л. П., Тр. Ин-та химии АН ГрузССР, 1957, 13, 211–214 (груз.; русск.)

Показано, что простые эфиры ацетиленилкарбинола в присутствии Cu<sub>2</sub>Cl<sub>2</sub> уплотняются с образованием простых эфиров гликоля диацетиленового ряда. Для уплотнения эфиров требуются более жесткие условия (нагревание), чем для уплотнения соответствующих карбинолов. К 15 г Cu<sub>2</sub>Cl<sub>2</sub> и 30 г NH<sub>4</sub>Cl в 60 г воды с 3 каплями конц. HCl при перемешивании, нагревании (70–80°, 5 час.) и пропускании воздуха (всего 35 л воздуха, затем еще 7 л O<sub>2</sub>) добавлялся р-р 3 г этилового эфира диметилацетиленилкарбинола в 60 г спирта. Диацетиловый эфир 2,7-диметилпентадиен-3,7-диола-2,7 извлекался эфиром, выход 66,6%, т. кип. 91–92°/6 мм, n<sub>D</sub><sup>20</sup> 1,4794, d<sub>20</sub><sup>20</sup> 0,9001. Л. Нахпетян

57345. Синтез высших алифатических α,β-ненасыщенных альдегидов. Вакаяма, Ито, Юи, Маэкава (Wakayama Seiji, Itoh Shinji, Yui Shun, Maekawa Haruki), Нихон какаку дзаси, J. Chem. Soc. Japan. Pure Chem. Sec., 1957, 78, № 10, 1525–1527 (японск.)





на в 100 мл  $\text{CH}_3\text{OH}$  за 20 мин. при охлаждении добавляют р-р 7,1 г  $\text{NaOH}$  в 70 мл  $\text{CH}_3\text{OH}$ , через 12 час. разбавляют водой, извлекают эфиром 22,5 г диметилацетата  $\beta$ -кетоктоадецилового альдегида (III), т. кип. 110—112°/4,5 мм,  $n_D^{20}$  1,4372,  $d_4^{20}$  0,9252; семикарбазон, т. пл. 81,5—82° (из сп.). Аналогично получен диметилацеталь  $\beta$ -кетоктоадецилового альдегида, т. пл. 25,3—25,7°; семикарбазон, т. пл. 85—86°, 18,5 г III восстанавливают кипячением с отгонкой с 38 г изопропила АI в 1 моле изопропанола, получают 19 г диметилацетата  $\beta$ -оксидецилового альдегида (IV), т. кип. 114—115°/4 мм,  $n_D^{21}$  1,4403,  $d_4^{21}$  0,9206. Аналогично получен диметилацеталь  $\beta$ -оксидецилового альдегида, выход 85%, т. пл. 27—28,5°. Смесь I г IV, 0,5 мл 2 н.  $\text{HCl}$  и ацетона оставляют на 3 часа, получают 0,95 г  $\beta$ -оксидецилового альдегида (V), маслянистый продукт; семикарбазон, т. пл. 125—126° (из разб. сп.), аналогично получен  $\beta$ -оксидецилового альдегида, выход 85%, (из ацетона); семикарбазон, т. пл. 121,5—122,5°. 1 г V в 15 мл спирта кипятят 1 час с небольшим кол-вом J, получают 0,85 г I, т. кип. 78—80°/3 мм,  $n_D^{20}$  1,4527,  $d_4^{20}$  0,8489; семикарбазон, т. пл. 162—162,5° (из разб. сп.), характеризуем УФ-спектром (в сравнении с УФ-спектром семикарбазона кротонового альдегида). Строение I подтверждено гидрированием с  $\text{PtO}_2$  до деканола; фенилуретан, т. пл. 61—61,5°. При перегонке соответствующего  $\beta$ -оксидецилового альдегида при 6 мм получен II, т. кип. 152—158°/5 мм, т. пл. 35—55°; семикарбазон, т. пл. 153—154°, строение II подтверждено гидрированием ( $\text{PtO}_2$ ) до октадеканала; фенилуретан, т. пл. 76—77°. Окисление II 4%-ным  $\text{KMnO}_4$  в водн. р-ре  $\text{K}_2\text{CO}_3$  дало пальмитиновую к-ту, т. пл. 59,5—60° (из сп.); анилин, т. пл. 87°. Л. Яновская

57346. О полиеновой конденсации альдегидов. Назаров И. Н., Красная Ж. А., Изв. АН СССР, Отд. хим. н., 1958, № 2, 238—239

С целью исследования синтеза полиеновых изопреноидных соединений изучена полиеновая конденсация кротонового (I) и диметилакрилового (II) альдегидов в зависимости от условий р-ции: катализатора (K), температуры и времени. В качестве K использовали смеси  $\text{CH}_3\text{COOH}$  с различными аминами, при этом установлено, что третичные, ароматич. и жирноароматич. амины не вызывают конденсацию. При применении вторичных аминов получено 30—36% дигидро-о-толуилового альдегида (III), октатриеналь (IV) и высшие полиеналы (V). При конденсации I в присутствии смеси пиперидина (VI) и  $\text{H}_3\text{PO}_4$  получены IV и V с выходом 22 и 21%; III в продуктах р-ции не обнаружен. Лучшие результаты получены с VI в  $\text{CH}_3\text{COOH}$  при нагревании 1,5 часа при 100°, при этом выделено 22% IV и 19% V. Добавление к реакционной смеси 17% воды не влияет на р-цию. К 35 г свежеперегнанного I при перемешивании добавлено 0,5 мл VI и 0,5 мл лед.  $\text{CH}_3\text{COOH}$ , реакционную смесь нагревают 45 мин. при 100°, затем еще прибавляют 0,5 мл VI и 0,5 мл лед.  $\text{CH}_3\text{COOH}$ , через 45 мин. (100°) отгоняют при 18 мм 5 г I и 1,6 мл воды, остаток разбавляют эфиром, фильтрат промывают водой, перегонкой выделяют 2,3 г III, т. кип. 70—72°/10 мм,  $n_D^{20}$  1,4908; семикарбазон, т. пл. 199—200°, 22% IV, т. кип. 52—60°/0,2 мм, т. пл. 57—58° (из петр. эф.); 2,4-динитрофенилгидразон, т. пл. 189°, и немного додекапентаенала, т. пл. 159—161° (из лед.  $\text{CH}_3\text{COOH}$ ). Из продуктов конденсации II получено 14,5% дегидроцитраля, т. пл. 40—41°, и 15% V. Приведены данные ИК-спектра IV. В. Тынянкина

57347. Реакции натрийацетилацетона с изомерными метоксипентенхлоридами. Пудовик А. Н., Баширова Л. А., Уч. зап. Казанск. ун-та, 1957, 117, № 2, 170—173

Исследовались р-ции 1-метокси-5-хлорпентена-3 (I), 1-хлорбутена-2 (II) и 1-метокси-3-хлорпентена-4 (III)

с  $\text{CH}_3\text{C}(\text{ONa})=\text{CHCOCH}_3$  (IV), при этом с I и II получены продукты нормального замещения, а р-ция с III протекает с полной аллильной перегруппировкой. Взаимодействием эквимольных кол-в I и IV получен  $\text{CH}_3\text{COCH}(\text{COCH}_3)\text{CH}_2\text{CH}=\text{CH}(\text{CH}_2)_2\text{OCH}_3$  (V) и немного  $\text{CH}_3\text{CO}(\text{CH}_2)_2\text{CH}=\text{CH}(\text{CH}_2)_2\text{OCH}_3$  (VI), кол-во которого увеличивается при удлинении времени р-ции и избытке IV. Установлено, что VI образуется вместе с  $\text{CH}_3\text{COOC}_2\text{H}_5$  за счет расщепления V под действием спирта и алкоголята Na. Соотношение продуктов замещения и их расщепления зависит от реакционной способности хлоридов. Строение VI доказано окислением  $\text{KMnO}_4$ . При длительном нагревании III с IV выделено значительное кол-во неизмененного продукта. Взаимодействием II с IV получен бутенил-2-ацетилацетон (VII), строение которого доказано озонированием. К 120 мл безводн. спирта постепенно добавляют 4,3 г Na, к охлажд. смеси приливают 18,7 г ацетилацетона (VIII) и 30 г I, нагревают 3 часа, упаривают, остаток обрабатывают водой, экстрагируют эфиром. Выделено 4,6 г VI, т. кип. 101—102°/11 мм,  $n_D^{20}$  1,4445,  $d_4^{20}$  0,9200, и 21,8 г V, т. кип. 137—138°/10 мм,  $n_D^{20}$  1,4680,  $d_4^{20}$  1,0024. 5 г V в 300 мл воды окисляют 10,6 г  $\text{KMnO}_4$  при 20°, фильтрат упаривают до 25 мл, окисляют  $\text{HCl}$ , и экстрагируют эфиром 0,7 г метоксипропилового к-ты, т. кип. 104—106°/10 мм. К 1,7 г Na в 300 мл безводн. спирта прибавляют 15 г V, смесь нагревают 3 часа, обычной обработкой выделяют 6,7 г VI. При нагревании 6 час. 2,4 г Na в 70 мл спирта с 41 г VIII и 15 г III, после обычной обработки разгонкой в вакууме выделена фракция с т. кип. 85—96°/9 мм. К р-ру 4,3 г Na в 120 мл спирта прибавляют 27 г VIII, затем 25 г II, нагревают 4 часа, обычной обработкой получено 17,2 г VII, т. кип. 89—90°/9 мм,  $n_D^{20}$  1,4620,  $d_4^{20}$  0,9621. Через р-р 5 г VII в 25 мл сухого  $\text{CCl}_4$  при —10° 96 час. пропускают озонированный  $\text{O}_3$ , отгоняют  $\text{CCl}_4$ , остаток обрабатывают водой, получают димерное производное  $\text{CH}_3\text{CHO}$ , т. пл. 141—142° (из сп.). В. Тынянкина

57348. Синтез  $\alpha$ -галондкарбоновых кислот, содержащих в  $\alpha$ -положении реакционноспособные группы. Несмеянов А. Н., Кост В. Н., Васильева Т. Т., Фрейдлина Р. Х., Изв. АН СССР, Отд. хим. н., 1958, № 2, 152—156

Синтезированы  $\text{RCHClCOOH}$  (I) действием  $\text{Cl}_2$  на соединения, содержащие  $\text{CCl}_2=\text{CH}$ -группы, в среде  $\text{CH}_3\text{COOH}$  в присутствии  $\text{Hg}(\text{OAc})_2$ , по схеме  $\text{RCH}=\text{CCl}_2 \rightarrow [\text{RCHClCCl}_2\text{OCH}_3] \rightarrow \text{I}$ .  $\alpha$ , $\alpha$ -Дихлоркислоты получены из  $\alpha$ -кетокислот, а в случае перхлорпроизводных — окислением неперелых соединений. Во всех случаях наряду с к-тами выделены продукты присоединения галонда по двойной связи. Через смесь 63,6 г  $\text{Hg}(\text{OAc})_2$ , 34,7 г  $\text{CH}_2\text{Cl}(\text{CH}_2)_2\text{CH}=\text{CCl}_2$  (II) и 100 мл лед.  $\text{CH}_3\text{COOH}$  при перемешивании пропускают  $\text{Cl}_2$  до прекращения обесцвечивания, из фильтрата отгоняют к-ту, остаток растворяют в  $\text{CHCl}_3$  и промывают разб.  $\text{HCl}$ . Конц. р-ром  $\text{Na}_2\text{CO}_3$  извлекают 2 г исходного II и 14,4 г 1,1,1,2,5-пентахлорпентана, т. кип. 86—87°/2 мм,  $n_D^{20}$  1,5095,  $d_4^{20}$  1,4798. Подкислением щел. вытяжек выделяют I [R =  $(\text{CH}_2)_3\text{Cl}$ ] выход 62%, т. кип. 107°/1 мм,  $n_D^{20}$  1,4860,  $d_4^{20}$  1,3480. Аналогично получают I (приведены R, т-ра р-ции, выход I в %, т. кип. в °C/мм,  $n_D^{20}$   $d_4^{20}$ , т. кип. хлорангидрида в °C/мм,  $n_D^{20}$   $d_4^{20}$ , возвращено исходного в г, побочный продукт, выход его в %, т. кип. в °C/мм,  $n_D^{20}$   $d_4^{20}$ ):  $\text{CH}_2\text{Cl}(\text{CH}_2)_2$  — 55, 126—127/1, 1,4640, 1,2633, 133/18, 1,4668, 1,2765, 3,2, 1,1,1,2-тетрахлор-5-ацетоксипентан, 35, 100—101/15, 1,4870, 1,3834;  $\text{CH}_2\text{CN}(\text{CH}_2)_2$  (III), 50, 54, 150/1 (162/3 мм), 1,4770, 1,2660, 110/2, 1,4830, 1,3072, 2,5, 1,1,1,2-тетрахлор-5-цианпентан, 30, 116/2, 1,5045, 1,4087;  $\text{CH}_3\text{COOCH}_2$ , 40, 27,1, 112/1,5, 1,4570, 1,3496, 90—91/11, 1,4565, 1,3671; 3, 1,1,1,2-тетрахлор-3-ацетоксипропан, 55,

118/24, 1,4860, 1,4899;  $\text{CH}_3\text{OCH}_2$ , 30, 25,2, 79/1,5, 1,4899, 1,3216, 63—65/24, 1,4590, 1,3216, 4, —, —, —, —,  $\text{C}_6\text{H}_5\text{CH}_2$  (IV), 55—60, 45,3, 132/2 [т. пл. 51° (из октадана)], —, —, 74/2, 1,5430, 1,2647 [амид, т. пл. 93° (из воды)], анилин, т. пл. 125° (из водн. сп.), этиловый спирт, т. кип. 110°/8 мм,  $n_D^{20}$  1,5092,  $d_4^{20}$  1,1312, 9, 1,1,2-тетрахлор-3-фенилпропан, 37, 122/3, 1,5555, 1,3875. При пропускании  $\text{Cl}_2$  в смесь 41,6 г 1,1,2,5-тетрахлорпентана-1 (V), 63,6 г  $\text{Hg}(\text{COOCH}_3)_2$  и 100 мл лед.  $\text{CH}_3\text{COOH}$  при 70° получено 9,1 г исходного V, 19,5%  $\text{CH}_3\text{Cl}(\text{CH}_2)_2\text{CCl}_2\text{COOH}$ , т. кип. 117°/2 мм,  $n_D^{20}$  1,4950,  $d_4^{20}$  1,4475, и 48,9% 1,1,1,2,2,5-гексахлорпентана, т. кип. 87°/2 мм,  $n_D^{20}$  1,5260,  $d_4^{20}$  1,5896. В аналогичных условиях из 34,7 г II при пропускании  $\text{Br}_2$  синтезирована  $\text{CH}_3\text{Cl}(\text{CH}_2)_2\text{CHBrCOOH}$ , выход 48% (на вступивший в р-цию II), т. кип. 106—107°/0,5 мм,  $n_D^{20}$  1,5070,  $d_4^{20}$  1,4215, и 21,7 г 1,2-дибром-1,1,5-трихлорпентана, т. кип. 84—85°/1 мм,  $n_D^{20}$  1,5562,  $d_4^{20}$  1,9322. Гидролиз III  $\text{H}_2\text{SO}_4$  дает  $\alpha$ -хлорадипиновую к-ту, т. пл. 102°. Дегидрохлорированием IV спирт. щелочью получена короткая к-та, т. пл. 129°.

В. Тынянкина

3349. Синтез жирных кислот с длинной цепью и их производных. I. Взаимодействие хлорангидридов жирных кислот с ацетиленом. Кауфман, Штамм (Die Synthese langkettiger Fettsäurechloriden mit Acetylen, Kaufmann H. P., Stamm W.), Fette, Seifen, Anstrichmittel, 1957, 59, № 11, 946—953 (нем.).

Взаимодействием жирных к-т с  $\text{SOCl}_2$  получены хлорангидриды энантовой (I), пеларгоновой (II), лауриновой (III), миристиновой (IV), пальмитиновой (V), стеариновой (VI) и ундециленовой к-т (VII). VI получают также из стеариновой к-ты (VIII) и  $\text{SiCl}_4$  или р-ции Na-соли VIII с  $(\text{COCl})_2$ . Для получения хлорангидридов к-т, имеющих две и более двойных связей, следует брать  $(\text{COCl})_2$ . Взаимодействием пеларгоновой к-ты (IX) с  $(\text{COBr})_2$  получен бромангидрид пеларгоновой к-ты (X). Рассмотрены способы получения жирных к-т с длинной цепью на основе ацетиленов и его изомеров. Обсужден механизм р-ции присоединения хлорангидридов жирных к-т к ацетилену. Катализатором процесса является безводн.  $\text{AlCl}_3$ . При замене  $\text{AlCl}_3$  на  $\text{BF}_3$ -эфират присоединение не идет. X присоединяется к ацетилену в присутствии безводн.  $\text{AlBr}_3$ . Наряду основным продуктом р-ции II с ацетиленом — октил- $\beta$ -хлорвинилкетон (XI) выделен 3-кетогундициловый эфир IX (XII). Образование XII объясняется следующим образом: II омыляется, давая IX; XI терм.  $\text{HCl}$ , превращаясь в октилэтилкетон; кетон присоединяет IX, давая XII (возможность последней р-ции доказана экспериментально). Омыление XII приводит к диметилацеталу ундеканон-3-аля (XIII). Исследован легко образуется также при взаимодействии XI с  $\text{CH}_3\text{OH}$ . Р-цией XIII с фенилгидразино (IV) получен 1-фенил-3- (или 5-) октилпиразол (XV). 100% чистой жирной к-ты и 1,5 моля чистейшего  $\text{SOCl}_2$  нагревали на бане 2 часа, выделяли хлорангидрид. Получены (приведены выход в %, т. кип. в °C, т. пл. в °C,  $n_D^{20}$ ): I, 92, 60—62/12, —, 1,4345; II, 55—56/0,5 (92—93/12), —, 1,439; III, 95, 80/0,5 (105—137/14), —, 1,447; IV, 96, 151—153/13, —, 1,450; V, 96, 135—136/0,5, 14, —; VI, 95, 150—152/0,5 (186—188), 23, —; VII, 92, 92—93/1, —, 1,456. К 28,5 г раскисленной VIII прибавляли за 30 мин. 15 мл  $\text{SiCl}_4$ , выдерживали 2 часа при 70°, упаривали в вакууме при 10 мм, перегонкой выделяли 10 г VI. К 6 г перекристаллизованной Na-соли VIII в 50 мл абс. эфира добавляли 3 г  $(\text{COCl})_2$ , выдерживали 1 час при 20°, фильтрат упаривали, оставался кристаллич. VI. 35 г  $(\text{COBr})_2$  прибавляли к 15 г X при охлаждении, кипятили 1 час, отгоняли избыток  $(\text{COBr})_2$ , остаток встряхивали с чистой р-тью, перегонкой выделяли 14 г IX, т. кип. 74—

76°/0,5 мм. Ацетилен, очищ. пропусканием через водн. и  $\text{H}_2\text{SO}_4$  р-ры  $\text{K}_2\text{Cr}_2\text{O}_7$  и хромпика, трубки с  $\text{CrO}_3$ ,  $\text{NaOH}$  и  $\text{P}_2\text{O}_5$ , вводили при охлаждении в р-р 25 г  $\text{AlCl}_3$  в 60 г II. Через 30 мин. добавляли еще 25 г  $\text{AlCl}_3$  (через 1 час наступает растворение), затем пропускали ацетилен еще 1 час при 0° и 1 час при 10—15°, не допуская выделения  $\text{HCl}$  (охлаждение льдом). Смесь разлагали льдом и разб.  $\text{HCl}$ , извлекали эфиром, экстракт промывали насыщ. р-ром  $\text{NaCl}$ , получали XI, выход 70%, т. кип. 85—86°/0,5 мм, т. пл. 20°,  $n_D^{20}$  1,466. Из остатка (16 г) после отгонки XI выделяли XII, т. кип. 160—165°/0,5 мм, т. пл. 53° (из петр. эф.),  $\lambda_{\text{макс}}$  (в гексане) 203,5 и 322—324 мμ ( $\epsilon$  16780 и 44),  $\lambda_{\text{макс}}$  (в  $\text{CH}_3\text{OH}$ ) 236 мμ. К 25 г XI в 50 мл абс.  $\text{CH}_3\text{OH}$  добавляли при охлаждении льдом 8,5 г  $\text{KOH}$  в 50 мл абс.  $\text{CH}_3\text{OH}$ , перемешивали еще 3 часа при 20° (рН 8—9), выливали в лед- $\text{NaCl}$ , извлекали эфиром, экстракт промывали р-ром  $\text{NaCl}$ , получали 18 г XIII, т. кип. 93—94°/0,5 мм,  $n_D^{20}$  1,436 (в перегонную колбу добавляли немного диэтанолamina). К 0,02 моля XIV в спирте прибавляли 1 г  $\text{H}_2\text{SO}_4$ , 2 мл воды и 0,02 моля XIII, перемешивали 2 часа при 70°, подщелачивали  $\text{NaOH}$ , извлекали эфиром XV, т. кип. 132—133°/0,5 мм,  $n_D^{20}$  1,537; хлоргидрат, т. пл. 76—77° (из абс. эф.).

А. Файнзильберг

57350. Некоторые сложные эфиры  $\gamma$ -хлоркротилового спирта. Гейтер Е. Л., Ж. общ. химии, 1958, 28, № 2, 495—497.

С целью исследования влияния  $\gamma$ -хлоркротильной группы на свойства сложных эфиров синтезированы  $\text{CH}_3\text{CCl} = \text{CHCH}_2\text{OOCRCOOCCH}_2\text{CH} = \text{CClCH}_3$  (I). Вследствие сильного экранирования непредельных связей I перегоняется при довольно высоких т-рах в вакууме, не полимеризуясь. Замена в  $n$ -бутиловых эфирах двухосновных к-т каждого бутильного остатка на  $\gamma$ -хлоркротильный повышает т-ру кипения на 10—15° при 2—2,5 мм и т-ру вспышки на 10—20°. Взаимодействием 1560 г 1,3-дихлорбутена-2 с р-ром 1480 г  $\text{Na}_2\text{CO}_3$  в 5,6 л воды 5 час. при 70—95° получен  $\gamma$ -хлоркротильный спирт (II), выход 68%, т. кип. 159—161°, 88—90°/50 мм,  $n_D^{20}$  1,4660,  $d_4^{20}$  1,1053. Смесь 100 г адипиновой к-ты, 218 г II и 2 г  $n$ -толуолсульфоновой к-ты перемешивают при 95—110°/70 мм 7 час. (до кислотного числа 5,6), нейтрализуют 2%-ным р-ром щелочи, промывают водой, упаривают в вакууме и перегонкой при 4 мм выделяют 10 г фракции с т. кип. 60—150°, 2 г фракции с т. кип. 150—188°, и I [R =  $(\text{CH}_2)_4$ ], выход 82%, т. кип. 188—189°/4 мм, 160—162°/2,5 мм,  $n_D^{20}$  1,4818,  $d_4^{20}$  1,1674. Аналогично синтезированы I (приведены R, т-ра р-ции в °C, время р-ции в часах, выход I в %, т. кип. в °C/мм,  $n_D^{20}$ ,  $d_4^{20}$ ):  $(\text{CH}_2)_6$ , 65—100/70—80, 7, 80, 208—209/2—2,5, 1,4778, 1,1018;  $(\text{CH}_2)_8$ , 65—105/60—80, 5, 78, 200—202/4, 1,5095, 1,1650;  $o$ - $\text{C}_6\text{H}_4$  (получен из фталевого ангидрида), 90—110/70—75, 12, 50, 189—191/2—2,5, (т. застыв. 14—15), 1,5380, 1,2412.

В. Тынянкина

57351. Синтез оптически активных форм 2-метилоктадекановой кислоты и 2,5-диметиладипиновой кислоты из энантиомеров метилового эфира 2-метил-3-карбоксипропионовой кислоты. Стальберг (Synthesis of the optically active forms of 2-methyloctadecanoic acid and 2,5-dimethyladipic acid from the enantiomers of methyl 2-methyl-3-carboxypropanoate. Stållberg Gunnell, Arkiv kemi, 1958, 12, № 2, 153—159 (англ.).

Методами анодной конденсации энантиомеров  $\text{HOOCCH}_2\text{CH}(\text{CH}_3)\text{COOCH}_3$  (I) с пальмитиновой к-той (II) получены оптически активные формы  $\text{CH}_3(\text{CH}_2)_{15}\text{CH}(\text{CH}_3)\text{COOCH}_3$  (III) и  $\text{CH}_3\text{OOCCH}(\text{CH}_3)(\text{CH}_2)_5\text{CH}(\text{CH}_3)\text{COOCH}_3$  (IV), из которых омылением получены оптически активные формы соответствующих к-т (V) и (VI). Р-р 0,061 г-атома Na в 200 мл  $\text{CH}_3\text{OH}$ , со-



державший по 0,034 моля (+)-I и II, подвергают электролизу (1—1,5 а, 130 мин.) при Hg-катоде и Pt-аноде, отфильтровывают при 20°  $n\text{-C}_{30}\text{H}_{62}$ , фильтрат разбавляют водой, экстрагируют эфиром, экстракт промывают р-ром  $\text{Na}_2\text{CO}_3$ , выделяют: 1) 0,73 г неочищ. (—)-2d, 5l-IV, т. кип. 63°/0,1 мм, из которого омылением р-ром KOH в воде, спирте выделено 0,47 г (—)-2d, 5l-VI, т. пл. 104,7—105,3° (из эф.-петр. эф., 1:2),  $[\alpha]_D^{25} -25,1 \pm 0,4^\circ$ ; 2) 2,68 г неочищ. (—)-III, т. кип. 138—139°/0,1 мм, который при омылении р-ром KOH в воде, спирте и кристаллизации продукта омыления из смеси  $\text{CH}_3\text{OH}$  и воды (10:1), а затем вымораживанием из петр. эфира дает 0,5 г (—)-V, т. пл. 54,7—55°,  $[\alpha]_D^{25} -9,4 \pm 0,3^\circ$ . Из (—)-2d, 5l-VI и  $\text{CH}_2\text{N}_2$  в эфире получен чистый (—)-2d, 5l-IV,  $n_D^{25} 1,4280$ ,  $[\alpha]_D^{25} -28,6 \pm 0,4^\circ$ , а из (—)-V и  $\text{CH}_2\text{N}_2$  — чистый (—)-III,  $n_D^{25} 1,4417$ ,  $[\alpha]_D^{25} -12,1 \pm 0,3^\circ$ . Аналогично электролизом смеси (—)-I и II (по 0,046 моля) в р-ре 0,063 г-атома Na в 200 мл  $\text{CH}_3\text{OH}$  получены: 1) 1,7 г неочищ. (+)-2l, 5d-IV, т. кип. 62—64°/0,1 мм, из которого омылением получен (+)-2l, 5d-VI, т. пл. 104,7—105,3° (из эф.-петр. эф.),  $[\alpha]_D^{25} +25,0 \pm 0,4^\circ$ ; 2) 1,36 г неочищ. (+)-III, т. кип. 143—144°/0,1 мм, который при омылении дает 0,67 г (+)-V, т. пл. 54,7—55,0° (из  $\text{CH}_3\text{OH}$  и петр. эф.),  $[\alpha]_D^{25} +9,3 \pm 0,3^\circ$ . Из (+)-2l, 5d-VI и  $\text{CH}_2\text{N}_2$  в эфире получен чистый (+)-2l, 5d-IV,  $n_D^{25} 1,4288$ ,  $[\alpha]_D^{25} +28,0 \pm 0,4^\circ$ , а из (+)-V и  $\text{CH}_2\text{N}_2$  — чистый (+)-III,  $n_D^{25} 1,4422$ ,  $d_4^{25} 0,859$ ,  $[\alpha]_D^{25} +12,3^\circ$ . Электролизом смеси рац-I и II аналогично описанному и гидролизом фракции, содержащей рац-III, получена рац-V, т. пл. 55,4—55,7° (из  $\text{CH}_3\text{OH}$ ,  $\text{CH}_3\text{COOH}$ , затем петр. эф.). Установлено, что (+)-V и (—)-V превращаются в расплавленном состоянии в низкоплавкие формы, т. пл. 43°. Последние взаимно превращаются в высокоплавкие формы, т. пл. 54,7—55,0° при медленном нагревании. Приведены ИК-спектры (—)-V (высокоплавкой и низкоплавкой форм) и рац-V. Дана диаграмма плавкости бинарной системы (—)-V и (+)-V.

В. Руденко

**57352. Улучшенный метод приготовления оксимино-, формамидо- и ацетамидомалонатов.** Шоу, Нолан (Improved preparation of diethyl oximino-, formamido- and acetamidomalonates. Shaw Kenneth N. F., Nolan Chris), J. Organ. Chem., 1957, 22, № 12, 1668—1670 (англ.).

Диэтилмалонат (I) под действием  $\text{NaNO}_2$  и  $\text{CH}_3\text{COOH}$  превращается в диэтилоксимномалонат (II), который выделяется в виде комплекса (III) с  $\text{CH}_3\text{COONa}$  (3:1). III восстанавливают Zn в присутствии  $\text{HCOOH}$  в диэтилформамидомалонат (IV), а в присутствии  $\text{CH}_3\text{COOH}$  в диэтилацетамидомалонат (V). К 1 молю I в 3 молях лед.  $\text{CH}_3\text{COOH}$  при 0—5° и сильном перемешивании за 3—4 часа добавляют 3 моля  $\text{NaNO}_2$  в 250 мл воды, перемешивают еще 20 час. при 20°, в-во извлекают  $\text{CH}_2\text{Cl}_2$  (VI) и после высушивания и упаривания остаток, растворенный в VI, встряхивают с 40 г  $\text{CH}_3\text{COONa}$ , к фильтрату добавляют петр. эфир до кристаллизации, выход III 93%, т. пл. 87—88°. 0,0616 моля III кипятят 10 мин. с 800 мл сухого эфира, промывают  $\text{NaHCO}_3$ , после упаривания в вакууме выделяют 97% II в виде масла. Смесь 0,098 моля II и 98 мл 0,05 н.  $\text{C}_2\text{H}_5\text{ONa}$  в абс. спирте упаривают досуха, получают 97% диэтилового эфира натроксимина малоновой к-ты, т. пл. 143° (разл.; из VI-петр. эф.). К р-ру 0,14 моля III в 600 мл 88%-ной  $\text{HCOOH}$  за 30 мин. при 95—103° добавляют 80 г Zn, фильтрат упаривают, в-во извлекают VI, промывают  $\text{NaHCO}_3$  и упаривают, выход IV 87%, т. пл. 53—54° (из эф.-петр. эф.). Также из 0,14 моля III, 200 мл лед.  $\text{CH}_3\text{COOH}$ , 300 мл  $(\text{CH}_3\text{CO})_2\text{O}$  и 80 г Zn при 110—115° получают 100% V, т. пл. 96—97° (из циклогексана-этилацетата).

И. Котляревский

**57353. Гем-динитроэфиры. I. Получение и некоторые реакции  $\alpha$ -окси- $\beta,\beta$ -динитропропионовой и масляной кислот.** Киссингер, Мак-Куметон, Шварц, Гудман (Gem-Dinitro esters. I. Preparation and some reactions of  $\alpha$ -hydroxy- $\beta,\beta$ -dinitropropionic and -butyric acids. Kissinger L. W., McQuistion W. E., Schwartz M., Goodman Leon), J. Organ. Chem., 1957, 22, № 12, 1658—1662 (англ.).

Конденсацией динитрометана (I) и гем-динитроэтана (II) с глиоксильной к-той (III) получены  $\alpha$ -окси- $\beta,\beta$ -динитропропионовая (IV) и  $\alpha$ -окси- $\beta,\beta$ -динитромасляная к-ты (V). При нагревании II с глиоксальем (VI) также образуется V, вместо ожидаемого тетра-нитрогександиола. Этиловые эфиры IV (VII) и V (VIII) получены конденсацией I и II с  $\text{C}_2\text{H}_5\text{OCH}(\text{OH})\text{COOC}_2\text{H}_5$  (IX). Получены  $\alpha$ -ацетильные производные VII, V, VIII и метилового эфира V, а также  $\alpha$ -трифторацетильное производное V. При взаимодействии V с  $\text{PBr}_3$  образуется фосфатное производное V, вместо ожидаемой  $\alpha$ -бромкислоты. V устойчива к кислотам и нейтр. р-рах 0,17 моля II, 0,15 моля III и 2 капли конц.  $\text{H}_2\text{SO}_4$  в 50 мл воды нагревают 6 час., извлекают эфиром, эфирный р-р упаривают, отгоняют II, остается V, выход 40%, т. пл. 101—102° (из 2-нитропропана-хлф. и затем из хлф.). Если нагревать 0,075 моля II и 0,05 моля 30%-ного водн. р-ра VI в 15 мл воды (70—75°, 8 час.), образуется V с выходом 32%. 0,09 моля V, 100 мл  $\text{CH}_3\text{OH}$  и 1,5 г конц.  $\text{H}_2\text{SO}_4$  кипятят 7 час., упаривают, остаток растворяют в  $\text{CHCl}_3$ , из р-ра выделяют метиловый эфир V, выход 82%, т. пл. 40—42° (из изопропилового эф.-гексана). 0,035 моля IX, 0,038 моля II и 1 каплю конц.  $\text{H}_2\text{SO}_4$  в 25 мл воды перемешивают 3 часа при 50°, извлекают эфиром VIII, выход 61%, т. пл. 44—45° (из  $\text{CCl}_4$ -гексана). Кипячением 0,01 моля V с 0,04 моля  $\text{CH}_3\text{COCl}$  в 5 мл  $\text{CHCl}_3$  (2 часа) получена  $\alpha$ -ацетокси- $\beta,\beta$ -динитромасляная к-та (X), выход 96%, т. пл. 128—128,5° (из  $\text{CHCl}_3$ ). Из 0,01 моля V и 10 мл  $(\text{CF}_3\text{CO})_2\text{O}$  (1 час при кипячении) образуется  $\alpha$ -трифторацетокси- $\beta,\beta$ -динитромасляная к-та, выход колич., т. пл. 131—131,5°, менее устойчивая, чем X. Кипячением 0,062 моля метилового эфира V со 100 мл  $\text{CH}_3\text{COCl}$  (6 час.) получен метиловый эфир X, выход 64%, т. кип. 80—91°/0,3 мм,  $n_D^{25} 1,4480$ . Аналогично получен этиловый эфир X, выход 75%, т. кип. 106—107°/0,05 мм,  $n_D^{25} 1,4435$ . 0,01 моля  $\text{NH}_2\text{NH}_2 \cdot \text{H}_2\text{O}$  смешивают с 0,01 моля VIII в 15 мл спирта при 10°, через 1 час отфильтровывают гидразиновою соль II, выход 69%, т. пл. 135—136° (разл.). Действием сухого  $\text{NH}_3$  на VIII в  $\text{C}_6\text{H}_6$  получена  $\text{NH}_4$ -соль II, выход 63%, т. пл. 117—118° (разл.). 0,072 моля III в 10 мл воды нейтрализуют 20%-ным р-ром KOH и прибавляют за 15 мин. к 0,072 моля К-соли I в 40 мл воды при 20°, через 2 часа подкисляют 20%-ной  $\text{H}_2\text{SO}_4$ , извлекают эфиром IV, выход 66%, т. пл. 131,5—132° (из 2-нитропропана-хлф.). 0,028 моля IV, 50 мл  $\text{CH}_3\text{OH}$  и 5 капель конц.  $\text{H}_2\text{SO}_4$  кипятят 16 час., выделяют метиловый эфир  $\alpha$ -метокси- $\beta,\beta$ -динитропропионовой к-ты, выход 55% т. пл. 60—61° (из изопропилового эф.-гексана). Нагревают смесь 0,04 моля IX и 0,04 моля К-соли I в 20 мл воды, отфильтровывают К-соль VII, выход 90%, т. пл. 144° (разл.; из воды). К 0,12 моля этой соли добавляют 200 мл воды, подкисляют 20%-ной  $\text{H}_2\text{SO}_4$ , получают VII, выход 94%,  $n_D^{25} 1,4573$ . К 0,04 моля К-соли VII в 100 мл спирта добавляют 0,028 моля конц.  $\text{H}_2\text{SO}_4$  при 5°, кипятят 7 час., выделяют этиловый эфир  $\alpha$ -этоксис- $\beta,\beta$ -динитропропионовой к-ты, выход 74%, т. кип. 89—91,5°/0,7 мм,  $n_D^{25} 1,4397$ . 15 мл  $(\text{CF}_3\text{CO})_2\text{O}$  прибавляют к 0,024 моля VII в 0,028 моля  $\text{CH}_3\text{COOH}$  при охлаждении льдом, поднимают за 1 час т-ру до 20°, упаривают, получают этиловый эфир  $\alpha$ -ацетокси-

0,8-динитропропионовой к-ты (XI), выход 89%, т. пл. 54–54,5° (из бал.-гексана). К 0,05 моля К-соли VII в 50 мл  $\text{CH}_2\text{Cl}_2$  добавляют при охлаждении льдом 0,07 моля  $\text{Cl}_2$  в 50 мл  $\text{CH}_2\text{Cl}_2$ , через 15 мин. фильтруют, упаривают, получают этиловый эфир  $\alpha$ -окси- $\beta$ -хлор-0,8-динитропропионовой к-ты, выход 94%, т. кип. 70°/0,2 мм,  $n_D^{25}$  1,4419, который при действии  $\text{CH}_3\text{COCl}$  (кипчение, 4 часа) дает этиловый эфир  $\alpha$ -ацетокси- $\beta$ -хлор-0,8-динитропропионовой к-ты, выход 30%, т. кип. 67–69°/0,01 мм,  $n_D^{25}$  1,4484. Последний при обработке KJ (в водн.  $\text{CH}_3\text{OH}$ ) и затем 20%-ной  $\text{H}_2\text{SO}_4$  дает XI; К-соль, т. пл. 122° (разл.). При действии избытка 35%-ного р-ра КОН на водн. р-р 2,2-динитропропандиола образуется К-соль 2,2-динитроэтанола; 15,1 г этой соли добавляют к р-ру 0,1 моля КОН в 80 мл воды, за 5 мин. прибавляют 0,18 моля 30%-ной  $\text{H}_2\text{O}_2$  (т-ра возрастает до 45°), нагревают 40 мин., добавляют за 15 мин. еще 0,18 моля  $\text{H}_2\text{O}_2$ , нагревают 15 мин., отфильтровывают К-соль I. Все К-соли хранят только во влажном состоянии и непродолжительное время.

А. Файнзилбергер

57354. Специфические протоноакцепторы как вспомогательные основания при реакциях алкилирования и дегидрогалогенирования. Хюниг, Киссель (Spezifische Protonenacceptoren als Hilfsbasen bei Alkylierungs- und Dehydrohalogenierungsreaktionen. Hünig Siegfried, Kiesel Max), Chem. Ber., 1958, 91, № 2, 380–392 (нем.)

При алкилировании аминов и синтезе олефинов из алкилгалогенидов или  $\alpha$ -галогидэфиров используют в качестве вспомогательных оснований (ВО) для связывания к-ты этилдиизопропиламин (I), этилдициклогексилламин (II) и три-(2-оксипропил)-амин (III), ВО сильные основания, практически не алкилируются. При их применении перечисленные р-ции протекают с лучшими выходами, чем описано ранее. 0,1 моля (изо- $\text{C}_3\text{H}_7$ ) $_2\text{NH}$  (IV) и 0,1 моля I нагревают (в отсутствие влаги воздуха) до 110°, за 0,5 часа прибавляют  $(\text{C}_2\text{H}_5)_2\text{SO}_4$  (V), медленно нагревают до 140°. Через 3,5 часа охлаждают, прибавляют 0,3 моля  $\text{NH}_2\text{CH}_2\text{CH}_2\text{OH}$ , отгоняют IV (возврат 1 г), обрабатывают водой, амины перегоняют над КОН, выделяют I, выход 90%, т. кип. 127–128°. Без добавления I (130°, 5 час.) выход I 89%. 0,1 моля дициклогексилламина (VI) и 0,1 моля II нагревают до 90°, прибавляют V, нагревая до 110°. Через 2,5 часа при 80° подщелачивают, извлекают эфиром, перегоняют, возврат VI 3,3 г, выход II 91%, т. кип. 142–143°/13 мм. В отсутствие II (24 часа, 90°) выход II 96%. 0,1 моля  $\text{C}_6\text{H}_5\text{NH}_2$ , 0,22 моля  $n\text{-C}_4\text{H}_9\text{Br}$  и 0,3 моля III нагревают 2 часа при 100–110°, затем 2 часа при 180°, выделяют  $\text{C}_6\text{H}_5\text{N}(\text{C}_4\text{H}_9)_2$  (VII), выход 95%, т. кип. 151°/15 мм. С I выход VII 97%, с II 97%. К 0,15 моля III, нагретого до 180°, прибавляют за 1 час 0,1 моля  $\text{C}_6\text{H}_{17}\text{Br}$  и нагревают 14 час., из дистиллята выделяют октен-1 (VIII), выход 32%. С II выход VIII 99% (содержит 0,8% октена-2). 0,1 моля  $\text{C}_{12}\text{H}_{25}\text{Br}$  и 0,15 моля II кипятят в течение 20 час. при 190°, из фильтрата выделяют додецен-1, выход 98%, который содержит 1,4% додецена-2. К 0,225 моля II при 140° прибавляют 0,15 моля 1,2-дибром-2-метилпропана (синтезирован по методу, описанному ранее, см. РЖХим, 1956, 46825), через 5,5 часа перегоняют (дистиллят А) (т-ра бани 140°), остаток перегоняют с паром, перегонкой органич. слоя дистиллята с дистиллятом А выделяют 1-бром-2-метилпропен-1 (IX), выход 77%; с III выход IX 58%. К 0,166 моля II при 80° прибавляют 0,126 моля  $\text{трет-C}_6\text{H}_{11}\text{Br}$  и нагревают 1,5 часа, одновременно отгоняя 2-метилбутен (X), остаток обрабатывают абс.  $\text{C}_6\text{H}_5\text{CN}$ , из фильтрата выделяют X, выход 100% (содержит 77% 2-метилбутена-2 и 18% 2-метилбутена-1). С III выход X 88%. 0,2 моля ВО и 0,1 моля

$\text{CH}_2\text{CHClOCH}_2\text{CH}_3$  кипятят 0,5 часа и перегоняют  $\text{CH}_2=\text{CHOC}_2\text{H}_5$  (XI) (перечислены ВО, выход XI в %):  $\text{C}_6\text{H}_5\text{N}(\text{CH}_3)_2$ , 35; пиридин, 38;  $(\text{C}_2\text{H}_5)_3\text{N}$ , 47; III, 20; II, 80; I, 82. К 0,2 моля II при 100° прибавляют 0,1 моля  $\text{ClCH}_2\text{CH}_2\text{OC}_4\text{H}_9$ , кипятят 1 час, через ~12 час. ~20° из фильтрата выделяют  $\text{CH}_2=\text{CHOC}_4\text{H}_9$ , выход 53%. 0,11 моля II и 0,1 моля  $\text{CH}_2\text{ClCHClOCH}_2\text{C}_6\text{H}_5$  нагревают 30 час. при 60°, из фильтрата выделяют  $\text{ClCH}=\text{CHOC}_4\text{H}_9$ , выход 86%.

Е. Караулова

57355. Октакис- и нонакис-цикло- $\epsilon$ -аминокапроил. Цан, Кунде (Октакис- und Nonakis-cyclo- $\epsilon$ -aminocaproyl. Zahn H., Kunde J.), Angew. Chem., 1958, 70, № 7, 189 (нем.)

Синтезированы циклич. октамер и нонамер  $\epsilon$ -аминокапроновой к-ты:  $\text{A}_8$  [I, где  $\text{A} = -\text{NH}(\text{CH}_2)_5\text{CO}-$ ] и  $\text{A}_9$  (II). Конденсацией  $\text{C}_6\text{H}_5\text{CH}_2\text{OCOA}_2\text{OH}$  с  $\text{HCl} \cdot \text{NaOCH}_3$  (III), (т. пл. 198°) получен  $\text{C}_6\text{H}_5\text{CH}_2\text{OCOA}_3\text{OCH}_3$  (т. пл. 178°), превращенный в гидразид  $\text{C}_6\text{H}_5\text{CH}_2\text{OCOA}_3\text{NHNH}_2$  (т. пл. 198°). Последний после отщепления карбобензоксигруппы и превращения в азид циклизован в водн.  $\text{HCOOH}$  при pH 8 в I, очищен с помощью нонита, выход I 25%, т. пл. 226–230°. Аналогично из  $\text{C}_6\text{H}_5\text{CH}_2\text{OCOA}_3\text{OH}$  и III через  $\text{C}_6\text{H}_5\text{CH}_2\text{OCOA}_3\text{OCH}_3$  (т. пл. 184°) и  $\text{C}_6\text{H}_5\text{CH}_2\text{OCOA}_3\text{NHNH}_2$  (т. пл. 205°) получен II, выход 22%, т. пл. 224–226°.

А. Берлин

57356. Синтез и превращения виниловых эфиров этаноламинов. Сообщение 9. Четвертичные аммониевые соли виниловых эфиров этаноламинов. Шостаковский М. Ф., Чекулаева И. А., Изв. АН СССР, Отд. хим. н., 1958, № 2, 204–209

С целью исследования реакционной способности двойной связи  $\text{CH}_2=\text{CHOCCH}_2\text{CH}_2\text{NR}_2$  (I) и исключения влияния  $\text{NH}_2$ -группы присоединением  $\text{RX}$  (где X — галоид) к азоту синтезированы I (а  $\text{R} = \text{C}_2\text{H}_5$ , б  $\text{R} = \text{C}_6\text{H}_5$ ) и  $(\text{CH}_2=\text{CHOCCH}_2\text{CH}_2)_3\text{N}$  (II), а также продукты присоединения  $\text{CH}_3\text{J}$ ,  $\text{C}_2\text{H}_5\text{J}$  и  $\text{C}_6\text{H}_5\text{Br}$  к Ia:  $[\text{CH}_2=\text{CHOCCH}_2\text{CH}_2\text{N}(\text{CH}_3)(\text{C}_2\text{H}_5)_2]\text{J}$  (III),  $[\text{CH}_2=\text{CHOCCH}_2\text{CH}_2\text{N}(\text{C}_2\text{H}_5)_3]\text{J}$  (IV) и  $[\text{CH}_2=\text{CHOCCH}_2\text{CH}_2\text{N}(\text{C}_6\text{H}_5)_3]\text{Br}$  (V). При синтезе III–V при 20°  $\text{RX}$  не присоединяется по двойной связи, что подтверждено гидролизом III–V 2%-ной  $\text{H}_2\text{SO}_4$  с образованием с колич. выходом  $\text{CH}_3\text{CHO}$  и  $[\text{HOCH}_2\text{CH}_2\text{NR}_2]\text{X}$ . 16 не реагирует с  $\text{CH}_3\text{J}$  даже при 40°. II с  $\text{RX}$  дает  $[(\text{CH}_2=\text{CHOCCH}_2\text{CH}_2)_3\text{NR}_2]\text{X}$ , который под действием ионных катализаторов легко полимеризуется. Вследствие легкости гидролиза III–V они не подвергаются превращению по нонуному механизму. III–V при нагревании до 150° разлагаются, что осложняет их полимеризацию. Последнюю проводили при т-ре плавления соли с  $\text{FeCl}_3$ , конц.  $\text{HCl}$  и эфиром  $\text{BF}_3$ , при этом установлено, что  $\text{FeCl}_3$  не вызывает полимеризацию, а  $\text{HCl}$  и эфират  $\text{BF}_3$  способствуют гидролизу и распаду. При нагревании III и IV с  $\text{CH}_3\text{COOH}$  при 50–60° получены  $[\text{CH}_2\text{CH}(\text{OOCCH}_3)\text{OCH}_2\text{CH}_2\text{NR}_2]\text{X}$  (VI). III–V под влиянием 2% динитрила азотомасляной к-ты при 60° в спирт. р-ре сополимеризуются с метилметакрилатом. К р-ру 0,14 моля Ia (т. кип. 155–157°,  $n_D^{20}$  1,4325) в 25 мл безводн. эфира прибавляют по каплям 0,14 моля  $\text{CH}_3\text{J}$  (т. кип. 42–43°) при перемешивании, смесь выдерживают определенное время при 25–30°, отфильтровывают, промывают эфиром и сушат в вакууме над щелочью, выделяют III, выход через 4 часа р-ции 19–20%, через 22 часа 72–74%, через 3 дня 77–80%, т. пл. 89–90°. III гидролизуют 2%-ной  $\text{H}_2\text{SO}_4$  за 30 мин. на 98,9%. Аналогично из 0,19 моля Ia и 0,24 моля  $\text{C}_2\text{H}_5\text{J}$  (т. кип. 72°) при 16° через 8 час. выделяют IV, выход 10%, т. пл. 100–101°. Смесь 0,14 моля Ia и 0,14 моля  $\text{C}_6\text{H}_5\text{Br}$  (т. кип. 38–39°) выдерживают 7 дней при 20°, выделяют V, выход 2,5%, через 21 день 15%, т. пл. 94–95°. Р-р 0,04 моля III в 0,04 моля лед.  $\text{CH}_3\text{COOH}$  нагревают 5 час. при 70–



80°, реакционную смесь растворяют в ацетоне, эфиром высаживают 3,7 г VI ( $R_3 = CH_3(C_2H_5)_2$ ,  $X = J$ ), т. пл. 101—102° (из  $CH_3OH$  осаждали эфиром), из маточного р-ра дополнительно выделяют 3,1 г неочищ. VI. Аналогично из 0,04 моля IV получено 1,4 г VI ( $R = C_2H_5$ ,  $X = J$ ), т. пл. 110—111°. К р-ру 7—8 г III—V в 5—7 мл спирта добавляют каплю конц. HCl или  $H_2SO_4$ , получают  $[HOCH_2CH_2NR_3]X$ , выход 90—95% (приведены R, X, т. пл. в °C):  $R_3 = CH_3(C_2H_5)_2$ , J, 255—256;  $C_2H_5$ , J, 259—260;  $C_2H_5$ , Br, 256—257. Сообщение 8 см. РЖХим, 1957, 54350.

В. Тынякина  
57357. Исследование диазометанов. X. Об образовании диазометана из метиламина и хлористого нитрозила. Мюллер, Рундель (Untersuchungen an Diazomethanen. X. Über die Bildung von Diazomethan aus Methylamin und Nitrosylchlorid. Müller Eugen, Rundel Wolfgang, Chem. Ber., 1958, 91, № 2, 466—468 (нем.).

При взаимодействии  $CH_3NH_2$  (I) с  $NOCl$  (II) в эфире образуется  $CH_3N_2$  (III). Предполагаемый механизм образования III — через стадию «диазотат»-аниона  $[CH_3NN=O]^-$ , образующегося, в свою очередь, в результате взаимодействия II с 3 молекулами I. К 50 мл эфирн. р-ра 0,04—0,045 моля I (атмосфера  $N_2$ ) при —80° за 1—2 часа прибавляют охлажд. до 0° р-р 0,012—0,015 моля II в 50 мл абс. эфира, эфирн. р-р сливают и прибавляют к избытку эфирн. р-ра *n*-нитробензойной к-ты, выделяют метил-*m*-нитробензоат, выход (неочищ.) 23—25% (на II). Сообщение IX см. РЖХим, 1958, 36110.

Е. Караулова

57358. Химия ацетиленовых эфиров. XXVII. Реакции 1,1-диазида-1-этоксипропана с нуклеофильными реагентами. Синнема, Аренс (Chemistry of acetylenic ethers. XXVII. Reactions of 1,1-diazo-1-ethoxyethane with nucleophilic reagents. Sinnema Y. A., Arens J. F.), Recueil trav. chim., 1957, 76, № 11, 949—961 (англ.).

Сильные нуклеофильные реагенты при взаимодействии с 1,1-диазида-1-этоксипропаном (I) замещают обе азидогруппы; слабые реагируют при нагревании. При действии  $HN_3$  происходит восстановительное отщепление азидогруппы с образованием ненасыщ. альдегидов. К 3,45 г Na в 100 мл абс. спирта добавляют 0,15 моля этилмеркаптана (II) и после охлаждения по каплям 0,075 моля I, через 1 час при 20° выделяют 90%  $NaN_3$  и 5,3 г 1,1-бис-этилтио-1-этоксипропана (III), т. кип. 102—102,5°/10 мм,  $n_D^{20}$  1,4948. Та же р-ция в III без спирта дает лишь диэтилсульфид и этилацетамид. Взаимодействием 0,4 г III и 1,8 г анилина (IV) (130—170°, 7 час.) получают 70% *N,N*-дифенилацетамидина, т. пл. 131—132° (из сп.). 0,089 моля 1-этоксипропана и р-р 0,332 моля  $HN_3$  в 75 мл  $C_6H_6$  при 20° за 20 час. дают 37% 1,1-диазида-1-этоксипропана (V), т. кип. 46—47°/9 мм,  $n_D^{20}$  1,4483. Из 0,024 моля V и 12 г IV (80—90°, 14 час.) выделяют 40% 1-фенил-5-этилтетразола, т. пл. 46,5—47,5° (из водн. сп., 2:1). Взаимодействием 0,075 моля I в 25 мл толуола с 0,258 моля II (60°, 6 час.) и стоянием 48 час. получают 17% 5-метилтетразола, т. пл. 145—146° (из амл-ацетата). По 0,1 моля I и  $CH_3COOH$  нагревают в 15 мл сухого  $C_6H_6$  9 час. от 65 до 85°, получают 0,7 г смеси 1-азидо-1-этоксипропана (VI) и 1-этоксипропана (VII), которая при гидролизе в спирт.  $H_2SO_4$  с 2,4-динитрофенилгидразином (VIII) дает 2,4-динитрофенилгидразон (ДНФГ) ацетальдегида, т. пл. 143—144,5°, и 4,3 г VII, т. кип. 55—56°/45 мм,  $n_D^{20}$  1,3927; кроме того, выделено 2,65 г этилового эфира *N*-ацетилглицина, т. пл. 47—48° (из абс. сп.). Из 0,044 моля I и 0,045 моля  $CH_3COOH$  в 10 мл сухого  $C_6H_6$  при 65—85° за 12 час. получают 1,3 г этилового эфира *N*-ацетилаланина, т. кип. 129—131°/10 мм, т. пл. 38—39° (из хлф.). Взаимодействием 0,1 моля I и 0,1 моля про-

пионовой к-ты в 15 мл сухого  $C_6H_6$  при 60—80° за 7 час. получают 1 г этилового эфира *N*-пропионилглицина, т. кип. 131—133°/4 мм, т. пл. 51—52°. Из 0,01 моля I и 0,029 моля  $HN_3$  в 6,5 мл бэл. при 75—85° за 9 час. получают 20% VI. Смесь 0,055 моля 1-этоксипропана и 0,256 моля  $HN_3$  в 60 мл  $C_6H_6$  при 15—70° за 8 час. дает 5,6 г 1-азидо-1-этоксипропана, т. кип. 96—97°/14 мм,  $n_D^{20}$  1,4453, который при гидролизе в спирт.  $H_2SO_4$  с VIII дает ДНФГ β-метилкротонового альдегида, т. пл. 177—178° (из сп.). Также из 1-этоксипропана и  $HN_3$  получают 1,7 г 1-азидо-1-этоксипропана, т. кип. 94—95°/11 мм,  $n_D^{20}$  1,4435, который со спирт.  $H_2SO_4$  и VIII дает ДНФГ кротонового альдегида, т. пл. 183—185° (из сп.). Нагреванием 0,05 моля фенилазида с 0,154 моля тиофенола (160—180°, 0,5 часа) получают 58% дифенилдисульфида, т. пл. 57—58,5° (из сп.), и 54% анилина. Сообщение XXVI см. РЖХим, 1958, 46660.

Е. Доминина

57359. Химия ацетиленовых эфиров. XXVIII. α,α-Дихлордиэтиловый эфир и его использование для приготовления хлористых ацилов. Хеслинг, Катерберг, Аренс (Chemistry of acetylenic ethers. XXVIII. α,α-Dichlorodiethyl ether and its use for the preparation of acyl chlorides. Hesling L., Katerberg G. J., Arens J. F.), Recueil trav. chim., 1957, 76, № 11, 969—981 (англ.).

α,α-Дихлордиэтиловый эфир (I), полученный прибавлением 2 экв HCl к этоксиацетилену (II), с карбонными к-тами (III) образует хлористые ацилы (IV). Полученный из трихлорэтилена α,α,β-трихлордиэтиловый эфир (V) при р-ции с III также дает IV. Из р-ра 1,67 моля II в 700 мл абс. эфира и сухого HCl-газа при перемешивании и т-ре от —5 до +5° получают 73% I, т. кип. 104,5—105,5°,  $n_D^{20}$  1,4261,  $d_{20}^{20}$  1,121. К 0,07 моля III по каплям за 5—10 мин. прибавляют 0,07—0,085 моля I, кипятят 30 мин. при 125—135°, охлаждают, получают соответствующий IV, этилацетат и HCl-газ. Проведены следующие р-ции I с III (перечисляются к-та, т-ра р-ции в °C, выход IV в %, его т. кип. в °C/мм,  $n_D^{20}$ ):  $CH_3COOH$ , 20, 70, 52—53, 1,3889;  $CH_3(CH_2)_2COOH$  (VI), 40, 69, 101—103, 1,4117;  $CH_3(CH_2)_4COOH$ , 65, 97, 85—86,5/15, 1,4350;  $CH_2=CHCOOH$ , 20, 61, — (анилид, т. пл. 104,5—106°);  $CH_3CH=CHCOOH$ , 45, 79, 122—126, 1,4570;  $C_6H_5COOH$  (VII), 80, 85, 84,5—85,5/17, 1,5526;  $C_6H_5CH_2COOH$  (VIII), 35, 86, 103—104/19, 1,5323; 3,5-динитробензойная к-та, 105, 76, 204,5/20, — (т. пл. 65,5—67,5°);  $C_6H_5CH=CHCOOH$  (IX), 80, 91, 130,5—133,5/13, — (т. пл. 33—35°); фталилглицин, 100, 96, — (т. пл. 85—86,5°); фталил-L-лейцин, 80, 100, — (анилид, 78%, т. пл. 153,5—155°);  $(COOH)_2$  разлагается с выделением  $CO$ ,  $CO_2$  и HCl;  $HOOC(CH_2)_2COOH$ , 110—120, 21, 88—91/15, — (дианилид 68%, т. пл. 225—226°) и 65% ангидрида (к-ту прибавляют к I). Р-р 0,72 моля α,β-дихлорвинилового эфира (X) (получение см. Stephens O. C., J. Soc. Chem. Ind., 1924, 43, т. 313/4, 328/8) в 100 мл абс. эфира насыщают HCl-газом 2,5 часа при т-ре от —9 до +5°, выдерживают при 0° неделю, получают 88% V, т. кип. 51—52°/13 мм,  $n_D^{20}$  1,4605,  $d_{20}^{20}$  1,314. При взаимодействии V с III получают IV (перечисляются к-та, т-ра р-ции в °C, выход IV в %): VII, 105, 72; VIII, 70, 88; IX, 105, 94. Кипячением (4 часа) 96 ммоль V с 7,5 ммоль  $AlCl_3$  получают 66% монохлорацетила хлорида, т. кип. 105—106°. Также из I и  $AlCl_3$  получают 57%  $CH_3COCl$ . Разложением V без  $AlCl_3$  получают в основном X. Из 0,11 моля этилового эфира этоксидихлорацетата и 0,1 моля VI перемешиванием 5,5 часа при 110—115° и 30 мин. при 155° получают 59%  $CH_3(CH_2)_2COCl$  и 17,9 г неочищ. диэтилоксалата, т. кип. 80—95°/15 мм. Приведены ИК-спектры I и V.

Суренно I и V доказано их взаимодействием с  $\text{C}_2\text{H}_5\text{ONa}$ ,  $\text{H}_2\text{O}$  и I с  $\text{CH}_3\text{COONa}$ . А. Волков

57360. Химия ацетиленовых эфиров. XXIX. Реакции ацетиленовых эфиров с некоторыми ароматическими изотиоцианатами. Образование производных 2-хинолонов. Н. Вивенхейс, Аренс (Chemistry of acetylenic ethers. XXIX. Reactions of acetylenic ethers with some aromatic isocyanates. Formation of derivatives of 2-quinolone. Nieuwenhuis J., Arens J. F.), Recueil trav. chim., 1957, 76, № 11, 999—1004 (англ.). Фенилизотионат (I) (0,038 моля) в  $\text{CH}_3\text{NO}_2$  (10 мл) медленно реагирует с  $\text{C}_2\text{H}_5\text{OC}\equiv\text{CH}$  (0,043 моля) при 18° и через 6 недель дает 42% 4-этоксихинолона-2 (II), т. пл. 225° (из сп.-баз.). В эфире или диоксане выход 5%, без р-рителя 20%. Из 0,02 моля *n*-толилизотионата через 3 недели получают 1,1 г 4-этокс-6-метилхинолона-2, т. пл. 225,5—227° (из баз.). Строение II доказано метилированием (кипчение с  $\text{NaOH}$  и  $\text{CH}_3\text{I}$  с  $\text{CH}_3\text{OH}$ , улавливание и извлечение  $\text{CHCl}_3$ ) в 4-этокс-1-метилхинолон-2 (III), т. пл. 87,5—88° (из петр. эф.); дигидрат, т. пл. 49°, и превращением III (кипчение с 20%-ной  $\text{HCl}$  2,5 часа) в 4-окс-1-метилхинолон-2, т. пл. 258,5—259° (из воды). 0,076 моля I в эфире прибавляют при т-ре от -15 до -20° к  $\text{C}_2\text{H}_5\text{SC}\equiv\text{CMgBr}$  (из 0,1 моля  $\text{C}_2\text{H}_5\text{SC}\equiv\text{CH}$  и 48 мл 2,46 М  $\text{C}_2\text{H}_5\text{MgBr}$ ) и размешивают при 0° 1 час. Выход  $\text{C}_6\text{H}_5\text{NHCOC}\equiv\text{CSC}_2\text{H}_5$  51%, т. пл. 75—75,5° (из баз.-петр. эф.). С  $\text{C}_2\text{H}_5\text{SC}\equiv\text{CLi}$  выход ниже,  $\text{C}_2\text{H}_5\text{OC}\equiv\text{CLi}$  с I дает масло, содержащее, по-видимому, неустойчивый  $\text{C}_6\text{H}_5\text{NHCOC}\equiv\text{COC}_2\text{H}_5$ , и тример I, т. пл. 273°. Даны УФ- и ИК-спектры полученных соединений. М. Шварцберг

57361. О разделении комплексов мочевины с неразветвленными углеводородами путем экстракционной кристаллизации. Гу И-цзянь, Ян Кэ-цзяй, Ли Жэнь-тао, Цзинь Чжэнь-шэнь, Цзэн Сянь-моу (Guo Yi-chein, Yen Ko-chu, Nee Jen-tou, Chin Cheng-sheng, Tseng Hsien-mou), Жаньяо сюэбао, Acta focalia sinica, 1957, 2, № 1, 73—76 (кит.).

Приведено описание лабораторных опытов по получению крупных легкофильтрующихся кристаллов комплекса мочевины с углеводородами прямой цепи. Добавление поверхностноактивных в-в способствует более селективному извлечению *n*-парафинов, а также способствует образованию крупной формы комплексов.

Сун Ин-чжу

57362. Озонирование третичных аминов (фосфинов и аринов), а также тиоэфиров и дисульфидов. Хорнер, Шефер, Людвиг (Ozonisierung von tertiären Aminen (Phosphinen und Arsenen) sowie Thioäthern und Disulfiden. Horner Leopold, Schaefer Heinz, Ludwig Werner), Chem. Ber., 1958, 91, № 1, 75—81 (нем.).

Алифатические третичные амины (I) в виде оснований (но не солей) легко окисляются в окиси аминов (II) при пропускании через р-р 0,02 моля I в 100 мл  $\text{CHCl}_3$  2%-ной смеси  $\text{O}_3$  с  $\text{O}_2$  (—50°). II переводят в  $\text{HCl}$ -соль (очень гигроскопичны), из водн. р-ра которой осаждают пикрат II. Получены пикраты II (исходный амин, выход в %, т. пл. в °C):  $(\text{C}_4\text{H}_9)_3\text{N}$ , 70, 100;  $\text{CH}_3\text{N}(\text{C}_4\text{H}_9)_2$ , 92, 72;  $(\text{C}_2\text{H}_5)_2\text{NC}_4\text{H}_9$ , 87, 63;  $(\text{OHCH}_2)_3\text{N}$ , 25, 118;  $(\text{CH}_3)_2\text{NCH}_2\text{C}_6\text{H}_5$ , 82, 154; *N*-этилпиперидин, 78, 144—145; *N*-бензилпиперидин, 81, 127—128; *N*-фенилпиперидин, 12,5, 122;  $(\text{CH}_3)_2\text{NC}_6\text{H}_{11}$ -цикло, 68 (морфидрат). Сульфиды  $\text{RSR}'$  окисляются в сульфоксиды  $\text{RSOR}'$  (III) и далее в сульфоны  $\text{RSO}_2\text{R}'$  (IV), при этом арилалкилсульфиды реагируют труднее диалкилсульфидов, ароматич.  $\text{RSR}'$  дают только III, а эфиры тиокислот не окисляются совсем. Озонирование дисульфидов  $(\text{C}_6\text{H}_5\text{S})_2$  и  $(\text{C}_6\text{H}_5\text{CH}_2\text{S})_2$  приводит к эфирам  $\text{C}_6\text{H}_5\text{SO}_2\text{SC}_6\text{H}_5$  (23%) и  $\text{C}_6\text{H}_5\text{CH}_2\text{SO}_2\text{SCH}_2\text{C}_6\text{H}_5$  (86%). Озонирование  $\text{RSR}'$  проводится путем титрования в

р-ре  $\text{CH}_2\text{Cl}_2$ , перегиб кривой поглощения  $\text{O}_3$  указывает на окончание первой стадии р-ции. Получены III (приведены R, R', выход в %):  $\text{CH}_3$ ,  $\text{C}_6\text{H}_5$ , 92 (т. кип. 137°/13 мм);  $\text{C}_6\text{H}_5$ ,  $\text{C}_6\text{H}_5$ , 84;  $\text{CH}_2\text{COOH}$ ,  $\text{CH}_2\text{COOH}$ , 94 (в водн. р-ре). То же для IV: *n*- $\text{C}_4\text{H}_9$ , *n*- $\text{C}_4\text{H}_9$ , 98;  $\text{C}_3\text{H}_7$ , *изо*- $\text{C}_3\text{H}_7$ , 85 (т. кип. 120°/13 мм); *изо*- $\text{C}_5\text{H}_{11}$ , *изо*- $\text{C}_5\text{H}_{11}$ , 85;  $\text{R} + \text{R}' = (\text{CH}_2)_4$ , 84;  $\text{CH}_3$ ,  $\text{C}_6\text{H}_5$ , 100. Соответствующие окиси получены также из  $(\text{C}_6\text{H}_5)_3\text{P}$  и  $(\text{C}_6\text{H}_5)_3\text{As}$ . Не удалось получить определенных продуктов р-ции при озонировании  $\text{CH}_3\text{C}_6\text{H}_4\text{N}(\text{CH}_3)_2$  (*n*- и *m*-),  $\text{C}_6\text{H}_5\text{N}(\text{C}_2\text{H}_5)\text{C}_6\text{H}_5$ ,  $(\text{CH}_3)_2\text{NC}_{10}\text{H}_7$  ( $\alpha$ - и  $\beta$ -), *N*-этокс-этил-*N*-фенилбензиламина, некоторых замещ. пиперидинов, морфолинов и шиффовых оснований.

Г. Кондратьева

57363. Синтез некоторых ацеталей тиодиалядегидов. Гурвич С. М., Ж. общ. химии, 1957, 27, № 10, 2888—2890

Нагреванием ацеталей моногалогендиальдегидов с  $\text{Na}_2\text{S} \cdot 9\text{H}_2\text{O}$  в водн. спирте (3—6 час., 100—160°) синтезированы ацетали тиодиалядегидов (указаны выход в %, т. кип. в °C/мм,  $n_D^{20}$ ,  $d_4^{20}$ ):  $[(\text{RO})_2\text{CHCH}_2]_2\text{S}$  (I),  $\text{R} = \text{CH}_3$ , 68, 115—116/6 (125/10), 1,4590, 1,0781;  $\text{R} = \text{C}_2\text{H}_5$ , 67, 131/5 (126/4), 1,4495, 0,9876;  $(\text{RO})_2 = \text{OCH}_2\text{CH}_2\text{O}$ , 30, 136,5—138/4, 1,4945, 1,2028;  $[(\text{C}_2\text{H}_5\text{O})_2\text{CHCH}_2\text{CH}_2\text{CH}_2]_2\text{S}$ ,  $\text{R}' = \text{H}$ , 60, 152—154/4, 1,4511, 0,9785;  $\text{R}' = \text{CH}_3$ , 31, 149—154/3, 1,4570, 0,9628. Исходные  $(\text{RO})_2\text{CHCH}_2\text{Br}$  получены взаимодействием  $\text{Br}_2$  и  $\text{CH}_2 = \text{CHOCOC}_2\text{H}_5$  в  $\text{ROH}$ :  $\text{R} = \text{CH}_3$ , 55, 51,5—52,5/19, 1,4460, 1,4397;  $\text{R} = \text{C}_2\text{H}_5$ , 51, 62—63/15, —, —;  $(\text{RO})_2 = \text{OCH}_2\text{CH}_2\text{O}$ , 28, 63—66/9, 1,4800, 1,6172;  $(\text{C}_2\text{H}_5\text{O})_2\text{CHCH}_2\text{CH}_2\text{CH}_2\text{CH}_2\text{Cl}$  — взаимодействием  $\text{CH}_2\text{R}' = \text{CHCHO}$  и  $\text{C}_2\text{H}_5\text{OH}$ , насыщ.  $\text{HC}$ :  $\text{R}' = \text{H}$ , 28, 58—62/8, 1,4189, 0,9733;  $\text{R}' = \text{CH}_3$ , 20, 69—71/11, 1,4189, 1,9719. I являются эффективными пенообразователями при флотации полиметаллич. руд.

М. Шварцберг

57364. Изотиоцианаты. XXVI.  $\omega$ -Метилтиоалкилизотиоцианаты с прямой цепью и некоторые производные. Кер, Кристенсен (Isothiocyanates. XXVI. Straight-Chain  $\omega$ -methylthioalkyl isothiocyanates and some derivatives. Kjaer Anders, Christensen Bo), Acta chem. scand., 1957, 11, № 8, 1298—1307 (англ.).

Синтезированы  $\omega$ -метилтиоалкиламины и действием тиофосгена (I) превращены в  $\omega$ -метилтиоалкилизотиоцианаты  $\text{CH}_3\text{S}(\text{CH}_2)_n\text{NCS}$  (A) ( $n = 2—9$ ), которые при взаимодействии с  $\text{NH}_3$  и бензиламином (II) дают кристаллич. производные тиомочевины и бензилтиомочевины соответственно  $\text{CH}_3\text{S}(\text{CH}_2)_n\text{NHCSNH}_2$  (Б) и  $\text{CH}_3\text{S}(\text{CH}_2)_n\text{NHCSNHCH}_2\text{C}_6\text{H}_5$  (В). Р-цией  $\omega$ -метилтиоалкиламинов с фенилизотиоцианатом (III) получены кристаллич. производные фенилтиомочевины  $\text{C}_6\text{H}_5\text{NHCSNH}(\text{CH}_2)_n\text{SCH}_3$  (Г). Путем сравнения с синтетич. препаратом (по ИК-спектру и т-ре плавления) найдено, что продукт ферментативного расщепления глюкозида *Arabis alpina* L. представляет собой 1-бензил-3-(9-метилтиононил)-мочевину (IV), на основании чего сделано, что продукт ферментативного расщепления глюкозида *Arabis alpina* L. представляет собой 1-бензил-3-(9-метилсульфинил)лизоизотиоцианата. 27 г  $\text{CH}_3\text{SH}$  пропустили в р-р  $\text{CH}_3\text{ONa}$  (13 г Na, 350 мл  $\text{CH}_3\text{OH}$ ), добавляли 75 г 6-хлоргексанола (V), кипятили 3 часа, выделено 71 г 6-метилтиогексанола (VI), т. кип. 125°/9 мм,  $n_D^{25}$  1,4821. К 69 г VI в 40 мл  $\text{CHCl}_3$  при кипении прибавляли за 2 часа 58 г  $\text{SOCl}_2$ , получали 6-хлоргексилметилсульфид (VII), выход 81%, т. кип. 103—104°/9 мм,  $n_D^{25}$  1,4818. 30 г VII и 36,5 г калийфталмида в 310 мл диметилформамида перемешивали 5 час. при 100°, получали *N*-(6-метилтиогексил)-фталмид (VIII), выход 84%, т. пл. 51° (из пентана). 39 г VIII и 7,8 г 90%-ного  $\text{NH}_4\text{NH}_2 \cdot \text{H}_2\text{O}$  в 250 мл спирта кипятили 1 час, затем еще 1 час с 400 мл 7 н.  $\text{HCl}$ , выделяли 6-метилтиогексиламин (IX), т. кип. 104—105°/10 мм,  $n_D^{25}$  1,4814. Р-цией 1,5 моля IX с 1 молем 6-метилтиогексиллизоизотиоцианата в эфире по-



лучена 1,3-бис-(6-метилтиогексил)-тиомочевина (X), т. пл. 41° (из водн. сп.). По аналогии с превращением  $V \rightarrow VI \rightarrow VII \rightarrow VIII \rightarrow IX \rightarrow X$  получены (приведены выходы в %, т. кип. в °C/мм, т. пл. в °C,  $n_D^{25}$ ): 8-метилтиогектанол, 80, 143—145/10, —, 1,4788; 8-хлороктилметилсульфид, 73, 86/0,2, —, 1,4783; N-(8-метилтиооктил)-фталимид, 90, —, 46 (из гексана), —; 8-метилтиооктил-амин, —, 133/10, —, 1,4780; 1,3-бис-(8-метилтиооктил)-тиомочевина, —, —, 52 (из водн. сп.), —; 9-метилтионанол, 82, 161/12, 17, 1,4783; 9-хлоронилметилсульфид, —, 96/0,1, —, 1,4775; N-(9-метилтионил)-фталимид, ~100, —, —, 89 (из водн. сп.); 9-метилтионил-амин, 80, 145/11, —, —; 1,3-бис-(9-метилтионил)-тиомочевина, —, —, 60 (из водн. сп.), —; 9-метилтионил-амин превращен в N-(9-метилтионил)-бензамид, т. пл. 50° (из водн. сп.). Р-цией 16 г VII с 7 г NaCN в 35 мл полиэтиленгликоля (т-ра поднимается от 180 до 210° за 30 мин.) синтезирован 7-метилтиогептанитрил (XI), выход 68%, т. кип. 135—137°/10 мм,  $n_D^{25}$  1,4755. Из 9,8 г XI действием 5 г  $LiAlH_4$  в 100 мл эфира (в атмосфере  $N_2$ ) получили 7-метилтиогептиламин, выход 75%, т. кип. 118°/10 мм,  $n_D^{25}$  1,4799. Последний превращен в 1,3-бис-(7-метилтиогептил)-тиомочевину, т. пл. 45° (из водн. сп.). Для получения А (выход не более 50%) к 0,02 моля I в 20 мл  $CHCl_3$  добавляют 0,02 моля  $\omega$ -метилтиоалкиламина и 12 мл 5%-ного  $NaHCO_3$ , встряхивают 10 мин.; получены А (приводятся значения  $n$ , т. кип. в °C/мм,  $n_D^{25}$ ): 2, 85/2, 1,5767; 3, 121/12, 1,5610; 4, 136/12, 1,5518; 5, 155/10, 1,5422; 6, 119/0,5, 1,5336; 7, 117/0,3, 1,5274; 8, 122/0,3, 1,5242; 9, 130/0,2, 1,5189. При оставлении А на 12 час. в  $CH_3OH$ , насыщ.  $NH_3$  при 20°, образуются Б, выход ~100% (приведены значения  $n$ , т. пл. в °C): 2, 68 (из водн. сп.); 3, 66—67 (из этилацетата-пентана); 4, 53 (из  $CHCl_3$ -пентана); 5, 67,5 (из  $CHCl_3$ -пентана); 6, 73 (из водн. сп.); 7, 79 (из водн. сп.); 8, 76 (из водн. сп.); 9, 88 (из водн. сп.). Р-цией А с 1,5 моля II в эфире при 20° получены В [приведены значения  $n$ , т. пл. в °C (из водн. сп.)]: 2, 59; 3, 57; 4, 77—78 (из этилацетата-пентана); 5, 56—57; 6, 45; 7, 64; 8, 59; 9, 73 (XII); 10, 73. 581 мг XII нагревают с 585 мг  $AgNO_3$  в водн. спирте, добавляют 1 н. NaOH до pH 7, фильтрат разбавляют водой, выпадает IV, т. пл. 99,5° (из этилацетата). Кипячением  $\omega$ -метилтиоалкиламинов с небольшим избытком III (2 часа) получены Г [приводятся значения  $n$ , т. пл. в °C (из водн. сп. с добавлением разб. HCl)]: 2, 94; 3, 87—88; 4, 48—49; 5, 67; 6, 55; 7, 55,5; 8, 57—58; 9, 44. При хроматографировании Б ( $n = 2, 3, 4, 5, 6$ ) на бумаге (подвижная фаза — водн.  $CHCl_3$ ) значения  $R_{f, H_2O}$  равны соответственно 0,58, 0,83, 0,99, 1,12, 1,15. Вышние Б можно разделить, если подвижной фазой служит  $CHCl_3$ , а стационарной фазой — формамид. Сообщение XXV см. РЖХим, 1958, 14612.

А. Файнзильберг  
57365. Изотиоцианаты. XXIX. Разделение летучих изотиоцианатов с помощью газовой хроматографии. Кер, Ярт (Isothiocyanates. XXIX. Separation of volatile isothiocyanates by gas chromatography. Kjoer Anders, Jart Aage), Acta chem. scand., 1957, 11, № 8, 1423 (англ.)

В связи с тем, что при ферментативном гидролизе глюкозидов горчичного масла крестоцветных и некоторых других высших растений образуются смеси изотиоцианатов, исследована возможность применения газовой хроматографии для разделения летучих изотиоцианатов. Разделение проводили на силиконовой смазке, при пропускании азота (10 мг/мин.); длина колонки 2 м, давление на выходе 20 мм, общий перепад давления 4 мм. При хроматографировании 6,7 мг смеси, содержащей 14% метил-(I), 18% этил-(II), 17% изопропил-(III), 18,5%  $n$ -бутил-(IV) и 32% изометилтиоцианата (V) (т-ра процесса 68,5°) получены четкие линии I, IV и V и неразрешенная линия II + III. Чет-

кое разделение II и III удается осуществить при 30,5°. Предварительными опытами найдено, что при 40—50° удается разделить также III, 3-бутил- и аллилизотиоцианаты. Сообщения XXVII и XXVIII см. РЖХим, 1958, 17759; 28898.

А. Файнзильберг  
57366. Синтез замещенных алкилиденциклобутанов. Крисс, Вильямс, Шаркей (Synthesis of substituted alkylidenecyclobutanes. Cripps H. N., Williams J. K., Sharkey W. H.), J. Amer. Chem. Soc., 1958, 80, № 3, 751—752 (англ.)

Разработан метод синтеза 3-алкилиденциклобутанов взаимодействием алленов с замещ. олефинами. Аллен (I) с избытком акрилонитрила (II) при 175—225° дает нитрил 3-метиленициклобутанкарбоновой к-ты (III) нитрил, IV к-та (выход 60%, т. кип. 64—65°/21 мм,  $n_D^{25}$  1,4595) и 2,6 (или 2,7)-дициан-1,2,3,4,5,6,7,8-октагидронафталин (V), выход 15—20%, т. пл. 143,5—144,5°. V является главным продуктом при эквимолярном соотношении I и II; выход III в этом случае 15—20%. Строение III доказано превращением в IV; ангидрид, т. пл. 127—128°. Замещ. метиленициклобутаны получены также при р-ции I с метилакрилатом, метакрилонитрилом, акриловой к-той, метилметакрилатом, метакролеином,  $\alpha$ -ацетоксинакрилонитрилом, стиролом,  $\alpha$ -метилстиролом, 1,1-дифенилэтиленом, 4-винилпиридином и инденом; в ряде случаев выделены также соответствующие октагидронафталины. Циклобутаны синтезированы также при р-ции с замещ. алленами, в том числе с диэтиловым эфиром бутадиев-2,3-илмалоновой к-ты и 1-ацетоксипропаном-2,3. 1,1-диметилааллен и II дают нитрил 2,2-диметил-3-метиленициклобутанкарбоновой к-ты (т. кип. 111°/100 мм,  $n_D^{25}$  1,4503) и нитрил 3-изопропилениденциклобутанкарбоновой к-ты (т. кип. 138°/100 мм,  $n_D^{25}$  1,4691) с общим выходом 66%.

В. Бархаш

57367. О фотореакциях. VII. Синтез производных бензилциклобутена. Хорнер, Кирмзе, Мут (Über Lichtreaktionen. VII. Synthese von Derivaten des Benzocyclobutens. Horner Leopold, Kirmse Wolfgang, Muth Karl), Chem. Ber., 1958, 91, № 2, 430—437 (нем.)

При действии  $NH_2Cl$  (из 0,42 моля  $NaOCl$  и 0,84 моля  $NH_3$ ) на 2-оксиминоинданон-1 в 2 н. NaOH (0,175 моля) (5—6 час. при 0°) образуется 2-диазиноинданон-1 (I), выход 70%, т. пл. 89° (из петр. эф.), который при облучении кварцевой лампой (5—6 час.) в смеси тетрагидрофуран-вода (5:1) превращается с выходом 20—25% в бензилциклобутенкарбоную-1 к-ту (II), т. пл. 75° (из воды). Аналогично из 2-оксиминотетралона получен 2-диазотетралон, выход 57%, т. пл. 52—53° (из петр. эф.), который при облучении в аналогичных условиях превращается в инданкарбоную-1 к-ту (III), выход 35%, т. пл. 59° (из воды). 4,5-бензинданон-3 при действии  $iso-C_4H_9ONO$  в спирте в присутствии конц. HCl превращается в 2-изонитрозо-4,5-бензинданон-3, выход 80%, т. пл. 219° (разл.; из сп.), который аналогичным путем превращают в 2-диазо-4,5-бензинданон-3, выход 65%, т. пл. 102° (разл.; из петр. эф.). Этот диазокетон при облучении образует с выходом 7% 2,3-( $\alpha,\beta$ -нафто)-циклобутенкарбоную к-ту, т. пл. 139° (из воды). 5,6-триметилиндинанон-1 с  $iso-C_4H_9ONO$  в спирте в присутствии конц. HCl переходит в 2-изонитрозо-5,6-триметилиндинанон-1, выход 85%, т. пл. 202° (разл.; из сп.), из которого получен 2-диазо-5,6-триметилиндинанон-1, выход 46%, т. пл. 132° (разл.). Последний при облучении образует 4,5-триметилбензилциклобутенкарбоную-1 к-ту, выход 16%, т. пл. 133—134°. Диазоацетон превращается в этих условиях в аценафтенон, выход 27%. Строение II доказано встречным синтезом следующим путем.

Бромирование бензциклобутена N-бромсукцинимидом получен 1-бромбензциклобутен, выход 57%, т. пл. 55–59°/1 мм,  $n_D^{20}$  1,5945, превращенный в Mg-органич. соединение, которое при действии  $CO_2$  образует II с выходом 53%. II при окислении  $KMnO_4$  дает фталевую к-ту. При гидрировании II над Pt (из  $PO_4$ ) в  $CH_3COOH$  получена бицикло-[4,2,0]-октанкарбоновая-7 к-та (IV), т. пл. 80° (из воды). Сделана попытка получения IV встречным синтезом следующим путем. Бицикло-[4,2,0]-октен-7 при 0–10° присоединяет HBr, образуя 7-бромбицикло-[4,2,0]-октан, выход 82%, т. кип. 78°/12 мм, который превращен в Mg-органич. соединение. Последнее при действии  $CO_2$  образует, по-видимому, один из стереоизомеров IV (выход 40%, т. кип. 101°/1 мм,  $n_D^{20}$  1,4855), что подтверждается сходством ИК-спектров этого соединения и IV, полученного выше. При действии  $HN_3$  на II по Шмидту в  $CHCl_3$  (1 час при 35–40°) образуется смесь из 1-аминобензциклобутена, выход 55%; нитрат, т. пл. 208° (из водн. сп.); n-нитробензоильное производное, т. пл. 162° (из водн. сп.), и атроповой к-ты (V), выход 12%, т. пл. 107°. V образуется также при действии на II конц.  $H_2SO_4$  (20 мин. при 60°). Метилловый эфир II (т. кип. 64°/0,5 мм,  $n_D^{21}$  1,5330), получаемый либо облучением I в  $CH_3OH$  с выходом 3%, либо этерификацией II, при действии  $CH_3MgI$  превращается в диметил-(бензциклобутенил)-карбинол (VI), выход 63%, т. кип. 58–59°/0,5 мм,  $n_D^{20}$  1,5300. Из VI и  $(CH_3CO)_2O$  в присутствии конц.  $HCl$  получен ацетат VI, т. кип. 79–80°/0,8 мм. VI с конц.  $HCl$  (2 часа при 100°) превращается в диметил-(бензциклобутенил)-хлорметан, т. кип. 52°/0,5 мм. Действием  $C_6H_5MgBr$  на метилловый эфир II получен диметил-(бензциклобутенил-1)-карбинол, выход 40%, т. пл. 119° (из сп.), полимеризующийся при действии  $HCl$ . Приведены кривые УФ-спектров II и III. Сообщение VI см. РЖХим, 1957, 60524. В. Дашунин

57368. Исследования в области аналогов стероидных гормонов. I. Получение 3-(4'-кетотетрагидро-2-метилциклопентанола-1). Максимов В. И., Прякина З. А., Ж. общ. химии, 1958, 28, № 1, 246–253

Описан синтез 3-(4'-кетотетрагидро-2-метилциклопентанола-1) (I), промежуточного продукта в синтезе аналогов стероидных гормонов, не содержащих кольца С. К Na-производному пропонилюксусного эфира (II эфир) (из 10 г II, 1,8 г Na и 150 мл эфира) за 40 мин. прибавляют р-р 15,9 г n-метокси-о-бромфенона (III) в 150 мл эфира, кипятят 1 час и получают неочищ. этиловый эфир n-метокси-пропонилюксусной к-ты (IV), выход 20 г. 30 г неочищ. IV и 800 мл 2%-ного р-ра NaOH при перемешивании нагревают 6 час. при 40–50°, кипятят 10 мин. и получают  $\Delta^2$ -3-(n-метоксифенил)-2-метилциклопентенон-1 (V) [выход 45,6%, т. кип. 142–145°/1 мм, т. пл. 61–62° (из этилацетата)]; семикарбамид (СК), т. разл. 238–239°, при гидрировании 10 г которого над 20 г 2%-ного  $Pd/CaCO_3$  в 300 мл  $CH_3OH$ , содержащего 0,2 г KOH, образовался 3-(n-метоксифенил)-2-метилциклопентанон-1 (VI) (выход 95,5%, т. кип. 115–116°/2 мм,  $n_D^{20}$  1,542; СК, т. пл. 217,5–218,5°), которому авторы придают *cis*-строение. При гидрировании V в кислой среде присоединялось 1 моль  $H_2$  и получалось насыщ. в-во, не содержащее  $CO$ -группы. 14 г VI в 280 мл лед.  $CH_3COOH$  и 280 мл  $HBr$  (d 1,46) кипятят 2,5 часа и получают 3-(n-оксифенил)-2-метилциклопентанон [выход 89,5%, т. пл. 138–139° (из этилацетата или 50%-ного сп.)], превращенный затем (в ацетофеноне) в 3-(n-бензоксифенил)-2-метилциклопентанон (VII), выход 79,4%, т. пл. 79–79,7° (из 80%-ного сп.). Восстановление VII  $LiAlH_4$  привело к 3-(n-бензоксифенил)-2-метил-

циклопентанолу-1 [выход 98%, т. пл. 75,5–76° (из бzl.-бzl.)]; бензоат (VIII) т. пл. 70,5–71,5° (из бzl.-бzl.), в котором, как полагают авторы, OH-группа занимает *cis*-положение. Для дебензилирования VIII (3 г) гидрируют с 2,5%-ным  $Pd/BaSO_4$  (3 г) и получают 1-бензоат 3-(n-оксифенил)-2-метилциклопентанола-1 (IX), выход 93%, т. пл. 108,8–109,5°. При проведении этой р-ции при 40° образовалась смесь IX и 3-(n-оксифенил)-2-метилциклопентанола-1, т. пл. 147,3–147,7° (из бzl.-бzl.). Дебензилирование 0,5 г VIII со скелетным Ni-катализатором привело к IX с выходом 0,38 г. При гидрировании 10 г IX в диоксане над 5 г 2%-ного  $Pd/SrCO_3$  (200–220°, 150–160 ат) получен 1-гексагидробензоат 3-(n-оксифенил)-2-метилциклопентанола-1 (выход 9,7 г, т. кип. 162–163°/0,3 мм; тозилат, т. пл. 86–87°), окисление которого  $Na_2Cr_2O_7$  в лед.  $CH_3COOH$  (20°) привело к гексагидробензоату I (выход 92,5%, т. кип. 170–173°/0,4 мм; СК, т. пл. 167–168°), который при омылении р-ром KOH в  $CH_3OH$  дал I, бесцветное масло; бензоат, выход 84%, т. пл. 76–76,5° (из 70%-ного сп.); СК бензоата, т. разл. 163–164° (из сп.). К 342 г анизона и 280 г  $AlCl_3$  при т-ре не выше 4° за 2,5 часа прибавляют 185 г  $CH_3COCl$ , перемешивают 3 часа при 40° и получают n-метокси-ацетофенон (выход 90,7%, т. кип. 141–142°/15 мм, т. пл. 38°), который бромруют при 40° р-ром  $Br_2$  в  $CHCl_3$  и получают III, выход 52%, т. пл. 70–71° (из  $CH_3OH$ ). В. Андреев

57369. Новый продукт восстановления кроконовой кислоты. Пребендовский, Рутковский (O nowym produkcie redukcji kwasu krokonowego. Prebendowski Stanisław, Rutkowski Zygmunt), Roczn. chem., 1957, 31, № 1, 81–91 (польск.)

При кипячении K-соли кроконовой к-ты (I к-та) с 4 молями 44%-ной  $HJ$  (60 час.) получен новый продукт восстановления I, представляющий собой, по-видимому, тригидрат *bis*-(3,4-диокси-2,5-дикетотетрагидро-3-ила) (II), выход 50%; теряет воду при 110°/2 мм. II растворим в горячей воде, нерастворим в эфире и лигроине, обладает восстанавливающими свойствами. II с  $CH_2N_2$  дает тетраметилловый эфир состава  $C_{10}H_{12}O_4(OCH_3)_4$  (III), т. пл. 124,5–125,7° (из  $CH_3OH$ ); n-нитрофенилгидразон III, т. пл. 190–192° (разл.). Ацетилизацией II получен тетраацетат состава  $C_{10}H_{12}O_4(OCOCH_3)_4$ , т. пл. 146–147° (разл.). Синтезированы также средняя Ва-соль II состава  $C_{10}H_{12}O_8Ba \cdot 5H_2O$ , кислая Ва-соль состава  $C_{10}H_{12}O_8Ba \cdot 2H_2O$  и Pb-соль состава  $C_{10}H_{12}O_8Pb_2 \cdot 5H_2O$ . М. Kowalski

57370. 6-метилфульвен. Часть 2. Тьек, Виман (Le méthyl-6 fulvène: 2e partie. Thies Jeanne, Wiemann Joseph), Bull. Soc. chim. France, 1958, № 2, 207–211 (франц.)

Сравнивались ИК-спектры 6-метилфульвена (I), циклопентана, циклопентена, циклопентадиена и их производных. На основании данных ИК-спектра выдвинуто предположение, что полимеризация I протекает лишь за счет двойных связей внутри цикла таким образом, что молекулы I реагируют друг с другом по схеме 1,4-присоединения. На основании данных ИК-спектра тетрабромиду I приписывается строение 1,2,3,4-тетрабром-6-метилфульвена (II). Исследовано смещение полос УФ-спектра I в зависимости от среды (циклогексана и спирта). Дипольный момент I равен 1,1 D. Исследованием кривой гидрирования I над Pt показано, что гидрирование I не носит ступенчатого характера. Приведены ИК- и УФ-спектры I, ИК-спектры II и 6,6-диметилфульвена. Часть 1 см. РЖХим, 1957, 54309. В. Дашунин

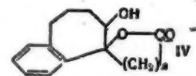
57371. Попытки синтеза соединений стероидного ряда. Сообщение 5. Синтез и реакции этилового



эфира  $\beta$ -(2-кето-3-метил-3-карботоксикиклогексен-6-ил)-пропионовой кислоты, Эбл и Гроб (Versuche zur Synthese von Verbindungen der Steroidreihe. 5. Mitteilung. Synthese und Reaktionen von  $\beta$ -(2-Oxo-3-methyl-3-carbäthoxy-6-cyclohexen-1-yl)-propionsäure-äthylester. Aebli H., Grob C. A.), Helv. chim. acta, 1957, 40, № 7, 2183—2191 (нем.; рез. англ.)

Конденсация Михаэля диэтилового эфира  $\alpha$ -метил- $\beta$ -кетопимелиновой к-ты (I) с акролеином [к р-ру 33 г I и 6,3 г ( $\text{C}_4\text{H}_9\text{O}_2$ )<sub>2</sub>N в 350 мл абс. спирта при перемешивании за 45 мин. прибавляют при 0° р-р 8,1 г акролеина в 110 мл абс. спирта, выдерживают 2 часа при 0° и 16 час. при 22°] привела к смеси этилового эфира  $\beta$ -(2-кето-3-метил-3-карботоксикиклогексен-6-ил)-пропионовой к-ты (II) (выход 14%, т. кип. 95°/0,005 мм,  $n_D^{20}$  1,4723) и этилового эфира  $\beta$ -(2-кето-3-метил-3-карботоксик-6-оксикиклогексил)-пропионовой к-ты (III), выход ~ 75%, т. кип. 110—120°/0,01 мм,  $n_D^{20}$  1,4570. Авторы полагают, что трудно дегидратирующийся III содержит экваториальную OH-группу (транс- по отношению к остатку пропионовой к-ты), тогда как II образуется из конформации III с аксиальной OH-группой. Обработка III HCl (газом) в  $\text{C}_6\text{H}_6$  (5 час. при 0° и 14 час. при 20°) привела к этиловому эфиру  $\beta$ -(2-кето-3-метил-3-карботоксик-6-хлорциклогексил)-пропионовой к-ты (IV), выход 23,2 г (неочищ.). При нагревании IV с диэтиланилином (4 часа при 140°) получен II, общий выход (считая на I) 71%. II, не омыляющийся и не реагирующий с реактивами на CO-группу, при гидрировании над 10%-ным Pd/C превращается в этиловый эфир  $\beta$ -(2-кето-3-метил-3-карботоксикиклогексил)-пропионовой к-ты (выход 82%, т. кип. 85—90°/0,005 мм,  $n_D^{20}$  1,4605), который при кипячении с HCl и  $\text{CH}_3\text{COOH}$  (30 час.) претерпевает кетонное расщепление и образует  $\beta$ -(2-кето-3-метилциклогексил)-пропионовую к-ту, выход 60%, т. пл. 73—74° (из петр. эф.). Присоединение к II малонового эфира (к р-ру 350 мг Na в 150 мл абс. спирта прибавляют 28 г малонового эфира, а затем при -10° за 45 мин. 10,0 г II, выдерживают 14 дней при ~ 20°) привело к смеси изомеров этилового эфира  $\beta$ -(2-кето-3-метил-3-карботоксик-6-дикарботоксиметилциклогексил)-пропионовой к-ты (V) (выход 80%, т. кип. 146°/0,005 мм,  $n_D^{20}$  1,4644), из 10 г которой при длительном стоянии выкристаллизовывается ~ 8,2 г изомера с т. пл. 47—47,5°, содержащего, по мнению авторов, остатки пропионовой и малоновой к-т в транс-положении. При омылении V спирт. КОН (40 час. при 18° и 30 мин. кипячения) получена  $\beta$ -(2-кето-3-метилциклогексен-6-ил)-пропионовая к-та (VI), выход 60%, т. пл. 86—87° (из петр. эф.). Кислотный гидролиз V (кипячение 25 час. с конц. HCl и  $\text{CH}_3\text{COOH}$ ) привел к  $\beta$ -(2-кето-3-метил-6-карбоксиметилциклогексил)-пропионовой к-те, выход 58%, т. кип. 140—160°/0,01 мм. При метилировании V (к р-ру 125 мг Na в 4 мл абс. спирта при -15° за 15 мин. прибавляют р-р 2,21 г V в 1,5 мл спирта и 2 мл  $\text{C}_6\text{H}_6$ , а затем 2,84 г  $\text{CH}_3\text{I}$  и кипятят 30 мин.) получен этиловый эфир  $\beta$ -(2-кето-3-метил-3-карботоксик-6-( $\alpha$ -дикарботоксиметил)-циклогексил)-пропионовой к-ты, выход 66%, т. пл. 59—60° (из петр. эф.). 156,5 г диэтилового эфира метилмалоновой к-ты (VII к-та) в 580 мл абс. спирта и 49,5 г КОН в 580 мл спирта выдерживают 14 час. при 20°, нагревают до кипения, фильтруют, полученную K-соль моноэтилового эфира VI (158 г) суспендируют в эфире, подкисляют  $\text{H}_2\text{SO}_4$ , образовавшийся моноэтиловый эфир VII (124 г) растворяют в 250 мл  $\text{C}_6\text{H}_6$ , прибавляют 100 мл  $\text{SOCl}_2$ , выдерживают 14 час. при 25°, 12 час. при 50—60°, 36 час. при 60—70° и получают хлорангидрид моно-

этилового эфира VII (VIII), выход 73—77%, т. кип. 102—107°/43 мм. К кипящему р-ру 159 мл трет- $\text{C}_4\text{H}_9\text{OH}$  и 214 г диметиланилина в 310 мл эфира при перемешивании прибавляют р-р 272 г VIII в 155 мл эфира с такой скоростью, чтобы смесь кипела, кипятят еще 3 часа, выдерживают 16 час. при ~ 20° и получают трет-бутилэтиловый эфир VII (IX), выход 85—91%, т. кип. 84°/10 мм,  $n_D^{20}$  1,4133. К суспензии 12,2 г порошкообразного Na в 500 мл  $\text{C}_6\text{H}_6$  при перемешивании прибавляют 107 г IX в 100 мл  $\text{C}_6\text{H}_6$ , кипятят 3 часа, охлаждают до 15°, прибавляют р-р 100 г хлорангидрида моноэтилового эфира глутаровой к-ты в 100 мл  $\text{C}_6\text{H}_6$ , кипятят 1 час, выдерживают 16 час. при 20°, подкисляют HCl и получают неочищ. диэтиловый эфир  $\alpha$ -метил- $\alpha$ -карбо-трет-бутоксик- $\beta$ -кетопимелиновой к-ты, который (в 600 мл  $\text{C}_6\text{H}_6$ ) кипятят ~ 4 часа с 6 г  $n\text{-CH}_3\text{C}_6\text{H}_4\text{SO}_3\text{H}$  и получают I, выход 55—63%, т. кип. 108°/0,02 мм,  $n_D^{20}$  1,4411. Смесь 250 мг I, 160 мг  $n$ -нитрофенилгидразина и 2 мл лед.  $\text{CH}_3\text{COOH}$  кипятят 2,5 часа и получают этиловый эфир  $\gamma$ -(1- $n$ -нитрофенил-4-метилпиразолов-5-ил-3)-масляной к-ты, выход 87%, т. пл. 126,5—127,5° (из сп.). Строение I подтверждено кетонным расщеплением в  $\delta$ -кетонантовую к-ту [выход 83%; семикарбазон, т. пл. 182—183° (разл.; из сп.)] и кислотным расщеплением в глутаровую (выход 83%) и пропионовую к-ты. Приведены УФ-спектры II, VI. В. Андреев 57372. 1,2-бензциклогептен-1-он-4. Крабб, Скофилд (1:2-benzocyclohept-1-en-4-one. Crabb T. A., Schofield K.), Chemistry and Industry, 1958, № 4, 102—103 (англ.). 3-R-1,2-бензциклогептен-3 (I R = H) при действии  $\text{C}_6\text{H}_5\text{COOH}$  в  $\text{CHCl}_3$  превращается в окис (II), выход 82%, т. кип. 80°/0,04 мм,  $n_D^{17}$  1,5550. II с  $\text{MgBr}_2$  дает трудно разделяемую смесь двух возможных кетонов, выход 63% [3-R-1,2-бензциклогептанон-4 (III R = H), выход 46% и его изомер, выход 17%]



II с  $\text{BF}_3$  дает те же кетоны и 2 неидентифицированных карбонильных в-ва. II восстанавливается  $\text{LiAlH}_4$  в 1,2-бензциклогептанол-4, выход 86%, т. пл. 71°, который легко окисляется  $\text{CrO}_3$  в  $\text{C}_6\text{H}_5\text{N}$  или  $\text{CH}_3\text{COOH}$ , давая III (R = H). При р-ции I (R =  $\text{CH}_3$ ) с  $\text{C}_6\text{H}_5\text{COOH}$  сразу получают III (R =  $\text{CH}_3$ ), выход 82%, т. кип. 120/1,5 мм,  $n_D^{15}$  1,5621; семикарбазон, т. пл. 208°. Аналогично I (R =  $\text{CH}_2\text{COOC}_2\text{H}_5$ ) дает непосредственно III (R =  $\text{CH}_2\text{COOC}_2\text{H}_5$ ), выход 69%, т. кип. 106°/0,1 мм,  $n_D^{20}$  1,5298; динитрофенилгидразон, т. пл. 106—107°. Метилирование III (R = H) также приводит к III (R =  $\text{CH}_3$ ). I [R = ( $\text{CH}_2$ )<sub>2</sub>COOC<sub>2</sub>H<sub>5</sub>] и I [R = ( $\text{CH}_2$ )<sub>3</sub>COOC<sub>2</sub>H<sub>5</sub>] при р-ции с  $\text{C}_6\text{H}_5\text{COOH}$  образуют  $\gamma$ -лактоны (IV) [IV (n = 2), выход 73%, т. пл. 138—139°, IV (n = 3), выход 76%, т. кип. 145°/0,01 мм,  $n_D^{18}$  1,5510]. Приведены данные ИК-спектров III (R =  $\text{CH}_3$ ), III (R =  $\text{CH}_2\text{COOC}_2\text{H}_5$ ), IV (n = 2) и IV (n = 3). Т. Итальянская 57373. Алкенилирование литийалкенилами. Часть XV. Получение и некоторые реакции циклодецен-1-иллития. Брауде, Гофтон (Alkenylation with lithium alkenyls. Part XV. The formation and some reactions of 1-cyclodecenyl-lithium. Braude E. A., Gofton B. F.), J. Chem. Soc., 1957, Dec., 4720—4723 (англ.).

Ацилиновая конденсация диметилового, диэтилового или дибутилового эфира себациновой к-ты (I эфир) приводит к 2-оксикиклодеканону (II), превращающемуся при восстановлении Zn-пылью в циклодеканон (III) (выделен в виде семикарбазона, выход

58%, т. пл. 200°, т. кип. 103–104°/10 мм,  $n_D^{18}$  1,4825. При взаимодействии (24 часа, ~20°) III (4,6 г) с  $\text{C}_6\text{H}_5\text{CHO}$  (3,2 г) в 1 M водно-спирт. р-ре КОН получена смесь *цис*- и *транс*-изомеров 2-бензилденциклодеканола (IV смесь) [выход 1,0 г, т. кип. 10°/10<sup>-4</sup> мм,  $n_D^{20}$  1,5780; 2,4-динитрофенилгидразон, т. пл. 143–144° (из  $\text{CH}_3\text{OH}$ -этилацетата)] и 2,10-дибензилденциклодеканола (V), выход 80 мг, т. пл. 150–151° (из пентана). Обработка III  $\text{PCl}_5$  в  $\text{C}_6\text{H}_6$  (24 часа при ~20°) привела к 1-хлорциклодецену (т. кип. 110°/12 мм,  $n_D^{20}$  1,5010), который в отличие от низших циклич. гомологов не реагировал с Li. С целью синтеза 1-бромциклодецена (VI) III (21 г) восстановлен  $\text{LiAlH}_4$  в циклодеканол (выход 21 г, т. кип. 129°/16 мм,  $n_D^{20}$  1,4920), при дегидратации которого с  $\beta$ -нафталинсульфокислотой (250–280°) получена смесь равных кол-в *цис*- и *транс*-циклодецена (VII смесь), выход 15 г, т. кип. 74–76°/15 мм,  $n_D^{20}$  1,4829. Бромирование VII в  $\text{CHCl}_3$  при 0° сопровождалось заметным выделением HBr (в отличие от циклооктена) и привело к смеси бромидов, из которой выделен 1,2-дибромциклодекан, т. пл. 121°, при дегидробромировании дающий неоднородный продукт. При взаимодействии *цис*-циклодекандиола-1,2 с  $\text{PBr}_3$  он возвратился неизменным, а при обработке его HBr в  $\text{CH}_3\text{COOH}$  получен 1-ацетокс-2-бромциклодекан (т. кип. 96°/0,2 мм,  $n_D^{24}$  1,5059), тогда как *транс*-циклодекандиол-1,2 в этих условиях не изменился. При кипячении (2 часа) смеси 100 г II, 20 г  $(\text{CH}_3\text{COO})_2\text{Cu}$ , 600 мл  $\text{CH}_3\text{COOH}$  и 600 мл воды получены 2,5-диокс-2,6; 3,5-бис-гептаметиленилциклодександион-1,4 [выход 5 г, т. пл. 255° (из толуола, после возгонки)] и циклодекандион-1,2 (VIII), выход 82%, т. кип. 104–110°/12 мм, т. пл. 41° (из пентана). 0,5 г бис-гидразона VIII [т. пл. 108–110° (из сп.)] за 30 мин. прибавляют к кипящей перемешиваемой смеси 23 г HgO, 1 г порошкообразного КОН, 20 г безводн.  $\text{Na}_2\text{SO}_4$  и 100 г толуола кипятят 2 часа и после пропускания через колонку с  $\text{Al}_2\text{O}_3$  получают циклодецен (IX), выход 4,6 г, т. кип. 94°/26 мм,  $n_D^{20}$  1,4910. Барботирование HBr (газа) в 4 г IX (1,5 часа) приводит к неочищ. VI (*цис*- или смесь *цис*- и *транс*-) (выход 6,3 г, т. кип. 80–82°/1 мм,  $n_D^{20}$  1,5230), 3 г которого прибавляют в атмосфере  $\text{N}_2$  к перемешиваемой суспензии 195 мг Li в 50 мл эфира, через 4 часа р-р образовавшегося циклодецен-1-иллития (X) прибавляют к 150 г порошкообразного сухого  $\text{O}_2$  и после подкисления получают *цис*(?)-циклодецен-1-карбоновую к-ту (XI), выход 5%, т. пл. 130–131° (из водн.  $\text{CH}_3\text{OH}$ ). Строение XI подтверждено гидрированием над Pt (из  $\text{PtO}_2$ ) в известную циклодеканкарбоновую к-ту, т. пл. 53,5–55° (из *n*-пентана). Взаимодействие X с  $\text{C}_6\text{H}_5\text{CHO}$  [к перемешиваемому р-ру X (из 2,6 г VI) в 85 мл эфира по каплям прибавляют р-р 1,3 г  $\text{C}_6\text{H}_5\text{CHO}$  в 10 мл эфира, выдерживают 1 час при ~20° и обрабатывают 20 мл насыщ. р-ра  $\text{NH}_4\text{Cl}$ ] протекает аномально и приводит к смеси ожидаемого  $\alpha$ -(циклодецен-1-ил)-бензильового спирта (XII) (выход 0,3 г, т. кип. 130–140°/10<sup>-3</sup> мм,  $n_D^{20}$  1,5655) и углеводорода состава  $\text{C}_{20}\text{H}_{34}$ , которому на основании УФ-спектра и неспособности гидрироваться над Pt (из  $\text{PtO}_2$ ) в  $\text{CH}_3\text{COOH}$  придано строение динциклодеценила (XIII), выход 0,6 г, т. кип. 100–120°/10<sup>-3</sup> мм,  $n_D^{20}$  1,5255. К слабо кипящей смеси 46 г Na и 1,5 л ксилола при перемешивании в атмосфере  $\text{N}_2$  (мешалка Гершберга) за 15 час. прибавляют р-р 1 моля I в 100 мл ксилола, перемешивают еще 1 час, охлаждают до ~20°, прибавляют 10 мл  $\text{CH}_3\text{OH}$  и 200 мл 50%-ной  $\text{H}_2\text{SO}_4$ , фильтруют и получают II, выход 60–65%, т. кип. 100–110°/1 мм. Приведены УФ-спектры IV, V, VIII и XI–XIII и ИК-спектры XI. Часть XIV см. РЖХим, 1958, 46673. В. А.

57374. О воспроизводимости реакции окислительно-го бис-декарбоксилирования. Дёринг, Финкельштейн (On the reproducibility of the oxidative bisdecarboxylation reaction. Doering W. von E., Finkelstein M.), J. Organ. Chem., 1958, 23, № 1, 141 (англ.).

Ранее (Doering W. von E. и др., J. Amer. Chem. Soc., 1952, 74, 4370) найден метод замены группировки ангидрида дикарбоновой-1,2 к-ты в алициклич. соединениях на двойную связь, происходящей под влиянием  $\text{PbO}_2$ . Показано (с помощью рентгеноструктурного анализа и седиментации), что успешное протекание этой р-ции решающим образом зависит от размера частиц  $\text{PbO}_2$  и предложен способ приготовления активной  $\text{PbO}_2$ , применение которой при окислительном бис-декарбоксилировании дает высокие и воспроизводимые выходы. К р-ру 300 г  $(\text{CH}_3\text{COO})_2\text{Pb} \cdot 3\text{H}_2\text{O}$  в 600 мл теплой воды при перемешивании прибавляют р-р 180 г NaOH в 500 мл воды, а затем (в один прием) суспензию 220 г технич.  $\text{Ca}(\text{ClO})_2$  в 1,5 л воды, смесь быстро нагревают до кипения, кипятят, перемешивая несколько минут, водн. слой декантируют и осадок промывают, перемешивая и декантируя, последовательно 500 мл разб.  $\text{HNO}_3$  (1:1) и 4 раза водой (по 500 мл), отфильтровывают, высушивают при 110° (~12 час.) и получают  $\text{PbO}_2$ , выход 70%, темно-коричневый порошок.

В. Андреев

57375. Стереохимия 2-карбокси- и 2-амино-*цис*-бицикло-[3,3,0]-октанов. Гранже, Но, Но (Stéréochimie des carboxy-2 et amino-2 *cis*-bicyclo-[3,3,0]-octanes. Granger Robert, Nau Pierre, Nau Jo-sette), C. r. Acad. sci., 1957, 245, № 25, 2315–2317 (франц.).

Действие жидкой HCN на бицикло-[3,3,0]-октанон-2 (I) привело к 2-цианобидцикло-[3,3,0]-октанолу-2, выход 92%, т. кип. 110–112°/1,5 мм, при дегидратации которого смесью  $\text{SOCl}_2$  и  $\text{C}_5\text{H}_5\text{N}$  получен 2-цианобидцикло-[3,3,0]-октен (II), выход 98%, т. кип. 110°/15 мм,  $n_D^{22}$  1,4994,  $d_{25}^{25}$  0,9979, с неустановленным положением двойной связи. При гидролизе II 10%-ным р-ром КОН образовалась бицикло-[3,3,0]-октенкарбоновая-2 к-та (III) (выход 85%, т. кип. 120°/1 мм; амид, т. пл. 142°), гидрирование которой над Pt (из  $\text{PtO}_2$ ) привело к *цис*-бицикло-[3,3,0]-октенкарбоновой-2 к-те (*цис*-IV), т. пл. ~30°; амид, т. пл. 160°. Конфигурация *цис*-IV придана на основании изомеризации ее метилового эфира под влиянием  $\text{CH}_3\text{ONa}$  с образованием (после омыления) новой *транс*-IV (т. кип. 110°/0,3 мм; амид, т. пл. 182°; анид, т. пл. 113°) и подтверждается стереоспецифичностью протекания гидрирования III. Попытка синтеза *цис*-IV другим путем, заключающимся в гидрировании I над скелетным Ni (100°, 80 ат), приведшим к бицикло-[3,3,0]-октанолу-2, т. кип. 95°/13 мм,  $n_D^{26}$  1,4868,  $d_{25}^{25}$  1,0261; фенилуретан, т. пл. 87°, при последующей обработке  $\text{PBr}_3$ , давшему 2-бромбицикло-[3,3,0]-октан (V), т. кип. 86°/13 мм,  $n_D^{21}$  1,5079,  $d_{25}^{25}$  1,2521, была безуспешной, так как V не реагировал с KCN, а при действии  $\text{CO}_2$  на приготовленное из V Mg-органич. соединение образовался лишь бицикло-[3,3,0]-октен, т. кип. 45°/25 мм. При гидрировании оксима I над скелетным Ni получена смесь *цис*- и *транс*-2-аминобицикло-[3,3,0]-октанов (бензоильные производные, т. пл. 125 и 128° соответственно), конфигурация которых доказана их получением по р-ции Шмидта из *цис*-IV и *транс*-IV соответственно.

В. Андреев

57376. Синтез 2-окси-8-(*n*-метоксифенил)-бицикло-[3,3,1]-нонадиона-6,9, Пападакис, Холл, Огастин (Synthesis of 2-hydroxy-8-(*p*-methoxyphenyl)-bicyclo[3.3.1]nonane-6,9-dione. Papadakis Philippos E., Hall Leo M., Augustine Ro-



bert L.), J. Organ. Chem., 1958, 23, № 1, 123—125 (англ.)

При р-ции Кневенагеля анисового альдегида с малоновым эфиром в присутствии  $(C_2H_5)_2NH$  получен диэтиловый эфир *n*-метоксибензилденмалоновой к-ты (выход 49%, т. пл. 39°), конденсация которого с ацетоуксусным эфиром под действием  $C_2H_5ONa$  по описанному методу (Papadakis P. E., J. Amer. Chem. Soc., 1945, 67, 1799; Papadakis P. E. и др., там же, 1950, 72, 4256) привела к 5-(*n*-метоксифенил)-4,6-дикарбэтоксикиклогександиону-1,3 (I), выход 60%, т. пл. 157°. Омылением и декарбоксилированием из I (см. ссылки выше) приготовлен 5-(*n*-метоксифенил)-циклогександион-1,3 (II) [т. пл. 178° (из воды)], синтезированный также из 5-(*n*-метоксифенил)-4-карбэтоксикиклогександиона-1,3 (ср. Lespagnol A., Schmitt J., Bull. Soc. chim. France, 1950, 458). К перемешиваемой суспензии 2,8 г расплавленного К в 400 мл горячего ксилола в атмосфере  $N_2$  за 2 часа прибавляют суспензию 18 г II в 200 мл ксилола, затем прибавляют р-р 11 г диэтилацетата β-хлорпропионового альдегида в 50 мл ксилола, кипятят 16 час., выделяющийся красный продукт р-ции (КПР) отфильтровывают, промывают эфиром и получают из него бис-фенилгидразон продукта С-алкилирования — 5-(*n*-метоксифенил)-2- (3,3- диэтоксипропил)-циклогександиона-1,3 (III, IV, дион), т. пл. 87°. По другой методике из КПР нагреванием с избытком фенилгидразина готовят озон (в водн. спирте), подщелачивают, отгоняют спирт и получают в водн. р-ре (после нейтр-ции  $CH_3COOH$ ) III, а в осадке — красное маслообразное в-во (КМВ), из которого выделяют небольшое кол-во фенилгидразона продукта моно-О-алкилирования II, т. пл. 142° (размягчается при 90°). При нейтрализации холодного водн. р-ра КМВ с помощью  $CH_3COOH$  получают IV, т. пл. 170° (из водн.  $CH_3OH$ ); бис-2,4-динитрофенилгидразон, т. пл. 207—207,5° (из сп.-этилацетата). К смеси 16 мл лед.  $CH_3COOH$ , 4 мл конц.  $HCl$  и 8 мл воды прибавляют 5 г IV, кипятят до растворения, выдерживают 30 час. при т-ре 20° и получают 2-оксис-8-(*n*-метоксифенил)-бицикло-[3,3,1]-нонандион-6,9 (V), выход 30%, т. пл. 174—175° (из водн.  $CH_3OH$ ). Строение IV как продукта С-алкилирования, а не О-алкилирования II вытекает из условий циклизации IV в V (благоприятствующих омылению группировки эфира енола) и факта образования из IV и V бис-производных. Структура соединения V подтверждается также тем, что оно не дает пробы Шиффа.

В. Андреев  
57377. Модели стероидов. II. 4а-метил-*цис*- и *транс*-декагидронафталины и их 4а-метил-*d*<sub>3</sub>-аналоги. Айделсон, Беккер (Sterol models. II. 4a-methyl-*cis*- and *trans*-decahydronaphthalenes and their 4a-methyl-*d*<sub>3</sub> analogs. Idelson Martin, Becker Ernest I.), J. Amer. Chem. Soc., 1958, 80, № 4, 908—915 (англ.)

С целью изучения ИК-спектров синтезированы стереохимически чистые *цис*-9-метилдекалин (I), *транс*-9-метилдекалин (II), *цис*-9-метил-*d*<sub>3</sub>-декалин (III) и *транс*-9-метил-*d*<sub>3</sub>-декалин (IV). II получен следующим образом. Конденсацией 2-карбэтоксикиклогексана с метилвинилкетонном по ранее описанному методу (Wilds A. L., Werth R. G., J. Organ. Chem., 1952, 17, 1149) получен 9-карбэтоксис-6-оксо-Δ<sup>5(10)</sup>-окталин (V) [выход 80%, т. кип. 100—130°/1,5 мм, *n*<sub>D</sub><sup>20</sup> 1,5110; семикарбазон (СК), т. пл. 186—188° (из сп. и бзл.)], который гидрированием над 10%-ным Pd/C и  $CaCO_3$  в спирте при 3 ат превращен в *транс*-9-карбэтоксис-6-оксодекалин (VI), выход 92%, т. кип. 100°/0,5 мм, *n*<sub>D</sub><sup>25</sup> 1,4801, *d*<sub>4</sub><sup>25</sup> 1,077; СК, т. пл. 186—188° (разл.; из бзл.). Восстановлением СК VI или самого VI по

Клемменсену получен *транс*-9-карбэтоксидекалин (VII) (выход 45 и 76,5% соответственно, т. кип. 76—77°/0,5 мм, *n*<sub>D</sub><sup>25</sup> 1,4790, *d*<sub>4</sub><sup>25</sup> 1,0179), который при восстановлении  $LiAlH_4$  превращается в *транс*-9-оксиметилдекалин (VIII), выход 80%, т. пл. 78—79,5°; *n*-нитробензоат, т. пл. 89—89,5° (из сп.); тозилат (IX), т. пл. 137,5—139°. Восстановление VII  $LiAlH_4$  приводит к *транс*-9-оксиметил-*d*<sub>3</sub>-декалину (X) [выход 94%, т. пл. 73—76° (из  $CH_3NO_2$ )], который с выходом 74% превращен в соответствующий тозилат (XI), т. пл. 139—140° (из сп.). 16,2 г IX кипятят 5 час. с р-ром  $C_6H_5CH_2SNa$  (из 2 г Na и 10 мл  $C_6H_5CH_2SH$ ) в 100 мл монометилового эфира диэтиленгликоля и образовавшийся тиобензилловый эфир (13 г, *n*<sub>D</sub><sup>21D</sup> 1,5452) кипятят в диоксане 12 час. со 110 г скелетного Ni, получают II, выход 53%, т. кип. 80—82°/11 мм, *n*<sub>D</sub><sup>25D</sup> 1,4780, *d*<sub>4</sub><sup>25</sup> 0,8883. При непосредственном восстановлении IX  $LiAlH_4$  выход II составляет всего 18%. XI так же, как и IX, переводят в тиобензилловый эфир, который при 16-часовом кипячении в  $D_2O$  со скелетным Ni, предварительно насыщ. дейтерием (РЖХим, 1954, 14251), дает IV, выход 52%, т. кип. 74—75°/11 мм, *n*<sub>D</sub><sup>25D</sup> 1,4787, *d*<sub>4</sub><sup>25</sup> 0,9046. I получен следующим образом. Нагреванием 0,6 моли V с 4 молями 2-этил-2-метил-1,3-диоксолана в присутствии 2 г  $n-C_4H_9SO_3H$  (с отгонкой образующегося метилкетона) получают 9-карбэтоксис-6,6-диэтилендиокси-Δ<sup>5(10)</sup> (или Δ<sup>4(10)</sup>) окталин (XII) (выход 76%, т. кип. 122—124°/0,6 мм, *n*<sub>D</sub><sup>25D</sup> 1,5013), который при восстановлении  $LiAlH_4$  дает 9-оксис-метил-6,6-диэтилендиокси-Δ<sup>5(10)</sup> (или Δ<sup>4(10)</sup>) окталин, выход 98%, т. кип. 140°/0,6 мм, *n*<sub>D</sub><sup>25D</sup> 1,5265. Последний при гидрировании в спирте над 5%-ным Pd/C превращается в *цис*-9-оксиметил-6,6-диэтилендиокси-декалин (т. кип. 134—135°/0,5 мм, *n*<sub>D</sub><sup>25D</sup> 1,5160), который после восстановления по Клемменсену переходит в *цис*-9-оксиметилдекалин (XIII), выход 36% (считая на XII), т. кип. 88°/0,5 мм; тозилат (XIV) (получен с выходом 31%), т. пл. 74—75,5° (из  $CH_3OH$  и петр. эф. бзл.). XIV переводят в I аналогично IX. Восстановление XII  $LiAlH_4$ , последующее гидрирование над 5%-ным Pd/C в спирте и восстановление по Клемменсену приводят к *цис*-9-оксиметил-*d*<sub>3</sub>-декалину (XV), выход 43%, т. кип. 90—93°/0,5—0,6 мм. Тозилат XV [выход 61%, т. пл. 74—75,5° (из  $CH_3OH$ )] превращают в III аналогично XI, выход III 59,7%, т. кип. 89—91°/20 мм, *n*<sub>D</sub><sup>20D</sup> 1,4810, *n*<sub>D</sub><sup>25D</sup> 1,4798, *d*<sub>4</sub><sup>25</sup> 0,9036. Приведены кривые ИК-спектров I—IV, VIII, X, XIII, XV, За-метил-*d*<sub>3</sub>-*транс*-гексагидроиндана, За-метил-*d*<sub>3</sub>-*цис*-гексагидроиндана и За-метил-*d*<sub>3</sub>-*цис*-гексагидроиндана. Сообщение I см. РЖХим, 1958, 1426. Л. Хейфиз

57378. Реакции азулена с *N*-нитрозоацетанилидом, фенилазотрифенилметаном и перекисью бензола. Андерсон, Чжан (Reaction of azulene with *N*-nitrosoacetanilide, phenylazotriphenylmethane, and benzoyl peroxide. Anderson Arthur G., Chang Gerald M.-C.), J. Organ. Chem., 1958, 23, № 1, 151 (англ.)

В отличие от описанного ранее (РЖХим, 1956, 57973) при р-ции азулена (I) с *N*-нитрозоацетанилидом (II) в  $C_6H_6$  при 3° получены 1-фенилазулен (III) (выход 2,3%), 1-фенилазоазулен (IV) (выход 19%, т. пл. 118—120°) и неизменный I, выход ~60%. Р-ция I с II при 10° привела к 5,4% III и 13% IV; при 15° образовалось 1,3% III и 33% IV и вернулось ~40% неизменного I. При р-ции I с II в смеси  $C_6H_6$  и  $CH_3OH$  в присутствии  $CH_3COONa$  при 10° получено ~3% III, 20% IV и 60% I. В  $CH_3OH$  в присутствии  $CH_3COONa$  при 10° образовалось ~1% III, 20% IV и вернулось ~10% неизменного I. Во всех опытах получены также темное кристаллич. в-во (т. пл. >360°) и красное некри-

сталич. соединение, строение которых не установлено. Взаимодействие I с фенилазотрифенилметаном в кипящем  $C_6H_6$  привело к III (выход <1%), 1-трифенилметилгидразоазулену (V) (выход 2,4%, голубые кристаллы, т. пл. 115–116°) и трифенилметану, выход 34%. Строение V установлено на основании аналогии, элементарного анализа и УФ- и видимого спектров. При термич. разложении  $(C_6H_5CO)_2O_2$  (2 часа, 65–75°) в присутствии I (в атмосфере  $N_2$  в  $C_6H_6$ ) получены голубое маслообразное в-во, которому на основании элементарного анализа придано строение 1-азулилового эфира бензойной к-ты (VI) (выход 18%), и неизомеризованный I (30%). Строение VI подтверждено также тем, что он не является идентичным другому изомерному продукту р-ции 1-бензоилазулену (VII), синтезированному действием  $C_6H_5COCl$  на I в присутствии  $SnCl_4$ , пурпурные кристаллы, т. пл. 111–112°. Предложен механизм образования IV. Приведены ИК спектры VI и VII и УФ спектры V и VI.

В. Андреев

**57379. Синтез 9-кето-2-метил-1,2-циклопентано-1,2,3,4,4a,4b,5,6,7,8,8a,9,10,10a-тетрадекагидрофенантраена.** Банерджи, Чаттерджи, Сен-Гупта, Бхаттария (Synthesis of 9-keto-2-methyl-1:2-cyclopentano-1:2:3:4:4a:4b:5:6:7:8:8a:9:10:10a-tetradecahydrophenanthrene. Banerjee D. K., Chatterje Amareshwar, Sen Gupta Sisir Kumar, Bhattacharyya Bidyut Kamal), J. Indian Chem. Soc., 1957, 34, № 10, 716–720 (англ.). Конденсацией 1-ацетил- $\Delta^{1,2}$ -циклогексена с 8-метил-бисцикло-[0,3,4]-нонаноном-4 (I) в  $C_6H_6$  в присутствии  $рт-CH_3ONa$  (16 час. при ~20°, 5 час. кипячения) получен 9-кето-2-метил-1,2-циклопентано-1,2,3,4,4a,4b,5,6,7,8,8a,9-додекагидрофенантрен (II) [выход 40–45% (неочищ.), т. кип. 150–155°/0,2 мм], из которого хроматографированием на  $Al_2O_3$  выделен кристаллич. II, выход 27%, т. пл. 95,5–96° (из  $CH_3OH$ ); 2,4-динитрофенилгидразон (ДНФГ), т. пл. 175–177° (из абс. сп.). Восстановление неочищ. II с помощью Li в жидком  $NH_3$  и эфире и последующее окисление бензольного р-ра продукта восстановления р-ром  $Na_2Cr_2O_7$  в лед.  $CH_3COOH$  (12 час. при ~20°) приводит к 9-кето-2-метил-1,2-циклопентано-1,2,3,4,4a,4b,5,6,7,8,8a,9,10,10a-тетрадекагидрофенантрину (III), выход 85%, т. кип. 105–110°/0,02 мм, т. пл. 73–74° (из  $CH_3OH$ ); ДНФГ, т. пл. 215–216° (из этилацетата). Восстановление неочищ. II  $LiAlH_4$  и последующая дегидратация образующегося спирта с помощью  $n-CH_3C_6H_4SO_3H$  приводит к углеводороду  $C_{18}H_{26}$  (IV), т. кип. 90–95°/0,15 мм, дегидрированием которого над 30%-ным Pd/C (3 часа при 250–320°) не удалось получить индивидуального ароматич. углеводорода. Строение II подтверждено УФ-спектром его ДНФГ, а строение III — окислением его хлороформным р-ром  $C_6H_5COOH$  (24 часа на холоду), приводящим к лактону 8-метил-5-(2'-оксициклогексил)-гидриндан-4-уксусной к-ты [выход 52%, т. пл. 147–148° (из  $n$ -гексана)], который при омылении дает 8-метил-5-(2'-оксициклогексил)-гидриндан-4-уксусную к-ту (V), т. пл. 169–170° (из водн.  $CH_3OH$ ), т. ра сублимации 140–150°/0,2 мм. V при нагревании в 10%-ной  $H_2SO_4$  (2 часа на водяной бане) снова легко лактонизуется, а при окислении р-ром  $Na_2Cr_2O_7$  в лед.  $CH_3COOH$  превращается в 8-метил-5-(2'-оксициклогексил)-гидриндан-4-уксусную к-ту; ДНФГ (VI), т. пл. 196–199° (из сп.). Поскольку I имеет *цис*-конфигурацию (Banerjee, Shafer, J. Amer. Chem. Soc., 1950, 72, 1931), кольца C и D в III также находятся в *цис*-соединении, а кольца A и B, по-видимому, в *транс*-соединении из-за наличия CO-группы при C(9); кольца B и C также находятся, по-видимому, в *транс*-соединении, а сочленение  $(C_{4a})-(C_{4b})$  в скелете пергидрофенантрена имеет на основании литературных анало-

гий (J. Chem. Soc., 1935, 1285) *анти*-конфигурацию. Приведены УФ-спектры II–IV, VI и ДНФГ II и III.

Л. Хейфиц

**57380. Алкилирование ароматических соединений с помощью хлористого цинка, адсорбированного твердыми носителями.** Кучкарев А. Б., УзССР Фанлар Акад. ахбороти. Химия фанлари сер., Изв. АН УзССР. Сер. хим. н., 1957, № 3, 67–80 (рез. узб.). Изучено алкилирование ароматич. углеводородов (АУ) и их производных спиртами, галоидными алкилами, олефинами, простыми и сложными эфирами в присутствии  $ZnCl_2$  на гидроокиси алюминия (ГА), активированных глинах (АГ) или силикагеле (СГ) в различных условиях. Катализатор, содержащий 10%  $ZnCl_2$ , так же активен, как и содержащий 30%  $ZnCl_2$ . Строение продуктов р-ции изучалось окислением щел. р-ром  $KMnO_4$  или разб.  $HNO_3$ . Автор считает, что повышенная активность  $ZnCl_2$ , адсорбированного ГА, объясняется образованием кислого комплекса  $ZnCl_2$  с  $AlO(OH)$ , получающейся при прокаливании ГА. Состав твердого контакта, по-видимому,  $Al_2O_3 \cdot HAlO_2 \cdot ZnCl_2$ . Образование комплекса подтверждается тем, что циклогекселирование бензола (I) не идет с безводн.  $ZnCl_2$  при 200°, а идет (выход 60–66%) с влажным  $ZnCl_2$  или  $ZnCl_2$  на ГА. Высущенную при 200° ГА пропитывали 50%-ным водн.  $ZnCl_2$  и катализатор сушили 4 часа при 250–270°. АГ (активирование 20%-ной водн.  $H_2SO_4$ ) обрабатывали тем же способом и формовали. СГ перед использованием обрабатывали HCl (к-той). Ниже приведены АУ, кол-во в молях, алкилирующий агент, кол-во в молях, т-ра р-ции в °C, время р-ции в часах, давление в ат, продукты р-ции, выход в %, т. кип. в °C,  $d_{20}^{20}$ ,  $n_D^{20}$ . Катализатор во всех случаях, кроме специально оговоренных  $ZnCl_2$  на ГА. I, 0,6,  $CH_3OH$ , 0,2, 290–300, 5, 210, толуол (II), 25, —, —, полиалкилбензолы, 2 г; I, 0,6, *изо*- $C_3H_7OH$ , 0,2, 180, 3, 60–20, изопропилбензол (III), 60,4 151–154/755 мм,  $d_{20}^{20}$  0,8651, 1,4921, диизопропилбензол (IV), —, 205–208,  $d_{20}^{20}$  0,9119, 1,5149 (при соотношении I: *изо*- $C_3H_7OH$  = 6:1 выход III 71%); I, 0,8, *n*- $C_4H_9OH$ , 0,2, 210–220, 4, 47, *втор*-бутилбензол (V), 52,5, 169–173, 0,8624, 1,4915, *ди-втор*-бутилбензол (VI), —, 230–240, 0,8590, 1,4885 (р-ция не идет при 140–150°; в присутствии HCl выход V 60%); I, 0,8, *n*- $C_5H_{11}OH$ , 0,2, 220, 4, 55, III, 60, —, —, I, ~0,6, *n*- $C_8H_{17}OH$ , 0,2, 210, 4, 30, *втор*-октилбензол, 58, 120–125 (18–20 мм), 0,8556, 1,4815; I, 0,8, *n*- $C_6H_{13}OH$ , 0,2, 215–220, 3,5, 35, *втор*-гексилбензол (VII), 65,5, 209–211, 0,8612, 1,4909; I, 0,8, *трет*- $C_4H_9OH$ , 0,2 (катализатор 30%-ный  $ZnCl_2$  на активированном гумбрине), 150–160, 4, 27, *трет*-бутилбензол (VIII), 18,5, 167–169, 0,8675, 1,4918 (при 200° выход VIII 51%); II, 0,6, *изо*- $C_3H_7OH$ , 0,2 (катализатор 30%-ный  $ZnCl_2$  на АГ), 200, 3, 26, *n*-изопропилтолуол (IX), 81, 172–175/754 мм, 0,8615, 1,4963, диизопропилтолуол (X), —, 228–230/754 мм, 0,8745, 1,4988; нафталин (XI), 0,5, *изо*- $C_3H_7OH$ , 0,2, 225–230, 3, 46,  $\beta$ -изопропилнафталин (XII), 47, 267–270, 0,9835, 1,5691,  $\beta$ , $\beta$ -диизопропилнафталин (XIII), 26, 278–283, 0,9760, 1,5651; I, 0,4, циклопентанол, 0,2, 230, 4, —, циклопентилбензол, 65, 214–216, 0,9535, 1,5270; I, 0,4, циклогексанол (XIV), 0,1, 220–230, 3,5, —, циклогексилбензол (XV), 12 г, 232–235, 0,9450, 1,5241; I, 0,4, ментол, 0,1, 220–230, 3,5, —, ментилбензол, 57,4, 152–155/20–22 мм, 0,9348, 1,5200, полиментилбензолы, 3,5 г; XI, 0,2, XIV, 0,1, 230–240, 4, —, циклогексилнафталин, 45, 190–195/15 мм, 1,029, 1,5845, дициклогексилнафталин, 3,5 г, 210–220/17 мм, —, —; фенол, 0,2, XIV, 0,1, 200, 3, —, *n*-циклогексилфенол, 67, 292–296 (т. пл. 129–130°), —, —; хлорбензол, 0,4, *изо*- $C_3H_7OH$ , 0,2 (катализатор  $ZnCl_2$  на АГ), 240–250, 4, —, *n*-хлоркумол, 58, 195–198/754 мм, 1,0022, 1,510; I, 0,8, диэтиловый эфир, 0,2, 250–270, 4, 70–30, этилбензол (XVI), 50, 6, —, —, —, диэтилбен-



зол (XVII), 24, 178—182, 0,8635, 1,4972 [при соотношении I: (C<sub>2</sub>H<sub>5</sub>)O = 6:1, выход XVI 55%]; I, 0,8, ди-*n*-бутиловый эфир, 0,2, 240—250, 4, —, V, 65, VI, 18,4; I, 0,8, диэопропиловый эфир (XVIII), 0,2, 225—230, 3, —, III, 67; I, 0,8, диэоамиловый эфир, 0,2, 250, 4, 48, трет-амилбензол, 68, 187—190/756 мм, 0,8652, 1,4922; II, 0,8, XVIII, 0,2, 225—230, 3, —, IX, 70,5, X, 24; XI, 51,2 г, XVIII, ~0,2, 250—260, 4, 48, XII, 51,5, XIII; I, 0,8, бутилацетат, 0,2, 215—225, 4, —, V, 66,5, VI, 26; I, 0,8, изопропилацетат, 21 г, 200, 4, —, III, 70,8, IV, 3,8 г; I, 36 мл, *n*-C<sub>4</sub>H<sub>9</sub>Cl, 18,5 г, 200—210, —, —, V, 75, VI, 18; II, 0,8, *изо*-C<sub>3</sub>H<sub>7</sub>Cl, 0,2 (ZnCl<sub>2</sub> на гумбрине) 180—190, 2,5, —, III, 75, IV, 18; 70 мл, *изо*-C<sub>3</sub>H<sub>7</sub>Cl, ~0,2, 180, 3, —, смесь *n*- и *m*-изопропилтолуолов, 80,7, X; XI, 0,5, *изо*-C<sub>3</sub>H<sub>7</sub>Br, 13 г; 180—190, 3, —, XII, 74,5, XIII; XI, 0,5, *n*-C<sub>4</sub>H<sub>9</sub>Cl, 18,5 г, 180—190, 3, —, β-бутилнафталин, 67,5, 279—283/754 мм, 0,9830, 1,5651, ди-*втор*-бутилнафталин, 4,4 г, 175—179/15 мм, 0,9745, 1,5600; I, 0,8, *n*-C<sub>3</sub>H<sub>7</sub>Cl, 16 г (катализатор Al<sub>2</sub>O<sub>3</sub>), 180—200, 3, —, III, 40; I, 4, этилен (XIX), 1,0, 230—240, 2,5, 130—145, XVI, 37,2, XVII, триэтилбензол, —, 215—220, 0,8822, 1,5006, тетраэтилбензол, —, 245—255, 0,8890, 1,5065, пентаэтилбензол (?), —, 270—280/754 мм, гексаэтилбензол, 17 (т. пл. 128—129°); I, 2,0, пропилен (XX), 0,5, 200, 2,5, 150—25, III, 58, IV, 25 (в соотношении I:XX = 6:1, выход III 75%); I, 0,8, псевдобутилен (XXI), 0,2, 200, 2,5, 65, V, 63, VI, 4 г; I, 0,8, изобутилен, 0,2, 200, 3, 60, VIII, 52, ди-третбутилбензол 4,5 г, 232—236; I, 0,8, гексен, 0,2, 200, 3,5, 25, VII, 62; I, 0,8, циклогексен, 0,2, 220—230, 4, —, XV, 66; I, 0,3, октен-1, 7 г, 200—220, 3, —, октилбензол, 52, 120—124/18 мм, 0,8550, 1,4800; XI, 1,0, XIX, 1,5, 240—250, 3, 160—50, этилнафталин, 5, 252—258, 1,0098, 1,5890, диэтилнафталин, 26, 277—282/755 мм, 0,9985, 1,580, триэтилнафталин, 41, 315—320, 0,9896, 1,5780 (при соотношении XI:XIX = 4:1 выходы соответственно 30, 40 и 15%); XI, 1,0, XX, 0,5, (ZnCl<sub>2</sub> на гумбрине), 230—240, —, —, 53, XII, 13 (при соотношении XI:XX = 4:1 выход XII 70%); XI, 0,8, XXI, 11,0 г, 230—240, 3, 45, *втор*-бутилнафталин, 60, 106—112/3—4 мм, 0,9782, 1,5678, дибутилнафталин, 20, 140—150/3—4 мм, 0,9585, 1,560; XI, 0,8, гексен-1, 16,8 г, 230—240, 3, —, *втор*-гексилнафталин, 62, 290—300/755 мм, 0,9800, 1,5650. В. Антонов

**57381. Производные 1,2,3-триметилбензола. Порowska (Pochodne 1,2,3-trójmetrylobenzenu. Porowska Natalia), Roczn. chem., 1957, 31, № 2, 677—679 (польск.; рез. англ.)**

2,33 г 2,6-бис-(хлорметил)-4-нитротолуола (I) в 100 мл спирта гидрируют над 0,04 г PtO<sub>2</sub>, получают 3,4,5-триметиланилин (II) с выходом 90%. Р-р 19,7 г I в 50 мл CH<sub>3</sub>COOH нагревают 5 час. с 70 г Sn и 300 мл HCl, выход II 96%, т. пл. 75—76,5°. Из 13,5 г II по Зандмейеру получают 43% нитрила 3,4,5-триметилбензойной к-ты (III к-та), т. кип. 140—141°/15 мм, т. пл. 96,5—97,5° (из петр. эф.); III, т. пл. 218—219° (из разб. CH<sub>3</sub>COOH); метиловый эфир III, т. пл. 40,5—41,5°. Из 8,3 г II также получают 3,4,5-триметилхлорбензол с выходом 41%, т. кип. 105—106°/17 мм, а из 5,75 г II получают 3,4,5-триметилбромбензол, выход 20%, т. кип. 117—118°/17 мм. J. Wolf

**57382. Окисление винилацетиленовых углеводородов органическими гидроперекисями. VI. Окисление 1-фенил-3-метилоктен-3-ина-1 гидроперекисью ацетилла. Маленок Н. М., Кулькина С. Д., Ж. общ. химии, 1958, 28, № 2, 434—438**

При окислении C<sub>6</sub>H<sub>5</sub>C≡CC(CH<sub>3</sub>)=CHC<sub>4</sub>H<sub>9</sub> (I) CH<sub>3</sub>COOOH образуется C<sub>6</sub>H<sub>5</sub>C≡CC(CH<sub>3</sub>)CH(C<sub>4</sub>H<sub>9</sub>)O (II)

наряду с C<sub>6</sub>H<sub>5</sub>C≡CC(CH<sub>3</sub>)(OCOCCH<sub>3</sub>)CH(OH)C<sub>4</sub>H<sub>9</sub> (III). Гидролиз II приводит к C<sub>6</sub>H<sub>5</sub>C≡CC(OH)(CH<sub>3</sub>)CH(OH)C<sub>4</sub>H<sub>9</sub> (IV). Гидратация II сопровождается дегидрата-

цией образующегося вначале диола, причем получают C<sub>6</sub>H<sub>5</sub>COCH=CC(CH<sub>3</sub>)CH(OH)C<sub>4</sub>H<sub>9</sub> (V) и C<sub>6</sub>H<sub>5</sub>COCH=CC(CH<sub>3</sub>)CH=CHC<sub>4</sub>H<sub>9</sub> (VI). I получают р-цией Ионича между C<sub>6</sub>H<sub>5</sub>C≡CH (VII) и CH<sub>3</sub>COC<sub>2</sub>H<sub>5</sub> (VIII) и дегидратацией образующегося C<sub>6</sub>H<sub>5</sub>C≡CC(CH<sub>3</sub>)(OH)C<sub>4</sub>H<sub>9</sub> (IX). Из 102 г VII и 114 г VIII в абс. эфире по Ионичу получают IX, выход 70%, т. кип. 139,5—140°/0,5 мм, n<sub>D</sub><sup>20</sup> 1,5257, d<sub>20</sub><sup>20</sup> 0,9487. 75,3 г IX и 29 г KHSO<sub>4</sub> нагревают 10 мин. при 30—40° и 26 мм, получают I, выход 83%, т. кип. 107—108°/0,5 мм, n<sub>D</sub><sup>20</sup> 1,5465, d<sub>20</sub><sup>20</sup> 0,9114. 40,8 г I и 20,4 г 80%-ной CH<sub>3</sub>COOH в абс. эфире оставляют на 10 суток и разгонкой выделяют 29,1 г II, т. кип. 117—118°/0,5 мм, n<sub>D</sub><sup>20</sup> 1,5270, d<sub>20</sub><sup>20</sup> 0,9572, и 4 г III, т. кип. 155—156°/0,5 мм, n<sub>D</sub><sup>20</sup> 1,5288, d<sub>20</sub><sup>20</sup> 1,0404. 2 г II кипятят 8 час. с 14 мл 1%-ного р-ра H<sub>2</sub>SO<sub>4</sub>, получают IV, т. пл. 81° (высаживанием водой из сн.). 6 г II и 22 мл р-ра (из 3,5 г HgSO<sub>4</sub>, 2,5 мл конц. H<sub>2</sub>SO<sub>4</sub> и 75 мл воды) нагревают 30 мин. при 40° и получают 2,3 г VI, т. кип. 124—126°/4 мм, n<sub>D</sub><sup>20</sup> 1,5581, d<sub>20</sub><sup>20</sup> 0,9013; из высококипящей фракции выделяют 0,3 г V, т. пл. 70° (из водн. сн.). Сообщение V см. РЖХим, 1958, 573734. В. Великов

**57383. Действие тетраацетата свинца на фенолы. VI. Меттешич, Шинцель, Вилчек, Вессель (Über die Einwirkung von Bleitetraacetat auf Phenole. VI. Mettesics W., Schinzel E., Vilček H., Wessely F.), Monatsh. Chem., 1957, 88, № 6, 1069—1076 (нем.)**

Описана упрощенная методика окисления фенолов Pb(CH<sub>3</sub>COO)<sub>4</sub> в соответствующие хинолацетаты общей ф-лы OCCR<sup>1</sup>=CR<sup>2</sup>CR<sup>3</sup>=CHC(R<sup>4</sup>)OCOCCH<sub>3</sub> (I), отлича-

ющаяся применением в качестве р-рителя миним. кол-ва CH<sub>3</sub>COOH, достаточного для образования пасты с Pb(CH<sub>3</sub>COO)<sub>4</sub>. К пасте прибавляют р-р фенола в небольшом кол-ве CH<sub>3</sub>COOH при т-ре <50°. Pb-соли отфильтровывают и из фильтрата после обычной обработки выделяют I с выходом в несколько процентов. Приведены исходный фенол, R<sup>1</sup>, R<sup>2</sup>, R<sup>3</sup>, R<sup>4</sup> у I, т. пл. I в °C (из эф.-петр. эф.): фенол, Н, Н, Н, Н, разд., (возг. при 125—136°/0,01 мм); *m*-крезол, ОСОСН<sub>3</sub>, Н, СН<sub>3</sub>, Н, 101—108; 2,5-диметилфенол, СН<sub>3</sub>, Н, СН<sub>3</sub>, Н, 35—38; 2-метил-5-фенилфенол, СН<sub>3</sub>, Н, C<sub>6</sub>H<sub>5</sub>, Н, 123—124. При окислении 86 г *o*-крезола были выделены: I, R<sup>1</sup> = CH<sub>3</sub>, R<sup>2</sup> = R<sup>3</sup> = R<sup>4</sup> = H; I, R<sup>1</sup> = ОСОСН<sub>3</sub>, R<sup>2</sup> = CH<sub>3</sub>, R<sup>3</sup> = R<sup>4</sup> = H (30 г), т. пл. 145—147°, и продукт, который после гидрирования над Pd-чернью и ацетилирования превращается в диацетат 4,4-диокси-*m*-дитолила. Кроме того, после гидрирования и омыления H<sub>2</sub>SO<sub>4</sub> были обнаружены толугидрохинон, изогмопирокатехин и еще 6 продуктов (хроматографией на бумаге). Из 3,4,5-трифенилфенола получен ацетат 1,2,3-трифенилциклогексадиен-3,6-ол-2-она-5, т. пл. 160—162° (из эф.). Полученные при окислении продукты при гидрировании над Pd/C превращаются в исходные фенолы. Сообщение V см. РЖХим, 1956, 12819. А. Сладков

**57384. К исследованию 1-фенилацетилкарбинола V. Бауэр, Маслер, Оршар, Мокрый, Томко (Prispevok k štúdiu 1-fenylacetylkarbinolu. V. Bauer S., Masler L., Országh S., Mokry J., Tomko J.), Chem. zvesti, 1957, 11, № 11, 651—655 (словацк.; рез. русск., нем.)**

Гидроокис Fe, Ni и Co, присутствующие в 1-фенилацетилкарбиноле (I) в кол-вах 0,1%, уже при стоянии при ~20° полностью уничтожают оптич. активность I. Прибавление к I этилендиаминотетрауксусной к-ты в кол-вах такого же порядка, как кол-во гидроокисей, полностью предохраняет I от дезактивации при перегонке. Сообщение IV см. РЖХим, 1957, 18991.

И. Котляревский  
**57385. Взаимодействие магнийорганических соединений с 2-бромдигидрорезорцином. Назаров**

И. Н. Завьялов С. И., Изв. АН СССР. Отд. хим. н., 1958, № 2, 200—203

При взаимодействии 2-бромдигидроэрезорцина (I) с 1 экв  $\text{CH}_3\text{MgI}$  или  $\text{C}_2\text{H}_5\text{MgI}$  в эфире (24 часа, 20°) получают Mg-еноляты I, из которых при обработке HCl количественно регенерируется I; с 2,5 моля этих реагентов в тех же условиях I дает 2-метил- [выход 47%, т. кип. 70—110°/2 мм; 2,4-динитрофенилгидразон (ДНФГ), т. пл. 164—165 (разл.)] и 2-этил- [выход 70%, т. кип. 116—120°/2 мм,  $n_D^{20}$  1,5540; ДНФГ, т. пл. 154—155° (разл.)] 1-бромциклогексен-1-оны-6 (II и III), превращающиеся при перегонке в вакууме в м-крезол, т. кип. 101—103°/25 мм, и м-этилфенол, т. кип. 117—121°/27 мм,  $n_D^{20}$  1,5350; трибромпроизводное, т. пл. 77—78° (из сп.); при встряхивании II и III с р-ром NaOH при 20° получены 3-метил- [выход 28%, т. кип. 69—72°/1 мм, т. пл. 61—63° (из водн.  $\text{CH}_3\text{OH}$ )] и 3-этил- [выход 42%, т. кип. 76—78°/1 мм, т. пл. 22—23°] циклогексацидоны-1,2 соответственно. К охлаждаемому р-ру 11,2 г дигидроэрезорцина в 250 мл воды приливают по каплям 16 г  $\text{Br}_2$ , кипятят и получают I, выход 60%, т. пл. 162—164° (из сп.). Л. Щукина 57386.

Синтез 7-галоидфлавонов и родственных соединений. Чжэнь, Чжан (Synthesis of 7-halogenoflavone and related compounds. Chen F. C., Chang C. T.), J. Chem. Soc., 1958, Jan., 146—150 (англ.)

Описано ацетилирование ацето-м-анизидина (I) по Фриделю — Крафтсу, изомеризация м-йод-(IIa), м-бром-(IIb) и м-хлор-(IIв)-фенилацетатов по Фрису в соответствующие 4-галоид-2-оксифлавоны (IIIa—в) и превращение IIIa—в в 4'-йод-(IVa), 4'-бром-(IVb) и 4'-хлор-(IVв)-2'-оксифлавоны. Синтезированы 4'-йод-(Va), 4'-бром-(Vb) и 4'-хлор-(Vв)-2'-оксифлавоны; циклизацией IVa—в получены 7-йод-(VIa), 7-бром-(VIb) и 7-хлор-(VIв)-флавоны, а циклизацией Va—в получены 7-галоид-4'-метоксифлавоны (VIIa, б), VIIa, б в окислены в соответствующие 7-галоидфлавоны (VIIIa—в), а VIIa, б и 7-хлор-4'-метоксифлавоны в 7-галоид-4'-метоксифлавоны (IXa—в); получены 7-галоидфлавоны (Xa—в) и 7-галоид-4'-метоксифлавоны (XIa—в). 3 г I, 3,5 г  $\text{CH}_3\text{COCl}$  в 10 мл  $\text{CS}_2$  и 9 г  $\text{AlCl}_3$  размешивают 30 мин. при 20°, нагревают 1,5 часа при 50—60° и выделяют как обычно 2-метокси-(XII, выход 60%, т. пл. 135—136°) и 2-окси-(XIII, выход 10%, т. пл. 146—147° (из бал.)) 4-ацетамидоацетофеноны; при 80—90° получают незначительное кол-во XII и 55% XIII. XII и XIII гидролизуют кипящей 15%-ной HCl в 2-метокси-(т. пл. 121—122°) и 2-окси-(т. пл. 129—130°) 4-аминоацетофеноны, превращаемые по Зандмейеру в 4-йод-2-метоксифлавоны, т. пл. 69—70°, и IIIa, т. пл. 53—54°. 10,5 г IIa в 52 мл  $\text{C}_6\text{H}_5\text{Cl}$  и 7 г  $\text{AlCl}_3$  нагревают 4,5 часа при 125—135° и выделяют IIIa, выход 64%; 29 г IIb и 60 г  $\text{AlCl}_3$  нагревают 3 часа при 170°, смесь разлагают разб. HCl, перегоняют с паром и получают IIIb, выход 87%, т. пл. 42—43°; аналогично (1,5 часа, 175—180°) получают IIIв, выход 85%, т. кип. 121—124°/15 мм. Из 1 г IIIa, 0,8 г  $\text{C}_6\text{H}_5\text{CHO}$  в 12 мл спирта, 11 мл 60%-ного р-ра KOH (2 дня при 0°) получают IVa, выход 1,1 г, т. пл. 112—113°. Аналогично получают (указаны в-во, выход в % и т. пл. в °C): IVb, 87, 115—116; IVв, 77, 124—125; Va, 73, 161—162; Vb, 84, 136—137; Vв, 80, 136—137. 1 г IVa, 4,5 мл  $\text{H}_3\text{PO}_4$  (d 1,75) и 150 мл спирта кипятят 48 час., р-р концентрируют и получают VIa, выход 0,5 г, т. пл. 114—115°; аналогично (72 часа) получают (указаны в-во и т. пл. в °C): VIb, 79—80; VIв, 54—55,5; VIIa, 166,5—167,5; VIIb, 130—130,5. Смесь 1 г VIa, 1 г  $\text{SeO}_2$  и 14 мл  $\text{C}_6\text{H}_{11}\text{OH}$  кипятят 10 час. и выделяют VIIIa, выход 0,6 г, т. пл. 167—168° (из водн. дioxана); или 0,1 г VIa и 0,07 г N-бромсукцинимиды в 10 мл  $\text{CCl}_4$  кипятят 1 час, получают VIIIa, выход

70 мг. Аналогично получают (приведены в-во и т. пл. в °C): VIIIb, 167—168; VIIIв, 156—157; IXa, 205—206; IXb, 184—185; IXв, 190,5—191,5. К 15 мл  $\text{CH}_3\text{OH}$ , 2 мл 16%-ного р-ра NaOH, 0,5 г IVa—в, или Va—в приливают по каплям при охлаждении 2 мл 15%-ной  $\text{H}_2\text{O}_2$ , оставляют на 24 часа в холодильнике, подкисляют разб. HCl и отделяют с 82—84%-ными выходами (приведены в-во и т. пл. в °C): Xa, 188,5—189,5; Xb, 178—179; Xв, 180,5—181,5; XIa, 206—207; XIb, 193—194; XIв, 192—193. Л. Щукина 57387.

Синергетики для пиретринов. Сугахара Масафуми, Корё, 1957, № 44, 30—42 (японск.)

С целью испытания в качестве синергетиков для пиретринов приготовлен ряд простых и сложных эфиров сезамола [3,4-метилendioксифенола (I)], его уретаны и другие производные. Смесь 62,5 г  $\text{CH}_3\text{COOH}$ , 8 г  $\text{H}_2\text{O}_2$ , 20 г воды, 63 г  $\text{CH}_3\text{COOH}$ , 1,5 г  $\text{H}_2\text{SO}_4$  нагревают 6 час. при 35—40°, добавляют смесь 136 г  $(\text{CH}_3\text{CO})_2\text{O}$  и 108 г  $\text{CH}_3\text{COOH}$ , оставляют на 16 час. при 25°, добавляют 2,5 г  $\text{CH}_3\text{COONa}$  и 1,6 г  $n\text{-CH}_3\text{C}_6\text{H}_4\text{SO}_3\text{H}$ , за 6 час. при 30—35° вводят 150 г пипероналя в 840 мл  $\text{CH}_3\text{COOH}$ , выдерживают 16 час. при 25°, добавляют немного  $\text{Na}_2\text{SO}_3$ , р-рители отгоняют, затем разгоняют в вакууме, собирая фракцию с т. кип. 135—136°/5 мм, ее обрабатывают 90 г KOH в 810 г  $\text{CH}_3\text{OH}$  2 часа при 25°, затем добавляют 78 г  $\text{CH}_3\text{COOH}$ , отгоняют р-рители при 25 мм, остаток растворяют в 400 мл дихлорэтана, промывают водой с  $\text{Na}_2\text{SO}_3$ , сушат, разгонкой выделяют I, выход 58%, т. кип. 110—115°/2 мм, т. пл. 63° (из толуола). Эфиры I общей ф-лы 3,4-( $\text{CH}_2\text{O}_2$ ) $\text{C}_6\text{H}_4\text{OR}$  получены нагреванием Na-производного I с алкилгалогенидами при 160° 2—3 часа [даны R, выход в %, т. кип. в °C/мм, т. пл. в °C,  $n_D^{20}$ ]: пропил, 83, 67—69/0,08, —, 1,5203; бутил, 86, 87—88/0,1, —, 1,5147; амил, 84, 94—98/0,04—0,07, —, 1,5112; изоамил, 75, 81—84/0,02—0,03, 47—48, 1,5114; циклопентил, 55, 98—101/0,15, —, 1,5404; циклогексил, 11,5—12,5, 104—105/0,08, —, 1,5374; 2-н-октил, 51, 110—113/0,07, —, 1,4996; 2-этил-н-гексил, 63, 113—116/0,08, —, 1,4993; 2-циклогексилэтил, 78, —, 55—57, —; 2-н-бутоксизтил, 76, 117—121/0,085, —, 1,5065; 2-(2'-хлорэтоксиз)-этил, 48, 131—133/0,07, —, 1,5343; 2-(2'-этоксизетоксиз)-этил, 22, 123—125/0,08, —, 1,5107; 2-(2'-н-бутоксизетоксиз)-этил, 71, 142—145/0,08, —, 1,5019; аллил, 62, 84—88/0,1, —, 1,5400; 2-хлораллил, 75, 111—114/0,03—0,04, —, 1,5501; 3-хлораллил, 62, 100—104/0,06, 64,5—65,5 (из сп.), 1,5578;  $\text{CH}_3\text{COOH}$ , 78, —, 155—156 (из воды), —;  $\text{CH}_2\text{COCl}$ , 73, 103—104/0,085, 56,7—68, 1,5510;  $\text{CH}_2\text{COOC}_2\text{H}_5$ , 82, 127—131/0,08, —, 1,5106; триметилсиллил, 78, 124—125/14,5, —, 1,4999; бензил, 67, 125—129/0,02, —, 1,5850; о-хлорбензил, 65, —, 63,7—64,7 (здесь и далее из сп.); н-хлорбензил, 64, —, 82—82,6, —; 2,4-дихлорбензил, 77, —, 101,5—103,5, —; 3,4-дихлорбензил, 80, —, 68,5—69,3, —; н-бромбензил, 61, —, 92,5—93,5, —; н-нитробензил, —, —, 119—120, —; ацетат, 87, 81—83/0,08, —, 1,5256; пропионат, 85, 81—83/0,08, —, 1,5183; н-бутират, 82, 92—94/0,08, —, 1,5118; капроат, 83, 113—117/0,07, —, 1,5020; пальмитат, 81, —, 50—51 (из эф. petr. эф.), —; циклогексилкарбоксилат, 80, 125—127/0,08, 60—60,5 (из изооктана), —; фураат, 90, 130—132/0,08, 67,8—68,5 (из бал.-птр. эф.), —; хлорацетат, 61, 104—106/0,08, 54—55 (из эф.), —; этилкарбонат, 75, 100—101/0,1—0,2, 33,5—34,5 (из эф.), —; н-бутилкарбонат, 79, 107—110/0,07, —, 1,5016; изобутилкарбонат, 89, 106—109/0,07, —, 1,5002; бензоат, 93, 145—148/0,09, 56—56,5 (из бал.-птр. эф.), —; о-этоксизбензоат, 96, 165—170/0,07, 62—63 (из эф.), 1,5773; о-хлорбензоат, 86, 156—158/0,06, 55—56 (из бал.-птр. эф.), 1, 5940; н-хлорбензоат, 76, —, 91—92 (из бал.-птр. эф.), —; хризантема, 76, 120—126/0,05, 66—67 (из бал.-птр. эф.), —; бензолсульфонат, 80, 166—170/0,1, 62,5—63,5 (из бал.-птр. эф.), —; β-нафталинсульфонат, 76, —, 89—90 (из эф.), —; н-толуолсульфо-



нат, 85, —, 86—87 (из эф.), —; хлорбензолсульфонат, 75, —, 84,5—85,5 (из эф.), —; а также  $[2-C_6H_5O-4,5-(CH_2O)_2-C_6H_5]_2$ , 53, —, 125—126 (из хлф.-эф.), —. К смеси 0,02 моля соответствующего винилового эфира и 2—3 капель конц. HCl добавляют 0,02 моля сезамола, через 25 мин. нагревают 30 мин. при 70° или в случае низкокипящих виниловых эфиров оставляют на несколько часов, получают ацетали  $CH_3CH(OR)(OR')$ , где  $R' = 3,4$ -метилendioксифенил (даны R, выход в %, т. кип. в °C/мм,  $n_D^{25}$ ): этил, 90, 82—85/0,085, 1,5060, бутил, 92, 106—110/0,15, 1,4970; изобутил, 93, 94—97/0,075, 1,4964; 2-хлорэтил, 87, 111—113/0,08, 1,5236; 2-н-бутоксипропил, 85, 121—125/0,075, 1,4930; 2-метоксипропил, 90, 107—111/0,09, 1,5057; 2-(2'-этоксипрокси)-этил, 89, 137—141/0,008, 1,4938; 2-этилгексил, 88, 120—124/0,075, 1,4911; 2-(2'-бутоксипрокси)-этил, 55, 171—175/0,075, 1,4908; а также 2-(3',4'-метилendioксифенокси)-тетрагидропиран (из дигидропирана), 89, 102—107/0,065, 1,5347; 2-(3',4'-метилendioксифенокси)-диоксан (из *n*-диоксана), 35, 122—125/0,085, 1,5111, т. пл. 75,5—76,5° (из эф.); 2-этоксипропил-5-(3',4'-метилendioксифенокси)-тетрагидрофуран (из 2,5-диэтокситетрагидрофурана), 30, 109—115/0,07, 1,5190; бис-3,4-метилendioксифеноксиметан (из  $CH_2I_2$ ), 44, —, т. пл. 121—122° (из эф.), —. При нагревании 0,01 моля I с небольшим избытком арилизоцианата в присутствии 2 капель пиридина 15 мин. образуются соответствующие уретаны [даны арил, выход уретана в %, т. пл. в °C (из  $CCl_4$ ): фенил, 90, 122—122,5; *o*-толил, 87, 142,5—143,5; *m*-толил, 82, 84,5—85,5; *p*-толил, 88, 152,5—153,5; 1-нафтил, 90, 158—158,5. Приведены результаты испытаний синтезированных в-в в качестве синергетиков для пиретрина и аллетрина: например, установлено, что сложные эфиры I и карбоновых к-т не являются синергетиками, за исключением эфира I и хризантемовой к-ты, простые эфиры и ацетали обладают синергетическим действием.

Л. Яновская

**57388.** Присоединение дифенилметана к сопряженным системам с участием атома водорода метиленовой группы, происходящее под влиянием амида калия. Циклизация продуктов присоединения действием полифосфорной кислоты. Тетенбаум, Хаусер (Conjugate addition condensations of diphenylmethane involving methylene hydrogen by potassium amide. Cyclizations of products by polyphosphoric acid. Tetenbaum Marvin T., Hauser Charles R.), J. Organ. Chem., 1958, 23, № 2, 229—233 (англ.)

К 0,2 моля  $KNH_2$  в 300 мл безводн. жидкого  $NH_3$  прибавляют 0,2 моля  $(C_6H_5)_2CH_2$  (I) в равном объеме безводн. эфира, перемешивают 15 мин., приливают р-р 0,2 моля  $C_6H_5CH=CHCOOC_2H_5$  (II) в безводн. эфире, удаляют  $NH_3$ , приливают эфир, кипятят 15 мин. и после обработки льдом и HCl (к-той) выделяют из эфирного слоя 66 г затвердевающего в рефрижераторе, не поддающегося кристаллизации  $(C_6H_5)_2CHCH(C_6H_5)CH_2COOC_2H_5$  (III, IV к-та). 10 г III омыляют р-ром KOH; выход IV 84% (в пересчете на I), т. пл. 178—179° (из 50%-ной  $CH_3COOH$ ). При р-ции 0,2 моля I с 0,2 моля II с применением 0,02 моля  $KNH_2$  и кипячении в смеси жидкого  $NH_3$  с эфиром (5 час.) выход продукта р-ции, омыленного в IV, составил всего 24%. При замене  $KNH_2$  на  $NaNH_2$  из 0,1 моля I образовалось 23 г III. 8 г неочищ. III нагревают с избытком полифосфорной к-ты (V) (125—130°, 30 мин.) и получают циклич. кетон, представляющий собой 3-(дифенилметил)-инданон-1, или, что более вероятно, 3,4-дифенилтетралон-1, выход 50% (неочищ.) в пересчете на I, т. пл. 164,5—165° (из эф.). При циклизации чистой IV в аналогичных условиях выход кетона составляет 57%, 2,4-динитрофенилгидразон (ДНФГ), т. пл. 290° (из лед.  $CH_3COOH$ ). К р-ру  $(C_6H_5)_2CHK$  (Ia) (из 0,1 моля  $KNH_2$ , 0,1 моля I,

300 мл жидкого  $NH_3$  и ~ 50 мл безводн. эфира) прибавляют 0,1 моля  $C_6H_5CH=CHCOOC_2H_5$ , через 1 час обрабатывают, как при синтезе III, и отфильтровывают 2,3,3-трифенилбутирофенон (VI), выход 80% (неочищ.), т. пл. 187—188° (из хлф.-петр. эф.). VI не дает оксима и ДНФГ. Аналогично VI взаимодействием  $C_6H_5CH=C(C_6H_5)CN$  с Ia получают нитрил  $(C_6H_5)_2CHCH(C_6H_5)CH(C_6H_5)CN$  (VII), выход 62%, т. пл. 211—211,5° (из хлф.-эф.). VII не удается гидролизовать. VI и VII не циклизуются при нагревании с V (125—130°, 30 мин.) и действием конц.  $H_2SO_4$ . При взаимодействии Ia с  $C_6H_5OCH=CHCOOC_2H_5$  (VIII) после обычной обработки получают масло, отгоняют в вакууме I и VIII, остаток гидролизуют р-ром KOH, образовавшуюся к-ту  $(C_6H_5)_2CHCH=CHCOOH$  нагревают с V (125°, 30 мин.) и выделяют 1-окси-4-фенил-2-нафтольную к-ту, выход 47%, т. пл. 227—228° (разл.; из хлф.-лигр.). Для доказательства строения 1-окси-4-фенил-2-нафтольную к-ту декарбонилируют нагреванием выше т-ры плавления и получают 4-фенилнафтол-1, выход 67%, т. пл. 139—140° (из хлф.-лигр.).

Г. Брау  
**57389.** Конденсации метилового эфира бензгидрида с участием  $\alpha$ -водорода под влиянием амида калия. Циклизация продуктов присоединения к сопряженным системам действием полифосфорной кислоты. Хаусер, Тетенбаум (Condensations of benzhydryl methyl ether involving  $\alpha$ -hydrogen by potassium amide. Cyclization of conjugate addition product by polyphosphoric acid. Hauser Charles R., Tetenbaum Marvin T.), J. Organ. Chem., 1957, 22, № 2, 233—235 (англ.)

100 г  $(C_6H_5)_2CHBr$  перемешивают ~ 12 час. с 333 мл абс.  $CH_3OH$ , приливают водн. р-р KOH, отделяют метанольный слой, объединяют его с эфирными вытяжками из водн. слоя и разгоняют. Выход  $(C_6H_5)_2CHOCN$  (I) 97%, т. кип. 129°/5 мм. К суспензии 0,1 моля  $KNH_2$  в 500 мл жидкого  $NH_3$  прибавляют 0,1 моля I в равном объеме безводн. эфира, перемешивают 15 мин. и приливают 0,1 моля  $C_6H_5CH_2Cl$  в эфире. Перемешивают 1 час, удаляют  $NH_3$  при нагревании, приливают равный объем эфира, кипятят 15 мин., разлагают льдом и HCl (к-той) и выделяют из эфирного р-ра  $(C_6H_5)_2C(CH_2C_6H_5)OCH_3$ , выход 63% (неочищ.). т. пл. 93° (из  $CH_3OH$ -бал.). К суспензии  $(C_6H_5)_2C(OCH_3)_2$  (II), полученного, как выше, из 0,1 моля  $KNH_2$  и 0,1 моля I, прибавляют 0,1 моля  $C_6H_5CH=CHCOOC_2H_5$  в равном объеме эфира, удаляют  $NH_3$ , заменяют его эфиром, кипятят 30 мин. и после разложения получают  $(C_6H_5)_2C(OCH_3)CH(C_6H_5)CH_2COOC_2H_5$  (III), выход 62% (неочищ.), т. пл. 139—140° (из эф.). 7 г III нагревают с избытком полифосфорной к-ты (125—130°, 30 мин.); выход 3,4-дифенил-4-метокситетралона-1 (IV) 98% (неочищ.), т. пл. 106,5—107,5° (из сп.). Строение IV подтверждено его ИК-спектром. Оксим IV, т. пл. 178° (из сп. + вода). Для ароматизации IV 1 г его прибавляют к 138 г безводн. HF и медленно испаряют р-р (~ 20°, ~ 12 час.). Получают 3,4-дифенилнафтол-1, выход 98%, т. пл. 143—144°. Последний при нагревании с  $(CH_3CO)_2O$  превращается в ацетильное производное, выход 78%, т. пл. 165—166° (из сп.). Суспензию II, полученную, как указано выше, из 0,1 моля I, перемешивают 15 мин., заменяют  $NH_3$  на безводн. эфир, кипятят 30 мин., прибавляют твердую  $CO_2$  и после ее испарения приливают воду и эфир. Из щел. р-ра выделяют  $(C_6H_5)_2C(OCH_3)COOH$ , выход 10%, т. пл. 108,5—109,5°.

Г. Брау  
**57390.** Получение кеталей из вторичных спиртов. Стивенс, Мак-Лейн, Уэйнхеймер (The formation of ketals from secondary monohydric alcohols. Stevens C. L., McLean R. L., Weinheimer A. J.), Chemistry and Industry, 1957, № 40, 1321—1322 (англ.)

При действии на 2-метил-3-фенил-3-изопропокси-2,3-эпоксипропан (I) избытка  $(\text{CH}_3)_2\text{CHOH}$  (II) в присутствии  $\text{H}^+$  образуется  $\text{C}_6\text{H}_5\text{C}(\text{OCH}(\text{CH}_3)_2)_2\text{CON}(\text{CH}_3)_2$  (III). Также из 2-метил-3-фенил-3-циклогексидокси-2,3-эпоксипропана (IV) получен  $\text{C}_6\text{H}_5\text{C}(\text{OC}_6\text{H}_{11})_2\text{CON}(\text{CH}_3)_2$  (V). Однако 2-метил-3-фенил-3-(втор-бутокси)-2,3-эпоксипропан (VI) с  $\text{CH}_3\text{CH}(\text{C}_2\text{H}_5)\text{OH}$  (VII) в тех же условиях дал неожиданный оксикеталь, а  $\text{C}_6\text{H}_5\text{C}(\text{OCOSn}(\text{CH}_3)_2)_2$  (VIII). Тот факт, что под влиянием  $\text{MgBr}_2$  VI перегруппировывается в  $\text{C}_6\text{H}_5\text{CH}(\text{CH}_3)\text{OC}(\text{CH}_3)_2(\text{C}_6\text{H}_5)\text{C}(\text{OCH}_3)_2$  (IX), указывает на то, что р-ция образования VIII (в результате дегидратации VII с последующим взаимодействием воды с VI) идет быстрее, чем катализируемое к-той разложение VI на бутилен и оксикеталь. III легко гидролизует в соответствующий оксикетон. III устойчив при длительном хранении в чистом сосуде, в присутствии же катализаторов  $\text{AlCl}_3$  или к-ты при  $t \sim 20^\circ$  III регенерирует II и I. VI и VII получены р-цией  $\text{C}_6\text{H}_5\text{C}(\text{OCBr}(\text{CH}_3)_2)_2$  с алкоголем Na в жидком  $\text{NH}_3$ . Приведены в-во, выход в %, т. кип. в  $^\circ\text{C}/\text{мм}$ ,  $n_D^{25}$ : I, 72, 80—81/5, 1,4779, 0,9475; III, 58, 82—83/0,5, 1,4889, 0,9920; IV, 58, 88—90/0,5, 1,5047, —; V, 45, 155—160/0,2, —; VI, 82, 82—83/0,5, 1,4785, 0,9576. Строение IX доказано образованием  $\text{C}_6\text{H}_5\text{COCH}_3$  при бекмановской перегруппировке второго рода оксима IX. Г. Крыкова

57391. Получение ацеталей в щелочной среде. Шмиц (Herstellung von Acetalen in alkalischen Medium. Schmitz Ernst), Chem. Ber., 1958, 91, № 2, 410—414 (нем.)

Действием  $(\text{CH}_3)_2\text{SO}_4$  (I) в щел. среде на  $\text{CH}_2\text{O}$ , о-(IIa), м-(IIb) и п- $\text{NO}_2\text{C}_6\text{H}_4\text{CHO}$  (IIв), изофталевый (III) и терефталевый (IV) диальдегиды получены соответствующие ацетали (AC). о-Фталевый (V) диальдегид образует в этих условиях 1,3-диметоксифталан (VI). Автор считает, что ацеталированию в щел. среде подвергаются лишь альдегиды с малой плотностью электронов у карбонильного С-атома. Р-р 5 г альдегида и вычисленного кол-ва I в 10—30 мл  $\text{CH}_3\text{OH}$  приливают за 30 мин. ( $0^\circ$ ) к 2 н. NaOH (1,3—1,5 моля на 1 моль I), нагревают 10 мин. при  $\sim 95^\circ$ , извлекают эфиром, обрабатывают  $\text{NH}_2\text{OH} \cdot \text{HCl}$ , затем разб. р-ром NaOH и перегонкой выделяют AC (переключаются AC, выход в %, т. кип. в  $^\circ\text{C}/\text{мм}$ ,  $n_D^{20}$ ): диметилацеталь IIa, 85, 131,5—133/9, 1,5180; диметилацеталь IIb, 84, 145—146/9, 1,5246; диметилацеталь IIв, 85, 146—148/9, —, т. пл.  $28^\circ$ ; VI, 89, 113,5—115/11, 1,5110; тетраметилацеталь III, 64, 140—142/11, 1,4918; тетраметилацеталь IV, 61, 138—139/9, —, т. пл.  $53^\circ$  (из водн.  $\text{CH}_3\text{OH}$  в атмосфере  $\text{N}_2$ ). К 500 мл 4 н. NaOH прибавляют за 2 часа ( $0^\circ$ ) одновременно 30%-ный  $\text{CH}_2\text{O}$  (1 моль) и 2 моля I; получают  $\text{CH}_2(\text{OCH}_3)_2$  с выходом 42%. Кипятят 20 час. 5 г V, 10 г I, 10 мл  $\text{CH}_3\text{OH}$  и 0,2 мл 12%-ного р-ра HCl в  $\text{CH}_3\text{OH}$ , обрабатывают 10 мл конц. р-ра NaOH, разбавляют водой и перегонкой выделяют тетраметилацеталь V, выход 94%, т. кип. 128—129/10 мм,  $n_D^{20}$  1,4918. П. Аронович

57392. О синтезе N-(оксари́л)-арилкетиминов. Контарель, Су́й (Sur la synthèse des N-(hydroxyaryl) arylcétimines. Cantarel Roger, Souil François), C. r. Acad. sci., 1958, 246, № 9, 1436—1438 (франц.)

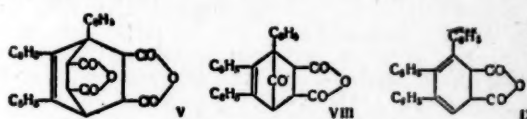
При нагревании при  $\sim 110^\circ$  дифенилкетимина с о-, м- или п-аминофенолами получаются с почти колич. выходами N-о-окси- (т. пл.  $157^\circ$ ; хлоргидрат (XG), т. пл.  $181^\circ$ ), N-м-окси- (т. пл.  $173^\circ$ ; XG, т. пл.  $182^\circ$ ) и N-п-окси- (т. пл.  $169^\circ$ ; XG, т. пл.  $201^\circ$ )-фенилдифенилкетимины, гидролизующиеся в бензофенон и соответствующие аминифенолы, образующие моносольваты с  $\text{CH}_3\text{OH}$ ,  $\text{C}_2\text{H}_5\text{OH}$  и п- $\text{C}_6\text{H}_4\text{OH}$  и гидрирующиеся над оселетным Ni в неустойчивые амины  $(\text{C}_2\text{H}_5)_2\text{CHNHC}_6\text{H}_4$ -

ОН (орто-изомер, т. пл.  $145^\circ$ ), образующие устойчивые XG, т. пл. 149, 162 и  $197^\circ$  соответственно.

Д. Витковский  
57393. Окислительное декарбоксилирование некоторых  $\alpha$ -оксикислот комплексом бензоата серебра с йодом. Раман (Oxidative decarboxylation of some  $\alpha$ -hydroxy acids with silver iodide dibenzoate. Raman P. S.), Current Sci., 1958, 27, № 1, 22 (англ.)  
Найдено, что комплекс  $2\text{C}_6\text{H}_5\text{COOAg} \cdot \text{J}_2$  (I) окисляет с декарбоксилированием  $\alpha$ -оксикислоты (OK) в соответствующие альдегиды (АД) или кетоны (КТ) [охарактеризованы в виде 2,4-динитрофенилгидразонов (ДНФГ)] с хорошим выходом. Р-ция с ароматич. OK происходит легко, в то время как винная и лимонная к-ты не реагируют. 1 моль OK (порошок) прибавляют к теплomu I (выделяется  $\text{CO}_2$ ), полученному из 2 молей  $\text{C}_6\text{H}_5\text{COOAg}$  и 1 моля  $\text{J}_2$  в абс.  $\text{C}_6\text{H}_6$ , кипятят 1,5 часа, фильтруют теплым, промывают  $\text{NaHCO}_3$  и водой, выделяют АД или КТ (приводятся исходная OK, полученное в-во, выход в %):  $\text{C}_6\text{H}_5\text{CHONCOOH}$ ,  $\text{C}_6\text{H}_5\text{CHO}$ , 72;  $4\text{-CH}_3\text{OC}_6\text{H}_4\text{CHONCOOH}$ ,  $4\text{-CH}_3\text{OC}_6\text{H}_4\text{CHO}$ , 67;  $3,4\text{-CH}_2\text{O}_2\text{C}_6\text{H}_3\text{CHONCOOH}$ , пиперонал, 76;  $(\text{C}_6\text{H}_5)_2\text{C}(\text{OH})\text{COOH}$ , бензофенон, 83;  $\text{C}_6\text{H}_5\text{CH}_2\text{CHONCOOH}$ ,  $\text{C}_6\text{H}_5\text{CH}_2\text{CHO}$ , — (сильное осмещение; выход ДНФГ невелик). В. Скородумов

57394. О 3,4,5-трифенилбензойной кислоте. Полякова, Ахматович, Бём (O kwasie 3,4,5-trójenylobenzoesowym. Polaczkowa Wanda, Achmatowicz Osman, Jr, Böhm Jaroslav), Roczn. chem., 1957, 31, № 1, 115—122 (польск., рез. англ.)

Проводился синтез 3,4,5-трифенилбензойной к-ты (I) для определения ее строения. Исходным продуктом были 4-окси-2,3,4-трифенилциклопентен-2-он-I (II) и ангидрид малеиновой к-ты (III), которые в диановом



синтезе при мол. отношении II и III = 1:1 образуют главным образом 3,4,5-трифенилфталевую к-ту (IV), при отношении 1:2 — ангидрид IV и диангидрид (V) 1,2,3-трифенилбицикло-[2,2,2] октен-2-тетракарбоновой-5,6,7,8 к-ты (VI), а при отношении 1:4 — только V. I получают термич. разложением V. Р-ция проводилась нагреванием Cu-соли VI при  $190^\circ$ . Реагентом разложения V в присутствии щел. карбоната меди при тождественных условиях является I и небольшое кол-во 1,2,3-трифенилбензола (VII). Образование IV—VII объясняется следующим рядом р-ций: II дегидратируется в соответствующий диенон, дающий с III кетон (VIII); последний, теряя CO, дает новый диен (IX), который с III образует V; затем в результате ароматизации и отщепления III переходит в I; из V побочно образуется VII. 32,6 г II и 39,2 г III нагревают медленно до 200—210°, после 30 мин. смесь охлаждают, добавляя  $\text{CH}_3\text{OH}$  и фильтруют; получают V, выход 63%, т. пл. 315—317° (разл.). Растворением V в 2%-ном NaOH и осаждением 5%-ной водн. HCl получают VI, которая уже при  $90^\circ$  переходит в V. Метиловый эфир VI получают из VI и  $\text{CH}_2\text{N}_2$ , т. пл. 216—217°. Получение IV: р-цию проводят как для V, но с кол-вом III вдвое меньшим; получают 16 г V, а остаток после кристаллизации V растворяют в  $\text{C}_6\text{H}_6$ , извлекают 3%-ным NaOH и из водн. р-ра осаждают сырой IV при помощи разб. HCl; получают 6 г продукта, т. разл. 216—218° (из разб.  $\text{CH}_3\text{COOH}$ ). Метиловый эфир IV получают из к-ты и  $\text{CH}_2\text{N}_2$ , т. пл. 174—175° (из ацетона- $\text{CH}_3\text{OH}$ ). Гидролизом метилового эфира IV в спирт.



р-ре получают чистый IV, т. пл. (зависима от т-ры ввода в прибор) 229—236° (из разб.  $\text{CH}_3\text{COOH}$ ). 10 г V и 3,5 г NaOH растворяют в 50 мл воды, нейтрализуют до pH 7 и осаждают водн. р-ром  $\text{CuCl}_2$ ; получают 13,58 г светло-голубого порошка; последний обрабатывают хинолином (50 мл) и нагревают при 200° в течение 20 мин.; охладив, добавляют 5 г NaOH в 50 мл воды и отгоняют р-ритель с водяным паром; остаток перекристаллизовывают из воды и, растворив в воде, осаждают HCl; осадженную I извлекают эфиром, выход 46%, т. пл. 265—266,5° (из сп.). Метилловый эфир I (из I и  $\text{CH}_2\text{N}_2$ ), т. пл. 141,5—142,5° (из  $\text{CH}_3\text{OH}$ ). 1 г V нагревают с 0,2 г основного карбоната меди и 10 мл хинолина 1 час при 220—230°; охладив, добавляют 10 мл 10%-ного NaOH и отгоняют хинолин с водяным паром; в конце отгонки в холодильнике появляются кристаллы VII, которые очищают возгонкой, выход 10 мг, т. пл. 158—159°; из остатка выделяют 0,2 г I через Na-соль.

W. Lewenstein  
57395. Получение ароматических кислот окислением боковых цепей в ароматических соединениях азотной кислотой. Сообщение 2. Назаров И. Н., Семеновский А. В., Изв. АН СССР. Отд. хим. н., 1957, № 9, 1101—1104

В продолжение прошлых работ (см. сообщение 1, РЖХим, 1956, 12827) окислением разб.  $\text{HNO}_3$  боковых цепей в  $\text{RC}_6\text{H}_4\text{CH}_2\text{Cl}$ , где  $\text{R} = \text{Cl}$  (I), Br (II) и F (III), а также в  $\text{R}'\text{C}_6\text{H}_4\text{R}''$ , где  $\text{R}' = \text{Cl}$  (IV), Br (V) и  $\text{NO}_2$  (VI), здесь и далее  $\text{R}'' = \text{CH}_3$  (а),  $\text{C}_2\text{H}_5$  (б),  $\text{CH}(\text{CH}_3)_2$  (в), и в  $\text{BrCH}_2\text{C}_6\text{H}_4\text{R}''$  (VII) получены соответственно Cl-, Br-, F- и  $\text{NO}_2\text{C}_6\text{H}_4\text{COOH}$  (VIII—XI) и  $\text{HOOC}_6\text{H}_4\text{COOH}$  (XII). Окислением VIa—в (смесь о- и п-изомеров, полученных нитрованием соответствующих углеводородов) получена смесь о- и п-изомеров XI с выходом 75—85%; из IVa—в и Va—в также получена смесь о- и п-изомеров VIII и IX с выходами соответственно 65—77% и 69—71%. При окислении I—III (полученных хлорметилированием соответствующих галоидобензолов) также выделена смесь о- и п-изомеров VIII—X, что указывает на образование при хлорметилировании смеси изомеров, а не исключительно п-изомера (РЖХим, 1954, 32309). Выход смеси о- и п-изомеров XII (при окислении VIIa—в) 61—81%. Окисление йодпроизводных до  $\text{JC}_6\text{H}_4\text{COOH}$  не протекает гладко. Окисления проводили в стальном вращающемся автоклаве избытком (~20%) 20%-ной  $\text{HNO}_3$  1,5 часа при 200°; п-изомер отфильтровывали, а из маточного р-ра после упаривания выделяли о-изомер. Выделение чистых о- и п-IX (при окислении Va—в и Pa—в связано с длительной очисткой о-изомера путем перевода в Ag- или другие соли и многократной кристаллизацией.

Г. Крюкова  
57396. Получение  $\alpha$ -аллил- $\beta$ -(4-алкоксифенил)-пропеновых кислот. Сообщение 1. Аракелян С. В., Дангян М. Т., Гитакан ашхатутюннер. Еревани амалсаран, Научн. тр. Ереванск. ун-та, 1957, 60, 25—51 (арм.; рез. русск.)

Синтезированы  $n\text{-ROC}_6\text{H}_4\text{CH}_2\text{CH}(\text{CH}_2\text{CH}=\text{CH}_2)\text{COOH}$  (I) по схеме:  $n\text{-ROC}_6\text{H}_4\text{CH}_2\text{CH}(\text{COOC}_2\text{H}_5)_2 + \text{CH}_2=\text{CHCH}_2\text{Br} (+\text{Na}, \text{C}_6\text{H}_6) \rightarrow n\text{-ROC}_6\text{H}_4\text{CH}_2\text{CH}(\text{COOC}_2\text{H}_5)_2\text{CH}_2\text{CH}=\text{CH}_2$  (II)  $(+\text{NaOH}, \text{HCl}) \rightarrow n\text{-ROC}_6\text{H}_4\text{CH}_2\text{CH}(\text{COOH})_2\text{CH}_2\text{CH}=\text{CH}_2$  (III)  $(+\text{нагревание}) \rightarrow \text{I}$ . Приведены R и последовательно выход в %, т. пл. в °C,  $n_D^{20}$  и  $n_D^{20}$  для II и затем для I:  $\text{C}_6\text{H}_5$ , 80,60, 182—183, 1,5000, 1,07929, 88,70, 185—189, 1,5250, 1,08015;  $\text{C}_2\text{H}_5$ , 84,80, 175—180, 1,4975, 1,06912, 96,52, 186—190, —, —;  $\text{C}_4\text{H}_9$ , 80,34, 190—195, 1,4955, 1,05413, 95,87, 194—195, 1,5165, 1,0480;  $\text{изо-C}_4\text{H}_9$ , 82,51, 183—185, 1,4942, 1,05233, 97,05, 187, 1,5133, 1,0414;  $\text{C}_6\text{H}_5$ , 81,39, 195—199, 1,4940, 1,04426, 95,79, 206—209, 1,5121, 1,03351;  $\text{изо-C}_6\text{H}_5$ , 72,90, 213—215, 1,4930, 1,04040, 89,58, 184, 1,5105, 1,0303;  $\text{изо-C}_6\text{H}_{11}$ , 76,88, 199—200, 1,4920, 1,03206, 95,76, 198—201, 1,5085, 1,0190.

Приведены R, выход в % III и т. пл. в °C:  $\text{C}_6\text{H}_5$ , 86,21, 120;  $\text{C}_2\text{H}_5$ , 98,34, 124—125;  $\text{C}_4\text{H}_9$ , 95—35, 101;  $\text{изо-C}_4\text{H}_9$ , 96,58, 123—125;  $\text{C}_6\text{H}_5$ , 95,20, 122;  $\text{изо-C}_6\text{H}_5$ , 95—70, 100;  $\text{изо-C}_6\text{H}_{11}$ , 96,27, 102.

57397. Синтез алкилдифенилмасляных кислот. Матсуда, Киккава (Matsuda Sumio, Kikkawa Shōichi), Нихон кагаку дзасси, J. Chem. Soc. Japan. Pure Chem. Sec., 1957, 78, № 11, 1577—1581 (японск.)

К 18 г  $\text{AlCl}_3$  в 200 мл дихлорэтана при 0—5° добавляют 6,1 г янтарного ангидрида и затем постепенно р-р 24 г 4- $\text{C}_{18}\text{H}_{37}\text{C}_6\text{H}_4\text{C}_6\text{H}_5$  в 24 мл дихлорэтана, перемешивают 4 часа при ~20°, разлагают льдом, HCl (к-та), отгоняют с паром, получают 4- $\text{RC}_6\text{H}_4\text{C}_6\text{H}_4\text{COCH}_2\text{CH}_2\text{COOH}$  (I),  $\text{R} = \text{C}_{18}\text{H}_{37}$ , выход 70%, т. пл. 154—155°. Аналогично получены I (даны R, выход в %, т. пл. в °C):  $\text{C}_2\text{H}_5$ , 81, 187—188;  $\text{C}_4\text{H}_9$  (Ia), 65, 185,5—186,5;  $\text{C}_6\text{H}_{13}$ , 51, 178—179;  $\text{C}_8\text{H}_{17}$ , 51, 169—170;  $\text{C}_{12}\text{H}_{25}$ , 53, 160—161. 17 г Ia, 9 г KOH и 250 мл этиленгликоля нагревают и смешивают постепенно с 8 мл 80%-ного  $\text{N}_2\text{H}_4 \cdot \text{H}_2\text{O}$ , перемешивают 2 часа при 135°, 3 часа при 195°, разлагают водой, получают 4- $\text{RC}_6\text{H}_4\text{C}_6\text{H}_4(\text{CH}_2)_2\text{COOH}$  (II),  $\text{R} = \text{C}_4\text{H}_9$ , выход 62%, т. пл. 120—121°. Аналогично получены II (даны R, выход в %, т. пл. в °C):  $\text{C}_2\text{H}_5$ , 90, 132,5—133,5;  $\text{C}_6\text{H}_{13}$ , 63, 118—119;  $\text{C}_8\text{H}_{17}$ , 69, 116,5—117,5;  $\text{C}_{12}\text{H}_{25}$ , 66, 113—114;  $\text{C}_{18}\text{H}_{37}$ , 62, 110—111. Строение I и II подтверждено УФ- и ИК-спектрами. Л. Яновская

57398. Окислительная циклизация дифенилкарбонвой-2 кислот. Кеннер, Меррей, Тайлор (Oxidative cyclisation of diphenyl-2-carboxylic acid. Kenner G. W., Murray M. A., Tylor C. M. B.), Tetrahedron (Internat. J. Organ. Chem.), 1957, 1, № 3, 259—268 (англ.)

При окислении дифенилкарбонвой-2 к-ты (I) происходит циклизация с образованием 3,4-бензкумарина (II). Аналогично окисляются замещ. I. Рассматривается ионно-радикальный механизм р-ции. К р-ру 50-е м-нитроанилина в 140 мл конц. HCl и 75 мл воды прибавляли  $\text{NaNO}_2$ , затем при 0° вводили 1 л метилбензоата, добавляли 140 г  $\text{CH}_3\text{COONa}$  в 350 мл воды и через 48 час. органич. слой упаривали при 100°/1 мм, а из остатка хроматографированием на  $\text{Al}_2\text{O}_3$  выделяли 15% метилового эфира 3'-нитродифенилкарбонвой-2 к-ты (III к-та), т. пл. 94—95° (из  $\text{CH}_3\text{OH}$ ), и 13% метилового эфира 3-нитродифенилкарбонвой-4 к-ты (IV к-та), т. пл. 147—148° (из  $\text{CH}_3\text{OH}$ ). При щел. гидролизе получена III, т. пл. 155—157° (из водн.  $\text{CH}_3\text{COOH}$ ), и IV, т. пл. 313—314° (разл.; из сп.). Строение IV доказано восстановлением до аминокислоты с последующим окислением до терефталевой к-ты или диазотированием и элиминированием аминогруппы с образованием дифенилкарбонвой-4 к-ты. Восстановление III над  $\text{PtO}_2$  при т-ре ~20° приводит к 3'-аминодифенилкарбонвой-2 к-те (V), т. пл. 174—176° (из сп.), ацетильное производное, т. пл. 185—187° (из воды). Диазотированием V с последующей обработкой фосфорноватистой к-той получена I, т. пл. 108—111°. Р-цией Зандмейера из V синтезирована 3'-циандифенилкарбонвая-2 к-та (VI), т. пл. 156—157° (из воды). Аналогично из V диазотированием, разложением и метилированием получена 3'-метоксидифенилкарбонвая-2 к-та, т. пл. 88—90° (из воды). К 0,25 г I в 20 мл  $\text{CH}_3\text{COOH}$  за 5 час. при 90° добавляли 1 мл 30%-ной  $\text{H}_2\text{O}_2$ . После упаривания в вакууме выделено 16% II и 79% I. Дифеновая к-та (VII) в этих условиях дает 3% II, фенантренхинон дает 1% II и 77% VII. При окислении I действием  $\text{H}_2\text{O}_2$  в  $\text{CF}_3\text{COOH}$  выход II 63%, в  $\text{CCl}_3\text{COOH}$  33%, в воде 5%, в трет-бутаноле 0%. Окисление  $\text{CrO}_3$  в водн.  $\text{CH}_3\text{COOH}$  (100°, 45 мин.) дает II с выходом 50%. При анодном окислении (Pt-электрод, 18°, 0,6 а, 60 в) из I получено 19% II за 1 час (за 2 часа 33%). Аналогично окислены

3-замещ. I (приведены заместители, выход лактона в % при действии  $\text{H}_2\text{O}_2$  в  $\text{CH}_3\text{COOH}$ , при действии  $\text{CrO}_3$ , при анодном окислении):  $\text{CH}_3\text{O}$ , 30, 15, 21;  $\text{CH}_3\text{CONH}$ , 20, 4, 0;  $\text{CN}$ , 7, 8, 15;  $\text{NO}_2$ , 2, 4, 2. Действием  $\text{SOCl}_2$  на I с последующей обработкой  $\text{Na}_2\text{O}_2$  синтезирована перекись бис-(дифенил-2-карбонила), т. пл. 107—108° (из водн. ацетона), которая при нагревании (80°) с  $\text{CH}_3\text{COOH}$  или  $\text{CCl}_4$  дает смесь I и II. Аналогично получены перекиси из III и VI, т. пл. 123° (из водн. ацетона) и 126° соответственно, которые при разложении образуют соответствующие замещ. II. Проводили сочетание  $\text{C}_6\text{H}_5\text{N}_2\text{Cl}$  с II и получили лактон 2'-оксис-5-фенилгидрофенилкарбонной-2 к-ты (VIII), т. пл. 174—175° (из сп.). При избытке соли диазония образуется вторая азогруппа, и после восстановления (с ацетилированием) получен лактон 2'-оксис-3', 5'-бис-ацетамидодифенилкарбонной-2 к-ты, т. пл. 350—355° (из  $\text{CH}_3\text{COOH}$ ). Так же из VIII с  $\text{Na}_2\text{S}_2\text{O}_4$  синтезирован амидолактон (IX), т. пл. 188—189° (из сп.), ацетильное производное, т. пл. 231—232° (из водн.  $\text{CH}_3\text{COOH}$ ). Р-цией Зандмейера из IX получить 5'-дианлакстон не удалось. Это в-во, т. пл. 203—204°, выделено при разложении перекиси VI. Из IX диазотированием, разложением с последующим метилированием получен 5'-метоксилакстон, т. пл. 124—123°. При нитровании II образуется 5'-нитролакстон, т. пл. 259—261° (из  $\text{CH}_3\text{COOH}$ ), строение которого подтверждено восстановлением нитрогруппы с образованием 5'-ацетамидолактона.

А. Кост 57399. О дегидратации замещенных фталиминокислот во фталимидные соединения в водных растворах. Дрефаль, Фишер (Über die Dehydratisierung substituierter Phthalamidsäuren zu Phthalimido-Verbindungen in wässriger Lösung. Drefahl Günther, Fischer Friedrich), Liebigs Ann. Chem., 1957, 610, № 1—3, 166—172 (нем.).

В продолжение прошлой работы (РЖХим, 1957, 34340) изучена дегидратация (ДГ) замещ. фталаминокислот типа  $\text{RCH}_2\text{NHCOC}_6\text{H}_4\text{COOH}$ -о, где  $\text{R} = \text{R}'\text{C}_6\text{H}_4$ -ОН (I) или  $\text{R}'\text{C}_6\text{H}_4\text{CO}$  (II),  $\text{R}' = \text{H}$ , Br, COOH или  $\text{CH}_3\text{COOH}$ , во фталимидные соединения в разб. водн. р-рах. Установлено, что ДГ II имеет место лишь в присутствии  $\text{HCl}$  (к-та), причем с увеличением ее конц-ии от 1 до 37% выход фталимида возрастает от ~0 до 36%. Легкость ДГ I по сравнению с II свидетельствует о том, что  $\alpha$ -НО-группа принимает участие в р-ции ДГ. Это подтверждается тем, что легкость ДГ зависит от пространственного расположения НО-группы; так *трео*- $\text{C}_6\text{H}_5\text{CHONHCH}(\text{CH}_3)\text{NHCOC}_6\text{H}_4\text{COOH}$ -о (*трео*-III) в 5%-ном р-ре дегидрируется за 10 мин. при 100° на 10%, в то время как *эритро*-III в тех же условиях реагирует менее чем на 1%. Восстановление фталимидопрониофенона по Меервейну — Поиндору и последующий гидролиз 1 н.  $\text{NaOH}$  при ~20° приводит к *трео*-III, который с  $\text{N}_2\text{H}_4$  дает норпсевдоэфедрин. Из этого следует, что заключение, ранее сделанное (РЖХим, 1956, 71535) об *эритро*-конфигурации пропущенного 1-фенил-1-окси-2-фталимидпропана (IV), неверно, ошибка произошла из-за того, что VI при гидролизе  $\text{HBr}$  с лед.  $\text{CH}_3\text{COOH}$  по Мюллеру дал (+)-норафедрин вследствие инверсии. Полученные данные подтверждают ранее установленное правило (Gram D. J., Eihafetz F., J. Amer. Chem. Soc., 1952, 74, 5828). 42 г *n*-бромфенилбромид, 100 мл  $\text{HCON}(\text{CH}_3)_2$  и 28 г фталимида К перемешивают 30 мин. и добавляют 200 мл  $\text{CHCl}_3$  и 500 мл воды, выход 1-(*n*-бромфенил)-1-кето-2-фталимидозтана (V) 84%, т. пл. 221,5° (из лед.  $\text{CH}_3\text{COOH}$ ). 5 г V растворяют при слабом нагревании в 5%-ном спирте. КОН, разбавляют водой до 200 мл, осторожно подкисляют  $\text{HCl}$  и пересаживают несколько раз  $\text{HCl}$  из разб.  $\text{NaOH}$ ; выход II ( $\text{R}' = \text{Br}$ ) 90%, т. пл. 185°. К 16 г  $\text{C}_2\text{H}_5\text{OCOC}_6\text{H}_4\text{COCH}_3$  в 100 мл

$\text{CCl}_4$  медленно прибавляют 14 г  $\text{Br}_2$  и в вакууме отгоняют  $\text{CCl}_4$ , выход бромпроизводного 90%, т. пл. 78° (из  $\text{CH}_3\text{OH}$ ); 2,6 г последнего, 10 мл  $\text{HCON}(\text{CH}_3)_2$  и 1,8 г фталимида К через 30 мин., встряхивают с 15 мл  $\text{CHCl}_3$  и 30 мл воды и отгоняют р-ритель; выход 1-(*n*-карбоксифенил)-1-кето-2-фталимидозтана 84%, т. пл. 152° (из лед.  $\text{CH}_3\text{COOH}$ ), 1 г которого растворяют в 10 мл 1 н.  $\text{NaOH}$ , через 30 мин. подкисляют  $\text{HCl}$ , выход II ( $\text{R}' = \text{COOH}$ ) 72%, т. пл. 182—183°. 5 г II ( $\text{R}' = \text{H}$ ) растворяют в 200 мл воды и 1 н.  $\text{NaOH}$ , гидрируют над 1 г Pd-черни при ~20°, упаривают, подкисляют  $\text{HCl}$  и пересаживают; выход I ( $\text{R}' = \text{H}$ ) 88%, т. пл. 120—125°. 10 г V восстанавливают 12 час. 20 г изопропила-та Al в 300 мл *изо*- $\text{C}_3\text{H}_7\text{OH}$ , разлагают 70%-ным *изо*- $\text{C}_3\text{H}_7\text{OH}$  и упаривают в вакууме; выход 1-(*n*-бромфенил)-1-окси-2-фталимидозтана (VI) 50%, т. пл. 199° (из лед.  $\text{CH}_3\text{COOH}$ ). 4 г VI при нагревании растворяют в избытке 50%-ного спирта. КОН, разбавляют водой до 10 мл и подкисляют  $\text{HCl}$ ; выход I ( $\text{R}' = \text{Br}$ ) 92%, т. пл. 179—181°. II ( $\text{R}' = \text{COOH}$ ) гидрируют аналогично II ( $\text{R}' = \text{H}$ ) и получают I ( $\text{R}' = \text{COOH}$ )· $\text{H}_2\text{O}$ , выход 85%, т. пл. 124—126°. 1,5 г (+)-норафедрина, 2,3 г фталевой ангидрида и 25 мл лед.  $\text{CH}_3\text{COOH}$  оставляют на 12 час. при ~20°, добавляют 50 мл воды и пересаживают  $\text{HCl}$  из  $\text{NaHCO}_3$ , выход *эритро*-III 80%, т. пл. 163°. Последний растворяют в кипящей лед.  $\text{CH}_3\text{COOH}$ , охлаждают и получают *эритро*-имид, выход 80%, т. пл. 154°. Аналогично из  $\Psi$ -норафедрина получают *трео*-III, выход 80%, т. пл. 167°. *Трео*-III получают также путем растворения соответствующего *трео*-имида в 1 н.  $\text{NaOH}$  с последующим подкислением, выход 90%. Аналогично *эритро*-имиду получают *трео*-имид, выход 80% т. пл. 134°.

Ю. Волькенштейн.

57400. Амиды 4-окси- и 4-алкоксиизофталевой кислот. Гладич, Линдсей, Тейлор (The amides of 4-hydroxy- and 4-alkoxy-isophthalic acids. Gladych J. M. Z., Lindsey A. S., Taylor E. P.), J. Chem. Soc., 1957, Dec., 4834—4836 (англ.).

Для фармакологич. исследований синтезированы амиды 4-оксиизофталевой и 4-RO-изофталевой к-т (к-ты I и II). 21 г диметилового эфира I (Ia) нагревают с ~50 мл жидкого  $\text{NH}_3$  (100—110°, 30 час.), растворяют в воде и фильтрат подкисляют 2 н.  $\text{HCl}$ , выход диамида I (III) 10 г, т. пл. 264—264,5° [разл.; из сп. и из водн.  $\text{HCON}(\text{CH}_3)_2$ ]. Если 21 г Ia нагревать (90—100°, 15 час.) с 40 мл жидкого  $\text{NH}_3$ , образуется 16,5 г (неочищ.) метилового эфира 3-моноамида I (IV; V 3-моноамида I), т. пл. 256—257° (из сп.). 2 г IV выдерживают 5 час. при 20° с 30 мл 1 н.  $\text{NaOH}$  и после подкисления получают V, т. пл. 296—297° (разл.). Для доказательства строения V синтезирован встречным путем из  $\text{o-KOC}_6\text{H}_4\text{CONH}_2$  и твердой  $\text{CO}_2$  по Кольбе — Шмитту. 3,6 г V, 50 мл  $\text{CH}_3\text{OH}$  и 30 мл  $\text{C}_6\text{H}_6$  нагревают 15 час. с 1 г *n*- $\text{CH}_3\text{C}_6\text{H}_4\text{SO}_3\text{H} \cdot \text{H}_2\text{O}$  в приборе Дина и Старка, выход IV 2,6 г (неочищ.). IV получают также при кипячении 2 г Ia с 25 г  $\text{NH}_4\text{OH}$  (d 0,88), выход 0,5 г. 4 г диэтилового эфира I (16) нагревают с ~30 мл жидкого  $\text{NH}_3$  и 60 мл спирта (100°, 9 час.), упаривают и выделяют 3,5 г этилового эфира V (неочищ.), т. пл. 225—226° (из сп.); вопреки указаниям Якобсена (Jacobsen, Ber., 1878, 11, 380), при этом наряду с эфиром V образуется лишь небольшое кол-во III. Попытка получить III из 10 г I действием 35 мл  $\text{SOCl}_2$  (кипчение, 6 час.) с последующим удалением избытка  $\text{SOCl}_2$  и обработкой продукта р-цией при 0°  $\text{NH}_4\text{OH}$  (d 0,88) привела к образованию 5,3 г в-ва с т. пл. 249—250° (разл.), являющегося, по-видимому, смесь V с 1-моноамидом I. Для получения II 1 моль Ia, 2 моля бромистого или йодистого алкила и 1 моль безводн.  $\text{K}_2\text{CO}_3$  кипятят 35—40 час., упаривают, разбавляют водой извлекают бензолом и остаток после испарения бензола гидролизуют 4 молями  $\text{NaOH}$  в



виде 2 н. р-ра (5 час., ~ 20°) с добавлением спирта до образования однородного р-ра. Синтезированы II (указан R, выход в %, т. пл. в °C):  $C_6H_5CH_2$ , 71 (неочищ.), 194—195 (из ацетона-петр. эф.);  $CH_2=CHCH_2$ , 62, 222—223 (разл.; из водн.  $CH_3OH$ );  $(CH_3)_2CHCH_2$ , 5, 211—212 (из водн. сп.); втор- $C_4H_9$ , 5, 177—178 (из водн. сп.);  $CH_3$  (IIa), —, 276 (разл.);  $C_2H_5$ , —, 261—262;  $n-C_3H_7$ , —, 231—232; изо- $C_3H_7$ , —, 224—225;  $n-C_4H_9$  (IIб), —, 195—196. Из II действием  $SOCl_2$  с последующей обработкой  $NH_4OH$  или в некоторых случаях  $(NH_4)_2CO_3$ , как указано выше для I, синтезированы диамиды II (указаны R, выход в %, т. пл. в °C и р-ритель для кристаллизации):  $CH_3$ , 30 (неочищ.), 246—247, спирт;  $C_2H_5$ , 79, 275—276 (разл.), водн. спирт;  $n-C_3H_7$ , 78, 243—244 (разл.), водн.  $HCON(CH_3)_2$ ; изо- $C_3H_7$ , 62, 197—198, спирт;  $CH_2=CHCH_2$ , 100, 220—221 (разл.), водн.  $HCON(CH_3)_2$ ;  $n-C_4H_9$ , 90, 261—262, водн.  $HCON(CH_3)_2$ ;  $C_6H_5CH_2$ , 100, 227—228, спирт. Продукт р-ции из IIa, обработанный  $(NH_4)_2CO_3$  прежде, чем  $SOCl_2$  был удален полностью, содержал значительное кол-во метоксицанбензамида, т. пл. 256—257° (из сп.), очевидно, образовавшегося в реактате дегидратации. Диамида IIб синтезирован с хорошим выходом кипячением (40 час.) 1,8 г III с 3 г  $n-C_4H_9Br$ , 1,4 г безводн.  $K_2CO_3$  и 50 мл спирта.

Г. Браз

**57401. О получении и этерификации 2,6-диметилтерефталевой кислоты.** Какъя, Валь (Sur la préparation et l'estérification de l'acide diméthyl-2-6-téraphthalique. Cachia Harg, Wahl Henri), Bull. Soc. chim. France, 1958, № 3, 310—314 (франц.). 2,6-диметилтерефталевая к-та (I) может быть синтезирована бромированием 1 моля  $Bz_2$  холодной взвеси бромгидрата 2,6-диметиланилина в 46%-ной  $HBr$  в 4-бром-2,6-диметиланилин, выход 100%, т. пл. 49—50° (из гептана), превращаемый по Зандмейеру в 1,4-дибром-2,6-диметилбензол (II), выход 60%, т. кип. 116—118°/7 мм, т. пл. 28° (из гептана); цианированием II 2 молями  $CuCN$  в пиридине при 220—230° получается 1,4-дициан-2,6-диметилбензол (III), выход 95%, т. пл. 172° (из сп.); III гидролизует кипящим (48 час.) водно-спирт. р-ром  $KOH$  в 2,6-диметил-4-карб-оксисбензамид, выход 85%, т. пл. 234° (из сп.), который при постепенном вливании его р-ра в конц.  $H_2SO_4$  в нагретую до 120—130° нитрозилсерную к-ту превращается с 85%-ным выходом в I, т. пл. 301° (из 50%-ного  $CH_3OH$ ). I метилируется  $CH_3OH$  в присутствии конц.  $H_2SO_4$  (кипение 2 часа) в 4-мометил-5-эфир, выход 90%, т. пл. 190° (из  $CH_3OH$ ); при метилировании I  $(CH_3)_2SO_4$  в щел. среде в зависимости от условий могут быть получены 1-мометил-5-эфир I (IV) и диметил-5-эфир I (V), образующийся также при р-ции I с  $CH_3OH$  в олеуме. Р-ции  $COOCH_3$  группы V различны. Горячий 0,1%-ный спирт. р-р  $KOH$  превращает V в IV; кипящий (2 часа) 40%-ный р-р  $KOH$  в спирте или смесь 96%-ной  $H_2SO_4$  и 20%-ного олеума (1:1) полностью гидролизует V в I. При нагревании V с  $CH_3ONHCH_2OH$  (VI) получается бис-(3,5-диметил-4-карбометоксисбензоат) этиленгликоля (VII), превращающийся при кипячении в тех же условиях с избытком VI в моно-(3,5-диметил-4-карбометоксисбензоат) этиленгликоля, т. пл. 56° (из водн.  $CH_3OH$ ); фенилуретан, т. пл. 93° (из гексана), образующийся также при р-ции V с избытком VI. Способ, разработанный для получения V, применен к синтезу метиловых эфиров 2,6-диметил-(VIII) и 4-бром-2,6-диметил-(IX)-бензойных к-т. В слабо кипящий р-р 20 г I в 150 мл  $CH_3OH$  вносят 20 г  $KOH$  и 30 мл  $(CH_3)_2SO_4$ , кипятят 2 часа, разбавляют водой, подщелачивают, отделяют V, выход 10%, т. пл. 73° (из  $CH_3OH$ ), фильтрат подкисляют и получают IV, выход 65%, т. пл. 154° (из  $CH_3OH$ ). В р-р 20 г I в 150 мл  $CH_3OH$  постепенно

добавляют небольшими порциями 30 мл  $(CH_3)_2SO_4$  и 20%-ный метанольный р-р 20 г  $KOH$  так, чтобы среда оставалась слабощелочной, после чего вносят сразу избыток  $(CH_3)_2SO_4$ , кипятят 1 час, разбавляют водой и получают V, выход 20 г. Аналогично получают VIII, т. кип. 55—56°/1 мм,  $n_D^{20}$  1,4998, и IX, т. пл. 54° (из  $CH_3OH$ ). Р-р 2 г I в 20 мл смеси конц.  $H_2SO_4$  и 20%-ного олеума (1:1) вливают в 0,1 л  $CH_3OH$ , нагревают при 100°, отгоняют  $CH_3OH$  и выделяют V, выход 70%. 0,1 моля V, 0,15 моля VI, 0,5 мл метанольного р-ра  $CH_3OLi$  (2 г Li на 1 л  $CH_3OH$ ) и немного Mg кипятят 5 час. и отделяют VII, т. пл. 130° (из  $CH_3OH$ ). Д. В.

**57402. О получении гомотерефталевой кислоты.** Кригер (Über die Darstellung der Homoterephthal-säure. Krieger Hans), Suomen kem., 1958, 31, № 2, B161 (англ.).

Гомотерефталевая к-та (I) удобно получается из  $n$ -толунитрила (II) через  $n$ -цианбензилбромид (III) и  $n$ -цианбензилцианид (IV). 220 г  $n$ -бромтолуола, 120 г  $CuCN$  и 250 мл  $C_2H_5N$  нагревают 3 часа при 220° и отгоняют II, выход 83%, т. кип. 87—89°/11 мм. 150 г II, 0,3 л  $CCl_4$  и 240 г  $N$ -бромсукцинимид кипятят 4 часа, добавляя маленькими порциями 8 г перекиси бензола, и выделяют III, выход 52%, т. пл. 115—116° (из  $CH_3OH$ ). Смесь 60 г III в 320 мл  $CH_3OH$  и 15 г  $NaCN$  в 0,1 л воды нагревают 4 часа при 100°, отгоняют  $CH_3OH$ , остаток выливают на лед и отделяют IV, выход 95%, т. пл. 99—100° (из  $CH_3OH$ ). 40 г IV, 220 г конц.  $H_2SO_4$  и 170 г воды нагревают 30 мин. при 140° и получают I, выход колич., т. пл. 236—237° (из воды). Д. Витковский

**57403. Синтез однородных линейных олигоэфиров типа полигликольтерефталата.** Пан, Кшикала (Synthese von einheitlichen, linearen Oligoestern vom Poly-glykol-terephthalat-typ. Zahn Helmut, Krickalla Reinhard), Makromolek. Chem., 1957, 23, № 1, 31—53 (нем.; рез. англ.).

Из  $n-C_6H_4(COOH)_2$  (I) или  $n-C_6H_4(COOCCH_3)_2$  (II) и  $HOCH_2CH_2OH$  (III) получены линейные олигоэфиры (OЭ) трех полимерных гомологич. рядов:  $H(OCH_2CH_2OCOC_6H_4CO)_nOCH_2CH_2OH$ , где  $n = 1, 2, 3$  и 4 (IVa—г),  $CH_3OCOC_6H_4CO(OCH_2CH_2OCOC_6H_4CO)_nOCH_3$ , где  $n = 1$  или 2 (Va, б) и  $H(OCH_2CH_2OCOC_6H_4CO)_nOH$ , где  $n = 1, 2$  или 3 (VIa—в), а также  $CH_3$ -эфир (VIIa) и амид (VIII) VIa. Правило, предложенное для вычисления т-ры плавления парафинов с прямой цепью (Meyer, van der Wyk, Helv. chim. acta, 1937, 20, 1313), может быть применено в случае OЭ после изменения соответствующих констант. В 100 г I, 900 мл воды и 13,5 г  $KOH$  при кипячении в течение 18 час. пропускают умеренный ток окиси этилена, из горячего фильтрата выделяется IVa, выход 20%, т. пл. 109° (из воды). К 49 г II и 186 г III при 140° прибавляют 2 г  $H_3BO_3$ , нагревают 8 час. при 180°; из плава получают IVa, выход 70%, т. пл. 107—110°; диацетильное производное, т. пл. 78—79° (из лигр.); дибензоильное производное, т. пл. 102—103° (из лигр., толуола); дифенилуретановое производное, т. пл. 192° (из  $C_6H_5OH$ ). 10 г  $n-C_6H_4(COOCCH_2CH_2OH)_2$  (VIII) нагревают 3 часа при 200°, кипятят с  $C_2H_4Cl_2$  (2 раза по 200 мл), из экстракта кристаллизуется IVб, т. пл. 170°. 20,3 г  $n-C_6H_4(COCl)_2$  и 50,8 г IVa нагревают в метилпиридиноне 2 часа при 70—80° в вакууме, выливают в 2 л воды, выделяется IVв, т. пл. 195—205° (из  $C_2H_2Cl_4$ ). Нагревают 130 г II, 508 г IVa и 15 мл 30%-ного  $CH_3ONa$  (IX) (3 часа, 180°, 2 часа, 200°; 15 мин., 220°) при отгонке 42,5 мл р-рителя, извлекают ацетоном, в остатке — IVв, т. пл. 200—205° (из  $C_2H_2Cl_4$ ). 38,5 г IVa нагревают 3 часа при 220°, экстракцией плава кипящей водой получают 19,4 г IVв; из остатка извлекают (100 мл  $C_2H_2Cl_4$  +  $C_2H_4Cl_2$ ; 1:1) еще 5 г неочищ. IVв. 100 г IVa и 5 мл IX нагревают 4 часа при 230°, из плава при помощи  $C_2H_2Cl_4$

из  $C_2H_5Cl_4$  выделяют 22 г IVг, т. пл. 215—217° [из  $HCON(CH_3)_2$  (X)]. 112 г IVб и 5 мл IX нагревают 3 часа при 230°, плав извлекают ацетоном и водой, получают 22 г IVг, т. пл. 217—220° (из  $C_2H_5Cl_2$  и X). 21,7 г  $4-CH_3OCOC_6H_4COOK$  (XI) и 9,4 г  $C_2H_5Br_2$  в 100 мл безводн. ацетона нагревают 3 часа при 150°, из фильтрата выделяют 11 г неочищ. Va, т. пл. 167° (из сп.). К 300 г II, при 160° в течение 1,5 час. прибавляют 48 г III, медленно повышают т-ру до 200°, после отгонки  $\frac{1}{2}$  вычисленного кол-ва  $CH_3OH$  плав экстрагируют  $C_6H_6$  и ацетоном, в остатке 85 г Va, т. пл. 168—170° (из сп.). 178 г  $4-CH_3OCOC_6H_4COOH$ , 250 мл  $C_6H_6$  и 250 мл  $SOCl_2$  нагревают до 70—75°, в течение 4 час. прибавляют еще 500 мл  $SOCl_2$ , кипятят 12 час., разбавляют 1 л петр. эфира, из фильтрата выделяют 150 г  $4-CH_3OCOC_6H_4COCl$  (XII), т. пл. 50—51°. 2,5 г VIII и 5 г XII в 70 мл  $C_6H_5Cl$  кипятят 8,5 час., получают 2,3 г Vб, т. пл. 175—180° (из бзл.). К 254 г VIII в 600 мл III прибавляют 58 г KOH в 200 мл III, после исчезновения щел. р-ции разбавляют водой, подкисляют HCl, получают VIa, выход 50%, т. пл. 175° (из воды). 5 г VIa нагреванием (1,5 часа, 190°) превращают в Vб, т. пл. 220° (из сп.). 10 г VIa нагревают 45 мин. при 205°, плав растворяют в 100 мл диоксана, прибавлением воды выделяют Vб, т. пл. 254—256° (из диоксана). 100 г XI в 400 мл  $ClCH_2CH_2OH$  кипятят 9 час., от фильтрата отгоняют р-ритель в вакууме, остаток промывают водой, получают VIIa, т. пл. 79—80° (из бзл.); безводное производное, т. пл. 65° (из петр. эф.). 194 г II вносят в охлажд. р-р 180 г  $NH_3$  в 1,2 л  $CH_3OH$ , нагревают 2 часа (120°, 12 ат), осадок промывают  $C_6H_6$ , экстрагируют спиртом, выделяют 72 г  $4-CH_3OCOC_6H_4CONH_2$  (XIII), т. пл. 205—206° (из сп.), и 35 г  $n-C_6H_4(CONH_2)_2$ , т. пл. > 300°. 85 г XIII и 250 мл III кипятят 2 часа, выливают в воду, получают VIIб, выход 54%, т. пл. 134—136° (из диоксана); фенилуретановое производное, т. пл. 173—175° (из диэтилбензола). Для IVa—в и Va приведены данные опытов хроматографии на бумаге; для IV, V и VI рентгенография. Данные; обсуждаются ИК-спектры ОЭ. В. Скородумов

57404. К методике синтеза  $\alpha$ -эфиров  $\alpha$ -альдегидбензойной кислоты. Шилов Ю. М., Каневская С. И., Сб. науч. работ Моск. фармацевт. ин-та, 1957, 1, 149—152

Предложен простой метод синтеза  $\alpha$ -бензильового эфира  $\alpha$ -альдегидбензойной к-ты (I). Смесь 0,1 моля сухой К-соли  $\alpha$ -альдегидбензойной к-ты и 0,7 моля сухого  $C_6H_5CH_2Cl$  (II) перемешивают 30—60 мин. при 150—160° до получения прозрачного р-ра, отделяют KCl и в молекуле отгоняют II; выход I 90%, т. кип. 179—181°/3 мм; семикарбазон, т. пл. 194° (из сп.).

Ю. Волькенштейн

57405. Синтетические антивирусные вещества. I. 4-арилметил-4-арил-5-оксогоксановые кислоты и некоторые их производные. Крейго, Петрушкевич (Synthetic antiviral agents. I. 4-arylmethyl-4-aryl-5-oxohexanoic acids and certain of their derivatives. Cragoe Edward J., Jr, Pietruszkiewicz A. M.), J. Organ. Chem., 1957, 22, № 11, 1338—1345 (англ.)

Для испытания антивирусной активности синтезированы  $CH_3COC(Ar)(CH_2Ar')CH_2CH_2COOH$  (I) по схеме:  $ArCH_2COCCH_3$  (II) +  $Ar'CH_2X$  (III)  $\rightarrow$   $CH_3COC(Ar)(CH_2Ar')$  (IV); IV +  $CH_2 = CHCN$  (V)  $\rightarrow$   $CH_3COC(Ar)(CH_2Ar')CH_2CH_2CN$  (VI)  $\rightarrow$  I. Конденсация II с III проводилась в присутствии трет- $C_4H_9OK$  (VII) в трет- $C_4H_9OH$  (VIII) или в присутствии NaOH. Цианэтирование IV проведено обычным способом в VIII при 25—45°; в случае IV ( $Ar = C_6H_5$ ,  $Ar' = 2,6-Cl_2C_6H_3$ ) и IV ( $Ar = C_6H_5$ ,  $Ar' = m-CNC_6H_4$ ) р-цию проводили в  $CH_3CN$  (IX). При гидролизе VI в некоторых случаях образуются побочные продукты, очевидно, по схеме: 4-арил-

метил-4-арил-3-оксикиклогексанамин  $\rightarrow$  4-арилметил-4-арилциклогександион-1,3. I, где  $Ar = C_6H_5$  и  $Ar' = o-Cl$  (Ia),  $o-Br$  и  $o-FC_6H_4$ , расщеплены на антиподы с помощью бруцина; из них (—)-Ia обладает антивирусной активностью. I при действии изопропенилацетата (X) дает лактон типа  $R^1RC = CC(R^2)(R^3)CH_2CH_2COO$  (XI), из

которого получен ряд производных I. Р-цией Манниха из Ia получен хлоргидрат  $(CH_3)_2NCH_2CH_2COC(C_6H_5) \cdot (o-ClC_6H_4CH_2)CH_2CH_2COOH$  (XII). К 2 молям NaOH прибавляли 100 мл смеси 1,5 моля II ( $Ar = C_6H_5$ ) (IIa) и 1,75 моля III ( $Ar' = o-ClC_6H_4$ , X = Cl), нагревали до 70°, приливали по каплям остаток смеси II и III, поддерживали т-ру 90—100° 35 мин.; через 9 час. (90—100°) добавляли 200 мл воды, 200 мл  $C_6H_6$  и 50 мл конц. HCl; фракционной разгонкой получено 79% IV ( $Ar = C_6H_5$ ,  $Ar' = o-ClC_6H_4$ ) (IVa), т. кип. 155—159°/2,3 мм,  $n_D^{20}$  1,5678. Аналогично получены другие IV ( $Ar = C_6H_5$ ); приведены  $Ar'$ , выход в %, т. кип. в °C, т. пл. в °C,  $n_D^{20}$ :  $C_6H_5$ , 62, 122—124/0,3, 25,5—28,5, —;  $2-ClC_6H_4$ , 79, 153—159/2,3, —, 1,5678;  $4-ClC_6H_4$ , 46, 160—165/0,2, 79—80 (из гексана, затем сп.), —;  $2,4-Cl_2C_6H_3$ , 48, 155—162/0,2, 69—70 (из сп.), —;  $3,4-Cl_2C_6H_3$ , 65, 178—182/0,1, —, 1,5779;  $2-CH_3C_6H_4$ , 63, 142—146/0,15, —, —;  $3-CH_3C_6H_4$ , 59, 132—136/0,2, —, 1,5555. К VII (из 31,6 г К в 700 мл VIII) добавили за несколько минут 0,86 моля IIa и за 40 мин. (35—40°) 0,81 моля III ( $Ar' = o-BrC_6H_4$ , X = Br) в 100 мл  $C_6H_6$ ; перемешивали еще 10 мин. и кипятили 2 часа, отгоняли в вакууме, остаток обрабатывали 200 мл  $C_6H_6$ , 200 мл воды и экстрагировали эфиром; фракционной перегонкой в вакууме получено 84% IV ( $Ar = C_6H_5$ ,  $Ar' = o-BrC_6H_4$ ), т. кип. 166—170°/0,1 мм. Аналогично получены IV ( $Ar = C_6H_5$ ) (приведены те же данные):  $2-FC_6H_4$ , 82, 145—149/0,25, 28—28,5, 1,5455;  $3-ClC_6H_4$ , 75, 157—160/0,2, —, 1,5679;  $2,6-Cl_2C_6H_3$ , 82, 160—165/0,1, 68—70 (из гексана), —;  $2-BrC_6H_4$ , 84 (с NaOH выход 79%), 166—170/0,1, —, 1,5839;  $2-CH_3OC_6H_4$ , 77, 150—154/0,2, —, 1,5657;  $3-CNC_6H_4$ , 82, 180—186/0,2, 67—69 (из  $CH_3OH$ ), —; а также IV ( $Ar = 2-ClC_6H_4$ ):  $C_6H_5$ , 93, 150—155/0,3, —, 1,5682;  $2-ClC_6H_4$ , 78, 161—165/0,1, —, 1,5762. К 1,76 моля IVa в 1,2 л VIII и 20 мл 40%-ного  $C_6H_5CH_2N(CH_3)_2$  добавляли по каплям (30°) 2,12 моля V, через 2 часа ( $\sim 20^\circ$ ) нагревали 1 час до 38—45°; нейтрализовали  $H_2SO_4$  и фильтровали; получено 90% неочищ. VI ( $Ar = C_6H_5$ ,  $Ar' = o-ClC_6H_4$ ) (VIa), т. пл. 106—108° [из  $(CH_3)_2CHONH$ ]. Аналогично получены другие VI, 1,32 моля VIa кипятили 1,25 часа с 450 мл конц.  $H_2SO_4$ , 2 л лед.  $CH_3COOH$  и 600 мл воды, нейтрализовали и вылили в 8 л воды; выход неочищ. di-Ia 97%, т. пл. 132—134° (из водн.  $CH_3COOH$  или IX). Аналогично получены другие I [приведены  $Ar'$  в VI и I, где  $Ar = C_6H_5$ , выход в %, т. пл. в °C (где не указано из VIII) для VI, затем соответствующего I]:  $C_6H_5$ , 95, 127,5—129 (из сп.), 87 (16) (получен щел. гидролизом соответствующего VI), 143—144,5;  $5,2-FC_6H_4$ , 95, 123,5—125,5 (из  $n-C_3H_7OH$ ), 96, 165—167 (из IX);  $3-ClC_6H_4$ , 81 (т. кип. 220—225°/0,4 мм), 53,5—55,5 (неочищ.), 97, 119—121 (из IX);  $4-ClC_6H_4$ , 80 (т. кип. 197—203°/0,2 мм), 86—88, 96, 131—132,5 (из IX);  $2,4-Cl_2C_6H_3$ , 79 (т. кип. 215—220°/0,5 мм), 80—91, 94, 147—148,5 (из IX, затем толуола);  $3,4-Cl_2C_6H_3$ , 87, 105—107, 94, 117,5—119 [из циклогексана (XIII), затем  $CCl_4$ ];  $2,6-Cl_2C_6H_3$ , 31 (т. кип. 205—212°/0,4 мм), 97,5—99,5, 91, 164,5—166 (из толуола +  $CH_3COOH$ , затем этилацетата + XIII);  $2-BrC_6H_4$ , 85, 114—115, 96, 122—123,5 (из IX);  $2-CH_3C_6H_4$ , 89, 88—90, 77, 115—117 (из бзл.-гексана, затем водн.  $CH_3COOH$ );  $3-CH_3OC_6H_4$ , 87, 94,5—96, 81, 122,5—124 (из XIII, затем этилацетата + XIII);  $2-CH_3OC_6H_4$ , 83, 110—111, 74, 110—113 (из бзл.-гексана, толуола-гектана, затем водн.  $CH_3COOH$ ); так же получены VI ( $Ar = C_6H_5$ ). Приведе-



ны  $\text{Ag}'$ , выход в %, т. пл. в °C: 3- $\text{CNC}_6\text{H}_4$ , 83 (т. кип. 227–235°/0,05 мм), 86–88 (из сп.); VI ( $\text{Ag} = 2\text{-ClC}_6\text{H}_4$ ):  $\text{C}_6\text{H}_5$ , 30 (т. кип. 200–212°/0,2 мм), 124–126; 2- $\text{ClC}_6\text{H}_4$ , 16 (т. кип. 195–200/0,1 мм), —; I ( $\text{Ag} = \text{C}_6\text{H}_5$ ): 3- $\text{HOCC}_6\text{H}_4$ , 95, 239–241 (из  $\text{CH}_3\text{COOH}$ , затем  $n\text{-C}_4\text{H}_9\text{OH}$ ); I ( $\text{Ag} = o\text{-ClC}_6\text{H}_4$ ):  $\text{C}_6\text{H}_5$ , 69, 185–187 (из IX). Метиловый эфир (МЭ) Ib, выход 99%, т. пл. 89–90°. dl-Ia с помощью брүцина расщеплен (24 часа 20°, 24 часа 5°) на антиподы; выход неочищ. брүциновой соли (БС) (–)-Ia 91%, т. пл. 100–120° (из  $\text{CH}_3\text{OH}$ ); из маточного р-ра выделена БС (+)-Ia. Из БС (–)-Ia обработкой разб.  $\text{HCl}$  и последующей экстракцией  $\text{C}_6\text{H}_6$  выделена (–)-Ia, выход неочищ. 70%, т. пл. 110–111° (из водн.  $\text{CH}_3\text{COOH}$  или гептана),  $[\alpha]^{25}_D -143,1^\circ$  (с 2; сп.); аналогично получена (+)-Ia, выход 63%, т. пл. 109–110° (из IX, затем гептана),  $[\alpha]^{25}_D +142^\circ$  (с 2; сп.); метиловый эфир (МЭ) (–)-Ia, выход неочищ. 87%, т. пл. 194–199°/0,2 мм,  $n^{25}_D 1,5621$ ,  $[\alpha]^{25}_D -117,6^\circ$  (с 4; сп.); амид (–)-Ia, выход 64%, т. пл. 81–83°. Для (–)-Ia ( $\text{Ag} = \text{C}_6\text{H}_5$ ) приведены  $\text{Ag}'$ , выход в %, т. пл. в °C,  $[\alpha]^{25}_D$  (с 2; сп.): 2- $\text{FC}_6\text{H}_4$ , 58, 121–121,5 (из XIII), –137,6°; 2- $\text{BrC}_6\text{H}_4$ , 57, 85,5–87,5 (из XIII), –118,5°. Для (+)-Ia ( $\text{Ag} = \text{C}_6\text{H}_5$ ): 2- $\text{ClC}_6\text{H}_4$ , 63, 109–110 (из IX, затем гептана), +142,0°; 2- $\text{BrC}_6\text{H}_4$ , 50, 77–84, +106,6°. От 0,378 моля Ia в 125 г X + 5 капель конц.  $\text{H}_2\text{SO}_4$  медленно отгоняли на колонке легколетучие в-ва, остаток отгоняли в вакууме; получено 85% соответствующего XI (XIa), т. кип. 196–204°/0,1 мм; т. пл. 134,5–136° (из толуола, затем XIII). Аналогично из (–)-Ia получен соответствующий (–)-XI [(–)-XIa], выход, включая в-во из маточного р-ра, 81%, т. пл. 113–113,5° (из гептана),  $[\alpha]^{25}_D -382,2^\circ$  (с 3; сп.). Кипячением 2 часа 0,115 моля XIa с 1 молем  $(\text{CH}_3)_2\text{NCH}_2\text{CH}_2\text{OH}$  получен (осажден  $\text{HBr}$ -газом в XIII) бромгидрат 2-диметиламиноэтилового эфира (ДЭ) Ia, выход 87%, т. пл. 149–151° (из VIII); бромгидрат ДЭ (–)-Ia получен с выходом 90%, т. пл. 149,5–151,5° (из VIII),  $[\alpha]^{25}_D -37,7^\circ$  (с 1; вода). Из МЭ (–)-Ia с  $\text{NH}_3$  в 2 метоксигептане (100°, 4 часа) получен амид (–)-Ia, выход неочищ. 64%, т. пл. 81–83° (из бал.-гексана, затем бал.). Из 0,2 моля Ia, 0,2 моля  $(\text{CH}_3)_2\text{N} \cdot \text{HCl}$  и 0,22 моля параформа (30 мин., 135–145°) получен XII, выход 57%, т. пл. 165–167° (из VIII). 0,1 моля IV ( $\text{Ag} = \text{C}_6\text{H}_5$ ,  $\text{Ag}' = m\text{-CNC}_6\text{H}_4$ ) в 150 мл лед.  $\text{CH}_3\text{COOH}$ , 70 мл воды и 50 мл конц.  $\text{H}_2\text{SO}_4$  кипятили 2 часа, выдвигали в 1 л воды и экстрагировали этилацетатом; упаривали досуха, остаток обрабатывали  $\text{KOH}$ , экстрагировали эфиром и подкисляли водн. слой  $\text{HCl}$ ; получили 70% неочищ. IV ( $\text{Ag} = \text{C}_6\text{H}_5$ ,  $\text{Ag}' = m\text{-HOCC}_6\text{H}_4$ ), т. пл. 87–89° (из XIII). Получены III (приведены  $\text{Ag}'$ , выход в %, т. пл. в °C или т. кип. в °C/мм) при X = Cl: o- $\text{CH}_3\text{OC}_6\text{H}_4$ , 57, 110–114/14; o- $\text{FC}_6\text{H}_4$ , 73, 172–175/760 ( $n^{25}_D 1,5148$ ); m- $\text{ClC}_6\text{H}_4$ , 37, 219–222 ( $n^{20}_D 1,5556$ ); 2,6- $\text{Cl}_2\text{C}_6\text{H}_3$ , 73, 117–119/14; при X = Br: m- $\text{CNC}_6\text{H}_4$ , 35, 92,5–93,5; o- $\text{BrC}_6\text{H}_4$ , 73, 129–130/16; при X =  $\text{CH}_2\text{COCH}_3$ : o- $\text{ClC}_6\text{H}_4$ , —, 94–97/2; при X = OH: o- $\text{CH}_3\text{OC}_6\text{H}_4$ , 59, — ( $n^{25}_D 1,5428$ ). Получен также o- $\text{ClC}_6\text{H}_4\text{CH}=\text{C}(\text{NO}_2)\text{CH}_3$ , выход 62%, т. пл. 38–41°. Г. Крюкова

57406. Циклогександион-1,3. Часть III. Щелочной гидролиз этилового эфира 2,4-диоксо-6-стирилциклогексанкарбоновой кислоты. Эймс, Дейви (Cyclohexane-1:3-diones. Part III. Alkaline hydrolysis of ethyl 2:4-dioxo-6-styrylcyclohexanecarboxylate. Ames G. R., Davey W.), J. Chem. Soc., 1958, Febr., 911–912 (англ.)

При нагревании с  $\text{Ba}(\text{OH})_2$  этилового эфира 2,4-диоксо-6-стирилциклогексанкарбоновой к-ты (I) получают 5-оксо-3-стирилгексановую к-ту (II). Озonoлиз II приводит к  $\text{C}_6\text{H}_5\text{CHO}$ . Попытки получения 3-стирилгексановой к-ты восстановлением II по Вольфу — Кижнеру и Клемменсену, а также изомеризации II с  $\text{HCl}$  (к-та), не увенчались успехом. 50 г I и 120 г  $\text{Ba}(\text{OH})_2$

в 2,5 л воды кипятят 20 час., подкисляют, декантируют с масла, отделяют 16 г II, т. пл. 89–90° (из бал.-петр. эф.); семикарбазон, т. пл. 165° (разл.; из этилацетата); метиловый эфир II (IIa), т. кип. 160–162°/1,2 мм,  $n^{28}_D 1,5353$ , 2,9 г IIa прибавляют к р-ру 0,3 г Na в 50 мл  $\text{CH}_3\text{OH}$  и нагревают 3 часа. Р-р упаривают, разбавляют водой и промывают эфиром, подкислением водн. слоя получают 1 г 5-стирилциклогександион-1,3, т. пл. 183–184°. Р-р 3 г II и 6 г  $\text{KBr}$  в 100 мл воды оставляют на ~12 час., подкисляют и извлекают эфиром 2,6 г лактона 5-оксо-3-стирилгексановой к-ты (III), т. пл. 54–55°, т. кип. 188°/1,5 мм,  $n^{20}_D 1,5676$ . 3 г II в 150 мл спирта встряхивают под  $\text{H}_2$  с 1 г 5%-ного  $\text{Pt/C}$  до поглощения 1 моля  $\text{H}_2$ , р-р выпаривают, остаток обрабатывают реактивом Бреди, получают 2,4-динитрофенилгидразон 5-оксо-3-фенилгексановой к-ты, т. пл. 147–148°. 4 г II в 150 мл спирта, 20 мл 2 н.  $\text{NaOH}$  и ~5 г скелетного Ni встряхивают под  $\text{H}_2$  до поглощения 720 мл  $\text{H}_2$ , фильтруют, выпаривают, подкисляют и эфиром извлекают лактон 5-оксо-3-фенилгексановой к-ты, т. кип. 164°/0,5 мм,  $n^{25}_D 1,5311$ . Приведены УФ- и ИК-спектры II и III, а также ИК-спектр транс-5-оксо-3-фенилгексановой к-ты, полученной ранее. Часть II см. РЖХим, 1958, 25092. Г. Брегман

57407. Эстрогенные дифенилы. IV. 3'-алкил-4-метоксидифенилкарбоновые-4 кислоты. Сато, Оки (Estrogenic biphenyls. IV. 3'-alkyl-4-methoxybiphenyl-4'-carboxylic acids. Sato Takeo, Oki Michio), Bull. Chem. Soc. Japan, 1957, 30, № 9, 958–961 (англ.)

В продолжение прежних работ по поискам эстрогенных соединений в ряду дифенила (см. сообщение III, РЖХим, 1958, 53838) синтезированы родственные доизомольной к-те соединения общей ф-лы 4- $\text{CH}_3\text{OC}_6\text{H}_4\text{-C}_6\text{H}_4\text{-R-3'-COOH-4'}$  (I) (всюду а R =  $\text{CH}_3$ , 6  $\text{C}_2\text{H}_5$ , в  $\text{C}_3\text{H}_7$ ) следующим путем. 3- $\text{RC}_6\text{H}_4\text{NHCOSCH}_3$  (II) действием  $\text{CH}_3\text{COCl}$  (III) и  $\text{AlCl}_3$  (IV) превращают в 2- $\text{R-4-CH}_3\text{CONHC}_6\text{H}_3\text{COCH}_3$  (V), гидролизуют до 2- $\text{R-4-NH}_2\text{C}_6\text{H}_3\text{COCH}_3$  (VI); диазометодом из VI получают 2- $\text{R-4-JC}_6\text{H}_3\text{COCH}_3$  (VII), который окисляют  $\text{NaOBr}$  (VIII) в 2- $\text{R-4-JC}_6\text{H}_3\text{COOH}$  (IX); обычным методом IX переводят в 2- $\text{R-4-JC}_6\text{H}_3\text{COOC}_2\text{H}_5$  (X); из продукта р-ции Ульмана между X и 4- $\text{JC}_6\text{H}_4\text{OCH}_3$  (XI) гидролизом получают I. Строение IX доказывают окислением  $\text{KMnO}_4$  до 3,4-( $\text{HOOC}$ ) $_2\text{C}_6\text{H}_3$ , дающую при возгонке 4-йодфталеиновый ангидрид (XII), который действием  $\text{NH}_3\text{OH}$  превращается в 4-йодфтальимид (XIII). 3- $\text{C}_3\text{H}_7\text{C}_6\text{H}_4\text{NH}_2$  действием  $(\text{CH}_3\text{CO})_2\text{O}$  обычным путем превращают в IIa, выход 96%, т. кип. 165–169°/3 мм, т. пл. 51–52°. К 0,3 моля IIa, 0,55 моля III в 240 мл  $\text{CS}_2$  за 1 час прибавляют 1,1 моля IV, кипятят 1 час, оставляют при ~20° на 1 час, декантируют  $\text{CS}_2$ , нижний слой выливают в  $\text{HCl}$  со льдом, получают Va, т. пл. 135–136° (из водн. сп.). Смесь неочищ. Va и 300 мл разб.  $\text{HCl}$  (1:1) кипятят 2 часа, подщелачивают  $\text{NaOH}$ , извлекают эфиром, из экстракта выделяют VIa, выход 64%, т. пл. 94–95° (из бал.-петр. эф.). Из 0,79 моля IIb, 0,89 моля III и 2,26 моля IV в 700 мл  $\text{CS}_2$  получают вязкое масло, извлекают  $\text{C}_6\text{H}_6$ , экстракт кипятят 2 часа с 500 мл разб.  $\text{HCl}$  (1:1), из водн. слоя после подщелачивания эфиром извлекают VIb, выход 38%, т. кип. 155°/2 мм, т. пл. 77,5–79° (из бал.-петр. эф.). Vb получают обычным путем, т. пл. 95,5–96° (из водн. сп.). 0,2 моля VIa, 0,42 моля  $\text{H}_2\text{SO}_4$  в 100 мл воды и 0,2 моля  $\text{NaNO}_2$  в 30 мл воды медленно прибавляют к 0,3 моля KJ в 70 мл воды, размешивают при низкой т-ре 30 мин., затем 2 часа при 50–60°, извлекают эфиром, из экстракта после промывания  $\text{NaOH}$ ,  $\text{Na}_2\text{S}_2\text{O}_3$  и водой выделяют 52% VIIa, т. кип. 134–138°/4 мм, т. пл. 23–24° (из петр. эф.); динитрофенилгидразон (ДНФГ, т. пл. 167–168° (из сп.-этилаце-

тата). Аналогично получают VIIв, выход 51%, т. кип. 150—159°/8 мм; ДНФГ, т. пл. 160—161° (из сп. этил. спирта). 0,096 моля VIIа в 130 мл диоксиана за 1 час при 10° прибавляют к р-ру VIII (из 0,36 моля Вг<sub>2</sub>, 1,25 моля NaOH и 250 мл воды), выдерживают 1 час при 50—60°, избыток VIII разлагают Na<sub>2</sub>SO<sub>3</sub>, образовавшийся СНВг<sub>2</sub> отгоняют с паром, из остатка действием HCl выделяют 79% IXа, т. пл. 169—170,5° (из водн. сп.). Аналогично получают IXв, выход 80%, т. пл. 127—128°. 20 г IXа в 200 мл спирта насыщают HCl, кипятят 6 час., отгоняют р-ритель, разбавляют водой, экстрагируют Ха эфиром, выход 78%, т. кип. 141—144°/4 мм. Аналогично получают Xв, выход 77%, т. пл. 170—182°/16 мм. 0,035 моля Ха и 0,079 моля XI нагревают при 220—228°, прибавляя за 25 мин. 0,47 г-атома активированной Cu-бронзы, после нагревания (10 мин., 220—230° и 40 мин., 280°) извлекают сепаратором, от экстракта отгоняют р-ритель, остаток 6 час. кипятят со 100 мл 10%-ного NaOH и 200 мл спирта, концентрируют, остаток разбавляют водой, фильтрат подкисляют, выделившийся Ia извлекают C<sub>6</sub>H<sub>6</sub>, выход 12%, т. пл. 199,5—200° (из водн. сп.). Аналогично получают Ib, выход 15%, т. пл. 182—183°, и Ic, выход 16%, т. пл. 170,5—171°. 1 г IXв, 5 г KMnO<sub>4</sub> и 80 мл воды кипятят 11 час., пропускают O<sub>2</sub>, 5 час. экстрагируют эфиром, из экстракта выделяют XII, т. пл. 114—116° (возогнан в вакууме). 0,5 г XII и 1 мл 28%-ного NH<sub>4</sub>OH нагревают открытым пламенем до удаления избытка NH<sub>3</sub> и воды, остаток возгоняют в вакууме, получают 80% XIII, т. пл. 226—228°. Из IXа аналогичным образом получают XIII. Приводятся УФ-спектры Ia—в. Введение алкила в 3'-положение 4'-метоксидифенилкарбонной-4'-к-ты усиливает эстрогенную активность. В. Скородумов

57406. Хинонимиды. XLV. Строение продуктов присоединения ароматических аминов к *n*-бензохинондибензамиду. Адамс, Уэрбел (Quinone imides XLV. Structures of aromatic amine adducts of *p*-benzoquinonedi-benzimide. Adams Roger, Werbel Leslie W.), J. Organ. Chem., 1957, 22, № 11, 1287—1291 (англ.)

Независимым синтезом из 2-*n*-толуолсульфамидобифенила (I) получен 2-фенил-*n*-фенилендобензолсульфамид (II), являющийся продуктом присоединения C<sub>6</sub>H<sub>5</sub> и *n*-бензохинондибензолсульфамиду. При р-ции *n*-бензоил-3-хлор-4-нитроанилина (III) с пиперидином (IV), морфолином (V) и анилином (VI) образуются: 3-пиперидино-, 3-морфолино- и 3-анилино-*n*-бензоил-4-нитроанилины (VII), (VIII) и (IX), соответственно, восстановление и бензоилирование которых дает 2-пиперидино-, 2-морфолино-, 2-анилино-*n*-фенилендобензамиды (X), (XI) и (XII), соответственно. X и XI идентичны продуктам взаимодействия *n*-бензохинондибензамид (XIII) с IV и V. XII отличается от продукта присоединения (XIV), полученного взаимодействием XIII с VI; на основании чего XIV приписывается строение C<sub>6</sub>H<sub>5</sub>CONHC<sub>6</sub>H<sub>4</sub>N(COC<sub>6</sub>H<sub>5</sub>)C<sub>6</sub>H<sub>4</sub>NH<sub>2</sub>-*n*. При взаимодействии XIII с C<sub>6</sub>H<sub>5</sub>N(CH<sub>3</sub>)<sub>2</sub> (XV) и C<sub>6</sub>H<sub>5</sub>NHCH<sub>3</sub> (XVI) образуются: 2-(*n*-диметиламинофенил)-*n*-фенилендобензамид (XVII) и 2-(*n*-метиламинофенил)-*n*-фенилендобензамид (XVIII). При попытке получить 2-хлор-1,4-динитробензол (XIX) из 2-хлор-4-нитроанилина (XX) окислением его H<sub>2</sub>O<sub>2</sub> в CF<sub>3</sub>COOH выделен, по-настоящему, 2-хлор-4,2',5',2'',5'''-пентанитротрифениламин (XXI). Смесь 2,5 г I, 25 мл воды и 25 мл дымящей HNO<sub>3</sub> нагревают (13 час., 100°), получают 5-нитро-2-*n*-толуолсульфамидобифенил (XXII), выход 53%, т. пл. 170—172° (из CH<sub>3</sub>COOH). Смесь 1 г XXII, 2 г C<sub>6</sub>H<sub>5</sub>OH и 15 мл 48%-ной HBr кипятят 1,5 часа, добавляют 100 мл воды, подщелачивают 15%-ным NaOH, получают 2-амино-5-нитробифенил (XXIII), выход 36%, т. пл. 124—125,5° (из сп.). К р-ру 1 г XXIII в

20 мл абс. CH<sub>3</sub>OH и 0,5 г Ni-катализатора прибавляют по каплям р-р 0,3 г 100%-ного NH<sub>2</sub>NH<sub>2</sub>·H<sub>2</sub>O в 8 мл CH<sub>3</sub>OH, кипятят 45 мин., фильтрат упаривают, прибавляют 25 мл пиридина и 3,3 г C<sub>6</sub>H<sub>5</sub>SO<sub>2</sub>Cl, выливают в смесь льда и HCl, получают II, выход 86,4%, т. пл. 202—203° (из сп.). 5,3 г 3-хлор-4-нитроанилина бензоилируют в пиридине, получают III, выход 91,3%, т. пл. 163—164°. 1,9 г III и 25 мл VI нагревают в атмосфере N<sub>2</sub> (3 часа, 185°), выливают в воду, отгоняют с паром избыток VI, остаток обрабатывают 25 мл спирта, получают IX, выход 52,4%, т. пл. 216,5—218° (из сп.). 0,4 г IX восстанавливают NH<sub>2</sub>NH<sub>2</sub> в присутствии Ni, бензоилируют и получают XII, выход 32,4%, т. пл. 248—249° (из сп.). Смесь 0,7 г III и 2 мл V кипятят 1,5 часа, выливают на лед, получают 0,83 г VIII, т. пл. 150—151,5° (из разб. сп.). Из VIII, аналогично XII, получают XI, выход 65,3%, т. пл. 213,5—214,5° (из разб. сп.). Аналогично VIII получают VII, выход 78,5%, т. пл. 117,5—118,5° (из C<sub>6</sub>H<sub>6</sub> и циклогексана). Аналогично XII получают X, выход колич., т. пл. 180—181° (из разб. сп.). К р-ру 2 г XIII в 20 мл CHCl<sub>3</sub> прибавляют р-р 0,69 г XVI в 20 мл CHCl<sub>3</sub>, через 24 часа выливают в 300 мл петр. эфира (т. кип. 80—100°), получают XVIII, выход колич., т. пл. 209,5—211,5° (из разб. сп.). Тем же способом получают XVII, выход колич., т. пл. 230° (из сп.). Р-р 0,5 г XVIII в 15 мл 90%-ной HCOOH и 140 мл 35%-ного HCHO нагревают (8 час., 100°), выливают на лед, подщелачивают 15%-ным NaOH, получают 0,49 г XVII. К р-ру 0,1 г XIV в пиридине прибавляют 55 мг CH<sub>3</sub>C<sub>6</sub>H<sub>4</sub>SO<sub>2</sub>Cl, нагревают (3 часа, 100°), выливают смесь льда и HCl, получают 0,15 г *N*-бензоил-4-бензамидо-4-*n*-толуолсульфамидо-дифениламина, т. пл. 260,5—262,5° (из сп.). Бензоилированием получают N,N',N''-трибензоил-4,4'-диаминодифениламин (XXIV), выход 95%, т. пл. 310—312° (из сп.). *n*-NH<sub>2</sub>C<sub>6</sub>H<sub>4</sub>NHC<sub>6</sub>H<sub>4</sub>NO<sub>2</sub>-*n* восстанавливают NH<sub>2</sub>NH<sub>2</sub> в присутствии Ni, бензоилируют и получают XXIV. К 65 мл CF<sub>3</sub>COOH прибавляют горячий р-р 5 г XX в CF<sub>3</sub>COOH, к кипящему р-ру прибавляют по каплям (30 мин.) 17,3 мл 3%-ной H<sub>2</sub>O<sub>2</sub>, кипятят 1 час и выливают на лед, получают 4 г продукта, обрабатывают его петр. эфиром, из р-ра выделяют XIX, т. пл. 57—59°, из нерастворившейся части, XXI, т. пл. 280—281°. Сообщение XLIV см. РЖХим, 1958, 14425. Л. Иванова

57409. Термическая изомеризация алифатического нитросоединения в эфир азотистой кислоты. Ролевич (Thermal isomerization of an aliphatic nitro compound to a nitrous acid ester. Rolewicz H. A.), Chemistry and Industry, 1957, № 42, 1389 (англ.)

Подтверждено, что продуктом взаимодействия [(C<sub>6</sub>H<sub>5</sub>)<sub>2</sub>C(CN)]<sub>2</sub> (I) с NO<sub>2</sub> в CHCl<sub>3</sub> при 15—20° является (C<sub>6</sub>H<sub>5</sub>)<sub>2</sub>C(CN)NO<sub>2</sub> (II) (Wittig G., Pockels U., Ber., 1936, 69, 790), ИК-спектр которого указывает на наличие алифатич. NO<sub>2</sub>-группы (1565 см<sup>-1</sup>). При стоянии несколько недель в ампуле при ~20° или при нагревании несколько минут до 115° в вакууме I количественно изомеризуется в (C<sub>6</sub>H<sub>5</sub>)<sub>2</sub>C(CN)ONO (III), т. кип. 96°/0,2 мм; строение III подтверждено ИК-спектром: полоса для CONO-группы 1650 см<sup>-1</sup>; под действием холодной воды или влаги воздуха III превращается в (C<sub>6</sub>H<sub>5</sub>)<sub>2</sub>C(CN)OH (IV). Предположено, что образование IV при гидролизе (горячей CH<sub>3</sub>COOH) продукта взаимодействия I с NO<sub>2</sub> в условиях, описанных ранее (см. ссылку выше), проходит через промежуточный изомерный III. II легко кристаллизуется из спирта и CH<sub>3</sub>OH (20—25°); III бурно реагирует со спиртами при ~20° с образованием IV и соответствующих RONO, с C<sub>6</sub>H<sub>5</sub>N(CH<sub>3</sub>)<sub>2</sub> дает *n*-(CH<sub>3</sub>)<sub>2</sub>NC<sub>6</sub>H<sub>4</sub>NO.

Г. Крюкова  
57410. Синтезы нитрозохлоридов без применения хлористого нитрозила. Перро, Воде, Бодри (Synthèses de nitrosochlorures sans l'intervention du



chlorure de nitrosyle. Perrot Roger, Wodey Pierre, Baudry Ginette), C. r. Acad. sci., 1958, 246, № 4, 617—619 (франц.)

При взаимодействии нитрозохлорида  $(C_6H_5)_2C(Cl)CH=NOH$  (I) (полученного обычным путем из  $NOCl$  и 1,1-дифенилэтилена) со спиртами образуются  $(C_6H_5)_2C(OR)CH=NOH$  (II); этим путем получены II, где  $R = CH_3$  (IIa), т. пл. 115°,  $C_6H_5CH_2$ , т. пл. 122°, или  $iso-C_4H_9$ , которые при действии эфирного р-ра  $HCl$  вновь превращаются в I.  $\alpha, \alpha$ -Дифенил- $\alpha$ -оксиацетальдоксим, т. пл. 122—124°, синтезированный р-цией изонитрозоацетофенона и  $C_6H_5MgBr$ , при действии эфирного р-ра  $HCl$  при 0° дает I, т. пл. 95—97° (разл.), и метилируется  $CH_3OH$  в присутствии  $HCl$  при 0° в IIa.  $\alpha, \alpha$ -Ди-*n*-толил- (т. пл. 120) и  $\alpha$ -фенил- $\alpha$ -*n*-толил- (т. пл. 84°)- $\alpha$ -метоксиацетальдоксими при обработке эфирным р-ром  $HCl$  при 0° также превращаются в соответствующие нитрозохлориды, т. пл. 90 и 83—85° (разл.); последний с пиперидином дает нитроламин, т. пл. 122°.

Л. Щукина

57411. Синтез соединений, родственных хлорамфениколу. II. 3-( $\alpha$ -дихлорацетиламинометил-*n*-нитрофенил)-пропанол. Гао И-шэн, Вэн Цзун-яо (Као Lee-sheng, Owen Tsung-yao), Хуасюэ сюэбао, Acta chim. sinica, 1957, 23, № 6, 492—497 (кит.; рез. англ.)

Для исследования зависимости между биологич. свойствами и хим. строением получен  $2-Cl_2CHCONHCH_2-4-NO_2C_6H_3(CH_2)_3OH$  (I) в 5 стадий: из  $2-NH_2C_6H_4(CH_2)_3OH$  диазотированием и действием  $CuCN$  получают  $2-CNC_6H_4(CH_2)_3OH$  (II), т. кип. 140—142°/2 мм; нитробензоат, т. пл. 85—86°; II восстанавливают  $LiAlH_4$  до  $2-NH_2CH_2C_6H_4(CH_2)_3OH$  (III); сульфат, т. пл. 114—115°; динитробензоат, т. пл. 154—155°; III избирательным ацетилированием  $CH_3COCl$  в лед.  $CH_3COOH$ , насыщ.  $HCl$ , превращают в  $2-NH_2CH_2C_6H_4(CH_2)_3OC(=O)CH_3 \cdot HCl$  (IV), т. пл. 122—123°; гидролизом разб.  $HCl$  продукта нитрования IV нитрующей смесью получают  $2-NH_2CH_2-4-NO_2C_6H_3(CH_2)_3OH \cdot HCl$  (V), т. пл. 207—208°; р-цией V и  $CHCl_2COOCH_3$  синтезируют I, т. пл. 141—142°. Прямое нитрование III дает  $2-NH_2CH_2-4-NO_2C_6H_3(CH_2)_3ONO_2$ , выделенный в виде  $2-CHCl_2CONHCH_2-4-NO_2C_6H_3(CH_2)_3ONO_2$ , т. пл. 121—122°. Для доказательства положения  $NO_2$ -группы в I,  $2-NH_2-4-NO_2C_6H_3(CH_2)_3OH$  превращают через  $2-CN-4-NO_2C_6H_3(CH_2)_3OH$  в  $2-CN-4-NO_2C_6H_3(CH_2)_3OC(=O)CH_3$  (VI), т. пл. 82—83°; восстановлением VI посредством  $LiAlH_4$  получают V. Бактериостатич. действие (БД) I против *M. tuberculosis* var. *hominis* A. T. S. штамм № 607 равно  $1/16$  БД хлорамфеникола. I не активен против стафилококков. Сообщение I см. РЖХим, 1957, 19359. В. Скородумов

57412. Синтез некоторых амино- и нитропроизводных бифенила, содержащих 2,2'-диметоксильные и 3,3'-диметилные группы. Литвиненко Л. М., Греков А. П., Шаповал Л. Д., Ж. общ. химии, 1957, 27, № 11, 3115—3122

Синтезированы  $4-NH_2-2-CH_3OC_6H_4C_6H_4OCH_3-2$  (I) и  $4-NH_2-3-CH_3C_6H_4C_6H_4CH_3-3$  (II) по схемам:  $2-CH_3OC_6H_4NHAc$  (III) [где здесь и далее  $Ac = C_6H_5SO_2$  (а) или  $n-C_6H_4SO_2$ ]  $\rightarrow$   $ArNHAc$  (IV) (здесь и всюду  $Ar = 4-NO_2-2-CH_3OC_6H_4$ )  $\rightarrow$   $ArNH_2$  (V)  $\rightarrow$   $ArN_2SO_3H$   $\rightarrow$   $ArJ$  (VI)  $\rightarrow$   $Ar-Ar$  (VII)  $\rightarrow$   $4-NH_2-2-CH_3OC_6H_4Ar$  (VIII)  $\rightarrow$   $4-N_2Cl-2-CH_3OC_6H_4Ar$  (IX)  $\rightarrow$  I. ( $4-NH_2-3-CH_3C_6H_4$ )<sub>2</sub> (X)  $\rightarrow$  ( $4-N_2Cl-3-CH_3C_6H_4$ )<sub>2</sub> (XI)  $\rightarrow$   $Ar'-Ar'$  (XII) (где  $Ar' = 4-NO_2-3-CH_3C_6H_4$ )  $\rightarrow$   $Ar'C_6H_4CH_3-3-NH_2-4$  (XIII)  $\rightarrow$   $Ar'C_6H_4CH_3-3-N_2Cl-4$  (XIV)  $\rightarrow$   $Ar'C_6H_4CH_3-3$  (XV)  $\rightarrow$  II. II также получен по схеме: XIV  $\rightarrow$   $4-NH_2-3-CH_3C_6H_4C_6H_4CH_3-3-N_2Cl-4$   $\rightarrow$  II. 2,6 г VIII в 35 мл теплой лед.  $CH_3COOH$  и 6 мл конц.  $HCl$  диазотируют (0°) 0,76 г  $NaNO_2$  в 7,6 мл воды; диазораствор приливают к смеси 12 г  $NaH_2PO_4 \cdot H_2O$  и 12 мл конц.  $HCl$ ; через ~24 часа (15—18°) подщелачивают 20%-ным  $NaOH$

и экстрагируют эфиром; полученные 1,6 г неочищ. IX восстанавливают в  $CH_3OH$  0,8 мл 98%-ного  $N_2H_4$  в присутствии скелетного Ni, как описано ранее (РЖХим, 1957, 34338, 68699), получают 40% I  $\cdot HCl$ , т. пл. 132—133° (из  $CH_3OH$ ). К 190 г *o*-аниидина в 920 мл воды добавляют 380 мл  $C_6H_5SO_2Cl$ , нагревают за 20—30 мин. до 55°, добавляют 140 г  $Na_2CO_3$ , размешивают 3 часа (50—55°) и фильтруют; выход IIIa 98%, т. пл. 88—89°. 800 г IIIa нагревают до 90—95° с 3750 мл 10%-ной  $HNO_3$ ; через 6,5—7 час. отфильтровывают IVa, выход 96%, т. пл. 180—181° (из пиридина). 1080 г IVa нагревают с 1,7 л 90%-ной  $H_2SO_4$  при 50—60°; через 50 мин. выливают в воду и подщелачивают, выход V 78%, т. пл. 139°. 60 г V диазотируют в 0,6 л воды и 0,2 л конц.  $H_2SO_4$ , добавляют 120 г  $KJ$  и 60 г  $J_2$  в 120 мл воды, нагревают 1 час (~100°); выход VI 100%, т. пл. 127°. К 100 г расплава VI (230°) добавляют за 2 часа (230°) 100 г  $Cu$ -порошка; через 1,5 часа (230°) экстрагируют 2 л кипящего толуола; выход VII 50%, т. пл. 248—249°, сублимирован. 5 г VII в 0,5 л  $CH_3OH$  и 35 мл 1 M метанольно-водного р-ра  $Na_2S_2$  кипятят 2 часа, упаривают, остаток разбавляют вдвое водой, фильтруют, осадок растворяют в 60 мл  $C_6H_5NO_2$ ; получают VIII  $\cdot HCl$ , из которой воды  $NH_3$  выделяют VIII, выход 71%, т. пл. 162—163°. II получен восстановлением XV  $N_2H_4$  в присутствии Ni аналогично I, выход II 82%, т. пл. 57—58°. XV получен из XIII аналогично IX, выход 60%, т. пл. 70—71°. XIII получен с выходом 68%, т. пл. 143°, кипячением 30 мин. 11 г XII в 40 мл пиридина с 80 мл 1 M  $Na_2S_2$  с последующим добавлением большого кол-ва горячей воды (очищают пересаживанием из  $HCl$ -соли). II также получен диазотированием 64 г *o*-толидина в 3 л воды и 120 мл конц.  $HCl$  с последующей обработкой  $H_3PO_4$ , выход  $HCl \cdot II$  23%.

Г. Крюкова

57413. Удобный синтез *n*-бром- и *n*-аминофенола. Подаль, Фостер (Convenient syntheses of *p*-bromo- and *p*-aminophenol. Podall H. E., Foster W. E.), J. Organ. Chem., 1958, 23, № 2, 280—281 (англ.)

Предложен удобный метод получения  $n-BrC_6H_4OH$  (I) высокой степени чистоты и аммонолиза его в  $n-NH_2C_6H_4OH$  (II) с высоким выходом. Обсуждены возможные механизмы аммонолиза галогидрофенолов, катализируемого  $CuSO_4$ . К 1,2 моля  $C_6H_5OH$  в 240 мл хлористого этилена (III) при 0° за 160 мин. прибавляют по каплям 1 моль  $Br_2$  в 105 мл III, через 30 мин. перегонкой выделяют I, выход 93%, т. кип. 120—122°/15 мм, т. пл. 63—65°. 0,2 моля I при 30—35° вносят в р-р 0,008 моля  $CuSO_4 \cdot 5H_2O$  в 10 мл воды и 1,8 моля 28—30%-ного  $NH_4OH$ , смесь нагревают в автоклаве 80—120 мин. при 140° (или 225 мин. при 120°) и охлаждают до 0°, выход II 63%, т. пл. 184—186° (из воды).

Ю. Волькенштейн

57414. Алкоксидиарилацетальдоксими и алкоксидиарилэтиламинами. Перро, Воде (Alcoxydiarylacetaldoximes et alcoxydiaryléthylamines. Perrot Roger, Wodey Pierre), C. r. Acad. sci., 1958, 246, № 2, 283—285 (франц.)

Показано, что в отличие от  $ArCHClCH(NO)R$  нитрозохлорид  $(C_6H_5)_2CClCH_2NO$  (I) гидрируется над скелетным Ni в  $RON$  не в  $(C_6H_5)_2CHCH_2NH_2$  (II) (Bull. Soc. chim. France, 1951, 797; РЖХим, 1956, 19226), а в  $(C_6H_5)_2C(OR)CH_2NH_2 \cdot HCl$  (III, основание IV). IV синтезирован также действием на I  $RONa$  в 5—30-кратном (по весу) кол-ве  $RON$  с последующим добавлением большого кол-ва воды или отгонкой  $RON$  в вакууме; полученные  $(C_6H_5)_2C(OR)CH=NOH$  (V) гидрированием в присутствии Ni в  $CH_3OH$  превращены с выходами 70—80% в соответствующие IV. При восстановлении I  $LiAlH_4$  в эфире сразу образуется II; бензильное производное (БП), т. пл. 143—144°. Приведены R, т. пл. V в °C, т. кип. IV в °C/мм и т. пл. БП

IV в °C:  $\text{C}_6\text{H}_5$ , 115°, 138/2 (т. пл. 35°), 143;  $\text{C}_2\text{H}_5$ , 88, 133,5/1, 142;  $n\text{-C}_3\text{H}_7$ , 90, 130/0,5, 129; *изо*- $\text{C}_3\text{H}_7$ , 127, 154/1,5, 86;  $m\text{-C}_6\text{H}_5$ , 74, 138/0,5, 98; *изо*- $\text{C}_4\text{H}_9$ , 77, 167/1,5, 107. В большинстве случаев V перекристаллизированы из дитриона.

Г. Крюкова  
57415. Окисление аминов. Часть III. Качественная реакция на дегидрирование триэтиламина. Реакции некоторых третичных аминов с перекисью бензоила. Бакли, Данстан, Хенбест. Часть IV. Реакции третичных аминов с N-бромсукцинимидом: образование альдегидов и вторичных аминов. Данстан, Хенбест (Amine oxidation. Part III. A test reaction for the dehydrogenation of triethylamine. The reactions of some tertiary amines with benzoyl peroxide. Buckley D., Dunstan Sonia, Henbest H. B. Part IV. Reactions of tertiary amines with N-bromosuccinimide: the formation of aldehydes and secondary amines. Dunstan Sonia, Henbest H. B.). J. Chem. Soc., 1957, Dec., 4901—4905; 4905—4908 (англ.)

III. При прибавлении  $(\text{C}_6\text{H}_5\text{CO})_2\text{O}_2$  (I) к р-ру триэтиламина (II) и 2,5-дихлор-3,6-диметоксибензохинона-1,4 (III, IV бензохинон-1,4) быстро появляется синяя окраска, вызванная образованием 2,5-дихлор-3-метокси-6-(2-диэтиламинovinил)-IV (V). Так как сам по себе III дегидрирует II только при ярком освещении, очевидно, что необходимый для получения V  $(\text{C}_2\text{H}_5)_3\text{N}-\text{CH}=\text{CH}_2$  (VI) образовался из II под действием I. В аналогичных условиях N-бромсукцинимид (VII) и 3,3',5,5'-тетрахлордифенохинон (VIII) также дают сильную окраску. Эта р-ция может служить пробой на образование VI из II. 2-хлорнафтохинон-1,4 (IX, X нафтохинон-1,4), медленно дегидрирующий II с последующим образованием 2-хлор-3-(2-диэтиламинovinил)-X (XI) (см. часть II, РЖХим, 1958, 53844), в присутствии I дает XI быстрее и с лучшим выходом. Получение необходимого енамина действием I на соответствующий амин представляет особый интерес в тех случаях, когда обычно более удобный синтез диалкиламинovinилхинона с помощью вторичного амина и  $\text{C}_6\text{H}_5\text{CHO}$  (РЖХим, 1958, 53845) затруднен. Примером подобного рода является получение 2,3,6-трихлор-5-(1,4,5,6-тетрагидро-1-метилпиридил-3)-IV (XII) из хлоранила (XIII) и 1-метилпиперидина (XIV). К 5 мл свежеприготовленного бензольного р-ра 0,04 ммоль III и 0,08 ммоль II прибавляют несколько мг I, VII или VIII. В течение 30 мин. появляется синяя окраска, исчезающая на наступившее дегидрирование.  $\text{MnO}_2$ ,  $\text{I}[(\text{CH}_3)_2\text{C}_6\text{H}_3\text{O}_2]$  и дифенохинон не оказывают дегидрирующего действия. 0,8 г II прибавляют к р-ру 0,41 г III и 0,484 г I в 25 мл  $\text{C}_6\text{H}_6$ , через 1,5 часа отфильтровывают хлоридат II и из фильтрата выделяют 0,14 г V, т. пл. 109—110° [из петр. эф. после предварительного хроматографирования на деактивированной (Д)  $\text{Al}_2\text{O}_3$ , 1,22 г I в 100 мл  $\text{C}_6\text{H}_6$  прибавляют к р-ру 0,96 г IX и 1,5 г II в 100 мл  $\text{C}_6\text{H}_6$ , выдерживают 1 час при 20°, фильтруют через Д  $\text{Al}_2\text{O}_3$  и получают XI, выход 48%, т. пл. 95—99° (из ацетона + вода). Аналогично из 0,73 г I, 0,92 г 2,3,5-трихлор-6-(2'-диэтиламинovinил)-IV (XV) и 1,2 г II в 90 мл  $\text{C}_6\text{H}_6$  (3 часа, 20°) получают 0,537 г 2,5-дихлор-3,6-ди-(2'-диэтиламинovinил)-IV, т. пл. 129—130° (из толуола-петр. эф.). Р-р 3 г XIII, 3 г I и 5 г XIV в 700 мл  $\text{C}_6\text{H}_6$  выдерживают 2,5 часа при 15°, выход XII 0,45 г, т. пл. 105—107° (разл.; из толуола-петр. эф.): 9,7 г  $(\text{C}_2\text{H}_5)_3\text{NCH}_2\text{CH}_2\text{OCOC}_6\text{H}_5$  прибавляют при 20° к 4,91 г XIII и 4,84 г I в 700 мл  $\text{C}_6\text{H}_6$ ; через 40 час. из фильтрата выделяют 0,9 г 3,5,6-трихлор-2-[2-(N-2-бензоилоксисетил-N-этиламино)-винил]-IV, т. пл. 135—136,5° (из толуола-петр. эф. после хроматографирования на Д  $\text{Al}_2\text{O}_3$ ). Аналогичным образом, исходя из 8 г  $\text{NH}(\text{CH}_2\text{CH}_2\text{OH})_2$ , 5 г XIII и 5 г I в  $\text{C}_6\text{H}_6$  (20°, 18 час.) получено 0,59 г XV. Амины типа  $(\text{CH}_3)_2\text{NCH}_2\text{R}$  (2 ммоль) не дегидрируются (20°) при действии I (1 ммоль) и после гидролиза продукта р-ции дают соответствующие альдегиды [указаны значения R, р-ритель, продолжительность р-ции в часах, полученный альдегид, выделенный в виде динитрофенилгидразона (ДНФГ), и его выход в %]:  $\text{C}_6\text{H}_5$  (XVI),  $\text{C}_6\text{H}_5$ , 9,  $\text{C}_6\text{H}_5\text{CHO}$ , 56 и 53;  $\text{C}_6\text{H}_5$ , диоксан, 8,  $\text{C}_6\text{H}_5\text{CHO}$ , 47;  $n\text{-CH}_2\text{OC}_6\text{H}_4$ ,  $\text{C}_6\text{H}_5$ , 1,5,  $n\text{-CH}_2\text{OC}_6\text{H}_4\text{CHO}$ , 56 и 60;  $n\text{-NO}_2\text{C}_6\text{H}_4$ ,  $\text{C}_6\text{H}_5$ , 5;  $n\text{-NO}_2\text{C}_6\text{H}_4\text{CHO}$ , 47. Из  $(\text{C}_2\text{H}_5)_3\text{N}$  в диоксане + вода (9:1) (20°, 1,5 часа) получен  $\text{CH}_3\text{CH}_2\text{CHO}$ , выход ДНФГ 39%. Исследованы в области 1900—1600  $\text{cm}^{-1}$  спектры поглощения бензольных р-ров, содержащих 0,02 ммоль I и 0,04 ммоль одного из аминов: II,  $\text{N}(\text{CH}_2\text{CH}_2)_3\text{N}$  (XVII),  $(\text{CH}_3)_3\text{N}$ ,  $(\text{C}_2\text{H}_5)_3\text{N}$ , XVI и  $(\text{C}_2\text{H}_5\text{CH}_2)_3\text{N}$ . В течение 1 часа р-ры II и  $(\text{C}_2\text{H}_5)_3\text{N}$ , т. е. соединений, которые могут дать енамины, меняют окраску от желтой через оранжевую до бурой; другие р-ры остаются бесцветными.

IV. Наблюдаемое при действии VII дегидрирование II с образованием в присутствии III соединения V побуждало более детально изучить р-ции VII с третичными аминами  $(\text{RCH}_2)_3\text{N}$  (XVIII). Последние дают с VII окрашенные промежуточные продукты (III), строение которых не установлено. Если R в исходном XVIII содержит  $\equiv\text{CH}$ , из III могут образовываться енамины. Гидролиз III приводит к  $\text{RCHO}$ ,  $(\text{RCH}_2)_2\text{NH}\cdot\text{HBr}$  и сукцинимиду. При прибавлении 2 ммоль  $(\text{C}_2\text{H}_5)_3\text{N}$  в 9 мл диоксана + 1 мл воды к 2 ммоль VII в 10 мл той же смеси р-рителей немедленно появляется яркая желтая окраска. Через 2 мин. р-р становится почти бесцветным и дает лишь слабую р-цию на «положительный» галлоид. Из р-ра выделены  $\text{CH}_3\text{CH}_2\text{CHO}$  (в виде ДНФГ) и  $(\text{C}_2\text{H}_5)_2\text{NH}$  (в виде *n*-толуолсульфонильного производного) с выходом соответственно 63 и 87%. Прибавление 2 ммоль  $(\text{C}_6\text{H}_5\text{CH}_2)_3\text{N}$  к 2 мл VII в бензольном р-ре приводит к появлению интенсивно-оранжевой вскоре исчезающей окраски. Из реакционной смеси выделены  $\text{C}_6\text{H}_5\text{CHO}$  (в виде ДНФГ), выход 85—90%, и  $(\text{C}_6\text{H}_5\text{CH}_2)_2\text{NH}$ , выход 85%. Из  $\text{C}_6\text{H}_5\text{CH}_2\text{N}(\text{CH}_3)_2$  в аналогичных условиях образовалось ~ 65%  $\text{C}_6\text{H}_5\text{CHO}$ . При приливании р-ра 2 ммоль VII в 15 мл  $\text{C}_6\text{H}_6$  к 1 ммоль XVIII в 5 мл  $\text{C}_6\text{H}_6$  при 20° выделился кристаллич. аддукт XVII с VII (1:2 моля) (A), выход 83%, т. пл. 109—111° (разл.), разлагающийся при кристаллизации и при хранении (0°). Приведены частоты в ИК-спектре A.

Г. Браз  
57416. Внутримолекулярное ацилирование. Часть II. Циклизация  $\beta$ -(7-трет-бутил-1-нафтил)-пропионовой кислоты. Уэнем, Уайтхерст (Intramolecular acylation. Part II. The cyclisation of  $\beta$ -(7-tert-butyl-1-naphthyl)propionic acid. Wenham A. J. M. Whitehurst J. S.). J. Chem. Soc., 1957, Sept., 4037—4041 (англ.)

Вопреки ожидавшейся пери-циклизации (см. часть I, РЖХим, 1957, 30586)  $\beta$ -(7-трет-бутил-1-нафтил)-пропионовой к-ты (I) установлено, что под действием различных реагентов I превращается в смесь, по-видимому, 2'-трет-бутил-4,5-бензиданона-1 (II) и 2'-х-ди-трет-бутил-4,5-бензиданона (III), тогда как (7-трет-бутил-1-нафтил)-уксусная к-та (IV) дает в этих условиях 8-трет-бутилацетонафенон-1 (V). Строение II подтверждено УФ-спектром, а также по окраске  $\text{NH}_2\text{OH}$ -производного (см. Johnson, Shelberg, J. Amer. Chem. Soc., 1945, 67, 1745). Попытки обнаружить в продуктах р-ции 9-трет-бутилперинафенон-1 (VI) были безрезультатны. Не удалось также синтезировать VI, исходя из тетрагидро-I (VII). Синтезом 1,2-дигидро-6-метилнафталина (VIII) восстановлением  $\text{LiAlH}_4$ , 7-метилтетралона-1 (IX) с последующей дегидратацией 7-метилтетралона-1 (IXa) при помощи  $\text{KHSO}_4$  подтверждено, что IX в условиях р-ции Реформатского (см. часть I) превращается в смесь 1,2,3,4-тетрагидро-



6-метилнафталина и VIII, что является первым случаем превращения  $=CO$  в  $=CH_2$  в условиях р-ции Реформатского. IV, т. пл. 78—79,5° (из  $C_6H_{14}$ ), получен из 7-трет-бутил-1-тетралона (т. кип. 108—110°/0,3—0,4 мм, т. пл. 95—98°) через метиловый эфир (МЭ) 7-трет-бутил- $\alpha$ , $\gamma$ -дигидро-1-нафтилуксусной к-ты (X, к-та XI) (т. кип. X 125—140°/0,3 мм, т. пл. XI 80,5—81,5°) нагреванием 35,4 г X с 4,4 г S (2 часа, 220—260°) с последующим гидролизом МЭ IV, т. кип. 127—128°/0,04 мм, т. пл. 146,5—149° (из бал.), синтезирована по общей методике (см. часть I) через МЭ I, т. кип. 140—142°/0,07 мм, 1 г IV в 10 мл эфира, содержащего 1 каплю  $C_6H_5N$ ; и 2 мл  $SOCl_2$  кипятят 3 часа, отгоняют р-ритель, остаток перемешивают с 0,63 г  $AlCl_3$  в 20 мл  $C_6H_5Cl_2$  (1 час), выход V 49%, т. пл. 85—87° и 90—91,5° (из  $C_6H_{14}$ ). 5 г I превращают в хлорангидрид (XII) и обрабатывают 15 г  $SnCl_4$  и выделяют 2,31 г II, т. пл. 166—187,5° (из циклогексана). Остаток по упаривании маточного р-ра хроматографируют в  $C_6H_6$  на  $Al_2O_3$  и выделяют 0,28 г II. XII циклизируют  $AlCl_3$  в  $C_6H_5Cl_2$  или  $C_6H_5NO_2$  и выделяют II. 12,23 г I добавляют к 120 мл HF, в течение суток испаряют HF, добавляют разб. р-р NaOH и экстрагируют  $C_6H_6$ -эфиром; остаток по испарению р-рителя обрабатывают конц. HCl, хроматографируют в  $C_6H_6$  на  $Al_2O_3$  и выделяют 22,2% II и 0,36 г III, т. пл. 166—168°. 0,0105 моля II в 100 мл  $C_6H_6$  добавляют к 0,021 моля  $HCOOC_2H_5$  в 10 мл  $C_6H_6$  и р-ру  $CH_3ONa$  (из 0,21 атома Na), через 6 час. смесь нагревают до 40°, оставляют на ~16 час. и выделяют 2-оксиметил-II (XIII), выход 1,19 г, т. пл. 179—181° (из бал.). 1 г XIII и 0,31 г  $NH_4OH \cdot HCl$  в 15 мл лед.  $CH_3COOH$  оставляют на 24 часа, осадок растирают с водой и получают N,N-ди-(2'-трет-бутил-1-оксо-4,5-бензиздан-1-ил)диметил-гидроксиламин, выход 0,25 г, т. пл. 255—257° (разл.; из  $C_6H_5Cl_4$ ). XI (из 25,44 г X) гидрируют над  $PtO_2$  в  $CH_3COOH$  и выделяют 17,56 г тетрагидро-IV (XIV), т. кип. 144—146°/0,03 мм, 17,5 г XIV превращают в хлорангидрид, который обрабатывают  $CH_3N_2$  с последующей перегруппировкой диазокетона с помощью  $C_6H_5COOAg$  и  $(C_2H_5)_2N$  в р-ре  $CH_3OH$  в VII, выход 12,21 г, т. кип. 148—152°/0,04 мм. При попытке циклизовать хлорангидрид I из продукта р-ции были выделены 3а,4,5,6-тетрагидроперинафтан-1 [2,4-динитрофенилгидразон, т. пл. 243—244° (разл.; из ксилола)] и ряд неидентифицированных в-в. 10 г IX восстанавливают  $LiAlH_4$  в IXa, т. пл. 52—53°. 1 г IXa нагревают 30 мин. с 1 г  $KHSO_4$  при 160° и получают VIII, т. кип. 48°/0,05 мм,  $n_D^{20}$  1,5752.

И. Леви  
57417. Исследование гидроксамовых кислот. VI. О нитровании салицилгидроксамовой кислоты. Урбанский, Фаленцкий, Новак (Badania nad kwasami hydroksamowymi. VI. O nitrowaniu kwasu salicylohydroksamowego. Urbański Tadeusz, Fałęcki Jerzy, Nowak Jadwiga), Roczn. chem., 1957, 31, № 2, 517—523 (польск.; рез. англ.)

Проводились опыты получения нитросалицилгидроксамовой к-ты. Нитрование салицилгидроксамовой к-ты (I), азотной к-той (d 1,50) при т-ре (—5)—(60°) ведет к получению 5-нитросалицилгидроксамовой к-ты (II). Действие  $HNO_3$  в эфире при т-ре ниже —10° дает салициловую к-ту (III). В  $(CH_3CO)_2O$  получается смесь к-т: II и 3,5-динитросалицилгидроксамовой (IV). Нитрование I смесью  $HNO_3$  (d 1,40) и  $H_2SO_4$  (d 1,84) при 100° дает IV. Нитрование I азотной к-той при т-ре < 67° дает пикриловую к-ту (V). Обсуждается механизм р-ции. 10 г I в 70 мл  $H_2SO_4$  (d 1,84) при ~20° + 50 мл  $HNO_3$  (d 1,40) нагревают 0,5 часа на кипящей водяной бане. Через 12 час. прибавляют по каплям ~200 мл воды и фильтруют продукт; суспендируют в воде и прибавляют насыщ. р-р  $Ba(OH)_2$ . Ba-соль разлагают разб. HCl, получают IV, выход 20%, т. пл. 170—172°. 10 г I вводят

небольшими порциями при охлаждении в 40 мл  $HNO_3$  (d 1,50). Через 24 часа вводят по каплям 40 мл воды и фильтруют. В зависимости от т-ры р-ции (5—85°) получают II, V или их смесь. К суспензии 10 г I в 100 мл эфира при т-ре —17° прибавляют по каплям за 4 часа р-р 40 мл  $HNO_3$  (d 1,50) в 100 мл эфира. Т-ру —15° поддерживают 2 часа. Прибавляют по каплям 100 мл воды при т-ре —10°. Эфирный слой отделяют, промывают водой и упаривают эфир в вакууме, получают III. 40 мл  $HNO_3$  (d 1,50) охлаждают до 3° и при 3—7° вводят порциями 10 г III. Через 12 час. доливают 40 мл воды и фильтруют IV. Фильтрат нейтрализуют  $NaHCO_3$  и упаривают досуха. Осадок экстрагируют спиртом, получают 0,25 г V. К 10 мл  $HNO_3$  (d 1,50) при 5° прибавляют по каплям 10 мл  $(CH_3CO)_2O$ . Затем при 20—30° вводят 5 г I при усиленном охлаждении. Через 10 мин. прибавляют 10 мл воды и отделяют фильтрованием 2,1 г продукта, из которого путем фракционированной кристаллизации получают 0,7 г II и 0,8 г III. При проведении р-ции при т-ре от —10 до +2° получают в-во с т. пл. 182—184°. Предыдущие сообщения см. РЖХим, 1956, 46999; 1957, 51216.

I. Wolf

57418. Синтез  $\alpha,\omega$ -бис-(*n*-алкоксифениламино)-алканов и N,N'-бис-(*n*-замещенных фенил)-алкандиамин-боксанидов. Лю Чжэнь-гу, Дай Чан-ши, Чжан Ци-кай (Liu Chen-ku, Tai Chang Chang Chi-chiek), Яосюэ сюэбао, Acta pharm. sinica, 1957, 5, № 4, 333—339 (кит.; рез. англ.)

При изучении зависимости между строением и терапевтической активностью против *Schistosomiasis japonica* на подопытных животных синтезированы  $(4-ROCH_2NH)_2(CH_2)_n$  (I),  $(4-RC_6H_4NHC(O)CH_2)_2(CH_2)_n$  (II) и  $(4-(CH_3)_2NC_6H_4OCO)_2(CH_2)_n$  (III). Действием 4- $ROCH_2NHAr$  (здесь и далее Ar =  $SO_2C_6H_4CH_3-4$ ) на  $Br(CH_2)_nBr$  (IV) в целлофан-спирт. р-ре получают (выход 80—90%)  $(4-ROCH_2NHAr)_2(CH_2)_n$  (V) (приводятся R, т. пл. в °C):  $CH_3$ , 5, 105—107;  $C_2H_5$ , 5, 104—106;  $CH_3$ , 7, 140—142;  $C_2H_5$ , 7, 113—115. V,  $n = 5$ , 25%-ной HCl гидролизуют в I,  $n = 5$  [даются R, т. пл. в °C, т. пл. в °C дихлоргидратов (ДХГ)]:  $CH_3$ , 78—80, 164—165;  $C_2H_5$ , 66—68, 165—166. При действии 4- $ROCH_2NH_2$  на IV,  $n = 7$ , в присутствии  $NaHCO_3$  получают I,  $n = 7$  (приводятся те же показатели):  $CH_3$ , 64—65, 146—148;  $C_2H_5$ , 82—83, 137—138. Аналогично получают  $(4-CH_3COC_6H_4NH)_2(CH_2)_n$ , т. пл. 128—130°; ДХГ, т. пл. 178—180°. Из 4- $RC_6H_4NH_2$  и  $ClCO(CH_2)_nCOCl$  (VI) синтезируют ДХГ II (приводятся R, т. пл. в °C):  $(CH_3)_2N$ , 2, 277—280;  $(CH_3)_2N$ , 3, 246—248;  $(CH_3)_2N$ , 4, 262—264;  $(CH_3)_2N$ , 5, 220—221,5;  $(C_2H_5)_2NCH_2CH_2O$ , 2, 245—247;  $(C_2H_5)_2NCH_2CH_2O$ , 3, 190—192;  $(C_2H_5)_2NCH_2CH_2O$ , 5, 209—211. Р-цией между 4- $(CH_3)_2NC_6H_4N = PNHCH_2NH$  (CH<sub>3</sub>)<sub>2</sub> и  $HOOC(CH_2)_nCOOH$  (VII) в соответствии с ранее описанным методом (Grimmel H. W. и др., J. Amer. Chem. Soc., 1946, 68, 539) получают II, R =  $(CH_3)_2N$  (приводятся n, т. пл. в °C): 2, 282—283; 3, 233—234; 4, 253—254; 5, 218—219. В случае VII,  $n = 2$ , получают главным образом N-(*n*-диметиламинофенил)-сукцинимид, т. пл. 224—226°; хлоргидрат, т. пл. 224—226°. Действием 4- $(CH_3)_2NC_6H_4ONa$  на VI синтезируют III (приводятся n, т. кип. в °C/мм, т. пл. в °C, т. пл. в °C ДХГ): 3, 210—220/30, 77,5—79, 184—186; 5, 190—210/30, 105,5—106, 145. Гидролизом продукта р-ции между 4- $CH_3CONHC_6H_4OH$  и  $(C_2H_5)_2NCH_2CH_2Cl$  получают 4- $(C_2H_5)_2NCH_2CH_2OC_6H_4NH_2$ , выход 95%, т. кип. 170°/5 мм.

В. Скородумов

57419. Исследования в области синтеза ариалкиламинов. IV. Синтез  $\alpha$ -метил-2-алкоксифенил-аминов и их производных, замещенных в ядре. Хория, Инои (Horii Zenichi, Inoi Takeshi), Якугаку дзасси, J. Pharmac. Soc. Japan, 1957, 77, № 10, 1095—1110 (японск.; рез. англ.)

В поисках эффективных фармакологич. средств синтезирован ряд производных 2-CH<sub>3</sub>OC<sub>6</sub>H<sub>4</sub>CH<sub>2</sub>CH(NH<sub>2</sub>)CH<sub>3</sub>, вращив. в ядре. Действием CH<sub>2</sub>=CHCH<sub>2</sub>Br на R<sub>2</sub>C<sub>6</sub>H<sub>4</sub>OH получают R<sub>2</sub>C<sub>6</sub>H<sub>4</sub>OSCH<sub>2</sub>CH=CH<sub>2</sub>, которые перегруппировкой Кляйзена превращают в R-2-RO<sub>2</sub>C<sub>6</sub>H<sub>4</sub>CH<sub>2</sub>CH=CH<sub>2</sub>; последние алкилируют в R-2-R'O<sub>2</sub>C<sub>6</sub>H<sub>4</sub>CH<sub>2</sub>CH=CH<sub>2</sub> (I); I с HBr дает R-2-R'O<sub>2</sub>C<sub>6</sub>H<sub>4</sub>CH<sub>2</sub>CHBrCH<sub>3</sub> (II); аминированием II получают R-2-R'O<sub>2</sub>C<sub>6</sub>H<sub>4</sub>CH<sub>2</sub>CH(NR''R''')CH<sub>3</sub> (III). Синтезированы также некоторые четвертичные соли общей ф-лы R-2-R'O<sub>2</sub>C<sub>6</sub>H<sub>4</sub>CH<sub>2</sub>CH(CH<sub>3</sub>)N(CH<sub>3</sub>)<sub>3</sub> (IV). Действием HCOOH и H<sub>2</sub>O<sub>2</sub> на R-(R'O)<sub>2</sub>C<sub>6</sub>H<sub>4</sub>CH=CHCH<sub>3</sub> с последующим гидролизом продукта р-ции синтезируют R-(R'O)<sub>2</sub>C<sub>6</sub>H<sub>4</sub>CH<sub>2</sub>COCH<sub>3</sub> (V), подвергая V восстановительному алкилированию (BA) и р-ции Лойкарта, получают 4-CH<sub>3</sub>OC<sub>6</sub>H<sub>4</sub>CH<sub>2</sub>N(RR')CH<sub>3</sub> (VI). Для I приводятся R, R', выход в %, т. кип. в °C/мм.: H, C<sub>2</sub>H<sub>5</sub>, 73, 79/5; H, C<sub>3</sub>H<sub>7</sub>, 63, 80/5; 3-CH<sub>3</sub>, CH<sub>3</sub>, 79, 82/4; 3-CH<sub>3</sub>, C<sub>2</sub>H<sub>5</sub>, 81, 92/4; 3-CH<sub>3</sub>, C<sub>3</sub>H<sub>7</sub>, 68, 105/6; 5-CH<sub>3</sub>, CH<sub>3</sub>, 83, 82/5; 5-CH<sub>3</sub>, C<sub>2</sub>H<sub>5</sub>, 82, 94/9; 5-CH<sub>3</sub>, C<sub>3</sub>H<sub>7</sub>, 90, 93/4; 3-CH<sub>3</sub>O, CH<sub>3</sub>, 80, 92/2; 5-CH<sub>3</sub>O, CH<sub>3</sub>, 69, 84/2; 5-Br, CH<sub>3</sub>, 80, 114/4. Для II приводятся те же показатели: H, C<sub>2</sub>H<sub>5</sub>, 72, 100—101/2; H, C<sub>3</sub>H<sub>7</sub>, 71, 114/2; 3-CH<sub>3</sub>, CH<sub>3</sub>, 65, 113—114/2; 3-CH<sub>3</sub>, C<sub>2</sub>H<sub>5</sub>, 77, 120—122/2 (разл.; с выделением HBr); 3-CH<sub>3</sub>, C<sub>3</sub>H<sub>7</sub>, 70, 128—129/2 (разл.); 5-CH<sub>3</sub>, CH<sub>3</sub>, 68, 132—135/12; 5-CH<sub>3</sub>, C<sub>2</sub>H<sub>5</sub>, 70, 109/2 (разл.; с выделением HBr); 5-CH<sub>3</sub>, C<sub>3</sub>H<sub>7</sub>, 76, 125/2 (разл.); 3-CH<sub>3</sub>O, CH<sub>3</sub>, 68, 137—139/2 (разл.); 5-CH<sub>3</sub>O, CH<sub>3</sub>, 68, 135/2 (разл.); 5-Br, CH<sub>3</sub>, 75, 138/2 (разл.). Для III даются R, R', R'', R''' выход в %, т. кип. в °C/мм., т. пл. в °C хлоргидрата (XГ) (из сп.-эф.) или пикрата (ПК) (из сп.): H, C<sub>2</sub>H<sub>5</sub>, H, CH<sub>3</sub>, 28, 120/10, ПК 85; H, C<sub>2</sub>H<sub>5</sub>, CH<sub>3</sub>, 22, 106/3, ПК 159—161; H, C<sub>3</sub>H<sub>7</sub>, CH<sub>3</sub>, 20, 108/2, ПК 158—159; 3-CH<sub>3</sub>, CH<sub>3</sub>, H, H, (IIIa), 25, 99/2, XГ 171; 3-CH<sub>3</sub>, CH<sub>3</sub>, H, CH<sub>3</sub>, 32, 104/2, XГ 131—132; 3-CH<sub>3</sub>, CH<sub>3</sub>, H, CH(CH<sub>3</sub>)<sub>2</sub>, 23, 110/2, XГ 171; 3-CH<sub>3</sub>, CH<sub>3</sub>, CH<sub>3</sub>, CH<sub>3</sub>, 25, 113—114/2, ПК 137—138; 3-CH<sub>3</sub>, C<sub>2</sub>H<sub>5</sub>, CH<sub>3</sub>, CH<sub>3</sub>, 20, 102/2, ПК 139—140; 3-CH<sub>3</sub>, C<sub>3</sub>H<sub>7</sub>, CH<sub>3</sub>, CH<sub>3</sub>, 20, 128/4, ПК 131—132; 5-CH<sub>3</sub>, CH<sub>3</sub>, H, H, (IIIb), 22, 104/3, XГ 157; 5-CH<sub>3</sub>, CH<sub>3</sub>, H, CH<sub>3</sub>, 25, 107/3, XГ 136—137; 5-CH<sub>3</sub>, CH<sub>3</sub>, CH<sub>3</sub>, CH<sub>3</sub> (IIIв), —, 113/4, XГ 184; 5-CH<sub>3</sub>, CH<sub>3</sub>, NR''R''' = NC<sub>2</sub>H<sub>5</sub>, 20, 168—170/4, XГ 179—181; 5-CH<sub>3</sub>, CH<sub>3</sub>, NR''R''' = NC<sub>3</sub>H<sub>7</sub>, 22, 126—130/2, XГ 188; 5-CH<sub>3</sub>, C<sub>2</sub>H<sub>5</sub>, CH<sub>3</sub>, CH<sub>3</sub>, 20, 120—121, XГ 128; 5-CH<sub>3</sub>, CH<sub>3</sub>, CH<sub>3</sub>, 15, 115—117/4, ПК 135; 5-CH<sub>3</sub>O, CH<sub>3</sub>, CH<sub>3</sub>, 16, 120/5, ПК 136; 5-Br, CH<sub>3</sub>, H, CH<sub>3</sub>, 18, 130/10, ПК 157—158; 5-Br, CH<sub>3</sub>, CH<sub>3</sub>, 22, 127—128/2, ПК 154—155; 3-CH<sub>3</sub>, CH<sub>3</sub>, H, CH<sub>2</sub>C<sub>6</sub>H<sub>5</sub>, 55 (BA IIIa), 100/2, XГ 141; 5-CH<sub>3</sub>, CH<sub>3</sub>, H, CH<sub>2</sub>C<sub>6</sub>H<sub>5</sub>, 52 (BA IIIb), 175—176/5, XГ 156; 5-CH<sub>3</sub>, CH<sub>3</sub>, H, тензил-2-метил, 40 (BA IIIc), 173/3, XГ 158—159; 5-CH<sub>3</sub>, CH<sub>3</sub>, H, фурил-2-метил, 38 (BA IIId), 157—158/5, XГ 124—125; 5-CH<sub>3</sub>, CH<sub>3</sub>, H, CH<sub>2</sub>CH=CHC<sub>6</sub>H<sub>5</sub>, 40 (BA IIIe), 204—206/5, XГ 129—130; 5-CH<sub>3</sub>, H, CH<sub>3</sub>, CH<sub>3</sub>, 86 (деметилированием IIIa), 109—111/9, XГ 165—167. Для IV приводятся R, R', выход в %, т. пл. в °C: H, C<sub>2</sub>H<sub>5</sub>, 88, 179—180; H, C<sub>3</sub>H<sub>7</sub>, 85, 168—169; 5-CH<sub>3</sub>, CH<sub>3</sub>, 90, 218—219; 5-Br, CH<sub>3</sub>, 76, 135—137. Для V даются R, R', выход в %, т. кип. в °C/мм., т. пл. в °C: H, 4-CH<sub>3</sub>O, 63, 115/4, 184; H, 2-CH<sub>3</sub>O, 32, 120/2, 136; 5-CH<sub>3</sub>, 2-CH<sub>3</sub>O, 27, 125/2, 149—150. Для VI приводятся R, R', выход в %, т. кип. в °C/мм., т. пл. в °C: H, H, 48, 98—99/5, 210; H, CH<sub>3</sub>, 82, 102—103/4, 177; CH<sub>3</sub>, CH<sub>3</sub>, 86, 118—119/5, 160. Приведены λ(макс.) для некоторых I и большей части II. Соединение III см. РЖХим, 1958, 25114. В. Скородумов

57420. Реакция ароматических аминов с N-цианэтилированными α- и β-аминокислотами. Буцкус П. Ф., Денне Г. И., Науч. докл. высш. школы. Химия и хим. технол., 1958, № 1, 130—132. При действии C<sub>6</sub>H<sub>5</sub>NH<sub>2</sub> (I) (а также n-нитроанилина, n-толуидина и β-нафтиламина) на N-цианэтилированные α- и β-аминокислоты (в воде) происходит р-ция перецианэтилирования с образованием C<sub>6</sub>H<sub>5</sub>NH-

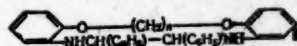
CH<sub>2</sub>CH<sub>2</sub>CN (II) и соответствующей аминокислоты (AK). Не наблюдается децианэтилирования при действии I на N,N'-дицианэтил-2,5-дикетопиперазин. Дицианэтилированные АК под действием I при 130—140° без р-рителя отщепляют только одну CNCH<sub>2</sub>CH<sub>2</sub>-группу, при более высоких т-рах (~180°) отщепляется и вторая группа. 0,01 моля моно- или дицианэтилированной АК и 0,1 моля I в 150 мл воды кипятят 20 час., упаривают досуха в вакууме, прибавляют 7—8 мл воды и 15—20 мл эфира, водн. слой извлекают эфиром, из водн. слоя прибавлением 30—35 мл спирта выделяют АК, из эфирного р-ра выделяют II. Приводятся цианэтилированные АК, АК, получаемая в результате р-ции, выход в %, выход II в %: CNCH<sub>2</sub>CH<sub>2</sub>NHCH<sub>2</sub>COOH, NH<sub>2</sub>CH<sub>2</sub>COOH, 74,6, 36,3; (CNCH<sub>2</sub>CH<sub>2</sub>)<sub>2</sub>NCH<sub>2</sub>COOH, NH<sub>2</sub>CH<sub>2</sub>COOH, 40, 47,3; N-цианэтил-α-аланин, α-аланин, 78,7, 48; CH<sub>3</sub>CH<sub>2</sub>CH(COOH)NHCH<sub>2</sub>CH<sub>2</sub>CN, CH<sub>3</sub>CH<sub>2</sub>CH(NH<sub>2</sub>)COOH, 50,5, 61; CH<sub>3</sub>CH<sub>2</sub>CH(COOH)N(CH<sub>2</sub>CH<sub>2</sub>CN)<sub>2</sub>, CH<sub>3</sub>CH<sub>2</sub>CH(NH<sub>2</sub>)COOH, 40,4, 76,3; CNCH<sub>2</sub>CH<sub>2</sub>NHCH<sub>2</sub>COOH, COOH, β-аланин, 60, 37,5; (CNCH<sub>2</sub>CH<sub>2</sub>)<sub>2</sub>NCH<sub>2</sub>CH<sub>2</sub>COOH, β-аланин, 66,6, 16,6; CNCH<sub>2</sub>CH<sub>2</sub>NHCH(C<sub>6</sub>H<sub>5</sub>)CH<sub>2</sub>COOH, NH<sub>2</sub>CH(C<sub>6</sub>H<sub>5</sub>)CH<sub>2</sub>COOH, 66,6, 25; CNCH<sub>2</sub>CH<sub>2</sub>NHCH<sub>2</sub>CONHCH<sub>2</sub>COOH, глицилглицин, 60, 25,6; (CNCH<sub>2</sub>CH<sub>2</sub>)<sub>2</sub>NCH<sub>2</sub>CONHCH<sub>2</sub>COOH, глицилглицин, 36,3, 26,6.

В. Скородумов  
57421. Синтез N,N'-дизамещенных α,ω-бис-(n-метиламино)фенилокси-пентана и -гептана. Ян Цин-шэнь, Цюй Дэ-хао, Чжан Ци-кай (Yang Ching-sen, Chü Te-hao, Chang Chi-chiek), Яосюэ сяобао, Acta pharm. sinica, 1957, 5, № 4, 341—350 (кит.; рез. англ.)

При поисках средств, обладающих шистозомиицидной активностью и не обладающих вредным действием на глаза, синтезированы [4-RN(CH<sub>3</sub>)C<sub>6</sub>H<sub>4</sub>O<sub>2</sub>(CH<sub>2</sub>)<sub>n</sub>] при n = 5 (I) и 7 (II), где R = CH<sub>2</sub>SO<sub>2</sub>Na (а), CH<sub>2</sub>SO<sub>2</sub>Na (б), CH<sub>2</sub>COONa (в), CH<sub>2</sub>CONH<sub>2</sub> (г), CH<sub>2</sub>CN (д), CONH<sub>2</sub> (е), COCH<sub>3</sub> (ж), COOC<sub>2</sub>H<sub>5</sub> (а), CH<sub>2</sub>CH<sub>2</sub>OH (н). Р-цией HOCH<sub>2</sub>SO<sub>2</sub>Na или HOCH<sub>2</sub>SO<sub>2</sub>Na с I, R = H (Iк), или II, R = H (IIк), в CH<sub>3</sub>OH получают Ia, Па и Ib, IIб соответственно. Действием KCN на Ib или IIб синтезируют Id и IIд, которые щел. гидролизом превращаются в Iv и IIв. Эти же Iv и IIв получают при гидролизе Ig и IIг. Действием ClCOOC<sub>2</sub>H<sub>5</sub> на Ik образуется Iа. Р-цией HOCH<sub>2</sub>N(CH<sub>3</sub>)COCH<sub>3</sub>, HOCH<sub>2</sub>N(CH<sub>3</sub>)CONH<sub>2</sub> или HOCH<sub>2</sub>N(CH<sub>3</sub>)CH<sub>2</sub>CH<sub>2</sub>OH с Br(CH<sub>2</sub>)<sub>n</sub>Br, где n = 5 или 7, получают Iж, Iж, Iе, Iе и Iи соответственно. Iе и Iи можно получить также р-цией Ig или IIк с KNCO. Приводятся в-ва, выход в %, т. пл. в °C: Ia, 58,4, 275; Па, 50,7, 275; Ib, 75,6, 270; IIб, 94, 270; Iv, 72,9, 285; IIв, 78,2, 285; Ig, 77,7, 181,5—183,5; Iг, 82,1, 176—178; Id, 92,9, 101—102,5; IIд, 81,5, 82,5—84,5; Iе, 78,2 и 78,3, 143—145; Iе, 87,7 и 81,2, 147—148,5; Iж, 90, 117—119; Iж, 94, 123—124,5; Iа, 85,2, 54—56; Iи, 80, 67—69.

В. Скородумов  
57422. Новый метод получения макроциклических соединений. Жонен, Холль (Sur un nouveau mode d'obtention de composés macrocyclics. Jaunin R., Holl R.), Chimia, 1957, 11, № 10, 312 (франц.)

При действии суспензии Na в эфире (в атмосфере N<sub>2</sub>) на дианилы (o-C<sub>6</sub>H<sub>4</sub>CH=NC<sub>6</sub>H<sub>4</sub>O)<sub>2</sub>(CH<sub>2</sub>)<sub>n</sub> получены (I), (o-H<sub>2</sub>NC<sub>6</sub>H<sub>4</sub>O)<sub>2</sub>(CH<sub>2</sub>)<sub>n</sub> и (o-C<sub>6</sub>H<sub>4</sub>CH<sub>2</sub>NHC<sub>6</sub>H<sub>4</sub>O)<sub>2</sub>(CH<sub>2</sub>)<sub>n</sub>.



Разделение полученных продуктов осуществлено экстракцией из эфирного р-ра разб. HCl; I остается в эфирном р-ре. Выход I для n = 2, 3, 4, 5 и 6 от 6 до 16%; во всех случаях получено лишь по одному из теоретич. возможных диастереоизомеров. Г. Крюкова  
57423. О N,N'-производных фенилгидразина. Бюхи, Перацци (Sui N<sub>1</sub>, N<sub>2</sub>-derivati della fenilidrazina.



Büchi J., Perazzi G.), *Helv. chim. acta*, 1958, 41, № 1, 39—45 (итал.)

При поисках новых лекарственных препаратов синтезированы  $C_6H_5N(R)N(CH_3)COCH_3$  (I), где  $R = COCH_2N(CH_3)_2$  (Ia),  $COCH_2CH_2N(CH_3)_2$  (Ib),  $2-HO-C_6H_4CO$  (Ic),  $2-HO-4-NO_2-C_6H_3CO$  (Id),  $2-HO-4-NH_2-C_6H_3CO$  (Ie),  $CH_2CH_2N(CH_3)_2$  (If),  $CH_2CH_2N(C_2H_5)_2$  (Ig),  $CH_2CH_2N(C_3H_7)_2$  (Ih),  $CH_2CH_2N(C_4H_9)_2$  (Ii),  $CH_2CH_2NC_5H_{10}$  (Ik),  $CH_2CH_2NC_5H_9$  (Il) и  $CH_2CH_2NC_4H_9O$  (Im). Найдено, что  $R_2NCH_2CH_2Cl$  значительно более устойчивы в диоксане, чем в  $C_6H_6$ . К 5 г  $C_6H_5NHN(CH_3)COCH_3$  (II) в 30 мл  $C_6H_6$  прибавляют 4 г  $ClCH_2COCl$ , кипятят 8 час., отгоняют р-ритель в вакууме, остаток растворяют в  $C_6H_6$ , при охлаждении прибавляют малыми порциями  $(CH_3)_3NH$ , фильтрат испаряют в вакууме, остаток растворяют в эфире, обычной обработкой получают 66,5% вязкого Ia; хлоридат (XG), т. пл. 105—106°. Аналогично получают XG 16, т. пл. 185—187°. К 11 г II в  $C_6H_6$  прибавляют  $Na_2CO_3$  и р-р 17 г 2-НОС $_6$ H $_4$ COCl в  $C_6H_6$ , кипятят ~ 28 час., удаляют р-ритель, остаток растворяют в эфире, промывают 2 н.  $Na_2CO_3$  и разб. HCl, извлекают 2 н. NaOH, водн. р-р подкисляют 2 н. HCl, экстрагируют эфиром, из эфирного р-ра выделяют 82% Iв, т. пл. 180—182° (из бал.-CH $_3$ OH). К 5 г II в 30 мл  $C_6H_6$  по каплям прибавляют р-р 2-НО-4-NO $_2$ -C $_6$ H $_3$ COCl в  $C_6H_6$ , после прохождения экзотермич. р-ции кипятят 28 час., очищают углем, удаляют р-ритель в вакууме, вязкий остаток растворяют в  $CHCl_3$ , промывают насыщ.  $NaHCO_3$ , органич. слой извлекают 2 н. NaOH, экстракт подкисляют 2 н. HCl и извлекают эфиром 4,5 г Iг, т. пл. 83—84° (из ацетона-эф.-п-тр. эф.). 3 г Iг в спирте гидрируют над скелетным Ni 16 час., получают 60,2% неочищ. Id (очистка хроматографией р-ра в ацетоне на  $Al_2O_3$ ), т. пл. 182—183° (из ацетона-эф.-п-тр. эф.). К 5 г II в 25 мл абс. диоксана прибавляют 7 г  $(C_6H_5)_2N(CH_2)_2Cl$  (выделенный из XG действием NaOH, т. кип. 29°/0,05 мм) и эквивалентное кол-во NaH нагревают при ~ 100° ~ 3 часа, фильтрат выпаривают в вакууме, остаток растворяют в  $C_6H_6$ , извлекают 2 н. HCl, водн. экстракт нейтрализуют безводн.  $NaHCO_3$ , подщелачивают  $NH_4OH$ , эфиром извлекают Iв; XG, т. пл. 195—196°. Аналогично получают I (приводятся в-во, т. пл. XG в °C): Ie, 211—214; Ig, 182—184; Ih, 147—148; Ii, 231—233; Il, 208—210; Im, 197—200. Ia, б, з и и обладают сильным анастетич. и спазмолитич. действием. Iв—д обладают туберкуло-статич. эффектом. Все т-ры плавления исправлены.

B. Скородумов

**57424. Синтез гуанидиновых производных дифенилового эфира. I. Ито** (*Synthese von Guanidinverbindungen des Diphenyläthers. I. Ito Genzo*), *Pharmac. Bull.*, 1957, 5, № 5, 397—400 (нем.)

С целью получения в-в с туберкуло-статич. активностью (ТА) синтезированы  $n-RC_6H_4OC_6H_4R'-n$  (I),  $o$ -(IIa),  $m$ -(IIб) и  $n-C_6H_5OC_6H_4R'$  (IIв),  $o$ -(IIг) и  $n-C_6H_5OC_6H_4CH_2R'$  (IIIб) и  $n-HOC_6H_4OC_6H_4CH_2R'-n$  (IV), где  $R' = NHC(NH_2)=NH$ . Полученные гуанидиновые производные (III) обладают умеренной ТА. 2,7 г  $AlCl_3$  в 20 мл  $C_6H_5NO_2$  и 0,01 моля  $n-CH_3OC_6H_4OC_6H_4NO_2-n$  нагревают 2 часа при 50—55°, разлагают разб. HCl и выделяют  $n-HOC_6H_4OC_6H_4NO_2-n$  (V) с выходом 43%, т. пл. 172° (из бал.). Смесь 0,01 моля V, 20 мл абс. спирта, 3 г  $NH_2NH_2 \cdot H_2O$  и небольшого кол-ва скелетного Ni слабо нагревают до прекращения вскипания и кипятят 10 мин.; получают  $n-HOC_6H_4OC_6H_4NH_2-n$ , выход 90%, т. пл. 152° (из бал.); хлоридат, т. разл. 230—232°. К кипящей смеси 0,5 моля  $n-CH_3OC_6H_4OC_6H_4$  и 200 г дибромэтана прибавляют 1 час на солнечном свете 0,5 г брома в 50 мл дибромэтана, перемешивают 1 час и выделяют  $n-BrCH_2C_6H_4OC_6H_4$  (VI) с выходом 73%, т. кип. 157—160°/6 мм. Аналогично получают  $o-BrCH_2C_6H_4OC_6H_4$ , т. кип. 135—140°/8 мм. В смесь 0,25 моля

VI, 35 г уротропина, 42 г NaI и 350 мл спирта пропускают HCl (газ) и выпариванием спирт. р-ра выделяют  $n-C_6H_5OC_6H_4CH_2NH_2 \cdot HCl$  (VII), выход 42%. VII при подщелачивании превращается в амин, который не перегоняется при 5 мм; нитрат (HT), т. разл. 170° (из воды); бензоат, т. пл. 127° (из  $CH_3OH$ ). Таким же образом получают  $o-C_6H_5OC_6H_4CH_2NH_2$ ; HT, т. разл. 153° (из воды). Аналогично из  $NO_2C_6H_4OC_6H_4CH_2Cl$  синтезируют  $n-NO_2C_6H_4OC_6H_4CH_2NH_2 \cdot n \cdot HCl$  с выходом 36%;  $n-NO_2C_6H_4OC_6H_4CH_2NHCOCH_3-n$  (VIII), т. пл. 120° (из сп.). VIII в условиях восстановления V дает  $n-NH_2C_6H_4OC_6H_4CH_2NHCOCH_3-n$  (IX), выход 82%, т. пл. 146° (из воды). 0,05 моля IX диазотируют, прибавляют 2 г мочевины, кипятят 3 часа, фильтруют, выпаривают в вакууме до ~ 100 мл выпавший осадок кипятят 2 часа с 80 мл 20%-ной HCl, отгоняют HCl, растворяют в воде и добавлением  $NH_4OH$  осаждают  $n-HOC_6H_4OC_6H_4CH_2NH_2-n$  (X), выход 30%, т. пл. 182° (из сп.); пикролонат, т. разл. 230—232° (из  $CH_3OH$ ). 0,025 моля  $n-C_6H_5OC_6H_4NH_2 \cdot HCl$ , 1,6 г цианамиды и 35 мл абс. спирта кипятят 3 часа, отгоняют спирт, растворяют в воде и добавлением NaOH осаждают IIв, выход 85%. Аналогично получают Па, б и I. 0,01 моля  $n-C_6H_5OC_6H_4CH_2NH_2$ , 2,6 г  $CH_3SC(NH_2)=NH \cdot HJ$  (XI) и 30 мл абс. спирта кипятят 3 часа, отгоняют спирт, остаток растворяют в воде и прибавлением  $NH_4NO_3$  осаждают нитрат IIIб. Также получают нитрат IIIа. 18 г X, 2,2 г XI и 20 мл абс. спирта кипятят 2 часа, отгоняют спирт и выделяют IV с выходом 78%. Перечисляются синтезированные ГП, т. пл. в °C, соли и их т. пл. в °C, максимум, разбавление ГП, при котором тормозится развитие туберкулезных бактерий (в л на 1 моль): IIв, 131, HT, 173, пикрат, 205, 62,5; Па, —, HT, 139, 2,9; IIб, —, HT, 173, 5,8; I (R = CH $_3$ ), —, HT, 162, 4,82; I (R = Cl), —, HT, 186, 2,5; I (R = Br), —, HT, 189, 12,5; I (R = OH), 223, хлоридат, 242, флавианат, 200, 2; I (R = R'), —, HT, 223, 5,68; IIIб, —, HT, 157, 3,04; IIIа, —, HT, 132, —; IV, —, йодидат, 227, пикролонат, 265—270, 3,85.

П. Аронович

**57425. Синтез гуанидиновых производных дифенилового эфира. II. Новый синтез альдегиддифенилового эфира по Коммеле и опыты с метилгуанидиновыми производными (I). Ито** (*Synthese von Guanidinverbindungen des Diphenyläthers. II. Eine neue Synthese der Diphenylätheraldehyde nach Commelet und Versuche mit Methylguanidinderivaten (I). Ito Genzo*), *Pharmac. Bull.*, 1957, 5, № 5, 401—405 (нем.)

Синтезированы  $n-RC_6H_4OC_6H_4NHC(=NH)NH_2$  (I),  $n-C_6H_5OC_6H_4NHC(=NH)N(CH_3)_2$  (II),  $o-C_6H_5OC_6H_4CH_2CH_2NHC(=NH)NH_2$  (III) и  $n-RC_6H_4OC_6H_4CH_2CH_2NHC(=NH)NH_2-n$  (IV), обладающие умеренной туберкуло-статич. активностью, 38,5 г уротропина (V), 0,25 моля  $n-C_6H_5OC_6H_4CH_2Br$  и 200 мл  $CHCl_3$  кипятят 4 часа; выход продукта конденсации 85 г. Полученное в-во (101 г), 35 г V и 400 мл 50%-ной  $CH_3COOH$  кипятят 2 часа, прибавляют 100 мл конц. HCl, кипятят 10 мин. и эфиром извлекают 68%  $n-C_6H_5OC_6H_4CHO$  (VI), т. кип. 157—160°/6 мм; фенилгидразон, т. пл. 144°; семикарбазон (СК), т. пл. 214—215°. Аналогично синтезируют  $o-C_6H_5OC_6H_4CHO$ , т. кип. 156—159°/8 мм; СК, т. пл. 207—208°. Бромированием  $n-CH_3OC_6H_4OC_6H_4CH_2$  в условиях бромирования  $n-C_6H_5OC_6H_4CH_3$  (см. пред. реф.), получают  $n-CH_3OC_6H_4OC_6H_4CH_2Br-n$  (VII), который не удается перегнать. 150 г VII, 140 г V и 0,5 л 50%-ной  $CH_3COOH$  кипятят 2 часа, прибавляют 200 мл конц. HCl, кипятят 10 мин. и извлекают эфиром  $n-CH_3OC_6H_4OC_6H_4CH_2NO-n$  (VIII), выход 45%, т. пл. 57—59° (из бзн.); СК, т. пл. 212°. Из 0,15 моля VI и 12 мл  $CH_3NO_2$  получают  $n-C_6H_5OC_6H_4CH=CHNO_2$  (IX), выход 58%, т. пл. 100° (из сп.). Аналогично синтезируют  $o-C_6H_5OC_6H_4CH=CHNO_2$ , т. пл. 107°. VIII превращают (см. Stöhr R., *Z. physiol. chem.*, 1931, 201, 142) в

$n\text{-C}_6\text{H}_5\text{OC}_6\text{H}_4\text{CH}=\text{CHNO}_2$  с выходом 25%, т. пл. 77° (из сп.). Действием  $\text{LiAlH}_4$  в эфире IX восстанавливают в  $n\text{-C}_6\text{H}_5\text{OC}_6\text{H}_4\text{CH}_2\text{CH}_2\text{NH}_2$ , который выделяют в виде оксалата и превращают в хлоргидрат (ХГ), выход 61%, т. пл. 206—207° (из сп.). Также получают  $(n\text{-C}_6\text{H}_5\text{OC}_6\text{H}_4\text{CH}_2\text{CH}_2\text{NH}_2)_2 \cdot (\text{COOH})_2$ , т. пл. 186° (из сп.), и  $n\text{-C}_6\text{H}_5\text{OC}_6\text{H}_4\text{OC}_6\text{H}_4(\text{CH}_2)_2\text{NH}_2 \cdot \text{HCl}$  (X), выход 39%, т. пл. 223°. При нагревании (3 часа) с Hg и P X дает  $n\text{-HOC}_6\text{H}_4\text{OC}_6\text{H}_4\text{CH}_2\text{CH}_2\text{NH}_2$  с выходом 40%, т. пл. 130—132° (из бал.). Из перечисленных аминов в условиях синтеза  $n\text{-C}_6\text{H}_5\text{OC}_6\text{H}_4\text{CH}_2\text{NHC}(=\text{NH})\text{NH}_2$  (см. пред. реф.), получают: IVa (R = H), нитрат (НТ), т. пл. 136° (из ацетона); IVb (R =  $\text{CH}_3$ ), НТ, т. пл. 131° (из ацетона); IVв (R = OH), йодгидрат, т. пл. 171° (из воды), циклолат, т. разл. 225°, ХГ, т. пл. 191° (из воды); IVг, т. пл. 124°. К 0,11 моля  $\text{NH}_4\text{SCN}$  и 50 мл абс. ацетона медленно прибавляют 0,1 моля  $\text{C}_6\text{H}_5\text{COCl}$ , кипятят 5 мин., постепенно приливают р-р 0,1 моля  $n\text{-C}_6\text{H}_5\text{OC}_6\text{H}_4\text{NH}_2$  в 50 мл абс. ацетона, выливают в 1 л воды и отфильтровывают  $n\text{-C}_6\text{H}_5\text{OC}_6\text{H}_4\text{NHCSNHCOC}_6\text{H}_5$ , т. пл. 128°. Последний кипятят 5 мин. с 200 мл 10%-ного р-ра NaOH и выделяют  $n\text{-C}_6\text{H}_5\text{OC}_6\text{H}_4\text{NHCSNH}_2$  (XI), выход 75%, т. пл. 181° (из сп.). 0,05 моля XI в 100 мл воды нагревают до 100°, приливают горячий р-р 0,5 моля KOH в 100 мл воды и горячий насыщ. р-р 0,055 моля  $\text{Pb}(\text{CH}_3\text{COO})_2 \cdot 3\text{H}_2\text{O}$ , кипятят 6 мин., охлаждают до 0°, фильтруют и подкислением фильтрата  $\text{CH}_3\text{COOH}$  выделяют  $n\text{-C}_6\text{H}_5\text{OC}_6\text{H}_4\text{NHCHN}$  (XII), выход 60%, т. пл. 102° (из бал.). 2,1 г XII, 0,68 г  $\text{CH}_3\text{NH}_2 \cdot \text{HCl}$  и 25 мл  $\text{C}_6\text{H}_5\text{OH}$  кипятят 25 час., отгоняют  $\text{C}_6\text{H}_5\text{OH}$  в вакууме, остаток растворяют в горячей воде, обрабатывают эфиром и в водн. р-ра при добавлении NaOH осаждают Ia (R = H), выход 1 г, т. пл. 173° (из бал.). Аналогично из 2,1 г XII и 0,82 г  $(\text{CH}_3)_2\text{N} \cdot \text{HCl}$  получают 0,9 г II, т. пл. 117° (из лигн.); циклолат, т. разл. 120° (из сп.). К суспензии 0,05 моля  $n,n'\text{-HOC}_6\text{H}_4\text{OC}_6\text{H}_4\text{NH}_2$  в 50 мл тилой воды прибавляют 4,6 мл конц. HCl, затем 4,2 г  $\text{NH}_4\text{SCN}$ , выпаривают досуха на водяной бане, нагревают 4 часа при ~95°, прибавляют 50 мл воды, нагревают до 70° и при 35° отфильтровывают  $n\text{-HOC}_6\text{H}_4\text{OC}_6\text{H}_4\text{NHCSNH}_2$  (XIII), выход 42%, т. пл. 207° (из абс. сп.). XIII превращают в  $n\text{-HOC}_6\text{H}_4\text{OC}_6\text{H}_4\text{NHCHN}$  (XIV) с выходом 33%, т. пл. 120° (из тетрагидрофурана). Из XIV получают Ib (R = OH), т. пл. 220°; ХГ, т. разл. ~215°. Перечисляются в-ва в максим. разбавлении, при котором тормозится развитие туберкулезных бактерий (в л на 1 моль): IVa, 6,36; IVб, 3,48; IVв, 3,90; III, 5; II, 2; Ia, 2; Ib, 1.

П. Аронович

57426. Восстановление азидогрупп борогидридом натрия. Бойер, Элзи (Reduction of the azido group with sodium borohydride. Boyer J. H., Ellzey S. E., Jr., J. Organ. Chem., 1958, 23, № 1, 127—129 (англ.)).  $\text{NaBH}_4$  (I) в противоположность  $\text{LiAlH}_4$  не восстанавливает монофункциональные алифатич. азиды. Ароматич. азиды, за исключением фенилазида, легко восстанавливаются I до соответствующих аминов. Восстановление проводилось по трем методам. Метод А. К 0,08 моля 98%-ного I в 25 мл воды и 10 мл диоксана (II) прибавляют 0,02 моля  $n$ -азидоанизола в 25 мл II, кипятят 5 час., подкисляют 10%-ной HCl, эфиром извлекают 0,8 г исходного азиды, водн. слой подщелачивают 10%-ным  $\text{Na}_2\text{CO}_3$  и экстрагируют эфиром, выход  $n$ -анизамина 24%, т. пл. 61—62° (из воды). Метод Б. К 0,16 моля I в 30 мл воды и 10 мл II при 30° прибавляют по каплям 8,3 ммоль  $n$ -бромфенацетилазида в 25 мл II, кипятят 2 часа, подкисляют, эфиром извлекают  $\alpha$ -(азидометил)- $n$ -бромбензиловый спирт, выход 65%, т. пл. 35,8—37° (испр.); водн. р-р кипятят 10 мин., подщелачивают 6 н. NaOH, концентрируют, охлаждают, отделяют выпавший продукт, маточный р-р экстрагируют эфиром; общий выход  $\alpha$ -(аминометил)- $n$ -бромбензилового спирта 17%, т. пл. 111,2—111,8.

(испр.; из воды); хлоргидрат, т. пл. 225,6—226,4° (испр.; разл.; из сп.-эф.). Метод В. К 0,02 моля  $\alpha$ -азидобензойной к-ты в 20 мл воды и 16 мл 5%-ного NaOH прибавляют 0,08 моля I в 25 мл воды, кипятят 5 час., подкисляют 10%-ной HCl, подщелачивают 10%-ным NaOH, подкисляют лед.  $\text{CH}_3\text{COOH}$  и помещают в холодильный шкаф; общий выход антравиловой к-ты 85%, т. пл. 148—149°. Проведено также восстановление следующих азидов  $\text{RN}_3$  (приводятся R, метод, выход амина или амида в % и его т. пл. в °C):  $n$ -бутил, A, 0, —; циклогексил, A, следы, —; фенил, A, следы, —;  $\text{CH}_3\text{COCH}_2$ , B, 0 (выход 1-азидопропанола-2 28%), —; бензоил, B, 29, 129;  $\text{C}_6\text{H}_5\text{CHCOOC}_2\text{H}_5$ , B, — (выход  $\text{C}_6\text{H}_5\text{CHNH}_2\text{COOH}$  4%, т. субл. 250—259), —;  $\text{CH}_3\text{SO}_2$ , B, 39, 91—92;  $\text{C}_6\text{H}_5\text{SO}_2$ , B, 65, 153—155;  $n\text{-CH}_2\text{-C}_6\text{H}_4\text{SO}_2$ , B, 39, 137—138;  $\text{C}_6\text{H}_4\text{COOH}$ - $n$ , B, 87, 190;  $\text{C}_6\text{H}_4\text{COOH}$ - $n$ , B, 69, 176—177.

Ю. Волькенштейн

57427. Изыскание химиотерапевтических амидинов. Часть XV. 2-метокси- и 2-оксипроизводные 1,5-ди- $n$ -аминофеноксибензана. Дейвис (Search for chemotherapeutic amidines. Part XV. 2-methoxy- and 2-hydroxyderivatives of 1:5-di- $p$ -aminophenoxypentane. Davis M., J. Chem. Soc., 1958, Febr., 907—908 (англ.)).

В 8 г NaOH в 10 мл воды и 100 мл 2-этоксипентанола (I) добавляют 29,8 г 4-циано-2-метоксифенола и 53,8 г 4- $\text{CNC}_6\text{H}_4\text{O}(\text{CH}_2)_5\text{Br}$  (II), нагревают 20 час., охлаждают и разбавляют водой, получают 2- $\text{R-4-CNC}_6\text{H}_4\text{O}(\text{CH}_2)_5\text{O-C}_6\text{H}_4\text{CN-4'}$  (III), R =  $\text{CH}_3\text{O}$  (IIIa), выход 82%, т. пл. 115—117° (из сп.). К кипящему р-ру 14,75 г 4-цианопирокатехина и 29,3 г II в 50 мл I прибавляют за 1,5 часа смесь 6,1 г KOH в 10 мл воды и 10 мл I, через 3,5 часа охлаждают, встряхивают со смесью  $\text{CHCl}_3$  и разб. HCl, фильтруют, получают 4,8 г III, R = HO (IV), т. пл. 141—143° (из сп., толуола). Хлороформный р-р обрабатывают NaOH, отделяют Na-соль и подкисляют, получают еще 7,7 г IV, т. пл. 140—142°. Строение IV подтверждено метилированием ( $\text{CH}_3\text{I}$ ,  $\text{K}_2\text{CO}_3$  в ацетоне) до III. Хлороформный р-р после отделения Na-соли промывают, сушат и выпаривают; остаток растворяют в  $\text{C}_6\text{H}_6$ , фильтруют через глинозем и выпаривают, получают 7,4 г 1,2,4'- $(\text{CNC}_6\text{H}_4\text{O}(\text{CH}_2)_5\text{O})_2\text{C}_6\text{H}_4\text{CN}$ , т. пл. 81—83° (из ацетона-пент. эф.). Р-р 30 г IIIa в 200 мл сухого  $\text{CHCl}_3$  и 30 мл спирта обрабатывают HCl (газ) при 0° 1 час, оставляют на 10 дней, разбавляют сухим эфиром, фильтруют дихлоргидрат (ДХГ) диминозифира, высушивают, прибавляют к 400 мл спирта, насыщ.  $\text{NH}_3$  при 0°, оставляют на 1,5 часа при 0° и 3 часа при 60—70°, фильтруют и охлаждают, получают 9,35 г ДХГ 2- $\text{R-4-NH}_2\text{C}(=\text{NH})\text{-C}_6\text{H}_4\text{O}(\text{CH}_2)_5\text{OC}_6\text{H}_4\text{CN-4'}$  (V), R =  $\text{CH}_3\text{O}$  (Va), т. пл. 165° (разл.); еще 19,7 г ДХГ Va выделяют упариванием маточного р-ра в вакууме. Перекристаллизацией из спирта обеих фракций получают 19,85 г Va  $\cdot 2\text{HCl} \cdot 1,5\text{H}_2\text{O}$ , т. пл. 155° (разл.). Аналогично получают ДХГ V, R = HO (VI). Его очищают растворением в разб. HCl и осаждением конц. HCl, т. пл. 201° (разл.). Va и VI по трипаноцидной и антибактериальной активности равняются 4,4'-диамидинистильбену. Часть XIV см. РЖХим, 1958, 17880.

Г. Брегман

57428. Водорастворимые сульфамиды. Сообщение IV. Получение дигидамида сульфанилсаркозина и изоникотиноилгидразидов  $n$ -нитробензолсульфонил-аминокислот. Баганц, Пейскер, Бейер (Wasserlösliche Sulfonamide. IV. Mitteilung: Darstellung von Sulfanilylsarkosindiäthylamid und  $p$ -Nitrobenzolsulfonylaminosäure-isonicotinoylhydrazinen. Baganz Horst, Peißker Horst, Beier Gerhard, Arch. Pharmazie, 1957, 290/62, № 12, 609—615 (нем.)). При поисках растворимых в воде противотуберкулезных препаратов синтезирован ряд производных глицина, саркозина и метионина по схемам: а)  $\text{NH}_2$ -



$\text{CH}_3\text{COOH}$  (I)  $\rightarrow$   $\text{CH}_3\text{NHCH}_2\text{COOH}$  (II)  $\rightarrow$   $4\text{-RC}_6\text{H}_4\text{SO}_2\text{N-}$   
 $(\text{CH}_3)_2\text{CH}_2\text{COOH}$  (III)  $\rightarrow$   $4\text{-RC}_6\text{H}_4\text{SO}_2\text{N}(\text{CH}_3)_2\text{CH}_2\text{COOC}_2\text{H}_5$   
 (IV)  $\rightarrow$   $4\text{-RC}_6\text{H}_4\text{SO}_2\text{N}(\text{CH}_3)_2\text{CH}_2\text{CON}(\text{C}_2\text{H}_5)_2$  (V), где R =  
 =  $\text{NO}_2$  (IIIa—Va); III, R =  $\text{CH}_3\text{CONH}$  (IIIb), или R =  
 =  $\text{NH}_2$  (IVb—Vb); 6)  $4\text{-NO}_2\text{C}_6\text{H}_4\text{SO}_2\text{N}(\text{R})\text{CH}(\text{R}')\text{COOH}$   
 (VI)  $\rightarrow$   $4\text{-NO}_2\text{C}_6\text{H}_4\text{SO}_2\text{N}(\text{R})\text{CH}(\text{R}')\text{COOC}_2\text{H}_5$  (VII)  $\rightarrow$   $4\text{-NO}_2\text{-}$   
 $\text{C}_6\text{H}_4\text{SO}_2\text{N}(\text{R})\text{CH}(\text{R}')\text{CONHNH}_2$  (VIII)  $\rightarrow$   $4\text{-NO}_2\text{C}_6\text{H}_4\text{SO}_2\text{N-}$   
 $(\text{R})\text{CH}(\text{R}')\text{CONHNHCO}_2\text{C}_6\text{H}_4\text{N-4}$  (IX), где R = R' = H  
 (VIa—IXa), R =  $\text{CH}_3$ , R = H (VIb—IXb) или R = H,  
 R' =  $\text{CH}_2\text{CH}_2\text{SCH}_3$  (VIv—IXv). Получены также  $4\text{-NH}_2\text{-}$   
 $\text{C}_6\text{H}_4\text{SO}_2\text{NHCH}(\text{R})\text{CONHNH}_2$  (X), где R = H (Xa) или  
 $\text{CH}_2\text{CH}_2\text{SCH}_3$  (Xb). 0,5 моля I метилируют 180 мл  
 35%-ного  $\text{CH}_3\text{O}$  в 250 мл 25%-ной HCl 5 час., выпари-  
 вают в вакууме, получают 70—75% хлоргидрата (XI)  
 II (IIa), т. пл. 165—168° (из сп.). К 0,1 моля IIa в  
 50 мл воды прибавляют 0,3 моля NaOH, разбавляют  
 водой до 100 мл, при t-ре ~ 30° прибавляют порция-  
 ми 40 г  $4\text{-CH}_3\text{CONHC}_6\text{H}_4\text{SO}_2\text{Cl}$  (технич., влажность 40%;  
 саморагревание до 50—60°), размешивают 1 час,  
 охлаждают, доводят (конц. HCl) до pH 2, выделяют  
 IIb, выход 70—80%, т. пл. 216—218°. 0,05 моля IIb  
 2 часа кипятят с 140 мл 15%-ного спирт. р-ра HCl, вы-  
 паривают в вакууме, остаток вносят в 20 г  $\text{CH}_3\text{COONa}$   
 в 100 мл воды, получают IVb, выход 74—81,5%, т. пл.  
 112—113° (из воды). 0,05 моля IVb и 40 мл 50%-ного  
 $(\text{C}_2\text{H}_5)_2\text{NH}$  (XI) нагревают до растворения, оставляют  
 при t-ре ~ 20° на 3 дня, прибавляют спирт, выпари-  
 вают в вакууме, получают Vb  $\cdot 2\text{H}_2\text{O}$ , выход 41,8—47,7%,  
 т. пл. 155—156° (из сп.). К 0,1 моля IIa в 50 мл воды  
 прибавляют 0,3 моля NaOH и при 35° 30 г 75%-ного  
 $4\text{-NO}_2\text{C}_6\text{H}_4\text{SO}_2\text{Cl}$  (разогревание до 50—60°), охлаждают  
 до 40°, отфильтровывают  $(4\text{-NO}_2\text{C}_6\text{H}_4\text{SO})_2$ , охлаждают  
 до t-ры ~ 20°, доводят до pH 2 (конц. HCl), выделяют  
 84—91% IIIa, т. пл. 183—184° (из воды). 0,05 моля IIIa  
 при медленном нагревании и кипячении 2 часа рас-  
 творяют в 140 мл 10%-ной спирт. HCl, по охлаждении  
 выливают на 250 г льда, получают IVa, выход 79,5—  
 86%, т. пл. 67—70° (из сп. + петр. эф.). 0,05 моля IVa и  
 40 мл 50%-ного р-ра XI нагревают до растворения, вы-  
 держивают 36 час. при t-ре ~ 20°, выпаривают в ваку-  
 уме, выделяют 57,5% Va  $\cdot \text{H}_2\text{O}$ , т. пл. 173—175° (из  
 $\text{C}_2\text{H}_5\text{OH}$ ; при 150° постепенно теряет воду). К 0,05 моля  
 VII в 50 мл горячего спирта прибавляют 10 мл 80%-  
 ного  $\text{N}_2\text{H}_4 \cdot \text{H}_2\text{O}$ , кипятят некоторое время, через  
 ~ 12 час. при t-ре ~ 20° получают VIII [приводятся  
 VIII, выход в %, т. пл. в °C (из воды)]: VIIa, 97,9, 194  
 (разл.); VIIb, 94—98, 173—175; VIIv, 83,4, 157,5.  
 К 0,05 моля VIII в 100 мл безводн.  $\text{NC}_5\text{H}_5$  при t-ре  
 < 40° прибавляют 0,05 моля  $4\text{-NC}_6\text{H}_4\text{COCl} \cdot \text{HCl}$  (XII),  
 размешивают 3 часа при t-ре ~ 20°, выливают в 1 кг  
 льда, получают IX (метод A). Или к 0,1 моля VI и  
 0,1 моля  $(\text{C}_2\text{H}_5)_2\text{N}$  в 200 мл абс.  $\text{CHCl}_3$  при t-ре < 35°  
 прибавляют 0,1 моля  $\text{ClCOOC}_2\text{H}_5$ , затем при той же  
 t-ре 0,1 моля  $4\text{-NH}_2\text{NHCO}_2\text{C}_6\text{H}_4\text{N-4}$ , размешивают 2 часа,  
 оставляют на ~ 12 час., дважды экстрагируют (по  
 150 мл) 2 н. HCl, кислый р-р извлекают эфиром, водн.  
 слой доводят NaOH до pH 5—5,2, получают IX (ме-  
 тод B). Приводятся IX, метод, выход в %, т. пл. в °C,  
 т. пл. XI в °C, IXa, A [после прибавления XII 2 часа  
 при 60°, прибавлением воды выделяют  $(4\text{-NO}_2\text{C}_6\text{H}_4\text{SO}_2\text{-}$   
 $\text{NHCONH})_2$ , т. пл. 240—250° (из воды), фильтрат дово-  
 дят до pH 8 ( $\text{K}_2\text{CO}_3$ ), выпаривают в вакууме, р-р остат-  
 ка в 750 мл доводят (конц. HCl) до pH 4, 79, B, 39,6,  
 209, 93, 218 (смакает при 168°); IXb, A, 69—71, 185—186  
 (из сп.), —, —; IXv, A (после прибавления XII 2 часа  
 при 60°, прибавляют воду, IXv перекристаллизовывают  
 из водн. спирта; фильтрат обрабатывают аналогично  
 описанному при синтезе IXa), 48,5 (общий выход), B,  
 25,2, 199—200, 92, 129 (разл.). 0,2 моля  $4\text{-NH}_2\text{C}_6\text{H}_4\text{SO}_2\text{-}$   
 $\text{NHCH}(\text{R})\text{COOC}_2\text{H}_5$  (XIII), где R = H, и 15 мл  $\text{N}_2\text{H}_4 \cdot \text{H}_2\text{O}$   
 в 250 мл абс. спирта кипятят 45 мин., оставляют на  
 ~ 12 час., получают Xa, выход 97,5%, т. пл. 159° (из

$\text{CH}_3\text{OH}$ ). Или 4 г VIIa и 15 мл  $\text{N}_2\text{H}_4 \cdot \text{H}_2\text{O}$  в 50 мл спирта  
 нагревают при 45—50°, прибавляют 0,25 г 5%-ного  
 Pd/C, после окончания бурной р-ции (10 мин.) кипятят  
 2 часа, выпаривают в вакууме, получают 98,4% Xa,  
 т. пл. 159° (из воды). 0,0475 моля XIII, R =  $\text{CH}_2\text{CH}_2\text{SCH}_3$ ,  
 и 4 мл  $\text{N}_2\text{H}_4 \cdot \text{H}_2\text{O}$  в 50 мл абс. спирта кипятят 1,5 часа,  
 через ~ 12 час. прибавлением 500 мл эфира выделяют  
 Xb, выход 40%, т. пл. 143°. IXa и Xa имеют слабое  
 действие, задерживающее рост грамотрицательных,  
 грамотрицательных и туберкулезных бактерий. Сооб-  
 щение III см. РЖХим, 1958, 57623. В. Скородумов

57429. О взаимодействии бензиламина с серооде-  
 родом. Николенко Л. Н., Контюг В. А., Са-  
 винкова Е. В., Научн. докл. высш. школы. Химия  
 и хим. технол., 1958, № 1, 133—134

Реакция  $\text{H}_2\text{S}$  с  $\text{C}_6\text{H}_5\text{CH}_2\text{NH}_2$  (I) приводит к образо-  
 ванию  $\text{C}_6\text{H}_5\text{CH}_2\text{SH}$  (II) и  $\text{NH}_3$ . 23,3 ммоль I, 25,2 ммоль  
 97%-ного кристаллич.  $\text{Na}_2\text{S}$  в 10 мл воды и 46,6 ммоль  
 11,66 н. HCl нагревают в грубке 18 час. при 240° в  
 бане, разбавляют 50 мл воды, подкисляют конц. HCl на  
 конго, из эфирного р-ра выделяют II [идентификация  
 окислением йодом в присутствии пиридина до  $(\text{C}_6\text{H}_5\text{-}$   
 $\text{CH}_2\text{S})_2$  (III), выход 36,8%], выход 38,8% (по расходу  
 окислителя), и 4,2% III. Из кислого водн. р-ра эфиром  
 извлекают и выделяют 38,2% непрореагировав-  
 шего I. При нагревании 8 час. выход II 16,5%.

В. Скородумов

57430. О присоединении меркаптанов и тиофенолов  
 к олефинам. Бредерек, Вагнер, Коттенхайн  
 (Zur Addition von Mercaptanen und Thiophenolen an  
 Olefine. Brederick H., Wagner Adolf, Kot-  
 tenhahn A.), Angew. Chem., 1958, 70, № 3, 78  
 (нем.)

Показано, что окислительное присоединение мер-  
 каптанов и тиофенолов к олефинам сильно ускоряет-  
 ся в присутствии хлоридов и бромидов, напр. NaCl и  
 KBr. Природа катона не оказывает влияния на эф-  
 фективность катализатора. Йодиды, цианиды и род-  
 ниды тормозят р-цию. Проведено присоединение  
 $n\text{-C}_6\text{H}_5\text{SH}$  и  $n\text{-C}_6\text{H}_5\text{C}_6\text{H}_4\text{SH}$  (I) к  $\text{C}_6\text{H}_5\text{CH}=\text{CH}_2$  и присо-  
 единение I к  $\text{C}_6\text{H}_5\text{SH}$  к  $\text{CH}_2=\text{C}(\text{CH}_3)\text{COOCH}_3$  в атмо-  
 сфере  $\text{O}_2$ . Получены:  $n\text{-C}_6\text{H}_5\text{C}_6\text{H}_4\text{SOCH}_2\text{C}(\text{CH}_3)(\text{OH})\text{COOCH}_3$ ,  
 т. пл. 58—60°;  $\text{C}_6\text{H}_5\text{SOCH}_2\text{C}(\text{CH}_3)(\text{OH})\text{COOCH}_3$ ,  
 т. пл. 91—92°;  $n\text{-C}_6\text{H}_5\text{C}_6\text{H}_4\text{SOCH}_2\text{CH}(\text{OH})\text{C}_6\text{H}_5$ , т. пл.  
 110—111°.

П. Аронович

57431. К получению 2,4-динитрофенильных про-  
 водных окси- и меркаптосоединений и аминов. Во-  
 рожцов Н. Н. и Яковсон Г. Г., Ж. общ. хи-  
 мии, 1958, 28, № 1, 40—44

Разработана методика получения 2,4-динитрофениль-  
 ных производных окси- и меркаптосоединений и ами-  
 нов действием Cl-(I) и F-(II)- $\text{C}_6\text{H}_3(\text{NO}_2)_2$  2,4 в присут-  
 ствии безводн. KF по схеме:  $\text{RXH}$  (III) + II (или I) +  
 + KF  $\rightarrow$   $\text{RXC}_6\text{H}_3(\text{NO}_2)_2$  2,4 (IV) +  $\text{KHF}_2$ , где X = O,  
 б X = S и в X = NH. 2,5 ммоль IIIa нагревают при  
 100—110° с эквивалентным кол-вом II и 5 ммольями KF,  
 извлекают IV горячим  $\text{C}_6\text{H}_6$  и перекристаллизовывают  
 из спирта. Приведены R в IVa, выдержка в часах, вы-  
 ход в % и т. пл. в °C:  $\text{C}_2\text{H}_5$ , 1, 93, 85;  $n\text{-C}_{10}\text{H}_{21}$ , 5, 81,  
 65,5;  $\alpha\text{-C}_{10}\text{H}_7$ , 0,5, 97, 127;  $\beta\text{-C}_{10}\text{H}_7$ , 0,5, 93, 94;  $n\text{-изо-}$   
 $\text{C}_8\text{H}_{17}$ ,  $\text{C}_6\text{H}_5$ , 0,5, 95, 94,5;  $o\text{-C}_6\text{H}_5\text{C}_6\text{H}_4$ , 0,5, 99, 113;  $n\text{-C}_6\text{H}_5\text{-}$   
 $\text{C}_6\text{H}_4$ , 0,5, 95, 116;  $o\text{-CH}_3\text{OOCCH}_2$ , 1, 95, 89; N-фенил-  
 $1,2,3,4\text{-тетрагидрохинолил-3}$ , 5, 79, 126. Из IIIa (R =  
 $= o\text{-HOOCCH}_2$ ) в аналогичных условиях получили  
 соответствующий IVa не удалось. IVa (R =  $n\text{-HOOC-}$   
 $\text{C}_6\text{H}_4$ ) получен с выходом 93%, т. пл. 254°, при нагре-  
 вании 0,7 г IIIa (R =  $n\text{-HOOCCH}_2$ ) с 0,93 г II и 0,58 г  
 KF 3 часа при 120—130°. Нагреванием 2 часа при  
 140—150° I, 22 г IIIa [R =  $\text{CH}(\text{C}_6\text{H}_5)\text{CH}_3$ ] (VI), 1,86 г II  
 и 1,16 г KF получено 28% IVa [R =  $\text{CH}(\text{C}_6\text{H}_5)\text{CH}_3$ ]  
 (VII), т. пл. 99°, и 12%  $[2,4\text{-(NO}_2)_2\text{C}_6\text{H}_3]_2\text{O}$  (VIII). При  
 применении N( $\text{C}_2\text{H}_5)_3$  вместо KF выход VII 11% и вы-

кой VIII 43%. VIII (т. пл. 104,5°) образуется с 98%-ным выходом нагреванием (3 часа) при 190—200° 0,46 г IIIa ( $R = 2,4-(NO_2)_2C_6H_3$ ) с 0,47 г II и 0,58 г KF. 2,5 ммоль IIIa нагревают 10—15 мин. при 100° с 2,5 ммоль I и 0,5 ммоль KF, добавляют 10 мл горячего  $C_6H_6$ , р-р уваривают и остаток перекристаллизовывают из спирта. Приведены R в IVb, выход в % и т. пл. в °C:  $n-C_6H_5$ , 98, 102,5;  $C_6H_5$ , 97, 120;  $n-ClC_6H_4$ , 97, 123;  $n-C_6H_4$ , 97, 66. Последний получен с выходом 86% из IIIb ( $R = \text{втор-}C_6H_5$ ) с II и KF получен соответствующий IVb с выходом 69%, т. пл. 67,5°. 0,93 г IIIb ( $R = C_6H_5$ ), 2,03 г I и 1,16 г KF нагревают 30 мин. при 100°, получают 97% IVb ( $R = C_6H_5$ ), т. пл. 156°. Нагреванием IIIb с II получены IVb (даны R, выход в % и т. пл. в °C):  $n-CH_3C_6H_4$ , —, 135;  $\alpha-C_{10}H_7$ , 99, 191;  $\beta-C_{10}H_7$ , 97, 173;  $2,4-(NO_2)_2C_6H_3$ , 99, 200. Из 0,34 г IIIb ( $R = o-HOOCCH_2$ ), 0,51 г I и 0,29 г KF (30 мин., 120—130°) получен соответствующий IVb, выход 91%, т. пл. 262,5°; выход последнего 97,5% при применении II.

Г. Крюкова  
57432. К получению 4-амино-4'-хлорстильбен-2,2'-дисульфокислоты. Пиркл, Добаш (Poznámký k přípravě 4-amino-4'-chlorstilben-2,2'-disulfonové kyseliny. Pírk J. Jaromír, Dobáš Jaroslav), Chem. listy, 1957, 51, № 5, 982—983 (чешск.)

4-амино-4'-хлорстильбен-2,2'-дисульфокислота (I), синтезированная (см. РЖХим, 1956, 52200) р-цией Зандмейера из 4-нитро-4'-аминостильбен-2,2'-дисульфокислоты с последующим восстановлением является монохлоридом в-вом и по всей вероятности загрязнена 4,4'-бис-(2"-сульфо-4"-аминостирил)-дифенил-3,3'-дисульфокислотой. Чистую I можно получить, исходя из 4-бензоиламино-4'-аминостильбен-2,2'-дисульфокислоты (II). Растворением 0,2 моля двунатриевой соли II при 65—70° в 1,7 л воды, прибавлением 96 мл 2,5 н.  $NaNO_2$ , 300 мл воды, 70 мл конц. HCl (к-та) и 100 г льда (25—30°) была получена суспензия соли диазония, которую после перемешивания (12 час, 20°) прибавляли при 60—70° к 60 г  $CuCl$  в 480 мл конц. HCl (к-та) и 120 мл воды. Получена двунатриевая соль 4-бензоиламино-4'-хлорстильбен-2,2'-дисульфокислоты (III). Кристаллизуется из воды с 1 молекулой воды; 3-часовым кипячением пасты III из предыдущего опыта с 300 мл воды и 60 г NaOH (высаливание NaCl при 70°) получили с 63%-ным выходом двунатриевую соль I, кристаллизующуюся из воды с 2 молекулами воды.

А. Емг  
57433. Присоединение сероводорода к нитрильной группе в арилсульфонилцианамидах при действии тиосерной кислоты. Фёльди, Фёльди, Фёльди (Addition of hydrogen sulphide to the nitrile group of arylsulphonylcyanamides by means of thiosulphuric acid. Földi Z., Földi T., Földi A.), Acta chim. Acad. sci. hung., 1957, 13, № 1—2, 141—146 (англ.; рез. русск., нем.)

Описано действие  $H_2S_2O_3$  на арилсульфонилцианамиды (см. РЖХим, 1957, 34351). Во избежание обычного разложения  $H_2S_2O_3$  прибавляют в начале р-ции сернистую к-ту. Обсужден возможный механизм р-ции. К водн. р-ру 2,5 г  $Na_2S_2O_3$  добавляют 4 мл 5 н.  $H_2SO_4$ , через несколько часов фильтруют и к фильтрату добавляют водн. р-р  $CH_3CONHC_6H_4SO_2NHCN$  (I), полученный из 1,3 г Са-соли I в 9 мл воды и 1 мл 5 н.  $H_2SO_4$ . Через 24 часа отфильтровывают  $CH_3CONHC_6H_4SO_2NHCN$  (II); из маточного р-ра через 72 часа выделяют еще II, общий выход 84%, т. пл. 200—202°.

М. А.  
57434. О нейтральной форме диазосоединения. Грачев И. В., Гусев Г. Г., Завельский Д. З., Ж. общ. химии, 1957, 27, № 10, 2820—2829

В продолжение ранних работ, установивших точное

строение и лучший метод получения диарилнитрозо-триазенов  $ArN=NN(NO)Ar'$  (I) так называемой нейтр. формы диазосоединений (Ж. общ. химии, 1949, 19, 1335), получен ряд кристаллич. чистых I. I относительно устойчивы, если ядро Ar содержит положительные заместители; в водн. и спирт. р-рах I диссоциируют на  $ArN_2^+$  и  $Ar'N(NO)^-$  и легко гидролизуются с образованием  $ArN=NNHAr'$ . В нейтр. и щел. (р-р соды) среде I сочетаются с азокмпонентами в отношении 1:1, в кислом р-ре ион  $Ar'N(NO)^-$  превращается в  $Ar'N_2^+$  и на 1 моль I расходуется 2 моля азосоставляющей. Смесь эквивалентных кол-в р-ров  $ArN_2Cl$  и изодиазотата Na или K перемешивают с ацетатом Na при 0—3°; выпавший I сушат в темноте над щелочью. Получены I,  $Ar' = 4-NO_2C_6H_4$ ,  $Ar = 4-CH_3C_6H_4$ ,  $4-CH_3OC_6H_4$ ,  $4-ClC_6H_4$  (Ia),  $C_6H_5$ ,  $2-HOOCCH_2$  (Ib),  $3,5-(CH_3)_2C_6H_3$ ;  $Ar' = 2-Cl-4-NO_2C_6H_3$ ,  $Ar = n-CH_3OC_6H_4$ ,  $n-CH_3C_6H_4$ ,  $m-CH_3C_6H_4$ . I, особенно Ia и Ib, взрывают при трении, ударе, нагревании.

Г. Кондратьева  
57435. Сульфенилкарбоксилаты. Патнам, Шарки (Sulphenyl carboxylates. Putnam Robert E., Sharkey William H.), J. Amer. Chem. Soc., 1957, 79, № 24, 6526—6529 (англ.)

По видоизмененному методу Гавлина и Хараша (РЖХим, 1957, 22786) синтезированы сульфенилкарбоксилаты  $RSOC(O)R'$  (Ia—z), где  $R = 2,4-(NO_2)_2C_6H_3$ ,  $R' = CH_3$ ; б  $R = 2,4-(NO_2)_2C_6H_3$ ,  $R' = C_6H_5$ ; в  $R = CCl_3$ ,  $R' = C_6H_5$ ; г  $R = \text{антрахинонил-1}$ ,  $R' = CH_3$ ; д  $R = 2-NO_2C_6H_4$ ,  $R' = CH_3$ ; е  $R = 4-NO_2C_6H_4$ ,  $R' = CH_3$ ; ж  $R = R' = C_6H_5$ ; з  $R = C_6Cl_5$ ,  $R' = C_6H_5$ . Для I характерна тенденция к спонтанному разложению. Лишь Ib может храниться при т-ре  $\sim 20^\circ$  неопределенно долго. Ib, в достаточной степени чистый, как и Ia, были очищены и проанализированы. Ig—е хотя и стойки при т-ре  $\sim 20^\circ$ , но настолько быстро разлагаются при т-ре  $\sim 20^\circ$ , что их не удалось проанализировать. У ж, з даже не удалось определить т-ру разложения. I имеют характерную частоту в интервале 1710—1780  $cm^{-1}$  ИК-области спектра. Ig—з идентифицированы по этой частоте. По предварительным данным разложение I можно изобразить схемой:  $I \rightarrow RS \cdot + R'COO \cdot \rightarrow RSSR + R'COOH$ . При определении ИК-спектров ж, з отмечено постепенное исчезновение частоты, характерной для СО-группы I и из р-ра выделены соответствующие дисульфиды и карбоновые к-ты, ожидаемые по приведенной схеме. Нагревание 5 г Ig в вакууме (150°, 3 часа) привело к образованию  $\sim 0,6$  г  $CH_3COOH$  и 4,25 г в-ва, состоявшего преимущественно из ди-(антрахинонил-1)-дисульфида (II). Водн. р-ры щелочи быстро разлагают I на дисульфиды, ангидриды сульфеновых к-т и соли сульфеновых к-т. При действии на I спирт, щелочи атака происходит по СО-группе и ведет к образованию эфира карбоновой к-ты. Так, при прибавлении р-ра 0,03 моля КОН в 15 мл безводн.  $CH_3OH$  к р-ру 0,03 моля Ia в 300 мл  $CH_2Cl_2$  ( $-70^\circ$ ) в атмосфере  $N_2$  выделяется темно-фиолетовая соль, соответствующая по составу эмпирич. ф-ле  $2[(NO_2)_2C_6H_3SOK] \cdot CH_3OK \cdot 3CH_3OH$ , быстро разлагающаяся на воздухе и в водн. р-ре. Фильтрат содержит значительное кол-во  $CH_3COOCH_3$ . Р-р соли в освобожденной от  $O_2$  воде устойчив в течение нескольких часов, при подкислении 0,5 н. HCl выделяет  $2,4-(NO_2)_2C_6H_3S_2$  I, содержащие  $NO_2$ -группы, являющиеся ингибиторами полимеризации  $CH_2=C(CH_3)COOCH_3$  (III). Iv и Iж инициируют полимеризацию III в УФ-свете, хотя значительно менее активны, чем  $C_6H_5CH(OCH_3)COC_6H_5$  и дибензонилдисульфид. К р-ру 0,05 моля  $2,4-(NO_2)_2C_6H_3S_2$  в 200 мл  $CH_2Cl_2$  прибавляют 0,1 моля  $CH_3COOAg$ , перемешивают 18 час. при 28° без доступа света и фильтрат упаривают в вакууме без нагревания. Выход Ia 86%, т. разл. (без предварительного плавления) 85—90°. Приведены выходы в % и т. разл. в °C других I, синтезированных



аналогично: б 75, 82; в 92, 28—30 (т. пл. после кристаллизации из эфира при т-ре  $-80^\circ$ ); г, 52 (одновременно получено 47% II), 139—145; д, 61 [одновременно образовался ди-(2-нитрофенил)-дисульфид, 95—100; е, 63 [одновременно образовался ди-(4-нитрофенил)-дисульфид], 90—95. Исходным в-вом для Iз служил  $C_6Cl_5SCl$ , полученный пропусканием сухого  $Cl_2$  (5 час.) в р-р 0,09 моля  $C_6Cl_5SH$  в 500 мл кипящего  $CCl_4$ , содержащий несколько кристалликов  $I_2$ ; выход  $C_6Cl_5SCl$  92%, т. пл. 103—104° (из  $CCl_4$ ). К 1 г  $I_2$  в 30 мл лед.  $CH_3COOH$  прибавляют 5 мл циклогексена, кипятят 10 мин., выливают на 200 г льда и отфильтровывают 1-(2'-ацетоксидциклогексилмеркапто)-антрахинон, т. пл. 162—163°.

Г. Браз

**57436.** Исследование в области ароматических диазосоединений. II. Метод получения ароматических сульфохлоридов, новая модификация реакции Зандмейера. Меервейн, Дитмар, Гельнер, Хафнер, Менш, Штейнфорт (Untersuchungen über aromatische Diazoverbindungen, II. Verfahren zur Herstellung aromatischer Sulfonsäurechloride, eine neue Modifikation der Sandmeyerschen Reaktion. Meerwein Hans, Dittmar Gerhard, Göllner Rudolf, Hafner Klaus, Mensch Fritz, Steinfurt Otto), Chem. Ber., 1957, 90, № 6, 841—852 (нем.).

Описано применение р-ции Зандмейера для получения  $RC_6H_4SO_2Cl$  (I) при взаимодействии  $RC_6H_4N_2Cl$  (II) с р-ром  $SO_2$  в лед.  $CH_3COOH$ . Р-ция протекает в присутствии  $Su_2Cl_2$  (или  $SuCl_2$ , восстанавливающейся в процессе р-ции до  $Su_2Cl_2$  при действии  $SO_2$ ) (р-ция А). II, содержащие отрицательные заместители, образуют I также и в отсутствие  $Su_2Cl_2$  (р-ция Б) с некоторыми пониженными выходами. Авторы считают, что в противоположность р-ции А, имеющей радикальный механизм, р-ция Б протекает как ионная, что подтверждается образованием  $\{n-NO_2C_6H_4S=CN(CH_3)_2\}BF_4$  (III) и  $[2,4,6-Cl_3C_6H_2N(CH_3)_2]BF_4$  (IIIa) при взаимодействии соответственно  $[n-NO_2C_6H_4N=N-]BF_4$  (IV) и  $SCN(CH_3)_2$  (IVa) и  $[2,4,6-Cl_3C_6H_2N=N-]BF_4$  (V) и  $N(CH_3)_3$  (Va). Найдено, что применение  $MgCl_2$  или не смешивающихся с водой р-телей увеличивает выход I в р-ции А. Взаимодействие диазосульфокислот (VI) и  $n-N_2+C_6H_4AsO_3-$  (VIa) с  $SO_2$  в условиях р-ции А (или Б) приводит к соответствующим  $Ar(SO_3H)_2$  (VII) и  $n-HO_3SC_6H_4AsO_3H$  (VIIa), а не к их монохлорангидридам, что объясняется нестойкостью последних в водн. р-ре, в результате чего образовавшийся из II и  $SO_2$   $ArSO_2$ -радикал (р-ция А) или  $ArSO_2$ -катион (р-ция Б) взаимодействует с водой с образованием  $-O_3SArSO_2O+H_2$ , переходящей затем в VII. Получить моносульфокислоты при взаимодействии сернокислого р-ра II (сульфата) с  $SO_2$  в присутствии  $Su_2Cl_2$  не удалось. Р-р  $n-BrC_6H_4N_2Cl$  (из 0,25 моля  $n-BrC_6H_4NH_2$ , 85 мл конц.  $HCl$ , 0,275 моля  $NaNO_2$  в 30 мл воды) прибавляют к смеси 30%-ного р-ра  $SO_2$  в лед.  $CH_3COOH$  (р-р  $SO_2$ ) и конц. водн. р-ра 10 г  $SuCl_2 \cdot 2H_2O$  (т-ра 12—35°). Через 3—4 мин. массу разбавляют ледяной водой и через 15 мин. получают I ( $R=n-Br$ ) (Ia), выход 92%, т. кип. 153°/15 мм, т. пл. 76,3—76,5° (из бэл.). Аналогично Ia получают следующие I (перечисляются R или название I, т-ра р-ции в °C, время р-ции в мин., выход в %, т. кип. в °C/мм, т. пл. в °C): H, 30—42, 45, 53 (68,2 в присутствии 15 г  $MgCl_2$  на 0,2 моля амина), 119—121/15, 14,5;  $m-CH_3$ , 30—47, 10, 71,2 (с  $MgCl_2$ ; побочно образуется  $m-ClC_6H_4CH_3$ , выход 7,9%, т. кип. 85°/22 мм), 146/22, —;  $n-CH_3$ , 35—47, 30, 39,3 (80,3 с  $MgCl_2$ ), 124/21, 69;  $n,n'-ClO_2SC_6H_4$ , 30—35, 50, 89, —, 201;  $o-Cl$ , 10—19, 30, 73,2, 144—146/12, —;  $m-Cl$ , 12—26, 12, 73, 134/12, —;  $n-Cl$ , 14—30, 40, 90, 141—142/15, 53;  $o-NO_2$ , 16—29, 35, 78, —, 66;  $m-NO_2$ , 16—21, 30, 86,5, —, 64;  $n-NO_2$ , 10—22,

20, 87, 180—181/17, 80;  $o-CH_3O$ , 40—60, 240, 37,4, 126—129/0,3, —;  $n-CH_3O$ , 37—45, 60, 26,9/40,1 и 37,1 в присутствии 150 мл  $C_6H_5$  и  $CCl_4$  на 0,25 моля амина (побочно образуется  $n-ClC_6H_4OCH_3$ , выход 16,9%, т. кип. 56—60°/0,4 мм), —, 119—122/0,4, 42—43;  $m-COOH$ , 30, 20, 71,2 (с  $MgCl_2$ ), —, 133;  $n-COOH$ , 4—22, 45, 78,6, —, 223 (из бэл.);  $o-COOCH_3$ , 10—30, 60, 75—80, —, 64—65;  $n-COOCH_3$ , 10—35, 3, 87—92, 126°/0,05, 72—73;  $\beta$ -нафталенсульфохлорид, 20—35, 150, 40,3 (с  $C_6H_5$  или  $CCl_4$ ), 151—154/0,3, 76; 2-сульфохлориднафталин-6-к-та, 40, 60, 79,8, —, 256—258 (разл.); 2- $NO_2-4-Cl$ , 10—30, 30, 83,3, —, 77 (из 90%-ной  $CH_3COOH$ ). Р-р 21,1 г 2,4-( $NO_2$ ) $_2C_6H_3NH_2$  в 100 мл лед.  $CH_3COOH$  выливают на 0,5 кг льда, осадок суспендируют в 150 мл 50%-ной  $CH_3COOH$ , насыщенной  $HCl$ , и при т-ре от  $-15$  до  $0^\circ$  прибавляют р-р 9,3 г  $NaNO_2$  в 40 мл воды; полученный р-р 2,4-( $NO_2$ ) $_2C_6H_3N_2Cl$  обрабатывают  $H_2NO_2H$ , а затем аналогично Ia (100 мл р-ра  $SO_2$ , 4,25 г  $SuCl_2$  в 20 мл воды, 25°, 0,5 мин.) и получают 2,4-( $NO_2$ ) $_2C_6H_3SO_2Cl$  (Ib), выход 76,7%, т. пл. 102°. Аналогично Ib получают его 3,5-( $NO_2$ ) $_2$ -аналог (Iv), выход 81%, т. пл. 98,5°. Суспензию 0,1 моля 2,3-( $NO_2$ ) $_2C_6H_3NH_2$  в 120 мл смеси лед.  $CH_3COOH$  и  $HBF_4$  диазотируют при т-ре от  $-15^\circ$  до  $+5^\circ$  конц. р-ром 9,35 г  $NaNO_2$  и получают [2,3-( $NO_2$ ) $_2C_6H_3N_2]BF_4$  (IIa), выход 75%, т. разл.  $>170^\circ$ . Из 0,025 моля IIa аналогично Ia (0,05 моля  $SuCl_2 \cdot 2H_2O$ , 50 мл р-ра  $SO_2$ , 35°, 30 мин.) получают I [ $R=2,3-(NO_2)_2$ ] (Ic), выход 82%, т. пл. 118° (из хлф-циклогексана). Аналогично IIa получают II [ $R=2,6-(NO_2)_2$ ], т. пл. 95—98° (разл.), из 0,025 моля которого аналогично Ia (1/12 моля  $SuCl_2 \cdot 2H_2O$ , 50 мл р-ра  $SO_2$ , 30°, 1 час) получают I [ $R=2,6-(NO_2)_2$ ] (Id), выход 85%, т. пл. 136° (из хлф-циклогексана). Ib—d получены также по р-ции Б, выходы соответственно 67,4, 63, 77, 74,5%. Р-р 0,1 моля  $n-N_2+C_6H_4SO_3-$  в 100 мл конц.  $HCl$  прибавляют к смеси 2 г  $Su_2Cl_2$  и 150 мл р-ра  $SO_2$  (18—42°), через 4 часа р-р выпаривают досуха в вакууме, прибавляют насыщ. р-р  $NaCl$  и получают 1,4- $C_6H_4(SO_3Na)_2$  (VIIb), выход 76,3%. Аналогично VIIb получают следующие VII (перечисляются Ar, выход в %, в скобках указана соль): 1,2- $C_6H_4$ , 67,7 (Na); 1,3- $C_6H_4$ , 65,5 (K); 1,4-нафтилен, 66,8 (Na); 1,6-нафтилен, 83,3  $[NH_4]$ ; из 1,6- $NH_2(SO_3H)C_{10}H_6$  (из 1,5- $NH_2(SO_3H)C_{10}H_6$  — выход 81,2%). Слегка подогревают смесь 0,15 моля VIIa с 65 мл конц.  $HCl$ , 30 мл воды и 200 мл р-ра  $SO_2$ , через 2,5 часа выпаривают в вакууме при  $100^\circ$  и получают VIIa, выход 91,7%. К р-ру 0,03 моля IVa в 10 мл  $CH_3CN$  прибавляют постепенно 0,03 моля IV (т-ра  $\leq 30^\circ$ ), по окончании р-ции прибавляют 50 мл воды и получают III, выход 90%, т. пл. 209—210° (из сп.). Аналогично III получают его  $n-Cl$ -аналог, выход 67,5%, т. пл. 230—232° (из сп.). При взаимодействии [2,4- $Cl_2C_6H_3N_2]BF_4$  с  $HN=C(SH)NH_2$  получен [2,4- $Cl_2C_6H_3N=NSC(NH_2)_2]BF_4$ . К 30 мл 35%-ного р-ра Va в  $CH_3CN$  медленно прибавляют р-р 0,1 моля V в 300 мл  $CH_3CN$  (т-ра  $<-5^\circ$ ) и через 6 час. ( $\sim 20^\circ$ ) получают IIIa, выход 21%, т. пл. 211° (из  $CH_3CN$ ). Сообщение I см. J. prakt. Chem., 1939, (2), 152, 251.

В. Зарецкий

**57437.** Исследование в области ароматических диазосоединений. III. Об изомерии между диазосульфонидами и сульфинатами диазония. Меервейн, Дитмар, Кауфман, Пауэ (Untersuchungen über aromatische Diazoverbindungen, III. Über die Isomerie zwischen Diazosulfonen und Diazonium-sulfonaten. Meerwein Hans, Dittmar Gerhard, Kaufmann Günter, Raue Roderich), Chem. Ber., 1957, 90, № 6, 853—862 (нем.).

Установлено, что описанный ранее (Glaas, Ber., 1911, 44, 1415) случай изомерии между стабильным  $o-NO_2C_6H_4N=NSO_2C_6H_4NO_2-o'$  (I) [синтезированным окислением  $o-NO_2C_6H_4NHNHSO_2C_6H_4NO_2-o'$  (II) (мо-

тод А)] и лабильным диазонийсульфинатом  $[o\text{-NO}_2\text{-C}_6\text{H}_4\text{N}=\text{N}(\text{O}_2\text{SC}_6\text{H}_4\text{NO}_2\text{-}o')]$  [синтезированным взаимодействием  $o\text{-NO}_2\text{-C}_6\text{H}_4\text{N}_2\text{Cl}$  (III) с  $o\text{-NO}_2\text{-C}_6\text{H}_4\text{SO}_3\text{Na}$  (IV) (метод Б)] является ошибочным, так как в обоих случаях (из II или из III) образуется только I. Строение I подтверждается нерастворимостью его в воде и малой электропроводностью (в  $\text{CH}_3\text{CN}$ ). Аналогично I по методам А и Б однозначно получен его 4'-моно-(Ia, т. пл.  $106^\circ$ ) и 4,4'-дихлорпроизводное (Iб, т. пл.  $104\text{--}105^\circ$ ). При взаимодействии  $2,4\text{-(NO}_2)_2\text{C}_6\text{H}_3\text{SO}_3\text{H}$  (V) [полученной при действии  $\text{FeSO}_4$  на р-р  $2,4\text{-(NO}_2)_2\text{C}_6\text{H}_4\text{-N}_2\text{-}0,5\text{H}_2\text{SO}_4$  (VI) в  $\text{H}_2\text{SO}_4$ , насыщ.  $\text{SO}_2$ ] с  $\text{R(R')C}_6\text{H}_3\text{-N}_2\text{Cl}$  (VII) получают  $\text{R(R')C}_6\text{H}_3\text{N}=\text{NSO}_2\text{C}_6\text{H}_3(\text{NO}_2)_2\text{-}2',4'$  (VIII) (перечисляются  $\text{R, R'}$ , выход VIII в %, т. пл. в  $^\circ\text{C}$ ):  $2\text{-NO}_2$ , Н, 71,4,  $108\text{--}109$ ;  $4\text{-Cl}$ ,  $2\text{-NO}_2$ , 76,3,  $95\text{--}96$ ;  $2\text{-Cl}$ ,  $4\text{-Cl}$ , 63,  $96\text{--}97$ ;  $3\text{-Cl}$ , Н, 54,9,  $103$ ;  $3\text{-Cl}$ , Н [из  $\text{NH}_4\text{-соли V (Va)}$ ], 38,7,  $98\text{--}99$ ;  $3\text{-Br}$ , Н (из Va), 54,9,  $95\text{--}96$ . При взаимодействии VII ( $\text{R} = 4\text{-Br}$ ,  $\text{R}' = \text{H}$ ), VII ( $\text{R} = 4\text{-Cl}$ ,  $\text{R}' = \text{H}$ ) с Va и  $n\text{-CH}_3\text{C}_6\text{H}_4\text{N}_2\text{HSO}_4$  (VIIa) с Ва-солью V (Vб) образуются соответствующие кислые соли диазония  $[\text{RC}_6\text{H}_4\text{N}_2\text{O}_2\text{SC}_6\text{H}_3(\text{NO}_2)_2\text{-}V$  (IX), выход в % и т. пл. в  $^\circ\text{C}$  соответственно: 72,5,  $111\text{--}113$  (разл. из  $\text{CH}_3\text{CN}$ ); 83,9,  $109\text{--}111$  (разл.); 61,9,  $99\text{--}91$  (разл.). Получить  $[n\text{-CH}_3\text{C}_6\text{H}_4\text{N}_2\text{O}_2\text{SC}_6\text{H}_3(\text{NO}_2)_2\text{-}2',4'$  (IXa) при взаимодействии VIIa с Vб в присутствии стехиометрич. кол-в  $\text{Ba(OH)}_2$  не удалось (по-видимому, из-за неустойчивости IXa). Строение IX подтверждается их растворимостью в воде, образованием красителя при сочетании с  $\beta$ -нафтолом и  $2,4\text{-(NO}_2)_2\text{C}_6\text{H}_3\text{SO}_2\text{Ag}$  при действии  $\text{AgNO}_3$ , а также значением эквивалентной проводимости, хорошо совпадающей с величиной, известной для диазосоединений. Предполагается, что в молекуле IX молекула V связана с остатком 2-ой молекулы водородной связью. При взаимодействии 0,01 моля  $n\text{-CH}_3\text{C}_6\text{H}_4\text{NH-SO}_2\text{C}_6\text{H}_4\text{R}$  (в 10 мл эфира) с 10 мл  $\text{изо-C}_6\text{H}_{11}\text{NO}_2$  (в 5 мл эфира, 30 мин.) получают  $\text{RC}_6\text{H}_4\text{N}=\text{NSO}_2\text{C}_6\text{H}_4\text{R'}$  (X) [перечисляются  $\text{R' (R} = \text{CH}_3)$ , выход в %, т. пл. в  $^\circ\text{C}$  (разл.)]:  $o\text{'-NO}_2$  (Ха), 64,3, 85;  $n\text{'-CH}_3$ , —, 98. Строение Ха подтверждено встречным синтезом из стехиометрич. кол-в  $[n\text{-CH}_3\text{C}_6\text{H}_4\text{N}_2\text{BF}_4]$  и  $\text{IV-NH}_4\text{-соли}$  (в  $\text{CH}_3\text{CN}$ , 1 час), причем аналогично получены также X ( $\text{R}' = o\text{'-NO}_2$ ) [перечисляются R, выход в %, т. пл. в  $^\circ\text{C}$  (разл.)]: H (Хб), 47,5, 76 (из  $\text{CCl}_4$ );  $\text{OCH}_3$  (Хв), —, 125. К р-ру 0,01 моля II [получен с выходом 71%, т. пл.  $149\text{--}150^\circ$  (разл.; из диоксиана), из III и  $\text{SO}_2$ ; побочно образуется  $n\text{-NO}_2\text{-C}_6\text{H}_4\text{SO}_2\text{Cl}$ , выход 11,73%] в 100 мл 1 н. р-ра  $\text{NaOH}$  ( $0^\circ$ ) прибавляют в отсутствие света по каплям р-р 0,02 моля  $\text{K}_3\text{Fe(CN)}_6$  в 50 мл воды и получают I, выход 74%, т. пл.  $104^\circ$  (разл.; из  $\text{CH}_3\text{CN}$ ). При кипячении I с водой образуется  $\text{N}_2$  и  $o\text{-NO}_2\text{-C}_6\text{H}_4\text{SO}_2\text{C}_6\text{H}_4\text{NO}_2\text{-}o'$  (выход 38,5%, т. пл.  $183^\circ$ ), а со спиртом  $\text{C}_6\text{H}_5\text{NO}_2$  и  $o\text{-NO}_2\text{-C}_6\text{H}_4\text{C}_6\text{H}_4\text{NO}_2\text{-}o'$  (т. пл.  $125^\circ$ ), выходы соответственно 32,4 и 20,4%. Получить I окислением II при действии  $\text{PbO}_2$  не удалось. Р-р III (из 0,25 моля амина) обрабатывают  $\text{H}_2\text{NSO}_3\text{H}$ , разбавляют до 200 мл, прибавляют 100 мл 1 н. р-ра  $\text{CH}_3\text{COONa}$ , при т-ре  $-5^\circ$  в течение 1 мин. (в отсутствие света) р-р IV (из 7,5 г сульфитовой к-ты, 1,6 г  $\text{NaOH}$  и 100 мл воды) и через 10 час. получают I, выход 83%. Р-р VI [из 44 г  $2,4\text{-(NO}_2)_2\text{C}_6\text{H}_3\text{NH}_2$ , 360 г конц.  $\text{H}_2\text{SO}_4$ , 90 мл воды, 18 г  $\text{NaNO}_2$  и 40 мл воды] обрабатывают  $\text{H}_2\text{NSO}_3\text{H}$ , насыщают  $\text{SO}_2$  (42 г) и, продолжая насыщение  $\text{SO}_2$ , прибавляют по каплям р-р 134 г  $\text{FeSO}_4 \cdot 4\text{H}_2\text{O}$ , через ~ 16 час. фильтруют, осадок извлекают ацетоном, отгоняют р-ритель при т-ре  $\leq 25^\circ$  и получают V, выход 74,1%, т. пл.  $123\text{--}124^\circ$  (из  $\text{CH}_3\text{CN}$ ); Va, т. разл.  $158\text{--}159^\circ$ ; Vб, т. разл.  $> 250^\circ$ . В. Зарецкий

57438. Сульфирование  $\beta$ -дикетонов диоксансульфотриоксидом. П. Инданцион-1,3-сульфоновая-2 кислоты и ее соли. Гудринице Э. Ю., Иевиньш А. Ф., Ванаг Г. Я., Ж. общ. химии, 1958, 28, № 1, 95—100

В продолжение прошлых исследований (см. РЖХИМ 1957, 34354) сульфированием диоксансульфотриоксидом (I) инданциона-1,3 (II) в 1,2-дихлорэтаноле (III) при  $\sim 20^\circ$  получена инданцион-1,3-сульфоновая-2 к-та (IV); р-ция, по-видимому, проходит не с енольной формой II, а как непосредственное замещение водорода  $\text{CH}_2$ -группы (ср. Truce W., Alfieri C., J. Amer. Chem. Soc., 1950, 72, 2740). С избытком I при  $25\text{--}40^\circ$  образуется инданцион-1,3-дисульфоновая-2,2 к-та (V), выделенная в виде Na-соли. Получены Na-, K-, Li- и  $\text{NH}_4$ -соли IV; при действии соответствующего карбоната на Na- или K-соль IV образуются ди-Na-, ди-K- или ди-Ag-соль енольной формы IV. К 7,3 г II в 70 мл III добавляют 6 г I ( $< 25^\circ$ ), через 1,5 часа отфильтровывают 7 г IV, т. пл.  $85\text{--}90^\circ$ ; анилиновая соль IV, т. пл.  $145\text{--}148^\circ$  (разл.); пиридиновая соль, т. пл.  $210\text{--}211^\circ$  (разл.); хинолиновая соль, т. пл.  $214^\circ$  (разл.); бензилтиурониевая соль, т. пл.  $192\text{--}194^\circ$  (все соли перекристаллизованы из водн. сп.). Получены Mg-, Ca-, Sr-, Ba-, Zn-, Cd-, Pb- и Ni-соли IV, содержащие 1 атом металла на 1 молекулу к-ты и 2—5 молекул  $\text{H}_2\text{O}$ , которую теряют при  $100\text{--}160^\circ$ . Co-, Ni- и Mn-соли IV дают комплексное соединение с пиридином.

Г. Крюкова

57439. Аналоги амтиозона (тибиона). Доджен, Нобле (Amithiozone (tibione) analogs. Dodgen Durward F., Jr., Nobles W. Lewis, J. Amer. Pharmac. Assoc. Scient. Ed., 1957, 46, № 7, 437—439 (англ.).

Для исследования антимикробактериальной активности действием  $\text{H}_2\text{NNHCSNHCH}_2\text{CH}(\text{CH}_3)_2$  (I) на альдегиды (АЛ) или кетоны (КТ) получен ряд 4-изобутилтиосемикарбазонов (II). К 0,02 моля АЛ (или КТ) в 35 мл 50- или 70%-ного спирта прибавляют 5 капель лед.  $\text{CH}_3\text{COOH}$  и 0,02 моля I в 35 мл 50%-ного спирта, кипятят 45 мин., по охлаждению осадок перекристаллизуют из разб. спирта, получают II [приводятся исходный АЛ (или КТ), выход в %, т. пл. в  $^\circ\text{C}$ ]:  $4\text{-CH}_3\text{CONHC}_6\text{H}_4\text{CHO}$ , 84,  $159\text{--}161$ ;  $4\text{-CH}_3\text{CONHC}_6\text{H}_4\text{CH}=\text{CHCHO}$ , 25,  $205\text{--}208$ ;  $\text{C}_6\text{H}_5\text{CHO}$ , 87,  $131$ ;  $\text{C}_6\text{H}_5\text{CH}=\text{CHCHO}$ , 63,  $178\text{--}179$ ;  $4\text{-C}_6\text{H}_5\text{SO}_2\text{C}_6\text{H}_4\text{CHO}$ , 86,  $204\text{--}205$ ;  $4\text{-C}_6\text{H}_5\text{SO}_2\text{C}_6\text{H}_4\text{CH}=\text{CHCHO}$  (по описанному методу, см. Patrick T., Emerson W., J. Amer. Chem. Soc., 1952, 74, 1356), 54,  $169\text{--}172$ ;  $4\text{-CH}_3\text{OC}_6\text{H}_4\text{CHO}$ , 80,  $140\text{--}141$ ;  $\text{CH}_3\text{OC}_6\text{H}_4\text{CH}=\text{CHCHO}$ , 26,  $168\text{--}170$ ;  $4\text{-изо-C}_6\text{H}_7\text{C}_6\text{H}_4\text{CHO}$ , 58,  $130\text{--}131$ ;  $4\text{-изо-C}_6\text{H}_7\text{C}_6\text{H}_4\text{CH}=\text{CHCHO}$ , 51,  $137\text{--}138$ ;  $4\text{-(CH}_3)_2\text{NC}_6\text{H}_4\text{CHO}$ , 84,  $175\text{--}176$ ;  $4\text{-(CH}_3)_2\text{NC}_6\text{H}_4\text{CH}=\text{CHCHO}$ , 58,  $215\text{--}217$ ;  $4\text{-NO}_2\text{C}_6\text{H}_4\text{CHO}$ , 89,  $198\text{--}199$ ;  $4\text{-NO}_2\text{C}_6\text{H}_4\text{CH}=\text{CHCHO}$ , 41,  $208\text{--}210$ ; пиридинальдегид-2, 84,  $148\text{--}151$ ; пиридинальдегид-3, 85,  $160\text{--}163$ ; пиридинальдегид-4, 80,  $164\text{--}165$ ; тиофенальдегид-2, 91,  $150\text{--}151$ ; 5-нитротифенальдегид-2, (по методу Patrick T., Emerson W., см. ссылку выше), 45,  $188\text{--}190$ ; 5-нитрофурфурол, 81,  $179\text{--}181$ ; 5-нитрофурил-2-акролеин, 89,  $176\text{--}178$ ; бензальацетон, 77,  $125\text{--}126$ ;  $4\text{-CH}_3\text{CONHC}_6\text{H}_4\text{CH}=\text{CHCOCH}_3$ , 71,  $114\text{--}115$ ;  $4\text{-(CH}_3)_2\text{NC}_6\text{H}_4\text{CH}=\text{CHCOCH}_3$ , 43,  $141\text{--}143$ ;  $4\text{-NH}_2\text{C}_6\text{H}_4\text{COCH}_3$ , 67,  $166\text{--}167$ ;  $4\text{-ClC}_6\text{H}_4\text{COCH}_3$ , 71,  $125\text{--}126$ ;  $4\text{-ClC}_6\text{H}_4\text{CH}=\text{CHCOCH}_3$ , 67,  $137\text{--}138$ ;  $4\text{-CH}_3\text{OC}_6\text{H}_4\text{COCH}_3$ , 51,  $113\text{--}114$ ;  $4\text{-CH}_3\text{OC}_6\text{H}_4\text{CH}=\text{CHCOCH}_3$ , 41,  $99\text{--}100$ ;  $4\text{-NO}_2\text{C}_6\text{H}_4\text{COCH}_3$ , 86,  $163\text{--}164$ ;  $4\text{-NO}_2\text{C}_6\text{H}_4\text{CH}=\text{CHCOCH}_3$ , 51,  $169\text{--}170$ ; 2-ацетилтиофен, 70,  $121\text{--}123$ ; тегил-2-ацетон, 86,  $115\text{--}116$ ; 5-хлор-2-ацетилтиофен, 82,  $162\text{--}163$ ; тегаль-3-ацетон, 15,  $101\text{--}103$ ; 5-нитро-2-ацетилфуран, 86,  $176\text{--}177$ ; фурфурилиденацетон, 34,  $103\text{--}106$ .

В. Скородумов

57440. Разделение ксилолов, цимолов, метилнафталинов и других изомеров посредством образования клатратных соединений с неорганическими комплексами. Шеффер, Дорси, Скиллер, Кристин (Separation of xylenes, cymenes, methylnaphthalenes and other isomers by clathration with inorganic



complexes. Schaeffer W. D., Dorsey W. S., Skinner Davis A., Christian C. G.), J. Amer. Chem. Soc., 1957, 79, № 22, 5870—5876 (англ.)

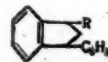
Через платратные соединения (КТС) с различными неорганич. комплексами (КПС) возможно разделение смеси изомеров ксилола (I) и  $C_6H_5C_2H_5$  (II), содержащей 19,9% (объемных) *n*-I, 45,5% *m*-I, 19,3% *o*-I и 15,3% II до концентратов 75,9% *n*-I, 56,9% *m*-I, 53,1% *o*-I и 54,6% II. С помощью КТС осуществлено также извлечение I и II из реформированных бензинов, содержащих 51,7% ароматич. соединений (АС) и бензинов прямойгонки, содержащих 14,3% АС, до содержания *n*-I 70,6 и 55,3% соответственно и возвратом *n*-I ~ 70%. КТС были испытаны для смеси изомерных этилтолуолов, цимолов и диэтилбензолов, а также для смеси изомерных хлортолуолов, дихлорбензолов, толуидинов, нитротолуолов, метиланизолов. Наибольшее сродство к КПС показали *n*-изомеры, концентраты которых возрастала в 1,8—3 раза по отношению к исходной. Показана возможность разделения полициклич. углеводородов на смесях: нафталиндифенил, 1- и 2-метилнафталин, дифенилоксид-фенантрон. КТС получены путем перемешивания КПС с исходной смесью, контактирования суспензии КПС в органич. разбавителе со смесью и контактирование смеси в р-ре с КПС при повышенной т-ре. Для разложения КПС в большинстве случаев они растворялись в водн. к-тах. В качестве КПС наиболее широко применялся тетра-(4-метилпиридин)-никельдисульфидат (III). К р-ру 0,911 моля  $NiCl_2 \cdot 6H_2O$  в 4,7 л воды прибавляют 1,82 моля KSCN, а затем за 5 мин. 3,64 моля 4-метилпиридина (IV), перемешивают еще 15 мин. и отфильтровывают III, выход 96%. Аналогично получают и другие КПС. Ниже приводятся 2 примера образования КТС. К 36,5 ммоль III, 55 мл  $n$ - $C_7H_{16}$  и 3 мл IV при размешивании прибавляют 0,134 моля I (20,1% *n*-изомера), через 2 мин. отфильтровывают осадок, 10 г растворяют в 60 мл HCl (1:1), отделяют органич. слой, экстрагируют  $n$ - $C_7H_{16}$ , УФ-спектральный анализ показывает содержание *n*-I 57,2%. Остаток кристаллов на фильтре промывают 40 мл  $n$ - $C_7H_{16}$ , растворяют в к-те и получают 68,3% *n*-I в фильтрах 4,3% *n*-I. Смесь 36,5 ммоль III, 38 мл метилцеллозольва и 4 мл IV нагревают при 105° до получения р-ра, приливают 0,134 моля I (20,1% *n*-изомера), охлаждают при размешивании до ~ 20°, обрабатывают аналогично вышеописанному и получают в непродуктом КТС 61,8% *n*-I, в промывке 70,2%, в фильтрате 3,8%. Синтезированы КПС:  $Mn(4-CH_3C_5H_4N)_4(SCN)_2$ ,  $Mn(4-C_2H_5C_5H_4N)_4(SCN)_2$ ,  $Mn(4-C_2H_5C_5H_4N)_4(CNO)_2$ ,  $Mn(4-C_2H_5C_5H_4N)_4Cl_2$ ,  $Mn(изохинолин)_4(SCN)_2$ ,  $Ni(C_5H_5N)_4(SCN)_2$ ,  $Ni(C_6H_5N)_4Cl_2$ ,  $Ni(3-CH_3C_5H_4N)_4(SCN)_2$ ,  $Ni(4-CH_3C_5H_4N)_2(SCN)_2$ ,  $Ni(4-CH_3C_5H_4N)_4(N_3)_2$ ,  $Ni(4-CH_3C_5H_4N)_4Cl_2$ ,  $Ni(4-CH_3C_5H_4N)_4(HCOO)_2$ ,  $Ni(4-C_2H_5C_5H_4N)_4(SCN)_2$ ,  $Ni(4-C_2H_5C_5H_4N)_4(HCOO)_2$ ,  $Ni(4-CH_2=CHC_5H_4N)_4(SCN)_2$ ,  $Ni(4-n-C_3H_7C_5H_4N)_4(SCN)_2$ ,  $Ni(3-C_2H_5-4-CH_3C_5H_4N)_4(SCN)_2$ ,  $Ni(4-n-C_3H_7C_5H_4N)_4(SCN)_2$ ,  $Ni(4-C_6H_5CH_2C_5H_4N)_4(SCN)_2$ ,  $Ni(4-CH_3COC_5H_4N)_4(SCN)_2$ ,  $Ni(3-NH_2C_5H_4N)_4(SCN)_2$ ,  $Ni(4-NH_2C_5H_4N)_4(SCN)_2$ ,  $Ni(3-BrC_5H_4N)_4(SCN)_2$ ,  $Ni(3-CNC_5H_4N)_4(SCN)_2$ ,  $Ni(4-CN-C_5H_4N)_4(SCN)_2$ ,  $Ni(4-HOCH_2C_5H_4N)_4(SCN)_2$ ,  $Ni(никотинамид)_4(SCN)_2$ ,  $Ni(метилизоникотинат)_4(SCN)_2$ ,  $Ni(тиоамид изоникотиновой к-ты)_4(SCN)_2$ ,  $Ni(изоникотинамид)_4(SCN)_2$ ,  $Ni(изохинолин)_4(SCN)_2$ ,  $Ni(изохинолин)_4Cl_2$ ,  $Co(C_5H_5N)_4(SCN)_2$ ,  $Co(4-CH_3C_5H_4N)_4(SCN)_2$ ,  $Co(4-C_2H_5C_5H_4N)_4(SCN)_2$ ,  $Fe(4-CH_3C_5H_4N)_4(SCN)_2$ ,  $Fe(4-C_2H_5C_5H_4N)_4(SCN)_2$ ,  $Cu(C_5H_5N)_4(SCN)_2$ ,  $Cu(4-CH_3C_5H_4N)_4(SCN)_2$ ,  $Zn(CH_3C_5H_4N)_2Cl_2$ .

Ю. Волькенштейн

57441. Синтетические спазмолитические средства. XVI. Производные 3-фенилинданона и 1-амино-3-фенилиндана. Боровичка, Протива (Synthetická

spasmolytika. XVI. Deriváty 3-fenylinlanolu a 1-amino-3-fenylinlanu. Borovička Miloš, Protiva Miroslav, Českosl. farmac., 1957, 6, № 3, 120—132 (чешск.; рез. русск., англ., нем.)

Для исследования фармакологич. действия синтезированы, исходя из 3-фенилинданона (I), соединения общего вида (II), а также метиловый эфир 3-фенилинданон-1-глиоксиловой-2 к-ты (III). Йодметилат II<sub>6</sub>, II<sub>7</sub> и II<sub>8</sub> проявили слабую противогистаминную и спазмолитич. активность. Р-р 10,5 г II<sub>6</sub> (из I и LiAlH<sub>4</sub>, выход 75%, т. кип. 135—136°/0,35 мм, т. пл. 79—80°)



II<sub>6</sub> R = OH, II<sub>7</sub> R = OCH<sub>2</sub>CH<sub>2</sub>N(CH<sub>3</sub>)<sub>2</sub>, II<sub>8</sub> R = NH<sub>2</sub>; I<sub>6</sub> R = N(CH<sub>3</sub>)<sub>2</sub>; II<sub>7</sub> R = C<sub>6</sub>H<sub>5</sub>CH = N; II<sub>8</sub> R = C<sub>6</sub>H<sub>5</sub>CH<sub>2</sub>NH; II<sub>9</sub> R = C<sub>6</sub>H<sub>5</sub>CH<sub>2</sub>N(CH<sub>3</sub>)<sub>2</sub>

в  $C_6H_6$  кипятят 1 час с 4 г  $NaNH_2$ , прибавляют 8,1 г  $ClCH_2CH_2N(CH_3)_2$  и кипятят 5 час. Выход II<sub>6</sub> 74%, т. кип. 165—167°/1,4 мм; йодметилат, т. пл. 185—186°. 18,5 г оксима II (т. пл. 141—142°) гидрируют в  $CH_3OH$  над Ni при 80—90° и давлении 100 ат 8 час; выход II<sub>6</sub> 67%, т. кип. 150°/4 мм, 135—140°/0,4 мм; хлоргидрат, т. пл. 224—225°; пикрат, т. пл. 218—220°. Р-р 1,2 г NaOH, 3 г II<sub>6</sub> в 15 г  $CH_3J$  в 45 мл  $CH_3OH$  кипятят, добавляя  $CH_3J$  (6,4 г), 8 час., упаривают и осаждают ацетоном 1,8 г II<sub>6</sub>, т. пл. 197—198,5° (разл.). Из 2,00 г II<sub>6</sub> и 1,06 г  $C_6H_5CHO$  (кипичение в спирте 4 часа) получено 69% II<sub>7</sub> (т. пл. 100—101°), который при гидрировании над Ni дал II<sub>6</sub>, выход 85%, т. пл. 80—81°, хлоргидрат, т. пл. 216—218°; пикрат, т. пл. 197—198°. Аналогично II<sub>7</sub>, но в  $C_2H_5OH$ , из II<sub>6</sub> получен II<sub>8</sub>, выход 71%, т. пл. 185—186°. Сухой  $CH_3ONa$  (из 0,92 г Na) кипятят 30 мин. с 4,72 г  $CH_3COCOONa$  в  $C_6H_6$ , добавляя 0,419 г I, кипятят 1 час, разлагают водой и выделают III 2%-ным NaOH; выход 55%, т. пл. 214—216°. Сообщение XV см. РЖХим, 1958, 14426. Г. Кондратьева

57442. Синтез ω-галогидо- и ω-аминопроизводных 9-метил-2,3,6,7-тетраметоксифлуорена. Келе, Матарассо-Чирухина (Synthèse de dérivés ω-halogénés et aminés du méthyl-9-tétraméthoxy-2,3,6,7-fluorène. Quelet Raymond, Matarasso-Tchiroukhine Elisabeth, C. r. Acad. sci., 1958, 246, № 8, 1227—1229 (франц.)

Реакцией 3,4,3',4'-тетраметоксидифенила (I) с замещ. диэтилацетальными  $RCH_2CH(OC_2H_5)_2$  в присутствии  $H_2SO_4$  получены 9-*R*-метил-2,3,6,7-тетраметоксифлуорены (II<sub>a</sub>—г, где а R = Cl, б R = Br, в R = NH<sub>2</sub>, г R = NHCH<sub>3</sub>). При действии спирт. КОН, нагревании с пиридином при 115° или нагревании в вакууме при 200°. II<sub>a</sub>, б превращаются в 2,3,6,7-тетраметоксифлуорен (III), т. пл. 201°, окисляющийся  $KMnO_4$  в 2,3,6,7-тетраметоксифлуоренон, т. пл. 203° (из сл.). При р-ции II<sub>6</sub> со вторичными аминами также образуется III, но с морфолином по Гофману II<sub>6</sub> дает II, где R =  $NC_5H_{10}$ , выход 80%, т. пл. 214—215° (из бсл.). II<sub>6</sub> реагирует с  $ClCOOC_2H_5$ , а II<sub>7</sub> с окисью этилена, образуя соответственно II<sub>6</sub>, где R =  $NHCOOC_2H_5$  (выход 50%, т. пл. 169—170° (из толуола)), и II<sub>7</sub>, где R =  $N(CH_3)CH_2CH_2OH$  [выход 80%, т. пл. 127—128° (из  $CH_3OH$ )]. В р-р I в 4 г  $CH_3COOH$  вносят 1 экв ацетата, добавляют при 5—10° смесь 3 г  $CH_3COOH$  с равным объемом конц.  $H_2SO_4$ , размешивают 2 час., оставляют на 20 час. при 20°, выливают на лед и получают (указаны в-во, выход в %, т. пл. в °C): II<sub>a</sub> 80, 206; II<sub>6</sub> 80, 206; II<sub>6</sub>, 65, 215—215, пикрат, т. пл. 275 (разл.); II<sub>7</sub> 55, 157—158, пикрат, т. пл. 244—245.

Д. Витковский

57443. Синтезы о-диацилбензолов, фталидов и нафтохинонов. Вейганд, Вебер, Мазкава (Synthetische

1-ami-  
otiva  
9-132интези-  
инилин  
т П6,  
нуку и  
LAIN,  
9-80)(CH<sub>3</sub>);

т 8,1

5 71%

5-186°

CH<sub>3</sub>OH

ход Пв

гидрат,

р 1,2

тит, до-

аждают

а 2,09

са) по-

лучен

90-81°

7-196°

Иж, вы-

2 г Na)

добав-

навле-

4-216°

ратева

водных

е, Ma-

dérivés

поху-23

gasso-

nd. sci.

с за-

утства

метокси-

= NH<sub>2</sub>

ревании

ме при

сп-9-ме

KMnO<sub>4</sub>

из сп.)

не обра-

дает П,

из бал.)

отилена,

H<sub>2</sub> (вы-

где R =

228° (из

экс аде-

H<sub>2</sub>COOH

2 часа,

ед и по-

С): Па

пл. 275

б.ковский

и нафто-

(Synthe-

von *o*-Diacylbenzolen, Phthaliden und Naphthochinonen. Weygand Friedrich, Weber Helmut, Maekawa Eturō, Chem. Ber., 1957, 90, № 9, 1879-1895 (нем.)

*o*-Диацилбензолы при окислении SeO<sub>2</sub> превращаются в 2-оксинафтохиноны-1,4 (ОНХ): из *o*-диацилбензола (Ia) и *o*-ацетилбутирофенона (Ib) получены 3-оксинафтохиноны-1,4 (II) и 2-оксинафтохиноны-1,4 (III), причем во 2-м случае, кроме III, образуется 2-этилнафтохинон (IV). ОНХ могут быть также синтезированы из фталидов, для чего последние действием реактивов Гриньяра и окислением продуктов конденсации KMnO<sub>4</sub> превращаются в соответствующие *o*-диацилбензолы, окисляемые SeO<sub>2</sub> в ОНХ; этим путем из 3-метилфталидов и CH<sub>3</sub>MgBr получены 2-оксинафтохиноны-1,4 (III) и 2-метил- (т. пл. 106°) и 3-метил- (т. пл. 170-172°) 2-оксинафтохиноны-1,4; из 3-метил-6,7-диметоксифталидов и C<sub>2</sub>H<sub>5</sub>MgBr образуется 2-оксинафтохинон-1,4 (IV), т. пл. 195-197°; из 3-метил-4,5,6,7-тетраметоксифталидов (IVa) и C<sub>2</sub>H<sub>5</sub>MgBr или C<sub>3</sub>H<sub>7</sub>MgBr получены 2-метил- или 2-этил- (т. пл. 39-40°) и 2-оксинафтохиноны-1,4. Кроме того, р-цией 2,3-диметоксинафтохинона (V) с 1-ацетоксибутироном (24 часа, 20°) в CH<sub>3</sub>OH или с 1-этоксипропаном (VI) в спирте синтезированы 2,3-диметоксинафтохиноны-1,4 (V), т. пл. 86° (из CH<sub>3</sub>OH) и 2,3-диметоксинафтохинон-1,4, т. пл. 116°, полученный иначе 5-часовым кипячением V и VI в водн. спирте в присутствии SeO<sub>2</sub>. 16, т. кип. 126-128°/0,2 мм, получен конденсацией в эфире *o*-C<sub>2</sub>H<sub>5</sub>C<sub>6</sub>H<sub>4</sub>MgJ и C<sub>6</sub>H<sub>5</sub>CHO, окислением продукта р-ром CrO<sub>3</sub> в водн. CH<sub>3</sub>COOH в *o*-этилбутирофенон (VII) [выход 34%, т. кип. 123-128°/12 мм; семикрабазон, т. пл. 136-138° (из сп.)] и последующим окислением VII KMnO<sub>4</sub> в водн. р-ре MgNO<sub>3</sub> (8 час., 70°). Для получения V 1,2-диметоксинафтохинон-1,4 (VIII) (т. кип. 116-118°/13 мм) окислен нитрозодисульфатом K (VIII) (см. РЖХим, 1966, 32525) в 2,3-диметоксинафтохинон, выход 50%, т. пл. 66° (из петр. эф.), восстановленный SO<sub>2</sub> в 2,3-диметоксинафтохинон, выход 90%, т. пл. 85-86° (из петр. эф.), метилированием которого (CH<sub>3</sub>)<sub>2</sub>SO<sub>4</sub> синтезирован 1,2,3,4-тетраметоксинафтохинон, выход 87%, т. пл. 87,5-88,5° (из петр. эф.), хлорметилированием 1,2-бисхлорметил-3,4,5,6-тетраметоксинафтохинон, выход 67%, т. кип. 135-136°/0,6 мм, т. пл. 31-33°, превращенный кипячением с CH<sub>3</sub>COOH и CH<sub>3</sub>COONa в диацетат (IX) [выход 95%, т. пл. 70-71° (из ацетона)] 3,4,5,6-тетраметоксинафтохинон спирта (X), т. пл. 90-92° (из эф.), получаемого щел. гидролизом IX; X окислен р-ром Na<sub>2</sub>Cr<sub>2</sub>O<sub>7</sub> в CH<sub>3</sub>COOH в 4,5,6,7-тетраметоксинафтохинон (XI), выход 36-41%, т. пл. 53° (из воды), который 2-часовым нагреванием с N-бромсукцинимидом в CCl<sub>4</sub> при облучении 600 вт лампой и последующим кипячением продукта с водой окислен в 2-формил-3,4,5,6-тетраметоксинафтохинон к-ту [выход 85%, т. пл. 98-98,5° (из воды); 2,4-динитрофенилгидразон, т. пл. 218-219° (из сп.)], превращенную р-цией с CH<sub>3</sub>MgJ в эфире в IVa, выход 75%, т. пл. 36-37° (из воды). XI синтезирован иначе декарбоксилированием при 200-210° 4,5,6-триметоксинафтохинон-1,4 карбоновой к-ты [этиловый эфир, т. пл. 59,5-60° (из сп.)] в 4,5,6-триметоксинафтохинон, выход 60%, т. пл. 135-136° (из сп.), нитроанный конц. HNO<sub>3</sub> при 0° в 7-нитропроизводное, выход 35%, т. пл. 116-116,5° (из CH<sub>3</sub>OH), восстановленный над скелетным Ni в амин [выход 88%, т. пл. 145° (из CH<sub>3</sub>OH); ацетильное производное (АП), т. пл. 151°], превращенный через 4,5,6-триметокси-7-фталид, выход 73%, т. пл. 98,5-99° (из сп.), в XI. 3-метил-4-нитро-6,7-диметоксифталид восстановлен в смеси CH<sub>3</sub>OH-CH<sub>3</sub>COOH над скелетным Ni в амин [выход 91%, т. пл. 152-153° (из CH<sub>3</sub>OH); АП, т. пл.

163° (из бал.)], из которого получены диазометодом 4-оксинафтохинон (т. возг. 150°) и 4-йод- [т. пл. 104° (из CH<sub>3</sub>OH)]. 3-метил-6,7-диметоксифталиды. 3-трихлорметил-4,5,6-триметоксифталид восстановлен Zn и CH<sub>3</sub>COOH в 3-дихлорметил-4,5,6-триметоксифталид, т. пл. 120° (из CH<sub>3</sub>OH). 1-метилловый эфир 2-ацетилрезорцина восстановлен амальгамой Zn в 1-метилловый эфир 2-этилрезорцина (XII), выход 90%, т. кип. 120-121°/12 мм, окисленный VIII в 2-этил-1,3,4-триметоксинафтохинон (XIII). Встряхиванием с MnO<sub>2</sub> в эфире X окислен в 2-оксиметил-3,4,5,6-тетраметоксинафтохинон, выход 64,4%, т. пл. 161-162°. 1 г Ia и 2 г SeO<sub>2</sub> в 10 мл *iso*-C<sub>3</sub>H<sub>7</sub>OH и 3 мл воды кипятят 3-4 часа, продукт извлекают эфиром, эфирный р-р промывают водой и извлекают 2 н. NaOH. II. Аналогично из Ib получают III, выход 40%, и IV, т. пл. 85-87°. Встряхивают смесь 3 г XII в эфире, 12 г VIII, 3 г CH<sub>3</sub>COONa и 0,1 л воды, продукт извлекают эфиром, обрабатывают р-ром SO<sub>2</sub>, метилируют (CH<sub>3</sub>)<sub>2</sub>SO<sub>4</sub> и получают XIII, выход 29%, т. пл. 54-55° (из петр. эф.). Л. Щукина

57444. Производные 1,3-диоксинафтоиной-2 кислоты, замещенные в положении 4. Бретшнейдер, Рогенхофер (In 4-Stellung substituierte Derivate der 1,3-Dihydroxy-naphthoesäure-(2). Bretschneider H., Rogenhofer H.), Monatsh. Chem., 1957, 88, № 4, 652-662 (нем.)

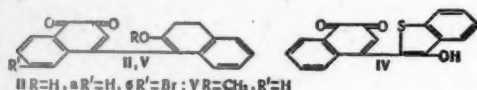
С целью испытания антибактериального действия синтезирован амид (I) 4-диметиламино-1,3-диоксинафтоиной-2 к-ты (Ia). Бромированием этилового эфира (II) 1,3-диоксинафтоиной-2 к-ты в CHCl<sub>3</sub> получают этиловый эфир (III) 4-бром-IIa (IIIa), который при действии диметиламина в C<sub>6</sub>H<sub>6</sub> дает этиловый эфир Ia (Ib), превращенный действием жидкого NH<sub>3</sub> в I. При действии жидкого NH<sub>3</sub> на II получают амид (IV), который при бромировании дает амид IIIa (IIIb), превращенный в I. При длительном стоянии I превращается в 3-оксинафтохинон-1,4 (V). Из IV получено O,O,N-триацетильное производное (IVa), которое дает N-ацетильное производное амиды IIa (IIb). Бромирование II и IV в положение 4 доказано тем, что IIIa при окислении щел. KMnO<sub>4</sub> дает фталевую к-ту (VI), а не ее бромпроизводное. При действии N<sub>2</sub>H<sub>4</sub>·H<sub>2</sub>O I дает гидразид IIa (IIc); этиловый эфир 4-диэтиламино-IIa (VII), дает соответствующий гидразид (VIII); III — гидразид 4-гидразино-IIa (IX). 23,2 г II в 120 мл CHCl<sub>3</sub> бромруют (2 часа) 16 г Br<sub>2</sub> в 30 мл CHCl<sub>3</sub> и выделяют III, выход 96%, т. пл. 168-170°. Аналогично из 2 г IV и 1,6 г Br<sub>2</sub> в C<sub>6</sub>H<sub>6</sub> получают IIIb, выход 92%. 30 г II и 15 г (CH<sub>3</sub>)<sub>2</sub>NH в 1050 мл C<sub>6</sub>H<sub>6</sub> оставляют на 3 часа при 20-30°, подкисляют H<sub>2</sub>SO<sub>4</sub> и получают 22,5 г Ib, выход 85%, т. пл. 78-79°; сульфат, т. пл. 190-191°. Взаимодействием 1,13 г IIIa с 0,54 г (CH<sub>3</sub>)<sub>2</sub>NH в 30 мл C<sub>6</sub>H<sub>6</sub> в автоклаве (20°, 6 час.), подкислением, экстракцией водой и добавлением NaHCO<sub>3</sub> получают I, выход 22%. Аналогично из 11 г Ib и 20 мл жидкого NH<sub>3</sub> (20°, 24 часа) получают IV с выходом 66%, т. пл. 170-171° (разл., из сп.), хлоргидрат, т. пл. 190-193° (разл.); при действии жидкого NH<sub>3</sub> на II в автоклаве при t-ре ~20° образуется IV, т. разл. 176-178°. 1 г хлоргидрата I оставляют на 48 час. при 20° и выделяют V, выход 65%, т. разл. 225-228°. Ацетилированием V (CH<sub>3</sub>CO)<sub>2</sub>O в пиридине получают IVa, выход 79%, т. пл. 164-165°; аналогично из II получают ди-ацетат, выход 92%, т. пл. 56-58°; из III ди-ацетат, выход 95%, т. пл. 96-97°. При кипячении с N<sub>2</sub>H<sub>4</sub>·H<sub>2</sub>O в спирте (в токе N<sub>2</sub>) из II получают IIb, выход 90%, т. пл. 286-289° (разл.; из воды); из VII получают VIII, выход 93%, т. разл. 161-162°; из III образуется IX, выход 81%, т. разл. 204-206°. При действии (C<sub>2</sub>H<sub>5</sub>)<sub>2</sub>NH на III в C<sub>6</sub>H<sub>6</sub> в токе N<sub>2</sub> получают VII, выход 43%, т. пл. 64-66°. Взаимодействие II с CH<sub>3</sub>N<sub>2</sub>,



в эфире дает этиловый эфир 1,3-диметоксинафтойной-2-к-ты, выход 86,5%, т. кип. 140—145°/0,2 мм, т. пл. 49—50°, который при нагревании с КОН в спирте гидролизуется в 1,3-диметоксинафтойную-2-к-ту, выход 93%, т. пл. 128° (из петр. эф.).

И. Гельфер 57445. Синяя окраска β-тетралона. Ванцлик, Леман-Хорхлер, Морман (Die Blaufärbung des β-Tetralons. Wanzlick Hans-Werner, Lehmann-Horchler Marianne, Mohrmann Steffi), Chem. Ber., 1957, 90, № 11, 2521—2526 (нем.).

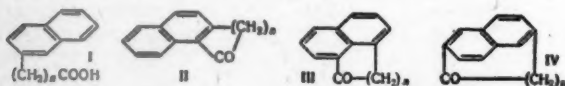
Изучено строение красителя, появляющегося при окислении β-тетралона (I) в щел. среде (см. РЖХим, 1956, 68316). Наиболее вероятным признано образова-



ние в-на строения (IIa), протекающее с промежуточным образованием β-нафтохинона (III). В подтверждение этого приведен ряд фактов: при прибавлении III к щел. р-ру I резко повышается выход IIa; прибавление 6-бром-III приводит к образованию бромпроизводного IIa (IIb), который так же, как и IIa, образует красные кристаллы и дает синюю Na-соль. Аналогичная р-ция известна для 3-окситионафена, который, поглощая  $\text{O}_2$ , образует с III в щел. р-ре соединение (IV), также дающее синюю соль. Кроме того, IIa дегидрированием с помощью хинонов и последующим метилированием превращено в соединение (V).

К. Хайкина 57446. Циклы средних размеров. XIV. Получение и циклизация ω-(нафтил-2)-карбоновых кислот. Хейсен, Риц (Mittlere Ringe. XIV. Darstellung und Cyclisierung der ω-Naphthyl-(2)-fettsäuren. Huisgen Rolf, Rietz Ulrich), Chem. Ber., 1957, 90, № 12, 2768—2784 (нем.).

В продолжение предыдущих работ (РЖХим, 1958,



Ia n=2, б n=3, в n=4, г n=5, д n=6, е n=8, ж n=9, з n=10, и n=11, к n=13; IIa n=2, б n=3, в n=4, г n=5, д n=6, IIIa n=10, б n=11, в n=13; IVa n=11, б n=13

43272) синтезирован ряд ω-(нафтил-2)-алкилкарбоновых к-т (Ia—к). Внутримолекулярным ацилированием хлорангидридов (ХА) Ia—д получены соответствующие нафтоциклокеноны (IIa—д). Циклизация ХА Ia—к приводит к образованию 1'-оксо-1,7-полиметилена-(IIIa—в) и 1'-оксо-2,6-полиметиленафталлина (IVa, б). Строение II—IV доказано окислением их до соответствующих к-т нафталина. Приведены УФ-спектры и потенциалы полуволны для II и III. Из 186 ммоль 2-бромметилнафталина, 0,48 г атома Na и 0,78 моля  $\text{CH}_2(\text{COOC}_2\text{H}_5)_2$  в 280 мл абс. спирта получают дитиловый эфир (нафтил-2-метил)-малоновой к-ты (V), выход 61%, т. кип. 170—174°/2 мм. После омыления и декарбоксилирования V получают Ia, т. пл. 133—134° (из 90%-ной  $\text{CH}_3\text{COOH}$ ); ХА, т. пл. 64,5—66,5° (из лигр.). Восстановлением β-(нафтил-2)-пропионовой к-ты по Клемменсену получают Ib, т. пл. 96,5—97,5°. К р-ру 190 ммоль  $\text{LiAlH}_4$  прибавляют за 45 мин. 363 ммоль метилового эфира (МЭ) Ib (т. кип. 143—146°/0,1 мм) в 250 мл абс. эфира и после гидролиза получают 4-(нафтил-2)-бутанол (VI), выход 97%, т. кип. 152—154°/0,2 мм, т. пл. 37,5—39°. Взаимодей-

ствием VI со 120 мл 48%-ной НВг в присутствии Р получают 4-(нафтил-2)-бутилбромид (VII), выход 92%, т. кип. 150—153°/0,2 мм. Кипятят 10 час. 59 г VII, 30 г KCN, 4 г NaI и 0,4 г  $\text{Cu}_2\text{SO}_4$  в 320 мл 90%-ного спирта, р-р выливают в воду и получают δ-(нафтил-2)-валеронитрил (VIII), выход 87%, т. пл. 66,7—67,2° (из лигр.). Кипятят 1 час 40 г VIII с 50 мл лед.  $\text{CH}_3\text{COOH}$ , 50 мл воды и 50 мл конц.  $\text{H}_2\text{SO}_4$  и получают Iв, выход 89%, т. пл. 79—80,1° (из лигр.); ХА, т. кип. 145°/0,01 мм. Аналогично из МЭ Ig получают 6-(нафтил-2)-гексанол, выход 92%, т. кип. 143—146°/0,03 мм; 6-(нафтил-2)-гексилбромид, выход 82%, т. кип. 150—152°/0,5 мм; 6-(нафтил-2)-гексилцианид, выход 90%, т. пл. 40,3—40,8° (из петр. эф.); Id, выход 84%, т. пл. 90,2—90,9° (из бзн.). В р-р 0,5 моля  $\text{ClOC}(\text{CH}_2)_4\text{COOC}_2\text{H}_5$  в 200 мл  $\text{C}_2\text{H}_2\text{Cl}_4$  вносят при охлаждении 1 моль  $\text{AlCl}_3$  и за 20 мин. при  $-10^\circ$ , прибавляют 0,5 моля нафталина (IX) в 200 мл  $\text{C}_2\text{H}_2\text{Cl}_4$ , размешивают 6 час. при  $-10^\circ$ , через 10 час. ( $\sim 20^\circ$ ) нагревают, отгоняют  $\text{C}_2\text{H}_2\text{Cl}_4$  и IX с паром, гидролизуют р-ром КОН в  $\text{CH}_3\text{OH}$ , прибавляют водой и подкислением выделяют δ-(нафтил-2)-валериановую к-ту (X), выход 44%, т. кип. 145,5—145,5° (из лед.  $\text{CH}_3\text{COOH}$ ). Восстановлением X по Клемменсену получают Ig, выход 82%, т. пл. 94,5—95,3° (из лигр.). Аналогично из  $\text{ClOC}(\text{CH}_2)_4\text{COOC}_2\text{H}_5$  и IX получают η-(нафтил-2)-октиловую к-ту, выход 26%, т. пл. 120—122° (из лед.  $\text{CH}_3\text{COOH}$ ), и (по Клемменсену) получают Ie, т. пл. 70,2—70,7° (из петр. эф.); из  $\text{ClOC}(\text{CH}_2)_4\text{COOC}_2\text{H}_5$  и IX образуется θ-(нафтил-2)-нонйловая к-та, выход 25%, т. пл. 106,5—107° (из лигр.), и (по Клемменсену) Iж, выход 39%, т. пл. 75—75,5° (из бзн.). Из 65,7 г VII, 6,08 г Mg в 250 мл абс. эфира и 25 г  $\text{CdCl}_2$  получают ди-(4-нафтил-2-бутил)-Cd (XI), который с 43 г  $\text{ClOC}(\text{CH}_2)_4\text{COOC}_2\text{H}_5$  после обычной обработки разб.  $\text{H}_2\text{SO}_4$  и эфиром дает МЭ ω-(нафтил-2)-ξ-оксоундециловой к-ты (XII), выход 72%, т. кип. 202—210°/0,005 мм, т. пл. 21—25°. После гидролиза XII получают к-ту (XIII), выход 47 г, т. пл. 89,7—90,1° (из сп.), а из 46,5 г XIII по Клемменсену получают Iз, выход 79%, т. пл. 77,5—78,1° (из лигр.). Аналогично из XI и  $\text{ClOC}(\text{CH}_2)_4\text{COOC}_2\text{H}_5$  получают МЭ ω-(нафтил-2)-θ-оксодециловой к-ты, выход 67%, т. кип. 207—215°/0,005 мм; к-та, т. пл. 77,2—77,8° (из циклогексана), и IIв, выход 84%, т. пл. 86,7—87,3° (из петр. эф.); из XI и  $\text{ClOC}(\text{CH}_2)_4\text{COOC}_2\text{H}_5$  получают 13-(нафтил-2)-9-оксотридеканкарбоновую к-ту, выход 66%, т. пл. 79,5—83° (из  $\text{CH}_3\text{OH}$ ), и Ik, т. пл. 92,2—92,8° (из лигр.). В суспензии  $\text{AlCl}_3$  в  $\text{CS}_2$  прибавляют за 45 мин. ХА Ia и получают IIa, выход 86%, т. пл. 102,3—103,8° (из водн.  $\text{CH}_3\text{OH}$ ); оксим (OK), т. пл. 175—176° (из  $\text{CH}_3\text{OH}$ ); семикарбазон (СК), т. пл. 207—208° (разл.); из сп.; 2,4-динитрофенилгидразон (ДНФГ), т. разл. 282—283° (из бзн.). Аналогично получены следующие II и III (указано в-во, т. кип. в °C/мм, производные, т. пл. в °C): IIб, — [т. пл. 67,8—68,1° (из бзн.)], OK, 174—175 (из  $\text{CH}_3\text{OH}$ ), СК, 223—225 (из сп.), ДНФГ, т. разл. 263 (из бзн.); IIв, 139—141/0,04, OK, 160—162 (из  $\text{CH}_3\text{OH}$ ), СК, 244 (из сп.; разл.), ДНФГ, 215,5—216,5 (из бзн.-сп.); IIг, 125—128/0,02, ДНФГ, 153,5—155 (из  $\text{CH}_3\text{OH}$ ); IIд, 95—100/0,001; IIе, —, 170/0,001 [т. пл. 68—68,6° (из петр. эф.)], OK, 169—171,4 (из сп.), ДНФГ, 199,5—200,7 (из бзн.-сп.); IIж, 215—220/0,2, ДНФГ, 162,8—164, и IVa (разделены хроматографированием); IIз, 183—188/0,005, ДНФГ, 123—124,3 (из  $\text{CH}_3\text{OH}$ ), и IVб (разделены хроматографированием).

Р. Жури 57447. Циклизация 3-(1',2',3',4'-тетрагидронафтил-6')-3-фенилпропионовой кислоты. Гранже, Орзалези (Cyclisation de l'acide tétrahydro-1',2',3',4'-naphthyl-6')-3 phényl-3 propionique. Granger Robert, Orzalési Henri), C. r. Acad. sci., 1958, 246, № 5, 779—781 (франц.).

Смесь 6,7-тетрагидробензо- (I, выход 90%, т. пл. 109°) и 5,6-тетрагидробензо- (II, т. пл. 103°)-3-фенилинданов-1 получена циклизацией хлорангидрида 3-(1', 2', 3', 4'-тетрагидронафтил-6')-3-фенилпропионово-й к-ты (III к-та) ( $\text{SnCl}_4$ , 0°) или III-(полифосфорная к-та, 100°). Строение I подтверждено восстановлением по Клемменсену в 4,5-тетрагидробензо-1-фенилиндан (IV), т. кип. 188—193/3 мм, дегидрированный в 4,5-бензо-1-фенилиндан, т. пл. 79°. IV синтезирован из 4,5-тетрагидробензониданона и  $\text{C}_6\text{H}_5\text{MgBr}$ , причем при дегидратации образующегося карбинола получается 4,5-тетрагидробензо-1-фенилиндан (V), т. пл. 77°, вторичная к-та, пл. 83°, дегидрирующий в IV. При восстановлении I  $\text{LiAlH}_4$  образуется 6,7-тетрагидробензо-3-фенилинданол, т. пл. 94°, дегидратирующий при нагревании с  $(\text{COOH})_2$  в изомерный V 6,7-тетрагидробензо-3-фенилиндан, т. пл. 63°. Кроме того, р-цией хлорангидрида 1,2,3,4-тетрагидронафталинкарбоновой-5 к-ты и  $\text{C}_6\text{H}_5\text{MgBr}$  в присутствии  $\text{CdCl}_2$  получен 5-ацетил-1,2,3,4-тетрагидронафталин, конденсированный с  $\text{C}_6\text{H}_5\text{CHO}$  в 1-(1', 2', 3', 4'-тетрагидронафтил-5')-3-фенилпропен-2-он, т. пл. 54°, изомеризующийся при действии  $\text{AlCl}_3$  в I с 80%-ным выходом. Строение II не подтверждено синтезом. III, т. пл. 148°, получена конденсацией (1,2,3,4-тетрагидронафтил-6)-фенилкарбинола с малоновой к-той или 1,2,3,4-тетрагидронафталина с коричневой к-той при 20° в присутствии  $\text{AlCl}_3$ . Л. Щукина 57448. Исследование в области синтеза и свойств нафталиндисульфидных кислот. V. Нафталин-1,3-дисульфидная кислота и ее производные. Янчевский, Новаковская (Z badań nad syntezą i właściwościami kwasów naftaleno-dwusulfonowych. V. Kwas naftaleno-1,3-dwusulfonowy i jego pochodne. Janczewski Marian, Nowakowska Wiesława), Roczn. chem., 1957, 31, № 2, 717—720 (польск.; рез. нем.)

Описываются производные нафталин-1,3-дисульфидной к-ты (I): средняя изобензилтиуроиевая соль, т. пл. 201° (из разб. сп.); 1,3-бис-(бензилсульфонил)-нафталин, т. пл. 190°; 1,3-бис-(2', 4'-динитрофенилсульфонил)-нафталин, т. пл. 249—250°. I довольно легко реагирует с *n*-бензохиноном, образуя 1,3-бис-(2', 5'-диоксифенилсульфонил)-нафталин (II), т. пл. 241—243° (из разб. сп.). II подвергался метилированию, ацетилированию и бензоилированию, причем получены: 1,3-бис-(2', 5'-диметоксифенилсульфонил)-нафталин, т. пл. 253° (из хлф. и сп.); 1,3-бис-(2', 5'-диацетоксифенилсульфонил)-нафталин, иглолки, т. пл. 212° (из хлф. и сп.); 1,3-бис-(2,5-дibenзоксифенилсульфонил)-нафталин, т. пл. 136° (из хлф.), т. размягч. 118—119°. Восстанавливая I, получают димеркаптонафталин, характеризованный в виде ацетильного производного, т. пл. 98—99°. Из нафталин-1,3-дитиола действием  $\text{CH}_3\text{COONa}$  получают нафталин-1,3-бис-тиогликолевую к-ту, образующую кристаллич. среднюю бензилтиуроиевую соль, т. пл. 168° (из сп.). Взаимодействием I с бензилдипацетатом получают 1,3-бис-( $\alpha$ -фенил- $\beta$ -ацетилэтилсульфонил)-нафталин, т. пл. 140°. Из  $\alpha$ -нитростирола получают 1,3-бис-( $\alpha$ -фенил- $\beta$ -нитроэтилсульфонил)-нафталин, т. пл. 196—200°. Из I действием  $\text{HgCl}_2$  получают бис-(хлорртуть)-нафталин, который превращен затем в 1,3-дидиоднафталин. Предыдущее сообщение см. РЖХим, 1956, 6786.

В. Szczyciński

57449. Аминоспирты. I. Цис- и транс-DL-1-амино-2-окситетралины и цис- и транс-DL-1-амино-2-оксиниданы. Дрефаль, Пензолд (Aminoalkohole. I. Cis- und trans-DL-1-Amino-2-hydroxy-tetralin und cis- und trans-DL-1-Amino-2-hydroxy-indan. Drefahl Günther, Ponsold Kurt), Chem. Ber., 1958, 91, № 2, 266—270 (нем.) Показано, что аминоспирты, образующиеся при

р-ции 1-окси-2-бромтетралина и 1-окси-2-бромидана с  $\text{NH}_3$  имеют транс-конфигурацию и, следовательно, являются транс-DL-1-амино-2-окситетралином (I) и транс-DL-1-амино-2-оксиниданом (II). При нагревании транс-DL-1-*n*-нитробензоиламино-2-окситетралина (IIIa) с  $\text{SOCl}_2$  (3 часа, 25—30°) образуется хлоридат (XГ) [IV, выход 80%, т. пл. 194° (из сп.-эф.)] DL-цис-2-*n*-нитрофенилтетралино-(1', 2', 4,5)-оксазолина, т. пл. 129° (из  $\text{CH}_3\text{COOH}$ ), гидролизующийся при кратковременном кипячении с 5%-ной  $\text{HCl}$  в XГ DL-цис-1-амино-2-*n*-нитробензоилокситетралина (V), выход 71%, т. пл. 194—195° (разл., из сп.-эф.), из р-ра которого при действии избытка щелочи выделяется цис-форма IIIa (IIIb), т. пл. 193° (из *изо*- $\text{C}_3\text{H}_7\text{OH}$ ). IV кипятят 4 часа с 20%-ной  $\text{HCl}$ , содержащей немного  $\text{CH}_3\text{COOH}$ , после чего смесь разбавляют водой и подщелачивают, получается цис-форма I, выход 74%, т. пл. 107°; XГ, т. пл. 215° (разл.); N-ацетат, т. пл. 166—167°. DL-транс-1-*n*-нитробензоиламино-2-оксинидан (VIa), т. пл. 231—232° (из  $\text{CH}_3\text{OH}$ ), при действии  $\text{SOCl}_2$  также превращается в XГ [VII, выход 81%, т. пл. 171° (из эф.)], вторичная т. пл. 197—198°] DL-цис-2-*n*-нитрофенилндан-о-(1', 2', 4,5)-оксазолина (VIII), т. пл. 205° (из  $\text{CH}_3\text{COOH}$ ). Кипящая 5%-ная  $\text{HCl}$  гидролизует VII в XГ DL-цис-1-амино-2-нитробензоилоксинидана (IX), выход 81%, т. пл. 219° (разл.); VIII при действии  $\text{NaOH}$  превращается в цис-форму VIa (VIb), выход 85%, т. пл. 211° (из *изо*- $\text{C}_3\text{H}_7\text{OH}$ ); при нагревании (6 час.) VIII со смесью 15%-ной  $\text{HCl}$  и  $\text{CH}_3\text{COOH}$  (16:3) образуется цис-форма II, выход 66%, т. пл. 131° (из бзл.), XГ, т. пл. 197° (разл.), N-ацетат, т. пл. 157°; N-ацетат II, т. пл. 207°. IIIa и VIa не изменяются при действии (20°, 48 час.) большого избытка абс. спирта или диоксана, содержащего  $\text{HCl}$ , в то время как IIIb и VIb в этих условиях превращаются в V, выход 73%, и IX, выход 95%; при 100° IIIb изомеризуется в V почти количественно; IIIa изомеризуется на 44% в транс-форму V, т. пл. 244° (разл.; из сп.-эф.), а VIa частично превращается в VIb, а частично (на 40%) изомеризуется в транс-изомер IX.

Л. Щукина

57450. Оксикетоны, обладающие защитной активностью против действия летальных доз радиации. Бью Хой, Лави (Hydroxycétones possédant une activité protectrice contre les effets des radiations léthales. Ruu-Hoi N. P., Lavit Denise), Croat. chem. acta, 1957, 29, № 3—4, 287—290 (франц.; рез. сербо-хорв.)

Ацилированием пирогаллола (I),  $\alpha$ -нафтола или 1,6-диоксинафталина соответствующими к-тами синтезированы *о*-оксикетоны, обладающие защитной активностью против действия рентгеновских лучей. Смесь 20 г I, 36 г  $\text{C}_{10}\text{H}_9\text{COOH}$  и порошка  $\text{ZnCl}_2$  нагревают 7 час. при 165—170°, продукт растирают с водой и извлекают  $\text{CHCl}_3$  4-арахидоилпирогаллол, т. пл. 101° [из циклогексана (II)]. Аналогично (нагревание 20 час.) получают [указаны т. пл. в °C (из II)]: 2-ундеканоил-(70), 2-арахидоил-(91-92), 2-гексагидробензиол-(104) и 2-( $\beta$ -циклогексилпропионил)- (III, 79)-1-нафтолы и 1,6-диокси-2-октаоилнафталин, т. пл. 136° (из бзл.). Бромтируют III в 70%-ной  $\text{CH}_3\text{COOH}$  р-ром  $\text{Br}_2$  в  $\text{CH}_3\text{COOH}$  и выделяют 4-бром-2-( $\beta$ -циклогексилпропионил)-1-нафтол, т. пл. 85° (из  $\text{CH}_3\text{COOH}$ ).

Л. Щукина

57451. 1,4-диметоксинантрацены, замещенные в мезоположении. 9,10-диметилантрахинон-1,4. Ленаж (Diméthoxy-1,4 anthracènes substitués en méso. La diméthyl-9,10 anthraquinone-1,4. Lepage Yves), C. r. Acad. sci., 1958, 246, № 6, 954—957 (франц.)

Синтезированы 1,4-диметокси-9-R-10-R'-антрацены (Ia—e, где  $\text{a R} = \text{C}_6\text{H}_5$ ,  $\text{R}' = \text{H}$ ;  $\text{b R} = \text{C}_6\text{H}_5$ ,  $\text{R}' = \text{CH}_3$ ;  $\text{в R} = \text{CH}_3$ ,  $\text{R}' = \text{H}$ ;  $\text{г R} = \text{CH}_3$ ;  $\text{д R} = \text{CH}_3\text{O}$ ,  $\text{R}' = \text{H}$ ,  $\text{е R} = \text{R}' = \text{CH}_3\text{O}$ ). Ia получен из 1-окси-4-



метоксисантрацена (II) и  $C_6H_5MgBr$  через 1,9-диокси-4-метокси-9-фенил-9,10-дигидроантрацен, т. пл. 207—208°, дегидратированный р-ром  $HCl$  в  $CH_3OH$  в 1-окси-4-метокси-9-фенилантрацен, т. пл. 187—188°, ацетат, т. пл. 208—209°, метилированный  $(CH_3)_2SO_4$  в Ia, т. пл. 158—159°; Ib, т. пл. 120—121°, синтезирован аналогично из 1,4-диметокси-10-метилантрацена (III) и  $C_6H_5MgBr$  через 1,6-диметокси-9-окси-9-фенил-10-метил-9,10-дигидроантрацен, т. пл. 181—182°; Ic, т. пл. 109—110°, получен дегидратацией карбинола, образующегося при восстановлении мезометилантрацена  $NaBH_4$  в  $CH_3OH$ ; Id, т. пл. 123—124°, и Ie, т. пл. 147—148° — метилированные II и 1,4-диметоксисантрагидрохинона. Для получения Ig карбинол, полученный из III и  $CH_3MgI$ , дегидратирован в 1,4-диметокси-9-метил-10-метил-9,10-дигидроантрацен, т. пл. 118—119°, изомеризованный действием «тритона B» в Ig. При попытке синтеза Ig взаимодействием хинизарона и  $CH_3MgI$  и дегидратацией образующегося 1,4-диметокси-9,10-диокси-9,10-диметил-9,10-дигидроантрацена, т. пл. 203—204°, получен 9,10-диметилантрахинон-1,4, т. пл. 194—195°, восстанавливающийся в 1,4-дикето-9,10-диметил-1,2,3,4-тетрагидроантрацен, т. пл. 181—182°, из которого при гидрировании над Pd/Pt образуется 9,10-диметил-1,2,3,4-тетрагидроантрацен, т. пл. 109—110°.

Д. Витковский

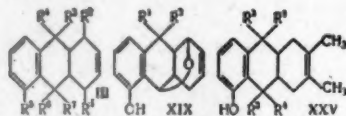
**57452. Производные антрацена с мостиковыми атомами азота и кислорода. Виттиг, Штильц, Кнаусс (Anthracen-Derivate mit N- und O-Brückennatom. Wittig G., Stilz W., Knauss E.), Angew. Chem., 1958, 70, № 6, 166 (нем.)**

При взаимодействии о-фторбромбензола (I) и Mg с N-метилизоиндолом в эфире выделены сильно флуоресцирующий желто-зеленый 9-N-(N-метиланилино)-антрацен (II) и бесцветный сильноосновной 9,10-эндо-N-метиламино-9,10-дигидроантрацен (III), выход 54%. Р-ция протекает через промежуточное образование дегидробензола (IV) из I и Mg. II и III при окислении  $H_2CrO_4$  в лед.  $CH_3COOH$  дают антрахинон. Р-ция IV с 1,3-дифенилизобензофураном в тетрагидрофуране приводит к образованию 9,10-окиси 9,10-дифенил-9,10-дигидроантрацена, строение которого подтверждено восстановлением Zl в лед.  $CH_3COOH$  до 9,10-дифенилантрацена.

И. Цветкова

**57453. Структурное и пространственное течение реакций металлоорганических соединений с дневными аддуктами из 1,4-нафтохинонов. Инхоффен, Муксфельдт, Шефер, Кремер (Struktureller und sterischer Verlauf metallorganischer Reaktionen an Dien-Addukten von 1,4-Naphthochinonen. Inhoffen H. N., Muxfeldt H., Schaefer H., Krämer H.), Croat. chem. acta, 1957, 29, № 3—4, 329—245 (нем.; рез. сербо-хорв.)**

Дневной р-цией 8-оксинафтохинона-1,4 (юглона) (I) с 1-ацетоксибутадиеном (II) синтезированы оба



изомерных аддукта (III  $R^1 = OCOCH_3$ ,  $R^2 = H$ ,  $R^3 + R^4 = R^6 + R^7 = O$ ,  $R^5 = OH$ ) (IV) и (III  $R^1 = H$ ,  $R^2 = OCOCH_3$ ,  $R^3 + R^4 = R^6 + R^7 = O$ ,  $R^5 = OH$ ) (V). Строение IV и V доказано превращением IV в тетрал (III  $R^1 = R^3 = R^5 = OH$ ,  $R^2 = R^4 = R^6 = H$ ) (VI) и далее в 1,8-диацетоксисантрахинон (VII), а V — в тетрал (III  $R^1 = R^4 = R^7 = H$ ,  $R^2 = R^3 = R^5 = R^6 = OH$ ) (VIII) и далее в 1,5-диацетоксисантрахинон (IX). При действии  $CH_3MgI$  IV и V дали соответственно триолмоноацетаты (III  $R^1 = OCOCH_3$ ,  $R^2 = H$ ,  $R^3 +$

$R^4 = O$ ,  $R^5 = R^6 = OH$ ,  $R^7 = CH_3$ ) (X) и (III  $R^1 = H$ ,  $R^2 = OCOCH_3$ ,  $R^3 = R^5 = OH$ ,  $R^4 = CH_3$ ,  $R^6 + R^7 = O$ ) (XI), которые омылены соответственно в триолы (III  $R^1 = R^5 = R^6 = OH$ ,  $R^2 = H$ ,  $R^3 + R^4 = O$ ,  $R^7 = CH_3$ ) (XII) и (III  $R^1 = H$ ,  $R^2 = R^3 = R^5 = OH$ ,  $R^4 = CH_3$ ,  $R^6 + R^7 = O$ ) (XIII). Частичным восстановлением IV превращен через кетоспирт (III  $R^1 = OCOCH_3$ ,  $R^2 = R^6 = H$ ,  $R^3 + R^4 = O$ ,  $R^5 = R^7 = OH$ ) (XIV) в 1,10-диацетоксисантрацен (XV), а V через кетоспирт (III  $R^1 = R^3 = H$ ,  $R^2 = OCOCH_3$ ,  $R^4 = R^5 = OH$ ,  $R^6 + R^7 = O$ ) (XVI) в 1,9-диацетоксисантрацен (XVII). Триолы XII и XIII образовались в виде смеси *цис*- и *транс*-изомеров. *Цис*-XIII восстановлен в тетрал (III  $R^1 = R^6 = H$ ,  $R^2 = R^3 = R^5 = R^7 = OH$ ,  $R^4 = CH_3$ ) (XIII), который также получен из XI. Из VIII получен циклич. эфир (XIX  $R^1 = H$ ,  $R^2 = OH$ ) (XX), который окислен в кетон (XIX  $R^1 + R^2 = O$ ) (XXI). Последний превращен в XV. Аддукт (III  $R^1 = R^2 = H$ ,  $R^3 = OCOCH_3$ ,  $R^4 + R^5 = R^6 + R^7 = O$ ) (XXII) действием  $CH_3MgI$  превращен в кетоспирт (III  $R^1 = R^5 = H$ ,  $R^2 = OCOCH_3$ ,  $R^3 = OH$ ,  $R^4 = CH_3$ ,  $R^6 + R^7 = O$ ) (XXIII), который омылен в смесь изомерных диолов (III  $R^1 = R^5 = H$ ,  $R^2 = R^3 = OH$ ,  $R^4 = CH_3$ ,  $R^6 + R^7 = O$ ) (XXIV). Аналогично из аддукта (XXV  $R^1 + R^2 = R^3 + R^4 = O$ ) (XXVI) и  $CH_3MgI$  получены изомерные диолы (XXV  $R^1 = OH$ ,  $R^2 = CH_3$ ,  $R^3 + R^4 = O$ ) (XXVII) и (XXV  $R^1 + R^2 = O$ ,  $R^3 = OH$ ,  $R^4 = CH_3$ ) (XXVIII). Приведены кривые ИК- и УФ-спектров полученных в-в и кривые УФ-спектров X, XI, XIV, XVI, XXI, XXVII и XXVIII, а также сходных соединений. Р-р 10 г I, 40 мл II и 15 мл метиленовой сини в 450 мл  $C_6H_6$  кипятили 4 часа; после отгонки р-рителя в вакууме остаток растворен в миним. кол-ве эфира и р-р охлажден до  $-10^\circ$ ; через 0,5 часа отделен осадок, из которого после хроматографирования на  $SiO_2$  получено 8,6 г IV, т. пл. 132—133° (из  $C_6H_{12}$ ); из маточного р-ра выделен V, выход 1,8 г, т. пл. 156—157° (из  $C_6H_{12}$ ). К р-ру 2 г IV в 100 мл тетрагидрофурана (XXIX) прибавлено 11,8 мл 1,5 M эфирного р-ра  $LiAlH_4$  и через 5 час. (20°) выделен VI, выход 31%, т. плаз.  $> 170^\circ$  (из ацетона). Смесь 200 мг VI, 6 г  $MnO_2$  и 50 мл ацетона кипятили 5 час., разбавили водой, подкислили разб.  $H_2SO_4$  и добавили  $NaHSO_3$  до растворения  $MnO_2$ ; продукт р-ции встряхивали 1 час с 2 мл  $(CH_3CO)_2O$  и следами  $HClO_4$ ; после хроматографирования на  $SiO_2$  выделен VII, выход 23%, т. пл. 230—232°. При восстановлении V аналогично IV получен VIII, выход 20%, т. пл. 257—258° (разл.; из ацетона). Из VIII так же, как из VI, образовался IX, выход 11%, т. пл. 235,5—236,5°. К р-ру 3 г IV в 300 мл XXIX за 10 мин. при т-ре от  $-20$  до  $-25^\circ$  прибавили эфирный р-р  $CH_3MgI$  (из 764 мг Mg); после взаимодействия (1 час,  $-20^\circ$ , 1 час от  $-20$  до  $+20^\circ$  и 2 часа  $20^\circ$ ), разложения смеси и хроматографирования продукта на  $SiO_2$  выделен X, выход 24%, т. пл. 149,5—150,5° (из  $C_6H_{12}$ ). Из 450 мг X в 45 мл  $CH_3OH$  и 22,5 мл 3%-ного р-ра KOH в водн.  $CH_3OH$  (1:1) (1 час, кипячение) получена смесь *цис*- и *транс*-XII, из которой выделен один изомер XII, выход 60%, т. пл. 182—183° (из бзл.). К р-ру 6 г V в 600 мл толуола прибавили за 20 мин. при  $-75^\circ$  эфирный р-р  $CH_3MgI$  (из 1,53 г Mg); после р-ции (2,5 часа,  $-75^\circ$ , 2 часа при т-ре от  $-75$  до  $+20^\circ$  и 2 часа  $20^\circ$ ) смесь разложена и в-во хроматографировано на  $SiO_2$ ; получен XI, выход 58%, т. пл. 165,5—166,5° (из  $C_6H_{12}$ ). После омыления 1,16 г XI кипячением (1 час) с 30 мл 3%-ного р-ра KOH в водн.  $CH_3OH$  образовалось 742 мг *транс*-XIII, т. пл. 158—159° (из бзл.), и после хроматографирования на  $SiO_2$  52 мг *цис*-XIII, т. пл. 175—179° (из  $C_6H_{12}$ ). При кипячении р-ра 1 г *транс*-XIII с 3%-ным р-ром KOH в водн.  $CH_3OH$  в тех же условиях образовалось 78 мг *цис*-XIII. К р-ру 1 г IV в 50 мл XXIX при  $-60^\circ$  и

10 мин. прибавлен эфирный р-р 0,009 экв  $\text{LiAlH}_4$ ; через 30 мин. (20°) после обычной обработки и хроматографирования на  $\text{SiO}_2$  получен XIV, выход 57%, т. пл. 174—175,5° (из  $\text{C}_6\text{H}_{12}$ ). Смесь 200 мг XIV, 10 мл  $\text{CH}_3\text{OH}$  и 10 мл 20%-ной  $\text{H}_2\text{SO}_4$  нагревали 10 мин. при 100°; выделенное после разбавления в-во (130 мг), т. пл. 224—228°, ацетиленоано кипячением (5 мин.) с  $(\text{CH}_3\text{CO})_2\text{O}$  в пиридине; после хроматографирования на  $\text{SiO}_2$  получен XV, выход 35%, т. пл. 171—173° (из  $\text{CH}_3\text{OH}$ ). Аналогично из V получен XVI, выход 40%, т. пл. 135,5—136,5° (из  $\text{C}_6\text{H}_{12}$ ), а XVI превращен в XVII, т. пл. 210—211° (из  $\text{CH}_3\text{OH}$ ). Р-р 200 мг XI в 20 мл XXIX обработан 1,5 мл 1,5 M эфирного р-ра  $\text{LiAlH}_4$  (5 час., 20°); образовался XVIII, выход 32%, т. разл. > 260° (из ацетона). Из цис-XIII в тех же условиях получено 33% XVIII. К р-ру 175 мг VIII в 10 мл дioxана прибавлен 1 мл 0,01 н.  $\text{HCl}$  и через 14 час. (20°) р-ритель отогнан в вакууме; получен XX, выход 62%, т. пл. 257—258° (разл.; из ацетона). Р-р 140 мг XX в 2 мл пиридина обработан (15 час., 20°) р-ром 190 мг  $\text{CrO}_3$  в 5 мл пиридина; образовался XXI, выход 53%, т. разл. > 216° (из бzl.). При действии  $\text{H}_2\text{SO}_4$  в  $\text{CH}_3\text{OH}$  XXI аналогично XIV дал XV, выход 64%. Из 1 г XXII в 100 мл толуола и  $\text{CH}_3\text{MgI}$  (из 180 мг  $\text{Mg}$ ) получен XXIII, выход 50%, т. пл. 156,5—157° (из  $\text{C}_6\text{H}_{12}$ ). Омылением р-ром  $\text{KOH}$  в водн.  $\text{CH}_3\text{OH}$  XXIII превращен в смесь цис- и транс-XXIV, из которой выделен один изомер XXIV, выход 46%, т. пл. 142—143,5° (из  $\text{C}_6\text{H}_{12}$ ). Р-р 1 г XXVI в 100 мл XXIX обработан при т-ре от -20 до -25° р-ром  $\text{CH}_3\text{MgI}$  (из 237 мг  $\text{Mg}$ ); после обычной обработки и хроматографирования на  $\text{SiO}_2$  выделено 70 мг XXVII, т. пл. 133,5—135° (из  $\text{C}_6\text{H}_{12}$ ), и 75 мг XXVIII, т. пл. 151—152,5° (из  $\text{C}_6\text{H}_{12}$ ). При применении толуола вместо XXIX образовался только XXVII, выход 60%, а при действии  $\text{CH}_3\text{Li}$  на 1 г XXVI в XXIX получено 165 мг XXVII и 55 мг XXVIII. См. также РЖХим, 1958, 21429. А. Берлин

**57454. Синтез и превращения  $\beta$ -( $\beta$ -антрахинонил)- $\beta$ -аминопропионовой кислоты и некоторых ее производных.** Пуренас, Виткус ( $\beta$ -( $\beta$ -antrachinonil)- $\beta$ -amino propionines rūgties ir kai kurių jos darinų sintezė ir kitiimai. Purnas A., Vitkus J.), Kauno politechn. inst. darbai, Тр. Каунасск. политехн. ин-та, 1957, 7, 25—31 (лит.; рез. русск.)

С целью синтеза  $\beta$ -( $\beta$ -антрахинонил)- $\beta$ -аланина (I) изучена конденсация  $\beta$ -антрахинонового альдегида (II) с малоновой к-той (III) (ср. Родионов В. М., Малецкая Е. Ф., Берг, 1926, 59, 2952; Johnson T. и др., J. Amer. Chem. Soc., 1936, 58, 299). Наиболее оптимальным оказался вариант метода Родионова, предложенный Кравченко М. А. (канд. дисс., Москва, 1945). 22,3 г  $\beta$ -метилантрахинона и 16,6 г  $\text{SeO}_2$  нагревают 3 часа в автоклаве при 240°, обрабатывают толуолом, фильтруют, из фильтрата через бисульфитное производное выделяют II, выход 28%, т. пл. 188°. 11,9 г II, 6,5 г III, 13,1 г  $\text{CH}_3\text{COONH}_4$  и 150 мл лед.  $\text{CH}_3\text{COOH}$  нагревают при 90—95° 11 час., отгоняют 125 мл  $\text{CH}_3\text{COOH}$ , получают I (выделение и очистка по Родионову В. М., см. ссылку выше), выход 56%, т. пл. 248—250° (разл.; из 80%-ного сп.); N-бензоильное производное, выход 88%, т. пл. 226,5—227,5°; N-ацетильное производное, выход 71%, т. пл. 242° (из сп.). Аналогично I из II,  $\text{CH}_3\text{NH}_2 \cdot \text{HCl}$  и III в присутствии  $\text{CH}_3\text{COOK}$  и лед.  $\text{CH}_3\text{COOH}$  (нагревание при 100° 9 час.) получена  $\beta$ -( $\beta$ -антрахинонил)- $\beta$ -N-метиламинопропионовая к-та, выход 34%, т. пл. 229—231°. 4,4 г I, 13,2 г мочевины, 150 мл воды и 2 мл спирта нагревают при 100° 14 час., получают  $\beta$ -( $\beta$ -антрахинонил)- $\beta$ -уреидопропионовую к-ту (IV), выход 93%, т. пл. 185—185,5° (из водн. сп.). 3,4 г IV и 180 мл конц.  $\text{HCl}$  перемешивают 25 мин., получают 6-( $\beta$ -антрахинонил)-дигидроурацил, выход 75%, т. пл. 285° (из сп.). Л. Я.

**57455. Изучение антрахиноновых красителей. II. Синтез 1-(4'-аминофенил)-амино-4-аминоантрахинона.** Такэкава, Като (Takekawa Yasuo, Kato Shimpachiro), Kogē kagaku zasshi, J. Chem. Soc. Japan. Industr. Chem. Sec., 1957, 60, № 11, 1479—1480 (японск.)

2,7 г 1-амино-4-нитроантрахинона, 1,9 г n-хлорнитробензола, 0,5 г  $\text{CH}_3\text{COONa}$ , 0,7 г  $\text{Na}_2\text{CO}_3$ , 0,2 г  $(\text{CH}_3\text{COO})_2\text{Cu}$ , 0,1 г  $\text{Cu}$  и 15 г  $\text{C}_6\text{H}_5\text{NO}_2$  кипятят 3 часа, на другой день удаляют р-рители, обрабатывают водой, получают 1-(4'-нитрофенил)-амино-4-нитроантрахинон (I), выход 69%, т. пл. 284—285°. 1 г I, 5,6 г кристаллич.  $\text{Na}_2\text{S}$ , 30 г спирта кипятят 1 час, выливают постепенно в теплую воду, получают 1-(4'-аминофенил)-амино-4-аминоантрахинон, выход 95%, т. пл. 248—249° (из сп.). Испытаны красящие свойства полученного красителя и поглощение в видимой области. Сообщение I см. РЖХим, 1958, 21428. Л. Яновская

**57456. Синтез алкилфенантронов. III. Отган, Окамото, Нацумэ (Syntheses of alkylphenanthrenes. III. Ochiai Eiji, Okamoto Toshihiko, Natsume Mitsutaka), Pharmac. Bull., 1957, 5, № 2, 108—112 (англ.)**

Синтезирован ряд производных 1-метилфенантрена (I), 6,7-диметилфенантрена (II) и другие алкилфенантроны. Из 5-метилтетралона-1 (III) через 5-метилтетралил-1-уксусную к-ту (IV), 1- $\beta$ -хлорэтил-5-метилтетралин (V),  $\gamma$ -(5-метилнафтил-1)-масляную к-ту (VI) и 1-оксо-8-метил-1,2,3,4-тетрагидрофенантрен (VII) получены 8-метил-I (VIII) и 8-этил-I (IX). Р-цией Реформатского из 6,7-диметилтетралона-1 (X) и  $\text{BrCH}_2\text{COOC}_2\text{H}_5$  (XI) синтезирован этиловый эфир 6,7-диметилтетралил-1-уксусной к-ты (XII), который через 1- $\beta$ -оксэтил-6,7-диметилтетралин (XIII), 1- $\beta$ -хлорэтил-6,7-диметилтетралин (XIV) и  $\gamma$ -(6,7-диметилнафтил-1)-масляную к-ту (XV) превращен в 1-оксо-6,7-диметил-1,2,3,4-тетрагидрофенантрен (XVI). Из XVI получены 1-метил-II (XVII), 1-этил-II (XVIII), 1-пропил-II (XIX), 1-изопропил-II (XX), 1-бутил-II (XXI). Для синтеза 6,7-(2'-метилциклопентано)-I (XXII) из 2-метилиндана (XXIII) через  $\beta$ -(2-метил-5-инданкарбонил)-пропионовую к-ту (XXIV) и этиловый эфир 6,7-(2'-метилциклопентано)-тетралил-1-уксусную к-ту (XXV) получен 1-оксо-6,7-(2'-метилциклопентано)-1,2,3,4-тетрагидрофенантрен (XXVI). Кроме того, из этилового эфира 7-этилтетралил-1-уксусной к-ты (XXVII) через 6-ацетил-7-этилтетралил-1-уксусную к-ту (XXVIII),  $\gamma$ -(6,7-диэтилнафтил-1)-масляную к-ту (XXIX) и 1-оксо-6,7-диэтил-1,2,3,4-тетрагидрофенантрен (XXX) синтезирован 6,7-диэтил-I (XXXI). Строение XXV и XXVIII доказано окислением их в пиромеллитовую к-ту. Из 80 г o-BrC<sub>6</sub>H<sub>4</sub>CH<sub>3</sub>, 11,4 г  $\text{Mg}$  и 40 г окиси этилена получают 42 г  $\beta$ -o-толилэтанола, т. кип. 126—134°/16—18 мм, который превращен действием  $\text{SOCl}_2$  и  $\text{C}_6\text{H}_5\text{N}(\text{CH}_3)_2$  в  $\beta$ -o-толилэтилхлорид, т. кип. 106—110°/7 мм. Из последнего после конденсации с Na-малоновым эфиром, гидролиза и декарбоксилирования образовалась  $\gamma$ -o-толилмасляная к-та, т. пл. 59—60°, которая при нагревании со смесью 85%-ной  $\text{H}_3\text{PO}_4$  и  $\text{P}_2\text{O}_5$  (1 час, 100°) дала III, т. кип. 115—117°/3 мм. Смесь 8 г III, 8 г  $\text{Zn}$ , 20 г XI и нескольких кристаллов  $\text{J}_2$  в 40 мл  $\text{C}_6\text{H}_6$  кипятят 5 час.; продукт р-ции нагревали с 50 мл  $(\text{CH}_3\text{CO})_2\text{O}$  (50 мин., кипячение) и полученное в-во (т. кип. 159—170°/5 мм) гидрировали в спирте с  $\text{Pd/C}$ ; после гидролиза р-ром  $\text{KOH}$  в водн.  $\text{CH}_3\text{OH}$  (2 часа, кипячение) выделено 6 г IV, т. пл. 113—114° (из водн.  $\text{CH}_3\text{OH}$ ); метиловый эфир (XXXII), т. кип. 133—134°/4 мм. После восстановления 6 г XXXII действием  $\text{LiAlH}_4$  в эфире и обработки спирта  $\text{SOCl}_2$  и  $\text{C}_6\text{H}_5\text{N}(\text{CH}_3)_2$  получено 4,2 г V, т. кип. 118°/3 мм. После конденсации 2 г V с 3,8 г малонового эфира в присутствии 0,4 г  $\text{Na}$  и 10 мл спирта, гидролиза, декарбоксилирования и де-



гидрирования с Pd/C образовалось 0,47 г VI, т. пл. 123—125°. Смесь 0,21 г VI, 0,64 мл 85%-ной  $H_3PO_4$  и 1 г  $P_2O_5$  нагревали 1,5 часа при 100° и получили 100 мг VII, т. пл. 165—166° (из бал.-петр. эф.). Р-р 100 мг VII в 5 мл  $C_6H_6$  обработан  $CH_3MgI$ , продукт р-ции кипятили с 5 мл  $CH_3COOH$  15 мин. и затем дегидрировали с Pd/C (1 час, 280—290°); выделено 78 мг VIII, т. пл. 189—191° (из бал.- $CH_3OH$ ); комплекс с тринитробензолом (ТНБ), т. пл. 170—172°. Аналогично из 100 мг VII и  $C_6H_5MgBr$  получено 29 мг IX, т. пл. 104—105° (из  $CH_3OH$ ); ТНБ, т. пл. 142—143°. При взаимодействии 10 г X и 18 г XI с 30 г Zn в присутствии 0,7 г  $J_2$  в смеси 200 мл эфира и 200 мл  $C_6H_6$  (6 час.), после обработки  $(CH_3CO)_2O$  и гидрирования получено 12,3 г XII, т. кип. 163—165°/5 мм, т. пл. 123,5—124°. Действием  $LiAlH_4$  XII восстановлен в XIII, т. кип. 154°/5 мм, который после превращения в XIV, т. кип. 133—136°/5 мм, конденсации с Na-малоновым эфиром, гидролиза, декарбоксилирования и дегидрирования дал XV, т. пл. 121—122° (из бзн.). При циклизации из 0,3 г XV образовалось 0,2 г XVI, т. пл. 129—130° (из  $CH_3OH$ ). Из XVI р-цией Гриньяра с последующей дегидратацией и дегидрированием с Pd/C получены следующие триалкилфенантроны (перечислены в-во, т. пл. в °C, т. пл. пикрата в °C, т. пл. ТНБ в °C (все в-ва перекристаллизованы из  $CH_3OH$ ): XVII, 125—125,5, 165, 182—183; XVIII, 89, —, 165,5—166; XIX, 97, —, 155—155,5; XX, 78, 156, 167—168; XXI, 83—84, —, 145—145,5. Из 24,5 г XXIII и 20 г янтарного ангидрида с 50 г  $AlCl_3$  в 65 мл  $Cl_2CHCHCl_2$  получено 30 г XXIV, т. пл. 104° (из эф.-бзн.). После восстановления XXIV по Клемменсену и циклизации образовался 6,7-(2'-метилциклопентано)-тетралон-1, т. кип. 165—166°/6 мм, т. пл. 45—46°, который р-цией Реформатского превращен в XXV, т. кип. 170—173°/3 мм; к-та, т. пл. 136—137°. Действием  $LiAlH_4$  XXV восстановлен в 1-β-оксизтил-6,7-(2'-метилциклопентано)-тетралин, т. кип. 185°/5 мм, который далее превращен в 1-β-хлорэтил-6,7-(2'-метилциклопентано)-тетралин, т. кип. 147—151°/3 мм. Из 4,3 г последнего после конденсации с Na-малоновым эфиром, гидролиза, декарбоксилирования и дегидрирования получено 1,2 г γ[6,7-(2'-метилциклопентано)-нафтил-1]-масляной к-ты, т. пл. 146—149°. При циклизации из 0,5 г этой к-ты образовалось 0,1 г XXVI, т. пл. 130—131°. Из XXVI и  $CH_3MgI$  с последующим дегидрированием с Pd/C получен XXII, т. пл. 119—120° (из  $CH_3OH$ ); ТНБ, т. пл. 158—159° (из  $CH_3OH$ ). При действии 20 г  $CH_3COCl$  на 40 г XXVII в присутствии 15 г  $AlCl_3$  в 180 мл  $Cl_2CHCHCl_2$  образовалось 28 г этилового эфира XXVIII, т. кип. 169—185°/0,06 мм; XXVIII, т. пл. 126—127°. При восстановлении по Клемменсену XXVIII дала 6,7-диэтилтетралил-1-уксусную к-ту, т. пл. 67—70°, метиловый эфир которой (т. кип. 151—155°/3 мм) восстановлен  $LiAlH_4$  в 1-β-оксизтил-6,7-диэтилтетралин, т. кип. 170—171°/5 мм. Этот спирт превращен в 1-β-хлорэтил-6,7-диэтилтетралин, т. кип. 150—151°/5 мм, из которого обычным синтезом с малоновым эфиром получена XXIX, т. пл. 107—108°. При циклизации с полифосфорной к-той из 1,3 г XXIX образовалось 0,5 г XXX, т. пл. 81—82°. Р-цией с  $CH_3MgI$  и дегидрированием с Pd/C XXX превращен в XXXI, т. пл. 54° (из  $CH_3OH$ ); ТНБ, т-ра плавления 167—168°. Сообщение II см. РЖХим, 1958, 53864.

А. Берлин

57457. Изучение хиноидных структур. II. Действие реактивов Гриньяра на фенантренихинонмоноксим, хризенихинонмоноксим и хризенихинонимин. Авад, Абдель Рахим Абдель Рауф (Studies of quinoid structures. II. Action of Grignard reagents on phenanthrenequinone monoxime, chrysenequinone monoxime and chrysenequinonimine. Awad William Ibrahim, Abdel Rehim Abdel Raouf), J. Organ. Chem., 1958, 23, № 2, 282—285 (англ.)

Из фенантренихинонмоноксима (I) при действии  $RMgX$  синтезированы 9,10-дигидро-9-алкил- (или арил)-10-оксиминофенантролы-9 (IIa—к), где алкил (или арил) а  $CH_3$ , б  $C_2H_5$ , в  $n-C_3H_7$ , г  $iso-C_4H_9$ , д  $C_6H_5$ , е  $n-CH_2OC_6H_4$ , ж  $o-CH_2C_6H_4$ , з  $m-CH_2C_6H_4$ , и  $n-CH_2C_6H_4$ , к  $\alpha-C_{10}H_7$ . Аналогично из хризенихинонмоноксима (II) получены 5,6-дигидро-5-алкил- (или арил)-5-окси-6-оксиминохризены (IVa—д), где алкил (или арил) а  $CH_3$ , б  $C_2H_5$ , в  $iso-C_4H_9$ , г  $C_6H_5$ , д  $n-CH_2OC_6H_4$ . При восстановлении  $LiAlH_4$  IIд и IIз дали соответственно 9,10-дигидро-9-фенил- (V) и -9-м-толил-10-иминофенантрол-9 (VI) (см. сообщение I, РЖХим, 1958, 25138). Из фенантренихинонимина (VII) и  $o-CH_2C_6H_4MgBr$  образовался 9,10-дигидро-9-о-толил-10-иминофенантрол-9 (VIII), а из хризенихинонимина (IX) и  $C_6H_5MgBr$  получен 5,6-дигидро-5-фенил-5-окси-6-оксиминохризен (X). Последний также получен при гидролизе IVг, тогда как IIд не гидролизировался при действии спирт. р-ра HCl или KOH. Показано, что реактивы Гриньяра присоединяются лишь к CO-группе исходных соединений. Рассмотрены ИК- и УФ-спектры полученных в-в. 2 г I в 100 мл  $C_6H_6$  и эфирный р-р  $RMgX$  (из 1,2 г Mg) кипятили 2 часа; после обычной обработки выделены следующие II (перечислены в-во, выход в %, т. пл. в °C и в скобках р-ритель): IIa, 57, 165 (бзн.); IIб, 41, 147 (бзн.-петр. эф.); IIв, 30, 141 (бзн.-петр. эф.); IIг, 50, 194 (бзн.); IIд, 44, 162 (бзн.); IIе, 28, 178 (бзн.); IIж, 66, 162 (бзн.); IIз, 57, 188 (бзн.); IIи, 35, 185 (бзн.); IIк, 20, 192 (бзн.). Аналогично из 2,5 г II получены следующие IV (обозначения те же): IVa, 50, 176 (бзн.); IVб, 36, 173 (бзн.-петр. эф.); IVв, 42, 178 (бзн.-петр. эф.); IVг, 42, 202 (бзн.); IVд, 62, 236 (сп.). 0,8 г  $LiAlH_4$  в 60 мл эфира и 1 г IIд в 100 мл  $C_6H_6$  кипятили 3 часа; через 16 час. (20°) выделено 66% V. В тех же условиях IIз дал 55% VI. Эфирный р-р  $o-CH_2C_6H_4MgBr$  (из 6 г  $o-CH_2C_6H_4Br$  и 0,6 г Mg) и р-р I в 50 мл  $C_6H_6$  кипятили 3 часа; выделен VIII, выход 28%, т. пл. 170° (из бзн.). Также из I г IX и  $C_6H_5MgBr$  (из 8 г  $C_6H_5Br$  и 1 г Mg) получен X, выход 31%, т. пл. 172° (из бал.-петр. эф.). Р-р 0,3 г IVг в 100 мл спирта и 3 мл конц. HCl кипятили 2 часа; образовалось 30% X. А. Берлин

57458. Синтез производных гидрохризена. Насипури, Рой (Synthesis of hydrochrysenes derivatives. Nasipuri D., Roy J.), Sci. and Culture, 1958, 22, № 7, 376 (англ.)

При аминометилировании 6-метокси-2-ацетилацетила,  $CH_2O$  и  $NH(CH_3)_2 \cdot HCl$  образуется основание Манника, т. пл. 72—74°. Йодметилат которого конденсируется с этиловым эфиром β-кетоадипиновой к-ты в присутствии  $C_2H_5OK$  в 1-(6-метоксиацетил-2)-карбо-метоксиметилциклогексен-1-он-3, гидролизующийся разб. КОН в к-ту, метиловый эфир которой, т. пл. 86°, при гидрировании над Pd при 40° дает к-ту, т. пл. 168—170°, циклизующуюся полифосфорной к-той в 1,2,3,4,4а,11,12,12а-октагидро-1,11-дигидро-8-метоксизризен, выход 30%, т. пл. 196—197°; семикарбазон т. пл. 260°; динитрофенилгидразон (ДНФГ), т. пл. 267°, восстанавливающийся над Pd-Pt в монокетон-12, т. пл. 141,5°. ДНФГ, т. пл. 245—246°, образующий фурфурильдегидное производное, т. пл. 158—160°. Л. Шуккина

57459. Окисление ароматических аминов. Часть VI. Окисление персульфатом некоторых карциногенных ароматических аминов. Симс (The oxidation of aromatic amines. Part VI. Persulphate oxidation of some carcinogenic aromatic amines. Sims Peter), J. Chem. Soc., 1958, Jan., 44—47 (англ.)

С целью исследования карциногенных свойств о-аминофенолов окислением 2'-хлор-(I) и 2'-метил-(II)-4-диметиламино-транс-стильбенов, 4-диметиламиноазобензола (III), 4-диметиламинодифенила (IV), N,N-диметил-α- и β-нафтиламинов (V, VI) 3,4,1-ксилидина

(VII) и сульфаниламида (VIII) щел. р-ром  $\text{Na}_2\text{S}_2\text{O}_8$  получены кислые сернокислые эфиры (Ia—VIIIa) 3-оксипроизводных I—IV (Ib—IVb), 1-диметиламино-2-нафта (Vb), 2-диметиламино- $\alpha$ -нафтола (VIb), 2-амино-4,5-диметилфенола (VIIb) и 4-амино-3-оксисульфониламида (VIIIb), гидролизированные в H—VIIIb. Окисление I и II сопровождается их расщеплением и образованием  $n$ -( $\text{CH}_3$ ) $_2\text{NC}_6\text{H}_4\text{COOH}$  и  $o$ - $\text{ClC}_6\text{H}_4\text{COOH}$  или  $o$ - $\text{CH}_3\text{C}_6\text{H}_4\text{COOH}$ ; из 4-диметиламиностильбена получается только  $\text{C}_6\text{H}_5\text{COOH}$ ; 2-аминофлуорен, 4-амино-4'-фтордифенил, 2-аминопроизводные антрацена, антрахинона и хризена и 4-аминоазобензол не окисляются в этих условиях, а 4,4'-диаминодифенилсульфон, 2-амино-2',3'-диметилазобензол и ди-(2-хлорэтил)- $\beta$ -нафтамин дают некристаллизующиеся кислые сернокислые эфиры. Р-р 10 г I в водн. ацетоне обрабатывают 10%-ным избытком  $\text{Na}_2\text{S}_2\text{O}_8$  или  $\text{K}_2\text{S}_2\text{O}_8$  в присутствии 20%-ного избытка  $\text{NaOH}$  или  $\text{KOH}$  (см. РЖХим, 1955, 21184), размешивают 8 час. при 20°, на следующий день р-р упаривают до 0,2 л, фильтруют, концентрируют и отделяют Na-соль Ia, которую разлагают  $\text{HCl}$  и получают Ia, т. пл. 220—224° (разл.; из сп.), гидролизующий  $\text{HCl}$  в 16, т. пл. 139—139,5°, т. возг. 120—170°/0,2 мм. Аналогично из II—VIII получают (указаны в-во, и т. пл. в °C (из сп.)): Ia, 183—185; IIb, 155—154,5; IIIa, 195—198 (разл.); IIIb, 131—131,5 (из литр. эф.); IVa, 228—231 (разл.); IVb, 128—129; Va, 155—158 (разл.); Vb, 52—53 (бензойльное производное (БП), т. пл. 70—71°); VIa, 172—174; VIb, 33—34 (БП, т. пл. 111—113° (из петр. эф.)); VIIa, 254—257 (разл.); VIIb, 174—175; VIIIa, 245—248, и VIIIb, 162—163 (из сп.-эф.) (БП, т. пл. 222°). При перекристаллизации VIIIa из  $\text{CH}_3\text{OH}$  получают моносолеват, т. пл. 200—202° (разл.). Часть V см. РЖХим, 1958, 43327. Л. Шукина 57460.

**Трифенилен: изучение модифицированного синтеза Манниха и усовершенствование синтеза Рапсона.** Баркер, Эммерсон, Периам (Triphenylene: an examination of modified Mannich syntheses, and an improvement of the Rapson synthesis. Barker C. C., Emerson R. G., Periam J. D.), J. Chem. Soc., 1958, March, 1077—1080 (англ.).

При нагревании (32 часа, 280°/57 ат) циклогексанонона (I) с 13%  $\text{Al}_2\text{O}_3$ , содержащей 4,5%  $\text{ThO}_2$ , получено 13% дигидротрифенилена (II), дегидрированного затем с  $\text{Pd/C}$  в трифенилен (III), выход ~ 100%. Аналогично из 4-метил-I над таким же катализатором при 285° образовался 2,6,10-триметил-II, превращенный далее в 2,6,10-триметил-III. Из 2-метил-I и 3-метил-I кристаллич. в-в не получено. Полученные при взаимодействии 2-(1-циклогексенил)-циклогексанонона-I (IV) с  $\text{ArMgBr}$  1-арил-2-(1-циклогексенил)-циклогексанонолы-1 общей ф-лы  $2\text{-C}_6\text{H}_9\text{C}_6\text{H}_9\text{-1-(OH)-1-R}$  [Va—з, где а R =  $\text{C}_6\text{H}_5$ , б R =  $4\text{-CH}_3\text{C}_6\text{H}_4$ , в R =  $3\text{-CH}_3\text{C}_6\text{H}_4$ , г R =  $2\text{-CH}_3\text{C}_6\text{H}_4$ , д R =  $2,5\text{-(CH}_3)_2\text{C}_6\text{H}_3$ , е R =  $\alpha\text{-C}_{10}\text{H}_7$ , ж R =  $\beta\text{-C}_{10}\text{H}_7$ , з R =  $2\text{-CH}_3\text{OC}_6\text{H}_4$ ] окислены в соответствующие 1-арил-2-(1,2-эпоксидциклогексил)-циклогексанонолы-1 общей ф-лы  $2\text{-C}_6\text{H}_9\text{(O)C}_6\text{H}_9\text{-1-(OH)-1-R}$  (VIa—з; обозначения те же). Из VIa при циклизации образовался 1,2,3,4,5,6,7,8-октагидротрифенилен (VII), дегидрированный далее в III, из VIb (без выделения) и VIв получен 2-метил-III (VIII), а из VIг получен 1-метил-III (IX). Циклизацией VII превращен в 9,12-диметил-VII (X), из которого при дегидрировании получено с небольшим выходом в-во неустановленного строения. VIe превращен в 1,2-бензхризен (XI), а VIж дал смесь XI и 1,2-3,4-добензантрацена (XII). При циклизации VIз найдены лишь следы III. При взаимодействии IV с  $\text{ArMgBr}$  получены следующие V (перечислены в-во, выход в %, т. кип. в °C/мм): Va, —, —; Vb, 50, 135—136/0,01; Vв, 53, 130—135/0,01; Vг, 28, 132—134/0,01; Vд, 19, —; Ve, 32, 160—161/0,1 [т. пл. 104—104,5° (из петр. эф.)]; Vж, —, —; Vз, —, 140—141/0,01 (т. пл. 68—70°). К эфирному р-ру

V прибавляли при 0° эфирный р-р моноафталевой к-ты и через 16 час. (0°) после промывания р-ром  $\text{NaHCO}_3$  получили VI (перечислены в-во, т. пл. в °C и в скобках р-ригель): VIa, 140 (петр. эф.); VIб, —; VIв, 104,5—106 (эф.); VIг, 172 (эф.); VIд, 133—134; VIе, 159,5—160 (эф.-бэл.); VIж, 164—164,5 (эф.-бэл.); VIз, 137 (эф.-бэл.). Смесь 5,1 г VIa, 51 мл  $\text{CH}_3\text{COOH}$  и 36 мл 34%-ной  $\text{HBr}$  кипятили 12 час.; после очистки возгонкой при 160—180° (баня)/0,01 мм получено 1,9 г VII, т. пл. 123° (из сп.). Аналогично из VIд образовался X, выход 50%, т. пл. 123—124° (из сп.). Дегидрированием с 30%-ными  $\text{Pd/C}$  (3 часа, 300°) VII превращен в III, выход 50% (из расчета на Va), т. пл. 198° (из бэл.). Аналогично из Vб (без выделения VIб и продукта циклизации), а также из VIв получен VIII, выходы соответственно 32 и 35%, т. пл. 103° (из сп.), из VIг получен IX, выход 15%, т. пл. 93—94° (из сп.), а из X получено 5% углеводорода, т. пл. 176,5—177°. В результате циклизации и дегидрирования VIе дал XI, т. пл. 115—115,5° (из  $\text{CH}_3\text{COOH}$ ), а VIж смесь XI и XII, т. пл. 205°. Приведены УФ-спектры производных III. А. Берлин 57461.

**Полный синтез метилхолантрена.** Бухта, Гюллих (Eine Totalsynthese des Methylcholanthrens. Buchta E., Güllich F.), Angew. Chem., 1958, 70, № 7, 190 (нем.).

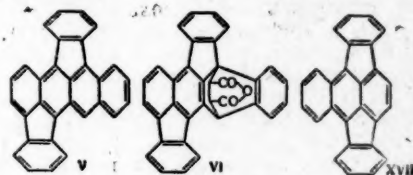
Из ангидрида 7-метилнафталиндикарбоновой-1,2 к-ты в 6 стадий (Newman M. S. и др., J. Amer. Chem. Soc., 1950, 72, 272) получена 8-метилаценафтенуксусная-3 к-та (I), т. пл. 174—175° — фрагмент метилхолантрена (II), содержащий кольца C, D и E. Из I по методу Пшорра для синтеза фенантрена через промежуточные соединения  $o\text{-RC}_6\text{H}_4\text{CH}=\text{C}(\text{COOH})\text{R}'$  (IIIa, б) где R' = 8-метилаценафтил-3 [а R =  $\text{NO}_2$ , т. пл. 216—218° (разл.); б R =  $\text{NH}_2$ , т. пл. 232—234°], получен II. т. пл. 175—176°. И. Цветкова 57462.

**Новый синтез триптицена.** Виттиг, Бенц (Eine neue Triptycen-Synthese. Wittig G., Benz E.), Angew. Chem., 1958, 70, № 6, 166 (нем.).

К р-ру 20 ммоль антрацена и ~ 0,2 моля фторбензола в 100 мл тетрагидрофурана прибавляют по каплям за 7 час. при 20° 20 мл 1 н. эфир. р-ра  $\text{C}_4\text{H}_9\text{Li}$ , избыток антрацена удаляют обработкой ангидридом малеиновой к-ты, хроматографированием выделяют 14% трифенилена, т. пл. 194—195°, и 10% триптицена, т. пл. 254—255°. Авторы предполагают, что диенофильным агентом является дегидробензол (I), образующийся в качестве промежуточного продукта по схеме  $\text{C}_6\text{H}_5\text{FC}_6\text{H}_4\text{Li} \rightarrow o\text{-FC}_6\text{H}_4\text{Li} \rightarrow \text{I}$ . И. Цветкова 57463.

**2,3-бензарубицен, рубицен и их производные.** Клар, Уилликс (2:3-Benzorubicene, rubicene, and their derivatives. Clar E., Willicks W.), J. Chem. Soc., 1958, March, 942—946 (англ.).

Из 5,12-дигидро-5,12-дифенилтетрацендиола-5,12 (I)



нагреванием с  $\text{NaCl} \cdot \text{AlCl}_3$  получены 1',2',3',4'-тетрагидро-2,3,6,7-добензфлуорантен (II), 2,3,6,7-добензфлуорантен (III), 1',2',3',4'-тетрагидро-2,3-бензарубицен (IV) и 2,3-бензарубицен (V). Последний дал с малеиновым ангидридом аддукт (VI). Аналогично из 9,10-дигидро-9,10-дифенилантрацендиола-9,10 (VII) образовались 9-фенилантрацен (VIII), 2,3-бензфлуорантен (IX) и рубицен (X). Кроме того, X получен из 1,5-дихлор-9,10-дифенилантрацена (XI). В тех же условиях 1,4-ди-



хлор-9,10-дифенилантрацен (XII) дал 4-фенил-5-хлор-2,3-бензифлуорантен (XIII), а 1-хлор-9,10-дифенилантрацен (XIV) — 4-фенил-2,3-бензифлуорантен (XV). 1,4-дихлор-9,10-дигидро-9,10-дифенилантрацендиол-9,10 (XVI) превращен в XII, XIII и изорубицен (XVII). Приведены кривые УФ-спектров полученных в-в. К сплаву 10 г NaCl и 50 г  $AlCl_3$  при 120° за 5 мин. прибавлено 5 г I; из образовавшегося продукта (4 г) после хроматографирования на  $Al_2O_3$  получено: 120 мг II, т. пл. 150°, 25 мг III, т. пл. 215°, 85 мг IV, т. пл. 182°, и 450 мг темно-синего V, т. пл. 250°; VI, т. разл. > 300°. Точно так же, из VII после хроматографирования выделены VIII, т. пл. 154°, IX, т. пл. 143—145°, X, т. пл. 304° (из ксилола), а также фиолетово-черное в-во, вероятно,  $C_{26}H_{14}$ , т. разл. > 455°. Смесь 2 г XI, 2 г КОН и 50 мл хинолина кипятили 30 мин. и вылили в разб. HCl; образовалось 1,4 г X. Аналогично из 2 г XII получен XIII, т. пл. 215° (из метр. эф.), а из 3 г XIV получено 2,2 г XV, т. пл. 185—186° (из сл.). При сплавлении XV с  $NaCl \cdot AlCl_3$  (10 мин., 120°) образовались VIII, IX и X. Смесь 1 г XVI, 12 г  $(COOH)_2$ , 3 г  $CH_3COONa$ , 0,3 г порошка Cu и 0,3 г порошка Al нагревали (30 мин., 300° и 1 час, 360°) в вакууме (30 мм); после хроматографирования на  $Al_2O_3$  выделено 50 мг XII, т. пл. 178°, 200 мг XIII и 10 мг XVII, т. пл. 279°.

**57464.** Пиролиз ароматических и близких к ним гетероциклических соединений. Мадисон, Робертс (Pyrolysis of aromatics and related heterocycles. Madison John J., Roberts Richard M.), *Industr. and Engng Chem.*, 1958, 50, № 2, 237—250 (англ.).

При жидкофазном пиролизе некоторых ароматич. и гетероциклич. соединений образуются продукты более высокого мол. веса, чем исходные в-ва. Из исследованных 43 соединений наибольший процент тяжелой фракции при пиролизе (90 мин., 500°) дают антрацен, нафтацен, бенз[а]-пирен и др. углеводороды, причем их алкилпроизводные (особенно 1-алкилпроизводные) значительно менее устойчивы, чем исходные соединения. Бифенил, нафталин, трифенилен, фенантрен и т. п. устойчивее соединений с антраценовой структурой; только хризен и декациклен дают значительно тяжелую фракцию. Устойчивость полиалкилбензолов и нафталинов обуславливается характером заместителей; тяжелая фракция в продуктах пиролиза обычно невелика. Из соединений с метиленовым мостиком наиболее склонны к образованию тяжелых продуктов при пиролизе аценафтен, 11Н-бензо[б]-флуорен, дибензил и 9,10-дигидроантрацен, а из гетероциклов акридин и индол.

Д. Витковский

**57465.** Об окислении фурфурола посредством перекиси водорода. Баба (Baba Hideo), Кагаку канкёё хококу, *Repts. Sci. Res. Inst.*, 1957, 33, № 3, 168—170 (японск.).

Изучено окисление фурфурола (I) посредством 30%-ной  $H_2O_2$  в присутствии пиридина (II), которое приводит с хорошим выходом к фуранкарбоновой-2 к-те (III) и почти не осложняется разрывом фуранового кольца. В оптимальных условиях смесь 40 г I, 40 г II и 52 мл  $H_2O_2$  выдерживают 5 дней при ~ 20° (самопроизвольное разогревание предотвращают охлаждением водой), выпаривают в вакууме (40—45°), добавляя по каплям 16—18 мл конц. HCl, получают III, выход 75% (дополнительные кол-ва III выделяют из маточного р-ра), т. пл. 130—132° (из хлф.- $CCl_4$ ). Окисление в аналогичных условиях 5 г фуранакролеина приводит к 1,3 г фуранакриловой к-ты, т. пл. 136—138° (из воды). На окисление I аналогично II влияют  $\alpha$ - и  $\beta$ -пиктолин.

Л. Яновская

**57466.** Хлорметилирование дибензофурана. Гудриньеце, Ванар (Dibenzofurana chlormetilēšana. Gudriniece E., Vanags G.), *Zinātniskie raksti*.

Latv. univ., Уч. зап. Латв. ун-т, 1956, 9, 99—104 (лат. рез. русск.).

Хлорметилированием 33,6 г дибензофурана (I) парформальдегидом и конц. HCl в присутствии ортоформной к-ты получено 39,5 г 2-хлорметил-I (II), т. пл. 80° (раздражающее действие на кожу). Дибензофураксусная-2 к-та (выход 53,5%; анид, т. пл. 166°) получена при омылении 2-цианметил-I, синтезированного из II и NaCN. Действием пиридина и анилина на II получили, соответственно, N-(дибензофурил-2-метил)-пиридин и N-(дибензофурил-2-метил)-анилин, выход 81,48%, т. пл. 183°. II в эфирн. р-ре дает даже со следом хинолина (III) красное окрашивание. Труднее дают окрашивание с III 3-хлорметилтетралин и 1-хлорметил-2-метилнафталин. 9-хлорметилфенантрен и 9,10-дихлорметилантрацен такого окрашивания с III не дают.

О. Михайлова

**57467.** Изучение флаванонов. XXI. Относительно конденсации производных 2-оксиацетофенона с ароматическими альдегидами под действием  $Ba(OH)_2$ . Мацуока, Фудзисэ. XXII. Диазотирование и разделение на оптические антиподы 5,7-диметил-3'-аминофлаванона. Мацуока. XXIII. Синтез и разделение на оптические антиподы производных 6-карбонметилфлаванона. Мацуока. XXIV. Синтез производных 6-оксифлаванона. Сасаки, Огата, Сакураи, Фудзисэ (Matsuoka Keiichiro, Fujio Shin-ichiro, Sasaki Shin-ichi, Ogata Tsuyoshi, Sakurai Akio), *Нихон кагаку дзюсё*, *J. Chem. Soc. Japan. Pure Chem. Sec.*, 1957, № 5, 647—649, 649—651, 651—653, 653—655 (японск.).

XXI. Конденсация 2-окси-5-метилацетофенона с  $m\text{-NO}_2\text{C}_6\text{H}_4\text{CHO}$  (I) и 2-окси-3-метилацетофенона с  $C_6\text{H}_5\text{CHO}$  кипячением со спирт.  $Ba(OH)_2$  дает 2'-окси-5-метил-3-нитро- и 2'-окси-3'-метилхалконы (II и III). Из р-зацетофенона и I получают смесь 2',4'-диокси-3-нитрохалкона (IV) и 7-окси-3'-нитрофлаванона (V), т. пл. 240—241°. 2-окси-4,6-диметилацетофенон с  $m\text{-HOC}_6\text{H}_4\text{CHO}$  кипятят 0,5 часа в 60 мл 70%-ного спирта с 0,5 г  $Ba(OH)_2$ , получают 5,7-диметил-3'-оксифлаванон (VI), выход 45%, т. пл. 147—148°, с I [0,5 г I, 15 мл спирта и 1 г  $Ba(OH)_2$  на 0,5 г ацетофенона] через 20 мин. при 10° получают 2'-окси-4',6'-диметил-3-нитрохалкон (VIII), выход 33%, т. пл. 132,5—133,5°. При 3-минутном нагревании тех же компонентов до 80° и 5 мл спирта с 6 г 50%-ного водн.  $Ba(OH)_2$  получают 5,7-диметил-3'-нитрофлаванон (VIII), выход 39%, т. пл. 144,5—145°. При кипячении с 70%-ным спиртом (50 мл на 1 г халкона) II, III, IV и VII циклизуются, давая с выходом ~ 90% 6-метил-3-нитрофлаванон, т. пл. 138—137°; 8-метилфлаванон, т. пл. 74—75°, V и VIII (VII кипятят 15 мин., остальные халконы 6 час.) указав р-ритель, кол-во  $Ba(OH)_2$ , время кипячения, халкон, выход в %, т. пл. в °C: 20 мл спирта, 0,05 г, 8 час., II, 22, 175—176° (из сл.); 25 мл 80%-ного спирта, 4 г, 1,7 часа, III, 20, 78—79° (из 80%-ного сл.); 80 мл 60%-ного  $CH_3OH$ , 0,5 г, 3,5 часа, IV, 11 (V 10%), 217—218° (из  $CH_3OH$ ).

XXII. При восстановлении VIII получают 5,7-диметил-3'-аминофлаванон (IX), который при диазотировании и разложении водой дает VI. IX разделяют на оптич. антиподы с помощью цинхонидиновых солей янтарного эфира. 2 г VIII в 50 мл спирта восстанавливают 5 г  $SnCl_2$ , 3 г Sn и 10 мл конц. HCl 17-часовым кипячением. Получают хлоргидрат IX, выход 71% (из 40%-ного сл.). Хлоргидрат IX (0,4 г) диазотируют при -6° в 15 мл спирта и 1,5 мл конц. HCl 1,5 мл 7%-ного  $NaNO_2$  7 мин. и кипятят 30 мин. с 450 мл воды, получают VI, выход 57%; ацетат, т. пл. 78—79°. Из р-ра 4 г янтарного эфира IX, т. пл. 203—205° (из сл.), и 3,3 г цинхонина в 10 мл спирта выделяют цинхонид-

новую соль (—)-изомера IX, т. пл. 168—169°,  $[\alpha]_D^{20} -95^\circ$  ( $\alpha -1,90$ , с 2,01, ацетон); (—)-изомер IX, т. пл. 204—205°,  $[\alpha]_D^{20} -6,2^\circ$  ( $\alpha -0,62$ , с 1,0; ацетон), и маслообразную соль (+)-изомера IX; (+)-изомер IX,  $[\alpha]_D^{20} +14,9^\circ$  ( $\alpha +0,17$ , с 1,28; ацетон).

XXIII. 2-окси-5-карбоксиметилфенол (X) (Irvine, Gazz. Chim. Ital., 1950, 80, 502) конденсируют с ароматич. альдегидами, нагревая в 40%-ном спирте в присутствии NaOH, полученные халконы циклизуют 5 час. нагреванием в  $\text{CH}_3\text{COOH}$  с конц. HCl. указаны кол-во NaOH на 0,5 г X в 13 мл 40%-ного спирта, время нагревания, халкон, выход в %, т. пл. в °C, флаванон, выход в %, т. пл. в °C: 4 г 25%-ного, 30 мин., 2'-окси-5'-карбоксиметил-, 40, 158—159 (из 75%-ного сп.), 6-карбоксиметил-, (XI), 45, 156—157 (из ацетона); 4 г 25%-ного, 35 мин., 2'-окси-5'-карбоксиметил-4-метокси-, 40, 167—168 (из бэл., ацетона), 6-карбоксиметил-4'-метокси-, 40, 163—164 (из 80%-ного ацетона); 6 г 50%-ного, 4 часа, 2,4'-диокси-5'-карбоксиметил-, 35, 181—183 (из 95%-ного  $\text{CH}_3\text{OH}$ ), 6-карбоксиметил-4'-окси-, 10, 198—199 (из  $\text{CH}_3\text{OH}$ ); 4 г 25%-ного, 35 мин., 2'-окси-5'-карбоксиметил-3,4-метилendioкси-, 38, 191—192 (из ацетона), 6-карбоксиметил-3',4'-метилendioкси-, 25, 176—177 (из ацетона); 6 г 33%-ного, 4 часа, 2,4'-диокси-5'-карбоксиметил-3-метокси-, 43, 205—206 (из  $\text{CH}_3\text{OH}$ ), 6-карбоксиметил-3'-метокси-4'-окси-, 10, 149—150 (из  $\text{CH}_3\text{OH}$ ). Из р-ра 5,9 г XI и 5,9 г цинхонидина в 10 мл  $\text{CH}_3\text{OH}$  после 20 мин. нагревания при 60° и охлаждения выделяют цинхонидиновую соль с т. пл. 170—171°,  $[\alpha]_D^{20} -47,9^\circ$  ( $\alpha -0,501$ , с 1,045;  $\text{CH}_3\text{OH}$ ), из которой получают (+)-изомер XI, т. пл. 153—154°,  $[\alpha]_D^{20} +30,9^\circ$  ( $\alpha +0,318$ , с 1,03;  $\text{CH}_3\text{OH}$ ). Из маслообразной соли выделяют (—)-изомер XI,  $[\alpha]_D^{20} -14,3^\circ$  ( $\alpha -0,157$ , с 1,1;  $\text{CH}_3\text{OH}$ ).

XXIV. Из 2,5-диоксиацетофенона (XII) при конденсации с ароматич. альдегидами в присутствии 40%-ного NaOH или KOH получают 2-метокси-2',5'-диоксифлаванон, выход 15%, т. пл. 152,5—153,5° (из сп.); 4-нитро-2',5'-диоксифлаванон, выход 4,2%, т. пл. 217—218°, диацетат, т. пл. 129—130° (из  $\text{CH}_3\text{OH}$ ); 3,4-диметокси-2',5'-диоксифлаванон, выход 16%, т. пл. 163—163,5° (из сп.); диацетат, т. пл. 121—122° (из сп.). При циклизации этих халконов продолжительным кипячением со спирт. HCl получают флаваноны: 2'-метокси-6-окси-, т. пл. 164—165° (из сп.), ацетат, т. пл. 130—130,5° (из сп.); 4-нитро-6-окси-, т. пл. 219—220° (из  $\text{CH}_3\text{OH}$ ), ацетат, т. пл. 163—164° (из  $\text{CH}_3\text{OH}$ ); 3',4'-диметокси-6-оксифлаванон, т. пл. 194—195° (из сп.), ацетат, т. пл. 129—129,5° (из сп.). 6 г XII нагревают 40 мин. при 50—55° с 4 г фурфура в 6 мл 50%-ного KOH. Получают 2,5 г 2-а-фурил-6-оксифлаванона (XIII), т. пл. 188° (из  $\text{CH}_3\text{OH}$ ); нитробензоат, т. пл. 190—191° (из ацетона). Приведены УФ-спектры XIII и 6-оксифлаванона. Сообщения XX см. РЖХим, 1958, 39645. Н. Швецов

57468. Соединения тиофена. IX. Дегалоидирование производных тиофена посредством хинолина в присутствии меди. Мотояма, Нисимура, Имото. X. О реакции изомерных бромнитрофенов с пиперидином. Мотояма, Нисимура, Мураками, Харри, Имото. XI. Скорость реакции производных тиофена с ацетатом ртути. Мотояма, Огава, Имото. XII. О флуоресценции производных тиофена. Мотояма (Motoyama Ryozo, Nishimura Shoji, Imoto Eiji, Murakami Yasuto, Hari Ken-ichi, Ogawa Jun), Нихон кагаку дзасси, J. Chem. Soc. Japan. Pure Chem. Sec., 1957, 78, № 7, 950—954, 954—962, 962—965, 965—969 (японск.) IX. При кипячении 60 г 4,5-дибромтиофенкарбоновой-2 к-ты с 140 г хинолина в присутствии 10 г порошка Cu (30 мин. — 1 час) наряду с декарбоксилированием происходит дегалоидирование по положению 5 и образуется 3-бромтиофен, выход 80%, т. кип. 66—66°/31 мм,  $n_D^{20}$  1,5860; моноклормеркурипроизводное,

т. пл. 121—123°; моонитропроизводное, т. пл. 81—83°. С целью разработки метода синтеза труднодоступных  $\beta$ -замещ. тиофенов таким путем было испытано кипячение с хинолином и порошком Cu других галоидопроизводных тиофена. 2-йод-, 2-бром- и 2-хлор-5-ацетилтиофен дают 2-ацетилтиофен с выходом 57, 44 и 24%, т. кип. 75—78°/5 мм, 80—82°/6 мм; оксим, т. пл. 111—113°; 2-йод- и 2-бром-5-нитроттиофены дают 2-нитроттиофен, выход 32 и 14%, т. пл. 42—44°; 2-хлор-5-нитроттиофен не реагирует; 2-бром-4-нитроттиофенкарбоновая-5 к-та, 2-бром-3-нитроттиофен, метиловый эфир 2-бром-4-нитроттиофенкарбоновой-5 к-ты и 2,5-дибром-3-нитроттиофен образуют 3-нитроттиофен, выход соответственно 36, 36,6 и 40%, т. пл. 76—78°; 2,5-дибромтиофен образует 2-бромтиофен, выход 40%, т. кип. 145—151°,  $n_D^{20}$  1,5860; моноклормеркурипроизводное, т. пл. 134—135°, одновременно образуется тиофен, выход 10%; 2,3,4,5-тетрабромтиофен переходит в 3-бромтиофен, выход 50%. Аналогично *n*-бромнитробензол дает  $\text{C}_6\text{H}_5\text{NO}_2$ , выход 13%, а *n*-бромтолуол не дегалоидируется.

X. Изучена скорость р-ции 2-бром-5-нитро-(I), 2-бром-3-нитро-(II), 2-нитро-4-бром-(III), 2-бром-4-нитро-(IV), 3-бром-4-нитро-(V) и 2-нитро-3-бромтиофена (VI) с пиперидином (VII) по сравнению с *m*-бром-(VIII), *n*-бром-(IX) и *o*-бромнитробензолом (X). III, IV, I, II, V и VI активнее в р-ции с VII, чем VIII—X. Реакционная способность производных тиофена падает в порядке V, VI, II (орто-замещение), I (пара-замещение), IV, III (мета-замещение). Среди мета-замещенных наибольшей реакционной способностью в р-ции с VII обладает IV, орто-замещенные производные резко отличаются друг от друга по своей реакционной способности. III обладает значительно большей энергией активации (25,8 ккал/моль) и PZ (16,33) по сравнению с VIII (14,8 ккал/моль и 5,155). Изучение УФ- и ИК-спектров I—VI и VIII—X в сравнении с нитробензолом и нитроттиофеном, а также полярографич. исследование при различных pH не обнаружило существенных отклонений мета-производных от орто- и пара-производных. 17,4 г 4,5-дибром-2-нитроттиофена, 1,8 г порошка Cu и 35 мл хинолина постепенно нагревают до 220°, отгоняют с паром, дистилят обрабатывают HCl-к-той, органич. часть отгоняют с паром, экстрагируют эфиром, получают III, выход 34%, т. пл. 46—47° (из петр. эф.). Аналогичным путем из 4,5-дибром-2-ацетилтиофена получают 4-бром-2-ацетилтиофен (XI), выход 40%, т. кип. 90—100°/1 мм,  $n_D^{20}$  1,5982; семикарбазон, т. пл. 210—212°. К р-ру NaOCl (пропускают  $\text{Cl}_2$  через р-р 16 г NaOH в 30 мл воды со 100 г льда) добавляют 1,2 г NaOH и при 50—60° 8 г XI, нагревают 2 часа при 70—80°, получают 7,5 г 4-бромтиофенкарбоновой-2 к-ты, т. пл. 113—114° (из воды). К р-ру 21 г 3-бром-2-формилтиофена в 64 мл конц.  $\text{H}_2\text{SO}_4$  при —10° добавляют р-р 12 мл дымящей  $\text{HNO}_3$  в 30 мл конц.  $\text{H}_2\text{SO}_4$  2 часа, перемешивают 20 мин. при ~20°, выливают в воду, получают 3-бром-4-нитро-2-формилтиофен, выход 43%, т. пл. 108—110° (из лигр.). Альдегид окисляют  $\text{Na}_2\text{Cr}_2\text{O}_7$  в 35%-ной  $\text{H}_2\text{SO}_4$  (20°, 4 часа) и получают 3-бром-4-нитроттиофенкарбоновую-2 к-ту (XII), выход 44%; бромирование Ag-соли этой к-ты в  $\text{OCl}_4$  посредством  $\text{Br}_2$  (привавление при 20° и 2 часа кипячения) привело к образованию 2,3-дибром-4-нитроттиофена, т. пл. 99° (из лигр.-петр. эф.). 3 г XII, 15,6 г HgO и 35 мл лед.  $\text{CH}_3\text{COOH}$  кипятят 10 час., получают V, выход 93%, т. пл. 79—80° (из лигр.). 3-бромтиофен нитруют в  $(\text{CH}_3\text{CO})_2\text{O}$  70%-ной  $\text{HNO}_3$  при т-ре от —5 до —10°, получают VI, выход 80%, т. пл. 81—83° (из  $\text{CH}_3\text{OH}$ ).

XI. Определена скорость р-ции ацетата ртути в лед.  $\text{CH}_3\text{COOH}$  с тиофеном, 2-бромтиофеном, тиофенкарбоновой-2 к-той, 2-ацетилтиофеном, и 2-метилтиофеном. К связаны с  $\sigma$  (из ур-ния Гаммета) линейным отношением, на основании полученных данных при 50°



$\rho = -3,47$ , отношение констант скоростей соответствующих производных тиафена и  $C_6H_6$  при  $25^\circ$   $9,7 \cdot 10^{-4}$ , при  $50^\circ$   $2,3 \cdot 10^5$ , нитропроизводные обладают в 850 раз большей реакционной способностью, чем другие производные.

**XII.** Определена флуоресценция в нативном состоянии и в метанольном р-ре под влиянием УФ-света для ряда производных  $C_6H_6$  и тиафена: толуола, 2- и 3-метилтиафена, ацетанилида, 2- и 3-ацетаминотиафена, диацетил-о-фенилендиамина, 3,4-диацетаминотиафена, бензойной к-ты, тиофенкарбоновой-2 и -3 к-ты, фенилуксусной к-ты, 2-тиенилуксусной к-ты, 2- и 3-нитротиафена, бензойна,  $\alpha, \alpha'$ -теоина, 4,5-дифенилглиоксалина, 4,5-ди-( $\alpha, \alpha'$ -тиенил)-глиоксалина (I), 5-метил-, 4-метил-, 4,5-дибром- и 5-бром-4-нитротиафенкарбоновой-2 к-ты, 2-ацетилтиафена, 5-хлор-5-фенил- и 5-метил-2-ацетилтиафена, 5-хлор- и 5-ацетил-2-тиофенуксусной к-ты, 2,5-дибром- и 2-нитро-3-ацетаминотиафена, 2-йод- и 2-бром-5-ацетилтиафена, 2-хлор-5-бром-3-ацетаминотиафена, 3,4-диформаминотиафена, этилового эфира тиофенкарбоновой-2 к-ты, этилового эфира 5-метилтиофенкарбоновой-2 к-ты, метиловых эфиров 4,5-дибром- и 5-бром-4-нитротиафенкарбоновой-2 к-ты. Все производные тиафена сравнены с соответствующими производными  $C_6H_6$ . При наличии в  $\alpha$ -положении тиафена электроотталкивающих заместителей флуоресценция сильнее, чем у производных  $C_6H_6$ , при наличии электропритягивающих заместителей флуоресценция слабее, чем у производных  $C_6H_6$ .  $\beta$ -замещ. тиафены имеют одинаковую флуоресценцию с аналогичными производными  $C_6H_6$ . На флуоресценцию влияет pH р-ра и природа заместителя, особенно сильно усиливает флуоресценцию введение ацетаминных групп. 2 г 2,2'-теоина, 1 г мочевины и 7 мл лед.  $CH_3COOH$  кипятят 8 час., добавляют воду, фильтруют, получают I, т. пл.  $301-302^\circ$  (из  $CH_3COOH$ ). Сообщение VIII см. РЖХим, 1958, 46766.

Л. Яновская

**57469.** Синтез 5,5-диметилгидантона и его 1,3-дихлорпроизводного. Окада, Какутани, Огава (Okada Tokio, Kakutani Tutomu, Ogawa Masatuna), Юки гоэй кагаку кёкайси, J. Soc. Organ. Synth. Chem., Japan, 1957, 15, № 6, 294-298 (японск.)

Разработан промышленный способ синтеза 5,5-диметилгидантона (I) из ацетона (II),  $(NH_4)_2CO_3$  и NaCN или HCN. К 29 г II при охлаждении водой медленно добавляют 13,5 г HCN, перемешивают 1 час, добавляют за 30 мин. р-р 60 г  $(NH_4)_2CO_3$  в 120 мл воды, нагревают при  $60-75^\circ$  3 часа, получают I, выход 100%, т. пл.  $171-172^\circ$ . К смеси 29 г II, 68 г  $(NH_4)_2CO_3$ , 200 мл воды и 100 мл спирта добавляют за 15 мин. р-р 26,6 г NaCN в 100 мл воды, нагревают 3 часа при  $65-70^\circ$ , нейтрализуют, упаривают наполовину, извлекают смесь эфира с ацетоном (50:50) и после удаления р-рителей получают I, выход 88,7%. Из метилизобутилкетона аналогично получают 5-метил-5-изобутилгидантон (III), выход 94,4%, т. пл.  $144^\circ$ . Через р-р 12,8 г I и 15,9 г  $Na_2CO_3$  в 220 мл воды при  $30^\circ$  проводят ток  $Cl_2$  со скоростью 1,5-2 мл/сек, получают 1,3-дихлор-5,5 диметилгидантон, выход 91,8%, т. пл.  $132-133^\circ$ , из неочищ. I выход 71,5%. При хлорировании III получают 1,3-дихлор-5-метил-5-изобутилгидантон, выход 93,6%, т. пл.  $76-79^\circ$ .

Л. Яновская

**57470.** Исследование пиримидинов. Действие аминов и гидразина на этиловый эфир 2-метилмеркапто-4-метилпиримидинкарбоновой-5 кислоты. Цзи Юй-фын, у Юань-лю (Pyrimidine research. The action of amines and hydrazine of ethyl 2-methylmercapto-4-methyl-pyrimidine-5-carboxylate. Chi Yuoh-fong, Wu Yuan-liu), Чжунго кэсюэ, Scientia sinica, 1957, 6, № 5, 853-862 (англ.)

См. РЖХим, 1958, 21497.

**57471.** Синтез полициклических мочевины. I. Синтез 7-, 8- и 11-членных циклических мочевины. Ивакура, Уно, Хаматани, II. Синтез 12- и 13-членных мочевины гидролизом нонаметил- и декаметилендиизоцианатов. Ивакура, Уно, Судзуки, Фудзими, III. Синтез додекаметил-, тетрадекаметил- и гексадекаметилендиизоцианатов и их гидролиз с образованием 15-, 17- и 19-членных циклических мочевины. Ивакура, Уно. IV. Синтез ундекаметил-, тридекаметил- и пентадекаметилендиизоцианатов и их гидролиз с образованием 14-, 16- и 18-членных циклических мочевины. Ивакура, Уно (Iwakura Yoshio, Uno Keikichi, Hamatani Kenzo, Suzuki Ken, Fujii Kiyomi) Нихон кагаку дзасси, J. Chem. Soc. Japan. Pure Chem. Sec., 1957, 78, № 9, 1416-1420; № 10, 1504-1506, 1507-1510, 1511-1516 (японск.)

I. Из полиметилендиизоцианатов (ПМ)  $OCN(CH_2)_nNCO$ , где  $n = 4, 5$  и 8 при 2-часовом кипячении в 75%-ном водн. ацетоне получают полициклич. про-

водные мочевины  $NH(CH_2)_nNHC(O)$  (ПО), где  $n = 4, 5, 8$  (I, II, III) и образуются полимеры  $[N(CH_2)_nNHC(O)]_x$  (ПЛ) с теми же  $n$  (IV, V, VI). Указаны концы ПМ в моль/л, ПО, выход в %, т. пл. в  $^\circ C$ , т. пл. в  $^\circ C$  пикрата, ПЛ, выход ПЛ в %, т. пл. в  $^\circ C$  ПЛ: 0,152, I, 86,3, 172-173, 162-164, IV 12, 350; 0,061, II, 10,9, 233-234, 163,5-164, V, 82,6, 268-273; 0,1, III, 0,88, 165, 165-166, VI, 97, 237-245. При постепенном введении ПМ (10-13 час.) в кипящий 50%-ный водн. р-р ацетона выходы II и III повышаются до 22 и 12%. Пиролиз IV при  $240^\circ/22$  мм 3 часа привел к I, выход 75%, добавки  $MgO$ ,  $MgCl_2 \cdot 6H_2O$  или  $MgF_2$  не повышают выхода I, пиролиз VI при  $280^\circ/11$  мм в течение 1 часа привел к III, выход 10%. Кислотный гидролиз I (кипчение с HCl, 1:2, 2 часа) и щел. гидролиз I (кипчение с 10%-ным NaOH, 4 часа) приводит к тетраметилендиамину, при 30-минутном гидролизе 40%-ной  $H_2SO_4$  III дает октаметилендиамин. С ледяной уксусной к-той I дает продукт присоединения; пикрат, т. пл.  $51^\circ$ .

II. Аналогично описанному выше при гидролизе ПМ, где  $n = 9$  (VII), в течение 4 час. получены ПЛ (п = 9), выход 88,4%, и ПО (п = 9), выход 5,3 и 28% в случае ведения р-ции по второму способу (добавлением изоцианата в кипящей водн. ацетон), т. пл.  $177,5-178^\circ$ , из ПМ, где  $n = 10$  (VIII), получены ПЛ (п = 10), выход 92%, и ПО (п = 10), выход 6,6% (47% по второму способу), т. пл.  $189-189,5^\circ$ . 258 г этилового эфира себазиновой к-ты (IX к-та) гидрируют в присутствии 30 г хромита меди при  $250^\circ$ , 200 ат, получают декаметиленгликоль (X), выход 78%, т. кип.  $154-155^\circ/5$  мм, т. пл.  $72-73^\circ$ , 87 г X, 208 г 48%-ной HBr в 100 г конц.  $H_2SO_4$  кипятят несколько часов, разгонкой выделяют декаметилендидибромид (XI), выход 83%, т. кип.  $128-130^\circ/2,5$  мм, 670 г XI, 900 мл спирта, 360 г KCN, 300 мл воды и 40 г KJ перемешивают 34 часа, разгонкой выделяют декаметилендинитрил (XII), выход 83%, т. кип.  $169-173^\circ/3,5$  мм, 50,5 г XII и 105 мл конц.  $H_2SO_4$  кипятят 8 час., получают декаметилендикарбоновую к-ту (XIII), выход 87%, т. пл.  $122-124^\circ$ , диэтиловый эфир (этанол,  $C_6H_6$ ,  $n$ -толуолсульфокислота, кипячение с отгонкой), выход 93%, т. кип.  $149-151^\circ$ , т. пл.  $15,5-16^\circ$ . При нагревании 60 г диэфира с 31,5 г 85%-ного гидразингидрата в 160 мл спирта в течение 14 час. получен дигидразид XIII (XIV), выход 85%, т. пл.  $184-185^\circ$  (из 60%-ного сп.). 10 г XIV, 9 г конц.  $H_2SO_4$  и 150 мл воды обрабатывают при  $10^\circ$  р-ром 11 г  $NaNO_2$  в 50 мл воды 25 мин., перемешивают 10 мин., полученный диазид постепенно нагревают с  $C_6H_6$  и получают VII, выход 55%, т. кип.  $134^\circ/0,54$  мм. Аналогично вышеописанному приготовлены из этилового

эфира азелаиновой к-ты наонаметилгликоль, выход 30%, т. кип. 138—140°/3,5 мм; наонаметилдигликоль, выход 74%, т. кип. 156—158°/14 мм; наонаметилдигликарбоновая к-та, выход 61%, т. кип. 152,5—153,3°; наонаметилдигликарбоновая к-та, выход 68%, т. пл. 111—111,5° (из воды); диэтиловый эфир, выход 96%, т. кип. 138—140°/4,5 мм; дигидразид, выход 95%, т. пл. 187,5—188,5° (из сл.); VIII, выход 33%, т. кип. 128°/2,5 мм. При смешении ацетонового р-ра VII или VIII с аминами при охлаждении наступает экзотермич. р-ция и образуются производные (ПР) общей ф-лы  $RHNOCHN(CH_2)_n$   $RHNOCHNHR$ , где  $n = 9$  (даны R, т. пл. в °C):  $H_2$ , 198,5—199,5;  $C_2H_5$ , 180—180,5;  $C_6H_5$ , 192—193;  $RHNOCHN(CH_2)_{10}$   $RHNOCHNHR$  (даны R, т. пл. в °C):  $H_2$ , 195—196;  $CH_3$ , 184—185;  $C_6H_5$ , 190—191.

III. Подобно описанному выше (см. сообщение I) получены из ПМ ( $n = 12, 14$  или  $16$ ) соответствующие ПО (даны  $n$ , выход в % по 1-му и 2-му способам, т. пл. в °C): 12, 10,6 или 46, 202—204; 14, 12,5 или 46, 195—196; 16, 20,5 или 42, 180—180,5, одновременно образуются ПЛ (даны  $n$ , выход по 1-му и 2-му способу): 12, 81,4 или 50; 14, 87 или 39; 16, 77 или 47. Исходные ПМ получены по схеме, описанной в сообщении II. Смесь 279 г IX, 46 г спирта, 160 г диэтилового эфира IX (XV) и 30 г конц. HCl кипятят 4 часа, разгонкой выделяют моноэтиловый эфир IX, выход 39%, т. кип. 168—169°/3 мм, т. пл. 35—36°. Это же в-во с выходами 37—41% получают в тех же условиях из IX и спирта с конц. HCl; из XV с конц. HCl и водой; из IX, XV и ди-*n*-бутилового эфира IX со спиртом и конц. HCl. Аналогично из 2,5 моля  $HOOC(CH_2)_nCOOH$  и этанола (5 молей) с конц. HCl получен моноэтиловый эфир азелаиновой к-ты, выход 54%, т. кип. 150—153°/2,5 мм. По первому из описанных методов получен моноэтиловый эфир додекаметилендикарбоновой к-ты (XVI), выход 41%, т. кип. 175—177°/9 мм. Р-р 81 г XVI и 0,92 г Na в 200 мл безвод.  $CH_3OH$  подвергают электролизу (40—45°, напряжение 15—20 в, плотность тока 0,1 а/см<sup>2</sup>), получают диэтиловый эфир додекаметилендикарбоновой к-ты, выход 61%, т. кип. 180°/3 мм. Аналогично получены диэтиловый эфир тридекаметилендикарбоновой к-ты, выход 62%, т. кип. 180—190°/0,35 мм, и диэтиловый эфир тетрадекаметилендикарбоновой к-ты, выход 54%, т. кип. 185°/4 мм. Приготовлены (даны в-во, выход в %, т. кип. в °C или т. пл. в °C): дигидразид додекаметилендикарбоновой к-ты, 93, 187—188 (из 80%-ного сл.); дигидразид тетрадекаметилендикарбоновой к-ты, 92, 184—185 (из изоамилового спирта); дигидразид гексадекаметилендикарбоновой к-ты, 74, 176—178 (из сл.); ПМ ( $n = 12$ ), 49, 168—169/3; ПМ ( $n = 14$ ), 50, 175/0,59; IX ( $n = 16$ ), 31, 185/0,33. Из ПМ р-цией с аминами, как описано в сообщении II, получены ПР (даны R,  $n$ , т. пл. в °C):  $H_2$ , 12, 185—186;  $CH_3$ , 12, 175—176;  $C_6H_5$ , 12, 185—186;  $H$ , 14, 186—187;  $CH_3$ , 14, 180,5—181;  $C_6H_5$ , 14, 185—187;  $H$ , 16, 179—179,5;  $CH_3$ , 16, 175—176;  $C_6H_5$ , 16, 175—176.

IV. Совместным электролизом 57 г моноэтилового эфира азелаиновой к-ты с 294 г моноэтилового эфира додекаметилендикарбоновой к-ты в р-ре 3 г Na в 600 мл  $CH_3OH$  (40—45°, 0,28 а/см<sup>2</sup>) получен диэтиловый эфир ундекаметилендикарбоновой к-ты, выход 32%, т. кип. 161—162°/2 мм. Аналогично получены (даны исходные в-ва, мол. отношение их, конечный продукт, выход в %, т. кип. в °C/мм):  $HOOC(CH_2)_9COOC_2H_5$  и  $HOOC(CH_2)_9COOC_2H_5$  (XVII), 2 : 1, диэтиловый эфир тридекаметилендикарбоновой к-ты, 20, 152/0,23;  $HOOC(CH_2)_{10}COOC_2H_5$  и XVII, 2 : 1, диэтиловый эфир пентадекаметилендикарбоновой к-ты, 21, 162/0,02, т. пл. 35,5°. Из полученных эфиров аналогично вышеописанному (см. сообщение I) приготовлены дегидразиды  $H_2NNHCO(CH_2)_nCONHNH_2$  [даны  $n$ , выход в %, т. пл. в °C (из сл.)]: 9, 11, 90, 188,5—189; 30, 13, 86,

185—187; 25, 15, 90, 184—185. Дигидразиды превращены в диизоцианаты  $ONC(CH_2)_nNCO$  (ДИ) (см. также сообщение I) (даны  $n$ , выход в %, т. кип. в °C/мм): 11, 42, 151—152/3; 13, 50, 155—160/0,4; 15, 56, 157—160/0,2. При обработке соответствующими аминами в ацетоне на холоду ДИ дают ПР (приведены  $n$ , R, т. пл. в °C): 11,  $H$ , 191,5—192; 11,  $C_2H_5$ , 178,5—179,5; 11,  $C_6H_5$ , 190—190,5; 13,  $H$ , 186—187; 13,  $CH_3$ , 175—176; 13,  $C_6H_5$ , 184,5—185,5; 15,  $H$ , 181—182; 15,  $CH_3$ , 170—172; 15,  $C_6H_5$ , 175—177. Диизоцианаты аналогично ранее описанному (см. сообщение I) при кипячении (4 часа) с 75%-ным ацетоном дают ПО и ПЛ; получены (даны  $n$ , выход в %, т. пл. в °C, выход полимера в %, т. пл. в °C): 11, 14, 5, 192—194, 82, 199—205; 13, 11, 2, 189—190, 88, 5, 189—195; 15, 20, 185—186, 78, 8, 180—186. На основании полученных в настоящей и прошлых работах данных обсуждена связь между кол-вом метиленовых групп и т-рой плавления цепных и циклич. соединений. Соединения с нечетным числом  $CH_2$ -групп плавятся, как правило, ниже, чем в-ва с четным числом  $CH_2$ -групп.

Л. Яновская

57472. Хиназолон I. Синтез 3-(ω-диалкиламиноалкил)-хиназолонов-4. Чан Юй-фэн, Шао Го-сянь (Quinazolone. I. Synthesis of 3-(ω-dialkylaminoalkyl)-quinazolone-4. Chi Yuoh-fong, Shown Guo-chung.), Чжунго кэсюэ, Scientia sinica, 1957, 6, № 5, 847—851 (англ.)  
См. РЖХим, 1958, 21496.

57473. Многочленные углеродные циклы XV. Хинокальиновые производные циклононадиона-1,2. Бломкунст, Мейнуолд (Many-membered carbon rings. XV. Quinoxaline derivatives of 1,2-cyclononadiene. Blomquist A. T., Meinwald Yvonne C.), J. Organ. Chem., 1958, 23, № 1, 6—8 (англ.)

Синтезированы 6-R-2,3-гептаметиленхиноксалины (Ia  $R = NO_2$ , б  $R = NH_2$ , в  $R = CN$ , г  $R = COOH$ , д  $R = NHCOC_6H_4COOH$ -о). В связи с предполагаемыми стерич. препятствиями во взаимном превращении несимметричных конформаций I сделаны попытки расщепления Ib с помощью (+)-камфор-10-сульфокислоты (II), Iг действием (+)-α-фенилэтиламина (III) и цинхонидина (IV), а Id с помощью IV и хинина. Однако все эти попытки не увенчались успехом. На основании УФ-спектров Ib и Id при различных pH (приведены кривые) обсуждается структура их молекул. Смесь циклононадиона-1,2 (V) и 4-нитрофенилдиамин-2,3 (по 0,25 моля) в 200 мл лед.  $CH_3COOH$  кипятят 1 час, охлаждают до 70°, вливают в воду и отделяют Ia, выход 100%, т. пл. 109,5—110,5° (из сл.). Аналогично получают I ( $R = H$ ), т. пл. 68,5—70° (из сл.). Ia восстанавливают в этилацетате (скелетным Ni, 20°) и при упаривании фильтрата получают Ib, выход 100%, т. пл. 171—172,5°; соль Ib с II (получают в этилацетате), т. разл. 172—180°. Диазораствор (из 2,4 г Ib в разб. HCl) прибавляют (0—5°, 2 часа) к суспензии 2 г  $Cu_2(CN)_2$  и 2 г KCN в 10 мл воды, нагревают (70°, 3 часа), из осадка экстрагируют кипящим  $C_6H_6$  Ib, выход небольшой, т. пл. 169—171° (из бал.- $C_6H_{12}$  и сл.). 0,1 г Ib в смеси  $CH_3COOH-H_2SO_4$ -вода (по 2 мл) кипятят 12 час. и выделяют моногидрат Iг, т. пл. 238—240° (разл.; из сл.), который получают также аналогично Ia из V и 3,4-диаминобензойной к-ты, выход 50%; соль Iг и III (получают в ацетоне), т. пл. 156—158°,  $[α]_D^{25} + 23°$  (с 5;  $CHCl_3$ ); соль Iг и IV (в спирте), т. пл. 232° (разл.),  $[α]_D^{25} - 47,5°$  (с 1;  $CHCl_3$ ). Из Ib и фталевого ангидрида (по 0,02 моля) в 45 мл  $C_6H_6$  (нагревание после экзотермич. р-ции 2 мин.) получают Id, выход 100%, т. пл. 134—135° (из бал.); моногидрат желтого цвета, т. пл. 131—135° (из 60%-ного сл.); соль Id и IV (в ацетоне), т. пл. 140—142°,  $[α]_D^{25} - 79,1°$  (с 2,5;  $CHCl_3$ ),  $+ 11,7°$  (с 2; сл.); соль Id и хинина, т. пл. 188—189° (из



ацетона),  $[\alpha]_D -143^\circ$  (с 1;  $\text{CHCl}_3$ ), т. пл.  $141-143^\circ$  (из  $\text{CH}_3\text{OH}$ ),  $[\alpha]_D -144^\circ$  (с 2;  $\text{CHCl}_3$ ). Сообщение XIV см. РЖХим, 1958, 11170.

Б. Дубинин

**57474. Синтез и биологическая активность некоторых 6-(замещенных)-тиопуринов.** Скиннер, Хэм, Фицджералд, Эйкин, Шайв (Synthesis and biological activity of some 6-(substituted) thiopurines. Skinner Charles G., Ham Richard G., Fitzgerald David C., Jr, Eakin Robert E., Shive William), J. Organ. Chem., 1956, 21, № 11, 1330—1332 (англ.).

Действием галогидных алкилов (ГА) на 6-меркаптопуриин (I) синтезированы 6-алкилтиопурины (II), которые при биол. испытании оказались эквивалентными или немного более активными, чем ранее полученные авторами (см. РЖХимБх, 1958, 6136) соответствующие 6-алкиламинопурины. 0,25 г I растворяют в 31 мл 0,049 н. NaOH (метод А); в случае малорастворимых ГА прибавляют спирт до образования 50%-ной смеси (метод Б), добавляют ГА (1 экв) и встряхивают до исчезновения органич. слоя (о высших ГА требуется нагревание в автоклаве), продуванием воздуха отгоняют часть спирта и получают бесцветные II, желтый оттенок указывает на наличие I. В этом случае II кристаллизуют из разб. спирта при щел. рН. Перечислены исходный ГА, метод, т-ра р-ции в  $^\circ\text{C}$ , время в часах, выход II (алкил тот же, что и в ГА) в %, т. пл. в  $^\circ\text{C}$ : 1-йодгексан, Б, 27, 15, 81, 77; 1-йодгептан, Б, 27, 15, 79, 79—81; 1-йодоктан, Б, 27, 68, 80, 78—80; 1-бромдекан, Б, 90, 9, 72, 84—85; 1-бромгексадекан, Б, 90, 12, 76, 101; 1-йод-2-метилпропан, А, 27, 17 (или 90, 12), 49, 199; 1-йод-3-метилбутан, А, 27, 5 (ш  $\sim 100^\circ$  1 час), 50, 126—127; 2-йодэтилбензол, Б, 27, 8, 82, 159—160; 3-бромпропилбензол, Б, 27, 12, 68, 142—143; 5-бромпентилбензол, Б, 90, 17, 57, 98—100.

Б. Дубинин

**57475. Исследования в области производных триазола-1,2,3. II. Синтез соединений, родственных 1,2,3-триазолкарбоновым кислотам. III. Синтез амида 5-амино-1,2,3-триазолкарбоновой-4 кислоты.** Ямада, Мидзогучи, Аята (Yamada Shun'ichi, Mizoguchi Tomishige, Ayata Akira), Якугаку даисси, J. Pharmac. Soc. Japan, 1957, 77, № 5, 452—455; 455—457 (японск.; рез. англ.).

II. Исходя из 1,2,3-триазолкарбоновой-4 к-ты (I) [синтезирована из  $\text{NH}_3$  и пропаргиловой к-ты, выход 45,6%, т. пл.  $220^\circ$  (разл.)] по Курциусу через ее этиловый эфир (Ia) (из 5 г I, выход 2,4 г, т. пл.  $117-118^\circ$ ), гидразид (Ib) [из 1,4 г Ia, выход 0,9 г, т. пл.  $260^\circ$  (разл.)] и этиловый эфир 1,2,3-триазолкарбаминовой-4 к-ты (из 3,9 г Ib, выход 2,5 г, т. пл.  $138-140^\circ$ ) синтезирован 4-амино-1,2,3-триазол (II), т. пл.  $142^\circ$  (разл.); хлоргидрат, т. пл.  $178^\circ$  (разл.). II получен также аналогичным путем, исходя из 1,2,3-триазолдикарбоновой-4,5 к-ты (III) [синтезирована из  $\text{HN}_3$  и ацетилендикарбоновой к-ты, выход 76,5%, т. пл.  $200^\circ$  (разл.)] через ее диметиловый (IIIa) (т. пл.  $133-134,5^\circ$ ), монометиловый эфир (IIIб) [т. пл.  $152-153^\circ$  (разл.)], моногидразид (т. пл.  $>200^\circ$  (разл.)) и бензильный эфир 1,2,3-триазолкарбаминовой-4 к-ты (т. пл.  $144-145^\circ$ ). Из Ia получают амид I [т. пл.  $253-254^\circ$  (разл.)], из III образуется 1-метилпроизводное IIIa (т. пл.  $117-118^\circ$ ), а из IIIб получают мономид III, т. пл.  $247^\circ$  (разл.).

III. При взаимодействии  $\text{H}_2\text{NCOCH}_2\text{C}(\text{ONH}_2)=\text{NH}$  или  $\text{CNCH}_2\text{CONH}_2$  с  $\text{C}_6\text{H}_5\text{N}_3$  или  $\text{C}_6\text{H}_5\text{CH}_2\text{N}_3$  получены соответственно амид 1-фенил- (т. пл.  $170-171^\circ$  (разл.)) и 1-бенаил-5-амино-I (IV), т. пл.  $233-234^\circ$  (разл.). Дебензилирование IV действием Na в жидком  $\text{NH}_3$  приводит к амиду 4-амино-I (V), т. пл.  $226-227^\circ$  (разл.); хлоргидрат, т. пл.  $188-189^\circ$  (разл.). При взаимодействии V с  $\text{CO}(\text{NH}_2)_2$  получают 8-азаксантин — 1Н-триазоло-[4,5-d]-пиримидиндиол-5,7 (VI), т. пл.  $280^\circ$  (разл.). Приведен УФ-спектр VI. Сообщение I см. РЖХим, 1958, 8004. В. З.

**57476. Ароматические диазо- и азосоединения. XXIII. Новые синтезы и реакции триазолобензолов. Му-жик (Aromatische Diazo- und Azoverbindungen XXIII. Neue Synthesen und Reaktionen von Triazolobenzolen. Mužik F.), Collect. czechosl. chem. commun., 1958, 23, № 2, 291—305 (нем., рез. русск.)** См. РЖХим, 1958, 11348.

**57477. Поведение псевдонитролов по отношению к азотистоводородной кислоте.** Маффеи, Беттинетти (Comportamento degli pseudonitroli con l'acido azotidrico. Maffei Silvio, Bettinetti Gian Franco), Ann. chimica, 1957, 47, № 11, 1286—1292 (итал.).

При р-ции  $\text{HN}_3$  (I) с псевдонитролами образуются гем-нитроазидопроизводные, которые гидролизуются с образованием кетонов,  $\text{N}_2\text{O}$  и  $\text{N}_2$ . К 0,01 моля  $(\text{CH}_3)_2\text{C}(\text{NO}_2)\text{NO}$  (II) и 0,02 моля (+10% избытка)  $\text{NaN}_3$  при  $20^\circ$  добавляют 50 мл лед.  $\text{CH}_3\text{COOH}$ , при этом образуется 0,2% ацетона и небольшое количество  $(\text{CH}_3)_2\text{C}(\text{NO}_2)\text{N}_2$  (III) (выделен перегонкой смеси с водяным паром). При проведении р-ции в водн.  $\text{CH}_3\text{COOH}$  и повышении т-ры в результате гидролиза III образуются значительные кол-ва ацетона и  $\text{N}_2\text{O}$ . Наилучший выход III получается при осуществлении р-ции в  $\text{CHCl}_3$ . К 0,2 моля II в 290 мл  $\text{CHCl}_3$  прибавляют 0,4 моля (+10% избытка) лед.  $\text{CH}_3\text{COOH}$  и затем при  $5-6^\circ$  в течение 2 час. вводят 0,4 моля (+10% избытка)  $\text{NaN}_3$ , перемешивают до обесцвечивания р-ра, промывают водой и содой при  $0^\circ$ , упаривают в вакууме, получают 10 г III, т. кип.  $44-45^\circ/0,2$  мм. Смесь 5,2 г III и 80 мл ацетона, насыщ.  $\text{HC}\equiv\text{CH}$ , нагревают 135 час. при  $70^\circ$  в закрытом сосуде, выделяют 1,8 г 1-(2'-нитроэнопропил)-триазола-1,2,3, т. пл.  $45^\circ$  (из эф.). 2 г III и 3 г толана нагревают 40 час. при  $95^\circ$ , извлекают конц.  $\text{HCl}$  и разбавляют водой, получают 1,4 г 1-(2'-нитроэнопропил)-4,5-дифенилтриазола-1,2,3, т. пл.  $134^\circ$  (из сп.). Аналогично вышеописанному при р-ции I с  $\text{CH}_2(\text{CH}_2)_n\text{C}(\text{NO}_2)\text{NO}$  и  $(\text{C}_6\text{H}_5\text{CH}_2)_2\text{C}(\text{NO}_2)\text{NO}$  в  $\text{CHCl}_3$  (т-ра р-ции соответственно 25 и  $40-60^\circ$ ) получают соответствующие нитроазиды, не выделенные в чистом виде. В этих случаях (особенно в  $\text{CH}_3\text{COOH}$ ) гидролиз проходит более заметно, чем для III. Обсужден механизм р-ции I с нитрозосоединениями.

С. Завьялов

**57478. Синтезы в пирролизидиновом и индолизидиновом рядах.** Сейверт, Джёкич (Synthesen in der Pyrrrolizidin- und Indolizidin-Reihe. Seiwerth R. Djokić S.), Croat. chem. acta, 1957, 29, № 3-4, 408—407 (нем., рез. сербо-хорв.).

Бромированием 4-(тетрагидрофурил-2)-масляной (I) и 5-(тетрагидрофурил-2)-валериановой- (II) к-т и обработкой продуктов р-ром  $\text{HBr}$  в  $\text{CH}_3\text{OH}$  получены метиловые эфиры 1,4,7-трибромгептан- (III) и 1,4,8-трибромоктан- (IV)-карбоновых к-т, циклизированные действием метанольного р-ра  $\text{NH}_3$  в метиловые эфиры пирролизидинкарбоновой-3 (V) и индолизидинкарбоновой-5 (VI) к-т, восстановленные  $\text{LiAlH}_4$  в 3-оксиметилпирролизидин (VII) и 5-оксиметилиндолизидин (VIII). 12,7 г I, 1,26 г красного P и 32 г  $\text{Br}_2$  нагревают 4 часа при  $100^\circ$ , отгоняют  $\text{Br}_2$  и извлекают эфиром 23,6 г продукта, 10 г которого растворяют в 25 мл  $\text{CH}_3\text{OH}$ , р-р насыщают при охлаждении  $\text{HBr}$  и получают III, выход 56,5%. Р-р 6,7 г III в 50 мл  $\text{CH}_3\text{OH}$  насыщают при  $0^\circ$   $\text{NH}_3$ , нагревают 4 часа при  $130^\circ$ , отгоняют р-ритель и получают V, выход 45%, т. кип.  $111-112^\circ/14$  мм, хлоргидрат (XI), т. пл.  $120-125^\circ$  (из абс. сп.). К 0,75 г  $\text{LiAlH}_4$  в 25 мл эфира приливают по каплям 1,7 г V в 30 мл эфира, кипятят 2 часа и выделяют VII, выход 31,5%, т. кип.  $76-80^\circ/16$  мм, ХГ, т. возг.  $100-120^\circ/14$  мм. Аналогично из II получают IV, выход 70%; VI, выход 32%, т. кип.  $125-126^\circ/14$  мм, ХГ, т. пл.  $117-120^\circ$ ; VIII, выход 35%.

т. кип. 100—114°/16 мм, ХГ, т. возг. 204—215°/14 мм.

Л. Шуккина  
57479. 1,5-диарилпирролидиндионы-2,3. VIII. Синтез и доказательство строения. Мейер, Вон (1,5-diaryl-2,3-pyrrolidinediones. VIII. Synthesis and structure proof. Meyer Walter L., Vaughan Wyma n R.), J. Organ. Chem., 1957, 22, № 12, 1554—1560 (англ.)

Попытки ввести СО-группу в положение 3 1-фенилпирролидинона-2 (I, II пирролидинон-2) путем гидролиза 1-фенил-3-оксимино-II (III) окончились неудачей. Не удалось также прогидролизовать 1,5-дифенил-3-оксимино-II (IV). Гидрированием IV превращен в 1,5-дифенил-3-амино-II (V), затем действием  $\text{HNO}_2$  превращен в 1,5-дифенил-3-окси-II (VI) и VI окислен в 1,5-дифенилпирролидиндион-2,3 (VII). Последний по свойствам можно легко отличить от соединения, которому ранее приписывалось строение VII, но в действительности оказалось 5-фенил-3-анилино-(5Н)-фураноном-2 (см. сообщение VII, РЖХим, 1958, 1299). 1 моль  $\gamma$ -бутиролактона и 165 мл анилина кипятят 3 дня с отгонкой воды (95% рассчитанного кол-ва) и получают I, выход 85%, т. кип. 195—200°/21 мм, т. пл. 68—69° (из петр. эф. или этилацетата). К 100 мл безводн. толуола, содержащего 0,1 г атома измельченного Na, медленно прибавляют в токе  $\text{N}_2$  при  $\sim 0^\circ$  0,1 моля I и 18 мл  $\text{HCOOC}_2\text{H}_5$  в 50 мл толуола, перемешивают 12 час. при  $\sim 20^\circ$ , образовавшуюся желатинообразную суспензию выливают на смесь льда и 5%-ной  $\text{HCl}$  и выделяют 1-фенил-3-оксиметилен-II (VIII) в виде не поддающегося очистке масла. При нагревании с  $(\text{CH}_3\text{CO})_2\text{O}$  ( $\sim 100^\circ$ , 1,5 часа) VIII дает ацетат, т. пл. 162—162,5° (из  $\text{CH}_3\text{OH}$ ). При действии  $\text{C}_6\text{H}_5\text{COCl}$  на VIII в пиридине ( $\sim 100^\circ$ , 30 мин.) получают бензоильное производное, выход 12% (в пересчете на I), т. пл. 183—183,5° (из сп.). К образующейся при синтезе VIII желатинообразной суспензии (см. выше) прибавляют 0,1 моля  $\text{C}_6\text{H}_5\text{ONO}$  в толуоле, перемешивают еще 4 часа, выливают на лед, толуольный слой извлекают 5%-ным  $\text{NaOH}$  и из объединенных водн. р-ров выделяют III, выход 8,4%, т. пл. 210,5—212° (разл.; из сп.). III можно получить также действием  $\text{NaNO}_2$  на щел. р-р VIII с последующим подкислением. К 0,79 моля  $\text{NaBH}_4$  в 0,5 л спирта прибавляют р-р 0,5 моля  $\text{C}_6\text{H}_5\text{COCCH}_2\text{COOH}$  в 0,5 л спирта, перемешивают 3 часа при  $\sim 20^\circ$ , подкисляют и выделяют  $\gamma$ -фенил- $\gamma$ -бутиролактон, выход 84%, т. кип. 106—113°/0,5 мм, т. пл. 34—36°. Из последнего в условиях, указанных выше при синтезе I, получают 1,5-дифенил-II (IX), выход 52%, т. пл. 110—112° (из этилацетата или  $\text{iso-C}_3\text{H}_7\text{OH}$ ). К кипящему р-ру  $\text{C}_6\text{H}_5\text{ONa}$  (из 0,739 г атома Na и 800 мл абс. спирта) прибавляют 0,61 моля  $\text{HONH}_2 \cdot \text{HCl}$ , кипятят 20 мин. и прибавляют 0,122 моля 1,5-дифенил-3-анилино-(5Н)-пирролона-2 (X) (см. РЖХим, 1956, 71546), кипятят 18 час. и из фильтрата выделяют IV, выход 82,9%, т. пл. 230—231° (разл.; из сп.; капилляр опущен в прибор при 200°, скорость подъема т-ры  $3^\circ$  в 1 мин.). IV можно получить также действием  $\text{HCOOC}_2\text{H}_5$  на IX аналогично указанному при синтезе VIII, но в  $\text{C}_6\text{H}_6$  с применением  $\text{NaN}$  (55—60°, 24 часа), с последующей обработкой реакционной смеси  $\text{C}_6\text{H}_5\text{ONO}$ , выход 4,5%; ацетильное производное IV, т. пл. 190—192° (разл.; из сп.; скорость подъема т-ры  $8^\circ$  в 1 мин.). 7,5 моля IV гидрируют в 100 мл лед.  $\text{CH}_3\text{COOH}$  над 100 мг  $\text{PtO}_2$  ( $\sim 3$  ат, 3 дня), выход V 85%, т. пл. 140,5—142° (из этилацетата-петр. эф.); хлоридат; т. пл. 243—245° (разл.; из  $\text{HCl}$ -к-ты). 2 ммоль V в 50 мл  $\text{CHCl}_3$  охлаждают твердой  $\text{CO}_2$  с ацетоном, прибавляют  $\text{NOCl}$  в  $\text{CHCl}_3$  до появления желтой окраски, через 4 часа упаривают, остаток растворяют в  $\text{C}_6\text{H}_6$  и после хроматографирования получают 1,5-дифенил-3-хлор-II (XI), выход 48%, т. пл. 102,5—103,5° (из  $\text{CCl}_4$ -петр. эф.). 0,81 ммоль неочищ. XI гидрируют в 50 мл абс. спирта, содержащего 0,82 ммоль  $\text{KOH}$ , над

1 г  $\text{Pd/CaCO}_3$  ( $\sim 20^\circ$ , 1 ат, 6 час.) и получают IX, выход 94% (неочищ.). 7,9 ммоль V растворяют в 1 н.  $\text{HCl}$ , взятой с небольшим избытком, разбавляют до 300 мл и к фильтрату прибавляют за 3 дня 9,4 ммоль  $\text{NaNO}_2$  в 50 мл воды. Через 2 дня отделяют VI, выход 80—100%, т. пл. 148—150° (из  $\text{iso-C}_3\text{H}_7\text{OH}$ -воды); бензоильное производное получено действием  $\text{C}_6\text{H}_5\text{COCl}$  на VI в пиридине, т. пл. 188—189° (из  $\text{CH}_3\text{OH}$ ). Синтезированное ранее (РЖХим, 1958, 14471) соединение, которому приписано строение VI, плавится на  $50^\circ$  выше и имеет сходный, но не идентичный ИК-спектр. Возможно, что VI и указанное соединение являются эпимерами. 4 ммоль VI в 20 мл  $\text{C}_6\text{H}_6$  взбалтывают 24 часа с 3 ммоль  $\text{CrO}_3$  в 30 мл воды, содержащей 2 мл  $\text{H}_2\text{SO}_4$  и 2 мл  $\text{CH}_3\text{COOH}$ . Из бензоильного р-ра выделяют VII, который не удается очистить. Для характеристики VII действием анилина в спирт. р-ре превращен в X. VII синтезирован также декарбоксилированием 1,5-дифенил-4-карбэтоксипирролидиндиона-2,3; 3,1 ммоль последнего нагревают с 80 мл  $\text{C}_6\text{H}_5\text{NO}_2$  до начала выделения газа и затем еще 12 мин. и выделяют из р-ра VII, выход 65%, т. пл. 162—163° (из толуола). 3 ммоль X нагревают ( $\sim 100^\circ$ , 4 часа) с 10 мл  $\text{HOCH}_2\text{CH}_2\text{OH}$ , содержащего 0,3 мл  $\text{CH}_3\text{SO}_3\text{H}$ , и получают 1,5-дифенил-3-этилендиокси-II, выход 90%, т. пл. 145—146° (из сп.). К 6,1 ммоль X в 50 мл горячей  $\text{CH}_3\text{COOH}$  приливают за 20 мин. р-р 7,2 ммоль  $\text{NaNO}_2$  в 40 мл воды, нагревают еще 10 мин. и через 2 часа охлаждают; выход N-нитропроизводного X (XII) 18%, т. пл. 271—272° (разл.; из  $\text{CH}_3\text{COOH}$ ). Приведены частоты в ИК-спектрах IV, VII, VIII и XII.

Г. Браз

57480. 1,5-диарилпирролидиндионы-2,3. IX. Пересмотр строения. Мейер, Вон (1,5-diaryl-2,3-pyrrolidinediones. IX. Reassignment of structure. Meyer Walter L., Vaughan Wyma n R.), J. Organ. Chem., 1957, 22, № 12, 1560—1565 (англ.)

После того, как было установлено, что продукт конденсации (ПК)  $\text{C}_6\text{H}_5\text{CH}=\text{NC}_6\text{H}_5$  с  $\text{CH}_2\text{COCOOH}$  не является 1,5-дифенилпирролидиндион-2,3 (I пирролидиндион-2,3) (см. пред. реф.) повторное изучение свойств и ИК-спектра ПК привело к выводу, что он является замещ. фураноном-2  $\text{ArCHCH}=\text{C}(\text{NHAr})\text{COO}$

(II  $\text{Ar} = \text{Ar}' = \text{C}_6\text{H}_5$ ) (IIa). Действительно, при действии  $\text{HNO}_2$  IIa превращается в N-нитропроизводное (III), что подтверждает сделанное предположение. Однако гидрирование IIa вместо ожидаемого  $\alpha$ -анилино- $\gamma$ -фенил- $\gamma$ -бутиролактона (IV, V  $\gamma$ -бутиролактон), по-видимому, в результате гидрогенолиза промежуточно образовавшегося IV, привело к  $\text{C}_6\text{H}_5\text{CH}_2\text{CH}(\text{NHC}_6\text{H}_5)\text{COOH}$  (VI). IV, синтезированный восстановлением  $\text{C}_6\text{H}_5\text{COCCH}_2\text{CH}(\text{NHC}_6\text{H}_5)\text{COOH}$  (VII), с последующей лактонизацией образовавшейся  $\gamma$ -оксикислоты, при гидрировании также дал VI. Как оказалось, ИК-спектр IV очень близок к ИК-спектру дигидропроизводного (VIII), полученного гидрированием соединения (A), ошибочно описанного ранее как 1,5-дианизид-I. Из-за неправильного приписанной A структуры VIII было принято (РЖХим, 1954, 18053) за 3-окси-1,5-дианизидпирролидинон-2. Еще большее сходство, чем с IV, обнаружилось у ИК-спектра VIII с ИК-спектром  $\alpha$ -(n-анизиламино)- $\gamma$ -фенил-V (IX). В связи с этим  $n\text{-CH}_2\text{OC}_6\text{H}_4\text{CH}(\text{OH})\text{CH}_2\text{CH}(\text{NHC}_6\text{H}_4\text{OCH}_2n)\text{COOH}$  (X) в виде бензоильного производного была превращена в лактон. Полученное соединение оказалось идентичным бензоильному производному VIII (VIIIa). Тем самым установлено, что VIII имеет строение  $\alpha$ -(n-анизиламино)- $\gamma$ -(n-анизил)-V. Следовательно, A представляет собой ненасыщ.  $\alpha$ -амино- $\gamma$ -лактон, содержащий одну  $\text{C}=\text{C}$ -связь. На основании свойств и изучения ИК-спектра A придано строение II ( $\text{Ar} = \text{Ar}' = n\text{-CH}_2\text{OC}_6\text{H}_4$ ) (IIb). Сходство



методов получения, хим. свойств и ИК-спектров всех полученных ранее, не содержащих других заместителей в кольце «1,5-диарил-1» (исключение составляют 1,5-дифенил-1, описанный в сообщении VIII, см. пред. реф., и I с заместителями иного типа), приводит к выводу, что эти соединения в действительности являются арилзамещ. II. Таутомерное превращение II в  $\text{ArCH}=\text{CHC}(=\text{NAr}')\text{COOH}$  (XI) (см. вторую ссылку) является одним из случаев лактоноидной кольчато-цепной таутомерии. Из рассмотрения ИК-спектра XI с учетом их электропроводности следует, что XI нормально существуют в виде биполярного иона  $\text{ArCH}=\text{CHC}(=\text{N}^+\text{NAr}')\text{COO}^-$ ; последний способен быстро превращаться в II. Обсуждается возможный механизм декарбоксилирования II и XI. Для получения IIа анилин конденсируют с  $\text{C}_6\text{H}_5\text{CH}=\text{CHCOSO}_2\text{OH}$  (XII) по описанному ранее методу (РЖХим, 1954, 12709). При применении в качестве р-рителя  $\text{CH}_3\text{COOH}$  нет надобности выделять XII из ее соли. Na-соль XII растворяют в миним. кол-ве лед.  $\text{CH}_3\text{COOH}$ , прибавляют при  $t$ -ре  $\sim 20^\circ$  1 экв анилина в  $\text{CH}_3\text{COOH}$  и через 30 мин. отфильтровывают IIа, выход 70%, т. пл.  $160,5-161^\circ$  (разл.). 1,07 ммоль IIа восстанавливают в 40 мл абс. спирта над 5%-ным Pd/C ( $\sim 25^\circ$ , 1 час) и получают VI, выход 79%, т. пл.  $181-185^\circ$  (разл.; скорость подъема  $t$ -ры  $5^\circ$  в 1 мин., из сп.). Действием р-ра HCl в  $\text{CH}_3\text{OH}$  на VI получают хлоридат метилового эфира VI, т. пл.  $157-159^\circ$ . Для доказательства строения VI синтезирована кипячением 6,1 ммоль  $\text{C}_6\text{H}_5\text{CH}_2\text{CH}_2\text{CHBrCOOH}$  с 2 г анилина (2 дня), выход 71%. VI идентична к-те, полученной гидрированием XI ( $\text{Ar} = \text{Ar}' = \text{C}_6\text{H}_5$ ). К 1,2 ммоль IIа в 7 мл горячей лед.  $\text{CH}_3\text{COOH}$  постепенно прибавляют 100 мг  $\text{NaNO}_2$  в 2 мл воды; выход III 45%, т. пл.  $216-216,5^\circ$  (из  $\text{CH}_3\text{COOH}$ ). К 2,4 ммоль VII в 20 мл 5%-ного  $\text{NaHCO}_3$  прибавляют 200 мг  $\text{NaBH}_4$  в 5 мл воды, через 12 час. подкисляют и нагревают 3 часа при  $t$ -ре  $\sim 100^\circ$ . Выход IV 65%, т. пл.  $128-129^\circ$  (из сп.). 1,02 моля IV гидрируют, как указано для IIа; выход VI 77%. В 10 мл воды, содержащей 1 г  $\text{Na}_2\text{CO}_3$ , растворяют 5,7 ммоль  $\text{C}_6\text{H}_5\text{COSH}=\text{CHCOOH}$  и 8,1 моля  $n$ -анилина и через 16 час. выделяют  $\text{C}_6\text{H}_5\text{COSH}_2\text{CH}(\text{NHC}_6\text{H}_5\text{OCH}_3)_2\text{COOH}$  (XIII), выход 77%, т. пл.  $134-135^\circ$  (разл.; из бzl.). XIII восстанавливают  $\text{NaBH}_4$  аналогично VII, выход IX 21%, т. пл.  $147-148^\circ$  (из сп.). Присоединением  $n$ -анилина к  $n$ - $\text{CH}_3\text{OC}_6\text{H}_4\text{COCH}=\text{CHCOOH}$  аналогично XIII синтезируют  $n$ - $\text{CH}_3\text{OC}_6\text{H}_4\text{COSH}_2\text{CH}(\text{NHC}_6\text{H}_5\text{OCH}_3)_2\text{COOH}$  (XIV), выход колич., т. пл.  $144,5-145^\circ$  (из бzl.). К р-ру 3 ммоль XIV в 20 мл воды, содержащей 0,5 г  $\text{Na}_2\text{CO}_3$ , прибавляют 13 ммоль  $\text{NaBH}_4$ , через 12 час. подкисляют  $\text{CH}_3\text{COOH}$  и выделяют X. Так как превратить X в VIII не удалось, X обработали  $\text{C}_6\text{H}_5\text{COCl}$  в пиридине и после нагревания в течение нескольких минут получили VIIIа, т. пл.  $164,5-165,5^\circ$  (из сп.). Приведены частоты в ИК-спектре 1,5-дифенил-3-бензиден-1. Г. Браз

**57481. 1,5-диарилпирролидиндионы-2,3. X. Производные с фенилгидразином. Мейер, Вон (1,5-diaryl-2,3-pyrrolidinediones. X. Phenylhydrazine derivatives. Meyer Walter L., Vaughan Wyma R.), J. Organ. Chem., 1957, 22, № 12, 1565-1567 (англ.)**

Так как 5-фенил-3-анилино-(5Н)-фуранону-2 (I) раньше приписывалось неправильное строение (см. пред. реф.), пересмотрено строение соединений (A, B, V), получаемых действием  $\text{C}_6\text{H}_5\text{NHNH}_2$  (II) на I. По аналогии с I, обратимо изомеризующимся в  $\text{C}_6\text{H}_5\text{CH}=\text{CHC}(=\text{NC}_6\text{H}_5)\text{COOH}$ , изомерным формам A приписано строение  $\text{C}_6\text{H}_5\text{CH}=\text{CHC}(=\text{NNHC}_6\text{H}_5)\text{COOH}$  и  $\text{C}_6\text{H}_5\text{CHSCH}_2\text{C}(=\text{NNHC}_6\text{H}_5)\text{COO}$ . Соединение B получено так-

же действием II на анилд бензиденпирроиноградной к-ты (III), из II и 1,5-дифенилпирролидиндиона-2,3 (IV) в условиях, обычно применяемых для полу-

чения фенилгидразонов (ФГ) и, кроме того, из II и 1,5-дифенил-3-анилино-(5Н)-пирролона-2 (V). При взаимодействии II с III в кислой среде вместо B получается анилд 1,5-дифенил- $\Delta^2$ -пиразолинкарбоновой-3 к-ты (VI), образующийся, по-видимому, в результате изомеризации не выделенного промежуточного продукта этой р-ции, которому приписано строение  $\text{C}_6\text{H}_5\text{CH}=\text{CHC}(=\text{NNHC}_6\text{H}_5)\text{CONHC}_6\text{H}_5$  (VII). Из сопоставления различных способов получения B сделан вывод, что B представляет собой 3-ФГ IV (IVa), находящийся в обратимом равновесии со своей менее стойкой таутомерной формой VII. Для обозначения этого нового типа таутомерии предложен термин «лактаминамидная таутомерия». Из двух предложенных ранее ф-л строения B (Bodforss S., Liebig's Ann. Chem., 1927, 455, 41; РЖХим, 1956, 71547) в настоящее время нельзя сделать выбора. Нагреванием V с II в условиях, описанных Бодфорсом (см. ссылку выше), получают IVa, т. пл.  $128-131^\circ$  (из сп.), в виде моноэтанолята. Соляватный спирт можно удалить нагреванием в ксилоле. К 0,2 ммоль IV в 4 мл спирта прибавляют 3 капли  $\text{CH}_3\text{COOH}$  и 5 капель II, нагревают 30 сек. при  $\sim 100^\circ$  и через 6 час. отделяют IVa. 0,2 ммоль III в 4 мл спирта нагревают с II и  $\text{CH}_3\text{COOH}$ , как указано выше при получении IVa из IV, через 6 час. приливают воду и выделившееся масло кристаллизуют из спирта. Получают VI, т. пл.  $197-198^\circ$ , 0,725 ммоль III в 20 мл абс. спирта кипятят  $\sim 12$  час. с 1,12 ммоль  $\text{HONH}_2\cdot\text{HCl}$  и выделяют из р-ра оксим III (IIIa), выход 70% (мочиц.), т. пл.  $203,5-204,5^\circ$  (разл.; из сп.). Действием на IIIa ( $\text{CH}_3\text{CO}$ ) $_2\text{O}$  в  $\text{CH}_3\text{COOH}$  получают ацетат IIIa, т. пл.  $144-144,5^\circ$  (из сп.); 3-оксим IV, т. пл.  $229-230^\circ$  (разл.); его ацетат, т. пл.  $190-192^\circ$  (разл.). Г. Браз

**57482. Новый метод синтеза индолов, замещенных в бензольном ядре. Терентьев А. П., Преображенская М. Н., Докл. АН СССР, 1958, 118, № 2, 302-305**

Замещенные в бензольном ядре индолы могут быть получены введением заместителей в бензольное ядро индолинов и их дегидрированием в индолы. Нитрованием 1-метилиндолона смесью конц.  $\text{HNO}_3$  и  $\text{H}_2\text{SO}_4$  при  $3^\circ$  получено с колич. выходом в-во, являющееся, вероятно, 6-нитро-1-метилиндолином (I), т. пл.  $49,5-50,5^\circ$  (из водн.  $\text{CH}_3\text{OH}$ ), восстановленное  $\text{SnCl}_2$  и HCl в 6-амино-1-метилиндолин (т. кип.  $143-144/6$  мм., т. пл.  $42-43^\circ$ ; бензольное производное (БП), т. пл.  $149,3-149,6^\circ$  (из сп.); хлоргидрат БП, т. пл.  $255,5-256,5^\circ$  (из сп.)), превращенный в 6-фталимино-1-метилиндолин (II), выход колич., т. пл.  $160-162^\circ$  (из сп.). I дегидрирован кипячением 7 час. с хлоравилом в ксилоле в 6-нитро-1-метилиндоле (III), выход 90%, т. пл.  $76,5-78,5^\circ$  (из петр. эф.), восстановленный  $\text{N}_2\text{H}_4\cdot\text{H}_2\text{O}$  в присутствии скелетного Ni в 6-амино-1-метилиндоле, выход 78%, т. кип.  $156/3$  мм.; БП, т. пл.  $159,5-160,5^\circ$  (из сп., бzl. и ксилола); пикрат БП, т. пл.  $151-152^\circ$  (из бzl.). Кипячением (5 час.) с коричной к-той и Pd-чернью в ксилоле в токе  $\text{CO}_2$  II дегидрирован в 6-фталимино-1-метилиндоле, выход 63%, т. пл.  $189-190^\circ$  (из бzl.-сп.). При окислении III в уксуснокислом р-ре  $\text{CrO}_3$  получен 6-нитро-1-метилизатин, т. пл.  $180-180,5^\circ$  (из бzl.); фенилгидразон, т. пл.  $225-226^\circ$  (из  $\text{CH}_3\text{COOH}$ ). Л. Жукина

**57483. Влияние индукционного эффекта на алкилирование производных тетрачлориндолина. Резен, Тухи, Шабика (Tetrachloroisindolines and related systems. Alkylation reactions and inductive effects. Rosen William E., Toohey Virginia P., Shabika Anthony C.), J. Amer. Chem. Soc., 1957, 79, № 12, 3167-3174 (англ.)**

Алкилирование 2-метилизонидолина (I) с помощью  $\text{CH}_3\text{Cl}$  (II),  $\text{CH}_3\text{Br}$  (III),  $\text{CH}_3\text{I}$  (IV),  $\text{BrCH}_2\text{CH}_2\text{Br}$  (V) и  $[(\text{CH}_3)_3\text{N} + \text{CH}_2\text{CH}_2\text{Br}]\text{Br}^-$  (VI) протекает легче, чем ал-

килирование 2-(2'-диметиламиноэтил)-изоиндолина (VII), 4,5,6,7-тетрахлор-2-метилизоиндолина (VIII) и 4,5,6,7-тетрахлор-2-(2'-диметиламиноэтил)-изоиндолина (IX), что объяснено авторами индукционным эффектом Cl и аммонийного азота боковой цепи и подтверждено тем, что значения  $pK_a$  кольцевого N уменьшаются в ряду I (7,7), VIII (4,8), VII (4,1), IX (2,9). При 15-минутном кипячении I с избытком IV в  $CHCl_3$  образуется йодметилат (ИМ) I, т. пл. 253—255° (разл.); аналогично при пропускании II через кипящий р-р I в  $CHCl_3$  получен хлорметилат (ХМ) I, т. пл. 206—209°. II алкилирует VIII при кипячении в  $HCON(CH_3)_2$ , выход ХМ VIII 90,4%, т. пл. 315—317° (из  $CH_3OH$ -этилацетата); III и IV алкилируют VIII в кипящем  $CHCl_3$ , давая соответственно бромметилат (БМ) VIII, т. пл. 309—310° (разл.), и ИМ VIII, т. пл. 242—250° (разл.). V алкилирует I при 100° (15 мин.), образуя бромистый 2-(2'-бромэтил)-2-метилизоиндолин, выход 69%, т. пл. 219—220° (разл.), в то время как V алкилирует VIII лишь при 135° (30 мин.), давая смесь бромистого 2-(2'-бромэтил)-4,5,6,7-тетрахлор-2-метилизоиндолина (X), выход 25,5%, и ди-БМ 1,2-ди-(4,5,6,7-тетрахлоризоиндолин-2-этил)-этана, выход 7,7%, т. пл. 274—289° (разл.; из сл.). При пропускании  $(CH_3)_3N$  в кипящий X в  $HCON(CH_3)_2$  образуется  $(CH_3)_4NBr$  с выходом 83% за счет деметилирования X. I, в отличие от VIII, алкилируется при кипячении с  $(ClCH_2)_2$ , образуя с небольшим выходом ХМ 2-(2'-хлорэтил)-изоиндолина. В отличие от I, при алкилировании VII с помощью II в кипящем  $CHCl_3$  практически не получается ди-ХМ VII, а если р-цию проводить в  $HCON(CH_3)_2$  (100°; 45 мин.), то образуется ди-ХМ VII, выход 53%, т. пл. 223—225° (из  $n$ -бутанола-ацетона), наряду с хлористым триметил-(изоиндолин-2'-этил)-аммонием. В этих же условиях (100°) IX при пропускании II не образует ди-ХМ; выделен лишь хлористый триметил-(4,5,6,7-тетрахлоризоиндолин-2'-этил)-аммоний ( $RCl$ ), выход 98%, т. пл. 265—267° (разл.; из  $iso-C_3H_7OH$ ), и лишь при нагревании IX с II в р-ре  $HCON(CH_3)_2$  в бомбе (90—100°) получается ди-ХМ IX, выход 86,7%. При действии IV на IX (кипчение в  $HCON(CH_3)_2$  2 часа) получен ди-ИМ IX, выход 93,5%, т. пл. 241—243° (разл.; из ацетона); из III и IX получен ди-БМ IX, т. пл. 246—247° (разл.). VIII (2 г) при алкилировании с помощью VI в  $HCON(CH_3)_2$  (153°, 3 часа) превращается в смесь 0,75 г БМ VIII и 0,05 г  $RBr$ , т. пл. 252—255° (разл.; из  $CH_3OH$ ). VIII (0,01 моля) с бромгидратом  $(BF)(CH_3)_2NCH_2CH_2Br$  (XI) (0,02 моля) в присутствии 0,011 моля  $CH_3COONa$  дает небольшое кол-во бромистого 4,5,6,7-тетрахлор-2-метил-2-(2'-диметиламиноэтил)-изоиндолина (XII), т. пл. 255—265° (разл.). XI алкилирует VIII в  $HCON(CH_3)_2$  (100°, 3 часа), образуя смесь БГ бромистого 4,5,6,7-тетрахлор-2-метил-2-(2'-диметиламиноэтил)-изоиндолина (XIII), выход 10%, т. пл. 256—264° (разл.; из  $CH_3OH$ ) и БГ VIII, выход 53,5%, т. пл. 305—308° (разл.; из  $CH_3OH$ ). Прямое образование БГ VIII при действии XI на VIII, а также деметилирование X с  $(CH_3)_3N$  отнесены за счет наличия атома брома в  $\beta$ -положении у X и XI. При алкилировании VIII эфиром  $(CH_3)_2NCH_2CH_2OH$  и  $n$ - $CH_3C_6H_4SO_3H$  получается лишь дихлоргидрат 1,1,4,4-тетраметилпиперазина, а VIII остается неизменным. На основании того, что  $RBr$  существует в виде моногидрата, а XII безводен, выдвинуто предположение, что гидратация протекает в большей степени за счет аммонийного азота боковой цепи, чем четвертичного кольцевого N изоиндолиновой системы. Строение  $RCl$ ,  $RBr$ , ди-БМ IX и XIII подтверждено превращением  $RCl$  в  $RBr$ , а также превращением ди-БМ IX и  $RBr$  друг в друга и образованием ди-БМ IX из XIII. VII (т. кип. 72—75°/0,06 мм т. пл. 19,5—21,7°,  $n_D^{20}$  1,5276; ди-ИМ VII, т. пл. 243—245° (разл.; из сл.)) получен с

выходом 97,5% восстановлением N-(2-диметиламиноэтил)-фталимида (XIV) с помощью  $LiAlH_4$ . Аналогично получены VIII [выход 43%, т. пл. 159—162° (из ацетона)] из N-метил-3,4,5,6-тетрахлорфталимида (XV), а также IX [т. пл. 71,5—73° (из ацетона); ди-ИМ, т. пл. 241—243° (разл.; из  $CH_3OH$ )] из N-(2-диметиламиноэтил)-3,4,5,6-тетрахлорфталимида (XVI), т. пл. 183—186° (из хлф.); моно-ИМ, т. пл. 303—304° (разл.). Приведены ИК- и УФ-спектры XVI, УФ-спектры VII, ди-ХМ VII, ди-ИМ VII, ди-ИМ IX и ИК-спектры XIII, XIV, XV, БГ VIII и моно-ИМ XVI. В. Дашунин

57484. Исчерпывающее метилирование *cis*- и *trans*-гексагидрокарбазолов. Часть IX. Масамуне (The exhaustive methylation of *cis*- and *trans*-hexahydrocarbazoles. Part IX. Masamune Tadashi), Bull. Chem. Soc. Japan, 1957, 30, № 5, 491—495 (англ.). Показано, что исчерпывающее метилирование *cis*-1,2,3,4,4a,9a-гексагидрокарбазола (I) и N-метил-I (II) приводит к 1-(*o*-диметиламинофенил)-циклогексену (III), строение которого доказано хим. р-циями и УФ-спектром. В аналогичных условиях из *trans*-изомера I (IV) и N-метил-IV (V) получают III (50%) и II (25%). Последний образуется, вероятно, из III, в результате элиминирования  $CH_3OH$ , сопровождаемого пространственной перегруппировкой. Смесь 10 г I, 8,5 г  $CH_3J$  и 40 мл спирта нагревают (~100°, 6 час.), упаривают в вакууме, остаток взыскывают 30 мин. со 100 мл эфира, 50 мл воды и 20 мл 6 н. KOH, декантируют эфирный слой и осадок, выделенный из цел. р-ра, нагревают 1,5 часа с ацетоном, получают 3,3 г йодметилата II (VI), т. пл. 196—198°. Эфирный р-р размешивают 5 час. с 3,5 г  $C_6H_5COCl$  и 1 н. NaOH, отделяют от цел. слоя, обрабатывают 1 н. HCl и упаривают, получают N-бензоил-I, выход 4,2 г (неочищ.), т. пл. 103—105° (из сл.). Кислый водн. р-р подщелачивают и извлекают эфиром 3 г II; пикрат, т. пл. 144—145°. Аналогично из 2,3 г IV получают 1,8 г йодметилата V (VII), т. пл. 233—234°, 0,8 г N-бензоил-IV, т. пл. 130—132° (из сл.), и 0,4 г V, т. пл. 59—61°; пикрат, т. пл. 122—124° (из сл.). Смесь 3 г II и 3 г  $CH_3J$  оставляют на ~12 час. при ~20°, получают 3,3 г VI. Аналогично из V получают VII, выход ~100%. Р-р 3,5 г VI в теплой смеси 30 мл воды и 5 мл спирта размешивают 5 час. в темноте с влажной  $Ag_2O$  (из 2 г  $AgNO_3$ ), фильтрат упаривают в вакууме (вначале при ~60°) и остаток разлагают перегонкой при 140—150°; получают III, выход 70%, т. кип. 144—145°/12 мм; пикрат, т. пл. 165—167° (из сл.). Смесь 5,5 г III и 17 г  $CH_3J$  кипятят 30 мин., отделяют 0,3 г аддукта 1-(*o*-моно-метиламинофенил)-циклогексена с  $CH_3J$ , фильтрат кипятят 60 час., отделяя каждые 6 час. осадок йодметилата III (VIII), выход 2,3 г, т. разл. 195—196°. Р-р 0,45 г III в 20 мл  $CH_3OH$  гидрируют над 0,5 г 10%-ного Pd/C, получают 0,35 г 2-циклогексильдиметиламина; пикрат, т. пл. 185—187° (из сл.). Р-р 2 г VIII в 30 мл теплой воды размешивают 45 мин. с  $AgCl$  (из 10 г  $AgNO_3$ ), к фильтрату прибавляют за 6 час. при размешивании 200 г 5%-ной амальгамы Na и извлекают эфиром 0,55 г 1-фенилциклогексена (IX), т. кип. 134—136°/22 мм. Строение IX подтверждено его превращением (при окислении  $KMnO_4$ ) в  $\delta$ -бензоилвалериановую к-ту, т. пл. 72—74°; семикарбозон, т. пл. 184—186°. К гриньяровскому р-ру (из 10 г циклопентилметилбромид 1,5 г Mg и небольшого кол-ва  $J_2$  в 15 мл эфира) прибавляют 5 мл эфира, вносят за 1 час р-р 24 г 4- $CH_3C_6H_4SO_3CH_2CH_2Cl$  в 25 мл эфира, кипятят 8 час. и выделяют  $\gamma$ -хлорпропилциклопентан, т. кип. 68—80°/20 мм, который с  $(CH_3)_2NH$  (8 час., 160—180°) дает  $\gamma$ -диметиламинопропилциклопентан, т. кип. 80—84°/20 мм, т-ры плавления пикрата (108—110°) и пикролоната (156—158°) совпадают с т-рами плавления пикрата и пикролоната в-ва, полученного гидрирова-



нием продукта исчерпывающего метилирования транс-октагидроиндола (см. King и др., J. Chem. Soc., 1945, 277. Часть VIII см. РЖХим, 1958, 42565. А. Травин

57485. Синтез 2,4-дикето-3,3-диэтил-5-метилпиперидина. Морисава, Тэран, Кавахара, Итикава (Morisawa Kiyoshi, Terai Yasushi, Kawahara Shigemi, Ichikawa Kaichiro), Якутаку кэнкю, Japan. J. Pharmacy and Chem., 1957, 29, № 2, 58—61 (японск.)

К 11,5 г проволоки Na в 550 мл безводн. толуола добавляют по каплям смесь 93 г этилового эфира диэтил-ацетоуксусной к-ты и 62 г этилформата (т-ра не выше 20—30°), на другой день добавляют холодную воду, 37,5 г  $\text{NH}_4\text{Cl}$  и нагревают 1 час при 80—90°. Эфиром извлекают этиловый эфир  $\gamma$ -аминометилена- $\alpha,\alpha$ -диэтил-ацетоуксусной к-ты, который нагревают в 140 мл спирта с 33,5 г КОН и 33,5 мл воды 15 мин. при 50°, получают К-соль 2,4-дикето-3,3-диэтилтетрагидропиридина (I основание), ее растворяют в холодной воде, подкисляют разб. HCl, извлекают эфиром, разгонкой выделяют 32 г I, т. кип. 180—187°/10 мм, т. пл. 99,5° (из петр. эф.-бэл.). Смесь 50 г I, 135 мл воды и 30 г 35%-ного формалина перемешивают при 35°, добавляя 5,85 г  $\text{Na}_2\text{SO}_3$ , перемешивают 3 часа, на другой день получают 43 г 2,4-дикето-3,3-диэтил-5-оксиметилтетрагидропиридина (II), т. пл. 140,5—142° (из воды). 17,2 г I гидролируют в 90 мл безводн.  $\text{CH}_3\text{OH}$  с 8 г скелетного Ni при 40 ат и 80—90° 7 час., получают 15 г 2,4-дикето-3,3-диэтилпиперидина (III), т. пл. 104—106° (из бэл.-петр. эф.). К 2,2 г измельченного Na в 10 мл  $\text{C}_6\text{H}_6$  добавляют по каплям смесь 15 г III и 14 г метилформата в 80 мл безводн.  $\text{C}_6\text{H}_6$  при 25°, перемешивают 12 час., добавляют 0,6 н. NaOH, подкисляют конц. HCl до pH 5, получают 13,5 г 2,4-дикето-3,3-диэтил-5-оксиметилпиперидина (IV), т. пл. 142—143° (из хлф. петр. эф.). В результате гидрирования 5 г II в  $\text{CH}_3\text{OH}$  над Ni (40 ат, 100°, 3 часа) получают 4,4 г 2,4-дикето-3,3-диэтил-5-метилпиперидина (V), из 10 г IV аналогично (40 ат, 120°) получают 8,5 г V, т. кип. 178—173°/16 мм, т. пл. 73—74° Л. Яновская

57486. N-алкилирование посредством эфиров. Новое применение алюмогидрида лития. Сегре, Витербо (N-alkylation by means of esters. A new use of lithium aluminium hydride. Segre A., Viterbo R.), Experientia, 1958, 14, № 2, 54—55 (англ.; рез. итал.)

При восстановлении метилового эфира пиперидон-2-пропионовой-6 к-ты (I)  $\text{LiAlH}_4$  получены 3-(пиперидил-2)-пропанол и октагидропирроколин, т. кип. 50°/15 мм; пикрат, т. пл. 226—227°; образование последнего объясняется внутренним N-алкилированием I в присутствии  $\text{LiAlH}_4$ . Пиперидон-2 и пиперидин при восстановлении  $\text{LiAlH}_4$  в присутствии этилацетата или бензилбензоата превращаются в N-этил- и N-бензилпиперидины, а пирролидин алкилирован этилацетатом и  $\text{LiAlH}_4$  в N-этилпирролидин с выходом 20—48%.

Л. Шуккина

57487. Новый метод получения диалкиламиностирилпроизводных пиридина и хинолина и их N-оксидов. Паркер, Ферет (A new method for preparation of dialkylaminostyryl derivatives of pyridine and quinoline and their N-oxides. Parker Elizabeth D., Furst Arthur), J. Organ. Chem., 1958, 23, № 2, 201—203 (англ.)

N-оксид хиналидина конденсируется с  $n\text{-(CH}_3)_2\text{N-C}_6\text{H}_4\text{CHO}$  (I) или  $n\text{-(C}_2\text{H}_5)_2\text{N-C}_6\text{H}_4\text{CHO}$  (II) при азетропном кипячении 17—22 часа в толуоле в присутствии ацетата пиперидина, образуя N-оксиды 2-( $n$ -диэтиламиностирил) (выход 60%, т. пл. 213—214°) и 2-( $n$ -диэтиламиностирил)- (выход 42%, т. пл. 178,7—179,6°)-хиноксалинов. Аналогично, но значительно медленнее, реагирует N-оксид  $\gamma$ -пиколина (III), причем часть ее

при этом восстанавливается; так, из III и I при кипячении 108 час. получены 4-( $n$ -диметиламиностирил)-пиридин, выход 18%, т. пл. 239,4—240°, и его N-оксид, выход 12%, т. пл. 238—239°; а из III и II (нагревание 168 час.) получены 4-( $n$ -диэтиламиностирил)-пиридин, выход 3%, т. пл. 188—188,6°, и его N-оксид, выход 55%, т. пл. 195—196,5°. Аналогично получены (в скобках указаны продолжительность кипячения в часах, выход в % и т. пл. в °C): 2- $n$ -диметиламиностирилпропандиолные хиноксалины (116, 32, 166,1—166,9), 8-оксидхинолина (6, 62, 164,3—165,1), N-оксид пиридина (47, 13, 200—201,5) и 2- $n$ -диэтиламиностирилпроизводное пиридина (69, 12, 142,8—143,6), причем из N-оксидов 2-пиколина с I и II образуются побочные неидентифицированные в-ва, т. пл. 135 и 102° соответственно. Образующиеся смеси в-в разделяются кристаллизацией из спирта.

Д. Витковский

57488. Синтезы в ряду акридина. Часть V. Синтез производных 5-метилакридина. Сача, Пател (Synthesis in acridine series. Part V. Synthesis of 5-methylacridine derivatives. Sacha M. J., Patel S. P.), J. Indian Chem. Soc., 1957, 34, № 11, 821—824 (англ.)

2,4-дихлорацетофенон (I) и 5-нитро-I (II) конденсацией с ароматич. аминами превращены в соответствующее замещ. 2-ацетилдифениламины (III), из которых циклизацией получены замещ. 5-метилакридины (IV). 3 г I, 3 г безводн.  $\text{K}_2\text{CO}_3$  и 10 мл анлиина (V) нагревают 3 часа при 180—185° в присутствии следов порошка Cu и небольшого кол-ва  $\text{CuI}$ , отгоняют с паром, извлекают эфиром, остаток растворяют в смеси 15 мл лед.  $\text{CH}_3\text{COOH}$  и 3 мл конц.  $\text{H}_2\text{SO}_4$ , р-р нагревают 2 часа на водяной бане и подщелачивают. Выход 2-хлор-IV 0,1 г, т. пл. 105—106° (из петр. эф. после предварительного пересаживания щелочью из р-ра в 10%-ной HCl). 2,5-дихлорацетофенон не конденсируется с V в аналогичных условиях. 10 г I прибавляют понемногу к 50 мл  $\text{HNO}_3$  ( $d$  1,5) при  $t$ -ре ~ 5°, оставляют на 2 часа при  $\leq 0^\circ$  и выливают на лед; выход II 10 г, т. пл. 62° (из сп.); оксим, т. пл. 128° (из водн. сп.). Для доказательства строения II оксиден нагреванием с 3%-ным р-ром  $\text{KMnO}_4$  в 2,4- $\text{Cl}_2$ -5- $\text{NO}_2\text{C}_6\text{H}_4\text{COOH}$ , т. пл. 160° (из воды). 10 г II, 10 мл V и 50 мл  $\text{iso-C}_5\text{H}_{11}\text{OH}$  нагревают 2 часа при 125—130° в присутствии 5 г безводн.  $\text{CH}_3\text{COOK}$  и отгоняют с паром. Из остатка выделяют 13 г 4-нитро-5-хлор-III (VI), т. пл. 104° (из сп.). 5 г VI нагревают 2 часа при 130° с 50 мл лед.  $\text{CH}_3\text{COOH}$  и 2,5 мл конц.  $\text{H}_2\text{SO}_4$ , выливают на лед, слегка подщелачивают, осадок извлекают кипящей 10%-ной HCl и из фильтрата осаждают 2 г 2-хлор-3-нитро-IV (VII), не плавящегося до 300°. Аналогично VI из 10 г II и 10 г  $n$ -анизида получают 14 г 4-нитро-5-хлор-4'-метокс-III, т. пл. 124° (из сп.), и из последнего аналогично VII получают 2-хлор-3-нитро-7-метокси-IV, не плавящийся до 300° (очистка пересаживанием щелочью из р-ра в 10%-ной HCl). Из II и  $n\text{-ClC}_6\text{H}_4\text{NH}_2$  синтезируют, как указано выше, 4-нитро-5,4'-дихлор-III, т. пл. 152° (из сп.), который превращают в 2,7-дихлор-3-нитро-IV, не плавящийся до 300° (из бэл.-петр. эф. после предварительного пересаживания щелочью из 10%-ной HCl). Из 5 г II и 5 г  $\alpha$ -нафтиламина аналогично VI получают 5 г 3-нитро-4-хлор-6-( $\alpha$ -нафтил)-аминоацетофенона, т. пл. 201—202° (из сп.). 3 г последнего нагревают 1 час на водяной бане с 30 мл лед.  $\text{CH}_3\text{COOH}$  и 3 мл конц.  $\text{H}_2\text{SO}_4$ ; образуется 7-нитро-8-хлор-5-метил-1,2-бензакридин, т. пл. 242—244° (разл.; из бэл.-петр. эф.). Часть IV см. РЖХим, 1958, 50865.

Г. Браз

57489. Циклические кетоамины. Часть III. Реакции замещенных 1,2,3,4-тетрагидро-4-кетохинолинов и 1,6-дикетоюлолидинов. Итгера, Манн (Cyclic keto-amines. Part III. The reactions of substituted

1:2:3:4-tetrahydro-4-oxoquinolines and of 1:6-dioxo-  
julolidines. Ittyerah P. I., Mann Frederick  
G., J. Chem. Soc., 1958, Jan., 467—480 (англ.)

Исследованы р-ции 1-метил-(Ia) и 1-фенил-(Ib)-1,2,3,4-тетрагидро-4-кетоксинолинов, 1,6-дикето-(IIa), 7,9-диметил-1,6-дикето-(IIb) и 7-метил-1,6-дикето-(IIIa)-юлолидинов и 1,6-дикетоизоюлолина (III). Ia при кипячении с избытком  $n$ -(CH<sub>3</sub>)<sub>2</sub>NC<sub>6</sub>H<sub>4</sub>CHO (IV) в спирте, содержащем пиперидин, и Ib при кипячении с IV в водно-спирт. р-ре NaOH образуют соответствующие 3- $n$ -диметиламинобензилденпроизводные (ДАБП), т. пл. 145° (из сп.) и 148—150° (из ацетона). С хинолин-2-альдегидом (V) в кипящем спирте р-ре КОН в результате аналогичной р-ции из Ib получается 1-фенил-3-(хинолин-2-метил)-4-кето-1,2,3,4-тетрагидрохинолин, т. пл. 205°, а с  $n$ -(CH<sub>3</sub>)<sub>2</sub>NC<sub>6</sub>H<sub>4</sub>NO (VI) в смеси спирта с 10%-ным NaOH при 60° Ia, б дают сходные 3- $n$ -диметиламинофенилминопроизводные, изомеризирующиеся в момент образования в 1-метил-т. пл. 215° (из сп.) и 1-фенил-т. пл. 175° (из сп.)-3- $n$ -диметиламиноанилино-1,4-дигидро-4-кетоксинолины. Прямое бромирование Ia не дает определенных результатов, но при действии на Ia, б 1 моля N-бромсукцинимиды (VII) в CCl<sub>4</sub> получаются 6-бромпроизводные Ia (VIII) [выход 78%, т. пл. 85° (из сп.); 3-ДАБП, т. пл. 165° (из бзл.)] и Ib, т. пл. 95—100° (из сп.), образующие 3- $n$ -диметиламиноанилинопроизводные (ДААП), т. пл. 281° и 210° (из сп.) соответственно; 2 моля VII в CCl<sub>4</sub> в присутствии перекиси бензоила бромируют Ia (20°, 12—16 час.) в 6,8-дибромпроизводные, выход 88%, т. пл. 126°; 3-ДАБП, т. пл. 190° (из бзл.); 3-ДААП, т. пл. 225°. Ia, б дегидрируются над 10%-ным Pd/C в кипящем этиленгликоле с 80%-ным выходом в 1-метил-(IX) и 1-фенил-1,4-дигидро-4-кетоксинолины, выделенные в виде пикратов (PK), т. пл. 226° (из сп.) и 136° (из сп.). VIII в тех же условиях также дает IX. Ia не реагирует по Манниху с CH<sub>2</sub>O и NH(CH<sub>3</sub>)<sub>2</sub>·HCl в спирте, но при нагревании Ia, б с теми же компонентами в C<sub>6</sub>H<sub>5</sub>ON получают 1,3-диметил-т. пл. 320° (из изо-C<sub>6</sub>H<sub>5</sub>ON) и 1-фенил-3-метил-т. пл. 325° (из изо-C<sub>6</sub>H<sub>5</sub>ON)-1,4-дигидро-4-кетоксинолины. С N<sub>2</sub>H<sub>4</sub>·H<sub>2</sub>O в спирте р-ре в присутствии CH<sub>3</sub>COOH (кипение 1 час) Ia, б образуют N,N'-бис-(1,2,3,4-тетрагидро-1-метилхинолин-4)-(X) [выход 94%, т. пл. 198° (из бзл.)] и N,N'-бис-(1,2,3,4-тетрагидро-1-фенилхинолин-4)-(X) [выход 73%, т. пл. 208° (из диоксана)]-диазины. X дает устойчивый PK, т. пл. 165° (разл.); при пропускании HCl в холодную взвесь X в эфире получается дихлоргидрат (ДХГ), т. пл. 85—87°, быстро изменяющийся при хранении и гидролизующийся в Ia; все попытки индолизации X оказались безуспешными; при пропускании HCl в расплав X при 190—200° получен ДХГ симм-бис-(1,2-дигидро-1-метилхинолин-4)-гидразина, т. пл. 295° (разл.); ди-PK, т. пл. 243° (разл.; из сп.). При последовательном добавлении конц. H<sub>2</sub>SO<sub>4</sub> и NaN<sub>3</sub> к холодным р-рам Ia, б в CHCl<sub>3</sub> образуются лактамы N-( $\alpha$ -аминофенил)-N-метил- $\beta$ -амино- [выход 57%, т. пл. 170° (из бзл.)] и N-( $\alpha$ -аминофенил)- $\beta$ -анилино- [выход 91%, т. пл. 221° (из бзл.)]-пропионовых к-т. При нитровании Ia смесью конц. HNO<sub>3</sub>-CH<sub>3</sub>COOH при т-ре <15° получено 6-нитропроизводное, выход 93%, т. пл. 169° (из сп.), образующее фенилгидразон, т. пл. 198° (разл.; из сп.) и 3-ДАБП, т. пл. 210° (из сп.). IIa, б (аналогично Ia, б) дают с V 1,6-дикето-т. пл. 185° (из бзл.) и 7,9-диметил-1,6-дикето-т. пл. 225° (из бзл.)-2,5-ди-(хинолин-2-метил)-юлолидины; при р-ции с IV или VI из IIb получаются соответственно 2,5-бис-( $n$ -диметиламинобензилден)- [выход 93%, т. пл. 245° (из сп.)] и 2-( $n$ -диметиламиноанилино)-5-( $n$ -диметиламинофенилмино)- (XI) [выход 83%, т. пл. 268° (разл.; из ацетона)]-17,9-диметил-1,6-дикетоюлолидины; XI при кипячении (30 мин.) с конц. HCl превращается в 7,9-диметил-

1,2,5,6-тетракетюлолидин, т. пл. > 330° (разл.). 2 моля VII бромируют IIa в 8-бром-1,6-дикетоюлолидин, выход 86%, т. пл. 208° (из сп.); бис-фенилгидразон, т. пл. 270°; 2,5-добензилденное производное, т. пл. 200° (из сп.). N-хлорсукцинимид не реагирует с IIa в CCl<sub>4</sub> при 20°, но при кипячении дает 8-хлор-1,6-дикетоюлолидин, выход 68%, т. пл. 201° (из сп.). При нагревании в  $n$ -цимоле над Pd/C в токе CO<sub>2</sub> IIa дегидрируется в III, т. пл. 202° (из бзл.); бромгидрат, т. пл. 270° (разл.); PK, т. пл. 202° (из сп.); перхлорат, т. пл. 125°; гемаперхлорат, т. пл. 240° (из сп.); метотолуол- $n$ -сульфонат, т. пл. 180° (разл.); монофенилгидразон (гемигидрат), т. пл. 220° (из CH<sub>3</sub>OH); 2-ДАБП, т. пл. 230° (из диоксана). При действии CH<sub>2</sub>(CN)<sub>2</sub> в C<sub>6</sub>H<sub>6</sub>, содержащем CH<sub>3</sub>COOH и CH<sub>3</sub>COONa, III конденсируется в 1-дицианометил-6-кетоксиюлолин, т. пл. 245° (разл.). При попытке аминометилирования IIa по Манниху получается аморфное, неидентифицируемое в-во; р-ция IIa с N<sub>2</sub>H<sub>4</sub>·H<sub>2</sub>O дает смесь полимеров, т. пл. 280—320°. При нагревании IIa, б с N<sub>2</sub>H<sub>4</sub>·H<sub>2</sub>O, КОН и этиленгликолем получены, по-видимому, юлолидин и 7,8-диметилюлолидин, выделенные в виде пикратов, т. пл. 165° (из сп.) и 160° (из сп.) соответственно. Р-ция IIa в применении к IIa дает дилактам 2,6-диамино-N,N'-ди-( $\beta$ -карбоксиэтил)-анилина, выход 81%, т. пл. 356° (разл.; из CH<sub>3</sub>COOH). Смесь конц. HNO<sub>3</sub> и CH<sub>3</sub>COOH нитрует IIa при т-ре <20° в 8-нитро-1,6-дикетоюлолин, выход колич., т. пл. 250° (из сп.); бис-фенилгидразон, т. пл. 270° (разл.). IIb при р-ции с изатинном и КОН в CH<sub>3</sub>OH дает 7-метил-6-кетоксинолино-(2',3'-1,2)-юлолинкарбоновую-4' к-ту, выход 87%, т. пл. 215° (разл.; из сп.), декарбоксилирующуюся при 210—220°/0,1 мм в соответствующий хинолинолюлин, т. пл. 185° (из сп.). Кипячением 12 час. смеси 17 г  $n$ -броманилина, 2,25 моля винилцианида, 12 г CH<sub>3</sub>COOH и 1,7 г CuCl и обработкой смеси 0,1 л NH<sub>3</sub>( $d$  0,88) получен  $n$ -бром-N-2-цианэтиленанилин, т. пл. 96—98° (из сп.); при 20-часовом кипячении той же смеси получается  $n$ -бром-N,N'-бис-2-цианэтиленанилин, выход 14%, т. пл. 94—95° (из сп.), превращающийся при нагревании с AlCl<sub>3</sub> в C<sub>6</sub>H<sub>5</sub>Cl в в-во, т. пл. 79—81°, вероятно, являющееся 1-(2-цианэтил)-1,2,3,4-тетрагидро-4-кетоксинолином; фенилгидразон, т. пл. 250°; 2,4-динитрофенилгидразон, т. пл. >360°. Приведены кривые УФ-спектров IIa и III в спирте, 1 н. HCl и 1 н. КОН. Часть II см. РЖХИм, 1958, 39663 Л. Щукина

57490. О бромировании 1-азафенантрена. Бём (O bromowaniu 1-azafenantrenu. Böhm Jarosław), Roczn. chem., 1957, 31, № 1, 131—145 (польск.; рез. англ.)

Проводились исследования направляющих влияний в системе 1-азафенантрена (I), проявляющихся при прямом бромировании (ПБ). На основании прежних работ автора по сульфированию и нитрованию (Roczn. chem., 1939, 19, 109; 1950, 24, 128) установлена активность положения 8 и в меньшей степени, положения 6. ПБ I в большинстве обычно применяемых органич. р-рителей дает аддукты, затрудняющие проведение р-ции. При ведении р-ции в CS<sub>2</sub> только 3 M избыток брома дает смесь моно- и дизамещ. продуктов. Среди них выделены 8- и 10-бром-, а также  $\alpha,\gamma$ -дибром-I. Отсутствие замещения при воздействии 1 и 2 молей брома в органич. р-рителях объясняется образованием координационных соединений ф-лы I·Br<sub>2</sub> и I·Br<sub>2</sub>. Проводилось также ПБ I в конц. H<sub>2</sub>SO<sub>4</sub>. При таких условиях I реагирует как катион, так же как и при сульфировании и нитровании, причем аддукты с бромом не образуются. Получена смесь непрореагировавшего I и двух или больше мономбромпроизводных; из смеси выделены 8-бром- и 6-бромпроизводные. Таким образом, при ПБ установлены такие же направляющие влияния, как и при сульфировании и нитровании; они при-



иссываются катиону ( $I\ H^+$ ). В случаях, когда этого катиона нет (органич. р-рители), ПБ ведет к более сложной смеси продуктов. Установлено, что соединение, описанное ранее (Clemo G. R., Driver G. W., J. Amer. Chem. Soc., 1945, 823) как 5-бром- $I$ , в действительности является другим в-вом, а описанное как 3-бром- $I$  (Claus A., Besseler H., J. prakt. Chem., 1898, [2], 57, 60), вероятно, представляет собой 8-бром- $I$ . Кроме того, получены 7-бром-, 5,8- и 6,9-дибром- $I$ . Основание  $I$  очищают перегонкой в вакууме; получены:  $I \cdot HCl$ , т. пл. 247—249° (из водн. или сп.); перхлорат  $I$ , т. пл. 234—235° (из сп.). 2,25 г  $I$  в 20 мл  $CS_2$  обрабатывают 0,7 мл брома, через 1 час отделяют осадок фильтрованием и промывают  $CS_2$ ; получают 4,16 г  $I \cdot Br_2$ , т. разл. 120—160°. 8,95 г  $I$  в 50 мл  $CS_2$  и 7,65 мл брома нагревают до кипения 12—13 час., охладив, фильтруют и сушат осадок (20,71 г); осадок растворяют в 200 мл конц. р-ра  $NaHSO_3$ , после фильтрования разбавляют до 500 мл и после закипания отделяют осадок; операцию повторяют, разбавляя р-р до 800 мл; получают 0,66 г  $x,y$ -дибром- $I$ , т. пл. 170—171° (из сп.); остаток водн. р-ра подщелачивают и получают 8,83 г бурой мажущей массы; ее р-р в безводн. спирте + эфир (1:1) насыщают сухим  $HCl$  и осадок разделяют на 3 фракции кристаллизацией из абс. спирта; получают 0,15 г 8-бром- $I$ , т. пл. 121—123°, 0,04 г 10-бром- $I$ , т. пл. 69—71°, и 0,1 г дибром- $I$ , т. пл. 169—170°. 4,50 г  $I$  в 40 мл конц.  $H_2SO_4$  оставляют при ~20° или нагревают до 40—45°; добавляют (медленно перемешивая) 1,3 мл брома в течение 4—5 дней (при ~20°, 7—10 дней), выливают на 100 г льда, разбавляют до 400 мл и подщелачивают  $NaOH$ ; осажденные основания (5,8 г) обрабатывают при повышенной т-ре петр. эфиром и выпадающие из р-ра в-ва кристаллизуют из петр. эфира или  $CH_3OH$ ; получают 2,2 г 8-бром- $I$ , т. пл. 122—123°; остальные маслообразные продукты переводят через хлоргидраты, которые кристаллизуют из абс. спирта; получают 0,16 г 6-бром- $I$ , т. пл. 113,5—115° (из гексана или разб. ацетона), и 0,03—0,05 г 8-бром- $I$ . ПБ  $I$  проводилось также методом Клауса и Бесселера (см. ссылку выше). Из 10 г  $I$  получено 1,59 г 8-бром- $I$  и 0,40 г 9-бром- $I$ . Вопреки данным Клауса и Бесселера образование 3-бром- $I$  не наблюдалось. Стандартные производные  $I$ : 1 г 8-амино- $I$  в 4 мл 48%-ной  $HBr$  и 20 мл воды охлаждают и диазотируют 5%-ным  $NaNO_2$ , затем вливают в холодный р-р  $Cu_2Br_2$  в 5 мл 48%-ной  $HBr$  (из 2 г кристаллич.  $CuSO_4$  и 1 г  $KBr$  восстановлением спирт. р-ром  $Na_2SO_3$ ), смесь нагревают 1 час, отделяют осадок и, прокипятив в  $NH_3$ , получают 0,92 г 8-бром- $I$ , т. пл. 122—123° (из разб. сп.); йодметилат, т. разл. 244—257°. 6-бром- $I$  получают аналогично 8-изомеру, выход 65%, т. пл. 114—115° (из гексана). 5-бром- $I$  получают также (выход 63%), т. пл. 101,5—102,5° (из гексана). 7-бром- $I$ : 5 г 6-бромнафтиламина-2, 8,5 г безводн. глицерина, 3,5 г  $As_2O_5$  и 4 мл конц.  $H_2SO_4$  нагревают 6 час. при 140—150°, разбавляют 300 мл воды и оставляют на 24 часа, из осадка выделяют продукт, выход 44%, т. пл. 138—139°. 9-бром- $I$ : 1 г 4-бромнафтиламина-2, 2 г безводн. глицерина, 0,7 г  $As_2O_5$  и 1 мл конц.  $H_2SO_4$  нагревают 5 час. при 140—150°, затем разбавляют 80 мл воды и отделяют осадок; из осадка выделяют продукт, выход 44%, т. пл. 99—100°. 10-бром- $I$  получен из 1 г 3-бромнафтиламина-2, аналогично изомеру 7, выход 37%, т. пл. 70—71°. 6,8-дибром- $I$  ( $II$ ): 1 г 6,8-диамино- $I$  растворяют в 8 мл 48%-ной  $HBr$  и 20 мл воды, затем диазотируют при 0—5° р-ром  $NaNO_2$ ; отфильтрованный р-р вливают в р-р соли  $Cu^{+}$  (из 3,7 г кристаллич.  $CuSO_4$  и 1,8 г  $KBr$ ); продукт выделяют, как и в предыдущих случаях и, после очистки, получают  $II$ , выход 38%, т. пл. 174—175°. 5,8-дибром- $I$  ( $III$ ): 1,2 г 5,8-дибромнафтиламина-2, 0,6 г  $As_2O_5$  и 0,7 мл конц.  $H_2SO_4$  нагревают 5 час. при 140—150°, разбавляют водой до

100 мл, фильтруют осадок и обрабатывают горячей водой, подкисленной  $H_2SO_4$ ; получают 44%  $III$ , т. пл. 151—152° (из сп., после возгонки). W. Lewenstein

**57491. Зависимость между длиной двойной связи и способностью соединений, содержащих этиленовую связь, к реакции с окисью бензонитрила.** Ло-Веккьо (Relazione fra distanza di legame e reattività con ossido di benzonitrile nei composti a legame etilenico. Lo Vecchio Giacomo), Gazz. chim. ital., 1957, 87, № 12, 1413—1419 (итал.)

Соединения, содержащие  $C=C$ -связь, образуют с  $C_6H_5C \equiv N \rightarrow O$  изоксазолины лишь в том случае, если длина  $C=C$ -связи не превышает 1,35 Å, за исключением не способных к этой р-ции ароматич. и гетероциклич. ядер.

**57492. Синтезы некоторых аминомеркаптобензолсульфонамидов и их производных.** Паппалардо (Sintesi di alcune amino-mercaptobenzenzulfonamidi e derivati. Pappalardo Giovanni), Gazz. chim. ital., 1957, 87, № 12, 1484—1491 (итал.)

Действием  $KSH$  на 3,4- $NO_2(Cl)C_6H_3SO_2NH_2$  ( $I$ ), восстановлением образующегося 2,2'-динитро-4,4'-дисульфонамидодифенилдисульфида ( $II$ ) в соответствующий диамин ( $III$ ) и гидрогенолизом последнего, синтезирован фармакологически интересный 3-амино-4-меркаптобензолсульфонамид ( $IV$ ); строение  $II$  подтверждено окислением разб.  $HNO_3$  в 2-нитробензолдисульфокислоту-1,4, т. пл. 80° (из сп.). Гидрогенолизом 2,2'-диамино-4,4'-дисульфонамидодифенилдисульфида ( $V$ ) получен 4-амино-3-меркаптобензолсульфонамид ( $VI$ ). Всякое изменение условий восстановления  $I$  или применение других реагентов приводит к образованию 2,2'-динитро-4,4'-дисульфонамидодифенилдисульфида ( $VII$ ), восстанавливающегося  $Sn$  и  $HCl$  в  $CH_3OH$  в соответствующий диамин, т. пл. 233—233,5° (из воды), образующий при диазотировании и сочетании с  $\beta$ -нафтолом краситель, т. пл. 271—273°, а при кипячении с  $HCl$  и  $FeCl_3$  хлорид 3,6-дисульфонамидофентиазона, т. пл. 217—218°;  $IV$  конденсируется в подкисленной воде с  $C_6H_5CHO$  в 2-фенил-5-сульфонамидобензотиазол ( $VIII$ ), т. пл. 133°; при р-ции  $VI$  с  $CH_3CHO$  или  $C_6H_5CHO$  в  $CH_3OH$  образуются 2-метил- ( $IX$ , т. пл. 131°) и 2-фенил- ( $X$ , т. пл. 246—248°)-6-сульфонамидобензотиазолины;  $VIII-X$  окислены  $H_2O_2$  или  $KMnO_4$  в соответствующие бензотиазоны, т. пл. 266—268° (из сп.), т. пл. 213° (из сп.) и т. пл. 253° (из сп.), которые могут быть получены также р-цией  $IV$  и  $VI$  с  $C_6H_5COCl$  или  $(CH_3CO)_2O$ . Конденсацией  $IV$  с фурфуролом в подкисленной водн. р-ре синтезирован 2-фурил-5-сульфонамидобензотиазол, т. пл. 270—272°. К 5 г  $I$  добавляют насыщ.  $H_2S$  р-р 4 г  $KOH$  в 30 мл  $CH_3OH$ , нагревают при 80° и осаждают петр. эфиром  $II$ , выход 3,2 г, т. пл. 240°. Взвесь 3 г  $II$  в 150 мл воды и 40 мл конц.  $NH_3$ , насыщ.  $H_2S$ , подкисляют разб.  $HCl$ , концентрируют и получают  $III$ , т. пл. 188—190° (из 50%-ного сп.). Р-р 2 г  $III$  в 80 мл 50%-ного спирта и 2 г  $Zn$ -пыли кипятят ~40 мин., фильтруют при ~20°, осадок смешивают с 50 мл воды, добавляют 8 мл конц.  $HCl$ , после окончания р-ции р-р обрабатывают 15%-ным р-ром  $Na_2S$ , кипятят, концентрируют в токе  $H_2S$ , подкисляют разб.  $HCl$  и отделяют  $IV$ , т. пл. 130—131° (из сп.-хлф.). Р-ру 20 г сульфаниламида ( $XI$ ) в 360 мл  $CH_3OH$ , содержащему 95 г  $NH_4SCN$ , приливают (20 мин., -5°) 7,5 мл  $Br_2$  в 60 мл  $CH_3OH$ , через 20 мин. добавляют 10 г  $NaOH$ , размешивают 1 час, оставляют на 2 дни и получают  $V$ , выход 10 г, т. пл. 244—245°. 2 г  $V$ , 2,5 г  $Zn$ -пыли и 2 г  $NH_4Cl$  в 50 мл  $CH_3OH$  кипятят 2 часа, продукт отделяют, нагревают с 2%-ным р-ром  $NH_4OH$ , подкисляют при -5° 10%-ной  $HCl$  и отделяют  $VI$ , выход 1,3 г, т. пл. 138° (из воды). 15 г  $XI$  в 120 мл спирта и 10,5 г ксантогената  $K$  в 20 мл воды и 90 мл спирта кипятят и отделяют  $VII$ , т. пл. 279—280°. Д. В.

57493. Получение 2-ариламино-4-(тиенил-2)-тиазолов и их азо- и меркурированных производных. Махатра, Раут (Preparation of 2-arylamino-4-(2-thienyl)-thiazoles and their azo and mercurated derivatives. Mahapatra G. N., Rout M. K., J. Indian Chem. Soc., 1957, 34, № 9, 653—659 (англ.).

Конденсацией 2-тиенилметилкетона (I) с N-моноарилтиомочевинами в присутствии  $J_2$  получены 2-ариламино-4-(тиенил-2)-тиазолы  $SCH=CHN=C-C=CRSC-$  (NHR')=N (IR = H) (IIa), которые при сочетании

с диазотированным сульфаниламидом образуют II ( $R = n-H_2NSO_2C_6H_4N=N-$ ) (IIб). Строение IIб подтверждается тем, что IIб ( $R' = C_6H_5$ ) при восстановлении  $Na_2S_2O_4$  дает продукт ( $C_{13}H_{11}N_3S_2$ , т. пл. 166°), содержащий свободную аминогруппу, неидентичный с 2-аминофениламино-4-(тиенил-2)-тиазолом (т. пл. 123°), полученным из I и n-аминофенилтиомочевины. IIа меркурированы  $Hg(CH_3COO)_2$  и полученные ацетоксигруппированные (АРП) показали высокую активность против *E. coli* и *Staph. aureus* в разведении 1:80 000. Приведены данные фунгицидной активности АРП. При действии  $Br_2$  (води.) на АРП IIа ( $R' = C_6H_5$ ) получают IIа ( $R' = C_6H_4Br-n$ ), т. пл. 107°, идентичный с n-ом, синтезированным из n-бромфенилтиомочевины и I, что свидетельствует о вхождении  $CH_3COOHg-$  группы в арильное кольцо IIа. Смесь 0,4 моля фенилтиомочевины, 0,02 моля I и 0,02 моля  $J_2$  нагревают ~100°, 12 час. еще 12 час. без холодильника, добавляют эфир, который через 48 час. декантируют, остаток экстрагируют (30 мин.) с разб. р-ром  $Na_2S_2O_3$ , кипятят с водой и обрабатывают конц.  $NH_4OH$ . Смолообразный продукт превращают в пикрат, из которого  $LiOH$  выделяют IIа ( $R' = C_6H_5$ ), выход 63%, т. пл. 146°. IIа, содержащие  $COOH$ -группу, осаждают из  $NH_4OH$ -р-ра действием  $CH_3COOH$ . 0,8 г сульфаниламида в 2 мл вод.  $CH_3COOH$  + 100 мл воды диазотируют при 0° р-ром  $NaNO_2$ , прибавляют 10 г  $CH_3COONa$  и полученный р-р постепенно прибавляют при  $t \approx 0^\circ$  к р-ру 1 г IIа ( $R' = C_6H_5$ ) в 2 мл  $CH_3COOH$  + 40 мл воды, размешивают 1 час и отфильтровывают IIб ( $R' = C_6H_5$ ), выход 74%, т. пл. 181° (из сп.). К р-ру 1 моля IIа ( $R' = C_6H_5$ ) в смеси спирт- $CH_3COOH$  прибавляют р-р 1,3 моля  $Hg(CH_3COO)_2$  в воде, подкисленной  $CH_3COOH$  и через ~12 час. отделяют АРП, выход 71%, т. пл. 235°. Аналогично получены следующие IIа и их производные (перечисляются  $R'$ , выход в %, т. пл. в °С, пикрат, т. пл. в °С, ацетильное производное, выход в % и т. пл. в °С; соответствующий IIб, выход в % и т. пл. в °С, АРП IIа, выход в % и т. пл. в °С):  $n-C_6H_5$ , 71, 159, 117, 89, 118, 67, 148, 65, 192;  $m-C_6H_5$ , 78, 131, 165, 87, 141, 63, 168, 69, 226;  $o-C_6H_5$ , 67, 167, 127, 81, 146, 69, 144, 75, 291;  $o-ClC_6H_4$ , 30, 109, 254, 83, 98, 59, 111, 73, 278;  $m-ClC_6H_4$ , 63, 142, 157, 78, 137, 65, 104, 78, 204;  $n-ClC_6H_4$ , 61, 211, 280, 75, 181, 71, 135, 76, 217;  $C_6H_4COOH-o$ , 65, 209, 155, 71, 217, 33, 112, 61, 275;  $C_6H_4COOH-m$ , 73, 205, 205, 83, 219, 55, 261, 63, > 350;  $C_6H_4COOH-n$ , 71, 216, 261, 76, 209, 59, 249, 59, > 360;  $\alpha-C_{10}H_7$ , 85, 122, 325 (разл.), 93, 256, 75, 158, 86, 341;  $\beta-C_{10}H_7$ , 87, 225 (разл.), 276, 91, 245 (разл.), 85, 184, 89, 255. Б. Дубинин

57494. Химия тиазолидина. III. Получение и восстановление некоторых 2-фенил-3-n-алкилтиазолидинонов-4. Шмолька, Шпёрри (Thiazolidine chemistry. III. The preparation and reduction of some 2-phenyl-3-n-alkyl-4-thiazolidinones. Schmolka Irving R., Spörri Paul E., J. Amer. Chem. Soc., 1957, 79, № 17, 4716—4720 (англ.).)

Действием  $C_6H_5CHO$  и  $HSCH_2COOH$  на  $CH_3(CH_2)_nNH_2$  (здесь и в других ф-лах  $a, n = 3, b, n = 5, в, n = 7, г, n = 9, д, n = 11, е, n = 13, ж, n = 15, з, n = 17$ ) синте-

зированы 2-фенилтиазолидиноны-4  $C_6H_5CHSCH_2CON-$

$(CH_2)_nCH_3$  (IIa—з), которые при восстановлении  $LiAlH_4$  образуют  $\beta$ -меркаптоэтиламины  $C_6H_5CH_2N(CH_2CH_2SH)(CH_2)_nCH_3$  (III). Строение IIIа доказано встречным синтезом и отличием его от возможных  $C_6H_5CH_2SCH_2CH_2NH(CH_2)_nCH_3$  (IV) и 2-фенил-3-n-бутилтиазолидина (V). К охлажд. р-ру 0,04 моля  $C_6H_5CHO$  в 125 мл абс.  $C_6H_6$  медленно прибавляют 0,104 моля Ie и кипятят до образования в ловушке Дина и Старка 0,104 моля воды, по каплям прибавляют 0,103 моля  $HSCH_2COOH$ , вновь отгоняют 1,9 мл воды и выделяют Ie, выход 71%, т. пл. 57,1—58,1° (из сп. ацетона и эф.). Аналогично из Ia—з получают II (перечисляется в-во, выход в %, т. пл. в °С): а, 80, 57,2—57,7; б, 62, 34,6—35,6; в, 77, 61,6—62,6; г, 74, 42,0—42,5; д, 76, 5,15—52,0; ж, 67, 64,8—65,3; з, 60, 69,6—70,6. К 0,5 молю  $LiAlH_4$  в 100 мл абс. эфира прибавляют (II, 1,5 часа) 0,255 моля IIa в 300 мл эфира, кипятят 20 час., разлагают водой при 0°, обрабатывают 20%-ным р-ром K-соли винной к-ты и из эфира выделяют IIa, выход 72%, т. кип. 122—123°/2 мм; хлоргидрат, т. пл. 90,6—91,8; пикрат, т. пл. 92,3—93,3° (из сп.); йодметилат, т. пл. 136,0—136,4° (из абс. сп.). Аналогично полученные (эфирный слой дополнительно обрабатывают разб.  $HCl$  и кислый р-р упаривают в вакууме) хлоргидраты III (перечисляется в-во, т. пл. в °С хлоргидрата (из ацетона)): в, 77,2—78,2; д, 63,7—64,7; е, 67,4—68,9; з, 75,4—76,2 (основание, т. пл. 37—39°). К холодному р-ру 50 г  $C_6H_5CHO$  в 135 г 70%-ного спирта прибавляют (15 мин.) 18 г  $HSCH_2CH_2NH_2 \cdot HCl$  в 100 мл воды, размешивают 15 мин. через 12 час. (0°), упаривают, экстрагируют эфиром и твердым  $K_2CO_3$  выделяют 2-фенилтиазолидин (VI), выход 78,5%, т. пл. 108,3—108,8° (возгонка при 80—90°/2 мм); пикрат, т. пл. 136,3—137,3°; ацетильное производное, т. пл. 64,3—64,8°; хлоргидрат, т. пл. 202,4—202,9°;  $C_6H_5SO_2$ -производное, т. пл. 131,4—131,9°. Метод А. Смесь 1,9 г безводн.  $Na_2CO_3$ , 25 мл абс. спирта, 2,7 г VI и 3 г  $n-C_4H_9J$  кипятят 14 час. и выделяют V, выход 96%, масло; пикрат, т. пл. 120,6—121,6° (из сп.). Метод Б. Из 0,026 моля хлоргидрата  $n-C_4H_9NHCH_2CH_2SH$  в 100 мл воды и 0,095 моля  $C_6H_5CHO$  в 100 мл спирта, выход V 69%, т. кип. 104—106°/2 мм,  $n^{25}_D$  1,55242,  $d^{25}_4$  1,026. Аналогично VI получают 2-n-гексилтиазолидин, выход 84%, т. кип. 76—77°/2 мм,  $n^{25}_D$  1,49597 [пикрат, т. пл. 134,8—135,3° (из сп.)], и 2-n-октилтиазолидин в виде хлоргидрата, выход 88,5%, т. пл. 103,0—103,5° (из сп.); основание, т. кип. 92—94°/1,5 мм,  $n^{25}_D$  1,49179; пикрат, т. пл. 143,9—144,9° (из сп.). К 0,185 моля  $C_6H_5CH_2SH$  в атмосфере сухого  $N_2$  прибавляют при 0° 100 мл спирта и р-р 0,38 моля 98,5%-ного  $NaOH$  в 150 мл спирта, добавляют (30 мин.) 0,185 моля хлоргидрата N-2-хлорэтилбутиламина [т. пл. 237,2—237,8° (разл.; из ацетона)] в 250 мл спирта, кипятят 2,5 часа, через 12 час. упаривают в вакууме и выделяют хлоргидрат IV, выход 60,5%, т. пл. 164,4—164,9° (из ацетона); основание, т. кип. 110—112°/1,5 мм,  $n^{25}_D$  1,53082,  $d^{25}_4$  0,980. К р-ру 19,5 г тиомочевины в 75 мл абс. спирта прибавляют (30 мин.) р-р 66 г хлоргидрата  $\beta$ -(бензил-n-бутиламино)-этилхлорида (т. пл. 93,1—94,1°) в 200 мл абс. спирта, кипятят 6 час. и при 0° добавлением этилацетата и петр. эфира осаждают хлоргидрат хлористого  $\beta$ -(бензил-n-бутиламино)-этилтиазолидинона (VII), выход 81%, т. пл. 162,9—163,9° (из сп.-эф.); при прибавлении к 68 г VII в 100 мл воды теплого р-ра 17 г 47%-ного  $NaOH$  в 60 мл воды, при высаливании и экстракции эфиром получают IIIa, выход 74%, т. кип. 132—134°/3 мм (в атмосфере  $N_2$ ),  $n^{25}_D$  1,52324,  $d^{25}_4$  0,972. Пикрат и йодметилат идентичны в-вам, полученным из IIa. Все т-ры плавления исправлены. Сообщение II см. РЖХим, 1958, 17975. Б. Дубинин



**57495. Химия тиазолидина. IV. Алкилирование 2-фенил-3-*n*-алкилтиазолидинонов-4.** Шмолька, Шпёрри (Thiazolidine chemistry. IV. Alkylation of 2-phenyl-3-*n*-alkyl-4-thiazolidinones. Schmolka Irving R., Spoerri Paul E.), J. Organ. Chem., 1957, 22, № 12, 1721—1722 (англ.)

При нагревании 2-фенил-3-алкилтиазолидинонов-4  $\text{RNCOC}_6\text{H}_5\text{SCHC}_6\text{H}_5$  (I) (здесь и далее а R =  $n\text{-C}_{14}\text{H}_{29}$ , б R =  $n\text{-C}_{18}\text{H}_{37}$ , в R =  $n\text{-C}_4\text{H}_9$ ) с  $(\text{CH}_3)_2\text{SO}_4$  в  $\text{C}_6\text{H}_6$  с расщеплением кольца образуются  $\text{CH}_3\text{SCH}_2\text{CONHR}$  (IIa—в). Строение II доказано встречным синтезом путем конденсации  $\text{CH}_3\text{SCH}_2\text{COCl}$  (III) с соответствующими аминами  $\text{RNH}_2$  (IVa—в).  $(\text{CH}_3)_2\text{SO}_4$  и Ia (по 27,8 ммоль) в 8 мл  $\text{C}_6\text{H}_6$  кипятят 7 час. упаривают в вакууме, к остатку медленно прибавляют 50 мл  $\text{CH}_3\text{OH}$  и 10 г  $\text{BaCO}_3$ , слабо нагревают, фильтрат упаривают досуха и получают IIa, выход 29%, т. пл. 64—65° (из ацетона). Аналогично из Ib, в получены IIб (нагревание 8 час.), выход 36%, т. пл. 75,9—76,9°, и IIв (в 5 мл  $\text{C}_6\text{H}_6$ , кипячение 2 часа), выход 26%, перегнан в вакууме. Все II обладают слабым резким запахом. III получен из  $\text{CH}_3\text{SCH}_2\text{COOH}$  и  $\text{SOCl}_2$  (Moogradian A. и др., J. Amer. Chem. Soc., 1949, 71, 3372), выход 95,5%, т. кип. 49—50°/14 мм. К р-ру 0,033 моля IVa и 0,137 моля пиридина в 600 мл абс. эфира прибавляют (5°, 15 мин.), 0,033 моля III, размешивают (5—20°, 5 час.), промывают 5%-ной HCl и из эфирного р-ра выделяют IIa, выход 60%. Аналогично из IVб, в синтезируются IIб, выход 79%, и IIв, т. кип. 123—124°/7 мм,  $n_D^{25}$  1,49400,  $d_4^{25}$  1,020, ИК-спектр IIв показывает тиоэфирную группу и монозамещ. амид. Б. Дубинин

**57496. Тиадiazолы. Часть VI. Производные 5-амино-3-оксинадiazола-1,2,4.** Курцер, Тейлор (Thiadiazoles. Part VI. 5-amino-3-hydroxy-1,2,4-thiadiazole derivatives. Kurzer Frederick, Taylor Sheila A.), J. Chem. Soc., 1958, Jan., 379—386 (англ.)  
Замещенные 2-тиоизобиуреты  $\text{RNHCSNHC}(\text{=NH})\text{OR}'$  (Ia R =  $\text{C}_6\text{H}_5$ , R' =  $\text{CH}_3$ ; б R =  $\text{C}_6\text{H}_5$ , R' =  $\text{C}_2\text{H}_5$ ; в R =  $\text{R} = \text{CH}_3$ ; г R =  $\text{CH}_3$ , R' =  $\text{C}_2\text{H}_5$ ) при окислении  $\text{Br}_2$  или  $\text{H}_2\text{O}_2$  превращаются в соответствующие алкоксиамино-тиадiazолы-1,2,4  $\text{RNHC}=\text{NC}(\text{OR}')=\text{NS}$  (IIa—г).

1-замещ. 2-тиобиуреты  $\text{RNHCSNHCN}(\text{NH}_2)$  (IIIa R =  $\text{C}_6\text{H}_5$ , б R =  $\text{CH}_3$ ), полученные из Ia, б или Iv, г соответственно, циклизируются в этих условиях в  $\text{RNHC}=\text{NC}(\text{OH})=\text{NS}$  (IVa, б). Na-производные N-арил-N'-цианзотио-

мочевин  $\text{RNHC}(\text{SNa})=\text{NCN}$  (Va R =  $\text{C}_6\text{H}_5$ ; б R =  $\text{C}_6\text{H}_5$ ,  $\text{CH}_3$ -n) прямо окисляются щел.  $\text{H}_2\text{O}_2$  в IVa и IV (R =  $\text{C}_6\text{H}_5$ ,  $\text{CH}_3$ -n) (IVв) соответственно. Хим. свойства II и IV согласуются с указанными для них ф-лами. 0,2 моля КОН в 50 мл воды, 0,2 моля хлоргидрата (XГ) O-метил-изомочевин и 100 мл ацетона и 0,15 моля  $\text{C}_6\text{H}_5\text{NCS}$  кипятят 30 мин., быстро отгоняют в вакууме ацетон, остаток выливают на 300 г льда и получают Ia, выход 71—85%, т. пл. 129—131° (из бzl-птр. эф.). Аналогично 0,15 моля  $\text{C}_6\text{H}_5\text{NCS}$  и 0,225 моля  $\text{H}_2\text{NC}(\text{OC}_2\text{H}_5)=\text{NH}\cdot\text{HCl}$  дают 23,4—26,7 г Ib, т. пл. 98—99° (из бzl.). 15,7 г Ia в 150 мл спирта и 30 мл конц. HCl кипятят 8—12 мин., выливают в 1,2 л воды и получают 5,85—6,6 г IIIa, т. пл. 159—161° (из сп.-птр. эф.); из Ib выход 28%; пикрат, т. пл. 129—131° (из сп.). Р-р 6,3 г Ia в 75 мл спирта быстро прибавляют при 35—40° (охлаждение) к 30 мл холодного 1 M р-ра  $\text{Br}_2$  в спирте, добавляют 750 мл ледяной воды и отделяют IIa, выход 75—85%, т. пл. 158—159° (из ацетона-сп.). Из 0,01 моля Ia в 25 мл спирта и 6%-ной  $\text{H}_2\text{O}_2$  (3 раза по 0,01 моля через 3 мин.) получен IIa, выход 85—90%; моноацетильное производное, т. пл. 209—210°; монобензойное производное, т. пл. 180—181° (из ацетона-сп.); тозилное производное не образуется. Ib дает IIв, выход 75—80%

(с  $\text{Br}_2$ ) или 80% (с  $\text{H}_2\text{O}_2$  в присутствии HCl), т. пл. 167—168° (из сп.). 0,01 моля IIIa в 20 мл воды (содержащей 0,02 моля NaOH) и 0,015 моля 6%-ной  $\text{H}_2\text{O}_2$  выдерживают (50°, 5 мин.) и при 0° отделяют (фильтрат А) осадок, из р-ра которого в 75 мл горячей воды при подкислении разб. HCl выделяют IVa, выход 75%, т. пл. 210—212° (разл.); из фильтрата А при подкислении получают еще 5—10% IVa; 0,1 моля цианамид в 6 мл воды, 0,1 моля 10 н. NaOH, 0,05 моля  $\text{C}_6\text{H}_5\text{NCS}$  и 10 мл спирта нагревают (~100°, 18 мин.), добавляют 40 мл воды и окисляют (30—40°, 5—10 мин.) 0,075 моля 6%-ной  $\text{H}_2\text{O}_2$ , нагревают (45°, 15 мин.) и при 0° отделяют Na-соль IVa, из которой выделяют IVa, выход 56%; O-тозилное производное (с  $n\text{-CH}_3\text{C}_6\text{H}_4\text{SO}_2\text{Cl}$  в пиридине при 100°, 20 мин.), выход 30%, т. пл. 160—162°; диацетильное производное, выход 72%, т. пл. 253—255° (из ацетона-сп.); дибензойное производное, выход 50%, т. пл. 182—184° (из бzl.). IVa или IIa восстанавливаются Zn в водно-спирт. HCl в IIIa. Из  $n\text{-CH}_3\text{C}_6\text{H}_4\text{NCS}$  и цианамид получают IVв, выход 48%, т. пл. 212—214° (разл.; из ацетона-сп.). К 125 мл охлажд. ацетона прибавляют 8—12 мин. 3,22 г Na, при 35—40° добавляют 14,4 г  $\text{H}_2\text{NC}(\text{OCH}_3)=\text{NH}\cdot\text{HCl}$ , затем р-р 8 г  $\text{CH}_3\text{NCS}$  в 10 мл ацетона, кипятят 30—45 мин., отгоняют ацетон в вакууме, прибавляют 75 мл воды, экстрагируют эфиром и спирт. HCl осаждают XГ Ia, выход 65—72%, т. пл. 154—156° (спектекает при 145—150°); пикрат Ib, т. пл. 154—156° (разл.; из сп.). Аналогично из  $\text{H}_2\text{NC}(\text{OC}_2\text{H}_5)=\text{NH}\cdot\text{HCl}$  получают (кипячение 15 мин.) XГ Ig, выход 60—70%, т. пл. 105—106° (разл.; из хлф., добавление эф.); Ig, т. пл. 90—91° (из бzl.); пикрат, т. пл. 125—126° (разл.; из сп.). 5,5 г Ib в 60 мл  $\text{CH}_3\text{OH}$  и 12 мл конц. HCl кипятят 12—15 мин. и получают IIIб, выход 45—52%, т. пл. 174—175° (разл.; из воды). Аналогично Ig (в спирте, 18—20 мин.) дает IIIб, выход 68%. 3,67 г XГ Ib в 10 мл теплой воды обрабатывают 20 мл 1 M р-ра  $\text{Br}_2$  в  $\text{CHCl}_3$  и выделяют из водн. слоя щелочью IIв, выход 55—62%, т. пл. 120—121° (из бzl. и  $\text{CH}_3\text{OH}$ ); пикрат, т. пл. 155—157° (из 75%-ного сп.). Аналогично из Ig получают IIг, выход 35% (из водн. слоя) и 45% (из  $\text{CHCl}_3$ -слоя), т. пл. 122—123° (из бzl. и сп.). Из 1 г IIIб в 20 мл  $\text{CH}_3\text{OH}$  и 7,5 мл 1 M р-ра  $\text{Br}_2$  в  $\text{CHCl}_3$  (т-ра < 30°, выдержка при 0°; 3 часа) получают IVб, выход 38%, т-ра плавления зависит от скорости нагревания (пересаживание 3 н. HCl из щел. р-ра; из сп.); пикрат, т. пл. 168—169° (разл.; из 50%-ного сп.); дибензойное производное, выход 54%, т. пл. 203—204° (разл.; из ацетона-сп.). Часть V см. РЖХим, 1958, 11356. О. Кильдишева

**57497. Полиаминотиазолы.** Хасимото, Нагаки (Hashimoto Shizunobu, Nagaki Ryuzo), Юки госэй кагаку кёкайси, J. Sos. Organ. Synth. Chem., Japan, 1957, 15, № 6, 287—294 (японск.)  
Обзор. Библ. 39 назв. О. М.

**57498. Оксимеркурирование метилциклогексенов.** Парк, Райт (Oxymercuration of the methylcyclohexenes. Park W. R., Wrigth George F.), Canad. J. Chem., 1957, 35, № 10, 1088—1096 (англ.)  
В то время как при оксимеркурировании (ОМ) 2-метилциклогексена (I) образуются только 1-а-хлор-меркур-2-а-окси-2-β-метилциклогексан (II) (α и β обозначают расположение заместителей под и над плоскостью кольца; в дальнейшем перечисляются лишь позиционное и пространственное положение  $\text{CH}_3$ -групп, HO- и  $\text{CH}_3$ -групп в полученных меркурированных циклогексанах), ОМ 3-метилциклогексена (III) приводит к смеси продуктов, из которой выделяют 1-а-2-α-3-β (IV). При ОМ 4-метилциклогексена (V) получена смесь 1-β-2-β-4-β (VI), 1-β-2-β-5-β (VII), 1-а-2-а-4-β (VIII) и 1-а-2-а-5-β (IX) с преобладанием VI и VII, из которой выделены VIII и IX, а наличие VI и VII показано фазовым анализом. Отношение

1,4-хлормеркурметилизомера к 1,3-изомеру равно в ней 5:1, что показано превращением ее в смесь метилциклогексанов с последующим хроматографич. разделением их 2,4-динитрофенилгидразонов на бептоните. Строение продуктов ОМ доказано превращением их в метилциклогексаноны р-цией с  $\text{Na/Hg} + \text{H}_2\text{O}$  или  $\text{N}_2\text{H}_4$ . Метоксимеркурирование (ММ) I—III приводит к в-вам пространственно и позиционно аналогичным продуктам ОМ, что видно из сравнения продуктов ММ с в-вами, полученными при метилировании продуктов ОМ. Смесь эквимольных кол-в I и  $\text{Hg}(\text{OSiCH}_3)_2$  в воде встряхивают 45 мин. и фильтруют в насыщ. р-р  $\text{NaCl}$ , получают II, выход 51%, т. пл. 128—129,5°. Восстановлением 3%-ной  $\text{Na/Hg}$  в  $\text{H}_2\text{O}$  (2 дня, 0°) II переведен в 1-метилциклогексанол, выход 51%, т. пл. 25—26°. Аналогично из III получен IV, выход 10%, т. пл. 175—175,5°; из V получен IX, выход 1,7%, т. пл. 164—164,8°, и из водн. р-ра образуется VIII, выход 0,5%, т. пл. 142—143°. Действием  $\text{Na/Hg} + \text{H}_2\text{O}$  VIII переведен в 4-β-метил-α-циклогексанол, выход 85%, т. кип. 80—82°/2 мм; 1-нафтилуретан, т. пл. 158,5—159°. Так же из IX получают 3-β-метил-α-циклогексанол, выход 80%, т. кип. 75—77°/18 мм,  $n_D^{20}$  1,5479; 1-нафтилуретан, т. пл. 116—118°; *n*-нитробензоат, т. пл. 68—69°. К суспензии  $\text{NaOC}(\text{CH}_3)_2$  (из 0,015 г атома Na) в 65 мл абс. толуола прибавляют в токе  $\text{N}_2$  0,005 моля α-1-хлормеркур-2-метоксидциклогексана, перемешивают до растворения, отгоняют в вакууме 15 мл р-рителя, остаток обрабатывают 0,015 моля  $(\text{CH}_3)_2\text{SO}_4$ , спустя 90 мин. прибавляют 20 мл 10%-ного  $\text{NaOH}$  и еще через 10 мин. толуол отгоняют в вакууме. Остаток фильтруют в 90 мл 1,5-ного  $\text{NaCl}$  и насыщают  $\text{CO}_2$ , выделяют α-1-хлормеркур-2-метоксидциклогексан, выход 90%, т. пл. 113,5—115,5°. Аналогично из IX получен 1-α-хлормеркур-2-α-метокси-5-β-метилциклогексан (X), выход 77%, т. пл. 88—89°; из VIII получен 1-α-хлормеркур-2-α-метокси-4-β-метилциклогексан (XI), выход 83%, т. пл. 108—109,2°; из I образуется 1-α-хлормеркур-2-α-метокси-2-β-метилциклогексан, выход 75%, т. пл. 83—84°, дипольный момент 4,31 D. Растворяют эквимольные кол-ва V и  $\text{Hg}(\text{OSiCH}_3)_2$  в  $\text{CH}_3\text{OH}$ , через 30 мин. выпаривают в 2%-ный  $\text{NaCl}$ , после 14 кристаллизаций осадка из  $\text{CH}_3\text{OH}$  выделяют XI, выход 3,2%. Фильтрат от первой кристаллизации упаривают на 1/3, оставляют на 3 дня при 0°, фильтруют, вновь упаривают и после 8 кристаллизаций осадка из  $\text{CH}_3\text{OH}$  выделяют 1-β-хлормеркур-2-β-метокси-4-β-метилциклогексан (XII), выход 2,9%, т. пл. 89°, дипольный момент 3,97 D. Из отдельной порции первоначального фильтрата при -70° спустя 3 дня получен X, выход 0,3%. Та же р-ция в присутствии эфира  $\text{BF}_3$  дала 12% XI и 7% XII. Приведены диаграммы плавкости систем VIII—IX и X—XI, а также дебаграмм всех полученных меркуросоединений. Ф. Величко

57499. Борорганические соединения. VII. Получение диалкилхлорборанов реакцией хлористого бора с триалкилборанами. Диспропорционирование диалкилхлорборанов. Мак-Каскер, Хеннион, Ашби (Organoboron compounds. VII. Diakylchloroboranes from the reaction of boron chloride with trialkylboranes. Disproportionation of dialkylchloroboranes. McCusker Patrick A., Hennion G. F., Ashby Eugene C.), J. Amer. Chem. Soc., 1957, 79, № 19, 5192—5194 (англ.)

Взаимодействие  $\text{R}_3\text{B}$  (Ia—г, здесь и далее а R =  $\text{C}_2\text{H}_5$ , б R =  $\text{C}_4\text{H}_9$ , в R = *изо*- $\text{C}_4\text{H}_9$ , г R = *втор*- $\text{C}_4\text{H}_9$ ) с  $\text{BCl}_3$  получены  $\text{R}_2\text{BCl}$  (IIa—г). Наряду с II вначале, вероятно, образуется  $\text{RBCl}_2$  (III), который, реагируя с избытком I, дает II, причем скорость последней р-ции значительно превышает скорость р-ции I с  $\text{HCl}_2$ . Это предположение подтверждено получением IIб из

IIб и IIг. II диспропорционируются при < 180° и значительно устойчивее  $\text{R}_2\text{BF}$ . Выше 180° имеет место обратимая р-ция:  $\text{II} \rightleftharpoons \text{I} + \text{III}$ . Бор в II обладает меньшей электрофильностью, чем в III, что проявляется в отсутствие затруднений при разделении смесей IIб и эфира. При р-ции  $(\text{C}_4\text{H}_9)_3\text{B}$  (из *трет*- $\text{C}_4\text{H}_9\text{MgCl}$ ) (см. сообщение VI, РЖХим, 1958, 50424) с  $\text{BCl}_3$  образуется IIв. При 50° IIб не реагирует с  $\text{BCl}_3$ , 0,4 моля IIб насыщают  $\text{BCl}_3$  и нагревают при 160°, продолжая пропускать  $\text{BCl}_3$  и отгоняя IIб; выделен IIб с выходом 91%, т. кип. 47—48°/7 мм и 173—174°/747 мм. В тех же условиях из IIв получают IIв с почти колич. выходом, т. кип. 33°/7 мм и 156°/747 мм,  $n_D^{25}$  1,4160,  $d_4^{25}$  0,8251, из IIг получен IIг, выход 82%, т. кип. 36—39°/7 мм и 160—161°/747 мм,  $n_D^{25}$  1,4230; ИК-спектр IIг отличается от спектров IIб и IIв. При действии  $\text{BCl}_3$  на Ia (из *изо*- $\text{C}_3\text{H}_7\text{MgBr}$ ) выделена, вероятно, смесь (*n*- $\text{C}_3\text{H}_7$ ) $_2\text{BCl}$  и (*изо*- $\text{C}_3\text{H}_7$ ) $_2\text{BCl}$ , т. кип. 26—36°/7 мм. 0,3 моля IIб и 0,3 моля IIг кипятят 48 час.; получено IIб с выходом 80% и 12% IIб. Медленной перегонкой 180 г IIб через колонку со стеклянными спиральками выделено 28 г IIб, т. кип. 105—109°, 96 г фракции с т. кип. 170—174° и 32 г IIб, т. кип. 210—215°. Перегоняют 4 дня 90 г IIв через колонку; получено 34 г IIв, т. кип. 95—96°, и 40 г IIв. При перегонке IIг 3 дня образуется IIг и IIг.

П. Аронович  
57500. Борорганические соединения. VIII. Реакция триалкил- и триарилборанов с борным ангидридом. Хеннион, Мак-Каскер, Ашби, Рутковский (Organoboron compounds. VIII. The reaction of triorganoboranes with boric oxide. Hennion G. F., McCusker P. A., Ashby E. C., Rutkowski A. J.), J. Amer. Chem. Soc., 1957, 79, № 19, 5194—5196 (англ.)

Описано получение  $(\text{RBO})_3$  (Ia—е, здесь и далее а R =  $\text{C}_2\text{H}_5$ , б R =  $\text{C}_4\text{H}_9$ , в R =  $\text{C}_4\text{H}_9$ , г R = *изо*- $\text{C}_4\text{H}_9$ , д R = циклогексил, е R =  $\text{C}_6\text{H}_5$ ) нагреванием  $\text{R}_3\text{B}$  (IIa—е) с  $\text{B}_2\text{O}_3$ . Р-ция протекает, вероятно, на поверхности  $\text{B}_2\text{O}_3$  и в случае IIв—е сопряжена с пространственными затруднениями. При взаимодействии  $\text{B}_2\text{O}_3$  и II с α-разветвленными алкильными группами образуются изомерные I нормальной строения. Ia—е не диспропорционируются при < 200°; > 200° они частично разлагаются с образованием  $\text{B}_2\text{O}_3$ . Исходный  $\text{B}_2\text{O}_3$  обезвожен нагреванием 24 часа при 185°/0,3—0,5 мм. I получен кипячением эквимольных кол-в II и  $\text{B}_2\text{O}_3$  и последующей перегонкой. Перечисляются II, продолжительность нагревания в часах, полученный I, выход в %, т. кип. в °C/мм,  $n_D^{25}$ ,  $d_4^{25}$ : IIв, 40, IIб, 69, 133,4—133,6/16, 1,4186 0,8698; (*втор*- $\text{C}_4\text{H}_9$ ) $_3\text{B}$ , 40, IIв, —, —, —; IIг, 72, IIг, 83, 116—116,3/15, 1,4130, 0,8550; IIб, 2, IIб, 52, —, —; IIа, 24, Ia, 23, 156/760, 1,3954, 0,8959; IIд, 48, IIд, 85, 210—211/8, —, —, т. пл. 91—92°; IIе, 48, IIе, 85, —, —, —, т. пл. 208—209°. При получении Ia к эфирному р-ру продуктов р-ции между  $\text{C}_2\text{H}_5\text{Br}$ , Mg и  $\text{BF}_3$  прибавляют  $\text{B}_2\text{O}_3$ , отгоняют эфир и кипятят. При р-ции  $\text{B}_2\text{O}_3$  с  $(\text{C}_3\text{H}_7)_3\text{B}$  (из *изо*- $\text{C}_3\text{H}_7\text{MgBr}$ ) получен IIб с выходом 76%; (*втор*- $\text{C}_4\text{H}_9\text{BO}$ ) $_3$  кипятят 24 часа; выделен IIв; (*трет*- $\text{C}_4\text{H}_9\text{BO}$ ) $_3$  в этих условиях превращается в IIг. П. Аронович

57501. Диалкилалюминийфториды. Енкнер (Dialkylaluminumfluorides. Jenkner Herbert), Z. Naturforsch., 1957, 12b, № 12, 809 (нем.)

Чистый  $\text{AlR}_2\text{F}$  (I) легче всего синтезировать взаимодействием  $\text{AlR}_3$  с безводн. аморфным  $\text{AlF}_3$ , полученным при низких т-рах. I получают также р-цией  $\text{AlR}_3$  с  $\text{SiF}_4$ ,  $\text{R}_2\text{SiF}_2$ ,  $\text{CdF}_2$ ,  $\text{SbF}_3$ ,  $\text{PbF}_2$ . Из  $\text{R}_2\text{AlH}$  и  $\text{R}_3\text{SiF}$  образуются I и  $\text{HSiR}_3$ . I более термостоек, чем  $\text{AlR}_3$ ; алкилирует фториды при более высоких т-рах, чем  $\text{AlR}_3$ .

Ф. Величко  
57502. Синтез и интрамолекулярные перегруппировки хлорметилпентаметилдисилана и 1-хлорметил-2-



хлортетраметилдисилана. Кумада, Накадзима, Исигава, Ямамото (Synthesis and intramolecular rearrangements of chloromethylpentamethylidisilane and 1-chloromethyl-2-chlorotetramethyldisilane. Kumada Makoto, Nakajima Jun-ichi, Ishikawa Mituo, Yamamoto Yoshihiro), J. Organ. Chem., 1958, 23, № 2, 292—295 (англ.).

Хлорметилпентаметилдисилан (I) получен хлорированием фракции из кубовых остатков метилхлорсиланов (продуктов прямого синтеза), содержащей  $(\text{CH}_3)_2\text{SiSiCl}_2(\text{CH}_3)_2$  и  $(\text{CH}_3)_2\text{ClSiSiCl}_2(\text{CH}_3)_2$  с последующей обработкой  $\text{CH}_3\text{MgBr}$  или же хлорированием гексаметилдисилана (II). Из I получен 1-хлорметил-2-хлортетраметилдисилан (III), строение которого подтверждено превращением в 1-хлорметил-2-этилтетраметилдисилан (IV) и расщеплением его действием  $\text{Br}_2$  на диметилэтилбромсилан (V) и бромметилдиметилбромсилан (VI). При действии  $\text{AlCl}_3$  I перегруппировывается в  $(\text{CH}_3)_3\text{SiCH}_2\text{Si}(\text{CH}_3)_2\text{Cl}$  (VII), а III в  $(\text{CH}_3)_2\text{Si}(\text{Cl})\text{CH}_2\text{Si}(\text{CH}_3)_2\text{Cl}$  (VIII). Отсутствие Si—Si связи в VII—VIII доказано их устойчивостью к  $\text{Br}_2$ . Строение VII также подтверждено его спектром комбинационного рассеяния, а VIII гидролизом в  $\text{HO}(\text{CH}_3)_2\text{SiCH}_2\text{Si}(\text{CH}_3)_2\text{OH}$  (IX) и 2,2,4,4,6,6,8,8-октаметил-1,5-диокса-2,4,6,8-тетра-силациклооктан (X). Из 1061 г дисилановой фракции, т. кип. 150—160°, в результате хлорирования в свете лампы накаливания при 50—60° получено 1202 г продукта, из которого выделено 409 г фракции, т. кип. 80—100°/17 мм; к р-ру  $\text{CH}_3\text{MgBr}$  (из 3,17 моля  $\text{CH}_3\text{Br}$ ) прибавили 170 г этой фракции и смесь кипятили 9 час.; получен I, т. кип. 87—87,5°/58 мм, 60°/14 мм, т. пл. 6—7°,  $n_D^{20}$  1,4576,  $d_4^{20}$  0,8837. К 0,27 моля II за 3 часа при 80—90° прибавили 0,27 моля  $\text{SO}_2\text{Cl}_2$ , содержащего 0,2 г  $(\text{C}_6\text{H}_5\text{COO})_2$  и нагревали до прекращения выделения  $\text{SO}_2$ , выход I 42%. Смесь 0,25 моля I и 200 г  $\text{H}_2\text{SO}_4$  ( $d$  1,84) перемешивали при 38 ± 2°; через 2 часа выделилось 91%  $\text{CH}_4$ , смесь охладил до 0° и обработали 0,56 моля  $\text{NH}_4\text{Cl}$ ; выход III 70%, т. кип. 79,5°/17 мм, т. пл. ~ 9°,  $n_D^{20}$  1,4735,  $d_4^{20}$  1,0206. К р-ру  $\text{C}_2\text{H}_5\text{MgBr}$  (из 0,28 моля  $\text{C}_2\text{H}_5\text{Br}$ ) прибавили 0,22 моля III и смесь кипятили 8 час.; после обычной обработки выделен нерастворимый в конц.  $\text{H}_2\text{SO}_4$  IV, выход 68%, т. кип. 79°/26 мм,  $n_D^{20}$  1,4662,  $d_4^{20}$  0,8933. К р-ру 0,098 моля IV в 30 г  $\text{C}_2\text{H}_5\text{Br}$  постепенно прибавили р-р 0,1 моля  $\text{Br}_2$  в 30 г  $\text{C}_2\text{H}_5\text{Br}$  (от 20° до кипения), через 3 часа (кипение) выход V 99%, т. кип. 110—110,5°, выход VI 32%, т. кип. 154°. К 0,22 моля I за 10 час. прибавлен 1 г  $\text{AlCl}_3$  (бурная р-ция), после нагревания (3 часа, 100°) выход VII 82%, т. кип. 153°,  $n_D^{20}$  1,4322,  $d_4^{20}$  0,8846. Аналогично из 0,25 моля III и 1,8 г  $\text{AlCl}_3$  получен VIII, выход 50%, т. кип. 58°/10 мм,  $n_D^{20}$  1,4483,  $d_4^{20}$  1,013. К смеси 100 мл воды, р-ра 5 г  $\text{NaOH}$  и 50 мл эфира при перемешивании за 4 мин. при 0° прибавили р-р 0,05 моля VIII в 100 мл эфира; выход IX 68%, т. пл. 86,5—87°, выход X 0,21 г, т. пл. 27°. А. Берлин

57503. Тетразамещенные силаны с высшими жирными и фенильными группами. Мин, Гилман (Tetrasubstituted higher aliphatic and phenyl silanes. Meen R. H., Gilman Henry), J. Organ. Chem., 1958, 23, № 2, 314—316 (англ.).

Взаимодействием хлорсиланов с Li-органич. соединениями получены следующие в-ва (перечисляются исходный хлорсилан, продолжительность р-ции в часах, продукт р-ции, выход в %, т. кип. в °C/мм,  $n_D^{20}$ ,  $d_4^{20}$ , R везде =  $\text{C}_6\text{H}_5$ ):  $\text{R}_3\text{SiCl}$  (I), 10,  $\text{R}_3\text{SiC}_6\text{H}_{17-n}$ , 76, 182/0,02, —, —, т. пл. 73—75° (из абс. сп.); I, 2,  $\text{R}_3\text{SiCH}(\text{CH}_3)\text{C}_6\text{H}_{13}$ , 44, 153—155/0,04, 1,5748, 1,009; I, 18,  $\text{R}_3\text{SiCH}_2\text{CH}(\text{C}_6\text{H}_5)\text{C}_4\text{H}_9$ , 50, 163—166/0,03, 1,5734, 1,005; I, 12,  $\text{R}_3\text{SiCH}_2\text{CH}_2\text{C}_6\text{H}_{11}$ , 63 168/0,03, —, —, т. пл. 58—59° (из абс. сп.);  $\text{R}_2\text{SiCl}_2$  (II), 12,  $\text{R}_2\text{Si}(\text{C}_6\text{H}_{17-n})_2$ , 59, 198/0,12, 1,5191, 0,919; II, 2,  $\text{R}_2\text{Si}[\text{CH}(\text{CH}_3)\text{C}_6\text{H}_{13}]_2$ , 86,

186/0,5, 1,5266, 0,931; II 6,  $\text{R}_2\text{Si}[\text{CHCH}(\text{C}_6\text{H}_5)\text{C}_4\text{H}_9]_2$ , 79, 187/0,03, 1,5527, 0,993;  $\text{RSiCl}_3$  (III), 12,  $\text{RSi}(\text{C}_6\text{H}_{17-n})_3$ , 80, 181/0,02, 1,4841, 0,862; III, 18,  $\text{R}_2\text{Si}[\text{CH}_2\text{CH}(\text{C}_6\text{H}_5)\text{C}_4\text{H}_9]_2$ , 70, 156—157/0,01, 1,4890, 0,875; III, 12,  $\text{RSi}(\text{CH}_2\text{CH}_2\text{C}_6\text{H}_{11})_3$ , 76, 188/0,02, 1,5235, 0,954;  $\text{SiCl}_4$ , 18,  $\text{Si}(\text{C}_6\text{H}_{17-n})_4$ , 63, 192/0,15, 1,4589, 0,822;  $\text{SiCl}_4$ , 24,  $\text{Si}[\text{CH}_2\text{CH}(\text{C}_6\text{H}_5)\text{C}_4\text{H}_9]_4$ , 50, 143/0,5, 1,4619, 0,842;  $\text{SiCl}_4$ , 18,  $\text{Si}(\text{CH}_2\text{CH}_2\text{C}_6\text{H}_{11})_4$ , 68, 206/0,02, —, —, т. пл. 146—147° (из бэл.-абс. сп., 1:1);  $n\text{-C}_{12}\text{H}_{25}\text{SiCl}_3$ , 24,  $n\text{-C}_{12}\text{H}_{25}\text{Si}(\text{CH}_2\text{CH}_2\text{C}_6\text{H}_{11})_3$ , 57, 211/0,02, 1,4885, 0,894. В типичном опыте к взвеси 0,19 моля I в 235 мл эфира при т-ре от —20 до —10° прибавляют за 15 мин. эфирный р-р 0,21 моля  $n\text{-C}_8\text{H}_{17}\text{Li}$  (IV), по достижении т-ры ~ 20° смесь перемешивают 10 час. и после обычной обработки выделяют продукт р-ции. К р-ру 0,083 моля  $\text{SiCl}_4$  в 170 мл эфира (—20°) быстро прибавляют р-р 0,39 моля IV, через 10 час. (~20°) нагревают 8 час. и выделяют продукт р-ции обычным образом.

57504. Получение циклогексилтрифенилсилана. Гилман, Майлс (The preparation of cyclohexyltriphenylsilane. Gilman Henry, Miles David H.), J. Amer. Chem. Soc., 1958, 80, № 3, 611—613 (англ.).

Циклогексилтрифенилсилан (I) синтезирован из  $\text{C}_6\text{H}_{11}\text{SiCl}_3$  (II) и  $\text{C}_6\text{H}_5\text{Li}$ , из трифенилхлорсилана (III) и  $\text{C}_6\text{H}_{11}\text{Li}$  и из трифенилсилана (IV) и циклогексена (V). К р-ру 0,196 моля 96%-ного  $\text{C}_6\text{H}_5\text{Li}$  в тетрагидрофуране при —70° прибавляют 38,8 ммоль II; через 16 час. (при —70°), 12 час. (—30°), 12 час. (25—28°) и 12 час. (кипение) выход I 34,5%, т. пл. 145—146° (из сп.). При р-ции в эфире выход I 26,3%. К 0,1 моля Li в 50 мл  $n$ -пентана прибавляют при кипении р-р 0,05 моля  $\text{C}_6\text{H}_{11}\text{Cl}$  в 50 мл  $n$ -пентана; после кипения 16 час. р-р  $\text{C}_6\text{H}_{11}\text{Li}$  (выход 28,3) прибавляют к 12 ммоль III и смесь перемешивают 48 час.; выделяют 19,5% I. Смесь 63 ммоль IV, 0,126 моля V и 0,1 мл 0,1 M  $\text{H}_2\text{PtCl}_6 \cdot 6\text{H}_2\text{O}$  в  $\text{iso-C}_3\text{H}_7\text{OH}$  кипятят 96 час.; получено очень немного неочищ. I.

57505. Расщепление симметрично замещенных дисиланов литием в тетрагидрофуране. Гилман, Лихтенуолтер (Cleavage of symmetrically substituted disilanes by lithium in tetrahydrofuran. Gilman Henry, Lichtenwalter Glen D.), J. Amer. Chem. Soc., 1958, 80, № 3, 608—611 (англ.). При действии Li в тетрагидрофуране (I) гексафенилдисилан (II), 1,2-диметил-1,1,2,2-тетрафенилдисилан (III) и 1,1,2,2-тетраметил-1,2-дифенилдисилан (IV) расщепляются с образованием соответственно трифенилсилиллития (V), диметилфенилсилиллития (VI) и метилдифенилсилиллития (VII), которые без выделения вводились в р-цию с триметилхлорсиланом (VIII) или с трифенилхлорсиланом (IX). Из V и VIII получен 1,1,1-триметил-2,2,2-трифенилдисилан (X), из VI и VIII пентаметилфенилдисилан (XI), из VII и VIII 1,1-диметил-1,2,2,2-тетрафенилдисилан (XII), из VII и VIII 1,2,2,2-тетраметил-1,1-дифенилдисилан (XIII), из VII и IX метилпентафенилдисилан (XIV). Последний также синтезирован из пентафенилхлордисилана (XV) и  $\text{CH}_3\text{Li}$ . При прибавлении же хлорсиланов к производным силиллития получались в результате перераспределения Li и Cl почти исключительно симметричные дисиланы. Приведены соображения о механизме рассматриваемых р-ций. К 29 ммоль II и 0,43 моля Li добавляют 150 мл I и через 3 часа (20°) р-р V фильтруют через стеклянную вату. 25 мл I этого р-ра прибавляют к р-ру 2 мл VIII в 25 мл I, выход X 79%, т. пл. 108—109° (из сп.). Если до р-ции с VIII р-р V выдерживают (20 час., 20° или кипение 24 часа), то выход X соответственно 74 и 6%. Из 37 ммоль III, 0,2 моля Li и 100 мл I (5,5 часа,

20°) получено 92 мл р-ра VI. 46 мл этого р-ра прибавляют к р-ру 5 мл VIII в 50 мл I; выход XI 47%, т. кип. 113—114,5/25 мм,  $n_D^{20}$  1,5056,  $d_4^{20}$  0,8738. 46 мл того же р-ра VI прибавляют к р-ру 85 ммоль IX в 100 мл I; кроме 12,2 г трифенилсиланола, т. пл. 153—156°, выделены II, выход 2,3%, т. пл. 367—369°, и XII, выход 45%, т. пл. 84—85° (из сп.). При прибавлении IX к VI получено 35% II и 71% III. Аналогичные результаты получены при прибавлении р-ра 14,8 ммоль IX в 30 мл I к смеси р-ров V и VI (соответственно по 7,4 ммоль II и 7,4 ммоль III). Из 12,7 ммоль IV и 0,1 ммоль Li в 70 мл I (1 час. 20°) получено 76 мл р-ра VII. По прибавлении 46 мл этого р-ра к р-ру 3 мл VIII в 50 мл I выделен XIII, выход 74%, т. кип. 81,5—82°/0,01 мм,  $n_D^{20}$  1,5606,  $d_4^{20}$  0,9678. Аналогично из 30 мл р-ра VII и 0,01 ммоль IX в 50 мл I получен XIV, выход 66%, т. пл. 148—149° (из сп.). При прибавлении IX к VII получено 27% II и немного трудно-разделимой смеси IV и XIV. К 20 мл р-ра  $\text{CH}_3\text{Li}$  в эфире (из 16,1 ммоль  $\text{CH}_3\text{J}$  и 0,1 ммоль) прибавляют 6,3 ммоль XV; через 1 час (20°) выделено 42% XIV.

А. Берлин

57506. О силикоаминнокислотах и эфирах силизан-карбоновых кислот. Сообщение 2. Производные аминокислот, содержащие кремний. Биркофер, Риттер (2. Mitteilung über Silico-aminosäuren und Silazan-carbonsäureester; Siliciumhaltige Aminosäure-derivate. Birkhofer Leonhard, Ritter Alfred), Liebigs Ann. Chem., 1958, 612, № 1—3, 22—33 (нем.).

При взаимодействии триметилхлорсилана (I) с этиловыми эфирами (ЭЭ) аминокислот: глицина (II), L-норвалина, L-лейцина, β-аланина или DL-β-амино-масляной к-ты синтезированы ЭЭ силизанкарбоновых к-т  $(\text{CH}_3)_3\text{SiNHCH(R)COOC}_2\text{H}_5$  (IIIa—в, где а R = H, б R =  $\text{CH}_2\text{CH}_2\text{CH}_3$ , в R =  $\text{CH}_2\text{CH}(\text{CH}_3)_2$ ) и  $(\text{CH}_3)_3\text{SiNHCH(R)CH}_2\text{COOC}_2\text{H}_5$  (IIIг, д, где г R = H, д R =  $\text{CH}_3$ ). При действии  $\text{C}_6\text{H}_5\text{COOH}$  на IIIа или IIIг образуются соответственно полиглицин (IV) и поли-β-аланин (V), но IIIб и IIIв дали при этом производные 3,6-диоксопиперазина (VI): 2,5-ди-н-пропил-VI (VII) и 2,5-диизобутил-VI (VIII). При действии  $(\text{CH}_3\text{COOH})_2$  на IIIа образуется кислый сукцинат II (IX). Из IIIа и спирта также образуется IV, а из IIIв и (изо- $\text{C}_3\text{H}_7\text{O})_3\text{Al}$  образуется VIII. При действии  $(\text{CH}_3)_2\text{SiCl}_2$  (X),  $\text{CH}_3\text{SiCl}_2$  (XI) и  $\text{SiCl}_4$  на II получены IV и соответственно диметилдиэтоксисилан (XII), метилтриэтоксисилан (XIII) и  $\text{Si}(\text{OC}_2\text{H}_5)_4$  (XIV).  $\text{CH}_3\text{Si}(\text{CH}_3)_2\text{Cl}$  (XV) превращен действием  $\text{CH}_3\text{MgBr}$  в силиконеопентилхлорид (XVI), из которого конденсацией с ацетаминомалоновым эфиром (XVII) получен силиконеопентилглицин (XVIII). Р-цией Гриньяра из XVI и XV получен  $(\text{CH}_3)_3\text{SiCH}_2\text{Si}(\text{CH}_3)_2\text{CH}_2\text{Cl}$  (XIX), превращенный в соответствующий йодид (XX). Конденсацией XX с XVII синтезирован е-триметилсилилдиэтилсиликонеопентилглицин (XXI). К р-ру ЭЭ аминокислоты в 5—10-кратном кол-ве эфира по каплям прибавляли эфирный р-р I; после отделения хлоргидрата ЭЭ аминокислоты без доступа влаги выделали IIIа—д (перечислены кол-во ЭЭ аминокислоты в г, кол-во I в г, выход III в %, т. кип. в °C/мм,  $n_D^{20}$ ): IIIа, 26,7, 14,1, 34, 68—71/13, —; IIIб, 13,9, 5,2, 74, 81—82/19, 1,4319; IIIв, 29, 10, 51, 107—112/12, —; IIIг, 10,8, 9,6, 55, 96—100/14 —; IIIд, 14,5, 6, 62, 90—95/20, 1,4227. К р-ру 6,7 г  $\text{C}_6\text{H}_5\text{COOH}$  в 20 мл диоксана прибавляли 9,6 г IIIа и смесь кипятили 20 мин.; выделено 3 г IV, т. разл. 305° мол. в. ~2700. Аналогично из 3 г IIIг (12 час., кипячение) получен 1 г V, мол. в. ~600. 7 г IIIб и 3,9 г  $\text{C}_6\text{H}_5\text{COOH}$  в 10 мл диоксана кипятили 2 часа; выделен VII, т. пл. 269° (из сп.). Аналогично IIIв превращен (24 часа, кипячение) в VIII, т. пл. 268° (из воды). К р-ру 1,7 г  $(\text{CH}_2\text{COOH})_2$

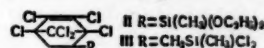
в 20 мл диоксана прибавляли 5 г IIIа, выпал IX, т. пл. 118° (из сп.). После кипячения 8 час. 7 г IIIа и 5,4 г абс. спирта получено 3 г IV, т. пл. 298°, мол. в. ~600. Другим путем VIII получен кипячением IIIв с р-ром (изо- $\text{C}_3\text{H}_7\text{O})_3\text{Al}$  в изо- $\text{C}_3\text{H}_7\text{OH}$  60 час. К р-ру 31,5 г ЭЭ II в 300 мл петр. эфира по каплям прибавляли р-р 9,7 г X в 50 мл петр. эфира, выпал хлоргидрат ЭЭ II; через 16 час. (20°) выделено немного IV и XII, т. кип. 108°. Аналогично из ЭЭ II и XI получены IV и XIII, т. кип. 43—44°/14 мм,  $n_D^{20}$  1,3832, а из II и  $\text{SiCl}_4$  получены IV и XIV, т. кип. 59°/13 мм,  $n_D^{20}$  1,3843. К р-ру 143 г XV в 50 мл эфира медленно прибавляли р-р  $\text{CH}_3\text{MgBr}$  (из 24 г Mg); после обычной обработки выход XVI 61%, т. кип. 97°. К р-ру Na-соли XVII [из 16,9 г XVII, 30 мл  $\text{HCON}(\text{CH}_3)_2$  и 1,87 г NaH] прибавили 10,5 г XVI и смесь кипятили 22 часа; получено 6,5 г силиконеопентил-XVII, т. кип. 154—156°/18 мм, который кипятили с 40 мл 40%-ной HBr; выделено 200 мг XVIII, т. разл. 240° (из сп.). Р-р, образовавшийся из 61 г XVI и 12,5 г Mg в 150 мл эфира, прибавляли по каплям к р-ру 71,5 г XV в 50 мл эфира; после отгонки р-рителя и нагревания остатка (8 час., 100°) выход XIX 29,1%, т. кип. 71—74°/11 мм. Из 28,3 г XIX и 44 г NaJ в 150 мл ацетона (25 час., кипячение) получен XX, выход 76%, т. кип. 97—103°/11 мм,  $n_D^{20}$  1,4956,  $d_4^{20}$  1,2717. Смесь Na-соли XVII [из 7,5 г XVII и 0,8 г NaH в 20 мл  $\text{HCON}(\text{CH}_3)_2$  и 9,6 г XX кипятили 50 час.; продукт р-ции нагревали 7 час. с 25 мл 40%-ной HBr; выделено 200 мг XXI, т. разл. 263° (из  $\text{CH}_3\text{OH}$ ). Предыдущее сообщение см. РЖХим, 1957, 23074.

А. Берлин

57507. Галогенсодержащие мономерные силаны.

Гудман, Силверстейн, Гулд (Halogen-containing silane monomers. Goodman Leon, Silverstein Robert M., Gould Constance Willard), J. Organ. Chem., 1957, 22, № 5, 596—597 (англ.).

Получены продукты присоединения галогенсиланов к реактивам Гриньяра, галогенированных диенов к винил- и аллилсиланам по Дильсу—Альдеру и полигалогенметанов к винилсиланам. Реактив Гриньяра (из 0,4 ммоль  $\text{m-BrC}_6\text{H}_4\text{CF}_3$  и 0,4 ммоль Mg в 200 мл эфира) добавляют к 2 ммоль  $\text{CH}_2=\text{CHSiCl}_3$  (10—15°, 2 часа) через 12 час. (20—25°) из фильтрата выделяют  $\text{m-CF}_3\text{C}_6\text{H}_4\text{Si}(\text{Cl}_2)\text{CH}=\text{CH}_2$ , выход 57,5%, т. кип. 91—92°/10 мм,  $n_D^{25}$  1,4755 и  $(\text{m-CF}_3\text{C}_6\text{H}_4)_2\text{Si}(\text{Cl})\text{CH}=\text{CH}_2$ , выход 5,2%, т. кип. 124—129°/3 мм. К 0,1 ммоль гексахлорциклопентадиена (I), нагретого до кипения, прибавляют 0,1 ммоль  $(\text{CH}_2=\text{CH})\text{CH}_2\text{Si}(\text{OC}_2\text{H}_5)_2$ , смесь нагревают 12 час. при 135—150°, выделено в-во (II), выход 79%, т. кип. 120—138°/2 мм (возможно смесь цис-транс-изомеров). Аналогично из I и  $(\text{CH}_2=\text{CHCH}_2)\text{CH}_2$



$\text{SiCl}_2$  (100—120°) получен (III), выход 57, т. кип. 135—137°/0,7 мм. К 0,05 ммоль галогенметана прибавляют 0,025 ммоль  $(\text{CH}_2=\text{CH})\text{C}_6\text{H}_4\text{SiCl}_2$  и 0,1 г  $(\text{C}_6\text{H}_5\text{COO})_2$  (90°, 15 мин.) и смесь нагревают 2 часа при 90° в атмосфере  $\text{N}_2$ ; таким образом получены  $\text{C}_6\text{H}_5(\text{CHBrCH}_2\text{CCl}_2)_2\text{SiCl}_2$ , выход 64%, т. кип. 120—126°/2 мм, и  $\text{C}_6\text{H}_5(\text{CHBrCH}_2\text{CBr}_2)_2\text{SiCl}_2$ , выход 64%, т. кип. 175°/1 мм.

Г. Моцарев

57508. О би- и полициклических азуленах. XXX. Синтез кремнийсодержащих азуленинов. Трейбе, Грюндель (Über bi- und polycyclische Azulene. XXX. Synthese von siliciumhaltigen Azulenen. Treibs Wilhelm, Gründel Klaus), Chem. Ber., 1958, 91, № 1, 143—148 (нем.).

Из 1-(триэтилсилил)-индена (I) через 1-(триэтилсилил)-индан (II) синтезирован 1-(триэтилсилил)-



азулен (III), причем одновременно образуется незамещ. азулен (IV). Аналогично из 9-(триэтилсилил)-флуорена (V) синтезирован 3-(триэтилсилил)-1,2-беназулен (VI). Исследованы УФ-спектры и полярграфия. Восстановление полученных в-в. От р-ра  $C_2H_5MgBr$  (из 38 г  $C_2H_5Br$ ) отогнали эфир и заменили 200 мл толуола; после прибавления 40 г индена смесь кипятили в  $N_2$  10 час., прибавляли 50 г  $(C_2H_5)_3SiCl$  (VII) и снова нагревали (20 час., 120°); выход I 65%, т. кип. 135°/4 мм,  $n_D^{20}$  1,5417,  $d_4^{20}$  0,948. Гидрированием в спирте с Pd/C I превращен в II, выход 95%, т. кип. 136°/5 мм,  $n_D^{20}$  1,5254,  $d_4^{20}$  0,943. Р-р  $CH_2N_2$  (из 7 г нитрозометилмочевины) в 100 мл  $C_6H_{12}$  прибавляли по каплям при 140–150° к 5 г II; продукт р-ции растворяли в 50 мл  $C_6H_{12}$  и р-р нагревали с 2 г хлоранила (30 мин., 50°); после очистки растворением в 8,5-ной HCl и хроматографированием над  $Al_2O_3$  выделен жидкий III; тринитробензолат (ТНБ), т. пл. (из сл.). Одновременно получен IV, т. пл. 98°; ТНБ, т. пл. 166°. Соотношение III:IV = 2:1. К р-ру 34 г флуорена в 140 мл эфира прибавляли р-р  $n-C_4H_9Li$  (из 4,3 г Li и 34 г  $n-C_4H_9Br$ ); после кипячения 16 час. к смеси прибавляли р-р 28 г VII в 100 мл эфира и кипятили еще 2 часа; выход V 67%, т. кип. 182°/2,5 мм,  $n_D^{20}$  1,5933,  $d_4^{20}$  1,018. Аналогично III из 5 г V и  $CH_2N_2$  получен жидкий VI; ТНБ, т. пл. 104–105,5° (из сл.). Одновременно образуется 1,2-беназулен, т. пл. 190° (из сл.). (ТНБ, т. пл. 153°), и азулен невыясненного строения, т. пл. 283° (разл.; из сл.). Предыдущее сообщ. см. РЖХим, 1958, 11229. А. Берлин 57509. Диметиламинодиметилфосфин. Берг, Слота (Dimethylaminodimethylphosphine. Burg Anton B., Slota Peter J., Jr), J. Amer. Chem. Soc., 1958 80, № 5, 1107–1109 (англ.)

Синтезирован  $(CH_3)_2NP(CH_3)_2$  (I) действием  $CH_3MgBr$  (II) на  $(CH_3)_2NPCl_2$  (III). Действием HCl I превращен в  $(CH_3)_2P(III)$ . Последний р-цией с  $(CH_3)_2NH$  (V) образует I. Из I и  $CH_3I$  получен йодметилат I с т. пл. 315–320° (разл.), действием на который  $HgI_2$  получен  $(CH_3)_2NP(CH_3)_3 \cdot HgI_2$ , т. пл. > 300° (разл.). При действии  $NH_3$  на I образуются V,  $[(CH_3)_2P]_2NH$  (VI) и  $[(CH_3)_2P]_3N$  (VII). К 6,3 моля V в равном объеме абс. эфира медленно добавляют 3,6 моля  $PCl_3$  в 5 объемах эфира, выход III 76%, т. кип. 150°. К 0,48 моля III в 650 мл эфира в атмосфере  $N_2$  добавляли при т-ре от –78 до –16° за 15 мин. 1,1 моля II в 400 мл эфира, перемешивают 1 час при ~20° и кипятят еще 90 мин., выход I 48%, т. кип. 99,3°, т. пл. –97°. При р-ции III с избытком II в  $(n-C_4H_9)_2O$  при 35° получен с выходом 62%  $P(CH_3)_3$ , который является также главным продуктом р-ции  $PCl_3$  и II. Добавлением за 90 мин. эфирного р-ра 1,5 моля  $PCl_3$  к 9,8 моля V в эфире получен с выходом 73%  $[(CH_3)_2P]_2NH$ , т. кип. 163,5°,  $d_4^{20}$  0,911. Из 4,35 ммоль I и 8,704 ммоль HCl (газ) под высоким вакуумом при –78° с последующим нагреванием до ~20° получен IV, выход 97%, т. пл. от –1,4 до 1,0°, т. кип. (вычисл.) 71–73°. При р-ции образуется также неустойчивый аддукт  $(CH_3)_2P(III) \cdot HCl$ . Нагреванием 8 час. от –78 до ~20° 0,437 ммоль IV и 0,947 ммоль V получен с выходом 92% I. 22,57 ммоль I и 3,13 ммоль  $NH_3$  нагревают 22 часа в запаянной трубке при 46°, получено 1,995 ммоль VI т. пл. 39–40° и 0,65 ммоль VII. С. Иоффе 57510. Фосфорорганические соединения. VII. Получение четвертичных арилфосфониевых солей диазотетраарилфосфониевых солей, полученные «методом кобальтовых солей». Хорнер, Хофман, Виппель, Хассель. XI Доказательство строения «аддукта

Шёнберга». Хофман, Хорнер, Хассель. XII. Окиси фосфинов как реагенты для получения олефинов. Хорнер, Хофман, Виппель. XIII. Получение фосфиновых кислот из оксидов фосфина. Хорнер, Хофман, Виппель. XIV. Аддукты из третичных фосфинов и карбониевых солей. Хорнер, Виппель. XV. Получение некоторых новых алкиленфосфинов и алкиленарсинов. Хорнер, Эдигер (Phosphororganische Verbindungen. VIII. Quartäre Arylphosphoniumsalze nach der «Diazomethode». Horner Leopold, Hoffmann Hellmut. IX. Quartäre Arylphosphoniumsalze nach der «Kobaltsalz-Methode». Horner Leopold, Hoffmann Hellmut. X. Zum Spaltungsverlauf gemischt substituierter Tetraaryl-phosphonium-hydroxyde. Horner Leopold, Hoffmann Hellmut, Wippel Hans G., Hassel Günther. XI. Strukturbeweis des «Schönberg-Adduktes». Hoffmann Hellmut, Horner Leopold, Hassel Günther. XII. Phosphinoxyde als Olefinierungsreagenzien. Horner Leopold, Hoffmann Hellmut, Wippel Hans G. XIII. Darstellung von Phosphinsäuren aus Phosphinoxyden. Horner Leopold, Hoffman Hellmut, Wippel Hans G. XIV. Addukte aus tertiären Phosphinen und Carboniumsalzen. Horner Leopold, Nippe Burkhard. XV. Darstellung einiger neuer Phosphin- und Arsenalkylene. Horner Leopold, Oediger Hermann), Chem. Ber., 1958, 91, № 1, 45–49, 50–52, 52–57, 58–60, 61–63, 64–67, 67–75; № 2, 437–442 (нем.)

VIII. Реакций  $(C_6H_5)_3P$  (I) с  $ArN_2X$  (II) в буферном р-ре  $CH_3COONa$  получены через промежуточные  $[ArNHNHP(C_6H_5)_3]X$  (III) четвертичные соли  $[ArP(C_6H_5)_3]X$  (IV) с выходом 40–80%. В спирте и в кислом водн. р-ре II без  $CH_3COONa$  р-ция останавливается на стадии образования III. Для полученных IV (X = J) указаны Ar, т. пл. в °C:  $C_6H_5$ , 337;  $n-NO_2C_6H_4$  (V), 228 (разл.), хлорид, 139–140;  $m-NO_2C_6H_4$  (VI), 215 (разл.);  $o-NO_2C_6H_4$ , 230 (разл.);  $o-ClC_6H_4$ , 242–244;  $n-ClC_6H_4$ , 216,5–217;  $n-BrC_6H_4$ , 210–212;  $n-C_2H_5OOCCH_2$ , 204 (разл.);  $n-CH_3C_6H_4$ , 207–209;  $m-CH_3C_6H_4$ , 187–190;  $1-C_{10}H_7$ , 277,5–278,5, перхлорат, 227–228;  $2-C_{10}H_7$ , 256–257, хлорид, 231;  $[(C_6H_5)_2(n-CH_3C_6H_4)_2P]J$ , 201–202, моногидрат, т. пл. от 110°;  $[(n-CH_3C_6H_4)_3(C_6H_5)P]J$ , 196–197;  $[(n-CH_3C_6H_4)_2(C_6H_5)_2P] \cdot (n-NO_2C_6H_4)PJ$ , т. пл. от 143° (разл.). Синтез IV связан с промежуточным образованием переходных радикалов, что подтверждено полимеризацией  $CH_2=CHCN$ , введенного в реакционную смесь. К р-ру  $C_6H_5N_2Br$  (из 25 ммоль анилина) добавляют 25 ммоль I в 50 мл этилацетата, через 18 час. получен III ( $Ar = C_6H_5$ ), выход 22%, т. пл. 225–226°, и  $(C_6H_5)_3PO$ , выход 60%. 5 г  $n$ -нитробензолантидизотата Na суспендируют при 30° с 0,01 моля I в 90 мл этилацетата и 10 мл  $CH_3COOH$ , по окончании выделения  $N_2$  добавляют 100 мл воды и  $HClO_4$ , выход перхлората V 58%. Предыдущее сообщение см. РЖХим, 1957, 26893.

IX. При действии  $RMgX$  на  $CoX_2$  в присутствии  $AgBr$  образуется радикал Ag, реагирующий с прибавленным I в сторону IV.  $RMgX$  играет роль восстановителя и может быть заменен  $LiAlH_4$ . В р-ре 0,05 моля I и 0,1 моля  $C_6H_5Br$  в 75 мл эфира суспендируют 5 ммоль  $CoCl_2$  в атмосфере  $N_2$  добавляют 2 н. эфирный р-р 0,05 моля  $C_6H_5MgBr$ , после нагревания 3 часа, разложения 2 н. HCl и добавления NaJ получен  $(C_6H_5)_3PJ$  (VII), выход 55%, и дифенил с выходом 85%. При р-ции с  $C_2H_5MgBr$  выход VII 43%. Добавляют по каплям без доступа воздуха к р-ру 0,05 моля  $C_6H_5Br$ , 25 ммоль I и 0,01 моля  $CoCl_2$  в 50 мл эфира, 0,5 г  $LiAlH_4$  в 20 мл эфира, нагревают 2 часа, после обычной обработки выход VII 4%. Приводятся для IV

(X=J) Ag, т. пл. в °C: α-пиридил, 253 (разл.);  $n\text{-CH}_3\text{OC}_6\text{H}_4$  (VIII), 209;  $n\text{-CH}_3\text{OC}_6\text{H}_4$  (IX), 204–205; 2,5-( $\text{CH}_3\text{O}$ ) $_2\text{C}_6\text{H}_3$  (X), 202–205; [( $\text{C}_6\text{H}_5$ ) $_2(\text{C}_2\text{H}_5)_2\text{P}$ ], т. пл. 206°.

X. Исследована склонность к расщеплению IV (X=OH). Установлено более легкое отщепление следующих Ag, имеющих положительную константу Хамметта, по сравнению с  $\text{C}_6\text{H}_5$ :  $o\text{-}$ ,  $m\text{-}$  и  $p\text{-NO}_2\text{C}_6\text{H}_4$  >  $n\text{-ClC}_6\text{H}_4$  >  $n\text{-C}_2\text{H}_5\text{OOC}$  >  $n\text{-C}_6\text{H}_5\text{C}_6\text{H}_4$  >  $1\text{-C}_{10}\text{H}_7$  >  $2\text{-C}_{10}\text{H}_7$ . Труднее, чем  $\text{C}_6\text{H}_5$ , отщепляются следующие Ag с отрицательной константой Хамметта (исключено  $m\text{-CH}_3\text{OC}_6\text{H}_4$ ):  $n\text{-}$  и  $m\text{-NH}_2\text{C}_6\text{H}_4$  <  $n\text{-}$  и  $m\text{-CH}_3\text{C}_6\text{H}_4$  <  $n\text{-}$  и  $m\text{-CH}_3\text{OC}_6\text{H}_4$  <  $n\text{-}$  и  $m\text{-HOC}_6\text{H}_4$ . При попытке расщепления  $n\text{-HOC}_6\text{H}_4\text{P}(\text{C}_6\text{H}_5)_3\text{Br}$  (XI) получен бета-кислотоподобный  $n\text{-}(\text{C}_6\text{H}_5)_3\text{P}+\text{C}_6\text{H}_4\text{O}$  (XII), образующий при действии HBr исходный XI, а при действии  $\text{CH}_3\text{J}$  образующий VIII, т. пл. 216–218°. Приводятся Ag в исходном IV, Ag в продуктах отщепления — в AgH и в  $\text{Ag}(\text{C}_6\text{H}_5)_2\text{PO}$ , выход последнего в %, т. пл. в °C:  $n\text{-CH}_3\text{OC}_6\text{H}_4$ ,  $\text{C}_6\text{H}_5$ ,  $m\text{-CH}_3\text{OC}_6\text{H}_4$ , 90, 112–113;  $n\text{-CH}_3\text{OC}_6\text{H}_4$ ,  $\text{C}_6\text{H}_5$ ,  $n\text{-CH}_3\text{OC}_6\text{H}_4$ , 87 (неочищ.), 112–113;  $m\text{-HOC}_6\text{H}_4$ ,  $\text{C}_6\text{H}_5$ ,  $m\text{-HOC}_6\text{H}_4$ , 80, 158–160;  $m\text{-CH}_3\text{C}_6\text{H}_4$ ,  $\text{C}_6\text{H}_5$ ,  $n\text{-CH}_3\text{C}_6\text{H}_4$ , 90, 123–124;  $n\text{-CH}_3\text{C}_6\text{H}_4$ ,  $\text{C}_6\text{H}_5$ ,  $n\text{-CH}_3\text{C}_6\text{H}_4$ , 90, 129–130;  $n\text{-BrC}_6\text{H}_4$ ,  $\text{C}_6\text{H}_4\text{Br}$ ,  $\text{C}_6\text{H}_5$ , 90, 156;  $n\text{-ClC}_6\text{H}_4$ ,  $\text{C}_6\text{H}_4\text{Cl}$ ,  $\text{C}_6\text{H}_5$ , 93, 156;  $n\text{-NH}_2\text{C}_6\text{H}_4$ ,  $\text{C}_6\text{H}_5$ ,  $n\text{-NH}_2\text{C}_6\text{H}_4$ , 95 (неочищ.), 235;  $m\text{-NH}_2\text{C}_6\text{H}_4$ ,  $\text{C}_6\text{H}_5$ ,  $m\text{-NH}_2\text{C}_6\text{H}_4$ , 98 (неочищ.), 160–161;  $n\text{-NO}_2\text{C}_6\text{H}_4$ ,  $\text{C}_6\text{H}_4\text{NO}_2$ ,  $\text{C}_6\text{H}_5$ , 70, 156;  $m\text{-NO}_2\text{C}_6\text{H}_4$ ,  $\text{C}_6\text{H}_4\text{NO}_2$ ,  $\text{C}_6\text{H}_5$ , 100, 156;  $o\text{-NO}_2\text{C}_6\text{H}_4$ ,  $\text{C}_6\text{H}_4\text{NO}_2$ ,  $\text{C}_6\text{H}_5$ , 97, 156;  $n\text{-C}_2\text{H}_5\text{OOC}$  >  $n\text{-C}_6\text{H}_5\text{C}_6\text{H}_4$ ,  $\text{C}_6\text{H}_5$ , 100, 156; α-пиридил,  $\text{C}_6\text{H}_5\text{N}$  (100%),  $\text{C}_6\text{H}_5$ , 82, 156;  $1\text{-C}_{10}\text{H}_7$ ,  $\text{C}_{10}\text{H}_7$  (100%),  $\text{C}_6\text{H}_5$ , 75, 156;  $2\text{-C}_{10}\text{H}_7$ ,  $\text{C}_{10}\text{H}_7$  (100%),  $\text{C}_6\text{H}_5$ , 70, 156;  $n\text{-C}_6\text{H}_5\text{C}_6\text{H}_4$ ,  $\text{C}_{12}\text{H}_{18}$  (78%),  $\text{C}_6\text{H}_5$ , 84, 156. Из [( $n\text{-CH}_3\text{C}_6\text{H}_4$ ) $_2(\text{C}_6\text{H}_5)_2\text{P}$ ]OH получена смесь  $\text{C}_6\text{H}_6$  и толуола. Из [( $n\text{-CH}_3\text{C}_6\text{H}_4$ ) $_2(\text{C}_6\text{H}_5)_2\text{P}$ ]OH получены  $\text{C}_6\text{H}_6$  и [( $n\text{-CH}_3\text{C}_6\text{H}_4$ ) $_2(\text{C}_6\text{H}_5)_2\text{P}$ ]OH, выход 85%, т. пл. 81–83°. Из [( $n\text{-NO}_2\text{C}_6\text{H}_4$ ) $_2(\text{C}_6\text{H}_5)_2\text{P}$ ]OH получены  $\text{C}_6\text{H}_6$  и [( $n\text{-NO}_2\text{C}_6\text{H}_4$ ) $_2(\text{C}_6\text{H}_5)_2\text{P}$ ]OH, IV (Ag =  $n\text{-NH}_2\text{C}_6\text{H}_4$ , X=J) (XIII) получен каталитич. гидрированием V в  $\text{CH}_3\text{OH}$  со скелетным Ni, выход 70%, т. разл. 324–325° (из водн.  $\text{CH}_3\text{OH}$ ); бромид, т. разл. 316–322°. XI получен диазотированием XIII (X=Br), выход 40%. расплывается при 248°, становится прозрачным при 262° (из воды). m-Изомер XIII получен восстановлением VI, выход 93%, т. пл. 315–316° (разл.). Нагреванием 5 час. при 190–200° смеси 2,5 г IX с 7,5 г  $\text{CH}_3\text{N}\cdot\text{HCl}$  и 5–15% лед.  $\text{CH}_3\text{COOH}$  с последующей обработкой NaJ и водой получено 0,73 г  $m\text{-HOC}_6\text{H}_4\text{P}(\text{C}_6\text{H}_5)_3\text{J}$ , т. пл. 270°. Расщепление IV проводят кипячением с избытком 20%-ного NaOH и отгонкой AgH с паром. К р-ру 0,1 г XI в 2,5 мл воды добавляют 2,5 мл 2 н. NaOH, получено 0,07 г дигидрата XII, т. пл. ~310°.

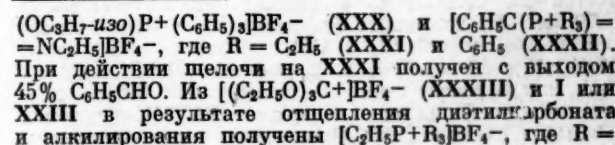
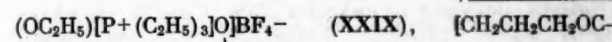
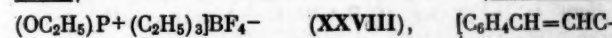
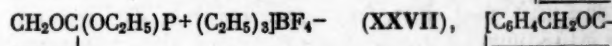
XI. Доказано строение «аддукта Шёнберга» (продукт присоединения I к n-хинону), гидриодид которого оказался идентичен продукту деметилирования X; следовательно аддукт имеет строение 2-(O-)-5-(OH) $\text{C}_6\text{H}_3\text{P}+(\text{C}_6\text{H}_5)_3$  (XIV) и его йодгидрат 2,5-(HO) $_2\text{C}_6\text{H}_3\text{P}(\text{C}_6\text{H}_5)_3\text{J}$  (XV). Нагреванием 0,01 моля n-нафтохинона и 0,01 моля I в 25 мл  $\text{CH}_3\text{OH}$  получен аддукт, выход 88%, т. пл. 161–162° (разл.). Из эквимольных моль хиноназина и I в  $\text{C}_6\text{H}_6$  через 12 час. получен аддукт, выход 79%, т. пл. 208° (разл.). Нагреванием при 100° 2,6 г I с 2 мл конц. HCl и 20 мл 3%-ного р-ра  $\text{CH}_3\text{O}$  с последующим добавлением 3 г NaJ получен IV (Ag= $\text{CH}_2\text{OH}$ , X=J), выход 78%, т. пл. 170–177° (разл.). Окислением 0,01 моля XIV в 25 мл лед.  $\text{CH}_3\text{COOH}$  0,02 моля  $\text{Br}_2$  в 5 мл лед.  $\text{CH}_3\text{COOH}$  получено 1,6 г  $\text{OCH}=\text{CHCOCH}=\text{CP}+(\text{C}_6\text{H}_5)_3\text{Br}$ , т. пл. 305–308° (разл.). Окислением 2 ммоль XIV в  $\text{CH}_3\text{OH}$  нагреванием с 4 ммольми  $\text{J}_2$ , получено 0,8 г в-ва  $\text{C}_{22}\text{H}_{20}\text{O}_2\text{PJ}_3$ , т. пл. 171° (разл.). 0,4 г X нагревают 5 час. при

190–200° с 1,2 г  $\text{C}_6\text{H}_5\text{N}\cdot\text{HCl}$  и небольшим кол-вом лед.  $\text{CH}_3\text{COOH}$ , добавляют воду и 2 г NaJ, выделен XV, т. пл. 270–274° (разл.). ИК-спектры XV, полученного по обоим методам, близки между собой.

XII. Окиси фосфинов типа  $\text{R}_2\text{P}(=\text{O})\text{CH}_2\text{R}'$  (XVI) содержит активный H и реагируют в присутствии  $\text{NaNH}_2$  с кетонами  $\text{R}''\text{C}=\text{O}$  с образованием  $\text{R}_2\text{P}(=\text{O})\text{ONa}$  и  $\text{R}''\text{C}=\text{CHR}'$ . Обсуждается механизм р-ции, связанный с промежуточным образованием «силида» (см. РЖХим, 1957, 60638). В р-цию с кетонами в тех же условиях вступают также  $(\text{RO})_2\text{P}(=\text{O})\text{CH}_2\text{R}'$  (XVII) с образованием  $(\text{RO})_2\text{P}(=\text{O})\text{ONa}$  и олефина. Нагревают 4 часа 0,01 моля  $(\text{C}_6\text{H}_5)_2\text{P}(\text{CH}_3)\text{O}$  (XVIII) с 0,01 моля бензофенона (XIX) и 1 г  $\text{NaNH}_2$  в 15 мл  $\text{C}_6\text{H}_6$ , после разложения водой и подкисления выделены  $(\text{C}_6\text{H}_5)_2\text{P}(\text{O})\text{OH}$  (XX), выход 96%, и  $(\text{C}_6\text{H}_5)_2\text{C}=\text{CH}_2$ , выход 70%. Из 0,01 моля  $(\text{C}_6\text{H}_5)_2\text{P}(\text{C}_2\text{H}_5)\text{O}$  и XIX получены XX с выходом 51% и 1 г  $(\text{C}_6\text{H}_5)_2\text{C}=\text{CHCH}_3$ . Нагреванием 8 час. 0,04 моля флуоренона, 0,04 моля XVIII и 1,6 г  $\text{NaNH}_2$  в 50 мл  $\text{C}_6\text{H}_6$  получены XX с выходом 93% и бифениленэтилен; дибромид, т. разл. 139°. Нагреванием 6 час. 0,02 моля XVII ( $\text{R}=\text{C}_2\text{H}_5$ ,  $\text{R}'=\text{C}_6\text{H}_5$ ) с 0,02 моля XIX и 0,04 моля  $\text{NaNH}_2$  в 50 мл  $\text{C}_6\text{H}_6$  получено 88%  $\text{C}_6\text{H}_5\text{CH}=\text{C}(\text{C}_6\text{H}_5)_2$ .

XIII. Сплавлением  $\text{R}_2\text{P}'\text{O}$  (XXI) с NaOH получены  $\text{RR}'\text{POOH}$  (XXII) наряду с RH. По легкости отщепления R располагаются в ряд  $\text{C}_6\text{H}_5\text{CH}_2 > \text{C}_6\text{H}_5 > \text{алкил}$ ;  $1\text{-C}_{10}\text{H}_7 > \text{C}_6\text{H}_5 > n\text{-CH}_3\text{C}_6\text{H}_4$ . Этим же путем из  $(\text{C}_6\text{H}_5)_3\text{AsO}$  получена  $(\text{C}_6\text{H}_5)_2\text{AsOOH}$  с выходом 87%. Приводятся значения R и R' в XXII (полученных из XXI с теми же значениями R и R'), выход в %, т. пл. в °C:  $\text{C}_6\text{H}_5$ ,  $\text{C}_6\text{H}_5$ , 100, 191;  $\text{C}_6\text{H}_5$ ,  $\text{CH}_3$ , 80, 129–133;  $\text{C}_6\text{H}_5$ ,  $\text{C}_2\text{H}_5$ , 94, 78–80;  $\text{C}_6\text{H}_5$ ,  $\text{C}_{12}\text{H}_{25}$ , 98, 66–67;  $\text{C}_6\text{H}_5$ ,  $\text{C}_{18}\text{H}_{37}$ , 100, 67–68;  $\text{C}_6\text{H}_5$ ,  $n\text{-CH}_3\text{C}_6\text{H}_4$ , 83, 134–136;  $\text{C}_6\text{H}_5$ ,  $\text{C}_6\text{H}_{11}$ , 90, 112–114;  $\text{C}_6\text{H}_5$ ,  $n\text{-(CH}_3)_2\text{NC}_6\text{H}_4$ , 58, > 370 (Na-соль);  $1\text{-C}_{10}\text{H}_7$ ,  $\text{C}_6\text{H}_5$ , 100, 185–187; из XXI ( $\text{R}=\text{C}_6\text{H}_5$ ,  $\text{R}'=\text{C}_6\text{H}_5\text{CH}_2$ ) получена XX, выход 100%; из XXI ( $\text{R}=\text{C}_2\text{H}_5$ ,  $\text{R}'=\text{C}_6\text{H}_5$ ) получена XXII ( $\text{R}=\text{R}'=\text{C}_2\text{H}_5$ ), выход 86%. 1 моля XXI смешивают с 2 молями NaOH и нагревают до 200–300°, причем отгоняется RH, остаток растворяют в воде и выделяют XXII подкислением HCl. XXI ( $\text{R}=\text{C}_6\text{H}_5$ ,  $\text{R}'=\text{алкил}$ ) получены многочасовым кипячением I с галогидным алкилом, фосфониевую соль растворяют в воде и кипятят с избытком NaOH, причем отгоняется  $\text{C}_6\text{H}_6$ . Так получены следующие XXI ( $\text{R}=\text{C}_6\text{H}_5$ ) (приводятся R'):  $\text{CH}_3$ ,  $\text{C}_2\text{H}_5$ ,  $\text{C}_{12}\text{H}_{15}$ , т. пл. 65–66°;  $\text{C}_{18}\text{H}_{37}$ , т. пл. 77–78°. XXI получены также из  $(\text{C}_6\text{H}_5)_3\text{POCl}$  и  $\text{RMgX}$ . Приводятся для XXI ( $\text{R}=\text{C}_6\text{H}_5$ ) R':  $\text{C}_6\text{H}_5\text{CH}_2$ ;  $n\text{-CH}_3\text{C}_6\text{H}_4$ ;  $\text{C}_6\text{H}_{11}$ , т. пл. 165–166.

XIV. Изучено присоединение  $(\text{C}_2\text{H}_5)_3\text{P}$  (XXIII) к в-вам карбоневой структуры. Из XIII и ди- и трифенилметановых красителей получены бесцветные аддукты [( $\text{C}_2\text{H}_5$ ) $_3\text{P}+\text{C}(\text{R})\text{C}_6\text{H}_4\text{N}(\text{CH}_3)_2\text{-n}_2\text{X-}$  (XXIV). Из окрашенной соли [( $n\text{-CH}_3\text{OC}_6\text{H}_4\text{CH}=\text{CH}$ ) $_2\text{C}+(\text{OC}_2\text{H}_5)_3\text{BF}_4$  (XXV) и I также получен бесцветный аддукт [( $n\text{-CH}_3\text{OC}_6\text{H}_4\text{CH}=\text{CH}$ ) $_2\text{C}(\text{OC}_2\text{H}_5)_3\text{P}+(\text{C}_6\text{H}_5)_3\text{BF}_4$  (XXVI). Получены также следующие аддукты (1:1):  $[\text{CH}_2\text{CH}_2$





=  $C_6H_5$  (XXXIV) или  $C_2H_5$  (XXXV). Из борфторида камфенилэтилоксония (XXXVI) и XXIII получен неустойчивый аддукт (XXXVII) (1:1), переходящий в  $[(C_2H_5)_3P+H]BF_4^-$  (XXXVIII). Нагреванием  $[n-(C_2H_5)_3P+C_6H_4N(CH_3)_2]^-$  (XXXIX) или  $[n-(CH_3)_2(C_2H_5)N^+C_6H_4SCH_3]BF_4^-$  (XL) с  $(C_2H_5O)_3BF_4$  (XLI) получены  $[(C_2H_5)_3P+C_6H_4N^+(CH_3)_2C_2H_5] \cdot 2BF_4^-$  (XLII) и  $[(CH_3)_2(C_2H_5)N^+C_6H_4S^+(CH_3)(C_2H_5)] \cdot 2BF_4^-$  (XLIII). Из 1 ммоль  $[n-(CH_3)_2NC_6H_4]C=CH_2$  (XLIV) и 1 ммоль  $HCl$  в 20 мл  $CH_2Cl_2$  добавлением 1 ммоль XXIII получен XXIV ( $R=C_6H_5$ ), т. пл. 204–207° (разл.). В воде распадается на исходные компоненты. Из 1 г XLIII, 0,54 г  $(C_2H_5)_2O \cdot BF_3$  и 0,45 г XXIII получен аддукт  $C_{18}H_{22}N_2 \cdot P(C_2H_5)_3 \cdot BF_3$  с т. пл. 139° (из сп.). Аддукт из  $[n-(CH_3)_2NC_6H_4]C=CH_2$  и XXIII имеет т. пл. 120° (из сп.).  $[n-(CH_3)_2NC_6H_4]C=C(CH_3)_2$  (XLV) получен из *изо*- $C_3H_7MgBr$  и кетона Михлера, выход 73%, т. пл. 105° (из  $CH_3OH$ ). Из 2 ммоль XLV и 4 ммоль  $HCl$  в 40 мл  $CH_2Cl_2$  и 2 ммоль XXIII получен XXIV ( $R=iso-C_3H_7$ ), т. пл. 196°. К соли из 200 мг  $[n-(CH_3)_2NC_6H_4]C(OH)C_6H_5$  и 142 мг  $(C_2H_5)_2O \cdot BF_3$  в 20 мл  $CH_2Cl_2$  добавлял 68 мг XXIII, т. пл. XXIV ( $R=C_6H_5$ ) 130°. Из 5 ммоль XXV в 100 мл  $CH_2Cl_2$  и 5 ммоль I получено масло, которое через несколько дней застывает, выход XXVI 90%, т. пл. 185°. Из борфторида (БФ) О-этилбутиролактония и XXIII получен XXVII, т. пл. 60–100°. Из 10 ммоль БФ с этилфталидом и 10 ммоль XXIII в 20 мл  $CH_2Cl_2$  при –70° получен XXVIII, выход 90%, т. пл. 85°. При замене XXIII в р-ции на I получен с колич. выходом IV ( $Ag=C_6H_5$ ,  $X=BF_3$ ) (XLVI) с т. пл. 127°. Из БФ α-этоксипиридина и XXIII получен XXIX, выход 60%, т. пл. 151° (из сп.). При замене XXIII на I получен с выходом 95% XLVI. Из 4,96 г БФ О-изопропилбутиролактония и 6,05 г I в 40 мл  $CH_2Cl_2$  выход XXX 80%, т. пл. 160°. Из БФ N-этилбензонитриля (XLVII) и XXIII получен XXXI с т. пл. 50–60°. Из 5,7 г XLVII и 5,7 г I в 20 мл  $CH_2Cl_2$  при –40° через 24 часа получен XXXII с т. пл. 205°. Из 16,5 ммоль XXXVI и 1,95 г XXIII в 50 мл  $CH_2Cl_2$  при –70° получено 4,85 г XXXVII с т. пл. 105–110°, при перекристаллизации из спирта распадается на XXXVIII с т. пл. 128° и этиловый эфир енольной формы камфоры с т. кип. 106°/50 мм. Из XXXVI и I получен XLVI, который кипячением со спирт. р-ром NaOH превращен в XXI ( $R=C_6H_5$ ,  $R'=C_2H_5$ ) с т. пл. 122°. Из 2 ммоль XLI в 5 мл  $CH_2Cl_2$  и 2 ммоль XXIII при охлаждении получен  $(C_2H_5)_3P \cdot BF_4$  с т. пл. 291° (из  $CH_2Cl_2$ -эф.). Нагреванием 3 мин. до 90° смеси 1,32 г XXXIX с 0,7 г XLI получен XLII, выход 70–80%, т. пл. 265°. Нагреванием смеси 10 ммоль XL, 10 ммоль XLI и 10 мл  $CH_2Cl_2$  получен XLIII с т. пл. 248°.

XV. Синтезированы  $(C_6H_5)_3P=CRR'$  (XLVIII) и  $(C_6H_5)_3As=CRR'$  (XLIX). Приводятся для XLVIII R, R', выход в %, т. пл. в °C:  $COOC_2H_5$ ,  $COOC_6H_5$ , 81, 106–107; CN, CN, 70, 187–188;  $SO_2C_6H_5$ ,  $SO_2C_6H_5$ , 67, 267–269;  $COOCH_3$ , CN, 83, 212–213;  $COCH_3$ ,  $COOC_2H_5$ , 60, 169–171. То же для XLIX: CN, CN, 54, 190–191;  $SO_2C_6H_5$ ,  $SO_2C_6H_5$ , 49, 252–254;  $COOCH_3$ , CN, 62, 193–194;  $NO_2$ ,  $C_6H_5$ , 23, 128–129 (разл.). XLVIII и XLIX получены действием  $CH_2RR'$  в  $C_6H_6$  в присутствии  $(C_2H_5)_3N$  на  $(C_6H_5)_3PCl_2$  (I) или  $(C_6H_5)_3AsCl_2$ . При действии на I  $C_6H_5CH_2NO_2$  в присутствии  $(C_2H_5)_3N$  получен с выходом 75%  $C_6H_5CN$ , по-видимому, через  $[(C_6H_5)_3P=C(NO_2)C_6H_5]$ , который распадается на  $C_6H_5C \equiv NO$  и окись I. К 25 ммоль I в 70 мл  $C_6H_6$  добавляют без доступа влаги по каплям при 0° 25 ммоль  $Cl_2$  в  $CCl_4$ , добавляют 60 ммоль  $(C_2H_5)_3N$  в 20 мл  $C_6H_6$  и 25 ммоль  $CH_2RR'$  в 20 мл  $C_6H_6$ , после нагревания 10–15 мин. при 80° и охлаждения из фильтрата выделяют XLVIII. Строение XLVIII ( $R=R'=COOC_2H_5$ ) доказано его встречным

синтезом кипячением 15 мин. 10 ммоль I в 30 мл  $C_6H_6$ , 20 ммоль  $(C_2H_5)_3N$  и 10 ммоль  $BrCH(COOC_2H_5)_2$  в 10 мл  $C_6H_6$ , выход 56%. Приведены УФ-спектры некоторых XLVIII.

57511. Фосфорорганические соединения. II. Изомерные алкиловые эфиры тиофосфорной и тиофосфорной кислот. Гофман, Мур (Organic phosphorus compounds. II. Isomeric alkyl-phosphoro- and phosphonothioates. Hoffmann Friedrich W., Moore Thomas R.), J. Amer. Chem. Soc., 1958, 80, № 5, 1150–1154 (англ.)

Синтезированы  $(RO)_2P(S)OCH_2CH_2SR'$  (I) перетерификацией  $(RO)_3P$  (II) с  $HOCH_2CH_2SR'$  (III) с последующим присоединением S к полученному  $(RO)_2POCH_2CH_2SR'$  (IV). Перетерификацией  $CH_3P(OR)_2$  (V) с III получены  $CH_3P(OR)(OCH_2CH_2SR')$  (VI), которые присоединяют S с образованием  $CH_3P(S)(OR)(OCH_2CH_2SR')$  (VII). Изомеризацией I и VII (140–150°, 3 часа, ток  $N_2$ ) превращены в  $(RO)_2P(O)SCH_2CH_2SR'$  (VIII) и  $CH_3P(O)(OR)(SCH_2CH_2SR')$  (IX). При р-циях II с III и V с III выделены побочные продукты  $[(RO)P(OCH_2CH_2SR')]_2$  (X) и  $CH_3P(OCH_2CH_2SR')_2$  (XI). I ( $R=R'=C_2H_5$ ), полученный присоединением S к IV ( $R=R'=C_2H_5$ ), содержит по данным ИК-спектра ~6% VIII ( $R=R'=C_2H_5$ ). Приводятся для I R, R', выход в %, мол. перегонка при °C/мм,  $n_D^{20}$ ,  $d_4^{25}$ :  $C_2H_5$ ,  $C_2H_5$ , 50, 57/1·10<sup>-4</sup>, 1,4865, 1,1114;  $C_2H_5$ , *изо*- $C_3H_7$ , 83, 57/2·10<sup>-5</sup>, 1,4805, 1,0853; *изо*- $C_3H_7$ , *изо*- $C_3H_7$ , 70, 65/1·10<sup>-4</sup>, 1,4678, 0,9612;  $CH_3$ ,  $C_2H_5$ , 94, без перегонки, 1,4949, 1,1771. То же для VII:  $C_2H_5$ ,  $C_2H_5$ , 94, без перегонки, 1,5027, 0,9963;  $C_3H_7$ ,  $C_2H_5$ , 95, без перегонки, 1,4973, —; *изо*- $C_3H_7$ ,  $C_2H_5$ , 90, без перегонки, 1,4919, —. Приводятся для VIII R, R', выход в %, т. кип. в °C/мм,  $n_D^{25}$ ,  $d_4^{25}$ :  $C_2H_5$ ,  $C_2H_5$ , 42, 100–105/0,025, 1,4922, 1,1260;  $C_2H_5$ , *изо*- $C_3H_7$ , 92, 96–97/0,04, 1,4881, 1,0164. То же для IX:  $C_2H_5$ ,  $C_2H_5$ , 53, 79–82/0,05, 1,5136, 1,1292;  $C_3H_7$ ,  $C_2H_5$ , 57, 90–100/0,05, 1,5020, 1,0875; *изо*- $C_3H_7$ ,  $C_2H_5$ , 89, 90–96/0,50, 1,4970, 1,0832. К охлажд. р-ру 3 ммоль  $CH_3ONa$  в 500 мл  $CH_3OH$  добавляют за 10 мин. 3 ммоль  $HOCH_2CH_2SH$ , кипятят 1 час, добавляют за 1,5 часа 3 ммоль *изо*- $C_3H_7Br$  и кипятят еще 2 часа, выход III ( $R'=iso-C_3H_7$ ) (IIIa) 74%, т. кип. 42–46°/1,5 мм,  $n_D^{25}$  1,4775. Добавляют по каплям при 20–30° смесь 2,1 ммоль  $RONH$  и 2,1 ммоль  $C_6H_5N$  к 1 ммоль  $CH_3PCl_2$  (из  $CH_3PCl_2 \cdot AlCl_3$  и  $Al$  в  $CH_3CN$ ), перемешивают 3 часа при ~20° в токе  $N_2$ . Приводятся для полученных таким образом V R, выход в %, т. кип. в °C/мм,  $n_D^{25}$ :  $C_2H_5$ , 82, 47/50, 1,4168;  $C_3H_7$ , 78, 76/33, 1,4243; *изо*- $C_3H_7$ , 79,7, 55/36, 1,4157. 2 ммоль III ( $R'=C_2H_5$ ) (IIIb) и 4 ммоль II ( $R=C_2H_5$ ) нагревают в присутствии 0,5 г Na (5 час., 103–205°), отогналось 99 г спирта, выход IV ( $R=R'=C_2H_5$ ) 71%, т. кип. 95–98°/0,2 мм,  $n_D^{25}$  1,4608,  $d_4^{25}$  1,0328, выход X ( $R=R'=C_2H_5$ ) 21%, т. кип. 153–154°/0,2 мм,  $n_D^{25}$  1,4390,  $d_4^{25}$  1,0758. Из II ( $R=C_2H_5$ ) и IIIa получены с выходом 61% IV ( $R=C_2H_5$ ,  $R'=iso-C_3H_7$ ), т. кип. 104–106°/3 мм,  $n_D^{25}$  1,4588,  $d_4^{25}$  1,0164, и неочищ. X, т. кип. 113–118°/0,8 мм,  $n_D^{25}$  1,4861. Из II ( $R=iso-C_3H_7$ ) и IIIa получен IV ( $R=R'=iso-C_3H_7$ ), т. кип. 87–92°/0,6 мм,  $n_D^{25}$  1,4358,  $d_4^{25}$  0,9612. Из II ( $R=CH_3$ ) и IIIb (нагревание 6 час. до 128°) получен IV ( $R=CH_3$ ,  $R'=C_2H_5$ ), выход 74%, т. кип. 86–89°/2 мм,  $n_D^{25}$  1,4692,  $d_4^{25}$  1,0898. Из эквимольных кол-в V ( $R=C_2H_5$ ) и IIIb получены VI ( $R=R'=C_2H_5$ ), выход 34%, т. кип. 42–43°/0,04 мм,  $n_D^{25}$  1,4782,  $d_4^{25}$  0,9963, и XI ( $R'=C_2H_5$ ) (XIa), т. кип. 89–94°/0,025 мм,  $n_D^{25}$  1,5067,  $d_4^{25}$  1,0675. Из V ( $R=C_3H_7$ ) и IIIb получены VI ( $R=n-C_3H_7$ ,  $R'=C_2H_5$ ), выход 24%, т. кип. 53–56°/0,025 мм,  $n_D^{25}$  1,4715, и XIa с выходом 30%. Из V ( $R=iso-C_3H_7$ ) и IIIb выделены VI ( $R=iso-C_3H_7$ ,  $R'=C_2H_5$ ), выход 45%, т. кип. 42–46°/0,1 мм,  $n_D^{25}$  1,4678, и 30% XIa. I и VII получены присоеди-

в 30 мл  
COOC<sub>2</sub>H<sub>5</sub>)<sub>2</sub>  
D-спектры  
С. Иоффе  
. Изомер-  
гнофосфи-  
phosphorus  
and phos-  
W., Moo-  
1958, 80

[illegible]

продуктом S (100%-ный избыток, 5 мин.) к IV или VI при охлаждении при 15–20°. Из 132,5 г, IIb и 179 г  $\text{SOCl}_2$  в 300 мл  $\text{CHCl}_3$  (20°, 12 час.) получен  $\text{CH}_3\text{CH}_2\text{CH}_2\text{SC}_2\text{H}_5$  (XII), выход 80%, т. кип. 45–46°/5 мм,  $n_D^{20}$  1,4865. К кипящему р-ру 0,5 моля XII и 0,5 моля  $\text{C}_6\text{H}_5\text{N}(\text{C}_2\text{H}_5)$  в 200 мл  $\text{C}_6\text{H}_6$  добавляют за 1,5 часа 0,5 моля  $\text{CH}_3\text{PS}(\text{OC}_2\text{H}_5)(\text{OH})$ , кипятят еще 75 мин., через 12 час. выход  $\text{CH}_3\text{P}(\text{O})(\text{OC}_2\text{H}_5)\text{SCH}_2\text{CH}_2\text{SC}_2\text{H}_5$  50%, т. кип. 108–110°/0,1 мм,  $n_D^{25}$  1,5123. Сообщения I и II, РЖХим, 1958, 18007. С. Иоффе

57512. Реакции бистрифформилгаллоидфосфинов с аминами и аммиаком; их отношение к действию фосфористого водорода и сероводорода. Гаррис (Reactions of halogenobistrifluoromethylphosphines with amines and ammonia; and their behaviour with phosphine and hydrogen sulphide. Harris G. S.), J. Chem. Soc., 1958, Jan., 512—519 (англ.)

Взаимодействием  $(CF_3)_2PCl$  (I) с  $NH_3$  или аминами получены  $(CF_3)_2PNH_2$  (II, III бистрифторметилфосфин), метиламино-III (IV), диметиламино-III (V) и фениламино-III (VI). Другим путем II получен  $(CF_3)_3P$  (VII) и жидкого  $NH_3$  с выделением  $CH_3F$  (VIII).  $(CF_3)_2PJ$  (IX) не реагирует с  $NH_2Na$ , а I с  $H_2S$  при 20°. Из II и  $PH_3$  образуется только III. Из II не удалось получить Ag- и Na-соли. При гидролизе водой или разб.  $HCl$  II, IV, V или VI дали 1 моль амина и 1 моль VIII, а при действии водн. щелочи 1 моль амина и 2 моля VIII. Из II и  $HCl$ -газа образуется I. Приведены данные ИК-спектров полученных н-а. Взаимодействие 1 моля I с 2 молями  $NH_3$ ,  $CH_3NH_2$  или  $(CH_3)_2NH$  производилось в газовой фазе при 5–10 мм, а с  $C_6H_5NH_2$  в жидкой фазе при 0°; получены следующие результаты (перечислены в-во, выход: %, т. кип. в °C, т. пл. в °C): II, 96, 67,1, –87,6; IV, 95, 73,2, –46,5; V, 70, 83,2, –81,5; VI, 65, 182,1, 17. При р-ции 5,98 ммоль VII и 5,98 ммоль  $NH_3$  (–70°) получено 0,54 ммоль II. Из 3,49 ммоль IX и 6,98 ммоль  $PH_3$  (12 час., 20°) получено 73% III и 89,1%  $P_2J_4$ . А. Берлин

37513. Взаимодействие промежуточных продуктов арбузовской перегруппировки с аминами. Арбузов А. Е., Сазонова Н. Н. Докл. АН СССР, 1957, 115, № 6. 1119—1121

При взаимодействии  $(RC_6H_4O)_3PR^J$  (I) с вторичными аминами количественно выделяется  $RC_6H_4ONH$  образуется  $R'(C_6H_4O)_2P=N+R_2'J-$  (II). Выделенные II (приведены R, R', R'', выход в %, т. пл. °C): H, CH<sub>3</sub>, C<sub>2</sub>H<sub>5</sub> (IIa), 56, 126; H, CH<sub>3</sub>, CH<sub>3</sub>, 20, 90; o-CH<sub>3</sub>, o-CH<sub>3</sub>, C<sub>2</sub>H<sub>5</sub>, 41,4, 141; o-CH<sub>3</sub>, CH<sub>3</sub>, CH<sub>3</sub>, 28, 136,5—137. В начальной стадии р-ции R' в I замещается группой NR<sub>2</sub>' с последующей изомеризацией в II. Нагреванием в запаянных трубках при 100—120° эквимолярной смеси фосфита и R<sup>J</sup> синтезируются следующие I (указаны время р-ции в часах, R, R', выход в %, т. пл. в °C): 8—10, H, CH<sub>3</sub>, 100, 130; o-CH<sub>3</sub>, CH<sub>3</sub>, ~ 100, 135—136; 7, o-Cl, CH<sub>3</sub>, 75, 49; 13, Cl, CH<sub>3</sub>, ~ 100, 104; 16, o-CH<sub>3</sub>, C<sub>2</sub>H<sub>5</sub>, 70, 107—108; 3, o-CH<sub>3</sub>, C<sub>4</sub>H<sub>9</sub>, —, — (масло). Из I действием спирта получены  $(RC_6H_4O)_2P(O)R'$  (перечислены R, R', выход в %, т. кип. в °C/мм, n<sub>D</sub><sup>20</sup>, d<sub>4</sub><sup>20</sup>): o-CH<sub>3</sub>, CH<sub>3</sub>, 74,6, 215/16 (т. пл. 64°), —, —; o-CH<sub>3</sub>, C<sub>2</sub>H<sub>5</sub>, 38,8, 213—214/12, 154/15, 1,1410; o-Cl, CH<sub>3</sub>, 30, 176—177/3, 1,5560, 1,3350; o-CH<sub>3</sub>, C<sub>4</sub>H<sub>9</sub>, 30,2, 216—217/11, 1,5321, 1,1017. Действием триэтиламина (III) на (C<sub>6</sub>H<sub>5</sub>O)<sub>3</sub>PCl в эфире синтезируются  $(C_6H_5O)_2PN(C_2H_5)_2$  (IV), выход 62,8%, т. кип. 170—178°/4 мм, n<sub>D</sub><sup>20</sup> 1,5532, d<sub>4</sub><sup>20</sup> 1,0902. IV бурно реагирует с Br<sub>2</sub>, дает с CuI комплекс, т. пл. 111° и образует с CH<sub>3</sub>I при 100° IIa. При омылении IIa получены  $C_6H_5OP(ONH_2)_2$ , т. пл. 102°, и III·HCl.

Ф. Величико

1314. Об аналогичном поведении галоидопроизводных  $\beta$ -дисульфонов и  $\beta$ -дикетонов в некоторых реакциях. Арбузов Б. А., Богоносцева Н. П.

Zinātn. raksti. Latv. Univ., Уч. зап. Латв. ун-т, 1957,  
15, 67—71

$(C_2H_5SO_2)_2CX_2$  (I), где  $X = Cl, Br$ , реагируют с  $NaOP(OC_2H_5)_2$  и  $P(OC_2H_5)_3$  (II) аналогично галоидопроизводным  $\beta$ -дикетонов с образованием  $(C_2H_5SO_2)_2CH_2$ . При взаимодействии I с II образуется также  $(C_2H_5SO_2)_2CHC_2H_5$ . Г. Мопарев

57515. О взаимодействии диалкилфосфористых кислот с альдегидами и кетонами. XV. Эфиры  $\alpha$ -окси- $\alpha$ -ацетоэтилфосфиновой кислоты. Абрамов В. С., Белоконов Л. Ш. XVI. Эфиры 2-окси-4-кето-2-амилфосфиновой кислоты. Абрамов В. С., Махмутова Ф. И. XVII. Третично-(1,1,1-трихлор)-бутил-1-трихлорметилциклопентил-1-овые эфиры замещенной  $\alpha$ -оксиметилфосфиновой кислоты. Абрамов В. С., Хайруллин В. К., Тр. Казанск. хим.-технол. ин-та, 1957, вып. 23, 91—96, 97—101, 102—104

XV. Реакцией эквимолярных кол-в  $(\text{RO})_2\text{PON}$  (I) с  $\text{CH}_3\text{COCOSCH}_3$  (II) (10—12 час.,  $100^\circ$ ) без катализатора получены  $(\text{RO})_2\text{P(O)C(ON)(CH}_3\text{)COSH}_3$  (III). Приведены R, выход в %, т. кип. в  $^\circ\text{C/мм}$ ,  $n_D^{20}$ ,  $d_4^{20}$ :  $\text{CH}_3$ , 51, 116/4, 1,4530, 1,2391;  $\text{C}_2\text{H}_5$ , 55, 120/4, 1,4450, 1,1403; *изо*- $\text{C}_3\text{H}_7$ , 86,5, 115/3, 1,4410, 1,1211;  $\text{C}_4\text{H}_9$ , 84,0, 142/4, 1,4480, 1,0641; *изо*- $\text{C}_4\text{H}_9$ , 86, 131/3, 1,4430, 1,0513. Устойчивость III при перегонке, по-видимому, связана с образованием водородной связи OH-группы с кислородом CO-группы. Продуктов конденсации 2 молей I с II получить не удалось. Выделены исходные I ( $\sim 50\%$ ) и III с выходами 67—78% на взятый в р-цию II.

XVI. Реакцией I с  $\text{CH}_3\text{COCH}_2\text{COCH}_3$  (IV) получены  $(\text{RO})_2\text{P}(\text{O})\text{C}(\text{OH})(\text{CH}_3)\text{CH}_2\text{COCH}_3$  (V), находящиеся в таутомерном равновесии с  $(\text{RO})_2\text{P}(\text{O})\text{C}(\text{OH})(\text{CH}_3)\text{CH}=\text{C}(\text{OH})\text{CH}_3$  (Va). Приведены для V значения R, выход в %, т. кип. в  $^{\circ}\text{C}/\text{мм}$ ,  $n_D^{20}$ ,  $d_4^{20}$ , процентное содержание формы Va на основании титрования р-ром КВг-КВгО<sub>2</sub>:  $\text{C}_2\text{H}_5$ , 8, 107/3, 1,4550, 1,4677, 40,2;  $\text{C}_2\text{H}_5$ , 27, 114—115/3, 1,4450, 1,4019, 34; *изо*- $\text{C}_3\text{H}_7$ , 14, 115—116/2, 1,4400, 1,0542, 36,6;  $\text{C}_4\text{H}_9$ , 18, 139—140/3, 1,4490, 1,0278, 30; *изо*- $\text{C}_4\text{H}_9$ , 21, 137—138/4, 1,4470, 1,0153, 40. Найденные *MR* ближе к вычисленным для Va, чем для V. Эвмольярную смесь I и IV нагревают 20—60 час. при 100° до постоянного значения  $n_D^{20}$  и разгоняют продукты р-ции в вакууме.

XVII. Реакцией  $[(\text{CH}_3)_2(\text{CCl}_3)\text{COI}(\text{CH}_2(\text{CH}_2)_3\text{C}(\text{CCl}_3)\text{O})\text{P}(\text{OH})]$  (см. РЖХИМ, 1958, 46841) с альдегидами и кетонами при  $20^\circ$  без катализаторов получены  $[(\text{CH}_3)_2(\text{CCl}_3)\text{COI}(\text{CH}_2(\text{CH}_2)_3\text{C}(\text{CCl}_3)\text{O})\text{P}(\text{O})(\text{OH})\text{RR}']$  (VI). При-

ведены исходный альдегид или кетон, выход VI в % R, R', т. пл. в °C, время р-ции в часах: CH<sub>3</sub>CHO, 60, 10; H, CH<sub>3</sub>, 123—125, 120; C<sub>2</sub>H<sub>5</sub>CHO, 55,6, H, C<sub>2</sub>H<sub>5</sub>, 136—138, 240; C<sub>3</sub>H<sub>7</sub>CHO, 76,2, H, C<sub>3</sub>H<sub>7</sub>, 125—126, 82; *изо*-C<sub>4</sub>H<sub>9</sub>CHO, 54,5, H, *изо*-C<sub>4</sub>H<sub>9</sub>, 134—135,5, 104; C<sub>6</sub>H<sub>5</sub>CHO, 78,0, H, C<sub>6</sub>H<sub>5</sub>, 133—133,5, 28; *n*-CH<sub>3</sub>C<sub>6</sub>H<sub>4</sub>CHO, 93, H, *n*-C<sub>3</sub>H<sub>7</sub>C<sub>6</sub>H<sub>4</sub>, 142—144, 22; *о*-HOC<sub>6</sub>H<sub>4</sub>CHO, 52,8, H, *о*-HOC<sub>6</sub>H<sub>4</sub>, 150—151, 148; CH<sub>3</sub>COSCH<sub>3</sub>, 79,2, CH<sub>3</sub>, CH<sub>3</sub>, 134—136, 400; циклопентанон, 66,6, R + R' = -(CH<sub>2</sub>)<sub>4</sub>-, 160—161, 424; циклогексанон, 72,5, R + R' = -(CH<sub>2</sub>)<sub>5</sub>-, 166—167, 106. Р-ция объясняется наличием электроотрицательных атомов Cl, увеличивающих нуклеофильные свойства R. Собрания XIV см. РЖХИМ 1958, 46847.

57516. Новый метод синтеза эфиров фосфиновых и тиофосфиновых кислот. XXVIII. Реакции неполных эфиров кислот фосфора с  $\alpha, \beta$ -непредельными циклическими кетонами и ацетатом циклогексенола. Пудовик А. Н., Конаволова И. В., Ж. общ. химии. 1957. 27. № 6. 1617—1621

При присоединении  $(\text{RO})_2\text{POH}$  (I) или  $(\text{RO})_2\text{PSH}$  (II) к 2-циклотексенону-1, 2-метил- и 3-метил-2-цикло-



гексенонам-1, 3,5-диметил- и 3,5,5-триметил-2-циклогексенонам-1 образуются кетофосфиновые эфиры  $\text{CHNR}^1$ -

$\text{COCH}_2\text{CR}^2\text{R}^3\text{C}_4\text{H}_7\text{P}(=\text{X})(\text{OR})_2$  (III). Приводятся для III R, R<sup>1</sup>, R<sup>2</sup>, R<sup>3</sup>, R<sup>4</sup>, X, выход в %, т. кип. в °C/мм,  $n_D^{20}$ ,  $d_4^{20}$ : C<sub>2</sub>H<sub>5</sub>, H, H, H, H, O, 54, 170/15, 1,4620, 1,1210; CH<sub>3</sub>, H, H, H, H, O, 46, 160/10, 1,4723, 1,2131; C<sub>2</sub>H<sub>5</sub>, H, H, H, S, 57, 182/15, 1,4998, 1,1307; CH<sub>3</sub>, CH<sub>3</sub>, H, H, H, O, 66, 162/8 (т. пл. 96°), —, —; C<sub>2</sub>H<sub>5</sub>, CH<sub>3</sub>, H, H, H, O, 50, 166/8, 1,4612, 1,1007; C<sub>2</sub>H<sub>5</sub>, CH<sub>3</sub>, H, H, S, 60, 165/8, 1,4936, 1,1099; CH<sub>3</sub>, H, CH<sub>3</sub>, H, H, O, 47, 162/11, 1,4721, 1,1801; C<sub>2</sub>H<sub>5</sub>, H, CH<sub>3</sub>, H, H, O, 54, 167/11, 1,4653, 1,1130; C<sub>2</sub>H<sub>5</sub>, H, CH<sub>3</sub>, H, H, S, 53, 172/9, 1,4950, 1,1182; C<sub>2</sub>H<sub>5</sub>, CH<sub>2</sub>, H, CH<sub>3</sub>, H, O, 59, 162/8, 1,4610, 1,0810; CH<sub>3</sub>, CH<sub>3</sub>, H, CH<sub>3</sub>, H, O, 60, 165/8, 1,4780, 1,1499; C<sub>2</sub>H<sub>5</sub>, CH<sub>3</sub>, H, CH<sub>3</sub>, H, S, 66, 173/9, 1,4921, 1,0940; C<sub>4</sub>H<sub>9</sub>, CH<sub>3</sub>, H, CH<sub>3</sub>, H, O, 59, 196/8, 1,4580, 1,0189; C<sub>2</sub>H<sub>5</sub>, H, CH<sub>3</sub>, CH<sub>3</sub>, CH<sub>3</sub>, O, 60, 167/8, 1,4641, 1,0710. 1-циклогексенилацетат (IV) и 2-метил-IV (V) в присутствии алколюлятов щел. металлов не присоединяют I и II, а их ацетилюют с образованием в обоих случаях [(C<sub>2</sub>H<sub>5</sub>O)<sub>2</sub>P(=X)]<sub>2</sub>-C(CH<sub>3</sub>)<sub>2</sub>OSOCN<sub>2</sub> (VI) через стадию [(C<sub>2</sub>H<sub>5</sub>O)<sub>2</sub>P(=X)]<sub>2</sub>-C(CH<sub>3</sub>)<sub>2</sub>OH (VII), где X = O или S, и соответственно циклогексаноны (VIII) и 2-метил-VIII (IX). Проведен независимый синтез VII из CH<sub>3</sub>COP(O)(OC<sub>2</sub>H<sub>5</sub>)<sub>2</sub> (X) и I (R = C<sub>2</sub>H<sub>5</sub>) (Ia). Присоединение I и II к циклич. ненасыщ. кетонам (эквивалентные кол-ва) происходит в присутствии алколюлятов щел. металлов и имеет индукционный период. Из 10,5 г Ia и 10,5 г IV при добавлении насыщ. р-ра C<sub>2</sub>H<sub>5</sub>ONa (повышение т-ры до 128°) получено 13 г VI (X = O), т. кип. 174—175,5°/7 мм,  $n_D^{20}$  1,4308,  $d_4^{20}$  1,1511, и 5 г VIII. Из 6,9 г Ia и 7,7 г V получено 10,5 г VI и 4,1 г IX. Из 19 г X и 15 г Ia получено 20 г VII (X = O). Из 6,3 г IV и 7 г II (R = C<sub>2</sub>H<sub>5</sub>) (IIa) в присутствии C<sub>2</sub>H<sub>5</sub>ONa получено 9,8 г VI (X = S), т. кип. 169°/8 мм,  $n_D^{20}$  1,4710,  $d_4^{20}$  1,1421, и 3 г VIII. Соответственно из 7,5 г V и 7,5 г IIa получено 8 г VI (X = S) и 4,2 г IX. Сообщение XXVII см. РЖХим, 1958, 36278. С. Иоффе

**57517. Синтез фосфиновых кислот, их хлорангидридов и фторангидридов. Досон, Кеннард** (Synthesis of phosphinic acids, chlorides, and fluorides. Dawson Thomas P., Kennard Kenneth C.), J. Organ. Chem., 1957, 22, № 12, 1671—1672 (англ.). Реакцией CH<sub>3</sub>POF<sub>2</sub> (I) с RMgX с последующим гидролизом получены R(CH<sub>3</sub>)P(O)OH (II). Из II и SOCl<sub>2</sub> получены R(CH<sub>3</sub>)POCl (III), который р-цией с HF (40—50°) превращается в R(CH<sub>3</sub>)POF (IV). Перечисляются для III R, выход в %, т. кип. в °C/мм: (CH<sub>3</sub>)<sub>2</sub>CHCH<sub>2</sub>, 68, 61—62/1—2; CH<sub>3</sub>(CH<sub>2</sub>)<sub>4</sub>, 61, 95—105/3; C<sub>6</sub>H<sub>11</sub>, 83, 93—95/1; то же для IV: (CH<sub>3</sub>)<sub>2</sub>CHCH<sub>2</sub>, 68, 71—72/3,5; CH<sub>3</sub>(CH<sub>2</sub>)<sub>4</sub>, 85, 74—75/2; C<sub>6</sub>H<sub>11</sub>, 83, 77/1—1,5. Через 2,26 моля CH<sub>3</sub>POCl<sub>2</sub> пропускают 4,52 моля (+ 2% избытка) HF (газ) при 40—45° (40 час.) и нагревают смесь 45 мин. при 45°, выход I 82%, т. кип. 98—99°,  $n_D^{25}$  1,3148,  $d_4^{25}$  1,3609. К 39 г C<sub>6</sub>H<sub>5</sub>POCl<sub>2</sub> добавляют р-р C<sub>6</sub>H<sub>5</sub>MgBr (из 31,4 г C<sub>6</sub>H<sub>5</sub>Br) в 500 мл эфира, кипятят 15 мин., осадок переносят в 300 мл ледяной воды и обрабатывают щелочью, выход (C<sub>6</sub>H<sub>5</sub>)<sub>2</sub>P(O)OH 53%. К эфирному р-ру I добавляют эквивалентное кол-во RMgX в эфире при охлаждении смесью сухого CO<sub>2</sub> и ацетона; остаток после декантации эфира высушивают в вакууме и обрабатывают р-ром 3 молей NaOH, подкисляют, упаривают и II экстрагируют горячим CH<sub>2</sub>Cl<sub>2</sub>. Неочищ. II превращают в III кипячением 2—3 часа с избытком SOCl<sub>2</sub>. В. Гиляров

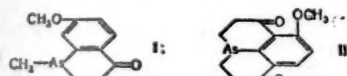
**57518. Синтез и строение 10-фениларсакридон.** Джонс, Манн (The synthesis and structure of 10-phenylarsacridone. Jones Emrys R. H., Mann Frederick G.), J. Chem. Soc., 1958, Jan., 294—299 (англ.)

Для изучения взаимного влияния третичного As в СО-группы в одном цикле синтезирован 10-фениларсакридон (I), исходя из 5,10-дигидро-10-фениларсакридина (II) через окис 10-фениларсакридон (III). Обнаружена дезактивация СО-группы в I в р-циях с NH<sub>2</sub>OH, NH<sub>2</sub>NH<sub>2</sub>, фенил-, 2,4-динитрофенилгидразином и малонитрилом, а также третичного As в р-циях с CH<sub>3</sub>I и с n-CH<sub>3</sub>C<sub>6</sub>H<sub>4</sub>SO<sub>2</sub>OCH<sub>3</sub> (IV) в обычных условиях. Р-ция с IV идет только при 200°; с C<sub>6</sub>H<sub>5</sub>MgBr I дал 5,10-дигидро-5,10-дифенил-5-оксиарсакридин (V). Свойства I сопоставлены с его ИК- и УФ-спектрами. На основании этих данных сделан вывод, что I частично обладает понойной структурой с положительным зарядом на As и отрицательным на O. Аналогичные свойства отмечены у о-карбокситрифениларсакридина (VI), образующегося при окислении 2-метилтрифениларсина (VII). Полученный из VI о-карбокситрифениларсин (VIII) очень неустойчив и легко превращался в VI. Из м-нитрофенилдиалхлорарсина (IX) и диазотированного о-толуидина (X) образуется вместо 2-метил-3'-нитродифениларсиновой к-ты азоксibenзол-3,3'-диарсиновая к-та (XI), восстановленная далее в азобензол-3,3'-диарсиновую к-ту (XII). К р-ру C<sub>6</sub>H<sub>5</sub>MgBr (из 6,3 мл C<sub>6</sub>H<sub>5</sub>Br) медленно прибавляют р-р 8,3 г 5,10-дигидро-10-хлорарсакридина в 30 мл C<sub>6</sub>H<sub>6</sub> после обычной обработки выделен II, выход 98%, т. пл. 74—75° (из сп.); йодметилат, т. пл. 151—152° (разл.); метоникрат, т. пл. 260° (разл.; из сп.-ацетона). К взвеси 4,59 г II в 100 мл воды при 70—80° постепенно прибавляют 4,56 г KMnO<sub>4</sub>, смесь кипятят 2 мин. и извлекают CHCl<sub>3</sub> III, выход ~100%, т. пл. 238° (из ацетона). Через взвесь 4,5 г III в 100 мл разб. HCl (1:1), содержащей 0,2 г KJ, пропускают 30 мин. 80°; выход I 95%, т. пл. 138—139° (из сп.); комплекс с PdBr<sub>2</sub>, т. пл. 298° (разл.; из диметилформамида). Нагреванием (1,5 часа, 200°) 1 моля I и 1,2 моля IV получен мето-п-толуолсульфонат I, т. пл. 200° (из ацетона). К р-ру C<sub>6</sub>H<sub>5</sub>MgBr (из 0,44 мл C<sub>6</sub>H<sub>5</sub>Br) прибавляют р-р 0,7 г I в 5 мл C<sub>6</sub>H<sub>6</sub> и смесь кипятят 1 час; выход V 75%, т. пл. 194° (из сп.). При взаимодействии III с избытком фенилгидразина в спирте, содержащем CH<sub>3</sub>COOH (2 часа, кипячение), образуется I. К р-ру o-CH<sub>3</sub>C<sub>6</sub>H<sub>4</sub>MgBr (из 9,7 г o-CH<sub>3</sub>C<sub>6</sub>H<sub>4</sub>Br) прибавляют р-р 10 г дифенилхлорарсина в 50 мл эфира и смесь кипятят 20 мин; выход VII 81%, т. пл. 63—64° (из сп.). При окислении VII действием KMnO<sub>4</sub> в воде (1 час, кипячение) образуется VI, выход 55%, т. пл. 246—247° (из сп.). Восстановлением VI SO<sub>2</sub> в HCl получен VII, т. пл. 135—138° (из сп.); йодметилат (XIII), т. пл. 102—104° (из сп.); комплекс с PdBr<sub>2</sub>, т. пл. 255° (разл.; после высушивания при 70°/0,1 мм). При вторичной перекристаллизации из спирта как VII, так и XIII, превращаются в VI. К диазотатору из 2 г X прибавляют за 10 мин. р-р 5 г IX, 3 г NaOH, 1 г Na<sub>2</sub>CO<sub>3</sub>, 0,2 г CuSO<sub>4</sub>·5H<sub>2</sub>O и 100 мл воды; через 30 мин. смесь нагревают и обрабатывают как обычно; выход XI 48%, т. пл. > 400°. К кипящей смеси 4 г опилок Fe и 20 мл 5%-ного водн. р-ра NaCl за 1 час прибавляют 2 г XI; после кипячения 2 часа выход XII 62%, т. пл. > 400° (из воды). А. Берлин

**57519. Синтез и свойства замещенных 1,2,3,4-тетрагидро-4-оксоарсинолинов и 1,6-диоксоарсулолидинов.** Манн, Уилкинсон (The synthesis and properties of substituted 1:2':3:4-tetrahydro-4-oxoarsinolines and of 1:6-dioxoarsulolidines. Mann Frederick G., Wilkinson A. J.), J. Chem. Soc., 1957, Aug., 3336—3346 (англ.)

Описано получение в-в, содержащих третичный атом As и кетогруппу в одном ядре, — 1,2,3,4-тетрагидро-7-метокси-1-метил-4-оксоарсинолина (I) и 7-метокси-1,6-диоксоарсулолидина (II) (название по ана-

логии с водородом). 1,3-NO<sub>2</sub>C<sub>6</sub>H<sub>4</sub>AsO(OH)<sub>2</sub> (III) превращена последовательно в 1,3-NH<sub>2</sub>C<sub>6</sub>H<sub>4</sub>AsO(OH)<sub>2</sub> (IV), 1,3-НОС<sub>6</sub>H<sub>4</sub>AsO(OH)<sub>2</sub> (V), 1,3-CH<sub>3</sub>OC<sub>6</sub>H<sub>4</sub>AsO(OH)<sub>2</sub> (VI). Восстановлением VI получен 1,3-CH<sub>3</sub>OC<sub>6</sub>H<sub>4</sub>AsH<sub>2</sub> (VII), а из него 1,3-CH<sub>3</sub>OC<sub>6</sub>H<sub>4</sub>As(CH<sub>3</sub>)<sub>2</sub> (VIII). Действием CH<sub>2</sub>=CHCN (IX) на VIII получен 1,3-CH<sub>3</sub>OC<sub>6</sub>H<sub>4</sub>As(CH<sub>3</sub>)CH<sub>2</sub>CH<sub>2</sub>R (X), где R = CN (Xa), а из него X (R = COOH) (Xб). Циклизацией Xб получен I. VII действием IX превращен в 1,3-CH<sub>3</sub>OC<sub>6</sub>H<sub>4</sub>As(CH<sub>2</sub>CH<sub>2</sub>R)<sub>2</sub> (XI), где R = CN (XIa), а затем в XI (R = COOH)



(XIIб). Циклизацией XIIб получен II. Приведены данные УФ- и ИК-спектров I и II. I легко образует йодометилат (ИМ), II не реагирует с CH<sub>3</sub>I; I и II устойчивы на воздухе. Синтезировать 1,2,3,4-тетрагидро-1-метил-4-оксоарсинолин циклизацией C<sub>6</sub>H<sub>5</sub>(CH<sub>3</sub>)AsCH<sub>2</sub>CH<sub>2</sub>COOH (XII) не удалось. Кипятят 3—4 часа 100 г III, 200 г Fe-стружек и 50 г NaCl в 1 л воды, добавляют р-р 40 г NaOH в 300 мл воды, выход IV 85%, т. пл. 210—215° (разл.) IV превращена в V (т. пл. 160—170° (разл.)) по описанному методу (Jacobs, Heidelberg, J. Amer. Chem. Soc., 1919, 41, 1440). V действием (CH<sub>3</sub>)<sub>2</sub>SO<sub>4</sub> и водн. р-ра NaOH превращена в VI, выход 75%, т. пл. ~136°. Из 100 г VI, 250 г Zn-пыли, 10 г HgCl<sub>2</sub> в 750 мл конц. HCl получен VII, выход 70%, т. кип. 107—108°/16 мм, 60—61°/1 мм. K Na-производному VII (из VII и Na в жидком NH<sub>3</sub>) прибавляют CH<sub>3</sub>I в эфире, выход VIII 85%, т. кип. 117—119°/15 мм. Из 20 г VIII и 10,7 г IX в N<sub>2</sub> (100°, 6 час.) получают Xa, выход 90%, т. кип. 148—152°/1 мм; ИМ, т. пл. 148° (из эф.-CH<sub>3</sub>ОН); метопикрат, т. пл. 117—118° (из CH<sub>3</sub>ОН); побочно образуется 1,3-CH<sub>3</sub>OC<sub>6</sub>H<sub>4</sub>As(CH<sub>3</sub>)<sub>2</sub>, т. кип. 123—124°/15 мм; ИМ, т. пл. 248—250° (из CH<sub>3</sub>ОН); Xб, т. кип. 166—172°/0,02 мм, 138—146°/0,003 мм; ИМ, т. пл. 138° (ацетон, CH<sub>3</sub>ОН-эф.); 3-бензилтиуроиниевая соль (БТС), т. пл. 138° (из сп.). I получен кипячением 2 часа 10 г Xб с 40 г P<sub>2</sub>O<sub>5</sub> в 200 мл ксилола с добавкой H<sub>3</sub>PO<sub>4</sub>, выход 38%, т. пл. 32° (из сп.); ИМ, т. пл. 239° (из CH<sub>3</sub>ОН); метопикрат, т. пл. 226° (из воды); мето-п-толуолсульфонат, т. пл. 180—205° (разл.; из CH<sub>3</sub>ОН); семикарбазон, т. пл. 208° (из сп.); фенилгидразон (кипение 8 час.), т. пл. 121—122° (из сп.); 2,4-динитрофенилгидразон (ДНФГ), т. пл. 183° (из этилацетата). 0,5 г I и 0,33 г n-(CH<sub>3</sub>)<sub>2</sub>NC<sub>6</sub>H<sub>4</sub>CHO в 10 мл спирта и 0,5 мл 10%-ного NaOH кипятят 4 часа в атмосфере N<sub>2</sub>, получено 0,25 г 3-п-диметиламинобензиллиденовое производное I, т. пл. 150° (из сп.). Из I и n-ONC<sub>6</sub>H<sub>4</sub>(CH<sub>3</sub>)<sub>2</sub> получен неочищенный 3-п-диметиламинофенилглинопроизводное I, т. пл. 157° (из сп.). 38,4 г VII и 33,5 г IX кипятят в атмосфере N<sub>2</sub> 6 час. при 100°, выход XIa колич. т. кип. 206—212°/0,03 мм. Щел. гидролизом XIa получена неочищенная XIб, выход 95%, т. пл. 54°; ИМ, т. пл. 162° (из CH<sub>3</sub>ОН-эф.); БТС, т. пл. 134° (из CH<sub>3</sub>ОН-эф.). Кипячением 15 мин. 10 г XIб с 20 г P<sub>2</sub>O<sub>5</sub> в 200 мл толуола с добавкой H<sub>3</sub>PO<sub>4</sub> получен II, выход 11%, т. пл. 150° (из сп.); бисфенилгидразон, т. пл. 169—171° (из сп.-баз.); бисметилфенилгидразон, т. пл. 160° (из сп.); ДНФГ, т. пл. 140° (разл.; из сп.); монооксим, т. пл. 181° (из сп.). Из 100 г C<sub>6</sub>H<sub>5</sub>(CH<sub>3</sub>)AsOON, 200 г Zn-пыли и 8 г HgCl<sub>2</sub> в разб. HCl и эфире в токе N<sub>2</sub> получают C<sub>6</sub>H<sub>5</sub>(CH<sub>3</sub>)AsH, выход 22%, т. кип. 71—72°/15 мм, который действием IX превращен в C<sub>6</sub>H<sub>5</sub>(CH<sub>3</sub>)AsCH<sub>2</sub>CH<sub>2</sub>Cl (XIII) выход 85%, т. кип. 117°/0,5 мм, 172—174°/14 мм; ИМ, т. пл. 164,5—165,5° (из ацетона); мето-п-толуолсульфонат, т. пл. 144—145° (из хлф.-эф.); оксинитрат, т. пл. 118—120° (из сп.). Кипячением 10 г XIII 8 час. с 5 г КОН в 12,5 мл воды и

12,5 мл спирта получена XII, выход 99%, т. кип. 138°/0,3 мм, т. пл. 32°, ИМ, т. пл. 110°, повторно затвердевает и плавится при 154°; БТС, т. пл. 137° (из сп.-эф.); при окислении XII H<sub>2</sub>O<sub>2</sub> получен оксид, т. пл. 165° (из сп.-эф.). При нагревании 1 час при 100° XII с H<sub>2</sub>SO<sub>4</sub> образуется, очевидно, м-сульфо-XII, т. пл. 158—159 (разл.; из CH<sub>3</sub>ОН-эф.). С. Иоффе

57520. Химия селенофена. IX. Конденсация селенофен-2-альдегида с метилкетонами. Синтез и реакции 2-метилселенофен-5-альдегида. Юрьев Ю. К., Мезенцева Н. Н., Васильковский В. Е., Ж. общ. химии, 1957, 27, № 11, 3155—3160

РСНО (I, здесь и далее R — 2-селениенил) по хим. свойствам близок к ароматич. альдегидам (см. РЖХим, 1958, 25252; сообщение VIII, РЖХим, 1958, 36282). К 68 ммольам I, 0, 27 моля ацетона и 7,6 мл воды медленно прибавляют при 20° 2,5 мл 10%-ного NaOH, через 2,5 часа нейтрализуют 2 н. HCl экстрагируют бензолом RCH=CHCOR' (II) (R' = CH<sub>3</sub>), выход 71,5%, т. кип. 138—139°/5 мм, n<sub>D</sub><sup>20</sup> 1,6578, d<sub>4</sub><sup>20</sup> 1,4632, 31 ммоль II (R' = CH<sub>3</sub>), 31 ммоль (CH<sub>3</sub>)<sub>2</sub>NH·HCl, 0,11 г параформа, 0,5 мл абс. спирта и 1 каплю конц. HCl нагревают 2 часа при 100°, выливают при охлаждении в 20 мл ацетона, выделен RCH=CHCOCH<sub>2</sub>CH<sub>2</sub>N(CH<sub>3</sub>)<sub>2</sub>·HCl, выход 50%, т. пл. 165° (из сп.-эф., 5:1). Взаимодействием 26 ммоль I, 26 ммоль C<sub>6</sub>H<sub>5</sub>COCH<sub>3</sub> и 2 мл 20%-ного CH<sub>3</sub>ONa (0°, 48 час.) получен II (R' = C<sub>6</sub>H<sub>5</sub>), выход 50%, т. пл. 54° (из лигр.). Аналогично синтезированы следующие II (приведены R', выход в %, т. пл. в °C, в скобках р-ритель): n-CH<sub>3</sub>C<sub>6</sub>H<sub>4</sub>, 52, 56 (лигр.); C<sub>6</sub>H<sub>5</sub>CH=CH, 52,5,

96 (водн. сп.); ОСН=CHCH=CH=CH, 64, 60 (водн.

сп.); SeCH=CHCH=CH=CH, 52, 128 (водн. сп.). Смесь 0,218 моля I, 45 мл 80%-ного NH<sub>2</sub>NH<sub>2</sub>·H<sub>2</sub>O, 200 мл диэтиленгликоля и 27 г NaOH нагревают 20 мин. при 120—130°, затем 40 мин. при 170—180°, из фракции до 140° получен RCH<sub>2</sub>, выход 78,5%, т. кип. 136—136,2/769 мм n<sub>D</sub><sup>20</sup> 1,5615, d<sub>4</sub><sup>20</sup> 1,4432. К 0,2 моля HCON(CH<sub>3</sub>)<sub>2</sub> прибавляют при 5° за 6 мин. 0,2 г PoCl<sub>3</sub>, через 15 мин. (20°) прибавляют 50 мл дихлорэтана (III) и затем медленно при 5° р-р 0,17 моля RCH<sub>2</sub> в 30 мл III, кипятят 15 мин., выливают в р-р 130 г CH<sub>3</sub>COONa (IV) в 175 мл воды, нагревают до ~100°, из органич. слоя перегонкой в токе N<sub>2</sub> выделен 8-метил-I, выход 87,5%, т. кип. 96—97°/7 мм, n<sub>D</sub><sup>20</sup> 1,6160, d<sub>4</sub><sup>20</sup> 1,5427; семикарбазон, т. пл. 209° (из сп.); тиосемикарбазон (V), т. пл. 149°; 2,4-динитрофенилгидразон, т. пл. 241° (из C<sub>6</sub>H<sub>5</sub>N). Тем же путем из 5-метил-I получен 2,5-диметилселенофен, выход 87,5%, т. кип. 154—154,5°/755 мм, n<sub>D</sub><sup>20</sup> 1,5504, d<sub>4</sub><sup>20</sup> 1,3697. К 3,4 г V в 80 мл спирта прибавляют 3,5 г безводн. IV и 3,5 г ClCH<sub>2</sub>COOH, нагревают 1 час при 100° и получают гидразотиазолинон-5-метил-I, выход 81%, т. пл. 255°. К теплому р-ру 19 ммоль 5-метил-I и 19 ммоль роданина в 17,5 мл лед. CH<sub>3</sub>COOH прибавляют 4,65 г безводн. IV, нагревают 30 мин., разбавляют 100 мл воды, отделяют 5-(2-метилселенофен-5)-тиазаolidон-4-тион-2, выход 80%, т. пл. 236°. 12 ммоль 5-метил-I, 12 ммоль гиппуровой к-ты, 0,97 г безводн. IV и 10 мл (CH<sub>3</sub>CO)<sub>2</sub>O нагревают 1 час при 60—70° получают 2-фенил-4-(2-метилселенофен-5)-оксазолон-5, выход 83%, т. пл. 156° (из бэл.). 17 ммоль 5-метил-I, 17 ммоль CH<sub>2</sub>(COOH)<sub>2</sub> и 1,75 мл C<sub>6</sub>H<sub>5</sub>N нагревают 4 часа при 100°, добавляют 29 мл насыщ. р-ра Na<sub>2</sub>CO<sub>3</sub>, отгоняют с паром 5-метил-I и р-ритель, подкисляют HCl, получают β-(2-метилселенофен-5)-акриловую к-ту, выход 60%, т. пл. 162°. Ф. Величко

57521. Реакции в безводном фтористом водороде. III. Получение дихлордиформетана. Ярковский, Пешата, Гудлицкий (Reactions in anhydrous



hydrogen fluoride. III. Preparation of dichlorodifluoromethane. Jarkovsky L., Pešata V., Hudlicky M.), Сб. чехосл. хим. работ, 1957, 22, № 6, 1827—1835 (англ.; рез. русск.)

См. РЖХим, 1958, 36284.

57522. Превращение эфиров *n*-толуолсульфокислоты в фториды. Бергман, Шахак (Transformation of toluene-*p*-sulphonates into fluorides. Bergman Ernst D., Shahak I.), Chemistry and Industry, 1958, № 6, 157 (англ.)

Фториды RF (Ia—д, где  $a R = n-C_6H_{13}$ ,  $b R = n-C_8H_{17}$ ,

в  $R = OC(CH_3)_2OCH_2CHCH_3$ , г  $R = NCCH_3$ , д  $R = C_2H_5OOCCHCH_3$ ) получены при нагревании соответствующих  $n-CH_3C_6H_4SO_2OR$  с KF (избыток 50%) в диэтиленгликоле (перечислены в-во, выход в %, т. кип. в °C/760 мм): Ia, 90, 93; Ib, 90, 142; Iv, 90, 126—127; Ir, 30, 80; Id, 75, 122. А. Берлин

57523. Получение и свойства некоторых виниловых и глицидных фторзамещенных простых эфиров. Брей, Таррант (The preparation and properties of some vinyl and glycidyl fluoroethers. Brey Mary L., Tarrant Paul), J. Amer. Chem. Soc., 1957, 79, № 24, 6533—6536 (англ.)

Конденсацией этиленгликоля (I) с 1,1-дифторолефинами или конденсацией окиси этилена (II) с фторзамещ. спиртами (FC)  $RCH_2OH$  ( $R = CF_3$ ,  $C_2F_5$ ,  $C_3F_7$ ) и  $CF_3C(CH_3)_2OH$  синтезированы  $HOCH_2CH_2OR$  (IIIa—ж, где  $a R = CF_2CH_2F$ , б  $R = CF_2CH_2Cl$ , в  $R = CF_2CH_2CF_3$ , г  $R = CH_2CF_3$ , д  $R = CH_2C_2F_5$ , е  $R = CH_2C_3F_7$ , ж  $R = C(CH_3)_2CF_3$ ), которые затем превращены в  $ClCH_2CH_2OR$  (IVa—ж) (обозначения те же). В результате отщепления HCl от IV получены  $CH_2=CHOR$  (Va—r), где  $a R = CF_2CH_2F$ , б  $R = CH_2CF_3$ , в  $R = CH_2C_2F_5$ , г  $R = CH_2C_3F_7$ . Взаимодействием FC с эпихлоргидри-

ном (VI) синтезированы глицидные эфиры  $OCH_2CH_2CH_2OCH_2R$  (VIIa—в, где  $a R = CF_3$ , б  $R = C_2F_5$ , в  $R = C_3F_7$ ); промежуточное образование при этом β-окиси-γ-хлорэфиров доказано на примере получения  $CF_3CH_2OCH_2CH(OH)CH_2Cl$  (VIII) из VI и  $CF_3CH_2OH$  (IX). Изучены ИК-спектры Va—г, VIIa—в и винил-2-этилгексенового эфира (при 25, 45 и 65°) и приведены соображения в пользу существования поворотных изомеров у Va—г. Взаимодействием 1,7 моля КОН в 500 мл I с ~ 2,5 моля дифторолефина (16 час., 20°) получены следующие III (здесь и далее при описании в-в перечислены выход в %, т. кип. в °C/мм, *n*<sub>D</sub>, в скобках т-ра в °C, *d*<sub>4</sub> в скобках т-ра в °C): IIIa, 54, 114—118/100, 1,3795 (21), —; IIIб, 30, 62—63/2, 1,4245 (25), 1,4905 (25); IIIв, 25, 72—74/40, 1,3192 (25), 1,5227 (25). Одновременно с IIIб образуется  $(CHCl_2CF_2OCH_2)_2$ , 18, 90/2, 2, 1,4194 (25), 1,5786 (25), из которого гидролизом конц.  $H_2SO_4$  получен  $(CHCl_2COOCH)_2$ , 31, 148—150/3, 1,4840 (25), 1,5386 (25). К р-ру 5 г КОН в 1,5 моля FC прибавляют 1 моль II и смесь нагревают 4 часа при 70°: получены следующие III: IIIг, 50, 84/80, 1,3502 (25), 1,2902 (25); IIIд, 32, 87/84, 1,3370 (25), 1,3806 (25); IIIе, 62, 91—92/54, 1,3300 (28), 1,4965 (28); IIIж, 35, 92/77, 1,3749 (22), 1,4931 (22). К 0,25 моля III (в случае IIIг—ж в присутствии 100 мл  $CHCl_3$ ) постепенно прибавляют 0,29 моля  $PCl_5$  и смесь кипятят 20 мин.; выделены следующие IV: IVa, 27, 85/100, 1,3882 (25), 1,4471 (25); IVб, 27, 86—87/33, 1,4270 (25), 1,4833 (25); IVв, 27, 46/37, 1,3349 (25), 1,4749 (25); IVг, 53, 114—115/760, 1,3590 (27), 1,3034 (27); IVд, 49, 120—121/760, 1,3448 (26), 1,3792 (26); IVе, 67, 75/80, 1,3381 (25), 1,4673 (25); IVж, 45, 135/760, 1,3784 (25), 1,2102 (25). При гидролизе IVa, б образуется соответственно  $ClCH_2CH_2OSO_2CH_2CH_2F$ , 34, 106/47, 105/45, 1,4369 (23), 1,4256 (23), и  $ClCH_2CH_2OSO_2CHCl_2$ , 38, 207—211/760, 1,4719 (25), 1,4544 (25). К ~ 0,2 моля IV прибавляют по каплям при

нагревании р-р 0,32 моля КОН в 120 мл  $n-C_8H_{17}OH$ ; получены следующие V: Va, 52, 71—73/760, 1,3531 (25), 1,2408 (25); Vб, 32, 42—48/760, 1,3180 (27), 1,118 (27); Vв, 21, 54—60/760, 1,3131 (27), 1,227 (27); Vг, 18, 78—82/760, 1,3111 (26), 1,343 (26). Взаимодействием 0,5 моля FC, 0,5 моля VI и р-ра 0,62 моля NaOH в 300 мл воды (16 час., 20°) получены следующие VII: VIIa, 31, 132—135/760, 1,3560 (25), 1,2666 (25); VIIб, 19, 81—79/86—84, 1,3419 (25), 1,3534 (25); VIIв, 23, 79/40, 1,3350 (25), 1,4429 (25). Из 1 моля IX, 2 молей VI и 2 мл пиридина (12 час., 80—90°) синтезирован VIII, 50, 85—86/19, 1,3951 (25), 1,3716 (25). Одновременно с VIIa образуется  $(CF_3CH_2OCH_2)_2CHONH$ , 19, 86/16, 1,3528 (25), 1,3890 (25), а одновременно с VIIв образуется  $(C_3F_7CH_2OCH_2)_2CHONH$ , 24, 112—115/15, 1,3338 (25), 1,5569 (25). А. Берлин

57524. Трифторантипириин. Грилло, Афтергер, Боттерон (Trifluoroantipyrene. Grillo Gerald F., Aftergut Siegfried, Botteron Donald G.), J. Organ. Chem., 1958, 23, № 1, 119—120 (англ.)

Метилированием 1-фенил-3-трифторметил-5-пирозолона (I) получен трифторантипириин (II), синтезированный также из  $CF_3COCCH_2COOC_2H_5$  (III) и  $C_6H_5NHNHCH_3$  (IV). II, в отличие от антипирина, не вступает в конденсацию Манниха с  $CH_2O$  и пиперидином. Кипит 1 час смесь 0,1 моля III, 0,1 моля  $C_6H_5NHNHCH_3$ , 20 мл  $CH_3OH$  и 2 мл конц. HCl, разбавляют водой, охлаждают, фильтруют, выход I 79%, т. пл. 193—193,5°. Смесь 68 ммоль I и 0,32 моля  $(CH_3)_2SO_4$  нагревают 1,5 часа при 110—120°, после охлаждения и добавления 100 мл эфира выделен II, выход 72%, т. пл. 139,2—140,2° (на  $CH_3OH$ ). Нагреванием (72 часа, 130—150°) 5 г III с 3,3 г IV получено 30 мг II. С. Гоффе

57525. О синтезе меченных  $C^{14}$  оротовой кислоты (4-урацилкарбоновой-[2- $C^{14}$ ] кислоты), пировиноградной-[2- $C^{14}$ ] кислоты и метилового эфира бромуксусной-[1- $C^{14}$ ] кислоты. Дреман, Борн (Über die Synthese  $C^{14}$ -markierter Orotsäure (4-Uracilcarbonsäure-2- $C^{14}$ ), Brenztraubensäure-2- $C^{14}$  und Bromessigsäuremethylester-1- $C^{14}$ . Drehmann Ursula, Born Hans-Joachim), J. prakt. Chem., 1957, 5, № 3—4, 200—208 (нем.)

Улучшены методы получения 4-урацилкарбоновой-[2- $C^{14}$ ] к-ты (I), пировиноградной-[2- $C^{14}$ ] к-ты (II) и  $BrCH_2C^{14}OOCCH_3$  (III). 228,9 мг  $BaC^{14}O_3$  (радиоактивность  $a$  204 мкюри) прокалывали в токе сухого  $NH_3$  (газ) 5 час. при 800°, полученный  $BaNCN$  разлагали  $H_2SO_4$ ,  $NH_4CN$  гидролизировали до  $NH_4C^{14}ONH_2$  (IV), выход IV в смеси с  $(NH_4)_2SO_4$  1 г ( $a$  202 мкюри), выход IV 10 мг ( $a$  18,8 мкюри). К 130 мл олеума (15%  $SO_2$ ) прибавляли за 30 мин. при 0° 45 г лимонной к-ты (V), затем при <45° смесь 45 г V, 30 г  $NH_4CONH_2$  и 850 мл IV +  $(NH_4)_2SO_4$  ( $a$  172 мкюри), смесь нагревали 30 мин. при 70—75°, выливали на 400 г льда, через 3—4 дня (—15°) получили 4-урацилуксусную-[2- $C^{14}$ ] к-ту (VI), выход 25,3% ( $a$  47,5 мкюри), т. пл. 322° (разл.). 14 г VI +  $H_2O$  ( $a$  28 мкюри), 25 г  $Na_2C_2O_7$  в 196 мл воды и 38,2 г конц.  $H_2SO_4$  нагревали до 55—60°, перемешивали 1 час при 75—80°, выход I 66%, т. пл. 342° (разл.) ( $a$  21,2 мкюри). 1,1 мл  $CH_3C^{14}OOK$  ( $a$  88 мкюри) и конц. водн. р-р 2 г  $CH_3COOK$  упаривали досуха, к остатку ( $a$  88 мкюри) прибавляли 3,125 г  $C_6H_5COOH$  и 12,5 мл  $C_6H_5OBr$ , нагревали 10 мин. при 60—70°, отгоняли  $CH_3C^{14}OBr$ , выход 90,3% ( $a$  80,3 мкюри). К 4 г последнего медленно прибавляли 2,92 г  $CuCN$ , нагревали 3 часа при 100°, выход  $CH_3C^{14}OCN$  (VII) 64,7% ( $a$  52 мкюри). 1,45 г VII омыляли 1—2 мл 37,5%-ной HCl, охлаждали, добавляли  $NH_4Cl$ , растворяли в воде, прибавляли 3,5-мл 1 н. HCl, нагревали 2 часа при 100°, водн. р-р насыщали NaCl, эфиром извлекали II, выход 81,5%, ( $a$  44,5 мкюри). 3,2 мл лед.  $CH_3COOH$ , 0,25 мл 85,5%-ной  $CH_3C^{14}OON$  ( $a$  176 мкюри), 1,2 мл  $(CH_3CO)_2O$ ,

6 каплей дигридина и 1,0 мл  $\text{Br}_2$  нагревали до обесцвечивания, прибавляли 0,4 мл воды, отгоняли  $\text{CH}_3\text{COOH}$  и воду при  $60^\circ/30$  мм, остаток обрабатывали 2,69 г  $\text{CH}_3\text{N}_2$ , выход III 17% ( $\alpha$  37,7  $\mu$ юри). М. Шаткина

57526 К. Практикум по органической химии и химии нефти. Давидович Г. В. Тбилиси, «Техника и прома», 1956, 186 стр., илл., 4 р. 30 к. (груз.)

57527 К. Кислородсодержащие гетероциклы (Les hétérocycles oxygénés. Paris, Centre nat. rech. scient., 1957, 391 p., ill., 2500 fr.) (франц.)

57528 Д. Синтез и свойства дициклопентилалканов. Станко В. И. Автореф. дисс. канд. хим. н., Ин-т орган. химии АН СССР, М., 1958

57529 Д. Алкилирование окси- и алкоксизамещенных циклических соединений олефинами. Мишиев Д. Е. Автореф. дисс. канд. хим. н., Ин-т нефти, АН Азерб. ССР, Баку, 1958

57530 Д. N'-фосфорпроизводные нитро- и аминотетрагидрофуранов. Фещенко Н. Г. Автореф. дисс. канд. хим. н., Ин-т орган. химии АН УССР, Киев, 1958

См. также разделы Промышленный органический синтез и Промышленный синтез красителей и рефераты: Соединения алифатич. 56807, 56811, 58409, 58474, 58482, 58549, 58580, 5858791; 21747Бх; алицикл. 58455; ароматич. 56423, 56425, 56451, 56810, 58407, 58441—58445, 58452—58454, 58456, 58457, 58459—58461, 58463, 58464, 58537, 58540, 58541, 58548, 58591, 58786; гетероцикл. 56417, 56448, 56812, 58439, 58446, 58465—58473; 21566Бх, 22769Бх; элементорган. 58449, 58451

## ПРИРОДНЫЕ ВЕЩЕСТВА И ИХ СИНТЕТИЧЕСКИЕ АНАЛОГИ

Редакторы Л. Д. Бергельсон, М. М. Ботвинник, А. Д. Кузнецов, В. В. Некрасов, И. В. Торгов, Л. М. Уткин, В. В. Шпатов

57531. Применение формазановой реакции в области химии углеводов. Мештер (Die Anwendung der Formazanreaktion auf dem Gebiete der Kohlenhydrat-chemie. Mester L., Österr. Chem.-Ztg, 1957, 58, № 23—24, 289—303 (нем.))

Обзор. Рассмотрены механизмы р-ции образования формазанов и новые способы их получения, структура формазанов, образование ими комплексов с металлами и применение этих комплексов для анализов, образование соединений тетразолия и применение их как биологич. индикаторов и для определения редуцирующих сахаров, влияние света на соединения тетразолия и на формазаны. Вибл. 35 назв. Г. Таращанский

57532. Об ацетатах пентоз. Ацетилирование в присутствии серной кислоты. Земплер, Дёри (Über acetate von Pentosen. Acetylierung durch Schwefelsäure-Katalyse. Zemplen G., Döry I.), Acta chim. Acad. sci. hung., 1957, 12, № 2, 141—147 (нем.; рез. русск., англ.)

При ацетилировании пентоз  $(\text{CH}_3\text{CO})_2\text{O}$  в присутствии конц.  $\text{H}_2\text{SO}_4$  на холоду образуются  $\alpha$ -тетраацетаты. К смеси 65 мл  $(\text{CH}_3\text{CO})_2\text{O}$  и 4 мл  $\text{H}_2\text{SO}_4$  при  $0^\circ$  и перемешивании прибавляют 20 г D-ксилозы в течение 2,5 час. и смесь перемешивают еще 2,5 часа. Получают 25,7 г  $\alpha$ -тетраацетил-D-ксилозы, т. кип.  $149-150^\circ/0,2$  мм, т. пл.  $59^\circ$  (из сп.),  $[\alpha]_D^{25} +84,9^\circ$  (хлф.), и 3,8 г  $\beta$ -изомера. Аналогично проводят ацетилирование L-ксилозы, D- и L-арабинозы, D-рибозы и L-рамнозы. Первые получены:  $\alpha$ -тетраацетил-L-ксилоза (I),  $\alpha$ -тетраацетил-D-арабиноза (II),  $\alpha$ -тетраацетил-L-рамноза (III). I, II и III получены также из  $\beta$ -изомеров нагреванием последних с  $\text{ZnCl}_2$  в  $(\text{CH}_3\text{CO})_2\text{O}$ . Впервые в кристаллич. состоянии получена  $\beta$ -тетраацетил-D-арабиноза (IV) нагреванием ( $\sim 100^\circ$ ) D-арабинозы с

$(\text{CH}_3\text{CO})_2\text{O}$  в присутствии  $\text{CH}_3\text{COONa}$ . Указаны полученные в-ва, т. кип. в  $^\circ\text{C}/\text{мм}$ , т. пл. в  $^\circ\text{C}$ ,  $[\alpha]_D^{25}$  в  $\text{CHCl}_3$ : I,  $152-153/0,2$ ,  $60-61$  (из сп.),  $-89^\circ$ ; II,  $149-150/0,15$ ,  $96-97^\circ$  (из сп.),  $-139^\circ$ ; III,  $154/0,2$  —,  $-60,3^\circ$ ; IV, —,  $95,5-96$  (из сп. или воды),  $-43,1^\circ$  ( $18^\circ$ ). В. Векслер

57533. Полярографическое и полярометрическое изучение мутаротации глюкозы. Цукамото (Tsukamoto Tsutomu), Нихон ногэй кагаку кайси, J. Agric. Chem. Soc. Japan, 1957, 31, № 14, 854—858 (японск.)

Изучена полярографич. волна  $\beta$ -D-глюкозы (I). Полярографич. волна не наблюдается при  $\text{pH} < 6$  [для  $\alpha$ -D-глюкозы (II) при  $\text{pH} < 5$ ], высота волны в щел. и нейтр. среде не зависит от давления Нг, максим. высота волны наблюдается сразу после растворения I, при стоянии р-ра волна уменьшается до наступления определенного равновесного значения, после чего не изменяется. Используя полярографич. данные ранее описанным способом (РЖХим, 1955, 15976; 1957, 3792), рассчитаны значения  $k$  (сек. $^{-1}$ ) для различных  $\text{pH}$  (6—12,4) при мутаротации I и II. Эти же значения определены из полярометрич. измерений (Hudson C. S., J. Amer. Chem. Soc., 1907, 29, 1571). На основании полученных результатов заключено, что в кислых и нейтр. средах мутаротация глюкозы проходит по схеме:  $\alpha$ -глюкоза  $\rightleftharpoons$  альдоформа  $\rightleftharpoons$   $\beta$ -глюкоза. В щел. среде из глюкозы образуется необратимо фруктоза: D-глюкоза  $\rightleftharpoons$   $\rightleftharpoons$  эндиол  $\rightleftharpoons$  D-манноза; D-фруктоза. Л. Яновская

57534. К методике синтеза производных аль-форм сахаров. Козлова Л. М., Научн. работы студ. Моск. фармацевт. ин-та, 1957, вып. 1, 5—12

С целью разработки нового пути синтеза аль-форм сахаров по схеме: фенилгидразон гекозозы  $\rightarrow$  пентаацетат фенилгидразона  $\rightarrow$  пентаацетат гекозозы, получают по известным методикам (4-нитро-)-фенилгидразоны (НФГ) (более стабильные, чем фенилгидразоны) следующих сахаров (даны выход в %, т. пл. в  $^\circ\text{C}$  и выход в % и т. пл. в  $^\circ\text{C}$  пентаацетата): аль-галактоза, 67, 190—192, 83, 194; аль-манноза, 75, 194—195, 90; глюкоза, 59, 185, 81, а также НФГ бензальдегида (I), т. пл.  $192^\circ$ . НФГ расщепляют кипячением (1 час) в водно-спирт. среде с  $\text{C}_6\text{H}_5\text{CHO}$  (II). Степень расщепления (СР) снижается с уменьшением конц-ии воды в р-ре, что говорит в пользу гидролитич. характера р-ции. СР увеличивается при избытке II. У глюкозы НФГ преимущественно в циклич. форме расщепление протекает хуже, чем у маннозы и галактозы. СР определяют по кол-ву выделившегося I. В. Зеленкова

57535. Действие диазометана на пентаацетаты альдегидо-D-глюкозы и альдегидо-D-галактозы. Вулфром, Уэйсблат, Эванс, Миллер (The action of diazomethane on the pentaacetates of aldehyde-D-glucose and aldehyde-D-galactose. Wolfrom M. L., Weisblat D. I., Evans Evan F., Miller J. B.), J. Amer. Chem. Soc., 1957, 79, № 24, 6454—6457 (англ.)

При действии  $\text{CH}_2\text{N}_2$  на пентаацетаты (ПА) альдегидо-D-галактозы (I) и альдегидо-D-глюкозы (II) образуются ПА 1,2-бис-дезоксид-3-кетогалактозулы (III) и соответственно -глюкооктулозы (IV). Выделен промежуточный продукт р-ции ПА 1-дезоксикето-D-глюкогептулозы (V). При р-ции р-ра 8 г I в абс.  $\text{CHCl}_3$  с эфирным р-ром  $\text{CH}_2\text{N}_2$  ( $\sim 20^\circ$ ,  $\sim 15$  час.) и упаривании получают III, выход 5,4 г, т. пл.  $99-100^\circ$  (из 50%-ного сп.),  $[\alpha]_D^{25} -10^\circ$  (с 4; абс. хлф.). Строение III доказано его синтезом из пентаацетил-D-галактозилхлорида и диазоэтана. Оксим III, т. пл.  $151-152^\circ$  (из эф.-петр. эф.),  $[\alpha]_D^{25} +23^\circ$  (с 2,6; абс. хлф.). Из II аналогично получают 4,5 г IV, т. пл.  $90-91^\circ$  (из 50%-ного сп.),  $[\alpha]_D^{25} +11,5^\circ$  (с 3,7; абс. хлф.). Строение IV также доказано встречным синтезом аналогично III. Из 20 г II в смеси 80 мл  $\text{CHCl}_3$  и 20 мл  $\text{CH}_3\text{OH}$  ( $0-5^\circ$ ) с 460 мл



2,5 М эфирного р-ра  $\text{CH}_2\text{N}_2$  ( $\sim 20^\circ$ , 40 час.) получили V, выход 4,6 г, т. пл.  $91-92^\circ$  (из ацетона-эф.-петр. эф.),  $[\alpha]_D^{20} +7^\circ$  (с 3,9; хлф.). Приведены УФ-спектры III и IV; рентгеновские спектры III, IV, V. А. Лютенберг 57536. Действие тетраацетата свинца на 2-( $\alpha$ -D-галактопиранозил)-D-глюкозу, приготовленную из умбеллиферозы. Викстрем (L'action du tétraacétate de plomb sur l' $\alpha$ -D-galactopyranosyl-2-D-glucose, préparé à partir de l'umbelliférose. Wickström Alf), Acta chem. scand., 1957, 11, № 9, 1473-1476 (франц.)

Частичным гидролизом умбеллиферозы [2-( $\alpha$ -D-галактопиранозил)- $\alpha$ -D-глюкопиранозил- $\beta$ -D-фруктофуранозид] (I) получен восстанавливающий дисахарид, 2-( $\alpha$ -D-галактопиранозил)-D-глюкоза (II), имеющий связь (1 $\rightarrow$ 2). Изучена р-ция между тетраацетатом свинца (III) и II. Согласно Перлину (см. РЖХим, 1957, 1009, 71722), в присутствии катализатора ( $\text{CH}_3\text{COOK}$ ) III окисляет сахара, O-замещ. при C<sub>(2)</sub>, с образованием их линейной формы и выделением молекулы  $\text{CH}_2\text{O}$ ; в отсутствие катализатора и при  $\sim 20^\circ$  эти сахара устойчивы по отношению к III в первые 30 мин. контакта. Эта устойчивость, а также выделение 1 моля  $\text{CH}_2\text{O}$  во время каталитич. р-ции отличают дисахариды (1 $\rightarrow$ 2) от всех других восстанавливающих дисахаридов. Окисление II без катализатора проходит медленнее по сравнению с окислением 4- $\beta$ -D-галактопиранозил)-D-глюкозы (лактозы) (IV). Результаты каталитич. окисления II не совпадают с данными Перлина, так как при окислении образуется только 0,55 моля  $\text{CH}_2\text{O}$  (через 5 час.). Кол-во потребленного III и выделившегося  $\text{CO}_2$  соответствует кол-ву  $\text{CH}_2\text{O}$ . Эти результаты можно объяснить тем, что циклич. полуацеталь, образующийся из исследуемого дисахариды, не так легко раскрывается во время окисления III, как цикл 2-O-метил-D-глюкозы. Дана схема окисления II при помощи III. II получен нагреванием ( $100^\circ$ ) 0,8 г I в 70 мл 0,01 н.  $\text{H}_2\text{SO}_4$  до полного отщепления фруктозы (2-3 часа, контроль хроматографией на бумаге). Гидролизат нейтрализуют  $\text{BaCO}_3$ , дисахарид выделяют и очищают при помощи угольно-целитовой колонки (Whistler R. L. и др., J. Amer. Chem. Soc., 1950, 72, 677), выход 0,30 г, т. пл.  $118-120^\circ$ ,  $[\alpha]_D^{20} +145^\circ$  (с 2; вода), не дает озона. Окисление II производилось по Перлину.  $\text{CH}_2\text{O}$  определен фотометрически (Alexander B. и др., J. Biol. Chem., 1945, 160, 51), а в некоторых опытах при помощи димедона. Л. Михайлова

57537. Окисление глюкозидов. V. Окисление 6-тритил- $\alpha$ -D-метилглюкопиранозиды и 6-тритил- $\beta$ -D-метилглюкопиранозиды хромовым ангидридом. Теандер (The oxidation of glycosides. V. Oxidation of methyl 6-O-trityl- $\alpha$ -D-glucopyranoside and methyl 6-O-trityl- $\beta$ -D-glucopyranoside with chromium trioxide. Theander Olof), Acta chem. scand., 1957, 11, № 9, 1557-1564 (англ.)

При окислении  $\alpha$ - и  $\beta$ -метилглюкозидов 6-тритил-D-глюкопиранозиды ( $\alpha$ -I,  $\beta$ -I)  $\text{CrO}_3$  в ацетоне образуется после детритилирования смесь 2-оксо-(II), 3-оксо-(III) и 4-оксометилглюкозидов (IV) соответственно  $\alpha$ - и  $\beta$ -ряда. Для доказательства строения II-IV восстанавливали скелетным Ni и гидролизовали. Во всех случаях выделена глюкоза и из II манноза, из III аллоза, из IV галактоза. Растворили 65,0 г  $\beta$ -I в 800 мл ацетона, прилили при  $5^\circ$  р-р 22,5 г  $\text{CrO}_3$  в 800 мл ацетона, выдержали при  $\sim 20^\circ$  30 мин., профильтровали, сконцентрировали в вакууме и обработали 6 н.  $\text{HCl}$  в спирте. После удаления  $\text{Cl}^-$  р-р упарили и отделили  $(\text{C}_6\text{H}_5)_3\text{COH}$ . Остаток растворили в воде и пропустили через катионит и анионит, затем фракционировали на угольно-селитовой колонке. Выделены: 0,5%  $\beta$ -II, т. пл.  $120-121^\circ$  (испр.),  $[\alpha]_D^{20} -47^\circ$  (с 2; вода); 4,7%  $\beta$ -III, т. пл.  $129,5-131^\circ$ ,  $[\alpha]_D^{20} -62^\circ$  (с 2; вода); кро-

ме 0,4%  $\beta$ -IV, в смеси найдены 0,4% 6-оксо- $\beta$ -D-метилглюкопиранозиды и 4,6-диоксо- $\beta$ -D-метилглюкопиранозид. Аналогично окислили  $\alpha$ -I и выделили 0,3%  $\alpha$ -II, 2,0%  $\alpha$ -III, аморфный,  $[\alpha]_D^{20} +84^\circ$  (с 2; вода), 0,4%  $\alpha$ -IV. Сообщение IV см. РЖХим, 1956, 19340.

А. Юренич

57538. Получение N-глюкозидов *n*-аминобензойной, сульфаниловой кислот и их производных. Разумовская Е. И., Научн. работы студ. Моск. фармацевт. ин-та, 1957, вып. 1, 17-24

При сравнении каталитич. активности  $\text{HCl}$ -к-ты (I),  $\text{NH}_4\text{Cl}$  и лед.  $\text{CH}_3\text{COOH}$  (II) в синтезе различных N-глюкозидов в водно-спирт. среде (при кипячении) установлено, что глюкозид *n*-аминобензойной к-ты получается с наилучшим выходом (80,5%) в отсутствие катализатора, глюкозид анестезина с II (выход 81%), глюкозид сульфаниламида с I (выход 88,9%). Из *n*-ацетиламинобензолсульфохлорида и спирта при добавлении 25%-ного  $\text{NaOH}$  в некотором избытке при  $10-15^\circ$  синтезирован этиловый эфир N-ацетиламинобензолсульфохлорида, выход 56,7%, т. пл.  $114-115^\circ$ . При дезацетилировании 2 н.  $\text{HCl}$  (к-та) с нагреванием получают хлоргидрат этилового эфира сульфаниловой к-ты, выход 80%. Отмечается лучшая растворимость N-глюкозидов по сравнению с агликонами (для анестезина увеличивается с введением глюкозного остатка в 8 раз).

В. Зеленкова

57539. О метилировании производных N-ацетилглюкозамина. Кун, Бер (Zur Methylierung von N-Acetylglucosamin-Derivaten. Kuhn Richard, Baer Hans Helmut), Liebigs Ann. Chem., 1958, 611, № 1-3, 236-241 (нем.)

Для метилирования производных N-ацетилглюкозамина вместо  $\text{Ag}_2\text{O}$  использована  $\text{BaO}$  и в качестве растворителя диметилформамид (I), что позволяет сразу получать полностью метилированным продукт. 5 г N-ацетил- $\beta$ -этил-D-глюкозамина, 50 мл I, 15 мл  $\text{CH}_3\text{J}$  и 18,4 г  $\text{BaO}$  энергично перемешивают 7,5 час, наружным охлаждением поддерживают т-ру не выше  $40-45^\circ$ , извлекают  $\text{CHCl}_3$ ; получают 82% 3,4,6-триметил-N-ацетил- $\beta$ -этил-N-глюкозамина, т. пл.  $190-191^\circ$  (из этилацетата),  $[\alpha]_D^{20} +5,9^\circ$  (или  $+5,6^\circ$ ) (с 2, хлф.),  $[\alpha]_D^{20} -16,7^\circ$  (с 2,  $\text{CH}_3\text{OH}$ ). Выход не понижается, если р-цию вести без охлаждения или с влажным I. Аналогично из N-ацетиллактозамина (II) получено 90% октаметил-N-ацетиллактозамина [1,3,5,6-тетраметил-2-дезоксид-2-ацетамин-4-(2,3,4,6-тетраметил-D-галактопиранозил)-D-сорбита], т. кип.  $205-210^\circ/0,001$  мм,  $[\alpha]_D^{20} -18,6^\circ$  (с 1,4, хлф.),  $n_D^{20}$  1,4672; из N-ацетил-4,6-бензилиден- $\alpha$ -бензил-D-глюкозамина (III) - 86% N-ацетил-3-метил-4,6-бензилиден- $\alpha$ -бензил-D-глюкозамина, т. пл.  $273^\circ$  (из  $\text{C}_6\text{H}_5\text{N}$  и толуола),  $[\alpha]_D^{20} +96^\circ$  (с 1,  $\text{C}_6\text{H}_5\text{N}$ ). Строение продуктов метилирования подтверждено ИК-спектрами. Охарактеризованы, кроме того, следующие в-ва. II получен гидрированием  $\text{KBH}_4$  N-ацетиллактозамина, аморфный порошок, пересаживается из  $\text{CH}_3\text{OH}$ -эфира. N-Ацетил- $\alpha$ -бензил-D-глюкозаминид (IV) получен обычным способом (0,5%  $\text{HCl}$ , кипячение 30 мин.), осажден эфиром, выход 43%, т. пл.  $183-184^\circ$  (из сп.),  $[\alpha]_D^{20} +168,5^\circ$  (с 1, вода). III получен из IV, выход 52-64%, т. пл. (разл.)  $262^\circ$  (из  $\text{C}_6\text{H}_5\text{N}$  + вода),  $[\alpha]_D^{20} +114^\circ$  (с 1,1,  $\text{C}_6\text{H}_5\text{N}$ ). N-Ацетил-3-бензоил-4,6-бензилиден- $\alpha$ -бензил-D-глюкозаминид, т. пл.  $218-220^\circ$  (из бzl.),  $[\alpha]_D^{20} +44^\circ$  (с 1,  $\text{C}_6\text{H}_5\text{N}$ ). N-Ацетил-3-бензоил- $\alpha$ -бензил-D-глюкозаминид (V), т. пл.  $95-97^\circ$  (из бzl.),  $[\alpha]_D^{20} +106^\circ$  (с 1,  $\text{C}_6\text{H}_5\text{N}$ ). Описано метилирование V посредством  $\text{CH}_3\text{J}$  +  $\text{Ag}_2\text{O}$  в среде I: из 3 г V получено 0,95 г N-ацетил-3,4,6-триметил- $\alpha$ -бензил-D-глюкозамина, т. кип.  $160-180^\circ$  (т. бани)/ $5 \cdot 10^{-3}$  мм, т. пл.  $151-152^\circ$  (эф. +  $\text{CH}_3\text{OH}$ , 4:1),  $[\alpha]_D^{20} +148^\circ$  (с 0,5 или 2, хлф.). В. Венклер

57540. О реакциях D-глюкозамина. VII. Превращение производных 1-фтор-N-тозил-D-глюкозамина и производных 1-фтор-N-метил-N-тозил-D-глюкозамина. Михальс, Михаэлис (Über die Reaktionen des D-Glucosamins. VII. Umsetzungen der 1-Fluor-N-tosyl-D-glucosamin-Derivate und der 1-Fluor-N-methyl-N-tosyl-D-glucosamin-Derivate. Michael Fritz, Michaelis Eberhard), Chem. Ber., 1958, 91, № 1, 188—194 (нем.).

К р-ру 21,5 г хлоргидрата D-глюкозамина в 100 мл 1 н. NaOH прибавляют 100 мл 10%-ного р-ра п-тозил-хлорида (I) в ацетоне, перемешивают и после образования гомогенной смеси прибавляют еще 50 мл 1 н. NaOH и 50 мл р-ра I, а затем еще 2 раза по 25 мл того и другого, р-р сгущают в вакууме и выделяют N-тозил-α-D-глюкозамин, выход 75—78%, т. пл. 160—165° (разл.),  $[\alpha]^{20}_D + 37^\circ$  (5 мин.)  $\rightarrow +28,8^\circ$  (10 час., с 1; CH<sub>3</sub>OH); 1,3,4,6-тетраацетил-N-тозил-α-D-глюкозамин (II), выход 80%, т. пл. 126—127° (из CH<sub>3</sub>OH),  $[\alpha]^{20}_D + 75 \pm 1^\circ$  (с 1; хлф.). 20 г II и 40 мл безводн. HF выдерживают 15 мин. при -10° и 15 мин. при 20°, разлагают льдом с CHCl<sub>3</sub>, экстракт промывают р-ром NaHCO<sub>3</sub>; обработкой CH<sub>3</sub>OH получают α-1-фтор-N-тозил-3,4,6-триацетил-D-глюкозамин (III), выход 80%, т. пл. 146—147°,  $[\alpha]^{20}_D + 66 \pm 0,5^\circ$  (с 1; хлф.); при обработке III р-ром CH<sub>3</sub>ONa в CH<sub>3</sub>OH с выходом 95% образуется α-1-фтор-N-тозил-D-глюкозамин (IV), т. пл. 136° (разл.),  $[\alpha]^{20}_D + 55,5^\circ$  (с 1; CH<sub>3</sub>OH). Р-р 9 г IV в 10 мл абс. CH<sub>3</sub>OH с 75 мл 2 н. CH<sub>3</sub>ONa кипятят 1 час, нейтрализуют HCl, выпаривают в вакууме и выделяют 2-амино-2-дезоксид-N-тозил-D-глюкозан-α (1,5) β (1,6) (V), выход 60% (с 1 н. CH<sub>3</sub>ONa 42%), т. пл. 194° (из воды),  $[\alpha]^{20}_D - 44 \pm 0,5^\circ$  (с 1; CH<sub>3</sub>OH), идентичен с известным продуктом (РЖХим, 1957, 26935). Маточный р-р выпаривают многократно с C<sub>6</sub>H<sub>6</sub> и ацетоном в вакууме, ацетируют как обычно, выход ацетата 2,9 г, т. пл. 146° (из CH<sub>3</sub>OH),  $[\alpha]^{20}_D - 19^\circ$  (с 1; хлф.); ацетат омыляют CH<sub>3</sub>ONa + CH<sub>3</sub>OH (~20°) и выделяют из этилацетата β-метил-N-тозил-D-глюкозамин, выход 12% (на IV), т. пл. 159°,  $[\alpha]^{20}_D - 53,5^\circ$  (с 1; CH<sub>3</sub>OH). II с HBr и CH<sub>3</sub>COOH превращают в α-1-бром-N-тозил-3,4,6-триацетил-D-глюкозамин, т. пл. 148° (разл.),  $[\alpha]^{20}_D + 136^\circ$  (хлф.), и далее с AgF в абс. CH<sub>3</sub>CN в β-1-фтор-N-тозил-3,4,6-триацетил-D-глюкозамин (VI), выход 77%, т. пл. 148°,  $[\alpha]^{20}_D + 3^\circ$  (с 1; хлф.), который с CH<sub>3</sub>N<sub>2</sub> в CH<sub>3</sub>OH (при каталитич. действии металлического платины) образует β-1-фтор-N-метил-N-тозил-3,4,6-триацетил-D-глюкозамин (VII), выход 58%, т. пл. 147—148° (из CH<sub>3</sub>OH),  $[\alpha]^{20}_D + 6,9^\circ$  (с 1; хлф.); при смешении с VI (1:1), т. пл. 158—159°, вследствие образования мол. соединения в иных соотношениях образуются смешанные кристаллы (приведена кривая: состав — 1. мл. и т. спекания). VII омыляют CH<sub>3</sub>ONa и CH<sub>3</sub>OH до β-1-фтор-N-метил-N-тозил-D-глюкозамина, выход 96%, т. пл. 148—150° (разл.; из CH<sub>3</sub>OH),  $[\alpha]^{20}_D - 6,2^\circ$  (с 1; CH<sub>3</sub>OH). Из р-ра 5 г III в 100 мл CH<sub>3</sub>OH с CH<sub>3</sub>N<sub>2</sub> в эфире получают α-1-фтор-N-метил-N-тозил-3,4,6-триацетил-D-глюкозамин, выход 86%, т. пл. 117—118° (из CH<sub>3</sub>OH),  $[\alpha]^{20}_D + 62,8^\circ$  (с 1; хлф.), после омыления CH<sub>3</sub>ONa из смеси ацетон-C<sub>6</sub>H<sub>6</sub> (1:2) кристаллизуется α-1-фтор-N-метил-N-тозил-D-глюкозамин, выход 68%, т. пл. 83°,  $[\alpha]^{20}_D + 56^\circ$  (с 1; CH<sub>3</sub>OH). II с CH<sub>3</sub>N<sub>2</sub> с введением металлич. платины превращают в 1,3,4,6-тетраацетил-N-метил-N-тозил-α-D-глюкозамин, выход 68% (с CH<sub>3</sub>I + Ag<sub>2</sub>O 62%), т. пл. 119°,  $[\alpha]^{20}_D + 76,5^\circ$  (с 1; хлф.); образует мол. соединения и смешанные кристаллы с II (приведены кривые: состав, т-ра плавления и т-ра спекания). Из 2-амино-2-дезоксид-N-тозил-3,4-ди-ацетил-β-D-глюкозана, полученного (судя по схеме) ацетилированием V, получают с CH<sub>3</sub>N<sub>2</sub> 2-амино-2-дезоксид-N-метил-N-тозил-3,4-ди-ацетил-D-глюкозан-α (1,5) β (1,6), выход 73%, т. пл. 118° (из водн. CH<sub>3</sub>OH),

$[\alpha]^{20}_D - 80^\circ$  (с 1,4; хлф.). Сообщение VI см. РЖХим, 1958, 53981. В. Зеленкова

57541. Синтез N-глицил-D-рибофуранозиламинов. Баддлэй, Бьюкенен, Ходжес, Прескотт (Synthesis of the N-glycyl-D-ribofuranosylamines. Baddiley J., Buchanan J. G., Hodges R., Prescott J. F.), Proc. Chem. Soc., 1957, May, 148—149 (англ.).

Метод синтеза N-глицил-β-D-глюкозиламина применен для получения α- и β-N-глицил-D-рибофуранозиламинов (α-I и β-I). Действием NaN<sub>3</sub> на трибензоилрибозилхлорид в CH<sub>3</sub>CN получен 2,3,5-трибензоил-β-D-рибофуранозилазид (II), выход 76%. Каталитич. восстановление II дает неустойчивый амин; обработкой его этилкарбонатом бензилоксикарбонилглицина с последующей очисткой на Al<sub>2</sub>O<sub>3</sub> и дебензоилированием получают N-бензилоксикарбонаты I — аномер, т. пл. 169—170°,  $[\alpha]^{20}_D + 63,3^\circ$  (C<sub>6</sub>H<sub>5</sub>N), и из маточного р-ра моногидрат β-аномера, т. пл. 98—101°,  $[\alpha]^{20}_D - 31,9^\circ$  (C<sub>6</sub>H<sub>5</sub>N). Гидрогенолизом последних получены α-I,  $[\alpha]^{20}_D + 88,9^\circ$  (вода), и β-I,  $[\alpha]^{20}_D - 49,7^\circ$  (вода).

Р. Тонштейн

57542. Полиоксиналктилазолы. II. Каньяс-Родригес (Polihidroxiaktiltiazoles. II. Cañas Rodríguez A.), An. Real soc. esp. fis. y quim., 1957, B53, № 11, 705—708 (исп.; рез. англ.).

4,83 г пентаацетил-1-бромкетоглюкогептулозы и 0,76 г тиомочевины в 10 мл спирта кипятят 30—45 мин., получают 2-амино-4-(D-глюко-пентаацетоксипентил)-тиазол (I), выход 4,5 г, т. пл. 175—176° (из сп.),  $[\alpha]^{20}_D + 130,8^\circ$  (с 1,146; CH<sub>3</sub>OH). I образуется также при 2-часовом кипячении спирт. р-ра 4,5 г пентаацетил-1-диазо-1-дезоксикето-D-глюко-гептулозы и 0,8 г тиомочевины. Смесь р-ра 2,3 г I в 50 мл CH<sub>3</sub>OH и 4 мл 0,4 н. Ba(OH)<sub>2</sub> в CH<sub>3</sub>OH выдерживают 24 часа на холоду, выделяют 1,05 г 2-амино-4-D-глюко-пентаацетоксипентил-тиазола (II), т. пл. 153—154° (из CH<sub>3</sub>OH),  $[\alpha]^{20}_D + 22^\circ$  (с 1,026; вода). Строение I и II подтверждено их УФ- и ИК-спектрами (приведены кривые), а также окислением II посредством NaJO<sub>4</sub>. Сообщение I см. РЖХим, 1957, 15418. С. Завьялов

57543. Исследование глюкофруктозанов топинамбура (земляной груши). Стрепков С. М. (Untersuchungen über Glucofructosane der Topinambur. Strepkov Sergej Martinowitsch), Liebigs Ann. Chem., 1958, 611, № 1—3, 259—263 (нем.).

Из центральных частей крупных осенних клубней (K) и из столонов (СТ) *Helianthus tuberosus* выделены глюкофруктозаны. Из СТ выделены глюкофруктозаны, построенные из 24 (I), из K выделены глюкофруктозаны, построенные из 26 (II) остатков гексоз. Исследование продуктов кислотного гидролиза, исчерпывающее прометилованных I и II, привело к одним и тем же в-вам: 1,3,4,6-тетраметил-(III), 3,4,6-триметил-(IV)-фруктозе, 2,3,4,6-тетраметил-(V), 2,3,6-триметил-(VI) глюкозе, в отношении III:IV:V:VI = 1:21:1:1 для I и 1:23:1:1 для II. Перечислены последовательно для I, II их свойства, свойства их производных, продуктов расщепления. Уд. вращение в воде: -34°, -35,2°. Время в минутах 50% гидролитич. расщепления (1 н. H<sub>2</sub>SO<sub>4</sub>, 20°) 330, 348;  $[\alpha]^{20}_D$  в CHCl<sub>3</sub> для ацетильного производного: -18, -20,4°;  $[\alpha]^{20}_D$  в CHCl<sub>3</sub> для перметилированного производного: -47,3, -49°. Выходы (в %): III 4,3, 3,8; IV 87,2, 88,5; V 4,3, 3,9; VI 4,2, 3,8. I и II не восстанавливают р-р Фелинга. На основании полученных данных автор считает, что I и II представляют собою цепи, построенные из остатков фруктозы (VII) и глюкозы (VIII). На одном конце цепи расположен остаток VII, связанный с соседним остатком фруктозидной связью. На другом конце молекулы расположен остаток VIII, связанный глюкозидной связью. Цепь построена из



остатков VII, связанных в положениях 1,2. Внутри цепи имеется молекула VIII, связанная с одной стороны глюкозидной связью с C<sub>4</sub> соседней молекулы VII, с другой — фруктозидной связью другой соседней молекулы VII со своим C<sub>4</sub>. Выделение I и II проводили фракционированным извлечением растительного материала спиртом различных концентраций. Белки осаждали ацетатом свинца, избыток Pb-иона удаляли осаждением Na<sub>2</sub>HPO<sub>4</sub>. Очистку проводили растворением в воде и осаждением спиртом. Гидролиз метилированного продукта проводился кипячением с 1%-ным спирт. р-ром (COOH)<sub>2</sub>. Разделение проводили хроматографией на силикагеле.

Е. Алексеева  
57544. 2-α-L-Фукопиранозил-D-галактоза и 2-α-L-фукопиранозил-D-галактоза. О действии щелочи на олигосахариды. Кун, Бер, Гауэ (2-α-L-Fucopyranosyl-D-galaktose und 2-α-L-Fucopyranosyl-D-talose. Zur Einwirkung von Alkali auf Oligosaccharide. Kuhn Richard, Baer Hans Helmut, Gauhe Adeline), Liebigs Ann. Chem., 1958, 611, № 1—3, 242—249 (нем.)

Исследованы продукты, образующиеся при нагревании олигосахаридов, выделенных из женского молока, с 0,05 н. Na<sub>2</sub>CO<sub>3</sub> (20 мин. на водяной бане, р-р Na<sub>2</sub>CO<sub>3</sub> предварительно доводили до кипения). Из трисахарида фруктозидолактозы получено 61% 2-α-L-фукопиранозил-D-галактозы (ФГ) и 14,6% 2-α-L-фукопиранозил-D-галактозы (ФТ) наряду с небольшими кол-вами других в-в. Аналогично в тех же соотношениях (~60% и ~20%) ФГ и ФТ образуются из тетрасахарида лактодифукотетраозы, пентасахарида лакто-N-фукопентаозы-I и гексасахарида лакто-N-дифукотексаозы. Тем самым доказано, что 1,2-глюкозидная связь весьма устойчива к действию щелочи: она не разрушается в условиях р-ции и, кроме того, возможна перегруппировка ФГ ≠ ФТ без отщепления остатка фукозы. Последнее подтверждено на опыте: из ФГ и ФТ с Na<sub>2</sub>CO<sub>3</sub> получается одинаковая смесь ~2/3 ФГ и ~1/3 ФТ. Принимается, что перегруппировка идет через общую енольную форму C=O—Fuc (где Fuc — остаток фукозы; далее Gal — галактоза, Gl — глюкоза, Ac — ацетил). Полученные данные позволяют установить строение указанного гексасахарида как α-L-Fuc-(1→2)-β-D-Gal-(1→3)-[α-4-Fuc-(1→4)]-β-N-AcGl-(1→3)-β-D-Gal-(1→4)-D-Gl и пентасахарида лакто-N-фукопентаозы-II как β-D-Gal-(1→3)-[α-L-Fuc-(1→4)]-β-N-AcGl-(1→3)-β-D-Gal-(1→4)-D-Gl, где NAcGl представляет N-ацетилглюкозамин. ФГ — аморфный порошок [α]<sub>D</sub><sup>20</sup> —56,5° (с 1, вода), бензилфенилгидразон, т. пл. 164—166° (из 90%-ного сп.). ФТ — аморфный порошок [α]<sub>D</sub><sup>20</sup> —120° (с 1,03; вода). Гидролиз на 50% при действии 1 н. H<sub>2</sub>SO<sub>4</sub> (70°) происходит для ФГ и ФТ за 27 и 22 мин. соответственно. Значения R<sub>лакт</sub> для ФГ 1,49, для ФТ 1,185 (пиридин-этил-ацетат-вода, 1:2:2, верхний слой). Строение ФГ доказано восстановлением KBH<sub>4</sub> и последующим гидролизом: обнаружена фукоза.

В. Векслер  
57545. О фенолгликозидах. Сообщение IX. Синтез различных о- и п-оксифенилалкил-β-D-глюкопиранозидов и их расщепляемость эмульсионным миндалем. Вагнер (Über die Synthese verschiedener o- und p-Hydroxyphenylalkyl-β-D-glucopyranoside und ihre Spaltbarkeit durch Mandel-Emulsion. 9. Mitteilung. Über Phenolglykoside. Wagner Günther), Arch. Pharmazie, 1957, 290/62, № 12, 625—637 (нем.)

С целью сравнения скорости расщепления эмульсионным миндалем синтезированы ряд о-, п-, м-оксифенилалкилкетон-β-D-глюкопиранозидов. Ферментативному расщеплению подвергали 1%-ные р-ры указанных гликозидов и для сравнения β-D-глюкозидов трех афиров салициловой к-ты в присутствии фосфатного буфера (рН 5,0) (РЖХим, 1957, 74522). Для определения ско-

рости расщепления (СР) сначала определяли время t (в мин.), в течение которого расщеплению, поддается 50% субстрата; на основании t вычисляли СР = 1/tf, где f — кол-во фермента в 50 мл р-ра. Для орто-соединений СР падает с увеличением длины цепи или с ее разветвлением. Для пара-соединений величина СР мало различается между собой, СР для мета-соединений занимает промежуточное положение между пара- и орто-, но ближе к орто-соединениям. Перечисляются названия β-D-глюкопиранозидов (Г), t, СР: о-CH<sub>3</sub>COC<sub>6</sub>H<sub>4</sub>OG (о-I), 13, 0,77; о-C<sub>2</sub>H<sub>5</sub>COC<sub>6</sub>H<sub>4</sub>OG (о-II), 45, 0,22; о-н-C<sub>3</sub>H<sub>7</sub>COC<sub>6</sub>H<sub>4</sub>OG (о-III), 58, 0,17; о-из-C<sub>4</sub>H<sub>9</sub>COC<sub>6</sub>H<sub>4</sub>OG (о-IV), 137, 0,073; о-CH<sub>3</sub>OCOC<sub>6</sub>H<sub>4</sub>OG (о-V), 42, 0,24; о-C<sub>2</sub>H<sub>5</sub>OCOC<sub>6</sub>H<sub>4</sub>OG, 152, 0,065; о-из-C<sub>3</sub>H<sub>7</sub>OCOC<sub>6</sub>H<sub>4</sub>OG, 350, 0,029; м-I, 21, 0,48; п-I, 69, 0,14; п-II, 57, 0,18; п-III, 48, 0,21; п-IV, 55, 0,18; п-V, 50, 0,20. В ступке тщательно растирают 2 г о-оксипропиофенона, 10 г Ag<sub>2</sub>O, 18 г α-ацетобромглюкозы (VI), продолжают растирать, добавляют 20 мл хинолина, выдерживают 1 час в вакуум-экситаторе, затвердевшую массу разбавляют 80 мл лед. CH<sub>3</sub>COOH, взбалтывают, центрифугируют, выливают в 400 мл воды (0°). Выход тетраацетата о-II 40—50%, т. пл. 167—168°, [α]<sub>D</sub><sup>20</sup> —41° (хлф.). Тетраацетат о-II омыляют CH<sub>3</sub>ONa в абс. CH<sub>3</sub>OH, прибавляют немного эфира, много бензина, выделившуюся маслянистую жидкость помещают в вакуум-экситатор, аморфный порошок растворяют в малом кол-ве воды, очищают углем, упаривают; кристаллич. массу отжимают на пористой тарелке; т. пл. о-II 119—121° (из этилацетата), [α]<sub>D</sub><sup>20</sup> —50,3° (вода). В этих условиях получены другие гликозиды о-оксифенилалкилкетон-ов. К р-ру 5 г оксиацетофенона и 2,1 г КОН в 14 мл воды прибавляют р-р 15,1 г VI в 45 мл ацетона; через 12 час. удаляют ацетон, извлекают C<sub>6</sub>H<sub>6</sub> (2 × 100 мл), экстракт промывают 10%-ным р-ром КОН (3 × 50 мл), водой, высушивают, удаляют р-р-тель в вакууме, прибавляют CH<sub>3</sub>OH; выход тетраацетата м-I 15—20%, т. пл. 126—127° (из CH<sub>3</sub>OH), [α]<sub>D</sub><sup>20</sup> —33,4° (хлф.). После омыления получают м-I, т. пл. 177—178,5° (из воды), [α]<sub>D</sub><sup>20</sup> —85,3° (вода). В тех же условиях получают гликозиды п-оксифенилалкилкетон-ов. Перечисляются тетраацетат (ТА) гликозиды, выход в %, т. пл. в °C (из CH<sub>3</sub>OH), [α]<sub>D</sub><sup>20</sup> в CHCl<sub>3</sub>, т-ра в °C: ТА: о-III, 30—40, 161—163, —43,6, 23; ТА о-IV, 25—35, 152—156, —43,8, 23; ТА п-II, 40—50, 157—158, —27,8, 24; ТА п-III, 20—30, 155, —27,1, 24; ТА п-IV, 15—20, 167—169, —25,2, 23. Перечисляются гликозиды, т. пл. в °C (из воды), [α]<sub>D</sub><sup>20</sup> в воде, т-ра в °C: о-III, аморфный; о-IV, аморфный; п-II, 173—175, —84,4, 15; п-III, 163—164, —84,7, 22; п-IV, аморфный. Для разделения синтетич. гликозидов хроматографией на бумаге применяли смесь н-C<sub>4</sub>H<sub>9</sub>ОН, ксилол, лед. CH<sub>3</sub>COOH, вода [4:6:2:8 (А), 6:4:2:8 (Б)], проявитель — реактив Миллона, нагревание 90°. Орто-соединения давали желтые, пара-соединения — красные пятна. Желтые пятна мета-соединений при нагревании превращаются в красные. Перечисляются гликозиды, R<sub>f</sub> для А, R<sub>f</sub> для Б: о-I, 0,26, 0,54; о-II, 0,50, 0,74; о-III, 0,69, 0,83; о-IV, 0,82, 0,92; м-I, 0,19, 0,42; п-I, 0,17, 0,41; п-II, 0,38, 0,66; п-III, 0,59, 0,79; п-IV, 0,71, 0,83. Определение расщепления Г проводили поляриметрич. методом, а для орто-производных также колориметрич. путем с р-ром солей Fe<sup>3+</sup>. Сообщение VIII см. РЖХим, 1958, 32574.

Е. Алексеева  
57546. Исследование циказина, нового токсического гликозида из *Cycas revoluta* Thunb. Часть VI. Поляриграфия циказина. Ниседа, Кобаяси, Нагахана (Studies on cycasin, a new toxic glycoside of *Cycas revoluta* Thunb. Part VI. Polarography of cycasin. Nishida Kotaro, Kobayashi Akira, Nagahama Tomonori), Bull. Agric. Chem. Soc. Japan, 1956, 20, № 3, 122—126 (англ.)

Изучено полярнографич. поведение циказина (I) в буферных р-рах с pH 1—13. Обнаруженная восстановительная волна указывает на восстановление алифатич. азоксигруппы в I. В интервале pH 4—7 полярнограммы 2-ступенчатые, что может быть объяснено двумя механизмами р-дий на электроде. Лимитирующий ток при pH 1 и 7 определяется диффузионным процессом. Высота волны линейно зависит от концентрации I, что дает возможность количественно определять содержание I в семенах саговой пальмы. Определение при pH 1 дают лучшие результаты, чем при pH 7, так как в этом случае меньше мешают загрязнения. Часть V см. РЖХимБх, 1958, 18964. А. Лютенберг

57547. Лактодифукотетраоза женского молока. К вопросу о структурной специфичности «фактора Льюиса» в группах крови. Кун, Гауэ (Über die Lactodifuko-tetraose der Frauenmilch. Ein Beitrag zur Strukturspezifität der Blutgruppensubstanz Leb. Kuhn Richard, Gauhe Adeline), Liebig's Ann. Chem., 1958, 611, № 1—3, 249—253 (нем.)

Выяснено строение олигосахарида (R<sub>лактоза</sub> 0,43), выделенного из женского молока. Установлено, что он представляет собой дифукозид лактозы (лактоза I), лактодифукотетраозу (II). Один остаток фукозы (III) связан с OH при C<sub>(2)</sub> остатка галактозы (IV), второй остаток III связан с OH при C<sub>(3)</sub> остатка глюкозы (V). Сильное левое вращение II, [α]<sub>D</sub><sup>20</sup> —106° (вода), показывает, что оба остатка III связаны с I α-гликозидной связью. Для доказательства строения II подвергнута кислотному гидролизу (5 мг II, 1 мл 1 н. H<sub>2</sub>SO<sub>4</sub>, 3 часа, 98°, закрытая ампула), в результате которого образовались V, IV и III в отношении 1:1:2. Мол. в. II (653) определен окислением NaOJ. Продукт окисления был подвергнут кислотному гидролизу, в гидролизате не была обнаружена V, восстановительные свойства гидролизата обусловлены наличием IV и III. Окислением II CrO<sub>3</sub> получены 2 моля CH<sub>3</sub>COOH (из III). Место связи III с I установлено путем нагревания II с 0,05 н. Na<sub>2</sub>CO<sub>3</sub>, в результате чего с хорошим выходом образовалась 2-α-L-фукопиранозил-D-галактоза, идентифицированная по т-ре плавления бензилфенилгидразона (165—166°). Частичный кислотный гидролиз II (0,105 г II, 20 мл 0,1 н. (COOH)<sub>2</sub>, 10 мин., 100°, нейтр-ция ионитом) привел к 2'-α-L-фукопиранозиллактозе (VI) (R<sub>лакт</sub> 0,73), I и большому количеству III. Положение второго остатка III установлено путем окисления II NaOJ, с последующим кислотным гидролизом, в результате которого в качестве единственного сахара выделена арабиноза, что может иметь место только в том случае, если III связана с остатком V при C<sub>(3)</sub>. В продуктах частичного гидролиза II хроматографией на бумаге найдены кроме VI (R<sub>ф</sub> 0,55), второй трисахарид (R<sub>ф</sub> 0,50), очевидно, 3-фукозилдолактоза (VII). Выказано предположение, что соединения VI и VII идентичны с ранее выделенными в-вами неясного строения (РЖХимБх, 1956, 23576). Серологич. тест II при разведении 1:800 обнаруживает у него свойства «фактора Льюиса» (Le<sup>a</sup>). Однако следует иметь в виду, что высокомолекулярный Leb не содержит в своем составе V и в 10 раз активнее, чем II. Е. Алексеева

57548. Щелочной распад окисленных периодатом полисахаридов. О'Мира, Ричардс (Alkaline degradation of periodateoxidized polysaccharides. O'Meara D., Richard G. N.), Chemistry and Industry, 1958, № 2, 40 (англ.)

Изучен распад в-в, моделирующих целлюлозу (Ц), окисленную NaOJ, напр. ONCSH(OR')CH(CH<sub>2</sub>OR)-OCH(ONCSH)CHO (I), известковой водой при 25° в отсутствие O<sub>2</sub>. В I происходит расщепление кислородной связи с образованием производного глиоксала, которое, отщепляя CH<sub>3</sub>OH, превращается в гликоле-

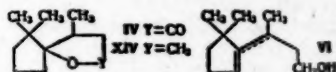
вую к-ту. Второй осколок молекулы I после расщепления также превращается и в случае R'=H образует производные α,γ-диоксимасляной к-ты. При R и R' = C<sub>6</sub>H<sub>5</sub>CH < выделено в-во C<sub>6</sub>H<sub>5</sub>CHOSCH<sub>2</sub>CH=C(CH<sub>3</sub>)O

с т. пл. 70—71°. Предполагается, что расщепление Ц, особенно на ранних стадиях, протекает аналогичным образом.

Г. Белоновская

57549. Циклизация 3,8-диметилнонадиен-2,7-овой кислоты. Десле, Фавр, Шинц (Cyclisation du dimethyl-3,8-nonadiène-2,7-oïque. Daesslé Cl., Favre H., Schinz H.), Helv. chim. acta, 1957, 40, № 7, 2278—2287 (франц.; рез. англ.)

Описаны получение 3,8-диметилнонадиен-2,7-овой к-ты (I), исходя из 4-метил-1-бромпентена-3 (II), и циклизация I в 1,1,3-триметил-Δ<sup>3</sup>-циклогептенокарбоную-2 к-ту (III) и главным образом бицикл. лактон (IV). При обработке IV LiAlH<sub>4</sub> образуется диол (V), обладающий третичной OH-группой, что доказано образованием из V непредельного спирта (VI). Для сравнения, исходя из 1,1,2-триметил-Δ<sup>3</sup>-2-оксиметилциклогексена (VII), получен 1,1,2-триметил-Δ<sup>3</sup>-(2-β-оксипропил)-циклогексен (VIII), оказавшийся отличным от VI; на этом основании авторы считают IV производным циклопентана. К р-ру CH<sub>3</sub>COCHN<sub>2</sub>COOC<sub>2</sub>H<sub>5</sub> (из 10 г Na, 160 мл спирта и 60 г CH<sub>3</sub>COCH<sub>2</sub>COOC<sub>2</sub>H<sub>5</sub>) прибавляют по каплям 90 г II, кипятят 48 час. и получают этиловый эфир (2-метилпентен-2-ил-5)-ацетоуксусной к-ты (IX), выход 60%, т. кип. 126°/12 мм, n<sub>D</sub><sup>20</sup> 1,4521, d<sub>4</sub><sup>20</sup> 0,9845. К р-ру 64 г IX в 245 мл спирта приливают р-р 115 г Ba(OH)<sub>2</sub>·8H<sub>2</sub>O в 850 мл воды, кипятят 24 часа, по охлаждению обрабатывают избытком разб. HCl, 1:1, экстрагируют эфиром и выделяют 7-метилоктен-6-он-2 (X), выход 83%, т. кип. 73—75°/11 мм; 2,4-динитрофенилгидразон, т. пл. 95° (из сл.). В р-р 35 г X и 44 г CH<sub>2</sub>BrCOOC<sub>2</sub>H<sub>5</sub> в 45 мл C<sub>6</sub>H<sub>6</sub> вносят 17 г Zn-стружки, активированной J<sub>2</sub>, кипятят 1 час и после обработки получают этиловый эфир 3,8-диметил-3-оксинонен-7-овой к-ты (XI), выход 60%, т. кип. 136—138°/11 мм. Смесь 33 г XI и 46 г (CH<sub>3</sub>CO)<sub>2</sub>O кипятят 6 час., по охлаждению обрабатывают водой, экстрагируют эфиром и получают ацетат XI (XIa), выход 33 г, т. кип. 145—147°/11 мм. 33 г XIa перегоняют при атмосферном давлении и получают этиловый эфир I (XII), выход 77%, т. кип. 123—125°/11 мм,



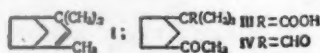
n<sub>D</sub><sup>20</sup> 1,4714, d<sub>4</sub><sup>20</sup> 0,9125. Смесь 24 г XII и 60 мл 10%-ного р-ра KOH в спирте кипятят 2 часа, отгоняют спирт, добавляют 30 мл воды, промывают эфиром, щел. р-р подкисляют разб. HCl, 1:1, экстрагируют эфиром и выделяют I, выход 19 г, т. кип. 116°/0,2 мм, УФ-спектр 220 мμ (lg ε 3,85; сл.). При обработке 0,6 г XII 200 мг LiAlH<sub>4</sub> в 5 мл эфира образуется 3,8-диметилнонадиен-2,7-ол-1, выход 0,5 г; аллофанат, т. пл. 168° (из CH<sub>3</sub>OH). При обработке 4 г I смесью 6 г 100%-ной HCOOH и 0,65 г конц. H<sub>2</sub>SO<sub>4</sub>, 12 час. при ~20° после обычной обработки и перегонки продукта получают к-ту, выход 1,3 г, т. кип. 105—120°/0,3 мм, и лактон, выход 1,2 г, т. кип. 135°/11 мм. Аналогичные результаты получают при проведении описанной выше циклизации при 50—60° в течение 1 часа. Смесь 8 г I, 13 г HCOOH и 1,3 г H<sub>2</sub>SO<sub>4</sub> нагревают 3 часа при 60—70°, через 12 час. при ~20° обрабатывают и получают лактон, 2,2 г, и смесь к-т: 0,9 г, т. кип. 105—110°/0,5 мм (кристаллизуется при стоянии), и 1,4 г, т. кип. 110—115°/0,5 мм (жидкая). 2,9 г частично кристаллизующейся к-ты из описанных выше опытов обрабатывают смесью эфир-петр. эфир и через несколько часов



при 0° собирают к-ту (XIII), выход 300 мг, т. пл. 80—105°. Смесь 350 мг XIII и 2 мл 10%-ной смеси (по объему) спирт-Н<sub>2</sub>SO<sub>4</sub> кипятят 3 часа, отгоняют спирт, обрабатывают содой, из кислой фракции получают III, выход 300 мг, т. пл. 105—107°. 2,3 г жидкой к-ты из описанных выше опытов обрабатывают 5 мл 10%-ного р-ра CH<sub>3</sub>OH-Н<sub>2</sub>SO<sub>4</sub>, отгоняют CH<sub>3</sub>OH, обрабатывают 3 мл воды, экстрагируют эфиром и выделяют смесь метиловых эфиров I и продуктов ее циклизации, выход 1,8 г, т. кип. 80—82°/0,4 мм,  $n_D^{20}$  1,4735,  $d_4^{20}$  0,9560, при встряхивании в атмосфере Н<sub>2</sub> в присутствии PtO<sub>2</sub> поглощает 1,5 моля Н<sub>2</sub>. При повторной перегонке лактона из описанных выше опытов выделяют IV, т. кип. 135°/11 мм,  $n_D^{20}$  1,4791,  $d_4^{20}$  1,0288. По данным ИК-спектра, IV является  $\gamma$ -лактоном. К 360 мг LiAlH<sub>4</sub> в 10 мл эфира прибавляют р-р 0,9 г IV в 3 мл эфира, кипятят 1 час, обрабатывают ледяной водой и 2 н. HCl, экстрагируют эфиром и получают V, выход 0,85 г, т. кип. 107°/0,3 мм, т. пл. 73—75° (из эф.-петр. эф.). 1,2 г IV обрабатывают LiAlH<sub>4</sub>, как описано выше, образующийся при обработке водой осадок растворяют в 2 н. H<sub>2</sub>SO<sub>4</sub> и после обычной обработки и разгонки продукта выделяют циклич. эфир (XIV), т. кип. 70—75°/11 мм, выход 0,6 г, и небольшое кол-во VI, т. кип. 105—107°/11 мм; аллофанат, т. пл. 153—154° (из водн. CH<sub>3</sub>OH). К р-ру 10 г PBz<sub>3</sub> в 15 мл эфира при 0—5° прибавляют р-р 10 г VII в смеси 15 мл эфира и 1,5 г C<sub>6</sub>H<sub>5</sub>N, кипятят 1 час, осадок промывают 2 раза эфиром и выделяют из эфирного р-ра 1,1,2-триметил-2-бромметилциклогексен-3 (XV), выход 10 г, т. кип. 94—97°/11 мм. К смеси 1,2 г Mg и 15 мл эфира приливают р-р 8 г XV в 15 мл эфира, кипятят 1 час, охлаждают до 0°, насыщают 2,5 часа сухим CO<sub>2</sub> и через 1 час обрабатывают водой и затем 2 н. HCl, экстрагируют эфиром и после подкисления выделяют 1,1,2-триметил-2-карбоксиметилциклогексен-3 (XVI), выход 1,1 г, т. кип. 105—108°/0,15 мм; бензилтиоурониевая соль, т. пл. 147° (из CH<sub>3</sub>OH). 1 г XVI метилируют при 0° при помощи CH<sub>3</sub>N<sub>3</sub>, получают метиловый эфир XVI (XVII), выход 0,9 г, т. кип. 72—75°/0,2 мм. Восстановление 0,5 г XVII при помощи 0,2 г LiAlH<sub>4</sub> в 5 мл эфира дает VIII, выход 0,4 г; аллофанат, т. пл. 196° (из CH<sub>3</sub>OH). Приведены данные об ИК-спектрах V, VI, XIV, XVII.

М. Бурмистрова  
57550. Изучение R-гомокамфенилона. VI. Продукты дегидратации метил-R-гомокамфенилона. Мацубара (Matsubara Yoshiharu), Нихон кагаку дзасси, J. Chem. Soc. Japan. Pure Chem. Sec., 1957, 78, № 7, 903—906 (японск.).

При действии 20%-ной H<sub>2</sub>SO<sub>4</sub> (кипячение 4 часа) или лед. CH<sub>3</sub>COOH (125—130°, 3 часа) 2,4,4-триметилбицикло-[1,2,3]-октанола-2 (метил-R-гомокамфенилон) (приведен ИК-спектр) дегидратируется с образованием 2,4,4-триметилбицикло-[1,2,3]-октена-2 (I), т. кип. 71,5°/15 мм,

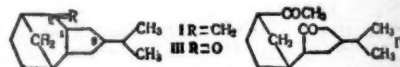


58°/8 мм,  $n_D^{25}$  1,4782,  $d_4^{25}$  0,8805. Строение I подтверждено ИК-спектром, окислением KMnO<sub>4</sub> с образованием 2,4,4-триметилбицикло-[1,2,3]-октандиола-2,3 (II), т. пл. 136,5—137,5° (из разб. сп.), и 1-ацетилциклопентан-( $\alpha$ -изомасляной)-3 к-ты (III), т. пл. 165,5—166° (из разб. сп.). Строение II подтверждено окислением посредством (CH<sub>3</sub>COO)<sub>2</sub>Pb в C<sub>6</sub>H<sub>6</sub> (кипячение) до 1-ацетил-4- $\alpha$ , $\alpha$ -диметил- $\alpha$ -формилметилциклопентана (IV), т. кип. 108°/2 мм,  $n_D^{25}$  1,4650,  $d_4^{25}$  0,9323; семикарбазон, т. пл. 194,5—196° (разл.). Окисление IV аммиачным р-ром AgOH привело к III. Дальнейшее окисление III посредством щел. KMnO<sub>4</sub> дало камфеновую

к-ту. Гидратация I по Бертраму — Вальбауму (лед. CH<sub>3</sub>COOH, 50%-ная H<sub>2</sub>SO<sub>4</sub>, 60°, 4 часа) дала смесь ацетатов 2,4,4-триметилбицикло-[1,2,3]-октанола-3 и 1,4,4-триметилбицикло-[1,2,3]-октанола-2, т. кип. 117,5—119°/15 мм,  $n_D^{25}$  1,4639,  $d_4^{25}$  0,9714,  $[\alpha]_D^{20}$  +63,25° (с 4,9; безводн. сп.), что подтверждено окислением до смеси спиртов, т. кип. 108°/15 мм,  $n_D^{25}$  1,4842,  $d_4^{25}$  0,9536,  $[\alpha]_D^{20}$  +53,22° (с 6,4; безводн. сп.), из которой получено два *n*-нитробензоата с т. пл. 135—137° и 95—95,5°. При окислении смеси спиртов CrO<sub>3</sub> в лед. CH<sub>3</sub>COOH (60°, 4 часа) получена смесь кетонов, т. кип. 96—98°/13 мм,  $n_D^{25}$  1,4730,  $d_4^{25}$  0,9568, из которой приготовлено два семикарбазона с т. пл. 201,5—203° и 213,5—215° и два оксима с т. пл. 112,5—114° и 165—166,5°. Сообщение V см. РЖХИМ, 1958, 14617.

Л. Яновская  
57551. Изучение состава сесквитерпеновой части эфирных масел Бельгийского Конго. Изучение строения трицикловетивена, выделенного из ветиверного масла Бельгийского Конго. Шюрдодгу, Конг, Тюллен (Contribution à l'étude des composés sesquiterpéniques des huiles essentielles du Congo belge. Etude structurale du tricyclovétivène de l'essence du vétiver du Congo belge. Chiurdoglu G., Corpet A., Tullen P.), Bull. agric. Congo Belge, 1957, 48, № 6, 1503—1513 (франц., рез. флам.).

Изучено строение трицикловетивена (I) (выход 5—6%, т. кип. 81—82°/0,6 мм, 121—122°/10 мм,  $n_D^{20}$  1,5040,  $d_4^{20}$  0,9340,  $[\alpha]_D^{20}$  +13,11°; переведен в трицикловетиван (II), т. кип. 64°/0,1 мм,  $n_D^{20}$  1,4915,  $d_4^{20}$  0,9220,  $[\alpha]_D^{20}$  +7,78°, выделенного из ветиверного масла ( $n_D^{20}$  1,525,  $d_4^{20}$  1,004,  $[\alpha]_D^{20}$  +24,30°), которое получено из корней *Vetiveria zizanioides* Stapf (*Andropogon muricatus* Retz). При дегидрировании I над Se полу-



чены ветивазулен и эйдален, при озоноллизе и окислении C<sub>6</sub>H<sub>5</sub>COOH образуется трицикловетиванон (III) (т. кип. 132—133°/0,4 мм,  $n_D^{20}$  1,5088,  $d_4^{20}$  1,0175); при изомеризации получен 2-метил-9-изопропил-3,6-эндометилен-[0,3,5]-бициклодецен-2; при окислении KMnO<sub>4</sub> получены III и 1-(3'-ацетилциклопентил)-4-изопропил-циклопентанон-2 (IV). III при последовательном бромировании, обработке CH<sub>3</sub>COOK, KOH, HCOOH и KMnO<sub>4</sub> дает соответственно 1-бромтрицикловетиванон, 1-ацетокситрицикловетиванон, 1-окситрицикловетиванон, трицикловетиван-(7)-он и циклопентандикарбоную-1,2 к-ту, т. пл. 120°. Эти данные подтверждают предположение, сделанное на основании ИК-спектров, что I является 2-метил-9-изопропил-3,6-эндометилен-[0,3,5]-бициклодеканом, а II — 2-метил-9-изопропил-3,6-эндометилен-[0,3,5]-бициклодеканом. Приведены ИК-спектры I—IV и обзор литературных данных по ветиверному маслу, о свойствах углеводородных фракций его и строении  $\alpha$ - и  $\beta$ -ветивенов. Библ. 13 назв.

С. Кустом  
57552. О терпенах. LXXXI. О строении ксантинина. Делейш, Героут, Шорм (O terpenen. LXXXI. O konstituci xanthininu. Dolejš Ladislav, Herout Vlastimil, Sorm František), Chem. listy, 1957, 51, № 8, 1521—1529 (чешск.). Collect. Czechoslov. chem. commun., 1958, 23, № 3, 504—513 (англ.; рез. русск.).

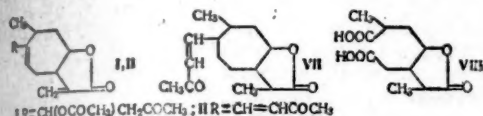
Размолотые листья дурнишника пенсильванского (*Xanthium pennsylvanicum*; Compositae) экстрагируют низкотемпературным бензином, упаривают в вакууме, концентрат извлекают 90%-ным CH<sub>3</sub>OH, отгоняют в вакууме, к водн. фазе прибавляют небольшое кол-во эфира и выделяют 0,64% ксантинина (I), C<sub>17</sub>H<sub>24</sub>O<sub>4</sub>.

уму (мед.  
ала смес  
нола-3 и  
т. кип.  
14,  $[\alpha]_D^{20}$   
но омы  
1,4842,  
из кото  
35—137°  
O<sub>2</sub> в л  
нов, т. кип.  
которой пр  
5—203°  
4° и 165°

Яновский  
ой части  
ние строе  
тивирован  
у, Коле,  
rosés ze  
go belge  
essence d  
Corret A.  
48, № 6,  
(выход  
мм,  $n_D^{20}$   
трицикло  
3,20, 0,9220,  
го масла  
е получа  
d'arogon  
Se полу-

и окис  
нон (III)  
175); при  
-3,6-эндо  
KMnO<sub>4</sub>  
4-изопро  
ацетальном  
COOH и  
тиванов,  
поветва  
карбон  
ерждают  
спектров,  
метиле  
опил-3,6-  
ты ИК-  
по ветв  
фракций  
в.  
Кустова  
тинина.  
LXXXI.  
av, He-  
chem. Is-  
szechosl.  
гж.; реэ.  
анского  
агируют  
ме, кон-  
т в ва-  
кол-во  
C<sub>17</sub>H<sub>22</sub>O<sub>6</sub>

т. пл. 123—124°,  $[\alpha]_D^{20}$  —57,7° (с 3,2). При кипячении 3,06 г I с 0,85 г NaHCO<sub>3</sub> и 7 г CH<sub>3</sub>COONa в течение 1 часа в 300 мл спирта в атмосфере CO<sub>2</sub> I отщепляет 1 моль CH<sub>3</sub>COOH с образованием 1,82 г ксантината (II), т. пл. 144°,  $[\alpha]_D^{20}$  —15,26° (с 3,3). При гидрировании II над 5%-ным PdSrCO<sub>3</sub> в CH<sub>3</sub>OH образуется нап-пид, кетолактон (III), т. кип. 170° (т-ра бани) при 0,05 мм. При истощивающем гидрировании II над Pt в CH<sub>3</sub>COOH при расходе 4,23 H<sub>2</sub> образуется смесь, из которой после окисления (CrO<sub>3</sub> в CH<sub>3</sub>COOH) и хроматографирования на Al<sub>2</sub>O<sub>3</sub> выделены лактон C<sub>15</sub>H<sub>26</sub>O<sub>2</sub>,



$[\alpha]_D^{20}$  +34,2° (с 2,4) и кетолактон, C<sub>15</sub>H<sub>26</sub>O<sub>2</sub>,  $[\alpha]_D^{20}$  +2,3° (с 2,4). При гидрировании I над Pt в CH<sub>3</sub>OH при расходе 1 H<sub>2</sub> получают дигидроксантин (IV), т. пл. 177° (ацетон-изопропиловый эф.),  $[\alpha]_D^{20}$  —33,9° (с 3,2). Из 0,5 г IV при 15 мин. нагревании в 20 мл 50%-ного спирта с 0,13 г NaHCO<sub>3</sub> и 0,13 г CH<sub>3</sub>COONa образуется дигидроксантин (V), т. пл. 136° (CH<sub>3</sub>OH-изопропиловый эф.),  $[\alpha]_D^{20}$  —7,7° (с 3,4); динитрофенилгидразон, т. пл. 227° (из хлф.-сп.). При озонировании I и II в CH<sub>3</sub>COOH выделен формальдегид, при озонировании II и V метилглиоксаль (VI). Наличие метилового группы в I подтверждается также присоединением CH<sub>3</sub>N<sub>3</sub> с образованием пиразолинового производного C<sub>10</sub>H<sub>16</sub>O<sub>2</sub>N<sub>2</sub>, т. пл. 135° (разл.); из CH<sub>3</sub>OH-изопропиловый эф.). Жидкий оксим, полученный из III, при перерушировке Бекмана, дает CH<sub>3</sub>COOH. При гидрировании V в спирте над 5%-ным Pd/C, дезактивированным хинолином, с расходом 1 H<sub>2</sub> получают тетрагидроксантин (VII), дающий при озонировании VI. Окисление V при помощи KMnO<sub>4</sub> в 50%-ной CH<sub>3</sub>COOH приводит к к-те (VIII), n-бромфенацетил эфир, т. пл. 116°, диметиловый эфир, т. кип. 160° (т-ра бани) 0,1 мм. При окислении IV в диоксане эфиры р-ром OsO<sub>4</sub> (7 дней, 20°) получают частично кристаллич. фракцию, часть которой далее расщепляют в C<sub>6</sub>H<sub>6</sub> в течение 1 часа избыточным (CH<sub>3</sub>COO)<sub>2</sub>Pb. После разбавления смеси водой и отгонки получают CH<sub>2</sub>O. Главную фракцию продукта окисления (0,85 г) окисляют 0,85 г (CH<sub>3</sub>COO)<sub>2</sub>Pb в течение 2 дней. Получают соединение C<sub>16</sub>H<sub>22</sub>O<sub>6</sub>, т. пл. 195—196° (из ацетона-изопропиловый эф.). Приведены кривые УФ-спектров в-в I, II, IV, V и VII и данные их ИК-спектров. На основании р-ций и спектральных данных I и II приписывают приведенное строение. Сообщение LXXX см. РЖХим, 1958, 32586. А. Емг

57553. Выделение и идентификация α- и β-амиринов из коры *Ilex latifolia* Thunberg. Ягисита (Isolation and identification of α- and β-amyrin from the bark of *Ilex latifolia* Thunberg. Yagishita Kazuyoshi, Bull. Agric. Chem. Soc. Japan, 1957, 21, № 3, 157—159 (англ.))

Описано выделение α-(I) и β-амирина (II) из неомыленной фракции эфирного экстракта коры *Ilex latifolia* Thunberg (Aquifoliaceae) и стеариновой к-ты (III) из кислой фракции (IV) гидролизата. 1,53 кг коры измельчают, сушат на воздухе, затем 8 час. при 80° и получают 1,16 кг сухой коры, экстрагирование которой эфиром 56 час. дает 222 г экстракта. Бензольный р-р экстракта кипятят 50 час. с 10%-ным р-ром KOH в спирте-C<sub>6</sub>H<sub>6</sub> (1:1), фильтруют горячую смесь, удаляют р-рители в вакууме, остаток разбавляют 25 мл воды и экстрагируют 40 час. эфиром. Из водн. смеси при подкислении выделяют смесь к-т (89,5 г), из которой кристаллизацией получают III, выход

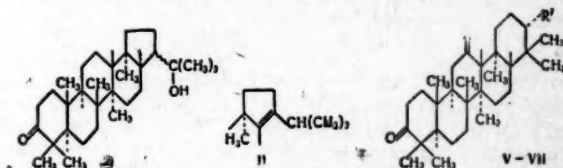
13,5 г, т. пл. 70—74° (из сп.); амид, т. пл. 108° (из сп.). Из эфирного экстракта (132 г) кипячением со спиртом и кристаллизацией выделяют 97 г кристаллов (V) с т. пл. 178—187° и 34,5 г масла (VI). Смесь 97 г V, 250 мл C<sub>6</sub>H<sub>6</sub> и 110 мл (CH<sub>3</sub>CO)<sub>2</sub>O кипятят 3 часа, удаляют летучие в-ва в вакууме и кристаллизацией из спирта выделяют ацетат I (Ia), выход 33,5 г, т. пл. 223,5—224,5° (из сп.),  $[\alpha]_D^{20}$  +76,2° (с 0,752), и ацетат II (IIa), выход 3,2 г, т. пл. 239—240° (из сп. или этилацетата). Гидролиз 2 г V (3%-ным р-ром KOH в сп.) дает I, выход 1,8 г, т. пл. 187° (из сп.),  $[\alpha]_D^{20}$  +83,1° (с 0,752). Бензоат (Ib), т. пл. 194—195°. Ацетилирование 34,5 г VI дает IIa, выход 12 г, т. пл. 239—240°,  $[\alpha]_D^{20}$  +83,5° (с 0,884). При кипячении 0,5 г IIa с 3%-ным р-ром KOH в спирте 1,5 часа образуется II, выход 0,4 г, т. пл. 196° (из сп.),  $[\alpha]_D^{20}$  +84,9° (с 0,57); бензоат (IIb), выход 0,2 г, т. пл. 232°,  $[\alpha]_D^{20}$  +87,4° (с 0,852). Предыдущие сообщения см. РЖХим, 1958, 46904, 50481. М. Бурмистрова

57554. Выделение лупеола из *Asteracantha longifolia* Nees. Чаттерджи, Сримани (Isolation of lupool from *Asteracantha longifolia* Nees. Chatterjee Asima, Srimany Sudhir Kumar, J. Indian Chem. Soc., 1957, 34, № 12, 882—884 (англ.))

900 г воздушносухих измельченных корней *Asteracantha longifolia* Nees экстрагируют в аппарате Сокслета 24 часа, экстракт упаривают и полученную при длительном вымораживании полутвердую массу хроматографируют на Al<sub>2</sub>O<sub>3</sub>. Бензолом вымывают лупеол (I), выход 0,25%, т. пл. 212—213° (из сп.),  $[\alpha]_D^{20}$  +27,9° (хлф.); ацетат I (из 0,5 г I, 5 мл (CH<sub>3</sub>CO)<sub>2</sub>O и 3—4 капли пиридина, 135—140°, 3 часа), т. пл. 213°,  $[\alpha]_D^{20}$  +46,9° (хлф.); бензоат I (из 0,4 г I, 5 мл C<sub>6</sub>H<sub>5</sub>COCl, 0,5 мл пиридина, 140°, 2 часа), т. пл. 256°,  $[\alpha]_D^{20}$  +61,2° (хлф.). К р-ру 1,15 г I в 11,5 мл пиридина приливают р-р 1,15 г CrO<sub>3</sub> в 11,5 мл пиридина, выдерживают 12 час. при ~20°, выливают в воду, экстрагируют C<sub>6</sub>H<sub>6</sub> и получают лупенон (II), т. пл. 170° (после хроматографирования, из сп.),  $[\alpha]_D^{20}$  +63,5° (хлф.); 2,4-динитрофенилгидразон, т. пл. 204—205° (из сп.-этилацетата, 2:1). Смесь 0,4 г II, 1 мл гидразина, 15 мл диэтиленгликоля и 1 г Na нагревают 12 час. при 180—200° в атмосфере N<sub>2</sub>, выливают в воду и выделяют α-лупен, т. пл. 161—163° (из сп.),  $[\alpha]_D^{20}$  +30,4° (хлф.). Приведены данные ИК-спектра I. М. Бурмистрова

57555. Структура оксипанона. Шафнер, Кальоти, Аригони, Егер, Фазакерли, Холсалл, Джонс (The structure of hydroxyhoranone. Schaffner K., Caglioti L., Arigoni D., Jeger O., Fazakerley H., Halsall T. G., Jones E. R. H., Proc. Chem. Soc., 1957, Dec., 353—354 (англ.))

Показано, что предложенная ранее структура для оксипанона (I) является правильной. При обработке I 6%-ной H<sub>2</sub>SO<sub>4</sub> в CH<sub>3</sub>COOH (24 часа) образуется опен-I (II), т. пл. 197—197,5°,  $[\alpha]_D^{20}$  +93°, дающий при



V R = R' = OCOCH<sub>3</sub>, R'' = O; IV R = R' = OH, R'' = H;  
VII R = O, R' = OH, R'' = H.

восстановлении по Кижнеру опен-I (III), т. пл. 179—180°,  $[\alpha]_D^{20}$  +49,5°. Строение I подтверждено также синтезом II и III из γ-оноцерина (IV). Восстановлением по Кижнеру полученного из IV кетодиацетата (V) образуется диол (VI), т. пл. 324—326°,  $[\alpha]_D^{20}$  +23°, частичное окисление которого MnO<sub>2</sub> в CHCl<sub>3</sub> дает оксикетон



(VII), т. пл. 293—294°,  $[\alpha]_D +59^\circ$ . При дегидратации VII с помощью фуллеровой земли в ксилоле образуется II. С. Апанченко

57556. О  $\alpha$ - и  $\beta$ -глицирретининовых кислотах. Лауриа (Sulla conoscenza degli acidi  $\alpha$  e  $\beta$  glicirretinico. Lauria Franco), Gazz. chim. ital., 1957, 87, № 12, 1407—1412 (итал.)

Восстановлением  $\alpha$ -(I)- и  $\beta$ -(II)-кетоглицирретининовых к-т посредством  $\text{NaBH}_4$  получены соответственно  $\alpha$ -(III)- и  $\beta$ -(IV)-глицирретининовые к-ты. Метилловый эфир 3-кето-11-дезоксиглицирретининовой к-ты (V) восстановлен  $\text{NaBH}_4$  в метилловый эфир 11-дезоксиглицирретининовой к-ты (VI) (Ruzicka, Helv. chim. acta, 1937, 20, 1271), что подтверждает  $\beta$ -ориентацию OH-группы при  $\text{C}_{11}$ . При окислении посредством  $\text{CrO}_3$  IV дает II, выход 75%. Изомеризация II приводит к I, выход 50%, т. пл. 327°. К 3 г II в 200 мл спирта при 20° прибавляют 0,24 г  $\text{NaBH}_4$  в 5 мл воды, перемешивают 2 часа при  $\sim 20^\circ$ , добавляют 1 мл конц.  $\text{NH}_3$ , ударивают в вакууме, остаток обрабатывают 2%-ной  $\text{HCl}$ , выделяют IV, т. пл. 285° (из  $\text{CH}_3\text{COOH}$ ). Аналогично из 1,5 г I (восстановление в смеси диоксана и спирта; 1:1) получают 0,75 г III, т. пл. 329—333° (из  $\text{CH}_3\text{COOH}$ )  $[\alpha]_D^{25} +93 \pm 2^\circ$  (с 0,22; хлф.  $\text{CH}_3\text{OH}$ ; 1:1). Смесь 0,5 г III, 1,5 мл пиридина и 1,5 мл  $(\text{CH}_3\text{CO})_2\text{O}$  нагревают 1 час на водяной бане, выделяют ацетильное производное, т. пл. 319—321° (из  $\text{CH}_3\text{COOH}$ ). I и III с  $\text{CH}_2\text{N}_2$  дают метилловые эфиры, т. пл. 265° (из  $\text{CH}_3\text{OH}$ ) и 255° соответственно. Смесь 1 г II, 30 мг  $n\text{-CH}_3\text{C}_6\text{H}_4\text{SO}_3\text{H} \cdot \text{H}_2\text{O}$  и 20 мл этиленкетала  $\text{CH}_2\text{COC}_2\text{H}_5$  кипятят 4 часа, разбавляют эфиром, получают 0,92 г 3-этиленкетала II, т. пл. 285—286° (из водн.  $\text{CH}_3\text{OH}$ ). 0,2 г последнего гидролируют в 70 мл лед.  $\text{CH}_3\text{COOH}$  над 0,16 г  $\text{PtO}_2$  (12 час.,  $\sim 20^\circ$ ), выделяют 0,17 г 3-этилендиокси-18 $\beta$ -олеанон-12-овой-20 к-ты, т. пл. 315—318° (из  $\text{CH}_3\text{COOH}$ ), которую не удается омылить. К 0,63 г  $\text{CrO}_3$  в 63 мл пиридина прибавляют 1 г VI, через  $\sim 12$  час. выделяют V, т. пл. 187° (из  $\text{CH}_3\text{OH}$ ). 0,7 г V при восстановлении  $\text{NaBH}_4$  дают VI. С. Завьялов

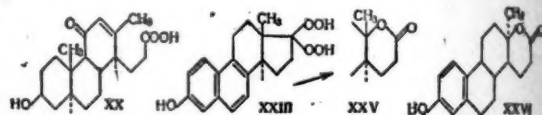
57557. Исследование латекса канарских видов *Euphorbia*. XV. Идентификация афилдиенола. Гонсалес, Баррера (Aportación al estudio del latex de las *Euphorbias* canarias. XV. Identificación del aphyldienol. González A. G., Barrera R.), An Real soc. esp. fis. y quim., 1957, B53, № 11, 709—722 (исп.; рез. англ.)

Показано, что афилдиенол (см. сообщение XIV, РЖХим, 1958, 1425) является смесью ланостадиенола и ланостенола (I). Смесью афилдиенола и гандианола, выделенную из *Euphorbia aphylla* Brouss (см. ссылку выше), обрабатывают  $(\text{CH}_3\text{CO})_2\text{O}$  и  $\text{CH}_3\text{COONa}$ , получают смесь ацетатов (A) с т. пл. 90—107°. 25 г последней окисляют посредством  $\text{CrO}_3$  в  $\text{CH}_3\text{COOH}$  (80°, 15 мин.), хроматографируют раздельно кислотную и нейтр. фракции на  $\text{Al}_2\text{O}_3$ ; из первой фракции  $\text{C}_6\text{H}_6$  вымывают ацетоксигандианоловую к-ту, т. пл. 214—216° (из  $\text{CH}_3\text{OH}$ ), из второй петр. эфиром ацетат  $\Delta^8$ -ланостенол-3-диона-7, 11 (II), т. пл. 168—169° (из  $\text{CH}_3\text{OH}$ ),  $[\alpha]_D +95,2^\circ$  (с 1,39; хлф.), 2,4-динитрофенилгидразон (ДНФГ), т. пл. 216—218° (из абс. сп.). А гидролируют над  $\text{PtO}_2$  в  $\text{CH}_3\text{COOH}$ -этилацетате, 1:1; 50 г полученной смеси дигидропроизводных окисляют посредством  $\text{CrO}_3$  в  $\text{CH}_3\text{COOH}$  (80°, 15 мин.), хроматографируют на  $\text{Al}_2\text{O}_3$ , петр. эфиром и  $\text{C}_6\text{H}_6$  вымывают соответственно ацетат дигидроафилдиенола, т. пл. 125—127° (из  $\text{CH}_3\text{OH}$ ), и II. К 1 г II в кипящей  $\text{CH}_3\text{COOH}$  в течение 10 мин. прибавляют 6 г  $\text{Zn}$ , кипятят 1 час, получают ацетат ланостанол-3-диона-7,11 (III), т. пл. 222—224° (из  $\text{CH}_3\text{OH}$ -аcetона, 3:1),  $[\alpha]_D +58^\circ$  (с 1,92; хлф.). При гидролировании II над  $\text{PtO}_2$  в  $\text{CH}_3\text{COOH}$  (70°, 30 мин.) получается III, вероятно, загрязненный 3-ацетатом ланостандиол-3,7-она-11. При озонировании 3 г A на-

ряду с  $\text{HCHO}$  и ацетоном, образуются, после обработки твердого остатка смесью воды.  $\text{NaOH}$  и  $\text{H}_2\text{O}_2$  (выпавшее 12 час.), 0,8 г I (очищен хроматографией), т. пл. 145—146° (из  $\text{CH}_3\text{OH}$ ), следы кетона  $\text{C}_{20}\text{H}_{32}\text{O}$  (IV), выделенного в виде ДНФГ, т. пл. 235—236°, а также 3-окситриснор- $\Delta^8$ -ланостеновая к-та (V), выделенная в виде метилового эфира, т. пл. 138° (из  $\text{CH}_3\text{OH}$ , после хроматографии). V, вероятно, содержит примеси оксигандианоловой к-ты. IV, по-видимому, образуется в результате озонирования ацетата  $\Delta^8$ -ланостадиенола-3. При ацетилировании посредством  $(\text{CH}_3\text{CO})_2\text{O}$  и  $\text{CH}_3\text{COONa}$  I дает ацетат, т. пл. 118,5—119° (из  $\text{CH}_3\text{OH}$ ),  $[\alpha]_D +58,9^\circ$  (с 1,57; хлф.), а при окислении  $\text{CrO}_3$  в  $\text{CH}_3\text{COOH}$  образует II. Приведены кривые УФ-спектра II, а также ИК-спектры I, II, III, афилдиенола и его ацетата. С. Завьялов

57558. Бис-гидроперекиси стероидов. III. Изучение некоторых перегруппировок. Веллюз, Амьяр, Мартель, Варнан (*Bis-hydroperoxydes stéroïdes*. III.—Étude de quelques transpositions. Velluz L. G., Amiard Gaston, Martel Jacques, Warrant Julien), Bull. Soc. chim. France, 1957, № 11—12, 1484—1489 (франц.)

Показано, что при ацилировании и термоллизе описанных авторами ранее (см. сообщение II, РЖХим, 1958, 8142) бис-гидроперекисей 3,17- и 20-кетостероидов происходят внутримолекулярные перегруппировки. При ацилировании 3-бис-гидроперекиси стероидов с насыщ. кольцом A образуется нормальный диэфир, а ацилирование 3-бис-гидроперекиси  $\Delta^4$ -стероидов дает еноллактон: из 3,3-бис-гидроперекиси протестерона (I) авторы получили лактон  $\Delta^4$ -3,4-секопрегненол-4-он-20-карбонной-3 к-ты (II). Строение II доказано его омылением в 3,4-секопрегнаналь-4-он-20-карбонную к-ту (III), окисленную далее в известную 3,4-секопрегнанол-20-дикарбонную-3,4 к-ту (IV) и окислением II в 3,5-секо-нор-А-прегнадилон-5,20-карбонную-3 к-ту (V), полученную и при окислении протестерона (VI). При аналогичном ацилировании 3-бис-гидроперекиси ацетата дезоксикортикостерона (VII)



также образуется еноллактон, которому авторы по аналогии приписывают структуру лактона  $\Delta^4$ -21-ацетокси-3,4-секопрегненол-4-он-20-карбонной-3 к-ты (VIII). 20-бис-гидроперекиси с насыщ. кольцом A, как и аналогичные 3-бис-гидроперекиси, при ацилировании на холоду образуют нормальные диэфиры. Однако при кипячении в толуоле 20, 20-бис-гидроперекиси 3 $\alpha$ -ацетоксипрегнанона-11 (IX), кроме ацетата прегнанол-3 $\alpha$ -диона-11,20 (X) получен ацетат тестанол-3 $\alpha$ -она-11 (XI). Для доказательства структуры XI тестанол-3 $\alpha$ -дион-11,17 (XII) восстанавливают по Кивнеру и полученный тестанол-3 $\alpha$ -он-11 (XIII) ацетилируют в XI. При нагревании IX в  $\text{HCON}(\text{CH}_3)_2$  в присутствии  $\text{SOCl}_2$  образуется смесь X и диацетата тестандиол-3 $\alpha$ -17-она-11 (XIV). Нагревание IX в  $\text{CH}_3\text{OH}$  при УФ-облучении дает X, XI и 3-ацетат тестандиол-3 $\alpha$ ,17-она-11 (XV); при нагревании IX в  $\text{CH}_3\text{OH}$  без облучения получены X, XI, XV и 17 $\beta$ -эпимер XV (XVI). Строение XV доказано его окислением в известный ацетат тестанол-3 $\alpha$ -диона-11,17 (XVII). 17,17-бис-гидроперекиси уже при ацилировании на холоду превращаются в  $\delta$ -лактоны с сохранением  $\beta$ -конфигурации в положении  $\text{C}_{13}$  аналогично с действием надкислот на 17-кетостероиды. Так из 17,17-бис-гидроперекиси 3 $\alpha$ -ацетоксигестанола-14 (XVIII) образуется лактон 3 $\alpha$ -ацеток-

секо-13,17-секоандростанол-13-он-11-овой-17 к-ты (XIX), омыленный в соответствующую непредельную к-ту (XX), полученную ранее (РЖХим, 1956, 16198). Из 17,17-бис-гидроперекиси ацетата эстрона (XXI) получают лактон  $\Delta^{1,3,6(10)}$ -секо-13,17-эстрастриендиол-3,13-он-17 к-ты (анстрололактон) (XXII), а из 17,17-бис-гидроперекиси ацетатов эквилина (XXIII) и эквилина (XXIV) получен бис-дегидроэстрололактон (XXV). При термоллизе XVIII образуется 13-эпимер XIX (ломиллактон) (XXVI), омыляющийся также в к-ту XX. При термоллизе XXI образуется смесь XXII и его 13-эпимера (XXVII). При термич. разложении XXIII и XXIV получен только XXV. Из двух возможных структур: секо-13,17 и секо-16,17, авторы выбирают первую на основании ряда аналогий. Р-р 10 г I в 10 г  $(\text{CH}_3\text{CO})_2\text{O}$  в 100 мл пиридина выдерживают 40 мин. при 0°, выливают в 500 мл воды и получают II, выход 85%, т. пл. 126° (из этилацетата- $\text{CH}_3\text{OH}$ ),  $[\alpha]_D^{25} +59 \pm 2^\circ$  (с 1; ацетон). При обработке I  $(\text{CH}_3\text{CO})_2\text{O}$  в описанных выше условиях образуется II, выход 35%. Обработка 5 г VII  $(\text{CH}_3\text{CO})_2\text{O}$  дает VIII, выход 70%, т. пл. 162° (из этилацетата- $\text{CH}_3\text{OH}$ ),  $[\alpha]_D^{25} +72.5^\circ$  (с 1; ацетон). К суспензии 0,5 г II в 2,5 мл  $\text{CH}_3\text{OH}$  в атмосфере  $\text{N}_2$  добавляют 1,5 мл 1 н. NaOH и через 1 час приливают еще 0,2 мл р-ра NaOH. Через 15 мин. приливают 10 мл воды, нейтрализуют р-р 0,2 мл  $\text{CH}_3\text{COOH}$  и получают III, выход 97%, т. пл. 160–164° (из ацетона),  $[\alpha]_D^{25} +67 \pm 3^\circ$  (с 0,5; ацетон). К р-ру 0,5 г III в 10 мл разб. NaOH приливают по каплям насыщ. р-р  $\text{KMnO}_4$  до прекращения изменения окраски р-ра. После обычной обработки выделяют IV, выход 0,3 г, т. пл. 197–198° (из эф.),  $[\alpha]_D^{25} +50 \pm 3^\circ$  (с 1; ацетон); оксим, т. пл. 248°. Смесь 0,5 г II с 1 г  $\text{KMnO}_4$  и 20 мл ацетона кипятят 2 часа, обычным путем выделяют V, т. пл. 172° (из 50%-ного ацетона и эф. оп.),  $[\alpha]_D^{25} +110 \pm 3^\circ$  (с 1; ацетон). Р-р 4,5 г IX в 150 мл толуола кипятят 5 час., остаток после удаления р-рителя в вакууме обрабатывают реактивом Т Жирара и получают X, выход 3 г, т. пл. 135°, и XI, выход 125 мг, т. пл. 131° (после хроматографирования на  $\text{Al}_2\text{O}_3$ ),  $[\alpha]_D^{25} +75 \pm 2.5^\circ$  (с 1; ацетон). Р-р 50 г IX в 4,5 л  $\text{CH}_3\text{OH}$  кипятят 9 час. при облучении УФ-светом, концентрируют в вакууме до 200 мл и при охлаждении до  $-10^\circ$  выделяют X, выход 15 г. Маточный р-р упаривают, обрабатывают реактивом Т Жирара и получают еще 10 г X; хроматографирование некетоной фракции дает 5 г XI и XV, выход 5%, т. пл. 172° (из  $\text{CH}_3\text{OH}$ ),  $[\alpha]_D^{25} +80 \pm 3^\circ$  (с 0,5; ацетон), окисленный  $\text{OsO}_4$  в XVII, т. пл. 163–164°. 5 г IX кипятят 9 час. в  $\text{CH}_3\text{OH}$  без облучения, обрабатывают аналогично предыдущему опыту и выделяют X, выход 80%, XI, выход 0,1 г, XV, выход 0,05 г и XVI, выход 0,016 г, т. пл. 175°, при омылении которого образуется гестанол-3 $\alpha$ ,17 $\beta$ -он-11, т. пл. 257°. Смесь 1 г IX, 3 мл  $\text{NaOH}(\text{CH}_3)_2$  и  $\text{COCl}_2$  нагревают 3 часа при 80°, по охлаждению выливают в 30 мл воды, экстрагируют эфиром и после хроматографирования продукта р-ции получают XI, выход 0,2 г, и XIV, выход 0,1 г, т. пл. 180° (из бэл.-эф.). К р-ру 0,8 г XVIII в 3 мл пиридина приливают при 0° 1 мл  $(\text{CH}_3\text{CO})_2\text{O}$ , через несколько минут обрабатывают, хроматографируют на  $\text{Al}_2\text{O}_3$  и получают XIX, выход 0,3 г, т. пл. 180°; щел. гидролиз XIX дает XX, т. пл. 180°. К р-ру 0,5 г XXI в 3 мл пиридина прибавляют при охлаждении 1,5 мл  $(\text{CH}_3\text{CO})_2\text{O}$ , через 12 час. при  $\sim 20^\circ$  разбавляют водой, экстрагируют эфиром и кипятят 1 час с водно-метанольным р-ром NaOH, по охлаждению насыщают  $\text{CO}_2$ , фильтруют, р-р подкисляют HCl, нагревают 30 мин. при 70° и получают XXII, выход 15%, т. пл. 340° (разл.; из циклогексанона),  $[\alpha]_D^{25} +33 \pm 2^\circ$  (с 1; пиридин). 0,5 г ацетата эквилина обрабатывают 100 мл 8%-ного р-ра  $\text{H}_2\text{O}_2$  в  $\text{трет-C}_4\text{H}_9\text{OH}$  в присутствии капли HCl,

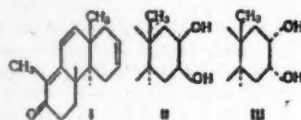
получают XXIII, выход 60%, т. пл. 180° (взрывает),  $[\alpha]_D^{25} -76 \pm 2^\circ$  (с 1; пиридин). Аналогично из ацетата эквилина в  $\text{трет-C}_4\text{H}_9\text{OH}$  получают XXIV, выход 70%, т. пл. 165° (взрывает),  $[\alpha]_D^{25} +82 \pm 2^\circ$  (с 1; пиридин). К р-ру 0,25 г XXIII в 2,5 мл пиридина при 0° добавляют 0,25 г  $(\text{CH}_3\text{CO})_2\text{O}$ , через 24 часа при 0° обрабатывают, как описано выше для XXII, и получают XXV, выход 15%, т. пл. 325–326° (разл.; из  $\text{CH}_3\text{OCH}_2\text{CH}_2\text{OH}$  и водн. пиридина). К р-ру 0,5 г XXIII в 10 мл пиридина приливают 10 мл воды, перемешивают 32 часа, добавляя через каждый час 10 мл воды и отфильтровывают XXV, выход 13%,  $[\alpha]_D^{25} -82 \pm 2^\circ$  (с 0,5; пиридин). Р-р 0,5 г XXIII в 10 мл ксилола кипятят 30 мин., отгоняют р-ритель, омыляют водн. р-ром NaOH в атмосфере  $\text{N}_2$  и после обычной обработки выделяют XXV, выход 13%. Взаимодействие 0,5 г XXIV в 5 мл пиридина с 0,2 г  $(\text{CH}_3\text{CO})_2\text{O}$  дает XXV, выход 10%. Смесь 0,2 г XVIII и 10 мл дибутилового эфира нагревают 30 мин. при 120–125° и получают XXVI, выход 15%, т. пл. 265–266° (из бэл.-циклогексана),  $[\alpha]_D^{25} +6^\circ$  (с 1; хлф.), при омылении кипячением с 1 н. NaOH и последующем подкислении выделяют XX. Р-р 2 г XXI в 40 мл толуола кипятят 20 мин., выделенный после обычной обработки продукт (1 г) сублимируют при 210°/2–3 мм и получают XXVII, выход 10%, т. пл. 308°,  $[\alpha]_D^{25} +10 \pm 2^\circ$  (с 1; пиридин); остаток от сублимирования перекристаллизовывают из циклогексанона и выделяют XXII, выход 20%. М. Бурмистрова 57559. Метилстероиды. IV. Восстановление по Вольфу-Кижнеру diketонов, полученных из ланостерина. Барнс (Methylsteroids. IV. Wolff-Kishner reductions of diketones derived from lanosterol. Barnes C. S.), Austral. J. Chem., 1957, 10, № 3, 370–374 (англ.)

Описано восстановление по Кижнеру ацетата ланостанол-3 $\beta$ -диона-7,11 (I), а также новый путь синтеза ацетата 24,24-дифенил- $\Delta^{20(22)}$ , 25,26,27-триснорланостадиенола-3 $\beta$  (II). Смесь диэтиленгликолята Na (из 8 г Na и 200 мл диэтиленгликоля), 8 г I и 20 мл 90%-ного  $\text{NH}_2\text{NH}_2$  нагревают 18 час. при 180°. После обработки и ацелирования получают 4 г ацетата ланостанол-3 $\beta$ -она-11, после хроматографирования остатка выделяют еще 1 г 11-ацетилгидразона ацетата ланостанол-3 $\beta$ -она-11, т. пл. 230–231°,  $[\alpha]_D^{25} +74^\circ$  (с 1,3); при гидролизе которого метанольным р-ром KOH получают 11-ацетилгидразон ланостанол-3 $\beta$ -она-11, т. пл. 218–220°. Окисление 3 г 24,24-дифенил- $\Delta^{22}$ , 25,26,27-триснорланостадиенола-3 $\beta$ -диона-7,11 N-бромсукцинимидом (1,2 г) в 150 мл  $\text{CCl}_4$  с последующим ацелированием приводит к ацетату 24,24-дифенил- $\Delta^{20(22)}$ , 25,26,27-триснорланостадиенола-3 $\beta$ -диона-7,11 (3 $\beta$ -ол – III), т. пл. 237–240°,  $[\alpha]_D^{25} +26^\circ$  (с 1,76), при гидролизе которого метанольным р-ром KOH образуется III, т. пл. 236–239°,  $[\alpha]_D^{25} +2^\circ$  (с 1,4); бензоат III ( $\text{C}_6\text{H}_5\text{COCl}$ , пиридин, 100°, 1 час), т. пл. 262–264°. Восстановлением по Кижнеру ацетата III (аналогично I) получен II, т. пл. 234–236°. Сообщение III см. РЖХим, 1958, 54023. С. А. 57560. Цис-гидрокселирование синтетических промежуточных продуктов для синтеза стероидов с помощью йода, ацетата серебра и водной уксусной кислоты. Вудорд, Братчер (cis-Hydroxylation of a synthetic steroid intermediate with iodine, silver acetate and wet acetic acid. Woodward R. B., Bratcher F. V., Jr), J. Amer. Chem. Soc., 1958, 80, № 1, 209–211 (англ.)

С целью замены  $\text{OsO}_4$  разработан новый метод получения цис-1,2-гликолей. 10 г *dl*-антитранс-4,4а,4b,5,8,8а-гексагидро-1,8а-диметилфенантрона-2 (I) обрабатывают  $\text{I}_2$  и  $\text{CH}_3\text{COOAg}$  в безводн.  $\text{CH}_3\text{COOH}$  (30 мин., 20°), затем водн.  $\text{CH}_3\text{COOH}$  (90–95°, 3 часа) и после нейтр-ции продукт омыляют метанольным KOH (12 час., 20°,  $\text{N}_2$ ). Получают 8,19 г 6 $\beta$ ,7 $\beta$ -гликоля (II),



т. пл. 184,6—185,2° (из этилацетата), а из маточных р-ров выделяют 0,283 г 6а,7а-гликоля (III), т. пл. 156—



157°. Обработка 7,50 г II безводн.  $\text{CuSO}_4$  в безводн. ацетоне (48 час.) и безводн.  $\text{K}_2\text{CO}_3$  (0,5 часа) приводит к 8,2 г ацетонида II (IIa), т. пл. 155—155,8° (из бал.-петр. эф.). Для II и IIa приведены УФ-спектры. Предложен механизм реакции. А. Камерницкий

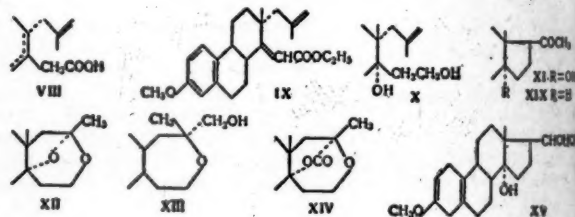
57561. Синтез 2-метоксистероидов. Фишман (Synthesis of 2-methoxyestrogens. Fishman Jack), J. Amer. Chem. Soc., 1958, 80, № 5, 1213—1216 (англ.)

Описаны синтез 2-метоксистерона (I), являющегося продуктом обмена эстрадиола-17β (II), и синтез 2-метоксистероидола-17β (III). При взаимодействии II с 2-Cl-5-NO<sub>2</sub>-C<sub>6</sub>H<sub>4</sub>COOC<sub>2</sub>H<sub>5</sub> (IV) получен 3-(2'-бензоил-4'-нитро)-фенокси-Δ<sup>1,3,5</sup>(10)-эстратриенол-17β (V). 17-ацетат V (VI) циклизацией в соль ксантилия и последующим окислением  $\text{H}_2\text{O}_2$  (см. РЖХим, 1954, 325, 6406) превращен в 17-ацетат 3-(2'-бензоил-4'-нитро)-фенокси-Δ<sup>1,3,5</sup>(10)-эстратриендиол-2,17β (VII). При метилировании VII  $\text{CH}_3\text{N}_2$  и кипячении полученного 2-метилового эфира VII (VIII) с пиперидином получен 17-ацетат 2-метокси-Δ<sup>1,3,5</sup>(10)-эстратриендиола-3,17β (IX), дающий при омылении III. 2-метокси-3-(2'-бензоил-4'-нитро)-фенокси-Δ<sup>1,3,5</sup>(10)-эстратриендиол-17β (X), образующийся при гидролизе VIII, при окислении  $\text{CrO}_3$  и последующем расщеплении кипячением с пиперидином дал I. Синтезировать I аналогичным путем, исходя из эстрона (XI), не удалось. Р-р 18,4 ммоль II и 10,5 ммоль КОН в 100 мл спирта кипятят 48 час. с 9,2 ммоль IV, частично упаривают и выливают в 1 н. р-р NaOH; продукт р-ции хроматографируют на 150 г  $\text{Al}_2\text{O}_3$  и смесью петр. эфира и  $\text{C}_6\text{H}_6$  (1:1) вымывают 2-этоксис-5-нитробензофенон; при дальнейшем вымывании  $\text{C}_6\text{H}_6$  получают V, выход 90%, т. пл. 97—105° (из бал.-петр. эф.),  $[\alpha]_D^{25} + 40^\circ$ . V ацетилируют ( $\text{CH}_3\text{CO}_2$ )<sub>2</sub>O в  $\text{C}_6\text{H}_5\text{N}$ ; к р-ру 7,5 г полученного в виде масла VI в 4 мл лед.  $\text{CH}_3\text{COOH}$  прибавляют при охлаждении и встряхивании 10 мл конц.  $\text{H}_2\text{SO}_4$ ; полученный красный р-р размешивают 30 мин. при 20°, разбавляют 40 мл лед.  $\text{CH}_3\text{COOH}$  и соль ксантилия окисляют прибавлением при встряхивании р-ра 5 мл 30%-ной  $\text{H}_2\text{O}_2$  в 5 мл.  $\text{CH}_3\text{COOH}$ ; через 30 мин. смесь выливают в воду и получают VII, выход 80%, т. пл. 170—172° (из  $\text{CH}_3\text{OH}$ ),  $[\alpha]_D^{25} + 21,0^\circ$ . VII при размешивании с избытком  $\text{CH}_3\text{N}_2$  в спирте (5°, 24 часа) дает VIII, выход 89%, т. пл. 169—171°,  $[\alpha]_D^{25} + 36^\circ$ . 432 мг VIII кипятят 1 час с 20 мл пиперидина; продукт р-ции промывают разб.  $\text{H}_2\text{SO}_4$ , хроматографируют на 16 г  $\text{Al}_2\text{O}_3$  и вымывают смесью петр. эфира и  $\text{C}_6\text{H}_6$  (1:1) выделяют 2-пиперидино-5-нитробензофенон и IX, выход 70%, т. пл. 194—196° (из бал.-петр. эф.),  $[\alpha]_D^{25} + 125^\circ$ . IX при гидролизе 5%-ным спирт. р-ром КОН в атмосфере  $\text{N}_2$  дает III, т. пл. 188—190° (из ацетона),  $[\alpha]_D^{25} + 100^\circ$ ; диацетат, т. пл. 165—166° (из  $\text{CH}_3\text{OH}$ ),  $[\alpha]_D^{25} + 53^\circ$ ; 3-бензоат (XII), т. пл. 195—198° (из  $\text{CH}_3\text{OH}$ ),  $[\alpha]_D^{25} + 72^\circ$ . III получен также кипячением 2 часа 1,43 г VIII с 50 мл 6%-ного спирт. р-ра КОН в атмосфере,  $\text{N}_2$ , выход 92%. VIII (203 мг) при кипячении 24 часа с 8 мл конц.  $\text{H}_2\text{SO}_4$  в 40 мл спирта омыляется в X, выход 85%, т. пл. 125—126° (из  $\text{CH}_3\text{OH}$ ),  $[\alpha]_D^{25} + 61^\circ$ . К р-ру 290 мг X в 40 мл ацетона прибавляют 8 н. р-р  $\text{CrO}_3$  в  $\text{H}_2\text{SO}_4$  до появления оранжево-коричневой окраски; смесь выдерживают 15 мин. при ~20° и выделяют 2-метокси-3-

(2'-бензоил-4'-нитро)-феноксиэстрон (XIII), выход 80%, т. пл. 204—205° (из  $\text{CH}_3\text{OH}$ ),  $[\alpha]_D^{25} + 89^\circ$ . 240 мг XIII кипятят 1 час с 20 мл пиперидина; продукт р-ции очищают методом противотоочного распределения (70%-ный водн.  $\text{CH}_3\text{OH}-\text{CCl}_4$ ) и получают I, выход 80%, т. пл. 188—191° (из разб.  $\text{CH}_3\text{OH}$ ); бензоат-I (XIV), т. пл. 225—228° (из  $\text{CH}_3\text{OH}$ ). XIV получен также окислением XII  $\text{CrO}_3$ . Аналогично превращению II в V из XI получают 3-(2'-бензоил-4'-нитро)-феноксиэстрон (XV), выход 84%, т. пл. 240—243° (из  $\text{CH}_3\text{OH}$ ),  $[\alpha]_D^{25} + 88^\circ$ . При попытке превратить XV в I аналогично превращению VI в III получено в-во с т. пл. 204—207° (из  $\text{CH}_3\text{OH}$ ), которое, судя по ИК-спектру, является 13,17-секолактоном. Для III, V, VII, VIII и XV приведены данные УФ-спектров. Все  $[\alpha]_D$  измерены в  $\text{CHCl}_3$ . В. Конюк

57562. Аналоги стероидных гормонов. I. Синтез 18,19-динорпрогестерона и 14-окси-18,19-динорпрогестерона. Нелсон, Гарленд (Steroidal hormone analogs. I. Synthesis of 18,19-dinorprogesterone and 14-hydroxy-18,19-dinorprogesterone. Nelson Norman A., Garland Robert B.), J. Amer. Chem. Soc., 1957, 79, № 23, 6313—6320 (англ.)

С целью изучения влияния  $\text{CH}_3$ -группы при  $\text{C}_{14}$  на биол. активность проведен синтез 14α-окси-18,19-динорпрогестерона (I) и 18,19-динорпрогестерона (II). При восстановлении 1-кето-7-метокси-1,2,3,4,9,10-гексагидрофенантрена (III) Li в жидком  $\text{NH}_3$  с выходом 90% получается 1-кето-7-метокси-1,2,3,4,4а,9,10,10аβ-октагидрофенантрен (IV). Построение кольца D осуществлялось по методу, примененному для синтеза кортизона (РЖХим, 1955, 18842, 40229), через 1-мето-2α-металлил-7-метокси-1,2,3,4а,9,10,10аβ-октагидрофенантрен (V), который получался двумя путями: 1) алкилированием 2-оксиметиленового производного IV (IVa), выход 24%, и 2) алкилированием 2-оксиметиленового производного III (IIIa) до 1-кето-2-металлил-1,2,3,4,9,10-гексагидрофенантрена (VI) с последующим восстановлением VI Li в  $\text{NH}_3$  до V, выход 41%. При взаимодействии V с  $\text{C}_2\text{H}_5\text{OC}\equiv\text{CMgBr}$  с последующим гидратированием получен этиловый эфир 1-карбоксиметил-2α-металлил-7-метокси-1,2,3,4,4а,9,10,10аβ-октагидрофенантренола-1а (VII) (к-та), при дегидратации которого получается непредельная к-та (VIII) и ненасыщ. эфир (IX). При восстановлении этилового эфира VII образуется 1-(2-оксиэтил)-2α-металлил-7-метокси-1,2,3,4,4а,9,10,10аβ-октагидрофенантренол-1а (X). При окислении тозилата X  $\text{OsO}_4$  с последующим расщеплением гликоля  $\text{HJO}_4$  и циклизацией образуется 3-ме-



токсис-17-ацетил-18-нор-1,3,5(10)-эстратриенол-14 (XI) с выходом 19%, а также побочно эфиры (XII) и (XIII). При окислении XIII образуется лактон (XIV). При использовании 1/10 экв кол-ва  $\text{OsO}_4$  и 2 экв йодной к-ты выход XI повышается до 32%. При восстановлении XI Li в  $\text{NH}_3$  получается гликоль (XV), который гидролизуют ( $\text{COOH}$ )<sub>2</sub> в Δ<sup>5</sup>(10)-18,19-динорпрегнандиол-14α,20-он-3 (XVI). При изомеризации XVI в Δ<sup>4</sup>-изомер XVI (XVII) с последующим окислением образуется I. При омылении IX с последующим восстановлением Li в  $\text{NH}_3$  и обработкой  $\text{CH}_3\text{N}_2$  с общим выхо-

дом 50% образуется 1β-карбетоксиметил-2α-метал-  
лам-7-метокси-1,2,3,4,4а,9,10,10аβ-октагидрофенантрен  
(XVIII). При восстановлении XVIII LiAlH<sub>4</sub> образует-  
ся спирт, тозилат которого окислили смесью йодной  
к-ты и каталитич. кол-в OsO<sub>4</sub>, затем обработали CH<sub>3</sub>ONa  
и получили 3-метокси-17-ацетил-18-нор-1,3,5(10)-  
эстретриен (XIX). При последовательном восстанов-  
лении XIX Li и спиртом в NH<sub>3</sub>, гидролизе (COOH)<sub>2</sub> и  
омыслении получается II. С точки зрения конформа-  
ционного анализа рассмотрен вопрос о стереохим.  
строении I и II и показано, что в обоих случаях обра-  
зуется конфигурация, соответствующая конфигурации  
природного прогестерона. К р-ру 1,08 г Li в 1 л жид-  
кого NH<sub>3</sub> прибавили р-р 16 г III в 500 мл эфира, пе-  
ремешивали 30 мин., в течение которых добавили 20 г  
NH<sub>4</sub>Cl, и после обработки и хроматографирования по-  
лучили 14,5 г IV, т. пл. 109—109,5°, 0,525 г III в 12 мл  
спирта и 1 каплю CH<sub>3</sub>COOH гидрировали с 0,15 г  
30%-ного Pd/C и получили 0,4 г 7-метокси-1,2,3,4,4а,  
9,10,10аβ-октагидрофенантрена. К смеси 34 г III и 3,3 г  
NaH (атмосфера N<sub>2</sub>) прибавили 100 мл HCON(CH<sub>3</sub>)<sub>2</sub>,  
через 30 мин. смесь охладили до 0°, добавили 30 мл  
CH<sub>2</sub>=C(CH<sub>3</sub>)CH<sub>2</sub>I, оставили на 1 час при 20°, удалили  
р-ритель, прибавили р-р 10 г КОН в 25 мл воды, пере-  
мешивали 30 мин. и получили (после хроматографи-  
рования) 25,8 г VI, т. пл. 61,8—62,6°. Аналогично из  
5,16 г IVа получили 1,82 г V, т. пл. 106,2—106,6°. Р-р  
25,8 г VI в 200 мл эфира прибавили к р-ру 1,75 г Li  
в 500 мл жидкого NH<sub>3</sub>, перемешивали 15 мин. и после  
обработки продукт р-ции (26 г) растворяли в 50 мл  
абс. CH<sub>3</sub>OH, прибавили р-р CH<sub>3</sub>ONa, притоготовленный  
из 150 мг Na в 50 мл CH<sub>3</sub>OH, и оставили на 3 часа  
при 20°, добавили 1 мл CH<sub>3</sub>COOH, охладили и полу-  
чили 16,8 г V. Р-р 0,994 г C<sub>2</sub>H<sub>5</sub>OC≡CH в 6 мл эфира  
прибавили к р-ру C<sub>2</sub>H<sub>5</sub>MgBr (из 0,337 г Mg), смесь  
кипятили 2 часа, разбавили 10 мл C<sub>6</sub>H<sub>6</sub> и при 0° при-  
бавили р-р 2 г V в 8 мл C<sub>6</sub>H<sub>6</sub>, перемешивали 3 часа  
при 20° и кипятили 1 час. После обработки к выде-  
ленному продукту прибавили при 0° смесь 1,4 мл  
10%-ной H<sub>2</sub>SO<sub>4</sub> в 23 мл тетрагидрофурана, оставили на  
3 часа при 20°, прибавили 10,5 мл 0,5 н. NaHCO<sub>3</sub> и  
экстрагировали эфиром. Экстракт упаривали в ва-  
кууме, остаток кипятили 3 часа с р-ром 6,1 г K<sub>2</sub>CO<sub>3</sub>,  
0,5 г КОН в 45 мл воды и 45 мл CH<sub>3</sub>OH и после под-  
мешивания получили 1,2 г VII, т. пл. 150,4—151,2°. 670 мг  
VII обработали CH<sub>2</sub>N<sub>2</sub>, получили 700 мг метилового  
эфира VII, который растворили в 7 мл пиридина и  
обработали (10 мин.) р-ром 0,4 мл SOCl<sub>2</sub> в 2 мл пири-  
дина. После обработки и хроматографирования полу-  
чили 490 мг в-ва (фракция гексан-бэл., 1:1), которые  
гидролизовали при кипячении (6 час.) смесью 1,5 г  
K<sub>2</sub>CO<sub>3</sub>, 15 мл воды и 15 мл CH<sub>3</sub>OH и получили 220 мг  
VIII, т. пл. 190—191°, метиловый эфир, т. пл. 76,0—  
76,6°. При взаимодействии C<sub>2</sub>H<sub>5</sub>OC≡CMgBr (из 1,05 г  
C<sub>2</sub>H<sub>5</sub>OC≡CH) с 2 г V в вышеописанных условиях с по-  
следующей обработкой H<sub>2</sub>SO<sub>4</sub> и хроматографировании  
выделили 180 мг IX (фракция гексан-бэл., 4:1), т. пл.  
90—91°, и 2,5 г этилового эфира VII (фракция бэл.-эф.,  
49:1), т. пл. 68,2—68,8°. К охлад. до 10° р-ру 2,25 г  
последнего в 25 мл пиридина прибавили р-р 1,5 мл  
SOCl<sub>2</sub> в 5 мл пиридина, оставили на 10 мин. при 20°  
и получили 1,63 г этилового эфира VIII, который не  
изомеризуется под действием C<sub>2</sub>H<sub>5</sub>ONa. К охлад. до  
0° р-ру 3,95 г этилового эфира VII в 75 мл эфира при-  
бавили 20 мл 1 М р-ра LiAlH<sub>4</sub> в эфире, перемешивали  
12 час. при 20° и получили 3 г X, т. пл. 109,6—110,2°.  
При восстановлении 2 г этилового эфира VII LiAlH<sub>4</sub>  
и тетрагидрофуране выделено 0,3 г в-ва, т. пл. 169—  
170°, при окислении которого CrO<sub>3</sub> в пиридине с выхо-  
дом 30% получается V, и 0,54 г в-ва, т. пл. 93—93,8°,  
которое при окислении CrO<sub>3</sub> в пиридине также дает V  
с выходом 71%. Р-р 1,8 г n-CH<sub>3</sub>C<sub>6</sub>H<sub>4</sub>SO<sub>2</sub>Cl в 10 мл C<sub>6</sub>H<sub>6</sub>

прибавили к р-ру 2,6 г X в 10 мл пиридина, оставили  
при 0° на 21 час и после обработки получили 3,05 г  
(80%) тозилата X, т. пл. 120—122°. Р-р 60 мг OsO<sub>4</sub>  
в 1,2 мл тетрагидрофурана прибавили к р-ру 750 мг  
тозилата X в 15 мл тетрагидрофурана и 2 мл пири-  
дина, перемешивали 10 мин., прибавили р-р 820 мг  
йодной к-ты в 5 мл воды, перемешивали 10 мин., охла-  
дили до 0° и прибавили р-р 3 г Na<sub>2</sub>SO<sub>3</sub> в 20 мл воды,  
перемешивали 30 мин. и экстрагировали эфиром. В-во  
из экстракта (750 мг) растворили в 10 мл трет-бута-  
нола, прибавили 30 мл 0,112 н. р-ра трет-бутилата K  
в трет-бутаноле, оставили на 12 час. и после обработки  
и хроматографирования получили 154 мг XI (эфирная  
фракция), т. пл. 131,2—132°. Из фракции C<sub>6</sub>H<sub>5</sub>-эфир  
(9:1) выделили 83 мг XII, т. пл. 127,2—127,8°. При  
ступенчатом окислении 1,5 г тозилата X сначала OsO<sub>4</sub>,  
затем йодной к-той выделено (после хроматографи-  
рования) 190 мг XI, 110 мг XII и из фракции эфир-  
CH<sub>3</sub>OH (19:1) 250 мг XIII, т. пл. 186—187°. Р-р 200 мг  
XI в 10 мл абс. спирта и 50 мл эфира прибавили  
(10 мин.) к р-ру 840 мл Li в 250 мл жидкого NH<sub>3</sub>, за-  
тем прибавили еще 8 мл спирта и после обработки  
получили 200 мг XV. Последний растворили в 30 мл  
CH<sub>3</sub>OH, прибавили р-р 0,6 г (COOH)<sub>2</sub>·2H<sub>2</sub>O в 6 мл  
воды и оставили на 2 часа при 20°; после обработки  
получили 220 мг XVI. К р-ру XVI в 10 мл абс. спирта  
прибавили р-р C<sub>2</sub>H<sub>5</sub>ONa (из 20 мг Na и 5 мл спирта).  
Смесь оставили на 10 мин. при 50° и после обработки  
получили 230 мг XVII, который растворили в 2 мл  
пиридина и прибавили к суспензии 250 мг CrO<sub>3</sub> в 3 мл  
пиридина, оставили на 12 час. и после хроматографи-  
рования получили 42 мг I, т. пл. 161,4—162°. Смесь  
330 мг XIII, 0,75 г CrO<sub>3</sub> и 12,5 мл пиридина оставили  
на 12 час. при 20° и после обработки получили 190 мг  
XIV, т. пл. 203,2—203,6°. Р-р 0,2 г КОН и 2 г K<sub>2</sub>CO<sub>3</sub>  
в 5 мл воды прибавили к р-ру 0,95 г IX в 15 мл CH<sub>3</sub>OH  
и кипятили 4 часа, и после обработки получили 0,85 г  
ненасыщ. к-ты (IXa), к р-ру которой в 5 мл абс. тетра-  
гидрофурана прибавили 100 мл жидкого NH<sub>3</sub> и 50 мл  
Li и перемешивали 2 часа. После обычной обработки  
и этерификации CH<sub>2</sub>N<sub>2</sub> получили (после хроматографи-  
рования) 183 мг XVIII, т. пл. 103—103,5°. При про-  
ведении этих превращений с кристаллич. IX удается  
получить XVIII с выходом 50%, причем IXa также  
выделяется в кристаллич. форме, т. пл. 175—176°. 2 мл  
1 М р-ра LiAlH<sub>4</sub> в эфире прибавили к р-ру 200 мг  
XVIII в 20 мл эфира и кипятили 6 час. Продукт р-ции  
(250 мг) растворили в 20 мл пиридина, прибавили р-р  
400 мг n-CH<sub>3</sub>C<sub>6</sub>H<sub>4</sub>SO<sub>2</sub>Cl в 2 мл пиридина и 2 мл C<sub>6</sub>H<sub>6</sub>,  
оставили на 16 час. при 0° и после обработки полу-  
чили 270 мг тозилата XVIII, т. пл. 73—75°. Последний  
растворили в 10 мл тетрагидрофурана, прибавили р-р  
12,5 мг OsO<sub>4</sub> в 0,5 мл тетрагидрофурана, затем 228 мг  
йодной к-ты в 2 мл воды и перемешивали 12 час. при  
20°. Продукт р-ции (180 мг) обработали р-ром CH<sub>3</sub>ONa  
(из 23 мг Na) при 20° 48 час. и после хроматографи-  
рования получили 52 мг XIX, т. пл. 114,4—114,8°. Р-р  
50 мг XIX в 5 мл абс. спирта и 25 мл эфира приба-  
вили (5 мин.) к р-ру 420 мг Li в 125 мл жидкого NH<sub>3</sub>,  
затем прибавили 4 мл спирта и полученный после  
обработки остаток (50 мг) растворили в 5 мл CH<sub>3</sub>OH,  
прибавили 3 мл 4 н. HCl и кипятили 1 час. Получен-  
ный после обработки остаток (50 мг) растворили в 3 мл  
CH<sub>3</sub>COOH и прибавили р-р 0,03 г CrO<sub>3</sub> в 0,2 мл воды  
и 1 мл CH<sub>3</sub>COOH, оставили на 4,5 часа при 20° и после  
обработки и хроматографирования получили 12 мг  
II, т. пл. 126—126,6°.

С. Ананченко

57563. Взаимодействие ацетата 5α,6β-дибромхолеста-  
нола-3β с соединениями серебра. Пельц (Reakce  
3β-acetoxy-5α,6β-dibromocholestanu se sloučeninami  
stříbra. Pelc Bohumil), Chem. listy, 1957, 51,



№ 5, 946—951 (чешск.); Сб. чехосл. хим. работ, 1957, 22, № 5, 1457—1463 (нем.; рез. русск.)

4 г ацетата 5 $\alpha$ ,6 $\beta$ -дибромхолестанола-3 $\beta$  (I) взбалтывают с 4 г Ag $_2$ CrO $_4$  в 50 мл ацетона в течение 50 час. и затем 2 часа с р-ром 1,4 г CrO $_3$  в 5 мл воды и 0,4 мл конц. H $_2$ SO $_4$ . После обычной обработки получают 0,65 г 3-ацетата холестандиола-3 $\beta$ ,5 $\alpha$ -она-6 (II), т. пл. 233—234° (из ацетона). Смесь 186 г I и 150 г Ag $_2$ O взбалтывают в 3,6 л ацетона и 360 мл воды, получают 137 г аморфного продукта, который разделяют хроматографированием на две фракции: полярную (эф. и ацетон) и неполярную (бэл.). После хроматографирования полярной фракции (49 г) выделяют 0,85 г 3-ацетата  $\Delta^5$ -холестандиола-3 $\beta$ ,4 $\beta$  (III), т. пл. 187—190° (хлф.),  $[\alpha]_D^{20}$  —60°; 3 г 4-ацетата  $\Delta^5$ -холестандиола-3 $\beta$ ,4 $\beta$  (IV), т. пл. 163—164° (ацетон),  $[\alpha]_D^{20}$  —85°; неизвестное в-во, т. пл. 174—179°. Кроме того, получено 4,8 г смеси III и IV, которая после ацетилирования в пиридине (12 час., 20°) дала 4,5 г диацетата  $\Delta^5$ -холестандиола-3 $\beta$ ,4 $\beta$  (V), т. пл. 167° (CH $_3$ OH-CHCl $_3$ ),  $[\alpha]_D^{20}$  —93°. Маточные р-ры от III и IV вместе с конечными фракциями хроматографирования дали после аналогичного ацетилирования 4,3 г V. Сухой остаток маточных р-ров (18 г) после выделения V, описанного выше, снова хроматографировали и выделили 2,1 г V и 0,9 г 3,6-диацетата холестандиола-3 $\beta$ ,5 $\alpha$ ,6 $\beta$  (VI), т. пл. 163—165°,  $[\alpha]_D^{20}$  —45°. Смесь 25 г I и 25 г Ag $_2$ O в 1250 мл спирта и 75 мл воды кипятят 100 мин. и после аналогичной обработки и ацетилирования получают 4,3 г V и 0,3 г ацетата холестерина, т. пл. 140° (бэл.). Смесь 5 г I и 10 г ацетата Ag в 200 мл ацетона взбалтывают 12 час.; после обработки и хроматографирования выделяют 0,68 г IV (хлф.). Смесь 10 г I в 100 мл эфира и 11,4 г ацетата Ag в 40 мл пиридина кипятят 40 час.; после ацетилирования продукта р-ции получают 2,4 г V. Кипячением 1 час 7 г V (или III, или IV) со смесью 3 г KOH, 3 мл воды, 100 мл CH $_3$ OH и 20 мл CHCl $_3$  получают 5,7 г  $\Delta^5$ -холестандиола-3 $\beta$ ,4 $\beta$  (VII), т. пл. 174—176° (из ацетона),  $[\alpha]_D^{20}$  —66°. Гидрированием 1 г V на Pt в 50 мл уксусной к-ты получают 300 мг диацетата холестандиола-3 $\beta$ ,4 $\beta$ , т. пл. 133—135° (из ацетона),  $[\alpha]_D^{20}$  —9°. Р-р 100 мг VII в 5 мл CH $_3$ COOH кипятят 10 мин., получают 65 мг диацетата  $\Delta^4$ -холестандиола-3 $\beta$ ,6 $\beta$  (VIII), т. пл. 123—126°. Аналогичным путем синтезировали VIII из IV. В CH $_3$ COOH обычной чистоты изомеризация не протекает. Восстановлением 1 г III кипячением (2 часа) с 0,15 г LiAlH $_4$  в эфире получают 0,93 г 3-ацетата холестандиола-3 $\beta$ ,5 $\alpha$ ,6 $\beta$ , т. пл. 207° (из CH $_3$ OH), который ацетилированием 20 час. (CH $_3$ CO) $_2$ O в пиридине на холоду дал 0,4 г VI. Дегидратация 0,25 г VI действием 0,2 мл SOCl $_2$  в 4 мл пиридина при —10° в течение 20 мин. привела к 0,15 г VIII.

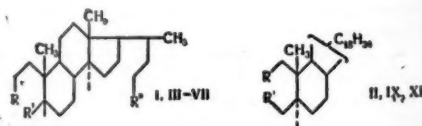
**57564.** Изучение стероидов. XIX.  $\Delta^4$ -6 $\alpha$ ( $\beta$ )-хлорхолестенон-3. Ультрафиолетовые спектры и конформация 6-замещенных  $\Delta^4$ -3-кетостероидов. Морита (Morita Ken-ichi), Нихон катяку дзасси, J. Chem. Soc. Jap. Pure Chem. Sec., 1957, 78, № 11, 1531—1536 (японск.)

При пропускании (1,5 часа) тока сухого HCl в р-р 900 мг 6 $\beta$ -хлорхолестанола-5-она-3 (I) в 25 мл CHCl $_3$ , содержащего 0,7% спирта, образуется 500 мг  $\Delta^4$ -6 $\alpha$ -хлорхолестенон-3 (II), т. пл. 124—125°,  $[\alpha]_D^{20}$  +59° (с 0,92; хлф.). В аналогичных условиях происходит также эпитеризация 100 мг  $\Delta^4$ -6 $\beta$ -хлорхолестенон-3 (III) с образованием 51 мг II. При пропускании сухого HCl (40 мин.) через р-р 500 мг I в 20 мл CHCl $_3$ , не содержащего спирта, образуется 310 мг III, т. пл. 129—130°,  $[\alpha]_D^{20}$  +14° (с 2,12; хлф.). Попытка эпитеризации  $\Delta^4$ -6 $\beta$ -хлорхолестенон-3 (IV) в аналогичных условиях не привела к желаемым результатам. Дегалогенирование II, III или IV обработкой порошком

Zn в лед. CH $_3$ COOH (кипчение 1,5 часа) приводит во всех случаях к  $\Delta^4$ -холестенону-3, т. пл. 80°. Гидролиз II, III или IV кипячением (2 часа) в спирт. р-ре в присутствии нескольких капель конц. HCl приводит к образованию 5 $\alpha$ -холестандиона-3,6, т. пл. 170—171°. Изучение УФ-спектров 6 $\alpha$ - и 6 $\beta$ -замещ.  $\Delta^4$ -холестенон-3 (собственные данные автора и литературные данные) показало, что эпитерические производные не отличаются по  $\lambda_{\text{макс}}$  [поглощение для 6-галогид- (хлор или бром), 6-окси- и 6-ацетоксипроизводных при ~ 240 м $\mu$ , однако экстинкция  $\beta$ -эпимеров (12,000 ~ 14,500) ниже, чем у соответствующих  $\alpha$ -эпимеров (14,500 ~ 17,100)]. Сообщение XVIII см. РЖХим, 1958, 21583.

**57565.** О многоатомных четвертичных аммониевых соединениях. Сообщение VI. Некоторые продукты превращения желчных кислот и стероидов. Летте, Готштейн, Шольтисек (Einige Umwandlungsprodukte von Gallensäuren und Sterinen. Über vielwertige quartäre Ammoniumverbindungen. VI. Mitteilung. Lette H., Gottstein W., Scholtissek Ch.), Monatsh. Chem., 1958, 88, № 5, 715—720 (нем.)

Восстановлением амидов, метиловых эфиров и смешанных метиловых эфиров и амидов литобилиановой (I) и 2,3-секоситостандикарбоновой-2,3 (II) к-т получены соответствующие амины, спирты и аминспирты. Первые превращены в триметиламмониййодиды, подвергнутые испытаниям. Обнаружено сильное цитоксическое действие. Кипячением I с (CH $_3$ CO) $_2$ O и последующей обработкой NH(CH $_3$ ) $_2$  в эфире получен 3-диметиламид-I, т. пл. 251—252° (из CH $_3$ OH). Последовательное кипячение I с (CH $_3$ CO) $_2$ O (1 час), обработка PCl $_5$  в C $_6$ H $_6$  (0°) и затем NH(CH $_3$ ) $_2$  в эфире (30 мин., 20°) приводит к 3,4,24-триметиламиду-I (III), выход (после хроматографирования) 60—70%, т. пл. 151—152° (из этилацетата-эф.), и 3,24-бисдиметиламиду-I (IV), выход 15—20%, т. пл. 232—233° (из водн. CH $_3$ OH). Метилирование IV с помощью CH $_3$ N $_2$  в эфире, кипячение с LiAlH $_4$  в тетрагидрофуране (4 часа), выделение основной фракции и осаждение хлоргидрата в ацетоне позволили получить хлоргидрат 3,24-бисдиметиламино-3,4-секохоланола-4 (V) т. пл. 292—295° (разл.). Аналогично из III получен хлоргидрат 3,4,24-триметиламино-3,4-секохолана (VI), выход 90%, т. пл. 275° (разл.; из CH $_3$ OH-ацетона). Основание, выделенное из VI, после действия CH $_3$ I в CH $_3$ OH (48 час., 20°) дало йодид 3,4,24-триметиламоний-3,4-секохолана (VII), т. пл. 290° (разл.). Кипячением



I R=R'=R'=COOH, II R=R'=COOH; III R-R'-R'=CON(CH $_3$ ) $_2$ ; IV R-R'=CON(CH $_3$ ) $_2$ , R'-COOH; V R-R'=CH $_2$ N(CH $_3$ ) $_2$ , R'=CH $_2$ OH; VI R-R'-R'=CH $_2$ N(CH $_3$ ) $_2$ ; VII R=R'-R'=CH $_2$ N(CH $_3$ ) $_2$ J; IX R=R'=CH $_2$ OH; XI R-R'=CH $_2$ N(CH $_3$ ) $_2$ -HCl.

II с (CH $_3$ CO) $_2$ O (2 часа) получен ангидрид II, выход 76%, т. пл. 176° (из петр. эф.). Восстановление LiAlH $_4$  в эфире (2 часа, 20°) превратило диметиловый эфир II (VIII) в 2,3-секоситостандиол-2,3 (IX), выход 88%, т. пл. 182—183° (из CH $_3$ OH). Встраивание II с PCl $_5$  в эфире (30 мин.) и обработка NH(CH $_3$ ) $_2$  в эфире (1 час) привели после хроматографирования к 2,3-диметиламиду-II (X), выход 48, т. пл. 106—107° (из

приходит к 80°. Гидролиз спирта р-ра в 170—171° с 4-хлорсоединением температуры водные продукты в. Лотре, Umwandlungen. Überingen. VI. Schol- 5, 715—

ов и сме- лиановой к-ты полу- аминоспир- ное циток- последую- диметил- дователь- отка PC<sub>4</sub> ин., 20°) выход 151- ламиду-I CH<sub>3</sub>OH) е, кипя- выделе- драта в оисдме- 92—285° придрат выход Основ- CH<sub>3</sub>OH амоний- чением

- R' =  
R = R' =  
(CH<sub>3</sub>)<sub>2</sub>  
XI R =

выход  
LiAlH<sub>4</sub>  
эфир  
88%,  
PCl<sub>5</sub>  
эфире  
3-ди-  
(из

CH<sub>3</sub>OH). Кипячение X с LiAlH<sub>4</sub> в эфире и осаждение метанольной HCl позволило получить бисхлоргидрат 2,3-бисдиметиламино-2,3-секосистостана (XI), выход 88%, т. пл. 326° (разл.; из CH<sub>3</sub>OH). Основание из XI при действии CH<sub>3</sub>J в эфире дало йодид 2,3-бистриметиламино-2,3-секосистостана, выход 100%, т. пл. 323° (из CH<sub>3</sub>OH). Сообщение V см. РЖХим, 1957, 34514.

А. Камерницкий

37566. Аминоспирты. II. Оксиминосоединения ряда холестана. Дрефаль, Понзолд (Aminoalkohole. II. Hydroxy-amino-Verbindungen der Cholestanreihe. Drefahl Günther, Ponsold Kurt), Chem. Ber., 1958, 91, № 2, 271—277 (нем.)

Гидрированием оксима холестандиол-3β,5-она-6 (I) окислирован 6β-аминохолестандиол-3β,5 (II), превращенный далее в α-оксидохолестерин (III) и холестандиол-3β,5,6β (IV). Окислением 7β- и 7α-ацетаминохолестеринов (V и VI) получены 7β- и 7α-ацетаминохолестатриолы-3β,5,6β (VII и VIII). 6 г I, т. пл. 248—250° (разл.; из CH<sub>3</sub>OH), [α]<sub>D</sub><sup>20</sup> -49,5° (с 1,998), гидрируют в 60 мл лед. CH<sub>3</sub>COOH и 40 мл абс. CH<sub>3</sub>OH в присутствии 0,3 г PtO<sub>2</sub> (50°, 50 ат, 4 часа) и получают II, выход 4 г, т. пл. 203—204° (из CH<sub>3</sub>OH), [α]<sub>D</sub><sup>20</sup> +5,8° (с 1,374); хлоргидрат, т. пл. 278° (разл.). II при обработке (CH<sub>3</sub>CO)<sub>2</sub>O (0,6 г на 1 г II) в горячем этилацетате дает N-ацетильное производное (IX), т. пл. 263—264° (из этилацетата), [α]<sub>D</sub><sup>22</sup> -20,2° (с 2,128); а при действии избытка (CH<sub>3</sub>CO)<sub>2</sub>O в C<sub>6</sub>H<sub>5</sub>N (20°, 24 часа) дает 3-ацетат IX, т. пл. 195—196° (из бзн.), [α]<sub>D</sub><sup>22</sup> -11,6° (с 4,402). 0,42 г II и 0,11 г C<sub>6</sub>H<sub>5</sub>CHO кипятят 1 час в 15 мл CH<sub>3</sub>OH в присутствии одной капли р-ра NaOH и разбавлением водой выделяют основание Шиффа, выход 0,35 г, т. пл. 136—137° (из разб. CH<sub>3</sub>OH), [α]<sub>D</sub><sup>20</sup> -96,4° (с 0,964). Смесь 2,1 г II, 15 мл CH<sub>3</sub>OH и 10 мл 36%-ного р-ра CH<sub>2</sub>O нагревают 12 час. при 90—100°; разбавляют водой, подщелачивают, выделившееся основание кипятят 20 мин. с 7 мл 25%-ного р-ра NaOH в 75 мл CH<sub>3</sub>OH и получают 6β-диметиламинохолестандиол-3β,5 (X), выделенный в виде хлоргидрата, выход 1,5 г, т. пл. 232° (разл.; из CH<sub>3</sub>OH), X, т. пл. 168° (из CH<sub>3</sub>OH), [α]<sub>D</sub><sup>22</sup> -45,5° (с 2,306); 3-ацетат X, т. пл. 156° (из CH<sub>3</sub>OH), [α]<sub>D</sub><sup>21</sup> -51,40° (с 1,634). При прибавлении р-ра 1,5 г NaNO<sub>2</sub> в 10 мл воды к 1 г II в 50 мл 10%-ной CH<sub>3</sub>COOH получают III, выход 0,7 г, т. пл. 144—145° (из этилацетата). III (0,5 г) при кипячении 30 мин. с 0,3 г H<sub>2</sub>O<sub>4</sub>·2H<sub>2</sub>O в смеси 15 мл ацетона и 5 мл воды дает IV, т. пл. 234—235° (из CH<sub>3</sub>OH). 0,44 г V нагревают 7,5 часа при 50—60° с 0,36 г моноацетатной к-ты в 20 мл диоксана и получают 5,6β-эпокси-7β-ацетаминохолестанол-3β (XI), выход 0,35 г, т. пл. 248—250° (из CH<sub>3</sub>OH), [α]<sub>D</sub><sup>20</sup> +80,46° (с 1,976); 3-ацетат (XII), т. пл. 186°, [α]<sub>D</sub><sup>22</sup> +65,48° (с 3,528). Конфигурация XI подтверждается образованием его из V через бромгидриды и превращением в VII. К горячему р-ру 0,07 г V в 15 мл лед. CH<sub>3</sub>COOH прибавляют 3,5 мл воды и быстро охлаждают; к полученной суспензии прибавляют 0,3 г N-бромсукцинимид, смесь выдерживают 2 часа и разбавляют водой; выпавший осадок кипятят 5 мин. с 10%-ным метанольным р-ром KOH и получают XI, выход 0,4 г. 0,3 г XI кипятят 2 часа с 25 мл 2%-ной H<sub>2</sub>SO<sub>4</sub> в 40 мл ацетона; при стоянии выпадает VII, выход 150 мг, т. пл. 271—272° (из сп.), [α]<sub>D</sub><sup>20</sup> +53,64° (с 1,044). Аналогично превращению V в XI из VI получены 5,6α-эпокси-7α-ацетаминохолестанол-3β (XIII), выход 0,82 г из 0,9 г VI, т. пл. 232° (из CH<sub>3</sub>OH), [α]<sub>D</sub><sup>21</sup> -9,315° (с 11,38); 3-ацетат (XIV), т. пл. 212° (из CH<sub>3</sub>OH), [α]<sub>D</sub><sup>21</sup> -106,68° (с 2,456), и VIII, т. пл. 326—328° (разл.; из CH<sub>3</sub>OH), [α]<sub>D</sub><sup>22</sup> +21,02° (с 1,142; C<sub>6</sub>H<sub>5</sub>N). VII и VIII получены также прямым окислением V и VI. Суспензию 1 г V в 50 мл 88%-ной HCOOH нагревают при размешивании 15 мин. при 70°, охлаждают до 30°, добавляют 1,5 мл 30%-ного р-ра

H<sub>2</sub>O<sub>2</sub>, размешивают 15 час. и разбавляют водой; выделенное извлечением эфиром в-во кипятят 15 мин. с 5 мл 25%-ного р-ра NaOH и 100 мл CH<sub>3</sub>OH, фильтруют, подкисляют и добавлением воды выделяют VII. Аналогично из 1 г VI получают 0,8 г VIII. VII при кипячении 2 часа с избытком (CH<sub>3</sub>CO)<sub>2</sub>O в безводн. диоксане дает 3-ацетат, т. пл. 205—206° (из CH<sub>3</sub>OH), [α]<sub>D</sub><sup>22</sup> +33,17° (с 1,628; смесь CHCl<sub>3</sub> и CH<sub>3</sub>OH, 1:2), полученный также при нагревании 0,75 г XII с 10 мл диоксана и 5 мл воды 5 дней при 150—160° под давлением, выход 0,4 г. Аналогично 3-ацетат VIII получен из VIII и из XIV, т. пл. 249—250° (из этилацетата), [α]<sub>D</sub><sup>22</sup> -7,14° (с 1,4). Нагреванием VIII с избытком (CH<sub>3</sub>CO)<sub>2</sub>O в C<sub>6</sub>H<sub>5</sub>N 2 часа при 100° получают 3,6-этиацетат (XV), т. пл. 280—282° (из CH<sub>3</sub>OH), [α]<sub>D</sub><sup>21</sup> -33,94° (с 2,298). XV получен также нагреванием XIV с лед. CH<sub>3</sub>COOH 15 час. при 140° под давлением, что подтверждает 5,6α-конфигурацию XIV. Все [α]<sub>D</sub> измерены в смеси CHCl<sub>3</sub> и CH<sub>3</sub>OH (1:1). Сообщение I см. РЖХим, 1958, 57449.

В. Коптун

57567. Аминоспирты. III. 17-амино-Δ<sup>12</sup>-норолеанол-3β и 28-амино-Δ<sup>12</sup>-олеанол-3β. Дрефаль, Хунек (Aminoalkohole. III. Nor-olea-12-enol-17-amin und Olea-12-enol-28-amin. Drefahl Günther, Huneck Siegfried), Chem. Ber., 1958, 91, № 2, 278—281 (нем.)

Описано превращение олеаноловой к-ты в 17-амино-Δ<sup>12</sup>-норолеанол-3β (I) и в 28-амино-Δ<sup>12</sup>-олеанол-3β (II). Строение I доказано превращением его в известный Δ<sup>12,16</sup>(17)-норолеандиенол-3β (III). Показано, что I обладает значительным гомолитич. действием. Р-р 3 г ацетилолеаноловой к-ты (IV) в 75 мл C<sub>6</sub>H<sub>6</sub> обрабатывают при 0° р-ром HN<sub>3</sub> (из 0,5 г NaN<sub>3</sub>) в C<sub>6</sub>H<sub>6</sub>, через 15 мин. подщелачивают, полученный I растворяют в C<sub>6</sub>H<sub>6</sub>, обрабатывают HCl и получают 0,5 г хлоргидрата I, т. пл. 300°, при действии на последний разб. р-ром NaOH выделяют I, т. пл. 235—238°; шикрат I, т. пл. 280—292° (разл.); O,N-диацетат I, т. пл. 295—298°. К р-ру 50 мг I в 10 мл лед. CH<sub>3</sub>COOH прибавляют (0°, 15 мин.) р-р 1 г NaNO<sub>2</sub> в 2 мл воды и получают III, т. пл. 189—193° (разл.); ацетат III, т. пл. 183—188°. Из 100 г I, 10 мл абс. CH<sub>3</sub>OH, 10 мл CH<sub>3</sub>J и 3 г CH<sub>3</sub>ONa получают 17-триметиламониййодид Δ<sup>12</sup>-норолеаненола-3β, т. пл. 385—390°, при обработке которого Ag<sub>2</sub>O получают соответствующую гидроокись, т. пл. 211—215°. При действии на 1 г хлорангидрида IV (IVa) в 50 мл абс. эфира 1 мл NH<sub>2</sub>NH<sub>2</sub> получается гидразид IV, т. пл. 138—144°. При пропускании в р-р 1,5 г IVa в 50 мл абс. C<sub>6</sub>H<sub>6</sub> тока NH<sub>3</sub> образуется 1,2 г амида IV, т. пл. 266—270°, при омылении которого 30%-ным метанольным р-ром KOH (4 часа, 20°) получается амид олеаноловой к-той, т. пл. 264—268°. При обработке 1 г амида IV 8 мл SO<sub>2</sub>Cl<sub>2</sub> (10 мин. кипячения) получают 0,5 г штрила IV, т. пл. 290—293°. К суспензии 4 г LiAlH<sub>4</sub> в 50 мл эфира прибавляют 0,7 г амида IV в 100 мл эфира и кипятят 1 час, полученный продукт в C<sub>6</sub>H<sub>6</sub> обрабатывают HCl и выделяют 0,6 г хлоргидрата II, т. пл. 325—335°, при обработке которого KOH получается II, т. пл. 225—227°; шикрат II, т. пл. 265° (разл.); O,N-диацетат II, т. пл. 247—250°; 28-триметиламониййодид Δ<sup>12</sup>-олеаненола-3β, т. пл. 260° (разл.) и 335—338°, при дезаминировании II получается эритроидол, т. пл. 235°; диацетат, т. пл. 185—190°. Смесь 750 мг IVa, 130 мл эфира и CH<sub>3</sub>MgBr (из 60 мг Mg) кипятят 15 мин. и после обработки и ацетилирования (CH<sub>3</sub>CO)<sub>2</sub>O (1 час, 140°) получают соответствующий кетон, т. пл. 196—200°.

С. Анащенко

57568. Синтез 5β,10β-эстрандиона-3,17 и подобных соединений и доказательство их конфигурации. Рапала, Фаркас (Preparation of 5β,10β-estrane-3,17-dione and related derivatives and proof of their configuration. Rapala Richard T., Farkas



Eugene), J. Amer. Chem. Soc., 1958, 80, № 4, 1008—1009 (англ.)

Гидрирование 19-нортестостерона в спирте на  $\text{RuO}_2$  и последующее окисление N-бромацетамидом привели к 5 $\beta$ ,10 $\beta$ -эстрандиолу-3,17 (I), т. пл. 179—181°,  $[\alpha]_D^{25} +111,6^\circ$  (с 1; хлф.). Дальнейшим восстановлением  $\text{NaBH}_4$  I превращен в 5 $\beta$ ,10 $\beta$ -эстрандиол-3 $\beta$ ,17 $\beta$ , т. пл. 202—204°,  $[\alpha]_D^{25} +7,2^\circ$ . Восстановлением же II на  $\text{C}_6\text{H}_7\text{OH}$  получен 5 $\beta$ ,10 $\beta$ -эстрандиол-3 $\alpha$ ,17 $\beta$ , т. пл. 211—212°,  $[\alpha]_D^{25} +10,2^\circ$ . II бромировался в  $\text{CH}_3\text{COOH}$  в 4 $\beta$ -бром-5 $\beta$ ,10 $\beta$ -эстрандиол-3,17, т. пл. 186—188°, который при кипячении в пиридине дал  $\Delta^4$ -норандростендиол-3,17, т. пл. 159—161°. Гидрирование ацетата 19-нортестостерона на  $\text{RuO}_2$  с последующим окислением  $\text{CrO}_3$  в пиридине и гидролизом привело к 5 $\beta$ ,10 $\beta$ -эстрандиол-17 $\beta$ -ону-3, т. пл. 106—108°,  $[\alpha]_D^{25} +29,7^\circ$  (диоксан). Аналогично, из 17 $\alpha$ -этинил-19-нортестостерона получен 17 $\alpha$ -этил-5 $\beta$ ,10 $\beta$ -эстрандиол-17 $\beta$ -он-3 (главным образом), т. пл. 155—157°,  $[\alpha]_D^{25} +31,1^\circ$ , и 17 $\alpha$ -этил-19-норандростендиол-17 $\beta$ -он-3 (меньше), т. пл. 203—205°,  $[\alpha]_D^{25} +39,4^\circ$ . Полученные соединения охарактеризованы УФ-спектрами. А. Камерницкий

57569. 7-кетостероиды. II. Стероидные  $\Delta^5$ -ол-3 $\beta$ -оны-7 и  $\Delta^5$ -оны-7. Маршалл, Рей, Лаос, Ригел (7-keto steroids. II. Steroidal 3 $\beta$ -hydroxy- $\Delta^5$ -7-ones and  $\Delta^5$ -7-ones. Marshall C. W., Ray Richard E., Laos Ivar, Riegel Byron), J. Amer. Chem. Soc., 1957, 79, № 23, 6308—6313 (англ.)

Синтезированы и подвергнуты биологич. испытаниям  $\Delta^5$ -прегненол-3 $\beta$ -дион-7,20 (I),  $\Delta^5$ -прегнендиол-3 $\beta$ ,17 $\alpha$ -дион-7,20 (II),  $\Delta^5$ -прегнендиол-3 $\beta$ ,21-дион-7,20 (III),  $\Delta^5$ -прегненидиол-3 $\beta$ ,17 $\alpha$ ,21-дион-7,20 (IV),  $\Delta^5$ -17 $\alpha$ -метиландростендиол-3 $\beta$ ,17 $\beta$ -он-7 (V),  $\Delta^5$ -17 $\alpha$ -этиландростендиол-3 $\beta$ ,17 $\beta$ -он-7 (VI),  $\Delta^5$ -прегнадиендион-7,20 (VII),  $\Delta^5$ -прегнадиендион-17 $\alpha$ -дион-7,20 (VIII), 21-ацетат  $\Delta^5$ -прегнадиендион-21-дион-7,20 (IX),  $\Delta^5$ -прегнадиендион-17 $\alpha$ ,21-дион-7,20 (X). Эти соединения обнаруживают слабый блокирующий эффект против нежелательных свойств кортизона. 40 г ацетата прегненолона окисляют  $\text{Na}_2\text{Cr}_2\text{O}_7$  в смеси  $\text{CH}_3\text{COOH}$  и  $(\text{CH}_3\text{CO})_2\text{O}$  (30—40°, 46 час.) в 15 г ацетата I (Ia), т. пл. 153—153,5° (из бал.-петр. эф.),  $[\alpha]_D^{25} -68^\circ$  (с 0,5;  $\text{CH}_3\text{OH}$ ), который (10 г) омыляют  $\text{NaOH}$  в водно-метанольном диоксане (20°, 3 часа) в 7,56 г I, т. пл. 209—210° (из  $\text{CH}_3\text{OH}$ -этилацетата),  $[\alpha]_D^{25} -72^\circ$  (с 0,5; в  $\text{CH}_3\text{OH}$ ); из маточного р-ра выделено 150 мг в-ва с т. пл. 196—198°, которое оказалось комплексом, содержащим I и VII (2:1 моля). Аналогично из 24,3 г ацетата  $\Delta^5$ -прегнендиол-3 $\beta$ ,17 $\alpha$ -она-20 получают 13 г ацетата II (IIa), т. пл. 231—234° (из  $\text{CH}_3\text{OH}$ ),  $[\alpha]_D^{25} -142^\circ$  (с 1,01), 7 г которого омыляют водно-диоксановым КОН (22°, 80 мин.) в 3,49 г II, т. пл. 267—270° (из этилацетата- $\text{CH}_3\text{OH}$ ),  $[\alpha]_D^{25} -122^\circ$  (с 0,47;  $\text{CH}_3\text{OH}$ ). Обработка 35 г 21-ацетата  $\Delta^5$ -прегнендиол-3 $\beta$ ,21-она-20 (XI)  $\text{ClCOOC}_2\text{H}_5$  в пиридине (20°, 12 час.) приводит к 41 г этилкетилата XI (XIa), т. пл. 158—161° (из  $\text{CH}_3\text{OH}$ ), 18 г которого при окислении  $\text{CrO}_3$  дают 15,9 г 3-этилкетилата 21-ацетата III (IIIa), т. пл. 208,5—210° (из  $\text{CH}_3\text{OH}$ ),  $[\alpha]_D^{25} -41^\circ$  (с 1,05). Омылением 8,9 г IIIa метанольно-диоксановым КОН (25°, 15 мин.) получают 4,79 г III, т. пл. 199—202° (из этилацетата),  $[\alpha]_D^{25} -82^\circ$  (с 0,9). Ацетилирование 7 г III ( $\text{CH}_3\text{CO})_2\text{O}$  и пиридином (25°, 12 час.) приводит к 5,04 г 21-ацетата III, т. пл. 237—241° (из этилацетата),  $[\alpha]_D^{25} -53^\circ$  (с 1,01). Обработка 10 г 21-ацетата  $\Delta^5$ -прегненидиол-3 $\beta$ ,17 $\alpha$ ,21-она-20 (XII) ( $\text{CH}_3\text{CO})_2\text{O}$  и  $n\text{-CH}_3\text{C}_6\text{H}_4\text{SO}_3\text{H} \cdot \text{H}_2\text{O}$  в  $\text{CH}_3\text{COOH}$  (25°, 12 час.) приводит к 10,9 г ацетата XII, т. пл. 214—215,5° (из  $\text{CH}_3\text{OH}$ ),  $[\alpha]_D^{25} -61^\circ$  (с 1,01), 10,2 г которого окисляют  $\text{CrO}_3$  в 6,7 г триацетата IV (IVa), т. пл. 246—248° (из этилацетата),  $[\alpha]_D^{25} -116^\circ$  (с 1,03). Обработка 25,7 г XII  $\text{ClCOOC}_2\text{H}_5$  в пиридине (25°, 12 час.) приводит к 28,3 г 3-этилкетилата XII, т. пл. 199—202,5° (из  $\text{CH}_3\text{OH}$ ),

27,8 г которого при кипячении с  $(\text{CH}_3\text{CO})_2\text{O}$  (12 час.) дают 22,4 г 3-этилкетилата 17-ацетата XII (XIIa), т. пл. 190—192,5° (из  $\text{CH}_3\text{OH}$ ). Окислением 18 г XIIa  $\text{CrO}_3$  получают 11,8 г 3-этилкетилата 17,21-диацетата IV (IVb), т. пл. 196—200° (из  $\text{CH}_3\text{OH}$ ). Омыление 5,18 г IVb метанольным КОН (15 мин.) приводит к 3,3 г IV, т. пл. 224—227° (из этилацетата),  $[\alpha]_D^{25} -95^\circ$  (с 0,63; диоксан). Окислением 25 г ацетата XI трет-бутилхроматом в  $\text{CCl}_4$ ,  $\text{CH}_3\text{COOH}$  и  $(\text{CH}_3\text{CO})_2\text{O}$  (60—65°, 20 час.) получают 14 г ацетата III, т. пл. 189—190° (из  $\text{CH}_3\text{OH}$ ),  $[\alpha]_D^{25} -30^\circ$  (с 0,5;  $\text{CH}_3\text{OH}$ ). При действии  $\text{CF}_3\text{COOH}$  на XI (25°) в диоксане (25°, 20 час.) образуется 28,1 г 3-трифторацетата XI (XIb), т. пл. 146—151° (из  $\text{CH}_3\text{OH}$ ). 23,5 г XIb окисляют трет-бутилхроматом в 18 г 3-трифторацетата 21-ацетата III, который омыляют метанольным КОН (8 мин., 25°,  $\text{N}_2$ ) в 9,2 г III, т. пл. 180—182° (из этилацетата). Аналогично из 13,7 г 3-ацетата  $\Delta^5$ -17 $\alpha$ -метиландростендиол-3 $\beta$ ,17 $\beta$  при последовательной обработке  $(\text{CF}_3\text{CO})_2\text{O}$  в пиридине (25°, 3 часа), окислении трет-бутилхроматом в  $\text{CCl}_4$  и омылении водн. КОН в  $\text{CH}_3\text{OH}$  и диоксане (25°, 90 мин.) получают 5,23 г V, т. пл. 199—203° (из этилацетата); 3-ацетат V, т. пл. 211,5—212° (из бал.-петр. эф.),  $[\alpha]_D^{25} -146^\circ$  (с 0,99). Омылением 3,3 г последнего водн. КОН в  $\text{CH}_3\text{OH}$  и диоксане (25°, 3 часа) получают 1,83 г V, т. пл. 207,5—210° (из этилацетата),  $[\alpha]_D^{25} -157^\circ$  (с 0,83). Трифторацетилированием 21 г 3-ацетата  $\Delta^5$ -17 $\alpha$ -этиландростендиол-3 $\beta$ ,17 $\beta$  с последующим окислением, омылением и ацетилированием получают 6,8 г 3-ацетата VI, т. пл. 200—201° (из бал.-петр. эф.),  $[\alpha]_D^{25} -147^\circ$  (с 1,04), 4 г которого были омылены в 3,15 г VI, т. пл. 227—229° (из ацетона),  $[\alpha]_D^{25} -161^\circ$  (с 1,04). Кипячение 20 г Ia с  $\text{HCl}$ -к-той в спирте (2 часа,  $\text{N}_2$ ) приводит к 9,96 г VII, т. пл. 159—161° (из  $\text{CH}_3\text{OH}$ ),  $[\alpha]_D^{25} -297^\circ$  (с 1,15). Кипячением 4,15 г IIa в  $\text{CH}_3\text{COOH}$  с  $n\text{-CH}_3\text{C}_6\text{H}_4\text{SO}_3\text{H} \cdot \text{H}_2\text{O}$  (50 мин.) получают 3,03 г ацетата VIII, т. пл. 234—236° (из этилацетата), который (1,5 г) омыляют водн. КОН в  $\text{CH}_3\text{OH}$  и диоксане (4,75 часа) в 1,02 г VIII, т. пл. 223—224° (из этилацетата),  $[\alpha]_D^{25} -387^\circ$  (с 0,89). Аналогично 1 г ацетата III дает 0,79 г IX, т. пл. 173—174° (из ацетона- $\text{CH}_3\text{OH}$ ),  $[\alpha]_D^{25} -219^\circ$  (с 1,02). Подобная обработка 8 г IVa (1 час) приводит к 5,22 г ацетата X, т. пл. 241—242° (из  $\text{CH}_3\text{OH}$ ),  $[\alpha]_D^{25} -313^\circ$  (с 1), который (5 г) при омылении диоксаново-метанольным КОН (9 мин.,  $\text{N}_2$ ) дал 2,80 г X, т. пл. 216—216,5° (из  $\text{CH}_3\text{OH}$ ),  $[\alpha]_D^{25} -338^\circ$  (с 1,15). Все  $[\alpha]_D^{25}$ , кроме отмеченных, определены в  $\text{CHCl}_3$ . Для всех полученных соединений определены ИК- и УФ-спектральные характеристики. Сообщение I см. РЖХим, 1958, 50488. А. Камерницкий

57570. Попытки приготовить новые гестагенные вещества. Синтез и биологическая активность 11 $\beta$ -ацетокси-прогестеронов. Оливето, Россер, Джероуд, Хершберг, Эйслер, Нери, Перлман (Attempts to prepare new progestational agents: synthesis and biological activity of 11 $\beta$ -acyloxyprogesterones. Oliveto Eugene P., Rausser Richard, Gerold Corinne, Hersherberg E. B., Eisler M., Neri R., Perlman P. L.), J. Organ. Chem., 1958, 23, № 4, 121—123 (англ.)

Обработка 0,25 г 11-ацетата 11 $\beta$ ,17 $\alpha$ -диоксипрогестерона (I) безводн.  $\text{HCOOH}$  и  $n\text{-CH}_3\text{C}_6\text{H}_4\text{SO}_3\text{H}$  (20°, 23 часа) привела к 0,16 г 17-формата I, т. пл. 242—246° (из ацетона- $\text{C}_6\text{H}_{14}$ ),  $[\alpha]_D^{25} +116,2^\circ$ . Кипячением 0,50 г I с капроновым ангидридом и  $n\text{-CH}_3\text{C}_6\text{H}_4\text{SO}_3\text{H}$  в  $\text{C}_6\text{H}_6$  (15 мин., 20°, 48 час.) и хроматографированием на флюоризиле получено 0,10 г 17-капроата I (II), т. пл. 134—136° (из  $\text{C}_6\text{H}_{14}$ ),  $[\alpha]_D^{25} +73,8^\circ$ . При действии безводн.  $\text{HCOOH}$  и  $n\text{-CH}_3\text{C}_6\text{H}_4\text{SO}_3\text{H}$  на 1 г прегнанол-11 $\beta$ -диона-3,20 (12 час., 20°) образовывалось 0,52 г формата прегнанол-11 $\beta$ -диона-3,20, т. пл. 134,6—136° (из водн.  $\text{CH}_3\text{OH}$ ),  $[\alpha]_D^{25} +131,4^\circ$ , 0,50 г которого бромировались

в  $\text{CH}_3\text{COOH}$  и продукт (0,55 г) обрабатывался  $\text{NH}_2\text{NHCONH}_2$  в  $\text{CH}_2\text{Cl}_2$  и *трет*- $\text{C}_4\text{H}_9\text{OH}$  (20°, 12 час.), а затем  $\text{CH}_3\text{COSOON}$  в водн.  $\text{CH}_3\text{COOH}$  (20°, 72 часа) и хроматографировались, причем получено 90 мг 11 $\beta$ -формилокси-прогестерона, т. пл. 157—161° (из эф.). Аналогично из 1 г диформиата прегнандиол-11 $\beta$ , 17 $\alpha$ -диона-3,20 получено 0,20 г 11 $\beta$ ,17 $\alpha$ -диформилокси-прогестерона (III), т. пл. 228—234° (из водн.  $\text{CH}_3\text{OH}$ ). Ацетилированием 1 г прегнандиол-11 $\beta$ ,17 $\alpha$ -диона-3,20 с помощью  $(\text{CH}_3\text{CO})_2\text{O}$  и *n*- $\text{CH}_3\text{C}_6\text{H}_4\text{SO}_3\text{H}$  в  $\text{CH}_3\text{COOH}$  (20°, 12 час.) получено 0,71 г диацетата, т. пл. 245—246,5° (из эф.- $\text{C}_6\text{H}_{14}$ ),  $[\alpha]_D^{20} + 29,7^\circ$  ( $\text{CHCl}_3$ ), 0,865 которого при бромировании в  $\text{CH}_2\text{Cl}_2$  и *трет*- $\text{C}_4\text{H}_9\text{OH}$  (20°, 4 часа) дали 0,70 г 4-бромид, т. пл. 194—200° (разл.; из водн. ацетона). Последний (511 мг) при обработке  $\text{NH}_2\text{NHCONH}_2$  в  $\text{CH}_2\text{Cl}_2$  и *трет*- $\text{C}_4\text{H}_9\text{OH}$  (2 часа) и  $\text{CH}_3\text{COSOON}$  в водн.  $\text{CH}_3\text{COOH}$  (20°, 20 час.) дал 270 мг 11 $\beta$ ,17 $\alpha$ -диацетокси-прогестерона (IV), т. пл. 250—255° (из ацетона),  $[\alpha]_D^{20} + 92,20^\circ$ . Ацетилирование 3,68 г прегнандиол-3 $\alpha$ ,11 $\beta$ -диона-20 (V)  $(\text{CH}_3\text{CO})_2\text{O}$  и *n*- $\text{CH}_3\text{C}_6\text{H}_4\text{SO}_3\text{H}$  в  $\text{CH}_3\text{COOH}$  (20°, 5 час.) привело к 2,73 г диацетата V (VI), т. пл. 134—135,2° (из водн. ацетона),  $[\alpha]_D^{20} + 134,1^\circ$  ( $\text{CHCl}_3$ ). Путем кипячения 8,36 г  $\text{V}$  с  $\text{KHSO}_4$  в водн.  $\text{CH}_3\text{OH}$  и обработки *N*-бромсукцинимидом и  $\text{HCl}$ -к-той в водн. ацетоне (2 часа, 10°) получено 3,93 г ацетата прегнанол-11 $\beta$ -диона-3,20 (VII), т. пл. 130—135° (из эф.),  $[\alpha]_D^{20} + 106,4^\circ$ . Наконец, 3,74 г VII бромировались в  $\text{CH}_2\text{Cl}_2$  и *трет*- $\text{C}_4\text{H}_9\text{OH}$  (20°, 2,5 часа) в 2,94 г 4-бромид, т. пл. 150—157° (разл.; из водн. ацетона), 0,5 г которого при обработке  $\text{NH}_2\text{NHCONH}_2$  в  $\text{CH}_2\text{Cl}_2$  и *трет*- $\text{C}_4\text{H}_9\text{OH}$  (12 час.,  $\text{CO}_2$ ) и  $\text{CH}_3\text{COSOON}$  в водн.  $\text{CH}_3\text{COOH}$  (20°, 72 часа) и хроматографировании на флоризиле дали 140 мг 11 $\beta$ -ацетокси-прогестерона, некристаллич. Биологич. испытания показали незначительную прогестеронную активность II, III и IV. Остальные полученные соединения оказались неактивными.  $[\alpha]_D$  кроме отмеченных, определены в диоксане. Полученные соединения охарактеризованы УФ-спектрами.

А. Камерницкий

**57571. О конфигурации 19-нор-10 $\xi$ ,14 $\beta$ ,17 $\alpha$ -прогестерона.** Джерасси, Эрнштейн, Барбер (Über die Konfiguration des 19-nor-10 $\xi$ ,14 $\beta$ ,17 $\alpha$ -progesterons. Djerassi Carl von, Ehrenstein Maximilian, Barber C. Winston, Liebigs Ann. Chem., 1958, 612, № 1—3, 93—98 (англ.).

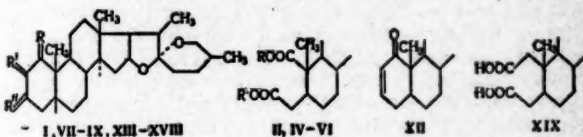
На основании сравнения кривых дисперсионного вращения 19-нор-10 $\xi$ ,14 $\beta$ ,17 $\alpha$ -прогестерона (I) и 19-нор-11-дезоксис-10 $\xi$ ,14 $\beta$ ,17 $\alpha$ -кортикостерона (II), полученных из строфангидина (РЖХим, 1957, 57627), с кривой дисперсионного вращения этиеновой к-ты (III) показано, что I и II имеют при  $\text{C}_{10}$  природную  $\beta$ -конфигурацию. Связь I и II с производными III была установлена получением из II 19-нор-14 $\beta$ ,17 $\alpha$ - $\Delta^4$ -этиеновой к-ты (IV). Смесь 5 мг II (т. пл. 138—140°), 0,5 мл спирта и 5,55 мг  $\text{H}_2\text{JO}_6$  в 1 мл воды оставили при 20° на 18 час., добавили 10 мл  $\text{CH}_3\text{COOH}$  и после обработки получили 3,2 мг IV, т. пл. 186—188°.

С. Ананченко

**57572. Структура токорогенина.** Морита (The structure of tokorogenin. Morita Katsura, Pharm. Bull., 1957, 5, № 5, 494—496 (англ.).

Токорогенин (I), выделенный из *Dioscorea tokoro*, является 25 D,5 $\beta$ -спиростантриолом-1 $\beta$ ,2 $\beta$ ,3 $\alpha$ . Окисление I  $\text{CrO}_3$  в  $\text{CH}_3\text{COOH}$  привело к токорогеновой к-те (II), т. пл. 250°,  $[\alpha]_D^{20} - 26,3^\circ$ , которая с  $(\text{CH}_3\text{CO})_2\text{O}$  дала ангидрид II (III), т. пл. 268°. Действием  $\text{CH}_3\text{N}_2$  на II получен диметилловый эфир II (IV), т. пл. 157°, а действием метанольной  $\text{HCl}$  на II получен метилловый эфир II (V), т. пл. 185°, полученный также из III при действии  $\text{NaOCH}_3$ . Омылением IV щелочью получен метилловый эфир II (VI), т. пл. 208°. I превращен в 1,2-ацетонид I (VII), т. пл. 303° (разл.), который

при действии *n*- $\text{CH}_3\text{C}_6\text{H}_4\text{SO}_3\text{Cl}$  и пиридина дал 3-тозилат VII (VIII), т. пл. 203° (разл.). Кипячением VIII с водн.  $\text{CH}_3\text{COOH}$  получен 3-тозилат I (IX), т. пл. 190°.



I R = R' =  $\alpha$  - H +  $\beta$  - OH, R' =  $\beta$  - H +  $\alpha$  - OH; II R = R' = H; IV R = R' = CH<sub>3</sub>; V R = H, R' = CH<sub>3</sub>; VI R = CH<sub>3</sub>, R' = H; VII R + R' =  $\alpha$  - H + - OC (CH<sub>3</sub>)<sub>2</sub> O - +  $\alpha$  - H, R' =  $\beta$  - H +  $\alpha$  - OH; VIII R + R' =  $\alpha$  - H + - OC (CH<sub>3</sub>)<sub>2</sub> O - +  $\alpha$  - H, R' =  $\beta$  - H +  $\alpha$  - CH<sub>3</sub> C<sub>6</sub>H<sub>4</sub> SO<sub>3</sub>; IX R = R' =  $\alpha$  - H +  $\beta$  - OH, R' =  $\beta$  - H +  $\alpha$  - CH<sub>3</sub> C<sub>6</sub>H<sub>4</sub> SO<sub>3</sub>; XII R = O, R' = R' - H; XIV R = R' = R' = H; XV R = R' =  $\alpha$  - H +  $\beta$  - OH, R' = H; XVI R + R' =  $\alpha$  - H + - OC (CH<sub>3</sub>)<sub>2</sub> O - +  $\alpha$  - H, R' = O; XVII R = R' =  $\alpha$  - H +  $\beta$  - OH, R' = O; XVIII R = H, R' = R' - O

т. пл. 235°, окисленный  $\text{CrO}_3$  и пиридином в 2,3-эпоксид-1-кетон (XI), т. пл. 236°. При действии на XI  $\text{CrCl}_2$  получен  $\Delta^2$ -1-кетон (XII), т. пл. 219°, гидрированный на Pd/C в спиростанон-1 (XIII), т. пл. 182°. Восстановлением XIII с  $\text{NH}_2\text{NH}_2$  получен 25D,5 $\beta$ -спиростан (XIV), т. пл. 137°. Восстановление X LiAlH<sub>4</sub> привело к 1,3-диоксисапогенину (XV), т. пл. 238°, не дающему ацетонида. Окисление VII  $\text{CrO}_3$  и пиридином позволило получить 3-кето-1,2-ацетонид (XVI), т. пл. 229°, омыленный водн.  $\text{CH}_3\text{COOH}$  в 1,2-диоксис-3-кетон (XVII), т. пл. 225°. Обработка щелочью превратила XVII в  $\alpha$ -дикетон (XVIII), т. пл. 225°. Действием  $\text{NH}_2\text{NH}_2$  и щелочи как XVI, так и XVIII превращены в XIV. Со щелочью XVI дал XVIII, окисленный щел.  $\text{H}_2\text{O}_2$  в сапогеновую к-ту (XIX), т. пл. 270°,  $[\alpha]_D^{20} - 37^\circ$ ; диметилловый эфир XIX, т. пл. 147°.

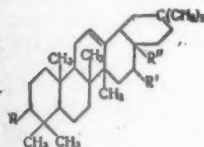
А. Камерницкий

**57573. О сапогенинах d'Albizzia lebbek Benth.** Санье, Ланен, Варшней (Sur les sapogénines d'Albizzia lebbek Benth. Sanné Ch., Lapin H., Varshney I. P., Bull. Soc. chim. France, 1957, № 11—12, 1440—1444 (франц.).

Исследованы сапонозиды из фруктов *d'Albizzia lebbek* Benth. Из продуктов гидролиза выделены олеаноловая (I) и эхиноцистовая (II) к-ты, причем константы выделенной авторами II не совпадают с литературными данными (Bischof B. и др., Helv. chim. acta, 1949, 32, 1911). Физ. и хим. свойства II говорят за принадлежность II к триаценовым пентациклическим генинам. Строение II доказано следующими превращениями. Выделенные при экстрагировании спиртом сапонозиды гидролизуют 2%-ной  $\text{H}_2\text{SO}_4$  и выделяют смесь генинов (III). При ацетилировании III получают смесь ацетата I, т. пл. 252—253° (из  $\text{CH}_3\text{OH}$ ),  $[\alpha]_D^{20} + 67^\circ$ , и диацетата II (IV), т. пл. 248—249° (из  $\text{CH}_3\text{OH}$ ),  $[\alpha]_D^{20} - 4,5^\circ$ ; IV деацетилюют кипячением с 5%-ным р-ром  $\text{K}_2\text{CO}_3$ - $\text{CH}_3\text{OH}$  в II, т. пл. 291—293°,  $[\alpha]_D^{20} + 27^\circ$ . Метилирование II при помощи  $\text{CH}_3\text{N}_2$  дает метилловый эфир II (V), т. пл. 210—211° (из  $\text{CH}_3\text{OH}$ ),  $[\alpha]_D^{20} + 39^\circ$ , ацетилированный затем в моноацетат V (VI), т. пл. 156—158° (из сп.),  $[\alpha]_D^{20} + 40^\circ$ . При метилировании IV и ацетилировании VI образуется диацетат V (VII), т. пл. 198—200° (из сп.),  $[\alpha]_D^{20} - 16^\circ$ . Окисление 1 г IV в 25 мл  $\text{CH}_3\text{COOH}$  и 0,5 мл  $\text{H}_2\text{SO}_4$  р-ром 250 мг  $\text{CrO}_3$  в 5 мл 80%-ной  $\text{CH}_3\text{COOH}$  дает кетолактон, т. пл. 172—175° (из сп.),  $[\alpha]_D^{20} - 68^\circ$ . При обработке смеси 0,5 г IV, 1 г  $\text{CH}_3\text{COONa}$  и 20 мл 90%-ной  $\text{CH}_3\text{COOH}$  10 мл 4%-ного р-ра  $\text{Br}_2$  в  $\text{CH}_3\text{COOH}$  образуется бромолактон, т. пл. 166—169° (из  $\text{CH}_3\text{OH}$ ),  $[\alpha]_D^{20} 0^\circ$ . Окисление 100 мг VII в 144 мл  $\text{CH}_3\text{COOH}$  при помощи 1 мл  $\text{H}_2\text{O}_2$  дает окись VII, т. пл. 205—207° (из сп.),  $[\alpha]_D^{20} - 70^\circ$ . Об-



разование кетолактона, бромолактона и окиси подтверждает предположение авторов о принадлежности II к ряду β-амиринов. 750 мг II в 150 мл  $\text{CH}_3\text{COOH}$  обрабатывают р-ром 750 мг  $\text{CrO}_3$  в 30 мл 80%-ной  $\text{CH}_3\text{COOH}$  при  $\sim 20^\circ$  и после обработки получают дикетон, т. пл. 198—199° (из сп.),  $[\alpha]_D^{20} 83^\circ$ ; бис-2,4-динитрофенилгидразон (ДНФГ) т. пл. 175—178° (из сп. и смеси сп.-бал., 1:1). Результаты окисления доказывают, что вторичная OH-группа в II находится в β-положении к карбоксильной группе; поэтому образующаяся при окислении II β-кетокислота немедленно декарбоксилируется. Аналогичное окисление V дает кетон (VIII), т. пл. 146—149°,  $[\alpha]_D^{20} 0^\circ$ ; 2,4-ДНФГ, т. пл. 130—135° (из сп.-эф.), а продуктом окисления 250 мг VI при помощи 125 мг  $\text{CrO}_3$  является кетоди-ацетат (IX), т. пл. 188—190° (из сп.),  $[\alpha]_D^{20} -17^\circ$ . К нагретой смеси 240 мг IX в 50 мл диэтиленгликоля и 1 г Na прибавляют при охлаждении безводн. гидразингидрат до тех пор, пока т-ра не установится 180°, нагревание продолжают еще 24 часа, т-ру поднимают до 210°, нагревают еще 24 часа и после обработки получают 28-нор-β-амирин, т. пл. 175—178° (из эф.-сп.),  $[\alpha]_D^{20} +20^\circ$ ; ацетат, т. пл. 209—211° (из  $\text{CH}_3\text{OH}$  и этилацетата),  $[\alpha]_D^{20} +24^\circ$ . К р-ру 310 мг VI в 10 мл  $\text{C}_6\text{H}_5\text{N}$  прибавляют 2 мл  $\text{POCl}_3$ , кипятят 5 час., охлаждают, выливают по каплям в воду, экстрагируют эфиром и продукт дегидратации VI (т. пл. 185—189° (из  $\text{CH}_3\text{OH}$ ),  $[\alpha]_D^{20} +18^\circ$ ) деацетилируют нагреванием с р-ром  $\text{K}_2\text{CO}_3\text{-CH}_3\text{OH}$ ; при окислении полученного продукта (т. пл. 185—187° (из  $\text{CH}_3\text{OH}$ ),  $[\alpha]_D^{20} +20^\circ$ ) при помощи  $\text{CrO}_3$  получают неопределяемый ацетат, т. пл. 178—181°,  $[\alpha]_D^{20} +36^\circ$ , который при восстанов-



- III R = R' = OH; R' = COOH;  
 IV R = R' = OCOCH<sub>3</sub>; R' = COOH;  
 VII R = R' = OCOCH<sub>3</sub>; R' = COOCH<sub>3</sub>;  
 VIII R = R' = O; R' = COOCH<sub>3</sub>;  
 IX R = OCOCH<sub>3</sub>; R' = O; R' = COOCH<sub>3</sub>.

лении в присутствии  $\text{PtO}_2$  дает ацетат метилового эфира I (X), т. пл. 216—218° (хлф.- $\text{CH}_3\text{OH}$ ),  $[\alpha]_D^{20} +72^\circ$ . При деацетилировании X нагреванием с р-ром  $\text{K}_2\text{CO}_3\text{-CH}_3\text{OH}$  получают метиловый эфир I, т. пл. 198—199° (из сп.),  $[\alpha]_D^{20} +74^\circ$ . М. Бурмистрова

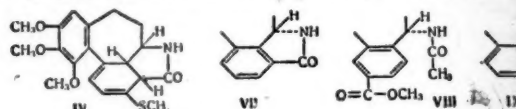
**57574.** Изучение колхицина. III. Превращение 2-(2',3',4'-триметоксифенил)-циклогептен-2-она в производное тропона. Кейз, Гинзбург (Colchicine studies. III. Conversion of 2-(2',3',4'-trimethoxyphenyl)-cyclohept-2-enone to a tropone. Cais Michael, Ginsburg David), J. Organ. Chem., 1958, 23, № 1, 18—19 (англ.)

Показано, что при действии N-бромсукцинимиды (I) на 2-(2',3',4'-триметоксифенил)-циклогептен-2-он (II) с малым выходом получается 2-(5'-бром-2',3',4'-триметоксифенил)-тропон (III). 2,4 г  $\text{NaNO}_2$  при т-ре  $< 5^\circ$  прибавляли к 20 мл  $\text{H}_2\text{SO}_4$ , потом нагревали до 60°. Прозрачный р-р охладили и при т-ре от  $-5$  до  $0^\circ$  прибавляли 8,8 г 1-(2',3',4'-триметоксифенил)-циклогептена. Перемешивали еще 30 мин. и смесь вылили на лед. Из коричневого осадка после кипячения (15 мин.) с 50 мл 10%-ного водн.  $\text{K}_2\text{CO}_3$  и очистки получен оксим II, выход 35%, т. пл. 94—95° и 109° [из метилциклогексана (IV)], 5 г оксима II омыляли разб.  $\text{HCl}$ , получили 3,6 г II, т. кип. 150—160°/0,2 мм, т. пл. 53° (из IV); семикарбазон, т. пл. 182—183° (разл.; из IV); 2,4-динитрофенилгидразон, т. пл. 170° (разл.; из  $\text{CH}_3\text{NO}_2$ ). II гидрировали с  $\text{Pd/C}$ , получили 2-(2',3',4'-триметоксифенил)-циклогептанон (V), т. кип. 160°/0,2 мм; семикарбазон, т. пл. 148° (разл.; из сп.); 2,4-динитрофенилгидразон, т. пл. 152° (из сп.-этилацетата). 3 г II, 5,8 г I и каталитич. кол-во

( $\text{C}_6\text{H}_5\text{COO}$ )<sub>2</sub> нагревали 3 часа в 50 мл  $\text{CCl}_4$ . После удаления сукцинимиды и  $\text{CCl}_4$  кипятили 4 часа с 20 мл коллидина, отделив последний, остаток хроматографировали на  $\text{Al}_2\text{O}_3$ . Получили 0,3 г III; 2,4-динитрофенилгидразон, т. пл. 132—134° (из сп.-этилацетата). III гидрировали с  $\text{Pd/C}$ , получили V. Все т-ры плавления и т-ры кипения неисправлены. Сообщение II см. РЖХим, 1955, 45833.

**57575.** Новый изомер, образующийся при распаде тропонов ряда колхицина. Попытка толкования. Фатерлаус, Мюллер (Un isomère surnuméraire dans la rétrogradation des tropones colchiciques. Essai d'interprétation. Vaterlaus Bruno P., Muller Georges), Bull. Soc. chim. France, 1957, № 11—12, 1329—1333 (франц.)

Ранее было показано, что при перегруппировке тиюколхицина (I) и изотиюколхицина (II) под действием  $\text{NaOCH}_3$  получается колхициновая к-та (III) (РЖХим, 1956, 6929; 16213), а под влиянием  $\text{NaSCH}_3$  I дает γ-лактамы (IV), являющийся производным дигидрированного метилтиоизомера III (РЖХим, 1957, 66250). Теперь найдено, что рацемич. IV получается из I при действии  $\text{NaOCH}_3$ . Аналогичную перегруппировку претерпевают сульфоны (V) и (VI), получаемые соответственно из I и II. Из V получается лактам (VII), представляющий собой производное изомера III. Из VI получен метиловый эфир к-ты (VIII), изомерной III. Рассмотрены возможные механизмы различных случаев этой перегруппировки. Получение IV и VII свидетельствует о местонахождении карбонила в I и колхицина в положении 15. 2 г I и р-р  $\text{CH}_3\text{ONa}$  (из 400 мг Na и

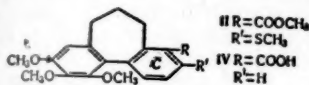


40 мл  $\text{CH}_3\text{OH}$ ) нагревали 3 часа. По охлаждении получили 170—200 мг кристаллизата. После хроматографии на  $\text{Al}_2\text{O}_3$  выделили 7,5% от веса кристаллизата метилового эфира III и 10,6% IV, т. пл. 264—265°. К 160 мг IV в 20 мл тетрагидрофурана прибавляли смесь 20 мл спирта и 5 мл 10 н.  $\text{NaOH}$  и перемешивали 3 дня. После разбавления водой получили рацемат ароматич. γ-лактама (IX), выход 46%, т. пл. 290° (в блоке; из абс. сп.). К 130 мг IX в 50 мл абс. спирта прибавили никель Ренея с 1%  $\text{Pd}$  и кипятили 5 час., получили рацемич. дитиометилированный γ-лактамы, выход 66%, т. пл. 215° (в блоке; из  $\text{CH}_3\text{OH}$ ). 1 г I растворили в 4 мл  $\text{CHCl}_3$  и 6 мл диметилформамида. При  $-10^\circ$  прибавили 10 мл 25%-ного р-ра надфталевой к-ты в эфире. Через 12 час. разбавили  $\text{CHCl}_3$ , нейтрализовали при  $0^\circ$   $\text{NaHCO}_3$ , промывали водой и упарили. Из остатка после хроматографии на  $\text{Al}_2\text{O}_3$  получен V, выход 29%,  $[\alpha]_D^{20} -32^\circ \pm 5^\circ$  (с 0,5%; хлф.). При обработке V в тех же условиях, что и I, получается VII, т. пл. 194—195°,  $[\alpha]_D^{20} +150$  (с 0,5%; хлф.), идентичный продукту, описанному ранее (РЖХим, 1957, 66250). 150 мг VI и р-р  $\text{CH}_3\text{ONa}$  (из 6 мг Na и 1,5 мл  $\text{CH}_3\text{OH}$ ) кипятили 1,5 часа и выделенную к-ту метилировали  $\text{CH}_3\text{N}_2$ , после хроматографии получили 47 мг VIII, т. пл. 177,5—178,5°,  $[\alpha]_D^{20} -18^\circ$  (с 0,5%; хлф.). Для V, VI, метилового эфира III и VIII приведены кривые ИК- и УФ-спектров.

**57576.** Распад производного тиюколхицина по Гофману. Фатерлаус, Фурленмейер (Régression d'un ammonium thiocolchique avec élimination de l'azote. Vaterlaus Bruno P., Furlenmeier A. E.), Bull. Soc. chim. France, 1957, № 11—12, 1481—1483 (франц.)

При распаде по Гофману йодметилата N-диметилди-зацетилтиюколхицина (I) отщепляется триметиламин.

Из безазотистого продукта  $C_{21}H_{24}O_5S$  (II) после удаления  $CH_2S$ -группы получен метиловый эфир  $C_{20}H_{22}O_5$  (III) и затем карбоновая к-та  $C_{19}H_{20}O_5$  (IV). Предложе-



ны вероятные ф-лы строения и рассмотрен возможных механизмов р-ции. Из 1 г дезацетильтиокохличина, 75 мл  $CH_3OH$ , 10 мл  $CH_3J$ , 0,5 г  $Na_2CO_3$  через 24 часа получают N-диметилдезацетильтиокохличин (V) в смеси с монометиловым производным. V отделяют действием  $(CH_3CO)_2O$  в  $C_6H_5N$ , выход 58%, т. пл. 169—170° (разл.; из этилацетата),  $[α]_D^{20} -150 \pm 5$  (с 0,5%; хлф.). I, выход 87%, т. пл. 201—203° (разл.). К 1 г I в 100 мл  $CH_3OH$  и 8 мл воды добавили 2,5 г  $Ag_2O$ . Тотчас начал отделяться  $N(CH_3)_2$ , через 4 часа при 40° при перемешивании получили II, выход 39%, т. пл. 159—160°,  $[α]_D^{20} 0°$  (с 0,5%; хлф.). 100 мг II в 25 мл этилацетата гидрировали со скелетным Ni, получили III, выход 75%, т. пл. 152°. III омылен до IV, выход 65%, т. пл. 184°. Для IV приведены данные, а для II и III кривые УФ- и ИК-спектров.

57577. Аминоспирты. IV. Замечка о новом синтезе *dl*-трео-1-окси-1-фенил-2-аминопропана. Дрефаль, Крамер, Томас (Amnoalkohole. IV. Notiz über eine neue Synthese des *DL*-threo-1-hydroxy-1-phenyl-2-amino-propans. Drefahl Günther, Chrämer Heinz, Thomas Walter, Chem. Ber., 1958, 91, № 2, 282—283 (нем.).

При взаимодействии 20 г пропенилбензола (I) в  $(CH_3CO)_2O$  с 15 мл  $HNO_3$  (d 1,4) (3 часа, 0°) наряду с продуктами нитрования I получают *dl*-трео-1-ацетокси-1-фенил-2-нитропропан (II), выход 45—50%, т. кип. 167—168°/12 мм, при электролитич. восстановлении на Hg-катоде (0,07 а/см<sup>2</sup>, 60°) в  $CH_3COOH$  + спирт + HCl (к-та) (Ber., 1943, 76, 466, 1216) превращается в хлоргидрат *dl*-трео-1-окси-1-фенил-2-аминопропана (*dl*-ψ-норэфедрина) с общим выходом последнего 40—45%. Перегонка II (20 мм) или обработка его 5%-ным водноспирт. р-ром KOH дает β-нитропропенилбензол, выход 95%, т. пл. 64° (из петр. эф.). Сообщение III см. РЖХим, 1958, 57567.

Г. Воробьева

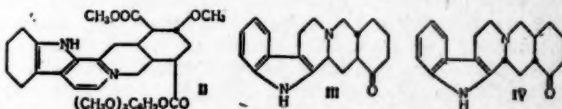
57578. Стереохимия коринантеина, дигидрокоринантеина и коринантеидина. Тамелен, Олдрич, Кац (Stereochemistry of corynantheine, dihydrocorynantheine and corynantheidine. Tamelen Eugene E. van, Aldrich Paul E., Katz Thomas J., J. Amer. Chem. Soc., 1957, 79, № 24, 6426—6430 (англ.). Стереоспецифический синтез *dl*-коринантеана (I) и обсуждение ранее полученных данных позволило авторам установить  $C_{(15)}-C_{(20)}$  транс-конфигурацию для коринантеина (II) и дигидрокоринантеина (III), в II  $C_{(9)}-C_{(15)}$ -цис. Для III конфигурация при  $C_{(3)}$  еще не установлена. *dl*-Транс-6-этилциклогексен-3-ил-1-метилкетон (IV) получен по методу Бергмана и Резник (Bergmann E. D., Resnik C., J. Organ. Chem., 1952, 17, 1291). IV при восстановлении по методу Кижнера-Вольфа (модификация Хуан-Мишлона) дает *dl*-транс-4,5-диэтилциклогексен (V), выход 69%, т. кип. 171—173°/730 мм,  $n_D^{25} 1,4562$ . При окислении V  $KMnO_4$  получена *dl*-3,4-диэтилдициклопентановая к-та (VI), выход 53%, т. пл. 131,8—133,8°. VI при кипячении с  $(CH_3CO)_2O$  и последующем пиролизе дает *dl*-транс-3,4-диэтилциклопентанон (VII), т. кип. 202—208°; семикарбазон, т. пл. 208,5—209,5 (из сп.). Обработка 0,0207 моля VII 0,03232 моля  $C_6H_5CO_2H$  (3 дня, 20°) дает лактон, который без выделения размыкает HBr-газом в этиловый эфир *трео*-5-бром-3,4-диэтилвалериановой к-ты (VIII),

выход 45%, т. кип. 123—125°/6 мм,  $n_D^{25} 1,4649$ . 302 мг VIII конденсируют с 604 мг триптамина (в диоксане, 24 часа кипячения, ток  $N_2$ ), получают *dl*-транс-N-(β-3'-индолилэтил)-4,5-диэтилпиперидон-2 (IX), выход 48%, т. пл. 124,5—125° (из этилацетата-петр. эф.). 159 мг IX и 0,4 мл  $POCl_3$  в 20 мл  $C_6H_6$  кипятят 3 часа. Продукт циклизации без выделения гидрируют над Pt (из 14 мг  $PtO_2$ ) в спирте, получают хлоргидрат I, т. пл. 270° (разл.); I (основание), т. пл. 154—156° (из этилацетата-петр. эф.). ИК-спектр I идентичен ИК-спектру природного дигидрокоринантеана, но отличается от спектра природного коринантеидина. При нагревании резерпина (X) (2 часа, 70—80°) с HCl-к-той возвращено неизмененного X 65%, т. е. не наблюдалось изменения конфигурации при  $C_{(3)}$ .

Л. Аксанова

57579. Стереохимическое родство алкалоидов нохимбинового типа. Уэнкерт, Робб, Бриндзи (The stereochemical interrelationship of the yohimbine-type alkaloids. Wenkert Ernest, Robb Ernest W., Bringi N. V., J. Amer. Chem. Soc., 1957, 79, № 24, 6570—6571 (англ.).

При гидрировании резерпина Pd и малиновой к-той (см. РЖХим, 1956, 32620) получено его тетрагидропроизводное (I), выход 47%, т. пл. 194—198°. Гидрирование I в присутствии Pt в  $CH_3COOH$  привело к деметокситетрагидротетрагидросоединению (II), выход 61%, т. пл. 188—189°,  $[α]_D^{20} -40°$  ( $CHCl_3$ ). II получен также при каталитич. гидрировании тетрагидропроизводного дезерпина. Из хлоргидрата апонохимбиновой к-ты по р-ции Шмидта получен нохимбон-16 (III), т. пл. 256° (разл.),  $[α]_D^{20} -86,1°$  (пиридин). Анало-

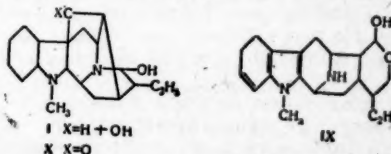


гично из апопроизводного 3-эпи-α-нохимбина получен кетон (IV), выход 17%, т. пл. 254—256°,  $[α]_D^{20} +85,0°$  (пиридин). ИК-спектры III и IV идентичны. Очевидно,  $C_{(15)}$  является единственным центром асимметрии, общим для всех нохимбиновых алкалоидов.

Л. Аксанова

57580. Изучение алкалоидов. XIX. Алкалоиды некоторых гавайских видов *Rauwolfia*. Строение сандвичина и его взаимоотношения с аймалином и аймалидином. Горман, Ньюсс, Дьерасси, Катни, Шейер (Alkaloid studies. XIX. Alkaloids of some hawaiian *Rauwolfia* species: the structure of sandwicine and its interconversion with ajmaline and ajmalidine. Gorman M., Neuss N., Djerassi C., Kutney J. P., Scheuer P. J., Tetrahedron, 1957, 1, № 4, 328—337 (англ.).

Установлен алкалоидный состав 3 гавайских видов *Rauwolfia*. По известному методу (РЖХим, 1956, 22512) из корней (2,55 кг) *R. degeneri* Sherff выделены (даны в-во и выход): аймалин (I), 0,6 г; серпентинин (II), 0,96 г; тетрафилин (III), 0,255 г; тетрафилицин (IV),



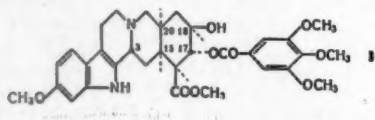
45 мг. Из корней (1,098 кг) *R. sandwicensis* A.D.C. получены: II, 50 мг; III, 0,04%; IV, 12 мг; новые алкалоиды — сандвичин (V),  $C_{20}H_{28}N_2O_2$ , выход 1 г,  $[α]_D^{20} +171°$  ( $CH_3OH$ ),  $+180°$  (хлф.),  $pK_a$  8,5 (66%-ный HCON- $(CH_3)_2$ ); дихлоргидрат, т. пл. 210—213° (из ацетона-



конц. HCl),  $[\alpha]_D^{20} + 129^\circ$  (CH<sub>3</sub>OH); дийодгидрат, т. пл. 238—240° (из ацетона),  $[\alpha]_D^{20} + 84^\circ$  (CH<sub>3</sub>OH), и сандвичевский (VI), C<sub>19</sub>H<sub>22</sub>N<sub>2</sub>O · CH<sub>3</sub>OH, выход 40 мг, т. пл. 260—262° (из CH<sub>3</sub>OH),  $[\alpha]_D^{20} + 56^\circ$  (CH<sub>3</sub>OH). Из корней (249 г) *R. taitiensis*, sherrif выделены: II, 25 мг; IV, 11 мг; V, 0,43 г; новый алкалоид мауниенсин (VII), C<sub>20</sub>H<sub>26</sub>N<sub>2</sub>O, выход 30 мг, т. пл. 240—242° (из ацетона),  $[\alpha]_D^{20} + 184^\circ$ ,  $[\alpha]_D^{25} + 1038^\circ$  (CH<sub>3</sub>OH). V и (по спектральным данным) VI и VII относятся к группе I. 0,15 г V при кипячении с метанальным КОН (0,3 г в 25 мл; 8 час.) изомеризуются в изосандвичевский, выход 0,12 г,  $[\alpha]_D^{20} + 99^\circ$  (хлф.); дийодгидрат, т. пл. 242—245°,  $[\alpha]_D^{20} + 74^\circ$  (CH<sub>3</sub>OH). Восстановлением 0,3 г V в NaBH<sub>4</sub> (0,5 г в 10 мл 60%-ного спирта, ~ 12 час. при ~ 20°) получен дигидросандвичевский (VIII), выход 0,24 г, т. пл. 210—212° (из ацетона),  $[\alpha]_D^{20} + 102^\circ$  (хлф.); бромгидрат, т. пл. 250—255°. VIII (25 мг в 1 мл CH<sub>3</sub>COOH) окисляется (CH<sub>3</sub>COO)<sub>4</sub>Pb (40 мг в 5 мл CH<sub>3</sub>COOH) до (IX), выход 20 мг, т. пл. 215—217° (из бэл.-CH<sub>2</sub>Cl<sub>2</sub>).  $[\alpha]_D^{20} - 32^\circ$  (хлф.), полученного ранее окислением дигидроаймалина. Таким образом V является эписмером I по C<sub>(17)</sub> (не исключено также, что и по C<sub>(21)</sub>). Полученный восстановлением аймалидина (X) NaBH<sub>4</sub> (условия аналогичны восстановлению V) тетрагидроаймалидин оказался идентичен с VIII, что устанавливает для X строение 17-дегидроаймалина. Приведены кривые ИК-спектров I и V и УФ-спектров VIII и IX и данные УФ-спектров V—IX. Сообщение XVIII см. РЖХим, 1958, 18099.

Л. Нейман

57581. Об алкалоидах *Rauwolfia*. Сообщение 30. Об алкалоидах из *Rauwolfia ligustrina* R. & S. Раугустин, новый резерпиноподобный алкалоид. Мюллер (Über *Rauwolfia* — Alkaloide. 30 Mitteilung. Über die Alkaloide von *Rauwolfia ligustrina* R. & S. Raugustin, ein neues reserpinähnliches Alkaloid. Müller J. M., Experientia, 1957, 13, № 12, 479—481 (нем.; рез. англ.)). Из корней *R. ligustrina* R. & S. с помощью фракционной экстракции, хроматографии и противоточного распределения выделен новый алкалоид раугустин (I); гидрат C<sub>22</sub>H<sub>38</sub>O<sub>5</sub>N<sub>2</sub> · H<sub>2</sub>O, т. пл. 160—170° (разл.; в вакууме),  $[\alpha]_D^{20} - 50^\circ \pm 4^\circ$  (с 0,609; хлф.); нитрат, т. пл. 262—263° (разл.; в вакууме); О-моноацетат, т. пл. 232—234° (разл.). Выделены также резерпин (главный алкалоид, содержание 1%), резерпин (II) (0,085%),



тетрагидроальстонин, арицин, аймалидин, изорезерпин, изорезерпинин, дезерпинин, псевдорезерпин (III), α-нохимбин, аймалин, серпагин, серпентинин, серпентин и (в незначительных кол-вах) резциннамин, изорезерпин, реноксидин (резерпин-N-оксид), раунесцин (IV), изораунесцин (V) и нохимбин. I является изомером III, на основании сравнительного изучения УФ- и ИК-спектров I (приведены цифровые данные), II, III, IV и V предложена ф-ла I с той же стереоконфигурацией, что у II. I не обладает седативно-гипнотич. действием. Сообщение 29 см. РЖХим, 1957, 77193.

Л. Нейман

57582. Исследование моделей алкалоидов *Rauwolfia*. II. 2-Замещенные производные индола, производные тетрагидрокарболина и гексадегидроихмбана. Ногради (Untersuchungen über *Rauwolfia*-Alkaloid-Modelle. II. 2-Substituierte Indole, Tetrahydrocarbolin- und Hexadehydro-yohimban-Derivate. Nográdi Thomas), Monatsh. Chem., 1957, 88, № 6, 1087—1094 (нем.).

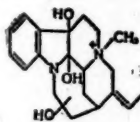
4,25 г изованилина ацилируют 8 г 3,4,5-(CH<sub>3</sub>O)<sub>3</sub>C<sub>6</sub>H<sub>2</sub>-

СОСл (I) в пиридине, выход 3',4',5'-триметоксибензоилизованилина (II) 92%, т. пл. 165—167° (из этилацетата); оксим II, выход 80,6%, т. пл. 148—149° (из сл.), 4,1 г оксима II в 100 мл лед. CH<sub>3</sub>COOH гидрируют 30 мин. (20°) над 1 г 10%-ного Pd/C, выход 3',4',5'-триметоксибензоилизованилиамина (III) 80,6%, т. пл. 101—103° (разл.); хлоргидрат (ХГ), т. пл. 234—235° (из C<sub>4</sub>H<sub>9</sub>OH). 0,55 г хлорангидрида индол-2-карбоновой к-ты (IV-к-та) в 5 мл CHCl<sub>3</sub> прибавляют к 1 г III в 10 мл CHCl<sub>3</sub> и 5 мл пиридина, смесь нагревают и через 12 час. (20°) получают 3',4',5'-триметоксибензоилизованилиаминамид IV, выход 61%, т. пл. 207—208° (из C<sub>4</sub>H<sub>9</sub>OH). Попытки восстановления последнего не дали положительного результата. 5,5 г хлорангидрида IV в 10 мл диоксана прибавляют по каплям при охлаждении в 50 мл конц. NH<sub>4</sub>OH, через 1,5 часа получают амид IV, выход 87%, т. пл. 232—234° (из C<sub>4</sub>H<sub>9</sub>OH). 3,2 г амид IV в 70 мл тетрагидрофурана кипятят 4 часа с 1,8 г 85%-ного LiAlH<sub>4</sub>, выход 2-аминометилиндола (V) 78%, т. пл. 69—71° (из CH<sub>3</sub>OH-вода, 1:3); пикрат, т. разл. 220° (из CH<sub>3</sub>OH). 0,85 г V и 2,27 г II в 30 мл диоксана гидрируют 1 час над 0,4 г 10%-ного Pd/C, выход 2-(3'-3',4',5'-триметоксибензоилокси)-4'-метоксибензил-амино-метилиндола 0,2 г, т. пл. 167—169° (из CH<sub>3</sub>OH). Аналогично из V и изованилина получают 2-(3'-окси-4'-метоксибензил)-аминометилиндола, выход 95,5%, т. пл. 181—183° (разл.; из сл.). 3,3 г ХГ триптамина и 4,6 г 3,4-CH<sub>3</sub>O(OH)C<sub>6</sub>H<sub>3</sub>CH<sub>2</sub>COOH в 160 мл воды кипятят 15 час., выход ХГ 3-(3'-метокси-4'-оксибензил)-3,4,5,6-тетрагидро-4-карболина (VI) 78,5%, т. пл. 248—249° (разл.; из 1%-ной HCl); основание, т. пл. 195—196° (из сл.); пикрат, т. пл. 210—211° (из CH<sub>3</sub>OH). 1,8 г VI в 90 мл 2%-ной CH<sub>3</sub>COOH смешивают с 1,5 мл 40%-ного CH<sub>2</sub>O, через 4 дня (20°) нагревают 5 час. (~ 100°), выход ХГ 17-метокси-18-окси-16,17,18,19,20,15-гексадегидроихмбана (VII) 94%, т. пл. 254—256° (из 1%-ной HCl); основание, т. пл. 229—231° (из CH<sub>3</sub>OH); пикрат, т. пл. 215° (разл.; из сл.); йодметилат, т. пл. 278° (разл.). VI ацилируют действием I в пиридине, хроматографированием на Al<sub>2</sub>O<sub>3</sub> выделяют 3-[3'-метокси-4'-(5',4',5'-триметоксибензоилокси)-бензил]-3,4,5,6-тетрагидро-4-карболин, выход 38,6%, т. пл. 190—194° (из CH<sub>3</sub>OH). VII действием I превращают в 18-(3',4',5'-триметоксибензоил)-VII (VIII), выход 48%, т. пл. 235—237° (разл.; из диоксана-воды). Ацилирование VII (C<sub>6</sub>H<sub>5</sub>CO)<sub>2</sub>O приводит к 18-пропионил-VII (IX), выход 85,5%, т. пл. 189—190° (из водн. сл.); кристаллолизат с 1 молем CH<sub>3</sub>OH, т. пл. 121° (разл.); ХГ, т. пл. 267—269° (разл.; из сл.). VII, VIII и IX обладают ~ 1/10 активности резерпина. Сообщение I см. РЖХим, 1958, 54045.

Е. Цветков

57583. Структурная связь дельталины, дельфелина и ликокотинна. Кармак, Феррис, Гарвей, Мэгат, Мартин, Майо (The structural relationship of deltaline, delpheline and lycocotinine. Carmack Marvin, Ferris James P., Hervey John Jr., Magat Phyllis L., Martin Eric W., Mayo Dana W.), J. Amer. Chem. Soc., 1958, 80, № 2, 497 (англ.). Установлено, что дельталин, выделенный ранее из *Delphinium occidentale* (Couch J. F., J. Amer. Chem. Soc., 1936, 58, 684), является смесью двух в-в. За одним из них (I) сохранено название дельталин, другое — дельфоцин, свойства которого в статье не описаны. I, дельфелин (II) и ликокотин выделены из *D. barbeyi* Huth. I C<sub>17</sub>H<sub>18</sub>(—OCOCH<sub>3</sub>) (—OCH<sub>2</sub>O) (—OCH<sub>3</sub>) (>NCH<sub>2</sub>CH<sub>3</sub>) (≡CCH<sub>3</sub>) (OH), т. пл. 193,5—194°,  $[\alpha]_D^{20} - 28,5^\circ$  (CH<sub>3</sub>OH). При действии на I SOCl<sub>2</sub> при 20° получен хлорацетил-II (III), т. пл. 173,3—173,5°,  $[\alpha]_D^{20} - 40,7^\circ$  (хлф.). При восстановлении III LiAlH<sub>4</sub> образуется II. При метилировании II CH<sub>3</sub>I в присутствии гидрида Na получен О-метил-II, т. пл. 102,5—103°,  $[\alpha]_D^{20} - 6,3^\circ$  (хлф.). Расщепление метилendioксигруппы

ны горячей 10%-ной  $H_2SO_4$  приводит к дезоксилико-  
тонину (Edward O. E., Marion L., Can. J. Chem., 1952,  
30, 627). Все т-ры плавления определены в вакуиро-  
ванном капилляре и исправлены. Н. Корецкая  
37584. Об алкалоидах из калебассе-кураре. XII. Пре-  
вращение С-мавакурин в С-флуорокурин через С-ал-  
калоид-У. Фриц, Виланд, Беш. XIII. Превраще-  
ние С-курарина-I в С-курарин-III. Фриц, Виланд  
(Über die Alkaloide aus Calebassen-Curare. XII. Um-  
wandlung von C-Mavacurin in C-Fluorocurin über das  
C-Alkaloid-Y. Fritz Helmut, Wieland Theodor,  
Besch Eugen. XIII. Umwandlung von C-Cu-  
rarin-I in C-Curarin-III. Fritz Helmut, Wieland  
Theodor), Liebigs Ann. Chem., 1958, 611, № 1—3,  
268—276, 277—279 (нем.)  
XII. Хлорид С-мавакурин (I) окислен  $O_2$  при взбал-  
тывании при 25° 40 час. с  $PtO_2$  в воде или 2%-ной  $CH_3$ -  
 $COOH$ . Получена смесь 2 в-в: производного  $\beta$ -карболи-  
ния и С-алкалоида-У (II) (РЖХим, 1955, 46023). Из



30 мг II, 5 мл абс.  $CH_3OH$ , наполовину насыщ.  $HCl$ -  
(газом), после нагревания 1 час при 75° в запаянной  
трубке выделено 6,3 мг пикрата С-флуорокурин.  
Предложены новое название для II — С-профлуороку-  
рин и ф-ла его строения. Приведены схема превраще-  
ния I в II.

XIII. При нагревании С-курарин-I хлорида с конц.  
 $HCl$  при 60° 5 час. получен С-курарин-III, выделенный  
в виде  $\beta$ -антрахинонсульфоната, выход 7,6%. Сообще-  
ние XI см. РЖХим, 1958, 14675. Т. Платонова

37585. Исследование четвертичных алкалоидов раз-  
личных бразильских видов *Strychnos*. Сообщение XI.  
Алкалоиды *S. amazonica* Kruk. Применение метода  
противоточного распределения и электрофореза на  
колонке. Казинови (Ricerche sugli alcaloidi qua-  
ternari delle *Strychnos* del Brasile. Nota XI. Gli alca-  
loidi della «*S. amazonica*» Kruk. Applicazione dei me-  
todi di distribuzione in controcorrente e di elettrofore-  
si su colonna. Casinovi Carlo Giulio), Gazz.  
chim. ital., 1957, 87, № 10, 1174—1184 (итал.)

Из 950 г коры *S. amazonica* Kruk. по известной мето-  
дике (см. РЖХим, 1954, 43036) в виде хлоридов раз-  
влекено 2,5 г смеси алкалоидов, которая разделена  
противоточным распределением (метилэтилкетон-во-  
да) и электрофорезом на целлюлозной колонке (2%-  
ная  $CH_3COOH$ , 800 а) в сочетании с ленточной хрома-  
тографией на ватмане 3ММ. В результате выделены  
мавакурин и следующие новые алкалоиды (даны на-  
звание и R для этилацетата-пиридина-воды и для ме-  
тилэтилкетона, насыщ. водой + 1%  $CH_3OH$ ); а 5,80 и  
7,29; γ,  $C_{34}H_{45}N_3O_2Cl_2$ , 2,70 и 4,16; δ, 2,28 и 2,59; ε 3,91 и  
3,24. Алкалоиды δ и ε дают цветные р-ции с  $H_2SO_4$ ,  
 $Ce(SO_4)_2$ ,  $H_2SO_4 + FeCl_3$  и  $HNO_3$ . Судя по УФ-спектру,  
алкалоиды а и γ обладают индольной структурой, по-  
добной таковой криптокурин. Сообщение X см.  
РЖХим, 1958, 54097. С. Завьялов

37586. Воакамин и воакристин, два новых алкало-  
ида из *Voacanga africana* Stapf. Реннер (Voacamin  
und Voacristin, zwei neue Alkaloide aus *Voacanga afri-*  
*cana* Stapf. Renner U.), Experientia, 1957, 13,  
№ 12, 468—469 (нем.; рез. англ.)

Из коры и корней *V. africana* Stapf выделены 2 но-  
вых алкалоида. Воакамин (I),  $C_{45}H_{56}O_6N_4$ , т. пл. 128—  
130° (разл.; из бэл.),  $[\alpha]_D^{20} -174,5^\circ$  (хлф.); хлоридат,  
т. пл. 265—267° (разл.; из ацетона- $CH_3OH$ ),  $[\alpha]_D^{20}$

—166,5° ( $CH_3OH$ ); бромгидрат  $\cdot 0,5 H_2O$ , т. пл. 265—266°  
(разл.; из ацетона),  $[\alpha]_D^{20} -144^\circ$  ( $CH_3OH$ ); йодгидрат  
 $\cdot 0,5 H_2O$ , т. пл. 263—264° (разл.; из ацетона),  $[\alpha]_D^{20}$   
—142° ( $CH_3OH$ ); ацетильное производное, бромгидрат,  
т. пл. 272—273° (разл.; из ацетона- $CH_3OH$ ),  $[\alpha]_D^{20}$   
—148,8° ( $CH_3OH$ ). Воакристин (II),  $C_{45}H_{56}O_6N_4$ , или  
 $C_{23}H_{30}O_4N_2$ , т. пл. 112—114° (из 70%-ного  $CH_3OH$ ); аце-  
тильное производное  $C_{51}H_{66}O_{10}N_4$  или  $C_{25}H_{32}O_5N_2$ , т. пл.  
187—188° (из  $CH_3OH$ ). I содержит 1  $CH_3$ - и 3  $OSCH_3$ -груп-  
пы, а также (по спектральным данным) 5-метоксин-  
дольную группировку и является изомером воакамина.  
Обработка I спирт. КОН и последующее нагревание в  
кислой среде при 80° приводит к продукту декарбок-  
сирования  $C_{42}H_{52}O_4N_2$ , т. пл. 239—240° (из водн.  $CH_3OH$ ),  
содержащему лишь 1  $OSCH_3$ -группу. Приведены данные  
УФ- и ИК-спектров I и II. Л. Нейман

37587. Абсолютная конфигурация конгидрина.  
Сихер, Тихий (Absolute configuration of conhy-  
drine. Sicher J., Tichy M.), Chemistry and Industry,  
1958, № 1, 16 (англ.)

Конгидрин (I) расщеплен до (—)-липеколиновой  
к-ты, конфигурация которой соответствует конфигура-  
ции L-глутаминовой к-ты. Следовательно, асимметрич.  
атом С в пиперидиновом цикле в I имеет L-конфигура-  
цию. В случае 1,2-диоксипроизводных можно устано-  
вить конфигурацию по скорости окисления реактивами,  
расщепляющими α-гликоли, так как *трео*-эпимеры  
всегда реагируют быстрее, чем *эритро*-эпимеры. Это  
правило может быть применено и в случае 2-амино-  
спиртов (РЖХим, 1955, 34807). Скорость окисления  
 $HJO_4$  двух рацемич. 2-(1-оксипропил)-пиперидинов  
(II): α, т. пл. 98—98,5°, и β, т. пл. 85,5—86°, была опре-  
делена полярографически, и β-II реагировал в 15 раз



быстрее, чем α-II. Это показывает, что α-II, соответ-  
ствующий природному I (Galimovsky, Mulley, Monatsh.  
Chem., 1948, 79, 426), должен иметь *эритро*-конфигура-  
цию. Для подтверждения этого с α-II проведен следу-  
ющий ряд р-ций, включающий двукратное расщепле-  
ние по Гофману: α-II → десдиметилпсевдо-I,  $(CH_3)_2$ -

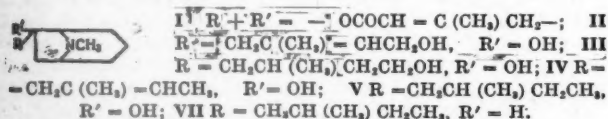
$N(CH_2)_4CHCH(O)C_2H_5$  (III), т. кип. 101°/17 мм, →  $CH_2$  =  
=  $CH(CH_2)_4CHCH(O)C_2H_5$  (IV), т. кип. 155—157,  
→  $CH_2$  =  $CH(CH_2)_4CH(OH)CH(OH)C_2H_5$  (V), т. пл. 74,5—  
75,5°, →  $C_4H_9CH(OH)CH(OH)C_2H_5$  (VI), т. пл. 94,5—95°.  
При этом происходит два вальденовских обращения:  
на стадиях α-II → III и IV → V; конфигурация окта-  
диола-3,4 определена как указано выше для I, при чем  
установлено, что VI идентичен рацемату *эритро*-диол-  
октана-3,4, полученному окислением  $KMnO_4$ , *цис*-окте-  
на-3, прготовленного из октина-3; VI отличен от *трео*-  
диола. На основании этого следует считать, что про-  
странственное строение I соответствует приводимым  
ф-лам. Р. Уткина

37588. Алкалоид *Dioscorea hispida*, Dennstedt. IV.  
Дальнейшие исследования лактонного цикла. Пин-  
дер (An alkaloid of *Dioscorea hispida*, Dennstedt. IV.  
Further investigation on the lactone ring. Pinder  
A. R.), Tetrahedron, 1957, 1, № 4, 301—309 (англ.)

Предложена новая структурная ф-ла для алкалоида  
диоскорина (I) на основании изучения восстанови-  
тельного расщепления лактонного цикла I. Обсуж-  
дается механизм гофманского распада, стереохимия и  
биосинтез I. 2 г I при восстановлении 0,6 г  $LiAlH_4$  в  
эфире (18 час., 20°) дают 1,7 г диоскоринола (II), не-



предельного гликоли, содержащего третичную HO-группу, т. кип. 155–160°/0,2 мм, 150°/0,05 мм (т-ра бани),  $[\alpha]^{20}_D +1,9^\circ$  (с 6,2; хлф.); пикрат, т. пл. 159–160° (разл.; из  $\text{CH}_3\text{OH}$ ); пикролат, т. пл. 212° (разл.; из сл.). Озонирование 4 г II в 15 мл  $\text{CH}_3\text{COOH}$  (4 часа, 10°) приводит к образованию гликоля, что подтверждает наличие группировки  $> \text{C}=\text{CHCH}_2\text{OH}$ ; гликоаль выделен в виде бис-*p*-нитрофенилгидразона, выход 0,65 г, т. пл. 310–311° (разл.; из  $\text{C}_6\text{H}_5\text{NO}_2$ ). II при гидрировании над 5%-ным Pd/C в спирте превращается в дигидрооксиринол (III), т. кип. (т-ра бани) 160–165°/0,05 мм; пикрат, т. пл. 144° (из  $\text{CH}_3\text{OH}$ ). Восстановление 2,6 г II на в смеси 300 мл жидкого  $\text{NH}_3$  и 15 мл спирта (1 час) приводит к дезоксиоксиринолу (IV), выход 1,6 г, т. кип. (т-ра бани) 87–88°/0,04 мм,  $[\alpha]^{20}_D +23,0^\circ$  (с 2,3; хлф.); йодметилат, т. пл. 191,5–192° (из ацетона); пикрат, т. пл. 112,5° (из  $\text{CH}_3\text{OH}$ ), и III, выход 0,75 г, 2,55 г II при восстановлении над  $\text{PtO}_2$  в 40 мл 1 н. HCl



(6 час.) дают 2,45 г дигидродезоксидоксиринола (V), т. кип. (т-ра бани) 104–105°/0,15 мм,  $[\alpha]^{20}_D +21,3^\circ$  (с 2,35; хлф.); йодметилат, т. пл. 162° (из ацетона + петр. эф.); пикрат, т. пл. 107,5–108° (из  $\text{CH}_3\text{OH}$ ). V получен также при гидрировании IV в аналогичных условиях. V не изменяется при нагревании с  $\text{H}_2\text{CrO}_4$  в лед.  $\text{CH}_3\text{COOH}$  (2,5 часа, 65–70°) и с  $(\text{CH}_3\text{CO})_2\text{O}$  в присутствии пиридина. При окислении IV  $\text{KMnO}_4$  в 5%-ной  $\text{H}_2\text{SO}_4$  образуется  $\text{CH}_2\text{O}$  и  $\text{CH}_3\text{CHO}$ , что указывает на присутствие группировки  $\text{CH}_2\text{CH}=\text{N}-\text{CH}_3$ . Озонолиз IV в лед.  $\text{CH}_3\text{COOH}$  (0–5°, 3 часа) также приводит к  $\text{CH}_3\text{CHO}$ . Дегидратацией 0,5 V с помощью  $\text{SOCl}_2$  в эфире (45–50°, 30 мин.) получена смесь ангидрооснований (VI) с различным положением C–C-связи, выход VI 0,35 г, т. кип. 124°/18 мм, 128°/21 мм; пикрат, т. пл. 118° (из 50%-ного сл.). Гидрирование 0,35 г VI в лед.  $\text{CH}_3\text{COOH}$  над  $\text{PtO}_2$  (12 час.) приводит к ангидротетрагидродезоксидоксиринолу (VII), выход 0,35 г, т. кип. 135°/24–25 мм; пикрат, т. пл. 116° (из 50%-ного  $\text{CH}_3\text{OH}$ ). Приведены ИК-спектры II, IV–VI. Сообщение III см. РЖХим, 1957, 23161. Е. Цветков 57589. Стереохимия тропановых алкалоидов. XI.

Окисление четырех эпимерных эгонинолов окисью серебра. Халмош, Ковач, Фодор (Stereochemistry of the tropane alkaloids. XI. Oxidation of four epimeric esgoninols by silver oxide. Halmos M., Kovacs O., Fodor G.), J. Organ. Chem., 1957, 22, № 12, 1699–1701 (англ.)

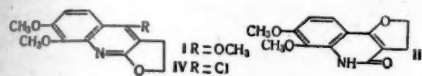
0,415 г хлоргидрата (XG) 2β-оксиметилтропанола-3β (I) в 12,5 мл 1 н. NaOH нагревают (~100°) 1,5 часа с свежеприготовленной  $\text{Ag}_2\text{O}$  (из 1,02 г  $\text{AgNO}_3$ ), осадок отделяют, фильтрат подкисляют конц. HCl до pH 2 и упаривают, получают 42% XG эгонина (II), т. пл. 243–245° (из абс. сл.+эф.),  $[\alpha]^{20}_D -55,8^\circ$  (с 1,95, вода), и I. Аналогично XG 2α-оксиметилтропанола-3β (III) дает 82% XG ψ-эгонина (IV), т. пл. 234–236° (из абс. сл.+эф.),  $[\alpha]^{20}_D +20,9^\circ$  (с 1,87; вода). При окислении XG 2β-оксиметилтропанола-3α (V) [т. пл. 258–260°,  $[\alpha]^{20}_D -12,88^\circ$  (с 2,11, вода)] возвращено 43% V. XG 2α-оксиметилтропанола-3α (VI) не окисляется в аналогичных условиях, возвращено 93% VI, т. пл. 171–172°,  $[\alpha]^{20}_D 13,2^\circ$  (вода).  $R_f$  для I, II, III, IV, V 0,49–0,07, 0,53, 0,05, 0,38 и 0,63 соответственно. Сообщение X см. РЖХим, 1957, 60694. Е. Цветков 57590. О конфигурации и конформации афиллинового и окоспартеинового спиртов. Галиновский, Деркош, Несвадба, Мейндль, Орглер

(Über die Konfiguration und Konstellation des Aphyllinalkohols und der Oxosparteinalkohole. Galinovsky F., Derkosch J., Nesvadba H., Meindl P., Orgler K.), Monatsh. Chem., 1957, 88, № 5, 967–976 (нем.)

При гидролитич. расщеплении (ГР) лактамной группы афиллина (I) горячей конц. HCl образуется афиллиновая к-та (II), содержащая *cis*-хинолизидиновое кольцо. Окоспартеин (III) в условиях ГР дает смесь в-в (IV), содержащую окоспартеиновую к-ту с *trans*-расположением колец и, по-видимому, ее изомер. При восстановлении этилового эфира II (V)  $\text{LiAlH}_4$  получен кристаллич. афиллиновый спирт (VI). Этиловый эфир IV (VII) при восстановлении  $\text{LiAlH}_4$  дает жидкий изокоспартеиновый спирт (VIII) и немного кристаллич. окоспартеинового спирта (IX) с *cis*-конфигурацией хинолизидина. VI и IX бромированием и последующей циклизацией превращены в спартеин. В VIII заместители находятся в *trans*-положении, HOCH<sub>2</sub>-группа экваториальна. Образование VIII объясняется тем, что уже при ГР лактамной группы III частично происходит изменение пространственного положения HOOC-группы. ГР III требует большей затраты энергии по сравнению с I вследствие сильного экранирования лактамной группы III H-атомами соседних  $\text{CH}_2$ - и  $\text{CH}$ -групп. На основании изучения хим. свойств и ИК-спектров показано, что в VI и IX заместители ( $\text{CH}_2\text{OH}$ -группа и α-пиперидил) находятся в Э-положении. К 1,96 г V в 100 мл абс. эфира прибавляют по каплям 1 г  $\text{LiAlH}_4$  в 80 мл эфира, кипятят 6 час., выход VI 86%, т. пл. 153–154° (из ацетона-эф.),  $[\alpha]^{20}_D +17,7^\circ$  (с 9,58; абс. сл.). 0,7 г VI ацетилируют 2 мл  $(\text{CH}_3\text{CO})_2\text{O}$  (8 час. 20°), неочищ. O,N-диацетил-V нагревают 2 часа с 12 мл 2 н. спирта. KOH, выход N-ацетил-VI 0,64 г, т. пл. 160–161° (из ацетона-эф.),  $[\alpha]^{20}_D -28,92^\circ$  (с 6,53; абс. сл.). 0,64 г N-ацетил-V восстанавливают  $\text{LiAlH}_4$  до N-этил-V, выход 66%, т. пл. 108–109° (из ацетона-эф.). 0,5 г VI растворяют в разб. HBr, при 0° насыщают HBr (газ) и нагревают в запаянной трубке 15 час. при 100°, выход неочищ. дибромидрата 1-бромметил-3-(2-пиперидил)-хинолизидина (X основание) 0,7 г, т. пл. 261–262° (из абс. сл.). X (т. пл. 55°) превращают на водяной бане, получают бромгидрат VI. 3,4 г III в 30 мл конц. HCl нагревают 30 час. при 170–180°, получают 3,9 г хлоргидрата IV; последний при этерификации спирт. HCl дает VII, выход 80%, т. кип. 135–140°/0,02 мм; пикрат, т. пл. 278–280° (разл.). VII восстанавливают  $\text{LiAlH}_4$ , получают 0,24 г смеси 30–40% IX и 60–70% VIII, с. т. кип. 130–140°/0,02 мм. При растворении в ацетоне и обработке эфиром выпадает 0,9 г неочищ. IX, т. пл. 163–164° (из ацетона),  $[\alpha]^{20}_D -7,46^\circ$  (с 5,9; абс. сл.). 0,1 г IX бромируют и пиклизуют, хроматографированием на бумаге выделяют VI и основание неустойчивого строения. Из маточного р-ра после отделения IX выделяют VIII в виде дигидрата, т. пл. 212–213° (разл.; из ацетона); VIII, т. кип. 130–140°/0,02 мм. 0,12 г VIII при бромировании дает 0,16 г в-ва  $\text{C}_{15}\text{H}_{28}\text{N}_2\text{Br}_2 \cdot \text{HBr}$ , т. пл. 174–176° (из абс. сл.); при попытке выделить основание получено стеклообразное в-во. Приведены кривые ИК-спектров VI, N-ацетил-VI, VIII и IX. Е. Цветков 57591. Фуорохинолины. X. Синтез дигидрохимманина. Ота, Мори (Furoquinolines. X. Synthesis of dihydrochimmanine. Ohta Tatsuo, Mori Yo), Pharmac. Bull., 1957, 5, № 1, 87 (англ.) Исправление: там же, № 3, после стр. 287

Синтезирован дигидрохимманин (I). 2,3-диметоксанилин конденсируют с диэтиловым эфиром 2-этоксиприлизидиновой к-ты (кипячение 4,5 часа в  $(\text{C}_6\text{H}_5)_2\text{O}$ ; при этом получают 2,3-дигидро-6,7-диметоксифуро-[3,2-с]-хинолин-4-(5H)-он (II) (т. пл. 221–222°). III нагреванием с  $\text{POCl}_3$  (3 часа) переводят в

3-(2-хлорэтил)-2,4-дихлор-7,8-диметоксифуро-хинолин (III) (т. пл. 117—118°). При кипячении (3 часа) с лед.  $\text{CH}_3\text{COOH}$  III дает смесь (т. пл. 215—222°) 4-хлор-3-



(2-хлорэтил)-7,8-диметоксикарбостирила и 4-хлор-2,3-дигидро-7,8-диметоксифуро-[2,3-b]-хинолина (IV) (см. РЖХим, 1958, 21603). При кипячении смеси с 10%-ным  $\text{CH}_3\text{OH}$ - $\text{NaOH}$ -р-ром (2 часа) получают 2,3-дигидро-4,7,8-триметоксифуро-[2,3-b]-хинолин, т. пл. 165°, пикрат, т. пл. 184°, идентичный I, полученному из природного алкалоида. Сообщение IX см. РЖХим, 1958, 50371.

В. Быховский  
57592. Синтетические исследования диктамина, алкалоида *Skimmia repens*, Nakai. II. Синтез диктамина. Сато, Ота (Synthetic studies of dictamine, an alkaloid of *Skimmia repens*, Nakai. II. The synthesis of dictamine. Sato Tadashi, Ohta Masaki), Bull. Chem. Soc. Japan, 1957, 30, № 7, 708—711 (англ.)

Диктамин (I) синтезирован путем ряда р-ций из 2,4-дихлор-3-(2-хлорэтил)-хинолина (II), полученного ранее (РЖХим, 1956, 68358); заменяя в II Cl на OH-группу, получают смесь из 2-окси-3-(2-хлорэтил)-4-хлорхинолина (III) и 4-хлор-2,3-дигидрофуро-[2,3-b]-хинолина (IV). УФ-спектр III идентичен спектру 2-оксихинолина (V) в нейтр. и кислом р-рах. По УФ-спектру III в щел. р-ре идентичен IV. Отличие УФ-спектров IV от V можно объяснить существованием IV также в таутомерной форме 4-хлор-2-окси-3-винилхинолина. При нагревании IV с  $\text{HBr}$  (к-той) получают 2-окси-3-(2-бромэтил)-4-хлорхинолин (VI), УФ-спектр которого близок к III. Из IV действием  $\text{Br}_2$  в среде  $\text{CCl}_4$  получают пербромид IV (VII). Из IV обработкой  $\text{CH}_3\text{ONa}$  при нагревании до 100° получают 4-метоксифуро-2,3-дигидрофуро-[2,3-b]-хинолин (VIII).

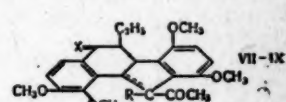
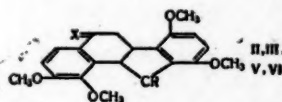


Дегидрирование IV и VII  $\text{Pd/C}$  в кипящем  $(\text{C}_6\text{H}_5)_2\text{O}$  до соответственного фуорохинолина не удалось. Из IV с N-бромсукцинимидом получается 2- или 3-бром-4-хлор-2,3-дигидрофуро-[2,3-b]-хинолин (IX), из которого при нагревании с  $\text{CH}_3\text{ONa}$  получают I, идентичный природному. 40 г диэтил-(2-метоксизтил)-малоната с 12 г  $\text{C}_6\text{H}_5\text{NH}_2$  в 60 г  $(\text{C}_6\text{H}_5)_2\text{O}$  кипятят 3 часа, выделяют 19 г 4-окси-2,3-дигидрофуро-[3,2-c]-хинолина, т. пл. 275° (разл.), который обрабатывают  $\text{POCl}_3$ , получают II. 17 г II в 100 мл лед.  $\text{CH}_3\text{COOH}$  кипятят 3 часа, прибавляют 200 мл воды, выход III ( $\text{C}_{11}\text{H}_9\text{ONCl}_2$ ) 15 г, т. пл. 190° (из водн.  $\text{CH}_3\text{OH}$  и  $\text{CH}_3\text{COOH}$ ); при других условиях кристаллизации, отщепления  $\text{HCl}$ , образуется циклич. IV, т. пл. 113°. IV может быть получен из 15 г неочищ. III с р-ром 5 г  $\text{NaOH}$  в 100 мл  $\text{CH}_3\text{OH}$  кипячением (2 часа), прибавлением 200 мл воды, выход IV 8 г, 0,1 г IV в 1,5 мл лед.  $\text{CH}_3\text{COOH}$  с 1 мл 48%-ного водн. р-ра  $\text{HBr}$  кипятят 15 мин., прибавляют воду, выделяют VI, т. пл. 190°. 0,4 г IV в 3 мл  $\text{CH}_3\text{OH}$  и 5 мл р-ра  $\text{CH}_3\text{ONa}$  (из 0,15 г Na) нагревают в запаянной трубке при 100° 3 часа, оставляют на 18 час., фильтрат сгущают до 3 мл в вакууме, прибавляют воды, выделяют VIII, т. пл. 92° (из водн.  $\text{CH}_3\text{OH}$ ); пикрат, т. пл. 187° (из  $\text{CH}_3\text{OH}$ ). К р-ру 0,3 г IV в 10 мл  $\text{CCl}_4$  прибавляют 0,23 г  $\text{Br}_2$  в 1 мл  $\text{CCl}_4$ , перемешивают ~20° 20 мин., через 1 час выделяют желтые кристаллы VII, т. пл. 122° (разл.; из  $\text{CH}_3\text{OH}$  осаждением водой). 1 г IV с

1 г N-бромсукцинимидом и 0,1 г перекиси бензоила в 50 мл  $\text{CCl}_4$  кипятят 45 мин., фильтрат сгущают до 15 мл, охлаждают, выделяют IX, т. пл. 120°. Если не отгонять  $\text{CCl}_4$ , то получается в-во (X), т. разл. 92°, которое при растворении в  $\text{C}_5\text{H}_5\text{N}$  и разбавлении водой переходит в IX. Перекристаллизация IX или X из разб.  $\text{CH}_3\text{OH}$  приводит к в-ву неизвестного строения, т. пл. 113°. К р-ру 0,15 г IX в 2 мл  $\text{CH}_3\text{OH}$  прибавляют 2,5 мл р-ра  $\text{CH}_3\text{ONa}$ , содержащего 0,075 г Na, нагревают в запаянной трубке при 100° 2 часа и оставляют на 18 час., фильтруют, отгоняют  $\text{CH}_3\text{OH}$ , осаждают водой, выделяют I, т. пл. 130—131° (из  $\text{C}_{12}\text{H}_9\text{O}_2\text{N}$ ); пикрат, т. пл. 163°. Сообщение I см. РЖХим, 1957, 44702.

К. Уткина  
57593. Флавогетон. VI. Окисление безазотистых продуктов. Бентли, Ринг (Flavogetone. VI. Oxidation of nitrogenfree products. Bentley K. W., Ringe J. P.), J. Organ. Chem., 1957, 22, № 6, 599—602 (англ.)

Окисление производных флавогетона (I)  $\text{CrO}_3$  ведет к образованию ароматич. кетонов, благодаря окислению соседней с вератроловым ядром метиленовой группы. Триметиловый эфир гексагидродесаза-метина I окислен  $\text{CrO}_3$  в 90%-ной  $\text{CH}_3\text{COOH}$  (20 мин., 100°) с образованием 10-оксопроизводного,  $\text{C}_{25}\text{H}_{25}\text{O}_6$ , т. пл. 219—220° (из  $\text{CH}_3\text{OH}$ ),  $[\alpha]_D^{25} + 174^\circ$  (с 0,43;  $\text{CHCl}_3$ ); диоксим, т. пл. 255° (из сп.). При окислении  $\text{CrO}_3$  в-ва (II) выделено оксопроизводное (III), т. пл. 235° (из  $\text{CH}_3\text{OH}$ ),  $[\alpha]_D^{25} + 350^\circ$  (с 0,94;  $\text{CHCl}_3$ ); диоксим, т. пл. 261° (разл.; из сп.),  $[\alpha]_D^{25} + 436^\circ$  (с 0,84;  $\text{CHCl}_3$ ). Окисление II трифторнадукусной к-той (IV) (трифторуксусный ангидрид и  $\text{H}_2\text{O}_2$  в  $\text{CH}_2\text{Cl}_2$ ) дало 11-ацетокси-12-этил-1,2,7,10-тетраметоксифуро-6-оксо-5,6,12,13-тетрагидрохризифлуорен, т. пл. 232° (из  $\text{CH}_3\text{OH}$ ),  $[\alpha]_D^{20} - 231^\circ$  (с 0,28;  $\text{CHCl}_3$ ). При окислении  $\text{CrO}_3$  в-ва (V) выделен (VI), т. пл. 193—194° (из  $\text{CH}_3\text{OH}$ ),  $[\alpha]_D^{25} + 219^\circ$  (с 0,76;  $\text{CHCl}_3$ ); муравьиный эфир, т. пл. 252° (разл.; из сп.),  $[\alpha]_D^{20} + 418^\circ$  (с 0,44;  $\text{CHCl}_3$ ). При окислении дигидросоединения-E (VII) (РЖХим, 1958, 43507) как  $\text{CrO}_3$ , так и IV получено дигидросоединение-E<sub>1</sub> (VIII), т.



II R =  $\text{CH}_2\text{CO}$ , X =  $\text{H}_2$ ; III R =  $\text{CH}_2\text{CO}$ , X = O; V R = OH, X =  $\text{H}_2$ ; VI R = OH, X = O; VII — двойная связь, X =  $\text{H}_2$ ; R' = R =  $\text{H}_2$ ; VIII — простая связь, X =  $\text{H}_2$ , R' + R = O; IX — простая связь, X = O, R' + R = O

пл. 193—194° (из  $\text{CH}_3\text{OH}$ ),  $[\alpha]_D^{20} + 248^\circ$  (с 0,6;  $\text{CHCl}_3$ ). Дальнейшее окисление VIII  $\text{CrO}_3$  дало дигидросоединение-E<sub>2</sub> (IX), т. пл. 224° (из сп.),  $[\alpha]_D^{20} + 304^\circ$  (с 0,6;  $\text{CHCl}_3$ ); 2,4-динитрофенилгидразон, т. пл. 261° (из сп.- $\text{CHCl}_3$ ). Сообщение V см. РЖХим, 1958, 46923.

Н. Корепкая  
57594. Получение дигидронорморфина и дигидроноркодеина. Богнар, Гаал (Dihidronormorfinon és dihidronorkodeinon előállítás. Bognár Rezső, Gaál György D.), Magyar tud. akad. Kém. tud. oszt. közl., 1957, 9, № 1, 9—14 (венг.)

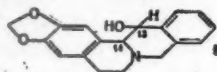
Дигидроморфинон и дигидрокодеинон получают соответственно из морфина и кодеина, растворенных в 10-кратном кол-ве 1 н.  $\text{HCl}$  добавлением 10%-ного  $\text{Pd/C}$  в кол-ве 8% от исходного продукта и кипячением 3—5 час. в токе  $\text{H}_2$ . Этот метод применен для получения дигидронорморфина (I) и дигидроноркодеина (II). 40 г норморфина растворили в 120 мл 1,0 н.  $\text{HCl}$  и добавили 0,85 г сухого 10%-ного  $\text{Pd/C}$ . Смесь кипятили 3 часа в токе  $\text{H}_2$ . Получены



кристаллы хлоргидрата I, выход 3,55 г. После выпаривания под вакуумом маточного р-ра выделялось еще 2 г кристаллич. в-ва, имеющего после перекристаллизации из воды  $[\alpha]_D^{25} -127,80^\circ$  (с 0,6; вода). Из хлоргидрата I действием  $\text{NH}_3$  получили I, т. пл. 301—302°, оксим, т. пл. 306°. Метилированием I триметилфениламмонийхлоридом в присутствии металлического Na при 117—118° получено в-во, идентичное II, образующемуся при каталитич. перегруппировке норкодеина и при деметилировании дигидрокодеинона цианбромидом. А. Хаусмани

**57595. Синтез (±)-офиокарпина. Говиндачари, Раджадурай** (Synthesis of (±)-orphiocarpine. Govindachari T. R., Rajadurai S.), J. Chem. Soc., 1957, Febr., 557—558 (англ.)

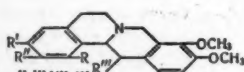
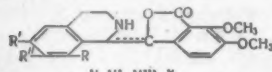
Синтезированы два рацемата строения (I) и показано, что по ИК-спектру один из них соответствует (—)-офиокарпину (II). Р-р 15 г меконин-α-карбоксилхлорида в 30 мл  $\text{C}_6\text{H}_6$  вводят по каплям при охлаждении в р-р 12,5 г 3,4-метилendioксибензилэтиламина в 30 мл  $\text{C}_6\text{H}_6$  и 75 мл 1 н. NaOH, перемешивают 3 часа и через 12 час. выделяют 10 г N-(3,4-метилendioксибензилэтил)-меконин-α-карбоксиамида, т. пл. 148° (из  $\text{CH}_3\text{OH}$ ). Дегидроворигидрастин (III) получен по Перкинну; хлоргидрат, т. пл. 172° (из сп.-эф.). Р-р 1,5 г III в 80 мл  $\text{CH}_3\text{COOH}$  гидрируют над 0,1 г Pt (из  $\text{PtO}_2$ ); выделяют норгидрастин (IV); хлоргидрат, т. пл. 220° (из сп.-эф.). В р-р 1,5 г  $\text{LiAlH}_4$  в 50 мл эфира вводят по каплям р-р 3 г IV в 20 мл тетрагидрофурана, перемешивают 6 час., выдерживают ~ 12 час.; выделяют 0,2 г (±)-офиокарпина-а (V), т. пл. 252° (из хлф.-



$\text{CH}_3\text{OH}$ ); ацетат, т. пл. 172—174° (птр. эф.). Из метанольного маточного р-ра V хроматографией на  $\text{Al}_2\text{O}_3$  выделяют 0,8 г (±)-офиокарпина-б (VI), т. пл. 176°; ацетат, т. пл. 186° ( $\text{CH}_3\text{OH}$ ) (ацетат II имеет т. пл. 165—167°). 20 мг V кипятят 3 часа с 8 н. HCl, выделяют дигидроберберин, т. пл. 168°. VI с HCl не реагирует, что указывает на транс-положение OH-группы при  $\text{C}_{10}$  и H при  $\text{C}_{14}$ . В. Шибнев

**57596. Синтезы протобербериновых алкалоидов. Говиндачари, Раджадурай, Субраманиян, Висванатхан** (Syntheses of protoberberine alkaloids. Govindachari T. R., Rajadurai S., Subramanian M., Viswanathan N.), J. Chem. Soc., 1957, July, 2943—2945 (англ.)

Осуществлены синтезы O-метилкапауридина (I), (±)-тетрагидропальматина (II) и упрощен синтез (±)-офиокарпина (III). При взаимодействии α-карбонилхлорида меконина (IV) с меткалином получен амид  $\text{C}_{22}\text{H}_{25}\text{O}_5\text{N}$ , т. пл. 173—174° (из  $\text{CH}_3\text{OH}$ ), циклизованный  $\text{POCl}_3$  (5 час., 100°) в (V), т. пл. 204° (из  $\text{CH}_3\text{OH}$ -эф.). V восстановлен до (VI) с Pt из  $\text{PtO}_2$  в



II R = R'' = H, R' = R' =  $\text{OCH}_3$ ; III R = H, R' + R'' =  $\text{OCH}_2\text{O}^-$ , R'' = OH; V — двойная связь, R = R' = R' =  $\text{OCH}_3$ ; VI — простая связь, R = R' = R' =  $\text{OCH}_3$ ; VII R = R' = R' =  $\text{OCH}_3$ , R'' = OH, VIII — простая связь, R = H, R' = R' =  $\text{OCH}_3$ ; IX R = H, R' = R' =  $\text{OCH}_3$ , R'' = OH; X — двойная связь, R = H, R' + R'' =  $\text{OCH}_2\text{O}^-$

лед.  $\text{CH}_3\text{COOH}$ . При действии на VI  $\text{LiAlH}_4$  в тетрагидрофуране-эфире получен (VII), т. пл. 183° (из  $\text{CH}_3\text{OH}$ -эф.). Из VII после обработки  $\text{SOCl}_2$  (10 мин.

кипения в сухом  $\text{CHCl}_3$ ), последующего восстановления с Pt из  $\text{PtO}_2$  и очистки хроматографированием на  $\text{Al}_2\text{O}_3$  получен I, т. пл. 137—140° (из  $\text{CH}_3\text{OH}$ -эф.). II, т. пл. 147—148° (из эф.), получен по той же схеме: из IV и 3,4-диметоксифенилэтиламина получен амид, т. пл. 144—145° (из  $\text{CH}_3\text{OH}$ ). Промежуточные продукты синтеза (VIII) и (IX) разделены на диастереоизомеры: (VIIIa), т. пл. 142—144° (из  $\text{C}_6\text{H}_6$ -птр. эф.); (VIIIb), хлоргидрат, т. пл. 204° (из сп.-эф.); (IXa), т. пл. 186° (из  $\text{C}_6\text{H}_6$ ); (IXb), т. пл. 158° (из эф.-птр. эф.). III получен восстановлением X (см. пред. реф.).  $\text{LiAlH}_4$  в тетрагидрофуране-эфире в виде двух форм: (IIIa), т. пл. 252° (из  $\text{CHCl}_3\text{-CH}_3\text{OH}$ ), и (IIIb), т. пл. 176° (из  $\text{CH}_3\text{OH}$ ). Н. Корепкая

**57597. Некоторые производные теofilлина, представляющие фармакологический интерес. Джани, Мольтени** (Alcuni derivati della teofilina di interesse farmacologico. Gianni M., Molteni L., Farmaco. Ed. scient., 1957, 12, № 12, 4016—4024 (итал.))

Для испытаний на все виды физиологич. активности, характерные для теofilлина (I), синтезированы ряд 7- и 8-замещ. производных I. К 0,1 моля I в 100 мл 4%-ного NaOH добавляют 0,11 моля  $\text{ClCOOR}$  в 100 мл спирта, быстро охлаждают до  $-10^\circ$  и выдерживают 0,5 часа при  $-10^\circ$ , получают R-эфиры теofilлинкарбоновой-7 к-ты (приведены R, т. пл. в  $^\circ\text{C}$ ):  $\text{CH}_3$ , 260—262 (из воды);  $\text{C}_2\text{H}_5$ , 139—141 (из воды);  $\text{ClCH}_2\text{CH}_2$ , 115—118 (из сп.);  $\text{C}_6\text{H}_5$ , 65 (из сп.);  $\text{C}_6\text{H}_7$ , 153—154 (из воды);  $\text{C}_4\text{H}_9$ , 71—75 (из сп.). К 18 г I в 100 мл 4%-ного NaOH прибавляют 9,3 г  $\text{ClCH}_2\text{CONH}_2$ , кипятят 2 часа, выделяют теofilлин-7-ацетамид, выход 72%, т. пл. 280°. Аналогично с выходами 65 и 66% образуются теofilлин-7-диэтилацетамид, т. пл. 180—190°, и морфолид теofilлин-7-уксусной к-ты, т. пл. 186—187°. К 130 г морфолина в 300 мл эфира добавляют 109 г  $\text{ClCH}_2\text{COBr}$  в 200 мл эфира, перемешивают 1 час при 20°, получают хлор-ацетилморфолид, выход 30 г, т. кип. 140°/4,5 мм. К кипящему р-ру 2,8 г 7-диэтиламинотеofilлина (II) в 10 мл воды прибавляют 2,4 г теofilлин-7-уксусной к-ты, выделяют теofilлин-7-ацетат II, выход 82%, т. пл. 131°. II дает также соответствующие соли с  $n\text{-(C}_6\text{H}_7)_2\text{NSO}_2\text{C}_6\text{H}_4\text{COOH}$ , 8-бром- и 8-хлортеofilлином в кипящей воде (приведены время кипячения в часах, выход в %, считая на II, т. пл. в  $^\circ\text{C}$ ): 1, 76, 234—236; 3, 76, 240; 15 мин., 81, 180 (разл.). 400 г 8-хлортеofilлина и 75 г  $\text{Na}_2\text{SO}_3$  в 1 л воды нагревают 8 час. при 150° в автоклаве, получают Na-соль теofilлинсульфоновой-8 к-ты, выход 69%, белый порошок. Приведены  $\lambda_{\text{макс}}$  УФ-спектров I и всех вышеописанных производных I. С. Завьялов

**57598. Регенерация алкалоидов из их пикратов при помощи анионообменной смолы. Боббитт** (Regeneration of alkaloids from their picrates with an anionexchange resin. Bobbitt James M.), J. Organ. Chem., 1957, 22, № 12, 1729—1731 (англ.)

Через колонку с амберлитом IRA-400 ( $\text{HCO}_3^-$ ) (II), предварительно промытую 100 мл 10%-ного водн. ацетона для удаления газа, пропускают 0,5 г пикрата в 100 мл 10%-ного водн. ацетона со скоростью 30—60 мл/час, промывают 100 мл р-рителя, из элюата выделяют алкалоид (A). Приведены: A, рK<sub>a</sub>, т. пл. пикрата A в  $^\circ\text{C}$ , выход A в %, т. пл. в  $^\circ\text{C}$ , необходимое кол-во I в г/мэкв: цинхонин, 5,8 (10,03), 207—209, 95,9, 205—206, 5,4; цинхонин, 5,85 (9,92), 222—225, 96,9, 261—262, 5,8; кодеин, 6,05, 196—197, 100, 154—157, 5,1; морфин, 6,13, 164—167, 86,4, 249—253, 7,2; резерпин, 7,4, 180—183, 98,8, 256—258, 5,9; наротин, 7,8, 174—176, 98, 176—178, 4,6; папаверин, 8,07, 186—189, 100, 148—150, 3,6. Приведены данные по влиянию скорости промывания колонки и конц-ии

становле-  
проваине  
H<sub>2</sub>OH-эф.  
й же ско-  
получен  
жукотные  
и на два  
(из C<sub>6</sub>H<sub>6</sub>-  
(из C<sub>6</sub>H<sub>6</sub>-  
пл. 158°  
инем (X)  
е-эфире  
-CH<sub>2</sub>OH),  
Коредная  
на, пред-  
Джана,  
fillina di  
eni L.),  
1016-1024

активно-  
тезировае  
моля I и  
CISCOOR  
и выдер-  
иры теол-  
из воды;  
изоп.; из-  
(из сп.)  
ют 9,3 г  
филлин-7-  
но с вы-  
7-дигидро-  
филлин-7-  
филлин-7-  
в 200 мл  
ют хлор-  
7/4,5 мл  
ина (II)  
7-уксус-  
I, выход  
цне соли  
еофилли-  
вращения  
C): 1, 76,  
(. 100 г  
нагре-  
Na-соль  
елый по-  
всех вы-  
Завьялов  
атов при  
т (Rege-  
with an  
(. J. Or-  
l.).

активно-  
тезировае  
моля I и  
CISCOOR  
и выдер-  
иры теол-  
из воды;  
изоп.; из-  
(из сп.)  
ют 9,3 г  
филлин-7-  
но с вы-  
7-дигидро-  
филлин-7-  
филлин-7-  
в 200 мл  
ют хлор-  
7/4,5 мл  
ина (II)  
7-уксус-  
I, выход  
цне соли  
еофилли-  
вращения  
C): 1, 76,  
(. 100 г  
нагре-  
Na-соль  
елый по-  
всех вы-  
Завьялов  
атов при  
т (Rege-  
with an  
(. J. Or-  
l.).

активно-  
тезировае  
моля I и  
CISCOOR  
и выдер-  
иры теол-  
из воды;  
изоп.; из-  
(из сп.)  
ют 9,3 г  
филлин-7-  
но с вы-  
7-дигидро-  
филлин-7-  
филлин-7-  
в 200 мл  
ют хлор-  
7/4,5 мл  
ина (II)  
7-уксус-  
I, выход  
цне соли  
еофилли-  
вращения  
C): 1, 76,  
(. 100 г  
нагре-  
Na-соль  
елый по-  
всех вы-  
Завьялов  
атов при  
т (Rege-  
with an  
(. J. Or-  
l.).

активно-  
тезировае  
моля I и  
CISCOOR  
и выдер-  
иры теол-  
из воды;  
изоп.; из-  
(из сп.)  
ют 9,3 г  
филлин-7-  
но с вы-  
7-дигидро-  
филлин-7-  
филлин-7-  
в 200 мл  
ют хлор-  
7/4,5 мл  
ина (II)  
7-уксус-  
I, выход  
цне соли  
еофилли-  
вращения  
C): 1, 76,  
(. 100 г  
нагре-  
Na-соль  
елый по-  
всех вы-  
Завьялов  
атов при  
т (Rege-  
with an  
(. J. Or-  
l.).

активно-  
тезировае  
моля I и  
CISCOOR  
и выдер-  
иры теол-  
из воды;  
изоп.; из-  
(из сп.)  
ют 9,3 г  
филлин-7-  
но с вы-  
7-дигидро-  
филлин-7-  
филлин-7-  
в 200 мл  
ют хлор-  
7/4,5 мл  
ина (II)  
7-уксус-  
I, выход  
цне соли  
еофилли-  
вращения  
C): 1, 76,  
(. 100 г  
нагре-  
Na-соль  
елый по-  
всех вы-  
Завьялов  
атов при  
т (Rege-  
with an  
(. J. Or-  
l.).

активно-  
тезировае  
моля I и  
CISCOOR  
и выдер-  
иры теол-  
из воды;  
изоп.; из-  
(из сп.)  
ют 9,3 г  
филлин-7-  
но с вы-  
7-дигидро-  
филлин-7-  
филлин-7-  
в 200 мл  
ют хлор-  
7/4,5 мл  
ина (II)  
7-уксус-  
I, выход  
цне соли  
еофилли-  
вращения  
C): 1, 76,  
(. 100 г  
нагре-  
Na-соль  
елый по-  
всех вы-  
Завьялов  
атов при  
т (Rege-  
with an  
(. J. Or-  
l.).

активно-  
тезировае  
моля I и  
CISCOOR  
и выдер-  
иры теол-  
из воды;  
изоп.; из-  
(из сп.)  
ют 9,3 г  
филлин-7-  
но с вы-  
7-дигидро-  
филлин-7-  
филлин-7-  
в 200 мл  
ют хлор-  
7/4,5 мл  
ина (II)  
7-уксус-  
I, выход  
цне соли  
еофилли-  
вращения  
C): 1, 76,  
(. 100 г  
нагре-  
Na-соль  
елый по-  
всех вы-  
Завьялов  
атов при  
т (Rege-  
with an  
(. J. Or-  
l.).

активно-  
тезировае  
моля I и  
CISCOOR  
и выдер-  
иры теол-  
из воды;  
изоп.; из-  
(из сп.)  
ют 9,3 г  
филлин-7-  
но с вы-  
7-дигидро-  
филлин-7-  
филлин-7-  
в 200 мл  
ют хлор-  
7/4,5 мл  
ина (II)  
7-уксус-  
I, выход  
цне соли  
еофилли-  
вращения  
C): 1, 76,  
(. 100 г  
нагре-  
Na-соль  
елый по-  
всех вы-  
Завьялов  
атов при  
т (Rege-  
with an  
(. J. Or-  
l.).

активно-  
тезировае  
моля I и  
CISCOOR  
и выдер-  
иры теол-  
из воды;  
изоп.; из-  
(из сп.)  
ют 9,3 г  
филлин-7-  
но с вы-  
7-дигидро-  
филлин-7-  
филлин-7-  
в 200 мл  
ют хлор-  
7/4,5 мл  
ина (II)  
7-уксус-  
I, выход  
цне соли  
еофилли-  
вращения  
C): 1, 76,  
(. 100 г  
нагре-  
Na-соль  
елый по-  
всех вы-  
Завьялов  
атов при  
т (Rege-  
with an  
(. J. Or-  
l.).

активно-  
тезировае  
моля I и  
CISCOOR  
и выдер-  
иры теол-  
из воды;  
изоп.; из-  
(из сп.)  
ют 9,3 г  
филлин-7-  
но с вы-  
7-дигидро-  
филлин-7-  
филлин-7-  
в 200 мл  
ют хлор-  
7/4,5 мл  
ина (II)  
7-уксус-  
I, выход  
цне соли  
еофилли-  
вращения  
C): 1, 76,  
(. 100 г  
нагре-  
Na-соль  
елый по-  
всех вы-  
Завьялов  
атов при  
т (Rege-  
with an  
(. J. Or-  
l.).

активно-  
тезировае  
моля I и  
CISCOOR  
и выдер-  
иры теол-  
из воды;  
изоп.; из-  
(из сп.)  
ют 9,3 г  
филлин-7-  
но с вы-  
7-дигидро-  
филлин-7-  
филлин-7-  
в 200 мл  
ют хлор-  
7/4,5 мл  
ина (II)  
7-уксус-  
I, выход  
цне соли  
еофилли-  
вращения  
C): 1, 76,  
(. 100 г  
нагре-  
Na-соль  
елый по-  
всех вы-  
Завьялов  
атов при  
т (Rege-  
with an  
(. J. Or-  
l.).

воды в ацетоне на кол-во I. I получают промыва-  
нием 200 г амберлита IRA-400 (Cl) (II) 3—4 л  
10%-ного NaHCO<sub>3</sub> до исчезновения Cl-ионов и 4—5 л  
дистил. воды. I после использования регенерируют  
в II промыванием р-ром 50 мл конц. HCl в 200 мл  
ацетона.

Е. Цветков  
37599. Исследования каротиноидных пигментов. II.  
Структура капсантина и капсорубина. Чолноки,  
Сабо, Саболич (Vizsgálatok a karotinoid-festékek-  
ről. H. A kapszantin és kapszorubin szerkezete.  
Cholnoky László, Szabó Dezső, Szaboics  
József), Magyar tud. akad. Kém. tud. oszt. közl.,  
1957, 9, № 2, 179—194 (венг.)

Для выяснения структуры капсантина (I) и кап-  
сорубина (II) синтезировали их сложные эфиры  
(приведены т-ры плавления °C соответствующих  
эфиров I и затем II): диацетат, 150, 180; дипропио-  
нат, 159, 162; дибутират, 123, 153; дивалерат, 120, 137;  
дикапроат, 114, 128; дикаприлат, 109, 108; димири-  
стат, 98, 88; дипальмитат, 95, 85; дистеарат, 92, 83, и  
определили в них содержание C и H. Установлено,  
что правильная эмпирич. ф-ла I C<sub>40</sub>H<sub>56</sub>O<sub>3</sub>, а II  
C<sub>40</sub>H<sub>56</sub>O<sub>4</sub>. При исследовании свободного I оказалось,  
что содержание в нем C и H зависит от условий  
его сушки. При проведении сушки свежекристалли-  
зованного продукта при 120° и 0,1 мм рт. ст. 0,5 часа  
нашли, что продукт содержит C и H в кол-ве соот-  
ветствующем ф-ле C<sub>40</sub>H<sub>56</sub>O<sub>3</sub>. При проведении сушки  
при т-ре ~20° над P<sub>2</sub>O<sub>5</sub> при 0,1 мм рт. ст. получили  
значения C и H, соответствующие ранее установлен-  
ной ф-ле C<sub>40</sub>H<sub>56</sub>O<sub>3</sub>. Аналогичные результаты получи-  
ли и в случае свободного II. Это явление объясняет-  
ся способностью I и II связывать р-ритель и влагу  
воздуха. Новая ф-ла I подтверждается следующими  
эксперим. данными. Его хромофор состоит из 10 свя-  
зей C=C и карбонильной группы в сопряженном  
положении. Кроме хромофора, молекула должна со-  
держат еще одну изолированную связь C=C, кото-  
рая должна находиться на открытом конце молеку-  
лы. При каталитич. гидрировании (на Pt) к 1 молю  
I присоединяется 11 молей H<sub>2</sub>. При окислении KMnO<sub>4</sub>  
получили смесь 1,1-диметилпентарной и диметилмало-  
новой к-т в кол-ве в 2 раза меньше, чем в случае  
зоаксантина, следовательно, I может содержать  
только один четвертичный атом C. Новая ф-ла I тре-  
бует дальнейшего подтверждения. Сделан обзор ра-  
бот по выяснению ф-л I и II. Сообщение I см.  
РЖХим, 1956, 29153.

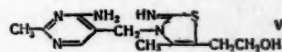
А. Хаусманн  
57600. Каталитические исследования. XVII. Само-  
окисление аскорбиновой кислоты в зависимости от  
температуры и начального pH. Чюреш, Петро  
(Katalizátoros vizsgálatok. XVII. Aszkorbinsav auto-  
xidációja a hőmérséklet és kiindulási pH függvényé-  
ben. Csűrös Zoltán, Petró József), Magyar  
tud. akad. Kém. tud. oszt. közl., 1957, 9, № 1, 43—60,  
(венг.)

Изучали влияние т-ры на присоединение кислоро-  
да (ПК) к аскорбиновой к-те (I). При pH < 3 с по-  
вышением т-ры ПК увеличивается сильнее, чем в  
нейтр. среде при pH 4—8 или в щел. среде (pH > 8).  
При pH 0,4 (подкисляли HCl) при 60° присоединяет-  
ся в 5 раз больше O<sub>2</sub>, чем при 30° в области pH от  
4—8 до pH > 8. С увеличением т-ры от 30 до 60° ПК  
растет всего на 20—30%. В щел. среде ПК происхо-  
дит быстрее; равновесие устанавливается за 1—2 часа.  
В кислой среде за 3 часа равновесия не наступает.  
При pH 4—6 при 40° и выше увеличения pH в ре-  
зультате р-ции не наблюдалось, при 50° и выше во  
всех случаях исходный pH падает. Наибольшее ПК  
наблюдали при 90°. Наблюдались 3 максимума ПК  
при pH 0,5, 5,2 и 11,2. Миним. ПК происходит при  
pH 0,1. Оказалось, что восстановительная способность

в кислой среде при т-ре < 50° больше, а при т-ре  
> 50° меньше, чем можно было бы ожидать на осно-  
вании ПК, так как при т-ре < 50° наряду с р-цией  
окисления с значительной скоростью протекает про-  
цесс неокислительного разложения молекулы I.  
С повышением т-ры окисление ускоряется в большей  
мере, чем этот побочный процесс, система поглощает  
O<sub>2</sub> больше рассчитанного кол-ва, при этом образуют-  
ся продукты с меньшим мол. весом. При pH 5—7  
уменьшение восстановительной способности до 60° со-  
ответствует ожидаемому, если I окисляется в дегид-  
ро-I. В щел. среде ПК значительно больше, чем мож-  
но было бы ожидать на основании восстановительной  
способности, и эта разница тем значительнее, чем  
выше т-ра и чем больше избыток щелочи. При изу-  
чении обратимости при постоянной т-ре в зависимо-  
сти от исходного pH оказалось, что зона обратимо-  
сти находится при pH 3—5. С увеличением т-ры зона  
сужается до pH 4—5. Суммарная константа скорости  
разложения I в зависимости от pH до 60° проходит  
через 3, а выше 60° через 2 максимума. С ростом т-ры  
скорость р-ции значительно растет. Р-ция окисления  
катализируется и к-тами, и основаниями. Сообщение  
XVI см. РЖХим, 1958, 18120.

А. Хаусманн  
57601. Изучение витамина B<sub>1</sub> и родственных ве-  
ществ. Сообщение XCI. N-(1-метил-2-тиоциан-4-  
оксипутенил)-N-(2-метил-4-амино-5-пиримидинил)-  
метил-формамид (цианотиамин) и его произ-  
водные (1). Йонэмото (Yonemoto Naouo),  
Якутаку дзасси, J. Pharm. Soc. Japan, 1957, 77,  
№ 10, 1124—1127 (японск.; рез. англ.)

При действии BrCN на Na-соли тиоловых форм ти-  
амина (I), гомотиамина и O-бензилтиамина полу-  
чают N-(1-метил-2-тиоциан-4-оксипутен-1-ил)-N-(2-  
метил-4-амино-5-пиримидинил)-метил-формамид  
(цианотиамин) (II), N-(1-метил-2-тиоциан-4-оксипу-  
тен-1-ил)-N-(2-этил-4-амино-5-пиримидинил)-метил-  
формамид (III) и N-(1-метил-2-тиоциан-4-бензоил-1-



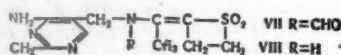
бутенил)-N-(2-метил-4-амино-5-пиримидинил)- метил-  
формамид (IV). В результате 1-часового гидролиза  
II при 80° 5%-ной HCl образуется 2-метил-4-амино-5-  
аминометилпиримидин, HCOOH и 2-амино-3-(2-метил-  
4-амино-5-пиримидинил)-метил-4-метил-5-оксипен-  
тиазол (V). При восстановлении II Zn в 10%-ной HCl  
образуется тиамин, а при щел. гидролизе — в-во с  
т. пл. 136°. К р-ру BrCN (из 27 г Br<sub>2</sub> и 13,5 г KCN  
в 190 мл воды) добавляют I (из 50 г хлоргидрата  
тиамина), оставляют на 1 час и фильтруют. Из  
фильтрата после упаривания получают 41 г дигид-  
рата II, т. пл. 80°, II, т. пл. 149° (из сп.). Также полу-  
чают IV, т. пл. 110° (из разб. сп.), и III (р-цию про-  
водят 3 часа при 0°, т. пл. 124° (из воды). Приве-  
дены кривые ИК- и УФ-спектров II и V. Сообщение  
XC см. РЖХим, 1958, 50511.

Н. Швецов  
57602. Изучение витамина B<sub>1</sub> и родственных ве-  
ществ. Сообщение XCII. N-(1-метил-2-тиоциан-4-  
оксипутенил)-N-(2-метил-4-амино-5-пиримидинил)-  
метил-формамид (цианотиамин) и его произ-  
водные (2). Йонэмото (Yonemoto Naouo),  
Якутаку дзасси, J. Pharm. Soc. Japan, 1957, 77,  
№ 10, 1128—1132 (японск.; рез. англ.)

Доказывается, что при щел. гидролизе цианотиами-  
на (I) (см. пред. реф.) получается N-[1-(2-тиациклобу-  
тилиден)-этил]-N-(2-метил-4-амино-5-пиримидинил)-  
метил-формамид (II). В результате гидролиза II  
HCl-к-той получают 2-метил-4-амино-5-аминометил-  
пиримидин (III), HCOOH и 2-ацетилтиациклобутан



(IV). Восстановление последнего приводит к образованию 2-(1-оксиптил)-тиациклбутана (V), который синтезируют из 3,5-дихлорпентанола-2 (VI). При



окислении II  $\text{H}_2\text{O}_2$  и  $\text{KMnO}_4$  образуются сульфоны (VII и VIII). Из I получают II при гидролизе водн.  $\text{Na}_2\text{CO}_3$  и  $\text{NaHCO}_3$  (10 мин. при  $60^\circ$ ). Из 3,5 г дисульфида O,O'-дифенилметансульфонилтиамина в результате гидролиза 10%-ным NaOH при  $100^\circ$  получают 1 г II. 1 г бензидисульфида тиамин в 10 мл пиридина при  $-10^\circ$  обрабатывают 0,5 г  $\text{C}_6\text{H}_5\text{CH}_2\text{SO}_2\text{Cl}$ , оставляют на 2 часа при  $0^\circ$  и добавляют 15 мл конц. HCl, 50 мл воды. Бензидисульфид O-фенилметансульфонилтиамина выделяют хроматографированием на бумаге (в  $\text{CH}_3\text{COOH} + n\text{-C}_4\text{H}_9\text{OH} + \text{вода}$ , 1:4:5,  $R_f$  0,75) и нагревают 0,2 г с 2 мл 10%-ного NaOH в 5 мл спирта, получают 0,2 г II. Из 0,5 г хлоргидрата хлорида N-(2-метил-4-амино-5-пиримидинил)-метил-4-метил-5-хлорэтилтиамина при гидролизе 0,3 мл 10%-ного NaOH в 3 мл воды ( $20^\circ$ ) получают 0,1 г II. К р-ру 4 г II в 20 мл  $\text{CH}_3\text{COOH}$  добавляют 4,2 г 30%-ной  $\text{H}_2\text{O}_2$  и оставляют на 48 час. при  $0^\circ$  и на 12 час. при  $20^\circ$ . Получают 3,5 г VII, т. пл.  $132^\circ$  (из воды). Р-р 5 г II в 150 мл воды, 5 мл 10%-ной HCl обрабатывают 4 г  $\text{KMnO}_4$  в 150 мл воды. Получают 1,2 г VIII, т. пл.  $183^\circ$  (разл.; из воды). Из 20 г II после 1-часового гидролиза 200 мл 5%-ной HCl ( $80^\circ$ ) получают HCOOH, III и 1 г IV, т. кип.  $77^\circ/30$  мм,  $49^\circ/7$  мм. При аналогичном гидролизе 20 г II и восстановлении продукта р-ции 0,5 г  $\text{NaBH}_4$  в 10 мл  $\text{CH}_3\text{OH}$  (12 час.) получают V, т. кип.  $97^\circ/22$  мм. К 60 г VI в 180 мл  $\text{CH}_3\text{OH}$  добавляют 8 г  $\text{NaBH}_4$  в 80 мл  $\text{CH}_3\text{OH}$  и через 12 час. разлагают  $\text{CH}_3\text{COOH}$ . Получают 50 г 3,5-дихлорпентанола-2 (IX), т. кип.  $110,5^\circ/32$  мм. К 120 мл р-ра  $\text{K}_2\text{S}$  в воде- $\text{CH}_3\text{OH}$  (получают из 15 г КОН) за 30 мин. добавляют 30 г IX и кипятят 1,5 часа. Получают 12 г V. Приведены кривые УФ-спектров II и V, ИК-спектров II, IV и V,  $\lambda_{\text{манс}}$  VII и VIII.

Н. Швецов  
57603. Синтез 6-этил-7-метил-9-(1'-D-рибитил)-изоаллоксазина и 6-метил-7-этил-9-(1'-D-рибитил)-изоаллоксазина. Ламбуи (The synthesis of 6-ethyl-7-methyl-9-(1'-D-ribose)-isoxanthine and 6-methyl-7-ethyl-9-(1'-D-ribose)-isoxanthine. Lambouy John P.), J. Amer. Chem. Soc., 1958, 80, № 1, 110—113 (англ.)

Синтезированы гомологи рибофлавина: 6-этил-7-метил-(I), 6-метил-7-этил-(II), 6,7-диэтил-(III) и 6-этил-9-(1'-D-рибитил)-изоаллоксазин (IV). I, II и III получены из соответствующих N-(D-рибитил)-2-арилаво-4,5-диалкиланилинов по описанному методу (РЖХим, 1956, 25813) с выходами 58—59%, 52—60%, 54—60% соответственно. IV получен по схеме: 2-нитро-4-этиланилин  $\rightarrow$  2-нитро-4-этилхлорбензол (V) (74—82%)  $\rightarrow$  N-(D-рибитил)-2-нитро-4-этиланилин (VI) (12—15%)  $\rightarrow$  восстановление VI и конденсация продукта с аллоксаном  $\rightarrow$  IV (60—68%). Полученные в-ва имеют т. пл. в  $^\circ\text{C}$  (разл.): I, 277—279; II, 282—284; III, 278—282; IV, 288—289; R ( $\text{H}_2\text{O}$ -бутанол-1- $\text{CH}_3\text{COOH}$ , 5:4:1): I, 0,51, II, 0,48, III, 0,62, IV, 0,50. рибофлавин, 0,35. Приведены данные об УФ-спектрах этих в-в. Охарактеризованы промежуточные продукты. V, т. кип.  $133$ — $135^\circ/10$  мм,  $151$ — $153^\circ/20$  мм,  $n_D^{25}$  1,5456; VI, т. пл.  $134$ — $136^\circ$  (из  $\text{CH}_3\text{OH}$ ); 3-метил-4-этиланилин, т. кип.  $110^\circ/10$  мм,  $123^\circ/20$  мм; 3-метил-4-этилацетанилид, т. пл.  $91$ — $92^\circ$ ; 4-этил-5-метил-2-нитроацетанилид, т. пл.  $104$ — $105^\circ$ ; 2-нитро-4-этил-5-ме-

тиланилин (VII), т. пл.  $91^\circ$ ; 3-этил-4-метилнитробензол (VIII), т. кип.  $130$ — $131^\circ/10$  мм; 3-этил-4-метиланилин (IX), т. кип.  $107$ — $108^\circ/10$  мм; 3-этил-4-метилацетанилид, т. пл.  $89$ — $90^\circ$ ; 3,4-диэтиланилин, т. кип.  $131^\circ/18$  мм,  $133^\circ/19$  мм,  $135^\circ/20$  мм; N-(D-рибозил)-3-метил-4-этиланилин (X), т. пл.  $123$ — $124^\circ$ ; N-(D-рибозил)-3-этил-4-метиланилин, т. пл.  $134$ — $135^\circ$ ; N-(D-рибозил)-3,4-диэтиланилин, т. пл.  $126$ — $127^\circ$ ; N-(D-рибитил)-3-метил-4-этиланилин (XI), т. пл.  $109$ — $110^\circ$ ; хлоргидрат, т. пл.  $120$ — $124^\circ$ ; N-(D-рибитил)-2-фенилазо-4-этил-5-метиланилин, т. пл.  $158$ — $163^\circ$ ; N-(D-рибитил)-2-фенилазо-4-метил-5-этиланилин, т. пл.  $102$ — $108^\circ$ ; N-(D-рибитил)-2-п-толилazo-4,5-диэтиланилин (XII), т. пл.  $145$ — $146^\circ$  (из 90%-ного  $\text{CH}_3\text{OH}$ ); N-(D-рибозил)-2-нитро-4-этил-5-метиланилин (XIII), т. пл.  $184$ — $185^\circ$  (разл.; из сп.); N-(D-рибозил)-2-нитро-4,5-диэтиланилин (XIV), т. пл.  $179$ — $181^\circ$ . Попытка получить I и III из XIII и XIV путем восстановления последних и конденсации продуктов с аллоксаном не дала результатов вследствие низких выходов. Описаны изменения и улучшения синтеза некоторых промежуточных в-в. VIII получен из VII диазотированием и действием фосфористой к-ты, экстракцией эфиром; VIII гидрировали до IX на  $\text{PtO}_2$ , выход 98%; X гидрировали до XI на  $\text{Pd/C}$  вместо скелетного Ni, выход 80—99%; XII получен по методу, описанному для аналогичного производного 4,5-диметилбензола (Tishler M. и др., J. Amer. Chem. Soc., 1947, 69, 1487).

В. Векслер

57604. Изучение антибиотиков и родственных соединений. VI. Конфигурация изомерных O-метилфенилсеринов и новый путь синтеза хлорамфеникола. Суами, Умэдзава (Studies on antibiotics and related substances. VI. Configurations of isomeric O-methylphenylserines and a new route for the synthesis of chloramphenicol. Suami Tetsuo, Umezawa Sumio), Bull. Chem. Soc. Japan, 1957, 30, № 5, 537—542 (англ.)

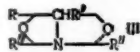
Из смеси диастереомерных O-метилфенилсеринов (I) (Carter H. E., Van Loon E. J., J. Amer. Chem. Soc., 1938, 60, 1077) выделен *трео*-изомер, строение которого доказано превращением в DL-трео-2-амино-1-нитрофенилпропандиол-1,3 (*трео*-II) и затем в DL-хлорамфеникол (III). Аналогично строение *эритро*-I доказано переводом его в *эритро*-II. 37 г  $\alpha$ -бром- $\beta$ -метокси- $\beta$ -фенилпропионовой к-ты (Van Loon E. J., Carter H. E., J. Amer. Chem. Soc., 1937, 59, 2555) нагревают с 500 мл конц.  $\text{NH}_4\text{OH}$  в автоклаве (6 час.,  $90$ — $100^\circ$ ). Через  $\sim 12$  час. фильтрат упаривают в вакууме и остаток обрабатывают ацетоном, выход I 97%, т. пл.  $215$ — $219^\circ$  (разл.). К 26 г I в 150 мл 83%-ной HCOOH при  $45^\circ$  прибавляют 80 мл ( $\text{CH}_3\text{CO}$ ) $_2\text{O}$ , нагревают 15 мин. при  $70$ — $80^\circ$  и через 3 часа ( $\sim 20^\circ$ ) выпаривают в вакууме. Выход N-формил-трео-I 16%, т. пл.  $161$ — $162^\circ$  (из водн.  $\text{CH}_3\text{COOH}$  и из воды); при его нагревании с 20%-ной HCl ( $115$ — $120^\circ$ , 4 часа) образуется 2-фенилнафталин, выход 87,5%, т. пл.  $101$ — $102^\circ$  (из  $\text{CH}_3\text{OH}$ ). 3,5 г N-формил-трео-I кипятят с 40 мл 1 н. HCl (1 час) и р-р упаривают при рН 6,5. Прибавлением спирта осаждают *трео*-I, выход 89,3%, т. пл.  $218$ — $220^\circ$  (из водн. сп.). N-бензоил-трео-I, выход 78,1%, т. пл.  $168$ — $169^\circ$  (из  $\text{CH}_3\text{OH}$ ). Хлоргидрат этилового эфира *трео*-I 97,7%, т. пл.  $158$ — $160^\circ$  (из абс. сп.-эф.); обработкой его в спирте безводн.  $\text{NH}_3$  получают этиловый эфир *трео*-I, выход 61,2%, масло 5 г последнего в 50 мл абс. спирта гидрируют над 10 г скелетного Ni при  $50$ — $55^\circ$  и начальном давл. 120 ат (5 час.), фильтрат выпаривают в вакууме и остаток нагревают 2 часа с 125 мл 0,1 н. NaOH и экстракцией этилацетатом выделяют DL-трео-2-амино-1-метокси-1-фенилпропанол-3 (*трео*-IV), выход 41,9%, т. пл.  $28$ — $32^\circ$ ; хлоргидрат, т. пл.  $168$ — $169^\circ$  (из

нитробен-  
4-метил-  
4-метил-  
т. кпл.  
ибозил)-3-  
N-(D-риб-  
N-(D-риб-  
N-(D-риб-  
109—110°  
-2-фенил-  
N-(D-риб-  
кпл. 102°  
илантин-  
N-(D-ри-  
т. на  
нитро-4,5-  
кислоту полу-  
новления  
исаном ве-  
Опи-  
некоторых  
азотиро-  
тракцией  
ход 96%;  
тного Ni,  
исаному  
лбензола  
69, 1487).  
Векстер  
О-метил-  
рамфени-  
antibiotics  
of isome-  
for the  
Getsuo,  
wan, 1957,  
алсеринов-  
ем. Soc.,  
ие кото-  
мино-1-п-  
в D-  
эритро-  
з-бром-β-  
on E. J.,  
1555) на-  
6 (час.  
ют в ва-  
ВЫХОД  $1$   
 $150 \text{ м}$   
 $(\text{H}_2\text{CO})_2 \cdot \text{O}$   
 $(\sim 20^\circ)$   
 $\sim 1$  16%,  
(г); при  
таса) об-  
т. пл.  
КПИПАТ  
pH 6.5,  
к 89.3%,  
-O-I, вы-  
ригидрат  
60° (из  
дн.  $\text{NH}_3$   
масло,  
ют над  
давл.  
кууме и  
 $\text{NaOH}$  и  
-O-2-ами-  
ВЫХОД  
169° (из

сп.-эф.). N,O-дибензил-DL-трео-2-амино-1-метокси-1-фенилпропанол-3, выход 92,9%, т. пл. 139—140° (из СН<sub>3</sub>ОН). 0,2 г трео-IV в 2 мл эфира перемешивают с 0,8 мл (СН<sub>3</sub>СОО)<sub>2</sub>O, выход N-ацетил-DL-трео-2-амино-1-метокси-1-фенилпропанола-3 81%, т. пл. 184—185° (из воды). 0,8 г IV нагревают с 6 г (СН<sub>3</sub>СОО)<sub>2</sub>O 1 час при 100° и упаривают в вакууме, выход N,O-диацетил-DL-трео-2-амино-1-метокси-1-фенилпропанола-3 (трео-V) 85,5%, т. пл. 120—121,5° (из ацетона). 1,3 г трео-V нитруют при 0° 5 мл смеси конц. ННО<sub>3</sub> (в 1,38) и конц. Н<sub>2</sub>SO<sub>4</sub> (1:1) и выливают на лед. Экстракцией этилацетатом выделяют N,O-диацетил-DL-трео-2-амино-1-метокси-1-н-нитрофенилпропанол-3 (трео-VI), выход 92,2%, т. пл. 80—82°. 1,4 г трео-VI нагревают 1 час при 100° с 10 мл 10%-ной НСl, экстрагируют эфиром и упаривают в вакууме, выход хлоргидрата DL-трео-2-амино-1-метокси-1-н-нитрофенилпропанола-3 (VII) 92,5%, т. пл. 235—237° (разл.; из разб. НСl). 1,1 г VII и 12 мл 25%-ной НСl нагревают 4 часа в запаянной трубке при 125—130° и выпаривают в вакууме. Остаток растворяют в 3 мл воды, перемешивают 10%-ным NaOH до pH 10 и экстракцией этилацетатом выделяют трео-II, выход 35,5%, т. пл. 139—140° (из воды). Действием СНСl<sub>2</sub>COOSН<sub>3</sub> трео-III превращен в III, т. пл. 149—150°. антибактериальная активность III составляет 49,7% от активности природного изомера (на *Escherichia coli*). Аналогичным образом из DL-эритро-I (т. пл. 251—253°) последовательно получают N-формил-эритро-I, выход 70%, т. пл. 149—150° (из воды); хлоргидрат этилового эфира эритро-I, выход 97,7%, т. пл. 179—181° (разл.; из эф.-абс. сп.); этиловый эфир эритро-I, выход 80,3%; эритро-IV, выход 32,4%, масло; хлоргидрат, т. пл. 181—182° (из СН<sub>3</sub>ОН-эф.); N,O-дибензил-эритро-I, выход 69,8%, т. пл. 160—161° (из СН<sub>3</sub>ОН); N-ацетил-эритро-IV, выход 77,5%, т. пл. 116—118° (из этилацетата); эритро-V, выход ~100%, т. пл. 77—80°; эритро-VI, выход ~100%, т. пл. 150—151° (из сп.); эритро-VII, выход 75,2%, т. пл. 233—234° (разл.); эритро-II; хлоргидрат, выход 30,3%, т. пл. 20—210° (из СН<sub>3</sub>ОН). Сообщение V см. РЖХим, 1958, 39794.

С. Аваев

7905. Хлорамфеникол. 2,4,8-замещенные 1-аза-3,7-диоксацикло-[3,3,0]-октаны. Эдгертон, Фишер, Мёрш (Chloramphenicol. 2,4,8-substituted-1-aza-3,7-dioxabicyclo[3.3.0]octanes. Edgerton William H., Fisher James R., Moersch George W.), J. Amer. Chem. Soc., 1957, 79, № 24, 6487—6490 (англ.). Побочный продукт, полученный ранее (РХХИм, 1955, 3724) при р-ции  $C_6H_5CHO$  с L-трео-2-амино-1-(*n*-аммофенил)-пропандиолом-1,3 (I), является L-трео-4(*n*-бензилдидеаминофенил)-2,8-дифенил-1-аза-3,7-диоксацикло-[3,3,0]-октаном (II). Синтезирован ряд 2,4,8-замещенных 1-аза-3,7-диоксацикло-[3,3,0]-октанов (III) и их изомеров (IIIa); существование последних обусловлено, по-видимому, *цис-транс*-изомерией бициклич. системы в положениях 2 и 8. 1 моль аминокрита  $n \geq 2$  молей альдегида в  $C_6H_6$  кипятят 10—15 час. с отгонкой воды. р-ритель удаляют. III кри-



стализуют из водн. спирта. Через р-р III в неполярном р-рителе пропускают HCl-газ, полученный осадок втягивают со смесью эфир + р-р  $\text{NaHCO}_3$ , IIIа кристаллизуют из ацетона, спирта или изоктана. Приведены R, R', R'', конфигурация III, выход III в %, т. пл. III в °C,  $[\alpha]_D^{26}$ /конц-ия в % в этилацетате, в скобках приведены аналогичные данные для IIIа:  $\text{C}_6\text{H}_5\text{CH}=\text{NC}_6\text{H}_5$ , Н.  $\text{C}_6\text{H}_5$ , 1-трео (II), 83, 155,

—34,6/4 (45, 178, +51/1,1);  $n\text{-NO}_2\text{C}_6\text{H}_4$ ,  $\text{H}$ ,  $\text{C}_6\text{H}_5$ ,  $\text{L-трео}$  (IV), 57, 97, —45,3/4 (25, 118, +28, 2,4);  $\text{C}_6\text{H}_5$ ,  $\text{H}$ ,  $\text{C}_6\text{H}_5$ ,  $\text{L-трео}$  (V), 77, 77, —42,8/4 (16, 123 +23,8/4);  $\text{C}_6\text{H}_5$ ,  $\text{H}$ ,  $\text{C}_6\text{H}_5$   $\text{D-трео}$ , 76, 75, +45/2 (39, 123, —24/2);  $\text{H}$ ,  $\text{C}_2\text{H}_5$ ,  $\text{C}_6\text{H}_5$ ,  $\text{DL-эритро}$ , 57, 67, —, (85, 55, —);  $n\text{-NO}_2\text{C}_6\text{H}_4$ ,  $\text{H}$ ,  $\text{C}_6\text{H}_5$ ,  $\text{L-трео}$ , 78, 122, —, (46, 112, —);  $n\text{-NO}_2\text{C}_6\text{H}_4$ ,  $\text{H}$ ,  $\text{H}$ ,  $\text{L-трео}$ , 98, 78, —38,5/2;  $\text{C}_6\text{H}_5$ ,  $\text{H}$ ,  $\text{C}_6\text{H}_5$ ,  $\text{D-трео}$ , 85, т. кип. 198—204°/1,5 мм., —21,1/2;  $n\text{-NO}_2\text{C}_6\text{H}_4$ ,  $\text{H}$ ,  $\text{C}_6\text{H}_5$ ,  $\text{D-трео}$ , 91, 95, +45/2 (18, 119, —28,8/2);  $n\text{-NO}_2\text{C}_6\text{H}_4$ ,  $\text{H}$ ,  $\text{C}_6\text{H}_5$ ,  $\text{DL-трео}$ , 74, 113, — (24, 166, —);  $n\text{-NO}_2\text{C}_6\text{H}_4$ ,  $\text{H}$ ,  $\text{H}$ ,  $\text{D-трео}$ , 99, 79, +37,5/2;  $\text{C}_6\text{H}_5$ ,  $\text{H}$ ,  $\text{H}$ ,  $\text{D-трео}$ , 79, т. кип. 138°/3,3 мм., +20,5/2;  $\text{C}_6\text{H}_5$ ,  $\text{H}$ ,  $n\text{-NO}_2\text{C}_6\text{H}_4$ ,  $\text{D-трео}$ , 87, 157, +58/1,65;  $\text{C}_6\text{H}_5$ ,  $\text{H}$ ,  $n\text{-CH}_3\text{OC}_6\text{H}_4$ ,  $\text{D-трео}$ , 81, 131, +57,3/2;  $n\text{-NO}_2\text{C}_6\text{H}_4$ ,  $\text{H}$ ,  $n\text{-CH}_3\text{OC}_6\text{H}_4$ ,  $\text{D-трео}$ , 18, 89, +53/2;  $n\text{-NO}_2\text{C}_6\text{H}_4$ ,  $\text{H}$ ,  $n\text{-NO}_2\text{C}_6\text{H}_4$ ,  $\text{D-трео}$ , 8, 152, —46,0/5;  $n\text{-NO}_2\text{C}_6\text{H}_4$ ,  $\text{H}$ ,  $\text{H}$   $n\text{-CH}_3\text{OC}_6\text{H}_4$ ,  $\text{L-трео}$ , 89, 112, 0/2;  $n\text{-NO}_2\text{C}_6\text{H}_4$ ,  $\text{H}$ ,  $n\text{-CH}_3\text{OC}_6\text{H}_4$  и  $\text{C}_6\text{H}_5$ ,  $\text{L-трео}$ , —, 98, —;  $n\text{-NO}_2\text{C}_6\text{H}_4$ ,  $\text{H}$ ,  $\text{изо-}\text{C}_3\text{H}_7$  и  $n\text{-NO}_2\text{C}_6\text{H}_4$ ,  $\text{L-трео}$ , —, 148, +29,2/1,2. 0,1 моля IV в 300 мл спирта гидрируют над  $\text{PtO}_2$  до поглощения 0,3 моля  $\text{H}_2$ , выделяют 4 г II и 39% III ( $\text{R} = n\text{-NH}_2\text{C}_6\text{H}_4$ ,  $\text{R}' = \text{H}$ ,  $\text{R}'' = \text{C}_6\text{H}_5$ ,  $\text{L-трео}$ ), т. пл. 92—93° (из изооктана); последний при взаимодействии с  $\text{C}_6\text{H}_5\text{CHO}$  в  $\text{изо-}\text{C}_3\text{H}_7\text{OH}$  (кипение, 1 час) дает II, выход 88%. Гидрирование 13,4 г II в 75 мл спирта над 5%-ным  $\text{Pd/C}$  (3 ат, 40°, 20 час.) и последующая обработка  $\text{HCl}$ -газом приводит к дихлоргидрату  $\text{L-трео-1-(}n\text{-бензиламинопропандиол-1,3-дибензиламинопропандиол-1,3-}\text{C}_6\text{H}_5\text{O}_2\text{N}_2 \cdot 2\text{HCl} \cdot 0,5\text{H}_2\text{O}$  (VI), выход неочищ. VI 34%, т. пл. 115° (разл.). В аналогичных условиях V дает  $\text{L-трео-2-амино-1-фенилпропандиол-1,3}$ , выход 5,2 г (из 17,2 г V), т. пл. 100—111°. 42,2 г  $\text{L-трео-2-амино-1-(}n\text{-нитрофенил)-пропандиол-1,3}$  и 25,3 г  $\text{C}_6\text{H}_5\text{CH}_2\text{Cl}$  в 100 мл спирта кипятят 4 часа, добавляют 26 г  $\text{C}_6\text{H}_5\text{CH}_2\text{Cl}$ , 21,6 г  $\text{Na}_2\text{CO}_3$  и 50 мл воды, смесь кипятят 20 час., выход  $\text{L-трео-1-(}n\text{-нитрофенил)-2-дибензиламинопропандиол-1,3}$  (VII) 44%, т. пл. 158—159°. Гидрирование VII в спирте над  $\text{PtO}_2$  (3 ат, 15 мин.) приводит к  $\text{L-трео-1-(}n\text{-аминофенил)-2-дибензиламинопропандиолу-1,3}$  (VIII), выход 74%, т. пл. 142—143° (оба из  $\text{изо-}\text{C}_3\text{H}_7\text{OH}$ ). При кипячении в спирте (3 часа) с  $\text{C}_6\text{H}_5\text{CO}$  VIII дает  $\text{L-трео-1-(}n\text{-бензилдифениламинофенил)-2-дибензиламинопропандиол-1,3}$ , выход 79%, т. пл. 136—137°, который гидрированием и действием  $\text{HCl}$ -газа переводит в VI, т. пл. 120—122° (разл.).

Е. Цветков

57606. **Химия и частичная структура боттромицина.** IV. Вайсвисс, Хуен (The chemistry and partial structure of botromycin. IV. Waisvisz J. M., Hoeven M. G. van der), J. Amer. Chem. Soc., 1958, 80, № 2, 383—385 (англ.).

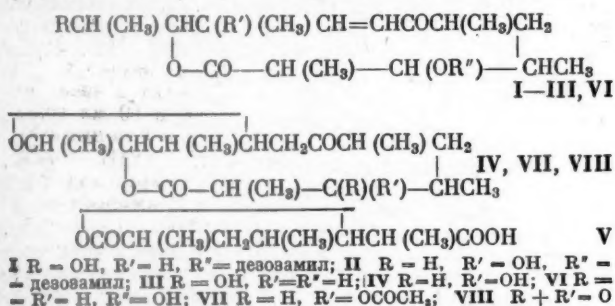
Мягкий гидролиз антибиотика боттормицина (I) из *Streptomyces bottropensis* (403 мг I, 25 мл ацетона, 25 мл 0,1 н. NaOH, 2,5 часа в холодильнике) дает биологически неактивное соединение  $C_{37}H_{25}N_7O_7$  (II), т. пл. 185—186° (из ацетона), 185,5—187° (из этилацетата); моногидрат, т. пл. 195—196°. Гидролиз II (3 мг II, 1 мл конц. HCl, 72 часа, 110°) приводит к тем же 7 положительным на нингидрины соединениям, которые были получены при аналогичном процессе с I, что доказано методом хроматографии на бумаге в системе 1-бутанол —  $CH_3COOH$  — вода (100 : 12 : 100). При этерификации II 0,1 н. р-ром HCl в  $CH_3OH$  был получен биологически активный метиловый эфир, идентичный I [доказано методом хроматографии на бумаге, наличием полосы 5,72  $\mu$  (1745  $cm^{-1}$ ) в ИК-спектре при отсутствии этой полосы у II и идентичности биологически активных салицилатов (т. разл. 158—160°)]. Была проведена этерификация I также этиловым и бутиловым спиртами, при этом получены биологически активные эфиры, также синтезированы их салицилаты. Для салицила-



та этилового эфира т. разл. 152—156°, бутилового эфира т. разл. 150—160°. Сообщение III см. РЖХим, 1958, 39803. Е. Клейнер

**57607. Структура антибиотика неометимицина.** Дьерасси, Халперн (The structure of the antibiotic neomethymycin. Djerassi Carl, Halpern O.), J. Amer. Chem. Soc., 1957, 79, № 8, 2022—2023 (англ.)

При гидролизе HCl (к-той) антибиотика неометимицина (I), т. пл. 156—158°,  $[\alpha]_D + 93^\circ$  (хлф.), нейтр. эквивалент [титрование хлорной к-той] 472, изомерного метимицину (II), получают хлоридрат дезоамила, что указывает на структурное различие только в аглюконовой части этих антибиотиков. Расщепление I водн.  $H_2SO_4$  приводит к двум продуктам: неометинолиду (III), т. пл. 186—187°,  $[\alpha]_D + 108^\circ$  и изомерному ему циклонеометинолиду (IV), т. кип. 140°/0,01 мм,  $[\alpha]_D - 39,5^\circ$ . III при озоноллизе дает с хорошим выходом лактоноиксиду (V), т. пл. 125—126°,  $[\alpha]_D + 42^\circ$ , полученную ранее при перманганатном окислении антибиотиков (пикромидина, карбомицина). III, в отличие от метинолида (VI), образует диацетат, т. пл. 199—201°,  $[\alpha]_D + 84^\circ$ , имеет положительную йодоформную пробу и дает ацетальдегид при последовательной обработке  $LiAlH_4$  и йодной к-той. IV образует только моноацетат (VII), т. пл. 194° (с возгонкой),  $[\alpha]_D + 1^\circ$ , йодоформная проба отрицательна; IV не реагирует с йодной к-той после р-ции с  $LiAlH_4$  — все это указывает на образование

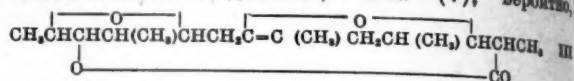


эфирной связи при присоединении OH-группы у  $C_{12}$  к двойной связи  $\alpha,\beta$ -ненасыщ. кетона. IV окисляется в кетон (VIII), (т. пл. 122—124°,  $[\alpha]_D + 60^\circ$ ), который дает 63%  $CO_2$  после обработки щелочью с последующим окислением. Е. Клейнер

**57608. Макролидные антибиотики. VI. Стандартизация абсолютной конфигурации многих макролидных антибиотиков.** Дьерасси, Халперн (Macrolide antibiotics. VI. A standard of absolute configuration among macrolide antibiotics. Djerassi Carl, Halpern O.), J. Amer. Chem. Soc., 1957, 79, № 14, 3926—3928 (англ.)

Осуществлен переход от неометимицина (I) к (—)-метилантарной к-те (II), чем определяется абс. конфигурация при  $C_{14}$  молекулы I, отвечающая L-глицериновому альдегиду. В соответствии с прежними данными (РЖХим, 1957, 57652, 74565; 1958, 8146) в молекулах I, метимицина, пикромидина и карбомицина эта же конфигурация устанавливается и при  $C_{14}$  и при  $C_{16}$ . После кипячения I с 5 н.  $H_2SO_4$  (10 мин.) перегонкой непромытого эфирного экстракта (200°/40 мм) выделен циклич. эфир енола (III), выход > 70%, т. пл. 168—170° (из водн.  $CH_3OH$ ),  $[\alpha]_D + 124,5^\circ$  (диоксан); он же образуется при обработке неометинолида и циклонеометинолида подкисленным эфиром. Озонлизом III в  $CH_2Cl_2$  (—80°) с последующим разложением озонида кипящей водой и омылением 5%-ным р-ром NaOH получена 6-оксо-2,4-

диметилгептен-2-овая-1 к-та (IV), т. кип. 100°/0,001 мм,  $[\alpha]_D + 46^\circ$  (хлф.); 2,4-динитрофенилгидразон (ДНФ) IV, т. пл. 142—144°. При кратковременном нагревании IV с NaOH в водн. диоксане образуются  $CH_3$  и 2,4-диметилгексен-2-овая-1,6 к-та (V), вероятно,



смесь *цис*- и *транс*-изомеров, т. пл. 130—155° (из эф. гексана), т. кип. 120°/0,001 мм,  $[\alpha]_D + 41^\circ$  (хлф.). Озонлизом IV с последующим окислением  $KMnO_4$  получена  $\alpha$ -метиллевулиновая к-та (VI),  $[\alpha]_D - 5,6^\circ$  (хлф.); ДНФ VI, т. пл. 194—196°. При окислении NaOH VI образует  $CH_3$  и II, т. пл. 111,5—113°,  $[\alpha]_D - 17,5^\circ$  (с 0,97; сп.),  $-9^\circ$  (с 1,0; вода). Без выделения промежуточных в-в выход II достигает 20%, считая на III. Приведены данные ИК-спектров III и IV и УФ-спектра V. В. Некрасов

**57609. Новобиоцин. VI. Строение кумаринового компонента.** Стаммер, Уолтон, Вилсон, Уокер, Треннер, Холли, Фолкере (Novobiocin. VI. Structure of the coumarin moiety. Stammer Charles H., Walton Edward, Wilson Andrew N., Walker Robert W., Trenner Nelson R., Holly Frederick W., Folkers Karl), J. Amer. Chem. Soc., 1958, 80, № 1, 137—140 (англ.)

Расщеплением дигидроновобиоцевой к-ты (I) (см. РЖХим, 1958, 11463) установлено, что в состав молекулы новобиоцина (II) входит 3-амино-4,7-диокси-8-метилкумарин (III) и что агликон II, новобиоцевая к-та, по-видимому, является 2,7-диокси-3-[4-окси-3-(3'-метилбутен-2-ил)-бензамидо]-8-метилхромон. Гидрированием 20 г II в  $CH_3OH$  с  $PtO_2$  (2,8 ат  $H_2$ ) с последующим кипячением фильтрата с конц. HCl (к-той) получена I, выход 7,5 г, т. пл. 236—237° (из *изо*- $C_3H_7OH$ ),  $pK'_a$  6,3. При кипячении 2 г I со смесью  $HBr-CH_3COOH-(CH_3CO)_2O$  образуются 3-ацетида-7-ацетокси-4-окси-8-метилкумарин (IV), выход 253 мг, т. пл. 260—261° (из этилацетата),  $pK'_a$  4,9 и 4-ацетокси-3-(3'-метилбутен-2-ил)-бензойная к-та, выход 226 мг. Щел. гидролизом IV получен 3-ацетида-4,7-диокси-8-метилхромон (V), т. пл. 280—281° (из *сп.*), возгоняется при 190—210°/0,2 мм,  $pK'_a$  5,3 и 11,1. Кислый гидролиз I с IV приводит к хлоридрату III, выход 400 мг, т. пл. > 330° (из *сп.*-п.тр. эф.),  $pK'_a$  2,9, 8,4 и 11,5. Кипячением 10 г I со смесью  $HCl-CH_3COOH$ -вода получено 2,6 г хлоридрата 2,4-диокси-3-метилфенацетиламина (VI), т. пл. 255—263° (раал.; из *сп.*-диоксана),  $pK'_a$  7,1 и 9,2, и 2,16 г N-(2',4'-диокси-3'-метилфенацетил)-4-окси-3-(3'-метилбутен-2-ил)-бензамида (VII), т. пл. 217—220° (из водн. *сп.*),  $pK'_a$  9,8 и 11,9. Ацетилированием 487 мг VI получено 217 мг N-ацетил-2,4-диацетокси-3-метилфенацетиламина, т. пл. 152—156° (из этилацетата). Из продуктов восстановления I с VI по Клемменсену выделено 52 мг 4-этил-2-метилрезорцина. Приведены данные ИК- и УФ-спектров I, III, IV, V, VI и VII. Определения  $pK'_a$  проведены в 70%-ном ацетоне. Сообщение V см. РЖХим, 1958, 11465. Р. Топштейн

**57610. Новобиоцин. VII. Синтез новобиоцевой, дигидроновобиоцевой и циклоновобиоцевой кислот.** Спенсер, Родин, Уолтон, Холли, Фолкере (Novobiocin. VII. Synthesis of novobiocic acid, dihydronovobiocic acid and cyclonovobiocic acid. Spencer Claude F., Rodin John O., Walton Edward, Holly Frederick W., Folkers Karl), J. Amer. Chem. Soc., 1958, 80, № 1, 140—143 (англ.)

Подтверждено строение новобиоцевой к-ты (I), ее дигидропроизводного (II) и цикло-I, т. е.

0,001 м.  
а (ДНО)  
и нагрева  
ся СН<sub>3</sub> и  
вероятно,

СНСН, ш  
со

5° (из эф.  
слф.). Смо  
KMnO<sub>4</sub>, по  
[α]<sub>D</sub> -5,6°  
окислении  
114,5—113°.

Без выде  
гает 20%.  
гров III и  
Некрасов

аринового  
пальме  
е (Novo-  
Stam-  
Wilson  
Greiner  
Folkers  
137—140)

(I) (см.  
став моле-  
диокси-3-  
обонцева  
[4-окси-3-  
хромоном.  
от Н<sub>2</sub>) с  
конц. HCl  
-237° (из  
2 г I со  
3-ацетил-  
V), выход  
pK<sub>a</sub> 4,9 и  
а, выход  
амидо-4,7-  
(из сл.),  
3 и 11,1.  
дату III,  
ф.), pK<sub>a</sub>  
сью HCl-  
4-диокси-  
3-ацетил-  
(разл.);  
N-(2,4'-ди-  
илбутил)-  
сп.), pK<sub>a</sub>  
получено  
нацилами-  
продукт  
выделено  
и данные  
Определе-  
обобщение  
Топштейн  
девой, ди-  
кислот.

и, Фол-  
novobiosic  
novobiosic  
ohn O.  
ick W.  
1958, 80.

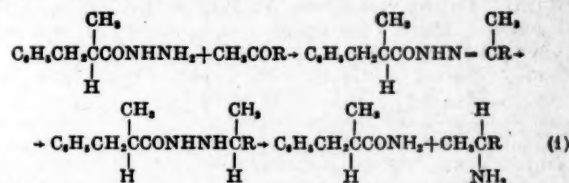
обонцево  
ло-I, т. е.

3-(2,2'-диметилхроман-6-карбоксамидо)-2,7-диокси-8-метилхромона (III). Исходным в-вом был хлоргидрат 3-амино-2,7-диокси-8-метилхромона (IV). Описано получение I из новобиоцина. Конденсацией 2-метилрезорцина с  $\text{CH}_2(\text{CN})\text{COOC}_2\text{H}_5$  в эфире + HCl +  $\text{ZnCl}_2$  (0°) получен 2,7-диокси-4-имино-8-метилбензипиран (V), выход 66%, т. пл. > 350° [из  $\text{HCON}(\text{CH}_3)_2$ -воды]. Нагревание 1 г V в 20 мл 50%-ной  $\text{H}_2\text{SO}_4$  (100°, 24 часа) приводит к 2,7-диокси-8-метилхромону, выход 0,5 г, т. пл. 270—280° (разл.; из воды); действием  $\text{NaNO}_2$  в разб.  $\text{CH}_3\text{COOH}$  из него получено 0,27 г неочищ. 3-нитропроизводного, гидрирование 265 мг которого с 1 г 10%-ного Pd/Darco в 110 мл спирта + 2,7 мл 2,5 н. HCl приводит к неочищ. IV, превращению ацетилированием в 3-ацетиламино-7-ацетокси-4-окси-8-метилхроман (VI), выход 122 мг, т. пл. 263—265° (из этилацетата, после возгонки при 190°/0,01 мм). Тем же путем из 44 г резорцина получено 14 г 2,7-диоксихромона (VII), т. пл. 274—277° (разл.; из воды) → 3-нитропроизводное (VIII), выход 78%, т. пл. 221—226° (разл.; после возгонки при 150°/5 мм) → 3-аминопроизводное → 3-ацетиламино-7-ацетокси-4-оксикумарин (IX), выход 46 мг (из 97 мг VIII), т. пл. 256—260° (из этилацетата, после возгонки при 200°/0,01 мм). Из 6 г 2,2-диметилхроман-6-карбоновой к-ты действием  $\text{SOCl}_2$  получен ее хлорангидрид (X), выход 4,7 г, т. пл. 95—97° (из петр. эф.). К взвеси 2 г IV в 16 мл  $\text{C}_6\text{H}_5\text{N}$  (< 0°) добавляют 4,1 г X, через ~12 час. (~20°) добавляют воду, подкисляют смесь и извлекают  $\text{CHCl}_3$ ; стекловидный экстракт обрабатывают петр. эфиром, затем извлекают III спиртом, выход 0,6 г, т. пл. 280—284° (из сл.). Ацетилированием 9 г 3-(3'-метилбутил)-4-оксибензойной к-ты получают 8 г ее 4-ацетоксипроизводного, т. пл. 147—149°, и далее действием  $\text{SOCl}_2$  его хлорангидрид (XI), идентифицированный превращением в анид, т. пл. 135—137° (оба из технич. гептана). Из 4,7 г XI и 2 г IV получена (как III) моноацетил-II, выход 2,1 г, т. пл. 207—209° (из хлф.); щел. гидролиз ее приводит к II, выход колич. К р-ру 0,5 г 4-ацетокси-3-(3'-метилбутил)-бензойной к-ты в 65 мл  $\text{CH}_3\text{OH}$  прибавляют 26,1 мл 1 н. NaOH, отгоняют  $\text{CH}_3\text{OH}$  в вакууме (-5°), лиофилизируют, водн. р-р, из остатка удаляют воду отгонкой с  $\text{C}_6\text{H}_6$ , прибавляют 4,1 г  $(\text{COCl})_2$ , кипятят 2 часа, получают хлорангидрид (XII), масло, выход 71%, т. кип. 131—134°/0,7 мм,  $n_D^{25}$  1,5367; идентифицирован превращением в анид,  $\text{C}_{20}\text{H}_{21}\text{O}_3\text{N}$ , т. пл. 113—116° (из технич. гептана). Из 1,9 г IV и 4,2 г XII получен (как III) моноацетил-I, выход 47%, т. пл. 243—249° (из  $\text{HCON}(\text{CH}_3)_2$ - $\text{CH}_3\text{OH}$  с высушиванием при 150°/0,01 мм.); щел. гидролизом ее получена I, выход колич., т. пл. 218—234° [из  $\text{HCON}(\text{CH}_3)_2$ -воды с высушиванием при 150°/0,01 мм.]. Р-р 6,25 г новобиоцина + 20 г конц.  $\text{H}_2\text{SO}_4$  в 1 л диоксана через 22 часа нейтрализуют р-ром 17 г NaOH в 500 мл  $\text{CH}_3\text{OH}$  + 100 мл воды; фильтрат сгущают в вакууме до 200—300 мл, добавляют 1 л воды, выпадает 5,15 г неочищ. I; хроматографирование 4,69 г ее из 500 мл  $\text{CHCl}_3$  на 350 г промытой к-той  $\text{Al}_2\text{O}_3$  с вымыванием ацетоном получают после кристаллизации (из сп.-воды) I и I. Приведены данные ИК-спектров I, II, III, V, VI, VII и IX.

57611. О дитиофеноксиметилпенициллине. Скимберни, Цевин (Sulla ditiiofenossimetil-penicillina. Schimberni Anna Maria, Zevi Vanda), Ann. chimica, 1957, 47, № 12, 1394—1401 (итал.). Описано получение дитиофеноксиметилпенициллина (I) и некоторых его производных. К 36 г скелетного N в 280 мл воды при 70° прибавляют 6 г Na-соли, приготовленной обработкой феноксиметилпенициллина (II) водн. р-ром  $\text{NaHCO}_3$  и последующим упари-

ванием в вакууме при 25—30°, нагревают 15 мин. при 70—90°, из фильтрата после подкисления HCl выделяют I, выход ~1,8 г, т. пл. 72—73° (из водн. сп.),  $[\alpha]_D^{20}$  -19,8° (с 3,48; сл.). К 0,07 г I в 1 мл  $\text{CH}_3\text{OH}$  добавляют 0,1 мл  $\text{C}_6\text{H}_5\text{CH}_2\text{NH}_2$  и затем эфир до помутнения, получают бензиламмониевую соль I, выход 0,03 г, т. пл. 123—124° (из сл.),  $[\alpha]_D^{20}$  -14° (с 0,71; сл.). 0,19 г I в 2 мл  $\text{CH}_3\text{OH}$  при обработке небольшим избытком  $\text{CH}_2\text{N}_2$  в эфире дают 0,12 г метилового эфира, т. пл. 104—105° (высажен петр. эф. из бэл.),  $[\alpha]_D^{20}$  -3,14° (с 3,67;  $\text{CH}_3\text{OH}$ ). Последний при омылении водн. спирт. NaOH (7 час., ~20°) вновь образует I. Смесь 0,07 г I, 3 мл диоксана и 0,25 мл  $\text{C}_6\text{H}_5\text{CH}_2\text{NH}_2$  кипятят 3 часа, упаривают в вакууме досуха (30°) и обрабатывают разб. HCl, получают α-бензиламид D-α-дитиофеноксиметилпеницилловой к-ты, выход 0,043 г, т. пл. 183—185° (из водн.  $\text{CH}_3\text{OH}$ ),  $[\alpha]_D^{20}$  -27° (с 0,18; 1 н. NaOH). Приведены кривые УФ-спектров I, II и метилового эфира I. Т-ры плавления определены в блоке Кофлера. С. Завьялов 57612. Об асимметрическом синтезе аминокислот. Акабори, Сакураи (Akabori Shiro, Sakurai Setsuji), Нихон кагаку дзасси, J. Chem. Soc. Japan. Pure Chem. Sec., 1957, 78, № 11, 1629—1631 (японск.).

Осуществлен асимметрич. синтез аланина (I) и фенилаланина (II). Р-ция идет по схеме (1), где  $\text{R} = \text{COOH}$ . 1,878 г  $\text{CH}_3\text{COCOON}$  в 3,7 г эфира смешивают постепенно при охлаждении с р-ром 3,760 г гидразида D-бензилметилуксусной к-ты (III к-та) [получен обычным путем из 13,2 г этилового эфира III, выход 8 г, т. пл. 88—90° (из сл.),  $[\alpha]_D^{20}$  +82,9° (с 434,6 мг, в 25 мл спирта)] в 7,5 г эфира и 1,8 г спирта, удаляют р-рителю при 60°, маслянистый



остаток растворяют в 30 мл спирта и гидрируют с 0,15 г  $\text{PtO}_2$  при 18,5 ат и 30°, фильтруют, выпаривают, получают 5,5 г остатка; 2,5 г этого остатка кипятят 6,5 час. с 37,4 г HJ (d 1,7) и 1,1 г красного P, разбавляют водой, промывают эфиром, из водн. слоя после упаривания, обработки  $\text{Ag}_2\text{O}$ , обработки фильтрата  $\text{H}_2\text{S}$ , упаривания фильтрата и обработки спиртом выделяют 0,2 г I, т. разл. 165—170°,  $[\alpha]_D^{20}$  +1,21°, таким образом, выход оптически активного I составляет 8%. Аналогично получен II, выход оптически активного продукта 4%,  $[\alpha]_D^{20}$  -1,55°.

Л. Яновская 57613. Синтез DL-β-(5-аценафтенил)-аланина. Моррисон (Synthesis of DL-beta-(5-acenaphthenyl)alanine. Morrison D. C.), J. Organ. Chem., 1958, 23, № 1, 33—34 (англ.).

Синтезирован DL-β-(5-аценафтенил)-аланин (I) из 5-аценафтенной к-ты (II). К р-ру 25 г 5-бромаценафтена в 150 мл абс. эфира прибавляют избыток Mg, прикапывают за 1 час р-р 20 мл  $\text{C}_2\text{H}_5\text{Br}$  в 100 мл эфира, кипятят 20—30 мин. и выливают в смесь  $\text{C}_6\text{H}_5\text{CH}_3$  и сухой  $\text{CO}_2$ , через несколько часов разлагают HCl-к-той, выход II 94,6%, т. пл. 207—211°. II этерифицируют и восстанавливают  $\text{LiAlH}_4$  в р-ре эфира или  $\text{C}_6\text{H}_6$  (см. РЖХим, 1954, 14490) до 5-аценафтенилкарбинола (III), т. пл. 155—157° (из водн. ацетона). К р-ру 1 мл  $\text{PBr}_3$  в 7,5 мл  $\text{C}_6\text{H}_6$  порциями прибавляют 2 г III, через ~12 час. разбавляют эфиром, промывают водой и упариванием выделяют 2,68 г 5-аценафтенилметилбромид (IV), т. пл. 117—119° (из эф.-петр. эф.). К р-ру



0,82 г Na и 7,8 г ацетиламиноацетилмалонового эфира в 300 мл спирта порциями прибавляют 8,8 г свежеприготовленного IV при легком нагревании и кипятят 15 час., подкисляют  $\text{CH}_3\text{COOH}$ , упаривают, прибавляют р-р  $\text{Na}_2\text{CO}_3$ , отгоняют с паром, из остатка выпадает 5-ацетилфенилметилацетиламиноацетилмалоновый эфир (V), выход 85%, т. пл. 139—141° (из водн. ацетона). Р-р 2,77 г V в 25 мл спирта кипятят с 20 мл конц.  $\text{HCl}$  15 час.; при разбавлении водой выпадает хлоргидрат-I (VI), выход 73%, т. пл. 220—232° (разл.). Из VI добавлением конц.  $\text{NH}_3$  и упариванием в вакууме выделяют I, т. пл. 228—231° (разл.). 0,3 г VI в 20 мл 0,1 н. KOH ацилируют эфирным р-ром  $\text{C}_6\text{H}_5\text{SO}_2\text{Cl}$ , выход N-(бензолсульфо)-DL-β-(5-ацетилфенил)-аланина 72,8%, т. пл. 203—205°. В. Шибнев

**57614. Формилирование этилацетурата и конденсация полученного соединения с L-цистеином.** Шпейер Л. Ф., Мильнер Р. С., Укр. хим. ж., 1957, 23, № 6, 738—740

Исследована р-ция формилирования этилового эфира ацетуровой к-ты (I) этилформиадом и конденсация полученного α-формильного производного (II) с L-цистеином с образованием 2-(карбэтоксинацетиламино-метил)-тиазолидин-4-карбоновой к-ты (III). Лучшие результаты получены в присутствии  $\text{C}_2\text{H}_5\text{ONa}$  (IV), не содержащего спирта, в  $\text{C}_6\text{H}_6$  при соотношении I:IV = 1:3, перемешивании 1 час при 0° и 7 час. при ~60°. Выход II 25%, масло. Идентифицирован в виде 2,4-динитрофенилгидразона, выход 71%, т. пл. 170° (из сл.). При нагревании 1,5 г хлоргидрата L-цистеина и 1 г безводн.  $\text{CH}_3\text{COOK}$  в 8 мл воды с р-ром 1,8 г II в 8 мл спирта до 80° (5—10 мин.) получают через ~12 час. (20°) III, выход 19—30%, т. пл. 169° (разл.; из сл.). Ю. Чихвадзе

**57615. Синтез треонина.** V. Некоторые реакции этилового эфира α-ацетиламиноацетилмалоновой кислоты. Кавасаки (Kawasaki Hiroshi), Нихон кагаку дзасси, J. Chem. Soc. Japan. Pure Chem. Sec., 1957, 78, № 11, 1651—1653 (японск.)

В продолжение прошлой работы (см. сообщение IV, РЖХим, 1958, 54130) изучены возможности использования этил. эфира α-ацетиламиноацетилмалоновой к-ты (I) для синтеза аминокислот. 8 г I смешивают с р-ром 2 г Na в 70 мл безводн. спирта, через 30 мин. добавляют 20 мл бензилхлорида, кипятят 7 час., удаляют спирт, обрабатывают водой, извлекают эфиром, остаток после удаления эфира кипятят 3 часа с 20 мл конц.  $\text{HCl}$  и 20 мл воды, выделяют DL-фенилаланин, выход 13%, т. пл. 265° (разл.). 15 г I нейтрализуют 0,5 н. NaOH по фенолфталеину, добавляют 10 мл формалина и 10 мл воды, 0,5 мл 0,5 н. NaOH, через 2 часа нагревают при 35—40° 2 дня, добавляют постепенно при 10—20° 50 мл р-ра 5 г NaOH, нагревают сутки при 35—40°, добавляют 15 мл лед.  $\text{CH}_3\text{COOH}$  и 15 мл воды, упаривают в вакууме, остаток обрабатывают 40 мл конц.  $\text{HCl}$ , через 2 часа отделяют хлоргидрат, растворяют с 50 мл воды, кипятят 2 часа, выпаривают, остаток обрабатывают 50 мл  $\text{CH}_3\text{OH}$ , фильтруют, добавляют 15 мл анилина, на другой день упаривают выделяют DL-серин, выход 60,5% т. пл. 235° (разл.; из  $\text{CH}_3\text{OH}$ ). Попытки конденсации I с  $\text{CH}_3\text{CHO}$  привели лишь к небольшому кол-ву DL-треонина (II). Смесь 5 г I, 20 мл β-оксимасляной к-ты, 50 мл толуола и 20 г скелетного Ni кипятят 20 час., фильтрат упаривают, остаток кипятят 3 часа с 10 мл конц.  $\text{HCl}$  и 10 мл воды, выделяют смесь аминокислот, выход 55%, состав (в %): аллотреонин (III) 60, II 35 и глицин (IV) 5 (определено хроматографией на бумаге), при проведении р-ции с изопропанолом без толуола выход смеси 30%, состав (в %): III 40, II 13, IV 47; в изопропанол с толуолом выход смеси 52%, состав (в %) III 50, II 17, IV 33. Л. Яновская

**57616. Синтез α-аминометиленциклопропанпропионовой кислоты (гипоглицина А).** Карбон, Мартин, Сунт (Synthesis of α-aminomethylenecyclopropylpropionic acid (hypoglycin A.) Carbon John A., Martin William B., Swett Leo R.), J. Amer. Chem. Soc., 1958, 80, № 4, 1002 (англ.)

Описан синтез рацемич. α-амино-β-(метиленциклопропил)-пропионовой к-ты (I), идентичной с гипоглицином А (РЖХимБХ, 1956, 17370, по схеме: 2-бромпропен +  $\text{N}_3\text{CH}_2\text{COOC}_2\text{H}_5$  в присутствии  $\text{Cu} + \text{CuSO}_4 \rightarrow \text{CH}_3\text{CH}(\text{CN})\text{CH}_2\text{CH}_2\text{COOC}_2\text{H}_5$

$\text{OC}_2\text{H}_5$  (смесь *цис*- и *транс*-форм, выход 17—20%, т. кип. 71—86°/11 мм,  $n_D^{25}$  1,4653—1,4666) + NaH (РЖХим, 1957, 60521)  $\rightarrow \text{CH}_2 = \text{C}(\text{CH}_3)\text{CHCOOC}_2\text{H}_5$  (выход 60%,

т. кип. 152—154°,  $n_D^{25}$  1,4447; получен также из аллена и  $\text{N}_2\text{CHCOOC}_2\text{H}_5$ ) +  $\text{LiAlH}_4 \rightarrow \text{CH}_2 = \text{C}(\text{CH}_3)\text{CHCH}_2\text{OH}$  (выход

75%), т. кип. 138—139°,  $n_D^{25}$  1,4644 (приведены данные ИК-спектра); с хлористым тозилем в 2,4,6-трихлориде  $\rightarrow$  неочищ. тозилевый эфир (выход 63%) +  $\text{HC}(\text{COOC}_2\text{H}_5)_2$  +  $\text{NHCHO} + \text{NaH}$  в  $\text{HCON}(\text{CH}_3)_2$  с последующим щел. гидролизом и декарбонилсированием  $\rightarrow$  неочищ. I. Хроматографированием на целлюлозном порошке и вымыванием  $n\text{-C}_4\text{H}_9\text{OH}$ , насыщ. водой, получена I в одной лишь форме, темнеет >200°, при 300° еще не плавится (из воды-ацетона) (см. также РЖХим, 1958, 54126).

Р. Топштейн

**57617. Некоторые аналоги тироксина. I. Замещенные β-фенилсерины и близкие вещества.** Фриденберг, Ноблс (Some thyroxine analogs. I. Substituted beta-phenylserines and related substances. Friedenber Robert, Nobles W. Lewis), J. Amer. Pharm. Assoc. Sci. Ed., 1957, 46, № 6, 387—389 (англ.)

Описан синтез возможного антагониста тироксина β-4-(*n*-оксифенокси)-3,5-дигидрофенил-серина (I). 20 г 3,5-дигидро-4-(*n*-метоксифенокси)-анилина диазотируют в р-ре 225 мл лед.  $\text{CH}_3\text{COOH}$ , содержащей 1,5 г  $\text{HCl}$ , 7 г бутилнитрита, и полученный р-р через 30 мин. прибавляют к р-ру  $\text{K}_2\text{Cu}(\text{CN})_4$  (из 114 г KCN и 100 г  $\text{CuSO}_4 \cdot 5\text{H}_2\text{O}$  в 700 мл воды при сильном размешивании и *t*-ре <10°). Через 1 час. при ~20° смесь быстро нагревают до 80° и затем быстро охлаждают до 20°. Сырой нитрил очищают осаждением примесей из  $\text{CHCl}_3$  4-кратным кол-вом лигнрина или петр. эфира и кристаллизацией из бутанола-2; выход 42%. Р-р 5 г сырого нитрила в 70 мл  $\text{CHCl}_3$  прибавляют в р-р 40 г  $\text{SnCl}_4$  в эфире 30 мин., через который пропускают  $\text{HCl}$ -газ (0°), фильтрат упаривают и остаток гидролизуют 100 мл 6 н.  $\text{HCl}$ . Выход 3,5-дигидро-4-(*n*-метоксифенокси)-бензальдегида 75%. Горячий р-р 0,01 моля его в 200 мл спирта прибавляют к р-ру 0,01 моля глицина в 20 мл воды и 10 мл 0,1 н. NaOH. Выход 3,5-дигидро-4-(*n*-метоксифенокси)-фенилсерина (II) 83%, т. пл. 165—166° (из сл.). 0,5 г II гидролизуют 1 час 5 мл  $\text{HCl}$  (1,7) и 5 мл лед.  $\text{CH}_3\text{COOH}$ , после чего смесь выливают в 25 мл воды. Выход I 80%, т. пл. 160° (из сл.). Б. Токарев

**57618. Синтез DL-α-амино-β-(3-метил-2-индолил)-пропионовой кислоты.** Сваминатхан, Сулочана (Synthesis of DL-α-amino-β-(3-methyl-2-indole)-propionic acid. Swaminathan S., Sulochana S.), J. Organ. Chem., 1958, 23, № 1, 90—91 (англ.)

Описан синтез DL-α-амино-β-(3-метил-2-индолил)-пропионовой к-ты «3-метил-2-изотриптофана» (I) 3-метилиндолил-2-карбоновую к-ту (II) превратили в диметиламид (III), восстанавливали до 2-диметиламинометил-3-метилиндола (IV) и последний превратили в йодметилат IV (V); V ввели в р-цию с ацетиламиноацетилмалоновым эфиром (VI) и получили этил α-ацетиламино-β-(3-метил-2-индолил) — пропионат (VII), гидролиз

которого дал I. Кроме того, IV получен из о-амино-  
бензола (VIII) по схеме: VIII  $\rightarrow$  2-хлорацетида-  
бензола (IX)  $\rightarrow$  2-диметиламиноацетида-1-этил-  
бензола (X)  $\rightarrow$  IV. Обработали 0,065 моля II в 150 мл  
эфир. эфира 0,21 моля  $\text{SOCl}_2$ . Через 20 час. упарили в  
вакууме; растворили в толуоле и добавили 11,5 мл  
 $\text{C}_6\text{H}_5\text{N}$  в толуоле и 35 мл 20% р-ра  $\text{HN}(\text{CH}_3)_2$  в толуоле.  
Выход III 69%, т. пл. 174—176° (из сп.). Из 0,065 мо-  
ля III, помещенного в гильзу аппарата Сокслета, и  
8 г  $\text{LiAlH}_4$  в эфире нагреванием 40 час. получили IV,  
выход 57%, т. кип. 148°/2 мм, т. пл. 65,5—66° (из петр.  
эф.). Пикрат IV, т. пл. 210° (из сп.). Обработали  
эфир. эфиром IV в 30 мл эфира 0,028 моля  $\text{CH}_3\text{I}$ , выход  
V 72%, т. разл. 180° (из сп.). К р-ру 0,14 г Na в 20 мл  
спирта добавили VI и 0,06 моля V в 70 мл спирта, ки-  
пятили 18 час. в атмосфере  $\text{N}_2$ , упарили р-ритель и  
добавили 60 мл воды, выход VII 92%, т. пл. 151—152°  
(из бал.). 0,006 моля VII кипятити с водн. NaOH  
(0,067 моля NaOH, 23 мл воды, 18 час.), подкислили  
лид.  $\text{CH}_3\text{COOH}$  и упарили, выход I 58%, т. пл. 219—223°  
(из сп.). *Rf* 0,69 ( $\text{C}_6\text{H}_5\text{OH}-\text{CH}_3\text{COOH}-\text{вода}$ , 4:1:5). Р-р  
0,32 моля VIII в 80 мл  $\text{CHCl}_3$  обработали 0,43 моля  
 $\text{C}_6\text{H}_5\text{N}$  и 0,34 моля хлорацетида, нагревали  
30 мин. на водяной бане, вылили в воду и упарили  
хлороформ, выход IX 91%, т. пл. 88—90° (из  $\text{CH}_3\text{OH}$ ).  
Р-р 0,167 моля IX в 330 мл  $\text{C}_6\text{H}_6$  обработали 400 мл  
4%-ного р-ра  $\text{HN}(\text{CH}_3)_2$  в бензоле. Смесь промыли 2 н.  
 $\text{HCl}$ , экстракт нейтрализовали  $\text{NH}_3$ , масло извлекли  
эфиром и р-р упарили; выход X 71%, т. кип. 174—  
176°/5 мм, т. пл. 39° (из петр. эф.), йодметилат X, т. пл.  
120—125° (из эф. и  $\text{CH}_3\text{OH}$ ). Смешали 25 мл эфирно-  
го р-ра 0,074 моля X и 0,0205 моля  $\text{NaNH}_2$  в атмосфере  
 $\text{N}_2$ , упарили р-ритель и нагревали смесь 45 мин. при  
310°, обработали спиртом, водой и экстрагировали бен-  
золом. Выделили 9 г IV с примесью X. А. Юркевич

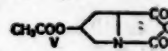
57619. Синтез лизиназопрессина. Виньо, Бар-  
летт, Йель (The synthesis of lysine-vasopressin.  
Vigneaud Vincent du, Bartlett M. Freder-  
rick, Jöhl Albert), J. Amer. Chem. Soc., 1957, 79,  
№ 20, 5572—5575 (англ.)

Описан синтез лизиназопрессина: из S-бензил-L-  
цистеина по ранее известному методу (Wood J. L.,  
Vigneaud du V., J. Biol. Chem., 1939, 130, 110) получа-  
ют S-бензил-N-тозил-L-цистеин (I), выход 78%, т. пл.  
125—126° [ $\alpha$ ] $^{21}_D$  +11,3° (с 2,00; 95%-ный сп.). К 11 г  
1:50 мл тетрагидрофурана при охлаждении добавля-  
ют 7,5 г этилового эфира L-тирозина, 4,1 мл триэтил-  
амин в 50 мл тетрагидрофурана и 6,9 г дициклогексил-  
карбамида. Через 4 часа фильтрат упаривают в ва-  
кууме и остаток растворяют в этилацетате. Этилаце-  
татный р-р промывают водой, 1 н. HCl, водой, 5%-ным  
NaHCO<sub>3</sub> и выпаривают до небольшого объема; разбав-  
лением гексаном осаждают этиловый эфир S-бензил-  
N-тозил-L-цистеинил-L-тирозина (II), выход 14,5 г,  
т. пл. 109—110° (из этилацетата + гексан), [ $\alpha$ ] $^{19}_D$  +3,71°  
(с 2,39; 95%-ный сп.). 2 г II в 6 мл ацетона обрабаты-  
вают (20 мин.) 6 мл 2 н. NaOH, через 40 мин. разбав-  
ляют 10 мл воды и подкисляют конц. HCl, получают  
S-бензил-N-тозил-L-цистеинил-L-тирозин (III), выход  
9%, т. пл. 155—156° (из водн. сп.), [ $\alpha$ ] $^{18}_D$  +28,2°  
(с 2,11; abs. сп.). 2,64 г III в 25 мл тетрагидрофурана  
(—10°) обрабатывают 0,70 мл триэтиламина и 0,65 мл  
изобутилового эфира хлоругольной к-ты (—15°, 7 мин.)  
и прибавляют охлажд. р-р 2,04 г L-фенилаланил-L-глут-  
аминил-L-аспарагина и 0,75 мл триэтиламина в 10 мл  
воды (1 мин.). Р-р размешивают 5 мин. при —10° и  
30 мин. при —20°. После разбавления водой до по-  
мутнения и подкисления 50%-ной HCl до pH 2 р-р  
разбавляют водой до 100 мл и охлаждают 4 часа (0°).  
Осадок промывают водой (pH промытых вод > 4).  
Высушенное в-во растирают с этилацетатом. Выход  
S-бензил-N-тозил-L-цистеинил-L-тирозил-L-фенилала-

нил-L-глутаминил-L-аспарагина (IV) 55%, т. пл.  
203—205° (из 90%-ного тетрагидрофурана), [ $\alpha$ ] $^{21}_D$  +4,4°  
(с 2,08; диметилформамид). К 1,84 г IV и 1,29 г S-бен-  
зил-L-цистеинил-L-пролил-N<sup>ε</sup>-тозил-L-лизилглицилами-  
да (приготовлен по методу, РЖХим, 1958, 50528) в  
100 мл 90%-ного тетрагидрофурана прибавляют 0,62 г  
N,N'-дициклогексилкарбодимида и размешивают  
4 часа с охлаждением и 20 час. при —20°. Р-р концент-  
рируют в вакууме до ~20 мл и охлаждают 1 час. Осад-  
ок промывают 90% тетрагидрофураном, экстрагируют  
20 мл диметилформамида и получают S-бензил-N-то-  
зил-L-цистеинил-L-тирозил-L-фенилаланил-L-глутами-  
нил-L-аспарагинил-S-бензил-L-цистеинил-L-пролил-N<sup>ε</sup>-  
тозил-L-лизилглициламид (V) при добавлении к филь-  
трату 80 мл этилацетата, выход — 39%, т. пл. 226—230°  
[из муравьиной к-ты и воды (1:4)], [ $\alpha$ ] $^{25}_D$  —23,0° (с 2,11;  
диметилформамид). После восстановления 300 мг V  
Na в жидком  $\text{NH}_3$  в-во растворяют в 30 мл 1%-ной  
 $\text{CH}_3\text{COOH}$ , добавляют воды до 300 мл и  $\text{NH}_4\text{OH}$  до pH  
6,5 и окисляют медленной струей воздуха, свободного  
от CO<sub>2</sub>. После упаривания р-ра (Craig L. C. и др., Anal.  
Chem., 1950, 22, 1462) при 30° до небольшого объема  
полученное в-во содержало ~60 000 ед. активности.  
300 мг V очищались противоточным распределением в  
системе втор-C<sub>4</sub>H<sub>9</sub>OH — 0,08 M n-CH<sub>3</sub>C<sub>6</sub>H<sub>4</sub>SO<sub>3</sub>OH (1450  
ступеней), а также электрофорезом на бумажной мас-  
се в системе пиридин-ацетатный буфер (pH 5,6).  
Наивысшая активность в-ва 280 ед. на 1 мг. Хим., био-  
логич. и физиологич. свойства, аминокислотный со-  
став, коэф. распределения во втор-C<sub>4</sub>H<sub>9</sub>OH — 0,1% CH<sub>3</sub>-  
COOH, электрофоретич. коэф. на бумаге (pH 5,6 и 4,0)  
и ИК-спектры синтетич. и природного лизиназопрессина  
идентичны.

Ю. Чхиквадзе  
57620. Полиокси-L-пролин. Курц, Фасман, Бер-  
гер, Качальский (Poly-hydroxy-L-proline.  
Kurtz Joseph, Fasman Gerald D., Berger  
Arieh, Katchalski Ephraim), J. Amer. Chem.  
Soc., 1958, 80, № 2, 393—397 (англ.)

О-ацетилокси-L-пролин (I) при взаимодействии с  
фосгеном (II) превращается в N-карбонилхлорид (III),  
который циклизуется посредством Ag<sub>2</sub>O (IV) в ангид-  
рид О-ацетил-N-карбокси-L-пролина (V), последний по-



лимеризуется в пиридиновой среде в поли-O-ацетил-  
окси-L-пролин (VI). Деацетилирование VI водн.  $\text{NH}_3$   
дает полиокси-L-пролин (VII) [ $-\text{NCH}_2\text{CH}(\text{OH})\text{CH}_2\text{C}-$   
|  
HCO—|; средний мол. в 10 600 и  $n = 94$  (осмотич.  
определение), 5750 и  $n = 51$  (потенциометр. титрова-  
ние). При гидролизе VII 6 н. HCl количественно обра-  
зуется I, а при ацетилировании его ( $\text{CH}_3\text{CO}$ )<sub>2</sub>O в  $\text{Cl}_2$ -  
 $\text{CH}_3\text{COOH}$  и 70%-ной  $\text{HClO}_4$  образуется VI. Аналогично,  
O-тозилокси-L-пролин (VIII) превращается в N-кар-  
боксиангидрид (IX), при полимеризации которого в  
пиридине получен поли-O-тозилокси-L-пролин (X),  
 $n = 30$ , с весьма устойчивой тозильной группой. Опи-  
санный метод циклизации посредством IV использован  
для синтеза ангидрида N-карбокси-L-пролина (XI).  
VI и X мутаротируют: VI в р-ре 90%-ной HCOOH от  
[ $\alpha$ ] $^{25}_D$  +25° (сразу после растворения) до [ $\alpha$ ] $^{25}_D$  —175°  
(через 6 час. при т-ре ~20°), обратное превращение  
после непродолжительного нагревания в диметилформ-  
амиде; X в р-ре лед.  $\text{CH}_3\text{COOH}$  от [ $\alpha$ ] $^{25}_D$  0,0° (сразу  
после растворения) до [ $\alpha$ ] $^{25}_D$  —120° (через 3 часа),  
обратное превращение после обработки пиридином.  
Пропускают II в суспензию 4 г I ([ $\alpha$ ] $^{25}_D$  —42,2 в 6 н.  
HCl) в диоксане (~20°, 30 мин.), упаривают в ваку-



уме; остаток III в ацетоне, перемешивают с 4 г IV и фильтрат выпаривают в вакууме досуха, выход V 87%, т. пл. 120° (разл.), пересаживают петр. эфиром из этилацетата (ЭА),  $[\alpha]_D^{25} -75^\circ$  (с 1; ЭА): 1 г V в абс. пиридине перемешивают при т-ре ~20° 2 дня и полимер осаждают эфиром, выход VII 90%,  $[\eta]_{sp} 0,14$  (с 0,5; лед.  $\text{CH}_3\text{COOH}$  при 21°). Суспензию 0,6 г VI в 29% р-ре ( $\text{NH}_4\text{OH}$ ) выдерживают при т-ре ~20° и выпаривают в вакууме досуха, выход VII 92%,  $[\alpha]_D^{25} -400^\circ$  (с 1; вода). IX получают аналогично V из 2 г VIII, выход 91%, т. пл. 115° (разл.). X получают аналогично VI из 2 г IX (высаживают эфиром), выход 58%, а XI аналогично V, выход 68%, т. пл. 45° (разл.), осаждают петр. эфиром из ЭА и вымораживают. Даны ИК-спектры VI и VII, а также кривые мутаротации VI и X. VIII получен: 1) из N-карбобензоксиг-О-тозилокси-L-пролина (XII) действием 33%-ной HBr в лед.  $\text{CH}_3\text{COOH}$  с последующей обработкой пиридином, выход 39%, т. пл. 162–165° (из воды); 2) омылением 1 н. NaOH (0°, ~12 час.) хлоргидрата метилового эфира VIII. Соль XII и бензиламина, т. пл. 120–122°. С. Давыдова

**57621. N-арилоксиацетил-N-арилглицины. Такеда** (N-Aroxyacetyl-N-arylglucines. Takeda Akira), J. Organ. Chem., 1958, 23, № 1, 88–89 (англ.)

Описан синтез 18 N-арилоксиацетил-N-арилглицинов  $\text{ROCH}_2\text{CON}(\text{R}')\text{CH}_2\text{COOH}$ , как возможных стимуляторов роста, из арилглицинов и арилоксиацетилхлоридов в условиях р-ции Шоттен — Баумана. Получены в-ва (перечислены R, R', выход в %, т. разл. в °C, активность): 2,4- $\text{Cl}_2\text{C}_6\text{H}_3$  (I), 3,4- $\text{Cl}_2\text{C}_6\text{H}_3$  (II), 18, 183–183,5, 10–7–10–6; I, 4- $\text{ClC}_6\text{H}_4$  (III), 28, 156–158, 10–6; I, 3- $\text{ClC}_6\text{H}_4$  (IV), 19, 140–141, 10–6; I, 3- $\text{Cl-4-CH}_3\text{C}_6\text{H}_3$  (V), 50, 163–164, 10–6; I, 4- $\text{CH}_3\text{C}_6\text{H}_4$  (VI), 64, 171–172, 10–6; I,  $\text{C}_6\text{H}_5$  (VII), 38, 164–165, 10–6; III, II, 19, 103–104, 10–6; III, III, 20, 162–163, 10–6–10–5; III, IV, 7, 118–119, 10–6; III, V, 61, 128–129, 10–5; III, VI, 86, 166–167, 10–5; III, VII, 36, 114–115, 10–6–10–5; 2- $\text{Cl-4-CH}_3\text{C}_6\text{H}_3$  (VIII), II, 48, 162–164, 10–5; VIII, VI, 79, 170–171, неактивно; VIII, VII, 25, 130–133, неактивно; VIII, III, 65, 104–105, неактивно; VIII, IV, 27, 176–177, неактивно; VIII, V, 86, 178–179, неактивно. Синтезирован 2-хлор-4-метилфеноксиацетилхлорид, выход 94%, т. кш. 155–157/24 мм. Активность в-в выражена в наименьшей конц-ии (моль/л), вызывающей удлинение проростков овса на 10 мм. Активность 2,4-дихлорфеноксиуксусной к-ты в этих условиях 10–7.

А. Юркевич

**57622. Упрощенный метод получения N-ацетилфенилаланинов. Окуда, Фудзии** (A simplified method for the preparation of N-acetylphenylalanines. Okuda Tōru, Fujii Yasuo), Bull. Chem. Soc. Japan, 1957, 30, № 7, 698–700 (англ.)

Описывается простой метод получения N-ацетилфенилаланинов гидрированием соответствующих ненасыщ. азлактонов. Один моль бензалькоксазолон в эквивалентном кол-ве 5%-ного р-ра NaOH гидрируют в автоклаве при начальном давл. 40–70 атм и т-ре 20–50° над скелетным Ni. При подкислении фильтрата конц. HCl (рН 2–3) получают N-ацетилфенилаланин. Выход 98%, т. пл. 144° (из воды). Аналогично получены следующие N-ацетил-(β-R-фенил)-аланины: (перечисляются R, выход в %, т. пл. в °C): n-метил, 99, 164; n-метоксиг, 96, 150; 3,4-метилendioксиг, 92, 164–166.

Ю. Чхиквадзе

**57623. Водорастворимые сульфамиды. Сообщение III. Получение рацемического диэтиламида n-аминобензолсульфометионина и его оптических антиподов. Баганц, Баганц, Уле** (Wasserlösliche Sulfonamide. III. Mitteilung. Darstellung von racemischem p-Aminobenzolsulfonylmethionindiäthylamid und seinen optischen Antipoden. Baganz Horst, Ba-

ganz Hildegard, Uhle Helga), Arch. Pharmazie, 1957, 290/62, № 11, 571–577 (нем.)

Синтезированы диэтиламиды сульфанилил-DL-, L- и D-метионин (I) по ранее разработанной схеме (см. сообщение II, РЖХим, 1958, 54133). Бактериологич. испытания показали меньшую активность I, чем диэтиламида сульфанилилглицина. Из 0,087 моля метионина, 0,175 моля NaOH в 45 мл воды и 0,087 моля ацетилсульфанилилхлорида получен ацетилсульфанилилметионин (II), выход 70%, т. пл. 160,5–161° (из воды). 0,11 моля II в 200 мл абс. спирта насыщают HCl-газом при < 5°, сгущают в вакууме, суспендируют в воде и подщелачивают  $\text{NH}_3$ , выход этилового эфира сульфанилилметионина (III) 72%, т. пл. 77,5–78° (из воды); аналогично получен метиловый эфир сульфанилилметионина, т. пл. 113,5–115° (из водн. ацетона и из воды). Нагреванием (60°, 20 час.) 0,234 моля III с 400 мл 33%-ного водн. диэтиламина (20 час. 60°) получен I, выход 72,5%, т. пл. 146° (растиранием со сп.). DL-метионин разделен на L- и D-антиподы с помощью аммониевой соли α-бром-D-камфор-л-сульфокислоты, с выходом 42–45 и 31% (соответственно), выпадает соль α-бром-D-бром-D-камфор-л-сульфокислоты и L-метионина. L-II, выход 76%, т. пл. 170,5–171° (из воды),  $[\alpha]_D^{20} +19,14^\circ$  (с 5,172; сп.); D-II (при < 25°, т. пл. 170° (из воды). Аналогично получены L-III (при ~30°), т. пл. 113–114°,  $[\alpha]_D^{25} +1,15^\circ$  (с 1,740; сп.),  $[\alpha]_D^{25} +1,63$  (с 5,06; ацетон), и D-III. Из 0,25 моля диэтиламина в 57 мл воды и 0,06 моля L-III (24 часа. 60°) получен L-I, выход 91%, т. пл. 167° (из  $\text{C}_4\text{H}_9\text{OH}$ ,  $\text{C}_2\text{H}_5\text{OH}$  и  $\text{C}_2\text{H}_5\text{OH}$  последовательно),  $[\alpha]_D^{25} +42,17^\circ$  (в 50%-ном сп.), D-I получен при 40–45° (15 час.), т. пл. 165–166° (из сп. осаждение водой),  $[\alpha]_D^{25} -43,41^\circ$  (50%-ный сп.).

Л. Шахновский

**57624. Синтез кополипептида, содержащего L-гомоаргинин и L-лейцин. Изучение протамина. XIII. Фудзии, Токиэда** (Fujii Setsuro, Tokieda Masaaki), Saitakaku, J. Japan. Biochem. Soc., 1957, 29, № 7, 443–445 (японск.)

Раствор 5 г ангидрида ε-N-карбобензоксиг-α-N-карбоксии-L-лизина и 1,27 г α-N-карбоксии-L-лейцина в 100 мл  $\text{C}_2\text{H}_5\text{Cl}$  нагревают при 98–99° в течение 100 час., получают 3,7 г кополипептида L-лейцина и ε-N-карбобензоксиглизина (I). 3,5 г I в 50 мл лед.  $\text{CH}_3\text{COOH}$  нагревают до 50–60°, пропускают ток  $\text{H}_2$  и добавляют понемногу 9 г  $\text{RNH}_2$ , через 3 часа удаляют  $\text{CH}_3\text{COOH}$ , промывают эфиром, растворяют в небольшом кол-ве воды и осаждают спиртом кополипептид лейцина и лизина, выход 2,5 г, отношение лейцина и лизина 1:2,3 [определено после гидролиза кополипептида посредством конц. HCl при 100° в течение 48 час. с использованием метода хроматографии на бумаге (Moore S., Stein W. H., J. Biol. Chem., 1954, 192, 663)]. Смесь 2,5 г I в 5 мл  $\text{CH}_3\text{OH}$  и 1 н. р-ра рассчитанного по отношению к лизину кол-ва флавианата Na в  $\text{CH}_3\text{OH}$  и 100 мл р-ра S-метилизотиомочевины в безводн. спирте оставляют на 62 часа, добавляют 5 г флавиановой к-ты в 10 мл  $\text{CH}_3\text{OH}$ , получают 2,4 г флавианата кополипептида L-лейцина и L-гомоаргинина (II флавианат). 2,3 г II в 6 мл воды обрабатывают 0,5 мл  $\text{H}_2\text{SO}_4$ , промывают бутанолом, получают сульфат кополипептида, выход 0,95 г  $[\alpha]_D^{25} -69,7^\circ$ , соотношение лейцина и гомоаргинина в II 1:2,3 (определено как указано выше). Содержание свободных гуанидиновых групп в II (определение см. Weber C., J. Biol. Chem., 1930, 86, 217) 57% (в протамине 47%). Копилипептид обладает антикоагуляционным действием на кровь, однако действие его значительно слабее, чем у протамина.

Л. Яновская

**57625. Синтез фосфатидильных пептидов. I. O-(ди-стеароил-L-α-глицерилфосфорил)-L-серилглицилглицин. Бер, Маурукас, Кларк** (Synthesis of

a. Pharma-  
-DL-, 1- и  
схеме (см.  
ериологи.  
1, чем де-  
ла метно-  
0,087 моля  
сульфа-  
-161° (из  
насыщают  
пендируют  
ого эфира  
5-78° (из  
ир сульф-  
ацетона и  
моля III с  
60°) полу-  
со см.),  
помощью  
окислоты,  
выпадает  
ты и 1-ме-  
(из воды),  
5°), т. пл.  
-III (при  
-74; см.),  
5 моля ди-  
часа, 60°)  
N, C<sub>2</sub>H<sub>5</sub>OH  
в 50%-ном  
165-166°  
(50%-ный  
ахновский  
го 1-томо-  
на. XIII.  
o, Toki-  
chem. Soc.,  
и-α-N-кар-  
ейнина в  
те 100 час.,  
е-N-карбо-  
COOH на-  
добавляют  
CH<sub>3</sub>COOH,  
ом кол-ве  
ейнина и  
и лизина  
пептида по-  
час. с ис-  
а бумаге  
192, 663).  
считанного  
ата Na в  
ны в без-  
деляют 5 г  
2,4 г фла-  
арганина  
абатывают  
ают суль-  
7°, соотно-  
пределено  
гуаниди-  
С., J. Biol.  
) Кополит-  
стваем на  
бее, чем у  
Яновская  
I. О-ди-  
лицилгли-  
nthesis of

phosphatidyl peptides. I. O-(distearoyl-L-α-glyceryl-phosphoryl)-L-serylglucylglycine. Baer Erich, Maugukas Jonas, Clarke Donald D., J. Biol. Chem., 1957, 228, № 1, 181-191 (англ.).

Реакцией бензильного эфира N-карбобензоксипептида (кбз)-L-серилглицилглицина (I) с дистеароил-L-α-глицерилфенилфосфорилхлоридом C<sub>17</sub>H<sub>35</sub>COOCH<sub>2</sub>CH(OOCC<sub>17</sub>H<sub>35</sub>)CH<sub>2</sub>OPh(OC<sub>2</sub>H<sub>5</sub>)Cl, с последующим гидрогенолизом получено O-(дистеароил-L-α-глицерилфосфорил)-L-серилглицилглицин (II). II расщепляется при действии C<sub>2</sub>H<sub>5</sub>N<sub>3</sub> с образованием диметилевого эфира дистеароил-L-α-глицерилфосфорной к-ты, выход 80%, т. пл. 50-51° (РЖХим, 1958, 4801). Авторы считают, что р-ция с C<sub>2</sub>H<sub>5</sub>N<sub>3</sub> может быть применена для изучения строения природных липопептидов и липопротеинов. К р-ру 3,6 г хлоргидрата бензильного эфира глицилглицина и 3 мл N(C<sub>2</sub>H<sub>5</sub>)<sub>3</sub> в 30 мл CHCl<sub>3</sub> прибавляют 3,3 г N-кбз-L-серина в 30 мл CH<sub>3</sub>CN и 3 г дициклогексилкарбодиимид в 9 мл CHCl<sub>3</sub>. Через ~12 час. прибавляют 75 мл CH<sub>2</sub>Cl<sub>2</sub>. Осадок экстрагируют кипящим 1,2-диметоксигетаном (2 × 75 мл). Из экстракта петр. эфиром осаждают I, выход 56,4%, т. пл. 150-152° (из диметоксигетана). К 1,68 г фенилфосфорилдихлорида, 1,24 г безводн. хинолина и 25 мл CHCl<sub>3</sub> прибавляют при 25° за 2,5 часа р-р 5 г D-α, β-дистеарина в 50 мл CHCl<sub>3</sub>, нагревают 1 час при 45° и быстро прибавляют 3,55 г I в 45 мл теплолудидина. Через 2 часа при 45° р-р выпаривают в вакууме (~0,1 мм). Остаток экстрагируют многократно петр. эфиром и экстракт упаривают в вакууме. Р-р остатка в CHCl<sub>3</sub> промывают 1,5 н. H<sub>2</sub>SO<sub>4</sub> при 0° до удаления оснований водой и упаривают в вакууме. Остаток (7 г) высушивают в глубоком вакууме при 35-40°, растворяют в 100 мл горячего ацетона, фильтруют при ~25° и фильтрат вновь выпаривают. Остаток растворяют в 50 мл горячего петр. эфира и через ~12 час. фильтруют и хроматографируют на силикагеле. Эфиром вымывают сначала 1,2 г бис-(дистеароил-L-α-глицерин)-фенилфосфата, а затем 1,8 г бензильного эфира O-(дистеароил-L-α-глицерилфенилфосфорил)-N-кбз-L-серилглицилглицина (III), 1,8 г III в 50 мл теплой лед. CH<sub>3</sub>COOH гидрируют лед 0,5 г PtO<sub>2</sub> + 0,5 г Pd-черни и вытесняют водород азотом. При 6° из р-ра выпадает осадок (0,77 г), который после обработки CHCl<sub>3</sub> высушивают, растворяют в горячем CHCl<sub>3</sub> и осаждают ацетоном. После повторного переосаждения выход II 85%, т. пл. 181-182° (разл.), [α]<sub>D</sub><sup>20</sup> +7,6° (±0,2°) (с 5; хлф.); не изменяется при действии 95%-ного спирта (80°, 30 мин.). При каталитич. гидрогенолизе I получен L-серилглицилглицин, выход 80%, [α]<sub>D</sub><sup>20</sup> +31,8° (с 5,6; 1 н. HCl).

С. Аваева

57626. О-гликозиды, образующиеся при синтезе пириимидиновых нуклеозидов по Хильберту и Джонсону. Ньюмарк, Гудман (Oxygen glycosides from the Hilbert-Johnson pyrimidine nucleoside synthesis. Newmark Philip, Goodman Irving, J. Amer. Chem. Soc., 1957, 79, № 24, 6446-6450 (англ.)). Попытки получить пириимидиновые нуклеозиды 6-метилурацила (I), 6-метил-2-тиоурацила (II), 2-тиоурацила (III) и барбитуровой к-ты (IV) методом Хильберта и Джонсона не привела к синтезу N-гликозидов. 2,4-диэтокси-6-метилпириимидин (V) и 2-этилтио-4-этокс-6-метилпириимидин (VI) реагируют с тетра-О-ацетил-α-D-глюкопиранозилбромидом (VII) с образованием соответствующих α- и β-O-гликозидов. Этоксипроизводные III и IV не образуют с VII O- или N-гликозидов. Смесь 15 г V и 15 г VII нагревают 70 час. при 80°, добавляют равный объем эфира и отфильтровывают 6-метилурацил (VIII) (0,3 г). Из фильтрата через ~12 час. (IV) выделяют 6,3 г 2-тетра-О-ацетил-α-D-глюкопиранозил-4-этокс-6-метилпириимидина (IX), т. пл. 166-167° (из 95% сп.). После нагревания реакционной сме-

си при 80° (40 час.) выделяют еще 0,3 г IX. Фильтрат после выделения IX оставляют при 0° на 3 недели, выпадает 0,5 г β-изомера IX, т. пл. 120-121° (из сп.). Сироп, оставшийся после выделения α- и β-изомеров IX, оставляют на 3 дня при ~20° с CH<sub>3</sub>OH, насыщенным сухим HCl; избыток CH<sub>3</sub>OH упаривают и добавлением воды получают 4 г VIII; фильтрат охлаждают и выделяют 0,4 г 1-этил-6-метилурацила, т. пл. 197-198° (из сп.). 1 г α-изомера IX кипятят с 40 мл р-ра 0,3 н. NaOH в 90%-ном спирте (19 час.), избыток спирта упаривают и добавлением воды выделяют 0,23 г 4-этокс-6-метил-2 (1)-пириимидона, т. пл. 196°. 15 г VI и 15 г VII нагревают 26 час. при 80°, добавляют эфир, отфильтровывают VIII (0,25 г) и 2-этилтио-6-метил-4 (3)-пириимидон (0,9 г). Фильтрат нагревают еще 2 дня при 80°, добавляют эфир, выделяют 4-тетра-О-ацетил-α-D-глюкопиранозил-2-этилтио-6-метилпириимидин (X). Выход X 3,7 г, т. пл. 125-126° (из сп.). Реакционную смесь после выделения X нагревают (80°, 2 дня), добавляют эфир, осадок растворяют в CHCl<sub>3</sub>, фильтруют и упаривают. Остаток растворяют в C<sub>2</sub>H<sub>5</sub>OH, выход β-изомера X 0,4 г, т. пл. 176-177°. З. Шабарова 57627. Синтез циклических фосфатов нуклеозидов.

Майкелсон (Synthesis of nucleoside cyclic phosphates. Michelson A. M., Chemistry and Industry, 1958, № 3, 70-71 (англ.)).

2'-3'-циклические фосфаты нуклеозидов получены с колич. выходом при действии на три-н-октиламмониевые или три-н-дециламмониевые соли 2'-(3')-нуклеотидов тетрафенилширофосфата (I) или дифенилфосфохлорида (II). К р-ру безводн. моно-(три-н-октиламмониевой) соли уридин-2'(3')-фосфата в диоксане добавляют 1,25 моля I или II и 2,5 моля три-н-бутиламина, оставляют на 1 час (~20°) и выделяют уридин-2':3'-циклофосфат (III) в виде Са-соли. Аналогично получают аденозин-2':3'-циклофосфат (IV). III и IV гидролизуются до нуклеотидов при действии 0,1 н. HCl (100°, 15 мин.) или 0,1 н. NaOH (37°, 24 часа). Рибонуклеаза гидролизует III до 3'-фосфата и не действует на IV.

З. Шабарова 57628. Синтез изопропилиденового производного чувствительного к щелочи нуклеозида: 2',3'-O-изопропилиден-9-β-D-рибофуранозилпурина. Хамптон, Маграт (Synthesis of an isopropylidene derivative of an alkali-labile nucleoside: 2',3'-O-isopropylidene-9-β-D-ribofuranosylpurine. Hampton Alexander, Magrath David I., J. Amer. Chem. Soc., 1957, 79, № 12, 3250-3251 (англ.)).

Описано получение 2',3'-O-изопропилиден-9-β-D-рибофуранозилпурина (I) конденсацией 9-β-D-рибофуранозилпурина (II) с ацетоном (III) в присутствии ZnCl<sub>2</sub>, или п-толуолсульфокислоты (IV). Смесь 43 г ZnCl<sub>2</sub>, 450 мл III и 13,7 г II кипятят 30 час. После удаления 0,5 III в вакууме смесь выливают в р-р 43 г Na<sub>2</sub>CO<sub>3</sub> в 450 мл воды и 50 г льда. Фильтрат после обработки р-ром BaCl<sub>2</sub> упаривают досуха, экстрагируют C<sub>6</sub>H<sub>6</sub> и кристаллизуют I из CH<sub>3</sub>OH; выход I 80%, т. пл. 44-45° (из CH<sub>3</sub>OH). 7,5 г моногидрата IV прибавляют к р-ру I и II в 150 мл III. Через 30 мин. смесь выливают в 170 мл 0,5 н. NaHCO<sub>3</sub> и после выпаривания и аналогичной обработки получают I, выход 90%. При замене IV на H<sub>2</sub>SO<sub>4</sub> выход I снижается до 50%; R<sub>f</sub> 0,80 и 0,87 в n-C<sub>4</sub>H<sub>9</sub>OH: вода и n-C<sub>4</sub>H<sub>9</sub>OH: вода: ацетон (5:3:2).

Б. Токарев

57629. К изучению морских продуктов. XLIII. Нуклеозиды губок. V. Синтез спонгозина. Бергман, Стеммин (Contributions to the study of marine products. XLIII. The nucleosides of sponges. V. The synthesis of spongosine. Bergmann Werner, Stempien Martin F., Jr., J. Organ. Chem., 1957, 22, № 12, 1575-1577 (англ.)).

Осуществлен синтез спонгозина (9-β-D-рибофурано-



зил-2-метоксиадеина) (I) из хлормеркур-2-метоксиадеина (II) и 1-хлор-2,3,5-О-трибензоил-D-рибозы (III) с последующим дебензоилированием. I образуется также при метилировании кротонозида (IV). 2-метоксиадеин (V) получают нагреванием в стальном баллоне 3 г 2-хлорадеина и  $\text{CH}_3\text{ONa}$  (6 г Na в 120 мл  $\text{CH}_3\text{OH}$ ) в 80 мл абс.  $\text{CH}_3\text{OH}$  (150°, 5 час.). Выход V 50%, перекристаллизован из водн.  $\text{CH}_3\text{OH}$  (1:1). Кр-ру 1 г V в 2 мл воды и 6,5 мл 1 н. NaOH добавляют 1,7 г  $\text{HgCl}_2$  в 20 мл спирта и выделяют II. К азеотропически сухой суспензии 0,8 г II в 55 мл ксилола добавляют III (из 0,5 г 1-О-ацетил-2,3,5-три-О-бензоил-D-рибозы) в небольшом кол-ве ксилола, кипятят 4 часа (перемешивание), ксилол удаляют в вакууме, остаток экстрагируют  $\text{CHCl}_3$ , экстракт промывают 30%-ным KJ ( $2 \times 35$ ) и упаривают в вакууме. Масло (1,49 г) растворяют в 50 мл абс.  $\text{CH}_3\text{OH}$ , добавляют 1 мл 1 н.  $\text{CH}_3\text{ONa}$  в  $\text{CH}_3\text{OH}$ , кипятят (30 мин.) добавляют еще 1 мл 1 н.  $\text{CH}_3\text{ONa}$ , снова кипятят (20 мин.) и упаривают; остаток растирают с эфиром, осадок (0,6 г) растворяют в горячей воде, слегка подщелачивают NaOH и декантируют. Р-р подкисляют и высушивают вымораживанием. Остаток экстрагируют  $\text{CHCl}_3$  и упаривают. Выход I 31%, т. пл. 191—191,5° (из воды). Кр-ру 50 мг IV в 1 мл воды и 1,8 мл 0,1 н. NaOH добавляют избыток р-ра  $\text{AgNO}_3$ , осадок высушивают в вакууме над KOH, суспендируют в 5 мл абс.  $\text{CH}_3\text{OH}$ , добавляют 2 мл  $\text{CH}_3\text{J}$ , перемешивают 2 часа и центрифугат упаривают в вакууме; остаток растворяют в нескольких каплях воды. I обнаруживают хроматографически в системах: бутанол— $\text{NH}_3$ —вода ( $R_f$  0,36), бутанол—спирт—вода ( $R_f$  0,33) и бутанол—вода ( $R_f$  0,33). Для I приведены значения  $\lambda_{\text{макс}}$  в УФ-спектре. Сообщение XLII см. РЖХим, 1958, 11426.

З. Шабарова

57630. Строение стробонина и криптостробина и щелочная изомеризация их монометиловых эфиров. Шопен (Structure de la strobopinine et de la cryptostrobine et isomérisation alcaline de leurs éthers monométhylés. Chopin Jean, C. r. Acad. sci., 1957, 245, № 25, 2300—2302 (франц.))

При деметилировании 2-окси-4,6-диметокси-3-метилхалкона (I) действием HJ или хлоридрата пиридина одновременно образуются 5,7-диокси-6-метилфлаванон, *dl*-стробонин (II), т. пл. 234—237°, и 5,7-диокси-8-метилфлаванон, *dl*-криптостробин (III), т. пл. 205—207; (обе испр.). Действием  $\text{CH}_2\text{N}_2$  II и III превращены в их 7-О-метиловые эфиры (МЭ): МЭ II, т. пл. 100—104°, и МЭ III, т. пл. 142—143° (обе испр.). При кипячении со спирт. р-ром NaOH МЭ II полностью изомеризуется в МЭ III. При кипячении I с HBr (к-та) в  $\text{CH}_3\text{COOH}$  образуется лишь МЭ III, превращенный [действием избытка  $(\text{CH}_3)_2\text{SO}_4$  +  $\text{K}_2\text{CO}_3$  в ацетоне] в 5,7-диметокси-8-метилфлаванон (IV), т. пл. 138—139°. При нагревании в щел. среде из IV образуется I. Приведены данные УФ-спектров II, III, IV, МЭ II и МЭ III (ср. РЖХим, 1958, 36412).

Э. Серебряков

57631. Синтез рацемической, оптически активной и радиоактивной  $\alpha$ -липоновых кислот. Аккер, Уэйн (Synthesis of racemic, optically active and radioactive  $\alpha$ -lipoic acids. Ackers D. S., Wayne W. J., J. Amer. Chem. Soc., 1957, 79, № 24, 6483—6487 (англ.))

Промежуточные в-во в синтезе  $\alpha$ -липоновой к-ты (I) — этиловый эфир (ЭЭ) *dl*-6,8-дихлороктановой к-ты (*dl*-II к-та), получен по видоизмененному методу Риди и Ниу Цани-и (РЖХим, 1956, 32639) из моно-ЭЭ *dl*-адипиновой к-ты (III). Изготовленный из III и  $\text{SOCl}_2$  в  $\text{C}_2\text{H}_5\text{Cl}_4$  хлорангидрид без выделения вводился в р-цию с этиленом, давая ЭЭ *dl*-6-кето-8-хлороктановой к-ты, который также без выделения восстанавливался р-ром  $\text{NaBH}_4$  в 95%-ном спирте в ЭЭ *dl*-6-окси-8-хлороктановой к-ты (*dl*-IV к-та), выход 73%, т. кип. 129—132°/0,35 мм,  $n_D^{25}$  1,4583.

Аналогично получен метиловый эфир (МЭ) *dl*-IV, выход 71—83%, т. кип. 123—125°/0,45 мм,  $n_D^{25}$  1,4607—1,4618. Из ЭЭ и МЭ *dl*-IV при действии  $\text{SOCl}_2$  образуется соответственно ЭЭ *dl*-II, выход 77,5%, т. кип. 82—94°/0,05—0,1 мм,  $n_D^{25}$  1,4596—1,4606, и МЭ *dl*-II, выход 79%, т. кип. 89°/0,2 мм,  $n_D^{25}$  1,4638. Кипячением 170 г ЭЭ *dl*-II с 500 мл конц. HCl-к-ты (18 час.) получена свободная *dl*-II, выход 74%, т. кип. 122—127°/0,2 мм,  $n_D^{25}$  1,4774—1,4781. Из р-ра эквимолекулярных кол-в *dl*-II и (—)-эфедрина (ЭД) в этилацетате при —18° кристаллизуется соль (+)-II с ЭД, общий выход 54%, т. пл. 106,5—108°,  $[\alpha]^{24,2}_D$  —11,1° (с 1; сп.); разложением ее 5%-ной HCl-к-той (0°) получена (+)-II, выход 97,4%, т. кип. 121,5—123°/0,2 мм,  $n_D^{25}$  1,4776,  $[\alpha]^{23,8}_D$  —30,5° (с 2; бэл.). Из маточного р-ра солей ЭД выделена соль (—)-II с ЭД, выход 33%, т. пл. 78,5—82°,  $[\alpha]^{24,2}_D$  —33,4° (с 1; сп.), разложением которой получена (—)-II, выход 97% т. кип. 122—126°/0,3 мм,  $n_D^{25}$  1,4776;  $[\alpha]^{23,8}_D$  —29,3° (с 2; бэл.), содержит примесь (+)-изомера. Смесь 1,25 моли  $\text{Na}_2\text{S} \cdot 9\text{H}_2\text{O}$  и 1,25 г-атома S кипятят с 2,5 95%-ного спирта до растворения, добавляют р-р 1 моля МЭ *dl*-II в 500 мл спирта (кипение, 5 час.), отгоняют 1 л р-рителя, нагревают ~8 час. с р-ром 80 г NaOH в 2,5 л воды. Подкисляют конц. HCl-к-той (рН 1—2), экстрагируют  $\text{C}_6\text{H}_6$ , получают *dl*-I, выход 68%, т. кип. 197°/1—2 мм и 180°/0,2 мм, т. пл. 58—59° (из циклогексана, метилциклогексана или *n*-пентана); аналогично получают *dl*-I из *dl*-II (переведенной действием NaOH в Na-соль), выход 45,6%. Из (+)-II тем же путем получена (+)-I, выход 60%, т. кип. 180°/0,1 мм, т. пл. 46,5—48°,  $[\alpha]^{23,3}_D$  +91° (с 2; бэл.), а из (—)-II получена (—)-I, выход 47%, т. кип. 180°/0,1 мм, т. пл. 50—53° (обе из *n*-пентана),  $[\alpha]^{23,8}_D$  —63° (с 1,6; бэл.), содержит 15—20% (+)-изомера. Разделение *dl*-I на изомеры достигнуто также кристаллизацией солей с (—)-циклоимидином (ЦХ) из этилацетата (—18°); все операции проводят в темноте или при красном свете. Соль (+)-I с ЦХ, т. пл. 99,5—156°,  $[\alpha]^{24,1}_D$  —50° (с 0,9; сп.); соль (—)-I с ЦХ, сироп,  $[\alpha]^{24,7}_D$  —79,6° (с 1; сп.). Выход (+)-I не выше 4,4%; чистую (—)-I получить не удалось. Добавление к S (при р-ции с  $\text{Na}_2\text{S}$  и далее с *dl*-II) меченой  $\text{S}^{32}$  (активность 50 мкюри) привело к *dl*-I, меченной при S(2), выход 45%, активность 4 мкюри/г (теоретически 4,4 мкюри/г). Активность (в %) как фактора окисления пировиноградной к-ты (Gunsalus I. C. и др., J. Biol. Chem., 1952, 194, 849): природная *dl*-I 100; синтетич. *dl*-I 103; (+)-I 188—200; (—)-I 26—39; *dl*-I-S<sup>32</sup> 109.

А. Васильев

57632. О мангиферине, красящем веществе манго (*Mangifera indica* Linn.). IV. Выделение 1,3,6,7-тетраоксиксанта и строение углеродного скелета мангиферина. V. Идентификация углеводного компонента и строение мангиферина. Исэда (On mangiferin, the coloring matter of mango (*Mangifera indica* Linn.). IV. Isolation of 1,3,6,7-tetrahydroxanthone and the skeletal structure of mangiferin. V. Identification of sugar component and the structure of mangiferin. Iseda Syun, Bull. Chem. Soc. Japan, 1957, 30, № 6, 625—629, 629—633 (англ.))

IV. Продукт, полученный при нагревании взвеси мангиферина  $\text{C}_{19}\text{H}_{18}\text{O}_{11}$  (I) в феноле с HJ, идентифицирован спектроскопически как 1,3,6,7-тетраоксиксантон (II), выход 2,5 г из 5 г I; при действии HBr выход II меньше. Ацетилирование 2 г II приводит к 1,6 г тетраацетата (III), т. пл. 199,5—200° (из лед.  $\text{CH}_3\text{COOH}$ ). При кислотном гидролизе 350 мг III получено 290 мг чистого II,  $\text{C}_{19}\text{H}_{18}\text{O}_6 \cdot \text{H}_2\text{O}$ , темнеет при 320°, разлагается при 370—371° (из 30%-ного сп.). Метилирование ( $\text{CH}_2\text{N}_2$ ) 0,1 г II приводит к 1-окси-3,6,7-триметокс-

V, выход —1,4618.  
уется со-  
4°/0,05—  
ход 79%,  
170 г 33  
сена сво-  
м, n<sub>D</sub><sup>20</sup> D  
л-в dl-II  
кристал-  
%, т. пл.  
еннем ее  
д 97,4%,  
D + 30,5°  
лена соль  
D—33,4°  
II, выход  
D—29,3°  
1,25 моли  
95%-ного  
M3 dl-II  
ают 1 а  
N в 2,5 а  
, экстра-  
197°/1—  
огексана,  
получают  
Na-соль,  
на (+)I,  
46,5—48°  
на (—)I,  
—53° (обе  
содержит  
меры до-  
цинкони-  
проводит  
X, т. пл.  
(—)I с ЦХ,  
не выше  
обавление  
ченной S<sub>2</sub>  
ной при  
етически  
кисления  
J. Biol.  
синтетич.  
S<sub>2</sub> 109.  
Васильев  
е манго  
3,7-тетра-  
ета мал-  
омпони-  
angiferin,  
ca Linn.)  
and the  
cation of  
angiferin.  
1957, 30,  
и взвеси  
нтифици-  
ксантону  
выход II  
6 г тетра-  
H<sub>3</sub>COOH)  
о 290 мг  
агается  
ирование  
метокси-

ксантону (IV), выход 90 мг, т. пл. 248—249° (из водн. сп.); ацетат IV, т. пл. 216° (из сп.). Синтез II: к 20 г 5-оксигидрохинона в 200 мл эфира прибавляют 30 г Zn(CN)<sub>2</sub> и пропускают HCl (газ); выпарив эфир, приливают 120 мл воды, нагревают 5 мин.; через 12 час. (0°) выделяют 2,4,5-триоксисбензальдегид (V), выход 20 г, т. пл. 229—230° (разл.). Р-р 7,3 г V и 7,5 г флороглюцина в 50 мл лед. CH<sub>3</sub>COOH + 20 мл конц. HCl нагревают 30 мин. и выделяют 10 г неочищ. 1,6,7-триоксифлуорона; его гидрируют в спирте с 5%-ным Pd/C, получают 7,3 г неочищ. 1,3,6,7-тетраоксиксантена (VI). Тетраацетат VI, выход 7,5 г, т. пл. 177° (из сп.), растворяют в 50 мл лед. CH<sub>3</sub>COOH + 30 мл (CH<sub>3</sub>CO)<sub>2</sub>O, окисляют 2,4 г CrO<sub>3</sub>, получают 5,5 г III и из него II. Приведены кривые УФ-спектров I, II и III. Т-ры плавления исправлены.

V. Опыты окисления I (HJO<sub>4</sub>) и его кислотного гидролиза показали, что входящую в состав I глюкозу отщипить обычными методами не удается. Спектроскопически I идентифицирован как α-D-глюкопиранозид. Наиболее вероятной является эфирная связь C<sub>(1)</sub> глюкозы и C<sub>(7)</sub> ксантона. Приведены кривые ИК-спектров I, II, диметилового эфира I и ацетата этого эфира.

Р. Топштейн

57633. О мускарине. Сообщение 7. Синтез и абсолютная конфигурация мускарина. Хардеггер, Лозе (Über Muscarin. 7. Mitteilung. Synthese und absolute Konfiguration des Muscarins. Hardegger E., Lohse F.), Helv. chim. acta, 1957, 40, № 7, 2383—2389 (нем.)

Для синтеза мускарина (I) применена хитаровая к-та (II) ОСН(CH<sub>2</sub>ОН)СН(ОН)СН(ОН)СНСООН. Опыты

с D-II показали, что природный I имеет конфигурацию 2S, 3R, 5S (нумерация производного тетрагидрофурана (ТГФ) (см. РЖХим, 1956, 71531), т. е. отвечает L-II; последняя синтезирована из хлоргидрата L-глюкозамина (III), полученного по Куну (РЖХим, 1958, 1440), но с применением 10%-ного Pd/C. При окислении III в водн. р-ре (O<sub>2</sub> над Pd/C, рН 7,1, 30°, 10 час.) образуется L-глюкозаминовая к-та (IV), выход 54—60%, т. пл. 240—250° (разл.; из воды-сп.), [α]<sub>D</sub><sup>20</sup> +14,4° (с 6,7; 2,5%-ная HCl). Действием AgNO<sub>2</sub> в 1 н. HCl (0°, 1 час, затем 20, 22 часа) IV превращена в L-II, выделенную в виде Са-соли, с последующим проведением через катионит; выход L-II 15—30%, т. пл. 144°. Из L-II последовательно получены: метиловый эфир, выход 95%, т. кип. 175° (в высоком вакууме); диметиламид (V), выход 63—73%, т. пл. 172° (из CH<sub>3</sub>ОН-этилацетата), [α]<sub>D</sub><sup>20</sup> —19,1° (с 0,9; CH<sub>3</sub>ОН); тритозилат V, C<sub>23</sub>H<sub>33</sub>O<sub>11</sub>NS<sub>3</sub> (VI), выход 70%, т. пл. 141—142° (из CH<sub>3</sub>ОН), [α]<sub>D</sub><sup>20</sup> —29,0° (с 1,23; C<sub>5</sub>H<sub>5</sub>N). При действии на VI избытка LiAlH<sub>4</sub> в ТГФ одновременно восстанавливаются СО-, первичная Ts—О- и одна из вторичных Ts—О-групп, другая же вторичная Ts—О-группа превращается в —ОН; соответственно образующийся L-нормускарин (VII), C<sub>8</sub>H<sub>17</sub>O<sub>2</sub>N, является смесью 2-в-з HO-группами при C<sub>(3)</sub> или C<sub>(4)</sub>, выход VII 2,68 г (из 22,45 г VI), т. кип. 80° (в высоком вакууме); он превращен в смесь йодметилатов, выход 3,64 г, масло, и далее в тетрафенилборный комплекс, C<sub>33</sub>H<sub>40</sub>O<sub>2</sub>NB, выход 4,09 г. При дробной кристаллизации последнего (из ацетона-воды, затем из CH<sub>3</sub>ОН) выделяется сначала комплекс т. пл. 103°, выход 2,02 г; затем комплекс, отвечающий I, выход 2,07 г (12,5%, считая на VI), т. пл. 174°, [α]<sub>D</sub><sup>20</sup> +6,5° (с 1,54; ацетон). Действием CsCl он превращен в хлорид I, выход 70%, [α]<sub>D</sub><sup>20</sup> +7,4° (с 3,1; вода), идентичный с природным. Получена IV непосредственно из нитрила N-бензил-IV (минуя III), омылением его водой (75°) или конц. HCl к-той (0°) с последующим гидрированием менее удобно, так как при омылении

образуется смесь эзимеров. Сообщение 6 см. РЖХим, 1958, 46974.

А. Краевский

57634. О мускарине. Сообщение 8. Получение рацемического алломускарина. Корроди, Хардеггер, Кёгль (Über Muscarin. 8. Mitteilung. Herstellung von racemischen Allomuscarin. Corrodi H., Hardegger E., Kögl F.), Helv. chim. acta, 1957, 40, № 7, 2454—2461 (нем.)

Уточнена номенклатура стереоизомеров мускарина (I). Эпи-I отличается от I ориентацией HO-группы при C<sub>(3)</sub>; алломускарин (II) — ориентацией группы СН<sub>2</sub>-N(CH<sub>3</sub>)<sub>2</sub> (+) при C<sub>(5)</sub>; эпи-алло-I — тем и другим. Конденсацией этиловых эфиров молочной к-ты (в виде Na-производного) и фумаровой или малеиновой к-ты в эфире получен 4,5-дикарбоксикс-2-метилтетрагидрофуран-3 (III), выход 40%, масло, очищен через Cu-комплекс C<sub>22</sub>H<sub>30</sub>O<sub>12</sub>Cu, т. пл. 177—181° (из бал.-пепт. эф.). При взаимодействии этиловых эфиров DL-яблочной к-ты (IV — эфир) и α-йодпропионовой к-ты с Ag<sub>2</sub>CO<sub>3</sub> в диоксане (кипение, 12 час.) получен α-метилкарбоксиметиловый эфир DL-IV C<sub>13</sub>H<sub>22</sub>O<sub>7</sub> (V), выход 40%, т. кип. 133—135°/0,1 мм; его L-форма (из L-IV), [α]<sub>D</sub><sup>20</sup> —21,2° (с 10; сп.). При циклизации V (C<sub>2</sub>H<sub>5</sub>ONa в эфире) выход III ≤ 20%. При кипячении (1 час) с 10%-ной H<sub>2</sub>SO<sub>4</sub> III омыляется и декарбоксилируется до 5-карбоксикс-2-метилтетрагидрофурана-3 (РЖХим, 1958, 8198), т. кип. 105°/0,01 мм, который действием CH<sub>2</sub>N<sub>2</sub> превращен в метиловый эфир (VI), т. кип. 107°/1 мм; динитрофенилгидразон VI, т. пл. 147—151° (из хлф.-CH<sub>3</sub>ОН), энантин VI C<sub>9</sub>H<sub>15</sub>O<sub>3</sub>N (с (CH<sub>3</sub>)<sub>2</sub>NH), т. кип. 110°/0,01 мм. Из VI гидрированием со скелетным Ni или обработкой NaBH<sub>4</sub> в CH<sub>3</sub>ОН получают 5-карбометоксикс-3-оксикс-2-метилтетрагидрофуран (VII), т. кип. 100°/0,01 мм и 140°/0,05 мм. Из VII и (CH<sub>3</sub>)<sub>2</sub>NH в спирте (100°, 12 час.) образуется диметиламид 3-оксикс-2-метилтетрагидрофуранкарбоновой-5 к-ты, т. кип. 135°/0,01 мм, превращенный действием LiAlH<sub>4</sub> в 3-оксикс-2-метил-5-диметиламинометилтетрагидрофуран (VIII), т. кип. 100°/0,01 мм. Из VIII последовательно получены: кристаллич. йодметилат V (с CH<sub>3</sub>J), аморфный хлорметилат C<sub>9</sub>H<sub>20</sub>O<sub>2</sub>NCl (с AgCl) и из него (действием (C<sub>6</sub>H<sub>5</sub>)<sub>3</sub>BNa в воде) тетрафенилборный комплекс (IX) C<sub>33</sub>H<sub>40</sub>O<sub>2</sub>NB (смесь), борат V, т. пл. 152° (перезко). Фракционной кристаллизацией 2 г IX из CH<sub>3</sub>ОН-ацетона получены 0,2 г менее растворимой части, т. пл. 225°, по-видимому, отвечающей комплексу дезокси-I, и 1,3 г кристаллов, т. пл. 170° (из CH<sub>3</sub>ОН), которые действием CsCl или KCl в CH<sub>3</sub>ОН превращены в хлорид II; пиролизом его (220°, вакуум) получен нор-II, выход 60%, т. кип. 100°/0,01 мм; хлоргидрат нор-II, т. пл. 149—150° (из CH<sub>3</sub>ОН-этилацетата); тетрафенилборный комплекс нор-II (моногидрат), т. пл. 135° (из ацетона-воды). Подид II (из нор-II и CH<sub>3</sub>J), т. пл. 178° (из изо-C<sub>3</sub>H<sub>7</sub>ОН-этилацетата); хлорид II, т. пл. 163—165° (из изо-C<sub>3</sub>H<sub>7</sub>ОН-CH<sub>3</sub>COC<sub>2</sub>H<sub>5</sub>); тетра-хлораурат II, т. пл. 80° (из водн. CH<sub>3</sub>ОН); рейнекат II, т. пл. 169° (из ацетона-воды). При хроматографировании на бумаге R<sub>f</sub> в бутаноле-2-спирт-CH<sub>3</sub>COOH-вода (5 : 5 : 1 : 5): хлоргидрат нор-II, 0,44; йодид II, 0,48; хлорид II, 0,44; в n-бутаноле-спирт-вода (5 : 5 : 2): йодид II, 0,75; хлорид II, 0,50. Производные II по ИК-спектрам идентичны производным I. Фармакологич. активность хлорида II составляет 0,5% активности хлорида I.

А. Краевский

57635. О мускарине. Сообщение 9. О синтезе рацемического мускарина, его расщеплении на антиподы и получении (—)-мускарина из D-глюкозамина. Кокс, Хардеггер, Кёгль, Лихти, Лозе, Салеминк (Über Muscarin. 9. Mitteilung. Über die Synthese von racemischem Muscarin, seine Spaltung in die Antipoden und die Herstellung von (—)-Muscarin aus



D-Glucosamin. Cox H. C., Hardegger E., Kögl F., Liechti P., Lohse F., Saleminck C. A.), *Helv. chim. acta*, 1958, 41, № 1, 229—234 (нем.)

Синтезированную ранее (см. РЖХим, 1958, 46974) смесь хлоридов изомеров мускарина (I) хроматографировали на порошкообразной целлюлозе с вымыванием смесью бутанол:спирт:вода (5:5:2), фракцию с  $R_f$  0,50 (на бумаге) повторно разделяли на целлюлозе (метилэтилкетон-пиридин-вода, 70:10:15), выделяли хлорид DL-I,  $R_f$  0,18 (на бумаге). Действием  $Ag_2O$  его переводили в основание; последнее с (—)-ди-*n*-толуил-Д-винной к-той в *изо*- $C_3H_7O$  образует кислоту соль (+)-I,  $C_{29}H_{36}O_{10}N \cdot 0,5 H_2O$ , т. пл. 166° (из абс. *изо*- $C_3H_7O$ ). Из D-глюкозамина, описанными ранее для его антипода методами (см. РЖХим, 1958, 57633) через D-глюкозаминую к-ту последовательно получены: D-хитаровая к-та (II), т. пл. 143° (из воды); ее метиловый эфир (MЭ), т. кип. 175° в высоком вакууме, амид II, т. пл. 170° (из сп.); диметиламид II, т. пл. 172° (из  $CH_3OH$ -этилацетата),  $[\alpha]_D^{25} + 19,5$  (с 1,4;  $CH_3OH$ ); тритозилат последнего,  $C_{29}H_{36}O_{10}S_3$  (III), т. пл. 141—142° (из  $CH_3OH$ ),  $[\alpha]_D^{25} + 32,6$  (с 2,2; пиридин). Из III действием  $LiAlH_4$  получен 2R-*нор*-I, выход ~ 50%, т. кип. 80° в высоком вакууме. Из 335 мг III с NaJ в кипящем ацетоне (9 час.) образуется диметиламид 3,4-дитозил-6-дезоксигид-6-йод-II, выход 302 мг, т. пл. 115° (из сп.), который гидрированием над скелетным Ni в  $CH_3OH$  в присутствии  $(C_2H_5)_2NH$  превращен в диметиламид 3,4-дитозил-6-дезоксигид-II, выход колич., т. пл. 103° (из сп.), восстановленный  $LiAlH_4$  с образованием 2R-*нор*-I. Его йодметилат (масло) превращен в производные (—)-I: тетрафенилборный комплекс, т. пл. 174°,  $[\alpha]_D^{25} - 6,4$  (с 0,85; ацетон); хлорид, т. пл. 180° (из  $CH_3OH$ -ацетона),  $[\alpha]_D^{25} - 7,6$  (с 1,0; вода), по  $R_f$  и ИК-спектру идентичен хлориду (+)-I, но фармакологически не активен; хлораурат, т. пл. 119° (из воды); рейнекат, т. пл. 173—174° (из воды). Из MЭ II последовательно синтезированы: его тритозилат (как III), выход 58%, т. пл. 113° (из  $CH_3OH$ ); MЭ 3,4-дитозил-6-дезоксигид-II, выход колич., т. пл. 123—127°; MЭ 3,4-дитозил-6-дезоксигид-II, выход колич., т. пл. 119—120° (оба из сп.).

А. Краевский

57636. О мускарине. Сообщение 5. Косвенное доказательство строения мускарина синтетическими опытами. Эйгстер, Вазер (Indirekter Konstitutionsbeweis für Muscarin durch synthetische Versuche. 5. Mitteilung über Muscarin. Eugster C. H., Waser P. G.), *Helv. chim. acta*, 1957, 40, № 4, 888—906 (нем.)

Синтезирован ряд замещ. β-аминотетрагидрофуранов и их четвертичных солей. Метиловый эфир 4,5-дигидрофуранкарбонной-3 к-ты (РЖХим, 1956, 54438) гидрированием с 5%-ным Pd/BaSO<sub>4</sub> превращен в метиловый эфир тетрагидрофуранкарбонной-3 к-ты (I), выход 83%, т. кип. 61—65°/12 мм, из него действием  $N_2H_4 \cdot H_2O$  в спирте (кипение, 1 час) получен гидразид,  $C_5H_{10}O_2N_2$  (II), т. пл. 85,5—87°, т. кип. 100—110° (т-ра бани)/0,01 мм. Р-р II в 2 н. HCl обработан р-ром KNO<sub>3</sub>, образующийся азид, без его очистки, нагрет в бензольном р-ре с  $C_6H_5CH_2OH$  (кипение, 3 часа), получен бензилуретан,  $C_{12}H_{15}O_3N$ , выход 21,14 г (из 18,5 г I), т. пл. 60—61° (из эф.-петр. эф.), т. кип. 120—135° (т-ра бани)/0,02 мм; при гидрогенолизе уре-тана в спирте с Pd/BaSO<sub>4</sub> (с добавлением Pd-черни) образуется 3-аминотетрагидрофуран (III), выход 6,31 г, т. кип. 73°/59 мм. Нагреванием смеси 4,293 г III, 9,4 г 35%-ного HCHO и 6,8 г 99%-ной HCOOH (100°, 10 час.) с последующей обработкой 2 н. HCl получен хлоргидрат диметил-(тетрагидрофурил-3)-амина (IV — амин), выход 6,212 г, т. пл. 140° (из  $CH_3OH$ -ацетона), т. возг. 110—120°/0,01 мм. Свободный IV, т. кип.

77—78°/80 мм. Производные IV: йодметилат, т. пл. 226—226,5° (из сп.-эф.); хлорметилат (V), т. пл. 298—299° (разл.; из *изо*- $C_3H_7OH$ -ацетона); метилтетрахлораурат, т. пл. 228—229° (разл.; из водн.  $CH_3OH$ ). Конденсацией γ-капролактона (VI) с HCOOC<sub>2</sub>H<sub>5</sub> в присутствии Na в эфире (см. ссылку выше) с последующей обработкой  $CH_3OH + HCl$  получена смесь изомеров: 2-метокси-3-карбометокси-5-этилтетрагидрофурана, т. кип. 95—101°/12—13 мм, которая при отщеплении  $CH_3OH$  (в присутствии конц.  $H_2SO_4$ ) дает метиловый эфир 2-этил-2,3-дигидрофуранкарбонной-4 к-ты (VII), выход 73,07 г (из 123 г VI), т. кип. 89—92°/12—13 мм. Гидрированием 71,4 г VII (с Pd/BaSO<sub>4</sub> в  $CH_3OH$ , затем с PtO<sub>2</sub> в  $CH_3COOH$ ) получен метиловый эфир 2-этилтетрагидрофурилкарбонной-4 к-ты (VIII), выход 56,3 г, т. кип. 87—88°/13 мм. Из 52 г VIII последовательно (как из I) получены гидразид,  $C_7H_{14}O_4N_2$ , т. пл. 60° (из хлф.-эф.), т. кип. 120—130°/0,02 мм; бензилуретан (через азид),  $C_{14}H_{19}O_3N$ , выход 38 г, т. пл. 49,5—50,5° (из эф., —80°), т. кип. 130—140°/0,1—0,05 мм; затем (без выделения первичного амина) 2-этил-4-диметиламинотетрагидрофуран (IX), по-видимому, чистый изомер, выход 11,7 г, т. кип. 62,5—63°/12 мм. Производные IX: йодметилат, т. пл. 142—144° (из *изо*- $C_3H_7OH$ ); хлорметилат (X), т. пл. 151—152° (из *изо*- $C_3H_7OH$ -эф.); метилтетрахлораурат, т. пл. 116—118° (из воды). Другой путь синтеза IX: из 81,5 г пропарил-пиранилового эфира (Henbest H. B. и др., *J. Chem. Soc.*, 1950, 3646) действием  $C_4H_9Li$ , затем  $(C_2H_5CO)_2O$  (XI) в эфире получен (гексин-2-он-4-ил-1)-α-пираниловый эфир  $C_{11}H_{16}O_3$  (XII), выход 58,5 г, т. кип. 64—66°/0,04 мм; он легко присоединяет  $(CH_3)_2NH$  в эфирном р-ре, образуя (2-диметиламиногексен-2-он-4-ил-1)-α-пираниловый эфир (XIII), выход почти колич., т. кип. 110° (т-ра бани)/0,02 мм. Гидрированием 29,2 г XIII с Pt в  $CH_3COOH$  с последующим нагреванием продукта в р-ре  $H_3PO_4$  (отщепление пиранилового остатка и циклизация) получен IX, выход ~ 6 г; при предварительном восстановлении СО-группы XIII посредством  $LiAlH_4$  (перед гидрированием) выход IX значительно улучшается. При применении (вместо XI) ангидрида α-метоксипропионовой к-ты (XIV), т. кип. 97—99°/10 мм, получены соответственно ацетилкетон  $C_{12}H_{18}O_4$  (XV), т. кип. 100°/0,05 мм; аминокетон  $C_{14}H_{22}O_4N$  (XVI), т. кип. 140—145°/0,05 мм; действие  $LiAlH_4$  на XVI — ненасыщ. аминокетон  $C_{14}H_{27}O_4N$  (XVII), т. кип. 110—115°/0,02 мм, и гидрированием XVII с Pd/BaSO<sub>4</sub> в спирте — насыщ. метоксисилированный аминокетон, т. кип. 80—100°/0,04 мм (по-видимому, смесь изомеров), циклизация последнего не удалась. Синтезированы соли триметил-[2-(α-оксипропил)-тетрагидрофурил-4]-аммония (XVIII катион). Из 51,9 г метилового эфира фуранкарбонной-3 к-ты действием 45 мл  $(CH_3CO)_2O + 5,5$  г BF<sub>3</sub>-эфира при нагревании получен метиловый эфир 5-ацетилфуранкарбонной-3 к-ты (XIX), выход 31,27 г, т. кип. 88,5—89° (из ацетона-петр. эф.), т. кип. 128—129°/11 мм; *n*-нитрофенилгидразон, т. пл. 238,5—239,5° (из  $CH_3OH$ ). Аналогично ацетилированием свободной фуранкарбонной-3 к-ты получена 5-ацетилфуранкарбонная-3 к-та (XX), т. пл. 208—209,5° (из воды), т. возг. 140—160°/0,02 мм. Гидрированием (с Pd/BaSO<sub>4</sub> в спирте + этилацетат, затем с PtO<sub>2</sub> в  $CH_3COOH + CH_3OH$ ) XIX превращен в 2-(α-оксипропил)-4-карбометокси-тетрагидрофуран (XXI), выход 29,65 г (из 31,19 г XIX), т. кип. 130—136°/10 мм. Из 27,5 г XXI (как из I, но без выделения гидразиды) получен бензилуретан,  $C_{14}H_{18}O_4N$ , выход 15,6 г, т. кип. 155—165° (т-ра воздушной бани)/0,04 мм, который гидрогенолизом и метилированием (как при получении IX) превращен в 2-(α-оксипропил)-4-диметиламинотетрагидрофуран (XXII), выход 6,35 г, т. кип. 110—115°; пикрат, т. пл. 109—113° (из сп.), по-видимому, смесь

изомеров. Действием  $\text{CH}_3\text{J}$  XXII превращен в йодметил-лет (йодид XVIII), т. пл. 137—147°, который без очистки переведен (действием  $\text{AgCl}$ ) в хлорид XVIII, т. пл. 140—151° (из  $\text{изо-C}_3\text{H}_7\text{OH-ацетона}$ ), — смесь изомеров А и В, разделенную хроматографией из «р-рителя 16» (гепт- $\text{C}_6\text{H}_{13}\text{OH-сп. 3\%-ный NH}_3$ , 3:1:1) на целлюлозе с вымыванием тем же р-рителем. Соли XVIII-A (при водител. т. пл.): хлорид (XXIII-A), 140—142°; тетрафенилборат, 214,5—216,5° (из  $\text{CH}_3\text{OH}$ ); тетрафтораурат, 114,5—115° (из сп.); реинекат, 145—146° (из водн. ацетона). Соли XVIII-B: хлорид (XXIII-B), 175,5—176°; тетрафенилборат, 196—196,5° (из сп.); тетрафтораурат, 151—152,5° (из  $\text{CH}_3\text{OH}$ ). Другой путь получения солей XVIII: из XX действием  $\text{SOCl}_2$  получен кристаллич. хлорангидрид, превращенный (в эфире + водн. р-р  $\text{NaN}_3$ , 0°) в кристаллич. азид, последний при нагревании с  $\text{HCOOH}$  образует 3-формиламино-5-ацетилфуран (XXIV), выход 292 мг (из 2,14 г XX), т. пл. 190—191° (из воды, после возгонки при 130—150°/0,04 мм). Гидрированием XXIV в  $\text{CH}_3\text{OH}$  с  $\text{Pd/BaSO}_4$  получен 2-( $\alpha$ -оксиэтил)-4-формиламино-тетрагидрофуран, т. кип. 100—120° (т-ра бани)/0,02 мм, а из него действием  $\text{LiAlH}_4$  2-( $\alpha$ -оксиэтил)-4-метиламино-тетрагидрофуран, т. кип. 90—100°/0,08 мм, который последовательной обработкой  $\text{CH}_3\text{J}$ ,  $\text{KOH}$  и  $\text{HCl}$  превращен в смесь XXIII-A и XXIII-B. При окислении ( $\text{O}_2$ , с  $\text{Pt}$  из  $\text{PtO}_2$ , в воде) из XXIII-A и (еще быстрее) из XXIII-B образуется один и тот же хлорид триметил-(5-ацетилтетрагидрофурил-3)-аммония (XXV), т. пл. 185,5—187° (из  $\text{изо-C}_3\text{H}_7\text{OH-эф.}$ ); тетрафтораурат (XXVI), т. пл. 119—120° (из воды). В этих же условиях из хлорида мускарина образуется кристаллич. хлорид 3-оксомускарина (XXVII),  $[\alpha]_D^{20} + 3,9^\circ$  (с 5,08; сп.); тетрафтораурат (XXVIII), т. пл. 89—93° (в другом опыте 105—108°). Авторы теперь принимают для мускарина ф-лу Кёгеля (РЖХим, 1958, 46974). Для сравнения спектров из йодида транс-триметил-(2-оксидиклопентил)-аммония (РЖХимБх, 1958, 13438) получен хлорид, т. пл. 207°, окисленный ( $\text{O}_2$ , с  $\text{Pt}$ , в воде) до нестойкого хлорида триметил-(2-оксидиклопентил)-аммония (XXIX); тетрафтораурат (XXX), более устойчив, т. пл. 160—170° (разл.; из сп.). При фармакологич. испытаниях на кошках и органах лягушек, V, X, XXIII-A и XXIII-B обнаружили меньшую мускарино-, а большую никотино- и курареподобную активность, чем мускаринхлорид (приведены таблицы). Приведены данные УФ-спектров VII, XII, XIII, XV, XVI, XVII, XIX, XX, XXIV, XXV, XXVII, данные ИК-спектров XIV и XXV—XXX и кривые УФ-спектров XIX и XXIV. Сообщение 4 см. РЖХим, 1958, 18148.

В. Некрасов

57637. О мускарине. Сообщение 6. Синтез *d,l*-мускарина. Краткое сообщение. Эйгстер (Synthese des *d,l*-Muscarins (kurze Mitteilung). 6. Mitteilung über Muscarin. Eugster C. H., Helv. chim. acta, 1957, 40, № 7, 2462—2465 (нем.).

Конденсацией гексоз с эфирами  $\beta$ -кетокислот получают эфиры 2-замещ. 5-полиоксиалкилфуранкарбониль-3 к-т; при их окислении ( $\text{PbO}_4$  в 50%-ной  $\text{CH}_3\text{COOH}$ , 50—55°) боковая цепь при  $\text{C}_5$  превращается в группу —CHO; выход формилпроизводных 90%. Действием на них  $\text{HCON}(\text{CH}_3)_2 + \text{HCOOH}$  в молекулу вводит — $\text{N}(\text{CH}_3)_2$ -группу, выход 55—65%. Так получают этиловый эфир 2-метил-5-диметиламинометилфуранкарбониль-3 к-ты (I), т. кип. 122—123°/10 мм; лиграт, т. пл. 155—156° (из  $\text{CH}_3\text{OH}$ ). Действием  $\text{N}_2\text{H}_4 \cdot \text{H}_2\text{O}$  (10 час., 170°) I превращен в гидразид  $\text{C}_9\text{H}_{15}\text{O}_2\text{N}_3$ , выход 85—95%, т. кип. 145—155°/0,03 мм, т. пл. 79—80° (из толуола), который обработкой  $\text{C}_6\text{H}_5\text{CH}_2\text{OH}$  переведен в кристаллич. бензилуретан (II),  $\text{C}_{16}\text{H}_{20}\text{O}_2\text{N}_3$ , выход 90%, т. кип. 160—165°/0,03 мм (с частичным разл.). Аналогично получен этилуретан  $\text{C}_{11}\text{H}_{15}\text{O}_2\text{N}_3$ , т. кип.

95—100°/0,02 мм. При гидролизе II (2 н.  $\text{HCl}$ , 100°) образуется 2-метил-5-диметиламинометил-2,3-дигидрофуранон-3 (III), т. кип. 55°/0,05 мм. Действием  $\text{KBN}$ , в водн.  $\text{CH}_3\text{OH} + \text{N}(\text{C}_2\text{H}_5)_3$  из III получен 2-метил-3-окси-5-диметиламинометилтетрагидрофуран с хорошим выходом, в данных условиях из 4 возможных рацематов образуется преимущественно DL-нормускарин, т. кип. 70—80°/0,04 мм, превращенный последовательно в производные DL-мускарина (IV): йодид (с  $\text{CH}_3\text{J}$ ), т. пл. 117—118° (из  $\text{изо-C}_3\text{H}_7\text{OH-эф.}$ ); хлорид IV, т. пл. 148—152° (из  $\text{изо-C}_3\text{H}_7\text{OH-ацетона}$ ); тетрафтораурат IV, т. пл. 79—83° (из воды). Судя по ИК-спектрам и физиологич. активности (70% от активности природного IV) в синтетич. IV есть примесь изомеров. Приведены данные ИК-спектра III.

А. Краевский  
57638. О мускарине. Сообщение 7. Синтез рацематов мускарина, мускарина и эпимускарина (разделение рацематических изомеров мускарина). Эйгстер, Хефлигер, Денс, Жиро (Synthese der Racemate von Muscaron, Muscarin und epi-Muscarin (Trennung der racemischen Muscarin — Isomeren). 7. Mitteilung über Muscarin. Eugster C. H., Häfli-ger F., Denss R., Girod E.), Helv. chim. acta, 1958, 41, № 1, 205—215 (нем.).

Восстановлением описанного ранее (см. пред. реф.) 2-метил-5-диметиламинометил-2,3-дигидрофуранона-3 (I) в различных условиях получены нор-основания, соответствующие *d,l*-мускарину (II), *d,l*-эпи-II и *d,l*-мускарону (III). Р-р 8,3 г I в 20 мл  $\text{CH}_3\text{OH}$  вносят в смесь 3,75 г  $\text{KBN}$  + 25 мл воды + 10 мл  $\text{N}(\text{C}_2\text{H}_5)_3$  (0°, 20 мин.), через 20 мин. реакционную смесь кипятят 10 мин., 4,57 г извлеченной  $\text{CHCl}_3$  смеси оснований (масло, выход 5,22 г, т. кип. 95—130°/10 мм) хроматографируют на нейтр.  $\text{Al}_2\text{O}_3$  из  $\text{C}_6\text{H}_6$ , с вымыванием  $\text{C}_6\text{H}_6$  с увеличивающимися кол-вами  $\text{CH}_3\text{OH}$  (от 0,5 до 10%) выделяют 0,36 г *эпи-нор-II*, т. кип. 30—40°/0,03 мм; затем 0,52 г неочищ. *алло-нор-II*, т. кип. 45—55°/0,01 мм, и 0,97 г *нор-II*, т. кип. 80—85°/0,08—0,1 мм. В смеси, по-видимому, присутствует и *эпи-алло-нор-II*. При гидрировании 5,7 г I в 150 мл воды + 0,85 г  $\text{NaOH}$  со скелетным Ni (20°, 760 мм, 9 час.) образуется *эпи-нор-II*, выход (неочищ.) 2,63 г, т. кип. 45—48°/0,02 мм; йодметилат (IM), т. пл. 130—131° (из ацетона); хлорметилат (XM), т. пл. 139,5—140,5° (из  $\text{изо-C}_3\text{H}_7\text{OH-эф.}$ ); тетрафенилборный комплекс (ТФБ) *эпи-II*,  $\text{C}_{33}\text{H}_{40}\text{O}_2\text{NB}$ , т. пл. 180—181° (из ацетона-сп.); тетрафтораурат (ТХА) *эпи-II*, т. пл. 106—107°. Гидрированием 13,6 г I в 2 н.  $\text{HCl}$  с  $\text{Pd/C}$  получен *нор-III*, выход 4,7 г, т. кип. 31—33°/0,02 мм; семикарбазон,  $\text{C}_9\text{H}_{18}\text{O}_2\text{N}_4$ , т. пл. 175—176,5° (из ацетона); IM, т. пл. 160—162° (из абс. сп.-этилацетата); ТХА III, т. пл. 87—91° (из воды); ТФБ III,  $\text{C}_{33}\text{H}_{38}\text{O}_2\text{NB}$ , т. пл. 189,5—190,5° (из абс. сп.). При гидрировании *нор-III* со скелетным Ni образуется *эпи-нор-II*. Окислением XM *эпи-нор-II* ( $\text{O}_2$ ) с  $\text{Pt}$  получен *нор-III*. Из 3,93 г *нор-III* действием  $\text{LiAlH}_4$  в эфире (т-ра от —60 до —70°, 30 мин.) получено 1,75 г смеси *эпи-нор-II* и *алло-нор-II* (т. кип. 36—58°/0,002 мм) и 1,38 г *нор-II*, т. кип. 60—62°/0,002 мм, идентичного полученному из природного II. Фармакологич. активность XM *эпи-нор-II* составляет ~1%, а синтетич. IM *dl-нор-II* ~50% от активности хлорида природного II. Приведены кривые и данные ИК-спектров всех изомеров *нор-II*, IM *эпи-нор-II*, IM *нор-II*, IM природного *l-нор-II*, ТХА и ТФБ III.

А. Краевский

57639. Синтез диметилтамнолата и диметилгипотамнолата. Агхорамуртхи, Сешадри, Венкатасубраманьян (Synthesis of dimethyl thamnolate and dimethyl hypothamnolate. Aghoramurthy K., Seshadri T. R., Venkatasubramanian G. B.), Tetrahedron, 1957, 1, № 4, 310—316 (англ.).



Диметилловые эфиры тамноловой к-ты (I) и гинотамноловой к-ты (II) синтезированы методом парануклеарного окисления (Aghoramurthy K., Seshadri T. R., Proc. Indian Acad. Sci., 1952, A35, 327) с последующим избирательным ацилированием м-ОН-группы при  $C_6$ . Принимается, что в результате электромерной поляризации под влиянием СО-группы лишь п-ОН-группа при  $C_4$  делается более кислотной, поэтому она метилируется в первую очередь, а ее ацилпроизводные нестойки (подобно ангидридам к-т), в отличие от производных м-ОН-группы. Из 2 г метилового эфира (МЭ) 2,4,5-триокси-6-метилбензойной к-ты (III) действием 1,4 мл  $C_6H_5COCl$  + 2 мл пиридина в эфире (18 час.) получен его 5-бензоат, выход 2 г, т. пл. 212—213° (из  $CH_3OH$ ). При метилировании III кипячением с  $(CH_3)_2SO_4$  +  $K_2CO_3$  в ацетоне (12 час.) образуется его 4-О-метилпроизводное, т. пл. 154° (из сл.). К 5 г МЭ β-орсинкарбоновой к-ты (IV); его 5-бензоат, т. пл. 176—177° (из бзл.). Аналогично из 6 г МЭ гематомовой к-ты получают МЭ 5-оксигематомовой к-ты (V), выход 1,5 г, т. пл. 150—152° (из этилацетата); его 5-бензоат, т. пл. 152—154° (из сл.), при восстановлении по Клемменсену превращается в бензоат IV. Взаимодействием 0,35 г IV, 0,55 г хлорангидрида 2-этоксикарбонилокси-3-карбометокси-4-метокси-6-метилбензойной к-ты (VI) (Asahina Y. и др., Chem. Ber., 1941, 74, 824) и 5 мл пиридина в эфире (20°, 20 час.) получен II, т. пл. 200° (из бзл.); аналогично из V и VI образуется I, т. пл. 160° (из бзл.-петр. эф.). В. Гуревич

**57640. Синтетические исследования в ряду фурукумаринов.** Найк, Тхакоп (Synthetic experiments in the furocoumarin series. Naik R. M., Thakor V. M.), J. Organ. Chem., 1957, 22, № 12, 1696—1697 (англ.)

Повторен синтез ангелицина (I) по Шпету и Пайлеру (Chem. Ber., 1935, 68B, 941); получены: этиловый эфир (8-формилкумаринил-7-окси)-уксусной к-ты (II к-та), т. пл. 163° (а не 157°); свободная II, т. пл. 248—249° (разл.; из  $CH_3COOH$ ), а не 178—181°. При переходе от II к I одновременно образуется 2'-карбокси-I,  $C_{12}H_8O_5$  (III), выход 0,9 г (из 2 г II), т. пл. > 315° (из  $CH_3COOH$ ); при нагревании (30 мин., 225°) с Cu-порошком и хинолином III превращается в I. Ввести ОН-группу в I к  $C_6$  действием  $K_2S_2O_8$  не удалось. При кипячении 5 г 5-метокси-7-окси-8-формил-4-метилкумарина с 15 г  $K_2CO_3$  и 5 мл  $BrCH_2COOC_2H_5$  в 300 мл ацетона в течение 72 часов образуется этиловый эфир (5-метокси-8-формил-4-метилкумаринил-7-окси)-уксусной к-ты (IV к-та), выход 1,2 г, т. пл. 261° (из  $CH_3COOH$ ); омылением 1 г его (5%-ный р-р КОН в  $CH_3OH$ , кипячение 30 мин.) получена IV, выход 0,5 г, т. пл. > 315° (из  $CH_3COOH$ ). Из 1 г IV кипячением с 2 г  $CH_3COONa$  и 15 мл  $(CH_3CO)_2O$  (2 часа) получен 4-метилизобергаптен, выход 40 мг, т. пл. 288—289° (из сл.). А. Васильев

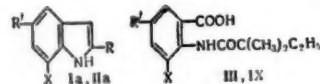
**57641. Синтез 4',5,7-триокси-8-метоксизофлавона.** Каваса, Фудзико, Итока, Фукуи (The synthesis of 4',5,7-trihydroxy-8-methoxyisoflavone. Kawase Yoshiyuki, Fujino Yuichi, Ichiooka Yoshimochi, Fukui Kenji), Bull. Chem. Soc. Japan, 1957, 30, № 7, 689—691 (англ.)

Уточнялся метод Бекера (РЖХим, 1953, 6451; 1954, 12700) для синтеза 4',5,7-триокси-8-метоксизофлавона (I) — изомера текторигенина. Конденсацией 4,1 г претолы с 4,5 г л-оксифенилацетонитрила +  $ZnCl_2$  + HCl (газ) в эфире (12 час., 0°) получен 2,4,6-триокси-3-метоксифенил-4-оксифенилкетон (II), выход 4,8 г, т. пл. 220—221,5° (из водн.  $CH_3OH$ ). Обработкой  $CH_3OSOCOSCl$  в пиридине (0°) II превращен в метило-

вый эфир 2,4'-5,7-тетраокси-8-метоксизофлавонокрбонной-2 к-ты (III к-та),  $C_{18}H_{14}O_8 \cdot H_2O$ , т. пл. 215,5—216,5 (из  $CH_3OH$ ), гидролизом которого (3%-ный р-р  $Na_2CO_3$  в водн. ацетоне, кипячение 4 часа) получена свободная III, т. пл. 288—289° (разл.; из водн.  $CH_3OH$ ). Из II при обработке  $C_2H_5OSOCOSCl$  образуется этиловый эфир III, т. пл. 219—220°. Аналогично II, но исходя из 1,5 г 2,5-диметоксирезорцина, получен 2,4-диокси-3,6-диметоксифенил-4-оксифенилкетон (IV), выход 1,3 г, т. пл. 98—99,5° (из водн.  $CH_3OH$ ). Взаимодействием 1 г IV на 1 г Na-порошка в  $HCOOC_2H_5$  (—4°, в токе  $N_2$ ) получен 4,7-диокси-5,8-диметоксизофлавонокрбонной-2 к-ты (V), выход 0,2 г, т. пл. 274—275° (из  $CH_3OH$ ). Нагреванием 0,6 г III с 0,6 г Cu-порошка в хинолине (10 мин., 230—240°, атмосфера  $N_2$ ) получен I, выход 0,1 г, т. пл. 241—242° (из этилацетата); он же образуется при нагревании V с  $AlCl_3$  в  $C_6H_5NO_2$  (1 час., 100°); триацетат I, т. пл. 167° (из водн.  $CH_3OH$ ). В. Гуревич

**57642. О строении эхиулина.** Кулико, Кардани, Пьодци (Sulla struttura dell'echinulina. Quilico Adolfo, Cardani Cesare, Pizzetti Franco), Atti Accad. naz. Lincei. Rend. Cl. sci. fis., mat. e natur., 1957, 22, № 4, 411—417 (итал.)

На основании нижеследующих данных для эхиулина (I) и гидроэхиулина (II) (см. РЖХим, 1955, 52049; 1957, 54505) предложены ф-лы (Ia) и (IIa). При окислении  $CH_3CO_3H$  (~20°) продукт пиролиза II,  $C_{22}H_{35}N$ , с хорошим выходом дает к-ту (III), строение которой подтверждается ИК-спектром ее метилового эфира, а также гидролизом III до  $C_2H_5C(CH_3)_2COOH$ . При восстановлении I и II посредством  $LiAlH_4$  образуются соответственно дезоксэхиулин (IV) и дезоксигидроэхиулин (V), отличающиеся от I и II отсутствием обеих кетогрупп в пиперазиновом кольце. При восстановлении над  $PtO_2$  в  $CH_3COOH$  IV поглощает 3 моля  $H_2$  и переходит в V. Кипячение V с  $HBr$  (d 1,48) приводит к  $BrC(CH_3)_2C_2H_5$ , выход 50%. При действии  $NaNO_2$  в лед.  $CH_3COOH$  на холоду V образует динитрозомононитропроизводное,  $C_{22}H_{44}N_3(NO)_2$  NO<sub>2</sub> VI, которое при обработке HCl в эфире теряет NO-группы с образованием NOCl. Наиболее вероятным является расположение NO<sub>2</sub>-группы в положении 3 индольной системы, а NO-групп при атомах азота пиперазинового кольца VI. Взаимодействие  $NaNO_2$  в  $CH_3COOH$  с I и II приводит к соответствующим мононитропроизводным (VII), т. пл. 226—228°, и (VIII), α-форма, т. пл. 225°, β-форма, т. пл. 261—262° (обе формы переходят друг в друга при кристаллизации



Ia, IIa, III, IX  $X = CR^1CONHCHNHCNCONH$ ; Ia  $R = C(CH_3)_2CH = CH_2$ ,  $R^1 + R^2 = C_{18}H_{18}$ ,  $R^1$  или  $R^2 = C_6H_5$ ; IIa  $R = C(CH_3)_2C_2H_5$ ,  $R^1 + R^2 = C_{18}H_{22}$ ,  $R^1$  или  $R^2 = C_6H_5$ ; III  $R^1 + R^2 = C_6H_5$ ; IX  $R^1 + R^2 = C_{18}H_{22}$ .

или плавлении и являются по-видимому, полиморфными модификациями). VIII образуется также при гидрировании VII над  $PtO_2$  в  $CH_3COOH$  (обычные т-ра и давление). II окисляется  $CH_3CO_3H$  до к-ты (IX), которая при гидролизе HBr не образует  $BrC(CH_3)_2C_2H_5$ , а дает лишь L-(+)-аланин и  $C_2H_5C(CH_3)_2COOH$ . Это свидетельствует о том, что остаток  $C(CH_3)_2C_2H_5$ , отщепляющийся при действии HBr на II, находится в положении 2 индольной системы II. Строение IV, V, VI, VII и VIII подтверждено ИК-спектрами. С. Завьялов

**57643. Синтез некоторых производных геманинида на основе опиановой кислоты.** Брасюнас (Kai

анонир-  
2155—  
ный р-р  
получен  
CH<sub>3</sub>OH).  
этило-  
но исхо-  
но 2,4-ди-  
IV), вы-  
аномой-  
H<sub>2</sub> (-4°,  
зофлавои  
Нагрева-  
(10 мин.,  
2, т. пл.  
при на-  
ацетат I,  
Гуревич  
Карда-  
na. Qui-  
i Fran-  
is, mat e

я эхи-  
ним, 1955,  
IIa). При  
лиза II,  
строение  
этилового  
COOH.  
H<sub>2</sub> обра-  
и деа-  
и II от-  
ны коле-  
V погло-  
V с HBr  
0%. При  
V обра-  
N<sub>2</sub>(NO)<sub>2</sub>  
е теряет  
ероятным  
нии 3 ил-  
та пше-  
NaNO<sub>2</sub> в  
ым моно-  
VIII),  
262° (обе  
лизации

(CH<sub>3</sub>)<sub>2</sub>CH-  
C<sub>2</sub>H<sub>5</sub>, R'+  
R'+R'=

олиморф-  
же при  
тные т-ра  
(IX), по-  
CH<sub>3</sub>)<sub>2</sub>C<sub>2</sub>H<sub>5</sub>.  
Это сви-  
с, отщеп-  
в поло-  
V, V, VI,  
Завьялов  
пинимида  
ас (Каи

kurii hemipinimido darinių sintezė panaudojant opi-  
ning rūgštį. Brasiūnas V.), Kauno med. inst. dar-  
bai, Tr. Kaunas. med. in-ta, 1957, 5, 225—230 (лит.;  
русск.)

25 г технич. опиановой к-ты в 90 г р-ра NaOH  
(d 1,25) окисляют 315 мл 4%-ного KMnO<sub>4</sub>, перемеши-  
вают 5 час. при т-ре ~ 20°, фильтруют, подкисляют,  
получают гемининовую к-ту (I), выход 81%, т. пл.  
170—177°. Смесь 40 мл конц. CH<sub>3</sub>COOH, 17 г (NH<sub>4</sub>)<sub>2</sub>CO<sub>3</sub>  
и 16,95 г I нагревают 1,5—2 часа при 160—180°, полу-  
чают имид I (II). При добавлении к р-ру 2,07 г II в  
120 мл абс. спирта р-ра 0,56 г КОН в 2 мл 75%-ного  
спирта выпадает гемининимид калия (III), выход  
72,7%. Смесь 7,35 г III и 4,1 г (C<sub>2</sub>H<sub>5</sub>)<sub>2</sub>NCH<sub>2</sub>CH<sub>2</sub>Cl в 35 мл  
абс. спирта перемешивают 11 час. при 90—95°, филь-  
труют, упаривают в вакууме (4 мм), обрабатывают  
спирт. HCl, фильтруют, обрабатывают, эфиром, полу-  
чают хлоргидрат N-β-диэтиламиноэтилгемининимида,  
т. пл. 169—170°, аналогично получен хлоргидрат  
N-γ-диэтиламинопропилгемининимида, т. пл. 179—180°.  
Хлоргидраты N-диалкиламиноалкилгемининимидов не  
вызывают поверхностной анестезии роговицы глаза  
кролика в виде 0,1% и 1%-ного водн. р-ра. Л. Я.  
57644. Определение строения гербиополина — нового  
пуринового основания животного происхождения.

Аккерман, Лист (Konstitutionsermittlung des  
Herbipolins, einer neuen tierischen Purinbase. Acker-  
mann D., List P. H.), Hoppe-Seyler's Z. physiol.  
Chem., 1957 (1958), 309, № 4-6, 286—290 (нем.; рез.  
англ.)

Выделенный из кремнистой губки *Geodia gigas* гер-  
биополин (I), C<sub>7</sub>H<sub>9</sub>N<sub>5</sub>O<sub>5</sub> (см. РЖХимБх, 1958, 11310)  
т. пл. 315°, является 7,7-диметил-2-амино-6-оксипури-  
ном, имеющим строение бетайна. При нагревании I  
с конц. HCl-к-той (12 час., 190°) образуются глицин  
(II), саркозин и диметил-II. Окислением I (KMnO<sub>4</sub> +  
2 н. H<sub>2</sub>SO<sub>4</sub>, 2 часа, 64° или NaClO<sub>3</sub> + HCl-к-та) полу-  
чают гуанидин. При введении мыши подкожно I выво-  
дится с мочой. Приведены кривые ИК-спектров I и  
гуанидина. Я. Штейнберг

57645. Составные части *Ecballium elaterium* L.  
II. α-Элатерин. Лави, Шинай (The constituents  
of *Ecballium elaterium* L. II. α-Elaterin. Lavie Da-  
vid, Szinai Shlomo), J. Amer. Chem. Soc., 1958,  
80, № 3, 707—710 (англ.)

Изучены О-функции α-элатерина C<sub>32</sub>H<sub>44</sub>O<sub>8</sub> (α-I).  
Найдено, что I, β-I и элатеридин C<sub>30</sub>H<sub>42</sub>O<sub>7</sub>·H<sub>2</sub>O (II)  
при введении в брюшину активны против саркомы 37,  
привитой в ноги мышей. Пиролиз I приводит к новому  
π-πроэлатерину C<sub>30</sub>H<sub>40</sub>O<sub>8</sub> (III). Из 100 кг плодов  
*E. elaterium* L. отжимают 40 л сока; из него за 12 час.  
выделяется 190 г осадка — «элатерия» (ЭЛ). Из 50 г  
ЭЛ экстракцией CHCl<sub>3</sub> (48 час.) с упариванием до  
30 мл и разбавлением 50 мл петр. эфира получают I,  
т. пл. 232—233° (разл.; из CH<sub>3</sub>OH), [α]<sub>D</sub> —59° (с 0,7;  
хлф.), образует аморфные трис-2,4-динитрофенилгид-  
разон (ДНФГ) с нечеткой т-рой плавления и хинокса-  
липроизводное (ХПР). Смесь 20 мл 1 н. NaOH с  
р-ром 2 г I в 300 мл спирта (~15 час., ~20°) под-  
кисляют CH<sub>3</sub>COOH, упаривают в вакууме, выход не-  
очищ. II 1,8 г, т. пл. 134—135° (из сп.-воды), [α]<sub>D</sub> +7°  
(с 1,5; хлф.). Бис-ДНФГ II, т. пл. 222° (разл.; из сп.);  
ХПР II аморфно. В I и II найдено по 3 С—CH<sub>3</sub>-группы.  
Растворение (3 часа) I или II с 2%-ным NaOH приво-  
дит к экбалловой к-те (IV), т. пл. 251—252° (разл.;  
из водн. CH<sub>3</sub>OH), [α]<sub>D</sub> —58° (с 1; ацетон). Метилловый  
эфир (МЭ) IV (из 0,4 г IV + CH<sub>2</sub>N<sub>2</sub>), выход 0,3 г,  
т. пл. 210—212° (разл.; из эф.-петр. эф.). Восстановле-  
ние 450 мг МЭ IV (LiAlH<sub>4</sub>) приводит к гликолю (V),  
выход 200 мг, т. пл. 149—150° (разл.). В I имеется  
группировка диосфевола, связанная с 6-членным цик-  
лом; в IV она образует кольцо циклопентанола. Смесь

1 г I, 3 г K<sub>2</sub>CO<sub>3</sub> и 5 г CH<sub>3</sub>J в 30 мл ацетона кипятят  
3 дня (ток N<sub>2</sub>) с добавлением CH<sub>3</sub>J, выделяют МЭ I,  
C<sub>32</sub>H<sub>46</sub>O<sub>8</sub>·H<sub>2</sub>O (VI), выход 0,9 г, т. пл. 116—118° (из  
сп.-воды). Диацетат I, C<sub>32</sub>H<sub>48</sub>O<sub>10</sub>·0,5 H<sub>2</sub>O (VII) полу-  
чают кипячением (2 часа) 1 г I с 25 мл (CH<sub>3</sub>CO)<sub>2</sub>O,  
выход 0,9 г, т. пл. 124—126° (из сп.-воды). Диацетат II,  
C<sub>34</sub>H<sub>48</sub>O<sub>8</sub>, т. пл. 136—138° (из сп.-воды). При нагрева-  
нии I (260°, в токе N<sub>2</sub> или в вакууме) отщепляется  
1 моль CH<sub>3</sub>COOH; при добавлении воды к р-ру плава  
в CH<sub>3</sub>OH выделяется III, т. пл. 292—294° (из водн.  
CH<sub>3</sub>OH), [α]<sub>D</sub> —21° (с 0,28; хлф.); бис-ДНФГ, т. пл.  
285—287°; диоксим, т. пл. 219—221° (обе из сп.-воды).  
Приведены данные УФ-спектров I, II, IV, ХПР I, ХПР  
II, ИК-спектров I, II, IV, VII. Сообщение I см. РЖХим,  
1957, 8240. А. Лютенберг

57646. Составные части *Ecballium elaterium* L.

III. Элатеридин А и В. Лави, Вильнер (The  
constituents of *Ecballium elaterium* L. III. Elatericin  
A and B. Lavie David, Willner David),  
J. Amer. Chem. Soc., 1958, 80, № 3, 710—714  
(англ.)

Из сока плодов *Ecballium elaterium* L. после выделе-  
ния «элатерия» (см. пред. реф.) эфиром извлечена  
смесь двух новых в-в: элатеридинов А и В, C<sub>32</sub>H<sub>42</sub>O<sub>7</sub>  
(I-A, I-B), выход 0,3—0,5%; они идентичны кукурби-  
тадинам D и I и проявляют очень высокую активность  
против опухолей. Разделение I-A и I-B: 1) хрома-  
тографией на SiO<sub>2</sub>/целите из смеси этилацетата-C<sub>6</sub>H<sub>6</sub>  
(1:1), насыщ. HCONH<sub>2</sub>; выход I-B из 1 г смеси 0,22 г,  
т. пл. 148—149° (разл.; из этилацетата-бзл.), [α]<sub>D</sub> —52°  
(с 1,56; хлф.), выход I-A 0,55 г, т. пл. 150—152° (разл.).  
[α]<sub>D</sub> +46° (с 1,40; хлф.); 2) р-р 10 г смеси в 1,5 л  
эфира + немного CH<sub>3</sub>OH встряхивают с 4%-ным водн.  
р-ром КОН; из эфирного р-ра выделяют 5,2 г неочищ.  
I-A, из подкисленного водн. слоя выделяют 3,3 г  
неочищ. I-B. Диацетат I-B (II), т. пл. 249—250° (из  
хлф.-петр. эф.), [α]<sub>D</sub> —78° (с 0,7; хлф.). Триацетат  
I-B (III) получают при кипячении (5 час.) 700 мг I-B  
с 35 мл (CH<sub>3</sub>CO)<sub>2</sub>O + 1,7 г CH<sub>3</sub>COONa, выход 600 мг,  
т. пл. 140—142° (из водн. CH<sub>3</sub>OH), [α]<sub>D</sub> +48° (с 1,10;  
хлф.). Метилловый эфир I-B (IV) образуется при кипя-  
чении (72 часа, ток N<sub>2</sub>) р-ра I-B в ацетоне с K<sub>2</sub>CO<sub>3</sub> +  
CH<sub>3</sub>J, т. пл. 217—218° (из ацетона-петр. эф.), [α]<sub>D</sub>  
—62° (с 1,7; хлф.); диацетат IV, т. пл. 251—252° (из  
хлф.-петр. эф.). Кипячением р-ра I-B и o-C<sub>6</sub>H<sub>4</sub>(NH<sub>2</sub>)<sub>2</sub>  
в спирте получено аморфное хиноксалинпроизводное  
(V). Гидрированием I-B в спирте над 5%-ным Pd/C  
получены: дигидро-I-B (VI), т. пл. 140—143° (разл.; из  
бзл.-петр. эф.), [α]<sub>D</sub> —22° (с 0,9; хлф.); 2,4-динитро-  
фенилгидразон VI, т. пл. 186—188° (разл.; из CH<sub>3</sub>OH);  
и тетрагидро-I-B, C<sub>28</sub>H<sub>46</sub>O<sub>7</sub> (VII), т. пл. 113—116° (из  
ксилола-петр. эф.), [α]<sub>D</sub> +32° (с 1,5; хлф.); C<sub>28</sub>H<sub>46</sub>O<sub>7</sub>·  
0,5 H<sub>2</sub>O, т. пл. 174—176° (из разб. CH<sub>3</sub>OH). Гексагидро-  
I-B, C<sub>28</sub>H<sub>48</sub>O<sub>7</sub>·2H<sub>2</sub>O (VIII) образуется при гидрирова-  
нии спирт. р-ра I-B над скелетным Ni (72 часа, 4,5 ат),  
т. пл. 156—157° (водн.), [α]<sub>D</sub> +49° (с 1,55; хлф.); тетра-  
ацетат VIII, т. пл. 135—140° (разл.; оба из водн.  
CH<sub>3</sub>OH). Восстановление VIII по видоизмененному ме-  
тоду Кижнера — Вольфа (РЖХим, 1956, 50866) при-  
водит к аморфному в-ву с частично восстановленной  
СО-группой. При кипячении 5 г I-B в 125 мл спирта  
с 125 мл 8%-ного р-ра NaOH (7 час., ток N<sub>2</sub>) происхо-  
дит перегруппировка типа бензильной к-ты (как при  
образовании экбалловой к-ты), выделяют элатериди-  
новую к-ту, C<sub>28</sub>H<sub>44</sub>O<sub>8</sub>, выход 2,5 г, т. пл. 140—143°  
(разл.; из толуола-петр. эф.), с CH<sub>2</sub>N<sub>2</sub> образует аморф-  
ный метилловый эфир (IX). При нагревании (60 час.)  
1,8 г IX с 3,5 г LiAlH<sub>4</sub> в эфире образуется элатериди-  
нол (X), выход 1,2 г, т. пл. 127—130° (из ксилола),  
который действием HJO<sub>4</sub> превращен в нор-элатериди-  
нон (XI). Приведены данные УФ-спектров I-A, I-B,  
IV, V, VI, VIII; ИК-спектров I-A, I-B, II, VIII, X, XI.



Отмечено присутствие в I-V ядра фурана, в XI — циклопентанона.

А. Лютенберг

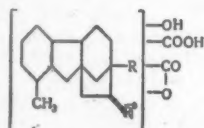
**57647. Синтезы протогиперидина и гиперидина из эмодинантрона-9.** Брокман, Эггерс (Synthese des Proto-hypericins und Hypericins aus Emodin-anthron-(9). Brockmann Hans, Eggers Heinrich), Chem. Ber., 1958, 91, № 3, 547—553 (нем.)

Протогиперидин (I) и гиперидин (II) могут быть получены окислением эмодинантрона-9 (III)  $O_2$  воздуха. Вероятно, биосинтез I и II близок к этой схеме. Через завесь 0,5 г III в 2 мл пиридина и 0,2 мл пиперидина пропускают (20 мин., 100°) ток воздуха, вливают р-р в 0,1 л 0,2 н. HCl, отделяют осадок, извлекают его в атмосфере  $N_2$  диоксидом, хроматографируют на  $CaSO_4$ , промывают диоксидом, 3-ю зону вымывают  $CH_3OH$ , р-р концентрируют, продукт растворяют в 2 мл диоксидана и осаждают  $CH_3OH$  I; облучением ацетонового р-ра I получают II.

Д. Витковский

**57648. Химическая структура гиббереллинов.** VII. Китамура, Сэта, Такахаси, Каварада, Сумики. VIII. Сэта, Китамура, Такахаси, Сумики. IX. Такахаси, Сэта, Китамура, Каварада, Сумики (Chemical structure of gibberellins. VII—IX. Kitamura Hiroshi, Seta Yasuo, Takahashi Nobutaka, Kawarada Akira, Sumiki Yusuke), Bull. Agric. Chem. Soc. Japan, 1957, 24, № 1, 71—76 (англ.)

VII. Химическими и спектральными методами показано наличие в гиббереллине  $A_1$  (I), гиббереллине  $A_2$  (II) и гиббереллиновой к-те (III) лактонного кольца,  $COOH$ -группы, втор- и трет-ОН-групп. При дегидриро-



I R=OH, R'=CH<sub>3</sub>

IV R=CH<sub>3</sub>, R'=O

V R=CH<sub>2</sub>Br, R'=O

вании с Se I дает 1,7-диметилфлуорен, а II производное флуорена, т. пл. 85—90°. При одинаковом углеродном скелете число C=C-связей в I = 1, в II 0, в III 2. Каталитич. гидрированием метилового эфира I (МЭ I) получена смесь двух стереоизомерных дигидропроизводных, т. пл. 235—237°; из МЭ III образуется соответственно ~30% МЭ дигидро-I и ~40% новой к-ты. Высказано предположение о винильном или аллильном положении двойной связи в III по отношению к C—O-связи лактонного кольца.

VIII. При озонлизе I получены HCHO, HCOOH, нейтр. в-во  $C_{19}H_{24}O_7$  (IV), т. пл. 135° (после затвердевания 170°) и к-та  $C_{19}H_{24}O_8$  (V), т. пл. 98°; метиловый эфир, т. пл. 169°. Судя по ИК-спектрам (приведены данные), IV является 5-членным, а V 6-членным циклич. кетоном: в IV и V имеются лактонная и COOR-группы, а в V, кроме того, COOH- и OH-группы. Действием  $H_2O_2$  IV окисляется до V. По-видимому, IV является  $\alpha$ -кетолом. Продукт восстановления IV  $NaBH_4$ , т. пл. 95—100°, окисляется  $HJO_4$  в альдегид. Моноацетат метилового эфира V, т. пл. 195°. При дегидрировании с Se из I образуется 1,7-диметилфлуорен, а из V 1-метил-7-оксифлуорен при Se-дегидрировании V. Этим определяется частичное строение I (расположение других групп неясно); оно отвечает перегруппировке Вагнера — Мейервейна при превращении I в гиббереллин C (VI) в присутствии  $H^+$  или  $Br^-$ .

IX. В присутствии к-т I,  $C_{19}H_{24}O_6$ , т. разл. 232—235°, изомеризуется в VI,  $C_{19}H_{24}O_6 \cdot H_2O$ , т. разл. 252—254°. В цел. среде I превращается в свой эфир — псевдо-I, т. пл. 225—227°, а VI в свой эфир — изо-I, т. разл.

260—262°. В присутствии к-т из псевдо-I образуется изо-I. Взаимодействием I с диоксанбромидом получают монобромид (VII); другой монобромид образуется при бромировании VII  $CH_3COOH$  (60°). Даны частичные структурные ф-лы I, VI и VII.

Г. Воробьева

**57649. Активные компоненты *Digenea simplex* Ag и родственные соединения.** XLVII. Синтез  $\alpha$ -дигидрокаинной кислоты. 2. Уэянаги, Нава, Накамори, Сугава, Уэно (Ueyanagi Jisaburo, Nawa Hayao, Nakamori Ritsuo, Sanno Yasushi, Sugawa Toshio, Ueno Yoshio), Якугакку дзасси, J. Pharm. Soc. Japan, 1957, 77, № 6, 608—612 (японск.; рез. англ.)

6 г диэтилового эфира 2-оксо-5-изопропилпиперидин-малоновой-4 к-ты (I к-та) (II) с  $Br_2$  дают 5 г  $\alpha$ -бром-II (III), т. пл. 96—97°. 3,8 г III омыляют KOH с последующим декарбоксилированием в  $\alpha$ -бром-2-оксо-5-изопропилпиперидинуксусную-4 к-ту (IV), т. пл. 182°. 2 г IV со спиртом, HCl дают этиловый эфир IV (V), выход 1,6 г, т. пл. 75°. I с  $Br_2$  (40—50°) превращается в  $\alpha$ -дигидрокаинное соединение  $C_{10}H_{15}O_3NBr_2$ , выход 0,9 г, т. пл. 210° (разл.). 2,7 г моноэтилового эфира I с  $Br_2$  дают моноэтиловый эфир  $\alpha$ -бром-I (VI), выход 2 г, т. пл. 108° (разл.). При декарбоксилировании VI образуются этиловый эфир IV (VII), т. пл. 103—104°, и V, т. пл. 75°. VII при омылении изомеризуется в IV. 0,9 г III при обработке KOH дают DI-2-карбокси-4-изопропилпиперидинуксусную-3 к-ту (VIII), выход 0,1 г, т. пл. 254° (разл.). Аналогично V и VII с KOH превращаются в VIII. VIII при оптич. расщеплении дает I- $\alpha$ -дигидрокаинную к-ту (IX), т. пл. 270° (разл.), идентифицирована с IX, полученной восстановлением природной  $\alpha$ -каинной к-ты. Приведены кривые ИК-спектров IX. Сообщение XLVI см. РЖХим, 1958, 43549.

Г. Челпанова

**57650. Активные компоненты *Digenea simplex* Ag и родственные соединения.** XLVIII. Синтез  $\alpha$ -каинной кислоты. 1. Уэянаги, Нава, Накамори, Санно, Утибаяси, Танака, Уэно, Тацуока (Ueyanagi Jisaburo, Nawa Hayao, Nakamori Ritsuo, Sanno Yasushi, Uchi-bayashi Masao, Tanaka Kuniyoshi, Ueno Yoshio, Tatsuoka Sueo), Якугакку дзасси, J. Pharm. Soc. Japan, 1957, 77, № 6, 613—617 (японск.; рез. англ.)

Синтезированы 2 изомера 2-карбокси-4-(1-метил-5-этоксипил)-пиперидинуксусной-3 к-ты (Ia, б) через диэтиловый эфир 2-оксо-5-(1-метил-2-этоксипил)-пиперидинмалоновой-4 к-ты (II). 100 г этилового эфира 2-циано-3-метил-4-этоксимасляной к-ты с 240 мл 10%-ного NaOH (40—15°, 2 часа) омыляют в к-ту (III), получают 154 г хлорангидрида III (IV). IV конденсируют с 263 г  $CH_2(COOC_2H_5)_2$ , получают диэтиловый эфир 2-циано-3-метил-4-этоксипиперидинмалоновой к-ты (V), выход 165 г, т. кип. 150—152°/2 мм. 165 г V омыляют и декарбоксилируют (110—120°), получают этиловый эфир 2-циано-3-метил-4-этоксипиперидинуксусной к-ты (VI), выход 54 г, т. кип. 130—132°/2 мм. 12 г VI восстанавливают в 4-окси-5-(1-метил-2-этоксипил)-пиперидон-2 (VII), выход 7 г, т. кип. 179—181°/0,07 мм. 7 г VII при кипячении с 40 мл  $(CH_3CO)_2O$  дают 1-аллил-5-(1-метил-2-этоксипил)-3,4-дигидропиперидон-2 (VIII), выход 5 г, т. кип. 123—127°/2 мм. 22 г VIII конденсируют с 32 г  $CH_2(COOC_2H_5)_2$ , получают II, выход 21 г, т. кип. 198—203°/0,05 мм. 7 г II при омылении 1 молем KOH (50°) дают 2 изомера моноэтилового эфира II (IX): 1,8 г, т. пл. 137° (разл.) (IXa), 0,6 г, т. пл. 118—121° (разл.) (IXb). II 2 молями NaOH (50—60°) омыляют в производное малоновой к-ты (X): 3,4 г, т. пл. 157° (разл.) (Xa), и 0,9 г, т. пл. 135° (разл.) (Xb). 300 мг Xa при декарбоксилировании дают

образуется при получении 2-оксо-5-(1-метил-2-этоксизетил)-пиперидинуксусной-4 к-ты (XIa), выход 250 мг, т. пл. 145°. Аналогично из 500 мг Xb получают 400 мг XIb, т. пл. 92°. 1,43 г Xa с  $\text{Br}_2$  (50–60°) дают дибромпроизводное XIa,  $\text{C}_{12}\text{H}_{19}\text{O}_4\text{NBr}_2$  (XIa), выход 1 г, т. пл. 187° (разл.). Аналогично из 800 мг Xb получают 550 мг XIIb, т. пл. 204° (разл.). Соединения IXa, IXb, и Xa, Xb являются стереоизомерами относительно атома C, связанного с этоксиметильной группой. Предполагается, что боковые цепи в положении C(4) — C(5) имеют транс-конфигурацию. Из 3,4 г II с  $\text{Br}_2$  получают 4,2 г диэтилового эфира  $\alpha$ -бром-X (XIII). XIII с 2 молями NaOH дает  $\alpha$ -бром-Xb (XIVb), выход 0,4 г (из 11 г XIII), т. пл. 173°. Из 0,3 г XIVb с KOH или  $\text{Ba}(\text{OH})_2$  получают Ib, выход 0,1 г, т. пл. 235° (разл.). 12,2 г XIII с избытком KOH дает 1 г IIa, т. пл. 219° (разл.), и IIb. Г. Челпанова

57651. Активные компоненты *Digenea simplex* Ag. и родственные соединения. XLIX. Синтез  $\alpha$ -каиновой кислоты. 2. Уэянаги, Нава, Хондзё, Накамури, Танака, Уэно, Тацуока (Ueyanagi, Iisaburo, Nawa Hayao, Honjo Mikio, Nakamori Ritsuo, Tanaka Kuniyoshi, Ueno Yoshio, Tatsuoka Sueo). Якугаку дзасси, J. Pharm. Soc. Japan, 1957, 77, № 6, 618–621 (японск.; рез. англ.)

Омыление 5,2 г 2-карбокси-4-(1-метил-2-этоксизетил)-пиперидинуксусной-3 к-ты 25 мл 48%-ной HBr дает 2-карбокси-4-(1-метил-2-этоксизетил)-пиперидинуксусную-3 к-ту (I), выход 4,1 г, т. пл. 235° (разл.). 9,5 г I обрабатывают 95 мл  $\text{CH}_3\text{OH}$ , насыщ. HCl, и затем 6,2 г  $\text{CH}_3\text{COOC}_2\text{H}_5$ . Получают метиловый эфир 1-карботоксизетил-2-карбокси-4-(1-метил-2-этоксизетил)-пиперидинуксусной-3 к-ты (II), выход 5,7 г, т. кип. 210°/0,8 мм. 6,6 г II обрабатывают  $\text{PBr}_3$  (2–4°), перегоняют в вакууме и получают метиловый эфир DL-1-карботоксизетил-2-карбокси-4-(1-метил-2-этоксизетил)-пиперидинуксусной-3 к-ты (III), выход 1 г, т. кип. 150–155°/0,15 мм. 0,7 г III омыляют NaOH в DL- $\alpha$ -каиновую к-ту (DL-IV), выход 0,3 г, т. пл. 232° (разл.). При расщеплении 240 мг DL-IV с 300 мг l-эфедрина получают L-IV, т. пл. 250° (разл.),  $[\alpha]_D^{25} -15^\circ$  (с 1; вода), идентифицирована с природной к-той, и (IV, т. пл. 250° (разл.). Приведены кривые ИК-спектров DL-IV и L-IV. Г. Челпанова

57652. Активные компоненты *Digenea simplex* Ag. и родственные соединения. L. Синтез диэтилового эфира 2-оксо-5-изопропилпиперидинмалоновой-4 кислоты. Санно (Sanno Yasushi), Якугаку дзасси, J. Pharm. Soc. Japan, 1957, 77, № 6, 622–625 (японск.; рез. англ.)

Разработан метод синтеза диэтилового эфира 2-оксо-5-изопропилпиперидинмалоновой-4 к-ты (I), промежуточного продукта в синтезе дигидрокаиновой к-ты (см. РЖХим, 1958, 43549). 165 г  $\text{NaOCH}=\text{CHCOOC}_2\text{H}_5$  (Deuschel W., Helv. chim. acta, 1952, 35, 1587) конденсируют с 135 г  $\text{CH}_2(\text{CN})\text{COOC}_2\text{H}_5$  (II). Избыток II отгоняют при 100°/3 мм. Получают  $\text{CH}(\text{COOC}_2\text{H}_5)(\text{CN})\text{CH}=\text{CHCOOC}_2\text{H}_5$  (III), выход 100 г. 100 г III со 120 г  $(\text{CH}_3)_2\text{CHCH}_2$  в присутствии  $\text{C}_2\text{H}_5\text{ONa}$  дают  $(\text{CH}_3)_2\text{CHCH}_2\text{CH}(\text{COOC}_2\text{H}_5)(\text{CN})\text{CH}=\text{CHCOOC}_2\text{H}_5$  (IV), выход 50 г, т. кип. 143–145°/3 мм, и соединение с т. пл. 81°. 195 г IV при омылении KOH и декарбоксилировании дают  $(\text{CH}_3)_2\text{CHCH}_2\text{CH}(\text{CN})\text{CH}=\text{CHCOOC}_2\text{H}_5$  (V), выход 28 г, т. кип. 113–114°/7 мм; димер V,  $(\text{C}_{10}\text{H}_{15}\text{O}_2\text{N})_2$  (VI), выход 46 г, т. кип. 170–172°/1 мм, и  $(\text{CH}_3)_2\text{CHCH}_2\text{CH}(\text{CN})\text{CH}=\text{CHCOONa}$  (VII). IV с  $\text{Na}_2\text{CO}_3$  дает VII, т. пл. 210°. 32 г VII со спиртом,  $\text{H}_2\text{SO}_4$  дают 20 г V. Из VII (150°) получают 3-изопропилглютаконимид (VIII) (РЖХим, 1954, 32381), т. кип. 130–132°/1 мм, т. пл. 138°. 5 г VIII восстанавливают в 3-изопропилглютаримид, выход 3,5 г, т. пл. 130°. V восстанавливают в  $(\text{CH}_3)_2\text{CHCH}_2\text{CH}(\text{CN})\text{CH}_2\text{CH}_2\text{COOC}_2\text{H}_5$ , т. кип. 90–91°/0,5 мм. 3,7 г V конденсируют с 6,4 г  $\text{CH}_2(\text{COOC}_2\text{H}_5)_2$  (РЖХим, 1953,

1684) получают  $(\text{CH}_3)_2\text{CHCH}_2\text{CH}(\text{CN})\text{CH}(\text{CH}(\text{COOC}_2\text{H}_5)_2)\text{CH}_2\text{COOC}_2\text{H}_5$  (IX), выход 2,4 г, т. кип. 165°/1 мм. Аналогично из 1,8 г VI получают 2 г IX. 2,5 г IX восстанавливают скелетным Ni (135°, 110 ат, 3 часа). Получают I, выход 1 г, т. пл. 100°. Наряду с I образуются побочные продукты: этиловый эфир 2-оксо-5-изопропилпиперидинуксусной-4 к-ты (X), т. кип. 185°/0,8 мм, т. пл. 74–75°, и этиловый эфир 2-оксо-3-карботоксизетил-2-оксо-5-изопропилпиперидинуксусной-4 к-ты (XI), т. кип. 195°–197°/0,6 мм. XI с 20%-ной HCl-к-той дает 2-оксо-5-изопропилпиперидинуксусную-4 к-ту (XII), т. пл. 156–157°. I KOH омыляют в XII. Этерификация XII спиртом, HCl дает X. Дана кривая ИК-спектра V. Г. Ч.

57653. Активные компоненты *Digenea simplex* Ag. и родственные соединения. LI. Синтез диэтилового эфира 2-оксо-5-(1-метил-2-этоксизетил)-пиперидинмалоновой-4 кислоты и диэтилового эфира 2-оксо-5-(1-метил-2-диметиламиноэтил)-пиперидинмалоновой-4 кислоты. Санно (Sanno Yasushi), Якугаку дзасси, J. Pharm. Soc. Japan, 1957, 77, № 6, 626–629 (японск.; рез. англ.)

По методу синтеза производных пиперидона-2 (см. РЖХим, 1958, 57650) синтезированы промежуточные продукты для синтеза кайновой к-ты: диэтиловый эфир (DЭ) 2-оксо-5-(1-метил-2-этоксизетил)-пиперидинмалоновой-4 к-ты (Ia) (см. пред. реф.) и DЭ 2-оксо-5-(1-метил-2-диметиламиноэтил)-пиперидинмалоновой-4 к-ты (Ib). 57,2 г  $n\text{-CH}_3\text{C}_6\text{H}_4\text{SO}_2\text{Cl}$  при 0° конденсируют с 31,2 г 1-этоксипропанола-2. Получают 1-этоксизетил-2-(n-тозилокси)-пропан (II), выход 63 г. Из 60 г II (70–80°, 5 час.) получают 1-этоксизетил-2-йодпропан (IIIa), выход 30 г, т. кип. 60–61°/25 мм.  $\text{CH}(\text{COOC}_2\text{H}_5)(\text{CN})\text{CH}=\text{CHCOOC}_2\text{H}_5$  (IV) с  $(\text{CH}_3)_2\text{CHCH}_2$  дает DЭ 4-циан-4-изопропилглютаконовой к-ты. При конденсации 94 г IV с 100 г IIIa (130°, 8 час.) получают 2 фракции, из которых выделяют DЭ 4-циан-4-(1-метил-2-этоксизетил)-глютаконовой к-ты (Va), т. кип. 140–165°/1,5 мм, т. пл. 81°, и этиловый эфир 4-циан-5-метил-6-этоксигексен-2-овой-1 к-ты (VIa), выход 4,5 г, т. кип. 113–115°/1,5 мм. 20 г Va с KOH дают 3 г VIa и 4-циан-5-метил-6-этоксигексеновую-2 к-ту (VIIa), т. пл. 210°. VIIa с  $\text{C}_2\text{H}_5\text{ONa}$  и  $\text{H}_2\text{SO}_4$  дает VIa. 8,5 г VIa в присутствии  $\text{C}_2\text{H}_5\text{ONa}$  конденсируют с 12 мл  $\text{CH}(\text{COOC}_2\text{H}_5)(\text{CN})\text{CH}=\text{CHCOOC}_2\text{H}_5$  (IV), получают DЭ (1-карботоксизетил-2-циан-3-метил-4-этоксизетил)-малоновой к-ты (VIIIa), выход 8 г, т. кип. 190°/1,5 мм. 5 г VIIIa восстанавливают с 5 г скелетного Ni, с 0,5 мл триметиламина (140°, 135 ат, 4 часа). Получают Ia, т. кип. 220°/0,2 мм. 10,3 г диметиламинопропанола-2 с 12 мл 48%-ной HBr дают бромгидрат N,N-диметил-2-бромпропиламина (IIIb), выход 20 г, т. пл. 180°. Из 20 г IV и трет- $\text{C}_4\text{H}_9\text{OK}$  (из 3,9 г K и 150 мл трет- $\text{C}_4\text{H}_9\text{OH}$ ) (95°, 4 часа) получают DЭ 4-циан-4-(1-метил-2-диметиламиноэтил)-глютаконовой к-ты (Vb), выход 5,0 г, т. кип. 135–145°/0,3 мм. 200 г IV,  $\text{C}_2\text{H}_5\text{ONa}$ , 320 г IIIb (60–70°, 2 часа) дают 65 г Vb. Из 96 г IV. 134 г IIIb (140°, 15 час.) получают этиловый эфир 4-циан-5-метил-6-диметиламиногексен-2-овой к-ты (VIb), выход 15,3 г, т. кип. 126°/1 мм. Из 4 г Vb с KOH получают 2 фракции: 1,5 г с т. кип. 93–98°/0,2 мм и 0,9 г с т. кип. 190–195°/0,2 мм. 14 г VIb конденсируют, как обычно, с 16 г  $\text{CH}_2(\text{COOC}_2\text{H}_5)_2$  в присутствии  $\text{C}_2\text{H}_5\text{ONa}$  и получают DЭ (1-карботоксизетил-2-циан-3-метил-4-диметиламиноэтил)-малоновой к-ты (VIIIb), выход 12 г, т. кип. 165–167°/0,08 мм; йодметилат, т. пл. 173–174° (разл.). 16 г VIIIb восстанавливают с 8 г скелетного Ni и триметиламином (140°, 150 ат, 3 часа) в Ib, выход 13 г, т. кип. 140–150°/0,001 мм. Наряду с Ib образуется этиловый эфир 2-оксо-5-(1-метил-2-диметиламиноэтил)-пиперидинуксусной-4 к-ты, т. кип. 195°/0,1 мм. Г. Челпанова

57654. Активные компоненты *Digenea simplex* Ag. и родственные соединения. LII. Синтез производных



этилового эфира пирролинкарбоновой-2 кислоты. Осуги (Osugi Kunizo), Якутаку дзасси, J. Pharm. Soc. Japan, 1957, 77, № 6, 630—634 (японск.; реф. англ.)

$\text{CH}_3\text{CHO}$  или  $\text{изо-C}_3\text{H}_7\text{CHO}$  конденсируют по методу Клайзена — Шмидта с ацетоном в среде  $\text{NaOH}$ . Получают  $\text{RCH}(\text{OH})\text{CH}_2\text{COCCH}_2\text{R}=\text{CH}_2$  или  $(\text{CH}_3)_2\text{CH}$  (I). I по способу Гибберта с  $\text{J}_2$  или  $\text{NaHSO}_4(-\text{H}_2\text{O})$  превращают в  $\text{RCH}=\text{CHCOCH}_3$  (II) J. Amer. Chem. Soc., 1951, 73, 2721). 0,2 моля II ( $\text{R}=\text{CH}_3$ ), 0,2 моля  $\text{NO}_2\text{CH}_2\text{COOC}_2\text{H}_5$  (III) (Feuer и др., J. Amer. Chem. Soc., 1949, 71, 3078; Steinkopf, Liebig's Ann. Chem., 1923, 434, 21; Arndt, Rose, J. Chem. Soc., 1935, 1), 4 мл пиперидина (Connor, McClellan, J. Organ. Chem., 1937, 3, 570) дают этиловый эфир (ЭЭ) 2-нитро-3-метил-4-ацетилмасляной к-ты (IV), выход 78,3%, т. кип.  $124^\circ/2,5$  мм. 0,05 моля IV восстанавливают со скелетным Ni ( $25^\circ$ , 40 атм, 1 час) в ЭЭ 3,5-диметилпирролинкарбоновой-2 к-ты (V), выход 85%, т. кип.  $72^\circ/2$  мм,  $n_D^{25} 1,4500$ ; пикронат, т. пл.  $135^\circ$ . 0,2 моля 5-метилгексен-3-она-2 (Eccott, Linstead, J. Chem. Soc., 1930, 905) с 0,2 моля пиперидина дают 4-(1-пиперидил)-5-метилгексанон-2 (VI), выход 72%, т. кип.  $87^\circ/1,5$  мм. 0,05 моля 5-метилгексен-3-она-2, 0,05 моля III, 1 мл пиперидина (56 час.) дают ЭЭ 2-нитро-3-изопропил-4-ацетилмасляной к-ты (VII), выход 52%, т. кип.  $124-126^\circ/0,8$  мм. Из 0,05 моля VI с 0,05 моля III получают VII с выходом 67%. 7 г VII восстанавливают со скелетным Ni ( $32^\circ$ , 40 атм, 1 час). Получают ЭЭ 3-изопропил-5-метилпирролинкарбоновой-2 к-ты, выход 54%, т. кип.  $90^\circ/2$  мм,  $n_D^{25} 1,4495$ . 1 г V восстанавливают над 50 мг  $\text{PtO}_2$ . Получают ЭЭ 3,5-диметилпирролинкарбоновой-2 к-ты, выход 0,8 г, т. кип.  $105^\circ/23$  мм. 0,1 моля 3-диметиламинометилбутанона-2 конденсируют с 0,1 моля III. Получают ЭЭ 2-нитро-4-ацетилвалериановой к-ты (VIII), выход 80%, т. кип.  $130^\circ/3$  мм. 0,05 моля VIII (скелетный Ni,  $32^\circ$ , 40 атм, 2 часа) дают ЭЭ 4,5-диметилпирролинкарбоновой-2 к-ты, выход 86%, т. кип.  $81^\circ/3$  мм,  $n_D^{25} 1,4485$ . Г. Челпанова

57655. Изучение химии лишайников. II. Химические компоненты *Haematomma ventosum* (L.) Mass. var. *lapponicum* (Räs.). Сульберг (Studies on the chemistry of lichens. II. Chemical components of *Haematomma ventosum* (L.) Mass. var. *lapponicum* (Räs.). Solberg Yngve Johannes, Acta chem. scand., 1957, 11, № 9, 1477—1484 (англ.)

Из 1 кг *H. ventosum* эфиром извлечено 24,5 г усиновой к-ты и 3,7 г диварикатовой к-ты, а также (частично) тамноловой к-ты (I); она же выделена при последующей экстракции материала ацетоном. Общий выход I 17,7 г, т. пл.  $210-212^\circ$  (разл.; из диоксана), кристаллизуется с 1 молекулой р-рителя. Кроме I, из ацетоновой вытяжки получено 23 мг декарбокситамноловой к-ты  $\text{C}_{16}\text{H}_{16}\text{O}_6$ , и часть новой «вентозовой» к-ты  $\text{C}_{22}\text{H}_{40}\text{O}_6$  (II). Остальная часть II выделена извлечением остатка материала 96%-ным спиртом; общий выход II 0,8%, т. пл.  $183^\circ$  (из диоксана, см. и лед.  $\text{CH}_3\text{COOH}$ ). Из II при ацетилировании в пиридине образуется стекловидный тетраацетат, т. пл.  $54^\circ$ , а при взаимодействии с *n*-фенилазобензильхлоридом (в пиридине, кипячение 1 час) — в-во  $\text{C}_{74}\text{H}_{76}\text{O}_{10}\text{N}_8$ , т. пл.  $153-157^\circ$  (из бэл.-сп.). При восстановлении II ( $\text{H}_2$ -к-той, затем  $\text{Zn}$  в  $\text{CH}_3\text{COOH}$ ) образуется бегеновая к-та (III). По-видимому, II является тетраокси-III. В *Parmelia centrifuga*, *Cetraria nivalis* и *Cladonia alpestris* также содержится II. Приведены кривые и данные ИК-спектров и рентгенограмм II и сатвиновой к-ты и данные рентгенограммы I. Сообщение I см. РЖХим, 1956, 54529. В. Зеткин

57656. Селеновый аналог 6-тиоктовой кислоты. Бергсон (The selenium analogue of 6-thioctic acid.

Bergson Göran), Acta chem. scand., 1957, 11, № 9, 1607—1608 (англ.)

Конденсацией 11,59 г бензилселенола и 8,17 г этилового эфира 6,8-дихлороктановой к-ты в присутствии  $\text{C}_2\text{H}_5\text{ONa}$  (из 1,56 г Na) в спирте (кипячение 5 час., атмосфера  $\text{N}_2$ ) получена 6,8-ди-(бензилселено)-октановая к-та (I), т. пл.  $54-57^\circ$  (из эф.-петр. эф.). К р-ру 0,35 г Na в 50 мл жидкого  $\text{NH}_3$  добавляют р-р 2,41 г I в 10 мл толуола; продукт р-ции окисляют  $\text{O}_2$  (воздух) в водн. р-ре (рН 7—8) в присутствии следов  $\text{FeCl}_3$  (РЖХим, 1956, 32639), выход 6-селеноктовой к-ты  $> 50\%$ , т. пл.  $88-90,5^\circ$  (из  $n\text{-C}_6\text{H}_{14}$ ). В. Зеткин

57657. Синтез некоторых 5-дезоксид-рибофуранозимпуринов. Кисман, Бэйкер (The synthesis of certain 5-deoxy-D-ribofuranosylpurines. Kissman H. M., Baker R. R.), J. Amer. Chem. Soc., 1957, 79, № 20, 5534—5540 (англ.)

Описан синтез аналогов нуклеозидов — производных 5-деоксирибозы. Исходное в-во (1-хлор-2,3-диацетил-5-деокси-D-рибофураноза) (I) получалось по схеме: 2,3-изопропилиден-D-метилрибофуранозид  $\rightarrow$  2:3-изопропилиден-5-метансульфо-D-метилрибофуранозид (II) (выход 63%)  $\rightarrow$  2:3-изопропилиден-5-деокси-5-йод-D-метилрибофуранозид (III) (76%)  $\rightarrow$  2:3-изопропилиден-5-деокси-D-метилрибофуранозид (IV) (56 и 71% на Pd/C и скелетном Ni соответственно)  $\rightarrow$  5-деокси-D-рибоза (V) (97%)  $\rightarrow$  1,2,3-триацетил-5-деокси-D-рибоза (VI) (64,5%)  $\rightarrow$  I. I, полученную из VI непосредственно перед употреблением, и суспензию хлормеркурированного производного пурина на целите в кислоте кипятили 3 часа, продукт извлекали  $\text{CHCl}_3$ . Деацетилирование производилось  $\text{CH}_3\text{ONa}$  или  $\text{NH}_3$  в  $\text{CH}_3\text{OH}$ . Получены 6-диметиламино-9-(5-деокси-β-D-рибофуранозил)-пурин (VII) (27%, считая на VI); 6-хлор-9-(2,3-диацетил-5-деокси-β-D-рибофуранозил)-пурин (VIII) (68%); 6-хлор-9-(5-деоксирибофуранозил)-пурин (IX); 6-амино-9-(5-деокси-β-D-рибофуранозил)-пурин (5-деоксиаденозин) (X) в виде смеси с α-аномером. В индивидуальном состоянии X получен из VIII нагреванием на водяной бане с  $\text{NH}_3$  в  $\text{CH}_3\text{OH}$  (выход 21%, считая на VI). Восстановительным дегалогенированием VIII получен 9-(2,3-диацетил-5-деокси-β-D-рибофуранозил)-пурин (XI), который превращен в 9-(5-деокси-β-D-рибофуранозил)-пурин (5'-деоксинибуларин (XII) с выходом 25%; последний получен также из IX (29%). Описанные нуклеозиды оказались не активными к аденокарциному мышей. Приведены т. пл. в  $^\circ\text{C}$  или т. кип. в  $^\circ\text{C}/\text{мм}$ , р-ритель для кристаллизации,  $[\alpha]_D^{25}$ : II, 78—79, этилацетат-циклогексан,  $-53,0^\circ$  (с 1,8; хлф.); III, 75—80/0,1,  $-68,6^\circ$  (с 2; хлф.); IV, 92—95/20, —; VI (β-аномер), 64—65, гексан-эфир,  $-26,5^\circ$  (с 2,4; хлф.,  $25^\circ$ ); VI (смесь аномеров), 115—120/0,2, —; VII, 163—165, изопропиловый спирт,  $-50,7^\circ$  (с 2,02; сп.,  $24,5^\circ$ ); IX, 154—156, этилацетат,  $-45,5^\circ$  (с 1,69; сп.); X (β), 210—212, спирт,  $-52,7^\circ$  (с 1,0; сп.,  $25^\circ$ ); X (α), 173—175 (т. размягч. 115—120°), спирт,  $-9,9^\circ$  (с 1,62; сп.,  $24,5^\circ$ ); XI, 119—120, эфир- $\text{CH}_2\text{Cl}_2$ ,  $-26,8^\circ$  (с 1,40; сп.); XII, 115—116, эфир- $\text{CH}_2\text{Cl}_2$ ,  $-38,2^\circ$  (с 1,83; сп.,  $25^\circ$ ). Из V получен 2,4-динитрофенилгидразон, т. пл. 151—152° (разл.) (из бэл.- $\text{CH}_2\text{Cl}_2$ ),  $[\alpha]_D^{25} -30,2^\circ$  (с 0,99;  $\text{CH}_3\text{OH}$ ). В. Векслер

57658 К. Успехи в химии углеводов. Том. 12. Ред. Вульфром, Типсон (Advances in carbohydrate chemistry. Vol. 12. Eds. Wolf from Melville L., Tipson R. Stuart. New York, Acad. Press, 1957, 379 pp., ill., 10 doll.) (англ.)

См. также: Терпены 21933Бх. Стероиды 56412, 58477—58479. Алкалоиды 58475, 58476; 22712Бх, 22145Бх. Аминокислоты и белки 56832, 58338, 58440, 58447, 58458, 58462; 21575Бх, 21630Бх. Др. природн. в-ва 22215Бх

# РЕФЕРАТИВНЫЙ ЖУРНАЛ ХИМИЯ

Рефераты 57659—58289

№ 17

10 сентября 1958 г.

## III

### ХИМИЧЕСКАЯ ТЕХНОЛОГИЯ. ХИМИЧЕСКИЕ ПРОДУКТЫ И ИХ ПРИМЕНЕНИЕ (Часть 1)

#### ОБЩИЕ ВОПРОСЫ

Редакторы В. И. Елинек, Н. А. Ширяева

(The industrial applications of radioisotopes and their economic significance. Manov George G.), Chem. weekbl., 1958, 54, № 13, 161—168 (англ.)

#### ПРОЦЕССЫ И АППАРАТЫ ХИМИЧЕСКОЙ ТЕХНОЛОГИИ

Редакторы В. А. Жужинов, Б. Г. Лукьянов, Б. Г. Фастовский

57659. О химической промышленности в Югославии. Рокоссовский (O przemysle chemicznym w Jugoslawii. Rokossowski Zbigniew), Chemik, 1958, 11, № 1, 20—26 (польск.)

57660. Оценка проекта. 4.5. Столлзуэрти (Project estimating. 4.5. Stallworthy E. A.), Industr. Chemist, 1957, 33, № 394, 619—622; № 395, 3—6 (англ.)

4. Значение учета основных переменных факторов при анализе стоимости. Эталонные кривые для определения стоимости некоторого оборудования.

5. Определение стоимости хим. оборудования (автоклавы, сушилки, насосы, мешалки, компрессоры и др.) в зависимости от его веса или мощности. Затраты на монтаж и строительство оборудования типа дымовых труб, дистилляционных колонн. Сообщения 3 см. РИХим, 1958, 46967.

57661. Комплексное использование солевых рассолов. Пельш А. Д., Хим. наука и пром-сть, 1957, 2, № 6, 734—742

Обзор. Библ. 59 назв. Н. Ширяева

57662. Техника использования электронов в химическом производстве. Ранфтл (Engineering factors in using electrons in chemical processing. Ranftl J. W.), Industr. and Engng Chem., 1958, 50, № 2, 196—198 (англ.)

Обзор. Проблема облучения электронными потоками и частицами с высокой энергией в хим. пром-сти, в частности, для получения свободных радикалов. Вопросы проникаемости и эффективности излучения. Установки и защита. Л. Херсонская

57663. Промышленное применение меченых атомов. Брода (Industrielle Anwendung markierter Atome. Broda Engelbert), Chem. Technik, 1958, 10, № 1, 7—11 (нем.)

57664. Из практики применения изотопов в технике. Шварцман Л. А., Вестн. АН СССР, 1958, № 1, 79—83

57665. Радионизотопы в новой технике. Куба (Radioisotopy v nové technice. Kuba Jos), Nová techn., 1957, 2, № 12, 358—360 (чешск.)

Вводная статья о применении радионизотопов в пром-сти. И. Елинек

57666. Промышленное применение радиоактивных изотопов и их экономическое значение. Манов

57667. Нестационарное круговое движение в цилиндрической трубе, заполненной вязкопластичной жидкостью. Гурбанов С. Г., Мәрузалар. АзәрбәССР Элмәр Акад., Докл. АН АзәрбәССР, 1958, 14, № 2, 105—108 (рез. азерб.)

Дано точное решение задачи о круговом движении вязкопластичной жидкости, применимое при определении реологич. свойств глинистых и цементных р-ров.

Г. Фонарева  
57668. Анализ гидравлических ударов при внезапных изменениях скорости потока в трубопроводах. Олве (Hydraulic analysis of sudden flow changes in a complex pumping circuit. Alves George E.), A. I. Ch. E. Journal., 1956, 2, № 2, 143—147 (англ.)

57669. Сопротивление течению кипящих хладагентов. Пьер (Strömningssmotstånd vid kokande köldmedier. Pierre Bo), Kyltekn. tidskr., 1957, 16, № 6, 225, 227—238 (шведск.)

В ур-ние для расчета сопротивления при течении кипящих фреонов 12 и 22 в прямых трубах введен безразмерный фактор трения  $f_m$ . Для паров, содержащих  $\leq 0,5\%$  масла,  $f_m = 0,0185 K_1^{1/4} Re^{-1/4}$ , где  $K_1 = J \Delta t / (L \cdot g)$ ;  $J$  — механич. эквивалент тепла;  $\Delta t$  — изменение энтальпии;  $L$  — длина трубы, м;  $g$  — ускорение силы тяжести. При содержании в парах 4—9% масла  $f_m = 0,053 K_1^{1/4} Re^{-1/4}$ . Сопротивление течению в изогнутых трубах выражается через коэф. сопротивления  $\zeta_{f/m} = 2 f_m L_b / d_e$ , где  $L_b$  — длина изгиба,  $d_e$  — гидравлич. радиус. Приведена таблица значений  $\zeta_{f/m}$  в различной зависимости от  $D/d$ , где  $D$  и  $d$  — диаметры изгиба и трубы.

К. Герцфельд  
57670. Пыль и ее улавливание. Руссе (Poussières et dépoussiérages. Rousset J.), Peintures, pigments, vernis, 1958, 34, № 2, 80—87 (франц.)

Обзор. Библ. 11 назв. Г. Фонарева  
57671. Организация газового потока в газоочистных аппаратах. Идельчик И. Е., Сб. материалов по



пылеулавливание в цветной металлургии. М., Metallurgizdat, 1957, 58—71

Изложены основы выбора конструкции и методика расчета решеток и направляющих устройств, устанавливаемых для равномерного распределения газа по сечению газоочистительного аппарата (ГА). Приведены различные схемы подвода газа к ГА и распределения потока по решетке и за ней. Указаны поля скоростей в ГА.

Ю. Скорецкий  
57672. Очистка газов в циклонах и групповых циклонах. Зайцев М. М., Сб. материалов по пылеулавливанию в цветной металлургии. М., Metallurgizdat, 1957, 312—330

Предлагается классифицировать существующие циклоны по конструкции — на цилиндрич., конич., использующие вторичные вихри, снабженные добавочными внутренними устройствами; по способу ввода газа — на тангенциальные (с простой и винтовой крышкой), спиральные (с простой и винтовой крышкой) и с завихряющим устройством. Приводятся сравнительная эффективность 11 отечественных и зарубежных конструкций циклонов при одинаковых размерах и условиях эксплуатации.

Ю. Скорецкий  
57673. Исследование конструктивных характеристик циклонов с завихряющим устройством. Уокер, Кол (Experimental investigation of critical design factors for vanetype cyclones. Walker A. B., Cole W. H.), Trans. ASME, 1957, 79, № 8, 1715—1721 (англ.)

Опыты проводились на специально подготовленной летучей золе, содержащей 87% частиц  $< 44 \mu$ . В завихряющем устройстве (ЗУ) применялись лопасти тонкого и утолщенного профиля при числе их до 16. Конструктивными характеристиками эффективности  $\eta$  являются: а) форма и число лопастей входного ЗУ и б) необходимость в установке выходного ЗУ, имеющего значение как для рекуперации кинетич. энергии, так и для снижения гидравлич. сопротивлений трубопровода. Для лопастей утолщенного профиля  $\eta = 80 \div 85\%$ , для тонких  $\eta = 66 \div 71\%$ . Увеличение числа лопастей с 2 до оптимального числа 8 дает почти линейное повышение  $\eta$ . При увеличении тангенциальных скоростей газа циклоны диам. 400—600 мм могут дать такую же  $\eta$ , как и циклоны малого диаметра, при небольшом увеличении потерь энергии. Установкой выходного ЗУ возможно компенсировать эти дополнительные потери, либо повысить  $\sim$  на 40% производительность циклона по газу при неизменном падении давления.

Ю. Скорецкий  
57674. Новый укрупненный рукавный фильтр типа УРФ. Аладжалов И. А., Сб. материалов по пылеулавливанию в цветной металлургии. М., Metallurgizdat, 1957, 240—250

Конструкция фильтра разработана с целью упрощения эксплуатации громоздких многосекционных пылеулавливающих установок и основана на применении крупных секций с поверхностью фильтрования  $100 \text{ м}^2$  каждая (в 3,5 раза больше, чем для секций существующих наиболее крупных рукавных фильтров). При принятой скорости фильтрования  $0,85 \div 1 \text{ м/мин}$  производительность каждой секции по газу составляет  $4000 \div 6000 \text{ м}^3/\text{час}$ . Применение фильтра сравнительно с существующими конструкциями позволяет сэкономить 40% металла и 20% объема здания, а также уменьшить на 30% обслуживающий персонал и устанавливать в 5 раз меньше электродвигателей.

Ю. Скорецкий  
57675. Свойства пылевого слоя на рукавах. Елисеев Н. Н., Сб. материалов по пылеулавливанию в цветной металлургии. М., Metallurgizdat, 1957, 251—259

Исследованы образование слоя пыли и рост гидрав-

лич. сопротивления ткани рукавного фильтра, а также сравнительная эффективность при удалении слоя пыли динамич. усилием («отряхивание»), обратным потоком газа («продувка») и изгибом (деформация ткани при отряхивании и продувке). Опыты проводились в лаборатории с газами, запыленными  $\text{PbO}$  и  $\text{ZnO}$ , при средних размерах частиц пыли  $\sim 1 \mu$ . Тканью служила байка из смеси шерсти и капрона весом  $600 \text{ г/м}^2$  со средним размером волокон  $20 \div 30 \mu$ . Ткань характеризовалась средним переплетением нитей и двусторонним ворсом. Установлено, что сплошной слой пыли образуется в средних и глубоких слоях ворса, над переплетением нитей. Гидравлич. сопротивление слоя пыли толщиной  $2,5 \text{ мм}$ , при скорости фильтрования  $1 \text{ м/мин}$ , составляло для  $\text{PbO}$   $1500 \div 5000 \text{ мм вод. ст.}$  и для  $\text{ZnO}$   $1000 \text{ мм вод. ст.}$  Сплошной слой образуется при осаднении пыли  $7 \div 12 \text{ г/м}^2$ . Для периодич. очистки ткани от осевшей пыли наиболее эффективным является разрушение слоя пыли за счет изгиба при отряхивании и продувке.

Ю. Скорецкий  
57676. Влияние распределения частиц пыли по размерам на степень их улавливания в электрофильтрах. Алландер, Мате (Einwirkung der Korngrößenverteilung auf den Abscheidungsgrad von Elektrofiltern. Allander C., Matts S.), Staub, 1957, № 52, 738—745 (нем.; рез. англ., франц.)

Эффективность электрофильтра выражается ур-нием  $\eta = 1 - e^{-wlv}$ , где  $e$  — элементарный заряд,  $w$  — ионич. постоянная,  $l$  — длина электрич. поля,  $v$  — величина, характеризующая тип электрофильтра, и  $v$  — скорость газа. При этом в общем случае  $w = qE/(3\pi\lambda D)$ , где  $q$  — заряд частицы,  $E$  — напряженность электрич. поля,  $\lambda$  — вязкость газа и  $D$  — диаметр частицы пыли. Для частиц  $< 1 \mu$  величина  $w$  не зависит от  $D$ , а для частиц  $> 1 \mu$  величина  $w = f(D)$ . Приведен график для определения эффективности электрофильтров как функции величины  $w/lv$ .

Я. Дозорин  
57677. Приспособление для механической центровки электродов электрофильтра. Зубкова К. А., Научно-техн. информ. бюл. Научн. ин-т по удоб. и инсектофунгисидам, 1957, № 5—6, 41—42

57678. Газораспределительные устройства для электрофильтров (типа ХК) серноокислотных производств. Идельчик И. Е., Хим. пром-сть, 1958, № 1, 43—47

57679. Изучение скруббера Вентури. Сообщение 2. Потеря давления в горловине скруббера. Уэока (Ueoka Yutaka), Нихон кикай гаккай ромбунсю, Trans. Japan. Soc. Mech. Engrs, 1957, 23, № 133, 623—628 (японск.; рез. англ.)

Исследовалась потеря давления газа в горловине скруббера Вентури. Расход энергии, необходимый для компенсации этой потери давления, принимается за основную характеристику работы скруббера. Эта энергия пропорциональна отношению жидкости к газу и квадрату скорости газа в горловине. Ускорение распыленных частиц жидкости практически заканчивается на расстоянии  $\sim 20 \text{ см}$  от точки ввода жидкости в горловину. Сообщение 1 см. РЖХим, 1958, 21676

Ю. Скорецкий  
57680. Гидродинамические способы разделения неоднородных систем. 2. Ито, Кагаку корё, Chem. Ind. (Japan), 1957, 8, № 4, 62—66 (японск.)

Рассмотрены теория и эффективность процессов разделения. Сообщение 1 см. РЖХим, 1958, 32676.

М. Гусев  
57681. Уравнение для расчета приближенной производительности гидроциклона. Частон (A simple formula for calculating the approximate capacity of a hydrocyclone. Chaston I. R. M.), Bull. Inst.

- Mining and Metallurgy, 1958, № 615, Transactions, 1957—1958, 67, № 5, 203—208 (англ.)
- Ур-ние выведено на основе изучения и анализа работы большого числа гидроциклонов (ГЦ), в которых производительность менялась от 1 до 7500 л/мин, сечение входного отверстия от 0,02 см<sup>2</sup> до 240 см<sup>2</sup> и входное давление пульпы от 0,1 до 5,3 кг/см<sup>2</sup>. Опытные данные, за небольшим исключением, соответствуют эмпирич. ур-нию:  $q = 28 A \sqrt{P}$ , где  $q$  — производительность ГЦ в л/мин,  $A$  — сечение входного отверстия ГЦ в см<sup>2</sup> и  $P$  — давление перед входом в ГЦ в кг/см<sup>2</sup>.
- Ю. Скорецкий
57682. Фильтры с горизонтальными фильтровальными перегородками, работающие под давлением. Сендресен (I filtri a piatti orizzontali chiusi in recipienti a pressione. Sendresen Corrado G.), Ingegneria chim., 1958, 7, № 1, 19—20 (итал.)
- Описаны принцип действия и особенности фильтров с горизонтальными перегородками, а также указаны области их применения, в частности, для фильтрования различных синтетич. смол, растительных и минер. масел, гальванич. р-ров.
- В. Жукиков
57683. Механизация выгрузки вертикальных центрифуг при фильтрации легко слеживающихся продуктов. Билан Е. Н., Поломарчук В. В., Научно-техн. информ. бюл. Научн. ин-т по удобр. и животноводству, 1957 (1958), № 9, 20—21
57684. Соотношение между полным напором на всасывающей линии и числом оборотов центробежных насосов. Герман (Relationship between NPSH and suction speed for centrifugal pumps. Processing and engineering data. Herrmann A. J., Jr), Chem. Process., 1957, 20, № 8, 75, 77 (англ.)
- Построены графики, позволяющие в зависимости от полного напора на всасывающей линии центробежного насоса определить число оборотов последнего, при котором будет отсутствовать кавитация. Полный напор  $H_{sv}$  определяется в метрах ст. перекачиваемой жидкости по ур-нию:  $H_{sv} = H_a \pm H_{st} - H_t - H_{vp}$ , где  $H_a$  — давление в резервуаре, из которого откачивается жидкость;  $H_{st}$  — статич. напор жидкости относительно оси насоса;  $H_t$  — потери напора на трение и преодоление местных сопротивлений во всасывающем трубопроводе;  $H_{vp}$  — давление паров жидкости. Для построения графиков использовано ур-ие:  $S = N(Q/H_{sv}^{1.5})^{0.5}$ , где  $S$  — критерий работы насоса;  $N$  — число оборотов в 1 мин.;  $Q$  — производительность, л/мин.; для нормальной работы насоса  $S$  должен быть < 1500.
- Б. Сумм
57685. Измерение коэффициента полезного действия насоса по повышению температуры жидкости. Дженнингс, Мид (Now measure pump efficiencies from fluid temperature rises. Jennings G. P., Meade L. P.), Petrol. Engr, 1956, 28, № 7, D26—D28 (англ.)
57686. Экспериментальное исследование пневматических эжекторов с целью изучения влияния расстояния от конца сопла до начала цилиндрической части смесительной трубы на их рабочие характеристики. Сообщение 2. Ватанабэ, Ватанабэ, Наката, Накагава (Watanabe Itiro, Watanabe Takeo, Nakata Teturo, Nakagawa Hiroshi), Нихон кикай гаккай ромбунсю, Trans. Japan Soc. Mech. Engrs, 1956, 22, № 120, 590—595 (японск.; рез. англ.)
- Найдено, что в исследованных пределах оптимальное значение расстояния (указанного в заглавии) для самого высокого вакуума при наибольшей эффективности равно 15 мм. При диаметре цилиндрич. части смесительной трубы 9,55 мм оптимальное отношение между этим расстоянием и диаметром трубы равно

- 1,57. Отмечено, что это отношение совпадает с данными других авторов. Приведены данные по распределению давления по длине смесительной трубы. Сообщение 1 см. Ватанабэ, Нихон кикай гаккай ромбунсю, 1955, 21, № 104, 304—309.
- С. Крашенинников
57687. Компрессоры высокого давления. Сигэмацу Хисаси, Кагаку когё, Chem. Ind. (Japan), 1957, 8, № 12, 1107—1111 (японск.)
57688. Теплоотдача при свободной конвекции около вертикальной плоской плиты с температурным градиентом на ее поверхности. Мабути (Mabuchi Ikuo), Гифо дайгаку когакубу кэнкю хококу. Res. Repts Fac. Engng Gifu Prefect. Univ., 1954, № 4, 35—40 (японск.; рез. англ.)
- Рассмотрена теплоотдача при свободной конвекции между горячей вертикальной плоской плитой и газом. Т-ра стенки  $T_1$  изменяется по закону  $T_1 = T_0 + Bx^m$ , где  $T_0$  — т-ра газа,  $B$  и  $m$  — константы,  $x$  — расстояние от края плиты. Дано приближенное решение ур-ния кол-ва движения и энергии на основе теории Польшаузена и Кармана. Приведены критериальные ур-ния для вычисления локального и среднего значения коэф. теплоотдачи.
- Н. Кондуков
57689. Вычисление количества тепла, переданного радиацией от массы газа, имеющей форму прямоугольного параллелепипеда, через окружающий теплопрозрачный газ. 1. Степень черноты массы газа, излучающего тепло на поверхность печи. Исигаи, Ямасаки, Хасимото (Ishigai Seikan, Yamasaki Yasuo, Hashimoto Atsushi), Нихон кикай гаккай ромбунсю, Trans. Japan Soc. Mech. Engrs, 1957, 23, № 136, 929—934 (японск.; рез. англ.)
- Рассмотрена задача о лучистом теплообмене между массой теплоизлучающего газа, имеющей форму прямоугольного параллелепипеда, характеризующейся одинаковым во всех точках коэф. поглощения и помещенной в центральной зоне печи, и стенками печи в предположении, что между ними находится теплопрозрачный газ. Изложен метод вычисления степени черноты излучающего газа, а также спектра излучения и интенсивности теплового потока, воспринимаемого стенками печи. При соотношении объемов массы излучающего газа и печи, равном 0,2, расчетный и реальный спектры излучения в промышленных печах совпадают. Определена средняя поглотительная способность газа в процессе лучистого теплообмена между двумя стенками печи. Результаты приложимы к расчету кол-ва тепла, поглощаемого стенкой печи. См. также РЖХим, 1956, 14989.
- Из резюме авторов
57690. Теплоотдача к ламинарному пограничному слою, образованному невозмущенным потоком с переменной скоростью. Сибан (Heat transfer to laminar boundary layers with variable free-stream velocity. Seban R. A.), Trans. ASME, 1957, 79, № 7, 1545—1549. Discuss., 1549—1550 (англ.)
- Исследована теплоотдача от пластины к ламинарному пограничному слою (ПС), образованному дозвуковым потоком воздуха в аэродинамич. трубе. Коэф. теплоотдачи измерены для случая резкого увеличения скорости потока с последующим ее замедлением путем изменения поперечного сечения аэродинамич. трубы т. е. при больших значениях формпараметра  $(\Theta^2/\nu)[du/dx]$ , где  $\Theta$  — толщина гидродинамич. ПС,  $\nu$  — коэф. кинематич. вязкости и  $du/dx$  — градиент скорости невозмущенного потока. Использована бакелитовая пластина толщиной 13 мм и длиной 530 мм, снабженная нагревателем, а также термopарами и датчиками давления для измерения т-ры поверхности пластины и скорости потока. Распределение скоростей в ПС определялось с помощью датчиков давления и спец. трубки с прямоугольным отверстием 0,67 ×



$\times 0,56 \text{ мм}^2$ . Опыты проводились при т-рах торможения 27–38°, статич. давлении, равном атмосферному, и постоянной тепловой нагрузке. Гидродинамич. характеристики потока определены путем приближенного решения ур-ний ПС. Использован метод Хольштейна — Боленя, видоизмененный применительно к высоким значениям формпараметра. Распределение т-р в ПС получено в результате решения ур-ния энергии. Физ. свойства воздуха предполагались постоянными. Диссипация энергии не учитывалась. Полученные теоретич. значения коэф. теплоотдачи хорошо согласуются с эксперим. данными.

Р. Артым  
57691. Коэффициенты теплоотдачи псевдопластических жидкостей. Хираи (Hirai E.), Kagaku kogaku, Chem. Engng (Japan), 1957, 21, № 12, 792–797 (японск.; рез. англ.)

Для теоретич. изучения теплоотдачи в ламинарном потоке псевдопластич. жидкостей (ППЖ) (высокомолекулярных соединений) произведено эксперим. определение коэф. теплоотдачи при нагревании и охлаждении крахмального клея. На основании опытных данных и исследований других авторов с водн. р-рами ряда ППЖ получено ур-ние для ламинарного потока:  $h_m \cdot D / \lambda = 0,033 [(D^{1/n} u_m^{2-1/n}) / \eta]^{0,8} \cdot \{ (c_p \eta / \lambda) (D / \bar{U})^{1-1/n} [(n+3) / 4]^{1/n} (\eta / \eta_c)^{0,16} \}$ , где  $h_m$  — коэф. теплоотдачи, отнесенный к среднегеометрич. разности т-р,  $\text{ккал/м}^2 \text{час град}$ ;  $D$  — диаметр трубы, м;  $\lambda$  — теплопроводность,  $\text{ккал/м.час град}$ ;  $\bar{U}$  — средняя скорость, м/час;  $n$  — реологич. константа ППЖ;  $\rho$  — плотность  $\text{кг/м}^3$ ;  $c_p$  — теплоемкость,  $\text{ккал/кг град}$ ;  $\eta = \{2(n+2)\eta_p\}^{1/n} / 8$  — обобщенная вязкость;  $\eta_p$  — псевдопластич. вязкость жидкости,  $\text{кг}^n/\text{м}^n \text{час}^{2n-1}$ ;  $\eta_c$  — обобщенная вязкость, отнесенная к средней т-ре стенки.

А. К.  
57692. Влияние местных сужений в трубах на коэффициент теплоотдачи. Хобдер, Козёл (Wplyw naprzemianległego zgniatania rurek na współczynnik przenikania ciepła. Hobler Tadeusz, Koziol Kazimierz), Chem stow., 1957, 1, № 1, 45–64 (польск.; рез. англ.)

Изучался процесс теплоотдачи от горизонтальной трубы с местными сужениями, полученными сплющиванием, к движущемуся внутри воздуху. Сплющивание трубы проводилось через интервалы  $d/l = 0,10 \div 0,149$ , с поворотом соседних плоскостей обжима под 90° ( $d$  — диаметр трубы,  $l$  — расстояние между центрами соседних мест обжима). Поперечный размер сужения  $d/a = 1,205 \div 5,62$ , где  $a$  — наименьший внутренний размер в месте сужения трубы. Обогрев проводился насыщ. паром снаружи трубы на длине 1300 мм. Воздух подавался вентилятором через участок стабилизации длиной 1500 мм. Испытанию подвергались 6 труб diam. 27,6/21 и 10 труб diam. 33,6/26,4 с различными  $d/l$  и  $d/a$ . Коэф. теплоотдачи  $\alpha$  возрастал с увеличением  $d/l$  и  $d/a$ . Среднее значение  $\alpha$  выражается ур-нием:  $Nu = 0,047 Re^{0,8} Pr^{0,4} (d/a)^{0,32} (d/l)^{0,23}$ . Определяющий линейный размер — диаметр трубы. Ур-ние применимо для  $9000 < Re < 60\,000$ ,  $1,2 < d/a < 5,6$ ,  $0,015 < d/l < 0,22$ . Отклонения  $\pm 18\%$  от действительных значений  $\alpha$ .

Н. Кондуков  
57693. Теоретический анализ теплоотдачи при естественной конвекции и кипении. Чжан Янь-бо (A theoretical analysis of heat transfer in natural convection and in boiling. Chang Yan Po), Trans. ASME, 1957, 79, № 7, 1501–1509. Discuss., 1509–1513 (англ.)

Приведено теоретич. рассмотрение теплоотдачи при естественной конвекции и кипении на основе анализа волнового движения в пограничном слое (ПС). Предполагалось, что ПС состоит из пограничного подслоя со стабильным волновым движением и волнового подслоя

с квазистабильным движением волн. При естественной конвекции пучности волн являются источниками закрутки, образующих конвективные токи. При кипении под пучностью создаются благоприятные условия для образования пузырей. Показано, что длина  $l$  волны зависит от разности т-р. С увеличением последней  $l$  уменьшается, и число центров парообразования возрастает. Установившемуся пленочному кипению соответствует образование на поверхности раздела фаз стабильных волн с постоянной длиной, равной крит. значению:  $l_{kr} = 2\pi \sqrt{\sigma / [g(\rho - \rho_v)]}$ ; где  $\sigma$  — поверхностное натяжение,  $\text{кг/м}$ ;  $\rho$  и  $\rho_v$  — плотности жидкости и пара,  $\text{кг/м}^3$ ;  $g$  — ускорение силы тяжести,  $\text{м/час}^2$ . Показано, что при установившемся пленочном кипении на длине, равной  $l_{kr}$ , может возникнуть лишь два пузырька. Для теплоотдачи при естественной конвекции и пузырьковом кипении в результате совместного решения ур-ний Фурье и Навье-Стокса с учетом стабильного и квазистабильного волнового движения в ПС получено ур-ние  $Nu = 0,146 [1 + Pr (C_1 Br^n - 1)]^{1/2} (Pr \cdot Gr)^{1/4}$ , где  $Br = qD_v / (\rho_v V \lambda g)$  — критерий кипения;  $q$  — тепловая нагрузка,  $\text{ккал/м}^2 \text{час}$ ;  $D$  — отрывной диаметр, м;  $V = \pi D^2 / 6$ ;  $\nu$  — коэф. кинематич. вязкости,  $\text{м}^2/\text{час}$ ;  $\lambda$  — теплопроводность,  $\text{ккал/кг град}$ ;  $C_1$  и  $n$  — безразмерные константы. Физ. постоянные, входящие в критерии, вычисляются при средней т-ре ПС. При отсутствии кипения комплекс  $C_1 Br^n$  обращается в 1, и ур-ние описывает теплоотдачу при естественной конвекции. Показано, что при использовании в качестве параметра частоты колебаний  $f$  ( $\text{час}^{-1}$ ) коэф. теплоотдачи  $h$  ( $\text{ккал/м}^2 \text{час град}$ ) при естественной конвекции и кипении описываются одним и тем же ур-нием:  $h = 0,5 \sqrt{C_p K f}$ , где  $C_p$  — теплоемкость,  $\text{ккал/кг град}$ ;  $K$  — коэф. теплопроводности,  $\text{ккал/м.час град}$ . В случае кипения вместо  $K$  должна быть использована эффективная теплопроводность, обусловленная мол. и турбулентным переносом тепла.

Р. Артым  
57694. Теплоотдача жидкости при пропускании газа через пограничный слой. Гос, Питерсон, Акринос (On the rate of heat transfer in liquids with gas injection through the boundary layer. Gose Earl E., Peterson Eugene E., Acrivos Andreas), J. Appl. Phys., 1957, 28, № 12, 1509 (англ.)

Просасывание газа через пористую поверхность нарушает пограничный слой обтекающей жидкости и приводит к значительному увеличению коэф. теплоотдачи  $\alpha$ . Приведены кривые зависимости  $\alpha = f(Re)$  для потока воды в трубке с пористой стенкой, через которую пропускался азот. Установлено, что  $\alpha$  при  $Re = 700$  и пропускании незначительных кол-в  $N_2$  имеет такое же значение, как при  $Re = 16\,000$  без введения  $N_2$ .

А. Сенкевич  
57695. Теплоотдача расплавленных металлов. Михеев М. А., Баум В. А., Воскресенский К. Д., Федынский О. С. (Heat delivery of molten metals. Mikheyev M. A., Baum V. A., Voskresensky K. D., Fedynsky O. S.), Combustion Boiler House and Nucl. Rev., 1958, 12, № 118, 84–88 (англ.)

Перев. См. РЖХим, 1956, 56918; 1957, 25502.

57696. Конденсация паров из паро-газовых смесей. Приближенное решение задачи. Хульден (Condensation of vapours from gas-vapour mixtures. An approximate method of design. Huldén B.), Chem. Engng Sci., 1957, 7, № 1–2, 60–65 (англ.; рез. франц. нем.)

Предложен приближенный метод определения поверхности теплообмена при конденсации паров из паро-газовых смесей. Метод состоит в представлении суммарного кол-ва тепла, переданного от смеси охлаждающей жидкости (воде), через  $h \Delta \theta$  и графич.

решении уравнения теплового баланса  $h_0 \Delta t = h \Delta \theta$ ;  $h$  и  $h_0$  — коэф. теплоотдачи соответственно от смеси к поверхности конденсации и от последней к воде,  $\Delta t$  — температурный напор на стороне воды,  $\Delta \theta$  — напор потенциалов,  $\theta = f_1(t) = t - F \ln(1 - p/P)$ ,  $t$  — т-ра,  $p$  и  $P$  — парц. давление пара и общее давление,  $F = (rM_v/cmM_m)(Pr/Sc)^{1/3}$  и принимается равной средней величине по всему конденсатору,  $r$  — теплота испарения,  $M_v$  — мол. вес пара,  $cm$  и  $M_m$  — средние теплоемкость и мол. вес смеси. Предполагено, что на входе в конденсатор смесь перегрета, а на выходе из него — насыщена. Приведен пример расчета конденсации пара из смеси водяной пар — азот при атмосферном давлении. Результаты сопоставлены с точным расчетом Кольбуна и Хоутена (Colburn A. P., Hougen O. A. *Industr and Engng Chem.*, 1934, 26, 1178—1182), и показано, что определенная по приближенному методу поверхность конденсации отличается от точной менее чем на 1%.

Р. Агтем  
57697. Выбор оптимальных значений разности температур и коэффициента теплоотдачи в теплообменниках. Грасман, Копп (Zur günstigsten Wahl der Temperaturdifferenz und der Wärmeübergangszahl in Wärmeaustauschern. Grassmann P., Kopp J.), *Kältetechnik*, 1957, 9, № 10, 306—308 (нем.; рез. англ., франц.)

Выполнен термодинамич. анализ оптимальных условий работы теплообменников (Т) в низкотемпературных установках (ожижение воздуха, гелия), и показано, что теплообменная поверхность используется наиболее эффективно при условии, когда разность т-р между прямым и обратным потоками ( $\Delta T$ ) пропорциональна абс. т-ре в данном сечении Т, т. е.  $\Delta T = KT$ . Затраты работы, обусловленные сопротивлением потоку, минимальны при условии, когда коэф. теплоотдачи возрастает с понижением т-ры.

Н. Кондуков

57698. Теплоотдача к потоку в круглой трубе, характеризующемуся определенным профилем скоростей. Уайтман, Дрейк (Heat transfer to flow in a round tube with arbitrary velocity distribution. Whitman I. R., Drake W. B.), *Trans. ASME*, 1958, 80, № 3, 728—732. Discuss., 732 (англ.)

Рассмотрена теплоотдача от внутренней поверхности цилиндрич. трубы (Т), имеющей определенную т-ру, к потоку жидкости в ней. Профиль скоростей потока описывается ур-нием:  $U = U_0[1 - (r/r_0)^m]$ , где  $U$  — скорость в точке, отстоящей на расстоянии  $r$  от оси Т;  $r_0$  — радиус Т;  $U_0$  — скорость на оси Т и  $m$  — положительное число. Выведено ур-ние для вычисления  $Nu$  при любом  $m > 0$ ; построен график для различных значений  $m$ .

Ю. Петровский

57699. Теплопередача в центробежных аппаратах с тонкой пленкой жидкости. Гудхейм, Донован (Heat transfer in thin-film centrifugal processing units. Gudheim Arne R., Donovan James), *Chem. Engng Progr.*, 1957, 53, № 10, 476—481 (англ.)  
См. РЖХим, 1958, 14766.

57700. Нагревание тонких материалов в замкнутом потоке воздуха. Михеев В. П., Сб. научн. тр. Куйбышевск. индустр. ин-та, 1957, вып. 7, 105—111  
Приведен расчетный анализ процесса периодич. нагревания материала воздухом, циркулирующим в замкнутом цикле и нагреваемым в калорифере. Выведена зависимость между т-рами материала и циркулирующего воздуха от времени при следующих допущениях: 1) градиент т-ры внутри нагреваемого материала равен нулю; 2) коэф. теплопередачи в калорифере и коэф. теплоотдачи от воздуха к материалу не зависят от т-ры.

В. Коган

57701. Распределение температур при непосред-

ственном соприкосновении жидкости и влажного газа. Тревиссо (Distribuzione delle temperature nel contatto diretto liquido-gas umido. Trevisso Carlo), *Calore*, 1957, 28, № 5, 203—208 (итал.)

57702. Определение охлаждающей способности расплавленных солей. Вишняков Д. Я., Неуструев А. А., Заводск. лаборатория, 1958, 24, № 1, 63—65

Исследован процесс охлаждения стального сферич. образца диам. 50 мм, предварительно нагретого до 1400°, в расплавах х. ч. солей при т-рах 270—570° для определения охлаждающей способности (ОС) расплавленных азотнокислого натрия, азотистокислого натрия и смеси азотнокислого натрия и калия. В качестве критерия ОС принята величина коэф. теплоотдачи от поверхности тела  $\alpha$ , для расчета которой использованы основные ур-ния теории регулярного режима. Опыты показали, что ОС растет до т-р перегрева 170—240°, но при дальнейшем перегреве уменьшается, что объясняется уменьшением плотности, теплоемкости и теплопроводности жидкой соли при высоких перегревах. Наибольшее значение для индивидуальных солей величины  $\alpha = 1700 \text{ ккал/м}^2 \text{ час град}$ , однако оно заметно уменьшается в конце процесса охлаждения, когда разность т-р поверхности образца и соли становится меньше 40—50°; в этот период охлаждения  $\alpha = 600 \div 800 \text{ ккал/м}^2 \text{ час град}$ .

А. Ровинский

57703. Градири. Фергусон (Cooling towers. Ferguson Lester M.), *Oil and Gas J.*, 1957, 55, № 25, 130—135 (англ.)

Приведен обзор теоретич. основ охлаждения воды в градирнях и рассмотрены процессы образования льда и тумана при низких т-рах воздуха и меры их предупреждения (повышение т-ры циркулирующей воды, увеличение кол-ва воздуха, проходящего через градирню).

С. Розенер

57704. Предложения относительно международной номенклатуры галоидозамещенных углеводородов, применяемых в качестве хладагентов. Планк (Propositions pour une nomenclature internationale des dérivés halogènes des hydrocarbures utilisés comme agents frigorigènes. Plank R.), *Rev. gen. froid*, 1958, 35, № 1, 37—38 (франц.)

Рассмотрены применяемые в США и Европе номенклатуры и приведены рекомендации комиссии экспертов Международного ин-та холода о единой номенклатуре.

Ю. Петровский

57705. О холодильных рассолах и их применении. Вернер (Wissenswertes über Kältsolen und deren Anwendung. Werner F.), *Technik*, 1958, 13, № 1, 60—63 (нем.)

См. РЖХим, 1958, 11559.

57706. Об увеличении холодильного коэффициента в аммиачных абсорбционных машинах путем использования в качестве абсорбента водных солевых растворов. Унгер (Über die Verbesserung des Wärmederhältnisses an Ammoniak-Absorptionsmaschinen durch Anwendung wässriger Salzlösungen als Absorptionismittel. Unger S.), *Technik*, 1957, 12, № 2, 119—127 (нем.)

Рассмотрены теоретич. основы работы резорбционной холодильной машины (РХМ) и ее преимущества по сравнению с абсорбционной холодильной машиной. В РХМ пары  $\text{NH}_3$ , образующиеся при ректификации водно-аммиачного р-ра, абсорбируются водн. солевым р-ром, а затем  $\text{NH}_3$  десорбируется из солевого р-ра при пониженном давлении. Использование солевого р-ра дает возможность понизить парц. давление водяных паров за ректификатором и тем самым увеличить парц. давление паров  $\text{NH}_3$ . Это уменьшает затраты тепловой энергии на ректификацию и способствует увеличению холодильного коэф. Применение РХМ



позволяет осуществить процесс при атмосферном давлении, что допускает использование дешевых конструкций аппаратов. Рекомендуется применять водн. р-р  $\text{CaCl}_2$ . Приведены схема РХМ и конструкция аппарата для десорбции  $\text{NH}_3$  из солевого р-ра.

В. Реутский

**57707.** Щит управления аммиачно-холодильной установки. Причина Н. Д. В сб.: В борьбе за техн. прогресс. № 2. Краснодар, «Сов. Кубань», 1957, 51—54

**57708.** Исследование вертикального концентратора. Часть 1. Ногучи (Noguchi Katsuichi), Нихон сэн-гаккайшн, Bull. Soc. Salt Sci., Japan, 1957, 11, № 5, 227—232 (японск.; рез. англ.)

Приведены результаты исследования вертикального выпарного аппарата, в котором происходит испарение влаги с поверхности мелких капелек р-ра в газовый поток.

Ю. Петровский

**57709.** Тепло- и массообмен для влажных газов. II. Бошнякович (Wärme- und Stoffaustausch bei feuchten Gasen. II. Bošnjakovic F.), Kältetechnik, 1957, 9, № 10, 309—313 (нем.)

Рассматривается расчет в диаграмме энтальпии — влагосодержание процессов вымораживания жидкости из ненасыщ. и пересыщ. паро-газовой смеси, нагревания воздуха, а также процесса в испарителе абсорбционной холодильной установки. Приводятся графики для определения коэф. массопередачи в системе вода — воздух в зависимости от влажности. Сообщение I см. РЖХим, 1958, 21705.

В. Коган

**57710.** Диффузия в движущихся средах с изменяющимися во времени поверхностями раздела. Форстер (Diffusion in moving medium with time-dependent boundaries. Forster H. Kurt), A. I. Ch. E. Journal, 1957, 3, № 4, 535—538 (англ.)

Рассматривается процесс диффузии в движущихся средах с заданным движением поверхности раздела. Предлагается метод, позволяющий свести расчет рассматриваемого процесса к интегрированию функций, получающихся для случая неподвижной поверхности раздела. Предложенный метод применен для рассмотрения процесса теплопередачи через сферич. поверхность парового пузырька, всплывающего в неограниченном объеме жидкости.

В. Коган

**57711.** Расчет потребления тепла при дистилляции в токе водяного пара. Ригамонти, Джанетто (Berechnung des Wärmebedarfs bei der Destillation im Dampfstrom. Rigamonti R., Gianetto A.), Dechema Monogr., 1956, 28, № 363—391, 75—86 (нем.)

Исходя из допущения о соблюдении закона Рауля, выведены ур-ния для расчета расхода пара в процессе дистилляции в токе водяного пара. Для случая отгонки одного в-ва получено следующее расчетное ур-ние:  $w = (P/Er) \{1 + [(1 - X_0)/(zX_0)] \ln [1/(1 - z)]\} - 1$ , где  $w$  — кол-во молей отгоняемого пара на моль дистиллируемого в-ва,  $P$  — общее давление,  $p$  — давление паров дистиллируемого в-ва при т-ре процесса,  $E$  — коэф. насыщения,  $z$  — доля отгоняемого в-ва от его кол-ва в исходной смеси и  $X_0$  — мол. конц-ия дистиллируемого в-ва в исходной смеси. Для расчета используется усредненное значение  $E$ , которое принимается постоянным. Выведенные ур-ния обобщены для случая дистилляции многокомпонентных смесей.

В. Коган

**57712.** Исследование процесса дистилляции в токе инертного газа. Робу (Contribuții la cunoașterea mecanismului vaporizării în prezența unui gaz inert. Robu I. V.), Studii. Inst. petrol și gaze, București, 1955, № 1, 3—40 (рум.)

Выполнен теоретич. анализ процесса дистилляции в токе инертного газа и приведены основные расчетные ур-ния, сопоставленные с полумпирич. ур-нием Крессера для расчета процесса отпарки летучих компонентов многокомпонентных смесей. Полученные ур-ния

применены при обработке опытных данных, полученных с системами: 1) изопентан —  $n$ -гептан; 2) изопентан —  $n$ -гептан —  $\text{C}_{32}\text{H}_{66}$ .

Г. Левина

**57713.** Молекулярная дистилляция и ее применение к технике. Кречмар, Пикте (La distillation moléculaire et son emploi dans la technique. Kretschmar Gustave, Pictet Jacques), Schweiz. techn. Z., 1956, 53, № 41, 833—836 (франц.; рез. нем.)

**57714.** Интенсивность массоотдачи в жидкой фазе и эффективная контактная поверхность в насадочных абсорбционных колоннах. Йосида, Коэнаги (Liquid phase mass transfer rates and effective interfacial area in packed absorption columns. Yoshida Fumitake, Koynagi Tetsushi), Industr. and Engng Chem., 1958, 50, № 3, 365—374 (англ.)

Исследована абсорбция  $\text{CO}_2$  водой и метанолом в стеклянной колонне (I) диам. 120 мм со слоем насадки высотой 200 и 400 мм из керамич. колец Раппа размером 25 и 15 мм, керамич. седлообразных элементов размером 25 и 12 мм и стеклянных шариков диам. 25,4 и 12,7 мм, а также в стеклянной колонне (II) с насадкой в виде вертикальной цепочки из 8 и 16 стальных шариков диам. 25,4 мм и из 16 и 32 шариков диам. 12,7 мм, покрытых слоем распыленного алюминия. Колонна II выполнена из двух концентрич. стеклянных трубок, в промежутке между которыми протекала вода, обеспечивающая постоянство т-ры. Газообразная  $\text{CO}_2$  из баллона поступала в стеклянный змеевик, размещенный в термостате, а затем барботировала через слой жидкости (воды или метанола), где насыщалась парами, после чего направлялась в абсорбционную колонну: таким образом предупреждалось охлаждение жидкости при испарении ее в поток  $\text{CO}_2$ , подававшийся в большом избытке ( $\sim 10$ -кратном). Для колонны II получено эмпирич. ур-ние:  $H_L/(\mu^2/\rho^2 g)^{1/2} = C \text{Re} \cdot \text{Sc}^{0.5}$ , которое справедливо в области  $\text{Re} \cdot \text{Sc} > 40000$ .

В этом ур-нии:  $H_L$  — высота единицы переноса, отнесенная к жидкой фазе;  $\mu$  — вязкость и  $\rho$  — плотность жидкости;  $C$  — коэф., зависящий от числа и размера шариков. Значения  $H_L$  для различных насадок в колонне I представлены графически в зависимости от безразмерного комплекса  $4L/(\mu a_i)$ , где  $L$  — весовая скорость жидкости,  $\text{кг}/\text{м}^2 \text{ час}$ ;  $\mu$  — вязкость,  $\text{кг}/\text{м час}$ ;  $a_i$  — полная поверхность насадки на единицу объема,  $\text{м}^2/\text{м}^3$ . С возрастанием значения  $4L/(\mu a_i)$  отмечается увеличение  $H_L$ . Дана оценка величины эффективной контактной поверхности ( $a_e$ ), отнесенной к единице объема насадки. Установлено, что ( $a_e/a_i$ ) значительно больше для слоя насадки высотой 200 мм, чем для слоя 400 мм; это может быть объяснено различной степенью влияния концевых эффектов. Значения  $a_e$  мало зависят от типа и размера насадки, характеризующейся сильно отличающимися значениями  $a_i$ . Данные, полученные на колонне типа II, могут служить основой при расчете насадочных колонн I, что упрощает задачу.

Ю. Петровский

**57715.** Характеристика аппаратуры, улавливающей фтористые соединения. Ланд (Performance of equipment for control of fluoride emissions. Lunde K. E.), Industr. and Engng Chem., 1958, 50, № 3, 293—298 (англ.)

Многие промышленные газы содержат фтористые соединения ( $\text{HF}$ ,  $\text{SiF}_4$  и др.), являющиеся очень агрессивными в-вами, что требует их улавливания во избежание коррозии аппаратуры и загрязнения атмосферы. Приведены данные, отображающие работу различных скрубберов при абсорбции  $\text{HF}$  в промышленных установках; отмечена аналогия, существующая в процессах абсорбции  $\text{SO}_2$  и некоторых соединений фтора, которая может быть использована при расчете соответствующей аппаратуры. В скрубберах с хордо-

вой насадкой определяющее значение имеет высота аппарата, а энергия, затрачиваемая на перемещение жидкости и газа, не влияет на его эффективность. В циклонных скрубберах эффективность определяется прежде всего работой, сообщаемой жидкости, и мало зависит от энергии, расходуемой на перемещение газа. Скрубберы по типу трубы Вентури тем более эффективны, чем больше энергии сообщается газу; энергия, затрачиваемая на перемещение жидкости, почти не влияет на эффективность. Отмечены некоторые особенности абсорбции фтористых соединений.

Ю. Петровский

57716. Противоток двух несмешивающихся жидких фаз. (Производительность разбрызгивающей экстракционной колонны.) Ремап (The countercurrent flow of two immiscible liquid phases (capacity of spray extraction columns). Reman G. H.), Ingenieur (Nederl.), 1957, 69, № 45, Ch. 128—Ch. 133 (англ.)

Предложено уравнение для расчета максим. производительности и захвата при захлебывании в разбрызгивающей экстракционной колонне  $V_d/h + V_c(1-h) = \dots$  где  $V_d, V_c$  — скорости потоков дисперсной и сплошной фаз,  $h$  — захват дисперсной фазы,  $U_0$  — скорость свободного падения частицы,  $\beta$  — коэф. Показано, что в системе жидкость — жидкость, по сравнению с системой твердое тело — жидкость, захват при захлебывании выше, особенно при высоких соотношениях скоростей фаз, а максим. производительность изменяется меньше. Проанализированы эксперим. данные, полученные Минардом и Джонсоном (Minard G. M., Johnson A. J., Chem. Engng Progr., 1952, 46, 62), на колонне диам. 100 мм. Показано, что в практических условиях коэф.  $\beta$  изменяется в пределах от 0,7 до 0,9.

К. Сакодинский

57717. Массообмен между двумя жидкостями при наличии химической реакции. Серл, Гордон (Mass transfer between two liquids with chemical reaction. Searle Richard, Gordon Kenneth F.), A. I. Ch. E. Journal, 1957, 3, № 4, 490—496 (англ.)

Исследовался массообмен между двумя движущимися жидкими фазами при наличии хим. р-ции. В стеклянный сосуд диам. 155 мм наливался р-р уксусной или хлоридной к-ты в изобутаноле и водн. р-р NaOH, которые приводились в движение лопастной мешалкой, через равные промежутки времени отбирались пробы обеих фаз. По данным опытов рассчитывалось отношение коэф. массообмена при наличии ( $k$ ) и отсутствии ( $k'$ ) хим. р-ции. Данные опытов сравниваются с расчетными данными, получаемыми на основе пленочной теории массообмена и теории турбулентного переноса. Найдено, что опытные данные качественно хорошо согласуются с обеими теориями. Обнаружено, что опытные значения  $(k/k')$  — 1 примерно вдвое больше теоретич. при конц-ии реагирующих в-в 0,005 н., совпадают с последними при конц-ии 0,1 н. и примерно на 60% ниже теоретич. при конц-ии 1 н.

В. Коган

57718. Новый аппарат для экстракции. Брюнике-Ольсен (Ein neuer Apparat zur kontinuierlichen Auslaugung (Die D. d. S-Diffusion). Brüniche-Olsen H.), Dechema Monogr., 1956, 28, № 363—391, 109—122 (нем.)

Рассмотрены основные закономерности процесса экстракции растворимых в-в из твердых тел и описана конструкция аппарата для непрерывной экстракции. Аппарат представляет собой наклонный желоб, внутри которого помещается ленточный шнековый транспортер. Обрабатываемый материал подается в нижний конец желоба и отводится из верхнего. Р-ритель подается противотоком. Приводятся эксплуатационные данные таких аппаратов в процессе экстракции сахара из сахарной свеклы.

В. Коган

57719. Влияние диффузии и сопротивления массопередаче в продольном направлении на закономерности хроматографии. Демтер, Зейдерверг, Клиненберг (Longitudinal diffusion and resistance to mass transfer as causes of nonideality in chromatography. Deemter J. J. van, Zuideweg F. J., Klinkenberg A.), Chem. Engng Sci., 1956, 5, № 6, 271—289 (англ.; рез. франц.)

57720. Получение шарообразных кристаллов. Финч (The making of rounded crystals. Finch G. I.), J. Scient. and Industr. Res., 1957, 16A, № 8, 375—376 (англ.)

Шарообразные кристаллы определенных размеров могут быть получены испарением жидкой фазы очищ. р-ра в кристаллизаторах, работающих под атмосферным давлением или вакуумом. Для получения таких кристаллов необходимо, чтобы степень пересыщения р-ра вокруг всех граней кристаллич. зародыша была одинакова. Это может быть достигнуто установкой в кристаллизаторе одной или нескольких плоских отражательных перегородок, а также наклоном оси мешалки. При этих условиях кристалл в процессе своего роста непрерывно вращается. Размер образующихся кристаллов регулируется степенью пересыщения р-ра.

С. Крашенинников

57721. К вопросу о работе автотермических реакторов. Вилмарс (Considérations sur la marche des réacteurs autothermes. Wilmars E. Mertens de), Génie chim., 1957, 78, № 4, 93—101 (франц.; рез. англ., исп.)

Произведен анализ условий равновесия между теплопотерями и выделением тепла в автотермических реакторах и показаны на примере синтеза  $NH_3$  возможности применения электронных счетных машин для исследования работы этих реакторов и определения оптимальных условий процесса или оптимальных размеров реактора.

З. Хаймский

57722. Точные решения для процессов обмена между жидкостью и взвешенными частицами. Спалдинг (Transport processes between fluids and clouds of suspended particles: some exact solutions. Spalding D. B.), Proc. Roy. Soc., 1957, A242, № 1231, 430—433 (англ.)

Показано, что для процессов обмена между движущейся жидкостью и взвешенными частицами (горение распыленных твердых и жидких топлив, абсорбция газовых компонентов распыленными р-рителями) уравнение Эйлера для стационарного потока может быть преобразовано в уравнение Фурье, описывающее нестационарный теплообмен в движущейся среде. Даны точные решения для одномерной системы, для системы с осевой симметрией и для реакторов с гомог. стационарным потоком; рассмотрены методы приближенного численного интегрирования для более сложных систем.

А. Каган

57723. Закономерности псевдооживления при обжиге руд. Киути (Kiuchi Shunji), Япон. Асс. Сульфур. Acid Assoc. Japan, 1957, 10, № 1, 20—21 (японск.)

57724. Измельчение в шаровых мельницах. Часть 1. Нейман (Ball-mill grinding. Part I. Nijman J.), Brit. Chem. Engng, 1958, 3, № 2, 76—80 (англ.)

Обзор работ по вопросам процесса измельчения и распределения по размерам частиц помола в различных шаровых мельницах. Библ. 28 назв.

Б. Суми

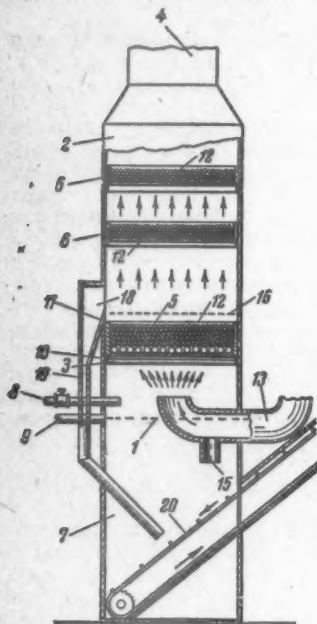
57725. Номограмма для определения объема жидкости в сосудах с коническим дном. Перчас (Volume of liquid in a conical bottomed vessel (cone being full). Purchas D. B.), Brit. Chem. Engng, 1958, 3, № 4, 216 (англ.)

57726 П. Способ и установка для обеспыливания газа. Мак-Илвайн (Procédé pour le dépoussiérage d'un gaz et installation pour la mise en oeuvre de ce



procédé. McIlvaine Robert L.) [Herbert Simpson Corp.]. Швейц. пат. 319567, 15.04.57

Запыленный газ поступает по входной трубе 13, а очищ. газ удаляется по выходной трубе 4. Внутри аппарата 2 находится первичный фильтрующий слой 5 и несколько вторичных слоев 6. Нижняя часть 2 яв-

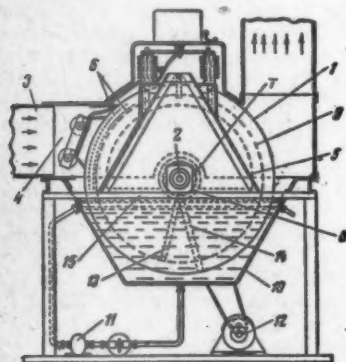


ляется ванной 7, заполненной водой до уровня 1. Постоянство уровня поддерживается переливной трубой 9. Свежая вода подается по трубе 8. Слой 5 размещен на металлич. решетке 10, укрепленной на уголках 3. Фильтрующие слои состоят из стеклянных шариков 12, при этом в нижних слоях шарики крупнее, чем в верхних. Для обеспечения увлечения капель воды газом часть 13 сделана горизонтальной и опущена ниже 1. Увлажненный газ входит в 2 через отверстие трубы 13. Вода в 13 поступает через патрубков 15. Задержанные фильтрами капли воды и пыль образуют над 5 слой жидкого шлама 16, переливающийся через порог 17 в боковой короб 18, откуда трубой 19 шлам направляется в 7, где скребковым транспортером 20 удаляется из 2.

Ю. Скоретский

**57727 П. Электрофильтр с вращающимися электродами (Rotary electrostatic filter)** [Air-Maze Corp.]. Англ. пат. 733984, 20.07.55

Электрофильтр имеет ряд параллельных круглых осадительных пластин 1, укрепленных на валу 2 и вращающихся вместе с последним внутри кожуха со штуцером для входа газа 3 и очистительной камерой 4. В промежутках между смежными 1 установлены неподвижные осадительные пластины 5 и арочные коронирующие электроды 6. Пластины 5 имеют полукруглую форму и укреплены на верхней части кожуха, опираясь своими нижними кромками



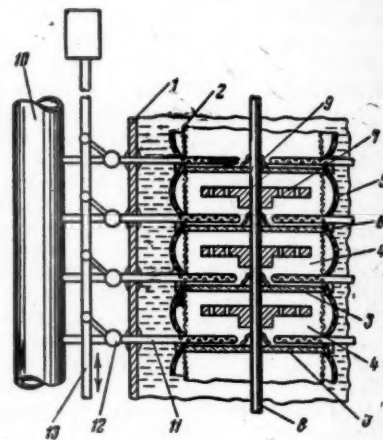
7 на желобки в изоляторах 8, насаженных на 2 между 1. Чтобы предоставить место для 6, часть вращающихся пластин 9, имеет меньший, чем 1, диаметр. Электроды 6 питаются от отдельного источника слегка пульсирующим постоянным током высокого напряжения, вызывающим коронный разряд в междупластинном пространстве и зарядку взвешенных в газе частичек пыли. 1, 2 и 9, а также кожух фильтра заземлены и к заземлению присоединен второй полюс источника тока. Заряженные частицы пыли оседают на поверхности 1, 5 и 9 в камере 4, снабженной в нижней части

жидкостной ванной 10, где осевшая пыль смывается с вращающихся пластин. Кроме того, 1 и 9 дополнительно очищаются щетками 13 и 14, а 5 и 8 — резиновыми пальцами 15. Циркуляция жидкости производится насосом 11, а шлам выводится через управляемый клапан 12.

Ю. Скоретский

**57728 П. Метод и аппарат для разделения смесей путем фракционного осаждения. Хинрикс (Method and apparatus for fractional precipitation of mixtures. Hinrichs Luther).** Пат. США 2747973, 29.05.56

Аппарат состоит из вертикального цилиндрич. корпуса 1, внутри которого находится перфорированный цилиндр 2, разделенный по высоте горизонтальными фильтрующими перегородками 3 на ряд камер 4, каждая из которых снаружи снабжена гибкой металлич.

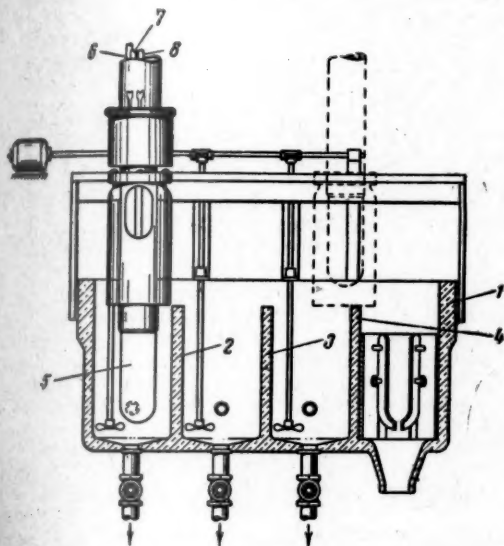


или резиновой оболочкой 5, закрепленной с помощью колец 6. Исходная смесь с очень малым расходом подается в верхнюю 4. В течение короткого времени во все 4 по перфорированным патрубкам 11 подается некоторое кол-во р-ра, осаждающего в-ва, под действием которого осаждается преимущественно труднорастворимый компонент, а маточный р-р обогащается более растворимым компонентом. Затем на короткое время открывается вентиль для удаления р-ра из нижней 4, что обеспечивает перемещение р-ра, находящегося в аппарате, сверху вниз. Осадок, образовавшийся при взаимодействии компонентов исходной смеси и осаждающего в-ва, остается на 3. Затем в каждую 4 подается р-ритель, растворяющий осадок, после чего вновь подается некоторое кол-во того же или другого осаждающего в-ва и одновременно из нижней 4 отбирается новая порция р-ра. Указанные операции повторяются до тех пор, пока более растворимый компонент не будет отделен в виде р-ра от менее растворимого. Последний накапливается в верхних 4. Процесс проводится при перемешивании, осуществляемом с помощью дисков 7, установленных на валу 8, проходящем через отверстия в 3 по оси 2. Эти отверстия уплотняются с помощью манжет 9. Р-ры, применяемые в процессе, подаются по трубам 10, находящимся снаружи аппарата. На 11 установлены вентили 12, которые с помощью штока 13 могут одновременно открываться или закрываться. Пространство между 1 и 2 заполняется жидкостью с определенным уд. весом для выравнивания гидростатич. давления на 5. Все переключения могут производиться автоматически. Перед началом работы все 4 заполняются р-рителем, который для удаления воздуха подается снизу. В качестве примера применения описанного метода ука-

дается на возможность разделения с его помощью смеси редкоземельных элементов: Nd, Sm и Eu. В качестве осадителя применяется аммиак, а в качестве реагента — соляная к-та.

В. Коган  
57729 П. Фильтрующая установка. Каммингс (Filtering apparatus. Cummings Ross) [The United States Atomic Energy Commission]. Пат. США 2774479, 18.12.56

Предложена установка, позволяющая осуществлять фильтрование ценных продуктов без потерь. Это достигается за счет того, что все стадии фильтровального цикла осуществляются в одном резервуаре. Установка состоит из резервуара 1 прямоугольной формы, разделенного при помощи перегородок 2, 3 и 4 на четыре секции, заполняемые соответственно фильтруемой суспензией, промывной и высушивающей жидкостью



(четвертая секция служит для сема осадка), и двух фильтров 5. Подъем 5 и перемещение их из одной секции в другую осуществляется вручную при помощи спец. механич. приспособлений. Отсасывание фильтра, а также промывной и высушивающей жидкостей осуществляется через резиновые шланги 6, 7 и 8 в отдельные сборники.

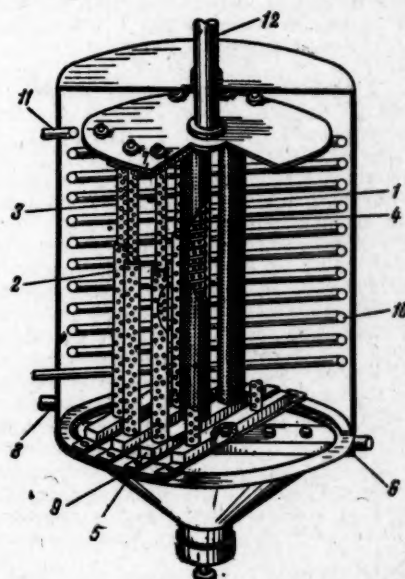
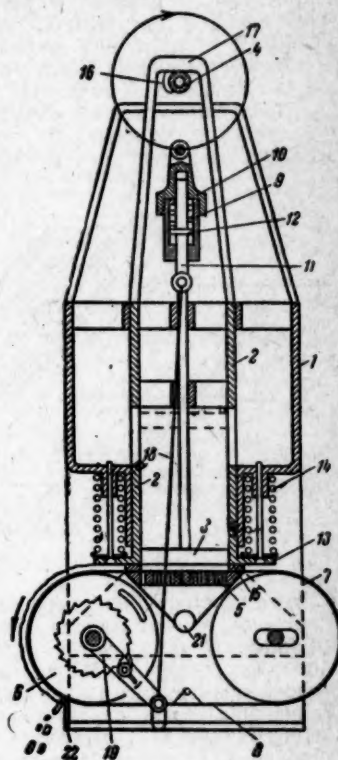
В. Реутский  
57730 П. Автоматически действующий фильтрипресс. Штейнбергер, Паленга (Automatische Filterpresse. Steinberger Franz, Palenga Hans) [A.-G. für Unternehmungen der Eisen- und Stahlindustrie]. Пат. ФРГ 956667, 24.01.57

Фильтрипресс состоит из корпуса 1, цилиндра 2, поршня 3, совершающего возвратно-поступательное движение при помощи кривошипного механизма 4, перфорированной опорной плиты 5, барабанов 6 и 7 и ленты фильтрующего материала 8. Подлежащая фильтрации суспензия поступает под 3 через боковые окна в стенках цилиндра 2 и фильтруется через 8 под давлением опускающегося поршня. Давление, создаваемое 3, регулируется изменением степени сжатия пружины 9, расположенной в муфте 10 шатуна 11, путем изменения положения упорного кольца 12. В момент фильтрации 8 остается неподвижной, а 2 плотно прижимается к ней фланцами 13 либо за счет собственного веса, либо под давлением пружины 14. Увеличение герметичности может быть достигнуто с помощью прокладки 15. При подъеме 3 установлен-

ный на валу кривошипного механизма кулачок 16 при помощи коромысла 17 поднимает 2. Почти одновременно (с небольшим опозданием) тяга 18, соединенная с 11, при помощи храпового механизма 19, поворачивает 6 на такой угол, чтобы вывести из под 2 ленту 8 с отложившимся на ней осадком, после чего 2 снова опускается и цикл повторяется. Съем осадка с 8 производится при помощи скребка 22. Фильтрат собирается в воронке 20 и отводится по трубе 21.

В. Реутский  
57731 П. Усовершенствование рукавных фильтров (Filtre télescopique et perfectionnement aux filtres à manchons en toile) [Joseph Gazzini]. Франц. пат. 1130754, 12.02.57

Описан рукавный фильтр, в котором рукав 1 одевается на две трубы 2 и 3, входящие одна в другую. Между 1 и 2 расположена пружина 4. Трубы 2 укрепляются на коллекторах 5, которые сообщаются с общим коллектором



6, а 3 — на пластинах 7. Сгущаемая суспензия поступает через 8, осадок накапливается в конич. днище 9, откуда периодически удаляется, а фильтрат уходит через 6. Фильтр оборудован змеевиком 10 для охлаж-

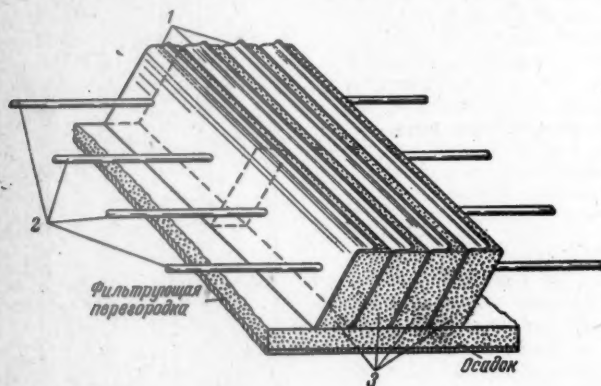


дения или нагревания обрабатываемой суспензии. 1 периодически встряхивают с помощью штока 12, при этом осуществляется обратный поток жидкости и промывка фильтрующей ткани.

3. Хаимский 57732 П. Лента для промывки осадка на фильтрах.

Вейнхольд (Waschband für Filter aller Art. Weinhöld Karl). Пат. ФРГ 905012, 21.04.55

Предложена лента, облегчающая равномерное распределение промывной жидкости по поверхности осадка, находящегося на фильтрующей перегородке.

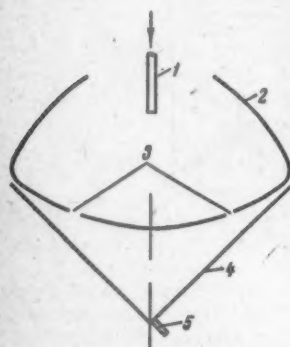


Лента состоит из перегородок 1, расположенных наклонно к поверхности осадка, стальных тросов 2 и брикетов 3 из губчатой резины, вставленных в промежутки между 1. В отличие от применявшихся до настоящего времени лент для промывки осадка предложенная лента характеризуется большей простотой конструкции и, в частности, отсутствием шарнирных соединений, что значительно облегчает возможность ее защиты от коррозии. Соединение перегородок с помощью стальных тросов сообщает ленте достаточную гибкость, что позволяет использовать ее не только при наличии плоской фильтрующей поверхности, но также и в фильтрах с выпуклыми фильтрующими поверхностями, напр. в барабанных вакуум-фильтрах.

В. Реутский 57733 П. Устройство для разделения эмульсий.

Заутер (Vorrichtung zum Trennen von Emulsionen oder Dispersionen. Sauter Eugen) [Siemens-Schuckertwerke A.-G.]. Пат. ФРГ 1007742, 31.10.57

Описано устройство для разделения эмульсий, компоненты которых имеют приблизительно одинаковые уд. веса и разные электропроводности. Эмульсия по трубе 1 подается во вращающийся сосуд 2, являющийся одним из электродов. Через отверстия 3 смесь поступает в воронку 4, являющуюся вторым электродом. В пространстве между 2 и 4 создается неравномерное электрич. поле. Один компонент эмульсии направляется к кольцевой щели между 2 и 4, а другой отводится по трубе 5. В. Коган



57734 П. Магнитный сепаратор. Арнетт, Бьюэлл (Magnetic separator. Arnett Raymond L., Buell Barry O.) [Phillips Petroleum Co.]. Пат. США 2760638, 28.08.56

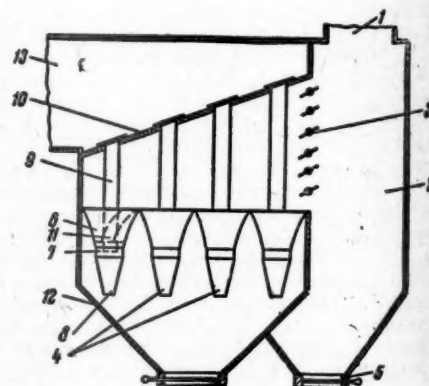
Предложен магнитный сепаратор для удаления мелкодисперсных ферромагнитных частиц из тонких суспензий и колл. р-ров. Сепаратор состоит из цилиндрич. корпуса 1, магнитов 2 (всего в верхней половине сепаратора расположено 4 магнита), ферро-

магнитных полукольцевых пластин 3, расположенных в верхней половине сепаратора, дисков 6, насаженных на вал 4 и приводимых во вращение мотором, и ферромагнитных рифленых шайб 5, укрепленных в зазорах между 6. Подача суспензии, содержащей ферромагнитные частицы, производится через штуцер, расположенный на цилиндрич. стенке сепаратора в одной горизонтальной плоскости с его осью. Попадая в зазоры между вращающимися дисками с укрепленными на них 5, р-р освобождается от содержащихся в нем ферромагнитных частиц и очищ. выходит через отводной штуцер, расположенный на противоположной по отношению к вводу штуцеру стороне цилиндрич. стенки сепаратора на том же уровне. Наличие на 5 ферромагнитных частиц

стигаются в нижней части сепаратора при помощи спец. гребенки (на рис. не показана) и собираются в дне камеры 7. Удаление из сепаратора собранного в 7 шлама производится через штуцер 8. Предложенный магнитный сепаратор особенно удобен для удаления мелкодисперсных ферромагнитных частиц из лиофильных колл. р-ров, напр., для удаления частиц катализатора из р-ров, образующихся в результате гидрогенизации диенов, напр. полибутадиена.

В. Реутский 57735 П. Устройство для частичного или полного улавливания взвешенных частиц аэрозолей. Ка-

стеллани (Apparatus for the selective and/or total separation and collection of particles from suspension in fluid media. Castellani Pio Federico Faloppa) [Termokimik Corp.]. Пат. США 2773508, 11.12.56



Аэрозоль (А) через патрубок 1 подается в камеру для частичной сепарации 2, размеры которой обеспечивают уменьшение скорости А до заданной величины. Из 2 А с помощью подвижных направляющих перегородок 3 направляется в ряд циклонов 4 для

тадения  
тонких  
онт из  
верхней  
ферро-



частицы  
помощи  
ются на  
пегоса в  
адложен-  
для уда-  
сти из  
и части  
аульате

еутский  
полного  
ей. Ка-  
/or total  
spension  
со Fa-  
2773508

камеру  
обеспе-  
й вали-  
ляющие  
4 для

полной сепарации, а отсепарированные за счет уменьшения скорости и изменения направления движения крупные частицы собираются в нижней части 2, горловины которой снабжена затвором 5. 4 состоит из раструба 6, имеющего сверху шестиугольную форму и к низу переходящего в цилиндр 7, к которому присоединен конич. патрубок 8. Внутри 6 и 7 ходит трубы 9, укрепленные на наклонной перегородке 10. В пространстве между 6 и 9 установлены перегородки 11, образующие спиральные каналы. Частицы, отделяющиеся при движении А по спиральным каналам, поступают в бункер 12, из нижней части которого удаляются. Очищенный газ поднимается по 9 и отводится из камеры 13. При небольшой производительности аппарат может иметь один циклон. В. Коган 57736 П. Аппарат для смешения и распределения жидкостей. Белон (Appareil destiné au mélange et à la distribution de substances fluides. Baylon Maurice). Франц. пат. 4124803, 18.10.56

Аппарат состоит из резервуара, разделенного перегородками на необходимое число отсеков, способного перемещаться по вертикали с помощью тросов и лебедки и устанавливаться на заданном уровне для обеспечения самотека. Из нижней части каждого отсека отходит гибкая трубка, по которой поступает находящаяся в отсеке жидкость. Весь пучок трубок соединен с распределительным устройством, имеющим раздельный выход для каждой жидкости. На каждый выход одето сменное сопло для регулирования расхода жидкости. Струи жидкости, вытекающие из распределительного устройства, поступают в опрокидывающийся сосуд, ударяются в перегородки и затем стекают по стенке, на которой расположены смесительные устройства. Проходя через эти устройства, жидкости смешиваются. Для управления опрокидывающимся сосудом предусмотрена система рычагов. 3. Ханмский

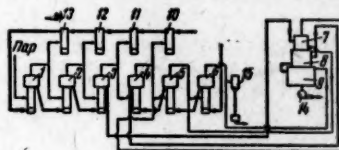
57737 П. Нагревание выпарных и дистилляционных аппаратов и реакторов. Шобер (Beheizung von Verdampfungs-, Destillier- und Reaktionsapparaten. Schöber Karl) [Pintsch Bamag A.-G.]. Пат. ФРГ 967312, 31.10.57

Предложен циркуляционный цикл высокотемпературного теплоносителя (Т) (дифенил, дифенилосид или их смесь). В части 1 жидкий Т нагревается и испаряется. Паро-жидкостная смесь поступает в сепаратор 2, где разделяется на жидкость и пар. Жидкость из 2 по 3 возвращается в 1. Пар из 2 по 4 поступает в конденсатор 5. Образующийся конденсат по 6 возвращается в 1. Для увеличения объема системы при т-рах 250—350° включается приемник 7, имеющий форму сосуда или змеевика и расположенный выше, чем 1 и ниже. 5. Циркуляция в направлении, указанном стрелками, возникает благодаря понижению давления при конденсации в 5, а также под действием силы тяжести конденсата, образующегося в 5. При этом конденсат собирается в 6 до уровня, который всегда выше верхнего витка в части 1. Для быстрого охлаждения Т (при выключении 5) 4 соединяют с 6 охлаждаемой трубой 8. Вместо охлаждения 8 возможно также охлаждение 7 или 6. А. Коган

57738 П. Процесс выпаривания. Мэр (Evaporating process. Maig James) [Goslin — Birmingham Manufacturing Co.]. Пат. США 2744571, 8.05.56

Описана многокорпусная установка для выпаривания вязких р-ров до конц-ий, при которых происхо-

дит частичное выделение твердой фазы, что может привести к отложению кристаллов на греющих поверхностях и значительному ухудшению условий теплопередачи (в частности для упаривания р-ра алюмината натрия в процессе получения алюминия из бокситов). Установка включает 6 корпусов (К) 1—6 и 3 связанных с ними испарительных резервуаров 7—9. Поступающий на выпаривание р-р распределяется по двум направлениям. 1. 45—70% р-ра проходят ряд нагревателей 10—13 и вводится в К 1, нагреваемый свежим паром; вторичный пар используется для нагревания К 2 и 13, а р-р переводится из К 1 в К 2; аналогично, вторичный пар, полученный в К 2, используется в К 3 и 12; вторичный пар из К 3 направляется в К 4 и 11, а из К 4 — в К 5 и 10. 2. 30—55% р-ра поступает в К 6, а оттуда в К 5 и К 4. Конц-ия р-ра в К 1—3 близка к насыщению,



однако кристаллизация здесь не происходит; из К 3 р-р поступает в 7, где осуществляется дальнейшее выпаривание, причем вторичный пар смешивается с паром из К 4, имеющим такую же т-ру. Р-р, упаренный в К 6—4, смешивается с р-ром из 7 и поступает в 8, где подвергается дальнейшему выпариванию; наконец, р-р из 8 переводится в 9, где достигается требуемая конц-ия, после чего р-р выводится насосом 14. Вторичный пар из 8 смешивается с паром из К 5, а из 9 — с паром из К 6, вместе с которым поступает в барометрич. конденсатор 15. При такой схеме обеспечиваются хорошие условия теплопередачи в выпарных аппаратах и устраняется образование кристаллич. отложений на греющих поверхностях К.

Ю. Петровский

57739 П. Аппарат с разделенной греющей камерой для выпаривания в падающей пленке. Виганд, Хесс (Fallstrom-Verdampfer mit unterteiltem Heizraum. Wiegand Joachim, Heß Fritz) [Wiegand Apparatebau G. m. b. H.]. Пат. ФРГ 1009159, 7.11.57

В аппарате для выпаривания в падающей пленке может происходить инкрустация верхней части поверхности кипящих трубок в-вом, содержащимся в исходном р-ре, вследствие того, что сплошная пленка жидкости образуется на некотором удалении от верха трубок. Предлагается применить аппараты с греющей камерой, разделенной по высоте на две части. В верхнюю часть теплоноситель или вовсе не подводится, или подается с более низкой т-рой, чем в нижнюю. Высота верхней части греющей камеры выбирается так, чтобы на выходе из нее создавалась сплошная пленка жидкости.

В. Коган

57740 П. Колонна для контактирования газа или пара и жидкости. Кюни (Austauschkolonne. Kühni Fritz) [Margrit Ottilie Kühni-Rietmann]. Швейц. пат. 313368, 31.05.56

Предложена конструкция контактной тарелки для ректификационных и абсорбционных колонн. См. РЖХим, 1957, 65293.

Ю. Петровский

57741 П. Усовершенствованная насадка для беспорядочной загрузки в дистилляционные колонны и химические реакторы. Торнтон (Improvements in



or relating to random packed elements for distillation and chemical process columns. Thornton John Desmond) [United Kingdom Atomic Energy Authority]. Англ. пат. 741030, 23.11.55

Предложена насыпная насадка для дистилляционных колонн и хим. реакторов, в которых осуществляется взаимодействие газа и жидкости. Каждый из элементов насадки выполняется из листовой заготовки, имеющей форму шестиконечной звезды с отверстием в центральной части. Отходящие лучи загибаются в противоположные стороны до соприкосновения, в результате чего образуется элемент, представляющий две соединенных между собою основаниями шестигранные пирамиды, причем в каждой пирамиде три грани свободны и образуют отверстия треугольной формы. Размер элемента в поперечнике ~ 13 мм. Насадка обладает развитой контактной поверхностью, высокой эффективностью и малым сопротивлением, что позволяет использовать ее в вакуумных дистилляционных колоннах.

Ю. Петровский

**57742 П. Усовершенствование абсорбционных, выпарных, дистилляционных колонн.** Сунтен (Improvements in absorption, stripping, distillation and like columns. Sweeten John Langhorne) [Metal Propellers Ltd]. Англ. пат. 742284, 21.12.55

Предлагается конструкция решетчатой тарелки для контактирования жидкости и газа или пара. Тарелка образована рядом металлич. трубок, параллельных друг другу и расположенных с определенными интервалами в горизонтальной плоскости; образующиеся щели служат одновременно для прохода жидкости и газа. Концы трубок собраны в коллекторы, которые используются для подачи и отвода жидких или газообразных теплоносителей. Тарелки описанной конструкции особенно удобны в тех случаях, когда необходимо регулировать тепловой режим процесса взаимодействия фаз.

Ю. Петровский

**57743 П. Центробежный противоточный экстрактор.** Подбельняк, Подбельняк, Дойл (Centrifugal countercurrent exchange device. Podbielniak Walter J., Podbielniak Wladzia G., Doyle Collin M.). Пат. США 2758784, 14.08.56

Центробежный экстрактор Подбельняка предлагает использовать для экстракции из р-ров, содержащих твердые частицы небольших размеров. Рекомендуется размер отверстий перфорированных пластин 3—7 мм при расстоянии между центрами 12—35 мм. Скорость вращения 2—5 тыс. об/мин. Такой экстрактор может применяться для экстракции пенициллина, хлормидина, витамина А и других в-в с обесчещением 90—95% извлечения.

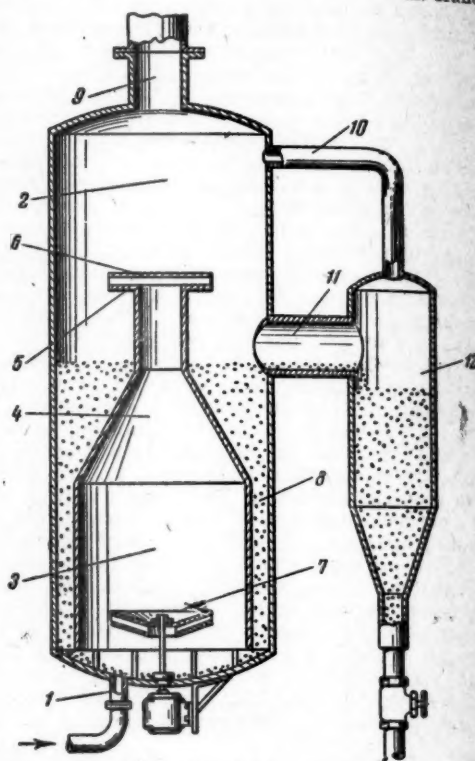
К. Сакодынский

**57744 П. Метод и аппарат для контактирования и последующего разделения несмешивающихся жидкостей.** Килпатрик (Method and apparatus for intimately contacting and then separating immiscible fluids. Kilpatrick Myron O.) [Phillips Petroleum Co.]. Пат. США 2747003, 22.05.56

Взаимодействие несмешивающихся жидкостей, а также органич. жидкостей с катализатором протекает в реакционной зоне 3. Реагирующие компоненты поступают через штуцер 1, смешиваются мешалкой 7 и подаются в разделительную зону 2, прохода через конус 4 и далее в зазор между фланцем 5 и крышкой 6. Тяжелые компоненты (напр., катализатор) осаждаются в 2 и опускаются в кольцевое пространство 8. Избыток тяжелого компонента по переливной трубе 11 поступает в сосуд 12. Легкие компоненты удаляются через штуцер 9. Пары, выделяющиеся из катализатора в 12, уходят по трубопроводу 10. Аппарат

может быть применен для проведения процессов алкилирования, изомеризации, полимеризации.

М. Панфилов



**57745 П. Установка для проведения реакций в псевдооднородном слое.** Минэмура Юдзи, Сиракава Косё, Сэки Нобору (Синъэцу кагаку когё кабусики кайся). Японск. пат. 4923, 23.06.56

Мелкоизмельченные частицы твердого реагента подаются шнеком в верхнюю часть вертикальной цилиндрич. печи. Нагретый до необходимой т-ры газообразный реагент поступает в нижнюю часть печи, проходит по вертикальным трубкам, расположенным над местом входа газа, и после этого движется навстречу твердым частицам, в результате чего достигается их псевдооживление. Внутри каждой трубки на решетке находится насадка, турбулизирующая поток газа и улучшающая теплопередачу между газом и прореагировавшими твердыми частицами, которые перед удалением их из печи проходят в междутрубном пространстве. Печь может быть использована для получения цианамидов кальция взаимодействием  $\text{CaC}_2$  и  $\text{N}_2$ .

М. Гусев

**57746 П. Метод и аппарат для классификации порошкообразных твердых веществ.** Моро (Procédé (et appareil) de classement et de séparation des solides à l'état de poudres. Moreau Raymond-Georges). Франц. пат. 1126482, 23.11.56

Аппарат состоит из цилиндрич. кожуха с тангенциальным вводом газа. В центре кожуха расположена вертикальная труба с форсункой для выбрасывания порошкообразного в-ва в радиальном направлении. Пыль увлекается газом при его вращательном движении и отбрасывается центробежной силой к стенкам кожуха. Тяжелая (или крупная) фракция быстрее достигает периферии и выходит через первый канал, а легкая (или мелкая) фракция удаляется через второй канал. В другом варианте при наличии осевого и

вращательного движения газа оба канала располагаются на равной высоте.

З. Хаимский

См. также: Пластмассы в хим. аппаратостроении 58041. Сопротивление трубопроводов 58711. Очистка газов 57893, 57894, 57904, 57908, 58274. Гидроциклоны 58657. Фильтрование 58768, 58989, 58994, 59024. Фильтровальные ткани из синтетич. волокна 58164. Смешение 58153, 58887. Насос струйного типа 58074. Теплоотдача при кипении 56681. Теплообменники 57929. Газовые печи 58205. Электропечи 58167, 58204. Выпаривание 58972, 59539, 59587. Измельчение 58244, 58245, 58522, 59593. Гранулирование 59340. Трубопроводы из стекла 58191. Трубопроводы из пластмасс 59159. Упаковка пищевых продуктов 59216—59218. Упаковка целлолозы 59535. Газгольдеры 58679. Перенос в газах 58590. Термодиффузия 58868. Ректификация 58632, 58842. Адсорбция 58736. Экстракция 57919, 58854. Кристаллизация 56678, 57950, 58171, 58226. Сушка 58100, 58168, 58244, 58618, 58991, 59545, 59555, 59572. Вязкость жидких углеводородов 56601. Вязкость р-ров сахара и мелассы 58936

## КОНТРОЛЬНО-ИЗМЕРИТЕЛЬНЫЕ ПРИБОРЫ. АВТОМАТИЧЕСКОЕ РЕГУЛИРОВАНИЕ

Редакторы А. М. Дробиз, П. Я. Феста

57747. Единая агрегатная система пневматических приборов. Кривой Ц. П., Новиков А. А., Шантурин П. М., Приборостроение, 1958, № 2, 1—7

Приводится подробное описание новых пневматич. приборов автоматич. контроля и регулирования, разработанных Центральной лабораторией автоматизации, представляющих собой единую агрегатную систему и позволяющих осуществлять самые сложные системы регулирования. В основу работы приборов положен принцип компенсации сил. Основными приборами в разработанной системе являются пневматич. датчики с усилителем и преобразователем (все пневматич. датчики имеют линейные характеристики изменения выходного импульсного давления в зависимости от измеряемой величины при основной погрешности  $\pm 1\%$ ), вторичные показывающие и регистрирующие приборы, унифицированный изодормный регулятор и поршневой исполнительный механизм с позиционером. Кроме того, разработана вспомогательная аппаратура: элемент предварения, элемент соотношения, индивидуальный редуктор давления и фильтр воздуха. Даются технич. характеристики всех описываемых приборов.

М. Людмирский

57748. Автоматические обегачные устройства для управления процессами. Вальтер (Automatic scanning of processing. Walter Leo), Ind. chim. belge, 1958, 23, № 1, 15—18 (англ.; рез. франц., флам., нем.)

В связи с усложнением хим. процессов управление ими становится все более и более сложным. Так как оператору приходится наблюдать за большим количеством приборов и регуляторов, необходимо разгрузить внимание оператора от второстепенных параметров. Для этой цели применяют так называемые обегачные устройства, которые непрерывно проверяют значение параметров и, в случае чрезмерного отклонения, подают сигнал оператору. В некоторых системах происходит при этом остановка искателей. В других системах номер, значение параметра и время, когда произошло это нарушение, печатаются автоматич. пишущей машинкой на ленте. При этом, так как скорость работы обегачной системы значительно превышает скорость печати, применяют запоминающие

устройства, куда поступают информации об отклонении параметров и пишущее устройство «считывает» и печатает данные об отклонениях в определенной очередности. Так как информация о состоянии параметров необходима не только для ведения процесса, но и для учетных и статистич. целей, применяют периодич. печать данных обегачных устройств и при нормальном режиме. Для автоматич. последующей обработки этих данных они могут печататься на перфоленте для ввода в электронную счетную машину.

И. Ихлоу

57749. Новое в области техники измерения и регулирования на выставке ИНТЕРКАМА в 1957 году. Лин (Neuere Entwicklungen in der Meß- und Regeltechnik bei der INTERKAMA 1957. Liehn W.), Silikattechnik, 1958, 9, № 2, 86—89 (нем.)

Краткий отчет о конференции и выставке по автоматизации ИНТЕРКАМА (1957 г.). Указываются тенденции в области техники регулирования и измерения, в частности: а) распространение компенсационных методов измерения; б) применение счетов с мнемосхемами; в) отказ от вывода импульсных линий на пульт управления и замена их электрич. или пневматич. дистанционными приборами с применением соответствующих датчиков преобразователей; г) автоматизация записи в цифровой форме; д) применение приборов автоматич. анализа.

И. Ихлоу

57750. Аппаратура фирмы «Г. Кент» на Олимпийской выставке в Лондоне. — (L'instrumentation «G. Kent» à l'exposition de l'Olympia.), Mesures et contrôle industr., 1957, 22, № 241, 480—482 (франц.; рез. англ.)

Описаны новые контрольно-измерительные приборы: регистрирующий электронный потенциометр с двумя скоростями полного пробега каретки по шкале (2 и 15 сек.), реверсивным двигателем с тахогенератором и синхронным вибропреобразователем на частоту 40, 50 и 60 гц с катушкой, защищенной экраном, благодаря чему паразитные токи не превышают  $10^{-11}$  а; пневматич. регулятор трех взаимозависимых параметров (расхода воды, пара и уровня воды в котле), снабженный устройствами для компенсации падения т-ры в импульсных трубках и для компенсации уд. веса пара; пневматич. блок «Марк 20», характеризующийся наличием реактивной трубки, включенной параллельно системе сопло — заслонка, обеспечивающий высокую стабильность регулирования; новые четырехходовые панели дистанционного управления и бескабельные регуляторы давления «FAF».

З. Хаимский

57751. Факторы, определяющие выбор систем обработки данных. Хикс (Factors in selecting data handling systems. Hix Albert H.), ISA Journal, 1956, 3, № 6, 187, 188—191 (англ.)

Для проектирования установки систем (С) автоматич. обработки данных измерений необходима следующая миним. информация: а) детальное описание всех контрольных точек технологич. схемы; б) типы и размещение измерительных элементов и датчиков; в) опись требуемых математич. и др. операций с данными; г) результаты сравнения различных типов счетно-решающего оборудования; д) полная стоимость установки выбранной С; е) опись преимуществ, получаемых в результате установки С. При установке С на действующем объекте следует учитывать нежелательность полной замены существующих приборов и систем дистанционных измерений, а также то, что зачастую выбор места установки С может диктоваться существующим расположением технологич. оборудования. Предлагаются образцы составленных описей и таблиц для выбора С.

И. Ихлоу

57752. Измерение плотности жидкости. Уэйлен (Liquid density measurement. Whalen F. C.), Pro-

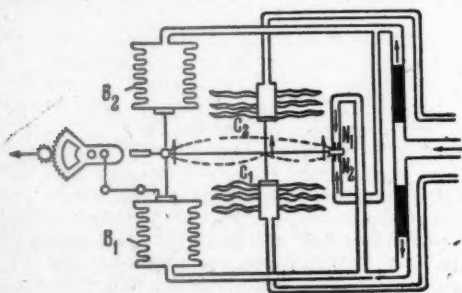


cess Control and Automat., 1957, 4, № 11, 409—411 (англ.)

Приведены принципиальные схемы и краткие описания плотномеров (П) для жидкости, в том числе: пьезометрич. с продувкой газа, поплавковых и весовых. Показывается метод устранения влияния уровня жидкости на показания П и способ подавления нуля при измерении плотности в узком диапазоне. Описаны поплавок-пружинный, пневматический и цепной. В весовых П взвешивается постоянный объем жидкости в сосуде, подвешенном на пружинах или пневматич. взвешивается петля трубопровода, через который протекает исследуемая жидкость. Последний П особенно пригоден для измерения плотности пульпы и других жидкостей с возможным оседанием твердых частиц. Для правильной работы такого П необходимо поддерживать в нем высокую скорость исследуемой жидкости. Приведены схемы автоматич. регулирования плотности по показаниям этого П (фирмы Rotameter Co.) в процессах приготовления известкового молока и регенерации осушителя (LiCl) при осушке воздуха.

И. Ихлов  
57753. Новый микроанометр с усилением давления.

Такэда, Судзуки (A new pressure-magnifying type sensitive pressure gauge. Takeda Shin-ichi, Suzuki Hiroshi), Proc. 6th Japan Nat. Congr. Appl. Mech., 1956. Tokyo, 1957, 415—418 (англ.)  
Разработан микроанометр (М) для измерения малых разностей давления. В М измеряемая разность



давления перемещает 2 многомембранные коробки  $C_1$  и  $C_2$ , которые через рычаг передвигают заслонку по отношению к соплам  $N_1$  и  $N_2$ . При этом возникает усиленная в несколько десятков раз разность давлений в сильфонах  $B_1$  и  $B_2$ , возвращающая заслонку в первоначальное положение (обратная связь по перемещению). Сильфоны связаны рычажной и секторной передачей со стрелкой М. Приводятся статич. и динамич. расчеты М. Шкала М 0—5 мм вод. ст. Погрешность 1% от максим. значения шкалы. Чувствительность 0,01 мм вод. ст. Постоянная времени 0,2 сек. Время успокоения 0,8 сек. М может измерять переменные давления с частотой до 0,5 гц. Наклон на угол до 5° не вносит заметной погрешности. При подстройке нуля М пригоден для измерений при наклоне до 20°. Разность давлений в 1 мм вод. ст. вызывает перемещение конца указательной стрелки на 39,1 мм.

И. Ихлов  
57754. Регулятор расхода свободного истечения.  
Колков Н. Ф., Масл.-ядр. пром.-сть, 1958, № 2, 36—37

Описание пневматич. регулятора расхода, измерительным устройством которого является поплавок, помещенный в камере, из которой свободно вытекает жидкость через калиброванную диафрагму.

М. Людмирский

57755. Термомары, поверхностные и радиационные пирометры. Сикора (Thermoelemente, Oberflächen- und Strahlungspyrometer. Sykora), Keram. Z., 1958, 10, № 2, 57—59 (нем.)

Краткое описание принципа действия и применения погружных и поверхностных термомар и радиационных пирометров. Приводятся рекомендации по их установке и возможные погрешности измерения.

И. Ихлов  
57756. Методы контроля качества для случая двух зависимых переменных. Джексон (Quality control methods for two related variables. Jackson I. Edward), Industr. Quality Control, 1956, 12, № 7, 4—8 (англ.)

Рассматриваются вопросы применения статистич. методов контроля двух зависимых переменных. Приведены примеры расчетов, когда зависимыми переменными являются 2 хим. компонента. Б. Вольтер

57757. Новый прибор для определения влажности. Диппель (Ein neues Gerät zur Bestimmung der Feuchtigkeit. Dippel Walther), Kälte, 1956, 11, № 1, 28—31 (нем.)

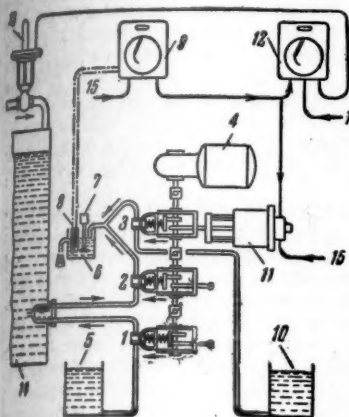
Показаны недостатки метода сухого и влажного термометров для определения влажности воздуха. В разработанном новом приборе чувствительный элемент термометра окружен фитилем, пропитанным LiCl. Через намотанные на этот фитиль 2 проволоки пропускают электрич. ток от трансформатора. При этом повышение силы тока вызывает повышенное испарение влаги из фитиля, в результате чего уменьшается сопротивление р-ра LiCl и ток уменьшается. Таким образом, каждому значению влажности соответствует определенная т-ра равновесия, отсчитываемая по термометру, который может быть откалиброван, или в г Н<sub>2</sub>O на 1 л воздуха или в °C точки росы. Так как прибор указывает малые изменения влажности, вызываемые легкими воздушными потоками, чувствительный элемент окружен перфорированным экраном, демпфирующим показания прибора и одновременно служащим защитой чувствительного элемента от повреждения. Установка второго термометра для измерения наружной т-ры воздуха позволяет определять и относительную влажность воздуха. Точность прибора ±1% абс. влажности и ±2% относительной влажности. Замена р-ра LiCl производится 1 раз в 2 года при нормальной т-ре и 1 раз в год при повышенной т-ре. Обычно термометр жестко связан с указывающим прибором, хотя можно осуществлять и дистанционное измерение, применяя термометр с капилляром или электрич. термометр.

И. Ихлов  
57758. Эффект заземления рН-метра со стеклянным электродом, применяемого на химических заводах. Мори (Mori Masaki), Кайсоку, J. Soc. Instrum. Technol., Japan, 1956, 6, № 12, 604—607 (японск.; реангл.)

При измерении или регулировании величины рН электронным рН-метром со стеклянным электродом на хим. з-дах необходимо тщательно следить за заземлением измеряемого р-ра. Р-р в трубопроводе, баке и т. п. имеет обычно электрич. потенциал, отличный от потенциала земли. Приводятся рекомендации, обеспечивающие стабильность и точность измерения рН с помощью электронного рН-метра со стеклянным электродом.

Г. Людмирский  
57759. Титрующий регулятор непрерывного действия для кристаллизующихся растворов, используемых в химических процессах. Харт (A continuous titration controller for chemical process slurries. Hart Porter), ISA Journal, 1957, 4, № 10, 472—473 (англ.)  
Фирма The Dow Chemical Co. разработала систему

регулирования кислотности или щелочности кристаллизующихся р-ров. Применяются три насоса с регулируемой подачей (ходом) 1, 2 и 3, приводимые в действие от общего мотора 4. Насос 1 подает из сосуда 5 в анализирующую линию воду для растворения кристаллов. Подача 1 устанавливается вручную так, чтобы она была несколько меньше подачи 2, который подает смесь воды и анализируемой жидкости в измерительную ячейку 6 с мешалкой 7. Фаза работы 1 и 2 выбрана такой, что 2 засасывает жидкость тогда, когда 1 нагнетает воду. Этим достигается точное смешение воды с жидкостью. В 6 установлена электрод-



ная пара 8 (стеклянный электрод в паре с каломелем), воздействующая на рН-метр 9 с пневматич. выключателем. рН-метр 9 управляет ходом 3, добавляющего в 6 р-р к-ты из сосуда 10 так, чтобы жидкость в 6 имела постоянное рН. При этом давление сжатого воздуха в линии к сервомотору 11, переставляющему ход 3, определяется кислотностью или щелочностью измеряемой жидкости. Это давление регистрируется регулятором давления 12, который, воздействуя на пневматич. клапан 13 подачи к-ты в аппарат 14, поддерживает в 14 постоянную щелочность. Система питается сжатым воздухом в точках 15.

И. Ихлов

57760. Автоматический регистрирующий сахариметр. Гейте (An automatic recording saccharimeter. Gates J. W.), Chemistry and Industry, 1958, № 7, 190—193 (англ.)

Описан макет автоматич. сахариметра, состоящего из горизонтально расположенной 3-дюймовой трубы длиной 765 мм, внутри которой установлены минитрунная ртутная лампа и линза, направляющая световой пучок, параллельный оси трубы, на светофильтр, излучающий монохроматич. зеленые лучи с длиной волны 546 м. Пучок зеленых лучей направляется далее на поляризующий фильтр («Polaroid» HN 24), пропускающий только плоско-поляризованный луч, который проходит через модулятор, представляющий собой цилиндр из спец. стекла длиной 10 см. Последний служит сердечником электромагнита, обмотка которого питается переменным током частотой 50 гц. Под действием переменного магнитного поля в стекле происходит вращение плоскости поляризации света (эффект Фарадея). Полученный таким образом модулированный луч проходит далее через изготовленную из высококачественного кварцевого стекла кювету, заполненную измеряемым р-ром сахара. Длина кюветы 0,75 мм, рабочий объем 0,021 мл. При пропускании луча происходит вращение плоскости поляризации, пропорциональное концентрации р-ра. После кюветы луч проходит через второй стеклянный цилиндр, длиной 5 см, служащий сердечником компенсационного электромагнита постоянного тока, и, пройдя через светофильтр, попадает на фотоумножитель с катодом диам. 1 см. Фототок, пройдя через фильтр, задерживающий первую гармонику, поступает на вход фазочувствительного усилителя, выходной ток кото-

рого питает обмотку компенсационного электромагнита. Под действием последнего происходит поворот поляризованного луча в направлении, обратном вращению, которое вызывается измеряемым р-ром, до тех пор, пока не наступит момент компенсации. Прибор позволяет измерять концентрации до 70% сахара (весовых) с чувствительностью 0,2%, что соответствует изменению направления луча на 0,001°. Поверхности стеклянных цилиндров покрываются тонкой пленкой  $MgF_2$  для предупреждения отражения. Регистрация показаний осуществляется на ленточном самописце.

Б. Сумм

57761. О влиянии некоторых нелинейных характеристик элементов изодромного регулятора на динамические свойства системы автоматического регулирования. Круг Е. К., Минина О. М. Автоматика и телемеханика, 1957, 18, № 10, 886—898

На основании исследования систем автоматич. регулирования с изодромным регулятором делается вывод, что при возмущении по заданию ограничение скорости изодромного элемента улучшает переходный процесс, а введение нелинейного преобразователя в пропорциональный элемент улучшает переходный процесс при возмущении по нагрузке, если ограничены положение регулирующего органа и скорость изодрома.

Б. Вольтер

57762. Автоматизация в производстве водяного газа.

Суяма (Suyama Ayato), Нагэрё кёкайси, J. Fuel Soc. Japan, 1957, 36, № 363, 583—587 (японск.; рез. англ.)

Описывается система автоматизации технологич. процесса получения водяного газа с использованием программного устройства циклич. управления генераторами.

Г. Людмирская

57763. Новая, полностью автоматизированная установка для приготовления шихты в стекольной промышленности. Зейдлиц (Eine neue vollautomatische Gemengeanlage für die Glasindustrie. Seidlitz Wolfgang), Silikattechnik, 1958, 9, № 2, 83 (нем.)

Спроектирована автоматизированная установка приготовления шихты для варки стекла. В этой установке все компоненты подаются ленточными и вибрационными питателями и взвешиваются автоматич. весами, управляемыми с центрального щита управления.

И. Ихлов

57764. Экономия в 20 000 долларов в год за счет автоматизации на бумажной фабрике. Уэйермаллер (Paper company saves \$ 20,000 per year with automatic control. Weyermuller Gordon), Chem. Process., 1957, 20, № 10, 144—147 (англ.)

Автоматизирован процесс регенерации  $Na_2S$ . Установка обрабатывает 49 т/час сухого твердого остатка и производит 350 т/сутки пара.

И. Ихлов

57765 П. Измерительное устройство. Белчер (Measuring apparatus. Belcher Wallace E., Jr) [Minneapolis-Honeywell Regulator Co.]. Пат. США № 2755020, 17.07.56

При измерении производственных параметров часто требуется проведение всякого рода математич. операций с результатами измерений. Напр., для измерения весового расхода газа необходимо измерить перепад давления на диафрагме, давление и т-ру газа и полученные данные ввести в счетно-решающее устройство для получения результата. Предлагается применять для этой цели для каждого параметра измерительное устройство с омич. или индукционным датчиками, сигнал с которых измеряется автоматич. уравновешенным мостом. При этом угол поворота реохорда этого моста является мерой величины данного параметра. На ось реохорда насаживается диск с тре-



мя трупами отверстий соответственно трем разрядам десятичной системы. Эти отверстия имеют такую конфигурацию и так расположены по отношению к 30 фотоэлементам, что в зависимости от угла поворота диска всегда освещено по одному фотоэлементу каждого разряда, в результате чего в счетно-решающую машину подаются 3 сигнала, соответствующие трехзначному числу, определяющему величину измеряемого параметра. Приводятся схемы включения датчиков для измерения т-ры, давления и расхода. Для линейаризации показаний расходомеров применяется колокольный дифманометр с фигурным поплавком. Для линейаризации показаний термопары рекомендуется схема автоматич. потенциометра с двумя связанными друг с другом реохордами, включенными в противоположные вершины измерительного моста.

И. Ихлов

**57766 П. Усовершенствование объемных расходомеров.** Эйнеуэрт, Ивлин (Improvements in or relating to volumetric measuring devices. Ainsworth Mark, Eveleigh John William) [National Research Development Corp.]. Англ. пат. 740917, 23.11.55

Предлагается конструкция объемного расходомера для газов, в котором в качестве разделительного тела применена пленка (П) жидкости. В этом приборе при движении через него газа образуется П, которая под действием газа движется вверх по измерительной трубке определенного объема. При достижении П определенного положения она замыкает цепь сетки электронного реле, которое заставляет сработать счетное устройство и переключает поток газа для повторения цикла (новое образование П). После замыкания цепи П разрушается от соприкосновения с электродами электронного реле. Изменяя положение контактирующих электродов и геометрию размеры измерительной трубки, можно изменять пропускную способность прибора от нескольких см<sup>3</sup> до 20 л в мин. Перепад давления на приборе чрезвычайно мал и при 2 л/мин не превышает 0,5 мм вод. ст., что позволяет применять прибор для измерения расхода воздуха при дыхании животных и пульсирующих расходов газов. И. Ихлов

**57767 П. Термочувствительный элемент.** Ланг (Temperature responsive device. Lang Delmer T.) (Walter Kidde — Pacific). Пат. США 2764651, 25.09.56

Предлагается термочувствительный элемент для сигнализации т-ры, состоящий из манометрич. термометра с пружиной Бурдона (ПБ), заполненной жидкостью (ацетоном). Контакт укреплен непосредственно на ПБ. Ввиду малого объема измерительной системы по сравнению с термоматрином получается значительное изменение давления в зависимости от т-ры. Заполнение системы жидкостью при т-ре близкой к сигнальной позволяет применять ПБ на малое давление, что придает системе крутую характеристику (релейную). Для защиты ПБ от порчи при превышении т-ры предлагается защитное устройство, состоящее из мембраны, с одной стороны которой подведена манометрич. жидкостью системы, а с другой — имеется закрытый объем, в котором создано давление, соответствующее верхнему допустимому давлению на ПБ. При повышении т-ры выше допустимого мембрана отходит от упора и допускает расширение жидкости без существенного повышения давления. И. Ихлов

**57768 П. Система автоматического регулирования вязкости.** Норрис (Viscosity control system. Norris Edward O.). Пат. США 2773507, 11.12.56

Патентуется система, предназначенная для непрерывного измерения и регулирования вязкости жидкости путем добавления в нее определенного кол-ва компонента, отличающаяся конструкцией вискозиметра ротационного типа и системы пневматич. регулирования.

Г. Людмирская

**57769 П. Устройство для отмеривания жидкости.** Брус, Мак-Кланг (Liquid metering device. Bruce Ralph E., McClung Roger M.) [Production Control Units, Inc.]. Пат. США 2775870, 1.01.57

Предлагается конструкция дозатора для отмеривания одинаковых порций жидкости. Выталкивание дозируемой жидкости производится гидравлич. (масляной) системой через разделительную мембрану. Управление электрич. Имеется автоматич. температурная компенсация. Б. Сумм

**57770 П. Усовершенствование в системе подачи жидкости.** Адамс (Improvements in or relating to liquid delivery systems. Adams Kenneth Beatson) [Wayne Tank and Pump Co. Ltd]. Англ. пат. 740964, 23.11.55

Предлагается конструкция клапана (К), который при его открытии (вручную) автоматически блокируется шариковым запорным устройством. При этом К остается открытым все время пока через него протекает жидкость. Прекращение потока жидкости отпирает шариковое запорное устройство и К автоматически закрывается. Этим исключается возможность оставления открытым К на линии розлива жидкости, когда расходомер, отмерив определенное заданное кол-во жидкости, прекращает ее подачу, в тех случаях, когда один расходомер может быть использован для нескольких трубопроводов, и оставление К открытым может вызвать неправильное направление потока жидкости. И. Ихлов

**57771 П. Временный клапан.** Де-Шейн, Неес (Timing valve. De Schane Dale L., Neas Oliver W.) [Flo-Matic Valve Co.]. Пат. США 2766663, 30.10.56

Предлагаемый клапан (К) предназначен для тех случаев, когда необходимо на определенное время соединить трубопроводы или аппаратуру с атмосферой или с другим аппаратом, главным образом при продувках или промывках. Для этой цели К выполнен в виде золотника, связанного с рукояткой. Для приведения в действие К необходимо потянуть за его рукоятку, чем производится переключение потока, и повернуть эту рукоятку по часовой стрелке на угол, соответствующий желательному времени открытия К. При этом заводится часовой механизм и защелка удерживает К в этом положении до тех пор, пока под действием часового механизма рукоятка не вернется в исходное положение и этот механизм освободит защелку, в результате чего золотник К вернется в первоначальное положение под действием пружины. И. Ихлов

**57772 П. Многоходовой тарельчатый вращающийся клапан с автоматическим управлением.** Стерлинг (Automatically controlled, multiway, rotary plate valve. Stirling Albert Y.). Пат. США 2777515, 15.01.57

Патентуется конструкция многоходового клапана с электромоторным приводом для переключения потоков жидкости в различных циклич. процессах. Б. Сумм

**57773 П. Дифференциальная система анализа и регулирования.** Хатчинс (Differential analyzer and control system. Hutchins Joseph W.) [Phillips Petroleum Co.]. Пат. США 2764536, 25.09.56

Предлагается схема автоматич. регулирования разделительной колонны для отделения нормального бутана от бутилена в присутствии других С<sub>4</sub> и диалкила. По этой схеме расход товарного продукта регулируется по показаниям ИК-газоанализатора, причем отбор газа для анализа производится с определенной тарелки колонны. Между этой же точкой отбора и точкой, лежащей несколькими тарелками выше, включен дифференциальный ИК-анализатор. Через одну кювету этого газоанализатора проходит газ из вы-

жидкости.  
vice. Вгу-  
Production  
.57  
отмерива-  
вание до-  
я. (масла-  
рану. Ук-  
ратурная  
В. Сумм  
ding to h-  
h Beat-  
Англ. пат.

который  
блужда-  
При этом  
него про-  
кости от-  
автомат-  
можность  
жидкостей,  
заданное  
тех слу-  
использо-  
вание К  
правление  
И. Ихлов  
н, Несе  
eas Oji-  
276663,

для тех  
время со-  
мисферой  
при про-  
выполнен  
для приве-  
а его пу-  
потока, и  
е на угол,  
срытия К.  
елка уде-  
а под дей-  
ернется в  
бодят за-  
с в пер-  
жизни.  
И. Ихлов  
дающих  
ерлинг  
plate val-  
A 277515,

клапана с  
ния пото-  
К. Сумм  
иза и re-  
alyzer and  
[Phillips

ания раз-  
льного бу-  
и динамич-  
кта регу-  
а, причем  
деленной  
отбора и  
ше, вклю-  
через оди-  
из них

ной точки, а через другую кювету — из верхней. В зависимости от разности поглощения ИК-излучения в обеих кюветках регулируется подача пара. Уровень в трубе колонны регулируется изменением расхода кубового продукта. Давление регулируется дросселированием выхода из колонны. Давление в сборнике конденсата регулируется байпасированием теплообменника-холодильника. Уровень в этом сборнике регулирует клапан флегмы. И. Ихлов

57774 П. Метод и прибор для контроля и регулирования сушки изделий. Жильсон (Procédé et dispositif pour le contrôle et la régulation du séchage de produits humides à l'intérieur d'un séchoir. Gilson Pierre-Charles-Jean). Франц. пат. 1114016, 6.04.56

Патентуемая схема программного регулятора сушки изделий, в частности кирпича, основанного на применении устройства, названного автором «ретрактометром», служащего для измерения усадки кирпича с помощью двух игл, втыкаемых на определенном расстоянии в один из кирпичей высушиваемой партии. Сдвиг игл в результате усадки преобразуется в электрич. сигнал, служащий для управления движением ватонеток с кирпичом через туннельную систему. З. Хаймский

См. также: Применение изотопов в пром-сти 57664—57666. Весовой счетчик для барды 58976. Применение промотора для анализа углеводородов 58733. Измерение pH варочной к-ты в сульфитном котле 59511. Фотоколориметр 57268. Определение загрязненности смолочных масел методом электропроводности 58831. Автоматический сахариметр 58945, 58954. Прибор для контроля пластичности бетонной массы 58261. Автоматический контроль работы полимеризационной установки нефтеперерабатывающего з-да 58686. Автоматическое регулирование теплового режима коксовых печей 58634. Контрольно-измерительные приборы в коксовом произ-ве 58635. Сигнализация поступления бражки в брагоректификационный аппарат 58973. Автоматическое взвешивание угольной шихты 58622.

КОРРОЗИЯ. ЗАЩИТА ОТ КОРРОЗИИ

Редактор И. Я. Клинов

57775. Коррозия и защита металлов. Цзо Цзин-инь, Хуасюэ гуи-е, 1958, № 1, 57—65 (кит.)

Обзор. Библ. 17 назв. М. Мельникова

57776. Коррозия и исследования коррозии. Геллингс (Corrosie en corrosie — onderzoek. Gellings P. J.), Lastechniek, 1958, 24, № 1L, 1—5 (гол.; реэ. англ.)

Обсуждены некоторые вопросы теории коррозионных процессов и практики коррозионных исследований. Из резюме автора

57777. Повреждения из-за электролитической коррозии. Швенкхаген (Schäden durch elektrolytische Korrosion. Schwenkhaagen H. F.), Maschinenschaden, 1956, 29, № 11—12, 161—168 (нем.)

Рассмотрены основные положения электрохим. коррозии блуждающими токами и предохранения конструкций от действия этих токов. Я. Лапин

57778. Схема классификации в коррозионных вопросах. Брейшер (A classification scheme for corrosion topics. Grasher D. M., Miss), Corros. Prevent. and Control, 1958, 5, № 2, 39—42 (англ.)

Разработана схема классификации по вопросам коррозии, а также форма карточки для запросов. Классификация состоит из 8 основных разделов: 1) общие вопросы, 2) испытания, 3) характеристика явлений

коррозии, 4) коррозионные среды, 5) меры предотвращения коррозии, 6) конструкционные материалы, 7) оборудование, 8) пром-сть. Каждый из этих разделов имеет много различных подразделов. В основу данной схемы положена классификация, принятая в свое время Национальной ассоциацией коррозионных инженеров США (Corrosion, 1952, 8, № 12).

Ю. Аронсон  
57779. Сопротивление пограничного слоя, электродный потенциал и коррозия алюминия в растворах хлорида алюминия. Балодис Ю. Р., Клявиньш З. В., Лиенинь Л. К., Zinātn. raksti. Latv. Univ., Уч. зап. Латв. ун-т, 1957, 15, 267—274

Измерены значения коррозии ( $\Delta g$ ), электродные потенциалы ( $\varphi$ ), пограничное сопротивление ( $R$ ) Al 99,48% в 0,001—5,0 н. AlCl<sub>3</sub> при 20°. Величины  $\Delta g$ ,  $\varphi$ ,  $R$  представлены в зависимости от времени выдержки образцов в р-рах различной конц-ии. Приводится вывод о таличии обратной зависимости между скоростью коррозии Al и омич. сопротивлением пограничного слоя, сохраняющейся в области водородной и кислородной деполаризации. А. Шаталов

57780. Влияние поверхностноактивных веществ на коррозию металлов в кислых средах. Лошкарев М. А., Ростовцева В. К., Аврунина А. М., Тр. Днепропетр. хим.-технол. ин-та, 1956, вып. 5, 135—146

Методом полиризационных кривых и весовым путем исследовано влияние на кислотную коррозию Pb и Sn ряда поверхностно-активных в-в (I), используемых при осаждении этих металлов. Агрессивными средами для Pb и Sn служили соответственно 1 н. р-р HNO<sub>3</sub> и 5 н. р-р HCl. Анализ кривых катодной и анодной поляризации в чистых р-рах к-т и в тех же р-рах с добавками I показал, что в случае применения Pb лучшее защитное действие оказывают в основном анионные добавки, что предположительно объясняется появлением дополнительного потенциального барьера, связанного с необходимостью проникновения H<sub>3</sub>O<sup>+</sup> через плотный адсорбционный слой. Действие анионных добавок хорошо согласуется с зарядом поверхности Pb в принятых условиях ( $\epsilon_s$  для Pb —0,22 в по водородной шкале,  $\epsilon_{s=0}$  —0,69 в). В случае Sn поведение I находится в хорошем согласии с предположением, что торможение процесса саморастворения Sn может наблюдаться под влиянием молекулярных добавок (для Zn  $\epsilon_s$  —0,41 в и  $\epsilon_{s=0}$  —от —0,35 до —0,40 в). Рекомендуются использовать в качестве замедлителей кислотной коррозии Pb и Sn камфору и некаль ВХ соответственно. М. Полтева

57781. Окажинообразование на 25-процентной железоникелевой стали в воздухе, содержащем водяной пар и сернистый газ. Ипатьев В. В., Иванова М. А., Милуц Г. Б., Уч. зап. ЛГУ, 1957, № 227, 48—58

Определялось влияние паров воды и SO<sub>2</sub> на процесс высокотемпературного окисления Ni и сплава 25% Ni — 75% Fe. Скорость окисления (CO) определялась путем периодич. взвешивания образцов, помещенных в окисляющую газовую среду в интервале т-р 750—980°. Окисляющей средой служили сухой воздух, воздух с 1%, 10—20% водяного пара и 100%-ный водяной пар. При исследовании CO Fe-Ni-сплава при 750—980° установлено, что увеличение влажности воздуха до 10—15% увеличивает CO этой стали. Добавка SO<sub>2</sub> в кол-ве 1—5% при 750—800° не оказывает заметного влияния на окажинообразование как Ni, так и Fe-Ni-сплава. Приводятся результаты исследования окажины, показывающие, что во всех случаях, независимо от состава среды, внешняя часть окажины состоит только из окислов Fe, которые располагались слоями и не содержали Ni. Внутренняя, граничащая с металлом часть окажины не была слоистой, по составу яви-



лась гетерог. В сухом воздухе FeO в окалине не содержится, во влажном появляется в виде отдельного слоя. Толщина этого слоя увеличивается с увеличением влажности среды.

**57782. Стойкость дусернистого молибдена против газов при высоких температурах.** Эккерт (Beständigkeit von Molybdänsulfid gegenüber Gasen bei höheren Temperaturen. Eckert G.), Werkstoffe und Korrosion, 1958, 9, № 2, 69—72 (нем.; реф. англ., франц.)

Приведены результаты определения стойкости дусернистого молибдена (I), применяемого в качестве смазочного материала против газов при высоких т-рах. Оценкой стойкости являлась «граница т-ры», т. е. т-ра, при нагреве до которой и выдержке в течение 30 мин. в потоке газа происходило разложение  $\leq 1\%$  имевшегося кол-ва I. Такими т-рами для воздуха установлено 280°, для водорода 715°, для смеси водорода и азота с объемным соотношением 20:80° 870°, для той же смеси с объемным соотношением 12:88° 985°. Указывается, что на практике наблюдаются более низкие т-ры разложения, так как применяются пленки смазочного материала, в то время как при исследовании применялся порошкообразный I.

**57783. О защитном действии хрома при коррозии сплавов Fe-Cr-парами серы.** Семенова А. К., Гельд П. В., Физ. металлов и металловедение, 1957, 5, № 2, 378—379

Исследования кинетики окисления сплавов Fe-Cr (0—19,29% Cr) парами S ( $P_s = 50$  мм рт. ст.), а также исследования структурных особенностей образующейся окалины показали, что сульфидная окалина растет в результате встречной диффузии части металла и металлоксида. При этом Cr накапливается во внутреннем слое окалины. Коррозионная стойкость сплавов возрастает с повышением содержания Cr и достигает наибольшего значения при 12% Cr. Внутренний слой окалины при этом состоит из чистой шпинели FeCr<sub>2</sub>S<sub>4</sub>. Показано, что роль Cr в процессах оксидной и сульфидной коррозии его сплавов с железом идентична.

**57784. Влияние температуры на скорость коррозии металлов.** Герасимов В. В., Розенфельд И. Л., Изв. АН СССР. Отд. хим. н., 1957, № 10, 1166—1171

Исследование влияния т-ры на коррозионное и электрохим. поведение Fe, Cu, Zn, Ni, Pb и Mg в р-рах 0,1 н. NaCl (I), 1 + 0,1 н. HCl, 1 + 0,1 н. NaOH, 1 + 0,1 н. KMnO<sub>4</sub> при 0, 20, 50, 80 и 95° показало, что скорость коррозии (СК) Fe, Pb, Zn и частично Cu (> 50—60°) в нейтр. среде, Pb и Zn в щел. среде лимитируется скоростью транспорта O<sub>2</sub>. Повышение т-ры увеличивает скорость диффузии и уменьшает растворимость O<sub>2</sub>, поэтому кривая зависимости СК перечисленных металлов от т-ры проходит через максимум. Так же меняется в зависимости от т-ры и величина предельного диффузионного тока. В «закрытой системе» для Cu в р-ре I кривая зависимости СК от роста т-ры не проходит через максимум. Величина предельного диффузионного тока в этих условиях для Fe и Cu также непрерывно растет с увеличением т-ры. В результате исследования кинетики катодного процесса восстановления O<sub>2</sub> на Pt в р-ре I было установлено, что с ростом т-ры перенапряжение р-ции ионизации O<sub>2</sub> уменьшается в среднем на 2,8 мВ на 1°. Поэтому непрерывный рост СК Ni в нейтр. среде, где контролирующим фактором является скорость р-ции ионизации O<sub>2</sub>, обуславливается увеличением скорости ионизации O<sub>2</sub> с ростом т-ры. Показано, что в щел. р-рах коррозии Cu и Fe протекает со смешанным контролем, причем с ростом т-ры скорость катодного и анодного процессов увеличивается. Лимитирующим фактором здесь является скорость ионизации O<sub>2</sub>. В слу-

чае кислой среды коррозии всех указанных металлов идет как с кислородной, так и с водородной деполяризацией, причем для Fe, Cu, Ni и Zn имеет место зависимость:  $\lg i_c = A - B/T$ , т. е. логарифм СК является линейной функцией от  $1/T$  (A и B — постоянные). Коррозия Mg во всех средах протекает с выделением H<sub>2</sub>. СК Mg увеличивается с ростом т-ры, так как за счет уменьшения перенапряжения H<sub>2</sub> увеличивается скорость разряда и диффузии ионов H<sub>2</sub>. Процесс идет с диффузионным контролем. Коррозия Fe, Ni, Pb и Zn в нейтр. окислительной среде протекает с катодным контролем, причем СК с ростом т-ры непрерывно увеличивается. Для Cu в этой среде кривая СК — т-ра проходит через максимум. В нейтр. окислительной среде наблюдается с увеличением т-ры наибольший рост СК для всех перечисленных металлов. СК с изменением т-ры меняется в первую очередь вследствие изменения фактора, контролирующего данный коррозионный процесс.

А. Тумовский

**57785. Влияние облучения на некоторые коррозионностойкие сплавы, служащие ядерным горючим.** Киттел, Гринберг, Пейн, Дрейл (Effects of irradiation on some corrosion-resistant fuel alloys. Kittel J. H., Greenberg S., Paine S. H., Drayley J. E.), Nucl. Sci. and Engng, 1957, 2, № 64, 431—449 (англ.)

Изучалось влияние облучения на коррозионную стойкость (КС) сплавов на основе урана (Zr 5% и Nb 1,5%; Nb 3%; Si 3,8%). Сплавы подвергались облучению, причем кол-во атомов, претерпевших распад, не превышало 0,1 ат.%. Параллельно изучалось влияние облучения на КС U. На стойкость U оно влияет незначительно. В закаленном сплаве U с 3% Nb, структура которого представляет метастабильный γ-р-р, наблюдалось значительное изменение длины и образование неровностей на поверхности. Его КС в результате облучения резко упала. Тройной сплав с Zr 5% и Nb 1,5%, будучи подвергнут некоторым режимам термич. обработки, может обладать достаточной сопротивляемостью против изменения размеров под влиянием облучения, но при этих режимах термич. обработки его КС при облучении низкая. КС теряется в условиях, когда 0,046—0,074% атомов претерпели распад. Обертка этого сплава сплавом циркалой-2 снижает скорость его роста, но в случае повреждений в оболочке урановый сплав остается практически не защищенным от коррозии. Из исследованных сплавов наименьшее влияние облучение оказывало на литой сплав с 3,8% Si (U<sub>3</sub>Si); под влиянием облучения он практически не менял ни размеров, ни своей КС. Этот сплав силен к растрескиванию как при облучении, так и без него.

И. Левин

**57786. Связь между структурой магниевого сплава и его склонностью к коррозии под напряжением.** Тимонова М. А., Докл. АН СССР, 1957, 117, № 5, 848—851

Исходя из представления о том, что Mg-Al-Zn-Mn-сплав не должен подвергаться коррозионному растрескиванию (КР) только в том случае, когда в сплаве отсутствуют сплошные цепочки выделений интерметаллич. соединения Mg<sub>2</sub>Al<sub>3</sub> или пересыщенного твердого р-ра, была сделана попытка подбора метода термич. обработки (ТО), приводящей к полному распаду внутри зерна. Установлено, что достаточно полный распад пересыщенного твердого р-ра наблюдается при длительной обработке при 185°. Дополнительная ТО при 60—100° в течение 15—30 суток, проводившаяся для еще большего обеднения алюминием твердого р-ра, не вызывала видимого изменения микроструктуры. После длительной ТО при 185° (5 суток) КР образцов не наблюдалось в течение 360 суток испытаний, в то время как сплав в горячепрессованном, закален-

металлов  
и деполяри-  
зует место  
(K является  
тоянные).  
делением  
как как за-  
считывается  
процесс идет  
, Pb и Zn  
катодным  
вывно уве-  
СК — т-ра  
нительной  
и большой  
СК с по-  
следствие  
ий корро-  
умовский  
коррозийно-  
горючих.  
(Effects  
el alloy.  
H., Dra-  
64, 431—  
тутой стой-  
Nb 1,5%;  
облуче-  
испад, во  
влияние  
иет не-  
в, стру-  
у-р-р, на-  
образова-  
ультате  
% и Nb  
термич.  
отвляе-  
нем об-  
отки его  
словиз.  
Оберт-  
скорость  
иже ура-  
щенным  
меньшее  
с 3,8%  
тически  
на скло-  
и без  
Левин  
сплава  
кением.  
7, № 5,  
Zn-Mn-  
распре-  
сплав  
интерме-  
о твер-  
да тер-  
распаду  
полный  
ся при  
ная ТО  
вспаян  
серого  
грунту  
образ-  
статей,  
накали-

ном, состаренном (неполный распад) состояниях под-  
вергается КР за срок < 18 суток.

М. Кристалль  
57787. Исследование причин точечной коррозии алю-  
миния в водопроводной воде. Павлов С. Е., Собо-  
лева В. А. В сб.: Коррозия и защита металлов. М.,  
Оборонгиз, 1957, 236—259

Исследование причин точечной коррозии (ТК) Al-по-  
суды, вызываемой куйбышевской питьевой водопро-  
водной водой (ВВ), показало, что возникновение ТК  
Al-сплавов не связано с технологией произ-ва посуды.  
Исследованием ряда сплавов типа АД, АОО и АООО  
в куйбышевской и московской ВВ, а также в синте-  
тич. водах, содержащих различное кол-во NaCl, уста-  
новлено. 1. Чем выше чистота Al, тем меньше скло-  
ность его к ТК. Однако даже Al высшей чистоты  
(АООО) несколько склонен к ТК. При непрерывном  
действии ВВ скорость ТК значительно больше, чем  
при переменном действии ВВ. 2. Возможность воз-  
никновения ТК зависит от pH ВВ. В кислых и щел.  
ВВ ТК не отмечено. 3. Очагами ТК Al являются на-  
рушения защитной пленки на его поверхности в ме-  
стах включений нерастворимых интерметаллич. со-  
единений. Наиболее опасными являются катодные  
включения FeAl<sub>3</sub>. Приводятся данные о причинах,  
обуславливающих ускорение развития ТК. Указы-  
вается на возможность уменьшения склонности Al и  
ТК легированием его 0,5% Mg, 0,2% Ti. Лучшие ре-  
зультаты достигаются при введении в Al по 0,5% Mg  
и Mn. Склонность Al к ТК может быть устранена  
30-минутным кипячением в водопроводной или дистил.  
воде. Ф. Слюмянская

57788. Состояние поверхности металлических мате-  
риалов и ее влияние на поведение конструкцион-  
ных деталей при эксплуатации. I. Виганд (Die  
Oberfläche von metallischen Werkstoffen in ihrem  
Einfluss auf das Betriebsverhalten der Konstruktion-  
steile. (I). Wiegand H.), Metalloberfläche, 1958, 12,  
№ 2, 33—37 (нем.)

Рассматривается влияние ряда механич. факторов  
на скорость коррозии (К) металлич. поверхности  
(МП) и в особенности отмечается влияние кон-  
центраций напряжений на процессы разрушения деталей в оксид-  
ационных условиях. Процесс разрушения гете-  
рог. МП трактуется с точки зрения свободной энер-  
гии системы. Гетерогенность МП может быть обуслов-  
лена ее хим. или структурной неоднородностью, раз-  
личий в состоянии металла по границам и в теле зер-  
на, наличием растягивающих напряжений, возникаю-  
щих при термич. обработке или при холодной дефор-  
мации металла и т. п. Приводятся основные положе-  
ния причин, обуславливающих К под напряжением,  
точечную, перфорирующую, меж- и транскристаллит-  
ную К. Отмечается, что процессы окисления, напр.  
при образовании слоя окислы при нагреве металла  
и пленок при трении, также следует рассматривать  
как процесс К. Указывается, что одновременное про-  
исхождение меж- и транскристаллитной К или межкри-  
сталлитной К и К под напряжением приводит к бы-  
строму разрушению металла. Также сильно влияют  
остаточное напряжение и знакопеременные нагрузки.  
В случае работы сильно нагруженных деталей при вы-  
сокой т-ре в средах, содержащих пассивирующие ванадия,  
хромистых Mo и т. п., т. е. при образовании на МП  
легкоплавных эвтектик, детали быстро разрушаются.  
Примифовка и приработка МП проводится при силь-  
ном трении, вследствие чего поверхности сильно окис-  
ляются, что может привести к усталостному излому  
металла. Указывается, что, если приработка подши-  
пников скольжения проводится при значительном дав-  
лении, на отдельных участках МП происходит удале-  
ние окисной пленки и спекание этих мест подшипника  
и паффы. При дальнейшей работе вновь образуются

пленки. Установлено, что стойкими являются только  
металлич. поверхности, покрытые тонкими (~15—  
100 атомных слоев) пленками. Ф. Слюмянская

57789. Кавитационная эрозия. Саказ, Босёку гид-  
роу, Соггос. Engng, 1957, 6, № 1, 1—14 (японск.)

Рассматривается механизм и методы испытания ка-  
витационной эрозии (КЭ). Описан прибор для испыта-  
ния на КЭ струей воды литых изделий из Cu-сплавов  
и материалов, применяемых для произ-ва труб. Опи-  
саны оборудование и результаты испытания на КЭ  
металлов с помощью магнитного вибратора, испыта-  
ние материалов в различных агрессивных средах,  
влияние аэрирования на КЭ. Библ. 37 назв.

З. Завьялов

57790. Растворение металлов в кислоте, в частности  
железа и малоуглеродистой стали. Хурлен (Op-  
pløsning av metaller — spesielt jern og bløtt stål —  
i syre. Hurlen Tor), Tekn. ukebl., 1958, 105, № 5,  
95—101; № 6, 119—122 (норв.)

Обзор. Библ. 28 назв.

К. Герцфельд

57791. Растворение металлов в кислотах. Красо-  
вицкая Т. И., Сб. работ. Моск. лесотехн. ин-т, 1957,  
вып. 5, 38—51

Обзор существующих положений о механизме тор-  
можения коррозии металлов в к-тах. А. Шрейдер

57792. Исследование коррозионной стойкости мате-  
риалов, применяемых для постройки резервуаров  
для концентрированной серной кислоты—, Хуасюэ  
гун-е, 1958, № 1, 34—41 (кит.)

57793. Коррозия алюминия в некоторых щелочных  
растворах. Мак-Кьюн (Corrosion of aluminum by  
alkaline sequestering solutions. McCune H. W.),  
Industr. and Engng Chem., 1958, 50, № 1, 67—70  
(англ.)

В щел. р-рах этилендинитрилтетраацетата натрия  
(I) Na<sub>4</sub>P<sub>2</sub>O<sub>7</sub> и Na<sub>5</sub>P<sub>3</sub>O<sub>10</sub> (II) при 60° и pH до 10,5 кор-  
розия (К) Al происходит быстрее, чем в р-рах Na<sub>2</sub>P<sub>2</sub>O<sub>7</sub>,  
Na<sub>2</sub>SO<sub>4</sub> и [(CH<sub>3</sub>)<sub>4</sub>N]<sub>2</sub>SO<sub>4</sub>. При более высоком pH эти  
р-ры вызывают значительно более сильную К. О скло-  
ности к К можно судить по величине потенциалов  
(П) в элементе, состоящем из Al и н. к. э., погружен-  
ных в исследуемый р-р. Измерение такого П в р-рах  
при 30° и постоянном pH показало, что в р-ре II П  
резко падает при pH 8—8,5. В р-ре Na<sub>2</sub>SO<sub>4</sub> П более по-  
ложителен, чем в других р-рах при pH до 10,5. При  
pH 10,5 П в этом р-ре становится примерно таким,  
как в р-рах I и II. Что касается р-ра I, то изменение  
pH от 7 до 10,5 почти не влияет на величину П. При  
изучении К Al в р-ре II установлены следующие за-  
висимости. С увеличением объема р-ра, а также его  
т-ры К увеличивается. Усиление К наблюдается так-  
же при перемешивании р-ра. Величина К почти про-  
порциональна конц-ии II при значениях последней до  
0,3%. Присутствие в р-ре детергента, напр. алкилбен-  
золсульфоната, на К почти не влияет. Если pH исход-  
ного р-ра составлял 9,95, то под влиянием продуктов  
К он быстро падает до 9,7 и остается на этом уровне.  
При значении pH исходного р-ра 8, он быстро растет  
до 9,3, после чего почти не изменяется, несмотря на  
протекание процесса К. Предлагаются ур-ния р-ций,  
происходящих в р-рах I и II при погружении в них  
Al при разных значениях pH. К снижается также при  
добавлении в р-р буферов и катионов, образующих  
с II комплексные ионы. В. Левинсон

57794. Коррозионная стойкость бытовой посуды из  
алюминия и его вторичных сплавов при комнатной  
температуре. Курнаков Н. Н., Зайцев В. Г.,  
Сб. научн. работ. Моск. ин-т нар. х-ва, 1957, вып. 10,  
221—230

Определение коррозионной стойкости (КС) бытовой  
посуды из вторичных сплавов Al (I) производилось  
в сравнении с КС посуды из Al марки А-1 (II) при



комнатной т-ре. В качестве коррозионных сред были взяты вода из водопровода г. Москвы, р-ры солей, органич. ж-т и пищевые продукты (квашеная капуста, молоко, простокваша). Испытания показали, что КС посуды из I ниже КС посуды из II в 2—43 раза в зависимости от среды. Установлена относительно высокая КС вторичного дюралюминия в молоке и рекомендуется применение неплакированного сплава марки АД-1 для изготовления молочной посуды. Рассмотрено влияние полировки внутренней поверхности посуды из вторичных литейных сплавов на КС.

Т. Фадеева

**57795. Коррозия Ti в дымящей HNO<sub>3</sub> и ее торможение.** Бомбергер (Titanium corrosion and inhibition in fuming nitric acid. Bomberger H. B.), Corrosion, 1957, 13, № 5, 17—21 (англ.)

Дымящая красная HNO<sub>3</sub> применяется в качестве окислителя для ракетных двигателей. Применение Ti в качестве конструкционного материала в условиях воздействия этой среды лимитируется образованием взрывчатых продуктов коррозии, имеющих пирофорный характер и глубиной разбедания порядка 0,25—2,5 мм/год. Причиной взрывов является образование мелкодисперсных частиц Ti в связи с интенсивной межкристаллитной коррозией. Эффекты межкристаллитного разбедания и взрывов наблюдаются при воздействии на Ti HNO<sub>3</sub> в герметизированных условиях. В открытых сосудах эти явления не наблюдаются и коррозия Ti характеризуется ничтожным глубинным показателем ~ 0,0025 мм/год, (исследовались образцы из технич. Ti и сплава Ti с 7% Mn). Испытания производились в двух сортах ж-ты: 1) красной дымящей (уд. в. 1,6) с содержанием (в %): HNO<sub>3</sub> 78 NO<sub>2</sub> 20 и H<sub>2</sub>O 2; 2) 90% ж-те (10% H<sub>2</sub>O) с уд. в. 1,5. В коррозионные среды вводились добавки CuSO<sub>4</sub>, CuCl, CrO<sub>3</sub>, MnO<sub>2</sub>, FeCl<sub>3</sub>. В открытых сосудах происходило поглощение H<sub>2</sub>O и O<sub>2</sub> из окружающего воздуха. Результаты экспозиции оценивались по глубинному показателю и путем металлографич. исследования. Установлено тормозящее действие примесей влаги и O<sub>2</sub> в дымящей HNO<sub>3</sub>; в их присутствии коррозия почти совершенно прекращалась. Введение безводн. CuSO<sub>4</sub> также серьезно замедляло коррозионный процесс. В неаэрируемых сосудах наблюдается межкристаллитная коррозия Ti, а для двухфазного сплава имеет место избирательное растворение β-фазы, причем остающиеся частицы α-фазы представляют собой пирофорный взрывчатый порошок.

А. Шрейдер

**57796. Расширение области применения титана в химической промышленности.** Берфорд, Уикс, Кейтерсон (Titanium moves into process equipment. Bedford G. T., Weeks W. J., Catterson A. G.), Chem. Engng, 1956, 63, № 12, 238, 240, 242, 244, 246, 248 (англ.)

Рассматривается область применения, сравнительная стоимость, физ.-хим. и технологич. характеристики Ti. Высокопрочный сплав C130AM, выпускаемый в виде прутков, заготовок, проволоки и поковок, содержащий 4% Mn и 4% Al, имеет предел прочности, равный 98 кг/мм<sup>2</sup> при удлинении 10%. Горячую штамповку Ti рационально осуществлять при 150—427°. Удаление окислы с поверхности Ti производится в расплаве окислительных солей с последующим травлением в смеси 20—30%-ной HNO<sub>3</sub> и 2% HF при т-ре 54°. Ti коррозионностоек в 1%-ном р-ре HCl (ж-та) при 70°, но разрушается в кипящем 3,5%-ном р-ре HCl. При анодной поляризации Ti устойчив в 50%-ной H<sub>2</sub>SO<sub>4</sub>, что позволяет его использовать для изготовления подвесок для анодирования, гальванич. процессов и электролитич. полирования. Следы Cu<sup>2+</sup>-ионов и хромовой ж-ты действуют как замедлители коррозии. Такое же действие оказывает HNO<sub>3</sub> как при добавлении к H<sub>2</sub>SO<sub>4</sub>,

так и HCl (ж-та). Это обстоятельство обуславливает высокую коррозионную стойкость Ti в царской воде.

Е. Зарецкий

**57797. О стойкости титановых сплавов к коррозии.** Сообщение I. Нисимура, Хирамачу (Nishimura Hideo, Hiramatsu Tsuyoshi), Япония, Японский журнал гальваники, J. Japan Inst. Metals, 1957, 21, № 7, 465—469 (японск.; рез. англ.)

Изучена хим. стойкость α- или β-твердых бинарных титановых сплавов в связи ее со значением электродных потенциалов. Измерение производилось в 20%-ном р-ре HCl. Изучалось также влияние добавок некоторых элементов в эти сплавы на стойкость их в р-рах HCl, H<sub>2</sub>SO<sub>4</sub> и H<sub>2</sub>C<sub>2</sub>O<sub>4</sub> различной концентрации и при различных т-рах. Сделаны следующие выводы: добавка элементов 1-й и 2-й групп периодич. системы мало влияет на стойкость сплавов; добавка таких элементов, как Pt, Pd, Zr и Mo, повышает коррозионную стойкость титановых сплавов; электродные потенциалы сплавов, у которых коррозионная стойкость невысока, через некоторое время быстро снижаются; добавка Cr увеличивает коррозионную стойкость сплава в р-ре H<sub>2</sub>SO<sub>4</sub>.

Р. Новиковский

**57798. Никелемолибденовые сплавы в американской химической промышленности.** Барроу (Nickel-Molybden-Legierungen in der amerikanischen chemischen Industrie. Barrow G. R.), Chem. Rundschau, 1957, 10, № 24, 561—564 (нем.)

Приведены хим. составы и механич. свойства сплавов Ni-Mo (I), Ni-Cr-Mo (II), Ni-Cr-Fe-Mo (III), Ni-Si-Cu (IV), Co-Cr-W-Ni (V), применяемых в хим. машиностроении в американской пром-сти. Указывается, что сплав I, содержащий 28% Mo, применяется для изготовления многих аппаратов, работающих в условиях воздействия HCl (ж-та), в частности при получении HCl (ж-та) из H<sub>2</sub> и Cl<sub>2</sub>. Из сплава I изготавливаются детали, работающие при 700°. Особенно ценен сплав I, обладающий очень высокой стойкостью по отношению к катализаторам типа AlCl<sub>3</sub>, при алкилировании бензола до этилбензола, а также при изомеризации таких насыщ. углеводородов, как бутан, в присутствии катализатора, содержащего комплексы AlCl<sub>3</sub>-HCl-углеводород или смеси AlCl<sub>3</sub> и расплавленной Sb. Отмечается, что I не склонен к коррозионному растрескиванию в кипящем 42%-ном MgCl<sub>2</sub>. Сплав II обладает очень высокой стойкостью во влажном хлоре и гипохлорите, KCl, ж-тах HF, HCl и HNO<sub>3</sub>. Из II изготовлен аппарат для инверсии декстрозы, работающий в среде, содержащей декстрозу и HCl (ж-та), при 150—190°. II обладает помимо высокой коррозионной стойкости высокой износостойкостью. Это позволило с успехом применить его для изготовления насоса, перекачивающего шлам, содержащий горячую фосфорную ж-ту в гипс. II применен также для обкладки реторты, в которой находится горячая HF. Скорость коррозии II при 540° в этих условиях составляет 0,5 мм в год. Реторта служит 3 года. Сплав III стоек как в сильно окислительных, так и в неокислительных средах. Он успешно применяется для обкладки варочных котлов в целлюлозном произ-ве. Этот сплав не склонен к коррозионному растрескиванию в кипящем 42%-ном MgCl<sub>2</sub>. III обладает также высокой стойкостью в перегретой воде при т-рах до 730° и давл. 450 кг/мм<sup>2</sup>. Сплав IV обладает такой же коррозионной стойкостью, как и Fe-Si-сплав, но имеет значительно лучшие механич. свойства и более стоек к механич. и термич. ударам. Этот сплав обладает высокой износостойкостью. Очень высокой стойкостью в дымящей HNO<sub>3</sub> при одновременном коррозионно-эрозийном воздействии обладает сплав V, который стоек также во влажном хлоре.

М. Кристал

37799. Коррозия сталей соляной кислотой в сферическом состоянии. Цейтлин Х. Л., Бабицкая С. М., Ж. прикл. химии, 1958, 31, № 1, 84—89

Известно, что при т-ре, превышающей точку росы, HCl (ж-та) превращается в паро-газовую смесь HCl—H<sub>2</sub>O (I), действующую на металлы иначе, чем исходная ж-та. Задачей исследования являлось установить стойкость некоторых металлов к HCl (ж-та), находящейся в сферическом состоянии (СС), т. е. тогда, когда капли ж-ты отделены от наклонной поверхности теплоизолирующим слоем I. Результаты опытов показали, что при 200° СС ж-ты часто нарушаются и HCl вызывает сильную местную коррозию (К), достигающую 900 мм в год как для углеродистой, так и для сталей типа 1X18H9T. При 300—400° углеродистые стали удовлетворительно устойчивы к 20%-ной HCl в СС. При 500° для сталей 1X18H9T и ЭИ-496 К равномерная и незначительна. Показано, что 20%-ная HCl (ж-та) при 100° корродирует со сталью 1X18H9 в 2000 раз сильнее, чем в той же ж-те в СС при 500°; характер подготовки поверхности не оказывает заметного влияния на К нержавеющей стали в HCl (ж-та) в СС. При описании к HCl (ж-та) фенола, хлорбензола также не оказывают существенного влияния на К сталей в 20%-ной HCl (ж-та) в СС. Р. Салем

37800. Применение нержавеющей стали для изготовления хранилищ и цистерн для транспортировки молока. Уэнтворт-Пинг (Stainless steel in the service of milk. Wentworth-Ping W. H.), Milk Ind., 1958, 42, № 2, 75, 77 (англ.)

Отмечается, что нержавеющая сталь типа 18/8 нашла широкое применение в молочной промышленности Англии, преимущественно для изготовления ж.-д. цистерн и автоцистерн для перевозки и хранения молока, для изготовления насосов, вентиляторов и др. Применяемая аргоно-дуговая сварка позволяет отполировать металл так, что место сварки по виду не отличается от остальной поверхности. Это имеет особое значение, так как дает возможность устранить в конструкциях цистерн и углубления, что обеспечивает надежную защиту. Последние производятся детергентами и паром под давлением. Применяются слабощел. детергенты, содержащие гринатрий или гексаметафосфат натрия. Цистерны, пущенные в эксплуатацию в 1920 г., работают до сих пор и находятся в удовлетворительном состоянии. Ю. Аронсон

37801. Коррозия установок для химической чистки одежды. Цилль (Korrosionserscheinungen an Reinigungsanlagen der chem. Reinigung. Zill Hermann), Chemischreiniger und Färber, 1957, 10, № 21, 373, 374, 376 (нем.)

Изучение причин коррозии (К) показало, что К вызывается явлениями гидролиза и окисления, ведущими к образованию ж-ты и дихлорацетилхлорида. Указаны методы предотвращения. Ю. Аронсон

37802. О нанесении покрытий на поверхность металлов. Иноуэ, Киндзюку хэмэн гидзюцу, J. Metal Finish. Soc. Japan, 1957, 8, № 1, 30—33 (японск.)

Обзор. Библ. 8 назв. З. Завьялов

37803. Опыты по ускоренной коррозии цинковых электролитических покрытий на стали, пассивированных химическим способом. Бестек (Essais de corrosion accélérée de revêtements électrolytiques de zinc sur acier, passivés par la méthode chimique. Bieatek Tadeusz), Corros. et anticorros., 1958, 6, № 2, 59—65 (франц.)

Описаны условия: получения электролитич., блестящих и матовых Zn-покрытий, толщиной в 7 м, на малоуглеродистой стали; пассивации этих покрытий в одном из 15 р-ров, рецептура которых приведена; испытаний на коррозию (обычных и ускоренных) в атмосфере искусств. промышленного воздуха, в горя-

чей дистил. воде, в солевом тумане, во влажной камере и в четырех типичных атмосферах (города, улицы, промышленного центра и приморского района). Оценка результатов этих испытаний проводилась по длительности периода до появления первых следов коррозии Zn и по длительности периода до появления первых следов коррозии стали. Установлена повышенная коррозионная стойкость блестящих Zn-покрытий по сравнению с матовыми. Приведены оптимальные составы пассивирующих р-ров и область их применения. И. Шварц

57804. Защита от коррозии деталей шасси самолетов. Эйвс (How corrosion is reduced on landing gear pistons. Aves William L., Jr), Plating, 1957, 44, № 11, 1175—1179 (англ.)

Отмечается эффективность Ni-подслоя с целью защиты от коррозии хромированных Al-сплавов. Так, при испытании в солевой камере сплавов с покрытием Cu 25 м + Cr 50 м очаги коррозии появляются через 144—192 часа в зависимости от состава сплава, в то время как для покрытия Cu 5 м + 25 м Ni + 50 м Cr не обнаруживается следов коррозии после 240 час. и испытаний. Описан технологич. процесс нанесения таких покрытий на Al-детали шасси самолетов. Н. Смагунова

57805. Металлизация как способ защиты от коррозии. Гофман (Flammengespritzte Überzüge aus Metall als Korrosionsschutz. Hoffmann Th.), Techn. Mitt., 1957, 50, № 7—8, 278—280 (нем.)

Описывается способ защиты металлич. конструкций от коррозии методом металлизации (М). Указывается, что при М получается пористое покрытие (П), отличающееся по своему уд. весу от веса первоначального металла ~ на 10%. Прочность сцепления П достаточно велика, однако вследствие пористости П возникает электрохим. коррозия, в результате которой корродирует менее благородный металл. М обычно осуществляется с применением проволоки и только при покрытии тугоплавкими металлами из порошкообразных в-в. Zn-П обычно применяются чаще всего. Отмечается, что для надежной защиты П окрашивают с целью устранения пористости, в противном случае следует брать большую толщину П. Наименьшая толщина для ликвидации пор должна составлять 65 м. В практике наименьшая толщина Zn-П составляет 0,1—0,15 мм под окраску и 0,3—0,4 мм без окраски. Р. Салем

57806. Применение металлизации на ремонтной су-доверфи в Гдыне. Вуйчик (Metallizacja natryskowa w Gdynskiej Stoczni Remontowej. Wojcik Waslaw), Budown. okręt., 1958, 3, № 2, 32 (польск.)

57807. Микротвердость и износостойкость диффузионных хромовых покрытий. Горбунов Н. С. В сб.: Теория и практика электролит. хромирования. М., АН СССР, 1957, 108—116

Исследовались образцы из железа, стали, чугуна с разным содержанием С, которые подвергались термодиффузионному хромированию из порошковых материалов. Показано, что с повышением содержания С в покрываемом металле увеличивается микротвердость диффузионного слоя. Наиболее высокая твердость достигнута на чугуне. При испытании наблюдалось увеличение износостойкости хромированных образцов по сравнению с незащищенными. Образование устойчивых диффузионных слоев без нарушения сплошности твердого тела возможно лишь при тех условиях, когда атомный диаметр покрывающего металла отличается от атомного диаметра железа ≤ 15—16%. Кроме соотношений в размерах атомных диаметров железа и наносимого в-ва, важным фактором является растворимость этого в-ва при комнатной т-ре и обнаженный контакт между поверхностями покрываемого металла и наносимого в-ва. Р. Салем



**57808.** К вопросу о защитных покрытиях для насосных штанг. Фаерман И. Л., Чернышева Е. В., Наджафов А. А., Саркисов А. М., Тр. Азерб. т.-и. ин-та по добыче нефти, 1957, вып. 6, 200—210. Результаты исследования насосных штанг, покрытых Zn с целью защиты их от коррозионно-усталостных разрушений, показали повышение предела усталости штанговых сталей при оцинковании их термодиффузионным способом (ТС). Для покрытий применялся Zn-порошок, толщина слоя Zn  $\sim 20$  м. В качестве коррозионной среды была взята вода из скважины. Испытывались следующие марки стали: 40У, 20ХН, 15НМ и марганцовистая типа 1335. Было проведено также исследование резьбовых соединений, оцинкованных ТС при 3 режимах: нагреве в печи с порошком Zn до 380, 420 и 500°. При нагреве до 380° толщина покрытия составляет 4—5 м; при свинчивании и развинчивании слой Zn стирается. При режиме до 420 и 500° наблюдалась неравномерная толщина слоя покрытия по профилю витка резьбы и выкрашивание Zn-покрытия. Р. Салем

**57809.** Исследование прочности и коррозионной стойкости плакированной с одной стороны листовой стали различными металлами в зависимости от степени деформации и термической обработки. Шмидтман (Festigkeits- und Korrosionsuntersuchungen an einseitig verschieden plattierten Blechen in Abhängigkeit von Verformungsgrad und Wärmebehandlung. Schmidtman Eugen), Klepzig Fachber., 1957, 65, № 10, 375—378 (нем.).

Исследование прочности, структуры, коррозионной стойкости и обрабатываемости давлением листовой маргеновской нелепированной стали, содержащей 0,09% С, плакированной с одной стороны Си, латунию, Ni, в зависимости от степени холодной деформации и последующей термич. обработки. Показано, что прочностные характеристики (ПХ) плакированной листовой стали (ПЛС) определяются в основном свойствами стали после холодной деформации и термообработки. Обрабатываемость давлением ПЛС определяется в основном деформируемостью стали. Установлено также, что для обеспечения необходимых ПХ и коррозионной стойкости холоднодеформированные ПЛС должны подвергаться термообработке, причем наиболее благоприятной является нормализация при 930°. После термообработки при 930° при степенях деформации от 5 до 75% прочность на разрыв ПЛС равна 36—37 кг/мм<sup>2</sup>, а удлинение 32—35%. При исследовании твердости ПЛС установлено, что при холодной деформации до 75% твердость неплакированной стали и ПЛС увеличивается с 96—97 до 224—232 ед. по Виккерсу. У Си твердость изменяется с 63 до 113,5, у латуни с 87,1 до 185,0, у Ni с 110,0 до 201 ед. по Виккерсу. Установлено также, что плакирующий слой плотно соединен со сталью и что разрыв обеих слоев происходит одновременно. Скорость коррозии ПЛС при испытании в HCl (к-та) и H<sub>2</sub>SO<sub>4</sub> увеличивается с повышением степени деформации. Для обеспечения достаточной коррозионной стойкости толщина плакирующего слоя должна быть  $\geq 0,15$ —0,20 мм, а степень холодной деформации не должна превышать 40—50%. М. Кристаль

**57810.** Плакирование Mg с целью улучшения сцепления наносимого слоя путем обработки поверхности металла горячим раствором хроматов щелочных металлов. Хантер (Adhesive bonding of magnesium — incorporating a corrosion resistant hot alkaline chromate treatment as the surface preparation. Hunter R. J. E.), Canad. Aeronaut. J., 1957, 3, № 5, 161—165 (англ.).

При плакировании необработанной поверхности Mg другими металлами и сплавами имеет место плохая

адгезия плакированного слоя. Описан способ обработки Mg горячим р-ром хроматов щел. металлов, который наряду с хорошей адгезией обеспечивает коррозионную стойкость металла. Процесс предварительной обработки Mg включает: обезжиривание парами трихлорэтилена; обработку 2—3%-ным р-ром NaOH в водопроводной воде в течение 10 мин. при т-ре кипения; погружение в р-р 15—20%-ной хромовой к-ты и 2,5—3,5% NaNO<sub>3</sub> в дистил. воде при 20—30° на 3—5 мин. и различной продолжительности обработку в кипящем р-ре хроматов. Состав хроматной ванны (в вес.%): (NH<sub>4</sub>)<sub>2</sub>SO<sub>4</sub> 3,0; (NH<sub>4</sub>)<sub>2</sub>Cr<sub>2</sub>O<sub>7</sub> 1,5; Na<sub>2</sub>Cr<sub>2</sub>O<sub>7</sub> или K<sub>2</sub>Cr<sub>2</sub>O<sub>7</sub> 1,5 и аммоний (880 s.g) 0,27 по объему. Описаны режимы плакирования под разряжением и методы контроля качества покрытия. В. Лукинская

**57811.** Нанесение покрытий на металлы химическим путем. Асо, Гидзюцу, 1957, № 11, 664—667 (японск.). Описаны принципы нанесения покрытий хим. путем и преимущества этого метода перед гальванич. методом. З. Завьялов

**57812.** Новое в области химической защиты поверхности. Поллак (Neuerungen im chemischen Oberflächenschutz. Pollack A.), Industriekurier. Wochenausg. Techn. und Forsch., 1957, 10, № 8, 106—107 (нем.).

Обзор. Рассматриваются последние достижения в области фосфатирования, воронения Fe и Al, хромирования, обезжиривания и хим. никелирования. Даются краткие описания и фотоаппаратуры для обезжиривания в паровой фазе, пароструйной очистки, травления, пассивации и др. По каждому разделу указана литература. Я. Лапин

**57813.** Изменение плотности и защитные свойства фосфатных покрытий в зависимости от продолжительности фосфатирования. Химено, Арэвало (Variations de la densité des couches phosphatiques sur le fer et de leur valeur protectrice suivant le temps employé à les produire. Jimeno Emilio, Arévalo Antonio), Corros. et anticorros., 1958, 6, № 2, 51—58 (франц.).

Приведены данные зависимости сопротивления коррозии в морской воде трифосфатинковых неокрашенных и непромасленных покрытий на железе от длительности фосфатирования (Ф). Ф было проведено при 95°. В р-ры для хим. Ф были введены добавки NaNO<sub>3</sub> в качестве ускорителя. Полученные результаты представлены в виде кривых. Предложена гипотеза, согласно которой при Ф сначала протекает р-ция  $\text{Fe} + 2\text{H}_3\text{PO}_4 = \text{Fe}(\text{H}_2\text{PO}_4)_2 + \text{H}_2$ , причем конц-ия ортофосфорной к-ты (I) в р-ре уменьшается, что обуславливает смещение равновесия  $3\text{Zn}(\text{H}_2\text{PO}_4)_2 \rightleftharpoons \text{Zn}_3(\text{PO}_4)_2 + 4\text{H}_3\text{PO}_4$  слева направо. Число кристаллич. центров возрастает, пористость покрытия уменьшается, а плотность его сначала возрастает, затем уменьшается из-за воздействия I на трифосфат Zn, вследствие чего снова происходит р-ция между Fe и фосфорной к-той. Установлена протекающая при Ф перестройка фосфатных кристаллов, прилегающих к поверхности образцов. С увеличением продолжительности Ф форма кристаллов становится более размытой, по-видимому, из-за растворения их фосфорной к-той. Перестройка кристаллов более отчетлива при электролитич. Ф. Высказано предположение о том, что плотность фосфатных покрытий не является линейной функцией от продолжительности Ф; кристаллич. покрытие при Ф частично растворяется, затем снова восстанавливается и это сопровождается изменением величины кристаллич. сростков и их ориентации; изменение плотности определяет антикоррозионные свойства фосфатного покрытия. Чем больше плотность покрытия, тем выше эти свойства. И. Шварц

57814. Газовое цианирование на ХТЗ. Орлозорова Ю. Л., Севрук Б. А. В сб.: Новые технол. процессы. Харьков, Облиздат, 1957, 47—57

Приведен опыт использования на ХТЗ газового цианирования (ГЦ) деталей топливной аппаратуры жидкой цементации их в ванне. ГЦ осуществляется в шахтной печи типа Ц-20 с непосредственной подачей керосина и аммиака в печь. Приводятся схема и описание установки, а также рассматриваются приемы и приспособления, применяемые при ГЦ деталей. Режим ГЦ:  $t$ -ра 850°, расход керосина 60—70 л/час в мин., расход  $NH_3$  0,5—1,0 л/мин, т. е.  $NH_3$  составляет 25—30% общего объема газа в печи. Указанный режим ГЦ обеспечивал получение переходной зоны, гарантирующей прочную связь цианированного слоя с сердцевинной детали. Продолжительность процесса составляла 1,5—3,5 час. в зависимости от веса, поверхности деталей и глубины цианированного слоя. Закалка производилась непосредственно из печи и обеспечивала получение закаленного нитроцементованного слоя и закаленной сердцевины. Подробно рассматриваются свойства нитроцементованного слоя, а также варианты термич. обработки различных деталей из различных сталей и получающиеся при этом структуры. В качестве основных преимуществ ГЦ по сравнению с жидкой цементацией в ванне указывается следующее: 1) лучшее качество обрабатываемых деталей за счет большей износостойкости цианированного слоя, предотвращения роста зерна стали и ее коробления при закалке; 2) лучшие экономич. показатели; 3) большая в 2—3 раза производительность шахтной печи ГЦ по сравнению с ванной жидкой цементацией; 4) простота обслуживания и лучшие условия труда.

А. Тумовский

57815. Новое в защите сплавов на основе магния. Хиггинс (Quelques idées nouvelles sur la protection des alliages à base de magnésium. Higgins W.F.), Corros. et anticorros., 1958, 6, № 2, 40—43 (франц.)

При анодной обработке в 10%-ном кислом р-ре  $MgF_2$  на холоду при напряжении 110—120 в поверхность  $Mg$ -сплава очищается от различных загрязнений и покрывается тонкой пленкой  $MgF_2$ , имеющей хорошее сцепление с металлом. Высушенный при 200° анодированный сплав при 60° покрывается смолой Araldite 985 Е с последующим удалением р-рителя при 200°. Толщина тройного слоя смолы  $\sim 0,03$  мм; увеличение веса 50 г/м<sup>2</sup>. Обработанный сплав обычно окисляется хроматом Zn. В ряде случаев, напр. в авиационной пром-сти Англии, анодирование  $Mg$ -сплавов производится перед хим. травлением. Т. Шалаева

57816. Магнитная обработка жидкостей — средство борьбы с коррозией и образованием накипи. Вермейрен (Le traitement magnétique des liquides contre la corrosion et l'incrustation. Vermeiren Théo), Rev. Soc. roy. belge ingrs et industriels, 1957, № 12, 464—477 (франц.)

Описан способ борьбы с коррозией и накипобразованием путем магнитной обработки циркулирующей жидкости между двумя мощными электромагнитами. При расходе жидкости  $\leq 50$  л в мин. агрегаты состоят из мощного постоянного магнита и корпуса, пропускаемого по отношению к магнитному полю. Жидкость проходит через кольцевые зазоры между магнитом и корпусом. При расходе жидкости  $> 50$  л в мин. агрегаты состоят из двух или большего кол-ва магнитов и корпуса, который, в соответствии с родом жидкости, изготавливается из обычной или нержавеющей стали. Магнитное поле изменяет рН некоторых р-ров, способствует превращению водн. окислов Fe в окись — окись и т. п. Мощность агрегатов для очистки жидкостей в магнитном поле достигает по

общей индукции 40 млн. мкс. Конструкцией предусмотрены меры для получения максим. индукции при миним. гидравлич. сопротивлении. Приведены примеры влияния магнитной обработки жидкости на кристаллизацию сульфата алюминия, бората натрия и углекислого кальция. Описаны общие и конкретные мероприятия по устранению помех, имеющих место при работе этих агрегатов. Рассмотрено влияние магнитной обработки на жесткость воды, величину рН различных жидкостей и на микроорганизмы. Высказано мнение о том, что магнитная обработка жидкостей на теплоцентралях может заменить хлорирование. Магнитный метод обработки жидкостей применяется в котельной технике, при дистилляции, конденсации, увлажнении воздуха, охлаждении дизель-моторов, сжигании газов, угледобыче, в пищевой пром-сти, при расфасовке жидкостей в бутылки, обработке морской воды, в нефтедобывающей и нефтеперерабатывающей пром-сти, при получении чистой газообразной  $CO_2$ , в бумажно-целлюлозной пром-сти, при сахароварении, винокурении, металлургии и хим. пром-сти. Преимуществом магнитного метода (не являющегося, однако, универсальным) при правильном его применении является его простота, эффективность, возможность замены им хим. очистки, которая зачастую связана с введением в жидкость нежелательных в-в или необходимостью недопустимого повышения  $t$ -ры.

И. Шварц

57817. Исследование в области коррозии арматуры железобетона в морской воде. Жаворонкина В. К., Тр. Морск. гидрофиз. ин-та АН СССР, 1957, 10, 106—118

Изучались коррозионное поведение арматуры (А) железобетона в морской воде и факторы, влияющие на скорость коррозии (К) А. Для испытаний изготовлялись цилиндрич. образцы с одним прутком А (Ст. 3), находящимся в центре образца. Цементный р-р изготовлялся из портландцемента марки 300, московского речного песка и воды. Эксперименты проводились в погруженном состоянии в течение 2 лет в солевом р-ре, близком по составу к черноморской воде. Среда еженедельно обновлялась. Опытами установлено, что наряду с общей равномерной К на поверхности металла имеются сравнительно глубокие коррозионные поражения — язвы. Показано, что К А, не защищенной цементным р-ром, в 5,5 раза больше К А, защищенной цементным р-ром. Объясняется это пассивацией металла А окружающей цел. средой и уменьшением кол-ва диффундирующего к катодным участкам металла кислорода за счет цементного р-ра. Снятием поляризационных кривых установлено, что сталь, защищенная бетоном (Б), имеет большую катодную поляризуемость, чем сталь, не защищенная Б. Начало К А в морской воде зависит в первую очередь от снижения конц-ии гидроокиси кальция в р-ре, окружающем А. Поэтому для определения предельной конц-ии гидроокиси кальция, при которой возникают явления К А, были проведены опыты с р-рами  $CaO$ , содержащими 1200—100 мг  $CaO$  на 1 л. Исследованиями установлено, что такой предельной конц-ией обладает р-р, содержащий 700 мг на 1 л. Дальнейшее уменьшение конц-ии ведет к увеличению К. Для определения скорости К А в зависимости от толщины защитного слоя Б были проведены коррозионные испытания цилиндрич. железобетонных образцов состава 1:3:5 с одним прутком А (Ст. 3) и толщиной защитного слоя Б 0,5; 2,5; 4,5 см. Испытания проводились во влажной камере по 8 час. ежедневно в течение 10 месяцев. Поддерживались  $t$ -ра 30°, относительная влажность 80—90%. Опытами было установлено, что чем меньше толщина защитного слоя, тем больше скорость К А. При испытаниях



железобетонных образцов в жестких условиях не подвергались К только образцы с толщиной защитного слоя 4,5 см. Кроме того, проведенными электрохим. исследованиями установлено, что с увеличением толщины защитного слоя увеличивается поляризуемость А.

А. Тумовский

**57818. Зоны коррозии арматуры железобетона в морской воде.** Жаворонкина В. К., Тр. Морск. гидрофиз. ин-та АН СССР, 1957, 11, 112—117

Рассматривается влияние механич., хим. и биологич. факторов в условиях воздействия морской воды, атмосферы и климатич. условий на поведение железобетона (ЖБ) в морских гидротехнич. сооружениях. Указывается на существование трех зон в железобетонной конструкции, отличающихся различными условиями возникновения и развития в арматуре (А) коррозионных процессов: 1) зона подводных частей сооружения; 2) зона переменного уровня воды; 3) зона надводной части, подверженная действию брызг морской воды. В подводной зоне вследствие поверхностного, медленно протекающего процесса выщелачивания гидроксида кальция, а также вследствие неблагоприятных условий для протекания процесса карбонизации щелочность р-ра не понижается и, следовательно, сохраняется способность окружающего А р-ра образовывать защитную пленку. Поэтому А ЖБ в подводной зоне находится в более благоприятных условиях, чем в других зонах. Возникновение и развитие коррозии (К) в этой зоне связано с наличием трещин, каверн и других дефектов, облегчающих процессы разрушения ЖБ. В зоне переменного уровня воды имеют место такие явления, как частное периодич. намокание и высыхание, замораживание и оттаивание, кристаллизация морских солей и т. п. Эти факторы способствуют ослаблению структуры ЖБ и образованию в нем микро- и макротрещин, ведущих к развитию К ЖБ. При значительном повреждении защитного слоя ЖБ создаются условия для развития КА, которая может рассматриваться в данном случае как К стали в нейтр. р-ре. В зоне надводной части, подверженной действию брызг морской воды, ЖБ обладает повышенной газопроницаемостью. Благодаря этому при недостаточной толщине, даже неповрежденного защитного слоя, ЖБ может иметь место карбонизация слоев бетона, прилегающих к А, и повышенная скорость диффузии кислорода к ней. Все это ведет к развитию К. Результаты наблюдений за состоянием А ЖБ пристани Новороссийска подтверждают это. Температурный фактор сказывается в данной зоне сильнее, чем в других. Увеличение т-ры вызывает рост скорости электрохим. р-ций.

А. Тумовский

**57819. Араалдит и легкие металлы.** Дани («Araldite» and the light metals. Dunn P. A.), Light Metals, 1957, 20, № 237, 389—394 (англ.)

Эпоксидная смола араалдит, обладающая после отверждения высокой хим. и термич. стойкостью, может быть получена как в твердом с т. пл.  $\sim 140^\circ$ , так и в жидком виде, поэтому она находит многообразное применение. Клей из араалдита служит для соединения отдельных деталей легких металлов в тех случаях, когда нельзя применить сварку. Процесс склеивания можно разделить на ряд простых операций, выполняемых неквалифицированными рабочими, что упрощает и удешевляет его. Эпоксидные клеи обладают хорошими смачивающими свойствами, следовательно, хорошей адгезией и не вызывают коррозии металлов. Араалдит применяется в виде покрытия внутренней поверхности алюминиевых труб. Покрытия обладают твердостью, эластичностью, хим. стойкостью ко многим пищевым и фармацевтич. продуктам. Кроме того, эпоксидные покрытия не имеют вкуса, запаха и не токсичны. Лаками из эпоксидной смолы покрывают

изделия из Mg-сплавов, напр., шпули, бобины и др. оборудование текстильной пром-сти. Покрытия наносятся в несколько слоев толщиной до 0,025 мм. Покрытия, нанесенные на Al-фольгу, запекаются за 20 сек. при  $300^\circ$ , но применяются также и отверждающиеся на холоду покрытия, напр. в авиационной пром-сти. Эпоксидные смолы применяются в виде пасты для заполнения впадин и неровностей на поверхности крыльев самолетов, дефектов в отливках и пр. Араалдит находит также применение и имеет большие преимущества в изготовлении инструмента, пресс-форм, которые можно изготовить из него с большой точностью непосредственно из простых деревянных, металлич. или алебастровых моделей. Пресс-формы из араалдита отличаются прочностью, хорошей стабильностью, небольшим уд. весом и гладкой поверхностью, не требующей дополнительной отделки. Они совершенно устойчивы к обычным атмосферным условиям и к воздействию хим. продуктов и р-рителей.

Т. Фабрикант

**57820. Борьба с коррозионным действием КМЦ.** Копулянский Л. Б., Текстильн. пром-сть, 1958, № 3, 58

Для уменьшения коррозии оборудования под действием карбоксиметилцеллюлозы (КМЦ), применяемой в текстильной пром-сти, предложено изготовлять отжимные валы из нержавеющей стали 1X18H9T и сушильные барабаны шлифовальных машин покрывать бакелитовым лаком.

М. Мельникова

**57821. Действие свинцовых пигментов и свинцовых мыл на алюминий.** Прайор, Хоган, Паттен (The action of lead pigments and lead soaps on aluminum. Pryor M. J., Hogan R. J., Patten F. B.), J. Electrochem. Soc., 1958, 105, № 1, 9—17 (англ.)

При изучении влияния Pb-пигментов на Al установлено, что воды, вытяжки из Pb-пыли и Pb-глетта вызывают сильную коррозию этого металла. Это вызывается вытеснением металлич. Pb из этих вытяжек алюминием и осаждением Pb на поверхности Al. Вытяжки из  $Pb_3O_4$  и основного карбоната Pb обладают более высокой величиной pH; из них Pb не вытесняется и Al в них корродирует незначительно. Pb находится преимущественно в виде колл. соединений, которые могут быть удалены фильтрованием через плотный фильтр. Pb-мыла (соли линолевой, рицинолевой и лауриловой к-т) являются замедлителями коррозии Al. Измерения потенциала Al во времени, силы тока пары Al—Pb и кривых анодной поляризации Al привели к выводу, что тормозящее действие Pb-мыл объясняется адсорбцией их окисной пленкой Al. В присутствии ионов  $Cl^-$  это действие Pb-мыл устраняется, так как ионы  $Cl^-$ , адсорбируясь рядом с анионами жирных к-т, способствуют переходу ионов  $Al^{3+}$  в р-р. Таким образом применение глета в качестве пигмента при окраске Al недопустимо.  $Pb_3O_4$  и основной карбонат Pb могут применяться в отсутствие ионов  $Cl^-$  и  $SO_4^{2-}$ .

Ю. Аронов

**57822. Окраска поверхностей, получивших катодную защиту.** Мак-Доналд (The painting of cathodically protected surfaces. MacDonald D. M.), Chem. in Canada, 1957, 9, № 9, 64, 66, 68, 70 (англ.)

Обоснования необходимости цел. стойкости окраски. В результате широких испытаний было установлено преимущество двух систем окраски перед остальными. Одной из этих систем является стандартная система, применяемая морским флотом. Вторая система была на основе виниловых соединений; такая окраска оказывала более длительное противообращающее действие. Проверено действие различных пигментов главным образом в виниловых красках. Проверено применение смеси из меди и графита вместо окиси меди. Отмечается, что в Австралии были разработаны

краски с бутилтитанатом. Приводится рецептура улучшенной виниловой краски с добавлением бутилтитаната и лантарной к-ты и методика ее изготовления и применения.

**В. Притула**  
57823. Защита чугуна от коррозии с помощью паробразных замедлителей. Мантовани (La protezione della ghisa contro la corrosione a mezzo degli inibitori in fase vapore. Mantovani Giorgio. Ann. Univ. Ferrara, 1957, Sez. 5, 1, № 7, p. 69—75, ill.) (итал.; рез. англ., нем., франц.)

Исследовалось применение ряда замедлителей коррозии (ЗК) в паровой фазе (морфолин, этиламин и др.) для защиты от коррозии поверхности чугуна с содержанием 3,3% С и 0,87% Р, подвергавшейся воздействию среды с относительной влажностью 100% при 35°. ЗК вводился либо непосредственно в среду, либо помещался внутри обертки изделий. Результаты исследований установлено большое влияние упругости пара ЗК на стойкость чугуна против коррозии. В-за с высокой упругостью паров, как правило, обеспечивают хорошую защиту.

**Я. Лапин**  
57824. Фосфаты в качестве замедлителей коррозии. Инделли (I fosfati come inibitori. Indelli Antonio, Ann. Univ. Ferrara, 1956, Sez. 5, 1, Suppl., 59—68. Discuss., 69—70 (итал.; рез. франц.)). Приводятся общие характеристики фосфатов (Ф), образующих комплексы колл. и полуколл. типа и обладающих аномальным характером кристаллизации. Отмечены общие особенности тормозящей способности различных солей и различия между ними, рассмотрена роль концентрации  $O_2$ , влияние перемешивания. Высказываются гипотезы, объясняющие известные опытные данные по тормозящему действию Ф. Простым Ф приписывается роль пассиваторов, однако с различным механизмом действия для различных солей; для полифосфатов подтверждена опытным путем задержка в процессе абсорбции  $O_2$ , которая имеет место также и в случае простых Ф. Установлено, что все Ф препятствуют р-ции восстановления  $O_2$ , вызывающей коррозию. Эта р-ция в нейтр. среде практически не идет, но в присутствии  $O_2$  скорость ее становится заметной.

**Я. Лапин**  
57825. О совместном влиянии сульфида и аммиака на скорость растворения и электродный потенциал стали в серной кислоте. Филько А. И., Уч. зап. Моск. гос. пед. ин-та, 1957, 99, 27—41

Исследовалось влияние добавок 0,1; 0,5; 1,0; 5,0 и 10,0 ммоль/л  $Na_2S$  и 20 и 100 ммоль/л диэтиланилина и пиротолуидина на скорость коррозии (К) стали в 2 н.  $H_2SO_4$ . Определялись весовые потери, кривые потенциал—время и строились поляризационные кривые. Установлено, что сами по себе стимулирующие К сульфиды усиливают тормозящее действие аминов. Добавка  $Na_2S$  сдвигает потенциал (начальный и стационарный) стали в отрицательную, а диэтиланилин — в положительную сторону. Добавка  $Na_2S$  в обработанную диэтиланилином 2 н.  $H_2SO_4$  сдвигает потенциал в отрицательную сторону.  $Na_2S$  ускоряет, а смесь  $Na_2S$  и диэтиланилина тормозит анодный и катодный процессы на стальном электроде в 2 н.  $H_2SO_4$ .

**А. Шрейдер**  
57826. Оценка эффективности экранизирующих замедлителей коррозии методом вытеснения ионов меди. Хьюз (A copper ion displacement test for screening corrosion inhibitors. Hughes William B., J. Petrol. Technol., 1958, 10, № 1, 54—56 (англ.)). Качественная проба на эффективность защиты осуществляется погружением подготовленных зачисткой и обезжириванием образцов последовательно в коррозионную среду, в масло с примесью исследуемого замедлителя коррозии на 5 мин. и на 30 сек. в 10%-ный р-р  $CuSO_4$ . Минимально допустимой конц-ией

замедлителя коррозии считается такая, при которой на поверхности металла не образуется видимой пленки  $Cu$ .

**А. Шрейдер**

57827. Получение из местного сырья замедлителей коррозии при травлении стальных изделий. Радудова, Брайкова (Получаване от местни суровини на инхибитори (шпарбайци) за байцване на стоманени изделия. Радудова Цв., Брайкова П.), Лека промишленост, 1957, 6, № 9, 20—24 (болг.) Исследования защитного действия ряда болгарских и импортных замедлителей коррозии (ЗК) при травлении стальных изделий в 10%-ной  $H_2SO_4$  в течение 1 часа при 50, 65 и 75° показало, что гидролиз желатин в  $HCl$  (к-та) не приводит к улучшению ее замедляющих свойств. Напротив, продукты разложения казеина, в особенности гидролиза в  $HCl$  (к-та), являются более сильным ЗК, чем желатина. Хорошим ЗК может служить также белок. Особенно эффективна отработанная  $H_2SO_4$ , полученная как побочный продукт при переработке веретенного масла. Такая к-та содержит растворенный азот и органич. соединения, придающие продукту свойства ЗК. Эта к-та предотвращает диффузию  $H_2$  в сталь во время травления; скорость травления при этом не уменьшается. Действие отработанной к-ты усиливается добавкой к ней ~0,5%  $NaCl$ .

**В. Левинсон**

57828. Способы борьбы с коррозионной оборудовании на заводах сухого льда. Муравлянский В., Холодильн. техника, 1957, № 4, 17—21

Применение 3-дами сухого льда моноэтаноламина в качестве абсорбента для поглощения  $CO_2$  из дымовых газов приводит в некоторых случаях к сильной коррозии (К) технологич. оборудования и, в частности, к К выпарных аппаратов, теплообменников и центробежных насосов. К носит местный характер. Применением индикаторов К было установлено, что в течение 2000 час. эксплуатации оборудования К наиболее уязвимых участков была менее допустимого значения, т. е.  $<0,15$  мм/год. Спустя 160 час. после этого, К возросла до аварийного значения. Введение кальцинированной соды в кол-ве 7 г/л привело к падению скорости К. На основании опыта использования этого р-ра 3-дами сухого льда, а также в результате наблюдений, сделанных на Ленинградском хладокомбинате, намечены следующие способы борьбы с К аппаратуры при применении воды, р-ра моноэтаноламина: 1) оптимальная т-ра десорбции 115—120°; 2) добавка в р-р моноэтаноламина кальцинированной соды; 3) применение более рациональной конструкции для отдельных уязвимых мест и изготовление их из более коррозионностойкого материала. Рекомендуется дальнейшее проведение работ по изучению наиболее эффективных способов регенерации р-ра.

**А. Тумовский**

57829. Борьба с электрохимической коррозией подземных сооружений. Бигнотти (Difesa contro le corrosioni elettriche del sottosuolo. Bignotti Attilio, Gas (Ital.), 1958, 8, № 1, 19—20 (итал.))

57830. Катодная защита судов, находящихся в плавании. Арун (Katodisk beskyttelse af skibe i fart. Arup Hans), Dansk tekn. tidsskr., 1957, 81, № 12, 265—268 (датск.)

Обсуждается электрохим. способ защиты с целью предохранения от коррозии находящихся в плавании танкеров, миноносцев и прочих судов. Приводятся схемы крепления анодов к корпусам защищаемого судна и принципы приложения тока извне. Библ. 10 назв.

**М. Голомбик**

57831. Магниевые аноды для катодной защиты от коррозии. Дик, Кэйкиндзоку сирё, 1957, № 296, 241—259 (японск.)

Обзор. Библ. 28 назв.

**М. Мельникова**



**57832. Новый фотографический метод исследования атмосферной коррозии металлов в ранней стадии.** Ройх И. Л., Ж. физ. химии, 1957, 31, № 9, 1959—1963 (рез. англ.)

Исходя из установившегося положения, что при окислении металлов на воздухе образуется  $H_2O_2$ , предлагается фотографич. метод исследования атмосферной коррозии в интервале нескольких секунд от начала окисления на приборе, позволяющем непрерывно защищать испытываемую поверхность металла. Из металла, подлежащего исследованию, изготавливается кольцо, насаживаемое на вал электродвигателя. Зачистка металла производится фрезой, приводимой в движение от другого двигателя. На испытываемый образец накладывается фотопластинка с определенным зазором с целью наибольшего увеличения почернения. В качестве испытываемого металла был взят Mg. В результате проведенного исследования установлен характер зависимости выделения молекул  $H_2O_2$  при коррозии Mg, подчиняющийся уравнению  $n^{1,24} = at + b$ . При изучении зависимости между числом молекул  $H_2O_2$ , выделяющихся с поверхности металла, и числом молекул, попадающих на фотослой, обнаружена линейная зависимость в интервале  $t$  от 2—8 мин. и концы  $t$  от 0,1—0,4 мин. в пределах 0,1—0,4 мин. Р. Салем

**57833. Определение антикоррозионных свойств лакокрасочных пленок поляризационным методом.** Динисев С. Д., Сб. студ. работ. Ростовск. ун-т, 1957, вып. 3, 39—44

Разработан способ оценки лакокрасочных покрытий с помощью снятия поляризационных кривых путем сопоставления зависимостей анодного потенциала, катодного потенциала и разности потенциалов от плотности тока для стальных электродов с различными лакокрасочными покрытиями, помещаемыми в 3%-ный р-р NaCl. А. Шрейдер

**57834 К. Ингибиторы коррозии металлов.** Путилов И. Н., Базезин С. А., Баранник В. П. М., Госхимиздат, 1958, 184 стр., илл., 6 р. 40 к.

**57835 П. Способ повышения сопротивляемости поверхности металлических изделий к образованию оксидной пленки.** Шульце, Шривер (Förfarande för uppnående av stor motståndskraft mot oxidskikt-bildning hos metallföremål. Schulze H., Schriewer H.) [Vereinigte Deutsche Metallwerke A.-G.]. Швед. пат. 150535, 28.06.55

Способ достижения высокой сопротивляемости металлических изделий к образованию оксидной пленки на их поверхности, работающих при  $t$ -рах  $>800^\circ$ , а также их стойкости против воздействия корродирующих газов, основан на применении металлизационного слоя из сплавов системы Fe—Cr—Ni или Cr—Ni, причем металлич. изделия подвергаются последовательной обработке окисью Cr, соединениями Li, предпочтительно  $Li_2CO_3$  или  $Al_2O_3$ . Я. Лапин

**57836 П. Усовершенствование метода фосфатирования металлических поверхностей.** Дрисдейл, Бертон (Perfectionnements à la production de revêtements de phosphates sur des surfaces métalliques. Drysdale Royston F., Burton Stanley A. C.) [The Walterisation Cny Ltd.]. Франц. пат. 1082916, 4.01.55 [Corros et anti-corros, 1955, 3, № 6, 302 (франц.)]

Патентуется водн. р-р для получения фосфатного хорошо сцепляемого покрытия на поверхности черного металла, Zn или Zn-сплава. Препаратом служит кислый фосфат Zn, Ca или Mg или смесь всех или некоторых из этих фосфатов. Р-р содержит также от 0,01 до 0,1 вес. % ионов F, которые вводятся в р-р с тем, чтобы при этом не вводились соответствующие кол-ва

катионов, имеющих коэфф. диффузии, равные или превышающие коэфф. диффузии иона  $Li$ . Я. Матлс  
**57837 П. Предотвращение коррозии в системах газочистки.** Фишер (Corrosion prevention in gas recovery systems. Fischer Paul W.) [Union Oil Co. of California]. Пат. США 2776870, 8.01.57

При очистке газов от  $CO_2$  и  $H_2S$  в качестве замедлителя коррозии рекомендуется применять композицию, состоящую из мыла щел.-зем. или тяжелого металла (особенно рекомендуется нафтенат Pb); продукта р-ции между каким-либо аминоспиртом и жирной к-той или жирным маслом. Особо рекомендуются касторовое масло или рицинолевая к-та и диэтанол-амин. Р-ция проводится при  $100—320^\circ$ , предпочтительно  $150—280^\circ$ . Отгонка воды и летучих в-в производится до удаления стехиометрич. кол-ва воды. Полуэастышную массу, образующуюся по охлаждению, смешивают с применяемым мылом в различных соотношениях (15—85%) одного или другого компонента. К смеси добавляются для повышения активности: алифатич. амины или циклоалкиламины с длиной цепи  $\geq 10$  атомов C, предпочтительно смешанные амины  $C_{16}$ ; какое-либо высыхающее масло, напр. льняное. Все эти компоненты применяются примерно в следующих соотношениях: в 10—30%-ный р-р моноэтаноламина вводятся 0,05—0,5% нафтената Pb и 0,05—0,5% продуктов взаимодействия этаноламина с жирной к-той 0,01—0,25% смешанных алифатич. аминов  $C_{16}$  и ~0,01—0,25% льняного масла. Ю. Аронов

**57838 П. Метод предотвращения коррозии.** Треседер, Рейфснайдер (Corrosion prevention method. Treseder Richard S., Raifsnider Philip J.) [Shell Development Co.]. Пат. США 2734029, 7.02.56 (англ.)

Патентуется способ предохранения от коррозии металлич. арматуры газовых скважин, которая находится в контакте с движущейся средой, состоящей из окисляющейся газовой фазы, сжиженных под давлением газообразных углеводородов и небольшого кол-ва жидкой  $H_2CO_3$ . Т-ра среды  $45—125^\circ$ , абс. давл.  $1,1—1,5$  кг/см<sup>2</sup>. Предлагаемый способ включает ввод в систему 0,0001—1% жидкой углеводородной фазы, находящейся в контакте с водн. р-ром аммонийных солей алкилсерной к-ты, получаемых при обработке нитратами щел. металлов кислого шлама нефтеочистительных э-дов. Кол-во нитратов, вводимых в сернокислотный шлам, составляет 0,01—2,0 вес. %. Ввод в скважину аммонийных солей может производиться также в виде водно-диспергированной фазы. В. Лукин

**57839 П. Защита от ржавления порошкообразными металлами, различно расположенными в электрохимическом ряду напряжений.** Вурбс (Rostschuttmittel auf Grundlage pulverförmiger Metalle mit verschiedener Stellung in der elektrochemischen Spannungsreihe. Wurbs Eberhard) [Land Hessen, vertreten durch den Minister für Arbeit, Landwirtschaft und Wirtschaft]. Пат. ФРГ 889343, 27.06.57

Покрытие для защиты от ржавления состоит из порошкообразных металлов, различно расположенных в электрохим. ряду напряжений. В состав покрытия входят обычно применяющиеся связующие, смесь порошкообразных Fe и второго многовалентного металла (как, напр., Mg, Zn, Pb), непропитанного порошкообразного активированного угля и небольшого кол-ва окисла второго металла. Отмечается, что при указанном составе покрытия в нем поддерживается необходимая щел. р-ция, отсутствует возможность изменения полярности основного металла и металла покрытия и предотвращается возможность превращения покрытия в стимулятор коррозии. В качестве примера приводится следующий состав краски: 120 кг

зные или  
I. Матле  
смаз газо  
gas reso  
n Oil Co.

ве замор  
компози  
тяжело  
Pb); пре  
м и жир  
тентулю  
истанол  
чительно  
изводит  
лузасты  
мешиваю

ношения  
К смеси  
алифат.  
≥ 10 ато  
-ти; кан  
эти ком  
х соотно  
а водит  
продукто  
ой 0,01-  
и ~ 0,01-  
Аронсон

Трессе  
tion met  
er Phi  
A 2734029

розин ме  
находится  
ой из не  
од давле  
го кол-ва  
с. давл  
ает вво  
ой фазы,  
монийны  
обработк  
теочиств  
в серво-

Ввод в  
зводится  
в. Ввод  
вводится  
в. Ввод  
вводится

укинская  
образным  
электрои  
ostschutz  
metalle mit  
nemischen  
ad Hessen,  
wirtschaft

остоит из  
пожени  
покрыти  
е, смесь  
ного ме  
ного по  
что при  
живается  
ность из  
металла

превраще  
стве при  
г: 120 кг

линой олифы, 80 кг Mg в виде порошка, 30 кг древесного угля и 8 кг MgO. М. Кристаль

См. также: К теории катодной защиты 56874. Коррозии силикатных стекол щел. р-рами 58184. См. также раздел. Лаки. Краски. Лакокрасочные покрытия и рефераты: Обработка H<sub>2</sub>O 57855, 57858. Гальванические покрытия 58019—58064, 58070, 58077, 58080—58088. Стеклянные трубы в хим. пром-сти 58192. Проблемы коррозии в пищевой пром-сти 58559. Смазки 58802. Пластмассы 59240, 59241, 59254, 59256, 59257, 59273. Антикоррозионное действие пигментов 59373.

## ПОДГОТОВКА ВОДЫ. СТОЧНЫЕ ВОДЫ

Редактор М. И. Лапшин

57840. Простое объемное определение нитратов в воде. Рипперт (Einfache titrimetrische Bestimmung von Nitraten in Wasser. Rippert Irmgard), Gesundh.-Ingr, 1957, 78, № 21—22, 336—337 (нем.)

Метод основан на восстановлении NO<sub>3</sub><sup>-</sup> в NO под действием Fe<sup>2+</sup> в кислой среде. К 20 мл анализируемой воды добавляют кристаллик CO(NH<sub>2</sub>)<sub>2</sub>, 10 мл р-ра соли Fe<sup>2+</sup> (растворяют 2,7 г FeSO<sub>4</sub> · 7H<sub>2</sub>O в 100 мл р-ра, содержащего 10 мл конц. H<sub>2</sub>SO<sub>4</sub> и 4 г Na<sub>2</sub>SO<sub>4</sub> · 10 H<sub>2</sub>O и доводят водой до 1 л) и взбалтывают. Приливают 30 мл конц. H<sub>2</sub>SO<sub>4</sub> (т-ра при этом поднимается до 110°), дают стоять 5 мин., сильно перемешивают, охлаждают, приливают 10 мл конц. H<sub>3</sub>PO<sub>4</sub>, добавляют 5 капель р-ра индикатора (2%-ный р-р Na-соли дифениламиносульфокислоты) и титруют 0,01 н. K<sub>2</sub>Cr<sub>2</sub>O<sub>7</sub> до появления темно-синей окраски. Параллельно проводят слепой опыт с дистил. водой. Расчет: конц-я NO<sub>3</sub><sup>-</sup> (мг/л) = (a - b) × 0,206 × 50, где a и b — расход р-ра бихромата в мл в слепом опыте и при анализе пробы воды. При малых конц-ях NO<sub>3</sub><sup>-</sup> (2—20 мг/л) добавляют не 30, а 20 мл конц. H<sub>2</sub>SO<sub>4</sub>. А. Смирнов

57841. Новые методы определения перманганатной окисляемости воды и сточных вод. Гад, Хоппе (Neue Verfahren zur Bestimmung des Kaliumpermanganatverbrauches in Wasser und Abwasser. Gad G., Hoppe Werhild), Gesundh.-Ingr, 1956, 77, № 21—22, 343—345 (нем.)

Описано колориметрич. и объемно-аналитич. определение, основанное на переводе Mn(7+) и Mn(4+) в окрашенный в фиолетовый цвет пиррофосфат Mn(3+) — MnH<sub>2</sub>P<sub>2</sub>O<sub>7</sub>. При колориметрич. определении 100 мл исследуемой воды подкисляют 5 мл 25%-ной H<sub>2</sub>SO<sub>4</sub> и нагревают до кипения. Добавляют 15 мл 0,01 н. KMnO<sub>4</sub>, кипятят 10 мин. и быстро охлаждают. Добавляют 3 г Na<sub>4</sub>P<sub>2</sub>O<sub>7</sub> и 2 мл р-ра MnSO<sub>4</sub> (1 мл 25%-ной H<sub>2</sub>SO<sub>4</sub> и 40 г MnSO<sub>4</sub> растворяют в 1 л воды), доводят дистил. водой до 100 мл, встряхивают и через 10 мин. колориметрируют. При объемно-аналитич. определении взамен колориметрирования пробу титруют 0,01 н. FeSO<sub>4</sub> (содержащим 5% Na<sub>2</sub>SO<sub>4</sub>), используя в качестве индикатора дифениламин (р-р 0,1 г дифениламина в 20 мл 85% H<sub>3</sub>PO<sub>4</sub>). Конец р-ции определяют по исчезновению сине-фиолетовой окраски р-ра. Результаты определения обоими методами показывают хорошую сходимость как между собою, так и со стандартным. При проведении определений на месте анализа проб рекомендуется к 50 мл воды добавлять 0,01 н. KMnO<sub>4</sub> и ~ 2,5 г NaOH. Затем добавляют 5 мл конц. H<sub>2</sub>SO<sub>4</sub> и встряхивают. Проба нагревается до 50—60°. Через 1/2 часа добавляют 1—2 г Na<sub>4</sub>P<sub>2</sub>O<sub>7</sub> и 1 мл р-ра MnSO<sub>4</sub> и титруют, как указано выше.

М. Жукова

57842. Определение БПК по окисляемости воды. Берджер (B. O. D. from oxygen — consumed deter-

minations. Berger Herbert F.), Tappi, 1955, 38, № 9, 534—538 (англ.)

Результаты лабор. исследований, проведенных со СВ з-да сульфатной целлюлозы и бумажной ф-ки, показали, что в процессе биохим. очистки СВ соотношение между величинами перманганатной окисляемости (ПО) и БПК возрастает. Это объясняется тем, что лигнин и его производные, находящиеся в СВ, не подвергаются биохим. окислению, но окисляются в условиях определения ПО. Определение ПО может дать представление только о порядке величины БПК.

А. Закощиков

57843. Рекомендуемые методы анализа промышленных сточных вод. Определение потребления кислорода. — (Recommended methods for the analysis of trade effluents. Determination of oxygen demand.—), Analyst, 1957, 82, № 979, 683—708; № 980, 764—767 (англ.)

Дан ряд методич. указаний (в частности, вариантов методов при наличии различных мешающих примесей) по определению ХПК (2-часовым кипячением пробы с 0,1 н. K<sub>2</sub>Cr<sub>2</sub>O<sub>7</sub>), 4-часовой перманганатной окисляемостью, растворенного O<sub>2</sub> (методом Винклера с предварительной обработкой по Олстерберг и по Райдиль-Стьюарт) и БПК (методом разбавления и манометрич. методом). Предыдущее сообщение см. РЖХим, 1958, 29221.

Н. Ваксберг

57844. Влияние мутности воды на точность определения ее расхода химическим путем с применением бихромата натрия. Милоевич, Янкович (Utica j mutnoće vode na tačnost hemiske metode merenja količine vode turbulentnih tokova pomoću natrijum-bihromata. Milojević Miloje, Janković Stevan), Tehnika, 1957, 12, № 4, Naše gradjevinarstvo, 11, № 4, 108 в—108 с (сербо-хорв.; рез. нем.)

При измерении расхода мутной воды происходит адсорбция введенного хромата на поверхности взвешенных частиц, что приводит к резкому завышению результатов. Описан усовершенствованный метод. Приведена диаграмма зависимости величины адсорбции от мутности воды.

Л. Фальковская

57845. Поступление радиоактивных изотопов из атмосферы в поверхностные воды. Белл (Nuclear long — range fallout in surface waters. Bell Carlos G., Jr), J. Sanit. Engng Div. Proc. Amer. Soc. Civil Engrs, 1957, 83, № 5, Part I, 1400—1—1400—22 (англ.)

В течение длительного периода времени после проведенных испытаний ядерного оружия осуществлялись измерения радиоактивности атмосферных осадков, а также воды и донных отложений некоторых рек шт. Массачусетс и Нью-Йорк. Приведены значения коэф. угасания (КУ) радиоактивности, характеризующего комплексное влияние процессов самоочищения водоемов, радиоактивного распада и др. Значение КУ для рек шт. Массачусетс 0,11—11,6%, для рек шт. Нью-Йорк 0,057—3,99%. Измерение радиоактивности отложений указывает на селективность выпадения некоторых радиоизотопов.

О. Мартынова

57846. Поведение цианатов в загрязненных водах. Резник, Море, Эттингер (Behavior of cyanates in polluted water. Resnick I. D., Moore W. A., Ettinger M. B.), Industr. and Engng Chem., 1958, 50, № 1, 71—72 (англ.)

Исследовалась возможность превращения CNO<sup>-</sup> в CN<sup>-</sup> в анаэробных условиях под действием УФ-лучей. Показано, что в искуств. р-рах с pH 3,1, —5,5 CNO<sup>-</sup> переходят в NH<sub>4</sub><sup>+</sup>. Скорость р-ции подчиняется ур-нию:

$$dc_{\text{CNO}^-}/dt = Kc_{\text{CNO}^-} \cdot c_{\text{H}^+}^{0.5}$$

среднее значение K для 25° 1,8. При pH ≥ 7,2 CNO<sup>-</sup> очень устойчивы и в природных водах сохраняются



> 4 недели. В анаэробных условиях при  $\text{pH} < 7$  концентрация  $\text{CNO}^-$  падает с 26,7 до 3,9 мг/л за 24 часа, а то же время при  $\text{pH} \geq 7$  с 24—25 до 18,3—12,8 мг/л. В результате восстановления в анаэробных условиях образуется  $\text{HSCONH}_2$ . При длительном воздействии УФ-лучей восстановления  $\text{CNO}^-$  в  $\text{CN}^-$  незамечено.

Б. Краснов

**57847. Искусственное инфильтрационное питание грунтовых вод в Пеории (Иллинойс). Ларсон, Зутер, Борея (Recharge of ground water at Peoria, Illinois. Larson T. E., Suter Max, Vogel Orville), Water and Sewage Works, 1957, 104, № 11, 488—491 (англ.)**

Интенсивная откачка грунтовых вод привела к стойкому понижению их уровня и уменьшению дебита. Протекающая рядом р. Иллинойс имеет дно, сложенное из плотных наносов, предотвращающих естественную инфильтрацию. Были проведены опыты по искусств. инфильтрации, для чего были открыты котлованы размерами по дну  $12 \times 18,75$  м; дно одного котлована располагалось на 1,5 м ниже уровня реки и на 3,0 м выше горизонта грунтовых вод, другого — соответственно на 3,0 и на 4,5 м. Стенки и дно 1-го котлована были выложены песком крупностью 1 мм, 2-го — гравием крупностью 5—9 мм. Вода реки, поступавшая в котлованы, имела мутность 100 мг/л, число бактерий 26 000 в 1 мл. Вода подвергалась хлорированию. Скорость инфильтрации (в  $\text{м}^3/\text{га}$  в сутки): в 1-м котловане 65 000, во 2-м — 196 000. В воде, отбираемой из скважины глубиной 16 м, свободный  $\text{Cl}_2$  не обнаружен, а также отсутствовали бактерии *E. coli*.

Л. Фальковская

**57848. Искусственное пополнение запасов грунтовых вод путем биофильтрации через тонкозернистые песчаные почвы. Барс (Artificial ground water production by biofiltration in fine sandy soils. Baars J. K.), J. Sci. Food and Agric., 1957, 8, № 11, 610—616 (англ.)**

\* Освещается практикуемый в течение 16 лет на водопроводной станции в Лейдене (Голландия) метод сезонной (осень, зима, ранняя весна) инфильтрации поверхностных вод через песчаные слои дна (средняя крупность зерен песка 0,15 мм, коэф. неоднородности 1,4—1,5). Сезонная инфильтрация (в отличие от круглогодичной) создает в почве благоприятные условия кислородного режима, так как в летний период при перерыве подачи сырой воды в почву  $\text{O}_2$  воздуха проникает в поры грунта в кол-ве 280 мг на 1  $\text{см}^2$ . В результате инфильтрации, после 100 суток пребывания воды в почве, на расстоянии ~ 140 м от места ее поступления окисляемость воды снижалась с 63,2 до 26,4 мг/л  $\text{KMnO}_4$ . Процесс очистки проходит как в вертикальном, так и горизонтальном направлениях. Наиболее интенсивное окисление органич. примесей происходит в слоях почвы, ближайших к месту напуска; в этих же слоях задерживается основная масса бактерий. За время работы скорость инфильтрации не изменилась, но она была меньше рассчитанной по ф-ле Дарси (что объясняется сопротивлением, оказываемым воздухом, содержащимся в порах почвы).

**57849. Станция водоснабжения города Эдмонтон (Канада). Смит (Canadian city treats glacier water in plant of unique automatic design. Smith E. L.), Water Works Engng, 1957, 110, № 12, 1193—1195 (англ.)**

Источником водоснабжения станции (производительность ~ 23 000  $\text{м}^3/\text{сутки}$ ) является река Сев. Саскачеван, имеющая ледниковое питание, с притоками болотного происхождения. В исходной воде периодически резко возрастает цветность (до 360 мг/л) и мутность, и наблюдается появление привкусов и запахов. Сооружения станции состоят из 2 осветлителей (диам.

45 м) и 5 фильтров (размеры в плане  $10,6 \times 15,6$  м каждый). Первоначально скорость фильтрования составляла 6  $\text{м}^3/\text{час}$ , в настоящее время она доведена до 15  $\text{м}^3/\text{час}$ . Работа осветлителей, фильтров и насосов полностью автоматизирована. Доза реагентов автоматически изменяется в зависимости от мутности воды. Замер мутности и pH воды автоматизирован.

И. Черников

**57850. Борьба с потерями воды, вызываемыми испарением и инфильтрацией. Хун (Restriction of water losses due to evaporation and seepage. Hoon R. C.), Indian Constr. News, 1957, 6, № 8, 23—30 (англ.)**

Обзор современных достижений в США и в Австралии по вопросам уменьшения испарения воды открытых резервуаров (созданием на их поверхности мономолекулярных пленок) и ее инфильтрации. Дана характеристика новых материалов, применяемых для облицовки.

Н. Вансберг

**57851. Замечания по статье Цабейшек, Козеровский, Малиновский: «Указания к оценке степени загрязнения природных вод». Малей (W sprawie wytycznych do oceny stopnia zanieczyszczenia wód rzecznych. Malej Józef), Gaz, woda, techn. sanit., 1957, 31, № 10, 377—378 (польск.)**

К РЖХИМ, 1958, 18376.

**57852. Техническое усовершенствование очистных сооружений Чебоксарского водопровода. Стенов Л., Тигер П., Жил.-комму. х-во, 1957, № 11, 15—16**

Рост населения и пром.-сти города вызвал необходимость увеличения производительности очистных сооружений водопровода. С этой целью 3 отстойника диам. 7,35 м и высотой 5,6 м были переделаны в осветлители системы ВНИИГС. Приведены данные о работе осветлителей в период весеннего паводка.

И. Черников

**57853. Опыт предварительного хлорирования на Сталинской водопроводной станции. Бардин Ю., Шалашова Е., Жил.-комму. х-во, 1957, № 12, 9—12**

Установлено, что предварительным хлорированием можно снизить цветность воды на 20—40%. Доза  $\text{Cl}_2$  и эффективность обезвреживания зависят от исходной цветности и мутности воды. Средняя доза  $\text{Cl}_2$  2,5—5 мг/л. Предварительное хлорирование снижает на 60—80% кол-во взвешенных в-в. Хлорирование воды до поступления ее на очистные сооружения позволяет снизить расходы на очистку в среднем на 8—10%.

Л. Фальковская

**57854. Полное обессоливание воды. Клеммер (Wasser-Vollenstaltung. Klemmer Aloys), Neue DELIWA-Z., 1958, № 1, 18—19 (нем.)**

Приведена характеристика работы прибора Serva, действующего по принципу совместного Н—ОН-ионирования (загрузка  $\frac{1}{3}$  сильнокислотного катионита,  $\frac{2}{3}$  сильноосновного анионита). Иониты содержат цветные индикаторы истощения. ОН-анионит имеет голубую окраску, при истощении — желтую, Н-катионит — красную, при истощении — желто-коричневую. Смешанный слой после регенерации имеет красно-фиолетовую окраску, переходящую по мере истощения в желто-коричневую. Проскок солей наступает при приближении желтой зоны к нижним слоям фильтра. Конц-ия  $\text{NaCl}$  в фильтрате (рассчитанная по электропроводности) 0,25—0,05 мг/л. Скорость фильтрования воды до 30  $\text{м}^3/\text{час}$ . Диаметр зерен ионитов 0,3—1,0 мм. Сопротивление загрузки 2 м вод. ст. на 1 м высоты слоя ионитов.

А. Мамет

**57855. Удаление накипи по способу BRINDI. Делатре-Вегнер (Kessel- und Wassersteinentfernung nach dem BRINDI-Verfahren. Delatre-Weg-**

pat Kurt), Masch. und Werkzeug-Europa Technik, 1958, 59, № 2, 12 (нем.)

Описан способ хим. очистки от накипи паровых котлов, баков, трубопроводов и прочего оборудования ингибированной соляной (возможно также  $H_2SO_4$ ,  $HNO_3$  и  $H_3PO_4$ ) к-той, содержащей замедлитель коррозии — препарат BRINDI. Ингибированная к-та (под названием BRINDI-Säure) выпускается в продажу в баллонах (55—60 кг к-ты). Ее готовят растворением в 60 кг технич. 32—36%-ной соляной к-ты 780 г препарата BRINDI — густенного до смолообразного состояния растительного экстракта, содержащего алкалоид. Для приготовления рабочего промывочного р-ра продажный продукт разбавляют в 3—10 раз. На 25 кг  $CaCO_3$  расходуется 55 кг р-рителя. Концентрация к-ты в рабочем р-ре (3—10%) подбирается опытным путем и зависит от состава и структуры накипи. Промывку ведут при  $t$ -ре  $\leq 40^\circ$ . Продолжительность промывки 6—24 часа. После спуска отработанного кислотного р-ра и промывки водой котел щелочат 0,5%-ным р-ром  $Na_2CO_3$  и вновь промывают водой. А. Мамет

57856. Обработка добавочной питательной воды и потерь с продувкой. Фихтнер (Aufbereitung des Zusatzspeisewassers und Absalzverluste. Fichtner W.), Energie (BRD), 1957, 9, № 11, 468—469 (нем.)

При сравнении экономичности различных методов обработки добавочной воды необходимо учитывать энергетич. потери, связанные со снижением давления (пара.). Тепловыми потерями можно пренебречь, если пар из расширителя непрерывной продувки направляется в деаэраторы, а отсепарированная котловая вода охлаждается исходной водой до  $40^\circ$ . Перерасход энергии вследствие увеличения нагрузки питательных насосов также незначителен. Сравниваются 2 варианта приготовления добавки для котлов 64 атм, отдающих на произ-во 20 т/час пара через турбину с противодавлением 2,5 атм. Предпочтита в обоих случаях одинаковая (известкование), окончательная очистка воды в 1-м варианте — Na-катионированием, во 2-м — ионитным обессоливанием и обескремниванием, что снижает размер продувки котлов с 8,1 до 2%. Связанное с этим увеличение выработки собственной электроэнергии, более дешевой, чем из внешней сети, окупает повышенные затраты на обессоливание воды менее чем за 3 года. А. Мамет

57857. Вода для промышленных надобностей. Требования потребителей, источники получения, сточные воды. Цендер (Wasser für industrielle Zwecke: Anforderungen des Betriebs, Provenienz, Abwasser. Zehnder E.), Schweiz. Z. Hydrol., 1957, 19, № 1, 102—107 (нем.)

Общие соображения. М. Л.

57858. Обработка воды для охлаждения компрессоров и двигателей. Прейс (Proper water conditioning. Preis Otto H.), Petrol. Engr, 1957, 29, № 12, D56—D60, D62 (англ.)

С целью снижения накипеобразования и коррозии рекомендуется применение полифосфата или органич. поверхностноактивных в-в в сочетании с периодич. очисткой к-тами во время плановых остановок. Замкнутые оборотные системы охлаждения при обеспечении хорошей плотности и миним. потерь следует заправлять и пополнять конденсатом или Na-катионированной водой. Вследствие длительного пребывания воды в таких системах полифосфаты мало эффективны (при использовании жесткой воды). Для предотвращения коррозии рекомендуются добавки хроматов в конц-ии 1000—2000 мг/л при pH 6—8. СВ, образующиеся при продувке оборотных систем, обрабатывают  $FeSO_4$  или  $Na_2SO_3$ , а затем — щелочью (восстановление хроматов и осаждение  $Cr^{3+}$ ). Для замедления коррозии возможно также применение  $NaNO_2$  в конц-ии

2000—3000 мг/л (последний мало эффективен в случае коррозии медных сплавов под действием  $H_2S$ ). А. М.

57859. Обработка воды для промышленных надобностей. Нуазетт (Le traitement des eaux résiduaires. Noisette G.), Ind. text., 1957, № 853, 909—912 (франц.)

Элементарный обзор по вопросу подготовки воды, используемой преимущественно для целей охлаждения. М. Лапшин

57860. Стоимость сооружений для очистки бытовых сточных вод. Дьякишин (New guide to sewage plant costs. Diachishin Alex N.), Engng. News Rec., 1957, 159, № 16, 316—318 (англ.)

На основании статистич. данных по 55 станциям показано, что средняя строительная стоимость сооружений для первичной очистки бытовых СВ (отнесенная к единице их расхода) в логарифмич. координатах является прямолинейной функцией от производительности станции, понижаясь в ~25 раз в интервале производительности от 375 до 750 000 м<sup>3</sup>/сутки. Аналогичная зависимость строительной стоимости для биохимич. очистки (биофильтры, аэротенки) СВ по данным для 99 станций. При изменении производительности станций от 37 до 190 000 м<sup>3</sup>/сутки стоимость сооружений, отнесенная к единице расхода СВ, понижается в ~12 раз. Отклонения от средней величины составляют  $\pm 15\%$ . М. Лапшин

57861. Опытная эксплуатация станции биосорбции. Ульрих, Смит (Operation experience with activated sludge-biosorption at Austin Texas. Ullrich A. H., Smith Mansel W.), Sewage and Industr. Wastes, 1957, 29, № 4, 400—413 (англ.)

Очистка СВ на станции в Остине (США, шт. Техас) в течение 12 лет встречала серьезные трудности в связи с вспуханием активного ила. Снижение нагрузки не давало эффекта. Реконструкция станции с применением процесса биосорбции дала удовлетворительные результаты: в среднем за 1955 г. при БПК поступающей СВ 307 мг/л и расходе воздуха 7,5 м<sup>3</sup>/м<sup>3</sup> БПК очищ. СВ составлял 20 мг/л, иловой индекс 115. См. также РЖХим, 1958, 11757. О. Болотина

57862. Значение и возможности очистки промышленных сточных вод, содержащих преимущественно минеральные примеси. Леклер (La signification et les possibilités de l'épuration des eaux résiduaires industrielles non organiques. Leclerc Edm.), Schweiz. Z. Hydrol., 1957, 19, № 1, 515—521 (франц.)

Рассматриваются нерешенные проблемы очистки СВ отдельных видов пром-сти в Бельгии. М. Л.

57863. Охлаждение радиоактивных сточных вод при подземном захоронении. Перринг (The cooling of underground fission wastes. Perring J. K. Repts. Atomic Energy Res. Establ., 1957, № C/R 1294, 10 pp.) (англ.)

57864. Обезвреживание подсмольных вод методом выпаривания с одновременным получением химических продуктов. Иванов Б. И., Шаронова Н. Ф., Козак Ю. А., Тр. Всес. н.-и. ин-та по переработке сланцев, 1956, вып. 5, 294—303

В лабор. условиях разработана следующая схема очистки. СВ отделяют от смолы и производят отгонку ацетона (отбор 5% дистиллята). Остающееся кол-во СВ подвергают выпариванию (отбор 96% дистиллята), пропускают пары через серную к-ту и щелочь. В полученном дистилляте конц-ия фенолов составляет ~30 мг/л, окисляемость ~50 мг/л. Дистиллят может быть доочищен фильтрованием через активный уголь марки КАД, при этом конц-ия фенолов снижается до 3·10<sup>-4</sup> мг/л, окисляемость — до 0,2—0,6 мг/л. Остаток от отгонки фенолов экстрагируют бутилацетатом (выделение многотомных фенолов) и сбрасывают в отвалы. М. Лапшин



**57865. Обезвреживание сточных вод на заводах Джерал Мотор. Дейвис** (Industrial waste control in the General Motors Corporation. Davies Lynn), Sewage and Industr. Wastes, 1957, 29, № 9, 1024—1032 (англ.)

Описаны проведенные изменения режима технологич. процессов, направленные к снижению концентрации токсичных и вредных примесей СВ: замена при меднении цианидных р-ров кислотными; механич. очистка поверхности металла вместо серно-кислотного травления; применение для травления фосфорной к-ты вместо серной; использование щел. р-ров вместо кислотных для освобождения поверхности металлов от окислов; применение для защиты металла от ржавления хим. реагентов взамен масел и ряд других. В технологич. процессах, не допускающих замену токсичных продуктов, применена замкнутая система использования р-ров. Для продления срока работы последние подвергаются электролитич. очистке с целью выделения поступивших в них металлов, фильтрованию через активный уголь (для удаления органич. примесей), обработке комплексобразующими реагентами (для связывания «посторонних» ионов, мешающих процессу). В дополнение к обычно применяемым методам очистки СВ от цехов гальванич. покрытий разработан способ сжигания конц. цианидных отходов. Последние подаются в печь в виде порошка вместе с жидкими отходами (р-тели). С 1 л р-теля можно сжечь до 0,17 кг твердых цианидных отходов. При т-ре печи  $> 1700^\circ$  эта норма может быть удвоена.

**57866. Очистка сточных вод химических предприятий. Гаванда** (Reinigung der Abwässer aus chemischen Betrieben. Gavanda L.), Mitt. Chem. Forschungsinst. Wirtsch. Österr., 1957, 11, № 6, 180—183 (нем.)

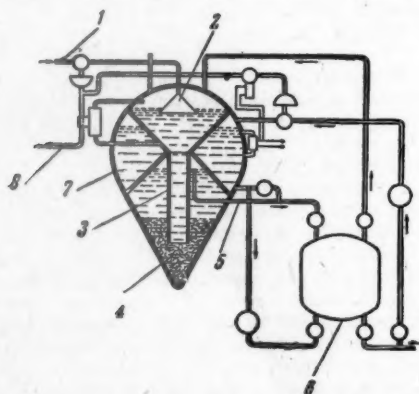
Изложены общие принципы.

П. К.

**57867 Д. Исследование процесса образования «медных напильей».** Манькина Н. Н. Автореф. дисс. канд. техн. н., Всес. теплотехн. н.-н. ин-т, М., 1958

**57868 П. Аппарат для обработки жидкости.** Букаут, Хатчисон (Liquid treatment apparatus. Bookout Ervin J., Hutchison Gibson T.) [Cochrane Corp.], Пат. США 2772235, 27.11.56

Предложена конструкция аппарата для обработки воды. Обрабатываемая вода подается в аппарат по трубе 1 через распределитель 2 и по трубе 3 проходит в нижнюю конич. часть аппарата, где находится слой взвешенного осадка 4. Обработанная вода удаляется



из аппарата по трубе 5 и может быть подвергнута вторичной обработке (осветлительному или ионитному

фильтрованию) на фильтре 6. В верхней сферич. части аппарата выделен отсек 7 для пополнения и повторного использования воды для промывки осветлительного или ионитного фильтра. Предусмотрен подвод к аппарату сжатого воздуха по трубе 8.

**57869 П. Способ фильтрования.** Миура Мицуру, Япон. пат. № 3643, 18.05.56

Рекомендуется фильтрование через диатомит. Фильтр готовится следующим способом. Фильтровальную пластину покрывают металл. сеткой или фильтровальным полотном, на которую насыпают слой мелкого диатомита. К фильтруемой воде добавляют более крупный диатомит. Пример: взят мелкий диатомит следующего фракционного состава:  $40 \mu$  4%;  $40-20 \mu$  12%;  $20-10 \mu$  16%;  $10-6 \mu$  18%;  $6-2 \mu$  38%;  $< 2 \mu$  12%. К фильтруемой воде добавлен диатомит следующего фракционного состава:  $> 40 \mu$  12%;  $40-20 \mu$  19%;  $20-10 \mu$  41%;  $10-6 \mu$  19%;  $6-2 \mu$  8%;  $< 2 \mu$  3%. Мутность исходной воды 500, число Coli-бактерий 16200 в 100 мл. Скорости фильтрования (мл/час), мутности фильтрата и число Coli-бактерий в 1 мл в начале процесса и по истечении 1 и 3 час. составили (соответственно): 1,05, 0,2, 0; 1,01, 0,1, 0; 0,85, 0,1, 0.

**57870 П. Метод конструирования и изготовления фильтров для воды.** Келлер, Коффорд (Method for constructing water filters and product thereof. Keller Philip B., Kofford Walter M.) [R. T. Collier Corp.], Пат. США 2773604, 11.12.56

Для осветления и обеззараживания воды (главным образом в отдельных домовладениях) предлагается фильтр, в котором фильтрующий слой зажат между 2 пористыми пластинками, изготовленными из того же фильтрующего материала путем формирования после смешивания с 10—20% связующего в-ва (напр., порошкообразного фенолформальдегидного мономера).

В. Ключко

**57871 П. Очистка воды.** Райан (Water purification. Ryan Edmund J.), Пат. США 2771416, 20.11.56

Для обеззараживания воды и освобождения от органич. примесей (сообщающих окраску и запах) ее обрабатывают активированным кислородом. Для активирования  $O_2$  последовательно нагревают до  $95^\circ$ , облучают УФ-лучами с длиной волны 2000—4800 Å, пропускают через зону электрич. разряда (напряжением 5000 в) и через р-р, содержащий соли галогенов или свободные галогены. Метод рекомендуется для очистки питьевых и СВ, воды плавательных бассейнов, воды для заводнения нефтяных скважин.

Л. Фальковская

**57872 П. Способ обработки воды.** Сибалд (Water treating system. Seibald J. F.), [Worthington Corp.], Пат. США 2773029, 4.12.56

Предложен способ эксплуатации установки для обработки воды по схеме: горячее известкование — осветление — Na-катионирование, при котором предусмотрено постепенное нагревание катионита до рабочей т-ры, подача на него нагретого и деаэрированного регенерирующего р-ра и повторное использование части последнего для растворения реагента.

А. Мамон

**57873 П. Способ ионирования воды** (Verfahren zur Aufbereitung salzhaltigen Wassers) [Gebrüder Sulzer, A.-G.], Швейц. пат. 313777, 30.06.56

Процесс осуществляется в кольцеобразном аппарате или в нескольких аппаратах, включенных в замкнутый цикл. Часть пространства в кольцеобразном аппарате (или часть аппаратов во втором варианте) занимает свежий ионит (зона обработки воды), другую — истощенный материал (зона регенерации). Путем перемещения ионита с помощью транспортера из зоны обработки в зону регенерации и обратно (во втором варианте путем попередного включения истощенных

ри. части  
повторно-  
лительного  
од к аши-  
А. Мамет  
Мицугу,

диатомит.  
льтроваль-  
ли филь-  
слои ме-  
яют более

диатомит  
; 40—20 м  
2 м 38%;  
диатомит  
12%; 40—  
—2 м 8%;  
Со-б-  
и (м/час);  
1 мл в час  
оставили  
0,1, 0.

М. Гусев  
отомления  
д (Method  
ct thereof.  
M.) [R. T.

авным об-  
длагается  
ат между  
из того же  
ия после  
напр., по-  
номера).  
В. Клячко  
urification.  
20.11.56

ия от ор-  
ах) ее об-  
ия актив-  
°, облуча-  
А, пропу-  
пряжение

генов или  
для очист-  
ейнов, во-

льковская  
д (Water  
ton Corp.)

ия для об-  
ание—ос-  
ом пред-  
до рабо-  
ованного

ание час-  
А. Мамет  
ahren zu  
er Sulzer,

аппарат  
в замкну-  
ном аппа-  
те) заня-  
другую—  
лутем пе-  
из зоны  
во втором  
ощенны

фильтров на регенерацию, а регенерированных — в ра-  
боту) или путем перемещения устройств для подвода  
и отвода воды и регенерирующего р-ра осуществляют-  
ся обработка воды и регенерация нонита. А. Мамет  
57874 П. Аппарат для умягчения воды. Линдси  
(Water softening apparatus. Lindsay Lynn G.),  
[The Lindsay Co.]. Пат. США 2778799, 22.01.57

Аппарат состоит из нонитного фильтра и напорного  
бачка с конц. регенерирующим р-ром, снабженных дву-  
мя полуавтоматич. многоходовыми кранами. Все опе-  
рации регенерации и включение фильтра в работу вы-  
полняются автоматически (по времени). А. Мамет

См. также: Анализ:  $\text{Na}^+$ ,  $\text{K}^+$  57144, 57145;  $\text{Mg}^{2+}$  57152;  
 $\text{Ca}^{2+}$  57156, 57157;  $\text{Zn}^{2+}$  57158;  $\text{HCO}_3^-$  и  $\text{CO}_3^{2-}$  57143; В  
57196;  $\text{SO}_4^{2-}$  57206;  $\text{F}^-$  57210, 57211;  $\text{CN}^-$  57213. Капро-  
литам 57242. Св-ва примесей: полиморфизм  $\text{CaCO}_3$  56668.  
Физ.-хим. основы технологии: теория кристаллизации  
56678; действие ультразвука на кол. р-ры мыл 56956.  
Внутримолекулярные процессы: растворимость  $\text{SiO}_2$  в паре  
56723. Иониты: теория 56925; закономерности обмена  
катионов 56926; термодинамика обмена катионов 56927.  
Адсорбция радиоэлементов 56928. Адсорбция неэлектро-  
литов 56929. Катионообменное равновесие на Dowex-50  
56930. Распределение катионитов в теле фильтра 56931.  
Катиониты с повышенной скоростью обмена 56932. Из-  
влечение  $\text{Co}$  и  $\text{Ni}$  из р-ра 56934. Ионообменные мембрана-  
ры 56935, 56936, 56938. Синтез 56933. Коррозия: в водо-  
проводной воде 57787. Утилизация и удаление отходов:  
использование оборотных вод древесно-массного про-  
из-ва 59528; щелока целлюлозного произ-ва 59591. Во-  
доэмы и водотоки: восстановление  $\text{NO}_3^-$  56979; ста-  
бильность карбонатов в придонных водах 57091. Ско-  
рость восстановления сульфатов 57098. Реагенты: кон-  
станта диссоциации  $\text{HOC1}$  56849; хроматографич. раз-  
деление полифосфатов 56984. Подготовка воды: техни-  
ка безопасности 57878.

## ТЕХНИКА БЕЗОПАСНОСТИ. САНИТАРНАЯ ТЕХНИКА

Редакторы Н. Ф. Кононов, И. В. Саноцкий

57875. Симпозиум по технике безопасности.—  
(Technical safety symposium.—), J. Amer. Oil Che-  
mists' Soc., 1957, 34, № 9, 431—447 (англ.)

57876. Техника безопасности в химических лабора-  
ториях. Окуда, Chemistry (Japan), Кагаку 1957,  
12, № 9, 684—691 (японск.)

Предыдущее сообщение см. РЖХим, 1958, 40108.

57877. Некоторые вопросы техники безопасности  
в лабораториях. Шульц (Some aspects of labora-  
tory safety. Schultz Harold H.), J. Amer. Oil  
Chemists' Soc., 1957, 34, № 9, 437—440 (англ.)

57878. Правила по технике безопасности для водо-  
очистных установок. Части I—IV.—(Safety practice  
for water utilities. Parts I—IV.—), J. Amer. Water  
Works Assoc., 1955, 47, № 7, 637—656; № 8, 791—826;  
№ 9, 923—944; № 10, 989—1018; № 11, 1124—1138;  
№ 12, 1217—1218 (англ.)

57879. Организация техники безопасности. Джонс  
(Special report on Hurricane Audrey. Disaster plan-  
ning pays off. Jones J. M.), Petrol. Refiner, 1957,  
36, № 8, 207—209 (англ.)

Описаны спец. мероприятия по технике безопас-  
ности, принятые на нефтеперерабатывающем  
з-де в период урагана близ о. Чарльз (США).

А. Дворкин

57880. Радиохимические лаборатории. Гвудзъ  
(Laboratoria radiochemiczne. Gwóźdź Rajmund),

Nukleonika, 1957, 2, № 3, 511—523 (польск.; рез.  
русск., англ.)

Рассмотрены опасности при работе с открытыми  
источниками ионизирующего излучения. Приведены  
допустимые пределы внешнего и внутреннего облуче-  
ния радиоактивными в-вами. Проведена классифика-  
ция радиохим. лабораторий в зависимости от интен-  
сивности облучения. Радиоактивные изотопы,  
употребляемые в качестве индикаторов, распределены  
по группам относительной опасности с учетом харак-  
тера излучения, периода полураспада, а также специ-  
фики поглощения организмом соответствующих изо-  
топов и выделения их из организма. Кратко описаны  
радиохим. лаборатории для индикаторного и низкого  
уровней активности. Рассмотрены методы борьбы  
с радиоактивными загрязнениями как в лаборатории,  
так и на окружающей ее территории. Б. Каплан

57881. Проблема безопасности при проектировании  
реакторов и работе с радиоизотопами. V. Оценка  
биологической опасности радиоактивного загрязне-  
ния. Грауль, Рауш (Sicherheits- und Schutz-  
probleme bei Reaktorprojekten und Umgang mit Ra-  
dioisotopen. V. Mitteilung. Zur Beurteilung des biolo-  
gischen Risikos durch radioaktive Verseuchung.  
Graul E. H., Rausch L.), Atompraxis, 1957, 3,  
№ 1, 15—21 (нем.)

Рассмотрено влияние кол-ва, физ., хим., биологич.  
и др. свойств радиоактивных в-в на связанную с их  
употреблением опасность. Сообщение IV см. РЖХим,  
1958, 40120.

В. Левин

57882. Противопылевой респиратор модели ШБ-1  
«Ленесток» для защиты органов дыхания от радио-  
активных аэрозолей. Шатский С. Н., Басма-  
нов П. И., Тр. Всес. конференции по мед. радиол.  
Вопр. гигиены и дозиметрии. М., Медгиз, 1957, 44—48

Существующие противопылевые респираторы (Р)  
с фильтрами из ваты, войлока, различных сортов  
фильтровального картона и др. материалов не обеспе-  
чивают достаточной степени очистки воздуха от  
радиоактивных аэрозолей. В Р модели ШБ-1 применен  
новый волокистый фильтрующий материал  
(искусств. очень тонкое волокно), гидрофобный, прак-  
тически не повышающий сопротивления дыханию и  
имеющий высокую эффективность при малом сопро-  
тивлении. Р отвечает всем гигиенич. требованиям.  
Степень очистки воздуха достигает 99,9% для частиц  
диам. 0,1—0,2 м. Применение Р противопоказано при  
наличии масляных туманов и паров летучих органич.  
р-рителей. Испытания Р, проведенные в радиол. ла-  
бораториях с повышенным содержанием радио-  
активных аэрозолей в воздухе, показали высокую  
эффективность и удобство пользования. Приводится  
описание конструкции Р. И. Лекае

57883. Промышленные отравления и меры борьбы  
с ними. Кубота, Кагаку когё, Chem. Ind. (Tokyo),  
1955, 6, № 10, 906—911 (японск.)

57884. Токсичные соединения фтора. Такаха-  
ра (Takahara Hirokazu), Ботю кагаку, Scient.  
Insect. Control., 1956, 21—1, февр., 29—32 (японск.)

57885. К вопросу о профессиональных заболеваниях  
в производстве взрывчатых веществ. Гросдор-  
фер (Zur Frage der Berufskrankheiten in der  
Sprengstoffindustrie. Großdorfer Karl), Explo-  
sivstoffe, 1957, 5, № 10, 216—219 (нем.)

Описаны 3 формы профессиональных заболеваний,  
наблюдаемых в произ-ве взрывчатых в-в (ВВ):  
1) отравления тринитротолуолом (с примесью ди-  
нитротолуола) и тетриллом; 2) отравления нитро-  
газами; 3) поражения кожи моно- и динитрохлорбен-  
золом, гексанитродифениламином, тринитроанизолом,  
тетриллом. Приведено 12 случаев профессиональных  
заболеваний. Отмечено более благополучное состояние



здоровья работающих в произ-ве ВВ в Австрии по сравнению с другими странами. Установлено, что к работе с нитросоединениями и гликольдинитратом не допускаются юноши моложе 18 лет, женщины моложе 20 лет и кормящие матери; все работающие ежемесячно должны проходить врачебный осмотр, работающие с динитробензолом и тринитротолуолом (последние в первые 4 месяца работы) — 2 раза в месяц. Начало см. РЖХим, 1958, 32981. К. Никонова

**57886. Исследование отходящих газов в производстве цианида натрия.** Ламан (Untersuchungen der Abgase eines Cyanid-Betriebes. Lahmann E.), Schriftenreihe Vereins Wasser, Boden- und Luftthyg. Berlin-Dahlem, 1957, № 12, 49—53 (нем.)

Показано, что в газах от произ-ва цианида Na из металлич. Na, угля и аммиака, помимо  $H_2$  и паров металлич. Na, содержатся также  $NaCN$ ,  $Na_2CO_3$ ,  $NaHCO_3$  и  $HCN$ . Приведены методы определения этих соединений в отходящих газах. М. Фишбейн

**57887. Промышленные отравления на химических заводах. 1. Токсичность бромистого метила.** Кубота (Kubota Shigetaka), Юки госай какаку кёкайси, J. Soc. Organ. Synth. Chem., Japan, 1955, 13, № 12, 605—606 (японск.)

**57888. Исследование флуоресцитов при отравлении свинцом.** Фуэс (Fuse Tokuro), Родо какаку, J. Sci. Labour, 1956, 32, № 8, 649—657 (японск.; рез. англ.)

Для наблюдения флуоресцитов (флуоресцирующие эритроциты) применяют флуоресцентный микроскоп с мощным источником УФ-излучения (дуговая угольная лампа). Конденсирование должно быть полным, комбинация фильтров должна поглощать ИК- и видимую часть спектра. Интенсивность флуоресценции слаба и непостоянна. Идентификация флуоресцитов проводится в соответствии с указаниями Зеггеля (Folia haematol., 1934, 52(3); 241—249). Приведена схема установки. Библи. 18 назв. Т. Бржезская

**57889. Конференция по определению кремнеземной пыли в промышленной атмосфере** (Лиссабон, 12—13 сентября 1956 г.). (Colloque sur le dosage des poussières siliceuses dans les atmosphères industrielles. (Lisbonne, 12—13 septembre 1956).—), Mines, 1957, 12, № 4, 365—403 (франц.; рез. нем., англ.)

**57890. Работы и исследования комиссии Союза немецких инженеров по вопросам чистоты воздуха.** Лент (Arbeiten und Forschung der VDI—Kommission «Reinhaltung der Luft». Lent H.), Zement-Kalk-Gips, 1958, 11, № 1, 1—5 (нем.; рез. англ., франц.)

Изложение исследовательских работ по очистке воздуха от промышленных отходов. Наиболее сложной проблемой является очистка воздуха от  $SO_2$ , которая, однако, также получает разрешение. Г. Копелянский

**57891. Нефелометрическое определение запыленности воздуха полихлорвиниловой смолой.** Гернет Е. В., Научн. работы хим. лабор. Горьковск. н.-и. ин-т гигиены труда и профболезней, 1957, сб. 6, 88—95

Пыль полихлорвиниловой смолы может количественно улавливаться из воздуха системой с жидкой поглотительной средой (водн. р-р глицерина, разб. 1:1) при скоростях отбора пробы 2—10 л/мин. Конц-ия пыли определяется нефелометрированием полученных взвесей. Сравнение запыленности воздуха, определенной весовым и нефелометрич. методами, дало сходящиеся результаты. Для нефелометрич. определения достаточно 0,5 мг пыли в забираемом объеме (25 мл). При наличии от 0,2 мг и больше пыли в 1 мл поглотительной жидкости можно подсчитать в счетной камере Горяева число пылинков и измерить их размеры, что позволяет получить соот-

ношение между весовой конц-ией пыли и числом пылинок в единице объема жидкости. И. Лежнев

**57892. Пылеулавливающий, абсорбционный и теплообменный аппарат «ТП» с высокоскоростным потоком газа.** Тверовский Е. Н., Зайцев М. М., Тр. Гос. н.-и. ин-та по пром. и сан. очистке газов, 1957, вып. 1, 105—132

«ТП» — турбулентный промыватель — представляет собой аппарат для промывки газов и состоит из трубы Вентури, соединенной с циклонным каплеуловителем. ТП притоен для: 1) понижения т-ры газа до точки росы при миним. расходе воды; 2) сорбции различных паров; 3) испарения жидкости и 4) улавливания взвешенных в газе твердых и жидких частиц. Рассматриваются схемы устройства ТП и применение его для очистки газа. Приведены результаты исследования работы ТП в лабор. условиях при улавливании из воздуха летучей золы и в опытно-промышленных условиях при очистке доменного газа. Сообщаются также некоторые результаты промышленного применения ТП в произ-вах: красителей, сажи, обжига извести, глинозема и при конц-ии фосфорной к-ты. Ю. Скорейкий

**57893. Обезвреживание дымов и удаление из отработанных газов субмикроскопических частиц пыли.** Мейнхольд, Берд (Stop fumes — and remove submicron dust from exhaust gases. Meinhold Ted F., Bird William A.), Chem. Process, 1957, 20, № 2, 14—16 (англ.)

Описана скрубберная установка для очистки отработанных газов на з-дах по регенерации каучука от сублимированных в них субмикроскопич. частиц, обуславливающих неприятный запах газов и делающих последние взрывоопасными. М. Фишбейн

**57894. Очистка заводского воздуха от сернистого газа.** Мольнар (Kéndioxid lekötése üzemi levegőből. Molnár Sándorné), Munkavédelem, 1957, 3, № 5—8, 27—32 (венг.)

В воздухе цехов ряда предприятий хим. пром-сти конц-ия  $SO_2$  иногда превышает предельно допустимую ( $21 \text{ мг/м}^3$ ). Для связывания  $SO_2$  в лабор. условиях были применены искусств. смолы, которые во влажной среде способны в монообмену. Смолы перед применением в течение 18 час. набухали в воде, после чего обрабатывались 1,5 н. р-ром  $NaOH$  в течение 25 час. и в заключение промывались водой.  $SO_2$  может быть поглощен в кол-ве 35% от веса смолы. Во избежание уменьшения рабочей поверхности поглотителя, происходящего из-за слипания частиц смолы, поседняя применялась с прослойками стеклянн. ваты, занимающей в два раза больший объем, чем сама смола. Регенерация смолы легко осуществима и активность ее после неоднократной регенерации не уменьшается. Д. Пюшнеки

**57895. Подъем столба горячего отбросного газа.** Бозанкет (The rise of a hot waste gas plume. Bosanquet C. H.), J. Inst. Fuel, 1957, 30, № 197, 322—328. Discuss., 333—338 (англ.)

Предложен метод расчета для определения высоты подъема, формы движения и степени разбавления облака (столба) горячих отбросных газов в зависимости от их скорости и плотности в устье дымовой трубы. Ю. Скорейкий

**57896. Вопросы безопасности при приемке и хранении растворителей.** Миллер, Солцман (Safety aspects of the receiving and bulk storage of extraction solvents. Miller J. F., Saltzman A. L.), J. Amer. Oil Chemists' Soc., 1957, 34, № 9, 444—446 (англ.)

Рассматриваются вопросы размещения хранения р-рителей, способы заполнения и освобождения хранилищ и защиты от статич. электричества. М. Панфилов

57897. Техника безопасности при проведении процессов экстракции. Мак-Ги (The solvent-extraction process is not as hazardous as it seems. MacGee A. Ernest), J. Amer. Oil Chemists' Soc., 1957, 34, № 9, 431—432 (англ.)

Приведены данные, характеризующие убытки от пожаров в производствах растительных жиров при процессах экстракции р-рителями на установках для извлечения жиров под давлением, при хранении и обработке промежуточной и готовой продукции. Показано, что средние убытки от пожаров на хорошо спроектированных экстракционных установках не превышают убытки, имеющие место при проведении других процессов. Смертельные случаи на экстракционных установках бывают чаще, чем на других установках. Подземное хранение и транспортировка огнеопасных продуктов вызывают дополнительные затруднения с точки зрения обеспечения огнебезопасности.

М. Панфилов

57898. Пенная защита на экстракционных установках. Миллер (Foam protection for solvent-extraction plants. Miller J. E.), J. Amer. Oil Chemists' Soc., 1957, 34, № 9, 432—434 (англ.)

В ряде случаев экстракционные установки были полностью разрушены при пожарах, несмотря на наличие автоматических действующих водяных спринклерных или затопляющих систем. Для борьбы с пожарами на установках рекомендуются автоматически действующие пенные системы. В зависимости от природы пены пенное покрытие может быть создано на вертикальных и наклонных плоскостях. М. Панфилов

57899. Огнестойкость изгибаемых элементов из обычного и предварительно напряженного железобетона. Мурашев В. И., Яковлев А. И., Бетон и железобетон, 1957, № 12, 467—472

Современные железобетонные конструкции по своему сопротивлению воздействию пожара. Важно иметь единый критерий предела огнестойкости по несущей способности. Произведение коэф. огнестойкости на расчетную длительность пожара и определяет требуемый предел огнестойкости конструкции:  $P_0 \geq K_0 D$ , где  $P_0$  — фактик. предел огнестойкости конструкции, в час;  $D$  — расчетная длительность пожара, в час;  $K_0$  — коэф. огнестойкости. Рассматриваются результаты испытаний огнестойкости изгибаемых элементов с обычной горячекатаной арматурой и с предварительно напряженной высокопрочной проволокой. При оценке огнестойкости конструкции по несущей способности большое значение имеет дополнительный необратимый прогиб, так как большая остаточная деформация является признаком потери несущей способности, а следовательно, и наступления предела огнестойкости. Величина остаточной деформации в изгибаемых элементах, армированных обычной арматурой и предварительно напряженной, определялась опытным путем. Установлено, что для балок с обычной арматурой необратимый прогиб составляет небольшой процент от полного прогиба, а в предварительно напряженных элементах ~ 60%. Предел огнестойкости предварительно напряженных свободно опертых элементов с высокопрочной холоднокатаной проволокой, равной 18 000—15 000 кг/см<sup>2</sup>, наступает при нагреве проволоки не выше 200—300°. Предел огнестойкости балок с обычной арматурой увеличивается при закреплении их на опорах. Такое закрепление не повышает предела огнестойкости у предварительно напряженных изгибаемых элементов с высокопрочной проволокой. И. Лекае

57900. Применение механически образуемых водно-воздушных пен с целью огнезащиты. Олт, Рамбл (Application of mechanically produced airfoams to

fire-protection problems. Ault W. E., Rumble E. B.), J. Amer. Oil Chemists' Soc., 1957, 34, № 9, 434—437 (англ.)

Приведены характеристика и условия применения водно-воздушных пен и схемы огнезащитных пенных систем в производствах, применяющих горючие жидкости.

М. Панфилов

57901. Перспективы развития огнетушащих средств. 1, 2. Зекамп (Die Zukunft der Feuerschutzmittel. 1, 2. Seekamp H.), VEDB-Zeitschrift, 1957, 6, № 4, 164—167; 7, № 1, 11—15 (нем.; рез. англ., франц.)

Описаны средства для тушения горящей древесины. Приводится методика проведения опытов тушения и дана оценка результатов. Описана установка для исследования воспламенения ряда в-в, вызываемого теплоизлучением.

М. Фишбейн

57902. Эксплуатация и испытания крупных порошковых огнетушителей. Бецлер (Betrieb und Prüfung von Pulvergroßlöschgeräten. Betzler M.), VEDB-Zeitschrift, 1957, 6, № 4, 156—160 (нем.)

Рассматривается влияние на производительность и условия эксплуатации огнетушителя рабочего давления сжатого газа (N<sub>2</sub>), текучести газо-порошковой смеси и сопротивления трубопроводов, арматуры и шлангов. Приведен типовой баланс расхода 750 кг порошка (NaHCO<sub>3</sub> с уд. в. 2,2 кг/л) при исходном давлении N<sub>2</sub> в баллонах 150 и 200 атм и емкости бака для порошка 680 л.

Ю. Скорецкий

57903. Взрывы штейнов при действии на них водой. 2. Химическое взаимодействие расплавленного медного штейна с водяным паром. Адзума, Гото, Камэтани (Azuma Kiyoshi, Goto Sakichi, Kametani Hiroshi), Нихон когё кайси, J. Mining and Metallurg. Inst. Japan, 1957, 73, № 829, 449—452 (японск.; рез. англ.)

Изучались р-ции, протекающие при соприкосновении расплавленного штейна с паром при 1250° в присутствии SiO<sub>2</sub>. В отходящих газах обнаружены SO<sub>2</sub>, H<sub>2</sub>S и H<sub>2</sub>. Скопление двух последних газов в окислительной атмосфере приводит к взрыву. Сообщение 1 см. РЖХим, 1958, 36765.

И. Лекае

57904. Очистка фильтров. Уитман (Filter cleaning. Whitman Elliott R.), Refrig. Serv. and Contract, 1957, 25, № 12, 17—21 (англ.)

Описаны приемы и приспособления для систематической очистки фильтрующих элементов висциновых воздухоочистителей для кондиционеров. Рассмотрены как ручные, так и механизированные операции очистки фильтров: смывание горячей водой слоя масла вместе с осевшими загрязнениями; осушка горячим воздухом фильтрующих элементов и нанесение свежего масляного покрытия на фильтрующие элементы.

Ю. Скорецкий

57905. Осушка воздуха в условиях низких температур. Беллингер (Intensive Luftentfeuchtung auch bei tieferen Raumtemperaturen. Bellinger H.), Betriebs-Ökonom, 1958, 11, № 1, 27—28 (нем.)

Описан непрерывно действующий аппарат для поддержания определенной влажности воздуха при сравнительно низких т-рах (—45°), работающий по адсорбционному методу с применением силикагеля. При помощи аппарата можно вне зависимости от т-ры окружающего пространства достигнуть величины относительной влажности 30—40%.

М. Фишбейн

57906 К. Техника безопасности на предприятиях молочной промышленности. Бутников Н. Д. М., Пищепромиздат, 1956, 56 стр., илл., 1 р. 25 к.

57907 П. Метод борьбы с пылью. Штро, Зуттер (Verfahren zur Bekämpfung von Staub. Stroh Ru-



dolf, Sutter Wilhelm) [Farbenfabriken Bayer A.-G.]. Пат. ФРГ № 958502, 21.02.57

Метод заключается в том, что пыль, смоченная латексом полимеризованных виниловых соединений или смесью этих соединений, легко коагулируется в жидкой фазе. Для лучшей коагуляции к латексу добавляются водорастворимые продукты конденсации фенолов и формальдегид. Возможно применение латекса в качестве трудновозгораемого коагулянта.

Я. Дозорец

**57908 П. Электрическая обеспыливающая установка для очистки дымовых газов. Мак-Кензи** (Elektrische Gasentstaubungsanlage, insbesondere für die Reinigung von Rauchgasen. MacKenzie Kenneth W.) [APRA Precipitator Corp.]. Пат. ФРГ 1007298, 31.10.57

Предложен электрофильтр (ЭФ) для очистки от взвешенных частиц дымовых газов паровых котлов, устанавливаемый между толкой котла и его воздухоподогревателем и рассчитанный на работу при температуре газа 315—600°. ЭФ находится под разрежением, создаваемым дымососом, установленным между воздухоподогревателем и дымовой трубой, и представляет собой восьмигранную призму, вращаемую вокруг вертикальной оси посредством редукторного привода. Внутри ЭФ разделен вертикальными газонепроницаемыми перегородками на 8 отдельных секций, и при вращении призмы каждая из них выводится поочередно из газопотока и очищается от осаждающей пыли продувочным воздухом, подаваемым в секцию вентилятором. Отработанный продувочный воздух засасывается другим вентилятором в циклон, где освобождается от пыли. Каждая из 8 секций ЭФ представляет собой агрегат из 22 параллельных газопроводов в виде заземленных металлических шестигранных труб с коаксиально расположенными в них изолированными высоковольтными электродами ионизационной и осадительной зон. Электроды питаются током разных напряжений в пределах от 15 000 до 30 000 в.

Ю. Скорецкий

**57909 П. Новые способы обеспечения невозгораемости и получаемые при этом продукты** (Nouveaux procédés d'ignifugation et produits obtenus) [André Samuel]. Франц. пат. 1130221, 1.02.57

Патентуется метод покрытия невозгораемыми пленками изделий из природных или синтетич. органич. материалов. Метод состоит в добавлении к защищаемым от огня в-вам гексахлоратана (ГХЭ) путем непосредственного растворения в в-ве или с использованием промежуточных р-рителей, а также пропитыванием в-ва. Возможно применение и др. продуктов, обладающих близкими к ГХЭ свойствами. В случае лаков, пластмасс всех видов, натурального или синтетич. каучука и др. невозгораемость может быть достигнута посредством присоединения всякого невоспламеняющегося в-ва, способного образовать одну гомог. фазу с защищаемым от огня материалом. Примерный состав невозгораемого покрытия (в ч.): лак типа фенолформальдегид 100, ГХЭ 20. Этот состав после подсушки и полимеризации образует невоспламеняемую пленку на поверхности изделия.

Ю. Скорецкий

**57910 П. Состав для тушения пожаров. Сил-**

**вестер, Антони** (Fire extinguishing composition and method of extinguishing fires. Sylvester Walter G., Anthony Charles) [Specialties Development Corp.]. Пат. США 2776942, 8.01.57

Для тушения горящих сильно летучих жидкостей предложен состав, представляющий собой мелкоизмельченную смесь (в вес. %):  $\text{NaHCO}_3$  85 и  $\text{Li}_2\text{CO}_3$  15.

М. Фишбейн

**57911 П. Состав огнетушительного порошка** (Composition extinctrice pulvérulente) [Emile Bouillon]. Франц. пат. 1129703, 24.01.57

Предлагается огнетушительный порошок (ОП), состоящий из смеси  $\text{Na}_2\text{CO}_3$  (90—98%) и  $\text{MgCO}_3$  (2—10%). ОП обладает, по сравнению с обычными порошками, большей текучестью без излишнего уплотнения, что позволяет пользоваться спускными баллонами большого диаметра при уменьшенной длине и диффузорами меньших размеров. ОП обладает повышенным огнегасящим эффектом ввиду образования легкого, подвижного и непроницаемого пылевого облака, изолирующего пламя в зоне борьбы с огнем. ОП менее гигроскопичен вследствие осуществления действия  $\text{MgCO}_3$ .

Ю. Скорецкий

**57912 П. Детектор для обнаружения горючих газов. Пизано** (Combustible gas detector. Pisano Martin). Пат. США 2781249, 12.02.57

Предложен прибор, состоящий из камеры сгорания, содержащей катализатор и терморезистор, оповещающий о наличии содержания в воздухе помещений горючих газов ( $\text{CO}$  и др.) в опасной концентрации с помощью светового и звукового сигнала.

М. Фишбейн

**57913 П. Выключатель электрического тока с гашением вольтовой дуги при помощи газов. Хофмейер** (Elektrischer Stromunterbrecher, insbesondere Hartgasschalter. Hofmeier Hermann) [Allgemeine Elektrizitäts-Ges.]. Пат. ФРГ 915956, 2.08.54 [Chem. Zbl., 1955, 126, № 30, 7055 (нем.)]

Предлагается выключатель, в котором гашение вольтовой дуги возникающей в момент размыкания электрич. тока, производится газами, выделяющимися из стенок дутогасящего устройства, изготовленного из зернистого или порошкообразного материала с применением соответствующего цементирующего в-ва. В качестве такого материала используется смола, получаемая конденсацией мочевины с оксалидом или меламином, различной степени зернения. М. Фишбейн

См. также: Отравления и борьба с ними: оборудование радиохимич. лабораторий 57278. Санитария: рыбной пром-сти 59201; зерновой 59050; произ-ва безалкогольных напитков 59018. Защита продуктов от образования в них пищевых ядов 59034. Методика санитарного испытания детских резиновых сосок и игрушек 59461. Инсектициды и их безопасное применение 58529, 58530. Отравление дильдрином 58531. Борьба с запыленностью: очистка газов в циклонах 57672. Характеристика циклонов 57673. Рукавные фильтры 57674, 57675. Электрофильтры 57676—57678. Скруббер Вентури 57679. Гидроциклоны 57681. Пожары и взрывы: горение и детонация в газах 56784. О горючести пластмассовых пленок 59246. Жаростойкость лакокрасочных покрытий 59380. Огнестойкая пропитка текстильных материалов 59649, 59650

# ХИМИЧЕСКАЯ ТЕХНОЛОГИЯ. ХИМИЧЕСКИЕ ПРОДУКТЫ И ИХ ПРИМЕНЕНИЕ (Часть 2)

## ХИМИКО-ТЕХНОЛОГИЧЕСКИЕ ВОПРОСЫ ЯДЕРНОЙ ТЕХНИКИ

Редакторы В. И. Елинек, В. Д. Матвеев

57914. Ядерное горючее. Иман (Imai Y.), OM Донки дааси, Ohm. Electr. Mag., 1958, 45, № 1, 143—146 (японск.)

Обзор. Мировые запасы U-руд, их состав, способы получения U и Th. М. Гусев

57915. Запасы урана как ядерного горючего. Сато (Sato Motoo). Karaku no reiki, J. Japan. Chem., 1957, 11, № 9, 647—656 (японск.)

57916. Окись урана как ядерное горючее. Киёура Райсаку, Сато Тосиюки, Киндзоку, Metals, 1958, 28, № 1, 39—43 (японск.)

57917. Уголь как сырье для получения урана. Анич (Ugljen kao uranska sirovina. Anic D.), Kemija u industriji, 1958, 7, № 1, 13—17 (сербо-хорв.)

57918. Стоимость ядерного топлива при периодической и непрерывной работе гомогенных реакторов. Кастен, Эйвен (Fuel costs in batch- and continuous-processed homogeneous reactors. Kasten Paul R., Aven Russell E.), Industr. and Engng Chem., 1958, 50, № 2, 171—177 (англ.)

На основании данных, полученных при многолетней эксплуатации гомог. ядерных реакторов, произведен расчет и сопоставлены результаты с точки зрения расхода горючего при периодич. и непрерывном циклах. В системах с непрерывным циклом стоимость ядерного горючего ниже, чем в системах с периодич. циклом. Библ. 8 назв. Л. Херсонская

57919. Экстракция растворителями в ядерной технологии. Де-Леоне (L'estrazione con solventi nelle tecnologie nucleari. De Leone R.), Energia nucl., 1957, 4, № 5, 391—398 (итал.; рез. англ.)

Обзор. Общие данные по растворимости неорганич. солей в органич. р-рителях (а также в р-рителях, содержащих алкилфосфорную к-ту), главным образом солей металлов переходной группы в насыщ. кислотом р-рителях. Особенности очистки нитратов уранила, Th и разделения смесей U-Th и Zr-Hf. Извлечение U из р-ров экстракцией р-рителями. Библ. 7 назв. Л. Херсонская

57920. Очистка урана в Канаде. Кернс (Refining Canadian uranium. Kearns John L.), Canad. Chem. Process., 1957, 41, № 11, 58—61, 64, 66, 68 (англ.)

Описаны применяемые в канадской пром-сти способы получения чистого U из полупродуктов, в частности, из «желтых кеков» (ЖК) (технич. диуранат Na или Mg). ЖК растворяют в  $\text{HNO}_3$ , из этого р-ра с уд. в. 1,6 извлекают U в батарее из 3 колонн с пульсирующим потоком жидкости. В 1-й колонне производят экстракцию  $\text{UO}_2(\text{NO}_3)_2$  трибутилфосфатом; во 2-й — отмывку примесей ограниченным кол-вом деминерализованной воды (ДВ); в 3-й — десорбцию  $\text{UO}_2(\text{NO}_3)_2$  из органич. фазы ДВ. Конц-ия U в получаемом водн. р-ре ~ 70 г/л. Органич. р-ритель после карбонатной очистки возвращают в цикл. U-содержащий р-р упаривают в выпарных аппаратах вначале до конц-ии  $\text{UO}_2(\text{NO}_3)_2$  47%, а затем — 78%. Денитрацию полученного  $\text{UO}_2(\text{NO}_3)_2 \cdot 6\text{H}_2\text{O}$  ведут в спец. котлах, превращая его в тонкий порошок  $\text{UO}_3$ . Этот продукт гранулируют с добавкой ~ 10% ДВ. Гранулы

поступают в верхнюю часть реактора-восстановителя, в котором их восстанавливают при  $t \sim 650^\circ$  противотоком  $\text{H}_2$ . Отходящие газы используют для подогрева и подсушки шихты. Полученную «коричневую окись» —  $\text{UO}_2$  обрабатывают газообразным безводн. HF при  $700^\circ$ , строго выдерживая указанную  $t$ -ру. Отходящие газы охлаждают, освобождают от воды и возвращают в зону р-ции. «Зеленая соль» —  $\text{UF}_4$ , получаемая в виде гранул, сохраняющих форму исходной  $\text{UO}_2$ , служит продуктом для непосредственного получения металла.  $\text{UF}_4$  измельчают и тщательно смешивают с порошком Mg. Шихту восстанавливают в реакторе — бомбе. Вес загрузки ~ 2500 кг. Реактор помещают в печь и иницируют р-цию с помощью запала. После охлаждения извлекают U-слиток диаметром и длиной ~ 450 мм. Вес слитка ~ 1800 кг. Приведены данные по капиталовложениям и объему произ-ва ЖК в Канаде, Южной Африке и США. Л. Херсонская

57921. Получение металлического урана. Малый, Махачек, Кутцендёрфер, Коуржим, Ержабек (Připrava kovového uranu. Malý Jaromír, Macháček Vojtěch, Kutzendörfer Jaroslav, Kouřim Václav, Jeřábek Václav), Jaderná energie, 1958, 4, № 1, 9—18 (чешск.; рез. русск., англ.)

Исследования по получению металла U в лаборатор. условиях, проведенные в 1954—1955 гг. Приведена технологич. схема получения U реакторной чистоты (в условиях Чехословакии)  $\text{UO}_2(\text{NO}_3)_2 \cdot 6\text{H}_2\text{O}$  экстрагируют из конц. р-ра серным эфиром, затем повторно экстрагируют водой; 500 мл р-ра уранилнитрата (рН 2) нагревают до кипения и прибавляют 500 мл 3%-ного р-ра  $\text{H}_2\text{O}_2$ . Выпавший  $\text{UO}_4 \cdot 2\text{H}_2\text{O}$  сразу отфильтровывают, сушат и прокалывают при  $340^\circ$ ; полученный таким образом  $\text{UO}_3$  восстанавливают в  $\text{UO}_2$  с помощью сухого  $\text{H}_2$  при  $600\text{—}800^\circ$ .  $\text{UO}_2$  смешивают с 20%-ным избытком  $\text{NH}_4\text{HF}_2$  и тщательно растирают в деревянной ступке; смесь нагревают в Al-сосуде при  $150^\circ$  8 час. (отвод реакционных газов): получают двойную соль  $\text{NH}_4\text{UF}_6$ , которую термич. разложением при  $500^\circ$  переводят в  $\text{UF}_4$ . Восстанавливают  $\text{UF}_4$  действием стружек металлич. Ca (120—140% от теоретич. кол-ва) при  $t \sim 1800^\circ$  в среде аргона в графитовом или шамотном тигле, внутренняя поверхность которого покрыта порошком  $\text{CaF}_2$  на крахмальную связь (1%). Библ. 37 назв. И. Елинек

57922. Отделение гафния от циркония. Экстракция трибутилфосфатом. Кокс, Петерсон, Бейер (Separating hafnium from zirconium. Solvent extraction with tributyl phosphate Cox R. P., Peterson H. C., Beyer G. H.), Industr. and Engng Chem., 1958, 50, № 2, 141—143 (англ.)

Обзор. Исследования по разработке технологии. Получение исходных соединений, процесс экстракции, последующая переработка чистых продуктов. Библ. 9 назв. Л. Херсонская

57923. Разделение HD и  $\text{H}_2$  абсорбционным фракционированием. Огуд (The separation of HD and  $\text{H}_2$  by absorptive fractionation. Augood D. R.), Trans. Instn Chem. Engrs, 1957, 35, № 6, 394—408 (англ.)

Рассчитаны коэф. разделения  $\beta$  ( $\beta$  равен отношению констант Генри для р-ров HD и  $\text{H}_2$  в р-рителе) для смесей HD и  $\text{H}_2$  в различных р-рителях. Зависимость  $\beta$  от  $t$ -ры рассчитывали, исходя из теории растворимости Гильдебранда. В качестве р-рителей исследованы  $\text{H}_2\text{O}$ ,  $\text{NH}_3$ ,  $\text{SO}_2$ ,  $\text{CH}_4$ ,  $\text{C}_2\text{H}_4$ ,  $\text{C}_2\text{H}_6$ ,  $\text{C}_4\text{H}_{10}$ ,  $n$ -гептан,  $\text{CF}_4$ ,  $\text{H}_2\text{S}$ , окислы N,  $\text{CO}_2$ ,  $\text{CO}$ ,  $\text{O}_2$ ,  $\text{Ar}$ ,  $\text{Fe}$ ,  $\text{N}_2$  и



№. Расчетные данные сравнивали со значениями  $\beta$ , найденными экспериментально при  $t$ -рах 67—293° K и давл. до 190 атм. Относительное содержание HD и  $H_2$  в жидкой и газовой фазах определялось масс-спектрометрически. Найдено, что во всех случаях  $\beta > 1$ . Наиболее эффективными  $p$ -рителями являются в-ва, имеющие низкую  $t$ -ру кипения при атмосферном давлении, в особенности  $N_2$ . С увеличением давления и  $t$ -ры  $\beta$  уменьшается. Эксперим. и рассчитанные значения  $\beta$  удовлетворительно согласуются друг с другом. Приводится технико-экономич. сравнение процессов разделения HD и  $H_2$  (путем абсорбции с применением в качестве  $p$ -рителей  $N_2$  и Ne) и ректификации для установки производительностью 12 т  $D_2O$  в год. Показано, что метод абсорбции менее экономичен, чем метод ректификации. Библ. 63 назв.

В. Коган

**57924 П.** Усовершенствованные процессы извлечения и очистки урана. Кей мен, Де-Хан (Improved uranium recovery and purification processes. Kamen Martin D., De Haan Abel, Jr) [United States Atomic Energy Commission]. Пат. США 2771340, 20.11.56

Патентуют способ извлечения U из осадков, отлагающихся на поверхности деталей калотрона. Накапливающийся на деталях питающих секций осадок  $UCl_4$  (в основном  $U^{238}$ ) отмывают водн.  $p$ -рителем, в частности горячей водой, получая кислый  $p$ -р хлоридов. Наряду с небольшими кол-вами U этот  $p$ -р содержит значительные кол-ва ионов Fe, Cr, Ni и Cu.  $p$ -р окисляют  $H_2O_2$  и отфильтровывают от осадка, в частности С. U, обогащенный  $U^{235}$ , вымывают из коллектора калотрона. Отмывку ведут ~2%-ным  $p$ -ром HCl, содержащим ~0,5%  $H_2O_2$ . Наряду с U в  $p$ -р переходят такие же примеси, как и в первом случае.  $p$ -ры не обогащенного и обогащенного U, в случае необходимости, могут быть сконцентрированы упариванием. Полученные таким образом  $p$ -ры дополнительно подкисляют HCl, доводя кислотность до 1—3 н., восстанавливают гипофосфитом или электролитич. путем и обрабатывают избытком  $H_2C_2O_4$ . При этом основная масса U выпадает в осадок в виде  $U(C_2O_4)_2 \cdot 6H_2O$ . Осадок отфильтровывают и прокаливают до  $UO_2$ . Фильтрат, содержащий небольшие кол-ва U и все примеси, вновь восстанавливают и обрабатывают  $CaCl_2$  и  $H_2C_2O_4$ . Выпадающий осадок  $CaC_2O_4$  служит коллектором для соосаждающегося с ним  $U(C_2O_4)_2 \cdot 6H_2O$ . Осаждение ведут, поддерживая до конца процесса кислотность в пределах ~1—3 н. Осадок отделяют от  $p$ -ра и промывают. Смесь  $CaO$  и  $UO_2$  растворяют в  $k$ -те, в частности HCl, и из полученного  $p$ -ра осаждают аммиаком  $U(OH)_4$ , который прокаливают до  $UO_2$ .

Л. Херсонская

**57925 П.** Реактор с постоянным коэффициентом размножения нейтронов. Янг (Neutronic reactor having a flattened activity curve. Young Gale J.) [United States Atomic Energy Commission]. Пат. США 2774730, 18.12.56

Предложен уран-графитовый реактор с прямоточным воздушным охлаждением, имеющий горизонтальные каналы, благодаря чему обеспечивается простая и удобная система выведения урановых стержней, состоящих из небольших блоков в алюминиевых кожухах. Равномерный нейтронный поток, который дает максим. выход плутония и осколочных материалов в естественном уране, получают применением различных по диаметру стержней в наружной и центральной частях реактора. Приведен расчет диаметров стержней. Накопление достаточного для хим. выделения кол-ва плутония достигается за 100 суток при мощности 500 квт.

В. Храмченков

См. также: Произ-во радиоизотопов без носителя 56623. Получение  $J^{131}$  из Te в реакторе Gleep 56628.

## ЭЛЕМЕНТЫ. ОКИСЛЫ.

## МИНЕРАЛЬНЫЕ КИСЛОТЫ, ОСНОВАНИЯ, СОЛИ

Редакторы В. И. Елинек, В. Д. Матвеев, Н. А. Шираев

## Серная кислота, сера и ее соединения

**57926.** Последние достижения в области аппаратуры для производства серной кислоты нитрозным методом. 1, 2. Накагава (Nakagawa Shikazo), Рюсан, J. Sulphuric Acid Assoc. Japan, 1957, 10, № 7, 281—286; № 8, 321—328 (японск.)

**57927.** Обжиг [сульфидных руд] в псевдоожиженном слое.—1, 2. Рюсан, J. Sulphuric Acid Assoc. Japan, 1957, 10, № 5, 196—201; № 6, 23—27 (японск.)

**57928.** Обжиг сульфидных руд в псевдоожиженном слое. Цунода (Tsunoda Suketoshi), Рюсан, J. Sulphuric Acid. Assoc. Japan, 1957, 10, № 3, 28—31 (японск.)

**57929.** Примеры тепловых расчетов обжига различных сульфидных руд для производства серной кислоты. 3. Тепловой баланс обжиговых печей. 4. Расчеты средних количеств  $SO_2$  в печах и вне печей. 5. Зависимость между повышением температуры катализатора и коэффициентом превращения. 6. Расчеты рабочих теплообменников. 7. Расчеты подогревателей и теплообменников для воздуха. 8. Расчеты башен для охлаждения, промывки и сушки; расчеты потерь давлений в насадочных колоннах. Киёура, Коянаги (Kiyoura Raisaku, Koyanagi Michio), Рюсан, J. Sulphuric Acid Assoc. Japan, 1957, 10, № 7, 274—281; № 8, 316—320; № 9, 364—369; № 11, 453—457; № 12, 507—512; 1958, 11, № 1, 7—11 (японск.)

Сообщение 2 см. РЖХим, 1958, 15076. М. Гусев  
**57930.** Определение тумана серной кислоты в выхлопных газах башенных сернокислотных заводов. Гольд С. М., Кузмак М. М., Тр. Гос. ин-та по пром. и сан. очистке газов, 1957, вып. 1, 76—95

Исследованы методы определения тумана  $H_2SO_4$  в газах при наличии  $SO_2$  и окислов N. Метод фильтрации газов через тампон гигроскопич. ваты дает завышенные результаты ввиду окисления  $SO_2$  окислами N на поверхности ваты, смоченной туманом  $H_2SO_4$ . Метод фильтрации газов через пористую стеклянную пластинку дает колеблющиеся результаты; кроме того, гидравлич. сопротивление смоченной пластинки непрерывно повышается. Наиболее целесообразно применение лабор. стеклянных электрофильтров (ЭФ); при прохождении через них  $SO_2$  окисляется в газовой фазе в пределах ошибок измерений. При диаметре ЭФ 25 мм, коронирующего провода 0,2 мм и скорости отбора газа до 1 л/мин требуется напряжение 10 кв. Для питания ЭФ постоянным током высокого напряжения можно применять газосветный трансформатор, используя при выпрямлении схему удвоения напряжения. Выпрямление переменного тока можно производить Se-выпрямителем или кенотронами. Библ. 16 назв.

Г. Рабинович

**57931.** Изучение взаимодействия сернистого газа с окислами металлов в присутствии углерода. Печковский В. В., Ж. прикл. химии, 1957, 30, № 6, 825—833

Процесс взаимодействия  $SO_2$  с окислами металлов (ОМ) в присутствии С в ряде случаев определяет состав продуктов восстановительного обжига сульфатов. Исследованы скорости  $p$ -ций чистых ОМ со 100%-ным

носите-  
56628.

СОЛИ

Ширяев  
ения

паратуры  
методом  
казо),  
10, № 7.

кижением  
ос. Япон,  
ск.)

кижением  
, Япон,  
3, 28—31

различ-  
ной кин-  
4. Рас-

не печей.  
туры на-  
6. Рас-

подогре-  
Расчеты  
и; расче-  
сколоннах.

aisaki,  
uric Acid  
346—320;  
512; 1958.

М. Гусев  
ы в вы-  
заводов.  
ос. н.я.  
вып. 1.

H<sub>2</sub>SO<sub>4</sub> в  
фильтра-  
ет зави-  
сислами N

SO<sub>4</sub>. Мо-  
клянную  
; кроме  
тастинки  
образно  
фильтро-  
вается в

ий. При  
0,2 мм  
напряже-  
ом высо-  
светный

и схему  
ного то-  
кентро-  
бинюв

газа с  
н. Печ-  
30, № 6.

металлов  
ляет со-  
льфатов.

0%-ным

SO<sub>2</sub> в присутствии С (жировой уголь, не содержащий S и летучих) в кол-ве 0,5—8 г моль/г-моль ОМ. Установлено, что при обработке угля SO<sub>2</sub> с повышением т-ры от 600 до 800° содержание S в угле увеличивается, причем происходит активированная адсорбция S. Конечным продуктом р-ции SO<sub>2</sub> с ОМ при 300—700° являются: для MgO—MgSO<sub>4</sub> и (очень мало) MgSO<sub>3</sub>; для Fe<sub>2</sub>O<sub>3</sub> и CoO<sub>3</sub> — сульфаты и S; для Mn<sub>2</sub>O<sub>3</sub> — сульфат и сульфид; ZnO не дает S-соединений. Кривые зависимости скорости образования сульфата от т-ры для окислов Fe, Co и Mn имеют максимумы. Конечными твердыми продуктами р-ции SO<sub>2</sub> с ОМ в присутствии С при 650—800° являются: для Al<sub>2</sub>O<sub>3</sub> — только S; MgO—S, сульфат и сульфид; для ZnO и Fe<sub>2</sub>O<sub>3</sub>—S и сульфид; для Co<sub>2</sub>O<sub>3</sub>, Mn<sub>2</sub>O<sub>3</sub> и CuO—S, сульфид и сульфат при низкой т-ре и только сульфид при высокой т-ре. При одинаковом содержании С в шихте степень сульфидирования ОМ возрастает в следующем порядке: Al<sub>2</sub>O<sub>3</sub>, MgO, Fe<sub>2</sub>O<sub>3</sub>, ZnO, Mn<sub>2</sub>O<sub>3</sub>, Co<sub>2</sub>O<sub>3</sub>, CuO. В кинетич. области скорость р-ции SO<sub>2</sub> с ОМ в присутствии С лимитируется либо скоростью восстановления ОМ, либо скоростью образования сульфида, причем последняя пропорциональна разности между парц. давл. S в газовой фазе и упругостью диссоциации образующегося низшего сульфида. Библ. 15 назв.

Г. Рабинович

57932. Окисление растворов сульфит-бисульфит аммония. Чертков Б. А., Ж. прикл. химии, 1957, 30, № 10, 1498—1505

Исследовано статич. методом влияние различных факторов на р-ции окисления кислородом воздуха (NH<sub>4</sub>)<sub>2</sub>SO<sub>3</sub>—NH<sub>4</sub>HSO<sub>3</sub> (I—II) в сульфат в водн. р-рах, находящихся в открытых сосудах при 20—22°. Установлено, что преимущественно окисляется II. При изменении содержания II в смеси от 63 до 100% (пределы, важные в практике поглощения SO<sub>2</sub> из газов р-рами I и II) скорость окисления возрастает в ~6 раз. При наличии в р-ре свободной SO<sub>2</sub> скорость окисления падает вплоть до полного прекращения окисления ввиду резкого понижения pH. Влияние конц-ии р-ра зависит от того, какой фактор контролирует процесс окисления — скорость диффузии O<sub>2</sub> из воздуха или скорость р-ции растворенного O<sub>2</sub> с I—II; при конц-ии I—II 2—3 моль/л скорость окисления максимальна. Одновременно с р-цией окисления протекают сначала медленно, а затем быстрее р-ции саморазложения с образованием (NH<sub>4</sub>)<sub>2</sub>S<sub>2</sub>O<sub>3</sub> и (NH<sub>4</sub>)<sub>2</sub>S<sub>2</sub>O<sub>6</sub>, которые могут действовать как катализаторы р-ции окисления. Десорбция SO<sub>2</sub> из р-ров I—II при продувке воздуха происходит в размерах, сопоставимых с окислением I—II, поэтому окисление воздухом с целью получения (NH<sub>4</sub>)<sub>2</sub>SO<sub>4</sub> не может быть реализовано ввиду потерь SO<sub>2</sub> за счет десорбции. Библ. 13 назв.

Г. Рабинович

57933 П. Способ переработки газов, содержащих серу. Дитрих (Verfahren zur Aufarbeitung schwefelhaltiger Gase. Dietrich Alfred) [Duisburger Kupferhütte]. Пат. FRG 956124, 17.01.57

При произ-ве S из руд в реакционной печи получается газ, нагретый до т-ры > 500°, в котором, кроме паров S, находятся загрязнения в виде аэрозолей или тумана, образуемые селеном или сульфидами As, Sb и Pb. Газы для очистки от указанных загрязнений направляются в центробежный сепаратор, состоящий из снабженного тепловой изоляцией цилиндрич. корпуса, внутри которого находится ротор из ряда радиальных пластин, установленных на валу, вращающихся с помощью мотора. Газ, подвергаемый очистке, подается через тангенциальный ввод. Частицы загрязнений при движении отбрасываются к стенкам корпуса, где агрегируются и попадают в сборник, снабженный

подогревом. Очищ. газ выходит по трубе в конденсатор для улавливания S. Для улавливания мелких капель S из газа, охлад. до 100°, используют сепаратор, аналогичный описанному.

В. Коган

57934 П. Регулирование пенообразования и [уменьшение] потерь при концентрировании серной кислоты. Доккендорф (Control of foaming and loss of acid in concentration of sulfuric acid. Dockendorff Ralph L.) [Esso Research and Engng Co.]. Пат. США 2762690, 11.09.56

Отработанную при очистке нефти 50—60 (57) %-ную H<sub>2</sub>SO<sub>4</sub> концентрируют в 2 ступени, подавая топочные газы с т-рой ~ 650° раздельно в каждую ступень. Обе ступени могут быть разделены на секции. В 1-й ступени при нагревании до 121—143° получается 68—75 %-ная к-та, во 2-й при 177—193° — 80—85 %-ная. Для устранения пены и уменьшения потерь H<sub>2</sub>SO<sub>4</sub> отходящие из каждой ступени газы, содержащие частицы H<sub>2</sub>SO<sub>4</sub> вышеуказанной конц-ии в виде пены и тумана и имеющие т-ру 116+150°, приводят раздельно в соприкосновение с поступающей H<sub>2</sub>SO<sub>4</sub> более низкой конц-ии и охлажденной до т-ры ~ 66°, причем это соприкосновение предпочтительно осуществлять при проточке в случае уноса H<sub>2</sub>SO<sub>4</sub> в виде пены (после 1-й ступени) и при противотоке в случае уноса в виде тумана (после 2-й ступени). Затем газы отделяются от к-ты в циклонных сепараторах, имеющих секции с насадкой или с отражательными дисками и конусами, и поступают после 1-й ступени на установки для сжигания органич. в-в, после 2-й ступени в электрофильтр. Приведена схема.

Г. Рабинович

См. также: Получение SO<sub>2</sub> обжигом колчедана на з-де Abitibi Power Paper Co 59521.

### Азотная промышленность

57935. Турбинный насос, применяемый при отмывке от CO<sub>2</sub> газа для синтеза аммиака. Като, Ямаути, Сангё кикай, 1957, № 78, 10—16 (японск.)

57936 П. Получение нитрата аммония и гидроксил-аминдисульфата аммония методом абсорбции нитро-розов газов. Джорис (Producing ammonium nitrate and ammonium hydroxylamine disulfonate by a nitrous gas absorption process. Joris George G.) [Allied Chemical and Dye Corp.]. Пат. США 2752224, 26.06.56

Нитрозные газы, напр. полученные сжиганием NH<sub>3</sub> (8—9%) на воздухе, смешивают при 150—600° (200—450°) с парами S (предпочтительно) или с H<sub>2</sub>S, взятыми в кол-ве, достаточном для получения необходимой для последующей р-ции SO<sub>2</sub> и для снижения содержания O<sub>2</sub> в смеси по крайней мере до мол. отношения NO:O<sub>2</sub> ≥ 10:1 (предпочтительно для полного связывания O<sub>2</sub> в виде SO<sub>2</sub> с целью предотвращения окисления SO<sub>2</sub> в SO<sub>3</sub> в присутствии NO и O<sub>2</sub>). Полученную смесь газов приводят в соприкосновение при т-ре < 45° (0—5°) с водн. р-ром NH<sub>4</sub>-соединений, имеющих основные свойства, напр. (NH<sub>4</sub>)<sub>2</sub>SO<sub>3</sub> (предпочтительно), (NH<sub>4</sub>)<sub>2</sub>CO<sub>3</sub>, NH<sub>4</sub>HCO<sub>3</sub>, NH<sub>4</sub>OH (или их смеси), добавляя одновременно O<sub>2</sub> (воздух) в таком кол-ве, чтобы достигнуть отношения NO:O<sub>2</sub> ≥ 10:1, при этом в р-ре образуются NH<sub>4</sub>NO<sub>3</sub> и NON(SO<sub>3</sub>NH<sub>4</sub>)<sub>2</sub> (I). Для лучшего выхода I конц-ию NH<sub>4</sub>NO<sub>3</sub> + I в р-ре берут меньше 20 вес. % (12%). Пример. Нитрозные газы (100 молей), содержащие (в %): NO 8,4, O<sub>2</sub> 7,9, H<sub>2</sub>O 13,2, N<sub>2</sub> 70,5, с т-рой 330° в смеси с парами S (6 молей) пропускали (продолжительность пребывания 2 сек.) через нагреваемый до 450° «восстановительный» реактор, а затем охлаждали до 110° для конденсации непрореагировавшей S, которую отде-



ляли. Полученную смесь газов пропускали через абсорбер с насадкой, орошаемой р-ром с начальной конц-ией 27%  $(\text{NH}_4)_2\text{CO}_3$  (10 молей) при 0° (циркулировавшей в соотношении 0,5 объема на 1 объем газа при 100°), подавая одновременно в абсорбер в нескольких местах по высоте воздух в кол-ве, достаточном для поддержания мол. отношения  $\text{NO}:\text{NO}_2 = 10:1$ ; при этом получили р-р содержащий (в молях):  $\text{NH}_4\text{NO}_2$  1,35,  $\text{I}$  0,62,  $(\text{NH}_4)_2\text{SO}_4$  1,09,  $\text{NH}_4\text{HCO}_3$  0,62 (12 вес. %  $\text{NH}_4\text{NO}_2 + \text{I}$ ) и  $\text{N}_2$  1,7. Для конверсии  $\text{NH}_4\text{NO}_2$  в  $\text{I}$  в «окончательном» реакторе к р-ру при 0–5° добавляли  $\text{SO}_2$  до  $\text{pH} \approx 6$ , а затем  $\text{NH}_4\text{HSO}_3$  в эквимолекулярном соотношении с  $\text{NH}_4\text{NO}_2$  и, наконец, 1–2 моля  $\text{SO}_2$  на 1 моль  $\text{NH}_4\text{HSO}_3$  до  $\text{pH} \approx 3,5$ . Приведена схема. Г. Рабинович

**57937 П. Производство цианистоводородной кислоты. Инаба, Фудзисэ, Мицунага, Йосимура, Кондо** [Тоё коацу когё кабусики кайся]. Японск. пат. 2833, 16.04.56

Смесь из  $\text{NH}_3$ ,  $\text{CH}_4$  и  $\text{O}_2$  в объемном соотношении 1:4,04:3,01 непрерывно подают через кварцевую горелку диам. 40 мм в реакционную камеру со скоростью 5,54 л/мин, где поддерживается ее непрерывное горение. В результате сгорания газовой смеси 60,5%  $\text{NH}_3$  полностью переходят в  $\text{HCN}$ . После отделения от продукта р-ции, непрореагировавшего  $\text{NH}_3$  (39,5%) и воды получают остаток — газовую смесь, состоящую из (в %):  $\text{CO}_2$  5,0,  $\text{O}_2$  0,2,  $\text{CO}$  31,7,  $\text{H}_2$  51,1,  $\text{CH}_4$  12,0 в кол-ве 4,72 л/мин. Эта смесь может быть использована как исходное сырье для синтеза  $\text{CH}_3\text{OH}$ . Водяной газ может быть использован для получения  $\text{H}_2$ , а последний — для синтеза  $\text{NH}_3$ . В. Зломанов

**57938 П. Синтез цианистоводородной кислоты из формамида. Хатано Сэкия, Андо Есихиса, Симидзу Кадзуо** [Когё гидзюунинтё]. Японск. пат. 3532, 25.05.55

Описан способ синтеза  $\text{HCN}$  из формамида ( $\text{I}$ ) с применением аппаратуры из  $\text{Al}$  и  $\text{Si}$  или их сплавов, содержащих  $\text{Mn}$  или  $\text{Si}$  (катализаторы процесса). В нагретую до 800° трубку диам. 20 мм, длиной 800 мм из  $\text{Si}$ -сплава, содержащего 8,5%  $\text{Al}$  и 7,5%  $\text{Mn}$ , вводят по каплям  $\text{I}$  под давл. 50 мм рт. ст.; далее пары  $\text{I}$  поступают в другую половину трубки (наполненную кусочками  $\text{Si}$ -сплава с 8,5%  $\text{Al}$  и 7,5%  $\text{Mn}$ ), которая нагревается до 550°; при этом происходит образование  $\text{HCN}$  с выходом 90%. В аналогичных условиях в трубке из  $\text{Al}$ , содержащего 3%  $\text{Mn}$ , получают  $\text{HCN}$  с выходом 85%. Пример. В кварцевую трубку длиной 800 мм и диам. 17 мм помещают 10 см<sup>3</sup> мелких кусочков (диам. 4 мм)  $\text{Si}$ -сплава, содержащего 1%  $\text{Mn}$ . При нагревании трубки до 550° вводят 6,6 г газообразного  $\text{I}$  при давл. 50 мм рт. ст. в течение 20 мин., получают 3,7 г  $\text{HCN}$ , выход 93%. Приведен ряд примеров. В. Каратаев

#### Остальные элементы, окислы, минеральные кислоты, основания, соли

**57939. Способы производства перекиси водорода. Бао Гуан-ди, Хуасюэ шицзе**, 1957, 12, № 6, 276–278 (кит.)

**57940. Разделение элементов при получении солей из морской воды. Ишибаси (Ishibashi Masayoshi), Нихон сию гаккайси**, Bull. Soc. Salt Sci., Japan, 1956, 10, № 4, 155–156 (японск.)

Исследован метод извлечения калия из рапы, полученной из морской воды. М. Гусев

**57941. Изменение свойств рапы, полученной из морской воды при ее выпаривании. Теплоемкость рапы. Огава, Танимото (Ogawa Shigeru, Tanimoto Akira), Нихон сию гаккайси**, Bull. Soc. Salt Sci., Japan, 1957, 11, № 3, 171–173 (японск.)

Приведено описание установки и результаты опытов по определению теплоемкости морской воды в зависимости от конц-ии  $\text{Cl}^-$  и т-ры кипения. М. Гусев

**57942. Производство гидросульфита натрия. Бао Гуан-ди, Жаньхуа**, 1955, № 11, 454–458, 459; № 12, 526–530 (кит.)

**57943. Восстановление тиосульфата натрия углем и коксом и разложение его сернистым газом. Бамных З. С., Полякова Е. М., Тр. Уральского н.-и. хим. ин-та**, 1957, вып. 4, 64–82

Исследована возможность переработки отхода мышьяково-содовой сероочистки газа —  $\text{Na}_2\text{S}_2\text{O}_3$  ( $\text{I}$ ), содержащего (в %):  $\text{I}$  58,73,  $\text{Na}_2\text{SO}_4$  5,98,  $\text{As}_2\text{O}_3$  0,04,  $\text{H}_2\text{O}$  35,25. Почти полное восстановление чистого  $\text{I}$  (1 моль) каменным углем (3 моля) в присутствии катализатора  $\text{Fe}_2\text{O}_3$  (0,3% от веса  $\text{I}$ ) достигается в течение 1 часа при 700–850°; спекы содержат избыток  $\text{S}$ , кол-во которой при повышении т-ры уменьшается. Опыты по восстановлению технич.  $\text{I}$  ввиду более низкой т-ры плавления шихты проводили с каменным углем при 700°, а с коксом при 900°. Состав полученных спеков аналогичен спекам, полученным с чистым  $\text{I}$ , за исключением наличия в первых 0,02–0,07%  $\text{As}_2\text{O}_3$ . Часть  $\text{S}$  выделяется в газовую фазу: при восстановлении каменным углем — в виде  $\text{H}_2\text{S}$  (главным образом),  $\text{COS}$ ,  $\text{CS}_2$  и  $\text{S}$  (немного), при восстановлении коксом — в виде  $\text{S}$  (главным образом),  $\text{H}_2\text{S}$ ,  $\text{COS}$ ,  $\text{CS}_2$ ,  $\text{SO}_2$ . Результаты опытов показывают, что можно получить  $\text{Na}_2\text{S}$  без примеси полисульфидов при т-ре  $\geq 1000^\circ$ . Вопрос утилизации выделяющихся при р-ции газов усложняет технологию переработки  $\text{I}$ . Ориентировочные опыты показали возможность разложения  $\text{I}$  в р-ре при действии  $\text{SO}_2$  (0,5–37%-ного) с образованием  $\text{S}$  и  $\text{Na}_2\text{SO}_4$ . Библ. 9 назв. Г. Рабинович

**57944. Промышленное получение гидразисульфата. Цзэн Цин-цзао, Хуасюэ шицзе**, 1957, 12, № 2, 62–65 (кит.)

**57945. Подземное выщелачивание меди. Аглицкий В. А., Дынькина С. Е., Горный ж.**, 1956, № 11, 35–38

Проведены испытания подземного выщелачивания  $\text{Cu}$  в выработанных сульфидных месторождениях. Отработанные участки орошали рудничной водой через скважины, расположенные по сетке со стороны квадрата 10 м и на 5–10 м не доходящие до выработанного пространства, благодаря чему вода рассеивалась по участку. Выщелачиванию подвергался небольшой участок с 3 буровыми скважинами, пройденными на глубину 48–54 м. Подача воды в каждую скважину составляла 250–300 м<sup>3</sup>/сутки. Медьсодержащие воды собирали в бак-стабилизатор емк. 150 м<sup>3</sup>. За 2 месяца на орошение подано 12 000 м<sup>3</sup> воды. Получены р-ры с содержанием  $\text{Cu}$  1,54–2,0 г/л. При разработке только основных медноколчеданных месторождений СССР в них оставлено в результате эксплуатационных потерь свыше 60 тыс. т  $\text{Cu}$ . При коэф. растворимости  $\text{Cu}$ -содержащих минералов 0,7 можно получить ежегодно 5–6 тыс. т дешевой металл.  $\text{Cu}$ . В. Борисова

**57946. Получение гипофосфита кальция. Ян Симчжан, Шэнь Фэн-шу, Хуасюэ шицзе**, 1957, № 10, 449–450 (кит.)

Обзор. Библ. 14 назв. В. Матвеев

**57947. Вопросы, связанные с осаждением карбоната кальция. Цзя Ци-гэн, Хуасюэ шицзе**, 1956, № 10, 492–494 (кит.)

**57948. О производстве борной кислоты и буры. Чжан Юань-цэн, Хуасюэ шицзе**, 1956, № 6, 285–290 (кит.)

**57949. Исследование процесса химической (щелочной) активизации нефелинового концентрата и изучение его спекания с известняком. Сообщение 2**

Изучение спекания химически активированного нефелинового концентрата с известняком. Манвелян М. Г., Саядян А. Г., Изв. АН АрмССР, Сер. хим. н., 1957, 10, № 2, 97—104 (рез. арм.).

Применение активированного нефелинового концентрата (АНК) дает возможность при сравнительно низких т-рах спекания (~1100°) значительно ускорить процесс спекания с высоким извлечением  $Al_2O_3$  и щелочей. При использовании АНК уменьшается потребность в известии (примерно на 20%) и, соответственно, кол-во спека, идущего на получение глинозема. Одновременно увеличивается абс. извлечение  $Al_2O_3$  и щелочей. Возможность применения более низких т-р для получения спека обуславливает отсутствие комкования спека, уменьшение уноса щелочей и повышение извлечения  $Al_2O_3$ . АНК взаимодействует с известняком непосредственно без предварительной декарбонизации известняка. Выделение  $CO_2$  происходит непосредственно при образовании спека, что понижает его плотность и облегчает переводение в р-р алюминатной щелочи при выщелачивании. Сообщение 1 см. РЖХим, 1958, 8678. Е. Штейн

57950. Кристаллизация алюмината натрия из алюминатных растворов. Пономарев В. Д., Сажин В. С., Сб. научн. тр. Казахск. горно-металлург. ин-т, 1956, № 14, 371—385

Опыты по кристаллизации проводили с синтетич. алюминатными р-рами, приготовленными растворением чистого Al в р-ре NaOH. Р-р (0,8 л) упаривали до заданной конц-ии, а затем быстро охлаждали до т-ры кристаллизации (К); К проводилась в стальном стакане, помещенном в термостат, при перемешивании р-ра (число оборотов мешалки 60—70 в 1 мин.). Отделение кристаллов алюмината от маточного р-ра проводилось фильтрацией. Исследовано влияние т-ры, конц-ии р-ров, начального каустич. модуля и примеси  $SiO_2$  на процесс К. Высокий выход глинозема (80—85%) при продолжительности К 6—8 час. получают из р-ров, содержащих  $Na_2O \geq 500$  г/л. Понижение каустич. модуля р-ров приводит к повышению выхода глинозема в осадок. Установлено, что  $SiO_2$  является вредной примесью, сильно замедляющей процесс К. При содержании  $SiO_2$  в р-ре 1,15 г/л (кремневый модуль 100) выход глинозема за 8 час. К составлял 73,7%, а при содержании 2,22 и 5,55 г/л (кремневый модуль 50 и 20) выход глинозема снизился до 54,3 и 18,9%. Установлено, что из алюминатных р-ров с конц-ией  $Na_2O$  500—512 г/л кристаллизуется моноалюминат Na состава  $Na_2O \cdot Al_2O_3 \cdot 2,5H_2O$  как при 30°, так и при 75°. Каустич. модуль отделенного осадка зависит от степени отжатия маточного р-ра. При разрежении в 500—600 мм рт. ст. был получен осадок с каустич. модулем 1,43—1,45.

В. Борисова

57951. Рафинирование кремния при помощи йода. Гото, Синкю когё, Vacuum Engng, 1957, 4, № 4, 115—119 (японск.)

57952. О получении чистого кремнезема. Никитина О. Н., Ж. прикл. химии, 1957, 30, № 11, 1690—1691 Чистый кремнезем (ЧК) получен гидролизом  $SiCl_4$  проводимым в Рт-посуде, охлаждаемой льдом. Проведено сопоставление т-ры плавления тонко истертого кристаллич. кварца и ЧК. Установлено, что ЧК плавится легче кристаллич. кварца. Выпеченные свойства ЧК дают возможность применить его для произ-ва спец. чистых тиглей и др. изделий для плавления особо чистых материалов, напр. Si и Ge, а также в качестве основы для приготовления спектроаналитич. стандартов. И. Михайлова

57953. Парофазное восстановление титана. Миллер (The vapour phase reduction of titanium. Miller G. L.), Industr. Chemist, 1956, 32, № 377, 266—270 (англ.)

Описана схема ползаводской установки для парофазного восстановления  $TiCl_4$  до металлич. титана парами Mg по методу Леви (РЖМет, 1957, 2101). Максим. производительность реакционной камеры с внутренним диам. 100 мм 1,8 кг/час. Т-ра в реакторе ~ 850°, в подогревателе Ag 650°, в испарителе Mg  $1083 \pm 1^\circ$ . Скорость потока рециркулирующего Ag 850 л/мин, скорость рабочего потока Ag 100 л/мин. Подачу реагентов осуществляют периодически, однако в установке больших масштабов процесс может быть полностью непрерывным. Все основные узлы установки выполнены из обычной стали; из нержавеющей стали изготовлены лишь детали, работающие при высокой т-ре. Порошкообразный продукт р-ции содержит 15—20% тонкодиспергированного металлич. Ti (размером ~ 12 м), 75—80%  $MgCl_2$  и 5—15% Mg. Выделение чистого Ti ведут гидрометаллургич. путем также по методу Леви. Очищ. металл содержит  $\geq 97,5\%$  Ti и имеет твердость по Виккерсу  $\geq 400$ ; содержание  $O_2$  1—0,5%. Свойства металла могут быть улучшены путем конструктивных усовершенствований при переходе на заводскую установку. Важнейшие преимущества метода: простота оборудования, высокая производительность, однородность продукта, непрерывность процесса и возможность автоматич. контроля. Л. Херсонская

57954. О совместном осаждении сурьмы и железа при нейтрализации сернокислых растворов в гидрометаллургии цинка. Хан О. А., Духанкина Л. С., Тр. Алтайск. горно-металлург. н.-и. ин-та, 1956, 3, 122—131

Для опытов была отобрана суточная проба верхнего слива кислых стужителей, полученного на цинковом з-де. В р-р были введены сурьма (растворением порошка  $Sb_2O_3$ ) и  $H_2SO_4$  (до содержания  $H_2SO_4$  10 г/л). Исходный р-р предварительно агитировался с  $KMnO_4$  с целью полного окисления ионов Fe, Sb и др. восстановителей. Состав р-ра: Zn 98 г/л, Fe 988 мг/л, Sb 36,4 мг/л,  $H_2SO_4$  10 г/л и др. примеси. Нейтрализация р-ров производилась ZnO. Время агитации 4 часа. Т-ра 20 и 60°. Пульпа отфильтровывалась на воронке Бюхнера. Установлено, что при нейтр-ции р-ров ZnO или р-ром NaOH осаждение Sb протекает при величинах pH, соответствующих условиям гидролиза р-ров  $Fe_2(SO_4)_3$ . Степень осаждения Sb растет с повышением величины отношения Fe : Sb в исходных р-рах. Показано, что для очистки Zn-р-ров от Sb целесообразно использовать железистые гидратные кеки. Библ. 7 назв. В. Борисова

57955. Извлечение хрома и меди из травильных растворов. Бандровская, Бунтнер (Odzyskiwanie chromu i miedzi z lugów potrawiennych. B and rowska C., Buntner E.), Przem. chem., 1957, 13, № 10, 602—603 (польск.; рез. русск., англ.)

Предложен способ извлечения Cu и Cr из отработанных растворов, оставшихся после травления латуни. В подкисленный и нагретый до 80° щелок добавляют по каплям 10%-ный  $Na_2S$  так, чтобы pH смеси был равен 3. При этом выпадает  $CuS$ , а  $Cr^{6+}$  восстанавливается до  $Cr^{3+}$ . Затем смесь кипятят в течение 15—30 мин. для удаления  $H_2S$  и фильтруют. Осадок  $CuS$  обжигают при 800° и таким образом переводят его в  $CuO$ ; чистота полученной окиси 97,60%. Фильтрат обрабатывают 10%-ным р-ром  $Na_2CO_3$  при кипячении, и образовавшийся  $Cr(OH)_3$  переводят обжигом при 300° в  $Cr_2O_3$ ; чистота полученной  $Cr_2O_3$  96,45%. Достоинством описанного метода наряду с высокой чистотой полученных продуктов является отсутствие токсичных в-в в отработанных р-рах. Библ. 13 назв. В. Левинсон

57956. Микроорганизмы при выщелачивании сульфидных минералов. Брайнер, Андерсон (Microorganisms in leaching sulfide minerals. Bryner



Loren C., Anderson Ralph), Industr. and Engng Chem., 1957, 49, № 10, 1721—1724 (англ.)

Исследовано влияние на процесс окисления и растворения молибденита (М) автотрофных сульфидоокисляющих бактерий, находящихся в водах Бингхем Каньона (штат Ута). В лабор. перколяторах, в зараженных бактериями р-рах степень окисления М (с переводом Мо в растворимую форму) значительно превышает таковую в стерильных условиях. В присутствии пирита степень окисления в зараженном р-ре в 29 раз выше, чем в стерильном. Оптимальная конц-ия ионов  $Fe^{2+}$  0,4%. За 9 месяцев переход Мо из М в зараженный р-р составил 36% (для чистого М) и 55% для М с пиритом. В образцах, содержащих CuS или халькопирит, заметно предпочтительное окисление и растворение Cu. Ионы  $Cu^{2+}$  до конц-ии 0,0075% существенным образом не влияют на процесс бактериального окисления. При снижении конц-ии  $Cu^{2+}$  до 0,004% отмечается заметное окисление М. Эффективность извлечения Мо из руды в р-р зависит от степени измельчения М и заметно возрастает при помеле с размерами частиц < 60 меш. Библ. 10 назв.

Л. Херсонская  
57957. Химическая обработка местных марганцовых руд. П. Врбанац, Ловречек, Ловречек (Kemjska prerada domace manganske rudace. II. Vrbanc Olga, Lovrecek Branko, Lovrecek Ivan), Kemija u industriji, 1956, 5, № 5, 85—87 (серб.-хорв.; рез. англ., франц., нем.)

Сообщение I см. РЖМет, 1956, 2956.

57958. Получение чистого раствора сульфата марганца из отвальной породы, выходящей из гидроциклона на Уркутском руднике. Хорват, Фогараш (Tiszta manganoszulfátot oldat előállítás a hidrociklonozásból származó úrkúti meddőből. Horvath Zoltán, Fogarasi Béla), Magyar tud. akad. műsz. tud. oszt. közl., 1956, 18, № 1—4, 213—225 (венг.)

Определены оптимальная т-ра (900°) и время восстановления  $MnO_2$  в  $MnO$  (0,5 часа), а кроме того, технологич. параметры обработки восстановленного продукта 4%-ным р-ром  $H_2SO_4$ . Для получения р-ра электролитической чистоты после сернокислотной обработки р-р следует нейтрализовать до pH 6 в присутствии  $H_2O_2$  с помощью  $Al(OH)_3$ .

Д. Пюппеки

57959 П. Получение перекиси водорода. Шмидт (Herstellung von Wasserstoffsuperoxyd. Schmidt Hans Werner) [Kali-Chemie A.-G.]. Пат. ФРГ 923125, 3.02.55

Вакуум-дистилляцию  $H_2O_2$  из р-ров персульфатов проводят, отсасывая из верха колонны пары  $H_2O$ , а снизу — пары обогащенной  $H_2O_2$ . Для более равномерного орошения и уменьшения уноса  $H_2O_2$  с парами  $H_2O$  сечение колонны сверху должно быть больше, чем внизу.

Г. Рабинович

57960 П. Электродинамический метод обогащения сильвинитовой руды. Ловер (Electrodynamic method for beneficiating sylvinit ore. Lawver James E.) [International Minerals & Chemical Corp.]. Пат. США 2762505, 11.09.56

Сильвинитовую руду измельчают до крупности (—14) — (+200) меш и нагревают до 107—149° (116—127°). Через нагретую руду пропускают пары амина, имеющего алкильную группу с длинной цепью (8—18 атомов С в молекуле). В качестве таких аминов могут быть использованы октадециламин, гексадециламин и др. Амин оседает на поверхности частиц в кол-ве 0,09—0,23 кг/т руды. Затем руду опрыскивают одноатомным вторичным спиртом с разветвленной алкильной цепью (6—12 атомов С в основной и 4—8 — в боковой цепи). Указанная обработка селективно изменяет электропроводность сильвинита. Руду высушивают и вводят в неионизирующее электростатич. поле

высокого напряжения (градиент 4—8 тыс. в/см). После того, как частицы руды приобретают в этом поле заряд, они поступают в неионизирующее поле (2—6 тыс. в/см), где происходит отделение чистого сильвинита от породы — галита. Оба поля могут создаваться между вращающимся барабаном, на поверхность которого поступает руда, и соответствующими электродами. Частицы руды могут в другом варианте свободно падать вначале между ионизирующими проволочными, а затем — между пластинчатыми (неионизирующее поле) электродами. Пример. Измельченную и нагретую до 121° руду перемешивают в парах амина, полученного из таллового масла, до создания на поверхности частиц конц-ии амина ~ 0,14 кг/т руды. Руду опрыскивают 4-метил-пентанолом-2, взятым в кол-ве 0,36 кг/т руды. Обработанные частицы разделяются в электродинамич. разделителе с разрядом коронного типа (скорость 150 кг/час. м). Градиент потенциала в неионизирующем поле 4800 в/см. (Общее приложенное напряжение 60 тыс. в). В продукте, остающемся на барабане, содержание KCl составляет ~ 56% (против 43% в исходном сырье).

Л. Херсонская

57961 П. Окисление солей, содержащих серу пониженной валентности. Хори Сэитиро, Японск. пат. 2614, 21.04.55

Аппарат состоит из шестнадцати вертикальных цилиндрич. труб для распределения  $O_2$ , заключенных в цилиндрич. кожух; трубопровода, по которому поступает исходный р-р, трубопровода для отбора готовой продукции, трубопровода для удаления непрореагировавшего  $O_2$  и шестнадцати охлаждающих труб (система «труба в трубе»). Исходный р-р таких трудноокисляемых соединений, как  $(NH_4)_2SO_3$ ,  $(NH_4)SO_3$ ,  $(NH_4)As_2S_6O$ , FeS и т. д., в виде взвеси подается по трубопроводу в аппарат и под влиянием силы тяжести опускается вниз и встречается с  $O_2$ , поступающим из многочисленных отверстий, расположенных по всей длине труб для распределения  $O_2$ , при этом происходит окисление. Готовая продукция удаляется по трубопроводу, расположенному в нижней части аппарата, а непрореагировавший  $O_2$  — по трубопроводу, расположенному сверху.

М. Гусев

57962 П. Способ получения солей гидразина. Фрутигер (Verfahren zur Herstellung von Hydrazinsalzen. Frutiger Fritz). Швейц. пат. 313996, 14.07.56

Для получения чистых солей  $N_2H_4$  (I) к суспензии I-карбоната в органич. в-ве, напр. спирте, кетоне, углеводороде и т. д., нерастворяющем получаемую соль, добавляют соответствующую к-ту до прекращения выделения  $CO_2$ . После отделения соли I органич. в-во возвращают в цикл.  $CO_2$  используют для получения I-карбоната. Пример. К суспензии 75 г карбоната I в 1 л  $CCl_4$  при сильном перемешивании и охлаждении медленно приливают  $HNO_3$  (уд. в. 1,49—1,50), не содержащую нитрата; затем отфильтровывают  $N_2H_4 \cdot HNO_3$  (II) и промывают его 5—6-кратным кол-вом  $CH_3OH$ . Выход II ~ 129 г.

Г. Рабинович

57963 П. Способ получения солей гидроксиламина. Джонс (Process for producing hydroxylammonium salts. Jones Lawrence R.) [Comercial Solvents Corp.]. Пат. США 2755171, 17.07.56

Сульфат гидроксиламина (I) получают при сильно экзотермич. р-ции спиртов  $R_2C(NO_2)CH_2OH$  (где R — алкил) с избытком  $H_2SO_4$  при одновременном образовании кетона и CO. Пример. К 150 г конц.  $H_2SO_4$  медленно добавляют при комнатной т-ре 30 г  $(CH_3)_2C(NO_2)CH_2OH$ . После прекращения выделения CO смесьвливают в 750 мл дистил. воды и отгоняют 16 мл ацетона. Остаток концентрируют для удаления воды, охлаждают, смешивают с 400 мл безводн.  $C_2H_5OH$  и снова охлаждают, причем выкристаллизовался I, кото-

ый отфильтровывают и высушивают. Выход 39,16% — всего 143 г.

Г. Рабинович

**57964 П. Метод получения перхлората гидроксил-аминна.** Робсон III (Method of making hydroxylamine perchlorate. Robson III John H.). Пат. США 2768874, 30.10.56

$\text{NH}_2\text{OH} \cdot \text{HCl}$  приводят в р-цию с  $\text{Ba}(\text{ClO}_4)_2$  (молярное отношение 2:1) в среде абс.  $\text{C}_2\text{H}_5\text{OH}$ . Получают осадок, который удаляют фильтрацией; фильтрат концентрируют до получения твердого осадка, который растирают в порошок в избытке простого эфира и кристаллизуют перхлорат гидроксил-аминна из эфирного р-ра при медленном добавлении бензола.

Н. Ширяева

**57965 П. Способ переработки кислых растворов нитрата кальция.** Блосс, Дикман, Рос (Verfahren zur Aufarbeitung von sauren Calciumnitratlösungen. Bloss Christian, Diekmann Heinrich, Roos Herbert) [Badische Anilin- & Soda-Fabrik A.G.]. Пат. ФРГ 1001294, 4.07.57

При охлаждении азотнокислого р-ра природного фосфата выпадает осадок  $\text{Ca}(\text{NO}_3)_2 \cdot 4\text{H}_2\text{O}$ . В процессе переработки этого осадка на  $\text{Ca}(\text{NO}_3)_2$  его растворяют в воде, р-р нейтрализуют до pH 7 и отфильтровывают нерастворимые примеси. Указанный способ усовершенствован за счет введения промежуточной фильтрации после нейтр-ции кислого р-ра до pH  $\leq 4$ , в частности до pH 1,5—2. Нейтр-цию проводят при т-ре  $\sim 60^\circ$  магнетитом, доломитом или другими магниевыми основаниями. Получающийся при этом осадок отфильтровывается примерно в 30 раз быстрее, чем осадок после одноступенчатой нейтр-ции р-ра до pH 7. Осветленный р-р окончательно нейтрализуют  $\text{NH}_4\text{OH}$  или  $\text{Ca}(\text{OH})_2$  и непосредственно (без фильтрации) направляют на выделение твердого нитрата.

Л. Херсонская

**57966 П. Способ получения затравочного материала, пригодного для выкрутки из алюминатных растворов весьма мелкозернистой гидроокиси алюминия.** Блох, Гризинг (Verfahren zur Erzeugung eines für das Ausrühren von äußerst feinkörnigem Tonerdehydrat aus Alkalialuminatlösungen geeigneten Impfstoffes. Bloch Ernst, Griesing Fritz) [Aluminium-Industrie-A.-G.]. Пат. ФРГ 952978, 22.11.56

Практически насыщ. алюминатный р-р (мол. соотношение  $\text{Na}_2\text{O} : \text{Al}_2\text{O}_3 \leq 1,1:1$ ) при комнатной т-ре и перемешивании разбавляют 1—6-кратным (лучше 2—3-кратным) объемом  $\text{H}_2\text{O}$ . После отстаивания р-р деkantируют, и осадок из мелкозернистой  $\text{Al}(\text{OH})_3$  непосредственно (без промывки) используют в качестве затравочного материала. Дополнительные исследования показали, что ранее (см. РЖХим, 1956, 4375) рекомендованная операция — старение осадка при т-ре  $30\text{--}70^\circ$  в слабощел. р-ре не является целесообразной.

Л. Херсонская

**57967 П. Способ получения полигалогенидов кремния.** Шмейссер, Шварцман (Verfahren zur Herstellung von Siliciumsubverbindungen. Schmeisser Martin, Schwarzmatt Matthias) [Kali-Chemie A.-G.]. Пат. ФРГ 955950, 10.01.57

Для получения полигалогенидов Si (напр.  $\text{Si}_2\text{Cl}_{10}$ ) в р-ру галоидных соединений Si в органич. р-рителе, в частности эфире или тетрагидрофуране, прибавляют металл (напр., Mg), который образует галогенид, обладающий некоторой растворимостью в данном органич. р-рителе. В качестве исходных соединений Si применяются как мономерные тетрагалогениды, так и смешанные и органич. галогениды. Пример. К 36,5 г сушеного Mg-порошка, суспендированного в эфире, постепенно прибавляют 348 г  $\text{SiBr}_4$ . Р-цию проводят без доступа воздуха в сосуде с обратным холодильником. По окончании прибавления  $\text{SiBr}_4$  смесь кипятят еще не-

сколько часов; полимер  $(\text{SiBr})_x$  отделяют от  $\text{MgBr}_2$  путем эфирной экстракции.

Л. Херсонская

**57968 П. Получение четыреххлористого титана** (Procédé de fabrication du tétrachlorure de titane) [Nippon Soda Co., Ltd]. Франц. пат. 1126225, 19.11.56

Процесс хлорирования  $\text{TiO}_2$  или других соединений Ti (рутила, ильменита, шлака) проводят в расплаве хлорида или фторида Na, K, Mg, Ca, Ba либо смеси этих солей. Древесный уголь или кокс (порошок, гранулы) и Ti-содержащий материал<sup>1</sup> подают на поверхность расплавленной соли, а  $\text{Cl}_2$  — вводят непосредственно в расплав. В других вариантах внутрь расплавленной соли вводят не только  $\text{Cl}_2$ , но и Ti-содержащий материал либо все компоненты. Пример. На поверхность смеси  $\text{NaCl}$  64 кг и  $\text{KCl}$  96 кг при  $850^\circ$  подают измельченный титанистый шлак со скоростью 8,6 кг/час и порошкообразный древесный уголь 2,6 кг/час;  $\text{Cl}_2$  вводят со скоростью 21,9 кг/час. Полученный технич. тетрахлорид (16,0 кг/час) содержит 95,4%  $\text{TiCl}_4$ ; выход  $\sim 93,2\%$ .

Л. Херсонская

**57969 П. Получение четыреххлористого титана.** Лайонс (Production of titanium tetrachloride. Lyons Leland R.) [Titanium Metals Corp. of America]. Пат. США 2753243, 3.07.56

Шихту, состоящую из  $\text{TiO}_2$ -содержащего материала (рутил, ильменит) и восстанавливающего агента (кокс, уголь), замешивают на связке, представляющей собой смесь дегтя (предпочтительно каменноугольного) или смолы с конц.  $\text{H}_2\text{SO}_4$ . В деготь рекомендуют добавлять от 2 до 25 вес.% к-ты, что обеспечивает получение гомог. массы (М), относительно жидкой при  $15\text{--}30^\circ$ . Шихту замешивают на такой М при соотношениях: 3—6 ч. руды, 1 ч. кокса и 0,5—2,5 ч. связующей М. Смесь в виде относительно тонкого слоя нагревают на воздухе до удаления летучих в-в, а затем кокуют в течение  $\sim 1$  часа при  $400\text{--}800^\circ$  ( $550\text{--}650$ ) без доступа воздуха. Материал разбивают на брикеты, пригодные для хлорирования. Брикеты также могут быть приготовлены перед удалением летучих и коксованием. Такие брикеты обладают высокой механич. прочностью; кроме того, значительно уменьшается загрязнение  $\text{TiCl}_4$  ванадием, в частности снижается содержание V с 0,3—0,5% до 0,01—0,2%.

Л. Херсонская

**57970 П. Производство спеченных изделий из титанатов.** Книппкам (Verfahren zur Herstellung von gesinterten Titanatkörpern. Knipkamp Heinrich) [Siemens und Halske A.-G.]. Пат. ФРГ 960527, 21.03.57

С целью получения изделий с высокой диэлектрич. постоянной порошок титаната Ва перед прессованием обрабатывают к-той, предпочтительно органич. (напр.,  $\text{CH}_3\text{COOH}$ ). pH к-ты, т-ру и длительность обработки регулируют таким образом, чтобы создать на поверхности частиц небольшой избыток тонкодисперсной  $\text{TiO}_2$ . Спрессованные заготовки спекают при  $1300\text{--}1350^\circ$ ; для получения высокой диэлектрич. постоянной наиболее рациональны т-ры  $1300\text{--}1320^\circ$ , что связано с получением оптимальной зернистости.

Л. Херсонская

**57971 П. Способ получения четыреххлористого германия.** Гоба (Verfahren zur Gewinnung von Germaniumtetrachlorid. Gobat Andre Robert) [International Standard Electric Corp.]. Пат. ФРГ 953792, 6.12.56

Соединения Ge, предпочтительно  $\text{GeO}_2$ , обрабатывают сухим газообразным  $\text{HCl}$  при т-рах  $300\text{--}700^\circ$ , предпочтительно  $650^\circ$ . Наиболее легко хлорируется свежесажженная  $\text{GeO}_2$ , высушенная при т-ре  $< 300^\circ$ , в частности  $\approx 100^\circ$ . Пример. 70 г  $\text{GeO}_2$  обрабатывают при  $650^\circ$   $\text{HCl}$  (газ), поступающим со скоростью 40 мл/мин. По истечении 22 час. получают 25 мл чи-



стого  $\text{GeCl}_4$ , пригодного для получения Ge, как сырья для полупроводников.

**57972 П. Способ получения фосфора и глинозема из фосфатных руд.** Родис, Хартман (Verfahren zur Herstellung von Phosphor und Tonerde aus Phosphaterzen. Rodis Franz, Hartmann Fridolin) [Knapsack-Griesheim A.-G.]. Пат. ФРГ 931589, 11.08.55

Для получения P в электропечи и последующего извлечения  $\text{Al}_2\text{O}_3$  из шлака шихту составляют из Al-фосфатной руды и кокса с добавкой боксита или извести в таком кол-ве, чтобы шлак содержал (в %):  $\text{Al}_2\text{O}_3 \geq 50$ , CaO 10—35,  $\text{SiO}_2 + \text{TiO}_2 < 8$ . Более половины C применяют в виде полукокса, полученного из бурого угля. Шлак должен содержать FeO в кол-ве, эквивалентном содержанию  $\text{SiO}_2 + \text{TiO}_2$ ; в случае необходимости к шлаку перед выпуском его из печи или после выпуска добавляют FeO или в-ва, содержащие FeO. Шлак измельчают и выщелачивают  $\text{Al}_2\text{O}_3$  с помощью р-ра NaOH необходимой конц-ии, при т-ре кипения, без применения давления, но при вибрации части реакционной массы, содержащей твердые частицы. При вибрации применяют размалывающие тела. Пример. В электр. печь загрузили шихту из 80 ч. руды, содержащей (в %):  $\text{P}_2\text{O}_5$  35,  $\text{Fe}_2\text{O}_3$  8,5,  $\text{SiO}_2$  0,5,  $\text{TiO}_2$  1,  $\text{Al}_2\text{O}_3$  37, CaO 9,  $\text{CaF}_2$  2 и 20 ч. полукокса, полученного из бурого угля. На 1 кг загруженного в печь P получили P 0,85 кг в виде элементарного, 0,1 кг в виде (0,44 кг) феррофосфора и 3,42 кг шлака, содержащего (в %):  $\text{Al}_2\text{O}_3$  71, CaO 22,  $\text{TiO}_2$  1,6,  $\text{SiO}_2$  1,2, FeO 3 и  $\text{P}_2\text{O}_5$  0,5. Шлак (1 кг) выщелачивали 3 часа при т-ре кипения в вибрационном аппарате р-ром (10 л), содержащим (моль/л):  $\text{Na}_2\text{O}$  2 и  $\text{Al}_2\text{O}_3$  0,45, при этом растворилось 95% всего  $\text{Al}_2\text{O}_3$ .

Г. Рабинович

**57973 П. Способ переработки фосфорного шлама.** Пипер, Эберт, Брейль (Verfahren zur Verarbeitung von Phosphorschlamm. Pieper Hans, Ebert Hans, Breil Günther) [Knapsack-Griesheim A.-G.]. Пат. ФРГ 1002743, 1.08.57

Шлам, полученный при термич. возгонке P в воде, очень стойкой эмульсии и содержащий (в %): P 40—60, пылевидных загрязнений 2—4 и воды 60—40, перемешивают 4 часа при т-ре на 20° (или более) выше т-ры плавления чистого P (80—90°) с чистым (99,9%-ным) желтым P. Гомог. смесь сжигают в  $\text{P}_2\text{O}_5$  обычным методом. Перед смешением шлам рекомендуется промыть водой. Полученная  $\text{H}_3\text{PO}_4$  после отделения загрязнений, напр. фильтрованием, не отличается по качеству от  $\text{H}_3\text{PO}_4$ , полученной из чистого P.

Г. Рабинович

**57974 П. Получение твердого хромового ангидрида** (Manufacture of solid chromic anhydride) [Diamond Alkali Co.]. Англ. пат. 724246, 16.02.55

Концентрированный р-р бихромата щел. металла обрабатывают при 50—65° конц.  $\text{H}_2\text{SO}_4$  (3—4 моля к-ты на 1 моль бихромата); осаждают кристаллы  $\text{CrO}_3$ , которые отделяют от р-ра и промывают насыщ. р-ром бихромата щел. металла (5—20% от веса осадка). Для получения чистого  $\text{CrO}_3$  промытые кристаллы  $\text{CrO}_3$ , содержащие бисульфат щел. металла, нагревают до плавления и оставляют для расслоения на два слоя. Верхний слой состоит из примесей, а нижний — из чистого  $\text{CrO}_3$ , который отделяют.

В. Борисова

**57975 П. Обработка хроматных растворов.** Фокс (Treatment of chromate solutions. Fox Sidney V.) [Bethlehem Steel Co.]. Пат. США 2760844, 28.08.56

Патентуют способ восстановления хроматов, щел. металла, напр.  $\text{Na}_2\text{CrO}_4$  (или  $\text{K}_2\text{CrO}_4$ ) водородом в присутствии Cu-содержащих катализаторов (K). Водн. р-р  $\text{Na}_2\text{CrO}_4$ , содержащий ~1,5% Cr и ~5,2% NaOH

(pH ~ 12), восстанавливают в автоклаве при т-ре  $\geq 205^\circ$  и давл.  $\text{H}_2$  49 ат; образующуюся при этом  $\text{Cr}(\text{OH})_3$  затем отфильтровывают. В этих условиях происходит превращение 50% 6-валентного Cr в гидроокись в течение 30 мин. Для получения такого же выхода при т-ре  $> 250^\circ$  и давл.  $\text{H}_2$  101,5 ат достаточно ~ 3 мин. При большем давл. (115,5 ат) и т-рах 177—271° за 10 мин. степень конверсии  $\text{Cr}^{6+}$  в гидроокись достигает 88—99% (в зависимости от вида K) и, в основном, составляет  $\geq 95\%$ . Наилучшие результаты получены при использовании в качестве K CuO,  $\text{Cu}(\text{NO}_3)_2 \cdot 3\text{H}_2\text{O}$  и сетки из металлич. Cu. Необходимое кол-во CuO или  $\text{Cu}(\text{OH})_2$  составляет 0,1—3,0% от веса восстанавливаемого р-ра. Возможно также применение медной проволоки,  $\text{CuSO}_4$ , олеата Cu и других солей. Предпочтительно применение K на носителе (гранулы  $\text{Cr}_2\text{O}_3$ ,  $\text{Fe}_2\text{O}_3$  или другого материала, устойчивого при повышенных т-ре и давл. в цкл. среде). В этом случае продукт легко отделяется от K путем рассева и не загрязняется. Л. Херсонская

**57976 П. Производство хлористого водорода.** Гирайтис, Лимпер, Смит (Manufacture of hydrogen chloride. Giraitis Albert P., Limper Arthur F., Smith Martin B.) [Ethyl Corp.]. Пат. США 2762689, 11.09.56

В реакционную зону непрерывно вводят NaCl (I) и конц.  $\text{H}_2\text{SO}_4$  (II). Конц-ия II  $\geq 90\%$  ( $> 93$ ), напр. 98. На 1 моль II подают 2 моля I (в частности на 85 вес. ч. II 100 вес. ч. I). Процессы ведут при т-ре ~ 200—250° в жидкой солевой реакционной среде (PC), непрерывно поступающей (при т-ре ~ 150—175°) в реакционную зону (P3). Состав этой PC (в вес. %):  $\text{NaHSO}_4$  70—81 (78),  $\text{Na}_2\text{SO}_4$  (III) 17—26 (18) и  $\text{H}_2\text{O}$  2—5 (~ 4). Кол-во реагентов по отношению к весу PC составляет: I 4—12,3%; II 3,5—10,5%. Продолжительность р-ции при энергичном перемешивании ~ 30 мин. Образующийся безводн. HCl (газ) непрерывно удаляют из P3. Получаемый одновременно кристаллич. безводн. III также выводят из P3 в виде суспензии в PC, содержащей в 100 ч. PC ~ 10 ч. кристаллов III. Кристаллич. III при т-ре ~ 150° отделяют от основной массы PC, которую вновь возвращают в цикл. Кристаллы, покрытые пленкой PC, обрабатывают при энергичном перемешивании насыщ. водн. р-ром III при 35—50°. Одновременно, для нейтрализации к-ты, к р-ру добавляют небольшое кол-во  $\text{Na}_2\text{CO}_3$ . Затем кристаллы отделяют от р-ра и сушат, получая свободный от примесей I и безводн. III.

Л. Херсонская

**57977 П. Способ извлечения марганца из руд, содержащих преимущественно двухвалентный марганец.** Фокс, Дин (Procédé d'extraction du manganèse à partir de ses minerais dans lesquels le manganèse est principalement à l'état bivalent. Fox Abraham L., Dean Reginald Scott) [Reginald Scott Dean]. Швейц. пат. 315122, 15.09.56

В герметически закрытом сосуде с мешалкой обрабатывают 400 г измельченной марганцевой руды (размер зерен  $\leq 74 \mu$ ), содержащей 63,4% MnO, 4,4% технич.  $\text{NH}_4\text{OH}$  (28%  $\text{NH}_3$ ), в котором растворено 600 г  $(\text{NH}_4)_2\text{CO}_3$ . Для предотвращения окисления Mn прибавляют один из восстановителей ( $\text{NH}_2\text{OHHSO}_4$ ,  $\text{Fe}(\text{NH}_4)_2(\text{SO}_4)_2$ ,  $\text{Na}_2\text{SO}_3$ ,  $\text{H}_2\text{SO}_3$ , Fe-порошок или  $\text{Na}_2\text{S}$ ) в кол-ве 0,1—3% относительно взятой руды. Воду вытесняют из сосуда при помощи  $\text{N}_2$ , перемешивают массу ~ 40 мин. и фильтруют. Р-р содержит 53 г  $\text{Mn}(\text{OH})_2$ , 81 г  $\text{CO}_3^{2-}$  и  $(\text{CO}_3\text{NH}_2)^{1-}$  и 566,8 г  $\text{NH}_4\text{OH}$ . pH р-ра 9,5. Из руды извлекают 75% присутствующего в ней Mn.

Ю. Михайленко

**57978 П. Способ получения железного порошка.** Кузмик, Шенк (Process of production of iron powder. Kuzmick Jerome F., Schenck Walter)

при т-ре  
при этом  
условиях  
Сг в гид-  
такого  
1,5 от д-  
15,5 от)  
рсии С<sup>4+</sup>  
ности от  
Наилучшие  
в качестве  
С. Необ-  
зает 0,1-  
ожно так-  
олеата С<sub>10</sub>  
ние К и  
о матери-  
вл. в пред-  
елается от  
Херсонская  
рода. Fe  
of hyd-  
Limer  
Corp.] Пат.

NaCl (1) и  
, напр. 86  
на 85 вес.  
ре ~200-  
(PC), не-  
5°) в реак-  
в вес. %;  
(18) и H<sub>2</sub>O  
к весу PC  
Продолжи-  
мешивания  
(а) непре-  
овременно  
P3 в воде  
10 ч. при  
° отделяют  
вращают в  
обработ-  
ещ. водн.  
нейтр-ции  
Na<sub>2</sub>CO<sub>3</sub>. За-  
, получа-  
Херсонская  
из руд, се-  
тый мар-  
du manga-  
els le man-  
lent. Fe<sub>2</sub>  
) (Reginald  
лкой обра-  
вой руды  
MnO, 4,4  
растворено  
сления Mn  
H<sub>2</sub>OHNSO<sub>4</sub>  
или Na<sub>2</sub>S)  
ды. Воду  
емешивают  
ржит 55 г  
г NH<sub>4</sub>OH  
исуществу-  
Гихайлен  
порошка  
on of iron  
ack War

не Р.) [Alan Wood Steel Co.]. Пат. США 2759808, 21.08.56  
Окислы (О) Fe (магнетит, гематит, окалина), не содержащие заметных кол-в S, P, Si, измельчают до размера — 100 меш и смешивают с беззольным коксом (К) такой же крупности и связкой — крахмалом. Сухая связка добавляется к увлажненным О в кол-ве 0,25—1 (0,5) вес.%. Из шихты готовят пористые брикеты с толщиной стенок < 50 (25) мм. Объем пустот в брикетах составляет 10—50 (25—50) % при уд. весе 3,0—3,3 г/см<sup>3</sup>. Брикеты сушат и на воздухе при т-ре ~ 540° частично декарбонизируют, удаляя с их поверхности 1—1,5% от общего кол-ва С. Затем брикеты поступают на восстановление (В), которое протекает в токе газа, содержащего (в объемн. %) H<sub>2</sub> > 25 (40), СО 20 и инертного газа 40. Кол-во К в исходной шихте берут в зависимости от т-ры и продолжительности В. При 1065° и длительности процесса 45—300 мин. требуется кол-во К 65—70% от теоретически необходимого для полного восстановления О; при 1090° и 30—270 мин. 76—81%; при 1120° и 20—240 мин. — 88—93%. (расчет ведут на получение СО<sub>2</sub>). Указанные кол-ва К увеличивают на 5—10% при содержании в восстанавливающем газе 25—40% H<sub>2</sub>. По окончании В брикеты охлаждают в той же атмосфере до т-ры < 120° и измельчают. В начальный период в процессе В участвуют как К, так и восстанавливающий газ; завершается В только за счет газообразного восстановителя. Таким образом, обеспечивается низкое содержание С (0,10—0,15%) в конечном продукте, одновременно ускоряется В и получается неспекшийся, легко измельчающийся материал. В исходную шихту может входить ≤ 0,4% Си, которая повышает прочность и ductильность металла. Л. Херсонская

3799 П. Получение металлических порошков. Эдстрём (Method of producing metal powder. Edström John Olof). Пат. США 2757078, 31.07.56

Для получения металлич. порошков, в частности порошка Fe, восстановление окислов металлов газообразными, жидкими или твердыми восстановителями проводят в диспергирующей среде (ДС). ДС состоит из одного или нескольких окислов щел.-зем. металлов либо соединений (гидроокиси, карбонаты), легко переходящих при прокалке в окисную форму. 30—50 ч. ДС (из них 5—12 ч. гидроокиси) смешивают с 70—50 ч. порошкообразной окиси металла, прибавляют 8—10% воды и из полученной массы формируют таблетки или брикеты. После сушки брикеты помещают в печь, где при 450—1200° (600—1100°) их восстанавливают СО, H<sub>2</sub> или H<sub>2</sub>-содержащими газами. Жидкие или твердые восстанавливающие агенты смешивают непосредственно с шихтой или, что предпочтительно, помещают внутрь каждого брикета. Желательно, чтобы переход неокисных составляющих ДС в окисную форму завершился до начала восстановления. Для этого рекомендуется производить предварительный подогрев брикетов газами, отходящими из восстановительной зоны. Восстановленные брикеты удаляют из печи при 600—700° и сразу же погружают в воду, где происходит их быстрое разложение за счет образования гидроокисей щел. металлов. Разделение гидроокисей и металлич. порошка производят механич. или магнитными методами. Остаток ДС удаляют промыванием слабой к-той в присутствии антиокислительного агента. Для получения металлич. порошка определенной зернистости применяют окись металла, средний размер зерен которой на 10—50% меньше заданного размера зерен металла. Л. Херсонская

57980 П. Тройные сульфиды металла группы железа и молибдена или вольфрама и их получение. Олдерсон, Мейнард (Ternary ferrous group metal sulfides of molybdenum and tungsten and their preparation. Alderson Witty Lysle, Jr, Maynard John T.). [E. I. du Pont de Nemours & Co.]. Пат. США 2770527, 13.11.56

Новое устойчивое кристаллич. соединение типа AMS<sub>y</sub> (А — металл группы Fe, М — Мо или W, y = 2,5—3) получают, нагревая при 500—1300° (800—1300°) смесь сульфидов металла группы Fe и W (Мо) в атмосфере инертного газа (N<sub>2</sub>, He) или H<sub>2</sub>S. В исходной смеси берут на 1 моль сульфида W (Мо) ~ 1—2 моля сульфида металла группы Fe. В качестве исходных продуктов также могут быть использованы соответствующие металлы или их окислы, которые предварительно нагревают до 300—500° и контактируют с H<sub>2</sub>S, превращая в сульфиды непосредственно в зоне р-ции. Для р-ции могут быть взяты следующие сульфиды и окислы: FeS, FeS<sub>2</sub>, Fe<sub>2</sub>S<sub>3</sub>, FeO, Fe<sub>2</sub>O<sub>3</sub>, Fe<sub>3</sub>O<sub>4</sub>, NiO, NiS, CoO, CoS, а также MoS<sub>2</sub>, Mo<sub>2</sub>S<sub>3</sub>, MoO<sub>2</sub>, Mo<sub>2</sub>O<sub>3</sub>, WO<sub>2</sub>, WO<sub>3</sub>, WS<sub>2</sub>, WS<sub>3</sub> и др. Получены соединения: FeMoS<sub>2,5</sub>, FeWS<sub>3</sub>, NiMoS<sub>3</sub>, CoMoS<sub>3</sub>. Пример. 8,0 вес. ч. MoS<sub>2</sub> и 4,4 вес. ч. FeS тщательно смешивают и нагревают в токе He до 1300°, выдерживая смесь при этой т-ре в течение 20 мин. Полученные кристаллы FeMoS<sub>2,5</sub> имеют серо-стальной цвет и обладают сильно выраженными ферромагнитными свойствами. Л. Херсонская

57981 П. Селективное замещение сульфидов металлов. Мак-Голи, Шауфельбергер, Робертс (Selective replacement of metal sulfides. McGauley Patrick J., Schauffelberger Felix A., Roberts Edward S.). [Chemical Construction Corp.]. Пат. США 2755172, 17.07.56

Разработан процесс последовательного выделения цветных металлов из смешанного сульфатного р-ра, состав которого исключает возможность их разделения фракционной кристаллизацией сульфатов. Фильтрат после кислотного разложения руды, содержащий в частности сульфаты Fe, Cu, Ni, Co, Zn и Mn, обрабатывается твердым сульфидом (С) металла, более растворимым, чем С хотя бы одного из перечисленных металлов. В частности, может применяться FeS (в виде пирита или сложной сульфидной руды), осаждающий CuS, NiS, CoS и ZnS. Селективное осаждение С достигается путем подбора соответствующих величин pH р-ра. Кол-во осаждающего С должно стехиометрически соответствовать кол-ву осаждаемого металла; этим обеспечивается чистота продукта. Для выделения CuS рекомендуют р-ры с кислотностью в пределах от pH ~ 2,7 до 15%-ного содержания к-ты. После отделения CuS из р-ра при pH от ~ 2 до ~ 5,5 осаждают CoS, при pH от ~ 5 до ~ 6,2 NiS и при pH от ~ 6,2 до ~ 7 ZnS. Процесс проводят при 121—232° и повышенном давлении. Необходимым условием является присутствие в р-ре восстанавливающего агента, препятствующего выделению элементарной S. Преимущественно применяют газы-восстановители: СО, SO<sub>2</sub> и другие; применение H<sub>2</sub> нежелательно. Для получения очень чистых сульфидов можно применять схему, по которой при данном pH FeS вводят в кол-ве, недостаточном для осаждения С соответствующего металла. Чистый С отфильтровывают и в фильтрат при том же pH снова вводят FeS в небольшом избытке против кол-ва, необходимого для осаждения остатка указанного металла. 2-й осадок С, содержащий FeS, возвращают на стадию осаждения чистого С. Л. Херсонская

57982 П. Стабилизация ферратов. Миллс, Смит (Stabilization of ferrates. Mills John R., Smith



William C.) [E. I. du Pont de Nemours & Co.] Пат. США 2758090, 7.08.56

Для стабилизации (С) (придание устойчивости при комнатной т-ре в течение 3 час.) водн. р-ров ферратов (Ф) щел. и щел.-зем. металлов, служащих сильными окислителями, в водн. р-р Ф предпочтительно  $K_2FeO_4$ , вводят  $Na_3PO_4$ . Помимо  $Na_3PO_4$  для С пригодны мета-, тетра- и нециклич. трифосфаты Na или их смеси. Максим. устойчивостью обладает 0,01 M  $K_2FeO_4$ . Соотношение ионов Ф:фосфат (П) может колебаться в пределах от 1:2 до 20:1. pH р-ра устанавливают в пределах 8—10 (8,95—9) с помощью буфера, в частности боратного. (Органич. буферные смеси не рекомендуются.) Оптимальные соотношения в р-ре Ф:П:борат = 1:1:1. Аналогичным образом может быть осуществлена С сухих Ф щел. и щел.-зем. металлов. При этом применяют те же стабилизаторы и тот же буфер; предпочтительны эквимольные соотношения Ф, П и буфера. Л. Херсонская

57983 П. Удаление железа из растворов солей. Роберте (Treatment of salt solutions to remove iron. Roberts Carlton E.) [Bethlehem Steel Co.] Пат. США 2754174, 10.07.56

Для удаления Fe и микропримесей из р-ров сульфатов Zn, Ni и Cu, содержащих  $\geq 0,5$  г/л  $Fe^{3+}$ , и получения легко фильтрующихся осадков Fe к р-ру сульфата прибавляют щел. реагент (для снижения конц-ии свободной к-ты до величины  $\geq 10$  г/л) и фосфат, дающий в р-ре ионы  $PO_4^{3-}$ . Кол-во  $PO_4^{3-}$  составляет 20—95% от стехиометрически необходимого для связывания всего  $Fe^{3+}$ . Затем дополнительным введением щел. реагента из р-ра полностью осаждаются Fe в виде фосфатного комплекса, с которым сосаждаются микропримеси As, Sb, Se, Te, Ge и Sn. От содержания этих элементов зависит кол-во вводимых в р-р  $PO_4^{3-}$ ; в случае необходимости в р-р добавляется  $Fe^{3+}$ . Пример. Для удаления Fe и микропримесей из р-ра, содержащего  $\geq 200$  г/л  $ZnSO_4$ , рекомендуют брать  $PO_4^{3-}$  в кол-ве 30—90% от стехиометрически необходимого. Л. Херсонская

57984 П. Отделение пентамина кобальта. Шауфельбергер, Чикк (Cobalt pentammine separation. Schaufelberger Felix A., Czikk Alfred M.) [Chemical Construction Corp.] Пат. США 2767054, 16.10.56

В р-р, содержащий Ni и Co, вводят по 5 молей  $NH_3$  на каждый моль Ni и Co. В р-ре создают конц-ию  $SO_4^{2-}$ , необходимую для связывания в виде сульфата  $Co^{3+}$  и  $Ni^{2+}$ , присутствующих в р-ре. Растворенный Co окисляют до 3-валентного состояния  $O_2$ -содержащим газом, свободным от S. К окисленному р-ру добавляют  $H_2SO_4$ , устанавливая pH  $\sim 4$ . При этом из р-ра выпадает осадок Ni, практически свободный от Co. В р-ре остается устойчивый  $[Co(NH_3)_5]SO_4$  и небольшое кол-во  $Ni^{2+}$ , который удаляют в виде тройного сульфата 2-валентных Co, Ni и  $NH_3$  (до конц-ии  $< 1$  г/л). С этой целью в р-р вводят  $Co^{2+}$  в кол-ве, которое обеспечивает соотношение  $Co^{2+}:Ni^{2+} \geq 1:1$ , предпочтительно 2,5—3,5:1. Пример. В р-р, содержащий соответственно 1,08 и 0,05 моль/л сульфатов Co и Ni, вводят  $(NH_4)_2SO_4$  (до конц-ии 1,08 моль/л) и  $NH_3$  (5,4 моль/л). Р-р окисляют при комнатной т-ре и давл. 3,5 атм в течение 15 мин. и затем постепенно нагревают до кипения. Далее р-р подкисляют 50%-ной  $H_2SO_4$  до pH 2, перемешивают в течение 1 часа и отфильтровывают выпавший осадок. К фильтрату, содержащему Co и 1,75 г/л Ni, прибавляют р-р  $Co(NH_4)_2SO_4$  (12,3 г/л). После кристаллизации смешанной соли конц-ия Ni в р-ре 0,3 г/л. Л. Херсонская

57985 П. Отделение сульфата пентамина трехвалентного кобальта. Шауфельбергер (Cobaltic

pentammine sulfate separation. Schaufelberger Felix Alfred) [Chemical Construction Corp.] Пат. США 2767055, 16.10.56

К р-ру Ni и Co добавляют по 5 молей  $NH_3$  на каждый моль Ni и Co и создают конц-ию  $SO_4^{2-}$ , достаточную по крайней мере для связывания всего Co в 3-валентной, а Ni — в 2-валентной форме. Затем присутствующий в р-ре Co окисляют свободным от серы  $O_2$ -содержащим газом при комнатной т-ре. С целью отделения Ni от р-ра сульфата пентамина Co р-р осторожно подкисляют  $\sim 50\%$ -ной  $H_2SO_4$  до pH  $\sim 4$ . Оптимальное разделение наблюдается при pH, соответствующих 0,05—2,0% свободной  $H_2SO_4$ . Выпадающий осадок  $Ni(NH_4)_2(SO_4)_2$ , свободный от Co, отфильтровывают, а р-р дополнительно очищают от небольших кол-в Ni (до конц-ии  $\sim 0,1$  г/л). Затем к р-ру добавляют  $(NH_4)_2SO_4$  в кол-ве 4,5 молей на 1 л и отфильтровывают осадок Ni, загрязненный Co. Пример. К р-ру, содержащему в 1 л 1,5 моля Co и 0,075 моля Ni, добавляют  $NH_3$  и  $(NH_4)_2SO_4$  до конц-ии 7,5 и 1,3 моль/л соответственно. Затем р-р окисляют  $O_2$  в течение 1 часа при комнатной т-ре и давл. 10,5 атм. Р-р подкисляют до pH 4 и перемешивают в течение 1 часа. Содержание Co в р-ре 78,9 г/л, Ni 0,13 г/л. Л. Херсонская

См. также: Процессы получения монокристаллич. Ge 56572. Способ получения CuBr 56974. Способ получения безводн.  $N_2H_4$  56977

## УДОБРЕНИЯ

Редактор И. Л. Гофман

57986. Некоторые особенности производства сульфата аммония — побочного продукта. Белл, Роберте (Some aspects of modern by-product sulphate of ammonia production. Bell J., Roberts R. M.) [Gas World, 1957, 145, № 3798, 112—114, 116, 118 (англ.)]

Ввиду сильной эрозии Pb при получении крупных кристаллов  $(NH_4)_2SO_4$  и ползучести Pb были проведены работы по подысканию коррозионно- и эрозийноустойчивых материалов и покрытий для аппаратуры и стальных конструкций. Приведены также результаты разработки метода автоматич. регулирования pH, очень важного при произ-ве  $(NH_4)_2SO_4$  для получения хороших кристаллов и для предупреждения коррозии. Г. Рабинович

57987. Получение удобрений из [фосфатной] руды зоны выщелачивания. Хигнетт, Сигел, Келсо, Мелин (Fertilizer from leached-zone ore. Hignett T. P., Siegel M. R., Kelso T. M., Meline R. S.) [J. Agric. and Food Chem., 1957, 5, № 8, 587—591 (англ.)]

Описаны ползаводские опыты на установке TVA по получению сложных удобрений 14-14-14, 15-15-15, 11-22-11, 20-20-0 и др. из флюоридской руды зоны выщелачивания, лежащей над пластом фосфоритов. Оптимальные результаты получены при следующих условиях: необогащенную руду (635 кг/час) с размером кусков  $< 25$  мм, содержащую (%):  $P_2O_5$  15,3 или 9,9,  $Al_2O_3$  10,6—8,3,  $Fe_2O_3$  3,4—1,3, CaO 11,3—7,7,  $SiO_2$  51,1—65,6, F 1,2—0,8, п. п. п. 6,8—5,9, прокаливали при 1100—1150° в течение 50 мин. во вращающейся обогреваемой газом печи (диам. 750 мм, длина 12 м); при этом улетучивалось 40—60% F. Прокливание руды улучшало в дальнейшем фильтрование полученной при экстракции пульпы и повышало выход  $P_2O_5$ ; после прокаливания при указанной т-ре переход  $Al_2O_3$  в р-р при экстракции минимален

(55%), а при 650° — максимален (86%). Прокаленную руду измельчали до размера  $< 0,85$  мм и разлагали при 82–93° последовательно в 3 экстракторах смесью 1–2 вес. ч.  $\text{HNO}_3$  и 1 (0,3–1,6) вес. ч.  $\text{H}_2\text{SO}_4$ ; последнюю, предпочтительно в виде 50%-ной, добавляли в 3-й экстрактор для улучшения фильтрования (образования вспомогательного фильтрующего в-ва —  $\text{CaSO}_4$ ) и регулирования в продукте содержания водорастворимой формы  $\text{P}_2\text{O}_5$  (в пределах 5–30%). Хорошее фильтрование после добавления  $\text{H}_2\text{SO}_4$  и содержания твердых в-в в пульпе; последнее поддерживали  $\approx 32\%$  рециркуляцией промывных вод с фильтра в 1-й экстрактор. Пульпу фильтровали на ленточном фильтре, снабженном полиэтиленовой тканью. Фильтрат, содержащий 9%  $\text{P}_2\text{O}_5$ , выпаривали до конц-ии 13%  $\text{P}_2\text{O}_5$  (для уменьшения кол-ва ретура при гранулировании). Конц. фильтрат перерабатывали в удобрения на установке для аммонизации — гранулирования конструкции TVA (РЖХИМ, 1957, 45108). Конц. фильтрат, содержащий немного твердых в-в, подавали в аммонизатор через трубку с открытым концом, которую передвигали по длине слоя в обоих направлениях с помощью спец. приспособления. Из аммонизатора выходил хорошо гранулированный продукт, который поступал затем в гранулятор (работавший фактически холостую), сушилку, холодильник и т. д. Приведены производственные данные о получении удобрения 14-14-14, которое содержало также 3,2%  $\text{CaO}$  и 8,3%  $\text{Al}_2\text{O}_3$ . Полученные удобрения обладают хорошими физ. свойствами и при содержании  $\geq 20\%$   $\text{P}_2\text{O}_5$  в водорастворимой форме хорошей агрономич. эффективностью. При экстракции  $> 90\%$  содержавшегося в руде урана переходило в р-р, из которого его можно было извлечь с помощью соответствующих р-рителей. Библ. 9 назв.

Е. Бруцкус

57988. Использование метафосфата кальция для производства гранулированных удобрений. Филиппс, Янг, Льюис, Силверберг (Utilization of calcium metaphosphate in production of granular fertilizers. Phillips A. B., Young R. D., Lewis J. S., Jr., Silverberg Julius), J. Agric. and Food Chem., 1957, 5, № 11, 839–844 (англ.)

Разработан способ повышения растворимости в воде  $\text{Ca}(\text{PO}_3)_2$ , получаемого (пока только на з-де TVA) р-цией природного фосфата с  $\text{P}_2\text{O}_5$  при высокой т-ре и содержащего  $\sim 65\%$   $\text{P}_2\text{O}_5$ , главным образом в цитратнорастворимой форме. В присутствии минер. к-ты  $\text{Ca}(\text{PO}_3)_2$  гидратируется в 1-й половине аммонизатора TVA, а во 2-й половине продукт гидратации, представляющий собой комплексное соединение, промежуточное между мета- и ортофосфатом, аммонизируется р-ром  $\text{NH}_3 + \text{NH}_4\text{NO}_3$  (I). При аммонизации можно добавлять  $\text{KCl}$ . На установке TVA (РЖХИМ, 1957, 45108) производительностью (нетто)  $\sim 1$  т/час из  $\text{Ca}(\text{PO}_3)_2$ , р-ра I,  $(\text{NH}_4)_2\text{SO}_4$ ,  $\text{KCl}$  и  $\text{H}_2\text{SO}_4$  были получены удобрения 13-13-13, 9-18-18, 11-22-11, 7-28-14 6-24-24, а из  $\text{Ca}(\text{PO}_3)_2$  с добавлением простого суперфосфата (или  $\text{H}_3\text{PO}_4$  или фосфоритной муки) и прочих компонентов — удобрения 12-12-12, 5-20-20, 6-24-12, 8-16-16, 6-24-24 и 0-23-23. Продукты содержали 20–40%  $\text{P}_2\text{O}_5$  в водорастворимой форме. Эффективное гранулирование достигалось при сравнительно низкой влажности, вследствие потребления воды на гидратацию  $\text{Ca}(\text{PO}_3)_2$ , получались необычно сухие прочные гранулы с очень хорошими физ. свойствами. Недостатком процесса является относительно большой расход к-ты на связывание  $\text{NH}_3$ ; продукт гидратации не удалось аммонизировать до степени, превращающей способность применяемой при гидратации к-ты связывать  $\text{NH}_3$ . Библ. 10 назв.

Е. Бруцкус

57989. Приготовление смеси азотно-фосфорного удобрения из фосфатной руды. Чжан Чжэнь-ван, Хуасюэ шицзе, 1956, № 10, 519–521 (кит.)

57990. Дозирование компонентов [смешанного] удобрения. Трайсбок (Proportioning fertilizer ingredients. Tricebock Donald J.), Agric. Chemicals, 1957, 12, № 4, 71, 103–104 (англ.)

Рассматривается вопрос о дозировании жидких и твердых материалов в произ-ве смешанных удобрений. Приведены схемы автоматич. регулирования соотношений компонентов.

Е. Бруцкус

57991. Жидкие смешанные удобрения. Достижения и проблемы. Слак (Liquid mixed fertilizers. Progress and problems. Slack A. V.), Commerce. Fertilizer, 1957, 95, № 2, 28–29, 33, 35–37, 39–40 (англ.)

В США число установок, вырабатывающих жидкие смешанные удобрения (ЖСУ), возросло с 72 в 1955 г. до 166 в 1957 г. Их общая продукция за последнее время резко увеличилась. Недостатком ЖСУ, тормозящим развитие произ-ва ЖСУ, является кристаллизация солей: если т-ра кристаллизации  $< 0^\circ$ , многие сорта, содержащие  $\text{N} + \text{P}_2\text{O}_5 + \text{K}_2\text{O} > 32\%$ , невозможно получить. Для предупреждения кристаллизации солей из конц. ЖСУ следует: 1) применять ЖСУ в течение периода времени, недостаточного для охлаждения и кристаллизации; 2) применять р-ры, способные переохлаждаться, напр. такие, из которых сначала кристаллизуется  $\text{NH}_4$ -фосфат; 3) применять замедлители кристаллизации, в качестве которых в Tennessee Valley Authority испытывали гидрофильные коллоиды (агар, декстрин, крахмал и др.), поверхностно-активные в-ва, красители и ионы металлов. Наиболее эффективными оказались ионы  $\text{Cr}$ ,  $\text{Fe}$  и  $\text{Al}$ . Применение в ЖСУ экстракционной  $\text{H}_3\text{PO}_4$ , содержащей  $\text{Fe}$  и  $\text{Al}$ , дает лучшие результаты по сравнению с термич.  $\text{H}_3\text{PO}_4$ . Для получения более конц. ЖСУ следует применять мочевины (вместо  $\text{NH}_4\text{NO}_3$ ), пирофосфаты или метафосфаты; рекомендуется также применение ЖСУ, не содержащих  $\text{K}$ , и внесение последнего в почву отдельно в твердом состоянии. Рассматриваются вопросы: стоимости сырья и продукции, коррозии оборудования, проектирования установок, смешения ЖСУ с пестицидами и микроэлементами, внесения удобрений в почву и их агрономич. эффективности. Библ. 8 назв.

Г. Рабинович

57992 П. Получение сульфата аммония. Костолов (Ammonium sulfate production. Costolow John J.) [Phillips Petroleum Co.]. Пат. США 2782097, 19.02.57

Для предупреждения осаждения кристаллов  $(\text{NH}_4)_2\text{SO}_4$  на поверхностях в непрерывно действующем кристаллизаторе при выпаривании или охлаждении конц-ию р-ра поддерживают такой, чтобы р-р находился в метастабильной области, в которой новые зародыши не образуются, а происходит только рост тех зародышей, которые вносятся с р-ром. Для расширения метастабильной области к р-ру добавляют растворимую соль  $\text{Al}$  (предпочтительно),  $\text{Fe}$  или  $\text{Cr}$ , поддерживая конц-ию соли в р-ре 0,005–0,1 (0,04–0,05) вес.%. В приведенной схеме к маточному р-ру, отводимому из кристаллизатора сверху, добавляют воду и  $\text{H}_2\text{SO}_4$ , а затем  $\text{NH}_3$  (несколько меньше стехиометрич. кол-ва). Маточный р-р подается насосом (причем кристаллы измельчаются) в вакуум-испаритель, работающий при 60–71° (66°), давл. 100–150 мм рт. ст. абс.; отсюда конц. р-р с зародышами стекает в расположенный ниже кристаллизатор, где при pH 2–3 поддерживается в метастабильной области добавлением алюминиевой или другой соли. Выросшие кристаллы отводятся из кристаллизатора (снизу) в центрифугу. Добавки не изменяют ни размеров, ни



формы кристаллов, а только предупреждают образование новых зародышей.

Г. Рабинович  
57993 П. Способ повышения содержания  $P_2O_5$  в фосфорите, содержащем карбонат кальция, и получение суперфосфата из обогащенного продукта

(Procédé d'enrichissement en  $P_2O_5$  d'une roche phosphatique contenant du carbonate de calcium et de production de superphosphate à partir du produit enrichi) [L'Etat d'Israël]. Франц. пат. 1130549, 6.02.57

Фосфорит (Ф), содержащий  $CaCO_3$ , обрабатывают разб.  $HCl$  (к-та) в кол-ве, эквивалентном содержанию  $CaCO_3$ . Обогащенный Ф отделяют от р-ра  $CaCl_2$  и смешивают последний с необходимым кол-вом  $H_2SO_4$  для регенерации  $HCl$  (к-та), которую после отделения гипса возвращают в цикл. Обогащенный Ф разлагают  $H_2SO_4$  известными способами. Пример. 1 т измельченного Ф, содержащего 26%  $P_2O_5$  и 20%  $CaCO_3$ , смешивают с достаточным кол-вом воды для образования суспензии. В другом реакторе к разб. р-ру 222 кг  $CaCl_2$  добавляют 190 кг конц.  $H_2SO_4$  и отфильтровывают выпавший гипс; фильтрат направляют в 1-й реактор на растворение  $CaCO_3$ , содержащегося в Ф, и отделяют обогащенный Ф. Последний содержит 32%  $P_2O_5$ ; выход ~95%. Е. Бруцкус

57994 П. Производство удобрений. Пирс, Мортенсон (Plant food manufacture. Pearce Thomas J., Mortenson Everett N.) [Swift & Co.]. Пат. США 2755176, 17.07.56

При получении смешанных удобрений для уменьшения потерь  $NH_3$  с выделяющимися парами  $H_2O$  и предотвращения ретроградации  $P_2O_5$  из-за чрезмерного повышения т-ры р-цию минер. к-ты ( $H_2SO_4$  или  $H_3PO_4$ ) с  $NH_3$  или аммонизирующим р-ром (в кол-ве ~70% стехиометрич.) проводят предварительно в относительно небольшом Т-образном смесителе; в последний реагенты поступают через пластинки (с 2—6 отверстиями), обеспечивающие перепад давл. 0,14—1 ат. Выходящие из смесителя р-р и пары  $H_2O$  по трубе с перегородками при скорости 150 м/сек поступают тангенциально в сепаратор, где при давл. 0,14—0,35 ат пары отделяются от р-ра. Далее р-р направляется в смеситель для окончательной нейтрализации к-ты и смешения с остальными компонентами смешанного удобрения. Приведена схема.

Е. Бруцкус  
57995 П. Сложные удобрения и способ их получения. Бриджер, Бойлан (Fertilizer compositions and method of preparation thereof. Bridger Grover L., Boylan David R.) [Iowa State College Research Foundation, Inc.]. Пат. США 2782113, 19.02.57

Природный фосфат (ПФ) (100 вес. ч.) смешивают с лангбейнитом  $K_2SO_4 \cdot 2MgSO_4$  (120 вес. ч., предпочтительно  $\geq 180$  ч.). Можно также смешать ПФ с  $MgSO_4$  или со смесью  $MgSO_4 + K_2SO_4$  в соотношениях, отвечающих на приложенной к пат. диаграмме 3-компонентной системы  $P_2O_5 - MgSO_4 - K_2SO_4$  высокому содержанию лимоннорастворимой  $P_2O_5$  в продукте. Смесью нагревают до полного расплавления (1100—1370°), а затем расплав быстро охлаждают, предпочтительно в насыщ. р-ре лангбейнита, причем получается гранулированное удобрение с высоким содержанием  $P_2O_5$  в лимоннорастворимой форме. Пример. После сплавления 100 ч. ПФ (32%  $P_2O_5$ ) со 187 ч. лангбейнита при 1200°, охлаждения расплава в р-ре и сушки получают продукт, содержащий (в %):  $P_2O_5$  обог. 13,8,  $P_2O_5$  лимоннорастворимой 13,3,  $K_2O$  13,  $MgO$  11,5, F 1,6. Е. Бруцкус

57996 П. Способ получения гранулированных удобрений, содержащих мочевины, и удобрения, полученные по этому способу. Гардинье (Procédé pour la fabrication d'engrais granulés contenant de

l'urée et engrais obtenus selon ce procédé. Gardinier Jean-Paul) [Lucien-Albert-Eugène Gardinier]. Франц. пат. 1137045, 22.05.57

Для предупреждения образования токсичного для растений биурета из мочевины при действии тепла, выделяющегося при р-циях, происходящих при гранулировании удобрения, напр. состава 10-10-20, 15-5-20, 5-10-10, 8-8-15, 8-16-16, 10-10-10 и т. д., получают смешением мочевины с компонентами, имеющими основную р-цию, напр., с томасшлаком,  $CaCN_2$ , Al-Са-фосфатом, природным фосфатом,  $NH_3$  и его р-рами. Р-ция смеси должна быть основной, по крайней мере при повышенной т-ре, которая не должна превышать 125—128°. Можно применять двойной или простой суперфосфат, принимая меры предосторожности для предупреждения ретроградации  $P_2O_5$ . При смешении можно добавить удобрения, имеющие нейтр. р-цию и микроэлементы. По окончании гранулирования удобрения быстро охлаждают. Г. Рабинович

57997 П. Улучшенное удобрение на основе мочевины. Гардинье (Engrais perfectionné à base d'urée. Gardinier Jean-Paul) [Lucien-Albert-Eugène Gardinier]. Франц. пат. 1137044, 22.05.57

Патентуются смешанные удобрения, напр. состава 10-10-20, 8-8-15, 15-5-10 и т. д., обладающие основными свойствами и содержащие: большую часть N в виде соединений мочевины, остальное —  $CaCN_2$ ,  $NaNO_3$ ,  $Ca(NO_3)_2$  (но не аммиачный N); большую часть  $P_2O_5$  в виде смеси (в любом соотношении) томасшлака и Al-Са-фосфата («фоспала»), остальное кол-во в форме других Р-удобрений. При смешении можно добавлять соль K и микроэлементы. Удобрения можно гранулировать. Г. Рабинович

## ЛЮМИНЕСЦЕНТНЫЕ МАТЕРИАЛЫ

См: Галофосфатные фосфоры, активированные прием 56531

## ПРОИЗВОДСТВО КАТАЛИЗАТОРОВ И СОРБЕНТОВ

См.: Металлич. катализаторы в пром-сти 56794  
Способ получения зернистого геля  $SiO_2$  58760

## ЭЛЕКТРОХИМИЧЕСКИЕ ПРОИЗВОДСТВА.

### ЭЛЕКТРООСАЖДЕНИЕ.

### ХИМИЧЕСКИЕ ИСТОЧНИКИ ТОКА

Редактор М. М. Мельникова

57998. Последние достижения в области производства сухих элементов. Кабуки (Kabuki Saburo), Дэнки цусин гаккай даасси, J. Inst. Electr. Commun. Engrs Japan, 1957, 40, № 7, 842—847 (японск.)

Обзор. Библ. 16 назв. М. Мельникова  
57999. Изучение электролитов гальванических элементов. Часть 10. Влияние крахмала на электродный потенциал цинка в сухих элементах. Такахаши, Сасаки (Takahashi T., Sasaki K.), Дэнки кагаку, J. Electrochem. Soc. Japan, 1957, 25, № 5, 277—280, E59—E60 (японск.; рез. англ.)

Влияние крахмала (К) на работу гальванич. сухих элементов типа Лекланше определялось путем измерения электродного потенциала (П) Zn в электролите, содержащем различные кол-ва  $NH_4Cl$  и  $ZnCl_2$ , по

и после введения в него р-ра картофельного К при 25°. Установлено, что на постоянство П после введения К не влияет ни т-ра (в интервале 60—90°), ни время (10—45 мин.). Установлено далее, что добавление К к электролиту сдвигает П в отрицательную сторону. При постоянной конц-ии  $ZnCl_2$  и К П уменьшается при увеличении конц-ии  $NH_4Cl$ . При постоянной конц-ии  $NH_4Cl$  П растет с увеличением конц-ии  $ZnCl_2$ . Если конц-ия  $ZnCl_2 < 5,907 M$ , при достаточной высокой конц-ии  $NH_4Cl$  добавление К не вызывает изменения П. Значительное изменение П, которое наблюдается при добавлении К в электролит с большим содержанием конц-ии  $NH_4Cl$ , так и  $ZnCl_2$ , авторы объясняют тем, что гидратированные или хлорнесущие ионы Zn могут образовывать с К комплексные соединения с невысоким координационным числом. Попытки использования явления светопоглощения для установления координационной связи ионов Zn с К не увенчались успехом ввиду того, что приготовленные авторами водн. р-р К поглощал УФ-лучи. Часть 9 см. РЖХим, 1958, 49533. В. Левинсон

58000. Сухие ртутные батареи. Аmano, Эракуто-роникусу, 1957, 2, № 5, 638—640 (японск.)

58001. Образование газов в сухих батареях. И Эр, Ло То, У И-хуа, Ай Кэ, Чжунго цингун-е, 1958, № 1, 24—28 (кит.)

58002. Анодирование свинца и свинцовых сплавов в серной кислоте. Бербанк (Anodization of lead and lead alloys in sulfuric acid. Burbank Jeanne), J. Electrochem. Soc., 1957, 104, № 12, 693—701 (англ.)

С целью изучения условий коррозии решеток положительных электродов Pb-аккумулятора, лимитирующей его срок службы, исследовалась коррозия Pb и сплавов Pb, содержащих Ca, Sb и Sn соответственно 0—0,15, 0—12 и 0—4,5 вес.%, а также саморазряд пленок  $PbO_2$ , образующихся на поверхности Pb и его сплавов при анодной поляризации в р-ре  $H_2SO_4$  (уд. в. 1,210). Помимо этого, было проведено рентгенографич., электронографич. и металлографич. исследование сплавов и продуктов их коррозии. Саморазряд изучался по кривым спада потенциала образцов, предварительно поляризованных анодно в р-ре  $H_2SO_4$ .

Установлено, что слой  $PbO_2$ , соприкасающийся с поверхностью металла, представляет собой смесь двух полиморфных форм  $PbO_2$ , а на поверхности соприкосновения с р-ром — обычную тетрагональную  $PbO_2$ . Данные по разряду этих двуокисей показывают, что  $\beta$ - $PbO_2$  разряжается более быстро, чем  $\alpha$ - $PbO_2$ . Потенциал разряжающейся поверхности зависит как от относительной скорости разряда, так и от физ. структуры слоев двуокиси. Последняя, в свою очередь, определяется в некоторой степени микроструктурой металла. Микроисследование обнаружило сильную межкуристаллитную коррозию, интенсивность которой возрастала по мере увеличения содержания в сплаве Sb. Склонность к межкуристаллитной коррозии объясняется ликвиацией Sb по границам кристаллитов. Добавка Sn приводила к повышению коррозионной стойкости сплава. С помощью диаграммы потенциал — рН рассмотрены условия равновесия различных форм  $PbO_2$  с  $PbSO_4$  в р-рах  $H_2SO_4$ . П. Луковцев

58003. Металлокерамические свинцовые аноды с добавками кобальта и серебра. Кирьяков Г. З., Дунаев Ю. Д., КазССР Ғылым Акад. хабарлары, Изв. АН КазССР. Сер. хим., 1957, вып. 2 (12), 32—38 (реа. наз.)

Путем испытания в 2 н.  $H_2SO_4$  при  $D = 500 \text{ а/м}^2$  исследовалась коррозионная стойкость Pb-анодов, изготовленных методами порошковой металлургии, а также влияние Co и Ag, вводимых в состав анода, на коррозию. Аноды помещались в последовательно со-

единенные электролизеры, в каждом из которых находилось 2 Al-катада, спустя каждые 240 час. электролиза (50 а-ч) ток выключался и определялось изменение веса анода. Аноды из Pb, изготовленные методом порошковой металлургии, обладают значительно более низкой коррозионной стойкостью, чем литые Pb-аноды. Добавка 1% Ag или Co заметно увеличивает стойкость металлокерамич. анодов. Благодаря развитой поверхности такие аноды могут с успехом применяться в качестве положительных пластин Pb-аккумуляторов. В. Левинсон

58004. Контроль качества свинцовых аккумуляторов. Такахаси, Хэйдзюнка, Standardization, 1957, 10, № 7, 488—491 (японск.)

58005. Серебряно-цинковые батареи в качестве первичных источников энергии в беспилотной авиации. Эйбрахамсон (Silver-zinc batteries as source primary electric power for pilotless aircraft. Abrahamson Lyal T.), Applic. and Ind., 1957, № 33, 297—300 (англ.)

Рассмотрены условия применения Ag-Zn-аккумуляторов (А) в беспилотной авиации. Срок службы А можно в 3—4 раза увеличить хранением их в разряженном состоянии при низкой т-ре от —1 до —7°. Заменой воздуха в А на азот можно увеличить сохранность А на 50% и более. Вредного влияния высоты на напряжение и емкость А можно избежать, применяя спец. клапаны. При работе А в умеренных т-рах (16—49°) желательно проводить предварительный разряд (20—25% емкости), благодаря которому напряжение во время остальной части разряда остается в пределах  $\pm 6\%$ . А можно считать пригодными до тех пор, пока их зарядная емкость не снизилась не более чем на 35% от первоначальной.

В. Левинсон

58006. Особые свойства гальванического элемента. Кубеш, Луняк (Zvláštní vlastnosti galvanického článku. Kubeš Jaroslav, Luňák Oldřich), Sdělovací techn., 1956, 4, № 3, 80—82 (чешск.)

Рассмотрены случаи применения гальванич. элемента в качестве источника тока, сопротивления и конденсатора. И. Елинек

58807. Основные направления развития техники производства хлора. Переработка электролитических щелоков. Файнштейн С. Я., Ханн П. Г., Круглый С. М., Симон А. Г., Хим. пром-сть, 1958, № 1, 57—64

Обзор. Библ. 36 назв. Предыдущее сообщение см. РЖХим, 1958, 1924. М. Мельникова

58008. Характеристики диафрагм и теоретический анализ электролизеров вертикального типа для производства хлора. Мацуно (Matsuno Takeo), Kōrō kakaku dzasshi, J. Chem. Soc. Japan. Industr. Chem. Sec., 1957, 60, № 8, 951—954 (японск.)

58009. Электролитическое производство хлора из соляной кислоты. (Electrolytic production of chlorine from hydrochloric acid.), Industr. Chemist, 1957, 33, № 349, 623—625 (англ.)

Описана технологич. схема произ-ва хлора из HCl и приведена технич. характеристика электролизера фильтр-прессного типа. Электролизер с биполярными электродами из графитовых плит состоит из 36 ячеек. Катодное и анодное пространства разделены кислотостойкой диафрагмой. Для уменьшения износа графитового электрода в процессе работы в анодном пространстве вводится графитовый порошок, на котором частично происходит разряд ионов хлора. Благодаря этому графитовая плита служит в течение нескольких лет. Питание ванны производится 33%-ной HCl. Из катодного пространства вытекает обедненная 18%-ная HCl, которая донасыщается в скруббере газообразным HCl. Электролизер рассчитан на нагрузку



1000 а и напряжение 83 в ( $D = 665 \text{ а/м}^2$ , напряжение на одну ячейку 2,3 в). В. Ельцов

**58010.** Скорость уменьшения количества водорода, содержащегося в хлоргазе при фотосинтезе соляной кислоты. Перуджини (Velocità di eliminazione per fotosintesi ad acido cloridrico dell'idrogeno contenuto nel gas cloro. Perugini Giancarlo), *Chimica e industria*, 1958, 40, № 2, 112—115 (итал.; реф., англ., нем., франц.)

При обычном газометрич. анализе проб хлоргаза, полученного электролитич. методом и содержащего небольшие кол-ва водорода (1,9—3,25%), были получены ошибочные результаты. Это объясняется уменьшением кол-ва водорода вследствие фотохим. р-ции:  $\text{H}_2 + \text{Cl}_2 \rightarrow 2\text{HCl}$ . Приведены данные о скорости уменьшения (СУ) водорода в различных газовых смесях (1,9%  $\text{H}_2$  с воздухом (до 10%) и без него) при освещении их искусств. светом различной интенсивности. СУ обычно пропорциональна квадратному корню из интенсивности света.

Из резюме автора  
**58011.** Электролиз раствора поваренной соли с применением ртутного катода. Пин Чэн-фан, Хуасюэ шицзе, 1957, № 10, 458—460 (кит.)

**58012.** График для определения плотности хлоргаза, насыщенного парами воды, в зависимости от температуры.— (Density of saturated chlorine gas.—), Tappi, 1957, 40, № 10, A173 (англ.)

**58013.** График для определения растворимости хлора в воде при состоянии равновесия в зависимости от температуры.— (Equilibrium solubility of chlorine in water.—), Tappi, 1957, 40, № 10, A174 (англ.)

**58014.** График для определения теплоты испарения жидкого хлора в зависимости от температуры.— (Heat of vaporization of liquid chlorine.—), Tappi, 1957, 40, № 10, A175 (англ.)

**58015.** График для определения вязкости жидкого хлора в зависимости от температуры.— (Viscosity of liquid chlorine.—), Tappi, 1957, 40, № 10, A177 (англ.)

**58016.** Получение металлического натрия из амальгамы натрия. Окада, Посидзава, Ватанабэ, Токуда (Okada Shinzo, Yoshizawa Shiro, Watanabe Nobuato, Tokuda Shingo), *Kōgō kagaku daasshi*, J. Chem. Soc. Japan. Industr. Chem. Sec., 1957, 60, № 6, 666—670 (японск.)

**58017.** Влияние основного материала на качество гальванических покрытий. Рот (Einfluß der Grundmaterialien auf die Qualität galvanischer Niederschläge. Roth E.), *Blech*, 1958, 5, № 2, 62—66 (нем.)

Обзорная статья по исследованиям влияния структуры и свойств поверхностного слоя металла на качество гальванич. покрытий. Библ. 8 назв. В. Кащеев

**58018.** Понятие поверхности в гальванотехнике. Часть I. Нозе (Der Begriff der Fläche in der Galvanotechnik. Teil I. Nohse Walter), *Metallwaren-Ind. und Galvanotechn.*, 1957, 48, № 8, 333—339 (нем.)

Рассматриваются ф-лы для определения толщины покрытий и обсуждается неопределенность понятия поверхности в гальванотехнике. З. Соловьева

**58019.** Обдувка абразивными жидкостями для очистки и отделки металлов. Берман (Abrasive wet blasting for cleaning and finishing metals. Burman Alan R.), *Plating*, 1958, 45, № 1, 45—48 (англ.)

Рассматривается применение процесса обдувания металлич. поверхностей перед осаждением различных покрытий и для отделки металлов и экономич. показатели процесса. З. Соловьева

**58020.** Обезжиривание и очистка металлов органическими растворителями. Похлак (Entfettung und Reinigung von Metallen durch organische Lösungs-

mittel. Pollack A.), *Beiztechnik*, 1957, 6, № 4, 37—40 (нем.)

Обзорная статья по обезжириванию и очистке металлич. изделий (в основном из легких и прочных металлов). Описана применяемая аппаратура и приведены режимы работы.

М. Мельникова  
**58021.** Травление фосфорной кислотой и регенерация ее с помощью ионообменных смол. Минцуга, Сэмпаку, 1957, 30, № 11, 1112—1116 (японск.)

Исследованы 3 способа регенерации  $\text{H}_3\text{PO}_4$ : электролитич., хим. (с применением окислителей) и метод с применением ионообменных смол. Описана установка, применяемая для последнего метода. М. Гусев

**58022.** Нанесение на алюминий покрытий, обладающих хорошей сцепляемостью. Уитерс, Ритт (Firm adherent plating for aluminum. Withers J. C., Ritt P. E.), *Metal Finish.*, 1958, 56, № 1, 68—54, 57 (англ.)

Испытан ряд методов подготовки поверхности Al перед осаждением металлич. покрытий, обеспечивающих высокую сцепляемость. Цинкатный метод, дополненный травлением в HF перед осаждением Zn, дает лучшие результаты, чем обычный, но не удовлетворяет требованиям постоянной высокой сцепляемости. Метод нанесения Ni на Al, который предварительно травится в р-ре, состоящем из трихлоруксусной к-ты, декстрина и  $\text{H}_2\text{O}$ , дает лучшие результаты, чем цинкатный, но не во всех случаях обеспечивает высокую сцепляемость и дорог из-за ванны травления. Наилучшим способом является следующий способ подготовки: 1) травление в 10%-ной HF в течение 10—15 сек., 2) травление в р-ре HF (50%) +  $\text{MgSO}_4$  (9—10 г/л) в течение 10—80 сек.; 3) электроосаждение Ni из сернокислого электролита при  $D_k = 1,5 \text{ а/дм}^2$  в течение 10 мин. (2,5—12,5 м); 4) термич. обработка при т-ре 470—565° в течение 5 мин. Т-ра обработки зависит от состава Al-сплава. При термич. обработке образуется сплав Al-Ni и отдельные участки Ni, на которые можно наносить любое металлич. покрытие. Образующаяся при термич. обработке на воздухе окисная пленка снимается при анодной обработке в 25%-ном р-ре  $\text{H}_2\text{SO}_4$ , а если обработка осуществляется в инертной атмосфере, то достаточно погружения на несколько секунд в 25%-ный р-р  $\text{H}_2\text{SO}_4$ . При строгом контроле времени травления в HF для каждого Al-сплава хорошая сцепляемость получается и без термич. обработки. З. Соловьева

**58023.** Химическая полировка латунных изделий. Ловаш (Sárgaréztárgyak kémiai polírozása. Lovasi József), *Gép*, 1957, 9, № 2, 78—79 (венг.)

**58024.** Промышленные методы химического глянцеваания алюминия. Брейс (Méthodes industrielles de brillantage chimique de l'aluminium. Brice A. W.), *Galvano*, 1957, 26, № 241, 40—43, 46—50 (франц.)

Для хим. глянцеваания (Г) применяют два типа р-ров: а) смеси на основе  $\text{H}_3\text{PO}_4$  с добавками  $\text{H}_2\text{SO}_4$ ,  $\text{HNO}_3$ ,  $\text{CH}_3\text{COOH}$  (приведены примеры). Г длится 3—5 мин. при т-ре 100°. Изучено влияние т-ры и длительности обработки в различных р-рах на потерю веса образца.  $\text{HNO}_3$  способствует образованию защитной пленки. Определены оптимальные режимы Г, допустимый предел накопления Al в р-ре, методы регенерации р-ров. Требуется периодич. пополнение нитратом  $\text{HNO}_3$ ,  $\text{CH}_3\text{COOH}$  и  $\text{H}_2\text{O}$ . б) Смеси на основе  $\text{HNO}_3$  и  $\text{NH}_4\text{HF}_2$ . Продолжительность Г 15—30 сек. при 50—70°. Смеси типа б) позволяют использовать менее чистый Al, чем смеси а), но их сглаживающее действие слабее и требуется механ. полировка. Хим. Г в фосфорнокислых р-рах придает большую отражательную способность, чем электроглянцеваание

и анодирование. Анодирование после хим. Г лишь немного снижает отражательную способность чистого Al (99,99%), но значительно влияет на менее чистые образцы (99,8—99,5%). Описаны установки для хим. Г. Обсуждены методы испытания глянцеванной и анодированной поверхности на толщину пленки, отражательную способность (блеск), износо- и коррозионную стойкость. В. Машовец

58025. Защитные свойства анодных окисных пленок на алюминии и его сплавах и методы их испытания. В. Видерхольт (Die Schutzwirkung anodischer Schichten auf Aluminium und Aluminiumlegierungen und Verfahren zu ihrer Prüfung. Wiederholt W.), Aluminium (BRD), 1958, 34, № 1, 21—29 (нем.; реф. англ., франц.)

Обзорная статья. Описаны методы определения толщины и плотности окисных пленок, влияния последующей обработки (наполнения и окрашивания) на защитные свойства пленок и методы испытания защитных свойств пленок. Библ. 9 назв.

М. Мельникова  
58026. Анодирование алюминия. Гро (Anodização do alumínio. Groh Ronnel H. E.), Rev. brasil. quim., 1957, 44, № 262, 273—274, 276 (порт.)

58027. Влияние температуры на анодную пассивацию свинца. Маэда (Effect of temperature on the anodic passivation of lead. Maeda M.), Acta metallurgica, 1958, 6, № 1, 66—67 (англ.)

Показано, что при анодировании в 0,1 н. р-ре  $\text{Na}_2\text{SO}_4$  при 50° пассивация Pb затруднена, так как потенциал начинает разблагораживаться, не приобретая значения, при котором образуется защитная пленка  $\text{PbO}_2$ . Основываясь на полученных данных по анодному поведению Pb в 0,05 н. р-ре  $\text{Na}_2\text{SO}_4$  и электр. проводимости пленки  $\text{PbSO}_4$  в интервале т-р 0—50°, автор это явление объясняет тем, что с увеличением т-ры аморфная пленка  $\text{PbSO}_4$ , обладающая ионной проводимостью, начинает кристаллизоваться. Этот процесс сопровождается значительным сжатием пленки и образованием в ней трещин, могущих доходить до металла. Результатом является падение потенциала и растворение Pb через микропоры в пленке  $\text{PbSO}_4$ . Отмечается, что анодная пассивация Pb может быть получена только в температурном интервале, в котором отсутствует кристаллизация аморфной пленки  $\text{PbSO}_4$ .

П. С.  
58028. Золочение в бесцианистом электролите. Кузнецова З. Н., Мед. пром-сть, СССР, 1958, № 2, 46—48

Состав электролита (в г/л): Au 10;  $\text{K}_4[\text{Fe}(\text{CN})_6]$  60;  $\text{K}_2\text{CO}_3$  40; т-ра 30—40°,  $D_k = 0,1$  а/дм<sup>2</sup>; аноды — Au. PC электролита хорошая. Убыль золота из р-ра в результате осаждения его на катоде на 40—50% компенсируется растворением анодов. Описаны методы приготовления и корректирования электролита.

М. Мельникова  
58029. Золочение. Окадзак, Киндзоку хэмэн гидзюку гэндзэ памфурэтто, 1957, № 36, 19—22 (японск.)

58030. Нормирование расхода анодного и азотно-кислого серебра при гальваническом серебрении металлических деталей. Наймарк З. М., Радиотехн. произ-во, 1957, № 12, 52—53

Приведена методика и ф-лы для расчета норм расхода анодного Ag и  $\text{AgNO}_3$  при серебрении металлич. деталей.

М. Мельникова  
58031. Обработка деталей перед серебрением. Уэйи (La sensibilisation en argentage. Wein Samuel), Galvano, 1958, 27, № 252, 37—42 (франц.)

Рассматриваются способы обработки перед хим. серебрением стеклянных, керамич., пластич. и т. п. поверхностей с целью повышения сцепляемости, боль-

шей равномерности и уменьшения продолжительности образования Ag-слоя, приводятся составы р-ров и условия обработки.

З. Соловьева  
58032. Техника родирования. Бенем, Уорик (Rhodium plating techniques. Benham R. R., Warwick I. J.), Brit. Commun. and Electronics, 1958, 5, № 4, 266—269 (англ.)

Обзорная статья. Рассмотрены свойства и области применения Rh-покрытий.

М. Мельникова  
58033. Электролитическое меднение из аммиачного электролита для целей местной защиты поверхности стальных изделий в процессе цементации. Марченко Н. А., Ж. прикл. химии, 1957, 30, № 2, 248—255

Для защиты поверхности от науглероживания в процессе цементации рекомендуется электролит состава (в г/л):  $\text{CuSO}_4 \cdot 5\text{H}_2\text{O}$  90—80;  $\text{NiSO}_4 \cdot 7\text{H}_2\text{O}$  15—20;  $(\text{NH}_4)_2\text{SO}_4$  80;  $\text{Na}_2\text{SO}_4 \cdot 10\text{H}_2\text{O}$  80;  $\text{NH}_4\text{OH}$  (15%-ный) 180 мл/л, т-ра комнатная,  $D_k = 2—3$  а/дм<sup>2</sup>; аноды — Cu и Ni, ВТк = 90—95%. Добавка  $\text{NiSO}_4$  резко уменьшает пористость Cu-осадков и улучшает их структуру.

М. Мельникова  
58034. Блестящее меднение из цианистого электролита при наложении переменного тока на постоянный. Томоно, Киндзоку хэмэн гидзюку, J. Metal Finish. Soc. Japan, 1957, 8, № 3, 17—21 (японск.)

58035. Блестящее меднение из цианистого электролита. Фукадзава, Киндзоку хэмэн гидзюку гэндзэ памфурэтто, 1957, № 39, 23—25 (японск.)

58036. Блестящее меднение из цианистых электролитов. Сато, Киндзоку хэмэн гидзюку гэндзэ памфурэтто, 1957, № 43, 35—36 (японск.)

58037. Добавление порошка из бобовых жмыхов для уменьшения образования паров кислоты при электролитическом рафинировании меди. Хоу Хуэй-фэн, Юсэ цзиньшу, 1957, № 8, 57 (кит.)

Порошок из бобовых жмыхов просеивают через сито (60 меш) и посыпают им поверхность электролита (0,4 кг/м<sup>2</sup>). Порошок добавляют через 40—50 час. При этом на поверхности электролита образуется защитный слой, уменьшающий испарение к-ты. Время рафинировки Cu из этого электролита сокращается на 14% по сравнению с электролитом с добавками р-ра мыльного корня. Стоимость порошка довольно низкая.

В. Т.  
58038. Экспериментальное изучение быстрого метода очистки электролита для рафинировки меди и извлечение никеля при помощи сернокислого аммония. Цао Го-чэн, Шан Цзэ-чжун, Юань Син-и, Юсэ цзиньшу, 1957, № 12, 54—58 (кит.)

Использование  $(\text{NH}_4)_2\text{SO}_4$  и  $\text{SnSO}_4$  для очистки электролита имеет ряд преимуществ: простота и скорость процесса; малые габариты и простота оборудования; высокий процент извлечения Ni и  $\text{H}_2\text{SO}_4$ . В случае высокой конц-ии Ni в р-ре лучше применять  $(\text{NH}_4)_2\text{SO}_4$ ; в случае низкой конц-ии Ni и высокой конц-ии As и Sb — лучше использовать  $\text{SnSO}_4$ .

В. Т.  
58039. Влияние старения на катодный процесс в цинк-цинковых электролитах. Флёров В. Н., Тр. Горьковск. политехн. ин-та, 1957, 13, № 5, 56—61

Изучено влияние ряда факторов на процесс образования губчатого осадка (ГО) Zn при низких плотностях тока в цинк-цинковых электролитах (ЦЭ). Установлено, что склонность ЦЭ к образованию ГО зависит от природы соединения Zn, применяемого для изготовления р-ра, и способа приготовления ЦЭ. При растворении в щелочи аморфной  $\text{Zn}(\text{OH})_2$  образование ГО незначительно, а в ЦЭ на основе ромбич.  $\text{Zn}(\text{OH})_2$  или  $\text{ZnSO}_4$  образуется обильный ГО. Старение ненасыщ. ЦЭ устраняет образование ГО, тогда как в пересыщ. ЦЭ старение не устраняет образования ГО. Высказы-



дается мнение, что образование ГО вызывается колл. частицами ZnO, присутствующими в р-ре.

З. Соловьева

**58040.** Новый электролитный завод Азарко в Корпусе Кристи, Техас. Джефсон, Аллен (Asarco's new electrolytic plant at Corpus Christi Texas. Jefferson A. C., Allen R. E.), J. Metals, 1957, 9, № 10, Sec. 1, 1381—1384 (англ.)

В 1953 г. American Smelting and Ref. Co. в Корпусе Кристи (Техас) был пущен новый Zn-электролитный з-д производительностью 80—90 кг катодного Zn в сутки, предназначенный для переработки фьюмингов з-дов Азарко в Эль-Пасо (Техас) и Чихуахуа (Мексика). Возгоны высушиваются в трубчатой печи, измельчаются в шаровой мельнице и подвергаются 2-ступенчатому периодич. кислото выщелачиванию (В) отработанным электролитом. На 1-й ступени В начальная кислотность составляет 155 г/л, конечная 5—6 г/л. Для окисления  $Fe^{2+}$  при В вводят  $MnO_2$ . После 2-часового В определяют кислотность р-ра и постепенно вводят возгоны, нейтрализуя р-р до нужного pH, на что требуется 1—2 часа (2-я ступень). Пузыля после В направляется на фильтры Бурта. Кек с фильтров после промывки и сушки отправляется на Pb-плавильный з-д, а отфильтрованный р-р подвергается 2-стадийной очистке (О). На 1-й стадии в основном проводят О от Ge, понижая его содержание до 0,2 мг/л. Для этого нагревают р-р до 90°, доводят кислотность до 2 г/л и вводят кеки с фильтр-прессов от 2-й стадии О и частично с 1-й, а затем постепенно (в течение 4 час.) вводят Zn-пыль. Считают, что для удаления Ge требуется pH 4—5. После 1-й стадии О р-р фильтруется на фильтр-прессе и затем подвергается 2-й стадии О при начальном значении pH 4. В р-р вводят  $CuSO_4$  и  $Al_2O_3$ , а затем Zn-пыль; очищ. р-р (pH 4—5 и т-ра 70°), содержащий (в г/л): Zn 170, Ge <0,006, Co 0,1, Fe 10, подвергается после охлаждения электролизу. В качестве добавок в электролит непрерывно вводят крезиловую к-ту,  $NaSiO_3$  и гуммиарабик. Периодически добавляют  $SrCO_3$  для предотвращения попадания Pb в катодный Zn. ВТк Zn 88,6%. Переплавленный катодный Zn содержит (в %): Pb 0,0013, Cd 0,0005, Cu 0,0003, Fe 0,0007, Zn (по разности) 99,9972.

Н. П.

**58041.** Электролиты на основе аминокислот для кадмирования ультравысокопрочной стали. Вланнес, Страусс, Браун (Amino acid cadmium plating solutions for ultra high strength steel. Vlanes P. N., Strauss S. W., Brown B. F.), Electroplat. and Metal Finish., 1958, 11, № 3, 85—87 (англ.)

При кадмировании в кислых и цианистых электролитах высокопрочная сталь наводороживается, что снижает ее механич. свойства. С целью замены этих электролитов были исследованы электролиты, содержащие алифатич. аминокислоты. Установлено, что наилучшими являются ванны состава (в г/л): I  $3CdSO_4 \cdot 8H_2O$  305, глицин 170 и II  $3CdSO_4 \cdot 8H_2O$  465,  $\alpha$ -амино- $n$ -масляная к-та 190.

М. Мельникова

**58042.** Получение твердых никелевых покрытий из щавелевокислых электролитов. Ляхович Е. Ф., Приборостроение, 1958, № 2, 19—21

Состав электролита (в г/л):  $NiSO_4 \cdot 7H_2O$  140,  $(NH_4)_2 C_2H_4$  300; pH 7,5—8;  $D_k$  10 а/дм<sup>2</sup> т-ра 75—80°. Скорость осаждения Ni 50—60 м/час; твердость Ni-осадков 550—650 кг/мм<sup>2</sup>. Покрытия светлые, блестящие. Поры осадка имеют характер сетки трещин. При термообработке в муфельных печах (200°) твердость их увеличивается на 200—250 кг/мм<sup>2</sup>. При низких  $D_k$  (до 1 а/дм<sup>2</sup>) осадки Ni имеют черный цвет вследствие содержания углерода; с повышением т-ры содержание углерода уменьшается с 2,78% при 50° до 0,75% при 80°.

М. Мельникова

**58043.** Никелевое покрытие без напряжений. (Nickel plating is stress-free.—), Steel, 1957, 141, № 14, 78 (англ.)

Ni-осадки, полученные из обычных ванн, характеризуются высоким значением внутренних напряжений, приводящих к растрескиванию и отслаиванию покрытий. Отмечается, что Ni-осадки из сульфаминного р-ра свободны от напряжений и имеют высокий  $\sigma$  (42—91 кг/мм<sup>2</sup>). Состав электролита (в г/л): сульфамат Ni 450,  $H_2BO_3$  30, смачивающее в-во 0,38, pH 3—4,5, т-ра 38—60°. Указанный процесс применяется для восстановления изношенных никелированных деталей ракетных двигателей.

В. С.

**58044.** Блестящее никелирование. Исибаси Тадао, Киндзюку хэмэн гидзюцу гэндзэ пафурото, 1957, № 46, 21—27 (японск.)

**58045.** Случайное отравление электролита для блестящего никелирования. Корбьер (Accidental contamination of a bright nickel solution. Corbiero J.), Metal Finish. J., 1958, 4, № 37, 24—25 (англ.)

Описана очистка электролита, случайно загрязненного неизвестными в-вами.

З. Соловьева

**58046.** Изучение химического никелирования. Миньер, Бреннер (Studies on electroless nickel plating. Minjer Clara H. de, Brenner Abner), Plating, 1957, 44, № 12, 1297—1305 (англ.)

Изучено влияние состава р-ра на скорость осаждения (СО) Ni-покрытий при хим. никелировании и коррозионную стойкость их по сравнению с электролитич. покрытиями. Установлено, что СО Ni увеличивается с увеличением конц-ии органич. к-ты до максимума, а затем уменьшается. СО Ni изменяется в зависимости от природы органич. к-ты. Наибольшую СО дает лактоновая к-та (I), затем оксисукусная (II), причем последняя образует более стабильную ванну. Янтарная к-та дает меньшую СО, чем II. Уменьшение конц-ии II с 39 г/л, которая обычно рекомендуется для никелирования, до 25 г/л увеличивает СО, ванна дает более блестящие осадки. Но растворимость фосфита Ni при этом уменьшается, поэтому длительность работы ванны сокращается. Небольшое кол-во (0,1—4 мг/л) некоторых замедлителей коррозии (тиомочевина, тиоцианат К, селеновая к-та) значительно увеличивает СО, немного большая конц-ия — уменьшает, а значительно большая — препятствует осаждению Ni. Растворимость образующегося в ванне фосфита Ni уменьшается с т-рой и pH, поэтому pH кислой ванны поддерживается в интервале 4—4,5. Покрытие Ni-P с 8—10% P лучше защищает сталь от коррозии, чем покрытие электролитич. Ni, причем стойкость и потускнению Ni-P-покрытий больше, чем обычного матового Ni или сплава Ni-P с меньшим содержанием P. Защитные свойства Ni-покрытий, полученных хим. путем из щел. ванн, больше, чем из кислых.

З. Соловьева

**58047.** Никель и кобальт в гидрометаллургии марганца. Агладзе Р. И., Гофман Н. Т. В сб.: Электрохимия марганца. Тбилиси, АН ГрузССР, 1957, 3—136

1. Изучено коррозионное поведение Mn в р-ре  $MnSO_4 + (NH_4)_2SO_4$ . Интенсивность коррозии возрастает скачкообразно при увеличении конц-ии  $(NH_4)_2SO_4$  и одинаковом содержании Mn и при увеличении мол. соотношения  $Mn/NH_4$  от 1 до 2. Отмечается непостоянство скорости коррозии Mn во времени, особенно при повышении конц-ии  $(NH_4)_2SO_4$ , когда увеличивается и неустойчивость потенциала Mn-электрода. Установленная зависимость объясняется образованием соединений, отличающихся содержанием  $NH_3$ , и действием  $(NH_4)_2SO_4$  не только как буфера и комплексобразователя, но и как р-рителя.

2. Изучена работа короткозамкнутых микропар из Mn и металлов-примесей: Ni, Co и Cu. Пары Mn—Co и Mn—Ni не отличаются по интенсивности коррозии, а Mn—Cu работает менее интенсивно. Во всех парах Mn растворяется с положительным разностным эффектом, коррозия идет с катодным контролем. Отмечается, что работа микропар не объясняет возрастающую интенсивности влияния примесей в ряду  $Cu < Ni < Co$ , наблюдающееся при электролизе Mn в присутствии примесей. 3. Изучено влияние примесей Co, Ni и Cu на электроосаждение Mn. Ионы Ni и Co не осаждаются в виде гидроокисей при зашечивании прикатодного слоя. Кол-во примесей в Mn-электролите при отсутствии восстановителей, которое еще позволяет осаждать Mn с половинным снижением ВТ, для Co 1–2 мг/л, Ni 2–2,5 мг/л, Cu 15–20 мг/л; при большей конц-ии примесей Mn не удерживается на катоде. Влияние примесей становится интенсивнее с увеличением времени электролиза, увеличением  $D_k$ , с увеличением pH от 6 до 8 и не меняется при циркуляции электролита. В электролите с примесями увеличение содержания  $(NH_4)_2SO_4$  до конц-ии 80–120 г/л резко увеличивает ВТ, а затем уменьшает (ниже 80 г/л Mn не удерживается на катоде). Содержание примесей в осадке увеличивается с ростом их в электролите. Результаты объясняются своеобразным механизмом коррозии Mn при электролизе с примесями. 4. Изучено влияние добавок сульфит-иона (I), гидроксаммина (II) и тиомочевины (III), уменьшающих скорость коррозии Mn, на электролиз. I и II в небольшой конц-ии значительно увеличивают ВТ, в то время как в чистых р-рах I понижает ВТ. III положительно действует и в чистом р-ре и в электролите с примесью. Конц-ия III ограничена пределом 0,1–0,3 г/л с целью сохранения допустимого кол-ва S в Mn. Потенциал Mn-анода в присутствии добавок стабилен и соответствует активному состоянию металла. Положительное влияние III объясняется ее восстановительными свойствами. 5. Изучены сульфидные методы очистки Mn-электролита от Ni и Co. Установлена возможность полной очистки электролита от Co и Ni добавлением  $MnS$ , причем чем ниже конц-ия примеси, тем больше стехиометрич. кол-во  $MnS$  нужно ввести. Повышение т-ры до 90–100° ускоряет очистку и уменьшает кол-во Mn, оптимальное pH 5 (до 7). Для очистки сульфидными  $NH_4$  и Na оптимальное pH 4 (2,5–8), т-ра 20–30 или 100°. 6. Очистка Mn-электролита от Ni и Co гидроокисным способом снижает содержание Ni до 0,01 г/л, Co — до 0,0009 г/л при pH 8,2, но при этом происходит значительное осаждение гидроокиси Mn и потери  $NH_3$ . Очистка ксантогенатом K проводится при pH 5–7 без перемешивания, при помпной т-ре. Катодный металл из очис. этим способом электролита содержит  $S \geq 0,7\%$  и значительное кол-во S. Цементационная очистка не дала положительных результатов. 7. Исследована возможность обогащения сульфидных кеков путем обжига. Оптимальные условия обжига: т-ра 600° в течение 2 час. Обогащенный кек характеризуется понижением соотношения Mn:Ni с 7 до 2,1 и Mn:Co с 86 до 35, причем полученный концентрат состоит в основном из окислов. 3. Соловьева

58048. Анодное растворение марганца и его сплавов. Агладзе Р. И., Гдзелишвили М. Я. В сб.: Электрохимия марганца. Тбилиси, АН ГрузССР, 1957, 137–232. Показано, что при анодном растворении углеродистого ферромарганца в р-рах  $NaH_2PO_4$ ,  $Na_2HPO_4$ ,  $Na_3PO_4$  и  $(NH_4)_2HPO_4$  получается  $NaMnO_4$  и  $NH_4MnO_4$ . Fe переходит в р-р, шлам состоит из гидроокиси Mn. ВТ  $NaMnO_4$  при  $D_a = 3,7–24,4$  а/дм<sup>2</sup> превышает 90%. В р-рах  $KOH$ ,  $K_2CO_3$ ,  $H_3PO_4$  растворение происходит

без пассивирования с образованием в р-ре иона  $MnO_4$ . При растворении ферромарганца в р-рах  $(NH_4)_2SO_4$  при  $D_a < 3$  а/дм<sup>2</sup> образуется  $Mn^{2+}$ , а Fe переходит в осадок в виде  $Fe(OH)_3$ . При  $D_a > 3$  а/дм<sup>2</sup> образуется  $MnO_4$ . При анодном растворении Mn в р-рах  $MnSO_4$ ,  $FeSO_4$  и  $(NH_4)_2SO_4$  при  $D_a < 3$  а/дм<sup>2</sup> на катоде образуется сплав Fe-Mn (2–16% Mn). Анодное растворение Mn в этих р-рах даже при высоких  $D_a$  протекает с образованием  $Mn^{2+}$ , явления пассивирования не наблюдается. Растворение ферромарганца и силикомарганца в слабых и нейтр. р-рах  $K_2SO_4$  и  $Na_2SO_4$  происходит с образованием перманганата даже при низких  $D_a$ , шлам состоит из окисей Mn и Fe. Оптимальные условия получения  $K_2MnO_4$  и  $Na_2MnO_4$  из ферромарганца — насыщ. р-р  $K_2SO_4$  или  $Na_2SO_4$ ,  $D_a = 10–20$  а/дм<sup>2</sup>, т-ра 18°, ВТ ~ 43%. При растворении силикомарганца в таких же условиях  $D_a$  7–15 а/дм<sup>2</sup>. В р-рах  $Na_2HPO_4$  оптимальные условия образования  $NaMnO_4$  (ВТ 14,4%) при анодном растворении электролитич. Mn достигаются при  $D_a$  60 а/дм<sup>2</sup>. При растворении сплава Fe-Mn ВТ увеличивается при понижении  $D_a$ , причем для сплава, содержащего 41,64–71,10% Fe, образования  $NaMnO_4$  до 30 а/дм<sup>2</sup> не происходит. При растворении Mn-сплава ВТ  $NaMnO_4$  увеличивается в 2,5 раза по сравнению с Fe—Mn-сплавом, а для Mn-Si-сплава ВТ увеличивается в 4 раза по сравнению с Mn-Fe. Анодное растворение сплава Cu-Mn (22–81% Mn) в р-рах  $Na_2HPO_4$  дает  $NaMnO_4$  с ВТ 9–14%. Приведены результаты измерения электропроводности р-ров  $NaH_2PO_4$ ,  $Na_3PO_4$ ,  $KMnO_4$  и др. 3. Соловьева

58049. Электролиз хлористого марганца и рафинирование ферромарганца. Агладзе Р. И., Мучаидзе Н. И. В сб.: Электрохимия марганца. Тбилиси, АН ГрузССР, 1957, 339–374

Изучены оптимальные условия электролиза р-ра  $MnCl_2 + NH_4Cl$ . С увеличением конц-ии Mn ВТ растет, особенно резко в интервале конц-ий 5–30 г/л. Максим. содержание Mn 70–80 г/л. С увеличением содержания  $NH_4Cl$  растет ВТк, напряжение на ванне уменьшается. Начиная с конц-ии 140 г/л  $NH_4Cl$ , содержание Mn в осадке приближается к 99%, а при меньшей конц-ии осадки Mn содержат Mn(OH)<sub>2</sub>. С ростом  $D_k$ , ВТк проходит через максимум, причем  $D_k$ , соответствующий максимуму, тем больше, чем выше конц-ия Mn. Успешное осаждение Mn возможно в интервале т-р 10–70°. С повышением т-ры ВТ падает. Чем больше т-ра, тем при больших  $D_k$  достигается максимум ВТ. С продолжением электролиза ВТ уменьшается, что объясняется разрастанием поверхности и снижением перенапряжения  $H_2$ . Материал катода (неравновесная сталь, латунь, Cu, Al) не влияет на ВТ. Оптимальные условия электролиза следующие: конц-ия  $Mn^{2+}$  30–40 г/л,  $NH_4Cl$  20–60 г/л,  $D_k = 4–5$  а/дм<sup>2</sup>. В качестве преимуществ хлористого электролита отмечается меньшее загрязнение осадка серой, большие ВТ (на 5–10%), меньшее напряжение на ванне, отсутствие образования осадков  $MnO_2$ , возможность работать на более высоких  $D_k$  и более простая регенерация отработанного электролита. Изучена также возможность рафинирования ферромарганца в сернокислых электролитах. Установлено, что  $D_a$  для растворения ферромарганца не должна превышать 3 а/дм<sup>2</sup>, так как при больших  $D_a$  анод пассивируется (начинается выделение  $Cl_2$ , резко увеличивается напряжение на ванне). Определена оптимальная скорость подачи р-ра, зависящая от силы тока. Описан способ регенерации р-ра посредством  $MnS$ , технологич. схема процесса и материальный баланс. 3. Соловьева

58050. Влияние некоторых примесей на катодное осаждение марганца. Агладзе Р. И., Пачуаш-



вили Е. М. В сб.: Электрохимия марганца. Тбилиси, АН ГрузССР, 1957, 375—404

Изучено влияние Fe, Al, As, Sb, Na и P-соединений на электроосаждение Mn. Установлено, что при содержании в электролите 0,01 г/л  $Fe^{2+}$  ВТ Mn уменьшается на 10—20% в зависимости от pH. При увеличении конц-ии  $Fe^{2+}$  (до 0,05 г/л) ВТ резко снижается до 0,6%. При большем содержании  $Fe^{2+}$  (> 0,1%) на катоде вместо металлич. Mn осаждается сплав Fe-Mn (несколько % Mn) с ВТ 40%. Ионы  $Fe^{3+}$  значительно меньше влияют, ВТ уменьшается незначительно, причем катодное осаждение Mn возможно вести в присутствии осадка  $Fe(OH)_3$ . Добавки Al до 1 г/л мало уменьшают ВТ Mn, но при 3 г/л ВТ уменьшается на 10%. As и Sb вредно влияют, As в кол-ве 0,001—0,5 г/л резко снижает ВТ и ухудшает качество осадка, а в большем кол-ве — прекращает осаждение Mn. Добавление Na не оказывает вредного влияния. Установлено, что при содержании P до 5 г/л ВТ уменьшается до 18%, причем после удаления  $Mn_3(PO_4)_2$  Mn осаждается с нормальным ВТ.

З. Соловьева

58051. О влиянии различных факторов на катодное осаждение марганца. Агладзе, Унгладзе Э. М. В сб.: Электрохимия марганца. Тбилиси, АН ГрузССР, 1957, 405—461

Изучено влияние  $D_k$ , т-ры, конц-ии электролита и добавок восстановителей, окислителей, поверхностно-активных в-в на осаждение Mn из р-ров  $MnSO_4 + (NH_4)_2SO_4$ . Установлено, что при pH 7—7,2 и т-ре 20° осаждение Mn возможно при  $D_k \geq 1$  а/дм<sup>2</sup>. Максимум ВТ — при  $D_k$  2 а/дм<sup>2</sup>. При увеличении  $D_k$ , особенно > 5 а/дм<sup>2</sup>, ВТ уменьшается, растет содержание S в осадке Mn. При повышении т-ры Mn можно осадить при больших  $D_k$ . Из р-ров с pH 1,7 Mn осаждается при  $D_k = 6—10$  а/дм<sup>2</sup>, причем осадок получается сильно блестящим. При увеличении конц-ии Mn в электролите влияние  $D_k$  уменьшается. Оптимальный интервал т-р для осаждения Mn 10—30°, наилучший ВТ — при 13°. При т-ре 70—80° осаждение Mn из сульфатного электролита не удается, при 50—60° осадки содержат значительное кол-во гидроокиси. Оптимальное содержание  $(NH_4)_2SO_4$  в электролите 150—180 г/л, при содержании его < 80 г/л чистый Mn нельзя получить на катоде. Увеличение конц-ии Mn в электролите увеличивает ВТ, но повысить конц-ию Mn > 50 г/л не удастся из-за выпадения двойной соли Mn и  $NH_3$ . При конц-ии Mn < 10 г/л ВТ резко падает. Оптимальная конц-ия Mn 35—15 г/л. При содержании Mn > 40 г/л катодный осадок загрязнен гидроокислами. Наличие в электролите восстановителей в небольшом кол-ве необходимо для осаждения металлич. Mn, но значительное кол-во — вредно. При увеличении конц-ии сернистых восстановителей увеличивается содержание S в осадке. Отсутствие восстановителей или присутствие окислителей вызывает шелушение осадков. В загрязненном электролите отмечается благоприятное влияние кол. и поверхностноактивных в-в на катодное осаждение Mn, а в чистых — их влияние незначительно. ВТА уменьшается с увеличением  $D$ .

З. Соловьева

58052. Получение железа электролизом из сернокислых растворов. Агладзе Р. И., Гонглиашвили А. Н., Тр. Ин-та металла и горн. дела. АН ГрузССР, 1957, 8, 179—191

Изучено влияние  $D_k$ , pH, времени электролиза и конц-ии  $FeSO_4$  на процесс электролиза и качество осадка. Опыты с диафрагмами из пористой керамики и ткани «белтинг» показали, что материал диафрагмы не оказывает значительного влияния на ВТк (80—85%). С увеличением конц-ии  $FeSO_4$  от 68 до 222 г/л ВТк увеличивался от 70 до 93%, а ВТА уменьшается до 97%. При увеличении  $D_a$  от 5,45 до 28,6 а/дм<sup>2</sup> ВТА уменьшается от 102,2 до 98,4%. При работе с диа-

фрагмами, непрерывной циркуляцией, фильтрацией и корректировкой электролита возможно применение растворимых чугунных анодов.

М. Мельникова  
58053. Поляризация катода при электроосаждении хрома. Ваграмян А. Т., Усачев Д. Н., Червова Г. И. В сб.: Теория и практика электролит. хромирования. М., АН СССР, 1957, 8—26

Изучена скорость р-ций, протекающих на катоде при электровосстановлении  $H_2Cr_2O_4$  в р-рах  $CrO_3$  с добавкой  $H_2SO_4$  и без добавки. Установлено, что воспроизводимые результаты при снятии поляризационных кривых получаются при строгом соблюдении постоянства силы тока в цепи или потенциала. При постоянной силе тока поляризационные кривые состоят из двух стабильных участков, причем прямой и обратный ход кривых не совпадает, имеется ярко выраженный гистерезис. При постоянном напряжении поляризационная кривая обнаруживает аномалию: резкое падение силы тока при повышении поляризации, начиная с некоторого значения, причем прямой и обратный ход кривых в этом случае совпадает. На 1-м участке кривой происходит р-ция восстановления  $Cr^{6+} \rightarrow Cr^{3+}$ , при этом скорость р-ции зависит от скорости подачи к электроду разряжающихся монов. На последнем участке протекают 3 р-ции: выделение  $H_2$ , восстановление  $Cr^{6+}$  до  $Cr^{3+}$  и до металла. При  $E = const$  форма поляризационной кривой резко меняется от присутствия  $H_2SO_4$ . Наличие  $H_2SO_4$  способствует восстановлению  $Cr^{6+}$  до  $Cr^{3+}$  на первом участке и резко тормозит на последнем. С увеличением конц-ии  $H_2SO_4$  скорость восстановления H-ионов замедляется, резко увеличивается скорость восстановления  $Cr^{6+}$  до металла и плавное возрастает скорость неполного восстановления  $Cr^{6+}$ . Изучением изменения тока во времени при постоянном потенциале установлено, что в начале электролиза происходит уменьшение тока, особенно сильное в присутствии  $H_2SO_4$  в электролите. Уменьшение тока в процессе электролиза объясняется образованием пленки на поверхности катода, затрудняющей скорость электрохим. р-ции. Пленка разрушается после выключения тока и вновь образуется при включении тока, что, по мнению авторов, связано с изменением кислотности в приэлектродном слое в процессе электролиза.

З. Соловьева

58054. Электролиз водных растворов хромово-аммонийных квасцов. Маркелов П. И., Булах А. А., Стендер В. В. КазССР Гылым. Акад. хабарлары. Изв. АН КазССР. Сер. хим., 1957, вып. 2 (12), 48—57 (рез. каз.)

Изучено влияние конц-ии хромово-аммонийных квасцов, добавок сульфатов  $NH_4$  и Na,  $Na_2S$ ,  $H_2SO_4$  и закислов  $Hg$ ,  $D_k$  и т-ры на ВТ Cr и качество осадка Cr. Установлено, что увеличение конц-ии  $H_2SO_4$  > 10 г/л снижает ВТ Cr и увеличивает ВТ  $H_2$ , и при 30 г/л  $H_2SO_4$  Cr на катоде нельзя получить, скорость его осаждения близка скорости растворения. Оптимальная конц-ия Cr в электролите 45 г/л, при большей конц-ии ВТ Cr падает. При малых конц-иях Cr осадки легко загрязняются основными соединениями Cr. Увеличение т-ры до 55° благоприятно влияет на ВТ. Увеличение  $D_k$  от 10 до 25 а/дм<sup>2</sup> увеличивает ВТ, а при больших  $D_k$  ВТ опять снижается и осадки получают некачественными. При  $D_k = 5$  а/дм<sup>2</sup> и ниже Cr не осаждается. Увеличение конц-ии  $(NH_4)_2SO_4$  увеличивает ВТ и улучшает качество осадка, но при больших конц-иях осадки Cr отслаиваются и загрязняются гидратами. Добавка  $Na_2SO_3$  (0,1—0,5 г/л) предотвращает отслаивание Cr от катода и увеличивает ВТ, но при большой конц-ии добавки Cr осадки чернеют. Благоприятное действие сульфита объясняется отравлением активных участков для выделения  $H_2$ . Аналогичное действие вызывает другой катализатор. Яд — ионы  $Hg$ . Оптималь-





**58072 П.** Прямое превращение химической энергии в электрическую (Chemical energy into electrical energy) [Ruhchemie A.-G.]. Австрал. пат. 164457, 18.08.55

Патентуется топливный элемент, в котором используется хим. энергия угля и горючих газов ( $H_2$ ,  $CH_4$ ,  $CO$ ). Электролитом служит твердая соль щел. металла, нанесенная на пористую керамич. основу и отлитая из расплава в определенную форму, приготовленную методом спекания и не имеющую трещин. Элемент может работать при т-рах, ниже т-ры плавления электролита.

М. Мельникова

**58073 П.** Гальваническая батарея и метод ее изготовления. Пьючер, Сабо (Battery and method of manufacture. Pucher Leo E., Szabo Joseph F.) [The Electric Storage Battery Co.]. Пат. США 2742520, 17.04.56

Патентуется конструкция блока питания, состоящего из активируемых анодной и накальной батарей, размещенных в одном сосуде. Каждая батарея собрана из элементов с плоскими электродами ( $Mg$ ,  $Cu_2Cl_2$ ), разделенными диафрагмой из целлюлозной пленки или хлопчатобумажной ткани, хорошо впитывающей электролит. Элементы анодной батареи размещены вокруг столбика элементов накальной батареи так, что блок имеет повышенные показатели по уд. емкости по объему. В конструкции батареи предусмотрена возможность расширения объема элементов в процессе разряда.

В. Левинсон

**58074 П.** Установка для заливки электролита. Докинс (Electrolyte dispensing apparatus. Dawkins Kenneth) [Gould-National Batteries, Inc.]. Пат. США 2781064, 12.02.57

Для быстрой и точной перекачки р-ра из одного сосуда в другой рекомендуется применять струйный насос эжекторного типа. Излишек р-ра возвращают по спец. трубе в резервуар. Установка пригодна для перекачки агрессивных жидкостей, напр. электролита свинцовых или щел. аккумуляторов.

В. Левинсон

**58075 П.** Усовершенствование методов и установок для очистки жидкости электродиализом (Perfectionnement aux procédés et installations de purification par électrodialyse.) [Ludwig Seibold.]. Франц. пат. 1099848, 9.09.55 [Génie chim., 1956, 75, № 2, 53 (франц.)]

В установках для электродиализа применяют сочетание различных диафрагм, обеспечивающих перенос равных кол-в анионов и катионов. В конце процесса уменьшают перенос анионов с целью поддержания слабокислой р-ции в очищ. жидкости.

Я. Матлис

**58076 П.** Установка для проведения электрохимических реакций (Vorrichtung zur Durchführung elektrochemischer Reaktionen) [Technical Assets Inc.]. Пат. ФРГ 925891, 2.05.55

Патентуется установка для получения  $C_2H_2$  и других газов посредством проведения прерывистых электрич. дуговых разрядов в жидком углеводороде. Электрич. ток пропускается через множество проводников, покрытых жидким углеводородом, содержащим твердые частицы (уголь, графит), которые образуют движущиеся электроды и между которыми происходят дуговые разряды. В жидкости установлены жесткие перегородки, играющие роль заградителей, таким образом, что беспорядочное движение частиц ограничивается или прекращается по одному или нескольким определенным заранее направлениям в установленных пределах.

Я. Матлис

**58077 П.** Удаление серой нерастворимой пленки, остающейся после травления стальных деталей на их поверхности. Полак, Заблоудил (Způsob odstranění nerozpustné šedé vrstvy ulpívající po molení tepelně zpracovaných ocelových součástí. Polák

František, Zabloudil Oldřich). Чехосл. пат. 85495, 1.02.56

Стальные детали, подвергавшиеся термообработке, очищают в щел. р-ре, промывают и травят в  $HCl$  (к-та). Пример. Мелкие детали помещают в корзинку из перфорированной железной жести, обезжиривают в р-ре полифосфата натрия при т-ре  $70-100^\circ$  в течение  $10-30$  мин., промывают горячей водой ( $60-80^\circ$ ), травят  $15-60$  мин. в  $15-30\%$ -ной  $HCl$  с добавкой замедлителя при  $18-25^\circ$ , промывают, обрабатывают в р-ре состава (в г/л):  $NaOH$  700,  $Na_2NO_2$  300 при т-ре  $140-150^\circ$  в течение  $15-20$  мин., промывают, травят  $3-5$  мин. в  $15-50\%$ -ной  $HCl$ , промывают и наносят гальванич. покрытие.

И. Елизин

**58078 П.** Травильная установка. Генст (Etching machine. Guenst William). Пат. США 2776512, 8.01.57

Приведено описание, патентная ф-ла и схема машины для травления типографских матриц. Ванна с наклонным днищем разделена вертикальными перегородками, не доходящими до дна ванны. Под ванной установлен электродвигатель, приводящий в движение шесть двухлопастных мешалок, расположенных горизонтально над зеркалом р-ра таким образом, что при вращении лопасть погружается в электролит и подбрасывает струю электролита вверх на обрабатываемую пластину, которую прикрепляют к горизонтально расположенному рабочему столу, над зеркалом ванны. Второй электродвигатель, расположенный сверху ванны над приспособлением, поддерживающим рабочий стол, через редуктор и цепную передачу приводит во вращение через систему передач вертикальную ось, на которую насажен рабочий стол.

Н. Короленко

**58079 П.** Изготовление мелких сит. Кифер (Verfahren zur Herstellung von Feinstdsieben. Kiefer Walter) [Steinhaus G. m. b. H.]. Пат. ФРГ 946885, 9.08.56

Патентуется новый метод изготовления сит с прямоугольными отверстиями (целевых сит), при котором не теряется прочность и жесткость. Профилированные пластинки кладутся друг на друга так, что практически между ними закрываются все отверстия. На известном расстоянии в этих пластинах проделываются отверстия. Такие пластины помещаются в травильный р-р, в зависимости от степени травления можно получить более узкие или более широкие отверстия. Особенно эффективен этот метод для изготовления цилиндрич. или конич. центрифуг. Для интенсификации процесса травильная жидкость все время перемешивается; лучше, если жидкость будет проходить через щели под давлением.

С. Фиргер

**58080 П.** Электрополировка. Итон (Method of electropolishing. Eaton Samuel E.) [Oneida Ltd.]. Канадск. пат. 513974, 21.06.55

Патентуется способ анодной полировки  $Ag$ ,  $Cu$ ,  $Cd$ , их сплавов, а также бронзы, латуни и  $Zn$  в цианистом электролите. При полировке равномерно и постоянно изменяют напряжение тока. Верхний предел подаваемого на ячейку напряжения лежит ниже той разности потенциалов, при которой появляется окрашивание анодной поверхности; нижний предел — выше того напряжения, при котором начинается растворение анода. Полное время одного цикла изменения напряжения составляет  $1$  мин. —  $30$  сек. И. Ерусалимич

**58081 П.** Способ нанесения металлического покрытия на изделия из алюминия или алюминиевых сплавов (Fremgangsmåte til på elektrolytisk vei å påføre metallbelegg på gjenstander av aluminium or aluminiumlegeringer) [William Donald Maclean, Dick Cleland]. Норв. пат. 88810, 25.02.57

Предлагаемый метод заключается в том, что сначала на поверхность изделий наносится анодная пленка

на, которая перед нанесением гальванич. покрытия модифицируется в водн. р-ре 50 г/л NaOH + 37 г/л  $\text{Na}_2\text{SiO}_3$ . М. Голомбик

58082 П. Блестящее меднение из кислой ванны. Пат. США 2758076, 7.08.58

Патентуется электролит состава: (в г/л):  $\text{CuSO}_4$  250;  $\text{H}_2\text{SO}_4$  60. В качестве блескообразователей применяют 2-меркаптобензимидазол или его производные и тиомочевину или ее ацилпроизводные. Ванна, содержащая 0,0025 г/л 2-меркаптобензимидазола и 0,0025 г/л тиомочевинки, работает при т-ре 25° и воздушном перемешивании;  $D_k = 1-6,5$  а/дм<sup>2</sup>. Ванна с добавками 0,01 г/л 5-амино-2-меркаптобензимидазола и 0,01 г/л тиомочевинки работает при 55° и воздушном перемешивании;  $D_k = 10$  а/дм<sup>2</sup>. При этих условиях получают ровные мелкозернистые пластичные Cu-осадки с сильными блеском. Н. Михайлов

58083 П. Способ электролитического изготовления медной фольги. Донахью (Method for electroforming a copper article. Donahue Daniel Joseph) [Radio Corp. of America]. Пат. США 2762762, 11.09.56

Патентуется метод электролитич. получения тонких осадков, обладающих плохим сцеплением с Pt, Pd и Au, от которых слой Cu может быть легко отделен. На стеклянную или керамич. пластинку наносит тонкий слой воска и насыпают порошок Pt, Pd или Au, на который затем наносят тонкое металлич. покрытие. Патентуемый способ позволяет получать осадки с малыми внутренними напряжениями. В электролите состава (в г/л):  $\text{CuSO}_4$  100-250, Cl- 0,025-0,045,  $\text{H}_2\text{SO}_4$  до pH 0,2-1,5 при т-ре 10-50° и  $D_k = 1-1,2$  а/дм<sup>2</sup> за 13 мин. можно получить Cu-осадок толщиной 5 м. Удовлетворительные результаты получают при повышении  $D_k$  до 2,5 а/дм<sup>2</sup> и перемешивании электролита. Добавка HCl или  $\text{CuCl}_2$  облегчает отделение осадка Cu от Pt, Pd или Au и приводит к образованию более мелкозернистых осадков. После осаждения слой Cu осторожно снимают с поверхности, промывают в воде и сушат между двумя листами бумаги в токе теплого воздуха. Н. Михайлов

58084 П. Очистка электролитов гальванических ванн. Ринкер (Electroplating bath purification. Rinker Edwin C.) [Sel-Rex Precious Metals, Inc.]. Пат. США 2787590, 2.04.57

Патентуется метод очистки цианистых электролитов от карбонатов, сульфатов и хроматов путем осаждения последних в виде солей Ва. Метод основан на применении осадителя — комплексного цианистого соединения бария и металла электролита (Cu, Cd, Ag, Zn, Au), напр.  $\text{BaCu}(\text{CN})_2$ . Комплексные соединения приготавливаются растворением  $\text{CuCN}$  и  $\text{Ba}(\text{CN})_2$  в  $\text{H}_2\text{O}$ , они растворимы в воде и применение их не влияет на конц-ию свободного цианида в электролите. Напр., при удалении карбоната из электролита для меднения имеет место следующая р-ция:  $\text{BaCu}(\text{CN})_2 + \text{K}_2\text{CO}_3 = \text{BaCO}_3 + \text{K}_2\text{Cu}(\text{CN})_2$ . Осадок отделяют от р-ра фильтрованием или декантацией. М. Мельникова

58085 П. Никелирование. Эллис (Electrodeposition of nickel. Ellis David G.) [The Harshaw Chemical Co.]. Пат. США 2784152, 5.03.57

В обычные электролиты для никелирования с целью получения блестящих Ni-осадков, не требующих дальнейшей обработки, предлагается вводить две блескообразующие добавки. Первая — 0,2 г/л — соединение типа  $\text{ArSO}_2$ , где Ar — ароматич. радикал, содержащий 6-10 атомов С в ароматич. ядре (радикал бензола или нафталина, где часть атомов Н может быть замещена Cl, Br,  $\text{CH}_3$  или  $\text{C}_2\text{H}_5$ ). Вторая добавка — (0,001-0,05 г/л) соединение типа  $\text{R}(\text{CH}_2\text{CH}_2\text{O})_n\text{H}$ , где  $n = 10-100$ ; R — радикал типа  $\text{R}'\text{O}$  или  $\text{R}'\text{HN}$ , где

$\text{R}'$  — Н, алкил-радикал или арил-радикал, содержащий 1-20 атомов С. В качестве омачивающего в-ва рекомендуется применение лаурилсульфата. Приведены примеры добавок и состава электролитов. М. М.

58086 П. Хромирование. Старек, Дау (Chromium plating. Stareck Jesse E., Dow Ronald) [Metal & Thermit. Corp.]. Пат. США 2787588; 2787589, 2.04.57

Патентуется хромирование из саморегулирующегося электролита ( $\text{CrO}_3 + \text{SrSO}_4 + \text{Na}_2\text{SiF}_6$  или  $\text{K}_2\text{SiF}_6$ ). Cr-осадки не имеют трещин, пластичные, матовые, белого цвета, твердость их 425-825 по Кнупу.  $D_k = 5-80$  а/дм<sup>2</sup> (оптимально 10-30), т-ра 60-70°, конц-ия  $\text{SO}_4^{2-} + \text{SiF}_6^{2-}$  в р-ре должна быть 1,5-11,7 г/л; эта величина регулируется добавками растворимых соединений Na или K (карбонаты, хроматы, гидроокиси, бихроматы). Вместо  $\text{SrSO}_4$  и  $\text{Na}_2\text{SiF}_6$  или  $\text{K}_2\text{SiF}_6$  могут применяться  $\text{H}_2\text{SO}_4$  и  $\text{H}_2\text{SiF}_6$ . Приведены примеры составов электролитов. М. Мельникова

58087 П. Способ электролитического хромирования алюминия (Fremgangsmåte ved elektrolytisk belegning av aluminium med krom) [William Donald Maclean]. Норв. пат. 89126, 23.04.57

Электролит — р-р  $\text{CrO}_3 + \text{H}_2\text{SO}_4$  ( $\text{CrO}_3/\text{SO}_4^{2-} \geq 115:1$ ). Процесс электролиза отличается тем, что ванна непрерывно охлаждается таким образом, чтобы т-ра ее не превышала 15°, оптимально 4-10°,  $D_k = 0,062-0,140$  а/см<sup>2</sup>. М. Голомбик

58088 П. Электроосаждение хрома. Дин, Дани (Electrodeposition of chromium. Dean Reginald S., Dunn Holbert E.). Пат. США 2771413, 20.11.56

Cr-руды сплавляют с углем, отделяют славы Fe, Cr и С от шлака, прокатывают славы в тонкие пластины, которые быстро охлаждают, и растворяют полученный слав на аноде. Электролиз имеет 2 отделения, катодитом служит р-р соли Fe или Cr, анолитом — р-р  $\text{H}_2\text{SO}_4 + (\text{NH}_4)_2\text{SO}_4$ , к которому добавляется  $\text{SO}_2$  для поддержания Fe в состоянии  $\text{Fe}^{2+}$ . В р-ре образуются  $\text{FeSO}_4$ ,  $\text{CrSO}_4$  и  $\text{Cr}_2(\text{SO}_4)_3$ . К анолиту после растворения анода добавляется феррохром для доведения pH до 1-3 и окисления Fe до  $\text{Fe}^{2+}$ , р-р нагревается до т-ры, достаточной для стабилизации зеленой модификации  $\text{Cr}^{3+}$  (80-100°), охлаждается до выпадения  $\text{FeSO}_4 \cdot (\text{NH}_4)_2\text{SO}_4$  (5°), затем кристаллизуется и  $\text{Cr}_2(\text{SO}_4)_3$  и  $(\text{NH}_4)_2\text{SO}_4$  отделяются от маточного р-ра, который затем вновь растворяется. З. Соловьева

58089 П. Электроосаждение окиси урана. Лангер, Вильсон (Electrodeposition of uranium oxide. Langer Alois, Wilson Carl R.) [Westinghouse Electric Corp.]. Пат. США 2784486, 12.03.57

Патентуется осаждение пластичных хорошо сцепленных с основной (Ag или Mg) покрытий из окиси урана, однородных по толщине. Для этого изделия из Al или Mg (диски, трубки, проволока) очищают, активируют, покрывают тонким слоем Zn (~ 0,25 м) и помещают в электролит — водн. р-р  $(\text{NH}_4)_2\text{C}_2\text{O}_4$ , содержащий ацетат или нитрат уранила. pH р-ра добавками  $\text{NH}_4\text{OH}$  доводится до 8-8,5; т-ра 75-95°;  $D_k = 0,5-10$  а/дм<sup>2</sup>; аноды — Pt. Осадок состоит в основном из  $\text{U}_3\text{O}_8$ , вес осадка 0,1-5 мг/см<sup>2</sup>. Приведены примеры составов электролита и режима процесса. М. Мельникова

58090 П. Метод и установка для получения местного утолщения гальванических осадков на изделиях различных видов, в особенности на столовых приборах (Verfahren und Einrichtung zur Erzeugung örtlich verstärkter galvanischer Niederschläge auf Gegenständen aller Art, insbesondere für Besteckteile mit verstärkten Silberauflagen) [Württembergische Metallwarenfabrik]. Пат. ФРГ 936967, 22.12.55

Местное утолщение гальванич. осадков на изделиях достигается тем, что между анодным и катодным про-



странствами через отверстия экранирующей диафрагмы или через трубки, расположенные напротив участков катода, подлежащих утолщению, циркулирует с повышенной скоростью электролит, чем обеспечивает концы силовых линий на этих участках. Движение электролита вызывается силой инжекции благодаря наличию инжекторов, вмонтированных в трубки перегородки. Электролит подается насосом, служащим одновременно для перекачки электролита из катодного пространства в анодное. Установка позволяет изменять по мере надобности сечение форсунок, их расстояние от деталей, подлежащих утолщению, перемещать анод и катод, перегородки, разделяющие их, а также форсунки. В катодном пространстве установлены вспомогательные аноды. Я. Матлис

**58091 П.** Установка для нанесения гальванических покрытий на металлические листы (Installation pour la galvanisation de feuilles métalliques) [Steel Protection Ltd]. Швейц. пат. 311811, 15.02.56

Установка состоит из ряда ванн, имеющих в стенках щели для прохода металл. листов, закрытых снаружи губами из эластичного материала, предотвращающих вытекание существенного объема электролита из ванн. Листы последовательно перемещаются из ванны в ванну с помощью роликов, смонтированных на валах и вращающихся навстречу друг другу. Вращение роликов осуществляется от мотора с помощью цепи и шестеренок, установленных на концах валов вне ванн. Приводится подробное описание установки и чертежи. Я. Матлис

**58092 П.** Механизм подъема и транспортировки подвесных рам автоматических установок для поверхностной обработки изделий. Гебауэр, Хердтле (Hub- und Transportvorrichtung für die Traggestelle von automatisch arbeitenden Anlagen zur Oberflächenbehandlung. Gebauer Karl, Herdte Gerhard) [Deinert & Co.]. Пат. ФРГ 929700, 25.07.55

Патентуется механизм подъема и транспортировки подвесных рам автоматов для нанесения гальванич. покрытий. Я. Матлис

См. также: Зависимость разрядных характеристик  $MnO_2$  от условий ее осаждения 56887. Электродные потенциалы металлов 56860. Распределение тока в электролизере 56870. Вопросы теории осаждения сплавов 56671. Электролиз: расплава  $ThCl_4$  56885; Al 56886. Анализ Ni 57217. Травление Ge 56579, 56581. Концентрирование  $D_2O$  56625. Влияние ультразвука на анодное р-ние Cu 56875. Аноды для произ-ва персульфата 56876. Анодные пленки на Al 56877. Электроокисление и электровосстановление органич. в-в 56878. Получение хлора 56884. Электрополировка и травление шлифов 57291

### КЕРАМИКА.

#### СТЕКЛО. ВЯЖУЩИЕ ВЕЩЕСТВА. БЕТОНЫ

##### Общие вопросы

Редакторы П. П. Будников, С. И. Горелкина, А. С. Пантелеев

**58093.** Основные тенденции развития силикатной промышленности. Шнейдер В. Е., Хим. наука и пром-сть, 1958, 3, № 1, 109—112

**58094.** Диаграммы состав — свойства систем  $B_2O_3 - Li_2O - MeO$ . Мазелев Л. Я., Сб. науч. работ. Н.-и. ин-т стройматериалов. БССР, 1957, вып. 6, 227—253

Приводятся результаты изучения диаграмм состав — свойства систем  $B_2O_3 - Li_2O - MeO$ , где  $MeO = BeO, MgO, CaO, ZnO, SrO, CdO, BaO, PbO$ , а также диаграмм

систем  $B_2O_3 - BeO - MgO$ ;  $B_2O_3 - Li_2O - BeO - MgO$ ;  $B_2O_3 - Li_2O - BeO - MgO + SiO_2$  ( $Al_2O_3, ZrO_2$ ). На основании результатов плавов определены участки стеклообразования и кристаллизации во всех исследованных системах, разработаны технологич. и температурные режимы плавов, отжига и выработки и установлена степень летучести компонентов при плавке. По результатам анализа диаграмм «состояния — свойства», петрографич. исследования продуктов кристаллизации, дифференциального термич. анализа и кривых потери веса смесей при нагревании составлены сводки процессов стеклообразования для т-р до  $1200^\circ$ , т. е. т-р плавления большинства стекол. Плотности исследованных стекол имели значения 1,9—4,3 г/см<sup>3</sup>, причем характер изменения кривых плотностей стекол зависел от состава окислов и отношения суммы окислов  $Li_2O + MeO$  к  $B_2O_3$ . Значения показателей преломления для стекол исследованных систем находились в пределах 1,5—1,75. Водостойкость стекол, определенная методом порошка при кипячении в воде в течение 1 часа, имела значения от 96,5 до 0,2% от веса навески. Установлено, что растворимость стекла в воде уменьшается пропорционально росту отношения  $(MeO + Li_2O)/B_2O_3$ , в особенности за счет роста содержания окислов  $MeO$ , и пропорционально росту плотности стекол. Значения коэф. термич. расширения стекол находятся в пределах от 50 до  $140 \cdot 10^{-7}$ . Анализ кривых расширения показал, что при определенном колич. отношении  $Me_2O/B_2O_3$  и  $(Me_2O + MeO)/B_2O_3$  наблюдаются четко выраженные экстремумы, в основном совпадающие с таковыми для кривых плотностей данных стекол. Результаты физ.-хим. исследования свойств систем графически выражены в тройных диаграммах свойств. Г. Масленинкова

**58095.** Фазовые равновесные зависимости при температуре ликвидуса в системе  $FeO - Fe_2O_3 - Al_2O_3 - SiO_2$ . Муан (Phase equilibrium relationships at liquidus temperatures in the system  $FeO - Fe_2O_3 - Al_2O_3 - SiO_2$ . Muan Arnulf, J. Amer. Ceram. Soc., 1957, 40, № 12, 420—431 (англ.))

На основе литературных данных и исследований автора (метод закалки) построена диаграмма фазового равновесного состояния при т-рах ликвидуса для системы  $FeO - Fe_2O_3 - Al_2O_3 - SiO_2$  при различных давлениях кислорода. В данной системе в равновесии с расплавом существуют следующие кристаллич. фазы: кристобалит, тридимит, муллит (твердый р-р), шпинель (твердый р-р),  $Fe_2O_3 \cdot Al_2O_3$  (твердый р-р), гематит (твердый р-р), корунд (твердый р-р),  $2FeO \cdot 2Al_2O_3 \cdot 5SiO_2$  («железный» кордиерит), файалит и вюстит. Характерно понижение т-р ликвидуса с уменьшением давления кислорода, особенно в смесях с повышенным содержанием  $FeO$ . А. Черепанов

**58096.** Влияние дисперсности высококремнеземистых силикатов натрия, гидратированных в стеклообразном состоянии, на их растворимость. Матвеев М. А., Тр. Моск. хим.-технол. ин-та им. Д. И. Менделеева, 1957, вып. 24, 258—260

Приводятся результаты исследования влияния дисперсности высококремнеземистых стеклообразных силикатов натрия состава:  $Na_2O \cdot 3SiO_2$  и  $Na_2O \cdot 3,5SiO_2$  на их растворимость. Для исследования были использованы 6 фракций порошка силиката, средний размер зерен которого изменялся от 0,21 до 0,008 см. Установлено, что скорость перехода гидратированных высокомолекулярных стеклообразных силикатов натрия для одинаковых условий растворения (кол-во воды, для растворения порошков и гидросиликатов было постоянным, время растворения также было постоянным и равным 0,5 часа) резко возрастает по мере увеличения их дисперсности, достигая почти 100% для фрак-

О — MgO; (O<sub>2</sub>). На участках исследования и там, где работы не проводились, при плавлении — в течение 10 мин — в присутствии окислителей — в течение 15 мин — в присутствии восстановителей — в течение 20 мин — в присутствии катализаторов — в течение 25 мин — в присутствии ингибиторов — в течение 30 мин — в присутствии стабилизаторов — в течение 35 мин — в присутствии...

ледования  
 а фазово-  
 для  
 азличных  
 равновесия  
 исталличес-  
 кий р-р),  
 кий р-р),  
 р), 2FeO.  
 ияляют на  
 с уменьше-  
 ниях с по-  
 репанов  
 резистент-  
 еклообра-  
 атвеев  
 . И. Мен-  
 иния дис-  
 образный  
 O-3,5SiO<sub>2</sub>  
 и исполь-  
 зный размер  
 см. Уста-  
 нных вы-  
 атрия для  
 воды по-  
 было по-  
 стоянство  
 ре увели-  
 для фре-

ди зерен со средним диам. 80 и менее  $\mu$ . При увеличении дисперсности таких гидросиликатов в 30 раз степень их растворения возрастает в среднем в 3 раза. Время растворения, равное 0,5 часа, соответствует максим. степени дегидратации силикатов натрия. Растворимость высококремнеземистых гидратированных в стеклообразном состоянии силикатов натрия в зависимости от размера зерен гидросиликата может определяться расчетным путем по приближенному уравн.:  $\lg p = a d c + b$ , где  $p$  — растворимость гидросиликата в %;  $a$  и  $b$  — постоянные эмпирич. коэф., соответственно равные:  $a = 0,32-0,33$ ;  $b = 2,00-2,02$ .

Г. Масленникова

5097. Влияние количества воды на гидратацию стеклообразных щелочных силикатов постоянной дисперсности. Матвеев М. А., Тр. Моск. хим.-технол. ин-та им. Д. И. Менделеева, 1957, вып. 24, 254-257

Приводятся результаты определения влияния кол-ва воды на процесс гидратации (Г) стеклообразного три-силиката натрия постоянной дисперсности. Навеска в 20 г порошка этого силиката подвергалась Г при различных значениях фактора Г, составлявшем 1,5, 40, 15 20 и 25 мг/л. Чашка с водой и силикатом при Г погружалась в кипящую водяную баню на 2/3 своей высоты и выдерживалась в таком положении до полного испарения в шей воды. Время Г силиката в данном опыте точно регистрировалось. По окончании опыта в продукте Г экспериментально определялось содержание гидратной воды и расчетным путем скорость, степень и модуль Г силиката. Установлено, что с увеличением фактора Г время, степень и модуль Г силиката непрерывно возрастают, достигая максим. значений при факторе Г, равном 25 мг/л, а скорость Г силиката уменьшается до фактора Г, равного 15 мг/л, при дальнейшем увеличении последнего она почти не меняется и может быть принята за постоянную величину, равную 0,05 г/мин. Способность стеклообразных шел. силикатов к Г определяется коэф. К, представляющим tg угла наклона  $\alpha$  прямых, выражающих зависимость модуля Г этих силикатов от степени их Г. Указывается, что установленная график. зависимость между модулем и степенью Г позволяет достаточно быстро определять модуль Г ходоных силикатов и по нему определять хим. ф-лу гидросиликата, а также способность их к Г. Г. Масленников

59008. О потере при прокаливании некоторых видов сырья силикатной промышленности в Корее. Кан Вон До, Ли Ден Гу, Хвахак ка хвахак жоноп, Ж. химии и хим. пром-сти, 1957, I, № 6, 323—328 (кор.).

Энслина. Подгурский (Zastosowanie i oznaczanie wskaźnika Enslina. Podgórski Roman), Mater. budowl., 1958, 13, № 2, 42—44 (польск.)

Так называемый «показатель Энслина» для глины  $E = V \cdot 100/G$ , где  $V$  — кол-во воды, поглощенной на-сыщенной глины или массы в  $\text{см}^3$ , а  $G$  — вес высушенной при  $105-110^\circ$  навески в г, характеризует водонасыщение, а тем самым пластичность и чувствительность глины к сушке. Описан прибор Энслина и способ определения на нем  $E$ . По данным Лемана (РЖХим, 1955, 2877, 49564) и по определениям польского Института глина и керамики, показано, что существует прямая зависимость между  $E$  и пластичностью кирпичных глины; чем больше  $E$ , тем более пластична глина и тем больше время ее безопасной сушки (без появления трещин); чем тоньше помол глины, тем больше  $E$ . Для определения рабочих свойств глины рекомендо-вано пользоваться определением  $E$ , требующим мало времени. Если  $E > 105$ , глину можно считать весьма пластичной, требующей отношения и осторожной суш-

ки; среднепластичные глины имеют  $E$  от 70 до 105, а у малопластичных, нечувствительных к сушке и не требующих отощения,  $E < 70$ . С. Глебов

С. Глебов

58100. Способ измерения влажности: ананкиметрия. (Диаграммы гидрокривых — «изананк». Приложение к расчету сушил). Леруа (Mesure de l'humidité: l'ananimétrie (Les diagrammes hydrographiques isanankes application au calcul des sechoirs). LEROY R.), Bull. Soc. franç. céram., 1957, № 37, 45—57 (франц.; рез. англ., нем.)

При равном влагосодержании различные в-ва могут казаться на ощупь влажными в различной степени. Это объясняется различной природой связи влаги с материалом. В отличие от понятия влажности в-ва, определяемой высушиванием его до постоянного веса, автор вводит понятие «влагоемкости» (*humidité sensible*), которая эквивалентна кол-ву энергии, необходимой для высвобождения воды, удерживаемой в-вом. Это кол-во энергии, выражаемое в ккал на 100 г воды, автор называет «напряжением влаги» (*contrainte de l'eau*) (НВ) и выражает ф-лой:  $C = 10,84 T: \lg p_0/p$ , где  $p_0$  — давление пара при т-ре  $T$ ;  $p$  — давление пара над в-вом, адсорбирующим влагу при т-ре  $T$ . Для свободной поверхности воды  $C = 0$ , для увлажненных в-в 0—130, очень влажных 130—260, для влажных 260—390, для сухих 390—520 и для очень сухих  $> 520$ . Для быстрого определения величин НВ автор построил диаграммы, названные им «сизананками», на которых, помимо обычных линий  $I - d$  диаграммы, нанесены линии равного НВ в воздухе и линии, выражающие зависимость НВ от т-ры. По «сизананкам» легко следить за изменениями состояния воздуха и в-в или изделий в процессе сушки. В качестве примера построены «сизананки» для песков, мергелей и глин, по которым видно, что имеется линейная зависимость между НВ и обратной величиной влаго-содержания в-в и что для каждого в-ва имеется точка перелома в кривой сушки, соответствующая «крит. влагосодержанию», которое связано с изменением механизма адсорбции воды, а именно с переходом от связывания воды в виде мономолекулярных слоев к связыванию в виде мономолекулярного слоя. Диаграммы позволяют рассчитать параметры воздуха при входе в туннельные сушилки таким образом, чтобы изделия выходили при постоянной влажности. Приведены общие ур-ния сушки и пример практич. применения диаграмм к сушке кирпича в туннельной сушилке. А. Говоров

А. Говоро

58101. Упрощенный метод определения содержания щелочей в силикатах. Соколова М. Н., Огнеупоры, 1958, № 3, 139—141

Метод заключается в разложении навески силиката HF (к-та) и  $H_2SO_4$  и удалении к-т выпариванием; в растворении остатка солей и гидролитич. осажде- нии гидроксидов и основных солей 3- и 4-валентных металлов с помощью  $MgO$ ; в определении содержа- ния фильтрата К в форме диэтилкраминаата К и Na — в форме Na — Zn-уранилацетата. В статье подробно изложена методика определения содержания щелочей. Библ. 11 назв. И. Михайлова

И. Михайлов.

58102. К номенклатуре и систематике глин. Эрнст, Формель, Гелен (Zur Nomenklatur und Systematik der Tone. Ernst Th., Forkel W., Gehlen K. von), Ber. Dtsch. keram. Ges., 1958, 35, № 2, 53—56 (нем.)

Необходимо установить номенклатуру глин, указывающую, наряду с минералогич. составом, гранулометрич. состав, и другие характеристики, определяющие основные керамич. свойства глин. Рассматриваются различные возможности такой номенклатуры. Предлагается новая номенклатура, позволяющая



обозначать глины при помощи ф-л из символов и цифр.

А. Говоров  
58103. Минералы в глинах, Ферн (Minerals in clay. Fearn N. S.), Claycraft, 1956, 31, № 5, 144—146 (англ.)

Химический анализ глин хотя и дает полезные указания, позволяющие судить об обжиговых свойствах глин, все же совершенно недостаточен и должен сопровождаться определением минералогич. состава, который определяет их формовочные свойства, отношение к сушке и к обжигу.

А. Говоров  
58104. Исследование системы глина — вода. III — 3. Концентрация водородных ионов в глинах и других керамических сырых материалах. Сираки (Shiraki Yoichi), Egé кёкайси, J. Ceram. Assoc., Япон, 1957, 65, № 743, 289—296 (японск.; рез. англ.) Сообщение II см. РХХим, 1958, 5316.

58105. Структурно-механические свойства глинистых суспензий и паст. Верзал А. И., Жигалкович В. Ф., Сб. научн. работ. Н.-п. ин-т стройматериалов. БССР, 1957, вып. 6, 183—202

Приводятся результаты исследования процессов структурообразования в воде глинистых суспензий и пастах важнейших типов строительных глин БССР, отличающихся между собой по генетич. признакам, хим.-минералогич. составу и технологич. свойствам. Показано, что структурно-механич. свойства дисперсных систем глина — вода зависят от минералогич. состава, степени дисперсности и величины обменной способности глинистых пород. Установлено, что гидрослюдистые и монтмориллонитовые глины могут давать качеств. глинистые р-ры, в то время как витебская, полоцкая, минская и другие даже в отмученном виде не образуют с водой качеств. структур, а полученные из них суспензии имеют низкие параметры. Сульфитно-спиртовая барда и сода в значительной степени улучшают качество воды. суспензий из последних глин. Исследованы структурно-механич. свойства глинистых паст методом погружения конуса П. А. Ребиндера с применением констант Н. Н. Агранат, М. П. Воларовича, М. Ф. Широкого. Изучено влияние обменных катионов, отощителей и температурной обработки глин на механич. прочность глинистых паст в широком диапазоне влажности. Показано, что методом погружения конуса П. А. Ребиндера можно определять пластичность глинистых пород и пластич. керамиц. масс с различными технологич. добавками. Предложен графич. метод расчета пластичности глин.

Г. Масленникова  
58106. Изоморфные замещения в группе каолинистых минералов. Юэлл (Isomorphous replacement in the kaolin group of minerals. Youell R. F.), Nature, 1958, 181, № 4608, 557—558 (англ.)

Обнаружен шамозит, отличающийся особенно низким содержанием железа и окислов RO (1,58 вместо 2,07). По своему хим. составу он не отвечает структурной ф-ле Паулинга для каолинитов и хлоритов, ни ф-ле Залинского. На тройной диаграмме  $\text{SiO}_2 - \text{Al}_2\text{O}_3 - \text{RO}$  все шамозиты находятся около линии каолинит — Ro. По-видимому, имеется изоморфное замещение Fe — Al вдоль этой линии, и возможно существование структур, промежуточных между диоктаэдрич. каолинитом и триоктаэдрич. «нормальным» шамозитом.

А. Говоров  
58107. Физико-химические и технологические свойства болгарских каолинов из области Русе и Нового Пазара и их применение в промышленности. Козаров (Физико-химични и промишлено-технологични свойства на нашите каолини от Русенско и Новопазарско и приложението им в индустрията. Козаров Асен Г.), Строителство, 1958, 5, № 2, 22—25 (болг.)

58108. Удаление соединений железа из фарфоровых глин Атакуса. Мукаи, Окамото (Mukai Sampoju, Okamoto Kenichi), Куамото дайгаку когакубу канкю хококу, Techn. Repts Kishimoto Univ., 1956, 5, № 1, 51—56 (японск.)

58109. Обогащенный аскангель. Авсаркисова А. И., Шишинашвили М. Е., Докл. АН СССР, 1958, 118, № 3, 540—542

58110. Низкокачественные виды шпелеских глин. Канцлирж (Menejhdnotné ipel'ské fly. Kanclirž E.), Stavivo, 1958, 36, № 2, 51—53 (словацк.; русск., англ., нем., франц.)

Дана геологич. характеристика месторождения. Приведены хим. и керамическо-технологич. свойства пород.

Из резюме автора  
58111. Литий, рубидий, цезий. Малораспространенные щелочные элементы в качестве сырья для керамики, стекла и эмали. Феттер (Lithium-Rubidium-Cesium. Die seltenen Alkalien für Keramik-Glas-Email. Vetter Hans), Euro-Ceramik, 1956, 6, № 1, 4—8 (нем.; рез. англ., франц.)

Описаны свойства Li, соединения Li, Cs, Rb, встречающиеся в природе, и их месторождения.

В. Клыкова  
См. также: Измельчение в шаровых мельницах 57724

### Керамика

Редакторы С. В. Глебов, С. И. Горелкина, В. В. Клыкова

58112. Прогресс техники керамического производства. Ямаути, Egé кёкайси, J. Ceram. Assoc., Япон, 1957, 65, № 741, С 304—С 306 (японск.) Обзор.

58113. Применение производных целлюлозы в керамической промышленности. Штавиц (Cellulose-derivate in der keramischen Industrie. Stawitz J.), Ber. Dtsch. keram. Ges., 1958, 35, № 2, 56—59 (нем.) Рассматриваются физ.-хим. свойства водорастворимых метилцеллюлоз и карбоксиметилцеллюлоз, а также их действие при введении в керамиц. шликер. Метилцеллюлозы являются гомеопольными, гидрофильными коллоидами, а карбоксиметилцеллюлозы — анионоактивными коллоид-электролитами. Они могут применяться для регулирования вязкости, суспензирования, стабилизации, упрочнения и склеивания. Их действие значительно зависит от состава масс и наличия электролитов. Они имеют ряд преимуществ перед природными коллоидами. Рассматриваются возможности их применения в глазурях и ангобах, пластичных массах, прессовочных массах, стеатитовых и каменных изделиях, в подглазурных и надглазурных красках.

А. Говоров  
58114. Влияние природы электролита на влагодатчу литейного шликера. Федорова Т. И., Стекло и керамика, 1958, № 1, 14—15

При введении в шликер (III) наряду с жидким стеклом соды изменяются не только вязкость III, но и его фильтрационные свойства. Опыты проводились при влагодержании III  $31 \pm 0,5\%$  из массы, содержащей (в %): новошвейцарской глины 25, просьяновского каолина 31, фаянсового черепа 16, люберецкого песка 28. Разжижение III производилось жидким стеклом с добавкой соды в соотношении  $\text{Na}_2\text{O}_{\text{жидк. ст.}} : \text{Na}_2\text{O}_{\text{соды}} = 3 : 1$ ; сода и жидкое стекло вводились в III в виде 1 н. р-ров. Определялась влагодатча III при миним. кол-ве каждого электролита, необходимого для разжижения III (начало кривой разжижения). Приве-

дене графити разжижения. Установлено, что наиболее высокие фильтрационные свойства имеет Ш, для разжижения которого братлось жидкое стекло; при введении вместе с жидким стеклом  $\text{Na}_2\text{CO}_3$  увеличивается необходимое для разжижения Ш кол-во  $\text{Na}_2\text{O}$  и ухудшается его влагоотдача; наибольшего кол-ва  $\text{Na}_2\text{O}$  и максим. времени фильтирования требует Ш, для разжижения которого применялся кремнекислый натрий.

И. Михайлова

58115. Реологические свойства керамических суспензий и масс. Бодран (Comportement rhéologique des suspensions et pâtes céramiques. Baudran A.), Cahier Groupe franç. études rhéol., 1957, 2, № 3, 31—41 (франц.)

Определение вязкости керамич. шликеров при помощи вискозиметров типа Энглера не отражает их технологич. свойств. Шликеры, показывающие одинаковую вязкость, могут более или менее загустевать в спокойном состоянии. Более полные показания дают вискозиметры с коаксиально вращающимися цилиндрами, позволяющие получать кривые зависимости величины сдвига от напряжения, или напряжения от времени. Изучение формовочных свойств пластичных масс еще более сложное, чем для жидких. Существующие многочисленные методы исследования не позволяют изучать изменения напряжения или сдвига от времени. Имеются приборы, дающие непосредственно кривую зависимости величины деформации на кручение от напряжения. Такие кривые очень различны для глиняных масс и для фаянсовых или фарфоровых масс. При внезапном снятии усилия с образцов, подвергнутых скручивающему моменту, который соответствует повороту на  $90^\circ$  индекса установленного на свободном конце образца, наблюдается моментальный возврат индекса на  $25^\circ$  с последующим замедленным возвратом. Это доказывает наличие эластичных свойств в пластичных керамич. массах. А. Говоров

58116. Обрабатываемость керамических масс и ее измерение. Поспичил (Zpracovatelnost keramických hmot a její měření. Pospíšil Zdeněk), Sklář a keramik, 1957, 7, № 11, 327—330 (чешск.)

Указывается на неточность существующих способов определения пластичности и на то, что решающим в реологич. состоянии какого бы то ни было материала является взаимоотношение между силой, вызывающей деформацию, и величиной или скоростью этой деформации. Эта взаимосвязь изображается в виде реологич. кривых. Для полной характеристики пластич. масс необходимы данные хода кривых с указанием границ истечения и твердости. Норнтон утверждает, что обрабатываемость масс тем легче, чем деформация больше до границы прочности и чем больше границы истечения, т. е. больше сопротивляемость самовольной деформации. Мерой обрабатываемости служит произведение этих величин. Перечислены приборы и способы применения их при измерении реологич. свойств. Д. Шапиро

58117. Некоторые исследования по повышению механической прочности фарфоровых масс. Палацки, Тюмлер (Einige Untersuchungen zur Steigerung der mechanischen Festigkeit von Porzellanmassen. Palatzky Alfred, Tümmeler Werner), Silikattechnik, 1958, 9, № 2, 68—73 (нем.; рез. англ., русск.)

В спец. керамич. литературе существуют противоречивые мнения о влиянии отдельных составляющих фарфора на его механич. прочность. Особенно спорным представляется высказанное ранее Марцалем (см. РЖХим, 1956, 33213) мнение об упрочняющем действии внутренних напряжений от остаточных зерен кварца на стекловидную фазу фарфора. Авторами статьи в производственных условиях на з-де Негм-

dorf (ГДР) были поставлены сравнительные исследования по изучению механич. прочности, как фарфоровых масс, так и богатых кварцем глинистых материалов. Рациональный состав этих масс был соответственно следующий: глинистого в-ва 55; 21; 62,63; кварца 20; 54; 19,01; полевого шпата 25; 25; 18,36. Высшее значение прочности на изгиб показали масса 3-я (1168—1287  $\text{кг/см}^2$ ) и низшее масса 2-я (780—885). На основе массы 3-й был изготовлен ряд масс с повышенным содержанием  $\text{Al}_2\text{O}_3$  с 19,04% (в 3-й массе) до 24,15% (в 9-й) с соответственным снижением содержания  $\text{SiO}_2$  с 69,60% до 64,45%. Увеличение  $\text{Al}_2\text{O}_3$  осуществлялось введением пологого черешка. Эти опыты показали, что механич. прочность фарфора вопреки указаниям Марцала возрастала по мере увеличения в нем содержания глинистых материалов. Эти исследования также показали, что внутренние напряжения в черешке ведут к понижению механич. прочности фарфора, и отжигом при  $t$ -ре  $\sim 650^\circ$  механич. прочность фарфора можно повысить на 10%. С. Туманов

58118. Симпозиум по свойствам нестехиометрических соединений. Вводная статья. Уайт (Symposium on properties of nonstoichiometric compounds. Introductory paper. White J.), Trans. Brit. Ceram. Soc., 1957, 56, № 11, 553—566. Discuss., 566—568 (англ.)

Отмечается значение свойств этих соединений при  $r$ -циях в твердом состоянии вообще и с точки зрения керамики в особенности.

Рассмотрена природа дефектов в решетках ионных кристаллов и термодинамич. причины их существования. Приведены основные типы нестехиометрии (с примерами); показано их влияние на электронную проводимость и миграцию ионов; даны изменения проводимости окислов в окислительных и восстановительных условиях. А. Черепанов

58119. Нестехиометрические окислы урана. Вильямс, Барнс, Такри, Меррей (The non-stoichiometric oxides of uranium. Williams J., Barnes E., Thackray R. W., Murray P.), Trans. Brit. Ceram. Soc., 1957, 56, № 11, 608—621. Discuss., 621—623 (англ.)

Рассмотрены нестехиометрич. окислы в интервале составов  $\text{UO}_2 - \text{U}_3\text{O}_8$ . Особенно подчеркивается влияние на спексаемость этих окислов промежуточного кислорода, атмосферы печи и размера частиц окислов; при этом делается попытка выделить влияние на спексаемость каждого из этих факторов. Показано, что на характеристики спекания этих окислов оказывает значительное влияние отношение  $\text{U}:\text{O}$ ; рассмотрены различные механизмы этого влияния. Приведены данные о летучести некоторых из этих окислов при различных условиях и при высоких  $t$ -рах. Детально описана методика изготовления образцов из указанных окислов. А. Черепанов

58120. Структурные изменения в некоторых нестехиометрических окислах переходных элементов. Руксби (Structure changes in some nonstoichiometric oxides of the transition elements. Rooksby H. P.), Trans. Brit. Ceram. Soc., 1957, 56, № 11, 581—586. Discuss., 586—589 (англ.)

Рассмотрена зависимость между изменениями кристаллич. структуры и составом окислов  $\text{FeO}$  и  $\text{NiO}$ . Степень нарушения кубич. структуры  $\text{FeO}$ , наблюдаемого при охлаждении ниже  $t$ -ры антиферромагнитного нуля ( $-70^\circ$ ), определяется конц-ией железа, которая может изменяться в широком интервале  $t$ -р. С уменьшением конц-ии железа и, следовательно, с увеличением отклонения состава от стехиометрич.  $\text{FeO}$  деформация структуры уменьшается. Аналогичные структурные изменения, хотя и менее резко выраженные, чем в  $\text{FeO}$ , наблюдаются в  $\text{NiO}$  ниже  $t$ -ры анти-



ферромагнитного нуля ( $250^\circ$ ). При исследовании влияния различных примесей в твердом состоянии на структуру NiO необычный результат показали добавки FeO. При добавке FeO в кол-ве 3 мол. % деформация структуры NiO оказывалась исчезающе малой даже при  $t$ -ре  $-180^\circ$ .

А. Черепанов  
58121. Поры и желтые пятна в тонких шлифах обожженных изделий, состоящих из полевого шпата и кварца. Изучение микроструктуры фарфоровых изделий. VIII. Хамамо (Hamano Kenya), Егё кёкайси, 1957, 65, № 736, 76—84 (японск.; рез. англ.)

Микроскопич. изучались желтые пятна (ЖП), поры (П) (их кол-во, размер), встречающиеся на изделиях. Образцы для исследования состояли из полевого шпата (97%) и кварца (3%), обжиг проводили при  $t$ -ре 1150—1450°. Найдена зависимость между размером П и условиями обжига. Распределение П и ЖП исследовались под микроскопом. При сравнении установлено заметное сходство П и ЖП. Найдена самая низкая  $t$ -ра, при которой они обнаруживаются в тонких шлифах; определен характер колебаний их размеров и формы по кривой обжига, даны характеристики их распределения; неравномерная зависимость их кол-ва и условий от обжига. В случае общего кол-ва П и ЖП может быть найдена обычная зависимость между их кол-вом и условиями обжига. Установлено, что изменение объема ЖП с поднятием  $t$ -ры и выдержкой во времени аналогично П, содержащим водяные пары, воздух и др. газы. Размер небольших желто-коричневых частиц, включенных в ЖП, не изменяется с условиями обжига, не изменяется с условиями размола; компактность заполнения ЖП крайне нерегулярна. Вид маленьких желто-коричневых частиц сходен с таковым от абразивных порошков, используемых при шлифовке шлифов. ЖП не обнаруживаются в порошке образцов, изучаемых методом погружения в масло. Содержание  $Fe_2O_3$  в сырых материалах, используемых для этих экспериментов, слишком низко, чтобы вызвать образование такого количества ЖП. Осаждение углерода на образцах во время обжига исключается. Установлено, что ЖП не обязательно в обожженных черепках, но они образуются из П, заполняющихся абразивным в-вом, таким, как карборунд или корунд, применяемый при шлифовке тонких шлифов. Сообщение VII см. РЖХим, 1958, 22099.

И. Михайлова  
58122. Электротехнический фарфор из местного сырья. Николае, Маркус (Porțelan electrotehnic cu materii prime din țară. Nicolae Maria, Marcus Bruno), Electrotehnica, 1957, 5, № 9, 281—283 (рум.; рез. русск., нем., франц., англ.)

Попытки использования пегматита из района Оршо-ва для получения электротехнич. фарфора не привели к положительным результатам вследствие того, что общее содержание окислов в нем составляет ~9% при соотношении  $K_2O/Na_2O$ , равного 1:1, причем диэлектрич. потери полученного фарфора превышали  $500 \cdot 10^{-4}$ . При увеличении  $t$ -ры до  $80^\circ$  они составляли  $3500 \cdot 10^{-4}$ . Пегматит из района Карансебеш оказался более приемлемым для вышеуказанных целей, так как соотношение  $K_2O/Na_2O$  составляет по крайней мере 4:1 при общем содержании окислов 11—12%. Значение диэлектрич. свойств и диэлектрич. постоянная образцов из вышеуказанного сырья при 20 и  $100^\circ$  находятся в норме. На основе проведенной работы была разработана рецептура получения качеств. электротехнич. фарфора из местного сырья с  $t$ -рой обжига  $1300^\circ$ . Приводятся характеристики получаемого фарфора.

Я. Матлис  
58123. О спекании электронизоляционной керамики и получении изделий с минимальной пористостью.

Булавин И. А., Тр. Моск. хим.-технол. ин-та им. Д. И. Менделеева, 1957, вып. 24, 133—144

Приведены результаты исследований по кинетике спекания корундовой керамики на основе 3-компонентных плавней в системе  $CaO-BaO-SiO_2$ . Для спекания без рекристаллизации установлена зависимость между кол-вом плавней ( $V_{пл}$ ), необходимым для полного спекания, начальной пористостью сформованных изделий ( $V_n$ ) и содержанием  $Al_2O_3$  в жидкой фазе ( $K$ ):  $V_{пл} = (1-K) : (1/V_n + K)$ . Объем жидкой фазы, необходимый для получения изделий с миним. пористостью при жидкофазном спекании, составил ~90% пустот между зернами исходной кристаллич. фазы. Дано ур-ние кинетики образования жидкой фазы при спекании с частичным растворением  $Al_2O_3$ . Установлена зависимость времени, необходимого для образования жидкой фазы, достаточной для завершения всех промежуточных между зернами кристаллич. фазы от среднего их диаметра, величины  $K$  и коэф. диффузии  $Al_2O_3$  в расплав. Показано, что спекание на основе стеклофазы, предварительно насыщ.  $Al_2O_3$ , по сравнению со спеканием с попутным растворением кристаллич. фазы, происходит быстрее примерно в 2 раза. Однако такой способ получения стекловидной фазы в спекающейся керамике связан с уменьшением содержания кристаллич. фазы в исходных образцах, увеличением относительной усадки и большей склонностью изделий к деформации при прочих равных условиях.

А. Черепанов  
58124. Разработка керамических изоляционных материалов для применения при высоких температурах. Кингери, Клейн, Мак-Куорри (Development of ceramic insulating materials for high-temperature use. Kingery W. D., Klein J. D., McQuarrie M. C. Paper. Amer. Soc. Mech. Engrs, 1957, N HT-15, 6 pp., ill.) (англ.)

С точки зрения высокотемпературной изоляции рассмотрены факторы (излучение материала; содержание, размер и характер пор; гранулометрия исходного материала; структура и соотношение фаз), влияющие на теплопроводность одно- и двухфазных керамич. составов из  $Al_2O_3$ ,  $MgO$ ,  $BeO$ ,  $SiO_2$  и др. в интервале 1200—2200°. Для высокотемпературной изоляции рекомендуется избегать применения тонкодисперсных порошков, особенно в случае спекающихся материалов. В качестве порошков, дающих оптимальные результаты, рекомендуется монодисперсная фракция между  $-200$  и  $+250$  меш. Проблемой изоляционного кирпича для высоких  $t$ -р является его получение с высокой пористостью (~50%) при малом, но устойчивом размере пор; для достижения этого условия используемый материал должен обладать ограниченной тенденцией к спеканию до  $2200^\circ$ , а следовательно, иметь высокую степень чистоты и монодисперсность исходного материала. Указано на получение изоляционного кирпича из трудноспекаемой высокоочищенной магнезии с интервалом частиц  $-200$  +  $200$  и  $-200$  +  $250$  меш при введении в ее состав при формировании выгорающего при обжиге компонента для образования структуры с сообщающимися порами. Обнадеживающим методом получения формованных изоляционных изделий для высоких  $t$ -р является получение с ориентированным направлением пор. При этом в направлении удлинения пор изделие имеет высокую прочность, а в направлении нормальном к удлинению пор — низкую теплопроводность. Приведены данные о теплопроводности ряда окислов при различных  $t$ -рах.

А. Черепанов  
58125. Конденсаторы сверхмалых размеров с применением тонкой пленки из титаната бария. Халел

Сабура, Электротехнике, 1958, 3, № 2, 141—143 (японск.)

58126. Влияние небольших добавок окиси магния на некоторые керамические материалы на основе титаната бария с высокой диэлектрической проницаемостью. Плесснер, Уэст (The effect of small additions of magnesia on some high-permittivity ceramics based on barium titanate. Plessner K. W., West R.), J. Electron. and Control, 1958, 4, № 1, 51—57 (англ.)

Было изучено влияние добавки 0,5%  $MgO$  к смесям, содержащим 12,5, 9, 5, 2 и 0%  $CaZrO_3$ , остальные  $BaTiO_3$ ; в смеси с 2%  $CaZrO_3$  вводили 0,25 и 1%  $MgO$ ; определяли т-ры спекания, обеспечивающие получение максим. об. веса, размеров решеток кристаллов и соответствующую им теоретич. плотность, кажущуюся пористость, зависимость диэлектрич. проницаемости от т-ры, по которой устанавливали значения  $\epsilon$  макс (точки Кюри) и соответствующей ей т-ры. Добавки  $MgO$  увеличивают об. вес, снижают кажущуюся пористость, увеличивают размеры решеток кристаллов и резко снижают точку Кюри. Напр., добавка 0,5  $MgO$  к смеси 5%  $CaZrO_3$  — 95%  $BaTiO_3$ , при одинаковой т-ре обжига 1415°, привела к увеличению об. веса с 5,60 до 5,76 г/см<sup>3</sup>, снижению кажущейся пористости с 5,5 до 1,9% и снижению точки Кюри с 95 до 24°. Добавка  $MgO$  при равной концентрации оказывается в шесть раз более эффективной для снижения точки Кюри, чем при введении  $BaZrO_3$ ,  $BaSnO_3$  или  $SrTiO_3$ . Показано, что ионы  $Mg$ , по-видимому, входят в кристаллич. решетку, замещая места  $Ba$  или  $Ti$ . Растворимость  $MgO$  в смесях  $CaZrO_3$ — $BaTiO_3$ , по-видимому, ограничена, о чем свидетельствует тот факт, что смещение точки Кюри при 1%  $MgO$  менее значительно, чем при 0,5%. Выдвигаются три гипотезы природы влияния  $MgO$  на улучшение спекаемости смесей: образование жидкой стекловидной фазы на основе низкоплавкой эвтектики (1345°)  $MgO$  и примесей  $SiO_2$  и  $Al_2O_3$ , присутствующих в исходных материалах; с введением  $MgO$  в кристаллич. решетку образуются свободные места, облегчающие образование твердых р-ров; присутствие  $MgO$  замедляет рост зерен кристаллов, что способствует увеличению плотности.

В. Злочевский

58127. Влияние химических факторов на форму гистерезисной петли В/Н, коэрцитивность и время перемагничивания в ферритах. Гудинаф (The influence of chemistry on В/Н loop shape, coercivity and flux reversal time in ferrites. Goodenough John B.), Proc. Instn Electr. Engrs, 1957, B104, Suppl. № 7, 400—411. Discuss., 433—435 (англ.)

Обзор. Библ. 38 назв. В. Реутский

58128. Керамопластики — заменитель слюды. Дю-Бойс (Ceramo-plastics — successor to micas? Du-Bois J. H.), Design Engng, 1958, 4, № 1, 40—43 (англ.)

В конструкциях предохранителей обычно используется слюда. Однако способность ее к выделению газов при повышенных т-рах ограничивает области ее применения, открывая новые возможности для использования керамопластиков (КП). Керамопластики, материалы и стеклосвязанная слюда найдут более широкое применение в будущем, чем органич. материалы и керамика. КП характеризуются абс. стабильностью размеров, возможностью соединения их с металлич. деталями, сопротивлением радиационному эффекту, отсутствием коронарного эффекта и выделением вредных паров при использовании их в условиях высокого давления или вакуума при повышенных т-рах. Новый керамопластик, материал Supramica 560 рекомендуется использовать в условиях эксплуатации до 500°. Supramica 560 характеризуется следую-

щими показателями: фактор рассеивания (1 мегацкл) 0,0035; диэлектрич. постоянная (1 мегацкл) 6,8; фактор потерь (1 мегацкл) 0,024; объемное сопротивление (ом см)  $5 \cdot 10^{13}$ ; уд. в. 2,8; водопоглощение (%) нулевое; твердость по Роквеллу 125; термич. расширение (на град. С при 20°)  $13 \cdot 10^{-6}$ , прочность при изгибе 952,5 кг/см<sup>2</sup>. Этот КП обладает сопротивлением действию радиации. Он не изменяет своих размеров и твердости при воздействии  $\gamma$ -фотонов и нейтронов. Описываются различные конструкции предохранителей, изготовленных из КП.

Г. Масленникова

58129. Вибрационный метод прессования металлических и керамических порошков. Белл, Диллендер, Ломинак, Маннинг (Vibratory compacting of metal and ceramic powders. Bell William C., Dillender Richard D., Lominac Harold R., Manning Edward G.), J. Amer. Ceram. Soc., 1955, 38, № 11, 396—404 (англ.)

Увлажненные порошки  $Al_2O_3$ , смесь порошков  $Cr$  и  $Al_2O_3$ , а также порошкообразного  $TiC + Ni$  подвергались двухстороннему вибрационному воздействию штампов пресса. На штампах были установлены пневматич. вибраторы. Продолжительность вибрационного уплотнения 40—50 сек. Применялись 2 типа вибраторов: низкочастотный и высокочастотный. При уменьшении влажности прессуемого материала плотность его возрастает (при одинаковом времени прессования). Изучалось также влияние гранулометрич. состава прессуемых порошков на их плотность для смесей металлич.  $Cr$  и  $Al_2O_3$ , для чистого  $Al_2O_3$  и для смеси металлич.  $Ni$  с  $TiC$ . Параллельно с формовкой образцов по виброметоду производилась формовка образцов из  $Al_2O_3$  (100%) на гидравлич. прессе под давл. 3350 кг/см<sup>2</sup>. После обжига при 1900° производилось сравнение свойств обоих образцов, причем они оказались очень близкими. Преимущество виброметода состоит в возможности получить изделия с такими же свойствами, как у изделий, полученных по методу гидростатич. прессования, но он проще и быстрее и позволяет прессовать изделия любой сложной формы и не требует применения связующих в-в.

Л. Плотноков

58130. О жидкостном спекании корундовой керамики. Будников П. П., Булавин И. А., Захаров И. А. Научн. докл. выпш. школы. Химия и хим. технолог., 1958, № 1, 168—172

Изучалась зависимость спекания корундовой керамики от состава и кол-ва жидкой фазы. В качестве исходных материалов применялись: электроплавленный корунд с величиной зерен 3—5  $\mu$  и 30—50  $\mu$  (эта фракция составляет 39—42%) и для фракции 60—80  $\mu$  ~ 45%. Если кол-во жидкой фазы не превышает объема пустот между зернами первичной кристаллич. фазы, то вспучивания изделий не происходит даже при сверхскоростных режимах обжига. Скорость спекания корундовых масс с разными плавнями на основе исследования зависит от вязкости первичного расплава и изменения соотношения вязкости и поверхностного натяжения при дальнейшем растворении  $Al_2O_3$  в расплаве. В результате проведенной работы установлена возможность получения высокопрочного корундового материала при относительно низких т-рах обжига ~ 1400—1500°. С. Туманов

58131. Характеристика спекаемости порошков окислов: 1.  $BeO$ . Куэрж, Мозли, Даккуэрт (Characterization of sinterable oxide powders: 1.  $BeO$ . Quirk J. F., Mosley N. B., Duckworth W. H.), J. Amer. Ceram. Soc., 1957, 40, № 12, 416—419 (англ.)

Различные порошки  $BeO$ , полученные термич. разложением  $Be(OH)_2$ , показали широкий интервал спекаемости. Необходимые т-ры спекания до теоретич.



плотности спрессованных при 7000 кг/см<sup>2</sup> образцов находились в интервале от 1260 до 1760°. Для этих порошков, прокаленных в воздухе при 400, 800, 1000 и 1200°, были определены параметры решетки, уд. поверхность, показатели преломления и термич. разложение. Несмотря на значительные изменения в этих свойствах их связи со спекаемостью установить не удалось. Оказалось, что весьма большое влияние на спекаемость оказывают окисленные и поверхностные примеси.

А. Черепанов

**58132. Плотная, пористая и щелочеустойчивая керамика из гранита.** Кайнарский И. С., Сидоров Н. А., Тр. Харьковск. политех. ин-та, 1957, 13, 165—171

Описываются свойства синтезированной цинковой шпинели — ганита состава  $ZnAl_2O_4$  и изготовленной из нее плотной и пористой керамики. Установлено, что средний коэф. термич. расширения ганита для интервала  $t$ -р 20—1000° составляет  $0,96 \cdot 10^{-5}$ . Предел прочности при изгибе 470—537 кг/см<sup>2</sup>, сопротивление удару 3,9—4,2 кг·см на 1 см<sup>2</sup>, т. е. в полтора раза выше, чем величины разрушающей работы для плиток для полов из каменного товара. Ганит растворяется в кипящей  $H_2SO_4$ , его кислотоустойчивость не превышает 94%, но ганит достаточно стоек к действию конц. р-ров едких щелочей. Разработан метод изготовления из ганита щелочеустойчивой пористой керамики (фильтров). Путем введения в состав шихты ганитового шамота выгорающих добавок и 2%  $TiO_2$  получена керамика с пористостью 46—49% и высокой прочностью при сжатии от 400—500 до 1300—1500 кг/см<sup>2</sup>. За счет зернистости выгорающей добавки возможно заменять как кол-во, так и размер пор. Указывается, что пористая керамика из ганита может быть использована как щелочеустойчивый фильтрующий материал с малым сопротивлением и большой производительностью при фильтровании.

Г. Масленикова

**58133. Образование с течением времени волосняных трещин на пористой керамике.** Менцль (Die zeitliche Haarrißbildung auf poröser Keramik. Menzl Karl), Sprechsaal Keramik, Glas, Email, 1958, 91, № 3, 49—50 (нем.)

Волосняные трещины на пористой керамике появляются тут же после политого обжига, при механич. транспортировании товара, вскоре после политого обжига, при повторных нагреваниях и после длительного промежутка времени при хранении на складах или в употреблении. Первые четыре случая связаны с несоответствием коэф. расширения черепка и глазури, последний случай, согласно Шурехта, связан с расширением черепка вследствие поглощения им влаги.

С. Туманов

**58134. Применение фотомеханических процессов в производстве керамической декалькомании.** Адроженко Е. А., Сб. тр. Укр. н.-и. ин-та полигр. пром-сти, 1956, 4, 61—70

Условия изготовления керамич. декалькомании (шпатель жесткими керамич. красками) исключают применение особо мелких растров. В работе применялись растры с линиатурой в 24, 30, 36, 48 и 54 линий на 1 см. Лучшими оказались растры в 24 и 30 лин./см. Шкалы цветового охвата показали, что тремя основными красками можно получить широкий цветовой охват. Существующая многокрасочность керамич. декалькомании, изготовляемой хромолитографским способом, может быть с 12—10 сокращена до 8—4. Установлена возможность печатания декалькомании офсетным способом.

С. Туманов

**58135. К испытанию и оценке морозостойкости керамических изделий.** Брейер (Zur Prüfung und Beurteilung der Frostbeständigkeit keramischer Erzeug-

nisse. Breuer H.), Schweiz. Tonwaren-Ind., 1956, 59, № 9, 8—10 (нем.)

Испытание морозостойкости (М) кирпичи и черепицы в морозильной камере не отражает природных условий их службы. При оценке М по коэф. насыщения в том виде, как это принято в настоящее время, не принимается во внимание физ. сущность процесса разрушения при замерзании пропитанных водой керамич. материалов. Предлагается изменить процесс испытания М следующим образом: 1) увеличить время насыщения образцов водой при нормальном атмосферном давлении с 3 до 5 суток; 2) после насыщения в нормальных атмосферных условиях образцы вакуумировать; 3) вакуумированные образцы подвергнуть насыщению водой под давл. 150 атм в течение 24 час. Внесение таких изменений основано на том, что после 5-суточного насыщения водой при нормальном атмосферном давлении образцы черепицы впитывают  $A = 8\%$  воды. После вакуумирования и последующего насыщения под давл. 150 атм в течение 24 час эти же образцы впитывают дополнительно еще 3,1% воды, таким образом  $A_d = 11,1\%$ . В связи с этим коэф. насыщения следует считать отношение:  $A:A_d = 8:11,1 = 0,72$ . Это отношение свидетельствует о том, что при нормальных условиях лишь 72% пор заполняется водой. Расширение воды при замерзании составляет 1/11 первоначального объема, таким образом в испытуемом материале льдом заполнится  $72 + 7,2 = 79\%$  объема пор, а 21% пор остается свободным и может быть заполнен при увеличении объема замерзающей воды, предотвращая разрушение изделия. Исходя из этого можно повысить границу М с 0,8 до 0,9 и изделия с коэф. насыщения меньше 0,85 считать морозостойкими, с коэф. насыщения от 0,85 до 0,9 — средней М и более 0,9 — неморозостойкими. См. также РЖХим, 1957, 51940.

Т. Ряховский

**58136. Последние результаты изучения морозостойкости керамических изделий.** Альвизе, Лиге (Derniers résultats dans l'étude de la résistance au gel des produits de terre cuite. Alviset L., Liger C.), Terre cuite, 1957, № 43, 31—52. Discuss., 52—53 (франц.)

**58137. Пароувлажнение глинистых масс при производстве керамических строительных материалов.** Тончев (Пароувлажняване на глинени маси при производство на керамични строителни материали. Тончев Лозю), Строителство, 1958, 5, № 1, 21—28 (болг.)

**58138. Пароувлажнение глиняных масс паром высокого давления и температуры при пластическом способе формирования.** Грималь (Malaxage et façonnage des argiles à haute température par la vapeur d'eau à haute pression. Grimal Marcel), Terre cuite, 1957, № 43, 9—17. Discuss., 17—20 (франц.)

**58139. Проверка свойств кирпичи с помощью звукового метода.** Ясунами, Фукуи (Yasunami Wataru, Fukui Takehiko), Кумамото дайгаку когакубу кэнкю хохокю, Techn. Repts Kumamoto Univ., 1956, 5, № 1, 1—4 (японск.)

**58140. Усовершенствование строительного кирпича.** Часть III. Кирпичи и кирпичная кладка в Германии. Баттеруэрт, Фостер, Уэджвуд (Development of the fired — earth brick. Part III. Bricks and brickwork in Germany. Butterworth B., Foster D., Wedgwood H. R.), Trans. Brit. Ceram. Soc., 1957, 56, № 10, 529—550. Discuss. 551—552 (англ.)

Часть II см. РЖХим, 1957, 23940.

**58141. Изготовление кирпичей и блоков из вады теплоцентрали.** Манолеску, Джорджеску, Дживулеску (Căramizi și blocuri din cenură de termocentrală. Manolescu Ovidiu, Georgescu

cu Nicolae, Givulescu Iulian), Rev. câilor ferate, 1958, 6, № 1, 17—23 (рум.)

58142. Борьба с выцветами на керамических изделиях. Амрейн (La lutte contre les efflorescences des matériaux de terre cuite. Amrein E.), Terre cuite, 1957, № 43, 21—28. Discuss., 28—29 (франц.)

58143. Применение отходов нефелиновых сленитов в массах для канализационных труб. Вильсон, Кёниг (Use of nepheline syenite tailings in sewer pipe bodies. Wilson Robert C., Koenig C. J.), J. Amer. Ceram. Soc., 1958, 41, № 1, 33—39 (англ.)  
Для улучшения спекаемости и физ. свойств канализационных труб, изготавливаемых из огнеупорных или сланцевых глин различных месторождений, были использованы в качестве флюсующих добавок отходы нефелиновых сленитов (НС) (—30 меш) с повышенным содержанием  $\text{Fe}_2\text{O}_3$  (2—3%), образующиеся на операциях магнитной сепарации НС месторождения Недтон (США). Благодаря высокой активности этих отходов добавки можно вводить в небольших кол-вах, что, в сочетании с низкой стоимостью отходов, оказывается экономически выгодным. Указанные отходы предварительно измельчали для получения добавок грубого (91,5% проходит через сито 325 меш) или тонкого помола (98,65% через то же сито). Добавки в виде отходов грубого помола вводили в кол-ве 3 и 6%, тонкого 5 и 10%. При введении указанных добавок и обжиге образцов при конусе 02 (1110°) или выше снижалась водопоглощаемость, увеличивается прочность при изгибе, удлиняется температурный интервал спекания масс и увеличивается тепловое расширение: последнее оказывается тем значительнее, чем ниже т-ра обжига; одновременно снижается содержание в черепке свободного кварца. В случае обжига образцов при т-ре ниже конуса 02 добавки оказывают благоприятное влияние на свойства сырья (сокращается воздушная усадка, улучшается формуемость), действуя аналогично шамотному наполнителю. Промышленный выпуск канализационных труб из массы с 5% измельченных отходов НС (марки В-200), обожженных при конусе 3 (1190°), подтвердил лабор. результаты в части снижения водопоглощения и повышения прочности; при этом было отмечено значительное снижение брака труб по трещинам, что, по-видимому, связано с сокращением воздушной усадки и снижением содержания свободного кварца (в связи с отсутствием последнего в НС и с частичным растворением кварца, содержащегося в глинах, добавками НС). В. Злочевский

58144. Возможности использования отечественных залежей слюдяного сланца в качестве сырья для производства кровельной порошковой засыпки. Вельго (Możliwości wykorzystania krajowych złóż łupku mikowego jako surowca do produkcji posypki parowej. Wielgo Feliks), Mater. budowl., 1958, 13, № 3, 75—83 (польск.)

58145. Спекание сырья, применяемого для строительной керамики. Гилберт (Sintering and vitrification characteristics of fireclays and other raw materials used in the heavy clay industry. Gilbert W.), Ceramics, 1958, 9, № 108, 21—26, 28 (англ.)

Нагрев глин вызывает миграцию ионов между соседними частицами компонентов, уплотнение, достигающее максимума ~1250° и сопровождающееся расширением. Появление жидкой фазы расплава способствует изменениям структуры, миграции ионов и т. д. Механич. свойства определяются как жидкой фазой, так и плотностью упаковки зерен. При охлаждении температурный перепад обратен перепаду вязкости в изделиях. Контроль скорости охлаждения очень важен. Необходимо учитывать влияние окружающей

газовой среды. Указываются технологич. схемы для произ-ва различных видов строительной керамики и огнеупоров.

58146. Обжиг керамических изделий в гоффманской печи на природном газе. Накопленный опыт и перспективы. Рассе, Мерьени (La cuisson en four Hoffmann au gaz naturel du sud-ouest. Essais réalisés et perspectives d'avenir. Rasse M., Merienne J.), Terre cuite, 1958, № 44, 3—24. Discuss., 24—25 (франц.)

58147. Новые печи в производстве кирпича и черепицы. Люка (Nouveaux fours en briqueteriestuileries. Lucas J.), Terre cuite, 1958, № 44, 35—49. Discuss., 49—50 (франц.)

58148. Примеры использования сушилок S.P.P.F.T.C. Люка (Exemples d'application des séchoirs S.P.P.F.T.C. Lucas J.), Terre cuite, 1958, № 44, 27—34 (франц.)

58149. Заметки о выборе и работе вентиляторов на кирпичных заводах. (Notes on selection and operation of brickworks fans.—), Brit. Clayworker, 1958, 66, № 789, 295—299 (англ.)

Анализируются условия работы вентиляторов (В), применяемых для создания тяги в обжигательных печах и для удаления теплоносителя из камер охлаждения. Поскольку В работают непрерывно, важное значение, с точки зрения экономики, имеет правильный выбор электр. двигателя: он должен быть полностью нагружен, когда В работает при нормальной т-ре воздуха или газа; предпочтительно двигатель должен быть синхронного типа, 1500 об/мин. Излагаются вопросы статич. напора, потребляемой мощности, к.п.д., влияния колебаний т-ры и скорости, сопротивления вентиляционной системы, измерения мощности и потока. Приводятся практич. примеры расчетов и выбора В. В. Злочевский

58150. Применение микроскопа для контроля огнеупорных материалов. Чжу Пэй-нань, Хуасюэ шицзе, 1957, 12, № 2, 73—75, 76; № 3, 114—115 (кит.)  
Обзор по исследованию глиняных и силикатных огнеупоров. З. Либерман

58151. Факторы, влияющие на размеры обожженных глиняных изделий, в частности огнеупорных. Эдуардс (Some factors having an influence on the fired dimensions of clay ware—with special reference to firebricks. Edwards C.), Claycraft, 1957, 30, № 9, 468—472; № 10, 548—549 (англ.)

Отмечаются следующие факторы: длительность выдержки при максим. т-ре обжига, неравномерность в распределении т-р по сечению печи в различных зонах, особенно в пределах т-р 500—600° и 900—1100°, когда глина дает максим. усадку, атмосфера печи (в пределах 500—1000°, необходимо иметь достаточный избыток воздуха для выгорания естественных органич. примесей в глине), неравномерность распределения давления в процессе обжига, особенно в фасонном припасе. Вакуумированная масса по сравнению с невакуумированной дает разную усадку. С. Туманов

58152. Лаборатория по испытаниям огнеупорных материалов в Гамбурге. Петшиковский (Laboratorium badaw' ze ognioodporności materiałów w Hamburgu. Pietrzykowski Jerzy), Mater. budowl., 1958, 13, № 3, 74—75 (польск.)

58153. Бескатковое смешение динасовых масс. Таубин Г. Б., Бюл. научно-техн. информ. Всес. н.-и. ин-т огнеупоров, 1956, № 1, 46—55

С целью сокращения затрат на ремонты смешительных бегунов (СБ) на з-де им. Ленина были проведены работы по бескатковому смешению динасовых масс. Для этого со СБ были сняты катки и взамен их на существующих параллелях для скребкодержателей установлены неподвижные гребки, корытообразного вида с радиусом кривизны 90 мм, под углом, который



наилучшим образом способствует смешению масс с добавками. Опыты показали, что динасовые массы, обработанные на бескатковых СБ, хорошо прессуются без перепрессовки при влажности 7,5% (на 1—1,5% выше нормативной), что объясняется благоприятной укладкой зерен массы и уменьшением упругого последнего действия. Даются технологич. режимы бескаткового смешения. Свойства динасы не ухудшаются и полностью удовлетворяют ТУ 871. Потребление мощности сокращается с 55 при катковом до 26 кат при бескатковом смешении; переделка СБ очень проста, достигаемая экономия составляет 2 руб. 34 коп. на 1 т. Переход СБ на бескатковое смешение целесообразен и для хромомagneзитовых масс, так как при катковом смешении хромитовая составляющая изильни измельчается, что ухудшает зерновой состав. В. З.

58154. Испытание сводового безобжигового огнеупорного кирпича. Охримович Б. П., Прибытков А. Е., Уаберг А. И., Румм П. А., Сталь, 1958, № 2, 126—130 (рез. англ., франц., нем.)

Магнезитохромитовый сводовый безобжиговый кирпич (МХСБК) ( $MgO$  69,5%,  $Cr_2O_3$  10,5%) произв-ва з-да «Магнезит» был испытан в своде распорно-подвесной конструкции 130-т мазутной мартеновской печи и в сводах 8 и 15-т электропечей на Златоустовском металлургич. з-де. По сравнению с обожженными МХСБК имеет более низкие показатели т-ры деформации под нагрузкой и термостойкости, однако исключение операции обжига в произв-ве МХСБК позволяет значительно увеличить его выпуск и снизить стоимость кирпича по сравнению с обожженными в 1,7—2 раза. Испытания показали, что по своему характеру износ МХСБК в сводах сталеплавильных печей не отличается от износа обожженного кирпича и происходит путем постепенного скалывания по мере образования зональности и возникновения разрушающих напряжений. Скорость износа МХСБК в сводах мартеновских печей на 1—9%, а электропечей — в 2 раза выше, обожженного. Основной причиной удовлетворительной стойкости МХСБК в сводах электропечей является низкая его термостойкость, приобретающая решающее значение в условиях резкого падения т-ры свода после каждой плавки. В участках максим. износа сводов мартеновских печей и для подвески следует применять обожженный кирпич, а МХСБК экономически целесообразно использовать на остальных участках. Необходимо дальнейшее повышение качества МХСБК и изыскание оптимальных условий его эксплуатации. В. Злочевский

58155. О хромомagneзитовых огнеупорах Японии. Вада, Тайкабуцу когё, Refractories, 1957, № 39, 156—159 (японск.)

58156. Поведение плавлено-литых цирконмуллитовых изделий при нагревании. Маранц А. Г., Каменчик А. Э., Стекло и керамика, 1958, № 1, 16—18

Приведены результаты изучения поведения цирконмуллитового бруса Ереванского з-да при нагревании до т-р 1300, 1400, 1500, 1600 и 1700° в пламенной лабор. печи в течение 30—32 час. с выдержкой при конечной т-ре 4 часа. Установлено, что при этом из цирконмуллита с содержанием флюсующих окислов ( $TiO_2 + Fe_2O_3 + FeO + RO + R_2O$ ) ~ 6,5—7% вытекает значительная часть стеклофазы. Кол-во вытекшего стекла зависит от т-ры и достигает максим. значения при 1600—1700°; при этом истинная пористость огнеупора с 1—2,7% возрастает до 17,3—25,9%, что снижает его стойкость в эксплуатации. Рекомендовано установить предельно допустимые кол-ва флюсующих окислов в плавленных цирконмуллитовых изделиях ≤ 4,3—4,5%. Г. Масленикова

58157. Ошлакование огнеупоров золой бурого угля.

Grant (The slagging of refractories by brown coal ash. Grant K.), Austral. J. Appl. Sci., 1957, 8, № 4, 323—334 (англ.)

В лаборатории промышленной химии (Мельбурн, Австралия) было подвергнуто исследованию на взаимодействие с золой бурого угля 18 видов австралийских и 5 английских огнеупоров, из которых 1 динасовый, 12 полукислых, 4 шамотных и 4 высокоглиноземистых (48,6—78,4%  $Al_2O_3$ ), с пористостью 17,2—55,8%. Состав золы (на прокаленное в-во, в вес.%):  $SiO_2$  26,7,  $Al_2O_3$  24,6,  $Fe_2O_3 + FeO$  19,6,  $CaO + MgO$  14,3,  $R_2O$  2,9,  $SO_3$  10,7; т-ра плавления золы 1300°. Поверхность опытных огнеупоров (образцы 75 × 50 мм) покрывали 10 г золы и выдерживали их в печи при 1200, 1300 и 1400° в течение 100 час., после чего образцы распиливали, готовили тонкие шлифы перпендикулярно к верхней плоскости кирпичей и подвергали срезы и шлифы макро- и микроисследованию для определения глубины проникновения шлака и минералогич. состава кирпичей в разрезе. Наибольшая глубина проникновения шлака (при 1400° — 15 мм) наблюдалась для динасы, за ней следуют полукислые кирпичи, шамотные и, наконец, высокоглиноземистые; последние также поглощают шлак, но образуют с ним весьма малое кол-во расплава и являются наиболее шлакоустойчивыми. Прямой зависимости шлакопроникновения от пористости не обнаружено. С. Глебов

58158. Исследование гидратации магнезитовой массы и ее влияния на спекание изделий в обжиге. Кайнарский И. С., Назаренко Н. Д., Огнеупоры, 1957, № 9, 392—398

Экспериментально показано, что вылеживание увлажненной массы из саткинского спекшегося магнезита увеличивает пористость магнезитового кирпича после сушки и обжига. При вылеживании происходит частичная гидратация  $MgO$  и образование коллоидов  $Mg(OH)_2$ . Последние, преиствуя сближению частиц при прессовании, создают дополнительную пористость при сушке. Повышение давления прессования вызывает частичное отжатие коллоидно-связанной воды и сокращает природную пористость. Зависимость пористости от давления  $P$  можно выразить ф-лой:

$$\sqrt{P} = K, \text{ где } n \text{ и } K — \text{постоянные.}$$
 При обжиге кирпича рекристаллизация периклаза из дегидратированной  $MgO$  протекает при более низких т-рах и с большей усадкой, чем рекристаллизация периклаза из спекшегося магнезита. В результате происходит отрыв зерен  $MgO$  от зерен периклаза на спекшегося магнезита и увеличение пористости кирпича. Н. Маракуева

58159. Химизм разрушения хромомagneзитовых огнеупоров в процессе их службы в вельц-печах. Давидсон А. М., Полковий П. А., Рашин Г. А., Огнеупоры, 1957, № 9, 417—425

Основной причиной относительно малой стойкости хромомagneзитовых огнеупоров в кладке вельц-печей при произв-ве  $ZnO$  является хим. разрушение шиннел-форстеритовой связки огнеупора в результате миграции в нее из настывшей окислов  $Fe$  и  $SiO_2$  и образования в связи с этим легкоплавких минер. фаз (оливина, фаялита и др.). Малую хим. стойкость в огнеупоре имеют агрегаты из зерен периклаза, разрушающиеся вследствие образования форстерита и магнезиоферрита и последующего частичного растворения их и периклаза в расплаве. Зерна хромита изменяются мало. Н. Маракуева

58160. Влияние некоторых технологических факторов на свойства каолиновых легковесных огнеупоров. Циглер В. Д., Белуха П. Г., Шахнов И. Г., Огнеупоры, 1958, № 1, 5—11

brown coal  
57, 8, № 4.  
(Мельбурн).  
занию на  
ов астра  
в которых  
4 высоко  
ористостью  
ное в-во,  
FeO 19,6,  
плавления  
огнеупоров  
и выдер  
в течение  
а, частот  
к верхней  
и шифры  
нения глущ  
гч. состава  
проникно  
далась для  
чи, шмот  
последни  
лим весьма  
ешие плас  
опроникно  
С. Глебов  
овой масл  
в обиче  
Д. Огне  
слеживание  
оса магне  
о кирпича  
происходит  
коллоидов  
ию частиц  
пористости  
ния вызы  
емой воды  
ость пори  
ть ф-лой:  
Жигте кир  
гидратиро  
ких т-рах  
ция пера  
нате про  
иклаза и  
ости кир  
Маракуе  
овых огне  
ельд-печ  
и Г. А.

Исследовано влияние различных технологич. факто-  
ров на свойства каолиновых легковесных огнеупоров  
(КЛО) полусухого прессования с выгорающими добав-  
ками (ВД) (кокс или термоянтрацит). Огнеупорность из-  
меняется при увеличении в шихте кол-ва ВД. Каж-  
дые 10% ВД с зольностью  $\leq 10\%$  снижают огне-  
упорность на  $\sim 5^\circ$ . Из каолинового шмота ( $\sim 60\%$ ),  
глины и ВД (в кол-ве  $\geq 35\%$ ) возможно изготовить  
КЛО с об. в.  $\sim 1,3$  г/см<sup>3</sup>. Показано, что основными  
технологич. факторами, обеспечивающими получение  
КЛО с  $\sigma_{сж}$   $> 40$  кг/см<sup>2</sup>, являются влажность масс  
 $\sim 9,5\%$ , давление прессования  $\sim 200$  кг/см<sup>2</sup> (об. вес  
шарика должен быть  $\geq 1,95$  г/см<sup>3</sup>); степень отощения  
 $\sim 80\%$ , зерновой состав шмота ( $\leq 1$  мм) и т-ра об-  
жиги  $\sim 1400^\circ$ .  
Г. Масленникова  
58161. Производство бесшамотного полукислового кир-  
пича на заводе «Красная звезда». Грицаенко  
В. Я., Огнеупоры, 1958, № 2, 95—96  
Проведена работа по замене шамотного боя квар-  
цевым песком (КП) Кондратьевского месторождения  
в произ-ве полукислового нормального кирпича по пла-  
стическому методу. КП (марка КК) содержит (в вес. %):  
SiO<sub>2</sub>  $\geq 85$ , Fe<sub>2</sub>O<sub>3</sub>  $\leq 0,5$ ; состав шихты (в %): глина Ч-П  
24,5, каолин Владимировский ВЛ-1 23,5, КП 55; кол-во  
воды  $> 2$  мм 8; кирпич отвечает требованиям ГОСТ  
4873-49: SiO<sub>2</sub> 71,6, Al<sub>2</sub>O<sub>3</sub> + TiO<sub>2</sub> 24,4, Fe<sub>2</sub>O<sub>3</sub> 0,8; каж-  
дого пористость 25,3%,  $\sigma_{сж}$  200 кг/см<sup>2</sup>. И. Михайлова  
58162. Испытание абразивной твердости материала  
при помощи отпечатка. Гродзинский (Testing  
indentation and abrasive hardness of hard materials.  
Grodzinski P.), Industr. Diamond Rev., 1957, 17,  
№ 198, 86—88, 90, 92—96 (англ.)  
Обзор литературы и работ автора по вопросам:  
микротвердости, износоустойчивости к истиранию,  
микроизносу при шлифовании по кристаллографич.  
направлениям, по обработке алмазов порошком алмаза,  
по результатам испытания карбидов бора B<sub>4</sub>C и B<sub>4</sub>C<sub>3</sub>,  
SiC и корунда природного и искусств. различных  
типов структур. Указанные кристаллич. тела обла-  
дают анизотропной микротвердостью и микроизносом.  
Сопротивление истиранию и вдавлению следует  
кристаллографич. направлению, сопротивление парал-  
лельно одной оси или ее проекции всегда меньше  
или больше других. Векторные направления основ-  
ного пинакоида SiC являются самыми твердыми, дру-  
гие кристаллографич. направления имеют промежу-  
точные значения твердости. В кристаллах корунда  
вдавливание индикатора под углом 60° к оптич. оси  
вызывает наибольшую тенденцию к разрыву поверх-  
ности кристалла; максим. твердость наблюдается  
на плоскостях, параллельных оптич. оси. Предыдущее  
сообщение см. РЖХим, 1958, 8735. Н. Згонник  
58163. Новая марка улучшенного карбида кремния  
для высоких температур. Тейлор (Nuevo carburo  
de silicio mejorado para piezas de alta temperatura.  
Taylor K. M.), Ingenieria e ind., 1957, 25, № 281,  
91—94 (исп.)  
Приведены свойства новой марки «КТ» огнеупор-  
ных изделий из SiC на связке из мелких кристаллов  
SiC, выпущенной в последнее время американской  
фирмой Carborundum Co: хим. состав (в вес. %): SiC  
94,7—99,3, Si 1,5—4, C 0,1—0,5, Fe 0,05—0,5, Al  
0,08—0,3; об. в. 3,0—3,15 г/см<sup>3</sup>,  $\sigma_{сж}$  при 25°  
1060—1680 кг/см<sup>2</sup>, при 1500° 910—1260 кг/см<sup>2</sup>,  $\sigma_{сж}$   
 $> 10550$  кг/см<sup>2</sup>, модуль упругости при 25° 2,72—4,81 ·  
10<sup>10</sup> кг/см<sup>2</sup>, при 1500° 4690—3470 кг/см<sup>2</sup>, коэф. тепло-  
проводности при 400° 6201, при 1000° 3634 кал/см<sup>2</sup>/град,  
коэф. теплового расширения от 25 до 1200°  
3,04—5,05 · 10<sup>-6</sup> см/см/град. При прокаливании на возду-  
хе при 1400° приращение в весе за 60 час. составляет  
1,65% (SiC на связке из Si<sub>3</sub>N<sub>4</sub> 3,65%). Абразивная

стойкость «КТ» в 2,5 раза выше, чем у SiC на связке  
из Si<sub>3</sub>N<sub>4</sub>, и в 4 раза выше, чем у SiC на силикатной  
связке. Из «КТ» возможно изготовлять изделия боль-  
ших размеров и весьма сложной формы обычными  
керамич. методами: клапаны для перекачки коррозий-  
ных жидкостей, футеровку мельниц и насосов, ци-  
линдры для насосов по перекачке жидких металлов,  
нагревательные трубы и структурные элементы для  
атомных реакторов с газовым охлаждением и др.  
«КТ» обладает исключительной газонепроницаемостью  
(даже для He) и малым поглощением тепловых ней-  
тронов. С. Глебов  
58164. Фильтровальные ткани для керамики.  
Шведова, Зедничек (Filtrační tkaniny pro  
keramiku. Svědová Jarmila, Zedníček Jaromír), Sklár a keramik, 1957, 7, № 7, 201—202 (чешск.)  
Приведены правила хранения, сушки, стирки и по-  
тинки фильтровальных полотен из синтетич. волокон  
(ПСВ) для керамич. з-дов. ПСВ следует хранить  
в помещениях с относительной влажностью воздуха  
 $\sim 70\%$ , предохранять от прямого воздействия солнеч-  
ных и УФ-лучей, после стирки не сушить, а в случае  
необходимости т-ра сушки не должна быть  $> 20^\circ$ ;  
при стирке не употреблять щеток, почику ПСВ про-  
изводить только синтетич. нитями. Выпуск ПСВ орга-  
низован в Чехословакии народным предприятием  
«Технолен». Предыдущее сообщение см. РЖХим, 1957,  
77758. С. Глебов  
58165. Производительность кольцевых печей и печей  
«зигзаг». Тор (Ring- und Zickzackofenbrennleistun-  
gen. Thor P.), Ziegelindustrie, 1956, 9, № 14, 530 (нем.)  
58166. Реконструкция камерной сушилки в туннель-  
ную. Сидерман Э., Песина А., Строит. мате-  
риалы, 1957, № 12, 12—14  
Опыт реконструкции двухблочной камерной суши-  
лки в туннельную. На Смоленском кирпичном з-де № 3  
переделке подверглись камеры, которые были соеди-  
нены в 35 туннелей длиной 25 м, каждый из которых  
вмещает 18—19 вагонеток, и были проведены еще  
некоторые конструктивные изменения: реконструиро-  
валась система нагнетания и отсоса газов с исполь-  
зованием 4 вентиляторов Спирокко № 15,5 с 300 об/мин;  
двухстворчатые двери заменены подъемными метал-  
лич., против каждого туннеля уложен узкоколейный  
путь, рассчитанный на две вагонетки, а в коридорах  
для загрузки и разгрузки проложено два пути для  
электропередаточных тележек. В качестве теплоноси-  
теля в новой сушилке используется тепло подтоп-  
ков и отходящих газов кольцевой печи. Необходи-  
мость в подтопках отпадает при увеличении произво-  
дительности печи. Новая туннельная сушилка суще-  
ственно сократила сроки сушки при значительной  
экономии топлива и рабочей силы. Е. Глиндзич  
58167. Современные электропечи сопротивления  
с водородной защитной атмосферой. Часть I. Ней-  
виас (Hydrogen-protected wire-wound resistance  
furnaces. Part 1. Navias Louis), Amer. Ceram.  
Soc. Bull., 1957, 36, № 7, 262—267 (англ.)  
Подробно описываются конструкции эксперим.  
печей с огнеупорным каркасом из Al<sub>2</sub>O<sub>3</sub> и намоткой  
поверх него из молибденовой проволоки. Отдельная  
печь изолировалась (в порядке последовательности)  
следующими изоляционными материалами: 1) сна-  
ружу — теплоизоляционными блоками (диатомовый  
кирпич и асбестовое волокно); 2) под ними — тепло-  
изоляционным огнеупорным кирпичом и 3) в непо-  
средственной близости с обмоткой — порошком Al<sub>2</sub>O<sub>3</sub>.  
Трубчатый каркас, по всей длине, опирался на ряд  
высокоглиноземистых кирпичей, отделяясь от них  
тонким слоем крупнозернистого порошка Al<sub>2</sub>O<sub>3</sub>. Для  
крупных печей предусматривалась на концах каркаса  
установка молибденовых перегородок. Указывается



схема подачи водорода. Прилагается в форме таблиц характеристика печей (данные обмотки; материал различных частей печи, размеры их; расход электроэнергии и газа в интервале 1400—1900°). Упоминается об измерении относительной теплопроводности набивной изоляции в виде: а) порошка глинозема; б) гранул  $Al_2O_3$ ; в) гальки  $Al_2O_3$  и г) порошка  $ZrO_2$ . На основании определения в области т-р 1600—1800°, расхода электроэнергии, т-р кожуха и набивки установлено, что с уменьшением крупности фракций теплоизоляционные качества  $Al_2O_3$  улучшаются. Лучшим теплоизолятором является  $ZrO_2$ ; однако из-за очень большой электропроводности применение его ограничено. При т-ре  $> 800^\circ$   $ZrO_2$  вступает в р-цию с  $Al_2O_3$ . Глиноземно-цементная обмазка проволоки не влияет на теплопроводность набивной массы. Описывается регулировка т-ры печи с молибденовой обмоткой; разработана схема, использующая прямолинейную зависимость между сопротивлением обмотки и т-рой в интервале 1000—1900°; т-ра в печи регулируется посредством реактора насыщения, питаемого от сети 60-периодного переменного тока. Программное регулирование осуществляется с помощью распределителя устройства с приводом от мотора. Точность регулировки  $\pm 2^\circ$ . Даются схемы регулятора Миды и Лорда.

**58168.** Соединение туннельной сушилки с печными вагонетками и туннельной печи в один агрегат. Шумилин А. А., Огнеупоры, 1958, № 3, 105—106. На Боровичском комбинате огнеупоров соединили сушилку (С) и туннельную печь (П) в сушильно-печной агрегат (СПА). На Аньшаньском металлургич. комбинате КНР проведен опыт эксплуатации объединенного СПА. Подробно описаны результат и целесообразность данного мероприятия в случае коротких туннельных печей. В случае туннельных печей с большим сопротивлением целесообразность данного мероприятия требует проверки. И. Михайлова

**58169.** Переустройство двух блоков периодических печей на Часов-Ярском заводе им. Орджоникидзе. Белоусов В. Н., Огнеупоры, 1958, № 1, 11—13. Описывается переустройство двух блоков периодич. печей в газокальцевую, позволившее довести производительность печи до 2800 т изделий в месяц при выходе 98% продукции 1 сорта и 1,5% брака.

Г. М.

**58170 С.** Кремнеземная изоляционная масса (Masa izolacyjna krzemionkowa). Польск. стандарт В-24601, 1957

**58171 П.** Усовершенствования процесса кристаллизации кварца и других минералов. Франк (Perfectionnements aux procédés de cristallisation du quartz et autres minéraux. Franke Joachim-Immanuel). Франц. пат. 1124626, 15.10.56

Патентуется усовершенствование аппаратуры для кристаллизации кварца и некоторых других минералов, таких как кальцит, слюда, рутил и др. Аппаратура позволяет получать крупные кристаллы осаждением растворенных минералов на зародышах. Усовершенствования касаются способов осуществления принудительной циркуляции соответствующих р-ров между автоклавом, напр. с маточным кварцем (находящимся при т-ре 355°) и автоклавом с зародышем (т-ра 340°), либо, если имеется один автоклав, усовершенствование естественной циркуляции между зоной маточного кварца и зоной зародышей. Приводится описание четырех вариантов циркуляции р-ра. Н. С.

**58172 П.** Способ производства кускового талька и аналогичных материалов. Кох (Method of making block talc and related materials. Koch William J.) [United States of America as represented by the Secretary of Commerce]. Пат. США 2781273, 12.02.57

Изобретение имеет своей целью получение синтетического кускового талька (СКТ) взамен дефицитного и неоднородного природного талька, применяемого для изготовления прокладок для электронных ламп и др. деталей. СКТ должен обладать в сыром виде достаточной механич. прочностью, допускать механич. обработку в сыром виде для получения изделий требуемой конфигурации, усадка в обжиге должна быть небольшой и равномерной, не должно быть коробления в обжиге, в структуре материала не должно быть дефектов. СКТ, удовлетворяющий этим требованиям, готовят из смеси порошкообразных материалов состава (в %): талька 80—100, глины (или каолина) 0—12 и  $BaCO_3$  0—10; размер зерен порошков  $< 10 \mu$  (преимущественно 2—3  $\mu$ ); содержание примесей  $< 5\%$ . Смесь помещают в герметичный резиновый мешок, из которого полностью удаляют воздух, и затем подвергают гидростатич. прессованию под давл. 2800—7000  $kg/cm^2$  с выдержкой  $> 1$  мин., в результате чего получают заготовку сферич. формы. Заготовку разрезают, механически обрабатывают для получения детали требуемой конфигурации и обжигают при т-ре 982—1270° с выдержкой 0,5—1 час. при общей продолжительности обжига 2—9 час. Линейная усадка в обжиге равномерная и небольшая: при т-ре обжига 982° и давлении прессования 3090  $kg/cm^2$  усадка по длине составляет 4,85%, по ширине 4,77%, по толщине 4,94%, то же при давл. 7000  $kg/cm^2$ , соответственно 2,2, 2,2 и 2,4.

В. Злочевский

**58173 П.** Магнитный материал и процесс его изготовления. Литман (Magnetic material and process of making it. Littmann Martin F.) [Armco Steel Corp.]. Пат. США 2783170, 26.02.57

Патентуется процесс изготовления очень тонких магнитных сплавов (толщиной  $< 1$  мм), имеющих высокую магнитную проницаемость, низкую коэрцитивную силу (0,093 Эрстеда) и прямоугольную петлю гистерезиса (отношение  $B_r/B_m$  равно 0,93). В состав сплава входит (в %): Ni 75—85, Mo 3—6, остальное Fe. Хорошие результаты дает состав (в %): Ni 80  $\pm 2$ , Mo 4  $\pm 0,3$ , остальное Fe. Для раскисления и улучшения условий обработки можно добавлять Mn в кол-ве 0,3—1,0% (лучше 0,6) или Si, но  $\leq 0,3\%$ . В сплаве допустимо содержание S, но  $\leq 0,005\%$ , P 0,002%, C 0,1% и Al 0,1%. Сплав может быть получен в электрич. печи. После соответствующей обработки до требуемого размера и формы (ленты или торoidalного сердечника) окончательный обжиг проводится в атмосфере водорода, имеющего точку росы ниже  $-40^\circ$  (желательно ниже  $-50^\circ$ ), при 750—1050° (лучше 850—975°) в течение 1—2 час. Такая термическая обработка обеспечивает оптимальное соотношение между прямоугольностью петли гистерезиса и миним. коэрцитивной силой для того, чтобы получить возможно малое время переключения, при удовлетворительном соотношении сигнал-помеха при перемагничивании. Изготовление магнитных материалов толщиной  $< 1$  мм (до 0,25 мм) позволяет свести до минимума потери на вихревые токи.

И. Ермакова

**58174 П.** Способ изготовления синтетического звездчатого корунда. Анко, Эплер (Verfahren zur Herstellung von synthetischen Sternkorunden. Anco Emanuel, Eppler Wilhelm F.) [Wiedes Carbidewerk Freyung m. b. H.] Пат. ФРГ 1007753, 24.10.57. Способ плавки синтетич. корунда, обладающего астеризмом, в пламени гремучего газа по способу Verneulle, отличающийся тем, что в качестве исходного материала используют технич.  $Al_2O_3$  с добавкой 0,31—0,52%  $TiO_2$  в форме анатаза. Плавку производят в атмосфере инертного или восстановительного газа (напр., в присутствии избытка  $H_2$ ). В этих условиях плавление корунда происходит в отсутствие  $O_2$  при

1100—1500°, причем время плавления в 2—6 раз более обычного. Приведена схема плавильной печи с питателем и регуляторами подачи газа. А. Говоров 58175 П. Процесс изготовления магнезитового огнеупора для печного пода. Крейнер (Process of forming magnesite refractory furnace bottoms. Крайнер Hobart M.) [Bethlehem Steel Co.]. Пат. США 2753612, 10.07.56

Применяемые в обычной практике составы для приготовления набивного пода основной мартеновской печи состоят из смеси магнезита (65—80% MgO, 4—40% SiO<sub>2</sub>, ~3% Fe<sub>2</sub>O<sub>3</sub>) и связующих материалов (жидкое стекло, глина или др.) в кол-ве 0,2—5%. При обжиге набивки из таких материалов вследствие сильной усадки образуются трещины и раковины, могущие привести к утечке через них расплавленного металла. Предлагается к указанному составу добавлять феррохром или феррованадий в кол-ве 5—20%, для нейтрализации усадки, за счет расширения ферросплавов при их окислении и некоторого расширения от взаимодействия окислов металла с MgO. Рекомендуется феррохром с содержанием Cr 67—71% и феррованадий с содержанием 35—45% ванадия; остальное составляет железо. Обжиг подготовленной из смеси набивки рекомендуется вести обычным порядком при использовании феррохрома до 1430° и до 1540° при использовании феррованадия или его смеси с феррохромом. Получается монолитный под печи, свободный от усадочных трещин, причем огнеупорность его не уменьшается в эксплуатации. В. Терман 58176 П. Приспособление для садки керамических отформованных изделий на печные вагонетки и т. п.

Франц (Vorrichtung zum stapelweisen Setzen keramischer Formlinge auf Ofenwagen od. dgl. Franz Kurt). Пат. ГДР 13224, 15.05.57

Полочная вагонетка с высушенными отформованными изделиями передает их на элеватор, с которого при помощи спец. приспособлений изделия поступают на обжигающие станции. Если отформованное изделие имеет трещины от сушки, то оно снимается на отдельный транспортер. Годное для обжига изделие укладывается в штабеля на печные вагонетки, причем можно применить желаемый способ садки. Все эти операции совершаются автоматически. Автор дает подробное описание приспособления с 7 схематич. чертежами и поясняет принцип действия установок. В. Кречмар

58177 П. Способ для замазки щелей и конопатки камня. Хилл, Уитни (Pointing and caulking compound. Hill Donald, Whitney Harry M.). Пат. США 2776906, 8.01.57

Рекомендуется следующий состав замазки (в вес. ч.): кварцевого песка 80, молотого порошкового кварца 20, углекислого свинца 15, свинцового глета 7 и молотого мела 10. Компоненты тесно смешиваются в сухом состоянии и к смеси добавляется вареное льняное масло для придания ей необходимых пластичных свойств. К смеси для лучшей связи с камнем можно добавлять 3 ч. коротковолокнистого асбеста. К смеси может быть также в соответствии с окраской камня добавлен соответствующий минер. краситель. С. Т.

См. также: Переход кордиерита из одной формы в другую 57038. Методы исследования глины 57082

Стекло

Редакторы О. К. Ботвинкин, С. И. Горелкина, С. И. Иофе

58178. Кремнезем в природе. Дингер, Иебсен-Марведель (Kieselsäure in der Natur. Dinger Karl, Jebsen-Marwedel Hans). Glastechn. Ber., 1957, 30, № 7, 320—321 (нем.)

Минералов, состоящих из чистого кремнезема, насчитывается ~80 видов. Они составляют непрерывный ряд от минерала в кристаллич. виде чистого, прозрачного горного хрусталя до аморфного опала. В промежутке между ними лежит группа халцедонов. Авторы сделали попытку систематизировать эти минералы и разработали предлагаемую в статье схему, которая должна дать представление о способности кремнезема видоизменяться в зависимости от пирогенетич. условий, а также показать влияние незначительных примесей сопутствующих в-в на многообразие форм кремнезема. Э. Житомирская

58179. Динамическая модель структуры стекла. Дитцель, Дер (Ein dynamisches Modell der Glasstruktur. Dietzel Adolf, Deeg Emil). Glastechn. Ber., 1957, 30, № 7, 282—287 (нем.; рез. англ., франц.)

Предложена динамич. модель структуры стекла, в которой отдельные ионы изображаются деревянными телами, плавающими в воде таким образом, что верхние части, имеющие вид полусфер, выступают над поверхностью. Диаметр полусфер в 10<sup>8</sup> раз больше диаметра соответствующих ионов. Электростатич. взаимодействия ионов в модели заменено магнитным, для чего в нижней части деревянных тел помещены палочковые магниты, число которых соответствует заряду иона. В случае отрицательных ионов магниты направлены северным полюсом вниз, в случае положительных — вверх. Для простоты предполагается, что в стекле существуют только ионные связи. Термич. движение моделируется путем создания колебаний на поверхности воды. Время релаксаций модели составляет 10—100 сек., т. е. увеличивается примерно в такой же мере, что и размеры структурных единиц. Для учета поляризации иона O<sup>2-</sup> магниты в его модели должны быть расположены не в центре, а на концах диаметра. При таком расположении магнитов и соотношении модельных тел, соответствующем SiO<sub>2</sub>, образуется двухмерная сетка с резко выраженной тенденцией к образованию 6-членных колец. По мере продолжения «термич. движения» 4-, 5-, 7- и 8-членные кольца исчезают и остаются почти исключительно 6-членные, что воспроизводит процесс кристаллизации. При быстрой остановке «термич. движения» получается модель закаленного стекла в виде рыхлой упаковки небольших агрегатов с большим числом разрывов сетки. При постепенном замедлении движения образуются большие агрегаты с более плотной упаковкой. Различие в характере плавления кристалла и стекла иллюстрируется путем увеличения амплитуды «термич. движения». Модель позволяет также иллюстрировать поведение стекла и кристалла при сжатии и растяжении, а также влияние ионов-модификаторов. При быстром застывании стекла в присутствии последних в структуре образуется много разрывов сетки. При медленном застывании обрывы соединяются в мостики, а ионы-модификаторы координируются в пустотах сетки. Отдельные участки структуры обогащаются ионами-модификаторами, а между этими областями находятся области с преобладанием SiO<sub>2</sub>, что указывает на наличие скрытого расслоения. Ю. Шмидт

58180. Влияние химического состава на температуру стеклования. Колбасникова А. И., Тр. Всес. н.-и. ин-та стекла, 1957, вып. 38, 77—87

Т-ра стеклования 10 промышленных стекол, различного состава, в зависимости от скорости нагревания — охлаждения определялась dilatометрически (по пересечению прямолинейных отрезков) и методом кривых закалки (по точкам перегиба). Скорости нагревания составляли в среднем 5, 10 и 40 град/мин. Кривые закалки были получены на пластинках толщиной 5



и 8 мм. Установлено, что для исследованных стекол имеется линейная зависимость между обратной  $t$ -рой стеклования и логарифмом скорости нагревания — охлаждения в соответствии с ф-лой:  $1/T_g = C_1(1 - 0,03 \lg W)$ , где 0,03 — численное значение константы  $C_2$ . Получены также значения  $C_1$ , которая зависит от состава стекла. Установлено, что окислы щел.-зем. металлов  $MgO$ ,  $CaO$  и  $SrO$  повышают  $t$ -ру стеклования, а  $BaO$  понижает ее.  $T_g$  при постоянной скорости нагревания — охлаждения колеблется от  $460^\circ$  для стекла с 5%  $BaO$  до  $551^\circ$  для стекла с 20%  $MgO$ ;  $T_g$  исходного стекла  $470^\circ$ .

А. Полянская  
58181. О микротвердости поверхности стекла. Йос (Über die Mikrohärtigkeit von Glasoberflächen. Joos Peter), Z. angew. Phys., 1957, 9, № 11, 556—561 (нем.)

Исследовалось влияние влажной атмосферы на поведение стекла состава (в %):  $SiO_2$  76,  $Na_2O$  15 и  $CaO$  9 при царапании его острым алмазом, проникавшего в стекло на глубину от 0,01 до 0,04  $\mu$ . Исследованные образцы помещались в вакуированный стеклянный сосуд, в котором находилась аппаратура для нанесения царапин на пластинки стекла и для нагрева образцов до  $500^\circ$ ; в сосуде можно было создавать контролируемое давление водяных паров. Прогрев образцов в сосуде при  $500^\circ$  длился 2 часа, давление пара в нем при этом составляло  $10^{-3}$  мм рт. ст. При царапании стекла в высоком вакууме в отсутствие водяных паров было установлено, что следы царапин не обнаруживали пластич. деформации. После царапания прогретых образцов в вакууме при давлении водяного пара  $\sim 1$  мм рт. ст. полученная царапина указывала на пластичность верхнего слоя стекла. После 6-минутного воздействия водяных паров и царапания образца во влажной атмосфере имела место пластич. деформация. После истечения 30 мин. нанесенная на образец царапина обнаруживала еще более резко выраженную пластичность. Было установлено, что после удаления водяных паров посредством эвакуации сосуда и повторного царапания образца пластичность исчезала и снова появлялись следы хрупкого разрушения в виде рваных краев царапины. Из этих опытов следует, что пластич. деформация в стекле при воздействии на него механич. нагрузок обусловлена присутствием воды в самом стекле и в окружающей атмосфере. Возможность пластич. деформирования стекла автор объясняет разрыхленностью его структуры и меньшей плотностью по сравнению с более компактными кристаллич. в-вами. Благодаря этому в структурную сетку стекла могут дополнительно диффундировать молекулы воды, которые затем диссоциируют с образованием ионов водорода, замещающих щел. атомы и образующих с  $SiO_2$  так называемое «водородное стекло» в виде  $SiOH$ . Образующийся слой геля кремневой к-ты способен пластически деформироваться, что играет решающую роль при полировке стекла. Механизм процесса полировки автор объясняет не механич. срывом геля кремнекислоты с отдельных возвышенностей стекла до полного выравнивания его поверхности (Гребенчиков и Качалов), а пластич. деформированием его в присутствии воды и перемещением вследствие этого отдельных частиц стекла с возвышенностей в соседние углубления до получения совершенно гладкой полированной поверхности.

А. Бережной  
58182. Получение и исследование диэлектрических свойств группы стекол с повышенной диэлектрической проницаемостью. Сканини Г. И., Каштанова А. М., Ж. техн. физики, 1957, 27, № 8, 1770—1777

Исследованы борные стекла с небольшими добавками  $BaTiO_3$ , теллуровые стекла и борно-свинцовые стекла с добавкой рутила ( $TiO_2$ ). В 1-м случае наблю-

далось лишь небольшое увеличение диэлектрич. проницаемости  $\epsilon$  и потеря прозрачности, во 2-м — величина  $\epsilon$  доходила до 21. Прозрачные тройные борно-свинцово-титановые стекла получают при содержании  $TiO_2 \leq 14$  вес. % и  $PbO \leq 67\%$ , максим. величина  $\epsilon$  не превышала 24. Дальнейшее увеличение содержания  $TiO_2$  возможно лишь при введении щел. окислов. Получена группа эмалеподобных, зарушших стекол, содержащих 24%  $TiO_2$ ; 50,4%  $PbO$  и обычно 12,6%  $B_2O_3$  и обладающих  $\epsilon$  от 20 до 35. Наибольшая величина  $\epsilon$  получена при введении в стекло 2%  $Li_2O$  и по 5,5%  $Na_2O$  и  $K_2O$ . При комнатной  $t$ -ре тангенс угла диэлектрич. потерь  $tg\delta$  имеет величину порядка  $\sim 0,004$  и не зависит от соотношения  $Na_2O$  и  $K_2O$ , однако при  $200^\circ$  наблюдается нейтрализационный эффект, максим. при равных весовых конц-ях щел. окислов. При этом же соотношении наблюдается максим. значение  $\epsilon$ . Величины  $\epsilon$  и  $tg\delta$  мало зависят от  $t$ -ры и частоты в интервале  $t$ -р  $-160 \div 200^\circ$ . Пробивное напряжение стекол равно  $\sim 2 \cdot 10^6$  в/см. Петрографич. и рентгеновским анализом установлено, что кристаллич. фаза представляет собой  $PbTiO_3$ . Дополнительная кристаллизация зарушших стекол увеличивает величину  $\epsilon$  и уменьшает пробивное напряжение.

Ю. Шмидт  
58183. Шлиры в стекле. Йохман (Schlieren im Glas. Jochmann Fritz), Glas-Email-Keramik-Technik, 1957, 8, № 2, 37—41 (нем.; рез. англ., франц.)

Сообщаются практич. наблюдения над образованием шлиров и сетчатой свиля в стекле в результате разведения огнеупорного припаса в ваннах печей непрерывного действия, а также стенок горшков и крапцев в горшковых печах. Высокоглиноземистые продукты растворения огнеупорного припаса легче стекла и всплывают на его поверхность. Поэтому стекло чище, когда оно набирается на большей глубине. Хорошее стекло получается при варке в закрытых горшках, при относительно низких  $t$ -рах, несмотря на значительную продолжительность варки. Замечено, что в круглых углублениях, образующихся при разведении брусьев, прочно сидят пузырьки газов, пузыри заполняют раковины в припасах только в спокойной стекломассе. Особенно сильное разрушающее действие оказывают на огнеупорный припас агрессивные газы (фтор, серный ангидрид). Библ. 4 назв.

Э. Житомирская  
58184. Коррозия силикатных стекол щелочными растворами. Сообщение 1. Разрушение кварца, кварцевого стекла и некоторых аппаратных стекол растворами едкого натра и соды. Моичанов В. С., Прихидько Н. Е., Изв. АН СССР. Отд. хим. н., 1957, № 10, 1151—1157

Показана несостоятельность существующей точки зрения в отношении кварцевого стекла (С), которое якобы менее стойко в щел. р-рах, чем многие другие силикатные С, и что сложные силикатные С разрушаются щелочами прямо пропорционально содержанию  $SiO_2$ . Рассмотрена кинетика разрушения С щел. р-рами. Представлены результаты экспериментов по определению щелочестойкости кварца и некоторых С интерферометрич. методом при помощи интерференционного микроскопа МИИ-1 и двойного микроскопа МИС-11. Опыты с кварцевым С показали, что глубина разрушения С прямо пропорциональна времени воздействия и конц-ии щел. р-ра и что с увеличением  $t$ -ры глубина разрушения увеличивается по степенному закону (приблизительно в 2 раза на каждые  $10^\circ$  увеличения  $t$ -ры). Кроме этого, определялась скорость разрушения кристаллич.  $SiO_2$  (горный хрусталь), оптич. кварцевого С произ-ва 3-з-ов и многокомпонентных С: «Дружная Горка» № 23, № 24, № 29; С Ц-32; пирекс посудный; молибденовое (№ 46); новона

(№ 17); боросиликатное Л-100; С Мак-Иннеса и богатым цирконием С Ц-18, Ц-21. Агрессивными средами в этих опытах являлись 0,5 н. NaOH, Na<sub>2</sub>CO<sub>3</sub>, смесь равных объемов NaOH + Na<sub>2</sub>CO<sub>3</sub>. Опытами установлено, что стойкость кристаллич. кварца в 10 раз выше, чем стойкость кварцевого С. Из С наиболее устойчивыми оказались кварцевые и богатые цирконием Ц-18 и Ц-21. Последние разрушаются значительно медленнее, чем кварцевое С. Богатые бором С значительно уступают по своей стойкости в щелочах всем остальным. Явление «содового парадокса» замечалось только в случае использования С № 17 и Л-100.

А. Тумовский

58185. Актуальные проблемы горшковых печей. III, IV. Зоула (Aktuální otázky pánvových pecí. III, IV. Zoula Václav), Sklář a keramik, 1957, 7, № 5, 136—139 № 6, 164—165 (чешск.)

III. Рассматриваются характер технологич. процессов, эксплуатация, обслуживание и контроль работы печей. Характер технологич. процесса плавки стекла в горшковых печах в основном определяется типом и размером печи, составом шихты и качеством стекломассы, составом и свойствами горючих газов, т-рой печи и ее распределением в пламенном пространстве и атмосферой печи. Описываются различные способы загрузки шихты (ручная и полуавтоматическая). Приведены состав горючих газов и их калорийность, а также данные о т-ре и ее распределении в печном пространстве, контроле теплового режима и тяги печи.

IV. Проведено исследование печей с точки зрения их емкости, т. е. величины горшка и соответствующей ему поверхности пода печи. Установлено 6 типов горшковых печей системы Сименса и один тип печи системы Кноблауха. К этим типам горшковых печей предъявляются следующие требования: единообразная технич. и финансовая документация; миним. затраты на постройку и реконструкцию печей; упрощение строительства в результате возможности стандартизации стеклострусы; снижение расхода топлива. Разработана технологич. схема постройки стекловаренных печей. Сообщение II см. РЖХим, 1958, 22173.

О. Брыкин

58186. Использование основных огнеупоров для насадок регенераторов ванн стекловаренных печей. Уокер (Use of basic refractories in glass tank checkers. Walker Harry E.), Refractories J., 1957, 33, № 11, 508—510 (англ.)

См. РЖХим, 1958, 33273.

58187. Рациональное использование топлива в стекловаренных печах. Спейн (How to get the most out of the fuel you burn in your furnace. Spain Richard W.), Ceramic Ind., 1957, 68, № 3, 68—71, 107 (англ.)

В целях экономии топлива, определяющего в значительной мере стоимость готовой продукции, автор рекомендует соблюдать ряд мер. Приборы для измерения т-ры должны давать показания в допустимых пределах точности, поэтому они нуждаются в периодич. проверке. Не менее важным являются данные расходомеров. Обычно при учете расхода т-ра газа упускаются из виду, хотя ее сезонные колебания достигают значительной величины. При использовании жидкого топлива точность расходомеров снижается. Контроль за системой распределения топлива является еще одним условием рационального расхода топлива. Утечки в различных частях топливной системы приводят к серьезным нарушениям работы печи. Повышение т-ры в печи сверх нормы, кроме перерасхода топлива, быстро выводит печь из строя. Подсос холодного воздуха в регенераторы должен по возможности исключаться. Особые меры предосторожности следует соблюдать при организации воздушного охлаждения огнеупоров на уровне поверхности стекломассы во избежание проникновения холодного воздуха через неплотности в печное пространство. Подсос воздуха затрудняет процесс варки и осветления, а также нарушает геометрию и направление пламени. Е. Гляндзич

58188. Об образовании пламени. Трир (Über die Ausbildung von Flammen. Trier Wolfgang), Glactech. Ber., 1956, 29, № 11, 426—428 (нем.; рез. англ., франц.)

Отмечается сложность зависимости процесса образования пламени от конструкции горелки стекловаренных печей и отсутствие общепризнанного решения этого вопроса. Описываются процесс и механизм горения различных топлив, работа типовых горелок ванн печей на генераторном газе и процесс смешивания последнего с воздухом, обусловленного действием четырех главных причин: угла смешивания, абс. и относительной скорости газовых потоков в момент их встречи, вторичного потока воздуха, возникающего в камере смешения при переводе клапана, и излучения в печном пространстве. Теоретич. расчет горения газов в горелках не разработан, вследствие чего конструкция их основана на эмпирически подобранных данных. Более известен процесс горения высококалорийных топлив (городской, естественный газ, жидкое горючее). Приводятся схема горения высококалорийного газа, а также результаты эксперимента, по которому «геометрия» факела определяется диаметром подводящего газ сопла или производным от него импульсом потока. Указывается на турбулентный характер пламени в стекловаренной печи, причем имеется приближенное математич. выражение для условий, определяющих развитие его, в пространстве, ограниченном стенками. Библ. 6 назв.

М. Степаненко

58189. Выработка и выдувание стекла. Реглер (Glasmacher und Glasbläser. Regler H.), Wiss. und Fortschr., 1957, 7, № 11, 409—412 (нем.)

Кратко описаны процессы выдувания стеклянных изделий при их выработке у печи, а также работа стеклодувов на паяльной горелке при изготовлении сложных стеклянных приборов и аппаратов для лабораторий и различных отраслей пром-сти: шарикового холодильника, различных видов трубок, большого ртутного выпрямителя, труб больших диаметров (30—40 см), экстракционного аппарата. В. Мейтина

58190. Калиброванные стеклянные трубки и их применение. Смит (Precision bore glass tubing and its uses. Smith I. C. P.), Lab. Practice, 1957, 6, № 5, 270—276 (англ.)

Сопоставляются методы получения калиброванных трубок и приведены некоторые примеры их применения. Первоначальный метод произ-ва калиброванных стеклянных трубок состоял в следующем. Металлич. сердечник помещался в стеклянную трубку почти такого же диаметра. Полость трубки вакуумировалась и трубка с сердечником вводилась в печь, где стекло, нагретое до т-ры размягчения, плотно прилегало к сердечнику; затем трубка и сердечник охлаждались в условиях отжига и сердечник извлекался из трубки. Сердечник изготавливался из жаростойкой хромоникелевой стали или из сплава типа стеллита. 2-й метод является полунепрерывным. Сердечник, находящийся своей калиброванной частью в печи, с помощью длинного стержня закрепляется вне печи и приводится во вращательное движение. Поверх сердечника одевается стеклянная трубка, закрепляемая зажимами с обоих концов. Посредством червячной передачи трубка медленно протягивается через печь, где стекло размягчается и, облекая сердечник, образует





и по  
при  
азот  
в пло  
равно  
енных  
медь  
льный  
еркал  
ернод  
сколь  
е под  
мость  
е ра и  
мыто

Силиконовые эмульсии широко применяются для смазки стеклоформирующих машин. Применение силиконовой смазки для черновых форм испытано пятью различными методами распыления; после выбора лучшего метода нанесения смазки было изучено 5 различных материалов. Испытание силиконовых смазок дало следующие результаты: наиболее эффективной является вращающаяся форсунка; лучшими силиконовыми смазками для черновых форм являются марки LE-45 и LE-451; уменьшаются копоть, сажа и грязь у машины; продолжительность работы черновой формы без очистки увеличилась с 10—20 мин. до 1—6 час.; увеличивается скорость оборота форм; лезвия ножинок не притупляются в течение двух недель; силиконовая смазка дешевле масляной; уменьшается брак изделий.

В. Мейтина

58198. Кристаллические фазы в заглушенных стеклах и эмалях, содержащих фосфат и арсенат свинца. Меркер, Вондрачек (Die Ausscheidungen in bleiphosphat- und bleiarzenathaltigen Trübsgläsern und Emails. Merker L., Wondratschek H.), Mitt. Vereins Dtsch. Emailfachleute, 1958, 6, № 2, 13—15 (нем.)

Методом рентгеноструктурного анализа изучались кристаллич. фазы, выделяющиеся при глушении стекол состава (в мол. %):  $\text{SiO}_2$  60—65,  $\text{PbO}$  23—25,  $\text{R}_2\text{O}$  7—12,  $\text{P}_2\text{O}_5$  3—5 или  $\text{As}_2\text{O}_5$ , а также технич. эмалей сходных составов. Найдены кристаллы двух типов — типа апатита  $\text{Ca}_5(\text{PO}_4)_3\text{Cl}$ , где Ca может быть заменен на Pb, а P на As. Образование таких структур происходит и в отсутствие галогенов, если присутствуют щел. ионы, частично замещающие Pb и тетраэдры,  $\text{SiO}_4$  замещают  $\text{PO}_4$ . Расстояния решетки закономерно изменяются с изменением радиуса иона. Получаются смешанные кристаллы сложного состава. Другой тип — кристаллы  $\text{PbNaPO}_4$  или  $\text{PbNaAsO}_4$ . Рентгенограммы дали хорошее совпадение данных, полученных для стекол и для специально синтезированных кристаллов  $\text{PbNaPO}_4$ . Кристаллы второго типа выделяются, если отношение щелочей к связующему  $>1:4$ .

М. Серебрякова

58199. Современные методы техники эмалирования. Фильхабер (Moderne Methoden der Emaillier technik. Vielhaber L.), Blech, 1958, 5, № 2, 89—93 (нем.)

Эмалирование (Э) развивается в направлении улучшения качества и удешевления изделий. Появились новые области применения — Э архитектурных деталей и строительных блоков, Э алюминия и др. Кратко описано безгрунтовое Э стали. Механизация процессов Э производится главным образом при транспортировке изделий, организуется поточное произ-во. Имеются приспособления для механич. нанесения эмали способами пульверизации и окунания, для переноса крупногабаритных изделий (ванн) при Э лудровым способом. Перечислены методы контроля продукции, описан прибор для определения прочности на удар при помощи бойка с пружиной, позволяющий производить измерения на кривых и вертикальных поверхностях. Э применяют также при изготовлении электронагревательных аппаратов, обогреваемых током, который проходит по тонким металлич. слоям, нанесенным на эмаль.

М. Серебрякова

58200. Исследование эмалирования алюминия. I. Ямада, Цудзи, Нагасака (Yamada Toshio, Tsuji Yasuaki, Nagasaka Tetsu), Киндзюку хэмэн гидзюцу, J. Metal Finish Soc. Japan, 1957, 8, № 7, 228—230 (японск.; рез. англ.)

Произведено сравнение хим. устойчивости, сцепления с металлом и внешнего вида покрытия для свинцовых и бессвинцовых эмалей, приведенных в лите-

ратуре, и предложенной авторами боросиликатной эмали для Al. Последняя обладает хорошим блеском, сцеплением, растекаемостью, но несколько меньшей хим. устойчивостью. Подготовка Al перед эмалированием производилась путем анодного окисления в 3—5%-ном р-ре буры при 45—50°, в течение 5 мин. под напряжением в 100 в. Образуется пленка  $\gamma\text{-Al}_2\text{O}_3$ , способствующая сцеплению эмали.

М. Серебрякова  
58201. Уменьшение дефектов, возникающих при эмалировании изделий одним слоем белых покрытых титановых эмалей. Меркер (Verminderung der bei einmaliger Deckemaillierung mit Titanweißemails auftretenden Fehler. Märker Rudolf), Glas-Email Keramo-Technik, 1957, 8, № 10, 391—395 (нем.)

При подготовке изделий (И) к эмалированию важно строго соблюдать заданный режим травления, не допуская передерживания в р-ре к-ты. Иногда применяют ингибиторы в сочетании с активаторами травления. Для удаления шлама И дополнительно обрабатывают в р-ре  $\text{HNO}_3$ . Промывание производится особенно тщательно после травления в р-рах  $\text{H}_2\text{SO}_4$  для наиболее полного удаления солей железа. Целесообразно иметь две промывочные ванны — 1-ю с подкисленной водой (рН 2—3,5), 2-ю с проточной водой. Перед ванной нейтр-ции иногда устанавливают цианидную ванну, содержащую р-р  $\text{NaCN}$  0,13—0,25% и  $\text{NaOH}$  0,3—0,5%, для обеспечения перехода солей железа в растворимое состояние. После нейтр-ции р-ром, содержащим 0,3%  $\text{Na}_2\text{O}$  при 70°, И сушат при т-ре, не превышающей 150°. Подготовленные И следует немедленно удалять из травильного отделения, нельзя касаться их руками без перчаток. Помол эмалей производится с добавками на мельницу: алюмината натрия, мочевины, тиосульфата натрия и др. Рекомендуется взамен глины использовать бентонит. Для повышения прочности приставания высушенной эмали к И в шликер добавляют клеящие в-ва. В грунты при помоле добавляют буру, нитрит натрия, кварцевую муку. Рекомендуется магнитная очистка шликера. При нанесении эмали большое значение имеет получение ровного покрытия. Недопустима слишком медленная и слишком быстрая сушка. Особое внимание должно быть обращено на уменьшение кол-ва пыли в помещении эмалировочного цеха. Предыдущее сообщение см. РЖХим, 1958, 15297.

М. Серебрякова

58202. Метод определения интервала обжига плавленной грунтовой эмали. Пёшман (Prüfmethode zur Bestimmung des Brennintervalles von Schmelzgrundemail. Pöschmann Helmut), Sprechsaal Keramik, Glas, Email, 1958, 91, № 5, 89—91 (нем.)

Пластика чугуна или стали размерами  $125 \times 80 \times 13$  мм разрезается на 13 полос параллельно стороне 80 мм. Грунт наносится способом пульверизации в кол-ве  $2,5 \text{ г/дм}^2$ . Пластику помещают в электрич. печь, нагретую до 850°. Через каждые 5 мин. вынимают по одной полосе. Нижняя граница интервала обжига — время, необходимое для начала размягчения эмали, верхняя — начало пережота. Интервал обжига зависит от толщины слоя грунта.

М. Серебрякова

58203. Метод определения сопротивления на изгиб эмалированных сталей. Гонауэй (A method of determining the sag resistance of porcelain enameling steel. s Gona way H. L.), Internat. Enamelist, 1957, 7, № 2, 6—7 (англ.)

См. РЖХим, 1957, 69460.

58204. Об электронагреве в современном эмалировочном производстве. Ланге (Der Beitrag der Elektrowärme zum modernen Emailhüttenbetrieb. Lange



Fritz), Glas-Email-Keram-Technik, 1958, 9, № 3, 80—84 (нем.; рез. англ., франц.)

Обзор. История развития электропечей в Австрии.

Из резюме автора  
58205. Исследование энергетических показателей работы газовой эмалевочной печи. Шефер (Energiewirtschaftliche Untersuchung eines gasbeheizten Emailierofens. Schaefer H.), Prakt. Energiekunde, 1957, 5, № 3, 320—326 (нем.; рез. англ., франц.)

58206 П. Способ быстрого охлаждения листового стекла в процессе его закали. Томукаси [Асахи гарасу кабусики кайся]. Японск. пат. 1682, 8.03.56

Листовое стекло, нагретое до  $t_{\text{ры}}$ , близкой к точке размягчения, напр. до  $650^\circ$ , поддерживается в печи в вертикальном положении при помощи опорных стоек. В печи создается при помощи вакуум-насоса разрежение 75—250 мм вод. ст. Атмосферный воздух засасывается через отверстия и быстро охлаждает стекло. В случае необходимости может быть дан при помощи вентиляторов принудительный ток воздуха.

М. Гусев  
58207 П. Способ и приспособление для нанесения испарением покрытия из стекла на медную подложку. Гюнтер (Verfahren und Vorrichtung zum Aufdampfen eines Glasüberzuges auf einen Träger aus Kupfer. Günther Karl-Georg) [Siemens-Schuckertwerke A.-G.]. Пат. ФРГ 956455, 17.01.57

Для нанесения покрытия из стекла на проволоку, фольгу или фасонные детали из меди на последние, для повышения прочности сцепления, наносится предварительно путем испарения в вакууме слой магния, цинка или, преимущественно, алюминия толщиной 0,01—0,1  $\mu$ . Затем в той же камере также путем испарения наносится слой стекла толщиной 3—5  $\mu$ . Скорость испарения регулируется путем изменения  $t_{\text{ры}}$  таким образом, чтобы за 1 сек. образовывался слой стекла толщиной  $\geq 0,1 \mu$ . Покрываемое изделие нагревается до  $\sim 600^\circ$  для образования на поверхности стабильного слоя стекла. Во время обработки изделие вращается для равномерного нанесения покрытия. Установка снабжена входной и выходной шлюзовыми камерами, позволяющими вводить и вынимать образцы, не снимая вакуума.

Ю. Шмидт  
58208. Способ производства и приспособление для изготовления и обработки изделий из стекла, имеющих преимущественно форму трубок или штабиков. Диктер (Verfahren und Vorrichtung zum Anfertigen und Umformen von vorzugsweise röhren- oder stabförmigen Gegenständen aus Glas. Dichter Jakob). Пат. ГДР 12716, 18.02.57

Для повышения прочности и упругости изделий предложено приспособление, в котором нагретая заготовка скручивается спиралеобразно одновременно с вытягиванием, сжатием или выдуванием. При нагревании заготовки держатели, в которых закреплены ее концы, вращаются с одинаковой скоростью, затем им придают различные, заранее заданные угловые скорости, что и вызывает скручивание.

Ю. Шмидт  
58209 П. Производство ампул. Исисава Такадзи [Исисаки гарасу когэ кабусики кайся]. Японск. пат. 1244, 23.02.56

Стекланные трубки соответствующей длины поддерживаются в горизонтальном положении при помощи вращающихся роликов. На определенном расстоянии друг от друга расположены горелки, нагревающие отдельные участки трубки, которые под давлением вращающихся роликов формируются в шейки ампул; аналогично формируется также горлышко ампулы. Дно ампулы формируется при помощи спец. сдавливающих роликов. Готовые ампулы отделяются в месте соеди-

нения дна одной ампулы с горлышком другой при помощи горелки с острым пламенем.

М. Гусев  
58210 П. Способ приготовления многослойного стекла с изменяющимся светопропусканием путем нанесения окрашенного слоя. Кюль (Verfahren zur Herstellung eines Mehrschichtenglasses mit durch Farbumschlag veränderlicher Lichtdurchlässigkeit. Kühl Georg Walter). Пат. ФРГ 960767, 28.03.57

Для приготовления многослойных стекол с изменяющимся светопропусканием предложено применение промежуточных слоев, в которых в результате обратной фотохим. р-ции образуются при облучении в-ва с другим светопропусканием. В массу промежуточного слоя могут вводиться лейкоцианиды или карбиноловые основания, напр. лейкооснования парарозанилина, кристаллвиолета, малахитового зеленого или викторианского синего, а также их смеси. Могут добавляться также бензальдегидфенилгидразон или анилоказон, приобретающие при освещении красную окраску. Для ускорения р-ции могут добавляться катализаторы. Возможно также добавление в промежуточный слой в-ва, обратимо изменяющего окраску при пропускании электрич. тока.

Ю. Шмидт  
58211 П. Способ покрытия тугоплавкой пластины из стекла или другого материала неравномерным, прозрачным, прочно сцепленным с поверхностью электропроводящим слоем. Лайтл (Verfahren zum Überziehen einer schwerschmelzbaren Platte aus Glas od. dgl. mit einer ungleichmässigen, transparenten, zusammenhängenden und elektrisch leitenden Schicht. Lytle William Orland) [Pittsburgh Plate Glass Co.]. Пат. ФРГ 956346, 17.01.57

Покрываемая пластинка нагревается до  $t_{\text{ры}}$  выше  $200^\circ$ , но ниже ее  $t_{\text{ры}}$  размягчения, и обрызгивается р-ром, который при соприкосновении с поверхностью дает прозрачный электропроводящий слой. При этом струя р-ра направляется на покрываемую поверхность под таким углом, чтобы образующийся слой имел неравномерную толщину, а следовательно, и различное сопротивление в разных точках поверхности. Обрызгиваемая пластинка движется с такой скоростью, чтобы максим. толщина образующегося слоя не превышала 800  $\mu$ . На края пластинки наносится электропроводящая эмаль, являющаяся электродом. Приведены составы р-ров для получения покрытий, содержащие соли Zn, Sn, Cd и In, а также состав эмали для электродов.

Ю. Шмидт  
58212 П. Оптическое стекло с высоким показателем преломления. Рее (Optisches Glas mit hoher Brechungszahl. Rehs Gerd) [Jenaer Glaswerk Schott und Gen.]. Пат. ФРГ 953284, 29.11.56

Предложены оптич. стекла с показателем преломления 1,69—1,72, содержащие (в %):  $\text{SiO}_2$  3—10,  $\text{B}_2\text{O}_3$  28—35,  $\text{La}_2\text{O}_3$  17—25,  $\text{CaO}$  10—15,  $\text{ZnO}$  8—14 п, кроме того,  $\text{PbO}$  0—8,  $\text{BaO}$  и  $\text{SrO}$  0—10,  $\text{ZrO}_2$  0—8. Эти стекла обладают пониженной скоростью кристаллизации и повышенной хим. устойчивостью. В качестве примера приводится стекло состава (в %):  $\text{SiO}_2$  4,  $\text{B}_2\text{O}_3$  31,  $\text{La}_2\text{O}_3$  19,  $\text{ZrO}_2$  6,  $\text{PbO}$  6,  $\text{CaO}$  14,  $\text{ZnO}$  12,  $\text{BaO}$  8, имеющее  $n_D = 1,717$  и  $v = 48$ .

Ю. Шмидт  
58213 П. Нанесение нитрида титана на оптические детали. Кинан, Шарф, Парсонс (Titanium nitride coated optical element. Keenan William J., Scharf Philip T., Parsons William F.) [Eastman Kodak Co.]. Пат. США 2784639, 12.03.57

Слой нитрида титана толщиной  $> 1/8$  и  $< 1$  длины волны света наносит на стекланные детали в процессе в-ва, обладающего высоким показателем преломления. Вначале получают на стекле слой  $\text{Ti}$  испарением его в вакууме, а затем выдерживают образец в атмосфере  $\text{N}_2$  при  $t_{\text{ре}}$  от  $400^\circ$  до  $t_{\text{ры}}$  размягчения стекла в течение 0,5—10 час.

М. Серебряков

58214 П. Окрашенное многослойное или накладное стекло. Нейман (Farbiges Mehrschichten- oder Überfangglas. Neumann Curt) [Deutsche Spiegelglas-Aktien Ges.]. Пат. ФРГ 959404, 7.03.57

Предложено многослойное стекло для технич. и сигнализационных целей. На наружную поверхность окрашенного основного стекла наносится слой молочного стекла (белого или также окрашенного), которое скрывает окраску основного стекла в отраженном свете. При освещении же источником света изнутри видна окраска основного стекла. Ю. Шмидт

58215 П. Способ и приспособление для изготовления многослойных стекол с полосами различной прозрачности и окраски. Якоби, Бёклинг (Verfahren und Vorrichtung zur Herstellung von Mehrschichtengläsern mit einer Zwischenschicht von streifenweise verschiedener Transparenz oder Farbe. Jacobi Richard, Boeckling Kurt) [Deutsche Tafelglas A.-G.]. Пат. ФРГ 959588, 7.03.57

Приспособление для нанесения на стекло полос различной прозрачности и окраски состоит из питателей, подающих поливаемые на стекло р-ры различного состава на отдельные участки поверхности, разграниченные разделительной стенкой. После высыхания р-ра на полученный промежуточный слой наклеивается второй лист стекла. Ю. Шмидт

58216 П. Способ получения гибкой стеклянной пленки для электротехнических целей. Хенлейн (Verfahren zur Herstellung einer biegsamen Glasfolie für elektrotechnische Zwecke. Hanlein Walter) [Siemens-Schuckertwerke A.-G.]. Пат. ФРГ 958698, 21.02.57

Стеклопленка (СП) может быть получена вытягиванием расплавленного стекла из лодочки или из металлич. тигля со щелью в дне его. Машина для вытягивания регулируется для получения СП толщиной 10—30 м. Для многих целей предпочитают получать СП с утолщенными бортами. Стекло для СП содержит  $\text{SiO}_2$ ,  $\text{Al}_2\text{O}_3$ ,  $\text{B}_2\text{O}_3$ , небольшие кол-ва щел.-зем. окислов и очень мало (или совсем не содержит) щел. окислов;  $\text{TiO}_2$  и  $\text{BaO}$ , равно как один или несколько других щел.-зем. окислов, добавляются с тем, чтобы после отжига СП образовался титанат бария, обладающий высокой диэлектрич. постоянной. Возможно придать СП ферромагнитные свойства путем введения в состав стекла коллоидального Fe или  $\text{Fe}_2\text{O}_3$ . С. Иофе

58217 П. Усовершенствование производства волокон, в частности стеклянных (Perfectionnement à la fabrication de fibres, notamment de fibres de verre) [Soc. An. des Manufacture des Glaces et Produits Chimiques de Saint-Gobain, Chauny & Cirey]. Франц. пат. 1124487, 11.10.56

Предметом изобретения является получение минерал., органич. и, в частности, стеклянных волокон из расплавленного материала центробежным способом. Расплав подается внутри вращающегося с большой скоростью полого сосуда с отверстиями по его окружности. Под действием центробежной силы материал выбрасывается из отверстий в виде нитей, которые затем вытягиваются в волокна. Сосуд, вращающийся вокруг своей вертикальной оси со скоростью ~3000 об/мин имеет в своих стенках несколько рядов отверстий (~20 в каждом ряду, диаметр несколько десятых долей мм). У наружной стенки сосуда, в месте выхода из отверстий, нити подвергаются действию пламени или раскаленных газов и вытягиваются в волокна. С. Иофе

58218 П. Приспособление для нагревания плохо проводящих тепло стержней для последующей обработки, в частности стеклянных стержней для прессования. Бенишке (Einrichtung zum Erwärmen

von schlecht wärmeleitendem stangenförmigem Gut für eine anschließende verformende Verarbeitung, insbesondere von Glasstangen zu Preßteilen. Benischke Fridolin) [Siemens-Schuckertwerke A.-G.]. Пат. ФРГ 954287, 13.12.56

Предложено приспособление, в котором стержни нагреваются с помощью теплового излучения в длинных камерах, расположенных в виде буквы V, обращенной вершиной к приспособлению для обработки стержней. Каждый из стержней может выдвигаться из нагревательной камеры к приспособлению для обработки, причем отверстие другой камеры при этом закрывается крышкой. Ю. Шмидт

58219 П. Способ получения пропитанной минеральной ваты. Нюстрём, Коллин (Sätt vid framställning av impregnerad mineralull. Nyström E. H. B., Collin B. W.) [AB Statens Skogsindustrier.]. Шведск. пат. 150240, 31.05.55

Способ пропитки минер. ваты, полученной введением в расплав минерала раздувающего газа с переносом полученного волокна в суспензию, отличается тем, что пропитывающее в-во, напр. термореактивную смолу, вводят в суспензию тем же приспособлением, что и раздувающий газ, но без нагрева, причем одновременно струей газа диспергируют пластик, адсорбируемый в суспензии волокном. К. Герцфельд

См. также: Новая, полностью автоматизированная установка для приготовления шихты в стекольной пром-сти 57763

### Вязущие вещества. Бетоны и другие силикатные строительные материалы

Редакторы Ю. М. Бутт, А. С. Пантелеев

58220. Новые строительные материалы. Будников П. П., Хим. наука и пром-сть, 1958, 3, № 1, 2—7

Приведен обзор свойств и способов приготовления пеностекла, стеклотекстолита, ячеистого бетона, известково-силикатных материалов, безобжиговых гипсовых строительных материалов, карбонатной извести и карбонатного портланд-цемента. М. Степанова

58221. Об углекислом кальции. Такада, Cement and Concrete, Сэманто конкурито, 1957, № 121, 20—25 (японск.)

58222. О возможности обжига мелкокускового известняка в кольцевых печах. Карайм (O możliwościach wypalania drobnego kamienia wapiennego w piecach kregowych. Karaïm Teodor, Cement. Wapno. Gips, 1958, 14, № 1, 17—20 (польск.)

В целях использования для обжига извести отходов известняка размером меньше 30 мм применен метод предварительного брикетирования. Мелкокусковой известняк смешивался с молотой известью-пушонкой в соотношении 1:10 (по объему) или 1:20 (по весу) и с таким же кол-вом воды (отношение вода: известь = 1—1,2). Брикет размером 15 × 15 × 30 см весил в сыром виде 16 кг, а после высушивания — 14,5—15 кг. Брикеты обжигались в кольцевых печах при т-ре до 1000°. Вес брикета после обжига уменьшился до 8,5—10 кг вследствие увеличения пористости. Хим. анализ брикетов показал, что полученная известь может быть отнесена к низшему сорту, характеризующемуся длительными сроками гашения. Вместе с тем она дает высокий выход теста при гашении. Качество извести может быть улучшено путем отсева мельчайших примесей и замены их мелким чистым сырьем. Б. Левман

58223. Еще раз об обжиге известняка в размолотом состоянии. Роса И., Петр В., Шмагел И., Строит. материалы, 1958, № 1, 34—35

Описана работа опытной полупроизводственной уста-



новки, приведены результаты ее испытания. См. также РЖХим, 1957, 55143. М. Степанова

**58224.** Определение реакционной способности окиси кальция с помощью дифференциального термического анализа и гидратационного калориметра. Уэбб, Валт (Differential thermal and hydration calorimetric methods of determining the reactivity of calcium oxide. Webb T. L., Walt T. van der, S. Afric. Industr. Chemist, 1957, 2, № 12, 258—270 (англ.))

Установлено, что CaO, полученная путем обжига гашеной извести, более реакционноспособна, чем CaO из CaCO<sub>3</sub>. По мере повышения т-ры обжига гашеной извести от 500 до 1400° реакционная способность CaO понижается. При обжиге известняка это явление наблюдается лишь начиная с т-ры 900°.

**58225.** Фасадные облицовочные силикатные плиты на негашеной извести. Черный И. Л., Певзнер Э. Д., Гринштейн Х. Р., Курляндская С. Б., Демченко А. Я., Сб. науч. работ Н.-и. ин-т стройматериалов. БССР, 1957, вып. 6, 73—82

Из известково-песчаной массы полупластичной консистенции (15—17% воды от веса сухих материалов) при вибрации в формах и автоклавной обработке можно изготавливать высокого качества облицовочные фасадные плиты. Масса готовится на песке, частично смолотом совместно с известью в соотношении 1:1,5 (активная CaO : песок). Для произ-ва силикатных плит пригодны кальцевая и доломитовая (высокомagneзильная) известь. Содержание активной CaO в сухой массе составляет 6% при использовании кальцевой извести и 4% при использовании доломитовой. Приведена технологич. схема произ-ва облицовочных силикатных плит.

**58226.** Некоторые современные вопросы исследования и производства гипса. Сэнтани Митио, Егё кёкайси, J. Ceram. Assoc., Japan, 1957, 65, № 744, С 417—С 427 (японск.)

**58227.** Получение формовочного гипса путем гидротермальной обработки в автоклавах. Печуро С. С., Тр. Совещания по произ-ву формовочн. гипса и его применению в различн. отраслях пром-сти. М., Промстройиздат, 1957, 73—85

Наиболее важными технологич. вопросами являются переход от пропаривания камня к сушке и сушка пропаренного камня. При сбросе давления в автоклавах отмечается резкое падение т-ры пропаренного камня, что способствует появлению двуhydrата вторичного образования и вызывает ухудшение качества гипса. При сушке камня должна быть удалена как свободная влага, так и влага, вошедшая в состав вторичного двуhydrата. Приводится сравнительное описание различных тепловых аппаратов (вращающихся самозапарников, варочных котлов БЮС и пр.) и описание произ-ва автоклавного гипса по схеме Ростромпроекта.

**58228.** Изучение структуры клинкера портланд-цемента. Кальеха-Каррете (Contribución al estudio de la estructura del «clínker» de cemento de Portland. Calleja Carrete Jose), Rev. cienc. apl., 1955, 9, № 5, 422—431; № 6, 524—532 (исп.)

Предыдущее сообщение см. РЖХим, 1958, 47597.

**58229.** Тонкопомольные цементы из клинкеров Хилковского и Ангренского заводов. Шипилов А. П., Тр. Среднеаз. н.-и. ин-та ирригации, 1957, вып. 90, 59—67

Чистые портланд-цементы обоих з-дов при помоле до уд. поверхности 4,5—5 тыс. см<sup>2</sup>/г превращаются в быстротвердеющие вяжущие (суточная прочность 200 кг/см<sup>2</sup>, а трехсуточная 400 кг/см<sup>2</sup>). Для сохранения сроков схватывания и ускорения процессов твердения необходимо дополнительное введение гипса в кол-ве 3—4% от веса клинкера. При добавках глиежа (Г) до

20% быстротвердеющие цементы могут быть получены при помоле до 5,0—5,5 тыс. см<sup>2</sup>/г, при 30% Г — при помоле до 6,2—6,5 тыс. см<sup>2</sup>/г. Получить домолом быстротвердеющий цемент при содержании Г > 30% невозможно. Домол цементов с содержанием Г > 20% нецелесообразен, так как значительно удлиняется время помола и резко уменьшается производительность мельниц.

**58230.** Белитовый цемент. Печара (Cement belytowy. Pięszara Stefan), Cement. Wapno. Gips, 1958, 14, № 1, 9—11 (польск.)

Поскольку для произ-ва ячеистого бетона наиболее пригоден белитовый цемент, на цементном з-де Вейхерово освоен выпуск клинкера с содержанием С<sub>8</sub> ~ 62%. Обжиг производится в печи 2,4/2,0 × 35 м. Вес 1 л клинкера 1426 г; силикатный модуль составляет 3,06, глиноземный 2,0, КН = 0,72. Цемент обладает нормальными сроками схватывания и отвечает всем другим требованиям стандарта. Прочность его достигает к 28 суткам при испытании в р-рах пластичной консистенции: на изгиб 47,2—52,0 кг/см<sup>2</sup>, на сжатие 193—227 кг/см<sup>2</sup>. Вследствие пониженного тепловыделения цемент может быть применен для гидротехнич. строительства.

**58231.** О природе индукционного периода гидратации портланд-цемента с добавками гидрофильного пластификатора. Лукьянова О. И., Сегалова Е. Е., Ребиндер П. А., Докл. АН СССР, 1957, 117, № 6, 1034—1036

Замедление гидратации цемента происходит вследствие адсорбции ССБ на зародышах кристаллизации гидроалюмината кальция (ГК), образующихся с постоянной скоростью в течение индукционного периода. Постоянная скорость образования зародышей кристаллизации ГК обеспечивается постоянством пересыщения жидкой фазы суспензии, создаваемым исходной модификацией — безводн. алюминатом кальция. Основными факторами, определяющими продолжительность индукционного периода, являющимися начальной конц-ия пластификатора в водн. среде цементной суспензии, а также скорость связывания пластификатора возникающими центрами кристаллизации ГК. Определенную роль в пластифицирующем эффекте играет стабилизирующее действие адсорбционных слоев литносulfонатов ССБ на первичных частицах цемента, предотвращающее образование коагуляционных структур.

**58232.** Производство цемента в шахтных печах. Свобода, Пакас (Производство на цемент в шахтов. печи. Свобода К., Пакас В.), Техника (Бълг.), 1956, 5, № 5, 45—47 (болг.)

**58233.** О неустойчивости безводных кальциевых алюминатов. Кузнецов А. М., Изв. Естеств.-науч. ин-та при Пермск. ун-те, 1957, 14, № 1, 57—63

Соединения, кристаллизующиеся с увеличением объема в сравнении с суммой объемов исходных компонентов, являются метастабильными. Механизм образования метастабильной структуры сводится к деформации анионной решетки (AlO<sub>4</sub><sup>-5</sup>) при введении в ее состав одно- или двухвалентных катионов. Значительное увеличение мол. объема безводн. кальциевых алюминатов, достигающее 32% относительно суммы объемов окислов, связано с аномально низкой координацией катионов в кристаллич. решетке этих соединений.

**58234.** Спексаемость природного высокоглиноземистого сырья месторождения Таншань. Чжань Мианда, Линь Цзю-сян, Научн. вестн. Scientia, Косюэ тунбао, 1957, № 7, 217—219 (кит.)

**58235.** К вопросу получения портланд-цемента из отходов глиноземной промышленности. Манвелян М. Г., Захаров Л. А., Айканан ССР Гитутюнери

Академиа. Зекуйцнер, Докл. АН АрмССР, 1958, 26, № 1, 33—37 (рез. арм.)

Изучена возможность использования отходов глиноземного произ-ва на базе армянских нефелиновых сланцев (так называемый серый шлам) для получения вяжущих в-в и, в частности, портланд-цементов. КН серого шлама 0,62, кремнеземный модуль  $n = 5,02$ , глиноземный модуль  $p = 0,69$ . Установлено, что серый шлам состоит из низкоосновных гидросиликатов общего вида  $x\text{CaO} \cdot y\text{SiO}_2 \cdot m\text{H}_2\text{O}$ . В качестве высокоглиноземистой корректирующей добавки рекомендуется использовать вместо дефицитных бокситов технич. гидроксиды Al. Для произ-ва портланд-цемента марок «400» и «500» на базе серого шлама необходимо иметь 4-компонентную сырьевую смесь (в %): известняк 41, серый шлам 51, гидроксид Al 4,5, колчеданные огарки 3,5. Приведены хим. и минералогич. состав полученного клинкера.

М. Степанова

58236. Шестивалентный и общий хром (в цементе). Кинан, Перон (Hexavalent chromium and total chromium. Keenan Robert G., Perone Vernon B.), Amer. Industr. Hyg. Assoc. Quart., 1957, 18, № 3, 231—234 (англ.)

С помощью разработанных аналитич. методов проанализирован на содержание Cr ряд образцов портланд-цементов США. В водн. экстракте (ВЭ), полученном после двукратной обработки образца, определялся как общий, так и 6-валентный Cr. В высушенных остатках, получаемых при водн. экстракции, и в натуральных образцах цемента определялся только общий Cr. Эти материалы разлагались сплавлением со смесью безводн.  $\text{Na}_2\text{CO}_3$ ,  $\text{K}_2\text{CO}_3$  и  $\text{KNO}_3$ . Плав выплавлялся водой с несколькими каплями спирта. Для определения 6-валентного Cr к аликвотной части ВЭ добавляли 4 н.  $\text{H}_2\text{SO}_4$  до pH 1,0. В этот р-р вводили дифенилкарбазид, и после появления окраски устанавливали pH 2,0 с помощью 4 М р-ра  $\text{NaH}_2\text{PO}_4$ . Определение Cr производилось на спектрофотометре при 540 мμ. Общий Cr определялся по методу, описанному в Analit. Chem., 1952, 24, 1016—1020. Установлено, что содержание общего Cr в обычно применяемом для бетонных сооружений цементе типа I (по классификации Американского об-ва испытания материалов) доходит до 60 μg/g. Содержание водорастворимого Cr 8,8 μg/g. Кол-во 6-валентного Cr в ВЭ 0,03 ÷ 7,8 μg/g. В ВЭ, полученных из цементах типа II, III и V, максим. содержание 6-валентного Cr составляет соответственно 1,8; 8,7 и 3,4 μg/g. Во влагонепроницаемом цементе эта величина достигает 8,8 μg/g.

Л. Херсонская

58237. Применение ускоренного анализа сырьевой муки в контроле производства цемента. Бок, Симчен (Die Anwendung der Rohmehl — Schnellanalyse als Überwachungsprüfung für die Zementproduktion. Bock D., Simchen H.), Silikatechnik, 1958, 9, № 2, 79—82 (нем.; рез. англ., русск.)

Приведена методика ускоренного анализа. Продолжительность определения  $\text{SiO}_2$ ;  $\text{Al}_2\text{O}_3$ ;  $\text{Fe}_2\text{O}_3$  и CaO приблизительно 90 мин.

Из резюме авторов

58238. Испытания различных видов цемента на износостойкость и сравнение их с дорожным цементом. Яманэ, Мори. Сэмэно гидзюцу нэмпо, Proc. Japan Cement Engng Assoc., 1956, 10, 260—266. Дискус., 266

58239. Зола-унос и возможности ее использования. Жарриж (Les cendres volantes et leurs possibilités d'utilisation. Jarrige A.), Ann. mines, 1957, oct., 649—672, nov., 707—725 (франц.)

Приведена характеристика гранулометрич. состава, об. веса, т-ры плавления, поглощения жидкостей и хим. состава золы-уноса различных ТЭЦ Франции. Рассмотрены технико-экономич. вопросы использования.

И. Смирнова

58240. Исследование свойств топливных шлаков и пути их применения в строительстве. Козак (Naukowo — doświadczalne badania żużli paleniskowych i wytyczne stosowania ich w budownictwie. Kozak Roman), Mater. budowl., 1958, 13, № 1, 4—7 (польск.)

Проведенные исследования различных польских топливных шлаков показали, что они по своим хим. и физ. свойствам вполне пригодны для изготовления местных вяжущих. Образцы известково-шлаковых вяжущих, шлакобетона (ШБ) на основе цемента и ШБ на основе цемента и извести при испытаниях обнаружили нормальные строительно-технич. свойства.  $R_{28}$  ШБ при расходе цемента 100—200  $\text{кг}/\text{м}^3$  составляет 16,7—28,4  $\text{кг}/\text{см}^2$ . Увеличение расхода цемента не дает соответствующего прироста прочности ШБ. Прочность ШБ на основе цемента и извести (50 + 50) несколько ниже, но при добавке 25% песка  $R_{28}$  достигает 23,7—27,1  $\text{кг}/\text{см}^2$ . ШБ низких марок может применяться при изготовлении стеновых элементов для одноэтажных зданий, а ШБ с  $R_{28} \geq 25 \text{ кг}/\text{см}^2$  — для произ-ва крупных стеновых блоков и панелей.

Б. Левман

58241. О возможности улучшения отвалного котельного шлака из т. Ославаны выпечиванием водой. Матоушек (O možnosti zušlechtění škváry ze starého oslavanského odvalu vypráním vodou. Matoušek Milan), Sbor. Vysokého učení techn. Brně, 1967, № 2, 177—183 (чешск.; рез. русск., нем.)

Отмечается, что отвалыные шлаки содержат большое кол-во сульфатов и особенно сульфата Са. Предлагается система промывных резервуаров, с помощью которой можно достичь выпечивания сульфатов.

Из резюме автора

58242. О химическом составе шлака для высокосульфатного шлакового цемента. Танака, Сакам, Яманэ, Сэмэно гидзюцу нэмпо, Proc. Japan Cement Engng Assoc., 1956, 10, 119—125 (японск.)

58243. Указания по изготовлению и применению сульфатно-шлаковых цементов (бесклинкерных и малоклинкерных). Будникос П. П. (Wskazówki dotyczące sporządzania i stosowania cementów siarczanowo-żuźlowych (bezklinkeowych i o małej zawartości klinkru). Budnik P. P.), Cement. Warpo. Gips. 1957, 13, № 12, 289—295 (польск.)

Описывается опыт получения и применения бесклинкерного сульфатношлакового цемента (СПШЦ) в СССР. Характеризуются основные строительные свойства СПШЦ и пути их улучшения при помощи небольшой добавки извести или портланд-цементного клинкера. Приводится схема произ-ва СПШЦ.

Б. Левман

58244. Технологические схемы сушки и измельчения сырьевой смеси. Части I, II. Тонри (Raw mix drying and grinding systems. Parts I, II. Tonry J. R.), Pit and Quarry, 1957, 50, № 1, 96, 98, 100, 105, 128, 156, № 2, 102—103, 106—108, 115 (англ.)

I. Приведены технологич. схемы и характеристика промышленных установок, в которых производится в комбинации сушка и измельчение материалов. Рассмотрены методы контроля технологич. процесса: по силе тока, потребляемого элеватором или сепаратором, и по расходу энергии в мельнице, а также по звуку, издаваемому работающей мельницей.

И. Смирнова

II. Приводится примерный расчет расхода тепла на сушку сырьевых материалов в мельнице и описываются различные сушильно-размольные схемы. По одной из них, состоящей из мельницы, работающей в замкнутом цикле с сепаратором, циклонного и рукавного пылеуловителей и транспортных устройств, сырье поступает в мельницу вместе с горячими отходящими газами вращающейся печи, которые просасываются вентилятором, установленным за циклоном. Имеется вспомогательная мазутная топка. Газы поступают в



систему с т-рой 200—340° и выходят из циклона с т-рой ~ 50°. По другой схеме помол производится в двухкамерной мельнице, работающей в замкнутом цикле с классификатором. Сушка производится горячим воздухом, подаваемым в мельницу из спец. топки. По третьей схеме (однокамерная мельница, работающая в замкнутом цикле) горячий воздух из газовой топки поступает прямо во внутренний конус сепаратора. По четвертой схеме горячие газы из топки поступают в сепаратор в нескольких точках. Современные сушильно-размольные установки оборудованы автоматич. приборами, регулирующими подачу топлива и горячего воздуха в зависимости от влажности материала.

Б. Левман

**58245. Применение радиоактивных изотопов для определения износа мелющих шаров. Побережкин, Юбанк, Калкинс, Уэснер, Кемпбелл (Radioactive-tracer technique for studying grinding ball wear. Pobereskin M., Ewbank N. M., Jr, Calkins G. D., Wesner A., Campbell J. E.), Mining Engng, 1957, 9, № 12, 1356—1358 (англ.)**

Для опытов были взяты шары из различных сортов стали, содержащие изотопы  $Fe^{59}$  и  $Cr^{51}$ . Шары были разбиты на 10 групп по 19 в каждой. Одна из групп имела миним. интенсивность излучения, у каждой из остальных интенсивность повышалась по отношению к предыдущей на 33%. Радиоактивные шары (РШ) были загружены в цементную мельницу, содержавшую ~ 40 т обычных шаров, и через 108 дней выгружены из нее. Выделение РШ из общей массы загрузки производилось с помощью счетчиков Гейгера.

Б. Левман

**58246. Краткие сведения о контроле тепловых потерь на цементном заводе компании «Нихон сэмпот» в Осака. Ниси кава, Нацу — канри сирё, Heat Engng, 1957, № 3, 16—20 (японск.)**

**58247. О дозировке кокса в известково- и цементно-обжигательных шахтных печах. Эйген (Koksdosierung beim Kalk- und Zementschachtöfen nach dem Heizwert des Roh- oder Trockenkokes? Eigen H.), Zement-Kalk-Gips, 1958, 11, № 1, 10—12 (нем.; рез. англ., франц.)**

Для достижения постоянной величины теплообразования в зоне обжига необходимо дозировать кокс по теплотворной способности не сырого, а сухого кокса. Указывается, что при коксе с влажностью 15,65% расход чистого сухого кокса на 1 т известняка увеличивается по сравнению с коксом 30% влажности на 0,81 кг.

Г. Копелянский

**58248. Производство стеновых малогабаритных блоков на основе тонкоизмельченных местных цементов. Черный И. Л., Ходский Л. Г., Гринштейн Х. Р., Кантор Р. И., Шарейко Л. В., Сб. научн. работ. Н.-и. ин-т стройматериалов. БССР, 1957, вып. 6, 44—72**

Экспериментальным э-дом НИИСМ БССР разработана технология получения малогабаритных блоков с применением местных тонкомолотых очажных цементов, глинистых цементов, а также местных цементов типа гидравлич. вяжущего (местное гидравлич. вяжущее в-во, полученное путем обжига карбонатных суглинков и мела). Приведены характеристики и способы получения стеновых блоков с целевидными пустотами на базе цементов и малогабаритных блоков на базе местных вибромолотых цементов.

М. Степанова

**58249. Автоклавная цементная плитка полусухого прессования для облицовки стен и полов. Певзнер Э. Д., Павлова М. П., Сб. научн. работ. Н.-и. ин-т стройматериалов. БССР, 1957, вып. 6, 105—110**

Предложен способ изготовления 2-слойной цементной облицовочной плитки из жестких цементно-песча-

ных смесей при эффективном уплотнении их высоким прессовым давлением. Для ускорения процессов твердения и получения высокой прочности плитки подвергались автоклавной обработке. Для изготовления плиток были использованы следующие материалы: белый портланд-цемент (приведен хим. состав) с нормальной густотой цементного теста 25%, серый (обыкновенный) портланд-цемент с нормальной густотой 28%, песок и красящие пигменты. В/Ц верхнего слоя 0,12. Подробно описана технология изготовления. Приведены физ.-мех. свойства плиток. Стоимость цементных плиток в полтора раза меньше, чем керамических.

М. Степанова

**58250. Конвейерная машина для изготовления цементно-песчаной черепицы. Витол Я., Шибалаев И., Народное х-во Сов. Латвии, 1957, № 1, 32—34**

Приведены схема, описание работы и требования, предъявляемые к исходным материалам.

М. Степанова

**58251. К вопросу экономичного приготовления качественного бетона. Павлик (K otázce hospodárnej výroby kvalitného betónu z hľadiska reologického. Pavlík Adolf, Inžen. stavby, 1958, 6, № 1, 14—21 (словацк.; рез. русск., нем., англ.)**

За основную характеристику при выборе бетонных смесей рекомендуется принимать подвижность бетонной смеси. Рассматривается вопрос влияния на подвижность мелких фракций заполнителя, частоты вибрации, пластифицирующих добавок. Описан способ измерения подвижности новым простым прибором.

Из резюме автора

**58252. Влияние гидрохлоралюминатных соединений на прочность и долговечность цементного камня в бетоне. Саввина Ю. А., Серб-Сербина Н. Н., Строит. пром-сть, 1956, № 9, 31—36**

Отмечается, что условия образования гидрохлоралюминатов Са в цементном камне на различных стадиях его твердения определяют прочность и долговечность бетона. В зависимости от минералогич. состава цемента и условий твердения бетона для каждого цемента имеются свои оптимальные конц-ии добавок хлоридов Са и Na, соответствующие физ.-хим. процессам, обуславливающим лучшие строительные свойства бетона, наибольшую интенсивность твердения и достижение расчетной прочности бетона в наиболее короткие сроки. Для высокоалюминатных цементов наиболее целесообразно применять один NaCl или p-p  $CaCl_2$  и NaCl в отношении  $\leq 1:4$ . Для среднеалюминатных цементов ( $C_3A$  до 8%) соотношение  $CaCl_2$  и NaCl должно быть  $1:1$  и общая конц-ия  $\leq 22\%$ . Для низкоалюминатных цементов соотношение  $CaCl_2$  и NaCl возможны в пределах от  $1:1$  до  $4:1$  в зависимости от общей конц-ии солей. При отношении  $1:1$  общее содержание солей возможно до 26—27%, при  $4:1$  — не выше 22%. Для быстротвердеющих цементов с низким содержанием  $C_3A$  соотношение  $CaCl_2$  и NaCl возможно от  $2:1$  до  $4:1$  и конц-ия солей до 23—25%.

Резюме авторов

**58253. Добавки для бетона. Нараянан (Admixtures in concrete. Narayanan R.), Indian Builder, 1957, 5, № 12, 93—96 (англ.)**

Пуццолановые добавки (Д) классифицированы на природные (вулканич. туфы, пемзы и т. д.) и искусственные (золы, доменные шлаки и пр.). Наиболее широко распространенной Д в Индии является тонкомолотый кирпичный бой. Активность этой Д зависит от минералогич. состава сырья, т-ры, степени обжига и примесей. Исследованиями установлено, что данная Д позволяет значительно снизить расход цемента, усадку бетона, теплоту гидратации, улучшить удобообрабатываемость (особенно при тощих смесях), повысить сульфатостойкость и водонепроницаемость. В Индии в со-

став цемента вводится также до 30% тонкодисперсной пыли совместно с небольшим кол-вом воздухововлекающих Д, что способствует повышению прочности при сжатии, снижает усадку и повышает морозостойкость бетона. Вторая группа Д, не обладающая пуццолановыми свойствами, может быть классифицирована в следующие группы: Д, повышающие удобообработку бетонных смесей, — органич. пластифицирующие в-ва; воздухововлекающие Д — винсол и др.; Д, способствующие расширению бетонной смеси — алюминиевый порошок, сапонин; диспергирующие и смачивающие Д — лигносульфоновые и нафталисульфоновые к-ты; Д, способствующие повышению плотности бетона — винная, лимонная и сахарная к-ты; ускоряющие процесс твердения Д — хлористый кальций, триэтилоламин и др.; Д-замедлители — кальциевые, натриевые и аммонийные соли лигносульфоновых и адипиновых к-т; Д, повышающие водонепроницаемость бетона, — растворимые стеараты натрия, калия и аммония, кальциевые мыла, битумы и смолы, а также такие поровоуплотняющие материалы, как молотый мел и тальк; Д, окрашивающие бетон, — пигменты различного цвета.

В. Горшков  
58254. Улучшение свойств бетона добавками смол. Минабэ, Resin Finish. and Applic., Дзюси како, 1957, 6, № 1, 27—32 (японск.)

58255. Бетон и высокомолекулярные вещества. Тория, Кобунси, 1957, 6, № 61, 171—176 (японск.)

58256. Влияние кремнийорганических добавок на стойкость бетона. Лейбович Х. М., Капкин М. М., Научн. сообщ. Всес. н.-и. ин-т цементн. пром-сти, 1957, № 1 (32), 18—22  
См. РЖХим, 1958, 18755.

58257. Оптимальные добавки хлористых солей к бетонным смесям, укладываемым в дорожные покрытия при отрицательных температурах. Овчаров В. И., Бетон и железобетон, 1958, № 2, 55—60

Добавки хлористых солей ( $\text{CaCl}_2 + \text{NaCl}$ ) в кол-ве до 15% в холодные бетоны не вызывают ухудшения механич. прочности (при достижении до замораживания 50% проектной прочности). Введение  $\text{NaCl}$  замедляет схватывание и падение подвижности смеси с добавками  $\text{CaCl}_2$ . Быстрота схватывания и падения подвижности смесей, имеющих отрицательную т-ру, увеличивается при повышении содержания в цементах трехкальциевого алюмината и увеличения тонкости помола. Скорость схватывания смесей при т-рах в них до  $-10^\circ$  и величина оптимальных добавок  $\text{CaCl}_2$  устанавливаются по их подвижности и в соответствии с дальностью доставки смеси. Назначение дозировок солей рекомендуется производить в основном по т-ре бетона. Приведена таблица распределения т-р в бетонной плите в зависимости от т-ры наружного воздуха.

Б. Варшал

58258. О некоторых свойствах «холодных» бетонов. Якуб И. А. В сб.: Бетоны и растворы. М., Гос. изд. лит. по стр-ву и архитект., 1957, 123—134

Исследован вопрос об усадочных деформациях, прочности и миграции солей «холодных» бетонов (ХБ), а также вопрос о коррозии арматуры. Усадочные деформации ХБ в период твердения на морозе не превышали по величине усадочных деформаций обычного бетона. При повышении т-ры усадочные деформации ХБ резко возрастают и в несколько раз превосходят величины деформаций обычного бетона. Высокоалюминатные цементы, отличающиеся большим объемом гелеобразных масс, дают большую величину усадки. ХБ на указанных цементах, твердевших при отрицательных т-рах, не достигают в возрасте 60 дней 100%-ной прочности бетонов, твердевших при нормальной т-ре. Миграция и вымывание введенных хлористых солей, образование высолов на поверхности ХБ портят внешний

вид сооружений. Арматура в ХБ подвергается коррозии в значительно большей степени, чем в обычном бетоне.

Б. Варшал

58259. Бензонепроницаемый бетон. Шац Р. С., Стр-во предприятий нефт. пром-сти, 1958, № 2, 13—16

Для придания свойства непроницаемости рекомендуется добавлять к бетону колл. гидрат окиси Fe.

М. Степанова

58260. Принципы вакуумирования бетона. Левьян (Die Prinzipien des Vacuum — Concrete — Verfahrens. Leviant I.), Beton, 1958, 8, № 2, 37—43 (нем.; реангл., франц.)

Описаны технологич. схема вакуумирования, происходящие при этом физ. явления в бетоне и поведение его отдельных компонентов, изменения структуры, конечные результаты. Указаны основные преимущества вакуумирования: уплотнение бетона, возможность изготовления и немедленной распалубки тонкостенных конструкций. Изложены практич. приемы вакуумирования при изготовлении различных сборных и монолитных конструкций: криволинейных оболочек, плит разных размеров, труб, резервуаров, монолитных стен, при каркасном строительстве, различных покрытиях, бетонировании крутых склонов и т. д.

Е. Дунаевский

58261. Электрический прибор для контроля пластичности бетонной смеси. Леушин А. И., Гидротехн. стр-во, 1958, № 3, 49—51

Разработан метод определения пластичности бетонной смеси, основанный на использовании зависимости силы тока электродвигателя от пластичности бетонной смеси. Описаны конструкция и принцип действия прибора для непрерывного измерения пластичности. Внедрение последних позволяет непосредственно в процессе приготовления бетонной смеси контролировать и корректировать пластичность бетона.

М. Степанова

58262. Изменение прочности и объемного веса бесцементного термозитобетона в зависимости от его возраста. Леличенко В. Г., Бетон и железобетон, 1958, № 2, 63—65

Интенсивность роста прочности термозитобетона на шлаковом вяжущем после пропаривания мало отличается от интенсивности роста прочности тяжелых бетонов (предел прочности образцов на сжатие по истечении года составил 147% по отношению к 28-суточной прочности). Уменьшение об. веса наиболее интенсивно идет в первые 3 месяца (на 7,5%), достигая к одному году 9,8%. Снижение об. веса термозитобетона, происходящее за счет влаготдачи, будет продолжаться значительно больше года.

Б. Варшал

58263. Состав, контроль и область применения легкого бетона. Джонс, Стивенсон (Proportioning, control, and field practice for lightweight concrete. Jones Truman R., Stephenson Henson K.), J. Amer. Concrete Inst., 1957, Part 1, 29, № 6, Proceedings, 54, 527—535 (англ.)

Изучены свойства 50 различных составов бетона в зависимости от вида заполнителя, содержания воды, вида и кол-ва цемента, а также от кол-ва и качества воздухововлекающих добавок. Опытами установлено, что при нормальном содержании цемента бетонная смесь получается высокого качества при содержании вовлеченного воздуха в кол-ве от 4 до 7%. Для получения удобообрабатываемой смеси пористый заполнитель должен быть увлажнен за 24 часа до пробного замеса. Бетон на пористом заполнителе имеет осадку конуса приблизительно на 5 см меньше, чем тот же бетон, но имеющий в качестве заполнителя песок и гравий. При укладке бетона необходимо применять вибрирование. Наилучшие результаты дает применение вибра-



ции с частотой 7200 периодов в 1 мин., что приблизительно вдвое больше, чем обычно принятая частота при укладке бетона на песке и гравии. В. Горшков 58264. Пенобетон с применением вспученных шлаков. Лакотецкий Г. И., Багрий Я. И., Сб. научн. работ студ. Донецк. индустр. ин-т, 1957, вып. 2, 105—107

Описан способ изготовления термоизоляционных плит с использованием в качестве заполнителя крупной фракции термозита. Для приготовления легких термоизоляционных бетонов применяли 2 основные фракции шлаковой пемзы: фракция 2,5—5 мм — 35% и 5—40 мм — 65%. При этом вследствие частичного заполнения крупных пор пемзы эффективностью термозита снижается, особенно в случае применения мелкой фракции. Для повышения эффективности термозита рекомендуется применять следующий фракционный состав: 5—15 см — 60% и фракция < 5 см — 30%. Изготовленная опытная партия плит с заполнителем из термозита 50% по объему оказалась отличного качества. Об. в. 600 кг/м<sup>3</sup>, прочность на сжатие 9—12 кг/см<sup>2</sup>. Предложенный способ дает возможность сократить расход цемента в 2 раза, сократить выход брака и увеличить производительность на 40%.

М. Степанова

58265. Водные свойства и поверхностная энергия мелкозернистых песков. Ступаков Г. И., Тр. Среднеаз. н.-и. ин-та ирригации, 1957, вып. 90, 87—97

Изучены краевой угол смачивания, водоудерживающая способность и поверхностная энергия мелкозернистых песков (МП). Указаны конструкции приборов и методы определения параметров. Установлено, что поверхность МП обладает хорошей смачиваемостью, а величина поверхностной энергии минералов, приходящаяся на 1 см<sup>2</sup> поверхности, практически одинакова. Поэтому характер сцепления поверхности цементного камня с поверхностями различных песков, зависящий от поверхностной энергии, идентичен.

Б. Варшал

58266. Контроль качества бетона с учетом закона больших чисел. Ридрих (Qualitätskontrolle von Beton mit der Großzahl-Methodik. Riedrich Max), Bauplan ung-Bautechnik, 1958, 12, № 1, 22—26 (нем.)

Оценка качества бетона по результатам единичных результатов при испытании контрольных образцов является недостаточной. Необходима статистич. обработка большого кол-ва результатов испытаний за определенный период времени, что позволит иметь суждение о средней прочности бетона и о возможной изменчивости результатов.

Е. Штейн

58267. Определение потери прочности бетонов при испытании на морозостойкость без разрушения образцов. Латиненко В. А. В сб.: Исслед. по бетону и железобетону. Вып. 2. Рига, АН ЛатвССР, 1957, 61—96

Изменения прочности бетона под влиянием различных факторов могут быть определены без разрушения образцов путем измерения динамич. модуля упругости (ДМУ) и логарифмич. декремента затухания (ЛДЗ). ДМУ определялся с помощью прибора типа ИЧМК-2, ЛДЗ — по ширине амплитудного резонансного пика. Для определения ЛДЗ использовался переконструированный прибор ИЧМК-2: в схему было дополнительно введено шесть поддиапазонов, позволяющих определять частоты колебаний образцов с точностью до  $\pm 5$  гц. Для точного определения амплитуд был сделан отвод из ИЧМК-2 к входу вертикального усиления осциллографа ЭО-7. Исследованиями установлено, что ЛДЗ является характеристикой, более чувствительной к изменениям в структуре, чем ДМУ. Предложена ф-ла для определения потери прочности бетона при его испытании на морозостойкость. Срав-

нение фактич. прочности образцов при изгибе с расчетной показало, что средняя квадратичная ошибка составляет  $\pm 6,9\%$ . Библ. 26 назв.

М. Майя 58268. Исследования сцепления и трещинообразования двух видов бетонов. Гжегожевский (Badania nad zespoleniem dwóch różnych betonów i w-runki tworzenia sie rys. Grzegorzewski Wiktor), Inż-ia i budown., 1957, 14, № 12, 405—414 (польск.)

Проводились опыты по проверке сцепления между свежим и затвердевшим бетоном в условиях работ на омоноличивании поврежденных железобетонных конструкций. Исследовалось сцепление свежего бетона с предварительно напряженными бетонными досками (плитами), изготовленными из портланд-цемента марки «350» с базальтовым заполнителем. У досок с большим натяжением струн сцепление со свежим бетоном оказалось значительно выше, чем у менее напряженных досок. Лучшее сцепление показали также доски, смоченные перед бетонированием цементным молоком.

Б. Левин

58269. Условия выдержки и прочность бетона с добавкой летучей золы. Ватанабэ, Сэмэнто конкрито, Cement and Concrete, 1957, № 122, 8—14 (японск.)

58270. Метод исследования песков для асфальтовых бетонов. Замниус Ф. К., Заводск. лаборатория, 1958, 24, № 3, 316

Предложен метод определения активности песка, т. е. способности его к взаимодействию с битумом. В качестве характеристики активности принят показатель смачивания его битумом (условно «битумность песка») — кол-во битума, которое свободно удерживается поверхностью песка при установленной рабочей т-ре нагрева компонентов при приготовления асфальтовой смеси. Описана методика измерения. Предложенный метод позволяет выявить требуемую степень активности минер. порошка для асфальтобетона и дает возможность ориентировочно определить потребное для смеси кол-во битума.

М. Степанов 58271. Новые качественные показатели заполнителей дорожных бетонов. Ярай (Betonburkolatok adak kanyagának új minőségi jellemzői. Járay Jeno), Magyar építőipar, 1957, 6, № 9—10, 361—366 (венг.)

Одним из недостатков бетонов является расхождение между запроектированными и действительными значениями их прочностей. Отмечается, что пористость зерен заполнителя влияет на прочность бетона. Для устранения указанных расхождений и для повышения прочности бетона рекомендуется улучшать качество заполнителя, особенно мелкого. Подчеркивается зависимость между способностью уплотняться и поверхностью зерен заполнителя, автор показывает, что эта зависимость может быть использована как показатель качества заполнителя. Приводятся предельные значения уплотняемости и поверхности зерен, учитывая которые можно получить наименьшее расхождение при определении прочности бетона. Поверхность зерен мелкого заполнителя должна быть в пределах 25—50 см<sup>2</sup>/г. Кол-во фракции размером < 0,1 мм должно превышать 9%. Величина уплотняемости  $\geq 0,58$ . Библ. 6 назв.

Д. Поппинг

58272. Исследование дорожного асфальтового бетона. Волков М. И., Тр. Харьковск. автомоб. ин-та, 1958, вып. 21, 147—156

Краткий обзор н.-и. работ кафедры дорожных строительных материалов, выполненных под руководством автора за 1947—1957 гг. Библ. 28 назв. М. Степанов

58273. Лабораторные исследования бетона для дорожных покрытий, приготовленного с применением золы — уноса. Аоки, Добоку гидзюцу, 1956, 11, № 11, 18—29 (японск.)

58274. Мокрый способ пылеулавливания находит все более широкое применение. Сейферт (Dust control-wet collector has wide process applications. Seifert Harry E.), South. Power and Ind., 1958, 76, № 2, 42—43, 104 (англ.)

Установленный на 3-де легких заполнителей мокрый пылеуловитель новой конструкции обеспечивает почти полное обеспыливание отходящих газов вращающихся печей. Т-ра газа на входе в пылеуловитель составляет ~200°. Для предохранения от истирающего действия пыли, а также тепловой и хим. коррозии пылеуловитель построен из специально обработанного дерева и скреплен деревянными гвоздями. Спец. пороги внутри пылеуловителя направляют поток газа таким образом, чтобы обеспечить максим. увлажнение пыли водой, поступающей через боковые сопла. Пылеуловитель работает без ремонта уже 4 года.

Б. Левман  
58275. Экспериментальное исследование прочности бетона на сжатие (при наложении частичной нагрузки на бетонные опоры). Ито, Cement and Concrete, Саманто конкурито, 1957, № 123, 9—15 (японск.)

58276. Определение напряжений в бетоне измерениями его удлинений. Вейль (Spannungsermittlung an Beton durch Dehnungsmessungen. Weil Gustav), VDI-Zeitschrift, 1957, 99, № 36, 1781—1786 (нем.)

Отмечается, что прочность и упругость бетона зависят от его структуры, возраста, условий твердения, температурных влияний. При правильном учете этих факторов, а также усадки и ползучести бетона можно, исключив их влияние, определить напряжения в бетоне измерением его удлинений. Этот способ применяется все чаще. Большое значение в данном случае имеет правильная методика измерения различных свойств бетона. Описаны методика предлагаемого способа определения напряжений в бетоне путем измерения его поверхностных удлинений и применяемые при этом механич. и электр. измерительные приборы.

Е. Дунаевский  
58277. Влияние тонкости помола цемента и добавок на морозостойкость цементного раствора. Иванов Ф. М., Бетон и железобетон, 1958, № 2, 70—71

Увеличение тонкости помола высокоалюминатных цементов (Ц) без добавок может привести к понижению морозостойкости р-ров. Добавка гипса и регулирование его кол-ва в зависимости от тонкости помола приводит к повышению морозостойкости р-ра на Ц тонкого помола. Добавка хлористого кальция в отдельных случаях может компенсировать недостаток гипса в тонкомолотом Ц и повысить морозостойкость цементного р-ра.

Б. Варшал  
58278. Влияние давления при формовке на свойства асбесто-цементных плит. Итикава, Сэмэнто гидзюцу хэмпо, Proc. Japan Cement Engng Assoc., 1956, 10, 450—453 (японск.)

58279. Механизация производства волнистого шифера. Гражданский С., Народное х-во Сов. Латвии, 1957, № 1, 17—18

В целях повышения производительности труда в процессе произ-ва волнистого шифера на Бропненском комбинате осуществлено изготовление и освоение волнорочно-стопирующего агрегата, состоящего из электромагнитного подавателя металлич. волнистых прокладок, волноровчика и стопировщика. Описана работа агрегата. В результате применения описанной линии механизации произ-ва повысилось качество продукции; освобождено от ручного труда 60 рабочих и получена годовая экономия 812 тыс. рублей.

И. Михайлова

58280 Д. Улучшение физико-механических свойств и усовершенствование технологии цементогрунта для устройства фундаментов. Токин А. Н. Автореф.

дисс. канд. техн. н., Н.-и. ин-т оснований и подземн. сооруж. Акад. стр-ва и архитект. СССР, М., 1958

58281 Д. Выбор цементов, составов бетона и усовершенствование технологии для железобетонных плит-оболочек морских гидротехнических сооружений. Капкин М. М. Автореф. дисс. канд. техн. н., Моск. инж.-строит. ин-т, М., 1957

58282 Д. Исследование некоторых вопросов технологии и свойств высокопрочных мелкозернистых бетонов автоклавного твердения. Краснова Г. В. Автореф. дисс. канд. техн. н., Н.-и. ин-т строит. материалов, отделки и обмур. зданий Акад. стр-ва и архитект. СССР, М., 1958

58283 П. Шахтная печь для обжига извести или цемента с пылеотделительной установкой. Люр (Kalk-oder Zementschachtofen mit angeschlossener, mit Filterflächen arbeitender Entstaubungsanlage. Lühr Heinrich). Пат. ФРГ 942679, 3.05.56

Шахтная печь отличается тем, что по периметру загрузки люков в верхней ее части, из которой отводятся отходящие газы к пылеотделительной установке, предусмотрены воздухопроводы для подачи нагретого воздуха из воздушной рубашки зоны горения в верхнюю часть печи.

Е. Штейн  
58284. Состав для повышения водонепроницаемости цемента. Юхара, Тамико Японск. пат. 5242; 5243, 30.06.56

Пат 5242. 0,7 кг парафина нагревают до 130°, к расплавленному парафину добавляют 0,3 кг полиэтилена и вновь подогревают до 200°, все время тщательно перемешивая. Затем через некоторое время т-ру смеси понижают до 90°. Отдельно готовят водн. р-р натриевого мыла (400 г мыла на 2 л воды) и подогревают его до 95°. Смесь парафина с полиэтиленом небольшими дозами добавляют к р-ру мыла, все время тщательно перемешивая. Когда смесь парафина с полиэтиленом полностью перемешается с р-ром натриевого мыла, образуется колл. р-р, который охлаждают на воздухе до комнатной т-ры, время от времени перемешивая, и получают гидрофобный состав, в виде пасты. 1 кг полученной пасты растворяют в 10 л воды и кистью или путем распыления наносят этот р-р на сухую поверхность стен. Мелчайшие частицы парафина и полиэтилена, содержащиеся в р-ре, легко проходят в поры стен и образуют водонепроницаемую пленку. В тех случаях, когда эта паста применяется для придания водонепроницаемости бетону или цементу, тогда 1 кг этой пасты растворяют в 40 л воды и полученный р-р добавляют к цементному р-ру или бетону. Пример. Плита из пемзы, с очень высоким коэф. пористости, толщиной 3 см и весом 3,7 кг была покрыта слоем патентуемого состава толщиной 1 см. Спустя 20 суток после ее покрытия плита была помещена на 24 часа в воду на глубину 5 см. Через 24 часа плиту вынули из воды и взвесили. Вес ее увеличился всего лишь на 20 г или на 0,6%.

Пат. 5243. 0,5 кг парафина расплавляют при 130°, к расплавленному парафину добавляют 0,2 кг полиэтилена и, тщательно перемешивая, подогревают до 200° (полиэтилен хорошо растворяется в парафине). Смесь парафина с полиэтиленом небольшими дозами добавляют к 2 л керосина, все время тщательно перемешивая (вместо керосина могут быть использованы бензин, легкие минер. и машинные масла). Когда смесь парафина и полиэтилена полностью растворится в керосине, добавляют еще 6 л керосина. Затем р-р охлаждают на воздухе или принудительно до комнатной т-ры и получают эмульсию белого цвета. Полученную эмульсию наносят на поверхность бетона.

В. Зломанов

См. также: Кристаллохимия силикатов Са 56509



## ПОЛУЧЕНИЕ И РАЗДЕЛЕНИЕ ГАЗОВ

Редактор В. Г. Фастовский

58285. Предупреждение уноса щелочи из декарбонизаторов. Дильман В. В., Казарновская Л. И., Кислород, 1958, № 3, 35—36

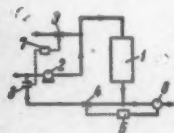
Унос воды р-ра NaOH обусловлен присутствием в р-ре поверхностноактивных в-в (продуктов окисления смазочных масел). Унос предотвращается добавлением в р-р компрессорного или трансформаторного масла в кол-ве  $\sim 0,5$  мл на 1 л р-ра NaOH. В. Герцовский

58286. Практика забора воздуха кислородным цехом по трубопроводу на дальнем расстоянии. Ветров Г. П., Кальфус М. К., Кислород, 1957, № 5, 24—25

На хим. з-де, включающем карбидный и ацетиленовый цехи с постоянным выделением ацетилена в атмосферу, забор воздуха для кислородных установок производится в 1,5 км от кислородного цеха; при этом накопление ацетилена в кислороде полностью не исключается, но содержание его резко уменьшается. А. Ровинский

58287 П. Очистка газов или газовых смесей. Уэбстер (Improvements in or relating to the purification of gases or gas mixtures. Webster Thomas John) [The British Oxygen Co. Ltd]. Англ. пат. 744373, 8.02.56

Процесс очистки инертных газов от примесей  $O_2$  (или  $H_2$ ) путем каталитич. связывания их с  $H_2$  (или  $O_2$ ), отличающийся способом дозирования реагирующих газов для получения стехиометрич. отношения в контактном аппарате 1. Постоянный расход сырого газа поддерживается газодувкой 2, расход  $H_2$  — вентилем 3. Постоянное содержание  $O_2$  в инертном газе перед 2 достигается путем разбавления его чистым газом, отбираемым после 1 через вентиль 4, управляемый регулятором 5, в зависимости от содержания  $O_2$  или  $H_2$  в очищ. газе, которое регистрируется газоанализатором-индикатором 6. Если в процессе работы установок содержание  $O_2$  в исходном газе уменьшится, газоанализатор зарегистрирует избыток  $H_2$  и 5 уменьшит расход чистого газа через 4 так, что содержание  $O_2$  в газе, засасываемом 2, примет установленное значение; при увеличении содержания  $O_2$  в исходном газе регулятор 5 соответственно увеличит расход чистого газа через 4. Для повышения чистоты получаемого газа необходимо уменьшить кол-во циркулирующего через 4 чистого газа, однако вместе с этим сужается диапазон допускаемых колебаний конц-ии  $O_2$  в сыром газе, охватываемых системой регулирования. Напр., при содержании в исходном газе  $\sim 2\%$   $O_2$ , циркуляции чистого газа в кол-ве  $2\%$  от производительности установки и чувствительности регуляторов расхода порядка  $1\%$  от номинального расхода, содержание остаточного  $O_2$  или избыточного  $H_2$  на выходе из 1 при стехиометрич. соотношении поступающих

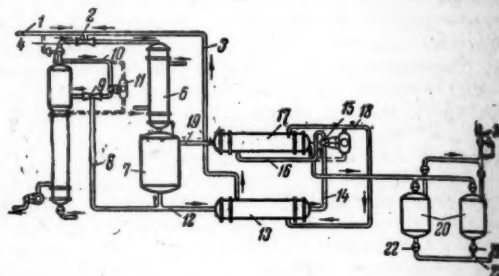


туда потоков составляет, соответственно,  $0,0004\%$  и  $0,0008\%$ , но система регулирования работоспособна только при колебаниях конц-ии в исходном газе  $\leq 0,04\%$ . Для расширения пределов регулирования устанавливается дополнительный регулятор 7, действующий на 3 и изменяющий расход  $H_2$  в зависимости от расхода чистого газа через 4; датчиком регулятора является расходомер 8. При значительном увеличении содержания  $O_2$  в исходном газе и соответствующем резком увеличении расхода циркулирующего газа через 4 регулятор 7 увеличивает расход  $H_2$  через 3, что приводит к уменьшению расхода

чистого газа, сохраняя его в заданных пределах; при резком уменьшении содержания  $O_2$  в исходном газе регулятор 7 соответственно уменьшает расход  $H_2$ . Такая система, включающая грубое регулирование изменением расхода  $H_2$  и тонкое регулирование разбавлением исходного газа, обеспечивает эффективную очистку сырых газов с широко меняющимися содержанием  $O_2$  при незначительных остаточных содержаниях  $O_2$  и  $H_2$  в очищ. газе.

А. Ровинский  
58288 П. Способ и аппарат для сжижения газов. Спитцер (Method and apparatus for liquefying gases. Spitzer Robert) [M. H. Treadwell Co., Inc.]. Пат. США 2754666, 17.07.56

Предлагается метод сжижения химически активных газов (напр.,  $Cl_2$ ), отличающийся отсутствием компрессора, который в этих случаях ненадежен и быстро изнашивается. 100 кг/час газообразного  $Cl_2$  в смеси с 2 кг/час неконденсирующихся примесей (воздуха,  $H_2$



и  $CO_2$ ) под давлением, близком к атмосферному, и т-ре  $27^\circ$  по линии 1, поступают в инжектор 2; сюда же по линии 3 поступают еще 49,5 кг/час газообразного  $Cl_2$  при т-ре  $21^\circ$ . Оба потока смешиваются и сжимаются в 2 до давл. 10,5 ати, для чего в 2 по линии 4 из испарителя 5 поступают 895 кг/час насыщ. паров  $Cl_2$  под давл. 70 ати. 1044,5 кг/час  $Cl_2$  и 2 кг/час неконденсирующихся примесей направляются из 2 в конденсатор 6, охлаждаемый водой, которая поступает при т-ре  $21^\circ$ : в 6 происходит конденсация  $75\%$  газообразного  $Cl_2$ , подведенного к 2, а также всего  $Cl_2$  (895 кг/час), поступившего в 2 из 5. В сборнике 7 давление равно 10,5 ати; из 7 по линии 8 отбирается 895 кг/час жидкого  $Cl_2$ , которые подводятся к инжектору 9 и увлекаются потоком насыщ. паров  $Cl_2$ , движущимся по линии 10 под давл. 70 ати, в 5: моле- циркулирующего  $Cl_2$  автоматически регулируется вентилем 11. 49,5 кг/час жидкого  $Cl_2$  из 7 по линии 12 поступают при т-ре  $27^\circ$  в теплообменник 13, где охлаждаются до т-ры ( $-32^\circ$ ) обратным потоком газообразного  $Cl_2$  (49,5 кг/час), поступающим в 13 при т-ре ( $-34,5^\circ$ ) и выходящем из него при т-ре  $21^\circ$ . Отсюда газообразный поток  $Cl_2$  по линии 3 поступает в 2. Холодный жидкий  $Cl_2$  при т-ре ( $-32^\circ$ ) и под давл. 10,5 ати из 13 по линии 14 подводится к дроссельному вентилю 15, где расширяется до атмосферного давления. Холодная паро-жидкостная смесь по линии 16 поступает в межтрубное пространство конденсатора 17, откуда выводится по линии 18 и используется для охлаждения 13. В трубки конденсатора 17 по линии 19 из 7 поступает смесь жидкого и газообразного  $Cl_2$ , а также неконденсирующиеся примеси; в 17 смесь охлаждается под давл. 10,5 ати до т-ры ( $-32^\circ$ ), что сопровождается сжижением 99,2 кг/час  $Cl_2$ , который собирается в одном из двух резервуаров 20. Не- конденсирующиеся примеси выводятся из 20 через продувочные вентили по линии 21, а жидкий  $Cl_2$  — через вентили 22 по линии 23. Метод применим для сжижения других агрессивных газов ( $NH_3$ ,  $SH_2$ ,  $AsF_5$ ,  $F_2$  и т. п.). Ю. Петровский

Реферат

ХИМ

ПРОМЫ

Рез

58289. Н

не. Рет

l'acetylene

1957, 60

В насто

меняются

Фабрикер

1. Термич

Получени

на слой к

ролиз лет

ароматич

порядке

чонные и

СН<sub>4</sub>. Нап

баденской

родного и

на неско

для извл

служит

няют пр

сырьем —

недостат

из смеси

Хим. з-д

дуги. В

чения С

фикации

88% С<sub>2</sub>H

58290.

Ю же

mie d

№ 12,

Кратк

водных

лога С<sub>6</sub>H

водные

для жи

очень п

&gt; 300°

58291.

ской и

indust

Rund

Рассм

чине

новым

# РЕФЕРАТИВНЫЙ ЖУРНАЛ ХИМИЯ

Рефераты 58289—59784

№ 17

10 сентября 1958 г.

## IV

### ХИМИЧЕСКАЯ ТЕХНОЛОГИЯ. ХИМИЧЕСКИЕ ПРОДУКТЫ И ИХ ПРИМЕНЕНИЕ (Часть 3)

#### ПРОМЫШЛЕННЫЙ ОРГАНИЧЕСКИЙ СИНТЕЗ

Редакторы С. З. Тайц, Б. П. Фабричный

58289. Нефтехимия и производство ацетилена в Европе. Ремон (La petrochimie et la fabrication de l'acétylène en Europe. Rémond J.), Rev. prod. chim., 1957, 60, № 1241, 375—379 (франц.)

В настоящее время для получения ацетилена применяются следующие заводские методы: процессы Фабрике Хёхст, основанные на пиролизе нефти. 1. Термич. крекинг высококипящих фракций нефти. Полученные  $C_2H_4$  и  $C_2H_6$  распыляют при высокой т-ре на слой кокса (в пром-сти еще не применялся). 2. Пиролиз легких погоннов нефти (получают  $C_2H_2$ ,  $C_2H_4$  и ароматич. соединения). 3. Процесс ведут при т-ре порядка 1000°, при этом используют  $C_2H_6$  и  $C_3H_8$ , полученные при крекинге и получают  $CH_4$ ,  $H_2$ ,  $C_2H_4$  и  $C_2H_6$ . Наиболее экономичным является метод (2). На баденской анилиновой и содовой ф-ке исходят из природного газа, частично окисляя его. Бельгийская фирма несколько видоизменила этот процесс, применяя для извлечения  $C_2H_2$  жидкий безводн.  $NH_3$ . Сырьем служит  $CH_4$ , или высшие гомологи. В Италии применяют процесс Фаузера: р-рителем служит  $CH_3OH$ , сырьем — газ для синтеза. Во всех случаях выход  $C_2H_2$  недостаточен (8—30%) и для кон-ции извлекают его из смеси, применяя различные селективные р-рители. Хим. з-ды Хюльс получают  $C_2H_2$  с помощью электр. дуги. В последнее время предложен новый метод получения  $CaC_2$  в качестве побочного продукта при газификации угля. В Германии еще и в настоящее время 88%  $C_2H_2$  получают на основе угля. М. Пасманик

58290. Некоторые новые направления в нефтехимии. Ю жель (Quelques tendances nouvelles dans la chimie du pétrole. Hugel G.). Ind. pétrole, 1956, 24, № 12, 46—47 (франц.)

Кратко освещаются вопросы химии органич. производных фосфорной к-ты и описываются свойства аналога  $C_6H_6$  — боразола  $B_3N_3H_6$ , дающего органич. производные и представляющего собой хороший р-ритель для жиров, бесцветный, негорючий, застывающий при очень низкой т-ре (—58°) и стабильный до т-ры  $\geq 300^\circ$ . В. Щекан

58291. Производственные возможности нефтехимической промышленности. Кирш (Die Produktivität der industriellen Petrochemie. Kirsch Hans A.), Chem. Rundschau, 1956, 9, № 10, 216—218 (нем.)

Рассмотрено развитие нефтехим. пром-сти и обеспечение пром-сти основного органич. синтеза олефиновыми углеводородами ( $C_2H_4$ ,  $C_3H_6$ ,  $C_4H_8$ ).

Н. Щеголев

58292. Бутадиен. Шервуд (Le butadiène. Sherwood Peter W.), Chimie et industrie, 1955, 73, № 2, 290—295 (франц.)

Описаны методы получения бутадиена дегидрированием бутана, проводимого либо в 2 стадии (бутан — бутилены; бутилены — бутадиен), либо в 1 стадию по методу Гудри. В 1-м случае дегидрирование бутана проводится при 525—600°, под давл. 7—20 кг/см<sup>2</sup>, в присутствии катализатора хром — окись алюминия. Переработка 1 кг бутана дает 0,85 кг бутилена; 0,03 кг  $H_2$ ; 0,01 кг углеводородов  $C_2$  и  $C_3$ . Катализатор регенерируется при 700—750° газом, содержащим 2—3%  $O_2$ . Полученная смесь бутиленов после удаления из нее изобутилена избирательной абсорбцией  $H_2SO_4$  разгоняется на 2 фракции: в 1-й изобутан и 1-бутилен, во 2-й *n*-бутан и два стереоизомерных 2-бутилена. Каждая из этих фракций в свою очередь перегоняется с фурфуролом для отделения предельных углеводородов от олефинов. Для превращения *n*-бутиленов в бутадиен применяют 2 катализатора: «1707», состоящий из 72,4% Mg; 18,4%  $Fe_2O_3$ ; 4,6% CuO и 4,2%  $K_2O$ , и смесь фосфатов Ca и Ni. Дегидрирование с катализатором «1707» осуществляется при 620—680° с разбавлением водяным паром. Дегидрирование с катализатором, состоящим из фосфатов Ca и Ni, проводят по такой же схеме при 525—630°. Выходы бутадиена достигают 94%. Прямое превращение *n*-бутана в бутадиен по методу Гудри производится в присутствии катализатора — хром — окись алюминия, причем процесс основан на принципе регенерации тепла; эндотермич. р-ция дегидрирования чередуется с выжиганием кокса, отложившегося на катализаторе. Дегидрирование ведут при 610°, давл. 127 мм рт. ст.; выход бутадиена (по бутану) составляет 55%. Из реакционной смеси бутадиен выделяется перегонкой с фурфуролом, либо абсорбцией аммиачным р-ром ацетата Cu. Г. Марголина

58293. О соотношении замещенных парафиновых углеводородов. Азингер (Über die Substitutionsverhältnisse bei den Paraffinkohlenwasserstoffen. Asinger F.), Österr. Chem.-Ztg, 1956, 57, № 19-20, 272—282 (нем.)

Доклад Об-ву австрийских химиков в ноябре 1955 г. Разбираются вопросы хлорирования, нитрования, сульфохлорирования, сульфокисления и другие р-ции парафиновых углеводородов. Указывается, что хотя при этих р-циях и образуется вся гамма теоретич. возможных изомеров, однако в некоторой степени удается направлять процесс в сторону образования целевого продукта правильным выбором режима и соотношения компонентов. Дан ряд практич. рекомендаций. Библ. 41 назв. Н. Щеголев



**58294.** Состояние и перспективы развития производства хлористого винила. Антонов В. Н., Хим. наука и пром-сть, 1957, 2, № 1, 53—59

Описана технология произ-ва и даны технико-экономические показатели произ-ва  $\text{CH}_2=\text{CHCl}$  методами дегидрохлорирования дихлорэтана (I) спирт. щелочью, гидрохлорирования ацетилена, пиролиза I, высокотемпературным хлорированием этилена. Библ. 18 назв.

Л. Песин

**58295.** Оксосинтез (гидроформилирование). Луetic (Okso sinteza (hidroformilacija). Luetic Pavica), Kemija u industriji, 1956, 5, № 7, 136—141 (сербохорв.)

Описание р-ции получения альдегидов из олефинов и CO и  $\text{H}_2$  с порошкообразным Co, образующим с CO карбонилы и гидрокарбонил; последний действует как к-та и способствует образованию иона  $\text{CH}_3\text{CH}_2^+$ , к которому присоединяется CO, давая кетен, а затем альдегид или спирт. Скорость р-ции зависит главным образом от парц. давления CO и при 110—120° проходит через максимум при 8—12 ат; при 110—140° получаются альдегиды, при более высокой т-ре — спирты. Наиболее легко карбонилируются крайние атомы C-цепочки; четвертичные C = C-атомы не карбонилируются совсем, сопряженные связи более склонны к гидрированию. С замещенными этиленами CNO-группа в зависимости от радикала присоединяется либо к крайнему атому C, либо к тому, у которого стоит радикал.

З. Бобырь

**58296.** Производство синильной кислоты и акрилонитрила. Бобков С. С., Хим. наука и пром-сть, 1957, 2, № 1, 34—45  
Обзор. Библ. 129 назв.

О. Чернцов

**58297.** Получение двусосновых кислот окислением нефтяных углеводородов. Зелнер, Листер (Difunctional acids by petroleum hydrocarbon oxidation. Zellner C. N., Lister Fred), Industr. and Engng Chem., 1956, 48, № 10, 1938—1948 (англ.)

Описано получение двусосновых к-т окислением нефтяных углеводородов, а также возможности применения этих к-т для синтеза полиэфиров, пластификаторов и т. д. Библ. 16 назв.

М. Руденко

**58298.** Непрерывное получение тетраэтоксилана. Рашкаи, Надаши (Kontinuierliche Darstellung von Tetraäthoxysilan. Raskai Adalbert, Nadasy Nikolaus), Chem. Technik, 1957, 9, № 8, 463—466 (нем.)

Предложен непрерывный метод получения  $\text{Si}(\text{OC}_2\text{H}_5)_4$  (I) из  $\text{SiCl}_4$  (II) и спирта с выходом I до 82%. Спирт и II вводят в нагретую и заполненную кольцами Рашига трубку длиной 1000 мм и диам. 40 мм. I вытекает из нижней части трубки. Образующийся при р-ции HCl удаляется из верхней части. Изучено влияние на выход I следующих факторов: 1) место введения реагентов (Р), 2) соотношение кол-в Р, 3) т-ра вводимых Р и реакционных зон, 4) скорость введения Р и 5) агрегатное состояние вводимых Р. Найдены оптимальные условия р-ции. Приведена также схема аппаратуры.

М. Кашпун

**58299.** Получение циклогексана из синтетического бензина и бензола. Выбигал, Шёнгут (Připrava cyklohexanu z hydrogenačních benzinů a z koksárenského benzolu. Vybihal J., Schöngut S.), Chem. průmysl, 1956, 6, № 9, 358—362 (чешск.; рез. русск., англ.)

Изучена возможность получения циклогексана (I) из синтетич. бензина, полученного при гидрировании полукочковой буроугольной смолы, и бензола (II) из коксохим. производств. Показано, что после гидрирования прямой дистилляцией в колонне с 35 теоретич.

тарелками можно получить достаточно чистый I с выходом 0,73 вес. % (на смолу); обесфеноливание исходного продукта снижает выход до 0,33 вес. %. Опыты гидрогенизации II (предварительно освобожденного от высококипящих ароматич. углеводородов) при давл. 30—300 ат, т-рах 300—370° на катализаторе  $\text{WS}_2\text{—NiS—Al}_2\text{O}_3$  показали возможность получения I с выходом до 90 вес. % от взятой фракции сырого II.

К. Зарембо

**58300 П.** Способ получения ненасыщенных органических соединений. Раст, Портер (Process for preparing unsaturated organic compounds. Rust Frederick F., Porter Lee M.) [Shell Development Co.] Пат. США 2755322, 17.07.56

Моно- и диолефины получают пиролизом аллилалилдидов в присутствии избытка насыщ. или ненасыщ. алифатич., ароматич. или гетероциклич. соединений, имеющих хотя бы один подвижный H-атом с энергией связи < 85 ккал, предпочтительно дающие радикалы, стабилизированные за счет сопряжения. Механизм р-ции выражается ур-ниями  $\text{CH}_2=\text{CH—CH}_2\text{Cl (I)} \rightarrow \text{CH}_2=\text{CH—CH}_2\cdot + \text{Cl}\cdot$ ;  $\text{CH}_2=\text{CH—CH}_3 \text{ (II)} + \text{Cl}\cdot \rightarrow \text{CH}_2=\text{CH—CH}_2\cdot + \text{HCl}$ ;  $\text{CH}_2=\text{CH—CH}_2\cdot + \text{CH}_2=\text{CH—CH}_2\cdot \rightarrow (\text{CH}_2=\text{CH—CH}_2)_2 \text{ (III)}$ . Галогидный аллил можно получать галогидированием части II или изобутилена (IV) непосредственно в реакционной зоне. В стеклянную трубку длиной 30 см и объемом 700 мл, снабженную электрообогревателем, вводят нагретую до т-ры 400° смесь I и II (1:6). Пиролиз продолжается 20 сек. при т-ре 540°. Выходящие из трубки пары охлаждают, промывают водой, собирают в охлаждаемом сухим льдом приемнике и перегоняют. Выход III 52,5%. Побочно образуются  $\text{C}_6\text{H}_6$  и циклогексен (V). Описан опыт с применением вместо I аллилбромида. Из I и IV получают 2-метилгексадиен-1,5. Аналогично получают (в скобках указаны исходные в-ва, их соотношения, т-ры контакта, время контакта в сек, выход и побочные продукты): диметаллил (VI) (металлилхлорид, IV, 1:11,8, 560°, 15,6, 51,7%); 4-фенилбутен-1 (I, толуол, 1:4, 560°, 14,6, дибензил, стильбен, нафталин); V (1,3-дихлорпропен, II, 1:11, 540°, 26, 43%, промежуточно образуется 1-хлоргексадиен-1,5); гексен-1 (I,  $\text{C}_3\text{H}_8$ , 4:1, 560°, 23) (вместо  $\text{C}_3\text{H}_8$  можно применять  $\text{C}_4\text{H}_{10}$ ,  $\text{C}_6\text{H}_{14}$ ,  $\text{C}_8\text{H}_{18}$  или циклогексан). Нагретую до т-ры 460° смесь II,  $\text{N}_2$  и  $\text{Cl}_2$  (9:3:1) пропускают через реакционную зону с т-рой 480° (в начале зоны) и 560° (в конце зоны). Время контакта 25 сек. Продукт р-ции охлаждают, промывают водой и перегоняют. Получают III. Аналогично из IV получают VI.

М. Кашпун

**58301 П.** Селективное выделение ацетилена из ацетилено-этиленовых смесей. Фуско (Selective removal of acetylene from acetylene-ethylene mixtures. Fusco Victor C.) [Olin Mathieson Chemical Corp.] Пат. США 2742517, 17.04.56

Предложен способ разделения смесей ацетилена (I) и этилена (II) абсорбцией. В качестве абсорбента применяется суспензия тонкодисперсного КОН в инертной органич. жидкости с т-рой кипения > 120°. Обогащенный II газ после абсорбции поступает в реакционную зону, где II реагирует с селективным реагентом. Для извлечения I абсорбент нагревают до 110—150°. Пример: газ, содержащий 1,41 моля I и 1,59 моля II, пропускают через суспензию КОН в ксилоле, приготовленную энергичным размешиванием 350 г КОН в 1 л технич. ксилола при 80°, при добавке 10 мл анилина и 3,7 г Na. Условия абсорбции: т-ра 76—80°, объемная скорость в час 30. При этом поглощается ~44% I. Газ после абсорбции содержит 0,79 молей I и 1,54 молей II. Он пригоден для конверсии II в хлоргидрин. Достаточ.

по чистый I получают нагреванием насыщ. абсорбента.

**58302 П.** Процесс разделения смесей ацетиленовых углеводородов. Тодос, Стацман (Process for separating acetylenic components from mixtures. Thodos George, Stutzman Leroy F.) [The Pure Oil Co.]. Пат. США 2753012, 3.07.56

Патентуется 2-ступенчатый процесс выделения ацетиленовых углеводородов (I), 1. Выделение смеси ацетилена (II), гомологов II и диацетиленов (III) из газа. Исходный газ контактирует в адсорбере (А) с селективным р-рителем. Адсорбент, насыщ. I, выводится снизу А. Неабсорбированный газ уходит сверху А. 2. Получение индивидуальных I. Насыщ. адсорбент из 1-й ступени поступает в перегонный куб (ПК) периодич. действия. При нагреве глущим паром до 26° и давл. ~0,35 атм испаряется II с примесью высших гомологов и III. Пары поступают в А, в который подается р-ритель, охлад. до -40°, извлекающий высшие гомологи II и III. Чистый II в газовой фазе выводится сверху А. Насыщ. адсорбент поступает в стриппинг-колонну, обогреваемую глущим паром. Пары I сверху колонны возвращаются в ПК, р-ритель снизу колонны после охлаждения возвращается в А. Затем т-ра в ПК поднимается до 43° для отгона аналогичным образом метилацетилена. При 46° отгоняется винилацетилен, при 49° — этилацетилен и диметилацетилен, при 52° — III. Т-ра верха А поддерживается соответственно: -20°, -18°, -1°, +15°. Указывается ряд применяемых р-рителей: ацетон, диметокситетраэтиленгликоль, диэтилкарбонат, диметилформамид, фурфурол, дихлорэтиловый эфир, триэтилфосфат и т. д. Р-рители 1-й и 2-й ступеней одинаковы.

С. Розеноер

**58303 П.** Полимеризация олефина на катализаторе — комплексе  $AlCl_3$  с углеводородом. Янке, Хили (Olefin polymerization with aluminum chloride-hydrocarbon complex catalyst. Yahnke Robert L., Healy Judd W.) [Standard Oil Co.]. Пат. США 2677002, 27.04.54.

Полимеризацию олефинов с 3—5 атомами С проводят при т-ре от -17,8 до 26,7° в присутствии катализатора — комплекса (I)  $AlCl_3$  с углеводородом. В реактор с мешалкой и охлаждаемой поверхностью вводят олефин, разб. легким парафиновым углеводородом, и со скоростью в 1—10 раз большей — 5—50%-ную (объемн.) дисперсию I в углеводороде в виде мелких капель. Свежий  $AlCl_3$  вводят в процесс в кол-ве 0,5—1,5% от веса олефина в сырье. Продукты р-ции освобождают от катализатора, который возвращают в процесс, и фракционируют на легкий углеводород, возвращаемый в реактор, и тяжелые полимеры. Дана технологич. схема процесса.

Ю. Гольцнец

**58304 П.** Циклический метод присоединения мочевины. Горин, Розенштейн (Cyclic urea-adduct process. Gorin Manuel, Rosenstein Ludwig). Пат. США 2750361, 12.06.56

н-Парафины выделяют из керосиновой фракции при помощи мочевины (I). В циклич. процессе 4940 л керосина смешивали с 570 л гексана (II) и смесь обрабатывали 499 кг I в течение 25 мин. при ~20°. Р-р при помощи инертного газа ( $N_2$  или  $CO_2$ ) подавали в реактор. Мочевинно-керосиновый комплекс промывали 570 л II в атмосфере  $N_2$  и твердую фазу разлагали, нагревая с 1135 л II в течение 25 мин. при 70°. Р-р н-парафинов в II разгоняли. Оставшуюся в реакторе I промывали горячим II и вновь использовали. Производительность 159 кг/час. н-Парафины, полученные таким способом, пригодны в качестве р-рителей и для хим. синтеза. Приведена технологич. схема процесса.

**58305 П.** Метод получения бромистых алкилов, в особенности  $CH_3Br$ . Хютер (Verfahren zur Herstellung von Alkylbromiden, insbesondere Methylbromid. Hü-

ter Ludwig) [Deutsche Gold- und Silber-Scheidanstalt vormals Roessler]. Пат. ФРГ 960455, 21.03.57

Бромистые алкилы получают действием  $Br_2$  и  $H_2S$  или соединений, выделяющих  $H_2S$ , напр. многосернистый водород (в частности, «желтое масло» (I), которое получается при вливании конц. р-ра многосернистой щелочи в разб.  $HCl$ ), сульфиды щел. и щел.-зем. металлов, тиосульфаты, ди- и полиитионаты на спирты по р-ции:  $H_2S + 4Br_2 + 8CH_3OH \rightarrow 8CH_3Br + H_2SO_4 + 4H_2O$ . Процесс в жидкой фазе особенно удобно проводить в две стадии, в 1-й стадии р-ция протекает на 70% без подвода тепла при т-ре кипения  $CH_3OH$ . Газообразные продукты р-ции непрерывно отгоняют, а жидкий остаток передают во 2-ю стадию, где процесс доводят до конца при т-ре > 65° с наружным подогревом. Дистиллят от 2-й стадии сушат и, соединив с дистиллятом от 1-й стадии, разгоняют. Приведена схема 2-ступенчатого процесса. 20 г I (главным образом  $H_2S_2$ ) вносят в 160 г холодного абс.  $CH_3OH$  и по каплям добавляют 200 г  $Br_2$ . Через 5 мин. смесь закипает и начинают отгонять  $CH_3Br$ , который освобождают в обратном холодильнике от увлекаемого им  $CH_3OH$ . Через 2 часа р-р полностью просветляется. Получают 237 г 98,6%-ного  $CH_3Br$  ( $H_2O$  и  $HBr$  отсутствуют). В течение 2 час. в 3,5 кг абс.  $CH_3OH$  вводят 320 г  $H_2S$  и 4,33 кг  $Br_2$ . Через час после окончания введения  $Br_2$  р-р обесцвечивается. Получают 5,49 кг 98,6%-ного  $CH_3Br$  (выход по  $Br_2$  100%). К 230 г  $C_2H_5OH$  добавляют 16 г I и в течение 30 мин. прибавляют к смеси 200 г  $Br_2$ . Кипятят еще 1 час и разгоняют. Получено 268 г 98%-ного  $C_2H_5Br$  (т. кип. 38—41°). Выход по  $Br_2$  100%.

Н. Дабагов

**58306 П.** Способ получения органических хлоридов. Ло-Чичеро, Джонсон (Verfahren zur Herstellung von organischen Chloriden. Lo Cicero Joseph Castelli, Johnson Robert Thomas) [Rohm & Haas Co.]. Пат. ФРГ 947549, 16.08.56

Хлорирование спиртов ведут с помощью  $SOCl_2$  в отсутствие воды и присутствия 1—2%, от веса реагирующих в-в активного С. При обычном хлорировании 111,5 г очищ.  $SOCl_2$  вводят в течение 1 часа при 20—30° в 264 г спирта  $n-C_8H_{17}C_6H_4(OC_2H_5)_3OH$ , поднимают т-ру до 100—105°, выдерживают смесь при этой т-ре 4 часа, охлаждают до 50°, отгоняют избыток  $SOCl_2$  в небольшом вакууме, горячий продукт фильтруют и получают фильтрат с цветным индексом (ЦИ) 12 + по шкале Гарднера. Исходный спирт обладал ОН-числом (ГЧ) 165—167; продукт р-ции обладал ГЧ > 20, что указывало на присутствие значительного кол-ва непрореагировавшего спирта. Конверсия спирта 93%. После обработки продукта в течение 1 часа 7 г тонкоизмельченного угля, окраска продукта соответствовала ЦИ 8+. Если хлорирование проводить в течение 3 час. в присутствии 2—4% тонкоизмельченного угля, продукт р-ции после фильтрации обладает ЦИ 2—4, конверсия спирта 100%, ГЧ = 0. Аналогично получены из соответствующих спиртов хлориды:  $C_8H_{17}Cl$ ,  $C_8H_{17}(OC_2H_5)_3Cl$ ,  $C_{12}H_{25}(OC_2H_5)_3Cl$ ,  $C_{16}H_{33}(OC_2H_5)_3Cl$ , 1,3,4-( $C_6H_{11}$ )( $CH_3$ )- $C_6H_3(OC_2H_5)_3Cl$  и 1,3,4-( $C_8H_{17}$ )( $C_7H_{15}$ )- $C_6H_3(OC_2H_5)_3Cl$ .

Я. Кантор

**58307 П.** Способ получения галогидрированных углеводородов из низших алифатических спиртов. Хенниг, Пессель (Verfahren zur Herstellung von Halogenkohlenwasserstoffen aus niederen aliphatischen Alkoholen. Hennig Bruno, Pessel Alexander). Пат. ГДР 12301, 30.10.56

Усовершенствование циклич. процесса получения полигалогидоалкилов (I) обработкой низших алифатич. спиртов галогидводородом (II) с дальнейшим галогидрированием полученного моногалогидалкила (III) галогидом состоит в том, что обработку II проводят в отсут-



ствие I и инертных газов (IV), тормозящих р-цию этерификаций, для чего покидающую халогенизатор (Г) реакционную смесь, состоящую из I, непрореагировавшего II, III и IV (примеси электролитич.  $\text{Cl}_2$ ), пропускают через абсорбер, в котором улавливается II, а I, III и IV отсасываются в конденсатор глубокого охлаждения (КГО), где I конденсируются, III и IV направляются в Г, где III подвергают полигалогенированию; абсорбированный II в виде разб. к-ты поступает в испаритель, из которого газообразный II поступает в гидрогалогенизатор (ГГ) одновременно с алифатич. спиртом. Приведена схема получения полихлорметанов (V), главным образом  $\text{CH}_2\text{Cl}_2$  (VI), из  $\text{CH}_3\text{OH}$  (VII). Через наполненный катализатором ГГ полезной емк. 500 л пропускают 32 кг/час VII и 44 кг/час HCl при 180°, образуется 48 кг/час  $\text{CH}_2\text{Cl}_2$  (VIII), выход 95% (на VII); избыток HCl образует с реакционной водой 30%-ную к-ту. После отделения от разб. к-ты VIII смешивают с газами, покидающими КГО и электролитич. хлором (95%  $\text{Cl}_2$ ) в объемном соотношении 1:3:1, и пропускают через Г при 380°, газообразные продукты р-ции тщательно очищают от HCl обработкой (в абсорбере) водой или разб. HCl (к-та) и направляют в КГО с т-рой от -10 до -20°, в результате получают 80 кг сырого конденсата, содержащего (в вес. %): VIII 11, VI 55,  $\text{CHCl}_3$  28 и  $\text{CCl}_4$  6. В неусовершенствованном процессе выход VI составляет 26 кг вместо 44 кг по описанному методу.

Я. Кантор

**58308 П.** Получение органических хлоридов реакцией хлористого аммония с органическими соединениями. Черчилл, Томас (Production of organic chlorides by reaction of organic compound with ammonium chloride. Churchill John W., Thomas Robert M.) [Olin Mathieson Chemical Corp.]. Пат. США 2755310, 17.07.56

При получении органич. хлоридов действием  $\text{NH}_4\text{Cl}$  на  $\text{C}_2\text{H}_2$  или на органич. соединения, содержащие O, S или N, протекающим в первом случае (получение хлорвинила из  $\text{C}_2\text{H}_2$ ) в присутствии катализаторов гидрохлорирования (хлориды Hg, Pb, Bi, Ba, Mg, V, Al, Zn и Fe), а во втором случае (напр., получение  $\text{C}_2\text{H}_5\text{Cl}$  из  $\text{C}_2\text{H}_5\text{OH}$ ) катализаторов дегидрохлорирования ( $\text{Al}_2\text{O}_3$ , различные активные земли, силикаты), перевод твердого  $\text{NH}_4\text{Cl}$  в пары путем контакта с нагретой поверхностью представляет значительные трудности и влечет за собой коррозию оборудования. Эти трудности устраняются, если в качестве среды для проведения р-ции и одновременно в качестве теплоносителя применять инертный высококипящий органич. р-ритель. В нагретую до нужной т-ры взвесь  $\text{NH}_4\text{Cl}$  и катализатора вводят в виде жидкости или паров органич. реагент (напр., спирт). Затем смесь передают в сепаратор, где летучие в-ва отделяются от взвеси, возвращаемой в процесс. Пары, состоящие из органич. хлорида, непрореагировавшего исходного в-ва,  $\text{NH}_3$ , увлекаемого  $\text{NH}_4\text{Cl}$  и побочных продуктов, поступают в водяной скруббер, где отмываются все водорастворимые в-ва. Непоглощенные пары охлаждают, органич. хлориды конденсируют и разгоняют. Можно также использовать высококипящую органич. жидкость лишь как среду для испарения  $\text{NH}_4\text{Cl}$ , который увлекается парами органич. реагента в реакционную зону, где на слое катализатора и происходит р-ция. Приведено описание и технологич. схема двух вариантов метода. В нагретую до 308—319° массу, состоящую (в вес. ч.) из 4347 хлорированного дифенила (54% Cl), 428  $\text{NH}_4\text{Cl}$  и 280  $\text{Al}_2\text{O}_3$ , пропускают пары  $\text{C}_2\text{H}_5\text{OH}$  со скоростью 0,188 вес. ч. в 1 мин. (всего 41,8). Превращение спирта в  $\text{C}_2\text{H}_5\text{Cl}$  составляет 76%. Приведены примеры получения  $\text{C}_2\text{H}_5\text{Cl}$  с применением в качестве среды тетра- и пентахлорбензолов, «Арохлор 1254», дитоллилэтана и т. п.

Н. Дабагов

**58309 П.** Получение органических хлоридов реакцией хлористого аммония с органическими соединениями. Спенсер (Production of organic chlorides by reaction of organic compound with ammonium chloride. Spencer Hugh) [Olin Mathieson Chemical Corp.]. Пат. США 2755311, 17.07.56

В процессе получения органич. хлоридов (см. пред. реф.)  $\text{NH}_4\text{Cl}$  можно вводить в псевдооживленный слой (ПС) твердых частиц инертного в-ва, которое поддерживается во взвешенном состоянии потоком инертных паров ( $\text{H}_2\text{O}$ ) или газов ( $\text{N}_2$ ); лучше всего для этой цели применять перегретые пары самого органич. реагента. Приведено описание и технологич. схема. В вертикальный реактор в виде трубы (длина 610 мм, диам. 50,8 мм) помещают на распределительную плиту из нержавеющей стали с отверстиями (150 меш) 215 вес. ч.  $\text{NH}_4\text{Cl}$  и 320 вес. ч.  $\text{Al}_2\text{O}_3$  (80—200 меш). Пространство ниже этой плиты засыпано стеклянными спиральями, находящимися на сетке 200 меш. В нижнюю часть реактора со скоростью, необходимой, чтобы создать ПС, вводят пары этанола, перегретые до 400°. Если необходимо, устраивают дополнительный наружный подогрев. Фильтр в верхней части реактора удерживает катализаторную мелочь и пыль. В реактор загружают 380 г смеси из 70%  $\text{Al}_2\text{O}_3$  (80—200 меш) и 30%  $\text{NH}_4\text{Cl}$  (80 меш). Подают  $\text{N}_2$  и нагревают ПС до 300°, после чего подачу  $\text{N}_2$  прекращают и вводят пары  $\text{CH}_3\text{OH}$ , нагретые до 200°, со скоростью 237 г/час. Продукты р-ции проходят фильтр из стеклянной ваты, водяной холодильник и ловушку с твердым  $\text{CO}_2$ , 15%  $\text{CH}_3\text{OH}$  превращается в  $\text{CH}_3\text{Cl}$ .

Н. Дабагов

**58310 П.** Получение органических хлоридов реакцией хлористого аммония с органическими соединениями. Томас (Production of organic chlorides by reaction of organic compound with ammonium chloride. Thomas Robert M.) [Olin Mathieson Chemical Corp.]. Пат. США 2755312, 17.07.56

При получении хлоридов (см. пред. реф.)  $\text{NH}_4\text{Cl}$  вводят в движущийся слой твердых частиц катализатора до реакционной зоны и при т-ре ниже точки сублимации  $\text{NH}_4\text{Cl}$ , после чего в реакционную зону вводят пары органич. реагента. Испарение  $\text{NH}_4\text{Cl}$  до зоны р-ции можно облегчить введением инертных паров и газов. Процесс непрерывен. Приведено описание и технологич. схема процесса получения хлоридов из низших алифатич. спиртов. Описаны также методы принудительной циркуляции катализатора в системе.

Н. Дабагов

**58311 П.** Способ получения чистого трифторхлорэтилена. Шерер, Кюн (Verfahren zur Herstellung von reinem Trifluorchloräthylen. Scherer Otto, Kuhn Heinrich) [Farbwerke Hoechst A.-G. vormals Meister Lucius & Brünning]. Пат. ФРГ 953972, 13.12.56

Сырой продукт, содержащий ~80% трифторхлорэтилена, 15% 1,1,2-трифтор-1,2,2-трихлорэтана и 3—4% метанола, фракционируют при 5 ат, после чего азеотроп, содержащий еще 0,5% метанола, пропускают под давлением через фильтр с  $\text{CaCl}_2$ .

Л. Макарова

**58312 П.** Получение фторуглеводородов взаимодействием ацетиленовых соединений с HF и  $\text{BF}_3$ . Линн (Production of fluorohydrocarbons by reacting an acetylinic compound with hydrogen fluoride and boron trifluoride. Linn Carl B.) [Universal Oil Products Co.]. Пат. США 2762849, 11.09.56

Фторуглеводороды, содержащие двойную связь, получают при р-ции в паровой фазе соединений ф-лы  $\text{RC}\equiv\text{CR}'$ , где R и R' — H или насыщ. и ненасыщ. углеводородные радикалы, содержащие < 10 атомов C, с HF в присутствии  $\text{BF}_3$ . Можно применять и более высокомолекулярные ацетиленовые соединения, однако при этом имеется тенденция к образованию побочных продуктов. Получаемые фторуглеводороды применяют

для синтеза полимера. В 35-л реактор из нержавеющей стали, эвакуированный до 3 мм рт. ст., вводят 2,04 моля HF и 1,57 моля  $\text{BF}_3$ , затем медленно вводят 0,6975 моля  $\text{HC}\equiv\text{CH}$ . Р-цию ведут при 25° в течение 24 час. и получают  $\text{CH}_2=\text{CHF}$  с примесью  $\text{CH}_3\text{CHF}_2$  (I). Указанное время р-ции можно сильно сократить. Кол-во I в продукте р-ции можно уменьшить, взяв в аналогичную р-цию 0,53 моля HF, 1,87 моля  $\text{BF}_3$  и 0,665 моля  $\text{HC}\equiv\text{CH}$ . Аналогично из 2 молей HF, 1 моля  $\text{BF}_3$  и 2 молей винилацетилена (50°, 24 часа) получен 2-фторбутадие-1,3.

З. Нудельман

58313 П. Способ производства многоатомных спиртов каталитическим восстановлением углеводов. Кол. Мусе (Process of manufacturing polyhydric alcohols by catalytic reduction of carbohydrates. Kool Cornelis Martinus Hendrik, Moes Geert) [Naamlooze Vennootschap W. A. Scholten's Chemische Fabrieken]. Пат. США 2759023, 14.08.56

Углеводы, напр. крахмал, гидролизванный крахмал, декстрины, сахара, глюкоза и т. п., содержащие примеси, задерживающие восстановление и отравляющие катализатор ( $\text{H}_2\text{SO}_4$  и ее соли), перед восстановлением подвергают окислительной обработке перекисями ( $\text{H}_2\text{O}_2$ , неорганич. или органич. перекислоты) для разрушения примесей. Р-ры углеводов, дающие отрицательную р-цию на  $\text{SO}_2$ , восстанавливают  $\text{H}_2$  в присутствии Ni-катализатора в автоклаве из нержавеющей стали с высокоскоростной мешалкой (~500 об/мин) и электр. обогревом. Для приготовления катализатора к р-ру 495 г  $\text{NiSO}_4 \cdot 7\text{H}_2\text{O}$  в 15 л воды добавляли 400 г окиси диатомита, затем 6680 г 5%-ного р-ра  $\text{NH}_4\text{HCO}_3$  (при 40° и перемешивании), перемешивали 1,5 часа при 40°, жидкость декантировали с осадка, последний кипятили в 15 л воды и отделяли центрифугированием. Промычку повторяли до отрицательной р-ции на  $\text{SO}_2^{2-}$ , осадок сушили при 110° и восстанавливали в токе  $\text{H}_2$  при 525°. К р-ру 100 г кукурузного сахара (влажность 14,5%, декстрозный эквивалент 82% на сухое в-во) в 100 мл воды добавляли 0,3 мл 30%-ной  $\text{H}_2\text{O}_2$ , кипятили 15 мин. до окисления загрязнений и разложения избытка  $\text{H}_2\text{O}_2$ , охлаждали и добавляли воду до первоначального объема. Р-р смешивали в 10 г катализатора и с помощью  $\text{H}_3\text{PO}_4$  доводили pH до 3,5. Восстановление вели при давлении  $\text{H}_2$  100 ат, нагревая 1,5 часа при 140° (при этом восстанавливается глюкоза). Затем р-ру в течение 1 часа поднимали до 200° и выдерживали при этой т-ре 1,5 часа (при этом восстанавливались полисахариды). Фильтрат после отделения катализатора содержал (%): глюкозы 0,1, декстрина 0,1 и сорбита 99 (на сухое в-во). Р-р после восстановления без предварительной обработки  $\text{H}_2\text{O}_2$  содержал 2,7% глюкозы. Приведены еще 3 примера восстановления кукурузного сахара, гидролизованного  $\text{H}_2\text{SO}_4$ , крахмала и глюкозного сиропа, а также еще 1 пример приготовления катализатора.

Л. Макарова

58314 П. Ненасыщенные дифункциональные соединения и способ их получения. Дженнер (Unsaturated difunctional compounds and process for their preparation. Jenner Edward L.) [E. I. du Pont de Nemours and Co.]. Пат. США 2757192, 31.07.56

Предложен метод теломеризации этиленовых и сопряженных диеновых соединений с OH-радикалом (I) (молярное соотношение от 1:1,5 до 5:1) и в присутствии реакционноспособных монофункциональных соединений с карбонильной нитрильной, карбоксильной, карбамидной или аминогруппой. При этом получают ненасыщ. дифункциональные соединения (II). Генерируют из  $\text{H}_2\text{O}_2$  в присутствии окислительно-восстановительной системы или при ядерном облучении  $\text{H}_2\text{O}_2$  или воды. Р-ции протекают при pH 7 и при т-рах от -30° +60°. II применяют в произ-ве полимеров, пластификаторов и в качестве промежуточных

продуктов для других синтезов. К р-ру 475 ч. ацетона в 150 ч. воды при перемешивании и т-ре -5° одновременно в течение часа прибавляют 130 ч. бутадие-1,3 (III) и р-ры 41 ч.  $\text{H}_2\text{O}_2$  в 96 ч. воды и 334 ч.  $\text{FeSO}_4 \cdot 7\text{H}_2\text{O}$  с 118 ч.  $\text{H}_2\text{SO}_4$  в 1000 ч. воды. Разделяют слои, водн. слой четырежды экстрагируют эфиром. Соединенные вытяжки нейтрализуют  $\text{NaHCO}_3$ , высушивают и фракционируют в вакууме. Получают 13 фракций, для которых приведены т-ры кипения и  $n_D^{25}$ . Выделены 3-этилоктадиен-1,5, т. кип. 63—67°/26 мм,  $n_D^{25}$  1,4321, декадиен-3,7, т. кип. 44—46°/4,5 мм,  $n_D^{25}$  1,4351, а также дважды ненасыщ. дикетоны и гликоли. Аналогично проведена теломеризация III с  $\text{CH}_3\text{COOH}$ ,  $\text{CH}_3\text{CN}$  (получен димер III с CN- и OOH-концевыми группами, т. кип. 130—140°/1 мм,  $n_D^{25}$  1,4763), с  $\text{C}_2\text{H}_5\text{COOH}$ ,  $n\text{-C}_3\text{H}_7\text{COOH}$ , с циклопентаном (получен 1,8-(2,2-дикетодиклопентил)-октадиен-2,6), циклогексаном (получен 1,8-(2,2-дикетодиклопентил)-октадиен-2,6),  $\text{C}_2\text{H}_5\text{CN}$ , глutarовой к-той, метилацетатом,  $\text{C}_6\text{H}_{11}\text{NH}_2$  и с  $\text{CH}_3\text{CHO}$ .

М. Каплун

58315 П. Получение гликоальдегида при гидролизе 4-хлор-2-оксидиоксолана. Касл, Уйберс (Preparation of glycolaldehyde by hydrolysis of 4-chloro-2-oxodioxolane. Castle John E., Webers Vincent J.) [E. I. du Pont de Nemours and Co.]. Пат. США 2768973, 30.10.56

$\text{HOCH}_2\text{CHO}$  (I), применяемый для синтеза серина, получают при гидролизе 4-хлор-2-оксидиоксолана (моноклорэтиленкарбоната) (II). 100 ч. II, 200 ч.  $\text{PbO}$  и 200 ч. воды перемешивают 72 часа. Первые часы смесь необходимо охлаждать льдом. Реакционную массу фильтруют, к фильтрату прибавляют еще 10 ч.  $\text{PbO}$ , перемешивают 1/2 часа, вновь фильтруют и фильтрат с pH 5 перегоняют в вакууме. Получают 35 ч. I, т. кип. 40—80°/1 мм, выход 72%. При стоянии I медленно превращается в димер, т. пл. 95—97. Описаны способы гидролиза с применением  $\text{NaOH}$ ,  $\text{KHCO}_3$ ,  $\text{CaCO}_3$  и  $\text{CH}_3\text{COONa}$ . Гидролиз II можно вести в присутствии гидроокисей тетраалкиламония, а также в присутствии основных ионообменных смол.

М. Каплун

58316 П. Частичное окисление углеводородов газообразным серным ангидридом. Ридер (Partial oxidation of hydrocarbons using gaseous sulfur trioxide. Reeder William H.) [Dresser Operations Inc.]. Канадск. пат. 511182, 22.03.55

Предлагаемый метод окисления насыщ. алифатич. газообразных углеводородов с образованием частично окисленных соединений, содержащих CO-группу, заключается в смешении упомянутых газов с парами  $\text{SO}_3$  в отсутствие  $\text{O}_2$  и в контактировании смеси газов при 175—450° с контактной массой, состоящей из угля, кремнезема или глинозема в качестве носителя и металла из переходных элементов и Iб группы периодической системы. При окислении  $\text{CH}_4$  в  $\text{HCOH}$   $\text{SO}_3$  берут в кол-ве 0,2—15% от состава смеси; т-ра процесса 325—425°.

Г. Марголина

58317 П. Способ получения замещенных кетонов с двойной связью. Конья (Procédé de préparation des cétones éthyléniques substituées. Conia J. M.) [Centre National de la recherche scientifique]. Франц. пат. 1143274, 26.03.56

а-Моно- или полизамещ. кетоны этиленового ряда получают обработкой соответствующих кетонов трет-бутилатом или амилатом Na (I) и алкилирующим агентом (AA). В случае моноалкилирования р-р 1 моля кетона и 1 моля AA в сухом эфире обрабатывают р-ром 1 моля трет-алкоголята в ароматич. углеводороде ( $\text{C}_6\text{H}_6$ , толуоле, ксилоле и т. п.), нагревают несколько часов, охлаждают и перегоняют; выход 30—75%. Для целей диалкилирования (в α-положении) применяют  $\geq 2$  молей AA и  $\geq 2$  молей алкоголята на 1 моль ке-



тона; для получения три- и тетразамещ. кетона (в  $\alpha$ - и  $\alpha'$ -положениях) операцию алкилирования повторяют. В случае ацилирования (галлоидангидридом), арилирования (ароматич. альдегидом) и т. п. смесь алколата и кетона быстро обрабатывают третьим компонентом (р-ция протолкается несколько минут), промывают подкисленной HCl-водой, декантируют и перегоняют. При диазамещении  $\alpha$ -этиленовых кетонов в  $\alpha$ -положении или при монозамещении  $\alpha$ -монозамещ. кетонов происходит миграция двойной связи из  $\alpha$ - в  $\beta$ -положение. Способ не применим к бензилиденным кетонам  $C_6H_5CH=CHCOOR$  и кетонам типа  $C_6H_5COCH=CHNR$ . Обработкой смеси 138 г изофорона и 120 г  $CH_3Br$  600 мм 1,9 н. бензольного р-ра I получено 130 г метилированного кетона с т. кип. 95—130°/18 мм и 14 г остатка. Перегонкой выделено 40 г сырого монометилизофорона, т. кип. 105—106°/18 мм, который после очистки через его семикарбазон (т. пл. 195°) обладал т. кип. 90°/8 мм,  $n_D^{20}$  1,4798,  $d_4^{20}$  0,931. Получены также (приведены т. кип. в °C/мм рт. ст.,  $n_D^{20}$  (или в скобках другая т-ра),  $d_4^{20}$  (или в скобках другая т-ра)): моноаллилизифорон, 112—114/11, 1,4910, 0,930, оксим, т. пл. 84°; диаллилизифорон, 143—144/9, 1,5002, 0,929, 2,4-динитрофенилгидразон, т. пл. 82°; монобензилизифорон, 186—188/15, 1,5432, 1,014, оксим, т. пл. 145°; дибензилизифорон, т. пл. 88°; бензолизифорон, 215/10, т. пл. 105° (из окиси изопропила); *l*-моноаллилизопулеон, 109—111/8, (18) 1,4860, (16) 0,941,  $[\alpha]_D^{25}$  —71,41°, семикарбазон, т. пл. 195°; *l*-бензилизопулеон, 178—180/12, 1,5358, 1,017,  $[\alpha]_D^{25}$  —59,42°, оксим, т. пл. 137—138° (начало плавления 127°); монометилизопулеон, 86—88/8, (19) 1,4711, (19) 0,926,  $[\alpha]_D^{25}$  —118,88°, семикарбазон, т. пл. 203—205°; триметилизопулеон 103—104/12, 1,4760, 0,937,  $[\alpha]_D^{25}$  —43,8°; бензилиденпулеон, 200—202/11,  $[\alpha]_D^{25}$  —39,48°; моноаллилизиперитон (2-амил-3-метил-6-изопропилциклогексен-2-он-1) (рацемич.), 131—133/12, (18) 1,4947, (18) 0,940; моноэтилциклогексенциклогексанон, 140—142/8, 1,5060, 0,993, оксим, т. пл. 106—112°; диэтилциклогексенциклогексанон, 154—156/14, (24) 1,5017, (24) 0,980, оксим, т. пл. 111—112°; моноэтилциклопентилденциклопентанон, 129—132/18, 1,4961, 0,985, семикарбазон, т. пл. 203°; диэтилциклопентилденциклопентанон, 134—136/11, (22) 1,4873, (22) 0,955; монометил- $\alpha$ -мезитилоксид, 146—148/760, (16) 1,4474, (16) 0,868, семикарбазон, т. пл. 194—196°; с небольшой примесью трудно отделимого монометил- $\beta$ -мезитилоксида;  $\alpha,\alpha,\alpha$ -триаллилацетон, 100—102/13, (18) 1,4733,  $d_4^{18}$  (18) 0,894, семикарбазон, т. пл. 152°.

**58318 П.**  $\alpha,\beta$ -Ненасыщенные кетоны и способ их получения. Бергман, Сарел ( $\alpha,\beta$ -unsaturated ketones and their preparation. Bergmann Felix, Sarel Shalom). Пат. США 2750408, 12.06.56

Кетоны общей ф-лы  $R^1R^2C=CHCOCH(R^3)R^4$  ( $R^1$  и  $R^2$  — одинаковые или различные алкилы, арилы, алкилы или циклоалкилы, а  $R^3$  и  $R^4$  — одинаковые или различные арилы, причем один из радикалов  $R^1$  и  $R^2$  и один из радикалов  $R^3$  и  $R^4$  могут представлять атомы H) получают взаимодействием в мол. соотношении 1:1 соединения общей ф-лы  $R^1R^2C=CH_2$  или  $R^1C\equiv CH$  и галлоидангидрида ф-лы  $R^3R^4CHCOX$  ( $X$  — Cl или Br). При взаимодействии компонентов в мол. соотношении 1:2 образуется эфир энола  $R^1R^2C=CHC(=CR^3R^4)OCOCH(R^3)R^4$ . В колбе, снабженной газовой вводной и выводной трубками, а также  $CaCl_2$ -трубкой, нагревают в течение 8 час. при 195—200° смесь 270 г 1,1-дифенилэтилена и 400 г фенацетилхлорида при непрерывном пропускании через смесь струи сухого  $N_2$ , после чего реакционную смесь немедленно фракционируют и собирают фракцию с т. кип. 250°/3 мм. Она затвердевает при затирании с  $C_2H_5OH$  и при перекристаллизации из последнего дает 200 г бесцветных призм с т. пл. 143°.

представляющих по-видимому, эфир  $(C_6H_5)_2C=CHC(=CHC_6H_5)OCOCH_2C_6H_5$  (I), который можно омылить до  $\beta,\beta$ -дифенилвинилбензилкетона  $(C_6H_5)_2C=CHCOCH_2C_6H_5$  (II) с КОН. II имеет т. кип. 183—185°/1 мм и т. пл. 44°. При вышеуказанном фракционировании можно выделить также 1,4-дифенилнафталин (III) с т. кип. 275°/3 мм в виде желтого сиропа, кристаллизующегося при затирании с  $CH_3OH$  в бесцветные кристаллы с т. пл. 135—136°. Выходы I и III можно регулировать в широких пределах, изменяя условия р-ции. При невозможности низкой т-ре р-ции и сильной струе  $N_2$  образуется главным образом I; при высоких т-рах и слабой струе  $N_2$  или же в отсутствие  $N_2$  (когда HCl накапливается в реакционной смеси) преимущественно образуется III. Описано также получение: бензилэтирилкетона, т. кип. 110°/4 мм, т. пл. 70—71°, и фенацетилового эфира его енола, т. пл. 138°;  $\beta$ -фенил- $\beta$ -метилвинилбензилкетона, т. кип. 145°/4 мм (динитрофенилгидразон, т. пл. 123°), и фенацетилового эфира его енола, т. пл. 104°; фенацетилового эфира енола фенилацетиленбензилкетона, вероятной ф-лы  $C_6H_5C\equiv C-C(=CHC_6H_5) \cdot OCOCH_2C_6H_5$ , т. пл. 64—65°;  $\beta$ -бензилвинилбензилкетона (масло, 2,4-динитрофенилгидразон, т. пл. 78°) и фенацетилового эфира его енола, т. кип. 155—165°/3 мм,  $n_D^{20}$  1,5617; кетона ф-лы  $C_2H_5OCO(CH_2)_6 \cdot CH=CHCOCH_2C_6H_5$  (из этил- $\omega$ -ундецената и фенацетилхлорида), т. кип. 160—180°/3 мм.

**58319 П.** Метод получения акриловой кислоты или ее производных. Реппе, Фридрих, Хенкель, Лаутеншлагер (Verfahren zur Herstellung von Acrylsäure oder deren Derivaten. Reppe Walter, Friedrich Herbert, Henkel Erich, Lautenschlager Hans) [Badische Anilin- & Soda-Fabrik A.-G.]. Пат. ФРГ 1000806, 19.06.57

Указанные в-ва получают при повышенных т-рах и давлении из  $C_2H_2$ , CO и воды (или соединений с подвижным атомом H) с катализаторами типа  $NiX_3$  ( $X$  — галогид), в присутствии ускорителей — органич. в-в с группами —N—C—S—, —N—C—Se— или —N—C—Te—, содержащими, по крайней мере одну двойную связь, а также смесь в-в, образующих в условиях процесса соединения этого типа, напр., смесь вторичного амина и  $CS_2$ . В качающийся автоклав помещают смесь 80 вес. ч. тетрагидрофурана, 10 вес. ч. воды, 0,3 вес. ч.  $NiBr_2$  и 1 вес. ч. тиаоацетида. После продувки  $N_2$  в автоклав нагнетают до давл. 15 ат смесь  $C_2H_2$  и CO (1:1). Автоклав нагревают до 180°, подают дополнительно смесь до 45 ат и повторяют эту операцию каждые 0,5 часа в течение 12 час. Сумма падений давления за это время 168 ат. Из 115 вес. ч. продуктов р-ции перегонкой выделяют 26,4 вес. ч. акриловой к-ты (I). В отсутствие ускорителя, в тех же условиях, получают 12—14 вес. ч. I. Аналогично действуют следующие ускорители: N,N-диметилтиоацетамид, диметилтиоформамид, бромгидрат 2-аминотетрагидробензотиазола, 2-амино-4-метилтиазол, дифенилтиомочевина, дигипролилдиэтиламдисульфид, смесь бромгидрата диэтиламина и  $CS_2$ , фенилгортничное масло, 2-меркаптобензотиазол, роданиновая к-та, 2-меркаптобензотиазол, фенилселенацетамид. Описано также получение бутил- и этилакрилатов.

**58320 П.** Метод получения эфиров акриловой кислоты. Метцер, Хелд (Method for preparing alkyl esters of acrylic acid. Metzger Herbert G., Held Frederick J.) [The B. F. Goodrich Co.]. Пат. США 2759016, 14.08.56

Низшие алифатич. эфиры акриловой к-ты получают непрерывным методом с миним. потерями на полимеризацию и разложение р-цией соответствующего спирта или 75—85%-ного водн. спирта со смесью акрилонитрила (I) с минер. кислородсодержащей к-той и обычным ингибитором полимеризации. Р-цию прово-

дают в установке с двумя реакторами из стекла, керамики, политетрафторэтилена или др. в противотоке паров спирта, вводимых через пористое стекло, и смеси I с  $H_2SO_4$  или  $H_3PO_4$ . К смеси 36 ч. воды с 200 ч. 95%-ной  $H_2SO_4$  и 3 ч. гидрохинона прибавляют медленно при перемешивании 53 ч. I. Р-цией полученной смеси с 80%-ным  $C_2H_5OH$  при т-ре обоих реакторов 150–155° и при мол. отношении спирт : I = 2,27 : 1 или 2,08 : 1 получают этилакрилат с выходом 94,5 или 95% соответственно. Аналогично с  $CH_3OH$  (отношение 2,27 : 1) получают метилакрилат, выход 96%. Приведена технологич. схема.

А. Дулюс  
58321 П. Фторбутадиеincarбоновые кислоты и их гидролизующиеся производные. Андерсон (Fluorobutadienecarboxylic acids and derivatives hydrolyzable thereo. Anderson John L.) [E. I. du Pont de Nemours and Co.]. Пат. США 2754323, 10.07.56

При пиролизе соединений ф-лы  $YC=CHCX_2CX_2$ , где

$X=F$  и остальные Cl и Y—COOH, COOR, CONR, COX или CN-группы, получают соответственно фторбутадienes-1,3 общей ф-лы  $CX_2=CH-CY=CH_2$ . Пиролиз при т-рах  $> 725^\circ$  приводит к нежелательным побочным р-циям. Пары 10 ч. 1-карбометокси-3,3,4,4-тетрафторциклобутена перегоняют через кварцевую трубку диам. 25,4 мм и длиной 303 мм, заполненную кусочками кварца и обогреваемую электропечью. Пиролиз проводят при 500° и давл. 0,001 мм, выходящие продукты конденсируют в ловушке, охлаждаемой жидким  $N_2$ . Конденсат содержит 7,4 ч. исходного циклобутена и ~2,5 ч. 2-карбометокси-1,1,4,4-тетрафторбутадиена-1,3, т. кип. 40–42°/25 мм,  $n_D^{25}$  1,3795. Пиролиз при 550 и 600° дает тот же результат. Аналогично получены (даны т. кип. в °C/мм,  $n_D^{25}$ ) 2-карбометокси-1-хлор-1,4,4-трифторбутадие-1,3, 62–64/21, 1,4224 и 2-карбометокси-1,1-дихлор-4,4-дифторбутадие-1,3, 73/19, 1,4267.

В. Сергеев  
58322 П. Очистка хлорангидридов кислот. Хикман, Гаррис (Purification of acid chlorides. Hickman Kenneth C. D., Harris Edward E.). Пат. США 2748151, 29.05.56

Предварительная обработка неочищ. хлорангидридов высших жирных к-т галоидирующими агентами ( $Cl_2$ ,  $Br_2$ ,  $ClI$ ) существенно улучшает выход и чистоту хлорангидридов при их перегонке. В ~39,4 моля неочищ.  $C_{18}H_{37}COCl$  (I) с йодным числом ~0,7 пропускают за 5 час. 7,2 моля сухого  $Cl_2$ , освобождая реакционную смесь от избытка  $Cl_2$  в вакууме или пропусканием  $N_2$  и перегоняют, отбирая фракцию с т. кип. 91–92°/0,05 мм; получают I с йодным числом 0,08; выход 93,7%. При перегонке неочищ. I, без предварительной обработки  $Cl_2$ , получают 80,9% дистиллята с йодным числом 0,6. После обработки 1,81 моля неочищ. I 0,25 молями  $Br_2$  или 0,278 молями  $JCl$  получают 90% очш. I с йодным числом 0,05.

А. Травин  
58323 П. Вис-(трет-аминоалкокси)-алканы. Эрикссон (Bis-tertiary aminoalkoxy alkanes. Erickson John C.) [General Mills Inc.]. Пат. США 2766288, 9.10.56

Полиамины (I) общей ф-лы  $RR'N(R'O)_nR''NR'R$  (1), где R—алкил, содержащий 1–22 атома C, R'—H или R, R''—этиленовый или пропиленовый остаток и n=2–5, получают нагреванием 2,5–3 молей первичных или вторичных алифатич. аминов (II) с 1 молем дихлорзамещ., полученного из моно- или полиэтилен (пропилен) гликоля. С низшими П р-ция проходит легко при 60–70°, тогда как с высшими П требуется нагревание при 100–200°. I, производные низших П, растворимы в воде; тетрабутиламещ. I и производные, содержащие высшие алкилы, в воде нерастворимы. I могут применяться в агротехнике (структурирование почвы), при строительстве дорог (сообщение грунту

водоотталкивающих свойств) и в произ-ве высококачественных смазочных материалов. Нагревают 22 часа при 180° 37 ч.  $C_{12}H_{25}NH_2$  и 9,4 ч.  $(ClCH_2CH_2OCH_2CH_2)_2$  (III), выливают в  $C_4H_9OH$ , промывают р-ром NaOH и водой и перегонкой выделяют 1,2-бис-(2-додециламиноэтокси)-этан, т. кип. 170–200°/0,03–0,05 мм, т. пл. 39–40°. Аналогично получают 1,2-бис-(2-диоктадециламиноэтокси)-этан (IV), т. пл. 44–45°. Смесь 28,2 ч.  $(C_{12}H_{25})_2NH$  и 3,7 ч. III нагревают 26 час. при 175–180°, затем растворяют в  $C_6H_6$ , промывают разб. NaOH, отгоняют  $C_6H_6$  и избыток  $(C_{12}H_{25})_2NH$  и выделяют жидкий 1,2-бис-(2-дидодециламиноэтокси)-этан. Описано также получение 1,2-бис-(2-диэтиламиноэтокси)-этана, т. кип. 85–100°/0,05–0,10 мм, и 1,2-бис-(2-дибутиламиноэтокси)-этана, т. кип. 122–139°/0,02 мм. Р-р 0,23 ч. IV в  $iso-C_3H_7OH$  смешивают с 1000 ч. 1%-ной взвеси бентонита в воде, прибавляют р-р 5,5 ч.  $(C_{18}H_{37})_2NH \cdot HCl$  в  $iso-C_3H_7OH$ , осадок отфильтровывают, сушат и размалывают; при смешении его в кол-ве 10%, с минер. маслом получают смазку с показателем густоты 1650, при разбавлении которой маслом до конц-ии 5% твердого в-ва образуется продукт, характеризующийся показателем густоты 350 и не выделяющий масло при стоянии.

О. Чернецов  
58324 П. Способ получения фторсиликатов аминов. Фитч (Primary amine fluosilicate process. Fitch Frederick Troop) [W. R. Grace & Co.]. Пат. США 2759958, 21.08.56

В-ва ф-лы  $(RNH_2)_2 \cdot H_2SiF_6$  (I), где R—алкил, арил, аракил, циклоалкил, арил- или алкилциклоалкил или гетероциклич. радикал, получают в газовой фазе при р-циях соответствующих аминов с  $SiF_4$  или с  $SiF_4$ -содержащими газами в присутствии паров воды и при нагревании. Аналогично реагируют диамины и триамины. В три зоны трубки длиной 50 см и диам. 5 см вводят насыщ. водой при 70° воздух (600 мл/мин),  $SiF_4$  (49 мл/мин) и смесь воздуха (300 мл/мин) с изопропиламиноном (0,5 мл/мин.). Т-ру реакционной зоны поддерживают в пределах 100–140°. Получают I, R— $iso-C_3H_7$ , в смеси с  $SiO_2$ . Аналогично получают I, R— $n-C_4H_9$ . Приведено подробное описание реактора. М. К.  
58325 П. Производство гидразина (из гексаметилен-тетрамина). Пассино (Manufacture of hydrazine. Passino Herbert J.) [The M. W. Kellogg Co.]. Пат. США 2768878, 30.10.56

Нитрозированием гексаметилен-тетрамина с последующим гидрированием образующегося динитрозо-пентаметилентетрамина (I) получают  $N_2H_4$  (а также  $N_2H_4 \cdot H_2O$ ). I обрабатывают водородом при 10–200° и 0,6–40 атм в присутствии (или в отсутствие) обычных катализаторов гидрирования. Смесь I и Zn-пыли (1:1) обрабатывают водой, полученную пасту вносят в 50% водн.  $CH_3COOH$ . Через  $\frac{1}{2}$  часа смесь обрабатывают HCl (к-той) и фильтруют. Спектрофотометрически и р-цией с  $C_6H_5CHO$  обнаруживают в фильтрате  $N_2H_4$ . Описано гидрирование I с Al, Al/Hg, а также в присутствии скелетного Ni и под давлением без катализатора.

В. Каплун  
58326 П. Способ получения алифатических и циклоалифатических кетоксимов и их хлоргидратов. Мюллер, Медгер, Фрисо (Verfahren zur Herstellung von aliphatischen und cycloaliphatischen Ketonen bzw. deren Hydrochloriden. Müller Eugen, Metzger Horst, Fries Dorla). Пат. ФРГ 1001983, 11.07.57

Алифатич. и циклоалифатич. кетоксими и их хлоргидраты получают при р-циях насыщ. углеводородов с HCl-газом, NO и  $Cl_2$  при освещении. 240 г циклогексана насыщают сухим HCl-газом и барботируют в р-р при т-ре 15° и УФ-освещении ежесекундно смесь 750 мл  $Cl_2$ , 2250 мл NO и 200 мл HCl-газа. Р-ция продолжается 2,5 часа. Масло отделяют, углеводородный слой



экстрагируют водой, масло и воду вытяжку обрабатывают водн. р-ром NaOH и получают 6,2–6,5 г циклогексаноноксима, т. пл. 88–89°. Аналогично получают циклооктаноноксим, т. пл. 41–42°, смесь гептаноноксимов, т. кип. 104–107/19 мм и смесь гексаноноксимов, т. кип. 80–82/10 мм.

М. Каплун

**58327 П.** Реакции простых виниловых эфиров с донорами водорода. Шмидл, Мансфилд (Reaction of vinyl ethers and hydrogen donors. Schmid Claude J., Mansfield Richard C.) [Rohm & Haas Co.]. Пат. США 2736743, 28.02.56

Простые виниловые эфиры в присутствии воды и смеси основных анионо-(АО) и кислых катионообменников (КО) способны присоединять в-ва, содержащие активный атом Н, связанный с атомом С. Особенно активно вступают в р-цию винилалкильные эфиры, содержащие в алкильной группе < 7 атомов С. 48 ч. винилэтилового эфира (I), 61 ч.  $\text{CH}_3\text{NO}_2$ , 45 ч. воды, 15 ч. АО (содержащего триметиламмонийметильные группы, в виде гидроокиси, присоединенные к ароматич. кольцам сополимера стирола и дивинилбензола) (II) и 15 ч. КО (сульфированный сополимер стирола и дивинилбензола) (III) перемешивают 4 часа при 30–35° (охлаждение), фильтруют, фильтрат перегоняют и перегонкой выделяют 41 ч. нитропропанола, т. кип. 105–110°/25 мм. В остатке содержится 16 ч. высококипящего продукта. Вместо нитрометана могут быть применены другие нитроалканы, в которых с  $\alpha$ -С-атомом связан  $\geq 1$  атом Н. Аналогично 2-окс-1-нитропропан (т. кип. 105–110°/25 мм) получен из винилбутилового эфира. Смесь 36 ч. I, 135 ч. этилового эфира ацетоуксусной к-ты, 20 ч. воды, 15 ч. II и 15 ч. III перемешивают 4 часа при 30–35° и еще 16 час. при ~20°. Смесь фильтруют для отделения от смол, фильтрат перегоняют, собирают фракцию 130°/1 мм (82 ч.), которая представляет собой этилден-бис-этилацетоацетат. Приведено еще несколько аналогичных примеров.

С. Сосин

**58328 П.** Получение аминонитрилов. Свердлов (Preparation of amino nitriles. Sverdloff Jack) [Celanese Corp. of America]. Пат. США 2762835, 11.09.56

Аминонитрилы получают частичным каталитич. гидрированием динитрилов в присутствии безводного  $\text{NH}_3$ . В автоклаве из нержавеющей стали на 55% его объема загружали 108 вес. ч. адипонитрила, 31 ч. Ni-Ренея, смоченного метиламем, 178 вес. ч. метилаля и 158 вес. ч. безводного жидкого  $\text{NH}_3$  и оставшийся объем заполняли  $\text{H}_2$  до давл. 70 ат. Автоклав нагревали 4 мин. при 101°, причем давление падало до 49 ат. Жидкий продукт р-ции фракционировали в вакууме и выделяли 5,3 ч. гексаметилендиамина, 48,4 ч. непрореагировавшего адипонитрила и 51,5 ч. 6-аминокапронитрила, выход 84%. Аналогично из нитрила пимелиновой к-ты (99°/30 мин.) получали 7-аминогептанонитрил, выход 66%.

Л. Макарова

**58329 П.** Способ получения N,N'-дихлоразодикарбон-амидина. Хаберниккель (Verfahren zur Herstellung von N,N'-Dichlorazodicarbonamidin. Habernickel Valentin) [Henkel & Cie G. m. b. H.]. Пат. FRG 952087, 8.11.56.

Для получения  $\text{H}_2\text{NC(NCl)N=NC(NCl)NH}_2$  (I) смесь дициандиамида (II) или цианамида Ca с неорганич. солями аммония (особенно  $\text{NH}_4\text{Cl}$  и  $\text{NH}_4\text{NO}_3$ ) нагревают до 110–170° и после охлаждения и разбавления водой обрабатывают гипохлоритом при pH 5–6,5 (лучше 5,5–6). При 0° выкристаллизовывается I с выходом 80–90%. Смесь 1100 г II и 1337 г  $\text{NH}_4\text{Cl}$  быстро нагревают до 150–160°, через 0,5 часа охлаждают до 80°, разбавляют 9 л воды, при 5° прибавляют  $\text{H}_2\text{SO}_4$  (d 1,175) до pH 5,5. При охлаждении и перемешивании смесь медленно обрабатывают 13 л гипохлорита (содержание Cl 160 г/л), сохраняя pH постоянным с по-

мощью  $\text{H}_2\text{SO}_4$ . Выделившийся при 0° I сумат при 50–60°. Выход 88%. Аналогично из  $\text{CaCN}_2$  и  $\text{NH}_4\text{NO}_3$  при 130° получают I с выходом 81%.

**58330 П.** N-трициановиниламины и способы их получения. Хеккерт (N-tricyanovinylamines and a process for preparing them. Heckert Richard Edwin) [E. I. du Pont de Nemours and Co.]. Пат. США 2762832, 11.09.56

N-трициановиниламины общей ф-лы  $(\text{CN})_2\text{C}=\text{C}(\text{CN})\text{NR}'$  (I), где R и R' — H, алкил, циклоалкил, арил или арил, или NR'R' — остаток пиперидина, получают взаимодействием тетрацианэтилена (II) с соответствующим амином. I, вследствие их способности при действии влажной щелочи медленно выделять HCN, являются хорошими инсектицидами-фумигантами; ароматич. I обладают характерным цветом и могут применяться в качестве красителей для акрилатных волокон типа «орлон» и полиэфирных типа «дакрон». II получают действием  $\text{S}_2\text{Cl}_2$  на нитрил малоновой к-ты. К р-ру 50 ч. II в 666 ч. тетрагидрофурана (III) при перемешивании прибавляют по каплям 28,5 ч.  $n\text{-C}_4\text{H}_9\text{NH}_2$ , перемешивают при ~20° в течение 3 час. и затем кипятят 15 мин. III удаляют в вакууме при 40°, а остаток оставляют на ночь при 6°, причем кристаллизовавшееся сырой I (R—H, а R'— $n\text{-C}_4\text{H}_9$ ), который промывают петр. эфиром и сумат на воздухе, выход 88%; после перекристаллизации из петр. эфира т. пл. 35–60°, а из эфира 58°,  $\lambda_{\text{макс.}}$  325 мк,  $\epsilon$  12 700.

Аналогично (кипчение 3 часа) получали следующие I (приведены условия р-ции, R и R', выход в % и т. пл. в °C): кипчение 3 часа, H,  $\text{C}_{10}\text{H}_{17}$ , 130 ч. из 50 ч. II, 83 (из водн.  $\text{CH}_3\text{COOH}$ ); 2 часа при 20°, H,  $\text{C}_6\text{H}_5\text{CH}_2$ , 96, 121–122 (разл., из  $\text{CHCl}_3 + \text{CCl}_4$ ); кипчение 15 мин., H, цикло- $\text{C}_6\text{H}_{11}$ , 51, 147–147,5 (из  $\text{CHCl}_3 + \text{CCl}_4$ ); выдерживали в течение ночи, H,  $\text{C}_6\text{H}_5$ , 59, — ( $\lambda_{\text{макс.}}$ ) 345 мк,  $\epsilon$  14 700; кипчение 2 часа, H,  $n\text{-C}_3\text{H}_7$ , 49, 174 (разл., из водн.  $\text{CH}_3\text{COOH}$ ); кипчение 3 часа, H,  $n\text{-C}_4\text{H}_9$ , 83, 160 (разл., из 80%-ного сп.); кипчение 4 часа, H,  $n\text{-CH}_2\text{OCOC}_6\text{H}_4$ , 100, 180 (разл., из сп.) ( $\lambda_{\text{макс.}}$ ) 360 мк,  $\epsilon$  17 200; кипчение 30 мин., H,  $\text{HOOCOC}_6\text{H}_4$ , 43, 249–250 (разл., из водн.  $\text{CH}_3\text{COOH}$ ) ( $\lambda_{\text{макс.}}$ ) 356 мк,  $\epsilon$  15 800; кипчение 6 час., H,  $m\text{-NO}_2\text{C}_6\text{H}_4$ , 55, 170 (разл., из 50%-ного метанола) ( $\lambda_{\text{макс.}}$ ) 345 мк,  $\epsilon$  15 900; кипчение 6 час., H,  $n\text{-NO}_2\text{C}_6\text{H}_4$ , 105 ч. из 50 ч. II, 170 (разл., из 50%-ного сп.) ( $\lambda_{\text{макс.}}$ ) 332 мк,  $\epsilon$  15 500; 24 часа при 20°, H,  $\alpha$ -нафтил, 65 ч. из 50 ч. II, 179 (разл. из водн.  $\text{CH}_3\text{COOH}$ ) ( $\lambda_{\text{макс.}}$ ) 330 мк,  $\epsilon$  10 600; экзотермич. р-ция, затем стояние 2 дня для кристаллизации, NR' — остаток пиперидина, 10,9 ч. из 20 ч. II, 86–97 (из бэл. + петр. эф.) ( $\lambda_{\text{макс.}}$ ) 335 мк,  $\epsilon$  15 400; кипчение 1 час,  $\text{CH}_3$ ,  $n\text{-C}_3\text{H}_7$ , 94, 174–176 (из абс. сп.) ( $\lambda_{\text{макс.}}$ ) 335 мк,  $\epsilon$  11 900; кипчение 3 часа, H,  $o\text{-C}_6\text{H}_4$ , 93, 129–130 (из водн.  $\text{CH}_3\text{COOH}$ ); получено также соединение ф-лы  $n\text{-C}_6\text{H}_4\text{NHC}(\text{CN})=\text{C}(\text{CN})_2$ , выход 78%, т. пл. > 300° (разл., из ацетона), и с ацетатом аммония — I, где R = R' — H. Приведены примеры крашения.

Л. Макарова

**58331 П.** 1,4-дизамещенные 2-цианобутадиены-1,3. Прайт (1,4-disubstituted 2-cyano-1,3-butadienes. Pratt Burt Carlton) [E. I. du Pont de Nemours and Co.]. Пат. США 2773857, 11.12.56

Соединения общей ф-лы  $\text{RCH}=\text{C}(\text{CN})\text{CH}=\text{CHR}'$ , где R — алкил с  $\leq 7$  атомами С, а R' — алкил с  $\leq 4$  атомами С, получают конденсацией 3-алкенонитрилов (I) с  $\geq 5$  атомами С с альдегидами, содержащими  $\geq 2$  атома С в присутствии 10–40 мол. % (от I) щел. конденсирующего агента (K, Na,  $\text{NaH}$ ,  $\text{NaNH}_2$ ,  $\text{C}_2\text{H}_5\text{ONa}$ ,  $\text{C}_2\text{H}_5\text{OK}$ , трет- $\text{C}_4\text{H}_9\text{ONa}$ ,  $\text{C}_6\text{H}_5\text{Na}$ ,  $\text{C}_6\text{H}_5\text{CHNa}$ ,  $\text{C}_6\text{H}_{11}\text{Na}$ ,  $(\text{C}_6\text{H}_5)_3\text{CNa}$ ,  $(\text{C}_2\text{H}_5)_4\text{NOH}$ ,  $(\text{CH}_3)_3(\text{C}_6\text{H}_5\text{CH}_2)\text{NOH}$ ; хуже

NaOH и  $\text{CH}_3\text{COONa}$ ). Исходные I могут быть получены действием HCN на сопряженные диены с конечной метиленовой группой. Полученные мономеры полимеризуются или сополимеризуются при 140–250°. При отсутствии катализатора полимеризация не обязательно; при более высоких т-рах предпочтительно присутствие ингибиторов полимеризации для предотвращения побочных р-ций. Р-р 3 ч. Na в 47 ч. абс.  $\text{C}_2\text{H}_5\text{OH}$  добавляют по каплям в течение 45 мин. в атмосфере  $\text{N}_2$  к р-ру 53 ч. свежеперегнанного  $\text{C}_6\text{H}_5\text{CHO}$  и 32,4 ч. пентен-3-нитрила в 316 ч. абс.  $\text{C}_2\text{H}_5\text{OH}$ , т-ра смеси повышается с 21 до 36°. Затем смесь кипятят 3 часа на паровой бане, после чего выливают в ледяную воду, экстрагируют эфиром, экстракт высушивают над  $\text{Na}_2\text{SO}_4$ , фильтруют и перегонкой выделяют 47 ч. 1-фенил-4-метил-2-цианобутадиена-1,3 в виде легкого желтого масла с т. кип. 160°/16 мм,  $n_D^{25}$  1,6142; после повторной перегонки в колонке при флегмовом числе 1:10 продукт обладал т. кип. 135–137°/4 мм,  $n_D^{25}$  1,6110,  $d_4^{25}$  1,1040. Аналогично из октен-3-нитрила получают 1-фенил-4-н-бутил-2-цианобутадиен-1,3. Описание также получение (даны т. кип. в °C/мм рт. ст. и  $n_D^{25}$ ) 1-(2-фурил)-метил-2-цианобутадиена-1,3, 117–118/6, 1,627; 1-изопропил-4-метил-2-цианобутадиена-1,3, 97–102/32, 1,4647,  $d_4^{25}$  0,8490; 1,4-диметил-2-цианобутадиена-1,3, 68–72/37, 1,4360; 1-(1-пропенил)-4-метил-2-цианобутадиена-1,3, 96–98/29, 1,4309 и (1-метоксифенил)-4-метил-2-цианобутадиена-1,3, 153–155/2. Приведены примеры полимеризации полученных в-в с образованием маслообразных, мягких и хрупких полимеров.

58332 П. Динитрилы и способ их получения. Стансбери, Гест (Dinitriles and process for their preparation. Stansbury Harry A., Jr, Guest Howard R.) [Union Carbide and Carbon Corp.]. Пат. США 2731489, 17.01.56

Вещества ф-лы  $\text{NC}-\text{CH}(\text{OR}')\text{CH}(\text{R})-\text{CH}_2-\text{CH}_2-\text{C}(\text{OR}')(\text{R})-\text{CH}(\text{OR}')\text{CN}$  (I), где R—H или  $\text{CH}_3$ , R'—H или ацил с 2–10 атомами C, получают при р-циях 2-оксинадипальдегида (II) или 2,5-диметил-2-оксинадипальдегида с HCN в присутствии 0,01–2% катализатора основного характера (амины или цианиды щел. металлов). Образовавшиеся циангидриды можно ацилировать ангидридами к-т. (I) применяют как промежуточные продукты. При гидролизе и алкохолизе CN-групп I получают к-ты и их эфиры, применяемые для алкилирования синтетич. смол (в частности сополимеров винилхлорида с винилацетатом или с акрилонитрилом). 130 г диоксана, 18 мл воды и 0,5 мл конц. HCl перемешивают при 24–32° и к смеси прибавляют в течение 30 мин. 112 г димера акролеина. Перемешивают еще 30 мин. при 26–30° и получают II, 1,0 г KCN и 59 г HCN перемешивают при 20–25° и к смеси в течение 25 мин. прибавляют полученный р-р II. Перемешивают еще 25 мин. при 25°, подкисляют 2 мл конц. HCl (к-та) и получают I, R—H—H (III). Р-р скорого III прибавляют при перемешивании в течение 15 мин. к смеси 1 мл конц. HCl (к-та) и 612 г  $(\text{CH}_3\text{CO})_2\text{O}$  при 101–110°. Из реакционной массы быстро отгоняют легкие фракции (180°/9 мм) и в остатке получают 193 г I, R—H, R'— $\text{CH}_3\text{CO}$ . Продукт очищают мол. перегонкой при 100°/400 мм,  $n_D^{25}$  1,4500,  $d_4^{25}$  1,162. Аналогично получают другие I (указаны R, R', т-ра в °C и давл. при молекулярной перегонке,  $d_4^{25}$  и  $n_D^{25}$ ). H,  $\text{CH}_3\text{CH}(\text{C}_2\text{H}_5)(\text{CH}_2)_3\text{CO}$ , 103/4 мм, 1,006, 1,4559;  $\text{CH}_3$ ,  $\text{CH}_3\text{CO}$ , т. кип. 180–188°/2 мм, 1,090, 1,4508;  $\text{Cl}$ ,  $\text{CH}_3\text{CH}(\text{C}_2\text{H}_5)(\text{CH}_2)_3\text{CO}$ , 99/5 мм, 0,948, 1,4531.

М. Каплун  
58333 П. Способ выделения соли (при производстве адипонитрила). Мендолья (Salt recovery process. Mendolia Arthur I.) [E. I. du Pont de Nemours and Co.]. Пат. США 2733981, 7.02.56

Для уменьшения потерь реагентов и утилизации NaCl, получающегося при произ-ве адипонитрила по р-ции:  $\text{ClCH}_2\text{CH}_2\text{CH}_2\text{CH}_2\text{Cl} + 2\text{NaCN} \rightarrow \text{CNCH}_2\text{CH}_2\text{CH}_2\text{CH}_2\text{CN} + 2\text{NaCl}$ , полученную сырую соль растворяют в воде с образованием устойчивой эмульсии уд. в. 1,16–1,19 (при 25°), которую фильтруют при 40–60° (с отстаиванием и декантацией). Верхний слой содержит (в %): дихлорбутан 83–90, адипонитрил 0,6–0,9, целлозольв 0,5–1,12, вода 0,1–0,3, NaCl 0,02–0,09; нижний слой содержит: дихлорбутан 0,007–0,14, адипонитрил 0,02–0,08, целлозольв 2,4–3,5, NaCl 20–23. Верхний слой после декантации частично рециркулируют на промывку следующей порции соли. Нижний слой (рассол) подкисляют HCl (к-та) для удаления HCN и выпаривают для получения очищ. соли.

Л. Михайловский

58334 П. Способ получения дитиодиакиленгликолей. Хелмер (Process for the preparation of dithiodialkylene glycols. Helmer Warren D.) [Thiokol Chemical Corp.]. Пат. США 2746994, 22.05.56

Вещества общей ф-лы  $(\text{HOCRRRCRR}-\text{S}-)_n$ , где R—H, алкил или арил, получают р-цией окиси алкена в водн. р-ре с тиосульфатом и водорастворимым моносulfидом щел. металла в присутствии  $\text{SO}_2$  для нейтр-ции образующейся гидроокиси. Приведен предпологаемый механизм р-ции:  $2\text{CH}_2=\text{CH}_2\text{O} (\text{I}) + 2\text{Na}_2\text{S}_2\text{O}_3 + 2\text{H}_2\text{O} \rightarrow 2\text{Na}_2\text{S}_2\text{O}_3\text{CH}_2\text{CH}_2\text{OH} + 2\text{NaOH}$ ;  $2\text{NaOH} + \text{SO}_2 \rightarrow \text{H}_2\text{O} + \text{Na}_2\text{SO}_3$ ;  $2\text{Na}_2\text{S}_2\text{O}_3\text{CH}_2\text{CH}_2\text{OH} + \text{Na}_2\text{S} \rightarrow (\text{HOC}_2\text{H}_4)_2\text{S}_2 + \text{Na}_2\text{S}_2\text{O}_3 + \text{Na}_2\text{SO}_3$ . Тиосульфат может быть целиком регенерирован добавлением элементарной S в реакционную смесь. Через р-р 1116 г  $\text{Na}_2\text{S}_2\text{O}_3 \cdot 5\text{H}_2\text{O}$  (5 молей) в 1116 г  $\text{H}_2\text{O}$  при перемешивании при т-ре 30–45° барботировали I и  $\text{SO}_2$  с такой скоростью, чтобы поддерживать pH 9. После того, как было пропущено 3,39 моля I и 1,45 моля  $\text{SO}_2$ , подачу газов прекращали и к смеси прибавляли 1,7 моля  $\text{Na}_2\text{S}$ . После расслаивания верхний белый слой дитиодиакиленгликоля (II) отделяли, сушили 3–4 часа в вакууме при 95–100° и фильтровали, получая 81,3 г II. Перед сушкой pH с помощью  $\text{H}_2\text{SO}_4$  доводили до 4. Приведены еще 3 аналогичных примера.

В. Лившиц

58335 П. Способ получения сульфаминовых кислот из эфиров карбаминной кислоты. Биббер (Method of preparing sulfamic acids from carbamic esters. Bieber Theodore I.). Пат. США 2763535, 18.09.56

Кислоты общей ф-лы  $\text{RNHSO}_3\text{H}$  получают действием олеума на эфиры карбаминной к-ты ф-лы  $\text{RNHCOOR}'$  (I). К 26 мл охлажденного льдом 60%-ного олеума при перемешивании постепенно прибавляют 5 г этилкарбамата, смесь медленно нагревают до начала выделения  $\text{CO}_2$  (60–70°), причем начинается осаждение сульфаминовой к-ты (II). После окончания выделения  $\text{CO}_2$  смесь охлаждают льдом и выпавшую II отфильтровывают на стеклянном фильтре, получая неочищ. II. Для получения чистой II реакционную смесь выливают в такое кол-во льда, чтобы получалась конц.  $\text{H}_2\text{SO}_4$ , в котором II растворима слабо, осадок практически чистой II отфильтровывают и промывают метанолом и эфиром; выход 63%, т. пл. 197–203° (разл.). Аналогично получают замещ. сульфаминовые к-ты и установлена зависимость выхода их от некоторых факторов. Получены следующие результаты (приведены R и R' в I, кол-во взятого в р-цию I в г, вес. %  $\text{SO}_3$  в олеуме и кол-во его в г, т-ра р-ции и выход соответствующей сульфаминовой к-ты): H,  $\text{C}_2\text{H}_5$ , 5, 5, 20, 80–90, 0; H,  $\text{C}_2\text{H}_5$ , 5, 30, 23, 70–80, 23; H,  $\text{C}_2\text{H}_5$ , 5, 60, 22,6, 60–70, 51; H,  $n\text{-C}_5\text{H}_{11}$ , 7,4, 5, 20, 80–90, 0; H, втор- $\text{C}_4\text{H}_9$ , 6,6, 5, 20, 0–10, 0; H, втор- $\text{C}_4\text{H}_9$ , 6,6, 30, 23,4, 0–10, 12; H, втор- $\text{C}_4\text{H}_9$ , 6,6, 60, 26,4, 0–10, 22;  $\text{H}_2\text{C}_6\text{H}_5\text{CH}_2$ , 8,4, 5, 40, 1–10, 0;  $\text{C}_2\text{H}_5$ ,  $\text{C}_2\text{H}_5$ , 6,6, 5, 20, 90,



6;  $C_2H_5$ ,  $C_2H_5$ , 6,6, 30, 23, 70, 85;  $C_2H_5$ ,  $C_2H_5$ , 6,6, 60, 25,5, 60, 93;  $CH_3$ ,  $C_2H_5$ , 5,8, 60, 26,4, 60, 94. З. Нудельман

58336 П. Каталитическая реакция ацетилена с виниленовыми или винилиденовыми соединениями. Сауэр (Catalytic reaction of acetylene with vinylidene or vinylene compounds. Sauer John C.) [E. I. du Pont de Nemours and Co.]. Пат. США 2741631, 10.04.56

При р-циях  $C_2H_2$  с в-вами ф-лы  $HRC=CR^1R^2$ , где  $R$ ,  $R^1$  и  $R^2$  — CN, арил, карбоалкокси, алкокси или  $CONR^3R^4$  ( $R^3$  и  $R^4$  — H или низший алкил) или  $R$  и  $R^1$  — H, алкил или арил, в присутствии катализаторов, содержащих комплексы алифатич. диаминов с солями слабых к-т и тяжелых металлов при 50—150° и давл. 2,8—35 ат, получают моноэтиленовые соединения. В заполненный  $N_2$  автоклав вводят 80 г акрилонитрила, 3 г этилендиаминового комплекса Ni-соли  $FeH_2(CO)$  и 0,2 г  $(CH_3COO)_2Cu$ . Автоклав охлаждают до т-ры —70°, откачивают, заполняют  $C_2H_2$ , встряхивают, доводят давление  $C_2H_2$  до 7 ат и нагревают до 95—110° под давл.  $C_2H_2$  14 ат. По прекращении поглощения  $C_2H_2$  смесь охлаждают и перегоняют. Выделено 9 фракций. Фракция с т. кип. 75—76°/70 мм,  $n_D^{25}$  1,4176 весит 43 г и состоит из 4-пентенилтрила (I). I гидрируют в присутствии Pd на угле до валеронитрила и последний переводят в хлоридат  $\alpha$ -иминомеркаптоуксусной к-ты, т. пл. 137—138°. Фракция с т. кип. 145—147°/5 мм и  $n_D^{25}$  1,4752 весит 4 г и образует при гидрировании суберонитрил, идентифицированный в виде пробковой к-ты. Для получения катализатора к 220 мл 6 н. КОН добавляли 40 мл  $Fe(CO)_5$ , перемешивали 6 час. при ~20°, к полученному р-ру в токе  $N_2$  добавляли 78 г  $NiCl_2 \cdot 6H_2O$  и 60 г этилендиамина в 250 мл воды, фильтровали и промывали водой, метанолом и эфиром. Приведены опыты в различных условиях и с применением других катализаторов. Аналогично из  $C_2H_2$  и метилакрилата получают метил-4-пентеноат (II), т. кип. 127—127,5°,  $n_D^{25}$  1,4200 (выход 8%), метилтетрагидробензоат (III), т. кип. 48—52°/2 мм,  $n_D^{25}$  1,4893, и небольшое кол-во циклооктатетраена. При гидрировании II и III образуются соответственно метил-н-валерат, т. кип. 125—125,7°,  $n_D^{25}$  1,3957, и метилгексагидробензоат, т. кип. 75—77°/11 мм,  $n_D^{25}$  1,4400. Описано получение II с выходом 36%. 38 г II, 28 г метанола и 5 г неспекшего восстановленного Со-катализатора обрабатывают в автоклаве СО при 238—242° и давл. 450 ат в течение 9,5 час. Смесь фильтруют, фильтрат перегоняют и после гидролиза фракции, содержащей дикарбоновые к-ты, получают адипиновую к-ту (выход 9%). Дифункциональные этиленовые соединения, полученные по патентуемому методу, применяются как исходные материалы в промышленности пластмасс. М. Кашлун

58337 П. Способ получения N-замещенных аминокислот. Реппе, Кутенов, Хозинш (Verfahren zur Herstellung von N-substituierten Aminosäuren. Reppe Walter, Kutepow Nikolaus von, Hohenschutz Heinz) [Badische Anilin- & Soda-Fabrik A.-G.]. Пат. ФРГ 1004995, 18.07.57

N-моно- (I) и (или) дизамещенные (II) аминокислотные к-ты, их эфиры или соли получают при р-циях аминокислотных к-т и их производных с oleфинами, СО и водой в присутствии карбонил металлов. Рекомендуется добавлять к реакционной смеси трет-амины. Процесс получения I и II может быть периодич. и непрерывным. Из реакционной смеси I и II выделяют либо перегонкой, либо осаждением к-т и их солей. Во вращающемся 1-л автоклаве смешивают 50 г  $\alpha$ -аланина, 50 г N-н-пропилпириролидина, 100 г воды, 60 г  $CH_3OH$  и 20 г карбонила железа, 3-кратным нагнетанием азота (5—10 атм) вытесняют из автокла-

ва воздух, нагнетают в реактор смесь этилена с СО (1:3) до давл. 100 ат и нагревают до т-ры 130°. Нагнетанием указанной смеси газов доводят давление до 200 ат и поддерживают его на этом уровне. Через 20 час. р-ция заканчивается. Из смеси отгоняют летучие при т-ре до 100° в-ва, остаток фильтруют, фильтрат обрабатывают небольшими кол-вами воды.  $NH_3$  и  $H_2O_2$  вновь фильтруют и перегоняют. Получают 45 г смеси N-н-пропил- и N,N-ди-н-пропилаланина, т. кип. 170°/45 мм (через некоторое время смесь кристаллизуется). Аналогично получают N,N-ди-н-пропилаланин, т. кип. 180—185°/24 мм, т. пл. 78°, N-н-пропилпириролин, этиловый эфир n-бутиламинобензойной к-ты, т. пл. 61°, и Na-соль N-н-пропилантраниловой к-ты. М. Кашлун

58338 П. N-Трифенилметиламинокислоты и способ их получения. Амьяр, Эмес (N-trityl aminoacides et leur procédé d'obtention. Amiard G., Heymes R.) [Uclaf]. Франц., пат. 1109987, 3.02.56

Пригодные для синтеза пептидов N-трифенилметилпроизводные  $\alpha$ -аминокислот общей ф-лы  $(C_6H_5)_3CNHCH(CH_2)_nR[COOH]$ , где R — H, алкил, арил или гетероцикл, радикал, могущие содержать тио- или оксигруппы, а n — 0 или целое число от 1 до 8 включительно, получают действием трифенилхлорметана (I) на эфиры  $\alpha$ -аминокислот или их хлоридаты в инвертном р-рителе в присутствии третичного амина в кол-ве 1 моля на 1 моль I в случае исходного свободного эфира и 2 молей в случае исходного хлоридата его. К р-ру 1,4 г хлоридата этилглицина в 14 мл сухого  $CHCl_3$ , содержащих 3 мл сухого  $N(C_2H_5)_3$ , добавляют при 0° и перемешивании 2,8 г I (выпадение кристаллич.  $N(C_2H_5)_3 \cdot HCl$ ). По завершении р-ции оставляют на 1 час, промывают водой, высушивают над  $MgSO_4$  и отгоняют  $CHCl_3$  досуха. Полученный маслянистый этиловый эфир N-трифенилметилглицина (II) переходит в кристаллич. массу при обработке небольшим кол-вом  $CH_3OH$ . Очищ. II, т. пл. 112—113° (из баз. мет. пепт. эф.). Для омыления сырого II его кипятят 2—3 мин. с 5 мл 20%-ного КОН в  $CH_3OH$ , добавляют 20—30 мл воды, отгоняют  $CH_3OH$ , остаточный водн. р-р после охлаждения подкисляют  $CH_3COOH$ , выпавший маслянистый быстро кристаллизующийся N-трифенилметилглицин отжимают, промывают водой и высушивают; выход 3 г (> 95% теор.), т. пл. 176—178°, 179—180° (из сп.). Продукт растворим в горячих водн. щелочах, мало растворим в  $C_6H_6$ ,  $CHCl_3$ ,  $C_2H_5OH$ , ацетоне и эфире, нерастворим в воде. Описано также получение (даны т. пл.) N-трифенилметил-DL- $\alpha$ -аланина, ~170°, этиловый эфир, 101—102°; N-трифенилметил-DL-серина, ~180°, этиловый эфир, 111—112°; N-трифенилметил-DL-метионина, сольватированный продукт (из толуола) 130° и 170°, метиловый эфир, 124—125°; N-трифенилметил-DL-триптофана 200—210°, метиловый эфир, 171—172°; N,N'-дифенилметил-L-гистидина, 184—185°,  $[a]_D^{20} +9,6 \pm 1^\circ$  (с 1; хлф.), метиловый эфир (масло). Я. Кантор

58339 П. Хлоралкилалкиленполиаминокислоты. Бесуэрт (Chloro alkyl alkylene poly amino acids and method of producing same. Bersworth Frederick C.). Пат. США 2630455, 3.03.53

Алкилхлорбромиды обрабатывают алкиленполиаминополикарбоновыми к-тами в щел. р-ре при 50°. р-р охлаждают, фильтруют, упаривают в вакууме при т-ре  $\leq 50^\circ$ , разбавляют, нагревают с катионообменной смолой до прекращения солей аминокислот в свободные к-ты, смолу отделяют и после испарения воды выделяют хлоралкилалкиленполиаминокислоты (I). I применяются в органич. синтезе и обладают клешиобразующими свойствами как в водн., так и в неводн. р-рах. К р-ру 176 г  $(CH_2NH \cdot CH_2COOH)_2$  (II) в 500 мл 1N прибавляют при 50° и перемешивании 200 г 40%-ного р-ра NaOH и р-р 287 г  $ClCH_2CH_2Br$  (III) в 95%-ном

спирте (500 мл). Затем нагревают еще 4 часа, охлаждают, отделяют NaBr, спирт упаривают в вакууме, остаток разбавляют 3 л и перемешивают 1 час с 1,5 экв чистой катионообменной смолы карбоксилатного типа (H-форма), фильтруют, обрабатывают повторно смолкой (10% от первоначального кол-ва) на холоду в течение ~30 мин. и образующийся р-р упаривают досуха. Получают смесь моно- и ди- HBr-солей  $(\text{CH}_2\text{N} \cdot (\text{CH}_2\text{CH}_2\text{Cl})\text{CH}_2\text{COOH})_2$ . Чистую ди-HBr-соль получают, не отфильтровывая NaBr. HBr-соль, бесцветные кристаллы (из  $\text{H}_2\text{O}$ ), разл.  $>200^\circ$ . Ди-Na-соль II (1 моль) в  $\text{H}_2\text{O}$  (500 мл) и 500 мл спирт. р-ра  $\text{BrCH}_2\text{CH}_2\text{OCH}_2\text{CH}_2\text{Cl}$  (1,05 моля) перемешивают при  $50^\circ$ . Р-р обрабатывают сильной катионообменной смолкой (напр., Dowex-50) и при низкой т-ре вымывают амино-кислоту 5%-ным р-ром  $\text{NH}_3$ . Получают  $[\text{CH}_2\text{N}(\text{CH}_2\text{CH}_2\text{OCH}_2\text{CH}_2\text{Cl})\text{CH}_2\text{COOH}]_2$ . Аналогично получают  $\text{CH}_2\text{N}(\text{CH}_2\text{CH}_2\text{Cl})\text{CH}_2\text{COOH}$  и  $\text{CH}_2(\text{CH}_2\text{N}(\text{CH}_2\text{CH}_2\text{Cl})\text{CH}_2\text{COOH}) \cdot \text{NHCH}_2\text{COOH}$ .

Б. Дяткин

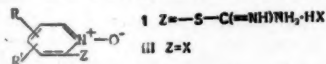
58340 П. Способ получения алифатических аминокислот. Фейхтингер, Туммес (Verfahren zur Herstellung von aliphatischen Aminosulfonsäuren. Feichinger Hans, Tummes Hans) [Ruhchemie A.-G.]. Пат. ФРГ 951271, 25.10.56

Аминосульфокислоты (I) алифатич. ряда получают, обрабатывая р-ры или суспензии хлоридов алифатич. аминов в хлорированных углеводородах, напр. в  $\text{CCl}_4$ , хлором и  $\text{SO}_2$ , при активном облучении с последующим гидролизом полученных хлоридов алифатич. аминокансульфохлоридов общей ф-лы  $\text{HX} \cdot \text{R}' \cdot \text{R}''$ .  $\text{NC}_6\text{H}_{13}\text{SO}_2\text{Cl}$  (II), где  $\text{R}'$  и  $\text{R}''$  — H или алифатич. радикал с 1—3 атомами C, а  $\text{HX}$  — минер. к-та, напр.  $\text{HCl}$ , в среде спирта, при  $0^\circ$ — $250^\circ$ . В р-р 30 г безводн.  $\text{C}_2\text{H}_5\text{NH}_2$  в 300 мл  $\text{CCl}_4$  пропускают  $\text{HCl}$  (газ) до полного превращения амина в хлоридат, затем при  $50$ — $60^\circ$  вводят туда же при сильном размешивании и облучении ртутной лампой,  $\text{Cl}_2$  и  $\text{SO}_2$  (в соотношении 1:1,3) и перемешивают 5—6 час. Охлаждают до  $18$ — $20^\circ$ , отфильтровывают кристаллич. II ( $\text{R}' = \text{C}_4\text{H}_9$ ,  $\text{R}'' = \text{H}$ ), промывают несколько раз  $\text{CCl}_4$ , кипятят 6 час. с 150 мл безводн.  $\text{C}_2\text{H}_5\text{OH}$  и выделяют кристаллич. 1-аминобутан-2-сульфокислоту (III), охлаждая реакционную смесь до  $0^\circ$  и промывая осадок при  $0^\circ$  абс.  $\text{C}_2\text{H}_5\text{OH}$ ; выход III 55,6% (на  $\text{C}_4\text{H}_9\text{NH}_2$ ). По другому примеру, продукт сульфохлорирования 30 г  $\text{C}_2\text{H}_5\text{NH}_2$  кипятят 6 час. с 150 мл безводн.  $\text{CH}_3\text{OH}$  и после кристаллизации при  $0^\circ$  получают 49,2% III.

О. Чернцов

58341 П. Способ получения комплексов тиомочевин. Семенов, Долливер (Process of preparing thiourea complexes. Semenoff Serge, Dolliver Morris A.) [Olin Mathieson Chemical Corp.]. Пат. США 2745826, 15.05.56

Комплексные соединения (I), где X — галоид, R и  $\text{R}'$  — H, низшие алкилы или алкоксилы или галоиды, получают при р-ции тиомочевин (II) с в-вом общей ф-лы (III) в среде общего р-рителя. Исходные III получают р-цией соответствующих 2-галоидзамещ. пири-



динов (IV) с  $\text{H}_2\text{O}$  или надкислотами. I являются важными промежуточными продуктами для получения N-оксидов 2-меркаптопиридина (V). К 790 г 2-бромпиридина прибавляют при  $8$ — $12^\circ$  в течение 25—30 мин. 2000 г 40%-ной надуксусной к-ты, дают т-ре подняться до  $40$ — $45^\circ$ , выдерживают 45 мин., повышают т-ру за  $15$ — $20$  мин. до  $65^\circ$ , вновь выдерживают 2 часа, повышают т-ру до  $80^\circ$ , затем, после того как цвет реакционной массы перейдет из светло-желтого в темно-коричневый, охлаждают до  $60$ — $65^\circ$ , выливают в горячую суспензию 475 г II в 6 л  $\text{изо-C}_3\text{H}_7\text{OH}$ , кипятят 15 мин.,

охлаждают до  $18$ — $20^\circ$ , отфильтровывают осадок I ( $\text{R} = \text{R}' = \text{H}$ ;  $\text{X} = \text{Br}$ ), промывают 200 мл  $\text{изо-C}_3\text{H}_7\text{OH}$  и сушат при  $60^\circ$ ; выход ~71%, т. пл.  $160^\circ$ . К р-ру I ( $\text{R} = \text{R}' = \text{H}$ ;  $\text{X} = \text{Br}$ ) в 8 л дистил. воды прибавляют 713 г соды, размешивают 5 час. при  $18$ — $20^\circ$ , подкисляют 1740 мл разб.  $\text{HCl}$  (1:1) до pH 2,3. Выделившуюся N-оксид 2-меркаптопиридина (IV) промывают 600 мл дистил. воды и сушат в вакууме над  $\text{P}_2\text{O}_5$ ; выход 84,8%. Для получения Na-соли IV к р-ру 41,8 г IV в 250 мл ацетона (V) прибавляют р-р 12,5 г  $\text{NaOH}$  в 12,5 мл воды и 25 мл  $\text{CH}_3\text{OH}$ , затем 50 мл V, размешивают, разбавляют через 7 мин. 240 мл V и оставляют для кристаллизации внесением для затравки Na-соли на 1 час при  $18$ — $20^\circ$ , а затем — на 0,75 часа при  $5^\circ$ , отсасывают и сушат выделяющуюся кристаллич. Na-соль IV, выход 93,3%, (на  $\text{NaOH}$ ). О. Чернцов

58342 П. Усовершенствованный способ получения эфиров фосфористой кислоты. Маршалл (Procédé perfectionné de production d'esters du phosphore. Marshall William Walter) [Monsanto Chemical Co.]. Франц. пат. 1111535, 1.03.56

Фосфиты (I) общей ф-лы  $\text{P}(\text{OR})_3$ , где по меньшей мере один R — алкил, циклоалкил или аларкил, а остальные R — такие же радикалы или же Cl или Br, получают взаимодействием  $\text{PCl}_3$  или  $\text{PBr}_3$  с соответствующим спиртом при т-ре между  $-10$  и  $+40^\circ$  в присутствии инертного р-рителя (II) с т-рой кипения на  $\geq 20^\circ$  выше т-ры кипения полученного эфира, и третичного амина (III), галоидогидрат которого не разлагается заметно при т-рах до  $\sim 250^\circ$ . Полученный I затем отгоняют и остаток обрабатывают водн. щелочью для разложения галоидогидрата III; III возвращают в р-цию. Для получения галоидосодержащего I оба реагента берут в почти стехиометрич. кол-вах (допускают небольшой избыток спирта); для получения нейтр. I рекомендуется избыток спирта в размере  $\geq 40\%$ . В качестве II пригодны нерастворимые в воде фенилциклогексан (IV), мономонил и полиамилнафталины, этилпропил и амилпроизводные дифенила. Этерификацию можно проводить и в среде низкокипящего II (эф., бутана, гексана, бал., толуола, ксилола), потом добавлять высококипящий II и выделять I дробной перегонкой. Преимущество способа: высокие выходы I и отсутствие операции фильтрации галоидогидрата III, приводящей к значительным потерям I. В смесь 200 мл IV, 1,5 моля  $\text{CH}_3\text{OH}$  и 1,6 моля триаминамина вводят в течение ~45 мин. при энергичном перемешивании смесь 0,5 моля  $\text{PCl}_3$  и 50 мл IV, поддерживая т-ру р-ции  $< 0^\circ$  с помощью смеси сухого льда с  $\text{CH}_3\text{OH}$ , после чего выдерживают реакционную смесь 1 час при  $\sim 0^\circ$ , потом нагревают до  $\sim 25$ — $30^\circ$ , выдерживают при этой т-ре ~45 мин., перегоняют под давл. 2 мм сырой дистиллят ( $61,8$  г) и перегонкой при атмосферном давлении выделяют триметилфосфит с т. кип.  $111$ — $112^\circ$ ; выход 86%. Аналогично получают триэтилфосфит, триизопропилфосфит, т. кип.  $72$ — $77^\circ$ , диизопропилхлорфосфит и n-бутилдихлорфосфит, т. кип.  $63$ — $68^\circ$  / 18 мм. Я. Кантор

58343 П. Эфиры ненасыщенных фосфиновых кислот. Албисетти, Хогсед (Esters of unsaturated phosphonic acids. Albisetti Charles Joseph, Jr., Hogsed Milton Jones) [E. I. du Pont de Nemours & Co.]. Пат. США 2671106, 2.03.54

Эфиры ненасыщ. фосфиновых к-т, в которых алкильный радикал содержит 5—18 атомов C и несет двойную связь в положении 4—5, получают взаимодействием диалкиловых эфиров алкенилфосфиновых к-т с олефинами при повышенных т-ре и давлении. Нагреванием 35 г  $\text{CH}_2 = \text{CHP}(\text{O})(\text{OC}_2\text{H}_5)_2$  (I), 200 г  $(\text{CH}_3)_2\text{C} = \text{CH}_2$ , 400 г воды и 45 г  $\text{C}_6\text{H}_6$  в автоклаве при  $260^\circ$  и начальном давл. 900 ат в течение 1 часа получают  $(\text{C}_2\text{H}_5\text{O})_2\text{P}(\text{O})(\text{CH}_2)_3\text{C}(\text{CH}_3) = \text{CH}_2$  (II), т. кип.  $85$ —



88°/8 мм;  $n_D^{25}$  1,4403. Аналогично из 80 г I, 200 г  $(CH_3)_2C=CH_2$  и 23 г  $C_6H_6$  при 280° в течение 1 часа получают 48 г II, т. кип. 124°/8,5 мм;  $n_D^{25}$  1,4418. Из диметилового эфира 1-метилэтилфосфиновой к-ты (III) и  $(CH_3)_2C=CH_2$  получен с низким выходом диметиловый эфир 1,4-диметилпентенилфосфиновой-4 к-ты, т. кип. 125°/12 мм;  $n_D^{25}$  1,4492 (25% исходного эфира возвращается неизменными). Из III и диизобутилена получают с низким выходом диметиловый эфир 1-метил-4-неопентилпентенилфосфиновой-4 к-ты, т. кип. 125—127°/3,5 мм;  $n_D^{25}$  1,4530. При проведении р-ции необходимо отсутствие инициаторов полимеризации.

Л. Герман

**58344 П.** Получение  $\gamma$ -хлорпропилфосфонилдихлорида. Исбелл, Уодсуэрт (Preparation of gamma-chloropropyl-phosphonyl dichloride. Isbell Arthur F., Wadsworth Francis T.) [The American Oil Co.]. Пат. США 2768969, 30.10.56

$Cl(CH_2)_3P(O)Cl_2$  (I) получают при р-ции  $CH_2CH_2CH_2$

(II) с  $PCl_3$  (2:1) в присутствии  $O_2$ , Fe, Cu, S, их соединения, а также каучук,  $BF_3$  и нитросоединения ингибируют р-цию. I и его производные применяют в качестве добавок к смазочным маслам, замедлителей горения, диспергаторов и эмульгаторов, для изготовления пластификаторов, добавок к асфальтам и инсектицидов. В смесь 8,07 моля II и 2,5 моля  $PCl_3$  вводят при перемешивании и т-ре от -30 до -35°  $O_2$ . Для предотвращения образования пробки из твердого  $POCl_3$  газ-водяную трубку поднимают над поверхностью жидкости. Время р-ции 4 часа. Получают I, выход 7,2% (считая на  $PCl_3$ ). Описан опыт замедления горения при помощи диизопропилового эфира  $\gamma$ -хлорпропилфосфиновой к-ты.

М. Каплун

**58345 П.** Способ получения устойчивых эфиров кремневой кислоты. Цейсс, Нолль (Verfahren zur Herstellung beständiger Kiesel säureester. Zeiss Werner, Noll Walter) [Farbenfabriken Bayer A.-G.]. Пат. ФРГ 955062, 27.12.56

Для получения эфиров общей ф-лы,  $o,o$ -RR<sup>1</sup>C<sub>6</sub>H<sub>3</sub>OSi(OR<sup>2</sup>)(OR<sup>3</sup>)OR<sup>4</sup> (I), где алкил с 1—4 атомами C, R<sup>1</sup> — H или R, R<sup>2</sup>, R<sup>3</sup>, R<sup>4</sup> — любые алкилы, циклоалкилы, арилы, предложено при обычной этерификации производных кремневой к-ты (галогенидов, низших эфиров и др.) использовать  $o$ -алкил- или  $o,o$ -диалкилфенолы (алкилы — R и R<sup>1</sup>) с последующей обработкой любым спиртом или фенолом. Приведены результаты испытаний, показывающие, что I обладают прекрасными смазочными свойствами и более стойки к гидролизу (20%-ная HCl, 110°), окислению ( $O_2$ , 300°) и нагреванию (200°, 170 час.), чем алифатич. ортосиликаты. 1 моль  $SiCl_4$  смешивают с 2 молями 2,6-диэтилфенола, через 1—2 часа нагревают до прекращения выделения HCl, по охлаждению добавляют 3 моля  $n$ -C<sub>4</sub>H<sub>9</sub>OH, медленно нагревают, кипятят 2 часа, отгоняют избыток спирта и перегонкой в вакууме выделяют 2,6-диэтилфенилтрибутил-, бис-(2,6-диэтилфенил)-дибутил- и три-(2,6-диэтилфенил)-бутилортосиликаты. Аналогично из 1 моля  $Si(OC_2H_5)_4$  и 2 молей  $o$ -C<sub>2</sub>H<sub>5</sub>C<sub>6</sub>H<sub>3</sub>OH при нагревании с ректификационной колонкой до отбора 90 г C<sub>2</sub>H<sub>5</sub>OH получены 2-этилфенилтриэтил-, бис-(2-этилфенил)-диэтил- и (немного) три-(2-этилфенил)-этилортосиликаты. Кроме того, получены бис-(2-этилфенил)-ди-( $n$ -бутил)-, бис-(2,6-диэтилфенил)-диэтил-, бис-(2,6-диэтилфенил)-бис-(2-этилгексил)-, 2,6-диэтилфенил-(2-этилфенил)-ди-( $n$ -бутил)-, 2,6-диэтилфенил-(2-этилфенил)-ди-(втор-бутил)-, бис-(2,6-диэтилфенил)-дикрезил-, бис-(2,6-диэтилфенил)-(2-этилфенил)-фенил-, 2,6-диэтилфенилтрикрезил-, бис-(2-этилфенил)-дикрезил-, бис-(2,6-диизопропилфенил)-ди-(втор-бутил)- и три-(2,6-диизопропилфенил)-втор-бутилортосиликаты.

А. Дулов

**58346 П.** Способ получения винилхлорсиланов. Уайенберг (Method of producing vinylchlorosilanes. Weyenberg Donald R.) [Dow Corning Corp.]. Пат. США 2770634, 13.11.56

Смесь хлористого винила и хлорсилана ф-лы  $R_nSiHCl_{3-n}$  (R — алкил, содержащий < 5 атомов C, или фенил,  $n = 0$  или 1) нагревают при 550—650° в течение  $\geq 2$  сек. под давл. < 3 ат. Напр., смесь 688 г  $HSiCl_3$  и 190 г  $CH_2=CHCl$  пропускают через кварцевую трубку при 600°. Время пребывания смеси в трубе составляет 14,2 сек.. Выход  $CH_2=CHSiCl_2$  55 мол.%, причем 33,9 мол.%  $HSiCl_3$  было выделено обратно. Аналогично получены (приведены т-ра р-ции в °C, выход в мол.% и кол-во выделенного обратно исходного силана в мол.%)  $CH_2=CHSiCH_2Cl_2$ , 5—50; 22,4; 54,4; то же, 600; 51,9; 17,1; то же, 650; 35; 19,5;  $CH_2=CHSiC_2H_5Cl_2$ , 550; 29,7; 36,5.

А. Жданов

**58347 П.** Карбоксиметилгептаметилциклотетрасилоксан. Прохаска (Carboxymethylheptamethylcyclotetrasiloxane. Prochaska Robert J.) [General Electric Co.]. Пат. США 2763675, 18.09.56

Карбоксиметилгептаметилциклотетрасилоксан ф-лы  $[(CH_3)_3Si-O]_3-Si(CH_3)(CH_2COOH)O$  (I) получают вза-

модействием реактива Гриньяра на основе хлорметилгептаметилциклотетрасилоксана (II) с твердым  $CO_2$ . Эфиры I с высшими спиртами, а также с двухатомными спиртами могут служить пластификаторами для винилгаллоидных смол. I и его эфиры можно полимеризовать в присутствии небольшого кол-ва KOH в соответствующие диорганополисилоксаны, которые после вулканизации перекисью бензоила дают тепло-стойкие резины с повышенной морозостойкостью. Эфирную группу до вулканизации можно заменить, напр., на амидную. Реактив Гриньяра, полученный из 70 г II и 5 г стружки Mg, приливали к 200 г измельченного твердого  $CO_2$  и перемешивали до полного испарения последнего. К продукту р-ции добавляли смесь 200 мл 3%-ной HCl (к-ты) и 200 г льда, эфирный слой промывали несколько раз водой, сушили над безводной  $MgSO_4$  и перегонкой выделяли I, т. кип. 110—111°/0,5 мм, т. пл. 49—51°. Л. Макарова

**58348 П.** Получение оловоорганических меркаптидов.

Бест (Preparation of organotin mercaptides. Best Chris E.) [The Firestone Tire & Rubber Co.]. Пат. США 2731484, 17.01.56

Sn-органические димеркаптиды ф-лы  $(R'S)_2Sn(R'')_2$  (применимые в качестве термостабилизаторов полимеров и сополимеров хлорвинила), где R' — одинаковые или различные замещ. или незамещ. углеводородные радикалы, содержащие 1—22 атома C, а R'' — то же, что R', но не содержит связанных с углеродом OH- и SH-групп и групп —  $SSn(R'')_2SR$ , получают взаимодействием 2 молей меркаптана  $R'SH$  1 молям (с небольшим избытком) диорганолооксидов ф-лы  $(R'')_2SnO$  при 40—180° и перемешивании. В ряде опытов, в частности: а) с  $(CH_3)_2SnO$ ,  $(C_4H_9)_2SnO$  или  $(C_6H_5)_2SnO$  и  $C_4H_9SH$  или меркаптанами, содержащими смешанные алкильные радикалы спиртов, полученных восстановлением жирных радикалов кокосового масла (в основном — лаурил- и миристилмеркаптанами) и б) с  $(C_4H_9)_2SnO$  и 2-(2-октилфенокси)-этоксизантисилолом или тиофенолом, к 0,2 молям тиоспирта, нагретого до ~ 120° в открытом сосуде (с  $C_4H_9SH$  — при т. кип. и в закрытом сосуде), прибавляли при непрерывном перемешивании 0,11 моля диорганолооксидов небольшими порциями и со скоростью, какую позволяло пенообразование. Во время р-ции т-ру смеси держали на уровне 120—150°. Затем т-ру смеси поднимали до 150°, при этой т-ре выдерживали 15 мин., после чего охлаждали до 25° и отфильтровывали непрореагирова-

вавший оксид; вязкую смесь перед фильтрованием разбавляли  $C_6H_6$ . Приведены результаты испытания фильтров в качестве термостабилизатора сополимера 90% хлорвинила и 10% винилиденхлорида или диотилmaleината и сополимера 96% хлорвинила и 4% винилацетата.

Я. Кантор  
58349 П. Способ получения триалкилалюминия и алкилалюминийгидридов. Циглер, Геллерт (Verfahren zur Herstellung von Aluminiumtrialkylen und Aluminiumalkylhydriden. Ziegler E. h. Karl, Gellert Hans-Georg). Пат. ФРГ 961537, 11.04.57

Указанные соединения получают р-цией избытка изометиленового Al с олефином и  $H_2$  при давл. 100–300 ат и т-ре 70–200° в присутствии катализатора  $R_2AlX$  или смеси  $R_2AlX$  с  $RAIX_2$  (где R — алкил, X — галоген) в кол-ве 5–10, 10–20 или 20–30% при X = Cl, Br или J соответственно. В качестве олефина используют моно- и особенно несимметричный диаметц. этилен, смеси олефинов и природные газы. Катализатор получают в процессе р-ции прибавлением органич. галогенида и небольшого кол-ва готового  $AlR_3$ , или к началу р-ции из  $AlX_3$  или  $RAIX_2$  и  $AlR_3$ . Продукт отгоняют в вакууме либо непосредственно (при X = J), либо после предварительного нагревания до 100–120° с KCl или KBr для переведения катализатора в комплексы (при X = Cl или Br) или до 120° с металлич. Na для удаления Cl (при X = Cl); в первых двух случаях катализатор легко регенерируется. При использовании изобутилена (I) продукт можно отделить от катализатора вымораживанием при т-рах от –20 до –30°. В замкнутый азотом 2-л автоклав загружают 800 г изометиленового Al, 200 г  $(n-C_3H_7)_2AlJ$  и 600 г жидкого пропилена, подают  $H_2$  до давл. 300 ат, осторожно нагревают до 100° при перемешивании. Через 12 час. давление падает до 50 ат. По охлаждению 600–650 г жидкого продукта сливают в атмосфере  $N_2$  и перегонкой на колонке выделяют 400 г  $Al(C_3H_7)_3$  (со следом J), т. кип. 110°/13 мм. Оставшийся катализатор перед новым употреблением перегоняют, т. кип. 110–140°/0,02 мм. Аналогично из смеси 140 г  $C_2H_5Br$  с 52 г  $Al(C_2H_5)_3$ , 1 л  $CH_2=C(CH_3)C_3H_7$  (II) и  $H_2$  общим кол-вом в 200 ат (порциями до 100 ат) при 150–160° получают после отгонки углеводородов 550 г сырого  $Al(C_2H_5)_3$  (III). Из 3 кг Al, 6 л II и 750 г  $(C_2H_5)_2AlCl$  давл.  $H_2$  300 ат и 110–120° с последующим добавлением еще 10 л II (в 2 приема) и  $H_2$  образуется 8,5 кг III (содержит 2,6% Cl), который очищают нагреванием до 120° с 160 г Na и перегонкой в высоком вакууме. Аналогично из 0,5 кг  $(iso-C_4H_9)_2AlBr$  (IV) и 4 кг I получают продукт, который после нагревания в атмосфере  $N_2$  до 100–120° с KBr и перегонки на колонке дает Al  $(iso-C_4H_9)_3$  (V), т. кип. 33–35°/0,1–0,5 мм, и  $(iso-C_4H_9)_2AlH$ , всего 3,2 кг. Используя вместо IV 250 г  $(iso-C_4H_9)_2AlCl$  и не доводя р-цию до конца путем уменьшения кол-ва Na, после отгонки в вакууме и вымораживания при т-рах от –20 до –30°, получают V с близким выходом. Катализатор выделяют из маточника фильтрованием или центрифугированием в атмосфере азота.

А. Дулов  
58350 П. Полигалондные производные эндоксиэндо-метиленафталина. Лидов (Polyhalo epoxy methylene naphthalene compounds. Lidov Rex E.) [Shell Development Co.]. Пат. США 2733248, 31.01.56

Полигалондные производные 1,4-эндокси-5,8-эндо-метиленафта (и гекса) гидронафталиндикарбоновой к-ты, также ангидриды этих к-т и низшие алкильные эфиры, получают диеновым синтезом и применяют для получения пластификаторов, огнестойких компонентов для синтетич. смол, смазочных материалов, инсектицидов, гербицидов и т. д. Для получения 3,6-эндо-1,2,3,6-тетрагидрофталевого ангидрида (I) 1 моль фурана и 1 моль малеинового ангидрида добавляют к

200 мл сухого эфира при непрерывном перемешивании. Р-цию продолжают при ~ 20° в течение ночи и получают I, т. пл. 122–123°, выход 70%. 50 г I и 100 г гексахлорциклопентадиена растворяют в миним. кол-ве горячего ацетона (200 мл) и кипятят 66 час. Р-ритель удаляют в небольшом вакууме, белый кристаллич. осадок промывают гексаном и получают ангидрид 5,6,7,8,9,9-гексахлор-1,2,3,4,4а,5,8,8а-октагидро-1,4-эндокси-5,8-эндо-метиленадикарбоновой-2,3 к-ты (II — к-та), выход 62%, т. пл. 282–283° (из ацетона + гексана). Изменение условий р-ции влияет на выход. Кипячение в течение 6 дней повышает выход до 73%. 1 вес. ч. ангидрида II растворяют в 10 вес. ч.  $CH_3OH$ , к которому добавлено 1/4 вес. ч. конц. HCl (к-та), кипятят 2 часа, удаляют р-ритель в вакууме и получают диметиловый эфир II, выход 80%, т. пл. 214–215° (из эф. + бал. 1:1, после промывки р-ром  $NaHCO_3$ ). Моноэфир II получают этерификацией без HCl при более продолжительном нагревании (> 16 ч.) с меньшим кол-вом  $CH_3OH$ , т. пл. 191–192° (из эф.). Получен также аддукт 1,2,3,4-тетрахлорциклопентадиена-1,3 и I, т. пл. 285–286° (из ацетона с последующей возгонкой).

Ю. Васильев  
58351 П. Способ получения азуленов. Циглер, Хафнер (Verfahren zur Herstellung von Azulenen. Ziegler Karl, Hafner Klaus). Пат. ФРГ 942326, 3.05.56

Циклопентадиены, замещ. при  $\geq 2$  смежных атомах C, или инден конденсируют в присутствии спирт. щелочи или алкоголята щел. металла с производными глутаконового диальдегида, которые могут быть замещены алкилами в  $\alpha$ - и (или)  $\beta$ -положении или с соединением, у которого HO-группа энольной формы этого альдегида замещена на N-алкиларилидную группу. Полученные фульвены переводят в соответствующие азулены нагреванием в вакууме или в присутствии катализатора (едкой щелочи, к-ты, металла или его соли), или же перегонкой с перегретым паром; при нагревании в р-рителе выхода азуленов выше 18,7 г 1-N-метиланилинопентадиен-1,3-аля-5, полученного по Цинке (Liebig's Ann., 1904, 333, 296 и 1905, 338, 126–127), растворяют при нагревании в 50 мл абс.  $C_2H_5OH$  и р-р выливают вместе с 6,6 г циклопентадиена в р-р 2,3 г Na в 30 мл абс.  $C_2H_5OH$ , охлаждают льдом, отсасывают образовавшийся из темно-красного р-ра кристаллич. кашу, тщательно промывают ее разб.  $CH_3COOH$  и сушат. Получен 5-N-метиланилинопентадиенциклопентадиен, темно-красные кристаллы, выход 98%, т. пл. 111–112° (из цикло- $C_6H_{12}$  или  $C_2H_5OH$ ). 1 г этого фульвена нагревают в вакууме до 150–200°. При этом метиланилин (I) и азулен (II) отгоняются и улавливаются в охлад. до –80° приемнике. После 5 час. перегонки содержимое приемника растворяют в эфире, сине-зеленый р-р промывают несколько раз 0,1 н. HCl, нейтр. голубой р-р высушивают и из него отгоняют эфир в небольшой колонке. В остатке получают кристаллич. II, выход 63%, т. пл. 96–98°, тринитробензолат, т. пл. 165–166°. Фульвен можно разлагать на II и I также пропусканием перегретого пара с т-рой ~ 300°. II, плавающий в дистилляте в виде голубых хлопьев, выделяют эфиром и отделяют от I 0,1 н. HCl. Выход II тот же, что и при разложении в высоком вакууме.

Я. Кантор  
58352 П. Получение м-диалкилбензолов. Шлаттер (Preparation of meta-dialkylbenzenes. Schlatter Maurice J.) [California Research Corp.]. Пат. США 2768985, 30.10.56

м-Алкил-трет-алкилбензолы (I) и м-ди-трет-алкилбензолы (II) получают алкилированием моноалкилбензолов (с 1–10 C-атомами в цепи) с последующим деалкилированием образующихся алкил-ди-трет-алкил — бензолов в присутствии ароматич. соединений —



акцепторов алкильных групп. Фракционированием из реакционной смеси выделяют I и II. В качестве алкилирующих средств применяют содержащие трет-С-атомы олефины, спирты, галоидалкилы или соответствующие циклич. соединения. I и II применяют как исходные продукты для синтезов триамеф. бензолов. Смесь 1322 г толуола и 161 г изобутилена прибавляют в течение 83 мин. при перемешивании к 319 г жидкой  $H_2F_2$  при  $t$ -ре 1—8°. Перемешивают еще 13 мин., смесь выливают в лед, нейтрализуют избытком КОН, органич. слой отделяют, промывают водой, сушат и фракционируют. Получают 97,5 вес.% смеси *м*-III и *п*-трет-бутилтолуола (IV), т. кип. 188—195°. К охлажденной до 0° смеси 357 г III и 357 г IV прибавляют 198 г жидкой  $H_2F_2$ . При перемешивании вводят в смесь 276 г  $C_4H_9Cl$  ( $t$ -ра 0°—2°). Перемешивают еще 3 часа и обрабатывают смесь, как указано выше. Получают 550 г 3,5-ди-трет-бутилтолуола (V), т. кип. 235—238°, т. пл. 31,4°. 431 г V, 450 г *м*-ксилола (VI) и 177 г жидкой  $H_2F_2$  перемешивают 2 часа при 0°, выливают в лед и обрабатывают, как указано выше. Получают смесь, состоящую из 24,4% *м*-трет-бутилтолуола (VII), 30,5% 1,3-диметил-5-трет-бутилбензола, 32,1% VI и 11,8% V. Фракционированием выделяют VII, т. кип. 189,4—189,8°,  $n_D^{20}$  1,4949, тринитропроизводное, т. пл. 96,2—96,5°. Аналогично из этилбензола и изобутилена получают трет-бутилэтилбензол, т. кип. 204—212°, выход 41%, и 3,5-ди-трет-бутилэтилбензол (VIII), т. кип. 128—131°/20 мм,  $n_D^{20}$  1,4890,  $d_4^{20}$  0,8575, выход 20%. Из VIII получают *м*-трет-бутилэтилбензол, т. кип. 93—96°/20 мм,  $n_D^{20}$  1,4927, тринитропроизводное, т. пл. 67,2—67,5°. Приведена технологич. схема.

**58353 П. Получение арилзамещенных этиленовых соединений.** Диксон, Мей (Production of aryl substituted ethylenic compounds. Dixon James R., May Donald R.) [American Cyanamid Co.]. Канадск. пат. 499133, 12.01.54

Диарилзамещенные этиленовые соединения получают из диарилзамещ. парафинов, имеющих по крайней мере 2 атома С в цепи и в которых обе арильных группы соединены с одним С (напр., диарилэтана) с водяным паром в качестве разбавителя при 400—650° и времени контакта < 0,5 сек. в присутствии катализатора (хромит Cu, Ni, V, Cr, Mn, Fe или Co на носителе или без него).

Ю. Голынец

**58354 П. Выделение фенола и  $\alpha$ -метилстирола из реакционных смесей окисления кумола.** Джорис (Recovery of phenol and  $\alpha$ -methylstyrene from cumene oxidation reaction mixtures. Joris George G.) [Allied Chemical and Dye Corp.]. Пат. США 2757209, 31.07.56

Сырую гидроперекись (ГП) I (I — кумол), полученную в результате окисления I воздухом, или продукты ее разложения [смесь фенола (II), диметилфенилкарбинола (III), ацетона (IV) и ацетофенона (V)] подвергают в присутствии 2—5 вес.% воды действию 0,005—0,05 вес.% катализатора дегидратации (КД) III [ $SO_2$  или (и)  $H_2SO_4$ ], прекращая действие КД (нейтр-цией или удалением его с помощью анионитной смолы) немедленно по завершении р-ции дегидратации III в  $\alpha$ -метилстирол (VI). Из продуктов р-ции после охлаждения и удаления КД перегонкой выделяют последовательно IV, азеотроп I—VI-вода, II и в остатке V, свободный от III, кумилфенола (VII) и димера VI. Сырую 85%-ную ГП I непрерывно вводили в жидкой фазе вместе с ~2 вес.% воды и 0,01 вес.%  $SO_2$  при 60° и перемешивании в реактор (из нержавеющей стали) с разложенной ГП I. Время пребывания в реакторе 1 час. Непрерывно выводимая со дна реактора реакционная смесь содержала главным образом II и IV вместе с 2—4 вес.% ГП I, непрореагировавшего I, III и V; присутствия VII и димера VI не

установлено. После введения в реакционную смесь ~0,25 вес.% 1 н.  $H_2SO_4$  ее нагревали ~30 мин. при 80°, в результате чего весь III был превращен в VI. После охлаждения и нейтр-ции  $Na_2CO_3$  перегонкой выделены IV, азеотроп I—VI-вода, II и V (последний в виде донного продукта). Такие же результаты получены при нейтр-ции продуктов разложения и отгонки IV до введения  $H_2SO_4$ , но эта модификация способа требует 2 стадий нейтр-ции. Приведена схема установки.

Я. Кантор

**58355 П. Усовершенствования в способе производства фенолов** (Perfectionnements aux procédés de fabrication des phénols) [Société des usines chimiques Rhône — Poulenc]. Франц. пат. 1109258, 24.01.56

Усовершенствование в произ-ве фенолов и кетонированием алкилароматич. гидроперекисей  $H_2SO_4$  состоит в том, что после отделения углеводородной реакционной смеси практически полностью освобожден от  $H_2SO_4$  промывкой небольшим кол-вом слабого (1—2%-ным) водн. р-ра нелетучей карбоновой к-ты с кислотностью ниже щавелевой к-ты, в частности р-ром лимонной (I), винной, молочной, салициловой или фталевой к-ты. Преимущества этого способа: а) отсутствие минер. солей, загрязняющих нагревательные и перегонные аппараты; б) более легкое, чем в случае промывки чистой водой, разделение фаз и получение продукта расщепления, практически свободного от  $H_2SO_4$ ; в) незначительные потери фенола и ацетона (в виде р-ра) и отсутствие необходимости в рекуперационной установке; г) получение водн. фазы с высокой конц-ией  $H_2SO_4$ ; д) возможность проведения дальнейших (после удаления  $H_2SO_4$ ) операций в металлич. аппаратуре; е) присутствие в органич. фазе органич. к-т, которые, способствуя дегидратации диалкилфенилкарбинола в алкилстирол, подавляют полимеризацию последнего и конденсацию его с фенолом. Так, 89%-ную гидроперекись кумола расщепления  $H_2SO_4$ , продукт расщепления, содержащий 2,5% диметилфенилкарбинола (II), промывали 2%-ным водн. р-ром I (в кол-ве 10% от объема продукта расщепления), и отгоняли ацетон. Установлено, что < 20% II превращено в полиметилстирол; образования кумилфенола не обнаружено. Когда вместо р-ра I промывали таким же кол-вом чистой воды, разделение фаз усложнялось по мере удаления  $H_2SO_4$ , и отмытый продукт содержал 0,005%  $H_2SO_4$ . После отгонки ацетона 60% II превращено в мономерный метилстирол, 39% в его полимер и 1% в кумилфенол.

Я. Кантор

**58356 П. Способ непрерывного получения арильных эфиров.** Гарденирс, Лок (Verfahren zur kontinuierlichen Herstellung von Arylthern. Gardenniers Paulus Petrus, Lock Johannes Jacobus) [Stamicarbon N. V.]. Пат. ФРГ 945843, 19.07.56

Арильные эфиры с примесью лишь 5—6% фенолов и весьма незначительного кол-ва других побочных продуктов получают действием паров спирта на смесь цел. арилсульфоната и  $Ca(OH)_2$ . Тонкозернистую смесь из 60 вес. ч.  $C_6H_5SO_3K$  и 40 вес. ч.  $Ca(OH)_2$  вводили непрерывно в цилиндрич. реактор (Р) высотой 300 см и diam. 50 см в кол-ве 100 кг/час вместе с 400 кг/час рециркулируемого остатка, предварительно в смесителе приведенных в турбулентное состояние с помощью  $N_2$  с линейной скоростью 20—25 см/сек ( $N_2$ , по выходе из верха смесителя, рециркулируют). Вихревой слой в Р поддерживали на постоянной высоте в ~200 см при среднем пребывании смеси в Р 40 мин. Через низ Р в него впускали 175 кг/час паров  $CH_3OH$  и т-ру р-ции поддерживали на уровне 365—375°. Выводили из Р 475 кг/час твердой смеси, из которой отбирали 75 кг/час, а 400 кг/час

рециркулировали. Получено 27 кг/час анизол (выход ~90%), 1,2 кг/час фенола и весьма незначительное кол-во других побочных продуктов. Приведены 3 схемы установки.

Я. Кантор  
58357 П. Новые феноловые эфиры и тиоэфиры и способы получения их (Nouveaux éthers et thioéthers phénoliques et leurs procédés de préparation) [Soc. des Usines Chimiques Rhône-Poulenc]. Франц. пат. 1117302, 22.05.56

Соединения общей ф-лы  $R'YCH_2C=CHCOC(OR)=CHX$  (I), где  $R'$  — фенил или нафтил, которые могут быть замещены группами  $CH_3$ ,  $C_2H_5$ ,  $OC_2H_5$ ,  $OC_2H_5$ ,  $NO_2$  или галогенами,  $R$  — алкил с 1—4 атомами C,  $X=O$  или  $NR'$  ( $R'=H$ ,  $CH_3$  или  $C_2H_5$ ), а  $Y=O$  или  $S$ , получают действием соединений общей ф-лы  $R'YCH_2C=CHCOC(OR)=HCHX$ , где  $Z$  —

галоген,  $OSO_2H$  или  $SO_2H$ , а  $R'$ ,  $R$ ,  $X$  и  $Y$  имеют вышеуказанные значения. I можно также получать алкилированием соединений общей ф-лы  $R'YCH_2C=CHCOC(OH)=CHX$

известными способами, превращением I, где  $X=O$ , в I, где  $X=NR'$ , действием  $NH_3$  или амина, или алкилированием I, где  $X=NH$ . Р-р 17,4 г 2-хлорметил-5-метокси-пропа-4 в 150 мл  $C_2H_5OH$  смешивают с р-ром 13,1 г  $n$ -хлоропропа-4 в 47,6 мл 18%-ного  $C_2H_5OK$  и кипятят при энергичном перемешивании 2 часа, отфильтровывают  $KCl$  и после концентрирования и охлаждения фильтрата получают 12,1 г 2-(4'-хлорфеноксиметил)-5-метоксипропа-4, т. пл. 128° (из 60%-ного сп.). Описано также получение этого продукта другими методами, а также получение следующих 5-метоксипропа-4 (приведены т. пл. в °): 2-(2',4'-дихлорфеноксиметил), 128, 2-(2',4',6'-трихлорфеноксиметил), 144, 2-(2'-метил-6'-хлорфеноксиметил), 74, 2-(2'-метил-4'-хлорфеноксиметил), 113,5, 2-пентахлорфеноксиметил, 176—178, 2-(4'-хлорфенилмеркаптометил), 101 и 5-метоксипропа-4: 2-(4'-хлорфеноксиметил), 188, хлоргидрат т. пл. 191—193°, 2-(2'-метил-6'-хлорфеноксиметил), 156—157, 2-(2'-метил-4'-хлорфеноксиметил), 193,5—195 и 2-пентахлорфеноксиметил, 176. I применяют как ростовые в-ва.

Я. Кантор  
58358 П. Разделение продуктов присоединения фосфориламида и бензодикарбоновых кислот. МакКиннис (Separation of phosphoryl amide adducts of benzene dicarboxylic acids. McKinnis Art. C.) [Union Oil Co. of California]. Пат. США 2760974, 26.08.56

Смесь терефталевой (I) и изофталевой (II) к-т разделяют обработкой ее гексаалкилфосфориламидом, который с I образует твердый, а с II — жидкий продукт присоединения. Полученные комплексы, образующиеся за счет водородной связи типа  $(R_2N)_3P=O...HA$  ( $A$  — остаток амина, спирта или к-ты), разделяют и разлагают метанолом (с I) или водой (с II), которые вытесняют из комплексов I и II. Комплексы образуются со всеми  $H$ -содержащими в-вами, водород которых способен вступать в водородную связь. Гексаалкилфосфориламиды получают взаимодействием  $POX_3$  ( $X$  — галоген) с диалкиламидами. Газообразный  $(CH_3)_3NH$  пропускают в 154 вес. ч.  $POCl_3$  со скоростью 45 л/час в течение 3 час. до прекращения поглощения амина. В течение первых 2 час. т-ра поднимается с 20 до 170° и затем поддерживается при 100° нагреванием на масляной бане. Гексаметилфосфориламид (III) выделяют перегонкой, т. кип. 69—71°/1 мм,  $d_{20}^{25}$  1,03,  $n_D^{25}$  1,34. К 358 г нагретого до 150° III прибавляют при перемешивании (нагревание продолжают) 166 г I, нагревают при 150° еще несколько минут и охлаждают. Образовавшуюся

кристаллич. массу перекристаллизовывают из кипящего ацетона, фильтруют, промывают холодным ацетоном и сушат в токе воздуха. Получают продукт присоединения ф-лы  $n-C_6H_4COOH \cdot O=P(N(CH_3)_2)_3$ , т. пл. 128°. Аналогично из II при 50° получают соответствующий продукт присоединения, т. пл. 52°. Описано получение продуктов присоединения III и гидроксина (в  $C_6H_6$ ), т. пл. 152°, III и этиленгликоля, т. пл. —20°, III и бензойной к-ты, т. пл. 10°, III и бензидина, т. пл. 132°, III и анилина, т. пл. <0°. Приведены технологич. схема и подробное описание процесса разделения смесей I и II, причем I выделяют из продукта присоединения вытеснением метанолом, а II — водой.

Л. Макарова  
58359 П. Способ получения терефталевой кислоты. Шенк, Шиллер (Verfahren zur Herstellung von Terephthalsäure. Schenk Walter, Schiller Georg) [Badische Anilin- & Soda-Fabrik A.-G.]. Пат. FRG 960986, 28.03.57

Терефталевую к-ту (I) получают нагреванием солей карбоновых к-т бензольного ряда (бензойной, фталевой, гемимеллитовой, тримезиновой и других бензолполикарбоновых) при  $t$ -ре > 300° в атмосфере  $CO_2$  при давл. 20—50 ат в присутствии катализаторов. Р-р, полученный после выделения I подкислением бензолкарбоновой к-той, упаривают и остаток снова подвергают термич. обработке. 255 ч. дикалийфталата (II) нагревают 3 часа при 405° и давл.  $CO_2$  20 ат, в присутствии 4—5 ч. катализатора  $CdO$ , растворяют в 500 ч. воды, нагревают при перемешивании до 60°, отфильтровывают нерастворившийся катализатор, к горячему фильтрату добавляют при перемешивании р-р 220 ч. ангидрида фталевой к-ты (III) в 1400 ч. воды, выпавший осадок отделяют центрифугированием, промывают водой, высушивают, получают 165 ч. чистой I. Фильтрат упаривают в вакууме и остаток подвергают снова термич. обработке. 363 ч. продукта р-ции, полученного при термич. обработке 360 ч. II при 405° и давл.  $CO_2$  30 ат в присутствии 1%  $CdO$ , растворяют в 900 ч. воды, отделяют нерастворившийся катализатор, р-р обрабатывают активированным углем, фильтруют, полученный фильтрат обрабатывают в автоклаве при  $t$ -ре кипения 222 ч. III при давл.  $CO_2$  15 ат, осадок отделяют центрифугированием, промывают, высушивают и получают 230 ч. I. Из фильтрата после упаривания получают 358 ч. осадка, состоящего главным образом из II и незначительного кол-ва  $C_6H_5COOK$ , который снова подвергают термич. обработке. Приведено еще несколько аналогичных примеров.

Л. Волкова  
58360. П. Получение замещенных кислот. Франк, Либрик (Préparation d'acides substitués. Frank Charles E., Leebrick John R.) [National Distillers Products Corp.]. Франц. пат. 1116819, 14.11.56  
Ароматические винильные соединения (I) (стирол и его производные, замещ. в ядре алкилами с 1—4 атомами C) обрабатывают при  $t$ -ре от —25 до —60° тонкоизмельченным металл. Na или K, в среде алифатич. моноэфира с  $CH_3O$ -группой, в котором отношение  $O:C \geq 1:4$  или (и) полиэфира, производного алифатич. полиалкоголя, у которого все  $HO$ -группы алкилированы, в присутствии 0,1—10% (от веса I) ароматич. полициклич. углеводорода (который может оказывать и каталитич. действие). Образующееся диметаллич. производное димера I немедленно карбоксилируют с  $CO_2$  при  $t$ -ре между —25 и —60°. К ~360 вес. ч. диэтилового эфира этиленгликоля (II) и 2 вес. ч.  $o$ -дифенилбензола в атмосфере  $N_2$  добавляют дисперсию 12,2 вес. ч. металл. Na (со средней величиной частиц 20  $\mu$ ) в ~50 вес. ч. ( $n-C_4H_9$ )<sub>2</sub>O, охлаждают смесь до —60°, медленно добавляют в течение 4 час. при энергичном перемешивании ~26 вес. ч. стирола



в смеси с ~180 вес. ч. II, после чего, не прекращая перемешивания, выливают содержимое реактора на избыток дробленого твердого  $\text{CO}_2$  и по улетучиванию непрореагировавшего  $\text{CO}_2$  добавляют ~200 вес. ч. воды, отделяют от водн. слоя органич. р-рителя, промывают его несколько раз р-ром  $\text{Na}_2\text{CO}_3$ , промывные воды вместе с водн. слоем подкисляют конц.  $\text{HCl}$  до pH ~5, осадок  $\alpha, \alpha'$ -дифениладипиновой к-ты (III) промывают небольшими кол-вами смеси  $\text{C}_6\text{H}_6 + \text{C}_2\text{H}_5\text{OH}$  (6:1) и получают чистую III в виде белого порошка с кислотным числом (КЧ) 150, выход 36%. Такие же результаты получены в случае димеризации и карбоксилирования при  $-25^\circ$ . Концентрированием р-ра ~9,5 вес. ч. III в кипящей смеси  $\text{C}_6\text{H}_6 + \text{C}_2\text{H}_5\text{OH}$  (11:1) до 85% первоначального объема и перекристаллизацией выпавших шести фракций  $260^\circ$  (из лед.  $\text{CH}_3\text{COOH}$ ) и КЧ 151 и DL-III с т. пл.  $208^\circ$  (шпарно) получают кристаллы мезо-III с т. пл.  $259^\circ$  (из лед.  $\text{CH}_3\text{COOH}$  и КЧ 151. Описано также получение смеси  $\alpha, \alpha'$ -ди-(*m*- и *n*-)толиладипиновых к-т с т. пл.  $220-240^\circ$  и КЧ 167. К-ты применимы в качестве полупродуктов в произ-ве полиэфиров, полиамидов, алкидных смол, пластификаторов и смазочных в-в.

**58361 П.** Способ получения сложных эфиров, содержащих простые эфирные или тиоэфирные группы. Гюндель (Verfahren zur Herstellung von Äther- bzw. Thioäthergruppen enthaltenden Estern. Gündel Wolfgang) [Henkel und Cie. G. m. b. H.]. Пат. ФРГ 961621, 11.04.57

Вещества ф-лы  $\text{o-ROOCC}_6\text{H}_4\text{CH}_2\text{XR}$  (I), где X — O или S, а R — замещ., ацифатич., ароматич., ацифатич. или гетероциклич. остатки, получают этерификацией соответствующих производных  $\text{C}_6\text{H}_5\text{COOH}$ . I — хорошие пластификаторы, мягчители, желатинизаторы и среды для набухания при получении пластмасс из виниловых полимеров, полиэфиров, полиамидов, простых и сложных эфиров целлюлозы и из хлоркаучуков. I применяют также в качестве добавок к смазочным маслам и для фиксации запахов душистых в-в. Смесь 242 г 2-(2'-крезоксиметил)-бензойной к-ты, 195 г 2-этилгексанола и 40 г кислоты нагревают в аппарате для этерификации при  $180-195^\circ$  до прекращения выделения воды. Остаток обрабатывают 2%-ным р-ром NaOH и перегоняют. Получают 317 г I, X — O, R — 2-этилгексил, R' —  $\text{o-CH}_3\text{C}_6\text{H}_4$ , т. кип.  $221-224^\circ/1$  мм. Аналогично получают (указаны X, R, R' и т-ра кипения в  $^\circ\text{C}/\text{мм}$  рт. ст.): O,  $\text{n-C}_8\text{H}_{17}$ ,  $(\text{CH}_3)_2\text{C}_6\text{H}_3$ , 233-248/1; O,  $\text{C}_6\text{H}_5\text{OCH}_2\text{CH}_3$ ,  $(\text{CH}_3)_2\text{C}_6\text{H}_3$ , 224-244/1; O,  $\text{C}_6\text{H}_5\text{CH}_2$ ,  $\text{n-CH}_3\text{C}_6\text{H}_4$ , 248-253/1; S,  $\text{C}_6\text{H}_{17}$ ,  $\text{C}_6\text{H}_5$ , —; O,  $\text{C}_6\text{H}_5$ ,  $\text{C}_6\text{H}_5$ , — (т. пл.  $69^\circ$  из петр. эф.); O, O —  $\text{CH}_2$  —  $\text{CH-CH}_2$  (II),  $\text{C}_6\text{H}_5$ , 194-197/0,8 (т. пл.  $48^\circ$ , выход 88,5%); O, II,  $\text{CH}_2=\text{CH-CH}_2$ , 152-153/1. М. Каплун

**58362 П.** Стабилизированные ароматические амины. Линч (Stabilized aromatic amines. Linch Adrian L.) [E. I. du Pont de Nemours and Co.]. Пат. США 2757197, 31.07.56

Для стабилизации в течение длительного времени ароматич. аминов (I), содержащих в ядре  $\text{NH}_2$ , алкил- или алкокси-группы (с 1-3 атомами C), применяя ароматич. меркаптаны  $\text{R'SH}$  (II), где R' — меркапто-нафтил,  $\text{C}_6\text{H}_5$ , алкил- или диалкилфенил, моно- или дикарбоалкоксифенил, в кол-вах 0,01-0,5% от I. II ингибируют окисление I, уменьшают загрязнение I продуктами окисления и снимают синергетич. действие этих продуктов в последующих хим. превращениях I. Описана методика испытания противоокислительного действия II на I. Степень окисления I измеряют колориметрированием. Принимают, что уменьшение общей прозрачности I на 75, в синей области

на 20, в зеленой на 60 и в красной на 95% делает их непригодными для применения. Время в днях, необходимое для достижения указанной степени окисления (ИО). Противоокислительный индекс (ПИ) получают при вычитании ИО нестабилизированного I из ИО стабилизированного I. 0,15 г 2-меркаптометилбензоата (III) прибавляют при перемешивании и т-ре  $98-100^\circ$  к 50 г перегнанного 2,4-толуилеидамина (т. кип.  $141-142^\circ/2-3$  мм). Получают продукт с ПИ 880. Приведены ПИ III, обработанного другими II, а также ПИ стабилизированных *m*-фенилендиамин, *o*- и *n*-анилинов, 2-метокси-5-метиланилина, анилина, *o*- и *n*-толуидинов, 3-хлор-4-аминотолуола и ксидилов. М. Каплун

**58363 П.** Способ получения ароматических *o*-оксидиазосоединений и полученные продукты (Procédé de préparation de composés *o*-hydroxy-diaziques aromatiques et produits obtenus) [J. R. Geigy (Soc. An.)]. Франц. пат. 1115924, 2.05.56

Ароматические *o*-оксидиазосоединения получают прибавлением стабилизирующего средства к подкисленному минер. к-той р-ру диазосоединения общей ф-лы  $\text{N}_2\text{C}_6\text{H}_3\text{RR}'$  (I) (R и R' — отрицательные *o*- и *n*-заместители, например  $\text{NO}_2$  и  $\text{SO}_2\text{X}$  (X — алкил или  $\text{CH}_2\text{C}_1$ ), причем бензольное ядро может содержать другие заместители или являться частью системы конденсированных ядер) и последующей нейтр-цией минер. к-ты до величины pH, при которой происходит замена R на оксигруппу. В качестве стабилизаторов применяют ароматические сульфокислоты или их соли, 21,6 ч. 4-метилсульфонил-2-нитроанилина размешивают при  $20^\circ$  в нитрозилсерной к-те (из 70 ч.  $\text{H}_2\text{SO}_4$  и 8 ч.  $\text{NaNO}_2$ ) до окончания диазотирования, выливают при  $0^\circ$  в смесь 200 ч. воды со льдом, прибавляют горячий р-р 14,4 ч. Na-соли 2,7-нафталиндисульфокислоты, при  $0^\circ$  и хорошем размешивании нейтрализуют с прибавлением льда 30%-ным р-ром NaOH до появления слабой, остающейся в течение 5 мин., окраски бумажки яркого желтого и отфильтровывают 4-метилсульфонилбензолдиазоксид-12. Приведены аналогичные примеры получения диазосоединений из 23 ч. 4-этилсульфонил-2-нитроанилина и 20,8 ч. 2-нафталинсульфокислоты (II) и из 18,3 ч. 2,4-динитроанилина и 20,8 ч. II. При применении указанного способа выходы и качество получаемых диазосоединений значительно улучшаются. В. Уфимцев

**58364 П.** Способ выделения 2,6-динитротолуола из смеси с 2,4-динитротолуолом. Баумгартнер, Моне (Process for the separation of 2,6-dinitrotoluene from its admixture with 2,4-dinitrotoluene. Baumgartner Walter E., Monet Gilbert P.) [E. I. du Pont de Nemours and Co.]. Пат. США 2765348, 2.10.56

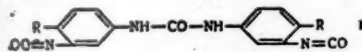
Отделение 2,6-динитротолуола (I) от 2,4-динитротолуола (II) и примесей (в кол-ве  $\leq 25$  вес. %), обычно образующихся при нитровании толуола, достигается прибавлением к смеси (с соотношением II:I 0,75:1-1,2:1) ароматич. амина в кол-ве 0,3-0,8 вес. ч. на 1 ч. исходной смеси, охлаждением  $< 0^\circ$  до кристаллизации I, но выше т-ры затвердевания смеси, и отфильтровыванием выделяющегося I. Последующим подкислением р-ра можно выделить чистый II. 1241 ч.  $\text{C}_6\text{H}_5\text{N}(\text{CH}_3)_2$  и 2000 ч. смеси, содержащей 47% I, 40% II и 13% примесей, при перемешивании медленно охлаждают от  $-10^\circ$ , и выделившиеся в интервале от  $-40$  до  $-9^\circ$  кристаллы промывают на фильтре HCl (1:1). Выход I 53%, чистота 97% (по ИК-спектру). Приведены результаты выделения I из смесей различного состава при т-рах кристаллизации от  $-1$  до  $-30^\circ$ , с выходами 12-38% и чистотой 56-98%. А. Дулов

**58365 П.** Способ получения изоцианатов. Бек (Procédé de préparation d'isocyanates. Beck Theodor)

Richard) [E. I. du Pont de Nemours and Co.] Франц. пат. 1112607, 16.03.56

Амин (I) и 70–110%-ный избыток  $\text{COCl}_2$  (II) последовательно вводят в инертный р-ритель (ИР), движущийся в турбулентном состоянии через трубчатый реактор (ТР) с т-рой выше т-ры разложения соответствующего карбамилхлорида, затем избыточный II и образовавшийся  $\text{HCl}$  (газ) удаляют из реакционной смеси в спец. резервуаре (СР) путем снижения давления до атмосферного, а изоцианат (III) выделяют из р-ра отгонкой ИР; до поступления в СР реакционная смесь проходит через подогреватель и клапан для снижения давления. В непрерывном процессе р-р III можно частично рециркулировать из СР и ТР одновременно со свежими кол-вами ИР, II и р-ра I в ИР до получения определенной конц-ии III и ИР (не более 15% III, во избежание р-ции его с I). Конц-ия I в ИР должна быть в пределах 5–30%; при конц-иях > 30% имеет место частичное смолообразование. В качестве ИР применимы  $\text{C}_6\text{H}_5\text{Cl}$ , *n*- и *o*- $\text{C}_6\text{H}_4\text{Cl}_2$  (IV), *o*, *m*- и *p*- $\text{C}_6\text{H}_3\text{Cl}_3$ , соответствующие толуолы и ксилолы, хлорэтилбензол, моноклордифенил,  $\alpha$ - и  $\beta$ -нафтилхлориды. Приведены результаты опытов на установке с вертикальным ТР диам. 25 мм, в который ИР поступает снизу через центробежный насос (ЦН). Для начала процесса в СР загрузали некоторое кол-во IV, который через рециркуляционную трубу с помощью ЦН пропускали через ТР, в который последовательно поступали II и I (р-р *m*-толуиленадиамин в IV). При первоначальной загрузке IV в размере 25 кг, 8%-ной конц-ии I и IV, т-ре р-ра I 110°, скорости поступления II и I в ТР соответственно 4,54 и 1,43 кг/час, производительности ЦН 30,24 л/мин, линейной скорости смеси 0,9 м/сек, т-ре ТР и СР 165°, давл. 0,56 атм в ТР и атмосферном в СР, избытке II в 96% и продолжительности операции 3 часа, выход толуиленадиизоцианата 2,4 90,5% (от веса III). С такими же выходами получены метил-бис-(4-фенил-изоцианат) и дифенилдиизоцианат 4,4'. В статье приведена схема непрерывнодействующей установки. Я. К. 58366 П. Способ получения замещенных бис-(изоцианатофенил)-мочевин. Пелли (Process for the preparation of substituted di(isocyanatophenyl) ureas. Pelly Ralph L.) [E. I. du Pont de Nemours and Co.] Пат. США 2757184, 31.07.56

Соединения ф-лы (I), являющиеся кристаллическими, а потому мало токсичными в сравнении с жидкими полиизоцианатами, в-вами применяющиеся для получения полимеров, готовят действием теоретич. кол-ва воды на соответствующие диизоцианаты. К р-ру 34,8 ч. 2,4-толуиленадиизоцианата в 90 ч. этилацетата прили-



вают при перемешивании и охлаждении до 20–25° в условиях, исключающих доступ влаги, 1,8 ч. воды. Начинается выделение газа и выпадение осадка. Р-р перемешивают 18 час. при 20–25°, кристаллич. осадок отфильтровывают, промывают 90 ч. этилацетата и сушат в вакууме при 65° в течение 3–4 час. Получен I, где R—H, выход 76%, т. пл. 176–179° (при скорости нагревания 5 град/мин). Описано получение I, где R—H, в эфире с выходом 75%. К р-ру 7,26 ч. 1-метокси-2,4-фенилендиизоцианата в 79 ч. ацетона приливают в течение 15 мин. 0,344 ч. воды, поддерживая охлаждением т-ру 20–25°. Начинается выделение  $\text{CO}_2$ . Перемешивание продолжают в течение ночи, осадок отфильтровывают, промывают 25 ч. ацетона и сушат в вакууме при 50°. Получают 1,8 ч. I, где R— $\text{CH}_3\text{O}$ , т. пл. 241–245°. Аналогично, но в эфире, получают I, где R—Cl. Л. Макарова

58367 П. Получение *изо*- и терефталонитрилов. Толанд, Фуллер (Preparation of isophthalonitriles and terephthalonitriles. Toland William G., Fuller Joseph A.) [California Research Corp.] Пат. США 2773891, 11.12.56

Струю  $\text{NH}_3$  и измельченных *изо*- или (*n*) терефталевой к-ты или их  $\text{NH}_4$ -соли (предпочтительно), моноили диамидов, в соотношении 5–15 эквивалентов (Э)  $\text{NH}_3$  на 1 Э твердого компонента, пропускают при ~400° и с объемной скоростью ~5 г/час на 1 м катализатора через реактор с неподвижным или находящимся в псевдооживленном и турбулентном состоянии катализатором дегидратации. Приведена схема установки. Через катализатор (100 мл нагретой до 400° активированной  $\text{Al}_2\text{O}_3$ , сверху покрытой 7 мл шариков из нержавеющей стали диам. ~4,7 мм для ускорения теплопередачи к поступающей смеси) пропускали 4,5 г/мин  $\text{NH}_3$  и 3,3 г/мин измельченной  $\text{NH}_4$ -соли *изо*-фталевой к-ты, которую вводили (из бункера через винтовой транспортер) в струю  $\text{NH}_3$  у самого входа в реактор. Из 33 г введенной соли получено 20,2 г (96 мол.%) бесцветного сырого *изо*-фталонитрила с кислотным числом 0, числом омыления 66,2 и т. пл. 151–151,4° (т. пл. чистого нитрила 161°). Аналогично, с выходом 97 мол.% получен терефталонитрил с кислотным числом 0, числом омыления 64,2 и т. пл. 220–225° (т. пл. чистого продукта 222°). Продукты применяют в качестве пестицидов, пластификаторов, модификаторов алкидных смол, а также в качестве полупродуктов в произ-ве аминов, к-т, амидов, N-содержащих красителей и пряжковых линейных высокополимеров. Я. Кантор

58368 П. Способ получения совершенно чистого алкиларилсульфоната (Verfahren zur Herstellung rein weißer Alkylarylsulfonate) [Ruhrchemie A.-G.] Австр. пат. 174604, 25.04.53

Фракции алифатич. или смешанных алифатическо-нафтеновых углеводородов, содержащие одинаковое число атомов C, хлорируют, из продуктов хлорирования отделяют чистые моноалкилхлориды, которые в присутствии  $\text{AlCl}_3$  и комплекса  $\text{AlCl}_3$  с маслом взаимодействуют по Фриделю—Крафту с ароматич. углеводородами (I), минимум в две, лучше в 3 ступени так, чтобы в конечном продукте не оставалось не прореагировавшего алкилхлорида; алкилированную смесь после отделения комплекса еще раз обрабатывают твердым  $\text{AlCl}_3$ . При 3-ступенчатом проведении р-ции целесообразно чистые моноалкилхлориды при т-ре < 30° смешать с I с таким расчетом, чтобы на 1 моль алкилмонохлорида приходилось 4–10 моль I; в первой ступени расход  $\text{AlCl}_3$  составляет < 5%, во второй ступени 3–6% и в третьей 2–5%. После каждой ступени образующийся комплекс отделяется. Из продуктов р-ции отгоняют моноалкилароматич. углеводороды. Пример. Фракцию  $\text{C}_{12}$ , выделенную из нефти и освобожденную от I, хлорируют и выделяют чистый  $\text{C}_{12}$ -монохлорид. 250 г полученного продукта перемешивают 4 часа с 760 г  $\text{C}_6\text{H}_6$  и 25 г  $\text{AlCl}_3$ . Затем 900 г верхнего слоя, отделенного от 90 г комплекса, вновь перемешивают 3 часа при 20° с 7,5 г  $\text{AlCl}_3$ , после чего отделяют 28 г комплекса. При дальнейшей обработке получают 135 г  $\text{C}_{12}$ -моноалкилбензола, 72 г  $\text{C}_{12}$ -углеводорода и 13 г высококипящих продуктов.  $\text{C}_{12}$ -моноалкилбензол при сульфировании дает совершенно чистый продукт. Б. Энглин

58369 П. Производство нафталина. Кунрадт, Роп (Production of naphthalene. Coonradt Harry L., Rope Barton W.) [Socony Mobil Oil Co., Inc.] Пат. США 2750432, 12.06.56

Непрерывный способ получения нафталина (I) состоит в деметилировании метилнафталинов (II) (преимущественно моно-) над алюмосиликатным ката-



лизатором, содержащим 5—20 вес. %  $\text{Al}_2\text{O}_3$ , в присутствии  $\text{H}_2$  (мол. отношение  $\text{H}_2 : \text{II} = 6 : 1$ ) при времени контактирования 1—20 сек., т-ре 480—600° и нормальном давлении. Выходы I 7—34% (на вошедший в р-цию II). Описаны результаты 48 опытов по получению I из 1- и 2-метилнафталинов при различных условиях, в частности с заменой  $\text{H}_2$  на  $\text{N}_2$ ,  $\text{C}_6\text{H}_6$ , циклогексан или метилциклогексан, в отсутствие  $\text{H}_2$  или под давлением  $\text{H}_2$  до 40 атм.

А. Дулов  
58370 П. Катализическое окисление полиядерных углеводородов. Уэст (Catalytic oxidation of polynuclear hydrocarbons. West Herbert J.) [American Cyanamid Co.] Пат. США 2769018, 30.10.56

Антрахинон (I) получают окислением антрацена (II)  $\text{O}_2$  воздуха в паровой фазе в присутствии 10%  $\text{V}_2\text{O}_5$  на силикагеле. В состав катализатора входят также сульфаты, карбонаты или хлориды щел. металлов и в качестве промоторов небольшие кол-ва (0,05—5% от веса  $\text{V}_2\text{O}_5$ ) окислов Ag, Fe, Zr, Mo и Ce (или их смеси). Вместо силикагеля можно применять и другие материалы. Процесс не осложняется воспламенением или взрывом и дает I высокой степени чистоты, пригодный для синтеза красителей. Приведены методики получения различных катализаторов. Трубку диам. 20 мм и длиной 152 см заполняют катализатором, состоящим из 42,6%  $\text{SiO}_2$ , 10,2%  $\text{V}_2\text{O}_5$ , 46,7%  $\text{K}_2\text{S}_2\text{O}_7$  и  $\text{ZrO}_2$ . Через этот слой пропускают смесь II с воздухом (2 мол. % II) при 350° с линейной скоростью 30,5 см/сек (время контакта 5 сек.). Получают смесь I (68%), фталевого ангидрида (23%) и  $\text{CO}$  с  $\text{CO}_2$  (9%). Сырой продукт промывают горячей водой, высушивают при 125° и получают I, т. пл. 284,62°. Степень чистоты 99,9%. Приведены результаты опытов в других условиях и с другими катализаторами.

М. Каплун  
58371 П. Получение капролактама. Донарума, Инглэнд (Production of caprolactam. Donaruma Lorraine Guy, England David C.) [E. I. du Pont de Nemours and Co.] Пат. США 2769807, 6.11.56

Лактамы получают при взаимодействии водн. р-ра щел. металлич. или аммонийной соли нитроциклоалкана с р-ром первичного нитроалкана в  $\text{H}_2\text{SO}_4$ . К нагретой до 120—125° смеси 20 ч. нитрометана и 190 ч. 95%-ной  $\text{H}_2\text{SO}_4$  прибавляли р-р 13 ч. нитроциклогексана и 4 ч.  $\text{NaOH}$  в 75 ч. воды с такой скоростью, чтобы т-ра была 120—125°. Смесь нейтрализовали, экстрагировали  $\text{CHCl}_3$  и из экстракта перегонкой выделяли капролактамы, выход 73%. Исследована зависимость выхода капролактама от кол-ва исходных в-в. Аналогично из нитроциклопентана получили  $\delta$ -валеролактамы, выход 46,5%. Приведены еще 3 примера получения капролактама.

З. Нудельман  
58372 П. Циклические карбаматы и способ их получения. Дрексель (Cyclic carbamates and method for their preparation. Drechsel Erhart K.) [American Cyanamid Co.] Пат. США 2744897, 8.05.56

Вещества ф-лы  $\text{O}-(\text{CH}_2)_n-\text{NH}-\text{CO}$  (I), где  $n=3$ , или 4, получают при бекмановской перегруппировке оксимов ф-лы  $\text{O}-(\text{CH}_2)_n-\text{C}=\text{NOH}$  (II) и при р-циях

аминоспиртов  $\text{H}_2\text{N}-(\text{CH}_2)_n\text{OH}$  с диалкилкарбонатами с последующей циклизацией. К 118 ч.  $(\text{C}_2\text{H}_5\text{O})_2\text{CO}$  прибавляют при 25° и при перемешивании 75 ч.  $\gamma$ -аминопропанола. Перемешивают при 25—30° еще 16 час. К гомог. р-ру прибавляют 0,5 ч. металлич. Na и отгоняют из смеси образующийся спирт, в конце в вакууме. Остаток перегоняют в охлаждаемый сухим льдом приемник. Получают 35 ч. I,  $n=3$ , т. кип. 150—155°/1,5—2 мм. Остаток в кубе — полимер I. Смесь 12 ч. 85%-ной  $\text{H}_2\text{SO}_4$  с 10 ч. II ( $n=4$ ) осторожно нагре-

вают до появления пузырьков. По прекращении р-ции смесь охлаждают до 0° и прибавляют к ней 24%-ный р-р  $\text{KOH}$  (т-ра  $\leq 10^\circ$ ). Осадок  $\text{K}_2\text{SO}_4$  отделяют, промывают его 5 ч.  $\text{CHCl}_3$ , водн. фильтрат экстрагируют 5 раз 10 ч.  $\text{CHCl}_3$ . Соединенные вытяжки промывают 5 ч. воды, отгоняют р-ритель и получают I,  $n=4$ . Аналогично получают I,  $n=3$ . I применяют для пластификации смол и в качестве промежуточного продукта для других синтезов. При нагревании до т-ры 40—200° I ( $n=3$  или 4, но не 2) полимеризуется с образованием полимеров, с мол. в. 10 000—100 000, из которых могут быть приготовлены нити и волокна. Полимеризация ускоряется в присутствии следов первичных спиртов или воды, щел. карбонатов и катализаторов Фриделя и Крафта. Твердые полимеры I применяют для покрытий, литых, в качестве адгезивов, для обработки тканей, бумаги и для других целей. Низкомолекулярные полимеры I (димеры — гомомеры) и их смеси применяют для пластификации альдегидомочевинных, меламиновых и других смол.

М. Каплун  
58373 П. Получение пиридиновых оснований и соответствующих катализаторов. Янг (Production of pyridine bases and catalyst therefor. Young Frank G.) [Union Carbide and Carbon Corp.] Пат. США 2741618, 10.04.56

Пиридиновые основания получают при р-ции в паровой фазе соответствующих 2-алкокси-3,4-дигидро-2Н-пиранов (I) общей ф-лы  $\text{OCHOR}^1\text{CHNR}^2\text{CHNR}^3\text{CR}^4$

$=\text{CR}^5$ , где  $\text{R}^1-\text{C}_1-\text{C}_3$ -алкил или  $\text{C}_1-\text{C}_3$ -алкоксигруппа,

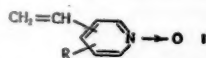
$\text{R}^2-\text{R}^5$  — атомы H или  $\text{C}_1-\text{C}_3$ -алкилы, с  $\text{NH}_2$  и  $\text{H}_2$  в присутствии паров воды над катализатором, содержащим 0,5—6 вес. % восстановленной Cu, 0,1— $\geq 2$  вес. % Cr (в виде окиси), остальное — не содержащая щелочей активированная  $\text{Al}_2\text{O}_3$ ; соотношение  $\text{Cr}/\text{Cu} = 0,04-0,4$ . Продолжительность службы катализатора повышается в присутствии 0,05— $\geq 0,1$  вес. %  $\text{Na}_2\text{SO}_4$  или  $\text{K}_2\text{SO}_4$ ; при отношении  $\text{Na}_2\text{SO}_4(\text{K}_2\text{SO}_4)/\text{Cu} \leq 0,2$ . Р-р 76 ч.  $\text{Cu}(\text{NO}_3)_2 \cdot 3\text{H}_2\text{O}$ , 6,2 ч.  $\text{Cr}(\text{NO}_3)_3 \cdot 9\text{H}_2\text{O}$  и 0,37 ч.  $\text{Na}_2\text{SO}_4$  в 200 ч. воды выливали на 400 ч.  $\gamma\text{-Al}_2\text{O}_3$ , просеянной через сито 4 меш. и не проходящей через сито 8 меш., смесь выпаривали с перемешиванием до суха, сухой продукт нагревали до 500° в струе воздуха для перевода нитратов в окиси, и после охлаждения катализатор загружали в железный трубчатый реактор с внутренним диам. 50 мм. После вытеснения воздуха из реактора катализатор нагревали до 200—350°, пропуская через него струю  $\text{H}_2$  в течение нескольких часов. Через реактор, содержащий 500 мл полученного катализатора, пропускали в течение 15,25 час. при 275° одновременно 883 мл 2-этокси-3,4-дигидро-2Н-пирана со скоростью 65 мл/час, 1914 мл воды со скоростью 125 мл/час, 865 л (600 г)  $\text{NH}_3$  со скоростью 57 л/час и  $\text{H}_2$  со скоростью 50 л/час ( $\sim 4$  г/час), причем каждую из жидкостей испаряли отдельно и пары их смешивали до приведения в соприкосновение с катализатором. Покидающие реактор пары конденсировали при  $\sim 30^\circ$ . После обезвоживания и перегонки конденсата получено 440 г  $\text{C}_8\text{H}_9\text{N}$  высокой чистоты. Из соответствующих I получены также  $\beta$ - (пикрат, т. пл. 149°) и  $\gamma$ -пиколин,  $\beta$ -коллидин (т. кип. 89,5°/23 мм; пикрат, т. пл. 149—150°); 3-этил-4-н-пропилипирдин (т. кип. 224—226°);  $\beta$ , $\gamma$ -путидин (3,4-диметилпирдин; пикрат, т. пл. 163°) и 2-метил-4-пропилипирдин (т. кип. 194—194,5°/742 мм,  $d_{20}^{20}$  0,911,  $n_D^{20}$  1,4906).

Я. Кантор  
58374 П. Производство алкенилпиридинов. Мейхав (Production of alkenyl pyridines. Mahan John E.) [Phillips Petroleum Co.] Пат. США 2769811, 6.11.56

Алкенилпиридины получают дегидрированием алки-

пиридинов (I) в присутствии  $\text{Fe}_2\text{O}_3$ -катализатора, промотированного оксидами Al, Cr или Th (0,5–15% от веса  $\text{Fe}_2\text{O}_3$ ) и оксидами, гидроксидами или карбонатами Na, Li и K (0,5–15% от веса  $\text{Fe}_2\text{O}_3$ ), при  $t$ -рах 538–702°. Р-ция идет в присутствии инертного разбавителя ( $\text{H}_2$ ,  $\text{CH}_4$ ,  $\text{N}_2$ ,  $\text{CO}_2$  или пар). Аналогично дегидрируют алкилпиридины с алкильными группами в пиридиновом ядре. Приведены способы приготовления катализатора. Смесь 2-метил-5-этилпиридина (II) с нагретым до 204–315° паром (1:4,98, по весу) доводят до  $t$ -ры 610–616° и пропускают со скоростью 651 мл/час (в пересчете на жидкий II) через 447 г (350 мл) катализатора, содержащего 93%  $\text{Fe}_2\text{O}_3$ , 5%  $\text{Cr}_2\text{O}_3$  и 2% KOH. Время контакта 0,0066 сек. Получают 2-метил-5-винилпиридин. Выход 78,22 мол.%. Приведены результаты еще двух серий опытов. М. Каплун

58375 П. N-окиси винилпиридина и способ их получения. Сайлак (Vinylpyridine-*n*-oxides and process of making them. Cislak Francis E.) [Reilly Tar and Chemical Corp.]. Пат. США 2749349, 5.06.56



N-окиси винилпиридина общей ф-лы (I) (R—H или низший алкил), в частности N-окиси 2-винилпиридина (II), 2-винил-5-этилпиридина (III), 4-винилпиридина (IV) и 3-винилпиридина (V), получают пропуская N-окиси пиридинэтанол-2 над NaOH при  $t$ -ре > 150°. I применяют для получения эластомеров полимеризацией как таковых или совместно с другими мономерами, напр. стиролом, акрилонитрилом, бутадиеном, изопреном и т. п. В качестве катализаторов при получении I можно применять гидроокиси щел. металлов,  $\text{ZnCl}_2$ ,  $\text{Al}_2\text{O}_3$ , алюмосиликаты и т. п. N-окиси пиридинэтанол (VI) растворяют в 1–3 ч. воды, нагретой до 100°, и этот р-р вводят в 50–80%-ный водн. NaOH при 150–200° под частичным вакуумом. Пары II, воды и неизмененного VI конденсируют, из конденсата выделяют II, т. кип. > 100°/5 мм. Аналогично получают III, IV и V. Для сополимеризации эмульсией 25 ч. II, 25 ч. стирола, 100–150 ч. 10%-ного р-ра олеата Na и 1 ч. перекиси бензоила размешивают 16–30 час. I используют также для получения производных пиридина, напр. II реагирует с хлоргидратом пиридина, образуя хлоргидрат пиридилэтил-N-оксидпиридина; с опиртами можно получить N-окиси пиридилэтиловых эфиров, с аминами N-окиси пиридилэтилсульфидов, с меркаптанами N-окиси пиридилэтилсульфидов.

Н. Эвереттова  
58376 П. Способ получения диалкил-(3-индолилметил)-малонатов. Галловей (Process for making dialkyl (3-indolyl-methyl) malonates. Galloway Ethan C.) [The Dow-Chemical Co.]. Пат. США 2769814, 6.11.56

При р-циях 3-диалкиламинометилиндолов с алкоксиминиймалоновыми эфирами при 110–225° в инертных р-рителях получают диалкил-3-индолилметилмалонаты. Образующиеся при р-ции диалкиламины отдувают инертным газом ( $\text{N}_2$ , He или  $\text{CH}_4$ ). 20 г малового эфира (I), 300 мл  $\text{C}_6\text{H}_5\text{Cl}$ , 20 мл абс. спирта и 21,4 г Mg перемешивают в атмосфере  $\text{N}_2$  при 60–65°, оставив мешалку, прибавляют к смеси 1 мл  $\text{CCl}_4$  и после начала р-ции вновь включают мешалку ( $t$ -ра 60–70°). В течение 1–2 час. в смесь вводят 50 мл абс. спирта и 120,8 г I ( $t$ -ра 60–70°), после чего прибавляют 30 мл спирта и  $t$ -ру поднимают до 75–80°. По окончании р-ции смесь охлаждают, декантируют и получают р-р  $\text{C}_2\text{H}_5\text{OMgCH}(\text{COOC}_2\text{H}_5)_2$  (II). 60 г этого р-ра (0,111 моля II) обрабатывают при перемешивании 0,094 молями 3-диметиламинометилиндола. Смесь перемешивают при 130–135° и продувают  $\text{N}_2$  в течение

4,5 час. Образующийся диметиламин (выход 92%) поглощают HCl-кислотой. Реакционную массу охлаждают до 0°, промывают ее 28 мл 26%-ной HCl-к-ты и затем 40 мл 24%-ного водн. р-ра NaCl.  $\text{C}_6\text{H}_5\text{Cl}$  отгоняют на водяной бане в вакууме и получают 26,2 г диэтил-(3-индолилметил)-малоната, т. пл. 51–57°. М. Каплун

58377 П. Способ получения оксазолидонов. Белл, Малкемус (Process of preparing oxazolidones. Bell John Barr, Jr, Malkemus John David) [Jefferson Chemical Co., Inc.]. Пат. США 2755286, 17.07.56

2-Оксазолидоны (I) получают перегонкой с обратным холодильником N-(2-оксалкил)-2-оксалкилкарбаматов (II) в вакууме. При этом происходит циклизация с отщеплением гликоля  $\text{HO}-\text{CHR}-\text{CHR}-\text{NR}'-\text{COOCHRCHRON} \rightarrow \text{HOCHR}-\text{CHRON} + \text{OCHRCHRRNR}'\text{C}=\text{O}$ , где R—H или алкил (предпочтительно метил или этил), а R'—H, алкил, содержащий 1–20 атомов C, или оксалкил, содержащий 2–8 атомов C. Р-цию можно вести при обычном давлении с азеотропной отгонкой гликоля. II получают р-цией 2-оксалкиламина (моно- и диэтаноламин, изопропаноламин, N-метилмоноэтаноламин и т. п.) с алкиленкарбонатом (этилен-, пропилен-, 1,2-бутилен- или 2,3-бутиленкарбонатом). Пример. 200 г N-(2-оксэтил)-2-оксэтилкарбамата перегоняют в течение часа при 3 мм рт. ст. при  $t$ -ре бани 130–164°, возвращая часть конденсата в колбу. Собрав 190 г дистиллята (перегоняется в пределах 79–148°), возвращают его в колбу и снова перегоняют в течение часа при 1 мм рт. ст. и  $t$ -ре 62–150° ( $t$ -ра бани 70–165°). Получают 197 г дистиллята, при охлаждении которого до 0° выпадают кристаллы I, выход 82,2%, т. пл. 87–88° (из хлф.). Приведено еще 7 примеров получения I, в том числе с применением  $\text{K}_2\text{CO}_3$  в качестве катализатора, а также с отгонкой гликоля в азеотропе с толуолом.

Н. Дабагов  
58378 П. Способ получения оксазол-2-тионов. Гомпер (Verfahren zur Herstellung von Oxazolthionen-2). Гомппер Рудольф [Dr. Hellmut Brederick.]. Пат. ФРГ 1001989, 11.07.57

Вещества ф-лы  $\text{S}=\text{C}-\text{NR}''-\text{CR}=\text{CR}'-\text{O}$  (I), где R, R' и R''—алкил, арил или H, получают при р-циях соответствующих производных оксазолон-2 с  $\text{P}_2\text{S}_5$  и применяют в качестве промежуточных продуктов. 26 г бензоина и 57 г уретана кипятят 3 часа, охлаждают до 100° и выливают в воду. Осадок кристаллизуют из метанола. Получают 27 г 4,5-дифенилоксазолон-2 (II), т. пл. 202°, выход 91%. Аналогично получают 4,5-ди-*n*-пропилоксазолон-2, т. кип. 155–165°/0,01 мм, выход 70%. 40 г II и 80 г  $\text{P}_2\text{S}_5$  в 700 мл ксилола кипятят при перемешивании 12 час. Из ксилольного р-ра извлекают 11 г в-ва. Еще 22 г в-ва извлекают многократным кипячением осадка с ксилолом. Получают 33 г I, R— $\text{C}_6\text{H}_5$ , R'— $\text{C}_6\text{H}_5$ , R''—H, т. пл. 256° (из  $\text{CH}_3\text{OH}$ ), выход 77,5%. Аналогично получают I, R— $n$ - $\text{C}_3\text{H}_7$ , R'— $n$ - $\text{C}_3\text{H}_7$ , R''—H, т. кип. 185–190°/0,1 мм, выход 62%, и I, R— $\text{C}_6\text{H}_5$ , R'— $\text{C}_6\text{H}_5$ , R''— $\text{C}_6\text{H}_5$ , т. пл. 229° (из бутилацетата), выход 90%.

М. Каплун  
58379 П. Способ превращения тритионов (1,2-дитиол-5-тионов) с помощью азотсодержащих соединений. Лютрингхаус, Шмидт (Verfahren zur Umsetzung von Trithionen (1,2-Dithiol-5-thionen) mit Stickstoffverbindungen. Lüttringhaus Arthur, Schmidt Ulrich). Австр. пат. 177780, 10.03.54

Тиониевые соли, напр. сульфометилаты или галоидометилаты «тионов», взаимодействуют с в-вами, имеющими при N два атома H (напр.,  $\text{NH}_2\text{OH}$ , амины, ароматич. аминокислоты, гидразины, гидразоны и гидразиды). Конденсация протекает в расплаве или в среде р-рителей (лед.  $\text{CH}_3\text{COOH}$ ,  $\text{C}_2\text{H}_5\text{COOH}$ ,  $\text{HCOOH}$ ,



фенолы, вода с добавкой катализаторов — слабых оснований — пиридина, пиктолинов, хинолина, диметиланилина). Анетолтритион — сульфометилат (I) кипятят с  $C_6H_5NH_2$  в лед.  $CH_3COOH$ . Получают  $n-CH_3OC_6H_4-C=$

$=CH-C(=N-C_6H_5)-S-S$ , т. пл. 144°. Аналогично по-

лучают: из I и гидроксиланацетата в  $C_6H_5N$  оксим 3-(*n*-метоксифенил)-тритиона,  $C_{10}H_9O_2NS_2$ , желтые кристаллы, т. пл. 170°; действием  $C_6H_5NH-NH_2$  в лед.  $CH_3COOH$  — фенилгидразон 3-(*n*-метоксифенил)-тритиона,  $C_{16}H_{14}ON_2S_2$ , т. пл. 151°, а с  $NH_2-NH_2$  — азин 3-(*n*-метоксифенил)-тритиона, т. пл. 254°,  $C_{20}H_{16}O_2N_2S_2$ . I образует с  $C_6H_5CHO$  и *p*-ром  $NH_2-NH_2$  в лед.  $CH_3COOH$  смешанный азин бензальдегида и 3-(*n*-метоксифенил)-тритиона,  $C_{17}H_{14}O_2N_2S_2$ , т. пл. 143°. С *N*-метилбензотиазолонгидразоном получают смешанный азин ф-лы

$n-CH_3O-C_6H_4-C=CH-C(=SS)=N-N=C-N(CH_3)-$

$-C_6H_5S-O$ , т. пл. 177°. С пировиноградной к-той так же

получают смешанный азин ее и 3-(*n*-метоксифенил)-тритиона, т. пл. 159°. Бензотритион с 2-аминобензотиазолом в лед.  $CH_3COOH$  и  $C_6H_5N$  дает  $C_{14}H_8N_2S_2$ , т. пл. 213°. Описаны также бензоилгидразон  $C_{17}H_{14}O_2N_2S_2$ , т. пл. 164–165°, и  $\gamma$ -пиридонилгидразон,  $C_{16}H_{13}O_2N_2S_2$ , т. пл. 212°, 3-(*n*-метоксифенил)-тритиона. Из I и *n*-аминобензойной к-ты в лед.  $CH_3COOH$  получают  $C_{17}H_{13}O_2N_2S_2$ , т. пл. 257°. I с *n*-аминодиэтиланилином образует 3-(*n*-метоксифенил)-тритион-*n*-аминодиметиланилинал,  $C_{18}H_{18}ON_2S_2$ . Оранжевые кристаллы, т. пл. 176°. Приведены также: 3-фенилтритионсульфотилат, 3-(*n*-метоксифенил)-тритионсульфотилат, -хлоретилат, -хлорметилат, -йодметилат, -сульфотилетилат, -алкилтолуолсульфонат, соли 3-(*m,n*-диоксифенил)-тритиона, 3-а-тиенилтритиония, 3-фурилтритиония, аллилбензоилтритиония, пропилентритиония, 2,3-диметилтритиония, тетраметилтритиония. Вместо кетонов можно использовать гидразины с реакционной аминогруппой ( $CH_3CONHNH_2$ ,  $n-NO_2-C_6H_5-NH-NH_2$ , 2,4- $NO_2$ ,  $NO_2-C_6H_5NH-NH_2$ ,  $n-Br-C_6H_5-NH-NH_2$ ,  $C_6H_5CH_2C_6H_5NHNH_2$ , 2- $C_{10}H_7NHNH_2$ , бетанингидразид). И. Плетнева

**58380 П. Получение 1,3-бис-(арилметил)-2-ариллимазидолидиновых соединений.** Хед (Preparation of 1,3-bis(arylmethyl)-2-arylimidazolidine compounds. Head James D.) [The Dow Chemical Co.] Пат. США 2753355, 3.07.56

Соединения ф-лы  $RCH_2-N-CH_2CHR'N(CH_2R)CHN$

(I) и  $RCH_2NHCH_2CHR'NHCH_2R$  (II) (*R* — фенил или замещ. фенил) получают гидрированием смеси диамина ф-лы  $H_2NCH_2CHR'NH_2$  и замещ. или незамещ. бензальдегида в мол. соотношении 1:3 (получаются I) и гидролизом их с образованием II и бензальдегида. Катализатором гидрирования является Pd/C. Смесь 15,4 г этилендиаминагидрата (III), 82 г *n*-метоксидбензальдегида (IV), 140 мл этанола и 1 г 5%-ного Pd/C гидрируют в течение 3 час. с перемешиванием при 60–75° и давл.  $H_2$  2,1–3 ат. В р-цию входит 0,8 г  $H_2$ . Катализатор отфильтровывают, промывают этанолом, соединенные фильтрат и промывку охлаждают. Выкристаллизовывается 1,3-бис-(*n*-метоксифенил)-2-(*n*-метоксифенил)-имидазолидин, выход 69%, т. пл. 74–75° (из сп.). Смесь 30,8 г III, 163 г IV, 100 мл этанола и 1,5 г 5%-ного Pd/C гидрируют в течение 12 час. при перемешивании, т-ре 25–65° и давлении  $H_2$  1,4–3 ат. Фильтрат после отделения катализатора подкисляют конц. HCl (к-та) до pH 2, охлаждают, выпавший хлоргидрат отфильтровывают при 10° и промывают этанолом. Кристаллич. хлористоводородную соль растворяют в 2 л воды, добавляют 100 мл 50%-ного *p*-ра NaOH, выделившееся масло экстрагируют толуолом

и из экстракта перетонкой выделяют  $N,N'$ -бис-(*n*-метоксифенил)-этилендиамин, выход 53%, т. кип. 204–206°. Аналогично получают 1,3-дифенил-2-фенил-4-метилтиимидазолидин, т. пл. 82–83°,  $N,N'$ -дифенил-1,2-диаминопропан, т. кип. 169–170°/2 мм, 1,3-бис-(*n*-хлорбензил)-2-(*n*-хлорфенил)-имидазолидин, т. пл. 128–132° и  $N,N'$ -дифенилэтилендиамин.

З. Нудельман

**58381 П. Получение сульфенамидов.** Лешин (Preparation of sulfenamides. Leshin Richard) [The Goodyear Tire & Rubber Co.] Пат. США 2772270, 27.11.56

Сульфенамиды получают при р-циях 2-меркаптобензотиазола (I) или 2,2'-бис-бензотиазолилдисульфида (II) с аминами ф-лы  $R-NH-R'$ , где *R* и *R'* — алкил, арил, циклоалкил или гетероциклич. остатки, с органич. гипохлоритами в присутствии акцепторов образующегося HCl. Вместо I и II можно применять другие производные меркаптотиазола и соответствующего дисульфида. 17 г I, 60 г диизопропиламина и 100 мл безводн. метанола постепенно обрабатывают 15 г  $(CH_3)_2SOCl$  (перемешивание, т-ра 40–45°). Смесь нагревают при 50° до полного растворения, охлаждают, разбавляют водой, масло отделяют и кристаллизуют при охлаждении. Получают 25 г дипропилсульфенамида, т. пл. 55–57°. Аналогично из II и  $\beta,\beta'$ -имидодипропилнитрила получают  $\beta,\beta'$ -дициановодетилсульфенамид, т. пл. 107–109°, выход 95,5%. М. Кашути

**58382 П. Способ получения гидразидов тиазолкарбоновых кислот и соответствующих гидразонов** (Procédé de préparation des hydrazides des acides thiazolcarboxyliques et des hydrazones correspondantes) [Lepetit S. p. A.] Франц. пат. 1111510, 1.03.56

Гидразиды общей ф-лы  $SCR=NCR'=CR^2$ , где 2 *m*

радикалов  $R, R'$  и  $R^2$  — атомы H, низшие алкилы, арилы или аралкилы, а 3-й радикал — карбогидразиновая группа, незамещ. или замещ. группой  $-CONR^3NR^4$  (I) или  $-CONR^3N=CR^5$  (II), где  $R^3$  — H или низший алкил, а  $R^4$  и  $R^5$  в ф-ле I атомы H или одинаковые или различные алкилы, галоидалкилы, арилы или аралкилы, а в ф-ле II еще и карбоксилы (свободные или соли), карбоалкоксилы или карбоалкоксалкилы, получают нагреванием в отсутствие воды галоидокетона  $R'COH=CXR^2$  (таутомерная ф-ла) или альдегида  $(R'-H)$  с тиамидом  $RC(=NH)SH$  (таутомерная ф-ла), где X — галоид. В суспензию 26,6 г этилового эфира монотиооксаминной к-ты в 100 мл воды вводят 15 г 47,5%-ного водн. *p*-ра  $NH_2NH_2$ , нагревают с обратным холодильником 15 мин. (полное растворение), концентрируют до объема 50 мл, охлаждают, отделяют масляную фазу, экстрагируют ее несколько раз эфиром и после сушки и отгонки эфира в остатке получают некристаллизующееся даже при долгом стоянии в вакууме масло, представляющее сырой гидразид монотиооксаминной к-ты; выход 92,5%. 12 г гидразида нагревают осторожно на водяной бане с 8 г  $CH_3COONa$  при охлаждении ледяной водой. По окончании бурной р-ции нагревают 30 мин. при 100° и охлаждают; выделяется кристаллизующийся с небольшим кол-вом воды твердый гидразид тиазолкарбоновой-2 к-ты (III); выход 66,5%, т. пл. 175–176°. При добавлении 4,5 г пировиноградной к-ты к *p*-ру 7,15 г гидразида в 15 мл эфира выделяется тиазолкарбонилгидразон-2 пировиноградной к-ты, выход 95%. Описано также получение: 2,4-динитрофенилгидразида III, 1,1-диэтилгидразида III (из амида III и 1,1-диэтилгидразина), этилгидразида III (из хлорагидрида III и этилгидразина), гидразида 5-метилтиазолкарбоновой-4 к-ты (IV) (из гидразида 5-кето- $\beta$ -хлормасляной к-ты и тиоформамида), 5-метилтиазолкарбонилгидразона-4 ацетона (из IV и ацетона), гидразида 5-метилтиазолкарбоновой-2

Бис-( $\alpha$ -метил-4-фенил-4-гидрокси-1,2-с-( $\alpha$ -хлор-1,2-с-удельный) (Pro-277272).

Регенерация катализаторов, применяемых при окислении олефинов в окиси олефинов (Regeneration of catalysts used in oxidation of olefins to olefin oxides) [Chempatents, Inc.]. Англ. пат. 688242, 4.08.54.

Реактивация поверхностного Ag-катализатора (ПК), применяемого при окислении олефинов, производится продуктами р-ции. При окислении  $C_2H_4$  в окись этилена (I) над ПК пропускается смесь 3—4% I и воздуха при 220—350° и давл. 1—25 ат. В смеси с инертным газом ( $N_2$ ) вместо воздуха применяют более высокое содержание I. Выход возрастает от 12 до 23% и селективность от 33 до 63% при одинаковой конверсии 35%. Способ особенно подходит при непосредственном окислении газов с небольшой конц-ией олефинов, а также для катализаторов, в которых серебро отложено на сферич. носителе с шероховатой поверхностью.

3. Саблина  
58384 П. Рекуперация водорастворимых летучих растворителей. Рудбах (Verfahren zur Gewinnung von wasserlöslichen Lösungsmitteln aus gas oder dampfförmigen Mitteln. Rudbach Wolfgang) [Metallgesellschaft A.-G.]. Пат. ФРГ 952793, 22.11.56.

Предложено в процессе рекуперации летучих, водорастворимых р-рителей (спирты, простые и сложные эфиры, ацетон) по пат. ФРГ 944666 (см. РЖХим, 1958, 2774) для предотвращения уноса р-рителя неконденсирующимися газами (НГ) выдуваемым водяным паром в начале десорбции газ пропускают из десорбера (Д) не сразу в ректификационную колонну (РК), а в адсорбер; в РК же вводят в промежутке между двумя стадиями десорбции водяной пар, что предотвращает ее остывание и подсос в нее НГ извне. Для устранения потери р-рителя с кубовой жидкостью из куба РК (вследствие значительного содержания р-рителя в смеси паров воды и р-рителя, выходящей из Д в конце десорбции) предлагается эту жидкость обработать водяным паром в отдельной насадочной РК, а выходящие из последней пары использовать для заполнения основной РК в промежутке между двумя стадиями десорбции.

Н. Дабагов  
58385 П. Аппарат для гидрирования окиси углерода. Кёльбель, Аккерман (Vorrichtung für die Kohlenoxydhydrierung. Kölbhel Herbert, Ackermann Paul) [Rheinpreussen A.-G. für Bergbau und Chemie]. Пат. ФРГ 946289, 26.07.56.

Предлагаемый реактор предназначен для гидрирования СО в жидкой среде с суспендированным в ней катализатором и представляет собой высокий цилиндр, большая часть внутреннего пространства которого по вертикали разделена на отдельные открытые с обоих концов реакционные каналы, над которыми находится пространство для продуктов р-ции, а под которыми — общее пространство для жидкой среды (ОП). В центре сферич. или конич. днища реактора имеется патрубок (который может быть удлинен внутрь ОП) для выпуска синтез-газа с газораспределителем над ним. Для обеспечения хорошего распределения синтез-газа в жидкой среде высота ОП от газораспределителя до нижнего конца реакционных каналов должна быть не меньше внутреннего диаметра ОП, а отношение внутреннего сечения патрубка к сечению ОП — между 1:10 и 1:10 000. Сечение ОП зависит от абс. величины реактора и объемной скорости синтез-газа и практически при Fe-катализаторе и давлении газа между 5 и 25 ат соответствует 5—200 л/час газа на 1 см<sup>2</sup> сечения ОП. Предпочтительны реакторы больших диаметров, напр. реакторы диам. 2,5 м, при

высоте 25 м. Реактор снабжен внутренним охлаждающим приспособлением для отвода теплоты р-ции. Приведены различные схемы устройства нижней части реактора с концентрич. направляющими для жидкой среды в верхней части патрубка. Я. Кантор

См. также: Разделение комплексов мочевины с углеводородами 57361. Этан из природных газов 58708. Хлорирование  $\alpha$ -гексана 57338. Оксосинтез 58655, 58656. Каталитич. окисление пропилена 57335, 57243. Парофазный синтез винилацетата 56813. Очистка бензола 58629 58667. Разделение изомеров ксилола 58630. Выделение пиридина 58668

## ПРОМЫШЛЕННЫЙ СИНТЕЗ КРАСИТЕЛЕЙ

Редактор Н. А. Медзызовская

58386. Современные достижения в области красителей и их применения в крашении. Добози (Progress récents dans les colorants et leur application en teinture. Dobosi O. K.), Ind. text., 1957, № 848, 533—539 (франц.)

Обзор достижений в области кубовых, протравных, кислотных, прямых, сернистых, основных и получаемых на волокне красителей, а также для крашения синтетич. волокон. В. Уфимцев

58387. О синтетических красителях. Стауффер (Das Wunder der synthetischen Farben. Stoffer Lloyd), Universum, 1957, 12, № 10, 311—313 (нем.)  
Популярная статья об особенных случаях применения синтетич. красителей. Начало см. РЖХим, 1958, 8954. В. Уфимцев

58388. Таблицы красителей — перекрестные ссылки. — (Colour index — cross indices. —), Amer. Dyestuff Reporter, 1957, 46, № 17, P610—P624 (англ.)

В связи с выпуском 2-го издания «Colour index» приведены перекрестные ссылки на номера аналогичных красителей и их прототипов 1-го издания.

В. Уфимцев

58389. Дисперсные моноазокрасители, содержащие 3-кетобутильную или 3-оксипутильную группу. Куроки, Маруяма, Кониси (Kuroki Nobuhiko, Maruyama Takehito, Konishi Kenzo), Koré kagaku dzasshi, J. Chem. Japan. Industr. Chem. Sec., 1956, 59, № 8, 905—909 (японск.).

Реакцией метилвинилкетона (I) с N-этиланилином или N-( $\beta$ -оксиэтил)-анилином получены соответственно N-этил-N-( $\gamma$ -кетобутил)-анилин (II) или N-( $\beta$ -оксиэтил)-N-( $\gamma$ -кетобутил)-анилин (III). Каталитич. восстановлением II или III в присутствии скелетного Ni получают соответственно N-этил-N-( $\gamma$ -оксибутил)-анилин (IV) или N-( $\beta$ -оксиэтил)-N-( $\gamma$ -оксибутил)-анилин (V). Сочетанием диазотированных  $n$ -нитроанилина (VI), 2,4-динитроанилина (VII) и 2,6-дихлор-4-нитроанилина (VIII) с II—V получают моноазокрасители, пригодные в качестве дисперсных красителей для крашения волокон ацетилцеллюлозы, винилона и амилана в красные, красно-коричневые и фиолетовые цвета. Исследованы красящая способность красителей по отношению к указанным волокнам, колористич. прочности окрасок (к стирке при 90°, трению и свету) и зависимость между окраской и строением красителей. Из анилина и I получен N-( $\gamma$ -кетобутил)-анилин, т. пл. 34,5—35,5°, семикарбазон, т. пл. 166—167°; из N-этиланилина и I получен II, т. кип. 110—128°/3 мм, семикарбазон, т. пл. 132,5—133,5°. В 16,3 г N-( $\gamma$ -кетобутил)-анилина вводят 4,4 г окиси этилена и оставляют стоять ~2 часа при 20—25°, нагревают 42 часа при 35° и перегонкой выделяют 17 г III, выход 82,5%, т. кип. 128—135°/4 мм, 31,5 г N-( $\beta$ -оксиэтил)-анилина



и 17,5 г I перемешивают 1 час, оставляют стоять 96 час., сушат  $\text{Na}_2\text{SO}_4$  и перегонкой выделяют III, выход 50%. К р-ру 10 г N-( $\gamma$ -кетобутил)-анилина в 50 мл  $\text{CH}_3\text{OH}$  прибавляют 2 г скелетного Ni и в течение 1 часа каталитически восстанавливают при 30–40°/25 атм  $\text{H}_2$ , отделяют катализатор и р-ритель и перегонкой выделяют 9,1 г N-( $\gamma$ -оксибутил)-анилина, выход ~90%, т. пл. 56–58° (из  $\text{CH}_3\text{OH}$ ). Аналогично из 30 г II и 3 г скелетного Ni (5 час, 30–32°/30 атм  $\text{H}_2$ ) получают 21 г IV, выход 70%, т. кип. 130–132°/5 мм. В 16,5 г N-( $\gamma$ -оксибутил)-анилина вводят 4,4 г окиси этилена, нагревают 20 час. при 35° и перегонкой выделяют 15,5 г V, выход 74,2%, т. кип. 210–240°/120 мм, 175–180°/14 мм (очищ. через семикарбазон). Синтезированы следующие моноазокрасители (указан состав красителя, выход в %, окраска кристаллов красителя, т-ра плавления в °C, р-ритель для кристаллизации, максимум поглощения в 85%-ном спирте в м $\mu$  и величина экстинкции  $\epsilon_{\text{макс}} \times 10^{-4}$ ; А — смесь спирта с ацетоном, 1:1; Б —  $\text{CH}_3\text{OH}$ ): VI  $\rightarrow$  II, 73,5, фиолетовый, 150–159,5, А, 485, 4,25; VII  $\rightarrow$  II, 62,3, синевато-черный, 144,5–145,5, А, 513, 4,18; VIII  $\rightarrow$  II, 73,3, черный, 107,5–108, Б, 437, 2,35; VI  $\rightarrow$  III, 41,6, красный, 204–205, А, 475, 4,40; VII  $\rightarrow$  III, 70,0, темно-фиолетовый, 163–163,5, смесь ацетона с водой (2:1), 515, 3,43; VI  $\rightarrow$  IV, 93,0, красный, 127–127,5, А, 490, 3,20; VII  $\rightarrow$  IV, 71,0, зеленовато-черный, 125–126, А, 525, 3,38; VIII  $\rightarrow$  IV, 78,8, черный, 108,5–109,5, ацетон, 445, 2,13; VI  $\rightarrow$  V, 78,1, красно-коричневый, 128–130, Б, 485, 3,50; VII  $\rightarrow$  V, 75,0, красный, 145–146, Б, 525, 3,60; VIII  $\rightarrow$  V, 37,5, —, 85–90, Б, 447, 0,915. Приведены кривые спектров поглощения полученных красителей в области 300–620 м $\mu$ . Красители из II обладают удовлетворительной красящей способностью, а красители из III и IV — хорошей до отличной, по отношению к ацетилцеллюлозе и амилану, красители из V — хорошей красящей способностью также и по отношению к вивилону.

С. Петрова

58390. Исследование красителей для ацетилцеллюлозы. Сообщение X. Повторное исследование условий синтеза 1-окси-4-хлорантрахинона и получаемых из него аминоантрахинонов. Найкв, Юки госяй какаку кёкайси, J. Soc. Organ. Synth. Chem., Japan, 1955, 13, № 11, 540–546, 569 (японск.).

Конденсацией фталевого ангидрида (I) с *n*-аминофенолом (II) по Фриделю — Крафту получают 2-(2'-окси-5'-хлорбензоил)-бензойную к-ту (III), циклизацией которой при обработке  $\text{H}_2\text{SO}_4$  получают 1-окси-4-хлорантрахинон (IV). Из IV получены 1-метокси-4-метиламиноантрахинон (V), 1-окси-4-метиламиноантрахинон (VI), 1-метокси-4-( $\beta$ -оксиэтиламино)-антрахинон (VII), 1-окси-4-( $\beta$ -оксиэтиламино)-антрахинон (VIII) и 1-окси-2-бром-4-аминоантрахинон (IX). Конденсацией 2-окси-1,3-дибромантрахинона (X) с *n*-толуолсульфамидом (XI) и последующим гидролизом полученного 1-(*n*-толуолсульфониламино)-2-окси-3-бромантрахинона (XII) синтезирован 1-амино-2-окси-3-бромантрахинон (XIII). V–IX и XIII испытаны в качестве красителей для ацетатного шелка; лучшим оказался VIII, окрашивающий в пурпурный цвет. III с выходом 85,5–86,5% получают при нагревании 1 моля I, 1,4 моля II, 3,3 молей безводн.  $\text{AlCl}_3$  и 7 молей  $\text{C}_6\text{H}_5\text{NCH}_2\text{Cl}_2$  в течение 6 час. при 144°. IV с выходом 81% получают при нагревании 10 г III в 100 мл ~90%-ной  $\text{H}_2\text{SO}_4$  в течение 2 час. при 97–99°. 3,7 г 1-метокси-4-хлорантрахинона, 3,7 г N-метил-*n*-толуолсульфамида, 2,3 г безводн. поташа, 0,02 г Cu-ацетата и 0,02 г Cu-порошка в 50 мл  $\text{C}_6\text{H}_5\text{NO}_2$  размешивают 9 час. при 170–180°, отгоняют водяным паром  $\text{C}_6\text{H}_5\text{NO}_2$ , отфильтровывают и промывают разб.  $\text{HCl}$  4,6 г 1-метокси-4-(N-метил-*n*-толуолсульфониламино)-антрахинона (XIV), выход 81%, желтовато-коричневые иголки,

т. пл. 201–202° (из сп.). 2,2 г XIV растворяют в 20 мл конц.  $\text{H}_2\text{SO}_4$ , оставляют стоять 1 час при 20°, выливают в смесь льда с водой, прибавляют  $\text{NH}_4\text{OH}$  и отфильтровывают 1,2 г V, выход 87%, фиолетовые иголки, т. пл. 162–163° (из *n*-бутилового спирта),  $\lambda_{\text{макс}}$  (в сп.)

542 м $\mu$ . 0,5 г V и 0,2 г  $\text{H}_3\text{BO}_3$  растворяют в 20 мл ~95,5%-ной  $\text{H}_2\text{SO}_4$ , размешивают 2 часа при 120–130°, выливают в 200 г смеси льда с водой, прибавляют  $\text{NH}_4\text{OH}$ , отфильтровывают и промывают теплой водой 0,4 г VI, выход 84%, фиолетовые иголки, т. пл. 171–172° (из *n*-бутилового сп.). 2,5 г 1-метокси-4-аминоантрахинона (т. пл. 185–186°), 1,6 г  $\text{ClCOOCH}_2\text{CH}_2\text{Cl}$  и 1,2 г безводн. поташа кипятят 4 часа в 150 мл толуола, отфильтровывают примеси, фильтрат упаривают до ~30 мл и отфильтровывают 2,3 г 1-метокси-4-( $\beta$ -хлорэтоксикарбониламино)-антрахинона (XV), выход 65%, желтые иголки, т. пл. 198–199° (из сп.).  $\lambda_{\text{макс}}$  (в толуоле) 450 м $\mu$ . К 1,5 г XV прибавляют 50 г 20%-ного водн. р-ра KOH, нагревают 5 час. при 97–99°, разбавляют водой и отфильтровывают VII, выход 84%, яркие фиолетовые иголки, т. пл. 204–205° (из толуола),  $\lambda_{\text{макс}}$  (в сп.) 542 м $\mu$ . 1,4 г VII и 0,3 г  $\text{H}_3\text{BO}_3$  растворяют в 42 мл ~95,5%-ной  $\text{H}_2\text{SO}_4$ , нагревают 2 часа при 120–130°, выливают в 500 г смеси льда с водой, кипятят, отфильтровывают и промывают водой 1 г VIII, выход 76%, темно-фиолетовые иголки, т. пл. 149–150° (разб. из сп.),  $\lambda_{\text{макс}}$  (в сп.) 555 и 597 м $\mu$ . Смесь 0,5 г лейкохризарины (т. пл. 154–156°) и 0,14 г моноэтанолamina кипятят 3 часа в 20 мл спирта, прибавляют 0,2 г  $\text{C}_6\text{H}_5\text{NO}_2$ , кипятят еще 2 часа и выделяют 0,52 г VIII, выход 88%. 0,5 г 1-окси-4-аминоантрахинона (т. пл. 211–213°), 0,33 г  $\text{ClCOOCH}_2\text{CH}_2\text{Cl}$  и 0,44 г безводн. соды в 50 мл толуола кипятят 5 час., отфильтровывают примеси и охлаждением фильтрата выделяют 0,58 г 1-окси-4-( $\beta$ -хлорэтоксикарбониламино)-антрахинона (XVI), выход 80%, красновато-оранжевые иголки, т. пл. 191–192° (из толуола),  $\lambda_{\text{макс}}$  (в толуоле) 488 м $\mu$ .

1 г XVI и 20 г 10%-ного водн. р-ра NaOH нагревают 2 часа при 97–99° и выделяют 0,72 г красновато-фиолетового в-ва, т. пл. 123–137°. 12,9 г IV растворяют в 155 мл лед.  $\text{CH}_3\text{COOH}$ , прибавляют 10 г Na-ацетата, при перемешивании приливают 8 г  $\text{Br}_2$ , кипятят 2 часа, после 16 час. стояния отфильтровывают и выкристаллизуют из толуола 11,2 г 1-окси-2-бром-4-хлорантрахинона (XVII), выход 66%, оранжевые иголки, т. пл. 247–248° (из толуола). 3 г XVII, 3 г XI, 2,4 г безводн. поташа, 0,02 г Cu-ацетата и 0,02 г Cu-порошка в 25 мл  $\text{C}_6\text{H}_5\text{NO}_2$  размешивают 10 час. при 170–180°, отгоняют водяным паром  $\text{C}_6\text{H}_5\text{NO}_2$  и отфильтровывают 3,6 г 1-окси-2-бром-4-(*n*-толуолсульфониламино)-антрахинона (XVIII), выход 86%, ярко-коричневые иголки, т. пл. 242–243° (из лед.  $\text{CH}_3\text{COOH}$ ). XVIII получают также с выходом 87% из 1-окси-2,4-дибромантрахинона и XI. 1,8 г XVIII растворяют в 18 мл 95,5%-ной  $\text{H}_2\text{SO}_4$ , выливают на смесь льда с водой, прибавляют  $\text{NH}_4\text{OH}$ , отфильтровывают и промывают водой 0,8 г IX, выход 66%, зеленовато-коричневые иголки, т. пл. 267–268° (из толуола),  $\lambda_{\text{макс}}$  (в сп.) 534 и 566 м $\mu$ . 1 г X (т. пл. 215–216°), 1 г XI, 0,75 г безводн. поташа, 0,01 г Cu-ацетата и 0,01 г Cu-порошка в 5 мл  $\text{C}_6\text{H}_5\text{NO}_2$  размешивают 4 часа при 160–165° и 3 часа при 180–185°, отгоняют с водяным паром  $\text{C}_6\text{H}_5\text{NO}_2$ , отфильтровывают и выкристаллизуют из лед.  $\text{CH}_3\text{COOH}$  1 г XII, коричневые иголки, выход 81%, т. пл. 204–205° (из лед.  $\text{CH}_3\text{COOH}$ ). 0,5 г XII растворяют в 5 мл ~95,5%-ной  $\text{H}_2\text{SO}_4$ , выливают в смесь льда с водой и отфильтровывают 0,3 г XIII, выход ~88%, красновато-оранжевые иголки, т. пл. 232° (из лед.  $\text{CH}_3\text{COOH}$ ),  $\lambda_{\text{макс}}$  (в сп.) 524 и 554 м $\mu$ . Сообщение IX см. РЖХим, 1958, 54912.

С. Петрова

58391. Исследование красителей для ацетицеллюлозы. Сообщение XI. Синтез окситрихлорантрахинонов и продуктов их аминирования (III). Найки, Юкикосей кагаку кёкайси, J. Soc. Organ. Synth. Chem. Japan, 1956, 14, № 1, 34—39 (японск.).

Синтезированы 1-метокси-4,5-диамино-7-хлорантрахинон (I) и 1-метокси-4,5-диамино-6-хлорантрахинон (II). I и II окрашивают ацетатный шелк в красный цвет. Смесь 21,7 г 3,4-дихлорфталевого ангидрида, 16,7 г *n*-хлорфенола и 48 г  $AlCl_3$  в 110 мл  $(Cl_2CH)_2$ , перемешивают 3 часа, затем в течение 2 час. повышают *t*-ру до 120° и нагревают 8 час. при 120—130°, отгоняют с водяным паром, подкисляют 100 мл конц. HCl и вновь отгоняют с водяным паром 30 мин.; по охлаждению отфильтровывают, осадок извлекают 200 мл 15%-ного  $NH_4OH$  и подкислением разб. HCl выделяют 3,4-дихлор-2-(2'-окси-5'-хлорбензоил)-бензойную к-ту (III), выход 72%, т. пл. 243—244° (из толуола). Строение III подтверждено циклизацией 1 г III (кипячение 5 час. с 10 мл 20%-ного р-ра поташа) в 2,5-дихлорксантон-8-карбоновую к-ту, выход 89%, т. пл. 241—242° (из лед.  $CH_3COOH$ ); в аналогичных условиях (кипячение 2 часа) 3,6-дихлор-2-(2'-окси-5'-хлорбензоил)-бензойная к-та дает 2,7-дихлорксантон-8-карбоновую к-ту, выход 68%, т. пл. 266° (разл.). При циклизации 2 г III нагреванием с 20 мл олеума ( $d_4^{20}$  1,883) и 0,4 г  $H_3BO_3$  (85—90°, 30 мин.) получают 1,3 г смеси 45% 1-окси-4,5,6-трихлорантрахинона (IV), т. пл. 217—218° и 55% 1-окси-4,7,8-трихлорантрахинона (V), т. пл. 238—239°, разделенной фракционной кристаллизацией в толуоле. 0,5 г V нагревают (170°, 3 часа) с 0,42 г *n*- $CH_3C_6H_4SO_3CH_3$ , 0,25 г безводн. поташа в 20 г *n*- $Cl_2C_6H_4$ , получают 1-метокси-4,7,8-трихлорантрахинон (VI), выход 87%, т. пл. 259—260° (из лед.  $CH_3COOH$ ); аналогично из IV получен 1-метокси-4,5,6-трихлорантрахинон (VII), выход 72%, т. пл. 213—214° (из лед.  $CH_3COOH$ ). При нагревании (140—150°, 5 час.) 4 г III с 0,8 г  $H_3BO_3$  и 40 мл олеума ( $d_4^{20}$  1,918) получают с выходом 70% 5,6-дихлорхинолизарин, т. пл. 238—239° (из  $CH_3COOH$ ); последний образуется при нагревании в аналогичных условиях IV, V, VI или VII. Смесь 2 г VI, 2,5 г *n*- $CH_3C_6H_4SO_3NH_2$ , 1,2 г поташа, 0,02 г Cu-ацетата, 0,01 г Si-воронка в 40 мл  $C_6H_5NO_2$  нагревают 7 час. при 180—190°, отгоняют р-ритель, извлекают горячей лед.  $CH_3COOH$  и разбавлением водой выделяют 1-метокси-4,8-бис-(*n*-толуолсульфамидо)-7-хлорантрахинон (VIII), выход 51%, т. пл. 120—121° (из сп.); аналогично из VII получен 1-метокси-4,5-бис-(*n*-толуолсульфамидо)-6-хлорантрахинон, выход 42%, т. пл. 113—114° (из сп.). 1 г VIII растворяют в 10 мл 99,5%-ной  $H_2SO_4$ , разбавляют водой и после подщелачивания  $NH_4OH$  выделяют I, выход 80%, т. пл. 189—190° (из толуола),  $\lambda_{max}$  (в сп.) 332 мμ; аналогично получен II, выход 80%, т. пл. 164—165° (из толуола),  $\lambda_{max}$  (в сп.) 528 мμ. Приведены кривые спектров поглощения I и II. Л. Яновская

58392 П. Способ получения моноазокрасителей. Цоллингер, Фашати (Förfarande för framställning av nya monoazofärgämnen. Zollinger H. Fasciati A.) [Ciba Soc. An.] Швед. пат. 153420, 14.02.56

Моноазокрасители получают сочетанием в кислой среде диазотированных аминов общей ф-лы  $H_2N-R-X$  ( $R$  — арил бензольного ряда;  $X$  — гетероциклич. остаток, связанный с  $R$  через атом N, не обладающий красящими свойствами и содержащий один реакционный атом галоида и лишь одно гетероциклич. кольцо) с нафтиламиносульфокислотами. В частности патентуют: а) Красители, получаемые сочетанием диазотированных аминов общей ф-лы  $H_2N-R-NH-C=N-$  —  $C(A)=N-C(Cl)=N$  ( $A$  — алкил, аралкил, циклоал-

кил или арил, связанный с триазиновым кольцом через аминогруппу;  $R$  — вышеуказанное значение) с 2-нафтиламиномоносульфокислотами. б) Вариант основного способа, заключающийся в конденсации 1 моля моноазокрасителя общей ф-лы  $R'-N=N-R-Z$  ( $R'$  — остаток нафтиламиномоносульфокислоты, аминогруппа которой превращена в азогруппу;  $Z$  — аминогруппа, содержащая  $\geq 1$  реакционный атом H) с 1 молем гетероциклич. галоидного соединения, содержащего 1 гетероциклич. кольцо и  $\geq 2$  реакционных атома галоида. В случае, если получаемый продукт конденсации (ПК) содержит 2 реакционных атома галоида, его подвергают р-ции с 1 молем алифатич., циклоалифатич., ариалифатич. или ароматич. соединения, содержащего реакционный атом H. 39,3 вес. ч. ПК из 1 моля хлористого пиаура (I), 1 моля анилина и 1 моля 1,3-фенилендиамин-4-сульфокислоты (II) суспендируют в 300 вес. ч. воды и 20 вес. ч. 30%-ной HCl, при 10—15° диазотируют 25 объемн. ч. 4 н.  $NaNO_2$ , прибавляют 30 вес. ч. кристаллич. Na-ацетата и при 20—25° подкисленный до кислой р-ции р-р Na-соли 23,9 вес. ч. 2-амино-8-нафтол-6-сульфокислоты (III) в 200 вес. ч. воды, по окончании сочетания подщелачивают р-ром соды, высаливают и отфильтровывают краситель, окрашивающий шерстяные волокна (ШВ) в красный цвет. При применении 1,4-фенилендиамин-2-сульфокислоты, вместо II, получают аналогичный краситель с более синеватым оттенком. 54,2 вес. ч. 1'-[4-амино-2-(*N*-этил-*N*-фенилсульфамидо)-бензолазо-2'-амино-8'-нафтол-6'-сульфокислоты в форме Na-соли растворяют в 2000 вес. ч. воды, при 35—45° прибавляют 27 вес. ч. 2-анилино-IV (IV — 4,6-дихлортриазин) и размешивают 4—6 час. при 35—45°, нейтрализуя образующуюся HCl р-ром соды или Na-ацетата, по окончании конденсации высаливают NaCl и отфильтровывают краситель, окрашивающий ШВ в синевато-красный цвет. Этот краситель получают также конденсацией 1,4-фенилендиамин-2-(*N*-этил-*N*-фенилсульфамидо) с 2-анилино-IV, диазотированием ПК и сочетанием в слабокислой среде с III. Аналогично получают красители диазотированием следующих ПК и последующим сочетанием в слабокислой среде с III (указаны компоненты ПК и цвет окраски ШВ конечным красителем); 2-анилино-IV, 1,4-фенилендиамин-2-(*n*-толуолсульфон) (V), синевато-красный; 2-анилино-IV, анилин-3-(*N*-метил-*N*-фенилсульфамид), синевато-красный; 2-диметиламино-IV, 1,4-фенилендиамин-2-(*N*-этил-*N*-фенилсульфамид) (VI), синевато-красный; 2-амино-IV, VI, синевато-красный; 2-метиламино-IV, VI, синевато-красный; 2-(*o*-хлоранилино)-IV, VI, красный; 2-анилино-IV, 1,3-фенилендиамин-4-метилсульфон, красный; 2-(*m*-хлоранилино)-IV, VI, красный; 2-(*o*-толуидино)-IV, VI, красный; 2-(*o*-анизидино)-IV, VI, красный; 2-(*n*-анизидино)-IV, VI, красный; 2-(*n*-толуидино)-IV, VI, красный; 2-(*o*-анизидино)-IV, V, красный; 2-фенокси-IV, VI, желтовато-красный. 44,5 вес. ч. ПК из 1 моля I, 1 моля  $NH_2CH_2$  и 1 моля VI суспендируют в 300 вес. ч. 10%-ной  $H_2SO_4$  с прибавлением для частичного растворения диазосоставляющей технич. нафталинмоно- или дисульфокислоты, приливают по каплям при размешивании водн. р-р 6,9 вес. ч.  $NaNO_2$  по окончании диазотирования удаляют избыток  $HNO_2$  прибавлением мочевины. Полученный диазораствор приливают к нейтр. суспензии 22,3 вес. ч. 2-нафтиламин-6-(или 8)-сульфокислоты в 50 вес. ч. воды с прибавлением необходимого кол-ва соды, прибавляют Na-ацетат для нейтр-ции образующейся минер. к-ты, нагревают до ~50° и по окончании сочетания нейтрализуют содой и отфильтровывают краситель, окрашивающий ШВ в красновато-оранжевый цвет. При применении в качестве азосоставляющей 25,3 вес. ч. 2-метиламино-8-нафтол-6-сульфокислоты получают фиолетовый краситель. 48,1 вес. ч.



ПК из 1 моля I, 1 моля анилина и 1 моля 2-амино-5-метиламино-4'-метилдифенилсульфона (VII) суспендируют в 300 вес. ч. 10%-ной  $H_2SO_4$  с прибавлением техн. нафталиномоно- или -дисульфокислоты и диазотируют р-ром 6,9 вес. ч.  $NaNO_2$ , а затем сочетают в слабощелочной среде с суспензией 23,9 вес. ч. III в 50 вес. ч. воды с прибавлением Na-ацетата до pH 2—4, по окончании сочетания нейтрализуют содой, выщелачивают и отфильтровывают краситель, окрашивающий ШВ в синевато-красный цвет. Аналогично из 37,5 вес. ч. ПК из 1 моля 2,5-диамино-4'-метилдифенилсульфона (VIII) и 1 моля 2,4-дихлорпиримидина и 23,9 вес. ч. III получают аналогичный краситель с более желтоватым оттенком. VII получают р-цией VIII с экв. кол-вом галогенного метила, напр.  $CH_3I$ . Получаемые красители окрашивают ШВ, кожу, шелк, полиамидные и анимализированные волокна в цвета, обладающие хорошими прочностями к стирке, валке и, в особенности, к щел. валке.

В. Уфимцев  
58393 П. Способ получения азокрасителей (Verfahren zur Herstellung von Azofarbstoffen) [Deutsche Gold- und Silber-Scheideanstalt vormals Roessler]. Пат. ФРГ 950225, 4.10.56

Азокрасители получают сочетанием продуктов взаимодействия окиси стирола и ароматич. аминов с диазотированными ароматич. аминами или бисдиазотированными ароматич. диаминами, не содержащими групп, способствующих растворению в воде. Красители в диспергированной форме пригодны для крашения искусств. и синтетич. волокон (напр., волокон ацетатного шелка, суперполиамидов, поливинилхлорида и сложных полиэфиров терефталевой к-ты). 58 ч. л-толуидина, 80 ч. окиси стирола, 1 ч. лед.  $CH_3COOH$  и 250 ч. ксилола кипятят 5 час., отгоняют в вакууме ксилол, а остаток при сочетании с диазотированным анилином образует оранжевый, л-нитроанилином — красный, нафталином — фиолетовый и с бисдиазотированным бензидином — глубоко-красный краситель. Аналогично из 58 ч. N-метиланилина получают продукт конденсации, образующий с диазотированным анилином — светло-красный, л-нитроанилином — красный и с бисдиазотированным бензидином — фиолетовый красители.

В. Уфимцев  
58394 П. Дибензантроны с этиленовым мостиком и способ их получения. Стрейли (Ethylene-bridged dibenzanthrone compounds and process for their preparation. Straley James M.) [Eastman Kodak Co.]. Пат. США 2637733, 5.05.53

Продукт конденсации 10-метилантрона (I), не замещенного по меньшей мере в положении 4 или 5, с 1,3-циклогексдиеном (II) сплавляют с техн. NaOH, окисляют и получают кубовый краситель. 20,6 ч. I и 4 ч. II в 110 ч.  $C_6H_5NO_2$  встряхивают при  $\sim 20^\circ$  в течение 3 недель, фильтруют, промывают спиртом и сушат. Получают в-во ярко-желтого цвета (III), т. пл.  $> 360^\circ$ , выход 20%. III можно получить также кипячением 10 ч. I, 2 ч. II, 40 ч.  $CH_3COOH$  и 5 ч.  $(CH_3CO)_2O$  в течение 6 час. или нагреванием 40 ч. I и 200 ч.  $C_6H_5NO_2$  при  $180^\circ$ , прибавлением в течение 30 мин. р-ра 12 ч. II в 20 ч.  $C_6H_5NO_2$ , нагреванием при  $180-190^\circ$  в течение 3,5 час., добавлением 4 ч. II и кипячением еще в течение 1 часа. Охлажденную до  $80^\circ$  реакционную смесь разбавляют равным объемом спирта, охлаждают и фильтруют, выход III 68%. III в  $H_2SO_4$  имеет синевато-красный цвет. 20 ч. метилметилантрона, полученного из 2-метилантрона, и 5 ч. II нагревают при  $170-180^\circ$  в течение 6 час. в 80 ч.  $C_6H_5NO_2$  и получают аналогичный промежуточный продукт желто-коричневого цвета, т. пл.  $> 360^\circ$ . Из 10-метилдихлорантрона и II получают аналогичный промежуточный продукт (IV), коричневое аморфное в-во, возгорающееся с разложением при  $360^\circ$ . 10-мети-

ленхлорантрон (вероятно, 10-метил-1-хлорантрон), полученный из 1-хлор-9-антрона, аналогично реагирует с II, давая желтый порошок. При р-ции 10-метил-4-метилантрона с II получают аналогичный промежуточный продукт (V) коричневого цвета. Промежуточные кубовые красители получают следующим образом: 100 ч. III постепенно ( $\sim 20$  мин.) прибавляют при  $125-150^\circ$  к однородному плаву, полученному из 500 ч. KOH (в чешуйках) и 500 ч. спирта. При отгонке спирта т-ра повышается в течение 30 мин. до  $140^\circ$ , реакционную смесь выдерживают 2 часа при  $140-145^\circ$ , выливают в воду и для выделения красителей продувают при  $95^\circ$  воздухом. Получают 90—95 ч. синего порошка (VI), растворимого в конц.  $H_2SO_4$  (выщелачивая краситель с небольшой синей флуоресценцией), образующего красновато-фиолетовый куб и окрашивающего хлопчатобумажные изделия (ХБИ) в синий цвет. При аналогичной обработке V получают краситель (VII), дающий более тусклую синюю окраску, чем VI. IV окрашивает в кубе в зеленовато-синий цвет. Конечные продукты получают следующим образом: 17 ч. III вводят при  $130-135^\circ$  в плаз, полученный из 150 ч. KOH и 150 ч. спирта, нагревают до  $150^\circ$ , прибавляют 20 ч.  $NaNO_2$  (т-ра резко повышается) и по окончании р-ции реакционную смесь выливают в воду, продувают воздухом и фильтруют. Получают 15,5 ч. красновато-коричневого порошка (VIII), дающего нефлуоресцирующий фиолетовый р-р в конц.  $H_2SO_4$  и окрашивающего ХБИ из синего куба в красноватый бордо, устойчивый к действию света. При аналогичной обработке III с последующим окислением  $KClO_4$  получают VIII; III можно также окислить  $NaClO$  (5% активного Cl) нагреванием его при  $90-95^\circ$  в течение 3—4 час. VII тонко размалывают и нагревают на воздухе 8—10 час. при  $190-200^\circ$ . Цвет медленно изменяется до красновато-коричневого; полученный продукт (IX) окрашивает ХБИ из синего куба в бордо. Полоску ХБИ, окрашенную VI, помещают в федометр и выдерживают 10—24 час. до тех пор, пока окраска взятой ткани не станет аналогична полученной при окраске ХБИ из куба с помощью VIII. 10 ч. VIII, полученного окислением  $NaClO$ , растворяют в 200 ч.  $ClSO_3H$  при  $20-25^\circ$ , обрабатывают 5 ч. Br, 0,03 ч. S и перемешивают 16 час. при  $25-23^\circ$ ; при этом цвет изменяется от фиолетового до красно-коричневого. Затем смесь разбавляют конц.  $H_2SO_4$  и выливают на лед; получают краситель, значительно более красный, чем VIII. При нитровании VIII в  $C_6H_5NO_2$  получают светопрозрачный тускло-фиолетовый краситель. 20 ч. IX кипятят с 20 ч. брома, 500 ч.  $C_6H_5Cl_3$  и 0,1 ч. йода в течение 4 час.; получают 16 ч. содержащего Br кубового красителя, дающего значительно более синий р-р в конц.  $H_2SO_4$  и более красную окраску на ХБИ, чем IX.

Э. Тукачинский  
58395 П. Продукты конденсации бензантронового ряда и способ их получения. Стрейли (Condensation products of the benzanthrone series and process for their preparation. Straley James M.) [Eastman Kodak Co.]. Пат. США 2659735, 17.11.53

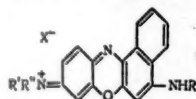


Кубовые красители общей ф-лы (I) ( $X-H$ , Br, F, Cl или  $CH_3$ ; когда  $X-Br$ , F или  $CH_3$ ,  $n=1$ ; когда  $X-Cl$ ,  $n=1$  или 2) получают сплавлением соответствующих дибензантроновых соединений, связанных через  $Bz2$ ,  $Bz2'$ -этиленовый мостик, с KOH или NaOH в присутствии окислителей, напр.  $KClO_3$ ,  $NaClO$ .

$\text{NaNO}_2$  или воздуха. Дибензантронильные соединения, связанные через  $\text{Bz2}$ ,  $\text{Bz2'}$ -этиленовый мостик, получают конденсацией соответствующих 10-метилена-диаронов (II) с 1,3-циклогексадиеном — пат. США 2637733, (см. пред. реф.). В качестве катализаторов пригодны: нитроалканы, сульфокислоты и нитроароматич. соединения. Примеры получения красителей см. пат. США 2637733. Вместо II можно применять метил-II.

58396 П. 5-гетероциклические аминопроизводные бензо (а) феноксазина. Кросли, Гофман, Дрейсбах (5-Heterocyclic amino derivatives of benzo[α]phenoxazine. Crossley Moses L., Hofmann Corris M., Dreisbach Paul F.) [American Cyanamid Co.]. Пат. США 2677684; 2677685, 4.05.54

Патентуются красители общей ф-лы (I) ( $\text{R}$  — ароматич. гетероцикл. радикал;  $\text{R}'$  и  $\text{R}''$  —  $\text{H}$  или алкил;  $\text{X}$  — анион), 169 г 9-(метилимино)-бензо (а) феноксазин- $\text{C}_2\text{H}_5\text{NO}_2$  (II) растворяют в 1250 ч. спирта при слабом нагревании, р-р охлаждают до  $\sim 20^\circ$ , обрабатывают 141 ч. 2-аминопиридина (III), размешивают до окончания р-ции, оставляют на  $\sim 16$  час., фильтруют, твердый черный остаток взбалтывают с 1500 ч. спирта и обрабатывают 100 ч.  $\text{NH}_4\text{OH}$ , полу-



ченный осадок взбалтывают с 500 ч. спирта, слегка нагревают, обрабатывают 10 ч. 12 н.  $\text{HCl}$ , фильтруют, черный твердый остаток промывают небольшим кол-вом спирта, сушат, получают I, где  $\text{R}$  — 2-пиридил,  $\text{R}' = \text{R}'' = \text{CH}_3$ ,  $\text{X} = \text{Cl}$  [ $\lambda_{\text{макс}}$  531 мμ (в сп. с незначительным кол-вом аммиака), 670 мμ (в подкисленном сп.)]. Аналогично получены I, где  $\text{R}$  — 2-пиридил,  $\text{R}' = \text{R}'' = \text{C}_2\text{H}_5$ ,  $\text{X} = \text{Cl}$ , синий в спиртовом р-ре  $\text{HCl}$  и красный в аммиачном спирте. 183 ч. 9-(этилимино)-бензо (а)-феноксазин- $\text{C}_2\text{H}_5\text{NO}_2$  (IV) дает I, где  $\text{R}$  — 2-пиридил,  $\text{R}' = \text{R}'' = \text{C}_2\text{H}_5$ ,  $\text{X} = \text{Cl}$ , зеленовато-черное твердое в-во,  $\lambda_{\text{макс}}$  542 мμ (сп. —  $\text{NH}_4\text{OH}$ ), 674 мμ (сп. —  $\text{HCl}$ ). Из 183 ч. IV и 150 ч. 2-аминотиазола аналогичным образом получают I, где  $\text{R}$  — 2-тиазолил,  $\text{R}' = \text{R}'' = \text{C}_2\text{H}_5$ ,  $\text{X} = \text{Cl}$ , темновозеленое твердое в-во,  $\lambda_{\text{макс}}$  572 мμ (сп. —  $\text{NH}_4\text{OH}$ ). Таким же образом с 14,3 ч. 2-аминопиридина было получено из аммиачной спирт. взвеси основание 5-(2-пиримидилимино)-9-диэтиламинобензо (а) феноксазина, очень темные иголки, имеющие зеленый оттенок,  $\lambda_{\text{макс}}$  550 мμ (сп. —  $\text{NH}_4\text{OH}$ ), 668 мμ (сп. —  $\text{HCl}$ ). Применяя 143 ч. 2-аминопиразина, получают I, где  $\text{R}$  — 2-пиразинил,  $\text{R}' = \text{R}'' = \text{C}_2\text{H}_5$ ,  $\text{X} = \text{Cl}$ , зеленые кристаллы, темносиние в воде и спирте, красные в  $\text{NH}_4\text{OH}$ . Подобным образом получены следующие I, где  $\text{R}' = \text{R}'' = \text{C}_2\text{H}_5$ ,  $\text{X} = \text{Cl}$ ,  $\text{R}$  — 4,6-диметил-2-пиримидинил, синева-черное твердое в-во, интенсивно синее в спирте и воде, красное в  $\text{NH}_4\text{OH}$ , или где  $\text{R}$  — 4-метил-2-пиримидинил, почти черное твердое в-во, темно-синее в спирте с переходом в красное с  $\text{NH}_4\text{OH}$ . 183 ч. IV и 194 ч. 5-хлор-2-аминопиридина дают свободное основание 5-(5-хлор-2-пиримидинилимино)-9-диэтиламинобензо (а) феноксазин. 18 ч. IV в 130 ч. спирта обрабатывают несколько часов 22 ч. 2-аминохинолина, полученный зеленый кристаллич. осадок нагревают со 100 ч. спирта и 10 ч.  $\text{NH}_4\text{OH}$ , смесь охлаждают, фильтруют и осадок перекристаллизовывают из спирта, получают 16 ч. 5-(2-хинолилимино)-9-диэтиламинобензо (а) феноксазина, красный в спирте с изменением к зелено-синему при прибавлении  $\text{HCl}$ .

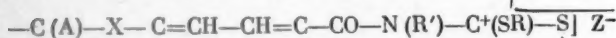
K  $\text{NaOCH}_3$  прибавляют 27 ч. хлоргидрата 3-аминохинолина в 200 ч. спирта, отфильтровывают  $\text{NaCl}$ , фильтрат прибавляют к 18 ч. IV в 130 ч. спирта, смеси дают стоять несколько дней, отфильтровывают красно-коричневый осадок, взбалтывают в 200 ч. воды и 100 ч.  $\text{NH}_4\text{OH}$ , смесь фильтруют горячей, черный твердый остаток кипятят в спирте.  $\text{NH}_4\text{OH}$ , затем нагревают со спиртом, содержащим немного конц.  $\text{HCl}$ , получают I, где  $\text{R}$  — 3-хинолил,  $\text{R}' = \text{R}'' = \text{C}_2\text{H}_5$ ,  $\text{X} = \text{Cl}$ ; аналогичным образом получают I, где  $\text{R}$  — 4-хинолил,  $\text{R}' = \text{R}'' = \text{C}_2\text{H}_5$ ,  $\text{X} = \text{Cl}$ , синий в спирте, краснеет при добавлении  $\text{NH}_4\text{OH}$ . 792 ч. 2- $\text{C}_{10}\text{H}_7\text{OH}$ , 5000 ч. спирта и 415 ч.  $\text{ZnCl}_2$  кипятят, горячий р-р обрабатывают 1 час 1490 ч.  $n\text{-(C}_4\text{H}_9)_2\text{NC}_6\text{H}_4\text{NO}$ , прибавляемого небольшими порциями, смесь кипятят 1 час, фильтруют горячей, 978 ч. темных кристаллов двойной соли с  $\text{ZnCl}_2$  промывают горячим спиртом, сушат, растворяют в 12 л нагретой до т-ры кипения воды, фильтруют, горячий фильтрат охлаждают, обрабатывают 6360 ч. 70%-ной  $\text{HNO}_3$  (уд. в. 1,42), выделяется 9-бутилиминобензо (а) феноксазин- $\text{C}_4\text{H}_9\text{NO}_2$  (V) ( $\sim 100\%$ ), черное, твердое в-во. V и 5-хлор-2-аминопиридин дают свободное основание 5-(5-хлор-2-пиримидинилимино)-9-дибутиламинобензо (а) феноксазина. 211 ч. V в 1000 ч. теплого спирта нагревают 5 мин. на водяной бане с 141 ч. III, смеси дают стоять несколько дней при  $\sim 20^\circ$ , 163 ч. неочищ. продукта перекристаллизовывают из 8000 ч. горячего спирта, получают 137 ч. I, где  $\text{R}$  — 2-пиридил,  $\text{R}' = \text{R}'' = \text{C}_4\text{H}_9$ ,  $\text{X} = \text{NO}_2$ , синего в спирте, краснеющего при прибавлении  $\text{NH}_4\text{OH}$ . 211 ч. V и 2-аминопиридин дают 103 ч. I, где  $\text{R}$  — 2-пиримидинил,  $\text{R}' = \text{R}'' = \text{C}_4\text{H}_9$ ,  $\text{X} = \text{NO}_2$ , синий в спирте, краснеющий при прибавлении  $\text{NH}_4\text{OH}$ . 47 ч. 9-пропилиминобензо (а) феноксазин- $\text{C}_3\text{H}_7\text{NO}_2$  (VI) [полученного подобно V из  $n\text{-(C}_4\text{H}_9)_2\text{NC}_6\text{H}_4\text{NO}$ ] в 250 ч. теплого спирта дают с 34 ч. III 33 ч. I, где  $\text{R}$  — 2-пиридил;  $\text{R}' = \text{R}'' = \text{C}_3\text{H}_7$ ,  $\text{X} = \text{NO}_2$ , зеленое твердое в-во, синее в спирте, краснеющее при прибавлении  $\text{NH}_4\text{OH}$ . 720 ч. 2- $\text{C}_{10}\text{H}_7\text{OH}$ , 5000 ч. спирта и 400 ч.  $\text{ZnCl}_2$  кипятят и обрабатывают 1140 ч.  $m\text{-(C}_2\text{H}_5)_2\text{NC}_6\text{H}_4\text{NO}$  малыми порциями в течение 5 час., смесь размешивают 0,5 часа, фильтруют горячей, 718 ч. темных кристаллов двойной соли с  $\text{ZnCl}_2$  промывают теплым спиртом, растворяют в 40 000 ч. воды, осветляют, охлаждают и обрабатывают 2130 ч.  $\text{HNO}_3$  (уд. в. 1,42), полученный черный твердый остаток фильтруют, сушат, получают 547 ч. 9-этилимино-11-метилбензо (а) феноксазин- $\text{C}_2\text{H}_5\text{NO}_2$  (VII). 114 ч. VII в 1250 ч. спирта обрабатывают 90 ч. 2-аминотиазола и 46 ч. зеленого твердого продукта кристаллизуют из 500 ч. горячего спирта, получают обычным способом 34 ч. I, где  $\text{R}$  — 2-тиазолил,  $\text{R}' = \text{R}'' = \text{C}_2\text{H}_5$ ,  $\text{X} = \text{NO}_2$ , коричневый, твердый, пурпурный в спирте, желтеющий при прибавлении  $\text{NH}_4\text{OH}$ . 132 ч.  $\text{ZnCl}_2$ -двойная соль 9-(2-оксиэтилимино)бензо (а) феноксазин-2-оксиэтилхлорида, 85 ч. III, 1000 ч. спирта нагревают 10 мин. на водяной бане, р-р оставляют на 24 часа при  $\sim 20^\circ$ , упаривают часть спирта, выпавшее масло размешивают с водой, полученный темно-коричневый твердый продукт промывают водой, сушат, получают 152 ч. двойной  $\text{ZnCl}_2$ -соли I, где  $\text{R}$  — 2-пиридил,  $\text{R}' = \text{R}'' = 2$ -оксиэтил;  $\text{X} = \text{Cl}$ , перекристаллизовывают из большого объема горячего спирта; синий в спиртовой  $\text{HCl}$ , краснеющий при прибавлении  $\text{NH}_4\text{OH}$ ,  $\lambda_{\text{макс}}$  534 мμ (сп. —  $\text{HCl}$ ), 680 мμ (сп. —  $\text{NH}_4\text{OH}$ ). 47 ч. VI и 5,4 ч. 2-аминобензотиазола в 25 ч. спирта дают обычным способом I, где  $\text{R}$  — 2-бензотиазолил,  $\text{R}' = \text{R}'' = \text{C}_2\text{H}_5$ ,  $\text{X} = \text{NO}_2$ , темный твердый, синий в спирте, от щелочи переходит в зелено-синий,  $\lambda_{\text{макс}}$  690 мμ (сп. —  $\text{HCl}$ ), 593 мμ (слабощел. сп.). 4,7 ч. VI и 4,8 ч. 2-амино-



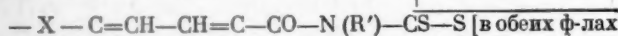
бензимидазола в 25 ч. спирта дают I, где R—2-бензимидазол, R' = R'' = C<sub>2</sub>H<sub>5</sub>, X—NO<sub>2</sub>, темный, твердый, синий в спирте, краснеющий в щелочи, λ<sub>макс</sub> 600—640 мμ (сп.—HCl), 570—590 мμ (щел. сп.). I применяют как красители, как биологич. красители, а некоторые I активны против определенных бактерий, таких как микобактерии.

3. Сыркин  
58397 П. Способ получения основных метиновых красителей, содержащих роданиновое ядро. Ристер (Verfahren zur Herstellung von basischen Methinfarbstoffen, die den Rhodaninring enthalten. Riester Oskar) [VEB Filmfabrik Agfa Wolfen]. Пат. ГДР 8546, 6.11.54

Метиновые красители (МК) общей ф-лы [RN—C(B)—



(R—алкил; R'—H. алкил, алкилен, аралкил или арил; X—O, S, Se, =C(CH<sub>3</sub>)<sub>2</sub>, —CH, CH—; A и B—арил, алкил, H или H<sub>2</sub>, или A+B вместе представляют атомы, необходимые для замыкания незамещ. или замещ. бензольного кольца; Z—анион, напр. Cl, Br, J, SO<sub>4</sub>, ClO<sub>4</sub>, алкил—SO<sub>4</sub> или п-толуолсульфонат) получают обработкой галогенированными алкилами или алкилсульфатами исходных красителей общей ф-лы RN—C(B)—C(A)—



связь между C(A) и C(B) может быть одинарной или ароматич., соответственно]. МК растворимы в воде и пригодны в качестве фильтровых красителей для фотографич. эмульсий для цветной фотографии. Краситель из 1,3,3-триметиллиндолин-ω-альдегида и N-этилроданина обрабатывают 30 мин. при 120° избытком диметилсульфата, по охлаждению отфильтровывают и промывают смесью эфира и спирта метилсульфат 2-метилмеркапто-5-(1', 3', 3'-триметиллиндолиниден-2'-этилиден)-3-этилтиазолинона-4, λ<sub>макс</sub> (в водн. CH<sub>3</sub>OH) 535 мμ. Аналогично получают: метилсульфат 2-метилмеркапто-5-(1', 3', 3'-триметил-5'-метоксининдолиниден-2'-этилиден)-тиазолинона-4 (10 мин., 130°), λ<sub>макс</sub> (в CH<sub>3</sub>OH) 545 мμ; этилсульфат 2-этилмеркапто-5-(1'-этилбензтиазолиниден-2'-этилиден)-3-этилтиазолинона-4 (30 мин., 130°), окрашивает хлопковые волокна по танниновой протраве в карминово-красный цвет; метилсульфат 2-метилмеркапто-5-(1'-этилтиазолинидилен-2'-этилиден)-3-этилтиазолинона-4, λ<sub>макс</sub> 482 мμ; метилсульфат 2-метилмеркапто-5-(1'-метилтиазолинидилен-2'-этилиден)-3-фенилтиазолинона-4, λ<sub>макс</sub> 490 мμ; метилсульфат 2-метилмеркапто-5-(1'-этилбензселеназолинидилен-2'-этилиден)-3-аллилтиазолинона-4, λ<sub>макс</sub> 545 мμ; метилсульфат 2-метилмеркапто-5-(1'-этилдигидрохинолиниден-2'-этилиден)-3-аллилтиазолинона-4, λ<sub>макс</sub> 555 мμ.

В. Уфимцев  
58398 П. Оптически отбеливающие вещества стильбенового ряда и способ их получения (Agent de blanchiment optique de la série du stilbène et son procédé de préparation) [Sandoz Soc. An.]. Франц. пат. 1108244, 10.01.56

Оптически отбеливающие в-ва стильбенового ряда

общей ф-лы {CH<sub>3</sub>—CH(OH)—CH<sub>2</sub>—NH—C=N—C[=N—C(X)—N]—NH—C<sub>6</sub>H<sub>3</sub>—m—SO<sub>3</sub>—n—CH=), (M—ка-тион; X—NH<sub>2</sub> или остаток первичного ароматич. амина) получают р-цией 2 молей хлористого или бромистого цианура с 1 молем 4,4'-диаминостильбен-2,2'-дисульфокислоты или одной из ее солей, 2 молями 1-аминопропанола-2 и 2 молями NH<sub>3</sub> и (или) первичного ароматич. амина. 194 ч. хлористого цианура (I) в 1000 ч. ацетона вливают при тщательном размешивании в 2000 ч. ледяной воды. В тонкую суспензию I в течение 30 мин. при 0°—5° приливают р-р 207 ч. 4,4'-диаминостильбен-2,2'-дисульфата натрия (II) в 1500 ч. воды, в течение 30 мин. прибавляют 530 ч. 10%-ного р-ра соды (проба не должна показывать свободной аминогруппы), получают 4,4'-бис-(2,4-дихлор-1,3,5-триазил-6-амино)-стильбен-2,2'-дисульфат Na<sub>2</sub> (III) в мелкодисперсном состоянии. К этой суспензии в течение 10 мин. при 5—10° приливают р-р 164 ч. хлоргидрата м-С<sub>6</sub>H<sub>5</sub>Cl в 500 ч. воды, нагревают до 40° и размешивают при этой т-ре 2,5 часа, постепенно прибавляя 1060 ч. 10%-ного р-ра соды, затем прибавляют 83 ч. моноизопропаноламина (IV) в 250 ч. воды и нагревают до 90—95° для отгонки ам-тона. В течение 3 час. при размешивании прибавляют 530 ч. 10%-ного р-ра соды, разбавляют 8000 ч. воды, фильтруют горячим и высаливанием 1400 ч. NaCl вы-деляют 4,4'-бис-(2-м-хлоранилино-4-моноизопропанола-мино-1,3,5-триазил-6-амино)-стильбен-2,2'-дисульфат Na<sub>2</sub>, промывают р-ром NaCl и сушат при 60°. Аналогичным образом 4,4'-бис-(2-м-сульфоанилино-4-моно-изопропаноламино-1,3,5-триазил-6-амино)-стильбен-2,2'-дисульфат Na<sub>2</sub> получают из 207 ч. II, 173 ч. м-таниловой к-ты и 83 ч. IV; заменяя метаниловую к-ту сульфаниловой, получают 4,4'-бис-(2-м-сульфо-анилино-4-моноизопропаноламино-1,3,5-триазил-6-ами-но)-стильбен-2,2'-дисульфат Na<sub>2</sub>; 4,4'-бис-[2-(2'-мет-окси-5'-сульфоанилино)-4-моноизопропаноламино-1,3,5-триазил-6-амино]-стильбен-2,2'-дисульфат Na<sub>2</sub> из 412 ч. III, 203 ч. о-анизидин-4-сульфокислоты и 83 ч. IV; 4,4'-бис-[2-(6',8'-дисульфо-2'-нафтиламино)-4-моноизопропаноламино-1,3,5-триазил-6-амино]-стильбен-2,2'-дисульфат Na<sub>2</sub> получают, заменяя о-анизидин-4-сульфокислоту на 303 ч. 2-нафтиламин-6,8-ди-сульфокислоты; 4,4'-бис-(2-анилино-4-моноизопро-паноламино-1,3,5-триазил-6-амино)-стильбен-2,2'-дисуль-фонат Na<sub>2</sub>—из 412 ч. III, 75 ч. IV и 142 ч. C<sub>6</sub>H<sub>5</sub>NH<sub>2</sub>·HCl; заменяя C<sub>6</sub>H<sub>5</sub>NH<sub>2</sub>·HCl на 250 ч. 20%-ного NH<sub>3</sub>, получают 4,4'-бис-(2-моноизопропаноламино-4-амино-1,3,5-триазил-6-амино)-стильбен-2,2'-дисульфат Na<sub>2</sub>; аналогичные в-ва получают, заменяя C<sub>6</sub>H<sub>5</sub>NH<sub>2</sub>·HCl на 175 ч. CH<sub>3</sub>OC<sub>6</sub>H<sub>4</sub>NH<sub>2</sub>·HCl, а также из 412 ч. III, 75 ч. IV, 207 ч. II и 142 ч. C<sub>6</sub>H<sub>5</sub>NH<sub>2</sub>·HCl.

О. Славина  
58399 П. Порошкообразные и легкорастворимые оптически отбеливающие вещества. Флек (Pulverizable and readily soluble brightening agents. Fleck Fritz) Канадск. пат. 510398, 22.02.55

Указанные соединения получают смешиванием 4-метил-7-диэтиламинокумарина (I) или его соли с растворимым в воде (PB) к-тами, либо с 2—10-кратным весовым кол-вом (считая на I) PB твердого кислотно-кислотного соединения (КС), способного при растворении в воде отщеплять анион сильной неорганич. к-ты с образованием при насыщении водн. р-ра с pH < 4, либо с водн. р-ром КС, с последующей сушкой полученного р-ра. В качестве КС может быть использован фосфат мочевины.

В. Шведов

См. также: Изучение антрахиноновых красителей 57455

## ЛЕКАРСТВЕННЫЕ ВЕЩЕСТВА. ВИТАМИНЫ АНТИБИОТИКИ

Редактор Н. А. Медызовская

58400. Новые лекарственные препараты 1956 года Роджеро, Педраццоли (Nuovi farmaci 1956. Roggero M., Pedrazzoli R.), Boll. chim. farm., 1957, 96, № 2, 61—74 (итал.)

Обзор с указанием областей применения. Библ. 54 назв. Л. М. М. 58401. Исследовательская работа и развитие промышленности. Saret (Progress through research. Saret Lewis H.), S. Afric. Pharmac. J., 1957, 23, № 6, 26—27, 62 (англ.)

Заметка о крупном исследовательском центре фирмы Merck Sharp and Dohme. О. М. М. 58402. Извлечение и лиофилизация в фармацевтической промышленности. Ровести (L'isolizzazione e la liofilizzazione nell'industria farmaceutica. Rovesti Paolo), Boll. chim. farmac., 1956, 95, № 12, 519—529 (итал.)

Автор описывает 2 современных способа выделения ценных компонентов из растительного материала. 1-й способ заключается в экстракции жирорастворимых в-в с помощью воды. р-ров поверхностноактивных в-в из свежих растений, осаждении электролитом и извлечении  $\text{CH}_2\text{Cl}_2$  или петр. эфиром жирорастворимого комплекса. Этот метод более экономичен, чем обычные. 2-й способ основан на выделении сухой вымораживанием водорастворимых компонентов с применением вакуума. Этим методом пользуются в произ-ве плазмы крови, гормональных экстрактов, сывороток и вакцин, микробных культур и фильтрующихся вирусов, антибиотиков, ферментных концентратов. Способ позволяет продуктам сохранять все свои свойства. Автор указывает, что 2-й метод, дающий значительные преимущества в отношении качества выделенных продуктов, еще пока не является экономичным, но заслуживает внимания и совершенствования для широкого внедрения в практику. Оба способа, по мнению автора, представляют особый интерес для фармацевтич. пром-сти. Л. Михельсон

58403. Применение некоторых физико-химических принципов в рецептурах лекарственных веществ. Оливер (The application of some physicochemical principles to the formulation of pharmaceuticals. Oliver W. H.), Pharmac. J. N. Z., 1957, 28, № 12, 41—42; Australas. J. Pharmacy, 1957, 38, № 447, 242—243 (англ.)

Автор приводит примеры необходимости в исследовательской работе и в практике фармацевтов изучения рН, окислительно-восстановительного потенциала, константы диссоциации и растворимости, влияния концентрации ионов и условий гидролиза ряда лекарственных в-в. Н. Эвергетова

58404. Возможности применения ультразвука в фармацевтической химии. Топа, Топа (Możliwości stosowania ultradźwięków w chemii farmaceutycznej. Tora K., Tora M.), Przem. chem., 1957, 13, № 4, 197—199 (польск.)

Обзор. Библ. 34 назв. Z. Łada 58405. Опыт работы с пиридином-растворителем в производстве. Зейфман В. И., Мед. пром-сть СССР, 1957, № 4, 34—39; Материалы по обмену передов. опытом и научн. достиж. в хим.-фармац. пром-сти, 1957, № I/II, 39—44

Предложен способ сокращения потерь пиридина-растворителя в произ-ве сульфодимезина на Московском химико-фармацевтич. з-де им. Семашко через воздушные линии на аппаратах и в холодильнике путем увеличения поверхности охлаждения и понижением т-ры воды (осуществлено в произ-ве), заменой воды в скрубберной установке слабой  $\text{HCl}$  к-той, циркулирующей в замкнутой системе, и разложением хлоргидрата пиридина щелочью (лабор. опыты). Способ позволяет получить дополнительно 6—7% р-рита и поднять его регенерацию до 90%. Предложен быстрый метод (2—3 мин.) определения содержания влаги в пиридиновых основаниях, основанный на экзотермич. эффекте при растворении уретилауль-

фохлорида в пиридине, зависящем от степени влажности, и приведена кривая зависимости температурного скачка от влажности. Описаны также меры борьбы с загрязнением воздуха парами пиридина-растворителя. Н. Эвергетова

58406. О гидролитическом разложении некоторых местных анестетиков. Бильино (Sulla decomposizione idrolitica di alcuni anestetici locali. Biglino G.), Farmaco. Ed. scient., 1957, 12, № 4, 237—254 (итал.; рез. англ.)

Новокаин имеет константу диссоциации примерно в 10 раз большую, чем фармакаин, а константу гидролиза эфирной связи почти в 2 раза большую. Отмечено также, что для фармакаина скорость отщепления *n*-бутильной группы от ароматич. группы незначительна по сравнению со скоростью гидролиза эфирной группы. Л. Михельсон

58407. К вопросу о химических свойствах 2-диэтиламиноэтиламида *n*-аминобензойной кислоты. Гах, Копнова (Příspevek k chemii 2-diethylaminoethyl-amidu kyseliny *p*-aminobenzoové. Hach V., Korpová E.), Ceskosl. farmac., 1956, 5, № 10, 582—583 (чешск.; рез. рус., англ., нем.)

2-диэтиламиноэтиламид *n*-аминобензойной к-ты (I) получали р-цией *n*-нитробензоилхлорида (II) с 2-диэтиламиноэтиламином (III). Растворяют 24 г III (т. кип. 143—149°) в 200 мл сухого  $\text{C}_6\text{H}_6$  и при охлаждении и перемешивании приливают р-р 37 г II в 200 мл  $\text{C}_6\text{H}_6$ . После 15 час. выдержки при 20° получено 54 г (90%) монохлоргидрата 2-диэтиламиноэтиламида *n*-нитробензойной к-ты (IV), т. пл. 152—156°, после перекристаллизации из абс. сн. 163—164°; основание IV, т. пл. 54° (из петр. эф.). Восстановлением 30,1 г IV с 0,3  $\text{PtO}_2$  получено после двух кристаллизаций 18 г (66%) монохлоргидрата I, т. пл. 165—169°, основание, т. пл. 47—48° (из бал.-петр. эф.). Описаны соли основания IV: пикрат, т. пл. 206° оксалат, т. пл. 155°; сукцинат, т. пл. 123°; бромгидрат, т. пл. 149°; *n*-нитробензоат, т. пл. 133°. Соли I: пикрат, т. пл. 148°; дихлоргидрат, т. пл. 175°; моногидрат дибромгидрата, т. пл. 200°.

О. Магидсон

58408. Изготовление «аqua ameniase» синтетическим путем. Хо Ин-тхэк, Чосон ыхак, 1955, № 9, 18—21 (кор.)

Заметка о получении горькоминдальной воды с применением синтетич. бензальдегидциангидрина. К. Т.

58409. К исследованию некоторых *N*-замещенных моноэтанолламинов. Ханниг, Хендлер (Zur Kenntnis einiger *N*-substituierter Monoäthanolamine. Hannig Egon, Haendler Hans), Arch. Pharmazie, 1957, 290/62, № 3, 131—136 (нем.)

Были синтезированы моноэтанолламины ряда β-диэтиламиноэтанол нагреванием в запаянных трубках вторичных аминов с этиленхлоргидрином в молярных кол-вах при 120°. Для характеристики новых соединений получены их реинекаты (Р), соли тетрафенилбора (ТФБ), трифенилцианбора (ТЦБ). Описаны (даны т-ры плавления в °C): β-ди-*n*-пропиламиноэтанол, т. кип. 195—196°,  $n_D^{20}$  1,4419,  $d_{20}^{20}$  0,8655; хлоргидрат, 84; Р, 120; ТФБ, 129; ТЦБ, 87; β-ди-*n*-бутиламиноэтанол, т. кип. 84,5—86°/3,5 мм,  $n_D^{20}$  1,4458,  $d_{20}^{20}$  0,8602; Р 108—110; ТФБ 131—132; β-диизобутиламиноэтанол, т. кип. 70—73°/4 мм,  $n_D^{20}$  1,4373,  $d_{20}^{20}$  0,8449; Р, 106; ТФБ 132; ТЦБ 162; β-ди-изогексиламиноэтанол, т. кип. 93,5—95°/1 мм,  $n_D^{20}$  1,4504,  $d_{20}^{20}$  0,8555; Р, 105,5; ТФБ 110; β-пирролидиноэтанол, т. кип. 187—189°,  $n_D^{20}$  1,4743,  $d_{20}^{20}$  0,9751; хлоргидрат 80; Р 177—178; ТФБ 136, ТЦБ 137. Исследование показало, что с увеличением мол. веса нарастает токсичность, повышается гипотензивная способность и противо-



спастич. действие. Пирролидиновое производное занимает среднее место.

О. Магидсон

**58410. Пиразинамид. Физико-химическая характеристика, фармацевтические формы, аскорбаты. Руджери (Caratteristiche chimico-fisiche, forme farmaceutiche, ascorbati. Ruggieri R.), Boll. chim. farm., 1956, 95, № 11, 467—474 (итал.)**

Описываются физ.-хим. и клинич. свойства пиразинамида (I), нового синтетич. противотуберкулезного средства. Приведено определение I колориметрич., спектрофотометрич. и потенциометрич. способами. Описан дифференциальный метод анализа смеси изониазид-I, основанный на потенциометрич. титровании смеси в этилацетате, дающем два четко различных скачка потенциала. Кроме того, автор получал соединение I с аскорбиновой к-той, растворяя 17,6 г ее (0,1 моля) и 6,15 г I (0,05 моля) в 40 мл воды. Р-р упаривают в вакууме, по охлаждении выпадают кристаллы, т. пл. 148° (из воды). Л. Михельсон

**58411. О повышении выхода и стабилизации фурфурола — сырья для заменителей сульфамидов и антибиотиков. Щербakov А. А., Сб. научн. тр. Винницк. гос. мед. ин-та, 1957, 8, 84—91**

Для повышения выхода фурфурола (I) автор предлагает предварительную обработку гидролизуемого сырья: овсяной соломы, гречневой лузги, отходов рапса, проводить  $(\text{CH}_3\text{Cl})_2$ ,  $\text{CCl}_4$  и соляровым маслом. При этом выход I в среднем повышается на 3,1%, считая на воздушно-сухое сырье, или на 49% в расчете на I, получаемый в отсутствие указанных р-рителей, при обработке в течение 24 час. При 0,5-часовой обработке сырья р-рителями выход соответственно повышается на 2,6 и 34%. Более продолжительная обработка, чем 24 часа, мало влияет на повышение выхода I. Стабилизаторами I при хранении его в течение длительного времени являются (добавленные в кол-ве 0,1% по весу к I): амиды, Na- и Ca-соли к-т жирного ряда, окси- и азотсодержащие производные ароматич. углеводородов, органич. р-рители и углеводы. Хотя алкалоиды также повышают устойчивость I, но практич. значения они иметь не могут. К-ты жирного и ароматич. ряда и соли тяжелых металлов уменьшают устойчивость I. Л. Михельсон

**58412. Промышленный синтез витамина А. Симс (Large-scale synthesis of vitamin A. Sims R. G.), Manufact. Chemist, 1957, 28, № 3, 128—130 (англ.)**  
Краткое описание организованного в 1957 г. в Англии промышленного произ-ва витамина А, исходя из цитраля и метилвинилкетона. О. Магидсон

**58413. О ферментативном получении тетрациклина. Аришима, Сэкидзава, Сакамото, Мива, Окада (Arishima M., Sekizawa Y., Sakamoto J. M., Mima K., Okada E.), Нихон ногэй кагаку кайси, Agric. Chem. Soc. Japan, 1956, 30, № 7, 407—409 (японск.)**

В результате исследования взаимодействия отдельных ингредиентов культуральной жидкости выяснено, что *S. sauyamaensis* Arishima et Sekizawa является практически пригодной культурой для ферментативного получения тетрациклина. Ким Су Ен

**58414. Применение хроматографии в изучении китайских лекарственных средств. Лин Чи-шо, Аптеч. дело, 1957, 6, № 1; 61—67**

Предложены хроматографич. методы для определения содержания берберина в корневищах *Coptis chinensis* («хуанлянь»), алкалоидов в *Dichroa febrifuga* («чаньшан»), рутина в бутонах *Sophora japonica* («хуэхуа») и антрахиноновых гликозидов в корневищах *Rheum palmatum*, *R. officinale* («дахуань») и других видов ревеня («тудухуань»), для выделения эфедрина из *Ephedra sinica* и *E. equisetina* («мануань») и для разделения гиосциамин и скополамин-

на, содержащихся в растении, близком к *Datura metel* («иангинхуа»). А. Травин

**58415. Определение сапонинов в лекарственных растениях при помощи гемолиза. Петричич, Петричич (Određivanje vrijednosti saponinskih droga putem hemalizacije. Petričić Jovan, Petričić Vanda), Acta pharm. jugosl., 1956, 6, № 2, 95—104 (сербо-хорв.; рез. англ.)**

Для оценки сапонинов наиболее подходящим методом является гемолиз крови крупного рогатого скота, обработанной цитратом Na. Результаты выражались в единицах по Югославской фармакопее, приравненных к 1 мг стандарта (образец Мерка: «Saponum purum album»). Найдено следующее содержание сапонинов: трава геринарии 30, корень примулы 120, корка квилайи 75, корень мыльнянки 50, корень сенегги 75 указанных единиц. О. Магидсон

**58416. К вопросу оценки растительного сырья, содержащего камедь. Кучера (Příspěvek k otázce hodnocení slizových drog. Kučera M.), Českoslo. farm., 1956, 5, № 10, 596—598 (чешск., рез. русск., англ., нем.)**

Исследовалось влияние влаги, сушки и т-ры на 4 вида растительного сырья, содержащего камедь (I): листья и корни проскурняка (алтея) и семена льна и пажитника. При оценке определялся коэф. вязкости по Чехословацкой фармакопее (2-е изд.). Автор приходит к выводу, что при определении качества сырья, содержащего I, нельзя оценку производить только по коэф. вязкости и считать на его основании сырье вполне пригодным с терапевтич. и фармакологич. точки зрения. В некоторых случаях был установлен высокий коэф. вязкости, а между тем сырье обладало высокой влажностью и, судя по запаху, уже начиналось плесневение. По-видимому, необходимо, скорее, принимать в расчет влажность, кол-во соли и запаха, чем коэф. вязкости. Л. Михельсон

**58417. Содержание и распределение алкалоидов в листьях *Atropa Belladonna* в диком состоянии и при возделывании. Сьесто (Contenuto e distribuzione degli alcaloidi nelle foglie di *Atropa Belladonna* spontanea e coltivata. Siesto A. Jole), Riv. ital. essenze profumi, piante offic., olii veget., saponi, 1957, 39, № 1, 26—30 (итал.)**

Приведен разработанный автором спец. метод экстракции алкалоидов (А) из растительного материала, применение которого показало, что листья из различных географич. пунктов содержали 0,260—0,642% А на сухой вес. Неправильные условия сбора и хранения материала вызвали значительное падение содержания А. Колич. состав А исследовали методом хроматографии на бумаге. Использовали бумагу ватман № 1, обработанную фосфатным буфером, рН 7,4, водонасыщ. бутанол в качестве р-рителя и реактив Драгендорфа для проявления пятен. На бумагу наносили р-р А в  $\text{CHCl}_3$  и проявляли хроматограмму по восходящему методу при 18°. Исследование показало, что в пределах указанных общих кол-в А листья содержали следующие относительные кол-ва: гиосциина 8—12%, апоатропина 32—35%, смеси атропина и l-гиосциамин 56—57%. Возделываемые растения содержали вдвое больше алкалоидов по сравнению с дикими. Корреляции между содержанием алкалоидов и зольных элементов не было обнаружено. А. Верещагин

**58418. Определение содержания суммы алкалоидов в листьях и семенах дурмана. Петке, Грезер (Die Bestimmung des Gesamtalkaloidgehaltes von Folia und Semen Stramonii. Poethke W., Gräser H.), Scientia pharm., 1957, 25, № 1, 36—42 (нем.)**

При исследовании восьми важнейших методов най-

дено, что наиболее подходящим и удобным является метод Eder u Ruckstuhl (Pharmaz. Act. Helv., 1943, 18, 605). При перенесении его на семена дурмана последние должны быть предварительно обезжирены петр. эфиром.

О. Магидсон  
58419. Новое производство глобулина в Чехословакии. Орна (New production of globulin in Czechoslovakia. Orna Bernard), Chem. Prod., 1957, 20, № 4, 147 (англ.)

Заметка о развитии произ-ва  $\gamma$ -глобулина в Чехословакии.

О. М.  
58420. Ртутные соединения в качестве дезинфицирующих средств. Энгли (Mercurials as disinfectants. Engley Frank B., Jr), Soap and Chem. Specialties, 1956, 32, № 12, 199, 201, 203, 205, 223—225 (англ.)

Обзор.  
Л. М.  
58421. О фенилмеркурацетате. Коб, Мак-Махон (Phenyl mercuric acetate — a basic mercurial. Kober Kenneth A., McMahon K. Sewall), Drug Standards, 1957, 25, № 1, 10—16 (англ.)

Предложен стандартный метод анализа, позволяющий отделять фенилмеркурацетат от образующегося наряду с ним димеркураата.

Л. Михельсон  
58422. Опыты получения устойчивых растворов метилового эфира *p*-оксibenзойной кислоты. Цет-Лиденвальд (Versuche zur Herstellung haltbarer Lösungen des Methylesters der *p*-Oxybenzoesäure. Czetsch-Lidenwald H.), Scientia pharm., 1957, 25, № 1, 44—48 (нем.)

Прибавление твин 20 или 80 к 5—10%-ным р-рам метилового эфира *p*-оксibenзойной к-ты в спирте или солькеталь делает эти р-ры устойчивыми: они не мутятся при разбавлении водой при изготовлении лекарственных форм и не кристаллизуются под пробой.

О. Магидсон  
58423. Устойчивость антибиотиков в содержащих воду эмульсиях и их приготовление в фармацевтической практике. Сообщение I. Эмульсии с пенициллином. Цоруболо, Купинич, Радосевич (Stabilnost antibiotika u mastima s vodom i njihova izrada u recepturi. I. saopćenje. Masti-emulzije s penicilinom. Corubolo Ivo, Kupinić Mirjana, Radošević Ankica), Acta pharm. jugosl., 1956, 6, № 2, 105—113 (сербо-хорв.; реэ. англ.)

Активность пенициллина (I) в водн. р-ре буфера цитрат Na-нипагин или- хлоркрезол при 40-дневном хранении при 20° сохраняется до 81%, а в эмульсиях типа масло — вода, где водн. фазой является р-р I в стерильном р-ре цитрат Na-нипагин, падает через 15 дней на 10%, приготовленных же асептически за 15 дней падает на 80% и в эмульсиях типа вода — масло через 15 дней активность I падает на 25%, а в приготовленных асептически — на 10%. pH нестерилизованных эмульсий 5,5, а стерилизованных 5,3. Отсюда оба типа эмульсий рекомендуется для полного использования активности сохранять лишь в течение 15 дней при 20°.

О. Магидсон  
58424. Исследование устойчивости пенициллина в различных рецептурных формах. Ставович (Badanie trwałości penicyliny w różnych formach recepturowych. Stawowczyk Adolf), Dissert. pharm. PAN, 1957, 9, № 1, 1—8 (польск.; реэ. русск., англ.)

Исследовалась устойчивость бензилпенициллина (I) в различных лекарственных формах. Установлено, что устойчивость I в безводн. мазях в 2 раза выше, чем это предусмотрено в Польской фармакопее III изд. Масляно-восковые эмульсии для глаз устойчивы до 9 месяцев, а шарики на масле какао — до 3 месяцев. Водосодержащие эмульсии типа вода

в масле ~4 недель, порошкообразные препараты при 15—20° устойчивы до 12 месяцев, а глазные капли на воде, сохраняемые при 2°, до 14 дней.

О. Магидсон

58425. Влияние времени на устойчивость нитрофуразоновых мазей. Боледа, Уриач (Influencia del tiempo en la estabilidad de las pomadas de nitrofurazona. Boleda A., Uriach J.), Galenica acta, 1955, 8, № 3, 211—215 (исп.)

Изучено влияние времени на устойчивость мазей (M), содержащих 0,2% нитрофуразона (семикарбазон 5-нитрофурфурола) (I) в смеси с водорастворимыми в-вами, напр. «Carbowax 4000» (II) и полиэтиленгликоль 450; II, полиэтиленгликоль 400, вода, «Span 40»; II, полиэтиленгликоль 400, цетиловый спирт; II, цетиловый спирт, глицерин, Na-лаурилсульфонат, вода; метилцеллюлоза («Celacol M450»), глицерин, вода. После хранения M в течение 8 месяцев в темной закупоренной склянке M имели хороший внешний вид, их физ. свойства не изменялись. Исследования показали, что бактерицидная активность M против *Staphylococcus aureus* и *Escherichia coli* падает особенно сильно в M, содержащих значительное кол-во воды. Авторы считают, что снижение активности зависит от разложения I при протекании бактериальных окислительно-восстановительных р-ций и превращения NO<sub>2</sub>-группы, содержащейся в I, в NH<sub>2</sub>-группу.

И. Гонсалес

58426. Исследование способности антиокислителей к стабилизации фармацевтических основ. Сообщение 1. Янекке (Untersuchungen über die Eignung von Antioxydantien zur Stabilisierung von pharmazeutischen Grundstoffen. 1. Mitt. Adeps suillus. Janescke Heinz), Arch. Pharmazie, 1957, 290/62, № 4, 178—194 (нем.)

Исследовалась способность ряда антиокислителей (I) стабилизировать фармацевтич. препараты. Изучению подвергались следующие I: NDGA (нордигидрогваяретовая к-та = диметил-бис-(3,4-диоксифенил)-бутан], пропилгаллат,  $\alpha$ -токоферол,  $\alpha$  и  $\beta$ -конидендрин,  $\alpha$  и  $\beta$ -конидендрол, BHA (3-трет-изобутил-4-оксизинзол), I G и I Мерка. Изучалось также влияние некоторых в-в (синергистов) на повышение антиокислительной способности. В числе них изучены: лимонная к-та, цитраконовая к-та и аскорбилпальмитат. В качестве объекта для изучения влияния I использовали Adeps suillus. Установлено, что все исследованные I способны в большей или меньшей степени удлинять стойкость животных жиров. Токсич. действия не отмечено. Некоторые из применяемых I естественного происхождения или могут быть извлечены из растительного сырья. В связи с тем, что эти в-ва в ряде стран допущены для стабилизирования пищевых продуктов нет оснований, по мнению автора, воздерживаться от введения официального их применения для стабилизации фармацевтич. препаратов, тем более, что XV Фармакопее США допускает прибавление  $\alpha$ -токоферола к вазелинам.

Л. Михельсон

58427. Покртия для медицинских таблеток. Шорш, Хейк (Enteric coating on granules. Schorsch Jerome J., Huyck C. Lee), Drug and Cosm. Ind., 1956, 79, № 3, 330—332, 412—413 (англ.)

Приведены рецептуры составов для покрытий на основе шеллака, восков, стеариновой, абетиновой к-т, ацетифталата целлюлозы и др.

Р. Белеява

58428. Аномалия крахмала, применяемого для придания таблеткам свойства лучшей распадаемости. Роттелья, Мариноне (Anomalia dell'amido quale disgregante di compresse. Rotteglia E.,



Marinone A.), Boll. chim. farmac., 1957, 96, № 2, 83—86 (итал.)

При изготовлении таблеток (Т) чаще всего используют крахмал (I) как средство, способствующее лучшей распадаемости Т. Это свойство I обусловлено его способностью поглощать воду: зерна I, поглощая воду, набухают, заставляя Т распадаться. В случае приготовления Т Na-соли парааминосалициловой к-ты (ПАСК—Na) обнаруживается обратное явление, т. е. I задерживает распадение Т. Такое же влияние I оказывает на Т ПАСК—Ca и ПАСК—2Ca. Особенно сильно это задерживающее влияние сказывается на ПАСК—Na. При этом на поверхности Т образуется желатинообразный слой, который блокирует растворимость соли в воде. В то же время на Т самой ПАСК I оказывает нормальное влияние как средство, способствующее их распадаемости. Л. Михельсон

58429. К вопросу о нормировании перевязочных материалов в связи с разработкой новой Австрийской фармакопеей. I. Вата и медицинский алигнин. Сос. Кастель, Кобингер (Zur Frage der Normierung der Verbandstoffe im Hinblick auf das Österreichische Arzneibuch. I. Teil: Baumwollwatte und Zellwollwatte. Soos E., Kastel A., Kobinger I.), Scientia pharmac., 1957, 25, № 1, 25—36 (нем.)

Обследованы методы испытаний перевязочных материалов и сделан вывод о необходимости для Австрии разработать свои методы нормирования.

О. Магидсон

58430. Полярографическое определение меди и цинка в гидролизатах казеина. Какач, Шмид, Пришибил (Polarographische Bestimmung von Kupfer und Zink in Casein-Hydrolysaten. Kakač B., Smid M., Pribil R.), Pharmazie, 1956, 11, № 12, 778—781 (нем.)

Вместо существующего способа определения Cu и Zn в гидролизате казеина посредством упаривания гидролизата и озонения сухого остатка предложен способ, основанный на осаждении Cu и Zn в виде комплексных солей диэтилдитиокарбаминовой к-ты (I, к-та), извлечения их этилацетатом, превращении в растворимые хлористые соли и полярографич. определении последних. К 50 мл гидролизата прибавляют 2 мл 1%-ного р-ра Na-соли I (рН 8—8,5), оставляют на 20 мин., извлекают этилацетатом (3 раза по 25 мл), к объединенной вытяжке прибавляют 9 мл дистил. воды и 1 мл р-ра, 4,061 г HgCl<sub>2</sub> в 500 мл дистил. воды, взбалтывают 3 мин., органич. слой промывают 5 мл дистил. воды, объединенный водн. р-р освобождают (нагреванием до 50°) от этилацетата, доводят объем до 25 мл, прибавляют 4 мл 12,5 н. NH<sub>4</sub>OH и 0,25 мл 0,5%-ного р-ра желатин в дистил. воде и производят определение. Описанный способ, помимо своей сравнительной простоты, отличается также высокой точностью. А. Травин

58431. Использование фотометра типа Пульфриха для определения активности сердечнoдействующих лекарственных растений. Минаяева В. Г., Тр. Ботанич. сада Зап.-Сиб. фил. АН СССР, 1956, вып. 4, 75—76

Автор предлагает, пользуясь общепринятой р-цией глюкозидов с пикратом натрия, производить определение активности препаратов сердечных глюкозидов с помощью фотометра Пульфриха шифр Ф. М., наиболее доступного для лабораторий. При колориметрировании препаратов в данном фотометре, т. е. при определении оптич. плотности р-ров (экстинкции), используют кюветы емк. 25 мл. Одну кювету наполняют дистил. водой, другую — р-ром исследуемого препарата (15 мл) за 25 мин. до определения смешанного с 10 мл пикрата Na. Обе пробы помещают на столик фотометра. Вращением шкалы уравнивают световые поля обеих

половин прибора. Отсчет по шкале показывает величину экстинкции. Из 5—6 отсчетов для каждой пробы берут среднюю величину. Употребляют световой фильтр S-53. Сравнение данного метода с биологическим показало близкое совпадение результатов. Предлагаемый метод удобнее биологического, так как не требует спец. оборудования и подопытных животных.

Л. Михельсон

58432. Определение атропина и люминала в суппозиториях «Bellalunal». Дорер (Določanje atropina in fenobarbitona v supozitorijih bellalunala. Dorer M.), Farmac. vest., 1956, 7, № 7-8, 96—98 (словенск.; рец. нем.)

Удаляют из суппозитория петр. эфиром масло какао, извлекают 0,1 н. H<sub>2</sub>SO<sub>4</sub> атропин (I), затем 10%-ным Na<sub>2</sub>CO<sub>3</sub> люминал (II). Переводят обычным путем I в хлороформ, отгоняют, растворяют в водн. спирте и титруют 0,1 н. HCl. II прямо определяют в р-ре соды аргентометрически.

О. Магидсон

58433. Определение преднизолона и неомидина в мазях. Джероза, Меландри (Dosaggio del prednisolone e della neomicina nelle pomate. Gerosa V., Melandri M.), Farmaco. Ed. part., 1957, 12, № 4, 13—17 (итал.; рец. англ.)

Метод определения преднизолона (I) и неомидин-сульфата (II) в мазях основан на спектрофотометрич. анализе I и продуктов кислого гидролиза II.

Л. Михельсон

58434. Определение сульфамидов в таблетках. Реген (Dosage de sulfamidés dans des comprimés. Reguin M.), Pharmac. acta helv., 1957, 32, № 1, 13—34 (франц.; рец. нем., англ., итал.)

Содержание определялось аргентометрически 3 сульфамидов: сульфодимезин, норсульфазол и флазол. Наполнители и скользящие в-ва не мешают определению, кроме стеариновой к-ты и ее солей, которые реагируют с AgNO<sub>3</sub>. Для устранения их вредного влияния осаждают стеараты избытком Ba(NO<sub>3</sub>)<sub>2</sub>. Определение дает отклонения в пределах до +3%.

О. Магидсон

58435. Определение ампинофиллина и фенобарбитала в таблетках. Дейвид (A note on the determination of aminophylline and phenobarbital in tablets. David Nasim Andrew), Drug standards, 1955, 23, № 2, 54—55 (англ.)

58436. Определение морфина в опиуме. Тоффози (Sulla determinazione della morfina nell'oppio. Tozzi F. Francesco), Rend. Ist. super. sanità, 1957, 20, № 2, 155—167 (итал.; рец. франц., англ., нем.)

Сравниваются результаты определения морфина (II) в 5 образцах продажного опиума различного происхождения: 2 турецких, 1 персидский, 2 индийских. Анализы проводили: 1) по методу лаборатории Гаррисона и Селфа (Harrison and Self); 2) по известковому способу, описанному в Интернациональной фармакопее; 3) по методу Манниха и 4) по измененному методу Фишера и Фольберта, являющемуся усовершенствованным способом Манниха. Наилучшим из них является последний, особенно пригодный для определения кол-ва I, действительно присутствующего в опиуме, независимо от того кол-ва, которое извлекается промышленными методами. Известковый метод годится для промышленной оценки опиума. Способ Фишера и Фольберта состоит в следующем: 1 г опиума (точно взвешенного) обрабатывают в ступке 2 мл воды; к полученной однородной суспензии прибавляют, помешивая, 5 мл воды в течение 15 мин. Отдельно разбавляют водой 8 г «Al<sub>2</sub>O<sub>3</sub> для хроматографии», помещенных в трубку Аллена 15aG3, дают воде стечь и промывают так водой несколько раз, пока она не перестанет быть мутной. Суспензию из опиума наливают в пористую воронку № 2 диам. 4 см; по оконча-

нии фильтрования прибавляют еще 2 мл воды, промывая его ступку, и заканчивают фильтрование отсыиванием с помощью водоструйного насоса. Полученный сильно окрашенный фильтрат наливают в трубку с  $Al_2O_3$  и дают жидкости самопроизвольно стечь. Отбрасывают первые 3 мл жидкости, которые еще не содержат I, затем собирают всю остальную жидкость в колбу на 100 мл, взвешенную предварительно с точностью до 0,1 г. Промывают ступку еще 5 мл воды, выливают эту воду в воронку и дают стечь. После того как из трубки с  $Al_2O_3$  жидкость перестает вытекать, в нее выливают 2-ю фракцию фильтрата, промывают одним еще 5 мл воды, последовательно выливая в трубку. Необходимый объем собираемой жидкости зависит от кол-ва и качества  $Al_2O_3$ . Если поступать как описано выше, достаточно 35 мл для получения хороших результатов; но иногда и этого мало для полного извлечения I; тогда собирают вышеуказанным способом 40 мл жидкости и больше до полноты извлечения I. По методу Манника к 30 мл р-ра I прибавляют 0,25 г хлордифенилбензола в 30 мл ацетона и 10 мл 10%-ного  $NH_4OH$ . Если берут конц. р-р  $NH_4OH$  (25—30%), достаточно прибавлять 3—4 мл его к 37—76 мл фильтрата. Закрывают колбу, смешивают и оставляют стоять в темном и холодном месте. Через полчаса начинают выпадать мелкие желтые кристаллы. Осаждение заканчивается через 6 часов. Собирают осадок во взвешенном фильтрующем тигле; отсасывают, промывают 2 мл чистого ацетона; встряхивают тигель 10—15 сек. для лучшей промывки осадка ацетоном и быстро отсасывают; еще раз промывают 2 мл ацетона и дважды по 2 мл воды. Сушат тигель при 70—80° в термостате и взвешивают. Для установления количества I умножают полученный вес на 0,632.

Л. Михельсон

58437. О хроматографическом методе определения алкалоидов спорыньи. Хейнинен, Тудерман, Ниссиля (Torajuväalkaloidien kromatografiasta. Heinänen Pekka, Tuderman Leo, Nissilä Eila), Suomen apteekkarilehti, 1957, 8, № 8, 133—146 (финск.; рез. нем.)

Алкалоиды спорыньи образуют 6 пар изомеров, из которых три пары — производные лизергиновой к-ты и три — изолизергиновой к-ты. По хим. структуре эти алкалоиды делят на три группы: эрготамины, эрготоксины и эргобазины. Приводится таблица 12 алкалоидов и их эмпирич. и структурные ф-лы. При определении алкалоидов спорыньи методами хроматографии на бумаге рассматривают четыре этапа: 1) удаление шпир. из препарата; 2) выщелачивание алкалоидов; 3) хроматография на бумаге; 4) колич. определение. Общеизвестно, что спорынья плохо сохраняется, но литературные данные о факторах, влияющих на сохранность, и сроках хранения часто противоречивы. По Финляндской Фармакопее спорынья должна храниться в цельном виде в присутствии известкового сушителя в прохладном и темном месте и запасы должны ежегодно обновляться. Активность спорыньи по Фармакопее определяется общим содержанием алкалоидов, а также содержанием водорастворимых алкалоидов колориметрич. методом. Этот метод не имеет большой ценности, так как в общее содержание входят физиологически почти не действующие правоповращающие изомеры, содержание которых при хранении увеличивается. Кроме того, при этом не отделяется друг от друга водонерастворимый наиболее ценный эрготамин от наиболее ядовитой группы эрготоксинов. В опыте проверялась с помощью хроматографии на бумаге сохранность эрготамина и эргобазина при хранении. Видовой состав и содержание отдельных алкалоидов сильно колеблется даже в материале одного и того же урожая. Поэтому из известного

кол-ва спорыньи напильвали с помощью тонкого стального напильника половину каждого зерна в стеклянный сосуд и вторую половину в другой сосуд. В обоих сосудах муку тщательно размешивали в гомог. смесь. Один из сосудов находился на свету со свободным доступом воздуха к материалу, содержимое второго сразу анализировали. Оставленную на свету муку анализировали через 5 и 8 недель. Содержание эрготамина и эргобазина в спорыньи уменьшается довольно быстро, если препарат сохраняют в размолотом виде на свету и под действием воздуха. Нельзя определять содержание алкалоидов в старых препаратах путем сравнения площадей флуоресцирующих алкалоидных пятен со стандартным рядом чистого алкалоида. Уменьшение в содержании алкалоидов при хранении ясно выявлялось на основании изменения интенсивности флуоресценции. При отделении водонерастворимых алкалоидов лучшим оказался метод К. Масек и сотрудников, где применяют насыщ. формамидом бумагу и р-рителем бензол. Для отделения водорастворимых алкалоидов лучше подходит система р-рителя  $n-C_4H_9OH$ ,  $CH_3COOH$  (4:1) и вода. На бумагу Whatman № 1 наносили спирт. р-р алкалоидов в кол-ве, которое соответствовало 2—10 мг спорыньи, в зависимости от качества препарата. Метод Stoll и Ryegger, где применяют в качестве твердой фазы диметилловый эфир фталевой к-ты и подвижной фазы р-р формамид — вода — муравьиная к-та, не подходит для данного определения.

М. Тойкка

58438. Некоторые наблюдения по оценке листьев и настоек наперстянки. Предложения к дополнению к Югославской фармакопее П. Кушевич, Поргес (Neka iskustva u ispitivanju vrijednosti Fol. Digitalis i Tinct. Digitalis. Prijedlozi za Addendum Ph. Jug. II. Kušević Vladimir, Porges Mira), Acta pharm. jugosl., 1956, 6, № 2, 133—141 (сербо-хорв.; рез. франц.)

Исследование образцов листьев и настоек наперстянки югославского происхождения показало различную стойкость во времени для разных образцов. Авторы предлагают установить для настоек срок годности 15—20 дней.

О. Магидсон

58439 П. Амиды и метод их получения. Филлипс, Внук (Inverse amides and method of making. Phillips Arthur P., Wnuck Adolph Lloyd) [Burrroughs Wellcome & Co. (U. S. A.) Inc.]. Пат. США 2759941, 21.08.56

Соединения, способствующие увеличению продолжительности действия лекарственных препаратов, общей ф-лы  $R_2NCH_2CONH(CH_2)_nNHCOCH_2NR_2$ , где  $R_2N$  — аминорадикал (пиперидин или пирролидин),  $n$  — целое число от 2 до 6, получают р-цией хлорацетилхлорида с алкилендиамином (образуется бис-хлорацетилалкилендиамин) и далее с избытком соединения типа пиперидинов или пирролидинов. Для получения  $N,N'$ -бис-хлорацетиламида смесь 0,2 моля диамина, 0,5 моля  $NaHCO_3$  или  $NaOH$  и 50—100 мл воды охлаждают в ледяной бане. По каплям в течение 1 часа при охлаждении и перемешивании добавляют 0,44 моля  $SiCl_4 \cdot SOCl_2$ . Полученный осадок фильтруют, промывают водой и перекристаллизуют из метанола или этилацетата. Таким же путем хлорацетиламида можно получить из этилендиамина, триметиленадиамина, тетраметиленадиамина, гексаметилендиамина,  $n$ -фенилендиамина и пиперазина. Для получения  $N,N'$ -бис-хлорацетилэтилендиамина смесь 0,01 моля  $N,N'$ -бис-хлорацетилэтилендиамина и 0,1 моля пиперидина нагревают 18 час. на паровой бане. Добавляют 30 мл холодной воды, фильтруют, промывают холодной водой и очищают перекристаллизацией из этилацета-



та. Выход почти количественный, т. пл. 138—139°. Подобным же образом получены бис-пирролидино-ацетилэтилендиамин, т. пл. 115—116°; бис-пиперидино-ацетилтриметилендиамин, т. пл. 83—84°; бис-пирролидиноацетилгексаметилендиамин, т. пл. 82—83°; бис-пиперидиноацетилгексаметилендиамин, т. пл. 108—109°; бис-пирролидино- и пиперидиноацетилпиперазины, т. пл. ~ 205°. М. Пасманик

**58440 П.** Амиды сульфонилсеринофенонов. Грегори (Amides of sulfonylserinophenones. Gregory Walter A.) [E. I. du Pont de Nemours and Co.]. Пат. США 2744136, 1.05.56

Патентуется метод синтеза противогрибковых и бактерицидных производных серина общей ф-лы 2,3,4,5- $R''R''R''R''C_6H_4COR$  иллюстрированный примерами получения соединений (Ia—Im), для чего соли четвертичных оснований, полученные из  $\alpha$ -бром- $n$ -алкилсульфонилацетофенонов и гексаметилентетрамина (II) действием воды, р-ра  $SO_2$ , превращены в сульфиты  $\alpha$ -(оксиметиламино)- $n$ -алкилсульфонилацетофенонов (IIIa—IIIм), гидролизованые HCl в хлоргидраты  $\alpha$ -амино- $n$ -алкилсульфонилацетофенонов (IVa—м), ацилированные  $Cl_2CHCOCl$  в дихлорацетамиды (Va—Vm), оксиметилируют  $CH_2O$  в присутствии  $NaHCO_3$  в Ia—Im. Взяв из 138,6 г  $\alpha$ -бром- $n$ -метилсульфонилацетофенона и 71 г II в 1250 мл анизола вливают при 0° в р-р 186 г  $SO_2$  в 2,5 л воды, размешивают и отделяют IIIa, т. пл. 182—186°. 1,77 г IIIa, 10 мл конц. HCl и 50 мл спирта кипятят 45 мин., полученный IVa кипятят 10 мин. с 10-кратным кол-вом  $Cl_2CHCOCl$ , разбавляют  $C_6H_6$  и отделяют Va, т. пл. 178,5—180° (из сп.). К взвеси 2,47 г Va в 10 мл спирта, содержащей 0,1 г  $NaHCO_3$ , приливают 0,95 мл 36%-ного  $CH_2O$ , размешивают 50 мин. при 35° и получают Ia, т. пл. 157—159° (из этилацетата (VI)). Аналогично получены (указаны в-во и т-ра плавления в °C): IIIb, 168—171°; IVb, 199—208 (разл., из абс. сп.); Vb, 181—183 (из  $CH_2Cl_2$ ); Ib, 153,5—154,5 (из VI); IIIв, 149—151 (разл.); IVв, 181—186 (разл., из абс. сп.); Vв, 177—179 (из  $CH_2Cl_2$ ); Ib, 153,5—155 (из VI); IIIг, 170—180 (разл.); IVг, 183—187 (разл.); Vг, 183—184,5 (из  $CH_2Cl_2$ ); Ig, 134,5—135 (из хлф.- $n$ - $C_4H_9Cl$ ); IIIд, 155—157 (разл.); IVд, 163,5—164,5 (из  $CH_2Cl_2$ ); Id, 117—118 (из  $CH_2Cl_2$ - $n$ - $C_4H_9Cl$ ); IIIе, 145—151 (разл.); IVе, 181—185 (разл.); Ve, 157—160 (из  $CH_2Cl_2$ -гексан); Iе, 95—97,5 (из  $CH_2Cl_2$ - $n$ - $C_4H_9Cl$ ); IIIж, IVж, 165—172 (разл.); Vж, 146—148 (из  $CH_2Cl_2$ -петр. эф.); Iж, 102—104,5 (из  $n$ - $C_4H_9Cl$ -петр. эф.); IIIз, 167—169 (разл.); IVа, 225—240 (разл.); Va, 188—189 (из  $CH_2Cl_2$ ); Iz, 130—135 (из хлф.- $n$ - $C_4H_9Cl$ ); а также IIIи—IIIм, IVи—IVм, Vи—Vm и Iи—Im, для которых не указаны т-ры плавления I:  $R-CH(CH_2OH)NHCOSCHCl_2$ ; III:  $R-CH_2NHCH_2OSO_2H$ ; IV:  $R-CH_2NH_2 \cdot HCl$ ; V:  $R-CH_2NHCOSCHCl_2$ ; а:  $R'-SO_2CH_3$ ; б:  $R'-SO_2C_2H_5$ ; в:  $R'-SO_2C_3H_7$ ; г:  $R'-SO_2CH(CH_3)_2$ ; д:  $R'-SO_2-n$ - $C_4H_9$ ; е:  $R'-SO_2-n$ - $C_5H_{11}$ ; ж:  $R'-SO_2C_{12}H_{25}$ ; з:  $R'-SO_2C_6H_{11}$ ; и:  $R''-SO_2CH_3$ ; к:  $R''-SO_2CH_3$ ,  $R'''-CH_3$ ; л:  $R''-SO_2CH_3$ ,  $R'''-Cl$ ; м:  $R''-CH_3O$ ,  $R'''-SO_2CH(CH_3)_2$ ; неуказанные R—H. Э. Бамдас

**58441 П.** Способ получения спазмолитически действующих азотсодержащих эфиров эндоциклически замещенных карбинолов и их солей. Онаккер, Котлер (Verfahren zur Herstellung von spasmolytisch wirksamen basischen Äthern endocyclisch substituerter Carbinole und ihren Salzen. Ohnacker Gerhard, Kottler August) [Karl Thomae G. m. b. H.]. Пат. ФРГ 955595, 3.01.57

Этерификацией эндоциклич. замещ. карбинолов  $RR'CHOH$   $\beta$ -диалкиламиноалкилхлоридами в кипящих органич. р-рителях (толуол, сп.) в присутствии Na,  $NaNH_2$  или NaOH синтезированы обладающие папавериноподобным действием эфиры  $RR'CHO(CH_2)_nR''$

(Ia—л), где (в скобках указаны т. кип. в °C/мм и т. пл. в °C соответствующих производных) R всюду = 2,5-эндометил- $\Delta^3$ -циклогексенил; Ia  $n=2$ ,  $R'=C_6H_5$ ,  $R''=N(CH_3)_2$  [130—132/0,1, хлоргидрат (XG) 140 (из  $CH_3COOH$ ), бромметилат, 167 (из эф.)]; Ib,  $n=2$ ,  $R'=C_6H_5$ ,  $R''=N(C_2H_5)_2$  [171—173/0,1, XG, 116—118 (из этилацетата (II)), бромбензилат, 150 (из II)]; Ic,  $n=3$ ,  $R'=C_6H_5$ ,  $R''=N(CH_3)_2$  [135—136/0,03, цитрат, 60 (из  $iso$ - $C_3H_7OH$ )]; Id,  $n=3$ ,  $R'=R$ ,  $R''=N(C_2H_5)_2$  [205—206/7, цитрат, 145 (из воды)]; Ie,  $n=2$ ,  $R'=C_6H_5$ ,  $R''=N$ -пирролидил [168—170/0,5, XG, 147 (из II)]; If,  $n=2$ ,  $R'=C_6H_5$ ,  $R''=N$ -пиперидил [151—152/0,03, XG, 147 (из II)]; Ig,  $n=2$ ,  $R'=C_6H_5$ ,  $R''=N$ -морфолинил [159—160/0,4, XG, 181 (из II)]; Ia,  $n=2$ ,  $R'=m$ - $CH_3C_6H_4$ ,  $R''=N(C_2H_5)_2$  [130—131/0,8, XG, 131 (из II)]; Ib,  $n=2$ ,  $R'=m$ - $C_4H_9OC_6H_4$ ,  $R''=N(C_2H_5)_2$  [161—162/0,9]; Ic,  $n=2$ ,  $R'=n$ - $ClC_6H_4$ ,  $R''=N(C_2H_5)_2$ , 168—169/0,9; Id,  $n=2$ ,  $R'=N(C_2H_5)_2$  (141/0,05), а также  $\beta$ -диметиламино- (178—180/1)-этиловые эфиры (2,5-эндометил- $\Delta^3$ -циклогексил)-фенилкарбинолов. Э. Бамдас

**58442 П.** Четвертичные аммониевые соли  $\delta$ -гидрокарбоксифенил- $\gamma$ -оксинаминов. Шульц (Quaternary ammonium salts of deltahydrocarboxoxyphenyl gammahydroxy amines. Schultz Everett M.) [Merck & Co., Inc.]. Пат. США 277469, 20.11.56

При конденсации алкоксифенилацетонов,  $ROC_6H_4CH_2COCH_3$ , с галогидалкилами  $R'X$  в присутствии  $(CH_3)_3COK$  получают кетоны  $ROC_6H_4CH(R')COCH_3$ , превращаемые по Манниху в аминокетоны, катализатор, восстанавливающиеся в аминоспирты, образующие физиологич. активные холинотитич. четвертичные соли. Метод применен к получению аминоспиртов  $RR'CHCH(OH)CH_2CH_2R''$  (Ia—н; где Ia  $R=n$ - $CH_2OC_6H_4$ ,  $R'=CH(CH_3)_2$ ,  $R''=C_5H_{10}N$  (N-пиперидил); Ib  $R=m$ - $CH_3OC_6H_4$ ,  $R'=CH(CH_3)_2$ ,  $R''=C_5H_{10}N$ ; Ic  $R=(CH_3)_3COC_6H_4$ ,  $R'=CH(CH_3)_2$ ,  $R''=C_5H_{10}N$ ; Id  $R=o$ - $CH_3OC_6H_4$ ,  $R'=CH(CH_3)_2$ ,  $R''=N(CH_3)_2$ ; Ie  $R=3,4$ -( $CH_3O$ ) $_2C_6H_3$ ,  $R'=C_6H_{11}$ ,  $R''=N(CH_3)_2$ ; If  $R=3,4$ -метилendioксифенил,  $R'=C_6H_5CH_2$ ,  $R''=N(CH_3)_2$ ; Ig  $R=n$ - $C_6H_5CH_2OC_6H_4$ ,  $R'=C_6H_5$ ,  $R''=N(CH_3)_2$ ; Ih  $R=n$ - $C_6H_5OC_6H_4$ ,  $R'=C_6H_5CH_2$ ,  $R''=C_5H_9NO$  (N-морфолинил); Iи  $R=n$ -( $CH_3$ ) $_2CHOC_6H_4$ ,  $R'=C_6H_5CH_2$ ,  $R''=C_5H_{10}N$ ; Ik  $R=m$ -( $CH_3$ ) $_2COC_6H_4$ ,  $R'=CH(CH_3)_2$ ,  $R''=C_5H_{10}N$ ; Im  $R=n$ - $C_2H_5OC_6H_4$ ,  $R'=CH(CH_3)_2$ ,  $R''=N(CH_3)_2$ ; In  $R=n$ - $CH_2OC_6H_4$ ,  $R'=C_3H_7$ ,  $R''=N(CH_3)_2$  и некоторых их солей. В кипящий р-р  $(CH_3)_3COK$  (из 14,1 г К) в  $(CH_3)_3COH$  вносят в атмосфере  $N_2$  0,365 моля 1- $n$ -метоксифенилпропана-2, затем постепенно добавляют 0,365 г  $(CH_3)_2CHJ$ , кипятят 1,5 часа, отгоняют р-ритель, приливают воду и извлекают эфиром 3- $n$ -метоксифенил-4-метилпентанон-2 (II), т. кип. 100—102°/2 мм. 0,05 моля II, 0,054 моля хлоргидрата (XG) пиперидина, 0,1 моля  $CH_2O$  и 1 мл 3 н. спирта. HCl нагревают 1 час при 100° и отделяют XG 1-(N-пиперидил)-4- $n$ -метоксифенил-5-метилгексана-3 (III), т. пл. 188—189° (из  $iso$ - $C_3H_7OH$ ), 0,02 моля III в 0,2 л воды восстанавливают над 4 г  $Pt/Al_2O_3$  и получают Ia, XG, т. пл. 127—131° (из этилацетата), йодметилат (ИМ), т. пл. 152—153°. Аналогично из  $m$ -метоксифенилацетона через 3-( $m$ -метоксифенил)-4-метилпентанон-2, выход 85%, т. кип. 105—110°/1,5 мм и XG 1-(N-пиперидил)-4- $m$ -метоксифенил-5-метилгексана-3, т. пл. 151—152° (из  $iso$ - $C_3H_7OH$ ) получают Ib, выход 73%, т. кип. 167—169°/1,5 мм, XG, т. пл. 101—105° (из эф.-этилацетата), ИМ, т. пл. 118—121° (из ацетона). 0,76 моля  $n$ -( $CH_3$ ) $_2COC_6H_4CHO$ , 0,85 моля  $C_2H_5NO_2$  и 20 мл  $n$ - $C_4H_9NH_2$  в 0,2 л толуола кипятят 16 час., отделяя образующуюся воду, и выделяют 1- $n$ -бутоксифенил-2-нитропропан-

(IV), выход 73%, т. пл. 53—55°; к кипящей смеси 0,55 моля IV, 210 г порошка Fe, 1 г FeCl<sub>3</sub> и 630 мл воды приливают в течение 13 час. 96 мл конц. HCl и перегоняют с паром *n*-бутоксифенилацетон, выход 73%, т. пл. 120—123°, который превращают через ХГ 1-(*N*-пиперидил)-4-*n*-бутоксифенил-4-метилгексанон-3, т. пл. 177—178° (из *изо*-C<sub>3</sub>H<sub>7</sub>ОН) в Iв, ХГ, т. пл. 161—163°, ИМ, т. пл. 125—126° (из ацетон-эф.). Аналогично получают йодцианамидат Iг, бромаллилат Iд, ИМ Iе, йодатилат (IЗ) Iж; ИМ Iз; метилпропионат Iи, IЗ Iк, бромбензилат Iл; метосульфат Iм и метил-*n*-толуол-сульфонат Iн.

58443 П. Производные *N,N*-дифенил-*N*-аминоалкиленмочевин. Крапко, Амбой, Лотт (*N,N*-diphenyl-*N*-aminoalkylene-urea derivatives. Krapcho John, Amboy Perth, Lott William A.) [Olin Mathieson Chemical Corp.]. Пат. США 2744930, 8.05.56 Реакцией хлорангидридов карбаминовой к-ты RR'NCOX (R и R' — ароматич. радикалы, имеющие 6—40 атомов C, а также их галогид-, амино- или алкоксизамещенные; X — галогид, преимущественно Cl) с алкилендиаминами ф-лы R''NHNAB (R'' — низший алкил; A — низший алкилен, отделяющий атомы N не менее чем двумя атомами C; NB — амино-, моноалкиламино-, диалкиламино, пиперидино-, пирролидино-, морфолиногруппы) получают галогидраты производных мочевины общей ф-лы RR'NCON(R'')ANB·HX. Р-цию предпочтительно проводить нагреванием эквимолекулярных кол-в компонент при 80—100° в инертном р-рителе. Для терапевтич. целей свободные основания могут быть превращены в соли неорганич. и органич. к-т. К р-ру 116 г хлорангидрида дифенилкарбаминовой к-ты (I) в 500 мл C<sub>6</sub>H<sub>5</sub>CH<sub>3</sub> при перемешивании и охлаждении прибавляют по каплям р-р 70 г (C<sub>6</sub>H<sub>5</sub>)<sub>2</sub>NCH<sub>2</sub>CH<sub>2</sub>NHCH<sub>3</sub> в 200 мл C<sub>6</sub>H<sub>5</sub>CH<sub>3</sub>, смесь кипятят 2 часа, охлаждают, обрабатывают р-ром 10 мл конц. HCl в 400 мл воды, органич. слой экстрагируют 100 мл воды, водн. экстракт и кислый слой подщелачивают (32 г NaOH в 100 мл воды), экстрагируют эфиром (2 раза по 300 мл), получают (C<sub>6</sub>H<sub>5</sub>)<sub>2</sub>NCON(CH<sub>3</sub>)CH<sub>2</sub>CH<sub>2</sub>N(C<sub>2</sub>H<sub>5</sub>)<sub>2</sub> (II), выход 82%, т. кип. 179—181°/0,3 мм. Р-р 133 г последней в 200 мл эфира обрабатывают р-ром эквивалентного кол-ва HCl (газ) в 104 мл абс. спирта, прибавляют 800 мл эфира, получают II·HCl, выход 79%, т. пл. 114—116° (из CH<sub>3</sub>COOC<sub>2</sub>H<sub>5</sub>). Аналогично из I и (C<sub>6</sub>H<sub>5</sub>)<sub>2</sub>NCH<sub>2</sub>CH<sub>2</sub>NHC<sub>2</sub>H<sub>5</sub> получают (C<sub>6</sub>H<sub>5</sub>)<sub>2</sub>NCON(C<sub>2</sub>H<sub>5</sub>)CH<sub>2</sub>CH<sub>2</sub>N(C<sub>2</sub>H<sub>5</sub>)<sub>2</sub>, т. кип. 181—193°/0,5 мм, хлоргидрат, т. пл. 136—138° (из CH<sub>3</sub>COOC<sub>2</sub>H<sub>5</sub>); так же получают (C<sub>6</sub>H<sub>5</sub>)<sub>2</sub>NCON(C<sub>3</sub>H<sub>7</sub>-*изо*)CH<sub>2</sub>CH<sub>2</sub>N(C<sub>2</sub>H<sub>5</sub>)<sub>2</sub>, т. кип. 174—176°/0,2 мм, хлоргидрат, т. пл. 101—162° (из 100 мл CH<sub>3</sub>COOC<sub>2</sub>H<sub>5</sub>), и (C<sub>6</sub>H<sub>5</sub>)<sub>2</sub>NCON(CH<sub>3</sub>)CH<sub>2</sub>CH<sub>2</sub>N(C<sub>2</sub>H<sub>5</sub>)<sub>2</sub>, т. кип. 185—189°/0,2—0,3 мм, хлоргидрат, т. пл. 140,5—141,5° (из сп.-эф.). Р-р 171 г CH<sub>3</sub>CHCH<sub>2</sub>NH<sub>2</sub> в 450 мл абс. спирта обрабатывают 172 г (C<sub>6</sub>H<sub>5</sub>)<sub>2</sub>NCH<sub>2</sub>CH<sub>2</sub>Cl, а затем 120 г порошкообразного K<sub>2</sub>CO<sub>3</sub>, смесь кипятят 2 часа, охлаждают, добавляют 400 мл воды, выливают в р-р 200 г NaOH в 400 мл воды, экстрагируют эфиром, получают 87,4 г (C<sub>6</sub>H<sub>5</sub>)<sub>2</sub>NCH<sub>2</sub>CH<sub>2</sub>NHCH<sub>2</sub>CH<sub>2</sub>CH<sub>2</sub>, т. кип. 85—87°/25 мм; из 16,9 г последнего и 25 г в 450 мл C<sub>6</sub>H<sub>6</sub> (кипячение 2 часа) получают 21,5 г (C<sub>6</sub>H<sub>5</sub>)<sub>2</sub>NCON(CH<sub>3</sub>CH<sub>2</sub>CH<sub>2</sub>)CH<sub>2</sub>CH<sub>2</sub>N(C<sub>2</sub>H<sub>5</sub>)<sub>2</sub>, т. кип. 182—193°/0,5 мм; из 21,5 г основания получают 15 г хлоргидрата, т. пл. 134,5—136,5° (из CH<sub>3</sub>COOC<sub>2</sub>H<sub>5</sub>). Полученные соединения могут быть использованы как быстродействующие местные анестетики; кроме того, они обладают антиспазматич. активностью.

Г. Швехгеймер  
58444 П. Циклические амиды  $\alpha$ -толуиловых кислот и их производные. Кьюсик (Cyclic amides of  $\alpha$ -toluic acids and derivatives thereof. Cusic John W.) [G. D. Searle & Co.]. Пат. США 2776282, 1.01.57

При конденсации циклич. амидов  $\alpha$ -толуиловых к-т с галогидалкиламинами в нейтр. органич. р-рителях в присутствии NH<sub>2</sub>Li или NH<sub>2</sub>Na образуются терапевтически активные соединения, включающие ганглиоблокирующие, депрессорные и регулирующие сердечную деятельность в-ва. Этим путем получены амиды R(CH<sub>2</sub>)<sub>n</sub>CH(C<sub>6</sub>H<sub>4</sub>R')COR'' (Iа-д, где *n* = 2, R' = H; Iа R = N(C<sub>2</sub>H<sub>5</sub>)<sub>2</sub>, R'' = C<sub>4</sub>H<sub>9</sub>N (N-пирролидил); Iб R = N(C<sub>2</sub>H<sub>5</sub>)<sub>2</sub>, R'' = C<sub>5</sub>H<sub>10</sub>N (N-пиперидил); Iв R = N(*изо*-C<sub>3</sub>H<sub>7</sub>)<sub>2</sub>, R'' = C<sub>5</sub>H<sub>10</sub>N; Iг R = C<sub>4</sub>H<sub>9</sub>N, R'' = C<sub>5</sub>H<sub>10</sub>N; Iд R = N(C<sub>2</sub>H<sub>5</sub>)<sub>2</sub>, R'' = C<sub>4</sub>H<sub>9</sub>NO (N-морфолил) и (IIа-д; где IIа *n* = 2, R = C<sub>5</sub>H<sub>10</sub>N, R' = *n*-CH(CH<sub>3</sub>)<sub>2</sub>, R'' = C<sub>4</sub>H<sub>9</sub>N; IIб *n* = 4, R = N(CH<sub>3</sub>)<sub>2</sub>, R' = *o*-CH<sub>3</sub>, R'' = N(2,6-луфетидил); IIв *n* = 3, R = C<sub>4</sub>H<sub>9</sub>NO; R' = H; IIг *n* = 3, R = N(*изо*-C<sub>3</sub>H<sub>7</sub>)<sub>2</sub>, R' = H, R'' = C<sub>4</sub>H<sub>9</sub>N; IIд *n* = 3, R = NH<sub>2</sub>, R' = H, R'' = C<sub>4</sub>H<sub>9</sub>N). Смешивают при охлаждении 160 г пирролидина, 154,5 г C<sub>6</sub>H<sub>5</sub>CH<sub>2</sub>COCl и 870 г толуола, оставляют на 12 час. при 20°, встряхивают с разб. HCl и из органич. слоя отгоняют *N*- $\alpha$ -толуилпирролидин (III), т. кип. 172—178°/3 мм; 50 г III, 8 г NH<sub>2</sub>Li, 50 г ClCH<sub>2</sub>CH<sub>2</sub>N(C<sub>2</sub>H<sub>5</sub>)<sub>2</sub> и 450 г толуола кипятят 12 час., встряхивают с разб. HCl, кислый р-р подщелачивают и извлекают эфиром Iа, т. кип. 176—180°/2 мм, хлоргидрат (XГ), т. пл. 175—177°. Аналогично получают (указаны в-во, т. кип. в °C/мм и т. пл. в °C его ХГ) Iб, 177—179°/2, 174—175°; Iв, 213—218°/2, 188—190°; Iг, 216—219°/2; Iд, 207—215°/2, 185—186°; IIа, 220—230°/1; IIб, 210—220°/1—1,5; IIв, —, 100 г, III, 16 г NH<sub>2</sub>Li, 85 г Cl(CH<sub>2</sub>)<sub>2</sub>Cl и 900 г толуола кипятят 10 час., разбавляют водой, отгоняют р-ритель, 100 г остатка смешивают с 50 г NH<sub>2</sub>CH(CH<sub>3</sub>)<sub>2</sub> в 900 г толуола или обрабатывают NH<sub>3</sub>, кипятят 5 час., добавляют ледяную воду и выделяют IIг, т. кип. 175—185°/2 мм; аналогично получают IIд.

Э. Бамдас  
58445 П. Производные карбоновых кислот (Carboxylic acid derivatives) [Sterling Drug, Inc.]. Англ. пат. 726987, 23.03.55

Соединения, применяемые для холецистографии, получают р-цией в-в общей ф-лы *m*-ОНС<sub>6</sub>H<sub>4</sub>CH<sub>2</sub>CHRCOOH (I) (R — H или алкил с 1—2 C-атомами) с избытком JCl. Полученные в-ва, являющиеся триодпроизводными по ароматич. кольцу (Iб), применяют в виде солей с Na, K, NH<sub>4</sub> или с метиламином, этиламином, моно-, ди- и триэтаноламинами. Эти основания нейтрализуют —COOH группу, а неорганич. основания нейтрализуют также и фенольную группу, давая двойную соль. Йодирование можно проводить в кислой среде, напр. в разбавленных HCl или CH<sub>3</sub>COOH. Iб синтезируют конденсацией *m*-оксисбензальдегида (II), ангидрида и соли к-ты RCH<sub>2</sub>COOH с последующим гидрированием полученной замещ. коричной к-ты *m*-НОС<sub>6</sub>H<sub>4</sub>CH=C(R)COOH каталитически или амальгамой Na (III). Р-цией II, ацетата Na и (CH<sub>3</sub>CO)<sub>2</sub>O синтезируют *m*-оксикоричную к-ту, которую восстанавливают III в  $\beta$ -(*m*-оксифенил)-пропионовую к-ту и йодированием последней получают  $\beta$ -(2,4,6-триод-3-оксифенил)-пропионовую к-ту. Аналогично синтезированы  $\alpha$ -метил- $\beta$ -(2,4,6-триод-3-оксифенил)- и  $\alpha$ -этил- $\beta$ -(2,4,6-триод-3-оксифенил)-пропионовые к-ты; промежуточные продукты соответственно:  $\alpha$ -метил-*m*-оксикоричная и  $\alpha$ -метил- $\beta$ -(*m*-оксифенил)-пропионовая к-ты,  $\alpha$ -метил-*m*-оксикоричная и  $\alpha$ -этил- $\beta$ -(*m*-оксифенил)-пропионовая к-ты.

В. Шведов  
58446 П. Барбитуровые кислоты и их соли. Фьордализи (Barbituric acids and salts thereof. Fiordalisi Fernanda Misani) [Air Reduction Co., Inc.]. Пат. США 2776289, 1.01.57

Взаимодействием Na-производных 5-замещ. барбитуровых к-т с 3-хлор-3-метилбуттином (I) или 3-хлор-3-метилпентином-1 синтезированы 5-аллил-(IIа) и 5-этил-(IIб)-5-(1,1-диметилпропилил-2)-барбитуровые и 5-метил-(IIIа), 5-этил-(IIIб)-5-(1-этил-1-метилпропи-



нил-2)-барбитуровые к-ты, обладающие спотворным и седативным действием так же, как и Na-соли II6 и III6, 0,05 моля 5-аллилбарбитуровой к-ты смешивают с 20 мл 10%-ного р-ра NaOH, 70 мл спирта и достаточным кол-вом воды для перевода смеси в р-р, затем приливают разб. HCl до pH 7,5, добавляют 0,05 моля I и 2 мл 10%-ного р-ра CuSO<sub>4</sub>, кипятят 2 часа и получают IIa, т. пл. 210—214° (из ацетона). Аналогично, или в водн. р-ре при 60—65°, получают II6, т. пл. 265° (из сп.); IIIa, т. пл. 219—220° (из сп.) и III6, т. пл. 225—226° (из сп.). Э. Бамдас

**58447 П.** Способ получения солей глутаминовой кислоты. Уэйдман (Process for preparing salts of glutamic acid. Weidman Samuel H.) [International Minerals & Chemical Corp.]. Пат. США 2764612, 25.09.56

Для получения кристаллич. моно-Са диглутамата (I) к взвеси 80 г 99%-ной глутаминовой к-ты (II) в 0,85 л воды добавляют Ca(OH)<sub>2</sub> до pH 10,7—10,8, нагревают до кипения, фильтруют, р-р оставляют на 1—2 часа при 25—30° и отделяют тригидрат моноглутамата Са (III). 0,5 моля III и 0,5 моля II смешивают с 0,5 л воды, р-р упаривают досуха, остаток высушивают, измельчают и получают I, служащий для заправки кристаллизации при больших загрузках II. Вавес 530 г II в 1,5 л воды усредняют известью до pH 7, нагревают 30 мин. при 50—60°, фильтруют, р-р концентрируют до ~ 1 л, добавляют при 85° 6 г полученного ранее I, оставляют при 35° и отделяют I, выход 35%. Э. Бамдас

**58448 П.** Метод получения этерифицированных продуктов α,α'-димеркаптоянтарной кислоты с моносахаридами. Гримме, Эмде (Verfahren zur Herstellung von Veresterungsprodukten der α,α'-Dimercaptobornsteinsäure mit Monosacchariden. Grimme Walter, Emde Hans) [Rheinpreussen Akt. für Bergbau und Chemie]. Пат. ФРГ 964412, 23.05.57

Патентуется метод получения этерифицированных продуктов α,α'-димеркаптоянтарной к-ты (I) с моносахаридами, отличающийся тем, что I или ее хлорангидрид этерифицируется с моносахаридом, напр. глюкозой, в присутствии уплотняющего в-ва, как пиридин. Эти продукты пригодны против металлоотравлений, устойчивы в хим. отношении и вследствие растворимости в воде применимы при инъекциях. А. Орлов

**58449 П.** Способ получения терапевтически ценных алкильных эфиров 1-фенил-2,3-диметил-4-аминопиразолона-5)-4-амидодиакил-(диарил)-фосфиновых или алкилфосфорных кислот. Лоренц, Хенека (Verfahren zur Herstellung von therapeutisch wertvollen 1-Phenyl- 2,3-dimethylpyrazolon- (5)- 4-amido-dialkyl-(diaryl)-phosphinsäuren bzw.-alkyl-phosphonsäurealkylestern. Lorenz Walter, Henecke Hans) [Farbenfabriken Bayer A.-G.]. Пат. ФРГ 962612, 25.04.57

При р-ции 1-фенил-2,3-диметил-4-аминопиразолона-5 (I) с хлорангидридами алкилфосфиновых или алкилфосфорных к-т в присутствии основных катализаторов образуются соответствующие, терапевтически ценные, эфиры. К р-ру 35,5 г I и 24 г N(C<sub>2</sub>H<sub>5</sub>)<sub>3</sub> или C<sub>6</sub>H<sub>5</sub>N в 0,3 л C<sub>6</sub>H<sub>6</sub> прибавляют 2 г Zn-пыли, затем приливают по каплям при 40—50° 43 г хлорангидрида ди-*n*-бутилфосфиновой к-ты, размешивают, р-р встраивают с 10%-ным NaOH, перегоняют и получают 4-ди-*n*-бутилфосфинамидо-1-фенил-2,3-диметилпиразолона-5, выход 33 г, т. пл. 112° (из бзл.-лигр.). Аналогично получают эфиры на I и хлорангидридов этилового эфира метилфосфорной к-ты и дифенилфосфиновой к-т, т. пл. 146° (из бзл.) и 192° (из этилацетата) соответственно. Э. Бамдас

**58450 П.** Способ получения эфиров аминокислот и эндциклически замещенных карбинолов и их солей.

**Онаккер, Котлер** (Verfahren zur Herstellung von Aminosäureestern endocyclisch substituierter Carbinole und deren Salzen. Ohnacker Gerhard, Kottler August) [Dr. Karl Thomae G.m.b.H.]. Пат. ФРГ 955503, 3.01.57

Этерификацией карбинолов, RR'CHONH, этиловыми эфирами β-диалкиламинопипропиновых к-т в кипящем бензине (т. кип. 130—140°) в присутствии Na, синтезируются обладающие напавериноподобным действием эфиры RR'CHOCOSCH<sub>2</sub>CH<sub>2</sub>R'' (Ia-л), где Ia R = 2,5-изометил-Δ<sup>3</sup>-тетрагидробензил, R' = C<sub>6</sub>H<sub>5</sub>, R'' = N(C<sub>2</sub>H<sub>5</sub>)<sub>2</sub> хлоргидрат (XГ), т. пл. 141° (из этилацетата); Ib R = 2,5-эндометил-Δ<sup>3</sup>-циклогексенил (A), R' = C<sub>6</sub>H<sub>5</sub>, CH<sub>2</sub>, R'' = N(C<sub>2</sub>H<sub>5</sub>)<sub>2</sub>, цитрат т. пл. 77° (из ацетона); Ic R = A, R' = *m*-CH<sub>3</sub>C<sub>6</sub>H<sub>4</sub>, R'' = N-пиперидил, XГ, т. пл. 140° (из ацетона); Id R = A, R' = *m*-C<sub>4</sub>H<sub>9</sub>OC<sub>6</sub>H<sub>4</sub>, R'' = N(C<sub>2</sub>H<sub>5</sub>)<sub>2</sub>, цитрат, т. пл. 133° (из CH<sub>3</sub>OH-эф.); Ie R = A, R' = α-тиенил, R'' = N(C<sub>2</sub>H<sub>5</sub>)<sub>2</sub>, XГ, т. пл. 223° (из *iso*-C<sub>3</sub>H<sub>7</sub>OH); If R = A, R' = циклогексенил, R'' = N(C<sub>2</sub>H<sub>5</sub>)<sub>2</sub>, XГ, т. пл. 160° (из эф.-этилацетата); Ig R = R' = 2,5-эндометил-Δ<sup>3</sup>-циклогексенил, R'' = N(C<sub>2</sub>H<sub>5</sub>)<sub>2</sub>, XГ, т. пл. 183° (из ацетона); Ih R = A, R' = C<sub>6</sub>H<sub>5</sub>, R'' = N(C<sub>2</sub>H<sub>5</sub>)<sub>2</sub>, XГ, т. пл. 176° (из *iso*-CH<sub>3</sub>COC<sub>6</sub>H<sub>5</sub>), йодметилат, т. пл. 198°, бромдодecilат, т. пл. 156°, бромбензилат, т. пл. 154°. Im R = A, R' = C<sub>6</sub>H<sub>5</sub>, R'' = N-пропидил, XГ, т. пл. 174° (из этилацетата); In R = A, R' = C<sub>6</sub>H<sub>5</sub>, R'' = N-морфолинил, XГ, т. пл. 206° (из *iso*-C<sub>3</sub>H<sub>7</sub>OH); Io R = A, R' = C<sub>6</sub>H<sub>5</sub>, R'' = N-пиперидил, XГ, т. пл. 200°. Э. Бамдас

**57451 П.** Метод получения фторированного эфира. Лайон, Шукис (Fluorinated ether and method of production. Lyon Ashton M., Shukys Julius G.) [Air Reduction Co., Inc.]. Пат. США 2749369, 5.06.58

При взаимодействии избытка трифторизопропилового спирта с ацетиленом (I) в присутствии алкоголя цел. металла образуется CF<sub>3</sub>CH(CH<sub>3</sub>)-O-CH=CH<sub>2</sub> (II), обладающий анестезирующими свойствами. К охлажд. суспензии 17 г K в 250 мл эфира при перемешивании медленно добавлялось 403 г трифторизопропилового эфира отгонялся, остаток нагревался в бомбе до 150°, вводился I (18,2 атм) и р-ция проводилась при перемешивании в течение 4,5 часа. После охлаждения до ~ 20° и двукратной разгонки продуктов р-ции получен II, т. кип. 61,5°/749 мм, *n*<sub>D</sub><sup>20</sup> 1,3353. Вместо металла K может быть применен KOH; в этом случае требуется удаление образующейся воды перед обработкой реакционной смеси I. II может быть использован также при приготовлении полимерных материалов. Ю. Кружкин

**58452 П.** Получение и применение смесей 3,4-диоксифенилэтиламина с метилирующим агентом, обладающих терапевтическим действием. Борсух (Therapeutic composition of 3,4 dihydroxy phenyl ethylamine and methylating agent and method of applying. Borsook Mannie E.) [Clinical Research Foundation]. Пат. США 2749275, 5.06.56

Описано получение и физиологич. действие солей 3,4-диоксифенилэтиламина (I). К 1 ч. 3,4-метокси-фенилэтиламина (II) добавлялось 9,5 ч. бромистоводородной к-ты, р-р нагревался в течение 6 час. при 120—130°, смесь охлаждалась, осадок I·HBr отфильтровывался, промывался 6 н. HCl до исчезновения Br или HBr в промывных водах, растворялся при нагревании в 6 н. HCl. Полученный при охлаждении осадок I·HCl промывался абс. *iso*-C<sub>3</sub>H<sub>7</sub>OH и высушивался в вакууме. Р-цией II с HCl при давл. 42—70 атм также получается I·HCl с колич. выходом, полностью устойчивый в сухом состоянии, в слабых кислотных р-рах (pH < 5), масляных суспензиях или эмульсиях. Получены ацетаты и кислые сульфаты I, а также Ca-, Na- и K-соли I, менее устойчивые, чем I·HCl. Показано, что соли I, не

денные в животные ткани, разрушаются с выделением I, который частично окисляется и затем метилируется с образованием адреналина. Соль и метилирующий агент в соотношении от 1:1 до 1:10 вводился в организм одновременно (в р-ре или суспензии) или раздельно. В качестве метилирующих агентов применялись бетаин, бетанингидрат, бетаин-HCl, глицин, холин, метионин или серин. Применяемая доза I-HCl составляла 0,05—4 мг/кг и 2—10-кратный избыток бетанингидрата при ежедневной инъекции или перорально 4—5 раз. Повышенная доза (10 мг/кг I-HCl и 100 мг/кг бетанна) или использование суспензий и ампульный оказывали более длительное действие. Найдено, что 200 мг/кг I-HCl не вызывает токсич. действия. Описанные соли и содержащие их смеси рексомидуются при лечении шоков, повышенного кровяного давления, астма, различных аллергиях и других случаях, в которых полезным является адреналин.

Ю. Кругляк

58453 П. Способ получения оксиарилисulfидов. Пфлегер, Шрауфштеттер (Verfahren zur Herstellung von Oxydiarylsulfiden). Pflieger Robert, Schraufstatter Ernst). Пат. FRG 961980, 18.04.57

Оксиарилисulfиды ф-лы  $\text{HOArSAr'}$  этерифицируют к-тами и их ангидридами или хлорангидридами в эфире, имеющие бактерицидные свойства, примером которых является 2,2'-диацетокси-5,5'-дихлордифенилсulfид.

Э. Бамдас

58454 П. Галондфенилосифенилалканонитрилы. Рориг (Halophenyl-hydroxy-phenylalkano-nitriles. Rorig Kurt J.). [G. D. Searle & Co.]. Пат. США 2768963, 30.10.56

Патентуется способ получения в-в, эффективных в терапии гипертонии, болезни и синдромов, связанных с нарушением адреноренального баланса. Полученные в-ва имеют ф-лу  $\text{XC}_6\text{H}_4\text{CH}(\text{CN})-\text{CH}(\text{R})-\text{C}_6\text{H}_4\text{Y}$  (I), где X (или Y) — галонд, Y (или X) — OH или алкокси, а R — алкил. I являются антагонистами дезоксикортикостерона. К р-ру  $\text{C}_2\text{H}_5\text{MgBr}$  (из 24 ч. Mg, 1094 ч.  $\text{C}_2\text{H}_5\text{Br}$  в 1050 ч. абс. эфира) прибавляют в течение 10 мин. 156 ч. растертого в порошок нитрила  $\alpha$ -(*n*-хлорфенил)-*n*-метоксиэтильной к-ты (II). После прекращения экзотермич. р-ции смесь кипятят с перемешиванием 1 час, оставляют на 10 час. при  $\sim 20^\circ$  и выливают с перемешиванием и охлаждением в р-р 120 ч. конц. HCl (к-ты) в 230 ч. воды. Перемешивают 2 часа, эфирный слой отделяют, сушат, фильтруют и упаривают в вакууме. Получают I X—4-Cl, Y—4-OCH<sub>3</sub>, R = C<sub>2</sub>H<sub>5</sub> (III), т. пл. 112—113,5° (из спирта). Аналогично получают I, X—4-OCH<sub>3</sub>, Y—4-Cl, R—C<sub>2</sub>H<sub>5</sub> (IV), т. пл. 98—100° (из CH<sub>3</sub>OH). Р-р 27 ч. II в 215 ч. ацетона и 215 ч. бутанола гидрируют при встряхивании в присутствии 2 ч. 5%-ного Pd/C при 20° и давл.  $\sim 3$  атм. Смесь фильтруют и упаривают в токе N<sub>2</sub>. Получают I X—4-Cl, Y—4-OCH<sub>3</sub>, R—H (V), т. пл. 115—116,5° (из CH<sub>3</sub>OH). 15 ч. III и 47 ч. свежеперегнанного C<sub>5</sub>H<sub>5</sub>N·HCl кипятят 30 мин. и выливают в 300 ч. ледяной воды. Масло отделяют и растворяют в 45 ч. горячего CH<sub>3</sub>NO<sub>2</sub>. По охлаждении кристаллизуется I, X—4-Cl, Y—4-OH, R—C<sub>2</sub>H<sub>5</sub>, т. пл. 170,5—171,5° (из C<sub>6</sub>H<sub>6</sub>). Аналогично из V получают I, X—4-Cl, Y—4-OH, R—H, и из IV получают I, X—4-OH, Y—4-Cl, R—C<sub>2</sub>H<sub>5</sub>, т. пл. 205—206° (из CH<sub>3</sub>NO<sub>2</sub>).

М. Капун

58455 П. Получение 1-этинил-2,6,8-триметилциклогексена-1. Шаф, Капп (Production of 1-ethynyl-2,6,8-trimethyl-cyclohex-1-ene. Schaaf Kurt H., Kapp Roland). [Norco Chemical Co.]. Пат. США 2775626, 25.12.56

1-этинил-2,6,8-триметилциклогексен (I), применяемый в синтезе витамина A, получается с 75—77%-ным выходом дегидратацией 1-этинил-2,6,8-триметилцикло-

гексанола (II) в р-рителях с т-рой кипения 120—250° (алкилбензолы, предельные углеводороды) в присутствии CuSO<sub>4</sub>; β-форма II дегидратируется несколько труднее α-формы. 0,2 моля α-формы II, 3,33 г CuSO<sub>4</sub>·H<sub>2</sub>O и 333 мл ксилола кипятят 4 часа в атмосфере N<sub>2</sub> с насадкой Дина-Старка, отделяют CuSO<sub>4</sub>, р-р перегоняют и получают I, т. кип. 66—75°/18 мм,  $n_D^{20}$  1,4955.

Э. Бамдас

58456 П. Производные 1-*n*-метоксифенил-2-циклопентиламино-1-пропанола. Аллес (1-paramethoxyphenyl-2-cyclopentyl-amino-1-propanol compounds. Alles Gordon A.). Пат. США 2776993, 8.01.57

В качестве новых физиологич. активных в-в, стимулирующих сердечную деятельность, предложены *d*-, *l*- и *d,l*-1-*n*-метоксифенил-2-циклопентиламино-1-пропанола (I) и их соли с к-тами. Исходный хлоридат (XГ) α-циклопентиламино-*n*-метоксипропиофенона (II) синтезирован прибавлением 34 г циклопентиламина к смеси 24,3 г α-бром-*n*-метоксипропиофенона и 100 мл спирта ( $\sim 20^\circ$ ,  $\sim 12$  час.) с последующей отгонкой р-рителя и подкислением 4 н. HCl, т. пл. 199—200°. XГ *d,l*-I получен восстановлением теоретич. кол-вом H<sub>2</sub> 17 г II в 200 мл воды над 3,3 г 10%-ного Pd/C, активированного 1% Pt ( $\sim 25^\circ$ ,  $\sim 3,5$  ат, 30 мин.), т. пл. 209—210° (из сл.). *d,l*-I получен прибавлением 2 мл 18 н. NaOH к 5,7 г XГ *d,l*-I в 50 мл воды, т. пл. 88—89° (из сл.); сульфат *d,l*-I получен нейтр-цией водно-спирт. р-ра *d,l*-I 4 н. H<sub>2</sub>SO<sub>4</sub>, т. пл. 237—239°. Аналогично (абс. сл.) получен сукцинат *d,l*-I, т. пл. 172—173°. При охлаждении горячего р-ра 20 г *d,l*-I и 12 г *d*-винной к-ты в 150 мл воды выделен вначале моногидрат *d*-битартрата *l*-I (III), т. пл. 138—140° (из воды),  $[\alpha]_D^{25} +21,7^\circ$  (6%-ный р-р в 1,5 н. NH<sub>3</sub>). *l*-I получен из III, т. пл. 105—106°,  $[\alpha]_D^{25} -19,3^\circ$  (3%-ный р-р в спирте). Из фильтрата после отделения III выделен неочищ. *d,l*-I, при р-ции которого с 2 экв рацемич. винной к-ты выделен моногидрат *l*-битартрата *l*-I (IV), т. пл. 138—140° (из воды),  $[\alpha]_D^{25} -21,8^\circ$  (6%-ный р-р в 1,5 н. NH<sub>3</sub>). Разложение IV приводит к *d*-I, т. пл. 105—106°,  $[\alpha]_D^{25} +19,3^\circ$  (3%-ный р-р в спирте). Нейтрализацией 17 г *d*-I, в спирте разб. HCl получен XГ *l*-I, т. пл. 203—204°,  $[\alpha]_D^{25} -41,2^\circ$  (5%-ный р-р в воде); аналогично получен XГ *d*-I, т. пл. 203—204°,  $[\alpha]_D^{25} +41,2^\circ$  (5%-ный р-р в воде).

К. Смирнов

58457 П. Способ производства *трео*-1-*n*-нитрофенил-2-амино-1,3-пропандиола. Каррара (Process for the manufacture of 1-*p*-nitrophenyl-2-amino-1,3-propanediol of threo form. Carrara Gino). Пат. США 2776312, 1.01.57

Предложен метод получения *трео*-1-*n*-нитрофенил-2-амино-1,3-пропандиола (I), промежуточного продукта для синтеза хлорамфеникола (II), заключающийся в циклизации смеси диастереомерных форм 1-ацетокси-2-ацетиламино-3-фенил-3-оксипропана (III) в 2-метил-4-ацетоксиметил-5-фенилосказолин (IV), нитровании IV и гидролизе нитропродукта с раскрытием оксазолинового кольца. Хлоридат (XГ) I синтезирован следующим образом: 201 г рацемич. смеси *эритро*- и *трео*-III, полученной каталитич. гидрированием 249 г 1-ацетиламино-3-оксо-3-фенилпропана в 10-кратном кол-ве CH<sub>3</sub>OH над 5%-ным Pd/C ( $\sim 20^\circ$ , 1 ат), растворяли в 3-кратном кол-ве конц. H<sub>2</sub>SO<sub>4</sub> ( $\sim 20^\circ$ , 12 час.); полученный р-р IV выливали в 3-кратное кол-во HNO<sub>3</sub> (уд. в. 1,42), нейтрализовали Na<sub>2</sub>CO<sub>3</sub> и извлекали этилацетатом; остаток после отгонки р-рителя при гидролизе 10-кратным кол-вом 5%-ной HCl ( $\sim 100^\circ$ , 2 часа) дал I, т. пл. 177—180° (из разб. HCl). Рацемический, а также *l*-II могут быть получены обработкой суспензии XГ I в воде избытком NaHCO<sub>3</sub> и стехиометрич. кол-вом Cl<sub>2</sub>CHCOCl.

К. Смирнов

58458 П. Способ получения оптически активных *трео*-β-фенилсеринов. Хондзё Микно [Такэда



якухин когё кабусики кайся]. Японск. пат. 2839, 16.04.56

Для выделения оптически активного β-фенилсерина (I) на N-ацильное производное I действуют оптически активным эфедрином, полученные соли разделяют кристаллизацией, из солей выделяют соответствующую форму оптически активного N-ацил-β-фенилсерина и затем свободный I. 66 г рацемата N-л-нитробензоил-β-фенилсерина, полученного ацилированием I л-нитробензоилхлоридом, растворяют в 600 мл CH<sub>3</sub>OH, прибавляют р-р 16,5 г л-эфедрина в 150 мл CH<sub>3</sub>OH, через некоторое время выделяются кристаллы соли л-эфедрина и D-N-л-нитробензоил-β-фенилсерина (II-соль), 48 г, выход 91%, т. разл. 165—167° (из CH<sub>3</sub>OH) (кристаллизуется с 1 молекул CH<sub>3</sub>OH); концентрированием маточного р-ра в вакууме получают соль л-N-л-нитробензоил-β-фенилсерина (III-соль). 46 г II растворяют в 100 мл 1 н. NaOH, р-р 5 раз экстрагируют 50 мл горячего C<sub>6</sub>H<sub>6</sub> для извлечения эфедрина, из водн. р-ра в кислой среде выделяется 25 г D-N-л-нитробензоил-β-фенилсерина (IV), выход 85%, т. пл. 80—82° (из воды), после высушивания т. разл. 153—155°; р-р в 0,5 н. NaOH имеет [α]<sub>D</sub><sup>20</sup> +71,7° (с 1,06%). В аналогичных условиях из III получают 19 г л-N-л-нитробензоил-β-фенилсерина (V), выход 58%, т. пл. 80—83° (из воды), после высушивания т. разл. 154—157°; р-р в 0,5 н. NaOH имеет [α]<sub>D</sub><sup>20</sup> -71,4° (с 1,026%). 16,5 г IV смешивают с 150 мл 15%-ной HBr и кипятят 3 часа, отфильтровывают л-NO<sub>2</sub>C<sub>6</sub>H<sub>4</sub>COOH, фильтрат упаривают в вакууме досуха, остаток растворяют в 60 мл 99%-ного C<sub>2</sub>H<sub>5</sub>OH, прибавляют конц. NH<sub>4</sub>OH до слабощел. р-ции, выделяют 5,5 г D-β-фенилсерина, выход 61%, т. разл. 185—187° (из водн. сп.); р-р в 6 н. HCl имеет [α]<sub>D</sub><sup>20</sup> +48,6° (с 0,54%). В аналогичных условиях из V получают л-β-фенилсерин, т. разл. 184—186°, р-р в 6 н. HCl имеет [α]<sub>D</sub><sup>20</sup> -49,0° (с 1,0%). В. Каратаев

58459 П. Трет-амино-производные N- и O-сахарина. Гроган, Райе (Tertiary amine derivatives of N- and O-saccharin. Grogan Charles H., Rice Leonard M.) [Geschickter Fund for Medical Research, Inc.]. Пат. США 2751392, 19.06.56

Исследовалось взаимодействие сахарина (I) и псевдосахаринхлорида (II) с третичными аминами с целью получения  $-(CH_2)_nNR'R''$  или  $-NH-(CH_2)_nNR'R''$  N- и O-замещенных сахарина, где  $n = 2-6$ ,  $NR'R''$  — диалкиламино- или гетероциклич. группа. 51 г сахарада Na в 100 мл диметилформамида (III) нагревали 3 часа с 33 г диэтиламиноэтилхлорида; выделившийся NaCl отфильтровывался, III отгонялся из фильтрата при пониженном давлении, оставшееся масло фильтровалось через стеклянную вату и перегонялось в вакууме. Получено 55 г CO-C<sub>6</sub>H<sub>4</sub>-SO<sub>2</sub>-N-C<sub>2</sub>H<sub>4</sub>-N(C<sub>2</sub>H<sub>5</sub>)<sub>2</sub> (IV),

т. пл. 61—63°, т. кип. 144—150°/0,06 мм. При обработке IV в CH<sub>3</sub>OH или C<sub>2</sub>H<sub>5</sub>OH насыщ. р-ром HCl в C<sub>2</sub>H<sub>5</sub>OH и осаждения эфиром выделен IV·HCl, т. пл. 217—218°. Р-цией IV в безводн. ацетоне с избытком CH<sub>3</sub>I в течение нескольких часов получают IV·CH<sub>3</sub>I, т. пл. 199—200°. Аналогично получен с выходом 80% N-морфолиноэтилсахарин (V), т. кип. 180—184°/0,1 мм, т. пл. 103—104°, V·HCl, т. пл. 236°, V·CH<sub>3</sub>I, т. пл. 259—260°. К 40 г II в 250 мл безводн. ацетона при умеренном нагревании медленно прибавлялось 18 г диметиламиноэтанол в 50 мл ацетона; после быстрой экзотермич. р-ции смесь нагревалась еще 0,5 часа, охлаждалась и фильтровалась. Выделено 55 г C<sub>6</sub>H<sub>4</sub>-SO<sub>2</sub>-N=C=O—

—C<sub>2</sub>H<sub>4</sub>-N(CH<sub>3</sub>)<sub>2</sub>·HCl, т. пл. 175—176°. Этим методом получены также HCl-соли следующих эфиров псевдосахарина: пиперидиноэтилового, т. пл. 150—151°, пирролидиноэтилового, т. пл. 151—152°, и β-дибутиламинопропилового, т. пл. 135—137°. При экзотермич. р-ции

40 г II в 250 мл безводн. ацетона с 20,4 г 3-диметиламинопропиламина в 50 мл ацетона получен C<sub>6</sub>H<sub>4</sub>—

—SO<sub>2</sub>—N=C=NH—C<sub>2</sub>H<sub>4</sub>—N(CH<sub>3</sub>)<sub>2</sub>·HCl, т. пл. 206—207°.

Получены аналогичные производные C-диэтиламиноэтиламино- (т. пл. 165—166°) и C-морфолиноэтиламино- (т. пл. 269—271°) псевдосахарина. Полученные производные I как анальгетики применяются при лечении невралгии, артритов и других ревматич. заболеваний в ежедневных дозах 250—330 мг перорально или 50 мг в виде инъекции (для O-сахарина), или 60 мг перорально (для N-сахарина).

Ю. Крутяков  
58460 П. Новые производные дезоксибензоина и способ их получения. Либерман, Муайё (New derivatives of desoxybenzoins and the process of preparing them. Libermann David, Moyeux Maurice) [Chimie et Atomistique]. Пат. США 2771900, 20.11.56

Нагреванием в спирте Na-производных 2,4-диоксили 5-гексил-2,6-диокси-дезоксисбензоинов с соответствующими диалкиламиноалкилхлоридами синтезируются бактерицидные и антисептич. 2,4-бис-диэтил(4), 2,4-бис-диметил- и 2,4-бис-дибутил-аминоэтоксидезоксибензоины, а также 2,4-бис-β-диэтиламиноизопропилокси- и 5-гексил-2,6-бис-диэтиламиноэтоксид-5-дезоксисбензоины, выделенные в виде дихлоргидратов; I получают также в виде сульфата. Э. Бамаде

58461 П. Производные диариламинобензамидов с основными заместителями. Криммел (Basically substituted derivatives of diarylamino benzamides. Krimmel Carl Peter) [G. D. Searle & Co.]. Пат. США 2750387, 12.06.56

Реакцией хлорангидрида N,N-дифенилантрапилового к-ты (I, к-та) с ω-диалкиламиноалкиламидами ф-лы NH<sub>2</sub>(CH<sub>2</sub>)<sub>n</sub>N(R)<sub>2</sub>, где R — алкил, синтезированы спиромитически действующие β-диметиламинопропила- (т. кип. 230—240°/0,6 мм), γ-диметиламинопропила- (т. кип. 250°/1,5 мм, хлоргидрат т. пл. 95—98°) и γ-диэтиламинопропила- (т. кип. 237—243°/1 мм); аналогично получен δ-N-пиперидинобутиламид-N-(2,4-ксилил)-N-фенилантрапилового к-ты. Э. Бамаде

58462 П. Соли глицинамида. Брус, Тислоу (Glycinamide salts. Bruce William F., Tislow Richard F.). Пат. США 2746901, 22.05.56

Предложен синтез тетразамещенных глицинамидов р-цией вторичных аминов с диалкиламидом хлоруксусной к-ты. При медленном добавлении 112 г хлоруксусного хлорида при перемешивании и -20° к р-ру 202 г дипропиламина (I) в 500 мл толуола, выдерживании смеси в течение 8 час. при ~20°, отфильтровывании осадка I·HCl, промывке фильтрата водой, сушке и разгонке выделен дипропиламид хлоруксусной к-ты (II), т. кип. 90—92°/8 мм. К 10 г II в 25 мл бутаном добавлялось 7,9 г дибутиламина и 5,1 г NaHCO<sub>3</sub>, смесь нагревалась при кипении 8 час.; после промывки водой и разгонки получен дибутилдипропилглицинамид (III), т. кип. 149—155°/5 мм. При медленном добавлении к 270 мг III при перемешивании 105 мг 93%-ной H<sub>2</sub>SO<sub>4</sub>, выдержке в течение 8 час., промывке эфиром (свободным от спирта) и сушке получен сульфат III, т. пл. 75—78°. При добавлении к замещ. глицинамидам 70%-ной HClO<sub>4</sub> и выдержке смеси при pH 6 образуются соответствующие перхлораты. Аналогично получены следующие ClCH<sub>2</sub>CONR<sub>2</sub> (приводятся R и физ. константы): бутил, т. кип. 122—126°/3 мм, n<sub>D</sub><sup>20</sup> 1,4670, d<sub>20</sub><sup>25</sup> 1,005; изопропил, т. кип. 90—100°, т. пл. 48—50° (из горячего петр. эфира), а также следующие R<sub>2</sub>CH·CONR<sub>2</sub> (приводятся R', R, физ. константы и в смесках соли и их т-ры плавления): бутил, бутил, т. кип. 130—140°/3 мм (сульфат, т. пл. 104—106°); бутил, этил, т. кип. 117—122°/3 мм (перхлорат, т. пл. 107—109°, сульфат,

3-диметилен C<sub>6</sub>H<sub>4</sub>-  
206-207

тиламино-  
тиламино-  
пропи-  
лечения  
болезней  
или 50 мг  
перо-  
Кругляк  
на и ста-  
(New de-  
of prepe-  
ux Mau-  
A 277493

4-диокси-  
соответ-  
интегро-  
диотил(1),  
идеокси-  
пропокси-  
бензо-  
получен  
Э. Бамдас  
дов с се-  
cally sub-  
S. Krim-  
Pat. США

ваниловой  
ми фла-  
ны сва-  
попроша-  
попроша-  
и у-ди-  
мм); аме-  
N-(2-  
Э. Бамдас  
ou (Gly-  
low Ri-

инамид  
лоруксу-  
лоруксу-  
хруще-  
ру 202  
живании  
овывании  
сушке и  
кой к-ты  
бутанол  
О<sub>2</sub>, смесь  
ыбки во-  
пинамид  
бавлении  
ой H<sub>2</sub>SO<sub>4</sub>  
(свобод-  
II, т. пл.  
инамид  
образу-  
но пол-  
и фла-  
D 1,4670,  
48-50°  
R<sub>2</sub>CN<sub>2</sub>-  
способ  
ил. 130-  
л, т. кип.  
сульфат,

т. пл. 104—106°; пропил, изопропил, т. кип. 108—112°/  
3 мм,  $n_D^{20}$  1,4480,  $d_{25}$  0,8833 (перхлорат, т. пл. 148—150°);  
изобутил, этил, т. кип. 93—96°/3 мм,  $n_D^{25}$  1,4520,  $d_{25}$   
0,8794 (перхлорат, т. пл. 84—86°, сульфат, т. пл. 84—  
86°); бутил, изопропил, т. кип. 130—136°/3 мм,  $n_D^{24}$   
1,4518 (перхлорат, т. пл. 102—104°); пропил, пропил,  
т. кип. 112—113°/0,6—0,8 мм (сульфат, т. пл. 86—88°,  
перхлорат, т. пл. 114—116°); изобутил, пропил, т. кип.  
98—99°,  $n_D^{25}$  1,4530,  $d_{25}$  0,892 (сульфат, т. пл. 90—91°,  
перхлорат, т. пл. 110—112°). Полученные соединения  
применимы в гинекологии. Ю. Кругляк

58463 П. Способ получения продуктов взаимодействия вторичных аминов с хинонами. Гаусс, Петерсен, Домат, Хакман (Verfahren zur Herstellung von Umsetzungsprodukten sekundärer Amine mit Chinonen. Gauss Walter, Petersen Siegfried, Domagk Gerhard, Hackmann Christian) [Farbenfabriken Bayer A.-G.]. Пат. ФРГ 967344, 7.11.57

Патентуется способ получения терапевтически активных этиленминохинонов-1,4 нагреванием *n*-хинонов с  $\alpha,\beta$ -алкилениминами в нейтр. р-рителях при 20° или при слабом нагревании. К холодной взвеси 1 моля *n*-бензохинона в 2 л спирта приливают 1 моль этиленимина или 2-метилэтиленимина и через 10—15 мин. отделяют 2,5-бис-этиленимино- (выход 30 г, т. пл. 201—202° (разл., из CH<sub>3</sub>OH-хлф.)) или 2,5-бис-(2-метилэтиленимино)- (выход 18,6 г, т. пл. 166—167° (разл., из CH<sub>3</sub>OH))-бензохиноны-1,4. Аналогично получают 6-этилениминохинолинхинон-5,8, т. пл. 161,5—162° (разл., из этилацетата) и (50 час., 20°) 2-этиленимино- (т. пл. 173,5—178,5° (разл., из CH<sub>3</sub>OH-хлф.)) и 2-метил-3-этиленимино- (т. пл. 127—130° (разл., из CH<sub>3</sub>OH-хлф.))-нафтохиноны-1,4. Полученные в-ва могут найти применение для борьбы с ростом раковых опухолей. Э. Бамдас

58464 П. Способ получения 1-окси-2-метил-4-ацетиламинафталинов. Трумпельт (Verfahren zur Herstellung von 1-Oxy-2-methyl-4-acyl-aminonaphthalinen. Trumpelt Werner) [Nordmark — Werke G. m. b. H.]. Пат. ФРГ 1002001, 18.07.57

Обладающие антигеморрагич. свойствами 1-окси-2-метил-4-ацетиламинафталины (I) получают при восстановительном ацилировании 2-метил-1,4-нафтохиномонооксима-4 (II). II получают из 2-метил-1,4-нафтохинона и NH<sub>2</sub>OH · HCl в спирте. Смесь 15 г II, 30 г воды, 120 г лед. CH<sub>3</sub>COOH и 30 г (CH<sub>3</sub>CO)<sub>2</sub>O постепенно в течение часа обрабатывают при охлаждении льдом 30 г Zn-пыли ( $\leq 20^\circ$ ). Перемешивают при т-ре 20° еще 1 час и нагревают до 100°. Смесь фильтруют в горячем состоянии и к фильтрату прибавляют при перемешивании 4 л воды. Получают 1-окси-2-метил-4-ацетиламинафталин, т. пл. 205° (из сп. воды). Аналогично получают 1-окси-2-метил-4-сулфиниламинафталин, т. пл. 193° (из сп. воды). М. Кашлун

58465 П. Получение замещенных пиридинов. Мейхан, Стунс (Making substituted pyridines. Mahan John E., Stoops Charles E.) [Phillips Petroleum Co.]. Пат. США 2749348, 5.06.56

Приводится улучшенный метод получения замещ. пиридинов конденсацией альдегидов или кетонов с NH<sub>3</sub>. Р-цией 170 г паральдегида и 173 г NH<sub>3</sub> в 211 мл воды в бомбе при прокаливании при 272—278° в атмосфере N<sub>2</sub> в течение 3 час. в отсутствие катализатора или в течение 30 мин. в присутствии катализатора (отансульфокислота), экстракции и разгонке выделен 2-метил-3-этилпиридин с выходом 59% (без катализатора) и 68% (с катализатором). Для подобных р-ций рекомендуются: брать карбонилсодержащие соединения с 1—6 атомами С, воды, или жидкий NH<sub>3</sub>, сульфокислоты с 1—10 атомами С или аминные соли сульфокислот в кол-ве 0,05—40 вес.%; мол. соотношения

NH<sub>3</sub> и карбонилсодержащего соединения поддерживать от 1:1 до 12:1; т-пу р-ции 167—334°; давление — достаточным для того, чтобы поддерживать реагирующую смесь в жидкой фазе. Замещ. пиридины могут быть использованы, напр., как полупродукты. Ю. К. 58466 П. Изоникотиноламинобигуанид. Хаммер (Isonicotinoylaminobiguanide. Hammer Henry F.) [Chas. Pfizer & Co., Inc.]. Пат. США 2753354, 3.07.56

Азид изоникотиновой к-ты с 1 экв дициандиамида в метанольном р-ре (кипячение 9 час.) или в разб. р-ре HCl образует активный против микроорганизмов изоникотиноламинобигуанид, т. пл. 145—145,5° (из воды). Э. Бамдас

58467 П. Некоторые аддукты никотинамида и низших галогенированных альдегидов. Хилл (Certain halogenated lower alkanal adducts with nicotinamide. Hill John A.) [Olin Mathieson Chemical Corp.]. Пат. США 2755283, 17.07.56

При взаимодействии насыщ. води. р-ра хлоральгидрата (I) с 1 экв никотинамида (несколько минут при 20°, затем 3 часа при 5°) образуется аддукт, т. пл. 90—91°, обладающий терапевт. свойствами I, не гип-роскопичный и без запаха. Бромальгидрат дает аналогичное соединение. Э. Бамдас

58468 П. Замещенные алкилпиперидины. Спербер, Пана (Substituted alkyl piperidines. Sperber Nathan, Papa Domenick) [Schering Corp.]. Пат. США 2739969, 27.03.56

Патентуются производные пиперидина, имеющие группировки RR'C-связь — фенил, хлорфенил, метоксифенил, бензил, циклогексенил и низшие алкилы и (R'')<sub>n</sub>, где R'' — низший алкил, *n* = 1—3; кроме того, при N может быть в качестве заместителя низший алкил, а также их четвертичные соли и соли с к-тами. Соединения эти обладают длительными анти-сластич. и блокирующими парасимпатич. систему свойствами. Р-р 33 г этилового эфира 6-метилникотиновой к-ты (I) в 50 г метил-*n*-толуолсульфоната нагревают при 100° 15 мин., разбавляют бензолом и получают метилтолуолсульфонат I, т. пл. 119—121°, который растворяют в абс. спирте и восстанавливают H<sub>2</sub>/PtO<sub>2</sub>. Выделяют этиловый эфир 6-метил-N-метилпиперидина никотиновой к-ты (II), т. кип. 94—96°/9 мм. R C<sub>6</sub>H<sub>5</sub>MgBr, приготовленному из 12 г Mg и 80 г C<sub>6</sub>H<sub>5</sub>Br, прибавляют 21 г II, кипятят 10 час., разлагают слабой HCl и выпавший хлоргидрат отфильтровывают, выделяют 50%-ным р-ром NaOH основание и извлекают бензолом 6-метил-N-метил-3-пиперидилдифенилкарбинол (III), т. пл. 112—113°, хлоргидрат (XГ) — белые кристаллы. Нагревают 16 г III с 200 мл 40—60%-ной H<sub>2</sub>SO<sub>4</sub> 10 час., выливают на лед, подщелачивают NaOH и извлекают эфиром 6-метил-N-метил-3-бензгидриденпиперидин (IV), т. кип. 155—160°/1 мм, XГ, т. пл. 246—247°, йодметилат, т. пл. 204—205°, бромметилат, т. пл. 219—220°. При восстановлении IV H<sub>2</sub> + скелетный Ni при 100 атм и 125° получают 6-метил-N-метил-3-бензгидриденпиперидин, т. кип. 154—158°/0,5 мм, т. пл. 108—109° (ниже ПДФ — пиперидилдифенилкарбинол; БП — бензгидриденпиперидин). Из I и этилтолуолсульфоната получают 6-метил-N-этил-3-ПДФ, т. пл. 100—101°. дегидратация которого приводит к 6-метил-N-этил-3-БП, т. кип. 162—166°/1—2 мм с последующим гидрированием в 6-метил-N-этил-3-бензгидриденпиперидин, т. кип. 156—160°/1 мм. 6-метил-N-изопропил-3-ПДФ, т. пл. 143—144°, 6-метил-N-изопропил-3-БП, т. кип. 168—172°. Из этил-6-*n*-пропил-никотината с метилтолуолсульфонатом получают этил-6-*n*-пропил-N-метилпиперидин, а из него 6-*n*-пропил-N-метил-3-БП, т. кип. 170—175°/2 мм; 6-*n*-пропил-N-этил-3-БП, т. кип. 169—172°/1,5 мм; 6-изобутил-N-метил-3-БП, т. кип. 173—177°/1,5 мм; 6-изобутил-N-этил-



3-БП, т. кип. 178—181°/1,5 мм; 6-изобутил-N-изопропил-3-БП, т. кип. 182—185°/2 мм; 4-метил-N-метил-3-БП, т. кип. 157—161°/1 мм; 4-этил-N-метил-3-БП, т. кип. 163—165°/1,5 мм; 2,4-диметил-N-метил-3-БП, т. кип. 165—168°/1,5 мм; 2,6-диметил-N-метил-3-БП, т. кип. 152—157°/1 мм, йодметилат, т. пл. 229—230°; 2,6-диметил-N-изопропил-3-БП, т. кип. 155—159°/1 мм. Этиловый эфир 5,6-диметил-2-оксиникотиновой к-ты превращают  $\text{POCl}_3$  в 2-хлорпроизводное, дегалогенируют  $\text{H}_2$  +  $\text{Pd/C}$ , переводят в 5,6-диметил-N-метил-3-ПДФ, который дегидрируют в 5,6-диметил-N-метил-3-БП, т. кип. 164—169°/1,5 мм. Из этил-2-метилникотата получают 2-метил-N-метил-3-БП, т. кип. 160—165°/1 мм; из этил-5-метилникотата приходят к 5-метил-N-метил-3-БП, т. кип. 156—161°/1,5 мм. Далее описаны: 4-метил-5-этил-N-метил-3-БП, т. кип. 167—170°; 4,6-диметил-N-метил-3-БП, т. кип. 152—154°/1,5 мм. При действии хлорангидрида 6-метил-N-метилникотиновой к-ты на  $\text{C}_6\text{H}_6$  +  $\text{AlCl}_3$  получен кетон, т. кип. 135—138°/1 мм, а из него с  $\text{C}_2\text{H}_5\text{Li}$  1-фенил-1-(6-метил-N-метил-3-пиперидил)-бутанол-1, т. пл. 127—128°, при дегидратации которого выделен 1-фенил-1-(6-метил-N-метил-3-пиперидил)-бутан, т. кип. 141—144°/2 мм. Аналогично: 1-п-хлорфенил-1-(6-метил-N-метил-3-пиперидил)-бутан, т. кип. 148—151°/2 мм; 1-п-метоксифенил-1-(6-метил-N-метил-3-пиперидил)-бутан, т. кип. 149—153°/1,5 мм; 2,4,6-триметил-N-метил-3-БП, т. кип. 169—173°/0,5 мм; 3-этил-N-метил-4-БП, т. кип. 160—164°/1,5 мм; 4,6-диметил-5-этил-N-метил-3-БП получен, исходя из 4,6-диметил-5-этил-3-циан-2-пиридона, т. кип. 167—171°/1 мм. При действии на 6-метил-N-метил-3-бензоилпиперидин  $\Delta^1$ -циклогексенилхлорида через Li-производное, с последующей дегидратацией карбинола получают фенил- $\Delta^1$ -циклогексенил-6-метил-N-метилпиперидилденметан, т. кип. 160—162°/1—2 мм; фенилбензил-6-метил-N-метил-3-пиперидилденметан, т. кип. 162—165°/1—2 мм; 6-пропил-N-метил-4-БП, т. кип. 169—172°/1,5 мм; 2,6-диметил-N-этил-3-БП, т. кип. 156—158°/1 мм, йодметилат, т. пл. 259—260°. При конденсации этилового эфира пировиноградной к-ты с цианацетамидом получают этил-6-метилникотат, из него 6-метил-N-метил-4-ПДФ, т. пл. 172—173°; 6-метил-N-метил-4-БП, т. кип. 151—153°/0,5 мм, метилметосульфат, т. пл. 181—182°; 2,6-диметил-N-метил-4-БП, т. пл. 114—112° (из петр. эф.); 6-изопропил-N-метил-3-БП, т. кип. 169—173°/1 мм; 2-этил-N-метил-3-БП, т. кип. 163—167°/1 мм; 2-изопропил-N-метил-3-БП, т. кип. 172—176°/1 мм; 2,6-диэтил-N-метил-3-БП, т. кип. 164—167°/1 мм; 2,6-диэтил-N-этил-3-БП, т. кип. 168—171°/1 мм; 2,6-динизопропил-N-метил-3-БП, т. кип. 170—174°/1 мм. К холодному р-ру 145 г этилового эфира  $\beta$ -валина в 1 л абс. спирта прибавляют 100 г этилакрлата, через 2 дня отгоняют и выделяют эфир N-2-карбэтоксизтил- $\beta$ -валина, т. кип. 135—138°/3 мм, который затем в метаноле с  $\text{CH}_2\text{O}$  и  $\text{Pd/C}$  гидрируют и выделяют эфир N-метил-N-2-карбэтоксизтил- $\beta$ -валина, последний циклизуют на в ксилоле с образованием этилового эфира 6,6-диметил-N-метил-4-кетониникотиновой к-ты, его восстанавливают  $\text{H}_2$  +  $\text{PtO}_2$  в 4-оксисоединение, которое дегидрируют при 150°  $\text{KHSO}_4$  в 6,6-диметилареколин, последний восстанавливают  $\text{H}_2$  +  $\text{PtO}_2$  в этил-6,6-диметилникотат, т. кип. 105—107°/8 мм. После N-метилирования, через фенилирование  $\text{C}_6\text{H}_5\text{Li}$  и дегидратацию получают 6,6-диметил-N-метил-3-БП, т. кип. 167—171°/1 мм; аналогично получают эфир N-метил-N-2-карбэтоксизтил- $\beta$ -валина, т. кип. 134—138°/2 мм, который затем циклизуют на в ксилоле в эфир 2,6,6-триметил-N-метилникотиновой к-ты. Его превращают через дифенилкарбинол в 2,6,6-триметил-N-метил-3-БП, т. кип. 171—174°/1 мм. Кроме того, упомянуты еще 32 представителя указанных групп соединений без приведения констант. О. Магидсон

58469 П. Получение некоторых оксазинов и пиперидинов. Шмидл (Process for preparation of certain oxazines and piperidinols. Schmiddle Claude E. J.) [Rohm & Haas Co.] Пат. США 2775600, 25.12.56

При нагревании смесей  $\alpha$ -хлоркумола (I),  $\text{CH}_3\text{O}$  и  $\text{RNH}_2$  образуются легко разделяемые смеси 3-Р-6-метил-6-фенилтетрагидро-1,3-оксазинов (II) и N-Р-4-фенил-4-оксипиперидинов (III), применяемых как аналгетич. и спотворные в-ва и для других целей. Способ иллюстрирован примерами получения II и III, где  $\text{R} = \text{H}$  (а),  $\text{R} = \text{CH}_3$  (б),  $\text{R} = n\text{-C}_6\text{H}_{11}$  (в) и  $\text{R} = \text{C}_6\text{H}_5$  (г). К 31 ч. 28%-ного  $\text{NH}_3$  постепенно, при  $\sim 30^\circ$  прибавляют 185 ч. 37%-ного  $\text{CH}_2\text{O}$ , затем 14 ч.  $\text{NH}_4\text{Cl}$  в 77 ч. I, нагревают 6 час. при 100°, разбавляют 300 мл воды, извлекают толуолом, подщелачивают  $\text{NH}_3$  и вывлекают толуолом смесь II и III, которую разгоняют и получают IIа, выход 16 г, т. кип. 80—90°/0,2 мм,  $n_D^{20}$  1,5278. Аналогично получают (указаны в-во, т. кип. в °C/мм и  $n_D^{20}$  или т. пл. в °C): IIб, 93—95°/1,6, 1,5305; IIв, 113—115 (из толуола); IIг, 130—140°/0,2, 1,5406; IIIв, 97—99 (из  $\text{C}_7\text{H}_{10}$ ); IIг, 150—153°/0,25, 1,5686; IIIг, 105—107 (из  $\text{C}_7\text{H}_{10}$ ). При аналогичной р-ции (16 час, 97—98°) I с  $\beta$ -фенилэтиламинол получают 1-( $\beta$ -фенилэтил)-4-фенил-4-оксипиперидин, т. пл. 99—101° (из  $\text{C}_7\text{H}_{10}$ ), хлоргидрат пропионата, т. пл. 209—210°. З. Бамдес

58470 П. 1-замещенные 3-(5-нитро-2-тиазолил)-мочевинны. О'Нилл, Бассо, Пфистер III (1-substituted, 3-(5-nitro-2-thiazolyl) ureas. O'Neill Robert C., Basso Arthur J., Pfister Karl III) [Merek & Co., Inc.] Пат. США 2755285, 17.07.56

При р-ции 2-амино-5-нитротиазола (I) с  $\text{X-C-NR}$  или  $\text{X-C(Cl)NRR'}$  ( $\text{X} = \text{N}$  или  $\text{S}$ ,  $\text{R}$  и  $\text{R}' = \text{алкил}$ , алкиенил или арил) образуются бактерицидные 1-Р- (или 1-RR')-3-(5-нитротиазолил-2)-мочевинны (II). К 0,3 г толуола, содержащего 17 г  $\text{CH}_3\text{NCO}$ , добавляют 28,8 г, кипятят 20 час. и отделяют II, где  $\text{R} = \text{CH}_3$ , выход 99,4%, т. пл. 243,5° (разл.); аналогично получают II, где  $\text{R} = \text{C}_2\text{H}_5$ , т. пл. 228° (разл.);  $\text{R} = \text{C}_4\text{H}_9$ ,  $\text{R} = \text{C}_6\text{H}_{13}$  и  $\text{R} = \text{аллил}$ . В р-р 14,5 г I в 0,1 л  $\text{CH}_2\text{Cl}_2$  вводят  $\text{ClCON}(\text{CH}_3)_2$ , кипятят 2,5 часа и получают 1,1-диметил-3-(5-нитротиазолил-2)-мочевину, т. пл. 164—165°. Э. Бамдес

58471 П. Способ получения замещенных 1,2,4-триазинов. Метце (Verfahren zur Herstellung von substituierten 1,2,4-Triazininen. Metze Reinhold.) Пат. ГДР 13175, 3.05.57

Замещенные 1,2,4-триазины, которые могут применяться как лекарственные в-ва или полупродукты к синтезу, получают действием  $\text{NH}_3$  под давлением на моноацетилгидразоны алифатич., ароматич., ариалфатич. и гетероциклич. 1,2-дикетонов в безводн. спирте. 14,2 г моноацетилгидразона диацетила нагревают 9 час. в запаянной трубке при 140° с 3,4 г  $\text{NH}_3$  в 100 мл абс. спирта (I). I и воду отгоняют, остаток перегоняют в вакууме и получают 3,5,6-триметил-1,2,4-триазин с 91%-ным выходом, т. кип. 96°/14 мм, т. пл. 49—51°. 7 г ацетилбензоилмоноантравноилгидразона нагревают с 2 г  $\text{NH}_3$  в 100 мл I в трубке 12 час. при 160°, получают 6-метил-5-фенил-3-(о-аминофенил)-1,2,4-триазин с 73%-ным выходом, т. пл. 144°. По аналогичной методике получают следующие замещ. 1,2,4-триазины общей

ф-лы  $\text{RC} = \text{NN} = \text{CR}''\text{N} = \text{CR}'$  (указываются заместители, т-ра кипения при 14 мм рт. ст. и т-ра плавления): 5,6-диметил, 88°/14 мм, 5—6°; 5,6-диметил-3-этил, 102°, (—6°) — (—4°); 5,6-диметил-3-фенил, —, 82°; 6-метил-5-этил, 96°, —; 3,6-диметил-5-этил, 102°, 46—47°; 6-метил-3,5-диэтил, 110°, 11—12°; 6-метил-5-этил-3-фенил, —, 122°; 5,6-диэтил, 105°, —; 3-метил-5,6-диэтил, 109°, 19°; 3,5,6-триэтил, 118°, —; 5,6-диэтил-3-фенил, —, 56°; 6-метил-5-фенил, —, 96°; 3,6-диметил-5-фенил, —, 102°; 6-метил-3-этил-5-фенил, —, 64°; 6-метил-3,5-дифенил, —,

104—106°; 5,6-диметил-3-оксиметил-, —, 98°; 5,6-диметил-3-( $\beta$ -нитробензил)-, —, 91°; 6-метил-5-фенил-3-( $\beta$ -пиридил)-, —, 126°; 3-метил-5,6-дифенил-, —, 92°; 5,6-диметил-3-(2,4-диметилтиазолил-(5))-, —, 116°; 5,6-диметил-3- $\alpha$ -фурил-, —, 101°; 5,6-диметил-3-(кумаронил-(2))-, —, 177°; 5,6-диметил-3- $\alpha$ -пиррил-, —, 216°; 6-метил-5-этил-3- $\alpha$ -пиридил-, —, 82°; 5,6-диметил-3 $\beta$ -пиридил-, —, 99°; 5,6-диметил-3 $\gamma$ -пиридил-, —, 125°; 5,6-диметил-3 $\alpha$ -хинолил-, —, 185°.

К. Склобовский

**58472 П.** 1-нитрозо-2-имидазолидон и его получение. Майкелс (1-nitroso-2-imidazolidone and process. Michels Julian G.) [The Norwich Pharmacol Co] Пат. США 2776979, 8.01.57

Для получения 1-амино-2-имидазолидона (I), промежуточного продукта при синтезе N-(5-нитро-2-фуридилден)-1-амино-2-имидазолидона (II), эффективного агента для лечения животных, зараженных *Salmonella typhosa*, *S. Cholerae* или *Streptococcus pyogenes*, продолжен 1-нитрозо-2-имидазолидон (III); получение II из III отличается тем, что I не выделяют из р-ра. III получен действием 3,5 г NaNO<sub>2</sub> на р-р 4,2 г 2-имидазолидона в 50 мл 1 н HCl (~0°, ~1 час), выход 3,6 г (61%), т. пл. 95° (разл.). II синтезируют восстановлением 3,6 г III 4,4 г Zn-пыли в 150 мл 10%-ной HCl (2—10°) с последующим отделением от избытка Zn; к полученному р-ру I прибавляют р-р 4,5 г 5-нитрофурифура в спирте (~20°); выход II 4,75 г (68%), т. пл. 261—263° (разл., из CH<sub>3</sub>NO<sub>2</sub>).

К. Смирнов

**58473 П.** Способ получения основных производных пиразолона. Вигерт (Verfahren zur Herstellung basischer Pyrazolonderivate. Wiegert Ernst) [Chem. pharm. Fabrik Dr. Hermann Thiemann G. m. b. H.] Пат. ФРГ 967074, 3.10.57

Конденсацией 1-фенил-2,3-диметилпиразолона-5 (I) с пиридин-2- (II) или пиридин-4-альдегидами или с 6-метилпиридин-2-альдегидом в присутствии конц. к-т получают аналгетич. и спазмолитич. активные соединения ф-лы R<sub>2</sub>CHNR' (IIIa—e; где R = 1-фенил-2,3-диметилпиразолон-5-ил-4; a R' = пиридил-4, б R' = пиридил-4, в R' = 6-метилпиридил-2). Взвесь 40 г I в 40 г HCl (d 1,19) и 11 г II нагревают 1 час при 90—95°, разбавляют водой, подщелачивают NH<sub>3</sub> и отделяют IIIa, выход 85%, т. пл. 212° (из ацетон-сп.). Аналогично, но в присутствии конц. H<sub>2</sub>SO<sub>4</sub> получают IIIб, выход 80%, т. пл. 242° (из бзл.-петр. эф.) и IIIв, т. пл. 204°.

Э. Бамдас

**58474 П.** Способ получения оксикалксантин. Штоль, Шмид (Verfahren zur Herstellung von Oxyalkyl-xanthinen. Stoll Willy, Schmid Erich) [J. R. Geigy A.-G.] Швейц. пат. 314636, 15.08.56

1,3-диалкилксантинны конденсируются с алкандиолами или галоидгидринами в присутствии щел. катализаторов в диуретич. действующие 7-оксикалксантинны. В качестве примеров приведены синтезы 1,3-диэтил-, (I), 1-метил-3-этил-, (II), 1-этил-3-н-пропил-, (III) и 1,3-ди-н-бутил-, (IV) -7-( $\beta$ -оксипропил)-ксантинны и 1,3-ди-н-пропил-7-( $\delta$ -оксипропил)-ксантин (V). К р-ру 41,6 г 1,3-диэтилксантина в 0,2 л 1 н NaOH добавляют 17 г ClCH<sub>2</sub>CH<sub>2</sub>OH и 180 мл воды, нагревают 5 час. при 130—140°, нейтрализуют содой, концентрируют и получают I, т. пл. 131—133° (из сп.). Аналогично получают (указаны в-во и т. пл. в °C) II, 127,5—130; III, 120,5—122; IV, 89—91 (из ацетона) и V.

Э. Бамдас

**58475 П.** Четвертичные соли белладонны и способ их получения. Готовый, Якоби, Кюснер (Quaternary salts of belladonna and method of making them. Hotowy Rudolf, Jacobi Ernst, Kuessner Willi) [E. Merck Chemical Works.] Пат. США 2734062, 7.02.56

Четвертичные соли белладонны (I) общей ф-лы:

C<sub>34</sub>H<sub>42</sub>O<sub>4</sub>N<sub>2</sub> · mRX · n · H<sub>2</sub>O, где m = 1—2; R — алкил, аралкил с 1—5 атомами C; X — J, Br; n = 1—8. Исходными продуктами являются: I или его предшественники — тропин и псевдотропин. Соединения эти растворимы в воде, метаноле, спирте в УФ-спектре имеют 2 характеристич. максимума в пределах 258—259 и 261—262 м.к. 3,2 г I с избытком CH<sub>3</sub>J в эфире при длительной выдержке при 20° образуют 4 г I-бис-йодметилата, C<sub>36</sub>H<sub>48</sub>O<sub>4</sub>N<sub>2</sub>J<sub>2</sub> · 1/2 H<sub>2</sub>O, т. пл. 290° (из воды)

E<sub>1%</sub><sup>1 см</sup> = 6,6 для  $\lambda$  258 м.к. и 6,0 для  $\lambda$  261 м.к. Аналогично получают 2,4 г I-бис-йодэтилата C<sub>38</sub>H<sub>52</sub>O<sub>4</sub>N<sub>2</sub>J<sub>2</sub>, т. пл. 286°, I-бис-бромэтилата, т. пл. 98—101°: I-монобромэтилата, т. пл. 243—244°. При кипячении 13,8 г I с 27 г изопропилиодида в 30 мл бензола 3 часа получают 3,1 г I-бис-йодизопропилата. Аналогично из 4 г I и 9,7 г изоамилиодида в 40 мл ксилола при кипячении 4 часа получают I-бис-йодизоамилата, т. пл. 234—236°, 5,4 г I с 25 г (CH<sub>3</sub>)<sub>2</sub>SO<sub>4</sub> в 100 мл бзл. 6 час. образует 6 г I-бис-метилметосульфата, т. пл. 124—126°. 5 г бромэтилата апотропина нагревают несколько мин. до 180°. Плав перекристаллизовывают из смеси ацетона с водой и получают 0,8 г I-бис-бромэтилата. 25 г бромистого N-этилтропинна нагревают при перемешивании с 30 г смеси  $\alpha$  и  $\beta$ -изотропиновых к-т с 20 мл воды при 100°. Получают 10 г I-бис-бромметилата, т. пл. 98—101°. Соединения эти обладают курареподобным действием, превосходящим d-турбокурарин.

О. Магидсон

**58476 П.** Малеаты протOVERATРИНА А и протOVERATРИНА В. Стюарт (Maleate salts of protoveratrine. A and protoveratrine B. Stuart Elmer H.) [Eli Lilly and Co.] Пат. США 2753340, 3.07.56

При добавлении ацетонового р-ра малениновой к-ты к р-рам протOVERATРИНОВ А (I) или В (II) в CH<sub>2</sub>Cl<sub>2</sub> или р-цией компонентов в водн. р-ре образуются устойчивые водорастворимые малеаты I, т. пл. 241,5° (разл.), [ $\alpha$ ]<sub>D</sub><sup>20</sup> —37,6° (с 1, C<sub>5</sub>H<sub>5</sub>N), и II, т. пл. 222,2° (разл.), [ $\alpha$ ]<sub>D</sub><sup>20</sup> —27,3° (с 1, C<sub>5</sub>H<sub>5</sub>N), соответственно, сохраняющие фармакологич. свойства исходных алкалоидов. Способ пригоден для получения малеатов из неочищ. смеси алкалоидов.

Э. Бамдас

**58477 П.** Способ получения тестостерона и его эфиров. Эрколи, Руджери (Method for the preparation of testosterone and its esters. Ercoli Alberto, Ruggieri Pietro de) [Francesco Vismaria Societa per Azioni] Пат. США 2742485, 17.04.56

Для получения тестостерона (I) обрабатывают  $\Delta^4$ -андростендион-3,17 (II) ацетонциангидрином с образованием  $\Delta^4$ -андростендиан-17-ол-17-она-3 (III), который в присутствии кислого катализатора и этерифицирующего агента (ортомуравьиный эфир) превращают в 3-енольный эфир III. Последний, после обработки в кипящем алифатич. спирте, содержащем 2—4 атома C, щел. металлом, теряет CN и образует 3-енольный эфир I (IV); последний при подкислении щел. спирт. р-ра и разбавлении кипящей водой дает I. При обработке IV ангидридом циклоэтилпропионово-к-ты в присутствии C<sub>5</sub>H<sub>5</sub>N (V) получают 17-ацильное производное IV, которое осторожным кипячением в ацетоне в присутствии следов минер. к-ты и воды гидролизуют в 17-ацильный эфир I. Вместо 3-енольного эфира можно употребить 3-циклический гликолькеталь. Смешивают 14,8 г II и 21 мл ацетонциангидрина при легком нагревании. Через 2 часа отфильтровывают кристаллич. смесь эпимеров III, т. пл. 178°. Выход 15,6 г (96%). УФ-спектр поглощения  $\lambda_{\text{max}}$  240 м.к. (в сп.); lg E 4,20.

В 200 мл бензола суспендируют 15,6 г III, отгоняют 100 мл бензола, прибавляют при 65° 17,6 г ортомуравьиного эфира, 9 мл абс. спирта и 0,8 мл 7%-ной HCl в абс. спирте. Через 15 мин. взятая проба плавится при 207° (разл.) и указывает на наличие 3-енольного эфира III (смесь эпимеров). Не выделяя продукта, че-



рез 45 мин. охлаждают, прибавляют 0,14 мл V и выпаривают досуха в вакууме, остаток в р-ре 0,5 г Na в 400 мл сухого *n*-пропилового спирта нагревают до кипения и обрабатывают 15 г Na в кусочках в течение 40 мин., подкисляют 2 н. HCl, разбавляют кипящей водой, отгоняют в вакууме большую часть пропилового спирта. По охлаждении выделяют 13,1 г (98%) I, т. пл. 149—151°. Для получения 3-енолэтилового эфира I р-р в пропиловом спирте после обработки Na разбавляют горячей водой и оставляют кристаллизаться. Выход 15 г (92% на II), т. пл. 119—121°. К-ру 1 г IV в 10 мл V прибавляют 7 мл пропилового ангидрида. Через 8 час. разбавляют водой и выделяют 1,03 г пропионата IV, т. пл. 156° (из ацетона). Растворяют 1 г неочищ. пропионата IV в 10 мл ацетона, прибавляют 5 капель конц. HCl и нагревают при 100° 5 мин. При разбавлении горячей водой получают 850 мг кристаллич. пропионата I, т. пл. 121°. Аналогично получают ацетат 3-енолэтилового эфира, т. пл. 128—130° (из  $\text{CH}_3\text{OH} + \text{следы V}$ ), а из него ацетат I, т. пл. 137—139°;  $\beta$ -циклопентилпропионат IV, т. пл. 90—91° (из  $\text{CH}_3\text{OH}$ ), после гидролиза получают  $\beta$ -циклопентилпропионат I, т. пл. 99—101° (из  $\text{CH}_3\text{OH}$ ),  $[\alpha]_D^{20} + 90^\circ$  (1; хлф.); валерианат IV, т. пл. 103—104°; валерианат I, т. пл. 101—102° (из эф. + петр. эф.);  $[\alpha]_D^{20} + 97,50^\circ$  (1; хлф.). Суспендируют 1,56 г III в 60 мл  $\text{C}_6\text{H}_6$ , отгоняют 10 мл бензола, прибавляют 2,16 г  $\text{C}_6\text{H}_5\text{CH}_2\text{OH} + 50$  мг *n*-толуолсульфокислоты, кипятят 24 часа, возвращая непрерывно конденсат через  $\text{P}_2\text{O}_5$  обратно в колбу, нейтрализуют *n*-толуолсульфокислоту несколькими каплями V, отфильтровывают остатки III, фильтрат выпаривают в вакууме досуха. Получают после кристаллизации из смеси  $\text{CH}_3\text{OH} + \text{петр. эфир}$  3-енолбензиловый эфир III (VI), т. пл. 199—200°. После обработки VI Na в пропиловом спирте выделяют без подкисления 3-енолбензиловый эфир I, т. пл. 152—155° (из сп. + следы V). Аналогично из суспензии 1,56 г III в 50 мл  $\text{C}_6\text{H}_6$ , 2 мл этиленгликоля + 50 мг *n*-толуолсульфокислоты получают 1630 мг 3-этиленгликолькетала III, т. пл. 187° (разл.), после обработки Na в пропиловом спирте получают 3-этиленгликолькетал I, т. пл. 180—181° (из сп. + следы V); 1,5 г последнего обрабатывают смесью 15 мл пропилового ангидрида + 15 мл V, получают 1,570 г 3-этиленгликолькеталпропионата I, полиморфные кристаллы, т. пл. 176° и 208—209°. О. М.

58478 П. Аддукты маленького ангидрида и  $\Delta^{16,20}$  стероидов. Мейжер, Мюллер (Maleic anhydride adducts of  $\Delta^{16,20}$  steroids. Mazur Robert H., Mueller George P.) [G. D. Searle & Co.]. Пат. США 2753343, 3.07.56

Взаимодействием 3,20-диацетоксипрегнатриена-5,16,20 или 3,20-диацетоксипрегнатетраена-3,5,16,20 (I) с маленьким ангидридом в  $\text{C}_6\text{H}_6$  (1 час при 99—100°, затем 16 час. при 20°), разбавлением реакционной смеси эфиром и отгоном р-рителя синтезированы регулирующие кровяное давление ангидриды 1,2,3,4,4а,4в,5,6,6а,8,9,10,10а,11а,11в,12-гексадекагидро- (т. пл. 241—243°) и 3,4,4а,4в,5,6,6а,8,9,10,10а,11а,11в,12-тетрадекагидро- (т. пл. 214°)-2,7-диацетокси-4а,6а-диметил-11Н-нафто (2,1-а)-флуорендикарбонновых-9, 10 к-т. 20 г прегнадиена-4,16-диона-3,20 и 2 г  $n\text{-CH}_3\text{C}_6\text{H}_4\text{SO}_3\text{H} \cdot \text{H}_2\text{O}$  (II) в 460 г изопропилацетата (III) кипятят 7 час., отгоня образующийся ацетон, добавляют 2 г II и 230 г III, отгоняют р-ритель почти досуха, остаток растворяют в  $\text{C}_6\text{H}_6$ , промывают р-ром  $\text{NaHCO}_3$  и выделяют I, т. пл. 125—128° (из бзл.-циклогексана). Э. Бамдас

58479 П. Получение кортизона. Джулиан, Кол, Мейер, Карпел (Preparation of cortisone. Julian Percy L., Cole John Wayne, Meyer Edwin W., Karpel William J.) [The Glidden Co.]. Пат. США 2752339, 26.06.56

Патентуется ряд частичных синтезов 4-прегнен-17а-

21-диолтриона 3,11,20 — кортизона (I) и его 21-моноацетатного производного (II). Основным исходным продуктом является 16,17-оксидопрегнан-3а-ол-11,20-дион (III). Стадии процесса: превращение 16,17-оксидогруппы в 17а-оксигруппу обработкой HBr с последующим удалением Br восстановлением скелетным Ni, 2) образование 21-ацетоксигруппы введением брома в 21-положение с последующей обработкой солями карбоновых к-т (К-ацетат, формиат, бензоат и т. п.) для замещения брома на ацетоксигруппу, 3) окисление 3а-оксигруппы в кетогруппу и 4) введение двойной связи в положение 4—5 бромированием 3-кетосоединения в 4 положении с последующим удалением HBr. Описаны различные варианты порядка получения отдельных промежуточных в-в. Свободный I получают простым гидролизом II. Получение III: р-р 50 г ацетата 16-прегнен-3а-ол-диона-11,20 (IV) в 1500 мл  $\text{CH}_3\text{OH}$  охлаждают до 15° и обрабатывают 75 мл охлажд. 4 н. NaOH, затем при охлаждении добавляют 150 мл холодной 30%-ной  $\text{H}_2\text{O}_2$ . Смесь выдерживают при —5° в течение 40 час., отфильтровывают, фильтр и остаток промывают 75 мл  $\text{CH}_3\text{OH}$ . Фильтрат разбавляют 5 л воды, содержащей 1 кг NaCl. Смесь охлаждают до окончания кристаллизации и отфильтровывают, кристаллы промывают 3 л дистил. воды до нейтр. р-ции и высушивают при 50°. Выход 42 г т. пл. 220—223°. Ацетат 16,17-оксидопрегнан-3а-ол-диона-11,20 (V): 42 г III растворяют в 126 мл перегнанного  $\text{C}_6\text{H}_5\text{N}$  и обрабатывают при охлаждении 42 г перегнанного  $(\text{CH}_3\text{CO})_2\text{O}$ . Смесь оставляют стоять при ~20° 12—15 час., отфильтровывают и добавляют небольшими порциями воду до суммарного объема 336 мл. Продукт отфильтровывают, промывают дистил. водой и сушат. Выход ~46 г, т. пл. 147—149°. 21-моноацетат 16,17-оксидопрегнан-11,20-дион-3а,21-диола (VI): к р-ру 4 г V в 40 мл  $\text{CH}_3\text{COOH}$  и 40 мл  $\text{HCl}$  при 20° прибавляют 4 мл 32%-ной HBr в  $\text{CH}_3\text{COOH}$ . После 10-минутной выдержки быстро добавляют р-р 1,76 г Br в 18 мл  $\text{CH}_3\text{COOH}$ , оставляют стоять 20 мин. при ~20°, упаривают в вакууме, растворяют в эфире, охлаждают и фильтруют. Получают 3,38 г 21-бромпроизводного (VII) (т. пл. 224—230°, с разл.). Последний обрабатывают при ~20° смесью 27 мл  $\text{C}_6\text{H}_6$  и 72 мл  $\text{CH}_3\text{OH}$ , содержащей 1,9 г безводн. HBr, в течение 12 час. Смесь разбавляют водой, экстрагируют эфиром и промывают водой до нейтр. р-ции. Р-р упаривают в вакууме, растворяют в 90 мл сухого ацетона и нагревают с 15 г безводн. ацетата K 5 час.; смесь упаривают, осаждают водой и фильтруют. Сухой продукт после кристаллизации из сп. содержит 1,78 г VI, т. пл. 230° (после перекристаллизации из этилацетата, т. пл. 234—235°). Ацетат 16,17-оксидопрегнан-21-ол-триона-3,11,20 (VIII): смесь 1,0 г VI, 1 мл воды и 40 мл  $\text{CH}_3\text{COOH}$  перемешивают при 25° и добавляют по каплям в течение 20 мин. 0,25 г  $\text{CrO}_3$ , 1 мл воды и 19 мл  $\text{CH}_3\text{COOH}$ . После 5 мин. выдержки прибавляют 100 мл воды. Полученный р-р охлаждают, выделившиеся кристаллы отфильтровывают и сушат. Выход 0,57 г VIII, т. пл. 130—131° (из водн. ацетона). 21-моноацетат прегнан-17а,21-диолтриона-3,11,20 (IX): а) р-р 0,5 г VIII в 2,5 мл  $\text{CH}_3\text{COOH}$  охлаждают до 18° и обрабатывают 0,5 мл 32%-ной HBr в  $\text{CH}_3\text{COOH}$  10 мин. при 18°. Смесь упаривают в вакууме и обрабатывают безводн. эфиром до начала кристаллизации. Бромгидрин отфильтровывают, сушат в вакууме и обрабатывают в течение 2 час. 1 г скелетного Ni и 18 мл спирта. После фильтрации и упаривания получают ацетат дигидрокортизона, т. пл. 228° (из водн. сп.). 21-моноацетат 4-бромпрегнан-17а,21-диолтриона-3,11,20 (X): р-р 2,02 г IX (т. пл. 230°) в 100 мл  $\text{CH}_3\text{COOH}$ , содержащий 0,576 мл 0,678 н. HBr, обрабатывают 5 мин. 10,1 мл 0,99 н. р-ра брома в  $\text{CH}_3\text{COOH}$ , содержащей 0,41 г безводн. ацетата Na.

Смесь разбавляют 240 мл воды и оставляют стоять 1 час. Белый кристаллич. продукт отделяют фильтрацией, промывают 50 мл 30%-ной водн.  $\text{CH}_3\text{COOH}$  и затем 250 мл воды и сушат при 50°. Выход 1,98 г, уд. вращение  $+95^\circ$  в ацетоне. При стоянии из маточника выделяются еще 90 мг в-ва. После очистки уд. вращение  $+98^\circ$ — $100^\circ$ . 4-прегнен-17 $\alpha$ ,21-диол-3,11,20-трион-21 моноацетат 10,3 г X растворяют в смеси 396 мл чистого, безводн.  $\text{CHCl}_3$  и 515 мл  $\text{CH}_3\text{COOH}$ . После прибавления 2,16 г безводн. ацетата Na и 4,63 г 2,4-динитрофенилгидразина через р-р пропускают  $\text{CO}_2$  в течение 1 часа. Оранжево-красный р-р оставляют стоять 50 час. в атмосфере  $\text{CO}_2$ . Отгоняют р-ритель в вакууме при 40—50°, т. пл. 2,4-динитрофенилгидразона I 232—234°. Твердый остаток после отгонки всего р-рителя растворяют в 426 мл сухого  $\text{CHCl}_3$  и 106 мл  $\text{CH}_3\text{COOH}$ . После добавления 106 мл 80%-ной пировиноградной к-ты смесь выдерживают при 45° в течение 48 час. в атмосфере  $\text{CO}_2$ , упаривают в вакууме и растворяют в 250 мл сухого  $\text{CHCl}_3$ . Оранжево-желтый остаток, 2,4-динитрофенилгидразон пировиноградной к-ты, отделяют фильтрацией и промывают  $\text{CHCl}_3$ . Хлороформный р-р упаривают и обрабатывают при 20° 2 часа 10 мл  $\text{C}_6\text{H}_5\text{N}$  и 10 мл  $(\text{CH}_3\text{CO})_2\text{O}$ . После разложения избыточного ацетилирующего агента водой хлороформный р-р промывают последовательно разб. к-той, водой, разб. р-ром  $\text{NaHCO}_3$  и снова водой. Упаривают р-р до объема 25—30 мл и разбавляют 250 мл  $\text{CH}_3\text{OH}$ . Отделяют красный осадок 2,4-динитрофенилгидразон- $\Delta^6$ -кортизона, образующийся при стоянии, и упаривают метанольный р-р. Обесцвечивают полученный I активированным углем и кристаллизуют из ацетона, т. пл. очищ. продукта в виде белых кристаллов 243—244°;  $\lambda_{\text{макс}}$  238 м $\mu$  (в  $\text{CH}_3\text{OH}$ ). 21-моноацетат прегнан-3 $\alpha$ ,17 $\alpha$ ,21-триолдиона-11,20 (XI): р-р 10 г VI в 40 мл  $\text{CHCl}_3$  при 10° обрабатывают 1,5 моль-эквив.  $\text{HBr}$  в  $\text{CHCl}_3$  10 мин. Р-р упаривают в вакууме, перемешивают, кипятят 3 часа с 35 г скелетного Ni и 350 мл спирта. Смесь фильтруют, упаривают в вакууме и получают XI с т. пл. 227° (из ацетона). Прегнан-3 $\alpha$ ,17 $\alpha$ -диол-11,20-дион-3-моноацетат (XII): р-р 60 г V в 300 мл  $\text{CH}_3\text{COOH}$  охлаждают до 15° и обрабатывают р-ром 60 мл 32%-ной  $\text{HBr}$  в  $\text{CH}_3\text{COOH}$ . Смесь выдерживают 15 мин. при 20°, после чего кристаллич. бромгидрин отделяют фильтрацией и промывают эфиром. После сушки в вакууме его при перемешивании кипятят 3,5 часа с 240 г скелетного Ni в 2100 мл спирта. Смесь фильтруют, упаривают в вакууме и получают 45,8 г XII, т. пл. 202° (из водн. этанола). Ацетат 16,17-оксидо-4-прегнан-21-ол-3,11,20-триона (XIII): р-р 1,005 г VIII в 50 мл  $\text{CH}_3\text{COOH}$  обрабатывают 3,563 мл 0,75 н.  $\text{HBr}$  в  $\text{CH}_3\text{COOH}$ . Затем по каплям при перемешивании добавляют р-р 0,205 г ацетата Na и 4,63 мл 1,08 н. р-ра  $\text{Br}$  в  $\text{CH}_3\text{COOH}$ , разбавляют водой и экстрагируют  $\text{CHCl}_3$ . Экстракт промывают водой, разб. р-ром  $\text{NaHCO}_3$  и водой, содержащей 1 г-моль  $\text{NaHCO}_3$ . После промывания водой и сушки хлороформный р-р упаривают в вакууме досуха. Неочищен. продукт растворяют в смеси 38 мл  $\text{CHCl}_3$  и 51 мл  $\text{CH}_3\text{COOH}$ . После добавления 0,307 г сухого ацетата Na и 0,544 г 2,4-динитрофенилгидразина пропускают через массу  $\text{CO}_2$  в течение 1 часа. Оставляют стоять в атмосфере  $\text{CO}_2$  15 час. при  $\sim 20^\circ$ . Оранжевый р-р упаривают в вакууме при 40—50° до объема 12 мл и добавляют 50 мл  $\text{CHCl}_3$  и 12,5 мл 80% водн. пировиноградной к-ты. Полученный р-р в атмосфере  $\text{CO}_2$  выдерживают при 45° в течение 48 час. Упаривают р-р в вакууме при 45° до малого объема, разбавляют  $\text{CHCl}_3$  и фильтруют для отделения твердого гидразона пировиноградной к-ты. Фильтрат промывают водой, разб. р-ром  $\text{NaHCO}_3$ , водой и сушат. Амorfный оранжевый остаток, полученный после упаривания, растворяют в горячем ацетоне и обесцвечивают углем.

Бледно-желтый остаток очищают хроматографированием и кристаллизуют. По максимуму абсорбции в УФ-спектре (239 м $\mu$ ) продукт относится к типу 3-кето- $\Delta^4$ -стероидов. При обработке XIII  $\text{HBr}$  в  $\text{CH}_3\text{COOH}$  с восстановлением скелетным Ni получают I. Л. Шулов

**58480 П. Способ выделения фитина из семян. Болли, Мак-Кормак, Нотон** (Process for separation of «Phytin» from seeds. Bolley Don S., McCormack Ralph H., Naughton Frank C.) [National Lead Co.]. Пат. США 2732395, 24.01.56

Обезжиренную муку из прота маслосодержащих семян (льна, сои, арахиса и др.), освобожденную от оболочек просеиванием через сито или в токе воздуха, обрабатывают  $\sim 15$  ч. подкисленной воды с pH 4,5—4,9. При этом диспергирования глобулинов не происходит, а фитин переходит в водн. фракцию; доводят pH гидроокисью щел. металла до 6,4—7,0 и р-р нагревают до т-ры кипения, в результате чего происходит коагуляция и осаждение фитина. Осадок отделяют от р-ра фильтрацией или центрифугированием и высушивают для получения концентрата фитина. Твердую фазу после отделения упомянутого р-ра обрабатывают водн. р-ром с pH  $>8,0$ . Диспергированный протеин отделяют от осадка и при последующем снижении pH р-ра до 4,5—4,9, т. е. примерно до изоэлектрич. точки протеина добавлением  $\text{HCl}$  или  $\text{H}_2\text{SO}_4$ , глобулины коагулируют, после чего их отделяют от р-ра фильтрацией или центрифугированием. Последующее высушивание коагулята дает чистый белок, свободный от органич. фосфорных соединений и от других водорастворимых компонентов исходной обезжиренной муки. Г. Фрид

**58481 П. Получение хлорофилла из бурых водорослей. Такахаси Такэо, Миякэ Нобухиру.** Японск. пат. 3380, 20.05.55

Патентуется способ извлечения хлорофилла (I) из бурых водорослей с помощью спирта и экстрагирования бензолом. 100 кг бурых водорослей после промывания обрабатывают слабой щелочью и к-той, добавляют 10 кг  $\text{Na}_2\text{CO}_3$  и соответствующее кол-во воды и, периодически помешивая, при 60° отделяют альгиновокислый натрий. К оставшейся массе добавляют 3%-ный водн. р-р  $\text{AlCl}_3$  или 5%-ный р-р  $\text{Al}_2(\text{SO}_4)_3$ . Отделив воду центрифугированием или отсасыванием, получают 50 кг влажной массы, которая содержит 3—7% I. В массу добавляют 50 л 80%-ного  $\text{CH}_3\text{OH}$  и размешивают. Затем вливают 30 л чистого  $\text{C}_6\text{H}_6$ . Р-р нагревают, отделяют  $\text{C}_6\text{H}_6$  и получают 1 кг пасты зеленого цвета, которую очищают обычным способом, обрабатывают слабой щелочью и получают растворимый в воде I в кол-ве 0,2—0,3% к первоначальному кол-ву сырья. Полученный продукт может использоваться в фармацевтич. и парфюмерной пром-сти. В. Гужавин

**58482 П. Белковый препарат и метод его приготовления. Уагнер, Хабишгерст, Терри** (Proteinaceous composition and method of making the same. Wagner Jean I., Nabighurst Becker, Terry Millard G., Jr) [National Dairy Research Lab., Inc.]. Пат. США 2744890, 8.05.56

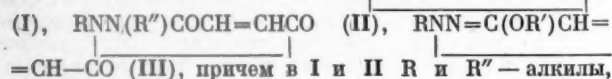
Белковая паста для нанесения на раны, ожоги и т. п. состоит из растворимого в щелочи белка, способного коагулировать под действием солей тяжелых металлов, а также смачивающего в-ва, едкой щелочи и воды. Для замедления застывания пасты при хранении в нее вводят небольшие кол-ва органич. или неорганич. соединений, напр. мочевины, цистеина, метионина и гидролизат шерстяного белка. Ингибитор застывания применяют в кол-ве 0,25%—1%. Полученную смесь можно стерилизовать в течение 20—25 мин. при 120—121°. Продукт выдерживает длительное хранение при  $\sim 20^\circ$ , в качестве исходного в-ва применяют казеин, для растворения применяют  $\text{NaOH}$  или  $\text{KOH}$  в таком кол-ве, чтобы pH был 6—8. В процессе изго-



товления пасты белок не должен быть денатурирован в такой степени, чтоб он не коагулировал под действием двухвалентных солей тяжелых металлов: ацетата цинка, сульфата кобальта, сульфата магния. Начальная вязкость пасты по Брукфильду при 20 об/мин. должна быть 20—25. В качестве смачивающего агента и антисептика применяют натрийлаурисульфат, в качестве пластификатора — лактат натрия. Пример. В смеситель загружают 24,773 кг воды и 6,75 кг казеина. После перемешивания в течение 15 мин. нагревают и добавляют 2,9 кг 50%-ного р-ра лактата Na, р-р 0,9 кг Na-лаурилсульфата в 6 кг воды и 0,157 кг NaOH в 0,5 кг воды. Перемешивают и в течение 15—20 мин. нагревают до 65,5°. Добавляют 102 г мочевины, растворенной в равном кол-ве воды, и перемешивают. При t-ре 43—49° р-р разливают в сосуды и стерилизуют 25 мин. при 120°. Полученный препарат сохраняет пригодность в течение 21 недели. И. Этинггоф

**58483 П.** Способ получения водных растворов и получаемые препараты. (Procédé de préparation de solutions aqueuses et solvants aqueux ainsi obtenus) [Ciba A.-G.]. Франц. пат. 1107479, 3.01.56 (франц.).

Для получения водн. р-ров лекарственных в-в (ЛВ), трудно растворимых или нерастворимых в воде, применяют в качестве в-в, способствующих растворению (ВСР), соединения общ. ф-л  $RNN=C(R')CH=CH-CO$



R' — алкил, алкоксил или оксаалкоксил; в каждом случае R и R', также как R' и R'', вместе содержат ≤ 10 атомов C (в частном случае ≤ 6 атомов C); в III R — алкил, содержащий 1—2 атома C, R' — алкил или оксаалкил, R и R' вместе содержат ≤ 6 атомов C. Патентуются в качестве ВСР 1-метил-3-метокси-IV (IV — 6-оксо-1,6-дигидропиридазин) и (или) 1-этил-3-метокси-IV и (или) 1-метил-3-этокси-IV и (или), 1,3-диметил-IV и (или) 1-этил-3-метил-IV и (или) 1-н-пропил-3-метил-IV и (или) 1,2-деметил-3,6-диоксо-1,2,3,6-тетрагидропиридазин (V) и (или) 1-метил-3-(3'-оксапентилокси)-IV и (или) 1-метил-3-(3'-оксабутокс)-IV; в качестве ЛВ в р-рах: пиразолоны, напр. 1-фенил-2,3-диметил-4-диметиламинопиразолон (VI), гормоны, напр. кортизон или дезоксикортикостерон (VII), производные барбитуровой к-ты, напр. диаллилбарбитуровая к-та (VIII) или этилфенилбарбитуровая к-та (IX), пиперидоны, напр. 3-этил-3-фенил-2,6-диоксопиперидин (X), резерпин (XI) как таковой или в виде солей. В следующих примерах указанные кол-ва ВСР и ЛВ доводят водой до объема 10 мл, причем во всех случаях получают прозрачный устойчивый р-р ЛВ, легко переносимый пациентом: 1 г VI и 3 г 1-метил-3-метокси-IV; 0,5 г 1-фенил-3-диметиламин-IV и 5 г 1-метил-3-метокси-IV; 0,2 г VII и 5 г 1-метил-3-метокси-IV; 1 г VI и 3 г 1-этил-3-метокси-IV; 0,5 г теофиллина и 5 г 1-этил-3-метокси-IV; 1 г 1-фенил-3-диметиламин-IV и 5 г 1-этил-3-метокси-IV; 0,2 г VII и 5 г 1-этил-3-метокси-IV; 0,1 г кортизона и 5 г 1-этил-3-метокси-IV; 1,5 г VI и 3 г 1-метил-3-этокси-IV; 1 г 1-фенил-3-диметиламин-IV и 5 г 1-метил-3-этокси-IV; 0,2 г кортизона и 5 г 1-метил-3-этокси-IV; 0,5 г VII и 5 г 1-метил-3-этокси-IV; 1 г VI и 3 г 1,3-диметил-IV; 0,5 г VII и 5 г 1-этил-3-метил-IV; 1,5 г VI и 3 г 1-этил-3-метил-IV; 0,4 г VIII и 5 г 1-этил-3-метил-IV; 0,5 г теофиллина и 5 г 1-н-пропил-3-метил-IV; 0,4 г VIII и 5 г 1-н-пропил-3-метил-IV; 0,5 г теофиллина и 5 г V; 1 г VI и 3 г V; 0,2 г хлоргидрата XI и 5 г 1-метил-3-(3'-оксапентилокси)-IV; 0,2 г хлоргидрата XI и 5 г 1-метил-3-(3'-оксабутокс)-IV; 0,5 г X и 5 г 1-метил-3-(3'-оксапентилокси)-IV; 1 г IX и 5 г 1-метил-3-(3'-оксапентилокси)-IV; 0,2 г хлоргидрата XI и 5 г 1-метил-3-метокси-IV;

0,2 г хлоргидрата XI и 5 г 1-метил-3-этокси-IV; 0,2 г хлоргидрата XI и 5 г V; 0,005 г XI и 1,25 г 1-метил-3-(3'-оксабутокс)-IV (добавляют водой до 2,5 мл). Подробно описано получение патентуемых ВСР: а) 1-метил-3-метокси-IV, т. пл. 63—65° (гексан), получают нагреванием 6 час. при 120—130°  $CH_3ONa$  и 3,6-дихлорпиридазина (т. пл. 70°) в  $CH_3OH$  и последующим нагреванием полученного 3,6-диметоксипиридазина (XII) (т. пл. 108°) с n-толуолсульфокислотой 8 час. при 150°; б) 1-этил-3-метокси-IV, т. пл. 52—54° (гексан), т. кип. 100—111°/10 мм, получают нагреванием 6 час. при 120—130° XII с йодистым этилом; аналогично получают 1-метил-3-этокси-IV, т. пл. 63—64°; т. кип. 115—117°/10 мм; в) 1-пропил-3-метил-IV, т. кип. 114—118°/10 мм, получают нагреванием 2 часа при 130° 3-метил-IV с пропилом Na и  $C_3H_7Br$ ; г) V, т. пл. 136—137° (ацетонгексан), получают нагреванием 2 часа при 150° N,N-маленилгидразина с диметилсульфатом; д) 1-метил-3-(3'-оксапентилокси)-IV, т. пл. 45—46° (из петр. эф.), т. кип. 85—87°/0,07 мм, получают р-цией Na в безводном моноэтиловом эфире гликоля с дихлорпиридазином 6 час. при 135—140° и нагреванием образующегося 3,6-ди-(3'-оксапентилокси)-пиридазина, т. пл. 71—73°, 5 час. на кипящей водяной бане; е) 1-метил-3-(3'-оксабутокс)-IV, т. пл. 47—49° (из эф.-петр. эф.), т. кип. 86—88°/0,06 мм, получают р-цией Na в моноэтиловом эфире гликоля с дихлорпиридазином и взаимодействием образующегося 3,6-ди-(3'-оксабутокс)-пиридазина, т. пл. 55,5—56,5°, с диметилсульфатом. Патентуемые ВСР можно применять в смесях с другими ВСР, напр. растворимыми в воде уретанами, алкилмочевинами или амидами жирных к-т. Ю. Вендельштейн

**58484 П.** Способ получения суспензий кортизонацетата в водных растворителях. Рихтер, Шютце (Verfahren zur Herstellung von Cortisonacetatsuspensionen in wäßrigen Lösungsmitteln. Richter Hans Schütze Rudolf) [Schering A.-G.]. Пат. ФРГ 949251, 13.09.56

В доп. к пат. ФРГ 945651 (РЖХим, 1958, 9062) патентуется способ перекристаллизации из  $CH_3OH$  кортизонацетата (I), применяемого в виде устойчивых водн. суспензий. Способ основан на том, что продажный образец I без спец. предварительного отбора, как предлагалось раньше, сразу перекристаллизуют 1 раз из  $CH_3OH$ , сушат и измельчают, превращая продукт в кристаллики требуемого в основном патенте размера. Водн. суспензия, полученная из данных кристалликов I и подвергнутая горячей стерилизации нагреванием до 100° (согласно основному патенту), отличается хорошей стойкостью. Л. Михельсон

**58485 П.** Приготовление масляных инъекционных растворов пенициллина. Йосида Сабуро, Митamura Минору [Такада якухин когэ кабусики кайся]. Японск. пат. 3098, 9.05.55

В качестве суспендирующего средства вместо моностеарата алюминия, добавляют в масло эфир целлюлозы (напр., этилцеллозозу), обладающий хорошей растворимостью в масле, способствующий prolongации действия пенициллина и лишенный токсич. свойств. Пенициллин может применяться в виде солей (Ca, Na, Al, прокаинной соли и ее производных, аминопридиновой, аминотазоловой соли и т. д.). Масло можно взять арахисовое, кунжутное или масло японской камелии. При долгом хранении готовый препарат подвергается расслоению, однако однородность может быть восстановлена путем встряхивания. Пример. В 100 мл очищ. кунжутного масла добавляют 1 г этилцеллолозы (на единицу целлюлозы 2—3 этоксиисные группы), нагревают и размешивают до растворения, затем в течение 3 час. пастеризуют при 150°. После однократной выдержки добавляют прокаинпени-

целлина в соотношении 30 000 ед. на 1 мл, смешивают, суспензируют и упаковывают. Весь процесс осуществляется в стерильных условиях. В. Гужавин 58486 П. Подкладка к искусственным веществам для заполнения зубных полостей. Фукс, Вегнер (Mittel zur Herstellung von Unterfüllungen für Kunststoff-Füllung in Zahnkavitäten. Fuchs Otto, Wegner Günther) [Farbwerke Hoechst Akt.-Ges. vormals Meister Lucius & Brünig]. Пат. ФРГ 953905, 6.12.56

Чтобы предотвратить попадание мономеров, применяемых для образования пластмассовых заполнителей зубных полостей, напр. метакрилата, предлагается делать пленочную подкладку из поливинилалкоголя со степенью полимеризации предпочтительно 500—2000 с добавкой 0,001—1% дезинфекционных средств, напр. фенолов, хлоргидрата бис-[2-метил-4-аминохинолин-(6)]-мочевины. Поливинилалкоголь применяют в виде 5—20%-ного р-ра в смеси равных кол-в спирта и воды. О. Магидсон 58487 П.

Бактерицидные препараты йода. Саттон, Рейнольдс (Germicidal iodine preparations. Sutton Melville G., Reynolds Martin M.) [West Labs, Inc]. Пат. США 2759869, 21.08.56

Патентуются бактерицидные йодсодержащие препараты, состоящие из J, и соединения ф-лы  $\text{HO}(\text{C}_2\text{H}_4\text{O})_x(\text{C}_6\text{H}_4\text{O})_y(\text{C}_2\text{H}_4\text{O})_x\text{H}$  (I), где  $y \geq 15$  и  $(\text{C}_2\text{H}_4\text{O})_{x+y}$  составляет  $<20-90\%$  от мол. веса соединения. Соединения такого типа носят название «Pluronic» (P). Р-р J в Р готовят нагреванием компонентов в присутствии небольшого кол-ва HCl (2—3%) при перемешивании и  $\sim 60^\circ$ . При растворении в Р меньшая часть J соединяется химически, большая же часть остается в р-ре и является гермицидно-активной. Такие р-ры йода можно разбавлять водопроводной водой до содержания J  $>1\%$ . По более разб. р-ров выделяется йод и они становятся мутными. При добавлении к разб. мутным р-рам эмульгатора Altagox A-400 (II) (продукт присоединения 8—9 молей окиси этилена к м-октик или м-нонилфенолу) муть растворяется. Примеры. Концентрат для очистки санитарного оборудования готовят нагреванием и при перемешивании смеси 44 ч. I, 17 ч. йода, 2 ч. 30—35%-ной HCl, до растворения. К р-ру прибавляют  $\sim 20$  ч. II. Смесь охлаждают до  $\sim 40^\circ$  и прибавляют  $\sim 15$  ч. изопропилового спирта (III); разбавлением водопроводной водой получают 0,6%-ный р-р прозрачного концентрата, содержащего  $\sim 13\%$  свободного J. Концентрат, дающий при разбавлении водой р-р для наружного применения, содержит  $\sim 4$  ч. I, 1,5 ч. J,  $\sim 0,5$  ч. 10%-ной HCl,  $\sim 2,5$  ч. II, 0,25 ч. циклоформа (изо-бутилового эфира n-аминобензойной к-ты),  $\sim 10$  ч. III,  $\sim 80$  ч. дистил. воды. Гермицидное мыло содержит  $\sim 25$  ч. I, 25 ч. порошкообразного мыла,  $\sim 2,5$  ч. I и 45 ч. карбовакса-600 и  $\sim 10$  ч. серного цвета. Приведены также примеры приготовления аналогичных препаратов в виде сухих порошков и таблеток. К. Бокарев

См. также: Лекарств. в-ва: общие вопр. 21842Бх; ор-ганич. 57400, 57405, 57423, 57424, 57427, 57428, 57439, 57441. Алкалоиды 57580, 57581, 57597; 21611Бх. Глюко-зиды 57537, 57538; 21262Бх. Витамины 57601, 57602; 21575Бх, 21581—21583Бх, 21767Бх, 21769Бх. Гормоны 57368. Антибиотики 57411, 57604—57607; 57611; 21952Бх, 21955Бх, 41965Бх.

Анализ: 57246, 57250, 58252, 57253, 57258, 57259, 57262

## ПЕСТИЦИДЫ

Редакторы Ю. А. Баскаков, Н. Н. Мельников

58488. Фосфорорганические пестициды. Обзор зарубежной литературы. Мельников Н., Мандель-

баум Я., Швецова-Шилова К., Хим. средства защиты раст. Сб. перев. и обз. из ин. пер-нод. лит., 1957, № 3, 5—57

Обзор. Библ. 327 назв. К. Швецова-Шилова

58489. Применение пестицидов на автомобильных дорогах. Зюкел, Эдди (Pesticide use on highway areas. Zukel J. W., Eddy C. O.), Agric. Chemicals, 1957, 12, № 7, 38—39 (англ.)

Для уничтожения растительности вдоль магистралей в США применяют 2,4-Д, 2,4,5-Т, смесь борат + + хлорат Na, далапон, монурон, хлорат Na,  $\text{NH}_2\text{SO}_3\text{NH}_4$ ,  $\text{CCl}_3\text{COONa}$  и борат Na. В 1955 г. гербицидами обработано 7,3% от общего протяжения дорог, 2% обработано инсектицидами (ДДТ, ГХЦГ, хлордан, арсенат Pb, арамит, дильдрин, токсафен, малатион). К. Бокарев 58490.

Изучение инсектицидного действия производных камфоры. V. Образование эвтектических смесей с ДДТ и  $\gamma$ -ГХЦГ. Ота, Икэда (Ohta Kaoru, Ikeda Yasunosuke), Botu kagaku Scient. Insect Control, 1957, 22, № 3, 318—323 (японск.; рез. англ.)

ДДТ и  $\gamma$ -ГХЦГ образуют эвтектич. соединения с  $\alpha'$ -хлоркамфорой (I) и  $\alpha$ -бромкамфорой (II). Смесь 1 моля ДДТ и 3,5 молей I имеет наименьшую т. пл. ( $11^\circ$ ) в сравнении с другими смесями этих компонентов. Инсектицидное действие смеси  $\gamma$ -ГХЦГ (III) с I или II на взрослых *Callosobruchus chinensis* L. сильнее действия смеси III с камфорой. Смесь III с I при разбавлении 1:200 эффективнее III. По-видимому, I повышает инсектицидное действие III. Инсектицидная активность смеси ДДТ с I выше эффективности ДДТ и смеси ДДТ с камфорой. Действие смеси II и ДДТ ниже эффективности смеси ДДТ и камфоры. По-видимому, II является антагонистом ДДТ. Часть IV см. РЖХим 1958, 51360. К. Бокарев 58491.

Токсичность некоторых инсектицидов, применяемых для борьбы с западной подгрызающей совкой, повреждающей пшеницу в Канзасе. Де-Пью, Харви (Toxicity of certain insecticides for control of pale western cutworm attacking wheat in Kansas. DePew L. J., Harvey T. L.), J. Econ. Entomol., 1957, 50, № 5, 640—642 (англ.)

Против совки *Agrotis orthogonia* Морг. на озимой пшенице испытаны эмульсии 7 инсектицидов. ТДЕ и ДДТ в дозе 2,24 кг/га и эндрин 0,28 кг/га (по действующему началу) были высоко эффективны. Альдрин, гептахлор и токсафен в дозе 1,12 кг/га и дильдрин 0,56 кг/га значительно снижали (в сравнении с контролем) численность совки, но практически мало эффективны в течение 7 дней после обработки. Е. Гранин

58492. Гранулированные инсектициды для борьбы с люцерновым долгоносиком. Уолстром, Лофгрен (Granulated insecticides for the control of the alfalfa weevil. Walstrom R. J., Lofgren J. A.), J. Econ. Entomol., 1957, 50, № 5, 574—575 (англ.)

В целях борьбы с люцерновым долгоносиком *Hypera postica* (Gyll.) проведены сравнительные испытания гептахлора (I) и дильдрина (II) (в дозах 0,28 и 0,56 кг действующего начала на 1 га) в гранулированной форме и в виде эмульсии (Э). В одном из двух опытов гранулы I и II рассеивались по люцерновому полю, покрытому снегом 25—50 мм глубиной; Э применяли на начинающую подрастать люцерну. В сравнении с контролем I и II в обеих формах применения были высоко эффективны. Большая доза инсектицидов не имела существенных преимуществ перед меньшей. Различия в эффекте между Э и гранулами не обнаружены. Е. Гранин 58493.

Действие некоторых инсектицидных материалов на личиночную популяцию люцернового долгоносика на юге Пенсильвании. Блэкберн (Effects



of some insecticidal materials on larval populations of the alfalfa weevil in southern Pennsylvania. Blackburn Norris D., J. Econ. Entomol., 1957, 50, № 5, 559—562 (англ.)

Эффективная защита люцерны от повреждений личинками долгоносика *Hypera postica* (Gyll.) получена путем обработки ее в ранней стадии роста гентахлором (в гранулированной форме доза 3,08 кг/га, в форме эмульсии 0,42 и 0,84 кг/га). Эндрин, дильдрин и линдан (в дозах 0,28 и 0,56 кг/га) были менее эффективны.

Е. Гранин  
58494. Действие почвенных инсектицидов на вполне развившихся личинок, куколок и взрослых особей кукурузного початкового червя. Бланчард, Биггер (Effects of soil insecticides on full-grown corn earworm larvae, pupae, and adults. Blanchard Ralph A., Bigger John H.), J. Econ. Entomol., 1957, 50, № 5, 697—698 (англ.)

Альдрин, гентахлор и дильдрин, заделанные в почву в дозах 5,5, 4,6 и 2,69 кг/га соответственно, слабо действуют на арелых личинок, переходящих с початков в почву, а также на куколок или на взрослых *Heliothis zea* (Boddie), развивающихся из таких личинок.

Е. Гранин  
58495. Предотвращение откладки яиц комнатными мухами при воздействии контактнодействующих на лапки агентов. Ашер (Prevention of oviposition in the housefly through tarsal contact agents. Ascher K. R. S.), Science, 1957, 125, № 3254, 938—939 (англ.)

Соединения бис-(*n*-хлорфенил)-трифторметилкарбинол (I) и бис-(*n*-хлорфенил)-пентафторэтилкарбинол (II) практически мало токсичны для мух, но при контактировании лапками с сублетальными осадками I и II мухи не откладывают яиц. Бис-(*n*-бромфенил)-трифторметилкарбинол и бис-(*n*-хлорфенил)-гентафторпропилкарбинол обладают слабой активностью. При замене атомов Cl в I на метил или метоксил активность полностью исчезает, а при замене атомов F в I на Cl получают малоактивные соединения. Бис-(*n*-хлорфенил)-дихлор- и бис-(*n*-хлорфенил)-метилкарбинол совершенно неактивны. Соединения I и II почти полностью предотвращают яйцекладку даже у высокоустойчивых мух расы Суинс. При вскрытии мух, длительное время контактировавших с I и II, обнаружено, что сперматеки содержат подвижные сперматозоиды, а яичники нормально развиты и содержат яйца.

Ю. Фадеев  
58496. Эффективность нескольких инсектицидов и различных программ опрыскиваний в борьбе с виноградной молю. Кокс (The effectiveness of several insecticides and various spray programs for the control of grape berry moth. Cox James A.), J. Econ. Entomol., 1957, 50, № 4, 455—457 (англ.)

В мелкоделяночных опытах изучена эффективность различных инсектицидов против виноградной моли *Paralobesia viteana* (Clem.). Три опрыскивания ДДТ в конц-ии 0,09% дают прекрасные результаты. Смешанные программы опрыскивания, включающие ДДТ и паратион (I), ДДТ и ЭПН (II) и ДДТ и метоксиклор (III), также дали результаты сравнимые с опрыскиванием одним ДДТ, но имели преимущество в том, что, когда последнее опрыскивание проводилось I, II или III, опасность сохранения на плодах ядовитых остатков была невелика. Отдельно I—III так же, как и ДДТ, высоко эффективны, однако в виноградиках, сильно зараженных молю, III несколько уступает по эффективности ДДТ. Результаты, близкие к ДДТ, дали также диазинон и гуттион. Обнадеживающие результаты получены при применении пертана и дилана.

Ю. Фадеев  
58497. Наблюдения за поведением и борьба с мухами в сельскохозяйственных районах Израэля. III.

Использование дуста диазинона как ларвицида для мух. Мер, Цвиллих (Observations on the behaviour and control of houseflies in a rural area in Israel. III. On the use of diazinon dust as fly larvicide. Mer G. G., Swilich R.), Riv. parassitol., 1957, 18, № 1, 35—42 (англ.; рез. итал.)

Положительный эффект дала обработка навоза и отбросов диазиноном в дозе 1 мг/кг. Часть II см. РЖ-Хим, 1958, 51350.

Л. Бочарова  
58498. Устойчивость комнатных мух к воздействию фосфорорганических соединений. Лабрек, Вилсон (House fly resistance to organophosphorus compounds. Labrecque G. C., Wilson N. G.), Agric. Chemicals, 1957, 12, № 9, 46—47, 147—149 (англ.)

Комнатные мухи с птичника во Флориде, на котором в течение 2,5 лет применяли обработку малаатионом (I), оказались в 37 раз устойчивее к I, чем нормальные мухи, но мало устойчивы к дитерексу (II), техни. Доу ET-57 и паратиону. Мухи с другого птичника были в 23 раза устойчивее к I по сравнению с нормальными мухами, но мало устойчивы к II.

К. Бокарев  
58499. Влияние пиперонилбутоксид на механизм действия малаатиона в тараканах. Крейг, Рай, Рон (The effects of piperonyl butoxide on the mode of action of melathion in cockroaches. Craig James G. O., Rai Lallan, Roan C. C.), J. Kansas Entomol. Soc., 1957, 30, № 4, 153—155 (англ.)

Пиперонилбутоксид (I) усиливал токсич. действие малаатиона (II) на *Blattella germanica* L. и снижал в случае с *Leucophaea maderae* F. По чувствительности к действию II и смеси I + II *B. germanica* и *L. maderae* резко отличались. LD<sub>50</sub> (в γ/г) для *B. germanica* II равнялась 89,4 и I + II 67,1, а для *L. maderae* соответственно 271,6 и 521,3.

Л. Бочарова  
58500. Полевые опыты по применению четырех фосфорорганических инсектицидов против комаров во Флориде. Дейвис, Гахан (Field tests with four phosphorus insecticides against salt-marsh mosquitoes in Florida. Davis A. Nelson, Gahan James B.), Mosquito News, 1957, 17, № 3, 180—183 (англ.)

Масляные растворы малаатиона (I) и хлорпиона (II) в дозе 0,11 кг/га через 6 час. вызвали гибель > 90% взрослых комаров в лесных и болотистых районах и < 60% при 0,28 кг/га в мангровых болотах. Водн. р-р дитерекса (III) вызвал 77—96%-ную гибель (0,56 кг/га) в рощах, а в меньших дозах был малоэффективен. В опытах против личинок изучено также опыливание гранулированными препаратами, содержащими 2,5 и 5% I и 5% II, 1 и 0,5% Байер 21/199 (IV), 5% III и в качестве стандарта 1% ГХЦГ. При применении (0,28 кг/га) масляных р-ров I, II, III и IV погибло > 90% личинок. Гранулированные I, II и III в дозе 0,56 кг/га вызвали соответственно 64—99, 97—100 и 0—79, а IV в дозе 0,11 кг/га — 97—99%-ную смертность личинок.

Ю. Фадеев  
58501. Разложение in vitro некоторых фосфорорганических пестицидов жидкостью, взятой из рубца коровы. Кук (In vitro destruction of some organophosphate pesticides by bovine rumen fluid. Cook J. W.), J. Agric. and Food Chem., 1957, 5, № 11, 859—863 (англ.)

Исследовано действие in vitro жидкости из рубца коровы (ЖРК) на паратион (I), параоксон (II), хлорпион (III), ЭПН (IV), малаатион, фосдрин, диазинон, дитерекс, геркулес AC-528, тионол (V) и тионол (VI) изомеры систокса. К 20 мл ЖРК, отобранной час назад, прибавляли 1 мл спирт. р-ра испытуемого в-ва с конц-ией 2000 γ/мл. Смесь выдерживали при 37° и периодически определяли процент утраты холинэстеразы свежего образца жидкости и содержание в-ва (хроматографич. методом; неподвижный

растворитель — масло, подвижный — вода). I — V быстро разрушаются, причем *n*-нитрофенольная часть молекулы восстанавливается до *n*-аминофенола. VI разрушается менее быстро, чем V. При зерновом рационе она разрушается ЖКР медленнее. Несмотря на сравнительно высокую токсичность для теплокровных наиболее опасно попадание с кормом I.

К. Швецова-Шиловская  
58502. Ларвицидные свойства некоторых фосфорорганических инсектицидов. Сообщение I. Шнайдер Е. В., Ж. микробиол., эпидемиол. и иммунобиологии, 1957, № 9, 86—91

Изучена эффективность против личинок мух *Musca domestica* L. III возраста 5%-ного дуста и 0,01—0,02%-ной эмульсии диазинона (I) в дозах 5, 10 и 20 мг на 1 кг сухих отрубей, 5%-ного дуста и 0,01—0,02%-ного водн. р-ра хлорофоса (II) в дозах 5, 10, 20, 30 и 50 мг/кг и 0,2%-ной эмульсии карбофоса (III) в дозах 10, 50 и 80 мг/кг. Наиболее активен I. Дозы 20 мг I, 30 мг II и 80 мг III после 48-часового контакта вызывают 100%-ную гибель личинок. Форма применения не влияет на активность. При обработке почвы мыльные р-ры инсектицидов активнее водн. р-ров и эмульсий. Эффективность препаратов в отрубях выше их активности в почве. Фумигационное действие II выше действия I и III. Контактное действие I и III выше действия II. Поверхностное орошение навоза 0,5%-ным р-ром II в дозе 10 г/м<sup>2</sup> через 1 день полностью предупреждает развитие личинок. I—III обладают овицидным действием на яйца мух.

К. Бокарев  
58503. Дальнейшие испытания инсектицидов в борьбе с *Zeadiatraea grandiosella* Dyar. Уолтон, Арбуэно, Брукс (Further tests with insecticides to control the southwestern corn borer. Walton R. R., Arbutnot K. D., Brooks J. S.), J. Econ. Entomol., 1957, 50, № 3, 270—271 (англ.)

Против *Zeadiatraea grandiosella* Dyar. испытаны в дозе 1,12 кг/га О,О-диэтил-S-изопропил- и О,О-диэтил-S-пропилмеркаптометилдитиофосфат, фосдрин, карбон 744 (савини) и тимет. Одновременно испытанный эндрин (I) дал лучшие результаты. При сравнении гранулированного I (0,3—0,7 кг/га) с эмульсией I (1,12 кг/га), гранулированный I оказался наиболее эффективным. Его токсичность увеличивалась при дополнительном увлажнении растений водой после обработки. Лучший срок обработки — через 11—12 суток после начала яйцекладки *Z. grandiosella*. Л. Бочарова

58504. Химическое строение и активность синергистов пиретрина и аллетрина в борьбе с комнатными мухами. Бероза, Бартел (Chemical structure and activity of pyrethrin and allethrin synergists for control of the housefly *Beroza Morton*, Barthel W. F.), J. Agric. and Food Chem., 1957, 5, № 11, 865—859 (англ.)

С целью выяснения зависимости между хим. строением и синергетич. действием для пиретрина и аллетрина исследовано > 200 метилendioксибензиловых производных с боковой цепью, содержащей различные заместители. В-ва, содержащие в боковой цепи спирты, карбоновые к-ты или ациклич. углеводородные радикалы, обладают слабым синергетич. действием. Наиболее эффективны в-ва, содержащие в боковой цепи простые и сложные эфиры, ацетали, сульфоксиды, сульфоны или амиды. В-ва, не содержащие 3,4-метилendioксибензиловую группу, являются более слабыми синергистами.

К. Швецова-Шиловская  
58505. Хибалактон (савинин) как синергист для пиретринов и аллетрина. Мацубара (Hiballactone (savinin) as a synergist for pyrethrins and allethrin. Matsubara Hiromichi), Bull. Agric. Chem. Soc. Japan, 1957, 21, № 2, 132—133 (англ.)

Исследован синергизм хибалактона (3,4-(CH<sub>2</sub>O)<sub>2</sub>C<sub>6</sub>H<sub>3</sub>-

CH=CC(O)OCH<sub>2</sub>CHCH<sub>2</sub>C<sub>6</sub>H<sub>3</sub>(CH<sub>2</sub>O)<sub>2</sub>-3',4') (I) для аллетрина (II) и пиретрина (III).

Определены парализующее действие и токсичность для личинок комаров *Culex pipiens* var. *pallens* Coq. эмульсии смеси пиретроид + I и парализующее действие для *Musca domestica* vicina Masq. дустов смеси пиретроид + I. Синергетич. эффект для II в 1,65—2,08 раза выше, чем для III; обычно наблюдается обратное явление. Синергетич. эффект I обуславливается присутствием в его молекуле γ-лактонового кольца. К. Швецова-Шиловская

58506. Полевые опыты по борьбе с хлопковой цикадкой с помощью инсектицидов. Пател, Катарки, Пател (Field experiments on insecticidal control of the cotton Jassid, *Empoasca devastans* Distant. Patel G. A., Katarki H. V., Patel N. G.), Indian J. Entomol., 1957, 19, № 1, 23—30 (англ.)

По степени снижения численности цикадки *Empoasca devastans* Distant на хлопчатнике хорошие результаты дали опрыскивания суспензиями ДДТ, ДДД и токсафена в конц-ях по 0,2% и при расходе 1,8 кг/га, которые были эффективнее никотинсульфата (1:800). Дусты состава 5% ДДТ + 3% линдана + 40% S или 5%-ный ДДТ + S (1:1) были одинаково эффективны и дали значительно больший процент снижения численности цикад, чем дусты состава 5%-ный ДДД + S (1:1) или 5%-ный хлордан + S (1:1). Опрыскивание 0,2%-ной (по сумме) суспензией ДДТ + смачивающая S превосходило по эффективности ГХЦГ и ДДД в тех же конц-ях как одних, так и в смеси с S, а также и смесь ГХЦГ + ДДТ (0,2% по сумме). Эндрин (I) 0,14 кг/га и этилшаратион (II), 0,01 и 0,02% по токсичности равны 0,2%-ной суспензии ДДТ + S и обработка ими обходится дешевле. Повышение дозировки I до 0,28 кг/га и конц-ии II до 0,03% несколько повышает активность, хотя различия статистически несущественны.

Ю. Фадеев

58507. Чувствительность хлопкового долгоносика в Южной Каролине к некоторым инсектицидам. Фай, Уокер, Гопкинс (Susceptibility of the boll weevil in South Carolina to several insecticides. Fye R. E., Walker R. L., Hopkins A. R.), J. Econ. Entomol., 1957, 50, № 5, 700—701 (англ.)

Долгоносики (Д) *Anthonomus grandis* (Boh.) собранные на полях, часто обрабатываемых хлорорганич. инсектицидами, в 163 и 133 раза более устойчивы (рассчитано на основании LD<sub>50</sub>) к эндрину в сравнении с Д, собранными на двух других полях, на которых инсектициды применялись реже; по отношению к гуттону устойчивость не возникла. С целью установления степени развития устойчивости в дальнейшем для собранных в одной местности Д определены следующие LD<sub>50</sub> (в мг на 1 г веса жуков): эндрин 0,0087, альдрин 0,0183, дильдрин 0,0206, γ-ГХЦГ 0,232, гентахлор 0,0281, хлордан 0,294, токсафен 0,543, гуттун 0,00183, метилшаратион 0,0105, ЭПН 0,0161. Е. Гранин

58508. Опыты с инсектицидами для борьбы с насекомыми на хлопчатнике в долине нижнего течения Рио-Гранде. Мак-Гарр (Tests with insecticides for control of cotton insects in the Lower Rio Grande Valley. McGarr R. L.), J. Econ. Entomol., 1957, 50, № 5, 632—634 (англ.)

Результаты опытов в 1948, 1950 и 1952—1954 гг. по борьбе с вредителями хлопчатника с помощью комбинаций препаратов, содержащих S и 1 или 2 из ниже следующих инсектицидов: токсафен, ГХЦГ, ДДТ, арсенат Са, метоксихлор, дильдрин (I), гентахлор. Испытаны также метадик, метилшаратион (II), эндрин и другие препараты. Лучшие результаты получены с комбинационными препаратами II + ДДТ и I + II + ДДТ.

Е. Гранин



58509. Борьба с кукурузным початковым червем на зерновом сорго. Беркархдт (Corn earworm control in grain sorghum. Burkhardt C. C.), J. Econ. Entomol., 1957, 50, № 5, 539—541 (англ.)

Эмульсии фосфидина в дозах 0,42 и 0,56 кг/га (по действующему началу) вызывали быструю и высокую гибель личинок *Heliothis zea* (Boddie). Эндриин, гентахлор, паратион и малатион (в дозах 0,448 и 0,224, 1,67, 0,56 и 0,84; 1,12 и 2,24 кг/га соответственно) были несколько менее эффективны, а тимет (9,12 кг/га) и метоксихлор (1,68—2,24 кг/га) уступали всем другим препаратам.

Е. Гранин

58510. Обработка семян пшеницы для борьбы с проволочниками. Харвуд, Нелсон, Телфорд (Seed treatments of wheat for control of the Great Basin wireworm. Harwood Robert F., Nelson Walter L., Telford H. S.), J. Econ. Entomol., 1957, 50, № 5, 702—703 (англ.)

Для защиты всходов пшеницы от проволочника *Ctenicera pruinina noxia* (Hyslop) семена опудривали смачивающимися порошками алдрина (I), гентахлора (II), дильдрина (III), линдана (IV), диптерекса, гуттиона, тимета, препарата Байер 16259, О,О-диэтилпропилмеркаптометилдитиофосфата, изодрина в дозах 0,4, 0,8 и 1,6 г действующего начала на семена объемом 1000 см<sup>3</sup>. Наиболее эффективными с точки зрения защиты всходов от вредителей, фитотоксичности и экономики применения были I и II; III уступал им по экономичности, а IV оказывал фитотоксич. действие.

Е. Гранин

58511. Борьба с капустной пядиницей на хлопчатнике с помощью инсектицидов, используемых для борьбы с хлопковым долгоносиком и коробчатым червем, в центральном Техасе в 1956 году. Паренсия, Кауан, Дейвис (Control of cabbage loopers on cotton with boll weevil and bollworm insecticides in Central Texas in 1956. Parencia C. R., Jr., Cowan C. B., Jr., Davis J. W.), J. Econ. Entomol., 1957, 50, № 5, 666—668 (англ.)

Против пядиницы *Trichoplusia ni* (Hbn.) хороший результат показали эмульсии (Э) токсафена (I), метилпаратиона или ЭПН в комбинациях с ДДТ, а также Э или дуст эндриина. Э гуттиона + ДДТ (II), дильдрин + ДДТ или диптерекса + ДДТ были слабо эффективны. Э малатиона + ДДТ и тиадана (III) (в дозах 2,8 + 1,12 и 0,56 кг/га соответственно) были эффективнее, чем Э I + ДДТ (2,24 + 1,12 кг/га). Дуст II действовал на вредителя сильнее, чем Э. Не было различия в эффективности между дустом и Э III.

Е. Гранин

58512. Действие некоторых инсектицидов на английского красного червя. Гопкинс, Керк (Effect of several insecticides on the English red worm. Hopkins A. R., Kirk Vernon M.), J. Econ. Entomol., 1957, 50, № 5, 699—700 (англ.)

Исследовано действие дильдрина, эндриина, γ-ГХЦГ, токсафена, гентахлора, алдрина, гуттиона и малатиона на червя *Eisenia* sp. в почве. Фосфорорганич. инсектициды оказались наиболее токсичными.

Е. Гранин

58513. Опыты по борьбе с личинками луковой мухи. Шерк (Experiments for the control of the onion maggot. Shirk F. H.), J. Econ. Entomol., 1957, 50, № 5, 577—580 (англ.)

Против личинок луковой мухи *Hylemya antiqua* (Meig.) испытаны гентахлор (I), дильдрин (II), алдрин (III), хлордан (IV) токсафен (V), линдан (VI), изодрин (VII) и паратион (VIII). В опытах с репчатым луком (РЛ) опрыскивание почвы эмульсиями I—V в дозах (в кг/га по действующему началу) 1,12; VI (0,56) и суспензиями I—III (0,56) способствовали увеличению кол-ва растений РЛ в сравнении с контролем. Наиболее эффективным был I. При опудрива-

нии семян I и II (0,25 кг на 100 кг семян) эффективность была ниже. В обоих случаях VI деформировал проростки РЛ. При внесении в почву I и III (в дозе 3,36 кг/га) более эффективны, чем II и IV. В опытах на семенниках РЛ опрыскивание нижней части растений и почвы под ними I—IV в дозе 1,12 кг/га значительно увеличило урожай семян (на 286 кг/га от II). I—IV, примененные способом намачивания или погружения луковиц в эмульсии, тоже были эффективными.

Е. Гранин

58514. Особенности клеверного клеща и меры борьбы с ним в жилищах. Инглиш, Снетсингер (The habits and control of the clover mite in dwellings. English L. L., Snetsinger Robert), J. Econ. Entomol., 1957, 50, № 2, 135—141 (англ.)

Против клеверного клеща (KK) *Bryobia praetiosa* Koch в помещениях положительные результаты дает опрыскивание подоконников, плинтусов и т. п. дустами арамита 15-W (I), хлорбензилата 25-W (II) и пертрума. Уничтожение KK на деревьях достигается двукратным опрыскиванием 1%-ными эмульсиями I, II и овотрана 50-W с расходом > 10 л жидкости на 1 дерево. Рекомендуемые сроки обработок — начало апреля и октября. Наибольший эффект получен при применении акарицидов в сочетании с уничтожением полос растительности (шириной ~ 0,5 м), на которой питаются KK, вокруг деревьев и жилищ. Л. Бочарова

58515. Фумигация вагонов с зерном. Мак-Спаден (Box car fumigation of cereal products. McSpadden Paul), Pest Control, 1957, 25, № 11, 9—10 (англ.)

В борьбе с вредителями (насекомые, крысы, мыши), повреждающими зерновые продукты (ЗП) при их транспортировке по ж. д., применяют фумигацию вагонов СН<sub>3</sub>Br. Чрезмерная или многократная фумигация придает неприятный вкус и запах ЗП; битуминированные бумажные упаковки препятствуют проникновению фумиганта внутрь.

Б. Акимов

58516. Ангеликовое масло в качестве приманки для средиземноморской плодовой мухи. Стейнер, Миясита, Кристенсон (Angelica oils as Mediterranean fruit fly lures. Steiner Loren F., Miyashita Doris H., Christenson L. D.), J. Econ. Entomol., 1957, 50, № 4, 505 (англ.)

Масло из семян и корней дягиля (*Archangelica officinalis* Hoffn.) обладает сильным привлекающим действием для самцов средиземноморской плодовой мухи. Во Флориде при добавлении в ловушки 0,5 мл ангеликового масла за 37 недель было поймано 25 500 самцов мухи, а при добавлении стандартной смеси гидролизата белка с хлористым аммонием — 2600 самцов. Свежее масло, по-видимому, наряду с привлекающим действием обладает каким-то отпугивающим действием, которое со временем исчезает, и более старые образцы масла обладают большей привлекательностью.

Ю. Фадеев

58517. Проницаемость для дифромэтана пластмассовых пленок и тканей, прорезиненных и покрытых пластмассами. Филлипс, Нелсон (Permeability to methyl bromide of plastic films and plastic- and rubber-coated fabrics. Phillips G. L., Nelson H. D.), J. Econ. Entomol., 1957, 50, № 4, 452—454 (англ.)

Наиболее стойкими материалами, хорошо задерживающими дифромэтан, оказались пленки из полиэтилена, винилпластика и синтетич. резины или обработанные ими ткани.

Ю. Фадеев

58518. Изучение общепринятых методов применения пестицидных препаратов. Петти (Custom spray operators' school. Petty H. B.), Agric. Chemicals, 1956, 11, № 3, 90—92, 129—131 (англ.)

Обсуждение работ по получению методов приме-

ния инсектицидов (ДДТ, ЭПН, дильдрий, малатион, лор ЕТ-14) и гербицидов (далапон, рандокс, амнотри-  
38519. Смачивающиеся порошки ДДТ: изучение дисперсионной способности после ускоренной обработки, имитирующей условия хранения в тропиках. Ба ми, Чима, Дхатт (D. D. T. water dispersible powders: studies on suspensibility in relation to accelerated tropical storage treatment. Bami H. L., Cheema L. S., Dhatt M. S.), Indian J. Malariol., 1957, 11, № 2, 139—145 (англ.)

38520. Токсичность ДДТ в абразивных и неабразивных дустах для рисового долгоносика *Calandra oryzae* L. (Coleopt., Curculionidae). Харлоу (The toxicity of DDT in abrasive and non-abrasive dusts to the rice weevil, *Calandra oryzae* L. (Coleopt., Curculionidae). Harlow P. Anne), Ann. Appl. Biol., 1957, 45, № 1, 90—143 (англ.)

При высокой влажности дусты ДДТ с абразивными и неабразивными носителями мало отличаются по токсичности; присутствие сильно сорбционного носителя (древесный уголь) понижает токсичность ДДТ; при низкой влажности токсичность ДДТ в дустах с абразивным носителем увеличивалась. Долгоносики, лишенные пищи, более восприимчивы к ДДТ и токсичность препарата увеличивается при наличии абразивных носителей. Из резюме автора

38521. Величина частиц инсектицидных суспензий и их контактная токсичность. VI. Влияние температуры на относительную токсичность. Мак-Интош (Particle size of insecticidal suspensions and their contact toxicity. VI. Effect of temperature on relative toxicity. McIntosh A. H.), Ann. Appl. Biol., 1957, 45, № 1, 189—205 (англ.)

Изучено влияние температурного режима в период после обработки на относительную токсичность (отношение токсичности колл. суспензий к токсичности суспензий с размером частиц 18—76 м) для *Oryzaephilus surinamensis* L., *Tribolium castaneum* Herbst, *Tenebrio molitor* L. водн. суспензий пестицидов (ДДТ, 1,1-бис-(*n*-этилфенил)-2,2-дихлорэтан, 1,1-бис-(*n*-хлорфенил)-2-нитропропан, ротенон, 2-броммеркуртиофен, дильдрий, эндрин). Часть V см. РЖХим, 1956, 19819. Б. Акимов

38522. Струйное измельчение. Мак-Кенна, Стефанов (Fluid grinding. McKenna Joseph P., Stephanoff N. N.), Agric. Chemicals, 1957, 12, № 11, 37—38, 103, 105 (англ.)

Размещение и воздействие этого затруднение помо-  
ла ДДТ, ГХЦГ, гентахлора, дильдрина, эндрина, хлор-  
дана и токсафена в механич. мельнице полностью  
устраняется при применении струйной мельницы  
(СМ). Измельчение в СМ основано на соударении  
частиц измельчаемого материала, выбрасываемого  
воздушной или паровой струей под давл. 3—17,5 ат  
из противоположно направленных друг против друга  
сопел в размольную камеру. Питание СМ осуществ-  
ляется материалом, размер кусочков которого  
≤ 5—6 мм. Испытаниями установлено, что наполни-  
тели (глины) с влажностью 15% в процессе помола  
высушиваются и хорошо смешиваются с токсикантом,  
смачивателем и другими добавками, образуя однород-  
ный продукт: твердость измельчаемого материала не  
влияет на износ мельницы; диатомовые земли не  
уплотняются и сохраняют свою структуру при измель-  
чении в СМ. Б. Акимов

38523. Развитие стандарта Канадской ассоциации по  
стандартам (CSA) для термического испарителя  
линдана непрерывного действия. Брейд (The develop-  
ment of a CSA standard for continuous thermal  
(lindane) vaporizers. Braid P. E.), Canad. J. Public  
Health, 1957, 48, № 2, 65—69 (англ.)

Разработан безопасный и эффективный метод непре-  
рывного термич. испарения линдана (I) для борьбы  
с неустойчивыми комнатными мухами. Установлено,  
что при конц-ии I 0,0112 мг/м<sup>3</sup> экспозиции 10 мин. и  
1 час дают смертность мух 74—100% и 80—100% соот-  
ветственно; допустимый предел конц-ии I для чело-  
века 0,019 мг/л воздуха; допустимое загрязнение пищи  
I ≤ 0,5 мг/кг. Этот метод обработки I может быть ис-  
пользован только в нежилых помещениях, где чело-  
век и пища находятся ≤ 8 час. в сутки. Б. Акимов

38524. Адсорбция ДДТ, метоксихлора и некоторых  
родственных соединений на наполнителях инсекти-  
цидных дустов. Уэйдхас (Adsorption of DDT, metho-  
xychlor and some related compounds on insecticide  
dust diluents and carriers. Weidhaas Donald  
E.), J. Econ. Entomol., 1957, 50, № 4, 429—435 (англ.)

Изучена адсорбция некоторых инсектицидов на раз-  
личных наполнителях из р-ров в гексане и 95%-ном  
C<sub>2</sub>H<sub>5</sub>OH. Относительные кол-ва адсорбированного ин-  
сектицида на любом из взятых наполнителей были  
следующими: ДДА > метоксихлор (I) > метоксид-ДДЭ  
(II) > ДДТ > ДДЭ. Порядок адсорбирующей активнос-  
ти наполнителей для различных инсектицидов был:  
дилюэкс А (II) > пантер крик бентонит (IV) > бардан  
клай (V) > целит 209 (VI) > ширакс АБВ (VII). ДДЭ  
не адсорбировался на V—VII. При адсорбции I и II  
на III—V происходит какая-то р-ция, выражающаяся  
в образовании окраски на поверхности наполнителя и  
изменении каталитич. свойств. Эта р-ция связана с  
наличием на поверхности таких наполнителей анион-  
ных групп. Ю. Фадеев

38525. Метод распределения летучих фтористых со-  
единений в переносных теплицах. Мавродияну,  
Ко (Method of dispensing volatile fluorides in  
portable greenhouses. Mavrodianu Radu,  
Coe R. R.), J. Agric. and Food Chem., 1957, 5, № 11,  
852—854 (англ.)

В целях изучения действия на растения летучих  
фтористых соединений (ФС) разработаны метод и ап-  
паратура, обеспечивающие почти постоянные конц-ии  
(в пределах от одной до нескольких сотен частей на  
1 млн.) H<sub>2</sub>SiF<sub>6</sub> или HF в воздухе окуриваемой теплицы.  
Используются разб. р-ры этих к-т, крепостью  
0,01—4%, атомизируемые через платиновые форсунки,  
воздухом, сжатым до 0,7—1,4 атм. Воздух с взвешен-  
ными капельками к-ты, средним размером ~ 10 м,  
перед подачей в окуриваемую теплицу пропускается  
через электрообогреваемую медную трубку (т-ра  
150°), где ФС переходят в газообразное состояние.  
Заданная конц-ия летучих ФС в теплицах может авто-  
матически поддерживаться до 5 недель независимо от  
изменений т-ры воздуха в теплицах. На 12 дней не-  
прерывного окуривания расходуется 3 л р-ра.

Ю. Скорецкий  
38526. Микроопределение паратиона. Сумики,  
Мацуяма, Като, Чжень Ю-ши, Ямагути  
(Microdetermination of parathion. Sumiki Yusuke,  
Matsuyama Akira, Kato Hiromichi,  
Chen Yushih, Yamauchi Teiji), Bull. Agric.  
Chem. Soc. Japan, 1957, 21, № 3, 204—206 (англ.)

Описан чувствительный и специфич. метод для оп-  
ределения микроколичеств паратиона (I) в воде. I  
экстрагируют из 1 л подкисленной и предварительно  
насыщ. NaCl воды гексаном (2 порции 100 и 50 мл),  
удаляют гексан, восстанавливают I (0,3 г Zn, 10 мл  
лед. CH<sub>3</sub>COOH, 5 капель конц. HCl) при кипячении в  
течение 10 мин., фильтруют, к фильтру прибавляют  
0,5 мл 0,5%-ного р-ра NaNO<sub>2</sub>, 0,5 мл 5%-ного р-ра  
NH<sub>2</sub>SO<sub>3</sub>NH<sub>4</sub> и 2 мл 1%-ного хлоргидрата N-(1-нафтал)-  
этилендиамина, выдерживают 15 мин. при 4°, объем  
смеси доводят до 20 мл лед. CH<sub>3</sub>COOH и определяют  
адсорбцию через 30—60 мин. при 560 мμ. Затем р-р



упаривают до 10 мл при 95°, переносят в трубку для упаривания, упаривают 80 мин., при 155° с 10 каплями конц.  $H_2SO_4$  и 7 каплями 30%-ного  $H_2O_2$ , прибавляют 5 мл воды, выдерживают 5 мин. при 100°, нейтрализуют, доводят объем до 10 мл. К аликвоту 2 мл прибавляют 2 мл этосульфата 2-н-диметиламиноэтил-хинолина и 1 мл молибдат-сульфатного р-ра. Определяют через 10 мин. абсорбцию при 510 мμ. Содержание I по азо-методу и по фосфору должно совпадать. В случае расхождения берется меньшее значение. Воспроизводимость метода 98,8—99,0%. 2-й предложенный метод — хроматография на бумаге — менее точен, воспроизводимость 89,0%. К. Швецова-Шилова

#### 58527. Полярографическое определение O,O-диметил-2,2,2-трихлор-1-оксипропифосфоната (Байер L 13/59).

Джанг, Касуэлл (Polarographic determination of O,O-dimethyl 2,2,2-trichloro-1-hydroxyethylphosphonate (Bayer L 13/59). Giang Paul A., Caswell R. L.), J. Agric. and Food Chem., 1957, 5, № 10, 753—754 (англ.)

Описан полярографич. метод определения препарата Байер L 13/59 (I) и инсектицидных продуктов на его основе. Восстановление I приводят при  $25 \pm 0,5^\circ$  в водн. р-ре, содержащем 0,02 н. KCl в качестве сопутствующего электролита и 0,002% желатин в качестве подавляющего максимум на кривых. Определению не мешают хлоралгидрат и ДДВФ. Точность метода  $\pm 2\%$ . При конц-ии  $< 4$  мг в 100 мл р-ра I не определяется. Потенциал полувольты на насыщ. каломельном электроде 0,68 в. Резюме автора

#### 58528. Открытие и определение дифенила и тиомочевина на апельсинах. Хукке, Кате (Aantonen en kwantitatieve bepaling van difenyl en thioureum op sinaasappels. Hoeke F., Cats H.), Chem. weekbl., 1957, 53, № 46, 609—611 (гол.)

Дифенил смывают с апельсинов, погружая их на 16 час. в  $CHCl_3$ , вытяжку промывают 4 н. HCl, добавляют 1 мл лед.  $CH_3COOH$ , упаривают до объема 2 мл, прибавляют 1 мл  $HNO_3$  (d. 1,4), нагревают 1 час при 70°, охлаждают, разбавляют 10 мл воды (т-ра 0°), добавляют 1 мл  $CHCl_3$ , смывают пробирку 1 мл 96%-ного  $C_2H_5OH$  и 2,5 мл 4 н. HCl, промывную жидкость соединяют с экстрактом, отгоняют  $CHCl_3$ , прибавляют 0,2 г Zn-пыли, нагревают 10 мин. на кипящей водяной бане, к фильтрату прибавляют 1 мл свежеприготовленного 0,25%-ного р-ра  $NaNO_2$ , через 10 мин. добавляют 1 мл 2,5%-ного р-ра  $(NH_4)_2SO_4$ , через 10 мин. вводят 2 мл воды. 1%-ного дихлоргидрата N-(1-нафтил)-этилендиамина, доливают водой до 50 мл и измеряют экстинкцию ( $\lambda$  570 мμ). Тиомочевину (I) смывают, погружая апельсины на 16 час. в воду, вытяжку упаривают до 5 мл, добавляют 0,1 н. J до слабого окрашивания, через 10 мин. прибавляют по каплям водн. 0,25%-ный р-р  $Na_2SO_3$  до обесцвечивания, доливают водой до 10 мл, отбирают 5 мл и определяют I по ранее описанному методу (J. Assoc. Offic. Agric. Chemists, 1955, 38, 555); остаток упаривают досуха, растворяют в 2 каплях воды, хроматографируют с насыщ. водой  $CHCl_3$  и проявляют реактивом Гроте (Grote J., W. J. Biol. Chem., 1931, 93, 25);  $R_f$  I-0; фенил- и α-нафтилтиомочевина имеют  $R_f \approx 1$ . К. Герцфельд

#### 58529. Инсектициды и их безопасное применение. Деккер (Insecticides and their safe use. Decker George C.), Baker's Digest, 1957, 31, № 5, 74—79 (англ.)

Дана классификация, охарактеризованы формы применения, стабильность и токсичность для теплокровных животных наиболее распространенных инсектицидов. Л. Бочарова

#### 58530. Предосторожности в обращении с ядохимикатами. Броддон (Stop are you handling pesti-

des safely? Brogdon James E.), South. Seedman, 1957, 20, № 2, 17—18, 52—53 (англ.)

Приведены токсич. свойства хлор- и фосфорсодержащих органич. инсектицидов и общие меры предосторожности людей при контакте с ними. Л. Бочарова

#### 58531. Отравление людей дильдрином. Хейс (Dieldrin poisoning in man. Hayes Wayland J. Jr.), Public Health Repts, 1957, 72, № 12, 1087—1091 (англ.)

Доклинические признаки отравления людей дильдрином (I) выражены очень слабо, но отклонение в здоровье возможно установить при периодич. медицинских обследованиях. При клинич. отравлениях наблюдались 3 степени заболевания: 1) головная боль, головокружение, затуманенное зрение, тошнота, слабое непроизвольное движение мускулов, плохой сон и общее недомогание; 2) указанные выше симптомы при более сильном подергивании мускулов, главным образом двигательных, случаи потери сознания; 3) подергивание мускулов переходит в конвульсии эпилептич. типа с потерей сознания. Случаев смертельного исхода не указано. При тщательных исследованиях клинич. отравления наблюдались изменения рефлекторной деятельности, потеря координации, нистагм, тремор, потливость, дезориентация, тахикардия, аритмия, отклонение от нормы электроэнцефалограмм и обнаружение I в крови. Признаки клинич. отравления проявлялись не ранее, как через 3 месяца после контакта с I. Степень отравления усиливалась в зависимости от продолжительности и интенсивности контакта с I. Отстранение от работы с I давало улучшение в состоянии здоровья, но выздоровление наступало примерно через 3 месяца. Предполагается, что отравление I имеет хронич. характер. Л. Бочарова

#### 58532. Фосфорные эфиры как инсектициды. Гольц (Phosphate ester insecticides. Golz H. H.), Arch. Industr. Health, 1957, 16, № 4, 330—332 (англ.)

Фосфорорганические инсектициды (ФИ) по их токсичности для теплокровных делятся на 3 группы: 1) высоко токсичные — паратион (I), метилпаратион, ТЭПФ, тимет, ЭПН и систокс; 2) со средней токсичностью — ДДВФ и диазинон и 3) мало токсичные — малатион (II), хлортион и дитерекс. Наиболее частые случаи отравления ФИ бывают при проникновении их через кожу (II намного медленнее проникает через кожу, чем I). Организм с угнетенной холинэстеразой (ХЭ) более чувствителен к отравлению от повторного воздействия ФИ, но после того, как ХЭ восстановлена полностью, организм также устойчив к действию ФИ, как и организмы, которые не подвергались воздействию ФИ. Описаны симптомы при остром отравлении ФИ и меры помощи. А. Седых

#### 58533. Гербицидные остатки. Определение α,α-дихлорпропионовой кислоты (далапон) в сахарном тростнике. Смит, Гетценданер, Кучинский (Herbicide residues, determination of 2,2-dichloropropionic acid (dalapon) in sugar cane. Smith G. N., Getzendaner M. E., Kutschinski A. H.), J. Agric. and Food Chem., 1957, 5, № 9, 675—678 (англ.)

Далапон (I) извлекают из сока сахарного тростника эфиром и примеси отделяют с помощью обработки 2,4-дихлорфенилгидразином и хроматографией на колонке с силикагелем. Примеси аминокислот и родственных соединений удаляют обработкой смеси  $CuSO_4$  и  $Ca(OH)_2$ . Выделенную I гидролизуют до ровновесной к-ты, которую определяют спектрофотометрически в виде 2,4-динитрофенилгидразона. Метод позволяет определять 70—80% I, введенного в растения, при содержании его в соке до 0,00001%.

В сахарном тростнике, обработанном I (4—5,7 кг/га), в момент сбора урожая исчезает. К. Бокарев

58534 П. Производство гексахлорциклогексана. Ланд, Норр, Аёгль (Benzene hexachloride production. La Lande William A., Jr, Knorr Gladys Molyneux, Aeuale Margaretta E.). Пат. США 2758077, 7.08.56

Процесс хлорирования  $C_6H_6$  и извлечение образующегося ГХЦГ с высоким содержанием  $\gamma$ -изомера состоит из 3 стадий: 1) хлорирование  $C_6H_6$  в р-ре  $CCl_4$  при облучении до превращения 10—60% (лучше 25—50%)  $C_6H_6$  в ГХЦГ; 2) выделение образовавшейся твердой фазы при т-рах, которые устанавливаются в зависимости от степени превращения  $C_6H_6$  в ГХЦГ (25, 40 и 40—80° соответственно при  $\leq 40$ ,  $\leq 50$  и  $> 50\%$ -ном превращении); 3) извлечение из остатка после удаления твердой фазы обогащенного ГХЦГ (20—90%  $\gamma$ -изомера), не содержащего примесей высших хлорпроизводных. Через р-р 156 г  $C_6H_6$  в 1733 ч.  $CCl_4$  при перемешивании, УФ-облучении и т-ре  $\leq 40^\circ$  пропускают 4 часа  $Cl_2$ , отфильтровывают 206,2 ч. выделенного твердого в-ва с т. пл. 145—200°, вновь хлорируют 6 час., выделяют 99,4 ч. в-ва с т. пл. 130—200°. Хлорирование продолжают еще до выделения 10,5 ч. в-ва с т. пл. 180—200°, после чего р-ритель отгоняют и в остатке получают 260,3 ч. обогащенного ГХЦГ ( $> 20\%$   $\gamma$ -изомера) с т. пл. 42—140°.

Т. Гужновская  
58535 П. Способ обогащения технического дихлордифенилтрихлорэтана изомером 2,2-бис-( $n$ -хлорфенил)-1,1,1-трихлорэтанола. Лихновский, Шимашикевич (Sposob wzbogacania technicznego dwuchloro-dwufenylo-trojchloro-etanu w izomer 2,2-dwu-( $n$ -chlorofenylo)-1,1,1-trojchloroetan. Lichnowski Mieczyslaw, Szymaszkiewicz Jacek) [Zakłady Chemiczne «Azot». Przedsiębiorstwo Państwowe Wyodrębnione]. Польск. пат. 37149, 15.10.55

Способ получения из технич. ДДТ (I) кристаллич. изомера  $n,n'$ -ДДТ (II) основан на применении упомянутого принципа адсорбционной хроматографии. I в виде плиток или кусков покрывают слоем адсорбента (A): талька, бентонита, силикагеля, каолина или других высокодисперсных и пористых в-в. Жидкие примеси, содержащиеся в капиллярах твердого II, переходят в A. При  $\sim 20^\circ$  процесс очистки продолжается 72 часа, при 50—60°—36 час. Содержание II в обогащенном I равно 96—98%. Потеря в весе равна 20—30%. A, содержащий примеси, или удаляют или измельчают с полученным II. I, свободный от примесей, легко поддается измельчению, обладает высокой сыпучестью и пригоден к изготовлению конц. инсектицидных препаратов.

С. Яворовская  
58536 П. Средство для защиты материалов от термитов. Крукенберг, Тишбейн (Schutzmittel gegen Termitenfraß. Kruckenberg Winfried, Tischbein Wilhelm) [Farbenfabriken Bayer A.-G.]. Пат. ФРГ 957175, 31.01.57

Галогенированные 2,2'-диоксидифенилы обеспечивают хорошую защиту от термитов; они не имеют запаха и не раздражают кожу. С этой целью применяют тетра-хлор-2,2'-диоксидифенил (I), получаемый хлорированием 2,2'-диоксидифенила (II) в HCl (к-та), дихлор- и тетрабром-2,2'-диоксидифенил (III), последнее в-во получают бромированием II в  $CH_3COOH$ . Указанные в-ва употребляют для обработки шерсти, изделий из шерсти, хлопчатобумажной ткани, искусств. волокна, древесины и т. п. от уничтожения термитами. I и II можно вводить в искусств. кожу.

К. Бокарев  
58537 П. Способ получения и применения бис-(галогенил)-хлорэтилового спирта. Вильсон, Шропшир, Крейг (Verfahren zur Herstellung und Ver-

wendung von Bis-halogenphenylchloräthanol. Wilson Harold Frederick, Shropshire Elwood Young, Graig We) [Firma Rohm & Haas Co.]. Пат. ГДР 13161, 27.05.57

Соединения общей ф-лы  $(XC_6H_4)_2C(OH)CCl_3$  (I), где X — Cl, F или Br (наиболее важные в-ва, у которых галогид находится в пара-положении) получают нагреванием в-в общей ф-лы  $(XC_6H_4)_2CClCCl_3$  (II) до 100—125° с избытком 70—95%-ной водн. HCOOH или с  $CH_3COOH$  (в последнем случае в присутствии небольших кол-в  $H_2SO_4$  или жирной или ароматич. сульфокислоты). Кол-во воды, содержащееся в водн. карбоновой к-те, должно быть по меньшей мере эквивалентной кол-ву II. II получают хлорированием соответствующего 1,1-бис-(галогидарил)-трихлорэтана в присутствии катализаторов, или дегидрохлорированием последнего в 1,1-бис-(галогидарил)-2,2-дихлорэтилен, к которому затем присоединяют  $Cl_2$ . I являются весьма стойкими инсектицидами контактного действия и активными акарицидами. Они убивают клещей и пауков, а также обладают овицидными свойствами. I применяют вместе с наполнителями (пиропиллит, тальк и др.), р-рителями, диспергаторами, прилипателями, иногда с другими фунгицидами и инсектицидами в виде дустов, концентратов эмульсий и т. п. Примерный состав смачивающегося порошка I (в вес. ч.): I (X-F) 25, мелкодисперсного осажденного гидратированного силиката Ca 75, Na-соли формальдегиднафталинсульфокислоты (III) 2, октилфенилового эфира полиэтиленгликоля 0,5,  $MgCO_3$  0,5. Примерный состав концентрата эмульсии I (в вес. ч.): I (X-Cl) 26, метилнафталины 71, метилен-бис-(диамилфеноксиполиэтоксизетанола) 1, конденсата полиглицеринолеиновой к-ты 0,8, алкилбензолсульфоната 0,2, смеси пеногасителя и антиокислителя 1. Дуст имеет состав (в вес. ч.): I (X-Cl) 5, III 4, полимерного продукта конденсации глицерина, олеиновой к-ты и фталевого ангидрида 1, глины и кизельгура 92. Приведены другие примеры применения этих в-в для борьбы с с.-х. вредителями. Примеры получения I. 1. Смесь (в вес. ч.): II (X- $n$ -Cl) (IV) 39, лед.  $CH_3COOH$  200, воды 9 и 96%-ной  $H_2SO_4$  11, нагревают 30 час. с обратным холодильником при перемешивании, охлаждают, добавляют 250 вес. ч. воды и 200 вес. ч.  $C_6H_6$  и подогревают, пока не образуются разделяющиеся слои. Органич. слой промывают разб. р-ром  $Na_2CO_3$  и водой. Р-ритель отгоняют в вакууме, остаток (27 вес. ч.) состоит в основном из I (X- $n$ -Cl) (V) и из некоторого кол-ва негидролизованного IV. При замене  $H_2SO_4$  на  $n$ -толуолсульфокислоту уже через 24 часа 40% IV превращается в V. 2. 71 вес. ч. 1,1-бис-(хлорфенил)-2,2,2-трихлорэтана (т. пл. 100—103°) и 0,5 вес. ч. динитрила азодизомасляной к-ты растворяют в 320 вес. ч.  $CHCl_3CHCl_2$  и хлорируют при 85°. Через час поглощение  $Cl_2$  достигает 100% теории. После отгонки р-рителя вязкое масло встряхивают с петр. эфиром, после чего оно кристаллизуется (т. пл. 90—92°), выход 55 вес. ч. 3. Смесь 39 вес. ч. полученного выше продукта, 10 вес. ч. диметилформамида и 240 вес. ч. 90%-ной HCOOH нагревают 24 часа с обратным холодильником при перемешивании. Продукт извлекают 250 вес. ч.  $C_6H_6$ , бензольный слой промывают разб. р-ром сульфата и водой, отгоняют в вакууме р-ритель и получают 70 вес. ч. продукта, содержащего 94% I (X-Cl). Аналогично синтезируют I (X-F или Br).

Н. Дабагов

58538 П. Метод борьбы с моллюсками с помощью диэтилового эфира тетраметилдиамида тиопирофосфорной кислоты. Дай (Method for controlling mollusks with diethyl thiophosphoryl bis (dimethylamido) phosphate. Dye William T.) [Monsanto Chemical Co.]. Пат. США 2757118, 31.07.56

Диэтиловый эфир тетраметилдиамида тиопирофосфорной к-ты (I) — эффективный моллюскоцид и си-



отемный и контактный инсектицид — получают взаимодействием О,О-диэтилтиофосфата Na с тетраметилдиамидом хлорфосфорной к-ты (II) при т-ре от 0 до 200° в присутствии р-рителя или без него. 41,5 г диэтилфосфита кипятят с 6,9 г Na в 300 мл  $C_6H_6$  в течение ночи; непрореагировавший Na удаляют и в кипящий р-р прибавляют ~ 8,5 г S. Прибавление S прекращают, когда р-р приобретает постоянную оранжевую окраску; смесь охлаждают и прибавляют р-р 51 г II в 500 мл  $C_6H_6$ . Смесь кипятят в течение 70 час. охлаждают, трижды промывают водой, отгоняют р-ритель и II и в остатке получают I в виде светло-желтой жидкости. Дуст I готовят смешением 5% I и 95% инертного носителя; смачивающийся порошок состоит из 11—50% I, 46—53% носителя и 2% смачивателя; концентрат эмульсий содержит 15—50% I, 30—80% р-рителя (напр., ксилола) и 5—10% смачивателя. В качестве моллюскоцида I можно применять для борьбы с гастроподами, переносчиками возбудителя шистозомиаза человека и животных. Водн. р-р I (1:1000) эффективен против двупятнистого клеща на бобах. При испытании на бобах в качестве системного инсектицида водн. р-р I (1:10 000) убивает 100% клещей, а в разбавлении 1:100 000—90% клещей. В конц-ии 1:6750 в воде I уничтожает 50% улиток. Преимуществом I перед его кислородным аналогом является большая стойкость к гидролизу. К. Бокарев

58539 II. Инсектицидные препараты. Фанчер (Compositions of matter. Fancher Llewellyn W.) [Stauffer Chemical Co.]. Пат. США 2767194, 16.10.56

Вещества с общей ф-лой  $CO-O-C_6H_4-CO-N-S-$  —  $PX(OR)_2$  (I), где X = S или O, а R — низший алкил, обладающие инсектицидными и акарицидными свойствами, получают кипячением N-галуидметилфталимида с  $NH_4$ -солями или солями щел. металлов дилкиломоно- или дитиофосфорных к-т в инертном р-рителе ( $CH_3OH$ ,  $C_2H_5OH$ , *изо*- $C_3H_7OH$  (II)). Продукт выделяют экстракцией после отгонки спирта. Смесь 10,4 г N-хлорметилфталимида (III), 13,5 (*изо*- $C_3H_7O$ )<sub>2</sub>  $PS_2K$  и 75 мл 99%-ного II кипятят 4 часа при 100°, отгоняют II, выливают остаток при быстром перемешивании в 150 мл холодной  $H_2O$  и получают 19,9 г I (X-S, R-*изо*- $C_3H_7$ ) (соединение «R-1402») (IV), т. пл. 114—115,5° ( $CH_3OH$ ), 19,6 г III, 24,4 г ( $C_2H_5O$ )<sub>2</sub>  $PS_2K$  в 100 мл II кипятят 4,5 часа, отгоняют II, выливают в 200 мл воды, экстрагируют 100 мл эфира, промывают дважды по 100 мл холодной воды, сушат  $K_2CO_3$ , отгоняют эфир и получают 28 г I (X-S; R- $C_2H_5$ ) (соединение «R-1448») (V), масло,  $n_D^{20}$  1,5793, затвердевает при стоянии, т. пл. 63—65° (95%-ный II), 11,8 г III, 12,6 г ( $CH_3O$ )<sub>2</sub>  $PS_2Na$  и 50 мл  $CH_3OH$  кипятят 3,5 час, охлаждают, встряхивают в 100 мл  $C_6H_6$ , отфильтровывают, промывают 3 раза водой, сушат  $K_2CO_3$ , отгоняют  $C_6H_6$  и получают 10,2 г I (X-S, R- $CH_3$ ) (соединение «R-1504») (VI),  $n_D^{20}$  1,5959. Аналогично из 11,8 г III, 13,0 г ( $C_2H_5O$ )<sub>2</sub>  $POSNH_4$  в  $C_2H_5OH$  получают 12,5 г I (X-O, R- $C_2H_5$ ) (соединение «R-1505») (VII)  $n_D^{20}$  1,5412; из 11,8 г III, 9,6 г ( $CH_3O$ )<sub>2</sub>  $POSNH_4$  в II синтезируют 8,8 г I (X-O, R- $CH_3$ ) (соединение «R-1571») (VIII),  $n_D^{20}$  1,5661. Проведены токсикол. испытания полученных в-в. Даны насекомое, конц-ия в-в в %, смертность в % от IV, V, VI, VII и VIII соответственно: *Musca domestica* 0,5, 100, 100, 100, 100, 100; *Periplaneta americana* 0,5, 50, 100, 80, 100, 70; *Oncopeltus fasciatus* 0,5, 0, 80, 80, 70, 100; *Tribolium confusum* 0,5, 0, 100, 100, 42, 100; *Aphis fabae* 0, 25, 87, 100, 100, 100, 100, *Tetranychus bimaculatus* 0,03, 100, 100, 100, —.

К. Швецова-Шилова

58540 II. 3,4-метилendioксифениловые эфиры как синергисты для пиретринов. Бероза (3,4-methylenedioxyphenyl ethers as synergists for pyrethrins. Beroga Morton). Пат. США 2764517, 25.09.56

В качестве синергистов для пиретринов (I) активны 3,4-метилendioксифениловые эфиры с общей ф-лой  $3,4-(CH_2O)_2C_6H_3OR$  (II). К р-ру 0,02 моля КОН в 40 мл 95%-ного  $C_2H_5OH$  прибавляют р-р 0,02 моля 3,4-метилendioксифенола (сезамола) (III) в 10 мл 95%-ного  $C_2H_5OH$  и затем 0,02 моля соответствующего галоидопроизводного. Смесь кипятят несколько часов до прекращения образования KCl, прибавляют воду, экстрагируют эфиром и получают II с выходом 65—85%; в случае вторичных или полиоксисилкиловых эфиров выход ниже; третичные эфиры таким методом получить нельзя, алкоксисилкиловые эфиры образуются с большим выходом при нагревании эквимолекулярной смеси III, галоида и  $CH_3ONa$  (10%-ный р-р в  $CH_3OH$ ) при 160° в запаянной трубке несколько часов; в случае 2-(2'-бутоксизтокси)-этилового эфира (IV) выход увеличивается вдвое. Указанными методами получены (приведены R,  $n_D^{20}$  или т. пл. в °C): *n*- $C_3H_7$ , 1,5203; *n*- $C_4H_9$  (V), 1,5147; *n*- $C_5H_{11}$ , 1,5112; *изо*- $C_5H_{11}$ , 47—48; циклопентил (VI), 1,5404; циклогексил (VII), 1,5374; IV, 1,5019; 2-(2'-этоксизтокси)-этил (VIII), 1,5107; 2-бутоксизтил, 1,5065; 2-(2'-хлорэтоксиз)-этил (IX), 1,5343; 2-*n*-октил, 1,4996; 2-этил-*n*-гексил (X), 1,4903; 2-циклогексилатил (XI), 56—57; 2-хлораллил, 1,5501; 3-хлораллил, 64,5—65,5;  $C_6H_5$ , 1,5400;  $C_6H_5CH_2$ , 1,5850; *o*- $ClC_6H_4CH_2$ , 63,7—64,7; *n*- $ClC_6H_4CH_2$ , 82—82,6; 2,4- $Cl_2C_6H_3CH_2$ , 101,5—103,5; 3,4- $Cl_2C_6H_3CH_2$ , 68,5—69,3; *n*- $BrC_6H_4CH_2$  (XII), 92,5—93,5; *n*- $NO_2C_6H_4CH_2$ , 119—120, а также *n*-бутиловый эфир 3,4-метилendioксифеноксиуксусной к-ты, 1,5106. В-ва испытаны методом вращения с помощью миксера в смеси с р-рами I и аллетрина в очнц. веросне и при соотношении синергиста инсектицида 10:1. Наиболее активными синергистами являются IV—XII.

К. Швецова-Шилова

58541 II. Способ получения новых амидов  $\alpha,\beta$ -ненасыщенных кислот. Мартин, Зуттер (Verfahren zur Herstellung von neuen  $\alpha,\beta$ -ungesättigten Carbonsäureamiden. Martin Henry, Zutter Hans) [CILAG A.-G.]. Пат. ФРГ 957941, 14.02.57

Амиды общей ф-лы  $ArXCH(R^4)CH(R^5)N(R^1)C(O)C(R^2)=C(R^3)R^2$  (I) (где Ar — арильный остаток, содержащий в качестве заместителей алкил, галоид, алкокси и нитрогруппы, X — O или S, R' — H, алкил, алкенил или арахил, R<sup>2</sup>, R<sup>3</sup>, R<sup>4</sup> и R<sup>5</sup> — H или низшие алкилы) получают взаимодействием аминов ф-лы  $ArXCH(R^4)CH(R^5)NH(R^1)$  с  $\alpha,\beta$ -ненасыщ. к-тами  $(R^3)(R^2)C=C(R^2)COOH$ . Вместо аминов можно брать аминные соли, N-металлич. или другие реакционноспособные соединения, вместо к-т — галоидангидриды, ангидриды и смешанные ангидриды, азиды, эфиры или соли. Под давлением рост патогенных бактерий и грибов и обладают акарицидными, фунгицидными и анестезирующими свойствами. При присоединении первичных и вторичных аминов получают водорастворимые амиды, применяющиеся как местные анестезирующие в-ва. К 16,8 ч. 1-(*n*-нитрофенокси)-2-N-этиламиноэтана и 8,1 ч. триэтиламина (II) в 100 ч. диоксана (III) прибавляют при охлаждении 9,5 ч. хлорангидрида  $\beta,\beta$ -диметилакриловой к-ты (IV) в 50 ч. III. Смесь перемешивают 2 часа при т-ре ~ 20°, хлоргидрат II (V) отфильтровывают, III отгоняют и получают N-этил-N- $\beta$ -(4-нитрофеноксиэтил)-амид  $\beta,\beta$ -диметилакриловой к-ты, выход 74%, т. кип. 200—203°/0,02 мм. 14 ч. 1-(*n*-метоксифенокси)-2-N-этиламинопропана и 6,8 ч. II растворяют в 150 ч. эфира и прибавляют 7,9 ч. IV в 30 ч. эфира. Смесь выдерживают 1½—2 часа при т-ре ~ 20°; V отделяют, эфирный р-р промывают 2 н. HCl (к-та), р-ром  $NaHCO_3$  и водой, выход N-этил-N- $\beta$ -(4'-метоксифеноксипропил)-амида  $\beta,\beta$ -диметилакриловой к-ты 70%, т. кип. 152—154°/0,01 мм. Аналогично получают следующие N-замещ. амиды  $\beta,\beta$ -диметилакриловой к-ты (дано: заместители при N в амидной группировке, вы-

ход в процентах, т-ра кипения в °C/мм):  $\beta$ -(2,4,6'-триметилфенокси)пропил 58, —, —, т. пл. 141—142°;  $\beta$ -(4'-хлорфеноксимеркаптоэтил), 63, —, т. пл. 81—82°; метил и  $\beta$ -феноксипропил (VI) 82, 131—132/0,015; этил и  $\beta$ -феноксипропил (VII) 86, 134—135/0,01 и N-замещ. амиды кроконовой к-ты (показатели те же): этил и  $\beta$ -(2,4,6'-триметилфенокси)пропил, 71, 146—148/0,01; этил и  $\beta$ -феноксипропил, —, 138—139/0,01; этил и  $\beta$ -феноксипропил (VIII), 86, 9, 133—134/0,01; метил и  $\beta$ -(2-метилфенокси)пропил, 78,2, 153—154/0,07; метил и  $\beta$ -(2,4'-диметилфенокси)пропил, 62,3, 136—138/0,02. Перечислены также амиды общей ф-лы  $\text{Ar}-\text{O}-\text{CH}_2-\text{CH}(\text{R}^1)-\text{N}(\text{R}^2)-\text{CO}-\text{CH}=\text{C}(\text{CH}_3)(\text{R}^3)$  (дано  $\text{Ar}$ ,  $\text{R}^1$ ,  $\text{R}^2$ , т. кип. в °C/мм):  $\text{C}_6\text{H}_5$ ,  $\text{H}$ ,  $\text{CH}_3$ ,  $\text{H}$ , 131—132/0,015;  $\text{C}_6\text{H}_5$ ,  $\text{H}$ ,  $n\text{-C}_3\text{H}_7$ ,  $\text{H}$ , 142—143/0,05;  $\text{C}_6\text{H}_5$ ,  $\text{H}$ ,  $n\text{-C}_4\text{H}_9$ ,  $\text{CH}_3$ , 153—154/0,07;  $\text{C}_6\text{H}_5$ ,  $\text{H}$ ,  $изо\text{-C}_3\text{H}_7$ ,  $\text{H}$ , 135—136/0,06;  $\text{C}_6\text{H}_5$ ,  $\text{H}$ ,  $изо\text{-C}_3\text{H}_7$ ,  $\text{CH}_3$ , 141—143/0,03;  $\text{C}_6\text{H}_5$ ,  $\text{H}$ ,  $n\text{-C}_4\text{H}_9$ ,  $\text{H}$ , 140—141/0,03;  $\text{C}_6\text{H}_5$ ,  $\text{H}$ ,  $n\text{-C}_4\text{H}_9$ ,  $\text{CH}_3$ , 155—156/0,07;  $\text{C}_6\text{H}_5$ ,  $\text{H}$ , бензил,  $\text{H}$ , 190—191/0,03;  $\text{C}_6\text{H}_5$ ,  $\text{H}$ , бензил,  $\text{CH}_3$ , 193—194/0,03;  $\text{C}_6\text{H}_5$ ,  $\text{CH}_3$ ,  $n\text{-C}_3\text{H}_7$ ,  $\text{H}$ , 147—148/0,04;  $\text{C}_6\text{H}_5$ ,  $\text{CH}_3$ ,  $n\text{-C}_3\text{H}_7$ ,  $\text{CH}_3$ , 152—153/0,05;  $\text{C}_6\text{H}_5$ ,  $\text{CH}_3$ ,  $изо\text{-C}_3\text{H}_7$ ,  $\text{H}$ , 141—142/0,03;  $\text{C}_6\text{H}_5$ ,  $\text{CH}_3$ ,  $изо\text{-C}_3\text{H}_7$ ,  $\text{CH}_3$ , 144—145/0,05;  $\text{C}_6\text{H}_5$ ,  $\text{CH}_3$ ,  $n\text{-C}_4\text{H}_9$ ,  $\text{H}$ , 151—152/0,04;  $\text{C}_6\text{H}_5$ ,  $\text{CH}_3$ ,  $n\text{-C}_4\text{H}_9$ ,  $\text{CH}_3$ , 156—157/0,07;  $\text{C}_6\text{H}_5$ ,  $\text{CH}_3$ , бензил,  $\text{H}$ , 195—196/0,04;  $\text{C}_6\text{H}_5$ ,  $\text{CH}_3$ , бензил,  $\text{CH}_3$ , 198—199/0,05;  $\text{C}_6\text{H}_5$ ,  $\text{CH}_3$ ,  $\text{H}$ , —, т. пл. 99—100;  $\text{C}_6\text{H}_5$ ,  $\text{CH}_3$ ,  $\text{H}$ ,  $\text{CH}_3$ , т. пл. 71—71,5;  $\text{C}_6\text{H}_5$ ,  $\text{CH}_3$ ,  $\text{CH}_3$ ,  $\text{H}$ , 140—141/0,03;  $\text{C}_6\text{H}_5$ ,  $\text{CH}_3$ ,  $\text{CH}_3$ ,  $\text{CH}_3$ , 140—141/0,02;  $\text{C}_6\text{H}_5$ ,  $\text{CH}_3$ ,  $\text{C}_2\text{H}_5$ ,  $\text{H}$ , 138—139/0,01;  $\text{C}_6\text{H}_5$ ,  $\text{CH}_3$ ,  $\text{C}_2\text{H}_5$ ,  $\text{CH}_3$ , 146—148/0,03; 2,4,6-( $\text{CH}_3$ ) $_3\text{C}_6\text{H}_2$ ,  $\text{H}$ ,  $\text{CH}_3$ ,  $\text{H}$ , 145—146/0,02; 2,4,6-( $\text{CH}_3$ ) $_3\text{C}_6\text{H}_2$ ,  $\text{H}$ ,  $\text{CH}_3$ ,  $\text{CH}_3$ , 148—149/0,02; 2,4,6-( $\text{CH}_3$ ) $_3\text{C}_6\text{H}_2$ ,  $\text{H}$ ,  $\text{C}_2\text{H}_5$ ,  $\text{H}$ , 147—148/0,02; 2,4,6-( $\text{CH}_3$ ) $_3\text{C}_6\text{H}_2$ ,  $\text{H}$ ,  $\text{C}_2\text{H}_5$ ,  $\text{CH}_3$ , 151—152/0,015;  $o$ -толил,  $\text{CH}_3$ ,  $\text{CH}_3$ ,  $\text{CH}_3$ , 147/0,03;  $o$ -толил,  $\text{CH}_3$ ,  $\text{C}_2\text{H}_5$ ,  $\text{H}$ , 137—138/0,015;  $o$ -толил,  $\text{CH}_3$ ,  $\text{C}_2\text{H}_5$ ,  $\text{CH}_3$ , 140—141/0,015;  $n$ -толил,  $\text{CH}_3$ ,  $\text{CH}_3$ ,  $\text{H}$  (IX), 141—143/0,02;  $n$ -толил,  $\text{CH}_3$ ,  $\text{CH}_3$ ,  $\text{CH}_3$ , 145—148/0,02; 2,4-( $\text{CH}_3$ ) $_2\text{C}_6\text{H}_3$ ,  $\text{CH}_3$ ,  $\text{CH}_3$ ,  $\text{CH}_3$ , 142—143/0,02; 2,4-( $\text{CH}_3$ ) $_2\text{C}_6\text{H}_3$ ,  $\text{CH}_3$ ,  $\text{C}_2\text{H}_5$ ,  $\text{H}$  (X) 146—148/0,02; 2,4-( $\text{CH}_3$ ) $_2\text{C}_6\text{H}_3$ ,  $\text{CH}_3$ ,  $\text{C}_2\text{H}_5$ ,  $\text{CH}_3$ , 140—141/0,02; 3,5-( $\text{CH}_3$ ) $_2\text{C}_6\text{H}_3$ ,  $\text{CH}_3$ ,  $\text{CH}_3$ ,  $\text{H}$ , 148—149/0,02; 3,5-( $\text{CH}_3$ ) $_2\text{C}_6\text{H}_3$ ,  $\text{CH}_3$ ,  $\text{C}_2\text{H}_5$ ,  $\text{H}$ , 151—152/0,02; 3,5-( $\text{CH}_3$ ) $_2\text{C}_6\text{H}_3$ ,  $\text{CH}_3$ ,  $\text{C}_2\text{H}_5$ ,  $\text{CH}_3$ , 153—154/0,02; 2,4,6-( $\text{CH}_3$ ) $_3\text{C}_6\text{H}_2$ ,  $\text{CH}_3$ ,  $\text{H}$ , т. пл. 106—107,5; 2,4,6-( $\text{CH}_3$ ) $_3\text{C}_6\text{H}_2$ ,  $\text{CH}_3$ ,  $\text{H}$ ,  $\text{CH}_3$  (XI), т. пл. 111—112; 2,4,6-( $\text{CH}_3$ ) $_3\text{C}_6\text{H}_2$ ,  $\text{CH}_3$ ,  $\text{CH}_3$ ,  $\text{H}$ , 152—153/0,02; 2,4,6-( $\text{CH}_3$ ) $_3\text{C}_6\text{H}_2$ ,  $\text{CH}_3$ ,  $\text{CH}_3$ ,  $\text{CH}_3$ , 160—161/0,02; 2,4,6-( $\text{CH}_3$ ) $_3\text{C}_6\text{H}_2$ ,  $\text{CH}_3$ ,  $\text{CH}_3$ ,  $\text{CH}_3$ , 152—153/0,01;  $n$ -анизил,  $\text{CH}_3$ ,  $\text{CH}_3$ ,  $\text{H}$ , 153—154/0,02;  $n$ -анизил,  $\text{CH}_3$ ,  $\text{CH}_3$ ,  $\text{CH}_3$ , 159—161/0,02;  $n$ -анизил,  $\text{CH}_3$ ,  $\text{C}_2\text{H}_5$ ,  $\text{H}$ , 154—156/0,015;  $n$ -хлорфенил,  $\text{CH}_3$ ,  $\text{CH}_3$ ,  $\text{H}$ , 157—158/0,015;  $n$ -хлорфенил,  $\text{CH}_3$ ,  $\text{CH}_3$ ,  $\text{CH}_3$ , 152—153/0,02;  $n$ -хлорфенил,  $\text{CH}_3$ ,  $\text{C}_2\text{H}_5$ ,  $\text{H}$ , 161—162/0,03;  $n$ -хлорфенил,  $\text{CH}_3$ ,  $\text{C}_2\text{H}_5$ ,  $\text{CH}_3$ , 152—154/0,02;  $o$ -хлорфенил,  $\text{CH}_3$ ,  $\text{CH}_3$ ,  $\text{H}$ , 159—160/0,02;  $o$ -хлорфенил,  $\text{CH}_3$ ,  $\text{CH}_3$ ,  $\text{CH}_3$ , 160—161/0,04;  $o$ -хлорфенил,  $\text{CH}_3$ ,  $\text{C}_2\text{H}_5$ ,  $\text{H}$ , 158—159/0,03;  $o$ -хлорфенил,  $\text{CH}_3$ ,  $\text{C}_2\text{H}_5$ ,  $\text{CH}_3$ , 155—157/0,02;  $n$ -нитрофенил,  $\text{H}$ ,  $\text{CH}_3$ ,  $\text{CH}_3$ , 192—195/0,02. VI получают также взаимодействием 10 ч. хлорангидрида N-( $\beta$ -феноксипропил)-N-метилкарбаминової к-ты с вычисленным кол-вом Na-соли  $\beta$ , $\beta$ -диметилакрилової к-ты в III, р-ция проходит при нагревании в течение нескольких часов. Изучено действие I на клещей (K) (дано I, % смертности K через 2 часа после обработки 5%-ным р-ром I, то же через 5 час. после обработки 2%-ным р-ром I): VII, 100, 97,0; VIII 100, 93,5; IX, 100, 89; X, 100, 94; XI, 100, 95. Ранее описанный в пат. США 2368195 N-этил- $o$ -толуидил кроконової к-ты (XII) уничтожает K соответственно на 89 и 57%. VII—XI при введении в конъюнктиву не раздражают глаз кролика в течение 24—48 час., тогда как XII вызывает раздражение.

И. Мильштейн

58542 П. Новые препараты, содержащие ксантил- и тритиокарбонилсульфоны. Джолито, Джонс (Xanthyl and trithiocarbonyl sulfones as novel compositions of matter. Giolito Silvio L., Jones Ro-

bert H.) [Stauffer Chemical Co.]. Пат. США 2770638, 13.11.56

Соединения общей ф-лы  $[\text{RXC}(\text{S})\text{S}]_2\text{SO}_2$ , где X—S или O, а R—алкил, содержащий 1—12 атомов C, являются прекрасными фунгицидами, инсектицидами, акрицидами, а также промежуточными продуктами. Описаны лаурил-(I), метил-(II), бутил-(III), аллил-(IV) и этилксантилсульфоны и метил-(V), трет-бутил-(VI) и лаурил-(VII)-тритиокарбонилсульфоны. 288 г лаурилксантогената Na размешивают с 500 мл  $\text{CCl}_4$  и к р-ру прибавляют по каплям при размешивании и охлаждении до 15° 64 г  $\text{SO}_2\text{Cl}_2$  (VIII). Полученный продукт фильтруют и фильтрат обрабатывают разб. р-ром  $\text{Na}_2\text{CO}_3$ . Органич. слой отделяют и сушат  $\text{Na}_2\text{SO}_4$ . После отгонки р-рителя под уменьшенным давлением при т-ре < 30° получают 165 г I (препарат 591) в виде светло-коричневого масла. Аналогичным путем из соответствующих алкилксантогенатов Na получены в виде светло-желтых масел следующие алкилтритиокарбонилсульфоны (указан выход в % и в скобках условный шифр препарата): II (572) 37; III (577) 53,8; IV (661) 36,1. 96 г  $\text{CH}_3\text{SH}$  добавляют к смеси 132 г порошкообразного KOH и 1 л диоксана и при 20—30° прибавляют 167 г  $\text{CS}_2$ . Размешивание продолжают 30 мин. Затем добавляют 135 г VIII. Продукт обрабатывают, как описано выше, и получают 22 г V (607), т. пл. 91—92°. Аналогично из соответствующих меркаптанов получены VI (595) (красное масло, выход 33,3%) и VII. Препараты испытаны на фунгицидную активность. Приведены название препарата, его конц-ия в агаре в мг/кг и % торможения роста гриба *S. fructicola*: II, 25, 100; IV, 25, 93; V 100, 100; VI, 100, 47; I, 500, 60; III 500, 20.

Л. Вольфсон

58543 П. Состав для лечения чесотки, вызываемой клещами Demodex. Уорд (Composition of the treatment of demodectic mange. Ward William C.) [The Norwich Pharmacal Co.]. Пат. США 2739097, 20.03.56

В состав препарата для лечения чесотки скота, вызываемой клещами Demodex, входит 0,4% 5-нитро-2-фурфуриметилового эфира, 0,5% хлористого  $n$ -дизобутилкрезоксиэтилдиметилбензиламмония, 12,5%  $\text{C}_6\text{H}_5\text{COOCH}_2\text{C}_6\text{H}_5$ , 60% продукта присоединения 20 молекул окиси этилена к сорбитанмонолаурату и 24,1% воды. Средство пригодно и для лечения других бактериальных и грибных болезней кожи животных.

К. Бокарев

58544 П. Способ борьбы с эктопаразитами домашних животных и скота. Болле, Шрадер (Verfahren zur Bekämpfung von Ektoparasiten der Haus- und Nutztiere. Bolle Wolfram, Schrader Gerhard) [Farbenfabriken Bayer A.-G.]. Пат. ФРГ 964452, 23.05.57

Метансульфофторид (I) можно применять для борьбы с эктопаразитами животных как на самих животных, так и в помещениях. I убивает красных птичьих клещей, вшей и блох, а также и их яйца, личинки и куколки. I применяют путем окулирования помещений с находящимися в них животными, для чего I смешивают с горючим в-вом и смесь, упакованную в спец. контейнер, поджигают. Пары I в кол-ве, достаточном для уничтожения паразитов, не токсичны для животных. Примеры. Пары I (300 мг/м<sup>3</sup>), полученные с помощью сжигания горючей массы, состоящей из 30% древесного угля, 37%  $\text{BaCO}_3$ , 7%  $\text{KNO}_3$ , 24%  $\text{BaNO}_3$ , 2% декстрина и нужного кол-ва I, при 10-минутной обработке уничтожают клещей и вшей. Куры при этом не страдают. При аналогичной обработке погибают блохи на собаках.

К. Бокарев

58545 П. Репеллентные составы, содержащие гидроперекись кумола, и метод их применения. Гудхью (Cumene hydroperoxide insect repellent compositions



and method. Goodhue Lyle D.) [Phillips Petroleum Co.] Пат. США 2768926, 30.10.56

Для отпугивания тараканов *Blattella germanica* L., *Periplaneta americana* L., *Blatta orientalis* L. и *Supella supellectilium* (Serville) применяют гидроперекись кумола (I) в дозе  $\geq 43 \text{ мг/м}^2$  (обычно 109—1090  $\text{мг/м}^2$ ) в виде р-ра в ацетоне с добавкой парафина или дустов. В лабор. опытах I (50 мг) обеспечивают 100%-ную защиту картонной коробки от тараканов в течение 3 дней. Приведена методика испытаний I на тараканах.

К. Швецова-Шилова

**58546 П.** Моллюскоцид и способ его получения (Perfectionnements apportés à un procédé de préparation de compositions chimiques convenant particulièrement à la destruction des mollusques et produit obtenu) [The Pennsylvania Salt Manufacturing Co.] Франц. пат. 1116957, 15.05.56

Моллюскоцидный препарат представляет собой смесь соли Cu и пентахлорфенолята щел. металла, при растворении которой в воде образуются ионы  $\text{Cu}(2+)$  и  $\text{C}_6\text{H}_5(-)$  в весовых соотношениях от 2:3 до 17:3. В качестве солей Cu применяют: ацетат, сульфат, нитрат, формиат, лактат, хлорид и аммиакаты. Продукт токсичен для улиток — промежуточных хозяев шистозом.

К. Герцифельд

**58547 П.** Фунгицидный фумигант, содержащий бромнитрометан, и метод применения его для обработки почвы. Харди (Fungicidal fumigant composition comprising bromonitromethane and method of applying to soil. Hardy John L.) [The Dow Chemical Co.] Пат. США 2763962, 25.09.56

Рекомендуемый метод обработки заключается в пропитке почвы фунгицидными кол-вами бромнитрометана (I) ( $\geq 19 \text{ мг}$  на 1 кг почвы или 26,7  $\text{кг/га}$ ). I растворяют в  $\text{CH}_2\text{Cl}_2$  (1 г/л) и обрабатывают р-ром суглинистую почву парников, значительно зараженную фузариумом *Pythium debaryanum* и *Rhizoctonia solani*, для чего I вводят на глубину 5,7 см в кол-ве 95  $\text{кг/га}$  (118 мг на 1 кг почвы). Обработка 10-кратная. Из семян огурцов, посаженных через неделю на обработанных участках, через 17 дней получено 80% здоровых растений, в то время как на необработанных участках только 3% здоровых растений. 50 ч. I, 45 ч.  $\text{C}_6\text{H}_5\text{Cl}$  и 5 ч. димера алкилированного полиэтиленгликоля (третон X-155) (II) размешивают и получают концентрат эмульсии для фумигации. Из 90 г I и 10 г II образуется эмульгирующаяся в воде жидкость. Препараты обладают хорошими смачивающими и проникающими свойствами. 88 г I смешивают с 12 ч. II, к полученному препарату добавляют воду до содержания I в 1 л смеси 60,6 ч. первоначальной смеси. Препарат добавляют в воду, предназначенную для ирригации, в кол-ве 2 л на 100 л воды. Рассада помидор, посаженная через 1 неделю после обработки в землю, сильно зараженную фузариумом, не подвергалась заражению в течение 3 недель. I растворяют в воде (0,5 г/л) и обрабатывают парники, зараженные *P. debaryanum* и *R. solani*, в дозе 95  $\text{кг/га}$ ; через 2 недели после обработки были посажены семена огурцов; еще через 2 недели установлено, что на обработанных участках имелось 86% здоровых растений, а на необработанных лишь 19%.

Л. Вольфсон

**58548 П.** Способ получения ароматических азонитрозосоединений. Урбшат, Фробергер (Verfahren zur Herstellung von aromatischen Azonitroso-Verbindungen. Urbschat Ewald, Froberger Paul-Ernst) [Farbenfabriken Bayer A.-G.] Пат. ФРГ 1001997, 18.07.57

Ароматические азонитрозосоединения, обладающие фунгицидными свойствами, образуются при окислении ацилгидразонов хиноноксима  $\text{HNO}_2$  или хромовым ангидридом. К суспензии 20 г бензоилгидразона хинон-

монооксима в 80 мл  $\text{CH}_3\text{COOH}$  при т-ре 20—25° прибавляют 8 мл 80%-ной  $\text{HNO}_3$  в 40 мл  $\text{CH}_3\text{COOH}$ ; полученные кристаллы отфильтровывают, выход бензоилазо-*n*-нитрозобензола 15 г, т. пл. 88° (разл.). Аналогично получены (в скобках указаны т. пл. в °C): *n*-нитробензоил- (136; разл.), *n*-хлорбензоил- (I) (168—169; разл.), карбаминил- (II) (171; разл.; из диметилформамида (III) +  $\text{CH}_3\text{OH}$ ), карбатоки тиокарбаминилазо-*n*-нитробензол (69—70). 20 г хиноноксима гуанилгидразонитраля суспендируют в 150 мл  $\text{CH}_3\text{COOH}$ , охлаждают до 12°, добавляют 8 мл 80%-ной  $\text{HNO}_3$  в 20 мл  $\text{CH}_3\text{COOH}$ , осадок отсасывают через 30 мин., промывают  $\text{CH}_3\text{COOH}$  ацетоном и эфиром, выход 16 г. Для выделения неустойчивого в-ва неизвестного строения осадок обрабатывают 150 мл кипящего  $\text{CH}_3\text{OH}$ , нерастворимую часть отфильтровывают, из фильтрата при добавлении 300 мл эфира осаждают нитрат гуанилазо-*n*-нитробензола, выход 9,5 г, т. пл. 127°. К 30 г хиноноксима семикарбазона в 50 мл воды прибавляют р-р 15 г  $\text{CrO}_3$  в 20 мл воды, перемешивают 30 мин., осадок отсасывают и перекристаллизуют из III + двойное кол-во  $\text{CH}_3\text{OH}$ , выход II 21 г. 10 г хиноноксима *n*-хлорбензоилгидразона в 30 мл воды смешивают с водн. р-ром 5 г  $\text{CrO}_3$ , оставляют на 3 часа, осадок отфильтровывают и перекристаллизуют из III, выход I 7,3 г. И. Мильштейн

**58549 П.** Препарат для уничтожения вредителей и растений. Олин (Schädlings- und Pflanzenvernichtungsmittel. Olin John Frank) [The Pennsylvania Salt Manufacturing Co.] Пат. ФРГ 956549, 17.01.57

Приведены варианты метода получения трихлорметилтиоцианата (I) действием HCN или ее солей на  $\text{CCl}_3\text{SCl}$  (II). К 500 мл  $\text{CH}_3\text{COOH}$  (III) прибавляли 163 г KCN (IV) и затем 465 г II при 5—15°. После 2,5 час. выдержки при 5—15° получали I, выход 44%, т. кип. 44—49°/11 мм. Р-р 4,5 молей IV в 700 мл воды подкисляли 700 мл HCl (к-та) и после этого прибавляли 4 моля II в течение 1,5 час. при т-ре  $< 10^\circ$ . После обработки 180 г NaOH в 600 мл воды и 3 час. выдержки получали I, выход 29%, т. кип. 92—93°/80 мм. К р-ру 3 молей II в 1 л III при 0—3° прибавляли 3 моля NaCN, выход I 33%, т. кип. 44—45°/11 мм; 64—65°/45 мм; 164,5°/740,8 мм; т. пл. 2,5°,  $n_D^{20}$  1,5222,  $d_4^{20}$  1,585,  $d_4^{25}$  1,580, вязкость при 25° 2,55 спуаз, теплоемкость при 38° 0,262 кал. I оказывал нематоцидное действие на *Heterodera marioni*, фунгицидное действие на *Sclerotinia fructicola* и *Glomerella cingulata*, бактерицидное действие на большое число видов бактерий и гербицидное действие на овес сорта Clinton. Пары I в конц-ии 1,19 мг/л сильно повреждали молодые растения карликовых садовых бобов. I удобно применять в виде дустов, суспензий, эмульсий или аэрозолей в конц-ии 0,02—2% с использованием обычных наполнителей, р-рителей и диспергаторов.

А. Гранов

**58550 П.** Фунгицидные смолы. Эпштейн, Фалк (Resinous fungicide. Epstein Aaron, Falck Marianne) Пат. США 2759903, 21.08.56

Фунгицидные смолы получают сплавлением новолак-формальдегидных смол (линейные термопластич. полимеры, получающиеся конденсацией фенола, крезола, ксилола или других фенолов с альдегидами, особенно с  $\text{CH}_2\text{O}$  (I) или в-вами, выделяющими I, напр. параформом или уротропином), имеющих т. пл. 65—95°, с полихлорированными карбоциклич. углеводородами (ПКУ), способными к отщеплению HCl и содержащими  $\geq 3$  атома Cl в цикле или боковой цепи (ДТТ, ГХЦГ, метоксихлор, хлордан или токсафен) при т-ре 130—190°, лучше при 150—180°, ПКУ могут содержать в цикле неполярные заместители (низшие алкилы и алкоксилы, содержащие 1—3 атома C). ПКУ добавляют к новолаку в кол-вах 1—45%, считая на вес новолака. Продолжительность сплавления зависит от т-ры и от соотношения компонентов, но в общем составляет

5—20 мин. Фунгицидная активность бинарных смесей повышается при сплавлении их с хлорфенолами (ХФ), содержащими 1—5 атомов Cl (*n*-хлорфенол, монохлоркрезол, дихлорфенол, дихлоркрезол, трихлорфенол, трихлоркрезол, тетрахлорфенол, тетрахлоркрезол и пентахлорфенол (II)). Прибавляемые кол-ва ХФ колеблются от 4:1 до 1:2 по отношению к кол-ву ПКУ, желательно применять 3 ч. ХФ и 2 ч. ПКУ. Все три компонента фунгицида можно сплавлять также одновременно. По охлаждении смолистое в-во превращается в порошок и растворяют в 0,5—3%-ной водн. щелочи. Растворимость фунгицида 2—3%, считая на р-р едкого натра. К р-ру можно добавлять смачиватели, водоотталкивающие в-ва и т. п. Полученным р-ром пропитывают текстильные изделия и затем фунгицид закрепляют обработкой текстиля 2%-ным р-ром  $\text{CH}_3\text{COOH}$  или р-ром уксуснокислого Al, подкисленным  $\text{CH}_3\text{COOH}$ . Для защиты растений и т. п. фунгицид можно применять в виде дуста или другими методами. Примеры. 50 ч. новолана (т. пл. 65°) медленно нагревают до 160°. Плав охлаждают до 140° и постепенно при перемешивании прибавляют 15 ч. ДДТ, поддерживая т-ру в пределах 130—150°. Затем смесь нагревают в течение 5 мин. до т-ры 160—190° и поддерживают при этой т-ре ~ 20 мин. Сплав, имеющий темно-красный цвет, выливают на противни и по охлаждению превращают в фунгицидный дуст. Аналогично приготовленный сплав новолана (т. пл. 95°) с ГХЦГ может быть применен в виде р-ра в 1%-ном р-ре щелочи для обработки текстиля. К фунгициду, полученному сплавлением 50 ч. новолана, т. пл. 95°, с 5 ч. ДДТ, постепенно за 3 мин. прибавляют 5 ч. II, при этом поддерживают т-ру 160—190° в течение 7 мин. Продукт превращают в порошок и применяют в качестве фунгицида. 2 ч. порошкообразного фунгицида, полученного указанными способами, смешивают с 1 ч. NaOH и 100 ч. воды и смесь кипятят до растворения порошка или превращения его в суспензию. К р-ру прибавляют 6,7 ч. стружек стеарата Na, 9,6 ч. парафинового воска и смесь снова кипятят при перемешивании до растворения или эмульгирования прибавленных в-в. Фунгицид из новолана, ДДТ и II защищает текстиль от заражения *Chaetomium globosum*. К. Бокарев

58551 П. Гербицидный состав. С о в а (Herbicideal composition. Sowa Frank J.). Пат. США 2769702, 6.11.56

Соли кремнефтористой к-ты с аммиаком (I) и аммиаками (пропиламин, диметиламин, триетиламин, триэтилоламин, изопропаноламин, лауриламмин) можно применять для уничтожения карликового дуба, сумаха и других растений вдоль больших дорог, полотна ж. д. и силовых линий. Для усиления действия к гербицидам можно прибавлять 1—20% солей хлорфенокси-уксусных к-т (2,4-Д, 2,4,5-Т) с аммиаком и аминами, их эфиры (бутиловый, изопропиловый, амилловый, октиловый, этоксиэтиловый и эфиры с диэтиленгликолем) и эвонный эмульгатор в кол-ве (1—20%), достаточном для понижения поверхностного натяжения р-ра < 50 (лучше до ~ 40)  $\text{дн/см}$  при 23°. Для уничтожения кустарников и сорняков применяют опрыскивание р-рами I или II  $[(\text{C}_2\text{H}_5)_3\text{NHSiF}_6]$  (II), содержащими 0,05—0,15 кг действующего начала в 1 л воды в кол-ве 932—2796 л/га. Полную стерилизацию почвы производят обработкой I или II в дозах 0,12—0,71 кг/м<sup>2</sup>. Гербициды можно применять в виде дустов. К. Бокарев

58552 П. Борьба с нежелательной растительностью. Барроне (Bekämpfung von unerwünschtem Pflanzenwachstum. Barrons Keith Conserve) [The Dow Chemical Co.]. Пат. ФРГ 959066, 28.02.57

α,α-Дихлорпропионовую к-ту (I) и ее соли с аммиаком, аминами (анилин (II), пиридин, моно-, триэтиламин (III), моно-, ди- и триалкиламины) и метал-

лами (Na, K, Li, Mg, Ca, Al, Cu, Ni, Fe, Zn) применяют для борьбы с многолетними и однолетними травами в посевах широколиственных культур. Гербицид применяют в виде р-ров в воде или маслах, а также в виде суспензий или дустов в дозах 7,5—62,5 кг/га. Р-р Na-соли I (1%-ный в пересчете на I) получают перемешиванием р-ра 2 г I в 197,7 г воды с 0,74 г  $\text{Na}_2\text{CO}_3$ . Аналогично готовят р-ры солей I с Zn, Fe, Cu, Ni, Ca, Mg, K, II и III. Масляные р-ры готовят растворением 4 кг I в 375 л дизельного топлива. Дуст получают из 11,5 ч. Na-соли I и 88,5 ч. пирофиллита. К. Бокарев

См. также: Инсектициды: синтез синергетиков для пиретринов 57387. Фосфорные эфиры 57511. Мыло с ДДТ 58901. Бактерициды и фунгициды: антисептики для бумаги 59584. Фунгицидный пергамент 59602. Четвертичноаммониевые антисептики 58907. Дезинфицирующие мыла 58908, 58923. Предохранение пищевых продуктов 59034—59039, 59049, 59096, 59150

## ДУШИСТЫЕ ВЕЩЕСТВА. ЭФИРНЫЕ МАСЛА. ПАРФЮМЕРИЯ И КОСМЕТИКА

Редактор В. Н. Белов

58553. Исследование химического состава эфирного масла ферганской полыни *Artemisia ferganensis*, Н. Krasch. ex. Р. Pol. Тихонова Л. К., Горяев М. И., Каз. ССР, Гылым Акад. хабарлары, Изв. АН Каз.ССР, Сер. хим. 1957, вып. 2(12), 67—74 (рез. каз.)

Масло, полученное перегонкой надземной части растения с водяным паром под давл. 2—3 ат с выходом 0,55% на сырой материал и 1,2% на абс. сухое в-во растения, представляет собой подвижную жидкость темно-зеленого цвета с камфароцинеольным запахом. Масло имеет  $n_{\text{D}}^{20}$  1,4678,  $d_{40}^{20}$  0,9281,  $[\alpha]_D^{20}$  —26,86°, кислотное число 4,36, эфирное число (ЭЧ) 24,14, число омыления 28,5, ЭЧ после ацетилирования 53,63, растворимость в спирте: в 70%-ном 1:2, в 80%-ном 1:1, в 90%-ном во всех отношениях. В состав масла входят (в %): l-камфара ~ 85, α-туйон ~ 0,3; dl-карвон ~ 0,5, 1,8-цинеол ~ 9, борнеол, свободные к-ты и небольшое ксл-во азуленогенных сесквитерпеновых соединений, переходящих при дегидрировании с Se в хамазулен. Н. Любошиц

58554. Индийская *Cannabis sativa* и ее эфирное масло. Датт (Indian Cannabis sativa and essential oils derived from the same. Dutt S.), Indian Soap J., 1957, 22, № 11, 242—246 (англ.)

Обычной перегонкой из листьев и цветущих ветвей *C. sativa* (гашиш) получают эмульсию, из которой легкое эфирное масло (ЛМ) выделяют экстракцией петр. эфиром (40—60°). Выход ЛМ 0,03%. После удаления р-рителя и высушивания над  $\text{MgSO}_4$  получают легкоподвижную жидкость коричневатого-желтого цвета с  $n_{\text{D}}^{25}$  1,4986,  $d_{40}^{25}$  0,8636,  $[\alpha]_D^{25}$  +4° 38', числом омыления (ЧО) 8,37, ЧО после ацетилирования 14,58, кислотным числом (КЧ) 2,70, растворимую в 80%-ном спирте. При перегонке в спец. аппарате с паром (давл. 6 атм, т-ра 146—148°) получают тяжелое масло (ТМ) с выходом 0,32%, которое оседает из водн. дистиллята. ТМ представляет собой красно-коричневую жидкость, которая после очистки фуллеровой землей и животным углем и высушивания над  $\text{MgSO}_4$  имеет темно-коричневый цвет,  $n_{\text{D}}^{25}$  1,5078,  $d_{40}^{25}$  0,9738,  $[\alpha]_D^{25}$  +9° 44', ЧО 10,75, ЧО после ацетилирования 67,84; КЧ 5,62; растворяется в 80%-ном спирте с легкой опалесценцией. При хранении ЛМ в холодильнике из него выделяется небольшое кол-во кристаллич. в-ва с т. пл. 62—64° (бзл.), имеющего флуоресценцию и обычные свойства алифатич. углеводородов. Из



остального ЛМ после дистилляции при 20 мм выделены следующие компоненты (кол-во в %): *n*-пимол 34,5, *n*-пимеден 9,2, мирцен 6,8, дипентен 7,6, карифиллен 9,2, неидентифицированные сесквитерпены (с т. кип. 256—258°/755 мм, 125—130°/20 мм,  $d_{25}^{25}$  0,9024) 23,6, неидентифицированный сесквитерпеновый спирт (т. кип. 276—280°/755 мм, 160—165°/20 мм,  $d_{25}^{25}$  0,908) 6,4, а также 2,7 темно-коричневой, затвердевающей при охлаждении воскообразной массы с сильным пряным запахом. Из ТМ при стоянии в холодильнике в течение 3 дней выделяется твердая часть, содержащая воск  $C_{48}H_{92}O_2$  (мирициловый эфир пальмитиновой к-ты) с т. пл. 72—73° (сп.) и углеводород  $C_{30}H_{60}$  с т. пл. 63—64°. Остальная часть ТМ содержит (в %): 5,6 *n*-пимол, 3,7 *n*-пимеден, 4,2 мирцен, 3,2 дипентен, 7,6  $\Delta^3$ -каре-на, 6,7 карифиллена, 46,2 неидентифицированных сесквитерпенов, 18,7 неидентифицированного сесквитерпенового спирта и 4,1 остатка, отличающегося от полученного при дистилляции ЛМ.

**58555. Эфирные масла Бельгийского Конго. Арктандер** (Atherische Öle aus Belgisch-Kongo. Arctander St.), Parfüm. und Kosmetik, 1958, 39, № 2, 67—68, 71 (нем.)

Выход гераниевого эфирного масла составляет 0,12% или 1 г с 50 г платанов. Масло содержит  $\leq 0,3$  г в 1 л нерастворимого остатка, 30—40% цитронеллола (родинола) и имеет  $n_D^{20}$  1,46—1,474,  $d_4^{20}$  0,88—0,915;  $[\alpha]_D^{20}$  (—7,0) — (—14°); растворимо в 3,5 и менее объемах 70%-ного спирта; кислотное число 0—13; эфирное число 45—81; ацетильное число (АЧ) 200—240. Выход ветиверного масла при 16—18-час. отгонке паром составляет 2,4%. Масло содержит  $\leq 0,3$  г в 1 л нерастворимой части и имеет  $n_D^{20}$  1,52—1,528,  $d_4^{20}$  0,99—1,040; растворимо в 3 объемах 80%-ного спирта при 20°; число омыления 14—45;  $[\alpha]_D^{20}$  +15—20°; АЧ 110—130; лемонграссовое масло содержит 80—85% цитраля и метилгептенол, масло чайного дерева *Leptospermum citratum* ~35% цитронеллала, ~50% цитраля, ~10% терпенов и немного эфиров (герилацетат и др.). Предыдущее сообщение см. РЖХим, 1958, 44426. С. Кустова

**58556. Исследование эфирных масел растений горного района Поллино. Варнати** (Studi su essenze da piante spontanee della zona appenninica del Monte Pollino. Variati Gianluigi), Riv. ital. essenze profumi, piante offic., olii veget., saponi, 1956, 38, № 11, 501—502 (итал.)

Изучены эфирные масла (ЭМ) розмарина, шалфея и лаванды, собранных в горном районе Поллино. ЭМ розмарина, выход 0,7—0,8%,  $n_D^{20}$  1,4709,  $d_4^{20}$  0,903,  $\alpha$  +2; число омыления (ЧО) 6,13; выход после дегидрирования 15—25%; по качеству лучшее, чем ЭМ, добываемое в Испании. ЭМ шалфея, выход 0,5—0,6%,  $n_D^{20}$  1,4734,  $d_4^{20}$  0,818,  $\alpha$  +1,6°, ЧО 11,06, хорошее по качеству. ЭМ лаванды, выход 0,4—0,5%,  $n_D^{20}$  1,4694,  $d_4^{20}$  0,898,  $\alpha$  +3,6°, ЧО 73,20, содержание эфиров 31%. В. Дашунин

**58557. Некоторые ветиверные масла. Арктандер** (Other vetiver oils. Arctander Steffen), Drug and Cosm. Ind., 1958, 82, № 2, 168—170, 262—264 (англ.)

Обзор сведений о произ-ве, качестве и стоимости ветиверного масла (М) Бельгийского Конго, отличиях М от индийского, явского и др. Отмечается, что выход М увеличивается при предварительном измельчении и замачивании корней, перемешивании их во время перегонки М и добавлении соли (5—50% от веса корней). Установлено, что корни ветиверы дают М лучшего качества, если их перерабатывать через 2 года после выкопки, а отгонку масла производить 12—18 час. при 12 атм, выход масла 2,4%. С. Кустова

**58558. Заметки по определению цинеола в эфирных маслах и фармацевтических препаратах. Монтес** (Notas sobre la determinación de cineol en aceites esenciales y preparados farmaceuticos. Montes

Adolfo Leandro), An. Asoc. quim. argentina, 1954, 42, № 4, 223—228 (исп.; реэ. англ.)

**58559. Проблемы коррозии при производстве и хранении цитрусовых эфирных масел. Ла-Фас** (Problemes de corrosion dans la fabrication et la conservation des essences d'agrumes. La Face Francesco), Parfums, cosmét., savons, 1957, № 142, 38—39 (франц.)

Cu, Fe и Pb являются катализаторами процессов полимеризации, конденсации, гидролиза и окисления. Для произ-ва, хранения и транспортировки цитрусовых эфирных масел рекомендуется применять аппаратуру из нержавеющей стали, бронзы или стекла и баки и бидоны из Cu или Fe, покрытые Sn. Изучается возможность применения пластич. масс.

**58560. Новое в химии терпенов. От витамина А к линалоолу.** (Neue Entwicklungen in der Terpenchemie. Vom Vitamin A zum Linalool.—), Parfüm. und Kosmetik, 1958, 39, № 2, 73—74 (нем.)

**58561. Проблемы, возникающие при составлении отдушек для туалетных мыл. Хатлстон** (Problems encountered in the perfuming of toilet soaps. Huttleston Roy), Soap, Perfum. and Cosmetics, 1958, 31, № 2, 168—170, 172 (англ.)

При составлении отдушек для мыл (М) не следует вводить в них в-ва, которые способствуют прогорканию М и при хранении изменяют их цвет (особенно белых М). Изучение влияния отдельных компонентов отдушек на цвет белых М показало, что особенно неустойчивы в М альдегиды, которые под влиянием щелочей могут полимеризоваться, конденсироваться и взаимодействовать с другими в-вами. Коричный и амилкоричный альдегиды способствуют потемнению М. Цитраль придает М светло-коричневый цвет. Цитронеллол не изменяет цвет М. М, содержащие ванилин, сохраняют долгое время запах, но приобретают темно-коричневый цвет, содержащие метилантранилат и индол, при хранении на свету темнеют. Поэтому рекомендуют применять для отдушивания белых М синтетич. масла нероли и жасмина, не содержащие индола. Мускусные препараты не обесцвечивают М. И. Вольфензон

**58562. Машины в парфюмерной и косметической промышленности. XIII. Термокомпрессорные аппараты для получения дистиллированной воды. Фуме** (Les machines dans l'industrie de la parfumerie et de la cosmétique. XIII — Appareils a eau distillée, a thermo-compression. Fouché René), Inds parf., 1955, 10, № 7, 274—275 (франц.)

Предлагаются экономичные термокомпрессорные аппараты для получения дистилл. воды, отличающиеся тем, что в них конденсация пара происходит внутри испарителя. Часть XI см. РЖХим, 1957, 39177. Е. К.

**58563. Новые возможные применения душистых веществ. Швейсхеймер** (Neue Einsatzmöglichkeiten für aromatische Chemikalien. Schweisheimer W.), Riechstoffe und Aromen, 1958, 8, № 3, 66, 68 (нем.)

Указано на возможность применения душистых в-в для придания товарам более приятного запаха (отдушивание кож, красок, чулок, конвертов и т. д.), а также для устранения дурного запаха помещений и т. п. Е. Шенеленкова

**58564. Биокосметика. Хагенстрём** (Biokosmetik. Hagenström U.), Kosmetik-Parfüm-Drogen Rundschau, 1957, 4, № 7—8, 95—96 (нем.; реэ. англ., франц.)

Описаны некоторые медицинские масла, получаемые из лекарственных трав. Отмечено, что масляные экстракты лекарственных трав содержат не все действующие в-ва растения. Предложен новый тип косметич. масла, получаемого из медовой травы особым

способом. Цветы медовой травы растирают, заливают в стакане оливковым маслом и после встряхивания подвергают в теплом месте брожению. По окончании брожения стакан закрывают и подвергают действию солнечных лучей до приобретения маслом светящегося красного цвета (~6 недель). Затем массу фильтруют, масло после некоторой выдержки отделяют от воды, фазы, сушат  $\text{Na}_2\text{SO}_4$  и фильтруют. Метод предусматривает применение свежего сырья, невысокие т-ры. Возможно применение и увлажненного сырья, причем кол-во воды должно соответствовать содержащемуся кол-ву в свежей траве. Получаемые таким образом масла применяют в косметике как защитные средства для кожи, питательные масла, масла для волос, для массажей, в качестве добавки к питательным кремам, воде для волос, лица, бритья и др.

**58565. Основы процесса переведения веществ в растворимое состояние и его значение для препаративной косметики.** Шафт (Grundzüge der Lösungsvermittlung und ihre Bedeutung für die präparative Kosmetik. Schafft G.), Kosm. Monatsschr., 1957, 6, № 8, 6—7 (нем.)

Изложены основы и рассмотрен химизм процесса переведения нерастворимых в воде в-в в растворимое состояние.

**58566. Ионообменные смолы в косметических препаратах.** Кресман (Ion exchange resins. Kressman T. R. E.), J. Soc. Cosmetic Chemists, 1957, 8, № 4, 212—221 (англ.)

Рассмотрены свойства и применение ионообменных смол. Указано на возможность применения ионообменных смол в средствах от пота и дезодорантах, а также в качестве основ для медикаментов и масел. Библ. 13 назв.

**58567. Применение алейрона и биалейрона в косметике.** Авалле (Aleurone — Bialeurone — angewandt für die Kosmetologie. Avallé Nadia), Seifen-Öle-Fette-Wachse, 1957, 83, № 13, 375, № 14, 398—399; Riechstoffe und Aromen, 1957, 7, № 7, 200—202 (нем.); J. Soc. Cosmetic Chemists, 1957, 8, № 6, 343—344 (англ.)

Алейрон (I) — активно действующее в-во, содержащееся в периферич. части зерна пшеницы. Получение экстрактов I, обладающих биологич. активностью, следует осуществлять только биологич. путем с применением спец. аппаратов. Таким путем получают жидкость светло-желтого цвета следующего состава (в %): влага 10,15, зола 15,75, азот аммиачный 0,471, азот общий 3,88, жир 27,25, целлюлоза — следы, углеводы 22,0. Наиболее конц. дистиллят (биалейрон) получают дистилляцией I при нормальном давлении пара. Оба продукта имеют максимумы поглощения при 215 и 275 мμ. I дает яркое окрашивание с 2,4-дипитрофенилгидразином, следовательно, имеет альдегидный или кетонный характер. Определение лабильного растворимого фосфора дало отрицательный результат. Биалейрон вводят в смеси с дезинфицирующими в-вами в косметич. средства для устранения морщин и омолаживания кожи.

**58568. Окисляющие споласкивающие средства при холодной завивке.** Рюмеле (Oxydierende Spülmittel bei der Kaltwelle. Eine kritische Überprüfung. Rümele T.), Seifen-Öle-Fette-Wachse, 1957, 83, № 23, 695—696 (нем.; рез. англ., франц., исп.)

**58569. Проявление аллергии под влиянием продуктов косметической и химической промышленности.** Жюон (Manifestations allergiques en cosmétique et en chimie industrielle. Juon M.), Parfum., cosmét., savons, 1958, 1, № 1, 24—26 (франц.)

Ввиду участвовавших случаев аллергич. заболеваний рекомендуется выпускаемые на рынок новые хим.

продукты (в частности, для косметики) предварительно испытывать на аллергич. действие (дан краткий обзор известных методов испытаний), а также обратить внимание на возможную их порчу при хранении. Кроме того, следует соблюдать гигиену труда в хим. произ-ве.

**58570. О всех функциях кожи и их значении для косметики.** Брабец (Über alle Funktionen der Haut und ihre Bedeutung für die Kosmetik. Brabetz Veit), Kosmetik-Parfum-Drogen Rundschau, 1957, 4, № 11—12, 182—184 (нем.)

**58571. Повреждение кожи жидкостями для холодной завивки волос.** Скейп (Hautschädigungen durch Kaltwellflüssigkeiten. Skeip C.), Kosmet. Monatschr., 1957, 6, № 5, 6—8 (нем.)

Обзор работ по повреждениям кожи и волос жидкостями для холодной завивки.

**58572. Лабораторная и клиническая оценка антисеборрейных агентов.** Льюбау (The laboratory and clinical evaluation of anti-seborrheic agents. Lubow Irwin I.), Soap, Perfum. and Cosmetics, 1957, 30, № 12, 1274—1277 (англ.)

Изучено лабор. и клинич. действие антисеборрейных агентов. Лучшее действие оказывают соли четвертичных аминов, нетоксичные органич. соединения, содержащие серу, и различные хим. комбинации галлоидсодержащих фенолов. Отмечено, что начинают находить применение гормоны, аминокислоты, ферменты, витамины. pH средств против себореи должен быть 5—7,5.

**58573. Испытания действия на кожу препаратов тиогликолевой кислоты.** Скейп (Läppchenteste mit Thioglykolsäurepräparaten. Skeip C.), Kosmet. Monatschr., 1957, 6, № 6, 10—12 (нем.)

**58574. Дистилляционные воды.** Бурде (Gli idrolati. Bourdet E.), Riv. ital. essenze profumi, piante offic., olii veget., saponi, 1957, 39, № 10, 513—516 (итал.)

Описано получение и свойства стягивающих (волшебный орех, роза, василек, доширак, подорожник), тонизирующих (волшебный орех, роза, бузина), успокаивающих (цветы, плоды и листья апельсинов, липа, мальва, лавровишня), смягчающих (салат, мальва, иланг-иланг) и способствующих заживлению ран (василек, лаванда, шалфей) дистилляционных вод.

**58575. Дисперсность пигментов в губной помаде.** Якович (Dispersion of pigments in lipstick. Jakovics Mary), Drug and Cosm. Ind., 1957, 80, № 3, 316—317, 400—402 (англ.)

Рассмотрена зависимость стабильности губных помад (ГП) от дисперсности используемых пигментов и равномерности их распределения в жировой основе. Найдено, что неравномерное распределение пигментов способствует отделению масляной фазы в виде мельчайших капель на поверхности ГП в процессе хранения. Дисперсность пигментов влияет также на оттенки ГП и их структуру. Приведены графич. данные и микрофотографии, полученные в процессе проведенных исследований.

**58576. Реология.** Обзор для химиков, работающих в косметической промышленности. Скарбро (Rheological review for cosmetic chemists. Scarbrough A. L.), J. Soc. Cosmetic Chemists, 1957, 8, № 5, 306—315 (англ.)

**58577. Маски для лица.** Янович (Face masks. Janowitz Herbert C.), Soap, Perfum. and Cosmetics, 1958, 31, № 3, 267, 266 (англ.)

Описаны различные маски для лица: в виде пасты, основанной на каолине, бентоните и других глинах; в виде лосьонов и кремов с использованием в каче-



стве загустителей камеди акации, альгината Na; маска, содержащая экстракт плаценты. Для смягчения кожи и придания ей свежести используют состав, в который входят (в г): пепсин 40—50, лимонная к-та 20, NaCl 9 и лактоза 40. Т. Волкова

58578. Аэрозоли. Арлан (Au sujet des aérosols. Harlan F.), Parfums, cosmét., savons, 1958, 1, № 1, 35—36 (франц.)

Отмечается слабое развитие произ-ва аэрозолей в Европе по сравнению с Америкой. Недостаточный сбыт аэрозолей, возможно, происходит из-за недостаточного знакомства потребителей с этим видом упаковки. С целью увеличения произ-ва аэрозолей во многих странах проведены съезды по данному вопросу, создан комитет, выработавший опросную анкету (последняя приведена в статье). Е. Смольянинова

58579. Развитие методов внутреннего покрытия гибких труб восками (Англия). Холмс (Developments in British methods for the internal wax coating of collapsible tubes. Holmes G. E.), Brit. Packer, 1958, 20, № 1, 37 (англ.)

Описываются английские методы защитного воскового покрытия гибких труб. Более совершенным является метод расплавления расплавленного воска на холодные стенки труб, которые в дальнейшем подвергаются действию сжатого воздуха, нагретого до ~ 250°. Этот метод обеспечивает получение равномерного покрытия с гладкой внутренней поверхностью, не имеющей пор. Т. Волкова

58580 П. Получение галогенидов ненасыщенных органических соединений. Сурматис (Preparation of unsaturated acyclic halides. Surmatis Joseph Donald) [Hoffmann-La Roche Inc.]. Пат. США 2780658, 5.02.57

Цис-1-галонд-3,7-диметилотен-2 получают р-цией 1,5-диметил-1-винилгексанола-1 с конц. р-ром галогеноводородной к-ты, напр., с ~ 37%-ной HCl или ~ 48%-ной HBr. В колбе емк. 3 л конденсируют 1 л жидкого NH<sub>3</sub>, к нему в течение 30 мин. прибавляют 28 г Na кусочками весом ~ 0,1 г. В перемешиваемую смесь пропускают сухой C<sub>2</sub>H<sub>2</sub>, пока смесь не обесцветится, затем C<sub>2</sub>H<sub>2</sub> пропускают со скоростью ~ 1 л в 30 мин. К перемешиваемой реакционной смеси прибавляют в течение 1 часа р-р 128 г 6-метилгептанола-2 в равном объеме эфира, перемешивание ведут 16 час., NH<sub>3</sub> отгоняют, остаток постепенно прибавляют к 1 л 5%-ной H<sub>2</sub>SO<sub>4</sub>. Масло отделяют, промывают водой и перегоняют. Получают 1,5-диметил-1-этинилгексанол-1, т. кип. 132°/150 мм, n<sub>D</sub><sup>25</sup> 1,4380. 308 г 1,5-диметил-1-этинилгексанола-1 гидрируют в 500 мл петр. эфира над 20 г Pb-Pd/CaCO<sub>3</sub>-катализатора (Helv. Chim. Acta, 1952, 35, 450) при 20—30° и атмосферном давлении до присоединения 2 атомов H. Колбу заполняют N<sub>2</sub>, катализатор отфильтровывают. Перегонкой выделяют 1,5-диметил-1-винилгексанол-1 (т. кип. 81°/10 мм, n<sub>D</sub><sup>25</sup> 1,4350), 234 г которого помещают в колбу (емк. 2 л) с мешалкой. Прибавляют 600 мл 48%-ной HBr и перемешивают 2 часа при ~ 20°. Масло отделяют, промывают 2 раза по 500 мл воды, сушат над CaCl<sub>2</sub>. Получают цис-1-бром-3,7-диметилотен-2, являющийся душистым в-вом. Б. Фабричный

58581 П. Косметические продукты. Янистин (Kosmetische Zubereitungen. Janistyn Hugo). Пат. ФРГ 957597, 7.02.57

Патентуются косметич. средства, содержащие липидный экстракт овса (Э), кол-во которого может колебаться в широких пределах (1—30% и выше). Примеры. 1. Масло для смазывания кожи состоит (в ч.): из 5—10 Э, 20—30 изопропилпальмитата (I), 20—30 арахисового масла, 5—20 парафинового масла, 50 жидкой части ланолина. 2. Базовый крем для кожи: 20 Э,

40—50 I, 5 моностеарата глицерина, 5 сорбитантриолеата, 10—15 цетилового спирта, 5—10 воска. 3. Крем для кожи: 10 Э, 10 моностеарата глицерина, 3 неоновенного эмульгатора, 5 I, 5 стеариновой к-ты, 67 воды, глицерин, отдушка консервирующее средство. Н. Фрумкина

58582 П. Препараты против пота. Теллер (Antiperspirant stick. Teller W. Kedzie) [Pharm-Craft Corp.]. Пат. США 2732327, 24.01.56

Патентуется препарат против пота в виде палочки, содержащей (в ч.): 95%-ный спирт 69,0 или 81,8; стеарат Na (I) 6,9; воду 12,8—0, карбитол 1,4; 43%-ный водн. р-р натрийцирконийлактата (II) 9,2; отдушку (III) 0,45; гексахлорофен 0,25. Все ингредиенты, кроме II и III, смешивают, нагревают до 70° и оставляют при этой т-ре до полного растворения I, затем добавляют II и снова перемешивают; III прибавляют перетом, как смесь (при 65—67°) выливают в форму, имеющие т-пу 20°. Г. Молдованская

См. также: Парфюмерия Франции 56360. Применение душистых в-в и пряностей с высоким содерж. эф. масел в пищевой пром-сти 59234, 59728. Эф. масла Melaleuca viridiflora 22134Bx; терпены, тритерпены, сесквитерпены эф. масел 57551, 57552; 22138Bx. Конденсация кониферилового альдегида в неочищ. этаноле 22131Bx. Изучение R-гомокамфенилона 57550

## ФОТОГРАФИЧЕСКИЕ МАТЕРИАЛЫ

Редактор В. С. Чельцов

58583. Развитие венгерской фотохимической промышленности. Леньо (A magyar fotokémiai ipar fejlődése. Lenyó László), Kér-és hangtech., 1957, 3, № 5—6, 119—121 (венг.)

58584. Фотографическая желатина. Костелан (Fotografiska želatina. Kostelac Rajka), Kemija u industriji, 1957, 6, № 12, F-50—F-51 (сербо-хорв.)

58585. Фотографическая эмульсия. Якобович (Fotografiska emulzija. Jakobović Vlado), Kemija u industriji, 1957, 6, № 12, F-48—F-49 (сербо-хорв.)

58586. Нормализация рабочих свойств проявителя. Глушко В. Д., Акоева Е. Г., Полигр. произ-во, 1957, № 8, 12—13

Рабочие свойства проявителя поддерживаются автоматич. поступлением во время перерыва в проявлении подкрепляющего р-ра из резервуара (Р) по шлангу в кювету (К). Центр крепления К смещен относительно центра тяжести; по окончании проявления К опускается и при этом уровни жидкости К и Р выравниваются. Снижение уровня р-ра в Р, служащем гидравлич. затвором, приводит к проникновению воздуха по трубке в Р, снижению разряжения и заполнению Р до исходного уровня. В процессе проявления р-р в кювету не поступает, так как отверстие для поступления р-ра выше уровня жидкости в Р. К снабжена термостатирующим устройством, состоящим из холодильника, электронагревателя и температурного реле. Р снабжен подъемным механизмом и заполняется через герметически закрывающееся отверстие. Состав подкрепляющего р-ра (г/л): метол 10, гидрохинон 12; сульфит натрия кристаллич. 80, поташ 60. М. Панфилов

58587. Исследование фотографической бумаги, применяемой в библиоаппаратах. О способе электротермохимического проявления. Кикуги, Иосинага, Нагасима, Сэйсан кэнкю, 1956, 8, № 8, 20—21 (японск.)

58588. Некоторые принципиальные вопросы сенситивности многослойных цветофотографических мате-

риалов. Гороховский (Einige grundsätzliche Fragen der Sensitometrie der mehrschichtigen farbenphotographischen Materialien. Gorochowsky Ju. N.), Z. wiss. Photogr., 1956, 51, № 1—6, 17—58 (нем.)

Рассматриваются основные вопросы сенситометрии многослойных фотоаграфич. материалов (МЦМ), исходя из единства методов сенситометрии черно-белых и цветных фотографич. слоев и специфич. особенностей последних в связи с трехслойным строением цветного субтрактивного изображения и избирательным спектральным поглощением красителей, образующихся в слоях в различных кол-вах и соотношениях и являющихся причиной ощущения цвета. Фотоаграфич. эффект для цветных пленок МЦМ при спектрофотометрич. методе измерения светопоглощения красителей количественно оценивается а) по отдельным слоям в виде поверхностных конц-ий (С) трех красителей, составляющих цветное поле; б) по суммарному визуальному или фотографич. действию всех трех красителей цветного поля в целом в виде эффективных плотностей (D эфф. действующих на три спектрально избирательных приемника излучений (три цветоощущающих элемента глаза — для позитива — или три отдельных слоя позитивной пленки — для негатива). При этом величины визуальной и фотографич. эквивалентно-серой плотности (ВЭСР и ФЭСР) рассматриваются одновременно как денситометрич. мера С и D эфф. соответственно для позитивных и негативных МЦМ. Спектросенситометрич. методом исследовалось распределение спектральной чувствительности ( $S_\lambda$ ) слоев и зависимость коэф. контрастности ( $\gamma_\lambda$ ) отдельных слоев от  $\lambda$ . Для негативных пленок распределение  $S_\lambda$  более однозначно в связи с относительной независимостью  $\gamma_\lambda$  от  $\lambda$ . При спец. исследовании аддитивности фотографич. действия спектрально различных лучей на МЦМ установлено, что отклонения от аддитивности невелики по сравнению с черно-белыми слоями. Исследование взаимного влияния слоев при цветном проявлении показало, что ход характеристик. кривой отдельного слоя становится неоднозначным и форма кривой зависит от степени освещения двух других слоев при экспонировании, т. е. от цвета действующих лучей. Расчетное и эксперим. исследование величин  $D_{\text{эфф.}}$  их аддитивности и денситометрич. определения для негативных слоев показало ограниченность пределов соблюдения аддитивности и возможность лишь приближенного их денситометрич. определения. Для позитивных слоев аддитивность  $D_{\text{эфф.}}$  соблюдается в пределах практически измеряемого диапазона поверхностных конц-ий красителей, и определение их возможно с достаточной точностью. Исследован вопрос о целесообразности выбора красителя для численного определения общесенситометрич. свойств цветной многослойной пленки как общего целого: его светочувствительности (S) и коэф. контрастности. Особое значение для выбора критерия S приобретают слои, в которых образуется пурпурное изображение, определяющее в значительной степени яркостный контраст фотографич. изображения. Л. Крупенин

58589 К. Технология обработки кинофотоматериалов (Учебн. пособие для киноузов). Блюмберг И. Б. М., «Искусство», 1958, 519 стр., илл., 12 р. 50 к.

58590 П. Производные белковых веществ и их получение. Элинс, Беллис, Гейтс (Protein derivatives and their preparation. Elins Herbert S., Bellis Donald C., Gates John W., Jr) [Eastman Kodak Co.]. Пат. США 2763639, 18.09.56

Продукты р-ции белковых в-в (I) и, в частности, желатин (II) с органич. сложными эфирами (III)

имеют хорошие свойства — вязкость, набухаемость, растворимость и изоэлектрич. точку. Наиболее подходят: фенильные эфиры с электроотрицательными группами в орто- или пара-положении к фенольному кислороду, напр. *п*- и *о*-нитрофенилацетаты; алкильные, арильные и аларкильные эфиры ароматич. к-т, в которых имеется в кислотном остатке электроотрицательная группа в орто- или пара-положении к карбоксилу, напр. этилхлор-, этилнитро-, алкоксигензоат и фенилсалицилат; III карбоновой к-ты и ненасыщ. спиртов, напр. изопропенил-, винил-, кротоилацетат. Водн. р-р II или другого I нагревают ( $1/2$  часа и более) с р-ром одного из указанных III при повышенном pH. Можно применить не воду, а другие р-рители I, напр. формамид. Оптимальный pH 9—11; т-ра 30—70°. В ходе р-ции желательно прибавлять щелочь, поддерживая постоянным pH. По окончании р-ции белковое в-во может быть извлечено нейтр-цией к-той, осаждением его посредством охлаждения (в случае I) и промыванием холодной водой. Если используется не II, а другие I, то их коагулируют и промывают водой. Полученные производные II отличаются, кроме указанных преимуществ, устойчивостью по отношению к дублированию  $\text{CH}_2\text{O}$  и в особенности  $\text{KCr}(\text{SO}_4)_2$ . Пример. 100 ч. желатин диспергируют в 400 ч. воды при pH 9,6. К полученной дисперсии прибавляют при 40—45° в течение 20 мин. р-р 21,1 ч. *о*-нитрофенилацетата в 40 ч. ацетона, перемешивают и поддерживают при начальных т-ре и pH в течение процесса прибавления и еще 30 мин. Затем pH доводят до 6 HCl-к-той с последующим охлаждением, измельчением и промывкой водой (24 часа). Продукт сушат и экстрагируют метанолом. Выход производного II 85 ч. К. Мархлевич

58591 П. 1-бензил-3- $\beta$ -оксипропил-2-тиомочевина. Мур (1-benzyl-3- $\beta$ -hydroxyethyl-2-thiourea. Moore Ralph G. D.) [General Aniline & Film. Corp.]. Пат. США 2753374, 3.07.56

1-бензил-3- $\beta$ -оксипропил-2-тиомочевину (I), образующую комплексные соединения, применяют для повышения скорости аммиачного проявления диазотипных светочувствительных материалов. I получают с хорошим выходом р-цией 2-аминоэтанола (II) с бензил-изотиоцианатом (III) в инертном разбавителе, кипящем выше 60°, напр., изопропиловом, бутиловом, изобутиловом, бензиловом спирте. Р-цию предпочтительно проводить при избытке II. Пример. К р-ру 16,8 г II в 40 мл изопропилового спирта при перемешивании добавляют 33,9 г III в течение 15 мин. Р-ция начинается немедленно. Т-ру повышают до 60° и поддерживают на этом уровне периодически охлаждением. Через полчаса после введения всего III р-р охлаждают. Кристаллич. осадок через несколько часов отфильтровывают, продукт промывают холодным изопропиловым спиртом и высушивают в вакууме. Выход 18 г или 31%; т. пл. 59,5—61°. Вторая порция кристаллов получена при концентрировании фильтрата, т. пл. 56—58°, выход повышается до 50%. В первой порции в-ва по анализу N—13,2% (теоретич. 13,35). С. Бонгард 58592 П. Применение диазотипии при фотомеханическом изготовлении металлических клише. Зюс (Verfahren zur photomechanischen Herstellung von Metalldruckformen unter Verwendung von Diazosulfonaten als lichtempfindliche Substanzen. Süs Oskar) [Kalle und Co. A.-G.]. Пат. ФРГ 955928, 10.01.57

Соли диазосульфонов с ароматич. аминами ф-лы  $\text{R}-\text{N}=\text{N}-\text{SO}_3\text{H}$ .  $\text{H}_2\text{NR}'$  (R — ароматич. или гетероцикл. остатки, образующие достаточно светочувствительные и устойчивые диазосоединения, не содержащие карбоксильных или других групп, повышающих растворимость соединения в воде; R' — ароматич.)



тич., гидроароматич. или гетероциклич. остатки, преимущественно первичные амины многоядерных соединений, напр., бензидин, дианзидин, диаминодифенилметан, которые, входя в состав молекулы, понижают растворимость ее в воде) применяют в виде р-ров в органич. р-рителях, напр. эфирах гликоля, для полива светочувствительного слоя при фотомеханич. изготовлении металл. клише. В р-р, по мере надобности, добавляют щелочно-растворимые смолы, способствующие пленкообразованию. При обычной экспозиции нанесенного на металл. пластинку и высушенного слоя освещенные места меняют первоначальную желтую окраску на синюю или коричневую и теряют способность растворяться в воде и водн. р-рах щел. металлов. Обработкой слоя 2—10%-ным р-ром  $\text{Na}_2\text{HPO}_4$  или  $\text{Na}_3\text{PO}_4$  неэкспонированные участки удаляют, полученное изображение обрабатывают 10%-ным р-ром  $\text{H}_3\text{PO}_4$  и металл. пластинку с рельефным изображением применяют в качестве клише. В. Крол

58593 П. Способ и устройство для изготовления цветных растров расслаиванием многоцветного слоистого блока. Валь (Verfahren und Vorrichtung zur Herstellung von Farblinienrastern durch Schalen eines Mehrfarbenschichtblockes. Wahl Karl) [Emmet Fabrikationsanstalt]. Пат. ФРГ 963215, 2.05.57

Описана машина для отлива из соответственно окрашенного, напр., ацетилцеллюлозного коллодия многослойных блоков, состоящих из нескольких слоев шлокопараллельных линейных растров, применяемых в аддитивном способе цветной фотографии. Блок легко делится на отдельные растры. Для одновременного отлива растров, окрашенных в красный, зеленый и синий цвета, на машине устанавливаются три фильеры, питаемые соответственно окрашенным коллодием. В. Крол

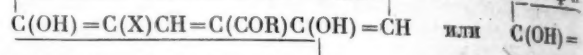
58594 П. Способ изготовления субтрактивных трех- или четырехцветных позитивных копий с образованием двух или трех цветов в одном галоидосеребряном слое. Ноак (Verfahren zur Herstellung von subtraktiven Zwei-, Drei- oder Vierfarbentfilmen, bei dem zwei oder auch drei Teilbilder in einer einzigen Halogensilberschicht vereinigt werden. Noack Franz). Пат. ФРГ 960050, 14.03.57

Для получения цветного позитивного фильма, в котором все три одноцветных изображения находятся в одном слое, применяют три черно-белых цветодельных негатива (ЦН). «Красный» ЦН служит для печати серебряного изображения на черно-белой позитивной пленке. Это изображение обрабатывают и промывают обычным путем до нанесения следующего частичного изображения. «Синий» ЦН применяют для изготовления матрицы, с которой на ту же позитивную пленку переносят желтое изображение способом гидротипной печати. С «зеленого» ЦН получают вспомогательную позитивную копию, с которой печатают изображение на сенситизированный хромовой солью желатиновый слой исходной позитивной пленки. Рельеф набухания экспонированной пленки окрашивают в пурпурный цвет; при этом экспонированные участки остаются неокрашенными. Затем первоначально полученное серебряное изображение обрабатывают в отбеливающе-окрашивающем р-ре, где образуется голубое частичное изображение. В. Крол

58595 П. Светочувствительный материал для фотомеханического изготовления клише. Нейгебауэр, Эндерман (Lichtempfindliches Material für die photomechanische Herstellung von Druckformen. Neugebauer Wilhelm, Endermann Fritz) [Kalle & Co. A.-G.]. Пат. ФРГ 938233, 26.01.56

Светочувствительный материал (СМ) для клише плоской печати состоит из металл., предпочтительно, Al-пластинки или пленки и светочувствительного

слоя из эфира нафтохинон-(1,2)-диазид-(2)-сульфокислоты (I). В СМ применяют I ф-л  $\text{D-SO}_2\text{-O-C}_6\text{H}_4\text{-X}$  (ОН-м) (СОР-н) или  $\text{D-SO}_2\text{-O-C}_6\text{H}_4\text{(X)(ОН-н)(СОР-м)}$ , где D — остаток нафтохинон-(1,2)-диазида, X—H или OH; R—H, OR', NR<sup>2</sup>R<sup>3</sup>, а также замещ. или незамещ. алкил, арил или гетероциклич. остаток; R' — алкил или арил; R<sup>2</sup> и R<sup>3</sup>—H, алкил или арил. I получают конденсацией эквимольных кол-в нафтохинон-(1,2)-диазидсульфохлорида с соединениями ф-л



в органич. р-рителе (диоксане) в присутствии бикарбонатов или карбонатов щел. металлов, которые вводят в реакционную смесь в виде водн. р-ров. Для предотвращения образования красителя конденсационные средства добавляются в кол-вах, которые обеспечивают нейтр. или слабокислую р-цию среды к окончанию конденсации. Продукт выделяют из профильтрованного через активный уголь р-ра подкислением разб. HCl. Пример. 2 г эфира 2,3,4-триоксбензофеноннафтохинон-(1,2)-диазид-(2)-5-сульфокислоты растворяют в 100 мл глицеромонометилового эфира. Фильтрованный р-р наносят на Al-пленку и слой высушивают горячим воздухом. Для получения клише экспонированный слой обрабатывают ватным тампоном, смоченным 1,5%-ным р-ром  $\text{Na}_3\text{PO}_4$ , причем на подложке остаются неэкспонированные участки. После промывки водой рельеф протирают тампоном, смоченным 1%-ным р-ром  $\text{H}_3\text{PO}_4$ , содержащим декстрин или гуммиарабик, и окрашивают печатной краской. С. Бонгард

См. также: Общие вопросы 56834, 57832. Скрытое изображение 56835. Сенситизация оптич. 58397. Оптич. отбеливатели 58398, 58399. Проявление 56836

## ПЕРЕРАБОТКА ТВЕРДЫХ ГОРЮЧИХ ИСКОПАЕМЫХ

Редакторы И. Ф. Богданов, М. О. Хайкин

58596. Развитие добычи и потребления угля в европейских странах народной демократии. Синько В. И., Уголь, 1958, № 2, 43—47

58597. Общие тенденции энергопотребления в применении к топливным проблемам Австралии. Браун (World energy trends in relation to Australia's fuel problems. Brown H. R.), J. Inst. Fuel, 1957, 30, 198, 387—394 (англ.)

Анализируются перспективы развития мировых потребностей в различных видах энергии, в частности углей. Дается оценка состояния топливной промышленности Австралии, отличающейся низкой эффективностью использования углей; рекомендуется проведение широкой системы мероприятий по ее повышению. Т. Мухина

58598. Международная классификация угля. Кинг (International coal classification. King J. G.), Coke and Gas, 1957, 19, № 215, 152—154, 160 (англ.)

58599. Гравиметрические определения как элемент классификации некоторых сортов румынского угля. Блум, Нистор (Determinări gravimetrice, ca element de clasificare al unor huile românești, ca element de clasificare al unor huile românești. Blum I. Nistor I.), Bul. Inst. politehn. București 1956, 18, № 3—4, 221—229 (рум.; рез. русск., франц.)

Показано, что гравиметрич. разделение некоторых румынских углей происходит главным образом вследствие различий в структуре органич. массы и лишь частично за счет неоднородности неорганич. части. Это позволяет использовать метод гравиметрич. разделения при классификации углей. Д. Цикарев

58600. Терминология петрографических компонентов каменных углей для технологических целей. Дворин С. С., Кокс и химия, 1957, № 7, 9—12

58601. О петрографической характеристике коксовых углей. Маковская (Neue Wege zur petrographischen Kennzeichnung von Koks-kohlen. Mačkowski M., Th.), Proc. Internat. Comm. Cal. Petrol., 1956, № 2, 39—42. Discuss., 42 (нем.)

Предложено коксовые угли (У) Русской области и других стран, представляющие сумму нескольких типов, характеризовать по микролитотипам (кларит, витринерит, клародюрит, дюрит, витрит, фюзит, горючий сланец) и типам слагающих их У (газопламенные, газовые, жирные, тощие и проч.). При исследовании пластич. свойств в пластографе Эктергоффа показано, что оценку коксуемых свойств У следует давать главным образом на основе петрографич. анализ. анализа по типам У; мацеральный анализ вполне удовлетворяет лишь при оценке углефицированной массы однородно составленных коксовых У.

Д. Цикарев

58602. Петрографическая и физико-химическая характеристика углей Фынфьинского месторождения. Зюлковский Я., Лесняк Я., Ван-Цзунь, Цю Вэй-ган, Жаньялю сюэбао, Acta foci-lica sinica, 1957, 2, № 4, 300—310 (кит.; рез. русск.)

В периско-карбонных углях Фынфьинского месторождения из петрографич. микрокомпонентов первое место занимает витрен. Матовый внешний вид пластов обусловлен тем, что в них имеются тонкие прослойки с рассеянным минер. в-вом, определяющим также и пониженную характеристику обогатимости угля. По своим технич. свойствам эти угли принадлежат к хорошо коксуемым.

А. Шахов

58603. Лабораторные исследования некоторых бурых углей. Свиренко В. Д., Уч. зап. Чкаловского гос. пед. ин-та, 1956, вып. 8, 449—452

Приведены следующие результаты лабор. исследований бурых углей Хабаровского и Яман-Юшатырского месторождений (в % на сухой уголь соответственно): зола 13,1—18,9 и 29,4—35,9; выход летучих в-в 53,7—59,2 и 40,6—48,6; S общая 0,4—1,2 и 0,4—2,6; выход смолы 17,5—20,2 и 10,1—13,5; calorийность 5570—6310 и 4130—4930 ккал/кг. Приведена характеристика сырой смолы и ее фракций.

Г. Стельмах

58604. Влажность угля при 100°С (Изотермы десорбции водяных паров лигнитом при температуре 100°С). Буймович Д., Ж. электротехн. и энергет. Акад. РНР, 1956, 1, № 2, 135—141

Исследовалась десорбция водяных паров и влажность румынских лигнитов при 100°. Построены изотермы десорбции в зависимости от парц. давления водяных паров, приведены описание и чертеж прибора.

А. Вавилова

58605. Битумы бурого угля и их термическое разложение при полукоксовании. II. Термическое разложение битумов и восков. Ковальский (Bituminy z ziemnego węgla brunatnego i ich rozkład termiczny podczas wylewania. II. Rozkład termiczny bituminów i wosków z nich wyodrębnionych. Kowalski J.), Przem. chem., 1956, 12, № 12, 693—696 (польск.; рез. русск., англ.)

Проведены опыты полукоксования в реторте Фишера—Шрадера битумов, полученных экстрагированием в полуавтоматическом масштабе бурых углей бензолом, а также восков, выделенных бензолом и ацетоном из сырых восков по методу Штейнбрехера, и восковых в-в. Получены данные по выходам и составам продуктов полукоксования; сделаны выводы о хим. природе исходных в-в и протекающих при термич. воздействии изменениях. Сообщение I см. РЖХим, 1958, 37542.

К. З.

58606. Организация исследований по бурым углям в Англии. Драйден (Organizacija raziskav premogov v Veliki Britaniji. Dryden I. G. C.), Vest. Slov. kem. društva, 1956, 3, № 1—2, 43—49 (словенск.)

Краткий обзор постановки и состояния исследовательских работ по бурым углям и их использованию в Англии. Сделан вывод о необходимом развитии подобных исследований в Югославии.

К. З.

58607. Исследование некоторых свойств испанских углей. Корралес-Сарауса (Estudio estadístico de algunas propiedades de los carbones españoles. Corrales Zagausa J. A.), Bol. inform. Inst. nac. carbón, 1957, 6, № 35, 210—220 (исп.; рез. франц., англ.)

Изучена зависимость между составом углей Испании и некоторыми их свойствами (теплотворностью, выходом летучих в-в, степенью ароматизации, индексом вспучивания и проч.), а также найдены ур-ния и численные значения, хорошо совпадающие с аналогичными данными для углей других стран. Указывается на возможность использования определений индекса вспучивания как параметра для определения теплотворности и отношения Н:С и О:С в качестве параметра, характеризующего каменные угли.

Д. Цикарев

58608. Изменение структуры, степени дисперсности и предельного напряжения сдвига торфов при промораживании. Волярович М. П., Гусев К. Ф., Марков С. Н., Тропин В. П., Коллоидн. ж., 1957, 19, № 4, 401—405 (рез. англ.)

Изучение структуры торфов с помощью рентгено-структурного, дисперсионного и реологич. методов показало исчезновение дифракционных максимумов после промораживания при т-рах —15 и —25°. При промораживании происходит коагуляция торфа и появление грубодисперсной фракции размером 100—500 м.

Н. Гаврилов

58609. Добыча и подготовка коксового угля месторождения Комло (Венгрия). Бодан (A komlói kokszerzés termelése és előkészítése. Bóda y Gábor), Kohász. lapok, 1957, 12, № 8—9, 348—358 (венг.)

После геологич. характеристики месторождения и стратиграфич. особенностей, затрудняющих эксплуатацию, описаны физ.-хим. свойства добываемых углей с точки зрения коксуемости (гранулометрич. состав, зольность, выход летучих в-в, спекаемость и т. д.). Дана схема рационального контроля подготовки.

С. Розенфельд

58610. Обогащение углей для коксования. Дас-Гупта, Лахири (Washing coal for coking. Das Gupta N. N., Lahiri A.), Indian Mining J., 1956, 4, № 9, 95—99 (англ.)

На основании изучения свойств кокса из обогащенных и необогащенных углей Индии показана возможность улучшения качества кокса (снижение зольности, повышение однородности и механич. прочности, повышение т-ры плавления золы) при использовании обогащенных углей, а также увеличения сырьевой базы коксования. Рассмотрено влияние свойств и состава кокса на производительность доменных печей.

Д. Цикарев

58611. Сравнительное изучение применения дешевых реагентов при флотации углей. Лутхра, Саркар, Лахири (A comparative study on the use of cheap reagents in coal flotation. Luthra G. B. S., Sarkar G. G., Lahiri A.), Indian Mining J., 1956, 4, № 9, 92—94, 106 (англ.)

Лабораторные исследования по флотации выполнены на индийских углях с применением флотореагентов: керосина, соснового масла, крезоло и др.; угли измельчались до величины зерна < 2,5 мм. Удовлетворительные результаты получены при расходе кероси-



на 1,3 кг на 1 т угля. Лучшие результаты дает смесь 1,3 кг керосина и 0,2 кг крезоло. В качестве флотореагента возможно применение соляного р-ра, однако обогащенный уголь нужно тщательно очищать от хлоридов, поскольку максим. допустимое содержание их в угле для коксования — 0,05%. А. Агроскин

58612. О применении «детергента советского» при флотации каменноугольной мелочи. Власова Н. С., Плаксин И. Н., Изв. АН СССР. Отд. техн. н., 1957, № 11, 52—56

При выяснении возможности использования «детергента советского» (ДС) при флотации каменноугольной мелочи установлена целесообразность применения для труднообогащаемых углей ДС в кол-ве 0,25—0,5 кг/т в смеси с сульфированным керосином (СК) в кол-ве 0,5—1 кг/т, причем скорость флотации оказывается выше, чем при применении смеси СК и деэмульгатора (время съема концентрата меньше на 2—4 мин.). Давая несколько худшие результаты по селективности, применение смеси ДС и СК позволяет снизить расход реагентов в 1,5—2 раза и стоимость их в 1,7—2,2 раза; интенсивность флотации при этом увеличивается. Устойчивость пены зависит от концентрации ДС и повышается с ее увеличением. А. Вавилова

58613. Особенности развития обогащения угля в Чехословакии. Славин Г. П., Кокс и химия, 1957, № 4, 58—60

58614. Подготовка и обогащение угля на Дунайском металлургическом комбинате. Швертнер, Шумицкий (Szénelőkészítés és szénmosás a Dunai Vasműben. Schwertner János, Schumicky Imre), Kohász. lapok, 1957, 12, № 8—9, 359—364 (венг.)

Подробное описание пускового периода углеобогащительной установки комбината. Уголь поступает с месторождений Печ и Комло с зольностью 22—29%, проектная зольность после обогащения ~ 10%. Обогащение осуществляется по проекту советских инженеров на отсадочных машинах для фракции > 1 мм и на флотационных машинах для фракции < 1 мм. Флотореагенты (1,2 кг/т) — керосин или газойль, как коллектор, и амиловый спирт в качестве вспенивателя. С. Розенфельд

58615. Установка для обогащения угля в Джамадоба (Индия).— (Coal preparation plant in India.), Overseas Engr, 1957, 31, № 359, 138—139 (англ.)

Краткое описание установки циклонного типа (кокус Чанса) для обогащения углей в песчано-водной суспензии; производительность установки 300 т угля в час. Наличие регулирующей аппаратуры позволяет поддерживать плотность среды, отклоняющейся от требуемого значения в пределах  $\pm 0,01$ . Д. Цикарев

58616. Новые машины и аппараты для обогащения угля в минеральных суспензиях. Дремайло П. Г., Попов А. А., Сб. информ. по обогащению и брикетированию углей, 1957, вып. 4, 13—20

Приведены описание, схемы и технич. характеристики новых машин и аппаратов для обогащения угля в минер. суспензиях, а также результаты работы на этом оборудовании. А. Вавилова

58617. Тенденции в проектировании современных обогатительных установок. Андеграфф (Trends in modern cleaning plant design. Updegraff Loy A.), Mining Congr. J., 1957, 43, № 6, 63—68 (англ.)

В связи с увеличением содержания мелочи в добываемом угле (У) и снижением его качества отмечены следующие основные тенденции в развитии техники обогащения: создание эффективных флотореагентов; конструирование новых типов грохотов, позволяющих производить сортировку У с высокой влажностью; введение термич. сушки в псевдооживленном состоянии; оборудование хранилищ для влажного угля и т. д. При-

водится краткий обзор состояния угледобычи и техники обогащения в Западной Европе. Д. Цикарев

58618. Сушка угля в псевдооживленном состоянии. Ионеску, Ангел (Uscarea cărbunilor prin fluidizare. Ionescu Miti, Anghel V.), Rev. minelor, 1957, 8, № 12, 575—576 (рум.; рез. русск., англ., франц., нем.)

Изложены результаты полупромышленных испытаний по сушке в псевдооживленном слое лигнита, поступающего на брикетирование. Д. Цикарев

58619. Некоторые вопросы брикетирования лигнитов. Ионеску, Флора (Citeva aspecte ale brichetării ligniților. Ionescu Miti, Florea Octavian), Rev. minelor, 1957, 8, № 11, 532—537 (рум.; рез. русск., англ., франц., нем.)

Указывается на многообразие явлений, возникающих при брикетировании румынских лигнитов, отличающихся от обычно описываемых в литературе, и отмечается необходимость проведения исследований в этой области. Д. Цикарев

58620. Изменение содержания связующего в зависимости от зольности полукокса из лигнита при его брикетировании со связующим. Блум, Розенберг, Калотэ (Studiul variației procentului de liant în funcție de creșterea procentului de cenusă din semicocs la brichetarea semicocsului de lignit cu liant. Blum I., Rosenberg M., Calotă M.), Rev. minelor, 1958, 8, № 12, 551—557 (рум.; рез. русск., англ., франц., нем.)

Разработана математич. и графич. зависимость кол-ва связующего от зольности полукокса из лигнита при его брикетировании. Д. Цикарев

58621. Усовершенствование загрузки брикетных прессов. Радемахер, Енихен (Betrachtungen über den Füllvorgang bei Strangpressen unter besonderer Berücksichtigung der Görlitzer Vierstempel-pressen. Rademacher W., Jänichen H.), Bergbau-technik, 1956, 6, № 4, 178—187 (нем.)

Определена зависимость между сечением загрузочного отверстия, числом оборотов пресса и длиной хода штанги. Установлены преимущества принудительной загрузки при помощи поршня. В. Загребельный

58622. Автоматическое взвешивание угольной шихты. Синельникова Л. А., Сорокин М. П., Кокс и химия, 1958, № 3, 55—56

Предложена новая система автоматич. взвешивания шихты, загружаемой в камеры для коксования, состоящая из следующих узлов: рычажные весы с компенсирующей пружиной, мотором и контактным устройством; реверсивный контур; следящая система с электронным реле контроля; счетно-печатающая машина, указатель веса (В); схема управления. Предложенная система обеспечивает автоматич. взвешивание груза до 42 т, вычитание В тары, фиксирование чистого В, вычитание В шихты возврата, суммирование чистых В за смену, определение величины каждого В по указателю. Время взвешивания тары 3 сек., brutto 12—13 сек. Д. Цикарев

58623. Работа коксового завода на саарских углях. Дефоссе (Une année de marché a 100% de charbons sarrois à la cokerie de Dilling. Desfosses P.), Circ. inform. techn. Centre docum. sidér., 1957, 14, № 7, 1433—1439 (франц.)

В 1955 г. на коксовом з-де в Диллинге (Франция) коксовые печи переведены на работу на смесях саарских углей с полукоком из них. Для этого реконструирована углеподготовка, построены две батареи по 12 печей Крупна — Лурги для полукокования, в каждой из которых имеется 6 реторт. Полукокование подвергался пламенный уголь с выходом летучих 39%. Получен выход полукокса (содержание летучих 12%) 77%, газа 110 м³/т с теплотворностью

6000 ккал/м<sup>3</sup> и смолы 70 кг/т. Опыты коксования шихты из 73,5% саарских жирных углей и 13,5% полукокса дали кокс повышенного качества. Загрузка печей снизилась на 3% вследствие меньшей плотности полукокса и более тонкого гранулометрич. состава смеси. Н. Гаврилов

58624. Опыт коксования брикетов в Германии. Ре-риик (Etudes sur la cokéfaction des agglomeres en Allemagne. Reerink Wilhelm), Ann. mines Belgique, 1956, № 6, 916—922 (франц.)

Обзор работ в ГДР и ФРГ по произ-ву брикетов из различных углей, коксованию брикетов, получению формованного кокса, а также по брикетированию и коксованию смесей углей с рудами. См. также РЖХим, 1958, 30074. Н. Гаврилов

58625. Батарея коксовых печей Дунайского металлургического комбината. Пешти (A Dunai Vasmű koksizolójának ismertetése. Pesti György), Kohász. lapok, 1957, 12, № 8—9, 364—371 (венг.)

Описан печной блок 55-камерной коксовой батареи 1-й очереди, выстроенный в 1956 г. по проекту советских инженеров. С. Розенфельд

58626. Побочные продукты коксования и их переработка на Дунайском металлургическом комбинате. Томашек, Данчхаз (A koksizolói melléktermékek kinyerése, feldolgozása és a vegyiüzem leírása. Tomaszek Andre, Dancshazy Gusztáv), Kohász. lapok, 1957, 12, № 8—9, 371—377 (венг.)

Даны технологич. описание и характеристика отдельных агрегатов газоочистки (по способу «Тайлоркс») сульфатного, бензолного и смолонерегонного цехов. С. Розенфельд

58627. Разделение коксового газа при различных температурах методом непрерывной адсорбции. Георгиев П. О., Гольберт К. А., Хим. наука и пром-сть, 1957, 2, № 6, 803

На опытно-лабор. установке проведено исследование процесса разделения коксового газа методом непрерывной адсорбции при -20; 0; 20; 25 и 30°; причем основное внимание обращено на установление миним. величины удельного расхода сорбента — активированного угля АГ-2. При разделении смеси, состоящей из (в об.%): 93,5 CH<sub>4</sub> или N<sub>2</sub>; 5,5 этилена (I) и I пропана достигнуто практич. полное извлечение I (99,8%). Показано, что с понижением т-ры адсорбции с 30 до -20° удельный расход АГ-2 уменьшается в > 2,5 раза. Наиболее выгодно вести процесс выделения I при т-ре от 0 до -20°, а технико-экономич. расчетом установлена целесообразность применения метода непрерывной адсорбции для выделения I из коксового, сланцевого и других газов с низким содержанием целевых компонентов. А. Вавилова

58628. Химические соединения в каменноугольной смоле. Часть III (продолжение). Кислородные соединения. Часть IV. Ароматические углеводороды. Юркевич, Розинский (O związkach występujących w smołach. Cz. III (ciąg dalszy) Związki tlénowe. Część IV — Węglowodory aromatyczne. Jurkiewicz Jan, Rosiński Stefan), Koks, smola, gaz, 1957, 2, № 4, 144—149; № 5, 180—188 (польск.; рез. русск., англ., нем.)

III. Даются диаграммы зависимостей т-р кипения и т-р плавления моно- и дикарбоновых алифатич. к-т и их эфиров от числа атомов С и отношений С/Н в молекуле, а также таблицы основных физ. свойств к-т, эфиров, альдегидов и кетонов.

IV. Рассматриваются свойства ароматич. углеводородов, присутствующих в каменноугольных смолах, причем показано наличие в последних различных гомологов. Приведена систематика некоторых групп ароматич. соединений, приведены примеры предпола-

гаемых р-ций. (Начало части III см. РЖХим, 1958, 55098). К. Зарембо

58629. Усовершенствование способа очистки сырого бензола путем использования промышленных вод конечного холодильника. Мори (Mori Toshiharu), Кору тару, Coal Tar, 1956, 8, № 10, 10—14 (японск.)

Если для промывки сырого бензола (СВ) после очистки его H<sub>2</sub>SO<sub>4</sub> вместо чистой воды взять нефилтрованную возвратную воду конечного холодильника (содержание в г/л NH<sub>3</sub> 2,8; CO<sub>2</sub> 0,05; H<sub>2</sub>S 1,36; Cl 0,036; pH 9,6), то эмульсии с водой не образуется, и СВ легко отделяется от воды в отстойнике. Потери уменьшаются на 4—5%, качество продукта при этом почти не ухудшается. Ю. Ермаков

58630. Разделение изомеров ксилола. Амэмия Chem. Ind. (Japan) Кагаку когё, 1956, 7, прилож., № 2, 274—277 (японск.)

Обзор. Библ. 13 назв.

58631. Метод оценки пригодности высших фракций угольной смолы для производства фенолформальдегидных смол. Воробьев (Analytické hodnotenie vyšších fenolových frakcií uhol'nych dehtov z hl'adiska výroby fenolformaldehýdových živíc. Predbežné pôvodné oznámenie. Vorobjov Vladimír), Chem. průmysl, 1958, 8, № 1, 50—51 (словацк.; рез. русск., англ.)

По разработанному методу ксиленольные и крезольные фракции смолы, предназначенные для произ-ва искусств. смол, бромруются 0,1 н. р-ром KBrO<sub>3</sub>. KBr в кислой метанольной среде с индикацией точки эквивалентности с помощью вращающегося Pt-электрода. Отмечается, что метод дает воспроизводимые результаты при определениях как чистых фенолов, так и технич. продуктов; найденные примерные функциональные зависимости, выраженные в молях Br на 1 моль гомолога фенола, соответствуют практически получаемым при р-циях с формальдегидом. К. З.

58632. Конструкция и эксплуатация установок для непрерывной ректификации сырых фенолов. Клифтон, Уэбб (The design and operation of continuous tar acid distillation plants. Clifton P. V., Webb W. H. A.), Industr. Chemist, 1956, 32, № 382, 526—533 (англ.)

Описываются действующие в Англии установки для вакуумной непрерывной ректификации сырых фенолов (Ф), получаемых из средних фракций смолы коксования и сточных вод коксохим. з-дов. Типичная схема установки включает эвапоратор для предварительного обезвоживания Ф, колонну разделения обезвоженных Ф на фенол-крезольную и ксиленольную фракции. Первая на трех последовательно включенных колоннах разделяется на фенол (90% чистоты), о-, м- и п-крезолы и ксиленолы. Смесь последних со 2-й фракцией отделяется от пека в эвапораторе. Типичный состав Ф (в %): фенола 31, о-крезола 12, м- и п-крезола 35, ксиленолов 22. Дано описание контрольно-измерительного оборудования. Е. Мильвицкая

58633. Пиколиновая фракция оснований каменноугольной смолы. II. Фунакубо, Кавасаки, Когё кагаку дзасси, J. Chem. Soc. Japan Industr. Chem. Sec., 1956, 29, № 2, 220—221 (японск.)

В стеклянную трубку с внутренним диам. 2,2 см загружено 150 г адсорбента (А) (Al<sub>2</sub>O<sub>3</sub>, обработанная FeCl<sub>2</sub> и глицерином); А промыт 65 мл бензола, затем через А пропущен р-р 4 г фракции 151—156° в 120 мл бензола. После проявления 60 мл бензола получена хроматограмма, верхняя часть которой имела голубой цвет, средняя — зеленый, нижняя — светло-зеленый. Каждый слой растворен в бензоле; после прибавления 20%-ного р-ра NaOH перегонкой с водяным паром выделено чистое основание. Верхний слой содержал



2,5-лутидин, оба нижние — 2,4-лутидин. При повторном хроматографировании 2,4-лутидина из р-ра в бензоле верхнего слоя выделены фиолетовые кристаллы с т. пл. 154° и элементарным составом (в %): С — 47,45; Н — 4,61; N — 8,21, что соответствует соединению  $(2C_7H_9N) \cdot CuCl_2$ . Из нижнего слоя получены светло-зеленые кристаллы с т. пл. 205°, по содержанию N (6,22%) близко соответствующие соединению  $C_7H_9N \cdot CuCl_2$ . Предыдущее сообщение см. РЖХим 1957 48864.

Ю. Ермаков  
58634. Автоматическое регулирование теплового режима коксовых печей. Сеппар А. М., Буханец П. С., Ашихмин Ф. В., Липкин Д. С., Золотухин А. И., Кокс и химия, 1958, № 1, 30—35

Автоматич. регулирование позволяет снизить потребность в корректировке расхода отопительного газа вручную, а также разность между максим. и миним. расходом тепла и колебания коэф. избытка воздуха между отдельными сменами. Приведена схема автоматич. регулирования теплового режима. А. Вавилова  
58635. Контрольно-измерительная техника в коксовом производстве. Лейнер (Meß- und Regeltechnik im Kokereibetrieb. Leuner Wolfgang), Gas- und Wasserfach, 1958, 99, № 3, 55—59 (нем.)

Иаложена схема организации контрольно-измерительной службы в коксовом произ-ве применительно к коксовому з-ду производительностью 2000 т угля в сутки.

Д. Цикарев  
58636. Получение пиридиновых оснований из бензиновой фракции полукоксовой смолы. Войдыло (Otrzymywanie zasad pirydynowych z benzyny wylęwniej ciężkiej. Wojdyło S.), Przem. chem., 1957, 13, № 12, 708—710 (польск.; рез. русск., англ.)

Проведены лабор. опыты по выделению пиридиновых оснований (ПО) из тяжелой бензиновой фракции каменноугольной полукоксовой смолы, вырабатываемой на з-де в Освенциме (Польша) с печами системы Лурги. Установлено, что при обесфеноливании бензина, предшествующему выделению ПО, с помощью щелочи ПО остаются в бензине, а при экстракции фенолов метанолом — в экстракте. Для предотвращения потерь растворимых в воде ПО и получения их с максим. выходом следует оставлять в бензине ~0,5% фенолов и выделение ПО вести 10%-ной  $H_2SO_4$ . К. З.  
58637. Об определении некоторых показателей работы полукоксовой установки. Дьяченко Б. С., Тр. Николаевского кораблестроит. ин-та, 1956, вып. 8, 183—188

На основании данных анализов продуктов полукоксования и замеров расходов топлива и воздуха разработан способ определения показателей работы системы нагрева теплоносителя-полукокса в установках для скоростного полукоксования твердым теплоносителем-полукоксом.

Б. Энглин  
58638. Окислительная деструкция керогена кукурузы. Фомина А. С., Побуль Л. Я., Eesti NSV Teaduste Akad. toimetised. Изв. АН ЭССР, 1955, 4, № 4, 587—598

Проведено многоступенчатое окисление керогена  $KMnO_4$  в щел. среде при 50° с различной продолжительностью воздействия (суммарное время окисления от 4 до 72 час.). Окислительной деструкции подвергалось 33,5, 76,2 и 84,2% С. В результате окисления получены летучие с паром, двухосновные и вязкие гетероатомные к-ты с выходом 3,1—19,3% (при 20-часовом окислении). Предыдущее сообщение см. РЖХим, 1958, 30110.

Г. Стельмах  
58639. О влиянии содержания органической массы при термическом разложении горючего сланца в промышленных агрегатах. Озеров Г. В., Тр. Таллинск. политехн. ин-та, 1956, А, № 73, 55—63

Данные опытных работ о влиянии органич. массы

сланца (С) на выход продуктов термич. разложения позволяют предполагать, что естественная пустая порода горючего С не оказывает влияния на выход сланцевой смолы, т. е. в условиях термич. переработки С отсутствует хим. взаимодействие между минер. частью и продуктами термич. разложения С. В промышленных агрегатах влияние содержания органич. массы в С на выход продуктов термич. разложения обусловлено особенностями ведения процесса и конструктивными факторами данного агрегата. Применение обедненного С в таких агрегатах, как сланцевый шахтный генератор, туннельная печь и камерная печь, с точки зрения технологии проведения термич. разложения С не оправдано.

Г. Марголина  
58640. Исследование состава фракций сланцевой смолы. Цинь Куан-чжун, Хуасюэ шицзе, 1956, № 1, 34—36 (кит.)

Во фракциях фушунской сланцевой смолы методом хроматографии и УФ-спектров доказано присутствие пирана, акридина, хинонов, фурана и других соединений.

А. Зонитат  
58641. Гидрирование фракций нейтральных кислородных соединений сланцевой смолы. Феофилов Е. Е., Гарновская Г. Н., Тр. Всес. н.-и. ин-та по переработке сланцев, 1958, вып. 6, 183—196

Показано, что низкотемпературное гидрирование нейтр. кислородных соединений (НКС), выделяемых из средних фракций генераторной смолы, приводит к восстановлению НКС и непредельных связей с образованием нафтеновых углеводородов, без выделения легких газообразных продуктов. Наряду с этим при гидрировании образуются гидроксильные соединения типа фенолов, причем наибольшее кол-во последних (до 60%) образуется при гидрировании НКС в присутствии NiO; гидрирование на  $MoS_2$  при 300° также дает до 30% фенолов. Авторы делают вывод, что НКС представлены в основном соединениями циклич. характера и содержат ароматич. кетоны и эфиры фенолов.

А. Вавилова  
58642. Об образовании фенолов при жидкофазной гидрогенизации кислот и нейтральных составящих. Глушкова Е. В., Семенов С. С., Тр. Всес. н.-и. ин-та по переработке сланцев, 1958, вып. 6, 206—215

Проведенные исследования позволяют предположить, что фенолы (I), обнаруживаемые в широких фракциях гидриров. кислот и нейтр. частей остатка смолы прибалтийских сланцев, являются продуктами упрощения высокомолекулярных соединений, характеризующихся фенольными структурами. В случае гидрогенизации нейтр. части некоторое кол-во I образуется, по-видимому, за счет распада простых эфирных фенольных структур. Гидрирование при 42° давл.  $H_2$  150 атм, в течение 1 часа дает содержание I в широкой фракции (для остатка) 14,7%, а при 48° и давл.  $H_2$  300 атм ≤ 8,7%. I, образующиеся при жидкофазной гидрогенизации, не уступают по качеству I из дизельной фракции генераторной смолы.

А. Вавилова  
58643. Пути использования сланцевых фенолов. Зеленин Н. И., Феофилов Е. Е., Тр. Всес. н.-и. ин-та по переработке сланцев, 1958, вып. 6, 131—143

Обзор. Библ. 18 назв.  
58644. Укупленная установка по перегонке горючих сланцев. — (Shale oil research-king-size-). Petrol. Process., 1957, 12, № 6, 77 (англ.)

Макоганское месторождение (Колорадо, США) сланцев с толщиной пластов 27—30 м содержит сланцевое масло ~143 л/т. Запасы месторождения исчисляются ~16 миллиардов м<sup>3</sup>, что в 2,5 раза превышает все известные запасы нефти США. 10% сланцевых пород выходят на дневную поверхность. Кратко

описана установка для перегонки сланцев производимостью 300 т в день. Н. Гаврилов

58645. Изучение схода топлива и движения газов в сланцевых газогенераторах на холодных моделях. Синельников А. С., Терехов С. Л., Соляников М. А., Тр. Всес. н.-и. ин-та по переработке сланцев, 1958, вып. 6, 51—63

Для выяснения причин неустойчивой работы и недостатков конструкции существующих сланцевых газогенераторов (Г) изучены сегрегация топлива и распределение газовых потоков в слое на холодных моделях Г, в частности вопросы первоначальной загрузки Г, формы поверхности слоя, в шахте полукоксования, распределения сланца по крупности, равномерности схода сланца, влияния колосниковой решетки на перемешивание топлива, а также сопротивления слоя топлива. Сделан вывод о необходимости принципиальных изменений в организации процесса и как следствие — в конструкции Г. А. Вавилова

58646. Рациональная газификация углей. Готье (La gazéification rationnelle des charbons. Gauthier Pierre), Usine nouvelle, 1956, Numéro spécial, 99—101, 103—104 (франц.)

Обзор.

58647. Исследования по газификации каменных углей Димитровского бассейна (Болгария) в газогенераторах смешанного газа. Ценков (Исследования вырку газифицируемого на димитровски выгнана в генератори за смесен газ. Ценков Ц. Г.), Техника (Бълг.), 1957, 6, № 10, 11—13 (болг.)

Приводятся результаты опытов по газификации димитровских углей с влажностью 13% и зольностью 35% в газогенераторе с шахтой diam. 3 м при колосниковой решетке типа Коллер. Получен газ с теплотворностью 1550 ккал/м<sup>3</sup>, с выходом 1,5 м<sup>3</sup>/кг рабочего топлива; к. п. д. процесса (на холодный газ) ~69%. Размер кусков угля должен быть ограничен 16—40 мм. Сделан вывод о пригодности этих углей для газификации на действующих газогенераторах с нагрузкой 280 кг/м<sup>2</sup> в 1 час. К. З.

58648. Газификация рейнских бурых углей методом фирмы Шлейдер. Бахль (Die Vergasung rheinischer Rohbraunkohle nach dem Schleudergasverfahren. Bachl H.), Brennstoff — Wärme — Kraft, 1956, 8, № 10, 483—488 (нем.)

Уголь газифицируется под давл. 120—200 ат и газ поступает в газотурбинную установку (ГТУ), обеспечивающую энергией потребности э-да; подсушка угля осуществляется также под давлением; при расширении газа в ГТУ осуществляется одновременно фракционирование конденсирующихся углеводородов с возможностью получения конечного газа требуемого качества. Сопоставлением тепловых и материальных балансов переработки бурого угля по этой схеме и по схемам с газификацией по методу Лурги и по методу газификации с предварительным полукоксованием показана предпочтительность первой схемы, позволяющей из 100 тепловых единиц расходуемого топлива до 70 получить в газе, 8 — в жидких продуктах, 4—15 — в электрич. энергии (15—30% составляют потери). Дается описание технологич. схемы и характеристика основных аппаратов процесса. См. также РЖХим, 1956, 65953. Н. Лапидес

58649. Процесс Копперса — Тотцека газификации топлива. Копперс (The Koppers — Totzek gasification process. Koppers Hans Heinrich), J. Inst. Fuel, 1957, 30, № 203, 673—676. Discuss., 676—680 (англ.)

Описаны процесс и аппаратура по безостаточной газификации пылевидных топлив в потоке O<sub>2</sub> и водяного пара по известному способу Копперса — Тотцека с получением синтез-газа. Приведены основные пока-

затели процесса при газификации как твердого, так и тяжелого жидкого топлива. С. Гордон

58650. Промышленное использование газа во Франции. Лабюсьер (Le marché industriel du gaz. Labussière R.), J. usines gaz, 1957, 81, № 12, 512—516 (франц.)

Дается анализ потребления различных видов энергии во Франции. Отмечается, что с 1950 по 1955 г. промышленная продукция возросла на 37%, а индекс расхода газа увеличился с 100 до 158, расход угля возрос на 21 и жидкого топлива на 81%. В 1939 г. за счет газа было получено 2,8% всей энергии, в 1955 г. 5%. Газ больше всего используется в металлургии и стекольной пром-сти. М. Пасманик

58651. Номограммы для расчета процесса газификации. Часть 2. Хэр (Alignment charts and graphical aids for use in the control of production processes — Part 2. Hare N.), Gas World, 1957, 146, № 3809, 295—299 (англ.)

Приведены номограммы, облегчающие расчет процесса газификации угля и кокса. Часть 1 см. РЖХим, 1958, 44508. Ю. Петровский

58652. Газификация бурых углей в «кипящем» слое. Письмен М. К., В сб.: Хим. переработка топлива. М., АН СССР, 1957, 394—399

См. РЖХим, 1957, 75260.

58653. Получение смешанного генераторного газа из Бобовдольских бурых углей. Ценков (Получаване на смесен генераторен газ от бобовдольски выгнана. Ценков Цв.), Минно дело, 1957, 12, № 6, 37—46 (болг.)

Промышленными опытами газификации бурых углей Бобовдольского месторождения (Болгария) на газогенераторах с двумя типами колосниковых решеток показана предпочтительность предварительной сортировки углей на классы 16—40 и 40—100 мм и раздельной загрузки их в газогенератор. При влажности угля 20% и зольности 30% выход газа с теплотворностью 1500 ккал/м<sup>3</sup> составил 1,4 м<sup>3</sup>/кг при производительности 280 кг/час с 1 м<sup>2</sup> сечения шахты. Сделан вывод о возможности использования этих углей на существующих газогенераторных станциях. К. З.

58654. Исследование фенолов, получаемых при различных методах газификации торфа. Мазина И. О., Сб. научн. тр. Белорусск. политехн. ин-т, 1957, вып. 57, 206—213

Изучались фенолы, выделенные из двух образцов дегтей, полученных из низинных торфов при газификации на паровоздушном дутье при атмосферном давлении и парокислородном дутье под давл. 20 ат. Фенолы подвергались ректификации на лабор. колонке с 22—26 теоретич. тарелками. Во фракциях определяли уд. вес, коэф. рефракции, элементарный состав, содержание OCH<sub>3</sub>-групп. Исследование показало, что при газификации под давлением при избытке водяного пара образуется повышенное кол-во низкокипящих фенолов при одновременном снижении содержания высококипящих и в том числе двухатомных фенолов. Н. Гаврилов

58655. Возможность использования содержащих окись углерода газов для синтеза углеводородов. Кельбель (Verwertungsmöglichkeiten kohlenoxydhaltiger Abgase zur Synthese von Kohlenwasserstoffen. Kölbel Herbert), Chem.-Ingr-Techn., 1957, 29, № 8, 505—511 (нем.; рез. англ., франц.)

Рассмотрены перспективы использования газа карбидного произ-ва и колосниковового газа (КГ) для органич. синтеза. При помощи э-да 300 000 т CaC<sub>2</sub> в год можно получать 13 000—14 000 т в год продуктов синтеза по методу Фишера — Тропша. Возможность использования КГ, содержащих 30—35% CO, имеет



более важное значение. При использовании КГ рекомендуется реакция  $3CO + H_2O = CH_4 + 2CO_2$ . При т-ре 240—280° и давл. 15 ат получен выход 160 г углеводородов  $C_3 >$  на 1 м<sup>3</sup> СО. Среднее содержание олефинов 70 об.%. Экономически такая установка выгодна при получении 25 000—40 000 т первичных продуктов в год. При увеличении мощности до 200 000 т в год экономичность увеличивается. Эта мощность будет обеспечена даже при использовании всего 20% КГ больших металлургич. з-дов. Стоимость установки составляет 25—30% от стоимости ее при применении процесса Фишера—Тропша. Рентабельность синтеза значительно увеличивается при работе металлургич. з-дов на кислородном дутье.

М. Пасманик  
58656. Жидкое топливо из угля. — (Oil from coal. —), Coke and Gas, 1957, 19, № 215, 155—160 (англ.)

Описаны опыты получения синтез-газа газификацией угля в псевдооживленном слое при атмосферном давлении в газогенераторе, состоящем из двух зон, расположенных одна под другой. В нижнюю зону подаются подогретый до 115° уголь и смесь перегретого до 540—760° пара и O<sub>2</sub>. На 1 т угля подают 0,5 т пара и 4 м<sup>3</sup> O<sub>2</sub>. Назначение верхней зоны — удлинение времени пребывания угля в газогенераторе и снижение т-ры продуктов ниже т-ры плавления золы. Состав полученного газа (в %): CO<sub>2</sub> 14,4, H<sub>2</sub> 37,5, CO 44,9; CH<sub>4</sub> + C<sub>2</sub>H<sub>6</sub> 1,1 и N<sub>2</sub>. Приведены технико-экономич. показатели процесса.

Н. Лапидес  
58657. Высокотемпературное термическое разложение пылевидного торфа в потоке водяного пара. Каширский В. Г., Лобачева Н. Б., Якорев А. Р. Ж. прикл. химии, 1957, 30, № 1, 173—176

В реакторе с внешним обогревом при т-рах стенки 700—1000° изучено термич. разложение пылевидного низинного торфа (Т) в потоке водяного пара при скорости подачи Т 10—12 г/мин и расходе пара с т-рой 440—460° 6—7 г/мин. Время пребывания частиц Т в реакторе было доли секунды. Выход газа на органич. в-во Т составил при 700° 330 и при 1000° 1375 л/кг с содержанием в нем соответственно в об. %: CO<sub>2</sub> 26,0 и 16,8; CO 22,7 и 22,3; H<sub>2</sub> 30,0 и 49,4; C<sub>2</sub>H<sub>4</sub> 10,3 и 2,2. В составе непредельных газов при 600° найдено 63% этилена.

Б. Энглин  
58658. Газ из метанола и легких нефтяных дистиллятов для обеспечения пиковых нагрузок. Коккерем, Персивал (Peak gas from methanol and light petroleum distillate. Cockerham R. G., Percival G.), Gas World, 1957, 146, № 3823, 971—973 (англ.)

На основании результатов эксперим. работ в данной статье обсуждаются возможности использования метанола как сырья для получения городского газа при пиковых нагрузках в газоснабжении, причем ориентируются на синтетич. метанол из СО и H<sub>2</sub>, получаемых газификацией угля под давлением. Конверсия метанола в городской газ осуществляется на катализаторе под давл. 20—25 атм при т-ре 350—700° в присутствии водяного пара и воздуха. Приведена схема установки.

В. Кельцев  
58659. О работе башенных газоочистителей. Бареттоу (Operation of tower box purifiers. Bairstow R.), Gas J., 1957, 290, № 4894, 243, 246—251, Discuss., 249—251 (англ.)

Описаны оборудование и опыт работы башенных установок для очистки каменноугольного газа на двух английских з-дах. Рассмотрены вопросы коррозии оборудования.

Г. Рабинович  
58660. Сжигание и газификация соледержащих углей. Штемлер (Zur Frage der Verbrennung und Vergasung von Salzkohlen. Staemmler C.), Energietechnik, 1958, 8, № 2, 74—75 (нем.)

Описывается опыт использования соледержащих

углей и обсуждаются результаты исследований по сжиганию и газификации таких углей при брикетировании их с глиной.

Л. Андреев  
58661. Результаты исследований особенностей горения в кинетической области натуральных углей и отдельных петрографических составляющих. Яворский И. А., Изв. АН СССР. Отд. техн. н., 1957, № 12, 15—21

Для изучения саморазогрева и подготовки топлива к горению проведены исследования в условиях, воспроизводящих условия в промышленных топках со слоевым и факельно-слоевым методами сжигания. Установлено, что наиболее активной петрографич. составляющей в низкотемпературной кинетич. области является фюзен, характеризующийся меньшим выходом летучих в-в, более низким содержанием водорода, но большей общей поверхностью пор по сравнению с другими компонентами. Изменение колич. соотношения петрографич. компонентов при прочих равных условиях приводит к заметному изменению активности процесса взаимодействия с кислородом. А. Вавилова  
58662. Применение дифференциального термического анализа для исследования твердого топлива. Добовишек (Uporabnost diferenčno termične analize za preiskavo trdnih goriv. Dobovišek Bogomir), Rud.-metal. zb., 1956, № 2, 107—124 (словенск.; рез. англ.)

Для определения т-ры воспламенения и реакционной способности твердых топлив (электродного графита, нефтяного и угольного кокса, бурого угля) применен дифференциальный термич. анализ (ДТА). Кроме указанных характеристик, определяли восстановительную способность топлив по отношению к порошку гематита и магнетита. Метод ДТА обеспечивает хорошую сходимость показаний с данными, определенными другими методами.

У. Андрес  
58663. Определение коксуемости угля dilatометрическим методом. Шенк (Určovanie koksovateľnosti uhlia Audibert — Arnuovou dilatometrickou skúškou. Schenk), Techn. práce, 1957, 9, № 1, 22—25 (словац.)

В развитие ранее опубликованных материалов по основам международной классификации каменных углей дается краткое описание способа и прибора для определения коксуемости угля dilatометрич. методом (см. РЖХим, 1958, 51486).

К. Зарембо  
58664. Капиллярный люминесцентный метод качественного определения степени метаморфизованности и окисленности углей. Собиникова Н. М. В сб.: Люминесцентный анализ. Минск, АН БССР, 1956, 54—56

Предложен метод качеств. оценки углей (У) в полевых условиях по цвету люминесценции фильтрованной бумаги, пропитанной р-ром У в неполярном р-рителе. Каждая марка У дает свою характерную люминесценцию (за исключением антрацитов). Навеску У 1 г с измельчением 0,25 мм заливают в пробирке 10 мл хлороформа и встряхивают 5 мин. Через 30 мин. р-р отделил от У, пропитывают им полоски бумаги и сравнивают их цвет под люминесцентной лампой с эталонами типичных У.

Г. Стельмах  
58665 П. Вертикальная ретортная печь. Хьюз (Vertical retort. Hughes Charles H.) [Hughes By-Product Coke Oven Corp.], Пат. США 2752298, 26.06.56

Предложена вертикальная двоякая ретортная печь непрерывного действия с внешним обогревом для термич. обработки (прокаливания, выжига) углеродистых материалов (УМ) при регулируемой т-ре 930—1320°. Реторты (Р) из жароупорной стали (ширина вверху

$\leq 0,6$ , внизу  $\leq 1,8$  м); загрузка УМ сверху от общего бункера. Общая система горизонтальных обогревательных газоходов, изготовленная из жароупорных фасонных частей, состоит из двух последовательно соединенных секций с соответствующим размещением в них газовых форсунок. Тепло дымовых газов используется в трубчатом теплообменнике для нагрева воздуха, поступающего в газоходы обогревательной системы; т-ра в каждом газоходе может регулироваться. Расположенная внизу печи система сухой разгрузки имеет газонепроницаемое соединение с Р и обеспечивает регулирующую выгрузку без дробления; эта система может иметь охлаждаемый водой шнек с зубьями, расположенными по спирали, для выгрузки обработанного УМ небольшими порциями по всей ширине Р. Для охлаждения и предотвращения воспламенения обработанного УМ может быть применен разгрузочный бункер, герметично связанный с сухой разгрузочной системой. Приведено 10 схем.

М. Павловский

58666 П. Процесс и аппаратура для гидрирования или очистки сырого бензола под давлением. Вигнер (Verfahren und Vorrichtung zum katalytischen Druckhydrieren bzw. Druckraffinieren von Rohbenzol. Wiegner Fritz) [Gelsenkirchener Bergwerks-A.-G.]. Пат. ФРГ 963774, 16.05.57

Предложен процесс каталитического гидрирования (Г) или очистки сырого бензола под давлением. Гидрируемые соединения предварительно освобождают от смолообразователей, в особенности стирола и индена, и на холоду смешивают при давлении Г с  $H_2$  или содержащими его газами. Смесь, находящуюся в турбулентном движении, предварительно нагревают до т-ры ниже т-ры контактирования и гидрируют при давлении, превышающем давление пара обрабатываемой жидкости. Предварительно подогретую смесь перед Г при более высокой т-ре и отсутствии турбулентности пропускают через твердую контактную массу (напр., в обычной прямой вертикальной контактной печи) или до смешивания с  $H_2$  к гидрируемому соединению добавляют тонко раздробленную контактную массу, преимущественно в коллоидальной форме. После Г ее отделяют в циклоне, регенерируют и возвращают в цикл. Для создания и сохранения турбулентности число Рейнольдса в потоке должно быть  $> 150 \cdot 10^3$ . Г ведут в спиралевидной трубе, нижняя часть которой снабжена электр. обогревом, а верхняя не обогревается. Перед вводной частью спирали помещается камера для смешения, куда вводят неочищенный бензол и газ. Ввод для бензола заканчивается распылительным соплом. Нагреваемая часть спирали разделена на параллельно включаемые секции, нижняя погружена в охлаждающую воду. Зона предварительного подогрева путем приваренного контакта включается в низковольтную сеть, напр. во вторичную обмотку трансформатора (напряжение  $< 20$  в).

М. Пасманик

58667 П. Процесс и аппарат для очистки бензола. Крёгер (Process and apparatus for the purification of benzene. Kröger Martin R.). Пат. США 2717912, 13.09.55

Сырой бензол вначале нагревают при  $170-175^\circ$  для превращения моно- и дициклопентадиенов в высшие полимеры, затем при  $220-250^\circ$  в присутствии воды и  $O_2$  для окисления ненасыщ. соединений в высококипящие продукты, после чего ректифицируют.

М. Энглин

58668 П. Способ выделения пиридина и других оснований, содержащихся в смоле. Свинни (Process for the recovery of pyridine and tar bases. Sweeney Maxwell P.). [United Engineers & Constructors, Inc.]. Пат. США 2720526, 11.10.55

Горячий коксовый газ освобождается от смолы, содержащей основания, и обрабатывается водн. р-ром минер. к-ты для извлечения  $NH_3$  и пиридина (I). Полученной жидкостью, содержащей соли аммония и пиридиновых оснований и свободную к-ту, обрабатывают предварительно выделенную смолу для удаления из нее оснований. Из р-ра солей затем выделяют I и основания.

Н. Лапидес

58669 П. Способ полукоксования битуминозных каменных углей в шахтной печи с внутренним газовым обогревом. Грубер (Verfahren zum Schwellen bituminöser, in einem Schachtofen stetig abwärts wandernder Steinkohlen mit Spülgasen. Gruber Theodor). Пат. ФРГ 955049, 27.12.56

Предложенный способ полукоксования в шахтной печи при непрерывно опускающемся слое перерабатываемого угля отличается тем, что в зоне перехода угля в пластич. состояние (при т-ре  $\sim 350^\circ$ ) топливо захватывается колесом с секторными камерами. В камерах поддерживается т-ра  $400-450^\circ$ , и здесь происходит остаточное выделение из частиц угля битумных в-в; при дальнейшем вращении колеса освобожденные от битумов частицы топлива перегружаются в нижнюю часть шахтной печи, имеющей т-ру  $500^\circ$ . Для ускорения выделения битумов часть полых цилиндрич. стенок камер колеса дополнительно обогревается регулируемым источником тепла, напр. электрич. током. Даны схемы печи.

В. Кельцев

58670 П. Способ получения газа, богатого окисью углерода, путем газификации твердых топлив под давлением на дутье, содержащем углекислоту. Хубман (Verfahren zur Erzeugung kohlenoxydreicher Gase durch Vergasung fester Brennstoffe unter Druck mit kohlendioxidgehaltigen Vergasungsmitteln. Hubmann Otto) [Metallgesellschaft A.-G.]. Пат. ФРГ 954544, 20.12.56

Предлагается способ газификации топлива под давлением в газогенераторе с вращающейся решеткой на дутье, состоящем полностью или частично из  $CO_2$ , извлеченного из вырабатываемого газа промыванием его абсорбентом (А) под давлением, отличающийся тем, что регенерация А осуществляется также под давлением, примерно соответствующим давлению газификации; выделяющийся при этом  $CO_2$  может вводиться в газогенератор непосредственно или после лишь небольшого сжатия. В качестве А применяются водн. щел. р-ры, напр.  $Na_2CO_3$  или  $NaOH$ . Регенерация А нагреванием производится в регенерационной колонне. Улавливание  $CO_2$  из сырого газа может осуществляться в две ступени, при этом А из 1-й ступени регенерируется под давлением с целью получения  $CO_2$  для газификации, а А из второй ступени подвергается полной регенерации при редуцированном давлении. В патенте приводятся схемы.

Б. Энглин

58671 П. Получение смол, восков и масел из торфа, Шабелиц (Process for recovery of resins, waxes, and oils from peat. Schabelitz Ernest J.). [Schabelitz Biochemical Corp.]. Пат. США 2695838, 30.11.54

Пылевидный торф обрабатывают  $C_2H_4Cl_2$  при атмосферном давлении и т-ре в течение 2-3 час. для извлечения растворимых масел, восков и смолистых компонентов. Торф отделяют от р-ра, сушат и брикетируют,  $C_2H_4Cl_2$  отгоняют. Смолистый остаток обрабатывают селективным р-рителем и из полученного р-ра осаждают собственно смолы. Последние находят применение в произ-ве лаков и красок. Пример. 1 вес. ч. остатка после отгонки  $C_2H_4Cl_2$  перстворяют в 1 вес. ч.  $C_2H_4Cl_2$ , после чего производят пенитизацию смол добавлением 2 вес. ч. 95%-ного  $CH_3COOH$ .

А. Нагаткина



**58672 П.** Способ приготовления топливных брикетов из отходов производства пальмового масла. Сальветти (Procédé de fabrication d'agglomérés combustibles à partir des déchets de l'huilerie de palme. Salvetti A.). Франц. пат. 1073445, 24.09.54

Производят брикетирование с применением подходящих связующих отходов произ-ва пальмового масла, предварительно хорошо высушенных. Объединяют в различных соотношениях волокна, обломки скорлупы орехов, ветки, механич. превращенные в волокнистую массу, и т. п.

См. также: Общие вопросы 56933. Происхождение углей 57084, 57085. Ядерное горючее 57917. Анализ углей 57167

## ПЕРЕРАБОТКА ПРИРОДНЫХ ГАЗОВ И НЕФТИ. МОТОРНОЕ И РАКЕТНОЕ ТОПЛИВО. СМАЗКИ

Редактор М. О. Хайкин

**58673.** Химический состав и происхождение нефти. Джирелли (Composizione chimica ed origine dei petroli. Girelli A.), Riv. combust., 1957, 11, № 7—8, 493—509 (итал.)

Рассматривается возможное влияние условий генезиса на химич. состав нефтей.

**58674.** Нефтепереработка во Франции. — (Le raffineries in Francia.—), Riv. ital. petrol., 1957, 25, № 294, 34—36 (итал.)

Сообщаются данные по произ-ву различных нефтепродуктов.

**58675.** Повышение спроса на нефтепродукты в Канаде. Мак-Лауд (Further gain in refined products demand. McLeod H.), Canad. Oil and Gas Inds., 1957, 10, № 11, 85—91 (англ.)

Приводятся статистич. данные по произ-ву и потреблению нефтепродуктов, капиталовложениям, строительству новых заводов и экспорту-импорту нефтепродуктов за период с 1940 по 1957 гг.

**58676.** Нефть и нефтепродукты. Пьянтанида (Il petrolio e i suoi derivati. Piantanida Cesare), Sapere, 1957, 46, № 547—548, 445—449 (итал.)

Популярная статья.

**58677.** Исследование углеводородного состава лигроино-керосиновых фракций некоторых нефтей Советского Союза. Топчиев А. В., Нифонтова С. С., Покровская Е. С., Розенберг Л. М., Кусаков М. М., Шишкина М. В., Степанцова Т. Г., Сучкова А. А. В сб.: Состав и свойства нефтей и бензино-керосиновых фракций. М., АН СССР, 1957, 441—466

Для наиболее подробно изученных керосинов трех нефтей: сураханского (легкого масляного), туймазинского (девонского) и ромашкинского (девонского) авторами выделен или идентифицирован ряд ароматич. и нафтеновых углеводородов. Из резюме авторов

**58678.** Исследование индивидуального состава бензинов прямой гонки нефтей морского месторождения «Нефтяные Камни» свит КС и ПК. Гутыря В. С., Пишнямазаде Б. Ф., Халилов А. Х., Кошелева Л. М., Эйбатова Ш. Э., Рзаева С. З., Султанов Г. А. В сб.: Состав и свойства нефтей и бензино-керосиновых фракций. М., АН СССР, 1957, 294—314

При исследовании углеводородного состава бензинов нефтей свит ПК (БПК) и КС (БКС) месторождения «Нефтяные Камни» во фракциях до 150° БПК найдено 93 углеводорода, в БКС 82, БПК содержат 43,93% нафтеновых углеводородов и 35,56% парафиновых, а БКС 34,72% нафтеновых и 50% парафиновых. Среди парафинов обеих свит преобладают соедине-

ния с 1 и 2 третичными атомами С. В БПК содержится 20%, а в БКС 14% *n*-парафинов (от общего кол-ва парафиновых углеводородов). При исследовании бензина впервые в нефтях найдены из числа парафинов: 3-метил-3-этилпентан, 2,3,3-триметилгексан, 2,3,4-триметилгексан, 2,2,4-2,2,6- и 2,3,6-триметилпентаны, 2,2,3,5-тетраметилгексан, 2,2-диметил-4-этилгексан; из циклопентанов — *цис*-1-метил-3-этил-циклопентан, *n*-бутилциклопентан и 1-метил-3-пропилциклопентан; из циклогексанов — *цис*-1,3-диметилциклогексан, изопропилциклогексан, вторичный бутилциклогексан, изобутилциклогексан, 1-метил-2-изопропилциклогексан и 1-метил-3-изопропилциклогексан.

**58679.** Мокрый газгольдер с железобетонным водяным бассейном. Идашкин С. И., Стр-во предприятий нефт. пром-сти, 1958, № 3, 30—31

**58680.** Опыт эксплуатации установок каталитического крекинга на тяжелом сырье. Прошкин А. А., Новости нефт. техн. Нефтепереработка, 1957, № 10, 3—5

На установках каталитич. крекинга типа 43—102, при переработке более тяжелого сырья (конечная температура  $\geq 520^\circ$ ), обычный технологич. режим (т-ра сырья из печи 450—470°, т-ра катализатора (К) из регенератора (Р) 540—580°, подача пара в сырье 0,8—2,0%) неудовлетворителен, вследствие высокого отложения кокса на К и связанного с этим перерасходом К. При изменении режима (т-ра сырья из печи 475—485°, К из Р 520—540°, подача пара в сырье 4,0—4,5%) расход К снизился (%) с 1,1—2,2 до 0,48—0,54 на 1 т перерабатываемого сырья, а содержание кокса на К снизилось с 3,5—4,5 до 1,8—2,3 из реактора и с 1,4—1,8 до 0,4—0,8 из Р. Выход бензина 24,5—25,5. Однако на К с активностью 35—36 пунктов возросли отложения кокса и расход К. Нормальная работа восстановилась, когда т-ра К из Р была снижена до 490—500°, а подача пара в сырье достигла 5—5,5%. На основании данных работы установок даются рекомендации и рассматривается влияние кол-ва водяного пара, т-ры К из Р, т-ры сырья из печи и величины активности К при каталитич. крекинге тяжелого сырья. Ю. Коган

**58681.** Применение платины в нефтепереработке. Пиви (The importance of platinum in petroleum refining. Peavy Claude C.), Platinum Metals Rev., 1958, 2, № 2, 48—52 (англ.)

Рассматриваются возможность и преимущества, получаемые при применении Pt-катализаторов в нефтепереработке, особенно в произ-ве высокооктанового моторного топлива (каталитич. реформинг).

**58682.** Новейшие успехи в области гидрирования и дегидрирования при средних давлениях. Биртлер (Die neuesten Ergebnisse des Hydrierens und Dehydrierens im Mitteldruckgebiet. Birtler Richard), Chem. Technik, 1956, 8, № 5, 266—270 (нем.)

Для облагораживания бензинов гидрогенизации бурогольной смолы в ГДР проводятся следующие процессы (с катализатором  $\text{Mo}_3 \cdot \text{Al}_2\text{O}_3$  при 10—60 атм): дегидрогенизация; деструктивная дегидрогенизация (ДД); деструктивная дегидрогенизация под давлением (ДДД); гидроочистка; гидроочистка, совмещенная с дегидрогенизацией (ГОД). Д предназначена для парафинистых продуктов, бедных нафтенами; катализатор (К) работает без регенерации  $\geq 400$  час. при пропускной способности установки 17,5 т/час. Срок службы К удлинняется при определенном оптимальном парциальном давлении  $\text{H}_2$ , достигающемся отмычкой циркулирующего газа в поглотительном масле, кол-во которого должно повышаться со снижением активности К. Таким образом в 3—4 раза повышается срок службы К и на 3—4% выход продукта с одновременным сниже-

содер-  
общего  
следова-  
исла на-  
лгексан,  
етилгеп-  
этилгек-  
иклопен-  
илцикло-  
иклогек-  
илцикло-  
пропил-  
и.  
авторов  
м вода-  
о пред-

ОШКНИ  
ка, 1957.

43—102,  
К кипе-  
а сырья  
егенера-  
—2,0%)  
ложения  
К. При  
75—495°  
—4,5%)  
на 1 т  
а на К  
с 1,4  
Однако  
отложе-  
 восстано-  
 10—500°  
 основа-  
 ндации  
ра, т-ры  
ности К  
К. Коган  
работке.  
roleum  
Metals

тства, по-  
нефте-  
анового  
Андреев  
ания и  
ртлер  
Dehyd-  
h a r d),

ция бу-  
не про-  
(0 атм);  
низация  
авлени-  
ценная  
для па-  
тализа-  
и про-  
служ-  
е парц.  
лирую-  
оторого  
К. Та-  
кбы К  
сниже-

нием 4-х печей на 20°. ДД — для средних фракций смолы, очищенных от гетероциклич. соединений и богатых нафтенами, без введения  $H_2$ , ведется при 500°. До 50% соединений, кипящих  $> 200^\circ$ , превращается в бензин  $\epsilon \sim 85\%$  ароматич. углеводородов. Остаток, кипящий  $> 200^\circ$ , содержит 50–60% ароматич. углеводородов, главным образом нафталин и метилнафталины. ДДД — для сырья, бедного нафтенами. Гидроочистка — для очистки дизельных фракций. При  $390^\circ$  полностью удаляются азотистые гетероциклы. ГОД — для очистки легкого буроугольного масла гидроированием с последующей дегидрогенизацией. В этом процессе экзотермич. р-ции в 1-й ступени компенсируют тепло, которое необходимо доставить во 2-ю ступень. Отпадает необходимость в дополнительном нагреве.

**А. Некрасов**

59683. Схемы переработки газовых бензинов. Сатерленд, Белден (Case for upgrading natural gasoline. Sutherland, Belden), Petrol. Refiner, 1957, № 7, 187—189 (англ.)

Рассмотрены две схемы повышения октанового числа (ОЧ) газовых бензинов с целью их применения в качестве добавок к высокосортным бензинам. По схеме I из газового бензина выделяется фракция  $C_5-C_6$ , а остаток  $C_7-170^\circ$  подвергается ароматизации на установке платформинга. В схеме II фракция  $C_5-C_6$  разделяется на  $C_5$  и  $C_6$ , а затем фракция  $C_5$  — на *изо*- и *n*-пентан. Продукт, полученный с низа *изо*-пентановой колонны, изомеризуется на установке «пенекс», продукты р-ции возвращаются в *изо*пентановую колонну. *Изо*-пентан, выходящий сверху колонны, приめшивается к общему продукту. Изомеризация  $C_6$ -фракции осуществляется аналогично, но без рециркуляции, за один проход. Фракция  $C_7-170^\circ$  ароматизируется во II аналогично I. Максим. ОЧ продукта по I-95,5 при выходе 92 об.%, при этом же выходе по II ОЧ 101 (по иссл. методу с 0,8 мл ТЭС). Для получения бензина одинакового качества во II платформинг осуществляется в более мягких условиях, что приводит к большему выходу продукта. Приведены расчеты для установки производительностью 800 000 л/сутки. При выходе 94 об.% повышение ОЧ по I составляет 5,8 ед. (88—93,8) и по II 12,5 ед. (88—100,5). При этом платформинг работает в таких условиях, в которых продукт имеет ОЧ по иссл. методу в чистом виде 87 (II) и 94 (I). В качестве сырья для сравнения схем принят газовый бензин, содержащий 50,0 об.%  $C_5$ -фракции (47,5% *изо*-пентана и 52,5% *n*-пентана), 23,8 об.%  $C_6$ -фракции (в основном диметилбутанов и метилпентанов), 26,2 об.%  $C_7$ -фракции (в основном парафиновых и нефтяных углеводородов). Приводятся техникоэкономич. показатели процесса.

Н. Кельшев

Н. Кельцев

59084. Процесс «Пенекс» каталитической изомеризации пентанов и гексанов. Белден (Catalytic isomerization of pentanes and hexanes by new Penex process. Belden D. H.), World Petrol., 1956, 27, № 8, 64—67 (англ.)

Описывается процесс непрерывной изомеризации *n*-пентана и *n*-гексана в присутствии  $H_2$  в сочетании с платформингом. М. Павловский

58685. Трубчатые печи для нефтепереработки и нефтехимии. Часть 1. Факторы, определяющие выбор печей, типы трубчаток и их механические свойства. Кребс (Selection of furnace tubes for refinery and petrochemical service. Part 1. Factors in tube selection; types or tubing and strength properties. Krebs Thomas M.), Petrol. Engr, 1958, 30, № 2, C-54—C-55, C-57х—C-58 (англ.)

Описываются механич. свойства наиболее употребительных для конструирования трубчаток сталей в об-

ласти т-р 425—1040°, а также их сравнительная стоимость. Л. Андреев

Л. Андреев

58686. Установка автоматического контроля. Мак-Маллан (Automatic data logging. MacMullan E. C.), Oil and Gas J. 1957. 55. № 20. 147—148 (англ.)

Краткое описание схемы автоматич. контроля на полимеризационной непрерывнодействующей установке нефтешерообразующего з-да, позволяющей регистрировать 88 переменных процесса (величину или скорость потока, давление и т-ру в различных точках). Процесс регистрации параметров в одной точке длится ~2 сек. Точность регистрации т-ры ~1°; величины потока и давления 0,5%. Д. Цикерев

Д. Цикарев

58687. Экономика повышения октанового числа бензинов. Керри (Do profits keep pace with octanes? Curry S. W.), Oil and Gas J., 1957, 55, № 31, 68—71 (англ.)

Рассмотрены вопросы экономики повышения детонационной стойкости бензинов путем реформинга, изомеризации, алкилирования и других промышленных процессов нефтепереработки.

Н. Кельцев

Н. Кельцев

58688. Новые технологические процессы переработки нефти. Лахонинский (Ciekawe nowe procesy technologiczne w rafineriach nafty. Łachociński Zygmunt), Wiadom. naft., 1957, 3, № 11, 11—12 (польск.).

Кратко сообщается о новом видоизменении способа Варги по переработке тяжелых нефтей или смол в моторные топлива (гидрированием при высоких давлениях). Для снижения давления при гидрировании и повышения экономичности процесса предложено такие тяжелые продукты предварительно смешивать с более легкими нефтяными фракциями, что позволяет вести процесс при 20—80 ат. Проведенная в Вентрич проверка способа показала, что из нефти уд. в. 0,945, содержащей 15% твердых асфальтовых в-в и дававшей при лабор. разгонке ~20% моторных топлив, при осуществлении процесса под давл. 70 ат, при  $t_{\text{ре}}$  435°, расходе  $\text{H}_2$  200 м<sup>3</sup>/т и скорости подачи 1,11 кг/л реакционного объема в 1 час получен продукт, дающий 79% моторных топлив.

К. Э

58689. Контактный крекинг гудрона. Левинтер М. Х., Ахметов И. Г., Материалы межвузовск. совещания по вопросам новой техники в нефтяной промышленности. 1958, 2, 413—123

Приводится описание разработанного УФНИИ процесса контактного крекинга тяжелых нефтяных остатков, обеспечивающего большой выход светлых нефтепродуктов, отличающегося применением гранулированного кокса в качестве теплоносителя, а также для удаления кокса. Сырье — гудрон туймазинской девонской нефти и смесь гудрона с рециркулятом; условия экспериментов:  $t$ -ра  $460^\circ$ , давл. 15 атм. При крекинге получено ~36% автобензина и 20% компонентов тракторного керосина товарных качеств, но с повышенным содержанием S. Контактным крекингом несернистых нефтяных остатков можно получать светлые нефтепродукты, полностью удовлетворяющие требованиям ГОСТ. Дана схема нового процесса. М. Стедовская

М. Стецовска

58690. Очистка остаточного жидкого топлива. Кранчер (The treatment of residual fuel. Crancher D. W.). Petrol. Times, 1958, 62, № 1579, 136 (англ.)

Краткое описание двух способов очистки остаточного топлива для удаления золообразующих и корродирующих компонентов: 1) обессоливание смещением с промывным р-ром (при добавке деэмульгатора) с последующей сепарацией на центрифугах; 2) добавка присадок — серноокислого магния, этилсиликата, тонкоизмельченного доломита.

С. Розенов

С. Розное

58691. Установка для производства горючего газа из сельскохозяйственных отходов. Филотти, Дикман (Sisteme de instalații pentru producerea de gaz



combustibil din deșeurile agricole. Filotti A.I., Dickmann S.), Mecaniz. și electri agric., 1958, 3, № 2, 34—39 (рум.)

58692. Использование нефтяного газа. Инграм (An approach to the use of oil gas in an integrated system. Ingram L. P.), Gas J., 1957, 290, № 4897, 438—441. Discuss., 441—444; Gas World, 1957, 145, № 3796, 1058—1061, 1081, 1098 (англ.)

Изложение доклада автора о промышленной и экономич. целесообразности различных способов использования нефтяного газа. Дискуссия. Л. Андреев

58693. Исследование работы коалесцирующего фильтра. Алексеева В. А., Перевалов В. Г., Новости нефт. техн. Нефтепереработка, 1958, № 1, 27—29

На основе исследования работы коалесцирующих фильтров (КФ) нефтеловушек предложено применять в качестве загрузочного материала КФ шлак с частицами размером 5—15 мм (7—12), пропитанный после пропускания вязкой нефтью, мазутом, нефтяными смолами, парафинами или кремнийорганич. соединениями. Сточная вода, содержащая эмульгированную и плавающую нефть, поступает на КФ снизу, фильтрация идет с достаточной скоростью, причем продолжительность последующего отстаивания воды 1—1,5 часа; толщина фильтрующего слоя на лабор. установке составляла 0,6 м. Применением описанного КФ можно уменьшить остаточное содержание эмульгированной нефти в сточной воде, прошедшей нефтеловушку до 20—30 мг/л, вместо 150—350 мг/л, остающихся после нефтеловушки современной конструкции.

А. Вавилова

58694. Очистка и обессеривание легких нефтепродуктов. Ардизоне (Raffinazione e desolfurazione dei prodotti petroliferi leggeri. Ardizzone Mario), Idrocarburi, 1956, 5, № 3, 49—55 (итал.)

Обзор. Библ. 25 назв. Е. Покровская

58695. Переработка нефти и ее производных. VIII. Процесс Грея для очистки нефтяных дистиллятов. Гутьеррес-Контрерас (La refinación del petróleo y sus derivados. VIII. Proceso Gray. Gutierrez Mario Contreras), 18 marzo. Vida petrol. mexicana, 1953, 6, № 65, 23—25 (исп.)

58696. Переработка нефти и ее производных. XVI. Процесс меркапсол. Гутьеррес-Контрерас (La refinación del petróleo y sus derivados. XVI. Proceso mersapso. Gutierrez Contreras Mario), 18 marzo. Vida petrol. mexicana, 1953, 6, № 63, 15—19 (исп.)

Описание различных вариантов (процессы меркапсол, унисол, солутайзер) очистки бензинов.

В. Щекин

58697. Переработка нефти и ее производных. Очистка и депарафинизация смазочных масел с помощью растворителей. Гутьеррес (La refinación del petróleo y sus derivados. Gutierrez C. Mario), 18 marzo. Vida petrol. mexicana, 1955, 8, № 82, 4—8 (исп.)

58698. Деароматизация и обессеривание дизельных фракций диэтиленгликолем. Гуревич И. Л., Жаке Л. Ю., Фоминых Л. Ф., Материалы Межвуз. совещания по вопр. новой техн. в нефт. пром-сти, 1958, 2, 172—188

Изучен и предложен для внедрения в пром-сть процесс деароматизации керосино-газойлевых фракций сернистых нефтей диэтиленгликолем (I), в частности исследована растворимость ароматич. углеводородов (АУ) в I, выделение АУ из экстрактивного р-ра, влияние добавки воды к I на экстракцию АУ, технико-экономич. показатели процесса. Найдено, что I является эффективным р-рителем АУ и что при обработке I керосиновых фракций могут быть получены рафи-

наты с содержанием АУ < 4%, а из фракций дизельного топлива прямой гонки и каталитич. крекинга — высококачественное дизельное топливо с миним. содержанием S. Приведена технологич. схема установок для экстракции АУ диэтиленгликолем. А. Вавилова

58699. Опыт регенерации изоляционных масел местными отбеливающими землями на предприятиях Дальнегго. Залевская Н. И., Попова Е. И., Тр. Дальневост. фил. АН СССР, 1958, вып. 3, 123—125

В лабор. и производственных условиях проведена регенерация изоляционных масел местными природными землями: суйфунитом, трепелом из Пионер-карьера и красной глиной — продуктом выветривания барановского обожженного туфа. Установлено, что лучшие результаты дает применение суйфунита, причем эффект регенерации на всех трех образцах земель аналогичен эффекту, полученному на зикеевской опиле в сравнительных опытах. Масло после регенерации местными землями полностью удовлетворяет технич. требованиям.

А. Нагаткина

58700. Карбамидная депарафинизация широкой (120—470°) фракции юймынской нефти. Гуревич И. Л., Вэн Чжен-ян, Щербакова В. А., Химия, технол. топлива и масел, 1957, № 8, 56—63

Показана возможность применения карбамидной депарафинизации широкой фракции (120—470°) мало-сернистой (0,25% S), высокосмолистой юймынской нефти (Китай). Т-ра депарафинизации 20—25°, давление атмосферное, продолжительность перемешивания 30 мин., кол-во карбамида 100 вес. % на сырье, активатора — воды или метанола 15 вес. % на сырье, р-рителя бензола или депарафинированного бензина (90—120°) для разбавления 75 об. % и для промывки комплекса 200 об. %. В результате депарафинизации можно получить низкозастывающие авиакеросины, зимние дизельные топлива, маловязкие масла и высококачества. n-парафины. Библ. 23 назв. Г. Марголина

58701. Научные работы в Венгрии в области нефтяных битумов. Фрэйнд, Ньюл, Закар (Forschungstätigkeit in Ungarn auf dem Gebiet des Erdölbitumens. Freund Michael, Nyul Gyula, Zakar Paul), Chem. Technik, 1957, 9, № 10, 573—576 (нем.)

Добываемая с 1951 г. в Надьлендзеле нефть содержит 62,4% битумов с т. размягч. 49° и 4,91% S. Приводятся результаты работ по изучению состава и областей применения этих битумов; показано, что они относятся к категории медленно схватывающих битумов, пригодных для дорожного строительства. После перегонки сырой нефти получают до 80% продукта с вязкостью 153—175 сст при 100°, т-ра размягчения которого, пенетрация и содержание парафинов отвечают международным нормам. Приведены характеристики битумов, получаемых дистилляцией, продувкой и очисткой пропаном.

С. Гордон

58702. Реология и тиксотропия углеводородных связующих и аналогичных материалов. Дюрье (La rhéologie et la thixotropie des liants hydrocarbonés et de leurs compounds. Duriez M.), Houille blanche, 1956, 11, № B, Suppl., 26—29. Discuss., 29; Cahier Groupe franç. études rhéol., 1956, 1, № 3, 26—29. Discuss. 29 (франц.)

Рассматриваются реологич. и тиксотропные свойства гудрона, каменноугольной смолы, нефтяных битумов и аналогичных материалов, применяемых в дорожном строительстве и проч. Описаны методы определения указанных свойств и взаимосвязь между отдельными реологич. величинами, а также разработанный автором метод измерения сопротивления битуминированных бетонов деформации под давлением.

С. Розенфельд

58703. О механизме образования и расслоения битумных эмульсий. Джен Н., Техника хроника. Димилеа эпистимоники экдосис, 1956, 33, № 389—390, 428—429 (греч.)

58704. Осушка природного газа на заводе в Гейб-Ки (США). Харрелл (Natural-gas dehydration at the Gabe Ky. Harrell A. G.), Oil and Gas J., 1957, 55, № 43, 121, 123—124 (англ.)

Приводятся описание и эксплуатационные данные установки по сушке адсорбентами природного газа перед извлечением из него тяжелых углеводородов методом глубокого охлаждения. На з-де перерабатывается 26,8 млн. м<sup>3</sup> газа в сутки; для его осушки установлено 16 адсорберов диам. ~ 2 м и высотой ~ 6 м, вмещающих 260 т адсорбента. В адсорберы газ поступает под давл. 38,7 ат; извлечение углеводородов ведется при давл. 36 ат и т-ре -75°. В качестве адсорбентов применяются Al<sub>2</sub>O<sub>3</sub>, бокситы и силикагель. Начальная емкость адсорбентов по влаге составляла 7 вес.%, но после 35 месяцев эксплуатации и проведения 580—600 регенераций она снижалась до 2,1—2,2 вес.%. Приводятся данные, показывающие увеличение гидравлич. сопротивления адсорберов при увеличении производительности и времени эксплуатации. В. Кельцев

58705. Современные методы очистки и осушки природного газа. Муль, Рогге (Moderne Erdgasaufbereitung und Probleme der Erdgastrocknung. Mull Werner, Rogge Karl), Gas, Wasser, Wärme, 1957, 11, № 9, 207—214 (нем.)

Обзорный доклад. Приведены схемы установок.

Н. К. 58706. Газобензиновый завод с возвратом газа в пласт. Рисен (Cycling plant is one-man operation. Resen Laggy), Oil and Gas J., 1957, 55, № 43, 98—99 (англ.)

Описан новый бензиновый з-д с возвратом отбензиненного газа в пласт, перерабатывающий 765 000 м<sup>3</sup> газа в сутки. На з-д газ поступает с давл. 200 ат, абсорбция ведется под давл. 140 ат; отбензиненный газ компримируется затем в компрессорах до 300 или 400 ат (в зависимости от пластового давления) и закачивается в пласты. Описана также автоматизация з-да, позволяющая обслуживать з-д одним человеком. Приведены технологич. схема з-да и схема автоматизации. В. Кельцев

58707. Кинетика частичного и полного окисления метана в гомогенной и гетерогенной фазах. Часть II. Сальви, Фиумара (Cinetica della ossidazione parziale e totale del metano in fase omogenea ed eterogenea. Parte II. Salvi G., Fiumara A.), Riv. combust., 1957, 11, № 4, 260—270 (итал.)

Обзор работ по частичному и полному окислению СН<sub>4</sub> в гетерогенной фазе. Библи. 16 назв. Часть I см. РИХим, 1958, 37112.

К. З. 58708. Получение этана из природного газа. Пенник (Is ethane from natural gas economical? Penick Dudley P.), Petrol. Refiner, 1957, 36, № 10, 108—112 (англ.)

Рассматривается экономич. целесообразность извлечения этана из природного газа, являющегося потенциальным источником его и содержащего 2—20% этана. Указывается, что при незначительных капиталовложениях, окулающихся в короткий срок, можно организовать произ-во и использовать этан как сырье для органич. синтеза. М. Пасманик

58709. Исследование термического разложения углеводородов на поверхности пористых контактов. Белеволенская Г. В., Кельцев В. В., Тр. Всес. н.-и. ин-т природн. газов, 1958, вып. 3 (11), 116—129

В результате исследования гетерогенного термич. разложения углеводородов на поверхности твердых пористых материалов показано, что достаточно пол-

ное разложение СН<sub>4</sub> с получением 97—98%-ной конц-ии Н<sub>2</sub> в выходящем газе достигается при т-ре 1300° и объемной скорости, рассчитанной на исходный СН<sub>4</sub> при 0°, до 300 час.<sup>-1</sup>. Применение пористых контактов в сравнении с процессом в свободном объеме повышает конц-ию Н<sub>2</sub> в полученном газе при 1100—1200° на 20—25%, при 1300° на 10%. В качестве пористых контактов (размер зерен 3—5 мм) рекомендуются активные Al<sub>2</sub>O<sub>3</sub> и глинозем, а также углеродистые материалы, например торфяной кокс или кокс контактного коксования нефтяных остатков. А. Вавилова

58710. Уголь, нефть и подземные газохранилища как основа газоснабжения большого города. Дювель (Kohle, Öl und Untergrundspeicher als Grundlagen der Gasversorgung einer Großstadt. Düwel Georg), Erdöl und Kohle, 1957, 10, № 12, 843—851 (нем.)

На примере газоснабжения Гамбурга с использованием разнообразных сырьевых ресурсов показана возможность экономичного решения проблемы обеспечения газом больших городов с сезонным применением газа для отопительных нужд. Общая схема включает методы каталитич. конверсии нефтяного газа и термич. конверсии природного газа; для покрытия потребления в зимние месяцы служит газ из подземных газохранилищ. Источниками газоснабжения являются: коксовый газ с двух коксохим. з-дов, нефтяной газ с теплотворностью 6560 ккал/м<sup>3</sup> нефтеперегонного з-да ЭССО в Гамбурге в смеси с этим же газом, конвертированным на установке в Тифстаке в газ с теплотворностью 1700 ккал/м<sup>3</sup>, и природный газ, конвертированный на установке Кошперса в Боштеде. Н. Г.

58711. Расчет потери давления в газопроводах высокого давления. Тойнби (Calculation of pressure losses in high-pressure transmission of gas. Tainbe P. A.), Coke and Gaz, 1957, 19, № 219, 339—341 (англ.)

Уравнение Фаннинга для расчета транспорта сжимающихся жидкостей преобразовано для расчета транспорта природного газа в следующей форме:  $x = cd(p_1^2 - p_2^2)/fv^2 \cdot \rho_0 q_0$ , где  $x$  и  $d$  — длина и диаметр трубопровода;  $c$  — постоянная;  $f$  — фактор трения, являющийся функцией числа Рейнольдса, наводимый графически;  $v_0$  и  $q_0$  — скорость и плотность газа при атмосферном давлении;  $p$  — давление газа; индексы 1, 2 указывают на пределы интегрирования, причем  $p_1$  — давление газа на входе,  $p_2$  — на выходе. Приведены графики, показывающие результаты расчетов с использованием предложенного ур-ния, а также практич. пример расчета. Т. Мухина

58712. Современные моторные топлива, их свойства. Сундберг (Moottoriöllyn kehityksestä ja uude-naikaisten öljyen ominai suuksista. Sundberg O. K.), Insinöörilehti, 1957, 25, № 8, 249—251 (финск.)

58713. Требования к детонационной характеристике топлив для двигателей. Вуд, Кольер (Engine octane requirement. Wood F. S., Colyer C. C.), Oil and Gas J., 1956, 54, № 86, 69—74 (англ.)

Качество смазочных масел и вводимых с ними присадок заметно влияет на требования к детонационной характеристике — требуемое октановое число (ТОЧ) топлив для современных двигателей. ТОЧ устанавливалось на автодвигателях при определении детонации на стук для серии этилированных бензинов и различных масел и присадок как при воспламенении смеси от свечи (ВС), так и от раскаленной поверхности (РП). Повышение ТОЧ характеризовалось как разность между ТОЧ при работе двигателя в условиях образования нагара, так и после удаления его из камер сгорания. Требуемое октановое число ВС и РП повышалось на 1 пункт при повышении 90%-ной т-ры выкипания масла в среднем на 16,7°. Добавка моющих-ингибирующих присадок (П) к маслу влияла на требуемое октановое число ВС по-разному: Ва-Р<sub>2</sub>S<sub>5</sub> — оле-



фин — 0,5, Ва-фенолят + 0,5, Ва-сульфонат: + 1,0; Са-сульфонат + 1,0, Зп-дитиофосфат-0, осерненный олефин = 0. При комбинации II их действие суммировалось.

А. Равикович  
58714. Пути повышения детонационной стойкости бензинов. Нелсон (How octane numbers have been improved. Nelson W. L.), Oil and Gas J., 1957, 55, № 45, 194 (англ.)

Краткий обзор, в котором отмечается, что непрерывное повышение октановых чисел бензинов за последние 40 лет было обеспечено внедрением новых технологич. процессов. Помимо применения тетраэтилсвинца большую роль сыграли процессы термич. крекинга, термич. реформинга, термич. полимеризации, алкилирования, каталитич. реформинга, гидроочистки от активной S, а также изомеризации пентана и гексана.

И. Рожков  
58715. Присадка к топливам, содержащая бор. Хьюз, Хук (Boron new improvement agent. Hughes E. C., Hook E. O.), Petrol. Engr., 1956, 28, № 7, C10—C13 (англ.)

Добавка к бензинам органич. соединений бора в кол-ве 0,01—0,02% повышает октановое число, значительно снижает отложения на выпускных клапанах и облегчает воспламенение топлива, особенно содержащих ароматич. углеводороды.

З. Векслер  
58716. О характере потенциальных смол в авиационных керосинах. Саблина З. А., Гуреев А. А., Новости нефт. техн. Нефтепереработка, 1958, № 2, 24—24

Для исследования характера потенциальных смол (ПС) различных образцов авиационных керосинов (АК) их окисляли в течение определенного времени при 110° в приборе ЛСА-1 в присутствии медной пластины в качестве катализатора, после чего анализировали на содержание смол и нерастворимых отложений. Показано, что ПС товарных авиационных керосинов представляют собой продукты, различающиеся по своему характеру и растворимости в АК. Не растворимая в АК часть смол состоит из твердого осадка и смолистых продуктов, составляя для различных АК 20—30%. При очистке АК или добавлении присадок (а также при различном начальном кол-ве смол) в АК изменяется кол-во растворимой части ПС, а в отложениях — их смолистая часть, кол-во же твердого осадка остается практически постоянным. Примененное в работе раздельное определение растворимой и нерастворимой частей ПС можно использовать для оценки склонности топлив к образованию отложений в топливной системе и борьбы с ними.

Из резюме авторов  
58717. Правила обращения с этилированным бензином. Кикерпилл (Nöuded etüleeritud bensini kasutamisel. Kikerpill E.), Tehnika ja tootmine, 1958, № 2, 24—25 (эст.)

58718. Получение двухкомпонентного ракетного топлива на установке. Кемп, Карлтон, Эллиотт, Уинганд (Small-scale facilities for development of double-base, propellants. Camp A. T., Carlton C. H., Elliott Q., Wiegand J. H.), Chem. Engng. Progr., 1956, 52, № 2, 78—82 (англ.)

Описан процесс получения твердого двухкомпонентного ракетного топлива, включающий получение отдельных компонентов (нитроглицерин, нитроцеллюлоза, стабилизатор и некоторые другие добавки), их смешение с образованием пасты, сушку и «старение» пасты, прокатку пасты для получения листа, прессовку последнего для придания формы, пригодной для испытаний. Описаны приборы и методы испытаний готового топлива на стабильность, механич. и баллистич. свойства. Производится также хим. анализ топлива.

И. Рожков

58719. Некоторые особенности синтеза углеводородов из окиси углерода и водорода на железных катализаторах в условиях циркуляции отходящих газов. Башкиров А. Н., Каган Ю. Б., Крюков Ю. Б., Изв. АН СССР. Отд. техн. н., 1956, № 6, 136—143  
Выявлена специфич. роль р-ции конверсии СО водой синтеза, являющейся в условиях циркуляции своеобразным регулятором стехиометрии процесса. При циркуляции отходящих газов, в отличие от обычного процесса, открывается возможность применения различных объемных скоростей и использования исходных газов разнообразного состава при более высоком выходе целевых продуктов.

Г. Марголкин  
58720. Количественный анализ сланцевого газбензина по инфракрасным спектрам поглощения. Фиалковская, Страшников (Кількісний аналіз сланцевого, газбензину 80, ФР. 2 за інфрачервоними спектрами вбирання. Фіалковська О. В., Страшнікова М. І.), Укр. фіз. ж., 1957, 2, № 4, 358—362 (укр.; рез. русск., англ.)

Исследован продукт с т. кип. 78—85°, состоящий главным образом из бензола, тиофена и небольших кол-в циклогексена. Анализ проведен графич. методом последовательных приближений, сначала для бинарных и трехкомпонентных смесей чистых в-в, а затем для газбензина, поглощение которого определялось на тех же спектральных позициях, что и для искусств. смесей. В газбензине найдено: бензола 57 ± 4%; тиофена 23,4 ± 2%; циклогексена 5,1 ± 1%. Химич. анализ того же бензина показал содержание: бензола 57—58% и тиофена 23,3% (циклогексен химич. не определялся).

А. Шахов  
58721. Сгорание бензина в двигателе, октановое число и явления детонации. Мортенсен (Forbrenning av bensin, motorbank og oktantall. Mortensen Kåre), Tekn. ukebl., 1958, 105, № 40, 207—216 (норв.)

58722. Фотографирование пламени вспышки при большой нагрузке для определения содержания углеводородов в выхлопных газах. Уэнтворт, Даниел (Flame photographs of light-load combustion point the way to reduction of hydrocarbons in exhaust gas. Wentworth J. T., Daniel W. A.), SAE Trans., 1955, 63, 602—617 (англ.)

Исследованы причины повышения содержания углеводородов (У) в выхлопных газах (ВГ) автодвигателей при уменьшении подачи горючей смеси и намечены возможные меры устранения этого явления. Скоростная киносъемка пламени вспышки через кварцевое окошко в цилиндре показала, что в данных условиях основной причиной неполного сгорания является разбавление горючей смеси ВГ. Концентрация У в ВГ может быть снижена путем дополнительной подачи горючей смеси к всасывающим клапанам с тем, чтобы уменьшить вакуум, или путем обеднения смеси горючим. Полностью избежать присутствия У в ВГ пока не удалось.

А. Шахов  
58723. Температура застывания и подвижность смазочных масел при низких температурах. Пурдью (What about oil pour point? Here's why flow at low temperature may not be enough. Purdy R. B.), Plant Engng., 1958, 12, № 2, 116—117, (англ.)

Рассматриваются низкотемпературные свойства смазочных масел при эксплуатации машин и лабор. методы оценки этих свойств. Миним. т-ру подвижности масла в эксплуатации лучше определять испытанием на «застывание канала», чем т-рой застывания. Рекомендуются применение электр. подогревателя для масла при пуске машин в условиях низких т-р.

А. Равикович  
58724. Маслянистость веретенного масла с добавками пальмитиновой кислоты и гексадецилового спир-

та. Нагаи, Исиды, Тамаи, Вакацуки, Камияма (Nagai Yuzaburo, Ishida Hisae, Tamai Yasukats, Wakatsuki Utata, Kamiyama Jiro), Kore kagaku daasshi, J. Chem. Soc. Japan. Industr. Chem. Sec., 1955, 58, № 11, 674—678 (японск.)

Установлено, что для поверхности сталь по стали масленистость резко снижается в атмосфере, не содержащей кислорода.

А. Н. 58725. Противозносовые свойства нефтяных масел. Виноградов Г. В., Кусаков М. М., Безбожье М. Д., Павловская Н. Т., Зеленский В. Д., Крейн С. Э., Боровая М. С., Химия и технология топлива, 1956, № 1, 61—72, 3-я стр. обл.

На 4-шариковом приборе проведено исследование противозносовых свойств различных товарных масел, нафтенно-парафиновых фракций, выделенных из различных масел, а также ароматич. фракций, выделенных из малосернистых масел.

Б. Энглин 58726. Сохранение качества масел, применяемых при прокатке алюминиевых листов. Мак-Лейн (Maintenance of quality in aluminium sheet rolling oils. McLean J. O.), Lubricat. Engng., 1955, 11, № 5, 337—339 (англ.)

58727. Влияние концентрации присадок на эксплуатационную оценку масел, применяемых при резании. Доринсон (Concentration effects of cutting oil additives in performance evaluation. Dorinson A.), Lubricat. Engng., 1956, 12, № 6, 387—391 (англ.)

Производилась оценка минер. масел (М) с добавкой жирных масел и S — Cl-содержащих присадок при обработке стали: 1) точением, по сроку жизни инструмента; 2) строганием, по высоте микронеровностей обработанной поверхности; 3) нарезкой дыр, по величине крутящего момента. При точении увеличение в М конц-ии S и Cl выше определенного предела, зависящего от присадки, вело к снижению срока работы инструмента. При строгании увеличение конц-ии Cl в М, содержащих активные Cl-соединения, в том числе CCl<sub>4</sub>, вело к снижению высоты микронеровностей, хлорпарафин оказался малоэффективным. При нарезке крутящий момент снижался с увеличением в М конц-ии CCl<sub>4</sub>.

А. Равикович 58728. Повышение устойчивости против окисления синтетического смазочного масла из продуктов крекинга сланцевого парафина. Ой Юн-чжун, Жань-Ляо созбао, Acta Focalia Sinica, 1957, 2, № 1, 53—62 (кит.; рез. русск.)

Устойчивость к окислению смазочного масла, полученного полимеризацией продуктов крекинга сланцевого парафина при 560° над AlCl<sub>3</sub>, ниже, чем у прямогонного очищ. масла юй-мыньской нефти и советского авиационного смазочного масла MC-20, и аналогична устойчивости ациклич. углеводородов. Основными продуктами окисления являются маслорастворимые к-ты, спирты, альдегиды, кетоны и эфиры. Устойчивость синтетич. масла повышается введением присадки (термич. стабильность по Папок возрастает с 28 до 82 мин.), конденсацией с ароматич. углеводородами (до 57 мин.) и смешением с юй-мыньским автомобильным маслом в соотношении 1:1 (до 38 мин.), причем отношение вязкостей после и до окисления по методу IP уменьшается в 2 раза и более. Метод Папок четко выявляет разницу между свойствами синтетич. масла и смесей на его основе, но недостаточно характеризует разницу между свойствами синтетич. и природного масел. Метод IP устанавливает резкое различие между синтетич. и природным маслами и слабо выявляет разницу между синтетич. маслом и смесью на его основе.

Э. Левина 58729. Свойства сложных эфиров с фенильной или циклогексильной группами и возможность приме-

нения их в качестве смазочных масел. Мацура, Киккава (Matsuda Sumio, Kikkawa Shoichi), Kore kagaku daasshi, J. Chem. Soc. Japan. Industr. Chem. Sec., 1956, 59, № 8, 895—902 (японск.)

Синтезированы и описаны свойства 78 различных сложных моно- и диэфиров, содержащих фенильную или циклогексильную группы в кислотном, либо в спиртовом остатках. Этерификацию проводили в присутствии толуолсульфоновой к-ты и бензола при нагревании; выход эфиров 80—90%. Гидрогенизацию ароматич. соединений в производные циклогексана вели при 150° и 100 ат над Ni Рэнэя; выход 50—85%. Для применения в качестве смазочных масел оказались особенно пригодными диэфиры гексагидроизофталевой к-ты, напр. 2-этилгексильный, октиловый и цетиловый. Хорошие вязкостные характеристики найдены у гидрированных ароматич. эфиров с алкильной группой в мета-положении, напр. эфира м-крезола и адипиновой к-ты.

Ю. Ермаков 58730. Фтороуглероды и камеры для реактивных снарядов. Хонн, Миллер (Fluorocarbons and rocket cases for missiles. Honn Francis J., Miller K. Dexter, Jr), Jet Propuls., 1956, 26, № 10, Part 2, S17 (англ.)

Сообщение о проводимой фирмой Келлога (США) работе по фтороуглеродам, являющимся весьма устойчивыми к нагреванию, окислению, топливу и смазкам, и о разработке конструкции стальной камеры для управляемых снарядов.

Б. Энглин 58731. Зависимость консистенции смазок от температуры при механических нагрузках. Бёк, Бёк (Das Konsistenztemperaturverhalten von Schmierfetten bei mechanischen Beanspruchungen. Boeck Ernst, Boeck Walter), Chem. Technik, 1956, 8, № 11, 677 (нем.)

Приводятся данные по консистенции при 20, 50 и 100°, определяемой по методу Бёка для консистентных смазок (КС), подвергавшихся воздействию 200, 1000 и 10 000-кратной механ. нагрузке. Отмечается, что для некоторых КС при больших нагрузках наблюдается увеличение консистенции с повышением т-ры с 50 до 100°, что указывает на очень сильную неоднородность этих КС.

Б. Энглин 58732. Пептизация консистентных смазок. Бауман (La peptisation des graisses lubrifiantes. Bauman A.), Ind. chim., 1956, 43, № 473, 380—383 (франц.)

Применение Na- и K-мыл в консистентных смазках позволяет создать эмульсию типа масло в воде; Mg и Ca-мыла дают эмульсию типа вода в масле, которая хорошо смешивается с минер. маслом. Дилектрич. константы минер. масел равны 1,7—2,3 и с Ca- и Mg-мылами дают положительные коллоиды. Стабилизация омыленной консистентной смазки достигается пептизацией Ca-мыла. Благоприятно действует и добавление небольшого кол-ва жирной к-ты. Благодаря низкой точке плавления Ca-мыл они при варке становятся жидкими, что способствует лучшему образованию эмульсии. Как правило, вязкость колл. р-ра растет с увеличением содержания коллоида, но в случае растворения в масле это происходит гораздо быстрее. Целью пептизации является увеличение электростатич. заряда диспергированных частиц Ca-мыла. Н-жирных к-т также увеличивают этот заряд и способствуют диспергированию частиц.

М. Пасманик 58733. Хроматография в нефтяных исследованиях. Полимени (Cromatografia: grafologia del petroliere. Polimeni Francesco), Idrocarburi, 1957, 6, № 6, 31—36 (итал.)

Популярное изложение сущности хроматографич.



метода и его применения для анализа углеводородных смесей. В. Шекин

58734. Хроматографические исследования смесей насыщенных углеводородов комплексного состава в области смазочных масел. Гейзлер, Юнгханс (Chromatographische Untersuchungen an gesättigten komplex zusammengesetzten Kohlenwasserstoffgemischen im Schmierölbereich. Geiseler Gerhard, Junghans Werner), Erdöl und Kohle, 1955, 9, № 11, 786—790 (нем.)

58735. Безртутная аппаратура для исследования растворимости газов и определения объемных коэффициентов нефти. Хитеев А. М., Ма'рузелер АзербСССР элмлер Акад., Докл. АН АзербСССР, 1957, 13, № 2, 117—122 (рез. азерб.)

Для устранения вредного влияния ртути и упрощения методики работы предлагается безртутная аппаратура. Принцип способа состоит в том, что изменение объема в бомбе РВТ осуществляется посредством плунжера. Основные узлы: плунжерная бомба (I), малогабаритный гидравлич. насос высокого давления, редуктор, муфты включения, дожимные контейнеры (II) и вакуумнасос. Исходный газ из баллона направляется в II, где дожимается до требуемого давления, затем поступает в I, куда предварительно залита нефть. Объем нефти и газа замеряется соответствующими приспособлениями. Для растворения газа I производят в колебательное движение (для  $\text{CH}_4$  нужно 7 качаний, для  $\text{C}_2\text{H}_6$  — 3—4). При достижении максимального давления насыщения, после 10 мин. отстоя свободный газ вытесняется из I. Объем его определяется по кол-ву воды, вытекающей из газометра. При исследовании глубинных проб на выходе в I ставят фильтр. Для исследования рекомбинированной пробы заданного газового фактора порядок загрузки нефти и газа меняется. Малые габариты безртутной установки позволяют применять ее для исследования нефти и газа в пластовых условиях. М. Пасманик

58736. Адсорбционное разделение углеводородов  $\text{C}_1$ — $\text{C}_4$  и некоторых неуглеводородных газов. Соколов В. А., Кузьмина Л. П., Тр. Ин-та нефти. АН СССР, 1957, 10, 96—100

Проведено аналитич. разделение углеводородов  $\text{C}_1$ — $\text{C}_4$ ,  $\text{H}_2$ ,  $\text{CO}$ ,  $\text{N}_2$  на активированном угле марок КАД и АГ методом хроматермографии (приведена схема хроматермографа) с использованием тока газа-носителя ( $\text{CO}_2$ ) и движущегося температурного поля, способствующего десорбции и более четкому разделению компонентов. Отходящие газы пропускают через 40%-ный р-р  $\text{NaOH}$  для адсорбции  $\text{CO}_2$ , а объем уплотнившейся части измеряют волюмометром. Изготовлен новый прибор с 4 измерительными камерами для идентификации газов по теплопроводности. Описанный адсорбционный метод и регистрирующие приборы могут применяться для анализа газов различных химич. процессов. При замене угольного адсорбента силикагелем возможен также анализ неопределенных углеводородов  $\text{C}_2$ — $\text{C}_4$ . А. Вавилова

58737. Анализ газы и жидких продуктов экспресс-методами. Карролл, Мак-Гихи (Gas and palnt-stream analyses in a hurry. Carroll Raymond J., McGehee Charles L.), Oil and Gas J., 1956, 54, № 77, 94—97 (англ.)

Приводятся опыт работы лаборатории нефтеперерабатывающего з-да, оборудованной масс-спектрометром и инфракрасным фотометром, с помощью которых быстро проводятся анализы газов каталитич. крекинга, реформинга и других на различные компоненты от водорода до углеводородов  $\text{C}_6$ ; напр., анализ пропана, включающий определение ~18 компонентов, занимает 20 мин. Комбинируя применение масс-спектрометра и инфракрасного фотометра, можно определять

с достаточной точностью как общее кол-во углеводородов определенного мол. веса, так и содержание различных изомеров. Н. Ланцис

58738. Специальные методы исследования смазочных материалов. Милер (Specijalne metode ispitivanja sredstava za mašćenje. Miller Jaroslav), Tekstil, 1956, 5, № 11, 1010—1017 (сербо-хорв.)

Описаны (по зарубежным данным) методы дополнительных испытаний смазочных материалов, применяемых в текстильной пром-сти. К. З.

58739. Капиллярная вискозиметрия консистентных смазок. Брунструм, Лит (Capillary viscometry of lubricating grease. Brunstrum L. G., Lee R. H.), Lubricat. Engng, 1956, 12, № 5, 316—322 (англ.)

Критически рассмотрены теория и методы определения кажущейся вязкости консистентных смазок. Библи. 23 назв. В. Синицын

58740 К. Опыт работы установок каталитического крекинга. Каиров Н. Т., Пригорнев И. Г. М., ГосИНТИ, 1957, 68 стр., илл., 2 р. 25 к.

58741 С. Испытание смазочных материалов. Определение зольности минеральных масел (Prüfung von Schmierstoffen. Bestimmung des Aschegehaltes von Mineralölen). Стандарт ФРГ 51575, 1957

58742 П. Процесс и аппарат для переработки нефти или аналогичного сырья (Procédé et appareil pour le traitement des pétroles bruts ou de matières premières analogues.) [Georges-Louis Castelain]. Франц. пат. 1129420, 21.01.57

Для получения бензина, газойля и других более легких углеводородов нефть или аналогичное сырье перед крекингом пропускают через трубчатую печь, трубки в которой расположены параллельно, наклонно или горизонтально. Процесс ведется при давл. 0,5—1,5 кг/см<sup>2</sup> и т-ре 300—400°. Катализатор (Al, Pt, Fe, Ni и т. д.) в порошкообразном состоянии засыпают непосредственно в обрабатываемую нефть и с током ее движется по трубам. Образующиеся при р-ции газы обогащают, пропуская их через жидкие нефтепродукты, полученные в результате конденсации нефтяных паров. Колонна для обогащения обогревается перегретым паром, проходящим через змеевик. М. Пасманик

58743 П. Процесс крекинга. Феррис (Process of cracking. Ferris Seymour W.) [Sun Oil Co.] Пат. США 2782145, 19.02.57

Процесс одновременного превращения тяжелой тяжелой нефтяной фракции (1) и прямогонного парафинистого лигроина (2) в низкокипящие углеводороды, состоящий в нагреве 1, поддерживаемой в жидкой фазе, до т-ры ниже т-ры крекинга (345—480°); нагревании термически стойкой ароматич. фракции, состоящей из бензола, толуола, ксилолов, этилбензола, нафталина или их смесей, поддерживаемой в жидкой фазе, до 540—705°; нагревании 2, кипящего в пределах выше 55° (190—260°), поддерживаемого в жидкой фазе, до т-ры начального крекинга (355—510°); практически одновременном смешивании жидких потоков трех перегретых исходных продуктов со скоростями, обеспечивающими т-ру образующейся смеси выше т-ры крекинга 1 и 2, при этом 1 и 2 частично превращаются в низкокипящие углеводороды без образования новых выделения этих углеводородов из реакционной смеси. Дана схема процесса. Г. Марголин

58744 П. Метод крекинга углеводородов (Verfahren zur Spaltung von Kohlenwasserstoffen) [Standard Oil Development Co.] Пат. ФРГ 947412, 16.08.56

Крекинг углеводородов, в частности тяжелых нефтяных остатков, производится в двух реакционных зонах — коксования на тонкоизмельченных коксовых

углеводоро-  
дородов  
Ландис  
ode ispi-  
oslav),  
ов.)  
ы допо-  
в, приме-  
К. 3.  
истенных  
viscometry  
G. Lee  
22 (англ.)  
и опре-  
е смазок  
Синицын

тического  
в И. Г.

О. Опре-  
ifung von  
haltes von

и нефти  
il pour la  
es premi-  
ранц. пат.

их боло-  
ое сырье  
ую пену,  
наклоны  
авл. 0,5-  
Pt, Fe, Ni  
аот непо-  
ом ее ос-  
ция газа  
тепродук-  
нефтяных  
тся пере-

Пасмани  
Process of  
Oil Co.]

селей хо-  
о парафи-  
водороды  
е жидкой  
°); нагре-  
и, состоя-  
зола, неф-  
в жидкой  
предела  
идкой фазы  
актически  
трех ве-  
обеспечи-  
т-ры при-  
щаются  
и кокса  
ой смеси  
Марголина  
(Verfahren  
andard Oil

ых неф-  
кционных  
коксом

частицах в псевдооживленном состоянии и расщепле-  
ния — крекинга с катализатором в псевдооживленном  
слое. М. Павловский

58745 П. Процесс и аппарат для превращения угле-  
водородов в расплавленной среде. Уоткинс (Pro-  
cess and apparatus for the conversion of hydrocarbo-  
naceous substances in a molten medium. Watkins  
Charles H.) [Universal Oil Products Co.] Пат. США  
2768935, 30.10.56

Патентуется процесс, включающий: превращение  
сырья в слое расплавленного катализатора (К); обра-  
зование суспензии продукта р-ции с расплавленным К;  
выход этой суспензии в вышерасположенную зону  
разделения на газовую фазу, слой жидкого продукта  
и нижний слой расплавленного К, который по верти-  
кальной соединительной трубе стекает в нижнюю  
часть аппарата и присоединяется к основной массе К.  
В качестве сырья можно брать нефтяную фракцию  
с т. кип. 204°; способ применим также для крекинга  
тяжелого углеводородного масла контактированием его  
с расплавленным К при т-ре 260—1090° и давлении от  
атмосферного до 350 ат. Прилагается схема аппарата.

П. Коржев

58746 П. Переработка углеводородов (Conversion of  
hydrocarbons) [The Houdry Process Corp.] Австрал.  
пат. 159637, 18.11.54

Для системы переработки углеводородов с использо-  
ванием циркулирующего каталитич. или другого гра-  
нулированного контактного материала (ГМ), который  
двигается в виде компактной массы сверху вниз в  
реакторе, имеющем одну или несколько зон обработ-  
ки. Затем ГМ поднимается снизу вверх при помощи  
лифта. Этот метод работы подобной системы вклю-  
чает непрерывную циркуляцию ГМ в условиях слабо-  
го истощения гранул.

Е. Самарин

58747 П. Установка для конверсии углеводородов.  
Колгард (Hydrocarbon conversion system. Koll-  
gaard Reuner) [Houdry Process Corp.] Пат.  
США 2775548, 25.12.56

Установка для конверсии углеводородов состоит из  
расположенных один над другим: нижнего регенера-  
тора (НР), реактора (Р) и верхнего регенератора (ВР).  
Контактный материал (КМ), движущийся по системе  
сверху вниз под действием силы тяжести, из НР в ВР  
подается четырьмя пневмоподъемниками (П). П со-  
стоит из дозатора, ствола и бункера. КМ с т-рой  
303—621° из ВР через затворный стоик поступает в Р,  
где вступает в контакт с подаваемым сюда сырьем.  
КМ после отделения от него продуктов конверсии по-  
ступает в НР, где частично регенерируется, причем  
оставшегося на нем кокса составляет 0,1—  
0,4 вес. %. КМ после регенерации в НР проходит ступе-  
нь частичного охлаждения, поэтому т-ра в НР  
361—610°. Со сравнительно низкой т-рой КМ посту-  
пает в дозатор П, где т-ра КМ недостаточна для про-  
изведения конверсии сырья в Р. Из дозатора по стояку  
КМ поступает в бункер, где КМ отделяется от  
транспортирующего газа. КМ по трубам поступает в  
НР для окончательного выжигания коксовых отложений,  
благодаря чему т-ра КМ поднимается до нужной т-ры  
конверсии. Транспортирующий газ через сепаратор  
пыли и мелочи, которые отделяются от него, выводит-  
ся наружу. В НР и ВР на регенерацию подается воз-  
дух, а отводятся газообразные продукты горения. На  
установке с производительностью 1680 м³ в сутки  
жидкая нагрузка регенератора 2730 кг/час. 4 транс-  
портных ствола с diam. 300 мм осуществляют цирку-  
ляцию КМ с diam. частиц 2—8 мм в кол-ве 250 т/час.  
Приведен температурный режим.

Ю. Коган

58748 П. Реактор с коллекторами для вывода газов.  
Боулз, Эванс (Reactor chamber with internal  
collectors. Bowles Vernon O., Evans Louis

P.) [Socony Mobil Oil Co., Inc.] Пат. США 2776876,  
8.01.57

Реактор (Р) для конверсии жидких углеводородов  
(напр., для каталитич. крекинга) контактированием  
с движущимся слоем гранулированного твердого тела  
(ГТ) представляет вертикально удлиненный сосуд с  
устройством для ввода сверху и вывода ГТ снизу Р,  
приспособленным для ввода жидкого сырья в верхнюю  
часть Р, коллекторами (К) для вывода реакционных  
газов, расположенными в нижней части Р в слое ГТ.  
К имеет форму удлиненных перевернутых желобов,  
открытых снизу и закрытых на концах, и размещены  
на нескольких горизонтальных уровнях, различающихся  
по вертикали. Каждый К имеет по всей длине гори-  
зонтальную перегородку (П), расположенную посере-  
дине высоты К, которая отгораживает газовое про-  
странство (П) в верхней части К. Для прохода газов  
из ГТ в ПП каждая П имеет ряд отверстий, равномерно  
расположенных по длине П на расстояниях ≤ 46 см  
один от другого, общая площадь отверстий всех К  
одного уровня увеличивается с понижением уровня.  
Каждый К имеет не менее одного патрубка для воз-  
врата в слой ГТ частиц ГТ, увлеченных с газом в ПП,  
причем каждый патрубок проходит через П и окан-  
чивается значительно ниже края своего К, но выше К,  
расположенных уровнем ниже. Снизу всех К под  
слоем ГТ расположена приемная камера газов из К,  
снабженная устройством для вывода газов из Р и  
сообщающаяся при помощи по крайней мере одной  
трубы с ПП каждого К; газы из ПП поступают в трубу  
через одно или несколько отверстий в стенке трубы;  
общая площадь всех этих отверстий у одного К боль-  
ше общей площади отверстий в П у того же К, так  
что движение газов из слоя ГТ к выходу ограничи-  
вается отверстиями в П.

А. Равикович

58749 П. Регенеративно-эксплуатируемый реактор  
крекинг-установки. Зеллин (Regenerativ betrie-  
bene Reaktor-Anlage. Sellin John. Friedr.) [Fa.  
Aug. Klönne]. Пат. ФРГ 1007923, 7.11.57

Патентуется реактор крекинг-установки, в котором  
конусообразная камера сгорания (КС) расположена  
на середине высоты башни; верхняя и нижняя части  
реактора служат регенератором. КС снабжена двумя  
направленными вверх и вниз форсунками. Для на-  
правления газов или паров к одной из этих форсунок  
служит «перекантовочная» стена, оформленная в виде  
клина и расположенная на уровне КС. С. Розенфельд

58750 П. Процесс каталитической конверсии угле-  
водородов в замкнутом цикле. Херш (Kreislaufver-  
fahren zur katalytischen Konvertierung von Kohlen-  
wasserstoffen. Hirsch Joel Herman) [Gulf Re-  
search & Development Co.] Пат. ФРГ 961474, 4.04.57

Патентуется процесс каталитич. конверсии углеводо-  
родов в присутствии H<sub>2</sub> под давлением. Система состо-  
ит из смесителя для смешения катализатора (К),  
суспендированного в H<sub>2</sub> (10—30 вес. ч.), с загрузкой,  
состоящей из газообразных и жидких углеводородов  
(1 вес. ч.), реактора (одного или нескольких, парал-  
лельно включенных), работающего при давл. 17—  
140 кг/см² (как и вся система) и т-ре 400—510°, и  
одного абшейдера для отделения К от продукта р-ции  
и непрореагировавшего H<sub>2</sub>. К непрерывно циркули-  
рует в системе, причем на большую его часть после  
отделения в абшейдере и перед повторной подачей в  
смеситель при 400° действуют H<sub>2</sub>, благодаря чему он  
освобождается от углеродсодержащих отложений, сни-  
жающих его активность. Остаток К по длинной, рас-  
ширяющейся трубке попадает в регенератор, рабо-  
тающий при нормальном или пониженном давлении.  
Регенерация осуществляется окислением кислородсо-  
держащими газами. Скорость движения и плотность  
К в газовом потоке регулируются введением добавоч-



ного потока газа (или пара), поступающего в расширяющуюся трубку у места ввода К, под меньшим давлением, чем в реакторе. Суспензия К, двигающаяся по этой трубке, поступает непосредственно в псевдоожиженный слой К в регенераторе и регенерируется при атмосферном давлении. Скорость движения смеси через реактор такова, что в один цикл происходит осаждение диспергированных частиц К, а следовательно, многократное их соприкосновение со свежими углеводородами исключено. Скорость движения суспензии благодаря увеличению сечения трубок в реакторе уменьшается так, что К по всей высоте реактора представляет собой относительно плотный псевдоожиженный слой.

М. Пасманик

**58751 П.** Частичное гидрирование нефтепродуктов, применяемых при каталитическом крекинге с целью получения моторных топлив. Чарлет, Ланно (Partial hydrogenation of feed oils employed in catalytic cracking to produce motor fuels. Charlet Elphege M., Lanneau Keith P.). [Esso Research and Engineering Co.]. Пат. США 2717864, 13.09.55

Известно, что ароматич. углеводороды (АУ), содержащие одно кольцо, такие, как бензол и его гомологи, ведут себя одинаково с парафиновым и нафтеновым сырьем при каталитич. крекинге (КК) в отношении выхода бензина и коксообразования, тогда как ароматич. соединения, содержащие 4 или более колец в молекуле, являются чрезвычайно сильными коксообразователями. АУ, содержащие 2 или 3 конденсированных кольца в молекуле, могут находиться в крекинг-сырье в сравнительно высоких конц-ях без опасности значительного понижения соотношения бензин:кок. После селективного удаления из ароматич. крекинг-сырья (газойля) АУ, содержащих 4 или более конденсированных ядра в молекуле, без воздействия на менее конденсированные АУ, полученное сырье подвергают КК при обычных условиях, причем значительно понижается коксообразование и повышается выход бензина. Селективное изъятие высококонденсированных АУ проводят методами адсорбционными и частичного гидрирования. В первом случае топливо пропускают через колонну, наполненную силикагелем или другим адсорбентом. Дальнейшая десорбция подходящим парафиновым или нафтеновым р-ителем производится так, чтобы в адсорбенте задержались только высококонденсированные АУ. Может применяться непрерывное пропускание топлива последовательно через адсорбционную промывную, десорбционную и регенерационную колонны, после чего цикл повторяется. Может быть проведено частичное гидрирование каталитич. обработкой сырья  $H_2$  в присутствии таких катализаторов, как металлы VI и VIII групп периодической таблицы, их оксиды или сульфиды и др. Гидрирование проводят при давл. 3,5—21 кг/см<sup>2</sup> и т-ре 30—535° с поглощением  $H_2$  в кол-ве 3,9—20,5 м<sup>3</sup> на 100 л сырья. Непрерывный автоматич. контроль процесса дает возможность прекратить поглощение  $H_2$  в момент полного гидрирования АУ, содержащих 4 или более конденсированных кольца в молекуле без существенного уменьшения общего содержания АУ в катализате. Полученный методом адсорбционного разделения рафинат или катализат частичного гидрирования подвергают КК с применением тонкодисперсного псевдоожиженного катализатора такого, как активированная земля или композиция силиката с  $Al_2O_3$ ,  $MgO$  или  $B_2O_3$  с величиной частиц 50—400 меш. Катализатор поддерживают в турбулентном состоянии газовым потоком, проходящим снизу вверх с линейной скоростью 0,09—1,5 м/сек. Катализатор непрерывно циркулирует между реактором и камерой регенерации; тепло от сжигаемого кокса употребляется для процесса крекинга, проходя-

щего при следующих условиях: т-ра 427—538°, давл. ~3,5 кг/см<sup>2</sup>, часовая скорость подачи сырья 4—5 вес. ч. на 1 вес. ч. катализатора, соотношение катализатор:сырье составляет 6:10.

**58752 П.** Реформинг углеводородов с псевдоожиженным платиновым катализатором и система для его подогрева. Хенгстебек, Оксенрейтер (Hydrocarbon reforming with fluidized platinum and heating system therefor. Hengstebeck Robert J., Oxenreiter Maurice F.). [Standard Oil Co.]. Пат. США 2776248, 1.01.57

Установка реформинга с псевдоожиженным Pt-катализатором (К) состоит из расположенных друг над другом регенератора, реактора (Р) высокого давления и подогревателя (П) низкого давления. В нижней части всех аппаратов расположены горизонтальные распределительные решетки (РР) для распределения потоков, создающих псевдоожиженный слой. К из Р регенератор и обратно поступает по двум стоянам транспортным труб. Трубы теплообменника, расположенные вертикально по периферии, внутри П в нижней своей части плавно изгибаются к центру, где входят в подъемную центральную трубу большого диаметра. Трубы теплообменника имеют продольные металлические ребра для увеличения поверхности теплообмена. Сырье (лигроин) прокачивается через печь и входит в Р под РР. После контакта с К продукты р-ции через циклонный сепаратор (С) и теплообменник для  $H_2$  подаются на фракционировку.  $H_2$  подается на циркуляцию, а газ, бензин и полимеры выводятся из системы. Часть полимеров, с увлеченными частицами К, прокачивается через змеевик, расположенный в Р, и в испаренном виде вводится над псевдоожиженным слоем. Часть К из Р непрерывно подается на регенерацию. Дымовые газы отводятся через фильтр вверх регенератора. Часть дымовых газов через теплообменник, холодильник, компрессор и снова теплообменник подается на транспорт К в смеси с воздухом. Приведены подробные данные по составу сырья, полученным продуктам, К, режиму работы, размерам аппаратов и их деталей.

Ю. Ром

**58753 П.** Каталитический реформинг синтетического углеводородов. Ворхис (Catalytic improvement of hydrocarbon synthesis product. Voorhies Alexia Jr.). [Esso Research and Engineering Co.]. Канада. Пат. 518758, 22.11.55

Жидкие углеводороды, получаемые из СО и  $H_2$  с катализатором (К) синтеза, выкипающие в пределах кипения бензина, содержащие кислородные соединения и большое кол-во  $\alpha$ -олефинов, нагревают до 427—525° в присутствии отработанного К крекинга, содержащего (в вес. %) 86—88  $SiO_2$ , 14—12  $Al_2O_3$  и иногда 0,3—1,0 соединений Fe и дезактивированного до определенной степени. Жидкие углеводороды подаются со скоростью 2—5 объем. холодного продукта на объем К в час. при стационарном режиме или 10—15 кг на 1 кг К в час при псевдоожиженном слое. При повышении подачи повышают в указанных пределах т-ру и наоборот. Дана схема.

Г. Марголин

**58754 П.** Рекуперация тепла и разделение продуктов при каталитическом реформинге. Ханна (Catalytic reforming heat recovery and product separation. Hannah Joe C.). [The Fluor Corp., Ltd.]. Пат. США 2741385, 21.06.55

Поток относительно легкокипящих углеводородов нагревают и пропускают через зону р-ции (ЗР) с находящимися в ней измельченным твердым катализатором (К). Выходящие из ЗР углеводороды с увлеченным К поступают выше в вертикально расположенную зону закалки (ЗЗ) и далее в зону перегонки, где пары и неиспаряющиеся углеводороды раздельно удаляются. Через ЗЗ непрерывно циркулирует поток высоко-

1958 г.

36°, дав.  
—5 вес. ч.  
катализ.  
Векслер  
оожижен-  
а для се-  
ер (Hy-  
num and  
Robert  
Oil Co.)

Р-жиз-  
друг над  
давления  
жней ча-  
льные ро-  
ления по-  
К из Р  
стоянка  
располо-  
П в жид-  
и, где по-  
шого да-  
ельные м-  
ельпооб-  
чь и по-  
кты р-ни  
енки для  
ла при-  
ся из си-  
тиками К,  
ный в Р,  
жизненным  
на реген-  
тр вверх  
пообмем-  
обменни-  
м. Приме-  
получае-  
м аппар-  
Ю. Котт  
етический  
ovement of  
Alexis  
Канада.

и H<sub>2</sub> с в-  
пределах  
соедине-  
от до 427-  
нга, содер-  
и, и вхо-  
о до опре-  
даются со-  
на объе-  
—15 кг и  
При поме-  
делах т-т  
Марголина  
продуктов  
(Catalytic  
tion. Наво  
Пат. США

еводородов  
(3Р) с ак-  
катализато-  
с увеличе-  
оложенну-  
и, где пар-  
удалит-  
ок высоко-

кипящих углеводородов из постороннего источника, находящийся в тесном контакте с содержащимися в ней парами, который затем пропускают в теплообменник, для непрямого теплообмена с углеводородами, не испарившимися в зоне перегонки. Из 33 удаляют побочный поток циркуляционного сырья, содержащий частички К, отделенные от паров. В. Шекин

58755 П. Метод гидроформинга нафтеновых углеводородов (Verfahren zum Hydroformieren von Naphthen-Kohlenwasserstoffen) [Standard Oil Development Co.] Пат. ФРГ 948001, 13.09.56

Гидроформинг проводят при 480—540° в присутствии H<sub>2</sub> со стационарным или подвижным Pt-катализатором на носителе, регенерация которого производится обжигом при 600° с газом, содержащим < 3% O<sub>2</sub>. Л. А.

58756 П. Изомеризация насыщенных углеводородов в присутствии конденсированного кольчатого соединения как ингибитора крекинга. Мак-Кинли, Монтгомери (Isomerization of saturated hydrocarbons in the presence of a polynuclear condensed ring compound as cracking inhibitor. McKinley Joseph B., Montgomery Charles W.) [Gulf Research and Development Co.] Пат. США 2762854, 11.08.56

Для понижения глубины крекинга при изомеризации насыщ. углеводородов (У), напр., имеющих явную цепь и 4—12 атомов С, в присутствии H<sub>2</sub> и катализатора (К) — оксидов V и сульфидов Mo, W, Fe, Co, Ni, NiO, NiWO<sub>4</sub> или CoMoO<sub>4</sub> три т-ре 413—538° и давл. 3,5 ат., к У добавляется конденсированное ароматич. соединение (АС) — напр., антрацен (I) или фенантрен; N-гетероциклич., напр., хинолин, акридин или индол или их гидрированные производные, — в кол-ве < 5 (0,1—3) % на У. АС может быть введено при т-ре изомеризации в парах и добавляться перед нагревом У до этой т-ры. Пример. Как К взят WS<sub>2</sub> (17,4 вес. %) на синтетич. алюмосиликатном носителе. В автоклав загружено: (вес. ч.) 54 н-бутана (II), 22 К и 6,5 H<sub>2</sub>. Изомеризация велась при ~427° в течение ~4 час., давление поднялось до 131 ат. Во 2-м опыте был добавлен I, 4,9 вес. % на II. Получено в 1-м и 2-м опытах: (вес. ч.) изобутана 12,5 и 11,3, II 77,8 и 84,9, продуктов крекирования и дегидрогенизации 9,7 и 3,8 (в том числе из I). А. Равикович

58757 П. Каталитическое алкилирование углеводородов в присутствии ацетилен и водорода. Хейн, Фрей (Catalytic alkylation of hydrocarbons in the presence of acetylene and hydrogen. Hepp Harold J., Frey Frederick E.) [Phillips Petroleum Co.] Пат. США 2781409, 12.02.57

Для получения диизопропила из изобутана и C<sub>2</sub>H<sub>4</sub>, содержащий C<sub>2</sub>H<sub>6</sub> или C<sub>3</sub>H<sub>8</sub>, газ подвергают крекингу при 800—1040°, под давл. до 1,4 ат., конверсия C<sub>2</sub>H<sub>6</sub> составляет 60—95% или пиролизу (при 815—870°, конверсия C<sub>2</sub>H<sub>6</sub> 73—82,5%). Образующийся продукт содержит 1—20 мол. % H<sub>2</sub>, считая на сырье (включая рециркулирующий изобутан), поступающее на алкилирование, C<sub>2</sub>H<sub>6</sub>, C<sub>2</sub>H<sub>4</sub>, C<sub>2</sub>H<sub>2</sub> в кол-ве более 0,03 вес. % на сырье, поступающее на алкилирование, C<sub>3</sub>H<sub>6</sub> и небольшие кол-ва бутана и бутиленов. После компримирования при 28,35 ат и удаления бутана, бутиленов и более тяжелых углеводородов оставшийся продукт подает вместе с изобутаном в смешанную фазу алкилирования изобутана C<sub>2</sub>H<sub>4</sub> в присутствии катализатора (жидкий комплекс AlCl<sub>3</sub> и углеводорода) при т-ре 26—65° и давл. 21—35 ат (14—35 ат) и затем выделяют алкилат, содержащийся в нем диизопропил. Даны схема процесса и список пат. с 1940 по 1954 г.

Г. Марголина  
58758 П. Деструктивная гидрогенизация углеводородных смесей, содержащих трудно испаряемые компоненты (Procédé d'hydrogénation destructive de mé-

langes d'hydrocarbures contenant des éléments difficilement vaporisables) [Gulf Research & Development Co.] Франц. пат. 1108859, 2.02.56

Предложен процесс каталитич. деструктивной гидрогенизации углеводородных смесей (С), содержащих трудноиспаряемые компоненты (напр., сырой нефти), с целью получения низкокипящих углеводородов. Углеводородная С контактирует вместе с H<sub>2</sub> с пористыми частицами катализатора (К) при т-ре 400—510° и давл. 17—140 атм; часть жидких компонентов сырьевой С находится в адсорбированном состоянии на поверхности зерен псевдооживленного К. С подается в таком кол-ве, чтобы не происходило ее накопления и слипания частиц К. К содержит окислы и сульфиды железа в С с окислами и сульфиды металлов левого столба VI группы периодической системы. К после отделения от продуктов р-ции вновь идет в цикл. Периодически производится его регенерация. Кол-во вводимых жидких компонентов сырьевой С не должно превышать объема пор К (20—50 вес. % на С). Литейная скорость подачи сырья 0,3—15 см/сек при т-ре и давлении процесса. Пример. К гидрокрекинга, состоящий из 1,5% окиси Ni и 4,71% окиси W, отложенных на микросферич. алюмосиликате с размером зерен 70—160 меш. Восстанавливается H<sub>2</sub> в реакторе при 480° и атмосферном давлении в течение 2 час. К охлаждается до 430° и давление H<sub>2</sub> в реакторе устанавливается 35 атм. Сырая нефть из Кувейта (2,5% S) нагревается вместе с H<sub>2</sub> в змеевике и вводится в реактор. H<sub>2</sub> подается в кол-ве 16,3 вес. % на сырье. В жидкой фазе содержится ~10% углеводородов. За рабочий период пропускается 3,48 кг сырья на 1 кг К при скорости подачи 0,87 кг сырья на 1 кг К в 1 час. После этого подача сырья прекращается, аппарат продувается H<sub>2</sub>, затем давление понижается, реактор продувается атмосферным азотом и К регенерируется нагретым воздухом при 550°. К охлаждается затем до 430° и начинается новый цикл. Рабочий период продолжается ~4 часа; периоды продувки в регенерации по 5 час. каждый. Выход жидких продуктов (до 200° выкипает 53%) с уд. в. 0,7984 и содержанием 0,21% достигает 90 вес. %.

В. Шекин  
58759 П. Реактор (Catalytic reactor.) [Ruhchemie A.-G. and Lurgi G. für Warmetechnik m. b. H.] Австрал. пат., 164297, 11.08.55

Предложен реактор для каталитич. гидрогенизации СО в углеводороды и О-соединения, состоящий из теплообменника и контактной печи. Катализатор помещается в трубах диам. 30—100 мм и высотой 4—20 м или между охлаждающими трубками в виде слоя толщиной 20—60 мм. Процесс ведут со скоростью газа 4—12 м/сек. М. Энглин

58760 П. Способ получения зернистого геля, содержащего SiO<sub>2</sub>. Пейн (Verfahren zur Herstellung von kieselensäurehaltigen Gelkörnern. Payne John Walter) [Socony-Vacuum Oil Co., Inc.] Пат. ФРГ 901049, 7.01.54

Гидрогель неорганич. окиси в соответствующем р-ре доводится до pH 7,5—9, р-р охлаждается (напр., до 10°) и вводится по каплям в жидкую или газообразную среду, не смешивающуюся с водой или эолом, где выдерживается до образования геля. Пример. На-силикат смешивают с сернокислым р-ром Al-сульфата и выливают по каплям в минер. масло. Путем надлежащего охлаждения р-ра при приготовлении гидрозоля и доводки pH до 7,5—9,0 получают легко высушиваемые зерна геля, применяемые в качестве адсорбентов и катализаторов, напр. для превращения тяжелых масел в бензин. См. также РЯХХим, 1955, 50909.

Б. Энглин  
58761 П. Очистка нефтяных фракций. Рампиньо (Refining petroleum fractions. Rampino Louis D.)



[Tide Water Associated Oil Co.]. Пат. США 2719410, 27.09.55

Предлагается способ очистки тяжелого лигроина каталитич. крекинга, содержащего 2—3% диолефинов и значительные кол-ва пиринов и азотистых оснований, заключающийся в удалении соединений двух последних типов (способствующих полимеризации диолефинов) путем контактирования лигроина в жидкой фазе при 135—205° с расплавленным KOH, содержащим  $\leq 30\%$   $H_2O$ , а затем с 40%-ной  $H_2SO_4$ . До обработки KOH сырье предварительно обрабатывается 7—30%-ным р-ром NaOH. В. Шекин

**58762 П.** Сероочистка углеводородов карбонилем металла из группы железа, нанесенным на адсорбент. Кимберлин, Мейсон (Desulfurization of hydrocarbons with an iron group carbonyl impregnated on an adsorbent. Kimberlin Charles Newton, Jr, Mason Ralph Burgess) [Esso Research and Engineering Co.]. Пат. США 2756182, 24.07.56

Предложен метод сероочистки смеси углеводородов контактированием с карбонилем металла (К) в течение 0,5—5 час. в присутствии зернистого твердого в-ва с большой уд. поверхностью ( $\geq 100 \text{ м}^2/\text{г}$ ); давление и т-ра процесса должны обеспечивать разложение К на металл и СО. Носитель не должен реагировать с К. Кол-во К должно быть таким, чтобы соотношение металла и S в сырье, находящемся в зоне, было не менее 1 моль/моль. Скорость подачи углеводородов  $\geq 0,25 \text{ кг/час}$  на 1 кг катализатора. Если в качестве металла применяется Ni, соотношение Ni:S должно быть 1—2 моль/моль, скорость подачи углеводородов 1 объем/объем катализатора в 1 час, т-ра 315—425°; в процессе очистки Ni реагирует с S-соединениями нефтяных фракций, образуя NiS. Сероочистку нефтяных фракций, выкипающих выше 400°, с содержанием S  $> 0,3 \text{ вес.}\%$  приводят при т-ре 260—400° (лучше 345°), давл. 27—72 ат, объемной скорости 0,5—2 объем/объем катализатора в 1 час, причем катализатором является Ni на активной глине или активированном угле. Сероочистка нефтяных фракций, выкипающих при т-ре выше 400°, с содержанием S  $> 1 \text{ вес.}\%$  производится в присутствии карбонида Ni на активированном угле с уд. поверхностью  $> 500 \text{ м}^2/\text{г}$  при объемной скорости 1 объем/объем К 1 час при т-ре 345°, давл. 35 ат и времени контакта углеводородов с катализатором 4 часа. Содержание К на активированном угле должно обеспечивать соотношение Ni:S от 1 до 2. К реагирует с S-соединениями с образованием NiS и CO. Нефтяные фракции и СО выводятся из зоны и разделяются. После этого производится конверсия Ni и Ni-соединений на активированном угле в карбонил Ni: пропускают углеводородный р-ритель через уголь для удаления из него нефтяных фракций, а затем р-ритель отдувают инертным газом, после чего через уголь пропускают СО при 10—65° и 35 ат. Н. Кельцев

**58763 П.** Очистка минеральных масел, содержащих серу, диалкилполисульфидом. Кейпелл, Райт (Refining of sulfur bearing mineral oils with dialkylpolysulfide. Capell Robert G., Wright James H.) [Gulf Research & Development Co.]. Пат. США 2768929, 30.10.56

Предложен способ очистки минер. масел (М) (сырой нефти, ее фракций, сланцевых М, продуктов переработки угля), содержащих S в виде элементарной S или S, легко выделяющейся из ее соединений. М контактируют при т-ре 4,4—37,8° с почти полностью не растворимым в М органич. полисульфидом (П), содержащим группу  $-S_n-$ , где n — целое число не менее 2. П может иметь углеводородные радикалы, а также другие группы, такие, как OH (напр., дитиогликоль). Время контакта варьирует в пределах от 5 до 60 мин. в зависимости от процента S в М. Кол-во реагента мо-

жет колебаться в широких пределах. Обработку производят как при перемешивании, так и перколяцией через П на твердом носителе (пемзе, глине и т. п.). Отделяют масляную фазу, почти полностью свободную от П, и с относительно уменьшенным содержанием S от П с увеличенным содержанием S. Можно применить и трисульфиды. Осерненный П подвергают регенерации и отделяют свободную элементарную S. Способ может служить для промышленного получения элементарной S из сернистых нефтей. Е. Покровский

**58764 П.** Экстракция масел растворителями. Манли (Solvent extraction on oil. Manley Robert E.) [The Texas Co.]. Пат. США 2745790, 15.05.56

Патентуется процесс сольвентной очистки масел, содержащих ароматич. компоненты, растворимые в жидком селективном р-рителе (Р), фурфуроле и имеющим истинные т-ры кипения в пределах т-ры кипения Р и ниже. Исходное сырье подвергается контактированию с Р в экстракционной зоне, при этом образуются экстракционная и рафинатная фазы (Ф), которые разделяются, выделяются из экстракционной зоны и перегоняются для получения дистиллята, содержащего Р и компоненты масла, кипящие в тех же пределах как и Р, остаточные жидкие продукты в основном свободны от Р. Усовершенствование заключается: в конденсировании упомянутого дистиллята с целью получения богатой Р жидкой Ф в контактировании этой Ф в стадии экстракции жидкость-жидкость, с высоко кипящим (начало кип. 305—325°), имеющим относительно высокий мол. в. и эффективным в отношении селективного растворения из этой богатой Р фазы ароматич. компонентов, кипящих в пределах кипения Р и ниже. В результате получается богатая Р жидкость с уменьшенным кол-вом растворенных в ней ароматич. компонентов, которая выводится и затем рециркулирует в экстракционную зону, куда загружается исходное сырье. Парафинистое масло с относительно высоким мол. н., обогащенное растворенными ароматич. компонентами, регенерируют в воде. Промывкой для извлечения содержащего Р и затем от него отгоняют ароматич. компоненты и рециркулируют непрерывно для последующей обработки богатой Р фазы. Дана схема процесса. Г. Марголина

**58765 П.** Экстракция растворителями и их регенерация. Фенске, Гейер (Solvent extraction and recovery of solvent. Fenske Merrell R., Geier Robert G.) [Esso Research and Engineering Co.]. Пат. США 2723940, 15.11.55

Предложен процесс разделения смесей углеводородов и получения рафината, богатого ароматич. углеводородами, путем экстракции р-рителем, состоящим из 35—60%  $NH_3$  и 65—40%  $CH_3NH_2$ . Особенность процесса: адиабатич. нагрев паров р-рителя при сжатии в компрессоре, наличие дистилляционной колонны и специфич. ступеней регенерации р-рителя. О. Кальникова

**58766 П.** Способ одновременной переработки отработанной и отбеливающей глины и кислого гудрона. Цудзи, Себи, Фудзин, Такэси. Японск. пат. 3976, 3.07.54

5 кг отработанной отбеливающей глины, полученной при очистке смазочного масла, смешивают с 5 кг кислого гудрона, полученного при обработке того же масла, нагревают 10 мин. при 180°, фильтруют в горячем состоянии и получают 2,7 кг топочного масла с уд. 0,898 и 7 кг кускового топлива. Г. Рабинович

**58767 П.** Непрерывный процесс перколяционной очистки. Пенник (Continuous percolation process. Pennick Joe E.) [Socony Mobil Oil Co., Inc.]. Пат. США 2771407, 20.11.56

В зоне очистки (30) контактируют при повышении

тре (напр., ~177°), опускающийся столб измельченного адсорбента (А) с размером частиц ~4—100 меш с поднимающимся потоком минер. масла (М); снизу 30 непрерывно выводит поток горячего отработанного А, содержащего углеродистые отложения, окрашивающие в-ва и М; поток отработанного А отмывают от М и части окрашивающих в-в в зоне промывки (ЗП) р-рителем (Р) (напр., лигрономом с т. кип. 99—150°), высушивают, регенерируют обжигом, охлаждают и возвращают в 30. Поток горячего А (т-ра которого может быть выше т-ры кипения Р), выведенный из 30, быстро охлаждают ниже т-ры кипения Р и ниже т-ры растворения Р значительной части (напр., >50%) окрашивающих в-в, адсорбированных А, для чего свободно падающий поток А, поперечное сечение которого меньше такового сечения столба А в ЗП, контактируют с холодной жидкостью одного типа с Р; затем охлажденный А пропускают через ЗП в виде опускающегося столба, занимающего значительную часть ЗП по высоте, противоточно поднимающемуся потоку Р, причем в ЗП над столбом А находится столб Р. В ЗП поддерживают т-ру ниже т-ры растворения значительной части (напр., >50%) окрашивающих в-в, адсорбированных А, путем регулирования т-ры Р, вводимого в ЗП. Промытый А выводят с низу ЗП. Смесь Р и отмытого М выводят из верхней части ЗП, фракционируют с получением Р и М, последнее применяют к свежему М, очищаемому в 30. Отмытое М не должно иметь более темную окраску, чем свежее М, или отмытое М не должно содержать окрашивающих в-в в кол-ве, вызывающем значительное снижение выхода очищенного М относительно А. Перегранный Р используют в процессе. Описаны примерная схема технологии процесса и 4 конструкции ЗП. А. Равикович 58768 П. **Фильтр для предварительной очистки жидких нефтепродуктов.** Гаррис (Pre-filter for use in refining. Harris Velma Claver). Пат. США 2754006, 10.07.56

Фильтр (Ф) состоит из прямоугольного сосуда (С) и фильтрующей коробки (К) с откидным днищем. Передняя стенка К прикреплена к выдвижной передней стенке С, установленной на лапах с роликами. При фильтрации передняя стенка С при помощи откидных болтов и герметизирующей прокладки плотно прижимается к боковым стенкам С, а для выгрузки осадка из Ф выдвигается вперед вместе с прикрепленной к ней К. При выгрузке осадка скобы, удерживающие днище К, отводятся в сторону и днище опускается, поворачиваясь вокруг оси. К состоит из рамы, образующей боковые стенки и крышку, и откидного днища, обтянутого фильтрующим материалом. В качестве фильтрующего материала используется материал с размерами пор, несколько большими, чем это необходимо для полного улавливания осадка, и наиболее мелкие частицы осадка проходят сквозь Ф. Их удаление производится на фильтр-прессах. Ф предложенной конструкции позволяет значительно ускорить процесс фильтрации и уменьшить затраты ручного труда. Ф может быть также использован для полного удаления осадка, если производить рециркуляцию очищаемых нефтепродуктов. В. Реутский

58769 П. **Экстракционный процесс для разделения ароматических и насыщенных углеводородов** (Extraction process for separating aromatic and saturated hydrocarbons) [Pittsburgh Consolidation Coal Co.]. Англ. пат. 733868, 20.07.55

Масло с т. кип. <350°, содержащее 5% фенолов, подвергается противоточной экстракции в вертикальной экстракционной колонне лигрономом (Л) с т. кип. 60—130° и уд. в. <0,8. Л подается в нижнюю часть, водн. р-р  $\text{CH}_3\text{OH}$ , содержащий 75—96%  $\text{CH}_3\text{OH}$ , в верхнюю, а масло в среднюю часть колонны. В результате

получают Л, содержащий насыщ. углеводороды и метанольный экстракт, содержащий ароматич. углеводороды, смесь фенолов и О-, N- и S-соединения. Процесс ведут при 15,5—48,9°.

Л. Иглицина 58770 П. **Обработка углеводородов амидами фосфорной кислоты.** Шалит, Уэллер (Treatment of hydrocarbons with phosphoric acid amides. Shalit Harold, Weller Sol W.) [Houdry Process Corp.]. Пат. США 2758956, 14.08.56

Патентуется метод обработки смеси жидких углеводородов амидом фосфорной к-ты (I). При этом происходит селективное удаление более полярных в-в. Общая ф-ла  $\text{I } \text{X} \text{Y} \text{O} = \text{P} - \text{NRR}'$ , где R — углеводородный радикал, R' содержит Н и углеводородный радикал, Х и Y содержат один кислород с двойной связью, —ОН-группы, —NRR'-радикалы и не более одной группы  $\text{O} = \text{P} - \text{NRR}'$ , связанной с Р через кислородную связь. Метод применим также для обработки смеси ароматич. и неароматич. углеводородов. Экстракцию производят в присутствии 5—50% воды. Если основной целью является обессеривание или удаление N-соединений, по крайней мере одна группа ОН должна быть связана с амидным N (напр., моно- или ди-(диметил)-амиды фосфорной к-ты), I может быть три- или монодиметиламидом ортофосфорной к-ты, тетрадиметиламидом пиррофосфорной к-ты, N-циклогексиламидом фосфорной к-ты, N-бензиламидом ортофосфорной к-ты. Смесь равных объемов бензола и циклогексана (52,5 вес.% бензола) при комнатной т-ре экстрагировали равным объемом р-ра, содержащего 80 об.% тридиметиламида ортофосфорной к-ты и 20% воды. После непродолжительного отстаивания получалось 2 слоя — водный и органический (последний составлял 60% от первоначального объема углеводородов). В водн. слое содержалось 67% бензола; для дальнейшей очистки необходима повторная экстракция. В другом случае тяжелые погоны масла каталитич. крекинга экстрагировали тем же р-ром в объемном соотношении 6:5. Выход рафината 92%;  $n_D^{20}$  вследствие уменьшения содержания ароматич. углеводородов снизился с 1,5120 до 1,4907. Содержание S также уменьшилось с 0,432 до 0,236 вес.%. При обработке легких погонов (т. кип. 210—380°) выход рафината составил 95,5 об.% при снижении содержания S на 30%. Значительно снижено и содержание ароматич. в-в. М. Пасманик

58771 П. **Способ разделения низкокипящих углеводородов в присутствии высококипящих** (Procédé pour l'extraction par adsorption d'hydrocarbures a bas point d'ébullition en partant de mélanges contenant également des constituants a point d'ébullition plus élevé) [Lab. fur Adsorption technik G. m. b. H.]. Франц. пат. 1039857, 12.10.53

Чтобы исключить вредное влияние высококипящих углеводородов (У) на адсорбцию низкокипящих У, смесь указанных У пропускают вначале через фильтр из активированного угля, а затем через адсорбционную колонну, где происходит непрерывное разделение газовой смеси адсорбцией на зернах активированного угля, поступающих сверху. Последующей десорбцией и фракционированием из газовой смеси, содержащей в 1 м<sup>3</sup> (г):  $\text{C}_6\text{H}_6$  2,6;  $\text{C}_2\text{H}_4$  23,2;  $\text{C}_2\text{H}_6$  12,5;  $\text{C}_3\text{H}_8$ ,  $\text{C}_3\text{H}_6$  и др. 4,1;  $\text{CO}_2$  4, выделяют  $\text{C}_2\text{H}_4$ ,  $\text{C}_2\text{H}_6$  и  $\text{C}_3\text{H}_8$  с конц-ией соответственно 88,9; 86,2 и 79,5%, а также высококипящих У. Б. Энглин

58772 П. **Выделение нафтенных кислот.** Джезл (Separation of naphthenic acids. Jezl James L.) [Sun Oil Co.]. Пат. США 2746989, 22.05.56

Метод выделения нафтенных к-т (I) из нефти или ее компонентов состоит: 1) в контактировании фракции, содержащей I, в зоне обработки (30) при т-ре 150—260° под давлением от 10 мм рт. ст. до 1 ат с из-



бытком расплавленного практически безводн. агента, состоящего из щел. соли органич. к-ты, имеющей константу диссоциации от  $1 \cdot 10^{-6}$  до  $3 \cdot 10^{-4}$  и т-ру кипения ниже таковой для I (напр., щел. соли муравьиной к-ты и небольшого кол-ва щел. соли уксусной к-ты); 2) в поддержании в 30 условий, способствующих испарению упомянутой органич. к-ты; 3) во взаимодействии I с указанной солью в 30 с образованием нафтеной щел. металла и свободной органич. к-ты; 4) в удалении последней в парообразном состоянии из 30; 5) в выделении щел. нафтеной из нефтяной фракции; 6) во взаимодействии свободной органич. к-ты с реагирующим щел. материалом с образованием щел. соли органич. к-ты; 7) во введении образовавшейся соли в 30 для дополнительного контактирования с нефтяной фракцией. Дана схема процесса.

Г. Марголина  
58773 П. Отгонка от мыльных растворов продуктов, растворимых в масле. Грекел, Хейсак (Process for stripping soap solutions containing oil-soluble chemicals. Grekel Howard, Hujsak Karol L.) [Stanolid Oil and Gas Co.]. Пат. США 2710831, 14.06.55

В процессе выделения растворимых в масле окисленных органич. в-в из водн. р-ров, содержащих 25—50 вес. % в основном поверхностнонеактивной соли растворимой в масле карбоновой к-ты, р-р которой имеет тенденцию вспениваться при перегонке, указанный р-р вводят в зону перегонки, отделяют головной погон, содержащий растворимые в масле продукты и воду, дают им расслоиться и часть верхнего слоя органич. в-ва возвращают в зону перегонки в кол-ве, достаточном для поддержания коэф. орошения не ниже 1,5.

Е. Покровская  
58774 П. Выделение ароматических углеводородов из их смесей с неароматическими углеводородами (Separation of aromatic hydrocarbons from mixtures thereof with nonaromatic hydrocarbons) [Standard Oil Development Co.]. Англ. пат. 718219, 10.11.54

Отделение ароматич. углеводородов от неароматич. с одинаковыми пределами т. кип. производят, пропуская первый углеводородный поток (с т. кип. между бензином и керосином) через слой пористого адсорбента, для абсорбции первой порции. Затем через тот же слой пропускают второй поток смеси с теми же пределами т. кип., содержащей ароматич. углеводороды с т. кип., отличными от первого, который может содержать неароматич. углеводороды с пределами кипения иными, чем в первой смеси. Первый поток продукта получают из слоя адсорбента, а первый и второй поток чистых ароматич. углеводородов получают в порядке дальнейших операций.

З. Векслер  
58775 П. Процесс извлечения металлов из нефти с последующим их гидрообессериванием. Сейфрид (Process for removing metals from crude oils and then hydrosulfurizing the crude oils. Seyfried Wilson D.) [Esso Research and Engineering Co.]. Пат. США 2772212, 27.11.56

Нефть (Н) в две ступени отмывается от золообразующих в-в водой. В следующей ступени для извлечения кислых в-в Н промывается р-ром, который может состоять из (вес. %): сульфоната Na 30,  $\text{Na}_2\text{SO}_4$  10, NaOH 1,  $\text{H}_2\text{O}$  59. Затем Н осушается и подвергается гидроdesульфированию на катализаторе, которым могут быть окислы или сульфиды V, Cr, Mn, Fe, Co, Ni, Mo, W или различные их комбинации. Сырьем в процессе могут быть также фракции Н с высоким содержанием золообразующих и кислых в-в, состоящих из нафтеновых к-т и их солей. Полученный из сырья после фракционирования бензин подвергается реформингу. Водород с реформинга поступает на ступень гидроочистки.

Ю. Коган  
58776 П. Разделение ароматических углеводородов  $\text{C}_8$  при помощи образования комплексов с трехбро-

мистой сурьмой. Никсон, Дил (Separation of  $\text{C}_8$  aromatic compounds by forming complexes with antimony tribromide. Nixon Alan C., Deal Carl H. Jr) [Shell Development Co.]. Пат. США 2768220, 23.10.56

Для выделения одного из углеводородов (У) смеси, состоящей из 5—40% *n*-килола (I) и *m*-килола (II) и (или) этилбензола, смесь У смешивают с таким кол-вом  $\text{SbBr}_3$  (III), чтобы при охлаждении выпал твердый комплекс (К) III с одним У. Полученный р-р охлаждают для образования К и маточного р-ра, К отделяют и из него выделяют У. В маточном р-ре меняют содержание III так, чтобы при охлаждении р-ра выпал К с одним из У, новый р-р охлаждают, выпавший К отделяют и из него выделяют У. III, выделенную из К, возвращают в процесс. Подбор кол-ва III, добавляемого к смеси У для образования К с определенным У, производят по фазовой диаграмме четверной смеси или по соответствующей диаграмме тройной смеси. К смеси (моли) из 23 I и 77 II добавляют 100 III, полученный р-р высушивают и охлаждают до  $\sim 14^\circ$ , образовавшийся К центрифугируют и промывают небольшим кол-вом I, К имеет т. пл.  $\sim 68^\circ$  и содержит 13,8 I и 27,7 III; К расплавляют и перегоняют с получением в погоне I и в остатке III; маточный р-р перегоняют с получением в погоне 9,2 I + 77 II и в остатке 72,3 III. Погон смешивают с 50 III и смесь охлаждают до  $\sim -32^\circ$ , образовавшийся К центрифугируют и промывают небольшим кол-вом II, К имеет т. пл.  $\sim 19^\circ$  и содержит 48 II и 48 III. К расплавляют и перегоняют с получением в погоне II и в остатке III; маточный р-р, содержащий 9,2 I, 29 II и 2 III, возвращают в процесс. Приведены фазовые диаграммы и технологич. схема процесса.

А. Равинович  
58777 П. Разделение килолов при помощи треххлористой сурьмы. Никсон, Дил (Separation of xylene with antimony trichloride. Nixon Alan C., Deal Carl H.) [Shell Development Co.]. Пат. США 2768222, 23.10.56

Для разделения смеси, 20—50 ч. *n*-килола (I) и 80—50 ч. *m*-килола (II), ее смешивают со  $\text{SbCl}_3$  (III) при повышенной т-ре и получают р-р; при этом кол-во III подбирают так ( $\geq 1$  моль III на 1 моль I + II), чтобы при охлаждении выпал твердый комплекс (К) III + I. Полученный р-р охлаждают для образования К III + I и эвтектич. маточного р-ра, К III + I отфильтровывают и из него выделяют I, напр., перегонкой. В полученном маточном р-ре снижают содержание III (для чего можно отогнать смесь I + II и затем смешать с измененным кол-вом III) и новый р-р охлаждают, в результате чего выпадает III + II, который отделяют; из К III + II выделяют затем II, напр., перегонкой. III, полученную из ТК, возвращают в процесс. Исходную смесь I + II можно вначале смешать с таким кол-вом III, чтобы при охлаждении выпал К III + II, тогда в маточном р-ре повышают содержание III и при охлаждении нового р-ра выделяется III + I. Приведены фазовые диаграммы и технологич. схема процесса.

А. Равинович  
58778 П. Парафиновая композиция. Тенч (Wax composition. Tench John D.) [Sun Oil Co.]. Пат. США 2773812, 11.12.56

В расплавленном состоянии смешивают 60—70 ч. парафина с т-рой плавления в интервале  $51,6-61^\circ$ , вязкостью 2,5—4,78 сст при  $99^\circ$ ,  $n_{D^{20}}$  1,419—1,423 и средним мол. в. 355—400; 25—35 ч. микрокристаллич. парафина, кипящего  $\sim 274^\circ$  при 2 мм рт. ст. Т. пл. его  $85-93^\circ$ , кинематич. вязкость при  $99^\circ$  16,14—18,60 сст,  $n_{D^{20}}$  1,435—1,438 и 2—40 ч. смазочного масла, уд. в.  $\sim 0,946$  с начальной точкой кипения выше  $315,5^\circ$ . Смесь дают затвердеть. Ее можно применять для покрытий

емкостей из фибры, предназначенных для упаковки молочных продуктов. М. Пасманик  
58779 П. Производство товарных парафинов. Любен, Штиблинг (Production of commercial paraffin waxes. Lüben Robert, Stiebling Ewald) [Ruhchemie Aktiengesellschaft]. Пат. США 2746983, 22.05.56

Из промышленных углеводородных смесей, содержащих парафины (П) и полученных преимущественно синтезом из СО и Н<sub>2</sub> в присутствии Fe-катализаторов под давл. 10—20 ат или Со-катализаторов, выделяют перегонкой фракции (Ф) с т. кип. > 320—340° и гидрируют при 200—260° и давл. > 5 ат в присутствии одного или нескольких металл. и окиснометаллич. катализаторов, преимущественно содержащих Ni и (или) Со, напр. состоящего из Ni, MgO и кизельгура и взятого в кол-ве ~ 10 объемн. ч. на Ф. Гидрированные Ф обрабатывают р-рителем (Р), способным растворять при охлаждении только масло, и выделяют таким путем П. В качестве Р может применяться пропиловый или изопропиловый спирт или смесь двух компонентов (К), способных образовывать при перегонке азеотропную смесь (АС) и из которых один (напр., С<sub>6</sub>H<sub>6</sub>, СНС<sub>2</sub> или СС<sub>4</sub>) хорошо растворяет высококипящие П, имеющие не менее 20 атомов С, а другой (напр., алифатич. спирт) слабо растворяет указанные П, причем последний К присутствует в избытке по сравнению с АС. В случае Р из двух К из оставшегося после выделения П-ра можно отогнать часть Р и повторить охлаждение и выделение П, повторяя эту операцию неоднократно. При первоначальном охлаждении выделяют твердый П, а при 2-м, после предварительного отгона АС, — обычный плиточный П, из оставшегося Р-ра удаляют перегонкой Р и получают мягкий П и масло. Пример. Ф была выделена из продукта, полученного синтезом из водяного газа с Fe-катализатором, 3000 г Ф, смешанной с 300 мл катализатора, состоящего из (ч.) 100 Ni, 12 МоО и 50 кизельгура, гидрировались в автоклаве на 5000 мл с перемешиванием смесью из (объемн. ч.) 85 Н<sub>2</sub> и 15 Н<sub>2</sub> при 250° и 50 ат в течение 90 мин. Ф до и после гидрирования соответственно: цвет серовато-желтый до светло-коричневого и белый, т. пл. (на вращающемся термометре) 94 и 94°, йодное число 3 и 0, пенетрация 17 и 8. 3000 гидрированной Ф были тонко измельчены и проэкстрагированы 15 л Р, состоящим из (объемн. ч.) 3 С<sub>6</sub>H<sub>6</sub> и 2 n-C<sub>4</sub>H<sub>9</sub>ОН. Из экстракта при 20° отделен на фильтре П в кол-ве (после удаления Р) 2100 г с т. пл. 90,5°. Из фильтрата отогнано 9,5 л Р, остаток профильтрован при 20°, после отгона Р получено 60 г П с т. пл. 50—52°.

А. Равинович  
58780 П. Обработка асфальтового битума для улучшения его сцепляемости. Хьюз, Стайн (Process of treating asphalt to improve its adhesion. Hughes Everett C., Stine Harrison M.) [The Standard Oil Co.]. Пат. США 2673164, 23.03.54

Для получения асфальтового битума с улучшенной сцепляемостью с каменным материалом в битум вводят небольшое кол-во присадки, состоящей главным образом из продукта, полученного при обработке сульфидов фосфора водой при нагревании под давлением в условиях, исключающих окисление, а смесь битума с присадкой нагревают до 100—260° в течение 4 часов.

А. Кузмина  
58781 П. Процесс получения ацетилена из углеводородов (Procédé de fabrication d'acétylène à partir d'hydrocarbures) [Kurashiki Rayon Co. Ltd.]. Франц. пат. 1118193, 1.06.56

Для получения ацетилена (I) нефтяные углеводороды, в основном насыщенные, подвергаются термич. крекингу при т-ре 700—900° и давл. < 300 мм рт. ст. в присутствии такого катализатора, как Cu, Ni. Крекинг-газ смешивается с 3—7 объемами газа-разбавителя и

подвергается термич. крекингу для получения I при давл. < 300 мм рт. ст. и т-ре 1000—1200° в присутствии такого катализатора, как Mo, W, Ni. Полученный I концентрируется и очищается удалением газов крекинга экстрагированием р-рителем. По другому варианту исходные углеводороды перед 1-й стадией крекинга испаряются нагреванием и смешиваются с перегретым водяным паром. Пример. Крекируют n-гексан при 750° в присутствии Cu-катализатора и получают газ крекинга, содержащий 34 об.% этилена и 18 об.% высших углеводородов. Разбавляют газ крекинга 6 объемами Н<sub>2</sub> и проводят термич. крекинг при 1050° под давл. 200 мм рт. ст. в присутствии Мо-катализатора. Получают 71 л I на 100 л крекинг-газа, образовавшегося в первой стадии процесса. Г. Марголина

58782 П. Производство ацетилена. Дорси (Production of acetylene. Dorsey William Smith) [Union Oil Co.]. Пат. США 2679543, 25.05.54

Предложен способ произ-ва С<sub>2</sub>H<sub>2</sub>, заключающийся в 1) нагреве реагирующих газов (РГ), состоящих из углеводорода и О<sub>2</sub>; до т-ры ниже начала р-ции, но достаточной для того, чтобы после смешения РГ с содержащим Н<sub>2</sub> циркулирующим газом (ЦГ) произошла экзотермич. р-ция, обеспечивающая достижение т-ры 1100—1500° и образование С<sub>2</sub>H<sub>2</sub> без катализатора при времени контакта 0,001—0,05 сек.; 2) охлаждении послереакционного газа (ПГ) путем теплообмена с жидкостью с т-рой кипения ниже т-ры ПГ, пары которой инертны по отношению к ПГ; 3) пропускании паров жидкости и ПГ двумя параллельными потоками, разделенными пористой диффузионной перегородкой при поддержании миним. разности давлений с обеих сторон ее, следствием чего является диффузия Н<sub>2</sub> через перегородку и образование ЦГ. С<sub>2</sub>H<sub>2</sub> выделяется затем из обедненного водородом ПГ.

В. Кельцев  
58783 П. Способ и аппаратура для производства ацетилена. Берг (Apparatus and process for acetylene production. Berg Clyde H. O.) [Union Oil Co.]. Пат. США 2679540, 25.05.54

Предложен способ произ-ва С<sub>2</sub>H<sub>2</sub> (I) частичным окислением без катализатора подогретой смеси углеводорода и О<sub>2</sub>-содержащего газа. В выходящую из реакционной зоны смесь вводят стабилизирующий I газ, напр. СО<sub>2</sub>, С<sub>2</sub>H<sub>6</sub>, С<sub>2</sub>H<sub>4</sub>, С<sub>4</sub>H<sub>10</sub>, и смесь направляют в адсорбционную колонку (АК) с движущимся слоем твердого адсорбента, для отделения I, непрореагировавшего углеводорода (НУ), Н<sub>2</sub> и других плохоадсорбируемых продуктов р-ции. НУ в смеси с О<sub>2</sub>-содержащим газом с добавкой для иницирования р-ции, газа, богатого Н<sub>2</sub>, возвращают в цикл, а I поступает на очистку. АК состоит из адсорбционной, ректификационной и десорбционной секций с трубопроводами для ввода и отвода газов и устройством для подъема адсорбента из нижней части колонны в верхнюю.

В. Кельцев  
58784 П. Выделение этилена из газообразной смеси. Стайлс (Separation of ethylene from a gaseous mixture. Stiles Samuel Robert) [The M. W. Kellogg Co.]. Пат. США 2769321, 6.11.56

При извлечении С<sub>2</sub>H<sub>2</sub> из смеси низкокипящих газов, содержащих также СН<sub>4</sub> и углеводороды с более высокой т-рой кипения, чем С<sub>2</sub>H<sub>2</sub>, смесь охлаждают до частичного снижения и разделяют фракционированием. Охлаждение ведут до т-ры, при которой сжимается большая часть С<sub>2</sub>H<sub>2</sub>. Охлаждение продолжают в теплообменнике № 1 потоком испаренного СН<sub>4</sub> под давлением и подают охлажд. массу в вертикально расположенную зону разделения пара и жидкости (1), выводя пар сверху, а жидкость снизу. Пар поступает в теплообменник № 2 с испаренным СН<sub>4</sub> при меньшем давлении, чем в теплообменнике № 1. При этом пар охлаждается и частично конденсируется. Пар и кон-



денсат поступают в зону разделения хвостового газа (II), содержащего большую часть  $\text{CH}_4$ . II расположена достаточно высоко, чтобы конденсат мог стекать самотеком в I. Отсюда жидкость поступает в теплообменник, где частично испаряется. Нагретую жидкость вводят в вертикально расположенную зону фракционирования (III), которая расположена ниже I, так что жидкость проходит через III самотеком. Пары отводят из верхней части III и соединяют их с загрузкой перед стадией охлаждения  $\text{CH}_4$ . Вторая порция жидкости стекает из нижней части I в верхнюю часть III и является для нее флегмой. Нижняя часть III имеет более высокую т-ру, чем верхняя ее часть. Из нижней части выводят жидкость, которая содержит большую часть введенного ацетилен, и извлекают его.

М. Пасманик

**58785 П. Улучшенное моторное топливо** (Carburant perfectionné pour moteurs) [Standard Oil Development Co.]. Франц. пат. 111136, 22.02.56

В качестве горючего для автомобильных и авиационных двигателей рекомендована смесь углеводородов типа бензина, содержащая 0,05—1 об. % высококипящего амина с 3—18 атомами С, напр. диметилформамида или морфолина. Смесь особенно эффективна в условиях высокой влажности и низких т-р; она может содержать антидетонационные, антиокислительные и другие присадки.

Г. Марголина

**58786 П. Стабилизация органических соединений.** Томпсон (Stabilization of organic compounds. Thompson Ralph B.) [Universal Oil Products Co.]. Пат. США 2746871, 22.05.56

Для предотвращения окисления органич. в-в, напр. углеводородов, в том числе крекинг-бензинов, или жира, в том числе свиного, к ним добавляют окиспироксман со спироксианом в положении 2, напр. 6,6'-диоксис-бис-2,2'-спироксман, 6,7,6',7'-тетраоксис-бис-2,2'-спироксман, 6,7,6',7'-тетраоксис-4,4',4'-тетраметилбис-2,2'-спироксман, бис-6,7-диоксис-3-триметил-2-спироксман или 6,6'-диоксис-4,4',4'-тетраметилбис-2,2'-спироксман (I) и др. в кол-ве, напр., 0,0001—1 вес. %. Пример. I был приготовлен конденсацией гидрохинона (II) с ацетоном (III): 33,6 г II растворено в смеси (мл): III 39, лед. уксусной к-ты 92, конц.  $\text{HCl}$  70, смесь была оставлена стоять 31 день, выделившийся осадок отфильтрован и перекристаллизован из смеси метанола и воды. Получен I, имеющий т-ру плавления 210—212°. Индукционный период (мин.) исходного крекинг-бензина 90, после добавления 0,075 вес. % I 660.

А. Равикович

**58787 П. Состав выносителя свинца.** Юст, Бейм (Lead scavenger compositions. Yust Venard E., Bame John L.) [Shell Development Co.]. Пат. США 2765220, 2.10.56

Патентуется состав выносителя свинца для этилированных бензинов (содержащих  $\text{Pb}(\text{C}_2\text{H}_5)_4$ ), содержащий, кроме галоидоуглеводородов (I) (напр., смесь дибром- и дихлорэтиленов или только дибромэтилен), в качестве в-ва, препятствующего загрязнению свечей, соединения фосфора с ф-лой  $\text{RO} = \text{P}(\text{O}) - (\text{OR})_2$  (напр., 3-(3,3,5-триметилциклогексил)-фосфат), где каждый R — полиалкилзамещенный циклогексильный радикал, содержащий  $\leq 15$  атомов С в замещающих углеводородных группах. I и соединения фосфора берутся в таком кол-ве, где а — число молей I, умноженное на  $1/2$  числа атомов галоида, приходящихся на каждый атом Pb в молекуле антидетонатора, и б — число молей фосфорного соединения, умноженное на  $3/2$  числа атомов Pb в антидетонаторе;  $a + b = 0,4$ — $2,0$ ,  $b = 0,01$ — $0,6$  и  $a/b = 3$  :  $2$ — $100$  :  $1$ . Напр., патентуются составы, содержащие в качестве выносителя дибромэтилен, тетрабромацетилен, гексахлорпропилен, гексахлорбутадие-1,3, гексахлорэтан, а в качестве фосфор-

содержащего соединения трициклогексил-, 3-(2,4-диметилциклогексил)-, 3-(4-этилциклогексил)-тионо, 2,6-диметилциклогексил-ди-(н-бутил)-, 3-(4-аллилциклогексил)-, 3-(3,3,5-триметилциклогексил)-, S,S-ди-(2-метил-4-этилциклогексил)-дитиол-, моно-3,3,5-триметилциклогексил-, 3-(2,6-диметил-4-бромциклогексил)-, 3-(4-1,1,3,3-тетраметилбутил-(циклогексил)-, триборнил-, 3-(2,6-диметил-4-трет-бутилциклогексил)-, 3-(циклогексен-2-)-, 3-(3-метилциклогексил)-тио-, этилди-(4-метилциклогексил)-, трициклопентил-, 3-(2-и-пропил-5-метилциклогексил)-фосфат или  $\text{N,N',N''}$ -трициклогексиламины фосфорной к-ты. Указанные соединения берутся в кол-ве 0,05—0,5 от теоретич. кол-ва (считая на Pb), а I в кол-ве 0,8—1,5 от теоретич.; кроме того, состав может содержать антиокислительные добавки. В. Шенк

**58788 П. Метод улучшения запаха бензина.** Биллинг (Verfahren zur Geruchsverbesserung von Benzin. Billig Reinhold) [Deutsche Vacuum Oel A.-G.]. Пат. ФРГ 933827, 6.10.55

Предложено серочистку бензина обработкой щелочью проводить в присутствии воздуха,  $\text{O}_2$  или других окислителей.

Н. Кельцев

**58789 П. Композиции для улучшения сгорания в двигателе внутреннего сгорания.** Беркман (Compositions for improving combustion in an internal combustion engine. Berkman Sophia) [Transonic Corp.]. Пат. США 2780602, 5.02.57

Композиция (К) для улучшения сгорания топлива в двигателе содержит указанные ниже тонкоизмельченные минералы (М), связанные в цементированной и хорошо перемешанной массе, которую можно заливать до затвердевания в спец. канавки или углубления днища поршня. В К входят (вес. % на К): М — катализаторы разложения углеводородов, напр., карнотит 1,85—5,48, плавиковый шпат 5,27—13,88, вольфрамат 2,08—7,4 и циркон 3,7—7,31; М — катализаторы дегидрогенизации углеводородов, напр. апатит 5,18—9,26, магнетит 1,8—7,4 и аргозит 9,4—18,5; М — катализаторы окисления, напр. борная к-та 2,98—3,07, Na-борат 0,9—3,7, улексит 1,9—3,13 и Colemanит 0,94—1,04; М — катализаторы р-ций с участием иона карбония, напр. рутил 2,24—5,18 и циркон 3,7—7,31; М — антидетонатор графит 7,08—13,88. В К можно также включать М виллемит 1,8—2,08, способствующий активации вследствие электронной эмиссии. Пример. Смесь (з): аргозита 5, Na-бората 1, графита 3,75, карборунда 3,75, плавикового шпата 3,75, белой слюды 1, Al-опилок 0,5, апатита 2,5, вольфрамита 2, магнетита 2, циркона 1, карнотита 0,5, перемешанная с  $\text{H}_2\text{O}$ , была залита в 6 концентрич. канавок в днище поршня двигателя CFR. Двигатель работал несколько часов на бензине каталитич. крекинга в стандартных условиях определения октанового числа: с обычным поршнем октановое число было 82, а с поршнем, содержащим К,  $> 100$ . Для бензина с октановым числом 49,5 и при использовании поршня с другой К октановое число повысилось до 67.

А. Равикович

**58790 П. Составы для удаления сажи.** Джонсон (Soot remover. Johnson Carl E.) [National Aluminate Corp.]. Канадск. пат. 519012, 29.11.55

Концентрат для удаления сажи состоит из топочного мазута и растворимой в масле Си-соли алифатич. карбоновой к-ты с разветвленной цепью с 5—12 атомами С, напр. 2-этилгексановой. Содержание Си 0,5—4% на топливо. К составу можно добавить о-дихлорбензол в соотношении  $\text{Cl} : \text{Cu} \geq 1 : 1$ . Добавка состава к топливу в кол-ве  $< 1\%$  снижает сажеобразование при сжигании топлива.

А. Равикович

**58791 П. Синтез углеводородов.** Кит (Process for synthesizing hydrocarbons. Keith Percival C.) [Hydrocarbon Research, Inc.]. Канад. пат. 518050, 31.11.55

Смесь  $\text{CO}$  и  $\text{H}_2$  в соотношении 1:2 проходит последовательно через две или более реакционные зоны с катализатором группы Fe, причем соотношение  $\text{H}_2$ : $\text{CO}$  в потоках, выходящих из зон, постепенно увеличивает-ся. Предложено остаточный газ, содержащий  $\text{CO}_2$  и легкие углеводороды, подвергать реформингу; в результате р-ции между  $\text{CO}_2$  и углеводородами образуется синтез-газ с относительно низким соотношением  $\text{H}_2$ : $\text{CO}$ . Соответствующей добавкой его к газу, выходя-щему из каждой зоны, во всех зонах поддерживается требуемое соотношение  $\text{H}_2$ : $\text{CO}$ . Н. Кельцев

58792 П. Загуститель для углеводородного горючего. Голденсон, Козн (Thickener for hydrocarbon fuels. Goldenison Jerome, Cohen Leonard) [United States of America as represented by the Secretary of the Army]. Пат. США 2769697, 6.11.56

Патентуется усовершенствование загустителя для защитительного жидкого углеводородного топлива и процесс его приготовления. Сгуститель из Al-мыла размазывают с 0,5—25 (5) вес.% аэрогеля  $\text{Al}_2\text{O}_3$ , вме-сто Al-мыла можно применять Al-мыла, полученные совместным осаждением смеси нафеновой, олеиновой и коксовой к-ты. В этом случае добавляют 0,3 вес.% (5 вес.%) аэрогеля. Полученный состав добавляют к жидкому углеводороду и перемешивают до образова-ния геля. Добавление загустителя способствует стаби-лизации получаемого геля. Пример. 95 г напалма и 5 г аэрогеля смешивали в шаровой мельнице; 15 г по-рошка добавляли к 235 г бензина. Сосуд плотно закры-вали и энергично встряхивали до прекращения оседа-ния частиц. Затем продолжали перемешивание еще не-которое время, после чегогель оставляли на хранение. Применявшийся бензин представлял собой смесь (в вес.%): бензина 18, циклогексана 20, n-гептана 57, изо-октана 5. Сравнивалась стабильность полученной проб-ы со стабильностью проб, полученных при добавле-нии  $\text{SiO}_2$  и без добавок. Добавление  $\text{Al}_2\text{O}_3$  дает значи-тельно лучшие результаты. Стабильность повышается соответственно в 1,15 и 1,34 раза. М. Пасманик

58793 П. Загустители для жидких углеводородов. Ван-Стрин, Таул, Хилл (Liquid hydrocarbon gelling agents. Van Strien Richard E., Towle Philip H., Hill Philip) [Standard Oil Co.]. Пат. США 2751361, 19.06.56

Композиция для загущения углеводородов, кипящих при 38—260°, применяемая в сухой и во влажной ат-мосфере, в кол-вах от 5 до 10 вес.%, состоит главным образом из тонко измельченных основных Al-солей ал-кановых к-т (алканатов) с разветвленной цепью, при-чем на один атом Al приходится два алканатных ради-кала с разветвленной цепью из 8—9 атомов C; развет-вленные части цепи состоят из групп  $\text{CH}_3$  и  $\text{C}_2\text{H}_5$ , при-чем первые преобладают; один радикал имеется во всяком случае в кол-ве от 10 до 50%, считая на все радикалы в смеси мыла. Композиция содержит <1,5% влаги, имеет размер частиц, позволяющий про-ходить через сито № 40 (стандарт США), об. в. 0,4—0,6 г/мл. Алканатными радикалами могут быть 2-этил-гексанаты и 3,3,5-триметилгексанаты, причем первые могут составлять от 10 до 50% всех радикалов. Ком-позиция может содержать 1—2% аэрогеля — анти-атомерирующего агента. Загуститель для бензинов со-стоит главным образом из основных октанатов Al с разветвленной цепью, ~ 10% и ~ 50% составляют 2-этилгексанатные радикалы, остальные радикалы — октанатные, разветвленные цепи которых содержат главным образом группы  $\text{CH}_3$  (метилгептанат, диме-тилгексанат). Для приготовления загустителя 1 моль  $\text{AlCl}_3$  тщательно перемешивается с 2 молями разб. водн. р-ра смеси алканатов Na с разветвленной цепью

и NaOH в соотношении, позволяющем получить основ-ное Al-мыло алкановой к-ты; отделяют водораствори-мые компоненты от основного Al-мыла, которое осаж-дается из водн. р-ра, сушат до содержания влаги  $\leq 1,5\%$  и измельчают. Сушка мыла может произво-диться в две ступени при 60 и 105°, а размельчение может производиться между ступенями сушки; со-держание влаги в этом случае составляет <0,6%.

Г. Марголина

58794 П. Смазочная композиция. Орозко (Lubrica-ting composition. Orozco Gilbert H.) [Pennsylva-nis Salt Manufacturing Co.]. Пат. США 2753304, 3.07.56

Композиция (K), смешиваемая с  $\text{H}_2\text{O}$ , предназна-чена для нанесения в смеси (C) с  $\text{H}_2\text{O}$  на металл при его обработке давлением. После высыхания C на по-верхности металла образуется хорошо пристающая однородная смазывающая и защитная пленка K. K со-стоит из (в ч.): 10—30 водорастворимого мыла с т. пл.  $\geq 36^\circ$ ; 70—90 водорастворимого неорганич. материала, не связывающего  $\text{H}_2\text{O}$  — буры или в-ва, большая часть которого является боратом цел. металла; 0,5—5 одного или нескольких вяжущих и пластификаторов (II) — сульфированных растительных и животных жиров, сульфированных ненасыщ. жирных к-т, полученных из указанных жиров (сульфированное — касторовое, хлопковое масло). Вместо II в K могут входить одно или несколько вяжущих в-в совместно с одним или не-сколькими новыми пластификаторами, входящими в том же суммарном кол-ве, что и II. Вяжущие в-ва являются поверхностно-активными водорастворимыми щелочнометаллич. солями органич. соединений, содер-жащих сульфогруппу, напр. щелочнометаллич. орга-нич. сульфаты (сульфаты алифатич. спиртов, в том числе Na-лаурилсульфат), или щелочнометаллич. суль-фаты, напр. диоктил-Na-сульфосукцинат и др. При-меры K (в ч.): 15 мыла из говяжьего сала; 83 буры; 2 сульфированного касторового масла; 15 мыла из масла какао; 48,5  $\text{K}_3\text{BO}_3$ ; 15  $\text{Na}_2\text{CO}_3$ ; 15  $\text{K}_3\text{PO}_4$ ; 5 Na-си-ликата; 1,5 (Na-лаурилсульфата + сурепного масла). Приводятся 60 рецептов. Для приготовления C можно брать 8—12 г K на 1 л  $\text{H}_2\text{O}$ . А. Равикович

58795 П. Масла для работы при высоких нагрузках. Хейнце, Мардер (Verfahren zur Herstellung von Hochdruckölen. Heinze Richard, Mar-der Maximilian) [Elisabeth Anna Dorothea Heinze, geb. Schnürch, Peter Heinze, Eckhard Michael Heinze — Mansfeld, Johanna Marder, geb. Raus und Cornelius Maximilian Marder]. Пат. ФРГ 925673, 28.03.55

Веретенное масло вязкостью при 50° 2,5 Е обраба-тывают при 200, 240 и 300° струей воздуха со скоро-стью 8 л/час в течение соответственно 68, 52 и 48 час., при этом  $\text{E}_{50}$  получаемых масел составляет 6,9; 7,8; 8,1. Смазочное масло с  $\text{E}_{50}$  6,1° обрабатывают в те-чение 20 час. при 200° воздухом со скоростью 16 л/час, после чего его вязкость повышается до  $\text{E}_{50} = 19,8$ .

Б. Энглин

58796 П. Смазочные композиции (Lubricating compo-sitions) [Naamlooze Vennootschap de Bataafsche Pet-roleum Maatschappij]. Англ. пат. 738442, 12.10.55

Смазочная композиция, применяемая в условиях высоких давлений, скоростей и т-р, состоит из сма-зочного масла и в меньшей части из кислой неорга-нич. соли в виде колл. частиц размером <10 м. Смазочное масло может быть минеральным или син-тетическим или их смесью; к нему можно примеши-вать небольшие кол-ва жирного масла. Соли неорга-нич. к-т могут быть металллическими или аммонийны-ми, напр.  $\text{Na}_2\text{HPO}_4$ ,  $\text{K}_2\text{HPO}_4$ ,  $(\text{NH}_4)_2\text{HPO}_4$ ,  $\text{NaH}_2\text{PO}_4$ ,  $\text{KH}_2\text{PO}_4$ ,  $(\text{NH}_4)\text{H}_2\text{PO}_4$ , кислые сульфаты, кислые сили-каты или их смеси. Соли могут применяться в смеси с борной, кремневой или поликремневой к-той. Сма-



зочное масло может содержать детергенты, антиоксиданты и пр. Г. Марголина

**58797 II.** Производство высушающего углеводородного масла. Джейрос, Глисон, Лирн (Hydrocarbon drying oil production. Jaros Stanley E., Gleason Anthony H., Leary Robert F.) [Esso Research and Engineering Co.]. Пат. США 2728801, 27.12.55

Смесь из 75—85 ч. бутадиена, 25—15 ч. стирола, 200—300 ч. прямогонной нефтяной фракции с т. кип. 150—200°, 10—35 ч. диоксана, 1—3 ч. мелкодробленного металл. Na и 10—20% изопропилового спирта (считая на Na), нагретая до т-ры 65—95°, пропускается через узкую цилиндрич. зону такой длины, чтобы время прохождения смеси было 5—30 мин.; затем смесь перемешивается в закрытом сосуде при той же т-ре до тех пор, пока не полимеризуется 65% мономеров. Поток частично полимеризованной смеси непрерывно выводится через вторую цилиндрич. зону с той же т-рой, при прохождении которой достигается полная полимеризация мономеров. М. Щекина

**58798 II.** Смазочная композиция. Харман, Моррис, Уотсон, Даймонд (Lubricating oil composition. Harman Denham, Morris Rupert C., Watson Forrest J., Diamond Human) [Shell Development Co.]. Пат. США 2725359, 29.11.55

Композиция состоит из минер. смазочного масла и 0,01—20% антиоксиданта, являющегося полифосфорорганич. соединением с общей ф-лой  $(R_1O)_2 PO-R-O-R-PO(OR)_2$ , где R — предельный углеводородный радикал  $C_1-C_{16}$ , а  $R_1$  — углеводородный радикал  $C_1-C_{12}$ . Пример синтеза антиоксиданта бис-(2-ди-н-бутилфосфоно)-этил-эфира: к 3 молям трибутилфосфата при 160° и давл. 40 мм медленно добавляют 1 моль бис-(2-бромэтил)-эфира и смесь нагревают до прекращения выделения  $C_4H_9Br$  и затем до 156° при 5,0 мм. Продукт р-ции обрабатывают 1,2 н. р-ром NaOH при нагревании, промывают водой и сушат при 150° и 5 мм. Кислотность 0,09; т. заст. 53,5°; вязкость при 37,8° 13,31 сст; индекс вязкости 113. Л. Иглицина

**58799 II.** Смазочное масло с диспергированным в нем магнием. Рейфф (Lubricating oil containing dispersed magnesium. Reiff Orland M.) [Socony Mobil Oil Co., Inc.]. Пат. США 2742427, 17.04.56

Патентуется применение тонкоизмельченного Mg с размером частиц  $\leq 45 \mu$  в качестве моющей и антикоррозионной присадки к маслам для двигателей внутреннего сгорания, вводимой в кол-ве 0,1—5% по весу. Для быстрого диспергирования Mg в масле в картере двигателя тонкоизмельченный металл смешивают с расплавленным парафином и по охлаждению таблетуют. Таблетки вводят в масло через маслозаливную трубу. Для создания стойкой дисперсии могут применяться диспергаторы. При сравнительном испытании масла без присадки и с Mg-присадкой на двигателе в первом случае получен износ подшипника на 557 мг и чистота деталей (по 100-балльной шкале) 65, во 2-м случае 75 мг и 79 соответственно. Э. Левина

**58800 II.** Смазки на основе природных и синтетических масел. Питерсон (Schmierfette auf natürlicher und/oder synthetischer Schmierölgrundlage. Peterson Walter Howard) [N. V. de Bataafsche Petroleum Maatschappij]. Пат. ФРГ 944627, 21.06.56

Смазка содержит в качестве загустителя гель или смесь гелей, в составе которых 35—65 вес.% приходится на поверхностно-активное в-во с малым содержанием воды, которые содержат также  $H_2S$  или водорастворимое органич. соединение с  $\leq 6$  атомами C и электрич. моментом  $1,2-2,8 \cdot 10^{18}$ , напр. этиленгликоль, молочную к-ту или алканоламин. П. Андреев

**58801 II.** Получение металлорганических фенолов (Preparation of basic metallic compounds of phenols)

[Naamlooze Vennootschap de Bataafsche Petroleum Maatschappij]. Англ. пат. 729376, 4.05.55

Смазочные составы содержат смазочное масло (большая часть) и 0,1—15% смеси металлалкилфенолов и металлалкилсалицилатов. Пример. Присадку получают путем р-ции смеси Na-алкилсалицилатов и Na-алкилфенолатов (алкилы содержат 14—18 атомов C) с  $CaCl_2$  и  $Ca(OH)_2$ . А. Равинович

**58802 II.** Некорродирующее масло, содержащее активную серу. Дейтсер, Крукшанк (Non-corrosive soluble oil containing active sulfur. Deutscher Alton J., Crookshank Fred T.) [Texaco Development Corp.]. Канадск. пат. 515925, 23.08.55

Патентуются эмульгирующие смазки, не корродирующие сталь в присутствии воды, состоящие в основном из осеренного минер. смазочного масла, содержащего слабо связанную активную серу, эмульгатора — мыла щел. металла или амина, связывающего агента — высококипящей органич. жидкости из группы, включающей алкиленгликоли, алкиленполигликоли и их сложные и простые эфиры (напр., несколько сложного эфира шестиатомного спирта и высокомолекулярных жирных к-т и их ангидридов), и антикоррозийной присадки — органич. алкиленполиамины из группы бензилалкилендиамин, салицилалкилендиамин и алифатич.  $C_1-C_3$  алкиленполиамины с 3—20 атомами C в молекуле. Состав масла (в вес.%): осеренного минер. масла 50—85, минер. смазочного масла 0—35, щел. сульфоната 3—15, резината щел. металла 0—6, нафтената щел. металла 0—6, свободных нафтенных к-т 0—0,8, монобутилового эфира этиленгликоля 0,4—1, дисалицилпропилендиамин 0,2—1 (или 0,1—2 диэтилентриамин), воды 1—4. М. Щенкина

**58803 II.** Эмульсионная масляная композиция (Emulsifiable oleaginous composition) [Esso Research & Engineering Co.]. Англ. пат. 738749, 19.10.55

Притодная в качестве смазочного материала для текстильного произ-ва композиция состоит в большей части из маслянистого продукта с растворенными в нем двумя эмульгаторами (Э): растворимым в воде и нерастворимым в воде. Каждый из этих Э должен быть растворим в маслянистом продукте во всех конечных выплюх до применяемой в данной композиции. Пример эмульсионного текстильного масла: смесь минер. веретенного масла, моноолеата этиленгликоля и Na-соли сульфорицинолевой и олеиновой к-т. Пример эмульсионной топливной композиции: керосин, моноолеат триэтиленгликоля, натриевая соль диоктилсульфоянтарной к-ты и вода. Е. Покровская

**58804 II.** Смазка для пневматических инструментов. Уоссон (Lubricant for pneumatic tools, and the like. Wasson Jones I.) [Standard Oil Development Co.]. Канадск. пат. 512567, 3.05.55

Состав смазки (в вес.%): минер. масла 92,4; шершного жира 2,0; Ca-сульфоната 0,6; сульфированного спермацетового масла (содержание S 10—20%) 3; трикрезилфосфата 1,0; полибутена с мол. в. 45000—30000 1,0. Н. Щеголов

**58805 II.** Комбинированная присадка к маслам, отличающаяся свойствами депрессора и детергента. Поппкин (Pour depressant-detergent additive combination. Popkin Alexander H.) [Esso Research and Engineering Co.]. Пат. США 2762774, 11.09.56

Патентуется минер. смазочное масло с пониженной т-рой застывания и лучшими моющими свойствами. В его состав входит 0,01—0,1 вес.% полимера, снижающего точку застывания и относящегося к группе, состоящей из полимеров сложного эфира метакриловой к-ты, сополимеров сложного эфира малеинол-к-ты и винилового соединения, и сополимеров слож-

ного эфира фумаровой к-ты (I) и винилового соединения (II). I содержит 8—18 атомов C, II — 4—20 атомов C. Кроме того, в композиции содержится 0,2—5 вес. % маслорастворимого фенолята щел.-зем. металла (Ca, Ba). Весовое отношение полимерного компонента к феноляту менее 0,06:1,00. Фенолят обрабатывают  $\text{CO}_2$  до его значительной абсорбции (0,5—5% от веса фенолята при т-ре 50—200°). Фенольным соединением может быть алкилфенол, алкилфенолсульфид. Фенолятом может служить Са-цетилфенолят. Обработку проводят со смесью, содержащей, кроме того, маслорастворимый нефтяной сульфат Са. Композиция может также состоять из 0,01—1 вес. % полимера сложного эфира метакриловой к-ты и смеси спиртов  $\text{C}_{10}$ — $\text{C}_{18}$ , полученных из гидрированного коксового масла, и 0,2—5 вес. % Ва-трет-октилфенилсульфида или Са-цетилфенолята, обработанного  $\text{CO}_2$ . Весовое отношение полимера к соли 0,06:1.

М. Пасманик

58806 П. Добавки к смазочным маслам. Грасль, Зимон (Zusätze zu Schmierölen. Grassl Georg, Simon Walter) [Badische Anilin- & Soda-Fabrik A.-G.] Пат. ФРГ 935206, 17.11.55

В качестве добавки к смазочным маслам предложено применять в кол-ве 0,3—10% от веса масла в-ва с общей ф-лой  $(\text{R})(\text{R}_1)\text{N}-\text{P}(=\text{X})(-\text{Y})(\text{Y}_1)$ , где R и  $\text{R}_1$  — органич. остатки; X — S, Se или Te; Y — галоид, а  $\text{Y}_1$  — галоид или S.

В. Кельцев

58807 П. Присадки к минеральным смазочным маслам. Айрольди, Урласс, Лотхаммер (Zusätze zu Schmiermitteln auf Mineralölbasis. Airolidi Hieronymus Frhr. v., Ullrich Rudolf, Lotthammer Rolf) [Mobil Oil Akt.-Ges. in Deutschland] Пат. ФРГ 945468, 12.07.56

В качестве присадок к минер. смазочным маслам, работающим при высоких нагрузках, предлагаются эсериновые экстракты, полученные из обычных минер. масел при селективной очистке и обогащении серой до 25%, в смеси с хлоритробензолом, бромдинатробензолом, β-динитрофенолом или нитробензолом.

Б. Энглин

58808 П. Стабилизация масел (Stabilization of oils) [Chemische Werke Albert]. Англ. пат. 736606, 14.09.55

Жирные или минер. масла, подвергнувшиеся окислению, стабилизируют блокированием перекисей взаимодействием их с алкомолятами (A) ди- и поливалентных металлов, напр. Fe, Al, Ti, особенно бутилатами и гексаметилатами этих металлов и этилатом Al. А могут быть стабилизированы смешением или взаимодействием с таутомерными соединениями, напр. эфирами ацетоуксусной и малоновой к-т, формилацетоном и формилацетофеноном. А можно растворять в органич. р-рителях; они добавляются к холодному или нагретому маслу. Твердые продукты р-ции удаляются фильтрацией или центрифугированием, а образующиеся алкомоли — отгонкой. Масло после обработки промывают водой.

З. Саблина

58809 П. Присадки к смазочным маслам. Дитрих, Веттер, Мертенс (Zusätze für Schmiermittel. Dietrich Wilhelm, Wetter Fritz, Mertens Hans-Joachim) [Chemische Werke Hüls — A.-G.] Пат. ФРГ 933048, 15.09.55

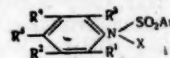
К минер. маслу с  $\text{E}_{50} = 18$ —20° добавляют (в %): дисульфида ксантогеновой к-ты, содержащей 1,29% S, 3,0; 6-бром-2,4-динитрофенола 0,15; монооктилового эфира полипропиленгликоля с мол. в. 1050 0,75; диглицеринмонооола 0,5; дибензилсульфида, содержащего 1,17% S, 4,5; 2,4-динитрофенола 0,15; моноэтилгексильного эфира полипропиленгликоля с мол. в. 1250 0,75; диглицеринмонооола 0,5.

Б. Энглин

58810 Д. Способ предотвращения или замедления окисления легко окисляемых органических веществ

(Verfahren zur Verhinderung bzw. Verzögerung der Oxydation leicht oxydierbarer organischer Stoffe [Standard Oil Development Co.] Пат. ФРГ 923487, 14.02.55)

К легко окисляемым органич. в-вам добавляют в кол-ве 0,2—0,4 вес. % антиоксидант, представляющий собой продукт конденсации арилсульфонилгалогенидов и азотсодержащих гетероциклич. соединений и имеющий общую ф-лу (I), где  $\text{R}_1$ — $\text{R}_5$  — атомы H или алкильные радикалы, присоединенные к кольцу, а X — атом галоида или OR или SR, где R — остаток



углеводорода. Лучший антиоксидант получен при конденсации пиридина или хинолина с бензолсульфонилхлоридом. Продукты, конденсации можно добавлять к алкил-Pb.

Л. Иглицина

58811 П. Моноотиоцианат нефтяного парафина. Отто (Paraffin wax monothiocyanate. Otto Ferdinand P.) [Socony-Vacuum Oil Co. Inc.] Пат. США 2680759, 8.06.54

При хлорировании парафина отделили фракцию монохлорида, обрабатывают ее неорганич. солью  $\text{HSCN}$  и получают присадку к маслу, употребляемую в качестве ингибитора окисления и коррозии при смазке подшипников (из твердых сплавов). Пример. 400 г монохлорида парафина, содержащего 10,5% Cl, 135 г тиоцианата аммония, 350 мл сивушного масла и 350 мл  $\text{m-C}_6\text{H}_4\text{OH}$ , перемешивают и нагревают с обратным холодильником в течение 20 час. при 130°. Образующийся  $\text{NH}_4\text{Cl}$  отфильтровывают, а из фильтрата при 150° и пониженном давлении отгоняют р-рители. Полученный осадок охлаждают до комнатной т-ры. Непроотреагировавший тиоцианат аммония отфильтровывают и получают сравнительно чистый моноотиоцианат парафина — легкое масло оранжевого цвета, содержащее (%): 7,58 S, 3,2 N и 0,53 Cl.

А. Нагаткина

58812 П. Изоляционное масло для кабелей. Бринкман, Лутер (Production of electric cables. Brinkmann K., Luther H.). Англ. пат. 732900, 29.06.55

Продукт алкилирования ароматич. углеводородов с мол. в. > 500, очищенный отбеливающей землей ( $\text{O}_3$ ,  $\text{SiO}_2$  или  $\text{Al}_2\text{O}_3$  при т-ре  $\geq 20^\circ$ ). Пример. Алкилат (вязкость при 50° 1200 сст; мол. в. > 500) от алкилирования  $\text{C}_6\text{H}_6$  или  $\text{C}_{10}\text{H}_8$  олефинами или хлорированным парафином в присутствии  $\text{AlCl}_3$  после отгонки фракции  $\text{C}_{12}$ — $\text{C}_{18}$  в боковой цепи нагревают с  $\text{O}_3$ .

Б. Энглин

58813 П. Смазочные составы с циклогексилбензидиновыми производными (Cyclohexyl benzidine compounds and mineral oil compositions containing same) [Farbenfabriken Bayer A.-G.] Англ. пат., 731323, 8.06.55

К минер. смазочному маслу добавляют 0,1—0,5 вес. %  $\text{N,N}'$ -дихлоргексил-3,3'-диалкилбензидина. Рекомендуется также добавление эфиров первичных алифатич. спиртов и фосфиновой к-ты, содержащей ароматич. радикалы. Пример добавок:  $\text{N,N}'$ -дихлоргексил-3,3'-диметилбензидин и соответственно 3,3'-диэтилгексилбензидин, а также бутиловый эфир бис-(*n*-хлорфенил)-фосфиновой к-ты.

Н. Кельцев

58814 П. Способ получения кабельных изоляционных масел. Бринкман, Лутер (Verfahren zur Gewinnung von Kabelisolerölen. Brinkmann Karl, Luther Horst). Пат. ФРГ 922848, 27.01.55

В качестве кабельных масел, обладающих улучшенными свойствами, предлагается использовать отходы процесса алкилирования  $\text{C}_6\text{H}_6$ , имеющие вязкость  $\sim 1200$  сст при 50° и мол. в. > 500, предварительно обработанные при обычной или повышенной т-ре та-



кими адсорбентами, как отбеливающая земля, силикагель или  $Al_2O_3$ . Обработка производится в присутствии р-рителя, напр. углеводородной фракции, выкипающей при 50—120°. Указанные отходы, обработанные отбеливающей землей в кол-ве ~10% при  $t$ -ре >80°, после фильтрации характеризуются величиной диэлектрич. потерь в области обычных  $t$ -р <5·10<sup>-4</sup>.

**58815 П.** Смазка. Дитрих, Веттер, Мертенс (Schmiermittel. Dietrich Wilhelm, Wetter Fritz, Mertens Hans-Joachim) [Chemische Werke Hüls A.-G.]. Пат. ФРГ 923318, 10.02.55

Производные полиалкилентглюксантогеновой к-ты с общей ф-лой  $R_1-X-(CH_2-CH(R_2)-O)_m-C(=S)-S-(CH_2-CH(R_2)-O)_n-R_2$ , где  $R_1$  и  $R_2$  — органич. радикалы;  $R$  — алкил, арил или H;  $X$  — S или O и  $m$  и  $n$  — целые числа; применяют в качестве масел или присадок к ним.

**58816 П.** Сложные эфиры, содержащие винилоксиалкоксигруппу (Esters of vinyloxyalkoxy containing alcohols and monocarboxylic acids and a process of producing same) [Rohm & Haas]. Англ. пат. 736397, 7.09.55

Эфиры с общей ф-лой  $CH_2=CHO(AO)_mCOR$ , где  $R$  — радикал, содержащий <17 атомов C,  $A$  — группа  $C_nH_{2n+1}$ , где  $n$  — число от 2 до 14, а  $m$  — число от 1 до 6, подвергаются полимеризации или сополимеризации с ненасыщ. соединениями, которые полимеризуются в присутствии кислого катализатора и образуют гетерополимеры с  $\alpha$ - и  $\beta$ -непредельными ангидридами к-т, напр. малеиновой. Продукты полимеризации в присутствии  $BF_3$ , напр. винилоксиэтиллаурата и винил- $n$ -бутилового эфира, при добавлении к смазочному маслу в кол-ве 0,25—0,5% являются депрессорами или присадками, улучшающими индекс вязкости масла.

**58817 П.** Смазка на основе полимеров тетрафторэтилена (Lubricating tetrafluoroethylene polymers) [Du Pont de Nemours and Co., E. I.]. Англ. пат., 732400, 15.06.55

100 г полимера тетрафторэтилена перемешивают с 7—45 мл органич. жидкости. Полученную смесь подвергают воздействию давления (по крайней мере 3,5 ат) до тех пор, пока смазка не станет однородной. Рекомендуется применять р-р полиизобутилена в углеводородном р-рителе типа лигроина или в жидком петролатуме с использованием пигмента, напр. желтого хрома.

**58818 П.** Консистентные смазки на основе синтетического смазочного масла. Котл, Янг, Морзуэй (Synthetic oil base lubricating grease compositions. Cottle Delmer L., Young David M., Morway Arnold J.) [Esso Research and Engng Co.]. Пат. США 2746924, 22.05.56

Смазка состоит из формала (Ф), загущенного металлич. мылом, преимущественно высокомолекулярной жирной к-ты (напр., насыщенной) и щел. металла. Ф  $(RO)_2CH_2$ , где  $R$  — радикал спирта с 8—20 атомами C и сильно разветвленной цепью, получаемого, напр., путем оксо-процесса из олефина, CO и  $H_2$ . Вместо Ф для изготовления смазки можно брать смесь Ф и комплексного эфира, приготавливаемого путем р-ции 2 молей полуэфира 2-этилгексанола и адипиновой к-ты с 1 молем тетраэтиленгликоля. Пример. (%) 7,5 Li-стеарата и 7,5 Li-оксистеарата диспергируют на холоду в 84,5 Ф спирта  $C_{10}$  из оксо-процесса, смесь нагревают при перемешивании до 204°, добавляют 0,5 фентазина (ингибитор), смазку охлаждают и гомогенизируют; пенетрация при 25° без перемешивания — 280, после 60 перемешиваний 300 и после 400 000 перемешиваний 360;  $t$ -ра каплепадения 185°, смазка не растворима в кипящей воде.

А. Равикович

**58819 П.** Консистентная смазка и способ ее приготовления. Вуде, Боллингер (Schmierfett und Verfahren zu seiner Herstellung. Woods Harold Albert, Bollinger Loren Charles) [N. V. de Bataafsche Petroleum Maatschappij]. Пат. ФРГ 941634, 12.04.56

В состав предложенной смазки входит в кол-ве 5—45% минер. масло с содержанием <10% ароматич. углеводородов, обладающее вязкостью при 37,7° 270—2400 сст и индексом вязкости >60, и в кол-ве 55—95% жидкий полисилоксан, напр., диметилполисилоксан с вязкостью при 37,7° 9—570 сст. Смазка может быть загущена добавкой в кол-ве 2—40% Na, K или Ca солей органич. к-т, а также содержать присадки и полициклич. спирты. Пример состава смазки (в %): I. На-мыла к-т пчелиного воска 10; Na-бензоата 3; цетилового спирта 3; жидкого диметилсилоксана 74; брайтстока 10. II. Жидкого диметилсилоксана 69,0; брайтстока 12,0; Na-мыла к-т пчелиного воска 11,0; Na-бензоата 3,0; фенил- $\alpha$ -нафтиламина 0,5; продукта р-ции скипидара с  $P_2S_5$  1,0; Zn-соли дибутылдиглициларбиновой к-ты 0,5; спиртов шерстяного жира 3,0.

**58820 П.** Смазки. Ноулс, Эккерт, Пуэрар (Lubricant containing soap of phosphated hydroxy fatty acid of glyceride. Knowles Edwin C., Eckert George W., Puryear Oney P.) [Texaco Development Corp.]. Канадск. пат. 509334, 18.01.55

Для приготовления консистентных смазок предлагается загущать жидкие смазочные масла добавлением 5—45 вес. % солей фосфорсодержащих жирных к-т, оксикислот или глицеридов этих к-т, напр. фосфатированного касторового масла с ф-лой  $(CH_2(CH_2)_nCH_2CH_2CH_2COO, где R = PO_2(OM)_2, a M = щел. металл.$

**58821 П.** Получение консистентных смазок из органических бентонитов. Эрикссон (Organophilic bentonite and greases produced therefrom. Erickson John G.) [General Mills, Inc.]. Пат. США 2767176, 16.10.56

В качестве консистентных смазок предлагается продукт взаимодействия бентонита с полимером, содержащим 2—5 остатков четвертичного аммониевого соединения (I), и четвертичным N-замещенным аммониевым соединением с 2 алкильными группами, каждая из которых содержит 8—22 атома C (II). I является продуктом взаимодействия третичных моно- или диаминов с атомами N в цикле, а замещающие алкильные радикалы содержат 1—22 атома C и дигалогид-замещ. соединения, в котором атомы галоида разделены алкиленовой группой с 2—6 атомами C или полиоксиалкиленовой группой, состоящей из 2—6 повторяющихся группировок атомов, каждая из которых содержит 2—6 атомов C. Атом N, входящий в II, или входит в гетероцикл или имеет еще 2 замещающих алкила с 1—4 атомами C. Кол-во I берется в эквивалентном соотношении <1:10 II, но достаточном для загустевания конечного продукта; общее кол-во I и II должно быть таким, чтобы все металлич. катионы бентонита могли быть замещены катионами I и II. Пример. Р-р 0,156 ч.  $(C_2H_5)_3Cl-N^+CH_2CH_2OCH_2CH_2OCH_2CH_2N^+Cl-(C_2H_5)_3$  (полученного из триэтиламина и триглициддихлорида) в воде был прибавлен к 2000 ч. 1%-ной водн. суспензии бентонита, к которой затем было прибавлено 11,0 ч. хлористого диметилдиглицидиламмония и изопропилового спирта. Образовавшийся осадок был отфильтрован и высушен. При измельчении смеси полученного продукта с тяжелым минер. маслом с содержанием 10% твердых частиц была получена консистентная смазка с густотой 400 ед.; густота аналогичной смазки без бентонитового комплекса 125.

С. Светов

58822 П. Комплексы из бентонита, полиамин и четвертичных аммониевых соединений. Эрикссон (Complexes of bentonite, polyamine and monoquaternary ammonium compounds. Erickson John G.). [General Mills, Inc.]. Пат. США 2767177, 16.10.56

В качестве консистентных смазок предлагается продукт, получаемый по способу, предусматриваемому пат. США 2767177, отличающийся от вышеуказанного лишь тем, что в нем вместо полимера, содержащего 2-5 остатков четвертичного аммониевого соединения, применяется полиамин, основные свойства которого достаточны для образования солей  $\text{CH}_3\text{COOH}$ , являющейся продуктом р-ции  $\text{NH}_3$ , или алкиламина с дигалоидоаммон. соединением. С. Светов

58823 П. Композиции гидравлических жидкостей. Баркер (Hydraulic fluid compositions. Barker George E.). [Atlas Powder Co.]. Пат. США 2755251, 17.07.56

Предлагаются следующие композиции гидравлич. жидкостей: 1. От 10 до 35% продуктов конденсации полиоксипропиленов с димеризованной ненасыщ. жирной к-той (напр., димеризованной линолевой), содержащих от 20 до 35 оксипропиленовых групп на 1 моль; от 65 до 90% смеси р-рителей, содержащих на 1 часть низших алифатич. гликолей от 2 до 4 частей низших алилэфиров низших алифатич. гликолей. 2. (в %) 15 полиоксипропиленового эфира димера линолевой к-ты, который содержит 25 оксипропиленового эфира димера линолевой к-ты, содержащего 25 оксипропиленовых групп на 1 моль (1); 12 диэтиленгликоли; 8 гексилентгликоли; 65 бутилового эфира этиленгликоля; 3. (в %) 25(1), 45 пропиленгликоли; 60 этилового эфира этиленгликоля. Пример. 250 г 20-оксипропиленового эфира димера линолевой к-ты растворяются в 750 г р-рителя, состоящего из 2-х бутилового эфира этиленгликоля и 1 ч. диэтиленгликоля. Светлый р-р имеет вязкость 6,7 сст при 54,5° и 1170 сст при -40°. Б. Энглин

58824 П. Присадки к гидростатическим гидравлическим жидкостям (Zusätze zu hydrostatischen hydraulischen Flüssigkeiten) [Farbwerke Hoechst A.-G. vormals Meister Lucius & Brüning, Alfred Teves Maschinen- und Armaturenfabrik K. G.]. Пат. ФРГ 1007459, 24.10.57

Как присадки к гидростатич. гидравлич. жидкостям (ГЖ) на основе безводн. многоатомных спиртов или эфирспиртов применяют не содержащие галогенов эфиры (Э) полигликолей или тиополигликолей и фосфорных или тиофосфорных к-т, Э должны иметь pH 7-8; вес. % Э в ГЖ 0,5-5. Добавка Э в ГЖ повышает смазочную способность и не ухудшает низкотемпературные свойства ГЖ. Вместе с Э в ГЖ можно добавлять эфиры борной к-ты, другие известные присадки для повышения смазочной способности и как ингибиторы ржавления неорганич. и (или) органич. соединения с буферным действием. Пример. Базовая ГЖ составлена из (вес. ч.) 43 смеси монобутиловых эфиров диэтилен- и триэтиленгликоля (~2:1), 6 смеси моноэтиловых эфиров диэтилен- и триэтиленгликоля 2:1, 17 диэтиленгликоля, 34 триэтиленгликоля и (0,3 Na-меркаптобензотриазола, в виде присадки добавлено 3 пентаэтиленгликоль-втор-фосфата, к которому предварительно был добавлен триэтиленгликоль до pH ~8,5 при определении в воде. р-ре 1:9, т-ра застывания полученной ГЖ -75°. Приведены данные испытания на четырехшариковой машине трения ряда ГЖ, показывающие, что добавка в ГЖ эфиров значительно повышает максим. нагрузку до задира. А. Равикович

58825 П. Гидравлические жидкости. Фридрих, Крауспенхар (Hydraulische Flüssigkeiten. Fried-

rich Hilde, Krauspenhaar Erich) [Anorgana G. m. b. H., Alfred Teves Maschinen- und Armaturenfabrik Kommandit-Ges.]. Пат. ФРГ 939045, 16.02.56

Для улучшения смазочных свойств гидравлич. жидкостей на основе гликолей предложено добавлять к ним в кол-ве 5-15% эфиров борной к-ты и одно- или полиатомных алифатич. спиртов, алканоламинов или тиополигликолей, напр. эфиры борной к-ты и триэтиленгликоля, глицерина, 1,3-бутиленгликоля и др.

В. Щеголев

58826 П. Смазочный состав для обработки металла. Енсе, Дейвис (Schmiermittel für die Metallbearbeitung. Iense Willem Frederik, Davies Cyril Brynmor) [N. V. De Bataafsche Petroleum Maatschappij]. Пат. ФРГ 918351, 23.09.54

На 100 г минер. масла добавляют 1-100 ч. полимера винил- или винилиденхлорида или их сополимера с различными ненасыщ. соединениями. Н. Щеголев

58827 П. Смазка для холодного волочения проволоки и подобных процессов. Кархарт (Cold working lubricant for wire and the like. Carhart Richard L.) [United States Steel Corp.]. Пат. США, 2736699, 28.02.56

Предложены смазки на основе мыла и солей Fe и Ca. Пример состава (в %):  $\text{FeSO}_4 \cdot 7\text{H}_2\text{O}$  или  $\text{Fe}(\text{SO}_4)_3 \cdot 9\text{H}_2\text{O}$  50; Са-стеарата 21,5; СаО 11;  $\text{CaCO}_3$  17,5.

К. Калайтан

58828 П. Смазочные композиции для волочения металлов (Lubricating compositions for use in drawing metals) [Esso Research & Engineering Co.]. Англ. пат. 736596, 14.09.35

Смазочная композиция состоит из минер. или синтетич. масла или смазки, содержащей щел. мыло одного или нескольких продуктов животного происхождения, напр. жирных к-т из говяжьего сала или китового жира (20-55%), растворимого масла и одного или нескольких эмульгаторов (напр., сульфоната или наftenата Na). В композицию могут быть добавлены различные присадки. Е. Покровская

58829 П. Спрессованный смазочный порошок. Уэбб (Lubricating powder pressed compacts. Webb G. W.) [Isthmian Metals Inc.]. Канадск. пат. 51275, 10.05.55

Металлические шарики погружают в 10%-ный р-р мыла в воде и затем сушат при 65° до получения на поверхности шариков сухой пленки мыла. Высушенные шарики помещают затем в контейнер, где они работают до износа пленки. Л. Андреев

58830 П. Определение воды в потоке сырой нефти. Уитт (Detection of water in crude oil flow. Witte Leendert de) [Continental Oil Co.]. Пат. США 2752562, 26.06.56

Метод основан на создании временно стабильной эмульсии (Э) воды в нефти или нефти в воде и измерения электрич. сопротивления, изменяющегося в зависимости от состава. Аппарат состоит из трубки с центробежным насосом и мотором. При быстром движении потока нефти насос не нужен. Выше расположен резервуар с эмульгатором и приспособлением для его вырыски. В трубе находится мешалка для смешения эмульсии, а над ней — электроды, присоединенные к измерительному прибору, для определения диэлектрич. константы потока в каждый данный момент. Измерения в скважине производят на различных уровнях. В местах поступления воды диэлектрич. константа изменяется. При создании Э воды в нефти в качестве эмульгаторов применяют сложные эфиры жирных к-т и низших многовалентных спиртов (моноолеат и моностеарат диэтиленгликоля) галоидоаммониевые четвертичные соединения и др., при создании Э нефть в воде — алифатич. сульфонаты, сложные



эфирной серной к-ты и спиртов с длинной цепью, первичные, вторичные и третичные аминоксоединения и аминомыла.

М. Пасманик  
58831 П. Методы и средства для определения загрязнения смазочных масел. Кунттон (Methods and means for indicating contamination of lubricating oil. Quinton Wayne E.) [Richard W. Wells, Ole Bar-dahl]. Пат. США 2752566, 26.06.56

Определение загрязнения смазочного масла основано на изменении его электропроводности, вызываемом присутствием суспендированных твердых частиц (смола, пыли, металла) или хим. продуктами, образовавшимися вследствие окисления или других хим. р-ций. Аппарат состоит из 3 горизонтально расположенных электродов (Э), из которых 2-й неподвижен, 1-й и 3-й могут быть установлены на желаемом расстоянии. Для определения присутствия твердых частиц расстояние между Э устанавливается в 0,05 мм, для жидких хим. продуктов 0,5 мм. Э покрывают тонкой сплошной пленкой масла и определяют сначала присутствие жидких продуктов, а затем сдвигают (избыточное масло выливается) и в той же пробе определяют присутствие твердых частиц. Неподвижный Э находится посередине, верхний служит для определения присутствия хим. продуктов, нижний — твердых частиц. Потенциалы, применяемые в обоих случаях, относятся, как 10 000 : 1.

М. Пасманик

См. также: Происхождение нефти и газов 57084, 57086—57090. Хим. переработка нефти 58290, 58291, 58297. Газообразное и жидкое горючее 58146, 58187, 58188, 58288, 58289; горение газов и нефти 56756, 56787. Ядерное горючее 57914—57918. Практикум по химии нефти 57526

## ЛЕСОХИМИЧЕСКИЕ ПРОИЗВОДСТВА. ГИДРОЛИЗНАЯ ПРОМЫШЛЕННОСТЬ

Редактор А. П. Хованская

58832. Новейшие исследования в области строения лигнина. Энквист (Den senaste utvecklingen av forskningen rörande ligninet struktur. Enkvist Terje), Tekn. kem. aikakauslehti, 1957, 14, № 19, 490—492 (шведск.; рез. англ.)

Обзор литературы за последние годы (1953—1957). Библ. 20 назв. Ю. Ч.

58833. Исследование связей между лигнином и другими компонентами древесины, в частности основной (Populus tremula). Аалтио (Investigations on the mode of combination of lignin in wood, with special reference to aspen (populus tremula) wood. Aaltio Erkki. Suomalaisen tiedeakat. toimituks., 1958, Sar., AII, № 88, 58 pp., ill.) (англ.)

Измельченную в муку древесину (Д) осины после экстрагирования ацетоном экстрагировали смесью бутанола и воды при 158° 4 часа и анализировали экстракт и нерастворимый остаток. Показано, что Д осины частично состоит из гомог. лигноуровового комплекса (ЛК). Более легко растворимая часть ЛК (с отношением лигнин:пентозаны (Л:П) ~ 0,75) происходит из срединной пластинки, более трудно растворимая часть ЛК (с отношением Л:П ~ 0,55) составляет основную стенку волокна. Целлюлоза, по-видимому, связана с вторым ЛК. Некоторая часть лигнина ЛК находится в свободном состоянии в срединной пластинке. Углеводный компонент ЛК содержит гомог. пентозан-уриид с отношением пентозаны:уриновые к-ты ~ 7. Фракции лигнина (Л) указанных ЛК структурно различны. Л легко растворимого ЛК содержит  $\text{CH}_3\text{O}$ -группы ~ 20—21%, трудно растворимого ЛК ~ 15%.  $\frac{3}{4}$  от кол-ва

углеводов первой водн. фракции состояли из полисахаридов, дающих при гидролизе d-килозу и 4-0-метил-глюкуронозидокислозу. В гидролизатах водн. фракций, кроме указанных выше сахаров, качественно обнаружены d-галактоза, d-галактуроновая к-та, l-арабиноза и следы d-маннозы и l-рамнозы. Подтверждено существование эфирных связей между цепями кислого ксилана и лигнина.

Из резюме автора

58834. Изучение длины цепей ксилана. Асаока, Сато (Studies on chainlength of xylan. Asaoka Hiroshi, Sato Jiro), Сипа гикэси, J. Japan. Techn. Assoc. Pulp and Paper Ind., 1957, 11, № 4, 604—609 (японск.; рез. англ.)

Длина цепей ксилана (К), извлеченного из бум. исследована с помощью определения вязкости (В) Cu-аммиачных р-ров. При конц-ии К > 5 г/л В Cu-аммиачных р-ров не меняется с градиентами скорости (время истечения 3 мл воды 10, 84,4 и 314 сек) и с составом р-ра (24 г Cu, 160 г  $\text{NH}_3$  и 10,6 г Cu, 204 г  $\text{NH}_3$ ), но при конц-иях К < 5 г/л наблюдаются значительные изменения В, поэтому В следует определять при конц-иях К 5—10 г/л. К легко гидролизуете горячей разб. HCl, но весьма устойчив к окислению в щелочной конц. щелочи. Однородность длины цепей К увеличивается при гидролизе. Условия диспергирования К в к-те в начальной стадии гидролиза могут значительно изменять выходы, длину цепей и полимолекулярность гидролизованного К. Определена длина цепей неустойчивого К: экстрагированного из бум. — степень полимеризации 100—150, из беленой бум. — сульфитной целлюлозы 50, из беленой 23. В 3 сериях опытов К с длиной цепей 60 и 20 прибавляли в кол-ве 0,7 и 2,1% к цел. целлюлозе после вываривания (исходный материал: 91,7%  $\alpha$ -, 4,6%  $\beta$ -целлюлозы, относительная В 4,8, пентозанов 1,73%) перед кислотным гидролизом, в каждой серии определены и сопоставлены В, числа Хоттенрота и прозрачности вискозиметра К с длинными цепями значительно больше влияет на свойства вискозиметра, чем с короткими.

Ю. Вендельштейн

58835. Возможность комплексного использования лесосечных отходов лиственницы сибирской. Митронова Т. Н., Научн. докл. высш. школы. Лесохим. дело, 1958, № 1, 169—171

Из веток и хвои лиственницы выделены отгонкой с паром эфирные масла в кол-ве 0,2—0,4% (к весу асб. сухого в-ва) и экстракцией горячей водой камеди в кол-ве 3,0—4,87%. Из остатков после перегонки и экстрагирования выделено 17—20% целлюлозы. Эфирное масло светлого или желтого цвета, с запахом лиственницы,  $d_{20}^{20}$  0,885,  $n_D^{20}$  1,5728, кислотное число 4,5—5,3, эфирное число 72,6, растворимость в 95%-ном спирте 1:1. Камеди окрашены в коричневый цвет, с водой дают колл. р-ры, обладающие клейкостью. Извлеченная варкой сульфатным методом при 170° 2 часа целлюлоза имела жесткость 6,5 ед. по шкале Тинда.

Ю. Чельцов

58836. Усовершенствованные способы подсокки для получения живицы в лесной промышленности Юта (США). Клемментс (Southern lumber industry profiting from modern gum naval stores extraction methods. Clements Ralph W.), South. Lumberman, 1957, 195, № 2441, 113—114 (англ.)

Описан способ подсокки, являющийся экономичнее более выгодным и менее трудоемким, по которому получают больший выход живицы при меньших кол-ве потерь. Подсокка по данному методу не вредит последующему использованию древесины. А. Сафьян  
58837. Влияние предварительной обработки древесных материалов разнообразными консервирующими веществами на последующее склеивание. Норкотт (How to glue pre-treated laminating stock

Northcott P. L.), Canad. Woodworker, 1957, 57, № 11, 47—49 (англ.)  
Обзор. Библ. 58 назв.

Е. Г.

58838. Испытание консервантов древесины. Румпф (Die Prüfung dem Holzschutzmittel. Rumpf K.); Schlägel und Eisen, 1958, № 3, 153—154 (нем.)

Кратко описаны существующие методы испытания ингибирующего по отношению к древесным грибам действия различных консервирующих в-в, методы исследования на поражение грибами, на глубину проникновения и степень выщелачивания консервантов, на горючесть пропитанной древесины и образование дыма.

Ю. Ч.

58839. Защита бревен от морских древоточцев. Траесселл (Protection of saw-logs against marine borers. Trussell P. C.), Canad. Pulp and Paper Ind., 1958, 11, № 2, 38 (англ.)

Силаваемые морем бревна опрыскивают р-ром арсенита Na. Установки для опрыскивания монтируют непосредственно на плотках.

З. Тукачинская

58840 П. Сульфобензиллигнин. Скарт (Sulfobenzyl lignins. Scarth Virgil) [Phillips Petroleum Co.] Пат. США 2775580, 25.12.56

Патентуются новые соединения общей ф-лы  $R^1R^2(OH)_2-m(OC(R^1)(R^2)C_6H_4SO_3R^3)_mR^5$  (I) (где R — остаток лигнина (Л), R<sup>1</sup> и R<sup>2</sup> — H или алкил, при этом группировка R<sup>1</sup>CR<sup>2</sup> содержит не более 4 атомов C, R<sup>3</sup> — H, NH, щел. или щел.-зем. металл; R<sup>4</sup> и R<sup>5</sup> — концевые группы молекулы Л, m — средняя степень замещения, n — число единиц на 1 моль Л), в частности соединения ф-лы I, где R<sup>1</sup> и R<sup>2</sup> — H, R<sup>3</sup> — H; R<sup>1</sup> и R<sup>2</sup> — H, R<sup>3</sup> — Na, R<sup>1</sup> — H; R<sup>2</sup> — CH<sub>3</sub>, R<sup>3</sup> — Na; R<sup>1</sup> — H, R<sup>2</sup> — C<sub>6</sub>H<sub>5</sub>, R<sup>3</sup> — Na; R<sup>1</sup> и R<sup>2</sup> — CH<sub>3</sub>, R<sup>3</sup> — Na; R<sup>1</sup> — CH<sub>3</sub>, R<sup>2</sup> — C<sub>6</sub>H<sub>5</sub>, R<sup>3</sup> — Na, а также способ получения соединений ф-лы I р-цией Л в щел. водн. или спирт. р-ре с соединением ф-лы α-R<sup>6</sup>—C(R<sup>1</sup>)(R<sup>2</sup>)C<sub>6</sub>H<sub>4</sub>SO<sub>3</sub>R<sup>3</sup> (где R<sup>6</sup> — галоген, напр. Cl или Br; R<sup>1</sup>, R<sup>2</sup> и R<sup>3</sup> — значения ф-лы I), напр. с α-галогидбензилсульфонатом, в частности с α-хлорбензилсульфонатом Na (II) или α-бромбензилсульфонатом. Патентуемые соединения Л уменьшают потерю воды в суспензиях гидравлич. цемента, увеличивают время его затвердевания, а также уменьшают потерю воды и повышают прочность геля буровых р-ров. Пример. 100 ч. соснового Л суспендируют в 500 ч. воды, прибавляют р-р 150 ч. NaOH в 250 ч. воды, размешивают при 55—65° до растворения, прибавляют 75 ч. II, размешивают 1 час, охлаждают до 50°, фильтруют, промывают 250 ч. воды и концентрируют 16 час. при 50°. Конц. р-р выливают в 5 объемов стандартного денатурированного спирта (ДС), декантируют, остаток (черная смола) растворяют в воде, выливают в 5 объемов смеси ДС и ацетона (50 : 50), декантируют, осадок растворяют в объеме CH<sub>3</sub>OH, равном 8-кратному объему воды, взятой для суспензии соснового Л, к р-ру прибавляют равный объем ДС, выпаривают досуха при 60°, остаток несколько раз экстрагируют абс. спиртом и фильтруют, получая черный порошок, который промывают абс. спиртом и эфиром, сушат в вакууме и получают 289,5 ч. в-ва, проба которого высушена над P<sub>2</sub>O<sub>5</sub> при 100°. Анализ: Na 22%, хлорида 1,58%, Na<sub>2</sub>CO<sub>3</sub> 37,8%, S 3,56%, т. е. 59,6%-ный Na-бензилсульфонат-Л со степенью замещения 1, 2 сульфобензильной группы и 0,9 Na на 1 ед. Л. Подобно первому примеру, но с применением р-ра NaOH в CH<sub>3</sub>OH, получено из 100 ч. соснового Л 122,5 ч. продукта, содержащего (по анализу) 69,2% Na-бензилсульфоната-Л с 1,5-сульфобензильной группой и 0,4 Na на 1 ед. Л.

Ю. Вендельштейн

58841 П. Фракционирование таллового масла. Фриман, Глоьер (Fractionation of Tall Oil. Freeman

Stephen E., Gloyer Stewart W.) [Pittsburgh Plate Glass Co.] Канадск. пат. 501497, 13.04.54.

Для выявления смоляных к-т (СК) из таллового масла (ТМ), содержащего, кроме того, жирные к-ты (ЖК), нагревают ТМ в присутствии минер. к-ты с одноосновным C<sub>1</sub>—C<sub>5</sub> спиртом, содержащим только C, H и O, до момента, когда ЖК оказываются протерифицированы полностью, а СК — лишь незначительно. Минер. к-ту отмыывают водой и обрабатывают продукт р-ции смесью керосина с не смешивающимся с ним долирным водн. р-рителем, напр. фурфуролом, содержащим 1—15% воды. Керосиновый слой содержит сложные эфиры ЖК и небольшое кол-во СК; фурфурольный слой содержит СК с примесью сложных эфиров ЖК. Соли разделяют, испаряют фурфурол и выделяют СК.

Б. М.

58842 П. Ректификационная колонна для разгонки ацетона-сырца, содержащего растворенные газы. Мора (Rektifizierturm zum Rektifizieren gashaltigen Rohacetons sowie anderer Flüssigkeiten. Mora Fernando Mario). Пат. ФРГ 960267, 21.03.57

Конструкция колонны для ректификации ацетона-сырца, содержащего растворенные газы, отличается тем, что в ней одновременно происходит последовательная обработка жидкого ацетона двумя различными реагентами, напр. щелочью, а затем минер. к-той. Колонна состоит из двух частей, разделенных дополнительным испарителем, конструкция которого обеспечивает отсутствие контакта между указанными выше реагентами. Потери тепла при такой конструкции меньше, чем в установке из двух отдельных колонн. Высота колонны также меньше суммарной высоты двух отдельных колонн. Колонна такой системы может быть использована во всех случаях, когда разгоняемая жидкость подвергается обработке различными реагентами.

Н. Дабатов

58843 П. Композиции для консервирования древесины (Composition for the preservation of timber) [Hickson's Timber Impregnation]. Англ. пат. 689200, 25.03.53

Композиция содержит в качестве активного начала ариларсоновые к-ты с общей ф-лой: RA<sub>3</sub>O(OH)<sub>2</sub> (I), а также соединения, обладающие или не обладающие консервирующим действием: NH<sub>4</sub>- или M-соли (M — щел. металл) хромовой и двуххромовой к-т, NH<sub>4</sub>F- или MF и NH<sub>4</sub>- или щел. соли моно-, ди- или триарсоновых к-т. В I R может быть фенильным или метилфенильным радикалом, содержащим в ядре NO<sub>2</sub>-группу и один или несколько Cl-атомов, а также замещ. или незамещ. нафтильным радикалом. Примеры: I нафтил-, о-хлорфенил-, о-нитрофенил- и 2,5-дихлорфениларсоновые к-ты. Содержание I в составе 3 = 12,5%, остальные ингредиенты содержатся в таком кол-ве, чтобы 2%-ный водн. р-р препарата при 15,5° имел pH 6,5—8,0. Пример состава: Na<sub>2</sub>CrO<sub>4</sub> или K<sub>2</sub>Cr<sub>2</sub>O<sub>7</sub>, NaF, Na<sub>2</sub>HAsO<sub>4</sub> и 2,5-дихлорфениларсоновая к-та в соотношении 37,5 : 25 : 25 : 12,5.

Ю. Б.

58844 П. Способ предохранения древесины от гнили. Цубон Такасати. Японск. пат. 2298, 5.04.55

Патентуется способ предохранительной обработки древесины (Д) с помощью легко проникающего в Д хим. состава. С этой целью в Д вводят смешанный р-р CuSO<sub>4</sub> и пентахлорфенолята щел. металлов совместно с катионно-поверхностно-активным в-вом. Пример. в 100 л воды растворяют 1,25 кг CuSO<sub>4</sub>; в 100 л воды растворяют 1,5 кг пентахлорфенола Na, вводят 1 л 30%-ного водн. р-ра олеилметилпиридинхлорида. Р-ры можно вводить в Д последовательно или в смешанном виде.

А. Фрадкин

58845 П. Способ фиксации смеси солей в древесине тепловой обработкой пропитанной растворами солей



древесины. Ионас (Verfahren zur Eixierung von Salzgemischen im Holz durch Wärmebehandlung des mit den Salzlösungen getränkten Holzes. Jonas Gerd-Zeno) [G. A. Pfeleiderer, Säge- und Imprägnierwerk]. Пат. ФРГ 1003422, 1.08.57

Для быстрой и надежной фиксации в древесине (Д) смеси растворимых в воде солей хромовой, плавиковой и мышьяковой к-т Д предварительно подсушивают до возможно более низкой влажности и обрабатывают горячим водяным паром после пропитки р-рами консервирующих в-в. Сравнительно с обычным способом выдерживания пропитанной древесины в плотных штабелях в течение многих недель указанная обработка способствует быстрой фиксации указанных солей (в течение нескольких часов) вследствие хим. связывания солей лигнином и предотвращает опасность кристаллизации солей, наблюдаемой при длительном хранении древесины после пропитки. Ю. Вендельштейн

**58846 П.** Способ повышения токсичности и увеличения фиксирования пропитывающих средств при пропитке древесины. Новаковский, Фольта, Пенчка (Sposób zwiększania toksyczności i odporności na wymywanie środków impregnacyjnych, zwłaszcza do drewna. Nowakowski Antoni, Folta Zbigniew, Pieczka Stefania). Польск. пат. 36946, 1.02.56

Рекомендуется добавление к любому известному пропитываемому в-ву (ПВ) смеси двух компонентов: типа красителя и типа дубителя. Эти в-ва, взятые в незначительных, почти молекулярных кол-вах по отношению к ПВ, способствуют связыванию ПВ и удержанию его волокном. Таким образом, может быть увеличена токсичность солей Fe, Mn, Zn и др. Дополнительное значение способа заключается в возможности использования для указанной цели отходом произ-ва красителей и дубителей. Е. Гурвич

**58847 П.** Приготовление растворимого в воде вещества для предохранения древесины от воздействия микроорганизмов. Энэкава Хидэо. Японск. пат. 2395, 11.04.55

0,7 ч. пента-хлорфенолята Na растворяют в 50 ч. воды, отдельно растворяют 0,7 ч.  $\text{CuSO}_4$  и 0,15 ч.  $\text{K}_2\text{Cr}_2\text{O}_7$  в 50 ч. воды, сливают р-ры вместе, выделяется фиолетово-красный осадок пента-хлорфенолята Cu, пропускают  $\text{NH}_3$  до полного исчезновения осадка. В результате р-ции получают комплексную соль, хорошо растворимую в воде. Приготовленный водн. р-р соли вводят в древесину, на которой после высушивания образуется тонкая пленка. Патентуемое в-во по свойствам и эффективности превосходит креозотовое масло. А. Фрадкий

**58848 П.** Способ пропитки дерева инсектицидом и получаемый продукт. Шуленбург (Process for impregnating wood with an insecticide and the resultant product. Schulenburg Wilhelm) [Deutsche Gold- und Silber-Scheideanstalt vormals Roessler]. Пат. США 2763579, 18.09.56

Для придания устойчивости к насекомым и грибам древесину (Д) пропитывают р-ром не полностью конденсированной смолы, получаемой конденсацией по меньшей мере 1 альдегида, напр.  $\text{HCHO}$ , параформальдегида (I) или акролина (II) со способным конденсироваться азотистым соединением, напр. мочевиной (III), тиомочевиной, гуанидином (IV), дициандиамином (V) или меламинам (VI) и р-ром тиоцианата Zn (VII), при соотношении (в вес. ч.) смола: VII (0,5—4):1, в частности р-ром смолы, полученной конденсацией IV, тиоцианата, VI и  $\text{HCHO}$  в присутствии  $\text{H}_2\text{SO}_4$  и р-ром VII. Одновременно с указанными в-вами Д можно пропитывать р-ром растворимого тиоциана-

та — Hg и дополнительно — анилином (VIII). Патентуемый состав, при высоких инсектицидных и фунгицидных свойствах трудно выпечлачивается из Д и не корродирует металлы. VII в 6 раз активнее, чем  $\text{NH}_4\text{CNS}$ , по отношению к *Conipora cerebella* (C. c.) и в 14 раз по отношению к *Merulius domesticus*. К пропитываемым составам можно добавлять в-ва, придающие огнестойкость, красители, другие инсектициды или фунгициды. Примеры. (а). Сосновые блоки пропитывают р-ром VII до содержания VII 800 г/м Д. Смолу, полученную нагреванием 2 часа при 70—75° 200 г V, 147 мл 37%-ного р-ра  $\text{HCHO}$  и 30 мл 98%-ной  $\text{CH}_3\text{COOH}$ , разбавляют водой, р-ром пропитывают образцы. При испытании на разрушающее действие *Lenzites abietina* (L. a.) и *Con. cerebella* в течение 4 месяцев пропитанные образцы не обнаруживают потери в весе, непропитанные потеряли 22%. Д обрабатывают р-ром указанной смолы и затем VII до содержания 2,75 кг/м<sup>3</sup> и подвергают выпечлачиванию в жестких условиях и последующему действию C. c. и L. a.; результаты аналогичны указанным выше. Пропитанная Д устойчива к хранению на земле. (б). Смесь 200 г III, 50 мл воды и 3,4 г лед.  $\text{CH}_3\text{COOH}$  нагревают до 50°, прибавляют 23,5 г II, поднимают т-ру на 0,5 часа до 70°, охлаждают, при 40° прибавляют 830 г 30%-ного р-ра  $\text{HCHO}$ , нагревают 30 мин. при 85—90°, охлаждают, разбавляют водой, смешивают с 3%-ным водн. р-ром VII и пропитывают Д. После высушивания пропитывают 3%-ным водн. р-ром VIII. Образующийся в Д трудно растворимый комплекс VII и VIII придает Д особую устойчивость и окрашивает его в желтый цвет. В других примерах показано применение смолы, получаемой конденсацией IV, тиоцианата, VI с I и  $\text{HCHO}$  в присутствии  $\text{H}_2\text{SO}_4$ , в сочетании с VII, арсенатом — Na, Hg(CNS)<sub>2</sub> в р-ре KCN и  $\text{HgCl}_2$  в р-ре NaCl. Ю. Вендельштейн

**58849 П.** Композиции консервирующих веществ, задерживающих воспламенение древесины. Фалстром (Fire retardant wood preserving composition. Fahlstrom George B.) [Osmose Wood Preserving Co. of America, Inc.]. Пат. США 2757424, 31.07.56

Для уменьшения воспламеняемости древесины (Д) ее поверхность обрабатывают пропиточной жидкостью (ПЖ), содержащей растворимые в минер. маслах фунгициды, напр. полихлорфенол (ПХФ), растворенные в способном к воспламенению нефтяном р-рителе (НР) и негорючей смеси хлорированных углеводородов, являющейся продуктом дегидратации остатка после превращения (перегонкой) тетрачлорэтана в трихлорэтилен (ТХЭ) с т. кип. 165—210°. Вес. отношение НР и ТХЭ в смеси ≤ 3:1, а конц-ция ПХФ в смеси от 102 г до 340,5 г в 3,78 л. После обработки ПЖ Д теряет воспламеняемость вследствие улетучивания низкокипящих воспламеняющихся компонентов. В качестве фунгицидов применяют пентахлорфенол (I), тетрачлорфенол, трихлорфенол, 2-хлор-о-фенилфенол и нафтенаты Cu, Fe или Zn. Примеры. (а). 19,7 кг 95%-ного техн. I растворяют в 17,3 кг минер. масла (ММ) уд. в. 0,9965, т. воспл. 101,7°, т. кип. 226,7—407,8° и 9,1 кг 4-окси-4-метилпентанона-2, получая р-р уд. в. 1,16. 1 вес. ч. р-ра разбавляют 9 вес. ч. ТХЭ и получают ~ 4 вес. %-ный р-р I. В случае кристаллизации I на поверхности Д к р-ру I добавляют в-ва, препятствующие выделению I, напр. сосновое масло, эфирные камеди, спец. смолы или некоторые высшие спирты. После обработки Д летучие, легко воспламеняющиеся компоненты ПЖ испаряются, а остающийся ТХЭ сообщает Д огнестойкость. (б). 1,7 кг ММ уд. в. 0,78—0,79, с т. воспл. 37,8—46,7°, т. кип. 50% масла < 177° и верхним пределом кипения не выше 210°, смешивают с 0,27 кг высокомолекулярного спирта

«Стерон 110», 0,4 кг р-ра I примера (а) и 1,53 кг ТХЭ. Через 1 день после обработки Д этим составом при  $t = 21-24^\circ$  и слабом ветре Д становится огневстойкой; (в). 0,17 кг I растворяют при слабом нагревании в 1,8 кг ТХЭ, 1,74 кг ММ примера (б) и 0,34 кг «Стерок-Ю. Вендельштейн».

См. также: Дубители из березовой коры 59697. Очистка подсмольных вод 57864

## ЖИРЫ И МАСЛА. ВОСКИ.

### МЫЛА. МОЮЩИЕ СРЕДСТВА. ФЛОТОРЕАГЕНТЫ

Редактор А. А. Зиновьев

58850. Регулирование влажности зернистых материалов. Скарлетт (Control of moisture in granular products. Scarlett Wm. J.), Food Technol., 1957, 11, № 10, 532—535 (англ.)

Описан примененный в производственных условиях способ регулирования влагосодержания хлопковой мятки (М) для обеспечения оптимальных условий ее переработки. М перемещается к жаровням многоэтажными шнековыми транспортерами и обрызгивается водой из аппаратов, установленных в начале первого и второго проходов транспортера. Небольшая и одинаковая скорость вращения всех шнеков обеспечивает достаточную продолжительность пребывания М в транспортере, однородность увлажнения всех ее частиц и требуемое уплотнение. Перед выходом из нижнего прохода транспортера установлен щуп для отбора пробы, влагосодержание которой определяется электровлажноммером. Последний соединен с клапаном, с помощью которого достигается автоматич. увеличение или уменьшение подачи воды для увлажнения М в зависимости от влажности выходящей из транспортера М. Приведены общий вид многоэтажного транспортера, пробоотборника, электровлажноммера, регулировки подвода воды для увлажнения М и схема размещения составных частей всей установки для регулирования влагосодержания М.

Г. Фрид  
58851. Экономическая оценка технологических схем переработки семян подсолнечника на маслозаводах СССР. Белохвостиков И. И., Изв. высш. учебн. заведений. Пищ. технол., 1957, № 1, 14—28

Дана сравнительная оценка технологич. схем переработки подсолнечных семян по производственно-технич. и экономич. показателям: по общим потерям масла в произ-ве, масличности жмыха, уд. расходу пара, электроэнергии, показателям по труду, себестоимости и др. Показано, что наиболее эффективной схемой является схема «форпресс-экстракция», а из схем маслопрессового произ-ва лучшие результаты дает двукратное прессование. Относительная эффективность схемы «форпресс-экстракция» выше при переработке низкомасличного подсолнечника и снижается по мере увеличения доли экстракционного масла и уменьшения доли форпрессового масла. Показана возможность снижения эксплуатационных расходов как за счет улучшения работы з-дов при наличии оборудования, так и за счет установки нового, более эффективного оборудования. Г. Фрид

58852. Способ приготовления хлопковой мезги. Сканин А. И., Маслоб.-жир. пром-сть, 1958, № 1, 5—8

При приготовлении мезги по существующей технологии наблюдаются отрицательные явления: при лузжистости исходной мятки 10,7—13,7% мезга плохо формируется на шнековых прессах МП-21 в ракушку, полученное сырое масло содержит 0,21—0,31% госсипола, цвет масла в 1 мм слое 15—20,8 красных при

35 желтых. Недостатком способа является опаривание мятки в начале ее жарения, т. е. быстрое ее нагревание паром с одновременным увлажнением конденсатом, в результате чего создается «мяткая» структура мезги, не поддающаяся прессованию на шнековых прессах МП-21. Положительные результаты опытов подготовки мезги к прессованию с исключением опаривания и увлажнения в пропарочном шнеке позволили рекомендовать измененный режим: увлажнение мятки в транспортном шнеке, подающем ее в первый чан жаровни, до 13,5—14% с последующим нагревом и подсушиванием ее в чановых и шнековых жаровнях. При переработке семян I—III сортов влажность мезги, поступающей на шнек-пресс МП-21, должна быть 3,5—3,7% при  $114-115^\circ$ . Мятку, полученную при переработке дефектных семян IV—V—VI сортов, в зависимости от дефектности и лузжистости, рекомендуется в начале жарения увлажнять водой до 15—18%. Для обеспечения ритмичной работы шнек-прессов и предотвращения газообразования и взрывов в зеере пресса рекомендуется подавать на пресс мезгу влажностью 5—7% при  $90-102^\circ$ . При меньшей влажности мезги ее следует доувлажнять до 5—7% в малой шнековой жаровне.

Г. Фрид

58853. Переработка смеси обрушенных и необрушенных масличных семян на шнековых прессах. Вернуа (Verarbeitung von Mischungen aus geschälten und ungeschälten Ölsaaten auf Schneckenpressen. Vernois G.), Seifen-Öle-Fette-Wachse, 1958, 84, № 3, 53—54 (нем.; рез. англ., франц., исп.)

При переработке на шнековых прессах некоторых видов масличных семян с высокой масличностью ядра (клешевины, подсолнечника) целесообразно смешивать в определенном соотношении обрушенные и необрушенные семена. Для быстрого колич. определения составных частей указанной смеси при заданном их соотношении, фактич. лузжистости исходных семян и при данной производительности пресса предложены ф-лы:  $x = A/(a/(1-c) + b)$  и  $y = A - bx$ , где  $x$  — общий вес смеси (кг) при поступлении в пресс,  $y$  — вес (кг) обрушенных семян в смеси (в расчете на необрушенные семена),  $a$  и  $b$  — соответствующие обрушенные и необрушенные части смеси (вес.%),  $c$  — лузжистость исходных необрушенных семян (%),  $A$  — часовая производительность пресса (кг) в расчете на необрушенные семена. Приведены числовые примеры указанных расчетов при переработке клешевины и подсолнечных семян.

Г. Фрид

58854. Методика лабораторной экстракции. Белобородов В. В., Маслоб. жир. пром-сть, 1957, № 2, 17—18

Описана методика лабор. экстракции растительных масел при  $54-56^\circ$ , основанная на изменении только изучаемого фактора при сохранении остальных неизменными. В качестве примера исследования внутренней структуры трудноэкстрагируемого материала приведены результаты экстракции масла из отсевов кориандра (средний размер частиц 0,75 мм,  $t$ -ра  $55^\circ$ , р-ритель — экстракционный бензин).

М. Рейбах

58855. Экстракция растительных масел этиловым спиртом. Часть IV. Растворимость растительных масел в водном 2-пропаноле. Рао, Арнольд (Alcoholic extraction of vegetable oils. Part IV. Solubilities of vegetable oils in aqueous 2-propanol. Rao Rama Kanth, Arnold Lionel K.), J. Amer. Oil Chemists' Soc., 1957, 34, № 8, 401—404 (англ.)

Определена растворимость пальмового, кокосового, макового, хлопкового, льняного, оливкового, арахисового, рапсового, сафлорового, кунжутного, соевого, подсолнечного, тунгового масел в водн. 2-пропаноле (I) различных конц-ий при различных  $t$ -рах. Приведены кривые зависимости крит.  $t$ -ры растворения



масел от концентрации I. Растворимость каждого масла в воде I возрастает с т-рой до тех пор, пока не достигнута критич. т-ра растворения, при которой и выше которой масло и р-ритель смешиваются во всех отношениях. Критич. т-ра растворения возрастает с увеличением содержания I в воде. Выявлено основное соотношение между жирными к-тами, содержащимися в маслах, и критич. т-рой растворения, которое нуждается в дальнейшем изучении. Часть III см. РЯХИМ, 1957, 73048. Е. Киселева

**58856. Новое в экстракции масла с применением в качестве растворителя этилового спирта.** Rao (Neue Entwicklung der Ölextraktion mit Äthylalkohol als Lösungsmittel. Rao Y. K. Raghunatha), Dechema Monogr., 1956, 28, № 363—391, 123—129 (нем.)

Опытные работы на камеральной установке показывают, что значительная экономич. эффективность может быть получена при экстрагировании масла и побочных продуктов из рисовых отрубей при помощи этилового спирта. Извлекаемое масло окрашено в темно-зеленый цвет и при экстрагировании свежих отрубей содержит 2—3% жирных к-т. Воск может быть выделен охлаждением масла до 10° с последующей декантацией и центрифугированием. Растворенный воск полностью осаждается ацетоном. Потери при рафинации масла, освобожденного от воска, составляют 10—11%. Масло отбеливается при нагревании до 80—90° с глиной, подкисленной 0,5%  $H_2SO_4$ . Полученное масло является пищевым и содержит много хлорофилла и 0,04—0,12% токоферола. Т-ра плавления воска (2—6% от веса масла) 55—80°. Прокстратированные отруби содержат еще 75% т-мина и 60—90% токоферола от их первоначального содержания. Содержание масла в прокстратированных отрубях 1—2%. Процесс экстракции рекомендуется осуществлять в аппаратуре, сконструированной для работы при  $\leq 100^\circ$  и избыточном давл. 1,05—3,15 атм. В. Белобородов

**58857. Очистка мисцеллы при помощи гидроциклона.** Вестерихаген (Reinigung von Miscella durch Hydrozyklone. Westernhagen H. von), Fette, Seifen, Anstrichmittel, 1957, 59, № 10, 872—876 (нем.)

Интерес к применению гидроциклонов для очистки мисцеллы связан с непрерывностью осуществляемого в них процесса, экономией рабочей силы и значительным улучшением условий труда, повышением безопасности произ-ва, снижением потерь бензина и эксплуатационных расходов. При помощи гидроциклонов удалось очищать мисцеллы различных видов, содержавшие частицы размером 50—1000 м. Для более полного извлечения из мисцеллы механич. примесей была использована двух- и трехступенчатая очистка при помощи гидроциклонов различной конструкции, причем для уменьшения кол-ва возвращаемой с примесями в экстрактор мисцеллы выход из циклонов одной или двух ступеней рекомендуется смешивать с мисцеллой, поступающей на очистку. Содержание примесей в очищ. мисцелле не должно превышать 0,01%, а выход из циклонов должен быть не более 3 об.%. Полученные данные этим критериям еще не вполне соответствуют. В. Белобородов

**58858. Потери бензина в процессе экстракции масел из семян и возможности уменьшения потерь.** Хаблинский (Straty benzyny ekstrakcyjnej w procesie odolejania nasion i wytyczne do ich obniżenia. Hablinski J.), Techn. przem. spożywc., 1956, 5, № 1, 6—9 (польск.)

Обсуждены причины потери бензина в процессе экстракции и указаны условия проведения технологич. процесса, уменьшающие эти потери. Н. Любошиц

**58859. Пути и методы усовершенствования схем теплоиспользования предприятий масложировой промышленности.** Зарницкий Г. Э., Изв. высш. учебн. заведений. Пищ. технол., 1957, № 1, 94—104. Дана классификация существующих схем теплообеспечения масложировых предприятий, произведен анализ и указаны недостатки этих схем. Намечены мероприятия по повышению использования тепла низкого потенциала: 1) использование тепла конденсата греющего пара для бытовых и хозяйственных нужд; 2) использование тепла конденсата технологич. пара для выработки электр. энергии, причем в этом случае предлагается применение в соответствующих тепловых установках *n*-бутана в качестве теплоносителя; 3) применение механич. термокомпрессорных установок с внутренним использованием тепла, при этом показан сравнительный экономич. эффект от применения двухступенчатой термокомпрессорной установки по сравнению с применяемыми основными типовыми схемами теплоснабжения. Разработана также новая схема использования вторичных энергетич. ресурсов низкого потенциала (в частности, конденсата технологич. пара) для сушки масличных семян с применением абсорбционной холодильной установки. Г. Фрид

**58860. Перспективы применения газотурбинных установок на предприятиях масложировой промышленности.** Зарницкий Г. Э., Тр. Краснодарск. ин-та пищ. пром-сти, 1957, вып. 16, 157—160

Показана перспективность применения на предприятиях, потребляющих технологич. пар, в частности на масложировых предприятиях, газопаровых установок с исключением из схемы регенератора как основного теплоиспользующего элемента. Разработана новая схема газопаровой установки, представляющая собой в верхней ступени газотурбинную установку с двухступенчатым расширением и двухступенчатый сжатием; в нижней ступени располагается утилизационный котел, в который поступает газозагрязненная смесь из газовой турбины низкого давления. Отходящий технологич. пар низкого давления направляется к потребителю. По габаритам установка меньше паровой обычного типа в ~ 2,5 раза, обеспечивает возможность достижения коэф. теплоиспользования в 8% и легко автоматизируется. Г. Фрид

**58861. Различия между оливковым маслом и маслом, извлеченным из оливкового жмыха при помощи сероуглерода.** Грасиан, Мартель (La diferencia de los aceites de oliva y de orujo de aceituna. Gracián J., Martel J.), Grasas y aceites, 1957, 8, № 1, 3—10 (исп.; рез. франц., англ., нем.)

Оливковое масло (М), полученное прессованием оливок, но имеющее высокое содержание неомыляемых в-в, можно отличить от М, полученного экстракцией низкокипящим р-рителем, или от М, выделенного из жмыхов при помощи  $CS_2$ , по неомыляемому остатку (НО), не растворимому в 85%-ном  $C_4H_9OH$  при помощи хроматографии. НО, полученный прессованием М, состоит главным образом из углеводородов, в то время как НО из М, выделенного из жмыхов при помощи  $CS_2$ , представляет собой в основном жирные спирты. Углеводороды хорошо растворимы в пет. эфире; для растворения спиртов требуются более полярные р-рители. Таким образом растворимость в различных р-рителях может оказаться достаточной для определения происхождения М и без применения хроматографии. И. Гонсалес

**58862. Спектрофотометрическое определение хлорофиллов и феофитинов, находящихся в оливковом масле.** Мингот-Лоренцо (Valoración espectral fotométrica de clorofilas y feofitinas en aceite de oliva). Мингот-Лоренцо (Valoración espectral fotométrica de clorofilas y feofitinas en aceite de oliva). Мингот-Лоренцо (Valoración espectral fotométrica de clorofilas y feofitinas en aceite de oliva). Мингот-Лоренцо (Valoración espectral fotométrica de clorofilas y feofitinas en aceite de oliva).

oliva. Mingot Lorenzo Mariano), An. Inst. pas. invest. agron., 1956, 5, № 2, 295—307 (исп.).  
Найдено, что максим. коэф. поглощения для хлорофилла *a*, хлорофилла *b*, феофитина *a* и феофитина *b* равны 6700, 6525, 6775 и 6625 А, соответственно. Закон Бора для этих значений длин волн имеет силу для длин волн до 10 ч. на 1 млн. По коэф. поглощения для указанных длин волн установлено содержание хлорофиллов и феофитинов в образце оливкового масла. Приведены ур-ния и таблицы для определения кол-ва этих в-в по коэф. поглощения.

И. Гонсалес  
58863. Спектрофотометрическое изучение оливкового масла. Минутилли (Contributo allo studio, della spettrofotometria dell'olio di oliva. Minutilli Federico), Rassegna chim., 1957, 9, № 5, 14—16 (итал.).

Исследование поглощения света в УФ-части спектра *p*-рами жирных к-т и неомыляемых компонентов масел показало, что наличие поглощения при 260—280 м $\mu$  в рафинированных маслах связано с хромофорными группами жирных к-т. В процессе рафинирования происходит изомеризация двойных связей жирных к-т диеновых, а также в небольшой степени туленовых. Неомыляемые компоненты всех масел обнаруживают поглощение при 252 и 258 м $\mu$ .

А. Верещагин  
58864. Потенциометрический метод определения кислотного числа темных масел. Маркман А. Л., Ган А. И., Масл.-жир. пром-сть, 1958, № 2, 3—5

Для определения кислотного числа (КЧ) темных масел взамен индикаторного, дающего в этих случаях неточные результаты, предложен потенциометрич. метод. Навеску профильтрованного масла (~0,5 г) растворяют в 5 мл серного эфира, к *p*-ру добавляют 5 мл насыщ. спирта. *p*-ра LiCl. Сосуд с *p*-ром закрывают прилифированной стеклянной крышкой с отверстиями, через которые проходят индикаторный хингидронный электрод, одно колено электролитич. ключа, подводящая трубка барботера и спусковой конец микробуретки. Второе плечо электролитич. ключа через промежуточный сосуд соединяют с нормальным каломельным полуэлементом. Трубку электролитич. ключа заполняют насыщ. водн. *p*-ром KCl с агар-агаром. Конец титрования определяют по достижении потенциала  $\Delta E_0$  для определения которого берут нейтр. *p*-р светлого масла, к которому добавляют некоторое кол-во чистой олеиновой к-ты в том же *p*-рителе. Половину *p*-ра титруют в присутствии фенолфталеина, вторую половину — потенциометрич. методом. Отмечают показания реохорда  $\Delta E_0$ , соответствующее кол-во щелочи, израсходованной на титрование первой половины *p*-ра. Кислотность *p*-рителя определяют так же, как и кислотность масла, и титруют до того же потенциала, до которого титруются *p*-ры масла. Метод проведен на модельных смесях с олеиновой к-той рафинированного и черного хлопкового масла.

А. Зеленецкая  
58865. Полярографическое исследование поведения госсипола в черных хлопковых маслах и щелочных растворах. Маркман А. Л., Колесов С. Н., УзССР Фанлар Акад. докладари, Докл. АН УзССР, 1957, № 10, 25—29 (рез. узб.).

Изучено поведение госсипола в черных хлопковых маслах. Установлено, что на изменение госсипола влияют *t*-ра и время нагрева; в атмосфере  $CO_2$  он изменяется медленнее, чем в воздухе. Полярографирование щел. *p*-ров госсипола (0,25 н.) возможно только в отсутствие воздуха. При соприкосновении с воздухом *p*-р принимает почти черную окраску и не может определяться полярографически. При увеличении диффузии кислорода в *p*-ре (забалтывание) окисление госсипола идет значительно быстрее; наличие в *p*-ре

сульфата Na (0,25 н.) замедляет окисление. Показана динамика окисления госсипола.

А. Зеленецкая  
58866. Температура помутнения — критерий степени чистоты кунжутного масла. Сарма, Баласубрахманьян (Turbidity temperature: a significant figure for judging the purity of sesame oil. Sarma P. S. Nataraja, Balasubrahmanyam G.), Current Sci., 1957, 26, № 8, 248—249 (англ.).

Для определения наличия арахисового масла в кунжутном масле в кол-ве < 20% предложено производить определение *t*-ры помутнения (ТП) кунжутного масла по Белье. Определение ТП модельных смесей, содержащих 5, 10, 15 и 20% арахисового масла, показало, что ТП повышается при увеличении содержания арахисового масла в кунжутном. Авторы считают, что в стандарт на кунжутное масло следует внести ТП, которая должна быть в пределах 19,0—21,0°.

И. Вольфензон  
58867. Об определении йодного числа при добавлении к реакционной смеси ацетата двухвалентной ртути. Аве, Гроде (Zur Bestimmung von Jodzahlen unter Zusatz von Quecksilber (II)-acetat zu den Reagentien. Awe W., Grote B.), Fette, Seifen, Anstrichmittel, 1957, 59, № 9, 733—736 (нем.).

На основании подробного разбора литературного материала сделан вывод, что присоединение галогена к непредельному соединению при определении йодного числа (ЙЧ) в присутствии  $(CH_3COO)_2Hg$  происходит за несколько минут. При дальнейшей выдержке в присутствии ацетата Hg происходит замещение H, в том числе и при определении ЙЧ по Кауфману.

А. Зеленецкая  
58868. Фракционирование жиров, масел и некоторых их производных посредством термодиффузии. Силбак, Куаккенбуш (Thermal-diffusion fractionation: oils, fats, and some derivatives. Scelbach C. W., Quackenbush F. W.), J. Amer. Oil Chemists' Soc., 1957, 34, № 12, 603—606 (англ.).

Изучено явление термодиффузии различных жиров и их производных в колонне с установленными в ней параллельными плитами из нержавеющей стали, из которых одна нагревалась паром низкого давления, а другая охлаждалась водопроводной водой. Исследованные образцы оставляют в колонне в течение 72 час., после чего их извлекают 10 фракциями по 2 мл каждая, в которых определяют коэф. рефракции, число омыления и кислотное число и производят спектрофотометрич. измерения. Показано, что из смеси, подвергнутой диффузии, триглицериды перемещаются к верхней, а моноглицериды — к нижней части колонны. Смеси триглицеридов или жирных к-т, отличающихся только степенью ненасыщенности, не разделяются этим способом, однако смесь жирных к-т можно разделить после их бромирования. Красящие в-ва сосредотачиваются во фракциях, перемещающихся книзу, вследствие чего наблюдается улучшение чистоты фракций масел, концентрируемых в верхней части колонны.

Г. Фрид  
58869. Изучение рафинации оливкового масла. I. Нейтрализация. Ности-Вега, Борбольш-и-Алькала (Estudio sobre la refinación del aceite de oliva. I. Neutralización. Nosti Vega M., Borbolla y Alcalá J. M. R. de la), Grasas y aceites, 1957, 8, № 3, 101—106 (исп.; рез. франц., англ., нем.).

Производилось определение коэф. потерь (потери на единицу свободной жирной к-ты) для оливковых масел, полученных различными способами и имевших различную кислотность. Коэф. потерь колебался в пределах 1,6—1,8.

И. Гонсалес  
58870. Рафинация оливкового масла, содержащего остаточный паратон. Сообщение II. Алессандрини, Фонтанелли, Сампаоло (Raffinazi-



one di olii di oliva contenenti residui di parathion. Nota II. Alessandrini Maria E., Fontanelli R., Sampaolo A.), Rend. ist. super. sanità, 1957, 20, № 11, 1004—1013 (итал.; рез. франц., англ., нем.)

Указано, что один из продуктов распада паратиона — Na-соли диэтилтиофосфорной к-ты (I), при рафинации переходит из жировой фазы в водную. При кислотном гидролизе I переходит в кислородное производное — диэтилфосфорную к-ту (II), и отщепляет  $H_2S$ . Испытание на крысах показало, что I и II не являются токсичными ниже дозы 1 г/кг веса. Указано, что процесс рафинации, описанный в предыдущем сообщении, полностью удаляет из масла I и II (См. РЖХим, 1958, 9412).

**58871. Стерины, содержащиеся в оливковом масле.** Часть I. Стерины, содержащиеся в растительных маслах. Часть II. Оливковое масло, экстрагированное из жмыха. Грасьян, Мартель (Las esterinas del aceite de oliva. Nota I. Las esterinas de los aceites vegetales. Nota II. Aceite de orujo de aceituna. Gracián J., Martel J.), Grasas y aceites, 1955, 6, № 6, 269—275; 7, № 4, 202—204 (исп.; рез. нем., франц., англ.)

I. Стерины (I) выделяли из оливкового масла (M) следующими способами: а) осаждением из свободных жирных к-т дигитонином (II) по способу Куна; б) осаждением при помощи II из спирт. р-ра неомыляемой части M; в) хроматографией на колонке с  $Al_2O_3$ . Все способы дают I с одинаковыми свойствами. Наиболее простым и удобным является первый способ. M кипятят с 20%-ным р-ром КОН в 70%-ном спирте, р-ритель отгоняют, к остатку прибавляют 25%-ную HCl. Отделяют воду, к жирным к-там, нагретым до 60—70°, постепенно добавляют спирт. р-р II. Вес I равен весу полученных дигитонидов, умноженному на 0,2341.

II. I выделяли из оливкового жмыха экстрагированием петр. эфиром и осаждением при помощи II из спирт. р-ра. I оказались аналогичными полученным из оливкового M, т. пл. 132—135°,  $[\alpha]_D^{25}$  321—322,8°. По этому методу выделялось 0,35—0,37% I.

И. Гонсалес

**58872. Исследование состава соевых фосфатидов.** Ячини, Цотти (Etude sur la composition des phosphates du soja. Jacini G., Zotti G. de), Inds parfum. et cosmet., 1957, 12, № 12, 389, 391—392 (франц.)

Применен хроматографич. метод получения чистых лецитинов из технич. смеси фосфорсодержащих соединений, извлеченных из неочищ. соевого масла. Фосфатиды дважды осаждают ацетоном и экстрагируют абс. спиртом при нагревании, в остатке получают трудно-растворимые в спирте липоинозиты, а в р-р переходит большая часть лецитинов и часть кефалинов. Из 1%-ного спирт. р-ра полученного продукта (средний состав (в %): P 2,9, N 1,4, холин 7,6) хроматографией на окиси алюминия выделяют фосфатид, содержащий 12,9% холина, содержание которого после повторного хроматографирования повышается до 15,4%. Г. Фрид

**58873. Хроматография на колонках фосфатидов сои.** Цотти, Ячини (Cromatografia su colonna di fosfatidi di soia. Nota preliminare. Zotti Giovanni de, Jacini Giovanni), Olii miner. grassi e saponi, colori e vernici, 1957, 34, № 12, 533—535 (итал.; рез. англ., нем., франц., исп.)

Для получения чистого лецитина (I) из технич. I соевой муки препарат I фракционируют ацетоном, экстрагируют абс. спиртом и полученный р-р разделяют на колонках  $Al_2O_3$  и  $SiO_2$ . На  $Al_2O_3$  после 2-кратного пропускания получают препарат I без кефалина (II), содержащий 15,4% холина. При использовании  $SiO_2$  II не адсорбируется на колонке, а при элюиро-

вании I спиртом и метилцеллозольвом под давлением II выходит из колонки раньше, чем I. Получены фракции, содержащие 15,5% холина, 3,9% P и с отношением холин: P, равным 1. Подробно описан метод определения P.

**58874. Новая экстракционная установка для получения жира.**—(New solvent extraction plants give higher tallow output.—), Perfum. and Essent. Oil Rec., 1957, 48, № 12, 619—620 (англ.)

Краткое описание способа и режима периодич. экстракции жира из мясных отходов при помощи тетрагидроэтилена.

**58875. Регулятор уровня раздела фаз.** Колков Н. Ф., Масл.-жир. пром-сть, 1958, № 1, 37

Приведено описание устройства и действия пневматич. регулятора уровня раздела фаз, мембранного типа, установленного на стадии непрерывной нейтр-ции саломаса. Регулятор поддерживает определенный уровень саломаса над солевым р-ром в нейтр-лизаторе. Дана схема регулятора.

**58876. Хроматография липидов на бумаге.** Шленк, Геллерман, Тиллотсон, Манголд (Paper chromatography of lipides. Schlenk H., Gellerman Joanne L., Tillotson Jerry A., Mangold H. K.), J. Amer. Oil Chemists' Soc., 1957, 34, № 8, 377—386 (англ.)

Для разделения липидов (Л) бумагу Ватман № 1 высушивают при 120° и пропитывают 5%-ным р-ром силикона в эфире. Разделение Л осуществляют с помощью воды. 75—85%-ных р-ров  $CH_3COOH$  или смеси  $CH_3COOH + HCOOH$  при 30—40°. Абс. значения величин  $R_f$  сильно изменяются в зависимости от условий проявления хроматограммы, но относительно положение пятен отдельных Л сохраняется при всех условиях разделения. Метод позволяет обнаружить на бумаге до 5  $\gamma$  ненасыщ. к-т и 40—50  $\gamma$  насыщ. к-т. Эффективность разделения достаточно высока: так, 17  $\gamma$  линоленовой к-ты можно количественно отделить от 340  $\gamma$  линолевой к-ты. Хроматограммы проявляют в течение 17 час., удаляют р-ритель, увлажняют в парах воды и помещают в атмосферу паров  $J_2$  для идентификации ненасыщ. Л; пятна насыщ. Л становятся видимыми после помещения бумаги, пропитанной р-ром  $\alpha$ -циклодекстрина в пары  $J_2$  в виде участков белого цвета на синевато-пурпурном фоне. Идентификация отдельных пятен, проводимая по методу «свидетелей», затрудняется одинаковым значением коэф.  $R_f$  для многих пар Л (олеиновая и пальмитиновая к-ты, миристиновая и линолевая к-ты и т. д.). Для полной идентификации необходимо подвергать изучаемую смесь перед разделением каталитич. гидрогенизации или галогенированию. Неразделимые при обычной т-ре Л частично разделяются при проведении хроматографирования при пониженных до -78° т-рах. Автоокисление Л при хроматографировании незначительно. Полуколич. оценку пятен можно проводить путем измерения оптич. плотности по длине хроматограммы на денситометре (точность 5—20%). Малая точность обусловлена возрастанием интенсивности окраски пятен при увеличении ненасыщенности. Применяя в качестве р-рителей водн. р-ры тетрагидрофурана, метанола, хлороформа и  $CCl_4$ , разделяют смеси моно-, ди- и триглицеридов. Метод использован для анализа состава жирных к-т жира рыбы *Alona menhaden* и других природных смесей. В составе жира *A. menhaden* обнаружено (в %): к-ты  $C_{14}$  13,8;  $C_{16}$  33,6;  $C_{18}$  20,6;  $C_{20}$  19,4;  $C_{22}$  10,6 и  $C_{24}$  2. Указано, что для полного анализа состава природных смесей Л методом хроматографич. разделения следует сочетать с другими методами предварительного разделения (фракционированная перегонка, гидрогенизация, галогенирование и т. д.).

А. Верещагин

58877. Влияние излучения высокой энергии на окисление олеиновой кислоты и метилолеата. 2. Место присоединения кислорода. Словер, Дьюган (Influence of high energy radiation on the oxidation of oleic acid and methyl oleate. 2. Sites of oxygen attack. Slover Hal T., Dugan L. R., Jr., J. Amer. Oil Chemists' Soc., 1957, 34, № 7, 333—335 (англ.).

С помощью хроматографии выделены и охарактеризованы продукты самоокисления метилолеата при облучении  $\gamma$ -лучами. Строение гидроперекисей определено по ранее описанному методу (Ross J. и др., J. Amer. Chem. Soc., 1949, 71, 282—286) последовательным превращением в насыщ. окисоединение (гидрированием в присутствии Pt (из  $PtO_2$ ), в кетокислоту (окисление посредством  $H_2CrO_4$ ), в изомерные оксимины и амиды (нагреванием с конц.  $H_2SO_4$ ). Амиды при гидролизе щелочью и подкислении дают двусосновную  $\alpha$ -кету и амин из одного изомера и одноосновную  $\alpha$ -кету и аминокислоту из другого. При 7,5° и 56° образуется смесь изомерных 8-, 9-, 10- и 11-гидроперекисей, с преобладающим кол-вом изомеров 10 и 11 и небольшим кол-вом 9 и 8. Доказано наличие октановой (I), нонановой (II), гександикарбоновой и гептандикарбоновой  $\alpha$ -кет при окислении с облучением при 56° и I и II при 73° (в присутствии Со-стеарата). Те же продукты образуются при окислении без  $\gamma$ -облучения. Сообщение 1 см. РЖХим, 1958, 30341. Г. Молдованская

58878. Применение триоксипропилофенона в качестве антиокислителя для пищевых продуктов. Стакки, Гирхарт (Trihydroxypropylphenone — a food grade antioxidant. Stuckey Ben N., Gearhart W. M., Food Technol., 1957, 11, № 12, 676—679 (англ.).

Найдено, что 2,4,5-триоксипропилофенон является хорошим антиокислителем для жиров и хорошо стабилизирует препараты витамина А, но не оказывает защитного антиокислительного действия на сложенные мучные изделия. Т. Сабурова

58879. Полярографическое изучение прогорклого рыбьего жира. Часть I, II, III. Кикучи, Окада (Kikuchi Takeaki, Okada Ikunosuke), Нихон Суйсан гаккайши, Bull. Japan Soc. Scient. Fish., 1957, 22, № 9, 589—591; № 12, 784—786; 1957, 23, № 1, 41—43 (японск.; рез. англ.).

I. Рыбий жир, находящийся в состоянии порчи, дает вполне определенную полярографич. волну с потенциалом полуволны 1,9 в относительно каломельного электрода в 0,1 M LiOH.

II—III. В исследованных окисленных образцах сардинного масла, говяжьего жира, соевого масла и др. наблюдались одинаковые волны с потенциалом полуволны 0,4, 1,2 и 1,9 в относительно каломельного электрода. Последняя волна не была найдена в свежих образцах жиров и масел. Очевидно, что волна вызвана карбонильными соединениями, образующимися при окислении, так как она обнаружена в окисленной смеси жирных и ненасыщ.  $\alpha$ -кет и в выделенных карбонильных соединениях. Г. Молдованская

58880. Улучшение качества прогорклых жиров. Саха, Рой, Чакрабартти (On the reclamation of rancid fats. Saha J. G., Roy P., Chakrabarty M. M., J. Indian Chem. Soc., Industr. and News Ed., 1957, 20, № 1, 25—28 (англ.).

Изучено действие различных адсорбентов (активированный бентонит, полученный из продажного бентонита отмучиванием и обработкой  $H_2SO_4$ , фулмонтская земля 511С, активированный уголь, силикагель, активированный в токе  $CO_2$  при 220° в течение 2 час.) на масла, содержащие перекиси. Найдено, что после обработки адсорбентами перекисные соединения не обнаруживаются, качество масла повышается. Бентонит был найден наиболее активным адсорбентом.

Повторная обработка соевого масла бентонитом (4%) дает более эффективные результаты, чем 1-кратная, при том же расходе адсорбента, но потери масла выше. И. Вольфензон

58881. Изменения состава жмыхового оливкового масла. Грасьян, Аревало, Альби, Плассеня (Las alteraciones del aceite en el orujo de aceituna. Gracián J., Arévalo G., Albi F., Plascencia A.), Grass y aceites, 1955, 6, № 6, 276—283 (исп.).

Изучены биол. и хим. процессы, происходящие в жмыховом оливковом масле (М) в результате жизнедеятельности микроорганизмов: гидролиз, разрушение, окисление и полимеризация М. Чистое сухое М помещали на 152 дня в бутыл топазного цвета с притертой пробкой и затем анализировали. Результаты всех опытов представлены в таблице и графически. Обнаружен ряд скачкообразных изменений в составе и кислотности М. Параллельно окислению изменяется и вязкость М. Иодные числа при хранении уменьшаются. Эти изменения объясняются полимеризацией М. В открытом сосуде окислительный процесс идет более интенсивно. И. Гонсалес

58882. Длительное хранение гидрированного китового жира. Дмитриенко Н. Я., Тр. центр. н.-и. лаб. Гл. упр. гос. материальн. резервов при Сов. Мин. СССР, 1956, вып. 4, 134—137

С целью установления продолжительности хранения гидрированного китового жира (Ж) с сохранением при этом пищевой ценности, Ж хранился в железных бочках емк. 200 л в подвальных помещениях при 0°—4° и относительной влажности воздуха 82—90%. Найдено, что за 16 месяцев хранения органолепич. показатели (вкус, запах, цвет) и влажность Ж остались без изменения, а кислотное число Ж только в одном случае увеличилось, максимально на 0,23. Сделан вывод, что срок хранения Ж в железных бочках при  $t$ -ре воздуха в камерах хранения  $\leq 5^\circ$  и относительной влажности  $\leq 90\%$  можно установить в 1 год. И. Вольфензон

58883. Коэффициент незавершенности и его применение при исследовании гидролиза жиров. Молчанов И. В., Тр. Краснодарск. ин-та пищ. пром-сти, 1957, вып. 16, 141—145

Предложен способ определения соотношения скоростей гидролиза три-, ди- и моноглицеридов  $K_1:K_2:K_3$  путем использования коэф. незавершенности (КН), выражающего собой относительное кол-во глицерина, кажущееся недополученным по сравнению с кол-вом образовавшихся жирных  $\alpha$ -кет (ЖК). Определение КН в какой-нибудь момент при гидролизе в замкнутом реакторе производят сопоставлением кол-ва образовавшихся ЖК с кол-вом глицерина. При гидролизе в проточной системе КН определяется по кол-ву свободных ЖК и суммарному кол-ву ди- и моноглицеридов в частично расщепленном жире. Показано, что гидролиз высокотитрового подсолнечного саломаса при 224° протекает с непостоянным соотношением констант скоростей составляющих  $\alpha$ -кет и что при полноте гидролиза (по выходу жирных  $\alpha$ -кет)  $> 0,55$   $K_1:K_2:K_3$  близко к 1:2:3. Г. Фрид

58884. Комплексы мочевины с жировыми веществами. VIII. Итоги работ института. Мартинес-Морено, Ханер-дель-Валле, Масуэлос-Вала (Aductos de urea con sustancias grasas VIII. Resumen de la labor de nuestro Instituto en este tema. Martinez Moreno J. M., Janer del Valle C., Mazuelos Vela F.), Grass y aceites, 1954, 5, № 4, 160—166 (исп.).

Предыдущее сообщение см. РЖХим, 1957, 53097. 58885. Хроматографическое разделение на бумаге алифатических дикарбоновых кислот. Зеэр (Die



papierchromatographische Trennung aliphatischer Dicarbonsäuren. Seher A.), Fette, Seifen, Anstrichmittel, 1956, 58, № 6, 401—403 (нем.; рез. англ. франц., исп.)

Изучались условия хроматографич. разделения на бумаге дикарбоновых к-т  $C_2—C_{10}$  с прямой цепью в виде их  $NH_4$ -солей, находящихся в водноспирт. р-ре аммиака. Для проявления применялся р-р нингидрина. Показано влияние сорта бумаги и влияние т-ры на результаты хроматографирования. Рекомендуется спец. установка для регулирования т-ры в помещении для хроматографирования. Точность регулировки  $\pm 0,5^\circ$ . Т. Рудольфи

58886. Влияние метода очистки глицериновой воды на дистиллируемость глицерина. Иродов М. В., Махнин В. М., Масл.-жир. пром-сть 1958, № 1, 18—23

Глицериновая вода (ГВ), полученная от безреактивного расщепления саломаса, кокосового и темного хлопкового масла, обрабатывалась различными способами (с применением ионообменных смол, активированного угля, серной к-ты, извести, железа) для максим. ее освобождения от находящихся в ней жировых в-в в растворенном и эмульгированном виде, и полученный из нее технич. глицерин (I) подвергался дистилляции. Показано, что технич. I, полученный безреактивным расщеплением, может дистиллироваться без вспенивания, не требуя добавления I, полученного контактным расщеплением, и что появление в отдельных случаях пены при его дистилляции зависит от природы исходных жиров и от способа обработки ГВ. Наилучшие результаты по качеству и дистиллируемости технич. I и по качеству дистиллята получены при очистке нейтральной ГВ ионообменными смолами и при обработке кислой ГВ или кислого технич. I активированным углем. Нецелесообразно применение метода нейтр-ции ГВ известью, так как присутствие в I Са-мыл ведет к вспениванию при дистилляции и к образованию сложных эфиров. Г. Фрийд

58887. Развитие техники смешения и перемешивания. Везер (Die Entwicklung der Misch- und Knet-technik. Waeser Bruno), Seifen-Öle-Fette-Wachse, 1957, 83, № 9, 211—216 (нем.; рез. англ., франц., исп.)

58888. К вопросу о расчете впрыскиваемого пара на дезодорацию жиров. Товбин И. М., Файнберг Е. Е., Масл.-жир. пром-сть, 1958, № 1, 16—17

Показан метод определения расхода впрыскиваемого пара, идущего на дезодорацию в аппаратах непрерывного действия. Расчет проведен для гидрогенизированных жиров по кол-ву отгоняемой стеариновой к-ты. Приведена таблица расхода впрыскиваемого на дезодорацию пара для разных остаточных давлений, т-р и конц-ий легколетучих в-в в дезодорированном жире. В. Кашников

58889. Жиры для кондитерского производства. Фьюдж (New, special fats for confectionery use? Feuge R. O.), Candy Ind., 1957, 109, № 10, 21 42—43, 53 (англ.)

С помощью дилатометрич. метода исследованы жиры, применяемые в кондитерском произ-ве. Установлено, что жиры, подобные маслу какао, могут быть приготовлены этерификацией смесей олеиновой, пальмитиновой и стеариновой к-т или переэтерификацией их глицеридов с последующим фракционированием продуктов р-ции. Указано, что ацетоглицериды представляют собой пластичный, но не мажущийся твердый жировой продукт. В. Никифорова

58890. К методике анализа порошкообразных жиров. Козин Н. И., Хомутов Б. Н., Ст. научн. работ Моск. ин-т нар. х-ва, 1957, вып. 10, 213—220

Предложена методика взятия навесок для анализа порошкообразных жиров. Около 15 г жира тщательно растирают, заливают 150 мл свободного от перекисей и альдегидов эфира и оставляют на 48 час. для настаивания в темноте при  $10—15^\circ$ . Затем р-р жира в эфире фильтруют и определяют среднюю величину навески жира, находящейся в 10 мл фильтрата, для чего отбирают 10 мл р-ра, отгоняют эфир на водяной бане ( $40—50^\circ$ ), остаток высушивают до постоянного веса при  $135^\circ$  в течение 15 мин. в токе  $CO_2$ . Для удаления остатков  $CO_2$  колбочку продувают струей воздуха. Расхождение между отдельными порциями отбираемого эфирного р-ра в отношении содержания жира 0,01 г. Для определения перекисного числа из 10 мл эфирного р-ра жира отгоняют эфир, добавляют 10 мл хлороформа и к полученному р-ру жира—15 мл безводн.  $CH_3COOH$ . Дальше ведут анализ по общепринятым правилам. Кислотное число определяют добавляя 20 мл спирта к 20 мл фильтрата и титруют 0,1% р-ром  $NaOH$ . Предлагаемая методика взятия навески жира дает возможность определять все физ.-хим. показатели при удовлетворительном совпадении полученных результатов. И. Вольфенант

58891. Следы элементов в пищевых жирах. II. Колориметрическое определение железа и меди в оливковом масле. Вьокс, Пилар-Виллагран III. Применение микротехники Вейсса. Вьокс. IV. Выделение и спектрофотометрическое определение цинка. Вьокс, Пилар-Виллагран (Elementos trazas en grasas comestibles. II. Determinación colorimétrica de hierro y cobre en aceites de oliva. Vioque A., Pilar Villagrán del. III. Aplicaciones de la mikrotécnica de la «estufa anular» de Weisz. Vioque A. IV. Separación y determinación espectrofotométrica de cinc. Vioque A., Pilar Villagrán del), Microchim. acta, 1956, № 4—6, 804—811; Grasas y aceites, 1956, 7, № 4, 195—201; № 5, 239—242 (исп.; рез. франц., англ., нем.)

II. Из золы, полученной сжиганием 50 г оливкового масла в присутствии  $Mg(NO_3)_2$ , экстрагируют хлороформом Cu и Fe в виде комплексов, напр., с дитизином или о-оксихинолином. Cu и Fe определяют колориметрич. способом с помощью Na-дигиталитионарбамината и о-фенантролина. Этим методом можно открыть 100  $\mu$  Fe и 1  $\mu$  Cu с ошибкой 10 и 20% соответственно.

III. Al, Cu, Fe, Mn, Sn и Zn определяют в пищевых жирах при помощи способа Вейсса (см. РЖХим, 1954, 36391; 1955, 46081). Полуколичественно можно определить  $\geq 5—10$  ч. Fe на 1 млн. ч. масла.

IV. Небольшие кол-ва Zn ( $2—5 \mu$ ) в жирах, напр. в оливковом масле, определяют следующим способом: образец масла сжигают в присутствии  $Mg(NO_3)_2$ , Cu и Fe отделяют в виде комплексов с дитизином или оксихинолином (см. ч. II). Водн. слой доводят до pH 5,5 прибавлением  $NH_4$ -тартрата, обрабатывают дигиталитионарбаминатом Na и экстрагируют  $CHCl_3$ . Экстракт взвешивают с 0,5 н  $HCl$  для того, чтобы перевести Zn-соль в водн. фазу, которую затем обрабатывают дитизином и определяют поглощение при 535 м $\mu$ . Точность метода  $\pm 15\%$ . Часть 1 см. РЖХим, 1957, 10149. И. Гонсалес

58892. Карнаубский воск — синтетические воски. Швейсхеймер (Carnaubawachs — Synthetische Wachse. Schweisheimer W.), Seifen-Öle-Fette-Wachse, 1958, 84, № 2, 47—48 (нем.)

Карнаубский воск (КВ), получаемый из листьев бразильской карнаубской пальмы (возраст  $\geq 10$  лет), состоит в основном из эфира церотиновой к-ты (I) и

мирицилового спирта (II), а также свободных I и II, т. пл. 84°. Приведены данные о кол-ве КВ, которое можно получить от одной пальмы в течение года, данные, характеризующие экспорт КВ из Бразилии и т. д. Указаны торговые марки рафинированных сортов КВ. Приведены также данные о синтетич. восках и заменителях КВ, сведения о конкурирующих на рынке с КВ других естественных восках. Рассмотрены важнейшие виды изделий, произ-во которых осуществляется на базе КВ.

Р. Левитанайте  
58893. Современные виды сырья в промышленности восков. Слейс (Moderne grandstoffen voor wasverwerkende industrieën. Sluis K. J. H. van), Chem. courrant, 1956, 55, № 1763, 4, 6—7; № 1764, 24—26 (гол.)

58894. Современные неионогенные эмульсии, дающие глицевые покрытия без полирования. Заппер (Moderne nichtionogene Selbstglanzemulsionen. Sapper Wolfgang), Seifen-Öle-Fette-Wachse, 1958, 84, № 4, 99—101 (нем.)

На основе существующих неионогенных восковых эмульгаторов (ВЭ) (продукты присоединения окиси этилена к спиртам) найден новый ВЭ 2106, изготавливаемый в виде пасты. Он повышает способность эмульсий (Э) смачивать и растекаться по поверхности. В качестве добавки к Э рекомендован высокодисперсный поливинилацетат, значительно повышающий механич. прочность покрытий, устойчивость их по отношению к H<sub>2</sub>O и сообщающий им другие практически ценные свойства.

Р. Левитанайте  
58895. К вопросу о непрерывном процессе производства мыла по Мадцони. Штейн (In legătură cu procedeul Mazzoni de prelucrare continuă a săpunurilor fierte. Stein S.), Rev. ind. aliment. prod. vegetale, 1957, № 5, 10—13 (рум.)

Дан крит. обзор метода Мадцони с указанием его преимуществ перед другими методами произ-ва мыла.

А. Марин  
58896. Сокращение времени нагрева мыла при нагреве излучением. Уэтт, Олбрайт (Cut soap cooking time to less than half with radiant heat burners. Wett Theodore W., Albright R. L.), Chem. Process., 1957, 20, № 4, 178 180 (англ.)

При нагреве открытым пламенем газовых горелок Са-мыла для приготовления смазок наблюдается прогорание котла, подгорание мыла с образованием нежелательных продуктов. Для устранения этих дефектов предложена новая система нагрева ИК-лучами, которые излучаются окружающим каждую горелку огнеупорным шаром, нагретым до 1270°. Котлы с мылом нагреваются равномерно и за более короткое время, чем открытым пламенем.

Ф. Неволлин  
58897. Преимущества сварки 60%-ного хозяйственного мыла прямым методом. Комардин Н. Т., Маслоб.-жир. пром-сть, 1958, № 1, 41

Указано что преимущества этого метода состоят в сокращении времени варки мыла, расхода пара, увеличении производительности основных котлов в два раза.

Ф. Неволлин  
58898. К вопросу варки туалетной основы из расщепленных жиров. Продев М. В., Маслоб.-жир. пром-сть, 1958, № 2, 21—23

Указано, что для улучшения цвета туалетного мыла, сваренного из жирных к-т, полученных при безреактивном расщеплении жиров, следует проводить предварительную рафинацию низкосортных жиров, деаэрацию жира и воды, вести расщепление жиров непрерывным методом. На з-дах, где в автоклавах расщепляется смесь жиров, предназначенных для варки туалетной основы, кокосовое масло следует расщеплять отдельно, а полученную глицериновую воду обезжиривать либо длительным отстаиванием

при < 10° или обрабатывать известью и пром глинозема и др. Полученный таким образом глицерин дистиллируется без вспенивания, а дистиллят по качеству приближается к требованиям ГОСТа.

А. Зеленецкая  
58899. Туалетные мыла, не содержащие жирных кислот. Слейс (Enige aspecten van de vetzuurloze toiletzeep. Sluis K. J. H. van), Chem. courrant, 1956, 55, № 1771, 217—218, 221—224 (гол.)

58900. Применение фракционированных жирных кислот и фосфатов при изготовлении мыл для морской воды. Тум (Het gebruik van gefractioneerde vetzuren en fosfaten bij de vervaardiging van zeewaterzeep. Tum Jon.), Oliën, vetten en zeep, 1956, 40, № 20, 307—309 (гол.)

58901. Мыло с ДДТ. Галинский (Mydło z azotoksem. Galiński Karol), Przem. spożywczy, 1956, 10, № 2, 93—94 (польск.)

Обсуждаются свойства мыла с ДДТ (дихлордифенилтрихлорэтаном), выпускающимся в Польше под названием «азотокс».

Н. Любощиц  
58902. Синтетические моющие средства и мыла. Годичный обзор. Снелл (Syndets and soaps. I/EC annual reviews. Shell Foster Dee), Industr. and Engng. Chem., 1958, 50, № 1, A41—A43 (англ.)

Экономический обзор за 1957 г., в котором показан дальнейший рост синтетич. моющих средств и уменьшение произ-ва мыла. Но последнее занимает доминирующее положение в качестве моющего средства в промышленных прачечных вследствие более низкой цены мыла. Для туалетных целей также применяется преимущественно жировое мыло. Указывается на дальнейший рост произ-ва синтетич. глицерина, хотя одновременно производится 42 000 т пентаэритрита, заменяющего глицерин в произ-ве алкидных смол. Во взрывных работах глицерин частично заменен композициями, основанными на нитрате аммония или органич. нитратах и жидком кислороде.

Ф. Неволлин  
58903. Достижения в развитии моющих средств. Ресегган (Advances in detergency. Resuggan J. C. L.), Dairy Inds, 1957, 22, № 4, 331—332 (англ.)

Обзор по вопросу использования новых моющих средств для мойки оборудования на молочных з-дах.

Н. Бойко  
58904. Детергенты из сахаров. Швейсхеймер (Detergents aus Zucker. Schweisheimer W.), Riechstoffe und Aromen, 1957, 7, № 12, 336, 368, Zucker, 1957, 10, № 24, 543—544 (нем.)

Приведены краткие сведения о состоянии научных работ по получению детергентов из сахаров. Описано применение эфиров сахаров в пищевой, косметич. и фармацевтич. пром-сти, их свойства и преимущества.

Г. Шураев  
58905. Высокоактивные диалкилолаамиды. Пью (High active dialkylolamides. Pugh A. T.), Manufact. Chemist, 1957, 28, № 12, 557—559 (англ.)

Производные различных этаноламинов и жирных к-т добавляют в детергенты для стабилизации пены. Рассмотрены наиболее растворимые соединения этого типа, главным образом диалкилолаамиды, их свойства и применение при изготовлении жидких детергентов.

А. Емельянов  
58906. Сульфированные спирты жирного ряда. Барбера, Буснелли (Alcoli grassi solfonati. Barbera Aldo, Busnelli Armando), Laniera, 1956, 70, № 12, 1167—1172 (итал.)

58907. Синтез консервирующих, дезинфицирующих, смачивающих и поверхностноактивных веществ из группы четвертичных аммониевых солей. Эрекаев В. П., Герчук М. П., Хим. наука и пром-сть, 1957, 2, № 5, 666

Разработан метод производственного получения чет-



вертикальных аммониевых солей из смеси высокомолекулярных спиртов, получающихся окислением нефтяных парафиновых углеводородов  $C_{10} - C_{30}$ . Из этой смеси действием  $HBr$  получена смесь высокомолекулярных бромидов, которая при обработке третичными аминами образует смесь четвертичных аммониевых солей. Так, при обработке смесью высокомолекулярных бромидов пиридина получена смесь алкилпиридинийбромидов; при обработке диэтилбензиламина — смесь диэтилалкилбензиламмонийбромидов. При обработке смеси спиртов металл. Na с последующей обработкой алколюлятов  $\beta$ -диэтиламинохлорэтаном получена смесь диэтил-( $\beta$ -алкоксиэтил)-аминов, которая при обработке бензилхлоридом давала смесь диэтил-( $\beta$ -алкоксиэтил)-бензиламмонийхлоридов. Приготовленные смеси снижают поверхностное натяжение воды и обладают высокой смачивающей способностью. А. Зеленецкая

**58908. Испытание дезинфицирующих мыл. Штейнфатт** (Prüfung von desinfizierenden Seifen. Steinfatt Fritz), Seifen-Öle-Fette-Wachse, 1958, 84, № 4, 93—94 (нем.; рез. англ., франц., исп.)

1 ч. измельченного в стружку мыла размачивают 2 часа в 9 ч. воды при  $45^\circ$ , после чего полученный р-р мыла всенивают. В полученную пену вносят определенное кол-во испытуемой культуры микроорганизмов. Оценку состояния их проводят при 20—25° по истечении 2, 4 и 6 мин. При испытании жидких дезинфицирующих мыл берут смесь 1 ч. мыла и 2—4 ч.  $H_2O$ . Р. Левитанайте

**58909. О поверхностноактивных свойствах моющих средств. Николеску. Ионеску** (Asupra unor proprietăți tensioactive ale detergentilor. Studiul detergentiului izooctilbenzen-sulfonat de sodiu. Nicolescu I. V., Ionescu Olga), An. Univ. «C. J. Parhon». Ser. științ. natur., 1957, № 15, 103—108 (рум.; рез. русск., франц.)

Результаты исследования поверхностноактивных свойств Na-изооктилбензолсульфоната, влияния хим. строения некоторых углеводородов (тетралина, декалина, изооктилбензола) на поверхностные свойства р-ров моющих средств (поверхностное натяжение, коэф. распределения. А. Вавилова

**58910. Действие конденсированных фосфатов при ополаскивании белья. Шустер** (Die Wirkung kondensierter Phosphate im Spülbad. Schuster Karl), Seifen-Öle-Fette-Wachse, 1957, 83, № 16, 451—455 (нем.; рез. англ., франц., исп.)

Установлено, что неправильно проведенный процесс ополаскивания является источником отложения Са-солей на белье и моющей аппаратуре. Конденсированные фосфаты устраняют старые отложения, препятствуют образованию новых, вытесняют из белья остатки мыла и моющих средств, сообщая ему шелковистость, способность к всасыванию и хороший внешний вид. Высокое содержание фосфатов в моющих средствах не исключает применения конденсированных фосфатов при полоскании. Низкая т-ра ополаскивания способствует отложению Са-солей. Г. Шураев

**58911. Адсорбция карбоксиметилцеллюлозы в процессе стирки. Штюпель** (Über das Adsorptionsverhalten von Natriumglykolat im Waschprozess. Stüpel H.), Textil-Praxis, 1957, 12, № 10, 1009—1014 (нем.; раз. англ., франц., исп.)

Показано, что Na-карбоксиметилцеллюлоза (I) в процессе стирки адсорбируется не на волокне, а на загрязнениях. Для доказательства использован акридинорап-флюорохром (II), который, реагируя с I, дает специфич. красно-оранжевую окраску в УФ-свете. Это свойство II ясно проявляется в водн. р-рах различных конц-ий I, независимо от остальных мою-

щих средств. При всех вариантах исследования загрязненные места ткани в присутствии I обнаруживали характерное свечение. Такое же явление наблюдается в отсутствие ткани на загрязненных местах других предметов. Исследования методом радиоактивных изотопов подтвердили эти выводы. Г. Шураев

**58912. Унификация методов анализа моющих средств. Зегессер** (Vereinheitlichung der Analyse von waschaktiven Substanzen. Segesser A. von), Fette, Seifen, Anstrichmittel, 1957, 59, № 11, 965 (нем.)

Обсуждается вопрос о нормировании методов анализа в рамках существующего Международного комитета по детергентам. Г. Шураев

**58913. Методы оценки поверхностноактивных средств. Ендрачик** (Metody oceny środków powierzchniowo czynnych. Jędraszczyk H.), Przem. włókienniczy, 1956, 10, № 5, Biul. Inst. włókiennictwa, 10 (польск.)

**58914. Качественное и количественное определение полиалкиленоксидов посредством тетрафенилбората натрия. Ней** (Der Nachweis und die quantitative Bestimmung von Polyalkylenoxyden mit Natriumtetraphenylborat. Neu R.), Fette, Seifen, Anstrichmittel, 1957, 59, № 10, 823—826 (нем.; рез. англ., франц., исп.)

Метод основан на способности полигликолевых эфиров (I) образовывать соли оксония с минер. к-тами; с некоторыми реактивами эти соли дают выпадающие из р-ров осадки. Этим методом исследовались 8 образцов I с мол. в. 200—12 000. При нагревании водн. р-ров I в кол-ве  $\sim 50$   $\mu$  с р-ром  $BaCl_2$  и добавлением р-ра  $(C_6H_5)_4BNa$  сразу образуется хлопьевидный осадок. При  $10$   $\mu$  I выпадение осадка наблюдается через 15 час. Подобно  $BaCl_2$  ведут себя  $CaCl_2$ ,  $Sr(NO_3)_2$  и  $MgSO_4$ , с помощью которых  $50$   $\mu$  I с мол. в. 200 обнаруживаются немедленно.  $MgSO_4$  дает осадок с  $10$   $\mu$  I с мол. в. 1000 через 15 час., ацетат  $Cd$  и  $Al_2(SO_4)_3$  дают эту р-цию с I с мол. в.  $> 620$ . Метод применим также к неионогенным в-вам, к в-вам с полиэтиленоксидной цепью и эфирам жирных к-т и сорбита. Г. Шураев

**58915. Электрономикроскопическое исследование растворов моющих средств, высушенных сублимацией в замороженном состоянии. Керен. Рёш** (Untersuchungen gefriergetrockneter Waschmittellösungen im Elektronenmikroskop. Kehren M., Rösch M.), Melland Textilber., 1957, 38, № 11, 1295—1300 (нем.; рез. англ., франц., исп.)

Исследовались р-ры тетрадецилового спирта, конденсированного с 5 молями окиси этилена оптич. алкилбензолсульфоната Na, додецилсульфата Na и лаурата Na в конц-ии  $10^{-2}$  моля при увеличении 7900. Каждое из в-в исследовалось на трех видах различно обработанной фольги как носители. Приведены фотоснимки этих в-в, из которых видно, что неионогенные в-ва образуют исключительно точечные структуры; анионоактивные, наоборот, тонкие сетчатые, отличающиеся в деталях в зависимости от рода фольги. Г. Шураев

**58916. Флотационные свойства эфирных (полиных) масел из местного сырья Скормина Р. А.** КазССР Фельзм Акад. хабарлары, Изв. АН КазССР. Сер. горн. дела, металлургии, стро-ва и стройматериалов, 1957, вып. 5 (16), 15—20 (рез. каз.)

Проведено исследование трех полиных эфирных масел (цитварного, полины зайлыкской и полины однолетней), показавшее, что по своим вспенивающим свойствам эти масла не уступают стандартному пенообразователю — сосновому маслу. С. Виреуб

58917 П. Самофильтрующий прибор для извлечения растительных масел. Кастельянос (Selbsttätig filterndes Gewinnungsgerät für pflanzlichen Öl. Castellanos Eduardo Francisco Buendia) [Maquinaria Espanola Oleicola Maeso S. L.]. Пат. ФРГ 956538, 17.01.57

Самофильтрующий прибор (даны схемы) для извлечения растительных масел состоит из резервуара, внутри которого на обеих сторонах главного приводного вала прикреплены крыльчатки, снабженные на концах лопатками для перемешивания и отжима обрабатываемого материала. Нижняя часть резервуара имеет большое число отверстий, в которые вставлены так называемые поршни в форме гребешков, работающие как маленькие всасывающие и нагнетательные насосы. Эти поршни снабжены штоками, которые соединены эксцентриком с главным приводным валом. Поршни, имея возвратно-поступательное движение, непрерывно очищают пропускные отверстия и дают возможность сливаться выделившемуся маслу. Внутри резервуара имеется система труб для обогревающей воды. Прибор можно передвигать при помощи колес, снабженных шинами. Е. Киселева

58918 П. Способы улучшения высыхаемости масел, выделенных из растений вида *Ongokea*. Кауфман (Verfahren zur Verbesserung der Trocknungsfähigkeit des fetten Öles aus Ongokea-Arten. Kaufmann Hans P.). Пат. ФРГ 958414, 21.02.57

Описаны способы улучшения высыхаемости масла (*M*) *Ongokea gore*, основанные на нагревании *M* с многосложными органич. к-тами. Указано, что частично гидрированное *M* (*ГМ*) можно нагревать и с односложными органич. к-тами. Примеры: 1) 100 ч. *M* нагревают с 7 ч. малеинового ангидрида (*I*) при 180–190° в течение 3 час. 2) 50 ч. *ГМ* (йодное число 150) и нагревают с 25 ч. канифоли и 0,15 ч. ( $C_2H_3O_2Pb$ ) (*II*) или с 25 ч. к-т льняного масла и 0,15 ч. *II* при 195–200°, затем т-ру повышают до 210–215°, 3) 100 ч. *ГМ* нагревают с 7 ч. *I* при 180° в течение 7 час. Все вышеуказанные процессы проводят в атмосфере  $CO_2$ .

Р. Левитанайте

58919 П. Аппарат для растапливания жиров при низкой температуре (Apparecchio per la fusione a bassa temperatura ed il gocciolamento dei grassi. Herbst Ernst). Швейц. пат. 312196, 29.02.56.

Предлагается аппарат с электроподогревом для растапливания жиров, состоящий из перфорированных пластинок, расположенных в виде арок, над которыми находятся нагревательные элементы в виде электросопротивлений. Глыба жира загружается на эти подогревательные элементы, плавится и расплавленный жир сейчас же стекает через отверстия и щели между пластинками. Н. Млодзеевская

58920 П. Окисление жирных кислот. Энглерт, Ричардс (Oxidation of fatty acids. Engler Robert D., Richards Lawrence M.) [Tallow Research, Inc.]. Пат. США 2773094, 4.12.56

При окислении пальмитиновой, стеариновой, миристиновой и других насыщ. жирных к-т с 14–18 атомами *C* посредством 10–30%-ной  $HNO_3$  получается смесь моно- и двусложных карбоновых к-т с меньшим числом углеродных атомов. Максим. условия процесса: мол. соотношения  $HNO_3$  к смеси жирных к-т от 4:1 до 30:1, т-ра 170°, давл. 7 атм. Монокарбоновые к-ты отделяют из реакционной смеси перегонкой, а двусложные к-ты извлекают р-рителями, напр. метилэтилкетон, метил-*n*-амилкетон, этилбутилкетон. Даны схема и описание установки. Н. Кологривова

58921 П. Выделение холестерина из неомыляемой части шерстяного жира. Миякава, Накаока

(Miyagawa Takaaki, Nakaoka Tatsumi) [Хасаба Ёсинори]. Японск. пат. 5533, 2.09.54

Неомыляемую часть шерстяного жира нагревают с  $(CH_3)_2CO$ ,  $CH_3COC_2H_5$  или  $(C_3H_7)_2CO$  и охлаждают; получают спирт жирного ряда с высокой т-рой плавления. Фильтрат обрабатывают двусложной к-той (щавелевой, янтарной, малеиновой или фталевой) с выделением продукта присоединения спиртов жирного ряда и к-ты с более низкими т-рами плавления. Маточную жидкость нейтрализуют  $NH_4OH$ ;  $NH_4$ -соль и р-ритель удаляют, остаток кипятят с  $CH_3OH$  и охлаждают с выделением изохолестерина и спиртов терпенового ряда, затем маточный р-р охлаждают до 0° с выделением холестерина. Э. Тукачинская

58922 П. Обработка гранулированного мыла. Итон (Treatment of soap particles. Eaton Stanley L.) [The Procter and Gamble Co.]. Пат. США 2776943, 8.01.57

Высушенное гранулированное или порошкообразное мыло, приготовленное по жировой рецептуре, содержащей небольшое кол-во жирных к-т кокосового масла или совершенно не содержащей их, при введении в теплую воду образует труднорастворимые массы или агрегаты. Патентуется способ получения легкосыпучих порошков, не обладающих указанным недостатком. Для достижения этого эффекта необходимо, чтобы исходный порошок содержал  $\geq 1,5\%$  силиката. Поверхность частичек порошка при перемешивании его обрызгивают небольшим кол-вом жирных к-т, содержащих 8–14 атомов *C* (жирные к-ты кокосового масла или синтетич. жирные к-ты). Из жирных к-т и силиката образуется комплекс, уменьшающий тенденцию порошка к комокванию. Пример. 98 ч. гранулированного 74%-ного мыла, содержащего 11% силиката  $Na$ , 6%  $Na_4P_2O_7$  и 8% влаги, обрабатывают распылением 2 ч. жирных к-т кокосового масла во вращающемся барабане. Т-ра мыла во время обработки  $\sim 40^\circ$ , а т-ра жирных к-т  $\sim 50^\circ$ . Ф. Неволлин

58923 П. Моющее и дезинфицирующее средство. Копп (Cleaner-sanitizer. Copp Marvin) [General Aniline & Film Corp.]. Пат. США 2742434, 17.04.56

Патентуется моющее и дезинфицирующее порошкообразное средство, состоящее (в ч.) из 10–35 водорастворимого неионогенного моющего средства (*МС*), 0,5–5 водорастворимого четвертичного аммониевого соединения, 0,001–0,2 оптика. отбеливателя типа сульфоната стильбена и 50–85 неорганич. щел. солей. Моющее средство готовят механич. смешиванием указанных компонентов. Примерные рецептуры (в ч.): 1) жидкое *МС* (продукт конденсации 1 моля вонилфенола с 8 молями окиси этилена) 15; бензилтриметиламмонийхлорид (*I*) (50%-ный р-р) 2,5;  $Na_2CO_3$  80; бис-(2-морфолино-4-анилидино-1,3,5-триазил-(6))-4,4'-диаминостильбен-2,2'-дисульфат  $Na$  (*II*) 0,1; твердое *МС* (продукт конденсации 1 моля смоляных к-т с 50 молями окиси этилена) 30; *I* 1,5; тетрапрофосфат  $Na$  30;  $Na_2SO_4$  37; *II* 0,1; 3) жидкое неионогенное моющее средство 15; *I* 1,5; тетрапрофосфат  $Na$  25; метасиликат- $Na$  5;  $Na_2SO_4$  42; тамол (сульфированный продукт конденсации формальдегида с нафталином) 7; карбоксиметилцеллюлоза 3; бис-(диоксэтиланинобензоил)-4,4'-диаминостильбен-2,2'-дисульфат  $Na$  0,1. Ф. Неволлин

58924 П. Способ уменьшения содержания непрореагировавших жирных спиртов при получении сульфонатов жирных спиртов. Герлов (Verfahren zur Minderung des Anteils nicht umgesetzten Fettalkoholes bei der Herstellung von Fettalkoholsulfonaten. Gerloff Willi). Пат. ГДР, 12226, 9.10.56

Способ заключается в том, что спирты, не прореагировавшие при сульфировании их серной или хлорсульфоновой к-тами, превращают в алкиларилсульфо-



наты конденсацией с производными бензола, нафталина или другими в-вами ароматич. ряда в присутствии  $H_2SO_4$  с последующей нейтр-цией щелочью. Примеры: 1) 114 вес. ч. смеси жирных спиртов ( $C_{10}-C_{20}$ ) сульфировать 110 вес. ч. 96%-ной  $H_2SO_4$  при 35–45°. Продукт р-ции конденсируют с 23 вес. ч. толуола в присутствии 250 вес. ч. 80%-ной  $H_2SO_4$  при ~65°. После расслоения и отделения продукт конденсации вторично сульфировать 100 вес. ч. 20%-ного олеума при 25–30° и нейтрализуют NaOH. 2) 114 вес. ч. жирных спиртов ( $C_{10}-C_{20}$ ) сульфировать 150 вес. ч. 96%-ной  $H_2SO_4$  при 35–45°. Продукт р-ции конденсируют с 28 вес. ч. моноклорбензола в присутствии 165 вес. ч. 80%-ной  $H_2SO_4$  при 65°. После расслоения и отделения продукт конденсации нейтрализуют NaOH.

Н. Фрумкина

**58925 П.** Несележивающиеся моющие композиции, состоящие из алкиларилсульфонатов. Льюис, Стейнер (Non-caking alkyl aryl sulfonate detergent compositions. Lewis Allen H., Stayner Richard D.) [California Research Corp.]. Пат. США 2773833, 11.12.56

Патентуется твердая моющая композиция, не слеживающаяся при хранении, состоящая из 10–95 ч. Na-соли моноалкилбензолсульфоновой к-ты и неорганич. наполнителей и 0,5–10% от веса композиции Na-бензолмоносulfоната или Na-толуолмоносulfоната. Последние соединения устраняют слеживание продукта.

Ф. Неволлин

**58926 П.** Синергические составы, содержащие растворимую в спирте фракцию растительного лецитина. Джулиан, Айвсон, Радлов (Synergistic compositions of matter comprising the alcohol-soluble moiety of vegetal lecithin. Julian Percy L., Iveson Herbert T., Radlove Sol B.) [The Iddigen Co.]. Пат. США 2773771, 11.12.56

Предлагаются синергич. смеси с улучшенными эмульсионными и поверхностноактивными свойствами, состоящие из 10–35% растворимой в спирте фракции растительного лецитина и 65–90% в-в с гидрофильными или липофильными группами (смесь моно- и диглицеридов или модифицированные растительные масла, гидроксидированные в присутствии низших карбоновых оксикислот до снижения йодного числа до 20 или частичные эфиры ангидридов шестиатомных спиртов с жирными к-тами).

А. Емельянов

**58927 П.** Кристаллические поверхностноактивные вещества (Produit cristallisé a activite de surface) [Consortium de Produits Chimiques et de Synthèse]. Франц. пат. 1111702, 5.03.56

Патентуются поверхностноактивные в-ва в кристаллич. форме — щел. соли *n*-гептилсульфосукцината (I). Для получения этих продуктов нагревают при перемешивании до 130–135° малеиновую к-ту 590 ч., *n*-гептанол 1195 ч., толуол 1075 ч. и конц.  $H_2SO_4$  5 ч. до постоянного кислотного числа реакционной смеси. Затем отгоняют толуол и избыток *n*-гептанола нейтрализуют полученный эфир разб. р-ром соды. Получают 1495 ч. гептилмалеата в виде бесцветной жидкости с коэф. омыления 348. Загружают в стальной автоклав 156 ч. *n*-гептилмалеата, 128 объемов р-ра  $NaHSO_3$  (44 ч.  $NaHSO_3$  в 100 мл) и 137 ч. 95%-ного этилового спирта. Нагревают в течение 4 час. при 100°. Затем охлаждают и удаляют продукт из автоклава. Полученный р-р оставляют на ночь на льду. I кристаллизуется в виде белых листочков, не обладающих постоянной т-рой плавления, коэф. омыления 269, содержание серы 7,69%. Растворимость в холодной воде 1%, а при 90° — 20%. I обладает хорошей смачивающей и пенообразовательной способностью, устойчив в жесткой воде. Поверхностное натяжение 1%-ного р-ра 24–

26 дин/см. Смешением I с содой получают хорошее моющее средство для хлопчатобумажных тканей. Из I прессованием при 70° получают моющее средство (в виде кусков) для туалетных целей.

**58928 П.** Очищенные полиэтиленовые эфиры алкилфенола. Штольц (Purified polyethenoxy alkylphenyl ethers. Stoltz Emil M.) [Olin Mathieson Chemical Corp.]. Пат. США 2778854, 22.01.57

При конденсации алкилфенола с окисью этилена получаемый детергент имеет темную окраску, так как в условиях р-ции окись этилена разлагается на этилен и кислород, который окисляет фенол с образованием хиноидной структуры. Для осветления продукта его обрабатывают  $H_2O_2$ , разрушающей хиноидную структуру.

Ф. Неволлин

**58929 П.** N-высшие алкил-4-карбоксихириролдон-2 и композиции, их содержащие. Мудрак (N-higher alkyl-4-carboxy-2-pyrrolidones and compositions thereof. Mudrak Anton) [Colgate-Palmolive Co.]. Пат. США 2757125, 31.07.56

При кипячении (3–4 часа, 180–200°, с удалением воды) итаковой к-ты с различными *n*-алкиламидами получены соответствующие N-алкилпроизводные 4-карбоксихириролдона-2 (I). Приведены [м-алкил-т-ра плавления (из ацетонитрила), соответствующие] лаурил, 74–75°; *n*-гексадецил, —; *n*-тетрадецил, 75,5–76,5°; *n*-децил, 63–65°; октадецил, 55–57°. При взаимодействии I с разб. NaOH получены Na-соли I при 6-час. кипячении с  $CH_3OH$  в присутствии  $H_2SO_4$  соответствующие эфиры, а с  $SOCl_2$  — хлорангидриды. Нагревание метилового эфира, I (алкил-лаурил с 10%-ным избытком моноэтанолamina при 150–160° приводит к N-лаурил-4-этанолкарбамидпириролдону-2, т. пл. 71–74°. Все полученные I (м-алкил- $C_{10}-C_{18}$  являются хорошими противобактерицидными средствами и обладают поверхностноактивными свойствами. I, а также их соли, эфиры или амиды могут найти применение в качестве добавок в различных зубных средствах и использоваться при получении детергентов в сочетании с другими поверхностноактивными в-вами анионного характера в кол-ве 0,5–15% от общего веса. Приведены новые рецепты разрыхляющих кремов, зубных порошков и мыл с применением

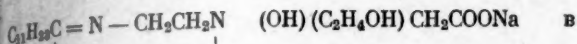
Н. Кологривов

**58930 П.** Некоторые соли имидазоловых карбоновых кислот, обладающие моющими свойствами, и методы их получения. Манхеймер (Certain imidazole alkanolic acid salts of certain detergent acids and process. Mannheim Hans S.). Пат. США 2781351, 12.02.57

Предложены соединения ф-лы  $RC=N-CH_2-CH_2-$

·  $(R'OH)(R'COOM)XR''OCOR''$ , где R — углеводородный радикал с 4–18 атомами C (напр.,  $C_4H_9-C_{11}H_{23}$  и т. д.); R' — алифатич. или гидрозамещ. алифатич. группа с 1–4 атомами C, а также эти группы с 2–4 атомами C, содержащие одну кетогруппу или эфирную связь (напр.,  $-CH_2-$ ,  $CH_3CHONCH_2-$ ,  $-CH_2-O-CH_2-$ ,  $-CH_2CHONCH_2-$  и т. д.); R'' — алифатич. радикал с 6–18 атомами C или алифатич.-ароматич. радикал, включающий бензольные или нафталиновые кольца, связанные с алифатич. радикалами, имеющими 6–18 атомов C; R''' — алифатич. или гидроксизамещ. алифатич. группа с 1–12 атомами C, а также эти группы с 2–12 атомами C, содержащие по крайней мере одну эфирную или амидную связь  $X-SO_3-$  или  $-OSO_3-$ ; M — щел. металл. Патентуемые соединения получают взаимодействием 2 молей соединения ф-лы  $RC=NCH_2CH_2-N(OH)(R'OM)R''COOM$

с 1–3 молями соединения ф-лы  $R''COOR''XM$  при т-ре 40–95° и pH 7–9. Напр., 400 вес.



600 вес. ч. воды нагревают до 60°. pH доводят до 12—13 добавлением NaOH. При непрерывном перемешивании в смесь добавляют 400 ч. соединения ф-лы  $C_{11}H_{23}COOC_2H_4SO_3Na$  в 600 ч. воды. Затем в смесь при перемешивании добавляют 30—40 ч. 32%-ной HCl, понижая pH до 8,2—8,7, и продолжают перемешивание еще 10 мин. Образуется продукт ф-лы  $C_{11}H_{23}C = N - CH_2 \cdot CH_2 - N (C_2H_4OH) (CH_2COONa) SO_3C_2H_4OCOC_{11}H_{23}$ . Патентуемые продукты являются поверхностноактивными агентами и служат в качестве хороших детергентов и моющих. Они также могут использоваться как фунгициды и антисептики. С. Басс

58931 П. Процесс приготовления шампуней (Procédé de préparation de shampooings) [Pierre-Louis Georges Minnel]. Франц. пат. 1130934, 13.02.57

Патентуется композиция на основе сула злаков и пива, способствующая питанию волос, состоящая (в %) из пива и сула 79, лаурилсульфата триэтанол-аминна 20 и альгината гликоля 1. Ф. Неволлин

58932 П. Стиральный порошок (Poudre à laevr) [René Brizard]. Франц. пат. 1130791, 12.02.57

Патентуется порошок, предназначенный для стирки различных тканей, в том числе шерсти, шелка, нейлона и для других бытовых целей. Рецептура порошка: 70—90 ч. алкиларилсульфоната натрия, 5—10 ч. алкилкетотетрапропилбензола, 2—6 ч. безводн. пирофосфата натрия, 2—6 ч. триполифосфата. Порошок готовят простым смешением ингредиентов. Ф. Неволлин

58933 П. Процесс стирки белья в холодной воде и применяемые при этом специальные детергенты. Белье (Procédé de lavage du linge à l'eau froide, et les produits détersifs spéciaux utilisés avec ce procédé. Beal André). Франц. пат. 1115755, 30.04.56

Стирку белья в холодной воде производят как ручным, так и машинным способами и, в зависимости от загрязненности белья, в одну или в две стадии. При сильно загрязненном белье предложено вести процесс в две стадии, применяя: в 1-й стадии смесь (в ч.) сульфированных жирных амидов 12—25, и щел.: карбоната 20—35, тринатрийфосфата 12—20, гексаметафосфата 0—10, полифосфата 0—5, пирофосфата 0—15, мыла 0—15, щел. силиката 0—10, алифатич. алканол-аминов; во 2-й стадии применяют: смесь (в ч.) Na-соли этилендиаминотетрауксусной к-ты 0—5, жирных сульфированных амидов 12—25, щел. карбоната 20—40, тринатрийфосфата 0—10, динатрийфосфата 0—10, пирофосфата 0—20, бората 0—10, мыла 0—10, силиката 0—5, солей надкислот 0—7 и карбоксиметилцеллюлозы 3. При стирке в одну стадию употребляют смесь всех перечисленных в-в. 1-ю стадию проводят в течение 10 мин., 2-ю 15—20 мин. При стирке в одну стадию процесс занимает 15—20 мин. Для всех составов pH изменяется в пределах 9,4—9,6. Н. Млодзеевская

См. также: Йодометрич. определение перекисных кислот 57238

## УГЛЕВОДЫ И ИХ ПЕРЕРАБОТКА

Редактор М. С. Гарденин

58934. Использование урожая сахарной свеклы и сахарного тростника. Хасс (Future utilization of sugar crops. Hass H. B.), Internat. Sugar J., 1958, 60, № 710, 41—43 (англ.)

Сжатая характеристика способов использования сахарозы и отходов, получающихся при возделывании

и переработке свеклы и тростника: обработка жома и багассы аммиаком для получения белкового корма для животных; разнообразные процессы сбраживания мелассы, вплоть до выработки антибиотиков; получение высокополимерных соединений из сахарозы (искусств. смолы, декстран и др.), получение детергентов, горючего, взрывчатых в-в, р-рителей и пластификаторов, токсически действующих в-в, воска, производных целлюлозы и др. Г. Бенин

58935. Сахарная промышленность Воронежской области и ее задачи. Каниболоцкий Н. К., Бальцер Е. Б., Вестн. совнархоза, 1958, № 2, 12—16

58936. Номограммы вязкости сахарных растворов и меласс. Силян П. М., Изв. высш. учебн. заведений. Пищ. технол., 1957, № 1, 73—76; Сахарная пром-сть, 1957, № 12, 37—40

Даны удобные для практич. пользования номограммы вязкости сахарных р-ров и меласс; для вязкости сахарных р-ров применено у-ние И. Н. Каганова в логарифмич. форме  $\lg \eta = \lg A + B/TN$ , где  $\eta$  — вязкость сахарного р-ра в пуазах,  $T$  — абс. т-ра,  $N$  — конц-ия сахара в мол. долях,  $A$  и  $B$  — постоянные величины; на номограмме вязкость нанесена в логарифмич. масштабе, а конц-ия сахара — в масштабе мол. долей; номограмма получается из прямых линий для различных т-р. При построении номограммы для вязкости мелассы по абсциссе (внизу) нанесены сухие в-ва, определенные рефрактометрически без разбавления в масштабе мол. долей сахарозы и, кроме того, тоже по абсциссе (вверху) нанесена т-ра (от 20 до 80°) в масштабе, близком к  $1/T$ . По ординате нанесена вязкость амелассы в пуазах в логарифмич. масштабе. Описываются примеры пользования номограммой для меласс при установлении режима работы в продуктовом отделении сахарного з-да. Г. Бенин

57937. О патокообразовательном коэффициенте. Зеликман И. Ф., Тр. Среднеаз. политехн. ин-та, 1957, вып. 4, 284—290

На основании новых данных о влиянии конц-ии несахаров на растворимость сахара автор указывает на некоторые неправильные представления ряда исследователей о зависимости патокообразовательного коэф. ( $K_p$ ) только от качества несахара.  $K_p$  кормовой патоки, определяемый отношением процентного содержания сахара к процентному содержанию несахара, зависит также от содержания в патоке воды. Показано, что при разжижении патоки и доведения до состояния насыщения в отношении сахара,  $K_p$  увеличивается. С понижением доброкачественности  $K_p$  уменьшается. Выход патоки при переработке данного сиропа уменьшается с уменьшением доброкачественности патоки. А. Кононов

58938. О влиянии pH на пептизацию пектиновых веществ. Жура К. Д., Сахарная пром-сть, 1957, № 12, 53—55

Лабораторные опыты по выявлению влияния pH на пептизацию пектиновых в-в из свежей свеклы, поведения их при различных реакциях среды применительно к условиям на диффузии показали, что optimum pH для миним. пептизации приближается к 6,5—6,7 (как и у нормального сока свеклы). Не рекомендуется пользоваться для диффузионного процесса барометрич. и особенно аммиачной водой, имеющими щел. р-цию; для этой цели лучше применять слабо подкисленную воду с pH 6,5—6,7. Г. Бенин

58939. Выбор рационального типа диффузионной установки. Борковский М. А., Сахарная пром-сть, 1958, № 1, 14—18

Для пяти установок (ротационная РТ-Смет, одноколлонные БМА и Букау-Вольф, Олье и ДДС-Брюнхен-



Ольсен) рассмотрены основные технологич. и технико-экономич. показатели, эксплуатационные данные и сложность изготовления аппаратов. По технологич. показателям аппараты признаются равноценными; наиболее совершенным является аппарат Олье. По стоимости и металлоемкости преимущество у аппарата Брюнихе-Ольсен.

**58940. Расчет полезной емкости дефектора прогрессивной преддефектации.** Кац В. М., Сахарная пром-сть, 1958, № 1, 31—33

Дан расчет емкости котла предварительной дефектации (ПП) в случае прогрессивного возврата на ПП нефилтрованного сока 1-й сатурации. Показано, что для сохранения заданной продолжительности ПП при прогрессивном добавлении сатурационного сока в кол-ве 100% к объему диффузионного сока полезную емкость преддефектора нужно увеличить на 42%, а не удваивать, как это считалось раньше.

Г. Бенин

**58941. Вопросы развития сахаро-рафинадного производства.** Клейман Б. М., Сахарная пром-сть, 1958, № 2, 2—8

Соображения по вопросам соотношения кол-ва сахара-песка и сахара-рафинада, ассортимента сахара-рафинада и типов тары, типа и мощности производящего рафинад предприятия и технологич. схем произ-ва, которые необходимо учитывать при разработке перспектив развития сахаро-рафинадного произ-ва.

М. Гарденин

**58942. Пена мелассы как один из особых отходов сахарного производства.** Вавринец (A melaszhab, mint a cukorgyári lerakódások egy különös fajtája. Vavrinecz Gábor), Cukoriapr, 1957, 10, № 7—8, 128—129 (венг.)

При переходе к очистке сока уменьшенным кол-вом извести толщина слоя пены над мелассой в хранилищах увеличилась с 10—30 см до 0,5—3 м. С целью выделения эмульгаторов пену многократно орошали водой и после каждого орошения спускали жидкость, скапливающуюся на дне сосуда после спедения пены, до получения р-ра светло-желтого цвета. Из спавшей пены выпадает осадок серо-синего цвета, а сама пена становится пепельно-серой. Приведены данные анализа осадка за 1935 и 1941 гг.; он состоит большей частью из выпадающих из сока при варке солей Са. При анализе жиры экстрагировали легкой фракцией бензина, для разделения к-т высушенное в-во разлагали HCl, фильтровали и промывали на фильтре, после чего высшие жирные к-ты вымывали со стенок сосудов, осадка и фильтра петр. эфиром. Из осадка после высушивания вымывали сапониновую к-ту горячим спиртом. Затем смесью спирта и 2% конц. HCl вымывали фукиновую к-ту или вымывали горячим аммиаком фукиновую и гуминовую к-ты. При использовании пены в качестве корма для скота необходимо обращать внимание на сильно колеблющееся содержание солей ядовитой сапониновой к-ты.

Г. Юдкович

**58943. XI сессия Международной Комиссии по Унификации аналитических методов в сахарной промышленности (ICUMSA) (XI Sitzung der Internationalen Kommission zur Vereinheitlichung der Methoden für die Zuckeranalyse (ICUMSA)).** Zucker, 1955, 8, № 23, 516—523; № 24, 542—546; 1956, 9, № 1, 14—20; № 2, 42—45; № 3, 59—63; № 5, 107—109; № 6, 129—131; № 8, 186—194; № 9, 213—217; № 10, 250—252; № 11, 271—274; № 12, 296—299; № 13, 327—332; № 14, 352—354; № 15, 376—379; № 16, 398—399; № 17, 430—434 (нем.)

Приведены протоколы по 25 докладом, дискуссиям и решениям по ним, заслушанных на XI сессии в Париже 9—14 июля 1954 г. (в скобках указаны по-

мера журналов, в которых они помещены). Темы докладов: Положения о работе сессии (23); Введение, затаривание и взятие проб сахара-сырца (23); Определение содержания золы в сахаропродуктах (23); Определение редуцирующих сахаров (24); Стандартные методы определения активности адсорбентов, применяемых в рафинадном произ-ве (24); Исследование меласс и сахарных сиропов (24); Показатели преломления сахарных р-ров (1); Калибровка контрольных кварцевых призм (1); Метод оценки свекловичного сахара-сырца на способность рафинироваться (2); Метод оценки тростникового сахара-сырца на способность рафинироваться (2); Специфицирование и допуски реактивов, применяемых при анализе сахара (5); Определение цвета сахара (5); Методы поляризации разбавленных проб сахаропродуктов (6,8); Определение сухого в-ва в сахаре и сахаропродуктах (9); pH сахаропродуктов (9); Анализы и оценка рафинада (10); Определение вязкости и поверхностного натяжения сахарных р-ров (11); Поправки на влияние свинцовых солей при поляризации сахарных р-ров (11); Определение рафинозы (12); Определение сахара в сахарной свекле (12); Оценка факторов, влияющих на порчу свеклы при хранении (13); Влажность сахара в зависимости от относительной влажности воздуха (14); Определение содержания металлов в сахаре (15); Продукты гидролиза крахмала (16); Определение неметаллич. нес сахаров в сахаропродуктах (17).

Н. Гарденин

**58944. Промышленный объективный сахариметр с автоматической настройкой.** Зайка А. А., Литвак В. И., Сахарная пром-сть, 1957, № 5, 25—27

Конструкторским бюро Киевского з-да контрольно-измерительных приборов создан оптико-фотоэлектронный объективный автоматич. сахариметр СА конструкции В. И. Кудрявцева. Оптич. часть прибора состоит из осветителя, конденсора, поляризатора, модулятора, кварцевых компенсаторов и анализатора; система отсчета показаний включает осветитель, конденсор, пониу, шкалу, проекционный объектив и экран. Электрич. часть прибора сконструирована на фотоэлектрич. датчика, усилителя переменных токов, блоков питания и реверсивного электродвигателя. Диапазон измерения в градусах международной сахарной шкалы от —40 до +100 при допустимой погрешности показаний  $\pm 0,1$ .

Г. Бенин

**58945. Испытание автоматического сахариметра СА-1 системы Кудрявцева.** Литвак В. И., Барабанов М. Н., Сахарная пром-сть, 1958, № 1, 44—45

Проверены устойчивость нулевой точки во времени, постоянство показаний в различных точках шкалы, влияние положения поляриметрич. трубки в номере прибора, поляризация р-ров сахарозы и выполнены сравнительные определения содержания сахара в продуктах свеклосахарного произ-ва. Полученные результаты показали, что прибор вполне пригоден для определения сахара в свекле, для анализа темноокрашенных продуктов произ-ва и что его можно рекомендовать для контроля сахарного произ-ва.

**58946. Определение щелочности сахара-сырца при оценке его товарного значения.** Шибель (Die Rohzucker — Alkalitätsbestimmung bei der Handels-Untersuchung. Schiebel W.), Zucker, 1958, 11, № 3, 75—76 (нем.)

Принятый метод определения щелочности по изменению окраски фенолфталеина в р-ре испытываемого сахара, приготовленного на нейтр. воде, часто дает результаты, не сходящиеся с данными электрометрич. измерений pH этого р-ра. Рекомендуется метод, заключающийся в нанесении на увлажненный нейтр. водой сахар каплей индикатора — 0,04%-ного спирто-

вого р-ра крезолового красного, который при pH 7,0 имеет желтую, а при pH 8,8 — пурпурно-красную окраску.

**Н. Гарденин**  
58947. Прибор для определения цвета белого гранулированного сахара. Паркер, Бонд (An apparatus for quality «grading» of white granulated sugar. Parker Wm. H., Bond G. M.), Internat. Sugar J., 1958, 60, № 740, 44—46 (англ.)

Описан прибор для оценки сахара оптически путем измерения фотоэлементом отраженного от поверхности сахара света, с определенной длиной волны. В этом приборе градуировка микроамперметра селективного фотоэлемента производится по свету, полученному от вольфрамовой лампы, пропускающему через светофильтр (10%-ный р-р  $\text{CuSO}_4$ ) и отраженному под углом  $45^\circ$  от поверхности порошка  $\text{MgO}$ . После градуировки в такую же, как и с  $\text{MgO}$ , прямоугольную кювету помещают образец сахара и фиксируют показание микроамперметра. Каждому делению микроамперметра соответствует номер сорта сахара, установленному путем предварительных измерений стандартных образцов сахара. Прибор прост в работе и на одно определение требуется  $\sim 1$  мин. Обращается внимание на необходимость получения постоянного напряжения источника питания вольфрамовой лампы и учета влияния размера кристаллов сахара на отражение света.

**Г. Бенин**  
58948. Хроматографический полумикрометод для определения сахаров. Гарднер (Kromatográfiás félmikró módszer cukrok mennyiségi meghatározása. Gardner K. J.), Edesipar, 1956, május-június, 22—24 (венг.)

Для определений пользуются р-ром, содержащим после осаждения белков,  $\sim 10$ — $50$  мг суммарных сахаров в  $0,2$  мл.  $0,2$  мл р-ра наносят в центр круглой фильтровальной бумаги (Ватман № 3 MM), центр бумаги после сушки прокалывают и вводят бумажный фитиль, который опускают в элюэнт, хроматографируют в атмосфере насыщ. паров элюэнта. Хроматограммы после сушки при  $80$ — $100^\circ$  проявляют (40 мг бромкрезол пурпурового в р-ре  $100$  мг виннокислотной к-ты в  $100$  мл метанола и  $7,5$  мл 1%-ного р-ра буры), проявленные кольца хроматограммы и аналогично расположенные кольца глухого опыта вырезают с полями  $\sim 1$  мм, вымывают сахара капиллярным током элюэнта (до синей окраски) и в р-ре определяют сахар. Элюэнты: для декстрозы, смеси сахарозы и лактозы и патоки — 6 ч. *n*-пропанола, 1 ч. этилацетата и 3 ч. воды, хроматографируют 16 час. (разделяет 5 сахаров патоки). Для смеси сахарозы, декстрозы и фруктозы — 1 ч.  $\text{HCOOH}$ , 5 ч. *n*-бутанола и 5 ч. воды, проводится 4 последовательных хроматографирования. Проведены определения в модельных р-рах.

**Г. Юдкович**  
58949. Новые методы быстрого определения влажности сухой диффузионной стружки. Цигльгенсбергер (Neue Methoden zur Schnellwasserbestimmung in Trockenschnitzeln. Ziegglängsberger G.), Zuckererzeugung, 1958, 2, № 1, 21—23 (нем.)

Описаны два метода: 1. Метод высушивания навески стружки светлыми ИК-лучами. Прибор состоит из излучателя 250 Вт, расположенного в  $10$ — $15$  см над плоской или сферич. чашкой с навеской стружки. Длительность сушки 50 мин. Приведена диаграмма скорости высыхания при различном расстоянии между излучателем и чашкой. 2. Метод измерения относительной диэлектрич. постоянной — отношения емкости конденсатора, между обкладками которого находится испытуемое в-во, к его емкости при заполнении воздухом. Измерительная ячейка состоит из двух конденсаторов расположенных один в другом цилиндре, служащих обкладками конденсатора. Наружный ци-

линдр имеет диам.  $150$  мм и высоту  $345$  мм, а внутренний — диам.  $110$  мм и высоту  $330$  мм. Проба стружки в  $500$  г, отвешенная на технич. весах, помещается в кольцевое пространство между цилиндрами. Даны: электр. схема включения и градуировочные кривые.

**Н. Гарденин**  
58950. Зависимость между флуоресценцией и несбраживаемыми редуцирующими веществами в конечной мелассе тростниковосахарных заводов. Часть II. Саттлер (The relationship between fluorescence and the unfermentable reducing substances in blackstrap molasses. Part II. Sattler Louis), Internat. Sugar J., 1956, 58, № 692, 215—218 (англ.)

Исследования показали, что между интенсивностью флуоресценции р-ров мелассы и содержанием в ней несбраживаемых редуцирующих в-в имеется определенная зависимость. Измерением интенсивности флуоресценции р-ров мелассы, получаемой на одном каком-либо з-де, можно быстро проконтролировать качество мелассы. Однако данный метод не может быть распространен для анализа мелассы различного происхождения; в этом случае по-прежнему должен применяться существующий метод определения несбраживаемых редуцирующих в-в. Часть I. см. РЖХим, 1957, 65026.

**Г. Бенин**  
58951. Техника производства гранулированного сахара. Уэбр (Técnica para la fabricación de azúcar a granel. Webre Alfred L.), Sugar, 1957, 52, № 5, 45, 46, 48, 59 (исп.)

Приведена технолог. схема и материальный баланс произ-ва гранулированного тростникового сахара, типичные для з-дов Кубы, выпускающих товарный сахар в гранулах размером  $1,050$  мм (размеры зерен полупродуктов:  $0,243$  мм,  $0,350$  мм,  $0,506$  мм и  $0,730$  мм).

**Л. Песин**  
58952. О важности в химическом контроле определения количества сахарозы, находящейся в продуктом отделении завода для расчета выхода сахара и сопоставления его с данными таблицы Уокера. Паранпан (The importance in chemical control of determining the daily calculated m. tons suc. in b. house for the calculation of pp/T. Gross cans as compared with Walker's distribution table. Parapan V. G.), Sugar News, 1957, 33, № 11, 579—583 (англ.)

Уокером составлена таблица для расчета по поляризации и доброкачественности тростниковосахарного сока выхода сахара из  $1$  т тростника. Даны рекомендации химикам з-дов, что следует делать, если фактич. данные еженедельного баланса сахара отличаются от данных таблицы Уокера (проверка на содержание сахара всех конденсационных вод, проверка весов, поляриметра, посуды и пр.).

**Г. Бенин**  
58953. Результаты испытания головного образца быстроходной центрифуги ПН-1000. Терешин Б. Н., Пономаренко А. П., Сахарная пром-сть, 1958, № 1, 33—35

Изложены результаты испытания на сахарном з-де им. Сталина быстроходной центрифуги ПН-1000, изготовленной машиностроительным з-дом им. Фрунзе (г. Сумы). Диаметр барабана  $1000$  мм, высота  $750$  мм, емкость по utfелю  $450$  кг, число оборотов во время работы  $1500$  в мин., электродвигатель — четырехскоростной, короткозамкнутый; выгрузка сахара производится механич. ножом, усовершенствованным для безопасной работы. При фуговке желтого сахара 2-го продукта длительность цикла устанавливалась в пределах  $12$ — $14$  мин., что давало производительность центрифуги, соответствующей переработке  $4500$  ч свеклы в сутки. При одинаковой продолжительности центрифугирования желтый сахар на быстроходной центрифуге имел доброкачественность на  $1,0$ — $1,2$  ед.



выше и цветность на 10—15 ед. ниже, чем при применении саморагружающейся центрифуги типа ПС-1000.

Г. Бенин

**58954. Прибор для определения концентрации или пересыщения при уваривании сахарных растворов. Часть I, II, III. Жени (An instrument for concentration or supersaturation recording of boiling sugar solutions. Part I, II, III. Genie G. V.), Internat. Sugar J., 1957, 59, № 708, 335—339; 1958, 60, № 709, 10—15; № 710, 35—37 (англ.)**

Концентрация сахарных р-ров при их уваривании может быть измерена с помощью простого мостика Уитстона и двух термисторов, один из которых погружен в выпариваемый сахарный р-р, а второй — в воду, выпариваемую при том же давлении, что и сахарный р-р. Для непосредственного измерения коэф. пересыщения вместо кон-ции вводятся изменения в схему мостика. Рассмотрены термодинамич. ур-ния, опубликованные различными исследователями для определения повышения т-ры кипения сахарных р-ров, и описаны электр. схемы трех приборов для измерения коэф. пересыщения сахарных р-ров и правила их установки при вакуум-аппаратах для варки утфелей различной доброкачественности.

Г. Бенин

**58955. Изменение способности набухания зерен крахмала, обработанных кислотой, при их хранении в сухом воздухе (наблюдения аминокислотной вязкости). Судзуки (Suzuki), Korō kagaku daasshi, J. Chem. Soc. Japan. Industr. Chem. Sec., 1957, 60, № 2, 207—208 (японск.)**

Определением изменения вязкости аминокислотным методом клейстеров картофельного и пшеничного крахмалов (К), обработанных к-тами, при их хранении установлено, что картофельный К сильно снижает вязкость клейстера; такой К имеет повышенную кислотность, независимо от рода к-ты и времени ее воздействия; при промывании водой к-та не удаляется. Снижение вязкости может быть объяснено частичным гидролизом аминокислотина в молекуле К. Пшеничный К при хранении не обнаружил изменения вязкости клейстера. Кислотность пшеничного К не изменяется в результате кислотной обработки и остается равной кислотности исходного продукта.

Ким Су Ен

**58956. Актуальные проблемы изучения картофеля. Вегнер (Aktuelle Probleme der Kartoffelforschung. Wegner Hans), Kartoffelbau, 1957, 8, № 7, 129—131; № 8, 142, 143; № 11, 215—216; № 12, 234—235 (нем.)**

Рассмотрены требующие исследования проблемы по четырем областям (в скобках указаны номера журналов): 1) выращивание и хранение картофеля (№ 7); 2) высушивание картофеля с целью получения различных пищевых и кормовых продуктов (№ 8); 3) произ-во картофельного крахмала (№ 11); 4) различные способы обработки и переработки крахмала (№ 12).

Н. Б.

**58957. Реологические исследования картофельного крахмала. I. Вязко-эластические свойства крахмального клейстера. II. Свойства крахмала картофеля, производимого в различных районах Японии. Такахаши, Кихара (Takahashi Shizue, Kihara Yoshijiro), Нихон Ногай кагаку кайси, J. Agric. Chem. Soc. Japan, 1956, 30, № 11, 665—670, 670—675 (японск.)**

I. Приведены результаты исследований клейстеризации картофельного крахмала и свойств клейстера в зависимости от времени старения и температурных условий. Параллельно определялись вязкие и эластические свойства амилазы и амилопектина щел. методом. Показано, что вязкость клейстера и скорость старения в значительной степени изменяются при повышении т-ры и времени нагревания и после меха-

нич. воздействия (при разрушении структуры разрыванием, фильтрацией и т. п.). Клейстеры, имеющие недостаточную клейстеризующую способность, могут быть исправлены путем добавления к ним 1% (по весу) полиоксиэтиленсорбитанмоностеарата. Наоборот, при хорошо клейстеризующихся крахмалах такая добавка вызывает снижение вязкости клейстера, и он становится более подвижным. Исследования эластичности клейстеров в зависимости от т-ры позволили установить т-ру клейстеризации картофельного крахмала в 60°.

II. Крахмалы, полученные из картофеля различных районов Японии, исследовали химически на содержание Р, К, Na и Са и по окраске йодом. Одновременно определяли вязкость и эластичность их водн. и щел. клейстеров на реометре и амилографе Брабендера, а также их светопоглощение. Приведены результаты исследований. Показано, что хим. состав крахмала и физ.-мех. свойства его клейстеров различны в зависимости от мест произрастания картофеля.

**58958. Очистка растворов осаждаемого крахмала электролитическим методом. Мидзугучи, Судзуки, Мотон, Хорикэ (Mizuguchi Jun, Suzuki Shuichi, Motoi Soichiro, Horike Ken'ichi), Korō kagaku daasshi, J. Chem. Soc. Japan. Industr. Chem. Soc., 1957, 60, № 3, 249—253 (японск.)**

Три гидролизата крахмала, полученных с помощью щавелевой к-ты, нейтрализовали хим., электролитич. и химико-электролитич. методами для определения наилучшего эффекта очистки. В гидролизатах спектрофотометрич. методом установлено 2 максимума поглощения в УФ-части: при 225 и 283 мμ, присущие гидроксиметилфурфуролу. Нейтр-ция электролитич. методом дала наилучшие результаты по обесцвечиванию, в то время как хим. метод дает нарастание цветности. В первом случае спектр поглощения при 283 мμ исчезает вследствие восстановительных процессов. Кроме того, имеет место и удаление азотсодержащих в-в. Карамели, сваренные из очищ. сиропов, по цвету оказались наилучшими, когда сироп нейтрализовался электролитич. методом. Исчезновение спектра поглощения при 283 мμ происходит за счет восстановления в гидроксиметилфурфуролу группы —CHO в CH<sub>2</sub>OH или вследствие конденсации группы —CHO.

Ким Су Ен

**58959. 5-(гидроксиметил)-фурфурол в кислотном гидролизате крахмала. Мидзугучи, Судзуки, Мотон, Хорикэ (Mizuguchi Jun, Suzuki Shuichi, Motoi Soichiro, Horike Ken'ichi), Korō kagaku daasshi, J. Chem. Soc. Japan. Industr. Chem. Sec., 1957, 60, № 4, 445—449 (японск.)**

Исследовались спектрофотометрич. и хроматографич. методами на присутствие гидроксиметилфурфурола (I) гидролизаты крахмала, полученные с помощью щавелевой к-ты. Показано, что I образуется в гидролизатах из глюкозы и азотсодержащих в-в (аминокислот и белков). Присущий I спектр поглощения в ультрафиолетовой части и в 283 мμ при электролизе и обработке с Al—Hg исчезает вследствие необратимой реакции его восстановления (вероятно, группы —CONH<sub>2</sub>). При обратном окислении спектр этот уже вновь не появляется. Удаление I ионообменными смолами или другими абсорбентами весьма затруднительно.

Ким Су Ен

**58960. Влияние тепловой обработки на аромат, цвет и некоторые химические составные части кленового сиропа. Надхим Шовки Абдул-Вахаб, Ахмед Таха Хабиб (The influence of heat treatment on flavor, color and some chemical constituents of maple syrup. Nadhim Showki Abdul Wahab, Ahmed Taha Habib, Brown H. D.),**

Proc. Amer. Soc. Hortic. Sci., 1957, 69, 480—484 (англ.)  
Кленовый сок уварен в открытом котле из нержавеющей стали с паровой рубашкой до уд. в. 1,316 и т. кип. 105°. Сироп укупорен в обычных луженых лакированных жестянках. Часть жестянок нагревали 2 часа в автоклаве при 121°. Через 2 года сироп, нагретый в автоклаве, содержал 2,6% редуцирующего сахара, контрольный 0,4%. Хроматографией на бумаге установлено исчезновение ксилитозы в результате нагревания сиропа в автоклаве. Тепловая обработка изменила слабую янтарную окраску сиропа в темно-янтарную. Нагретые в автоклаве образцы содержали 0,0015% фурфурола и 0,032% гидроксиметилфурфурола, контрольные, соответственно, 0,003 и 0,013%. Усиление окраски и аромата при нагревании объяснено накоплением гидроксиметилфурфурола из фурфурола и отчасти за счет разложения гекозов. Дегустаторы предпочли сироп, обработанный нагреванием, в особенности смесь его с равным кол-вом сиропа сахарозы, аналогичного уд. веса. Вид тары не влиял на аромат, цвет и хим. состав сиропа.

А. Кононов

58961 К. Серия руководств по сельскому хозяйству. № 134. Производство кленового сиропа. Уиллитс (Maple-sirup producers manual. Willits C. O. Agric. Handl. U. S. Dept Agric., 1958, № 134, 80 pp., ill.) (англ.)

58962 Д. Исследование процесса 1 сатурации в оптическом абсорбере. Степаненко И. Д. Автореф. дисс. канд. техн. н., Киевск. технол. ин-т пищ. пром-сти, Киев, 1958

58963 Д. Изучение характера реакций, приводящих к образованию меланоидинов с оптимальными органолептическими свойствами при нагревании смеси глутамата натрия и глюкозы. Керебиньски Чеслав, Автореф. дисс. канд. техн. н., Моск. ин-т нар. х-ва, М., 1958

См. также: 40 лет сахарной пром-сти в СССР 56317

## БРОДИЛЬНАЯ ПРОМЫШЛЕННОСТЬ

Редакторы А. М. Емельянов, Г. А. Новоселова

58964. Обезвоживание дрожжей на вакуум-филт্রে. Кретинин Ф. С., Хлебопек. и кондитерск. пром-сть, 1958, № 2, 35—36

Описана схема работы непрерывно действующего вакуум-филтра, смонтированного на Ленинградском дрожжевом з-де. Обезвоживание дрожжей осуществляется под влиянием разности давления. Производительность вакуум-филтра 750—800 кг прессованных дрожжей в час.

Г. Н.

58965. Об очистке засевных дрожжей фосфорной кислотой. Кучер (Beitrag zur Reinigung von Anstellhefen mit Phosphorsäure. Kutscher U.), Brauerei, 1955, 9, № 78—79, 564—566 (нем.)

См. также РЖХим, 1957, 39651.

58966. О веществах, содержащихся в дрожжевых клетках. Линдеман (Über die Inhaltsstoffe der Hefezelle. Lindemann Max), Brauwelt, 1955, B95, № 45/46, 752—754 (нем.)

Рассмотрен вопрос о содержании в клетках дрожжей, применяемых в бродильной пром-сти, белков и продуктов их гидролиза, аминокислот, ферментов, витаминов и стимуляторов роста.

Г. Н.

58967. Об ароматических веществах зернового спирта. Деккенброк, Кюстерс (Zum Problem des Kornaromas. Deckenbrock Walter, Küsters

Sibylle), Branntweinwirtschaft, 1958, 80, № 3, 45—47 (нем.)

Радиальной хроматографией на бумаге исследовали содержание свободных и этерифицированных к-т зернового спирта-сырца, продуктов фракционирования разгонки последнего на лабор. колонке, эквивалентной 60 теоретич. тарелкам, и спирта-ректификата. В спирте-сырце обнаружены к-ты: уксусная (в преобладающем кол-ве), пропионовая, масляная, валериановая и капроновая. Установлено, что при фракционированной разгонке почти все к-ты с 3—6 атомами С остаются во фракции сивушного масла, тогда как в спирте-ректификате практически остается только уксусная к-та (свободная и этерифицированная), что соответствует результатам спектроскопич. исследований спирта-ректификата, полученными Шпехтом (РЖХим, 1958, 34135). Исследования проводились видоизмененным методом Фрея и Вегенера (РЖХим, 1958, 34172) с применением в качестве проявителя р-ра 0,2 г нингидрина и 0,05 г аскорбиновой к-ты в 100 мл безводн. спирта, а также методом Байера и Рейтера (РЖХим, 1957, 31050), основанным на извлечении эфиров спирта серным эфиром и последующем образовании гидроксамовых к-т.

Г. Ошмян

58968. Состав свободных сахаров ржи. Михрина Е. Н., Спирт. пром-сть, 1958, № 2, 4—5

Установлено, что свободные сахара зерна ржи состоят на 56,2—69,9% из сбраживаемых сахаров и на 30,1—43,8% из несбраживаемых левулезанов (Л). Диастаз ячменного и просяного солодов не осахаривает Л до сбраживаемых сахаров, при 150° и рН 5 Л почти полностью гидролизуются, давая фруктозу, которая в этих условиях разрушается до в-в, не сбраживаемых дрожжами.

Г. Н.

58969. О дальнейшем совершенствовании схемы непрерывного разваривания. Трахтенберг Н. А., Спирт. пром-сть, 1958, № 2, 23—24

Описан разработанный на Загородном спиртовом з-де Рязанского треста способ мокрого помола зерна с использованием автоматич. вальцового станка ЗМН с двумя парами вальцев. При мокром помоле по схеме непрерывного разваривания помол получался равномерный и без потери, качество сваренной массы хорошее, нарастание кислотности ниже планового, крепость бражки 8,6—9,0%.

Г. Н.

58970. Переработка патоки на народном предприятии Герунгхеми в Дессау. Стабников В. М., Спирт. пром-сть, 1958, № 2, 8—10

Описана схема комплексной переработки патоки на з-де, выпускающем 12 тыс. дкл спирта в сутки и, кроме того, сивушное масло, NaCN, HCN, CO<sub>2</sub>, соединения Ва, бетаин, глутаминовую к-ту, удобрения, кормовые дрожжи, H<sub>2</sub>S, CH<sub>4</sub>. Произ-во не имеет отходов.

Г. Н.

58971. Циркуляция примесей в колонках брагоперегонного аппарата и их влияние на качество спирта.

1. Сравнение различных способов перегонки. Ханаи, Йосидзава, Таяма, Хакко кёкайси, J. Ferment. Assoc., 1956, 14, № 4, 16—20 (японск.)

58972. Дистилляционно-выпарной аппарат Грегора. Кулп (Gregorova destilační odparka v praxi. Kulp Emil), Kvasný průmysl, 1956, 2, № 5, 113—115 (чешск.)

Описана конструкция аппарата, состоящего из 4 выпарных корпусов, в которых осуществляется одновременный отгон спирта от бражки и сгущение получаемой барды до 40° Вё. Бражка с содержанием ~ 10 об. % спирта поступает в 1-й корпус и последовательно переходит из одного корпуса в другой, освобождаясь при этом от спирта. При нормальной работе аппарата барда не должна содержать спирта по выходе из 3-го корпуса. Инкрустация выпарных трубок устраняется смесью HCl и H<sub>2</sub>SO<sub>4</sub> (1:3). Потери спирта составляют



0,3—0,5%, а расход угля 35 кг (7000 кал/кг) на 100 л вырабатываемого безводн. спирта.

Г. Опмян  
58973. Сигнализация поступления бражки в браго-ректификационный аппарат. Козорез А. Б., Спирт. пром-сть, 1958, № 2, 32

58974. Хроматографическое передвижение альдегидов, получаемых в процессе ректификации. Идентификация альдегидов при помощи хроматографии на бумаге. Йокояма, Хакко кёкайси, J. Ferment. Assoc., 1956, 14, № 7, 10—13 (японск.)

58975. Условия растворимости в системе спирт — вода — свиное масло и новый способ извлечения свиного масла. Краус, Канич (Szesz-víz-kozmaolaj rendszer oldhatósági viszonyai és a kozmaolaj kinyerésének új módszere. Krausz József, Káncs Miklós), Élelm. ipar, 1957, 11, № 5-6, 138—142 (венг.)

Упрощена схема ректификации спирта. Отбор свиного масла (СМ) осуществляется в спец. декантере, включенном в линию, соединяющую верх 1-й и низ 2-й колонн. Для определения оптимальной конц-ии рециркулирующего СМ получены кривые растворимости в тройной системе спирт — вода и  $C_8H_{17}OH$  (или  $C_8H_9OH$ ) при 20° и t-ре кипения (88—94° в зависимости от состава). При выработке 96,5—96,7%-ного спирта экономия пара при работе по новой схеме ~3,3%; однако при этой схеме вполне возможно перейти на произ-во 95%-ного спирта (что в большинстве случаев достаточно для потребителя). В этом случае экономия пара достигает 12,4%. При работе по классич. схеме полная очистка от СМ достигается только при максим. конц-ии (96,5—96,7%) спирта.

С. Розенфельд  
58976. Счетчик барды. Мамуня А. У., Беренштейн А. Ф., Барановский К. Ф., Спирт. пром-сть, 1958, № 2, 13—14

Описана конструкция автоматич. мерника весового типа (с опрокидывающимся сосудом) для бардоотпускной станции.

Г. Н.  
58977. Определение метилового спирта в спирто-водочных изделях. I. Изучение электрофотокolorиметрического метода определения содержания метилового спирта. Хаясибэ, Нихон дзёдо кёкай дзаси, J. Soc. Brew. Japan, 1955, 50, № 9, 57—55 (японск.; рез. англ.)

58978. Вспомогательные таблицы для приготовления растворов этанола. Цзэн Дэ-хуэн, Яосюэ тунбао, 1957, 5, № 12, 561—564 (кит.)

58979. Изучение жидкой закваски. 7. Промышленные опыты. Мацусита, Ниснока, Исикава, Танаба Хакко кёкайси, J. Ferment. Assoc., 1955, 13, № 4, 14—20 (япон.)

Установлено, что наилучшие результаты спиртового брожения обеспечиваются применением смеси из 10% жидкой закваски (ЖЗ) и 20% сакэ-дрожжей. Выявлены оптимальные условия приготовления ЖЗ. Описана аппаратура для приготовления ЖЗ.

Ким Су Ен  
58980. О возможности использования отходов производства картофельного крахмала для получения лимонной кислоты. Чесноков В. А., Ильинская Н. Л., Вести. Ленингр. ун-та, 1958, № 3, 5—14 (рез. англ.)

Установлено, что сок картофеля разных сортов содержит в среднем 0,5%, а в отдельных случаях до 1,1% лимонной к-ты (I). Содержание I колеблется в зависимости от сорта картофеля, состава и свойств почвы и характера удобрений. Получение I по способу Штейнхарда практически невозможно. Установлено, что нейтр-ция картофельного сока затрудняет получение цитрата. Процесс осаждения цитрата из сока при его кипячении можно резко улучшить очисткой сока активированным углем, добавляемым в кол-ве 200—500 г/т, перед коагуляцией белка сока. Вносить  $CaCl_2$

рекомендуют после остывания р-ра до 50° и все смеси отфильтровывать сразу. В очип. таким образом соке цитрат Са выпадает даже до закипания и осаж-дается полнее. Упаривания не требуется. Цитрат не нуждается в переосаждении.

Г. Н.  
58981. Получение лимонной кислоты глубинным спо-собом брожения в производственных условиях. Журавский Г. И., Шкопоров А. Н., Краснощеков Д. П., Лясенкова Е. Ф., Терентьева О. Ф., Шупкевич Т. И., Фишкова Э. С., Бабурина В. И., Аглиш И. В., Тр. Всес. н.-и. ин-та кондитерск. пром-сти, 1958, вып. 12, 4—19

Описаны технологич. схема произ-ва лимонной к-ты глубинным способом в опытно цехе Ленинградского з-да лимонной к-ты и результаты ее производственных испытаний. Ферментаторы из нержавеющей стали ЭЯ1-Т имеют объем 2700 л. Исходный рабочий объем ферментатора 1600 л (при заполнении питательным р-ром на 60%). В качестве возбудителя процесса применяли *Aspergillus niger* штамм 82 (Д). Питательный р-р содержал в г/л  $NH_4NO_3$  2,5 г,  $KH_2PO_4$  0,16 г,  $MgSO_4 \cdot 7H_2O$  0,25 г, сахара 140—150 и  $HCl$  до pH 3—3,2. На среде, содержащей 15,5% сахара, за 7,7 суток получено 90,69 кг лимонной к-ты на 1 м<sup>3</sup> среды. Выход к-ты 58,4% от исходного кол-ва сахара и 64,4% от использо-ванного кол-ва.

Г. Н.  
58982. Брожение на высоких слоях раствора с пред-варительным выращиванием грибной пленки на низ-ком (2 см) слое. Гимельфарб А. И., Домбровская Е. А., Мартиросян Н. К., Тр. Всес. н.-и. ин-та кондитерск. пром-сти, 1958, вып. 12, 91—97

Установлено, что процесс произ-ва лимонной к-ты можно вести в направлении экономии сахара с длительностью цикла 14—15 суток и с конц-ией сахара в бродильном р-ре 17—20% или в направлении высоких слоев к-ты с поверхности грибной пленки с длитель-ностью цикла 9—10 суток и с содержанием сахара в бродильном р-ре 15—17%. Односменный метод броже-ния на высоких слоях весьма эффективен и имеет ряд преимуществ перед многосменным методом брожения на низких слоях.

Из резюме автора  
58983. Применение пентахлорфенолята натрия в качестве антисептика при производстве лимонной кислоты из мелассы. Новоселова Л. В., Румба А. А., Тр. Всес. н.-и. ин-та кондитерск. пром-сти, 1958, вып. 12, 57—61

Установлено, что пентахлорфенолят (I) нельзя использовать в качестве антисептика при сбраживании мелассных р-ров грибом *Aspergillus niger*, рост которого 0,07%-ный р-р I тормозит, не влияя на бактерии, вредящие процессу лимоннокислого брожения. 0,5%-ный р-р I можно применять для дезинфекции производственных коммуникаций вместо формалина. I малолетуч и не требует защиты слизистых оболочек работающих.

Г. Н.  
58984. Применение нового метода контроля в произ-водстве лимонной кислоты. Карлиньш Р. Я., Паэгле А. К., Силиньш Э. А., Тр. Всес. н.-и. ин-та кондитерск. пром-сти, 1958, вып. 12, 53—56

Для определения элементов и микроэлементов в образцах мелассы применили метод эмиссионного спектр. анализа. Спектры фотографировали на кварцевом спектрографе ИСП-22. Возбудителем спектра служила дуга переменного тока от генератора ПС-39. Колич. анализ проводили методом трех эталонов. В качестве эталонов применяли водн. р-ры хлоридов, внутренний стандарт — молибдат аммония. Образцы мелассы сжи-гали, твердый остаток растворяли в  $HCl$ , р-р вводили в виде капель в кратер угольного электрода и испари-ли. Чувствительность метода 10—3%. Микроэлементы в конц-ях < 10—3% определяли в золе мелассы, сме-шанной с графитным порошком. Чувствительность до

10-4%. В 9 образцах мелассы найдено в %: К 3,0—5,5, Na 0,1—0,37, Са, 0,15—0,67, 0,12—0,76, Mg 0,7—1,0—1,2, 10-3, Al 1·10-3—5,7·10-3, Cu 3·10-3—7·10-3, Li, Sr, Ba, Pb, Bi, Ag, Zn, Ti, Cd, V, Mo, Mn, Co, Ni, Cr 10-6—10-4. Применение спектр. анализа позволяет исследовать действие микроэлементов на ход произ-ва лимонной к-ты брожением, а также контролировать очистку р-ров лимонной к-ты ионитами.

Г. Н.

58985. О рациональном методе получения лактата кальция сбраживанием сахара молочнокислыми бактериями. Калугин П. И., Тр. Всес. н.-и. ин-та кондитерск. пром-сти, 1958, вып. 12, 105—110

Интенсивность сбраживания сахара молочнокислыми бактериями (прирост кол-ва лактата Са) при постоянном содержании сахара в сусле (до 7%) выше, чем при сбраживании сахара с начальной конц-ией 12,7% и при постепенном снижении ее в процессе брожения. Непрерывное перемешивание сусла в продолжение всего цикла брожения и увеличение числа оборотов мешалки на 10—15% увеличивают прирост лактата Са по сравнению с периодич. перемешиванием, а также ускоряют брожение. Наиболее рационально дробное введение патоки в бродильный чан при постоянной конц-ии сахара ( $\leq 4\%$ ). При этом на 40—50% увеличивается съем молочной к-ты с 1 м<sup>3</sup> бродильной емкости, уменьшаются потери сахара с недобродом с 5—7 до 3—4% к полученному лактату Са, что улучшает цветность к-ты, уменьшая кол-во сахара, карамелизованного при выпаривании. Приведена схема получения лактата Са методом фракционной подачи патоки. Г. Н.

58986. Заметки по пивоваренному и солодовенному производству (Brewing and malting notes. Brettanomyces.—), Brewers' J., 1958, 94, № 1109, 81—83 (англ.) См. РЖХим, 1958, 19527, 22985. А. Е.

58987. Значение микросоложения для улучшения качества солода и пива. Кречмер (Le micro-maltage, jalon important dans l'amélioration de la qualité du malt et, par là, de la bière. Kretschmer Karl Fr.), Brass. et malter. Belg., 1957, 7, № 12, 553—559 (франц.)

Обсуждены вопросы развития микросоложения, применяемые методы работы на различных микросолодовнях, а также значение микросоложения при селекции ячменя и в пивоваренном произ-ве. В. Платонова

58988. Сравнительное изучение методов анализа хмеля. III. Новые методы определения  $\alpha$ -кислот и других компонентов смол. Бишоп (Vergleichende Studien über Hopfenuntersuchungen. III. Neuere Methoden zur Bestimmung der  $\alpha$ -Säuren und anderer Harzbestandteile. Bishop U. R.), Brauwelt, 1957, B97, № 51, 903—908; Wiss Beilage «Brauerie», 1957, № 6, 67—75 (нем.); J. Inst. Brew., 1957, 63, № 4, 316—330 (англ.); Internat. tijdschr. brouw. en mout., 1956—57, 16, № 6, 193—206 (флам.)

Рассмотрены результаты 300 анализов хмеля, проведенных в 16 лабораториях по заданию Комитета по методам исследования Европейской пивоваренной конвенции (ЕВК) для установления степени точности и пригодности для лабор. исследований методов определения  $\alpha$ - и  $\beta$ -кислот и других составных частей смол хмеля: 1) Верзале и Говарта, 2) Хафа, 3) спектрофотометрического и 4) кондуктометрического. Выводы см. РЖХим, 1957, 75879. Часть II. См. РЖХим, 1958, 12762. А. Емельянов

58989. О механизме фильтрации пива. Фуре В. С., Тр. Киевск. технол. ин-та пищ. пром-сти, 1957, вып. 17, 129—136

При изучении в заводских условиях фильтрации пива сквозь слой (30—40 мм) хлопчатобумажной фильтровой массы найдено, что частицы осадка меньшего среднего диаметра капилляров. Задержка их про-

исходит механич. путем (на выступах, изгибах, ворсинках волокон). Кол-во отлагаемого осадка обратно пропорционально перепаду давления жидкости. При постоянном давлении осаждается определенное кол-во крупных частиц осадка и коллоидов. Последующие частицы в конце концов распространяются по всей толщине лепешки, после чего выходят в пиво, которое начинает опалесцировать. В этот момент обычно прекращают фильтрацию. Скорость фильтрации уменьшается медленно и не является показателем степени загрязнения лепешки. А. Емельянов

58990. Пастеризация и стерилизация пива. Деврё (Pasteurisation et stérilisation de la bière. Devreux André), Brass. et malter. Belg., 1957, 7, № 12, 568—573 (франц.)

Обсуждены способы обеспложивания пива методом стерилизующей фильтрации сравнительно с другими методами пастеризации. В. Платонова

58991. Сушка растительных продуктов в вентиляционной сушилке. 1. Сушка пивной дробины. Митчелл, Потс (Through-circulation drying of vegetable materials. I. Brewers' spent grain. Mitchell T. J., Potts C. S.), J. Sci. Food and Agric., 1958, 9, № 1, 20—29 (англ.)

Изучено влияние различных условий на скорость сушки пивной дробины с влажностью 75—80% в вентиляционной электр. сушилке, схема которой приведена. Показано, что скорость высушивания зависит от толщины слоя дробины (2,5—20 см), от т-ры поступающего воздуха (38—104°), от скорости циркуляции воздуха. Найдено, что продолжительность высушивания дробины в зависимости от толщины слоя, при прочих равных условиях, возможно вычислить заранее с точностью до  $\pm 11,5\%$ . Т. Сабурова

58992. К вычислению крепости начального сусла пива. Шильд (Zur Berechnung der Stammwürze der Biere. Schild Ernst), Brauwissenschaft, 1958, № 2, 26—27 (нем.)

Применение ф-лы Брофельда для вычисления крепости начального сусла (p) по содержанию спирта и кажущегося экстракта требует колич. удаления CO<sub>2</sub> из пива при проведении указанных определений, без чего получаются неправильные величины p. Для контроля предложено применять ф-лу Табарье вместо предложенной Салачем ф-лы Рейшауэра, правильность которой оспаривается. А. Емельянов

58993. Техника прямого колориметрического определения следов SO<sub>2</sub> в пиве. Стоун, Лашивер (A sensitive direct colorimetric technique for the determination of traces of sulfur dioxide in beer. Stone Irwin, Laschiver Conrad), Wallerstein Labs Commun., 1957, 20, № 71, 361—375. Repr.—Proc. Amer. Soc. Brewing Chemists, 1957 (англ.; рез. нем., франц., исп.)

Предложенный метод основан на красном окрашивании пива, содержащего следы сульфитов, в присутствии обесцвеченного к-той п-розанилина и формальдегида, которое в пределах  $\sim 20$  мг пропорционально содержанию сульфитов. Цистеин, H<sub>2</sub>S и ендольные соединения, находящиеся в пиве, не влияют на результаты определения. Воспроизводимость последних хорошая. Метод устанавливает различия в содержании свободного и связанного SO<sub>2</sub>. Добавленные кол-ва SO<sub>2</sub> определяются с достаточной точностью. Величины общего содержания SO<sub>2</sub>, определенные этим методом, хорошо совпали с полученными дистилляционным методом Монье-Вильямса. Модельными опытами доказано связывание CO<sub>2</sub> некоторыми составными частями пива, в частности компонентами спиртового дистиллята пива с низкой т-рой кипения. При хранении образцов пива с добавлением и без добавления воздуха в бутылки SO<sub>2</sub> очень медленно реагировал с O<sub>2</sub>. Анализами



31 образца пива различного происхождения на содержание свободного, связанного и общего  $\text{SO}_2$  установлено незначительное содержание последнего, преимущественно в связанном состоянии. А. Емельянов

**58994. Оборудование для фильтрации напитков и его эксплуатация. 2. Битти** (Beverage filtration equipment and its management. 2. Beattie George B.), Food Manufacture, 1957, 32, № 6, 284—288 (англ.)

Обзор способов фильтрации пива. Характеристика применяемых фильтровальных материалов. Устройство и условия применения различных фильтров; преимущества и недостатки отдельных конструкций. Способы обработки осадков в танках после спуска пива. Сообщение 1 см. РЖХим, 1957, 75919. С. Светов

**58995. Кооперативный винзавод «Ковинор» в О-Парбле Ренгле** (La cave cooperative du Haut Rhart «Covinor». Ringuelet R.), Bull. écon. et social Maroc, 1957, 21, № 74, 159—169 (франц.)

Описан кооперативный винный завод «Ковинор» в Южном Марокко общей емкостью хранилищ 500 тыс. дкл. Рассмотрены ассортимент винограда, технологич. схема переработки винограда по красному и розовому способам, оборудование и экономичность. Г. Валушко

**58996. Оценка румынских вин в Любляне. Симонеску** (Prețurile vinurilor românești la Liubliana. Simionescu I.), Rev. ind. aliment. prod. vegetale, 1957, № 7, 8—10 (рум.)

**58997. Аусбрух и другие современные отечественные сладкие и полусладкие вина. Шупица, Лазич** (Ausbruch i današnja slatka i poluslatka vina kod nas. Šupica Milan, Lazić, Sima P.), Poljopr. Vojvod., 1957, 5, № 4, 17—22 (сербо-хорв.)

Приведены показатели, характеризующие качество вина сорта Аусбрух и других сладких и полусладких вин Югославии. З. Лебедева

**58998. Содержание тиамина в виноградных винах и соках. Пено, Лафуркад** (Sur les teneurs en thiamine des vins et des jus de raisin. Peynaud E., Lafourcade S., Mille), Inds aliment. et agric., 1957, 74, № 12, 897—904 (франц.)

Изучено изменение содержания тиамина в соке различных сортов винограда при созревании и в вине в процессе его изготовления. Показано, что содержание тиамина в винограде по мере его созревания непрерывно возрастает, а затем в последние дни окончательного дозревания несколько уменьшается. Абс. содержание тиамина в различных сортах и образцах винограда сильно колеблется (442—264 мг/кг). Тиамин хорошо сохраняется при пастеризации, но сильно разрушается при сульфитации сусла. Т. Сабурова

**58999. Действие *Penicillium expansum* LINK на виноград и качество вина. Милисавлевич** (Dejstvo zelene plesni (*Penicillium expansum* LINK) na grožđe i na kvalitet vina. Milisavljevic Dragoslav), Poljopr. Vojvod., 1957, 5, № 6, 40—47 (сербо-хорв.)

*Penicillium expansum* разрушает кожу винограда, что приводит к значительному испарению воды. Под влиянием *P. expansum* в винограде уменьшается содержание сахара, винной к-ты, азотистых в-в; появляются в значительном кол-ве глиcerin. Вино из винограда, пораженного *P. expansum*, отличается большим содержанием дубильных в-в, большей прозрачностью и сравнительно более горьким вкусом. З. Лебедева

**59000. К вопросу улучшения эксплуатации непрерывно действующих винных прессов Duscher № 3. Василиу** (In legătură cu modul de funcționare a preselor continue de tip Duscher Nr. 3. Vasiliu B.), Grădina, via si livada, 1957, 6, № 9, 55—56 (рум.)

Установлено, что снижение производительности прессов Duscher № 3 происходит в основном из-за на-

рушений правил монтажа и эксплуатации и некоторых технич. неполадок (поломка бронзовых колец сопротивления, закупорка отверстий для отвода сока и др.), для устранения которых рекомендуется обеспечить presses необходимыми запасными частями, а также внести некоторые изменения в конструкцию пресса (в частности, заменить бронзовые кольца алюминиевыми). А. Марин

**59001. Взаимосвязь между удельным весом сусла, содержанием спирта и качеством вина. Бёрингер** (Die Beziehungen zwischen Mostgewicht und Alkoholgehalt und ihr Einfluß auf die Verbesserung des Weines. Böhlinger P.), Wein-Wiss., 1955, 9, № 3, 1—5 (нем.)

Выведены расчетные ф-лы зависимости уд. веса от содержания спирта в виноградном сусле в процессе брожения. Г. Опшмян

**59002. Применение аскорбиновой кислоты для обработки сладких сусел. Олер** (Ascorbinsäure als Kellerbehandlungsmittel für Süßmoste. Ohler Hermann), Alkohol-Ind., 1958, 71, № 4, 103—104 (нем.)

См. также РЖХим, 1958, 19648.

**59003. Регулирование окислительно-восстановительных процессов в суслах и винах. Кох** (Reduktionsprobleme bei Most und Wein. Koch J.), Weinberg und Keller, 1958, 5, № 2, 55—63 (нем.)

Действуя как антиоксидант,  $\text{SO}_2$  придает особый привкус вину. Если нужно приготовить вино с невысоким содержанием  $\text{SO}_2$ , необходимо сбраживать возможно более зрелое сусло и осветлять его. Для сусла Ринлинга требуется 100 мг/л  $\text{SO}_2$ , для других сусел 50 мг/л, если сусло подвергалось кратковременному нагреванию, то  $\leq 50$  мг/л. По окончании брожения вина сульфитируют дозой  $\text{SO}_2$  50 мг/л. При содержании  $\text{SO}_2 > 175$  мг/л в качестве антиоксиданта следует применить аскорбиновую к-ту. При соблюдении всех условий получают гармоничные вина, содержащие общей  $\text{SO}_2 < 200$  мг/л и свободной 15 мг/л. Е. Датунашвили

**59004. Ускорение процесса созревания молодого вина сорта Димят биологическим способом. Попов, Георгиев, Тончев, Манчев** (Ускоряване процеса на съзряване на младо димятово вино по биологичен път. Попов Иван Д., Георгиев Иван К., Тончев Т. А., Манчев С.), Изв. ин-та биол. Бълг. АН, 1957, 8, 207—221 (болг.; рез. русск., франц.)

В полупроизводственных условиях изучена возможность применения препарата *Botrytis cinerea* (см. РЖХим, 1957, 6527) для ускорения процессов созревания и старения молодого вина сорта Димят. Введение в вино 0,75 г/л сухого препарата значительно повышает содержание аминного азота, понижает кол-во коллоидов, не изменяет гидролизующей активности эстераз, повышает их синтезирующую активность и активность каталазы. Общая оценка обработанного вина по 10-балльной системе Простосердова 8,49 баллов. Полезное действие препарата начинает проявляться по истечении третьего месяца. Из резюме автора

**59005. Помутнение напитков. Таннер, Феч** (Wie werden Getränke-Trübungen charakterisiert? Tanner H., Vetsch U.), Schweiz. Z. Obst- und Weinbau, 1956, 65, № 11, 238—243; № 12, 261—264 (нем.)

Описаны различные виды помутнений вин и способы их устранения. Г. Н.

**59006. Изучение хранения вина в бутылках с алюминиевыми капсулами. Бёрингер** (Lagerungsversuche mit Alka-Verschlüssen. Böhlinger Paul), Weinberg und Keller, 1958, 5, № 2, 64—71 (нем.)

При хранении в течение 4 лет малоокислотных вин в полных бутылках, закрытых корковыми пробками или алюминиевыми капсулами, отмечалось отсутствием созревания вина в последних. В бутылках, заполненных

наполонину, наилучшее созревание обеспечивало при-  
менение капсул. При хранении высококислотных вин  
в течение 2 лет даже в полных бутылках не наблюда-  
лось различия между применением капсул и корковых  
пробок. Отмечается, что содержание 20—30 мг/л сво-  
бодной  $\text{SO}_2$  не обнаруживается органолептически и  
лишь при более высоких дозах (70—80 мг/л) появля-  
ется специфич. тон.

И. Скурихин

**59007.** Температура вина и скорость окислительно-  
восстановительных реакций. Липис Б. В. (Темпе-  
ратура винулуй шивитеза реакциилор де оксидаре —  
редучере. Липис Б. В.), Грэдинаритул, винуришу ши  
винаритул Молдовей, 1957, № 6, 39—40 (молд.); Са-  
доводство, виноградарство и виноделие Молдавии,  
1957, № 6, 40—41 (русс.)

Установлено, что нагреванием до 65° в течение 8—  
10 час. можно снизить Eh вина до уровня, достигаемо-  
го при подвальном хранении в герметичной таре в те-  
чение года. Снижение Eh зависит от начального зна-  
чения его, от длительности нагревания, t-ры и содер-  
жания в вине  $\text{O}_2$ . Приращение Eh на 100 мв соответст-  
вует 5000 кал/моль, при t-ре подвала расход свободной  
энергии за 1 час составит 1 кал/моль, а при нагрева-  
нии вина до 65° — 800 кал/моль. Длительность нагрева-  
ния столовых вин определяется по ф-ле  $t = 360 \cdot$   
 $\cdot 3,561 (T - 23)$ , где  $t$  — длительность обработки в сут-  
ках,  $T$  — t-ра в °К. Значительная потеря свободной  
энергии при нагревании и обильное выделение  $\text{CO}_2$   
объясняют не только окислением компонентов вина,  
но и разрушением соединений N, органич. к-т, пекти-  
на и других углеводов. Охлаждение связано со значи-  
тельным повышением растворимости  $\text{O}_2$ , поглощаемо-  
го вином из воздуха, что приводит к повышению Eh.

Г. Новоселова

**59008.** Совершенствуем технологию производства хе-  
реса. Митина М. (Удосконалюємо технологію ви-  
робництва хересу. Митина О.), Виноградарство і са-  
дівництво Криму, 1958, № 2, 29—31 (укр.); Виногра-  
дарство и садоводство Крыма, 1958, № 2, 29—31  
(русс.)

Описан опыт применения непрерывного способа хе-  
ресования на Симферопольском винном з-де.

Г. Н.

**59009.** Сравнительное изучение органолептических и  
химических свойств вин, обработанных бентонитом  
итальянскими и иностранного происхождения. Де-  
Роза, Корветто (Ricerca comparativa delle varia-  
zioni organolettiche e chimiche derivanti ad un vino  
trattato con alcune bentoniti italiane ed estere. De  
Rosa T., Corvetto A.), Riv. viticolt. e enol., 1957,  
10, № 11, 393—400 (итал.)

Изучено влияние бентонита на качество сухого бело-  
го вина. Приведены результаты анализа вина, обрабо-  
танного 1 г/л бентонита 19 различных марок.

Г. Н.

**59010.** Изучение пригодности нового препарата для  
удаления железа из вина. Шаллер, Заллер (Un-  
tersuchungen über die Brauchbarkeit eines neuen Prä-  
parates für die Eisenschönung. Schaller Alfred,  
Saller Walter), Mitt. Klosterneuburg, 1958, A8,  
№ 1, 1—10 (нем.; рез. англ., франц., исп.)

Изучается новый препарат (II) типа производных  
инозитфосфорной к-ты, выпускаемый ф-кой «Мезо-  
хем» (Мюнхен), для удаления железа в качестве заме-  
нителя обычно применяемой желтой кровяной соли  
(I). При сравнении с оклейкой бентонитом, желатиной  
с танином II давал более полное удаление Fe, хотя и  
менее сильное, чем с I, а в ряде случаев и с фитатом  
Са. Осветление с II наступает через 48 час., тогда как  
с фитатом Са через 24 часа. К этому времени удаляет-  
ся 60%  $\text{Fe}^{2+}$ . При дальнейшей выдержке умень-  
шается только содержание  $\text{Fe}^{3+}$ . Заметных хим. изме-  
нений в составе вина после обработки II не наблю-  
дается.

И. Скурихин

**59011.** Сравнительная идентификация вин с помощью  
хроматографии на бумаге. Пельтонен, Киту-  
нен, Суомалайнен (Vergleichende papierchro-  
matographische Identifizierung der Weine. Pelto-  
nen Risto J., Kitunen Marja, Suomalai-  
nen Heikki), Z. Lebensmittel-Untersuch. und  
Forsch., 1958, 107, № 1, 15—20 (нем.)

Выявить особенности различных вин особенно одних  
и тех же марок, но различных лет урожая очень труд-  
но. Обычные хим. анализы и органолептит. оценка не  
улавливают тонких различий. Сравнение двумерных  
хроматограмм нескольких вин показало, что содержа-  
ние аминокислот сильно варьирует, особенно аланина,  
аминомасляной к-ты, валина, лейцина и изолейцина.  
Присутствие или отсутствие фенилаланина также ха-  
рактерно. Намечается возможность использования со-  
держания этих аминокислот для идентификации вин.

Е. Датунашвили

**59012.** Хроматографический метод определения сор-  
бита в винах. Мариани, Франгуэлли (Ricerca  
cromatografica della sorbite nei vini. Mariani Eu-  
genio, Frangueli Libero), Riv. viticolt. e  
enol., 1957, 10, № 10, 375—378 (итал.)

Разработан метод определения сорбита (I) при по-  
мощи хроматографии на бумаге с применением в ка-  
честве подвижного р-рителя смеси бутанол-уксусная  
к-та-вода (4:1:5) и в качестве проявителя р-ра, со-  
держащего 40 мг бромкрезолового пурпурного в 100 мл  
96%-ного этанола с 100 мг борной к-ты и 7,5 мл 1%-но-  
го водн. р-ра буры. I дает желтые пятна на темно-го-  
лубом фоне, который быстро исчезает. Перед проявле-  
нием хроматограммы выдерживают при 100° для пол-  
ного удаления свободных летучих к-т, мешающих оп-  
ределению, или предварительно испытуемый р-р про-  
пускают через анионит, что более трудоемко. Необхо-  
димо также удаление глюкозы (II), которая в услови-  
ях определения также дает желтое пятно и практиче-  
ски то же значение Rf. II удаляют, выдерживая сле-  
дующий р-р до полного ображивания, II при 25° с до-  
бавлением небольшого кол-ва дрожжей или фенилгид-  
разинном осаждают в виде озазонов II и другие сахара.  
В случае присутствия незначительных кол-в II доста-  
точно пробу выдерживать на воздухе в течение неко-  
торого времени. При анализе чистых р-ров I, а также  
вин и натурального уксуса на хроматограмме различ-  
но пятно, образованное 5 γ I.

Г. Новоселова

**59013.** Одновременное определение аскорбиновой  
кислоты и свободной сернистой кислоты в вине и  
сусле. Кильхёфер, Ауман (Gleichzeitige Bestim-  
mung von Ascorbinsäure und freier schwefliger Säure  
in Wein und Most. Kielhöfer E., Aumann H.),  
Weinberg und Keller, 1958, 5, № 1, 25—30 (нем.)

Выявлена возможность определения аскорбиновой  
к-ты (I) и свободной  $\text{SO}_2$  в вине и сусле. Метод осно-  
ван на титровании йодом в присутствии крахмала.  
В одной пробе определяют вместе I и  $\text{SO}_2$ , в другой  
пробе добавляют уксусный альдегид и определяют  
только I. По разности результатов, полученных при  
титровании 1-й и 2-й проб, определяют содержание  
 $\text{SO}_2$ . Кол-во мл 0,02 н. р-ра йода умножают на 3,52 и  
получают содержание I в вине (в мг/л). Вследствие  
содержания в вине других восстановителей получен-  
ная величина несколько превышает кол-во содержа-  
щейся I, поэтому следует вносить поправки (для вин  
вычитать 10 мг/л, для виноградного и яблочного су-  
сел 15 мг/л). Для вычисления содержания  $\text{SO}_2$  из ре-  
зультатов, полученных при титровании 2-й пробы, вы-  
читают результаты титрования 1-й пробы и разность  
умножают на 1,28.

Е. Датунашвили

**59014.** Происхождение микрофлоры вина. Гальзи  
(Origine de la microflore des vins. Galzy P.), Progr.  
agric. et vitic., 1958, 75, № 3, 58—65 (франц.)



С ягод винограда при раздавливании в сусло попадают различные микроорганизмы: дрожжи, плесени, бактерии. В июле—августе на ягодах винограда (на кусте) можно обнаружить дрожжи *Apiculatus Torulopsis* и *Rhodotorula*, а к моменту созревания и *Saccharomyces*. В это время каждая ягода содержит в среднем 5000 клеток дрожжей. В соке винограда, поступающего на переработку, содержится 44 000 клеток в 1 мл. После переработки на дробилке содержится уже 1 800 000 клеток в 1 мл сусла. Перед брожением их  $4 \cdot 10^5$  на 5-й день брожения конц-ция достигает  $8 \cdot 10^7$  клеток на 1 см<sup>3</sup>. Рассмотрены основные положения применения чистой культуры дрожжей, улучшающие качество получаемых вин: сульфитация 100 мг/л и внесение 5% дрожжевой разводки до общей конц-ии в сусло  $5 \cdot 10^6$  клеток на 1 см<sup>3</sup>. Г. Валушко

**59015. Факторы развития уксуснокислого скисания в вине.** Дюпюи (Les facteurs de développement de l'acidescence dans le vin. Dupuy P.), Ann. Inst. nat. rech. agron., 1956, Е6, № 4, 391—407 (франц.)

На опытах с *Acetobacter rancens* (A.r.) установлено, что основные факторы, влияющие на его развитие, pH и т-ра, повышение которых благоприятствует росту A.r. При pH < 3 A.r. не развивается, поэтому северные вина более устойчивы, чем южные, к уксуснокислому скисанию. *Mycoderma vini* развивается и при более низком pH. Токсичность спирта для A.r. увеличивается с понижением pH. Mn и Mo стимулируют развитие A.r.; Cu, Ni, В угнетают. При низком pH (~3) танин задерживает развитие A.r. В винах, богатых танином, пленка более крепкая, не разрывается и не падает на дно. Настой на мезге слегка увеличивает сопротивляемость вин поражению A.r. Содержание глюкозы и глицерина мало влияет на развитие A.r. Г. Валушко

**59016. Освещение проблемы предупреждения феррифосфатных помутнений в винах.** Дейбнер (Quelques aspects du problème de la prévision des précipitations ferriphosphatiques dans les vins. Deibner, Léonce), Rev. ferment. et inds aliment., 1957, 12, № 6, 311—328 (франц.)

Обзор литературы по феррифосфатным помутнениям и факторам, влияющим на образование фосфатов железа: pH, Eh, органич. к-ты, полуфенолы, глицерин, белки, аминокислоты, коллоиды, содержание Fe и фосфатов. Г. Валушко

**59017. Окисление и восстановление в сидрах.** Крефф (Oxydations et réductions en cidrerie. Greff R.), Ann. Inst. nat. rech. agron., 1957, Е6, № 4, 461—500 (франц.)

Обзор, посвященный изучению изменений окислительно-восстановительного потенциала в биологич. материалах и, в частности, в сидре. Обсуждены методы измерения Eh и влияние технологич. операций на величину Eh. Библ. 21 назв. И. Скурихин

**59018. Санитария производства безалкогольных напитков.** Нойе (Sanitation of soft-drink bottling plants. Noyes W. F.), Canad. J. Public Health, 1958, 49, № 1, 22—25 (англ.)

Описаны современное оборудование и технология произ-ва безалкогольных напитков, обеспечивающие снижение затрат труда и стоимости продукции, а также соблюдение санитарных правил произ-ва. Г. Ошмян

**59019. Исследование процесса непрерывного брожения.** Часть VI. Цикл брожения в системе последовательно расположенных бродильных чанов. Уэда (Ueda K.), Нихон ногай кагаку кайси, J. Agric. Chem. Soc. Japan., 1956, 30, № 6, 355—340 (японск.) Часть V см. РЖХим, 1957, 67742.

**59020. Сушка заквасок методом сублимации в бродильной промышленности.** Кейллинг (La lyophilisation des levains dans les industries de fermenta-

tion. Keilling J.), Technicien lait, 1956, 8, № 113, 11—12 (франц.)

Популярная статья о применении заквасок, высушенных методом сублимации. Отмечено большое кол-во клеток, содержащихся в таких заквасках (до 1 млрд. в 1 г), и длительность срока их хранения (несколько лет). Закваски чистых культур, высушенные методом сублимации, должны найти широкое применение не только в молочной, но и в различных отраслях бродильной пром-сти. В. Богданов

**59021. Количественное и качественное определение бромсодержащих консервантов в напитках.** Шаллер (Über die qualitative und quantitative Erfassung bromhaltiger Konservantien in Getränken. Schaller Alfred), Fruchtsaft-Ind., 1957, 2, № 4, 138—151 (нем.; рез. англ., франц.)

Обзор. Библ. 79 назв. Предыдущее сообщение см. РЖХим, 1958, 37802.

**59022. Содержание витамина В<sub>12</sub> в отходах бродильного производства.** Кубо, Хакко кёкайси, J. Ferment. Assoc., 1956, 14, № 11, 15—19 (японск.)

**59023. Содержание свинца в винах, спиртах и пищевых продуктах.** Гринблау, Вестхёйзен (Lead contamination of wines, spirits and foods. Greenblau N., Westhuyzen J. P. van der, S. Afric. Industr. Chemist, 1957, 11, № 8, 150—153 (англ.)

При исследовании 136 образцов южноафриканских вин на содержание Pb в 86,8% случаев было обнаружено < 0,2 мг/л, в 12,5% 0,2—0,35 мг/л и только в одном случае 0,35—0,50 мг/л. Виноград содержит ~ 0,2—0,3 мг/л Pb. Основным источником попадания Pb в вино являются содержащие его краски, гальванизированное железное оборудование и резиновые шланги (особенно новые), по которым перекачивают вино. При исследовании влияния спиртования сусла на содержание Pb обнаружилось, что через 24 часа после смешения со спиртом происходило резкое (в 3—22 раза) увеличение кол-ва Pb, однако через 2 месяца хранения содержание Pb уменьшалось до кол-ва ниже первоначального. При центрифугировании вина наибольшее кол-во Pb содержалось в нижних слоях осадка. Фильтрация через бумагу ватман 541 снижала содержание Pb, но не удаляла его полностью. При производственной фильтрации через кизельгур и бентонит наблюдается часто увеличение содержания Pb. Содержание Pb в бренди < 0,10 мг/л, чаще < 0,05.

И. Скурихин

**59024. Фильтры для бродильной промышленности.** Барраль (Filtres. Barral Francisque), Rev. embout. et inds connexes, 1956, № 29, 18, 20—22 (франц.), 22, 24—25 (англ.), 25, 26, 28 (исп.)

Описаны конструкции, условия эксплуатации и другие данные фильтров с бестканевой фильтрующей перегородкой (хлопок, асбест, кизельгур и пр.). Часть I см. РЖХим, 1958, 12770. З. Хаимский

**59025 К. Технология винного и спиртового уксуса.** Изд. 2-е. Фишер (Tehnologija vinskog i alkoholnog acta. 2. izd. Fišer Ferdo. Zagreb, Poliprivredni nakl. zavod, 1955, 108 str., il.) (сербо-хорв.)

**59026 К. Производственные линии пищевой промышленности.** Том I. Общая часть, технологические линии спиртового производства, технологические линии пивоваренного производства, технологические линии сахарного производства. Звоничек (Výrobní linky potravinářského průmyslu. Díl 1. Všeobecná část, výrobní linky v sladovnách a pivovarech, výrobní linky cukrovarnického průmyslu. Zvoníček J. a j. Praha, SNTL, 1955, 353 s., il., 23,90 Kčs.) (чешск.)

**59027 К. Практическое руководство по современному виноделию.** Изд. 3-е, дополн. Джанформаджо (Manuale pratico di enologia moderna. 3 ed. aggiorn.

ed ampl. Gianformaggio Francesco. Milano, U. Hoepli, 1955, XVIII, 444 p., 1600 L.) (итал.)

59028 П. Способ получения богатой калием золы из барды, являющейся отходом спиртовых заводов, перерабатывающих мелассу. Янсен, Сёйкербейк (Werkwijze voor het winnen van een kalium-rijke as uit afvalvloeistoffen van melasseverwerkende industrie. Jansen Max Petrus Jozef Maria, Suikerbuijk Hendricus Johannes Petrus.) [N. V. Zuid-Nederlandsche Spritusfabriek]. Голланд. пат. 75733, 16.08.54

При сжигании барды (отход при сбраживании мелассы) в условиях восстановления получают богатую калием золу (см. голл. пат. 66792), т-ра плавления которой чрезвычайно высока; поэтому перед сжиганием прибавляют карбонат щел. металла; образующийся осадок удаляют фильтрованием или центрифугированием. Осадок всегда содержит  $\text{CaCO}_3$  и часто содержит существенные кол-ва гидроокисей металлов. При этом предотвращается коррозия, обуславливаемая кислотой р-ции исходной барды; уменьшается вспенивание, предупреждается отложение  $\text{CaCO}_3$  на поверхностях теплообменников: содержание К в золе возрастает. Если вначале прибавить  $\text{K}_2\text{CO}_3$ , то часть полученной золы можно использовать впоследствии. Способ применим и в условиях окисления. Э. Тукачинская

59029 П. Способ обработки микроорганизмов перед сушкой. Клаус (Verfahren zur Behandlung zur technisch verwertbaren Mikroorganismen vor der Trocknung. Claus Waeter.) [Zellstofffabrik. Waldhof]. Пат. ФРГ 946792, 09.08.56

Микроорганизмы перед высушиванием обрабатывают влаготнимающими в-вами, напр., к води. взвеси дрожжей или других микроорганизмов, содержащей 14% сухих в-в, добавляют 5%  $\text{NaCl}$ ; при этом повышенное осмотич. давление среды способствует выделению внутриклеточной влаги, а выделенная затем на вакуум-фильтрах прессованная биомасса содержит, вместо обычных 20%, до 28% сухих в-в. Это позволяет пользоваться острым паром при последующем плазмоллизе прессованной массы: получающийся конденсат, хотя и разжижает плазмоллизат, но все же он содержит  $\geq 24\%$  сухих в-в, что облегчает последующее его высушивание. Для получения 100 кг сушеной продукции из обработанных предварительно концентратов микроорганизмов требуется удаление из плазмоллизата только 293 кг влаги, тогда как при выработке 100 кг готовой продукции из производственных микроорганизмов, не подвергнутых описанной обработке при высушивании плазмоллизата, удаляют 395 кг влаги. Е. Плевако

59030 П. Загрузка хмеля в сусоварочный котел. Риккерс (Injecting of hops in the brewing of beer. Rickers Frank Otto) [The Geo. Wiedemann Brewing Co., Inc.]. Пат. США 2772975, 4.12.56

Хмель (Х) задают в кипящее сусло, вызывая спец. устройствами циркуляцию последнего, достаточную для немедленного его погружения, обеспечивающего замочание под поверхностью сусла. Из загрузочного отверстия в крышке котла Х при помощи отражательной поверхности и распределительного устройства попадает в строго ограниченное пространство котла и упирается фонтанирующим суслом в глубину последнего, где он набухает и вследствие непрерывной циркуляции, обусловленной нагревательным устройством на дне котла, равномерно распределяется во всем объеме сусла. Приведены описание и чертежи с несколькими вариантами устройств, обеспечивающих фонтанирование сусла навстречу потоку Х. А. Емельянов

59031 П. Процесс обработки вин и аналогичных спиртовых жидкостей, вещества для этой обработки и их приготовление. (Procédé de traitement des vins

et liquides alcoolisés analogues, corps permettant ledit traitement et leur préparation) [Leitha]. Франц. пат. 1133636, 29.03.57

Патентуется способ обработки вин продуктом нагрева до 200° винной к-ты (10 г/л) для предохранения от выпадения винного камня в течение многих лет после обработки. Обработку вин этим продуктом совмещают с фильтрацией и обработкой бентонитом и инфузальной землей. Г. Валушко

59032 П. Аэрактор — кислорододозатор (Aérateur-oxygénateur) [Guillamue Pascaud]. Франц. пат. 1129453, 22.01.57

Патентуется способ дозирования  $\text{O}_2$  воздуха, вводимого в вина и коньяки при помощи очень простой насадки на нагнетательную линию насоса. Насадка представляет собой отрезок трубы с отверстиями разного диаметра, открывая и закрывая которые, можно регулировать подачу воздуха. Вино, проходя сквозь эту насадку, разбивается на очень мелкие капли (до 25  $\mu$ ) и обогащается воздухом. Контроль за этим процессом ведется по уменьшению содержания свободной  $\text{SO}_2$  и увеличению содержания летучих к-т, или по изменению поверхностного натяжения вина. Воздух предварительно фильтруется через вату. Применение способа обеспечивает ускоренное и регулируемое созревание вин. Г. Валушко

См. также: Достижения бродильной промышленности СССР за 40 лет 56318. Проницаемость клеток и декарбоксилирование  $\alpha$ -кетокислот клетками дрожжей 21918Бх. Несбраживаемость меланоидиновых в-в 21887Бх

## ПИЩЕВАЯ ПРОМЫШЛЕННОСТЬ

Редакторы А. М. Емельянов, Г. А. Новоселова, А. Л. Прогорович

59033. Техника пищевой промышленности. Куприянов (Lebensmitteltechnik. Kuprianoff Johann), VDI-Zeitschrift, 1958, 100, № 7, 300—304 (нем.)

Освещены наиболее важные технич. проблемы пищевой промышленности, разрешенные за последние 10 лет в наиболее развитых в экономич. отношении странах в области консервирования пищевых продуктов (охлаждение и замораживание, стерилизация и пастеризация, облучение, сушка, консервирование сорбиновой к-той и диэтиловым эфиром, облучение в холодильниках слабыми радиоактивными препаратами), а также переработки мяса, рыбы, молока, яиц, плодов и овощей, зерна и зерновых продуктов. В. Гурни

59034. Защита продуктов от образования в них бактериальных пищевых ядов. Любенецкая, Шельхорн (Verhütung von bakteriellen Nahrungsmittelvergiftungen durch geeignete Maßnahmen bei der Haltbarmachung von Lebensmitteln. Lubieniecka M., Schelhorn), Ernährungswirtschaft, 1958, 5, № 2, 25—28 (нем.)

Пищевые яды образуются в результате жизнедеятельности бактерий, выделяющих токсины, особенно в продуктах с повышенным содержанием влаги, имеющих щел. р-цию и богатых белками. Рассмотрены преимущества и недостатки способов защиты продуктов от образования в них пищевых ядов: санитарный контроль предприятий, повышение осмотич. давления (обработкой солью, консервированием сахаром), внесение посторонних в-в (антибиотиков и других), стерилизация и пастеризация, охлаждение и замораживание, хранение в отсутствие  $\text{O}_2$  (вакуум-упаковка), упаковка в пленки, ионизирующее облучение. В. Гурни



59035. Обработка продуктов ионизирующими излучениями. Колби (Processing of foods with ionizing radiations. Coleby B.), Nature, 1958, 181, № 4613, 877—879 (англ.)

Краткий отчет о симпозиуме, состоявшемся в Кембридже 26—27 сентября 1957 г. А. Е.

59036. Консервирование как средство для сохранения запасов пищевых продуктов. Кнорр (Konserverung von Lebensmitteln — ein Erfordernis der Vorratswirtschaft. Knorr F.), Riechstoffe und Aromen, 1958, 8, № 3, 79—80 (нем.)

Краткий обзор новых методов консервирования (облучение, применение антибиотиков и консервантов и др.). А. Е.

59037. Оснащение предприятий консервной промышленности контрольно-измерительными приборами. Часть 2. Шеррик (Instrumentation in the canning industry. Part 2. Sherrick Paul), Food in Canada, 1957, 17, № 3, 24, 26 (англ.)

Рассмотрено применение при произ-ве консервов спектрофотометрии, рефрактометрии, осциллометрии, потенциометрии, кондуктометрии, полярографии, кулометрии и электрогравиметрии. Часть I см. РЖХим, 1957, 78692. Г. Н.

59038. Первоначальная технология квашения и консервирования. Билек (Prarochátky chemické technologie kvašení a konzervování. Bilek Václav), Průmysl potravin, 1957, 8, № 2, 109—110 (чешск.)

Описаны примитивные способы квашения и консервирования. В Америке индейцы готовили пемикан, для чего резали мясо бизона на полосы, сушили на солнце, размазывали его между камнями, добавляли жир в кол-ве  $\frac{1}{3}$  от его веса, муку и соль и хранили в кожаных мешках в случае надобности в течение нескольких лет. Описаны способы приготовления кефира на Кавказе, кумыса в Средней Азии, йогурта на Балканах, а также способы приготовления вина в различных странах. Б. Адамец

59039. Кинетика тепловой инактивации бактерий. Чарм (The kinetics of bacterial inactivation by heat. Charm S. E.), Food Technol., 1958, 12, № 1, 4—8 (англ.)

Выведено ур-ние логарифмич. кривой сохранения жизнеспособности бактерий. Возможно, что эта кривая обусловлена кинетикой инактивации. Энергия инактивации неодинакова у разных видов и зависит от pH среды. Повышение скорости инактивации с возрастанием т-ры связано с увеличением числа молекул воды, обладающих энергией инактивации. В. Богданов

59040. Обогащение витаминами продуктов питания. Ваносси (L'arricchimento vitaminico degli alimenti. Vanossi Lorenzo), Illustr. scient., 1957, 9, № 96, 22—23 (итал.)

59041. Перспективы производства некоторых синтетических пищевых продуктов. Катрейн (Perspectivele fabricării unor produse alimentare sintetice. Kathrein I.), Rev. ind. aliment. prod. animale, 1956, № 11, 4—6 (рум.)

Освещены достижения в области синтеза углеводов, жиров, жирных к-т, глицерина и некоторых витаминов, превращения неусвояемых растительных белков в усвояемые, получения аминокислот. А. Марин

59042. О размягчении жестких частей мясной пищи в кулинарии. Вадачкорна Л. К., Вопр. питания, 1958, 17, № 1, 96

Рекомендуется проверить возможность применения в кулинарии протеолитич. ферментов грибов *Panus rudis* (Гонашвили Ш. Г., Доклады ВАСХНИЛ, 1949, 12, 32) для размягчения жестких частей мясной туши. А. П.

59043. Представления о микробиологии пищевых продуктов после 1950 годов. Йюлленберг (1950-

lunvun käsityksiä ruokatavaroiden mikrobiologiasta. Gyllenberg Helge), Kotitalous, 1957, 21, № 10, 259—265 (финск.)

Рассмотрены принципы микробиологии пищевых продуктов и научные и технич. достижения в области их хранения. М. Тойкка

59044. Определение глутаминовой кислоты, добавленной в пищевые продукты. Фреймут, Палицш (Beiträge zur Bestimmung der zugesetzten Glutaminsäure in Lebensmitteln. Freimuth U., Palitzsch R.), Nahrung, 1958, 2, № 1, 26—35 (нем.; рез. англ., франц., русск.)

Глутаминовую к-ту (I) переводят в пирролидонкарбоную, последнюю в соответствующую гидроксамовую к-ту, определяемую колориметрически с  $\text{FeCl}_3$ . Недостаток р-ции — незначительная интенсивность и непостоянство окрашивания. При определении этим методом I в пищевых продуктах получают завышенные результаты, так как одновременно определяют глутамин, пептиды и амиды. При предварительном выделении I электрофорезом возможно колич. определение. Для определения примеси I из найденного содержания необходимо вычесть кол-во I, естественно находящейся в продукте. А. Емельянов

59045. Усовершенствование способа Рейнша для открытия вредных металлов в пищевых продуктах при помощи хроматографии на бумаге. Кун Цин-хун, Лю Лань, Ху Най-чжао (Kung C. h., Lui L. H. N. s.), Яосюэ сюэбао, Acta pharm. sinica, 1957, 5, № 3, 185—190 (кит.; рез. англ.)

Метод Рейнша модифицирован с применением хроматографии на бумаге. Установлена возможность обнаружения 0,1—0,2 мг As, Sb, Hg, Bi, Ag в пищевых продуктах без разрушения органич. в-ва. Г. Н.

59046. Определение содержания витамина В<sub>1</sub> в пищевых продуктах. Петков (Количество определено на витамин В<sub>1</sub> в хранительных продуктах. Петков Пенко), Изв. Отд. биол. и мед. н. Бълг. Акад. Сер. експерим. биол. и мед., 1958, № 4, 109—110 (болг.; рез. русск., нем.)

Модифицирован титрометрич. метод определения витамина В<sub>1</sub>. См. Ber, 1935, 68, 2257; Z. für Vitaminforschung, 1946, 17, 98. Г. Н.

59047. Органолептическая оценка пищевых продуктов. Чёгл (The sensory assessment of foodstuffs. Tschöegl N. W.), Food and Nutrition Notes and Revs, 1956, 13, № 1-2, 1—7 (англ.)

См. также РЖХим, 1957, 6564.

59048. Быстрый метод определения значимости различия при многократных сравнениях. Брэдли, Креймер (A quick, rank test for significance of differences in multiple comparisons. Bradley Ralph Allan, Kramer Amihud), Food Technol., 1957, 11, № 7, 412 (англ.)

Разъясняется порядок пользования таблицами, приведенными в одноименной, ранее опубликованной статье Креймера. См. РЖХим, 1957, 28793. В. Базарнов

59049. О борьбе с амбарными вредителями и о вредных веществах в пище. Рап (Bekämpfung der Vorratsschädlinge und «Gift in der Nahrung». Rastl Walter), Mühle, 1958, 95, № 13, 168—170 (нем.)

59050. Прогресс санитарии в зерновой промышленности. Бюре (Les progrès de la salubrité dans les industries des céréales. Buré Jean), Inds aliment. agric., 1958, 75, № 1, 29—32 (франц.)

59051. Симпозиум по вопросу о классификации и премировании пшениц. 7 ежегодная конференция Тамузурте (Новый Южный Уэльс), 1—4 окт. 1957 г. (Symposium: «Wheat classification and premium wheats. 7 Annual Conf., Tamworth, N. S. W.

ogiasta.  
№ 10,  
специальных  
область  
Тойкина  
добав-  
лени  
utamin-  
tzech  
а. а. а.

1st—4th Oct., 1957), Food Technol. Austral., 1957, 9, № 12, 649—659 (англ.)  
39052. Классификация премируемых пшениц для специальных сортов муки и помольных смесей. Фишер (Classification of premium wheats for special flours and as blending wheats. Fisher J. R.), Food Technol. Austral., 1957, 9, № 12, 649, 651 (англ.)

Определение понятия премированной пшеницы, классификация пшениц, оценка их качества. А. Е. 39053. Новая техника предварительного отбора пшеничных гибридов по качеству. Гаррис, Сиббитт (New techniques for preliminary screening wheat hybrids for quality. Harris R. H., Sibbitt L. D.), Baker's Digest, 1957, 31, № 4, 68—73 (англ.)

Исследована возможность оценки селекционерами мукомольных и хлебопекарных достоинств вновь выведенных гибридов пшениц по уд. объему в мл/г (УО) и миксограммам (М) размолотого зерна (РЗ) пшеницы. Проведены 3 серии опытов с зерном стекловидной красной зерновой пшеницы. Определялась связь УО РЗ и муки и этих показателей с выходами муки и натурным весом зерна, а также связь периода тестообразования размолотого зерна по М и муки по фаринограммам. Вне зависимости от кол-ва используемого материала (25—75 г) связь УО РЗ и муки выражается поф. = +0,934 — +0,957; связь УО РЗ с выходом муки отрицательная с коэф. для двух серий опытов —0,785 и —0,718. Образцы с УО РЗ >2,0 соответствовали повышенным выходам муки и подлежали исключению; образцы с УО в пределах 2,0—2,09 обладали сомнительными мукомольными качествами и подлежали дальнейшей проверке. Связь показателей миксограмм и фаринограмм муки найдена менее выраженной: по тестообразованию она характеризуется коэф. = +0,581 и по стабильности теста +0,249. Рекомендовано проводить мукомольную оценку по УО и хлебопекарную — по миксограммам РЗ. Это исключает необходимость помола зерна в муку и позволяет селекционерам производить предварительный отбор гибридов в сравнительно ранней стадии размножения. Приведен краткий обзор методов испытания мукомольно-хлебопекарных качеств селекционных пшениц на малых образцах, графики и таблицы эксперим. работы. Библи. 17 назв.

В. Базарнова  
39054. Сушка зерна в насыпи. Павлов В., Мукомольно-алеват. пром-сть, 1958, № 3, 9—11

Проведены опыты сушки кукурузы в початках подогретым воздухом при помощи переносных установок для активного вентилирования воздуха с переменным движением теплоносителя. В опытах использована рипонстрированная топка зерносушилки «Кузбасс». Нагретый до 40—50° воздух подают в склад или в вентилятору ВМ-200, нагнетающему его под зерновую насыпь. Попеременная подача нагретого воздуха снизу вверх и сверху вниз обеспечивает более равномерную сушку. Равномерность сушки еще более увеличивается при направленной подаче подогретого воздуха сверху и отсосе использованного воздуха снизу. Приведены схемы установок и результаты опытов.

А. Емельянов  
39055. Облучение пшеницы. Норрис, Рейтер (Irradiation of wheat. Norris I. M., Reuter F. H.), Food Technol. Austral., 1957, 9, № 12, 657 (англ.)

39056. Исследование импортного риса. Пельсхенке, Хемпель (Untersuchungen an Importreis. Pelschenke P. F., Hampel G.), Getreide und Mehl, 1958, 8, № 3, 17—22 (нем.)

Изучен хим. состав (содержание воды, золы, белка, углеводов, растворимых углеводов) и физ. свойства 10 сортов риса различного происхождения. Найденные относительно небольшие различия в хим. составе. Наибольшее содержание белка оказалось в венгер-

ском сорте «Голубая Роза» (9,3%) и в 2 итальянских сортах (9,2; 8,4), наименьшее — в бирманском рисе (6,7%). Для венгерского риса характерно высокое содержание растворимых углеводов (2,6%). Потери сухих в-в риса при варке менее всего у бирманских сортов и больше других сортов у египетских и итальянских образцов. Для определения набухаемости риса определяли так называемое «число набухания риса» (ЧНР), определяемое в мл р-ра тетрамина меди после обработки риса реактивом, состоящим из формамида, сульфата аммония и сульфосалициловой к-ты (РЖХим, 1957, 59519). Средние величины ЧНР для трудно набухаемых сортов равнялись 20 ед., для средне набухаемых 20—30 ед. и для легко набухаемых сортов >30 ед. С повышением ЧНР увеличивалось кол-во потерь сухих в-в. Начало возрастания вязкости при нагревании наблюдается у отдельных сортов риса между 72 и 82°; у высококачественных сортов вязкость возрастает при более низких т-рах, чем у быстро набухаемого риса. Установлена тесная связь развариваемости риса и ЧНР.

А. Емельянов  
39057. О мокром помоле пшеницы. Кодзак Митио, Миура Дзиро, Ясуи Тосио, Носан Како (J. Utiliz. Agric. Prod., 1957, 4, № 1, 12—14 (японск.))

39058. Схема помола кукурузы. Петернел (Dijagram mlevenja kukuruza. Peternel Slavko), Proizv. i prerada brašna, 1957, 6, № 3, 39—41 (сербохорв.)

39059. Практика применения аскорбиновой кислоты в качестве улучшителя муки. Штаудт (Die praktische Anwendung der Ascorbinsäure. Staudt E.), Mühle, 1958, 95, № 14, 187—188 (нем.)

39060. Оценка хлебопекарного достоинства муки. Хатберг (Evaluation of flour and dough performance and bread quality. Hagberg Sven), Cereal Sci. Today, 1957, 2, № 8, 224—227 (англ.)

Описаны методы и результаты определения основных показателей хлебопекарного достоинства муки на приборах автора. Влагопоглощательную способность муки и физ. свойства теста рекомендовано определять по скорости истечения 150 г теста через отверстие консистометра; газообразующую, газодерживающую способность и крепость теста на ферментографе, автоматически фиксирующем величину указанных показателей; качество мякиша хлеба по степени диастатич. активности муки, выражаемой глубиной проникновения в мм за 10 сек. конуса спец. пенетрометра в клейстеризованную и остуженную пасту, полученную при нагревании в водяной бане смеси муки и воды. Мука с нормальной ферментативной активностью образует плотный клейстер с глубиной проникновения конуса 20—30 мм, с повышенной активностью 50—60 мм с пониженной 5—15 мм. Последняя не обеспечивает нормального брожения и дает хлеб с сухим грубым мякишем. Приводятся фотоснимки и описания приборов.

В. Базарнова

39061. Определение перекиси бензола в отбеленной муке. Эххаут (La recherche de peroxyde de benzoyle dans les farines blanchies. Eeckhaut R. G.), Bull. Ecole meunerie belge, 1958, 20, № 1, 5—14 (франц.)

К 100 г муки добавляют 250 мл воды и 4 мл н. NaOH. Оставляют на 1 час, периодически перемешивая. Добавляют 50 мл р-ра А [0,1 М  $K_2Fe(CN)_6$ ] и после взбалтывания 50 мл р-ра В (0,5 М  $ZnSO_4$ ). Фильтруют через складчатый фильтр. Промывают 100 мл дистил. воды. Подкисляют фильтрат (напр., через 14 час.) 5 мл HCl (уд. в. 1,19). Экстрагируют 3 раза эфиром (по 40 мл). При образовании эмульсии добавляют 20 мл спирта. Промывают экстракт 2 раза водой (по 10 мл) и встряхивают 3 раза, каждый раз с 10 мл 0,1 н. NaOH. Нагревают 30 мл 0,1 н. NaOH до 60° и добавляют 10 мл



1%-ного  $\text{KMnO}_4$ . Оставляют на 2 мин., затем вносят 5 мл 25%-ной  $\text{H}_2\text{SO}_4$  и немедленно на кончике ножа  $\text{Na}_2\text{SO}_3$ . Перемешивают. Добавление метил-оранжевого должно давать красное окрашивание. После охлаждения снова экстрагируют эфиром (3 раза по 20 мл). Дважды промывают водой (по 10 мл). Встряхивают с 2—3 г  $\text{Na}_2\text{SO}_4$  и фильтруют в высокий стакан (100 мл). Дают испариться эфиру. Вносят в небольшой стакан 100 мг  $\text{KNO}_3$ , затем 1 мл  $\text{H}_2\text{SO}_4$  (уд. в. 1,84) и смешивают с остатком эфирного экстракта. Помещают стакан в другой с кипящей водой на 20 мин. Добавляют к остатку 2 мл воды, охлаждают, добавляют 6 мл  $\text{NH}_4\text{OH}$  (0,91), охлаждают, переносят в пробирку, добавляют 2 мл 2%-ного водн. р-ра хлоргидрата гидроксилана. Смешивают и 20 мин. держат в кипящей водяной бане. Охлаждают под краном. Окрашивание в красно-коричневый до красного цвет указывает на присутствие перекиси бензоила. При содержании последней в кол-ве 0,5 г в 100 кг муки наблюдают еще заметное окрашивание. При отрицательной р-ции жидкость остается бледно-желтой.

А. Емельянов

**59062. Технология хлебопечения за рубежом.** Щербатенко В. В., Тр. Конференции по техн. и технол. хлебопек. произ-ва за рубежом. М., 1957, 9—29

**59063. О приготовлении хлеба на активизированных дрожжах (сброженных дрожжевых растворах).** Часть II. Мазелли (Facts about the brew process. Part II. Maselli John A.), Canad. Baker, 1957, 70, № 10, 27—28, 34 (англ.)

Исследовано влияние буферного р-ра (добавок  $\text{CaCO}_3$ ), на брожение, устойчивость активизированных дрожжей (АД), режим приготовления теста (Т) и качество хлеба. Установлено, что добавление в процессе приготовления АД  $\text{CaCO}_3$  в кол-ве ~10% от кол-ва сахара повышает устойчивость АД при хранении, сокращает длительность расстойки Т и улучшает качество хлеба с незначительным повышением рН. Увеличение кол-ва  $\text{CaCO}_3$  повышает конечную величину рН АД. Приготовление хлеба с применением АД вместо опары требует повышения т-ры Т до 29—31° и увеличения продолжительности замеса на 30—50% по сравнению с опарным способом. Отмечается, что густые АД с внесением 30—50% от общего кол-ва воды, идущей на замес Т, вместо применяемых 65—100%, создают большую маневренность тестоприготовления при сохранении хорошего качества хлеба. Результаты сравнительной оценки хлеба, приготовленного опарным способом и на АД, показывают примерно одинаковую сохраняемость свежести и колебания качества. Приведены графики, таблицы, рецептура и технологич. режим приготовления АД и Т с применением буферного р-ра. Часть I см. РЖХим, 1958, 51829.

В. Базарнова

**59064. Влияние поваренной соли при приготовлении жидких дрожжей.** Ройтер И. М., Берзина Н. И., Баширова Р. С., Тр. Киевск. технол. ин-та пищ. пром-сти, 1957, вып. 17, 57—68

Опытами в лабор. и заводских условиях установлено, что консистенция заварок, приготовленных из ржаной обойной и пшеничной муки II сорта на р-рах поваренной соли (С) при одной и той же т-ре снижается с увеличением кол-ва С в заварке (в опытах 0—75% к весу муки в тесте). Уменьшается также и содержание сахара и водорастворимых в-в в заквасках и жидких дрожжах (ЖД). Активность амилаз и ферментов при 5%-ной конц-ии С возрастает. При добавлении С после заваривания муки водой содержание сахаров и водорастворимых в-в после заквашивания увеличивается. С тормозит жизнедеятельность молочнокислых бактерий, вследствие чего снижается кис-

лотность ЖД и теста. В присутствии С замедляется размножение дрожжей и снижается их подъемная сила. При приготовлении теста на ЖД с 1,25% С время брожения и расстойки увеличивается, пористость выпеченного хлеба хуже, чем у контрольного. На основании проведенных опытов признано целесообразным применение С при изготовлении ЖД, особенно при переработке дефектной муки.

А. Емельянов

**59065. Брожение теста, приготовленного на жидких дрожжах, в присутствии поваренной соли.** Берзина Н. И., Ройтер И. М., Баширова Р. С., Тр. Киевск. технол. ин-та пищ. пром-сти, 1957, вып. 17, 75—80

Исследовано влияние конц-ии поваренной соли (С) в безопарном тесте (пшеничная мука II сорта) на газо- и кислотообразование. Готовили тесто на прессованных (до 3%) и жидких (до 40%) дрожжах без С и с добавлением С в кол-ве 0,5—2% (к весу муки) и определяли газообразование и кислотность, а также содержание дрожжевых клеток за 6 час. брожения. Найдено, что с повышением конц-ии С увеличивается торможение газо-, кислотообразования и размножения дрожжей, причем торможение более значительно в тесте на жидких дрожжах и с меньшим содержанием воды. При переработке дефектной муки не рекомендуется добавление С в опару, снижающее ее кислотность.

А. Емельянов

**59066. О выходах закваски.** Гётше (Über die Teigausbeute des Anstellgutes. Götsche E. A.), Brot und Gebäck, 1958, 12, № 1, 12—15 (нем.)

Исследованием влияния выходов закваски (125, 135, 190 и 280) на стойкость ее при хранении (до 4 недель при 9°) установлено, что консистенция закваски наряду с т-рой обуславливает ее сохраняемость. Показана ненужность особой обработки спелого теста, оставляемого на закваску, так как оно имеет консистенцию (соответствующую выходам 170—190), наиболее подходящую для хранения закваски.

А. Емельянов

**59067. О препарате пшеничной клейковины.** Дубойс К., Коттон (Vital wheat gluten. Dubois D. K., Cotton R. H.), Baker's Digest, 1957, 31, № 5, 56—57, 60—61 (англ.)

Исследовано влияние на качество пшеничного и ржаного-пшеничного хлеба добавок к муке (М) порошка клейковины (ПК) марки Vicrum. Клейковину отмыивают из теста специально отобранной для этой цели М, образующей вязкую, эластичную клейковину, быстро высушивают при низкой т-ре, сохраняющей исходные свойства белка, и размалывают в тонкий порошок светло-рыже-коричневого цвета. ПК при влажности 6% содержит ~71% белка. Выпечки проводили в производственных условиях по принятым рецептурам. Исследования показали, что 2—3% ПК, добавляемые к весу М, улучшают ее хлебопекарное достоинство. Каждый процент ПК увеличивал на 1,25—1,75% водопоглотительную способность М. Повышалась устойчивость теста при замесе и брожении, при сокращении на 5—15 мин. продолжительности расстойки. Увеличивался на 5—11% объем хлеба, улучшалась структура и пористость мякиша, замедлялось черствение. Добавление ПК к ржаному-пшеничным сортам хлеба дает возможность увеличивать кол-во ржаной муки в смеси или заменять высокие сорта пшеничной муки более низкими, не ухудшая качества хлеба. ПК рекомендуется добавлять к сухим ингредиентам, предусматриваемым рецептурой, до добавления воды, при постанове опары, или замесе теста. Предпочтительнее добавление в опару. Приведены фотоснимки хлеба.

В. Базарнова

**59068. Характер изменения белков клейковины в процессе приготовления пшеничного хлеба.** Чижо-

ва К. Н., Тр. Всес. н.-и. ин-т зерна и продуктов его переработки, 1957 (1958), вып. 35, 125—132.

Исследованы изменения кол-ва и качества отмываемой из теста клейковины (К), а также кол-ва водорастворимых азотистых в-в (в том числе не осаждаемых 2%-ной трихлоруксусной к-той) в процессе приготовления хлеба из пшеничной муки I сорта опарным способом. Кроме того, проведены опыты для установления влияния pH и протеолитич. ферментов, а также изменений белков клейковины под действием продуктов брожения и препарата папаина. При оптимальных условиях тестоведения происходит значительное снижение кол-ва сырой К и ее гидратационной способности при повышении показателей пластичности и содержания азотистых в-в. Кол-во последних, не осаждаемых 2%-ной трихлоруксусной к-той, остается почти без изменений, что объясняется равновесием образования аминокислот с их потреблением микроорганизмами. В результате снижения pH наблюдались те же изменения К. Под действием ферментов муки кол-во сырой К заметно увеличивалось за счет повышения ее гидратационной способности, небелковый азот составлял до 25% от общего кол-ва водорастворимого азота (при пептизации молочной к-той ~6%). Увеличение кол-ва сырой и сухой К найдено при обработке болтушки муки препаратом папаина (0,025% к весу муки). При умеренном воздействии протеолитич. ферментов улучшается качество К. Из продуктов брожения на К наиболее благоприятно действует  $\text{CO}_2$ . Молочная и уксусная к-ты затрудняют отмывание К и ухудшают ее физ. свойства.

А. Емельянов  
59069. Причины и предупреждение дефектов хлеба. Doty (How you can correct bread troubles. Doty James M.), Baker's Digest, 1957, 31, № 5, 44—45, 48, 51 (англ.)

Обсуждены факторы, влияющие на качество хлеба, и мероприятия, устраняющие возможность выработки недоброкачественной продукции.

В. Базарнова  
59070. Влияние упаковки на сохранение рибофлавина, влажности и аромата в булках. Бердсэлл, Темпли (Effects of packaging on partially baked rolls. Observations on the retention of riboflavin, moisture, and flavor. Birdsall J. J., Temply L. J.), Food Technol., 1957, 11, № 11, 608—610 (англ.)

Булки весом ~284 г, приготовленные из теста нормального качества, обогащенного таблетками витамина, немедленно после выема из печи и охлаждения, упаковывали в алюминиевую фольгу (АФ), или вошелую бумагу (ВБ), или целлофан (Ц), с применением горячей заклепки, и хранили 14 дней при 23—25° с освещением интенсивностью 100 фут-свечей. Установлены большие потери рибофлавина в первые 7 дней хранения при упаковке булок в ВБ или Ц и значительно меньшие потери в АФ. Во всех случаях наблюдались небольшие потери влажности. Булочки, упакованные в АФ, лучше сохраняли первоначальный аромат и структуру мякиша; в Ц после 7 дней приобретали неприятный запах.

В. Базарнова  
59071. О замораживании штучных булочных изделий. Подразский (Další poznatky o zmrazování pečiva. Podrazský Vladimír, Průmysl potravin, 1958, 9, № 2, 67—74 (чешск.; рез. русск., англ., нем.))

В опытах замораживания в tunnelных морозильных камерах и в камерах холодильников с вентиляцией и последующего хранения замороженных изделий при -12° и -18° лучшие результаты получены для мелкой сдобы. Булочные изделия из несдобного теста оказались менее пригодными для замораживания.

А. Емельянов  
59072. Предварительные испытания новых типов муки и перспективы применения их в хлебопечении. Беннетт, Аксфорд (Preliminary tests on some

new types of flour and the outlook for bakers. Bennett R. Axford D. W. E.), Northwest Miller, 1957, 258, № 7, 1a, 20a—21a (англ.)

Проведены опыты с двумя фракциями пшеничной муки, различающимися по содержанию белков, полученными из мягкой муки (ММ) сорта патент. ММ имела повышенную амилалитич. активность и темный цвет. Полученные из нее фракции, составляющие 21% (фракция I) и 79% (фракция II), содержали белка соответственно 19,5 и 6,7%. Фракция I отличалась от фракции II также повышенной автолитич. активностью, водопоглотительной способностью, растяжимостью клейковины и более темным цветом при пониженной на 1% влажности и меньших средних размерах частиц муки. Хлебопекарные испытания проводились в лабор. условиях. Фракция I добавлялась в кол-ве 0, 25, 35, 50% к контрольной низкобелковой австралийской муке при выпечке хлеба. Одновременно хлеб выпекали из 100% фракции I без добавок и с добавкой 0,0025%  $\text{KBrO}_3$ . Из фракции II выпекали кексы. Контролем служила австралийская мука, применяемая при выработке этих видов изделий. Пригодность фракции II для изготовления печенья проверялась на приборе Симона принятым для этой цели методом. Опытами установлено, что по мере увеличения кол-ва фракции I в контрольной муке увеличивался объем хлеба, улучшалась окраска корки, цвет мякиша становился более темным. Добавление 25 и 35% фракции I улучшали структуру мякиша. Хлеб с добавлением 50% и использованием 100% фракции I при больших объемах имел крупную пористость. Тесто и мякиш становились липкими. Добавление  $\text{KBrO}_3$ , увеличивая объем, не устранило дефектов теста и мякиша хлеба. Испытания фракции II показали, что она может быть использована при изготовлении кексов и непригодна для печенья из-за недостаточной растяжимости теста.

В. Базарнова  
59073. Характеристика белизны муки и хлеба фотоэлектрическими измерительными приборами. Брюкнер, Ангерман (Zur Kenntlichmachung der Helligkeit von Mehl und Brot durch photoelektrische Meßgeräte. Brückner G., Angermann A.), Mühle, 1958, 95, № 11, 137—139; № 12, 150—153 (нем.)

Исследована возможность характеристики белизны муки и хлеба величинами ремиссии, измеряемыми приборами Цейсса «Эльрефо» и «Элько II» с помощью фотоэлементов. Непосредственное определение оказалось невозможным вследствие неоднородности частиц муки и затруднений в получении гладкой поверхности образцов муки, особенно с влажностью >15,5%. Хорошие результаты получены с кашицей из муки (30 мг муки растирают шпателем с 50 мл дистил. воды при 18—20° до получения однородной массы) при длине волны отраженного света 420 мμ (фильтр R 42). Найдено, что различная влажность муки не влияет заметно на степень ремиссии; крупнота муки изменяет степень ремиссии при наличии частиц >225 μ. При естественном созревании муки белизна ее увеличивается в незначительной степени, более заметные изменения вызывает искусств. отбеливание муки. Между зольностью и белизной муки имеется лишь слабая связь. Уменьшение белизны муки в большей степени обусловлено возрастанием содержания белков. При определении белизны прессованного хлебного мякиша установлена связь ее с белизной муки. В опытах с непрессованным мякишем определение белизны дает представление о строении мякиша в связи с технологич. процессом приготовления хлеба.

А. Емельянов  
59074. Определение водопоглотительной способности муки пенетрометром. Мас (La détermination du pouvoir d'absorption de la farine au moyen d'un pénétro-



mètre. Maes E.), Bull. Ecole meunerie belge, 1957, 19, № 6, 99—105 (франц.)

Описано устройство пенетromетра, основанного на погружении в тесто стержня, заканчивающегося сферич. сегментом, под действием постоянного груза в течение определенного времени. Результаты выражаются в условных единицах (глубина погружения в мм, помноженная на коэф., постоянный для прибора). Возможность применения этого пенетromетра для определения водопоглощительной способности муки доказана результатами сравнительного определения последней в 250 образцах муки пробными выпечками, фаринографом, центрифугированием и пенетromетром.

А. Емельянов

**59075. Определение соединений полиоксидилена, применяемых для сохранения свежести хлеба.** Клифмюллер (Der Nachweis von Polyoxäthylenverbindungen als Weichhaltungsmittel im Brot. Kliffmüller R.), Dtsch. Lebensmitt.-Rundschau, 1958, 54, № 3, 59—61 (нем.)

Метод хроматографии на бумаге Жаминне (РЖХим, 1955, 40454), предложенный для определения полиоксидиленовых соединений в лекарственных средствах, применен с положительными результатами для обнаружения этих соединений в хлебе.

А. Емельянов

**59076. Об оценке качества хлеба.** Пельсхенке, Шульц (Ein Beitrag zur Frage der Brotbeurteilung. Pelshenke P. F., Schulz A.), Brot und Gebäck, 1956, 10, № 3, 72—76 (нем.)

Предложена новая 30-балльная схема оценки качества хлеба, по которой 3 балла отводится на оценку внешнего вида (форма, объем), 3 — на оценку корки, 12 — мякиша, 2 — на разрезаемость хлеба, 8 — на вкус и 2 — на кислотность хлеба. Хлеб, получивший 27—30 баллов, признается очень хорошим, 24—26 — хорошим, 21—23 — требующим улучшения, <21 балла — требующим значительного улучшения. Приведена балльная оценка пороков хлеба.

А. Емельянов

**59077. О контроле качества хлеба.** Виссинг (Qualitätskontrolle für Brot. Wissing Oskar), Bäcker und Konditor, 1956, 10, № 6, 4—5 (нем.)

Замечания по поводу предложенной Томасом (РЖХим, 1956, 14776), а также Пельсхенке и Шульцом (см. пред. реф.) схемы балльной оценки хлеба. А. Е. **59078. О новой схеме оценки хлеба.** Кёкритц (Was soll das neue Brotbeurteilungsschema aussehen? Gedanken und Erfahrungen zur Frage «Neues Brotbeurteilungsschema». Köckritz Paul), Bäcker. und Konditor, 1956, 10, № 9, 6—7 (нем.)

Соображения по поводу новых схем оценки хлеба, предложенных Пельсхенке и Шульцем, Томасом (см. пред. реф.).

А. Е.

**59079. Об улучшении качества хлеба.** Виссинг (Verbesserung der Qualität ist vordringlich. Wissing Oskar), Bäcker und Konditor, 1956, 10, № 8, 10 (нем.)

Отмечается важность правильной органолептической оценки хлеба для улучшения его качества. Предлагается 30-балльная оценка качества хлеба, в которой отводится баллов: на внешний вид 3, на качество корки 4, на качество мякиша 13, на вкус и запах 10. Предлагается считать хлеб, получивший оценку (в баллах), 28—30 очень хорошим, 26—27 хорошим, 21—25 удовлетворительным, 16—20 не вполне удовлетворительным, 15 и меньше неудовлетворительным.

А. Емельянов

**59080. К улучшению схемы балльной оценки хлеба.** Шнейвейс, Гётце (Ein Vorschlag zur Verbesserung der Brotbeurteilung. Schneeweiss Reinhard, Götze Gerhard), Bäcker und Konditor, 1956, 10, № 8, 8—10 (нем.)

В связи с обсуждением в печати схемы 30-балльной

оценки хлеба Неймана высказываются соображения по поводу предложений Пельсхенке, Шульца и Томаса и предлагается собственная схема, в которой на оценку формы и объема хлеба отводится 3 балла, на оценку качества корки 3, мякиша 11, вкуса и аромата 9 баллов. Остальные 4 балла даются на оценку разрезаемости хлеба.

А. Емельянов

**59081. О балльной оценке качества хлеба.** Гротелюшен (Grundsätzliches Einverständnis, aber einige Wünsche und Bedenken. Grotelüschen Karl), Bäcker und Konditor, 1956, 10, № 8, 10—12 (нем.)

Соображения о необходимости введения единой системы балльной оценки хлеба и замечания по 30-балльной системе, предложенной Пельсхенке и Шульцем, а также против увеличения кол-ва баллов до 100.

А. Емельянов

**59082. О механизации хлебопечения. Часть IV—V. Гинье (Progrès apportés par la mécanisation dans la boulangerie. IV—V. Guinet M.), Inds aliment. et agric., 1958, 75, № 1, 19—22 (франц.)**

Рассмотрены методы механизации различных стадий хлебопекарного произ-ва. Часть III см. РЖХим, 1958, 30557.

А. Е.

**59083. Оборудование для механизированных хлебопекарен.**— (Equipment for the mechanised bakery.—), Food Manufact., 1958, 33, № 3, 100—103, 108 (англ.)

**59084. Усовершенствованная бесковшовая подача муки в агрегате марки ХТР.** Бодягин Н. И., Хлебопек. и кондитерск. пром-сть, 1958, № 2, 25—26

Описана схема бесковшовой подачи муки, разработанная В. Н. Большаковым и В. П. Пайчадзе. В схему включено счетно-импульсное реле СИ-1 для отсчета порций муки.

А. Емельянов

**59085. Оборудование хлебозаводов за рубежом.** Шульц И. А., Тр. Конференции по техн. и технол. хлебопек. произ-ва за рубежом. М., 1957, 30—77

**59086. Хлебопекарные печи за рубежом.** Беликов Н. В., Тр. Конференции по техн. и технол. хлебопек. произ-ва за рубежом. М., 1957, 78—107

**59087. Повышение производительности печи АЦХ при выработке формового штучного сортового хлеба.** Гришин А. С., Хлебопек. и кондитерск. пром-сть, 1958, № 2, 26

Для наиболее полного использования форм при переходе на выработку штучного хлеба из муки сортовых и обойных помолов изменены их размеры. На конвейерах печей установлены новые формы с наружными размерами (в мм): по верху 250 × 120, по низу 210 × 90, по высоте 120. На люльку печи устанавливают 19 таких форм вместо 16 форм старых размеров. Производительность печи АЦХ при выпечке хлеба весом в 1 кг возросла на 18,6% (75 т в сутки). Улучшился внешний вид хлеба, лучше использовано масло для смазки форм, сократился вагонеточный парк (вследствие укладки на лоток 14 хлебов вместо 12) и увеличилась грузоподъемность автотранспорта на 16,7%.

А. Емельянов

**59088. Пути использования вторичных энергетических ресурсов в хлебопекарной промышленности.** Михелев А. А., Тр. Киевск. технол. ин-та пищ. пром-сти, 1957, вып. 17, 69—73

Показана возможность значительного снижения уд. расхода топлива на хлебозаводах за счет использования тепла отходящих газов хлебопекарных печей для подогрева воды, воздуха и пр. Приведены соответствующие расчеты.

А. Емельянов

**59089. Вопросы экономики хлебопекарной промышленности за рубежом.** Голубов М. Л., Тр. Конференции по техн. и технол. хлебопек. произ-ва за рубежом. М., 1957, 108—119

59090. Производство пряников в Германской Демократической Республике. Токарев Л. И., Хлебопек. и кондитерск. пром-сть, 1957, № 12, 39—41

В ГДР вырабатывают два основных вида высококачественных пряников для длительного хранения: на искусств. меде и на инвертированном сиропе из смеси белого и желтого сахара. Произ-во пряников состоит из следующих фаз: приготовления и вылежки основного теста, замеса теста, формовки, выпечки, охлаждения и глазировки пряников, расфасовки и упаковки их. Отличительная особенность немецких рецептов состоит в применении ржаной муки наряду с пшеничной, поташа и в значительно больших кол-вах углекислого аммония. Для глазировки пряников применяют три вида глазури: сахарную, жирную и шоколадную. Сахарную глазурь готовят из сахара и картофельного крахмала (2:1) растворением сахара в воде, нагреванием до кипения и последующим добавлением картофельного крахмала. Жировую глазурь готовят из гидрожира (60—70%), сахара (20%) и порошка какао (10—20%). Л. Токарев

59091. Причина сбраживаемости фигур из маршмеллоу. Берман (What makes marshmallow easter eggs ferment? Bergman Matthew), Candy Ind., 1957, 109, № 13, 7, 37, 44 (англ.)

Фигурное маршмеллоу изготавливают из сахара, патоки, инвертного сахара, воды и желатины. Наиболее важным ингредиентом является желатина. Рассмотрено значение отдельных ингредиентов: желатина влияет на структуру маршмеллоу, патока создает вязкость и эластичность. Основной причиной брожения является повышенная влажность. До глазировки корпус должен содержать  $\leq 20\%$  влаги. При отливке в крахмал из корпусов обычно поглощается 8—12% влаги. Для предохранения корпусов от растрескивания при глазировании рекомендуется выдерживать их при  $t = 21-24^\circ$ , а после покрытия глазурью — при более высокой  $t$ -ре. В. Никифорова

59092. Высокая плотность сиропа повышает стойкость фигурных изделий из помады. Берман (Making easter eggs. High syrup density retards fermentation. Bergman Matthew), Candy Ind., 1958, 110, № 2, 11, 34, 38 (англ.)

Нестойкость помадных фигур объясняют брожением, обусловленным низкой плотностью жидкой фазы помады. Добавление инвертазы ( $\sim 62$  г на 100 кг массы) предотвращает брожение сиропа. Рецепт фруктовых и биванных фигур (в кг): сахара 45,4, инвертного сахара 6,8, воды 10,8, фреппа или нуги 6,8, цукатов и орехов 11,3, инвертазы 28 г. Смешивают сахар, воду и инвертный сахар, уваривают до  $118^\circ$  для фигур весом 14 г — 0,9 кг, а для более крупных фигур до  $122^\circ$ . Уваренную массу выливают в помадосбивальную машину открытого типа и опрыскивают поверхность 28 или 56 г воды. Массу охлаждают до  $41^\circ$  (с т. кип.  $118^\circ$ ) или до  $43-49^\circ$  (с т. кип.  $122^\circ$ ). При взбивании добавляют инвертазу и вкусовые в-ва. После 4—5 мин. взбивания добавляют фрепп и после начала кристаллизации — цукаты и орехи, размешивают, формуют, охлаждают до  $21-24^\circ$  и глазируют шоколадом. В. Никифорова

59093. Увеличение производительности микромельниц. Райтур И. Е., Хлебопек. и кондитерск. пром-сть, 1958, № 2, 34

Н. Ф. Грубер на Одесской кондитерской ф-ке предложил заменить чугунный питающий шнек стальным (уменьшив диаметр вала с 36 мм до 18 мм) и увеличить загрузочный бункер. Производительность молотковой микромельницы по размеру кристаллич. сахара и пудру увеличилась почти в 1,5 раза (до 400—440 кг/час). А. Емельянов

59094. Зависимость между химическим составом, физическими свойствами картофеля и его мучнистостью. II. Химический состав. Анро, Найлунд (The relation of physical properties and chemical composition to mealiness in the potato. II. Chemical composition. Unrau A. M., Nylund R. E.), Amer. Potato J., 1957, 34, № 11, 303—311 (англ.)

Опытами с тремя различными сортами картофеля изучена зависимость между мучнистостью вареного картофеля и хим. составом сырых клубней. В пределах одного сорта мучнистость картофеля увеличивается с повышением содержания в клубнях сухих в-в, крахмала, амилозы и уменьшается с повышением содержания в клубнях моносахаров, полисахаридов и азотистых в-в, растворимых в 85%-ном спирте. Зависимости между мучнистостью картофеля и содержанием в клубнях белковых в-в и золы не наблюдается. Сообщение I см. РЖХим, 1958, 37876. Т. Сабурова

59095. О межрайонном подходе к решению вопроса оценки влияния пестицидов на вкусовые качества плодов и овощей. Дитман, Крамер (Progress report on a regional approach to the problem of flavor evaluation of fruits and vegetables as influenced by pesticides. Ditman L. P., Kramer A.), J. Econ. Entomol. 1957, 50, № 2, 213—214 (англ.)

Для получения более надежных и достоверных данных оценки вкусовых качеств с-х. продуктов, обработанных пестицидами, предложено проводить многократную дегустацию одной партии продукта в различных опытных учреждениях. Метод дал хорошие и достаточно точные результаты. Ю. Фадеев

59096. Определение разницы вкуса овощей, обработанных пестицидами. I. Сравнение методов треугольной и многократной органолептической оценки. Хог, Брайнт (Determining flavor differences in crops treated with pesticides. I. A comparison of a triangle and a multiple comparison method. Hogue Debrah V., Briant Alice M.), Food Res., 1957, 22, № 4, 351—357 (англ.)

Проверялась точность методов, потребное кол-во образцов и времени для оценки вкуса консервированных зеленых бобов и тыквы, снятых с растений, которые обрабатывали пестицидами в различных стадиях роста. Метод многократного сравнения получил предпочтение, так как он требует меньшей затраты времени и небольшого кол-ва образцов для оценки и достаточно точен для установления побочных запахов и привкусов в продуктах. В. Базарнова

59097. Об изменении свойств японского грейпфрута при хранении на складе. Хаттори (Hattori Satohiko), Носан како гидзюцу кэнкюкайси, J. Util. Agric. Prod., 1957, 4, № 1, 1—3 (японск.)

Опытами хранения грейпфрута при  $\sim 20^\circ$  в течение 95 дней установили, что уменьшение его веса вследствие испарения за 95 дней составляет 30% от первоначального веса, при этом вес кожуры снижается интенсивнее, чем вес мякоти. Конц-ия сока увеличивалась, но не изменялось абс. кол-во растворенных в соке в-в. Не изменилось содержание С, N, аскорбиновой к-ты. Понизились кислотность и содержание пектина. Чан Сан Иль

59098. Влияние температуры и продолжительности хранения на качество замороженных продуктов. IX. Влияние продолжительности и температуры хранения на окраску замороженной малины в мелкой расфасовке. Гуадagni, Ниммо (Time-temperature tolerance of frozen foods. 9. Effect of time and temperature on color distribution in retail packs of frozen raspberries. Guadagni D. G., Nimmo C. C.), Food Technol., 1957, 11, № 11, 604—608 (англ.)

Изучена зависимость окраски сиропа малины, замороженной в 50%-ном сахарном сиропе, от продолжи-



тельности и т-ры хранения. При  $\geq -12^\circ$  интенсивность окраски сиропа пропорциональна длительности хранения. При  $-18^\circ$  окраска сиропа при хранении почти не меняется. Рекомендуется параллельно определять интенсивность окраски сиропа и ягод. Сообщение VIII см. РЖХим, 1958, 41364. Т. Сабурова

**59099.** Снижение содержания сахаров в картофеле, поступающем на сушку. Фрумкин М. Л., Ковальская Л. П., Консервн. и овощесуш. пром-сть, 1958, № 3, 6—10

Установлено, что мытье клубней картофеля горячей водой ( $50^\circ$ ) в сочетании с бланшированием снижает содержание сахара (за счет ресинтеза крахмала) в картофеле до сушки и повышает качество и стойкость сушеного картофеля. Г. Н.

**59100.** Опыт работы Домановичского овощесушильного завода по водопаровому способу подготовки картофеля к сушке. Скурихин А. Ф., Консервн. и овощесуш. пром-сть, 1958, № 3, 4—6

Установлено, что подготовка картофеля к сушке по водопаровому способу дает лучшие результаты, чем по пароводотермич. способу. Для обеспечения полной загрузки сушилок КСА—80 необходимо повысить производительность автоклава и обеспечить подвод воздуха под давл.  $3 \text{ кг/см}^2$  к автоклаву во время откачивания из него воды после бланширования в воде. Г. Н.

**59101.** Содержание витамина С в ягодах малины, высушенных методом сублимации. Ткаченко Е. С., Консервн. и овощесуш. пром-сть, 1958, № 3, 15

Малину сорта Мичуринская ремонтантная сушили на эксперим. установке при давлении в сублиматоре 0,0435—0,0185 мм рт. ст. Т-ра внутри продукта колебалась от  $-3$  до  $-10^\circ$ , а на поверхности от  $0^\circ$  до  $-3^\circ$ . Сушку заканчивали при  $-24^\circ$ . Длительность сушки 24—26 час. За каждые 2,5—3 часа терялось  $\sim 10\%$  влаги. Свежая малина содержит 14,07—17,64 мг% аскорбиновой к-ты; высушенная методом сублимации 12—13,87 мг%, а высушенная тепловым способом 2,75 мг%. Г. Н.

**59102.** Сорбиновая кислота как избирательный агент, действующий на брожение при поселе огурцов. II. Влияние сорбиновой кислоты на дрожжевое и молочнокислое брожение в огуречном рассоле. Костилов, Кофлин, Роббинс, Сюй Вэнь-да (Sorbic acid as a selective agent in cucumber fermentations. II. Effect of sorbic acid on the yeast and lactic acid fermentations in brined cucumbers. Costilow R. N., Coughlin F. M., Robbins E. K., Hsu Wen-Tah), Appl. Microbiol., 1957, 5, № 6, 373—379 (англ.)

В течение трех сезонов изучено влияние добавления 0,01—0,10% сорбиновой к-ты (I) на развитие дрожжей и молочнокислых бактерий при поселе огурцов. Опыты производили с тремя различными сортами огурцов при начальной конц-ии соли в рассоле  $\sim 5,3$ —11,6%. I в конц-ии  $> 0,03\%$  подавляет, а в конц-ии 0,01—0,02% замедляет развитие дрожжей. Влияние I на развитие молочнокислых бактерий зависит от конц-ии NaCl в рассоле, эффективность ее действия пропорциональна конц-ии рассола. В конц-ии 0,1% I подавляет развитие молочнокислых бактерий в рассолах, содержащих 5,3—11,6% соли, а в конц-ии 0,05% — в рассолах, содержащих  $\geq 11,6\%$  соли; 0,03% I не влияет на развитие молочнокислых бактерий. Часть I см. РЖХим, 1957, 59556. Т. Сабурова

**59103.** Применение сорбиновой кислоты при мариновании коришонов. Паласьос-Ремондо, Эрнандес-Вареа (Primeros resultados de su aplicación en pepinillos. Palacios Remondo Jesus, Hernandez Varea Eugenio), Inform. conserv., 1957, 5, № 40, 9—12 (исп.)

Добавление при мариновании 50 мл насыщ. р-ра

сорбата Na на 10 кг коришонов замедляет процесс, но повышает качество готового продукта. См. также РЖХим, 1958, 34263. Е. Барбанира

**59104.** Изучение пригодности сортов горошка для консервирования. — (Sviluppo del programma di ricerche sui piselli per conserve. Risultati delle esperienze eseguite nel 1957.—), Ind. conserve, 1957, 32, № 4, 254—266 (итал.; рез. англ., нем., франц.)

На основании агрономич., хим. и технологич. изучения отобраны 10 сортов горошка, наиболее пригодные для консервирования.

**59105.** Опыты по консервированию хурмы. I. Ситоми, Савада, Котакэ (Shitomi Hanao, Sawada Tomomi, Kotaka Masayuki), Носако гидзюцу кэнкюкайси, J. Utiliz. Agric. Prod., 1957, 4, № 4, 115—117 (японск.)

**59106.** Уплотнение ткани абрикосов при консервировании. Жу (L'affermissement des abricots en conserves pasteurisées. Joux J.-L.), Compt. rend. Acad. agric. France, 1957, 43, № 15, 807—813. Discuss., 813—814 (франц.)

Изучено влияние т-ры пастеризации и добавления 0,11%  $\text{CaCl}_2$  на плотность ткани консервированных абрикосов, залитых водой или сиропом, содержащим 30 и 44% сахара. Показано, что, как правило, абрикосы, пастеризованные при  $85^\circ$  с добавлением  $\text{CaCl}_2$ , имеют более плотную консистенцию, чем абрикосы, стерилизованные при  $100^\circ$  без добавления  $\text{CaCl}_2$ . Растягивание ткани абрикосов пропорционально длительности нагревания и значительно уменьшается при применении пастеризаторов с вращающейся банкой и при расфасовке абрикосов в мелкую тару. При прочих равных условиях влияет сорт и степень зрелости абрикосов. Добавление  $\text{CaCl}_2$  тем эффективнее, чем выше содержание в плодах нерастворимого протопектина. Т. Сабурова

**59107.** О причинах появления белой мути в консервах из мандаринов и меры его предотвращения. Имаи, Сунагава, Ияма, (Imai Hiroshi, Sunagawa Mitsuo, Iyama Mitsuo), Носако гидзюцу кэнкюкайси, J. Utiliz. Agric. Prod., 1957, 4, № 6, 228—233 (японск.)

**59108.** Усовершенствование технологии производства яблочного компота. Кляцницкий И. М., Самсонова А. Н., Консервн. и овощесуш. пром-сть, 1958, № 3, 15—18

Разработана технология произ-ва компота из не-бланшированных яблок. Очищ. половинки яблок до укладки помещали в слабый р-р лимонной к-ты, затем укладывали в стеклянные банки, заливали горячим ( $80$ — $85^\circ$ ) сиропом и выдерживали в вакуум-резуару 5 мин. при разрежении 600—650 мм рт. ст. При этом взвеш. воздуха в ткани яблок поступал сироп. Вакуумизирование яблок в сиропе улучшает органолептич. свойства и внешний вид компота, снижает потери сухих в-в в процессе произ-ва, обеспечивает быстрое удаление  $\text{O}_2$  и равномерное пропитывание яблок сиропом, что предотвращает их потемнение. Г. Н.

**59109.** Полярграфический метод определения содержания бензальдегида в сиропе компота. Парняный (Polarografické stanovení benzaldehydu v nálevesch kompotů. Párkányi Cyril), Průmysl potravin, 1958, 9, № 2, 111—112 (чешск.; рез. русск., англ., нем.)

От сиропа отгоняют бензальдегид с водяным паром и определяют его в дистилляте полярграфич. методом. Из резюме автора

**59110.** Изучение технологии и применения продуктов из лекарственных трав. III. Обработка соков лесных ягод при помощи криоконцентрации, лиофилизации и замораживания цельных соков. Розе

ети (Studi sulla tecnologia e le applicazioni dei prodotti erboristici. III. Utilizzazione di frutti silvestri per crioconcentrazione, liofilizzazione e congelazione a frozen. Rovesti Paolo), Riv. ital. essenze profumi piante offic., olii veget., saponi, 1955, 37, № 10, 526—528 (итал.).

Исследовано консервирование соков черники, земляники и малины. Концентраты соков получены упариванием при 42°, криоконцентрацией (удаление воды в виде льда замораживанием при -7°), сушкой при распылении и лиофилизацией. Замораживание цельных соков дает продукт лучшего качества, при криоконцентрации и лиофилизации соки теряют свой аромат. Сообщение II см. РЖХим, 1958, 30017. А. Марин

59111. Концентрирование плодовых соков. Хатто-ри, Синку когэ, Vacuum Engng, 1957, 4, № 5, 147—153 (японск.).

59112. Консервирование цитрусовых концентратов. Прутки (A new approach to the preservation of citrus concentrates. Pruthi J. S.), Austral. Food Manufact., 1957, 26, № 6, 12, 14 (англ.).

Описан метод быстрой стерилизации концентратов цитрусовых соков. Обработка паром и охлаждение происходит при непрерывном вращении банок. Отмечены преимущества метода по сравнению с сульфитацией и замораживанием, заключающиеся в сохранении вкуса продукта. Положительные результаты дает обработка апельсинового концентрата в лакированных жестяных банках при вращении со скоростью 150 об/мин в течение 65 сек. при атмосферном давлении пара и 97° (т-ра в центре банки 79°). Концентраты удовлетворительно сохранялись при 5° в течение года. Г. Малышкина

59113. Оборудование для производства томат-пасты. Правда Е. И., Консерв. и овощесуш. пром-сть, 1958, № 3, 10—12

Описана линия оборудования для произ-ва томат-пасты, состоящая из четырех самостоятельных агрегатов: 1) моечная машина, инспекционный транспортер и семяотделитель с дробилкой; 2) строенная проточная машина с подогревателем дробленой массы; 3) выпарная станция с конденсационной установкой; 4) пастоподогреватель с наполнителем. Производительность линии 7000 кг сырья в час. Рассмотрены достоинства и недостатки линии. Г. Н.

59114. Исследования по упаковке ядра грецкого ореха. Муртхи, Анандасвами, Сринивасан, Мурту, Ийенгар, Пингале (Studies on the packaging of walnut kernels. Murthy N. B. N., Anandaswamy B., Srinivasan K. S., Murthi M., Iyengar N. V. R., Pingale S. V.), J. Scient. and Industr. Res., 1957, A16, № 12, 570—573 (англ.).

Изучена пригодность для хранения ядра грецкого ореха полиэтилена, полиофила, целлюлозной пленки M.S.T., крафт-бумаги, гофрированного картона и Al-фольги и соединения с крафт-бумагой. Из пленок, фольги и бумаги изготовляли пакеты (20 × 45 см), из картона — небольшие ящики. В упаковку помещали по 453 г доброкачественного ядра с влажностью 3—4%, пакеты из пленки заклеивали термич. способом, а пакеты из бумаги, фольги и ящики клеевой лентой. Пакеты с содержимым укладывали в сосновые ящики и хранили в них при различном режиме. Серию образцов проверяли на поражаемость насекомыми — вредителями грецких орехов, для чего ящики пропитывали инсектицидами, а пакеты перед опытом скручивали метилбромидом (атмосферное давление, 27°, 30 мПа, экспозиция 24 часа). Ядро хорошо сохранялось при относительной влажности 75% и 27 и 37°, а при влажности 85% и 27° поражалось бактериями через 14 дней и при 37° — через 41 дней. Критич.

влажностью орехов является 4—5%. Хорошо защищали орехи от увлажнения Al-фольга, полиофил и пленка M.S.T., однако ядро в этих упаковках быстро приобретало привкус и прогоркло. Лучшее всего сохранялись орехи в полиэтилене. Насекомые проникали через все упаковки, в том числе через полиэтилен марки 100 и 200. Через толстую пленку полиэтилена марки 300 проникали лишь *Calandra*, однако обработка ящиков, где хранились пакеты, lindаном надежно предохраняла их от вредителей. В. Гурни

59115. Перспективы развития молочной промышленности. Шульц (Die Veredelungsaufgaben der Milch-industrie. Schulz Max Erich), Milchwissenschaft, 1957, 12, № 1, 2—8 (нем.; рез. англ., франц., исп.).

Обзорная статья об улучшении качества, стойкости и упаковки молочных продуктов, а также о производстве новых видов продуктов и о роли научных исследований в этой области. Е. Ж.

59116. Принципы выбора схемы технологического процесса. Зененко Н., Молочн. пром-сть, 1957, № 2, 24—28

Рассмотрено влияние на выбор схемы технологич. процесса молочного предприятия следующих факторов: вид поступающего сырья, технологич. оборудование на з-де и его отделениях, наличие и специализация отделений в зоне з-да, специализация з-да по государственной регистрации; объем произ-ва, качество продукта, экономичность схемы. А. П.

59117. Наличие *Pseudomonas aeruginosa* (*Bakterium pyocyaneum*) в молоке, в частности в гарантированном молоке. Крюгер, Франк (*Pseudomonas aeruginosa* (*Bakterium pyocyaneum*) in der Milch insbesondere in Vorzugsmilch. Krüger A., Frank W.), Arch. Lebensmittelhyg., 1957, 8, № 12, 274—276 (нем.).

Обсеменение молока *Ps. aeruginosa* возможно при нарушении санитарно-гигиенич. условий его получения. В асептич. молоке этот микроб отсутствовал, но обнаружен при последующем загрязнении молока. Колонии *Ps. aeruginosa* отличаются от колоний кишечной палочки при выращивании посевов на твердой питательной среде (трифенил-тетразолхлорид-агар) свыше 24 час. Повышенная т-ра хранения молока, обсемененного *Ps. aeruginosa*, приводит к резкому ухудшению качества молока. При 5° молоко не изменяет своего качества в течение 3 дней. В. Богданов

59118. Бактерии *Coli aerogenes* и их значение в производстве молока и молочных продуктов. Рашич (Koli-aerogenes bakterije i njihov značaj u mlekarstvu. Rašić Jeremija), Mljekarstvo, 1957, 7, № 5, 103—107 (сербо-хорв.).

Рассмотрены изменения качества молока и молочных продуктов, вызываемые присутствием бактерий *Coli aerogenes*, предложены мероприятия, уменьшающие возможность заражения этими бактериями. З. Л.

59119. Новые производственные опыты по удалению бактерий из молока суперцентрифугированием. Симонар, Поффе, Вейтак (Nouveaux essais industriels de supercentrifugation bactérienne du lait. Simonart Paul, Poffé Roger, Wuytack Alois), Lait, 1957, 37, № 365—366, 253—256 (франц.).

Опыты проводили на сепараторе производительностью 3000 л/час, дающем ускорение силы тяжести ~9000 g. В барабане сделаны 2 отверстия диам. 0,4 мм. Полученные результаты показывают, что данный метод позволяет удалить из предварительно нагретого молока до 97% бактерий. В. Богданов

59120. О пастеризации молока. Адамик (O potrzebie pasteryzacji mleka. Adamik Karol), Przegl. mleczarski, 1955, 3, № 12, 17—19 (польск.).

Обзорная статья. Библ. 9 назв.

А. П.



**59121. Эффект пастеризации молочных продуктов при высоких температурах. Фут** (The effect of elevated temperatures in processing dairy products. Foote George E.), South. Dairy Prod. J., 1956, 60, № 6, 28, 30, 110—111 (англ.)

Приведены общие выводы из опытов пастеризации молочных продуктов при высоких т-рах в непрерывно-действующем трубчатом пастеризаторе фирмы Росуэлл (США). Нагрев до 104° с выдержкой 3 сек. полностью уничтожает термофильные и термоустойчивые бактерии и увеличивает срок хранения продукта. Свежее молоко, пастеризованное при 104° и сгущенное затем без добавления сахара, сохраняется при 7—12° до 3—4 месяцев. Пастеризация при высоких т-рах детских молочных продуктов, шоколадного молока и других молочных продуктов, богатых белками, улучшает консистенцию, способствует образованию неплотного, хорошо усвояемого сгустка, повышает стабильность белков. Пастеризация смеси для мороженого при 125° уменьшает расход стабилизатора в 3—4 раза. В пастеризаторе Росуэлл можно довести нагрев продукта до 150°, скорость до 5,5 м/сек. Пастеризатор оснащен автоматич. контрольной аппаратурой фирмы Фоксборо и приспособлен для циркуляционной хим. мойки и дезинфекции. М. Бенсон

**59122. Технический прогресс в молочной промышленности. Скотт** (Progress in the engineering of dairy processing. Scott J. K.), Austral. J. Dairy Technol., 1957, 12, № 4, 150—156 (англ.)

На основании теоретич. анализа теплообменного процесса в вакреаторе разработан принцип «много-ступенчатого противоточного контакта», или «паровой прошивки», т. е. использования отработавшего пара в качестве теплоагента в предыдущей ступени аппарата. Произведенная в пром-сти реконструкция вакреаторов по этому принципу значительно повысила их дезодорационную эффективность и обеспечила экономию пара. М. Бенсон

**59123. Сравнительное изучение микрофлоры пастеризованного молока при хранении в стеклянных бутылках и бумажной упаковке «Tetra-Pak». Мазони, Кремонини, Бисбини** (Ricerche sulla conservazione di un latte pastorizzato e confezionato in bottiglie di vetro o in «Tetra-Pak» nei riguardi della sua flora microbica. Masoni S., Cremonini G., Bisbini P.), Latte, 1956, 30, № 7, 490—491 (итал.)

Изучена эффективность упаковки «Tetra-Pak», изготовленной из крафт-бумаги, обработанной Na<sub>2</sub>CO<sub>3</sub>, парафинированной и покрытой внутри слоем полиэтилена, нанесенным при 350°. Установлено, что в бутылках после их тщательной мойки и дезинфекции перед наполнением молоком присутствуют микроорганизмы (от 20 до 30 колоний на 1 бутылку), тогда как упаковка «Tetra-Pak» стерильна. Пастеризованное молоко в стеклянной и бумажной таре через 48 час. при 18—20° содержало почти одинаковое кол-во бактерий и при хранении в течение ≤ 15 дней в холодильнике было одинаково доброкачественным. Н. Славина

**59124. Длительность сохранения качества гомогенизированного молока при хранении в замороженном состоянии. Скин, Оверкаст, Демотт** (Long-term preservation of fresh fluid milkkeeping quality of frozen homogenized milk. Skean J. D., Overcast W. W., Demott B. J.), South. Dairy Prod. J., 1958, 63, № 1, 86, 88—90 (англ.)

Изучена возможность хранения и использования замороженного молока в домашних условиях. Пастеризованное гомогенизированное молоко категории «А», обогащенное витамином «D» и расфасованное в картонную парафинированную или покрытую пленкой из пластика тару, замораживали и хранили 16 недель при —12°. Оценка качества размороженного молока,

показала, что его вкус несколько ухудшается после 12 недель; общее кол-во бактерий в 1 мл молока при закладке на хранение (максим. и миним.) составило ~35 000—2000, после 16 недель хранения 15 800—1000; соответственно психрофильных бактерий 250—70 и 20—0; визуальных изменений физ. свойств молока после 12 недель хранения не наблюдается, однако через 16 недель были заметны хлопья белка; тара из парафинированного картона изменялась заметнее, чем из картона, покрытого пленкой из пластика. При поставке доброкачественного молока хранение замороженного молока при —12° возможно в течение 12 недель. Г. Титов

**59125. О привкусах молока. Динкли** (Major flavor problems in the milk supply. Dinkley W. L.), Canad. Dairy and Ice Cream J., 1957, 36, № 10, 44, 48, 50, 62 (англ.)

Для предупреждения появления кормовых привкусов в молоке рекомендуется очистка пастбищ от сорняков, подбор кормов, не вызывающих этого порока, скормливание подозрительных в этом отношении кормов за 4—5 час. до начала дойки, вентиляция стойловых помещений; вакреация или дезодорация молока не являются радикальным средством для освобождения от кормовых привкусов. Окисленный привкус может быть сведен к минимуму путем гомогенизации пастеризованного молока, устранения контакта молока с медью, защиты от солнечных лучей, подбора и введения в рацион кормов, повышающих стойкость молока к образованию окисленного привкуса, а также добавления к молоку некоторых антиоксидантов. Прогорклый привкус появляется при колебаниях т-ры сырого молока (СМ) в период хранения на фермах, сильном перемешивании и вспенивании теплого СМ, гомогенизации СМ или смешивании его с гомогенизированным пастеризованным молоком. Г. Титов

**59126. Новые приборы «Фукома» для исследования молока. Вольфрум** (Neuentwickelte «FUCOMA» Untersuchungsgeräte. Wolfrum), Österr. Milch-wirtsch., 1957, 12, № 13, 217—218 (нем.)

Описание новых приборов, разработанных фирмой Пауль Функе, для определения т-ры замораживания молока, для встряхивания бутиметров в водяной бане при определении жира в сырье и для определения загрязненности молока. Кроме того, предложено средство «Антимодан» для обработки стен и потолков молочных з-дов с целью обезвреживания их от плесени и спор бактерий на срок до 9 месяцев. Н. Бры

**59127. Повышение чувствительности некоторых методов при определении фосфатазы в пастеризованном молоке. Шёстрём, Вилларт** (Försök att öka känsligheten hos vissa metoder för fosfatasebestämning i lågpastöriserad mjölk. Sjöström G., Willart S.), Svenska mejeritidn., 1956, 48, № 4, 47—50, № 5, 61—64, 67—68 (шведск.)

Проведено сравнительное изучение методов определения фосфатазы: ускоренного метода Шарера в д-ском и шведском вариантах и лабор. методов Сандерс — Сагера и Андерсен — Вестесена (А — В). Установлена возможность повышения чувствительности всех 3 методов за счет увеличения длительности выдержки. Из лабор. методов наилучшим по чувствительности, воспроизводимости, простоте и возможности работы с большими кол-вами молока признан метод А — В, несмотря на несколько большее время анализа. Метод А — В в его оригинальном виде при увеличении длительности выдержки до 24 час. обеспечивает определение при т-ре пастеризации на 2—2,5 выше обычно применяемой. Из ускоренных вариантов несколько лучшей оказалась датская модификация метода Шарера; экстракция бутанолом в сочетании с повышением времени выдержки позволяет повысить

чувствительность этого варианта так, что он дает нужную окраску при  $t$ -ре пастеризации  $72^\circ$  (против  $69,5^\circ$  для метода Шарера в оригинальном виде).

Л. Кондратьева

**59128. Бактериологический контроль молочных заводов и оборудования.** Чарлетт (Bacteriological control of dairy plant and equipment. Charlett S. M.), Dairy Engng, 1957, 74, № 6, 173—177 (англ.) В целях сокращения времени получения результатов бактериологич. контроля, проводимого в условиях молочных заводов, предложены 2 простых метода учета микрофлоры: метод непосредственного подсчета (видоизмененный метод Брида) и метод микрокультур (по Фросту). Эти способы не должны заменять чашечный метод; они позволяют установить точки загрязнения при контроле производственного процесса. Для более точных исследований должен применяться стандартный метод.

В. Богданов

**59129. К методике санитарно-бактериологического исследования молока и молочных продуктов.** Шустова Л. Н., Петрович С. Л., Информ. бюл. Моск. н.-и. ин-т санитарии и гигиены, 1957, № 9, 39—42

Обсуждаются недостатки методик определения микробов группы кишечной палочки и предложены уточнения методов.

А. П.

**59130. К вопросу о методике определения общей бактериальной обсемененности молока.** Дронов И. С., Сб. тр. Ростовск. мед. ин-та, 1957, кн. 1, 255—260

На 108 пробах сырого и пастеризованного молока проведена сравнительная оценка питательных сред для определения общей обсемененности молока — мясо-пептонного агара (МА) и агара с гидролизированным обезжиренным молоком по В. М. Богданову (АГМ). Установлено, что на АГМ кол-во колоний в 1 мл молока составляет 4 283 273 (среднее арифметическое), на МА — 1 634 611. МА как питательная среда не выявляет истинной бактериальной обсемененности молока, поэтому предложено внести изменение в ГОСТ 3630-47 и рекомендовать применение АГМ вместо МА.

А. Прогорова

**59131. Применимость подсчета количества бактерий в пробы на редуктазу для оценки качества заводского молока.** Пизц (Die Verwendbarkeit der Keimzahlen und der Reduktionsprobe bei der Untersuchung der Anlieferungsmilch. Pietz P.), Dtsch. Milchwirtsch., 1958, 5, № 3, 54—56 (нем.)

Обзор. Редуктазной пробой установлено, что 75% доставляемого на з-д молока содержит  $> 500\,000$  клеток в 1 мл. Между кол-вом бактерий, пробой на редуктазу и пробой на механич. загрязненность отмечены значительные расхождения. Между пробой на механич. загрязненность и временем обесцвечивания метиленового голубого зависимости не установлено. Альдегид-катализная проба непригодна в качестве быстрого способа определения качества молока. Библ. 44 назв.

В. Богданов

**59132. Закваски в молочной промышленности.** Дейвис («Starters» en la industria lechera. Davis J. G.), An. bromatol., 1957, 9, № 1, 5—48 (исп.; рез. англ.)

Назачение заквасок (3), выделение и идентификация заквасочной микрофлоры, приготовление 3, случаи вялого действия 3, выбор 3 для придания аромата маслу, а также для произ-ва йогурта и ацидофильного молока.

А. П.

**59133. Мороженое.** Хамфрисс (Ice cream. Humphriss Eric), Food Manufacture, 1958, 33, № 2, 68—71 (англ.)

Обзорная статья со ссылками на законодательство, действующее в США и Англии, о стандартизации мо-

роженого, обозначении его веса на упаковке, применении красителей, режиме пастеризации смеси в зависимости от оборудования, рецептурах смеси, а также о новом оборудовании для произ-ва мороженого, гигиенич. показателях мороженого и сырья. Г. Титов

**59134. Технологические основы производства мороженого.** Сабадош (Tehnološki principi proizvodnje ice creama. Sabadoš Dimitrije), Mljekarstvo, 1957, 7, № 6, 121—127 (серб.-хорв.)

Обзорная статья.

З. Л.

**59135. Стойкость запаха ванили в мороженом.** Стейниц (Pure vanilla — best for quality. Steinitz Willis S.), Ice Cream Rev., 1957, 41, № 2, 27, 46, 48—49 (англ.)

Ванильный экстракт высшего качества обладает стабильным запахом, который не исчезает и не разрушается при низких  $t$ -рах. В частности, он хорошо сохраняется в мороженом, так как его фиксируют жиры и сыворотка молока. Запах ванили не может перекрывать другие запахи, наоборот — они маскируют его. Ваниль не чувствуется в мороженом, если смесь приготовлена на безупречном сырье или неправильно пастеризована, или содержит избыток кукурузной патоки, или мороженое долго хранилось. Во всех этих случаях развиваются конкурирующие запахи. Если оборудование содержится грязно, запах ванили заглушается. Если имеются корродирующие участки, он разрушается (от соприкосновения с Cu). Стремление повысить качество мороженого за счет увеличения кол-ва сухих в-в основного сырья достигает своей цели, однако следует принять во внимание, что при этом необходимо увеличить и дозу ванильного экстракта.

В. Гурни

**59136. Удаление привкусов из сливок отгонкой паром.** I. Теоретические соображения и свойства применяемых в опыте веществ: диацетила и ацетона.

II. Исследования в производственных условиях с применением диацетила и ацетона в качестве объектов испытания. Мак-Дауэлл (Steam distillation of taints from cream. I. Theoretical considerations and properties of the reference substances, diacetyl and acetoin. II. Investigations on commercial equipment with use of diacetyl and acetoin as reference substances. McDowall F. H.), J. Dairy Res., 1955, 22, № 3, 311—327; 1956, 23, № 1, 48—64 (англ.)

I. Посторонние привкусы и запахи из сливок удаляют промывкой, аэрацией, вакуумированием, но чаще отгонкой с паром. Для исследования скорости удаления привкусов из сливок определялись равновесные конц-й диацетила (I) и ацетона (II) при непрерывном испарении их из р-ров разных конц-й. Найдено, что скорость улетучивания растворенных в сливках в-в зависит от относительной летучести (т. кип.),  $t$ -ры перегонки, а также от влияния воды на упругость паров этих в-в. При  $82^\circ$  I распределяется между жиром и водой в отношении 0,74 : 1, а II — в отношении 0,19 : 1. С увеличением  $t$ -ры от 38 до  $82^\circ$  коэф. равновесия жир : вода для I изменяется от 0,47 до 0,74, а для II остается почти постоянным. Скорость испарения I из жира приблизительно такая же, как из воды, а II в несколько раз больше, чем из воды, что согласуется с данными о равновесных конц-ях. Обсуждается применимость законов Рауля и Генри к процессу удаления посторонних привкусов из сливок.

А. Годель

II. Исследовано влияние разных режимов работы ватреатора фирмы Муррэй (Ново-Зеландия) на удаление из воды и сливок искусственно введенных I и II. Установлено, что диаметр и длина подводящей в отделитель трубы, положение регулирующего вентили, способы подачи и скорость струи пара в обоих случаях не влияют на степень удаления I и II. Дли-



тельность контакта I и II с паром в подводящей трубе увеличивает их отделение. Удаление I не зависит от введения даже значительных кол-в пара, в то время как удаление II пропорционально кол-ву введенного пара. При т-ре 59—91° разницы в удалении I не было, но удаление II повышалось с увеличением т-ры. Отмечено, что освобождение сливок от диацитила происходит медленнее, чем воды.

Г. Титов  
59137. О содержании воды в масле и его регулировании. Милетич (O čemu zavisi sadržina vode u maslacu i kako čemo je regulirati. Miletić Silvijs, Mljekarstvo, 1957, 7, № 11, 250—252 (серб.-хорв.).

Содержание воды в масле зависит от т-ры сбивания, кол-ва жира в сливках и их кислотности, скорости сбивания масла. Важным фактором в регулировании содержания воды в масле является обработка масла.

З. Лебедева

59138. Консервирование сливочного масла и творога пчелиным мёдом. Азаров И., С. х. Башкирии, 1957, № 7, 46

Сливочное масло, уложенное в банки и залитое слоем мёда в 2—2,5 см, сохраняло свое первоначальное качество в течение 5 месяцев хранения при 18—20°. Творог, законсервированный мёдом таким же способом, сохранялся в течение 4 месяцев, при этом получали медовый творог приятного вкуса и запаха, более твердой консистенции, буроватого цвета. Расход мёда ~30% к весу творога.

А. Прогорович  
59139. Солодовый привкус масла. Челль (Maltsmak i smör. Kjell Sune), Mejeritekn. medd., 1957, 18, № 6, 108—111, 122 (шведск.).

Добавление лейцина к снятому молоку, инокулированному бактериями, выделенными из заквасок, обуславливающих солодовый привкус, способствовало образованию этого привкуса. Все штаммы образовали ацетон; по способности образовывать оптически деятельную молочную к-ту эти бактерии следует отнести к *Streptococcus diacetylactis*, а не к *S. lactis* var. *multigenes*.

К. Герцфельд

59140. Исследование температуры отвердевания молочного жира. Твердохлеб Г., Молочн. пром-сть, 1957, № 12, 26—28

Установлено, что точки отвердевания (ТО) характеризуют физ.-хим. свойства жира более точно, чем хим. константы. На т-ру отвердевания жира и характер кривой отвердевания значительно влияет скорость охлаждения жира. С увеличением скорости охлаждения ТО повышается, кривая имеет менее выраженные переломы и становится более крутой. При очень большой скорости охлаждения можно не получить явно выраженных ТО. Молочный жир имеет несколько ТО, наиболее выраженные из них лежат в пределах 20—23°, 12—14°, 4—6° и от -2,9 до -5°. Т-ра 12—14° является критической для созревания сливок, при более высокой т-ре практически не происходит достаточного отвердевания жира. Для получения масла твердой и упругой консистенции летом необходимо быстро охлаждать сливки до т-ры 5—6°, при которой не происходит фракционной кристаллизации жира. При произ-ве масла поточным способом сливки надо быстро охлаждать до т-ры 12—14°, при которой происходит массовая кристаллизация жира.

А. Прогорович

59141. Зависимость между органолептическими показателями качества и перекисным числом масла. Алифакс (Relation entre l'indice de peroxyde des beurres et leurs caractères organoleptiques. Alifax R.), Techn. lait., 1957, 13, № 235, 9, 11—13 (франц.). Исследование зависимости органолептических показателей от перекисного числа (ПЧ) на 117 образцах масла после 10 дней хранения при 15—20° показало, что

корреляция между вкусом масла и ПЧ наблюдается лишь в образцах высокого и низкого качества. При исследовании качества этих образцов при хранении в течение 1 года при -13° найдено, что ПЧ изменяется в соответствии со снижением органолептической оценки. Рекомендуется упрощенный колориметрический метод определения ПЧ для контроля качества масла на холодильниках с применением р-ров крезол красного различных конц-ий в качестве эталонов. ПЧ масла хорошего качества 0,07—0,30; удовлетворительного 0,30—0,50; плохого >0,60.

А. Годаль

59142. Искусственное молоко для изучения сыроделия. I. Приготовление раствора казеина, сходного по составу с обезжиренным молоком. Грайндрод, Прайс, Соммер (Synthetic milk for the study of cheese making. I. Preparation of a casein solution in semblance of skimmilk. Grindrod P. E., Price W. V., Sommer H. H.), J. Dairy Sci., 1956, 39, № 5, 499—507 (англ.).

Описание метода приготовления р-ра. Электрофоретическое изучение р-ра казеина показывает, что метод приготовления р-ра не оказывает влияния на казеин. Р-р казеина свертывается под действием сычуга подобно обезжиренному молоку и имеет такую же скорость коагуляции и поверхностное натяжение сгустка. Сходство казеинового р-ра с молоком подтверждается тем, что на поверхностное натяжение сгустка не влияет добавление определенного кол-ва лактозы, но оно понижается при добавлении сывороточного белка и эмульсии молочного жира. Казеиновый р-р можно использовать для стандартизации сычужных вытяжек, для изучения молочнокислого брожения и процесса сычужного свертывания молока, а также для изучения процесса сыроделия.

Л. Карупина

59143. Рационализация производства сыра. I. Исследование микрофлоры вытяжки сычужного фермента на сыровотке, молока и веществ, выделяющихся в процессе приготовления сыра. Лукка (Rationalizzazione della produzione del formaggio grana. I. Ricerche sulla microflora di sierofermenti, latte e materiali prelevati durante le varie fasi di preparazione. Lucca Lorenzo), Latte, 1956, 30, № 6, 411—418 (итал.; рез. англ.).

Исследовано содержание бактерий в вытяжках сычужного фермента на сыровотке, в свежем молоке, в молоке после введения сычужного фермента и в сыровотке после свертывания белка и в конце обработки сырного зерна. В сыровоточной вытяжке фермента при очень высокой кислотности наблюдается низкое содержание бактерий: молочнокислые бактерии представлены только палочковидными формами. В других объектах преобладала молочнокислая микрофлора — стрептококки в свежем молоке и после введения в него сычужного фермента, палочки в сыровотке после коагуляции белка и кокки в конечной сыровотке. Вредные микроорганизмы обнаружены в большом кол-ве в сыровоточной вытяжке фермента (дрожжи) и в молоке (*Coli aerogenes*).

Б. Хавкина

59144. Сохраняемость сырной массы после выемки из ванны. Шарки (Safeguarding curd after it leaves the vat. Sharkey J.), Techn. Publ. Austral. Soc. Dairy Technol., 1957, № 6, 17—21 (англ.).

Рекомендации по подготовке форм, прессованию, обработке сырного монолита горячей водой, отделке, обшивке и выдержке чеддера для выработки стойкого при хранении сыра высокого качества.

Г. Титов

59145. Антифаговые питательные среды как средство предупреждения пороков в сыроделии. Лавертон (Antiphagen-Nährboden gegen Fehlproduktionen in der Käseerei. Laverton Sylvia), Molk- und Käse-Ztg., 1958, 9, № 4, 92 (нем.).

Для борьбы с бактериофагами при произ-ве сыра

рекомендуется применение антифаговой питательной среды. Последняя готовится из молока и представляет собой не содержащий кальция белый порошок нейтр. р-ции. В приготовленной из этого порошка жидкой среде бактериофаг не размножается, тогда как развитие микрофлоры закваски протекает нормально и явления лизиса клеток не наблюдается. В. Богданов

59146. Пороки, вызываемые отдельными микроорганизмами, в стерилизованном катодными лучами сыре коттедж. Боннер, Хармон, Смит (Defects produced by spoilage organisms in cottage cheese sterilized by cathode rays. Bonner M. D., Harmon L. G., Smith C. K.), J. Dairy Sci., 1957, 40, № 10, 1360—1364 (англ.)

12 видов бактерий, относящихся к *Achromobacter*, *Alcaligenes*, *Escherichia*, *Micrococcus* и *Pseudomonas*, 2 вида дрожжей *Rhodotorula* и *Torulopsis* и 3 вида плесеней *Geotrichum*, *Mucor* и *Penicillium* инокулировали по отдельности и в комбинации со *Streptococcus lactis* в сыр коттедж после стерилизации катодными лучами дозой  $5,5 \times 10^6$  ф. э. р. Пробы хранили при 20° 2—5 дней (до порчи сыра). Установлено, что *A. butyri* и *A. eurydice* продуцировали на поверхности сыра желатинообразную слизь с запахом брожения; *A. metalcaligenes* и *P. desmolyticum* — зернистую слизь; анах брожения появлялся позднее; *E. coli*, *E. freundii*, *P. desmolyticum*, *P. fluorescens*, *P. fragi*, *P. tralucida*, *R. species* и *T. candida* — желтую слизь на поверхности. Запах, цвет и свойства слизи были специфичны для каждого организма. *Achromobacter* и *Escherichia* при введении их в сыр отдельно вызывали порчу быстрее, чем в комбинации со *S. lactis*; виды *Pseudomonas* (кроме *P. fluorescens*) и оба вида дрожжей быстрее портили сыр в комбинации со *S. lactis*, *G. candidum*, *M. plumbeus*, *P. frequentans* дали на поверхности сыра рост с характерным для соответствующего рода плесени цветом. В пробах с *M. candidus* и *M. conglomeratus* наблюдалось повышение кислотности и отделение сыворотки, а с *M. flavus* — желтое ороговение без запаха.

Г. Титов  
59147. Роль дрожжей в созревании сыров. Сообщение I. Лимбургский сыр. Каприотти (I lieviti nella maturazione dei formaggi. I. Nota: formaggio limburg. Capriotti Augusto), Latte, 1957, 31, № 4, 235—244 (итал.)

Исследованы 269 чистых культур дрожжей, полученных из 5 образцов лимбургского сыра. Даны подробные характеристики некоторых из них, освещена их роль в разных фазах созревания сыров. А. Марин

59148. Выживаемость бактерий Банга в сыре. Шёстрём (Bangbakteries förmåga att överleva i ost. Sjöström Gunnar), Svenska mejeritidn., 1958, 50, № 10, 137—139 (шведск.)

Обзор.

59149. Производство австрийских сыров (тильзитских) по видоизмененному способу. Ягер, Талер (Erzeugung von österreichischen Stangenkäsen (Tilsiter) nach einer abgeänderten Herstellungsmethode. Jager H., Thaler S.), Österr. Milchwirtsch., 1956, 11, № 15, 245—246 (нем.)

Изложены 2 способа произ-ва сыра тильзит, отличающиеся один от другого введением повышенного кол-ва чистых культур, добавлением незначительного кол-ва воды для достижения кислотности сыворотки до желаемой величины, незначительным подогревом, частичным удалением сыворотки и иным способом удаления сгустка. Опытные сыры содержали 35% жира в сухом в-ве. Сыры получили положительную оценку.

В. Фавстова  
59150. Дегидрацетовая и сорбиновая кислоты как фунгициды для сыра при его созревании и хранении. Чапман (Dehydroacetic acid and sorbic acid

as fungicides for cheese during ripening and storage. Chapman H. R.), Dairy Inds, 1957, 22, № 7, 567—570 (англ.)

Рост плесневых грибов на сырах можно подавить обработкой текстильного материала, применяемого для завертывания сыров в процессе их приготовления, сорбиновой к-той ( $0,4 \text{ г/1000 см}^2$ ) или дегидрацетовой к-той ( $0,4, 0,53$  и  $0,65 \text{ г/1000 см}^2$ ), однако дозировки варьируют для различных грибов.

К. Бокарев  
59151. Питательная ценность некоторых югославских сыров, определяемая содержанием в них кальция и фосфора. Милетич (Hranjiva vrijednost nekih naših sireva određena sadržinom kalcija i fosfora. Miletic Silvija), Mljekarstvo, 1957, 7, № 5, 101—103 (сербо-хорв.)

Содержание Са и Р в сырах колеблется в зависимости от технологич. процесса произ-ва сыра и его сорта. Содержание Са составляет 0,56—1,63%, Р 0,51—0,90%. Мягкие свежие сыры содержат меньше Са и Р, чем твердые сыры.

З. Лебедев

59152. Дополнительная обработка для улучшения качества пищевых продуктов. Гиллинг, Зимба (Giving «extras» to foods pays off. Gilling Earl A., Ziemba John V.), Food Engng, 1957, 29, № 3, 80—81 (англ.)

Изложен процесс дополнительной обработки готового сыра чеддер, предложенный фирмой Kaukauna Dairy Co. (США). Созревший сыр, очищ. от парафинированной корки, измельчают и в спец. мешалках смешивают с сухим молоком, декстрозой и др., укладывают в перфорированные чаши и коптят 24 часа дымом от орешника, после чего в куттере смешивают с луком, чесноком и вином. Фарш шприцуют в оболочки из плюфильма и получают изделия, подобные сосискам, по консистенции пригодные для намазывания на хлеб.

С. Сетов

59153. О формальдегиде в сыре. Качча-Бава, Амореtti (Della aldeide formica nel formaggio gрана. Caccia Bava A. M., Amoretti L.), Chimica, 1956, 32, № 12, 516—517 (итал.)

В некоторых провинциях Италии (правобережье По, Пьяченца, Болонья) вырабатывают так называемый зернистый сыр. В образовании зерна этого сыра участвует формальдегид (I), добавляемый при его произ-ве. Изучена применимость р-ций Хеннера, Римини и Шривера для определения содержания I в сыре. Установлено, что эти р-ции позволяют определить присутствие I в свежем сыре, изготовленном из молока, содержащего 120 г 10%-ного I в 1 л, а р-ция Хеннера — в сыре из молока, содержащего 50 г 10%-ного I в 1 л. Для обнаружения миним. кол-в I рекомендуют гидролизат сыра обрабатывать йонитом и исследовать методом хроматографии. Для изучения динамики I в сыре в процессе созревания зернистого сыра рационально применение I, меченного  $\text{C}_{14}$ .

Н. Славина

59154. Местный сорт сыра. Йоне (Considerazioni su un particolare tipo di formaggio. Jone Rossi), Latte, 1957, 31, № 3, 164—172 (итал.)

Изучен процесс созревания сыра местного сорта из смеси равных кол-в цельного овечьего и обезжиренного коровьего молока. Из созревающего сыра выделено 46 видов чистых культур бактерий, из которых 82,6% являются палочками и 17,4% кокками. Выделено 13 штаммов *Lactobacillus casei*, 2 штамма *Microbacterium lacticum*, 1 штамм *Lactobacillus bulgaricus*, 15 штаммов *Bacillus subtilis*, 2 штамма *Bacillus cereus*, 5 штаммов *Bacillus coagulans*, 5 штаммов *Strept. lactis*, 1 штамм *Strept. equinus*, 1 штамм *Microc. epidermidis*, 1 штамм *Strept. faecalis*. Приведены их биохим. свойства, скорость пептонизации и свертывания молока при 27, 37 и 45° и накопление молочной к-ты через 24 часа инкубации и к моменту коагуляции. Описана



техника выделения чистых культур, приведены составы сред.

**59155. Усовершенствование методики определения продуктов распада белковых веществ сыра.** Гонимов И. Г., Сб. тр. Н.-и. ин-т животноводства ГрузССР, 1957, 2, 284—289 (рез. груз.).

Предложено вместо раздельного определения в водн. вытяжке сыра азота альбумоз и пептонов, а также азота параказеина, осаждаемого при кислой р-ции, и белков, осаждаемых при нейтр. р-ции (Инихов Г. С., Брюн Н. П., Химический анализ молочных продуктов, 1951 г.), производить определение общего белкового азота водн. вытяжки сыра и суммарное определение азота пептонов и альбумоз. Изложены методики.

**59156. Усовершенствование технологии брынзы.** Кюркчян В. Н., Бюл. научно-техн. информ. Арм. н.-и. ин-та животноводства и ветеринарии, 1957, № 1, 22—24.

Разработаны условия посола, созревания и хранения брынзы в рассоле, обеспечивающие приготовление продукта более высокого качества по вкусу с содержанием соли 5—7%, вместо 6—8%.

**59157. Механизация набивки брынзы в бочки.** Прекорп Иван, Průmysl potravin, 1957, 8, № 11, 604 (словац.).

Простое приспособление для набивки грудкового овечьего сыра (полуфабрикат для произ-ва брынзы) в бочки имеет вид двухплечевого рычага. К концу одного плеча укреплен на шарнире вертикальный, опускающийся в кадку пест, а к концу другого плеча — шатун, который эксцентрично присоединен к вращающемуся колесу, что обеспечивает ударное действие песта. Для набивки 100 кг сыра в кадку ручным способом требуется 1 час 17 мин., а при помощи этого устройства 35 мин. Устройство пригодно для набивки в бочки масла, капусты и т. п. Приведен фотоснимок.

**59158. Быстрое определение воды в брынзе.** Рошу (Determinarea rapidă a apei din brânză. Roșu D.), Rev. ind. aliment. prod. animale, 1957, № 7, 14—15 (рум.).

Описание экспресс-метода определения воды в брынзе с помощью весов «Перилекс» (при их отсутствии можно пользоваться технич. или фармацевтич. весами), основанного на выпаривании воды в присутствии парафина. Время определения 15—20 мин.

**59159. Трубопроводы в молочной промышленности.** Ло (Melkleidingen in het zuivelbedrijf. Loo L. G. W. v. d.), Zuivel, 1958, 64, № 2, 27, 29; № 3, 47, 49—51 (гол.).

Наименьшую шероховатость (< 3 м) внутренней поверхности имеют бесшовные холоднотянутые трубы из нержавеющей стали 18/8 после отжига, дополнительной вытяжки и внутренней электрополировки. Трубы из черного или синего полиэтилена с внутренним диам. 11 мм и толщиной 2 мм применены для транспортирования молока с альпийских лугов на молочные з-ды. Успешно применяют трубы из акуллона (нидерландского нейлона).

**59160. Очистка и обеззараживание молочных цистерн.** Ло (Het reinigen en ontsmetten van melktanks. Loo L. G. W. v. d.), Zuivel, 1957, 63, № 32, 695, 697, 699, 701 (гол.).

Очистку и обеззараживание молочных цистерн производят аэрозолем дезинфицирующих в-в с помощью распылителя с компрессором производительностью 5 м³/час и давл. 2 атм; длительность обработки 1 мин. на 1 м³ емкости цистерны, с применением препарата Nalamid, содержащего 24—25% активного Cl. Препарат Trifax распыляют с паром в кол-ве 1 л 0,25%-ного

водн. р-ра на 1 м³ объема цистерны. Formulsin распыляют спец. распылителем, представляющим воздушную турбину, полая ось которой делает 16 000 об/мин. Облучение УФ-лучами цистерны емк. 2,5 м³ в течение 30 мин. понизило содержание бактерий с 1 050 000 до 400 в 1 мл.

**59161. Способы мойки и дезинфекции машин в молочной промышленности.** Санвик, Скульберг (Forsøk over vaske- og desinfeksjonsmetoder for melkemaskiner. Sandvik Olav, Skulberg Anton), Meieriposten, 1956, 45, № 41, 815—821; № 42, 825—831 (норв.).

Результаты бактериологич. оценки различных способов очистки оборудования.

**59162. Механизированная линия убоя свиней и ее экономические показатели.** Козанек, Пинье (Mechaniserovaná linka pro porážku prasat a její ekonomické výsledky. Kozánek Václav, Piňos Antonín), Průmysl potravin, 1957, 8, № 8, 401—407 (чешск.; рез. русск., англ., франц., нем.).

Описание полностью механизированной линии производительностью 100 голов в 1 час. Приведены ее технологич. и экономич. преимущества: повышение производительности труда, уменьшение трудоемкости процессов, улучшение качества обработки и гигиенич. условий, снижение производственных расходов.

**59163. Жирные кислоты, входящие в состав липидов мышечной и жировой ткани бараньего филе.** Харман, Шорленд (The fatty acid composition of lipids in the muscle and fatty tissues of loin mutton chops. Hartman L., Shorland F. B.), J. Sci. Food and Agric., 1957, 8, № 7, 428—432 (англ.).

Бараньи филейные отрубы содержат 13,4—17% воды, 42,2—48,5% мышц и 38,1—40,8% жировой ткани. В тушах с признаками жирового перерождения мышечная ткань (МТ) не обнаружена, костей найдено 19,6%, жира 80,4%. В бескостных тканях филе 84,2—87,3% всего жира сосредоточено в жировой ткани (ЖТ). Данные, характеризующие состав липидов МТ и ЖТ отрубов, согласуются с литературными данными. Ненасыщ. жирные к-ты C<sub>20</sub> в ЖТ составляют 0,8—1,2% от общего кол-ва жирных к-т, а в МТ — 3,2—3,3%. Липиды ЖТ содержат больше стеариновой, но меньше пальмитиновой к-т, чем липиды МТ и, следовательно, липиды ЖТ хуже перевариваются, чем липиды МТ, о чем свидетельствует и т-ра плавления (соответственно 46—48° и 43—44°).

**59164. Применение облучения в мясной промышленности.** Джинлеский (Prinema sterilizacije zračenjem u industriji mesa. Džinleski B. G.), Veterin. glasnik, 1957, 11, № 2, 258—263 (сербо-хорв.; рез. англ.).

Обзор. Библ. 24 назв.

**59165. Изучение действия ионизирующих излучений на личинок трихинелл.** Шихобалова Н. П., Шехтман Я. Л., Карманова Е. М., Бюл. научно-техн. информ. Всес. ин-та гельминтол., 1957, № 1, 23—26.

Установлено, что сравнительно небольшие дозы рентгеновских лучей задерживают развитие трихинелл, подавляя в первую очередь их продуктивную способность. Предельной дозой, после облучения которой трихинеллы сохраняют способность развиваться до половозрелого состояния, является 8000 рентген.

**59166. Отношение метионала к запаху облученного мяса.** Уиттинг, Бацер (Relation of methional to the odor of irradiated meat. Witting L. A., Bazer O. F.), Food Res., 1957, 22, № 2, 237—238 (англ.).

При исследовании в-в, обуславливающих запах мяса облученного γ-лучами, в мясе обнаружены метил-

ны,  $\alpha$ - и  $\beta$ -ненасыщ. альдегиды и перекисные соединения. Около 30% всех карбонильных соединений, образующихся при облучении лярда, являются  $\alpha$ - и  $\beta$ -ненасыщ. В присутствии перекисных катализаторов или аскорбида метилмеркаптан конденсируется с акролеином, давая высокий выход метионала (3-метилпропиононовый альдегид). Смесь, содержащая метионал, имела запах, типичный для измельченной говядины, облучаемой 2—4 М ф. э. р., смесь, содержащая 3-метилн-бутиловый альдегид, имела запах, типичный для мяса, подвергнутого более высокой дозе облучения (8—10 М ф. э. р.). Приведены физ. константы этих соединений.

**59167. Относительная эффективность трех антибиотиков при хранении мяса птицы.** Уэллс, Фрай, Марион, Стейделман (Relative efficacy of three tetracyclines with poultry meat. Wells F. E., Fry J. L., Marion W. W., Stadelman W. J.), Food Technol., 1957, 11, № 12, 656—658 (англ.).

Тушки кур после первичной обработки разрубали пополам и половинки погружали на 15 мин. в р-р хлортетрациклина (I), окситетрациклина (II) или тетрациклина (III) (10 мг/л). После обсушивания и упаковки в полиэтиленовые пакеты куры хранились при т-ре 0°, 3, 9 и 12°. Наступление порчи определяли по появлению неприятного запаха или слизи. Установлено, что наиболее эффективным является I, он удлинляет время хранения при 3° на 61,4%, II — на 3,8% и III — на 39,4%. На обработанных антибиотиками тушках обнаружен рост дрожжей. При обработке птицы на небольших предприятиях при т-ре 9 и 12° обнаружен рост бактерий группы *Flavobacterium*.

**59168. Холодильное хранение мяса.** Моранж (Les applications du froid à la viande. Mauranges P.), Semaine méd., 1957, 33, № 5, 187—188 Repr. L'hôpital (франц.).

Во Франции 12% общественных и 100% частных промышленных скотобоев имеют холодильники. Почти все мясные лавки оборудованы камерами и шкафами для хранения мяса в охлажд. виде. Замораживание мяса производится только для дальних экспедиций и для армии. В этом случае мясо снимается с костей, укладывается в ящики по 20 кг и замораживается. Мороженое мясо используется также для обеспечения непрерывной работы мясоперерабатывающих з-дов. Быстрое замораживание мяса в четвертинах до  $-10^\circ$  производится в туннелях (370 т/сутки) при т-ре воздуха  $-30$ — $-40^\circ$  и скорости  $\geq 3$  м/сек в течение 24 час. Рекомендуют хранить замороженную свинину  $\leq 6$  месяцев. При хранении мяса при  $-14^\circ$  (т-ра поддерживается потолочными батареями непосредственного испарения) в течение первого месяца теряется 0,2% его веса. В Швейцарии иногда поддерживают иней на четвертинах мяса для предохранения поверхностного слоя мяса от высыхания и окисления. В Европе мясо обычно охлаждают немедленно после убоя. В США мясо перед охлаждением созревает при  $\sim 37^\circ$  в течение нескольких часов после убоя, действие УФ-лучей защищает его от микроорганизмов.

**59169. Обработка мяса холодом.** Тьерсонье (Le traitement frigorifique de la viande. Tiersonnier B.), Rev. conserve France et Union franç., 1957, jan., 100—106 (франц.).

Освещены вопросы, связанные с послеубойными изменениями мяса. Приведены также режимы холодильной обработки мяса во Франции: охлаждение при 0°,  $+2^\circ$ , относительной влажности воздуха 85%, коэф. обмена воздуха 40; при хранении охлажд. мяса соответственно 0°,  $+2^\circ$ , 85—90%, 10—15. Для медленного замораживания мяса т-ра в камере  $-10$ — $-25^\circ$ , а при быстром замораживании мяса т-ра  $-35^\circ$ — $-40^\circ$  при

скорости воздуха 4—5 м/сек. Замороженное мясо хранят при  $-18$ — $-20^\circ$ . При разрубке охлажд. мяса или при его обвалке в помещении поддерживается т-ра  $+10^\circ$ , относительная влажность воздуха 45% и коэф. обмена воздуха 7—12.

А. Орлов

**59170. Быстрое охлаждение мясных туш на бойнях Роттердама.** Росмален (De snelkoeling van vlees aan het openbaar slachthuis Rotterdam. Rosmalen W. C. van), Meded. Nederl. verenig. koeltechn., 1958, 51, № 1, 8—14 (гол.).

Вес мясных туш, охлаждаемых в туннелях, снижался за первые 55 час., но далее, при отключении охлаждения и работе вентиляторов, опять увеличивался. При перенесении охлажд. мяса во влажную атмосферу и обратно в холодильник, конденсированная на поверхности влага удалялась, частью всасываясь в мясо, и мясо приобретало нормальный внешний вид. Средние потери за счет усушки в туннелях 1,2—1,6%, в зависимости от упитанности туш.

Р. Герцфельд

**59171. Охлаждение мяса на Белградской бойне.** Вучкович (Iskustva o hladenju mesa u beogradskoj klanici. Vučković K.), Veterin. glasnik, 1957, 11, № 11, 1084—1087 (сербо-хорв.).

Через 3—4 часа после убоя туши помещают в камеру предварительного охлаждения с т-рой 8— $10^\circ$ , где их выдерживают 24 часа, после чего направляют в холодильник с т-рой от  $-1$  до  $+4^\circ$ . Мясо в холодильнике имеет т-ру  $\sim 4^\circ$ , pH 5,5—5,8.

З. Лебедева

**59172. Охлаждение, замораживание, хранение и транспортирование мороженого мяса.** Хикс, Говард, Кесс (The cooling, freezing, storage and transport of frozen meat. Hicks E. W., Howard A., Kaess G.), Food Technol. Austral., 1957, 9, № 5, 247, 249, 254; Refrig. J., 1957, 10, № 7, 23, 26—29 (англ.).

Обзор основных положений по указанным вопросам на 9-м Международном конгрессе холодильщиков в Париже в 1955 г.

С. Е.

**59173. Мясо в целлофане.** Моранж (La préparation et la distribution des viandes sous cellophane. Mauranges P.), Semaine méd., 1957, 33, № 5, 191—192 (франц.).

После 2—5 дней пребывания мяса в камере охлаждения его направляют в специально оборудованный зал с т-рой  $\leq 8^\circ$ , расфасовывают в целлофан и хранят при  $+2^\circ$  до момента отправки в магазины, где их хранят в охлаждаемых витринах при 0— $2^\circ$ . В настоящее время во Франции выпускают в сутки 100 т мяса в целлофане, а в ближайшее время будет выпускаться 200 т. Мясо от убоя до момента продажи находится под неослабным санитарно-ветеринарным контролем и содержится и перевозится при т-ре  $\leq 2^\circ$ ; оно сохраняет нормальный цвет, вкусовые качества и свободно от загрязнений.

А. Орлов

**59174. Соленость, ощущаемая на вкус, и содержание соли в ветчине.** Спанцаро (Salinité gustative et teneur en sel des jambons. Spanzaro F.), Rev. conserve France et Union franç., 1957, juin, 68—70 (франц.).

Обсуждается явление часто наблюдаемого несоответствия фактич. содержания соли в соленом мясе, определяемого хим. методами, органолептич. ощущение солености. «Показатель солености», предложенный для оценки ощущаемой на вкус солености ветчины и других видов соленого мяса (РЖХим, 1957, 56457), может быть с успехом применен при характеристике органолептич. качеств не только разнообразных мясных продуктов, но и всех продовольственных товаров, при произ-ве которых добавляется соль. Установлено, что при органолептич. испытании ветчины не обнаруживается  $\sim 51,6$ — $53,6\%$  действительного содержания соли.

В. Гржиwo



**59175.** Указания по отбору проб рассола с разной глубины при посоле мяса. Гыр, Волец (Návod na braní vzorků láků z různé hloubky kádí nakládání masa. Hurr Igor, Volec Jan), Průmysl potravin, 1957, 8, № 2, 93—95 (чешск.)

Для отбора пробы рассола с поверхности пользуются устройством из пробирки с грузиком (60 г) и стерильной резиновой пробки. К верхнему концу пробирки привязан шпагат. Пробирка погружается под поверхность рассола и быстро заполняется. После вытаскивания ее немедленно закрывают стерильной пробкой. При отборе пробы с любой глубины пользуются пробиркой с грузиком, закрытой резиновой пробкой, в которой сделан вырез в виде желобка, расширенного к нижнему концу пробки. Пробка до половины вставлена в пробирку, к верхнему концу которой привязан шпагат, намотанный на катушку. Глубину погружения определяют по длине размотанного шпагата. Для отбора пробы со дна чана применяют перевернутую пробирку с отверстием в дне. В отверстие входит стеклянная палочка с расширением на обоих концах. К верхнему концу палочки привязан шпагат. Как только пробирка достигнет дна чана, шпагат провисает и палочка перестает закрывать отверстие в дне пробирки.

Б. Адамец

**59176.** Спектральное исследование пигментов вареного соленого мяса. Таппел (Spectral studies of the pigments of cooked cured meats. Tappel A. L.), Food Res., 1957, 22, № 5, 479—482 (англ.)

Установлено, что пигментом вареного соленого мяса является NO-гемоксид денатурированного глобина со спектром в области 480 мμ.

С. Е.

**59177.** Повышение качества мясных продуктов путем улучшения их рецептуры и правильного сортового деления мяса. Крюгер (Qualitätsverbesserung durch fachgerechte Fleischwertsortierung und richtigen Rohstoffeinsatz. Krüger Fr.-Wilh.), Fleischermeister, 1958, 12, № 1, 4—7 (нем.)

Обсуждаются вопросы рентабельности произ-ва колбас и других мясных изделий.

С. Е.

**59178.** Влияние добавления антибиотика и жира в кормовой рацион свиней и введения фосфатов в шприцовочный рассол на качество копченых окороков. I. Потери при тепловой обработке, вкусовые свойства, отделяемость жира, нежность мяса по тендерометру. Махон, Хог, Ликинг, Лим, Фентон (The quality of smoked ham as affected by adding antibiotic and fat to the diet and phosphate to the cure. I. Cooking losses, palatability, separable fat, and shear values. Mahon Patricia, Hogue Debrah, Leeking Phyllis, Lim Eulalia, Fenton Faith), Food Technol., 1958, 10, № 6, 265—272 (англ.)

Указано, что  $\geq 80\%$  рыночной свинины составляет мясо животных, кормовой рацион которых содержал антибиотики. Добавление в рацион жиров является попыткой использования для удешевления откорма излишков животного жира, образовавшихся вследствие появления новых моющих средств. Исследованы 62 окорока весом по  $\sim 4,5$  кг, полученных от 3 опытных групп животных, в рацион которых добавлялся препарат «Аурофак», содержащий хлортетрациклин и витамин В<sub>12</sub>, из расчета 20 мг антибиотика на 1 кг корма или жир в кол-ве 3% или вводились оба ингредиента. Рассол для фосфатного посола содержал 60 г диатригфосфата на 1 л. После копчения окорока запекали при 148,8° до достижения т-ры 76,6° в толще продукта. Установлено, что разница в рационах и в составе рассола не оказывает заметного влияния на органолепич. свойства продукта и не ухудшает его качества.

Г. Любовский

**59179.** Рациональные методы микробиологического контроля в колбасном производстве. Хейфец М., Мясная индустрия СССР, 1957, № 6, 50—51

Изложены методы определения кишечной палочки и общего кол-ва микроорганизмов в колбасных изделиях, а также определения обсемененности рук рабочих и поверхности оборудования, применяемые на Ленинградском мясокомбинате.

А. П.

**59180.** Мясные консервы, соленые и колбасные изделия. Микрофлора молока в сырокопченой колбасе. Спанцаро (Conserves de viande salaisons charcuterie. Les ferments lactiques dans le saucisson sec. Spanzaro F.), Rev. conserve France et Union franc., 1957, jan., 81—82, 85—86 (франц.)

Сырокопченая колбаса, распространенная во Франции, подвергается сложному процессу созревания, в котором принимают участие молочнокислые бактерии. Спец. лаборатории изолировали бактерии, специфичные для созревания мяса. Однако добавление чистых культур требует большой точности. Поэтому к чистым культурам добавляют сухое обезжиренное молоко или лактозу, которые являются защитной средой для молочнокислых бактерий и облегчают равномерное распределение их в фарше.

А. Орлов

**59181.** О применении аскорбиновой кислоты при изготовлении вареных сосисок. Риглер (Über die Anwendung v. Ascorbinsäure bei der Herstellung v. Brühwürstchen. Rigler F.), Arch. Lebensmittelhyg., 1958, 9, № 3, 51—52 (нем.)

Обзор. Библ. 10 назв.

А. Е.

**59182.** Усовершенствование поточной линии обработки введением новой машины. Хейвигхорст (New inter-leafer perfects straight-line processing. Havighorst C. R.), Food Engng, 1957, 29, № 8, 104—106 (англ.)

Описано усовершенствование процесса изготовления мясного полуфабриката, состоящего из нескольких тонко нарезанных (0,40—6,35 мм) ломтиков мяса. В процесс введен полуавтомат, перекрывающий определенное кол-во ломтиков мяса (напр., 6) прокладкой из проволочной бумаги; это дало возможность полностью перейти на поточное произ-во продукта.

С. Светлов

**59183.** Физические свойства бульона, студия и жира. Горбатов А., Горбатова В., Мясная индустрия СССР, 1958, № 1, 53—55

Исследованы уд. вес, коэф. температурного расширения, вязкость, предельное напряжение сдвига при различных т-рах.

А. П.

**59184.** О быстром определении влаги, жира и соли в мясном сырье, полуфабрикатах и продуктах. Летош, Кожикеш, Форжтова (K problemu rychlého určování vody, tuku a soli v masných surovinách poloproduktů a produktech. Litoš F., Kožíšek R., Fořtová J.), Průmysl potravin, 1957, 8, № 1, 46—49 (чешск.)

Проведено сравнительное изучение методов определения влаги в мясе, фарше и колбасных изделиях в сравнении с методом сушки при 106° с песком до постоянного веса. Удовлетворительные результаты дает сушка ИК-лучами при 170—175° в чашке джам 6—6,5 см.

Н. Бакалов

**59185.** Дифференциация и изучение сальмонелл в мясoproдуктах. У Гуан-сянь, Чжунго шуошю цзяжи, Кит. ветеринария, Chinese Veterin. J., 1957, № 4, 171—173 (кит.)

**59186.** Изучение хранения утиных яиц. Бос, Махадеван (Studies on the preservation of duck eggs. Bose S., Mahadevan T. D.), World's Poultry Sci. J., 1957, 13, № 2, 125—131 (англ.)

Изучены свойства свежих утиных яиц и изменения их при различных сроках хранения и способах обра-

ботки. Установлено, что утиные яйца при хранении значительно более стойки, чем куриные. Они могут заменить куриные в вареном виде или в виде яичницы. Их желток равноценен куриному, но белок значительно хуже сбивается и дает менее стойкую пену. Кексы на утином белке имеют меньший объем и структуру по сравнению с кексами на курином белке.

С. Светов

59187. Влияние способа укладки яиц на стойкость их при хранении и при транспортировке. Орел, Мусил (Vliv polohy vajec při uchování a manipulaci na jejich tržní jakost. Orel Vítězslav, Musil František), Průmysl potravin, 1957, 8, № 3, 136—139 (чешск.; рез. русск., англ., нем.)

Яйца хранили в горизонтальном положении и тупым концом вверх или вниз. При хранении качество яиц оценивали по колл. состоянию белка, по положению желтка и по размеру воздушной камеры. Опыты с транспортированием яиц проводили при перевозке их на автомашинах при тихой и быстрой езде с укладкой яиц в прессованную или решетчатую картонную тару. Установлено, что наилучшая укладка яиц тупым концом вверх; через 10 дней хранения при 25° яйца, уложенные тупым концом вниз, показали ухудшение колл. состояния белка на 6—7% больше, чем яйца, хранившиеся в обратном положении. Наихудшей оказалась горизонтальная укладка. Н. Баканов

59188. Антибиотики в рыбной промышленности. Смотряева Е. А., Равич-Щербо Ю. А., Дуброва Г. Б., Рыбн. х-во, 1958, № 1, 76—79

А. П.

59189. Опыты по применению биомидина при хранении рыбы и рыбного филе. Дуброва Г. Б., Сахарова Т. Н., Сб. научн. работ. Ленингр. ин-т сов. торговли, 1957, вып. 11, 50—54

Добавление биомидина (I) в воду при содержании живой рыбы в непроточной воде не влияет заметно на поведение рыбы. Рыба, содержащаяся в прижизненный период в воде с добавлением I, более стойка в хранении, чем рыба, не обработанная I. Филе, обработанное I в кол-ве 50  $\mu$ мг, сохраняет свежесть в течение 5 суток. I может быть рекомендован в качестве добавки в фиксатор рыбного филе при установлении безвредности его концы 50  $\mu$ мг. А. Прогорович

59190. О значении величины pH в рыбной промышленности. Зейдель (Zur Bedeutung des pH-Wertes in der Fischwirtschaft. Seidel G.), Dtsch. Fisch.-Ztg, 1956, 3, № 6, 161—164 (нем.)

Рассмотрена возможность применения определения pH для оценки качества рыбы-сырца и готовой рыбной продукции. Дан краткий обзор существующих методов определения pH.

Л. К.

59191. Замороженная быстрая ямутакая копченая сельдь. Хаммонд (Quick-freezing Yarmouth bloaters. Hammond A. Edward), Food, 1957, 26, № 314, 419—423 (англ.)

После обычного посола и копчения сельдь потрошат, обезглавливают и после удаления костей тушки упаковывают по 3 шт. в картонные проволочные коробки, имеющие на крышке отверстия по форме сельди. Коробки завертывают в целлофан, запечатывают термич. способом и помещают в камеру для быстрого замораживания контактным способом. Замороженная копченая сельдь может храниться при  $t_{\text{ре}} < 0^{\circ}$  в течение  $\geq 8$  месяцев. А. Юдицкая

59192. Замораживание и хранение рыбы в алыгинатном желе. Зуйкова Л. П., Научно-техн. бюл. Н.-л. ин-та механиз. рыбн. пром-сти ВНИРО, 1957, № 3-4, 71—73

Разработана рецептура алыгинатного желе: 1% Na-алыгината, 0,01%  $\text{CaCl}_2$ , 0,01%  $\text{MgCl}_2$ , 1% 40%-ной молочной к-ты и вода. Салаку для опытного хранения

погружали в желе, укладывали в картонные коробки и заливали желе. Кол-во желе составляло 40—60% к весу рыбы. Замороженная салака в желе, хранившаяся при  $-20$  и  $-25^{\circ}$  в течение 5 месяцев, не изменила первоначального качества, имела блестящую поверхность кожи, плотную консистенцию, красные жабры, совершенно свежие внутренности. Вкус салаки хороший. Контрольная салака, замороженная в ледяном блоке, после такого же срока хранения находилась на грани перехода во II сорт, а салака сухого замораживания была II сорта.

А. Прогорович

59193. Значение быстрого замораживания для экономики рыболовства в Нидерландах. Костер (De economische betekenis van het snelvriezen voor de Nederlandse visserij. Koster C.), Meded. Nederl. verenig. koeltechn., 1957, № 121, 20—26 (гол.)

59194. Способ предотвращения порчи рыбопродуктов, вызываемой окислением жира. VII. Способ защиты арамаки (малосольный лосось) от порчи, обусловленной окислением жиров, с помощью 2,6-ди-трет-бутил-п-крезола. Тоама, Ямагучи, Саруя (Toama Kenzo, Yamaguchi Noriyuki, Saruya Kuman), Япон. суйсан гаккайси, Bull. Japan. Soc. Scient. Fish., 1956, 22, № 6, 383—385 (японск.; рез. англ.)

Установлено, что 2,6-ди-трет-бутил-п-крезол (I), может быть использован в качестве антиоксиданта для арамаки. Достаточно 0,0025—0,005% I от веса филе, Бутилоксианизол также приложен в концы 0,0025%, хотя сообщает продукция желтый оттенок. Линтон С (смесь изоамилгаллата с лимонной к-той) не пригоден, так как окрашивает рыбу в фиолетовый цвет подобно пропилгаллату. Сообщение VI см. РЖХим, 1958, 45008. Т. Волкова

59195. Исправление к статье: Попов А. В. «Посола рыбы шприцеванием», Рыбн. х-во, 1957, № 1, 16 К РЖХим, 1958, 37982.

59196. Изучение процесса холодного копчения рыбы.

1. Рассмотрение методов оценки степени извлечения соли из соленой рыбы. Окуда, Ишикава (Okuda Yukio, Ishikawa Senji), Хокусуйси гэнпо, 1957, 14, № 10, 440—448 (японск.)

59197. Добыча морской рыбы и рыбные консервы. Биан (Pêches maritimes et conserves de poissons. Bihan F.-Y.), Rev. conserve France et Union franc., 1957, juin, 89, 90, 92 (франц.)

Обсуждены вопросы снабжения 3-дов сырьем для произ-ва рыбных консервов. Приведены некоторые данные об улове и кол-ве поступающей на консервные 3-ды морской рыбы: макрели, сардин и тунца.

В. Грживо

59198. Специальный случай потемнения консервированных креветок (его причины и предупреждение).

Куайи (Cas spécial de noircissement de crevettes mises en conserve. (Ses causes, ses remèdes). Coillie L. Van), Rev. conserve France et Union franc., 1957, jan. 65—67 (франц.)

Потемнение креветок наблюдалось только в банках из белой лакированной жести, тогда как креветки в тщательно вылуженных банках сохраняли бледно-розовый цвет. На пергаментной бумаге, предохраняющей креветки от соприкосновения со стенками лакированной банки, также находили черные пятна. Они располагались вдоль бокового шва и мест спайки банок. Наиболее потемневшие креветки прилепали к черным пятнам на бумаге. Установлено, что Pb и Cu не участвуют в образовании темных пятен, потемнение консервов вызывает Fe. В консервных банках почти всегда имеются мелкие непролуженные участки (поры), железо быстро корродирует. Нарастание концы  $\text{Fe}^{2+}$  в присутствии ионов  $\text{S}^{2-}$ , образованных при распаде белков креветок, способствует образованию не-



растворимого FeS и появлению черных пятен. Эффективно применение лака, содержащего в-ва (напр., ZnO), способные реагировать с  $H_2S$ , а также создание окисной пленки обработкой в электролитах или пленки хроматов и фосфатов, погружением белой жести в горячую воду. p-ры, состоящие из полифосфатов, бихромата и каустич. соды. Cu и Pb могут образовать сернистые соединения в кислой среде, поэтому необходимо избегать соприкосновения с ними в процессе консервирования. Следует применять оборудование из нержавеющей стали и алюминия. А. Орлов

**59199.** Регулируемое охлаждение обеспечивает хорошее качество рыбных палочек. Трауберман (Controlled cooling: key to quality fish sticks. Trauberman Leonard), Food Engng, 1956, 28, № 5, 61, 189 (англ.)

Быстрое охлаждение рыбных палочек (П) после обжаривания обеспечивает сохранение их качества, предотвращая развитие бактерий и промасливание коробок. Описана непрерывно действующая линия охлаждения, обеспечивающая снижение т-ры внутри П с 49—71 до 15—24° за 15—20 мин. После упаковки на автомате П поступают на склад для хранения при -18°. В процессе произ-ва систематически осуществляется органолептич., бактериол. и весовой контроль. А. Юдицкая

**59200.** Изучение физико-химических свойств морских продуктов. II. Анализ упругих свойств ткани каракатицы, высушенной нагреванием. Кисимото, Фудзита (Studies on physico-chemical properties of marine products and related substances. II. Analysis of elastic behavior of thermally contracted dried cuttle-fish. Kishimoto Akira, Fujita Hiroshi), Нихон суйсан гаккайси, Bull. Japan. Soc. Scient. Fish., 1956, 22, № 5, 293—296 (англ.)

В соответствии с теорией сетевидного строения полимеров теоретически обоснованы опыты (см. РЖХим. 1958, 23134) по набуханию двухкомпонентных систем высушенной ткани каракатицы (К) в воде, p-ре мочевины (I) или  $NaHSO_3$ . Усилие, необходимое для растяжения твердого тела, состоящего из одного компонента, выражается как  $f = f_E + f_S$ , где  $f_E = (\partial E / \partial l)_{T, V}$  — изменение внутренней энергии тела  $E$  по длине  $l$  при постоянных т-ре и объеме;  $f_S = -T (dS / dl)_{T, V}$  — сила, определяемая изменением энтропии  $S$  по длине  $l$  при постоянных объеме и т-ре. Так же  $f_S = T (\partial f / \partial T)_{\alpha, l}$ , где  $\alpha$  — относительное удлинение. В случае каучукоподобных полимеров  $f_E$  мало и в идеальном случае равно нулю, и при набухании  $[RT_p (v_2)^{1/2}] / M_G (\alpha - 1/\alpha^2)$ , где  $M_G$  — средний мол. вес цепи полимера между поперечными связями. При постоянных т-ре и степени набухания  $f$  изменяется линейно в зависимости от  $(\alpha - 1/\alpha^2)$ . Данное ур-ние к рассматриваемой системе полностью не применимо, но используется для ориентировочного вычисления  $M_G$ . При набухании К в воде при 50°  $f_S$  положительно при значениях  $\alpha$  от 1 до 1,10, а  $f_E$  отрицательно. Увеличение  $f_S$  с ростом  $\alpha$  указывает на происходящую при растяжении К ориентацию цепей его молекул. Большой отрицательный энергетич. эффект указывает на образование новых связей между цепями по мере их выпрямления при растяжении, что понижает внутреннюю энергию системы и способствует натягиванию образца. Главную роль в этом эффекте, наблюдаемом также для казеина и нейлона, играют водородные связи. Данные по набуханию К в воде близки к характеристикам, получаемым для натурального каучука при сильном его растяжении.  $M_G$  для этого случая практически не зависит от т-ры и при 10, 30, 45 и 48° соответственно равен 6500, 6100, 5900

и 6000. При набухании К в I  $M_G$  заметно повышается и по мере увеличения конц-ии I при 30° равен 7000, 88 000, 10 000 и 38 000 соответственно конц-иям 0,5, 1,2 и 5M. Известно, что I разрушает водородные связи, поэтому делается вывод о преобладании последних среди связей ценных молекул К. Величина  $M_G$ , вычисленного при набухании К в  $NaHSO_3$  равна, примерно, таковой при набухании в воде (6000), следовательно  $NaHSO_3$  не разрушает поперечных связей. Поскольку  $NaHSO_3$  способен разрушать дисульфидные связи, вероятно отсутствие их в К. А. Юдицкая

**59201.** Современные проблемы санитарии рыбной промышленности. Витфогель (Moderne Probleme der Fischhygiene. Wittfogel H.), Arch. Lebensmittelhyg., 1957, 8, № 4, 73—76 (нем.)

Рассмотрены санитарные условия лова, транспортирования, хранения и обработки рыбы. Полнота посмертного окоченения рыбы находится в обратной зависимости от длительности нахождения рыбы в сетях и механич. воздействий при перевозке и хранении, вызывающих уменьшение запасов гликогена в мышцах рыбы и сильно снижающих содержание креатинфосфата и аденозинтрифосфата. Рыба, хранящаяся 5—7 дней, должна быть разделана и промыта морской водой, содержащей NaOCl или газообразный Cl. Хранение ее следует производить в штабелях высотой  $\leq 65$  см. Теоретически для хранения рыбы требуется 20% льда (от ее веса), практически 40—60%. Лучшими бактерицидными добавками к льду являются формальдегид и  $NaNO_2$  (0,1—0,2% от веса льда), увеличивающие срок хранения на 4—5 дней. Антибиотики, в частности «Acronice» (смесь аууреомидина (I) с «гомогенизаторами» — карбометацеллюлозой и ирландским мхом), удлиняют срок хранения на 7—40 дней. Большая часть I накапливается в жони рыбы, в мясе он обнаруживается на 9—12 день хранения. При последующей тепловой обработке рыбы I разрушается и его содержание падает с 5 до 0,25—1,0  $\mu$ г. Указано на необходимость создания новых объективных методов контроля качества рыбы. Обобщающие результаты дает прибор для определения степени порчи рыбы по измерению ее электропроводности, но требуется уточнить зависимость электропроводности от вида рыбы, ее физиологич. состояния, сезона лова и других факторов. Лучшими в настоящее время являются следующие объективные методы контроля: подсчет микроорганизмов, определение pH, содержания триметиламина, летучих оснований и редуцирующих в-в. Разработан быстрый способ прямого подсчета микроорганизмов с одновременным определением летучих редуцирующих в-в йодометрич. методом. А. Юдицкая

**59202.** Новое в химии кофе. Субраманьян, Натараджан, Бхатия (Some newer knowledge on coffee. Subrahmanyan V., Natarajan S. P., Bhatia D. S.), Indian Coffee, 1958, 22, № 1, 13—17 (англ.)

Обзор работ по химии кофе, проведенных в 1951—1957 гг. Центральным пищевым технологич. ин-том в Майсоре по вопросам состава настоя кофе, зависимости окраски молотого кофе от степени обжарки, влияния отношения кофеин : хлорогеновая к-та на окраску обжаренного кофе, пищевой ценности кофе, усвояемости и других физиологич. свойств кофе-напитка, содержания белковых в-в и свободных радикалов (получаемых при частичном расщеплении белков сахаров кофе), характеристики ароматич. в-в кофе (идентифицировано до 70 соединений). Библ. 6 назв. В. Гурин

**59203.** Пригодность разных сортов ярового ячменя к промышленной переработке на суррогат кофе

**Роман** (Przydatność różnych odmian jęczmienia jarego dla przemysłu przetwórczego namiastek kawowuch. Roman Tadeusz, Roczn. nauk rolniczych, 1956, A74, № 1, 79—90 (польск.; рез. русск., англ.)

Исследованные сорта ярового ячменя, кроме Милоховского многозёрного с очень мелким зерном, в одинаковой степени пригодны для произ-ва солодового кофе. Голозёрный ячмень вследствие отсутствия оболочек требует более низкой т-ры обжаривания. Двухзёрный ячмень, пригодный для бродильного произ-ва, даёт хороший кофе. Не установлено влияния содержания белка на качество продукта, но предполагают, что высокое содержание белка может влиять на вкус и цвет кофе.

**А. Прогорович**  
59204. Сушка сигарет. Максимов Г. А., Табак, 1958, № 1, 18—22

Установлено, что сушка сигарет ИК-лучами в комбинации с конвективной сушкой значительно сокращает длительность сушки, доводя время удаления 3% влаги до 13 сек. Достигнута скорость сушки 0,23% в 1 сек. При этой скорости сушки т-ра табака к концу процесса не достигает 50°.

**Из резюме автора**  
59205. Автоматическая линия для изготовления и упаковки папирос. Швеи В. В., Бородинский В. П., Табак, 1958, № 1, 8—10

Описана автоматизированная линия по изготовлению и упаковке папирос с бескапотной передачей на автомат ПУЧ, установленная на Краснодарской табачно-ферментационной ф-ке.

**Г. Н.**  
59206. Красящие вещества стручкового перца. 3. Линейная цветовая шкала. Мостер, Прейтер (Color of capsicum spices. 3. A linear color scale. Moster J. B., Prater A. N.), Food Technol., 1957, 11, № 4, 222—225 (англ.)

Разработана линейная цветовая шкала для определения пигментов перцев, более совершенная, чем широко применяемая красная шкала Ловибонда. Новая шкала позволяет определять не только каротиноиды, но и красящие в-ва группы хлорофилла, источником которых в перцах являются зеленый околоплодник и себелль. Для порошка чили (смесь молотого перца с другими пряностями) шкала позволяет определять добавку орегано и тмина перечного. Шкалу можно применять для определения цветности эф. масел, получаемых из тех же продуктов. Сообщение 2 см. РЖХим, 1957, 73346.

**В. Гурни**  
59207. Исследование консервированного хрена. VII. Изменения ферментативной активности при обработке черешков хрена и барды сакэ. Кодзима, Мацусита (Kojima Misao, Matsushita Bun'ichi), Хакко когаку дзасси, J. Ferment. Technol., 1957, 35, № 3, 86—89 (японск.; рез. англ.)

Черешки хрена содержат амилазу, инвертазу, пероксидазу, липазу и протеазу, но активность этих ферментов слабее, чем в корне хрена. При 65° амилаза в черешках почти полностью инактивируется, активность пероксидазы и липазы не изменяется, а активность инвертазы и протеазы возрастает. Содержание алилового горчичного масла в черешках составляет 0,1 ч. содержания его в корне. При нагревании барды сакэ инвертаза, липаза и протеаза инактивируются при 65°, а амилаза при 60°. Часть VI см. РЖХим, 1958, 41496.

**59208. Новые технические условия для майонезов и салатов.**— (TGL-Entwürfe für Mayonnaise und Salate.—), Fleischermeister, 1958, 12, № 3, 18—20 (нем.)  
Проект технич. условий, разработанных комиссией экспертов и вынесенных Мин-вом пищевой пром-сти ФРГ для широкого обсуждения, на майонез высшего качества (с 83% жира), майонез для салатов (40% жира), мясной салат с майонезом высшего качества и мясной салат с майонезом с 40% жира. Текст тех-

нич. условий включает следующие разделы: понятие о пищевом продукте, определение, назначение и обозначение; требования к сырью и готовому продукту; цвет, вкус, запах, методы исследования: взятие средней пробы, органолептич. и хим. методы анализа; маркировка; упаковка; условия хранения и транспортирования.

**В. Гурни**  
59209. Зависимость между временем, затрачиваемым на ручную дочику яблок, и выходом продукции при производстве яблочного соуса. Лопес, Вуд, Джонсон (Trimming time and yield factors in processing of applesauce. Lopez Anthony, Wood Charles B., Johnson Joseph M.), Food Technol., 1958, 12, № 1, 57—64 (англ.)

С целью повышения выхода и удешевления себестоимости продукции поэтапно изучен технологич. процесс произ-ва яблочного соуса с учетом отходов и выходов на каждой стадии произ-ва. Опыты проводили с четырьмя сортами яблок разного качества и размера. Кол-во отходов при очистке плодов от кожицы и удалении семенного гнезда мало зависит от гомологич. сорта яблок, но зависит от их качества и размера. Время, затрачиваемое на ручную дочику яблок, пропорционально общему кол-ву отходов при дочишке и обратно пропорционально величине яблок.

**Т. Сабурова**  
59210. Новые тенденции в области применения душистых веществ при производстве пищевых продуктов. Ямадзак, Корё, 1957, № 46, 114—115 (японск.)

**59211. Применение нордигидрогваяретовой кислоты и других антиоксидантов для сохранения качества пищевых продуктов.** Михелич (Uloga nordihidrogvajaretične kiseline (NDGA) i drugih antioksidansa u stabilizaciji nekih živežnih namirnica. Mihelić Franjo), Farmac. glasnik, 1957, 13, № 2, 56—61 (сербо-хорв.; рез. англ.)

Рассмотрены хим. свойства нордигидрогваяретовой к-ты (I) и ее применение в качестве антиоксиданта для пищевых продуктов. Приведен перечень других антиоксидантов, применяющихся в различных странах. Указано, что процесс самоокисления протекает быстрее в чистом жире, чем в жире, содержащем I. Найдено, что тормозящее действие I сильнее в темноте, чем на свету, при одинаковых условиях хранения образцов при комнатной т-ре.

**А. Вавилова**  
59212. Изучение консервантов для пищевых продуктов. LXII. Кривая роста *Zygosaccharomyces japonicus* в жидкой среде и влияние некоторых соединений. Фудзикава, Хитоса, Яги, Симидзу (Fujikawa Fukujiro, Hitosa Yuhei, Yagi Yoshiko, Shimizu Masanobu), Якутаку дзасси, J. Pharmac. Soc. Japan, 1957, 77, № 11, 1245—1256 (японск.; рез. англ.)

Изучена кривая роста дрожжей *Zygosaccharomyces japonicus*, применяемых при произ-ве соевого соуса. Добавление к среде 1% метанола не влияет на рост дрожжей, тогда как пропил- и бутил-*n*-оксисбензоат ( $3,33 \times 10^{-4}$  M), а также пропил- и бутилорселлат ( $2,5 \times 10^{-4}$  M) тормозят рост. Сообщение LXI см. РЖХим, 1958, 45029.

**Г. Н.**  
59213. О цвете и способах окрашивания кондитерских изделий. Ватанабэ, Сайка сэйпан, Baking and Confection, 1956, 22, № 1, 136—137; № 3, 133—135 (японск.)

Приведен перечень искусств. красителей для кондитерских изделий. Рассмотрен механизм токсич. действия некоторых красителей.

**Ким Су Ен**  
59214. Красители для пищевой промышленности. Перечень нетоксичных красителей.— (Unbedenklich zu verwendende Lebensmittelfarbstoffe. Liste der Lebensmittelfarbstoffe, die bei der experimentellen Prüfung



keine toxischen Wirkungen gezeigt haben und deshalb erlaubt werden können.), Gordian, 1958, 57, № 1374, 14—16 (нем.)

Приведен перечень 25 красителей (с указанием условных, торговых и хим. названий), оказавшихся физиологически безвредными при опытной проверке и рекомендованных Комиссией по красителям (ФРГ) в декабре 1957 г. для использования в пищевой пром-сти. Перечень содержит: 7 желтых красителей, 4 оранжевых, 9 красных, 2 синих, 2 зеленых и 1 черный.

**59215. Пищевые красители. Комментарии к британскому перечню разрешенных красителей.** Томас (Food colours. Some comments on the British permitted list. Thomas B. R. J.), Food Manufact., 1958, 33, № 4, 162—164 (англ.)

Перечень включает 30 красителей, разрешенных для использования в пищевом произ-ве. Из 12 красных широкое распространение имеют пунцовый MX, пунцовый SX, пунцовый 3R, амарант и красный 2G. Последний применяется только в Англии. Исключен из списка родами В, применявшийся ранее в большом кол-ве для подкраски кулинарных и кондитерских изделий, рыбных и мясных паштетов. 8 желтых и 2 оранжевых красителя отличаются большой устойчивостью; в списке оставлен нафтол желтый S, который не следовало бы применять для подкраски масла и маргарина. Краситель зеленый S обесцвечивается на свету и изменяется в кислой среде. Из синих красителей недостаточно устойчив индигокармин; напротив, синий VRS термостоек и не разрушается в присутствии  $SO_2$  и плодовых к-т. Ограниченное применение находит фиолетовый BNP. Исключен из списка нигрозин, так как его трудно получить в чистом виде; взамен него включен черный PN, во многих отношениях уступающий нигроzinу.

**59216. Современная упаковка пищевых продуктов.** Берно (L'emballage à l'ère atomique. Bernot A.), Rev. techn. ind. aliment., 1957, 5, № 47, 126—130, 133—135 (франц.)

Освещены вопросы выбора упаковки в зависимости от свойств продуктов и условий их транспортирования и хранения. Описаны свойства упаковочных материалов: дерева, картона, бумаги, искусств. пленок, комбинации бумаги и картона с пленками и типы упаковок из названных материалов.

**59217. Применение картона и бумаги для производства упаковок.** Даниэльс (Papier und Karton erobern sich neue Gebiete auf dem Verpackungssektor. Daniels W.), Fette, Seifen, Anstrichmittel, 1958, 60, № 2, 122—123 (нем.)

Бумажную тару для молока в США применяют с 1929 г. В 1953 г. в нее упаковывали 50% молока, а в больших городах 70—80%. В ФРГ так называемую бумажную парафинированную тару применяют с 20 гг. для расфасовки молочных продуктов и сиропов, и только в последние годы для упаковки молока. В настоящее время предложена так называемая перфаноупаковка (бумага, покрытая искусств. пленкой) для продажи в расфасованном виде растительных масел, маринадов, мармелада, плодовых соков и мясopодуков. Пакеты разового употребления делают из бумаги, комбинации с пленками. Из гофрированного картона, выстланного пленкой, делают ведра.

**59218. Применение парафина и микрокристаллического воска при упаковке пищевых продуктов.** Куртад (Les paraffines et les cires microcristallines au service de l'emballage. Courtade Michel), Rev. techn. ind. aliment., 1957, 5, № 47, 137, 139 (франц.)

Парафин и воск (получаемые при перегонке тяжелых фракций нефти) обладают жиростойкостью, газонепроницаемостью, стерильностью, отсутствием

акуса, благодаря этому они широко используются при упаковке пищевых продуктов. Ими покрывают загерметизированную бумагу или картон для изготовления коробок, в горячий парафин (воск) погружают пищевые продукты, чтобы получить защитную оболочку (цитрусовые плоды, некоторые сорта колбас).

**59219. Хранение замороженных пищевых продуктов в холодильниках торговой сети.** Сайкс (The storage of frozen foods in display cabinets. Sykes S. M.), Food Preserv. Quart., 1957, 17, № 2, 22—25 (англ.)

На основе приводимых выводов научных исследований и производственной практики даются практические советы по контролю т-ры и содержанию холодильников в магазинах розничной торговли и, в частности, в магазинах самообслуживания.

**59220 К. Органолептический анализ пищевых продуктов.** Качественная и количественная оценка. Тилгнер (Analiza organoleptyczna żywności. Zagę jakościowej i ilościowej analizy sensorycznej. Tilgner Damazy Jerzy. Warszawa, Wydawn. Prgm. Lekkiego i Spożywc., 1957, 364 s., il., 60 zł. (польск.))

**59221 К. Фруктовые соки.** Семокас П. (Vaisiu sultys. Semokas P. Vilnius, Valst. polit. ir moksl. lit. leidukla, 1957, 252 psl., il., rb. 5,50) (лит.)

**59222 П. Аппарат для пастеризации или стерилизации жидкостей** (Appareil pour la pasteurisation ou la stérilisation des liquides) [Soc. pour le Traitement par l'Electricité des Produits Alimentaires (S. T. E. P. A.)]. Франц. пат. 1434583, 15.04.57

Патентуется конструкция аппарата для пастеризации или стерилизации различных жидкостей, а также напитков (плодовых соков, пива, вина, молока). Аппарат состоит из двух металлич. баков, разделенных горизонтальной стенкой. Верхний бак снабжен змеевиком, собранным из пучка трубок из нержавеющей стали, вложенных концами в массивные боковины с каналами для перехода жидкости из одной трубы в другую. Нижний бак вмещает пучок труб рекуператора для подогрева входящей жидкости и змеевик для охлаждения обработанных выходящих жидкостей, змеевик, составлен из отдельных труб с рубашкой для охлаждения выходящей жидкости. На каждую трубку для обогрева слабо насажена трубка из более дешевого металла, покрытая изоляцией и электросопротивлением, служащим источником тепла, сверху прикрытая плотной муфтой изолирующего материала, отражающего тепло внутрь. Аппарат снабжен контактными манометром, автоматически выключающим электрообогрев при изменении давления (при засорении трубок), и контактными термометром для регулирования т-ры. Для пастеризации включается электрообогрев, рассчитанный на нагрев жидкостей до  $85 \pm 1^\circ$ . Для стерилизации включается дополнительное сопротивление, что в сумме дает  $140 \pm 1^\circ$ . Для создания циркуляции имеется насос, создающий давление жидкости 1,5—2 атм.

**59223 П. Метод приготовления предварительно обжаренных вздутых зерен обжаренного риса.** Кестер Феррел (Method of preparing pre-cooked puffed brown rice cereal. Kester Ernest B., Ferrel Robert E.) [United States of America as represented by the Secretary of Agriculture]. Пат. США 2785074, 12.03.57

Обжаренный рис вымачивают в воде при 20—40% до влажности 25—35%. Набухшие зерна варят на пару под давлением (напр.,  $1,05 \text{ кг/см}^2$  в течение 15 мин.), подсушивают, не изменяя формы зерен, при 35—100% до 8—14%-ной влажности, затем обрабатывают их турбулентным воздухом, нагретым до 250—300° со скоростью

достаточной для удержания во взвешенном состоянии. Обработка нагретым воздухом продолжается до вздутия зерен в 2—4 раза (по сравнению с начальным объемом) и приобретения ими золотисто-коричневого цвета и орехового привкуса. А. Емельянов

59224 П. Способ хранения скоропортящихся продуктов растительного происхождения. М а й о р (Procédé de conservation de matières périssables, notamment de matières végétales. Mayor Jean) [Matériaux Soc. An.] Швейц. пат. 320289, 15.05.57

Патентуется способ хранения в свежем виде скоропортящихся плодов или цветов в закрытой камере при  $t$ -ре несколько выше  $0^\circ$ . В камере рециркулирует воздух, содержащий какие-либо фунгициды (Ф) или смесь разных Ф; воздух последовательно проходит над находящимися в камере плодами или цветами, через активированный уголь, где из него удаляются Ф, через влажный мох, поглощающий в-ва, ускоряющие созревание плодов; после этого воздух вновь насыщается Ф или смесью Ф и опять поступает в камеру. Пример. Воздух при  $t$ -ре  $4^\circ$  протоняется через камеру, наполненную цветами или плодами. Каждый час тоном  $\text{CO}_2$  в воздухе расширяется несколько мл 0,5% р-ра бромуксусного эфира 2-метил-5-изопропил-1-окс-4-бензойной к-ты. Затем Ф удаляется из воздуха активированным углем, и воздух приходит в соответствие с влажным мохом. Не допускается содержание в воздухе  $\text{CO}_2 > 30\%$ . В качестве Ф применяют: четвертичные аммонийные основания; эфиры  $\alpha$ -галопроизводных к-т жирного ряда. В качестве спирта в состав эфира могут входить спирты жирного ряда, ароматич. спирты и фенолы. Указанные ароматич. соединения могут содержать один или два ариловых или алкиловых радикала, или оба радикала одновременно, ароматич. кольцо может содержать карбоксильный или гидроксильный остаток. Спирты жирного ряда, образующие эфир, могут содержать карбоксильную, спиртовую, фенольную и аминогруппу. В качестве Ф применяют антиокислители, хлор,  $\text{SO}_2$ ,  $\text{CO}_2$ . Т. Сабурова

59225 П. Производство замороженного продукта из ананасов. Фелтон (Frozen pineapple product. Felton George E.) [Hawaiian Pineapple Co. Ltd.] Пат. США 2785076, 12.03.57

Патентуется способ торможения развития постороннего привкуса в замороженных ананасах, соках и других продуктах из них, обусловленного присутствием Fe. Достаточно  $\leq 5 \text{ } \mu\text{g Fe}^{3+}$ , попадающего в продукт из ананасов при его произ-ве или хранении, для быстрого ухудшения его вкуса и запаха. Этот процесс тормозится добавлением к продукту из ананасов перед его замораживанием от 3—5 до 25—50  $\mu\text{g Sn}$  в виде  $\text{SnCl}_2$  или  $\text{SnSO}_4$ . Применение одной из этих солей или их смеси или продуцирующих их в-в желательно при всех видах тары и особенно в случае применения упаковки из целлофана или полиэтилена, так как в этом случае воздух, диффундирующий через упаковку, вызывает быстрое изменение вкусовых свойств продукта, обусловленное окислением. Г. Новоселова

59226 П. Способ сушки яблок, груш и других плодов. Вертнер (Method of preparing dried apples, pears, etc. Vertner Ralph B.) [Ross Packing Co.] Пат. США 2768900, 30.10.56

Подготовленные яблоки или груши перед сушкой режут ( $6,3 \times 6,3 \text{ мм}$ ,  $9,5 \times 9,5 \text{ мм}$  или  $12,7 \times 12,7 \text{ мм}$ ), что ускоряет сушку при  $66^\circ$  и облегчает последующее набухание сухофруктов в воде. Пример. Яблоки однородной степени зрелости моют, очищают от кожицы, удаляют сердцевину, режут ( $6,3 \times 6,3 \text{ мм}$ ), опускают в р-ром  $\text{Na}_2\text{SO}_3$ , сушат при  $66^\circ$  до влажности 17—18%. Высушенные яблоки выдерживают в бункерах из нержавеющей стали в течение 24—48 час. для

выравнивания влажности. Затем на ситах с отверстиями  $1,6 \text{ мм}$  сухие яблоки моют под душем для удаления избытка  $\text{Na}_2\text{SO}_3$  и повышения влажности до 22,5—23,5%. Готовый продукт упаковывают в стандартные ящики по 11,25 или 22,5 кг. 1 кг готового продукта содержит 8700—8900 однородных кусочков яблок, равномерно набухающих в воде за 8 час. и используемых для приготовления начинок или для других целей. Т. Сабурова

59227 П. Производство нового пищевого продукта (Nouveau produit alimentaire) [Marcel-Jean-Yves Daoudal] Франц. пат. 1133667, 1.04.57

Патентуется произ-во овощных консервов из моркови в томатном соусе или таких же консервов с добавлением мяса или рыбы. В рецептуру консервов входят: морковь, нарезанная кубиками или ломтиками; лук (1—80%); томаты свежие, нарезанные кусочками (1—80%), или томатный соус; растительное масло, напр., арахидное или оливковое (1—15%), или твердые жиры, последние добавляют в меньшем кол-ве; соль; черный или красный перец; немного уксуса и других пряностей. Допускается добавление других овощей, напр. овощного перца в кол-ве 1—15% от кол-ва моркови. Нарезанные овощи пассируют в масле, добавляют пряности, укладывают в металл. или стеклянные банки с добавлением или без добавления мяса, рыбы, омаров или крабов, и консервируют обычным способом. Полученный продукт употребляют в холодном или горячем виде, как самостоятельное блюдо, или в виде приправы. Т. Сабурова

59228 П. Аппарат для очистки плодов и овощей. Килберн, Хикки (Apparatus for peeling fruit and vegetables. Kilburn Robert W., Hickey Frank D.) [Food Machinery and Chemical Corp.] Пат. США 2781070, 12.02.57

Патентуется конструкция аппарата для очистки плодов и овощей перед консервированием, состоящего из двух ванн (для р-ра щелочи и холодной воды), изолированного шнека для обработки продукции паром и транспортеров для загрузки и выгрузки. В первой ванне плоды обрабатываются 1—5 сек. 10%-ным водн. р-ром  $\text{NaOH}$  с  $t$ -рой  $0^\circ$ — $49^\circ$  (предпочтительно  $27^\circ$ ), а затем ковшевым транспортером и вертушкой с клапанами передаются в герметически закрытый шнек для обработки паром под давл. 2,7 атм в течение 6 сек., или при давл. 1,8 атм 10 сек. Затем плоды перемещаются в открытую ванну с холодной водой, где расплываемой водой смывается размятченная кожица. Очищ. плоды конвейером подаются на переработку. Овощи с более грубой кожей обрабатывают в первой ванне 30%-ным р-ром каустика 1—5 сек. и паром 3,5 атм в течение 8 сек. Т-ра р-ра и порядок обработки те же. Пример. Томаты на 1—5 сек. погружают в р-р, содержащий (в кг) воды 200,  $\text{NaOH}$  100, кукурузного крахмала 1,5, смачивающего агента (напр.,  $\text{Na}$ -соли высших алкилсульфатов) 1,5. При приготовлении р-ра крахмал смешивают с водой, добавляют 25 кг  $\text{NaOH}$ . После клейстеризации прибавляют остальное кол-во  $\text{NaOH}$  и смачивающее в-во. Т-ра р-ра  $0^\circ$ — $49^\circ$ . Из щел. ванны томаты передаются в изолированный шнек для обработки паром 3,5 атм  $\sim 8$  сек., а затем системой форсунок промываются холодной водой во второй ванне. М. Серебряков

59229 П. Процесс обработки и консервирования напитка. Стюарт (Process of treating and canning a beverage. Stewart Leonard Daniel) [North American Milk Industries, Inc.] Пат. США 2761780, 4.09.56

Для приготовления и консервирования молочно-фруктового напитка с цельному гомогенизированному при  $57^\circ$  и 175 атм молоку добавляют джем из фиников до получения продукта маслообразной консистенции



(29 кг на 378 л), перемешивают; смесь фильтруют, добавляют 28 г желатин, нагревают до 55°, гомогенизируют при 35 атм, охлаждают до 38°, добавляют аскорбиновую к-ту, витамины А, В и D и деаэрируют в вакууме при 700 мм рт. ст. Затем жидкость нагревают до 90°, разливают в предварительно стерилизованную тару, укупоривают, выдерживают ~3 мин. при 90° и ~30 сек. при 138°, затем охлаждают до ~1°.

Г. Титов  
59230 П. Способ обработки мясных и рыбных товаров. Шмидт, Зухан (Verfahren zur Behandlung von Fleisch- und Fischwaren. Schmidt Ottmar, Suchan Heinrich) [Chemische Werke Albert]. Пат. ФРГ 966256, 18.07.57

Для ускорения процесса посола мяса, созревания сельди и придания продуктам большей нежности и аромата добавляют в соль или рассол смесь солей Са, Mg, Fe, Mn, Zn или Со в кол-ве 0,5% к весу соли или 5—10% смеси, состоящей из 90—95% мочевины и 10—5% указанных солей.

С. Елманов  
59231 П. Способ производства заменителя мяса. Дадман (Method of making high-protein food products. Dudman Ruth K.) [Swift & Co.]. Пат. США 2785069, 12.03.57

Пучки волокон пищевого белка выдерживают при  $\geq 38^\circ$  до расплавления (от 5 мин. до 2 час.). Пример. Волокна казеина промывают до pH 5,2 и содержания 3% соли и отжимают для удаления излишней влаги. 1 кг волокон формуют в виде пучков диам. 25 мм, укладывают в открытую форму и выдерживают при 85° 1 час или при 115° 30 мин.

Г. Н.  
59232 П. Сатурация экстракта растворимого кофе. Чейс, Лорсен (Carbonation of coffee extract. Chase Fletcher A., Laursen George E.) [American Home Products Corp.]. Пат. США 2771364, 20.11.56

Для быстрой (моментальной) заварки растворимого кофе необходимо, чтобы частицы высушенного экстракта обладали наибольшим уд. объемом. Для увеличения уд. объема водн. экстракт кофе, полученный путем перколяции, сгущают до содержания 40—56% растворимых в-в кофе и насыщают CO<sub>2</sub> в сатураторе под давл. 1,05—10,5 атм при 40—65°. Из сатуратора жидкость перекачивают под высоким давлением в сушилку распылительного типа. Давление внутри жидкости 56—70 атм, т-ра воздуха 260°, т-ра внешнего воздуха 140°. Расход воздуха зависит от размеров сушилки и объема подаваемой жидкости. Оптимальными условиями являются расход воздуха 198 м<sup>3</sup>/мин на 453 кг жидкости в 1 час (содержащей 50% сухих в-в) в камере на 140 м<sup>3</sup>. Приведена технологич. схема сатурации экстракта кофе.

В. Гурни  
59233 П. Способ получения сухого экстракта кофе для ароматизации кофейных напитков. Эпштейн (Method of producing a coffee extract. Epstein Albert A.) [Violet de Beck Epstein]. Пат. США 2783449, 26.02.57

Обжаренные и тонкоразмолотые зерна кофе экстрагируют при 15—18° непродолжительное время водой, насыщенной CO<sub>2</sub>. Экстракт отделяют при низкой т-ре на высокоскоростных центрифугах от твердого остатка, концентрируют и сушат. Для обработки воды применяют сухой лед в кол-ве 9,9 г в 3,3 л воды на 1 кг молотого кофе, который охлаждает воду, снижает pH и вытесняет воздух, содержащийся в воде, в порах массы кофе и над поверхностью смеси кофе с водой. Присутствие CO<sub>2</sub> ускоряет растворение экстрактивных в-в и предотвращает окислительное расщепление ароматич. и вкусовых в-в кофе. Описанные условия получения экстракта предупреждают декстринизацию и карамелизацию, что снижает гигроскопичность готового продукта и сохраняет натуральность вкуса и аромата.

В. Гурни  
59234 П. Способ получения препаратов пряностей. Ансел (Spice substance and method of preparing same. Ansel Harry R.) [Wm. J. Stange Co.]. Пат. США 2772977, 4.12.56

Пряности с высоким содержанием эфирного масла (мускатный орех, сушеная оболочка мускатного ореха, гвоздика) грубо размалывают в молотковой мельнице и просеивают сквозь крупное сито (20 меш.). Размолотые пряности смешивают с тонко измельченными пищевыми волокнистыми материалами — отходами переработки зерна (овса или кукурузы), пшеничными отрубями или соевой мукой, добавляя последние в кол-ве 25% от веса взятой пряности. Смесь трижды пропускают через 3-вальцовую мельницу для тонкого измельчения (диам. частиц < 100 м). Полученную полусухую, почти порошкообразную массу направляют без спец. упаковки в торговую сеть. Пример. 4,5 кг мускатного ореха или 4,5 кг сушеной оболочки мускатного ореха, или 4,5 кг гвоздики измельчают в молотковой мельнице и просеивают через крупное сито. Грубо размолотые пряности смешивают с 1,1 кг пшеничных отрубей. Смесь трижды пропускают через охлаждаемую водой трехвалку. Полученную полусухую, почти порошкообразную массу направляют без спец. упаковки в торговую сеть. 3,3 кг смеси сообщают пищевым продуктам ту же остроту, что 4,5 кг натуральных пряностей, грубо размолотых и пропущенных через крупное сито (20 меш.).

В. Гурни  
См. также: раздел Техническая биохимия (выпуск Биологическая химия) и рефераты: Мукомольная пром-сть Пскова в XVI в. 56314. Определение аминокислот N в растениях 21614Бх. Идентификация пептинов овощей 21616Бх. Дифенил и тиомочевина на апельсинах 58528. Молочная пром-сть Сибири в 40 лет 56319. Влияние тепловой обработки на питательность молока и молочных продуктов 22597Бх. Изменения аминокислот при созревании мяса 21661Бх. Азотистые компоненты мяса 22599Бх. Гигиенич. оценка тепловой обработки рыбных изделий по ферментной р-ции 22596Бх

## ХИМИЧЕСКАЯ ТЕХНОЛОГИЯ. ХИМИЧЕСКИЕ ПРОДУКТЫ И ИХ ПРИМЕНЕНИЕ

### (Часть 4)

#### СИНТЕТИЧЕСКИЕ ПОЛИМЕРЫ, ПЛАСТМАССЫ

Редакторы А. А. Жданов, Н. С. Левкина

59235. Пластмассы — их история и будущее. Захлебен (Kunststoffe — ihre Geschichte und ihre Zukunft. Sachtleben Rudolf), Kosmos (BRD), 1957, 53, № 12, 613—618 (нем.)  
Обзор.

В. Г.

59236. Прогресс в области пластмасс. Бест (Progress in plastics. Best M. J. Hall), Australas. Manufacturer, 1956, 40, № 2087, 52, 54, 66; Austral. Plastics, 1956, 12, № 129, 33, 35, 37 (англ.)  
Обзор. Достижения пром-сти пластмасс Австралии в произ-ве фенопластов, алкидных пресематериалов, виниловых смол.

Л. П.  
59237. Перспективы промышленности пластмасс Дании. Нюборг (Vestjyllands fremtid. Nyborg Preben), Plastic, 1958, 8, № 1, 2—5 (датск.)

59238. Синтетические смолы. Сакурада Итиро, Сайон-но кагаку то соно оё, 1957, № 9, 175—192 (японск.)

Обзор. Библ. 33 назв.

М. С.

59239. Современные способы получения высокомолекулярных веществ. Имоту Минору, Katakuru Kote, Chem. Ind. (Japan), 1957, 8, № 12, 1095—1100 (японск.)

Обзор. Библ. 23 назв.

М. С.

59240. Применение пластмасс в машиностроении. Хопф (Kunststoffe im Maschinenbau. Hopff H.), Techn. Rundschau, 1958, 50, № 3, 9—10 (нем.)

59241. Пластмассы в химическом аппаратостроении. Пунге (Kunststoffe im chemischen Apparatebau. Pungs W.), Kunststoff-Rundschau, 1957, 4, № 10, 433—438 (нем.)

Наибольшее применение в хим. аппаратостроении имеют термoplastы (непластифицированный поливинилхлорид, пластифицированный поливинилхлорид, полиэтилен низкого и высокого давления, полиизобутилен, политетрафторэтилен, политрифторхлорэтилен). Эти материалы обладают кислото- и щелочестойкостью, хорошими диэлектрич. и механич. свойствами, малым уд. весом, газонепроницаемостью, легко формуются при нагревании в изделия различной формы, могут свариваться, легко поддаются механич. обработке. Из непластифицированного поливинилхлорида и полиэтилена низкого давления изготавливают детали несущих конструкций для работы в агрессивных средах (колонны, абсорбционные башни, вентиляционные системы, барабанные фильтры, емкости, оборудование для проявления фотоматериалов, гальванич. ванны). Полиэтилен высокого давления и полиизобутилен применяют для изготовления гибких шлангов, трубопроводов, пленки для футеровки реакторов и внутренней поверхности металлич. труб. Нанесение этих материалов на поверхность металла производят огнемным напылением или наплавлением. Термоактивные пластмассы (фенольные, кремнийорганич.) применяют как антикоррозионные покрытия для работы при высоких т-рах, тогда как рабочие т-ры для термопластов не превышают 60—80°.

В. Гельперина

59242. Применение пластмасс для изготовления штампов. Аракава, Масинари, Machinery (Japan), 1956, 19, № 7, 638—642 (японск.)

Обзор. Применение пластмасс для изготовления инструментов. Рассмотрено изготовление штампов из литых фенолформальдегидных и эпоксидных смол, этилцеллюлозы и полиэфирных стеклопластиков. Библ. 6 назв.

В. Иоффе

59243. Неорганические полимеры. Бридсон (Inorganic polymers. Brydson J. A.), Plastics, 1957, 22, № 240, 384—385 (англ.)

Обзор. Библ. 29 назв.

В. Г.

59244. Механические испытания деградации материалов без разрушения образцов. Часть I. Исследование деградации. Дойл. Часть II. Метод испытания. Дакуолд (Non-destructive mechanical test for degradation. Part I. Degradation study. Doyle C. D. Part II. Method of test. Duckwald C. S.), Mod. Plastics, 1956, 33, № 7, 143, 144, 146, 148, 153, 154 (англ.)

I. Деградацию механич. свойств слоистого пластика исследуют испытанием небольшого числа консолюно закрепленных образцов на вибрацию при различных т-рах с установлением их резонансной частоты и логарифмич. декремента затухания. Резонансная частота изменяется при изменении размеров, жесткости и плотности образца при старении. Логарифмич. декремент затухания является мерой демпфирующей способности. По кривым этих двух параметров можно

судить о механич. целостности и изменении свойств пластиков при старении.

II. Описаны метод испытания, форма образцов, магнитная система для сообщения образцам вибраций, система записи амплитуды вибраций, схема замера частоты вибраций, схема испытательной установки; приведена ф-ла резонансной частоты:  $f = 0,16 \frac{dl^{-2}}{(Egq^{-1})^{1/2}}$ , где  $d$  — толщина образца в см,  $l$  — эффективная длина консолюной части образца в см,  $E$  — модуль продольной упругости в кг/см<sup>2</sup>,  $g$  — ускорение силы тяжести в см/сек<sup>2</sup>,  $q$  — уд. вес в кг/см<sup>3</sup>; дан способ подсчета логарифмич. декремента затухания.

Е. Хургин

59245. Диэлектрическое поглощение в качестве средства исследования структуры пластиков. Бенуа (L'absorption diélectrique moyen d'étude de la texture des plastiques. Benoit H.), Ind. plast. mod., 1956, 8, № 7, 34—38 (франц.)

Изложены теории диэлектрич. поглощения Дебая и Эйринга и приведены результаты исследований диэлектрич. свойств твердых полимеров и их р-ров.

Е. Хургин

59246. О горючести пластмассовых пленок. Тиниус (Über die Brennbarkeit von Plast-Folien. Thinius K.), Plaste und Kautschuk, 1957, 4, № 10, 367—374 (нем.)

Проведено эксперим. сравнение существующих стандартных методов определения горючести пленок, дана оценка горючести и влияющих на нее факторов для пленок из производных целлюлозы, пластифицированного поливинилхлорида, полиэтилена, полиамидов.

В. Гельперина

59247. Метод определения литьевых свойств пластмасс. Семейн (A new measure of plastic moldability. Semeyn B.), S. P. E. Journal, 1956, 12, № 5, 15—17, discuss. 17 (англ.)

Определение пригодности пластмасс для литья под давлением проводят на спец. форме, дающей образец в виде плоского круга толщиной 1,8 мм с литником в центре круга. Отливка составляет по весу половину мощности литьевой машины. Испытание состоит из двух серий опытов: 1. На основе ряда пробных отливок составляют диаграмму зависимости между давлением и т-рой формования опытного образца для данного материала при постоянных прочих условиях литья. Диаграмма ограничена линиями незаполнения формы и прилипания отливки к форме или тратообразования. Площадь между этими кривыми составляет область формования, в пределах которой при любой комбинации т-ры и давления возможно литье опытной детали. Для сравнения диаграмм формования выбирают идеальную точку, которой соответствуют миним. давление и т-ра. Число площади формования определяют как сумму моментов частей диаграммы путем разбивки ее на трапеции. Координату центра каждой трапеции устанавливают от идеальной точки. 2. Определяют миним. продолжительность цикла для получения удовлетворительных образцов. За число формовости принимают частное от деления числа площади формования на продолжительность миним. цикла.

В. Гринблат

59248. Исследование явления удара на примере люкофлекса. Лезавр (Étude du phénomène de choc. Cas particulier du Lucoflex. Lesavre Jean), Ind. plast. mod., 1956, 8, № 7, 41—44; № 8, 51—56 (франц.)

Приведены результаты испытания механич. прочности жесткого поливинилхлоридного пластика (люкофлекса) на копке Шарпи при т-рах —16°, 0°, +15°, +25° и +40°. Показано влияние расстояния между опорами на величину уд. ударной вязкости люкофлекса при указанных т-рах. Показано, что данные испытаний



на копке Шарпи хорошо согласуются с данными испытаний по Изоду.

Л. Песин

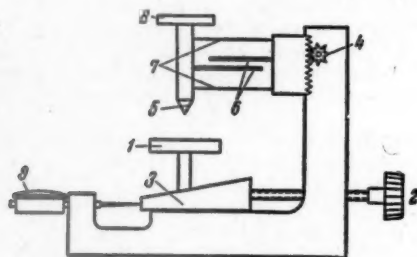
**59249.** Некоторые соображения о зависимости между углом наклона экспонируемой поверхности образцов и получаемой ими солнечной энергией при испытании на погодостойкость. Минэмацу (Minesmatsu Yoichi), Тодзю гёму кэнкю сирё, J. Railway Engng. Res., 1956, 13, № 11, 46—23 (японск.; рез. англ.)

Показано, что максим. кол-во солнечной энергии получают экспонируемые образцы, расположенные под углом  $30^\circ$  в горизонту ( $306 \text{ ккал/см}^2$  в год при коэф. поглощения, равном 1).

Л. Песин

**59250.** Измерение степени отверждения полиэфирных смол микроиндентификатором Уоллеса. Беннетт, Хейс (Measurement of the degree of cure of polyester resins by the Wallace Micro Indentation Tester. Bennett F. N. B., Hayes R.), Pract. Plastics, 1957, 8, № 4, 15—17, 27 (англ.)

Фирма H. W. Wallace and Co. выпустила прибор для измерения твердости пластичных материалов. Прибор позволяет определять малые изменения твердости. Испытуемый образец кладут на тарелку 1, которая может передвигаться в вертикальном направлении при помощи винта 2 и клина 3. Кремальерой 4 на образце



опускают щуп 5 до соприкосновения, что определяют при помощи емкостного датчика 6. Щуп подвешен на пружинах 7, что обеспечивает отсутствие влияния трения. Щуп снабжен тарелкой 8, на которую кладут груз, определяющий давление щупа на образец. После того, как щуп под действием груза опустится, смятая поверхность образца, винтом 2 поднимают образец настолько, чтобы щуп занял прежнее положение, что опять определяют емкостным датчиком. После этого перемещение образца отсчитывают по шкале индикатора 9. Применяя индикатор с ценой деления  $0,0025 \text{ мм}$  и передаточное число клина 1:10, получают точность отсчета в  $0,00025 \text{ мм}$ . Изменения емкости датчика определяют при помощи электронного усилителя методом биений. Приведены результаты измерения твердости смол без наполнителя и с наполнением стекловолокном и стеклотканью. И. Ихлов

**59251.** Об изменении смачиваемости органических полимеров в контакте с водой. Кавасаки, Дэнки сикэнсе ихо, 1955, 19, № 12, 904—912 (японск.; рез. англ.)

На смачиваемость органич. полимеров в контакте с водой влияют поглощение воды и изменения ориентации. Смачиваемость определяют по ф-ле:  $(W - W_0) / (W_s - W_0) = 4(kt)^{0.5} / \pi^{0.5} d$ , где  $W$  — поверхностное натяжение воды,  $\theta$  — контактный угол,  $k$  — коэф. диффузии молекул воды,  $d$  — толщина образца,  $t$  — время,  $W_0$  и  $W_s$  — значения  $W$  при  $t = 0$  и  $t \rightarrow \infty$ .

Л. Песин

**59252.** Измерение активности винилацетата. Кучера (Měření aktivitu vinylacetátu. Kučera Milo-

slav), Chem. průmysl, 1956, 6, № 4, 149—152 (чешск.; рез. русск., англ.)

Описан dilatометрич. метод и прибор для оценки ктивности винилацетата (I) по абс. величине контракции. В dilatометр заливают 20 мл смеси 20 г I, 0,02 г перекиси бензоила и 4 г криоскопич. бензола, помещают его в баню, нагретую до  $71,5 \pm 0,4^\circ$  и измеряют контракцию в мл через 60 мин. после начального отсчета, производимого после 5 мин. выдержки в бане. Установлено, что образцы технич. I одинакового состава нередко отличаются по своей активности на 20%; минимально допустимая активность I должна быть 0,6 мл (соответствует конверсии в 16,8%). Показано, что при хранении I в присутствии воздуха активность его возрастает даже в темноте и при низких  $t$ -рах (так за 15 суток выдержки образца I при  $-20^\circ$  активность его возросла с 0,72 до 0,98 мл). Определение активности I предложено в качестве дополнительного метода контроля (наряду с хим. анализом) качества мономера.

Л. Песин

**59253.** Полиэтилен Циглера. Борроус, Лелвелд (Ziegler polyethylene. Borrows E. T., Lelyveld Ir. E.), Plastics Inst. Trans. and J., 1957, 25, № 62, 325—345. Discuss., 346—347 (англ.)

Обзор. Приведены данные об объеме произ-ва полиэтилена в США и Англии в 1950—1956 гг. и 1960 г. (предположительно). Дано сравнение свойств полиэтиленов высокой и низкой плотности, указаны методы переработки и области применения. Библ. 9 назв. Дискуссия.

В. Гельперина

**59254.** Свойства и применение полиэтилена низкого давления. Кленк, Грамс (Properties and applications of low-pressure polyethylene. Klencck Jürgen von, Grams Erhard), Plastics Inst. Trans. and J., 1957, 25, № 62, 250—265. Discuss., 265—266 (англ.)

Фирма Farbwerke Hoechst A. G. производит полиэтилен низкого давления по способу Циглера, а также различные изделия из него (листовой материал, трубы, пленку, емкости различной формы и размеров). Материал обладает повышенной плотностью и жесткостью, большей устойчивостью к к-там и щелочам, ароматич. и галогенированным углеводородам, по сравнению с полиэтиленом высокого давления, и хорошо перерабатывается в изделия литьем под давлением и прессованием, а также спеканием. Применяется для изготовления хим. аппаратуры, трубопроводов, как электроизоляция и упаковочный материал. Дискуссия.

В. Гельперина

**59255.** Реакции этилена при высоких давлениях. Получение полиэтилена по методам компании Империл Кемикл Индастриз и Циглера. Теломеризация. Асахара, Такаги, Сэйсан кюнкю 1956, 8, № 7, 10—14 (японск.)

Обзор работ по полимеризации этилена при высоком (1000—2000 атм) и низком давлении и по теломеризации. Библ. 8 назв.

В. Иоффе

**59256.** Листовой материал из полиэтилена низкого давления. Майяро (Low pressure polythene sheet. Majaro S.), Plastics, 1957, 22, № 242, 436—438 (англ.)

Фирма Iridon Ltd производит листовый полиэтилен низкого давления (иридон L. P. 1300) и различные изделия из него спеканием при  $200^\circ$  и вакуумным формованием. Материал может применяться для изготовления хим. аппаратуры, труб, контейнеров, посуды, санитарно-технич. оборудования, напесов и т. д.

В. Гельперина

**59257.** Бутыли, баллоны, бочки и другие сосуды из полиэтилена. Андре (Großflaschen und Ballons sowie Fässer und andere Emballagen aus Kunststoff

(Polyäthylen). Andree K.), Österr. Plastic Rundschau, 1957, 8, № 4, 177—178 (нем.)

Прочные, легкие, некорродирующие при действии разл. к-т и щелочей бутылки и баллоны различной формы, емк. до 60 л для хранения и транспортировки жидкостей могут быть изготовлены из полиэтилена.

В. Гельперина

59258. Мастикация поливинилхлорида. Оцу, Исимото, Имото (Otsu Takayuki, Ishimoto Kayoko, Imoto Minoru), Korë kaaku daassi, J. Chem. Soc. Japan. Industr. Chem. Sec., 1956, 59, № 6, 938—940 (японск.)

Вязкость  $[\eta]$  поливинилхлорида со степенью полимеризации  $n = 800$ —2000 при мастикации на вальцах при 160° и 185° сначала уменьшалась, а затем возрастала, что связано с деструкцией основных цепей полимера, с одной стороны, и с возникновением поперечных связей между ними, с другой стороны. Результаты исследований выражены графически.

В. Иоффе

59259. Поливинилхлоридные пасты — теория и практика. Часть I. Рецелтура паст. Часть II. Шпиритование, каландрование, вепенивание. Часть III. Получение порошковых и полых изделий. Уэллинг (P. V. C. pastes — theory and practice. Part I. Paste formulation. Part II. Coating, embossing, open-cell foaming. Part III. Closed cell foaming, dipping, slush moulding. Welling M. S.), Plastics, 1956, 21, № 225, 121—124; № 226, 161—163; № 227, 194—197 (англ.)

I. Рецелтура паст и характеристика их компонентов: поливинилхлорида, пластификаторов, красителей, стабилизаторов, наполнителей. Технология приготовления и применения паст.

II. Методы покрытия тканей пастами и нанесения тиснения на покрытия; методы получения из паст пенопластов с открытыми порами.

III. Методы получения из паст порошковых с закрытыми порами. Получение изделий маканием форм в пасты и ополаскиванием форм пастами изнутри.

Л. Песин

59260. Литье под давлением сухих поливинилхлоридных смесей. Балкли (Injection molding of vinyl chloride dry blends. Bulkley C. W.), S. P. E. Journal, 1956, 12, № 2, 14—16, 52 (англ.)

Рассмотрены преимущества для литья под давлением сухой зернистой смеси поливинилхлорида (ПВХ) со стабилизаторами, пластификаторами, наполнителями, смазкой: меньшая склонность к разложению в сравнении с гранулированным ПВХ, который уже однажды нагревался в процессе изготовления; большая текучесть; легкость окраски простым смешением с концентратами красителей и т. д. Сухая смесь требует более глубокой «проработки» в цилиндре литьевой машины. Для этого применяют спец. приспособление, регулирующее сечение сопла. Сужение сечения способствует проработке материала и приводит к повышению его т-ры на 8—22°, что позволяет иметь более низкую т-ру в материальном цилиндре.

Е. Хургин

59261. Материалы для настилки полов на основе поливинилхлорида. Видмер (Bodenbeläge auf der Basis von Polyvinylchlorid. Widmer H.), Schweiz. techn. Z., 1957, 54, № 43—44, 932—936 (нем.; рез. франц.)

Описаны получение и свойства поливинилхлорида, а также материал для настилки полов на его основе. Материал состоит из подслоя (вулканизированный каучук с пробковым наполнителем) и верхнего слоя из поливинилхлорида. Материал обладает высокой прочностью и хорошими эксплуатационными свойствами и может применяться для покрытия полов

в промышленных, торговых и жилых зданиях. Выпускается в виде рулонов и плит.

В. Гельперина

59262. Изготовление гидропластмассы. Ань Нань, Цзисе лжицао, 1958, № 1, 35—38, 47 (кит.)

Обзор. Библ. 5 назв.

Ван Мань-ся

59263. Оценка поливинилхлоридных композиций методом роста трещин. Грабал, Котик (Hodnoceni PVC směsi metodou růstu trhlin. Hrabal Zdeněk, Kotik Klement), Kožářství, 1956, 6, № 9—10, 163—166 (чешск.)

Разработан метод оценки поливинилхлоридных композиций по их растрескиванию при многократном изгибе на спец. приборе (60 об/мин). Определяют число двойных перегибов (ДП) до появления трещин на образце или до его разрушения. При испытании композиций из 2 ч. поливинилхлорида и 1 ч. пластификатора (дибутилфталат, бутилрицинолеат, палатинол F, палатинол АН, диоктиладипинат (I), диоктилсебагинат (II), трикрезилфосфат (III), диоктилфталат (IV)), образцы первых 6 композиций выдержали > 7200 ДП при 19—26°; последние 2 композиции (III и IV) растрескались (хотя выдержали испытание при 35°). Наилучшие результаты при низких т-рах получены с I (> 7200 ДП при —10° и 3600 ДП при —20°) и со II (3000 ДП при —20°); образцы с дибутилфталатом выдержали 1200 ДП при —20°; образцы с другими пластификаторами, кроме III, 600 ДП; образцы с III выдержали 600 ДП при 0° и разрушились при —5°. Повышение содержания пластификаторов и более глубокая желатинизация увеличивают морозостойкость.

Л. Песин

59264. Применение и изучение фторуглеродных полимеров в Японии. Нисюка (Development and research of fluorocarbon polymers in Japan. Nishio Ka Atsuo), Repts Electr. Commun. Lab., Nippon Telegraph and Teleph. Public. Corp., 1957, 5, № 5, 16—19 (англ.)

В Японии в кол-ве 2—3 т в месяц производят тетрафторэтилен (полифлон) и полихлортрифторэтилен (дайфлон). Создан н.-и. ин-т по синтезу и изучению фторуглеродных полимеров.

В. Гельперина

59265. Влияние многоосной вытяжки на растрескивание и другие свойства прозрачных пластмасс. Уолок, Джордж (Effects of multiaxial stretching on crazing and other properties of transparent plastics. Wolock Irvin, George Desmond), S. P. E. Journal, 1956, 12, № 12, 20—27 (англ.)

Исследована многоосная вытяжка теплостойкого полиметилметакрилата (I), модифицированного полиметилметакрилата (II) и полиметилхлоракрилата (III). Максимум степени вытяжки составляла для I и III 150%, для II 85%. При нагревании до 80—130° происходит постепенная усадка образцов, степень которой при данной т-ре растет со степенью вытяжки. Большей частью восстановление происходит в первые 2 часа нагрева. Многоосная вытяжка вызывает: уменьшение сопротивления поверхностному истиранию; незначительное увеличение прочности на растяжение и большое увеличение удлинения при разрыве; увеличение сопротивления растрескиванию при напряжении и в присутствии р-рителей. Последнее увеличивается со степенью вытяжки. Наибольшее сопротивление дает III, наименьшее — I. Отжиг (90° для I, 100° для II, 110° для III в течение 6 час.) незначительно увеличивает прочность на растяжение и значительно увеличивает сопротивление растрескиванию при действии р-рителей и напряжений, но не оказывает влияния на сопротивление истиранию.

В. Гринблат

59266. Характеристики ориентированных растягиванием в двух взаимно перпендикулярных направлениях акрилатов. Херст (Characteristics of biaxially



stretch-oriented acrylics. Hurst D. A.), S. P. E. Journal, 1956, 12, № 5, 18—27, 35 (англ.)

Растяжение листов акрилатов (полиметилметакрилат) в двух взаимно перпендикулярных направлениях производилось на машине, обеспечивающей равномерную скорость растяжения 62,5 мм/мин. Перед растяжением толстые листы материала нагревали в печи с принудительной циркуляцией воздуха. Растянутый материал пригоден для остекления самолетов. Он значительно более стоек, чем нерастянутый, к растрескиванию при действии р-рителей (изопропиловый спирт, разбавители аэироцеллюлозных лаков) и атмосферных условий. С. Шишкин

59267. Полимер будущего: поливиниловый спирт. Исследование и новые промышленные применения. Морен (Un polymère d'avenir: l'alcool polyvinylique. Étude et nouvelles applications industrielles. Maurin Aristide), Rev. gén. caoutchouc, 1956, 33, № 4, 341—346 (франц.; рез. англ., нем., исп., итал.)

Промышленность выпускает поливиниловый спирт (I) трех марок: IA — с низким содержанием ацетильных групп (0,4—1,5%) и высоким мол. весом; IB — с высоким содержанием ацетильных групп (7,5—8,5%) и высоким мол. весом; IC — с низким содержанием ацетильных групп (~1,7%) и низким мол. весом. Предел прочности при разрыве (кг/см<sup>2</sup>) и разрывное удлинение пленок IA, IB и IC соответственно 500—600, 350—400%; 400—450, 250—300%; 200—250, 250—300%. Наиболее широкое применение находит марка IA, из которой изготавливаются губки и пленки, стойкие к горючим и маслам; в последнее время марку IA используют в качестве связующего для абразивных изделий; для понижения вязкости р-ров I и улучшения их адгезионных свойств конц. р-ры I кипятят с р-ром H<sub>2</sub>O<sub>2</sub>; обработанный I успешно применяют в качестве клея для картона, дерева, кожи и др. Для повышения водостойкости пленок и волокон из I их подвергают дублению солями Cr, CH<sub>2</sub>O или смесью хлорангидридов жирных к-т с третичными основаниями, либо подвергают термич. обработке при 135—140° (при этом, однако, пленки темнеют). Л. Песин

59268. Успехи в области акрилонитриловых смол. Савамура Тэцуносука, Караку когё, Chem. Ind. (Japan), 1957, 8, № 12, 1090—1094 (японск.)

Обзор. Библ. 94 назв. М. С.

59269. Химия акриламида. Накацука, Оцу, Мацуда, Даюси како, Resin Finish. and Applic., 1957, 6, № 2, 17—24 (японск.)

Описаны синтез и свойства акриламида, его полимеризация (фотополимеризация, каталитич. полимеризация, полимеризация под влиянием  $\gamma$ -лучей и при помощи ультразвука), а также сополимеризация акриламида с акрилонитрилом или винилацетатом. Приведены свойства полиакриламида и его применение в пром-сти синтетич. волокна, для улучшения натуральных каучуков и для изготовления клеящих материалов. Ким Хван

59270. Ненасыщенные полиэфирные смолы — продукт с многообразным применением. Бернхард (Ungesättigte Polyesterharze — ein vielseitig verwendbarer Werkstoff. Bernhard Paul), Techn. Rundschau, 1957, 49, № 48, 41, 43, 45 (нем.)

Шпаклевка на основе ненасыщ. полиэфирных смол состоит из порошка и р-ра, смешиваемых перед употреблением, и отверждается на холоду. Применяется для заделки сварных швов и неровностей металлич. поверхностей (как заменитель Zn), для уплотнения стыков и т. д. Материал имеет уд. в. 1,5, прочность на разрыв 500 кг/см<sup>2</sup>, на сжатие 2000 кг/см<sup>2</sup>, устойчив к к-там, щелочам и углеводородам, хорошо поддается механич. обработке и может работать при 20—300°. В. Гельперина

59271. Производство смол со специальными свойствами. Мак-Набб (Producing resins with built-in properties. McNabb D. G.), Canad. Chem. Process., 1957, 41, № 8, 59—62, 65 (англ.)

Обзор свойств, состава, влияния функциональности на мех. свойства и теплостойкость полиэфирных смол, применяемых для изготовления пенопластов и слоистых материалов. В. Гельперина

59272. Эпоксидные смолы. Сюй Ли-бэнь, Хуасяо мицзе, 1957, № 12, 571—573 (кит.)

Обзор. Рассмотрены р-ции образования эпоксидных смол. Библ. 11 назв. Ван Мань-си

59273. Новые области применения эпоксидных смол в Европе. Мейерханс (Some new applications of epoxy resins on the continent. Meyerhans K.), Plastics Inst. Trans. and J., 1957, 25, № 62, 267—280 (англ.)

Обзор. Приведен ряд примеров использования эпоксидных смол, выпускаемых фирмой Ciba (Швейцария), в медицине, электротехнике, хим. и авиационной пром-сти, радиотехнике, телевидении, военной технике. В. Гельперина

59274. Литые эпоксидные смолы, модифицированные жидким полисульфидным полимером. Кранкер, Бреслау (Epoxy casting resins modified with polysulfide liquid polymer. Cranker Keith R., Breslau Alan J.), Industr. and Engng Chem., 1956, 48, № 1, 98—103

Из эпоксидных смол, модифицированных жидким полисульфидным полимером в присутствии аминовых катализаторов, получают отливки, обладающие в 5—10 раз большей уд. ударной вязкостью, меньшей усадкой и паропроницаемостью, а также незначительными внутренними напряжениями по сравнению с отливками из немодифицированных эпоксидных смол. Л. Песин

59275. Сшивание фенолформальдегидных новолаков. Определение динамико-механическим методом. Драм, Додж, Нилсен (Cross linking of a phenolformaldehyde novolac. Determination by dynamic mechanical measurements. Drum M. F., Dodge C. W. H., Nielsen L. E.), Industr. and Engng Chem., 1956, 48, № 1, 76—81 (англ.)

Для исследования степени сшивания фенолформальдегидных новолаков (I) гексаметилентетрамин (II) применен крутильный маятник. Степень сшивания повышается с увеличением дозировки II, т-ры и продолжительности отверждения. Полимеры, образующиеся из I с 2 и 4% II, имеют т-ры перехода ниже темп, при которых происходит сшивание. Р-ция сшивания этих полимеров не заканчивается за 1 час при 177°. Кол-во II, необходимое для полного сшивания, составляет ~10%; р-ция заканчивается за 24 часа при 150—175°. Л. Песин

59276. Химические взаимодействия в системе поливинилформаль-фенольная смола. Коэн, Каа, Лавин (Chemical interactions in the poly(vinyl formal)-phenolic resin system. Cohen Saul M., Kaas Robert E., Lavin Edward), Industr. and Engng Chem., 1958, 50, № 2, 229—232 (англ.)

Нагревание поливинилформала (I) с модельными в-вами (замещ. фенолы и бисфенолы) показало, что в отсутствие к-ты заметно лишь стабилизирующее влияние фенолов на I. В присутствии 0,2% H<sub>2</sub>PO<sub>4</sub> нагревание до 175—200° в течение 30 мин. приводит к желатинизации смолы; присутствие фенолов в этом случае также стабилизирует I. Таким образом, фенольные гидроксилы не способны к р-ции с I. Показано, что основной причиной желатинизации I является взаимодействие спирта. гидроксидов с образующимися эфирными мостиками. В присутствии фенольной смолы, содержащей метилольные группы, желатинизация про-

исходит за счет взаимодействия метилольных групп со спирт. гидроксильными I. Желатинизация в аналогичных условиях поливинилацетата и ацетилированного I свидетельствует о частичном гидролизе этих смол водой, выделяющейся при самоконденсации фенольной смолы, с последующей аффризацией образовавшихся спирт. гидроксильных. В. Пахомов

59277. О некоторых новых фенопластах, выпадающих из принятой классификации. Т ю ф ф е р и (Sur quelques phenoplastes nouveaux en marge des classifications actuelles. Tuffery R.), Usine nouvelle, 1956, 12, № 24, 91, 93 (франц.)

Во Франции выпущены спец. типы фенопластов: высокопрочные прессматериалы, модифицированные каучуком, и с применением полиамидов в качестве наполнителя, обладающие улучшенными механич. и диэлектрич. свойствами и хорошей прочностью. Л. Песин

59278. Катализ мочевиноформальдегидной конденсации. Грантфест, Янг (Catalysis of urea-formaldehyde condensation. Gruntfest I. J., Young E. M., Jr), Industr. and Engng Chem., 1956, 48, № 1, 107—109 (англ.)

Катонные к-ты (КК) — продукты частичной (на 50%) нейтр-ции сильными к-тами органич. оснований (пиридин, диметиламин, диэтиламин,  $\alpha$ -пикилин, 2,4-коллидин, 2,4-лутидин, пропаргилдиаламин, триамметилдиметиламин и др.) — эффективно катализируют при т-ре  $\sim 20^\circ$  переход мочевиноформальдегидных смол в стадию С в отсутствие или при малом содержании воды. Прочность бумаги в мокром состоянии возросла  $\sim$  в 5 раз после пропитки ее 3%-ным р-ром мочевиноформальдегидной смолы с вышеперечисленными катализаторами и последующей сушки; при значительном содержании воды КК каталитич. действия не проявляют. В разб. водн. р-рах (рН  $\sim$  4) стабильность катализированных КК смол практически такая же, как и некатализированных. Л. Песин

59279. Реакции и отверждение в меламиновых пластиках. Влияние сшивания на свойства. Уонсидлер, Андеграфф, Хант (Reaction and cure in melamine plastics. Influence of cross linking on properties. Wohnsiedler H. P., Updegraff I. H., Hunt R. H., Jr), Industr. and Engng Chem., 1956, 48, № 1, 82—85 (англ.)

Глубину поликонденсации при р-ции меламин с  $\text{CH}_2\text{O}$  можно характеризовать кол-вом молей воды, выделившейся на 1 моль меламин. При мол. соотношении  $\text{CH}_2\text{O}$ :меламин 2:1 это кол-во равно 0,78 для неотвержденной смолы, 0,99 после отверждения 2,5 мин. при  $155^\circ$ , 1,16 через 10,5 мин., 1,30 через 20,5 мин. и далее остается неизменным. На этой стадии достигается полное отверждение (0,7 метилольной группы на каждое триазинное кольцо остается непрореагировавшей) и смола приобретает максим. механич. прочность и стойкость к кипячению. Л. Песин

59280. Высокомолекулярные полиамиды. Части I, II, III. Штинер (High-molecular weight polyamides. Part I, II, and III. Stiner W.), Pract. Plastics, 1956, 7, № 8, 7—9, 30; № 9, 9, 11, 28—29; № 10, 13, 15, 28, 29, 30; Plastics, 1956, 21, № 225, 141—142; № 226, 174—175; № 227, 207—209 (англ.)

I. Новые марки поликапролактама (гриллон F 35 и R 50) обладают по сравнению с обычными более высоким (в 2—3 раза) мол. весом и в соответствии с этим более высокой вязкостью расплава (в 10—100 раз при  $250^\circ$ ). Благодаря этому, они особо пригодны для переработки выдавливанием в листы, трубы и т. д.

II. Дан температурный режим переработки высокомолекулярных полиамидов выдавливанием, и показано распределение т-р по зонам червячного пресса.

III. Приведены физ.-мех., термич. и другие свойства

высокомолекулярных полиамидов грилон F 35 и R 50 и даны примеры их применения, в частности, для выдувания бутылок.

Л. Песин  
59281. Замечания к статье Уорринера и Чини «Полиамид зайтел». Лонгстрет.— Ответ автора («Zytel» nylon resin by W. C. Warriner and O. J. Cheney, comments. Longstreth M. O.— Authors' Closure), Mech. Engng, 1957, 79, № 5, 498 (англ.)

Автор считает, что в рецензируемой статье недостаточно рассмотрен вопрос переработки смолы зайтел экструзией и вакуумным формованием. В своем ответе Уорринер сообщает, что особенно пригоден для выдавливания зайтел 42; для выдавливания сплошных стержней пригоден также зайтел 101. Ввиду узкого интервала размягчения и тенденции к окислению воздухом при т-ре плавления ( $\sim 260^\circ$ ), вакуумное формование смолы зайтел затруднительно. См. РЖХим, 1958, 55763. В. Пахомов

59282. Общие понятия о силиконах. Флао (Généralités sur les silicones. Flahaut Jean), Prod. pharmas., 1957, 12, № 10, 633—638 (франц.)

Описаны методы получения полимерных силиконов и их свойства: физ. и хим. стойкость, неядовитость, несмешиваемость со многими органич. в-вами, водонепроницаемость, устойчивость при т-ре от  $-70$  до  $+300^\circ$ , электроизоляционные свойства, пеноподавляющая способность. Указаны области применения силиконов. Е. Смольянинова

59283. Обзор применения силиконов в технике. Фойгт (Anwendungstechnische Betrachtung über Silicone. Voigt Paul), Ind.-Anz., 1957, 79, № 96, 1499—1501 (нем.)

Обзор. Описано применение кремнийорганич. соединений в качестве смазочных масел, гидравлич. жидкостей, антивспенивателей, гидрофобизирующих пропиток, смазок для прессформ, каучука, лаков, эмалей.

В. Гельперина  
59284. Силиконы в промышленности пластмасс и каучука. Ньюленд (Silicones in the plastics and rubber industries. Newland J. J.), Plastics Inst. Trans. and J., 1957, 25, № 62, 311—324. Discuss., 324 (англ.)

Обзор свойств кремнийорганич. смол и материалов на их основе (стеклотекстолит, стекловолокнит и каучук). Рассмотрена технология их изготовления, обработка стеклоткани, смазка прессформ, а также применение их для изготовления электроизоляционных и авиационных деталей. В. Гельперина

59285. Производство основных кремнийорганических продуктов. Уивер, О'Коннорс (Manufacture of basic silicone products. A staff-industry collaborative report. Weaver D. Gray, O'Connors Ralph J.), Industr. and Engng Chem., 1958, 50, № 2, 132—136 (англ.)

Недавно построенный в Лонг Риче (США) 3-д стоимостью 14 млн. долларов фирмы Union Carbide Corp. достиг проектной мощности по произ-ву кремнийорганич. соединений. Метилхлорсиланы получают из элементарного Si и  $\text{CH}_3\text{Cl}$  при  $250$ — $300^\circ$  в стальных вертикальных реакторах с рубашкой, заполненной даутермом. Для получения других органохлорсиланов проводят в аналогичных условиях р-цию между Si и HCl (газ). От продукта р-ции отделивают ректификацией  $\text{SiCl}_4$ , а смесь  $\text{H}_2\text{SiCl}_2$  и  $\text{HSiCl}_3$  заставляют реагировать в присутствии Pt или  $\text{H}_2\text{PtCl}_6$  с ненасыщ. или ароматич. углеводородами или их производными, получая алкил- и арилхлорсиланы и органохлорсиланы с функциональными группами в органич. радикале. При разделении газообразных и летучих продуктов р-ции применяют охлаждение. Холодоагентом служит  $\text{CH}_3\text{Cl}$ , дающий  $-10^\circ$  при 1 ат и  $-40^\circ$  при 0,25 ат. Ректификацию метилхлорсиланов ведут на колонках



непрерывного действия; содержание  $(\text{CH}_3)_2\text{SiCl}_2$  в основной фракции  $\geq 99,5\%$ . Хлорсиланы гидролизуют в аппаратах, футерованных стеклом;  $\text{HCl}$  (газ) поглощают 20%-ной води.  $\text{HCl}$  (к-той) в графитном абсорбере; трубы и резервуары для к-ты футерованы стеклом. Продукты гидролиза конденсируют в масла, каучук и смолы, на основе которых изготовляют электроизоляционные лаки, гидрофобизирующие составы, смазки и резины, составляющие продукцию 3-да, наряду с мономерными в-вами, применяемыми для аширетирования стеклоткани. В. Пахомов

**59286. Влияние стекловолокна на отверждение кремнийорганических смол.** Кларк, Гофман (Effect of glass fibers on cure of silicone resins. Clark H. A., Hoffman K. R.), Industr. and Engng Chem., 1956, 48, № 1, 104—106 (англ.)

Часть остаточных  $\text{OH}$ -групп кремнийорганич. смол носит кислотный характер; кол-во кислотных  $\text{OH}$ -групп зависит от условий гидролиза: в р-рителе — эфире и при охлажд. смеси льда с водой получают кислотные числа  $\sim 5$ , в толуоле при нормальной т-ре  $\sim 1$ , а при обработке  $\text{CaCO}_3$  в течение 8 час. могут быть снижены до 0,06. Наличие кислотности существенно замедляет отверждение смол; в произ-ве стеклотекстолита на основе кремнийорганич. смол причиной замедленного отверждения этих смол может быть кислотность стекловолокна (после отмывки от замасливателя многие промышленные виды стеклоткани имеют отчетливо кислую р-цию), которую определяют колориметрически в вытяжке смеси бензола и изопропилового спирта или по замедлению отверждения эталонной смолы в смеси с 5% испытуемого стекловолокна. При длительности отверждения контрольного образца смолы в 10,5 мин., с нейтр. волокном время отверждения было 3,5 мин., со щел. 3 мин., с кислым волокном до 22 мин. Л. Песин

**59287. Применение силиконов для гидрофобизации стройматериалов.** Рейтер, Мункельт (Silikone als Bautenschutzmittel. Reuther H., Munkelt S.), Technik, 1957, 12, № 10, 704—707 (нем.)

Фирма VEB Chemiewerk Nünchritz выпускает продукт контраквин I, представляющий собой 30%-ный водн. р-р метилсиликоната  $\text{Na}$ . При нанесении разб. р-ра (на  $1 \text{ м}^2$  нужно 10—20 мл контраквина) на поверхность стройматериала метилсиликонат  $\text{Na}$  взаимодействует с атмосферной  $\text{CO}_2$  и образует неплывкую и нерастворимую пленку с гидрофобными свойствами, но проницаемую для пара. Продукт применим для гидрофобизации кирпича, цемента, гипса, асбоцемента, штукатурки и стен зданий. В. Гельперина

**59288. Обработка стеклянной тары силиконами.** Клингберг, Перссон (Silikonbehandling av glasförpackningar. Klingberg Ake, Persson Rune), Svenska mejeritidn., 1958, 50, № 7, 95—98 (шведск.)

**59289. Летучесть пластификаторов для виниловых полимеров.** Фрисселл (Volatility of vinyl plasticizers. Frissell W. J.), Industr. and Engng Chem., 1956, 48, № 6, 1096—1099 (англ.)

Дан хим. состав  $\sim 40$  торговых марок пластификаторов (II) и приведены данные по летучести этих и 5 П, синтезированных в лаборатории. Длительность нормальной эксплуатации поливинилхлоридного пластика может быть исчислена по ф-ле:  $B = 0,08/P$ , где  $B$  — время (в час.), в течение которого теряется 10% П, а  $P$  — упругость паров при рабочей т-ре в мм рт. ст. Ввиду большой летучести дибутилфталата, не рекомендуется применять его даже в условиях нормальной т-ры эксплуатации. Установлено, что в процессе каландрирования пластика теряется заметное кол-во П, напр., для пленки толщиной 0,1 мм, содержащей 50 ч. ди-2-этилгексаладини-

ната на 100 ч. поливинилхлорида, потери составляют  $\sim 2\%$ .

**59290. Эфиры изомерных фталевых кислот как пластификаторы.** Песта, Зинвель (Ester isomerer Phthalsäuren als Weichmacher. Pesta Otto, Sinwel Friedrich), Österr. Plastic-Rundschau, 1957, 8, № 4, 197—198 (нем.)

Изучены пластифицирующие свойства ди-2-этилгексильных эфиров изофталевых к-т, получаемых по недавно разработанному в США способу окислением  $\text{O}_2$  в жидкой фазе смеси изомерных кислот (сырого ксилола). При этом получают смесь, состоящую на 50—55% изо-, 20% тере- и 25% о-фталевой к-ты. При эфиризации смеси изомерных к-т 2-этилгексильным спиртом получают в основном эфиры орто- и изофталевой к-т, терефталевая к-та почти не эфиризуется. Исследование пластифицирующих свойств эфиров, а также их смеси показало, что они мало отличаются друг от друга и не обладают какими-либо преимуществами перед широко применяемым для пластификации поливинилхлорида эфиром о-фталевой к-ты. Более дорогое исходное сырье, а также большая токсичность по сравнению с ди-2-этилгексифталатом пока препятствуют их применению. Изомерные к-ты могут применяться в произ-ве полиэфирных смол. В. Гельперина

**59291. Теория стабилизации и стабилизаторы виниловых смол.** Паркер (Teoria della stabilizzazione delle resine viniliche e loro stabilizzanti. Parker Emery), Pitture e vernici, 1956, 12, № 10, 673—684; Ingegneria chim., 1956, 5, № 5, 3—13 (итал.)

Обзор достижений в области применения смол для получения пластмасс и лакокрасочных покрытий. Рассмотрена теория стабилизации виниловых смол, некоторые типы стабилизаторов, сиккативы на основе соединений  $\text{Zr}$ , эмульсионные и тиксотропные краски и применение соединений  $\text{Ti}$  в лакокрасочных покрытиях подводных частей судов и в жаростойких покрытиях. В. Пахомов

**59292. Минеральные порошки, обработанные поверхностноактивными веществами, как усиливающие наполнители для пластмасс.** Майклс (Surfactant-treated minerals as reinforcing fillers. Michaels Alan S.), Industr. and Engng Chem., 1956, 48, № 2, 297—304 (англ.)

Обработка минер. наполнителей (каолинит и волластонит) небольшими кол-вами поверхностноактивных в-в (ПАВ) приводит к повышению прочности и жесткости изделий из пластмасс и эластомеров, содержащих 50% наполнителя, при условии, что наполнитель в необработанном виде плохо диспергируется в смоле. Избыточная обработка наполнителя ухудшает физ. свойства. Обработка ПАВ наполнителей, которые хорошо диспергируются в смолах без такой обработки, приводит к снижению прочности и жесткости композиций. Обработка минер. наполнителей ПАВ позволяет приготавливать высоконаполненные композиции (до 90% наполнителя) с хорошими физ. свойствами. Действие ПАВ состоит в повышении однородности распределения связующего и в улучшении смачивания частиц наполнителя смолой; кроме того, повышается влагостойкость таких высоконаполненных композиций. Прочность высоконаполненных композиций в значительной мере зависит от степени их уплотнения; поэтому для получения высококачественных изделий с применением ПАВ необходимо уделить внимание повышению плотности изделий. С. Иофе

**59293. Синтетические волокна в формующем листовом акрилате.** Джексон, Мур (Synthetic fibers in formable acrylic sheet. Jackson D. E., Moore D. A.), Plastics Technol., 1957, 3, № 9, 716—720 (англ.)

Исследовалась возможность изготовления деталей с большим радиусом кривизны из полиметилметакрилата, усиленного синтетич. волокнами, вакуумным формованием, прессованием с резиновым мешком, прессованием в двусторонних формах и вытяжкой. Синтетич. волокно в виде спитых матов, ткани или бумаги пропитывали р-ром акриловой смолы в метилметакрилате, содержащем перекись бензоила, как катализатор; листы отверждали при 100° и давл. 3,5 кг/см<sup>2</sup> в течение 30 мин. При наличии до 25% орлона (акриловое волокно) листы можно формовать под вакуумом так же, как листы, не содержащие волокна, но изделия имеют повышенную прочность. Применение синтетич. волокна в виде ткани и бумаги улучшает внешний вид и прочность изделий, но затрудняет их вакуумное формование. Листы, содержащие > 25% орлона, а также усиленные дакроном (полиэфирное волокно) и нейлоном формуются в двусторонних формах. Эти материалы обладают повышенной прочностью на удар, устойчивы к растрескиванию при действии высокой т-ры и атмосферных факторов и могут применяться для изготовления корпусов аппаратуры, панелей, тары, а также для покрытий поверхности металла, дерева, камня. В. Гельперина

**59294. Вакуумное формование пластмасс.** Ягисава, Нихон гому кёкайси, 1956, 29, № 8, 722—725 (японск.)

Описана аппаратура для вакуумного формования пластмасс. Дана краткая характеристика материалов, используемых для изготовления форм. В. Иоффе

**59295. Пластмассы. Армированные стеклопластики.** Русселль (Les matières plastiques. Matières plastiques armées. Rousselle G.), Mach-outil franç., 1956, 21, № 145, 125, 127, 129, 131 (франц.)

Обзор. Рассмотрены технология и свойства непрерывного и штапельного стекловолокна, стекловолокнистые материалы, свойства полиэфирных смол (ПС), отверждающихся на холоду или при нагревании, катализаторы и ускорители для ПС, технология формования стеклопластиков на основе ПС, а также применение фенольных смол и эпоксидных смол для армированных стеклопластиков. Библ. 5 назв. Предыдущее сообщение см. РЖХим, 1958, 52021. С. Иофе

**59296. Пенополистирол.** Купер (Expanded polystyrene. Cooper A.), Plastics, 1957, 22, № 242, 431—433 (англ.)

В Англии с 1943 г. начато произ-во поропласта из полистирола (полиэст). В настоящее время он выпускается в виде гранул и полуфабрикатов различной формы и размеров и применяется для изготовления теплоизоляции, сотовых конструкций, пловучих элементов и электроизоляции. Максим. рабочая т-ра 60°, прочность на сжатие 1,05 кг/см<sup>2</sup>, коэф. теплопроводности 0,0273 ккал/м.час °С, диэлектрич. прочность 110 в/мм, tg δ 0,0005, диэлектрич. проницаемость 1,04 при уд. в. 20 кг/м<sup>3</sup>. Гранулы полизота содержат поропорообразующее в-во, действующее при 60—100°, и перед прессованием подвергаются предварительному вспениванию. Предварительное вспенивание и прессование производят при нагреве паром или ИК-лучами. Большие детали получают в прессформах при нагреве острым паром. В. Гельперина

**59297. Получение и свойства катионообменной смолы на основе продукта сухой перегонки кожуры семян *Anacardium occidentale*.** Кришнасвами, Говиндан, Пандия (Preparation and properties of cation-exchange resin from cashew nut shell liquid. Krishnaswamy N., Govindan K. P., Pandya R. N.), Chemistry and Industry, 1957, № 44, 1456 (англ.)

Устойчивую к действию р-ра NaCl, кипящей воды и органич. р-рителей ионообменную смолу получают

конденсацией неочищ. продукта сухой перегонки кожуры семян *Anacardium occidentale* с CH<sub>2</sub>O в присутствии HCl. Пористый полимер сульфатируют конц. H<sub>2</sub>SO<sub>4</sub>, получая катионообменную смолу. Напр., 300 г продукта перегонки нагревают в фарфоровой чашке в присутствии 15 мл конц. HCl. При 125—130° добавляют 100 мл 40%-ного CH<sub>2</sub>O; содержимое превращается в гель, отверждающийся за 18—24 часа при 120° в твердый пористый полимер. Измельченный полимер (100 г) обрабатывают конц. H<sub>2</sub>SO<sub>4</sub> и выдерживают над паром 6—8 час, затем отмывают от к-ты и кондиционируют повторными промывками 10%-ным р-ром NaCl и HCl (к-той), окончательно регенерируют большим избытком 5%-ной HCl, отмывают от к-ты и сушат. В. Гельперина

**59298. Влияние высоких температур на эпоксидные клеи.** Мак-Гинесс (How high temperatures affect epoxy adhesives. McGuinness E. W.), Mater. and Methods, 1956, 43, № 3, 120—122 (англ.)

Прочность при высоких т-рах клеев эпоксидными клеями повышают подбором соответствующих катализаторов, отверждением при нагревании, в некоторых случаях применением наполнителей (напр., Al<sub>2</sub>O<sub>3</sub>). Стойкость к термич. старению зависит от выбора смолы и катализатора и от наполнителя. Л. Песин

**59299. Влияние условий отверждения на прочность склейки легких металлов эпоксидными смолами.** Шаллер, Фришбир (Der Einfluß der Aushärtungsbedingungen von Epoxydharzen auf die Festigkeit von epoxydharzverklebten Leichtmetallverbindungen. Shaller W., Frischbier E.), Plaste und Kautschuk, 1956, 3, № 6, 123—127; № 8, 178 (нем.)

Максимальная прочность склейки эпоксидными смолами (ЭС) горячего отверждения падает линейно с повышением т-ры от 140 до 220°. Для ЭС холодного отверждения прочность склейки растет с повышением т-ры отверждения от 20 до 100°, а время отверждения сокращается. На основе линейной зависимости прочности склейки от соотношения величины нахлестки к толщине жести выведены ф-лы, дающие возможность определить оптимальную длину нахлестки. В. Гринблат

**59300. Выбор клеев для пластмасс.** Скейст (Choosing adhesives for plastics. Skeist Irving), Mod. Plastics, 1956, 33, № 9, 121—123, 126—127, 130, 236 (англ.)

Кристаллич. пластинки лучше сваривать, чем склеивать; аморфные пластинки склеивают друг с другом мономерами или р-рами смол; для склейки двух разных видов пластика или пластика с другим материалом целесообразно применять полимерный клей; при этом для обеспечения лучшей адгезии между поверхностями начальная вязкость клея должна быть низкой, для лучшей же когезии между слоями клея конечная вязкость должна быть высокой. Это может быть достигнуто испарением р-рителя из клея, испарением воды из латекса, полимеризацией мономера или отверждением смолы. Для уменьшения деформаций клеевой шов должен быть минимально тонким и не более жестким, чем склеиваемый материал. Р-рители и полимеры должны быть подобраны таким образом, чтобы их параметры растворимости (функция молекулярной теплоты испарения) были близки к таковым склеиваемых пластиков. Не следует применять низкокипящие р-рители, так как они вызывают раскрекивание пластиков. Л. Песин

**59301. Клеи для пластмасс.** Франц (Klebstoffe für Kunststoffe. Franz K.), Seifen-Öle-Fette-Wachse, 1957, 83, № 22, 671—674 (нем.; рез. англ., франц., исп.)

Обзор методов склеивания термопластичных и



термоактивных пластмасс и каучуков с пластмассами и другими материалами. В. Гельперина

59302. Нанесение электроизоляции на провода выдавливанием. Икава, Нихон гому кёкайси, J. Soc. Rubber Ind., 1956, 29, № 9, 828—836 (японск.)

Дана общая характеристика электроизоляционных покрытий из пластмасс. Подробно описано устройство червячного пресса и режим нанесения на провод электроизоляции из поливинилхлоридного пластика.

В. Иоффе

59303. Окрашивание пластмасс. Елинек (Barvení plastických hmot. Jelínek Z. K.), Chem. průmysl, 1956, 6, № 4, 157—159, № 5, 207—209 (чешск.)

Обзор. Методы окрашивания и применяемый ассортимент красителей для фенопластов, аминопластов, галалита, поливинилхлорида, полиметилметакрилата, полистирола, ацетилацеллюлозы, полиамидов и целлюлозы. Библ. 24 назв.

Л. Песин

59304 К. Свойства и испытание пластических материалов. Ливер, Рис (The properties and testing of plastics material. Lever A. E., Rhys J. New York, Chem. Publ. Co., 1957, 197 pp., 4.75 doll.) (англ.)

59305 К. Достижения в области пластических масс: доклады и выступления на конференции по пластическим массам в Англии в 1957 г. Под ред. Морган (Plastics progress: papers and discussions at the British Plastics Convention. 1957, London. Ed. Morgan Phillip. London, Iliffe; New York, Philos. Libr., 1958, VIII, 394 pp., ill., 50 sh.) (англ.) См. также РЖХим, 1957, 2497.

59306 К. Шприцевание пластических масс. Фишер (Extrusion of plastics. Fisher Edwin George. London, Iliffe; New York, Interscience, 1958, VIII, 114 pp., ill., 21 sh.) (англ.)

59307 П. Полимеризация циклооктатетраена. Мауэ (Polymerization of cyclooctatetraene. Maue Marilyn J.) [The M. W. Kellogg Co.] Пат. США 2758989, 14.08.56

Циклооктатетраен нагревают при 360—1000° и парц. давл. 0,1 мм рт. ст. — 1 атм в течение 0,01 сек. — 1 мин. и затем быстро охлаждают продукты р-ции при т-ре от 20° до 80° в течение 0,01 сек. — 1 мин. Оптимальными условиями являются т-ра 500—900° парц. давл. 0,1—100 мм рт. ст. и период времени 0,1—10 сек. Увеличение длительности процесса, превышение т-ры или увеличение времени охлаждения уменьшает мол. вес полимера. В качестве катализаторов используют Se, Cr<sub>2</sub>O<sub>3</sub>, V<sub>2</sub>O<sub>5</sub>, SiO<sub>2</sub>, NiSO<sub>4</sub> и др. Напр., пары циклооктатетраена при парц. давл. 8—10 мм рт. ст. пропускают через трубку, нагретую до 750°, с такой скоростью, чтобы пар находился при указанной т-ре в течение 0,3—0,4 сек. По выходе из трубки пары попадают в ловушку, в которой они охлаждаются при 0°, соприкасаясь с холодной поверхностью, на которую полимер осаждается в виде прозрачной белой пленки.

Н. Делазари

59308 П. Способ и устройство для получения термопластичных полимеров блочной полимеризацией галогенэтиленов. Байарт (Verfahren und Vorrichtung zur Erzeugung thermoplastischer Stoffe durch Blockpolymerisation von Halogenäthylenen. Baeyart Alfred Eugène Marius) [Soc. An. des Manufactures des Glaces et Produits Chimiques de Saint-Gobain, Chauny & Cirey]. Пат. ФРГ 950814, 18.10.56

Полимеризацию галогензамещенных этиленов, полимеры или сополимеры которых нерастворимы в мономере (напр., винил- или винилиденхлорида), проводят во вращающемся горизонтальном автоклаве, в котором находятся инертные тела, напр. шары, стерж-

ни и т. п., благодаря чему образующийся полимер находится все время в состоянии текучего порошка. Линейная скорость внутренней стенки автоклава составляет 20—100 (лучше 20—30) м/мин. Для удаления остатков непрореагировавших мономеров автоклав снабжен разгрузочным устройством в виде изогнутой трубы, выходящей из автоклава по направлению, совпадающему с его осью вращения, внутренний конец которой все время находится в верхней части автоклава выше уровня порошкообразного полимера; это устройство позволяет отводить остатки мономера во время вращения. Внутренний конец отводной трубы закрыт мембраной. По окончании полимеризации внутри трубы подают инертный газ, напр. N<sub>2</sub>, под давлением, разрушающим мембрану, благодаря чему происходит удаление оставшегося мономера. Мембранный затвор одновременно является предохраняющим устройством против возможного превышения внутреннего давления в автоклаве в процессе полимеризации. Отводная труба снабжена также устройством для определения и (или) регистрации т-ры и уровня материала. Напр., в автоклав из нержавеющей стали описанного типа емк. 140 л (длина 600 мм, диам. 500 мм) помещают 6—7 шариков из нержавеющей стали (диам. 90 мм), утяжеленных свинцом, загружают 50 кг винилхлорида, 0,08% перекиси бензоила и 0,2% Na<sub>2</sub>PO<sub>4</sub>, закрывают и начинают вращать с линейной скоростью 22 м/мин, поддерживая т-ру 50°. Через 17 час. полимеризацию прекращают и непрореагировавший мономер удаляют, пропуская в рубашку воду с т-рой 40°. Получают порошок полимера (выход 80%) с K<sub>w</sub> 64,3, 61% которого проходит через сито № 11.

М. Альбам

59309 П. Способ получения растворимых в воде солей щелочных металлов и сополимеров стирола и малеинового ангидрида. Кшикала, Так-Тра-кранен, Вернер (Verfahren zur Herstellung wasserlöslicher Alkali-Salze von Mischpolymerisat aus Vinylbenzolen und Maleinsäureanhydrid. Krikalla Hans, Taack-Trakranen Fred van, Werner Heinz) [Badische Anilin- & Soda-Fabrik A.-G.] Пат. ФРГ 953562, 6.12.56

Смесь, полученную при полимеризации стирола и малеинового ангидрида в присутствии инертной органич. жидкости, нагревают с водн. щелочью, после чего отгоняют летучие в-ва. Напр., смесь (в ч.) 104 стирола, 98 малеинового ангидрида, 3 перекиси бензоила и 1000 ксилола медленно нагревают выше 80°; при 84° начинается полимеризация, и т-ра самопроизвольно повышается до т-ры кипения ксилола. По окончании р-ции в течение нескольких часов охлаждают до 80—90°, добавляют затем 300 ч. воды и 60 ч. безвод. Na<sub>2</sub>CO<sub>3</sub>, нагревают 6 час. с обратным холодильником и отгоняют летучие продукты. При этом сначала отгоняется смесь ксилола и воды, а затем чистый ксилол. Получают сухой порошкообразный полимер, растворимый в воде. Его р-р имеет pH 7,5—8 и применяется для обработки тканей.

М. Альбам

59310 П. Способ приготовления водных дисперсий поливинилацетата с повышенной вязкостью (Procédé pour la préparation de dispersions aqueuses d'acétate de polyvinyle à viscosité élevée) [Lonza Usine électriques et chimiques Soc. An.] Швейц. пат. 316762, 15.12.56

Поливинилацетатные дисперсии с содержанием > 45% полимера получают полимеризацией винилацетата в водн. среде в присутствии защитного коллоида (поливинилового спирта), катализатора полимеризации (30%-ный водн. р-р H<sub>2</sub>O<sub>2</sub>) и активатора (соли Fe<sup>2+</sup>, сахара). Мономер вводят несколькими равными порциями, добавляя последующую порцию после полимеризации предыдущей и поддерживая живая соотношение 0,7 > Z/t > 0,2, где Z — кол-

мер нахо-  
а. Лий-  
оставляет  
остатков  
бжен раз-  
бы, выхо-  
ающему с  
й все вре-  
не уровни  
позволяет  
вращения  
ембраной  
и подает  
ушающим  
е оставше-  
овременн  
отвиг во-  
в в авто-  
руба снаб-  
и (или)  
., в авто-  
маша смес-  
т 6—7 ша-  
утяжелен-  
да, 0,08%  
т и вых-  
н, поддер-  
ую прекра-  
ают, про-  
порошков  
ого прохо-  
М. Альбам  
в воде се-  
стирола в  
ак-Тра-  
erstellung  
merisaten  
id. Kri-  
ed van  
oda-Fabrik  
стирола в  
ной орга-  
после чего  
104 стиро-  
бензоил  
°; при 84°  
оизвольн  
окончании  
до 80—  
б. безвод-  
дильник  
начала от-  
стый жес-  
мер, ре-  
и приме-  
М. Альбам  
дисперсий  
ю (Procé-  
d'acé-  
aza Usim-  
ейц. па-  
ержании  
ий винил-  
ного кол-  
ора пол-  
активатор  
скольким  
по порц-  
подде-  
Z — кол-

защитного коллоида в смеси и  $t$  — кол-во мономера в каждой порции. Полимеризацию проводят в закрытом сосуде из нержавеющей стали при 50—90°. Пример. 290 г воды и 360 г 10%-ного р-ра поливинилового спирта помещают в реактор, закрывают, продувают  $H_2$ , нагревают до 65—70° при перемешивании, добавляют 0,2 г глюкозы, растворенной в 50 мл воды, и 60 мл (56 г) винилацетата (1 порция), содержащего 0,5 мл 30%-ного р-ра перекиси водорода, и продолжают нагревание при 68—70° и давл. 1,8—2,0 кг/см<sup>2</sup>. Через 30—40 мин. начинается р-ция и за ее ходом следят по показаниям манометра и термометра. Когда давление снизится до 1,5 кг/см<sup>2</sup>, снова добавляют 60 мл мономера. Таким путем вводят 650 г винилацетата, содержащего 2 мл 30%-ной  $H_2O_2$ , после чего смесь перемешивают еще 2 часа при той же  $t$ -ре и охлаждают. Получают дисперсию с содержанием твердых в-в 55% и оставшегося мономера 1,5%; дисперсия имеет средний диаметр частиц 1,5 м, рН 4,15 и вязкость 180 пуаз.  $Z/t = 0,643$ . Дисперсии применяют в качестве клеев, лаков и для пропитки. В зависимости от величины  $Z/t$  вязкость дисперсий заметно меняется. Приведены  $Z/t$  и вязкость в пуаз 0,643, 180; 0,321, 30; 0,055, 10.

Н. Делазари  
59311 П. Получение окрашенного органического стекла. Пейтковский (Sposób otrzymywania barwionej szkła organicznego. Piątkowski Adam). Польш. пат. 38243, 30.08.55

Метилметакрилат окрашивают судановыми или трифенилметановыми красителями и затем полимеризуют в блоке в присутствии арилсульфиновых к-т. Напр., 100 вес. ч. метилметакрилата, 0,5 ч.  $\beta$ -нафталинсульфиновой к-ты, 0,1 ч. кристалвиолета и 0,1 ч. судановой желтой нагревают до 30—40° между полимеризованными плитами до полной полимеризации. Полученный полимер пригоден для оптич. целей.

Ю. Васильев

59312 П. Сополимеры акрилонитрила и эфиров акрилкарбаминової кислоты. Прайс (Acrylonitrile-acrylylcarbamate copolymers and products. Price John A.) [American Cyanamid Co.]. Пат. США 2736722, 28.02.56

Патентуется сополимер акрилонитрила и 3—20 вес. % эфиров акрилкарбаминової к-ты ф-лы  $CH_2=CHCONHCOOR$ , где R — метил, этил, пропил или бутил. Полимеризацию проводят в водн. среде, при 20—130° в присутствии перекисного инициатора в кол-ве 0,05—3 вес. ч. на 100 ч. смеси мономеров. Напр., смесь 42,4 ч. акрилонитрила и 10,6 ч. акрилуретана растворяют в 800 ч. обессоленной воды при 35° в токе чистого  $N_2$  при рН 3,4. К р-ру добавляют порциями через 25 мин. в течение 2,5 часа окислительно-восстановительный катализатор (р-ры 1,71 ч. персульфата  $NH_4$  и 0,71 ч. метабисульфита  $Na$ , каждый в 100 ч. воды). Через 6 час. сополимер (52 ч.) отсасывают, промывают 1000 ч. обессоленной воды и сушат при 70° в течение 16 час. Из 15%-ного р-ра сополимера в диметилформамиде можно отливать прозрачные эластичные пленки или изготавливать волокно.

Л. Чернина

59313 П. Способ улучшения стойкости против усадки формованных изделий из полиакрилонитрила. Рейн, Цервек, Кунце (Verfahren zur Verbesserung der Schrumpffestigkeit von geformten Erzeugnissen aus Polyacrylnitril. Rein Herbert, Zerweck Werner, Kunze Wilhelm) [Farbenfabriken Bayer A.-G.]. Пат. ФРГ 953916, 6.12.56

Раствор полимера или готовое формованное изделие (пленки или волокно) обрабатывают альдегидами ( $CH_2O$  или аналогично реагирующими в-вами) в присутствии катализаторов, а также в присутствии смазочных агентов, агентов набухания или других вспомога-

тельных в-в. Напр., к р-ру 100 г полиакрилонитрила с  $K_w$  97 в 900 г диметилформамида добавляют 30 г параформальдегида и 1 г  $HCOOH$ , перемешивают несколько часов при 70° и получают прозрачный р-р, из которого обычным способом формуют пленки или волокно. Полученные таким путем изделия имеют лучшую теплостойкость, особенно если их подвергают более длительной термообработке.

М. Альбам

59314 П. Способ получения модифицированных полиакрилонитрилов. Кувер, Колдуэлл (Polyacrylonitriles modifiés et procédé pour leur préparation. Coover Harry Wesley, Jr, Caldwell John Richard) [Kodak-Pathé]. Франц. пат. 1107466, 3.01.56 (франц.)

Способ получения смол отличается тем, что сополимеризуют 5—95 вес. ч. смеси 85—99,5% акрилонитрила (I) и 15—0,5% другого полимеризуемого мономера в присутствии перекисного катализатора и 95—5% вес. ч. 1) гомополимера одного из амидов или моно- и диметиламидов и диамидов, или эфиров, или амидоэфиров акриловой, метакриловой, малеиновой, фумаровой, итаконовой и цитраконовой к-т, где алифатич. радикалы могут содержать 1—4 атома C, или винилового эфира жирной к-ты с 2—4 атомами C, или 2) сополимера 99—1% одного из указанных в-в с 1—99% I. Напр., в 100 мл воды растворяют 2 г полиформамида, 0,1 г  $(NH_4)_2S_2O_8$ , 0,1 г  $KHSO_5$ , 7,8 г I и 0,2 г винилацетата, полимеризуют 6 час. при 25° и отделяют полимер фильтрованием. После сушки получают 9,7 г продукта, содержащего, согласно анализу, 19% фумарамида; продукт смешивается с поли-I во всех отношениях и дает стойкие р-ры, из которых можно получать одворонные волокна и пленки прядением, выдавливанием, отливкой. Волокна, полученные выдавливанием р-ра описанного полимера в диметилформамиде в осадительную ванну, имеют прочность 3,2 г/дене, удлинение 23%, т. размягч. 215° и усадку в кипящей воде < 7%. Р-рителями полимеров, полученных согласно данному патенту, могут быть также этиленкарбонат, этиленкарбамат,  $\gamma$ -бутиролактон, диметилсульфоксид, тетраметилсульфон и др. Полимеры могут быть окрашены красителями для ацетатного шелка, кубовыми и кислотными.

В. Пахомов

59315 П. Способ получения сополимеров акриламида. Цервек, Кунце (Verfahren zur Herstellung von Mischpolymerisaten unter Verwendung von Acrylsäureamid. Zerweck Werner, Kunze Wilhelm) [Cassella Farbwerke Mainkur A.-G.]. Пат. ФРГ 948282, 30.08.56

Доп. к пат. ФРГ 942893 (РЖХим, 1957, 32516). Способ отличается тем, что получаемый по основному пат. водн. р-р акриламида без выделения последнего применяют для получения сополимеров. Напр., к смеси (в ч.) моногидрата  $H_2SO_4$  200, воды 36 и S 3 при перемешивании добавляют при 10—20° по каплям 106 ч. акрилонитрила, перемешивают 24 час. при ~40°, нагревают до 60—65°, выдерживают еще 2 часа, охлаждают, отфильтровывают S и нейтрализуют мелом. Выпавший  $CaSO_4$  отсасывают или отделяют центрифугированием. К 850 ч. полученного 10%-ного р-ра акриламида добавляют 3 ч. алкилсульфоната, 15 ч. винилацетата и 3 ч.  $NaHSO_4$ , после чего добавляют по каплям в течение ~1 часа р-р 1,5 ч.  $K_2S_2O_8$  в 36 ч. воды. Получают высоковязкий, слегка мутный р-р сополимера, смешивающийся с водой в любом отношении и применяемый в качестве клея и вспомогательного в-ва в текстильной пром-сти. М. Альбам

59316 П. Способ получения высокомолекулярных растворимых в воде продуктов из амида метакриловой к-ты или его смесей с амидами ненасыщенных карбоновых кислот. Фикенчер, Виль-



гельм (Verfahren zur Herstellung von hochmolekularen, wasserlöslichen Produkten aus Methacrylsäureamid oder dessen Mischungen mit ungesättigten Carbonsäureamiden. Fikentscher Hans, Wilhelm Hans) [Badische Anilin- & Soda-Fabrik A.-G.]. Пат. ФРГ 954197, 13.12.56

Амид метакриловой к-ты (I) или его смесь с амидами ненасыщ. карбоновых к-т полимеризуют в водн. р-ре совместно с винилпирролидоном (II) в присутствии азодинитрилов. Получаемые сополимеры содержат  $\geq 6\%$  II и растворимы в воде при любом pH. Пленки и р-ры сополимеров устойчивы к действию бактерий и плесени. Напр., в 4000 ч. воды растворяют 700 ч. I, вводят смесь 300 ч. II и 2 ч. азо-бис-изобутиронитрила, нагревают при перемешивании 5 час. при 70–75° и получают высоковязкий р-р, который можно разбавлять водой до любой конц-ии. Полимер не выпадает в кислой среде; при высушивании р-ра получают твердые, прозрачные пленки. М. Альбам

59317 П. Устройство для непрерывной транспортировки растворов или расплавов искусственных смол. Урласс, Дизель, Плауман, Хюблер (Vorrichtung zur kontinuierlichen Förderung von Kunstharzlösungen bzw. Kunstharzschmelzen. Urlass Diermar, Diesel Siegfried, Plauemann Paul, Hübler Horst). Пат. ГДР 11820, 25.06.56

Устройство для непрерывной транспортировки р-ров или расплавов смол, напр. расплавов полиэтилентерефталата, из пространства с меньшим давлением газа (ПМ) в пространство с большим давлением газа (ПБ) отличается тем, что перекачивающий шестеренчатый насос заключен в камеру, в которой поддерживается давление, которое равно или меньше давления газа в ПМ; канал, ведущий от насоса к ПБ, при выходе в ПБ запирается устройством из уплотняющей диафрагмы, напр. из Рб, прижимаемой к выступающему концу канала с помощью пружины с силой, равной или большей разности давлений газа между ПБ и ПМ. При создании шестеренчатым насосом давления, превышающего усилие пружины, уплотняющая диафрагма отходит от выступающего конца канала и обеспечивает переток расплава. М. Альбам

59318 П. Способ получения термореактивных прессматериалов из мочевиновых и меламиновых смол. Зюссенгут, Шейб (Verfahren zur Herstellung von härtbaren Aminoplast, insbesondere Harnstoff- und Melaminharz-Preßmassen. Süßenguth Otto, Scheib Walter) [Rütgerswerke A.-G.]. Пат. ФРГ 947735, 23.08.56

Равномерную смесь компонентов, образующих смолу, а также других составляющих пресскомпозиции непрерывно перемещают (лучше при постоянном перемешивании) через зоны р-ции, которые в отдельных участках обогревают или охлаждают. Альдегид можно вводить отдельно от других компонентов смеси. Р-цию проводят в одном аппарате или в устройстве, подразделенном на зоны различных размеров, с различной т-рой и (или) различной скоростью подачи. Обогрев реакционного пространства осуществляют горячим воздухом по принципу противотока. Напр., смесь (в ч.): 45 отбельной целлюлозы, 45 параформальдегида, 60 мочевины, 45 воды, 1 стеарата Zn, 1 гексаметилентетрамина непрерывно подают в кольцевую этажную сушилку, обогреваемую горячим воздухом. Внутренняя т-ра 70°, время прохождения материала 6 час. Непрерывно выходящий из сушилки продукт р-ции немедленно передают в мельницу, откуда выходит измельченная, готовая к употреблению прессовочная масса. М. Альбам

59319 П. Способ получения смол из меламин. Фогель, Кессе, Дёлеман (Verfahren zur Herstellung von harzartigen Kondensationsprodukten aus Melamin. Vogel Erwin, Kaess Franz, Döhlmann Ernst) [Süddeutsche Kalkstickstoff-Werke A.-G.]. Пат. ФРГ 950812, 18.10.56

Меламин конденсируют со спиртами или простыми эфирами ф-лы  $\text{ROCH}_2\text{NHCXNH}_2$  и  $(\text{ROCH}_2\text{NH})_2\text{CX}$ , где R — атом H, алкил или оксалкил и X — группа NH, CN или NCONH<sub>2</sub> или атом O или S. Конденсацию проводят в расплаве в отсутствие воды или других р-рителей. Напр., смесь (в вес. ч.) 100 диметилполномочевины и 50 меламин нагревают при 63–75° до образования жидкого расплава. Полученная термореактивная смола имеет т. размягч. 64°, растворяется при небольшом нагревании в 30%-ном р-ре  $\text{CH}_2\text{O}$ , в горячем гликоле и в воде. М. Альбам

59320 П. Способ получения продуктов поликонденсации. Лотц (Verfahren zur Herstellung von Polykondensationsprodukten. Lotz Rudolf) [Vereinigte Glanzstoff-Fabriken A.-G.]. Пат. ФРГ 951167, 25.10.56

Метилен-бис-амид хлорпропионовой к-ты (I) ф-лы  $\text{ClCH}_2\text{CH}_2\text{CONHCH}_2\text{NHCOSCH}_2\text{CH}_2\text{Cl}$  обрабатывают водн. р-ром  $\text{NaHCO}_3$  при 60–100° (лучше при 80–100°), отфильтровывают выпавшие неорганич. в-ва, концентрируют фильтрат и обрабатывают его в атмосфере  $\text{N}_2$  (лучше в вакууме) инертной органич. жидкостью, напр. диоксаном или тетрагидрофураном, после чего продукты р-ции вновь концентрируют при умеренной т-ре до консистенции геля. Твердый (после охлаждения) эластичный продукт имеет т. размягч. 130° и отличается стойкостью к к-там и щелочам. Напр., смесь (в г) 50 I, 40  $\text{NaHCO}_3$  и 500 дист. воды нагревают при перемешивании 8 час. при 90°, отфильтровывают осадок неорганич. в-в, сгущают фильтрат при нагревании (4 час.), пропускают  $\text{N}_2$ , быстро охлаждают смесь и еще раз отфильтровывают образовавшийся осадок. Фильтрат дальше сгущают под вакуумом (при этом выделяется  $\text{NaCl}$ ), р-р быстро отсасывают, к фильтрату добавляют диоксан и снова нагревают при умеренной т-ре до постепенного застывания р-ра в гель, который при охлаждении превращается в прозрачную твердую массу с т. размягч. 130°, растворимую в диметилформамиде. М. Альбам

59321 П. Способ получения продуктов поликонденсации. Лотц (Verfahren zur Herstellung von Polykondensationsprodukten. Lotz Rudolf) [Vereinigte Glanzstoff-Fabriken A.-G.]. Пат. ФРГ 953013, 22.11.56

Вещество ф-лы  $\text{X}(\text{CH}_2)_2\text{CONHCH}(\text{R})\text{NHCOS}(\text{CH}_2)_2\text{NH}$  (R—H, алкил или арил и X — галоген) растворяют в высшем гликоле ф-лы  $\text{HO}(\text{CH}_2)_n\text{OH}$  ( $n=8-12$ ), напр., в декаметиленгликоле, и р-р нагревают до т-ры, при которой происходит поликонденсация, лучше под вакуумом. Продукт применяют для получения пластмасс. Напр., к расплаву 26 г декаметиленгликола добавляют 5 г моноаминированного метилен-бис-амида хлорпропионовой к-ты ф-лы  $\text{Cl}(\text{CH}_2)_2\text{CONHCH}_2\text{NHCOS}(\text{CH}_2)_2\text{NH}_2$ , р-р нагревают 2 часа при 160°/10 мм и промывают  $\text{CH}_3\text{OH}$ . Получают полимер с т. пл. 286°. М. Альбам

59322 П. Способ улучшения свойств синтетических высокополимерного линейного полиамида. Лотц, Бьюк (Verfahren zur Verbesserung der Eigenschaften synthetischer langkettiger Polyamide. Lawton Elliott John, Bueche Arthur Maynard) [General Electric Co.]. Пат. ФРГ 944891, 28.06.56

Полиамид облучают электронами высоких энергий, предпочтительно при дозе облучения  $> 5 \cdot 10^7$  рентген. Облученные полиамиды имеют повышенную стойкость по отношению к р-рителям ( $n$ -гексано-

59324 П. Способ получения высокомолекулярных синтетических полимеров с сетчатой структурой из линейных полиэфиров, диизоцианатов и диаминов. Хольтшмидт, Мюллер (Verfahren zur Herstellung hochmolekularer, vernetzter Kunststoffe aus linearen oder vorwiegend linearen Polyestern, Diisocyanaten und Diaminen. Holtschmidt Hans, Müller Erwin) [Farbenfabriken Bayer A.-G.]. Пат. ФРГ 952940, 22.11.56

59326 П. Получение высокомолекулярных продуктов конденсации. Хентрих, Киршталер (Verfahren zur Herstellung superpolymerer Kondensate, М. Альбам)



tionsprodukte. Hentrich Winfried, Kirstahler Alfred) [DEHYDAG Deutsche Hydrierwerke G. m. b. H.]. Пат. ФРГ 961396, 4.04.57

Доп. к пат. ФРГ 950603 (РЖХим, 1958, 27072).

Углеродные эфиры гликолей, содержащих  $\geq 4$  атомов C и одноатомных спиртов или фенолов или бисхлоруглеродные эфиры гликолей, нагревают при 150—300° с аминоспиртами, имеющими по крайней мере 1 подвижный атом H у атома N. Углеродный остаток гликоля может содержать гетероатомы, гетерогруппы или различные заместители в углеродной цепи. Напр., 35,8 вес. ч. гексаметилен-1,6-дифенилкарбоната и 11,9 вес. ч. 6 аминотексанола нагревают 5 час. при 150—160° и отгоняют выделившийся фенол в вакууме при максим. т-ре 220°/15 мм. Далее т-ру реакционной смеси поднимают в течение 3 час. до 240° и выдерживают в течение 4 час. при 240—245°/15 мм. Получают слабоокрашенный полимер, пригодный для изготовления пленок и формованных изделий. А. Казакова

59327 П. Способ получения растворимых, преимущественно высокомолекулярных полиизоцианатов, способных к дальнейшим реакциям. Бунге, Байер (Verfahren zur Herstellung von löslichen, vorzugsweise höhermolekularen und zur weiteren Umsetzung befähigten Polyisocyanaten. Bunge Wilhelm, Bayer Otto) [Farbenfabriken Bayer A.-G.]. Пат. ФРГ 953012, 22.11.56

Многоатомные спирты, многоатомные аминоспирты с третичным атомом N или их смеси обрабатывают таким кол-вом диизоцианата, что на каждую OH-группу приходится  $> 1$ , но  $< 2$  NCO-групп. Полученные продукты не содержат низкомолекулярных изоцианатов и являются физиологически безвредными. Напр., р-р 174 вес. ч. толуилендиизоцианата в 58 вес. ч. этилацетата обрабатывают в течение 10 час. при 50° р-ром 79 вес. ч. 1,3-бутиленгликоля в 26 вес. ч. этилацетата (отношение OH-:NCO-групп = 1:1,44). Получают высоковязкий при  $\sim 20^\circ$  светло-желтый р-р, содержащий 4,2% NCO-групп (в расчете на растворенное в-во) и не имеющих в своем составе свободного толуилендиизоцианата. При р-ции этих в-в с полиэфирами, содержащими OH-группы, получают высокомолекулярные соединения, применяемые в качестве клеев, лаков и пластмасс. М. Альбам

59328 П. Способ получения высокомолекулярных полиизоцианатов. Виндемут, Бунге (Verfahren zur Herstellung von höhermolekularen Polyisocyanaten. Windemuth Erwin, Bunge Wilhelm) [Farbenfabriken Bayer A.-G.]. Пат. ФРГ 951168, 25.10.56

Мономерный органич. полиизоцианат, содержащий NCO-группы, связанные с ароматич. ядром, или хотя бы одну NCO-группу в ароматич. и одну — в циклоалифатич. радикале (напр., диизоцианаты ф-л  $\text{OCNC}_6\text{H}_4\text{C}_6\text{H}_4\text{NCO}$ ,  $\text{OCNC}_6\text{H}_4\text{CH}_2\text{C}_6\text{H}_4\text{NCO}$ , тетрагидронафтилен-1,5-диизоцианат или 1-хлорбензол-2,4-диизоцианат), полимеризуют при повышенной т-ре самостоятельно или в смеси с монофункциональным ароматич. изоцианатом в присутствии небольших кол-в сильноосновных третичных, особенно алифатич. аминов, также в присутствии в-в, являющихся р-рителями для мономера, но не растворяющих продукты р-ции. Полимеры применяют для получения клеев, лаков, пластмасс и пенопластов. Напр., 50 вес. ч. л-фенилендиизоцианата и 0,5 вес. ч. третичного амина, полученного при р-ции 1 моля N-метилдиэтанол-амина и 2 молей фенилизоцианата, нагревают 6 час. при 140°. Продукт р-ции не растворим в органич. р-рителях, напр. в ацетоне,  $\text{CH}_2\text{Cl}_2$  или этилацетате, и содержит свободные NCO-группы. М. Альбам

59329 П. Подложка для отливки пленок из линейных поликонденсатов. Тиннус (Gießunterlage für

die Herstellung von Filmen aus Linearpolykondensaten. Thinius Kurt). Пат. ГДР 154, 18.06.56

Подложка для отливки пленок из полиамидов, смешанных полиамидов или полиуретанов состоит из триацетата целлюлозы или смеси нитро- и триацетата целлюлозы. Напр., 20%-ный р-р смешанного полиамида из гексаметилендиамина, адипиновой к-ты и капролактама (60:40) в смеси 80%-ного спирта и этиленхлоргидрина (15—30% от спирта) отливают на пленку из триацетата целлюлозы. Получают прозрачную блестящую пленку полиамида с разрывной прочностью 3,5 кг/мм<sup>2</sup> и удлинением 900%.

М. Альбам

59330 П. Эпоксизамещенные эфиры кремнеорганич. соединений и их получение. Мартин (Epoxy-substituted esters of silicon acids and their preparation. Martin Robert W.) [Shell Development Co.]. Пат. США 2730532, 10.01.56

Эпоксизамещенные кремнеорганич. соединения имеют ф-лу  $\text{Y}_3\text{SiOX}$ , где X — эпоксисилан или эпоксисиланол, где Y — алкил, алкенил, циклоалкенил, алкокси-, алкенилокси- или циклоалкенилоксигруппа, содержащие 1—8 атомов C, арил, алкарил, аралкил, арилокси-, алкарилокси или аралкоксигруппа, содержащие 6—12 атомов C и  $\leq 1$  ароматич. ядра, или группа —OX. Эпоксидная группа в радикале X может находиться на конце цепи, удаленном от атома Si. Указанные соединения получают при р-ции эпоксисиланолов с соответствующим алкилгалогенидом в присутствии акцептора HCl (амин) при т-ре  $< 30^\circ$ . Напр., 22,2 ч. глицидола (I) и 32 ч. триэтиламина (II) растворяют в 150 ч. толуола (III), охлаждают до 0°—10° и вводят по каплям 37,85 ч. дифенилдихлорсилана. Выпавший солянокислый II отфильтровывают, отгоняют р-ритель и перегоняют. Ди-(2,3-эпоксипропокси)-дифенилсилан собирают при 197—205°,  $n = 1,5570$ . Аналогично получают 2,3-эпоксипропокси-трибутилсилан (из 37 ч. I и 62 ч. трибутилхлорсилана в среде 60 ч. II и 250 ч. III; после отгонки р-рителя остаток не перегоняют), ди-(2,3-эпоксипропокси)-дифеноксисилан (из 37 ч. I и 65 ч. дифеноксидихлорсилана в среде 60 ч. II и 250 ч. III), ди-(3,4-эпоксисиланокси)-дигексилсилан (из 42 ч. 3,4-эпоксисиланола, 60 ч. дигексидихлорсилана в среде 60 ч. II и 250 ч. III) и ди-(2,3-эпоксипропокси)-диметилсилан. Указанные в-ва образуют твердые полимеры при нагревании с аминами и смешанные полимеры при нагревании с низкомолекулярными эпоксидными смолами. Мономерные соединения совмещаются с поливинилхлоридом и могут быть использованы для стабилизации последнего. А. Жданов

59331 П. Способ получения смол или маслянистых веществ. Хёсс, Бострём (Verfahren zur Herstellung von öl-oder harzartigen Stoffen. Höss Erwin, Boström Siegfried) [Englebert & Co. G. m. b. H.]. Пат. ФРГ 953014, 22.11.56

Отходы высокополимерных в-в, напр. старую резиновую или синтетич. смолы, подвергают термич. разложению; полученные продукты разложения обрабатывают избытком малеиновой к-ты, ее гомологами и (или) их ангидридами при обыкновенном или повышенном давлении в присутствии инертных в-в (напр., углеводородов — бензина или бензола) при 0°—200°, лучше при 100—140°. Полученные продукты присоединения (до или после отделения непрореагировавшей части) этерифицируют, превращая в амиды или конденсируют. Избыток к-ты после р-ции удаляют осаждением с помощью легко удаляемых осадителей: низкокипящих бензинов или хлорированных углеводородов, напр.  $\text{CH}_2\text{Cl}_2$ . В качестве исходных в-в применяют низкокипящие фракции продуктов разложения, преимущественно с т. кип.

конденса-  
6.56  
днов, сме-  
зостоят из  
триацета-  
тои к-ты и  
спирта и  
связуют на  
прозрач-  
зааривной

М. Альбом  
евои кме-  
substituted  
Martin  
Pat. США

оединения  
3—42 ато-  
м, алко-  
ушца, со-  
аралки,  
та, содер-  
идра, или  
ле X мо-

от атома  
-ции эн-  
логенсил-  
при т-ре  
триэтил-  
I), охлаж-  
дифенил-  
отфиль-  
г. Ди-(2,3-  
при 197—  
поксипро-  
утилхлор-  
отгонки  
оксипроп-  
ифенокс-  
), ди-(3,4-  
-эпоксибу-  
е 60 ч. II  
тиллисан.

ы при на-  
и при на-  
ми смола-  
с поливи-  
для стаби-  
Жданов

елинметил  
ur Herstel-  
Erwin  
G. m. b

ру реак-  
ич. разо-  
обработ-  
омологами  
и или по-  
отных р-  
ола) при  
продукты  
епрореаги-  
еверщают  
-ты после  
ко удале-  
ли хлор-  
честве ис-  
кции пре-  
т. кип

~150°/10 мм, для увеличения выхода низкокипящих фракций высококипящие фракции дополнительно подвергают крекингу. Полученные продукты применяют в качестве пластификаторов или искусств. смол. Напр., 100 ч. масла с т. кип. 160—200°, полученного при термич. разложении резины, обрабатывают равным кол-вом малеиновой к-ты при перемешивании и постепенно повышают т-ру >100°. При 125° начинается бурная р-ция и, спустя 30 мин., начинается отгонка выделяющейся при образовании ангидрида воды, и т-ру повышают до 140°. При появлении желтого окрашивания смесь охлаждают, добавляют при перемешивании 300—400 ч. легкокипящего бензина или  $\text{CH}_2\text{Cl}_2$ , дают отстояться, отфильтровывают выпавший малеиновый ангидрид (20 ч.) и осторожно отгоняют осадитель. Оставшийся продукт этерифицируют этиловым спиртом при нагревании в присутствии небольшого кол-ва  $\text{SOCl}_2$ , после чего осторожно отгоняют сначала спирт, а затем непрореагировавшие в-ва (моноолефины, насыщ. и ароматич. углеводороды, ~30 ч.). Этиловый эфир продуктов присоединения выделяют перегонкой под вакуумом при 180—240°/10 мм. Получают светлое густое масло (выход 90—100% от веса исходного продукта), применяемое в качестве пластификатора, напр., для нитроцеллюлозы. М. Альбом

59332 П. Способ получения пластических масс, растворов или паст из вторичного ацетата целлюлозы. Ттинус (Verfahren zur Herstellung von plastischen Massen, Lösungen oder Pasten aus sekundärem Celluloseacetat. Ttinus Kurt). Пат. ГДР 152, 11.06.56

Легколетучие агенты набухания или нерастворяющие вторичный ацетат целлюлозы (I) в-ва, особенно о алифатич. хлорированные углеводороды, смешивают с нерастворяющим I труднолетучим тетрагидронафтилкарбинолом (II) (1- или 2-оксиметил-5,6,7,8-тетрагидронафталином); полученная смесь способна пептизировать I. Напр., при смешении 5 г I (содержание  $\text{CH}_3\text{COOH}$  54%) и 95 г  $\text{CH}_2\text{Cl}_2$  над набухшей I находится в р-ре 6% I. При прибавлении к этой смеси 1,25 г II через некоторое время происходит полное растворение I. Из этого р-ра получают при испарении р-рителя прозрачную пленку. М. Альбом

59333 П. Пластификаторы для высокополимеров. Василеску (Weichmachungsmittel für hochpolymere Stoffe. Vasilescu Virgiliu). Пат. ГДР 12831, 7.03.57

В качестве пластификаторов для высокополимеров, напр. для поливинилхлорида, применяют смешанные эфиры, полученные из двух- или многоосновных к-т (янтарной, адипиновой, метиладипиновой, себаценовой, дигликолевой, тридигликолевой, лимонной, фталевой, гексагидрофталевой, циклогександиуксусной к-т или их ангидридов и функциональных производных), одно- или многоядерных фенолов (фенола, хлорфенола, крезола, скиленола, гваякола, пирокатехина, нафтола) и OH-содержащих соединений, напр. алифатич., ариалифатич., циклоалифатич. и гетероциклич., также замещ. спиртов. Полученные пластификаторы отличаются высокой морозостойкостью, низкой летучестью и хорошими электроизоляционными свойствами. Напр., смесь (в вес. ч.) 740 фталевого ангидрида и 730 технич. скиленола (I, т. кип. 212—230°) нагревают 3 часа в автоклаве при 200° и перемешивании; полученный монокисленоловый эфир фталевой к-ты (кислотное число 192) обрабатывают 700 вес. ч. смеси жирных спиртов с 6—9 атомами C в присутствии 900 вес. ч. I (для азеотропной отгонки воды) и нагревают смесь 6 час. при 250° (не выходя давления выше 5 атм); при этом вместе с I отгоняется реакционная вода. Остаток I и избыток

спиртов удаляют под вакуумом, после чего смешанный эфир перегоняют при 217—258°/1,5 мм. Продукт (темно-желтая жидкость) практически не имеет запаха, имеет уд. сопротивление  $3 \cdot 10^{10}$  ом·см, т-ру застывания —58° и удельный вес 0,982 при 20°.

М. Альбом

59334 П. Растворитель для смол и клеев. Бернер (Produit dissolvant des gommes et des résines. Berner Charles). Швейц. пат. 318453, 28.02.57

Для очистки часовых камней от клея на основе отвержденных термореактивных смол, вместо  $\text{HNO}_3$ , применяют смывку, содержащую в своем составе 12—18% фенолята щел. металла ( $\text{C}_6\text{H}_5\text{ONa}$ ), 2—4% каустич. соды, 15—20% смеси по крайней мере двух алифатич. спиртов (этилового, изопропилового или метилизобутилкарбинола) и воду. Напр., смывка содержит (в кг) фенолята Na 15,3, каустич. воды 3,0, 2-пропанола 7,67, метилизобутилкарбинола 7,48, этилового спирта технич. 1,9. Воду добавляют в кол-ве, необходимом для доведения общего объема до 100 л.

Н. Делазари

59335 П. Монометокситрибутилстаннан для стабилизации поливинилхлоридных смол. Мак (Tri-butyl-tin-mono-methoxide and polyvinyl chloride resin stabilized therewith. Mack Gerry P.) [Carlisle Chemical Works, Inc.]. Пат. США 2745820, 15.05.56

Для стабилизации поливинилхлорида и аналогичных полимеров применяют оловоорганич. соединения ф-лы  $(\text{C}_4\text{H}_9)_3\text{SnOR}$  (R — алкил) в кол-ве 0,5—5% от композиции. Напр., 100 г трибутилхлорстаннана растворяют в 125 мл абс. метанола, добавляют 17,8 г метилата натрия в 100 мл метанола при 0°, перемешивают 2 часа при 10—20° до нейтр. р-ции, соль отфильтровывают и отгоняют спирт при пониженном давлении. В остатке получают метокситрибутилстаннан — прозрачную жидкость с т. кип. 138—139°/5 мм и  $n_D^{20}$  1,4801. 0,6 г метокситрибутилстаннана растворяют в 38,5 г ди-2-этилгексифталата, смешивают с 61,5 г сополимера винилхлорида с винилацетатом (95:5) и смесь раскатывают в пленку при 155°. Образцы пленки размером 212 × 212 мм и толщиной 1,5 мм выдерживают 30 мин. при 175°; при этом пленка не изменяет цвета и не мутнеет. В аналогичных условиях пленка без стабилизатора становится темно-коричневой. В качестве стабилизатора можно также применять трибутил-трет-бутоксистаннан (т. кип. 96—97°/1,2 мм) и триэтилэтоксистаннан (т. кип. 190—192°).

В. Сергеев

59336 П. Слоистые пластики на основе стеклянных тканей. Русш (Laminated glass fabric. Rusch Adolphe) [United States of America as represented by the Secretary of the Army]. Пат. США 2743207, 24.04.56

Стеклоткань или стекломаты, пропитанные р-ром полистирола в органич. р-рителе, укладывают на проволочную сетку; после испарения р-рителя получается жесткий лист с шероховатой поверхностью с одной стороны. Этот лист укладывают на плиту прессы, накладывают на него один или несколько слоев стеклоткани или стекломатов, пропитанных полиэфирной смолой, и прессуют при давл. 0,14—35 кг/см<sup>2</sup> и 100° в течение 45 мин.; после чего повышают давление до 38,5—70 кг/см<sup>2</sup> и выдерживают 3—10 мин. при 70—100°. Р-рителем для полистирола является метилэтикетон или ацетон; полистирол можно также применять в виде водн. дисперсии или р-ра в мономере (конц-ия 30—35%). Нагревание можно производить при помощи ИК-ламп, обеспечивающих т-ру 93—121° на расстоянии 150 мм. Полистирол придает стеклопластику высокую хим. устойчивость, а полиэфирная смола — большую прочность на удар. Описанным способом можно изготовлять фотографич.



кюветы, сосуды для аккумуляторных батарей, резервуары для хим. агрессивных материалов и т. п.

С. Иофе

**59337 П. Способ формования слоистых пластиков.** Морали (Procédé de moulage de matières stratifiées. Moraly Paul). Франц. пат. 1107842, 5.01.56

Для формования изделий изготовляют необходимое число форм отдельных частей изделия для того, чтобы избежать обратной конусности, получают на этих формах отдельные части изделия обычными методами, собирают и закрепляют их на монтажной раме или каркасе, наносят изнутри слой термопластичной или термореактивной смолы, укладывают на внутреннюю поверхность изделия арматуру из неорганич. волокон или нитей, покрывают новым слоем смолы и отверждают смолу, получая цельное изделие из жестко скрепленных сборных частей. Арматура может также состоять из ряда слоев неорганич. переплетенных волокон или ткани. Цвет и внешний вид изделия могут быть изменены нанесением окрашенных или декоративных слоев на внешнюю поверхность изделия; окраску смолы в массу осуществляют введением красителя или пигмента. В. Пахомов

**59338 П. Производство слоистых прозрачных изделий.** Каземан (Manufacture of laminated transparent articles. Kasemann E.). Англ. пат. 723744, 9.02.55

Ориентированную гитроскопич. поляризующую пленку из полимера заклеивают между предохранительными пластинками из стекла или другого прозрачного негитроскопич. материала. Для склеивания служит оптически изотропная смесь природных смол (канадский бальзам, канифоль) и жидких в-в, напр., третичных этиленминов. Затвердевание клея происходит на холоду или при слабом нагревании. Подобранным способом защищают пленки из поливинилового спирта; клей наносят на всю поверхность защитных пластин. И. Зимаков

**59339 П. Способ получения нитей из пластмассы.** Гашо (Procédé pour l'obtention de fils en matière plastique. Gachot Jean). Франц. пат. 1116933, 14.05.56

Способ получения нитей из пластмассы, в особенности из политетрафторэтилена (I), состоит в том, что из блока пластмассы на токарном станке получают тонкую стружку, которую затем подвергают кардированию, чесанию и прядению, аналогично процессам переработки шерсти. Напр., цилиндр из I diam. 60 мм и длиной 100 мм обрабатывают на токарном станке, получая тонкую и однородную стружку. Полученную волокнистую массу расчесывают сначала на кардовой, затем на чесальной машине и прядут. Полученные нити пригодны для применения в электротехнике благодаря очень высоким изоляционным свойствам I. Если в процессе произ-ва нитей по указанному способу к тонкой стружке I добавляют волокна хлопка, шерсти и другие природные или искусств. волокна, их можно удалить обработкой нитей к-той, напр. HNO<sub>3</sub>. В. Пахомов

**59340 П. Способ и аппарат для производства гранул.** Хельмбольд (Procédé pour la fabrication d'écaillés de produits chimiques et appareil pour l'application dudit procédé. Helmbold Paul-Auguste). Франц. пат. 1125338, 29.10.56

Гранулы из расплавленного полимера (напр., из шеллака) получают при помощи аппарата в виде металлич. полого теплопроводного вращающегося барабана, нижняя часть которого погружена в бак, наполняемый расплавленным в-вом при помощи сифонной системы; на внешней поверхности барабана отлагается гладкая, ровная, тонкая пленка пастообразной консистенции, которую снимают после охлажде-

ния при помощи ракля. Бак снабжен термостатирующим устройством для регулирования т-ры расплавленного в-ва, которая не должна значительно превышать т-ру плавления. Первая стадия охлаждения производится при помощи воды, находящейся внутри в нижней части барабана и охлаждающей образующуюся снаружи барабана пленку. После выхода из бака стенка барабана интенсивно охлаждается путем пульверизации воды, поступающей внутрь барабана через полую горизонтальную ось с отверстиями для распыления. Снятая пленка попадает в деагрегатор, где измельчается на мелкие чешуйки. Преимуществами способа являются легкость регулирования толщины пленки путем изменения уровня в-ва в баке и легкость отслаивания пленки при двукратной системе охлаждения. Приведена схема устройства аппарата. Б. Шемякин

**59341 П. Способ и устройство для непрерывного охлаждения и формования термопластичных смол.** Стобер (Verfahren und Vorrichtung zum kontinuierlichen Kühlen und Formen von organischen, thermoplastischen Kunststoffen. Stober Kenneth Elmer) [The Dow Chemical Co.]. Пат. ФРГ 952062, 22.11.56

Нагретую до пластичного состояния ленту из термопластич. материала пропускают вокруг охлаждающего вала так, что лента охлаждается по всей ширине, но только в поверхностных слоях до т-ры, при которой она еще сохраняет пластич. свойства. Для прижатия ленты к охлаждающему валу по окружности последнего на определенном расстоянии расположены валики небольшого диаметра; проходя в зазоре между этими валиками и большим валом и прижимаясь к последнему, материал в процессе охлаждения приобретает определенную толщину, не превышающую 1,27 см. Охлаждающий вал может иметь кольцеобразные углубления и выступы, благодаря которым получается профилированная или гофрированная лента, напр., в виде параллельных полос, соединенных между собой тонкими участками; при разламывании полос в поперечном направлении получают гранулированный прессматериал. Через устройство можно также пропускать полотно из гибкого нетермопластич. материала (напр., ткань), которое соприкасаясь с еще горячей лентой из термопластич. материала, проходит вместе с ней вокруг охлаждающего профилированного вала; получаемые изделия (стержни, гофрированные панели, желоба) применяют в строительстве мебели, холодильников, автомашин. Приведены схематич. чертежи устройств. М. Альбан

**59342 П. Способ непрерывного получения и обработки плоских изделий из пластмасс.** Винанд (Verfahren zur fortlaufenden Herstellung und Behandlung von vorzugsweise flächigem Werkstoff, insbesondere aus Kunststoffen bzw. mit Kunststoff gebundenen Werkstoffen. Wienand Michael) [Dumy mit A.-G. vormals Alfred Nobel & Co.]. Пат. ФРГ 907217, 22.03.54

Способ отличается тем, что обрабатываемое изделие (пленка или слоистый материал) проходит между двумя движущимися вместе с ним бесконечными металлич. лентами и в определенной зоне подвергается давлению под действием жидкой или газовой среды, при необходимости нагретой до т-ры размягчения или отверждения материала. По окончании обработки изделие охлаждается под давлением или без него. Материал может передвигаться по постоянно действующим давлением или периодически подвергаться действию давления, а в промежутках продвигаться на определенную длину. Давление среды равно или выше возникающей при т-ре обрабо-

ли упругости паров в-в, содержащихся в обрабатываемом материале. С обеих сторон охватывающих изделие лент имеются полости, в которые подается нагревающая или охлаждающая среда. Обе полости по своему периметру снабжены уплотнением, прилегающим к ленте, и могут быть разделены на нагреваемые и охлаждаемые камеры, отделенные друг от друга перегородками, также прилегающими к ленте. Способ применяют для полировки, матировки или тиснения пленок или пластин из полимеров, напр. ацетата целлюлозы, целлулоида, а также фибры и подобных материалов. М. Альбам

**59343 П. Устройство для непрерывной обработки плоских материалов.** Винанд (Vorrichtung zur Durchführung des Verfahrens zur fortlaufenden Herstellung und Behandlung von flächigen Werkstoffen. Wienand Michael) [Dynamit-A.-G. vormals Alfred Nobel & Co.] Пат. ФРГ 947832, 23.08.56

Доп. к пат. ФРГ 907217 (см. пред. реф.). Обрабатываемый плоский материал непрерывно транспортируют с помощью металлич. ленты вокруг обогреваемого или охлаждаемого барабана и одновременно прижимают лентой к барабану; давление, оказываемое лентой на материал, создается не за счет натягивания ленты, а за счет расположенных со стороны ленты гидравлич. (или пневматич.) камер, оборудованных спец. уплотнениями в местах соприкосновения с лентой. Внутри камер под давлением подают обогревающую или охлаждающую жидкость (воду) или газ. М. Альбам

**59344 П. Способ получения материалов из пластмасс, наполненных активированным углем или другими твердыми поверхностноактивными веществами.** Линдеймeyer (Verfahren zur Herstellung von mit Aktivkohle oder anderen festen oberflächenaktiven Stoffen imprägnierten Kunststoffträgern. Lindenmeyer Julius). Пат. ФРГ 953830, 6.12.56

Доп. к пат. ФРГ 946181 (РЖХим, 1958, 42052). Указанный материал получают по пат. ФРГ 946181, прибавляя активированный уголь или другое твердое поверхностноактивное в-во к приготовленному для формирования р-ру (напр., к прядильному р-ру) или ввода его в изделие (пленку или нить) сразу после формирования, пока изделие находится еще в незатвердевшем состоянии. Полученные пленки или волокно применяют, напр., для изготовления газозащитной одежды, фильтровальной ткани, фтилей, электропроводящих нитей и т. п. М. Альбам

**59345 П. Способ бесшовной обкладки металлических сосудов пленкообразующими синтетическими смолами.** Бек (Verfahren zum nahtlosen Auskleiden von Metallbehältern mit filmbildenden Kunststoffen. Beck Hans) [Badische Anilin- und Soda-Fabrik A.-G.] Пат. ФРГ 955205, 27.12.56

Пленкообразующие термопластичные смолы (поливинилхлорид, полиэтилен, полиамиды) вводят, напр., с помощью шприцмашины с дутьевой головкой в нагретый выше т-ры размягчения смолы подлежащий обкладке металлич. сосуд (напр., консервную банку) и давлением газа подпрессовывают заготовку к стенкам сосуда, благодаря чему пленка прочно связывается со стенкой. Внутренняя стенка сосуда может быть предварительно загрунтована, напр., водн. дисперсией полиакрилатов. М. Альбам

**59346 П. Способ получения гальванированных клише из меди на основании из термопластичной пластмассы** (Verfahren zur Herstellung von mit thermoplastischem Kunststoff hinterlegten Galvanos aus Kupfer) [Heinrich Gries]. Пат. ФРГ 954426, 20.12.56

На пластинку из термопластич. пластмассы насы-

пают металлич. порошок и впрессовывают его с помощью горячей металлич. плиты так, чтобы образовалась гладкая поверхность. Клише с обратной стороны покрывают Sn, нагревают до т-ры плавления Sn, накладывают луженой стороной на нагретую пластмассовую пластинку и прессуют до охлаждения.

М. Альбам

**59347 П. Способ получения пенопластов из полиэфиров и изоцианатов.** Фрейтаг, Хольтшмидт, Брокхаген, Барт (Verfahren zur Herstellung von Schaumkörpern auf Polyester-Isocyanatbasis. Freytag Helmut, Holschmidt Hans, Brochhagen Franzkarl, Barth Herbert) [Farbenfabriken Bayer A.-G.] Пат. ФРГ 953561, 6.12.56

В качестве вспенивающих агентов наряду с динизоцианатами, выделяющими  $\text{CO}_2$ , применяют мономерные метилольные производные, выделяющие при т-ре  $\sim 150^\circ$  газообразный  $\text{CH}_2\text{O}$ , или параформальдегид, что позволяет сократить дозировку изоцианатов. Напр., в смесь (в вес. ч.) 80 полиэфира из фталевой, адипиновой к-ты и гексантидиола, 20 полиэфира из адипиновой к-ты, 1,3-бутиленгликоля и гексантидиола и 10 кремнистого мела вводят при  $50^\circ$  6 вес. ч. диметилсилолмочевины и 1 вес. ч. эфира адипиновой к-ты и диэтилэтаноламина; смесь охлаждают, добавляют 45 вес. ч. толуилендинизоцианата и получают твердый пенопласт с об. в.  $90 \text{ кг/м}^3$ . Для получения пенопласта с таким же об. весом при добавлении воды необходимо вводить 50 вес. ч. толуилендинизоцианата.

М. Альбам

**59348 П. Способ получения пористых формованных изделий из термопластичных синтетических смол.** Штастный (Verfahren zur Herstellung poröser Formkörper aus thermoplastischen Kunststoffen. Stastny Fritz) [Badische Anilin- & Soda-Fabrik A.-G.] Пат. ФРГ 953835, 6.12.56

Доп. к пат. ФРГ 941389 (РЖХим, 1957, 62121). Способ отличается тем, что для изготовления изделий применяют гранулированную непостоянно вспененную смолу, еще содержащую нерастворяющиеся или вызывающие набухание жидкости с т-рой кипения ниже т-ры размягчения смолы. Гранулы частично вспененной смолы помещают в газопроницаемую форму, где при нагревании происходит их всенивание и спекание. Напр., смесь (в ч.) 1000 воды, 2,5 поливинилпирролидона, 500 стирола, 12,5 перекиси бензоила и 40 петр. эф. (т. кип.  $52-57^\circ$ ) нагревают 60 час. с перемешиванием в автоклаве при  $50^\circ$ ; получают гранулы полимера диам. 1-2 мм. Полимер помещают на 6 мин. в воду с т-рой  $90^\circ$  (при этом происходит увеличение объема на  $\sim 300\%$ ) и получают пористые гранулы с насыпным весом  $65 \text{ г/л}$ . Этими гранулами полностью заполняют плоскую форму (высота 5 см), закрывают ее и помещают на 10 мин. в атмосферу водяного пара с т-рой  $120^\circ$ . Получают сплошную прочную пластину с объемным весом 0,065, применяемую, напр., для тепло- или звукоизоляции, для настила полов и т. п. М. Альбам

**59349 П. Способ получения смол.** Сир (Verfahren zur Herstellung harzartiger Reaktionsprodukte. Sear Derek William) [Dunlop Rubber Co. Ltd.] Пат. ФРГ 953918, 6.12.56

Каучукоподобный сополимер, содержащий карбоильные группы, обрабатывают многоатомным фенолом и низшим алифатич. кетоном в присутствии катализатора. Р-цию проводят в среде, не содержащей воды, напр., в р-ре низшего алифатич. кетона. Полученные продукты применяют в качестве клея для пластмасс и бутадиенстирольных каучуков. Напр., 13,35 г сополимера бутадиена и метилизопренилкетона (70:30) растворяют в 250 мл бензола, добав-



ляют 7,4 г ацетона, 14 г резорцина, пропускают сухой HCl-газ в течение 1 часа, после чего отгоняют HCl и бензол. Остаток промывают, высушивают, вальцуют на горячих вальцах и получают вязкий и эластичный в горячем состоянии, твердый и хрупкий в холодном состоянии продукт; он растворим в этилацетате в любых отношениях. М. Альбам

**59350 П. Способ получения сухих склеивающих пленок из термореактивных смол без подложки. Едличка** (Verfahren zur Herstellung trockener, trägerloser Klebfolien aus wärmehärtbaren Kunstharzen. Jedlicka Helmut). Пат. ФРГ 954446, 20.12.56

К фенол- и (или) мочевиноформальдегидным, меламиновым, резорциновым, силоксановым, эпоксидным, полиуретановым и другим смолам, которые могут содержать отвердители, добавляют ~5—40 вес. % полиэтилена, после чего смесь развальцовывают на горячих вальцах. Получают гибкие, тонкие пленки, пригодные, в зависимости от типа смолы, для склеивания металлов, дерева, пластмасс, стекла и керамики. М. Альбам

**59351 П. Многослойные листовые материалы** (Composite assemblies adapted for use in reinforcing portions of sheet material and for use in bonding portions of sheet material together) [B. B. Chemical Co., Ltd]. Англ. пат. 727844, 6.04.55

Многослойный листовый материал для наложения заплат или склейки пластич. листовых материалов (гибких виниловых листов) состоит из тонкого гибкого листового пластика с прочно приклеенной к нему тонкой пленкой нелипкого, активируемого клея на основе сополимера бутадиена и акрилонитрила, содержащего необходимые добавки, и относительно жесткого защитного и несущего слоя, который может быть содран с клеевой пленки. Тонкий гибкий лист может состоять из поливинилхлорида или сополимера винилхлорида с винилацетатом или винилиденхлоридом и пластификатора сложно-эфирного типа (трикрезилфосфат, дибутил-, диоктил- или ди-2-этилгексилфталат). В качестве добавки к клею служит сополимер винилхлорида и винилацетата, хлоркаучук или их смесь. Клей, который может содержать пластификатор (ди-2-этилгексилфталат), наносят на несущий слой из р-ра в органич. р-рителе (смесь толуола и метилизобутилкетона), а тонкий слой пластика накладывают на клеевой слой по испарению р-рителя. Несущий слой может состоять из бумаги, покрытой полиэтиленом; его разматывают с рулона, поливают р-ром клея и сушат в тоннельной сушилке; лист пластика смачивают р-рителем, пропуская над фитилем, опущенным в р-ритель, и накатывают на покрытый клеем несущий лист; при этом клеевой слой прочно соединяется с листом пластика, но может быть содран с несущего слоя. Вместо непрерывного слоя гибкого пластика на клеевой слой могут быть нанесены разноцветные куски такого пластика, прилегающие друг к другу. В момент применения защитный слой бумаги сдирают с покрытого клеем винилового листового материала, активируют клей р-рителем или нагреванием (напр., обычным утюгом) и прижимают к порванному листу, пуждающемуся в починке, или к сложенным в стык двум кускам материала. В. Пахомов

**59352 П. Способ получения нелипких формованных герметиков. Хейль** (Verfahren zur Herstellung nichtklebender geformter Abdichtungsmassen. Heil August) [Odenwald-Chemie G. m. b. H.]. Пат. ФРГ 953188, 29.11.56

Герметики на основе пластичных полимеров (полиизобутилена), а также замазки или шпаклевки на основе олифы формуют в виде лент, шнуров и т. п.,

непосредственно после формования закатывают в редкую ткань (напр., марлю). Упакованные таким образом герметики можно далее упаковывать без применения прокладочных материалов.

**59353 П. Способ получения искусственных материалов электротехнического назначения. Вейгель** (Verfahren zur Herstellung von Kunststoffen für elektrotechnische Zwecke. Weigel Fritz) [Siemens-Schuckertwerke A.-G.]. Пат. ФРГ 967246, 24.10.57

Продукты р-ции поливинилового спирта с альдегидами (напр., поливинилформаль) обрабатывают проматич. эфирами ортокремневой к-ты, напр. фениловым, крезилловым или галогенированными фениловым эфиром ортокремневой к-ты. Напр., 600 г поливинилформаль растворяют в 600 г циклогексанона, добавляют 40%-ный р-р крезилсиликата в циклогексаноне и полученную смесь используют для эмалирования проводов, пропитки обмоток и т. п. по обычной схеме. Модифицированные арилсиликатами поливинилацетальные смолы имеют более высокую теплоустойчивость и лучшую эластичность в сравнении с немодифицированными. А. Жданов

**59354 П. Изготовление тепло- и звукоизоляционного материала** (Matériau composite thermiquement et acoustiquement isolant et son procédé de fabrication) [Soc. d'Application des Plastiques Armés]. Франц. пат. 1113551, 30.03.56

Звуко- и теплоизолирующий многослойный материал состоит из слоя сот из бумаги, пропитанной синтетич. смолой, помещенного между двумя слоями полиэфирной смолы, армированной стеклянн. тканью. Для изготовления материала внутреннюю поверхность формы покрывают слоем термореактивной смолы, полимеризуют ее, покрывают одним или несколькими слоями стеклянн. ткани толщиной 0,35 мм, пропитанной полиэфирной смолой, накладывают на нее сотовый лист толщиной 9 мм, который далее покрывают пропитанной стеклянн. тканью. Сборку полимеризуют при давл. 200—250 г/см<sup>2</sup> в печи, предпочтительно при нагревании ИК-лучами. Внешний слой смолы может содержать пигменты. Материал применяют для изготовления деталей автомобильных кузовов. Ю. Васильев

**59355 П. Улучшенный способ изготовления пластической массы** (Perfectionnements à la mise en oeuvre de matières plastiques.) [Roland Wucher]. Франц. пат. 1128105, 2.01.57

Способ заключается в том, что пластич. массу введения в форму подвергают одновременно нагреванию и непрерывному перемешиванию, что устраняет перегрев и увеличивает текучесть массы. Для перемешивания пластич. массу пропускают через червячный пресс; на конце червяка установлен диффузор узкими каналами, а выходное отверстие цилиндра снабжено обтуратором. Пластич. масса, находящаяся в камере между обтуратором и диффузором, выдвигается в форму под действием продольного перемешивания червяка по отношению к цилиндру. После заполнения формы головка червяка упирается в обтуратор и перекрывает литник. Продольное перемещение червяка регулируется автоматич. комбинированным пускателем в зависимости от заполнения и опорожнения камеры. Н. Делазар

**59356 П. Способ смешения термопластов с модифицирующими добавками. Стобер** (Förfarande blandning av termoplast med modifieringsmedel. Stober K. E.) [The Dow Chemical Co.]. Швед. пат. 153039, 10.01.56

Способ непрерывного и равномерного выдавливания расплавленного термопласта (полистирола) отличается тем, что готовят один или несколько

тывают в  
таким об-  
без при-  
М. Альба  
мате-  
Вей-  
unststoff  
Fritz)  
GT 967246

с альдег-  
дуют аро-  
Фенило-  
Фенило-  
поливинил-  
на, добав-  
гексаноне  
лирования  
ичной сте-  
поливинил-  
тепlostой-  
с немоди-  
Жданов

оляниче-  
ement et  
abrication)  
ранц. пат.  
ый мате-  
опитанной  
мя слоями  
тектидной  
енную по-  
реактивной  
м или не-  
толщиной  
наклады-  
е, который  
тканью  
м<sup>2</sup> в см<sup>2</sup>  
К-лучами  
пигменты  
алей авто-  
Васальде  
и пласти-  
e en ou-  
gr). Франц

массу д  
о нагрев-  
устраива-  
Для пере-  
ез червя-  
инфузор  
цилиндри-  
аходящих  
вором, на-  
ного пер-  
цилиндри-  
управле-  
Продольно  
атич. кон-  
т заполн-  
Делазар  
с модифи-  
grande  
ingsmede  
Шведо

выдавлив-  
прола) о  
несколько

концентратов термопласта, содержащих одну или несколько модифицирующих добавок, подают концентрат с постоянной скоростью в червячный пресс, выдавливают с той же скоростью в больший червячный пресс, где смешивают с нужным кол-вом расплавленного термопласта. Смесь выходит из большого червячного пресса в виде тонкой ленты, которая проходит через ВЧ-поле; изменение электрич. емкости вследствие колебаний состава выдавливаемой массы автоматически меняет скорость выдавливания из большого червячного пресса. Этим достигается постоянство состава модифицированного термопласта при почти постоянной скорости выдавливания. По меньшей мере один концентрат является смесью полистирола с красителем; концентрат может содержать в 20—50 раз больше модифицирующей добавки, чем конечный продукт. В. Пахомов

59357 П. Способ получения печатных красок, устойчивых при термической сварке пластмасс. Р-юле (Verfahren zur Herstellung von thermisch verschweißbaren Druckfarben für den Siebdruck und Hochdruck. Rühle Siegfried). Пат. ГДР 12963, 25.03.57. Неорганические или органич. красители, устойчивые при 160—170°, затирают с наполнителями и связующими в-вами, состоящими из р-ров синтетич. смол в медленно испаряющихся р-рителях, напр. в циклогексаноне, метилциклогексаноне и бензиловом спирте. Краски применяют для печатания сложных рисунков на прозрачных пленках из пластмасс, которые можно приваривать на поверхность пластмассовых изделий. Напр. 15 ч. сополимера винилхлорида и винилацетата растворяют в 20 ч. циклогексанона и 65 ч. бензинового спирта при 130°. 20 ч. синего фталоцианинового пигмента и 90 ч. BaSO<sub>4</sub> смешивают со 140 ч. полученного р-ра и тщательно затирают на краскотерке. Получают синюю печатную краску для поливинилхлорида. М. Альбам

См. также: раздел Химия высокомолекулярных веществ и рефераты: Общие вопросы 58254, 58255. Сырье 58331, 58336, 58360, 58367, 58631. Методы анализа 57242, 57243, 59402. Полимеризац. смолы 56817, 59431, 59647. Фенолформальд. смолы 57301, 58550. Карбамидные смолы 59651, 59652. Полиэфирсы 57819. Полиорганосилоксаны 58197, 58256. Пластификаторы, 58367, 58372. Стабилизаторы 58348. Наполнители 59469. Ионнообменные смолы 56932, 58021, 58566. Клеи 57819, 58837. Склеивание твердых волокнистых плит с массивной древесиной 59571. Определение запыленности воздуха поливинилхлоридной смолой 57891

## ЛАКИ. КРАСКИ. ЛАКОКРАСОЧНЫЕ ПОКРЫТИЯ

Редактор М. Ф. Сорокин

59358. Льняное и соевое масла. Клоб (Outlook for linseed and soybean oil. Klobe Arthur H.), Amer. Paint J., 1957, 42, № 8A, 37 (англ.)

Приведены данные о произ-ве и потреблении льняного (I) и соевого (II) масел в США в 1957 г. Отмечается тенденция к увеличению дефицита I и наличие значительного избытка II. Обсуждается возможность ввоза I из Аргентины и Канады. М. Баркова

59359. Общая методика исследований в области красок. Фуллер (General method in paint development. Fuller Wayne R.), Amer. Paint J., 1957, 41, № 52, 74, 76—77, 80, 82—83, 86, 88—89, 92, 94 (англ.)

Общие вопросы организации н.-и. работ, система и основные принципы при разработке и испытании лакокрасочных составов и рецептур. Отмечается, что за последние годы общепризнанное значение получил метод статистич. анализа на основе эксперим. данных.

Б. Шемякин

59360. Бензойная кислота и бензоаты. Слейс (Benzoic acid and the benzoates. Sluis K. J. H. van), Chem. Prod., 1957, 20, № 6, 237—239 (англ.)

Бензойная к-та находит значительное применение в произ-ве смол, пигментов, лаков, красок, эмалей и красителей. Бензоат натрия применяют в составах, замедляющих развитие коррозии. Библ. 54 назв.

Начало см. РЖХим, 1957, 75354. Б. Шемякин

59361. Факторы, влияющие на внешний вид лакового покрытия. Феллер (Factors affecting the appearance of picture varnish. Feller Robert L.), Science, 1957, 125, № 3258, 1143—1144 (англ.)

Блеск покрытий из спиртового лака связан с показателем преломления (ПП) смолы и вязкостью ее р-ра. Изменения ПП в пределах 1,43—1,54 играют второстепенную роль при определении внешнего вида покрытия и большее значение имеет вязкость р-ра. Лаки, получаемые на основе высоковязких смол, склонны образовывать покрытия с меньшим блеском, чем более жидкие лаки. Библ. 10 назв. Б. Шемякин

59362. Новые виды покрытий с точки зрения химика. Фолен, Хорнинг, Уйбер (A chemist looks at newer coating. Fohlen G. M., Horning C. H., Weber S. A.), Canad. Paint and Varnish, 1957, 31, № 9, 34—37, 56—57 (англ.)

Краткий обзор по химии синтетич. смол (алкидных, полиуретановых и др.) и применению их в покрытиях. Библ. 8 назв. В. Мискинянц

59363. Антикоррозионные грунтовки и лаки на синтетических смолах. Рольфе (Rustbeskyttende grundfarver og lakker på syntetisk basis. Rohlf A.), Maskin-ind., 1957, 8, № 23, 890—891 (датск.)

59364. Смолы для промышленных покрытий. Бернетт (The ADM kaleidoscope. Is an industrial finishing inventory cluttering your resin cupboard? Burnett F. J.), Paint, Oil and Chem. Rev., 1957, 120, № 22, 19—21 (англ.)

Фирменный (ADM-Co.) проспект выпускаемых смол для промышленных покрытий 20 сортов с краткой характеристикой общих свойств и применения.

Б. Шемякин

59365. Алкидные смолы в лакокрасочной промышленности. Пьянтанида (Le resine alchidiche nell'industria delle vernici. Piantanida Cesare), Ind. vernice, 1957, 11, № 11, 297—301 (итал.)

59366. Достижения в области алкидных смол. Джеймс (Alkyd advances. James D. M.), Paint Manufact., 1957, 27, № 11, 401—403, 415 (англ.)

Краткий обзор типов смол и новых видов сырья (изоталевая к-та, триметилолетан и триметилпропан). Библ. 14 назв. Б. Шемякин

59367. Возрастающее значение полиуретановых смол в лакокрасочной промышленности. Брашуэлл (Polyurethanes-another challenge to the paint maker. Brushwell William), Amer. Paint J., 1957, 41, № 30, 111, 114, 116, 118, 120, 122, 124; № 44, 107, 110, 112—113, 116, 118, 120, 122—123, 126 (англ.)

Приведены известные сведения о смолах.

Обзор процессов получения, свойств и применения полиуретановых покрытий. Б. Шемякин

59368. Эпоксидные лаки для проводов большого диаметра. Ганзлик, Ганзлик, Млезива (Epoxydové laky na elektrické vodiče s velkými průměry. Hanzlík Vladimír, Hanzlík Miroslav, Mleziva Josef), Chem. průmysl, 1957, 7, № 12, 673—678 (чешск.; реж. русск., англ.)

Разработаны электроизоляционные лаки (горячей сушки) для проводов (с диам. > 0,8 мм) на основе низкомолекулярной эпоксидной смолы (типа Р40), модифицированной бутанолом меламиноформальдегидной смолы (типа мельформ 40) и кислого отвердителя. В качестве отвердителя применяли кислые эфиры гли-



коля или глицерина и различных 2-основных органич. к-т (от щавелевой до себаценовой, малеиновой и фталевой).

М. С.

59369. Технические проблемы при применении лаковых эпоксидных смол. Хирши (Anwendungstechnische Probleme bei der Verwendung von Epoxy-Lackharzen. Hirschi Th.), Schweiz. Arch. angew. Wiss. und Techn., 1957, 23, № 10, 318—327 (нем.; рез. франц.)

Общие сведения об эпоксидных смолах. Библ. 7 паав. Г. Цейтлин

59370. Нитролаки. Кодзима (Kojima Shuji), Мокудзай когё, Wood Ind., 1956, 11, № 1, 5—6 (японск.)

Общие сведения о составе и свойствах нитролаков.

Кан Нам-гын

59371. Спиртовые лаки. Хасимото, Мокудзай когё, Wood Ind., 1956, 11, № 1, 2—4 (японск.)

Известные сведения о спиртовых лаках. Кан Нам-гын

59372. Глянцевые эмульсионные краски. Флетчер, Мейн (Gloss emulsion paints. Fletcher A. S., Maune J. E. O.), Paint, Oil and Chem. Rev., 1957, 120, № 11, 8—12 (англ.)

Факторами, определяющими блеск пленок эмульсионных красок из синтетич. смол, являются размер частиц эмульсии, мол. вес смолы и т-ра сушки пленки. На степень блеска может также оказать влияние флокуляция пигмента под действием воды. фазы. С целью выяснения факторов, способствующих флокуляции, с помощью микрофотографии изучали механизм высыхания эмульсионных пленок. Установлено, что пленки всегда сохраняют структуру исходной эмульсии, причем в пленке из непластифицированной эмульсии нет слитности и это приводит к шероховатости и недостаточному глянту. Поэтому пластификация улучшает сплошность пленки и повышает ее глянец. Для получения красок с высоким глянцем первой стадией является приготовление эмульсии пластификатора при 20°, введение в нее  $TiO_2$  и добавление к полученной пигментной пасте эмульсии.

М. Ваньян

59373. Антикоррозионное действие пигментов (Симпозиум).— (Corrosion inhibiting by pigments. Symposium at Borough Polytechnic.), Paint, Oil and Colour J., 1957, 132, № 3084, 1118—1120 (англ.)

Тезисы 4 докладов на конференции, состоявшейся 14 ноября 1957 г. в Англии. Рассмотрен механизм защитного действия металл. Pb (в грунтовках и красках), металл. Zn (в красках на основе органич. и неорганич. связующих), цинковых кронов, свинцового сурика и плюмбата Са.

В. Мискинянц

59374. Прокаливание получаемой путем гидролиза  $TiO_2$  рутильной формы. Латти (Calcination of rutile-type titanium dioxide hydrolysates. Latty James E.), J. Appl. Chem., 1958, 8, № 2, 96—103 (англ.)

Изучали природу и размер частиц продукта гидролиза р-ра  $Ti(SO_4)_2$ , получавшегося из Ti-содержащих руд, и влияния на него процесса прокаливания. При гидролизе получался хлопьевидный продукт с диаметром частиц 0,1—0,8 м в результате агрегирования мицелл кристаллич. структуры анатазной формы с размером частиц диам. 0,08—0,1 м и толщиной 0,025 м. Кристаллиты обнаруживали рост внутри мицелл при 600—700°, а при высоких т-рах они спекались до образования пигментных частиц рутильной формы. Присутствие небольшого кол-ва щелочи при прокаливании ускоряло рост кристаллов как при низких, так и при высоких т-рах и изменяло их форму из округленной на угловатую (иглообразную) форму.

В. Шемякин

59375. Титановые пигменты.— (Titanium pigments.), Canad. Chem. Process., 1957, 41, № 10, 70—72 (англ.)

Сообщается о пуске в Квебеке (Канада) нового з-да

по произ-ву титановых пигментов из местного сырья — титанового шлака. Кратко описан процесс произ-ва.

Б. Шемякин

59376. Титановые пигменты. Кордри (The titanium pigments picture. Corddry Graham W.), Amer. Paint J., 1957, 4а, № 8-B, 35, 37 (англ.)

Краткая заметка о произ-ве и потреблении титановых пигментов.

М. Барнов

59377. Органические пигменты. Бансё, Фудзинуна (Органические пигменты. Бансё, Фудзинуна (Юки госэй кагаку кёкайси, J. Soc. Organ. Synth. Chem., Japan., 1956, 14, № 4, 89—94 (японск.)

Общие сведения об органич. пигментах и их применении.

Кан Нам-гын

59378. Обзор синтетических пигментных красителей. Часть I. От мовенина до азокрасного. Эрскин (Review of synthetic pigment colors. Part I. From mauve to azo red. Erskine A. M.), Paint, Oil and Chem. Rev., 1957, 120, № 19 (англ.)

Краткая обзорная статья.

Б. Шемякин

59379. Отделочная краска для подошв на основе синтетических смол. Бруггер, Сечи (Műanyagalapú talpfesték. Brugger Frigyes, Szécsi Marianne), Bőr-és cipőtechn., 1957, 7, № 3, 72—73 (венг.; рез. русск., нем.)

59380. О жаростойких лакокрасочных покрытиях. Сакаи, Киндзюку хёмэн гидзюцу гёндзе памфурито, 1957, № 41, 26—27 (японск.)

Исследовалась жаростойкость лакокрасочных материалов на основе различных смол при длительном нагревании. Хорошо выдержали нагревание в течение 50 час. лакокрасочные материалы на основе синтетич. смол — меламиновой и алкидной (выдерживались при 200—250°, эпоксидной (при 250—300°), силиконов — алкидной (при 450—500°) и на основе бутилтитаната (при 500—600°). Краски, содержащие бутилтитанат, особенно пригодны для современных нефтеперегонных дистилляционных колонн и для поверхностей двигателя самолета. Состав этих красок (в %): а) грунт под жаростойкие краски — бутилтитанат 21, алюминиевая пудра 5, порошок слюды 2, р-р этилцеллюлозы (10%-ный) 2, уайт-спирит 23; б) верхний слой жаростойких красок — бутилтитанат 25, р-р этилцеллюлозы (10%-ный) 3, алюминиевая пудра 4, уайт-спирит 15. Бутилтитанат гидролизует в атмосфере под действием влаги воздуха, затем при повышении т-ры выделяется  $TiO_2$ . Защитное действие жаростойкой краски, по-видимому, обуславливается тесной взаимосвязью алюминиевой пудры и  $TiO_2$ . Бутилтитанатные краски наносят кистью в 2 слоя или распылением 1-го. Между слоями производится сушка 2 часа при ~20°, а затем горячая сушка при 400—500°.

Кан Нам-гын

59381. Краски из хлорированного каучука. Паркер (Formulating paints with chlorinated rubber. Parker H. E.), Paint Manufact., 1957, 27, № 9, 333—335 (англ.)

Описаны сорта хлорированного каучука (аллопрен), вырабатываемые в Англии, и области их применения. В качестве пластификатора для хлоркаучуковых красок рекомендуется хлорированный парафиновый воск, в качестве р-рителя — полиметилбензолы. Приводятся рецепты коррозионностойкой и огнестойкой красок на основе хлорированного каучука.

Б. Дуброва

59382. Перекинные числа льняного масла, продукты кислородом. Таневский, Бульчинская (Liczby nadtlénkowe oleju lnianego dmuchanego. Tanewski M., Bulczyńska L.), Przem. chem., 1957, 13, № 5, 290—291 (польск.; рез. русск., англ.)

Установлено, что во время полимеризации льняного масла при продувке его кислородом оптимальная т-ра, при которой образуется наибольшее кол-во перекисей, равна 60°. Оптимальная т-ра, при которой происходит наиболее быстрое разложение перекисей, по-

леблется в пределах 80—100°. Льняное масло, продутое кислородом при низких т-рах (~60°), после нагревания до 200° имело низкие перекисные числа, равные перекисным числам льняного масла, продутого кислородом при более высоких т-рах. Гидроксильные числа не зависят от перекисных чисел и возрастают незначительно с ростом т-ры продувки льняного масла кислородом.

М. Рейбах

59383. Полимеризация касторового масла в тихом электрическом разряде. Готода, Дэнки кагаку, J. Electrochem. Soc. Japan, 1956, 24, № 4, 177—183 (японск.; реэ. англ.)

Изучалось действие тихого электрич. разряда (напряжение 11 000 в, частота 500 гц) на касторовое масло (I) при давл. 20 мм рт. ст. В процессе обработки определяли изменение показателей I (вязкости, показателя преломления, мол веса, йодного, гидроксильного и кислотного чисел), причем установлено, что преобладающей р-цией является полимеризация I, а процесс дегидратации, с образованием второй двойной связи, происходит в незначительной степени. Из полимеризованного I получали полиуретановые смолы при р-ции с 4,4-дифенилметандиизоцианатом, которые образывали пленки с большей твердостью и прочностью на разрыв, чем пленки полимеризованного I.

М. С.

59384. Модификация камалового масла для лаков и красок. Оджаха, Шарма, Аггарвал (Modification of kamala seed oil for varnishes and paints. Ojha V. N., Sharma P. G., Aggarwal J. S.), J. Scient. and Industr. Res., 1957, A16, № 5, 213—216 (англ.)

Камаловое масло, экстрагируемое из семян эфиром, этилацетатом или бензолом, очень быстро желатинирует (15 мин. в атмосфере азота при 20°) и поэтому не применимо для приготовления лаков и красок. Его смесь с льняным, полимеризованным льняным или дегидратированным касторовым маслами (добавка до 60%) имеет время желатинизации (ВЖ) ~1 часа при 200°, но образует мягкую пленку. Прибавление различных стабилизаторов не оказывает заметного влияния на ВЖ. Частичный алкоголиз камалового масла бутанолом или амиловым спиртом в присутствии хлористоводородной к-ты дает продукт с ВЖ 1—2 часа при 200°, более окрашенный, чем исходное масло, но сходный по многим свойствам с тунговым маслом.

Б. Брейтман

59385. Жирные амины для красок. Дю-Брау, Дибальский (Fatty amines for paints. DuBrow Paul, Dybalski Jack), Paint, Oil and Chem. Rev., 1957, 120, № 21, 16—18 (англ.)

Применение в произ-ве масляных и водорастворимых красок получили катионоактивные производные жирных к-т — нормальные алифатич. амины (I), алкильные группы которых содержат 8—22 атомов С, получаемые через нитрилы жирных к-т. I стабильны в р-рах с низким значением pH и несовместимы с анкионоактивными в-вами. I улучшают адгезию и противокоррозионные свойства покрытий по влажному и ржавому железу; неорганич. пигменты, обработанные I, также приобретают органофильные свойства. Диаминны жирных к-т — сильные органич. основания, в пигментированных покрытиях проявляют более значительную катионную активность, чем соответствующие пер-амины, а также сокращают и улучшают процесс перетира и диспергирования пигментов и предотвращают их оседание в красках. Б. Шемякин

59386. Временная защита от ржавчины. Этерен (Vorübergehender Rostschutz. Oeteren K. A. von), Seifen-Öle-Fette-Wachse, 1957, 83, № 26, 803—804 (нем.)

Перечислены способы временной защиты от ржавчины стальных частей из нелегированной стали и других металлов при хранении или транспортировке. В качестве защитных средств рекомендуются пластичные мазеобразные жирные продукты (высокоплавкие вазелин, воски, церезин, горный воск), жидкие смазочные масла (минер. масла, сплавленные с восками, ланолином), 25—35%-ные р-ры вазелина, восков, ланолина, лаковые противокоррозионные продукты в виде цаповлака, р-ров различных природных и искусств. смол, как, напр., канифоли, кумароновой смолы, плексигума, полистирола и др. Б. Шемякин

59387. К изучению пластификаторов для нитроцеллюлозных лаков. Сообщение 36. Новые английские пластификаторы. Сообщение 37. Эфиры лимонной кислоты. Краус (Zur Kenntnis der Weichmachungs-mittel für Nitrocelluloselacke. 36. Mitt. Neue englische Weichmacher. 37. Mitt. Ester der Citronensäure. Kraus A.), Farbe und Lack, 1957, 63, № 8, 394—395; № 10, 487—488 (нем.)

36. Описаны 4 пластификатора: диметилциклогексилфталат (I), трициклогексилцитрат (II), циклогексилпаратолуолсульфонамид и диизобутилтарtrat. Все указанные пластификаторы совместимы с различными смолами и дают прозрачные лаковые пленки, на нитроцеллюлозные пленки оказывают слабое пластифицирующее действие. С I и II получают исключительно щелочестойкие нитроцеллюлозные пленки.

37. Исследованы пластификаторы — эфиры лимонной и ацетилированной лимонной к-т — «цитрофлекс» (триэтил-, трибутил-, три-2-этилгексил-, тринонил- и трициклогексилцитраты, ацетилтриэтил-, ацетилтрибутил-, ацетил-три-2-этилгексил- и ацетилтринонилцитраты). Эфиры ацетилированной лимонной к-ты не растворяют нитроцеллюлозу. Большинство пластификаторов, особенно триэтилцитрат, обладают хорошими свойствами. Сообщение 35 см. РЖХим, 1958, 30871.

Г. Цейтлин

59388. Производство лакокрасочных растворителей из нефти. Хиксон (Manufacture of paint and lacquer solvents from petroleum. Nixon F. E.), J. Oil and Colour Chemists' Assoc., 1957, 40, № 11, 914—934, Discuss., 934 (англ.)

Обзор. В США из нефти получают 80% всего метанола, 80% этанола, 100% изопропанола, 52% бутанола, 84% ацетона, 36% бензола, 78% толуола и 90% ксилола. Библ. 10 назв.

Б. Шемякин

59389. Окраска кузовов автомашин. Ллойд (Car-body painting. Lloyd D. H.), J. Oil and Colour Chemists' Assoc., 1957, 40, № 6, 433—452. Discuss., 452—455 (англ.)

Подробно описана современная технология окраски кузовов автомашин, рассмотрены возможные дефекты красочной пленки, их предупреждение, задачи и методы контроля процесса, применяемое оборудование. Библ. 12 назв.

Б. Брейтман

59390. О значении шлангов. Бич (The hose is important too! Beach Warren), Organ. Finishing, 1957, 18, № 4, 4—5 (англ.)

Высказаны соображения о более целесообразном использовании резиновых шлангов, применяемых при распылении лакокрасочных материалов для подачи воздуха и жидких составов.

М. Ваньян

59391. Возможности применения поливинилхлоридной краски в строительстве. Ямбор (Niektoře možnosti využitia PVC-náteru v stavebníctve. Jambor Jaromír), Stavba, 1957, 4, № 11, 325—328 (словацк.)

59392. Новые материалы и их влияние на технику окраски. Кемпер (Neue Werkstoffe und ihr Einfluß auf die Lackiertechnik. Kemper Heinz), Industrie-Lackier-Betrieb, 1957, 25, № 12, 327—328 (нем.)

Краткий обзор свойств, областей и техники приме-



нения покрытий из эпоксиэпоксидных смол в сочетании с полиамидами. Н. Гарденин

**59393. Органические покрытия осветительной аппаратуры.** Гаррис (The organic finishing system at Curtis Lighting. Harris E. W.), Metal Proc. Manufact., 1957, 14, № 4, 46—47 (англ.)

Кратко описан технологич. процесс окраски осветительной аппаратуры с применением электростатич. распыления краски. Б. Брейтман

**59394. Статистический контроль качества органических покрытий.** Уагнер (Statistical quality control in organic finishing. Wagner Herman B.), Organic Finishing, 1957, 18, № 5, 4—7 (англ.)

Кратко обсуждаются основные положения метода статистич. контроля качества, определяющие некоторые области его применения в цехах органич. покрытий. Б. Шемякин

**59395. Контроль качества покрытий.** Монтгомери (How Inglis watches finish quality. Montgomery J. C.), Canad. Paint and Varnish, 1957, 31, № 9, 32—33, 45—47 (англ.)

Описан технологич. процесс окраски (применяются эпоксиэпоксидная грунтовка и алкидные белые эмали), принятый на заводе, выпускающем стиральные и сушильные машины. Основные требования к покрытиям: стойкость к детергентам и горячей воде, хороший внешний вид. В. Мискинянц

**59396. Исследование некоторых дефектов лакокрасочных покрытий.** Колман, Уэлс (The investigation of some painting complaints. Coleman L. J., Wells H.), J. Oil and Colour Chemists' Assoc., 1957, 40, № 5, 365—376 (англ.)

Рассмотрено несколько типичных случаев: 1) шелушение и отслаивание краски на стальных изделиях при хранении на улице является результатом загрязнения грунтованной поверхности к-той перед нанесением покрытия; 2) появление пузырей на деревянных стенках и полу кузовов под действием солнечного света. Дефект наблюдается на твердых сортах дерева, вызывается обработкой дерева нафтенатом Cu (против гниения), который удерживает р-ритель, прорывающий пленку; 3) появление пузырей и образование ими кратеров при сушке покрытия на поверхности сосудов из легких марок стали при нанесении грунтовки с металлиз. Zn. Объясняется это удержанием воздуха в неровностях, образуемых поверхностью грунтовки, и очень тонкой пленкой краски в высоких точках Zn-грунтовки; 4) шелушение краски на шасси экипажей — объясняется хранением на воздухе и недостаточной предварительной очисткой ржавчины и окислами. Б. Брейтман

**59397. Покрытия для внутренней отделки автомобилей.** Герсон (Coatings for automobile interiors. Gerson M. M.), Paint and Varnish Prod., 1957, 47, № 8, 37—39 (англ.)

Рассмотрены требования, предъявляемые к указанным покрытиям (П). Для П, играющих и декоративную, и защитную роль, в качестве пленкообразующих используют в основном меламиновые или модифицированные мочевиной алкидные смолы. В качестве защитных П, внешний вид которых не играет роли, применяют асфальтовые лаки и эмали на основе модифицированных алкидных смол. Подробно описаны применяемые в США для тканей и искусств. кожи, используемых для обивки и внутренней отделки автомобилей, органич. П главным образом на основе виниловых смол. Потребление этих П в автомобилестроении США составило в 1956 г. 20 тыс. т, а в пересчете на виниловые смолы 1000 т. В. Мискинянц

**59398. Эпоксиэпоксидные смолы для лакировки труб для паст.** Дани (Epoxy resins for lacquering collapsible

tubes. Dunn P. A.), Chem. Prod., 1957, 2, № 11, 447—450 (англ.)

Обсуждаются свойства и промышленное применение для исключительно химстойких лаков эпоксиэпоксидной смолы (I) сорта «аральдит 985 Е». При толщине внутреннего покрытия алюминиевых труб  $0,01 \pm 0,003$  мм пленка I имеет глубокий золотисто-желтый цвет. Покрытия очень гибкие, с прекрасной адгезией, не имеют вкуса, запаха и не токсичны; наносятся обычно при помощи вальцов, но могут наноситься и распылением. Покрытия с лучшей химстойкостью получают на основе I типа «аральдит 961 А»; недавно начали экспериментально получать покрытия на сорте «аральдит 981-АВ», быстро отверждающиеся при высоких т-рах. Б. Шемякин

**59399. Автоматизированная имитационная окраска «под дерево».** Милановский (Automated grain finishing. Milanowski S. M.), Organ. Finish., 1957, 18, № 8, 12—13 (англ.)

Описана конвейерная линия для быстрого нанесения покрытий на пустотелые двери из слоистых пластмасс. Окраску производит в 2 стадии: 1) распылением наносят грунт и сушат его; 2) через несколько часов на накаточной офсетной машине наносят имитационное покрытие «под дерево» быстросохнущими материалами, затем распылением наносят прозрачное покрытие на основе полиэфирных смол с высоким содержанием сухих в-в и подвергают покрытие горячей сушке. В. Мискинянц

**59400. Физико-химическая характеристика лаков.** Альбертини (Il controllo delle caratteristiche chimico-fisiche dei prodotti vernicianti. Albertini Elisa), Ind. vernice, 1957, 11, № 12, 319—325 (итал.)

**59401. Определение степени разбавления краски.** Шрейбер (To find out how much paint has been reduced. Schreiber Karl), Industr. Finish., 1957, 33, № 7, 64, 66, 68, 70 (англ.)

Приведены две таблицы (для ароматич. и алифатич. р-рителей), пользуясь которыми можно найти степень разбавления краски и кол-во разбавителя. В таблицах указаны вес галлона разведенной краски, вес галлона неразведенной краски и соответственная степень разведения. Первые две величины легко определить в лаборатории. Б. Брейтман

**59402. Анализ алкидных смол.** Гулиньский, Шмюллин (Die Analyse von Alkydharzen. Gulinsky E., Schmülling E.), Felle, Seifen, Anstrichmittel, 1957, 59, № 10, 860—862 (нем.)

Описание методов качеств. и колич. анализа смол. Колич. определение фталевой и других дикарбоновых к-т, многоатомных спиртов, бензойной к-ты и стирала. Библи. 29 назв. Н. Гарденин

**59403. Изменение цвета мебельных покрытий.** Лубек (Discoloration of furniture finishes. Lubeck Donald G.), Forest Prod. J., 1957, 7, № 3, 109—113 Discuss. 113—114 (англ.)

Изменение цвета происходит под влиянием многих факторов, напр. типа древесины, материалов для покрытий или в-в (напр., минер. масел), загрязняющих верхнее покрытие. Проведен ряд испытаний образцов. Описаны рекомендуемый способ и условия испытаний на цветостойкость, заключающиеся в выдержке образцов на солнечном свете, или при УФ-облучении или при освещении от дуги угольных электродов. Б. Шемякин

**59404. Покрытия для нагревательных приборов.** Сравнение эпоксиэпоксидной краски и силикатной эмали Миллар (Finishes for heating appliances: epoxy paint and vitreous enamel compared. Millar N. S. C.), J. Oil and Colour Chemists' Assoc., 1957, 40, № 4, 478—485. Discuss., 485—487 (англ.)

Сравнительные испытания силикатных эмалей

№ 11, 447-

применение  
эпоксидной смо-  
е внутри-  
с 0,003 мм  
цвет. По-  
и, не имеет  
было при  
спылении.  
ют на осали  
экспози-  
«аралит  
окисл. т-ра.  
Шемияки  
я окраски  
ated grain  
a. Finish.

го нанес-  
ти пласт-  
спылением  
лько часов  
имитацион-  
ными мате-  
риальное по-  
ским содер-  
е горячий  
Мискинянц  
ка лаков.  
atteristische  
lbertini  
325 (итал.)  
и краски.  
t has been  
nish, 1957,

алифатич-  
ти стень  
3 таблица  
вес радио-  
я стень  
определят  
Брейтман  
инский  
arzen. Cu-  
Seifen, An-

лиза смол  
тарбоновы  
и стирола  
Гардени  
тний. Л.  
Lubeck  
3, 109-113

ем многи  
ов для по-  
язняющих  
и образцов  
испытания  
ерянке об-  
облучения  
ктровод.

Шемияки  
прибора  
ной эмале  
es: ерохид  
lar N. 5  
7, 40, №

эмалей

эпоксидных покрытий (особенно эпоксидной краски и композиции из эпоксидов 1007 (7 ч.) с бутилированной модифицированной формальдегидной смолой (3 ч.)), в условиях применения домашних нагревательных приборов (сосудов для варки, водяных нагревателей) показали целесообразность замены в этой области силикатных эмалей эпоксидными покрытиями. Последние имеют менее гладкую поверхность, несколько меньший блеск, меньшую механич. прочность, низкое сопротивление истиранию и царапанию, меньшую стойкость к действию тепла (начинают желтеть через 50 час. работы при 130–150°, в присутствии влаги — еще раньше, в то время как эмали не меняют цвет до 500°). Хим. стойкость эпоксидов не превышает стойкость эмалей (за исключением действия сильных и горячих р-ров каустич. соды). Преимуществом эпоксидных покрытий является их более высокая адгезия и стойкость к откалыванию. Однако чем меньше толщина эмалей, тем ее стойкость к откалыванию выше. Б. Брейтман

59405. О поведении красочных систем при действии УФ-лучей. Кронштейн (Behavior of paint systems under ultraviolet radiation. Kronstein Max), Paint and Varnish Prod., 1957, 47, № 7, 25–32, 106 (англ.)

Изучалось влияние УФ-лучей на краски, изготовленные на трех типах связующих: пленкообразующем, взятом в виде р-ра, водн. эмульсий пленкообразующего и этих же эмульсиях, модифицированных алкидными смолами. Пленкообразующими в-вами служили алкидные смолы и стиролубутадиеновый и поливинилацетатный латексы. С целью исключения возможности хим. изменений применяли исключительно белые пигменты ( $\text{TiO}_2$ ) с добавкой различного кол-ва наполнителей. Краски испытывали в везерметре с угольной дуговой лампой. Влияние УФ-света на белые краски определяли изменением отражательной способности пленок до и после экспозиции и выражали в процентах изменения белизны. Для изучения чувствительности пленок к УФ-свету связующие были пигментированы укрывистым и неукрывистым пигментами в постоянном и различных соотношениях. Найдено, что пленки красок на основе стирола-бутадиеновой эмульсии вели себя аналогично пленкам красок на основе р-ров смол: действие УФ-света усиливалось со снижением кроющей способности краски, однако при изменении соотношения между укрывистым и неукрывистым пигментами влияние на пленки из эмульсий проявлялось значительно реже. Системы, изготовленные на модифицированных эмульсиях, при одном и том же соотношении между укрывистым и неукрывистым пигментами меньше подвергались действию УФ-лучей, чем немодифицированные. М. Ваньин

59406. Способы испытания антикоррозионных лакокрасочных покрытий. Тамэхиро, Киндзоку, Metals, 1957, 27, № 9, 687–690 (японск.)

Общие сведения о способах испытания антикоррозионных лакокрасочных покрытий — определение механич. показателей покрытия, хим. стойкости и т. п. Библ. 18 назв. Кан Нам-гын

59407. Смыски для удаления лаков и красок. Оль (Abbeizmittel. Ohl F.), Seifen-Öle-Fette-Wachse, 1957, 83, № 20, 591–593 (нем.; реза. англ., франц., исп.)

Рассматриваются разные типы смысков для удаления старых лакокрасочных покрытий. Рекомендуется применение метилхлорида в смеси с другими р-рителями, напр. с 10%  $\text{CH}_3\text{OH}$  и летучими разбавителями; можно также добавлять ацетон, толуол или ксилол. Представляет интерес применение в определенном кол-ве труднолетучих р-рителей, напр., бензилового спирта, диацетонного спирта и др. Применяют также добавки в-в, которые можно рассматривать, как

способствующие разрушению пленок, напр., фенолы, сырой анилин, этаволамин,  $\text{HCOOH}$ , лед.  $\text{CH}_3\text{COOH}$  или  $\text{ClCH}_2\text{COOH}$  и др.; полезно добавлять к смыскам в-ва, препятствующие испарению метилхлорида, эмульгаторы, парафин и смачивающие в-ва.

Б. Шемияки  
59408. Полирование с применением абразивных эмульсий. Келнер (Production buffing with liquid compositions. Kellner H. L.), Prod. Finish., 1957, 10, № 11, 56–62 (англ.)

Из абразивных смесей (консистентная смазка + абразивный порошок), применяя специальный эмульгатор, готовят водн. эмульсии (типа «масло в воде»), которые распылением наносят на полировальный круг; вода быстро испаряется, а на поверхности круга образуется абразивная пленка. Приведена схема автоматич. установки для получения абразивных пленок при помощи эмульсий. В. Мискинянц

59409 С. Бланфикс (барий серноокислый, осажденный) (Blanc fixe (Séran barnaté srazény)). Чехосл. стандарт 671322, 1956

59410 С. Олифа льняная, конопляная и касторовая (Fermez lněná, konopná a ricinová). Чехосл. стандарт 580135, 1957

59411 С. Правила нанесения лакокрасочных покрытий (Předepisování nátěru). Чехосл. стандарт 038009, 1957

59412 П. Переработка (японского) лака. Нисинака Дзюробэ. Японск. пат. 7893, 28.10.55

В черный японский лак добавляют жирные к-ты, в состав которых входят древесный воск, растительный и другие виды воска (оптимальное кол-во воска составляет 1,5–2,0%). К полученной смеси добавляют эфир в кол-ве 0,5–3% от общего веса смеси. Получаемый таким образом лак приобретает водостойкость. Кан Нам-гын

59413 П. Способ получения искусственной смолы. (Verfahren zur Herstellung eines Kunstharzes), [Imperial Chemical Industries Ltd]. Швейц. пат. 290784, 17.08.53

Смолу получают при конденсации *n*-фенилфенокси-фосфорилдихлорида и гидрохинона, взятыми в эквимолярных кол-вах при повышенной т-ре (до 240°), в отсутствие влаги и в атмосфере инертного газа, в присутствии катализаторов, удаляющих  $\text{HCl}$  (напр.  $\text{Sn}$ ). Могут применяться р-рители для исходных в-в, содержащих акцептор для  $\text{HCl}$ . Смола при нагревании не отверждается, ее р-р в диоксане, хлороформе или смеси бензола и спирта применяют для получения кислотоустойчивых, защитных от коррозии покрытий с сильным блеском. М. Альбам

59414 П. Крупноморщинистые покрытия и способ их получения. Мак-Брайд (Method of providing a base with a wrinkled coating, wrinkling composition, and coated base. Mc Bride Byron V.) [Westinghouse Electric Corp.]. Пат. США 2763568, 18.09.56

Патентуются декоративные морщинистые покрытия с высотой рельефа до 6 мм. В состав для покрытия входят: 1) смесь высыхающих масел (М), в том числе  $\geq 30$  вес. % тунгового или ойтисикового М (или их смеси); остальное — льняное, дегидратированное касторовое, соевое (или их смесь); 2) продукт (БА) р-ции бентонита с амином (напр., с солями гексадецил- и октадециламина) и 3) сиккативы (С) — мыла (абиеаты, лаурилаты, нафтенаты) тяжелых металлов (Mn, Co, Zn, Pb). Соотношение М: БА в композиции равно 40–90:60–10; кол-во С (в пересчете на металл) 0,25–5% от веса М. Приведена методика получения БА; р-цию бентонита с органич. основаниями или их солями проводят с целью получения органофильных



продуктов (имеющих сродство к органич. р-рителям). Пример. Смесь 7 ч. полимеризованного тунгового масла ( $\sim 600$  пуаз при  $25^\circ$ ), 1 ч. БА и 1 ч. нафтената Со наносят ровным слоем (толщиной 0,4—0,5 мм) и оставляют на воздухе при  $\sim 20^\circ$  в течение  $\leq 4$  суток. По мере высыхания образуется вначале мелкий, затем постепенно укрупняющийся рельефный рисунок. Процесс укрупнения рельефа может быть в любой момент приостановлен горячей сушкой при  $\geq 60^\circ$  в течение  $\sim 10$  мин. Вводя в композицию одновременно два различных С (напр., нафтенаты Рb и Со, Рb и Zn) и варьируя их соотношение, получают разнообразное по конфигурации и рисунку покрытия. В. Мискиянец

**59415 П.** Устойчивые к замораживанию латексы для покрытий. Уиллис (Freeze stabilized latex coatings. Willis Victor M.) [The Sherwin-Williams Co.]. Пат. США 2773849, 11.12.56

Стабильные при замораживании и оттаивании пигментированные латексные краски получают, добавляя к водн. дисперсии пигментов латексы, твердая фаза которых содержит сополимеры моновинилового ароматич. соединения ряда бензола ( $\geq 40$  мол.%) и алифатич. конъюгированного диолефина типа бутадиена и изопрена (33—60 мол.%), с добавкой на 100 г сополимера 6—10 г водорастворимого асимметричного щелочного фенолята, полизамещенного хлором и фенольными остатками (I). В качестве I применяются пентахлор-, 2-хлор-, 4-фенил- и 2,3,4,6-тетрахлорфеноляты Na. Пример (в вес. ч.): водн. дисперсию пигментов, состоящую из литопона 100,  $TiO_2$  150,  $Fe_2O_3 \cdot H_2O$  2,  $Fe_2O_4$  2, слюды 40, глины 65, лорита (75%  $CaCO_3$  и 25% диатомита) 60, Na-соли алкиларилсульфоната 3, пиррофосфата Na 2, р-ра соевого протеина 175, воды 188, льняного масла 45, 25% нафтената Рb 1,6% нафтената Со 3, соевого масла 4, смешивают с бутадиестирольным латексом (II) 300 и пентахлорфенолятом Na 6. II состоит из 200 г 45% дисперсии сополимера стирола (60%) и бутадиена (40%) и 100 г эмульсионного сополимера стирола (80%) и бутадиена (20%). Полученный пигментированный латекс не коагулирует при трехкратном попеременном замораживании (до  $-25^\circ$ ) и оттаивании (до  $+25^\circ$ ). М. Баркова

**59416 П.** Производство желтого железокисного пигмента. Аюдо Токуо [Когё гидзюунинт]. Японск. пат. 3292, 4.05.56

К получению различными путями гидрату окиси железа добавляют р-р щелочи, чтобы рН полученного р-ра был  $> 9$ . Отдельно готовят в автоклаве при  $120^\circ$ — $250^\circ$  (при давл. 2,6—40 атм) мелкие игольчатые кристаллы  $FeOON$ , которые служат зародышами в процессе получения пигмента. Оба полученных р-ра наливают в р-р соли закиси железа и туда же помещают металлическое железо. Затем продувают воздух как окислитель, подогретый до  $40$ — $70^\circ$  в кол-ве 5 л в 1 мин. При этом происходит рост игольчатых кристаллов и получается желтый пигмент окиси железа. Оттенок пигмента зависит от величины кристаллов. Протекают следующие основные р-ции:  $4FeSO_4 \cdot 7H_2O + O_2 = 4FeOON + 4H_2SO_4 + 22H_2O$ ;  $H_2SO_4 + Fe + 7H_2O = FeSO_4 \cdot 7H_2O + H_2$ . Кан Нам-гын

**59417 П.** Производство акварельных красок в таблетках. Итонага Кийоси, Огуро Йосихару [Кабусики кайся аои сёкай]. Японск. пат. 5817, 20.08.55

Для изготовления красок составляют смесь из  $CaCO_3$ , соответствующего пигмента или красителя с добавлением декстрина, карбоксиметилцеллюлозы (или метилцеллюлозы), алкилсульфоната Na или алкиларилсульфоната Na. Смесь тщательно перемешивают и после добавления разб. водн. глицерина перемешивание продолжают до получения густой массы. После этого краску прессуют в таблетки. Напр. смесь для

акварельных красок состоит (в вес.%) из:  $CaCO_3$  25, ультрамарина 45, декстрина 25, карбоксиметилцеллюлозы (или метилцеллюлозы) 3, алкиларилсульфоната натрия (или алкилсульфоната натрия) 2. После смешивания массы добавляют водн. глицерин (5 ч. глицерина на 100 ч. воды), вновь перемешивают и прессуют таблетки. Кан Нам-гын

**59418 П.** Производство акварельных красок. Такидзак, Кнесо, Мацусима Хидэтаро, Хосогова Масао. [Нитто когаку когё кабусики кайся]. Японск. пат. 5122, 25.07.55

Для получения акварельных красок рекомендуется применять формамид как в-во, обладающее антисептич. действием и одновременно ускоряющее процесс растворения казеина и других связующих в-в, что устраняет необходимость применения едкой щелочи. Пример приготовления акварельных красок (в ч.): смешивают при интенсивном перемешивании 20 воды, 5 казеина и 10 формамида до полного растворения казеина. Затем добавляют 20 воды, 5 гуммиарабина, перемешивают до растворения, добавляют 40 воды, 10 декстрина и вновь тщательно перемешивают. После этого вводят 30 (суммарно) пигмента  $CaCO_3$  или talka и перемешивают до образования пасты. Полученные таким путем акварельные краски обладают высокими антисептич. свойствами и постоянной влажностью, дешевы в изготовлении. Кан Нам-гын

**59419 П.** Изготовление декалькомани, наносимой на фарфор. Иса Кэндзо. Японск. пат. 5116, 25.07.55

На переводную бумагу наносят слой клея или лака, сверху рассыпают нужный пигмент и затем кисточкой или ватой осторожно надавливают на частицы пигмента, так что они оказываются внутри пленки клея или лака, который, выступая на поверхность пигмента, образует защитную пленку. Этот способ применяется для нанесения изображений на фарфор, а также для типографских целей. Кан Нам-гын

**59420 П.** Нанесение декалькомани на резиновые поверхности. Кадзи Коити. Японск. пат. 5117, 25.07.55

На гладкую поверхность переводной бумаги наносят р-р клея с добавкой  $CaCO_3$  (или  $MgCO_3$ ). Затем типографским способом, применяя типографские краски, на поверхность приготавливаемой переводной бумаги наносят нужный рисунок или надпись. Эту бумагу плотно прижимают к поверхности резинового изделия, подвергают его вулканизации и после этого опускают в р-р теплой разб. соляной к-ты.  $CaCO_3$  или  $MgCO_3$  при этом растворяется в соляной к-те, бумага отстает от резинового изделия, а рисунок таким образом переводится на поверхность. Напр., изготовленную переводную бумагу прикладывают к каучуковому листу толщиной 1,2 мм, прокатывают под давл.  $10 \text{ кг/см}^2$  на горячих вальцах при  $70^\circ$  в течение 3 мин., после чего погружают лист в 12%-ный р-р соляной к-ты при  $t = 50^\circ$ . Кан Нам-гын

**59421 П.** Устройство для циркуляции краски при постоянной температуре. Марукава Кентаро. Японск. пат. 741, 6.02.56

Устройство представляет собой обычный агрегат для распыления с подогревом, в котором вблизи крапа на линии циркуляции поставлен термостат, который поддерживает т-ру краски постоянной. Благодаря этому устройству, колебания т-ры составляют  $\pm 2^\circ$  (раньше, без применения термостата колебания были  $\pm 5^\circ$ ). Поддержанию постоянной т-ры способствует то обстоятельство, что кол-во р-ра, циркулирующего по линии, больше, чем кол-во распыляемого р-ра. Кан Нам-гын

**59422 П.** Способ удаления типографской краски с бумажной макулатуры с помощью отработанного

CaCO<sub>3</sub>, 2%  
тапцеллю-  
ульфата  
Юсфе смо-  
(5 ч. гли-  
от и пре-  
Нам-гын  
сеок. Та-  
датаро,  
кабуси

мендуется  
антисеп-  
процесс  
в-в, что  
й щелочи.  
ок (в ч.);  
и 20 водн.  
створении  
и арабина,  
40 водн.  
ют. После  
или тап-  
Получае-  
ают высо-  
влажно-  
Нам-гын  
напосной  
пат. 5116

или лака,  
кислотной  
пигмент-  
клея или  
пигмента,  
меняется  
также для  
Нам-гын  
резиновые  
пат. 5117

и наносят  
тем типо-  
е краски,  
й бумаги  
у бумагу  
изделия,  
опускают  
IgCO<sub>3</sub> при  
тает от  
и перево-  
перевод-  
исту тол-  
см<sup>2</sup> на го-  
осле чего  
при т-ре  
Нам-гын  
и при по-  
ентаре.

а агрегат  
из крапа  
который  
дара это-  
2° (рап-  
или ±5°).  
т то об-  
щего во  
а.  
Нам-гын  
краски с  
ботанного

раствора от щелочной варки целлюлозы. Кавано Масаку [Дайсёва сейси кабусики кайся]. Японск. пат. 7351, 14.01.55

В отработанный р-р от щел. варки целлюлозы загружают старые газеты или журналы, с которых необходимо удалить типографскую краску. В отработанный р-р добавляют 1—6 вес. % щелочи. Механизм очистки бумаги состоит в том, что щелочь омыляет масло типографской краски, освобождая бумагу от сажи. Содержащийся в р-ре щел. лигнин адсорбирует сажу, а мыльное мыло промывает целлюлозное волокно, не разрушая его, и очищает бумагу от типографской краски.

39423 П. Производство чернил для шариковых авторучек. Накаи Акира [Кабусики кайся кацураи сётэн]. Японск. пат. 1111, 21.02.55

Соответствующий пигмент и синтетич. смолы (мочевинно-формальдегидная, кумароновая, глифталевая, меламиновая) смешивают с метилцеллюлозой, после чего смесь растворяют в органич. р-рителе. Отдельно готовится р-р катионоактивного поверхностно-активного в-ва в сольвентнафте. Оба р-ра при смешении дают чернила для самопишущих шариковых ручек. Эти чернила можно применять на бумаге, дереве, металле. Они щелочестойки, светостойки, устойчивы к действию воды и истиранию. Кан Нам-гын

39424 П. Прочные краски для штемпелей и печатей. Лой (Fälschungssichere Stempel- und Signierfarben. Loey Georg) [Fa. J. S. Staedtler]. Пат. ФРГ 965492, 13.06.57

Краски состоят из дисперсий пигментных красителей в органич. водорастворимых, труднолетучих р-рителях, в которых растворены электролиты, из которых особенно рекомендуется применение LiCl; в виде одновалентного иона Li легко переходит из штемпельного отпечатка в подложку, напр., бумагу. Пигментный краситель тесно соединяется с бумажным волокном и не может быть выщелочен р-рителем, применяемым для электролита, и соответственно этому штемпельный отпечаток не может быть ни скопирован, ни размножен, т. е. устраняется возможность подделки отпечатков. Во впитывающую бумагу краска проникает так глубоко, что бесследное механич. уничтожение отпечатка невозможно. Красители и электролиты абсорбируют, перемешивают в смеси р-рителей и гомогенизируют на вальцах. Паста вполне пригодна для пропитывания штемпельных подушек и маркировки при помощи шаблонов, пригодна для нанесения отпечатков при помощи резинового или металлич. штемпеля на бумагу, пергамент, ткань, синтетич. материалы (пластмассы). Отпечатки свето- и водостойки и не поддаются воздействию многих химикатов. Пример состава синей краски в частях: 35 метилпропилодона, 30 тетрагидрофурурилового спирта, 75 низкомолекулярного полигликоля (мол. в ~ 300), 10 LiCl и 25 глицерин-синего Б (фталоцианинового красителя).

Б. Шемякин

59425 П. Раствор для обновления лент для пишущих машинок. Левин, Пакула, Бернштейн (Solution for reconditioning type-writer and other duplicating ribbons. Levine B., Pakula G., Bernstein C.). Англ. пат. 735599, 24.08.55

Патентуется р-р для обновления лент всех цветов для пишущих машинок. Р-р наносится с помощью шпательки на ленту, находящуюся на катушке в машинке или при ее перемотке с одной катушки на другую (на широкие ленты р-р можно наносить кистью). Р-р состоит (в %) из трех компонентов: 1) бутилацетата 25, бутанола 10, спирта 10 и толуола 55; 2) спермацетового масла 75 и керосина 25; 3) цитронеллового бальзама 45,7, коричного бальзама из листьев 11,5, дипертена 5,7, цитронеллового масла 8,6 и масла из

лимонной цедры 28,5. Для приготовления р-ра 13,5 л первого смешивают с 4,5 л второго и 480 г третьего компонентов. К. Беляева

См. также: Обзоры: синтетические смолы 59238, полиакрилонитрильные смолы 59268, эпоксидные смолы 59272. Синтетические смолы: полиизоцианаты 59237, 59238. Лаки из эпоксидных смол 57819. Окраска поверхностей, получивших катодную защиту 57822. Определение антикоррозионных свойств лакокрасочных пленок поляризационным методом 57833. Испытание на погодостойкость 59249. Техника безопасности при приеме и хранении растворителей 57896

## КАУЧУК НАТУРАЛЬНЫЙ И СИНТЕТИЧЕСКИЙ. РЕЗИНА

Редактор Д. М. Сандомирский

59426. Самопроизвольная коагуляция каучукового латекса. Вишневецкий (Coagulação espontânea do latex de seringueira. Wisniewski Alfonso), Rev. quim. industr., 1957, 26, № 298, 13—21 (порт.). Обзорная статья. Библ. 42 назв. З. Бобыр

59427. Бутадиенстирольные латексы. Шаталов В. П., Хлопотунов Г. Ф., Язикова Е. Г. Сб. тр. Воронежск. отд. Всес. хим. о-ва им. Д. И. Менделеева, 1957, вып. I, 17—23

Обзор. Требования, предъявляемые к синтетич. латексам в различных отраслях пром-сти. Основные группы латексов, условия их получения и свойства. Библ. 11 назв. М. Лурье

59428. Бутадиенстирольный латекс. Мак-Кензи (Butadiene—styrene latex. McKenzie J. P.), Planter, 1957, 33, № 11, 673—675 (англ.)

См. также РЖХим, 1958, 23401.

59429. Приготовление латексных смесей. Уотерман (Latex compounding. Waterman R. R.), Planter, 1957, 33, № 11, 675—678; Indian Rubber Bull., 1958, № 110, 16—18 (англ.)

См. также РЖХим, 1958, 23402.

59430. Электронные представления в органической химии в приложении к каучуку. Имото, Нихон гому кёкайси, J. Soc. Rubber Ind., 1956, 29, № 5, 395—401 (японск.)

Популярная статья. Ю. Ермаков

59431. Пластикация. V. Разделение и структурное исследование межполимеров натурального каучука и полиметилметакрилата, образующихся при пластикации. Анджир, Уотсон (Mastication. V. Separation and structural investigation of natural rubber-polymethyl methacrylate interpolymers formed by mastication Angier D. J., Watson W. F.), J. Polymer Sci., 1957, 25, № 108, 1—18 (англ.; рез. франц., нем.)

Изучали прививочную полимеризацию метилметакрилата (I) на НК (депротенизированный светлый креп, экстрагированный ацетоном) при обработке смеси I и НК в улиточном мастикаторе. После экстракции свободного НК петр. эфиром из смеси, содержащей 38,5% I при конверсии 97%, осаждается метанолом вначале межполимер, содержащий 96% НК (1-я фракция), затем содержание НК в межполимере уменьшается до 58% (2-я фракция). 1-я фракция состоит из длинных цепей НК и коротких цепей полиметилметакрилата (II), 2-я фракция — из коротких цепей НК и длинных цепей II. При механич. воздействии более вероятен разрыв главной цепи НК, причем I действует как акцептор радикалов, не вызывающий структурирования. Значения вискозиметрич.  $k'$  и осмотич.  $\mu$  констант для межполимера лежат между значениями соответствующих констант для НК и II,



для привитого полимера получены более высокие значения  $k'$ . Межполимер имеет структуру линейного блок-полимера, а не разветвленного привитого полимера. При увеличении кол-ва I в смеси увеличивается индукционный период полимеризации, так как уменьшается скорость иницирования за счет уменьшения сдвиговых сил. В начальной стадии полимеризации образуется главным образом 1-я фракция межполимера; содержание 2-й фракции быстро возрастает при более глубокой полимеризации и незначительно убывает после полной конверсии. С увеличением начальной конц-ии I содержание 2-й фракции увеличивается. Добавка бензола или  $CCl_4$  снижает скорость полимеризации, уменьшая кол-во 1-й и 2-й фракций и свободного II и увеличивая кол-во свободного НК и относительную долю II в межполимере. Трет-додецилмеркаптан снижает скорость конверсии, увеличивает кол-во свободного НК и II. При вальцевании смеси НК и II в присутствии 1% тифенола вязкость НК уменьшается, вязкость II не меняется. Путем статистич. анализа структуры межполимера получены выражения для числа цепей НК, связанных с одним или двумя концами цепей II. Часть IV см. РЖХим, 1957, 37891.

И. Тугорский

59432. Современное состояние изучения озонного старения каучука (О некоторых исследованиях ползучести каучука в озоне). Такахаши, Камия, Нихон гому кёкайси, J. Soc. Rubber Ind., 1957, 30, № 4, 282—290 (японск.)

Обзорная статья. Библ. 16 назв.

Ю. Ермаков

59433. Синтетический каучук. Фишер (Synthetic rubber. Fisher Harry L.); Petrol. Refiner, 1957, 36, № 11, 203—204 (англ.)

Краткий обзор произ-ва СК в США в 1957 г.

М. Лурье

59434. Синтетические каучуки. Аллас (Caucciù sintetici. Allas Anatol), Pitture e vernici, 1957, 13, № 7, 455—459 (итал.)

Обзор получения, свойств и применения различных СК в качестве клеящих в-в и защитных покрытий.

З. Бобырь

59435. Новые виды синтетических каучуков и технологическое оформление их производства. Башкатов Т. В., Сб. трудов Воронежск. отд. Всес. хим. о-ва им. Д. И. Менделеева, 1957, вып. 1, 5—15

Краткие данные и сообщения о процессах изготовления СК-30А, СК-10, СКМ, СК-30АМ, нитрильных каучуков, бутилкаучука и полиизобутилена. М. Лурье

59436. Неопрен и хайпалон — свойства и применение, в частности на транспорте. Каттон (Neoprene und Hypalon — Eigenschaften und Anwendung, insbesondere im Fahrzeugbau. Catton Neil L.), Prakt. Chem., 1956, 7, № 11, 368—370; 1957, 8, № 1, 17—18 (нем.)

Обзорная статья.

М. Хромов

59437. Интенсификация процесса дегидрирования этилбензола. Спрота В. А., Сб. тр. Воронежск. отд. Всес. хим. о-ва им. Д. И. Менделеева, 1957, вып. 1, 25—26

Приведены некоторые данные по облагораживанию катализатора дегидрирования этилбензола в стирол.

М. Лурье

59438. Сополимеры дивинила с высоким содержанием стирола. Радченко И. И., Фишер С. Л., Каучук и резина, 1958, № 1, 3—9

Описаны способы получения СК-50, СК-90 и СК-40Д. Полимеризацию проводили в водн. эмульсиях при 45° до глубины 60%. Эмульгатор — смесь некаля и стеарата Na, инициатор полимеризации персульфат K, регулятор процесса — дипроксид, ингибитор — неозон D. Увеличение содержания стирола в исходной смеси до 90% заметно ускоряет полимеризацию, с повышением содержания некаля с 3,8 до 7,4% продол-

жительность полимеризации снижается в 2 раза, изменение дозировки дипроксидов от 0 до 0,1% приводит к понижению Дефо-твердости каучука СК-50 от 4800 до 1200. Резины из СК-50 имеют высокое сопротивление разрыву (279—288 кг/см<sup>2</sup>), относительное удлинение (610—590%), сопротивление истиранию. При применении 70—86%-ного некаля продолжительность полимеризации СК-50-16—25 час. СК-50 рекомендован в качестве добавки для улучшения технологич. свойств смесей из СК-30. Физ.-мех. свойства дивинил-α-метилстирольного каучука СКМ-50 аналогичны СК-50, но вследствие меньшей активности α-метилстирола по сравнению со стиролом — продолжительность сополимеризации его с дивинилом больше на 15—20%. Сополимер СК-90 — порошкообразная пластмасса — получен при 50°, глубина полимеризации 60% достигается за 10—12 час. СК-40Д, образованный сополимеризацией латексов СК-30 и 90, обладает промежуточными физ.-мех. свойствами (сопротивление разрыву 250—275 кг/см<sup>2</sup>, относительное удлинение 450—460%) и рекомендован для изготовления микропористых подошв с удовлетворительной пористостью и малым уд. весом.

Р. Осипов

59439. Влияние регуляторов на процесс сополимеризации бутадиена и стирола. Шкрабал, Россия (Vliv regulátorů na průběh kopolymerace butadienu se styrenem. Škrabal Bernard, Rosik Ladislav), Chem. průmysl, 1958, 8, № 1, 46—50 (чешск., русск., англ.)

Изучали влияние различных кол-в динизопропил-сантагондисульфидов (I), диэтилсантагондисульфидов (II) и трет-додецилмеркаптана (III) на процесс сополимеризации бутадиена со стиролом по рецепту получения СК-30А. С уменьшением кол-ва свободного I и II растет величина (η). Вычислены константы переноса для I (3,4) и II (7,0) и отмечено преимущество I в данной системе по сравнению с II и III. Из резюме автора

59440. Усиление бутилкаучука и других синтетических каучуков кремнеземными наполнителями. Часть II. Влияние обработки поверхности и последующей тепловой обработки кремнезема. Гесслер, Уис, Ренер (The reinforcement of butyl and other synthetic rubbers with silica pigments. Part II. Effect of surface modification of silica and subsequent heat treatment. Gessler A. M., Wiese H. K., Rehner John, Jr), Rubber Age, 1955, 78, № 1, 73—76 (англ.)

Кремнеземный наполнитель хай-сил 202 (I) модифицировали органоалкоксиланами (II) — циклопентадиенил- или винилтрихлорсиланом. К 6%-ному р-ру II в 2 л n-гексана прибавляли 200 г кремнезема. Концентрацию определяли по окончанию выделения HCl и изменению цвета кремнезема. Гексан отгоняли и кремнезем высушивали в вакууме при 85°. Применение модифицированного I в смесях бутилкаучука приводит к увеличению эластичности, уменьшению твердости и остаточного удлинения. I, не восприимчивый к тепловой обработке, после взаимодействия с II легко подвергается тепловой обработке без применения химических агентов. Возрастание модулей с увеличением конц-ии II наблюдалось до 60%, что соответствовало примерно монотонно II, покрывающему поверхность I. Чувствительность к тепловой обработке придают только смеси, содержащие в своей молекуле Cl и двойные связи. Моно-, ди- или три-II можно вводить в маточную смесь из бутилкаучука, содержащую кремнезем, на вальцах или в закрытом смесителе. Это позволяет осуществлять одновременно модификацию I и тепловую обработку (170°, 10 мин.). Применение модифицированного I в смесях из НК и GR-S не оказывало заметного влияния на свойства их вулканизаторов. Смеси из нитрильных каучуков обнаруживали значительно большую способность к тепловой обработке в присутствии модифи-

ированного I. Модификация кремнеземных наполнителей II дает результаты, аналогичные тепловой обработке смесей в присутствии хим. агентов, но не вызывает изменения их цвета. Часть 1 см. РЖХим, 1957, 6026. И. Ходжаева

59441. Смесей акрилатных полимеров, стойкие к диэфирным смазкам. Мюллер, Кларк (Compounding acrylate polymers for resistance to a diester lubricant. Mueller W. J., Clark R. A.), Industr. and Engng Chem., 1956, 48, № 6, 982—991 (англ.)

Для получения смесей, устойчивых к продолжительному воздействию (500 час.) смазок (турбуойл-15) при 192°, исследовали вулканизаты акрилатных каучуков: хайкар 4021 — сополимер этилакрилата и диэтиленвинилового эфира и акрилон EA-5 — сополимер этилакрилата и акрилонитрила. Получить результаты, полностью соответствующие требованиям ВВС, не удалось. Разработаны 4 смеси, обладающие несколько большим набуханием. Из исследованных вулканизирующих систем лучшие результаты дала комбинация из триэтилентетрамина, тетраметилтиурамдисульфида и S. Длительная вулканизация и в ряде случаев дополнительная тепловая обработка смесей привели к улучшению свойств резин. Из резюме авторов

59442. Эластические свойства каучука. (2). Фурукава, Нихон гому кёкайси, J. Soc. Rubber Ind., 1956, 29, № 6, 475—485 (японск.)

Обзорная статья. Библ. 20 назв. Ю. Ермаков

59443. Течение каучука и его деформации. Аран Садакити, Нихон гому кёкайси, J. Soc. Rubber Ind., Japan, 1957, 30, № 12, 993—999 (японск.)

Обзор. Библ. 28 назв. М. С.

59444. Вязкость растворов каучука и латекса. — Нихон гому кёкайси, J. Soc. Rubber Ind., Japan., 1957, 30, № 12, 1006—1013 (японск.)

Обзор. Библ. 100 назв. М. С.

59445. Вязкость растворов натурального каучука при очень малых скоростях сдвига. Голуб (Viscosity of natural rubber solutions at very low rates of shear. Golub Morton A.), Canad. J. Chem., 1957, 35, № 4, 381—387 (англ.)

Изучали вязкость ( $\eta$ ) бензольных р-ров НК разной концентрации (C) в зависимости от скорости сдвига, изменяемой в пределах 1—500 сек<sup>-1</sup>.  $\eta$  определяли с помощью U-образного вискозиметра и пятиколенного вискозиметра Кривбаума — Флори посредством получения зависимости изменения времени протекания жидкости через капилляр от изменения гидростатич. давления. Из этой зависимости, имеющей линейный характер, рассчитывали величину приведенной вязкости  $\eta_{sp}/C$ . Последняя изменяется со скоростью сдвига по нелинейному закону, что делает весьма ненадежным ее определение экстраполяцией к скоростям сдвига, стремящимся к нулю. В значительном диапазоне скоростей сдвига изменение величины  $\eta_{sp}/C$  удовлетворительно описывается ур-нием Бюхе:  $\eta_{sp}/C = (\eta_{sp}/C)_0 [1 - K(\eta_{sp}D/C)^{1/2}]$ , где  $\eta_{sp}/C$  и  $(\eta_{sp}/C)_0$  соответственно приведенные вязкости при скоростях сдвига D и при 0, K — константа, являющаяся некоторым молекулярным параметром. Если из сопоставления опытных данных с ф-лой Бюхе найти параметр K, то можно определить  $(\eta_{sp}/C)_0$ , не прибегая к экстраполяции  $\eta_{sp}/C$  на нулевую скорость. Из приведенных в работе данных видно удовлетворительное совпадение значений  $(\eta_{sp}/C)_0$ , определенных экспериментально и рассчитанных из ур-ния Бюхе. См. РЖХим, 1957, 1117. М. Хромов

59446. Пластикация синтетических каучуков. Мацубара, Нихон гому кёкайси, J. Soc. Rubber Ind., 1956, 29, № 5, 402—405 (японск.)

На вальцах и в резиносмесителе пластицировали при 18° без пластификатора (II) и при 135° с II (2% ренацита 5 и 2% НРА № 2) и без II каучуки: бутадиенсти-

рольный высокотемпературной (I) и низкотемпературной (II) полимеризации, масляный бутадиенстирольный низкотемпературной полимеризации (III), стандартный бутилкаучук (IV), нитрильный (V) (30% акрилонитрила) и НК. При добавлении II к I, II, III, IV и НК пластичность возрастает. На вальцах повышение пластичности зависит от каучука и условий обработки. В резиносмесителе пластичность возрастает с меньшей скоростью. Для V лучших результатов достигают без II при обработке при 18° на вальцах; ренацит 5 затрудняет регулирование пластикации. При обработке на вальцах при 18° для всех каучуков, кроме IV и III, получали хорошие результаты без II. Структурирование продолжается и после пластикации. Введение небольшого кол-ва S позволяет получить требуемую степень пластикации при соответствующем времени обработки. Ю. Ермаков

59447. Пластикация и пластификация каучука.

Оуги Сигэо, Нихон гому кёкайси, J. Soc. Rubber Ind., Japan, 1957, 30, № 12, 968—977 (японск.)

Обзор. Библ. 41 назв. М. С.

59448. О размере и площади поверхности частиц сажи. Кубота, Раба дайзэсудо, Rubber Digest, 1957, 9, № 4, 28—42 (японск.)

Обзорная статья. Библ. 12 назв. Ю. Ермаков

59449. Свойства и применение коллоидных саж. Сибафудзи, Нихон гому кёкайси, J. Soc. Rubber Ind., 1956, 29, № 5, 406—420 (японск.)

Обзорная статья. Библ. 33 назв. Ю. Ермаков

59450. Поры на поверхности частиц сажи и особенности пористой печной сажи. Кубота, Раба дайзэсудо, Rubber Digest, 1957, 9, № 5, 6—18 (японск.)

Обзорная статья. Библ. 5 назв. Ю. Ермаков

59451. Исследование сажи с помощью рентгеновских лучей. Кубота, Раба дайзэсудо, Rubber Digest, 1957, 9, № 6, 8—17 (японск.)

Обзорная статья. Библ. 7 назв. Ю. Ермаков

59452. Исследование наполнителей каучука с помощью электронного микроскопа. IV. Состояние системы каучук — наполнитель при растяжении. Суйто, Аракава, Хасэгава, Фурудзава (Suito Eiji, Arakawa Masafumi, Hasegawa Hiroshi, Furuzawa Yonemasa), Нихон гому кёкайси, J. Soc. Rubber Ind., 1957, 30, № 4, 251—261, 324 (японск.; рез. англ.)

Образцы резины состава (в вес. ч.): НК 100, ZnO 5, стеариновая к-та 1, S 3, ускоритель 1, наполнитель 19 объемн. ч. на 108 объемн. ч. НК, растягивали на 200, 400 и 600% и методом реплик исследовали под электронным микроскопом. Испытывали 8 различных наполнителей. В растянутом состоянии наблюдали многочисленные параллельные полосы по направлению растяжения; с возрастанием удлинения этот эффект увеличивался. В наполненных смесях при растяжении заметно растрескивание. В направлении растяжения у краев зерен наполнителя возникают веретенообразные полости. Тип наполнителя влияет на возникновение полос и полостей. После 24-час. растяжения полосы и полости заметны и после снятия нагрузки. Сообщение III см. РЖХим, 1957, 46042. Ю. Ермаков

59453. Прибор для испытания резины на старение. Такэда, Нихон гому кёкайси, J. Soc. Rubber Ind., 1957, 30, № 5, 388 (японск.)

Описан прибор для испытания теплового старения резины, в котором испытываемые образцы помещают в термостатированные пробирки. Ю. Ермаков

59454. Улучшенный антиоксидант. Киуми, Нихон гому кёкайси, J. Soc. Rubber Ind., 1957, 30, № 4, 301—302 (японск.)

Обзор свойств дибутилдифитокарбамата Ni.

Ю. Ермаков



**59455.** Предохранение резины от старения путем применения дезактивирующих агентов. Минато, Нихон гому кёкайси, J. Soc. Rubber Ind., 1957, 30, № 5, 357—363 (японск.)

Обзор свойств меркаптобензимидазола и его Zn-соли. Библ. 24 назв. Ю. Ермаков

**59456.** Новые применения каучука. Кунигава, Кагаку когё, Chem. Ind. (Japan), 1957, 8, № 5, 34—38 (японск.)

Популярная статья. Ю. Ермаков

**59457.** Способы изготовления формованных резиновых изделий. Томпсон (Métodos de moldeado del caucho. Thompson D. C.), Rev. plast., 1957, 8, № 45, 170—176 (исп.)

Подробно рассмотрены и сравнены между собою способы формования резиновых смесей: прессование, штамповка, литье под давлением, порообразование и др. Статья является перепечаткой «Mechanical molded goods-Neoprene and Hypalon» Ed. E. I. du Pont de Nemours. З. Бобырь

**59458.** Меры по защите вальцев и фартука из синтетического каучука от электризации. Татибанада, Дзайре сикэн, J. Japan Soc. Test. Mater., 1956, 5, № 29, 137—141 (японск.)

Для уменьшения возникновения электрич. заряда (З) на вальцах и фартуке из СК испытывали действие различных добавок к СК. Добавление клея резко увеличивает напряжение З. При добавлении мыла и неионогенного поверхностноактивного в-ва (ПВ) с увеличением кол-ва добавки поверхностное электрич. сопротивление снижается. Образование З почти не зависит от pH поверхности. Действие ПВ мало зависит от влажности. Хорошее действие оказывает смесь желатин с ПВ (3—10 г на 164 г основной смеси). Прибавление глицерина (I) увеличивает величину З, но смеси I с тиомочевойной (II) и ПВ обладают очень хорошим действием (содержание I в исследованных смесях 0,5—1 г, II 0,5—2 г, ПВ 1—2 г на 206 г основной смеси). Ю. Ермаков

**59459.** Механические свойства резины для амортизаторов. Тохара, Дзайре сикэн, J. Japan Soc. Test. Mater., 1956, 5, № 29, 117—122 (японск.)

Обзорная статья. Библ. 8 назв. Ю. Ермаков

**59460.** Применение резиновых амортизаторов и контроль их качества. Томихиса, Оти, Фуруити, Дзайре сикэн, J. Japan Soc. Test. Mater., 1957, 6, № 44, 290—297 (японск.)

Обзорная статья. Библ. 31 назв. Ю. Ермаков

**59461.** Методика санитарного испытания детских резиновых сосок, пустышек, резиновых игрушек и др. Орлов Н. И., Русин Н. М., Рабинович В. Ф., Саркисянц А. С., Информ. бюл. Моск. н.-и. ин-т санитарии и гигиены, 1957, № 10—11, 50—53

Резиновые соски и игрушки 24 часа настаиваются в слабых и слегка подщелоченных физиологич. р-рах при 37°. Полученные настои подвергают анализу, объем которого зависит от рецептуры резиновой смеси. Анализ на содержание солей тяжелых металлов и As проводят независимо от рецепта смеси. Определяют также содержание неозона D, группы CS<sub>2</sub>, дифенилгуанидина. Кроме того, испытывают на стойкость при кипячении и проводят органолептическое испытание на внешний вид, цвет, вкус и запах. Н. Павлов

**59462.** Регенерация синтетического каучука. 1, 2. Раба дайдзэсүто, Rubber Digest, 1957, 9, № 4, 94—100; № 5, 82—88 (японск.)

Популярная статья. Ю. Е.

**59463.** Методы испытания каучуков и каучукopodobных веществ. Амада, Хираи, Нихон гому кёкайси,

си, J. Soc. Rubber Ind., 1956, 29, № 3, 180—184 (японск.)

Обзор испытаний каучуков и смол по ASTM. Библ. 8 назв. Ю. Ермаков

**59464.** Определение сопротивления разрыву. Каэ Сигэо, Нихон гому кёкайси, J. Soc. Rubber Ind., Japan, 1957, 30, № 12, 1024—1031 (японск.)

Обзор. Библ. 90 назв. М. С.

**59465.** О структуре и свойствах шлифовальных кругов. Ватанабэ, Нихон гому кёкайси, J. Soc. Rubber Ind., 1957, 30, № 4, 273—281 (японск.)

Популярная статья о зависимости между структурой шлифовальных кругов (для испытания резиновых изделий на истирание) и их действием. Ю. Ермаков

**59466.** Пригодность эластомеров для эксплуатации при низких температурах. Часть I. Твердость. Хейнок, Чаттен, Лихтман, Уэркентин (The suitability of elastomers for low temperature service. Part 1. Hardness. Hanok M., Chatten C. K., Lichtman J. Z., Werkenhith T. A.), Rubber Age, 1957, 81, № 1, 100—112 (англ.)

Сопоставляли методы определения твердости резины с точки зрения температурного диапазона работы приборов, удобства обращения с ними, их точности и чувствительности, возможности проведения испытаний в условиях, близких к эксплуатационным и др. Сравнивали приборы пружинного типа: твердомер Шора (I), стандартный прибор Рекса (II), твердомер Рекса с индикатором (III), прибор Уоллеса (IV) и приборы, основанные на вдавливании в резину наконечника под действием груза: прибор Пьюзи-Джонса (V), вдавливающий прибор Лаборатории материалов (VI), твердомер Британского адмиралтейства (VII), пенетрометр Британского адмиралтейства (VIII), твердомер Тайнуэ — Олсен (IX), твердомер Амико (X) и твердомер Уоллеса (XI). Приборы VII и X являются универсальными, а остальные имеют производственное применение. Сравнение методов производили в диапазоне т-р от 20 до —65° при испытании 58 типов резин. Дано краткое описание методов. При комнатной т-ре наблюдается хорошая корреляция между I и II, III, IV. При т-рах ниже —40° имеется хорошая корреляция между I и II. Плохая корреляция при низких т-рах наблюдается для III ввиду ненадежной работы механизмов прибора при этих т-рах. При —30° между I и IV корреляция удовлетворительная, однако при —55° она ухудшается. Воспроизводимость пружинных приборов для мягких резин оказывается выше, чем для жестких, и у всех приборов она не ниже 3%. При т-рах от ~20° до —55° наблюдается удовлетворительная корреляция между VI и V, VII, VIII, IX и X. Корреляция между VI и XI достаточно хорошая при ~20°, ухудшается при пониженных т-рах. Увеличение времени наблюдения от 15 до 60 сек. практически не влияет на корреляцию. Твердомеры с вдавливающим грузом лучше, чем пружинные приборы, особенно при низких т-рах. Чувствительность у пружинных приборов ниже, чем у приборов с вдавливающим грузом. При оценке испытанных приборов следует считать, что среди пружинных твердомеров I превосходит II, III и IV; последний плохо работает при низких т-рах и не пригоден для т-ры —55°. III не пригоден для т-ры ниже —25°. Наиболее пригодными приборами для низких т-р являются VI, VII, VIII и IX. По сравнению с последними, приборы V и X занимают второе место. Прибор XI не рекомендуется использовать при т-рах ниже —55°, он может быть использован при т-рах ~ —25°, но как третьестепенный среди приборов с вдавливающим грузом. М. Хромов

**59467 Д.** Исследование рецептуры основных деталей автомобильных покрышек и их распределение в

модулю эластичности, а также другим механическим показателям. Паничев А. Д. Автореф. дисс. канд. техн. н., Ярославск. технол. ин-т, Ярославль, 1958

59468 П. Концентрированные синтетические латексы. Уиклац, Кеннеди (Synthetic rubber paste latices. Wicklatz John E., Kennedy Thomas J.) (Phillips Petroleum Co.). Пат. США 2776295, 01.01.57

В полимеризационную камеру, снабженную рубашкой, мешалкой и отверстием для ввода ингредиентов (приведена схема), загружают смесь воды и мономеров [15—40 вес. ч. воды на 100 вес. ч. диенового мономера (бутадиен) или его смеси с виниловым мономером (стирол)]. Условия полимеризации: pH 9—12, т-ра 0—20° в течение 10—30 час. при перемешивании до конца латекса (Л) 20—40 вес. %, 10—20 час. без перемешивания до конца Л 25—50 вес. % при той же т-ре и 5—30 час. без терморегулирования и перемешивания до конца Л 70 вес. %. Эмульгатор 0,3—5 вес. ч. соли жирной к-ты и щел. металла на 100 вес. ч. мономера, модификатор 0,05—2 вес. ч. алкилмеркаптана (8—16 атомов С), инципирующая система 0,1—10 ммоль гидроперекиси и 0,1—3 ммоль железо-пирофосфатного комплекса. После окончания процесса полимеризации в полученный Л могут быть введены вулканизующие агенты и полимер вулканизуется в форме Л. Указанный способ особенно пригоден для получения губок. В. Кулезнев

59469 П. Активный наполнитель для каучука и искусственных смол. Фойгт, Фёльсков (Aktives Füllmittel für Kautschuk und Kunstharze. Voigt Adolf, Voelskow Ullrich) (Deutsche Gold- und Silber-Scheideanstalt vorm. Roessler). Пат. ФРГ 1007501, 7.11.57

В качестве активного наполнителя для НК, СК и искусств. смол применяют силикаты щел. зем. и зем. металлов, в особенности силикат Са с постоянным содержанием невымываемого водой Cl 1—7%, предпочтительно 2—6%. Эти силикаты можно получать обменным разложением силиката щел. металла с солью щел.-зем. или зем. металла при непрерывном протекании р-ров через смеситель. М. Лурье

См. также: Латекс, коагуляция 56948. Хлоркаучук 59351, 59381. Бутадиен, получение 58297. Полибутадиен, светорассеяние р-ров 59716. Силиконовый каучук 59283—59285. Полиизобутилен 59714, 59724. Сополимер бутадиена с винилформатом 59750. ИК-спектроскопия НК и СК 59704. Ядерно-резонансная магнитная спектроскопия каучуков и резин 59726. Прочность каучуков 59734. Резиновые рукава 59390. Резиновые полы 59261. Декалькомания на резине 59420. Регенератное прож.-во, техника безопасности 57893

## ИСКУССТВЕННЫЕ И СИНТЕТИЧЕСКИЕ ВОЛОКНА

Редактор В. А. Деревницкая

59470. Задачи развития промышленности искусственного и синтетического волокна. Волков А., План. х-во, 1958, № 1, 14—23

59471. Производство химических волокон и перспективы его развития. Тасиро, Сэнъи гэншо, 1957, 14, № 1, 5—7 (японск.)

59472. Развитие промышленности химических волокон в Китае. Сунь Цзюнь-ли, Чжунго фанчжэ, 1958, № 1, 35—36 (кит.)

59473. Производство синтетических волокон в Японии. Куеи (Kushi Mumeshige), Юки госэй кагаку кёкайси, J. Soc. Organ. Synth. Chem., Japan, 1957, 15, № 3, 153—157 (японск.)

59474. Перспективы развития промышленности природных и гидратцеллюлозных волокон. Собыа, Сэнъи гаккайси, J. Soc. Text. and Cellulose Ind. Japan, 1956, 12, № 3, 142—144 (японск.)

59475. Очистка и полимеризация акрилонитрила, полученного прямым синтезом. Стой (Čištění a polymerace akrylonitrilu z přímé synthesy. Stoy A.), Chem. průmysl, 1956, 6, № 9, 373—379 (чешск.)

Рассмотрена проблема очистки акрилонитрила (I) от дивинил-ацетилена (II) и полимеризация неполностью очищ. I. Найдено, что небольшие кол-ва II ингибируют окислительно-восстановительную полимеризацию лишь в присутствии O<sub>2</sub>. При тщательном удалении O<sub>2</sub>, напр., добавлением бисульфита к воде, примененной для растворения I, индукционный период не наблюдается и «адиабатическая» полимеризация в изолированном сосуде протекает так же, как чистого I. Предварительное доведение pH до 6—7 предотвращает ингибирование O<sub>2</sub> даже в присутствии небольшого кол-ва II и обеспечивает легкий контроль полимеризации. Перекись II не ингибирует полимеризацию I. H<sub>2</sub>O<sub>2</sub> и персульфат очень сильно ингибируют полимеризацию, если они введены в систему раньше восстановителя; их влияние полностью или частично предотвращается осторожным добавлением Na<sub>2</sub>S<sub>2</sub>O<sub>4</sub>. Вероятной причиной ингибирования является выделение O<sub>2</sub> из перекисных соединений. На основании приведенных данных предложен экономичный метод очистки сырого I, загрязненного II, и получения волокнообразующего полимера I. В. Пахомов

59476. Получение новых видов полиэфирных волокон из побочного продукта целлюлозного производства — лигнина. Хэ Пу, Гаофэнъца тунсюнь, 1957, 1, № 4, 240 (кит.)

Из лигнина получают 3,4-диоксибензойную к-ту, при взаимодействии которой с эихлоргидрином образуется 6- или 7-карбоксы-2-метил-1,4-бензодиоксан. Поликонденсацией этого продукта получают волокнообразующий полимер с т. пл. > 200°. Волокно, полученное из этого полимера, имеет прочность 4,5 г/дене, которое дешевле волокна терилена и имеет лучшую накрашиваемость. В. Д.

59477. Волокно из полиангида с высокой температурой плавления. Хэ Пу, Гаофэнъца тунсюнь, 1957, 1, № 4, 240 (кит.)

Описаны волокнообразующие ароматич. полиангидриды, полученные из п-оксибензойной к-ты, α, ω-дихлоралканов и ацетангида. При конденсации смешанного ангида общей ф-лы [CH<sub>3</sub>COOOCCH<sub>2</sub>N<sub>2</sub>O(CN<sub>2</sub>)<sub>n</sub>OC<sub>6</sub>H<sub>4</sub>COOOCCH<sub>3</sub>], где n = 1—6, получают полимеры высокой степени кристалличности и т-рой плавления (157—267°). Полимер устойчив к действию щелочей, имеет низкое влагопоглощение. Волокно, полученное из полиангида [—OCC<sub>6</sub>H<sub>4</sub>O(CN<sub>2</sub>)<sub>3</sub>OC<sub>6</sub>H<sub>4</sub>COO—]<sub>n</sub> имеет прочность после холодной вытяжки 40 кг/мм<sup>2</sup> и удлинение 17,2%. В. Д.

59478. Модернизация в промышленности синтетического волокна. 1. Ониси Тосицу, Сэнъи гэншо, 1957, 14, № 12, 11—17 (японск.)

59479. Изучение акрильных волокон. I. О вытяжке волокон из сополимера акрилонитрила и винилиденхлорида. Окамура (Okamura Isao), Сэнъи гаккайси, J. Soc. Text. and Cellulose Inds Japan, 1957, 13, № 12, 861—865 (японск.; рез. англ.)

При изучении процесса вытяжки волокна из растворимого в ацетоне сополимера акрилонитрила (40%) и винилиденхлорида (60%) было установлено, что остающийся в волокне ацетон оказывает некоторое влияние на эффект вытяжки; т-ра перехода второго рода сополимера лежит ~ 70°; оптимальная т-ра вытяжки волокна в насыщ. водн. р-ре CaCl<sub>2</sub> 120—140°; волокно может быть вытянуто > чем в 4—5 раз; скорость



вытяжки в пределах 8—15 м/мин не отражается на качестве волокна.

А. Роговина

59480. Влияние поверхностноактивных веществ на процессе ацетилирования волокон из поливинилового спирта бензалдегидом. Танаба, Митамура (Tanabe Ken-ichi, Mitamura Akio), Koré kagaku dzасси, J. Chem. Soc. Japan. Industr. Chem., Sec., 1957, 60, № 2, 218—221 (японск.)

59481. Триацетатное волокно как один из видов улучшенного ацетатного волокна. Сабуэ, Касэн гэппо, Japan Synth. Text. Monthly, 1955, 8, № 6, 12—14 (японск.)

59482. Приготовление волокон с ионообменными свойствами путем обработки волокон из поливинилового спирта фосфорной кислотой. Мотодзато, Эгава, Маэгаки, Кунитакэ, Корé kagaku dzасси, J. Chem. Soc. Japan Industr. Chem. Sec., 1956, 59, № 4, 479—482 (японск.)

59483. Влияние термообработки на свойства волокна из поликапроамида. Бодор (Änderung der Eigenschaften von Polycaprolactamfasern in Abhängigkeit von der Wärmebehandlung. Bodor Géza), Faserforsch. und Textiltechnik, 1957, 8, № 12, 521—523 (нем.)

Аморфное волокно из поликапроамида, находящееся в свободном состоянии или растянутое на 250%, нагревали при различных  $t$ -рах в течение 0,5 часа в атмосфере  $N_2$ , а затем быстро охлаждали для фиксации структуры волокон. Приведены результаты исследования зависимости свойств полученного волокна (характер рентгенограмм, прочность, прочность в петле, удлинение, окрашиваемость, показатель преломления, модуль Юнга) от  $t$ -ры термообработки.

А. Волохина

59484. Полиэфирные волокна. Исии (Ishii), Касэн гэппо, Japan Chem. Fibres Monthly, 1957, 10, № 2, 13—21 (японск.)

59485. Терилон. Босёкукай, Text. Rev., 1957, 48, № 10, 629—639 (японск.)

59486. Синтетическое волокно саран. Цунода Йосио, Кобунси, 1957, 6, № 69, 609—611 (японск.)

59487. Сорбция йода нейлоном 6. Йосида, Эндó (Yoshida Minazo, Endo Meitaro), Koré kagaku dzасси, J. Chem. Soc. Japan. Industr. Chem. Sec., 1956, 59, № 9, 1074—1076 (японск.)

59488. Действие веществ, вызывающих набухание, в частности фенолов, на полиамидные волокна. 2. Рат, Грошопп (Über die Einwirkung von Quellmitteln insbesondere Phenol, auf Polyamidfasern. 2. Rath H., Groschopp H.), Textil-Praxis, 1957, 12, № 10, 1026—1031 (нем.; рез. англ., франц., исп.)

Приводятся данные по набуханию и усадке перлона (П) в различных фенолах, спиртах, воде, водн. р-рах  $ZnCl_2$ , р-рах жирных к-т, а также диаграммы нагрузка—удлинение, кривые усадки (во времени), данные об изменении разрывной прочности и удлинения, прочности с петель и другие величины, характеризующие изменение размеров и механич. показателей П. Приведены также кривые изменения объема волокна при набухании и его поперечного среза для волокон различного титра и при разных нагрузках. Из приведенных данных делается вывод о возможности замены термофиксация или паровой фиксации П на фиксацию волокна при  $\sim 20^\circ$  путем обработки 4%-ным водн. р-ром фенола. После обработки волокна необходима тщательная отмывка фенола водой или щелочью во избежание вредного действия фенола на организм человека. После «химической» фиксации фенолом П более устойчив и лучше сохраняет размеры, чем после паровой или тепловой фиксации, но гриф его жестче. Часть I см. РЖХим, 1958, 41781.

А. Пакшвер

59489. Об уменьшении упругости текстильных волокон. I. Ямагучи, Касэн гэппо, Japan Chem. Fibres Monthly, 1956, 9, № 9, 47—50, 43; № 10, 57—62 (японск.)

59490. О вязкоупругих свойствах волокон. Каван, Сэнги гаккайси, J. Soc. Text. and Cellulose Ind. Japan, 1956, 12, № 3, 175—181 (японск.)

59491. Изучение вытягивания вискозного волокна. III, IV. Влияние ориентации на динамические свойства. Синохара, Тандзава (Shinohara Yasuo, Tenzawa Hiroshi), Кобунси kagaku, Chem. Hibh Polym., 1957, 14, № 150, 488—499 (японск.; рез. англ.)

Волокна являются анизотропными материалами и потому характеризуются наличием двух модулей Юнга—в продольном ( $E_{||}$ ) и перпендикулярном ( $E_{\perp}$ ) направлениях к оси волокна. Соответственно этому имеются два модуля кручения—в плоскостях, перпендикулярной ( $G_{\perp}$ ) и параллельной ( $G_{||}$ ) оси волокна. Исходя из предположения о поликристаллич. структуре волокон, авторы вывели теоретич. ур-ния, характеризующие зависимость между ориентацией и величиной каждого из указанных модулей.  $E_{||}$  и  $G_{\perp}$  определялись на модельном волокне,  $E_{\perp}$  и  $G_{||}$ —на модельной пленке. Полученные результаты показали, что с повышением степени ориентации заметно изменяется лишь  $E_{||}$ ; изменение остальных модулей незначительно. Для изотропного образца можно применить следующее соотношение:  $E_{||} = E_{\perp} = 3G_{\perp} = 3G_{||} = 5,5 \cdot 10^{10}$  дн/см<sup>2</sup>. В первом приближении можно принять, что  $\lg \delta$  каждого модуля не зависит от ориентации и равен 0,04—0,05. Эти результаты согласуются с выведенными теоретич. ур-ниями. Часть II см. РЖХим, 1957, 53051.

А. Роговина

59492. Действие облучения на динамические свойства нейлона 6-6. Дили, Вудуорд, Сауэр (Effect of irradiation of dynamic mechanical properties of 6-6 nylon. Deeley C. W., Woodward A. E., Sauer J. A.), J. Appl. Phys., 1957, 28, № 10, 1124—1130 (англ.)

Исследовано действие излучения на динамич. модуль и механич. потери нейлона 6-6 (полигексаметиленадипамида), измеренные на звуковых частотах в интервале  $t$ -р 80—600° К, с помощью прибора Клайна. Облучались две группы образцов—А и В, отличавшиеся главным образом степенью кристалличности (57 и 53%) и тем, что группа В подвергалась тщательной сушке. В необлученных образцах серии А на кривых механич. потери— $t$ -ра наблюдаются 4 особые переходные области  $t$ -р:  $\alpha \sim 540^\circ$  К—плавление кристаллов,  $\alpha' \sim 345^\circ$  К—размягчение аморфной части,  $\beta \sim 245^\circ$  К,  $\gamma \sim 170^\circ$  К. Предполагается, что  $\beta$ -переход обусловлен тепловым движением амидных групп в аморфной части, не связанных водородными связями, а  $\gamma$ —тепловым движением  $CH_2$ -групп в аморфной части. В серии В переход  $\alpha'$  наблюдается при  $\sim 365^\circ$  К,  $\beta$  почти исчезает,  $\gamma$  становится более резко выраженным. Облучение наиболее сильно влияет на  $\alpha$ - и  $\alpha'$ -переходы.  $T$ -ра плавления снижается на  $30^\circ$  при дозе  $0,3 \cdot 10^{18}$  тепловых нейтронов на 1 см<sup>2</sup> в 1 сек.  $0,2 \cdot 10^{18}$  быстрых и  $64 \cdot 10^6$  ф. э. р.  $\gamma$ -лучей), степень кристалличности падает и обращается в нуль (при дозе  $2,8$ — $5,5 \cdot 10^{18}$  тепловых нейтронов на 1 см<sup>2</sup> в 1 сек. нейтронов). Это обусловлено радиационным снижением.  $\alpha'$ -переход (размягчение аморфной фазы) при этом становится более резким, модуль при размягчении падает сильнее, чем у необлученного материала (падение в 40 раз, от  $\sim 20$  до  $60^\circ$  потери резко возрастают). Образцы выше  $400^\circ$  К вплоть до  $550$ — $600^\circ$  К ведут себя подобно очень жестким резинам.

обнаруживают рост динамич. модуля с т-рой. Доля атомов С, связанных радиационной сшивкой, равна 4% при  $0.3 \cdot 10^{18}$  нейтронов на  $1 \text{ см}^2$  в 1 сек., 9,5% при  $2.8 \cdot 10^{18}$  нейтронов на  $1 \text{ см}^2$  в 1 сек. и 10% при  $5.5 \cdot 10^{18}$  нейтронов на  $1 \text{ см}^2$  в 1 сек. Насыщение в густоте сетки авторы объясняют возрастанием роли радиационной деструкции при больших дозах (приближением скорости деструкции и скорости сшивки). Обсуждаются также причины изменения  $\beta$ - и  $\gamma$ -переходов в результате облучения. Ю. Лазуркин

59493. Определение температуры перехода второго рода некоторых полиамидов. Бодор (Die Bestimmung der sekundären Umwandlungstemperatur einiger Polyamide. Bodor Géza), Faserforsch. und Textiltech., 1957, 8, № 11, 470—471 (нем.)

С помощью замеров изменения уд. объема в интервале т-р от  $-60$  до  $+100^\circ$  проводилось определение т-ры перехода второго рода ( $T_k$ ) в образцах найлона 66, найлона 6, найлона 11 и найлона 9. Найдено, что  $T_k$  у исследованных полиамидов лежит в пределах  $32-38^\circ$ . Для решения вопроса, является ли  $T_k$  истинной или кажущейся, необходимо знать, является ли исследуемый материал кристаллическим. Напр., аморфный найлон частично кристаллизуется при т-рах  $> T_k$ ; при охлаждении кристаллич. форма, как это показывают рентгенограммы и показатель преломления, сохраняется. Степень кристаллизации при этом зависит от т-ры нагрева выше  $T_k$ . При исследовании такого закристаллизованного образца вновь обнаруживается  $T_k$ , хотя в уже пройденном интервале т-р структурных изменений не происходит. Очевидно, что при первом нагреве наблюдаются истинные изменения, при втором — кажущиеся. При растяжении волокна кристаллизация может наступить при т-рах  $< T_k$ , хотя усилие, необходимое для вытяжки, снижается при т-ре  $> T_k$ . Поэтому вытяжка синтетич. волокон производится вблизи  $T_k$ . Установлено, что при хранении в течение нескольких месяцев показатель преломления волокна повышается, т. е. ниже  $T_k$  протекает процесс самопроизвольной кристаллизации. А. Роговина

59494. Пластограф и его применение. Сирамацу, Кобунси, 1957, 6, № 62, 217—219 (японск.)

59495. Исследование эксплуатационных свойств пряжи из вискозного штапельного волокна. Усенко В. А., Изв. высш. учебн. заведений. Технол. текстильн. пром-сти, 1958, № 1, 46—53

Исследовано влияние величины крутки на упругие свойства, сопротивляемость многократным изгибам и растяжениям, усадку в мыльно-содовом р-ре и обрывность на прядильных машинах и в ткачестве пряжи из вискозного штапельного волокна. Показано, что наилучшую эластичность и устойчивость к многократным деформациям штапельная пряжа приобретает при крутках, близких к критическим. При этих же крутках наблюдается наименьшая обрывность как в прядении, так и в ткачестве. Величина крутки не оказывает большого влияния на усадку пряжи в результате смачивания. А. Роговина

59496 К. Справочник по аналитическому контролю в производстве искусственных и синтетических волокон. Ред. Пакшвер А. Б., М., Гизлегпром, 1957, 566 стр., илл., 21 р.

59497 П. Получение эфиров целлюлозы и органических кислот с устойчивым блеском. Уайт, Молтер, Розен (Preparation of organic acid esters of cellulose having an improved resistance to delustering. White Blanche B., Moelter Gregory M.,

Rosen Leonard J.) [Celanese Corp. of America]. Пат. США 2775584, 25.12.56

В процессе получения эфиров органич. к-т и целлюлозы (Ц) для произ-ва волокна и пленок, в котором Ц этерифицируют с образованием р-ра эфира Ц, осаждают последний из р-ра, промывают и сушат, причем осадок эфира Ц содержит соли, способные существовать в 2 различных степенях гидратации и изменить уд. объем на  $> 0,6 \text{ см}^3/\text{г}$  (в частности  $> 0,7 \text{ см}^3/\text{г}$ ) при переходе из одной степени гидратации в другую. Осажденный эфир Ц промывают р-ром солей Са и Ва, реагирующих с указанными выше солями с образованием солей, изменяющих уд. объем при переходе из одной степени гидратации в другую  $< 0,6 \text{ см}^3/\text{г}$ . Одна из образующихся солей менее растворима, чем соли, содержащиеся в эфире Ц и в промывной воде. Непосредственно после промывки эфиры Ц сушат, получая устойчивый блеск изготовленных из них пленок или пряжи. В частности, патентуется промывка ацетата Ц, содержащего 54% связанной  $\text{CH}_3\text{COOH}$  (АП-54) от  $\text{MgSO}_4 \cdot 0,002-0,0075\%$ -ным р-рами (в пересчете на  $\text{CaCO}_3$ ) ацетата Са, пропионата Са, Са ( $\text{HCO}_3$ )<sub>2</sub>, ацетата Ва или Ва ( $\text{HCO}_3$ )<sub>2</sub> при т-ре р-ра  $25-65^\circ$ . Напр., тщательно промытый АП-54, содержащий 0,0435%  $\text{MgSO}_4$ , промывают 3 раза по 20 мин. 12-кратным кол-вом 0,002%-ного р-ра ацетата Са (в пересчете на  $\text{CaCO}_3$ ) при  $25^\circ$ , причем образуются ацетат Mg и  $\text{CaSO}_4$ . Высушенный продукт обладает повышенной устойчивостью к потере блеска. Аналогично АП-54 с содержанием 0,0435%  $\text{MgSO}_4$  промывают при  $25^\circ$  0,006%-ным р-ром Са ( $\text{HCO}_3$ )<sub>2</sub> или свежесоздаваемые хлопья ацетата Ц, содержащего разб.  $\text{CH}_3\text{COOH}$  и несколько десятых долей процента  $\text{MgSO}_4$ , промывают 1,5 часа в противотоке 0,006%-ным р-ром Са ( $\text{HCO}_3$ )<sub>2</sub> (в пересчете на  $\text{CaCO}_3$ ) при  $55^\circ$  и получают продукт, свободный от  $\text{MgSO}_4$  и  $\text{CH}_3\text{COOH}$ . Ю. В.

59498 П. Способ и аппаратура для сушки многослойных гидратцеллюлозных пленок. (Procédé et dispositif de séchage de pellicules de cellulose réhydratée, en plusieurs couches superposées) [La Cellophane Soc. An.] Франц. пат. 1126902, 4.12.56

Предложен высокопроизводительный способ одновременной сушки нескольких слоев набухшей пленки из регенерированной целлюлозы с промежуточным механич. разделением этих слоев при прохождении через сушилку и последующим их соединением для окончательного высушивания. Напр., одновременная сушка двухслойных гидратцеллюлозных пленок может осуществляться на роликовой системе сушилки с зигзагообразным (или шахматным) расположением осей роликов в виде двух горизонтальных рядов с двукратным промежуточным разделением этих слоев путем пропуска одного слоя от одного ролика на следующий, расположенный в том же горизонтальном ряду, при одновременном пропускании другого слоя вокруг, ниже или выше расположенных роликов. Разделенные слои снова соединяются в конце той же роликовой системы. Двухслойные гидратцеллюлозные пленки могут высушиваться при прохождении через эту роликовую систему с однократным промежуточным разделением слоев посредством двух направляющих роликов меньшего диаметра, отклоняющих слои друг от друга. После прохождения через направляющие ролики слои снова соединяются на ролике, расположенном над вышеописанной роликовой системой. Трехслойные гидратцеллюлозные пленки также высушиваются при прохождении через такую же роликовую систему сушилки, но с двукратным промежуточным разделением сначала одного наружного слоя, а затем второго наружного слоя путем пропуска каждого из них через ролики того же ядра. Одновременная сушка нескольких слоев



такой пленки может осуществляться также после предварительной пропитки р-ром в-ва, снижающего адгезию этих слоев друг к другу. Способ одновременной сушки многослойных гидратцеллюлозных пленок применим также для пленок другого хим. состава.

В. Федоров

**59499 П. Способ обработки свежесформованного искусственного волокна. Сумитани Синдзо.** Японск. пат. 1413, 3.03.55

Нити штапельного волокна из осадительной ванны проходят через систему роликов, при этом с них почти полностью стекает р-р ванны, собираются в жгут и через два диска направляются в башню, снабженную патрубками для подачи пара и горячей воды. Сверху противотоком к нити в башню подается горячая вода с т-рой 80—90°, и перпендикулярно движению нити подается пар. При этом заканчивается процесс регенерации целлюлозы и почти полностью смывается с волокна осадительная ванна. Так как вода стекает по нитям, ее расход очень мал. Образовавшийся разб. р-р собирается внизу и после упаривания может быть использован в качестве осадительной ванны. Выделяющиеся газы ( $H_2S$  и  $CS_2$ ) отводятся от верхней части башни и направляются на регенерацию. Предложенный способ дает значительную экономию химикатов и тепла.

Ким Хван

**59500 П. Аппарат для одновременного концентрирования осадительной ванны и отработанной щелочи вискозного производства. Сумитани Синдзо.** Японск. пат. 6265, 7.09.55

Выпарная установка состоит из двух частей: одна часть выполнена из железа и предназначена для концентрирования р-ров щелочи, вторая часть выполнена из сплава свинца или свинца (против коррозии свинца  $H_2S$ , поверхность покрыта хим. устойчивым синтетич. материалом) и предназначена для концентрирования осадительной ванны. 1-я часть установки состоит из испарителя, соединенного с подогревателем. Отработанная щелочь подается в испаритель и затем поступает в подогреватель, куда подается пар высокого давления. Щелочь кипит, и выделяющийся пар из испарителя поступает в подогреватель второй части установки, куда из второго испарителя поступает р-р осадительной ванны. Пары, образующиеся во второй части установки, при концентрировании осадительной ванны поступают в конденсатор. При этом снижается расход пара и охлаждающей воды в конденсаторе.

Ким Хван

**59501 П. Формование волокна из ацетилцеллюлозы. Хорио Масао, Киндзэ Такаси [Дзайдан ходзин нихон кагаку сэнги канкюсэ]. Японск. пат. 2162, 30.03.55**

Для улучшения перемоточной способности ацетатного волокна формования проводят через фильтры с неравномерно расположенными отверстиями. К фильтру подведен расширитель теплого воздуха так, что скорость испарения р-рителя в различных точках волокна различна, благодаря чему образуется волокно с неровной поверхностью.

Ким Хван

**59502 П. Улучшенный способ придания нерастворимости искусственным белковым волокнам. Дейвидсон, Мак-Гиллауэри (Improvements in or relating to a method for insolubilising artificial filaments, threads, fibres and the like obtained by the spinning of solutions of proteins. Davidson Walter Lamb, McGillivray Roy) [Imperial Chemical Industries Ltd]. Англ. пат. 741497, 7.12.55**

Спряденное волокно обрабатывают р-рами  $Al_2(SO_4)_3$ , полимерного метафосфата Na или цирконилсульфата натрия, затем р-ром  $CH_2O$  (рН 0,5—1,5), сушат при т-ре < 100° в свободном или натянутом состоянии и нагревают при 140—180°. Нерастворимым считается

волокно, устойчивое при 97° к действию р-ра, содержащего 0,1%  $H_2SO_4$  и 0,25%  $Na_2SO_4$ , при погружении на 90 мин. Напр., основной р-р белка земляного ореха продавливается в водн. р-р, содержащий 2%  $H_2SO_4$  и 24%  $Na_2SO_4$  и имеющий т-ру 30°. Вытянутое в процессе прядения волокно подвергается релаксации при 25° в ванне, содержащей 22%  $Na_2SO_4$  и 2,5% NaCl (рН 8—9). Затем волокно обрабатывают р-ром, содержащим 20%  $Na_2SO_4$  и 2,5% NaCl (рН 6) в течение 5 мин. и 10%-ным р-ром  $Al_2(SO_4)_3$ , имеющим рН 3,3 (добавка NaOH или  $NaBO_3$ ) в течение 5 мин. при 50°, затем волокно полностью промывают от солей большим объемом воды, обрабатывают 10%-ным р-ром  $CH_2O$  при рН 3,5 в течение 3 мин. при 50°, и 10%-ным р-ром  $CH_2O$  при рН 1 (добавка HCl). Сушку волокна производят при 80°, после чего следует термообработка при 160° в течение 30 мин. Полученное волокно имеет прочность в сухом состоянии 10—12 кг/мм<sup>2</sup> при 21° и 65% относительной влажности, и 4—6 кг/мм<sup>2</sup> в мокром состоянии. Прочность волокна почти не изменяется при кипячении в течение 90 мин. в р-ре 0,1%  $H_2SO_4$  и 0,25%  $Na_2SO_4$ .

А. Волохина

**59503 П. Придание волокнам из поливинилового спирта и других полимеров сходства с натуральной шерстью. Табе, Моримото, Осуги (Tanabe Kenichi, Morimoto Osamu, Osugi Tetsuro) [Курасики рейон кабусики кайса]. Японск. пат. 7910, 29.10.55**

После термообработки волокна из поливинилового спирта и другие волокна обрабатывают соединением, содержащим карбонильные группы (напр., метилглиоксаль, фенилглиоксаль или левулиновый альдегид), затем  $NH_3$  или амином (напр., метиламином, этилендиамином, гидразином, мочевиной, дициандимидом или ароматич. амином). Полученные волокна окрашиваются красителями для хлопчатого волокна.

Э. Т.

**59504 П. Применение искусственных волокон, содержащих активированный уголь, для адсорбции. Линденмейер (Verwendung von aktivkohlehaltigen Kunstspinnfasern zur Adsorption. Lindenmeyer Julius). Пат. ФРГ 950005, 4.11.56**

Полученные по способу, описанному в пат. ФРГ 946181 (РЖХим, 1958, 42052), изделия из искусственных волокон, содержащие активированный уголь, предлагаются применять для изготовления масок противогазов и одежды, для улавливания летучих р-рителей, для обезвреживания жидкостей (сахарного сиропа, масел и др.), а также для любых других процессов, в которых применяется активированный уголь или подобные в-ва.

С. Савини

См. также: Методы получения высокомолекулярных соединений 59239. Полиэтилен 59253, 59255. Поливиниловый спирт 59267. Полиамиды 59280, 59323, 59784. Сополимеры акрилонитрила 59312, 59314, 59766. Связь полипропилен 59718. Нити из тетрафторэтилена 59338. Структура целлюлозных волокон 59538. Обработка волокон 59313. Применение волокон 59293. Цветные р-ции капролактама 57242.

## ЦЕЛЛЮЛОЗА И ЕЕ ПРОИЗВОДНЫЕ. БУМАГА

Редактор А. П. Хованская

**59505. Современная лесная биржа. Клемм (Examples of modern woodyards. Klemm K. H.), Реперт Trade J., 1957, 141, № 37, 52—54 (англ.)**

Описана одна из современных лесных бирж. Приведены технологич. схемы обработки древесины (Д), в частности славяной, на бирже, в зависимости от возраста Д и вида ее переработки. Перед окоркой Д запаривают. Используется хранение Д под водой. А. З.

59506. Механизированная сортировка древесины. Пертоваара (Puutavara erottelutö koneellistuu. Pertovaara Heikki), Paperi ja puu, 1957, 39, № 12, 581—587 (финск.; рез. англ.)

Хорошо механизирована сортировка короткого целлюлозного баласа от длинной древесины и сортировка древесины, поступающей на лесопильные заводы средней мощности. Бревна (Б), идущие вдоль транспортера, механически сортируются на 10 и больше размеров, из машины они выталкиваются гидравлически или механически, фотоэлемент подсчитывает число Б и их длину. Один человек, управляющий установкой, обеспечивает производительность 250—350 Б в час. Метод применим и для сортировки древесины, находящейся в воде. При сортировании на воде по возможности сортировка производится в поперечном к длине Б направлении. Многоканальная сортировочная машина такого типа работает в Канаде, но механизация сортировки здесь недостаточна. Предложен проект машины с более полной механизацией, с производительностью 1200—1500 (до 1800) Б в час.

Из резюме автора

59507. Значение выдержки древесины. Риц (Importance of seasoning. Rietz R. C.), South. Lumberman, 1957, 195, № 2441, 97—99 (англ.)

В зависимости от целевого назначения древесины (Д) должна быть более или менее выдержанной. Приведены оптимальные условия влажности Д для различных целей и диаграмма равновесия влажности Д и относительной влажности окружающего воздуха.

Е. Гурвич

59508. Древесина разного происхождения для производства целлюлозы. Хёпнер (Zellstoffholz aus aller Welt. Hörner Theodor), Das Papier, 1958, 12, № 5-6, 92—100 (нем.; рез. англ., франц.)

Исследованы микроструктура, содержание экстрактивных в-в и лигнина (Л), пригодность к сульфатной варке и качество получаемой целлюлозы (Ц) для 60 образцов древесины (Д) тропич. пород, полученных из центральной Африки, Южной Америки и Индонезии. В среднем тяжелые и легкие породы имеют: уд. в. 0,90 и 0,22; объем, занимаемый клеточной стенкой, 67,0 и 14,0%; содержание Л 29,0 и 24,1%; длина волокон (В) 1,8 и 1,6 мм; диаметр В 19 и 32 м; толщина клеточной стенки 8 и 2,4 м; выход белевой Ц 45,7 и 47,9%; впитывающая способность листа Ц 96 и 22 (высота подъема); степень размола по Шонпер — Риглеру за 30 мин. 25 и 49°. У В бамбука отношение длины В к его поперечнику ~ 210, у остальных пород меньше. Как сырье для Ц Д многих тропич. пород сходна с Д тополя и ели, из нее могут быть получены хорошие, в том числе и спец. Ц, Д легких пород несколько легче варится по сульфатному методу, чем Д плотных пород.

А. Закощиков

59509. Липа (*Tilia grandifolia*) как сырье для производства целлюлозы. Маширевич (Липа (*Tilia grandifolia*) као сировина за производњу целулозе. Маширевич Борне). Гласник Хем. друштва, 1956, 21, № 3, 171—185 (сербо-хорв.; рез. нем.)

Приведены результаты исследований физ. свойств и хим. состава древесины липы (ДЛ) (*Tilia grandifolia*). Длина волокон ДЛ близка к таковой *Populus nigra*, но несколько уступает длине волокон *Populus canadensis*. Для ДЛ характерен высокий (51—54%) выход целлюлозы по сульфитному и сульфатному методам. Механич. свойства необеленной сульфит- и сульфат-Ц близки к свойствам Ц из *Populus canadensis* и превосходят свойства буковой Ц. Проведены в заводских условиях варка и отбелка Ц из ДЛ и получение из Ц бумаги с различным весом 1 м<sup>2</sup> и содержанием золы. Замена 50% хвойной Ц на Ц из ДЛ не

вызывала ухудшения или каких-либо затруднений при произ-ве бумаги.

Из резюме автора

59510. Варка и предгидролиз. Порфир (Lessivage et préhydrolyse. Porphyre J.-A.), Papeterie, 1958, 80, № 2, 94—95 (франц.)

Приведен тепловой баланс варки соломы (который может быть распространен на другие подобные виды сырья): при выходе небеленой целлюлозы 42%, общей продолжительности варки 9 час., разбавлении 5 и плотности загрузки в варочном котле 100 кг/м<sup>3</sup> (производительность варочного котла емк. 60 м<sup>3</sup> составляет 2520 кг), расход пара 5,158 кг/кг целлюлозы. Тепловой баланс можно улучшить, работая при более низких давлениях, большей продолжительности варки и меньшем разбавлении.

Ю. Вендельштейн

59511. Измерение pH кислоты в сульфитноцеллюлозном варочном котле. Станнерс, Инглубер (The measurement of pH in a mill sulphite digester. Stanners L. N., Ingubler O. V.), Pulp and Paper Mag. Canada, 1958, 59, № 1, 89—93 (англ.)

Описана установка для измерения pH варочной к-ты в котле объемом 189 м<sup>3</sup> при рабочем давл. 6,3 кг/см<sup>2</sup>, оборудованного усиленной циркуляционной системой. Значения pH к-ты замеряли потенциометрами, помещенными в проточных карманах в трех точках: у сдувочного штуцера в верхнем конусе котла, вблизи термометра в нижнем конусе и в циркуляционной системе. На pH варочной к-ты оказывают влияние т-ра варки, кислые продукты р-ции и процесс сдувки газов. Повышение т-ры на 10° увеличивает pH на 0,12.

А. Соколова

59512. Баланс пара и энергия в целлюлозно-бумажной промышленности. Арнольд (Steam and power balance in the pulp and paper industry. Arnold H. R.), Tappi, 1957, 40, № 8, A183—A184 (англ.)

59513. Снижение производственных затрат в результате перехода на выработку целлюлозы высокого выхода (из опыта целлюлозного завода «Кехра»). Качанов Я. М., Бум. пром-сть, 1958, № 3, 21—22. Мощность з-да по варке увеличена на 17%, значительно сокращен расход щелока и снижен расход пара на варку. Уменьшение уд. норм расхода баланса, хим. в-в, пара и т. д. обусловило снижение себестоимости 1 т целлюлозы на 12—13%.

Ю. Ч.

59514. Зависимость выхода щепы для целлюлозных заводов от размеров пиловочника. Креймер (Yield of pine pulp chips by sawlog size. Kramer Paul R.), Forest Prod J., 1957, 7, № 12, A31—A32 (англ.)

Изучение выхода щепы для целлюлозного произ-ва из отходов лесопиления на лесопильном з-де средней мощности показало, что он увеличивается с уменьшением диаметра пиловочника.

А. З.

59515. Сушка древесной щепы в фонтанирующей струе. Кауан, Питерсон, Осберг (Drying of wood chips in a spouted bed. Cowan C. B., Peterson W. S., Osberg G. L.), Pulp and Paper Mag. Canada, 1957, 58, № 13, 138—142 (англ.)

Приведены результаты лабор. опытов сушки древесной щепы (Щ) в токе фонтанирующего горячего воздуха (аэрофонтанная сушка). Необходимость в сушке щепы (Щ) с влажностью ~ 150% на сухой вес возникает при ж.-д. перевозках Щ на большие расстояния. В трубе диам. 60 см может высушиваться щепы длиной до 100 мм. Щепы размером 15—16 мм в трубе с диам. 30 см высушивается за 2—5 мин. от 150 до 50% влажности при т-ре поступающего в трубу воздуха 593°. Т-ра Щ при сушке увеличивается на 21°, а т-ра воздуха, выходящего из трубы, понижается на 360°. Для трубы диам. 61 см и длиной 183 см производительность равна 330 кг/час. К.п.д. сушилки ~ 53%.

А. Закощиков



59516. Проблема центробежной очистки и пути ее решения. Хогенкамп, Ульрих (Rohrschleuderprobleme und Wege zu ihrer Lösung. Hogenkamp Heinz, Ulrich J. C.), Wochenbl. Papierfabr., 1957, 85, № 19, 735—740 (нем.)

Рассмотрены теоретич. положения очистки волокнистых суспензий в целлюлозно-бумажном произ-ве на вихревых очистителях центробежного действия. С. И. 59517. Процесс сортирования волокнистых суспензий. П. Стенберг, Кубат (Sortieren von Faserstoffsuspensionen. P. Steenberg Börje, Kubat Josef), Das Papier, 1956, 10, № 11—12, 227—232 (нем.; рез. англ., франц.)

Ранее авторы опубликовали основные положения статистич. теории сортирования, позволяющей рассчитывать конв.-ию и состав волокна в разных частях сортировки. В статье сравниваются расчеты по этой теории с результатами опытов на модели сортировки, состоящей из двух камер и вибратора. Показано значение и практическое использование эффекта обратного потока. Сообщение I см. РЖХим, 1958, 23491.

Г. Брахман 59518. Изучение поведения мелочи (нулевого волокна) в целлюлозах для искусственного шелка. Часть I. Трейбер, Стениус, Ренстрём (Zur Kenntnis des Verhaltens von Null-Fasern in Kunstseidenzellstoffen. Teil 1. Treiber E., Stenius A. S' son, Rehström J.), Svensk papperstidn., 1958, 61, № 3, 55—60 (нем.; рез. шведск., англ.)

Приведены сведения о свойствах мелочи (нулевого волокна) (М) — о свойствах смолы, содержащейся в М, влиянии М на механич. свойства полотна бумаги во влажном состоянии, о содержании в М клеток сердцевинных лучей, в которых содержится наибольшее кол-во смолы, об особенностях состава М и т. д. Исследован состав сахаров, образующихся при гидролизе М. Найдено, что в гидролизатах М из хвойной целлюлозы (Ц) содержится 5% маннозы, 4% ксилозы и < 1,0% арабинозы (в процентах от общего содержания сахаров). В М из буковой Ц найдено 1,3% маннозы и 4,6% ксилозы. При изучении «плотности» целлюлозы методом Яйме в образцах М из хвойной древесины обнаружена только рыхлая структура, в образцах М из бука наряду с рыхлыми наблюдались и участки ориентированного расположения фибрилл. Установлено, что содержание М на лицевой поверхности листа приблизительно на 30% больше, чем на сеточной стороне.

А. Закопчиков 59519. Новый завод сульфитной целлюлозы Weyerhaeuser Co. Браун (Weyerhaeuser gives the industry its first new sulphite mill in twenty years. Brown J. C.), Paper Trade J., 1957, 141, № 21, 25—32 (англ.)

Весной 1957 г. начал работать новый з-д сульфитной целлюлозы фирмы Weyerhaeuser Timber Co. близ Космополиса, Вашингтон. З-д ведет варки на варочной к-те с Mg-основанием. Суточная производительность 400 т целлюлозы при общем числе рабочих 250 чел. Котлы работают с вымыванием целлюлозы после варки. Отбелка 3-ступенчатая по схеме хлорирования — щел. промывка — отбелка гипохлоритом натрия. А. З. 59520. Потери давления, связанные с трением при транспортировке расплавленной серы по трубопроводам. Баттерворт (Friction loss of molten sulphur in pipe. Butterworth C. E.), Pulp and Paper Mag. Canada, 1958, 59, № 1, 88 (англ.)

Предложена программа для определения падения давления при перекачивании расплавленной серы на сульфит-целлюлозных з-дах по стандартным железным трубам различных диаметров. При расчете приняты: вязкость серы 8 спуаз при т-ре 120—150°, плотность 1,8 г/см<sup>3</sup>. А. Сафьян

59521. Получение сернистого газа путем обжига колчедана на предприятии Abitibi Power & Paper Co. Пире, Балджер (Sulphur dioxide from pyrite roasting at Abitibi's Thunder Bay Division. Pearce M. W., Bulger W. H.), Pulp and Paper Mag. Canada, 1958, 59, № 1, 83—86 (англ.)

Описаны технологич. процессы и оборудование з-да для обжига колчедана (К) для получения SO<sub>2</sub>. В сутки сжигается 21 т К. В виде измельченных флотационных хвостов (влажность 2—3%; содержание S 40%) К поступает через 200-т бункер в смесительный бак, оборудованный мешалками, где К разбавляют на 20% водой. Смесь подают насосами в реактор (Р), конус которого является воздушной камерой, куда нагнетают турбокомпрессором воздух со скоростью 62 м<sup>3</sup>/мин при давл. 0,42 атм через 112 сопел и фур; воздух проходит через подушку из песка или огара толщиной 0,9 м, поддерживая ее во взвешенном состоянии. Смесь К с водой распыляют непосредственно над подушкой, т-ра в Р не должна падать ниже ~ 500° во избежание спекания несгоревших или частично сгоревших частиц К. Р оборудован нефтяной горелкой для закаливания печи. В дальнейшем т-ра поддерживается теплом, выделяющимся при р-ции. SO<sub>2</sub> по обдвоенному сталью газоходу попадает в два циклона, где отделяется ~ 95% твердых частиц, улавливаемых водой в тасильных чанах. SO<sub>2</sub>, охлажденный в скруббере Peabody с 870 до 30°, с крепостью 13,5% поступает в кислотный цех. З-дом управляет один оператор при помощи автоматич. устройства фирмы Фоксборо. Приведена схема.

А. Соколова 59522. Новый целлюлозный завод в Джесап (Rayonier's newest mill formally opened in Jesup, Ga.—), Paper Trade J., 1958, 142, № 3, 24—26 (англ.)

В Джесап пущен второй целлюлозный з-д Rayonier Unit В, конструктивно представляющий собой «зеркальное подобие» з-да Rayonier Unit А, действующего с 1954 г. там же. Технологич. процесс обоих з-дов отличается большой гибкостью; з-ды могут работать, выпуская одну и ту же продукцию, или же один з-д может производить целлюлозу (Ц) для бумажной пром-сти, а другой выпускать спец. новый вид Ц для произ-ва высококачеств. вискозного корда. Общая производительность з-дов А и В ~ 915 000 т в год.

Ю. Чельцова

59523. Использование хвойной и лиственной древесины на целлюлозно-бумажном предприятии Thurso Pulp and Paper Co. Инглис (The utilization of soft and hardwoods at Thurso Pulp and Paper. Inglis Fred), Canad. Pulp and Paper Ind., 1958, 11, № 1, 10—14 (англ.)

Новый целлюлозный з-д Thurso Pulp and Paper Co. (Квебек, близ Оттавы) производительностью 200 т/сутки вырабатывает высокосортную беленую сульфатную целлюлозу из смеси лиственных (60%) и хвойных пород (40%). З-д перерабатывает отходы лесопильного и фанерного з-дов для произ-ва целлюлозы. Описаны технологич. схемы и оборудование древесного, варочного, отбельного цехов, цеха регенерации и паросиловой станции, работающей на древесных отходах.

С. Иванов

59524. Современное состояние технологии производства древесной массы. Дёйчман (L'attuale situazione della tecnica di produzione della pasta legno. Deutschmann E.), Ind. carta, 1957, 11, № 3, 31—39 (итал.)

Обзор, основывающийся преимущественно на германской практике.

М. И.

59525. Попытки характеристики мелкой фракции древесной массы путем определения удельной поверхности. Брехт, Шандц (Versuch zur Kennzeichnung von Holzschliff — Feinstoffen durch Ermitt-

lung ihrer spezifischen Oberfläche. Brecht Walter, Schanz Daniel, Wochenbl. Papierfabr., 1957, 85, № 23, 891—898 (нем.)

Сообщено о применении метода Робертсона и Мейсон, использующих ур-не Козеньи — Карман, для определения уд. поверхности частиц (ослизненных, набухших и порошкообразных, мучнистых) наиболее мелкой фракции древесной массы, в значительной степени определяющих свойства бумаги. Метод использует установленную Козеньи — Карман зависимость между кол-вом протекающей жидкости и размерами пор. Приведено описание прибора. Предварительные опыты дали обнадеживающие результаты. А. Попов 59526.

**Новые условия на древесномассовой бумажной фабрике Gould Paper Co. Снайдер (New life for groundwood pulp mills. Snyder Kenneth L.), Instrumentation, 1957, 10, № 6, 18—20 (англ.)**

Бумажная ф-ка, вырабатывающая древесную массу (ДМ) из хвойной древесины (Д) для бумаги, испытывала затруднения из-за недостатка сырья. Ф-ка переоборудована для получения ДМ из лиственной Д. Новое оборудование, поставленное фирмой Братия Бауэр и Ко., состоит из весов для взвешивания Д, вращающихся варочных котлов, дробильных рафинеров и системы сортировок различной конструкции. Управление процессом полностью автоматизировано. Намечено дооборудование ф-ки для увеличения выработки бумаги на 50%. А. З. 59527.

**Современное оборудование для сортирования древесной массы. Клемм (Modern equipment for screening groundwood. Klemm K. H.), Paper Trade J., 1958, 142, № 3, 28—32, 34, 36—38 (англ.)**

Описано очистное оборудование различных систем, применяемое в древесно-массовом произ-ве: сортировки первой ступени — Кована, Ватерус — Могава, Ротгем, проточные сортировки Вейта, Ватерус Гидрофойл; сортировки для последующих ступеней очистки (центробежные, Джонсона, вибрационные, вихревые очистители и др.). Приведены данные о технич. характеристиках оборудования, производительности, потреблении мощности и пр. С. Иванов 59528.

**Системы использования оборотных вод древесно-массового производства. Клемм (Groundwood mill white-water systems. Klemm K. H.), Paper Trade J., 1958, 142, № 1, 30—32, 34 (англ.)**

Рассмотрены вопросы: потребления воды, содержания тепла в отходящих водах и баланс тепла при произ-ве древесной массы, а также технологич. схемы использования оборотных вод и контроль за сливоброшением. С. Иванов 59529.

**Давление при дефибрировании и окружная скорость как средство повышения производительности дефибреров. Брехт, Вейсс (Schleifdruck und Umfangsgeschwindigkeit als Mittel zur Leistungssteigerung von Holzschleifern. Brecht Walter, Weiß Normann), Das Papier, 1958, 12, № 1—2, 1—8, 9 (нем.; рез. англ., франц.)**

Исследован процесс дефибрирования на дефибрере (Д) с диаметром камня 100 см и шириной 30 см при переменном уд. давл. 0,9—18,5 кг/см<sup>2</sup> и переменной окружной скорости камня 8—18 м/сек. Показана возможность увеличения производительности Д за счет повышения уд. давления при дефибрировании; качество массы сохраняется постоянным при менее острой насечке камня. Полученные зависимости не могут быть непосредственно перенесены на дефибреры, применяемые в пром-сти. С. Иванов 59530.

**Три способа регенерации химических реагентов при нейтральной сульфитной полухимической варке целлюлозы. Шаффер (Three commercial processes now available for NSSC recovery. Shaffer M. R.), Paper Trade J., 1958, 142, № 5, 36—42 (англ.)**

Описаны три способа регенерации хим. реагентов при произ-ве полуцеллюлозы (Ц): 1) Mead-процесс, по которому отработанный щелок (ОЩ) карбонизуют в токе отходящих газов с последующим окислением H<sub>2</sub>S до SO<sub>2</sub>, поглощаемого р-ром Na<sub>2</sub>CO<sub>3</sub>, получаемым на 1-й стадии. 2) процесс Ин-та химии бумаги, при котором S не регенерируют и недостатком которого является частичное образование Na<sub>2</sub>S<sub>2</sub>O<sub>3</sub>, ведущее к хим. потерям и затруднениям при отбелке Ц. При осуществлении регенерации H<sub>2</sub>S данный процесс может иметь преимущество как менее сложный. 3) процесс Western Precipitation, по которому ОЩ сгущают до высокой конц-ии и выкристаллизовывают Na<sub>2</sub>CO<sub>3</sub>. Маточный р-р присоединяют к новым порциям ОЩ, стабилизируя сульфид окислением.

**Ю. Чельцова 59531. Новая система для непрерывной варки целлюлозы и полуцеллюлозы. Дьюрант (New continuous cooking system for chemical and semi-chemical pulps. Durant L. G.), Paper Trade J., 1957, 141, № 25, 44—49 (англ.)**

Щепа (Щ) из бункера через многолопастной питатель Конди поступает в паровую зону аппарата для пропитки. Щепа пропаривается несколько минут при давлении выше атмосферного при удалении неконденсирующихся газов. Далее пропаренная Щ проходит пропиточную зону (ПЗ), разделенную на 4 зоны, в которые поступает свежая варочная жидкость (ВЖ), с повышающейся в каждой следующей зоне конц-ией. Из ПЗ пропитанную Щ и щелок скребковым разгрузителем и насосом подают в дренажный аппарат (ДА); часть стекающего щелока через сборник возвращают в ПЗ. Из ДА пропитанная Щ с небольшим кол-вом свободной ВЖ поступает в варочный котел (ВК). Длительность варки легкобелой хвойной сульфатной целлюлозы ~ 30 мин. Из ВК через разгрузитель и эжектор системы Конди масса выдувается в сеежу. В процессе Конди предусмотрено регулирование подачи Щ, регулирование конц-ии ВЖ, т-ры и скорости подачи длительности варки. Указано, что процесс обеспечивает получение более однородной целлюлозы улучшенного качества и снижение расходов на оборудование и здания. Приведены схема процесса и схема многолопастного разгрузителя. М. Цыпкина

**59532. Полузаводские испытания по производству полуцеллюлозы из камыша натронным непрерывным способом. Видерман (Încercări semiindustriale privind fabricarea pastelor semichimice națon din stuif, într-o instalație cu fierbere continuă, la presiune atmosferică. Wiedermann A.), Celuloza și hîrtie, 1958, 7, № 2, 56—63 (рум.; рез. русск., нем., франц., англ.)**

Описаны результаты опытов непрерывной полухим. варки полуцеллюлозы из камыша на полузаводской установке. Дан анализ условий варки, уточнены технологич. показатели процесса и приведены механич. характеристики получаемой полуцеллюлозы.

**Из резюме автора 59533. Изучение обмена радиоактивной серы и растворения сульфированного лигнина (при варке). Резанович, Аллен, Мейсон (Radioactive sulphur exchange and solubilization studies of sulfonated lignin. Rezanowich A., Allen G. A., Mason S. G.), Pulp and Paper Mag. Canada, 1957, 58, № 11, 153—159 (англ.)**

Образцы периодатного лигнина (Л), выделенного из еловой древесины, были подвергнуты вторичной сульфитной варке с варочной к-той, содержащей изотоп S<sup>35</sup> в виде S<sup>35</sup>O<sub>2</sub>. Исследован обмен обычной серы в Л на S<sup>35</sup>. В течение первых нескольких часов содержание S<sup>35</sup> в Л увеличивалось, при дальнейшей варке



до 20 час. не изменялось. Обменивалось 7—38% S от ее первоначального содержания в Л; кол-во обмениваемой S не зависело от содержания S в Л до варки. Показано, что сульфирование Л проходит неравномерно и содержание S в Л с наименьшей и наибольшей степенью сульфирования может различаться в 6 раз. Длительность варки, необходимой для растворения Л, линейно уменьшается с увеличением первоначального содержания S в Л. Отмечена пригодность методики для изучения сульфитной и сульфатной варок древесины.

А. Закощиков

**59534. Характеристика беленых целлюлоз по экстрактам, полученным их обработкой горячей щелочью.** Клейнерт, Длоугая (Characterization of bleached pulps by their hot alkali extractives. Kleinert Theodore N., Dlouhy Rose-Marie), Pulp and Paper Mag. Canada, 1958, 59, № 2, 67—72 (англ.).

Показано, что растворимость (Р) белевой целлюлозы (Ц) при кипячении ее в 1%-ном р-ре NaOH в течение 6 час. на 45—119,5% превышает Р, достигнутую при часовой обработке. Р обратно пропорциональна медному числу (МЧ). Не замечено изменения в общем кол-ве редуцирующих групп исходной Ц и Ц после ее обработки (0,54—1,11 и 0,49—1,14 соответственно). При кипячении в течение 6 час. удаляется 61,7—64,3% редуцирующих в-в (РВ), присутствующих в исходной вязкой Ц, 48,7—57,4% — из ацетил-Ц, 30% из белевой крафт-Ц. Высокий коэф. сгорания ( $\text{CO}_2/\text{O}_2$ ) подтверждает происходящее при отбелке заметное окисление углеводов. Белизна Ц после экстрагирования была ниже, чем в исходной Ц (82—91,5% и 85,2—93,5% соответственно). Не найдено связи между потерей белизны и МЧ экстрагированной Ц. Максим. абсорбция света экстрактом в УФ-части спектра наблюдалась при длине волны 280—290 мμ.

А. Сафьян

**59535. Сушка и упаковка в кипы древесной целлюлозы.** Копп (Drying and baling of wood pulp. Copp George J.), Tappi, 1957, 40, № 6, A222—A224 (англ.).

Разработана и испытана в ползаводских условиях установка производительностью 50 т/сутки для подготовки целлюлозы (Ц) к транспортировке, отличающаяся экономичностью и простотой. Сгущенную до 15% Ц подают конвейером к винтовому прессу и после прессования разрыхляют в дисковой мельнице с зубчатой поверхностью плит. Полученную «пушонку» сушат во вращающемся барабане, охлаждают в циклоне и упаковывают в кипы на автоматич. гидропрессе при давл. 350 ат. Первая промышленная установка производительностью 250 т/сутки сооружается при з-де в г. Монтана. Приведены данные о свойствах Ц до и после обработки.

С. Иванов

**59536. Механизм периодатного окисления целлюлозы.** Невелл (The mechanism of the oxidation of cellulose by periodate. Nevell T. P.), J. Text. Inst. Trans., 1957, 48, № 12, 484—494 (англ.).

На основе изучения влияния т-ры, электролитов и рН на скорость окисления целлюлозы  $\text{NaJO}_4$  установлено, что р-ция протекает с образованием промежуточного комплекса, который распадается на продукты окисления с более замедленной скоростью. Образованию комплекса содействуют понижение т-ры и введение электролитов в периодатный р-р. Если предположить наличие у комплекса электрич. заряда, то влияние электролита может быть удовлетворительно объяснено теорией мембранного равновесия Доннана. Нерастворимые продукты р-ции (оксидцеллюлозы), образующиеся под воздействием периодатного р-ра при рН > 7, резко отличаются по свойствам (адсорбция метиленового голубого, медному числу и показателю вязкости) от таковых, образующихся при рН < 7.

К. Маркузе

**59537. Кадмийгидроокись — этилендиамин как новый бесцветный, растворитель для целлюлозы в водной среде.** Яйме, Нейшеффер (Tri-(en) — Cadmiumhydroxyd als neues farbloses, wäbriges Lösungsmittel für Cellulose. Jaume Georg, Neuschäffer Karlheinz), Naturwissenschaften, 1957, 44, № 3, 62—63 (нем.).

Соединение гидроокиси кадмия с этилендиаминном (ЭД)  $[\text{Cd}(\text{en})_3](\text{OH})_2$ , названное «Кадоксен» (Cadoxen), является р-рителем целлюлозы (Ц) при обыкновенной т-ре. Р-ры кадоксена получают насыщенным при 0° 20—35%-ных р-ров этилендиамина основной хлористой солью Cd (получаемой осаждением р-ра  $\text{CdCl}_2$  разб.  $\text{NH}_4\text{OH}$  или гидроокисью кадмия, полученной осаждением  $\text{Cd}(\text{NO}_3)_2$  р-ром NaOH). При содержании в р-ре (по весу) 6,5% Cd и 27,9% ЭД при 20° реактив растворяет 4,5—5% Ц со степенью полимеризации ~ 670. Более просто реактив готовят встряхиванием  $\text{CdO}$  с 10-кратным избытком 30%-ного р-ра ЭД в течение 15 мин. при 20°. Избыток  $\text{CdO}$  отделяют центрифугированием. Р-р, содержащий ~ 4,5% Cd, может растворять ~ 3% (по весу) Ц. Р-р бесцветен, прозрачен, с высокой вязкостью. Кадоксен растворяет сульфатную Ц при частичном растворении лигнина с образованием р-ров желтого или коричневого цвета. Кадоксен пригоден для аналитич. целей (определение растворимости, оптич. исследования цвета и прозрачности р-ров целлюлозы, определение вязкости и т.д.).

А. Закощиков

**59538. Ультратекстура волокнистых веществ.** Хесс (Die Ultratextur von Faserstoffen. Hess Kurt), Das Papier, 1957, 11, № 23—24, 553—558, 559—562 (нем.; рез. англ., франц.).

Доклад на заседании Об-ва химиков и инженеров целлюлозной пром-сти 15 июня 1957 г. в Гейдельберге. Исследованием в электронном микроскопе природных и синтетич., полученных с большой вытяжкой целлюлозных волокон, металлизированных J или Ti, показано наличие периодичности в отложениях металлов по длине волокна. Кривые распределения затемнений записаны фотометрически. Методика была изменена таким образом, чтобы отложения происходили в упорядоченных участках волокон. В боковом направлении кристаллич. и неупорядоченные участки располагаются на одной высоте. В расположении темных участков наблюдается малая периодичность (80—200 Å) и большая (500—800 Å). Малая периодичность отражает толщину кристаллич. участков в поперечном направлении, большая — длину их. Периодичность не связана с величиной мол. веса полимера. Связь в поперечном направлении осуществляется взаимодействием обладающих большей энергией неупорядоченных участков. Новые представления использованы для объяснения свойств р-ров высокополимеров и их коагуляции, автор допускает наличие в р-рах ламинарных образований из макромолекул, впоследствии образующих структуру волокна. Наличие периодичности объясняет постоянство соотношения кол-в кристаллич. и аморфной фаз у различных волокон. Хим. р-ции целлюлозы начинаются в неупорядоченных участках и распространяются на кристаллич. участки.

А. Закощиков

**59539. Проблема выпаривания в регенерационном цикле производства нейтральносульфитной целлюлозы.** Дедерт, Браун (Evaporator problems in the NSSC recovery cycle. Dedert William G., Brown J. N.), Paper Trade J., 1958, 142, № 3, 39—41, South. Pulp and Paper manufacturer, 1958, 21, № 2, 52, 54 (англ.).

Загипсовывание поверхностей нагрева в выпарных аппаратах, при упаривании отработанных щелоков (Щ), предупреждают применением выпарных аппара-

тов с длинными вертикальными трубами, позволяющих упаривать Ш до 45% сухого в-ва, или же применением интенсивной циркуляции во время выпаривания с увеличением сухих в-в в упаренном Ш до 65%. Упаренные Ш обладают гелеобразной консистенцией, но они тиксотропны. Вопросы коррозии полностью не разрешены. Пары обладают большим коррозионным действием, чем упариваемый Ш (наличие в парах  $H_2S$ ). В качестве наиболее устойчивых рекомендуются нержавеющие стали марок 304ELC и 416MLC. А. Закопчиков

59540. Изучение углеводов, содержащихся в отработанном сульфитном щелоке. Часть 2. Поведение углеводов в процессе сульфитной варки, нейтрализации и сбраживания. Toda, Хамада (Toda Hisaaki, Hamada Tadahira), Сига гикэси, J. Japan. Techn. Assoc. Pulp and Paper Ind., 1957, 11, № 8, 489—495, 515 (японск.; рез. англ.)

Приведено хроматографич. изучение поведения углеводов при сульфитной варке мягкой и твердой древесины (Д). Показано, что большая часть арабана переходит в р-р, частично гидролизуясь до арабинозы, ранее достижения т-ры 100°. При т-рах 100—110° растворяются ксилан, галактан, маннан и глюкоза и в р-ре появляются ксилоза и галактоза. При 120—130° арабан в р-ре исчезает, а содержание других полисахаридов достигает максимума. На следующей стадии содержания ксилана, маннана и галактана понижается при одновременном накоплении моносахаридов (МС). При 130° появляется глюкоза, кол-во которой постепенно увеличивается, сохраняя линейную зависимость от времени. В последней стадии кол-во глюкозы достигает 60% от общего содержания МС в щелоке (Ш) из мягкой Д, а в Ш из твердой Д 80% МС занимает ксилоза. Предполагают, что при варке твердой Д глюкоза растворяется меньше, чем при варке мягкой Д. Уроновая к-та была открыта в виде следов. Исследовано влияние рН и т-ры на устойчивость различных МС в Ш. При 20° в пределах до 10,5 рН не оказывал никакого влияния на МС, но дальнейшее повышение рН вызывало адсорбцию сахаров на осадках лигносульфоната Са, разложение и элимеризацию. При более высоких т-рах сахара, в особенности пентозы, становились в щел. среде неустойчивыми. При кислой р-ции (рН 1,8—7,0) пентозы и гексозы были устойчивы при нагревании при 80° в течение 24 час. или при 100° 6 час. Спирт. брожение протекает лучше при нейтр-ции Са(ОН)<sub>2</sub>, чем при NaOH и NH<sub>4</sub>OH, так как Са(ОН)<sub>2</sub> удаляет большее кол-во SO<sub>2</sub>. Часть 1 см. РЖХим, 1958, 33993. Резюме автора

59541. Диаграммы Талпи.— (Tappi data sheets.—), Tappi, 1956, 39, № 7, A134—A142 (англ.)

Приведены диаграммы растворимости SO<sub>2</sub> в насыщ. р-рах бисульфита магния (I) (содержание общей и связанной SO<sub>2</sub> при различном парц. давлении SO<sub>2</sub> над р-рами) и номограммы для т-р 5, 15, 25, 35, 50 и 60° для определения содержания общей и связанной SO<sub>2</sub> в р-рах I, в зависимости от парц. давления SO<sub>2</sub>. Указаны источники цифровых материалов, по которым построены диаграммы. А. З.

59542. Производственный контроль качества извести. Струнников Н. А., Бум. пром-сть, 1958, № 3, 12—14

Разработан и внедрен в практику сульфатного з-да «Питкяранта» метод контроля качества извести, получаемой обжигом известняка непосредственно на з-де. Лабор. опытами с соблюдением производственных условий т-ры, времени, состава щелока (Ш) составили диаграмму зависимости степени каустизации от различного избытка извести для нескольких значений конц-ии в принятом на з-де диапазоне колебаний. По такой диаграмме и данным цеховой лаборатории

о конц-ии и проценте каустизации Ш можно быстро определить фактич. избыток извести для каждой варки или в среднем за смену. Дана ф-ла для расчета. Расчетный способ менее трудоемок по сравнению с химическим. Ю. Ч.

59543. Весовое и абсорбционное определение лигнина в целлюлозе и древесине. Лурс, Лёш-брандт (Gravimetric and absorptiometric determination of lignin in pulp and wood. Lörås V., Löschbrandt F. Medd. Papperind. forskningsinst., 1956, № 84, 12 pp., ill.) (англ.; рез. норв.) См. РЖХим, 1958, 31051

59544. Быстрый упрощенный метод определения толщины волокон целлюлозы. Брейди, Берзинс, Кларк (A rapid, simplified method for determining the coarseness of pulp. Brady C. T., Berzins A., Clark I. d'A), Tappi, 1956, 39, № 1, 40—43 (англ.)

Описана принципиально новая методика определения относительной толщины (Т) целлюлозных волокон (ЦВ) путем подсчета в счетной камере числа пересечений (ЧП) микроскопич. изображений волокон с взаимно перпендикулярными линиями спец. счетной камеры. Общую длину волокон в препарате определяют умножением ЧП на константу пропорциональности, определяемую по ф-ле, для которой приведен подробный математич. вывод. Относительную толщину ЦВ выражают в м<sup>2</sup> на 100 м истинной общей длины ЦВ. Приведены сравнительные данные определения Т различных сортов ЦВ методом ТАПИИ 232 sm—53 и новым методом. Поскольку новый метод не требует определения длины отдельных волокон, он является более простым и быстрым для выполнения. М. Белецкая

59545. Исследования по искусственному высушиванию древесины. Сообщение I. Новый лабораторный аппарат для исследования процесса сушки в широких пределах температуры, относительной влажности и скорости движения воздуха. Кольман, Шнейдер (Beiträge zur künstlichen Holz-trocknung.— Erste Mitteilung. Ein neuer Laboratoriums-trockner für Trocknungsuntersuchungen in einem weiten Bereich der Temperatur, relativen Feuchtigkeit und Strömungsgeschwindigkeit. Kollmann Franz, Schneider Adolf), Holz Roh- und Werkstoff, 1957, 15, № 12, 489—496 (нем.; рез. англ.)

Подробно описано устройство лабор. аппарата для контролируемой сушки древесины, сконструированного в Ин-те исследования древесины Мюнхенского ун-та. Аппарат состоит из сушильной камеры, в которую подается воздух, подогреваемый до желательной т-ры спец. устройствами. Аппарат оборудован устройствами для регулирования т-ры, относительной влажности и скорости движения воздуха, а также устройствами для автоматич. записи протекания процесса сушки. Ю. Чельцова

59546. Теплопроводность. Ламм (Thermal conductivity. Lammle S.), What We are Doing, 1957, № 9, 17—19 (англ.)

Приводится сводка литературных данных о теплопроводности различных листовых целлюлозных материалов, изготовленных из льна, манильской пеньки, шерсти, целлюлозы и некоторых других волокнистых материалов. А. З.

59547. Потребление перманганата целлюлозными материалами. I. Разработка основного метода. II. КАППА-число. III. Зависимость КАППА-числа от содержания лигнина в целлюлозных материалах. Тасман, Берзинь (The permanganate consumption of pulp materials. I. Development of a basic procedure. II. The KAPPA number. III. The relationship of the KAPPA number to the lignin. content of pulp



materials. Tasman J. E., Berzins V.), Tappi, 1957, 40, № 9, 691—695, 695—699, 699—704 (англ.)

I. В связи с затруднениями, возникающими при применении стандартного метода определения перманганатных чисел (ПЧ) Таппи для целлюлоз (Ц), получаемых с высоким выходом и содержащих большое кол-во лигнина (Л), исследовано влияние условий проведения определения на расход перманганата (I). Рекомендованы следующие условия определения ПЧ, пригодные для любых Ц с любым содержанием Л: вес образца 0,5 г; 0,1 н.  $\text{KMnO}_4$  100 мл; начальная конц-ия  $\text{KMnO}_4$  0,010 н.; 4,0 н.  $\text{H}_2\text{SO}_4$  100 мл; начальная конц-ия  $\text{H}_2\text{SO}_4$  0,4 н.; продолжительностью р-ции 10 мин.; т-ра 25°; объем 1,0 н.  $\text{KI}$  20 мл; нормальность гипосульфита 0,2 н. Приведена ф-ла для введения поправки  $F_t = (0,013D) \times K$ , в которой  $F_t$  — температурная поправка;  $D$  — разница т-р данной и 25°;  $K$  — ПЧ, определенное при данной т-ре. Если т-ра < 25°, поправка имеет знак плюс, при т-ре > 25° — знак минус. При анализе Ц применяют постоянную величину навески и постоянный объем р-ра I, что обеспечивает повышенную точность определения ПЧ от 0° до 200°, в частности за счет увеличения конц-ии I и времени взаимодействия I с Ц.

II. Стандартный метод Таппи не дает линейной зависимости между ПЧ и содержанием Л в Ц, при высоком содержании Л получают заниженные ПЧ. Экспериментально показано, что существует правильная логарифмич. зависимость между конц-ией I и ПЧ, если при определении ПЧ расходуется I < 80% его начального кол-ва. Зависимость сохраняется для всех Ц — сульфатной, натронной и сульфитной. Предложено вносить в полученные результаты так называемую КАППА-поправку. Корректированное КАППА-ПЧ получают по ур-нию  $K_c = K_u + 0,009(C)$ , в котором  $K_c$  — корректированное КАППА-ПЧ,  $K_u$  — эксперим. найденное ПЧ, равное числу мл 0,1 н. I, израсходованного при окислении образца;  $C$  — кол-во израсходованного I в % от взятого. Определение КАППА-ПЧ дает хорошо воспроизводимые и точные результаты (ошибка  $\pm 3\%$ ).

III. Между КАППА-ПЧ и содержанием Л в любых целлюлозных продуктах имеется строго линейная зависимость, если содержание Л в Ц  $\leq 22\%$ , а в древесине хвойных пород  $\leq 15\%$ . Содержание Л вычисляют по ур-нию: КАППА-ПЧ  $\times 0,13 = \% \text{ Л}$  по методу Класона. Отклонения от прямолинейной зависимости при содержании Л > 22% в Ц и > 15% в хвойной Д объясняются присутствием фракции Л, устойчивой к окислению I.

A. Закончиков  
59548. Определение альдегидных групп в окисленной целлюлозе. Штреле (Bestimmung der Aldehydgruppen in oxydierter Cellulose. Ströle Ulrich), Das Papier, 1957, 11, № 19—20, 453—459 (нем.; рез. англ., франц.)

Для определения содержания альдегидных групп (АГ) в окисленных целлюлозах использован метод Вильсона и Паджетта с применением хлорита (I). Потребление I определяли оксидиметрически титрованием тиосульфатом после предварительной отгонки образующейся  $\text{SiO}_2$  продуванием азотом. Показано, что взаимодействие между I и АГ в гетерогенной среде происходит с потреблением на каждую АГ 12 экв окислителя. Установлено, что в периодатокисцеллюлозе почти все карбонилы находятся в форме АГ, в гипобромитокисцеллюлозе, наряду с карбоксильными группами, содержатся лишь кетогруппы (КГ); в нитроокисцеллюлозе и в препаратах, окисленных хлором, помимо карбоксильных, обнаружены и КГ и АГ. Метод открывает 85—90% АГ, остальные не обнаруживаются. См. РЖХим, 1957, 42954.

Г. Брахман

59549. Очистка волокнистых суспензий в целлюлозно-бумажном производстве действием центробежной силы. Хогенкам (Reinigen von Faserstoffaufsuspensionen durch Zentrifugalkräfte. Hogenkamp Heinz), Allgem. Papier-Rundschau, 1957, № 23, 1190, 1191, 1193, 1194 (нем.)

59550. Факторы, влияющие на склеивание слоев в бумаге, насыщенном латексом. Данлап (Some factors affecting ply adhesion in latex saturated papers. Dunlap I. R.), Tappi, 1957, 40, № 8, 676—680 (англ.)

Адгезию (А) или сцепление волокон в бумаге (Б) можно повысить насыщением Б р-рами органич. полимеров (П) или латексов (Л). На А оказывают влияние следующие факторы: кол-во и вид П, его А к волокну и расположение волокон в Б. Описан метод испытания А бумаги, насыщен Л. Найдено, что между кол-вом П в Б и величиной А имеется логарифмич. отношение. Приведены попытки объяснения механизма А между Б и Л.

C. Иванов  
59551. Физическое и химическое рассмотрение адгезии. Орчон (The physical and chemical aspects of adhesion. Orchon S.), Tappi, 1957, 40, № 9, A182—A184 (англ.)

Популярно изложены вопросы адгезии, смачивания, значения краевых углов смачивания, видов хим. связи, составляющих сил Ван-дер-Ваальса и объяснения явления адгезии. Автор показывает, что между адгезией клеящих в-в, применяемых в разных отраслях произ-ва, по отношению к различным материалам — целлюлозе, стеклу, металлу и др. — существуют только колич., но не качеств. различия.

A. З.  
59552. Пенение казеина. Миллер (Frothing of casein. Miller D. J. B.), What We are Doing, 1957, № 9, 13—16 (англ.)

Приведены снимки поверхности листов бумаги, на которой вследствие образования пены в казеиновом покрытии, появился брак — пузыри, лопающиеся после освобождения воздуха («pin holding»). Снимки можно делать как в отраженном свете (увеличение 100х), так и в проходящем после подкраски бумаги (увеличение 30х).

A. З.  
59553. Применение манногалактана растительных камедей в бумажной промышленности. Кярня, Нурдман (Kasviliimat paperiteollisuudessa. Kärnä Anssi, Nordman Lars), Paperi ja puu, 1958, 40, № 2, 45—52, 54—57 (финск.; рез. англ.)

Приведены сведения о хим. составе, структуре и свойствах гумми (Г) из белой акации и представителей рода *Guarea*, методе анализа манногалактанов и влиянии Г и гемицеллюлоз на процесс размола и качество целлюлозы (Ц). Показано, что при добавлении Г выше предела 0,5—0,6% степень повышения прочности бумаги (Б) уменьшается. Г из белой акации было более эффективным по сравнению с Г из *Guarea*. Последнее оказывает большее влияние на сульфитную Ц, чем на сульфатную, и меньшее влияние на неотбеленную Ц, чем на отбеленную. Удержание Г и его влияние на прочность Ц уменьшаются с повышением степени делигнификации сульфитной и сульфатной Ц. Добавление Г перед размолом несколько замедляет процесс размола. Прочность Б во влажном состоянии, достигнутая посредством внесенного манногалактана и буры в лабор. условиях, очень быстро исчезала, что не зависело от более медленного проникания воды в бумагу. Приведены указания для практич. использования растительных Г.

Из резюме авторов  
59554. Равномерность сушки листа в поперечном направлении. Престон-Томас (Uniformity of drying across a sheet. Preston-Thomas H.), Pulp and Paper Mag. Canada, 1958, 59, № 2, 73—76 (англ.)

Равномерность сушки бумаги (Б) зависит от влажности воздуха; оптimum влажности определяется главным образом т-рой листа и в меньшей степени т-рой воздуха (В). Хотя т-ра листа Б обычно равна 55—85°, оптimum точки росы для входящего В, вероятно, лежит между 30 и 40°. Если скорость В так мала, что точка росы приближается к т-ре листа в какой-либо его точке, неравномерность сушки значительно увеличивается. Можно полагать, что чем выше т-ра листа, тем в меньшей мере сушка Б зависит от т-ры. В. А. З. 59555. Кинетика процесса контактной сушки (бумаги) при различных режимах. Красников В. В., Тр. Моск. технол. ин-та пищ. пром-сти, 1957, вып. 8, 74—79

Рассмотрено влияние основных параметров, характеризующих процесс контактной сушки (КС) отливок из сульфитной небеленой целлюлозы различной толщины при начальной влажности  $W_n = 220\%$  и конечной влажности  $W_k = 7\%$ . С повышением т-ры греющей поверхности  $t_{гр}$  от 92 до 121° время КС т сокращается от 88 до 59 сек. Особенно ускоряется при этом КС в первом периоде (перемещение капиллярной и осмотич. влаги): при увеличении  $t_{гр}$  в 1,5 раза интенсивность КС возрастает в 2,4 раза. С увеличением толщины материала  $\delta$  растет продолжительность как первого периода, так и всего процесса КС; так, увеличение  $\delta$  вдвое приводит к росту  $\tau$  в 3 раза. Дальнейшее увеличение  $\delta$  ведет к еще более непропорциональному росту  $\tau$ . Влияние  $\delta$  на  $\tau$  сказывается только при относительно высоких  $t_{гр}$ ; с понижением  $t_{гр}$  это влияние уменьшается и при  $t_{гр} \leq 70^\circ$  скорость КС в первом периоде практически не зависит от  $\delta$ . В пределах изменения давления прижатия материала к поверхности нагрева  $4,5 < P < 16 \text{ г/см}^2$  этот фактор не оказывает заметного влияния на  $\tau$ , но в значительной степени влияет на формирование поверхности материала; бумага высокого качества с гладкой поверхностью была получена при  $P \geq 16 \text{ г/см}^2$ . Изменение влажности воздуха от 25 до 60% и его т-ры от 12 до 30° не оказало заметного влияния на процесс КС. Обдув отливок воздухом в процессе их сушки оказался эффективным только при низких  $t_{гр}$ ; при  $t_{гр} > 65 - 85^\circ$  обдув даже ухудшает КС. С увеличением  $\delta$  и повышением  $t_{гр}$  второе крит. влаж.-содержание (соответствующее точке перегиба на кривой скорости сушки) резко снижается до 7—9%. Предложен метод приближенного расчета  $\tau$ , вытекающий из анализа кривых сушки. А. Ровинский

59556. Влияние сублимационной сушки на физические свойства бумаги. Маршессо, Лодж, Мейсон (The effect of sublimation drying on the physical properties of paper. Marchessault R. H., Lodge W. C., Mason S. G.), Svensk papperstidn., 1956, 59, № 24, 859—869 (англ.; рез. шведск., нем.)  
Описаны условия применения сублимационной сушки и влияние ее на внутримехан. связь волокон в бумаге. Показано, что изменение внутренней связи волокон обусловлено сокращением поверхности и толщины бумажного листа. Установлено, что механ. прочность бумаги сублимационной сушки составляет  $1/3 - 1/2$  от ее величины при воздушной сушке.

Е. Гурвич

59557. Предотвращение машинной усадки и ее влияние на деформацию [бумаги] при увлажнении. Мейлард, Ньюман (The prevention of machine shrinkage and its effect on moisture expansion. Maunard C. R. G., Newman J. A. S.), Tappi, 1957, 40, № 7, A177—A180 (англ.)

На бумагу (Б) с помощью двух резиновых дисков, устанавливаемых на гранитный вал обратного пресса, параллельно наносили чернильные полосы и измеряли

расстояния между ними оптич. прибором. Установлено, что усадка бумаги (УБ) по ширине начинается при достижении отношения воды к волокну 0,4. При нормальном и слабом натяжении сушильных суконов УБ находилась в пределах 1,0—1,4%, при сильном натяжении суконов была миним. 0,07—0,03%. УБ в поперечном направлении снижается при увеличении натяжения суконов и соответственно снижается деформация Б при увлажнении. Деформацию Б при увлажнении можно снизить более сильным натяжением сушильных суконов, а также установкой расправляющих дуг в промежутках между цилиндрами. УБ, вырабатываемых из массы с жирным размолом, увеличивается при сушке, чем повышается деформация бумаги.

С. Иванов

59558. Кондиционирование влажности — фактор производительности в бумажных и полиграфических производствах. Пимон (Le conditionnement d'humidité facteur de productivité dans les techniques papetières et graphiques. Pimont Bernard), Papier, carton et cellulose, 1957, 6, № 4, 102—106 (франц.)

Обзор принципов кондиционирования воздуха и конструкций оборудования для данного процесса. М. Н. 59559. Технологический баланс бумагоделательной машины. I. Технологический баланс и общие правила его составления. Илиеску, Петря (Bilanul tehnologic al unei masini de fabricat hirtie. I. Utilitatea bilanului tehnologic si regulile generale de întocmire. Iliescu Gh., Petrea G.), Celuloză și hirtie, 1958, 7, № 1, 17—21 (рум.; рез. русск., нем., франц., англ.)

Изложены принципы и математич. соотношения, лежащие в основе расчетов при составлении технологич. баланса (ТБ). Приведена форма составления ТБ бумагоделательной машины. Из резюме авторов 59560. Основной подход к модернизации паросилового хозяйства бумажной фабрики. Хауг (A fundamental approach to paper mill steam power plant modernization. Haug John R.), Tappi, 1957, 40, № 8, 661—666 (англ.)

59561. Сравнительные данные о производительности предприятий целлюлозной и бумажной промышленности Европы. Гартнер (Comparaisons de productivité dans l'industrie européenne des pâtes et papiers. Gartner Karl), Rev. mesure product., 1957, № 11, 12—38 (франц.)

Приведены данные о потреблении энергии и труда (рабочие часы) на 1 т продукции по некоторым странам, о типах продукции (целлюлозы и бумаги), организации предприятий (индивидуализированные произ-ва и комбинаты), методах произ-ва и технич. оборудовании, направления в исследовательских работах и др. Ю. Ч.

59562. Новый вид бумаги для многокрасочной печати. Волкова Т. П., Зосим З. Л., Цаочжи гун-е, 1958, № 2, 17—19 (кит.)

Перевод. См. РЖХим, 1958, 31065

59563. Соотношение между твердостью поверхности и температурой блокирования парафинов (применяемых в бумажной промышленности). Арабян, Марпл, Хайнде (Relation between surface hardness and blocking temperature for paraffin waxes. Arabian K. G., Marple S., Jr, Hinds G. P., Jr), Tappi, 1956, 39, № 5, 348—352 (англ.)

Выявлено соотношение между твердостью поверхности (ТП) парафиновых восков (ПВ) и т-рой их блокирования (ТБ). Прибор для определения ТП (дюрометр тип А-2) имел датчик — усеченную иглу, находящуюся под пружинной нагрузкой. Установлено, что при т-рах в пределах  $\sim 21 - 65,5^\circ$ , т-ра, при которой некоторые сорта ПВ имеют твердость 40 кг на  $1 \text{ см}^2$ , в пределах  $1,1^\circ$  совпадала с ТБ этих сортов во-



ска. Из 21 образца продажных ПВ только в трех случаях разница между ТБ, определенной при исследовании ТП, и действительной ТБ превышала 1,1°. Выявление соотношения между ТП и ТБ проведено для выяснения целесообразности изготовления смесей ПВ с пластич. микрокристаллич. воском с т. пл. 60° с содержанием последнего до 40%, применяемых при изготовлении воюющих бумаг.

М. Белецкая  
59564. Процесс мелования на бумагоделательной машине. Грискеймер (Kimberly — Clark — Mead machine coater process. Griesheimer R. N.), Tappi, 1957, 40, № 8, A153—A154 (англ.)

Способы, разработанные Кимберлей — Кларк и компанией Mead, (способы КСМ) позволяют наносить на бумагу (Б) от 2 до 6,75 кг мелового покрытия (П) на сторону (считая на стогу) при скорости машины до 480 м/мин. По способу «КСМ tandem» П наносят сначала на сеточную, а затем на лицевую сторону Б. По второму способу П наносят одновременно на обе стороны Б. Описаны конструкции установок и способы регулирования толщины наносимого П. С. Иванов

59565. Применение углекислого кальция в бумажной промышленности. Зенгер (Die Verwendung von Kalziumkarbonat in der Papier-Industrie. Senger F.), Österr. Papier — Ztg, 1958, 64, № 2, 11 (нем.)

Обсуждаются возможности применения осажженного  $\text{CaCO}_3$  или тонкоизмельченного кальцита (I) для оптической белизны бумаги для частичной замены  $\text{TiO}_2$ . Для предупреждения вредного действия I на процесс проклейки рекомендовано раздельное внесение квасцов и щел. наполнителя. Другие свойства I (способ его применения, влияние на твердость (прочность) и др.) приблизительно одинаковы со свойствами каолина.

Ю. Чельцова

59566. О влиянии различных факторов при производстве жестких картонов на свойства последних. Карльссон (Inverkan av några tillverknings tekniska faktorer på nårdra träfiberskivors egenskaper. Carlsson K. E.), Svensk papperstidn., 1958, 61, № 5, 128—132 (шведск.; рез. англ., нем.)

На основании эксперим. работ, проведенных в заводских и лабор. условиях, рассмотрена зависимость свойств жесткого картона от различных факторов произ-ва — степени помола, режима т-ры при прессовании и т. п.

Из резюме автора

59567. Теория двухсторонней связи (при склеивании картона). Гаррисон (Double-back adhesive theories. Harrison I. T.), Tappi, 1956, 39, № 7, A145—A146 (англ.)

Рассмотрены механизм склеивания покровных слоев со средним слоем гофрированного картона и условия, обеспечивающие получение более прочной связи с помощью крахмального клея.

С. Иванов

59568. Влияние сопротивления раздавливанию гофрированной бумаги на жесткость картона из нее. Дагел (Inverkan av korrugeringspapperets kross tyvhet på wellpappens styvhetsegenskaper. Dagel Yngve), Svensk papperstidn., 1957, 60, № 6, 211—216 (шведск.; рез. англ., нем.)

Исследованы два метода определения сопротивления раздавливанию гофрированной бумаги. Метод СМТ, по которому подвергают испытанию полоску бумаги (Б), гофрированную в стандартных условиях, фиксированную на электроизоляционной ленте, обозначая величиной СМТ максим. нагрузку в англ. фунтах, при которой образец раздавливается. По методу РК полоску Б тех же размеров, вырезанную в продольном направлении, свертывают в кольцо (рулон) и подвергают раздавливанию в поперечном направлении. Максим. нагрузка, выдерживаемая кольцом, составляет величину РК (или в немецком обозначении RS) данной Б. Сравнение исследуемых величин с испытанием

на сопротивление сплющиванию гофрированного картона (РГК) показало, что величина СМТ находится в соответствии с величиной РГК. Испытание сопротивления сдавливанию изделий (СИ) (ящичков) из гофрированного картона находится в следующем соотношении с исследуемыми показателями:  $\text{СИ} = 1,38(\text{СМТ}) + 1,03(\text{РГК}) + 192$ . Вес 1 м<sup>2</sup> и сопротивление продавливанию исходной Б, использованной для изготовления данного ГК, не дают представления о ее пригодности для картона.

М. Нагорский

59569. Возрастающее применение гофрированных коробов для упаковки. Кастань (Corrugated containers keep growing. Castagne Maurice R.), Pulp and Paper, 1957, 31, № 13, 68—70 (англ.)

Произ-во коробов из гофрированного картона на предприятии Connelly Containers в Филадельфии полностью автоматизировано. Производительность автоматов Equalok 18 000—20 000 коробов в час.

А. Сафьян

59570. Новая фабрика, вырабатывающая гофрированный картон и изделия из него. (New factory for corrugated fibreboard cases.—), Brit. Packer, 1957, № 19, № 12, 791—794 (англ.)

На ф-ке фирмы Corrugated fittings (в Burgwell) осуществлен процесс произ-ва, начиная от изготовления гофрированного картона и кончая выпуском изделий (ящички для упаковки и т. п.).

А. Сафьян

59571. Склеивание жестких волокнистых плит с массивной древесиной. Ламперт (Das Verleimen sieb-rauher Hartfaserplatten mit Massivholz. Lampert H.), Holzindustrie, 1957, 10, № 7, 229—232 (нем.)

Жесткие волокнистые плиты, имеющие на сеточной стороне неровную поверхность, плохо склеиваются с массивной древесиной, так как в местах заглубления поверхности плиты получается относительно более толстый слой клея, что делает клеевой шов ломким. Введение в клей наполнителей, напр. древесной муки в отношении 1:33; каштановой муки 1:8 или бакелитового порошка 1:8, значительно повышает прочность склеивания; в присутствии наполнителя прочность клеевого шва при испытании всегда была выше прочности на сдвиг самой плиты.

Г. Брахман

59572. Пневматическая сушка опилок в токе дымовых газов. Гранлунд, Шельмеруд (Torking av sagspon i pneumatisk rökgasströme. Grandlund Per, Skjelmerud Halvor), Papperi ja puu, 1957, 39, № 3, 87—92 (норв.; рез. англ.)

Приведены результаты сушки опилок в барабанах, обогреваемых паром, в барабанах, обогреваемых дымовыми газами (ДГ), и в пневматич. сушилке в токе горячих ДГ. Т-ра входящих ДГ ~ 600—500°, выходящих ~ 115 до 125°. На испарение 1 кг влаги требуется 1000 ккал. Пневматич. сушка имеет явное преимущество.

М. Нагорский

59573. Контроль готовности массы в производстве волокнистых плит. Влажность, концентрация массы, степень размола, содержание сухого вещества. Гримм, Тренчек (Fertigungskontrolle in der Faserplattenindustrie. Feuchtigkeit — Stoffdichte — Mahlgrad — Trockengehalt. Grimm H., Trenchek W.), Holzindustrie, 1957, 10, № 9, 298—300 (нем.)

Популярное описание методов определения степени размола массы с помощью приборов Шонпер — Ригле и стандартного Канадского прибора того же типа. Приведены таблицы для поправок при определении концентрации массы при разных т-рах.

А. З

59574. Эксплуатационная прочность бумажных мешков в динамических условиях. Статистическое рассмотрение. Бергстрём (Service strength of paper bags under dynamic conditions. A statistical approach. Bergström Jan), Svensk Papperstidn., 1957, 61, № 5, 119—127 (англ.; рез. шведск., нем.)

Приведены результаты статистич. исследований

точки зрения теории вероятности разрыва бумажных мешков при свободном падении. Для определения среднего числа падений, которое выдерживают мешки, выведены уравнения, хорошо согласующиеся с опытными данными. Вероятность разрыва обратно пропорциональна степени прочности бумаги и зависит от динамич. нагрузок.

**59575. Удаление воздуха в гидравлической системе прибора типа Мюллера для определения прочности бумаги к продавливанию.** Сава, Хомма (Sawa Manabu, Homma Kyozi), J. Japan. Techn. Assoc. Pulp and Paper Ind. Сипа гикёси, 1957, 11, № 6, 390—392 (японск.; рез. англ.)

При испытании бумаги на прочность к продавливанию на приборах типа Мюллера в момент продавливания бумаги воздух, находящийся до этого в сжатом состоянии, расширяется, что ведет к повреждению резиновой диафрагмы и вносит искажения в получаемые результаты. В приборе имеются два отверстия для удаления воздуха — одно ниже, а другое выше диафрагмы. Предложено усовершенствование — установка (ниже диафрагмы) конич. сепаратора, через который воздух выводится из прибора по спец. трубке. Для удаления воздуха, скопленного над диафрагмой, в упорной пластинке высверливаются небольшие отверстия, через которые и удаляется воздух, сжимаемый деформирующейся диафрагмой. Усовершенствованный прибор дает более точные результаты.

Из резюме авторов  
**59576. Некоторые наблюдения в области непрозрачности бумаги.** Франки (Alcune osservazioni sulla opacità della carta. Franchi Paolo), Cellul. e carta, 1957, 8, № 7, 11—14 (итал.; рез. англ., франц.) Прозрачность бумаги, определяемая суммой проходящего через бумагу (Б) света без рассеяния и при его рассеянии рассмотрена с привлечением математич. теории непрозрачности (Кубелька и Мунк), основанной на определении коэф. удельного рассеяния света и коэф. удельного поглощения света. Исследование непрозрачности бумаги, покрытой типографской печатью, более сложно. На непрозрачность Б и результаты измерений влияют такие факторы, как степень размола, присутствие красителей и пигментов, а также природа света, применяемого при исследовании. Приведены характеристики непрозрачности волокон различных целлюлоз (сульфитной, сульфатной), используемых для изготовления бумаги.

М. Нагорский

**59577. Применение статистических методов в бумажной промышленности.** Ранку, Тёвиши (Aplicații ale statisticii în industria hirtiei. Rancu N., Tövissi L.), Celuloză și hirtie, 1958, 7, № 1, 26—32 (рум.; рез. русск., нем., франц., англ.)

На примере статистич. контроля веса 1 м<sup>2</sup> бумаги рассмотрено применение статистич. методов в бумажной пром-сти, в частности содержание таких понятий статистич. контроля, как: группировочный центр, рассеяние, основы для проверки соответствия между теоретич. расчетами и электр. распределением и т. п.

Из резюме авторов

**59578. Определение ориентации волокон в газетной бумаге по отношению к продольному направлению при помощи дифракции рентгеновских лучей.** Фридлендер (The measurement of fibre orientation in newsprint with respect to the machine direction by X-ray diffraction. Friedlander P. H.), Pulp and Paper Mag. Canada, 1958, 59, № 1, 102—103 (англ.)

Предложен метод определения ориентации волокон в листе газетной бумаги, основанный на использовании дифракции рентгеновских лучей поликристаллич. телами. Определение производят при помощи рент-

геновской трубки (30 кв, 20 ма), дающей K<sub>α</sub>-излучение, счетчика рентгеновских лучей и угломера. Приведено теоретич. обоснование метода.

**59579. Статистический контроль качества в бумажном производстве.** Соучек (Statistická kontrola jakosti v papírnách. Souček M.), Papír a celuloza, 1958, 13, № 2, 35—39 (чешск.; рез. русск., нем., англ.) Рассмотрены принципы статистич. контроля в применении к бумажному произ-ву, методы правильного и статистически обоснованного отбора проб. Приведены практич. указания для оценки результатов контроля.

Резюме автора

**59580. Контроль листовой бумаги.** Одлум (The check inspection of finished sheet paper. Odium L. R.), Proc. Austral. Pulp and Paper Ind. Techn. Assoc., 1956, 10, 169—199. Discuss., 199—202 (англ.)

Рассмотрена организация контроля качества листовой бумаги: отбор образцов, их визуальный осмотр и определение качества с помощью приборов, оценка соответствия свойств бумаги установленным требованиям, приведены записи полученных результатов и их анализа, включая применение новой статистич. техники.

С. Иванов

**59581 П. Обезвоживание целлюлозы.** Лейтроп (Dewatering of pulp. Lathrop Elbert C.) [The United States of America as represented by the Secretary of Agriculture]. Пат. США 2750655, 19.06.56

При обезвоживании водн. суспензий целлюлозы (Ц), особенно имеющих повышенное содержание смолы, обычно наблюдается забивание обезвоживающих сеток, затрудняющее работу на обезвоживающих фильтрах. Предложено применение для частичного обезвоживания Ц цилиндрич. сеток особого устройства, обеспечивающего снятие с поверхности сетки волокна по мере его обезвоживания путем образования из него валика Ц с пониженной влажностью. Этот валик, двигающийся по сетке вместе с полотном Ц, в некоторой части цилиндра падает вниз, забирая к своей поверхности в достаточной мере обезвоженную Ц. Этим сетка предохраняется от загрязнения, в частности, смоляными отложениями. Сетчатый барабан, располагающийся наклонно, от подачи Ц к выходу, внутри имеет направляющую спиралеобразную поверхность и в верхней части два валика, обеспечивающие образование указанных рулонов или валиков Ц, содержащей меньше влаги, чем основной слой Ц на вращающейся сетке.

А. Закощиков

**59582 П. Способ производства полуцеллюлозы с применением гидротропных солей.** Мак-Ки (Semi-hydrotropic chemical lignocellulose pulping process. McKee Ralph H.) [McKee Development Corp.]. Пат. США 2783146, 26.02.57

Патентуется произ-во полуцеллюлозы (ПЦ) из содержащих пентозаны (П) лигноцеллюлозных материалов (ЛЦМ) — древесины тополя, клена, бамбука, кенафа, соломы злаковых, багассы и т. п. ПЦ содержит в основном почти весь лигнин исходного сырья. ЛЦМ варят с 1—25%-ным водн. р-ром гидротропных в-в, напр. бензойной, салициловой, ксилолсульфоновой, цимолсульфоновой, фенолсульфоновой и т. и их щел. солей, до удаления главной массы (30—50%) пентозанов. Гидротропные соли избирательно растворяют пентозаны, в основном не действуя на лигнин. Варка может быть проведена в открытом сосуде при нормальном атмосферном давлении при т-ре, близкой к т-ре кипения р-ра (~95°), или в закрытом сосуде при несколько повышенных давлении и т-ре (напр., при 120°). Варка при более низкой т-ре требует большей продолжительности. Варка с 2%-ным р-ром при 120° требует ~1 часа или 5 часов при 90° при конц-ии в р-ре 2—5% гидротропной соли. Условия варки под-



бирают в зависимости от свойств сырья. рН варочного р-ра поддерживают  $\sim 4,0$ . Р-р может быть использован для варки вторично с добавлением новой порции гидротропной к-ты или гидротропной соли и поддержания рН в указанных пределах. Получаемая ПЦ может быть использована для газетной бумаги без добавления сульфитной целлюлозы, она не желтеет и не становится хрупкой со временем. Оборудование состоит из варочного резервуара (Р), имеющего чашеобразное дно. Сырой измельченный ЛЦМ поступает в Р из расположенного над ним бункера. Частицы ПЦ после варки по наклонной стенке Р ленточным скребковым транспортером поднимают наверх, где они поступают через воронку в рафинер, после обработки в котором ПЦ отжимают винтовым прессом, превращая р-р в Р. Отжатая ПЦ последовательно проходит промывку, размол и отбелку. При переработке бамбука, кенафа и некоторых пород древесины полученную ПЦ можно использовать без отбелки. Пример. 1 вес. ч. багассы нагревают с 12 вес. ч. 1%-ного р-ра ксилосульфоната Na при рН 4,0 2 часа при 95°. После удаления из варочного аппарата ПЦ промывают водой, рафинируют, отбеливают 3-кратной обработкой разб. р-ром гипохлорита с немедленным промыванием водой и перерабатывают ПЦ в бумагу. Бумага из ПЦ, полученной данным способом из багассы, имеет непрозрачность 96%, на 4% больше по сравнению со стандартной газетной массой (состоящей из смеси 80% древесной массы и 20% еловой сульфитной целлюлозы), имеющей непрозрачность 90%. Исходная багасса содержала 19% лигнина и 27% пентозанов, полученная ПЦ содержала 17% лигнина и 21% пентозанов. Ю. Чельцова

**59583 П. Методы химической обработки суспензий твердых частиц.** Ялканен (Methods of chemically treating solid particles in liquid suspensions. Jalkanen M. J.). Англ. пат. 726579, 23.03.55

Описан аппарат (А) для непрерывной обработки суспензий (С), напр. целлюлозной массы, хим. в-вами, напр. отбеливающими реагентами. А состоит из вертикального цилиндрич. сосуда, имеющего внутри ложное дно, мешалку, отверстия для ввода и вывода суспензии и орошающие устройства для введения хим. в-в и промывной воды. Поток С вводят внизу и отводят вверх А. На высоте  $\frac{2}{3}$  от дна А поток С орошается р-ром хим. в-в, а на уровне отвода С — промывной водой. Промывные воды отводятся снизу под ложным дном. Отходящая из верхней части А суспензия волокон не содержит хим. в-в. Ю. Чельцова

**59584 П. Антисептик для предохранения целлюлозной массы от развития в ней микробиологических процессов** (Produit destiné à la désinfection des pâtes de papeterie) [Prochim (S. O.)]. Франц. пат. 1130572, 7.02.57

При применении в бумажной пром-сти в качестве антисептика ртутно-органич. соединений (РОС) антисептич. действие этих в-в уменьшается за счет образования гнилостными бактериями  $H_2S$ , осаждающего нерастворимую  $HgS$ . При сложном развитии образования  $H_2S$  антисептич. действие РОС может быть совершенно устранено. Настоящим изобретением предложено введение в РОС в-в, предохраняющих ионы  $Hg$  от осаждения  $H_2S$ , напр.,  $Na_4$ -соли этилендиаминтетрауксусной к-ты (I), в кол-ве  $\sim 30\%$  от кол-ва внесенного РОС. Антисептики, используемые в соответствии с данным патентом, могут быть получены из РОС алифатич. или ароматич. рядов, напр. производные метоксиэтил- $Hg$ , этоксиэтил- $Hg$ , этил- $Hg$ , фенил- $Hg$ , с введением в их состав указанных выше в-в, предохраняющих  $Hg$  от осаждения. Ф-ла патента: продукт, предназначенный в качестве антисептика

для бумажной массы, в основном состоит из РОС с добавлением I в кол-ве 30% от содержания РОС.

Ю. Чельцова

**59585 П. Способ получения сложных эфиров карбоксипроизводных простых эфиров целлюлозы.** Косхе (Verfahren zur Herstellung der Ester von Celluloseäthercarbonsäuren. Kosche Horst) [Hankel & Cie G. m. b. H.]. Пат. ФРГ 957938 14.02.57

Патентуемый способ осуществляют обработкой технич. неочищ. простого эфира целлюлозы (Ц), содержащего карбоксильную группу, напр., карбоксиметилцеллюлозы (КМЦ), р-ром сильной к-ты, напр.  $HCl$ ,  $HBr$ ,  $HClO_4$  или  $H_3PO_4$  ( $H_2SO_4$  и  $HNO_3$  непригодны) в избытке алифатич. спирта (взятого в кол-ве не менее 10-кратного предпочтительно 20—40-кратного от теоретич. для этерификации всех свободных  $COOH$ ). Патентуемая обработка не сопровождается значительной деполимеризацией Ц. Применяют КМЦ со степенями замещения (СЗ) 0,5—1,3, предпочтительно 0,5—0,9 и одно- или многоатомные алифатич. спирты, особенно содержащие первичные  $OH$ -группы, с 1—15 предпочтительно с 1—6 С-атомами, напр. метанол (I), этанол, пропиловый, бутиловый, гексилловый, октиловый, дециловый спирты, гликоли, эфиры полигликолей, глицерин и частичные эфиры названных многоатомных, особенно 2- или 3-атомных спиртов, а также любые смеси их. Р-цию проводят при  $t$ -ре ниже 20°, предпочтительно ниже 10°, напр. при 0—10°. Не полностью этерифицированные  $COOH$ -группы можно нейтрализовать, превратив в соответствующие соли. В зависимости от этерифицирующего агента, степени этерификации и характера соли эфира можно получать продукты с любым переходом между растворимостью, способностью набухать и нерастворимостью в воде и органич. р-рителях. Патентуемые нерастворимые в воде эфиры и растворимые в воде и соли можно применять в качестве клея, связывающих в-в, загустителей, защитных коллоидов и для многих других целей, а также в качестве промежуточных продуктов для получения других производных карбоновых к-т Ц. Примеры характеристики приведены в безводн. в-во; кол-ва в-в даны в вес. ч. и вес. %: а) 100 ч. волокнистой КМЦ с СЗ 0,6—0,7, кислотным числом (КЧ) 167,7 числом омыления (ЧО) 177,9 влажностью (З) 1,04% и влажностью (В) 9,2% вносят 1200 ч. р-ра 120 ч. газообразного  $HCl$  в 1880 ч. 98%-ного технич. I при охлаждении от  $-10$  до  $-5^\circ$  и оставляют на 48 час. при  $-5^\circ$ , после чего прессуют, промывают 50-ным водн. I до удаления ионов  $Cl$  и обрабатывают трижды по 1000 ч. 98%-ного I; после высушивания на воздухе получают 92 ч. волокнистой, не растворимого в воде и органич. р-рителях метилового эфира КМЦ с КЧ 3,9, ЧО 186,4, В, 7,7% и З 0,28%; б) 200 ч. продукта р-ции  $Na$ -Ц и хлоруксуснокислоты  $Na$  (II), высушенного в вакууме при  $45^\circ$  и содержащего 52% беззольной КБМ и 11,3% воды, с СЗ  $\sim 0$  обрабатывают в условиях «а» 2140 ч. р-ра 138 ч.  $H_2O$  в 2000 ч. 98%-ного технич. I, оставляют на 67 ч. прессуют, промывают 10 000 ч. воды при  $12^\circ$ , воду отстаивают 3000 ч. 98%-ного I или сушат в вакууме, получают 115 ч. метилового эфира КМЦ с КЧ 7, ЧО 182, В 4,8% и З 0,38%. в) 30 ч. КМЦ с СЗ 0,7—0,8, В 14,2%, КЧ 187,5 и ЧО 206 обрабатывают 500 ч. смеси в 475 ч. I и 25 ч. 70%-ной  $HClO_4$  40 час. при  $-5^\circ$ , прессуют снова обрабатывают 15 час. 500 ч. указанной смеси, прессуют, промывают последовательно 1000 ч. 50%-ного и 98%-ного I и получают 31 ч. метилового эфира КМЦ с КЧ 7,6 ЧО 197, 2 В 10,1%, г) аналогично многократной обработкой 50 ч. КМЦ с СЗ 0, В 12,5% и З 0,23%. 500 ч. смеси из 470 ч.  $n$ -октанола и 30 ч.  $HCl$  получают 54 ч. нерастворимого в водн. октилового эфира КМЦ с КЧ 11,2, ЧО 184,2 и В 13,9%

6-кратной обработкой (все на протяжении 72 час.) 30 ч. КМЦ с СЗ 0,6—0,8, В 12,1%, КЧ 155,8. ЧО 201,8 и 3 0,23%, 504 ч. 6,7%-ного р-ра HCl в *n*-бутаноле получают 52 ч. бутилового эфира КМЦ с В 13,5% и ЧО 193; 25 ч. КМЦ с СЗ 0,6—0,7, В 12,1% ЧО 181 и 3 0,57 2-кратно обрабатывают 400 ч. 4%-ного р-ра HCl в *n*-пропиловом спирте (всего 60 час). получают волокнистый нерастворимый в воде и спиртах пропиловый эфир КМЦ (23 ч.) с В 13,4%, ЧО 193 и незначительным КЧ. д) 100 ч. волокнистой Na-KMЦ, полученной 2-кратной обработкой хлопкового пуха 19%-ным р-ром NaOH и II и промывкой I, с СЗ 1,3—1,4 обрабатывают 21 час. 500 ч. 6,9%-ного р-ра HCl в I и получают 84 ч. неполного метилового эфира I с В 13,6%. КЧ 151, ЧО 208 и 3 2,05%. Нейтр-ной эквивалентным кол-вом соеобразующего основания эфир можно превратить в соли.

**59586 П. Непрерывный способ получения сухого остатка (сжиганием щелоков). Фольвачный** (Sposób otrzymywania suchego wywaru systemen wieżowym w ruchu ciągłym. Folwaszny Henryk) [Raciborska Gorzelnia Przemysłowa]. Польск. пат. 37844, 15.07.55

Описан способ, предусматривающий полное использование тепла отходящих дымовых газов из печи для сжигания упаренных щелоков в выпарном аппарате, в котором щелоки предварительно упариваются, при полной механизации процесса.

Е. Гурвич

**59587 П. Способ концентрирования жидкостей, содержащих вещества, способные выделяться в виде осадка. Рамен** (Processes for concentrating liquids containing incrustation-forming substances. Ramen Torsten). Пат. США 2754897, 17.07.56

Для концентрирования жидкостей (напр., отработанных сульфитных щелоков (ОЩ)), содержащих растворенные в-ва, растворимость которых в данной жидкости понижается с повышением т-ры (напр.,  $\text{CaSO}_4$ ), рекомендуется выпаривание ОЩ до конц-ии в-ва в жидкости, не достигающей насыщения, с последующим нагреванием под давлением до т-ры, при которой выделяется часть растворенного в-ва. Процесс концентрирования состоит из двух и более последовательных ступеней выпаривания и нагревания под давлением и осуществляется непрерывно. Пар, образующийся при выпаривании во 2-й стадии, используют для выпаривания жидкости в 1-й стадии; пар выпускаемый из аппарата после нагревания под давлением, используют для нагревания жидкости в стадии выпаривания или для нагревания при более низкой т-ре. Приложены 8 чертежей аппаратурной схемы процесса выпаривания (и его варианта), автоклава и его деталей, диаграммы растворимости  $\text{CaSO}_4$  в ОЩ при разных т-рах и диаграмме процесса выпаривания на фоне кривой растворимости  $\text{CaSO}_4$  в ОЩ (а также диаграмма варианта процесса). Установка состоит из 6 выпарных аппаратов (ВА I, ВА II, ВА III и т. д.), 2 автоклавов и ряда теплообменников. Автоклавы снабжены рубашками для быстрого охлаждения током воздуха или водой. Пример 5-ступенчатого выпаривания (по диаграмме): ОЩ вводят в выпарную систему при 100° с содержанием 9,7% сухого в-ва (СВ) и 0,169%  $\text{CaSO}_4$ . В ВА IV выпаривают при 67° до содержания 11,6% СВ и 0,202%  $\text{CaSO}_4$ , затем в ВА V при 55° до конц-ии 14,7% СВ и 0,256%  $\text{CaSO}_4$ . Из ВА V жидкость подают в 1-й автоклав, нагревают острым паром до 110° для отделения части  $\text{CaSO}_4$  и других примесей и с содержанием 14,2% СВ и 0,204%  $\text{CaSO}_4$ , перекачивают в ВА III, где выпаривают при 80° до содержания 19,7% СВ и 0,272%  $\text{CaSO}_4$ , после чего нагревают во 2-м автоклаве при 160°, из которого жидкость выходит с содержанием 17,3% СВ и 0,106%  $\text{CaSO}_4$ . Далее жидкость выпаривают в ВА I и II при

т-рах соответственно 112 и 90°; содержание сухого в-ва в этих стадиях повышается соответственно до 25 и 45%, а  $\text{CaSO}_4$  до 0,153 и 0,275%. В другой диаграмме приведен вариант процесса выпаривания, при котором во всех стадиях выпаривания конц-ии  $\text{CaSO}_4$  лежат ниже кривой его растворимости, вследствие чего в ВА не происходит отложения  $\text{CaSO}_4$ .

Ю. Вендельштейн

**59588 П. Регенерация лигносульфонатов из отработанных сульфитных щелоков. Ван-Блариком, Грей** (Lignosulfonate recovery from waste sulfite liquor. Van Blaricom Lloyd Eugene, Gray Kenneth Russell) [Rayonier, Inc.]. Пат. США 24213, 11.09.56

Лигносульфонаты (ЛС) со средним мол. в. 6800, практически свободные от других органич. примесей и ионов Са, регенерируют из отработанных сульфитных щелоков, получаемых после варки древесины с  $\text{NH}_4\text{HCO}_3$  с избытком  $\text{SO}_2$  (ОЩ—I), а также после форгидролиза с  $\text{NH}_4\text{HSO}_3$  и щел. варки с  $\text{Na}_2\text{SO}_3$  (ОЩ—II), отгонкой с паром из ОЩ свободного  $\text{SO}_2$ , обработкой остающейся жидкости анионообменной смолой (АС), содержащей преимущественно третичные аминогруппы и почти не содержащей первичных и вторичных аминогрупп и групп четвертичного  $\text{NH}_4$ , поглощающей часть ЛС с более низким мол. весом и пропускающей другую часть ЛС, углеводы,  $\text{NH}_4\text{OH}$  и пр. Из вытекающей жидкости  $\text{NH}_3$  отгоняют с паром или пропускают жидкость через катионообменную смолу (КС), содержащую активные группы  $\text{COOH}$  и поглощающую  $\text{NH}_4$ . Отходы (О) после обработки паром или КС, как таковые или после смешивания с необработанными ОЩ—I или ОЩ—II, выпаривают и сжигают для регенерации тепла,  $\text{SO}_2$  и соединений Na. ЛС, адсорбированные АС, после промывки водой, элюируют р-ром  $\text{NH}_3$  (I) (или  $\text{Na}_2\text{CO}_3$ , КОН и т. п.), элюат вместе с избытком I концентрируют или выпаривают досуха, или пропускают через КС; элюат, освобожденный от избытка I, концентрируют или выпаривают досуха, получая патентуемый продукт, обладающий хорошими дубящими свойствами, являющийся превосходным диспергатором глины, пигментов и т. п., превращающийся при небольших добавках густые пасты в свободно текучие жидкости и обладающий флотуирующим действием. КС, адсорбировавшую  $\text{NH}_4$  и Na, промывают р-ром  $\text{SO}_2$  (полученным продвухой паром ОЩ—I) и получают соответственно  $\text{NH}_4\text{HSO}_3$  и  $\text{NaHSO}_3$  в конц-иях, близких к применяемым в варочных щелоках при произ-ве целлюлозы. Для той же цели  $\text{NH}_3$ , отогнанный с паром из жидкости после обработки АС ОЩ—I, обрабатывают  $\text{SO}_2$ . Обладая указанными выше свойствами АС получают, напр., нагреванием 2,5 часа на водяной бане 91,4 г фенола, 14,6 г ацетона (II), 167 г технич. формалина (III) и р-ра 2 г I в 68 мл воды; образовавшийся гель нагревают еще 1/2 часа, дробят на небольшие куски, нагревают 2 часа в автоклаве с 50 мл воды при 110°, промывают, сушат при 40°, размалывают, помещают в автоклав с равным кол-вом тетраэтиленпентамина (в виде 20%-ного р-ра в толуоле), нагревают 1 час при 140°, промывают  $\text{CH}_3\text{OH}$  и водой; 120 мл полученной влажной смолы регенерируют 5%-ным р-ром I, промывают и обрабатывают 30 мин. на водяной бане при размешивании 35 г III и 35 г  $\text{HCOOH}$  (IV), повторно нагревают 5 час. с теми же кол-вами III и IV и промывают. КС получают, напр., нагреванием 2 часа на водяной бане смеси 90 мл стирола, 60 мл р-ра дивинилбензола, содержащего 20—25% последнего в других ароматич. углеводородах, 100 г малеинового ангидрида и 50 мл II; в период нагревания т-ра поднимается до 107°, затем падает до 90°; продукт нагревают еще 3 часа в печи при 135°, про-



мывают II, погружают на 18 час. в 5%-ный р-р I, тщательно промывают водой и сушат, получая 121 г продукта. В качестве КС можно применять амберлит IRC-50, в качестве АС — дуолит А-2, обработанный III и IV. Получаемая АС обладает высокой адсорбционной способностью к ЛС и механич. прочностью. Пример проведения 118 повторных циклов: через колонку диам. 15 см, наполненную 19,5 л влажной АС, пропускают при 20° 35 л продутного паром ОЩ—I, содержащего 90—100 г/л литносульфоновых к-т (ЛСК) со скоростью 2,3 л/мин, промывают и регенерируют при 20° (скорость 2,4 л/мин) 48 л р-ра, содержащего ЛС—Na, эквивалентный 14 г ЛСК/л и 35 г I/л; при этом десорбируется ЛСК; вытекающую жидкость делят на 4 фракции: 1-ю фракцию, содержащую главным образом воду, отбрасывают, 2-ю и 4-ю, содержащие значительные кол-ва щелочи и ЛСК 14 г/л, укрепляют щелочью и возвращают в цикл для последующей регенерации; 3-ю фракцию, содержащую I 2—8 г/л и ЛС—Na, эквивалентный ЛСК 50—55 г/л, свободную от сахаров, пропускают через колонку диам. 15 см с 18 л КС при 20° для удаления избытка щелочи; конечный продукт, свободный от катионов, кроме Na, содержит ЛС—Na; эквивалентный ЛСК 40—45 г/л при pH 6—7; КС регенерируют 2—3%-ным р-ром SO<sub>2</sub> через 15 циклов; поглотительная способность АС, регенерированной после 183 циклов, 4 г/100 мл смолы, при отсутствии признаков физ. разрушения. Пример регенерации NH<sub>3</sub>: 35 л ОЩ для выделения ЛС адсорбцией пропускают через 19,5 л АС, обработанной 5%-ным р-ром I и промытой водой до удаления избытка I; из жидкости после обработки АС отгонкой с паром получают 55,7 г NH<sub>3</sub>. Приложены 3 схемы регенерации ЛС и других продуктов.

Н. Эвергетова

**59589 П.** Способ регенерации серы из сульфитного отработанного щелока. Самуэльсон (Sätt vid återvinning av svavel ur sulfittavlut. Samuelson H. O.) [Mo och Domsjö AB]. Шведск. пат. 156188, 18.09.56

После сжигания сульфитного отработанного щелока (ОЩ), газы, содержащие SO<sub>2</sub>, направляют двумя потоками в два поглотительных устройства — А и Б для поглощения SO<sub>2</sub>. Поглощенный в А материал направляют после выпарки на сжигание, а поглощенное в Б после охлаждения до 85—60° используют для приготовления р-ра для варки древесины. В качестве поглотительной среды используют ОЩ или его смесь с другими материалами, напр. золой (З) от сжигания ОЩ, содержащей катионы Na, Mg и (или) Ca, взмучиваемой в поглотительной жидкости или другим способом приводимой в соприкосновение с проходящими газами. В поглотителе А газы от сжигания ОЩ, без предварительного отделения З могут быть поглощаемы, предпочтительно нейтрализованным ОЩ или бардою от произ-ва спирта. Газы от сжигания в Б, после предварительного отделения золы и охлаждения обрабатывают р-ром аммиака; жидкость после растворения газов непосредственно направляют на приготовление варочного р-ра. Газы от сжигания ОЩ могут служить источником нагрева в паровом котле, с понижением их т-ры предпочтительно ниже 300° (до 50—220°).

М. Нагорский

**59590 П.** Способ и печь для сжигания черных щелоков или кокса из них. Енсен (Verfahren und Ofen zum Verbrennen von Schwarzlauge oder Schwarzlaugekokks. Jensen Rudolf [Phrix-Werke A.-G.]. Пат. ФРГ 952589, 15.11.56

Для процесса сжигания черных щелоков (Щ) или получаемого из них кокса (К) патентуется автоматич. управление, осуществляемое а) электрич. термопарой или оптич. пирометром, устанавливаемыми в восста-

новительной зоне и регулируемыми соотношением между горючим и воздухом, подаваемым в эту зону; б) автоматич. контрольным аппаратом, измеряющим состав атмосферы в пространстве над восстановительной зоной, и в) контрольным аппаратом, регулирующим состав отходящих газов при их выходе. Приложены схемы печей для сжигания Щ и К с указанными приспособлениями. Контрольные аппараты (б) и (в) основаны на измерении уд. теплоты, теплопроводности, изменения газового давления при поглощении или сжигании и т. п. Способ обеспечивает получение золы с максим. степенью восстановления (по содержанию Na<sub>2</sub>S) при полном использовании горючих газов. Тепло отходящих газов используют для сжигания Щ, подогрева подаваемого в печь воздуха и произ-ва пара.

Ю. Вендельштейн

**59591 П.** Способ обработки отработанного щелока целлюлозного производства (Fremgangsmåte for behandling av avlut fra celluloseindustrien) [Papeteries de Cascogne, René Henri Gadret]. Норм. пат. 83807. 8.06.54

Для регенерации минер. части отработанный щелок (ОЩ) тонко распыляют в печь (П) для сжигания, в направлении сверху вниз в совершенно свободном объеме П, с таким кол-вом воздуха, чтобы не было полного сгорания; завеси капелек ОЩ в печи сообщают вращательное движение. При неполном сгорании в верхней части П поддерживают относительно низкую т-ру (280—500°), ОЩ частью превращается в пар и газообразные продукты термич. разложения, удаляемые из П, частью образует твердые минер. в-ва, падающие в нижнюю часть П и удаляемые оттуда. Распылитель имеет в центре ввод для ОЩ. Кругом и перпендикулярно к вводу направлены струи воздуха, создающие вихри. Остальную часть ограниченного кол-ва воздуха вводят под давлением в нижнюю часть П. С ОЩ можно смешивать горючее, напр. углеводороды, близкое по уд. весу к ОЩ. Вместо воздуха для распыления ОЩ можно вводить горючий газ. Приложена схема.

В. Нагорский

**52592 П.** Способ и оборудование для окисления отработанных сульфатных щелоков. Коистра, Робб (Residual pulp liquor oxidizing means. Kooistra Lambert F., Cobb Robert V.) [The Babcock & Wilcox Co.]. Пат. США 2771460, 20.11.56

Окисление Na<sub>2</sub>S и других сульфидов, содержащихся в отработанных сульфатных щелоках (ОЩ) (содержащих 13—18% твердых в-в), проводят в башне (Б) с резервуаром для приема стекающего ОЩ и отверстием для подачи воздуха в нижней части, отверстием для удаления (с помощью насоса) тумана, образующегося над поверхностью жидкости в резервуаре, и установленными вертикально, плотно прилегающими друг к другу проволочными ситами, заполняющими пространство Б от поверхности жидкости до вершины I. Сита натягивают в вертикальном и горизонтальном направлениях спец. приспособлениями. Над ситами расположено множество сопел, через которые жидкость пирамидально разбрызгивается на перфорированные пластинки, поддерживающие верхнюю часть сит, и стекает через них на сита. В верхней части Б имеется выход для воздуха; в нижней части Б имеется отверстие для удаления пены в отстойник. Приложено 9 схем и подробно описана конструкция I. Пример. Б снабжена 182 ситами, находящимися на расстоянии 25 мм друг от друга, шириной 1,83 м и длиной 13,4 м каждое. Сита сплетены из проволоки диам. 1,6 мм и имеют 4 × 4 меш. (в зависимости от конц-н ОЩ сечение отверстий от 4,7 до 6,3 мм). При общей поверхности пленки жидкости ~ 8930 м<sup>2</sup> в течение 24 час. окисляется 908 кг сульфидов (на Na<sub>2</sub>S)

при соприкосновении 113—283 л воздуха с 3,78 л ОЦ. Во избежание охлаждения ОЦ при продувании воздуха последний можно предварительно подогревать. Скорость тока ОЦ 1700—2460 л/мин. Ю. Вендельштейн 59593 П. Приспособление для размола волокнистых материалов. Мюллер (Vorrichtung zum Auflösen von Faserstoffen. Müller Wilhelm) [J. M. Voith G. m. b. H.] Пат. ФРГ 965806, 19.06.57

Приспособление для размола загрязненных волокнистых материалов (ВМ), напр. старой бумаги, состоит из открытого сверху (для загрузки ВМ) резервуара (Р), через боковую стенку которого проходит горизонтальный вал, вращающий внутри Р в вертикальной плоскости диск, размалывающий ВМ, и мешалку, приводящую в движение и засасывающую суспензию ВМ в направлении размалывающего диска. Через канал в стенке Р, окружающий диск, отводят размолотый ВМ, а тяжелые примеси (песок, железо и т. п.), собирающиеся на дне Р, удаляют через особый штуцер с задвижкой. Удаление более легких примесей, не осаждающихся на дно осуществляется с помощью приспособления, состоящего из канала, отходящего от противоположной диску стенки Р, центр отверстия которого в Р лежит по оси вала диска. Канал установлен наклонно. У верхнего конца канала имеются вальцы, с помощью которых зажимают верхний конец отрезка пенного или проволочного каната, другой конец которого свободно проходит по каналу в Р. При работе мешалки по ее оси в направлении к диску возникает ток суспензии, поддерживающий конец каната во взвешенном горизонтальном положении. Проходящие мимо каната взвешенные легкие загрязнения задерживаются на нем, образуя бахрому. По мере накопления этих загрязнений их удаляют вместе с канатом, который очищают с помощью указанных вальцов. Вверху канала имеется приспособление, орошающее канат сверху водой для смывания приставших частиц ВМ. Ю. Вендельштейн

59594 П. Способ удаления типографской краски с макулатуры. Кродел, Хаккерман (Process for de-inking printed waste paper. Krodell William J., Hackerman Norman) [Krodell]. Пат. США 2743178, 24.04.56

Краску с измельченной бумаги, напр. газетной, удаляют обработкой суспензией ( $\geq 1\%$ , в случае необходимости очищенной цеолитом) растворимой в воде солью, образующей ионы с валентностью  $\geq 4$  (такие 3-валентные ионы), напр.  $\text{Na}_2\text{P}_2\text{O}_7$ ,  $\text{Na}_3\text{PO}_4$ ,  $\text{Na}_6(\text{PO}_3)_6$ ,  $\text{Ce}(\text{NO}_3)_3$ ,  $\text{Th}(\text{NO}_3)_3$ ,  $\text{Th}(\text{NO}_3)_4$  или  $\text{K}_4\text{Fe}(\text{CN})_6$  для сообщения электростатич. зарядов частицам краски и целлюлозным волокнам и создания коэф. разницы дзета-потенциала между зарядом частиц краски и однозначно заряженных частиц целлюлозного материала не менее 4. Затем прибавляют моющее в-во (напр., сульфированные эфиры спиртов  $\text{C}_{16}$ — $\text{C}_{18}$  и производные аминокислот таких спиртов) для эмульгирования частиц отделившейся краски и удерживания их в состоянии суспензии; смесь размешивают  $\frac{1}{2}$ —2 часа при 65—90°, удаляют образующуюся пену загрязнений. В случае недостаточной очистки в массу погружают электроды и пропускают ток с расчетом на разность потенциалов 1,8—2,4 в на 25 мм линейного расстояния между электродами, не допуская электролиза; после промывки водой массу обрабатывают в кислой ванне (напр., хлорной водой, разб.  $\text{HCl}$  или  $\text{CH}_3\text{COOH}$ ) для удаления адсорбированных ионов и, разбавив до нужной концентрации направляют на бумагоделательные машины. Полученный продукт можно применять также для получения искусств. волокна и других целей, где требуется чистая целлюлозная масса. Степень белизны получаемой массы 46,0—52,2 G·E. Приведена схема процесса и реактора. Н. Эвергетова

59595 П. Процесс проклейки бумаги водной эмульсией димера кетена. Ким, Томпсон (Process of sizing paper with an aqueous emulsion of ketene dimer. Keim Gerald I., Thompson William Donald) [Hercules Powder Co.] Пат. США 2762270, 11.09.56

Бумагу проклеивают димером кетена (I) (мономер содержит 6—20 атомов С) в количестве 0,01—1% активного проклеивающего средства (предпочтительно 0,05—0,2%) в зависимости от характера полублаговат и требований к готовой продукции. Проклеивающие в-ва применяют в виде водн. эмульсии с добавлением стабилизатора, которым служит Na-соль карбоксиметилцеллюлозы (II), применяя при этом р-р кетена в органич. р-рителе. Эмульсия устойчива в течение 4 недель при 25°. Основная р-ция происходит за счет взаимодействия группы  $>\text{C}=\text{C}=\text{O}$ , с одной стороны, со стабилизатором (II, крахмал), а с другой — с целлюлозным материалом. Процесс применим для проклейки любого материала (древесной целлюлозы, древесной массы и др.) Проклеиваемая бумага характеризуется высокой водонепроницаемостью. Пример. Приготавливают р-р из 75 вес. ч. воды на 1 вес. ч. II, содержащей 0,7 карбоксиметилгрупп на 1 ед. ангидроглюкозы. Р-р помещают в смеситель и прибавляют 0,3 вес. ч. димера децилкетена, растворенного в 5 ч. бензола, смесь растирают 3 мин. Образующуюся первичную эмульсию разбавляют водой до 600 ч. по объему, получая Э с содержанием 0,05% димера кетена и  $\sim 0,16\%$  II. Э устойчива в течение 4 недель при 25° с сохранением клеящих свойств. Ручные отливки бумаги из отбеленной сульфитной целлюлозы с весом стопы 18,2 кг были увлажнены погружением в Э с удалением избытка Э прессованием влажного листа на стеклянной пластинке тяжелым каучуковым роком. Удерживаемая в бумаге Э в кол-ве  $\sim 200\%$  к сухому весу листа содержит 0,1% димера кетена к весу волокна. После высушивания 10 мин. при 120° Б имеют высокую устойчивость к проникновению воды (более 1200 сек.), но характеризуются относительно легкой смачиваемостью поверхности (малый угол контакта). Устойчивость к проникновению чернил, содержащих 20% молочной к-ты, составляла 137 сек. А. Сафьян

59596 П. Способ пропитки волокнистых материалов. Грандалл (Method of impregnating fibrous materials. Grandall Henry C.) [Mosinee Paper Mills Co.] Пат. США 2767088, 16.10.56

Для получения устойчивой к плесневению бумаги добавляют к бумажной массе (М) (в ролл) пентахлорфенолят Na (I) и 0,01—5% от веса сухого волокна в-во, обладающее сродством к волокну (BCB), — тетрафеноилтетраэтилететрамид (II) или соединения общей ф-лы  $\text{NC}(\text{CH}_2)_n\text{CN}$ , где  $n = 2$ —4, напр. сукцинонитрил (III), глутаронитрил или адипинонитрил (IV). Прибавляют к М стехиометрич. кол-во  $\text{CuSO}_4$  для осаждения пентахлорфенолята Cu (V), в кол-ве 0,01—5% на вес сухого волокна и диспергируют в М канифольный клей (KK) и квасцы для понижения pH массы до  $\geq 4,5$ , предпочтительно 5,5, для предотвращения перехода в р-р V. Добавлением BCB значительно повышают процент поглощаемого волокном V, напр. при добавлении к М 0,5% V и 4% II волокном удерживается 21% V; на полученной бумаге в течение 21 дня не произрастают чистые культуры *Chaetomium globosum*, *Aspergillus niger* или *Aspergillus terreus*, в то время как в отсутствие II все три культуры и подобные им организмы произрастают. Пример. К 908 кг М в ролле прибавляют 1,8 кг II в виде 7,2 кг 25%-ной эмульсии, размешивают 5—10 мин., прибавляют NaOH до pH 10, затем 4,54 кг I, понижают pH до 8 добавлением HCl и прибавляют



1,8 кг  $\text{CuSO}_4$  в виде водн. р-ра. После осаждения V можно прибавлять обычным способом КК и квасцы до  $\text{pH} \geq 5,5$ . Аналогично применяют взамен II другие ВСВ—III или IV. Применение КК способствует поглощению V волокном, но добавление II повышает удержание V с 55 до 69%.

Ю. Вендельштейн

**59597 П.** Целлюлозные волокнистые продукты, содержащие полимеры винилоксиэтилмочевины, и метод их производства. Мозер, Меламед (Cellulose fibrous products containing polymers of vinyl-oxyethylurea and method of producing them. Moser Vincent J., Melamed Sidney) [Rohm & Haas Co.]. Пат. США 2771362, 20.11.56

Для получения бумаг и бумагоподобных продуктов высокой прочности во влажном состоянии в волокнистую массу вводят некоторое кол-во водорастворимого полимера, получающегося полимеризацией мономеров типа  $\text{CH}=\text{CH}-\text{O}-\text{A}-\text{NRCONHR}'$ , где А является алкиленовым радикалом с разветвленной или прямой цепью, имеющим 2—4 С-атома между смежными О-или N-атомами или имеющей связанные эфирной кислородной связью, алкиленовые группы, содержащие 2—3 С-атома, а R и R' могут быть H, низшими алифатич. радикалами, имеющими 1—3 С-атома или связанными простыми эфирными связями алифатич. радикалами с 1—3 С-атомами; помимо того, R может образовывать с R' замкнутые цепи алкиленовых групп, состоящих из этилена ( $-\text{CH}_2-\text{CH}_2-$ ), пропилена [ $-\text{CH}(\text{CH}_3)-\text{CH}_2-$ ] и триметилена ( $-(\text{CH}_2)_3-$ ). Положение А может занимать этоксиэтил или  $-\text{C}_2\text{H}_4(\text{OC}_2\text{H}_5)_n-$ , а положения R и R' могут занимать другие низшие алифатич. радикалы, включающие  $\text{C}_2\text{H}_5\text{OC}_2\text{H}_5$  и  $\text{C}_2\text{H}_5(\text{OC}_2\text{H}_5)_n$ , где n является целым числом, предпочтительно  $\leq 2$ . Под термином «водорастворимый полимер» здесь понимают не только полимеры, образующие истинные р-ры, но и образующие колл. р-ры и водн. дисперсии. Указанные полимеры образуются полимеризацией нижеследующих мономеров самих по себе или совместно с другими мономерами, как, напр., винилоксиэтилмочевина, N-винилоксиэтил-N,N'-этиленмочевина, 1-(2-винилоксиэтил)-2-гексагидропириимидон, 1-(2-винилоксипропил)-2-имидазолидон, N-метил-N-винилоксиэтилмочевина, N-винилоксиэтил-N'-этилмочевина, винилоксиэтоксиэтилмочевина, винилоксиэтоксидиэтилмочевина. Можно пользоваться либо простыми гомополимерами, либо сополимерами из двух или большего числа приведенных выше простых виниловых эфиров, особенно винилоксиалкилмочевины. Простые виниловые эфиры могут быть сополимеризованы с одним или несколькими другими моноэтиленированными ненасыщ. мономерами, например акриловой и метакриловой к-ты, их сложных эфиров и одноатомных спиртов (метилового этилового, пропилового, бутилового, октилового, додецилового, циклогексиллового) сложных эфиров итаконовой к-ты и указанных выше спиртов, сложных эфиров малеиновой, фумаровой и п-траконовой к-ты и указанных выше спиртов; сложных виниловых эфиров карбоновых к-т (уксусной, пропионовой, масляной и др.); сложных винилоксиалкиловых эфиров (винилоксиэтилацетат), простых виниловых эфиров (этил-, бутил-, оксиэтил-, аминоэтил-, диметиламиноэтил-, и других виниловых эфиров); аллилового спирта, аллилацетата, метакрилонитрила, акриламида или метакриламида, их азотзамещ. амидов, винилалюидов и многих других перечисленных автором соединений. Мономеры винилоксиалкилмочевины получают р-цией в водн. среде между простым аминокислотным виниловым эфиром и водорастворимым неорганич. цианатом при t-ре 0—50° в присутствии к-ты, напр.  $\text{H}_2\text{SO}_4$ , которую непрерывно восполняют из расчета, чтобы

pH не спускалось  $< 6,8$ . Полимер добавляют к сухому весу волокна, предпочтительно при размоле или же перед поступлением массы на бумагоделательную машину. Полученную бумагу прессуют и высушивают (иногда кратковременно при 100—150°) до получения нужной прочности. Приведены 6 примеров применения предлагаемого способа. Области применения: изготовление салфеточной бумаги, упаковочной бумаги для чая и других пищевых продуктов, картографич. и особенно всех видов фотобумаг. Пример 1. Небелая крафт-целлюлоза была подвергнута размолу при 2%-ной конц-ии. После разбавления до конц-ии 1% массу тщательно смешивали с 2% (по весу волокна) гомополимера винилоксиэтилмочевины, доводя pH до 4,0 прибавлением HCl. Массу разбавляли до конц-ии 0,03% при поддержании указанного pH и затем формовали полотно. Влажный лист отщесовывали до содержания сухих в-в 32%, высушивали и кондиционировали до влажности 8%. Полученная бумага имела вес стопы (500 листов  $610 \times 915$  мм) 15,9 кг и имела прочность на растяжение во влажном состоянии  $0,73 \text{ кг/см}^2$  после выдерживания в течение 1 суток,  $1,3 \text{ кг/см}^2$  после 7-суточного выдерживания и  $1,8 \text{ кг/см}^2$  после 28-дневного выдерживания. Прочность на растяжение сухой бумаги составляла  $5,9 \text{ кг/см}^2$ . Контрольный лист бумаги, приготовленный без прибавления полимера, имел прочность на растяжение  $0,07 \text{ кг/см}^2$  во влажном состоянии и  $4,37 \text{ кг/см}^2$  в сухом.

Г. Брахман

**59598 П.** Способ получения бумаги с покрытием. Смит (Process for making coated paper. Smith John W.) [Hercules Powder C.]. Пат. США 2759853, 21.08.56

На поверхность листа из целлюлозного волокна наносят покрытие (II) из 100 ч. пигмента, диспергированного в водн. р-ре NaOH, 5—15 ч. (предпочтительно 6—8 ч.) нерастворимой в воде соли алкилсульфонового эфира целлюлозы (АЭЦ), напр. этил-β-сульфонового эфира целлюлозы (ЭСЦ); II содержит  $\geq 40\%$  твердых в-в. После нанесения II соль АЭЦ немедленно осаждают обработкой водн. р-ром кислого желирующего (и одновременно нейтрализующего) агента, напр. водн. р-ром  $\text{Al}_2(\text{SO}_4)_3$ ,  $\text{NaH}_2\text{PO}_4$ ,  $\text{MgCl}_2$ ,  $\text{CaCl}_2$  или  $\text{NaHSO}_4$ ; при этом образуется пленка из частиц пигмента, связанных солью АЭЦ; бумагу сушат в соприкосновении с гладкой поверхностью. В качестве солей ЭСЦ применяют К-, NH<sub>4</sub>-, Ва- и Са-соль (предпочтительно Na-соль ЭСЦ) со степенью замещения (СЗ) 0,05—0,28, предпочтительно соль, растворимую в 2—4%-ном водн. р-ре NaOH, но нерастворимую в воде; в качестве пигментов применяют глину, а для высоких сортов бумаги —  $\text{CaCO}_3$ ,  $\text{TiO}_2$ , белый пигмент и т. п. Применение АЭЦ в качестве связующего в-ва имеет большие преимущества перед оксиэтилцеллюлозой (ОЭЦ) вследствие значительно более низкой вязкости (В) р-ров и снижения расхода связующего и желирующего агента. Примеры. а) 100 ч. глины диспергируют в р-ре 0,3 ч. NaOH в 53,6 ч. воды и прибавляют р-р 4 ч. NaOH в 27,1 ч. воды. Отдельно готовят дисперсию 6 ч. Na-соли ЭСЦ со СЗ 0,12 в р-ре 3,7 ч. NaOH в 70,3 ч. воды, получая р-р с В 213 спуз. Р-р Na-соли ЭСЦ медленно прибавляют к суспензии глины при размешивании. Получаемая смесь имеет В 105 спуз, содержание твердых в-в, диспергированных в 5%-ном р-ре NaOH, 40%. Полученную дисперсию наносят на бумагу из расчета 5,45 кг на 279 м<sup>2</sup> поверхности, точно обрабатывают 25%-ным водн. р-ром  $\text{NaH}_2\text{PO}_4$ , избыток последнего выжимают между вальцами, сушат Б при 105°, кондиционируют 16 час. при 28° и относительной влажности 50%, пропускают через

суперкаландр и вновь кондиционируют. Аналогично обрабатывают Б покрытием, заменяя Na-соль ЭСЦ на ОЭЦ со СЗ 0,37, В р-ра ОЭЦ 7503 *спуз* и В суспензии 375 *спуз*. В других примерах показано сравнительное применение Na-соли ЭСЦ и ОЭЦ при различных дозах и с обработкой покрытой Б р-ром  $\text{NaHSO}_4$ ; помимо упомянутых преимуществ Б, обработанная Na-солью ЭСЦ, обладает более высоким лоском. Непигментированную Na-соль ЭСЦ применяют для получения бумаг, жиронепроницаемых и непроницаемых для органич. р-рителей, газов и душистых в-в.

Ю. Вендельштейн  
59599 П. Волокнистые изделия с покрытием и способы их получения. Шелли, Янг (Coated fibrous products and methods of making them. Shelley James P., Young Earl M., Jr) [Rohm & Haas Co.]. Пат. США 2774692, 18.12.56

Покрытые бумаги (Б) и подобные изделия с глянцевой поверхностью получают обработкой Б водн. дисперсий, содержащей 5—70% растворимого в воде высокомолекулярного продукта конденсации смеси дикарбамата диэтиленгликоля (I) и  $\text{HCHO}$  или I,  $\text{HCHO}$  и  $\text{CH}_3\text{OH}$  с молярным соотношением  $\text{HCHO} : \text{I} = 2 : 1 - 3,5 : 1$  и  $\text{CH}_3\text{OH} : \text{I} = 1 : 1 - 2,5 : 1$ . Вязкость (В) 60%-ного водн. р-ра при 25° 2—25 *пуаз* (в частности, 6—20 *пуаз*). Композиция содержит в качестве катализатора 1—3% от веса продукта конденсации  $\text{H}_2\text{SO}_4$ , *n*-толуолсульфокислоты (II), этансульфокислоты (III), фосфата или тиоцианата  $\text{NH}_4$ , хлоргидрата (или другой соли) алифатич. оксимирина, напр. хлоргидрата 2-метил-2-аминопропанола-1 (IV). После нанесения указанной композиции (покрытие можно пластифицировать моноалкильным эфиром этиленгликоля, алкильные группы которого содержат 1—4 атома С) изделие сушат и отверждают при 82—177° и выше. Патентуются также получаемые изделия. Примеры. (а). К 613 г 36,7%-ного водн. р-ра  $\text{HCHO}$  прибавляют 480 г I, нагревают с обратным холодильником, кипятят 15 мин. (102°), отгоняют из смеси 63 г дистиллята (т-ра массы 104°), при 90° прибавляют 2,4 мл 50%  $\text{H}_2\text{SO}_4$  до pH 3, кипятят ~15 мин. и определяют В (~0,5 *пуаз* при 25°), полимеризуют кипячением до В ~7 *пуаз* при 25°, охлаждают, разбавляют 150 г воды (до содержания твердых в-в ~50%), прибавляют 9,2 г окиси полиэтилена-октилфенола (ОПФ), содержащей ~10 экв. окиси этилена в молекуле ОПФ и нейтрализуют 50%-ным водн. р-ром  $\text{NaOH}$  до pH 7. К получаемому продукту конденсации прибавляют 6% II (от веса твердого в-ва), покрывают картон, обработанный предварительно с лицевой стороны смесью белой глины с казеином, и нагревают при 118° 40, 50 и 60 сек., получая глянцевое, прозрачное, водо- и жиронепроницаемое покрытие. (б). Смесью 768 г I и 752 г 40%-ного р-ра  $\text{HCHO}$  в  $\text{CH}_3\text{OH}$ , содержащем 7% воды, нагревают до 70°, прибавляют 37 мл 85%-ной  $\text{H}_3\text{PO}_4$  (pH ~2,7), нагревают до кипения (~91°), отгоняют 255 г спиртового дистиллята, разбавляют 110 г воды и кипятят до В ~10 *пуаз*. По охлаждению фильтруют, прибавляют 1% ОПФ и 3% II и покрывают картон с результатами, аналогичными (а). Аналогично (а) и (б) в других примерах показано применение других композиций в отдельности или в смеси с сополимером винилхлорида и винилацетата, с катализаторами —  $\text{H}_2\text{SO}_4$ , III или хлоргидратом IV, с добавлением трикрезилфосфата, ультрамарина и т. п. для покрытия картона, этикеток, обложек карманных книжек и т. п. Ю. Вендельштейн  
59600 П. Способ лощения откаландрированной бумаги с покрытием. Фрост, Лейн (Method for cast calendaring supercalendered coated paper. Frost Frederick H., Lane Robert E.) [S. D. Warren Co.]. Пат. США 2780563, 5.02.57

Патентуется технологич. процесс и оборудование для отделки и лощения откаландрированной бумаги

(Б) с двух- или односторонним покрытием. Полотно сухой откаландрированной Б с покрытием увлажняют водн. р-ром в-в, в основном не содержащих суспендированных частиц, и, спустя 5—6 сек., направляющими прессовыми валиками приводят в соприкосновение с увлажненной полированной хромированной поверхностью цилиндрич. барабана с внутренним обогревом. В контакте с тонкой пленкой водн. р-ра на горячей поверхности барабана влага испаряется и проходит в виде паров через толщу Б. Съемные валы направляют Б с приобретенной высокой степенью лоска на накат. Пример. На полотно бумаги, для произ-ва которой в массн.й ролл на 680 кг волокна загружали 4,5 кг канифоли (абсолютно сухой), 18 кг каолина (абсолютно сухого), синий краситель и квасцы до pH 5,5, с двух сторон наносили покрытие. После нанесения первого слоя (вес покрытия 5,4 г/м<sup>2</sup>, состав: 50,6%-ная водн. суспензия из 1816 кг каолина, 544 кг крахмала, красителя и фунгицида) бумагу каландрировали. Состав второго покрытия: 40%-ная водн. суспензия из 27 кг каолина, 18 кг  $\text{CaCO}_3$  и 7,2 кг казеина с добавлением красителя и щелочи до pH 8,95. Вес абсолютно сухих в-в двухстороннего покрытия составлял 7 кг на кипу бумаги (500 листов; формат 635 × 780 мм) или 11,5 г/м<sup>2</sup>. Расход жидкости для увлажнения полотна Б 5 л/м<sup>2</sup>; 1 л р-ра содержит 8,4 г аммиака, 6,8 г формальдегида, 0,7 г моноэтанолстеарата аммония и воду. Сухой остаток — 0,09%. Такого же состава р-р подают для увлажнения поверхности цилиндрич. барабана в кол-ве 24 л/м<sup>2</sup>. Перетекающий избыток подаваемого р-ра с pH 10,5 и содержанием твердого остатка по весу 1,4% составляет 85% от его общего кол-ва. Возможны другие варианты технологич. процесса, состава увлажняющего р-ра и др. Приведена схема. А. Соколова  
59601 П. Способ изготовления прозрачных воздухо-непроницаемых бумаг. Курц, Тиниус, Кампенкенкель (Verfahren zur Herstellung transparenter, luftdichter Papiere. Kurz Günther, Thinius Kurt, Kamphenkel Lere). Пат. ГДР 10289, 26.08.55

В качестве пропитывающих материалов при изготовлении таких бумаг, напр. бумажной калыки, предложены продукты полимеризации циклич. ацеталей или кеталей многоатомных спиртов с цепями только из С-атомов или содержащих гетероатомы с числом членов в кольцах не менее 6, в частности полидигликольформаль (I). Применение I и его гомологов по сравнению с высыхающими маслами имеет то преимущество, что I растворим в воде и после испарения воды образует пленку. Это дает возможность применения данного способа к старым бумагам без какой-либо предварительной обработки при произ-ве бумаги или картона. Кроме воды, I растворим в ряде органич. р-рителей, что позволяет делать прозрачными рисунки на обыкновенной бумаге. Когда прозрачность становится ненужной, I может быть легко смыт водой. Пропитанные указанными в-вами бумаги при соприкосновении с ними не дают жирных пятен, что наблюдается для бумаг, пропитанных минер. маслами.

Ю. Челыхова

59602 П. Способ изготовления растительного пергамента с фунгицидными и бактерицидными свойствами. Шопмeyer (Verfahren zur Herstellung von vegetabilischem Pergament mit fungiciden und bactericiden Eigenschaften. Schoppmeyer Werner) [Heinrich Nicolaus G. m. b. H., Druck- und Papierverarbeitung]. Пат. ФРГ 966919, 19.09.57

Растительный пергамент (PII) с бактерицидными и фунгицидными свойствами изготавливают обработкой пергаментированного полотна (PII) растворимыми в воде галоидированными фенолятами после так назы-



ваемой нейтр-ции, но до окончания высушивания в стадии, на которой р-р фунгицида легко проникает в ПП (в сушильной части машины для пергаментирования или предпочтительно в прешаровочной ванне (ПВ). Пример. При произ-ве РП в ПВ, служащую для обработки мягчителями, напр. глицерином, глюкозой, NaCl и т. п., прибавляют пентахлорфенолят — Na (I) в конц-ии, зависящей от скорости машины для пергаментирования, из расчета на содержание 0,3% I в готовом РП. При применении обработанного РП для упаковки пищевых продуктов не наблюдается появления плесени и заметно снижается обычно наблюдаемое старение и прогоркание таких продуктов, как сыр, масло.

Ю. Вендельштейн

**59603 П. Изготовление парафинированной конденсаторной бумаги.** Мансфельд (Paraffiniertes Papier zur Herstellung von elektrischen Kondensatoren. Mansfeld Hubert) [Robert Rosch G. m. b. H.]. Пат. ФРГ 937806, 12.01.56

При изготовлении конденсаторной бумаги рекомендуется производить пропитку бумаги воском или парафином под давлением при т-ре ниже точки их плавления, что предупреждает в дальнейшем обратное превращение аморфных форм воска и парафина в кристаллические. Указанная обработка значительно увеличивает воздухопроницаемость конденсаторной бумаги. Приведена схема расположения пропиточной ванны и прессующих валов.

Ю. Чельцова

**59604 П. Изготовление упрочненной бумаги и изделий.** Стивенсон (Manufacture of reinforced paper and product. Stevenson William N.) [American Siskraft Corp.]. Пат. США 2739092, 20.03.56

Для изготовления слоистых материалов, напр. бумаги, намазывают полотно (П) волокнистого материала клеем и наматывают П в виде плотного рулона еще до того, как клей затвердеет; после затвердевания клея образуется рулон, у которого соприкасающиеся обороты П скреплены клеем друг с другом; затем рулон разматывают, при этом каждый слой бумаги расщепляется внутри листа. При намазывании П клеем на его поверхность могут быть наложены и закатаны в рулон продольные и поперечные нити, укрепляющие П. При последующем раскатывании затвердевшего рулона нити оказываются внутри вновь образующегося (за счет затвердевшего слоя клея и расщепленных слоев бумаги) полотна. В патенте приведены и другие варианты аналогичной переработки бумажного полотна и приложены схемы переработки бумаги и конструкций получаемого слоистого бумажного листа.

М. Нагорский

**59605 П. Дисперсии углекислого кальция и их получение (в бумажном производстве).** Хансен (Calcium carbonate dispersions and method of making same. Hansen Gerald D. Jr) [Calgon, Inc.]. Пат. США 2750299, 12.06.56

Суспензия состоит из  $\text{CaCO}_3$  (I), воды и нового диспергирующего агента (Д), представляющего собой сбалансированную смесь из: а) 81—88% (предпочтительно ~33,5%) метафосфата Na с молярным отношением  $\text{Na}_2\text{O}:\text{P}_2\text{O}_5$  от 0,9:1 до 1,5:1 (предпочтительно 1,1:1), б) 10—15% (напр., 11,5%)  $\text{ZnO}$  и в) растворимой в воде соли или гидроокиси К или Li, предпочтительно метафосфата, напр., метафосфата К с молярным отношением  $\text{K}_2\text{O}:\text{P}_2\text{O}_5$  1:1, в кол-ве 0,5—8%, предпочтительно ~5%. Компонент «в» можно механически при-мешивать к смеси компонентов «а» и «б». Для диспергирования I применяют 0,5—2% указанной смеси «а», «б» и «в» от веса I. Патентуется также получение Д с плавлением смеси «а», «б» и «в» при ~1000° и последующим размалыванием. Получают тонкий не гигроскопичный, сохраняющийся без особых мер предосторожности порошок, хорошо растворимый

в воде. Суспензии размолотого кальцита, особенно осажденного I, содержащего примеси 0,25—0,45% NaOH (препятствующие образованию дисперсий), без добавления указанного Д обладают при высоких конц-иях вязкостью, препятствующей (в бумажном произ-ве) их перекачиванию центробежным насосом. Добавление патентуемого Д устраняет этот недостаток, позволяя пользоваться более конц. суспензиями I, что экономит емкость аппаратуры, энергию на высушивание бумаги и устраняет отрицательное влияние примесей NaOH. Приведен график зависимости критической скорости сдвига в сек.<sup>-1</sup> от содержания патентуемого Д в суспензии I.

Ю. Вендельштейн

**59606 П. Форма для бумажного литья.** Рандаа (Pulp Molding die. Randall Walter H.). Канадск. пат. 513952, 21.06.55

Аппарат для изготовления колоколообразных литых бумажных изделий имеет открытый формующий элемент (ФЭ), который в собранном состоянии может быть соединен или разъединен с корпусом формы. ФЭ состоит: из полый перфорированной стенки, имеющей внутреннюю формующую поверхность в основном в форме усеченного конуса и снабженной одним продольным разрезом; сетки, соответствующей по форме внутренней поверхности указанной стенки и снабженной двумя продольными кромками, соответствующими указанному продольному разрезу, а также верхним и нижним фланцами, перекрывающими верхний и нижний срезы формующей стенки; зажимных устройств на стенке по обеим сторонам разреза для зажимания в нем продольных кромок сетки; перфорированной донной части, образующей дно формы и покрытой сеткой, край которой прилегает к нижнему фланцу сетки боковой стенки, и креплений, предназначенных для удержания вместе боковой и донной частей в виде формующего элемента, независимо от состояния соединения или разъединения с корпусом формы.

В. Пахомов

**59607 П. Видоизмененный состав жиростойкого парафинового покрытия для прессованного картона.** Смит (Modified paraffin wax grease resistant coating composition and paperboard coated therewith. Smith Monroe F.) [Fibreboard Products Inc.]. Пат. США 2733225, 31.01.56

Жиростойчивые парафиновые покрытия (П) для прессованного картона (К) и подобных изделий, пригодных для упаковки жиросодержащих пищевых продуктов, а также в машиностроении для изготовления частей, в которых картон соприкасается с быстро движущимися частями машин, состоит из парафина (I) с примесью меньшего кол-ва смеси твердых полиэтиленов (II) и микрокристаллич. воска (МВ). Общее содержание I и МВ в составе П должно быть ≥80% по весу, в том числе I ≥90% от суммы I и МВ. МВ вводят в кол-ве 1—10% от общего кол-ва I и МВ для предотвращения отслаивания П, обусловливаемого введением в его состав II, плохо сочетающегося с I. II дозируют в кол-ве 1—20% от веса П, чтобы предотвратить снятие П с К при трении с быстро движущимися частями машин, чему содействует наличие воска в П, I должен иметь т. пл. 54—65°, МВ 88—90°. П должны иметь мол. в. 3000—29000 и воскообразные свойства. Приведены примеры композиций П с соотношением (в вес. ч.) I, воска и II: 94:3:3; 92:5:3; 96:3:1 и 82:8:10.

А. Закопцов

**59608 П. Способ очистки сеточного стола.** Басти (Method of cleaning press wires. Basti Norris Leo, Smith Charles T.) [Mason Corp.]. Пат. США 2775170, 25.12.56

Для уменьшения износа сеточного стола (С), которым мокрым полотном картона, полученное формованием гидролизованного лигноцеллюлозного мате-

особенно  
0,25—0,45%  
присып), без  
высоких  
бумажным  
насосом.  
т недоста-  
спенаниями  
ию на вы-  
е влияние  
сти краше-  
ния патен-  
дельштейн  
Рандала  
Н.). Ка-

ных литых  
формирующей  
ни может  
м форми-  
ники, имею-  
в основ-  
ной одним  
ющей по  
и стенки  
ами, соот-  
разрезу,  
рекрейви-  
ей стенки;  
сторонам  
х кромок  
бразующей  
рой приле-  
ки, и кра-  
тесте боко-  
элементы,  
раздвоен-  
е. Пахомов  
ойчивого  
о картона,  
ant coating  
h. Smith  
Пат. США

(П) для  
елий, при-  
пищевых  
изготов-  
ркасаются  
состоят из  
меськ твер-  
нич. Вост  
П должн  
т суммы  
го кол-ва  
обусловля-  
сочетающе  
а, чтобы  
быстродей-  
ст налит  
ВВ 88—90.  
кообразны  
П с соот-  
3; 92:5:1  
Закощичко  
Бастиа  
Bustia  
Mason

стала (С,  
ное форми-  
ного мат

риала и содержащее 30—50% волокна и 75—50% воды, поддают в горячий пресс, смачивают боковые края полотна 2—5%-ным водн. р-ром щел. детергента перед введением полотна в пресс. Под действием тепла и давления горячая вода и пар прорываются через С и очищают его от оклюдированных углеродистых в-в, что увеличивает срок службы С. При влажности полотна 50—70% р-р детергента проникает в полотно не более чем на 6 мм. В состав детергента входят естественные поверхностноактивные в-ва — соли жирных к-т или канифоли, синтетич. и щел. агенты —  $\text{NaOH}$ , ортосиликат  $\text{Na}$ ,  $\text{Na}_2\text{PO}_4$ ,  $\text{Na}_2\text{CO}_3$ , тетраборат  $\text{Na}$ , тетра- $\text{Na}$ -пирофосфат и (или) полифосфаты  $\text{Na}$ . Пример. При смачивании полотна р-ром 13,6 кг Oakite № 24 в 209 л воды с 1 м<sup>2</sup> С получают следующие кол-ва м<sup>2</sup> жесткого картона до замены С: по старому способу 128, 164 и 217; по данному способу соответственно 259, 286 и 564.

Ю Вендельштейн

59609 П. Складчатая оболочка. Близард, Ферт, Уинкун (Shirred casing. Blizzard James R., Firth John W., Wynkoop Lewis M.) [Tee-Pak, Inc.]. Пат. США 2723201, 8.11.55

Патентуется новый вид изделия — сплошная целлюлозная оболочка круглого сечения, на всем протяжении сложенная в правильные складки и спрессованная; при натяжении способная расправляться и вытягиваться до полной длины.

А. З.

59610 П. Способ изготовления огнеупорных или трудно воспламеняющихся волокнистых материалов. Бараньи (Verfahren zur Herstellung von feuerfesten bzw. schwer entflammaren Faserstoffprodukten. Baranyi J.). Пат. ФРГ 957182, 31.01.57

Огнеупорные или трудно воспламеняющиеся волокнистые материалы, жесткие и мягкие плиты, картон и т. п., изготовляют гидролизом волокнистых в-в в кислой среде с одновременным добавлением неорганич., предпочтительно кислых солей, снижающих воспламеняемость и горючесть, напр. двойных солей — фосфата-силиката  $\text{Ca}$  и или фосфата  $\text{Ca}$ -силиката  $\text{Mg}$  и т. п., с последующей нейтр-цией и добавлением минер. в-в — силикатов  $\text{Mg}$  или  $\text{Al}$ , напр. талька, слюды, асбеста, каолина, глины и т. п. Предгидролиз волокна разрыхляет последнее и обеспечивает проникновение огнеупорных в-в между или внутри клеток. Примеры. (а). 100 кг суспензии целлюлозы обрабатывают при 20° 100 л 10%-ного р-ра кислого  $\text{Ca}$ - $\text{Mg}$ -сульфата, оставляют на 1 час, нейтрализуют 12 кг  $\text{Ca}(\text{OH})_2$  и перерабатывают полученный продукт обычным способом. (б). 45 кг томасшлака обрабатывают 1000 л 10%-ной  $\text{HCl}$  до растворения большей части шлака. Р-ром, состоящим преимущественно из свободной фосфорно-кремневой к-ты и  $\text{CaCl}_2$ , обрабатывают 1000 кг измельченных отходов древесины. После выдерживания в течение некоторого времени для протекания предгидролиза реакционную массу нейтрализуют 150 кг  $\text{Ca}(\text{OH})_2$  и тотчас перерабатывают или сушат. После нейтр-ции, но до высушивания можно прибавлять для повышения огнестойкости тальк, слюду и т. п.

Ю. Вендельштейн

59611 П. Паропроницаемые гипсовые плиты с бумажным покрытием. Ридделл, Керк (Vapor-permeable gypsum board. Riddell Wallace C., Kirk George B.) [Kaiser Gypsum Co., Inc.]. Пат. США 2776234, 1.01.57

Предложен способ произ-ва водонепроницаемых, но проницаемых для паров гипсовых облицовочных плит. Массу из смеси безводн. гипса и воды наносят между слоями бумаги (Б), после чего на внешнюю поверхность слоев Б наносят водн. р-р солянокислой соли комплексного соединения (КС)  $\text{Cr}^{3+}$  и органич. к-т с числом С-атомов  $\geq 10$  в кол-ве 0,1—1 ч. сухого КС

на 1 м<sup>2</sup> поверхности Б; сформованные плиты высушивают при t-ре 100—250°. В качестве КС применяют, напр., комплексы с олеиновой или стеариновой к-тами, выпускаемые фирмой Дюпон под названием Квилон (Quilon), и имеющие ф-лу  $\text{C}_{18}\text{H}_{35}\text{O}_2\text{Cr}_2\text{Cl}_4$ . Сообщение водонепроницаемости бумажному покрытию с сохранением его проницаемости для паров достигается в процессе изготовления гипсовых плит. КС готовят в виде смеси 30% КС, 58—60% изопропанола и 10—12% воды. Эту смесь наносят на Б в виде 1—10%-ного водн. р-ра. Для получения особо прочной бумаги при изготовлении р-ра для покрытия Б на 96 ч. воды берут 2 ч. КС и добавляют 2 ч. нейтрализующего р-ра, состоящего из 78,3% воды, 16,5% мочевины, 5,0% муравьинокислого натрия и 0,2% муравьиной к-ты. Вследствие такой частичной нейтр-ции рН изменяется от 2,5 до 3,0 и больше. Приведен пример изготовления водоотталкивающих, но проницаемых для паров гипсовых плит. В машине для изготовления плит между листами бумаги помещают слой из массы, состоящей из гипса и воды с добавлением малых кол-в крахмала или декстрина в качестве связующего и в качестве замедлителя — малых кол-в воздухоудерживающих в-в: измельченного шлака, органич. волокон или асбеста. Перед выходом из машины на Б тем или иным способом наносят р-р КС, содержащий 0,6% КС, и 0,16—1,20% изопропанола в воде, после чего пропекается сушка при t-ре 176—100°. Применяют 0,6 г КС на 1 м<sup>2</sup> поверхности Б или 1,2 г на 1 м<sup>2</sup> плиты при двустороннем покрытии бумажными слоями.

А. Закощичков

См. также: Механизм термич. разложения целлюлозы 59781. Разложение целлюлозы грибами 21926Бх. Эфиры целлюлозы, карбоксиметилцеллюлоза 59713. Уд. объемы и коэф. термич. расширения системы нитроцеллюлоза-дибутилфталат-ацетон 59720. Кремнийорганич. соединения с нитратцеллюлозой 59780, 59783. Волокна из лигнина целлюлозного произ-ва 59476. Автоматич. процесс регенерации  $\text{Na}_2\text{S}$  на целлюлозных з-дах 57764. Электронотрафич. и электронномикроскопич. исследование целлюлозных волокон 59728. Упаковочные материалы из картона и бумаги для пищевых продуктов 59216—59218. Тепло- и звукоизоляц. материалы 59354. Применение целлюлозных материалов в керамич. пром-сти 58113. Графики для определения: хлор-газа, насыщ. парами воды 58012; растворимости хлора в воде 58013; теплоты испарения жидкого хлора 58014; вязкости жидкого хлора 58015

## КРАШЕНИЕ И ХИМИЧЕСКАЯ ОБРАБОТКА ТЕКСТИЛЬНЫХ МАТЕРИАЛОВ

Редакторы К. М. Маркузе, А. И. Матецкий

59612. Микроскопические наблюдения волокон хлопка, деградировавших под воздействием ферментов. Марш (Microscopic observations on cotton fibers subjected to enzymatic degradation. Marsh Paul B.), Text. Res. J., 1957, 27, № 11, 913—916 (англ.)

Микроскопическими наблюдениями препаратов волокон хлопка, подвергавшихся воздействию культур *Myrothecium verrucaria* 1334.2 и *Chaetomium globosum* 1042.4, установлено образование поперечных трещин с последующим распадом волокон на короткие фрагменты. Наблюдались также спиральные трещины, отнесенные (предположительно) за счет сепарации целлюлозных цепей. Влияние предварительных механич. повреждений на последующее микробиологич. воздействие не подтверждено.

Л. Беленький



59613. Цианоэтилирование хлопка и льна. Садов Ф. И., Соколова Н. М., Текстильная пром-сть, 1956, № 5, 33—36

Нити, извлеченные из миткаля, содержащего после цианоэтилирования 2,3—2,6% связанного N, не изменили своей прочности после 10 недель пребывания в земле, в то время как контрольные нити из необработанного миткаля через 6 дней испытания показали полную потерю прочности. Светостойкость миткаля после процесса цианоэтилирования несколько повышается. Краситель прямой чистоголубой дает на обработанном миткале более интенсивные и более прочные к мылу окраски, но с пониженной светостойкостью. Кислотный синий К окрашивает волокно в присутствии ионов одновалентной меди. Черный анилиновый показал несколько пониженную, а нерастворимый азокраситель (азотол А и диазол розовый О) несколько повышенную светостойкость по сравнению с окрасками на обычном миткале. Н. Соколова

59614. Клетки джутового и хлопкового волокна. Сен (Fibre cells of jute and cotton. Sen K. R.), Jute and Gunny Rev., 1957, 9, № 8, 1399, 1401, 1403 (англ.)

59615. Исследование некоторых волокон джута рентгенографическим методом. Чаудхури, Хук, Хусейн (The study of some jute fibres by X-ray diffraction method. Chaudhury A. M., Huq M. S., Husain B.), Pakistan J. Scient. Res., 1957, 9, № 2, 77—82 (англ.)

Получены и исследованы рентгенограммы (Р) четырех образцов волокон джута в воздушно-сухом, экстрагированном (смесью спирта и эфира 1:1), мерсеризованном и делигнифицированном состояниях. Р сырца характеризуются интенсивным аморфным рассеянием (фон), исчезающим после очистки. Сравнение Р природной и мерсеризованной целлюлозы показывает, что периоды идентичности по оси *b* (моноклин. решетки) при мерсеризации не изменяются. Наблюдается вытягивание интерференций вдоль колец Дебай—Шеррера за счет изменения степени ориентации молекул целлюлозы. Р образцов разных селекций идентичны и отличаются лишь ориентацией молекул. Лигнин является цементирующим в-вом и его удаление не изменяет общей структуры. Л. Бельский

59616. Действие на шерсть двуокиси селена. Холкер, Спикман (The action of selenium dioxide on wool. Holker J. R., Speakman J. B.), J. Appl. Chem., 1958, 8, № 1, 1—3 (англ.)

Сравнительные испытания механич. свойств и определения содержания серы (в виде дисульфидных и сульфгидрильных группировок) в образцах человеческого волоса и шерстяной ткани исходных, обработанных  $\text{SeO}_2$ , восстановленных тиогликолевой к-той, а также обработанных  $\text{SeO}_2$  после восстановления, устанавливают факт образования в последних новых поперечных связей, содержащих Se. При этом один атом Se связывает два остатка цистеина. Образование связей типа тетрацистенилселена мало вероятно из-за отдаленного относительного расположения соседних цистеиновых связей в исходной шерсти. А. М.

59617. Активированный перекисный способ белиения. Стил, Роджерс (Activated hydrogen peroxide bleaching process. Steele W. R., Rogers S. M.), Text. Inds., 1958, 122, № 1, 105—106 (англ.)

Комбинированный гипохлоритно-перекисный способ белиения позволяет снизить расход  $\text{H}_2\text{O}_2$  и вспомогательных продуктов и при этом обеспечить лучшую и значительно более устойчивую к хранению белизну хлопчатобумажной ткани (88,5%), более высокую ее влагопоглощаемость (40,1%) и низкий показатель текучести (3,05). По этому способу (способ Сольвей) производят кратковременную предварительную отбелку ткани  $\text{NaClO}$  (получаемым из  $\text{NaOH}$  и  $\text{Cl}_2$ ), кото-

рая заключается в 1-минутной пропитке р-ром гипохлорита с содержанием 1—4 г/л активного Cl (0,1%  $\text{NaClO}$  к весу ткани) и 10—20-минутной легкой ткани. Затем непромытую ткань обрабатывают в перекисной ванне (конц-ция которой понижают на 50% против обычной). Часть  $\text{H}_2\text{O}_2$  расходуется на разложение  $\text{NaClO}$ , а остальная часть — на завершение отбеливания. Предполагается, что выделяемый при разложении  $\text{NaClO}$  активный  $\text{O}_2$  также участвует в процессе белиения. При использовании непрерывного способа перекисного белиения необходимо встроить в агрегат дополнительную пропиточную машину и дейбюкс для гипохлоритной обработки. Дейбюкс целесообразно конструировать из дерева с полиэтиленовой обшивкой. При проведении процесса в котлах дополнительного оборудования не требуется. О. Голосенко

59618. Интенсификация диффузии красителей в целлюлозу. Ростовцев В. Е. (Die Intensivierung der Diffusion der Farbstoffe in Zellulosefasern. Rostowzew W. E.), Textil-Praxis, 1957, 12, № 12, 1250—1253, 10 (нем.; рез. англ., франц., исп.)

Перевод. С. М. РЖХим, 1958, 23564.

59619. Явление (образования) пограничной пленки при крашении ацетилцеллюлозы. Скинкал, Шерберн (Interfacial film phenomena in the dyeing of cellulose acetate. Skinkle John H., Sherburne Edwin C.), Amer. Dyestuff Reporter, 1957, 46, № 21, 749—760 (англ.)

На основе изучения процесса крашения дисперсными красителями (К) ацетилцеллюлозного волокна показано образование пограничной жидкой пленки, удерживающей значительные кол-ва К. Наличие такой пленки на поверхности волокна сохраняется в течение всей длительности процесса крашения, изученной до 5 суток. В первой стадии процесса конц-ия К в пленке нарастает, затем сохраняется на постоянном уровне ~3 часа. В дальнейшем адсорбция К волокном идет почти исключительно за счет снижения конц-ии К в пленке, а не в ванне. Процесс адсорбции К ацетатным волокном протекает по механизму диффузии, что следует из того, что кривая, характеризующая отношение кол-ва поглощенного К к корню квадратному из времени крашения, имеет в первый период процесса прямолинейный характер. При крашении вискозного шелка прямыми К или шерсти кислотными К подобная пограничная жидкая пленка не образуется. О. Голосенко

59620. Влияние красителей на разрушение хлопка при стирке и хлорной отбелке. Сиро, Булати (Influence des colorants sur la dégradation au lavage et à la javellisation du coton. Cyrot J., Bouligaud J.), Bull. Inst. text. France, 1957, № 70, 7—11 (франц., рез. англ.)

Образцы хлопчатобумажной ткани, окрашенные 3 прямыми и 7 кубовыми антрахиноновыми красителями, были инсолированы на федометре. Другую серию тех же образцов подвергали воздействию повторных стирок с применением хлорных белиющих агентов (стирка при 100° в р-ре  $\text{Na}_2\text{CO}_3$  и мыла, промывка, обработка р-ром гипохлорита Na, антихлорная обработка, промывка, сушка, утюжка). Степень разрушения волокна контролировали измерением вязкости медноэтилендиаминных р-ров целлюлозы. Работа подтвердила ранее известные наблюдения, что желтые и оранжевые красители ускоряют фотохимическое разрушение целлюлозы, а фиолетовые, синие и голубые красители оказывают защитное действие. Влияние красителей на разрушение хлопка при стирке с белиением значительно меньше выражено. Некоторые желтые красители ускоряют разрушение, в особенности при первых стирках, зеленые красители оказывают небольшое защитное действие, но боль-

множество исследованных красителей не проявило никакого влияния.

О. Голосенко  
59621. Электронная теория валентности для пояснения химических превращений в текстильной химии. Химические реакции органических соединений в свете электронной теории валентности. Часть I, II. Кадаш (Die Elektronentheorie der Valenz zur Erklärung chemischer Umsetzungen in der Textilchemie. Chemische Umsetzungen organischer Verbindungen im Blickfeld der Elektronenvalenztheorie. I, II. Kadach P.), Textil-Praxis, 1958, 13, № 1, 80—84, (10); № 2, 185—189 (нем.; рез. англ., франц., исп.)

I. Изложены общие основы электровалентной природы связи, влияние заместителей на распределение электронной плотности в бензольном кольце.

II. На примере получения текстильных вспомогательных продуктов показано значение электронной теории строения органич. соединений для понимания сущности протекающих р-ций.

К. Маркузе  
59622. Химия омываемых соединений и значение их для текстильной химии и текстильно-отделочного производства. I. Рат (Der Chemismus der Oniumverbindungen und ihre Bedeutung für die Textilchemie und Textilveredlung I. Rath H.), Melliand Textilber., 1957, 38, № 2, 181—188; № 3, 321—322; № 6, 656—662; № 7, 794—799; № 8, 927—932; № 10, 1166—1171; № 11, 1280—1295; № 12, 1406—1410 (нем.)

59623. Ацетали из поливинилового спирта и оксиароматических альдегидов. Их химическое окрашивание, основанное на сочетании с диазониальными соединениями. Танабэ, Мацубаяси (Tanabe Kenichi, Matsubayashi Kanji), Санъи гаккайси, J. Soc. Text. and Cellulose Inds, Japan, 1957, 13, № 9, 623—628 (японск.; рез. англ.)

Термообработанные волокна из поливинилового спирта (ПВС) могут быть превращены в окрашенные высокомолекулярные соединения. Для этого действием оксиароматич. альдегидов переводят ПВС в ацеталь, который сочетают с диазосолями. Для придания устойчивости к кипящей воде исходное волокно должно быть обработано формальдегидом или бензальдегидом. Оксиароматич. альдегиды, содержащиеся в ароматич. кольце электроотрицательные группы ( $-\text{NO}_2$ ,  $-\text{COOH}$ ,  $-\text{Br}$ ), более легко дают ацетали с ПВС, однако, принимая во внимание необходимость последующего копуплирования с диазосоединениями, лучше применять оксиароматич. альдегиды, не содержащие электроотрицательных заместителей, даже если при этом значительно понижается полнота взаимодействия. Выявлено, что при обработке ПВС оксинафтаальдегидом или резорцилальдегидом достаточно введения даже нескольких десятых молярных процентов ацетальных групп, чтобы обеспечить возможность глубокого окрашивания волокна. В результате сочетания с диазосоединениями различных ароматич. аминов получают окраски желтых, оранжевых, красных, пурпурных, коричневых и черного цветов. Однако в этой гамме отсутствуют окраски синих и голубых оттенков.

О. Голосенко  
59624. Крашение и отделка изделий из волокна дайнея. — (Finishing and dyeing of 'Dyneal' fabrics.), Fibres, 1957, 18, № 12, 397—399 (англ.)

Общие сведения о свойствах акрилового волокна дайнея, особенностях его переработки и способах крашения и отделки изделий, содержащих дайнея в смеси с шерстью, вискозой и хлопком.

И. Козлов  
59625. Крашение тергала в присутствии переносчиков и влияние переносчиков на механические и физические свойства волокна. Лионне (Teinture du tergal par la méthode des carriers et influence des carriers sur les propriétés mécaniques et physiques de la fibre. Lyonnet Jacques), Rev. text., 1957, 56, № 9—10, 593—599 (франц.)

Изучено влияние концентрации о-фенилфенола, п-фенилфенола, метилфенилкарбинола, метилового эфира салициловой к-ты, ксилола, толуола, о-дихлорбензола, а также бензойной и салициловой к-ты на свойства филаментарного полиэфирного волокна тергаль. Получены кривые изменения нагрузки, отвечающей пределу эластичного удлинения нити (2%), изменения величины удлинения нитей под определенным грузом (800 г) и изменения усадки нитей, под влиянием нарастающей концентрации переносчика в ванне. Обработка образцов производилась в условиях крашения, при модуле 1:40, t-ре 100° и длительности 90 мин.

О. Голосенко  
59626. Нейлоновое волокно и ткань. Часть II. Мехра (Nylon fibre and fabric. Part II. Mehra Avinash), Indian Text. J., 1956, 67, № 795, 170—172 (англ.)

Рассмотрены методы стабилизации, отбели и крашения изделий из нейлонового волокна. Часть I см. РЖХим, 1957, 59270.

Р. Муромова  
59627. Обработка тканей из смесок триацетата и вискозы. Уордл (Processing triacetate/viscose blend cloths. Wardle J.), Man-Made Text., 1957, 34, № 403, 70—72 (англ.)

Рассматриваются технологич. процессы подготовки, крашения и отделки указанного вида тканей и даются практич. рекомендации фирмы Курто.

О. Голосенко  
59628. Замечания о крашении и применении вилолана. II. Крашение вилолана. Указания о его применении. Гралинский (Uwagi o barwieniu i zastosowaniu wipolanu. II. Barwienie wipolanu. Wskazówki odnośnie jego zastosowania. Graliński Mirosław), Włókiennictwo, 1956, 5, № 5, 116—118 (польск.)

Рассмотрены методы крашения, а также группы красителей, пригодных для крашения казеинового волокна (КВ) вилолана. Принимая во внимание малую устойчивость КВ к воде и большие трудности крашения смесок шерсть — КВ, это волокно находит очень ограниченное применение для изготовления текстильных изделий. Сообщение I см. РЖХим, 1957, 64948.

М. Ковальски  
59629. Крашение при высоких температурах. Яннагоне (Why high temperature dyeing? Iannagone J. J., Jr), Canad. Text. J., 1957, 74, № 26, 47—52 (англ.)

Обсуждены условия и преимущества крашения (К) отдельных видов волокон при t-рах > 100°. Такие способы К позволяют во многих случаях значительно повысить процент использования красителей, а в случае волокон дакрон и арнел избежать применения дорогостоящих переносчиков. При t-рах > 100° значительно сокращается продолжительность обработки, улучшается эгаллизация красителя и глубина прокраса пряжи, повышается прочность крашения. Указаны виды оборудования, применяемого для крашения под давлением, и производственные режимы. Отмечены области применения и условия крашения при t-ре > 100° также из неводн. среды (термозольный способ, способы крашения с применением расплавленной мочевины, диглицилгликоля).

О. Голосенко  
59630. Высокотемпературное крашение на аппаратах с циркулирующей ванной. Стивенерлинк (Über das Färben mit hohen Temperaturen auf Apparaten mit zirkulierender Flotte. Steverlynck Bau-doin), Textil-Praxis, 1956, 11, № 2, 155—160 (нем.; рез. англ., франц., исп.)

Обзор развития конструкций циркуляционных красильных аппаратов. Применение t-р > 100° позволяет значительно повысить скорость процесса, улучшить прокрас волокна и равномерность окраски, поскольку



с повышением т-ры выше известного предела субстантивные свойства красителей понижаются. Для крашения при т-ре  $> 100^\circ$  предложено применять аппараты системы Стивенлинка, в которых создается статич. давление, превышающее упругость паров нагретой жидкости. Это устраняет вскипание жидкости по пути к насосу и обеспечивает хорошую циркуляцию. Разработан новый так называемый интегральный способ крашения, при котором краситель вводят в аппарат постепенно, со скоростью, не превышающей скорость диффузии красителя внутрь волокна. Проведение процесса крашения при невысоких конц-ях красителя в ванне особенно рекомендуется при использовании красителей с низкой или ограниченной растворимостью.

П. Морыганов

**59631.** Крашение пряжи из синтетических волокон на шпулях ромбической мотки. Зам (Das Färben von Chemiefäden auf Rautenspulen. Sahm Georg), Melland Textilber., 1956, 37, № 9, 1071—1072 (нем.; рез. англ., франц., исп.)

Крашение пряжи из синтетич. волокон на шпулях обычной или прецизионной крестовой мотки не дает удовлетворительных результатов. Это объясняется неравномерным расположением нитей в различных слоях при их наматывании на шпулю, что создает неодинаковое сопротивление прохождению красильного р-ра. Баденской англичановой и содовой фабрикам удалось добиться равномерного крашения пряжи из различных синтетич. волокон при условии ромбич. их намотки на шпули. Описан принцип работы новой мотальной машины, обеспечивающей идеально-равномерную и мягкую намотку нитей на цилиндрич. шпулю при постоянной величине их натяжения.

П. Морыганов

**59632.** Крашение на красильной машине «доминант» завода Гербер (в Крельде). Фогель (Färben auf der «Dominant»-Färbemaschine der Maschinenfabrik Gerber, Krefeld. Vogel R.), Textil-Praxis, 1956, 11, № 4, 393—396 (нем.; рез. англ., франц., исп.)

Описаны конструкция и режим крашения моточной пряжи на машине «доминант». На этой машине можно красить пряжу из различных волокон прямыми, кубовыми, холодными и целлюлозовыми красителями. Более подробно приведены режимы и рецептура крашения вискозной пряжи кубовыми красителями в различные оттенки.

П. Морыганов

**59633.** Новые области применения плюсовочно-роликовой системы. Мельбин (New aspects of the Pad-Roll system. Mellbin Bertil), Amer. Dyestuff Reporter, 1957, 46, № 21, 770—776 (англ.)

Обсуждается опыт использования установки Svenska Textilmaskinfabriken, первоначально предназначенной для крашения тканей по плюсовочно-роликовому методу, также и для целей расщепловки, отварки и хлоритного белизны тканей. Внесенные в конструкцию установки усовершенствования делают ее теперь вполне универсальной.

О. Голосенко

**59634.** Проблемы, связанные с разработкой нового ассортимента красителей для синтетических волокон. Вюрц (Probleme bei der Aufstellung neuer Farbstoffsortimente für synthetische Fasern. Würz Albrecht), Textil-Praxis, 1958, 13, № 1, 66—69, (10) (нем.; рез. англ., франц., исп.)

Обсуждаются вопросы, которые приходится разрешать производящим красители з-дам, при проведении испытаний, выборе и разработке новых марок красителей, предназначенных для крашения того или иного вида синтетич. волокон.

К. Маркузе

**59635.** Имитация замши. Соломон (Imitație de «piele de câprioară». Solomon I.), Ind. textila, 1957, 8, № 8, 361—365 (рум.; рез. русск., нем., франц., англ.)

Технологический процесс крашения и отделки трикотажного полотна, изготовленного с применением двух основ на машине Симплекс, состоит из следующих операций: отварки полотна, сушки, плюсования р-ром NaOH, уд. в. 1,263, промывки, нейтр-ции, сушки на сушильной раме или на каландре с сукном, обработки на наждачной машине, крашения, сушки, аэрирования, сушки и обработки на щеточной машине.

О. Славина

**59636.** Непрерывное проявление окрасок диазотизируемыми красителями. Керн (Das kontinuierliche Entwickeln von Färbungen mit Diazaminfarbstoffen. Kern R.), Melland Textilber., 1958, 39, № 1, 66 (нем.; рез. англ., франц., исп.)

При непрерывном способе диазотирования и сочетания прямых красителей, проводимом на широкопрогонном аппарате, необходимо пользоваться подогреваемыми р-рами. Во избежание сильного выделения окислов азота р-ры  $\text{NaNO}_2$  и HCl должны находиться в раздельных ваннах. Рекомендуется следующий режим обработки: мокрый отжатый материал пропускают последовательно через р-р  $\text{NaNO}_2$  20 г/л, р-р HCl 20 г/л, промывную ванну, р-р  $\beta$ -нафтола 10 г/л (или диамина) и последующие отделения аппарата с моющими ваннами. Т-ра р-ров HCl,  $\text{NaNO}_2$  и  $\beta$ -нафтола должна поддерживаться на уровне  $50^\circ$ , а длительность обработки ткани в каждом из них составлять 15 сек. Между всеми отделениями аппарата должны находиться отжимные валы. Приведен список диазотизируемых красителей, дающих по этому способу результаты, не уступающие получаемым при обычном способе проявления.

О. Славина

**59637.** Цибалановые красители. Бибель (Barwniki cibalanowe. Bibel Tadeusz), Włókiennictwo, 1956, 5, № 5, 119—120 (польск.)

Рассмотрены свойства и особенности цибалановых красителей, приведены способы крашения и практич. сведения.

М. Ковальски

**59638.** Применение в крашении хромосодержащих красителей с комплексом 1:1. Вюрц (1:1-Chromkomplexfarbstoffe in der Färberei. Würz Albrecht), Z. ges. Textilind., 1955, 57, № 11, 625—626 (нем.)

При крашении палатиновыми и неопалатиновыми красителями (К) шерсти применение вспомогательных в-в, взаимодействующих с К (палатиновая соль О, неканиль АС спец.), позволяет без ухудшения равномерности окрасок снизить необходимую конц-ию  $\text{H}_2\text{SO}_4$  в ванне в  $\sim 2$  раза. Применение неопалатиновых К обеспечивает получение более прочных окрасок, общая прочность которых соответствует К с комплексом 1:2 (цибалановые и иргалановые К). Вследствие особенности строения неопалатиновых К окрашивают шерсть в обычных условиях кислотного крашения. Это способствует сохранению прочности волокна и повышению его прядильной способности. Благодаря способности К обеспечивать хорошее прокрашивание материала они представляют особый интерес для крашения фетровых кошаков. На полиамидных волокнах неопалатиновые К дают менее прочные окраски. Поэтому смешанные изделия из шерсти и полиамидных волокон более целесообразно окрашивать К палатинового типа.

Н. Соколова

**59639.** Опыт тинкториальной синоптики индантренов. Вебер (Versuch einer tinktoriellen Synoptik der Indanthrene. Weber F.), Prakt. Chem., 1957, 8, № 12, 416—417 (нем.)

Краткие пояснения к обзорной таблице красильных свойств индантреновых красителей и перечень литературы, использованной при составлении таблицы.

Л. Беленький

**59640.** Влияние продолжительности запаривания при плюсовочно-запарном способе крашения микродис-

первыми цибаоновыми красителями. Петер, Ульрих (Über den Einfluss der Dämpfzeit in der Rad-Steam-Färberei mit Cibanonfarbstoffen mikrodispers. Peter M., Ulrich P.), Textil-Praxis, 1957, 12, № 11, 1441, 10 (нем.; рез. англ., франц., исп.).

Установлено, что при крашении микродисперсными марками цибаоновых красителей требуется кратковременное пребывание ткани в зрельнике (15–40 сек.). Более длительное запаривание может вызвать нежелательное изменение оттенка.

И. Козлов  
59641. Крашение ацетатного волокна. Садов Ф. И., Калинин К. Г., Изв. высш. учебн. заведений. Технол. текстильн. пром-сти, 1957, № 4, 143–150

Найдено, что обработка ацетатного волокна (А) в буферном р-ре из NaOH и Na<sub>2</sub>HPO<sub>4</sub> при pH 10,6–10,8 и t-ре до 60° в присутствии одного из «защитных» реагентов: мочевины (100 г/л), формалина (10–30 г/л), препарата ДЦУ (30 г/л) или ронгалита (20–30 г/л) — значительно повышает набухание волокна, почти не изменяя при этом механич. свойств, содержания ацетильных групп и растворимости А в ацетоне. Предложен следующий режим и рецептура крашения А нерастворимыми азокрасителями. Ткань обрабатывают в ванне, содержащей (в г/л): азотата 10, аллизаринового масла (50%) 3, NaOH (20%) 12–16, Na<sub>2</sub>HPO<sub>4</sub> 24, формалина 10 (или ДЦУ 30), в течение 20 мин. при 45–55°, отжимают и проводят сочетание при 20–30° в течение 20–40 мин. в р-ре диазоля 2–5 г/л. В присутствии перечисленных защитных добавок возможно проведение крашения А щел. р-рами диазминов или кубовых красителей.

И. Козлов  
59642. Новый подход к крашению целлюлозы. Уэстон (New approach to cellulose dyeing. Weston C. D.), Dyer, 1958, 119, № 3, 175 (англ.).

В результате взаимодействия проционовых красителей с природной или регеперированной целлюлозой при pH 9,5–11,0 происходит замещение водорода OH-группы целлюлозы на остаток красителя. Полагая, что р-ция протекает только в аморфных частях целлюлозы при оттенках средней интенсивности на 1 молекулу красителя приходится ~100 ангидроглюкозных остатков. Скорость р-ции довольно высока. При 100° она протекает в 3–6 сек., а при 20–25° за промежуток времени, не превышающий длительности обычного производственного цикла крашения. При кислотном гидролизе ковалентная хим. связь между красителем и волокном нарушается. На этом основан способ частичной сгонки красителя с окрашенных изделий. Светопрочность всех красителей желтых и голубых цветов высокая, но красителей красного цвета умеренная. Особенность проционовых красителей состоит в том, что у них показатель светопрочности не ухудшается даже при сильном снижении концентрации красителя на волокне. При плюсовании р-ром красителя и NaHCO<sub>3</sub> светлые оттенки закрепляются в процессе сушки ткани. При темных оттенках требуется увеличить длительность взаимодействия, что достигается введением в плюсовочный р-р высоких концентраций мочевины или применением запаривания высушенной ткани. При красителях, обладающих повышенным сходством к волокну (пропигн желтый R, ярко-оранжевый G), введение в р-р нейтр. электролита позволяет выпустить сушку ткани перед процессом запаривания.

О. Голосенко

59643. Практический опыт крашения смешанных тканей из шерсти и дракона. Бон (Praxiserfahrungen beim Färben von Wolle/Dralon-Mischungen. Bohn K.), Textil-Praxis, 1956, 11, № 8, 828–832 (нем.).

При крашении (K) тканей из смеси шерсти и дракона (D) применяют главным образом катионные (астрозоновые) красители в комбинации с шерстяными анионными красителями. Шерстяное волокно бы-

стро выбирает катионные красители из ванны и поэтому вначале шерсть окрасивается ими значительно интенсивнее D. Однако вследствие того, что D имеет более высокое сродство к этим красителям, при последующем K краситель постепенно переходит с шерсти на D. Степень выравнивания определяется t-рой K, величиной pH, вспомогательными добавками и длительностью K. В статье приведен список красителей и вспомогательных в-в, наиболее пригодных для K смесей из шерсти и D. Описаны три проверенные автором способа K (двухванный, однованный и однованный ступенчатый), которым дана сравнительная оценка. Лучших результатов достигают при двухванном способе K, при котором сперва применяют катионные, а затем кислотные красители.

П. Морганов  
59644. Исследование свойств крахмальных загусток для ситцепечатных красок. Маклашин А. И., Изв. высш. учебн. заведений. Технол. текстильн. пром-сти, 1957, № 1, 155–165

Предложена методика испытания отдельных свойств крахмальных загусток (3) (вязкости, эластичности, пластичности, клейкости, смываемости, процента расщепленного крахмала). Изучено влияние различных добавок (олеиновой к-ты, касторового и хлопкового масла, контакта и др.), а также расщепляющей к-ты на свойства 3 и даны оптимальные нормы расхода материалов. Следующие качеств. показатели крахмальной 3 обеспечивают вполне удовлетворительные результаты печати: вязкость 1200–2500 пауз; эластичность 700–850 дин/см<sup>2</sup>, пластичность 0,3–1,0 сек.-1; подвижность 0,00003–0,00008 г-1/см.-1; клейкость 11–14 г/см<sup>2</sup>; расщепленного крахмала 56–62%; полнота смываемости 3 с ткани 75–80%.

И. Козлов  
59645. Проблемы красителей для печати. Крист (Problèmes des colorants en impression. Christ W.), Teintex, 1957, 22, № 6, 456, 459, 461–462, 465 (франц.).

Обзор по применению новых видов красителей и способов печати тканей.

О. Славина  
59646. Применение ИК-нагрева для подсушки текстильных изделий. Вальтер (Use of infra-red heating in predrying of textiles. Walter Leo), Text. Mercury and Argus, 1957, 137, № 3569, 351, 353–355 (англ.).

На ряде практич. примеров поясняется целесообразность установки ИК-ламп для предварительного подогрева или подсушки текстильных изделий, поступающих в сушильные, нагревательные или конденсационные камеры и аппараты. Теплоота излучения вызывает быстрый разогрев материала, что позволяет заметно повысить скорость и производительность оборудования.

О. Голосенко

59647. Ашретирование тканей поливинилацетатом. Санауха-Бонфиль (Los aprestos de acetato de polivinilo. Sanahuja Bonfill Alberto), Textil. Supl. técn. у inform., 1957, 3, № 165, 8–9 (исп.).

При ашретировании тканей поливинилацетатной эмульсией (I) на изделиях после сушки образуется бесцветная термопластичная прозрачная пленка, плотно закрепляющаяся на всех видах волокон и хорошо противостоящая действию воды, каландрования и глажения. Кратковременное выдерживание ткани после ашретирования I при 150° повышает устойчивость пленки к действию горячей воды. В результате ашретирования ткани I сопротивление разрыву и истиранию повышается, а способность к загрязнению — снижается. В отдельных случаях ашретирование вызывает некоторое изменение оттенка окраски. I обычно применяют в смеси с пластификаторами (дибутилфталат, трикрезилфосфат), наполнителями (декстрин, крахмал, казеин), латексами, ZnO, TiO<sub>2</sub>, а также смолами и поверхностноактивными в-вами. Для повышения вязкости к I могут быть добавлены поливинило-



вый спирт, метилцеллюлоза, карбоксиметилцеллюлоза и т. д.

В. Дашуни  
59648. Некоторые новые способы текстильной отделки. Эванс (Einige neuere Verfahren in der Textilausrüstung. Evans J. G.), Melland Textilber., 1957, 38, № 8, 921—924. Diskuss., 924 (нем.; рез. англ., франц., исп.)

Рассмотрены новые виды отделки хлопчатобумажных и вискозных тканей, получившие практич. применение в английской текстильной пром-сти: тиснение, противосминаемые, устраняющие надобность в глажении изделий после стирки, водоотталкивающие, огнестойкие. Даны краткие сведения об условиях проведения технологич. процессов и применяемых химкатах.

О. Голосенко  
59649. Огнестойкая пропитка текстильных материалов бинарными смесями некоторых солей. Арсениевич, Янчич, Трифунович, Ристанович (Impregnacija tekstila binarnim smešama nekih soli koje ga čine otpornim prema dejstvu vatre. Arsenijević Miro, Jančić Miodrag, Trifunović Dušan, Ristanović Radmila), Tehnika, 1957, 12, № 1, Hem. ind., 11, № 1, 2—7 (сербо-хорв.; рез. франц.)

Исходя из того, что смеси солей плавятся при более низких т-рах, чем отдельные компоненты, причем образуется жидкая фаза, равномерно покрывающая огнестойким слоем всю поверхность текстильного изделия, а также из того, что расплав смеси солей дает более высокий эффект защиты, чем расплав отдельных солей, было изучено огнестойкое действие бинарных смесей солей, взятых в различных мол. соотношениях на тканях из хлопка, регенерированной целлюлозы и пеньки. Результаты показали, что наилучший эффект дает пропитка двойной смесью  $(\text{NH}_4)_2\text{HPO}_4 + (\text{NH}_4)_2\text{SO}_4$  при соотношении в пределах от 40 до 60% любого компонента. Эта смесь начинает плавиться при 95° в то время, как более устойчивая компонента начинает разлагаться при 513°. Несколько худшие результаты дает смесь  $(\text{NH}_4)_2\text{HPO}_4$  и  $\text{NH}_4$ -соли сульфаминовой к-ты при соотношениях от 40 до 55%, которая начинает плавиться при 115°. О. Славина

59650. Разработка способа водоотталкивающей и огнестойкой пропитки текстильных изделий. Оцука, Йоридзанэ (Otsuka Yashiji, Yorizane Taneyuki), Кобе сёсан дайтаку кёб Дайнигун, Rev. Kobe Univ. Mercant. Marine. Part II, 1957, № 4, 135—141 (японск.; рез. англ.)

Хороший эффект гидрофобности и огнестойкости наиболее просто может быть получен следующими способами: а) приданием водоотталкивающих свойств с помощью циркониевых солей и последующей обработкой ткани мочевиной и фосфорнокислым  $\text{NH}_4$  для сообщения ей огнестойкости, б) однованным способом с применением р-ра, содержащего циркониевые соли и  $\text{NH}_4$ -соли сульфаминовой к-ты. Рекомендуется следующий режим: ткань пропитывают в р-ре, содержащем 0,2% циркониевой соли (в расчете на окись циркония), 1—2% воска и 10%  $\text{NH}_4$ -соли сульфаминовой к-ты, отжимают до 100%-ного привеса, сушат 5 мин. при 100° и запекают 10 мин. при 120°. О. Голосенко

59651. Применение карбамид- и карбамидмеламиноформальдегидных смол для понижения сминаемости тканей из вискозного штапельного волокна (шерстяного типа). Димов, Луканов, Божерянов (Използуване на карбамид- и карбамидмеламиноформалдехидните смоли за намаляване мачкаемостта на тъканите от целуланно-вълнен тип. Димов К., Луканов Т., Божерянов Ю.), Лека промышленност, 1957, 6, № 9, 13—17 (болг.)

Установлены условия получения стабильных мочевиноформальдегидных предконденсатов, не изменяю-

щих своих свойств при сроке хранения до 1 месяца. Это позволяет осуществлять централизованное приготовление продукта на одном из хим. предприятий для нужд всей текстильной пром-сти страны. Введение 20—30% меламина в состав предконденсата сильно содействует фиксации смолы и повышению устойчивости отделки к сминанию и стирке. Внедрение несминаемой отделки в пром-сть задерживается недостатком закрытых сушильно-ширильных рам и камер для проведения процесса конденсации. О. Голосенко

59652. Закрепление крахмального аппрета на тканях при помощи синтетических смол. Махновская (Utrwalanie apretury krochmalowej na tkaninie za pomocą żywic syntetycznych. Machnowska Zofia), Włókiennictwo, 1956, 5, № 5, 118—119 (польск.)

Для закрепления крахмальных аппретов на целлюлозной ткани применены мочевиновые (МС) и меламиноформальдегидные смолы (МФС), которые химически взаимодействуют с крахмалом и целлюлозой и этим повышают стойкость аппрета к стирке. После 6-кратной стирки аппретированной ткани сохраняется 72% крахмала, тогда как в отсутствие смол остается только 20%. Механич. прочность ткани не снижается. МФС дают лучшие результаты, чем МС. Пример. К 80 ч. р-ра частично расщепленного крахмала прибавляют 10 ч. МС или МФС и кипятят 10—15 мин. После охлаждения до 50° прибавляют катализатор, напр.  $\text{Zn}(\text{NO}_3)_2$ ,  $\text{NH}_4\text{H}_2\text{PO}_4$ ,  $(\text{NH}_4)_2\text{HPO}_4$  или органич. к-ту. Сухую ткань пропитывают этим аппретом, отжимают, сушат при 70—80°, прогревают в сушилке в течение 4 мин. при т-ре 135—140° и промывают.

М. Kowalaki

59653. Статическое электричество в текстильной промышленности и антистатические препараты. Кех (Statisk elektricitet i textilindustrien. Med særligt henblik på antistatisk virksomme produkter. Koch Bent), Tidsskr. textilekn., 1957, 15, № 10, 171—174 (датск.; рез. англ.)

Обсуждается способность текстильных волокон электризоваться при трении и влияние на это свойство электрич. проводимости материалов. Дан обзор и характеристика антистатич. средств, причем отмечена трудность их хим. классификации. Приведены примеры применения этих в-в. О. Славина

59654. Микробиологические испытания. Нопич (Mikrobiologische Teste. Nopitsch M.), Melland Textilber., 1957, 38, № 8, 932—937 (нем.; рез. англ., франц., исп.)

Перечислены виды микроорганизмов, вызывающих разрушение текстильных изделий из растительных и животных волокон, и обсуждены условия, при которых оно наступает. Подробно и критически рассмотрены используемые в ФРГ и за рубежом лабор. способы испытания различных видов растительных изделий на их устойчивость к воздействию микроорганизмов и методы оценки эффективности спец. аппретурующих продуктов, обладающих бактерицидными свойствами.

О. Голосенко

59655. К вопросу испытания текстильных материалов на устойчивость к плесневым грибкам. Хаузам (Zur Frage der Prüfung von Textilien auf Widerstandsfähigkeit gegen Schimmelpilze. Haussam W.), Z. ges. Textilind., 1957, 59, № 17, 712—715 (нем.)

При обработке тяжелых тканей (палаточных, автомобильных, брезентов) щел. р-ром смеси высокоокисленного фенола и пентахлорфенола (1:1), в конц-ии >1—1,5% (к весу сухого волокна), достигается устойчивость к *Chaetomium globosum*. Устойчивость придается обработкой во второй ванне эмульсиями парафина, воска или синтетич. смол. В связи с гидрофобностью пропитки предлагается (в дополнение к проектам стандартов DIN № 53930 и

53031) пользоваться для испытаний тканей на устойчивость к грибкам искусств. питательной средой, содержащей глюкозу, декстрозу или сахарозу. Ткань следует помещать при этом на стеклянную пластинку над питательной средой.

Л. Белецкий  
59656. **Электростатические свойства отделанной пряжи из ацетицеллюлозных волокон.** Спрокел (Electrostatic properties of finished cellulose acetate yarn. Sprokel G. J.), Text. Res. J., 1957, 27, № 7, 501—515 (англ.)

Описаны способы и приборы для измерения величин электр. сопротивления пряжи и образующегося на ней электростатич. заряда. Электростатич. поведение пряжи в основном определяется величиной ее электропроводности, так как от последней зависит скорость отвода возникающих при трении зарядов. При малом сопротивлении порядка  $\sim 10^{12}$ — $10^{13}$  ом·см<sup>-1</sup>, достигнутом электропроводящим покрытием пряжи, заряд уже не поддается определению на некотором расстоянии от места его возникновения. Электростатическое сопротивление пряжи может быть рассчитано по величине уд. проводимости замасливателя (р-ра антистатич. препарата в минер. масле) и кол-ву наносимого ашпрета. При применении водн. эмульсий такой расчет невыполним. Сопротивление пряжи и величина заряда понижаются с нарастанием влажности атмосферы. При этом величина снижения для ацетатного волокна, в отличие от вискозного, зависит от свойств ашпретирующих материалов.

К. Маркузе  
59657. **Происхождение пороков, пятен и изъязов, образующихся при крашении, набивке и ашпретировании; обнаружение их и средства для их исправления и устранения.** Колон (Origine des défauts, taches, tares, constatés en teinture, impression et aux apprêts. Colomb P.), Teintex, 1957, 22, № 11, 845—846, 849, 851, 852, 855, 857 (франц.)

Обзор дефектов, образующихся при несминаемой отделке тканей искусств. смолами, и рекомендации по проведению процессов пропитки, отжима, сушки и полимеризации, а также по применению вспомогательных в-в. Начало см. РЖХИМ, 1957, 24488.

О. Славина  
59658. **Изменение размеров и прочности стиранных бельевых тканей при сушке.** Виртель (Maßänderung und Faserbeanspruchung von Wäschestoffen beim Trocknen. Viertel O.), Wäscherei-Techn. und Chem., 1956, № 7, 469—472 (нем.)

Исследовано влияние способов сушки стиранных тканей на степень их усадки. Проверены следующие методы сушки: воздушная, сушка утюгом, сушка на катках при  $t$ -ре 160—210°, сушка на прессе и на тумблере, обогреваемом газом до 100°. Установлено, что с увеличением натяжения ткани при сушке размер конечной усадки понижается. Исследовано также влияние методов сушки на деструкцию целлюлозы (степень полимеризации) и на прочность ткани. Установлено, что сушка при  $t$ -ре 210° вызывает повреждение волокна.

П. Морытанов  
59659. **Выделение (паров) формальдегида из текстильных изделий.** Бейкон, Паркер, Хорн (Formaldehyde evolution from textiles. Bacon Osborne C., Parker Meredith F., Horn Leon F.), Amer. Dyestuff Reporter, 1957, 46, № 24, P933—P936 (англ.)

Разработан колич. метод определения  $\text{CH}_2\text{O}$ , выделяющегося при хранении тканей, подвергнутых пропитке несминаемой отделке смолами диметилолэтиленкарбамидного типа. Образцы тканей выдерживают в закрытых сосудах над водно-глицериновым р-ром, в котором соотношение воды к глицерину выбирают соответственно требуемой степени влажности атмосферы. Через некоторый промежуток времени поглощенный

водою формальдегид определяют колориметрич. или спектроскопич. ( $\lambda = 515$  м $\mu$ ) способом, по интенсивности цветной р-ции  $\text{CH}_2\text{O}$  с фенилгидразином,  $\text{K}_2\text{Fe}(\text{CN})_6$  и  $\text{NaOH}$ . Из эксперим. полученных кривых (отражающих поведение тканей в течение 6 недель хранения при 40° и влажности воздуха 90—100%) следует, что выделение  $\text{CH}_2\text{O}$  снижается при понижении начального содержания свободного  $\text{CH}_2\text{O}$  в отделочном препарате с 4 до 0,8% (к весу диметилолэтиленмочевины), при применении в качестве катализатора  $\text{MgCl}_2$  взамен  $\text{NH}_4\text{Cl}$  и очень резко снижается при применении щел. промывки термообработанной ткани.

О. Голосенко  
59660. **Применение аппаратов искусственной инсоляции для определения светостойкости (окраски).**— (Emploi des appareils d'insolation artificielle pour l'essai de solidité à la lumière.—), Teint. et apprêts, 1957, № 43, 240—241 (франц.)

Комиссия по изучению методов испытания прочности окрасок Текстильного ин-та Франции составила проект общих рекомендаций по способу оценки светостойкости окрашенных и набивных изделий с применением искусств. источников света. Допускается использование следующих источников света: фотометра FDAR, везерометра (без орошения образцов водой), флюжидометра, лампы CPA, ксенотеста. Испытанные образцы инсолируют в установленных условиях совместно с набором голубых типов светостойкости. Через необходимые промежутки времени образцы перекрывают. Цифровую оценку прочности производят по тому же способу, как и при естественной инсоляции. Во многих случаях не требуется точной оценки светостойкости образца, нужно лишь установить, что его светостойкость превышает определенный минимум (напр., 4). В таком случае испытание заканчивается в короткий срок.

О. Голосенко  
59661. **Цветовой контроль окрашенных смешанных тканей.** Мурата, Огихара (Murata Kazuo, Oishi, Ogihara Takao), Сэнъи гаккайси, J. Soc. Text. and Cellulose Inds, Japan, 1957, 13, № 10, 693—702 (японск.; рез. англ.)

Сложность расчета показателей отклонения цвета в единицах, предложенных американским Бюро стандартов, при контроле красильных свойств смешанных тканей из вискозного и ацетатного волокна заставляла искать более простого метода определения. Найдено, что цветовые различия могут быть выведены из величин отражения данных для волн на кривой спектрального отражения. Для проведения испытания выбраны красители синего цвета как дающие меньший эллипс Мак Адама. Окрашивают по 3 образца ткани в отдельности прямым красителем (азин ярко-синим 6В конц.) и ацетатным красителем (диациллитонпрочным ярко-синим BF), после чего определяют величины отражения (R) при 480, 580 и 650 м $\mu$  как для неокрашенных, так и окрашенных прямыми и целлюлозовыми красителями образцов. Расчет результатов: для неокрашенной ткани  $y = 0,56 x_1 + 1,11$ ; для ткани, окрашенной прямым красителем,  $y = 0,92 x_2 + 1,3$  и для ткани, окрашенной целлюлозовым красителем,  $y = 0,77 x_3 + 1,0$ , где  $y$  — цветовое различие в единицах эллипса Мак Адама,  $x_1 = (1 - R_{480}/R_{580}) 100$ ,  $x_2 = R_{580}$ ,  $x_3 = R_{650}$ , а R — степень отражения при указанных длинах волн.

О. Славина  
59662. **Номограмма для вычисления цветовых различий по уравнению Адамса-Никерсона.** Адамс, Дерби, Эрнбергер, Соло (A nomograph for calculating color differences using the Adams-Nickerson equation. Adams Douglas P., Derby Roland E., Jr, Ernberger Roxxy E., Solo Richard B.), Amer. Dyestuff Reporter, 1957, 46, № 18, 649—654 (англ.)



Предложена номограмма для вычисления цветовых различий (изменения оттенков), возникающих при выцветании или хим. обработках окрашенных материалов по ур-нию Адамса—Никерсон  $\Delta E = 40 \{ [0,23 \Delta V_y P + [\Delta(V_x - V_y)P + [0,40(V_z - V_y)P]^2]^{1/2} \}$ , где функции  $V_x$ ,  $V_y$  и  $V_z$  обычно находят по таблицам после эксперим. определения цветовых координат  $x$ ,  $y$ ,  $z$ . Расчет с помощью номограммы занимает менее 5 мин.; средняя погрешность составляет 1,9%; пользование таблицами для  $V$  при этом отпадает.

Л. Беленький

**59663 Д.** Исследование химических превращений макромолекулы целлюлозы хлопкового волокна под действием света. Вилчева Р. И. Автореф. дисс. канд. техн. н., Моск. текстильн. ин-т, М., 1958

**59664 П.** Способ получения шликты для пряжи из синтетических волокон. Лончковский, Вольфрам (Sposób otrzymywania klejówki do przędzy z włókien syntetycznych. Łączkowski Marcelli, Wolfram Lech) [Instytut Włókien Sztucznych i Syntetycznych]. Польшк. пат. 38249, 30.08.55

Предлагается к шликте, полученной на основе поливинилового спирта (I), добавлять 5—20% (от веса I) частично нейтрализованной полиакриловой или полиметакриловой к-ты (II). Возможно одновременное введение 2—5% алифатич. спиртов, содержащих 1—4 атома С. Полученные шликты имеют рН 6 и образуют прочную эластичную пленку на поверхности синтетич. волокон. Примеры шликтовальных составов 1. К 70—90 ч. 5—8%-ного водн. р-ра I с вязкостью 10—20 спуаз добавляют 10—30 ч. 5—15%-ного водн. р-ра II, нейтрализованного  $\text{Na}_2\text{CO}_3$  или  $\text{K}_2\text{CO}_3$ . 2. К 60 ч. I, растворенного при нагревании (50°) в 900 ч. воды, после охлаждения добавляют 40 ч. воды и 150 ч. 7%-ного водн. р-ра II, содержащего 0,6 ч.  $\text{Na}_2\text{CO}_3$ . 3. К смеси, состоящей из 83 ч. 6%-ного водн. р-ра I и 13 ч. 7%-ного водн. р-ра II, добавляют 2 ч. этиленгликоля и 2 ч. этилового спирта. Э. Натхан

**59665 П.** Способ получения кубовых окрасок. Бёнер, Любке, Шнейдер (Verfahren zur Erzeugung von Küpfenfarbungen. Böhner Georg, Lübcke Enno, Schneider Erich) [Badische Anilin- & Soda-Fabrik A.-G.]. Пат. ФРГ 1010496, 28.11.57

Для получения окрасок по плюсовочно-запарному способу кубовый краситель рекомендуется диспергировать в эмульсионной среде типа «вода в масле», получаемой введением водн. фазы в жидкие углеводороды с т. кип. 80—220° в присутствии неполимеризирующихся эмульгаторов, обладающих хорошей растворимостью в масляной фазе и низкой растворимостью в воде. Подобного вида плюсовочные составы не содержат твердых пленкообразующих в-в и препятствуют миграции частиц красителя в процессе сушки оплюсованной ткани. Отличие патентуемого способа заключается в применении таких эмульгаторов, которые в процессе обработки в щел. восстановительном р-ре под воздействием щелочи утрачивают свою растворимость в органич. р-рителях и приобретают хорошую растворимость в воде, улучшая при этом смачиваемость ткани восстановительным р-ром. Это содействует пропитке материала и равномерности его окраски и, кроме того, существенно облегчает последующее вымывание эмульгатора с ткани. В качестве эмульгаторов могут быть применены соли органич. оснований и алкилированными ароматич. сульфоновыми к-тами или продукты конденсации высокомолекулярных жирных к-т с фенилендиамном или 4,4'-диаминодифенилметаном. Пример. В смеси, содержащей 50 г продукта конденсации 2 молей стеариновой

к-ты с 1 молем 4,4'-диаминодифенилметана и 90 г алифатич. углеводородов (из фракции, перегоняющейся в интервале 140—200°), эмульгируют 860 мл водн. дисперсии индиготронового красителя (содержащей 30 г сухого красителя). Полученной суспензией наносят на нераспущенную суровую хлопчатобумажную ткань, сушат, пропитывают щел. восстановительным р-ром, запаривают в зрельнике, окисляют, промывают и мылуют. О. Голосянко

**59666 П.** Способ крашения изделий из поливинилхлорида. Барт (Verfahren zum Färben von Polyvinylchlorid-Erzeugnissen. Barth Karl). Пат. ГДР 13250, 31.05.57

Изделия из поливинилхлоридных волокон могут быть равномерно окрашены сернистыми красителями в светлые оттенки, если их перед процессом крашения подвергают обработке в 0,1—0,3%-ном р-ре закрепителя цианамидного типа (вофафикса WWS) в течение 20—30 мин. при 25—40°. После этого изделия промывают и окрашивают в ванне, содержащей сернистый краситель (растворенный в минимально необходимом кол-ве  $\text{Na}_2\text{S}$ ) и  $\text{NaHCO}_3$  при рН ~ 10. Затем следует окисление на воздухе и промывка. Для получения более глубоких окрасок ткань подвергают дополнительной обработке закрепителем и повторному крашению. При заключительной обработке окрашенных изделий медьсодержащими закрепителями цианамидного типа (вофафиксом S специальным) светопрозрачность окрасок сильно повышается. Пример. 10 кг пряжи из поливинилхлоридных волокон отваривают при 60° в течение 1 часа в 400 л воды, содержащей 0,4 кг  $\text{Na}_2\text{CO}_3$  и 0,8 кг алкилсульфоната. После промывки пряжу обрабатывают 30 мин. при 30° в р-ре 0,8 кг вофафикса WWS в 400 л воды, промывают и красят при рН 10 в ванне, содержащей в 400 л воды 400 г диспергатора (из лигнинсульфокислоты Na и триптоламина), 100 мл  $\text{NH}_4\text{OH}$  (жонч. р-р), 500 г сернистого коричневого MR (предварительно разваренного в 20-кратном кол-ве воды с 750 г  $\text{Na}_2\text{S}$  крист.) и 2 кг  $\text{NaHCO}_3$ . Крашение начинают при 60°, вводят  $\text{Na}_2\text{SO}_4$  и поднимают т-ру до 80° в течение 1,5 часа. Окрашенный материал окисляют на воздухе, промывают, мылуют и обрабатывают антистатич. и умягчающим препаратом. Получают светло-коричневый цвет, имеющий хорошую прочность к свету и трению и очень хорошую прочность к воде, поту и мылу. О. Голосянко

**59667 П.** Способ печати или плюсования пигментными красителями. Клейнер, Леман (Verfahren zur Herstellung von Pigmentdrucken oder -klotzungen. Kleiner Helmut, Lehmann Wolfgang) [Farbenfabriken Bayer A.-G.]. Пат. ФРГ 915329, 11.07.57

Для закрепления пигментных красителей на текстильных изделиях применяют растворимые (или плавкие) полимеризаты, конденсаты или продукты полиприсоединения, содержащие в молекуле основные amino- или иминогруппы и, кроме того, другие группы, способные реагировать с этими основными группами с образованием нерастворимых соединений трехмерной структуры. Подобной композицией тканей печатают или плюсоват и закрепляют посредством нагревания до т-ры > 100°. Для предотвращения преждевременного сеткообразования основные группы могут быть связаны летучими или слабыми к-тами в форме солей. В качестве исходных продуктов применяют полиамины высокомолекулярных углеводородов, липидные полимеры, полиэферы, полиамиды, полиизоцианаты, полиалкиленимины, а также содержащие аминогруппы искусственные или природные смолы. Пример 1. 500 г полимерного бутилового эфира акриловой к-ты кипятят 8—10 час. (в сосуде с обратным холодильником) с 350 г тетраметиленамина и 500 г

бутанола, пока освобожденная от р-рителя проба не будет растворяться в разб.  $\text{CH}_3\text{COOH}$ . После этого отгоняют в вакууме избыток амина и р-ритель и остаток многократно промывают водой. Пасту нейтрализуют  $\text{CH}_3\text{COOH}$  и доводят водой до 40%-ной конц-ии. Содержание основного N должно составлять  $\sim 1,4\%$  (считая на твердое в-во). 200 г водн. 40%-ной пасты смешивают с 350 г трагантиной загустки (65:1000), 300 г воды и 150 г фталоцианина меди (в виде 15%-ной пасты). Этой краской печатают хлопчатобумажную ткань, сушат и закрепляют 30-минутным нагреванием при  $140^\circ$ . Пример 2. Двуслойная полимочевина с числом вязкости 138, полученная из 0,2 моля диэтилентриамина, 0,8 моля  $\gamma,\gamma'$ -диаминодипропилметиламина и 1 моля гексан-1,6-диизоцианата используется в лигментной печати по следующему способу: ткань из хлопка или штапельного вискозного волокна печатают краской, содержащей 400 г 10%-ного уксуснокислого р-ра полимочевины, 150 г 15%-ной пасты фталоцианина Cu и 550 г воды, затем фиксируют 5-минутным прогреванием ткани при  $100^\circ$ . О. Голосенко

59668 П. Способ получения белых и цветных резервов при крашении фталоцианиновыми красителями. Эйбль (Verfahren zur Herstellung von Weiß- und Buntreserven beim Färben mit Phthalocyaninfarbstoffen. Eibl Johannes) [Farbenfabriken Bayer A.-G.]. Пат. ФРГ 1007733, 17.10.57

Предложен улучшенный метод получения резервных расцветок по фталоцианиновым красителям, обеспечивающий более надежные результаты. По этому способу ткань перед печатью плюсуется исходными для синтеза фталоцианина ингредиентами, но в отсутствие компонентов, содержащих тяжелый металл. Эту компоненту наносят после набивки резерва и затем проявляют окраску обычным способом. Пример. 50 г производного 3-иминоизоиндоленина, пригодного для синтеза фталоцианинового красителя, растворяют в 150—200 г органич. р-рителя (состоящего из смеси четвертичных аминов, аминспиртов и гликолей) и разбавляют 700 г воды. Ткань плюсуется этим р-ром, сушат и набивают белым или цветным резервным узором. После сушки ткань вторично плюсуется 5—10%-ным р-ром соединения Cu, сушат и запаривают для проявления окраски. О. Голосенко

59669 П. Новые виды текстильных изделий. Шезо, Тиссо (Nouveaux articles textiles. Chezaud Jean, Tissot Louis) [Soc. Rhodiaceta]. Франц. пат. 1130282, 4.02.57

Полиамидные волокна заметно укорачиваются при кипячении в воде. Комбинируя в ткани (Т) неусажанные нити (Н) из полиамидных волокон (ПАВ) с усаженными Н из полиамидных или полиэфирных волокон (ПЭВ) и подвергая готовые изделия последующей обработке в горячих ваннах получают на Т рельефные узоры типа клоэ. При обратной комбинации, т. е. при сочетании усаженных Н из ПАВ с неусажанными Н из ПЭВ, такой способ последующей обработки не дает удовлетворительных результатов. Оптимальные условия получения рельефных эффектов на Т этого вида согласно настоящему изобретению заключаются в нагреве изделий до т-ры в пределах  $180\text{--}220^\circ$ . При этом Н из ПАВ усаживаются на 4—5%, а Н из ПЭВ — на 12—15%. Такого различия в усадке достаточно для получения хорошего рельефного узора. Комбинация Н из различных волокон может быть применена в основе, утке или в обоих направлениях Т. Рельфный эффект усиливается при неплотной структуре Т, арможном переплетении, а также повышенном титре и пониженной крутке у Н из ПЭВ. Пример. Применяют Т арможного переплетения, содержащую в основе усаженные Н из полиэтиленгликольтерефталата (65 денье, 33 филамента, крутка правая 600 об/м,

плотность 48 Н на 1 см) и в утке усаженные Н из политексаметилендиамидного волокна (70 денье, 23 филамента, крутка левая 200 об/м), в комбинации с неусажанными Н из полиэтиленгликольтерефталатного волокна (65 денье, 33 филамента, крутка правая 200 об/м), при чередовании 8 Н из ПАВ с 8 Н из ПЭВ и плотности 42 Н на 1 см. Т распухивают обычными способами и пропускают через фиксационную раму (типа Кранц) при т-ре  $220^\circ$ , со скоростью 12 м/мин. Цепи рамы разводят таким образом, чтобы Т имела возможность сократиться на 10% по ширине. В связи с усадкой уточных Н из ПАВ на 4% и Н из ПЭВ на 14% на Т образуются узорчатые выпуклости характера клоэ. При последующем крашении кислотными красителями образуется двухцветный эффект, оттеняющий рельефную фактуру Т. О. Голосенко

59670 П. Ткань, стабилизированная смолой, не удерживающей хлор; способы производства ткани и получения смолы. Райт, Инаморато (Fabric stabilized with non-chlorine retentive resin, method of producing the same, and method of preparing the resin. Wright John Harold, Inamorato Jack T.) [Cluett, Peabody & Co., Inc.]. Пат. США, 2738292, 13.03.56

Для предотвращения усадки (при стирке) тканей из целлюлозных волокон их пропитывают предконденсатом искусств. смол, сушат и конденсируют нагреванием до т-ры  $> 115^\circ$ . Предконденсат смолы предложено получать путем смешения водн. р-ров 1 моля ацетона, 1,2—1,7 моля формальдегида и 1,0—1,4 моля акролеина с щел. катализатором (карбонатами щел. металлов) и нагревания смеси с обратным холодильником. После удаления осадка из реакционной смеси ее вакуумируют для повышения конц-ии и удаления летучих продуктов и запаха. Перед употреблением р-р смолы разбавляют водой до необходимой конц-ии и введением кислого катализатора доводят рН до 2,5—0,7. Пример. Для приготовления смолы берут (в г): ацетона 580, формалина (37%-ного р-ра) 1050, акролеина 730,  $\text{K}_2\text{CO}_3$  6, воды 960. Ацетон и воду загружают в аппарат, после чего частями вводят  $\text{CH}_2\text{O}$  с растворенным в нем  $\text{K}_2\text{CO}_3$  и акролеин. Р-ция носит экзотермич. характер, поэтому на первой стадии аппарат необходимо охлаждать. После полного введения всех компонентов смесь кипятят 15 мин. После охлаждения в массу вводят 10 г фосфорной к-ты (85%-ной) и фильтруют. Для удаления избытка акролеина и  $\text{CH}_2\text{O}$  массу вакуумируют до испарения  $\frac{1}{3}$  объема. Полученная смола содержит сухих в-в 36% и имеет рН 3,5. 139 г этой смолы разбавляют 1 л воды, содержащим 10,9 г сульфата Na и 47,5 бисульфата Na. Ткань из вискозного штапельного волокна пропитывают полученным р-ром, сушат 3 мин. при  $110^\circ$ , запекают 3 мин. при  $138^\circ$  и тщательно промывают. Б. Киселев

59671 П. Улучшение качества тканей из волокон поливинилового спирта. Немото Йосиро (Нако Яити). Японск. пат. 8895, 6.12.55

Ткань из волокон поливинилового спирта (винилона) пропитывают в р-ре алкилениминовых производных изоцианатов (напр., в р-ре октадецилетиленмочевины) в неполярных или слабополярных р-рителях, отжимают и нагревают до определенной т-ры. Обработка имеет своим назначением понизить водопроницаемость и смачиваемость ткани и улучшить ее способность к поглощению кислотных красителей без ухудшения свойств воздухопроницаемости. Пример. В 100 ч. 0,1%-ною бензольного р-ра октадецилетиленмочевины погружают 1 ч. винилоновой ткани, выдерживают, извлекают, отжимают и прогревают 10 мин. при  $75^\circ$  в лучах ИК-лампы. А. Фрадкин

59672 П. Способ получения устойчивых к стирке и поту лощенных или тисненых отделок на текстиль-



ных изделий. Брандейс, Рюменс, Бейдек (Verfahren zur Herstellung von wasch- und schweißfesten Chintz- und Prägearüstungen auf Textilien. Brandeis Johann, Rümens Wilhelm, Beideck Kurt) [Badische Anilin- & Soda-Fabrik A.-G.] Пат. ФРГ 1005924, 19.09.57

С указанной целью предложено применение метил-ольных соединений триметилентриаминов (I) общей ф-лы:  $\text{RHCNHC(X)NHC(R)HNHR'}$  или  $\text{RHCNHC(X)NH-}$

$\text{C(R)HN(C}_2\text{H}_5)_n\text{NC(R)HNHC(X)NHCHR}$ , где X — O, S

или NH; R и R' — H, алкил или циклоалкил с  $\leq 6$  атомами C, причем R всегда алкил, когда R' — H;  $n > 2$ . Для получения I смешивают 1 моль мочевины, 1 моль первичного амина (напр., бутиламина) и  $\geq 2$  молей  $\text{CH}_2\text{O}$ . Р-цию проводят при 20°, искусств. охлаждении или легком подогревании. Ткань из хлопка, вискозного шелка или их смеси пропитывают р-ром I в присутствии катализатора, создающего кислую среду ( $\text{NH}_4$ -соли неорганич. или органич. к-т, гидролизующиеся соли металлов,  $\text{H}_2\text{O}_2$ ), сушат, каландрируют и нагревают до 140—150°. Возможно введение в пропиточный р-р полифункциональных соединений (гликолей, аминоспиртов, диаминов), взаимодействующих с I, а также ашпретирующих в-в (политриолефовых эф., поливинилпирролидона, полиакриловой к-ты или ее производных, поливинилового спирта, растворимого крахмала, декстрина, эф. целлюлозы), в-в, придающих ткани умягчающие или гидрофобные свойства, пигментных красителей. Примеры. 1. К 200 г 50%-ного р-ра диметилольного производного 1-кето-4 метилтриметилентриамина добавляют 700 мл воды, 6 г р-ра  $(\text{NH}_4)_2\text{HPO}_4$  в 50 мл воды и доводят водой до 1 л. Хлопчатобумажную ткань плюсуяют этим р-ром, сушат при умеренной т-ре до 15%-ной влажности, тиснят на каландре при 180° и давл. 8 т и прогревают 5 мин. при 140°. 2. Ткань из вискозного штапельного волокна плюсуяют р-ром, содержащим в 1 л воды 120 г диметилольного производного 1-тио-4-бутилтриметилентриамина, 3 г поливинилового спирта, 5 г полимерной окиси этилена (мол. в. 5000), 30 г смеси диэтаноламида стеариновой к-ты (75%) и диэтаноламинового эфира стеариновой к-ты (25%), 4 г  $(\text{NH}_4)_2\text{HPO}_4$  и 2 г  $\text{NH}_4\text{NO}_3$ . Ткань осторожно сушат до 5%-ной остаточной влажности, пропускают через серебристый каландр при 190° и давл. 9 т и затем прогревают 3 мин. при 150° для завершения конденсации смол. Достижимые эффекты отделки отличаются хорошей устойчивостью к действию стирки и пота. О. Голосенко

59673 П. Способ защиты волокнистых материалов от разрушения микроорганизмами. Руперти, Мейерханс (Verfahren zum Schützen von Fasermaterial gegen den Angriff von Mikroorganismen. Rupert Andreas, Meierhans Josef) [Ciba A.-G.] Швейц. пат. 312579, 29.03.56

Способ долговечной микробиологич. защиты целлюлозных материалов при помощи солей тяжелых металлов 8-оксихинолина (I) и смол отличается тем, что изделия обрабатывают водн. р-ром или эмульсией неограниченно или ограниченно растворимого в воде аминопласта (АП) в присутствии I, взятого в кол-ве  $\leq 10\%$  от веса АП. В процессе пропитки (или после пропитки) на ткань наносят также водорастворимую соль тяжелого металла, после чего переводят АП в нерастворимую форму. Указанные композиции могут быть применены в виде готовых сухих смесей, более удобных к использованию на текстильных предприятиях. Предложенный способ обработки содействует стойкости достигаемого эффекта и, в связи с относительно невысоким содержанием I на волокне ( $\leq 1\%$ ), не вызывает изменения цвета изделий. В качестве

АП наиболее пригодны продукты конденсации 1 моля меламмина с  $\sim 3$  молями  $\text{CH}_2\text{O}$  (также продукты конденсации  $\text{CH}_2\text{O}$  с мочевиной, тиомочевинной, цианамидом, дицианамидом, бигуанидином и т. п.). Для ускорения твердения АП в их р-ры или эмульсии вводят кислые катализаторы (к-ты,  $\text{NH}_4$ -соли и др.). Из солей тяжелых металлов наиболее рекомендуются Cu- и Ag-соли серной, соляной азотной или органич. к-т. Кол-во наносимого на волокно АП  $\sim 5\%$  (3—10%) по весу. Пример. 0,05 г I растворяют в конц. р-ре 50 г меламиноформальдегидного предконденсата, полученного взаимодействием 1 моля меламмина с 3 молями  $\text{CH}_2\text{O}$ , добавляют 0,04 г  $\text{CuCl}_2$  кристаллич. и все это выливают при помешивании в 750 мл воды (30°), содержащей 1% желатины. К полученной эмульсии добавляют 50 мл 20%-ного р-ра  $\text{NH}_4\text{Cl}$  и пропитывают ею текстильные изделия трехкратным плюсованием. Ткань сушат и прогревают 10 мин. при 120° для конденсации АП. Обработанная ткань сохраняет белый цвет и хорошую устойчивость к микроорганизмам даже после 10-кратной стирки при 100° (на лаундере-метре) в р-ре 5 г/л мыла и 5 г/л соды. О. Голосенко

59674 П. Получение ворсовых тканей. Юинг (Pile fabrics. Ewing H.) [British Celanese, Ltd.] Англ. пат. 727143, 30.03.55 [Dyer, 1955, 114, № 2, 137 (англ.)]

При произ-ве тканей с нанесенным в электростатич. поле ворсовым покрытием, пригодных для изготовления трехмерных изделий (верха для обуви, туфель, перчаток, шляп, мебельных тканей), применяют в качестве подкладки трикотажное полотно из окрашенных нитей ацетатного шелка. Это полотно предложено покрывать на шпредиинг-машине тонким слоем (0,13 мм) нижеуказанного состава и затем пропустить через подсушивающую камеру при 60° для удаления из него летучих р-рителей, через электростатич. поле с флокаторами и, наконец, через вулканизационную камеру. Флокаторы загружают очищенными от замасливателя и окрашенными (в одинаковый цвет с подкладкой) волокнами ацетатного шелка длиной 0,5—1,0 мм, предварительно обработанными водн. дисперсией  $\text{SiO}_2$  перед сушкой. Состав для покрытия таков: 100 ч. бутадиенакрилонитрильного сополимера (Нусар OR25), 10 ч. синтетич. смолы с т. размягч. 125° (получаемой полимеризацией нефтяного крекин-дистиллата, в котором  $\geq 70\%$  непредельных соединений состоит из  $\beta$ -метилстирола или индола и который не содержит непредельных соединений с т. кип.  $< 130^\circ$ ), 1 ч. серы, 5 ч.  $\text{ZnO}$ , 1 ч. диэтилдитиокарбоната  $\text{Zn}$ , 200 ч. метилэтилкетона, 130 ч. метилизаобутилкетона, 240 ч. диметилфталата и 35 ч. диметилциклогексифталата. Ткань, покрытая флоком, вулканизируется в печах закрытой ширильной рамы вертикального типа в токе воздуха, нагретого до 140°. При этом диметилфталат улетучивается из состава покрытия. О. Голосенко

59675 П. Смачивающие вещества для щелочных ванн Гётте, Райзер (Netzmittel für laugierflotten. Götte Ernst, Kaiser Wilhelm Jakob) [Böhme Fettchemie G. m. b. H.] Пат. ФРГ 1006300, 26.09.57

В качестве смачивающего продукта для улучшения и ускорения пропитки хлопчатобумажных и вискозных тканей р-рами  $\text{NaOH}$  4—8%-ной конц-ии предложено применение N,N-дициклоалкиламиноалкилсульфонатов к-т (или их солей) общей ф-лы  $\text{R}_2\text{NR}'\text{SO}_3\text{H}$ , где R — свободные или замещ. циклоалкильные остатки, напр. циклогексильные, а R' — короткий алифатич. остаток, напр. пропиловый. Солеобразующей компонентой могут быть щел. металлы или органич. основания. Наилучших результатов достигают с дициклоалкиламинопансульфонатом Na, который вводят

р-р NaOH (уд. в. 1,04—1,08) в конц-ии 2—4 г/л. Ткани, обработанные в этом р-ре при 20°, более равномерно окрашиваются красителями.

К. Маркузе

59676 П. Способ приготовления устойчивых красильных ванн и ванн для стонки красителей с волокон. Хофер, Хемми (Verfahren zur Herstellung beständiger Färb- und Abziehbäder. Hofer Kurt, Hemmi Hans Martin) [Sandoz A.-G.]. Швейц. пат. 313159, 15.05.56

Способ получения устойчивых ванн, обладающих способностью замедлять или понижать поглощение красителей текстильными волокнами, либо снимать краситель с окрашенных изделий, отличается тем, что в эти ванны вводят от 0,02 до 1 г/л продукта, содержащего катион общей ф-лы  $[ROCH_2CH(OH)CH_2(N(R')A)nNR_2]^+$ , где R — углеводородный остаток с  $\geq 8$  атомами C; R' — H, алкильная, арилалкильная или оксалкильная группа; A — алкиленовая группа с 2—4 атомами C; n — целое число  $> 0$ . Указанные продукты получают взаимодействием соединений ф-лы  $ROCH_2X$  [R —  $C_8H_{17}$ —,  $C_{12}H_{25}$ —,  $C_{18}H_{35}$ —,  $(CH_3)_2C_6H_3$ —,  $CH_3C_6H_{10}$ —, а X есть  $-CH_2CH_2O$ ,  $-CH(OH)CH_2Cl$ ,

$-CH(Cl)CH_2OH$ ] с полиамминами  $HN(R')[AN(R')]_{n-1} \cdot ANR_2$  (R', A и n имеют те же значения). Пример. 1 моль  $C_8H_{17} \cdot OCH_2CH_2CH_2O$  и 2 моля диэтилентриамина

конденсируют при 100—120°. После отгонки в вакууме избыточного диэтилентриаминного остатка продукта обрабатывают 8 молями окиси этилена при 100° и затем 3 молями диметилсульфата вначале при 50—60° и позднее 2 часа при 80—85°. Получают вязкую коричневатую массу, легко растворимую в воде. Продукт используют в качестве эгализирующего в-ва при крашении волокон прямыми, кислотными, основными, хромовыми и кубовыми красителями.

К. Маркузе

59677 П. Препарат для последующей обработки окрасок. Стрек, Стэнли, Баггенстосс (Composition for after-treatment of dyeings. Streck Clemens, Stanley Lester N., Baggenstoss Alois C.) [General Aniline & Film Corp.]. Пат. США 2768055, 23.10.56

Предмет изобретения составляет композиция из кислого смолообразного продукта альдегидной конденсации и водорастворимой соли меди, которая обладает способностью упрочнять окраски, выполненные прямыми красителями к действию мокрых обработок и света и в то же время характеризуется хорошей стабильностью и водорастворимостью. Продукт готовят конденсацией 0,5 моля соли  $NH_4$  и 1,5—2,0 молей  $CH_2O$  с 1 молем дициандиамида. Р-ция протекает с выделением тепла. Она начинается при 20° и заканчивается при 80—100°. pH среды должен быть  $\sim 6,5$  (5,0—6,8).

К 100 ч. этого продукта добавляют 50 ч. соли  $Cu^{II}$  и 50 ч. буферной соли. В виде  $Cu$ -соли предпочтительнее применять  $Cu(CH_3COO)_2$  (также  $CuCl_2$ ,  $CuNH_4Cl_3$ ), в виде  $NH_4$ -соли —  $NH_4Cl$  (также бромистую, фосфорнокислую, роданистую или серноокислую соль  $NH_4$ ), а в качестве буферной добавки — ацетат Na или K (также форматы и бораты  $NH_4$  или щел. металлов). Пример. 84 г дициандиамида вводят в 54 мл  $CH_2O$  (в виде 38%-ного р-ра), и добавляют 30 г  $NH_4Cl$ . Т-ра смеси (имеющей pH  $\sim 6,5$ ) постепенно повышается до 80°. Ее прогревают  $\sim 4$  часа при 95—98° и выливают в р-р NaCl. Выпавшую смолу фильтруют и сушат. Композицию готовят смешением 50 ч. смолы с 25 ч.  $Cu(CH_3COO)_2$  и 25 ч.  $CH_3COONa$ . Хлопчатобумажную ткань, окрашенную 2% красителя (полученного сочетанием тетразотированного диазидина с 2-нафтолом и 4-амино-8-нафтол-2,4-дисульфокислотой), обрабатывают 30 мин. при 70° в р-ре, содержащем 2% композиции от веса сухой ткани, промывают и сушат. При

этом прочность прямой окраски к действию мокрых обработок и света значительно повышается.

О. Голосенко

См. также: Строев и св-ва шерсти 21671Бх. Теория крашения 56896. Полимеры, применяемые для обработки тканей 59309, 59315. Изучение процесса мытья текстильных волокон, 56952, 58911. Инсектициды, применяемые в текстильной пром-сти 58536, 58550

## КОЖА. МЕХ. ЖЕЛАТИНА. ДУБИТЕЛИ. ТЕХНИЧЕСКИЕ БЕЛКИ

Редактор О. В. Матвеева

59678. Конгресс Международного объединения химиков-кожевников в Риме. Маснер, Котасек (Kongres mezinárodní unie společností koželužských chemiků v Římě. Masner Ladislav, Kotásek Zdeněk), Kožářství, 1958, 8, № 1, 2—6 (чешск.)

59679. Стандартизация классификации кож. Валента (Normalisace třídění usní. Valenta František), Kožářství, 1958, 8, № 2, 52—54 (чешск.)

59680. О монгольской кожевенной промышленности. Батын (O mongolském kožedělném průmyslu. Batýn Raddansambu), Kožářství, 1957, 7, № 5, 132 (чешск.)

59681. Развитие кожевенной промышленности Индии. Муртхи (Development of leather industry in India. Murthi K. V. S.), Tanner, 1958, 12, № 9, 302—304, 307 (англ.)

59682. Микроорганизмы в кожевенном производстве. Уэйсс (Micro-organisms: their relationship to tannery operations. Weiss E. F.), Australas. Leather Trades Rev., 1957, 53, № 11, 22—23, 25 (англ.)

Обзор. Рассмотрены микроорганизмы и их роль в кожевенном произ-ве.

И. Э.

59683. О свойствах коллагена. Кубелка (O vlastnostech kolagenu. Kubelka Václav), Kožářství, 1958, 8, № 1, 6—11 (чешск.)

Обзор. Библ. 10 назв.

О. М.

59684. Изучение влияния вакуумирования на процесс посола шкур. Раввина Х. А., Безверхняя Н. Н., Сб. студ. работ. Моск., технол. ин-т мясн. и молочн. пром-сти, 1958, вып. 5, 18—20

Изучено влияние вакуумирования на ход процесса тузлукования шкур крупного рогатого скота. Для осуществления этого процесса создана лабор. установка, состоящая из герметически закрытого сосуда, крышка которого соединена с вакуум-насосом. Результаты исследования показали возможность использования вакуумирования для ускорения процесса тузлукования и последующей подсушки шкур.

О. М.

59685. Применение дезинфицирующих веществ при консервировании кожевенного сырья тузлукованием. Демпси (The use of disinfectants in brining frigorific hides. Dempsey M.), J. Soc. Leather Trades Chemists, 1958, 42, № 2, 39—58 (англ.)

Приведены производственные опыты по определению сравнительной эффективности добавок в консервирующую соль кремнефтористого натрия (I) (0,5 и 1% от веса соли) и пентахлорфенолята натрия (II) (0,1 и 0,2%). Шкуры, обработанные тузлуком с добавками I и II, пересыпали чистой солью и складывали в штабели. Штабели хранились в течение 3 и 6 месяцев в Уругвае, а затем были отправлены в Англию для дальнейшего хранения. Контрольные шкуры оказались сильно поврежденными, их нельзя было хранить больше 7,5—9 месяцев. Шкуры, консервированные с применением II, не имели красноты после 14 месяцев хранения, причем лучшие результаты получены



при 0,2% II, чем при 0,1%. Сырье, консервированное с применением I, было лучше, чем контрольное, однако даже при добавке 1% I оно не было полностью свободно от красноты. Применение I и II не оказывает вредного влияния на готовую кожу. И. Этингоф

59686. Определение возраста зольных жидкостей.

Лебедева З. А., Легкая пром-сть, 1958, № 3, 54

О присутствии и кол-ве растворенных азотсодержащих в-в в зольных жидкостях предложено судить по разности двух последовательных титрований одной пробы зольной жидкости с индикатором фенолфталеином и затем с метилоранжем. Чем больше разность результатов титрования, тем больше продуктов распада белков в зольниках. Наблюдения над старением зольных жидкостей показали, что в свежем известковом зольнике разность титрований с указанными индикаторами составляет 0,1—0,2 мл 0,2 н. HCl; NH<sub>3</sub> в зольнике отсутствует; общая щелочность ~ 2 г/л. После загрузки шкур эти показатели начинают увеличиваться, а через 4—5 дней их рост замедляется. Установлены нормы предельной старости зольных жидкостей для юфтевого произ-ва: содержание NH<sub>3</sub> не более 0,5 г/л, общая щелочность не выше 6 г/л, разница титрований — не выше 7 мл 0,2 н. HCl. О. М.

59687. Потенциометрическое титрование и изучение дубящего действия алюминиевых комплексов. Вильямс-Уинн (Potentiometric titration studies and tanning action of aluminium complexes. Williams-Wynn D.), J. Soc. Leather Trades' Chemists, 1958, 42, № 1, 22—31 (англ.)

Методом потенциометрич. титрования изучено влияние добавления формиата, ацетата, лактата, тартрата и цитрата к р-ру алюмината натрия (I). Формиат и ацетат не защищают от осаждения Al во время титрования. Лактат, тартрат и цитрат стабилизируют соединение Al при соотношениях 2 экв на 1 моль I. Выдубленные кожи, промытые и не промытые, высушивали и органолептически оценивали по 3-балльной системе. Лучшую оценку получили образцы кожи, выдубленные с добавлением 6 экв формиата на 1 моль I; pH дубления 4. После дубления кожи были промыты. Т-ра сваривания кожи была 74—75°. Такую же оценку получили и образцы кожи, выдубленные с добавлением к р-ру солей алюминия 6 экв ацетата на 1 моль I; pH дубления при этом должен быть 5; т-ра сваривания образцов 75—78°. Лактата достаточно прибавить 3 экв на 1 моль I, чтобы достичь такого же эффекта; pH дубления должен быть 5—7; т-ра сваривания 77—75°. Цитрат дает такой же эффект, но выдубленные образцы не выдерживают промывки. После промывки они высыхают рогообразно. С. Бреслер

59688. Хромовое дубление. Швейсхеймер (Chrometanning. Schweisheimer M.), Austral. Leather J., 1957, 60, № 8, 151 (англ.)

Кратко описан механизм действия маскирующих в-в в р-рах хромовых солей при дублении кож. И. Э.

59689. Технология комбинированного хром-растительного дубления подошвенной кожи. Гложич, Русан, Вукович, Джуранч, Петрунич, Хрвой (Tehnološki proces vegetabil-krom štave donske kože. Gložić Berislav, Rusan Zvonimir, Vuković Tomislav, Jurać Josip, Petrunić Zvonko, Hrvoj Stjepan), Koža i obuća, 1958, 7, № 1, 1—8 (сербо-хорв.; рез. англ., франц., нем.)

59690. Крашение замши в черный цвет методом диазотирования. Вукович (Bojenje crnog velura diazo postupkom. Vuković Tomislav), Koža i obuća, 1958, 7, № 2, 53—55 (сербо-хорв.; рез. англ., нем., франц.)

Описано практич. применение этого метода для кра-

шения замши в черный цвет и приведены современные теории, объясняющие механизм процесса. О. М. 59691. Красители, применяемые в крашении и отделке кожи. Гейстер (Dyes in Colouring and finishing leather. Geister Carl H.), Australas. Leather Trades Rev., 1955, 54, № 618, 14—15 (англ.)

См. РЖХим, 1956, 56787; 1958, 23634.

59692. Жирование кожи анионо- и катионоактивными жирующими материалами. Рибарич (Mašćenje kože sa anion i kation aktivnim masnoscima. Ribarić Ivo), Koža i obuća, 1957, 6, № 12, 441—446 (сербо-хорв.; рез. англ., нем., франц.)

Приведены современные взгляды на механизм процесса жирования и рассмотрены практич. способы жирования кож. О. М.

59693. Производство хромовой яловки с применением наклеивания на пластины при сушке. Гложич (O proizvodnji govedeg boksa postupkom ošćenja i lijepljenja. Gložić Berislav), Koža i obuća, 1957, 6, № 4, 127—131 (сербо-хорв.; рез. англ., франц., нем.)

Подробно описан процесс сушки хромовой яловки методом наклеивания на стеклянные пластины. Указаны преимущества и недостатки этого метода. Приведена методика предыдущих и последующих операций, а также рецептура клеев. З. Лебедева

59694. Объективная оценка жесткости хромовых кож. Олейник Н. Н., Пономарев Г. С., Легкая пром-сть, 1958, № 3, 41

Для уточнения показателей, характеризующих жесткость хромовых кож, из производственных партий были отобраны 2 группы кож, отличающихся друг от друга по жесткости (по органолептической оценке), и 2 группы кож, не отличающихся по жесткости. У всех кож определяли условный модуль упругости, жесткость, «стойкость», кажущийся уд. вес и объемный выход. Показатели условного модуля, жесткости и «стойкости» не соответствуют органолептической оценке хромовых кож; во всех случаях ей соответствуют показатели кажущегося уд. веса и объемного выхода кожи. О. М.

59695. Предварительные методы анализа, применяемые в кожевенной лаборатории. — (Metodi provvitori di analisi in uso presso la stazione sperimentale.), Cuoio, pelli, mater. conc., 1957, 33, № 4, 281—306 (итал.)

Представлены временные технич. нормы, в которых описаны методы анализа дубленой кожи: определение водорастворимых в-в (метод экстракции по Коху, метод взбалтывания и метод «Veslic»), растворимых в связанных дублящих в-в, нерастворимой соли и голыного в-ва. Н. Туркенич

59696. Современное состояние крашения меха. Флейшер, Эккарт (A szőrmeszinezés jelenlegi állása. Fleischer K., Eckart R.), Bőr — és cipőtechn., 1957, 7, № 5-6, 111—114 (венг.)

Обсуждаются разные факторы, влияющие на крашение мехов: тип и условия применения разных протрав (бихроматная, железная), конц-ия протравы, pH среды, структура волоса, действие так называемой «промежуточной мембраны». Описаны новые красители для мехов: «гелиндон», «накопичный» (кубоний красители); «цинния», «оразол», (кислотные красители); «целлитон» и «целлитон-прочный» (красители для ацетатного шелка). Дан способ их применения, оценка их преимуществ и недостатков, цветостойкость. С. Розенфельд

59697. О растительных дубителях Румынии. Алекса, Штруб, Ярошинская — Драбич, Мара (Contribuție la cunoașterea materiei tanante vegetale indigene. Alexa G., Strub Constantin, Iarosinschi — Drabic Irina, M.)

ga Cornelia), Rev. techn. inds cuir, 1957, 49, № 7, 147—149 (франц.)

Указаны важнейшие растительные дубящие материалы Румынии: кора березы, корень кермека и листья двух разновидностей сумаха. Анализы березовой коры методом взбалтывания показали, что содержание танинов (Т) увеличивается с возрастом дерева (наиболее благоприятный возраст 50—60 лет) и уменьшается по направлению от корня к вершине дерева. В белой коре, которая составляет 16—27% от всей коры, почти не содержится Т, за исключением старых деревьев (50—60 лет) с содержанием Т 1,83—2,29%. Проводилось опытное дубление 18 образцов голья, вырезанных из крупона опойка: 9 образцов дубили сульфитированным экстрактом березовой коры (описывается способ его приготовления и приводятся аналитические данные) и 9 — сульфитированным экстрактом квебрахо. Процесс дубления контролировали измерением: плотности сока до и после подкрепления, увеличения толщины кожи по 4 углам и в середине каждого образца, скорости проникновения Т, pH сока. Скорость проникновения Т квебрахо и возрастает с увеличением концентрации дубильного сока. Весовой выход кож, продубленных экстрактом березовой коры и экстрактом квебрахо, — одинаков. Экстракт березовой коры можно успешно применять при дублении тонких сортов кожи.

Н. Флейснер

59698. Использование дубителя галловых орешков дуба. Vago (Die Nutzbarmachung des Gerbstoffes der Eichengallen. Vago G.), Leder, 1957, 8, № 8, 199—200 (нем.)

Исследованы причины образования большого кол-ва осадка в экстрактах из галловых орешков (ГО) и способы его предотвращения. Экстрагируемые из ГО в-ва состоят из высокомолекулярных соединений (фенолы, карбоновые к-ты), которые в процессе упаривания за счет сил побочных валентностей связываются друг с другом, образуя студнеобразные агрегаты. Если упаривание производить при pH 4,5—5,5 и не доводить экстракт до большой плотности, то процесс агрегирования остается обратимым и при немедленном разбавлении можно вновь получить прозрачные р-ры; если упаривание производить при pH < 3, то образование студня становится необратимым. При старении студней наступают явления синерезиса и такой студень является хорошим субстратом для роста плесени. Для уменьшения агрегирования дубителей при упаривании проводили нейтр-цию сока, чтобы связать корбоксильные группы, вызывающие агрегирование. Для получения стабильных конц. экстрактов наиболее оптимальным является pH 7,2; при упаривании до 23° Вé экстракт после 6 месяцев стояния оставался жидким и прозрачным; даже из упаренного досуха экстракта можно было вновь получить прозрачные водн.

р-ры. Экстракт из ГО, упаренный при pH 7,2, можно использовать как при растительном дублении в качестве компонента, способствующего прочному дублению и дающего наполненную кожу, так и для додубливания хромовой кожи. При содержании 3% дубителя (в пересчете на строганный вес) экстракты из ГО с pH 5—6,5 дают хорошую полную хромовую кожу.

Н. Флейснер

59699. Определение степени сульфитирования растительных дубителей. Стеглик, Кокеш, Подольская, Мюк (Stanovení stupně sulfítace u přírodních tříslov. Stehlík Antonín, Kokeš Drahošlav, Podolská Miroslava, Mück Eduard), Věda a výzk. v průmyslu kožeděln., 1956, 2, 53—58 (чешск.; рез. русск., англ.)

Метод основан на определении: 1) кол-ва свободного SO<sub>2</sub> (из сульфита или бисульфита) и 2) кол-ва SO<sub>2</sub>, связанного с дубителем. Метод дает воспроизводимые результаты и может быть осуществлен в любой лаборатории.

О. М.

59700. Современные клеящие вещества. 2. Различные клеящие составы. Реклесс (Modern adhesives. 2. The formulation of glues and other adhesives. Reckless F. N.), Soap, Perfum. and Cosmetics, 1956, 29, № 11, 1249—1252 (англ.)

Приведены составы и методики приготовления клеев животного и растительного происхождения. Л. Шулов

59701. Ускоренные методы анализа кожевенного картона с поливинилацетатной проклейкой. Хорошая Е. С., Лыкова А. Н., Легкая пром-сть, 1958, № 3, 36—37

Разработаны два ускоренных метода хим. анализа кожевенного картона с поливинилацетатной проклейкой: 1) метод определения содержания проклеивающих в-в вместе с пластификатором и 2) рефрактометрич. экспресс-метод определения кол-ва палстификатора ДБФ. Подробно описаны методики проведения обоих определений и методы расчета.

О. М.

59702 П. Метод выделения кож с помощью электроосмоса. Носава, Иноуэ, Ватанабэ, Асано, Маруо, Имам. [Окава Сюнкити]. Японск. пат. 4643, 26.07.54

Для обработки кож с помощью электроосмоса к электродам ванны, куда помещают кожи и заливают обрабатывающую жидкость (напр., р-р дубителя), подключают 2 источника постоянного тока с противоположно направленными токами (прямой — 0,15 А и обратный 0,2 мА), посылающие периодические импульсы малой частоты (2 гц). Результаты такой обработки идентичны с обработкой синусоидальным переменным током 0,15 А, 60 гц. Приведены схемы аппаратов.

А. Фрадкин

См. также: Строение и св-ва волокнистых белков 21640Бх

## ХИМИЯ ВЫСОКОМОЛЕКУЛЯРНЫХ ВЕЩЕСТВ

Редакторы Х. С. Багдасарьян, Ю. С. Липатов

59703. Образование двух- и трехжильных спиральных молекул полиинозиновой и полиадениловой кислотами. Рич (Formation of two- and three-stranded helical molecules by polyinosinic acid and polyadenylic acid. Rich Alexander), Nature, 1958, 181, № 4608, 521—525 (англ.)

Приводятся спектроскопич., рентгенографич. и седиментационные данные, свидетельствующие об образо-

вании указанных в заглавии структур. При кратковременном взаимодействии полиинозиновой (I) и полиадениловой к-т (II), полученных с помощью бактериальной полинуклеотидной фосфорилазы согласно Гринберг-Маного, образуется двойная спиральная молекула ДНК. В дальнейшем вокруг спиральной молекулы такой макромолекулы обвивается третья цепочка I. Если р-ция, приводящая к образованию двойной



спирали, протекает за 1 мин., то образование тройных спиралей 2I—III завершается лишь за 5 час. Фундаментальными параметрами этих спиралей являются шаг 3,4 Å и соответствующий ему поворот на 31,5°. Таким образом, смеси простых полинуклеотидов способны к образованию водородно-связанных спиральных структур, доступных для кристаллографич. анализа. С. Френкель

**59704. Применение инфракрасной спектроскопии для определения структуры высокомолекулярных веществ.** Брюгель (Anwendung der Ultrarotspektroskopie bei der Strukturbestimmung von hochmolekularen Stoffen. Brügel W.), Kunststoffe, 1956, 46, № 2, 47—54 (нем.; рез. англ., франц., исп.)

Рассмотрены возможности применения ИК-спектроскопии для определения состава и строения полимеров и сополимеров, наличия в полимере пластификаторов, стабилизаторов и т. д., определения изменений в структуре полимера при окислении и других хим. процессах. Подробно рассмотрены данные спектроскопич. исследований полиэтилена, НК и синтетич. каучука, полистирола и полиамида. В. Гринблат

**59705. Деформационные колебания  $\text{CH}_2$  в плоскости симметрии молекулы в полиэтиленгликолях.** Курода, Кубо ( $\text{CH}_2$  rocking vibrations of polyethylene glycols. Kuroda Yoko, Kubo Masaji), J. Polymer Sci., 1957, 26, № 114, 323—328 (англ.; рез. нем., франц.)

В ИК-спектрах жидких этиленгликоля и его полимеров от димера до гептамера были найдены 3 полосы поглощения деформационных колебаний  $\text{CH}_2$  в плоскости симметрии молекулы. Полосы поглощения у 942—947 и у 887—889  $\text{см}^{-1}$  были отнесены к колебаниям типов А и В изогнутой формы, а у 831—844  $\text{см}^{-1}$  — к колебаниям типа  $A_u$  и транс-формы; в мономере наблюдалось только 2 полосы поглощения у 883 и 863  $\text{см}^{-1}$ . Низкомолекулярные полиэтиленгликоли не обладают спиральной конфигурацией, а имеют более или менее нерегулярную форму, связанную с внутренним вращением вокруг единичной связи в  $\text{O}-(\text{CH}_2)_2-\text{O}$ . Появление двух полос поглощения в изогнутой форме в полимерах связано с наличием внутримолекулярных водородных связей, существование которых подтверждается присутствием полосы поглощения свободных групп  $\text{OH}$  у 3655  $\text{см}^{-1}$  и более длинноволновой полосы поглощения, вызванной образованием водородных связей. Полученные результаты находятся в соответствии с изменениями дипольных моментов в зависимости от степени полимеризации. Е. Покровский

**59706. Инфракрасный дихроизм взаимно перпендикулярных нормальных колебаний в ориентированных высокополимерах.** Лян, Кримм (Infrared dichroism of mutually perpendicular normal modes in oriented high polymers. Liang C. Y., Krimm S.), J. Chem. Phys., 1957, 27, № 6, 1437—1438 (англ.)

Дано теоретич. рассмотрение возможного дихроизма ИК-полос поглощения в зависимости от угла  $\phi$  между направлениями ориентации полимера и переходного момента. При  $\phi = 54^\circ 44'$  дихроизм отсутствует ( $u$ ), при  $\phi < 54^\circ 44'$  полоса поглощения имеет параллельный дихроизм ( $\pi$ ), а при  $\phi > 54^\circ 44'$  — перпендикулярный дихроизм ( $\sigma$ ). Для трех взаимно перпендикулярных переходных моментов  $M_1$ ,  $M_2$  и  $M_3$ , имеющих соответственно углы  $\phi_1$ ,  $\phi_2$  и  $\phi_3$  с направлением ориентации при  $0 < \phi_1 < \pi/2$ ,  $\phi_2$  находится в области  $(\pi/2 - \phi_1) < \phi_2 < \pi/2$ , а угол  $\phi_3$  определяется из условия  $\cos^2 \phi_1 + \cos^2 \phi_2 + \cos^2 \phi_3 = 1$ . Для дихроизма трех полос поглощения ( $M_1$ ,  $M_2$  и  $M_3$ ) возможно только четыре комбинации  $\sigma\pi\pi$ ,  $\pi\sigma\pi$  и  $\pi\pi\sigma$  и  $\pi\pi\pi$ . Эти данные использованы для уточнения отнесений ИК-полос поглоще-

ния полиэтилентерефталата и поливинилового спирта. Е. Покровский

**59707. Степень поляризации дихроичного поляризатора из поливинилового спирта с йодом в области 240—1000 м $\mu$ .** Танидзак (The degree of polarization of dichroic polarizer of polyvinyl alcohol-iodine in the region of 240—1000 m $\mu$ . Tanizaki Yoshie), Bull. Chem. Soc. Japan, 1957, 30, № 8, 935—938 (англ.)

Поляризатор для области спектра 240—1000 м $\mu$  изготовлен путем пропитывания листа из поливинилового спирта со степенью полимеризации 1500 водн. р-ром смеси йода, йодистого аммония, йодистого натрия и борной к-ты и последующего растяжения в 5 раз в водн. р-ре 5%-ной борной к-ты при  $t \sim 40^\circ$ . Полученный поляризатор имеет степень поляризации  $> 95\%$  в области 295—500 м $\mu$  и  $\sim 100\%$  в областях 320—380 и 420—790 м $\mu$ . Пара скрещенных поляризаторов не пропускает свет в области 250—800 м $\mu$ . Е. П.

**59708. Изучение инфракрасных спектров поглощения полиэтилена в связи с вопросом о межмолекулярном взаимодействии.** Новак И. И., Вестн. Ленингр. ун-та, 1957, № 22, 43—50 (рез. англ.)

ИК-спектр поглощения полиэтилена и дицитила исследовался у 7 и 14  $\mu$  при  $t$ -рах от  $-175$  до  $+120^\circ$ . При повышении  $t$ -ры от 20 до  $90^\circ$  расщепление дублета 1464—1473  $\text{см}^{-1}$  уменьшается от 9 до 7  $\text{см}^{-1}$  (1464—1471,2  $\text{см}^{-1}$ ), а при понижении  $t$ -ры до  $-175^\circ$  увеличивается от 9 до 12,4  $\text{см}^{-1}$  (1462,4—1474,8  $\text{см}^{-1}$ ); при охлаждении дицитила до  $-150^\circ$  расщепление увеличивается на 2  $\text{см}^{-1}$  (1462—1473  $\text{см}^{-1}$ ). В закаленном полиэтилене частота 1473  $\text{см}^{-1}$  уменьшается на 1,7  $\text{см}^{-1}$ . При растяжении полиэтилена на 500% расщепление уменьшается от 9 до 5  $\text{см}^{-1}$  (1465,8—1470,8  $\text{см}^{-1}$ ), а расщепление полос поглощения 720—730  $\text{см}^{-1}$  уменьшается на 2  $\text{см}^{-1}$  (720—728  $\text{см}^{-1}$ ). Автор находит, что дублетное строение полос поглощения может быть объяснено межмолекулярным взаимодействием в кристаллич. решетке, а полученные величины расщеплений коррелируются с постоянной кристаллич. решетки  $a$ . Е. Покровский

**59709. ИК-спектр конденсированных в высоком вакууме продуктов разложения полиэтилена.** Хеллвеге, Кайзер, Лампе (UR-Spektrum im Hochvakuum kondensierter Abbauprodukte des Polyäthylens. Hellwege K. H., Kaiser R., Lampe G. R.), Kolloid-Z., 1958, 156, № 1, 29—31 (нем.)

Получены ИК-спектры поглощения продуктов разложения полиэтилена при 400 и 440°, конденсированных на пластинку NaCl при очень низких давл. и  $t$ -рах от  $-180$  до  $+150^\circ$  при толщине образцов 10—30  $\mu$ . Полученные спектры отличаются от спектров обычного полиэтилена появлением полосы олефиновых групп у 11  $\mu$ . Найдено, что для дублета 13,7—13,9  $\mu$  при  $t$ -рах конденсации от  $-50$  до  $30^\circ$  и выше  $+60^\circ$  интегральная интенсивность компоненты у 13,7  $\mu$  больше, чем у 13,9  $\mu$  (в  $n$ -парафинах и полиэтилене меньше). Это объясняется или различной степенью кристалличности образцов, или ориентацией молекул, средняя длина которых составляла 50 атомов С. Е. П.

**59710. Инфракрасные спектры высокополимеров. VI. Полистирол.** Лян, Кримм (Infrared spectra of high polymers. VI. Polystyrene. Liang C. Y., Krimm S.), J. Polymer Sci. 1958, 27, № 115, 241—254 (англ.; рез. франц., нем.)

Для отнесения колебательных частот полистирола был получен его спектр поглощения от 70 до 3200  $\text{см}^{-1}$ . Используя данные других авторов по спектрам комб. расщ. и имевшиеся ранее отнесения частот бензола и монозамещ. бензолов, авторы дали подробное отнесение наблюдавшихся полос поглощения. Интерпретация данных по спектрам согласуется с существующими доказательствами беспорядочной

конфигурации цепи полистирола, т. е. его аморфности. Сообщение V см. РЖХим, 1957, 63692. Е. Покровский 59711. О кристаллической полосе в инфракрасном спектре поглощения поливинилового спирта. Тадокоро, Кодзан, Сэки, Нитта (On the crystalline band in the infrared absorption spectrum of polyvinyl alcohol. Tadokoro Hiroyuki, Kōzai Keiji, Seki Syūzō, Nitta Isamu), J. Polymer Sci., 1957, 26, № 114, 379—382 (англ.).

Авторы считают предложенное Кримом, Ляном и Северлендом (РЖХим, 1957, 63692) отнесение ИК-полосы поглощения у  $1146\text{ см}^{-1}$  в поливинилово-м спирте к колебаниям  $\text{C—O—C}$  неверным. Эта полоса поглощения относится к кристаллич. фазе, что подтверждается ее сильной перпендикулярностью, различием плеохроизмом, линейной зависимостью ее оптич. плотности от плотности при  $25^\circ$  и параллельностью в изменении ее интенсивности с изменением дифракционных колец на рентгенограмме при набухании поливинилового спирта в воде или  $\text{H}_2\text{SO}_4$ ,  $\text{Na}_2\text{SO}_4$  и  $\text{HCHO}$  при  $50^\circ$ . Эта полоса поглощения отнесена главным образом к валентным колебаниям  $\text{C—C}$ .

Е. Покровский

59712. Заметка об инфракрасном спектре поглощения поливинилового спирта. Хаас (A note on the infrared absorption spectrum of polyvinyl alcohol. Haas Howard C.), J. Polymer Sci., 1957, 26, № 114, 391—393 (англ.).

Приведены данные, отвергающие отнесение ИК-полосы поглощения поливинилового спирта у  $1146\text{ см}^{-1}$  к колебаниям  $\text{C—O—C}$ , связанным с образованием поперечных связей. Данная полоса поглощения  $1146\text{ см}^{-1}$  относится авторами к колебаниям в кристаллич. части полимера.

Е. Покровский

59713. Исследования карбоксиметилцеллюлозы. IV. Оптические исследования. Шурц, Кинцль (Untersuchungen an Carboxymethylcellulose. IV. Optische Untersuchungen. Schurz J., Kienzl E.), Monatsh. Chem., 1957, 88, № 6, 1017—1023 (нем.).

Получены рентгенограммы УФ- и ИК-спектров поглощения натрийкарбоксиметилцеллюлозы (I). В УФ-спектре I наблюдается максимум у  $37\,000\text{ см}^{-1}$ . В ИК-спектре полоса поглощения у  $2,94\text{ м}$  отнесена к группам  $\text{OH}$ , связанным водородной связью,  $3,5\text{ м}$  — к валентным колебаниям  $\text{CH}$ ,  $6,42\text{ м}$  — к аниону  $\text{COO}$ ,  $7,06\text{ м}$  — к деформационным колебаниям  $\text{CH}_2$ ,  $7,56\text{ м}$  — к аниону  $\text{COO}$  и  $9,5\text{ м}$  — к валентным колебаниям  $\text{C—O}$  в  $\text{COH}$  и  $\text{COC}$ . Отсутствие полос поглощения свободных  $\text{C=O}$ -групп у  $5,8$ — $5,9\text{ м}$  связано с присоединением  $\text{Na}$ , а свободных  $\text{OH}$ -групп у  $2,8\text{ м}$  — с большим числом водородных связей. На рентгенограммах наблюдалось 3 кольца, соответствующих расстояниям  $4,43$  (ср.),  $9,4$  (сл.) и  $26,2\text{А}$  (оч. сл.), что свидетельствует, по мнению авторов, о наличии кристаллитов целлюлозы II, которые идентифицированы с наблюдаемыми в р-рах геолообразными частицами. Сообщение III см. РЖХим, 1958, 42108.

Е. Покровский

59714. Внутреннее вращение в полимерных цепях и их физические свойства. VI. Размеры и дипольные моменты поливиниловых цепей с массивными привесками. VII. Конфигурация полимерных цепей в кристаллическом состоянии и в растворе. Птицын О. Б., Шаронов Ю. А., Ж. техн. физ., 1957, 27, № 12, 2744—2761; 2762—2773.

VI. Показана неудовлетворительность обычно используемого в статистич. теории полимерных цепей приближения, согласно которому вращения вокруг отдельных звеньев цепи являются независимыми. В цепях типа  $(-\text{CH}_2-\text{CR}_2-)_n$  и  $(\text{CH}_2-\text{CHR}-)_n$ , где  $\text{R}$  — массивный привесок, взаимодействие этих привесков играет определенную роль. Благодаря этому вращения вокруг двух связей мономерной единицы, лежащей

между двумя соседними  $\text{R}$ -группами, зависят друг от друга. Получены ур-ния для среднего квадрата расстояния между концами цепи  $\bar{h}^2$  и среднего квадрата дипольного момента  $\bar{\mu}^2$  цепей указанных типов в приближении, в котором цепь разбивается не на независимые звенья (как это делалось в предыдущих работах), а на независимые мономерные единицы. Для цепей типа  $(-\text{CH}_2-\text{CHR}-)_n$  ур-ния для  $\bar{h}^2$  и  $\bar{\mu}^2$  зависят от стереохим. строения цепей. Получены ур-ния для изотактич. и синдиотактич. полимеров указанного типа.

VII. Предложен метод оценки параметров, характеризующих термодинамич. гибкость полимерных цепей в р-ре, исходя из конфигураций этих цепей в кристаллич. состоянии. Метод основан на том, что полимерные цепи кристаллизуются в той же конфигурации, которая наиболее устойчива и в р-ре. С учетом свойств симметрии полимерных цепей авторы получают, что если в кристаллич. состоянии поворотный изомер мономерной единицы цепи типа  $(-\text{CH}_2-\text{CR}_2-)_n$  или  $(\text{CH}_2-\text{CHR}-)_n$  характеризуется углами  $(\varphi_1, \varphi_2)$ , то в р-ре с одинаковой вероятностью возможны следующие поворотные изомеры: для цепей  $(-\text{CH}_2-\text{CR}_2-)_n$   $(\varphi_1, \varphi_2)$ ,  $(-\varphi_1, -\varphi_2)$ ,  $(\varphi_2, \varphi_1)$  и  $(-\varphi_2, -\varphi_1)$ , для изотактич. цепей  $(-\text{CH}_2-\text{CHR}-)_n$   $(\varphi_1, \varphi_2)$  и  $(-\varphi_2, -\varphi_1)$ , для синдиотактич. цепей  $(\text{CH}_2-\text{CHR}-)_n$   $(\varphi_1, \varphi_2)$  и  $(\varphi_2, \varphi_1)$ . Метод справедлив для цепей, кристаллизующихся в виде спиралей. Поворотные изомеры в кристаллич. состоянии могут быть определены из периода идентичности, числа мономеров и числа оборотов спирали в периоде. Предложенный метод использован для определения конфигураций молекул полиизобутилена и изотактич. полистирола. Сообщение V см. РЖХим, 1957, 71831.

О. Птицын

59715. Рассеяние света как метод, применяемый в макромолекулярной химии. Хёуг (Lys-spredning som metode i makromolekylkjemi. Haug Arne), Tidsskr. kjemi, bergves. og metallurgi, 1958, 18, № 3, 33—37 (норв.).

Популярное изложение.

59716. Изучение рассеяния света алфиновым полибутadiеном. Клиленд (A light scattering study of alfin polybutadiene. Cleland Robert L.), J. Polymer Sci., 1958, 27, № 115, 349—380 (англ.; рез. франц., нем.).

Исследовано рассеяние света и вязкость р-ров фракционированного и нефракционированного полибутadiена (I), полученного с помощью алфинового катализатора и содержащего высокий процент сочленений 1,4. Исследовались р-ры в бензоле, толуоле,  $\text{CS}_2$ , циклогексане и  $n$ -гексане. Определены средневесовой мол. вес  $M_w$  (от  $2,3$  до  $19 \cdot 10^6$ ),  $z$  — средний квадрат радиуса инерции  $\bar{R}_z^2$  и второй вириальный коэф.  $A_2$  (из данных по светорассеянию), а также характеристич. вязкость  $[\eta]$  (из данных по вязкости, экстраполированных к нулевому градиенту). Из асимптоты кривой угловой асимметрии рассеянного света  $P(\theta)$  определена величина  $(\bar{R}_0^2)_n / M_n$ , не зависящая от полидисперсности и разветвленности  $(\bar{R}_0^2)_n$  — среднечисленный квадрат радиуса инерции линейной цепи того же мол. веса,  $M_n$  — среднечисленный мол. вес). Экстраполяция этой величины к  $A_2 = 0$  дает для размеров линейной цепи I в идеальном растворителе  $\bar{R}_{00}^2 / M = 2,2 (\pm 0,3) \cdot 10^{-17} \text{ см}^2 \text{ г}^{-1} \text{ моль}$ . Зависимость  $[\eta]$  р-ра линейного I в циклогексане при  $25^\circ$  описывается ур-нием  $[\eta]_0 = 0,012 \cdot M_w^{0,77}$ . Константа Флори, исправленная на полидисперсность образца, для линейных молекул равна  $\Phi = [\eta] \cdot M_w \cdot 6^{3/2} / \gamma (L_0^2)^{1/2} = 2,5 \cdot 10^{23} \text{ моль}^{-1}$  ( $L_0^2$  — средний квадрат расстояния



между концами цепи) и, по-видимому, несколько возрастает с ростом разветвленности. Степень разветвленности образцов, оцененная из отношения  $\bar{K}^2/\bar{R}_0^2$ , уменьшается с увеличением степени конверсии. Получены ур-ния, учитывающие влияние полидисперсности на  $[\eta]$ ,  $\bar{R}^2$ ,  $P(\theta)$  и Ф.

О. Птицын  
59717. Изучение светорассеяния от разбавленных растворов полипропилена. Цзян (Light scattering studies on dilute solutions of polypropylene. Chiang Robert), J. Polymer Sci., 1958, 28, № 116, 235—238 (англ.)

Измерены мол. веса фракций полипропилена методом светорассеяния с экстраполяцией по Цимму, при  $140^\circ$  в  $\alpha$ -хлорнафталине. При  $135^\circ$  определены характеристич. вязкости и установлено соотношение  $[\eta]_d = 1,00 \cdot 10^{-4} \bar{M}_w^{0.80}$ . Размеры молекулы, вычисленные из данных светорассеяния, выше значений, вычисленных из характеристич. вязкости по ур-нию Флори — Фокса.

Ю. Липатов  
59718. Об определении полидисперсности стереорегулярного полипропилена. Роговин З. А., Дружинина Т. В., Научн. докл. высш. школы. Химия и хим. технол., 1958, № 1, 139—142

Предложен метод определения полидисперсности кристаллич. и аморфной фракций стереорегулярного (изотактического) полипропилена (ПП). Отделение аморфного ПП от кристаллического осуществлялось экстракцией толуолом при модуле 1:50 и  $20^\circ$ . При этом в отличие от экстракции кипящим эфиром или бензолом, рекомендованной Натта, удается полностью извлечь аморфные фракции. Далее они подвергались фракционному осаждению ацетоном из 0.5%-ного толуольного р-ра при  $20^\circ$ . После высушивания полученные фракции (в кол-ве 4—6) уже частично не растворялись в толуоле, и  $[\eta]$  для них определялась в р-ре уайт-спирита (фракция, кипящая при  $170$ — $180^\circ$ ) при  $115^\circ$ . Аморфный ПП оказывается весьма полидисперсным:  $[\eta]$  крайних фракций отличаются в 10—12 раз, а для некоторых образцов — более чем в 20. Фракционирование кристаллич. ПП осуществлялось последовательной обработкой его в течение 4 час. той же фракцией уайт-спирита при модуле ванн 1:100 и постепенно повышающейся т-ре от  $20$  до  $100^\circ$ . При этом удается получить 6—7 фракций, крайние значения  $[\eta]$  которых различаются в ~5 раз. Таким образом, полидисперсность кристаллич. ПП меньше, чем аморфного. Отмечается, что отдельные кристаллич. фракции ПП с малой  $[\eta]$  обладают гораздо меньшей растворимостью, чем более высокомолекулярные аморфные фракции.

С. Френкель  
59719. Исследование растворов виниловых полимеров. I. Осмотическое давление и вязкость растворов сополимера винилацетатвинилхлорид. II. Удельный объем сополимера винилацетатвинилхлорид в циклогексаноле. Накадзима, Сотобаяши, Сакурада (Nakajima Aki, Sotobayashi Hideto, Sakurada Ichiro), Кобунсикагаку, Chem. High Polym., 1957, 14, № 150, 561—565; 566—573 (японск.; рез. англ.)

I. Измерены вязкость и осмотич. давление р-ров сополимера винилацетат-винилхлорид в циклогексаноле. Зависимость характеристич. вязкости от мол. веса и термодинамич. свойства полимера рассмотрены как функция его состава.

II. Для сополимеров винилацетат-винилхлорид получена кривая (проходящая через минимум) зависимости  $\Phi_2 - \Phi_2^1$  от содержания винилхлорида в сополимере;  $\Phi_2$  и  $\Phi_2^1$  — соответственно кажущиеся уд. объемы сополимера в разб. р-ре циклогексанона и в жидком состоянии. Установленный характер зависимости, очевидно, объясняется изменением термодина-

мич. параметра в зависимости от состава сополимера.

Резюме авторов  
59720. Химическая физика концентрированных растворов высокополимеров. IV. Удельные объемы и коэффициенты термического расширения систем нитроцеллюлоза — дибутилфталат — ацетон. V. Давление паров ацетона в растворе нитроцеллюлозы. VI. Параметр взаимодействия нитроцеллюлозы в ацетоновом растворе. Такэнака (Takenaka Na-ruo), Кобунсикагаку, Chem. High Polym., 1957, 14, № 145, 219—223; № 146, 270—276; № 147, 311—317 (японск.; рез. англ.)

IV. Высказано предположение о наличии пустот в р-рах нитроцеллюлозы в ацетоне при конц-ях  $>8\%$ . Исследовалось влияние добавок 13% дибутилфталата на нитроцеллюлозу и измерены уд. объемы и коэф. термич. расширения. Систематич. отклонения от аддитивности уд. объема наблюдались при конц-ях  $>70\%$ ; при этом ожидаемая «упаковка пустот» не наблюдалась. При добавлении дибутилфталата зависимость коэф. термич. расширения от степени полимеризации исчезает. Предположено, что дибутилфталат является хорошим р-рителем нитроцеллюлозы.

V. Давление паров над р-рами трех видов нитроцеллюлозы в ацетоне измерено во всей области конц-й при т-рах  $20$ — $60^\circ$  через каждые  $5^\circ$ . При конц-ях  $>75\%$  наблюдали гистерезис измерения давления паров с т-рой.

VI. Определены активность ацетона и параметр взаимодействия. По температурной зависимости  $\chi_1$  проведено разделение  $\chi_1$  на тепловую и энтропийную части, линейно зависящие от т-ры.

Резюме автора  
59721. Вязкость разбавленных растворов длинных цепочечных полимерных молекул. Бхатнагар, Бисвас, Гхарпури (Viscosity of dilute solutions of long chain polymer molecules. Bhatnagar H. L., Biswas A. B., Charpurey M. K.), J. Chem. Phys., 1958, 28, № 1, 88—99 (англ.)

Предложена теория, устанавливающая связь между константой Ф в ур-нии для характеристич. вязкости р-ров полимеров  $[\eta] = \Phi(\bar{r}^2)^{1/2} / M$  (1) ( $\bar{r}^2$  — средний квадрат расстояния между концами цепи,  $M$  — мол. вес) и константой  $k''$  в ур-нии для концентрационной зависимости относительной вязкости р-ров полимеров  $\lg \eta_r / c = [\eta] - k''[\eta]^2 c$  (2). Текучесть р-ра определяется как  $\Phi_{12} = x_1\Phi_1 + x_2\Phi_2$ , где  $x$  и  $\Phi$  — соответственно объемные доли и текучести р-рителя 1 и полимера 2. Пользуясь для  $\Phi_1$  выражением, следующим из теории Эйринга, а для  $\Phi_2$  — аналогичным выражением, умноженным на вероятность  $w(p)$  согласованного движения всех кинетич. единиц макромолекулы, авторы получают ур-ния (1) и (2), где  $\Phi$  и  $k''$  оказываются выраженными через  $w(p)$ ,  $f = \epsilon_2 - \epsilon_1 - \epsilon_{12}$  ( $\epsilon$  — стандартные мол. свободные энергии активации) и снел. функцию сдвиговой силы.

О. Птицын  
59722. Влияние скорости сдвига на кажущуюся вязкость разбавленных растворов полимеров. Такэмура (Influence of rate of shear on the apparent viscosity of dilute polymer solutions. Takemura Tetuo), J. Polymer Sci., 1958, 27, № 115, 549—554 (англ.; рез. франц., нем.)

Предложена теория зависимости вязкости разб. р-ров полимеров от градиента скорости потока. Рассматривается модель Рауза (макромолекула, состоящая из  $n$  длинных субцепей, подчиняющихся гауссовой статистике), причем молекуле приписывается определенная жесткость. Диффузионное ур-ние решается в системе координат, движущейся и вращающейся вместе с макромолекулой. В этой системе отклонения функции распределения для цепи от равновесной достаточно малы, чтобы можно было рассматривать их как малое возмущение. Вычисленный ур-

занным путем коэф. вязкости  $\eta$ - $r$  в стационарном потоке равен  $\eta = \eta_s + \bar{n}kT \sum_{p=1}^n \tau_p / (1 + a^2 \tau_p^2)$  (1), где  $\eta_s$  — вязкость  $r$ -рителя,  $n$  — число макромолекул в единице объема,  $a$  — градиент,  $\tau_p = a^2 / \sigma B k T \lambda_p$  — времени релаксации,  $a^2$  — средний квадрат расстояния между концами субцепи,  $B$  — подвижность,  $\lambda_p = 4 \sin^2 \times [\lambda_p / 2(n+1)]$ . Если заменить градиент стационарного потока  $a$  периодич. механич. полем и круговой частотой  $\omega$ , то ур-ние (1) даст реальную часть динамич. коэф. вязкости. Следовательно, и динамич. и стационарная вязкости разб.  $r$ -ров полимеров обусловлены одним и тем же механизмом внутрицепочечной релаксации. О. Птицын

59723. О вязкоупругости и комплексной диэлектрической постоянной в присутствии электрического поля и сдвигового ламинарного потока в растворе макромолекул. Санто, Като (On the viscoelasticity and complex dielectric constant in the presence of an electric field and a shearing laminar flow in solution of macromolecules. Saito Nobuhiko, Kato Tomokazu), J. Phys. Soc. Japan, 1957, 12, № 12, 1393—1402 (англ.)

Рассмотрено влияние электрич. поля на характеристич. вязкость  $[\eta]$  и влияние градиента скорости потока  $g$  на диэлектрич. проницаемость  $\epsilon$  разб.  $r$ -ра полирного полимера. Макромолекула моделируется эллипсоидом вращения, причем дипольный момент направлен по оси симметрии. Электрич. поле  $E$  направлено параллельно градиенту скорости потока. Считается, что  $g = g_0 \cos \omega t$ ,  $E = E_0 \cos \omega t$  и что влияние механич. и электрич. сил на ориентацию макромолекул достаточно мало, чтобы его можно было рассматривать как малую поправку. Диффузионное ур-ние для функции распределения  $q$  макромолекул по ориентациям решено с учетом членов, пропорциональных  $E_0^2$ ,  $g_0^2$  и  $g_0 E_0$ . С помощью функции  $q$  получены выражения для  $[\eta]$  и  $\epsilon$ , из которых следует, что электрич. поле увеличивает  $[\eta]$  на величину, пропорциональную  $E_0^2$ , а наличие потока увеличивает  $\epsilon$  на величину, пропорциональную  $g_0^2$ . Приведен также анализ указанных явлений с точки зрения термодинамики необратимых процессов. Результаты теории качественно согласуются с опытами по влиянию электрич. поля на вязкость полярных низкомолекулярных жидкостей. О. Птицын

59724. Поглощение ультразвуковых волн большой амплитуды в структурированных растворах. Михайлов И. Г., Федорова Н. М., Акуст. ж., 1957, 3, № 3, 239—242

Приводятся результаты измерения (импульсным методом, частота 5 Мгц) поглощения ультразвуковых волн в  $r$ -рах полиизобутилена (мол. в. 20 000, 98 000, 148 000) в бензине и пербутана в толуоле при конц-х 3, 5 и 10%. Для определения поглощения, при ряде последовательных значений напряжения на излучающем кварце, измерялось напряжение на приемном кварце, в зависимости от расстояния между ним и излучателем. В  $r$ -рах полимеров обнаружено существование пороговой интенсивности излучения, выше которой напряжение на приемном кварце зависит от времени облучения, чего не наблюдается в чистых  $r$ -рителях. Эта зависимость обусловлена разрушением под действием звука структуры  $r$ -ра. В бензине коэф. поглощения плавно возрастает с ростом интенсивности, в  $r$ -рах полимеров это наблюдается только до пороговой интенсивности. Измерения при больших интенсивностях затруднены в силу зависимости степени разрушения  $r$ -ра от интенсивности звука. Б. Кудрявцев

59725. Кристаллизация высокомолекулярных веществ и переход в стеклообразное состояние (пер-

ход второго рода). Уэмацу, Итигаро, Нихон го-му кёкайси, J. Soc. Rubber Ind., Japan, 1957, 30, № 12, 944—954 (японск.)

Обзор. Библ. 66 назв.

59726. Ядерно-резонансная магнитная спектроскопия применительно к исследованию высокополимеров. Данжар (La spectrométrie de résonance magnétique nucléaire. Application à l'étude des hauts polymères. Danjard J. C.), Rev. gén. caoutchouc, 1958, 35, № 1, 51—54 (франц.; рез. англ., нем., исп., итал.)

Обзор. Вкратце изложены теоретич. основы метода и его применения к проблемам вулканизации, структурных переходов, влияния наполнителей, кристалличности и т. д. Библ. 34 назв. С. Френкель

59727. Ядерный магнитный резонанс, радиационные повреждения и жесткость разветвленного полиэтилена как функция температуры. Фускилло, Сауэр (Nuclear magnetic resonance, radiation damage and rigidity in branched polyethylene as a function of temperature. Fuschillo N., Sauer J. A.), J. Appl. Phys., 1957, 28, № 10, 1073—1081 (англ.)

Характер мол. теплового движения в разветвленном полиэтилене (3,2 метильных групп на 100 углеродных атомов), не облученном и облученном в ядерном реакторе, исследован с помощью ядерного протонного резонанса, измерений динамич. модуля, определения кристалличности рентгеновским методом и уд. объема. Все величины измерены в широком интервале (механич. свойства при 77—370° К для не облученного и при 450° К для облученного материала, уд. объем при 160—370° К, ядерный резонанс при 80—350° К). Облученные образцы получили дозы 0,3; 0,6; 1,2; 2,8; 5,5 и 8 · 10<sup>18</sup> нейтрон/см<sup>2</sup> (плюс соответствующие быстрые нейтроны и  $\gamma$ -лучи 0,75; 1,5 и 2,25 · 10<sup>9</sup> ф. э. р. для последних трех образцов соответственно). Один образец был облучен (в вакууме) от  $\gamma$ -источника Co<sup>60</sup> и получил 10<sup>8</sup> ф. э. р. При этом образовалась в среднем одна сшивка на 40—50 атомов С. В опытах установлена корреляция в изменении (с т-рой и облучением) параметров линии ядерного магнитного резонанса и механич. свойств полиэтилена. Начиная с 3 · 10<sup>17</sup> нейтрон/см<sup>2</sup> наблюдаются значительные изменения в форме линии протонного резонанса; они могут быть поняты как результат радиационного сшивания, сначала приводящего к преобладающему облегчению мол. перегруппировок благодаря уменьшению кристалличности, а при дальнейшем увеличении густоты сетки с увеличением дозы приводящего к затруднению этих перегруппировок в аморфной части материала. Изменение механич. свойств и протонного резонанса с повышением т-ры связано сначала с появлением крутильных колебаний малых участков цепи (4 метиленовые группы), а затем, выше т-ры размягчения, аморфной фазы (при ~235° К) — с тепловым движением более крупных сегментов (~10 метиленовых групп), соответствующим энергии активации ~12 ккал/моль. При т-рах >290° К наблюдаются изменения, связанные с постепенным плавлением кристаллов. Ю. Лазуркин

59728. Исследование целлюлозного волокна электронографическим и электронно-микроскопическим методами при низкой температуре. Хондзё, Ватанабэ (Examination of cellulose fibre by the low-temperature specimen method of electron diffraction and electron microscopy. Honjo Goro, Watanabe Masaru), Nature, 1958, 181, № 4605, 326—328 (англ.)

Электронограмма микрофибрилл дуба (*Quercus aegilops* L.), полученная при —100°, содержит до 400 довольно хорошо разрешенных, вплоть до десятой слое-



вой линии, отражений. Несмотря на то, что многие отражения могут быть проиндексированы в предположении монокл. ячейки  $a$  8,39,  $b$  10,58,  $c$  7,94 Å и  $\beta$  82°, почти идентичной с предложенной Мейером и Мипшем для целлюлозы 1, полученная структура характеризуется неравенством интенсивностей ( $hkl$ ) и ( $\bar{h}k\bar{l}$ ), по-видимому, вследствие различных значений структурного фактора, а также появлением отражений не только на экваторе, но и на других слоевых линиях. Вопрос, является ли эта структура новой или более правильной для целлюлозы 1, пока остается открытым. О. Ив

**59729. Температуры плавления и теплоты плавления некоторых полиамидов и полиэфиров.** Флори, Бедон, Кифер (Melting points and heats of fusion of some polyamides and polyesters. Flory Paul J., Bedon Helen D., Kiefer Edward H.), J. Polymer Sci., 1958, 28, № 116, 151–161 (англ.; рез. франц., нем.)

Дилатометрически определены  $t$ -ры плавления ряда полиамидов и полиэфиров и их смесей с  $p$ -рителами и из данных по понижению  $t$ -ры плавления численные теплоты плавления. Найдены следующие значения  $t$ -ры плавления (1-я цифра) и теплоты плавления (2-я цифра), кал/г: декаметиленазеаамид 216°, 24,5; декаметиленазеаамид 214°, 27; 1,10-диперазилдекансеааамид 129,5°, 34,5; декаметиленазеаат 69°, 31; нонаметиленазеаат 65°, 33; декаметилентерефталат 138°, 36; гексаметилентерефталат 160,5°, 34. Полученные результаты сопоставлены с литературными данными по теплотам плавления аналогичных полимеров. Высокие  $t$ -ры плавления полиамидов по сравнению с соответствующими полиэфирами объясняются различиями кристаллич. структуры полимеров вблизи  $t$ -ры плавления; для полиамидов вблизи  $t$ -ры плавления происходит перестройка кристаллич. решетки, сопровождающаяся ростом энтропии кристалла; это обуславливает меньшее изменение энтропии при плавлении. Ю. Липатов

**59730. Удельный объем расплавленного полихлортрифторэтилена.** Фуруя, Хонда (Specific volume of molten poly-(chlorotrifluoroethylene). Furuya Sumu, Honda Masakazu), J. Polymer Sci., 1958, 28, № 116, 232 (англ.)

Удельный объем расплава полихлортрифторэтилена описывается у-нием:  $1 + \lg V_t = 0,4641 + 3,47 \cdot 10^{-4} t$  ( $230 \leq t \leq 280^\circ$ ). Экстраполяция к низким  $t$ -рам дает значение  $V_{25} = 0,4922$ , сопоставимое со значением уд. объема полностью аморфного состояния, найденному методом ИК-спектров (РЖХим, 1958, 3431). Уд. объем при  $t$ -ре  $-131^\circ$  равен 0,4562 и согласуется со значением для совершенно кристаллич. полимера при комнатной  $t$ -ре. Ю. Липатов

**59731. Влияние кристалличности и поперечных связей на упругое и неупругое поведение высокополимеров.** Баккаредда, Бутта (Influenza della cristallinità e dei legami trasversali sul comportamento elastico ed anelastico degli alti polimeri. Baccaredda A. M., Butta E.), Chimica e industria, 1958, 40, № 1, 6–13 (итал.; рез. франц., англ., нем.)

Динамико-механические свойства ряда высокополимеров различной структуры (аморфные полипропилен, полибутитен, полистирол, полиметилметакрилат, поперечно-связанный полистирол, умеренно и сильно облученный полиэтилен, фенолформальдегидная смола, нормальный полиэтилен высокой степени кристалличности и найлон-66) исследовались в области  $t$ -р от  $-70$  до  $+250^\circ$  и в интервале частот 2–30 кГц. Структурные переходы ( $t$ -ра стеклования  $T_g$ ,  $t$ -ра плавления кристаллитов  $T_m$ ) определялись по особым точкам кривых скорости распространения ультразвука,  $V$ , и внутренней диссипации энергии в функции от  $t$ -ры.

Кристалличность и поперечные связи любого характера при  $t$ -рах выше  $T_g$  при прочих равных условиях повышают  $v$  по сравнению с линейными аморфными полимерами. При еще больших  $t$ -рах влияние как полярных поперечных связей, так и кристалличности постепенно исчезает, тогда как влияние ковалентных связей сохраняется. Наряду с  $T_g$  и  $T_m$  наблюдались третья точка перехода,  $T_s$ , расположенная на несколько десятков градусов выше  $T_g$  и характерная для полимеров с поперечными связями или с достаточно выраженной кристалличностью. При  $T_s$  исчезает или значительно ослабевает зависимость  $v$  от  $t$ -ры, а кривые диссипации (механич. потери) проходят через максимум. Авторы полагают, что при  $T_s$  полностью развивается сегментальная подвижность цепочек, начинающаяся проявляться при  $T_g$ . Кристалличность и ковалентные поперечные связи смещают  $T_g$  и  $T_s$  в сторону более высоких  $t$ -р и обуславливают упомянутый максимум на кривых потерь; однако при очень высоких степенях кристалличности или вулканизации этот максимум исчезает так же, как и точки перехода  $T_g$  и  $T_s$ . Эти результаты интерпретируются на основе общепринятых представлений о структуре исследованных полимеров. С. Френкель

**59732. Крутильные колебания в растянутых высокополимерах.** Хельвеге Кайзер, Купфаль (Torsionsschwingungen an gedehnten Hochpolymeren. Hellwege K. H., Kaiser R., Kuphal K.), Kolloid-Z., 1958, 157, № 1, 27–37 (нем.)

С целью установления влияния вытяжки на степень кристалличности полиэтилена, тефлона, полиамидов и полиуретанов исследованы свободные крутильные колебания на растянутых и нерастянутых образцах при различных  $t$ -рах. Определены составляющие комплексного модуля кручения и логарифмич. декремент затухания. Даны ф-лы для вычисления механич. характеристик в случае кручения образцов вокруг оси, параллельной и перпендикулярной оси вытяжки. Найдено, что для полиэтилена высокого давления максимум затухания при  $60^\circ$ , приписываемый кристаллич. областям, исчезает и появляется максимум при  $0^\circ$  в случае вытяжки полимера. Последний максимум приписывается аморфной фазе. С увеличением  $t$ -ры вытяжки (от 20 до  $80^\circ$ ) этот максимум смещается к  $40^\circ$ . На основании этих данных авторы заключают, что кристаллич. области при вытяжке становятся менее упорядоченными или их число уменьшается. Для других полимеров, исследованных в ограниченной температурной области, установлены только незначительные изменения максимумов, лежащих в области  $10$ – $30^\circ$ . Для растянутых образцов эти максимумы сдвигаются в сторону более высоких  $t$ -р, что может быть приписано напряжениям, возникающим в ориентированных некристаллич. областях. Ю. Липатов

**59733. Сравнительные диэлектрические и механические измерения пластифицированных полимеров на частоте  $2 \cdot 10^6$  гц.** Турн, Вюрстлин (Vergleichende dielektrische und mechanische Messungen bei  $2 \cdot 10^6$  Hz an einigen weichgemachten Hochpolymeren. Thurn H., Würstlin F.), Kolloid-Z., 1958, 157, № 1, 21–27 (нем.)

На частоте  $2 \cdot 10^6$  гц исследованы диэлектрич. и механич. потери для систем поливинилхлорид — ди- $n$ -бутилфталат, поливинилацетат — ди- $n$ -бутилфталат и поливинилацетат — бензилбензоат во всей области конц-й. Полученные данные показывают, что расщепление максимума потерь на 2 максимума при высоких конц-ях (Würstlin F., Kolloid-Z., 1949, 113, 18; 1950, 120, 94) происходит также для механич. потерь, однако при других конц-ях пластификатора. Момент появления побочного максимума зависит от высоты главного максимума, полуширины максимумов обоих компонен-

тов и от различия в их т-рах. Эти факторы зависят не только от структуры полимера, но и от того, диэлектрич. или механич. метод измерения потерь применяется в данном случае, поскольку в 1-м методе существенно движение полярных групп, а во 2-м — подвижность участков цепей. Таким образом, появление вторичного максимума на кривой потерь не является доказательством появления свободных молекул пластификатора, как утверждается в работе (РЖХим, 1957, 4605).

Ю. Липатов

**59734. Влияние межмолекулярного взаимодействия, поперечного сшивания и температуры на разрушение и временную зависимость прочности каучукоподобных полимеров.** Бартенев Г. М., Брюханова Л. С., Ж. техн. физ., 1958, 28, № 2, 287—295

Для каучуков СКН-18, СКН-26, СКН-40; СКС-10, СКС-30; СКБ и СКБМ методом одноосного растяжения под действием статич. нагрузок изучено влияние на прочность и ее временную зависимость межмолекулярного взаимодействия, поперечного сшивания и т-ры. С целью проверки ф-л Журкова  $\tau = A \exp(-a\sigma)$  (1) и эвсторов  $\tau = B\sigma^{-b}$  (2), где  $A, B, a$  и  $b$  — константы,  $\tau$  — время разрыва,  $\sigma$  — напряжение, эксперим. данные обрабатывались в полулогарифмич. и логарифмич. координатах. Из опытных данных автор показывает неприменимость ф-лы (1) и применимость ф-лы (2). Однако с ростом межмолекулярного взаимодействия, густоты сетки и наполнения временная зависимость прочности приближается к ф-ле (1). Температурно-временная зависимость прочности описывается предложенной авторами ф-лой  $\tau = c\sigma^{-b} \exp(U/RT)$ , где  $U$  — энергия активации разрыва, равная 13 ккал/моль. Проводится анализ двух стадий разрушения с шероховатой и гладкими зонами.

В. Лаврентьев

**59735. Об изменениях свойств полиэтилена высокого и низкого давления при рентгеновском облучении.** Шумахер (Über die Veränderung von HD- und ND-Polyäthylen durch Röntgenbestrahlung. Schumacher K.), Kolloid-Z., 1958, 157, № 1, 16—27 (нем.)

Исследовано изменение свойств полиэтилена высокого (I) и низкого давления (II) под влиянием облучения рентгеновскими лучами в вакууме при дозах до 400 мрентген и т-рах 10—80°. Облучение проводилось в вакууме. Для облученных образцов измерены модуль эластичности в области  $> 135^\circ$ , растворимость, диэлектрич. свойства и ИК-спектры. Определен состав газов, выделяющихся при облучении. Показано, что кол-во газов возрастает для I и II одинаково и вначале пропорционально дозе облучения, затем несколько меньше. В состав газов входят  $H_2$  и низшие углеводороды; их доля составляет для I 6% и для II 1%. Отношение этих кол-в соответствует примерно содержанию конечных групп в I и II. При повышении т-ры кол-во газов и относительное содержание в них углеводородов возрастает. ИК-спектры показывают возникновение в процессе облучения двойных связей; образуются также поперечные связи в кол-ве 1,25 на 100 эв поглощенной энергии. Число поперечных связей вычислено из данных по модулю эластичности. С возрастанием дозы облучения уменьшается растворимость. Рассмотрение данных по растворимости в свете теории Чарлзби показывает, что I является полимером с более широким распределением мол. весов, чем II. Облученный полиэтилен после хранения на воздухе подвергается заметному окислению, причем кол-во карбонильных групп стремится к пределу после пребывания на воздухе в течение 500 час. II окисляется значительно быстрее I, что связывается с наличием остаточных кол-в катализатора. Термообработка облученных образцов снижает их способность к окислению. Анализ данных по ИК-спектрам показывает, что при облучении имеет место главным образом образование транс-двой-

ных связей. Возможный при действии облучения разрыв цепей происходит только на концах молекул. Повышенное содержание водорода в газах объясняется на основе представлений (Frank, Rabinowitsch, Trans. Faraday Soc., 1934, 130, 120) о первичной рекомбинации, заключающейся в мгновенной рекомбинации расщепленных отрезков молекул; в результате этого разрыв цепей происходит редко, а поглощенная энергия выделяется в виде топлива; при этом возможно выделение водорода, который быстро диффундирует и удаляется из полимера.

Ю. Липатов

**59736. Влияние излучения из реактора на динамические механические свойства полиэтилена. Дили, Клайн, Сауэр, Вудфорд (Effect of pile irradiation on the dynamic mechanical properties of polyethylene. Deeley C. W., Kline D. E., Sauer J. A., Woodward A. E.), J. Polymer Sci., 1958, 28, № 116, 109—120 (англ.; рез. франц., нем.)**

В интервале т-р 80—550° K и диапазоне звуковых частот определены внутреннее трение  $Q^{-1}$  и резонансная частота для образцов полиэтилена, подвергнутого облучению из ядерного реактора дозами 0,25—8,6  $\cdot 10^{18}$  нейтрон  $1\text{ см}^2$  в 1 сек. Методика измерений описана ранее (РЖХим, 1957, 54851). При дозах облучения, приводящих к образованию 4% поперечных связей и более наблюдаются температурный сдвиг максимумов потерь, находящихся в необлученном полиэтилене при 165, 265 и 355° K. Изменяется также зависимость динамич. модуля. Максимум потерь при 355°, связанный с плавлением кристаллов, уменьшается по величине и сдвигается в сторону низких т-р с ростом дозы облучения. Максимум при 265° также уменьшается, но сдвигается к более высоким т-рам. Максимум при 165° сначала возрастает по величине и сдвигается к более высоким т-рам, но затем по мере увеличения дозы вновь падает. Полученные результаты объясняются исходя из представлений о диффузии сегментов в аморфных областях и изменения степени кристалличности при облучении.

Ю. Липатов

**59737. Об износе тефлона при скольжении по тефлону.** Флом (Note on the wear of teflon sliding on teflon. Flom D. G.), J. Appl. Phys., 1957, 28, № 11, 1361—1362 (англ.)

На основании краткого изучения износа цилиндрич. и полусферич. образцов тефлона при двух скоростях скольжения (189 и 95 см/сек) по тефлону под нагрузкой 180 г определена начальная скорость износа, равная  $7 \cdot 10^{-9}$  см<sup>3</sup>/см, и показано, что с увеличением пути скольжения скорость износа возрастает, но не зависит от скорости скольжения.

В. Сапронов

**59738. Теория отрыва в случае клея, подчиняющегося закону Гука.** Байкерман (Theory of peeling through a Hookean solid. Bickerman J. J.), J. Appl. Phys., 1957, 28, № 12, 1484—1485 (англ.)

Рассчитана сила отрыва для модели, состоящей из жесткой пластины, к которой приклеена гибкая лента, нагруженная на одном конце некоторой силой  $F$ . Пространство между пластиной и лентой заполнено слоем клея, представляющего собой твердое тело, подчиняющееся закону Гука. Указанная здесь сила отрыва, а также затраченная при этом работа сравнены с предельной нагрузкой и работой разрушения склеивающего слоя при испытаниях его на растяжение. Проведенный расчет и сравнение позволяют увязать величину силы отрыва с общими механич. свойствами и геометрией склеивающего слоя.

В. Кушнер

**59739. Определение содержания силиконовых смол экстракцией пиперидином.** Грантем, Хастингс (Silicone resin content determination by piperidine extraction. Grantham R. L., Hastings A. G.), J. Polymer Sci., 1958, 27, № 115, 560—561 (англ.)

Описан метод определения содержания силиконовых



смола в материалах с различными наполнителями (стекло, асбест и др.), основанный на экстракции горячим пиперидином в аппарате Сокслета. В. Кабанов

59740. Механо-химические превращения и синтез полимеров. Берлин А. А., Успехи химии, 1958, 27, № 1, 94—106

Обзор. Библ. 46 назв.

59741. Дилатометрический метод исследования реакции полимеризации на нестационарном участке. Бенгюу (A dilatometric method of following the non-stationary state of polymerization reactions. Bengough W. I.), Nature, 1957, 180, № 4595, 1120—1121 (англ.)

Предложен метод определения скорости фотополимеризации в начальной нестационарной области, основанный на измерении увеличения объема реакционной смеси при проведении р-ции в адиабатич. условиях. Р-ция проводится в дилатометре объемом 20 мл, снабженном капилляром диам.  $\sim 0,4$  мм и помещенном в вакуумную рубашку; адиабатич. условия в такой установке сохраняются в течение  $\sim 30$  сек. Определение положения мениска осуществляется фотографиярованием с помощью кинокамеры (16 кадров в секунду) через телескоп катетометра. Исследована кинетика полимеризации винилацетата при  $25^\circ$  (сенсibilизатор — динитрил 1,1'-азодициклогексанкарбоновой к-ты). Стационарная скорость устанавливается через  $\sim 2$  сек. после начала р-ции. Из полученных данных рассчитана величина отношения констант скоростей р-ций роста  $K_p$  и обрыва  $K_0$ :  $K_p/K_0 = 2,9 \cdot 10^{-6}$ .

А. Праведников

59742. Свободно-радикальная фотополимеризация метилакрилата в водном растворе. Менон, Сантappa (Photo-initiated free radical polymerization of methyl acrylate in aqueous solution. Menon C. Chaitanya, Santappa M.), Canad. J. Chem., 1957, 35, № 11, 1267—1277 (англ.)

Исследована кинетика фотополимеризации ( $\lambda$  3650 Å) метилакрилата в водн. р-ре; сенсibilизаторы — ионные пары  $Fe^{3+}OH^-$  и  $Fe^{3+}Cl^-$ . Скорость полимеризации  $V$  пропорциональна конц-ии мономера и корню квадратному из доли света, поглощенного сенсibilизатором в области высоких интенсивностей. Величина квантового выхода р-ции образования  $Fe^{2+}$  при увеличении конц-ии мономера стремится к некоторому предельному значению,  $< 1$ . Полученные результаты рассмотрены с помощью следующей схемы:  $Fe^{3+}X^- \rightleftharpoons Fe^{2+}X$  (при действии света),  $M + Fe^{2+}X \rightarrow Fe^{2+} + XM$ ,  $Fe^{2+}X \rightarrow Fe^{2+} + X$ ,  $Fe^{2+} + X \rightarrow Fe^{3+} + X^-$ ,  $X + M \rightarrow XM$ ,  $XM_n + M \rightarrow XM_{n+1}$  ( $M$  — мономер,  $X$  —  $OH$  или  $Cl$ ).

А. Праведников

59743. Метод измерения теплот полимеризации. I. Теплота полимеризации винилацетата. Бенгюу (A method of measuring the heats of polymerization. Part I. The heat of polymerization of vinyl acetate. Bengough W. I.), Trans. Faraday Soc., 1958, 54, № 1, 54—59 (англ.)

Дилатометрически измерена скорость фотополимеризации (СФ) винилацетата под действием света Hg-ламп, сенсibilизированной добавками  $0,0009$  моль/л 1,1'-азо-бис-(циклогексан)-карбонитрила при  $25$ — $30^\circ$ , а также скорость разогрева (СР) в центре дилатометра по ходу превращения. Поскольку в течение первых  $20$ — $30$  сек. с момента включения лампы отвода теплоты, выделяющейся в процессе полимеризации, практически не происходит (РЖХим, 1955, 54858), СР в этом интервале времени, помимо теплоемкости и массы реакционной системы, зависит лишь от СФ и величины теплоты  $\Delta H$  полимеризации. Сопоставлением СР и СФ получено  $\Delta H = 20,1 \pm 1,0$  ккал/моль.

Г. Королев

59744. Тетраэтилсвинец как инициатор реакций полимеризации. Марвел, Вулфорд (Lead tetraethyl as

initiator for polymerization reactions. Marvel C. S., Wulford R. G.), J. Amer. Chem. Soc., 1958, 80, № 4, 830—831 (англ.)

Полимеризация акрилонитрила (I), метилметакрилата (II), винилацетата (III) и винилхлорида (IV) в присутствии  $Pb(C_2H_5)_4$  и  $TiCl_4$  изучена в герметизированных р-рах. Полимеризация II—IV при любых условиях протекает лишь до очень малых глубин превращения (III). Полимеризация I в присутствии только  $TiCl_4$  не происходит, а в присутствии только  $Pb(C_2H_5)_4$  протекает до III  $\sim 8\%$ ; в присутствии обоих катализаторов полимеризация идет тем лучше, чем ближе состав каталитич. смеси к эквимолекулярному. Характеристич. вязкость  $[\eta]$  полимеров равна  $0,9$ — $5,0$ . Рентгенографически обнаружено, что они не обладают высококристаллич. свойствами, которые присущи полимерам, получаемым на обычных пгтеросовских катализаторах. Промение УФ-света вместо дневного сильно (до  $60\%$ ) увеличивает III, хотя несколько снижает  $[\eta]$ . В темноте полимеризация практически не происходит. По мнению авторов,  $Pb(C_2H_5)_4$  под действием света распадается с образованием свободных радикалов, которые иницируют полимеризацию даже при комнатной т-ре.

Г. Королев

59745. О кинетике фотополимеризации метилметакрилата в присутствии перекиси бензоила. Шлык В. Г. (Аб кинетике фотополимеризации метилметакрилата в присутствии перакиси бензоила. Шлык В. Г.), Вестн АН БССР. Сер. физ.-техн. н., Изв. АН БССР. Сер. физ.-техн. н., 1957, № 2, 59—71 (белорусск.; рез. русск.)

Исследована фотополимеризация ( $295$ — $395$  мμ) метилметакрилата (I) в массе и в р-рах  $C_6H_6$  и  $CHCl_3$  в присутствии перекиси бензоила (II) в вакууме, при  $17$ — $18,5^\circ$ . Фотополимеризация I в массе идет без индукционного периода. Скорость р-ции (V) растет с увеличением конц-ии II, достигая предельного 4-кратного увеличения при конц-ии II, равной  $0,389$  М. Разбавление мономера несколько увеличивает V. Ускоряющее действие II усиливается с разбавлением мономера, однако быстрее достигается предельная скорость. Дано обсуждение полученных результатов. Выведено уравнение для V, согласующееся с эксперим. данными.

Р. Милютинская

59746. Сенсibilизированная красителями фотополимеризация акрилонитрила и винилацетата. Танияма, Остер (Dye-sensitized photopolymerization of acrylonitrile-vinyl acetate copolymers. Taniyama Masakazu, Oster Gerald), Bull. Chem. Soc. Japan, 1957, 30, № 8, 856—859 (англ.)

В р-ре диметилформамида изучена сополимеризация акрилонитрила (I) и винилацетата (II) под действием видимого света, сенсibilизированная акрилавинном ( $0,00625\%$ ) в присутствии восстановителя ( $0,04\%$  аллилатомочевины). Соплимер (C) подвергался анализу на содержание I и II методом ИК-спектров и при помощи хим. определений N в C. С увеличением мол. доли I в исходной смеси ( $M_1$ ) скорость сополимеризации, возрастая, проходит через максимум (при  $M_1 = 0,7$ ); мол. доля I в C при этом возрастает, оставаясь все время выше, чем  $M_1$ ; вязкость (а следовательно, и мол. вес) и отношение интенсивностей полос поглощения в ИК-спектре, соответствующих нитрильной ( $4,46$  мμ) и карбонильной ( $5,75$  мμ) группам, тоже возрастают с увеличением  $M_1$ . При  $M_1 < 0,3$  C растворим в ацетоне, а при  $M_1 > 0,5$  даже не набухает в нем. Мол. вес C не превышает  $20\,000$ . Константы сополимеризации:  $r_1 = 3,88$ ,  $r_2 = 0,009$ .

Г. Королев

59747. Радиохимическая полимеризация при высоких интенсивностях. Шапиро, Себбан-Данон (Polymérisations radiochimiques aux intensités élevées. Chapiro Adolphe, Sebban-Danon

Jeanne), J. chim. phys. et phys.-chim. biol., 1957, 54, № 10, 776—779 (франц.)

Изучена зависимость скорости полимеризации (v) стирола (I), метилакрилата (II) и акрилонитрила (III) от интенсивности облучения (I)  $\gamma$ - и рентгеновскими лучами ( $I = 51\text{--}34\,000$  рентген/мин.). При  $I < 100$  рентген/мин. v I и II линейно зависит от  $I^{0.5}$ , а III — от  $I^{0.8}$ . Для всех трех мономеров при  $I > 100$  рентген/мин. рост v с увеличением I замедляется, что объяснено авторами возрастанием при высоких I скорости р-ции рекомбинации первично образующихся радикалов по сравнению со скоростью иницирования этими радикалами р-ции полимеризации (РЖХим, 1957, 23266). Отклонение от линейной зависимости между v и  $I^{0.5}$  проявляется для II более отчетливо, чем для I. Это связано, по-видимому, с более высокой стационарной концентрацией первичных радикалов и меньшей реакционной способностью двойной связи у II, чем у I.

В. Кронгауз

59748. К вопросу о полимеризации стирола в растворе. Брейтенбах, Шиндлер (Zur Kenntnis der Polymerisation des Styrols in Lösung. Breitenbach J. W., Schindler A.), Monatsh. Chem., 1957, 88, № 5, 810—821 (нем.)

Измерены скорости (W) и средняя степень полимеризации  $\bar{P}$ , а также содержание Cl в образующихся полимерах при полимеризации стирола, иницированной добавками бензоилперекиси или нитрила азо-изомасляной к-ты, при  $70^\circ$  в следующих р-телях: м-дихлорбензол (I), о-хлортолуол (II), 1,1,2,2-тетрахлорэтан (III) и 1,2-дихлорэтан (IV). Зависимость W от концентрации мономера объясняется клеточным эффектом (Matheson M. S., J. Chem. Phys., 1945, 13, 584). Константы передачи цепи равны для I 0, II  $6.2 \cdot 10^{-5}$  и IV  $1.1 \cdot 10^{-4}$ . Хлорсодержание полимеры образуются только в случае III и IV. Отсутствие хлора в случае II находится в противоречии с тем фактом, что для II константа передачи больше нуля.

Г. Королёв

59749. Сополимеризация различных винилиденгалогенидов. Вихтерле, Зелинка (Kopolymerace různých vinylidenhalogenidů. Wichterle Oto, Zelenka Jifi), Chem. listy, 1957, 51, № 11, 2146—2148 (чешск.)

Исследованы системы 1-хлор-1-бромэтилен (I) — 1,1-дихлорэтилен (II) и 1,1-дибромэтилен (III) — II. Состав сополимеров находили аналитич. определением галогенов с точностью  $\pm 0.1\%$ . Получены следующие значения констант сополимеризации: для I—II  $r_1 = 2.38 \pm 0.06$ ,  $r_2 = 0.83 \pm 0.08$ , для III—II  $r_1 = 1.90 \pm 0.11$ ,  $r_2 = 1.04 \pm 0.10$ . Мономеры хранили для предотвращения самопроизвольной полимеризации в 50%-ных спирт. р-рах.

К. Setinek

59750. О сополимеризации дивинила с винилформиа-том. Ушаков С. Н., Иванов С. С., Изв. АН СССР, Отд. хим. н., 1957, № 12, 1465—1471

Исследована совместная полимеризация дивинила (I) с винилформиа-том (II) в присутствии различных иницирующих систем. В присутствии перекиси бензоила ( $120^\circ$ ) максим. скорость сополимеризации наблюдалась при соотношении I : II = 4 : 1; при соотношении I : II = 1 : 4 сополимеризация не наблюдалась вовсе. Полученный полимер представляет собой белую эластичную массу с желтоватым оттенком, хорошо растворим в эфире и не растворим в ацетоне; в хлороформе этот полимер набухает. Более эффективной оказалась система, состоящая из диоксималеновой к-ты (или ее диэтилового эфира), гидроперекиси изопропилбензола и нафтената Fe; в этом случае сополимеризация протекает с заметной скоростью уже при  $65^\circ$ . При замене нафтената Fe на стеарат выход полимера увеличивается в  $\sim 5$  раз. Из состава полученных полимеров рас-

считаны константы совместной полимеризации  $r_1 = 5.0$  и  $r_2 = 0.2$ . Вулканизаты, полученные на основе омыленного сополимера (I : II = 2 : 1 и 4 : 1), имеют более низкую т-ру стеклования ( $-80^\circ$ ), чем вулканизаты на основе НК и повышенную бензостойкость; прочность на разрыв незагруженных вулканизатов  $135\text{--}146$  кг/см<sup>2</sup>, относительное удлинение  $265\text{--}270\%$ , остаточное удлинение  $12\%$ .

А. Праведников

59751. Совместная полимеризация хлористого винила с эфирами акриловой кислоты. Ткаченко Г. В., Ступень Л. В., Кофман Л. П., Фролова Л. З., Ж. физ. химии, 1957, 31, № 12, 2676—2681 (рез. англ.)

Соплимеризация  $C_2H_3Cl$  с метилакрилатом ( $\alpha = 0.06$ ,  $\beta = 4.4$ ), *n*-бутилакрилатом ( $\alpha = 0.07$ ,  $\beta = 4.4$ ), а также с *n*-октилакрилатом ( $\alpha = 0.12$ ,  $\beta = 4.8$ ) в массе и в эмульсии (эмульгатор — фотожелатина) в стеклянных ампулах и в 4-литровом стальном автоклаве изучена при  $45^\circ$  в атмосфере  $N_2$  в присутствии инициатора (динитрила азоизомасляной к-ты); цифры в скобках — отношение констант скоростей взаимодействия хлорвинильного ( $\alpha$ ) и акрилатного ( $\beta$ ) радикалов со своим и чужим мономером. Константы  $\alpha$  и  $\beta$  определены приближенным методом (Гиндин Л. М. и др., Ж. физ. химии, 1947, 21, 1269). Скорость сополимеризации, а также характеристич. вязкость образующихся продуктов увеличиваются при повышении содержания акрилата. Рассчитано распределение звеньев в макроцепи сополимера.

Г. Королёв

59752. Температурная зависимость констант совместной полимеризации. Джоши, Капур (The temperature dependence of monomer reactivity ratios in copolymerization. Joshi R. M., Kapur S. L.), J. Scient. and Industr. Res., 1957, BC16, № 9, B379—B384 (англ.)

Проведена совместная полимеризация метилметакрилата (I) с акрилонитрилом (II) и метилакрилата (III) с аллилхлоридом (IV) при  $30\text{--}120^\circ$  (инициатор — перекись бензоила) и определен состав образующихся полимеров. Для расчета констант совместной полимеризации  $r_1$  и  $r_2$  применен статистич. метод (РЖХим, 1956, 1017; 1957, 8300). Описанным методом рассчитаны значения  $r_1$  (первая цифра) и  $r_2$  для систем I—II при  $40^\circ$  1,351; 0,100;  $60^\circ$  1,190; 0,173;  $80^\circ$  1,224; 0,150;  $100^\circ$  1,186; 0,160 и для систем III—IV при  $30^\circ$  9,100; —0,020;  $60^\circ$  8,450; 0,054;  $90^\circ$  6,460; 0,040;  $120^\circ$  5,450; 0,071. Из полученных данных найдены значения  $\Delta H_{11} - \Delta H_{12}$  (ккал/моль) (первая цифра) и  $\Delta S_{11} - \Delta S_{12}$  (энтр. ед.): система I—II для  $r_1$  —0,40, —0,37 и для  $r_2$  +1,90, +1,66; система III—IV для  $r_1$  —1,39, +0,15 и для  $r_2$  +1,09, —2,85.

А. Праведников

59753. Исследование совместной полимеризации. Джоши, Капур (Studies in copolymerization. Joshi R. M., Kapur S. L.), J. Scient. and Industr. Res., 1957, BC16, № 10, B441—B444 (англ.)

Определены значения констант совместной полимеризации  $r_1$  (первая цифра) и  $r_2$  при  $60^\circ$  для систем, составленных из указанных ниже мономеров (индекс 1) и аллилхлорида (индекс 2): стирол 36,8; 0,029, метилметакрилат 48,10; 0,048, этилметакрилат 57,90; 0,082, *n*-пропилметакрилат 52,00; 0,067, *n*-бутилметакрилат 46,30; 0,058, изобутилметакрилат 45,50; 0,047, 2-этоксизетилметакрилат 35,60; 0,033, бензилметакрилат 58,70; 0,016, метилакрилат 8,45; 0,054, этилакрилат 7,73; 0,084, *n*-пропилакрилат 7,56; 0,091, *n*-бутилакрилат 5,83; 0,100, 2-этоксизетилакрилат 8,85; 0,016, бензилакрилат 9,90; 0,058, винилформиа-т 0,57; 0,780, винилацетат 0,34; 0,750, винилпропионат 0,62; 0,680, винил-*n*-бутират 0,31; 1,150; винил-*n*-валерат 0,59; 1,620, винил-2-этилгексоат 0,71; 1,520, винилбензоат 0,46; 0,880. Рассчитаны также значения  $Q$  и  $e$  для исследованных мономеров.

А. Праведников

59754. Исследование эмульсионной полимеризации винилхлорида (предварительное испытание эмульга-



торов). Сообщение 2. Ле Кён Гу, Сим До Хён, Хахака ка хахак коноп, Химия и хим. пром., 1957, 1, № 1, 15—17 (кор.)

Сообщение 1 см. РЖХим, 1957, 60771

59755. Реакции свободных радикалов в растворах. XI. Механизм ингибирующего действия хинонов на процесс термической полимеризации стирола. Долгоплюск Б. А., Короткина Д. Ш., Ж. общ. химии, 1957, 27, № 9, 2546—2553

Исследована кинетика термич. полимеризации стирола (I) в массе и в р-ре толуола в присутствии бензохинона (II), нафтохинона (III) и антрахинона (IV) при 80, 100 и 120°. Показано, что II и III вызывают длительные индукционные периоды, во время которых наблюдается образование гидрохинона (35—37% от взятого II); IV лишен ингибирующего действия. Из данных о длительности индукционных периодов при различных т-рах в присутствии II рассчитана энергия активации р-ции инициирования 22,5 ккал/моль. Полная энергия активации р-ции полимеризации, рассчитанная из кинетич. данных, 22,6 ккал/моль. Из продуктов р-ции I с 7—10% II выделены 2 соединения, представляющие собой продукт взаимодействия первичного бирадикала, состоящего из двух молекул I, с II. Эти соединения являются ингибиторами полимеризации. Образование во время индукционного периода значительных кол-в гидрохинона авторы объясняют протеканием р-ции диспропорционирования между продуктами взаимодействия хинона с I. II и III снижают мол. веса полимера, образующегося после индукционного периода, что, по-видимому, связано с присутствием в системе продуктов взаимодействия этих соединений со стирольными радикалами; IV на мол. веса полимера не влияет. Сообщение X см. РЖХим, 1958, 23697.

А. Праведников

59756. Получение полимеров и сополимеров винилпиримидинов и триазинов. Овербергер, Микеллотти (The preparation of polymers and copolymers from vinylpyrimidines and triazines. Overberger C. G., Michelotti Francis W.), J. Amer. Chem. Soc., 1958, 80, № 4, 988—991 (англ.)

Для получения колич. данных о положительном характере двойных связей в  $\alpha$ -положении производных пиримидина и триазина синтезирован мономер 4,6-диамино-2-винил-8-триазин (I) и изучена его полимеризация и сополимеризация с метилвинилкетонем. I получался при взаимодействии бигуанидсульфата с хлористым акрилом в присутствии NaOH. Полимеризация проводилась в атмосфере  $N_2$  с применением персульфата К. Полимер не растворяется ни в одном р-рителе, кроме разб. минер. к-т. Полимеризация 4-винилпиримидина под влиянием динитрила азобисмасляной к-ты приводит к получению растворимых в воде полимеров. Проведена сополимеризация указанных соединений, а также 2-NN-диметиламино-4-винилпиримидина, и определены относительные реакционные способности мономеров. Сравнение полученных результатов с данными для винилпиримидина показывает, что введение второго атома N в кольцо усиливает положительный характер двойной связи. Ни одно из полученных соединений не обнаружило биологич. активности. Н. Мотовилова

59757. Полимеризация этилена в присутствии трибутилбора. Колесников Г. С., Соболева Т. А., Хим. наука и пром-сть, 1957, 2, № 5, 663

Описана полимеризация этилена (I) в присутствии трибутилбора в толуоле (II), протекающая только при повышенном давлении не ниже 100 ат (при комнатной т-ре) и приводящая к образованию высококристаллич. полиэтилена (III). Выход III значительно увеличивается, если содержимое автоклава после понижения давления (всегда до 50 ат) нагревать 2 часа при 50° или несколько раз повышать давление в автоклаве

до 100 ат повторным введением I. Замена II равным объемом бензина «калоша» дает увеличение выхода вдвое.

Е. Кронгауз

59758. Кинетика полимеризации пропилена на гетерогенных катализаторах с высокой стереоспецифичностью. Часть III. Процессы обрыва цепей, зависящие от концентрации катализатора. Натта, Паскуон, Джакетти (Cinetica della polimerizzazione del propilene con catalizzatori eterogenei ad elevata stereospecificità. Nota III. Processi di rottura delle catene dipendenti dalla concentrazione del catalizzatore. Natta G., Pasquon I., Giachetti E.), Chimica e industria, 1958, 40, № 2, 97—103 (итал.; реж. англ., нем., франц.)

Исследовано влияние конц-ии триэтилалюминия (I),  $TiCl_3$  в *n*-гептане (II) и времени полимеризации на мол. вес получаемого полимера. При различных т-рах (30—70°) и различных парц. давлениях пропилен (450—1450 мм рт. ст.) мол. вес полимера в интервале от 20 мин. до 30 час. не зависит от времени р-ции, т. е. скорость роста цепей в этих условиях велика и их рост заканчивается в течение начального периода р-ции. Мол. вес полимера уменьшается с ростом конц-ии в системе и в интервале  $1,4 \cdot 10^{-2}$ — $14,75 \cdot 10^{-2}$  моля I на 1 л II обратная величина вязкости полимера является линейной функцией от  $[I]^{1/2}$ , что объясняется его участием в р-ции обрыва цепей. Мол. вес полимера уменьшается также при увеличении содержания  $TiCl_3$  в системе в интервале конц-ий 0,3—9,05 г  $TiCl_3$  на 1 л II, что объясняется участием  $TiCl_3$  в образовании комплексов с I, влияющих на р-цию переноса цепей. В опытах применялась фиолетовая модификация  $TiCl_3$ , полученная восстановлением  $TiCl_4$  водородом при высокой т-ре с последующим измельчением и промывкой II. Как измельчение, так и промывка влияют на мол. вес полимеров. Получен в основном кристаллич. полимер, не растворимый в II. Кол-во аморфного полимера не превышает 10%. Рассматривается возможный механизм обрыва цепи под воздействием I, оценивается соотношение между различными процессами обрыва цепей, кинетически равноценными р-циями переноса цепи и указывается на доминирующую роль р-ции обрыва, протекающей под влиянием других факторов, не зависящих от присутствия катализаторов. Часть II см. РЖХим, 1958, 45521. В. Шекун

59759. Комплексы дихлорида бис-(циклопентадиенил)-титана и алкил-алюминия как катализаторы полимеризации этилена. Бреслоу, Ньюбург (Bis-(cyclopentadienyl)-titanium dichloride-alkylaluminum complexes as catalysts for the polymerization of ethylene. Breslow David S., Newburg Norman R.), J. Amer. Chem. Soc., 1957, 79, № 18, 5072—5073 (англ.)

Свежеприготовленная смесь дихлорида бис-(циклопентадиенил)-титана (I) с  $(C_2H_5)_3AlCl$  (II) является высокоактивным катализатором полимеризации этилена (III) только в том случае, если III содержит  $O_2$ . Так, III, содержащий 0,003 мол. %  $O_2$ , пропускали в толуольный р-р, содержащий 5 ммол/л I и 10 ммол/л II при 15—20°, при этом образовалось 13 г/час полиэтилена (IV). Из III, содержащего 0,25 мол. %  $O_2$ , при тех же условиях образуется 172 г/час IV. IV имеет менее разветвленную структуру, чем IV, полученный с катализатором Циглера (содержание  $CH_3$ -группы 0,05% против 0,9%), и обладает более высокой т-рой плавления (137° против 132°).

Е. Родионова

59760. Сополимеризация  $\epsilon$ -капролактама с 2-винилпиридином или 2-метил-, 6-винилпиридином в массе и в растворе. Томашевский, Хщонович (Kopolimeryzacja  $\epsilon$ -kaprolaktamu z 2-winylopyridyną lub 2-metylo-, 6-winylopyridyną w bloku i rozpuszczalniku. Tomaszewski Jerzy, Chrzczonowicz

Stanisław), Zesz. nauk. Politechn. Łódzkiej, 1957, № 18, 57—60 (польск.; рез. русск., англ.)

Описаны условия сополимеризации ε-капролактама с 2-винилпиридином или с 2-метил-, 6-винилпиридином в массе и в кипящем ксилоле. Определена т-ра размягчения полученных сополимеров и растворимость их в р-рах H<sub>2</sub>SO<sub>4</sub> разной конц-ии.

Резюме авторов 59761. Полимерные кремнийорганические соединения. VI. Кинетика конденсации алкенилсиланолов. Гусман, Орбисо (Polimeros organosilicicos. VI. Cinética de la condensación de alquénilsilanolos. Guzmán G. M., Orbiso J. L.), An. Real soc. esp. fis. y quim., 1957, B53, № 14, 685—695. Discus., 695—696 (исп.; рез. англ.)

Исследована конденсация диаллил- (I) и дивинил-силанолов (II) при 30, 40 и 50° в отсутствие р-рителей и катализаторов. Равновесие р-ции определяется ур-нем  $K = k_1 / k_2 = [E_0 - (E_t)_e]^2 / [2(E_t)_e - E_0]^2$ , где  $E_0$  — конц-ия групп SiOH при  $t = 0$  и  $(E_t)_e$  — конц-ия H<sub>2</sub>O, соответствующая равновесной (конц-ия H<sub>2</sub>O равна конц-ии образующихся SiOSi связей). Значение  $K$  при 30, 40 и 50° равно соответственно для I 2,46, 7,75 и 161 и для II 8,60, 101 и ∞, т. е. полное исчезновение групп SiOH в реакционной смеси вследствие образования циклич. соединений. Скорость р-ции выражается ур-нем  $k_1 = \{[E_0 - (E_t)_e] / 2t E_0 (E_t)_e \ln [(E_0 - E_t) \times [2(E_t)_e - E_0] + E_0[E_0 - (E_t)_e]] / E_0[E_t - (E_t)_e] = ax / (t_0 + t')$ , где  $E_t$  — конц-ия SiOH + H<sub>2</sub>O в момент времени  $t = t_0 + t'$ ,  $t_0$  — интервал времени, протекающий от момента смешения до 1-го замера, и  $t'$  — время, отсчитываемое от  $t_0$ . Экспериментально подтверждено наличие линейной зависимости  $x$  от  $t'$ , требуемой указанным ур-нем, т. е. р-ция протекает по 2-му порядку.  $k_1 \cdot 10^4$  для I равны (в л моль<sup>-1</sup> мин<sup>-1</sup>) 1,4, 1,75, 1,95; для II 1,69, 1,95, 2,58 при 30, 40 и 50° соответственно,  $k_2 \cdot 10^4$  для I 0,57, 0,23, 0,012, для II 0,20, 0,019 при тех же т-рах. Степень полимеризации (СП) предлагается оценивать по зависимости:  $СП = 1 / (1 - p)$ , где  $p = (N_0 - N) / N_0$ ,  $N_0$  — число функциональных групп при  $t = 0$  и  $N$  — их число моменту  $t$ ; связь между  $k_1$  и  $p$  дается ур-нем  $Q / k_1 t = (Q - 1) / p - 1/2 Q$ , где  $Q = E_0 / (E_t)_e$ ; линейная зависимость между  $1/p$  и  $1/t$ , требуемая этим ур-нем, подтверждена на опыте. СП для I равна 4,16; 6,66 и 25 и для II 6,90, 21,3 и ∞ при 30, 40 и 50° соответственно. Последний результат является следствием одновременно протекающей р-ции циклизации, при наличии которой оценка СП по ее зависимости от  $p$  приводит к завышенным результатам. Аналитич. определения проводились с реактивом К. Фишера. Сообщение V см. РЖХим, 1958, 31302.

В. Щекин

59762. Определение полиэтиловых эфиров в сополимерах метилметакрилата. Хаслам, Гамильтон, Джефс (The determination of polyethyl esters in methyl methacrylate copolymers. Haslam J., Hamilton J. B., Jeffs A. R.), Analyst, 1958, 83, № 983, 66—71 (англ.)

Метод определения полиэтилакрилата в сополимерах метилметакрилата, основанный на превращении алкоксигрупп в соответствующие йодиды, определения их общего кол-ва и разделении йодистого метила и йодистого этила хроматографич. методом.

Н. Мотовилова

59763. О составе отвержденных полиэфирных смол. Функе, Хаман (Über die Zusammensetzung gehärteter Polyesterharze. Funke W., Hamann K.), Angew. Chem., 1958, 70, № 2, 53 (нем.)

Изучались отвержденные под влиянием перекиси бензоила и диметиланилина непредельные полиэфирные смолы фумаровой к-ты, адипиновой к-ты и бутандиола-1,4,

смешанные с различными кол-вами стирола. При гидролизе полученных продуктов по сложной схеме связям при обработке р-ром КОН в бензиловом спирте получаются растворимые полимеры, состоящие из звеньев стирола и фумаровой к-ты. Установлена линейная зависимость между мол. составом полиэфирных смол и продуктов гидролиза. Выход полимеризованного стирола не зависит от состава исходного полиэфира и составляет ~94 мол.%; выход звеньев фумаровой к-ты возрастает с увеличением содержания стирола в смоле; звенья фумаровой к-ты не полимеризуются между собой в условиях отверждения. Показано, что в исследованном интервале смол при отверждении не образуется заметных кол-в свободного полистирола.

Н. Мотовилова

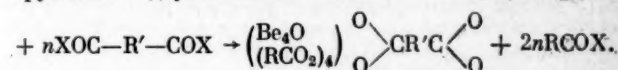
59764. Изучение реакции отверждения феноло-новолаковых смол. III. Влияние влажности на реакцию отверждения. Йокояма (Yokoama Ryōji), Кобунши кагаку, Chem. High Polym., 1957, 14, № 150, 541—543 (японск.; рез. англ.)

С повышением влажности увеличивается скорость р-ции отверждения фенол-новолаковой смолы. Влияние влаги на скорость р-ции увеличивается, если в реакционной среде имеется несвязанный фенол. Часть II см. РЖХим, 1958, 52555.

Резюме автора

59765. Полимеры основных карбоновых кислот бериллия. Марвел, Мартин (Polymeric basic beryllium carboxylates. Marvel C. S., Martin Michael M.), J. Amer. Chem. Soc., 1958, 80, № 3, 619—622 (англ.)

Изучалась возможность получения полимеров, содержащих структуру Be<sub>2</sub>O(RCO<sub>2</sub>)<sub>6</sub> (I) в качестве звена основной цепи и в качестве замещающей группы в полиметиленовой цепи. Для получения линейного конденсационного полимера необходимо заменить одноосновные карбоксильные группы карбоксильными группами двухосновных кислот nBe<sub>2</sub>O(RCO<sub>2</sub>)<sub>6</sub> +



Исходными в-вами служили основные соли: ацетат, пропионат и бензоат бериллия, с одной стороны, и хлорангидриды адипиновой, себаценовой, β-этиладициновой, терефталевой и изофталевой к-т, с другой. Конденсацию эквимолекулярных кол-в этих соединений проводили в углеводородном р-рителе (бензол, толуол или ксилол); полимеры коагулировали петр. эфиром. Все полученные полимеры могут быть превращены в порошок; пластифицированные небольшим кол-вом р-рителя, они обнаруживают ограниченную эластичность. Определение вязкости указывает на низкую степень полимеризации. Полимеры отличаются высокой термостойкостью (>400°). Уже при комнатной т-ре наблюдается диспропорционирование линейного полимера в мономерную основную соль Be и структурированный полимер. Потеря растворимости происходит особенно легко при наличии алифатич. групп и несколько медленнее для ароматич. к-т; под вакуумом удавалось возгонкой выделить I. Получены полимеры I (в присутствии перекиси бензоила), содержащие акрилатные группы. Полимеры — нерастворимые белые порошки, разлагающиеся при 200°. Ввиду большой токсичности соединений Be необходимо соблюдать меры предосторожности. Н. Мотовилова

59766. Привитая полимеризация акрилонитрила на полиэтилакрилате. Сумитомо, Хатихама (Sumitomo Hiroshi, Hachihama Yoshikazu), Кобунши кагаку, Chem. High Polym., 1957, 14, № 150, 556—560 (японск.; рез. англ.)

Акрилонитрил полимеризовали в присутствии фракционированного полиэтилакрилата в р-ре диметилформ-



амида (I) с перекисью бензоила в качестве инициатора. Привитый (или блочный) сополимер отделялся от гомополимеров высаливанием с помощью  $\text{CH}_3\text{OH}$  из р-ра в I. Изменялась вязкость полимеров, их хим. состав, осмотич. давление, ИК-спектры. Исследование рентгеновских спектров показывает, что кристалличность привитых (или блочных) сополимеров ниже, чем полиакрилонитрила или сополимера этилакрилат-акрилонитрил, не подвергавшихся температурной обработке, и почти такая же, как у этих полимеров после температурной обработки и вытяжки. Резюме авторов 59767. Сшивание поливинилхлорида под действием ультрафиолетового света. С о б у з, Та б а т а, Та д з и м а (Crosslinking of polyvinyl chloride by ultraviolet irradiation. Sobue Hiroshi, Tabata Yoneho, Tajima Yoshio), J. Polymer Sci., 1958, 27, № 115, 596—597 (англ.)

При облучении пленки из поливинилхлорида УФ-светом ( $\lambda$  254 мμ) на поверхности пленки образуется гель, кол-во которого возрастает в ходе облучения. Повышение т-ры образца при облучении увеличивает кол-во образующегося геля. При облучении при таких же условиях мелкодробленного поливинилхлорида образование геля не наблюдается. А. Праведников

59768. Действие ионизирующих излучений на органические высокополимеры. Хейбур (Het effect van energierijke straling op organische polymeren. Heijboer J.), Ingenieur (Nederl.), 1958, 70, № 2, 01—07 (гол.; рез. англ.)

Обзор. 59769. Сшивание полиэтиленов двух различных плотностей под действием электронов. Эпштейн (Electron crosslinking of polyethylenes of two different densities. Epstein Lawrence M.), J. Polymer Sci., 1957, 26, № 114, 399—401 (англ.)

Из данных о равновесном удлинении образцов при постоянной нагрузке (т-ра испытания 150°) рассчитаны степени сшитости полиэтиленов высокой и низкой плотности, облученных быстрыми электронами (2 Мэв), и показано, что степень сшитости в обоих случаях одинакова. А. Праведников

59770. Полимеры и взаимодействие групп. VII. Интрамолекулярное ацилирование сополимеров стирола и производных акриловой кислоты как путь к получению поли-2,4-метилентетралона. Тессье, Сметс (Polymers and group interactions. VI. Intramolecular acylations on copolymers of styrene and acrylic acid derivatives, a route to poly-2,4-methylenetetralone. Teysie P., Smets G.), J. Polymer Sci., 1958, 27, № 115, 441—457 (англ.; рез. франц., нем.)

Изучалась р-ция циклизации, аналогичная образованию метилениндановых колец (часть V, РЖХим, 1957, 77290), применительно к сополимерам стирола с (мет) акриловой к-той, хлористым акрилом и (мет) акриловыми эфирами. Р-ция циклизации проводилась в атмосфере  $\text{N}_2$  путем добавления к р-ру полимера  $\text{AlCl}_3$  в нитробензоле или р-ра полифосфорной к-ты в уксусной к-те. Р-ция прерывалась выливанием смеси в метанол или воду. При циклизации под влиянием  $\text{AlCl}_3$  получаются производные тетралона с хорошим выходом с одновременным образованием трицикл. соединений типа гексагидрофеналендиона и значительным расщеплением полимерных цепей. В присутствии катализаторов типа  $\text{ZnCl}_2$  полифосфорной к-ты или  $\text{POCl}_3$  происходит циклодегидратация полимеров, причем наблюдается некоторое различие в поведении сополимеров акриловой и метакриловой к-т. Для исследования продуктов р-ции применялись хим. и спектроскопич. методы, а также определение мол. веса.

Н. Мотовилова

59771. Абсорбционные соединения полиэтиленгликоля с мочевиной. Парро, Колер (Combinaisons

d'insertion du polyoxyéthyléneglycol dans l'urée. Parrod Jacques, Kohler André), C. r. Acad. sci., 1958, 246, № 7, 1046—1047 (франц.)

В более ранних работах изучалось взаимодействие мочевины с некоторыми соединениями, мол. вес которых не превышал 1000. Исследована абсорбция полиэтиленгликолей  $\text{HO}-(\text{CH}_2-\text{CH}_2-\text{O})_n-\text{H}$  с мол. в. 2850, 18 100 мочевиной в бензоле до полного насыщения. При мол. весе исходного соединения 8100 на 100 г мочевины содержится 35 г макромолекулярного соединения. Полученный продукт плавится при 139° (вместо 132,7° и 54 для исходных соединений) и отличается исключительной стабильностью в бензоле. Этот продукт принимается за определенное хим. соединение, хотя ИК-спектр и не отличается от спектра смеси обоих в-в. Н. Мотовилова

59772. Реакции фосфорной кислоты с поливинилацетатами. Барнс (Reactions of phosphoric acid with polyvinyl acetals. Barnes Roderick A.), J. Polymer Sci., 1958, 27, № 115, 285—294 (англ.; рез. франц., нем.)

Изучались изменения, происходящие при хранении р-ров поливинилацетатов в спиртах, содержащих фосфорную к-ту и дисперсию ингибитора коррозии и применяемых в качестве защитных покрытий. Проводились опыты гидролиза поливинилбутирала, пропионала, ацетала и формала при нагревании в 95%-ном этаноле, содержащем 85% фосфорной к-ты, в течение различных периодов времени. Для изучения происходящей р-ции использовались 3 метода: весовое определение образовавшегося альдегида в виде динитрофенилгидразона, обработка р-ра альдегида реактивом Толленса и титрование неизрасходованного серебра, определение альдегида, еще связанного в полимере. Изучена р-ция этерификации фосфорной к-ты гидроксильными группами полимера; для установления наличия истинной связи между полимером и к-той (ане адсорбции) применялись методы ИК-спектроскопии и измерения вязкости. Кол-во свободного альдегида в данном р-ре определяется двумя равновесными р-циями — гидролиз циклич. полимера и р-ция альдегида с этанолом. Автор приходит к выводу, что соединение альдегида с полимером происходит со значительно большей скоростью, чем р-ция с этанолом. Н. Мотовилова

59773. Исследование термической деградации полимеров. Оути (Ouchi Shigeo), Осака когэ гигаку сикэнсё хококу, Rept Osaka Industr. Res. Inst., 1957, № 309(6), 136 pp. ill. (японск.; рез. англ.)

Обзор. работ автора. Р. М.

59774. Теория деградации полидисперсных полимеров, иницированной на концах цепи. Гордон (Theory of chain-end activated degradation of heterodisperse polymers. Gordon Manfred), Trans. Faraday Soc., 1957, 53, № 12, 1662—1675 (англ.)

Дан математич. анализ теории деградации полидисперсных полимеров, иницированной на концах цепей. В основу теоретич. схемы положены предположения об экспоненциальном характере распределения полимерных молекул по мол. весам, о сохранении этого распределения в течение всего процесса деструкции, о существовании в системе стационарного состояния как относительно конц-ии низкомолекулярных радикалов, так и относительно конц-ии высокомолекулярных и, наконец, о протекании процессов обрыва цепи и по 1-му и по 2-му порядкам. А. Праведников

59775. Деструкция полиметилметакрилата в растворе под действием ультрафиолетового света. Мёниг (Der Abbau von Polymethacrylsäuremethylester in Lösung durch UV-Strahlen. Möning H.), Naturwissenschaften, 1958, 45, № 1, 12 (нем.)

ийские  
 е кото-  
 а по-  
 в. 285),  
 шения.  
 Ю) с мо-  
 о мо-  
 (вместо  
 ичае-  
 то про-  
 инение,  
 смеси  
 овилора,  
 ивни-  
 acid with  
 J. Poly-  
 фран,  
 ранения  
 и фос-  
 и при-  
 ровод-  
 оновла-  
 5%-ном  
 течение  
 хромо-  
 опреде-  
 ити про-  
 активом  
 серебра,  
 глмере.  
 и гидро-  
 ная (а не  
 колии и  
 егида в  
 еспыми  
 альде-  
 о соеди-  
 нитель-  
 овилора,  
 и поли-  
 гидра-  
 s. Inst.  
 л.).  
 Р. М.  
 полиме-  
 ордон  
 hetero-  
 ans. Fa-  
 оидных  
 чейей  
 ения об-  
 олимере  
 оного рас-  
 кции, с  
 ная как  
 диалого-  
 нных и  
 ии и по-  
 едний  
 астворо-  
 М с ни-  
 rwiner

Исследована деструкция полиметилметакрилата (I) в р-ре  $C_6H_6$ , диоксана и  $CHCl_3$  под действием УФ-света ( $\lambda < 295$  мμ). Максим. скорость деструкции наблюдается при облучении в р-ре  $CHCl_3$ , минимальная — в р-ре  $C_6H_6$ , что, по мнению авторов, связано с различной фотохим. стабильностью р-рителей. Продуква  $N_2$  в р-ре I в  $C_6H_6$  уменьшает, а добавка перекиси бензоила увеличивает скорость деструкции полимера. Аналогичная обработка р-ров I в диоксане приводит к обратным результатам.

А. Праведников

59776. Исследование термического распада поливинилового спирта с помощью масс-спектрометра. Футама, Танака, Джиннай (Futama Hideo, Tanaka Hidejiro, Jinnai Jiroku), Кобунси кагаку, Chem. High Polym., 1957, 14, № 150, 528—532 (японск.; реф. англ.).

С помощью масс-спектрометра исследован термич. распад поливинилового спирта в вакууме и в атмосфере  $O_2$  при 80—335°. Из резюме авторов

5977. Исследование омыления поливинилацетата (омыление поливинилацетата серной кислотой) З. Ли Сын Ги, Кан Хак Мин, Хвахак ка хвахак ко-нош, К. химин и хим. пром-сти, 1957, № 2, 67—71 (кор.).

Оптимальные условия для омыления: конц-ия поливинилацетата 23—25%, 1 мл конц.  $H_2SO_4$  на 10 г поливинилацетата. Р-ция проводится при кипении в течение 4—5 час. в р-ре метанола, содержащем до 50% сложных эфиров; допускаемое содержание воды 5%. Предыдущая часть см. РЖХим, 1958, 45522.

59778. Гидролиз полиакрилатов в щелочной среде. Купер (Alkaline hydrolysis of polyacrylates. Cooper W.), Chemistry and Industry, 1958, № 9, 263—264

Отмечено различие в скорости гидролиза (СГ) под влиянием р-ра КОН для полиэтилакрилата (I) и сополимера (70:30) дивинила с этилакрилатом (II). Гидролиз I протекает со значительно большей начальной скоростью, чем гидролиз II; скорость зависит от степени гидролиза и конц-ии. Исследовано влияние воды, изоктана и изопропанола на СГ, которая определяется взаимодействием соседних звеньев цепи. При наличии сложнэфирных и ионизированных карбоксильных групп СГ значительно возрастает; при больших конц-ях воды СГ I и II становится одинаковыми.

59779. О строении искусственных смол. Цигейнер, Эльбель (Über die Struktur der künstlichen Harze. Zigeuner G., Elbel K.), Monatsh. Chem., 1957, 88, № 4, 622—630 (нем.)

Наличие в продуктах затвердевания (ПЗ) оксиметил-фенолов (ОФ) эфирных группировок  $-\text{CH}_2\text{OCH}_2-$ , подтверждено расщеплением ПЗ под действием  $\text{POCl}_3$  и 2,4-ксилола (I) или *n*-крезола (II). При *p*-ции  $\text{POCl}_3$  и I с ОФ и их ПЗ получены одни и те же производные дифенилметана (ПД). При расщеплении технич. ПЗ лучшие результаты дает применение II. Опыты по расщеплению ОФ и их ПЗ нагреванием с *n*-толуидином (III) показывают, что смолы, полученные конденсацией фенола с  $\text{CH}_2\text{O}$  или уротропином, более устойчивы, чем смолы из ОФ. 0,5 г *o*- $\text{HOC}_6\text{H}_4\text{CH}_2\text{OH}$  (IV), 8 г I и 2 г  $\text{POCl}_3$  нагревают 1 час при 50°, разлагают водой и отгоняют I с паром; получают 2,2'-диокси-3,5-диметилдифенилметан (V), выход 65%, т. пл. 137° (из бал.); диацетат, т. пл. 66° (из петр. эф.). Аналогично проводят *p*-ции других ОФ и их ПЗ с  $\text{POCl}_3$  и I (перечисляются ОФ или ПЗ, получаемое ПД, выход %, т. пл. и т. пл. ацетата в °C): ди-*o*-оксифенилметильный эфир (VI), V, 50, —, —; *n*- $\text{HOC}_6\text{H}_4\text{CH}_2\text{OH}$ , 2,4'-диокси-3,5-диметилдифенилметан (VII), 45, 128 (из вода).

сп.), —; ди-*n*-оксифенилметилловый эфир, VII, 41, —, —; 2,6-ди-(оксиметил)-4-хлорфенол (VIII), 2,6-*бис*-(2'-окси-3',5'-диметилбензил)-4-хлорфенол (IX), 52, 170 (из  $\text{CCl}_4$ ), 150; ПЗ VIII (из VIII 15 мин., 160°), IX, 38, —, —; 2,4-ди-(оксиметил)-3-хлорфенол (X), 2,4-*бис*-(2'-окси-3',5'-диметилбензил)-6-хлорфенол (XI), —, 151 (из воды. сп.), —; ПЗ X (из X 15 мин., 130°), XI, —, —, —; 2,6-ди-(оксиметил)-фенол (XII) (1 час при 20°, 2 часа при 30°), 2,6-*бис*-(2'-окси-3',5'-диметилбензил)-фенол (XIII), 22,162 (из бэл.-циклогексана), 135; ПЗ XII (из XII 17 мин., 110—114°), XIII, 17, —, —; 2,4-ди-(оксиметил)-фенол (XIV), 2,4-*бис*-(2'-окси-3',5'-диметилбензил)-фенол, XV, 34, 142 (из бэл.-циклогексана), 91; ПЗ XIV (из XIV 30 мин., 110°), XV, 25, —, —; 2,4,6-три-(оксиметил)-фенол (XVI), 2,4,6-*трис*-(2'-окси-3',5'-диметилбензил)-фенол (XVII), 59, 186 (из  $\text{CH}_3\text{OH}$ ), 133; ПЗ XVI (из XVI 15 мин., 110°), XVII, 63, —, —; 4,4'-диокси-3,3',5,5'-тетра-(оксиметил)-дифенилметан (XVIII), 4,4'-диокси-3,3',5,5'-тетра-(2'-окси-3',5'-диметилбензил)-дифенилметан (XIX), —, 197 (из  $\text{CH}_3\text{OH}$ ), 180; ПЗ XVIII (из XVIII 45 мин., 145—150°), XIX, 65, —, —. Нагревают 0,5 г IV и 2 г III 2 часа при 140°, отгоняют III с паром в вакууме и выделяют 2-*n*-толуидинометилфенол, т. пл. 116° (из циклогексана). VI не реагирует в тех же условиях с III; при кипячении наступает разложение. 1 г XII и 3 г III нагревают 1 час при 160°, получают 2,6-*бис*-(*n*-толуидинометил)-фенол (XX) с выходом 34%, т. пл. 109° (из  $\text{CH}_3\text{OH}$ ). При нагревании (1 час, 160°) ПЗ XII с III не удастся выделить XX.

П. Аронови

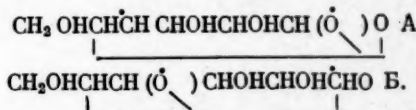
59780. Взаимодействие некоторых кремнийорганических соединений с нитратами целлюлозы. Крешков А. П., Гурецкий И. Я., Андреев П. А., Ж. общ. химии. 1958, 28, № 1, 187—193

Изучено взаимодействие алкокси- и алкилалкоксисиланов (АС) с нитроцеллюлозой (НЦ), содержащей 11,89—12,39% N в гомог. и гетерог. условиях. Исследованы ИК-спектры и теплоты набухания продуктов взаимодействия, содержащих 0,15—0,7% Si. Введение в р-цию хлорпроизводных АС увеличивает содержание Si. Показано, что в процессе указанного взаимодействия происходит уменьшение содержания гидроксильных групп (ГГ) и выделение спирта, соответствующего исходному АС. При проведении р-ции без р-рителя при 110—155° наблюдалось выделение оксидов азота. Сделано заключение, что взаимодействие АС с НЦ протекает за счет свободных ГГ, а также за счет перэтерификации нитратных групп с образованием трехмерной структуры путем сшивания макромолекул НЦ атомами Si через кислород. Полученные продукты обладают высокой гидрофобностью, повышенной термостойкостью и высокими электроизоляционными свойствами.

Н. Ленишкин

59781. О радикальном механизме термического распада целлюлозы и образования левоглюкозана. Пухов А. М., Изв. АН СССР. Отд. хим. н., 1957, № 12. 1497—1499

В противоположность представлению о механизме образования дегидроуксозана (I) при термич. распаде (TP) целлюлозы (II) через стадию глюкозы высказано предположение о радикальном механизме TP II в вакууме по глюкозидным связям 1, 4, причем образующиеся большие радикалы далее распадаются на бирадикалы А и Б.



Для образования I из A следует допустить перемещение ОН-группы от  $C_{(6)}$  к  $C_{(4)}$ , а для образования I из



Б надо допустить насыщение свободной валентности кислорода при  $C(4)$  водородом и замыкание кислородного мостика в положении 1—6 не должно затрудняться стерич. факторами. Н. Леншина

59782 Д. Исследование динамических вязко-упругих свойств некоторых полимеров методом составного пьезоэлектрического вибратора. Соловьев В. А. Автореф. дис. канд. физ.-матем. н., ЛГУ, Л., 1958

59783 Д. Взаимодействие некоторых кремнийорганических соединений с нитратами целлюлозы. Андреев П. А. Автореф. дис. канд. хим. н., Моск. хим.-технол. ин-т им. Д. И. Менделеева, М., 1958

59784 Д. Изучение реакции образования смешанных

полиамидов. Харитонов В. М. Автореф. дисс. канд. хим. н., Всес. н.-и. ин-т искусств. волокон, Ин-т элементоорганических соединений АН СССР, Москва-Клин, 1957

См. также разделы *Синтетические полимеры. Пластмассы. Лаки. Краски. Лакокрасочные покрытия; Каучук натуральный и синтетический. Резина. Искусственные и синтетические волокна. Целлюлоза и ее производные. Бумага и кожа. Мех. Желатина. Дубители. Технические белки и рефераты: Физ. св-ва высокополимеров 56459, 56480, 58832, 59615. Кинетика и механизм полимеризации 56808—56810, 59383, 59663. Синтез высокомолекулярных 58303, 58312, 58372, 58550*

Абдуллаев  
Абрамов  
Абрамова  
Абрахамс  
Абрикосов  
Абс 56679  
Аврунина  
Авсарнис  
Агеенков  
Агеенков  
Агладзе  
58052  
Аглинцев  
Аглицкий  
Аглиш  
Адаума  
Адрожени  
Азаров  
Ай Кэ 5  
Акабори  
Акишин  
56401  
Акоева  
Аксененко  
Аладжал  
Алеккин  
Александр  
Алексеев  
Альперов  
Алявдин  
Аmano 58  
Амания  
Андо Е.  
Андо Т.  
Андреев  
59783 Д  
Андреева  
Аношина  
Антипина  
Антонов  
Антонова  
Ань Нан  
Аоки 582  
Ао То 580  
Араи С. 5  
Аракава  
Аракава  
Аранелян  
Арбузов  
Арбузов  
Арисима  
Арсеньева

## АВТОРСКИЙ УКАЗАТЕЛЬ

## А

Абдуллаев Г. Б. 56549  
Абрамов В. С. 57515  
Абрамова В. Ф. 56630  
Абрахамс С. 56396  
Абрикосов Н. Х. 56699  
Абс 56679  
Аврунина А. М. 57780  
Авсарисова А. И. 58109  
Агеев В. Г. 56357  
Агеев В. Г. 56357  
Агладзе Р. И. 58047—  
58052  
Аглинцев К. К. 56631  
Аглицкий В. А. 57945  
Аглиш Н. В. 58931  
Адуама 57903  
Адроненко Е. А. 58134  
Азаров И. 59138  
Ай Кэ 58001  
Акабори 57612  
Акишин П. А. 56399,  
56401  
Аюева Е. Г. 58586  
Аксененко В. М. 57208  
Аладжалов И. А. 57674  
Алекси О. А. 57091  
Алксандрова Д. М. 56766  
Алексеева В. А. 58693  
Алперович И. А. 56949  
Алявдин Н. В. 56571  
Аmano 58000  
Амания 58630  
Андо Е. 57938 II  
Андо Т. 59416 II  
Андреев П. А. 59780,  
59783 Д  
Андреева В. Н. 56714  
Аношина Н. П. 56717  
Антипина Т. В. 56802  
Антонов В. Н. 58494  
Антонова И. Н. 56756  
Ань Нань 59262  
Аони 58273  
Ао То 58001  
Арай С. 59443  
Аракава 59242  
Аракава 59452  
Аракелия С. В. 57396  
Арбузов А. Е. 57513  
Арбузов А. А. 57514  
Арисима 58413  
Арсеньева Р. В. 57042

Асано М. 59702 II  
Асахара 59255  
Асо 57811  
Афросимов В. В. 56380,  
56381  
Ахметов И. Г. 58689  
Ахумов Е. И. 56693  
Ашихмин Ф. В. 58634  
Аята 57475

## Б

Баба 57465  
Бабаев М. В. 57222  
Бабаян А. Т. 57311  
Бабин П. Н. 57066  
Бабицкая С. М. 57799  
Бабо А. К. 57176  
Бабурина В. И. 58981  
Багаряцкий Ю. А. 56483,  
56704  
Багрий Я. И. 58264  
Баканов С. П. 56965  
Бакунина В. В. 56627  
Баласания С. И. 57046  
Балезин С. А. 57834  
Балодис Ю. Р. 57779  
Бальцер Е. Б. 58935  
Бальян Х. В. 57336  
Банкина В. Ф. 56699  
Банковский Ю. А. 56364  
Баных З. С. 57943  
Бансё 59377  
Бао Гуан-ди 57939, 57942  
Барабанов М. Н. 58945  
Баранник В. П. 57834  
Барановский К. Ф. 58976  
Бардин Ю. 57853  
Бараковский В. П. 56857  
Барон В. В. 56701  
Барсуков В. Л. 57062  
Бартенев Г. М. 59734  
Басманов П. И. 57882  
Баширова Л. А. 57347  
Баширова Р. С. 59064,  
59065  
Башкатов Т. В. 59435  
Башкиров А. Н. 58719  
Башун З. С. 57141  
Башшалиев А. А. 56549  
Безбородко М. Д. 58725  
Безверхия Н. Н. 59684  
Беликов Н. В. 59086  
Белобородов В. В. 58854

Белоконь Л. Ш. 57515  
Белоусов В. Н. 58169  
Белохвостиков И. И.  
58851  
Белуха П. Г. 58160  
Бельков И. В. 56336  
Бельский И. Ф. 56812  
Беляев В. И. 57335  
Беляков А. А. 57249  
Белянина Е. Т. 57341  
Беневоленская Г. В.  
58709

Бениева Т. Я. 56577  
Берг Л. Г. 56717, 56718  
Бережная И. Н. 58194  
Беренштейн А. Ф. 58976  
Берзина Н. И. 59064,  
59065  
Берлин П. А. 59740  
Бесков С. Д. 56661  
Бигич И. С. 56738  
Билан Е. Н. 57683  
Бирюков Н. Д. 56860  
Блешинский С. В. 56630  
Блок Н. И. 56484  
Блюмберг И. Б. 58589 К  
Бляхман А. А. 57216  
Бобков С. С. 58296  
Богомоллов А. М. 56426  
Богоносцева Н. П. 57514  
Бодягин Н. И. 59084  
Божерянов Ю. 59651  
Бойко В. Ф. 56726  
Большаков П. Е. 56898  
Бонч-Бруевич А. М. 56534  
Борисов А. Ф. 56863  
Борковский М. А. 58939  
Борнеман И. 56334  
Боровая М. С. 58725  
Бородянский В. П. 59205  
Ботвинкин О. К. 58194  
Браздзюнас П. П. 56551  
Брайкова П. 57827  
Броуде В. Л. 56525  
Брюханова Л. С. 59734  
Будберг П. В. 56706  
Будников П. П. 56949,  
58130, 58220  
Бузова Н. Г. 56800  
Буймович Д. 58604  
Булавин И. А. 58123,  
58130  
Булатова Н. 56616  
Булатова Н. В. 57302

Булах А. А. 58054  
Бурсан Э. В. 56545  
Бусев А. И. 57173, 57192  
Бутников Н. Д. 57906  
Бутылкин Л. П. 57149  
Бутюгин В. К. 57334 Д  
Буфатин О. И. 57193  
Буханец П. С. 58634  
Буцкус П. Ф. 57420

## В

Ваграмян А. Т. 58053  
Вада 58155  
Вайсман М. Д. 56680  
Вакацукки 58724  
Ваканья 57345  
Вальков В. И. 56431  
Ванаг Г. Я. 57438  
Ван Хуэй-цзюнь 56804  
Ван Цзун-гунь 58602  
Варшавский Я. М. 56635

Васильева Т. Т. 57348  
Васильевский В. Е. 57520  
Ватанабе 57686  
Ватанабе 57686  
Ватанабе 58016  
Ватанабе 58269  
Ватанабе 59213  
Ватанабе 59465  
Ватанабе Т. 59702 II  
Вдовченкова М. К. 56948  
Вейлер С. Я. 56947  
Вендельштейн Б. Ю.  
57044  
Верзал А. И. 58105  
Вермель Е. Е. 57243  
Ветров Г. П. 58286  
Вигдорович В. Н. 56350  
Виленская Т. В. 56382,  
56383  
Вилков Л. В. 56401  
Виноградов А. П. 56615  
Виноградов Г. В. 58725  
Виноградова К. И. 56552  
Виткун Р. А. 57145  
Витол Я. 58250  
Витт С. В. 57313, 57314  
Вишневская И. И. 57071  
Вишняков Д. Я. 57702  
Власова Н. С. 58612  
Воляров М. П. 58608  
Волков А. 59470

Волков М. И. 58272  
Волкова А. И. 57176  
Волкова Т. П. 59562  
Вольфович С. И. 56331  
Вольфсон Ф. И. 57069  
Воробьев А. А. 56514,  
57090  
Ворожцов Н. Н. 57431  
Выдчева Р. И. 59663 Д  
Ван Чжан-янь 58700  
Вань Цзун-яо 57411

## Г

Габриэлян А. 56349  
Галаванов В. В. 56552  
Ган А. И. 58864, 58865  
Гао И-шэн 57411  
Гарновская Г. Н. 58641  
Гатайский М. А. 57086  
Гдзелишвили М. Я. 58048  
Гельд П. В. 56516, 57783  
Гельман А. Д. 57004  
Георгиев М. К. 59004  
Георгиев Ц. О. 58627  
Герасимов В. В. 57784  
Гернет Е. В. 57891  
Герович М. А. 56866  
Герчук М. П. 58907  
Гершунс А. Л. 57116  
Гейстер Е. Л. 57350  
Гимельфарб А. И. 58981  
Глаголева А. А. 56433  
Глазова А. И. 56484  
Глембоцкий В. А. 56316  
Глушенкова Е. В. 58642  
Глушко В. Д. 58586  
Голубева Р. М. 56661  
Голубов М. Л. 59089  
Гольберт К. А. 58627  
Голянд С. М. 57930  
Гоншавили Ш. Г. 59155  
Гонглишвили А. Н.  
58052  
Горбатов А. 59183  
Горбатов Г. А. 57041  
Горбатова В. 59183  
Горбунов Н. С. 57807  
Горбунова К. М. 56871  
Горелик К. М. 56934  
Горшков И. Е. 56702  
Горюнова Н. А. 56702  
Горяев М. И. 58553  
Горичева Н. С. 57250  
Гостунская И. В. 56799



Лаврухин  
Лагунов  
Лазарев  
Лазарева  
Лакерник  
Лакотецк  
Ламбет М.  
Лапин В.  
Лалицкий  
Латишенк  
Лашко Н.  
Лебедева  
Лебедева  
Левинтер  
Левченко  
Лейбович  
Ле Кён Г.  
Леличенк  
Перман Э.  
Песьняк  
Пушин А.  
Рёше А.  
Риберман

- Крейн С. Э. 58725  
Крестовников А. Н. 56350  
Кретишвили Ф. С. 58964  
Крешков А. П. 59780  
Кривенцов М. И. 57097  
Кривой П. П. 57747  
Крохина М. А. 58193  
Круг Е. К. 57764  
Круглый С. М. 58007  
Крупаткин И. Л. 56694  
Крюков Ю. Б. 58719  
Кубо 59022  
Кубота 57883  
Кубота 57887  
Кубота 59448, 59450, 59451  
Кушеников И. М. 56801  
Кушеникова Н. И. 56807  
Кудряцев В. В. 56367 К  
Кузак М. М. 57930  
Кузнецов А. М. 58233  
Кузнецов Г. Н. 56399  
Кузнецов К. Ф. 57069  
Кузнецов С. И. 56688  
Кузнецова З. Н. 58028  
Кузьмина Л. П. 58736  
Кулькина С. Д. 57382  
Кулин Л. Л. 56859  
Кулисина 59456  
Кунятан 59482  
Куш Пин-хун 59045  
Куренцова П. А. 56717  
Курляндская С. В. 58225  
Курнаков Н. Н. 57794  
Куроки 58389  
Курсанов Д. Н. 57313, 57314  
Курмелева Н. А. 57053  
Кусаков М. М. 58677, 58725  
Куси 59473  
Кущенко Ю. И. 57213  
Кучарев А. Б. 57380  
Кюркчян В. Н. 59156
- Л**  
Лаврухина А. К. 56620  
Лагунов М. Д. 56842  
Лаварев А. И. 57172  
Лаварева В. И. 57172  
Лакерник М. М. 58066  
Лакотедкий Г. И. 58264  
Ламбет М. С. 56622  
Лашин В. В. 56337  
Лашинский А. В. 56990  
Латищенко В. А. 58267  
Лашко Н. Ф. 56484  
Лебедева З. А. 59686  
Лебедева Н. В. 57167  
Левинтер М. Х. 58689  
Левченко Г. Т. 56898  
Лейбович Х. М. 58256  
Ле Кён Гу 59754  
Леличенко В. Г. 58262  
Лерман З. А. 57336  
Лесьян Я. 58602  
Лешин А. И. 58261  
Лёте А. 56562  
Либерман М. В. 57153
- Лившиц Б. Г. 56708  
Ли Ден Гу 58098  
Лисинь Л. К. 57779  
Ли Жэнь-тао 57361  
Лин Чи-шо 58414  
Линь Цзю-сян 58234  
Липис Б. В. 59007  
Липкин Д. С. 58634  
Лис К. 56810  
Лисицын А. Е. 57058  
Ли Сын Ги 59777  
Литвак В. И. 58944  
Литвак И. М. 58945  
Литвиненко А. У. 57073  
Литвиненко Л. М. 56766, 57412  
Лихтман В. И. 56947  
Лобачева Н. Б. 58657  
Лощкарев М. А. 57780  
Луканов Т. 59651  
Лукин А. М. 57160  
Лукин И. И. 57268  
Лукьянова О. И. 58231  
Лунецкас А. М. 57099  
Лурье Ю. Ю. 57201  
Лыгин В. И. 56942 Д  
Лыгина И. А. 56941 Д  
Лыков А. В. 56355  
Лыкова А. Н. 59701  
Любарский Г. Д. 56806  
Любов Б. Я. 56682  
Любомиллов В. И. 57341, 57342  
Лю Гын Дон 57111  
Лю Лань 59045  
Лю Чжэнь-гу 57418  
Лясенкова Е. Ф. 58981  
Ляхович Е. Ф. 58042
- М**  
Мабути 57688  
Магакьян И. Г. 57049  
Мазелев Л. Я. 58094  
Мазина О. И. 58654  
Макаров Е. С. 56485  
Маклашин А. И. 59644  
Максимов В. И. 57368  
Максимов Г. А. 59204  
Максимов Я. С. 56648  
Малеев Е. Н. 57265  
Маленко Н. М. 57382  
Малкина А. Д. 56684, 56685  
Мальцев П. М. 56318  
Мамедов А. М. 56601  
Мамия 57162  
Мамуня А. У. 58976  
Манвелян М. Г. 57949, 58235  
Мандельбаум Я. 58488  
Маненков А. А. 56563  
Манчев С. 59004  
Манькина Н. Н. 57867  
Маранц А. Г. 58156  
Марголис Л. Я. 56791  
Маркелов П. И. 58054  
Маркман А. Л. 58864  
Марков С. Н. 58608  
Мартиросян Н. К. 58982  
Марудзан 57331 К  
Марукава К. 59421 К  
Маруо К. 59702 П
- Маруяма 58389  
Марченко Н. А. 58033  
Масно 57329  
Масленкова Г. Л. 56431  
Матвеев М. А. 58097  
Маторина Н. Н. 57004  
Матросов Е. И. 56399  
Махиня В. М. 58886  
Махмутова Ф. И. 57515  
Мацубара 57550  
Мацубара 59446  
Мацубаяси 59623  
Мапуда 57397, 58729  
Мапуда 59269  
Мапуно 58008  
Мапуока 57467  
Мапусима Х. 59418 П  
Мапусита 58979  
Мапусита 59207  
Маширевий Т. 59509  
Машовец В. П. 56886  
Маэкава 59482  
Маэкава 57345  
Медведева А. С. 57202  
Мезенцова Н. П. 57520  
Мелик-Заде М. М. 56800  
Мелков В. Г. 57024  
Мелькановичкая С. Г. 57324  
Мельников Н. 58488  
Меркурьева Л. А. 57336  
Мива 58413  
Мидзогуту 57475  
Мидзугуту 56878  
Мидзугуту 58958  
Мильнер Р. С. 57614  
Милютин В. П. 57271  
Милло Г. В. 57781  
Минаба 58254  
Минаева В. Г. 58431  
Минами С. 59416 П  
Минато 59455  
Минина О. М. 57761  
Минэмацу 59249  
Минэмура Ю. 57745 П  
Миронова Т. Н. 58835  
Мирходжиев И. М. 57064  
Митакура 59480  
Митакура М. 58485 П  
Митина О. 59008  
Миура Д. 59057  
Миура М. 57869 П  
Михайлов И. Г. 59724  
Михеев В. П. 57700  
Михеева В. Н. 56695  
Михелев А. А. 59088  
Михрина Е. Н. 58968  
Мицунага 58021  
Мицунага М. 57937 П  
Мишиев Д. Е. 57529 Д  
Миядзак 56892  
Миякава Т. 58921 П  
Мияке Н. 58481 П  
Мкртчян С. С. 57049  
Монсеева Г. П. 57189  
Молчанов В. С. 58184  
Молчанов И. В. 58883  
Монсон М. А. 56588  
Морачевский Ю. В. 57141, 57179  
Мори 58238  
Мори 58629
- Моримото С. 59503 П  
Моринага 57181  
Морисава 57485  
Морита 56625  
Морита К. 57564  
Моричева Н. П. 57091  
Москвин А. И. 57004  
Мотодзато 59482  
Мотодзима 57183  
Мотон 58958  
Мотояма 57468  
Мочалов К. Н. 56717  
Мошкина И. А. 56730  
Мошкина Р. И. 56756  
Мукаи 58108  
Мукаваки 57199  
Муравлянский В. 57828  
Мураками 57330 К  
Мураками 57468  
Мураки 57194  
Муракоси 56936  
Мурата 59661  
Муратов М. В. 56356  
Мурашев В. И. 57899  
Муротани 56913  
Муртазаев А. М. 56880  
Мута 57162  
Мучаидзе Н. Н. 58049
- Н**  
Нава 57649—57651  
Нагаева А. Г. 56630  
Наган 58724  
Нагак 57497  
Нагасака 58200  
Нагаси 56747  
Нагасима 58587  
Нагаса 56402  
Нагахара 56390  
Наджафов А. А. 57808  
Назаренко В. А. 57167  
Назаренко Н. Д. 58158  
Назаров И. Н. 56424, 57346, 57385, 57395  
Найки 58390, 58391  
Наймак З. М. 58030  
Накагава 57181  
Накагава 57241  
Накагава 57686  
Накагава 57926  
Накадзима 59719  
Накаи А. 59423 П  
Накамори 57649—57651  
Накаока Т. 58921 П  
Наката 57241  
Наката 57686  
Накацука 59269  
Налбандян А. Б. 56756  
Нарбутт К. И. 56527  
Нарышкина Е. Ф. 56762  
Наследов Д. Н. 56552  
Нейман М. В. 56756  
Некрасова В. А. 57338  
Немировский А. Ш. 58065  
Немото И. 59671 П  
Нерпин С. В. 56961  
Несмеянов А. Н. 57312, 57348  
Неуструев А. А. 57702  
Нечитайло Н. А. 56741  
Никитин Ю. П. 56869
- Никитина Е. И. 57175  
Никитина О. Н. 57952  
Николенко Л. Н. 57429  
Никольская Ю. П. 56730  
Никольский В. П. 56928  
Никольский В. Д. 56972  
Никонова М. П. 57145  
Нисикава 58246  
Нисимура 57468  
Нисимура 57797  
Нисинака Д. 59412 П  
Нисиона 58979  
Нифонтова С. С. 58677  
Нишанов Д. 56990  
Новак И. И. 59708  
Новиков А. А. 57747  
Новикова О. А. 56705  
Новоселова Л. В. 58983  
Ногут 57708  
Ноздрев В. Ф. 56367 К  
Номура 57181  
Носова С. 59702 П  
Носова Г. И. 56704  
Нугманов А. Х. 57087
- О**  
Овчаров В. И. 58257  
Огава 57467  
Огава 57468  
Огава 57469  
Огава 57941  
Огихара 59661  
Огуро П. 59417 П  
Ода 56936  
Одзак 56808, 56809  
Озеров Г. В. 58639  
Оива 58057  
Окада 56884, 58016  
Окада 57469  
Окада 58413  
Окада 58879  
Окадзак 58029  
Окамото 58108  
Окамура 59479  
Окуда 57876  
Окуда 59196  
Олезник В. А. 57177  
Олейник Н. Н. 59694  
Онис Т. 59478  
Онуфриенко И. П. 57208  
Орлов Н. И. 59461  
Орловорова Ю. Л. 57814  
Осуги Т. 59503 П  
Ота 58490  
Оти 59460  
Оути 59447, 59773  
Охримович В. П. 58154  
Оцу 59258  
Оцу 59269  
Оцудзи 56749  
Оцука 59650
- П**  
Павлов В. 59054  
Павлов О. Н. 56627  
Павлов С. Е. 57787  
Павлов Ф. Н. 56719  
Павлова М. П. 58249  
Павловская Н. Т. 58725  
Павловский П. А. 56719  
Павлов Л. Л. 56584



- Дакас В. 58232  
Паклина В. П. 57202  
Пакшвер А. В. 59496 К  
Паладиенко Н. П. 57303  
Паничев А. Д. 59467 Д  
Панов Н. И. 57084  
Панченко С. М. 58193  
Панченков Г. М. 56801  
Парнес З. Н. 57314  
Пахомов А. М. 59781  
Пачуашвили Е. М. 58050  
Пашкевич Л. А. 56712  
Пагале А. К. 58984  
Певанер Э. Д. 58225,  
58249  
Пельш А. Д. 57661  
Перевалов В. Г. 58693  
Песина А. 58166  
Петербургский А. В.  
56329  
Петков П. 59046  
Петр В. 58223  
Петрович С. Л. 59129  
Печковский В. В. 57931  
Печуро С. С. 58227  
Пигудевский Г. В. 56346.  
Пилипенко А. Т. 57134  
Пин Чен-фан 58011  
Писаренко В. Ф. 56523  
Письмен М. К. 58652  
Пишнамазде Б. Ф.  
58678  
Плаксин И. Н. 58612  
Плисов А. К. 57302,  
57303  
Побуль Л. Я. 58638  
Пожидаев Н. Н. 56359  
Покровская Е. С. 58677  
Поликова Т. П. 57066  
Полквой П. А. 58159  
Поломарчук В. В. 57683  
Полоцкий Н. Г. 56577  
Полукаров Ю. М. 56871  
Полукотов Н. С. 57145  
Полякова Е. М. 57943  
Пономарев В. Д. 57950  
Пономарев Н. А. 56314  
Пономарев С. Г. 59694  
Пономаренко А. П. 58953  
Попкова Е. П. 58699  
Попов А. А. 58616  
Попов Н. Д. 59004  
Попова В. Т. 56720  
Попова Н. И. 57243,  
57335  
Попова Н. М. 57221  
Попугаева Л. А. 57053,  
57054  
Потехина Н. Д. 56532  
Почтарев В. И. 57271  
Правда Е. И. 59113  
Преображенская М. Н.  
57482  
Прибытков А. Е. 58154  
Пригорнев И. Г. 58740 К  
Приходько Н. Е. 58184  
Причина Н. Д. 57707  
Протачик В. А. 56914  
Прохоров А. М. 56563  
Прохоров Ф. Г. 56931  
Прошкин А. А. 58680  
Пряхина З. А. 57368  
Птицын О. В. 59714  
Пудовик А. Н. 57347,  
57516  
Путилова И. Н. 57834  
Пшежецкий С. Я. 56806  
Пылаева Е. Н. 56710
- Р**  
Рабинович В. Ф. 59461  
Раввина Х. А. 59684  
Равинович С. Д. 56739  
Равичкая Р. В. 57167  
Равич-Щербо Ю. А. 59188  
Радулова П. 57827  
Радченко И. И. 59438  
Разумовская Е. И. 57538  
Райтур И. Е. 59093  
Рамбиди Н. Г. 56399  
Рапопорт И. В. 56810  
Раслетин К. К. 57271  
Рашба Е. И. 56525  
Раши Г. А. 58159  
Ребиндер П. А. 56947,  
58231  
Реутов О. А. 57315  
Рзаев П. Б. 56798  
Рзаева С. З. 58678  
Рихимова Б. В. 56814  
Роговин З. А. 59718  
Розенберг Л. М. 56741,  
58677  
Розенфельд И. Л. 57784  
Розловский А. И. 56782  
Ройтбурд А. Л. 56682  
Ройтер В. А. 56798,  
Ройтер И. М. 59064,  
59065  
Ройх И. Л. 57832  
Ростовцева В. К. 57780  
Руденко Е. И. 57096  
Руденко Н. П. 56624  
Рудницкий А. А. 56705  
Румба А. А. 58983  
Румм П. А. 58154  
Румянцев Н. А. 57338  
Русин Н. М. 59461  
Рустапов Х. Р. 56764  
Рыбальченко Г. Ф. 56866  
Рябов Р. А. 56516
- С**  
Саблина З. А. 58716  
Сабуро 56954  
Сабур 59481  
Сава 59575  
Савада 59105  
Савамура Т. 59268  
Савина Ю. А. 58252  
Савинкова Е. В. 57429  
Савицкий Е. М. 56700,  
56701  
Савицкий П. 56616  
Садков Ф. И. 59613, 59641  
Сажин В. С. 57950  
Сазонова Н. Н. 57513  
Сайто 56936  
Сайто 57185  
Сакаи 58242  
Сакаи 59380  
Сакамаки 57203  
Сакаэ 57789  
Сакурада И. 59238, 59719  
Сакураи 57467  
Сакураи 57612  
Салдадзе К. М. 56926  
Самсонова А. Н. 59108  
Сандмирский Д. М.  
56948  
Санно 57649, 57650,  
57652, 57653  
Саркисов А. М. 57808  
Саркисянц А. С. 59461  
Сарсадских Н. Н. 57054  
Саруя 59194  
Сасаки 57467  
Сасаки 57999  
Сасаки С. 56748  
Саты Т. 57916  
Сато 57233  
Сато 57915  
Сато 58036  
Саука Я. Я. 56490  
Сафаралиева И. Г. 56800  
Сахаров А. А. 57179  
Сахарова Т. Н. 59189  
Саядян А. Г. 57949  
Свердлов З. М. 56530  
Свиренко В. Д. 58603  
Свобода К. 58232  
Севрук Б. А. 57814  
Севченко Н. А. 56614  
Сегалова Е. Е. 58231  
Сейдов А. Г. 57083  
Секерский С. 56620  
Семенов А. Д. 57095  
Семенов Н. Н. 57266  
Семенов С. С. 58642  
Семенова А. К. 57783  
Семенова О. П. 56382,  
56383  
Семеновский А. В. 57395  
Семокас П. 59221 К  
Сеппар А. М. 58634  
Серб-Сербина Н. Н. 58252  
Сергиевская О. В. 57322  
Сердюкова А. С. 57215  
Серебренников В. В.  
56720  
Середа И. П. 57134  
Серенко В. 56616  
Сеткина В. Н. 57314  
Сибфудзи 59449  
Сигал Я. В. 57053  
Сигов С. А. 56797  
Сигмацу Х. 57687  
Сид 56827  
Сидерман Э. 58166  
Сидоренко А. В. 56336  
Сидоров Н. А. 58132  
Сидин П. М. 58936  
Силиньш Э. А. 58984  
Симаков С. Н. 57088,  
57089  
Сим До Хён 59754  
Симидзу 59212  
Симидзу К. 57938 П  
Симон А. Г. 58007  
Синельников А. С. 58645  
Синельникова Л. А.  
58622  
Синохара 59491  
Синько В. И. 58596  
Сирагами 56884  
Сиракава К. 57745 П  
Сираки 58104  
Сирамацу 59494  
Сирасаки 56913  
Сирота В. А. 59437  
Сисакян Н. М. 56313  
Ситоми 59105  
Сканави Г. И. 58182  
Скворцова Е. В. 56807  
Скипин А. И. 58852  
Скормина Р. А. 58916  
Скурихин А. Ф. 59100  
Славнин Г. П. 58613  
Слуцкий А. В. 57042  
Смирнова И. С. 56527  
Смолин П. П. 57063  
Смолотская Е. А. 59188  
Собинякова Н. М. 58664  
Соболева В. А. 57787  
Соболева Т. А. 59757  
Собуэ 59474  
Соколов В. А. 58736  
Соколова Г. А. 57098  
Соколова М. Н. 58101  
Соколова Н. М. 59613  
Соловьев В. А. 59782 Д  
Соловьев П. В. 56315  
Соломко В. П. 56739  
Сорокин М. И. 58622  
Сорокин Ю. И. 57098  
Сотников М. А. 58645  
Сотобояси 59719  
Спектор А. Г. 56681  
Спектор Ф. У. 57271  
Стабников В. Н. 58970  
Станко В. И. 57528 Д  
Старик И. Е. 56622  
Стендер В. В. 58054  
Степаненко И. Д. 58962  
Степанов Л. 57852  
Степанова А. А. 56486  
Степанова Т. Г. 58677  
Стойнова И. Г. 57272  
Стражеско Д. М. 56353  
Страхов Н. П. 57151  
Страшников М. Л. 58720  
Стрекалова О. С. 57188  
Стрельцова Е. А. 56838  
Стромберг А. Г. 56873  
Струнников Н. А. 59542  
Струкановская Н. А.  
56798  
Стукова Р. Н. 57335  
Ступаков Г. И. 58265  
Ступень Л. В. 59751  
Стюньель Т. В. 57156  
Сугава 57649  
Суган С. 56553  
Сугахара 57387  
Сугино 56757  
Сугихара 57185  
Судзуки 57233  
Судзуки 57471  
Судзуки 58958  
Суйто 59452  
Султанов Г. А. 58678  
Сумитани С. 59499 П,  
59500 П  
Сумитомо 59766  
Сунагава 59107  
Сун Лин-сянь 57318  
Сунь Люй-хоу 57318  
Сунь Цзюнь-ли 59472  
Суслов Б. Н. 56969  
Су Цзы-хэн 56804  
Сучкова А. А. 58677  
Сэки Н. 57745 П  
Сэкидава 58413  
Сэмитани М. 58226  
Сэто 57186  
Сэто 57301  
Суй Ли-бэнь 59272  
Сян Жэнь-шэн 56559
- Т**  
Тагиров Р. Б. 57269  
Тагунова Т. В. 56704  
Такаги 59255  
Такада 58221  
Такахара 57884  
Такахаси 56625  
Такахаси 56892  
Такахаси 57999  
Такахаси 58004  
Такахаси 58957  
Такахаси 59432  
Такахаси Т. 58481 П  
Танидаки К. 59418 П  
Такеда 59453  
Такекава 57455  
Таканака 59720  
Такэатацу 57147  
Такути 57195  
Таман 58724  
Тамани 56915  
Тамразян Г. П. 57092  
Тамэхино 59406  
Танабэ 58979  
Танабэ К. 59480, 59503 П,  
59623  
Танака 57206  
Танака 57650, 57651  
Танака 58542  
Танака 59776  
Танака И. 57020  
Тананаев И. В. 56725  
Тандзава 59491  
Танимото 57941  
Тасиро 59471  
Татевский В. М. 56401,  
56643  
Татибанадама 59458  
Таубин Г. В. 58153  
Тацуока 57650, 57651  
Таяма 58971  
Твердохлеб Г. 59140  
Теверовский Е. Н. 5789  
Теодорович О. К. 57201  
Терентьев А. П. 57482  
Терентьева Е. М. 56748  
Терентьева О. Ф. 58981  
Терехов С. Л. 58645  
Терехова В. Ф. 56700  
Терешин Б. Н. 58953  
Терпугова А. Ф. 5639  
Тигер П. 57852  
Тикаяма 56394  
Тимонова М. А. 57786  
Тихонова Л. К. 58553  
Тищенко Г. А. 56534  
Ткаченко Г. В. 59751  
Ткаченко Е. С. 59101  
Товбин И. М. 58888  
Тода 59540

0472  
69  
04  
5677

26

72

6559

7269

56704

81 П

418 П

57092

59503 П

57651

20

56725

1. 56401

59458

58153

57651

59140

Н. 57892

К. 57291

57482

М. 56741

Д. 58981

58645

56700

58953

Ф. 56380

57786

К. 58553

56534

5. 59751

3. 59101

58888

Тодоров Н. А. 56694  
Токарев Л. И. 59090  
Токин А. Н. 58280  
Токинада 57624  
Токуда 58016  
Толстая Т. П. 57312  
Томикиса 59460  
Томоно 58034  
Томунаси Х. 58206 П  
Тончев Л. 58137  
Тончев Т. А. 59004  
Топчиев А. В. 56741,  
58677  
Торня 58255  
Торопова В. Ф. 57188  
Тохара 59459  
Тойма 56747  
Тойма 59194  
Трапезникова З. А. 56563  
Трахтенберг Н. А. 58969  
Третьяков Н. И. 57270  
Трошин В. П. 58608  
Трофимов А. Н. 56875  
Трофимук А. А. 57025  
Тулушов В. А. 56811  
Тушицкий Н. Н. 56925,  
56938  
Турапов М. К. 56880  
Турченко Я. И. 56353  
Тылкина М. А. 56701  
Тэрам 57485

У

Угай Я. А. 56698  
У Гуан-сянь 59185  
Удовенко В. В. 56740  
Узберг А. И. 58154  
У И-хуа 58001  
Умэдзава 57331 К  
Умэдзак 57159  
Унигадэ Э. М. 58051  
Уно 57471  
Усачев Д. Н. 58053  
Усенно В. А. 59495  
Усов Ю. Н. 56807  
Утибася 57650  
Ушаков С. Н. 59750  
Уэда 59019  
Уэмацу И. 59725  
Уэно 57651  
Уэока 57679  
Уэинаги 57640—57651

Ф

Фаворская Т. А. 57322  
Фадеева М. С. 56627  
Файерман Н. Л. 57808  
Файнберг Е. Е. 58888  
Файнберг С. Ю. 57216  
Файнштейн С. Я. 58007  
Федоренко Н. В. 56380  
Федоров Ф. И. 56583  
Федорова Н. М. 59724  
Федорова Т. Х. 58114  
Феклисов Г. И. 56756  
Феофилов Е. Е. 58641,  
58643

Феофилов П. П. 56534  
Ферхман А. А. 56433  
Фесенко Н. Г. 57182  
Фетисов Д. В. 57271  
Фещенко Н. Г. 57530 Д  
Филалков Ю. Я. 56740  
Филатова Л. Н. 57216  
Филлипов Е. М. 57033  
Филько А. И. 57825  
Финкель Э. 56616  
Финько В. И. 57105 Д  
Фишер С. Л. 59438  
Фишкова Э. С. 58981  
Фиалковская О. В. 58720  
Флёров В. Н. 58039  
Флид Р. М. 56810  
Флоринская В. А. 56614  
Фок М. В. 56563  
Фомина А. С. 58638  
Фоминых Л. Ф. 58698  
Фрейдлина Р. Х. 57348  
Фриш С. Э. 56385  
Фролова З. И. 56571  
Фролова Л. З. 59751  
Фрумкин М. Л. 59099  
Фудани 57471  
Фудани 57624  
Фудзита Т. 58766 П  
Фудзикава 59212  
Фудзино 58062  
Фудзисава 56834  
Фудзисэ 57467  
Фудзисэ С. 57937 П  
Фудзигуна 59377  
Фукадзава 58035  
Фукуи 58139  
Фунакубо 58633  
Фурс В. С. 58989  
Фурудзава 59452  
Фуруити 59460  
Фуруити Д. 56553  
Фурукава 59442  
Фуса 57888  
Футама 59776

Х

Хадеев В. А. 57189  
Хайн П. Г. 58007  
Хайденко Л. В. 56945  
Хайруллин В. К. 57515  
Халилов А. Х. 58678  
Хадама 59540  
Хамано 58121  
Хаматани 57471  
Хамидов М. Х. 57059,  
57061  
Хан О. А. 57954  
Ханаи 58971  
Ханларова А. Г. 56800  
Хари 57468  
Харитонов В. М. 59784 Д  
Хасимото 57497  
Хасимото 57689  
Хасимото 59371  
Хаситани 57183  
Хасагава 59452  
Хатано С. 57938 П  
Хатихама 59766

Хаттори 57154  
Хаттори 59097, 59111  
Хаяси С. 58125  
Хаясибэ 58977  
Хейфец М. 59179  
Хиро 57194  
Хиран 57691  
Хиран 59463  
Хирамацу 57797  
Хирота Т. 56637  
Хитаров Н. И. 57042  
Хитеев А. М. 58735  
Хитоса 59212  
Хлопотунов Г. Ф. 59427  
Ходский Л. Г. 58248  
Хо Ин-тхак 58408  
Хомма 59575  
Хомутов Б. И. 58890  
Хондэ М. 57651, 58458 П  
Хори С. 57961 П  
Хории 57419  
Хорикэ 58958  
Хорин Я. Д. 56708  
Хорио М. 59501 П  
Хориути 57301  
Хорошая Е. С. 59701  
Хосогова М. 59418 П  
Хотенок М. М. 57057,  
57060  
Хоу Нуэй-фэн 58037  
Ху Най-чао 59045  
Ху Чжи-фан 57171  
Хэ Пу 59476, 59477  
Хэ Чжень-юй 56804

Ц

Цао Го-чэнь 58038  
Цветков А. И. 56337  
Цинь Чэнь-шэн 57361  
Цзоу Жэнь-цзюнь 57318  
Цао Цзин-инь 57775  
Цзэн Дэ-хуэй 58978  
Цзэн Сянь-моу 57361  
Цзэн-Цин-цао 57944  
Цзя Ци-гэн 57947  
Цейтин Х. Л. 57799  
Ценков П. Г. 58647, 58653  
Циглер В. Д. 58160  
Циндрик Н. М. 56744  
Цинь Куан-чжун 58640  
Цубои Т. 58844 П  
Цудзи 58200  
Цудзи С. 58766 П  
Цукамото 57533  
Цукерваник И. П. 57324  
Цукерник В. М. 56870  
Цунода 57928  
Цунода И. 59486  
Цутида Р. 57008  
Цутя 57220  
Цю Вэй-ган 58602  
Цюй Дэ-хао 57421  
Цюрупа Н. Н. 57287

Ч

Чалов П. И. 56621  
Чекулаева И. А. 57356  
Червова Г. И. 58053

Черкесов А. И. 57173  
Чернева Е. П. 56938  
Чернобров С. М. 56934  
Черный И. Л. 58225,  
58248  
Чернышева Е. В. 57808  
Чертков Б. А. 57932  
Чесноков В. А. 58980  
Чешко Ф. Ф. 56425  
Чжан Хуа 56804  
ЧжанЦи-кай 57418, 57421  
Чжан Чжэнь-ван 57989  
Чжань Мин-да 58234  
Чжан Юань-цзи 57948  
Чжу Пэй-нань 58150  
Чигогидзе Л. П. 57344  
Чиженко И. М. 58065  
Чижова К. Н. 59068  
Чирков Н. М. 56764  
Чэнь-Ши-вай 56816

Ш

Шалашова Е. 57853  
Шантурин П. М. 57747  
Шан Цзэ-чжун 58038  
Шапиро Э. С. 57337  
Шаповал Л. Д. 57412  
Шарейко Л. В. 58248  
Шаронов Ю. А. 59714  
Шаронова Н. Ф. 57864  
Шаталов В. П. 59427  
Шатенштейн А. И.  
56635 К, 56799  
Шатский С. Н. 57882  
Шафиев А. И. 56633  
Шахнович И. Г. 58160  
Шац Р. С. 58259  
Швайгер М. И. 57202  
Шварцман Л. А. 57664  
Швец В. В. 59205  
Шведова-Шилловская К.  
58488  
Шеберстов В. И. 56836  
Шейнкер Ю. Н. 57295  
Шемякин Ф. М. 56962  
Шефтал Н. Н. 56571  
Шехтман Я. Л. 59165  
Шибалов И. 58250  
Шидов Ю. М. 57404  
Шипилов А. П. 58229  
Ширвайтис А. И. 56551  
Шихобалова Н. П. 59165  
Шишкина М. В. 58677  
Шишнинашвили М. Е.  
58109

Шкопоров А. Н. 58981  
Шлык В. Г. 59745  
Шмагел И. 58223  
Шмидт В. С. 56972  
Шмонина Л. И. 57337  
Шнайдер В. В. 58502  
Шнейдер В. Е. 58093  
Шостаковский М. Ф.  
57337, 57356  
Шпейер П. Ф. 57614  
Штейнберг В. В. 56787  
Шуйкин Н. И. 56811,  
56812

Шульц И. А. 59085  
Шумилин А. А. 58168  
Шурыгин П. М. 58068  
Шустова Л. Н. 59129  
Шутова А. И. 57287  
Шушквич Т. И. 58981  
Шэнь Фэн-шу 57946

Щ

Щербakov А. А. 58411  
Щербакoва В. А. 58700  
Щербатенко В. В. 59062

Э

Эгава 59482  
Эйбатова Ш. Э. 58678  
Эмануэль Н. М. 56750  
Эндо 57154  
Эндо 59487  
Эпштейн Д. А. 56351  
Эрекаев В. П. 58907  
Эфендиев Г. Х. 57103

Ю

Юань Син-и 58038  
Юи 57345  
Юй Юн-чжун 58728  
Юки 57203  
Юрьев В. П. 56879  
Юрьев Ю. К. 57520  
Юхара М. 58284  
Юхара Т. 58284  
Юшина Л. Д. 56885

Я

Яворский И. А. 58661  
Яги 59212  
Ягисава 59294  
Язикова Е. Г. 59427  
Якимец Е. М. 57156  
Якобсон Г. Г. 57431  
Яковлев А. И. 57899  
Яковлева Е. А. 56635 К,  
56799  
Якорева А. Р. 58657  
Якуб Н. А. 58258  
Ямагути 59194  
Ямагути 59489  
Ямада 56813  
Ямада 57475  
Ямада 58200  
Ямада 59463  
Ямада С. 57008  
Ямадзак 56827  
Ямадзак 59210  
Яманэ 58238, 58242  
Ямасак 57689  
Ямаути 57935  
Ямаути 58112  
Ямпольский А. М. 58070  
Ян Кэ-цзюй 57361  
Ян Си-чжан 57946  
Ян Цин-шэн 57421  
Янь Чжи-гуан 56804  
Ясуда 57169  
Ясуи Т. 59057  
Ясунами 58139  
Яхонтова В. Е. 56385  
Яцмирский К. В. 56762



A

- Aaberg E. 57316  
Aaltio E. 58833  
Abdel Halim 56850  
Abdel Rehim Abdel Rao-  
uf 57457  
Abe T. 56679  
Abel E. 56761  
Abelès F. 56582  
Abraham L. 58069  
Abraham M. 56561  
Abrahamson L. T. 58005  
Abu Elamayem M. S.  
56850  
Achmatowicz O. 57394  
Acker D. S. 57631  
Ackermann D. 57644  
Ackermann P. 58385 II  
Acrivos A. 57694  
Adamik K. 59120  
Adams D. P. 59662  
Adams K. B. 57770 II  
Adams R. 57408  
Aebli H. 57371  
Aeugle M. E. 58534 II  
Aftergut S. 57524  
Agazzi E. J. 57289  
Aggarwal J. S. 59384  
Aghoramurthy K. 57639  
Ahmed Taha Habib 58960  
Ainsworth M. 57766 II  
Airoldi H. E. v. 58807 II  
Akabori S. 57612  
Albertini E. 59400  
Albi F. 58881  
Albisetti C. J. 58343 II  
Albright R. L. 58896  
Alderson W. L. 57980 II  
Aldrich P. E. 57578  
Alessandrini M. E. 58870  
Alexa G. 59697  
Alexander L. E. 56500  
Alifax R. 59141  
Allander C. 57676  
Allas A. 59434  
Allen F. W. 56918  
Allen G. A. 59533  
Allene R. E. 58040  
Alles G. A. 58456 II  
Allingham M. M. 56909  
Alves G. E. 57668  
Alviset L. 58136  
Alvsaker E. 57255  
Amboy P. 58443 II  
Ames G. R. 57406  
Amiard G. 57558  
Amiard G. 58338 II  
Amoretti L. 57102, 59153  
Amrein E. 58142  
Anandaswamy B. 59114  
Anantharaman T. R.  
56482  
Ancot E. 58174 II  
Anderegg G. 57007  
Anderson A. G. 57378  
Anderson J. L. 58321 II  
Anderson R. 57956  
Anderson R. B. 56796  
Andree K. 59257  
Andrew E. R. 56565  
Andrisano R. 57102
- Andrussow L. 56590,  
56599  
Angermann A. 59073  
Anghel V. 58618  
Angier D. J. 59431  
Angus A. B. 56982  
Anić D. 57917  
Anjaneyalu B. 56851  
Ansel H. R. 59234 II  
Anthony C. 57910 II  
Anwar Hossain 56373  
Arabian K. G. 59563  
Aral T. 56389  
Arakawa M. 59452  
Arbuthnot K. D. 58503  
Arctander S. 58555  
Ardizzone M. 58694  
Arens J. F. 57358, 57359,  
57360  
Arevalo A. 57813  
Arévalo G. 58881  
Arigoni D. 57555  
Arisima M. 58413  
Armstrong F. C. 57035  
Arnaud P. 57332 K  
Arnett R. L. 57734  
Arnold H. R. 59512  
Arnold L. K. 58855  
Aronsson B. 56488  
Arotander S. 58557  
Arsenijević M. 59649  
Artusi G. C. 57102  
Arup H. 57830  
Asaoka H. 58834  
Ascher K. R. S. 58495  
Ashby E. C. 57499, 57500  
Ashmore P. G. 56780  
Asinger F. 58293  
Atanasii I. 58059  
Atkinson G. F. 57012  
Augood D. R. 57923  
Augustine R. L. 57376  
Ault W. E. 57900  
Aumann H. 59013  
Ausden D. 58064  
Avalle N. 58567  
Avela E. 56734  
Aven R. E. 57918  
Aves W. L. 57804  
Awad W. I. 57457  
Awe W. 58867  
Axford D. W. E. 59072  
Axilrod B. M. 56515  
Aylett B. J. 57013  
Azaroff L. V. 56589  
Azuma K. 57903
- B  
Baars J. K. 57848  
Baba H. 56572, 57465  
Baccaredda M. 59731  
Bachi H. 58648  
Bacik Z. 57240  
Backe-Hansen K. 57257  
Bacon O. C. 59659  
Bacon R. G. R. 56982  
Baddiley J. 57541  
Baer E. 57625  
Baer H. H. 57539, 57544  
Baeyart A. E. M. 59308 II  
Baganz H. 57428, 57623  
Bagarkopua L. K. 59042
- Baggenstoss A. C. 59677 II  
Bailey D. N. 56776  
Bailey S. W. 57040  
Bailey T. W. 58197  
Bairstow R. 58659  
Bakács-Polgár E. 57143  
Baker B. R. 57657  
Baker J. W. 56776  
Baker M. O. 57293  
Balasubrahmanyam G.  
58866  
Baldini L. 57260  
Bame J. L. 58787 II  
Bami H. L. 58519  
Bandrowska C. 57955  
Banerjee D. K. 57379  
Baouman A. 58732  
Baranowski B. 56845  
Baranyi J. 59610 II  
Barbera A. 58906  
Barcza L. 57236  
Barker C. C. 57460  
Barker G. C. 57125  
Barker G. E. 58823  
Barnard A. J. 57114  
Barnard J. A. 56754  
Barnes C. S. 57559  
Barnes E. 58119  
Barnes R. A. 59772  
Bärnighausen H. 56508  
Barral F. 59024  
Barrer R. M. 56901  
Barrera R. 57557  
Barret P. 56789  
Barrons Keith C. 58552 II  
Barrow G. R. 57798  
Barss W. M. 56400  
Barth H. 59347 II  
Bartha L. 56979  
Barthel W. F. 58504  
Bartlett M. F. 57619  
Basiński A. 56724, 56861  
Bassi I. W. 56499  
Basso A. J. 58470 II  
Bassompierre A. 56454  
Bastiansen O. 56398  
Bateman L. 57328  
Batsford K. O. 56579  
Battaglia A. 56593  
Batýn R. 59680  
Batzer O. F. 59166  
Baudet J. 56463  
Baudran A. 58115  
Baudry G. 57410  
Bauer S. 57384  
Baum V. A. 57695  
Baumgärtner F. 56618  
Baumgartner W. E.  
58364 II  
Baurmann E. 56526  
Bayer O. 59325 II, 59327 II  
Baylon M. 57736 II  
Beach W. 59390  
Beal A. 58933 II  
Bear J. G. 56823  
Bear R. S. 56480  
Beattie G. B. 58994  
Beaujon F. M. 57246  
Beck H. 59345 II  
Beck T. R. 58365 II  
Becker E. I. 57377
- Bedford G. T. 57796  
Bedford R. G. 56691  
Bednář J. 56825  
Bedo D. E. 56388  
Bedon H. D. 59729  
Béguin M. 58434  
Beideck K. 59672 II  
Beidl G. 56953  
Beier G. 57428  
Belcher W. E. 57765 II  
Belden 58683  
Belden D. H. 58684  
Bell C. G. 57845  
Bell J. 57986  
Bell J. B. 58377 II  
Bell W. C. 58129  
Bellinger H. 57905  
Bellis D. C. 58590 II  
Bengough W. I. 59741,  
59743  
Benham R. R. 58032  
Benischke F. 58218 II  
Bennett F. N. B. 59250  
Bennett R. 59072  
Benoit H. 59245  
Benson S. W. 56755  
Bentley K. W. 57593  
Bents U. H. 56570  
Benz E. 57462  
Berg C. H. O. 58783 II  
Berger A. 57620  
Berger H. F. 57842  
Berger S. B. 56462  
Berglund-Larsson U.  
56770  
Bergmann E. D. 57522  
Bergmann F. 58318 II  
Bergmann P. G. 56636  
Bergmann W. 57629  
Bergson G. 56414, 57656  
Bergström J. 59574  
Berka A. 57121  
Berkman S. 58789 II  
Berman A. S. 56596  
Berman M. 59091, 59092  
Bermes E. W. 57285  
Bernier C. 59334 II  
Bernier E. 57316  
Bernhard P. 59270  
Bernot A. 59216  
Bernstein C. 59425 II  
Bernstein H. J. 56461  
Beroza M. 58504, 58540  
Bersuorth F. 58339  
Bertaut E. F. 56476  
Berteig L. 56632  
Berzins A. 59544  
Berzins V. 59547  
Besch E. 57584  
Best C. E. 58348 II  
Best M. J. H. 59236  
Bethlehem Steel Co. 58175  
Bettinetti G. F. 57477  
Beyer G. H. 57922  
Bhargava H. D. 57150  
Bhatia D. S. 59202  
Bhatnagar H. L. 59721  
Bhattacharya H. 57261  
Bhattacharyya B. K.  
57379  
Bibel T. 59637  
Bieber T. I. 58335 II
- Bielański A. 56793  
Biestek T. 57803  
Bigger J. H. 58494  
Biglino G. 58406  
Bignotti A. 57829  
Bihan F. Y. 59197  
Bikerman J. J. 59738  
Bilby B. 56686  
Bilek V. 59038  
Billig R. 58788 II  
Birch F. 57282  
Bird C. W. 56412  
Bird W. A. 57893  
Birdsall J. J. 59070  
Birkhofer L. 57506  
Birthler R. 58682  
Bisbini P. 59123  
Bischof M. 56953  
Bishop L. R. 58988  
Biswas A. B. 56491,  
56671, 59721  
Blackburn N. D. 58493  
Blanc M. 56654  
Blanchard R. A. 58494  
Blankenship F. F. 56663  
Blaschko H. 56339  
Blasius E. 56937  
Blau N. F. 57343  
Blažek J. 57253  
Blinne K. 56988  
Blizzard J. R. 59609 II  
Bloch E. 57966 II  
Blomquist A. T. 57905,  
57473  
Bloom M. 56564  
Bloss C. 57965 II  
Blum I. 58599, 58620  
Boaz H. E. 57288  
Bobbitt J. M. 57598  
Bock D. 58237  
Bock H. 56978  
Bóday G. 58609  
Bodor G. 59483, 59493  
Boeck E. 58731  
Boeck W. 58731  
Boeckling K. 58215 II  
Bogdandy L. 56788  
Bognár R. 57594  
Böhm J. 57394, 57490  
Bohn K. 59643  
Böhner G. 59665 II  
Böhringer P. 59001, 59006  
Boleda A. 58425  
Bolle W. 58544 II  
Bolley D. S. 58480 II  
Bollinger L. C. 58819 II  
Bomberger H. B. 57795  
Bond G. M. 58947  
Bonner M. D. 59146  
Bonner O. D. 56930  
Bookout E. J. 57868 II  
Booth E. 57184  
Borlolla y Alcalá J. M. R.  
58869  
Born H. J. 57525  
Borovička M. 57441  
Borrows E. T. 59253  
Borsook M. E. 58452 II  
Bosanquet C. H. 57895  
Bose S. 59186  
Bošniakovic F. 57709  
Boström S. 59331 II

793  
4  
7  
59738  
II  
12  
070  
06  
2  
3  
3988  
56491  
58493  
58494  
F. 56603  
39  
7  
3  
8  
59609 II  
II  
57305  
II  
58620  
88  
57598  
59493  
215 II  
788  
54  
57490  
35 II  
01, 59004  
II  
480 II  
58819 II  
B. 57795  
59146  
56930  
57868 II  
34  
A. J. M. R.  
25  
57441  
59253  
58452 II  
57895  
57700  
331 II

Bottaro M. 57101  
Botteron D. G. 57524  
Bottomley G. A. 56642  
Bouligaud J. 59620  
Bourdet E. 58574  
Bourdillon J. 56612  
Bouriau Y. 57264  
Bowles V. O. 58748 II  
Boyer J. H. 57426  
Boylan D. R. 57995 II  
Boyle J. W. 56829  
Boyle R. W. 57026  
Brabetz V. 58570  
Brace A. W. 58024  
Bradley R. A. 59048  
Bradley R. C. 56907  
Bradshaw W. 57204  
Brady C. T. 59544  
Brackman O. R. 56421  
Braid P. E. 58523  
Brandels J. 59673 II  
Bränden C. I. 56497  
Brandstätter-Kuhnert M. 56735  
Brandstätter J. 57209, 57115, 57142  
Brannon H. R. 57021  
Brascher D. M. 57778  
Brasifinas V. 57643  
Braude E. A. 57373  
Braun G. 56677  
Brecht W. 59525, 59529  
Bredereck H. 57430  
Brehmer T. E. 56872  
Breil G. 57973 II  
Breitenbach J. W. 59748  
Brenig W. 56363  
Brennan D. 56917  
Brenner A. 58046  
Breslau A. J. 59274  
Breslow D. S. 59759  
Bretschneider H. 57444  
Brey M. L. 57523  
Breyer H. 58135  
Briant A. M. 59096  
Bridger G. L. 57995 II  
Brigando J. 56997  
Brigoli B. 56795  
Beingeland R. 56501  
Bringi N. Y. 57579  
Brinkmann K. 58812 II, 58814 II  
Broad W. C. 57114  
Brochhagen F. 59347 II  
Brockmann H. 57647  
Broda E. 57663  
Broder J. D. 56487  
Brodekema J. 56502  
Brogdon J. E. 58530  
Broida H. P. 56778  
Brooks F. R. 57289  
Brooks J. S. 58503  
Brown B. F. 58041  
Brown H. D. 58960  
Brown H. R. 58597  
Brown J. C. 59519  
Brown J. N. 59539  
Brown R. A. 56922  
Brown W. B. 56638  
Bruce R. E. 57769 II  
Bruce W. F. 58462 II  
Bückner G. 59073

Brügel W. 59704  
Brugger F. 59379  
Bruin F. 56593  
Brüniche-Olsen H. 57718  
Brunstrum L. C. 58739  
Brushwell W. 59367  
Brutcher F. V. 57560  
Bryan G. M. 56786  
Bryce-Smith D. 57325  
Brydson J. A. 59243  
Bryner L. C. 57956  
Buchanan A. S. 56950  
Buchanan J. G. 57541  
Büchi J. 57423  
Buchta E. 57461  
Buckley D. 57415  
Budeanu C. H. 56332  
Budnikow P. P. 58243  
Bueche A. M. 59322 II  
Buell B. O. 57734  
Buerger M. J. 56589  
Bulczyńska L. 59382  
Bulger W. H. 59521  
Bulkley C. W. 59260  
Bulušek J. 57232  
Bunge W. 59327 II, 59328 II  
Buntner E. 57955  
Burbank J. 58002  
Buré J. 59050  
Burg A. B. 57509  
Burgemeister W. 56976  
Burkhard W. J. 56854  
Burkhardt C. C. 58509  
Burman A. R. 58019  
Burnett F. J. 59364  
Burr J. G. 57333 K  
Burth K. 59666 II  
Burton S. A. C. 57836 II  
Buša J. 56678  
Busnelli A. 58906  
Buss J. H. 56755  
Bustin N. L. 59608 II  
Butement F. D. S. 56623  
Butta E. 59731  
Butterworth B. 58140  
Butterworth C. E. 59520  
Buu-Hoi N. P. 57450

C

Cabannes-Ott C. 56439  
Caccia Bava A. M. 59153  
Cachia M. 57401  
Caglioti L. 57555  
Caglioti V. 56437  
Caillère S. 57078  
Caillieux A. 57032  
Cais M. 57574  
Caldwell J. R. 59314 II  
Calkins G. D. 58245  
Calleja Carrete J. 58228  
Calotà M. 58620  
Călușaru A. 58059  
Calvin G. 57003  
Cameron A. 56896  
Cameron E. N. 57040  
Camp A. T. 58718  
Campanile V. A. 57289  
Campbell J. E. 58245  
Cañas Rodríguez A. 57542  
Cann J. R. 56922

Cannon C. G. 56470  
Cantarel R. 57392  
Cantor S. 56663  
Capell R. G. 58763 II  
Capriotti A. 59147  
Caramazza R. 56849  
Carassiti V. 56466  
Carbon J. A. 57616  
Cardani C. 57642  
Carhart R. L. 58827 II  
Carlsson C. G. 57290  
Carlsson K. E. 59566  
Carlstrom D. 56480  
Carlton C. H. 58718  
Carmack M. 57583  
Carpino L. A. 56451  
Carrara G. 58457 II  
Carroll R. J. 58737  
Carson A. S. 56657  
Cartz L. 56609  
Casinovi C. G. 57585  
Castagne M. R. 59569  
Castellani P. F. 57735 II  
Castellanos E. F. B. 58917 II  
Castle J. E. 58315 II  
Casswell R. L. 58527  
Caterston A. G. 57796  
Cats H. 58528  
Cattion N. L. 59436  
Cecchini M. A. 56743  
Čelechovsky J. 57211  
Cerrai E. 56795  
Chakrabarty M. M. 58880  
Chang C. T. 57386  
Chang G. M. C. 57378  
Chang Chi-chiek 57418, 57421  
Chang Yan Po 57693  
Chang Yuan-lung 57043  
Chapiro A. 59747  
Chapman D. 56955  
Chapman J. 56862  
Chapman H. R. 59150  
Charatis G. 56405  
Charlet E. M. 58751 II  
Charlett S. M. 59128  
Charm S. E. 59039  
Chase F. A. 59232 II  
Chaston I. R. M. 57681  
Chatt J. 56440  
Chatten C. K. 59466  
Chatterjee A. 57379  
Chatterjee A. 57554  
Chaudhury A. M. 59615  
Cheema L. S. 58519  
Chen F. C. 57386  
Chen Shih-wei 56816  
Chen Yushin 58526  
Cheronis N. D. 57230  
Chesnut D. B. 56455  
Chezard J. 59669 II  
Chiang R. 59717  
Chiarlo B. 57260  
Chiesa L. 57262  
Chikayama A. 56394  
Chin Cheng-sheng 57361  
Chirudoglu G. 57551  
Chi Yuoh-fong 57470, 57472  
Cholnoky L. 57599

Chopin J. 57630  
Choubert B. 57045  
Christ W. 59645  
Christensen B. 57364  
Christenson L. D. 58516  
Christian C. G. 57440  
Christian J. W. 56686  
Chrzczewski J. 56736  
Chrzczonowicz S. 59760  
Churchill J. W. 58308 II  
Chü Te-hao 57421  
Ciaccio L. L. 57252  
Cihalik J. 57113  
Ciporin L. 56420  
Cislak F. E. 58375 II  
Claesson S. 57283  
Clar E. 57463  
Clark H. A. 59286  
Clark J. d'A. 59544  
Clark R. A. 59441  
Clark R. E. D. 57135  
Clark S. P. 57282  
Clarke D. D. 57625  
Claus W. 59029 II  
Cleland R. L. 59716  
Clements R. W. 58836  
Clifton P. V. 58632  
Coates G. E. 57003  
Cobb R. V. 59592 II  
Cockerham R. G. 58658  
Coe R. R. 58525  
Cohen L. 58792 II  
Cohen S. M. 59276  
Coillie L. V. 59198  
Cole A. R. H. 56449  
Cole J. W. 58479 II  
Cole W. H. 57673  
Coley B. 59035  
Coleman L. J. 59396  
Colin G. 57010  
Collin B. W. 58219 II  
Collin J. 56751  
Colomb P. 59657, 59690  
Colyer C. C. 58713  
Conia J. M. 57319, 58317 II  
Conway J. G. 56387  
Cook J. W. 58501  
Coonradt H. L. 58369 II  
Cooper A. 59296  
Cooper J. C. 56784  
Cooper W. 59778  
Coover H. W. 59314 II  
Copet A. 57551  
Corbett J. D. 56854  
Corbiere J. 58045  
Corddry G. W. 59376  
Corradini P. 56499  
Corrales Zarauza J. A. 58607  
Corran P. G. 56592  
Corrodi H. 57634  
Corudolo I. 58423  
Corvetto A. 59009  
Cosslett V. E. 57273  
Costilow R. N. 59102  
Costolow J. J. 57992 II  
Cottle D. L. 58818 II  
Cotton F. A. 56404  
Cotton R. H. 59067  
Coughlin F. M. 59102

Coulon R. 56436  
Courtade M. 59218  
Coussement F. 56765  
Cowan C. B. 58511, 59515  
Cox G. F. 57325  
Cox H. C. 57635  
Cox J. A. 58496  
Cox R. P. 57922  
Crabb T. A. 57372  
Cragoe E. J. 57405  
Crahmer H. 57577  
Craig J. G. O. 58499  
Cram D. J. 57304  
Cramer F. 56940 K  
Crancher D. W. 58690  
Crandall H. C. 59596 II  
Cranker K. R. 59274  
Creff R. 59017  
Cremier J. 56977  
Cremonini G. 59123  
Crestfield A. M. 56918  
Cripps H. N. 57366  
Crookshank F. T. 58802 II  
Crossley M. L. 58396 II  
Cruckshank E. H. 56927  
Cströs Z. 57600  
Cullen J. M. 56909  
Cummings R. 57729 II  
Cunneen J. I. 57328  
Cunningham B. B. 56387  
Curien H. 56585  
Curry R. P. 57235  
Curry S. W. 58687  
Curtiss B. R. 57034  
Cusic J. W. 58444 II  
Custers J. P. H. 56524  
Cwilich R. 58497  
Cyrot J. 59620  
Cyvin S. J. 56398  
Czerepko K. 57242  
Czerwony G. 56446  
Czetsch-Lindenwald H. 58422  
Czikk A. M. 57984 II

D

Daessle C. 57549  
Dagel Y. 59568  
Dallinga G. 56771  
Dal Monte D. 56417  
Danchsázy G. 58626  
Dane-Thomas D. J. 56579  
Danguy L. 57130  
Daniel S. S. 57139  
Daniel W. A. 58722  
Daniels W. 59217  
Danjard J. C. 59726  
Das Gupta N. N. 58610  
Daubert B. F. 56895  
Daughtry A. C. 57021  
Dave F. S. 57120  
Davey W. 57406  
David N. A. 58435  
Davidson W. L. 59502 II  
Davies C. B. 58826 II  
Davies L. 57865  
Davis A. D. 57286  
Davis A. N. 58500  
Davis J. G. 59132  
Davis J. W. 58511  
Davis M. 57427  
Davis R. E. 56413



- Davissou J. W. 56475  
Dawkins K. 58074 II  
Dawson J. K. 56711, 56721  
Dawson T. P. 57517  
Day R. A. 56890  
Deal C. H. 58776 II, 59777 II  
Dean R. S. 58088 II  
Deckenbrock W. 58967  
Decker G. C. 58529  
Dedert W. G. 59539  
Deeg E. 58179  
Deeley C. W. 59492, 59736  
Deemter J. J. 57719  
De Fries T. 56891  
De Haan A. 57924 II  
Dehmel P. 57106  
Deibner L. 59016  
Delatre-Wegner K. 57855  
Delavault R. E. 57027  
De Leone R. 57919  
Delépine M. 56327  
Dell R. M. 56906  
Della Pergola G. 56581  
Demeur M. 56377  
Demott B. J. 59124  
Dempsey D. F. 57275  
Dempsey M. 59685  
Denss R. 57638  
DePew L. J. 58491  
Derby R. E. 59662  
Dereñ J. 56793  
Deroy J. 57590  
De Rosa T. 59009  
DeSchane D. L. 57771 II  
Desfosses P. 58623  
Desnuelle P. 56338  
Dessy R. E. 57300  
DeTar D. L. F. 56451  
Deutschmann E. 59524  
Deutser A. J. 58802 II  
Déverin L. 56587  
Devreux A. 58990  
Dey A. K. 56987  
Dhatt M. S. 58519  
Diachlahin A. N. 57860  
Diamond H. 58798  
Dibeler V. H. 56397  
Di Bois J. H. 58128  
Dichter J. 58208 II  
Dickmann S. 58691  
Diddens A. N. 56370  
Dieke G. H. 56529  
Diekmann H. 57965 II  
Diener W. 56983  
Diesel S. 59317 II  
Dietrich A. 57933 II  
Dietrich W. 58809 II, 58815 II  
Dietzel A. 58197  
Dillender R. D. 58129  
Dimroth K. 57298  
Dinger K. 58178  
Dippel W. 57757  
Ditman L. P. 59095  
Dittmar G. 57437  
Dixon J. 58353 II  
Djerassi C. 57571, 57580, 57607, 57608  
Djokić S. 57478  
Dlouhy R. M. 59534  
Doan A. S. 56729  
Dobáš J. 57432  
Dobbener R. 56709  
Dobovišek B. 58662  
Dobozi O. K. 58386  
Dockendorff R. L. 57934 II  
Dodge G. W. H. 59275  
Dodgen D. F. 57439  
Doede C. M. 57292  
Doehlemenn E. 59319 II  
Doerffel K. 57107  
Doering W. E. 57374  
Doherty D. G. 57310  
Doherty L. R. 56405  
Doi K. 56479  
Dolejš L. 57552  
Doležal J. 57187  
Dolliver M. A. 58341 II  
Domayk G. 58463 II  
Donahue D. J. 58083 II  
Donaruma L. G. 58371 II  
Donn B. 57016  
Dono T. 57181  
Donovan J. 57699  
Dorer M. 58432  
Dorinson A. 58727  
Dornte R. W. 56742  
Dorsey W. S. 57440, 58782 II  
Döry I. 56805, 57532  
Doty J. M. 59069  
Doucet Y. 56655  
Dow R. 58086 II  
Doyle C. D. 59244  
Doyle C. M. 57743 II  
Dragan C. 56352  
Draley J. E. 57785  
Drake W. B. 57698  
Drechsel E. K. 58372 II  
Drefahl G. 57297, 57399, 57449, 57566, 57567, 57577  
Drehmarin U. 57525  
Dreisbach P. F. 58396 II  
Drumm M. F. 59275  
Dryden I. G. C. 58606  
Drysdale R. F. 57836 II  
Dubansky A. 57081  
Dubois D. K. 59067  
DuBrow P. 59385  
Duckwald C. S. 59244  
Duckworth W. H. 58131  
Duc-Maugé C. 56727  
Dudman R. K. 59231 II  
Duffy W. E. 57180  
Dugan L. R. 58877  
Duke F. R. 56729  
Dunbar R. E. 57229  
Duncanson L. A. 56440  
Dukley W. L. 59125  
Dunlap I. R. 59550  
Dunlap R. D. 56691  
Dunlop P. J. 56839  
Dunn H. E. 58088 II  
Dunn P. A. 57819, 59398  
Dunston S. 57415  
Dupuy P. 59015  
Durand J. H. 57093  
Durant L. G. 59531  
Duriez M. 58702  
Dutt S. 58554  
Dutta A. B. 56916  
Dutta A. K. 56605  
Dutta D. 56933  
Duval C. 57205  
Düwel G. 58710  
Dyall L. K. 56472  
Dybalski J. 59385  
Dye W. T. 58538 II  
Dykes F. W. 57278  
Džinleski B. G. 59164  
E  
Eakin R. E. 57474  
Eastabrook J. N. 56519  
Eaton S. E. 58080 II  
Eaton S. L. 58922 II  
Ebert H. 57973 II  
Eckart R. 59696  
Ecker E. E. 56335  
Eckert G. 57782  
Eckert G. W. 58820 II  
Eddy C. O. 58489  
Edgecombe F. H. C. 56817  
Edgell W. F. 56428  
Edgerton W. H. 57506  
Edström J. O. 57979 II  
Edward J. T. 56464, 56921  
Edwards C. 58151  
Eckhaut R. G. 59061  
Eggers H. 57647  
Eggert J. 56835  
Eggertsen F. T. 57239  
Eibl J. 59668 II  
Elchelberger R. 56786  
Elchhoff H. J. 57128  
Elgen H. 58247  
Elsler M. 57570  
Elbel K. 59779  
Elias D. P. 56492  
Elms H. S. 58590  
Ellenburg J. Y. 57161  
Elliott Q. 58718  
Elliott R. M. 56711  
Ellis D. G. 58085 II  
Elizy S. E. 57426  
Emde H. 58448 II  
Emmerson R. G. 57460  
Endermann F. 58595 II  
Ends M. 59487  
Endo Y. 57154  
England D. C. 58371 II  
Englert R. D. 58920 II  
Engley F. B. 58420  
English L. L. 58514  
Enkvist T. 58832  
Eppler W. F. 58174 II  
Epstein A. 58550 II  
Epstein A. A. 59233 II  
Epstein L. M. 59769  
Ercoli A. 58477 II  
Ercey L. 57132  
Erdey L. 57174  
Erdey L. 57280  
Erdey-Gruz T. 56881, 56882  
Erdős E. 56692, 56840, 56841  
Erdős P. 56372, 56374  
Erickson J. G. 58323 II, 58821 II, 58822 II  
Ernsberger R. E. 59662  
Ernst H. 58919 II  
Ernst T. 58102  
Erschine A. M. 59378  
Ettinger M. B. 57846  
Eugster C. H. 57636, 57637, 57638  
Euler H. 57340  
Evans E. F. 57535  
Evans J. B. 56626  
Evans J. G. 59648  
Evans L. P. 58748 II  
Eveleigh J. W. 57766 II  
Evelt T. W. 57184  
Ewbank N. M. 58245  
Ewing H. 59674 II  
Eyring H. 56803  
F  
Facy L. 56964  
Fahlstrom G. B. 58849 II  
Faivre R. 56716  
Falck M. 58550 II  
Falecki J. 57417  
Fancher L. W. 58539  
Farkas E. 57568  
Fasciati A. 58392 II  
Fasman G. D. 57620  
Fathy Ahmed Abd Elhafez 57304  
Favre H. 57549  
Fazakerley H. 57555  
Fazekas A. 58196  
Fearn N. S. 58103  
Fedynsky O. S. 57695  
Fehér F. 56977  
Feichtinger H. 58340 II  
Feilchenfeld H. 56471  
Fejes P. 56903  
Feldman C. 57161  
Feldman S. 56783  
Feldman T. 56432  
Feller R. L. 59361  
Felton G. E. 59225 II  
Feltz A. 56989  
Fensham P. J. 56792  
Fenske M. R. 58765 II  
Fenton F. 59178  
Ferguson L. M. 57703  
Ferrel R. E. 59223 II  
Ferris J. P. 54583  
Ferris S. W. 58743 II  
Feuge R. O. 58889  
Feuervais L. 56371  
Ficalbi A. 56897  
Fichtner W. 57856  
Fikentscher H. 59316 II  
Filler R. 57306  
Filotti A. 58691  
Finch G. I. 57720  
Findels A. F. 56891  
Findelsen G. 56703  
Finke H. L. 56468  
Finkelstein M. 56773, 57374  
Fiordalisi F. M. 58446 II  
Fiorentini M. C. 57023  
Firth J. W. 59609 II  
Fischer F. 57399  
Fischer P. W. 57837 II  
Fischer T. 56567  
Fiser F. 59025 R  
Fisher E. G. 59306 K  
Fisher H. L. 59433  
Fisher J. R. 57605, 59032  
Fishman G. 57561  
Fitch P. T. 58324 II  
Fitzgerald D. C. 57474  
Flumara A. 58707  
Flahaut J. 59282  
Flaschka H. 57114  
Fleck F. 58399 II  
Fleischer K. 59696  
Fletcher A. C. 59372  
Fletcher M. H. 57123  
Flitcroft T. L. 56653  
Flom D. G. 59737  
Florea O. 58619  
Flory P. J. 59726  
Fodor G. 57589  
Fodor J. 57317  
Fogarasi B. 57958  
Fohlen G. M. 59362  
Földi A. 57433  
Földi T. 57433  
Földi Z. 57433  
Folkers K. 57609, 57911  
Folta Z. 58846 II  
Folwaczny H. 59586 II  
Fontanelli R. 58870  
Foote G. E. 59121  
Forbes J. W. 57288  
Ford J. 57328  
Forkel W. 58102  
Förland T. 56493  
Forster H. K. 57710  
Fořtová J. 59184  
Foss O. 56495, 56496, 56501  
Foss J. G. 56803  
Foster D. 58140  
Foster W. E. 57413  
Fouché R. 58562  
Fowkes F. M. 56957  
Fowler R. G. 56894  
Fowles G. W. A. 57006  
Fox A. L. 57977 II  
Fox S. V. 57975 II  
Franchi P. 59576  
Frangueli L. 59012  
Frank C. E. 58360 II  
Frank W. 59117  
Frank E. A. 58192  
Franke J. I. 58171  
Franklin J. L. 56397  
Franz K. 58176 II, 59032  
Franzolini P. 56846  
Freed S. 56422  
Freeman S. E. 58841  
Freimuth U. 59044  
Freund M. 58701  
Frey F. E. 58757 II  
Freytag H. 59347 II  
Fried V. 56746  
Friedenberg R. 57617  
Friedlander P. H. 59573  
Friedrich H. 58319 II  
Friedrich H. 58825 II  
Fries D. 58326 II  
Frishbier E. 59299  
Frissell W. J. 59289  
Fritz H. 57584  
Frohberger P. E. 58540  
Frost P. H. 59600 II  
Frutiger F. 57962 II  
Gail G.  
Gabrielli  
Gachot J.  
Gad G.  
Gafner G.  
Gagliardi  
Gahan J.  
Gál D.  
Galinos J.  
Galinovsk  
Galiński  
Gallo G.  
Galloway  
Galxy P.  
Ganguly  
Gardenier  
Gardiner  
Gardner  
Garland  
Garner C.  
Gartner J.  
Gascolgn  
Gáspár F.  
Gasparic  
Gasperin  
Gates J.  
Gates J.  
Gatto W.  
Gauhe A.  
Gaus W.  
Gauthier  
Gavanda  
Gearhart  
Gebauer  
Gebhardt  
Gehlen i.  
Geier R.  
Geiseler  
Geißler  
Geister C.  
Gellerman

- 59433 Fry J. L. 50167  
59605 Fuchs O. 58486 II  
57561 Fuger J. 57005  
58324 II Fujii K. 57471  
C. 57474 Fujii S. 57624  
58707 Fujii Y. 57622  
2282 Fujikawa F. 59212  
57114 Fujinaga T. 57124  
99 II Fujino Y. 57641  
59696 Fujisawa S. 56834  
59372 Fujise S. 57467  
57123 Fujita H. 59200  
56633 Fukui K. 57641  
59737 Fuliński A. 50845  
19 Fuller J. A. 58367 II  
59725 Fuller W. R. 59359  
89 Funke W. 59763  
17 Fuoss R. M. 56843  
7958 Furlenmeier A. E. 57576  
59362 Furst A. 57487  
33 Furusho K. 56572  
33 Furuya S. 59730  
33 Furuzawa Y. 59452  
609, 57011 Fuschillo N. 59727  
6 II Fusco V. C. 58301 II  
59586 II Fuse T. 57888  
58870 Futama H. 59776  
59121 Fye R. E. 58507
- G**  
Gaál G. 57594  
Gabiellii G. 56897  
Gachot J. 59339 II  
Gad G. 57841  
Gafner G. 56507  
Gagliardi E. 57144  
Gahan J. B. 58500  
Gál D. 56758  
Galinos A. G. 56974  
Galimovsky F. 57590  
Galiński K. 58901  
Gallo G. G. 57262  
Galloway E. C. 58376 II  
Galzy P. 59014  
Ganguly S. K. 57261  
Gardeniers P. P. 58356  
Gardiner J. P. 57996 II, 57997 II  
Gardner K. J. 58948  
Garland R. B. 57562  
Garner C. S. 56998  
Gartner K. 59561  
Gascoigne R. M. 56645  
Gáspár R. 56378  
Gaspari J. 57228  
Gasperin M. 56585  
Gates J. W. 57760  
Gates J. W. 58590 II  
Gattow G. 56489, 56494  
Gauhe A. 57544, 57547  
Gaus W. 58463 II  
Gauthier P. 58646  
Gavanda L. 57866  
Gearhart W. M. 58878  
Gebauer K. 58092 II  
Gebhardt J. 56908  
Gehlen K. 58102  
Geier R. G. 58765 II  
Geiseler G. 58734  
Geißler K. 56715  
Geister C. H. 59691  
Gellerman J. L. 58876
- Gellert H.-G. 58349 II  
Gellings P. J. 57776  
Genie G. V. 58954  
Gentner W. 57030  
George D. 59265  
Georgescu N. 58141  
Georges-Louis Castelain 58742  
Gerloff W. 58924 II  
Gerold C. 57570  
Gerosa V. 58433  
Gerson M. M. 59397  
Gessler A. M. 59440  
Gharpurey M. K. 59721  
Giachetti E. 59758  
Gianetto A. 57711  
Gianfornaggio F. 59027 K  
Giang P. A. 58527  
Giani M. 57597  
Gibb T. R. P. 56481  
Gibson F. C. 56784  
Giesbrecht E. 56743  
Giguère P. A. 56435  
Gilbert W. 58145  
Giles C. H. 56896, 56909  
Gilling E. A. 59152  
Gilliois M. 56847, 56848  
Gilman H. 57503—57505  
Gilson P. C. J. 57774 II  
Ginsburg D. 57574  
Giollito S. L. 58542 II  
Giovannini E. 57101  
Giraitis A. P. 57976 II  
Girelli A. 58673  
Girifalco L. A. 56538  
Girold E. 57638  
Glvulescu J. 58141  
Gladych J. M. Z. 57400  
Glatz G. 56953  
Gleason A. H. 58797 II  
Glemser O. 56438  
Glick H. S. 56781  
Gloyer S. W. 58841 II  
Glozić B. 59689, 59693  
Gobat A. R. 57971 II  
Goffton B. F. 57373  
Goldenson J. 58792 II  
Goldshlak L. 56574  
Goldstein L. 56597, 56666  
Göllner R. 57436  
Golub M. A. 59544  
Golz H. H. 58532  
Gommel G. 56610  
Gompper R. 58378 II  
Gonaway H. L. 58203  
González A. G. 57557  
Goodenough J. B. 58127  
Goodhue L. D. 58545 II  
Goodman I. 57626  
Goodman L. 57353, 57507  
Goon E. J. 56481  
Gordon K. F. 57717  
Gordon M. 59774  
Gore R. T. 58061  
Gorin G. 56415  
Gorin M. 58304  
Goris P. 57180  
Gorman M. 57580  
Gorochowsky J. N. 58588  
Gorton H. C. 56586  
Gose E. E. 57694  
Goto H. 56390
- Goto S. 57903  
Götte E. 59675 II  
Gottfried J. 57166  
Gottschalk G. 57106  
Göttsche E. A. 59066  
Gottstein W. 57565  
Götze G. 59080  
Goudot A. 56393  
Gould C. W. 57507  
Govindachari T. R. 57595, 57596  
Govindan K. P. 59297  
Gozzini A. 56593  
Gracián J. 58861, 58871, 58881  
Graham D. McL. 56460  
Graig W. 58537 II  
Grallinski M. 59628  
Grams E. 59254  
Granger R. 57375, 57447  
Granlund P. 59572  
Grant K. 58157  
Grantham R. L. 59739  
Gräiser H. 58418  
Grassi G. 58806 II  
Grassmann P. 57697  
Graul E. H. 57881  
Gray K. R. 59588 II  
Greenberg S. 57785  
Greenblau N. 59023  
Greene F. D. 57320  
Gregory W. A. 58440 II  
Greifer B. 56784  
Grekel H. 58773 II  
Grenfell T. C. 57252  
Griesheimer R. N. 59564  
Griesing F. 57966 II  
Grieshammer H. 56996  
Griffel M. 56647  
Grillot G. F. 57524  
Grimal M. 58138  
Grimes W. R. 56663  
Grimm H. 59573  
Grimme W. 58448 II  
Grindrod P. E. 59142  
Grob C. A. 57371  
Grodzinski P. 58162  
Groennings S. 57239  
Grogan C. H. 58459 II  
Groh R. H. E. 58026  
Groschopp H. 59488  
Großdorfer K. 57885  
Grossman J. J. 56998  
Grote B. 58867  
Grotelüschen K. 59081  
Grozier A. 56603  
Gruber T. 58669 II  
Gründel K. 57508  
Grundy M. E. 57321  
Gruntfest I. J. 59278  
Grzegorzewski W. 58268  
Guadagni D. G. 59098  
Gudheim A. R. 57699  
Gudriniece E. 57466  
Guéguen H. 56822, 56837  
Guenet W. 58078 II  
Guest H. R. 58332 II  
Guillemín C. 57037  
Guinet M. 59082  
Gulinsky E. 59402  
Güllich F. 57461  
Gulyas E. 57011
- \* Gündel W. 58361 II  
Günther K. G. 58207 II  
Gutierrez Contreras M. 58695, 58696, 58697  
Guy J. 56463  
Guzmán G. M. 59761  
Gwózdź R. 57800  
Gyllenberg H. 59043
- H**  
Haas H. C. 59712  
Haber J. 56793  
Häberli E. 57219  
Habernickel V. 58329 II  
Hablinski J. 58858  
Hach Z. 58407  
Hachihama Y. 59766  
Hackerman N. 59594 II  
Hackmann C. 58463 II  
Haendler H. 58409  
Häfliger F. 57638  
Hafner K. 57436, 58351 II  
Hagberg S. 59060  
Hagenström U. 58564  
Haigh G. 56560  
Hajós Z. 57317  
Hakkila E. A. 57002  
Halász I. 56900  
Hall G. R. 57015  
Hall L. M. 57376  
Halmos M. 57589  
Halpern O. 57607, 57608  
Halsall T. G. 57555  
Ham R. G. 57474  
Hamada T. 59540  
Hamann K. 59763  
Hamano K. 58121  
Hamatani K. 57471  
Hambly A. N. 56472  
Hamilton J. B. 59762  
Hammer G. G. 57343  
Hammer H. F. 58466 II  
Hammerle W. G. 56604  
Hammond A. E. 59191  
Hampel G. 59056  
Hampton A. 57628  
Hänlein W. 58216 II  
Hannah J. C. 58754 II  
Hannig E. 58409  
Hanok M. 59466  
Hansen G. D. 59605 II  
Hansen J. 57226  
Hanson H. P. 56404  
Hanuš Z. 56662  
Hanzlik M. 59368  
Hanzlik V. 59368  
Hardegger E. 57633, 57634  
Hardy J. L. 58547 II  
Hare N. 58651  
Hargreaves M. K. 56465  
Hari K. 57468  
Harlan F. 58578  
Harlow P. A. 58520  
Harman D. 58798 II  
Harmon L. G. 59146  
Harrell A. G. 58704  
Harris E. E. 58322 II  
Harris E. W. 59393  
Harris G. S. 57512  
Harris R. 59053  
Harris V. C. 58768 II
- Harrison J. T. 59567  
Hart F. A. 56440  
Hart P. 57759  
Hartert E. 56438  
Hartman L. 59163  
Hartmann F. 57972 II  
Harvey J., Jr 57583  
Harvey K. B. 56435  
Harvey R. B. 56442  
Harvey T. L. 58491  
Harwood R. F. 58510  
Hasegawa H. 59452  
Hashimoto A. 57689  
Hashimoto S. 57497  
Hashitani H. 57183  
Haslam J. 59762  
Hass H. B. 58934  
Hassel G. 57510  
Hasselquist H. 57340  
Hastings A. G. 59739  
Hata N. 56418  
Hatoyama G. M. 56456  
Hattori K. 57154  
Hattori S. 59097  
Haug A. 59715  
Haug J. R. 59560  
Hausam W. 59655  
Hauser C. R. 57307—57309, 57388, 57389  
Havighorst C. R. 59182  
Havinga E. E. 56502  
Haviř J. 57115, 57142, 57209  
Hawthorne M. F. 56760  
Hayes R. 59250  
Hayes W. J. 58531  
Head J. D. 58380 II  
Healy J. W. 58303 II  
Heckert R. E. 58330 II  
Heijboer J. 59768  
Hell A. 59352 II  
Heilbronner E. 57284  
Heinanen P. 58437  
Heinze R. 58795 II  
Held F. J. 58320 II  
Hellin M. 56765  
Heilwege K. H. 59709, 59732  
Heimbold P. A. 59340 II  
Helmer W. D. 58334 II  
Hemmi H. M. 59676 II  
Henbest H. B. 57415  
Henderson S. T. 56531  
Henecka H. 58449 II  
Hengstebeck R. J. 58752 II  
Henkel E. 58319 II  
Hennig B. 58307 II  
Hennion G. F. 57499, 57500  
Henry J. L. 58067  
Hentrich W. 59326 II  
Hepp H. J. 58757 II  
Herbststein F. H. 56507  
Herdle G. 58092 II  
Herele L. 59323  
Herling F. 56445  
Hernandez Varela E. 59103  
Herniman P. D. 57015  
Héroid A. 57010  
Herout V. 57552  
Herrero Lancina M. 57119



- Herrington K. 56908  
Herrmann A. G. 57131  
Herrmann A. J. 57684  
Hersh R. T. 56945  
Hersberg E. B. 57570  
Healing L. 57359  
Heß F. 57739 II  
Hess K. 59538  
Heuvel W. 56939  
Heymes R. 58338 II  
Hibbits J. O. 57224  
Hickey F. D. 59228 II  
Hickman K. C. D. 58322 II  
Hicks E. W. 59172  
Higalco A. 56453  
Higgins W. F. 57815  
Hignett T. P. 57987  
Hiro K. 57194  
Hildebrand J. H. 56844  
Hill D. 58177 II  
Hill J. A. 58467 II  
Hill P. 58793 II  
Hill T. L. 56594  
Hinds G. P., Jr 59563  
Hinrichs L. 57728 II  
Hinzpeter A. 57279  
Hirai E. 57691  
Hirai M. 56542  
Hiramatsu T. 57797  
Hirsch J. H. 58750 II  
Hirschi T. 59369  
Hitosa Y. 59212  
Hix A. H. 57751  
Hixon F. E. 59388  
Hobler T. 57692  
Hochheiser S. 57198  
Hodges R. 57541  
Hodgkins C. R. 57226  
Hoeke F. 58528  
Hoeven M. G. 57606  
Hofer K. 59676 II  
Hoffman C. W. W. 56411  
Hoffman F. W. 57511  
Hoffman H. 57510  
Hoffman J. D. 56515  
Hoffman K. R. 59286  
Hoffmann P. 56767  
Hoffmann T. 57805  
Hofmann C. M. 58396 II  
Hofmeier H. 57913 II  
Hofstra A. 56853  
Hogan R. J. 57821  
Hogenkamp H. 59516, 59549  
Hogsed M. J. 58343 II  
Hogue D. 59096, 59178  
Hohenschütz H. 58337 II  
Hojnacka A. 57245  
Holbert M. L. 56368  
Holter J. 57211  
Holker J. R. 59616  
Holl R. 57422  
Holland H. D. 57034  
Holliday R. D. 58067  
Hollingsworth C. A. 57300  
Hollis Hallett A. C. 56606  
Holly F. W. 57609, 57610  
Holmes G. E. 58579  
Holtzschmidt H. 59324 II, 59347 II  
Holznagel W. 56890  
Honda M. 59730  
Honjo G. 59728  
Honjo M. 57651  
Honma K. 59575  
Honn F. J. 58730  
Hook E. O. 58715  
Hoon R. C. 57850  
Hopff H. 59240  
Hopkins A. R. 58507, 58512  
Höpner T. 59508  
Hoppe R. 56988  
Hoppe W. 57841  
Horli Z. 57419  
Horike K. 58958  
Horiuchi H. 57301  
Horn L. F. 59659  
Horne R. W. 57273  
Horner L. 57362, 57367, 57510  
Horning C. H. 59362  
Horváth Z. 57958  
Horwitz J. 57306  
Hosler C. L. 56574  
Höss E. 59331 II  
Hossenlör I. A. 56468  
Hotovy R. 58475 II  
Howard A. 59172  
Howard C. G. A. 57286  
Howard R. E. 56556  
Hoyningen-Huene E. 57075  
Hrabal Z. 59263  
Hrvoj S. 59689  
Hsiang Jen-sheng 56559  
Hsü Wei-Hwa 57321  
Hsu Wen-Tah 59102  
Hubbard D. 56763  
Hübner H. 59317 II  
Hubmann O. 58670 II  
Hudgens J. E. 57164  
Hudlicky M. 57521  
Hudson R. F. 56772  
Huff G. A. 57278  
Hugel G. 58290  
Hughes C. H. 58665 II  
Hughes E. C. 58715, 58780 II  
Hughes W. R. 57826  
Huisgen R. 57446  
Huiskamp W. J. 56370  
Huisak K. L. 58773 II  
Huldén B. 57696  
Hummel F. A. 56535  
Humphriss E. 59133  
Huneck S. 57567  
Hünig S. 57354  
Hunt R. H., Jr 59279  
Hunter G. 57152  
Hunter R. J. E. 57810  
Huq M. B. 59615  
Hurlen T. 57790  
Hurst D. A. 59266  
Husain B. 59615  
Husimi K. 56641  
Hussein Sadek 56850  
Hutchins J. W. 57773 II  
Hutchison G. T. 57868 II  
Hüter L. 58305 II  
Huttleston R. 58561  
Huyck C. L. 58427  
Hyde K. R. 56975  
Hypir I. 59175  
Iannarone J. J. 59629  
Iarosinski-Drabic I. 59697  
Ichikawa K. 57485  
Ichioka Y. 57641  
Idelson M. 57377  
Idol J. D. 56416  
Iense W. F. 58826 II  
Iinuma H. 57195  
Iitaka Y. 56505  
Iiyama T. 57038  
Ikeda Y. 58490  
Iliescu G. 59559  
Imai H. 59107  
Imal T. 57186  
Imai Y. 57914  
Imaoka M. 56613  
Imoto E. 57468  
Imoto M. 59258  
Inamorato J. T. 59670 II  
Indelli A. 57824  
Ingliš F. 59523  
Ingram L. P. 58692  
Ingruber O. V. 59511  
Inhoffen H. H. 57453  
Inoi T. 57419  
Inoue T. 56876  
Ionescu M. 58618, 58619  
Ionescu O. 58909  
Irani K. S. 56671  
Iritani N. 57206  
Irvine J. W. 56533  
Irving R. J. 56994  
Irwin R. S. 56982  
Isbell A. F. 58344 II  
Iseda S. 57632  
Isetti G. 56513  
Ishibashi M. 57094, 57940  
Ishida H. 58724  
Ishigai S. 57689  
Ishii 59484  
Ishikawa M. 57502  
Ishikawa S. 59196  
Ishimoto K. 59258  
Ito G. 57424, 57425  
Itoh R. 56824  
Itoh S. 57345  
Ittyerah P. I. 57489  
Iverson H. T. 58926 II  
Iwakura Y. 57471  
Iwasaki M. 56402  
Iyama M. 59107  
Iyengar N. V. R. 59114  
I  
Jacinic G. 58872, 58873  
Jackson D. E. 59293  
Jackson J. E. 57756  
Jacobi E. 58475 II  
Jacobi R. 58215 II  
Jacobs M. B. 57198  
Jaffray J. 56573, 56669  
Jager H. 59149  
Jain S. K. 56909  
Jakób Z. 56991  
Jakobović V. 58585  
Jakovics M. 58575  
Jakubček J. 56746  
Jakubke D. 57148  
Jalkanen M. J. 59583 II  
James D. G. L. 57323  
James D. M. 59366  
Jambor J. 59391  
Janata V. 57240  
Jančić M. 59649  
Jančík F. 57240  
Janczewski M. 57448  
Jander G. 56855  
Janecke H. 58426  
Janer del Valle C. 58884  
Jänichen H. 58621  
Janistyn H. 58581 II  
Janke W. 56788  
Janković S. 57844  
Janot C. 56655  
Janowitz H. C. 58577  
Jansen M. P. J. M. 59028 II  
Janz G. J. 56858  
Járay J. 58271  
Jarkovský L. 57521  
Jaros S. E. 58797 II  
Jarrige A. 58239  
Jart A. 57365  
Jaunin R. 57422  
Jayme G. 59537  
Jebens-Marwedel H. 58178  
Jedlicka H. 59350 II  
Jedraszczuk H. 58913  
Jeffries C. D. 56561  
Jeffs A. R. 59762  
Jeger O. 57555  
Jelinek Z. K. 59303  
Jenker H. 57501  
Jenner E. J. 58314 II  
Jennings G. P. 57685  
Jensen D. C. 56574  
Jenson R. 59590 II  
Jephson A. C. 58040  
Jefabek V. 57921  
Jeszenszky B. 56580  
Jezl J. L. 58772 II  
Jimano E. 57813  
Jinnal J. 59776  
Jirgensons B. 56968  
Jochmann F. 58183  
Johansen P. G. 56950  
Jöhl A. 57619  
Johnson C. E. 58790 II  
Johnson J. M. 59209  
Johnson R. T. 58306 II  
Jonas G. Z. 58845 II  
Jone R. 59154  
Jones E. R. H. 57518, 57555  
Jones J. M. 57879  
Jones L. R. 57963 II  
Jones R. H. 58542 II  
Jones R. N. 56445  
Jones T. R. 58263  
Joos P. 58181  
Joris G. G. 57936 II, 58354 II  
Joshi R. M. 59752, 59753  
Josien M. L. 56452  
Joux J. L. 59106  
Jubelt R. 57065  
Julian P. L. 58479 II, 58926 II  
Jumper C. F. 56930  
Junghans W. 58734  
Juon M. 58569  
Juraić J. 59689  
Jurkiewicz L. 58628  
K  
Kabuki S. 57998  
Kadach P. 59621  
Kaess F. 59319 II  
Kaess G. 59172  
Kaiser R. 59709, 59732  
Kaiser W. J. 59675 II  
Kakač B. 58430  
Kakutani T. 57469  
Kalk P. 57298  
Kalousek G. L. 56509  
Kamal A. N. 56373  
Kamen M. D. 57924 II  
Kamenický J. 57048  
Kamenický L. 57047  
Kametani H. 57903  
Kaminski L. A. 57320  
Kamiyama J. 58724  
Kämpf G. 56912  
Kamphenkel L. 59601 II  
Kancilř E. 58110  
Kanics M. 58975  
Kao Yee-sheng 57411  
Kaplan G. 57072  
Kapp R. 58455 II  
Kapur S. L. 59752, 59763  
Karaim T. 58222  
Kärnä A. 59553  
Karpel W. J. 58479 II  
Kasemann E. 59338 II  
Kass R. E. 59276  
Kastel A. 58429  
Kasten P. R. 57918  
Katarki H. V. 58506  
Katchalski E. 57620  
Katerberg G. J. 57359  
Kathrein I. 59041  
Kato H. 58526  
Kato S. 57329  
Kato S. 57455  
Kato T. 59723  
Katz G. 56487  
Katz T. J. 57578  
Kaufmann G. 57437  
Kaufmann H. P. 57349, 58918 II  
Kauman W. G. 56924  
Kawahara S. 57485  
Kawarada A. 57648  
Kawasaki H. 57615  
Kawase Y. 57641  
Kearns J. L. 57920  
Kedzie R. W. 56561  
Keefe E. H. 59729  
Keenan R. G. 58236  
Keenan W. J. 58213 II  
Kehren M. 58915  
Keilling J. 59020  
Keim G. I. 59595 II  
Keith P. C. 58791 II  
Keller P. B. 57870 II  
Kellner H. L. 59480  
Kelso T. M.  
Kemball C.  
Kemper H.  
Kennard K.  
Kennedy T.  
Kenner G.  
Kenny A.  
Kern R.  
Kester E.  
Khalifa H.  
Khym J.  
Kidson E.  
Kiefer W.  
Kielhöfer  
Kienle P.  
Kienzl E.  
Kiesel M.  
Kihara Y.  
Kikerpill I.  
Kikindai  
Kikkawa S.  
Kikuchi T.  
Kilpatrick  
Kimberlin  
Kincannon  
Kinderman  
King J. G.  
Kingerly  
58124  
Kirk G. M.  
Kirk V. M.  
Kirkwood  
Kirmse V.  
Kirsch H.  
Kirstahler  
Kishimoto  
Kissinger  
Kissman I.  
Kitamura  
Kitano Y.  
Kittel J.  
Kitunen I.  
Klucci S.  
Kiyoura I.  
Kjaer A.  
Kjell S.  
Klein D.  
Klein J.  
Klein J.  
Klein M.  
Klein R.  
Kleiner  
Kleinert  
Klemm  
59527,  
Klemmer  
Klenck J.  
Kley W.  
Kliffmüller  
Kline D.  
Klingberg  
Klinkenb.  
Klobe A.  
Klose E.  
Klose R.  
Klug H.  
Knauss I.  
Kniepka  
Knobloch  
Knorr F.  
Knorr G.  
Knowles

- 58479 II, Kelso T. M. 57987  
 56930 Kemball C. 56917  
 8734 Kemper H. 59392  
 9 Kennard K. C. 57517  
 58628 Kennedy T. J. 59468 II  
 9 Kenner G. W. 57398  
 58628 Kenny A. W. 56628  
 9 Kern R. 59636  
 58 Kester E. B. 59223 II  
 321 Khalifa H. 57138  
 9 Khym J. X. 57310  
 58 Kidson E. B. 56347  
 321 Kiefer W. 58079 II  
 9 Kiehlhöfer E. 59013  
 59, 59732 Kienle P. 57276  
 9675 II Kienzl E. 59713  
 30 Kiesel M. 57354  
 57469 Kihara Y. 58957  
 56509 Kikerpill E. 58717  
 6373 Kikindai M. 56856  
 7924 II Kikkawa S. 57397, 58729  
 57048 Kikuchi T. 58879  
 57047 Kilpatrick M. O. 57744 II  
 57903 Kimberlin C. N. 58762 II  
 57320 Kinnannon C. B. 57293  
 8724 Kindermann L. 56618  
 12 King J. G. 58598  
 59601 II Kingery W. D. 56348, 58124  
 10 Kirk G. B. 59611 II  
 5 Kirk V. M. 58512  
 57411 Kirkwood J. G. 56922  
 72 Kirmse W. 57367  
 5 Kirsch H. A. 58291  
 5 KIRSTAHLE A. 59326 II  
 552, 59753 Kishimoto A. 59200  
 32 Kissinger L. W. 57353  
 3 KISSMAN H. M. 57657  
 58479 II Kitamura H. 57648  
 9338 II Kitano Y. 56668  
 276 Kittel J. H. 57785  
 9 Kitunen M. 59011  
 7918 Kluchi S. 57723  
 58506 Kiyoura R. 57929  
 57620 Kjaer A. 57364, 57365  
 57359 Kjell S. 59139  
 041 Klein D. 56999  
 578 Klein J. D. 58124  
 7437 Klein J. J. 56781  
 P. 57340 Klein M. J. 56640  
 Klein R. 56752  
 Kleiner H. 59667 II  
 Kleinert T. N. 59534  
 7437 Klemm K. H. 59505, 59527, 59528  
 56924 Klemmer A. 57854  
 7485 Klenck J. 59254  
 57648 Kley W. 57030  
 7615 Kliffmüller R. 59075  
 41 Kline D. E. 59736  
 7920 Klingberg A. 59288  
 56561 Klinkenberg A. 57719  
 729 Klobe A. H. 59358  
 58236 Klose E. 56731  
 3213 II Klose R. 57339  
 5 Klug H. P. 56500  
 20 Knauss E. 57452  
 595 II Knepkamp H. 57970 II  
 791 II Knobloch E. 57240  
 870 II Knorr F. 59036  
 59480 Knorr G. M. 58534 II  
 Knowles E. C. 58820 II  
 Knuteson J. 57229  
 Kobayashi A. 57546  
 Kobe K. A. 58421  
 Kobinger I. 58429  
 Koch B. 56653  
 Koch J. 59003  
 Koch S. D., Jr 57327  
 Koch W. J. 58172 II  
 Kochi J. K. 57326  
 Köckritz P. 59078  
 Kodaira H. 56913  
 Koenig C. J. 58143  
 Kofford W. M. 57870 II  
 Kögl F. 57634, 57635  
 Kohler A. 59771  
 Kohler J. 56602  
 Kohlmeier E. J. 56715  
 Kohlschütter H. W. 56912  
 Kohn J. A. 56487  
 Kojima M. 59207  
 Kojima R. 56402  
 Kokeš D. 59699  
 Kolařík Z. 57009  
 Külbel H. 58385 II, 58655 II  
 Kolditz L. 56989  
 Kollgaard R. 58747 II  
 Kollmann F. 59545  
 Kolthoff I. M. 57124  
 Komaka 59105  
 Koncz I. 56790  
 Koncz-Déri M. 56790  
 Konishi K. 58389  
 Kono T. 57233  
 Kononov A. 57234  
 Kontoyiannakos I. K. 56974  
 Koostira L. J. 59592 II  
 Kool C. M. H. 58313 II  
 Koo Yi-chein 57361  
 Kopp G. J. 59535  
 Kopp J. 57697  
 Kopp M. 58923 II  
 Koppers H. H. 58649  
 Koppova E. 58407  
 Koren K. 56632  
 Körös E. 57236  
 Koryta J. 56888  
 Kosche H. 59585 II  
 Kostelac R. 58584  
 Koster C. 59193  
 Kotaka M. 59105  
 Kotásek Z. 59678  
 Kotik K. 59263  
 Kotlarski I. 57108  
 Kotrlý S. 57115, 57142, 57209  
 Kottenhahn A. 57430  
 Kottler A. 58411 II, 58450 II  
 Kouřim V. 57921  
 Kovács L. 57079  
 Kovács O. 57589  
 Kováts E. 57284  
 Kowalski J. 58605  
 Koyanagi M. 57929  
 Koyanagi T. 57714  
 Kőzai K. 59711  
 Kozak R. 58240  
 Kozánek V. 59162  
 Kozawa A. 56887  
 Koziol K. 57692  
 Kožíšek R. 59184  
 Kráčmar J. 57253  
 Kramer A. 59048, 59095  
 Krämer H. 57453  
 Kramer P. R. 59514  
 Kraner H. M. 58175 II  
 Krapcho J. 58443 II  
 Kraus A. 59387  
 Kraus C. A. 56843  
 Kraus E. 57240  
 Krauspenhaar E. 58825 II  
 Krauss M. 56397  
 Kraz J. 58975  
 Kraut F. 57078  
 Krauze Z. 58195  
 Krebs T. M. 58685  
 Krejcar E. 57190  
 Krejzová E. 57163, 57214  
 Kressman T. R. E. 58566  
 Kretchmar G. 57713  
 Kretschmer K. F. 58987  
 Krieger H. 57402  
 Krimm S. 59710  
 Krimmel C. P. 58461 II  
 Krishnamurti D. 56430  
 Krishnaswamy N. 59297  
 Krodol W. J. 59594 II  
 Krüger M. R. 58667 II  
 Krogh-Moe J. 56493  
 Kronstein M. 59405  
 Kruckenberg W. 58536 II  
 Krüger A. 59117  
 Krüger F. W. 59177  
 Krzikalla H. 59309 II  
 Krzikalla R. 57403  
 Kuba J. 57665  
 Kubát J. 59517  
 Kubelka V. 59683  
 Kubeš J. 58006  
 Kubo M. 59705  
 Kučera M. 58416, 59252  
 Kuchitsu K. 56403, 56467  
 Kudielka H. 56703  
 Kudrnovská-Pavliková E. 57113  
 Kuemmel D. F. 56410  
 Kuessner W. 58475 II  
 Kühn G. W. 58210 II  
 Kuhn H. 58311 II  
 Kuhn R. 57539, 57544, 57547  
 Kühni F. 57740 II  
 Kulburn R. W. 59228 II  
 Kulp E. 58972  
 Kumada M. 57502  
 Kunde J. 57355  
 Kunze W. 59313 II, 59315 II  
 Kuphal K. 59732  
 Kupinić M. 58423  
 Kuprianoff J. 59033  
 Kuroda P. K. 56619  
 Kuroda Y. 59705  
 Kuroki N. 58389  
 Kurth R. 56639  
 Kurtz J. 57620  
 Kurz G. 59601 II  
 Kurzer F. 57496  
 Kušević V. 58438  
 Kushevics G. 56868  
 Kushi M. 59473  
 Küsters S. 58967  
 Kutepow N. 58337 II  
 Kutney J. P. 57580  
 Kutschinski A. H. 58533  
 Kutzendörfer J. 57921  
 Kuzmick J. F. 57978 II  
 Kytscher H. 58965  
 L  
 Laberrigue-Frolow J. 56371  
 Labrecque G. C. 58498  
 Labussière R. 58650  
 Łączkowski M. 59664 II  
 La Face F. 58559  
 Lafourcade S. 58998  
 Lahiri A. 58610, 58611  
 Lahmann E. 57886  
 Lahociński Z. 58688  
 La Lande W. A. 58534 II  
 Lambert J. D. 56592  
 Lambertsen G. 56421  
 Lambooy J. P. 57603  
 Lammle S. 59546  
 Lampe G. R. 59709  
 Lampert H. 59571  
 Lane R. E. 59600 II  
 Lang D. T. 57767 II  
 Lange F. 58204  
 Lange G. 56937  
 Lange H. 56952  
 Langejan M. 57258  
 Langer A. 58089 II  
 Lanneau K. P. 58751 II  
 Laos I. 57569  
 Lapin H. 57573  
 Larson T. E. 57847  
 Laschiver C. 58993  
 Lassner E. 57223  
 Lathrop E. C. 59581 II  
 Latty J. E. 59374  
 Lauria F. 57556  
 Laurie C. M. 56753  
 Laursen G. E. 59232 II  
 Lautenschlager H. 58319 II  
 Lavallo R. 56377  
 Laverton S. 59145  
 Lavie D. 57645, 57646  
 Lavin E. 59276  
 Lavit D. 57450  
 Lawton E. J. 59322 II  
 Lawver J. E. 57960 II  
 Lazić S. P. 58997  
 Leary R. F. 58797 II  
 Lebowitz J. L. 56636  
 Leclerc E. 57862  
 Lecomte J. 56450  
 Ledzińska U. 56724  
 Leebrick J. R. 58360 II  
 Leeking P. 59178  
 Leet R. H. 58739  
 Lefort M. 56830, 56832  
 Legoux Y. 56923  
 Lehar L. 57247  
 Lehmann H. A. 56980  
 Lehmann W. 59667 II  
 Lehmann-Horchler M. 57445  
 Leibnitz E. 56342  
 Leider H. 56538  
 Lelyveld I. E. 59253  
 Lenoble J. 57264  
 Lent H. 57890  
 Lenyó L. 58583  
 Leopold L. 56529  
 Lepage Y. 57451  
 Le Poole J. B. 56512  
 Lepp H. 57039  
 Leroy R. 58100  
 Lesavre J. 59248  
 Leshin R. 58381 II  
 Leszczyńska A.  
 Lettre H. 57565  
 Leuner W. 58635  
 Levengood W. C. 56966  
 Lever A. E. 59304 K  
 Levey V. M. 57230  
 Leviant I. 58260  
 Levine B. 59425 II  
 Levitt B. P. 56780  
 Lewis A. H. 58925 II  
 Lewis J. S. 57988  
 Lewon J. 56317  
 Liang C. Y. 59706, 59710  
 Libermann D. 58460 II  
 Lichnowski M. 58535 II  
 Lichtenwalter G. D. 57505  
 Lichtman J. Z. 59466  
 Liddell H. F. 57158  
 Lidiard A. B. 56556  
 Lidov R. E. 58350 II  
 Liechti P. 57635  
 Liehn W. 57749  
 Liehr A. D. 56407  
 Liger C. 58136  
 Lim E. 59178  
 Limper A. F. 57976 II  
 Linch A. L. 58362 II  
 Lindemann M. 58966  
 Lindenmeyer J. 59344 II, 59504 II  
 Lindqvist I. 56497  
 Lindqvist L. 57283  
 Lindsay L. G. 57874 II  
 Lindsey A. S. 57400  
 Lingane J. J. 57281  
 Lin Lung Ching 57300  
 Linn C. B. 58312 II  
 Lipworth E. 56384  
 Lisner A. 56326  
 List P. H. 57644  
 Lister F. 58297  
 Lister M. W. 56652  
 Litos F. 59184  
 Littmann M. E. 58173 II  
 Liu Chen-ku 57418  
 Lloyd D. H. 59389  
 Lobo J. 56728  
 LoCicero J. C. 58306 II  
 Lock J. J. 58356 II  
 Lodge W. C. 59556  
 Lofgren J. A. 58492  
 Lohse F. 57633, 57635  
 Lominac H. R. 58129  
 Long L. H. 56753  
 Longstreth M. O. 59281  
 Longuet-Higgins H. C. 56689  
 Loo I. G. W. 59159, 59160  
 Lopez A. 59209  
 Lorás V. 59543  
 Lorenz M. R. 56536, 56858



- Lorenz W. 58440 II  
 Lösbrandt F. 59543  
 Lossing F. P. 56751  
 Lott W. A. 58443 II  
 Lotthammer R. 58807 II  
 Lotz R. 59320 II, 59321 II  
 Lovasi J. 58023  
 Lo Vecchio G. 57491  
 Lovreček B. 57957  
 Lovreček I. 57957  
 Loy G. 59424 II  
 Lübeck E. 59665 II  
 Lubeck D. G. 59403  
 Lüben R. 58779 II  
 Lubieniecka M. 59034  
 Lubowe I. I. 58572  
 Lucas J. 58147, 58148  
 Lucca L. 59143  
 Ludwig N. 58063  
 Ludwig W. 57362  
 Luetić P. 58295  
 Luft K. 57294 II  
 Lühr H. 58283  
 Lumme P. O. 56447  
 Luňák O. 58006  
 Lund L. M. 56596  
 Lunde K. E. 57715  
 Luther H. 56446  
 Luther H. 58812 II, 58814 II  
 Luthra G. B. S. 58611  
 Lüttringhaus A. 58379  
 Lutz D. A. 57244  
 Lyon A. M. 58451 II  
 Lyonnet J. 59625  
 Lyons L. R. 57969 II  
 Lytle W. O. 58211 II
- M**  
 Mabuchi T. 57688  
 Mcbee E. T. 56416  
 McBride B. V. 59414 II  
 McBride H. D. 57002  
 McBryde W. A. E. 57012  
 McClung R. M. 57769 II  
 McConnell H. M. 56462  
 McCormack R. H. 58480 II  
 McCullough J. P. 56468, 57227  
 McCune H. W. 57793  
 McCusker P. A. 57499, 57500  
 MacDonald D. 56786  
 MacDonald D. M. 57822  
 McDonald H. 57285  
 McDonald J. E. 56365  
 McDowall F. H. 59136  
 McElcheran D. E. 56818  
 MacEwan T. H. 56896  
 McEwen M. B. 56959  
 McGarr R. L. 58508  
 McGauley P. J. 57981 II  
 MacGee A. E. 57897  
 McGehee C. L. 58737  
 McGill G. E. 57034  
 McGillivray R. 59502 II  
 McGrigor W. R. 57006  
 McGuiness E. W. 59298  
 Macháček V. 57921  
 Machnowska Z. 59652
- McIlvaine R. L. 57726 II  
 McIntosh A. H. 58521  
 McIntosh P. 56905  
 McIrvine E. C. 56907  
 Mack G. P. 59335 II  
 McKee R. H. 59582 II  
 McKenna J. P. 58522  
 McKenzie J. P. 59428  
 MacKenzie K. W. 57908 II  
 Mackenzie R. C. 57082  
 McKinley J. B. 58756 II  
 McKinnis A. C. 58358 II  
 Mackor E. L. 56392, 56771, 56853  
 Mackowsky M. T. 58601  
 McLean J. O. 58726  
 McLean R. L. 57390  
 McLeod H. 58675  
 McMahon K. S. 58421  
 MacMullan E. C. 58686  
 McMullen W. H. 57252  
 McNabb D. G. 59271  
 MacNevin W. 57002  
 McQuarrie M. C. 58124  
 McQuistion W. E. 57353  
 McSpadden P. 58515  
 McTaggart F. K. 56823  
 Madison J. J. 57464  
 Maeda M. 58027  
 Maekawa E. 57443  
 Maekawa H. 57345  
 Maes E. 59074  
 Maffei S. 57477  
 Maga C. 59697  
 Magat P. L. 57583  
 Maggio F. 57001  
 Magot-Curvu P. 56644  
 Magrath D. I. 57628  
 Magyar M. 56794  
 Mahadevan T. D. 59186  
 Mahan J. E. 58374 II, 58465 II  
 Mahapatra G. N. 57493  
 Mahl H. 56956  
 Mahlman H. A. 56829, 56831  
 Mahon P. 59178  
 Maine P. A. D. 56737  
 Mair J. 57738 II  
 Maita J. P. 56517  
 Majaro S. 59256  
 Malát M. 57137  
 Malej J. 57851  
 Malkemus J. D. 58377 II  
 Malý J. 57921  
 Mamiya M. 57162  
 Mandelsmam S. 57126  
 Mangini A. 56417  
 Mangold H. K. 58876  
 Manley R. E. 58764 II  
 Mann F. G. 57489, 57518  
 Mannheim H. S. 58930 II  
 Manning E. G. 58129  
 Manning P. P. 56820  
 Manolescu O. 58141  
 Manov G. G. 57666  
 Mansfeld H. 59603 II  
 Mansfield R. C. 58327 II  
 Mantovani G. 57823  
 Mapper D. 57225
- Marchessault R. H. 59556  
 Marcus B. 58122  
 Marder M. 58795 II  
 Mariani E. 59012  
 Marinone A. 58428  
 Marion W. W. 59167  
 Märker R. 58201  
 Markova M. 57047  
 Marple S. 59563  
 Marsh P. B. 59612  
 Marshall C. W. 57569  
 Marshall W. W. 58342 II  
 Martel J. 57558  
 Martel J. 58861, 58871  
 Martensen W. 56547  
 Martin E. W. 57583  
 Martin H. 58541 II  
 Martin M. M. 59765  
 Martin R. W. 59330 II  
 Martin W. B. 57616  
 Martinez Moreno J. M. 58884  
 Martynoff M. 56423  
 Maruyama T. 58389  
 Marvel C. S. 59744, 59765  
 Masamune T. 57484  
 Maselli J. A. 59063  
 Mashio F. 57329  
 Masler L. 57384  
 Masner L. 59678  
 Mason C. M. 56784  
 Mason J. T. 56481  
 Mason R. B. 58762 II  
 Mason S. G. 59533, 59556  
 Masoni S. 59123  
 Massonne J. 56971  
 Mastrangelo S. V. R. 56742  
 Matarasso-Tchiroukhine E. 57442  
 Mathieu-Sicaud A. 56510  
 Mathis J. S. 57018  
 Matijević E. 56899  
 Matoušek M. 58241  
 Matsubara H. 58505  
 Matsubara Y. 57550  
 Matsubayashi K. 59623  
 Matsuda S. 57397, 58729  
 Matsubashi M. 56984  
 Matsumoto N. 56658  
 Matsuno T. 58008  
 Matsuo K. 57467  
 Matsushita B. 59207  
 Matsuyama A. 58526  
 Matt S. 57676  
 Maue M. J. 59307 II  
 Mauranges P. 59168, 59173  
 Maurin A. 59267  
 Maurukas J. 57625  
 Maurodineanu R. 58525  
 May D. R. 58353 II  
 Mayhood J. E. 56442  
 Maynard C. R. G. 59557  
 Maynard J. T. 57980 II  
 Mayne J. E. O. 59372  
 Mayo D. W. 57583  
 Mayor J. 59224 II  
 Mazuelos Vela F. 58884  
 Mazur R. H. 58478 II  
 Meade L. P. 57685  
 Meares P. 56927
- Meditsch J. O. 57213  
 Meen R. H. 57503  
 Meerwein H. 57436, 57437  
 Meggers W. F. 56386  
 Mehlretter C. L. 57256  
 Mehra A. 59626  
 Meier H. 56537  
 Meierhans J. 59673 II  
 Meindl P. 57590  
 Meinhold T. F. 57893  
 Meinke W. W. 57140  
 Meinwald Y. C. 57305, 57473  
 Melamed S. 59597 II  
 Melandri M. 58433  
 Meline S. R. 57987  
 Mellbin B. 59633  
 Mellon M. G. 56410, 57235  
 Mende S. de 56923  
 Mendolia A. I. 58333 II  
 Menon C. C. 59742  
 Mensch F. 57436  
 Menzi K. 58133  
 Mer G. G. 58497  
 Mercier J. 57238  
 Merienne J. 58146  
 Merker D. R. 56895  
 Merker L. 58198  
 Mertens H. J. 58809 II, 58815 II  
 Messerly J. F. 56468  
 Mester L. 57531  
 Metlesies W. 57383  
 Metz F. I. 56538  
 Metze R. 58471 II  
 Metzger H. 58326 II  
 Metzger H. G. 58320 II  
 Meyer E. W. 58479 II  
 Meyer W. L. 57479—57481  
 Meyerhans K. 59273  
 Meyers N. F. 56652  
 Michaelis E. 57540  
 Michaels A. S. 59292  
 Micheel F. 56920, 57540  
 Michel M. 56651  
 Michelotti F. W. 59756  
 Michels J. G. 58472 II  
 Michelsen K. 57255  
 Michelson A. M. 57627  
 Miedema A. R. 56370  
 Mierzecki R. 56434  
 Mihelić F. 59211  
 Mikheyev M. A. 57695  
 Milanowski S. M. 59399  
 Milazzo G. 57263  
 Miller J. 58738  
 Miles D. H. 57504  
 Miletic S. 59137, 59151  
 Milisavljevic D. 58999  
 Milkey R. G. 57123  
 Millar N. S. C. 59404  
 Miller D. J. B. 59552  
 Miller G. L. 57953  
 Miller J. B. 57535  
 Miller J. E. 57898  
 Miller J. F. 57896  
 Miller J. J. 56769  
 Miller K. D. 58730  
 Miller W. T. 57327  
 Millman A. P. 57028
- Mills J. R. 57982 II  
 Mijlojević M. 57844  
 Minczewski J. 57251  
 Minematsu Y. 59240  
 Mingot Lorenzo M. 58862  
 Minjer C. 58046  
 Minutilli F. 58863  
 Misch R. D. 56518  
 Mislow K. 57296  
 Missan S. R. 57252  
 Mitamura A. 59480  
 Mitchell T. J. 58991  
 Mitsui T. 56504  
 Miwa K. 58413  
 Miyashita D. H. 58116  
 Miyazaki S. 56892  
 Mizuguchi J. 56878, 58958  
 Mieziva J. 59368  
 Młodowska J. 57245, 57251  
 Moeller C. W. 56990  
 Moeller T. 57011  
 Moelter G. M. 59407 II  
 Moersch G. W. 57609  
 Moes G. 58313 II  
 Moffitt W. 56407  
 Mohler J. B. 58086  
 Mohrmann S. 57445  
 Morký J. 57384  
 Molnár K. 56378  
 Molnár S. 57894  
 Molteni L. 57597  
 Monet G. P. 58364 II  
 Monfils A. 56443  
 Mönig H. 59775  
 Montes A. L. 58558  
 Montgomery C. W. 58754 II  
 Montgomerly J. C. 59901  
 Montmorey R. 56573  
 Moore D. A. 59293  
 Moore F. L. 57164  
 Moore R. G. D. 58501 II  
 Moore T. R. 57511  
 Moore W. A. 57846  
 Mora F. M. 58842  
 Moraly P. 59337 II  
 Moreau R. G. 57740 II  
 Morey G. W. 56973  
 Morgan P. 59305 II  
 Morgan R. S. 56480  
 Mori M. 57758  
 Mori T. 58629  
 Mori Y. 57591  
 Morinaga K. 57181  
 Morino Y. 56467  
 Morisawa K. 57485  
 Morita K. 57564, 57572  
 Morris R. C. 58798 II  
 Morrison D. C. 57901  
 Mortensen K. 58721  
 Mortenson E. N. 57999  
 Morway A. J. 58819 II  
 Moser V. J. 59597 II  
 Mosley N. B. 58131  
 Moster J. B. 59206  
 Motol S. 58958  
 Motojima K. 57183  
 Motoyama R. 57468  
 Moyeux M. 58460 II  
 Moynihan R. E. 58461  
 Mráz L. 57163

- 082 II  
7844  
57251  
59240  
M. 58842  
56  
8863  
6518  
96  
57252  
59480  
59991  
4  
13  
H. 58516  
6882  
56978  
568  
245, 57251  
59990  
111  
59497 II  
W. 57406  
II  
407  
58056  
57445  
34  
78  
4  
597  
3364 II  
43  
5  
58558  
W. 58754  
C. 59001  
56573  
59293  
57164  
5. 58591 II  
57511  
57846  
5842  
337 II  
57746 II  
56973  
9305 R  
56480  
9  
57181  
467  
57485  
564, 57571  
58798 II  
C. 57611  
58721  
N. 57991  
5. 58819 I  
59597 II  
58131  
59206  
58  
57183  
57488  
8460 II  
E 5645  
3
- Mráz J. 56369  
Mrázek J. 56960  
Muan A. 58095  
Mück E. 59699  
Mudrak A. 58929 II  
Mueller G. P. 58478 II  
Mueller W. J. 59441  
Muetterties E. L. 56986  
Mukai S. 58108  
Mukherji B. K. 56933  
Mull W. 58705  
Müller E. 57357, 58326 II  
Müller E. 59324 II, 59325 II  
Muller G. 57575  
Müller H. 56976  
Müller H. 57100  
Müller J. M. 57581  
Müller K. A. 56567  
Müller W. 59593 II  
Muniyappan T. 56851  
Munkelt S. 59287  
Murakami Y. 57468  
Muraki I. 57194  
Murakoshi M. 56936  
Murata K. 56661  
Murray M. A. 57398  
Murray P. 58119  
Murotani H. 56913  
Murthi K. V. S. 59681  
Murthy H. B. N. 59114  
Musil F. 59187  
Muth K. 57367  
Muthu M. 59114  
Muto G. 57162  
Muxfeldt H. 57453  
Mužik F. 57476  
Mykaewaki K. 57199
- N  
Nadasy N. 58298  
Nadhim Showki Abbul Wahab 58960  
Nagahama T. 57546  
Nagahara S. 56390  
Nagai Y. 58724  
Nagaki R. 57497  
Nagasaka T. 58200  
Nagase S. 56402  
Nagy F. 56900  
Naik R. M. 57640  
Naiki K. 58390  
Nakagawa G. 57181  
Nakagawa H. 57686  
Nakagawa S. 57926  
Nakagawa T. 57241  
Nakajima A. 59719  
Nakajima J. 57502  
Nakamori R. 57651  
Nakata I. 57241  
Nakata T. 57686  
Natatani T. 56672  
Naqvi S. M. 57306  
Narayanan R. 58253  
Nasipuri D. 57458  
Nast R. 56996  
Natarajan C. P. 59202  
Natsume M. 57456  
Natta G. 56499, 59758  
Nau J. 57375  
Nau P. 57375  
Naughton P. C. 58480 II
- Naves Y. R. 56450  
Navias L. 58167  
Nawa H. 57649—57651  
Neeb R. 57191  
Nee Jen-tou 57361  
Nelson H. D. 58517  
Nelson N. A. 57562  
Nelson W. L. 58510, 58714  
Nemcová D. 57240  
Neri R. 57570  
Ness O. W. 57771 II  
Nesvadba H. 57590  
Neu R. 58914  
Neubauer G. 57298  
Neugebauer W. 58595 II  
Neuhaus A. 56659  
Neumann C. 58214 II  
Neuschäffer K. 59537  
Neuss N. 57580  
Nevell T. P. 59536  
Newburg N. R. 59759  
Newman A. J. S. 59557  
Newmark P. 57626  
Newland J. J. 59284  
Newton A. S. 56833  
Newton R. F. 56663  
Nicolae M. 58122  
Nicolescu I. V. 58909  
Nielsen L. E. 59275  
Nieuwenhuis J. 57360  
Nightingale E. R. 57110  
Niimi T. 56572  
Nijman J. 577424  
Nikitine S. 56546  
Nimmo C. C. 59098  
Nippe B. 57510  
Nishibata K. 56672  
Nishidá K. 57524  
Nishihara H. 57036  
Nishimura N. 57797  
Nishimura S. 57468  
Nishioka A. 59264  
Nishiyama T. 56641  
Nissilä E. 58437  
Nistor I. 58599  
Nitta I. 59711  
Niwa K. 56658  
Nixon A. C. 58776 II, 58777 II  
Noack P. 58594 II  
Nobles W. L. 57439, 57617  
Nógrádi T. 57582  
Noguchi K. 57708  
Nohse W. 58018  
Noisette G. 57859  
Nolan C. 57352  
Noll W. 58345 II  
Nomura T. 57181  
Nopitsch M. 59654  
Nordman L. 59553  
Norris E. O. 57768 II  
Norris I. M. 59055  
Norrish R. G. W. 56777, 56815, 56817  
Northcott P. L. 58837  
Norton F. H. 56348  
Norymberski J. K. 56412  
Nosti Vega M. 58869  
Novák J. 57187  
Novick R. 56384
- Nowak J. 57417  
Nowakowska W. 57448  
Nowakowski A. 58846  
Nowotny H. 56703  
Noyce D. S. 56419  
Noyes W. F. 59018  
Nyborg P. 59237  
Nylund R. E. 59094  
Nyquist H. L. 57304  
Nyström E. H. B. 58219 II  
Nyl G. 58701  
Nývit J. 56840, 56841
- O  
Oberhauser F. 56554  
Oberlin (Mathieu-Sicaud) A. 56510  
Ocampo S. R. 57320  
Ochlaí E. 57456  
O'Connor D. J. 56975  
O'Connors R. J. 59285  
Oda K. 56936  
Odium L. R. 59580  
Oediger H. 57510  
Oeteren K. A. 59386  
Oesterle K. M. 56967  
Ofstedal I. 56544  
Ogata T. 57457  
Ogawa J. 57468  
Ogawa M. 57469  
Ogawa N. 56572  
Ogawa S. 57941  
Ogihara T. 59661  
Ogurčák Š. 57077  
Ohl F. 59407  
Ohler H. 59002  
Ohlweiler O. A. 57213  
Ohnacker G. 58441 II, 58450 II  
Ohta K. 58490  
Ohta M. 57592  
Ohta T. 57591  
Ojha V. N. 59384  
Okáč A. 57009  
Okada E. 58413  
Okada I. 58879  
Okada S. 56884, 58016  
Okada T. 57469  
Okamoto K. 58108  
Okamoto T. 57456  
Okamoto Y. 57070  
Okamura I. 59479  
Okaya Y. 56504  
Oki M. 57407  
Okinaka Y. 57124  
Okuda T. 56448  
Okuda T. 57622  
Okuda Y. 59196  
Olin J. F. 58549 II  
Oliver W. H. 58403  
Oliveto E. P. 57570  
Olphen H. 56958  
O'Meara D. 57548  
O'Neill R. C. 58470 II  
Ono K. 56511  
Orbiso J. L. 59751  
Orchon S. 59551  
Orel V. 59187  
Orgler K. 57590  
Orna B. 58419  
Orozco G. H. 58794 II
- Orrit J. 56713  
Országh Š. 57384  
Ortmann H. 56539  
Orzádeli H. 57447  
Osberg G. L. 59515  
Oster G. 59746  
Osugi K. 57654  
Otsu T. 59258  
Otsuka Y. 59650  
Otto F. P. 58811 II  
Ouchi S. 59773  
Overberger C. G. 59756  
Overcast W. W. 59124  
Owen Tsung-yao 57411  
Owston P. G. 56440, 56474  
Oxenreiter M. F. 58752 II  
Ozaki A. 56808
- P  
Page F. M. 56660  
Pahnke A. J. 56779  
Paine H. H. 56951  
Paine S. H. 57785  
Pake G. E. 56459  
Pakula G. 59425 II  
Pál L. 56568  
Palacios Remondo J. 59103  
Palatzky A. 58117  
Pelenga H. 57730  
Palit S. R. 56673  
Palitzsch R. 59044  
Pandya R. N. 59297  
Panichi U. 56477  
Paoletti P. 57001  
Pap E. 57200  
Papa D. 58468 II  
Papadakis P. E. 57376  
Papoušek D. 56745  
Pappalardo G. 57492  
Paquot C. 57238  
Paranpan V. C. 58952  
Parencia C. R. 58511  
Park W. R. R. 57498  
Párkányi C. 59109  
Parker E. 59291  
Parker E. D. 57487  
Parker H. E. 59381  
Parker M. F. 59659  
Parker P. L. 56619  
Parker W. H. 58947  
Parr N. L. 56676  
Parrod J. 59771  
Parsons W. F. 58213 II  
Parviz Khodadad 56981  
Pasquon I. 59758  
Passal F. 58082 II  
Passino H. J. 58325 II  
Patel G. A. 58506  
Patel N. G. 58506  
Patel S. P. 57488  
Patrick R. L. 57292  
Pattek F. B. 57821  
Paulik F. 57280  
Paulik J. 57280  
Paulose C. V. 57055  
Pavlik A. 58251  
Payne J. W. 58760 II  
Pearce M. W. 59521  
Pearce T. J. 57994  
Peavy C. C. 58681
- Pedrazzoli A. 58400  
Pelgker H. 57428  
Pelc B. 57563  
Pelley R. L. 58366 II  
Pellon J. 56768  
Pelshenke P. F. 59056, 59076  
Peltonen R. J. 59011  
Pendse G. P. 57150  
Penick D. P. 58708  
Penick J. E. 58767 II  
Overberger C. G. 59756  
Pennington R. E. 56468  
Pepinsky R. 56478, 56504  
Perakis N. 56558  
Perazzi G. 57423  
Percival G. 58658  
Periam J. D. 57460  
Perlman P. L. 57570  
Permingeat F. 57037  
Perny G. 56546  
Perone V. B. 58236  
Perret R. 56789  
Perring J. K. 57863  
Perrot R. 57410, 57414  
Perry D. 57021  
Persson R. 59288  
Pertovaara H. 59506  
Perugini G. 58010  
Pešata V. 57521  
Pessel A. 58307 II  
Pesta O. 59290  
Pesti G. 58625  
Peter M. 59640  
Pernel S. 59058  
Peters E. D. 57289  
Petersen J. A. 57034  
Petersen S. 58463 II, 59325 II  
Peterson H. C. 57922  
Peterson W. H. 58800 II  
Peterson W. S. 59515  
Pethica B. A. 56899  
Petrea G. 59559  
Petričić J. 58415  
Petričić V. 58415  
Petric S. E. 56905  
Petró J. 57600  
Petrunic Z. 59689  
Petterson H. 57019  
Petty H. B. 58518  
Peypaud E. 58998  
Pfell E. 56324  
Pfister K. (III) 58470 II  
Pflaum R. T. 56995  
Pfleger R. 58453 II  
Pflugmacher A. 56983  
Philippe J. 57109  
Phillips A. B. 57988  
Phillips A. P. 58439 II  
Phillips G. 57165  
Phillips G. L. 58517  
Piantanida C. 58676, 59365  
Piątkowski A. 59311 II  
Pictet J. 57713  
Pieczara S. 58230  
Pieczka S. 58846 II  
Pieper H. 57973 II  
Pierre B. 57669  
Pietruszkiewicz A. M. 57405  
Pietrzykowski J. 58152



- Pietz P. 59131  
Pike R. G. 56763  
Pilar Villagrán M. del 58891  
Pimont B. 59558  
Pinder A. R. 57588  
Pingale S. V. 59114  
Piños A. 59162  
Piozzi F. 57642  
Pipenberg K. J. 56779  
Pirkil J. 57432  
Pisano M. 57912 II  
Plank R. 57704  
Plasencia A. 58881  
Plata Bedmar A. 56618  
Plaumann P. 59317 II  
Plessner K. W. 58126  
Plíva J. 57267  
Pobereskin M. 58245  
Poca U. 58223  
Poczeko S. 56861  
Podall H. E. 57413  
Podbielniak W. C. 57743  
II  
Podbielniak W. J. 57743  
II  
Podgórski R. 58099  
Podolská M. 59699  
Podolský B. 56868  
Podrazský V. 59071  
Poethke W. 58418  
Poffe R. 59119  
Pohloudek-Fabini R. 56344  
Pointeau R. 56889  
Polaczkowa W. 57394  
Polák F. 58077 II  
Polák S. 57080  
Pollmeni F. 58733  
Pollack A. 57812, 58020  
Polo S. R. 56427  
Poloskov S. M. 57017  
Ponsold K. 57449, 57566  
Popescu M. 58059  
Popkin A. H. 58805 II  
Pople J. A. 56461  
Popov A. I. 56995  
Porges M. 58438  
Porod G. 56953  
Porowska N. 57381  
Porphyre J. A. 59510  
Porter L. M. 58300  
Poschmann H. 58202  
Pospíšil Z. 58116  
Potts C. S. 58991  
Powers R. M. 56890  
Prater A. N. 59206  
Pratt B. C. 58331 II  
Pratt M. I. 58959  
Prebendowski S. 57369  
Preis O. H. 57858  
Prekopp I. 59157  
Prener J. S. 56536  
Prescott J. F. 57541  
Preston-Thomas H. 59554  
Příbil R. 57236  
Příbil R. 58430  
Price C. C. 56448  
Price J. A. 59312 II  
Price W. V. 59142  
Prochaska R. J. 58347 II  
Protiva M. 57441  
Pruthi J. S. 59112  
Pryor M. J. 57821  
Pucheault J. 56828  
Pucher L. E. 58073 II  
Pugh A. T. 58905  
Pungor E. 57248  
Punga W. 59241  
Purchas D. B. 57725  
Purdy R. B. 58723  
Purenas A. 57454  
Purnell J. H. 56660  
Purushottam D. 57136  
Puryear O. P. 58820 II  
Putnam R. E. 57435  
Q  
Quackenbush F. W. 58868  
Quelet R. 57442  
Quillico A. 57642  
Quinlan J. E. 56626  
Quinton W. E. 58831  
Quirk J. F. 58131  
R  
Raal F. A. 56524  
Rademacher W. 58621  
Radlove S. B. 58926 II  
Radošević A. 58423  
Raghava Rao B. S. V. 57136  
Rai L. 58499  
Raifsnider P. J. 57838 II  
Rajadurai S. 57595, 57596  
Rall W. 56664  
Ramachandra Rao C. N. 56411  
Raman P. S. 57393  
Ranby P. W. 56531  
Rancu N. 59577  
Randall W. H. 59606 II  
Randoll J. L. 56325  
Ranftl J. W. 57662  
Rao C. B. 57068  
Rao G. G. 57178  
Rao R. K. 58855  
Rao V. P. 57178  
Rao Y. K. R. 58856  
Rapala R. T. 57568  
Ramen T. 59587  
Rampino L. D. 58761 II  
Rasch W. 59049  
Rašić J. 59118  
Raskai A. 58298  
Rasse M. 58146  
Rath H. 59438, 59622  
Raub E. 58058  
Raue R. 57437  
Rausch L. 57881  
Rausser R. 57570  
Ray R. E. 57569  
Raynor G. V. 56667  
Reckless F. N. 59700  
Redfern J. P. 57139  
Reed J. J. 57051  
Reeder W. 57254  
Reeder W. H. (III) 58316 II  
Reerik W. 58624  
Reese R. M. 56397  
Regler H. 58189  
Regula W. 56408  
Rehner J., Jr 59440  
Rehnström J. 59518  
Rehs G. 58212 II  
Reiff O. M. 58799 II  
Reimers H. 57144  
Rein H. 59313 II  
Rein J. E. 57278  
Reitz D. C. 56458  
Reman G. H. 57716  
Rémand J. 58289  
Renner U. 57586  
Renzoni R. 56795  
Reppe W. 58319 II, 58337 II  
Resen L. 58706  
Resnick J. D. 57846  
Resuggan J. C. L. 58903  
Retting W. 56659  
Reuter F. H. 59055  
Reutner H. 59287  
Reynolds J. H. 57031  
Reynolds M. M. 58487 II  
Rezanowich A. 59533  
Rhodes R. G. 56579  
Rhys J. 59304 K  
Ribarić I. 59692  
Riccardi R. 56846  
Rice L. M. 58459 II  
Rich A. 59703  
Richards G. N. 57548  
Richards L. M. 58920 II  
Richardson P. J. 56465  
Richter H. 56608, 56610  
Richter H. 58484 II  
Rickers F. O. 59030 II  
Riddell W. C. 59611 II  
Riedrich M. 58266  
Riegel B. 57569  
Ries P. 56629  
Riester O. 58397 II  
Rietz R. C. 59507  
Rietz U. 57446  
Rigamonti R. 57711  
Rigler F. 59181  
Rikowski I. 57133 K  
Rimsky A. 56585  
Ringe J. P. 57593  
Ringuelet R. 58995  
Rinker E. C. 58084 II  
Rippert I. 57840  
Ristanović R. 59649  
Ritt P. E. 58022  
Ritter A. 57506  
Rivers J. L. 56868  
Roan C. C. 58499  
Robb E. W. 57579  
Robbins E. K. 59102  
Roberts C. E. 57983 II  
Roberts C. W. 56416  
Roberts E. S. 57981 II  
Roberts J. B. 56919  
Roberts R. M. 57464, 57986  
Roberts S. 56540  
Robertson E. C. 57282  
Robson J. H. 57964 II  
Robu I. V. 57712  
Rodin J. O. 57610  
Rodis F. 57972 II  
Roeder G. 56598  
Roedig A. 57339  
Rogenhofer H. 57444  
Rogers O. C. 56930  
Rogers S. M. 59617  
Rogge K. 58705  
Rogerio M. 58400  
Rohlf A. 59363  
Rokossovski Z. 57659  
Rolewicz H. A. 57409  
Roman T. 59203  
Romanko J. 56432  
Romanowski H. 56320  
Romussl M. 56826  
Rooksby H. P. 58120  
Roos H. 57965 II  
Rope B. W. 58369 II  
Rorig K. J. 58454 II  
Rosch M. 58915  
Rosen L. J. 59497 II  
Rosen W. E. 57483  
Rosenberg A. 56441  
Rosenberg M. 58620  
Rosenstein L. 58304  
Rosenthaler L. 57231  
Rosik L. 59439  
Rosinski S. 58628  
Rosmalen W. C. 59170  
Ross S. D. 56773  
Rostowzew W. E. 59618  
Roşu D. 59158  
Roth E. 58017  
Roth J. F. 56785  
Rothstein E. 57321  
Rottgella E. 58428  
Rousselle G. 59295  
Rousset J. 57670  
Roussopoulos P. N. 56379  
Rout M. K. 57493  
Rovesti P. 58402, 59110  
Roy J. 57458  
Roy P. 58880  
Roy R. 56509  
Rozman I. M. 57277  
Rudbach W. 58384 II  
Ruemele T. 58568  
Ruggieri P. 58477 II  
Ruggieri R. 58410  
Rühle S. 59357 II  
Rumble E. B. 57900  
Rumens W. 59672 II  
Rumpf K. 58838  
Rundel W. 57357  
Rupert A. 59673 II  
Rusan Z. 59689  
Rusch A. 59336 II  
Russ J. J. 57254  
Russell R. A. 56429  
Rust F. F. 58300  
Rutgers A. J. 56939  
Rutkowski A. J. 57500  
Rutkowski Z. 57369  
Ružička E. 57118  
Rusiewicz Z. 56877  
Ryan E. J. 57871 II  
Ryder E. 56419  
Rygg R. H. 56995  
S  
Sabadoš D. 59134  
Sacconi L. 57001  
Sacha M. J. 57488  
Sachtleben R. 59235  
Sacken J. C. 56953  
Safarik I. 56881, 56882  
Safra S. 56375  
Saha J. G. 58880  
Sahini V. 56395  
Sahm G. 59631  
Saint H. C. J. 57170  
Saint-James D. 56543  
Saito N. 59723  
Saito T. 56926  
Saito T. 57185  
Sakamaki I. 57203  
Sakamoto M. 56389  
Sakudo T. 56650  
Sakuntala M. 56894  
Sakurada I. 59719  
Sakurai A. 57467  
Sakurai S. 57612  
Salauze J. 58071  
Salemink C. A. 57635  
Saller W. 59010  
Salmon J. E. 57139  
Salmon L. 57146  
Salter R. 56592  
Saltzman A. L. 57896  
Salvetti A. 58672  
Salvi C. 58707  
Samachson J. 57210  
Samal K. 56605  
Sampaolo A. 58870  
Samuelson H. O. 59589 II  
Samuelson O. 56929  
Sanahuja-Bonfill A. 59647  
Sandvik O. 59161  
Sanger R. 56683  
Sangster R. C. 56533  
Sanjana W. R. 56491  
Sannic C. 57573  
Sanno Y. 57649, 57650, 57652, 57653  
Sant B. R. 57150  
Santappa M. 59742  
Sapper W. 58894  
Sarel S. 58318 II  
Saret L. H. 58401  
Sarkar G. G. 58611  
Sarma P. S. N. 58866  
Sartori G. 56437  
Saryua K. 59194  
Sasaki K. 57999  
Sasaki S. 57467  
Sasno G. S. 57244  
Sasin R. 57244  
Sato J. 58834  
Sato K. 57233  
Sato M. 57915  
Sato T. 57407  
Sato T. 57592  
Sattler L. 58950  
Sauer J. 59492  
Sauer J. A. 59727, 59736  
Sauer J. C. 58336 II  
Saur E. 57127  
Sauter E. 57733 II  
Sawa M. 59575  
Sawad T. 59105  
Sawyer W. M. 56957  
Saxena R. S. 57168  
Scaife D. B. 57014  
Scarborough A. L. 58576  
Scarlett W. J. 58850  
Scarth V. 58840 II  
Schaaf  
Schabel  
Schach  
Schaefer  
Schaefer  
Schaeff  
Schäfer  
Schäfer  
Schaff  
Schaff  
Schaller  
Schaller  
Schanz  
Scharf  
Scharf  
Schaufel  
57981  
57985  
Schay  
Scheer  
Scheib  
Schelhor  
Schlenck  
Schenk  
Schenk  
Scherer  
Scheuer  
Schleibel  
Schild  
Schiller  
Schimbe  
Schimits  
Schindler  
Schindle  
Schindle  
Schinkel  
Schinz  
Schinzel  
Schlatte  
Schlenk  
Schlöma  
Schmeiss  
57967  
Schmid  
Schmidt  
58469  
Schmidt  
Schmidt  
Schmidt  
Schmidt  
Schmitt  
Schmiz  
Schmolz  
Schmüll  
Schneew  
Schneide  
Schneide  
Schneide  
Schneide  
Schober  
Schoffeld  
Scholtiss  
Schöngut  
Schoppm  
Schorsch  
Schrad  
Schraufst  
Schreib  
Schrieber  
Schuetz  
Schuhkn  
Schulek

- 56882 Schaaf K. H. 58455 II  
Schabelitz E. J. 58671 II  
Schachman H. K. 56945  
Schaefer H. 57362, 57453  
Schaefer H. 58205  
Schaeffer W. D. 57440  
Schäfer K. 56664  
Schaffner K. 57555  
Schafft G. 58565  
Schaller A. 59010, 59021  
Schaller W. 59299  
Schanz D. 59525  
Scharf P. T. 58213 II  
Scharf R. 57223  
Schaufelberger F. A.  
57981 II, 57984 II,  
57985 II  
Schay G. 56900, 56903  
Scheer M. D. 56752  
Scheib W. 59318 II  
Schelhorn 59032  
Schenck W. P. 57978 II  
Schenk 58663  
Schenk W. 58359 II  
Scherer O. 58311 II  
Scheuer P. J. 57580  
Schlebel W. 58946  
Schlid E. 58992  
Schiller G. 58359 II  
Schimberni A. M. 57611  
Schimitschek E. 56457  
Schindewolf U. 57129  
Schindler A. 59748  
Schindler P. 56722  
Schinkel H. 57157  
Schinz H. 57549  
Schinzel E. 57383  
Schlatte M. J. 58352 II  
Schlenk H. 58876  
Schlömann E. 56566  
Schmeisser M. 56976,  
57967 II  
Schmid E. 58474 II  
Schmidle C. J. 58327 II,  
58469 II  
Schmidt H. 56883  
Schmidt H. W. 57959 II  
Schmidt O. 59230 II  
Schmidt U. 58379  
Schmidtman E. 57809  
Schmitt J. M. 56932  
Schmiz E. 57391  
Schmolka I. 57494, 57495  
Schmülling E. 59402  
Schneeweiss R. 59080  
Schneider A. 59454  
Schneider B. 57267  
Schneider E. 59665 II  
Schneider W. G. 56461  
Schober K. 57737 II  
Schofield K. 57372  
Scholtissek C. 57565  
Schöngut S. 58299  
Schoppmeyer W. 59602 II  
Schorsch J. J. 58427  
Schradner G. 58544 II  
Schraufstätter E. 58453 II  
Schreiber K. 59401  
Schriewer H. 57835 II  
Schuetz R. D. 56420  
Schuhknecht W. 57157  
Schulek E. 57248  
Schulenburg W. 58848 II  
Schulte-Frohlinde D.  
56774, 56775  
Schultz E. M. 58442 II  
Schultz H. H. 57877  
Schulz A. 59076  
Schulz M. E. 59115  
Schulze H. 57835 II  
Schumacher K. 59735  
Schumicky I. 58614  
Schurz J. 59713  
Schuster K. 58910  
Schütze R. 58484 II  
Schwab G. M. 56333  
Schwartz M. 57353  
Schwarzenbach G. 57007  
Schwarzmann M. 57967 II  
Schweiger R. N. 56538  
Schweishelmer M. 59688  
Schweishelmer W. 58563,  
58892, 58904  
Schweitzer G. K. 56831  
Schwenkhagen H. F.  
57777  
Schwertner J. 58614  
Scott D. W. 56468  
Scott J. K. 59122  
Scott R. L. 56852  
Scrocco M. 56437  
Sear D. W. 59349 II  
Searle R. 57717  
Sebald J. F. 57872 II  
Seban R. A. 57690  
Sebban-Danon J. 59747  
Seekamp H. 57901  
Seelbach C. W. 58868  
Segatto P. R. 57112  
Segesser A. 58912  
Segre A. 57486  
Seher A. 58885  
Seidel G. 59190  
Seidel W. 57128  
Seidlitz W. 57763  
Seifert H. E. 58274  
Seiwerth R. 57478  
Seki S. 59711  
Sekizawa Y. 58413  
Sellin J. T. 58749 II  
Semenoff S. 58341 II  
Semeyn B. 59247  
Sen K. R. 59614  
Senderson C. G. 57682  
Senger F. 59565  
Sen Gupta S. K. 57379  
Senn H. 57007  
Sensi P. 57262  
Serrano Berges L. 57119  
Serres A. 56558  
Serrigne Y. 57205  
Seshadri K. 56728  
Seshadri T. R. 57639  
Seta Y. 57648  
Seto K. 57186  
Seto S. 57301  
Sette D. 56581  
Severiens J. C. 56370  
Seyfried W. D. 58775 II  
Shabica A. C. 57483  
Shaffer M. R. 59530  
Shahak I. 57522  
Shalimoff G. V. 56387  
Shalit H. 58770 II  
Shank R. C. 57278  
Shapira R. 57310  
Sharkey J. 59144  
Sharkey W. H. 57366,  
57435  
Sharma P. G. 58384  
Shaw K. N. F. 57352  
Shelley J. P. 59599 II  
Shepherd H. G. 57285  
Sherburne E. C. 59619  
Sherrick P. 59037  
Sherwood P. W. 58292  
Shida S. 56827  
Shimazaki E. 56658  
Shimizu M. 59212  
Shinoda K. 56844  
Shinohara Y. 59491  
Shipman W. H. 56617  
Shiragami O. 56884  
Shiraki Y. 58104  
Shirasaki T. 56913  
Shirck F. H. 58513  
Shirozu H. 57070  
Shitomi H. 59105  
Shive W. 57474  
Shoda T. 56521  
Shogenji K. 56555  
Shorland F. B. 59163  
Shown Guo-shung 57472  
Shropshire E. Y. 58537 II  
Shukys J. G. 58451 II  
Shuler K. F. 56778  
Sibbitt L. D. 59053  
Sicher J. 57587  
Siegel M. 57296  
Siegel M. R. 57987  
Siesto A. J. 58417  
Siewert G. 57117  
Sikorska-Tomiccka H.  
57242  
Silverberg J. 57988  
Silverman L. 57204  
Silverstein R. M. 57507  
Silvestri M. 56795  
Simchen H. 58237  
Simon V. 57163, 57214  
Simon W. 57284  
Simon W. 58806 II  
Simonart P. 59119  
Simone P. 56617  
Simonescu I. 58996  
Sims P. 57469  
Sims R. G. 58412  
Singer K. 56469  
Sinha A. P. B. 56491,  
56671  
Sinnema Y. A. 57358  
Sinwel F. 59290  
El Sioufi A. 56372, 56374  
Sjostrom G. 59127, 59148  
Skean J. D. 59124  
Skeip C. 58571, 58573  
Skeist I. 59300  
Skertchly A. R. B. 56670  
Skinkle J. H. 59619  
Skinner C. G. 57474  
Skinner D. A. 57440  
Skinner H. A. 56653  
Skjelderud H. 59572  
Skrabal B. 59439  
Skulberg A. 59161  
Skupinski S. 56352  
Slack A. V. 57991  
Slota P. J. 57509  
Slover H. T. 58877  
Slovik N. 57210  
Sluis K. J. H. 58893,  
58899, 59360  
Smales A. A. 57225  
Smets G. 59770  
Smid B. 56498  
Smid M. 58430  
Smit P. J. 56771  
Smith C. K. 59146  
Smith C. T. 59608 II  
Smith E. L. 57849  
Smith G. N. 58533  
Smith G. W. 56865  
Smith H. A. 57299  
Smith I. C. P. 58190  
Smith J. F. 56647  
Smith J. W. 59598 II  
Smith M. B. 57976 II  
Smith M. F. 59607 II  
Smith M. W. 57861  
Smith P. 56821  
Smith R. W. 56667  
Smith W. C. 57982 II  
Snell F. D. 58902  
Snetsinger R. 58514  
Snohl D. 57232, 57247  
Snyder K. L. 59526  
Sobel A. E. 57210  
Sobue H. 59767  
Socha J. 58055  
Solberg Y. J. 57655  
Solo R. B. 59662  
Solomon I. 59635  
Somayajulu G. R. 56673  
Sommer H. H. 59142  
Sommer L. 57196  
Soos E. 58429  
Sorgato I. 56591  
Sorm F. 57552  
Sotobayashi H. 59719  
Souček M. 59579  
Soull F. 57392  
Sowa F. J. 58551 II  
Spain R. W. 58187  
Spalding D. B. 57722  
Spanzaro F. 59174, 59180  
Speakman J. B. 59616  
Spears E. C. 57052  
Spencer C. F. 57610  
Spencer H. 58309 II  
Sperber N. 58468 II  
Spitzer R. 58288 II  
Spoerri P. E. 57494,  
57495  
Spragg W. T. 56628  
Sprokel G. J. 59656  
Squire W. 56781  
Srimany S. K. 57554  
Srinivasan K. S. 59114  
Srinivasan R. 56506  
Srinivasulu K. 57136  
Staas F. A. 56607  
Stadelman W. J. 59167  
Staemmler C. 58660  
Stallberg G. 57351  
Stallworthy E. A. 57660  
Stamm W. 57349  
Stammer C. H. 57609  
Staněk J. 57056  
Stange H. 56883  
Stanley L. N. 59677 II  
Stanners L. N. 59511  
Stansbury H. A. 58332 II  
Stareck J. E. 58086 II  
Stark V. 56865  
Stastny F. 59348 II  
Staub H. H. 56595  
Staudt E. 59059  
Stawitz J. 58113  
Stawowczyk A. 58424  
Stayner R. D. 58925 II  
Steacle E. W. R. 56818,  
57323  
Steadman R. 56520  
Steele M. C. 56992—56994  
Steele W. R. 59617  
Steenberg B. 59517  
Steenland M. J. 56370  
Stehlik A. 59699  
Stein H. 57230  
Stein K. C. 56796  
Stein S. 58895  
Steinberger F. 57730 II  
Steiner L. F. 58516  
Steinfatt F. 58908  
Steinfert O. 57436  
Stejskal Z. 57253  
Stelzer I. 56772  
Stemplen M. F. 57629  
Stenius A. S. 59518  
Stephanoff N. N. 58522  
Stephenson H. K. 58263  
Stevens C. L. 57390  
Stevenson W. N. 59604 II  
Steverlynck B. 59630  
Stewart B. B. 57299  
Stewart L. D. 59229 II  
Steyer L. 58196  
Stickland A. C. 56366 R  
Stiebling E. 58779 II  
Stiles S. R. 58784 II  
Stilz W. 57452  
Stine H. M. 58780 II  
Stiner W. 59280  
Stirling A. Y. 57772 II  
Stober K. E. 59341 II,  
59356 II  
Stokr J. 57267  
Stoll P. 56372, 56374  
Stoll W. 53474 II  
Stoltz E. M. 58928 II  
Stone I. 58953  
Stoops C. E. 58465 II  
Stouffer L. 58387  
Stoy A. 59475  
Straley J. M. 58394 II,  
58395 II  
Stranathan J. D. 56611  
Stranks D. R. 56657  
Strauss S. W. 58041  
Streck C. 59677 II  
Strepkov S. M. 57543  
Stroh R. 57907  
Ströle U. 59548  
Strub C. 59697  
Stuart A. A. V. 56392,  
56444  
Stuart E. H. 58476 II  
Stuckey B. N. 58878  
Stuckwisch C. C. 57343  
Stupel H. 58911



- Stutzman L. F. 58302 II  
Suami T. 57604  
Subbarao E. C. 56535  
Subrahmanyan V. 59202  
Subramanian M. 57596  
Suchan H. 59230 II  
Sugár E. 57200  
Sugawa T. 57649  
Sugier H. 56904  
Sugihara K. 57185  
Suglura Y. 56456  
Suijkerbuijk H. J. P. 59028 II  
Suito E. 59452  
Sulock Z. 57166  
Sulochana S. 57618  
Sumiki Y. 57648, 58526  
Sumitomo H. 59766  
Sumner G. G. 56500  
Sunagawa M. 59107  
Sundberg O. K. 58712  
Sunderman D. N. 57140  
Sunner S. 56650  
Suomalainen H. 59011  
Supica M. 58997  
Surmatis J. D. 58580 II  
Sús O. 58592 II  
Süssenguth O. 59318 II  
Suter M. 57847  
Sutherland 58683  
Sutter W. 57907  
Sutton M. G. 58487 II  
Suyama A. 57762  
Suzuki H. 57753  
Suzuki H. 58955  
Suzuki K. 57471  
Suzuki M. 57233  
Suzuki S. 58958  
Svédová J. 58164  
Švehla V. 58191  
Swaminathan S. 57618  
Swanson K. M. 56565  
Sweet L. R. 57616  
Sweeten J. L. 57742 II  
Sweeney M. P. 58668 II  
Swerdluff J. 58328 II  
Sykes S. M. 59219  
Sykora 57755  
Sylvester W. G. 57910 II  
Synek L. 57232  
Szabadvary F. 57174  
Szabó D. 57599  
Szabo J. F. 58073 II  
Szabó Z. 56979  
Szabó Z. G. 56758  
Szabolcs J. 57599  
Szapiro S. 56656  
Szathmáry J. 56903  
Szécal M. 59379  
Székely G. y. 56900, 56903  
Szekeres L. 57143, 57200, 57212  
Szigetváry G. 56903  
Szinal S. 57645  
Szönyi S. 56900  
Szymaszkiewicz J. 58535 II
- Tabata Y. 59767  
Taconis K. W. 56607  
Tadachi C. 56572  
Tadokoro H. 59711  
Tai Chang-shin 57418  
Tait P. C. 57289  
Tajima Y. 59767  
Takahashi N. 57648  
Takahashi S. 56892  
Takahashi S. 58957  
Takahashi T. 57999  
Takeda A. 57621  
Takeda S. 57773  
Takekawa Y. 57455  
Takemura T. 59722  
Takenaka H. 59720  
Taketatsu T. 57147  
Takeuchi H. 57195  
Talatí A. M. 57120  
Talboy J. H. 56376  
Tamai Y. 58724  
Tamaki K. 56915  
Tamelen E. E. 57578  
Tanabe K. 58480, 59623  
Tanaka A. 56864  
Tanaka H. 59776  
Tanaka K. 57650, 57651  
Tanaka T. 57206  
Taniowski M. 59382  
Tanimoto A. 57941  
Taniyama M. 59746  
Tanizaki Y. 59707  
Tanner H. 59005  
Tanzawa H. 59491  
Tappel A. L. 59176  
Tarnóczy T. 56568  
Tarrant P. 57523  
Tasman J. E. 59547  
Tatauoka S. 57650, 57651  
Taylor E. P. 57400  
Taylor K. M. 58163  
Taylor S. A. 57496  
Telford H. S. 58510  
Teller W. K. 58582 II  
Tench J. D. 58778 II  
Tenorova M. 57137  
Tepley L. J. 59070  
Teplý J. 56825  
Teral Y. 57485  
Te Selle L. D. 57289  
Tetenbaum M. T. 57388, 57389  
Teyssié P. 59770  
Težak B. 56944  
Thackray R. W. 58119  
Thakor V. M. 57640  
Thaler S. 59149  
Theander O. 57537  
Theilmann E. L. 58069  
Thiec J. 57370  
Thinius K. 59246, 58329 II, 59332 II, 59601 II  
Thi Thuan Sa-Le 57319  
Thodos G. 58302 II  
Thomas B. R. J. 59215  
Thomas R. M. 58308 II, 58310 II  
Thomas W. 57577  
Thompson D. C. 59457  
Thompson G. P. 56796  
Thompson H. W. 56429
- Thompson R. B. 58786 II  
Thompson W. D. 59595 II  
Thor P. 58165  
Thornton D. W. 56449  
Thornton J. D. 57741 II  
Thornton W. A. 56541  
Thrush B. A. 56817, 56819  
Thurn H. 59733  
Tichy M. 57587  
Tiersonnier B. 59169  
Tilgner D. J. 59220 R  
Tillieu J. 56463  
Tillotson J. A. 58876  
Tingey F. H. 57180  
Tinoco I. 56604  
Tipson R. 57658  
Tischbein W. 58536 II  
Tislow R. F. 58462 II  
Tissot L. 59669 II  
Tjomsland O. 56495, 56496  
Toda H. 59540  
Toffoli F. 58436  
Tokieda M. 57624  
Tokuda S. 58016  
Toland W. G. 58367 II  
Tomaschek E. 58626  
Tomaszewski J. 59760  
Tomboulian D. H. 56388  
Tomiska J. 56662  
Tomko J. 57384  
Tonry J. R. 58244  
Toohey V. P. 57483  
Topa K. 58404  
Topa M. 58404  
Tovissl L. 57577  
Towie P. H. 58793 II  
Toynbee P. A. 58711  
Trauberman L. 59199  
Treiber E. 59518  
Treibs W. 57508  
Trenczek W. 59573  
Trenner N. R. 57609  
Treseder R. S. 57838 II  
Trevissol C. 57701  
Trey F. 56554  
Tricebock D. J. 57990  
Trier W. 58188  
Trifunovic D. 59649  
Trompler J. 57248  
Trumpelt W. 58464 II  
Trussell P. C. 58839  
Tschoegl N. W. 59047  
Tseng Hsien-mou 57361  
Tsuchida R. 56409  
Tsuchiya M. 57220  
Tsuji Y. 58200  
Tsukamoto T. 57533  
Tsunoda S. 57928  
Tuderman L. 58437  
Tuffery R. 59277  
Tullen P. 57551  
Tum J. 58900  
Tummes H. 58340 II  
Tümmner W. 58117  
Tylor C. M. B. 57398  
Tyrrell H. J. V. 56862, 57014  
Tyuzyo K. 56600
- Uchibayashi M. 57650  
Uchiyama S. 56555  
Ueda K. 59019  
Ueda S. 57094  
Ueno Y. 57649—57651  
Ueoka Y. 57679  
Ueta M. 56542  
Ueyanagi J. 57649—57651  
Uhle H. 57623  
Ulbert K. 57267  
Ulrich A. H. 57861  
Ulmer K. 56526  
Ulrich J. C. 59516  
Ulrich P. 59640  
Umezaki Y. 57159  
Umezawa S. 57604  
Unger E. 57127  
Unger S. 57706  
Uno K. 57471  
Unrau A. M. 59094  
Updegraff I. H. 59279  
Updegraff L. A. 58617  
Urbański T. 57417  
Urbschat E. 58548 II  
Urey H. C. 57016  
Uriach J. 58425  
Urlas D. 58317  
Urlas R. 58807 II
- Vagneaud V. 57619  
Vilcek H. 57383  
Villadsen J. 56985  
Villepin J. 56889  
Vioque A. 58891  
Viswanathan N. 57596  
Viterbo R. 57486  
Vitkus J. 57454  
Vlannes P. N. 58044  
Voelskow U. 59460 II  
Vogel E. 59319 II  
Vogel O. 57847  
Vogel R. 56709  
Vogel R. 59632  
Voigt A. 59480 II  
Voigt P. 59283  
Voitlander J. 56457  
Volec J. 59175  
Voorhies A. 58753 II  
Vorobjov V. 58631  
Vosburgh W. C. 56387  
Voskresensky K. D. 57695  
Vrbanc O. 57957  
Vřesál J. 57115, 57142, 57209  
Vries A. J. 56963  
Vučkovic K. 59171  
Vu Hai 56436  
Vuković T. 59689, 59690  
Vybíhal J. 58299
- Vago G. 59698  
Vahala J. 56746  
Valenta F. 59679  
Valenzuela H. M. 57259  
Vanags G. 57466  
Van Blaricom L. E. 59588  
Vand V. 56478  
Vaněček V. 56665  
Van Eenam D. N. 57307—57309  
Van Keymeulen J. 56557  
Vanossi L. 59040  
Van Strien R. E. 58793 II  
Variati G. 58556  
Varma M. C. P. 56733  
Varshney I. P. 57573  
Vasilescu V. 59333 II  
Vasiliiu B. 59000  
Vaterlaus B. P. 57575, 57576  
Vaughan W. A. 57292  
Vaughan W. R. 57479—57481  
Vavrinec G. 58942  
Večeřa M. 57228, 57232  
Velluz L. 57558  
Venanzi L. M. 57000  
Venkatasubramanian G. B. 57639  
Vermeil C. 56832  
Vermeiren T. 57816  
Vernois G. 58853  
Verrijn Stuart A. A. 56771  
Vertner R. B. 59226 II  
Vest R. W. 56647  
Vetter H. 58111  
Vielhaber L. 58199  
Viertel O. 59658
- Waals J. H. 56853  
Waddington G. 56468, 57227  
Wadsworth F. T. 58344 II  
Waeser B. 58887  
Wagner A. 57430  
Wagner C. 56874  
Wagner G. 57545  
Wagner H. B. 59394  
Wahl H. 57401  
Wahl K. 58593 II  
Waisvisz J. M. 57606  
Wait E. 56975  
Wakatsuku U. 58724  
Wakayama S. 57345  
Walker A. B. 57673  
Walker B. H. 56419  
Walker H. E. 58186  
Walker R. L. 58507  
Walker R. W. 57609  
Wall J. G. L. 57139  
Walling C. 56768  
Wallmann J. C. 56387  
Walstrom R. J. 58492  
Walt T. 58224  
Walter A. J. 57015  
Walter L. 57748, 59046  
Walton E. 57609, 57610  
Walton R. R. 58503  
Wansink D. H. N. 56607  
Wanzlick H. W. 57445  
Warburton B. 56592  
Ward E. R. 56325  
Ward R. 56999  
Ward W. C. 58543 II  
Wardle J. 59627  
Warnant J. 57558  
Warren H. V. 57027  
Warwick I. J. 58632  
Waser J. 56476

Waser P. G. 57636	Werbel L. M. 57408	Wiley R. H. 56932	Wondratschek H. 58198	58016
Wasson J. I. 58804 II	Werkenthin T. A. 59466	Wilhelm H. 59316 II	Wood C. B. 59209	Yost W. J. 57029
Watanabe I. 57686	Werner F. 57705	Wilkerson T. D. 56405.	Wood F. S. 58713	Yowell R. F. 56520,
Watanabe M. 59728	Werner H. 59309 II	Wilkinson A. J. 57519	Wood J. A. 56723	58106
Watanabe N. 58016	Wesner A. 58245	Wilkowa T. 56793	Woods A. D. B. 56606	Young D. W. 58818 II
Watanabe T. 57686	Wessely F. 57383	Willard J. E. 56626	Woods G. F. 56412	Young E. M., Jr 59278,
Waterman R. R. 59429	West H. J. 58370 II	Willart S. 59127	Woods H. A. 58819 II	59599 II
Watkins C. H. 58745 II	West R. 58126	Williams J. 58119	Woods J. S. 56909	Young F. G. 58373 II
Watson F. 58798 II	Westernhagen H. von	Williams J. K. 57366	Woods S. B. 56548	Young G. J. 57925 II
Watson W. F. 59431	58857	Williams M. 57021	Woodward A. E. 59492,	Young R. D. 57988
Waugh J. S. 56460	Westhuyzen J. P. van	Williams S. M. 57158	59736	Yuasa T. 56371
Wawra H. 56953	der 59023	Williams-Wynn D. 59687	Woodward R. B. 57560	Yui S. 57345
Wayne W. J. 57631	Weston C. D. 59642	Willicks W. 57463	Woolford R. G. 59744	Yuki S. 57203
Weaver D. G. 59285	Wetsch U. 59005	Willis V. M. 59415 II	Wotiz J. H. 57300	Yust V. E. 58787 II
Webb G. W. 58829	Wett T. W. 58896	Willits C. O. 58961	Wright G. F. 57498	
Webb T. L. 58224	Wetter F. 58809 II,	Willner D. 57646	Wright J. H. 58763 II	Z
Webb W. H. A. 58632	58815 II	Wilmsars E. M. 57721	Wright J. H. 59670 II	Zablondil O. 58077 II
Weber F. 59639	Weyenberg D. R. 58346 II	Wilmshurst B. R. 56657	Wronski M. 56736	Zahn H. 57355, 57403
Weber H. 57443	Weyermüller G. 57764	Wilksa S. 56649	Wurbs E. 57839 II	Zak T. 58055
Weber R. 56473	Weygand F. 57443	Wilson A. N. 57609	Würstlin F. 59733	Zakar P. 58701
Weber S. A. 59362	Whalen F. C. 57752	Wilson C. R. 58089 II	Wurz A. 59634, 59638	Zalkin A. 56503
Webers V. J. 58315 II	Whitaker W. W. 57021	Wilson C. W. (III) 56459	Wuytack A. 59119	Zapiór B. 56867
Webre A. L. 58951	White B. B. 59407 II	Wilson H. F. 58537 II	Wu Yuan-liu 57470	Zedníček J. 58164
Webster T. J. 58287 II	White G. K. 56548	Wilson H. G. 58498	Wyatt J. L. 58069	Zehnder E. 57857
Wedgwood H. R. 58140	White J. 58118	Wilson R. C. 58143	Wybenga F. T. 56507	Zeiss W. 58345 II
Weeks W. J. 57796	White T. T. 57289	Witzbach K. E. 56629	Wyckoff H. W. 56480	Zelinka J. 59749
Wegner G. 58486 II	Whitehurst J. S. 57416	Windemuth E. 59328 II	Wynkoop L. M. 59609 II	Zellner C. N. 58297
Wegner H. 58956	Whiteman I. R. 57698	Wippel H. G. 57510		Zemanu J. 56494
Weidhaas D. E. 58524	Whitman E. R. 57904	Wirth-Lindemann F. C.	Y	Zemplén G. 58805, 57532
Weidman S. H. 58447 II	Whitney H. M. 58177 II	56684	Yagi Y. 59212	Zenchelsky S. T. 57112
Weigel F. 59353 II	Whytlaw-Gray R. 56642	Wise C. S. 57256	Yagishita K. 57553	Zerweck W. 59313 II,
Weil G. 58276	Wichterle O. 59749	Wisniewski A. 59426	Yahnke R. L. 58303 II	59315 II
Wein S. 58031	Wicklitz J. E. 59468 II	Wissing O. 59077, 59079	Yamada N. 56813	Zevi V. 57611
Weinheimer A. J. 57390	Wickstrom A. 57257,	Witek T. 56760	Yamada S. 56409	Ziegler E. K. 58349 II
Weinhold K. 57732 II	57536	Witekowa S. 56759, 56760	Yamada T. 58200	Ziegler K. 58351 II
Weis J. 56855	Widmer H. 59261	Withers J. C. 58022	Yamaguchi N. 59194	Ziegler'sberger G. 58949
Weisblat D. I. 57535	Wiebenga E. H. 56502	Witnauer L. P. 57244	Yamamoto Y. 57502	Ziemba J. V. 59152
Weiss E. F. 59682	Wiederholt W. 58025	Witte L. 58830 II	Yamasaki Y. 57689	Zigeuner G. 59779
Weiss H. 56617, 56735	Wiedermann A. 59532	Wittfogel H. 59201	Yamauchi T. 58526	Zigman P. E. 56786
Weiß H. 59529	Wiegand H. 57788	Wittig G. 57452, 57462	Yamazaki H. 56827	Zill H. 57801
Weiss R. 56716	Wiegand J. 57739 II	Witting L. A. 59166	Yang Ching-sen 57421	Zimmer K. G. 57277
Weissman S. I. 56458	Wiegand J. H. 58718	Wizinger-Aust R. 56323	Yasuda K. 57169	Zimmermann H. 57297
Weller S. W. 58770 II	Wiegert E. 58473 II	Wnuck A. L. 58439 II	Yen Ko-chu 57361	Zirk E. J. 57074
Welling M. S. 59259	Wiegner P. 58666 II	Wodey P. 57414, 57410	Yokosuka S. 57217	Zollinger H. 58392 II
Wells F. E. 59167	Wieland T. 57584	Wohnsiedler H. P. 59279	Yokoyama M. 58974	Zotti G. 58872, 58879
Wells H. 59396	Wielgo F. 58144	Wójciak W. 56943, 57806	Yokoyama R. 59764	Zoula V. 58185
Welsh H. L. 56432	Wiemann J. 57319, 57370	Wojdyło S. 58636	Yonemoto H. 57601,	Zrůstek V. 57067
Wendlandt W. W. 56732,	Wienand M. 59342, II,	Wolf L. 56508, 56971	57602	Zucker A. 56368
57122	59343 II	Wolf R. 56944	Yorizane T. 59650	Zuiderweg F. J. 57719
Wenham A. J. M. 57416	Wiese H. K. 59440	Wolfam L. 59664 II	Yoshida F. 57714	Zukel J. W. 58489
Wenkert E. 57579	Wieseneder H. 57074	Wolfom M. L. 57535,	Yoshida M. 59487	Zutter H. 58541 II
Wentworth J. T. 58722	Wijk F. 56512	57658	Yoshikawa S. 56935	Zvonček J. 59026 K
Wentworth-Ping W. H.	Wijnen M. H. J. 56818	Wolfrum 59126	Yoshimori T. 57195	Zýka J. 57121, 57163,
57800	Wild J. W. 56611	Wolock I. 59265	Yoshizawa S. 56884,	57214

УКАЗАТЕЛЬ ДЕРЖАТЕЛЕЙ ПАТЕНТОВ

AB Statens Skogsindustrier	Allgemeine Elektrizitäts Ges.	American Oil Co. 58344	59316, 59345, 59348, 59665,
58219	57913	American Radio Corp. 58083	59672
Air-Maze Corp. 57727	Allied Chemical and Dye Corp.	American Sisalkraft Corp.	Baranyi J. 59610
Air Reduction Co. Inc. 58446,	57936, 58354	59604	Baylon M. 57736
59451	Aluminium-Industrie-Akt.	Anorgana G. m. b.H. 58825	B. B. Chemical Co., Ltd 59351
Akt. Ges für Unternehmungen	Ges. 57966	Apra Precipitator Corp. 57908	Beal A. 58933
der Eisen-und Stahlindustrie	American Celanese Corp. 58328,	Armco Steel Corp. 58173	Berner C. 59334
57730	59497	Atlas Powder Co. 58823	Bethlehem Steel Co. 57975,
Alfred Teves Maschinen und	American Cyanamid Co. 58353,	Babcock & Wilcox Co. 59592	57983
Armaturenfabrik K. G.	58370, 58372, 58396, 59312	Badische Anilin & Soda-Fab-	Böhme Fettchemie G. m. b.H.
58824, 58825	American Home Products	rik Akt. Ges. 57965, 58319,	59675
Alles G. A. 58456	Corp. 59232	58337, 58359, 58806, 59309,	Bosch R. G. m. b. H. 59603



- Bouillon E. 57911  
 Brederick H. 58378  
 Brinkmann K. 58812, 58814  
 British Celanese, Ltd. 59674  
 British Oxygen Co. Ltd. 58287  
 Brizard R. 58932  
 Bruce W. F. 58462  
 Burroughs Wellcome & Co. 58439  
 Burth K. 59666  
 Calgon, Inc. 59605  
 Californian Research Corp. 58352, 58367, 58925  
 Californian Union Oil Co. 57837, 58358  
 Carlisle Chemical Works, Inc. 59335  
 Cassella Farbwerke Mainkur Akt. Ges. 59315  
 Cellophane Soc. Anon 59498  
 Centre National de la Recherche Scientifique 58317  
 Chemical Construction Corp. 57981, 57984, 57985  
 Chemische Werke Albert 58808, 59230  
 Chemische Werke Hüls Akt. Ges. 58809, 58815  
 Chempatents, Inc. 58383  
 Chem-pharm Fabrik Dr. Hermann Thiemann G. m. b. H. 58473  
 Chimie et Atomistique 58460  
 Ciba Akt. Ges. 58392, 59483, 59673  
 Cillag Akt. Fes. 58541  
 Clinical Research Foundation 58452  
 Cluett, Peabody & Co., Inc. 59670  
 Cochrane Corp. 57868  
 Colgate-Palmolive Co. 58929  
 Collier R. T. Corp. 57870  
 Commercial Solvents Corp. 57963  
 Consortium de Produits Chimiques et de Synthèse 58927  
 Continental Oil Co. 58830  
 Daoudal M. J. Y. 59227  
 Dean R. S. 58088  
 Deinert & Co. 58092  
 Deutsche Gold- und Silber-Scheideanstalt vormals Roessler 58305, 58393, 58848, 59469  
 Deutsche Hydrierwerke G. m. b. H. 59326  
 Deutsche Spiegelglas-Aktien Ges. 58214  
 Deutsche Tafelglas Akt. Ges. 58215  
 Deutsche Vacuum Oil Akt. Ges. 58788  
 Diamond Alkali Co. 57974  
 Dichter J. 58208  
 Dow Chemical Co. 58376, 58380, 58547, 58552, 59341, 59356  
 Dow Corning Corp. 58346  
 Dresser Operations, Inc. 58316  
 Druck und Papierverarbeitung 59602  
 Duisburger Kupferhütte 57933  
 Dunlop Rubber Co. Ltd 59349  
 Du Pont de Nemours E. I. and Co. 57980, 57982, 58314, 58315, 58321, 58330, 58331, 58333, 58336, 58343, 58362, 58364 — 58366, 58371, 58440, 58817  
 Dynamit-Actien-Gesellschaft vormals Alfred Nobel & Co. 59342, 59343  
 Eastman Kodak Co. 58213, 58394, 58395, 58590  
 Edström J. O. 57979  
 Electric Storage Battery Co. 58073  
 Emmeta Fabrikationsanstalt 58593  
 Englebert & Co. G. m. b. H. 59331  
 Epstein A. 58550  
 Esso Research and Engineering Co. 57934, 58751, 58753, 58765, 58775, 58797, 58803, 58805, 58818, 58828  
 Etat d'Israel 57993  
 Ethyl Corp. 57976  
 Farbenfabriken Bayer Akt. Ges. 57907, 58345, 58449, 58463, 58536, 58544, 58548, 58813, 59313, 59324, 59325, 59327, 59328, 59347, 59667, 59668  
 Farbwerke Hoechst Akt. Ges. vormals Meister Lucius & Brunning 58311, 58486, 58624, 59323  
 Fibreboard Products Inc. 59607  
 Firestone Tire & Rubber Co. 58348  
 Firma A. Klönne 58749  
 Firma J. S. Staedtler 59424  
 Firma Rohm & Haas Co. 58537  
 Fleck F. 58399  
 Flo-Matic Valve Co. 57771  
 Fluor Corp., Ltd. 58754  
 Food Machinery and Chemical Corp. 59228  
 Francesco Vismara Societa per Azioni 58477  
 Franz K. 58176  
 Frutiger F. 57962  
 Gachot J. 59339  
 Gardiner J. A. E. 57996, 57997  
 Gazzini J. 57731  
 Geigy J. R. Akt. Ges. 58363, 58474  
 Gelsenkirchener Bergwerks Akt. Ges. 58666  
 General Aniline & Film Corp. 58591, 58923, 59677  
 General Electric Co. 58289, 58347, 59322  
 General Mills, Inc. 58323, 58821, 58822  
 Geo. Wiedemann Brewing Co., Inc. 59030  
 Gerloff W. 58924  
 Geschickter Fund for Medical Research, Inc. 58459  
 Getzendaner M. E. 58533  
 Gilson P. C. J. 57774  
 Glidden Co. 58479, 58926  
 Goodyear Tire & Rubber Co. 58381  
 Gorin M. 58304  
 Goslin-Birmingham Manufacturing Co. 57738  
 Gould-National Batteries, Inc. 58074  
 Grace W. R. & Co. 58324  
 Gries H. 59346  
 Gruber T. 58669  
 Guent W. 58078  
 Guillaume Pascaud 59032  
 Gulf Research & Development Co. 58750, 58756, 58758, 58763  
 Harris V. C. 58768  
 Harshaw Chemical Co. 58085  
 Hawaiian Pineapple Co. Ltd 59225  
 Heinze E. A. D. geb. Schnürch. Heinze P., Heinze-Mansfeld E. M., Marder J. geb. Raus und Marder C. M. 58795  
 Helmbold P. A. 59340  
 Henkel & Cie G. m. b. H. 58329, 58361, 59585  
 Henning B. 58307  
 Herbst E. 58919  
 Hercules Powder Co. 50598, 59595  
 Hickman K. C. D. 58322  
 Hickson's Timber Impregnation 58843  
 Hill D. 58177  
 Hinrichs L. 57728  
 Hoffmann-La Roche Inc. 58580  
 Houdry Process Corp. 58746, 58747, 58770  
 Hughes By-Product Coke Oven Corp. 58665  
 Hydrocarbon Research, Inc. 58791  
 Imperial Chemical Industries Ltd 59413, 59502  
 Instytut Włókien Sztucznych i Syntetycznych. 59664  
 International Minerals & Chemical Corp. 57960, 58447  
 International Standard Electric Corporation 57971  
 Iowa State College Research Foundation, Inc. 57995  
 Isthmian Metals Inc. 58829  
 Jalkanen M. J. 59583  
 Janistyn H. 58581  
 Jedlicka H. 59350  
 Jefferson Chemical Co., Inc. 58377  
 Jenaer Glaswerk Schott und Gen. 58212  
 Kaiser Gypsum Co., Inc. 59611  
 Kali-Chemie Akt. Ges. 57967  
 Kalle and Co. Akt. Ges. 58592, 58595  
 Kasemann E. 59338  
 Kaufmann H. P. 58918  
 Kellogg M. W., Co. 58325, 58784, 59307  
 Keyes Fibre Co. 59606  
 Knapsack-Griesheim Akt. Ges. 57972, 57973  
 Kodak-Pathé 59314  
 Krodel 59594  
 Krüger M. R. 58667  
 Künz G. W. 58210  
 Kurashiki Rayon Co. Ltd 58781  
 Kurz G. 59601  
 Lab. für Adsorptionstechnik G. m. b. H. 58771  
 LaLande W. A., Jr 58534  
 Land Hessen, vertreten durch den Minister für Arbeit, Landwirtschaft und Wirtschaft 57839  
 Leitha 59031  
 Lepetit S. p. A. 58382  
 Levine B. 59425  
 Lilly E. & Co. 58476  
 Lindenmeyer J. 59344, 59504  
 Lindsay Co. 57874  
 Lonza Usines électriques et chimiques Soc. Anon 59310  
 Lurgi G. für Wärmetechnik m. b. H. 58759  
 McKee Development Corp. 59582  
 Maclean W. D. 58087  
 Maclean W. D., Cleland D. 58081  
 Mannheimer H. S. 58930  
 Maquinaria Esponola Oleicola Maeso S. L. 58917  
 Margit Ottilie Kühni-Rietmann 57740  
 Masonite Corp. 59608  
 Matériaux Doc. An. 59224  
 Merck & Co. Inc. 58442, 58470  
 Merck E. Chemical Works 58475  
 Metallgesellschaft Akt. Ges. 58384, 58670  
 Metal Propellers Ltd 57742  
 Metal & Thermit Corp. 58082, 58086  
 Metze R. 58471  
 Minneapolis-Honeywell Regulator Co. 57765  
 Mobil Oil Akt. Ges. in Deutschland 58807  
 Monsanto Chemical Co. 58342, 58538  
 Mooch Domsjo AB 59589  
 Mora F. M. 58842  
 Moraly P. 59337  
 Moreau R. G. 57746  
 Mosinee Paper Mills Co. 59596  
 Müller E. 58326  
 National Aluminate Corp. 58790  
 National Dairy Research Lab. Inc. 58482  
 National Distillers Products Corp. 58360  
 National Lead Co. 58480  
 National Research Development Co. 57766  
 Nicolaus H. G. m. b. H. 59602  
 Nippon Soda Co., Ltd 57968  
 Noack F. 58594  
 Nopco Chemical Co. 58455  
 Nordmark-Werke G. m. b. H. 58464

Norris E. O. 57768  
North American Milk Industries, Inc. 59229  
Norwich Pharmacal Co. 58472, 58543  
Nowakowski A. 58846  
N. V. de Bataafsche Petroleum Maatschappij 58796, 58800, 58801, 58819, 58826  
N. V. Zuid-Nederlandsche Spiritusfabriek 59029  
Odenwald-Chemie G. m. b. H. 59352  
Olin Mathieson Chemical Corp. 58301, 58308—58310, 58341, 58443, 58467, 58928  
Onelda Ltd 58080  
Osmose Wood Preserving Co. of America Inc. 58849  
Papeteries de Gascogne, René Henri Gadret 59591  
Pennsylvania Silt Manufacturing Co. 58546, 58549, 58794  
Pfizer C. & Co., Inc. 58466  
Pfleger R. 58453  
Pfleiderer, Säge und Imprägnierwerk 58845  
Pharma-Craft Corp. 58582  
Phillips Petroleum Co. 57734, 57744, 57773, 57992, 58374, 58465, 58545, 58757, 58840, 59468  
Phrix-Werke Akt. Ges. 59590  
Platkowski A. 59311  
Pierre Louis-Georges Minne 58931  
Pintsch Bamag Akt. Ges. 57737  
Pisano M. 57912  
Pittsburgh Consolidation Coal Co. 58769  
Pittsburgh Plate Glass Co. 58211, 58841  
Podbielniak W. J. 57743  
Polák F. 58077  
Prochim Soc. Anon 59584  
Procter & Gamble Co. 58922  
Production Control Units, Inc. 57769  
Pure Oil Co. 58302  
Raciborska Corzelnia Przemysłowa 59586

Rayonier, Incorp. 59588  
Reginals Scott Dean 57977  
Reilly Tar and Chemical Corp. 58375  
Rheinpreussen Akt. Ges. für Bergbau und Chemie 58385, 58448  
Robson J. H. 57964  
Rohm & Haas Co. 58306, 58327, 58469, 58816, 59597, 59599  
Ross Packing Co. 59226  
Rühle S. 58357  
Ruhrchemie Akt. Ges. 58072, 58340, 58368, 58759, 58779  
Rütgerswerke Akt. Ges. 59318  
Ryan E. J. 57871  
Samuel A. 57909  
Sandoz Akt. Ges. 58398, 59676  
Schabelitz Biochemical Corp. 58671  
Schering Corp. 58468, 58484  
Searle G. D. & Co. 58444, 58454, 58461, 58478  
Seibold L. 58075  
Sel-Rex Precious Metals Inc. 58084  
Shell Development Co. 57838, 58300, 58350, 58776, 58777, 58787, 58798, 59330  
Sherwin-Williams Co. 59415  
Siemens und Halske Akt. Ges. 57970  
Siemens-Schuckertwerke Akt. Ges. 57733, 58207, 58216, 58218, 58353  
Simpson Herbert Corp. 57726  
Soc. Anon des Manufactures des Glaces et Produits Chimiques de Saintr-Gobain, Chauny & Cirey 58217, 59308  
Soc. d'Application des Plastiques Armés 59354  
Soc. Bourguignonne de Mécaniques 57902  
Socony Mobil Oil Co. Inc. 59369, 58748, 58767, 58799  
Socony-Vacuum Oil Co., Inc. 58760, 57811  
Soc. Rhodiace 59669

Soc. Traitement l'Electricité Produits Alimentaires 59222  
Soc. des Usines Chimiques Rhône-Poulenc 58355, 58357  
Sowa F. J. 58551  
Specialties Development Corp. 57910  
Stamcarbon N. V. 58356  
Standard Oil Co. 58303, 58752, 58780, 58793  
Standard Oil Development Co. 58744, 58755, 58774, 58785, 58804, 58810  
Stange W. J. Co. 59234  
Stanolind Oil and Gas. Co. 58773  
Stauffer Chemical Co. 58539, 58542  
Steel Protection Ltd 58091  
Steinhaus G. m. b. H. 58079  
Sterling Drug. Inc. 58445  
Stirling A. Y. 57772  
Süddeutsche Kalkstickstoff-Werke Akt. Ges. 59319  
Sulzer Gebr. Akt. Ges. 57873  
Sun Oil Co. 58743, 58772, 58778  
Swift & Co. 57994, 59231  
Tallow Research Inc. 58920  
Technical Assets Inc. 58076  
Tee-Pak, Inc. 59609  
Termokimik Corp. 57735  
Texaco Development Corp. 58802, 58820  
Texas Co. 58764  
Thinius K. 59329, 59332  
Thiokol Chemical Corp. 58334  
Thomae K. G. m. b. H. 58441, 58450  
Tide Water Associated Oil Co. 58761  
Titanium Metals Corp. of America 57969  
Transonic Corp. 58789  
Treadwell M. H. Co., Inc. 58288  
Uclaf 58338  
Union Carbide and Carbon Corp. 58332, 58373  
Union Oil Co. 58782, 58783

United Engineers & Constructors, Inc. 58668  
United Kingdom Atomic Energy Authority 57741  
Universal Oil Products Co. 58312, 58745, 58786  
Urlass D. 59317  
USA, Secretary of Agriculture 59223, 59581  
USA, Secretary of the Army 58792, 59336  
USA, Secretary of Commerce 58172  
USA, U. S. Atomic Energy Commission 57729, 57924, 57925  
U. S. Steel Corp. 58827  
Vasilescu V. 59333  
Vereinigte Deutsche Metallwerke Akt. Ges. 57835  
Vereinigte Glanzstoff-Fabriken Akt. Ges. 59320, 59321  
Violet de Beck Epstein 59233  
Voith J. M. G. m. b. H. 59593  
Walterisation Cny Ltd 57836  
Walter Kilde-Pacific 57767  
Warren S. D. Co. 59600  
Wayne Tank and Pump Co. Ltd 57770  
Weinhold K. 57732  
Wells R. W. Ole Bardahl 58831  
Westinghouse Electric Corp. 58089, 59414  
West Labs, Inc. 58487  
Wiedes Carbidwerk Treyung m. b. H. 58174  
Wiegand Apparatebau G. m. b. H. 57739  
Wood A. Steel Co. 57978  
Worthington Corp. 57872  
Wucher R. 59355  
Würtembergische Metallwarenfabrik. 58090  
Zakłady Chemiczne «Azot» Przedsiebiorstwo Państwowe Wyodrebnione 58535  
Zeillstofffabrik Waldhof 59029  
Zeigler K. 58349, 58351

Аои Синой кабусики кайся 59417  
Асахи гарасу кабусики кайся 58206  
Дайсйова сейси кабусики кайся 59422  
Дэйдан ходвин нихон кагаку сэнъя кэнкюсё 59501  
Иса К. 59419

Исики гарасу когё кабусики кайся 58209  
Ионэкава Х 58847  
Кадзи К. 59420  
Капурая Сётэн кабусики кайся 59423  
Когё гйдаюцуинтё 57938, 59416  
Курасаки Рейон кабусики кайся 59503  
Марукава К. 59421

Миура М. 57869  
Нако Яити 59671  
Нисинака Д. 59412  
Нитто когаку когё кабусики кайся 59418  
Окава Сюнкити 59702  
Сингёцу кагаку когё кабусики кайся 57745  
Сумитани С. 59499, 59500

Такахаси Т. 58481  
Танэда янухин когё кабусики кайся 58458, 58485  
Тоё коацу когё кабусики кайся 57937  
Хасэба Есинори 58921  
Хори С. 57961  
Цубои Г. 58844  
Цудэн С. 58766



Технический редактор *С. А. Литвак*

---

Подписано к печати 7/VIII- 1958 г.	Тираж 4275 (в т. ч. 700 отд. отт.)	Формат бумаги 84×108 <sup>3</sup> / <sub>16</sub>
Зан. 740.	Печ. л. 57,40.	Бум. л. 17,5. Уч.-изд. л. 105,1

---

2-я тип. Издательства АН СССР, Москва, Шубинский пер., д. 10





Цена 31 р. 50 н.

Printed in the USSR

